

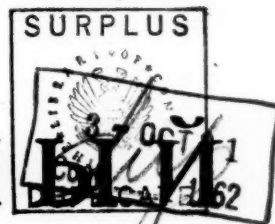
L/C

АКАДЕМИЯ НАУК СССР
ИНСТИТУТ НАУЧНОЙ ИНФОРМАЦИИ

РЕФЕРАТИВНЫЙ
ЖУРНАЛ

2 → ХИМИЯ

СВОДНЫЙ ТОМ



(Scr.)

QD

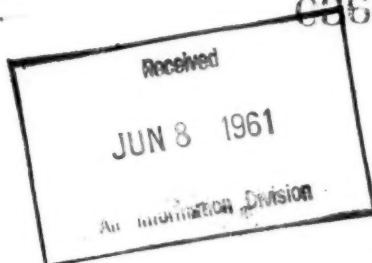
A3763

1961

no. 9-10

*

62657



№ 9

1961

ИЗДАТЕЛЬСТВО АКАДЕМИИ НАУК СССР
МОСКВА

РЕФЕРАТИВНЫЙ ЖУРНАЛ ХИМИИ

ЗАВЕДУЮЩИЙ ОТДЕЛОМ ХИМИИ проф. В. В. Кафаров

ГЛАВНЫЙ РЕДАКТОР В. В. Серпинский

ЧЛЕНЫ РЕДАКЦИИ: проф. Д. А. Бочвар, проф. В. В. Кафаров,

проф. В. Л. Кретович, чл.-корр. АН СССР Д. П. Курсанов,

докт. хим. наук Е. С. Тончиев, докт. хим. наук Н. А. Фукс

УЧЕНЫЙ СЕКРЕТАРЬ канд. хим. наук М. А. Атабекова

СОДЕРЖАНИЕ

А. ОБЩИЙ ОТДЕЛ	9А1	Удобрения	9К1
Б. ФИЗИЧЕСКАЯ ХИМИЯ		Люминесцентные материалы	9К1
Общие вопросы	9Б1	Производство катализаторов и сорбентов	9К1
Некоторые вопросы субатомного строения вещества. Превращения ядер	9Б2	Электрохимические производства. Электроосаждение. Химические источники тока	9К1
Атом	9Б29	Керамика. Стекло. Вяжущие вещества. Бетоны	9К2
Молекула. Химическая связь. Молекулярные спектры	9Б41	Л. ТЕХНОЛОГИЯ ОРГАНИЧЕСКИХ ВЕЩЕСТВ	
Кристаллы	9Б434	Промышленный органический синтез	9Л1
Газы. Жидкости. Аморфные тела	9Б260	Промышленный синтез красителей	9Л1
Радиохимия. Изотопы	9Б288	Синтетические и природные лекарственные вещества. Галеновые препараты и лекарственные формы	9Л2
Термодинамика. Термохимия. Равновесия. Фазовые переходы. Физико-химический анализ	9Б318	Пестициды	9Л3
Кинетика. Горение. Взрывы. Топохимия. Катализ	9Б424	Фотографические материалы	9Л3
Радиационная химия. Фотохимия. Теория фотографического процесса	9Б507	Взрывчатые вещества. Пиротехнические составы. Средства химической защиты	9Л3
Растворы. Теория кислот и оснований	9Б527	М. ХИМИЯ И ПЕРЕРАБОТКА ДРЕВЕСИНЫ, ТВЕРДЫХ ГОРЮЧИХ ИСКОПАЕМЫХ, ПРИРОДНЫХ ГАЗОВ И НЕФТИ	
Электрохимия	9Б562	Лесохимические производства. Гидролизная промышленность	9М1
Поверхностные явления. Адсорбция. Хроматография. Ионный обмен	9Б600	Переработка твердых горючих ископаемых	9М1
Химия коллоидов. Дисперсные системы	9Б636	Переработка природных газов и нефти. Моторное и ракетное топливо. Смазки	9М1
В. НЕОРГАНИЧЕСКАЯ ХИМИЯ. КОМПЛЕКСНЫЕ СОЕДИНЕНИЯ	9В1	Н. ХИМИЯ И ТЕХНОЛОГИЯ ПИЩЕВЫХ ПРОИЗВОДСТВ, ЖИРОВ, МОЮЩИХ СРЕДСТВ, ФЛОТОРЕАГЕНТОВ И ДУШИСТЫХ ВЕЩЕСТВ	
Г. КОСМОХИМИЯ. ГЕОХИМИЯ. ГИДРОХИМИЯ	9Г1	Пищевая промышленность	9Н1
Д. АНАЛИТИЧЕСКАЯ ХИМИЯ		Бродильная промышленность	9Н1
Общие вопросы	9Д1	Углеводы и их переработка	9Н1
Анализ неорганических веществ	9Д39	Жиры и масла. Воски. Мыла. Моющие средства. Флотореагенты	9Н1
Анализ органических веществ	9Д154	Душистые вещества. Эфирные масла. Парфюмерия и косметика	9Н1
Е. ОБОРУДОВАНИЕ ЛАБОРАТОРИИ. ПРИБОРЫ	9Е1	П. ТЕХНОЛОГИЯ ВЫСОКОМОЛЕКУЛЯРНЫХ СОЕДИНЕНИЙ	
Ж. ОРГАНИЧЕСКАЯ ХИМИЯ		Синтетические полимеры. Пластмассы	9П1
Общие и теоретические вопросы	9Ж1	Лаки. Краски. Лакокрасочные покрытия	9П1
Синтетическая органическая химия	9Ж42	Каучук натуральный и синтетический. Резина	9П1
Природные вещества и их синтетические аналоги	9Ж255	Искусственные и синтетические волокна	9П1
И. ОБЩИЕ ВОПРОСЫ ХИМИЧЕСКОЙ ТЕХНОЛОГИИ		Целлюлоза и ее производные. Бумага	9П1
Общие вопросы	9И1	Крашение и химическая обработка текстильных материалов	9П1
Процессы и аппараты химической технологии	9И10	Кожа. Мех. Желатина. Дубители. Технические белки	9П1
Контрольно-измерительные приборы. Автоматическое регулирование	9И106	Р. ХИМИЯ ВЫСОКОМОЛЕКУЛЯРНЫХ СОЕДИНЕНИЙ	
Коррозия. Защита от коррозии	9И146	СИСТЕМА НУМЕРАЦИИ РЕФЕРАТОВ	стр. 96
Подготовка воды. Сточные воды	9И257	УКАЗАТЕЛИ	стр. 96
Техника безопасности. Санитарная техника	9И317		
К. ТЕХНОЛОГИЯ НЕОРГАНИЧЕСКИХ ВЕЩЕСТВ			
Химико-технологические вопросы ядерной техники	9К1		
Элементы. Окислы. Минеральные кислоты, основания, соли. Получение и разделение газов	9К46		

Адрес редакции: Москва, Д-219, Балтийская улица, 14

P

Рефер

. 9K1
. 9K1
. 9K1
9K2 Нов
хозис
ков се
Ате 2
9J1 1961, 2
0 п
простр
1961, 1
. 9J2
. 9J4
. 9J5
. 9J5
X
B
ОБЕ
ПА
ПР
9M
. 9M
9A1
узел
слав
полн
9A2
. 9H1 Aus d
. 9H2 fachge
saal
. 9H3 № 13
зобол
9A3
. 9H4 ренну
Chem
9A4
со дн
1960,
. 9P1
а 9P1
. 9P1 9A5
Т а m
. 9P1 sienc
ного
9P1 РКХ
9A6
а о
(К е
влас
стр. № 5,
химии
СССР
9A
крод
1723-
кафе

Р И

Рефер

9K1

9K1

9K1

9K2

9J1

9J1

9J2

9J2

9J2

9J2

Новый
хозяйств
ков сель
Ате 21
1961, 26
О пер
простра
1961, 13

ОБЩЕ
НАУ
ПРЕД

9J1

9J1

9M1

9M1

9A1.
дуэских
славск.
пользов

9J1

9H2

9H2

9H2

9H2

9A2.
Aus der
achges
aal Ke
№ 13, 3
вообщем

9H2

9A3.
Chemist
9A4.
го дня
1960, 26

9J1

9J1

9J1

9J1

9J1

9J1

9J1

9J1

9A5.
Т а ш а
eieps. a
кого вв
РЖХим

9A6.
оте
К сто.
ыш.
№ 5, 14
химик,
СССР.

9A7.
кролог
1723—1
кафедр

РЕФЕРАТИВНЫЙ ЖУРНАЛ ХИМИЯ

I

Рефераты 9A1—9B77

№ 9

10 мая 1961 г.

Новый этап освоения целинны и задачи сельского хозяйства Казахстана. Речь на Советании передовиков сельского хозяйства Казахской ССР в городе Алматы 21 марта 1961 г. Хрущев Н. С. Газ. «Правда», 1961, 26 марта, № 85, стр. 1—4

О первом в мире полете человека в космическое пространство. (Сообщение ТАСС).— Газ. «Правда», 1961, 13 апр., № 103, стр. 2

К коммунистической партии и народам Советского Союза! К народам и правительствам всех стран! Ко всему прогрессивному человечеству! Обращение Центрального Комитета КПСС, Президиума Верховного Совета СССР и правительства Советского Союза.— Газ. «Правда», 1961, 13 апр., № 103, стр. 1

А. ОБЩИЙ ОТДЕЛ

ОБЩИЕ ВОПРОСЫ. МЕТОДОЛОГИЯ. ИСТОРИЯ. НАУЧНЫЕ УЧРЕЖДЕНИЯ И КОНФЕРЕНЦИИ. ПРЕПОДАВАНИЕ. ВОПРОСЫ БИБЛИОГРАФИИ И НАУЧНОЙ ДОКУМЕНТАЦИИ

лабораторией кремнийорганич. соединений Ин-та химии силикатов АН СССР. Д. Т.

9A8. Физико-химики в Берлине в 1919—1933 гг. Harteck Paul. Physical chemists in Berlin, 1919—1933. «J. Chem. Educ.», 1960, 37, № 9, 462—466 (англ.).— Статья посвящена главным образом В. Нернсту (1864—1941), Ф. Габеру (1868—1934) и М. Боденштейну (1871—1942). Д. Т.

9A9. Алексей Гаврилович Люкшенков (1919—1960).— «Аптечн. дело», 1960, 9, № 5, 94.— Некролог. А. Г. Люкшенков — руководитель лаборатории технологии лекарственных форм и галеновых препаратов Центрального аптечного н.п. ин-та. Д. Т.

9A10. Памяти Евсевия Антоновича Курильчикова.— «Хим. волокна», 1960, № 4, 79.— Е. А. Курильчиков (1905—1960) — зав. лабораторией штапельного волокна Всес. н.-и. ин-та искусств. волокна, исследователь в области технологии произ-ва вискозных волокон. Приведен портрет. Д. Т.

9A11. Георгий Ефимович Владимиров.— «Вестн. Ленингр. ун-та», 1960, № 21, 171—173.— Некролог. Профессор Г. Е. Владимиров (1901—1960) — действительный член Академии мед. наук СССР, зав. кафедрой биохимии Ленинградского ун-та, видный исследователь в области биохимии животных и человека. Д. Т.

9A12. Георгий Ефимович Владимиров (11 янв. 1901 г.—5 сент. 1960).— «Вопр. мед. химии», 1960, 6, № 6, 647—649

9A13. Петр Петрович Будников. (К 75-летию со дня рождения).— «Укр. хим. ж.», 1960, 26, № 6, 683.— См. также РЖХим, 1961, 5A14, 5A15.

9A14. К 70-летию академика Гейровского. Brdička R. K sedmdesátinám Akademika Heyrovského. «Chem. listy», 1960, 54, № 12, 1219—1221 (чешск.).— Краткий очерк; список трудов; портрет. См. также РЖХим, 1961, 7A22. Д. Т.

9A15. К 60-летию М. И. Фарберова.— «Каучук и резина», 1960, № 12, 50.— Профессор Марк Иосифович Фарберов (род. 1900) — зав. кафедрой синтетич. каучука Ярославского технологич. ин-та, видный специалист

9A1. Из истории научных связей русских и французских химиков. Мусабек Ю. С. «Уч. зап. Ярославск. технол. ин-та», 1960, 5, 191—196.— В статье использованы архивные материалы. Д. Т.

9A2. Из истории фарфора в Европе. Mielsds M. Aus der Jugendzeit des europäischen Porzellans. Eine sachgeschichtliche Plauderei zum Böttger-Jahr. «Sprechsal Keramik, Glas, Email», 1960, 93, № 12, 349—351; № 13, 367—369; № 14, 389—392 (нем.).— Предыдущее сообщение см. РЖХим, 1960, № 21, 83594

9A3. Основоположники химии. Сванте Август Арениус (1859—1927). Танака Макоето. «Kagaku, Chemistry Japan», 1960, 15, № 6, 449—451 (японск.).

9A4. Николай Семенович Курнаков. (К 100-летию со дня рождения). Бережной А. С. «Укр. хим. ж.», 1960, 26, № 6, 684—687.— См. также РЖХим, 1961, 8A1. Д. Т.

9A5. Научная деятельность Курта Альдера. Loga Tamao M. La obra científica de Kurt Alder. «Rev. hisp. apl.», 1960, 14, № 3, 193—205 (исп.).— Очерк научного вклада К. Альдера в органич. химию. См. также РЖХим, 1960, № 5, 16278; № 17, 68238. Д. Т.

9A6. Александр Александрович Яковкин и его роль в отечественной алюминиевой промышленности. (К столетию со дня рождения). Беляев А. И. «Изв. выпш. учебн. заведений. Цветн. металлургия», 1960, № 5, 146—150.— А. А. Яковкин (1860—1936) — видный химик, профессор Ленинградского ун-та, чл.-корр. АН СССР. См. также РЖХим, 1961, 3A14. Д. Т.

9A7. Памяти Бориса Николаевича Долгова. (Некролог).— «Изв. АН СССР. Отд. хим. н.», 1960, № 9, 1723—1724.— Проф. В. Н. Долгов (1894—1959) — зав. кафедрой органич. химии Ленинградского ун-та, зав.

и исследователь в области технологии резинового произ-ва и технологии синтетич. каучука. Д. Т.

9A16. Симпозиум «Химия в наше время». Введение к симпозиуму. Chemistry in our time. Brode Wallace R. Introduction to the symposium. «Chem. and Engng News», 1960, 38, № 42, 90 (англ.).—Вступительное слово к симпозиуму, состоявшемуся 7 октября 1960 г. в Вашингтоне. См. реф. 9A17—9A19. Д. Т.

9A17. Об условиях успешного развития фундаментальных исследований в химии. Noyes W. Albert, Jr. A climate for basic chemical research. «Chem. and Engng News», 1960, 38, № 42, 91—95 (англ.).—Рассматриваются положение в США и проблема создания стимулирующих условий, в частности мероприятия по привлечению, отбору и подготовке соответствующих научных кадров. Д. Т.

9A18. Прикладные исследования в химии и Американское химическое общество. Thomas Charles Allen. Applied chemical research and the ACS. «Chem. and Engng News», 1960, 38, № 42, 95—96 (англ.).—О роли Общества в развитии промышленной химии. Д. Т.

9A19. Новые течения в химическом образовании. Seaborg Glenn T. New currents in chemical education. «Chem. and Engng News», 1960, 38, № 42, 97—98, 100, 102, 104—106, 108—109 (англ.).—Подробно обсуждаются актуальные вопросы улучшения и модернизации преподавания химии в учебных заведениях США от начальной школы до вузов. Сообщается о деятельности возглавляемой автором рабочей группы Американского хим. об-ва по изучению учебных материалов по химии, в частности о работе по созданию и опробованию новых учебников и учебных пособий, соответствующих современному научному уровню. Д. Т.

9A20. Химическое образование.—Chemical education. «Chem. Canada», 1960, 12, № 8, 39—44, 46, 48, 50 (англ.).—Отчетное сообщение о трех тематич. дискуссиях, проведенных в рамках конференций Канадского хим. ин-та, июнь 1960 г., Оттава. 1) Использование инженерно-химиков в Канаде. Доклады см. реф. 9A21—9A23. Дискуссия, стр. 43—44; 2) Учащиеся средней школы (high school) и наука. Обзор докладов и дискуссии, стр. 46, 48, 3) Преподавание неорганич. химии в канадских ун-тах. Обзор докладов, стр. 50. Д. Т.

9A21. Инженер-химик в исследованиях и в разработке технологии новых химических производств. Campbell W. M. The chemical engineer in research and development. «Chem. Canada», 1960, 12, № 8, 39 (англ.).—О требованиях, предъявляемых к специалистам этого профиля. Д. Т.

9A22. Подготовка инженерно-химиков в университетах. Hodgins J. W. University preparation of chemical engineers. «Chem. Canada», 1960, 12, № 8, 40 (англ.).—Рассматриваются в общем виде основные вопросы направления и содержания учебных предметов, связи с пром-стью и др. Д. Т.

9A23. Использование инженерно-химиков в химической промышленности. Richardson R. J. Utilization of chemical engineers in chemical industry. «Chem. Canada», 1960, 12, № 8, 41—43 (англ.).—Применительно к условиям, существующим в хим. пром-сти Канады, рассматриваются в общем виде вопросы рациональной подготовки и использования инженерно-химиков. В частности, предлагается для усиления творческой квалификации выпускников организовать «школу инж.-хим. практики» (студенты под руководством ун-тов направляются в специально отобранные предприятия, где они работают над решением реальных практич. проблем). Д. Т.

9A24. Методические указания к лабораторным занятиям по курсу физической химии. Левитман Х. Я., «Сб. метод. работ. Белорусск. политехи. ин-та», 1959, вып. 1, 53—56.—Общеметодические рекомендации. Д. Т.

9A25. Переподготовка учителей химии. Scott Arthur F. Retreading the chemistry teacher. «J. Chem.

Educ.», 1960, 37, № 9, 442—445 (англ.).—Предлагаются (в условиях США) следующие мероприятия: 1) Предоставление учителям каждые 3—4 года отпуска на 1 семестр для обучения на спец. курсах. 2) Помощь самообразованию путем выпуска специально для учителей ежегодных обзорных изданий по новейшим направлениям и фактам в химии. 3) Рассылка начинающим учителям писем с разъяснением обязательности постоянного обновления своих знаний и указаний на имеющиеся возможности и существующие пособия. Д. Т.

9A26. Проведение лабораторных работ в школе рабочей молодежи. Пазиков А. И. «Химия в школе», 1960, № 6, 50—55.—Конкретные методич. рекомендации и примеры из опыта автора. Д. Т.

9A27. Методические замечания о работе ассистента кафедры химии. Левитман Х. Я. «Сб. метод. работ Белорусск. политехи. ин-та», 1959, вып. 1, 129—134. Д. Т.

9A28. Работа учащихся с учебником химии. Сыроежкин И. Т. «Химия в школе», 1960, № 6, 38—45.—Методические рекомендации по использованию учебника на уроке. Д. Т.

9A29. Методика решения некоторых расчетных задач по химии. Родина М. В. «Химия в школе», 1960, № 6, 58—60.—Приводятся примеры упрощенного (без алгебраич. операций) решения некоторых более сложных задач в школьном курсе химии. Д. Т.

9A30. Химические связи в соединениях бора и неорганических полимеров. Burg Anton B. Bonding in boron compounds and in inorganic polymers. «J. Chem. Educ.», 1960, 37, № 9, 482—490 (англ.).—Статья для преподавателей. Библи. 24 назв. Д. Т.

9A31. Алкалоиды — болеутоляющие средства. Ray R. L. Alkaloids — the world's pain killers. «J. Chem. Educ.», 1960, 37, № 9, 451—454 (англ.).—Статья для учителей. Краткий общий очерк и более подробные сведения о морфине, стрихнии и кураре. Д. Т.

9A32. Определение строения алкалоидов. I. Выделение, характеристика и физические методы. II. Химические методы. Sangster A. W. Determination of alkaloid structures. I. Isolation, characterization and physical methods. II. Chemical methods. «J. Chem. Educ.», 1960, 37, № 9, 454—459; № 10, 518—525 (англ.).—Статья для учителей. Обзор общих методов, используемых в химии алкалоидов. Библи. 97 назв. Д. Т.

9A33. Получение сероводорода. Simon Günther. Zur Darstellung von Schwefelwasserstoff. «Prax. Naturwiss.», 1960, A9, № 10, Chemie, 77 (нем.).—Предлагается удобный способ, по которому учащийся может индивидуально получать H_2S для своей работы. Приведено подробное описание изготовления палочки из серы (в вес. ч.) парафина 25, серного цвета 15 и кизельгура 7. При нагревании палочки до 170° выделяется H_2S . Д. Т.

9A34. Приборы для получения гексахлорана. Петросян П. А. «Химия в школе», 1960, № 6, 71—72.—Описание аппаратуры и демонстрационного опыта получения $C_6H_6Cl_6$ хлорированием C_6H_6 . Д. Т.

9A35. Опыты по окрашиванию пламени. Дубченко В. Н. «Химия в школе», 1960, № 6, 76—77.—В предлагаемом опыте испытуемый р-р подвергается действию высокой т-ры электрич. дуги, для чего используется школьный прибор для определения электропроводности р-ров. Пламя окрашивается интенсивно и длительно; при некотором навыке можно по интенсивности окрашивания судить об относительной концентрации р-ра. Д. Т.

9A36. Выращивание и наблюдение сферолитов в полиэтилене. Billmeyer F. W., Jr. Geil P. H., Weg K. R. van der. Growth and observation of spherulites in polyethylene: a high polymer demonstration. «J. Chem. Educ.», 1960, 37, № 9, 460—461 (англ.).—Описание школьного опыта. Д. Т.

9A37. и марг
№ 6, 72
ционны
9A38.
воды»
кола
Т. В. «
разрабо
ния оп
рошком

9A39.
хими. «
64—66.
и на в

9A40.
sing

9A40.
sing

9A40.
sing

9A40.
sing

9A40.
sing

9A40.
sing

9A40.
sing

9A40.
sing

9A40.
sing

9A40.
sing

9A40.
sing

9A40.
sing

9A40.
sing

9A40.
sing

9A40.
sing

9A40.
sing

9A40.
sing

9A40.
sing

9A40.
sing

9A40.
sing

9A40.
sing

9A40.
sing

9A40.
sing

9A40.
sing

9A40.
sing

9A40.
sing

9A37. Опыты по окислению двухвалентного железа и марганца. Попова Л. Ф. «Химия в школе», 1960, № 6, 72.—Описание прибора и проведения демонстрационных опытов. Д. Т.

9A38. Демонстрационный опыт на тему «Свойства воды». Варфоломеева Е. К., Ботова А. С., Николаев Н. И., Болдырева Т. П., Карпухина Т. В. «Химия в школе», 1960, № 6, 68—70.—Описание разработанной авторами надежной методики проведения опытов взаимодействия воды с Zn-пылью и порошком Fe. Д. Т.

9A39. Получение сжиженных газов и опыты с ними. Осипов А. А. «Химия в школе», 1960, № 6, 64—66.—Описание ряд опытов для проведения на уроках и на внеклассных занятиях. Д. Т.

9A40. Широкогорлые материальные банки. Lessing Erhard. Weithals-Standgefäße. «Prax. Natur-

wiss.», 1960, A 9, № 10, Chemie, 77—78 (нем.).—Предложенные ранее (РЖХим, 1960, № 24, 95167) банки с навинчивающейся пластмассовой крышкой не всегда пригодны. Предлагается использовать стеклянные банки (типа консервных) с крышкой на резиновом кольце. Д. Т.

9A41. Деятели химии. От древней алхимии до расщепления атомного ядра. Irwin Keith Gordon. Men of chemistry: from ancient alchemy to nuclear fission. London, Dobson, 1960, XI, 148 pp., ill., 12 sh. 6 d. (англ.)

9A42. Учебник химии для нехимических учебных заведений. Dale Alan, Shooter Arnold. General science chemistry. London, Heinemann, 1960, XIII, 222 pp., ill., 10 sh. 6 d. (англ.)

9A43. Задачи по химии. Dévoré Georges. Problèmes de chimie. Paris, Vuibert, 1960, 193 p., ill., 18 NFr. (франц.)

Б. ФИЗИЧЕСКАЯ ХИМИЯ

ОБЩИЕ ВОПРОСЫ

Редактор А. Б. Нейдин

9B1. Современные методы измерений в физической химии. I. Luck W. Über moderne Meßmethoden der physikalischen Chemie I. «Melliand Textilber.», 1960, 41, № 10, 1267—1273 (нем.; рез. англ., франц., исп.).—Обзор. Библ. 7 назв.

НЕКОТОРЫЕ ВОПРОСЫ

СУБАТОМНОГО СТРОЕНИЯ ВЕЩЕСТВА. ПРЕВРАЩЕНИЯ ЯДЕР

Редактор А. Б. Алмазов

9B2. Спины и четности уровней C^{13} . Зайка Н. И., Немец О. Ф., Церинце М. А. «Изв. АН СССР. Сер. физ.», 1960, 24, № 7, 862—864.—Измерены угловые распределения протонов из р-ции $C^{12}(d, p)C^{13}$, соответствующие основному и возбужденным состояниям 3,09, 3,68 и 3,86 Мэв C^{13} . Передаваемые угловые моменты равны 1, 0, 1 и 2, а спины $1/2^-$ — $3/2^-$, $1/2^+$, $1/2^-$ — $3/2^-$ и $3/2^+$ — $5/2^+$ соответственно. С уменьшением энергии дейтронов характер углового распределения в области больших углов изменяется, свидетельствуя о возрастании роли механизмов р-ции, отличных от срыва. О. Н.

9B3. Низкоэнергетические уровни Cs^{134} . Estulin I. V., Melioransky A. S., Kalinkin L. F. Low-lying energy levels of Cs^{134} . «Nucl. Phys.», 1960, 16, № 1, 168—174 (англ.).—См. РЖФиз, 1961, 2Б260.

9B4. Энергетические уровни Mg^{24} и S^{32} . Hinds S., Middleton R. The energy levels of ^{24}Mg and ^{32}S . «Proc. Phys. Soc.», 1960, 76, № 4, 553—558 (англ.).—Изучались уровни ядер Mg^{24} и S^{32} , возбуждаемые в р-циях $Na^{23}(He^3, d)$ и $P^{31}(He^3, d)$ при энергии He^3 10,2 Мэв. Наблюдено 39 состояний Mg^{24} с энергиями возбуждения ниже 11,861 Мэв и 24 состояния для S^{32} с энергиями ниже 8,496 Мэв. Приведены схемы уровней. Р. Ф.

9B5. Изомерные ядра Yb^{160m} , Yb^{175m} и Yb^{177m} . Hoffmann K.-W., Krause I. Y., Schmidt-Ott W.-D., Flammersfeld A. Die isomeren Atomkerne: Yb^{160m} , Yb^{175m} , Yb^{177m} . «Z. Phys.», 1960, 160, № 2, 201—212 (нем.; рез. англ.).—Короткоживущие изомеры Yb получались при облучении нейтронами мишеней, обогащенных изотопами. Yb^{160m} распадается с $T_{1/2} = 46 \pm$

± 2 сек., испуская только рентгеновское L-излучение. Предполагается, что этот распад обусловлен E3-переходом 24 кэв, который сопровождается электронным захватом в Lu^{169} . Yb^{175m} , $T_{1/2} = 0,072 \pm 0,005$ сек., испускает γ -лучи с энергией 495 ± 15 кэв. Измеренный коэф. конверсии на K-оболочке 0,24 и полный коэф. конверсии $0,6 \pm 0,3$ определяют этот переход как M3. Yb^{177m} , $T_{1/2} = 6,4 \pm 0,1$ сек., испускает каскадные γ -лучи с энергией 228 (изомерный переход) и 104 кэв. Измеренные коэф. конверсии равны $\alpha_K = 4,1$, $\alpha = 6,5$ для первого перехода и $\alpha_K = 0,39$, $\alpha = 0,51$ для второго и соответствуют M3—E1-каскаду Р. Ф.

9B6. Пять новых миллисекундных изомеров, возникающих в ядерных реакциях с протонами с энергией 19,2 Мэв. Морозов А. М., Ремаев В. В., Ямпольский П. А. «Ж. эксперим. и теор. физ.», 1960, 39, № 4, 973—985 (рез. англ.).—Обнаружено и исследовано пять новых короткопериодных изомерных активностей, возникающих при облучении образцов Sc_2O_3 , Nb, La_2O_3 , Nd_2O_3 и Os протонами с энергией 19,2 Мэв. Для всех короткопериодных изомеров определены энергии γ -излучения (в Мэв, первые числа), периоды полураспада (в мсек — вторые числа), в квадратных скобках — р-ции, приводящие к образованию изомеров для исследованных мишеней: Sc_2O_3 $0,28 \pm 0,01$; $5,8 \pm 0,4$; [$Sc^{45}(p, n)Ti^{45m}$]; Sc_2O_3 $0,25 \pm 0,01$; $\sim 4,8$; Nb $0,40 \pm 0,01$; $5,7 \pm 0,3$; Cd $0,32 \pm 0,01$; $42,2 \pm 2,0$; [$Cd^{114}(p, n)In^{114m}$]; In $0,32 \pm 0,01$; $41,5 \pm 2,0$; [$In^{115}(p, pn)In^{114m}$]; In $0,30 \pm 0,01$; —; In $0,80 \pm 0,01$; $9,2 \pm 0,5$; La_2O_3 $1,04 \pm 0,01$; —; [$La^{139}(p, 2n)Ce^{138m}$]; La_2O_3 $0,21 \pm 0,01$; $2,2 \pm 0,2$; Nd_2O_3 $0,43 \pm 0,01$; —; Nd_2O_3 $0,24 \pm 0,01$; $5,5 \pm 0,3$; Ta $0,37 \pm 0,01$; —; [$Ta^{181}(p, 2n)W^{180m}$]; Os $0,32 \pm 0,01$; $10,0 \pm 0,6$. Р. Ф.

9B7. Разветвление переходов в зеркальных ядрах. Talbert W. L., Jr., Steward M. G. Branching of transitions in some mirror nuclei. «Phys. Rev.», 1960, 119, № 1, 272—276 (англ.).—Изучена относительная доля переходов на нижние возбужденные уровни дочерних ядер при β^+ -распаде Na^{21} , Mg^{23} , Al^{25} , Si^{27} , S^{31} и Ca^{40} . Для ядер Na^{21} , Mg^{23} , S^{31} вероятность переходов на первый уровень равна соответственно 2,2, 2,9 и 1,1% от полного числа распадов. В случае ядер Al^{25} , Si^{27} и Ca^{40} переходы на возбужденные уровни не обнаружены. Р. Ф.

9B8. Об измерении захвата орбитальных электронов, в частности для Cs^{131} . Joshi B. R., Lewis G. M. On the measurement of orbital electron capture with particular reference to ^{131}Cs . «Proc. Phys. Soc.», 1960, 76, № 3, 349—354 (англ.).—Измерено отношение веро-

ятностей захвата орбитальных электронов с L - и K -оболочек при распаде Cs^{131} на основное состояние Xe^{131} ; энергия распада равна 355 ± 10 кэВ; $\lg ft = 5.3$. Полученное значение $L/K = 0.153 \pm 0.008$ несколько выше теоретич. величины 0.145. Метод измерения применим для ядер со средним и большим Z .

Е. Григорьев
9Б9. Схема распада W^{187} и возможные вибрационные уровни в ядре с нечетным A . Gallagher C. J., Jr, Edwards W. F., Manning G. The W^{187} decay scheme and possible vibrational levels in an odd-mass nucleus. «Nucl. Phys.», 1960, 19, № 1, 18—39 (англ.).—Исследование схемы распада W^{187} , лежащего на границе области сильнодеформированных ядер, представляет значительный интерес с точки зрения применимости представлений модели сильной связи с этой области. Изучались уровни и переходы между ними в Re^{187} , возбуждаемые при β -распаде W^{187} . Наблюдались 17 переходов, определены их мультипольности, установлены следующие возбужденные уровни Re^{187} : 134.25; 206.25; 511.6; 529; 618.2; 625.3; 686.1; 773 и 864.5 кэВ. Анализ уровней в рамках схемы Нилссона показал, что существует определенное расхождение между теоретически ожидаемым порядком уровней и наблюдаемым. Поэтому предполагается, что два уровня — 511.5 и 686.1 кэВ — имеют вибрационный характер и соответствуют связи одночастичных состояний с γ -вибрациями.

В. Морозов
9Б10. Характерные особенности реакций (d, α) на тяжелых элементах. Mead J. B., Cohen B. L. Regularities of (d, α) reactions in heavy elements. «Phys. Rev. Letters», 1960, 5, № 3, 105—107 (англ.).—Измерены спектры α -частиц под углами 30° , 60° , 90° и 120° в p -циях (d, α) на ряде ядер от Ni до Pb при энергии дейтронов 15 МэВ. В измеренных спектрах под всеми углами наблюдаются две отчетливые группы α -частиц, интенсивность которых плавно зависит от Z . Интенсивность группы меньшей энергии убывает с ростом Z , особенно быстро для $Z \sim 50$. С уменьшением угла интенсивность группы медленно возрастает. Интенсивность жесткой группы α -частиц вначале растет с увеличением Z , а при $Z \geq 50$ остается примерно постоянной (0.25 мбарн/стерадиан). С ростом Z энергия жесткой группы медленно увеличивается. Ширина группы для тяжелых ядер (Au, Pt и др.) составляет ~ 5 МэВ.

Р. Ф.
9Б11. Ядерные спины J^{126} , J^{132} , J^{133} и J^{135} . Garvin Hugh L., Lipworth Edgar. The nuclear spins of J^{126} , J^{132} , J^{133} and J^{135} . «Nucl. Phys.», 1960, 19, № 2, 140—147 (англ.).—Измерены ядерные спины изотопов J с массовыми числами 126, 132, 133 и 135, которые оказались равными 2; 4; 7/2 и 7/2 соответственно. Сравнение эксперим. данных с предсказаниями оболочечной модели показывает наличие некоторых расхождений, которые могут быть объяснены только при наличии данных о ядерных магнитных и электрич. квадрупольных моментах этих изотопов.

М. Шталь
9Б12. К вопросу об образовании моноэнергетических позитронов при распаде Eu^{152} . Василенко С. С., Каганский М. Г., Каминский Д. Л., Кокшарова С. Ф. «Ж. эксперим. и теор. физ.», 1960, 39, № 4, 970—972 (рез. англ.).—При разработке возбужденного состояния Sm^{152} с энергией возбуждения 1531 кэВ, образующегося при распаде Eu^{152} возможно образование моноэнергетич. позитронов. Результаты измерений показали, что вероятность этого процесса составляет $< 10^{-8}$ позитрона на распад. Это дает для времени жизни возбужденного состояния Sm^{152} с энергией 1531 кэВ значение $> 10^{-14}$ сек., что свидетельствует о коллективном характере возбуждения этого уровня.

Р. Ф.
9Б13. Деление Ra^{226} дейтронами и ионами гелия. Jensen R. C., Fairhall A. W. Fission of Ra^{226} by deuterons and helium ions. «Phys. Rev.», 1960, 118, № 3,

771—775 (англ.).—Исследовалось распределение по массам осколков деления, возникающих при бомбардировке Ra^{226} дейтронами с энергией 21.5 и 14.5 МэВ и ионами He с энергией 43.34 и 23.5 МэВ. Для большинства исследованных случаев вычислены полные сечения. Для нейтронов с энергией 14.5 и 21.5 МэВ полное сечение равнялось соответственно 800 и 1700 мбарн, для гелиевых ионов с энергией 23.5; 31 и 43 МэВ 195; 770 и 1450 мбарн. Полученные кривые распределения осколков по массам в случае дейтронного деления имеют 3-горбую форму, что соответствует как симметричному, так и асимметричному делению. С увеличением энергии дейтронов доля симметричного деления возрастает. В случае бомбардировки ионами He кривые распределения масс имеют «нормальную» форму — два максимума асимметричного деления при малых энергиях и один широкий максимум симметричного деления при больших энергиях. П. Сосенко

9Б14. Измерение энергии слабой группы в α -спектре Po^{210} . Fényes T. Measurement of the energy of the weak group in the α -spectrum of Po^{210} . «Nucl. Phys.», 1960, 16, № 3, 529—533 (англ.).—С помощью $\alpha\gamma$ -совпадений измерена энергия слабой группы в α -спектре Po^{210} . Разрешающее время схемы совпадений $1.7 \cdot 10^{-7}$ сек. Кинетич. энергия слабой группы α -частиц оказалась равной 4,525 \pm 0,005 МэВ при энергии основной группы 5,3054 \pm 0,0010 МэВ. Энергия γ -квантов равна 795,6 \pm 5 кэВ. Относительная интенсивность согласуется с ранее опубликованными данными $(1.07 \cdot 10^{-5})$.

Ю. Т.
9Б15. Осколки Li^3 , связанные с ядерными расщеплениями. Alumkal A., Barkow A. G., Kane G., McDaniel R. E., O'Friel Z. Li fragments associated with nuclear disintegration. «Nuovo cimento». 1960, 17, № 3, 316—333 (англ.; рез. итал.).—Основное внимание обращено на испускание тяжелого осколка Li^3 . Результаты эксперимента показывают, что при высокой энергии возбуждения имеет место коллимация осколков Li и Be в направлении вперед; это можно объяснить на основе теории испарения, предположив, что испускание осколка происходит сильно возбужденным ядром налета. В случае малой энергии возбуждения угловое распределение осколков Li^3 изотропно, а энергетич. распределение показывает, что основная часть осколков Li^3 испускается при поглощении π -мезонов легкими ядрами.

Р. Ф.
9Б16. Определение абсолютных и относительных коэффициентов конверсии чистых $E2$ -переходов в Hg^{198} , Hg^{199} , Pt^{194} и Pt^{196} . Vries C. de, Bleeker E. J., Salomons-Grobbe N., Mrs. Absolute and relative conversion determinations of pure $E2$ transitions occurring in ^{198}Hg , ^{199}Hg , ^{194}Pt and ^{196}Pt . «Nucl. Phys.», 1960, 18, № 3, 454—472 (англ.).—Измерялись коэф. внутренней конверсии ряда изотопов методом внутренней и внешней конверсии. Для $E2$ -перехода 412 кэВ в Hg^{198} коэф. конверсии α_k равен $(252 \pm 13) \cdot 10^{-4}$, что на 20% меньше теоретич. значения. Эта величина определялась также по отношению интенсивностей сплошного β -спектра и конверсионной линии. Результат $(241 \pm 9) \cdot 10^{-4}$ согласуется с α_k , полученным первым способом. Для $E2$ -переходов 328 кэВ в Pt^{194} , 354 кэВ в Pt^{196} $\alpha_k = (409 \pm 22) \cdot 10^{-4}$ и $(367 \pm 24) \cdot 10^{-4}$. Эти величины также ниже теоретич. значений. Измеренное значение α_k для $M4$ -перехода 662 кэВ в Ba^{137} , равное 0.093 ± 0.005 , хорошо согласуется с лучшими эксперим. и теоретич. значениями. Полученное значение α_k для перехода 331 кэВ в Pt^{196} ($2_2^+ \rightarrow 2_1^+$) выше на 10—30%, чем для чистого $E2$ -перехода, что можно объяснить примесью 5% $M1$ -перехода. Для $E2$ -перехода 158 кэВ в Hg^{199} получены следующие данные: $K/L = 0.59 \pm 0.04$, $L_I : L_{II} : L_{III} = (0.25 \pm 0.02) : (1.50 \pm 0.10) : 1$ (согласуется с теоретическими). $L/M = 3.75 \pm 0.20$ (теоретическое 2.22); $M_I : M_{II} : M_{III} = (0.28 \pm 0.05) : (1.40 \pm$

$\pm 0,10$) : 4 (согласуется с теоретическими). Измерения показывают, что для $E2$ -переходов в Hg^{180} , Pt^{196} и Pt^{194} эксперим. значения α_k регулярно меньше теоретич. значений.

9Б17. Фотопротоны из азота. Wahlström I., Forkman B. Photoprotons from nitrogen. «Arkiv fys.», 1960, 18, № 1, 83—95 (англ.).—Проведено измерение протонов, возникающих под действием тормозного γ -излучения на ядре азота. Получены энергетич. и угловые распределения фотопротонов при максим. энергиях 11,5 и 15,5 Мэв. В обоих спектрах наблюдаются хорошо разделенные пики. Угловое распределение протонов, соответствующих интервалу E_γ 12,4—13,5 Мэв, имеет форму $1 - (0,6 \pm 0,1) \cos^2 \theta$. Измерены интегральные сечения поглощения для отдельных максимумов. Полное интегральное сечение (ν, p) от порога до 15 Мэв равно 3,5 Мэв мбарн. Анализ ширины и углового распределения показывает, что по крайней мере 40% полного поглощения γ -квантов в N^{14} обязано $M1$ - и $E2$ -поглощению.

9Б18. Фотопротоны и фотонейтроны из меди и алюминия. Chrien R. E., Benade A. H. Photoproton and photon neutron production in aluminum and copper. «Phys. Rev.», 1960, 119, № 2, 748—754 (англ.).—Выходы фотопротонов и фотонейтронов из Al и Cu измерены в интервале максим. энергий тормозного γ -излучения от порогов p -ций до 20,8 Мэв. Сечения p -ций (ν, p) и (ν, n) на Al почти одинаково ведут себя с ростом энергии γ -квантов и близки по величине [при 20 Мэв $\sigma(\nu, n) = 21$ мбарн; $\sigma(\nu, p) = 19$ мбарн]. $\sigma(\nu, p)$ для Cu имеет максимум 23 мбарн при 10 Мэв.

9Б19. Коэффициент смешивания мультипольностей в переходах $2^+ \rightarrow 2^+$ для четно-четных ядер в области масс $A = 122$ —128. Asplund I., Strömberg L. G., Wiedling T. Mixing ratios of $2^+ \rightarrow 2^+$ transitions in even-even nuclei in the mass region $A = 122$ —128. «Arkiv fys.», 1960, 18, № 1, 65—74 (англ.).—Изучались угловые $\gamma\gamma$ -корреляции каскадов $2^+ \rightarrow 2^+ \rightarrow 0^+$ для ядер Te^{122} и Xe^{120} с целью определения отношения смеси $E2/M1$ для переходов $2^+ \rightarrow 2^+$ при добавления к ядру пары протонов или нейтронов. Переходы $2^+ \rightarrow 2^+$ оказались почти чистыми $E2$ -переходами, что согласуется с теорией неаксиальных ядер Давыдова—Филипова.

9Б20. Угловые распределения а-частиц в реакции $\text{F}^{19}(p, \alpha)\text{O}^{16}$. Тейлов И. Б., Шевченко О. П., Рууге Э. К. «Ж. эксперим. и теор. физ.», 1960, 39, № 4, 923—928 (рез. англ.).—Измерены угловые распределения а-частиц, возникающих в p -ции $\text{F}^{19}(p, \alpha)\text{O}^{16}$, где O^{16} — в основном состоянии. Измерения выполнены в интервале углов 20° — 160° для 11 значений энергии падающих протонов от 5,4 до 6,5 Мэв. Все угловые распределения имеют ярко выраженную анизотропию. Результаты обсуждаются с точки зрения возможного механизма реакции.

9Б21. Сечение активации Ru^{105} тепловыми нейтронами. Sharma B. L. The thermal neutron activation cross section of ^{105}Ru . «Nuovo cimento», 1960, 17, № 5, 687—690 (англ.; рез. итал.).—Из измерения интенсивности γ -излучения Rh^{106} определялось сечение активации Ru^{105} тепловыми нейтронами. Обнаружены каскадные γ -лучи с энергиями 513 и 621 кэв, испускаемые Rh^{106} . Рассчитана величина сечения активации Ru^{105} тепловыми нейтронами $(0,20 \pm 0,02$ барн).

9Б22. Кривые возбуждения и угловые распределения нейтронов из реакции $\text{N}^{14}(d, n)\text{O}^{15}$. Retzschmidt Theo., Weil Jesse L. Excitation curves and angular distributions for $\text{N}^{14}(d, n)\text{O}^{15}$. «Phys. Rev.», 1960, 119, № 3, 1079—1084 (англ.).—Измерены кривые возбуждения для нейтронов из p -ции $\text{N}^{14}(d, n)\text{O}^{15}$, образующих наиболее высокоэнергетич. группу, при

углах $\theta = 0^\circ, 30^\circ, 90^\circ$ и 164° (в L -системе) и энергиях падающих дейтронов 0,66—5,62 Мэв. Кривые возбуждения обнаруживают ярко выраженную резонансную структуру, причем при различных значениях энергии и различных углах наблюдаются аномалии. Измерено угловое распределение нейтронов указанной группы при энергиях падающих дейтронов 0,91; 1,47; 1,54; 1,88; 2,56; 3,13; 3,56; 4,36; 4,80 и 5,27 Мэв. Форма углового распределения быстро меняется с изменением энергии при малых энергиях падающих дейтронов, но при энергиях $> 3,5$ Мэв форма углового распределения становится более стабильной. Максим. сечение при всех углах равно 5,5 мбарн/стерад.

9Б23. Реакция $\text{Mg}^{24}(\gamma, n)\text{Mg}^{23}$. King J. D., McDonald W. J. The $\text{Mg}^{24}(\gamma, n)\text{Mg}^{23}$ reaction. «Nucl. Phys.», 1960, 19, № 1, 94—100 (англ.).—Измерено сечение σ p -ции $\text{Mg}^{24}(\nu, n)\text{Mg}^{23}$. Оно имеет отчетливо выраженные максимумы при энергиях 17 и 19 Мэв, плавное спадая в области больших энергий. Результаты хорошо совпадают с расчетами для $E1$ -переходов в Mg^{24} по модели Нильссона. Ход σ p -ции $\text{Mg}^{24}(\gamma, n)\text{Mg}^{23}$ в районе первого максимума согласуется с ходом сечения, рассчитанного по данным p -ции $\text{Na}^{23}(p, \gamma)\text{Mg}^{24}$. Максим. значение σ в районе гигантского резонанса равно 6,7 мбарн. Попытки интерпретировать полученную экспериментально форму σ с учетом деформации ядра Mg^{24} успеха не имели.

9Б24. Взаимодействие дейтронов с энергией от 6 до 14 Мэв с He^3 и T . Stewart L., Broilley J. E., Jr., Rosen L. Interaction of 6- to 14-Mev deuterons with helium three and tritium. «Phys. Rev.», 1960, 119, № 5, 1640—1653 (англ.).—Измерены угловые распределения заряженных продуктов p -ций $\text{T}(d, n)\text{He}^3$ и $\text{He}^3(d, p)\text{He}^4$ при энергиях дейтронов 6—14 Мэв в интервалах углов (для вылета протонов и нейтронов) 12 — 170° для p -ции $\text{He}^3(d, p)\text{He}^4$ и 67 — 160° для p -ции $\text{T}(d, n)\text{He}^4$. Дифференциальные сечения обеих p -ций совпадают как по угловой зависимости, так и по абс. величине (для больших энергий). Каждое из угловых распределений характеризуется интенсивным максимумом в направлении «вперед» и двумя минимумами под углами $\sim 40^\circ$ и 100° . Зависимость полных сечений обеих p -ций от энергии дейтронов обнаруживает некоторые подобные резонансы при энергиях дейтронов 3—9 Мэв, что указывает на наличие возбужденного состояния у промежуточных ядер He^5 и Li^5 . Характер спектров заряженных частиц свидетельствует об отсутствии у ядра He^4 возбужденного состояния с энергией ~ 22 Мэв.

9Б25. Интегральные поперечные сечения реакций $\text{Ar}^{40}(\gamma, p)$ и $\text{Ar}^{40}(\gamma, pn)$. Dosch H. G., Lindenberger K. H. Integrated cross sections for the reactions. $\text{Ar}^{40}(\gamma, p)$ and $\text{Ar}^{40}(\gamma, pn)$. «Nucl. Phys.», 1960, 18, № 4, 615—623 (англ.).—Измерено интегральное сечение σ (инт.) p -ций $\text{Ar}^{40}(\gamma, p)$ и $\text{Ar}^{40}(\gamma, pn)$ до 33 Мэв. Относительные выходы p -ций $\text{Ar}^{40}(\gamma, p)\text{Cl}^{39}$ и $\text{Ar}^{40}(\gamma, pn)\text{Cl}^{38}$ к p -ции $\text{Cl}^{35}(\gamma, n)\text{Cl}^{34}$ найдены равными $2,25 \pm 0,13$ и $0,358 \pm 0,06$ соответственно. Выход p -ции $\text{Ar}^{40}(\gamma, 2p)\text{S}^{38}$ составляет $3,5 \cdot 10^{-3}$ от выхода p -ции $\text{Ar}^{40}(\gamma, pn)\text{Cl}^{38}$. Для p -ции $\text{Ar}^{40}(\gamma, p)$ получено σ (инт.) = 100 ± 15 (Мэв мбарн) и для p -ции $\text{Ar}^{40}(\gamma, pn)$ σ (инт.) = 25 ± 10 (Мэв мбарн).

9Б26. Точное измерение полного нейтронного сечения U^{233} в интервале энергий 0,000818—0,0818 эв. Saford G. J., Havens W. W., Jr., Rustad B. M. Precision measurement of the total neutron cross section of U^{233} between 0.000818 and 0.0818 ev. «Phys. Rev.», 1960, 118, № 3, 799—802 (англ.).—Измерено абс. значение полного нейтронного сечения $\text{U}^{233}(\sigma_T)$. Для энергий 0,0253 эв получены следующие значения σ_T : для жидких образцов 587 ± 5 барн, для твердых 586 ± 2 барн. Построена функция $E^{1/2}\sigma_T$ в зависимости от энергии E .

Во всей области исследованных энергий в пределах ошибок эксперимента $E^{1/2}_T = \text{const.}$ П. Сосенко

9Б27. Угловое распределение протонов при неупругом рассеянии на изотопах хрома и никеля. Пасечник М. В., Пучеров Н. Н., Чирко В. И. «Изв. АН СССР. Сер. физ.», 1960, 24, № 7, 874—876. — Изучались угловые распределения протонов, неупруго-рассеянных на изотопах Cr^{52} , Ni^{58} , Ni^{60} и Ni^{62} . Угловые распределения для Cr^{52} и Ni^{58} с возбуждением уровней 1,45 Мэв в основном изотропны; у Cr^{52} в области углов, меньших 80° , наблюдается небольшой подъем. Таким образом, при энергиях порядка 7 Мэв неупругое рассеяние протонов на Cr идет в основном через составное ядро. Г. Комельев

9Б28. Ядерная спектроскопия. Части А. Б. Nuclear spectroscopy. Part A. Part B. Ed. Ajzenberg-Selove Fay. New York—London, Acad. Press, 1960, XXII, 621 pp., i—XVI, 625—1147, ill. (англ.)

См. также: Элементарные частицы, атомное ядро 9Б39. Радиоактивные изотопы 9Б288

АТОМ

Редактор Н. М. Яшин

9Б29. Замечание относительно двукратно возбужденных состояний отрицательного иона водорода. Holien E. Remarks on doubly excited states of the negative atomic hydrogen ion. «J. Chem. Phys.», 1960, 33, № 1, 301 (англ.). — Показано, что состояния, соответствующие возбуждению обоих электронов иона H- в сериях $(3dnq)^{1,3}L$ $(4fnq)^{1,3}L$ и т. д. (где $q = L$; $n \geq L + 1$) подвержены автоионизации. Указаны переходы, разрешенные законами сохранения орбитального момента, спина и четности. Следовательно, единственная серия состояний, не подверженных безызлучательному распаду, есть $(2png)^{1,3}L$ ($q = L = 1, 2, 3 \dots$; $n \geq L + 1$). Все эти состояния не являются метастабильными, поскольку разрешен излучательный дипольный переход на уровень $1snq$. Л. Вайнштейн

9Б30. Сдвиг Лэмба в гелии. Dalgarno A., Stewart A. L. The Lamb shift of helium. «Proc. Phys. Soc.», 1960, 76, № 1, 49—55 (англ.). — Для устранения неопределенности в теоретич. величине ионизационного потенциала атома He произведена оценка сдвига Лэмба k_0 для основного состояния He. Согласно Бете величина сдвига k_0 определяется силами осцилляторов всех типов переходов He из основного состояния в возбужденные состояния, находящиеся как в дискретном спектре, так и в непрерывном. В проведенной оценке k_0 , однако, учитываются лишь наиболее интенсивные переходы атома He: 1) переходы в дискретном спектре с возбуждением одного электрона $(1s)^2 1S \rightarrow (1snp)^1P$; 2) переходы с однократной ионизацией $(1s)^2 1S \rightarrow 1sepr$; 3) переходы с однократной ионизацией и возбуждением другого электрона в дискретном спектре: $(1s)^2 1S \rightarrow nsepr$; $(1s)^2 1S \rightarrow npeS$; 4) переходы в дискретном спектре с возбуждением двух электронов $(1s)^2 1S \rightarrow nsn'p$. Для всех вышеуказанных переходов силы осцилляторов f_n берутся либо из проведенных ранее прямых теоретич. оценок с использованием приближенных волновых функций двухэлектронной системы (вариационные функции или функции Хартри-Фока), либо из эксперим. данных. Полученные таким путем силы осцилляторов четырех наиболее интенсивных типов переходов затем перенормируются так, чтобы выполнялись правила сумм: S_2 ; S_1 ; S_0 и S_{-1} , где $S_l = \sum f_n (E_0 - E_n)^l$, причем значения величин S_l взяты также либо из прямых теоретич. оценок, либо из эксперим. данных. В конечном результате для иони-

зационного потенциала гелия получено $I = 198\,310,674 \pm 0,025 \text{ см}^{-1}$, что согласуется с эксперим. значением. Д. Гречухин

9Б31. Изучение тонкой структуры короткоживущих состояний водорода оптико-микроволновым методом. I. Lamb W. E., Jr. Sanders T. M., Jr. Fine structure of short-lived states of hydrogen by a microwave-optical method. I. «Phys. Rev.», 1960, 119, № 6, 1901—1914 (англ.). — Описан радиочастотный с оптич. детекцией метод определения тонкой структуры возбужденных состояний атома H. Возбуждение атомов на уровнях 3s, 3p и 3d производилось в спец. камере при давлении водорода или дейтерия $2 \cdot 10^{-3} \text{ мм рт. ст.}$ пучком электронов, которые испускались с накалированного катода и ускорялись положительным потенциалом, приложенным к управляющим электродам. Бальмеровское α -излучение в переходах $3s \rightarrow 2p$, $3p \rightarrow 2s$ и $3d \rightarrow 2p$ выделялось с помощью интерференционного фильтра и регистрировалось фотоумножителем. При электронной бомбардировке уровней 3s, 3p и 3d заселены неодинаково. При наложении радиочастотного поля изменяется заселенность этих уровней, что приводит к изменению интенсивности линии H. Для снятия выжжения по магнитному квантовому числу с уровней 3s, 3p и 3d камера помещалась в магнитное поле, меняющееся от 0 до 600 Гс, в котором они расщеплялись на 18 подуровней. Переходы между подуровнями индуцировались радиочастотным полем с частотой от 300 до 3500 Мгц. Разность энергий уровней 3s, 3p и 3d определялась по величине магнитного поля и частоте электрич. поля, при которых наблюдались изменения в интенсивности бальмеровского α -излучения. Измерены разности энергий уровней $3^2S_{1/2} - 3^2P_{1/2}$ и $3^2S_{1/2} - 3^2P_{3/2}$, которые соответственно равны $316,3 \pm 1,0$ и $2934,5 \pm 10 \text{ Мгц.}$ Результаты хорошо согласуются с предсказаниями квантовой электродинамики. Представлены детальная теория метода, описание и обсуждение эксперим. установок. А. Головин

9Б32. Ширина магнитного резонанса 4^3P -цинка, возбужденного электронной бомбардировкой. May Albert-David. Largeur de la résonance magnétique du niveau 4^3P du zinc excité par bombardement électronique. «C. r. Acad. sci.», 1960, 251, № 14, 1371—1372 (франц.). — Выяснены и устранены следующие причины уширения линии: 1) малое время свободного прелета атома Zn между электродами (оно увеличено за счет изменения расстояния между электродами); 2) паразитные магнитные поля накала электронной пушки (теперь переменный ток накала периодически выключается для проведения измерений); 3) неоднородность постоянного магнитного поля должны быть $< 5 \cdot 10^{-3} \text{ Гс}$, что и трудно осуществимо (этот эффект исключается экстраполяцией к нулевому постоянному полю). В результате исключения всех этих эффектов получено новое значение времени жизни уровня 4^3P атома Na, равное $1,0 \cdot 10^{-5} \text{ сек.}$ Трудно оценить действительные паразитные магнитные поля с частотой 50 Гц от электросети и неоднородности радиочастотного поля в области, где находятся возбужденные атомы. В. Антоненко

9Б33. Исследование с помощью электронной бомбардировки времени жизни и сверхтонкой структуры D-уровней натрия и цезия. Archambault Y., Descaubes J. P., Priou M., Omont A., Rébaud-Peyrola J. C. Etude par bombardement électronique de la durée de vie et de la structure hyperfine des niveaux D du sodium et du césium. «J. phys. et radium», 1960, 21, № 8-9, 677—679 (франц.). — Обнаружены и идентифицированы магнитные резонансы D-уровней атомов Na и Cs, возбужденных медленными электронами. Удалось измерить времена жизни и сверхтонкие структуры некоторых уровней. При резонансном значении постоянного магнитного поля высокочастотное поле

(25 или
равном
ударом
плати
и. Пол
шумо
возбуж
лишь
ной св
следую
2. 10-7
< a <

9Б34.
расщеп
пет P.
tion of
132, №
возбуж
дом и
дена оп
ний в д
но на
~600
ра не
показы
шущую
9Б35.
Hg I. R
D. P.,
gins
J. Opt
(англ.)
сокой
ний 54
чины P
Hg¹⁹⁹
Hg²⁰¹
Hg²⁰¹
= 0,718
наты
/μ(Hg¹⁹⁹
9Б36.
урана
Beeg
uranium
gion.
(англ.)
следов
в обла
света
йодио
буждал
Фабри
диэлек
ционна
ния в
изводи
структ
U²³⁸ и
5803,46
изучен
4597,6;
тов дл

9Б37.
рентге
S. T. F
lites.
(англ.)
ностей
δ(v / R

(25 или 50 Мгц) уравнивает заселенности уровней, поразному заселенных при возбуждении электронным ударом. В установке осуществлено поддержание амплитуды высокочастотного поля на постоянном уровне. Получено отношение величины сигнала к уровню шумов ~ 10 . Поскольку относительные заселенности возбужденных зеемановских подуровней известны лишь качественно, получены только оценки постоянной сверхтонкой структуры a и времени жизни τ для следующих уровней: 1) $5^2D_{5/2}$ (Nr), $a < 0,33$ Мгц, $2 \cdot 10^{-7}$ сек. $< \tau < 4,6 \cdot 10^{-7}$ сек.; 2) $9^2D_{3/2}$ (Cs), $0,195 < a < 0,45$ Мгц, $\tau = (0,95 \pm 0,1) \cdot 10^{-7}$ сек.

В. Антоненко

9534. Сверхтонкая структура, эффект Зеемана и расщепление линий в спектре тербия. Davis Sumner P. Hyperfine structure, Zeeman effects, and separation of lines in terbium spectra. *Astrophys. J.*, 1960, 132, № 2, 486—492 (англ.).—Спектр тербия возбуждался в дуге, искре и в трубке с безэлектродным разрядом и изучался на спектрографе с эшеллой. Произведена оценка относительных интенсивностей ~ 3500 линий в дуге и искре. Сверхтонкое расщепление измерено на 232 линиях. Эффект Зеемана изучался на ~ 600 линиях, причем почти для 90% линий структура не разрешена. Почти половина измеренных линий показывает сверхтонкую структуру, не укладывающуюся в правило интервалов.

Н. Яшин

9535. Сверхтонкая структура некоторых линий Hg I. Rank D. H., Skorinko George, Eastman D. P., Saksena C. D., McCubbin T. K., Jr., Wiggins T. A. Hyperfine structures of some Hg I lines. *J. Opt. Soc. America*, 1960, 50, № 11, 1045—1052 (англ.).—Методом оптич. атомной спектроскопии с высокой точностью измерена сверхтонкая структура линий 5461, 4538, 4047 и 45295 А Hg I. Определены величины расщеплений некоторых состояний для изотопов Hg^{199} и Hg^{201} : $\Delta\nu(^3S_1, Hg^{199}) = 1,0761 \pm 0,0005$; $\Delta\nu(^3S_1, Hg^{201}) = 1,0668 \pm 0,0005$; $\Delta\nu(^3P_2, Hg^{199}) = 0,7576$; $\Delta\nu(^3P_2, Hg^{201}) = 0,8458$; $\Delta\nu(^3P_1, Hg^{199}) = 0,7371$; $\Delta\nu(^3P_1, Hg^{201}) = 0,7184$ см $^{-1}$. Получено отношение для ядерных магнитных дипольных моментов этих атомов: $\mu(Hg^{201})/\mu(Hg^{199}) = 1,1090 \pm 0,0007$.

Н. Яшин

9536. Сверхтонкая структура некоторых линий урана и амерция в области спектра 1,6—2,1 микрона. Beer R., Bovey L. The hyperfine structure of some uranium and americium lines in the 1.6—2.1 micron region. *Proc. Phys. Soc.*, 1960, 76, № 4, 569—574 (англ.).—Изложены предварительные результаты исследования некоторых линий в спектрах U, Np, Pu, Am в области длин волн 1,6—2,1 м. В качестве источника света использовалась разрядная трубка, наполненная йодидом соответствующего металла и неонем, и возбуждалась ВЧ-генератором. Пластины интерферометра Фабри — Перо изготовлены из плавленого кварца с диэлектрич. покрытиями. Сканирование интерференционной картины осуществлялось изменением давления в барокамере. Регистрация светового сигнала производилась детектором с PbS. Изучены сверхтонкая структура и изотопич. смещение (между изотопами U^{238} и U^{235} , U^{236} и U^{235}) на линиях (в см $^{-1}$): 5255,04; 5303,46; 5568,47; 5570,76 и 5641,18. В спектре амерция изучена сверхтонкая структура на линиях (в см $^{-1}$): 4597,6; 5790,6; 6051,7 и 6105,4. Определенных результатов для Np и Pu в этой области спектра не получено.

Н. Яшин

9537. Новые соотношения для K- и L-спутников рентгеновского спектра. Deodhar G. B., Abidi S. T. H. New relationships in the X-ray K and L satellites. *Naturwissenschaften*, 1960, 47, № 14, 319 (англ.).—Подобраны аналитич. зависимости для разностей частот спутников двух соседних элементов: $\delta(\nu/R) = (\nu/R)_{Z+1} - (\nu/R)_Z$. Для коротковолновых

и длинноволновых K_{α} -спутников они имеют вид соответственно: $\delta = 1,55(Z-1)(11 \leq Z \leq 35)$ и $\delta = 1,53 \times (Z-1)(33 \leq Z \leq 42)$. Сходство этих выражений показывает, что природа коротковолновых и длинноволновых спутников одинакова. Для L_{α} -спутников имеют место аналогичные соотношения: $\delta = 0,25 \times (Z-4)(33 \leq Z \leq 42)$ и $\delta = 0,25(Z-3)(44 \leq Z \leq 53)$.

И. Никифоров

9538. Столкновение электронов с атомами водорода. V. Возбуждение метастабильного 2S-состояния атомов водорода. Stebbings R. F., Fite Wade L., Hummer David G., Brackmann R. T. Collisions of electrons with hydrogen atoms. V. Excitation of metastable 2S hydrogen atoms. *Phys. Rev.*, 1960, 119, № 6, 1939—1945 (англ.).—Исследован процесс возбуждения метастабильного 2S-состояния атома H электронами с энергией до 600 эв. После бомбардировки электронами атомы H проходили через электрич. поле, существенно сокращающее время жизни атомов в метастабильном состоянии. Результирующее излучение α -линии серии Лаймана регистрировалось с помощью счетчика фотонов. Сечение возбуждения 2S-состояния вычислялось по измеренным относительным интенсивностям излучения, связанного с переходами с 2s- и 2p-уровней, и по известному сечению возбуждения 2P-состояния, измеренному авторами ранее. Для энергий выше 300 эв сечение процесса хорошо согласуется с расчетами в борновском приближении, что подтверждает корректность результатов. Однако величины сечения до 40 эв существенно превышают величины, полученные Лихтенем и Шульцом (РЖХим, 1960, № 20, 79928), хотя по форме кривые идентичны (нормировка при 40 эв дает точное совпадение обоих результатов). Авторы считают, что относительные измерения Лихтена и Шульца более точные, особенно вблизи порога. Однако совпадение сечения с борновским дает основание считать нормировку правильной. Таким образом, несогласованность результатов остается неясной. Авторы получили также угловое распределение 2s-атомов, которое представлено в виде энергетич. зависимостей при фиксированных углах рассеяния. Сообщение IV см. РЖХим, 1960, № 17, 68326.

А. Зямин

9539. Квантовая теория атомной структуры. Тома 1, 2. Slater John C. Quantum theory of atomic structure. Vol. 1, 2. New York — Toronto — London, McGraw-Hill Book Co., Inc., 1960, XII, 502 pp., ill.; X, 439 pp. (англ.)

9540. Периодичность химических свойств. Sanderson Robert Thomas. Chemical periodicity. New York, Reinhold; London, Chapman and Hall, Ltd, 1960, X, 330 pp., ill., 94 sh. (англ.)

См. также: Расчет многоэлектронных систем 95173. Ат. спектры 95171

МОЛЕКУЛА. ХИМИЧЕСКАЯ СВЯЗЬ. МОЛЕКУЛЯРНЫЕ СПЕКТРЫ

Редакторы В. Т. Алексанян, А. А. Мальцев,
Т. К. Ребане

9541. Многократные обменные интегралы в выражении для валентной связи и квазилокализация. VI. Изучение циклобутана по методу Гайтлера — Лондона — Слейтера — Паулинга. VII. Расчет состояний π -электронов в циклобутане. VIII. Изучение π -электронных состояний циклобутана методом молекулярных орбит. Такэки Сёдзабуро. «Буссейрон кэнкю», 1960, 7, № 2, 142—151; № 3, 226—234; 273—276 (японск.).—VI. Подробно изложен расчет уровней энергии и волновых функций π -электронов циклобутана

(I) в методе суперпозиции валентных схем. Табулированы многочисленные интегралы.

VII. Рассчитаны энергии возбуждения (в эв) π -электронных переходов в I по методу суперпозиции валентных схем: $^1A_{1g}$ 1,99; $^1B_{1g}$ 5,70.

VIII. По методу MO рассчитаны энергии возбуждения (в эв) π -электронных переходов в I: $^1A_{1g}$ 2,55; $^1B_{1g}$ 5,67. Сообщение V см. РЖХим, 1960, № 19, 76161.

Е. Никитин

9Б42. Формула для сдвига фазы в улучшенном методе Венцеля — Крамерса — Бриллюэна. Moriguchi Haruo. The phase shift formula in the improved WKB method. «Progr. Theoret. Phys.», 1960, 23, № 4, 750—752 (англ.).—Предлагается метод последовательных приближений для расчета фазы рассеяния квазиклассич. радиальной волновой функции. Сущность метода заключается во введении последовательных приближений для потенциала и определения фазы по Ф-лам квазиклассич. приближения.

Е. Никитин

9Б43. Теоретическое изучение относительных кислотностей замещенных фенилацетонитрилов. Julg André, Fournon Claire. Etude théorique des acidités relatives des nitriles phénylacétiques substitués. «J. chim. phys. et phys.-chim. biol.», 1960, 57, № 7—8, 597—599 (франц.).—Методом МО ЛКАО рассчитан вклад сопряженных π -электронов Q в энергетич. эффект р-ции $AN + B \rightarrow A^- + BH^+$ для ряда замещенных фенилацетонитрилов AN с основанием B , связанный с отрывом протона от атома C , примыкающего к нитрильной группе. Последовательность значений Q , соответствующая возрастающей относительной кислотности AN для метил- и галогензамещенных AN , согласуется с эксперим. данными.

Е. Никитин

9Б44. Применение теории молекулярных орбит к хлоролефинам. Favini Giorgio, Carrà Sergio, Simonetta Massimo. Applicazione della teoria degli orbitali molecolari alle cloroolefine. «Gazz. chim. ital.», 1960, 90, № 2—3, 247—255 (итал.).—Полуэмпирическим методом МО ЛКАО с учетом самосогласования рассчитана π -электронная структура хлористого винила (I), цис- и транс-дихлорэтилена (II), 1,1-дихлорэтилена (III), трихлорэтилена (IV), тетрахлорэтилена (V), транс-2-хлорбутадиена (VI). Кулоновские и двухэлектронные одноцентровые интегралы рассчитывались по эксперим. потенциалам ионизации и энергиям электронного сродства C и Cl . Двухцентровые интегралы оценивались по модели равномерно заряженных сфер. Рассчитанные с учетом взаимодействия конфигураций энергии первых $\pi \rightarrow \pi$ -переходов равны для I—VI соответственно 6,586; 6,384; 6,348; 6,744; 6,902 и 6,057 эв, что хорошо совпадает с экспериментом. Максим. расхождение (около 0,3 эв) имеет место для VI, причем оно не уменьшается при увеличении числа взаимодействующих конфигураций. Приблизительно на такую же величину различаются эксперим. энергии переходов в цис- и транс-дихлорэтиленах, хотя использованный полуэмпирич. метод не дает возможности учесть это различие. Сделан вывод о том, что погрешность порядка 0,3 эв обусловлена предположением о неизменности σ -электронного остова при возбуждении π -электронов.

Е. Никитин

9Б45. Расчет уровней энергии положительного иона бутадиена. Lorget Jean-Claude. Calcul des niveaux d'énergie de l'ion positif du butadiène. «C. r. Acad. sci.», 1960, 251, № 5, 720—721 (франц.).—Методом самосогласованного поля в приближении МО ЛКАО рассчитаны π -электронные уровни энергии иона $C_4H_5^+$. Рассчитанная в одноконфигурационном приближении энергия основного состояния 2B_g равна $3W_{2p} - 50,6228$ эв (W_{2p} — энергия $2p$ -валентного состояния C). Учет взаимодействия 10 конфигураций понижает энергию до $3W_{2p} - 51,728$ эв; при этом энергия низших 2A_u , 4B_g и 4A_u состояний равны $3W_{2p} - 40,751$, $3W_{2p} - 47,906$ и $3W_{2p} - 45,200$ эв. Рассчитанные

значения энергии очень близки к найденным ранее (РЖХим, 1957, № 16, 53654) методом валентных схем за исключением возбужденных состояний симметрии 2B_g , для которых результаты сильно различаются.

Е. Никитин

9Б46. Метод переменной электроотрицательности. VI. Азулен. Brown R. D., Heffernan M. L. The variable electronegativity method. VI. Azulene. «Austral. J. Chem.», 1960, 13, № 1, 38—48 (англ.).—Разработанный авторами метод вариации эффективного заряда Z_{π} π -АО углерода одновременно с найденным самосогласованных МО впервые применен к молекуле неальтернантного углеводорода — азулена. Учтено отличие длины связи 9—10 в азулене (1,45 Å) от обычной для ароматич. связей (1,39 Å) и учтены резонансные интегралы, относящиеся к несоседним атомам. Последние полагались пропорциональными соответствующим интегралам неортогональности. Основной результат расчета состоит в получении более равномерного распределения π -электронной плотности в молекуле азулена по сравнению с простым методом МО ЛКАО. Это привело к хорошему согласию рассчитанного дипольного момента (1,33 D) с экспериментальным (~ 1 D), в то время как простой метод ЛКАО дает значение 6 D. Вычисленные порядки связей найдены в согласии с длинами связей, положенными в основу расчета. Приведены вычисленные значения потенциалов ионизации π -электронов и параметры энергетич. матрицы. Сообщение V см. РЖХим, 1961, 3В121.

М. Местечкин

9Б47. Вычисление энергии молекулярных орбит макромолекул с сопряженными двойными связями. Koutecký J., Zahradník R. Calculation of molecular orbital energies of macromolecules with conjugated double bonds. «Collect. Czechosl. Chem. Commun.», 1960, 25, № 3, 811—819 (англ.; рез. русск.).—Вычислены энергии МО восьми типов макромолекул (всего 43 в-м с сопряженными двойными связями) при помощи простого метода МО ЛКАО. Из результатов вычислений вытекает, что разность энергий наивысшего занятого и низшего незанятого уровней у некоторых исследуемых молекул является величиной того же порядка, что и «энергетическая щель» у полупроводников.

V. Knesslov

9Б48. Новый способ изображения валентных структур. Linnett J. W. Valence-bond structures: a new proposal. «Nature» (Engl.), 1960, 187, № 4740, 859—860 (англ.).—Предложена новая модификация структурных ф-л (СФ) молекул, содержащих сопряженные π -связи. Помимо стриха, отвечающего паре электронов с антипараллельными спинными, введены различные обозначения для электронов со спином $+\frac{1}{2}$ и $-\frac{1}{2}$. Новые СФ передают октет электронов вокруг каждого атома. Хотя и в этом случае электронное строение сопряженных молекул может быть выражено лишь комбинацией нескольких СФ, последние передают некоторые свойства молекул лучше, чем обычные СФ. Так, напр., можно с помощью СФ отобразить основное триплетное состояние молекулы O_2 , понять повышенную стабильность молекулы CO_2 по сравнению с обычной структурой $O=C=O$, повышенную стабильность C_2H_6 по сравнению со структурами Кекуле и т. д.

Е. Шусторович

9Б49. О фермион-фермионном взаимодействии в предельном случае высоких энергий. Yoshimura Tetz. On high energy limit of fermion-fermion interaction. «Progr. Theoret. Phys.», 1960, 23, № 4, 569—574 (англ.).

9Б50. Радиусы ионов в молекулах газообразных неорганических соединений элементов главных групп периодической системы. Краснов К. С. «Ж. структур. химии», 1960, 1, № 2, 209—216.—Методом, аналогичным методу Паулинга для кристаллов, автором рас-

считаны ных гру- тивност- рассто- соедин- ми кон- отклоне- случаев- моцно

9Б51. эфирны- электр- ester li- Soc., 1- омлен- монах- ганд, в- действ- спектро- ходит д- 1960, №- тельств- кислый- привод- 2-олу (

9Б52. неимес- Devint- ture of- 1960, 3- ты, в- ния в- четов,- пробой- ния эл- рас- родов- связей- водоро- только- распло- не даю- рения

зано, ч- нов, не- разиз- связи- объясн- бита п- стемы- приво- Измер- нем де- приме-

9Б53. углево- тистич- O. Te- Kohlen- Rahme- 1960, 1- ре нес- востей- углево- измен- дены- спектр- USA),- и экск- хожд- ний об- у мол- мости

считаны радиусы ионов в молекулах соединений главных групп периодической системы и на основе аддитивности ионных радиусов вычислены межатоmные расстояния в 414 молекулах газообразных неорганич. соединений. Для 96 молекул величина отклонения суммы ионных радиусов в среднем 2—3%. Значительные отклонения от аддитивности, наблюдающиеся в ряде случаев, можно объяснить, по мнению автора, с помощью представления о поляризации ионов.

9Б51. Расщепление связи алкил-кислород в эфирных лигандах в результате реакций с переносом электрона. Fraser R. T. M. Alkyl-oxygen fission of ester ligands in electron-transfer reactions. «Proc. Chem. Soc.», 1960, Sept., 317 (англ.).—Исследуется механизм омыления сложноэфирного лиганда в комплексных ионах типа $[(NH_3)_5CoX]^{2+}$ (I) где X—органич. лиганд, в результате р-ции с переносом электрона (под действием ионов Cr^{2+} или V^{2+} в водн. р-ре). Масс-спектрометрич. анализ показал, что при этом происходит расщепление связи алкил-кислород (РЖХим, 1960, № 12, 46213). В пользу этого механизма свидетельствует установленный автором факт: если X—кислый бут-2-енилфумарат, то взаимодействие I с V^{2+} приводит не только к 2-бутен-1-олу, но и к 3-бутен-2-олу (20 ± 5%).

9Б52. Пробойный потенциал и структура молекул неспаренных углеводородов в газах. Crowe R. W., Devins J. C. Sparking potential and molecular structure of unsaturated hydrocarbon gases. «J. Chem. Phys.», 1960, 33, № 2, 413—418 (англ.).—Описаны эксперименты, в которых изучалась связь пробойного напряжения в газах и строения молекул этих газов. Из расчетов, основанных на теории Таунсенда, следует, что пробойное напряжение V_s в газах, где нет прилипания электронов, связано с эффективным мол. сечением рассеяния электронов (σ). σ в молекулах углеводородов определяется вкладом отдельных электронных связей. Измерения авторами V_s для ряда насыщ. углеводородов показали, что σ пропорционально числу только связей C—H в молекуле и не зависит от их расположения. Показано, что связи C—H вклада в σ не дают (эффект экранирования). Аналогичные измерения проделаны для ненасыщ. углеводородов. Показано, что вклад в σ связей C=C в молекулах олефинов, независимо от положения связей, более чем в три раза превосходит вклад связей C—H в алканах. Вклад связи C=C равен нулю. Большой вклад связи C=C объясняется, по-видимому, тем, что π -электронная орбита широко размазана в пространстве. Наличие системы сопряженных связей (бутадиен-1,3 и бензол) приводит к увеличению вклада в σ каждой связи C=C. Измерение V_s в циклопентане показало, что связи в нем дают вклад в σ , который может быть объяснен примесью π -электронных связей.

9Б53. Температурная зависимость масс-спектров углеводородных молекул и ее значение в рамках статистической теории. Ehrhardt H., Osberghaus O. Temperaturabhängigkeit der Massenspektren von Kohlenwasserstoffmolekülen und ihre Bedeutung im Rahmen der statistischen Theorie. «Z. Naturforsch.», 1960, 15a, № 7, 575—584 (нем.).—На масс-спектрометре исследована зависимость распределения интенсивностей линий в масс-спектрах ряда насыщ. и ненасыщ. углеводородов от т-ры. Т-ра ионизационной камеры изменялась в диапазоне 100—700°. Результаты обсуждения с точки зрения квазиравновесной теории масс-спектров (Rosenstock N. M. и др. «Proc. Nat. Acad. Sci. USA», 1952, 38, 667). Колич. сравнение выводов теории и эксперимента проведено на примере пропана. Расхождение может быть объяснено отсутствием сведений об энергии возбуждения, оставаемой электроном у мол. иона. Показано, что по температурной зависимости масс-спектра можно определить константу ско-

рости распада возбужденных электронным ударом ионов.

9Б54. Масс-спектрометрические исследования свободных радикалов. XVIII. Потенциалы ионизации сопряженных углеводородных радикалов и энергии сопряжения радикалов и карбониевых ионов. Harrison A. G., Lossing F. P. Free radicals by mass spectrometry. XVIII. The ionization potentials of conjugated hydrocarbon radicals and the resonance energies of radicals and carbonium ions. «J. Amer. Chem. Soc.», 1960, 82, № 5, 1052—1054 (англ.).—На масс-спектрометре измерены потенциалы ионизации (ПИ) следующих радикалов: β -нафтилметила (I), α -нафтилметила (II) и дифенилметила (III), полученных при пиролизе β -нафтилметилбромид, α -нафтилметиламина и бензилдрил-амина соответственно. ПИ определены по расстоянию между прямолинейными участками на кривых появления исследуемых ионов и ионов He^+ , отложенных в полулогарифмич. масштабе. Получены результаты для I, II и III соответственно (в эв): 7.56 ± 0.05 ; 7.35 ± 0.1 ; 7.32 ± 0.1 , что хорошо совпадает с теоретич. значениями, рассчитанными по методу самосогласованных МО (РЖХим, 1956, № 21, 67611). Измеренные ПИ и литературные значения энергий диссоциации использованы для расчета энергий сопряжения радикалов аллила, бензила, I, II и III, а также соответствующих карбониевых ионов. Показано, что энергия сопряжения больше для карбониевых ионов, чем для соответствующих радикалов, в согласии с теорией самосогласованных МО. Сообщение XVII см. РЖХим, 1961, 1Б75.

9Б55. Масс-спектрометрическое исследование реакций и свойств свободных радикалов и атомов. Wagner G. Massenspektrometrische Untersuchung der Reaktionen und Eigenschaften freier Radikale und Atome. «Gaswärmte», 1960, 9, № 8, 253—257 (нем.).—Рассмотрены основные методы исследования свободных радикалов с помощью масс-спектрометра. Радикалы, возникающие в спец. реакторе, находящемся вблизи ионного источника, могут переноситься в источник в потоке инертного газа или в мол. пучке. Одним из основных методов выделения сигнала от ионизированных свободных радикалов на фоне сигнала ионов с равной массой, образовавшихся при диссоциативной ионизации молекул, является метод Эльтентона (Eltenton G. C. «J. Chem. Phys.», 1947, 15, 455). Метод основан на том, что ионы, образующиеся из радикалов, попавших в ионизационную камеру масс-спектрометра, имеют меньший потенциал появления, чем такие же ионы, образующиеся при диссоциативной ионизации молекул. Поэтому при работе с пониженным ионизирующим напряжением ионы преимущественно образуются из радикалов. При относительно большой концентрации радикалов, поступающих в источник ионов, возможно выделение сигнала от них путем периодич. модуляции потока радикалов. Дан краткий обзор работ по масс-спектрометрич. исследованию р-ций свободных радикалов.

9Б56. Реакции перезарядки, вызывающие внутренние химические изменения. Радикалы метила, метилена и водорода, образованные в реакциях аргона и метана. Melton C. E. Charge transfer reactions producing intrinsic chemical change: methyl, methylene, and hydrogen radicals produced from argon and methane reactions. «J. Chem. Phys.», 1960, 33, № 3, 647—651 (англ.).—Исследованы процессы, происходящие при столкновениях ионов Ar^+ с молекулами CH_4 и ионов Kr^+ с CH_4 в ионизационной камере масс-спектрометра. Процессы были идентифицированы в результате измерения потенциалов появления первичных и вторичных ионов и зависимости их токов от давления. Энергия ионов, вступающих в р-ции, 0—0.2 эв; давление в ионизационной камере 0.1—0.5 мм рт. ст. Показано, что при столкновениях Ar^+ +

искусственного I в виде флуоресценции, равна доле поглощаемого им света. Поэтому в качестве коэф. переноса энергии принято отношение $f = I/I_0$, где I — интенсивность люминесценции I_0 — интенсивность света, поглощаемого II. I и f линейно растут с конц-цией $\sim 10^{-4}$ M, а при дальнейшем увеличении конц-ции до 10^{-2} M они увеличиваются гораздо быстрее. В области 240–270 мμ f не зависит от λ. При $c > 10^{-4}$ M уменьшается при $\lambda < 240$ мμ, что объясняется автономным поглощением света в тонком (1 μ) поверхностном слое образца. Вводя между образцами и источником света пластинки из II, не содержащие I, авторы показали, что при конц-циях $< 10^{-4}$ M и λ 240–270 мμ перенос энергии от II к I происходит в результате рефлексии люминесценции, искусственной II. При конц-циях $> 10^{-4}$ M основную роль играет безызлучательный перенос энергии.

В. Кронгауз
9Б66. Влияние растворителя на $n \rightarrow \pi^*$ -переходы в пиразине. Krishna V. G., Goodman Lionel. Solvent effects on $n \rightarrow \pi^*$ transitions in pyrazine. «J. Chem. Phys.», 1960, 33, № 2, 381–386 (англ.). — Исследованы спектры испускания и поглощения пиразина (I) и 2,5-диметилпиразина (II) при 77° K в твердых аморфных р-рителях (A) метилциклогексан — изопентан (1:4), (B) эфир — изопентан — этанол (5:5:2). Сравнение спектров в р-рителях A и B обнаруживает сдвиг в коротковолновую сторону в поглощении на ~ 60 см $^{-1}$ для полосы 0–0 перехода $S \rightarrow S'$ и на ~ 1200 см $^{-1}$ для максимума поглощения. В спектре испускания, напротив, при переходе от A к B наблюдается сдвиг в длинноволновую сторону на ~ 60 см $^{-1}$ для полосы 0–0 и ~ 600 см $^{-1}$ для максимума. Эти сдвиги объясняются франк-кондоновским смещением в результате образования водородных связей N...H—O между молекулами I и II с молекулами р-рителя B. Увеличение эффективного заряда АО неидентичной пары N при возбуждении $n \rightarrow \pi^*$ приводит к уменьшению равновесной длины связи N...H и к соответствующим сдвигам полос в спектре слабо протонированных I и II. Этот же эффект р-рителя объясняет ранее наблюдавшиеся различия (сдвиг около 500 см $^{-1}$) в спектрах поглощения $S \rightarrow T$ и испускания $T \rightarrow S$. Обнаружение франк-кондоновского сдвига в спектрах протонированного I подтверждает ранее высказанную точку зрения о существенном влиянии водородной связи на спектры $n \rightarrow \pi^*$ -переходов.

Е. Никитин
9Б67. Структура внутрикомплексных соединений двухвалентных металлов с ализарин-3-сульфонатом. Mukherji Anil K., Dey Arun K. «Виджняна патриша анусандхан патрика, Vijnana parishad anusanandan patrika, Res. J. Hindi Sci. Acad.», 1958, 1, № 1, 23–27 (хинди; рез. англ., нем.). — Спектрофотометрически установлено, что в образовании внутрикомплексных соединений 2-валентных металлов с ализарин-3-сульфонатом участвуют два атома O оксигрупп; химодный атом O не образует связи с металлом.

Из резюме авторов
9Б68. Полоса $n \rightarrow \pi^*$ -перехода аценафтенхинона. Kuboyama Akira. The $n \rightarrow \pi^*$ transition band of acenaphthenequinone. «Bull. Chem. Soc. Japan», 1960, 33, № 8, 1027–1030 (англ.). — Исследован спектр поглощения аценафтенхинона (I) в различных р-рителях в области 400–540 мμ. Полоса λ(макс.) 500 мμ (ε(макс.) ≈ 20) отнесена к $n \rightarrow \pi^*$ -переходу несвязывающего электрона кислорода на возбужденную π-МО. Наблюдаемое сильное коротковолновое смещение полосы I в хлороформе и диксане (по отношению к спектру в р-ре бензола) объясняется соответственно влиянием водородной связи или образованием мол. комплексов. Это согласуется с теоретич. представлениями об образовании комплексов с переносом заряда в р-рах хинонов (РЖХим, 1959, № 17, 59714). Обнаруженное расщепление полосы (~ 700 см $^{-1}$) в р-ре CS $_2$

указывает на существование двух $n \rightarrow \pi^*$ -переходов, ранее обнаруженных в спектре n -бензохинона. Отношение интенсивностей компонент полосы не зависит от т-ры.

Е. Никитин

9Б69. Поляризация двух первых электронных переходов в пирене. Hochstrasser Robin M. Polarization of the first two electronic transitions of pyrene. «J. Chem. Phys.», 1960, 33, № 2, 459–463 (англ.). — Исследованы спектры поглощения твердых кристаллич. р-ров пирена (I) в фенантрене (II) и в дибензиле (III) для света, поляризованного вдоль кристаллич. осей a и b . Отношение оптич. плотностей D_b/D_a для двух поляризаций слабо зависит от длины волны в области 3500–3800 Å. Абс. величина $D_b/D_a \approx 1,6$ –1,8 (для I в II) близка к теоретической (2,04), рассчитанной в предположении, что ориентация молекулы I в решетке II приблизительно совпадает с ориентацией примесных молекул антрацена в той же решетке и что дипольный момент перехода направлен по короткой оси симметрии I. Это дает возможность классифицировать первое возбужденное состояние ($\lambda \geq 3600$ Å) как состояние ${}^1B_{3u}$. Вторая область поглощения ($\lambda \geq 3500$ Å) отнесена к переходу того же типа (${}^1A_{1g} \rightarrow {}^1B_{3u}$) на основе данных по поляризации полос поглощения кристалла I + III. Такая интерпретация переходов согласуется с выводами других эксперим. работ, но противоречит результатам теоретич. расчета (РЖХим, 1957, № 7, 21942).

Е. Никитин

9Б70. Комплекс амилозы с йодом. II. Влияние неорганических солей. III. Потенциометрические и спектрофотометрические исследования. Kuge Takashi, Ono Sôzaburo. Amyloseiodine complex. II. Effects of inorganic salts. III. Potentiometric and spectrophotometric studies. «Bull. Chem. Soc. Japan», 1960, 33, № 9, 1269–1272; 1273–1278 (англ.). — II. Спектроскопическим методом исследовано комплексобразование амилозы с йодом в водн. р-ре. Обнаружено влияние различных неорганич. солей (KI, KBr, KCl, ZnSO $_4$, NaNO $_3$, (NH $_4$) $_2$ SO $_4$, CaCl $_2$, Al $_2$ (SO $_4$) $_3$ и др.) на спектры поглощения р-ра. При повышении валентности добавляемого иона его эффективность в отношении облегчения р-ции образования синего комплекса амилозы с йодом увеличивается. Из наличия солевого эффекта сделан вывод, что агрегация параллельно ориентированных первичных спиральных комплексов амилозы с йодом существенна для образования синего стабильного комплекса.

III. Потенциометрическим и спектрофотометрич. методами исследована термодинамика р-ции окрашивания амилозы с йодом. Энтальпия р-ции $\Delta H = -15,5$ ккал на моль J $_2$ (потенциометрич. титрование, 16°) и не зависит от вискозиметрич. длины цепи и рода крахмала амилозы. Измерен температурный ход кривых поглощения при 640, 350 и 288 мμ в интервале 0–60°. Показано, что J $_2^-$, адсорбированный на поверхности амилозы, приводит к ошибке при спектрофотометрич. определении конц-ии свободного йода; при более высоких т-рах ошибка уменьшается. ΔH р-ции растет с повышением т-ры и составляет $-20,8$ ккал на моль J $_2$ при 50°. Сообщение I см. РЖХим, 1954, № 16, 37551.

В. Быховский

9Б71. Связь между электронными спектрами поглощения и пространственными конфигурациями сопряженных систем. II. o -Алкил- и o,o' -диалкилдифенилы. Suzuki Hiroshi. Relations between electronic absorption spectra and spatial configurations of conjugated system. II. o -Alkyl- and o,o' -dialkylbiphenyls. «Bull. Chem. Soc. Japan», 1959, 32, № 12, 1350–1356 (англ.). — В продолжение предыдущей работы (сообщение I, РЖХим, 1961, 1Б66) рассмотрены литературные данные по электронным спектрам поглощения различных o -алкил-, o,o' -диалкил-, n -алкил- и n,n' -диалкилдифенилов, а также эксперим. данные автора по спектрам o -метила, o,o' -диметил- и n,n' -диметилдифенилов.

Установлено, что с увеличением числа заместителей в орто-положении полоса сопряжения дифенила смещается в коротковолновую сторону и ослабляется, а в спектре *о,о'*-ди-*трет*-бутилдифенила вообще отсутствует. Наблюдаемый эффект объясняется ослаблением сопряжения между фенильными кольцами из-за стерич. препятствий, вносимых орто-заместителями. Угол поворота θ между бензольными кольцами, как показывает расчет, составляет около 60° для орто-алкилзамещенных дифенила и не зависит заметным образом от длины алкильной цепи. Значение θ для орто, орто-дизамещенных равно $\sim 70^\circ$. При вычислениях учитывался bathochromный эффект, вносимый орто-заместителями. Результаты расчета для орто, орто'-дизамещенных дифенила показывают, что молекулы этих *в-в* имеют не *транс*-, а *цис*-конфигурацию в отношении положения орто-заместителей. Для *транс*-конфигурации эффект должен был быть таким же, как и в случае орто-замещенных дифенилов. В. Алексанян

9Б72. Спектры поглощения в ближней ультрафиолетовой области акролеина и кротонового альдегида. Inuzuka Kozo. Near ultraviolet absorption spectra of acrolein and crotonaldehyde. «Bull. Chem. Soc. Japan», 1960, 33, № 5, 678—680 (англ.).—Сняты спектры поглощения в области $25\,000\text{--}33\,300\text{ см}^{-1}$ акролеина (I) и кротонового альдегида (II) в парах и в *р-ре* в CCl_4 и в спирте. В CCl_4 оба соединения имеют одну слабую полосу с четырьмя плечами. В спирте эта полоса сдвигается в коротковолновую сторону на 400 см^{-1} для I и на 900 см^{-1} для II, что характерно для полос $n\text{--}\pi^*$ -перехода. В парах I имеется полоса $0\text{--}0$ при $25\,873\text{ см}^{-1}$ и три коротковолновые полосы с колебательными частотами 1427, 1271 и 498 см^{-1} . Эти полосы отнесены соответственно к вал. кол. $\text{C}=\text{C}$, вал. кол. $\text{C}=\text{O}$ и деф. кол. скелета в возбужденном состоянии. Для II полоса $0\text{--}0$ перехода находится при $26\,518\text{ см}^{-1}$, а соответствующие колебательные частоты в возбужденном состоянии имеют значения 1360, 1237 и 450 см^{-1} . Для выяснения насколько удлиняется карбонильная связь при $n\text{--}\pi^*$ -переходах, вычислена интенсивность полос поглощения. Из сравнения эксперим. данных и результатов вычисления установлено, что длина связи $\text{C}=\text{O}$ при $n\text{--}\pi^*$ -переходе увеличивается на 0,1 Å. Н. Кузнецкая

9Б73. Спектры поглощения в ближней ультрафиолетовой области некоторых тиенилкетонов. Mangini Angelo, Tundo Antonio. The near U. V.-absorption spectra of some thiénylketones. «Z. Elektrochem.», 1960, 64, № 5, 694—698 (англ.).—Изучены спектры поглощения 16 2-ацетил-, 2-арил-, 2,5-диацетил- и 2,5-диарилтиофенов и их 3,4-диметильных производных в *р-ре* *n*-гексана в области $210\text{--}400\text{ мμ}$. Все соединения имеют 3 полосы поглощения. Первая с $\lambda > 310\text{ мμ}$ и низкой или средней интенсивностью ($I_{\text{г}} \approx 1,86\text{--}3,15$), часто проявляющаяся в виде перегиба, относится к переходам $N\text{--}A$, характерным для карбонильной группы. Две другие интенсивные полосы ($I_{\text{г}} \approx 3,80\text{--}4,37$) лежат при $\lambda < 300\text{ мμ}$. Более длинноволновая из них принадлежит возбуждению тиенилкарбонильного хромофора (переход $N\text{--}V$ $\pi\text{--}\pi$ -типа), более коротковолновая — возбуждению тиенильного кольца (тоже переход $N\text{--}V$ $\pi\text{--}\pi$ -типа). В ряде случаев эти полосы сливаются в одну. В арилтиофенах на коротковолновую полосу накладывается поглощение арилкарбонильного хромофора. У 2,5-диацетил- и 2,5-диарилтиофенов тиенилкарбонильное взаимодействие увеличивается, что сказывается в длинноволновом сдвиге и в увеличении интенсивности соответствующей полосы. Введение метильных групп в положения 3 и 4 тиенильного кольца у 2-ацетил- и 2,5-диацетилтиофенов почти не изменяет спектра поглощения, тогда как у арилтиофенов происходит заметное изменение спектра и более отчетливо проявляется поглощение арилкарбонильного хромофора. Это объясняется увеличе-

нием взаимодействия фенила с карбонильной группой, вследствие стерич. препятствий. Н. Бредли

9Б74. Потенциальные постоянные Юри — Бредли. двуокиси азота и ее димера нона нитрита. Hisatsune I. C., Devlin J. P., Califano S. Urey — Bradley potential constants in nitrogen dioxide, nitrite ion and dinitrogen tetroxide. «Spectrochim. acta», 1960, 16, № 450—458 (англ.).—Составлены потенциальные функции Юри — Бредли, содержащие четыре силовых постоянные в случаях NO_2 и NO_2^- и смесь в случае N_2O_4 . Приводятся силовые постоянные NO_2 , найденные на опытных значениях частот колебаний молекул N^{14}O_2 и N^{15}O_2 с применением метода наименьших квадратов (мдн/Å): $K = 8,46$; $H = 0,395$; $F' = -0,1$. Силовые постоянные NO_2^- определены непосредственно по опытным значениям частот и равны 5,80; 0,038; 5,14; $-0,1F$. В обоих случаях достигнуто почти полное совпадение вычисленных и опытных частот. Для определения силовых постоянных N_2O_4 использованы частоты спектров комб. расс. и ИК-спектров N^{14}O_4 и $\text{N}_2^{15}\text{O}_4$, причем на счетной машине вычислены производные от частот по силовым постоянным, уточненные, которых выполнено по методу наименьших квадратов. В результате испытания четырех вариантов расчетов получены следующие значения: $K_{\text{NO}} = 9,060$; $K_{\text{NN}} = 0,7762$; $H_{(\text{OO})} = 0,1762$; $F_{(\text{NO})} = 0,5188$; $F_{(\text{OO})} = 2,308$; $F_{(\text{NO})} = -0,1195$. Силовая постоянная взаимодействия двух атомов кислорода в двух нитрогруппах $C = 0,2960$. Между вычисленными и опытными частотами имеются значительные расхождения, прич. они являются наибольшими для вал. кол. связей N--O и не могут быть отнесены за счет погрешностей расчетного метода. Сделан вывод о недостаточности симметричного поля Юри — Бредли и о необходимости введения в расчет силовых постоянных взаимодействия между связями NO . Численные значения силовых постоянных обсуждаются с точки зрения электронной структуры и природы хим. связи в изученных молекулах. М. Коваленко

9Б75. Расчет моделей молекул на электронно-счетных машинах. II. Однозамещенные производные бензола. Schmid Erich W., Brandmüller Josef, Nonnenmacher Gerhard. Molekülmodelle auf elektronischen Rechenanlagen. II. Monosubstituierte Derivate des Benzols. «Z. Elektrochem.», 1960, 64, № 726—733 (нем.).—На электронной машине PERM (программа R2, описанной в сообщении I (РЖХим, 1960, 5Б134), проведен расчет основных частот и форм колебаний для $\text{C}_6\text{H}_5\text{D}$, $\text{C}_6\text{H}_5(\text{CH}_3)$, $\text{C}_6\text{H}_5\text{F}$, $\text{C}_6\text{H}_5\text{Cl}$, $\text{C}_6\text{H}_5\text{Br}$ и $\text{C}_6\text{H}_5\text{I}$. Силовые постоянные в выражении потенциальной функции взяты из работы (Ingold C. K. and mol. Chem. Soc., [London], 1936, 912; 1946, 222) с поправками на возмущения, обусловленные заместителями. Расчет показывает, что формы одинаковых колебаний для различных производных чрезвычайно близки. Численные частоты обнаруживают хорошее согласие с данными ИК-спектроскопии. А. Левин

9Б76. Интенсивности вращательных линий в полосах поглощения симметричных молекул типа $\text{AB}_2\text{--XYZ}$. Hanson Harvey M., Nielsen Harold K. H. Intensities of rotation lines in absorption bands of symmetric molecules of the Type $\text{AB}_2\text{--XYZ}$. «J. Molecular Spectrosc.», 1960, 4, № 6, 468—476 (англ.).—Произведен расчет матричных элементов (M) дипольного момента для колебательно-вращательных переходов с учетом взаимодействия колебания и вращения. Колебательно-вращательный гамильтониан многоатомной молекулы подвергается последовательным касательным преобразованиям, приводящим его к диагональному виду. Таким же преобразованиям подвергаются компоненты дипольного момента молекулы, принимающие вид ряда. Подстановка таких рядов в выражения для M , которые вычисляются с применением ψ^0 , позволяет

представить МЭ также в виде рядов, первые члены которых соответствуют нулевому приближению. Описанный метод вычисления МЭ применен к молекулам типа $AB_3 \cdot XY_3$ с симметрией C_{3v} , для которых МЭ вычисляются в первом приближении. МЭ, соответствующие различным колебательно-вращательным переходам, выражены через квантовые числа v, J, K , частоты колебаний и вращательные постоянные. В этом приближении не изменяются правила отбора для J, K, l . М. Ковнер

9Б77. Дополнительные соотношения в циклических системах. Califano S., Grawford Bryce, Jr. Redundancies in cyclic systems. «Z. Elektrochem.», 1960, 64, № 5, 571—575 (англ.).—Для вывода дополнительных соотношений между естественными колебательными координатами циклич. молекул составлены скалярные произведения суммы векторов всех сторон многоугольника на эту же сумму и на два взаимно перпендикулярных единичных вектора. Дифференциалы этих скалярных произведений приравниваются нулю. В случае плоских циклов получаются три уравнения, связывающих изменения длин связей с изменениями валентных углов. В случае неплоских циклов три дополнительных соотношения содержат, кроме названных колебательных координат, еще координаты, характеризующие крутильные колебания связей. Рассмотрены примеры 1,4-диазина, бензола и неплоского четырехчленного цикла с симметрией C_{2v} . М. Ковнер

9Б78. Матрицы среднеквадратичных колебательных амплитуд. VII. Рассмотрение тетраэдрических молекул типа XY_4 . Cyvin S. J. Vibrational mean-square amplitude matrices. Part VII. Treatment of tetrahedral XY_4 molecules. «J. Molec. Spectrosc.», 1960, 5, № 1, 38—43 (англ.).—Ранее описанный метод (РЖХим, 1960, № 20, 79953) определения среднеквадратичных колебательных амплитуд применен к тетраэдрич. молекулам типа XY_4 . В качестве колебательных координат приняты изменения межатомных расстояний и углов между связями. Потенциальная функция учитывает недиагональные члены. Приведены ф-лы, вытекающие из средних квадраты колебательных амплитуд через элементы матрицы Σ после приведения к симметрии. Отмечена возможность сравнения вычисленных величин с электронографич. данными. Сообщено VI см. РЖХим, 1961, 3Б143. Л. Грибов

9Б79. Нормальные колебания и термодинамические свойства гексакарбониллов хрома и молибдена. Kawai Kiyoyasu, Murata Hiromu. Normal vibrations and thermodynamic properties of chromium and molybdenum hexacarbonyls. «Bull. Chem. Soc. Japan», 1960, 33, № 7, 1008—1013 (англ.).—Исследованы нормальные колебания октаэдрич. молекул $Cr(CO)_6$ и $Mo(CO)_6$. Совпадение вычисленных и наблюдаемых частот удовлетворительное. Частоты вал. кол. CO лежат в области 2000—2100 cm^{-1} , деф. кол. $Cr-CO$ и $Mo-CO$ в области 500—650 cm^{-1} и вал. кол. $M-C$ — в области 330—430 cm^{-1} . На основе данных о частотах вал. кол. вычислены термодинамич. функции при 273—1000°K. Л. Грибов

9Б80. Парциальные частоты пирамидальных гидридов и дейтеридов симметрии C_{3v} . Рыбакова Г. И., Лаугольников Б. И., Морозов В. П. «Оптика и спектроскопия», 1960, 9, № 2, 166—169.—В координатном и импульсном представлениях вычислены частоты колебаний молекул RX_3 ($X = H, D$; $R = N, P, As, Sb$). Эти частоты, а также парц. частоты молекул RD_3 , вычисленные по приближенной ф-ле $\omega_i = q_i \omega_i$ (q_i — функции масс и угла между связями), совпадают с соответствующим истинным значениям нулевых частот. Вековые ур-ния типов симметрии A_1 и A_2 содержат по три силовых постоянных, и при определении их по опытным значениям частот одних молекул RH_3 получаются в каждом случае

только два ур-ния. В качестве третьего ур-ния использовалось условие равенства парц. частот и соответствующих собственных частот. Вычисленные таким способом силовые постоянные и коэф. влияния достаточно близки к значениям, найденным при использовании частот RH_3 и RD_3 . М. Ковнер

9Б81. Предварительное исследование альтернантных сеток симметричных матриц. Samuel Isaac. Première étude des grilles alternantes des matrices symétriques. «Cahiers phys.», 1960, 14, № 118, 209—218 (франц.).—Установлена связь между структурой векового определителя, составляемого в расчете уровней энергии альтернантных углеводородов, и схематическим спариванием спинов электронов. На этой связи основан графич. метод составления полинома, соответствующего вековому определителю. Коэф. этого полинома вычисляются путем разбиения определителя на сетки по методу, описанному в предыдущих работах автора (РЖХим, 1959, № 14, 48442; № 23, 60936). Рассмотрены примеры молекул бензола и нафталина. М. Ковнер

9Б82. Потенциальные функции молекул гомологического ряда $(CH_3)_nSiH_{4-n}$ ($n = 1-4$). Ковалев И. Ф. «Докл. АН СССР», 1960, 134, № 3, 559—562.—По силовым постоянным молекул этана, дислана и $(CH_3)_nSiH_{4-n}$ ($n = 1-4$), определенным в предыдущих работах автора (РЖХим, 1954, № 4, 10765; № 24, 84870), с помощью метода определителей вычислены коэф. влияния для 79 типов взаимодействия естественных колебательных координат молекул метилсиланов указанного ряда. Результаты сопоставлены с соответствующими коэф. влияния силанов и углеводородов. Сделан ряд выводов об изменчивости жесткости связей и валентных углов и о зависимости частот валентных и деформационных колебаний от коэф. влияния. М. Ковнер

9Б83. Интенсивности полос колебательных спектров и дипольные моменты связей в дейтерированных метанах. Hiller Robert E., Jr, Straley Joseph W. Vibrational intensities and bond moments in deuterated methanes. «J. Molec. Spectrosc.», 1960, 5, № 1, 24—34 (англ.).—По методу экстраполяции Вильсона и Уэллса измерены интегральные интенсивности A_1 полос в ИК-спектрах поглощения CH_3D , CH_2D_2 и CHD_3 . По эксперим. величинам определены $(\partial \mu / \partial Q)_i$ с учетом поправочного коэф. v_i / ω_i , где v_i — частота максим. полосы поглощения и ω_i — гармонич. частота. Вычисления электроопт. параметров μ_{CH} и $(\partial \mu / \partial r)_{CH}$ проводилось в нулевом приближении валентно-опт. схемы по методу Вильсона. В случае перекрывающихся полос в качестве эксперим. величины использовалась $\Sigma A_i = (N\pi / 3c) \Sigma (\partial \mu / \partial Q)_i^2 v_i / \omega_i$. Полученная система ур-ний, связывающая электроопт. параметры и $(\partial \mu / \partial Q)_i$, была решена графически для разных систем знаков. Правильность вычислений проверена по правилу Кроуфорда для изотопич. молекул. Показано, что дипольный момент связей и их производные имеют разные знаки. В предположении, что дипольный момент связи CH имеет полярность C^+H^- , найдено: $\mu_{CH} = +0,33 D$ и $(\partial \mu / \partial r)_{CH} = -0,61 D / A$. Л. Г.

9Б84. Абсолютные интенсивности основных колебаний метана в инфракрасной области. Armstrong R. L., Welsh H. L. The absolute intensities of the infrared fundamentals of methane. «Spectrochim. acta», 1960, 16, № 7, 840—852 (англ.).—Измерены в ИК-спектрах поглощения абс. интенсивности полос нормальных колебаний CH_4 в смеси с He , Ar и N_2 при давлении до 3000 атм. Описана конструкция спец. кюветы со сменными окнами из CaF_2 и сапфира. Толщина поглощающего слоя равна 0,9 и 1,2 см. Обнаружено слабое возрастание интенсивности от давления нейтр. газа, особенно заметное в случае N_2 . Детально обсуждены раз-

личные ошибки при измерении интенсивностей при больших давлениях. Изучено уширение вращательных линий во вращательно-колебательных полосах при увеличении давления. Л. Грибов

9Б85. Инфракрасные спектры поглощения. Теория и применение. Симамути Такэхико, Масуко Эитиро, Наканиси Кодзи. «Kagaku-no reikyoku, Kagaku-no ryoiki, J. Japan. Chem.», 1960, прилож. № 40, VIII, 146 стр., илл. (японск.)

9Б86. Инфракрасный спектр и потенциальная функция хлористого нитрозила. Landau L., Fletcher W. H. The infrared spectrum and potential function of nitrosyl chloride. «J. Molec. Spectrosc.», 1960, 4, № 3, 276—283 (англ.).—Исследован ИК-спектр поглощения ClN^{14}O (I) и ClN^{15}O (II) в газообразном состоянии в области 300—6000 cm^{-1} . Выполнено отнесение наблюдавшихся частот и на основании полученных данных вычислены постоянные в ур-нии $G^0(v_1, v_2, v_3) = \sum_i \omega_i v_i + \sum_j \sum_k X_{ij} v_i v_j$, описывающем энергию колебательных уровней (в cm^{-1} для I и II соответственно): ω_1^0 1786,7 и 1818,3; ω_2^0 597,0 и 612,4; ω_3^0 332,6 и 334,4; X_{11}^0 -17,7 и -18,3; X_{22}^0 -7,6 и -8,0; X_{33}^0 -2,0 и -2,0; X_{12}^0 -7,6 и -8,0; X_{13}^0 -3,9 и -3,9; X_{23}^0 -4,8 и -4,9. Исследованы также возмущения в спектре, обусловленные ферми-резонансом и найдена величина смещения частоты v_2 , равная 8,2 и 9,2 cm^{-1} для I и II соответственно. Расчет силовых постоянных молекулы в предположении, что недиагональные члены матрицы F обусловлены ван-дер-ваальсовым взаимодействием, приводит к значениям $K_{\text{NO}} = 14,12 \text{ мдин/А}$, $K_{\text{NCl}} = 1,70 \text{ мдин/А}$, $K_y = 0,827 \cdot 10^{-11} \text{ эрг/радиан}^2$ и $A = 0,014 \text{ мдин/А}$ (A — постоянная в уравнении Ван-дер-Ваальса). Пренебрежение силами межмолекулярного взаимодействия приводит к незначительным изменениям силовых постоянных. В. Юнгман

9Б87. Интенсивность колебательных спектров поглощения связи Р—Н некоторых диазфиров фосфористой кислоты. Noualla Doureid, Wolf Robert. Intensité d'absorption de la vibration de valence Р—Н dans quelques diesters de l'acide phosphoreux. «Bull. Soc. chim. France», 1960, № 1, 129—133 (франц.).—Измерена интенсивность колебательных полос поглощения связи Р—Н некоторых диазфиров фосфористой к-ты. Все средние значения, полученные для р-ров, заключены между 0,60 и $0,70 \cdot 10^4 \text{ моль}^{-1} \text{ см}^2$.

Резюме авторов

9Б88. Физическая химия оловоорганических соединений. Часть II. Инфракрасные спектры фенилоловых соединений. Griffiths V. S., Derwish G. A. W. The physical chemistry of organotin compounds. Part II. The infrared spectra of phenyltin compounds. «J. Molec. Spectrosc.», 1960, 5, № 2, 148—169 (англ.).—Получены ИК-спектры в твердом, жидком состоянии и в р-рах в CS_2 и CCl_4 серии соединений типа $(\text{C}_6\text{H}_5)_n\text{SnCl}_{4-n}$ ($n = 1, 2, 3$ и 4) в области 650—3500 cm^{-1} . Сделано отнесение большинства основных и комбинационных частот по типам симметрии и к колебаниям отдельных групп атомов. Установлено, что неплоские деф. кол. С—Н очень чувствительны к электрич. природе заместителя при атоме олова. Из рассмотрения плоских деф. кол. С—Н сделан вывод, что электроотрицательность атома олова возрастает при изменении n от 4 до 1. Не обнаружено никакого взаимодействия между атомами хлора и фенильной группой. Часть I см. РЖХим, 1960, № 7, 25408. Б. Локшин

9Б89. Исследования соединений селена с кислородом. VII. Колебательные спектры некоторых диалкилселенидов. Simon A., Paetzold R. Untersuchungen an Selen- oder Sauerstoff-Verbindungen. VII. Die Schwingungsspektren einiger Dialkylselenite. «Z. anorgan. und allgem. Chem.», 1960, 303, № 1-2, 79—84 (нем.; рез. англ.).—Получены спектры комб. расс. и ИК-спектры поглощения диметилселенита (I), метилэтилселенита

(II) и диэтилселенита (III). Как и в случае ранее исследованных алкилселенистых к-т (сообщение VI, РЖХим, 1961, 8Б97) частоты связей СН имеют обычные значения, т. е. отсутствует взаимодействие колебаний связей СН и остова. Дан анализ колебательных спектров I, II и III, наиболее полный для I. Отмечаются высокие значения частот вал. кол. $\text{Se}=\text{O}$ (соответственно 929, 937 и 935 cm^{-1}), по сравнению с алкилселенистыми к-тами, где они были снижены из-за образования водородной связи $\text{Se}=\text{O} \cdots \text{H}-\text{O}$.

В. Алексанян

9Б90. Интерпретация полос поглощения малой интенсивности циановых комплексов переходных металлов. Bán Miklós. Kiegészítések átmeneti fém ciano komplexek alacsony intenzitású abszorpcióis sávjainak értelmezéséhez. «Magyar kém. folyóirat», 1960, 66, № 325—326 (венг. рез. англ.).—Обсуждена возможность появления полос запрещенных по симметрии в спектрах поглощения циановых комплексов переходных металлов, имеющих октаэдрическую и плоскостную конфигурации с расположением циановых групп на вершинах квадрата. Рассчитаны из теории групп симметрии колебательных переходов и ослаблены правил запрещения, касающихся электронных спектров. С этой точки зрения интерпретированы полосы малой интенсивности в спектрах поглощения циановых комплексов переходных металлов.

Резюме авторов

9Б91. Соединения йода с кислородом. Часть II. Инфракрасные спектры поглощения и строение йодатов. Dasent W. E., Waddington T. C. Iodine oxygen compounds. Part I. Infrared spectra and structure of iodates. «J. Chem. Soc.», 1960, June, 2429—2432 (англ.).—Получены ИК-спектры поглощения (в области 400—4000 cm^{-1}) твердых йодатов Li, Na, K, Rb, Cs, NH₄, $(\text{CH}_3)_4\text{N}$, Ag, Tl, Ni и Th, комплексных йодатов $\text{K}_2(\text{Mn}(\text{JO}_3)_2)$, $(\text{NH}_4)_2(\text{Mn}(\text{JO}_3)_2)$, $\text{K}_2(\text{Pb}(\text{JO}_3)_2)$, $\text{K}_2(\text{Th}(\text{JO}_3)_2)$, йодатов, отнесенных к комплексным по характеру ИК-спектров — $\text{Fe}(\text{JO}_3)_3$, $\text{Pb}(\text{JO}_3)_3$, $\text{Hg}(\text{JO}_3)_2$, $\text{Hg}_2(\text{JO}_3)_2$, а также HJO_3 , DJO_3 и $\text{KH}(\text{JO}_3)_2$. Произведено следующее отнесение частот колебательных групп JO_3 (cm^{-1}): простые йодаты: v_1 и $2v_2 \sim 700\text{—}780$, (обнаружена только в 3 случаях, так как обычно $v_2 < 400$) Li 404, Ni 407 и 440, Th 410, $v_3 \sim 740\text{—}800$ комплексные йодаты: v_1 630—697 v_3 (дублет) 757—811 и 719—758. Полоса при 420—480 cm^{-1} отнесена к вал. кол. М—О, где М — атом соответствующего металла комплексообразователя. Усложнение ИК-спектров комплексов по сравнению со спектрами простых йодатов (расщепление v_3 на 2 компоненты) объясняется понижением симметрии группы JO_3 от C_{3v} до C_s при вхождении иона JO_3^- во внутреннюю сферу комплексов и образовании группы MOJO_3 . ИК-спектр поглощения HJO_3 по характеру аналогичен спектру йодатной группы в комплексах, но с более сильным расщеплением частот: v_1 650, 637 и 577, v_3 804, 820 и 835, v_2 763, 745 и 718 cm^{-1} . Частота при 2920 cm^{-1} отнесена к вал. кол. ОН (2200 cm^{-1} в ИК-спектре DJO_3), а частоты при 1163 и 1101 cm^{-1} к деф. кол. с участием группы ОН. В спектрах HJO_3 и DJO_3 обнаружена полоса при 462 cm^{-1} , отнесение которой не приведено. Вследствие сложности ИК-спектра $\text{KH}(\text{JO}_3)_2$ произведено лишь частичное отнесение частот для этого соединения; вал. кол. ОН ~ 2900 и деф. кол. ОН 1170 cm^{-1} . Сложность ИК-спектра $\text{KH}(\text{JO}_3)_2$ объясняется разл. влиянием обеих групп JO_3 .

Ю. Харитонов

9Б92. Молекулярные соединения йода. III. Изучение взаимодействия между диметилацетамидом йодом при помощи инфракрасной спектроскопии. Schmulbach C. D., Drago Russell S. Molecule addition compounds of iodine. III. An infrared investigation of the interaction between dimethylacetamide and iodine. «J. Amer. Chem. Soc.», 1960, 82, № 17, 4484—4487 (англ.).—Получены ИК-спектры в области 1600

1700 cm^{-1} существ. следует, кислоро 1:1 вы $-\Delta F_{\text{изм}}$ /моль, равнове и 50° дость ки ше (— РЖХим,

9Б93. тора в ных за сеп F. ne-halog Soc., 19 ние к пр по расче глосении (бензолс денной защи до литеиси дептора ното эл подумп сведения Обрацае поля в ричным считани тельно.

9Б94. ний кре ния и и силикоан pische U Die Ram ne. «Z. E В област нений о л = 1—6, отнесени вал. сим. сим. вал. растает Средние тельно л ний. Пол коновых Для них два макс друта. Ч те, чем см. РЖХ

9Б95. щипи и Kretz Struktur dinen. «Z. (нем.).—1 поглощен диэтилов вет им

1700 см^{-1} p-ров в CCl_4 диметилацетамида (I) в присутствии различных кон-ций йода. (II). Из спектров следует, что комплекс I с II образуется через атом кислорода. Для p-ции образования комплекса состава 1:1 вычислены следующие термодинамич. данные: $-\Delta F_{298} = 1,33 \pm 0,4$ ккал/моль, $-\Delta H = 5,1 \pm 0,1$ ккал/моль, $-\Delta S = 12,6 \pm 0,2$ ккал/моль град. Константы равновесия указанной p-ции при t-рах 25, 30, 40, 45 и 50° равны соответственно $9,5 \pm 0,4$; $8,3 \pm 0,3$; $6,1 \pm 0,3$; $5,1 \pm 0,2$ и $5,1 \pm 0,3$. Отмечено, что основность кислорода в I по отношению к II гораздо больше (~10 раз), чем у ацетона. Сообщение II см. РЖХим, 1960, № 23, 91700. Б. Локшин

9Б93. Интенсивности инфракрасных полос акцептора в комплексах бензола с галогенами, образованных за счет переноса заряда. Ferguson E. E., Matzen F. A. Acceptor infrared band intensities in benzene-halogen charge-transfer complexes. «J. Amer. Chem. Soc.», 1960, 82, № 13, 3268—3271 (англ.). В дополнение к предыдущей работе (РЖХим, 1959, № 12, 41351) по расчету аномальной интенсивности ИК-полосы поглощения полносимметричного колебания донора (бензольного кольца) в комплексе $\text{C}_6\text{H}_6 \cdot \text{J}_2$, обусловленной изменением вертикального потенциала ионизации донора, авторы произвели аналогичный расчет интенсивности ИК-полосы валентного колебания акцептора (Cl_2 , J_2 , Br_2) с учетом изменения вертикального электронного сродства акцептора. Применены допущения теории спектров с переносом заряда и сведения о потенциальных кривых J_2 , J_2^- и $\text{C}_6\text{H}_6 \cdot \text{J}_2$. Обращается внимание на появление постоянного диполя в молекуле галогена, обусловленного асимметричным переносом заряда от бензола. Согласно расчетанных и опытных интенсивностей удовлетворительно. В. Быховский

9Б94. Спектроскопические исследования соединений кремния. XI. Спектры комбинационного рассеяния и инфракрасные спектры линейных метилполисилоксанов. Kriegsmann Heinrich (Spektroskopische Untersuchungen an Siliciumverbindungen. XI. Die Raman- und IR-Spektren linearer Methylpolysiloxane. «Z. Elektrochem.», 1960, 64, № 4, 541—545 (нем.). В области 400—3000 см^{-1} получены ИК-спектры соединений общей ф-лы $(\text{CH}_3)_n\text{SiO}[(\text{CH}_3)_2\text{SiO}]_m\text{Si}(\text{CH}_3)_3$ с $n = 1-6$, а также их спектры комб. расс. Произведено отнесение частот. Частоты 490—600 см^{-1} отнесены к вал. сим. кол. группы SiOSi , 1030—1090 см^{-1} — к антисим. вал. кол. SiOSi . При увеличении длины цепи возрастает число наблюдаемых частот в обеих областях. Средние значения частот колебаний цепи приблизительно постоянны для всех исследованных соединений. Получены также спектры четырех технич. силиконовых масел с мол. в. 2000, 13000, 30000 и 70000. Для них в области 1030—1090 см^{-1} наблюдаются лишь два максимума, довольно далеко отстоящие друг от друга. Число сим. вал. кол. SiOSi у масел также меньше, чем у вышеуказанных соединений. Сообщение X см. РЖХим, 1959, № 24, 84888. В. Коряжкин

9Б95. Исследования структуры продуктов конденсации и солей амидинов в инфракрасной области. Kreuzberger A. Infrarot-Untersuchungen zur Struktur der Kondensationsprodukte und Salze von Amidinen. «Z. phys. Chem. (BRD)», 1960, 24, № 5-6, 368—377 (нем.). В области 670—4000 см^{-1} изучены спектры поглощения (в KBr) производных 2,2'-гидразиндиамидинов: 4,4',6,6'-тетраметил-(I), 8,6'-диметил-4,4'-дигидрил-(II), 4,4',6,6'-тетраэтил-(III), 4,4',5,5',6,6'-гексаметил-(IV), а также 2-амино-4,6-диметилпиримидина и дицианацетата (V) и малоната (VI) 1,2-гидразиндиарбоксамидина (VII). I—IV могут рассматриваться как продукты конденсации VII с соответствующими д-кетонами. Гидразогруппа в этих соединениях придает им сходство в спектроскопич. отношении со вто-

ричными аминами. Как следует из спектров, V и VI имеют солеобразный характер.

9Б96. Колебательные спектры силикатов. I. Инфракрасные спектры силикатов с анионами типа $[\text{Si}_2\text{O}_7]^{6-}$. Лазарев А. Н. «Оптика и спектроскопия», 1960, 9, № 2, 195—202. Исследованы в области 1300—400 см^{-1} в таблетках из KBr и эмульсии в парафиновом масле ИК-спектры орто- и пиросиликатов $\text{Ca}_2\text{O}(\text{SiO}_4)_2$; $\gamma\text{-Ca}_2\text{SiO}_4$; $\beta\text{-Ca}_2\text{SiO}_4$; Zn_2SiO_4 ; $\text{Ca}_2\text{Si}_2\text{O}_7$; $\text{Zn}_4(\text{OH})_2(\text{Si}_2\text{O}_7)_2 \cdot \text{H}_2\text{O}$; $\text{Ca}_2\text{ZnSi}_2\text{O}_7$; $\text{Ca}_2\text{Fe}_2^{3+}\text{Fe}^{3+}\text{O}(\text{Si}_2\text{O}_7)_2\text{OH}$. Рассмотрены «внутренние» колебания монов $[\text{SiO}_4]^{4-}$ и $[\text{Si}_2\text{O}_7]^{6-}$ и предпринята попытка найти спектроскопич. критерии для идентификации в кристаллах силикатов групп $[\text{Si}_2\text{O}_7]^{6-}$ и для суждения об их форме. Переход от орто- к пиросиликатам сопровождается расщеплением нормальных колебаний группы SiO_4 , что приводит к увеличению числа полос и их смещением. Колебательный спектр для $[\text{Si}_2\text{O}_7]^{6-}$ является достаточно характерным и может служить для приближенной (~10°) оценки $\angle \text{SiOSi}$ в этих группах. При наличии легких катионов и сильной связи с анионом рассмотрение спектров пиросиликатов с помощью представления об изолированных группах $[\text{Si}_2\text{O}_7]^{6-}$ невозможно.

9Б97. Инфракрасные спектры изотопически замещенных соединений. I. Дизопропилкетоны. Karabatsos Gerassimos John. Infrared spectra of isotopically labeled compounds. I. Diisopropylketones. «J. Organ. Chem.», 1960, 25, № 3, 315—318 (англ.). На основании изучения ИК-спектров поглощения изотопически замещенных дизопропилкетонов (A) (2,4-диметил-3-пентанона, 2,4-диметил-3-пентанона-3- C^{13} , 2,4-диметил-3-пентанона-2- C^{13} , 2,4-диметил-3-пентанона-2,4- d_2 и 2,4-диметил-3-пентанона-2,4- d_3) установлено, что полоса вал. кол. карбонильной группы A (1712 см^{-1}) обусловлена смешанным колебанием, состоящим примерно на 74% из вал. кол. $\text{C}=\text{O}$ и на 26% из вал. кол. $\text{C}-\text{C}$. Полоса 1024 см^{-1} A отнесена к вал. кол. цепи $\text{C}-\text{C}-\text{C}$, образованной атомом C изопропиловой группы и вторичными атомами C изопропиловых групп. Полоса 1200 см^{-1} появляется в результате взаимодействия колебаний $\text{C}=\text{O}$ и $\text{C}-\text{C}$. Полосы 1129, 983 и 858 см^{-1} отнесены к колебаниям скелета с заметным участием колебаний $\text{C}-\text{H}$. Получен также спектр 2,2-диметилпропионовой-1- C^{13} к-ты. А. Симонов

9Б98. Спектры циклических спиртов в ближней инфракрасной области. Wheeler O. H., Mateos J. L. Espectro de alcoholes ciclicos en el infrarrojo cercano. «Bol. Inst. quim. Univ. nac. autonoma Mexico», 1959, 11, 22—28 (исп.). В ближней ИК-области сняты спектры p-ров в CCl_4 циклопентанола, циклогексанола и циклогептанола. Определены полосы основных вал. кол. и 4 обертонов для связей $\text{C}-\text{C}$, $\text{C}-\text{H}$ и $\text{O}-\text{H}$. Для вал. кол. $\text{C}-\text{H}$ и $\text{O}-\text{H}$ отмечено увеличение длины волны и мол. коэф. поглощения (ϵ) с увеличением циклометиленового кольца, за исключением циклогексанола, имеющего наименьшее значение ϵ , что авторы объясняют уменьшением внутреннего натяжения кольца с увеличением его размеров и более высокой симметрией циклогексанола. Наличие двух максимумов у основного валентного колебания и у второго и третьего обертона связи $\text{C}-\text{H}$ и исчезновение второго максимума (0,978 μ) третьего обертона при 135° вызвано возникновением межмолекулярной водородной связи при t-рах < 135°.

9Б99. Спектры циклических углеводородов в ближней инфракрасной области. Wheeler O. H., Mateos J. L. Espectro en el infrarrojo cercano de hidrocarburos ciclicos. «Bol. Inst. quim. Univ. nac. autonoma Mexico», 1959, 11, 29—33 (исп.). Сняты спектры p-ров в CCl_4 циклопентана, циклогексана, циклогептана, циклооктана, циклопентена, циклогексена, циклогептена, циклооктена в ближней ИК-области. Получены длины волн основных валентных колебаний и обертонов для связей

C—C, C=C, C—H. Для основных валентных колебаний обнаружено увеличение длины волны и мол. коэф. поглощения (ϵ) при увеличении размеров циклометиленового кольца. Для третьего обертона колебания C—H ϵ также возрастает с увеличением размеров кольца, однако величина ϵ/λ (λ — число групп CH_2) оказалась почти постоянной, причем ϵ зависит также от агрегатного состояния в-ва. Спектры ненасыщ. углеводов отличаются от спектров насыщенных наличием дополнительной полосы (4650 cm^{-1}), которая является комбинацией основного колебания (3020 cm^{-1}) связи C—C и основного колебания (1630 cm^{-1}) связи C=C, и наличием дополнительного максимума для третьего обертона связи C—H. Не обнаружено определенного влияния величины и размера кольца на спектры насыщ. и ненасыщ. углеводов.

И. Фундлер

9Б100. Спектроскопическое исследование молекулярного строения гуанилмочевины и бигурета. Сухо-руков Б. И., Финкельштейн А. И. «Оптика и спектроскопия», 1960, 9, № 3, 330—334. — Исследованы ИК-спектры от 2 до 15 μ и УФ-спектры гуанилмочевины (I) и бигурета (II) в кристаллич. состоянии и водн. р-рах при различных pH (в тяжелой и легкой воде). ИК-спектры хлорида, сульфата и нитрата I имеют характеристич. полосы анионов. Сделано предположение, что полосы 3000, 2970 и 2945 cm^{-1} у I вызваны образованием внутримолекулярной водородной связи $\text{H}\cdots\text{N}\cdots\text{NH}_2$. При pH 0—7 ИК- и УФ-спектры I не изменяются, отвечая иону I. В области pH 7—10 спектры меняются из-за отрыва протона и остаются неизменными до pH 14, соответствуя свободной I, существующей в виде цвиттер-иона. Соединение I — сравнительно сильное основание, $K_b = 2 \cdot 10^{-6}$, константы кислот диссоциации I очень мала ($\leq 6,3 \cdot 10^{-11}$). II является слабой к-той, диссоциируя в две стадии: $K_{a1} = 6,3 \cdot 10^{-11}$, $K_{a2} = 10^{-13}$. Дано отнесение полос в спектрах.

Б. Локшин

9Б101. N-галогенные соединения. II. Полоса валентного колебания N—Cl в некоторых N-хлорамидах. Строение трихлоризоциануровой кислоты. Petterson Robert C., Grzeskowiak Urszula, Jules Leonard H. N-halogen compounds. II. The N—Cl Stretching band in some N-chloroamides. The structure of trichloroisocyanuric acid. «J. Organ. Chem.», 1960, 25, № 9, 1595—1598 (англ.). — Получены ИК-спектры трихлор (I) и дихлоризоциануровой к-ты и (II), Na-соли II и ее дигидрата, K-солей II и дибромизоциануровой к-ты, N-(дихлорсульфамил)- и N-сульфамилбензойных к-т, бензолсульфонамида и его N,N-дихлорпроизводного, N-толуолсульфонамида и его N,N-дихлорпроизводного, толуол-2,4-дисульфонида и его N,N,N',N'-тетрахлорпроизводного, 1,3-дихлор-5,5-диметил-, 1-хлор-5,5-диметил-, 5,5-диметил- и 1,3-дихлор-5,5-диметилгидантонов, сукцинимиды и его N-хлор-, N-бром- и N-йодпроизводных, ацетамида и его N-хлорпроизводного. Спектр I (в виде пленки, напыленной на AgCl и в парафиновом масле) оказался очень простым. Он состоит из 6 линий (cm^{-1}): 1740 (C=O), 1360, 1335, 1154 (вал. кол. шестичленного цикла в тримере), 800 (N—Cl), 696, что указывает на плоское симметричное строение и согласуется с трикетто-формой. Подтверждением данного отнесения полос I являются спектры остальных N—Cl соединений в области 650—900 cm^{-1} , в которых имеются полосы около 800 cm^{-1} , тогда как в N—H- или N—Br-соединениях этих полос нет. Однако положение этих полос сильно варьируется в разных N—Cl-соединениях, так что данные частоты не являются строго характеристичными, а включают колебания других атомов. Полосы N—Cl не наблюдаются у N-хлорсукцинимиды и N-хлорацетамида, где связь N—Cl находится по соседству с слабо электроотрицательными группами. Сообщение I см. РЖХим, 1960, № 24, 98507. М. Д.

9Б102. Исследование продуктов присоединения кислот по Льюису. XI. Инфракрасный спектр поглоще-

ния молекулярного соединения $\text{CH}_3\text{COCH}_3 \cdot \text{TiCl}_4$. Cassimatis D., Susz B. P. Etude des composés d'addition des acides de Lewis. XI. Spectre d'absorption infrarouge du composé d'addition $\text{CH}_3\text{COCH}_3 \cdot \text{TiCl}_4$. «Helv. chim. acta», 1960, 43, № 3, 852—862 (франц.; реангл.). — Смешиванием р-ров $(\text{CH}_3)_2\text{CO}$ и TiCl_4 в тщательно высушенном CCl_4 (над P_2O_5) получено мол. соединение ацетона с TiCl_4 (I), устойчивое при комнатной т-ре, т. пл. 94—95°. Получены ИК-спектры ацетона, I в кристаллич. состоянии (суспензия в парафиновом масле), а также ацетона и I в р-рах в CS_2 , CHCl_3 , C_6H_6 , $\text{C}_6\text{H}_5\text{NO}_2$ (5 об. %). Частота вал. кол. C=O в I равна в спектре твердого в-ва 1625 cm^{-1} , а в р-рах в перечисленных р-рителях соответственно 1660, 1665, 1663 и 1665 cm^{-1} , т. е. понижена по сравнению с ацетоном на 87 cm^{-1} у твердого I и на 42 cm^{-1} у I в р-рах. Кроме этого, наблюдается повышение частоты вал. кол. C—C от 1222 до 1245 cm^{-1} . С использованием метода F-G-матриц Вильсона в валентно-силовом приближении произведена оценка силовых постоянных ацетона и I при рассмотрении TiCl_4 как одной массы, возмущающей систему $(\text{CH}_3)_2\text{CO}$ и расстояния O—Ti 1,9 Å. Наблюдаемые значения частот передаются при $F(\text{C}=\text{O}) = 10,35 \text{ мдин/Å}$ у ацетона и 8,66 у I, т. е. при образовании I заметно понижается силовая постоянная и степень двоясвязности связи C=O (порядок связей понижается на 0,25). Остальные силовые постоянные не меняются при образовании I. Сообщение X см. РЖХим, 1960, № 17, 68398.

9Б103. Исследование инфракрасных спектров гетероциклических соединений. VIII. Инфракрасные спектры замещенных пиазинов и их N-оксидов. Shinde Hideo. Studies on the infrared spectra of heterocyclic compounds. VIII. Infrared spectra of substituted pyrazines and their N-oxides. «Chem. and Pharm. Bull.», 1960, 8, № 1, 33—45 (англ.). — Изучены ИК-спектры пиазина, его 8 монозамещенных (A), 40 производных пиазина-N-оксидов (B), пиримидин-N-оксидов и его 8 производных (C). В спектрах всех B полосы вал. кол. N—O расположены в области 1250—1350 cm^{-1} . Показана линейная зависимость частоты вал. кол. N—O от постоянной Гамметта σ заместителя. Для замещенных с метильной группой в β -положении характерно смещение частоты вал. кол. N—O в коротковолновую область. В спектрах B полосы N—O расположены в области 1230—1280 cm^{-1} . Положение полос частот N—O в этом случае также линейно зависит от постоянной Гамметта σ заместителя. Полосы деф. кол. C—N в спектрах всех исследованных соединений расположены в области 800—860 cm^{-1} . Частота их увеличивается с ростом электроакцепторных свойств заместителя. Расщепление частоты вал. кол. C=O эфирной группы заместителей объясняется проявлением вращательной изомерии или димеризации. Сообщение VI см. РЖХим, 1960, № 24, 95304.

9Б104. Внутримолекулярное взаимодействие между NH и фенильной группами в N-метилфенилацетамидах. Suzuki Isao, Tsuboi Masamichi, Shimizu Takehiko. An intra-molecular interaction between the NH and phenyl groups in N-methylphenylacetamide. «Spectrochim. acta», 1960, 16, № 4, 467—474 (англ.). — ИК-спектр N-метилфенилацетамида в области вал. кол. NH содержит две полосы при 3452,3 и 3471,8 cm^{-1} , которые приписаны колебаниям двух *транс*-форм пептидного скелета. Предполагается, что более низкая частота соответствует колебаниям группы NH, атом водорода которой может взаимодействовать с π -электронами фенильного кольца; эта частота возрастает или уменьшается при введении электрофильных или нуклеофильных заместителей соответственно и исчезает совсем при замене фенильной группы на циклогексильную.

9Б105. Сравнительное исследование бурых углей лигнина. I. Инфракрасные спектры. Durie R.

Lynch B. M., Sternhell S. Comparative studies of brown coal and lignin. I. Infra-red spectra. «Austral. J. Chem.», 1960, 13, № 1, 156—168 (англ.).—Исследованы ИК-спектры двух образцов лигнина (солянокислой и сернохлорной обработки) и продуктов их хим. обработки (ацетилирования уксусным ангидридом, деметилирования HJ, метилирования диазотаном и окисления в присутствии O_2 в щел. среде). Приведены результаты хим. анализа на содержание групп OH, COOH и CH_3O и общей кислотности. Выявлено наличие фенольных и спирт. групп в исходном и окисленном образцах лигнина и присутствие только спирт. групп в метилированном лигнине. Из сопоставления ИК-спектров бурого угля и исходных и модифицированных лигнинов установлено, что бурый уголь, по-видимому, представляет собой деметилированный дегидратированный лигнин. Ю. Эльтеков

9Б106. Сверхвысокочастотное поглощение в CH_3GeF_3 . Ирисова Н. А., Дианов Е. М. «Оптика и спектроскопия», 1960, 9, № 2, 261.—В диапазоне 10—30 cm^{-1} наблюдались переходы $J = 1 \rightarrow 2$; $2 \rightarrow 3$; $3 \rightarrow 4$ в CH_3GeF_3 в основном и возбужденных состояниях вращательного вращения. Найдено $B = 3257 \pm 1$ Мгц; $\mu = 3.8 D \pm 20\%$. Т. Бирштейн

9Б107. О структуре комплекса триметиламина с триметилбором. Дискуссия по статье Лайда, Тафта, Лана «Поглощение микроволн в комплексном соединении триметиламина с триметилбором» с ответом Лайда. Geller S. On the structure of trimethylaminetrimethylboron. (Discussion on a paper: «Microwave absorption in the trimethylamine-trimethylboron addition complex» by D. R. Lide, Jr. R. W. Taft and P. Love). Author's reply. Lide David R., Jr. «J. Chem. Phys.», 1960, 32, № 5, 1369—1370 (англ.).—K PЖХим, 1960, 32, 21136.

9Б108. Спиновый обмен в бирадикалах. Reitz D. C., Weissman S. I. Spin exchange in biradicals. «J. Chem. Phys.», 1960, 33, № 3, 700—704 (англ.).—Исследована сверхтонкая структура (СТС) спектра электронного парамагнитного резонанса бирадикалов $R-R$, $R-O-R$, $R-(CH_2)_2-R$ и $(C_6H_5)_2C(C_6H_5)C(C_6H_5)_2$ в р-рах, где R — трифенилметильный радикал. СТС, обусловленная взаимодействием спинов неспаренных электронов со спинами меченых атомов метильных углеродов C^{13} , показывает, что обменное взаимодействие электронов I значительно меньше константы ферми-взаимодействия $A = 7 \cdot 10^7$ сек.⁻¹ (СТС соответствует независимому резонансному поглощению электронов в обеих половинах бирадикала). Из температурной зависимости интенсивности спектра определена энергия возбуждения магнитного состояния $\sim 2-3$ ккал/моль. Таким образом, система электронных уровней исследованных бирадикалов соответствует основному синглетному состоянию и практически вырожденным синглетному и триплетному возбужденным состояниям с очень малой энергией возбуждения. Такому результату не найдено последовательного теоретич. объяснения. Возможно, что основное состояние бирадикалов является ионным (типа $R^+ - R^-$), а ковалентная связь $R-R$ соответствует возбужденному состоянию. Не исключено, что наблюдаемый сигнал резонанса принадлежит длинным полимерам, существование которых возможно в условиях эксперимента. Е. Никитин

9Б109. Эффекты спин-решеточной релаксации, обусловленные при непрерывном мощном насыщении линий парамагнитного резонанса. Marr G. V., Swarup Prem. Spin-lattice relaxation effects observed in the continuous power saturation of paramagnetic lines. «Canad. J. Phys.», 1960, 38, № 3, 495—503 (англ.).—Рассмотрена зависимость параметра насыщения парамагнитного резонанса от уровня ВЧ-мощности для парамагнитных резонансных линий формы Лорентца с учетом времен фонов-фоновой релаксации и релаксации иона с тепловым резервуаром. (τ). Показано, что ре-

зультаты измерений, проведенных на 9 Мгц при 4,2° К для переходов ($-1/2 \rightarrow 1/2$) в ионах Cr^{3+} (0,5%) в $K_2Co(CN)_6$ и Gd^{3+} (1%) в $La(C_2H_5SO_4)_3 \cdot 9H_2O$, находятся в соответствии с теоретич. рассмотрением. Приведены результаты измерений равновесного времени релаксаций T_1 и т. Определения T_1 находятся в согласии с результатами измерений импульсными методами. А. Леушин

9Б110. Новое фототропическое вещество и его электронный парамагнитный резонанс. Hayashi Taro, Maeda Kōko, Shida Shōji, Nakada Kazuo. A new phototropic substance and its ESR. «J. Chem. Phys.», 1960, 32, № 5, 1568 (англ.).—Получено новое фототропич. в-во (т. пл. 198—201°) окислением 2,4,5-трифенилмидазола с ферроцианидом калия. В-во имеет полосу поглощения λ 2650 Å. При облучении солнечным светом или кварцевой лампой меняет желтую окраску на красную, причем появляются полосы поглощения λ 3500 и 5500 Å, а также линия поглощения электронного парамагнитного резонанса шириной 7,5 гс, g-фактор равен 2,003, концы неспаренных электронов 10^{18} в 1 см³. Спектр затухает в течение дня для облученного твердого в-ва и за несколько минут в р-ре. Измерена энергия активации (14 ккал/моль) и энтропия (-5 ккал/моль) фототропич. превращения. Обнаружен также термохромизм исследуемого в-ва при t-рах выше комнатной. С. Кейтмазов

9Б111. Определение скорости обмена по ширине линий магнитного резонанса на ядрах с квадрупольным моментом. Hertz H. G. Ermittlung der Austauschgeschwindigkeit aus der Breite magnetischer Kernresonanzlinien von Atomkernen mit Quadrupolmoment. «Z. Elektrochem.», 1960, 64, № 1, 53—54 (нем.). Diskuss., 80—89 (англ. и нем.).—В водн. р-рах KBr + CdBr₂ измерялась ширина резонансных линий ядер Br^{81} в зависимости от конц-ий KBr и CdBr₂. Диссоциированные ионы Br^- присоединяются ионами Cd^{2+} , с которыми образуют связь ковалентного типа; в результате время релаксации T_1 спинов ядер Br^{81} сокращается, а резонансная линия уширяется. Конц-ии KBr менялись от 0,01 до 4 моль/л, конц-ии $CdBr_2$ — от $2 \cdot 10^{-6}$ до 10^{-2} моль/л. Обнаружено линейное увеличение ширины линии Br^{81} с ростом конц-ии $CdBr_2$; наклоны прямых в зависимости от конц-ии $CdBr_2$ равны $29 \cdot 10^3$, $2,55 \cdot 10^3$, $1,55 \cdot 10^3$, $0,43 \cdot 10^3$ и $0,13 \cdot 10^3$ гс/моль при конц-иях KBr 0,01, 0,1, 0,2, 1 и 4 моль/л соответственно. По измеренным ширинам линий определены константы равновесия p -ий $Cd^{2+} + Br^- \rightleftharpoons CdBr^+$; $CdBr^+ + Br^- \rightleftharpoons CdBr_2$; $CdBr_2 + Br^- \rightleftharpoons CdBr_3^-$. К. Валиев

9Б112. Спектры ядерного магнитного резонанса и структура метилхлоридов алюминия. Groenewege M. P., Smidt J., Vries H. de N. M. R. spectra and structure of aluminum methyl chlorides. «J. Amer. Chem. Soc.», 1960, 82, № 16, 4425—4426 (англ.).—Для молекул $Al_2(CH_3)_2Cl_2$ (I) и $Al_2(CH_3)_3Cl$ (II) в литературе имеются две исключющие друг друга структуры модели: модель с метиловым мостиком (симметрия D_{2h}) и модель с хлорным мостиком (симметрия C_{2h}). Произведенные авторами измерения хим. смещений линий протонного резонанса указанных в-в, а также $Al_2(CH_3)_3$ (в р-рах циклопентана) свидетельствуют в пользу предположения о существовании в молекулах I и II хлорного мостика. К. Валиев

9Б113. Влияние давления на спин-решеточную релаксацию протонов в некоторых обезгаженных органических жидкостях. Nolle A. W., Mahendroo P. P. Effects of pressure on proton spin-lattice relaxation in several degassed organic liquids. «J. Chem. Phys.», 1960, 33, № 3, 863—867 (англ.).—Ранее было изучено влияние давлений до 10^4 кг/см² на время продольной релаксации T_1 протонов в необезгаженных метиллоиде, n-пентане, n-гексане и толуоле (PЖХим, 1956, № 7, 18692). Поскольку с ростом давления T_1 уменьшалось медленнее, чем текучесть, то был сделан вывод, что по

мере роста давления вращение молекул замедляется меньше, чем их трансляционное движение. Чтобы выяснить, не обусловлены ли эти результаты присутствием в жидкости парамагнитных молекул O_2 , авторы провели измерения T_1 в зависимости от давления в обезгаженных толуоле, бензоле, метилкодице, *n*-гептане и других *n*-вах при давлениях до 1400 кг/см^2 . Полученные ранее результаты подтвердились в отношении метилкодида и *n*-гептана; обезгаживание увеличивает T_1 менее чем на 20%. Напротив, в случае бензола и толуола обезгаживание жидкости увеличивает T_1 при высоких давлениях на сотни процентов, а относительное уменьшение T_1 при повышении давления сравнимо с уменьшением текучести (или даже больше последнего — для бензола).

К. Ватнев

9В114. Спектры протонного магнитного резонанса некоторых полифенилов. Hoffman Ragnar A., Kinell Per-Olof, Bergström Gunnar. The proton magnetic resonance spectra of some poly-phenyls. «Arkiv. kemi», 1960, 15, № 6, 533—544 (англ.). — Исследованы спектры протонного магнитного резонанса дифенила (I), *o*-терфенила (II) и *m*-терфенила (III) в жидком состоянии, а также в *p*-рах в циклогексане, CCl_4 и C_6H_6 . Спектры I и III сходны. Для I средний относительный хим. сдвиг по сравнению с C_6H_6 составляет $0,12 \cdot 10^{-6}$. Спектр II, состоящий из двух узких линий с относительным хим. сдвигом $(0,21 \pm 0,01) \cdot 10^{-6}$, интерпретируется как суперпозиция трех спектров: двух идентичных спектров 5-протонных систем внешних бензольных колец и спектра 4-протонной системы центрального кольца. По-видимому, для каждого кольца все протоны эквивалентны, но 10 протонов внешних колец экранировано больше по сравнению с 4 протонами центрального кольца. Хим. сдвиг протонов центрального кольца относительно бензола равен $-0,99 \cdot 10^{-6}$. Полученные результаты сравниваются с теоретическими, найденными путем расчета на основании приближения точечных магнитных диполей. Показано, что наибольший вклад в хим. сдвиги дает анизотропное поле δ -электронов. Наилучшее совпадение для II получено, если считать, что угол между плоскостями центрального и внешних колец составляет 90° . Сделан вывод, что III в *p*-ре имеет неплоскую конфигурацию.

В. Скурат

9В115. Исследование ацетатов бора, их приготовление и анализ рентгенографическим методом и методом ядерного магнитного резонанса. Perotti Angelo, Cola Mario, Parmigiani Angelo. Ricerche sugli acetati di boro: loro preparazione ed analisi con i metodi roentgenografici e di risonanza magnetica nucleare, «Gazz. chim. ital.», 1960, 90, № 7—8, 1028—1036 (итал.). — Подтверждены данные о методах синтеза и результатах рентгенографич. исследования $(CH_3COO)_2BO_2$ (CH_3COO)₂ (I; РЖХим, 1958, № 6, 17993). Установлены параметры ромбич. кристаллич. решетки I: a 10,00, b 8,16, c 11,50 Å, Z = 2. По *p*-ции между CH_3COCl и HBO_2 (II) при $55-60^\circ$ получен белый осадок CH_3COOBO_2 (III), который плавится с разложением при $102-104^\circ$. III гидролизуется в H_2O с образованием CH_3COON (IV) и H_2BO_3 , что было использовано для ацидиметрич. анализа III. Рентгенографически установлен некристаллич. характер осадка II. Сняты спектры протонного магнитного резонанса (ПМР) *p*-ров I, III и IV. Определены хим. сдвиги резонансной частоты протонов групп CH_3 ($\delta = (v-v_r/v_r) \cdot 10^6$, где v и v_r — резонансные частоты протона в исследуемом *v*-ве и в H_2O) IV 2,90, I 3,15 и III 3,24. В I и III спектр не обнаруживается других атомов H, кроме атомов групп CH_3 , что свидетельствует об отсутствии гидролиза этих *v*-в. В III δ больше, чем в I (по-видимому, потому, что радикал $-B=O$ характеризуете большей кислотностью, чем радикал $-B=O-B=$). Ромбич. кристаллы II, использованные для синтеза III, были получены методом дегидратации H_2BO_3 путем ее нагревания с ксилолом с

дальнейшим быстрым охлаждением продукта. Т-ра плавления ромбич. формы II -176° . Б. Каплун

9В116. О применимости ионной модели к реальным двухатомным молекулам. Коряжкин В. А., Татарский В. М. «Вестн. Моск. ун-та. Химия», 1960, № 4, 21—22. — У-ние Дебая для дипольного момента (μ) молекулы, состоящей из двух взаимнополяризуемых ионов, дает значения μ , весьма сильно отличающиеся от экспериментальных, если для вычислений использовать поляризуемость (α) ионов, определенные для кристаллов. Предложено использовать у-ние Дебая для нахождения эффективных значений α из экспериментальных данных по дипольным моментам и равновесным расстояниям для некоторых молекул. Для галогенозамещен. цел. элементов эффективные значения α позволяют тогда весьма точно вычислить μ и энергии взаимодействия ионов всех остальных молекул. В. Коряжкин

9В117. Связь между дипольными моментами и постоянными σ . Exner O. Korrelation von Dipolmomenten mit Substituentenkonstanten σ . «Collect. Czechoslov. Chem. Commun.», 1960, 25, № 3, 642—656 (нем.; русск.). — Обсуждены причины неудач сделанных ранее попыток нахождения корреляции между значениями дипольных моментов связей и постоянных σ . Сформулированы условия, которым должна удовлетворяться искомая корреляция. Из них наиболее существенными является учет внутреннего дипольного момента заместителя. Приведено общее соотношение между межатомными дипольными моментами и постоянными сопряжения σ_H^+ и σ_R^- , показывающее, что постоянные σ находятся в связи с электронной плотностью атомов (или группы), с которым связан заместитель. Обсуждаются границы применимости приведенных соотношений. Ivo Fik

9В118. Внутримолекулярная подвижность аминов. Kramer Helmut. Über die innermolekulare Beweglichkeit von Aminen. «Z. Naturforsch.», 1960, 15a, № 1, 66—73 (нем.). — Из измерения диэлектрич. потерь вблизи собственных полос поглощения *p*-ров аминов и в галогенозамещенных в бензоле, гексане и CCl_4 с помощью микроволнового интерферометра вычислено эффективное время релаксации τ молекулы. Полученные спектры поглощения «жестких» галогенозамещенных молекул аппроксимированы с помощью функции Дебая вида $\Delta\epsilon / (\Delta\epsilon_0 - \Delta\epsilon_\infty) = \omega\tau / (1 + \omega^2\tau^2)$; спектры аминов, обладающих внутримолекулярной подвижностью, имеют два максимума поглощения в области 1—5 μ и аппроксимированы комбинацией двух функций Дебая, введенных с различным весом. Из измеренных вычислены подвижности молекул D_M и аминокгрупп D_R . Сравнение спектров показывает, что поведение алифатич. аминов (циклогексилламин, *трет*-бутиламин и т. д.) хорошо согласуется с теорией свободной вращения аминокгрупп в этих молекулах. Их подвижность велика ($\tau \approx 10^{-12}$ сек.) и приблизительно равна. Аналогично вычисленная D_M и D_R ароматич. аминов оказалась еще больше, что противоречит двойному характеру связей C—N, вызванному сопряжением с бензольным кольцом. Различие между ароматич. и алифатич. аминами подчеркнуто примером вторичных аминов типа R—NH—R. В спектре дидипиксалимина два максимума поглощения вызваны свободным вращением радикалов относительно связи C—N, появление этих максимумов в спектре дифениламина нельзя объяснить относительно вращением радикалов. Определенное значение D превышает значение алифатич. аминов и равно D анилина. Поведение ароматич. аминов автором не объяснено. В. И.

9В119. Дипольные моменты и структура некоторых бис-трифторацетиллацетонатных комплексов. Holl R. H., Cotton F. A. Dipole moments and structures of some bis-(trifluoroacetylacetonato) complexes. «J. Inorg.

and Nucl. Chem., 1960, 15, № 1-2, 63-66 (англ.).—Гетеродинамическим методом при $29.8 \pm 0.2^\circ$ в бензоле определены дипольные моменты (μ , в D) для бис-трифторацетилacetонатных комплексов следующих металлов: Be 4,42; 4,25; Cu (2+) 3,67; 3,45; Co (2+) 3,42; 3,19. Рассчитаны при условии, что атомная поляризация (P_A) не учитывается (первая цифра) и $P_A = 50\% P_E$ (вторая цифра), где P_E — электронная поляризация. На основании полученных данных для комплекса Be предполагается тетраэдрич. конфигурация. Комплексы Co и Cu существуют в виде смеси плоских *цис*- и *транс*-конфигураций в отношении $\sim 3:2$. Данный вывод подтверждает заключение, сделанное ранее (РЖХим, 1957, № 6, 18193).

9B120. Исследование зависимости оптической активности от химического строения. Часть LII. Вращательная дисперсия бромфенилимино- и -аминокамфор. Singh B. K., Saxena B. S. Studies on the dependence of optical activity on chemical constitution. Part LII. Rotatory dispersion of bromophenyl-imino- & -aminocamphors. «J. Scient. and Industr. Res.», 1960, BC19, № 2, B75-B76 (англ.).—Определена оптич. вращательная дисперсия (α) *o*-(I), *m*-(II) и *p*-бромфенилиминокамфор (III) и *o*-(IV), *m*-(V) и *p*-бромфениламинокамфор (VI) в метаноле, этаноле, ацетоне, этилацетате, хлороформе, бензоле и циклогексане. В области прозрачности исследованных в-в α хорошо описывается одноклассным ур-нем Друде, характеристик. длины волн, однако, не совпадают с максимумами полос поглощения. Для I и III результаты хорошо описываются и двухклассным ур-нем Друде, но для II результаты несовместны с этим ур-нем (расчет приводит к комплексным значениям характеристик. длин волн). Мол. оптич. вращательная способность $[M]_{\lambda}^D$ возрастает в рядах $I < II < \text{фенилиминокамфора} < III$ и $IV < VI < \text{фениламинокамфора} < V$. Часть LI см. РЖХим, 1960, № 24, 95334.

9B121. Оптическая вращательная способность холестеринных соединений. Capo René. Sur le pouvoir rotatoire des corps cholestériques. «C. r. Acad. sci.», 1960, 251, № 10, 1139-1141 (франц.).—Изучена дисперсия оптич. вращательной способности в видимой области спектра для ряда смесей холестеринных производн: оптически активного амил- α -пиабензальминампиноцинамата (I) и оптически неактивного изоамил- α -пиабензальминампиноцинамата с содержанием I в смеси от 2,29 до 54,9% при т-рах от 85 до 105°. Во всех случаях величина вращения линейно зависит от обратной величины титра I для каждой длины волны. Б. Л.

9B122. Оптическое исследование геометрической и поворотной изомерии некоторых диенов. Батуев М. И., Ойищенко А. С., Матвеева А. Д., Аронова Н. И. «Докл. АН СССР», 1960, 132, № 3, 581-584.—Обсуждается вопрос о поворотной изомерии (III) бутадина-1,3 (I), который может иметь *транс*- (при комнатной т-ре 96%) и *цис*-конформации, к которым относятся определенные частоты колебаний двойных связей. Получены спектры комб. расс. 1-хлор-I (II), пентадиена-1,3 (III), хлоропрена (IV), изопрена (V) и 2,3-диметил-I (VI) и рассмотрен вопрос о III этих соединений в случае II и III с учетом геометрии *цис*- и *транс*-изомеров. Утверждается, что *цис*-конфигурация II и III может иметь только *транс*-конформацию, тогда как в случае *транс*-конфигураций могут осуществляться обе конформации с преобладанием *транс*-конформации. У IV и V также преобладает *транс*-конформация и найдены лишь очень слабые линии комб. расс. колебания двойных связей *цис*-конформации. У VI доля — *цис*-конформации составляет при комнатной т-ре 20-25%, что значительно больше, чем у других изученных соединений. Ю. Пентин

9B123. Внутреннее вращение в аниладах относительно пептидной связи в качестве оси. Suzuki I.,

Tsuboi M., Shimanouchi T., Mizushima S. The internal rotation in anilides about the peptide bond as axis. «Spectrochim. acta», 1960, 16, № 4, 471-478 (англ.).—Исследованы спектры в ближней ИК-области и измерены дипольные моменты форменилида (I), ацетанилида (II), тиоформенилида (III) и тиацетанилида (IV) в CCl_4 при различных конц-ях. Подробно обсуждены возможные конфигурации молекул и характерные для них особенности спектров. Показано, что у I и IV существуют в значительных кол-вах формы молекул как с *транс*-, так и с *цис*-расположением связей C=O и N—H. II преимущественно существует в *транс*-, а III — в *цис*-форме. По температурной зависимости отношения интенсивности полос NH-колебаний, относящихся к различным формам молекул и группам NH, не участвующим в образовании водородной связи, определены $\Delta E = E(\text{цис}) - E(\text{транс})$ (кал/моль) для I 620 ± 60 , II -1400 ± 300 и IV 225 ± 20 . Различная относительная устойчивость *транс*- и *цис*-форм объясняется на основе представлений о стерич. отталкивании несвязанных групп атомов. Ю. Пентин

9B124. Форма и ширина линий некоторых колебательно-вращательных полос молекул, возмущенных атомами благородных газов. Rank D. H., Eastman D. P., Birtley W. B., Wiggins T. A. Shapes and breadths of some molecular rotation-vibration band lines perturbed by rare gases. «J. Chem. Phys.», 1960, 33, № 2, 327-328 (англ.).—Форма линий 2-0 полосы HCl в присутствии Kr найдена практически совпадающей с лоренцовой. Исследование полуприкрытия линий 2-0 полосы HCl и $v_1 + v_2$ полосы C_2H_2 в присутствии Kr и Xe показало слабую *J*-зависимость (максим. полуприкрытия при минимальных *J*). Разницы в полуприкрытиях линий *P*- и *R*-ветвей не обнаружено. Уширение линий полос HCl и C_2H_2 одного порядка, несмотря на большую разницу в дипольных моментах. Асимметрия полос отсутствует. В. Быховский

9B125. Возмущение колебательно-вращательных уровней молекул атомами благородных газов. Rank D. H., Eastman D. P., Birtley W. B., Wiggins T. A. Perturbation of molecular rotation-vibration energy levels by rare gases. «J. Chem. Phys.», 1960, 33, № 2, 323-326 (англ.).—С помощью прецизионного ИК-спектрометра измерены сдвиги 2-0 полосы HCl и $v_1 + v_2$ полосы C_2H_2 в присутствии Kr и Xe. Для HCl сдвиги измерены в *P*- и *R*-ветвях вплоть до $J = 10$, а для отдельных полос *P*- и *R*-ветвей C_2H_2 до $J = 29$. Отмечается сильная зависимость сдвигов от *J*. Вычислены сдвиги уровней в верхнем и нижнем состояниях. В случае HCl сдвиги вращательных уровней в верхнем и нижнем состояниях существенно различны, в верхнем состоянии сдвиг пропорционален *J*, а в нижнем приближается к постоянному значению при больших *J*. Для C_2H_2 сдвиги в обоих состояниях ведут себя аналогично сдвигу для нижнего состояния молекулы HCl.

9B126. К интерпретации вращательных линий колебательно-вращательного спектра двухатомной молекулы, возмущенной атомами постороннего газа. Schuller-Frédéric, Oksengorn Boris. Essai d'interprétation des raies de rotation du spectre de vibration-rotation d'une molécule diatomique perturbée par les atomes d'un gaz étranger. «C. r. Acad. sci.», 1960, 251, № 4, 541-543 (франц.).—Предложена теоретич. интерпретация смещения вращательных линий колебательно-вращательной полосы поглощения дипольной двухатомной молекулы в результате взаимодействия с атомом инертного газа. Энергия взаимодействия записывается в виде ряда по колебательной координате и по угловым координатам, характеризующим относительную конфигурацию молекулы и атома. Теория возмущений при расчете смещения вращательных линий показывает, что наблюдаемое длинноволновое смещение в *P*- и *R*-ветвях может быть объяснено только в

том случае, если относительное влияние анизотропной части взаимодействия значительно больше, чем величина, оцененная на основании модели лондоновских сил. Отмечается, что при отсутствии асимметрии может иметь место лишь симметричное смещение компонент *P*- и *R*-ветвей относительно центра полосы.

Е. Никитин

9Б127. Изучение межмолекулярного взаимодействия нитробензола с диоксисбензолами и анилином по электронным спектрам поглощения. Гаврилов Г. А., Чанышева И. С. «Изв. высш. учебн. заведений. Физика», 1960, № 2, 210—216. — Спектрофотометрическим методом изучено межмолекулярное взаимодействие нитробензола (I) с диоксисбензолами и анилином в этаноле. На основании увеличения интенсивности спектра поглощения смеси по сравнению с суммой спектров поглощения компонентов и длинноволновым сдвигом максимума поглощения I сделан вывод об образовании комплексов. Определен состав и вычислены кажущиеся константы равновесия *K* *p*-дий комплексообразования и коэф. экстинкции *ε* комплексов. Установлено образование комплексов с мол. отношением I:диоксисбензол = 1:1 и 1:2. Для комплексов состава 1:1 определены *K* (первая цифра), *ε* (вторая цифра) и положение максимума поглощения (в мμ, цифры — в скобках): 1 — гидрохинон, 0,09—0,10; 50 (410); 30 (420); 20 (430); 14 (440); 8 (450) и 7 (460); 1 — резорцин, 0,04—0,06, 14 (410); 9 (420); 7 (430); 5 (440); 4 (450) и 3 (460); 1 — пирокатехин, 0,07—0,08, 6 (440) и 3 (450). Предполагается, что образование комплексов происходит за счет донорно-акцепторного взаимодействия атома N нитрогруппы I с атомами O лингандов.

Ю. Харитонов

9Б128. Комплексные соединения мочевины с частично фторированными эфирами. Radell J. A. S., Connolly Joseph W. Urea complexes of partially fluorinated esters. «J. Organ. Chem.», 1960, 25, № 7, 1202—1206 (англ.). — В отличие от соединений, содержащих длинные углеводородные цепи, производные фторсодержащих углеводородов гораздо труднее образуют комплексные соединения включения (КСВ) с мочевиной (I). Не образуют КСВ *n*-ты строения $R-COON$ (где $R = CF_3, C_2F_5, C_3F_7, C_4F_9, C_6F_{11}, C_7F_{13}, C_8F_{15}, C_9F_{17}$); спирты строения $R-CH_2OH$ (где $R = CF_3, C_2F_5, C_3F_7, C_4F_9$) при $n = 2, 4, 6, 8$ и 9) и эфиры указанных *n*-т с указанными спиртами. 34 эфира, содержащих различное число атомов фтора и углеводородные цепи разной длины, испытаны на способность образовывать КСВ с I. Показано, что влияние фтора на образование КСВ носит почти исключительно стерич. характер, хотя полярное влияние тоже иногда имеет значение. Введение фтора в молекулу увеличивает поперечный диаметр молекулы с 4,8 Å до 5,1 или 5,6 Å (в зависимости от конформации цепи), что затрудняет внедрение такой молекулы в кристалл I. Основным фактором, определяющим способность к образованию КСВ, является число (*N*) атомов в цепи, не связанных с атомами фтора. Фторированные эфиры с $N < 7$ не образуют КСВ. При увеличении числа атомов фтора в молекуле миним. значение *N*, необходимое для образования КСВ, также возрастает. Комплексообразование зависит также от локализации атомов фтора в алифатической или ациклической части молекулы эфира. Из миним. значения *N* можно определить конформацию цепи эфира, включенного в комплекс. Если $N \geq 8$, наиболее вероятна *транс*-конформация цепи, при $N = 7$ возможна скошенная конформация. Молекулы эфиров, содержащих фенильное кольцо, могут внедряться в кристалл только при $N \geq 12$ (фенил в алифатической части) или 13 (фенил в ациклической части). Дифенилы дают КСВ еще труднее: внедрение возможно только в том случае, если диаметр поперечного сечения молекулы не превышает 6 Å. Наличие КСВ определялось по рентгенограммам порошков. Кристаллы I имеют тетрагон. симметрию, кристаллы комплекса —

гексагональную. Менее стабильные КСВ в кристаллах иногда диссоциируют, обнаруживая межклеточные расстояния, характерные как для I (4,00—4,04 Å), так и для комплекса (4,11—4,17 Å).

Б. Лопатин

9Б129. Об инфракрасных спектрах мезитилена в паровом и жидком состояниях и в растворах. Banerjee S. B., Medhi K. C. On the infrared spectra of mesitylene in the vapour and liquid states and in solutions. «Indian J. Phys.», 1960, 34/43, № 1, 1—4 (англ.). — Изучены ИК-спектры мезитилена в паровом и жидком состояниях и в *p*-рах в $CHCl_3$ и CCl_4 . Дано отнесение наблюдаемых частот. Отмечено смещение частот вал. кол. C—H кольца и групп CH_3 в спектрах *p*-ров и жидкости по сравнению со спектром пара в сторону меньших частот вследствие образования ассоциатов. Показано, что при ассоциации в жидкости, обусловленной главным образом взаимодействием π -электронов соседних молекул, заметную роль играют и атомы водорода как бензольного кольца, так и групп CH_3 .

А. Симон

9Б130. Изучение внутримолекулярной водородной связи в однозарядных анионах стерически-заторможенных янтарных кислот методом протонного магнитного резонанса. Ebersson L., Forsen S. Proton magnetic resonance studies on intramolecular hydrogen bonding in mono-anions of sterically hindered succinic acids. «J. Phys. Chem.», 1960, 64, № 6, 767—769 (англ.). — Две ряда рацемич. α, α' -дизамкил и тетраэтилянтарных кислот наблюдались ранее (РЖХМ, 1960, № 14, 58960) очень большие значения отношения констант диссоциации K_1/K_2 , что было приписано наличию сильной внутримолекулярной водородной связи (ВМВС) в однозарядных анионах соответствующих к-т. Этот вывод подтвержден опытами авторов по протонному магнитному резонансу *p*-ров калиевых солей указанных к-т в диметилсульфоксиде. Опыты проведены на частоте 40 Мгц при *t*-ре 25°; замерялся хим. сдвиг линий. Обнаружено относительное хим. смещение резонансных линий (в сторону меньших полей от линии протонов воды) на $14,66 \cdot 10^{-6}$. Судя по величине хим. смещения по прочности ВМВС близка к ВМВС, обнаруженной ранее в анионах солей малеиновой к-ты с цел. металлами. Исследованные авторами ВМВС, вероятно, не являются симметричными.

К. Валин

9Б131. Связь металла с водородом в металлоценовых соединениях. Trifan Daniels S., Bacskaï Robert. Metal-hydrogen bonding in metallocene compounds. «J. Amer. Chem. Soc.», 1960, 82, № 18, 5010—5011 (англ.). — Спектроскопическое изучение ферроценовых спиртов в области основного тона вал. кол. ОН показывает существование двух внутримолекулярных водородных связей (ВС) гидроксильной группы: с π -электронами циклопентадиенового кольца и с атомом Fe. Так в спектре 2-ферроценилэтанола частоты 3632, 3601 и 3533 cm^{-1} отнесены соответственно к колебаниям несвязанной ОН-группы, ОН-группы, взаимодействующей с π -электронами и взаимодействующей с атомом Fe. Однако атом железа не участвует в образовании межмолекулярных ВС со спиртами и фенолом, поэтому, на-за стерич. препятствий. Показано также, что металло-водородная связь в производных рутения прочнее, чем в аналогичных соединениях ферроцена.

В. Матроне

9Б132. О водородных мостиках. Сообщение II. Внутри- и межклеточные водородные мостики у *o*-оксибифенилов и оксифенилхинонов. Musso Hans Grunelius Sigmund von. Über Wasserstoffbrücken. II. Intra- und inter-annulare Wasserstoffbrücken bei *o*-Hydroxybiphenylen und Hydroxy-biphenylchinonen. «Chem. Ber.», 1959, 92, № 12, 3101—3110 (нем.). — В области вал. кол. ОН исследованы ИК-спектры поглощения (в KBr и CCl_4): 2,5-диокситолуола, 2-окси-2,2'-(I) и 3,3'-диоксифенилов, 3-(2-оксифенил)-нафта-ла-2 (II), 2,2',6,6'-тетраоксифитола-4,4',6,6'-диокси-

2,7-диметил- и 2,7-диоксид-4,5-диметилдифенилсульфана, 2,7-диоксид-4,5-диметилдифенилсульфана, 2,7-диоксид-4,5-диметилдифенилсульфана (III), (3-оксифенил)-бензохинона (IV), 3-(6-окситоллил-2)-толухинона (V), 5-оксид-2,7-диметилдифенилсульфана, феницина, моно- и ди-2,7-диоксид-4,5-диметилдифенилсульфана Генриха, 5-(2,6-диокситоллил-4)-6-окситолухинона, 3,6-диокситолухинона, мол. соединения I и бифенил-диоксинона (VI). В производных I образуются водородные мостики (ВМ) между группами OH и π -электронами другого кольца. Крутильные колебания колец влияют на положение полюсы OH. В небольшой степени ВМ между группами OH образуются лишь в тех случаях, когда в положениях 6,6' отсутствуют заместители. В 2-оксифенилмоно- и диоксинонах ВМ образуют преимущественно внутри одного кольца. Если это невозможно, то возникают ВМ к группам СО другого кольца. Заместители в положениях 6,6' также затрудняют образование ВМ. В случае мостиков О—Н—О полюсы OH сильно уширены из-за крутильных колебаний. Описано получение II—VI, а также 6-ацетокси-производных III—V. Сообщение I см. РЖХим, 1966, № 10, 49922.

9Б133. Изучение ассоциации амин-спирт с помощью инфракрасной спектроскопии. Zeegers-Juyskens Thérèse. Etude infra-rouge de l'association amine-alcool. «Bull. Soc. chim. belg.», 1960, 69, № 5-6, 282—291 (франц.; рез. англ.). Методом ИК-спектроскопии определены константы ассоциации первичного и вторичного бутанолов с *n*-бутил-, изобутил-, этил- и триэтиламинами в *p*-ре CCl_4 при 22°. Показано, что изменение энтальпии, происходящее при образовании водородной связи, может быть выражено суммой двух членов, один из которых зависит только от донора, другой только от акцептора протона. Характерная параллельность возрастания констант ассоциации и ионизации при переходе от первичных аминов к вторичным; замена второго аминного водорода на атом сильнее связывается на понижении константы ассоциации, чем константы ассоциации. Возможность образования протонов (отсутствующая в комплексах с третичными аминами) способствует ассоциации; особенно велик этот эффект при ионизации комплекса. В. М.

См. также: Структура молекул: органич. 9Б161, 9Б162, 9Б163, 9Б164. Комплексные соединения 9Б36, 9Б37, 9Б71, 9Б71. Энергия связей 9Б168—9Б170, 9Б424. Спектры 9Б174, 9Б189—9Б202, 9Б569, 9С156, 9С253. Длинные моменты и диэлектрич. свойства 9Б223, 9С41. Физические свойства 9Б231—9Б238, 9Б239, 9Б240, 9С140. Реакционная способность, 9Б59, 9Б204. Межмолекулярное взаимодействие и водородная связь 9Б175, 9Б408, 9Б434. Приборы для исследования строения молекул 9Б3—9Б7. Квантовая химия 9Б262

КРИСТАЛЛЫ

Редакторы Д. К. Белащенко, Э. А. Гилинская, А. Б. Нейдинг, А. Б. Шестер, А. Н. Штейнберг

9Б134. Международный союз по кристаллографии. Обобщения на Пятой общей ассамблее и Международном конгрессе, Кембридж, 15—24 августа 1960. International Union of Crystallography. Report of Fifth General Assembly and International Congress, Cambridge 15th—24th Aug. 1960. «Acta crystallogr.», 1960, 13, № 12, 965—1033 (англ.).

9Б135. Тепловое движение в кристаллах и молекулах. Bacon G. E. Thermal motion in crystals and molecules. «Nature» (Engl.), 1960, 188, № 4748, 369—371 (англ.).—Сообщение о докладах на симпозиуме по тепловому движению в кристаллах и молекулах V Международного конгресса по кристаллографии, состоявшегося в Кембридже в августе 1960 г.

9Б136. О неупорядоченных структурах и процессах упорядочения. Пинскер З. Г. «Кристаллография», 1960, 5, № 4, 627—637 (рез. англ.).—Обобщены эксперим. данные и предложена классификация неупорядоченных структур. Автор различает: 1) структуры, в которых число независимых положений, занятых атомами, больше или равно числу компонентов, причем ни в одном из положений не размещаются атомы более чем одного компонента; 2) структуры, в которых существует лишь одно независимое положение, занятое неупорядоченно атомами всех компонентов, и 3) структуры, в которых часть независимых положений занята атомами более чем одного компонента. В типе 1 возможны случаи, когда: а) атомы одного из компонентов занимают упорядоченно свои положения, так что образуется упорядоченный каркас структуры, а атомы других компонентов неупорядоченно занимают свои положения (фазы в системах Ni—Te и Ni—Sb в области атомных конц-ий Ni 50—33%, гексагон. нитриды Fe, содержащие 20—30% Ni и др.) и б) атомы одного из компонентов занимают одни положения упорядоченно, а другие — неупорядоченно. Атомы других компонентов занимают свои положения упорядоченно или неупорядоченно, так что каркас становится дефектным (куб. нитрид Mo, один из гексагон. нитридов W). К типам 2 и 3 относятся α -фаза Ag_xSb и β' -фаза Cu_xTi (2 тип) и неупорядоченные фазы состава $\text{Al}^{\text{IV}}\text{X}_2^{\text{VI}}$, где Al^{I} — элемент 1-й группы или Tl, V^{V} — элемент

5-й группы, X^{VI} — элемент 6-й группы, а также неупорядоченные фазы Ag_xHgJ_4 , Cu_xHgJ_4 и трехкомпонентные структуры типа шпинелей. Описан ряд особенностей фазовых переходов порядок—беспорядок, связанных с определенной *т*-трой перехода, и структурных изменений, обусловленных изменением содержания компонентов (концентрационное упорядочение). Сделан ряд замечаний о желательных направлениях развития теории упорядочения (введение нескольких параметров ближнего и дальнего порядков, дальнейшее выяснение физ. причины упорядочения и разупорядочения, учет замещения симметрии при тепловых и концентрационных переходах, сближение с проблемами хим. связи).

А. Левин
9Б137. Теория упорядочения сплавов типа Fe_3Al . I. Гейченко В. В., Смирнов А. А. «Сб. научн. работ Ин-та металлофиз. АН УССР», 1960, № 11, 36—41

9Б138. Строение и свойства боридов редкоземельных металлов. Самсонов Г. В., Журавлев Н. Н. «Тр. Семинара по жаростойким материалам». (Ин-т металлокерамики и спец. сплавов АН УССР, вып. 5). Киев, 1960, 43—51.—Обзор. Библ. 39 назв.

9Б139. Связь между кристаллохимией пироксенов и амфиболов. Whittaker E. J. W. Relations between the crystal chemistry of pyroxenes and amphiboles. «Acta crystallogr.», 1960, 13, № 9, 741—743 (англ.).—Установлено, что в пироксенах, так же как в ромбич. амфиболох (РЖХим, 1961, 6Б176), значения углов β и $\alpha \sin \beta$ в основном зависят от радиусов ионов металлов (Ca, Na, Mg, Si, Fe^{2+} , Fe^{3+} , Al), занимающих основные места в структуре. Показано, что значение β в структурах пироксенов возрастает от $104^\circ 20'$ до $110^\circ 20'$ с уменьшением радиуса катиона от 1,06 (Ca) до 0,57 Å (Al).

С. Рыкова
9Б140. Измерение параметра решетки с графита и его температурной зависимости методом обратной съемки. Ikegawa Tatsuo, Shimada Takashi. «Токай дэнкёку гихо, Tokai Technol. J.», 1959, 20, № 1, 8—15 (японск.; рез. англ.).—Определена величина периода с разных графитов по дифракционной полосе 008 на основе метода обратной съемки рентгенограмм; отмечается, что этот метод позволяет производить измерения быстрее и легче, чем из обычных дебаграмм. Наблюдали зависимость с графитов от *т*-ры в интервале от -52 до $+163^\circ$ с использованием при-

способлений, обеспечивающих охлаждение и подогрев образцов непосредственно в рентгеновской камере. Данные находятся в согласии с ранее полученными (Nelson J. B., Riley D. P. «Proc. Phys. Soc.», 1945, 57, 477).

9Б141. Рентгенографический анализ графита, углеродистых материалов и угля. Kessler M. F., Večeříková V. Rentgenometrická analýza grafitu, uhlikaých materiálu a uhlí. «Českosl. časop. fys.», 1960, A10, № 2, 125—135 (чешск.; рез. русск., англ.).—Описана возможность новой рентгенографич. оценки структурных изменений, происходящих в углеродистых материалах, графите и углях при термообработке и кальцинации.

9Б142. О возможности определения структурного неупорядочения в мелкокристаллических углях. Szabó Pál. Finomkristályos szének kristályszerkezeti rendezetlenségének kimutathatóságáról. «Magyar tud. akad. Köz. fiz. kutató int. közl.», 1959, 7, № 5, 296—301, III—IV (венг.; рез. англ.).—Показано, что обобщающая ф-ла интенсивности рассеяния не пригодна для мелкокристаллич. углей и оценена связанная с этим ошибка в определении размеров кристаллитов. Показана возможность обобщенной интерпретации диффузного рассеяния на базе теории Уоррена, без предположений о характере неупорядочения в в-ве. Отмечена возможность применения электронографич. методов в исследованиях такого рода.

9Б143. Интенсивности рентгеновского рассеяния углей, обработанных этилендиаминном лития. Ergun S., Wender I. X-ray scattering intensities of coals treated with lithium in ethylenediamine. «J. Appl. Chem.», 1960, 10, № 5, 189—192 (англ.).—Проведено рентгенографич. изучение гидрогенизации, производимой этилендиаминном лития, на 7 образцах витренов различной стадии метаморфизма и 1 образце натурального графита. Интенсивности рассеяния в интервале 2θ 2—120° измерены методом порошка на дифрактометре (фильтрованное излучение $\text{Cu-K}\alpha$) с пропорциональным счетчиком и дискриминатором белого излучения; введены поправки на поглощение, поляризацию и анизотропию образца. Хим. обработка приводит к увеличению в образцах витренов и графита процента Н и к увеличению межслоевого периода $d(002)$ от 3,48—3,8 А до ~4,6 А. Это связывают с превращением плоских ароматич. слоев при присоединении Н в неплоские алицикл. структуры. В графите после обработки наблюдались одновременно полосы 002 и с d 4,6 А; возможно, что и для антрацита, где замечен пик 4,0 А, имело место наложение этих 2 полос. Наблюдаемое после хим. обработки уменьшение рассеяния под малыми углами объяснено закрытием пор. Отмечено большое сходство рентгенограмм гидрогенизованных витренов с рентгенограммами эквинитов из углей низких стадий метаморфизма, содержащими γ -полосу. Некоторые особенности рентгенограмм витренов низкой стадии метаморфизма связывают с возможностью в них и других, негидрогенизационных, процессов при обработке этилендиаминном лития.

9Б144. Упорядочение в промежуточных фазах TiFe, TiCo и TiNi. Pietrowsky Paul, Youngkin Frank G. Ordering in the intermediate phases TiFe, TiCo and TiNi. «J. Appl. Phys.», 1960, 31, № 10, 1763—1766 (англ.).

9Б145. Система иридий — теллур. Hockings E. F., White J. G. The system iridium — tellurium. «J. Phys. Chem.», 1960, 64, № 8, 1042—1045 (англ.).—Рентгенографически (метод порошка, камера Страумануса, дифрактометр Нореппо) исследована система Ir—Te. Установлено существование двух соединений — IrTe_2 (I) и Ir_2Te_3 (II). I имеет кристаллич. структуру типа $\text{Cd}(\text{OH})_2$ (C 6), II — дефектную структуру ($1/4$ катионных мест вакантны) типа шприта FeSe_2 (C2). Парамет-

ры решетки: I тригон., a 3,930, c 5,393, q (выч.) 10,20; $Z = 1$, ф. гр. $R\bar{3}m1$; II куб., a 6,414, q (изм.) 9,87, $Z = 1$ ($\text{Ir}_{0.75}\text{Te}_2$), ф. гр. $P\bar{6}3$. Межатомные расстояния в Ir — 6Te 1 2,64, II 2,65; Te — Te II 2,93.

9Б146. Кристаллическая структура Pd_3Si . Aronson B., Nyland Anna. The crystal structure of Pd_3Si . «Acta chem. scand.», 1960, 14, № 5, 1011—1014 (англ.).—Проведено рентгенографич. исследование (методы Гинье и Вейсберга, $\lambda\text{Mo-K}\alpha$) ряда образцов в системе Pd — Si. Подтверждено существование фаз Pd_3Si , Pd_2Si и PdSi . В образцах с содержанием > 75 ат. % Pd, отожженных при 600—700°, обнаружены также еще двух промежуточных фаз, образованных одной из которых, вероятно, объясняется термич. эффект при 600° в сплавах Pd (Lebeau P., Jolibois P. «Comp. rend.», 1908, 146, 1028). Фаза Pd_3Si не найдена. Параметры решетки Pd_3Si : a 5,735, b 7,555, c 5,260 А, $Z = 4$, ф. гр. $Pnma$. Структура Pd_3Si найдена из yz -проекций электронной плотности в предположении изоморфизма исследуемой структуры со структурой цементита. Уточнение до $R(hk0) = 0,082$, $R(h0l) = 0,01$ проведено по ряду последовательных разностей синтезов. Для атомных факторов взята трехлучевая дисперсионная аппроксимация без поправки на дисперсию: $f_1 = A_1 \exp[(-a_1/\lambda^2) \sin^2\theta] + B_1 \exp[(-b_1/\lambda^2) \sin^2\theta] + C_1 \exp[(-c_1/\lambda^2) \sin^2\theta]$. При вычислениях использована электронная машина BESK. Окончательные координаты атомов: $\text{Pd}_{(1)}$ в 8(d) с x 0,1810, y 0,0500, z 0,3217; $\text{Pd}_{(2)}$ в 4(c) с x 0,0053, z 0,9036, Si в 4(c) с z 0,897, z 0,469. Проведено сопоставление структуры Pd_3Si со структурой изоморфных Fe_3C , Ni_3B и Ni_3V . В Fe_3C и Ni_3V из 9 «крупных» соседей «малого» атома 6 расположены ближе к последнему, чем остальные 3, образуя тригон. призм. В Pd_3Si два из оставшихся вне призм трех «крупных» атомов находятся на меньшем расстоянии от «малого» атома, чем третий, который удален от «малого» атома настолько, что, возможно, теряет право считаться в числе ближайших соседей. 8 кратчайших расстояний Pd — Si отличаются друг от друга незначительно, так что координационный полиэдр атома Si может быть описан как искаженная архимедова антипризма.

9Б147. Кристаллическая структура Re_3B . Aronson B., Bäckman Maggie, Miss, Rundqvist S. The crystal structure of Re_3B . «Acta chem. scand.», 1960, 14, № 5, 1001—1005 (англ.).—Проведено рентгенографич. исследование (методы Гинье и Вейсберга, $\lambda\text{Cu-K}\alpha$, $\text{Cr-K}\alpha$, $\text{Mo-K}\alpha$) фазы Re_3B в системе Re — B (РЖХим, 1961, 7Б152). Параметры ромбич. решетки a 2,890, b 9,313, c 7,258 А, $Z = 4$, ф. гр. $Cmcm$. Показано, что атомы Re найдены из yz -проекций межатомной функции с учетом распределения интенсивностей рефлексов нулевой и второй слоевых линий ($0kl$) и ($2kl$) и уточнены до $R(0kl) = 0,124$ рядом последовательных синтезов Фурье. Координаты атомов B определены геометрич. анализом при дополнительных условиях взаимного равенства всех 6 кратчайших расстояний Re — B. В расчете структурных амплитуд для атомных факторов использована экспоненциальная аппроксимация $f_1 = A_1 \exp[(-a_1/\lambda^2) \sin^2\theta] + B_1 \exp[(-b_1/\lambda^2) \sin^2\theta] + C_1 \exp[(-c_1/\lambda^2) \sin^2\theta] + D_1$ с поправкой на дисперсию (РЖХим, 1956, № 20, 64290). Вычисления выполнены на электронной машине BESK. Атомные позиции: $\text{Re}_{(1)}$ в 8(f) с y 0,1345, z 0,0620; $\text{Re}_{(2)}$ в 4(e) с y 0,4262, B в 4(c) с y 0,744. Структура Re_3B образована тригон. призмами с атомами Re в вершинах и атомами B в центрах. Атомы Re образуют близкую к плотной упаковке, так что среднее значение кратчайшего расстояния $\text{Re} - \text{Re}_{(1),(2)}$ 2,79 для $\text{Re} = \text{Re}_{(1)}$ и 2,83 для $\text{Re} = \text{Re}_{(2)}$ лишь незначительно превосходит межатомное расстояние в металлич. Re. Параллельно (023) атомы Re образуют слегка «вогнутые» слои с приблизительно плотной упаковкой, состоящие из связанных

друг с другом треугольников и квадратов. Атомы В, как и в ряде других боридов (Kiesling R., *Acta chem. scand.*, 1950, 4, 209), имеют 6 ближайших соседей в углах тригона. прям и 3 более удаленных по другую сторону от прямоугольных боковых граней призм. Среднее кратчайшее расстояние Re — В хорошо согласуется с суммой нормального атомного радиуса В и радиуса Re для к. ч. 12. Как и в структурах боридов Th_2Fe_3 и цементита (РЖХим, 1959, № 8, 26215), все 9 соседей В являются металлич. атомами. Характер координации вокруг металлич. атомов в этих трех родственных структурах также аналогичен. А. Левин

9Б148. Рентгенографическое исследование линейной сжимаемости нитрида бора при давлении до 16000 кГ/см². Кабалкина С. С., Вережагин Л. Ф. (Жил. Ал. СССР, 1960, 134, № 2, 330—332). Рентгенографическое исследование (спец. камера высокого давления, λ Cu) проведено с целью определения сжимаемости BN. Образец BN содержал примесь C, Ca, Fe, SiO_2 , Al_2O_3 и имел до опыта a 2,505, c 6,66 Å. Определены величины a , c и $\Delta c/c$ при разных давлениях (Р). Установлено, что объемная сжимаемость BN определяется, как и у графита, сжимаемостью вдоль гексагона. осн (K_{\parallel}), которая при $P = 10\,000$ — $42\,000$ кГ/см² в ~ 50 раз превосходит сжимаемость K_{\perp} , так как атомы В и N внутри одного слоя связаны ковалентно, а между слоями существуют лишь слабые ван-дер-ваальсовы взаимодействия. К. Абрашев

9Б149. Интенсивность краев линий при когерентном смещении в системе медь — никель — железо. Biedermann E. Seitenbandintensitäten bei der kohärenten Entmischung im System Kupfer — Nickel — Eisen. *Acta crystallogr.*, 1960, 13, № 8, 650—652 (нем.; рез. англ.)

9Б150. Кристаллическая структура BaGa_2O_4 и BaAl_2O_4 . Hoppe R., Schepers B. Zur Kristallstruktur von BaGa_2O_4 und BaAl_2O_4 . *Acta Naturwissenschaften*, 1960, 17, № 16, 376 (нем.). — В отличие от ранее полученных данных (Wallmark S., Westgren A., *Arkiv kem. mineral. geol.*, 1937, B12, № 35) обнаружено по дифракции от BaAl_2O_4 удвоение параметра решетки a за счет сверхструктурных линий. Такое же удвоение a найдено и для BaGa_2O_4 , оказавшегося изотипным с BaAl_2O_4 . Параметры гексагон. решетки BaGa_2O_4 по рентгенограммам качения, подтверждавшим наличие сверхструктуры: a 10,75 = 2·5,37, c 8,67, ρ (выч.) 5,22, ρ (эксп.) 5,20, $Z = 8$. Р. Шиабава

9Б151. Рентгенограммы продуктов взаимодействия гетерохлористого германия с окисью кальция. Евдокимов В. И., Соколова И. Г. «Ж. неорг. химия», 1960, 5, № 12, 2798—2801. — Установлено, что рентгенограммы продуктов взаимодействия пара GeCl_4 с CaO , имеющих суммарный состав $4\text{CaO} \cdot \text{GeCl}_4$ и $3\text{CaO} \cdot \text{GeCl}_4$, аналогичны рентгенограммам соответствующих орто- и метасиликатов кальция. Рентгенограмма продукта, имеющего суммарный состав $5\text{CaO} \cdot 2\text{GeCl}_4$, аналогична рентгенограмме дисиликата бария. Это расценивается как подтверждение высказанного ранее предположения, что в указанных условиях образуются соединения Ge, аналогичные по строению орто-, мета- и дисиликатам: орто-, мета- и дигерманаты кальция.

Резюме авторов

9Б152. Кристаллографические данные о $\beta\text{-Sr}_2\text{P}_2\text{O}_7$. Hoffman C. W. W., Mooney R. W. Crystallographic data on $\beta\text{-Sr}_2\text{P}_2\text{O}_7$. *J. Electrochem. Soc.*, 1960, 107, № 40, 854—855 (англ.). — Проведено рентгенографическое исследование (метод порошка) поликристаллич. образцов β -модификации $\text{Sr}_2\text{P}_2\text{O}_7$, полученной нагреванием HfPO_4 при 650°. Параметры ромбич. решетки: a 6,920, b 24,79 Å, c (эксп.) 3,86, ρ (выч.) 3,91, $Z = 8$; в предположении структурного подобия с $\beta\text{-Ca}_2\text{P}_2\text{O}_7$ (РЖХим, 1957, № 17, 56872) установлена ф. гр. $P4_1$. А. Левин

9Б153. Кристаллическая структура некоторых слоистых силикатов с формулой типа $M_m(\text{Si}_2\text{O}_5)_n$. Liebau F. Die Kristallstruktur einiger Schichtsilikate des Formeltyps $M_m(\text{Si}_2\text{O}_5)_n$. «Silikat-Technik», 1960, 11, № 8, 396 (нем.). — Исследовано кристаллич. строение $\text{Li}_2\text{Si}_2\text{O}_5$ и изотипных $\alpha\text{-Na}_2\text{Si}_2\text{O}_5$ и $\text{Ag}_2\text{Si}_2\text{O}_5$, а также уточнена структура петалита $\text{LiAlSi}_2\text{O}_6$. Для всех 4 в-в характерно наличие складчатых слоев $[\text{Si}_2\text{O}_5]$ ромбич. или псевдоромбич. симметрии, которые образованы двоянными Si — O-цепями. Структуры этих в-в сопоставляются друг с другом и со структурами Li_2SiO_3 и Na_2SiO_3 . Р. Шиабава

9Б154. Изотипия палермонт — карминит $\text{SrAl}_2[\text{OH}|\text{PO}_4]_2$ — $\text{PbFe}_2^{3+}[\text{OH}|\text{AsO}_4]_2$. Strunz H. Isotypie Palermit — Carminit $\text{SrAl}_2[\text{OH}|\text{PO}_4]_2$ — $\text{PbFe}_2^{3+}[\text{OH}|\text{AsO}_4]_2$. «Neues Jahrb. Mineral. Monatsh.», 1960, № 3, 49—52 (нем.; рез. англ.). — Проведено сравнение исследованных ранее (РЖХим, 1960, № 10, 37766) минералов карминита $\text{PbFe}_2^{3+}[\text{OH}|\text{AsO}_4]_2$ (I), считавшегося представителем группы кирролита — бразилинита — байльдонита, и палермонта (идеальная ф-ла $\text{SrAl}_2[\text{OH}|\text{PO}_4]_2$) (II), относимого к ряду лазулита. На основании аналогии кристаллохим. ф-ли параметров решеток высказано предположение об изотипии или изоморфизме I и II. Указано на кристаллохим. родство этих минералов с конихальцитом $\text{CaCu}[\text{OH}|\text{AsO}_4]$ и дуртитом $\text{PbCu}[\text{OH}|\text{AsO}_4]$ из ряда деклуазита; на этом основании предложено включить I и II, как ряд палермонта, в ряд деклуазита. В. Левдик

9Б155. О кристаллической структуре муллита. Durovič Slavomil. Niekoľko poznámok ku krystalovej štruktúre mullitu. «Chem. zvesti», 1960, 14, № 7, 547—550 (словацк.; рез. русск., нем.). — Структура муллита изучалась на образце состава: 22,19% SiO_2 , 76,85% Al_2O_3 , 0,56% Fe_2O_3 , 0,44% TiO_2 (β - γ -муллит или прагит). Полученная в результате построения проекции Фурье $\rho(x,y)$ модель структуры согласуется со структурой муллита по Тейлору (Taylor W. H. *Z. Kristallogr.*, 1928, 68, 503). Портверждено существование двойных цепочек SiO_4^{4-} . Позиции $\text{O}(3)$ заполнены статистически, но с какой-то степенью упорядочения и, по-видимому, с отклонением от положения $1/2, 0, 1/2$. Ф-ла муллита $\text{Al}[\text{Si}_2-x\text{Al}_x\text{O}_{11/2-x}]_2$, где $1,25 \leq x \leq 1,40$ соответственно для 3/2—2/1-муллита. Р. Шиабава

9Б156. Кристаллическая структура бенитоита. Fischer K. Kristallstruktur von Benitoit. «Silikat-Technik», 1960, 11, № 8, 396 (нем.). — Уточнены координаты и длины связей в структуре бенитоита, в котором предполагалось наличие Si_2O_5 -колец. Оценка интенсивностей производилась с помощью Г.—М.-счетчика.

Р. Шиабава

9Б157. Германаты с одно- и двухвалентными катионами, изотипичные силикатам. Strunz H. Germanate ein- und zweiwertiger Kationen, die mit Silikaten isotyp sind. «Silikat — Technik», 1960, 11, № 8, 397 (нем.). — На основе структурных параллелей между германатами и силикатами (РЖХим, 1961, 3Б1193) предложена (с целью последующей эксперим. проверки) классификация по структурным типам германатов с одно- и двухвалентными катионами. Выделены: M_2GeO_4 , где $\text{M} = \text{Ca}, \text{Sr}, \text{Ba}$ и Cd ; со структурой оливинна, $\text{CaMg}[\text{GeO}_4]$ со структурой монтичеллита, $\text{LiAl}[\text{GeO}_4]$ и $\text{LiGa}[\text{GeO}_4]$ со структурой фенакита, $\text{Ca}_3\text{Al}_2[\text{GeO}_4]_3$, $\text{Ca}_2\text{Ga}_2[\text{GeO}_4]_3$, $\text{Ca}_2\text{Cr}_2[\text{GeO}_4]_3$, $\text{Ca}_2\text{Fe}_2[\text{GeO}_4]_3$, $\text{Cd}_2\text{Al}_2[\text{GeO}_4]_3$, $\text{Cd}_2\text{Ga}_2[\text{GeO}_4]_3$, $\text{Cd}_2\text{Cr}_2[\text{GeO}_4]_3$, $\text{Cd}_2\text{Fe}_2[\text{GeO}_4]_3$, $\text{Mn}_2\text{Al}_2[\text{GeO}_4]_3$, $\text{Mn}_2\text{Ga}_2[\text{GeO}_4]_3$, $\text{Mn}_2\text{Cr}_2[\text{GeO}_4]_3$ и $\text{Mn}_2\text{Fe}_2[\text{GeO}_4]_3$ со структурой граната; $\text{Ca}_2\text{Ge}_2[\text{Cl}](\text{GeO}_4)_2$, $\text{Ca}_2\text{Ce}_2[\text{Cl}](\text{GeO}_4)_2(\text{SiO}_4)$, $\text{Ca}_2\text{Ce}_2[\text{Cl}](\text{GeO}_4)_2(\text{PO}_4)$, $\text{Ca}_2\text{Ce}_2[\text{Cl}](\text{GeO}_4)(\text{SiO}_4)(\text{PO}_4)$ и $\text{Ca}_2\text{Ce}_2[\text{Cl}](\text{GeO}_4)_2(\text{PO}_4)$ со структурой апатита, LiCrGeO_4 со структурой шпинели; $\text{Na}[\text{AlGeO}_4]$ и $\text{KNa}[\text{AlGeO}_4]$ со структурой нефелина; $\text{K}[\text{AlGeO}_4]$ со структурой лейцита; $\text{Ba}[\text{Al}_2\text{Ge}_2\text{O}_8]$ со структурой целезиана; $\text{Na}_2[\text{Cl}_2]_2[\text{Al}(\text{GeO}_4)]_2$ со структурой содалита; $\text{Na}[\text{AlGeO}_4] \cdot \text{H}_2\text{O}$

со структурой анальцима; $\text{Na}_2[\text{Al}_2\text{Ge}_2\text{O}_{10}] \cdot 2\text{H}_2\text{O}$ со структурой натролита. В последнее время обнаружены: стотит $\text{Fe}(\text{Ge}(\text{OH})_6)$ (РЖХим, 1959, № 8, 26807), флейшерит $\text{Pb}_3\text{Ge}^{2+}[(\text{OH})_4 | (\text{SO}_4)_2] \cdot 4\text{H}_2\text{O}$ и итотит $\text{Pb}_3[\text{S}, \text{Ge}^{4+}](\text{O}, \text{OH})_4$.

9B158. О кристаллической структуре изоморфных дигалогено-дипиридинатов кобальта и цинка. (К вопросу о природе изомерии соединений кобальта состава CoA_2X_2). Порай-Кошиц М. А., Атовмян Л. О., Тищенко Г. М. «Ж. структур. химии», 1960, 1, № 3, 337—341.—Проведено частичное рентгеноструктурное (метод КФОР, λMo) исследование CoPy_2Br_2 (I) и ZnPy_2Cl_2 (II), изоструктурных $\beta\text{-CoPy}_2\text{Cl}_2$. Параметры решетки: I a 8,40, b 13,0, c 8,52, β $101^\circ 15'$, ρ 1,87, $Z = 4$, ф. гр. $P2_1/c$; II a 8,44, b 17,5, c 8,25, β $102^\circ 16'$, ρ 1,87, $Z = 4$, ф. гр. $P2_1/c$. Расщепровка структур производилась путем сопоставления проекций Паттерсона для I и II (в основном использованы проекции II). Координаты Zn, Cl₍₁₎ и Cl₍₂₎ уточнены по проекциям электронной плотности (знаки F рассчитывались без учета N и C): Zn x 0,236; y 0,145; z 0,286; Cl₍₁₎ 0,344; 0,008; 0,225; Cl₍₂₎ 0,017; 0,178; 0,131. Из разностной проекции $\rho(xy) - \rho_{\text{Zn,Cl}}(xy)$ определено положение одного пиридинового кольца. Оба соединения являются мономерами, комплексы имеют тетраэдрич. строение. Межкатомные расстояния Zn—Cl₍₁₎ 2,45, Zn—Cl₍₂₎ 2,25 Å. Валентные углы Cl₍₁₎—Zn—Cl₍₂₎ 126° , N—Zn—Cl₍₁₎ и N—Zn—Cl₍₂₎ $100-110^\circ$. Изомерия фиолетовых α - и синих β -форм соединений CoA_2X_2 является поликоординационной: α -формы — полимеры с октаэдрич. координацией атомов Co, β -формы — мономеры с тетраэдрич. координацией.

9B159. Предварительное рентгенографическое исследование комплексных солей галогенидов соединений подгруппы Zn с анабазином. Азизов М. А., Ходякова Т. Л. «Тр. Ташкентск. фармацевт. ин-та», 1960, 2, 295—297.—Проведено рентгенографич. исследование двух серий изоморфных кристаллов комплексных солей типа $\text{MX}_2 \cdot \text{An} \cdot \text{HX}$ и $\text{MX}_2 \cdot \text{An} \cdot 2\text{HX}$. Параметры решетки: $\text{ZnCl}_2 \cdot \text{An} \cdot \text{HCl}$ a 8,87, b 10,73, c 14,47 Å; $\text{ZnCl}_2 \cdot \text{An} \cdot \text{HBr}$ 8,85, 11,38, 14,54; $\text{ZnCl}_2 \cdot \text{An} \cdot \text{HI}$ 9,02, 10,94, 14,57; $\text{ZnBr}_2 \cdot \text{An} \cdot \text{HCl}$ 9,17, 11,17, 14,74; $\text{ZnBr}_2 \cdot \text{An} \cdot \text{HBr}$ 9,29, 11,06, 14,90; $\text{ZnCl}_2 \cdot \text{An} \cdot 2\text{HCl}$ 7,25, 7,72, 26,83; $\text{ZnCl}_2 \cdot \text{An} \cdot \text{HCl} \cdot \text{HBr}$ 7,36, 7,79, 26,71; $\text{ZnCl}_2 \cdot \text{An} \cdot \text{HBr} \cdot \text{HI}$ 7,40, 7,82, 27,37; $\text{ZnBr}_2 \cdot \text{An} \cdot 2\text{HCl}$ 7,37, 7,81, 27,11; $\text{ZnBr}_2 \cdot \text{An} \cdot 2\text{HBr}$ 7,42, 7,96, 26,88; $\text{ZnI}_2 \cdot \text{An} \cdot \text{HCl} \cdot \text{HBr}$ 7,32, 7,80, 26,87; $\text{CdCl}_2 \cdot \text{An} \cdot 2\text{HCl}$ 7,21, 7,98, 26,30; $\text{HgCl}_2 \cdot \text{An} \cdot 2\text{HCl}$ 7,31, 7,89, 27,37; $\text{HgBr}_2 \cdot \text{An} \cdot 2\text{HBr}$ 7,52, 8,10, 26,88; $\text{HgI}_2 \cdot \text{An} \cdot 2\text{HI}$ 7,69, 8,72, 13,71. Во всех соединениях, кроме последнего, $Z = 4$, ф. гр. $P2_12_12_1$; в $\text{HgI}_2 \cdot \text{An} \cdot 2\text{HI}$ β - $105^\circ 20'$, $Z = 2$, ф. гр. $P2_1$. Для изоморфных солей $\text{NiCl}_2 \cdot 2\text{C}_6\text{H}_5\text{ON}_2$ и $\text{CoCl}_2 \cdot 2\text{C}_6\text{H}_5\text{ON}_2$ (где $\text{C}_6\text{H}_5\text{ON}_2$ — азид никотиновой к-ты) авторы предлагают вероятные структурные ф-лы с шестикординационными атомами Ni и Co (магнитный момент соответственно равен 3,42 и 5,39 μ_B).

9B160. Плотность твердого фенола. Cole P. J. The density of solid phenol. «J. Chem. and Engng Data», 1960, 5, № 3, 367 (англ.).—Впервые проведено непосредственное пикнометрич. измерение плотности фенола в твердом состоянии (опубликованные значения в действительности представляют собой результат экстраполяции данных для жидкости). Для плотности твердого фенола при $40^\circ/4^\circ$ получено значение 1,132 в случае отсасывания воздуха и 1,075 без отсасывания. Разница в плотностях объясняется растворением воздуха в феноле, достигающим 5% по объему.

9B161. Кристаллическая и молекулярная структура безводного диацетилгидразина ($-\text{NHCOCH}_3$)₂. Shintani Ryuichi. The crystal and molecular structure of anhydrous diacetylhydrazine ($-\text{NHCOCH}_3$)₂. «Acta crystallogr.» 1960, 13, № 8, 609—618 (англ.).—Проведено рентгенографич. исследование (методы качания и

Вейссенберга, $\lambda\text{Cu-K}\alpha$) диацетилгидразина (I). Параметры ромбич. решетки: a 18,30, b 6,51, c 4,79 Å, $Z = 4$, ф. гр. *Ccma*. Структура с параллельными плоскостями молекулярными слоями на $y = 0, 1/2$ найдена из проекции zz электронной плотности, утроенной по знакам, полученным методом неравенств Харкера — Каспера. Для устранения наложений применено построение слевой проекции на zz : $\int_{-1/4}^{+1/4} \rho(xyz) dy$. Уточнение до $R = 0,073$ произведено разностным синтезом и методом наименьших квадратов с введением индивидуального анизотропного температурного фактора. Среднеквадратичная ошибка в атомных координатах колеблется от 0,003 до 0,007 Å. Окончательные координаты атомов: N x 0,0352, y 0,0000, z 0,0560; C 0,0921, 0,0000, —0,1203; O 0,0843, 0,000, —0,3734; S (метил.) 0,1656, 0,0000, 0,0204; H (амид.) 0,0380, 0,0000, 0,2470; H₍₁₎ (метил.) 0,1560, 0,0000, 0,2270; H₍₂₎ (метил.) 0,1880, 0,1080, —0,0380. Центросимметричная молекула I имеет плоскостную конфигурацию и лежит в плоскости zz (совпадающей с плоскостью симметрии молекулы), за исключением двух атомов N каждой метильной группы, лежащих по обе стороны плоскости. Межкатомное расстояние N—N 1,396 Å несколько короче средней длины ординарной связи и близко к установленному для диформилгидразина (РЖХим, 1959, № 8, 26239). Небольшая укороченность связи C—C 1,504 Å по сравнению с нормальной ординарной указывает на сверхсопряжение. В соответствии с данными ядерного магнитного резонанса возможно свободное вращение метильных групп вокруг связей C—C при комнатной т-ре. Молекулы I соединены водородными связями N—H...O 2,877 Å «еленты», тянущиеся вдоль с параллельно плоскости zz . Отклонение связи N—H от направления N—O составляет 15° , а угол N—H...O $130,8^\circ$. Значение угла C—O—N $168,5^\circ$ более или менее согласуется с sp -гибридизацией. Кратчайшее межкатомное расстояние между метильными группами соседних «елент», лежащих в одной плоскости, равно 3,91 Å. Основной вклад в энергию решетки, по мнению автора, вносят водородные связи и диполь-дипольное взаимодействие групп C=O мол. лент. Из сил, действующих вдоль направления a , главное значение принадлежит ван-дер-ваальсову взаимодействию. Сравнение расстояний между плоскостями молекул 3,25 и расстояний C—O 3,26 Å в I и диформилгидразине указывает также на электростатич. взаимодействие между молекулярными слоями, обусловленное притяжением электроположительными групп SN и электроотрицательных атомов O. Тепловое движение молекулы может быть описано как результат вращательных колебаний молекулы, как твердого тела вокруг ее центра симметрии, и трансляционных колебаний, главные оси эллипсоида которых совпадают с кристаллографич. осями. В интервале t -р от -150 до $+30^\circ$ проведено измерение коэф. теплового расширения: β_a $4,9 \cdot 10^{-5}$, β_b $2,0 \cdot 10^{-4}$, β_c $3,5 \cdot 10^{-5}$. Автор указывает для I все возможные резонансные структуры.

9B162. Кристаллическая структура и полиморфизм N-метилацетамида. Katz J. Lawrence, Post B. The crystal structure and polymorphism of N-methylacetamide. «Acta crystallogr.» 1960, 13, № 8, 624—632 (англ.).—Проведено рентгенографич. исследование (методы прецессии и Вейссенберга, $\lambda\text{Cu-K}$, Mo-K) $\text{CH}_3\text{CONHCH}_3$ при -35° . Параметры ромбич. решетки: a 9,61, b 6,52, c 7,24 Å, ρ (эксп.) 1,02, ρ (выч.) 1,07, $Z = 4$, ф. гр. *Pnma*. Структура найдена из $(x0z)$ -сечения межатомной функции, (zz) -проекции и $(x \frac{1}{4} z)$ -сечения электронной плотности. Уточнение до $R = 0,134$ на первой стадии проведено разностным синтезом, на второй стадии — методом наименьших квадратов в трехмерном варианте при введении общего анизотропного температурного фактора. Среднеквадратичная ошибка в атомных координатах составляет 0,011 для атома C.

0,007 для N и 0,005 Å для O. Вычисления выполнены на электронной машине IBM по программе NYXRI. Оценочные координаты атомов: C₍₁₎ \pm 0,1343, \pm 0,0306; C₍₂₎ 0,1697, 0,2394; C₍₃₎ 0,0877, 0,5520; N 0,0660, 0,3529; O 0,2917, 0,2906 ($y = 1/4$). Пять атомов: C₍₁₎, C₍₂₎, C₍₃₎, N, O с точностью до 0,015 Å копланарны. Плоские молекулы CH₃CONHCH₃ образуют перпендикулярные к оси b слои с расстоянием 3,26 Å между ними. Молекулы каждого слоя связаны водородными связями N—H...O 2,82 Å в цепочки, приблизительно параллельные а. Межмолекулярные контакты имеют нормальную величину, за исключением расстояния между атомами C₍₁₎ и C₍₃₎ соседних молекул. Установлено, что N-метилацетамид при 10° претерпевает фазовый переход. Параметры ромбич. решетки высокотемпературной модификации: a 4,85, b 6,59, c 7,30 Å, Z = 2, ф. гр. Pnmm. Уменьшение ячейки в высокотемпературной фазе может быть объяснено частичным разупорядочением в ориентации молекул.

А. Левин

9Б163. Кристаллическая структура 1,3,7,9-тетраметилмочевой кислоты и упаковка молекул в кристаллах оксиметилпуринов. De Santis P., Giglio E., Liquori A. M., Sutor D. J. *Crystal structure of 1-3-7-9-tetramethyluric acid and the molecular packing in hydroxymethyl purine crystals. «Nature» (Engl.)*, 1960, 188, № 4744, 46—48 (англ.).—Проведено рентгенографич. исследование (метод Вейссенберга, λ Cu-K α) 1,3,7,9-тетраметилмочевой к-ты (I). Параметры монокл. решетки: a 15,59, b 8,87, c 8,46 Å, β 118°; ρ (эксп.) 1,422, ρ (выч.) 1,430, Z = 4, ф. гр. P2₁/a. Структура найдена из xx - и yz -проекций электронной плотности, построенных с использованием ранее описанных методов преобразования Фурье (РЖХим, 1957, № 17, 5684; № 20, 65548), и уточнена рядом последовательных пересчетов знаков. Молекулы I имеют плоскостную конфигурацию при среднем отклонении атомов от плоскости молекулы 0,02 Å. Как и в структурах теofilлина и кофеина (РЖХим, 1959, № 9, 30282; № 10, 34006), молекулы объединены в пары, лежащие, однако, не в одной и той же, а в разных параллельных плоскостях, отстоящих друг от друга на 3,5 Å. По мнению авторов, подобное «спаривание» во всех трех случаях обусловлено взаимодействием диполей N+—O⁻, возникающих вследствие кон-ции у более электроотрицательного атома O Pz²-электронов, поставляемых атомами N колец для л-орбит молекул. Отличие упаковки молекул I от обнаруженной в кристаллах теofilлина и кофеина может быть объяснено приблизительной перпендикулярностью осей N+—O⁻-диполей к длинным осям молекул. Как полагают авторы, нет оснований считать ответственными за образование молекулярных пар в структурах оксипуринов только водородные связи, так как диполь-дипольное взаимодействие может играть преобладающую роль.

А. Левин

9Б164. Рентгеноструктурное исследование эфира фаллохлорина. Horre W., Will G. *Die Röntgenstrukturanalyse von Phyllochlorinester. «Z. Kristallogr.»*, 1960, 113, 104—131 (нем.; рез. англ.).—На примере рентгенографич. исследования (методы прецессии и Вейссенберга, λ Cu-K α) фаллохлоринового эфира C₃₃H₃₈N₄O₂ продемонстрированы возможности принадлежности одному из авторов новых методов расшифровки органич. структур с большим числом параметров без тяжелых атомов — «метода молекулярной свертки» (РЖХим, 1959, № 9, 30283) и «метода диффузного рассеяния» (РЖХим, 1958, № 2, 3608). Параметры монокл. решетки (a 12,23, b 14,82, c 7,87 Å, β 94°59', Z = 2, ф. гр. P2₁), а также ориентация молекул определены ранее (РЖХим, 1958, № 15, 49384). С помощью новых методов точно определена ориентация порфириновых ядер и установлено положение «центров тяжести» молекул: (0, 1/2, 1/4), (0, 0, —1/4). Дальнейшее определение структуры проведено путем построения xy - и xz -проекций

электронной плотности с использованием порфириновых ядер в качестве «тяжелых атомов» для нахождения знаков. Однако отмечается, что ввиду нецентросимметричности структуры последние должны рассматриваться лишь как некоторое приближение к истинным значениям фаз. Так как, напр., в проекции xy ~180 независимых рефлексов служат для определения 78 параметров, необходимо дальнейшее трехмерное исследование.

А. Левин

9Б165. Рентгеновская микроскопия. Ramapat-han N. *X-ray microscopy. «Altech»*, 1959—1960, 9, 83—87 (англ.).—Обзорная статья.

9Б166. Электронномикроскопические исследования образования кристаллических зародышей при рекристаллизации пластически деформированной алюминиевой фольги. Haase G., Gränzer F. *Elektronenmikroskopische Untersuchungen zum Keimbildung bei der Rekristallisation plastisch verformter Aluminiumfolien. «Naturwissenschaften»*, 1960, 47, № 10, 223—224 (нем.)

9Б167. Условия равновесия в теории решеток. Leibfried G., Ludwig W. *Gleichgewichtsbedingungen in der Gittertheorie. «Z. Phys.»*, 1960, 160, № 1, 80—92 (нем.; рез. англ.).—Рассмотрены соотношения между коэф. в разложении потенциальной энергии кристалла по степеням смещений атомов, которые вытекают из условий равновесия в бесконечной решетке. Вместо предложенного ранее (Kun Huang «Proc. Roy. Soc. (London)», 1950, A203, 178) вывода этих соотношений для членов первого и второго порядка, основанного на предельном переходе от теории решетки к теории упругости, авторы проводят рассмотрение, основанное на использовании инвариантности потенциальной энергии при поступательном и вращательном движениях. Этот же метод использован для получения аналогичных соотношений между коэф. при высших членах разложения потенциальной энергии по степеням смещений атомов, соответствующих соотношениям симметрии для тензоров, используемых в нелинейной теории упругости. Обсуждается физ. смысл этих соотношений.

М. Кривоглаз

9Б168. Рассмотрение кубического-октаэдрического кристалла CaB₆ по методу МО ЛКАО с учетом s-, p- и d-орбит и с варьируемой орбитальной экспонентой d-орбит. Flodmark S. *A solid state spd-MOLCAO treatment of cubic-octahedral CaB₆ with variation of the d orbital exponent. «Arkiv fys.»*, 1960, 18, № 1, 49—64 (англ.).—В рамках модели, использованной в предыдущих работах автора (РЖХим, 1960, № 3, 7934; № 4, 12390), произведен расчет зонной структуры валентных электронов кристалла CaB₆ с учетом s-, p- и d-АО и с варьируемым эффективным зарядом d-АО. Расчет произведен в одноэлектронном приближении; в эффективном гамильтониане ионизованные атомы Ca моделированы кулоновским потенциалом точечных зарядов. Вековые ур-ния решены точно только для точек симметрии обратной решетки. Результаты, полученные для 5 различных значений эффективного заряда d-АО, указывают на его значительное увеличение по сравнению с правилами Слейтера. Электронная структура кристалла приблизительно описывается конфигурацией (1t_{1u})⁶(1e_g)⁴(1a_{1g})²(3t_{1u})⁵(1t_{2g})³—12 валентных электронов от каждой элементарной ячейки образуют замкнутую оболочку кристалла, а 8 находится в зонах проводимости. Небольшие вклады в электронную структуру кристалла вносят также зоны проводимости 3t_{2g}, 2t_{1g}, 1t_{1g} и 1t_{2u}.

Т. Ребане

9Б169. Классическая теория спиновых конфигураций в кубической шпинели. Kaplan T. A. *Classical theory of spin configurations in the cubic spinel. «Phys. Rev.»*, 1960, 119, № 5, 1460—1470 (англ.).—Показано, что треугольные спиновые конфигурации (Yafet G., Kittel C. «Phys. Rev.» 1952, 87, 290) в куб. шпинели не минимизируют обменной энергии Гейзенберга. Учено только взаимодействие ближайших соседей A—B и

В — В, характеризующее обменными интегралами J_{AB} и J_{BB} и рассмотрены спин S_A и S_B . Развита теория для нахождения обобщенного основного состояния спиновой системы, приводящая к определению макс. величины (y_0) выражения $y = J_{BB} S_B / (J_{AB} S_A)$, для которого конфигурация Неэла является устойчивой по отношению к произвольным малым изменениям спинов. Значение y_0 примерно на 10% меньше, чем было найдено в цитированной работе. В случае, когда $1 \gg y - y_0 > 0$, для минимизации энергии применена теория возмущений. Получены следующие результаты. Существует равновесная спиновая конфигурация, в которой углы между спинами в положениях А и одновременно углы между спинами в положениях В не равны нулю. Существуют спиновые конфигурации с дальним порядком в ориентациях спинов. Результаты обсуждены в связи с наблюдаемыми свойствами $MnCr_2O_4$ и Mn_3O_4 . Резюме автора

9Б170. Приближенные волновые функции свободных ионов в кристаллах. Петрашень М. И., Абаренков И. В., Кристофель Н. Н. «Вестн. Ленингр. ун-та», 1960, № 16, 7—21 (рез. англ.). — Излагается метод построения одноэлектронных волновых функций свободного атома или иона, основанный на рассмотрении оптич. электронов в эффективном поле остова, в применении к атомам и ионам с двумя оптич. электронами; излагается также метод построения одноэлектронных функций ионов в кристаллах, основанный на рассмотрении всего центрального иона в эффективном поле остального кристалла. В случае свободных атомов (или ионов) предлагаемый метод основан на рассмотрении ур-ний самосогласованного поля для оптич. электронов, где влияние остова учитывается только в виде электростатич. потенциалов, а собственные значения ур-ний определяются с использованием эксперим. значений потенциалов ионизации. В случае иона в кристаллич. решетке предлагается ввести в радиальное ур-ние для одноэлектронных функций дополнительный (кроме членов, учитываемых для свободного иона) потенциал. Табулированы рассчитанные авторами одноэлектронные функции оптич. электронов свободного атома Са (конфигурации $4s^2$ и $4s4p$), свободного иона Ti^{+} (конфигурации $3s^2$ и $3s3p$) и следующих ионов в кристаллах: Cl^{-} (в $NaCl$, KCl и $LiCl$), F^{-} (в NaF , KF и LiF), K^{+} (в $NaCl$ и NaF), T^{+} (в KCl и KF), Li^{+} (в $LiCl$). Т. Ребане

9Б171. Различные положения захвата атомов водорода в матрицах инертных газов. Foner S. N., Cochran E. L., Bowers V. A., Jen C. K. Multiple trapping sites for hydrogen atoms in rare gas matrices. «J. Chem. Phys.», 1960, 32, № 4, 963—971 (англ.). — Исследованы спектры электронного парамагнитного резонанса атомов водорода, захваченных матрицами из замороженных инертных газов при т-ре жидкого гелия. Теоретически обсуждено влияние матрицы на сверхтонкую структуру (СТС) уровней атома Н: ван-дер-ваальсовы силы приводят к уменьшению, а силы обменного отталкивания — к увеличению постоянной СТС атома Н; суммарный эффект зависит от того, какое взаимодействие (ван-дер-ваальсово или обменное) преобладает. Для случаев различных инертных газов получены следующие результаты. Фотолиз Н₂ в Не при 4,2° К: спектр состоит из дублета с постоянной СТС, на +0,43% превышающей постоянную СТС свободного атома Н, а смещение g-фактора (по сравнению со свободным атомом Н) равно $\Delta g = -0,00019$. Для атомов Н, захваченных Аг, спектр содержит 3 дублета (фотолиз Н₂) или 2 дублета (фотолиз Н₂O и NH₃). Изменение постоянной СТС составляет -0,46%. Сделан вывод о существовании, по крайней мере, двух неэквивалентных положений захвата атомов Н аргонном. Для атомов Н в Кг наблюдается интенсивный дублет с изменением постоянной СТС на -0,59% и $\Delta g = -0,00047$.

В случае фотолиза Н₂ в Кг обнаружена дополнительная одиночная слабая линия. В предположении, что вторая слабая линия соответствующего дублета скрыта ВЧ-компонентой интенсивного дублета, для слабого дублета найдены: изменение постоянной СТС +0,47% и $\Delta g = -0,00259$. В Хе наблюдается дублет с изменением постоянной СТС на -1,09%, $\Delta g = -0,00056$. Спектр продуктов фотолиза Н₂ в Не очень сложен, причем полное расщепление и точное число линий (≥ 13) спектра не удалось установить. Добавочные расщепления спектральных линий приписаны взаимодействию с ядрами Хе¹²⁹ и Хе¹³¹. Теоретич. интерпретация результатов приводит авторов к выводу, что захват атомов Н при фотолизе соединений водорода в куб. гранецентр. решетке инертных газов происходит в положении вакансий атомов основного в-та (Ne, Ar, Kr, Xe), в октаэдрич. положения с 6 ближайшими соседями (Ar, Kr, Xe) и, возможно, в тетраэдрич. положения с 4 ближайшими соседями (Xe). Т. Ребане

9Б172. Исследование свойств симметрии энергетических зон кристаллов типа SnSe и Sb₂S₃. Гошьяде Ф. М. «Физ. твердого тела», 1960, 2, № 9, 2070—2076. — Методом теории групп исследованы характерные особенности энергетич. зон в полупроводниках типа SnSe и Sb₂S₃, имеющих кристаллич. решетку с пространственной группой симметрии D_{2h}^{16} ромбич. сингонии. Установлены симметричные точки зоны Бриллюэна, в которых можно ожидать экстремальных значений энергии как без учета спина, так и с учетом спина электрона. Т. Ребане

9Б173. Функция распределения для стационарного состояния разреженного электронного газа. Matti Daniel C. Steady-state distribution function in dilute electron gases. «Phys. Rev.», 1960, 120, № 1, 52—55 (англ.). — Сформулирован вариационный принцип для нахождения функции распределения в стационарном состоянии разреженного электронного газа и показано, что она стремится к функции Максвелла — Больцмана в предельном случае сильного теплового рассеяния. При установлении теплового равновесия большую роль может играть рассеяние между энергетич. зонами (в дополнение к обычно рассматриваемому рассеянию внутри зон). На примере простой модели полупроводника показано, что возможны значительные отклонения от распределения Больцмана при абс. т-рах в несколько градусов. В свете полученных результатов обсуждена температурная зависимость среднего времени жизни носителей тока в Ge при низких т-рах и излучательный (а не поглощающий) характер пикетронного резонанса в Ge с дырочной проводимостью. Т. Ребане

9Б174. Анггармоничность решетки и оптическое поглощение в полярных кристаллах. I. Линейная цепь. Maradudin A. A., Wallis R. F. Lattice anharmonicity and optical absorption in polar crystals. I. The linear chain. «Phys. Rev.», 1960, 120, № 2, 442—448 (англ.). — Расчет оптич. спектра поглощения анггармонич. одномерной решетки, состоящей из чередующихся положительно и отрицательно заряженных частиц различной массы, выполнен в двух приближениях с помощью теории Борна и Хуанга (Born M., Huang K. Dynamical theory of crystal lattices. New York, Oxford Univ. Press, 1954, p. 341) и с помощью обычной теории возмущений по 2-м приближениям с учетом временной зависимости. Получены замкнутые системы ур-ний для спектра поглощения для низких и высоких т-р. Найдено, что можно ожидать появления дополнительных максимумов поглощения при частотах, отличных от дисперсионной частоты ω_d . При высоких т-рах поглощение при ω_d изменяется пропорционально T^{-2} или T^{-3} , в зависимости от того, как определяются некоторые усредненные термодинамич. параметры. Полученные результаты используются для выяснения вопросов

о том, какие особенности данных спектров должны сохраниться в случае трехмерных решеток.

Резюме авторов

9Б175. Межмолекулярные силы из оптических спектров примесей в молекулярных кристаллах. Zwanzig R. W. Intermolecular forces from optical spectra of impurities in molecular crystals. «Molec. Phys.», 1960, 3, № 4, 305—311 (англ.).—Описан метод получения сведений о влиянии электронного возбуждения на межмолекулярное взаимодействие. Для этого необходимо знать зависимость от ν -ры спектров поглощения и излучения примесей в мол. кристаллах и особенно средние положения и ширину линий. Получена связь между этими параметрами и межмолекулярными силами с помощью ранее изложенной теории (Lax M. «J. Chem. Phys.», 1952, 20, 1752). Из резюме автора

9Б176. Концентрация вакансий в сплавах железа — хром. Кристалл М. А. «Физ. металлов и металловедение», 1960, 10, № 5, 720—726.—Приведены методы определения конц-ии вакансий в γ -состоянии в Fe и его сплавах с содержанием 0,85—5,72% Cr. Эти методы, основанные на измерении электросопротивления сплавов и внутреннего трения, дают сопоставимые результаты. Кроме того, показано, что в сплавах с увеличением содержания Cr возрастает энергия активации образования вакансий и уменьшается их конц-ия.

Резюме автора

9Б177. Влияние газов на несовершенство монокристаллов германия. Muraoka Hisashi. «Тосибэ ревю», Toshiba Rev., 1960, 15, № 6, 580—584 (японск.; рез. англ.).—Монокристаллы Ge выращивали методом зонной плавки в атмосфере, содержащей H_2O и NH_3 . После интенсивного травления с помощью CP-4 обнаружены кольцевые и треугольные ямки травления. Каждая из этих ямок, возможно, связана со скоплением вакансий. Распределение этих специфич. ямок позволяет предполагать, что скопления вакансий образуются в период кристаллизации.

Б. Туровский

9Б178. Изучение несовершенств структуры фтористого лития, вызванных облучением (тепловыми нейтронами). Lambert Marianne. Etude des imperfections de structure du fluorure de lithium irradié. (Neutrons thermiques). Rapp. CEA, 1959, № 1080, 81 p., ill. (франц.)

9Б179. Диффузия в линейной решетке. Plesner Igor W. Diffusion in a linear lattice. «J. Chem. Phys.», 1960, 33, № 3, 652—662 (англ.).—С целью вычисления коэф. диффузии (D) с учетом в гамма-теории системы членов, обязанных взаимодействию с соседями, рассмотрены атом изотопа и вакансии, помещенные в линейный кристалл из гармонич. осцилляторов. Обсуждены симметричный (две вакансии) и несимметричный (одна вакансия) случаи. Модель пригодна для диффузии изотопа, если его масса мало отличается от массы атомов решетки. Взаимодействие дефекта с атомами задается 6—12-потенциалом. Получено, что D зависит от четвертой степени частоты колебаний дефекта.

Б. Бокштейн

9Б180. Диффузия лития в вольфрам. McCracken G. M., Love H. M. Diffusion of lithium through tungsten. «Phys. Rev. Letters», 1960, 5, № 5, 201—202 (англ.).—Измерены коэф. диффузии (D) Li^+ и Li^0 в W-фольгах толщиной $L = 0,030$ мм при 1000—1400° K. При высоких t -рах атомы Li диффундируют от одной поверхности фольги к другой, испаряются и поглощаются газ в камере масс-спектрометра. Ток I в масс-спектрометре связан с D уравнением $I = ALD^{-1/2}t^{-1/2} \times \exp(-L^2/4Dt)$, где A —начальная конц-ия Li , b —радиус покрытия Li , t —время отжига. Температурная зависимость D для Li^+ описывается уравнением: $D = (82 \pm 40) \exp[-(2,42 \pm 0,05) \text{ эв}/kT]$ см²/сек. Найденный D является объемным, а не поверхностным или граничным. Обнаружено, что $D_{Li^+}/D_{Li^0} = 1,07 \pm 0,2$, что

хорошо согласуется с теоретич. значением $D_{Li^+}/D_{Li^0} = (M_{Li^+}/M_{Li^0})^{1/2} = 1,080$, полученным для диффузии по междоузлиям.

И. Светлов

9Б181. Исследование диффузии в упорядочивающихся твердых растворах. Боровский И. Б., Ильин Н. И., Лосева Е. Л. «Тр. Ин-та металлургии. АН СССР», 1960, вып. 6, 77—80.—Исследовано влияние упорядочения на диффузионные процессы в сплавах системы CuAu при 383 и 500°. Распределение элементов в диффузионном слое исследовали рентгеноспект-ральным методом анализа хим. состава в микрообъеме на установке РСАН-2, с разрешающей способностью $\sim 1 \mu$. Установлено, что упорядоченные фазы Cu_3Au и $CuAu$ образуются в диффузионном слое при t -ре ниже критической. Обнаружена параболич. зависимость ширины слоя фазы $CuAu$ от времени отжига. Получены значения коэф. взаимной диффузии для упорядоченных фаз и твердых p -ров при t -ре выше и ниже критической.

А. Бай

9Б182. Влияние добавок железа и никеля на самодиффузию в α -цирконии. Ляшенко В. С., Быков В. Н., Павлинов Л. В. «Физ. металлов и металловедение», 1960, 10, № 5, 727—731.—Исследовали влияние добавок Fe и Ni (до 0,4 вес.%) на самодиффузию в α -Zr. Коэф. диффузии определены с использованием радиоактивного изотопа Zr^{95} при 650—830°. Результаты работы показывают, что легирование железом и никелем снижает коэф. самодиффузии в α -цирконии в 2—3 раза.

Резюме авторов

9Б183. Диффузия антрацена-(9- C^{14}) в монокристаллах антрацена. Sherwood J. N., Thomson S. J. The diffusion of anthracene-9- C^{14} in single crystals of anthracene. «Trans. Faraday Soc.», 1960, 56, № 10, 1443—1451 (англ.).—Методом снятия слоев изучена диффузия молекул антрацена, меченных в положении 9 изотопом C^{14} , в монокристаллах антрацена при 150—190°. На графике зависимости $\lg I$ от x^2 (I —активность CO_2 , x —конц-ия) наблюдается резкий перелом, свидетельствующий о двух диффузионных процессах с разными скоростями. Коэф. диффузии более медленного процесса описывается уравнением $D = 6,5 \cdot 10^{10} \cdot \exp[-42\,400 \pm 1200/RT]$. Предполагается, что диффузия C^{14} в антрацене идет по вакантному механизму.

И. Светлов

9Б184. Распределение и электродиффузия олова в сплавах циркония. Рябова Г. Г., Бабинова Ю. Ф., Грузин П. Л. В сб. «Металлургия и металловедение чистых металлов». Вып. 2. М., Атомиздат, 1960, 115—127.—С применением радиоактивных изотопов Sn^{113} и Sn^{123} , Fe^{59} и Cr^{51} изучены распределение и электроперенос указанных элементов в Zr. Установлено, что в сплавах Zr с Sn имеет место дендритная ликвация, которая сохраняется и может усиливаться после горячейковки и рекристаллизации. Высокотемпературная обработки сплавов приводит к равномерному распределению в них Sn. В диффузионном слое после охлаждения с высоких t -р наблюдается равномерное распределение Sn в сплавах Zr, а после диффузионного отжига в α -области Zr наблюдается распределение Sn по границам зерен. Показано, что Sn находится в Zr в ионизированном состоянии в виде анионов. На основании полученных данных сделана попытка объяснить влияние Sn на коррозионные свойства сплавов.

Резюме авторов

9Б185. Пленки галогенидов одновалентной меди на кристаллах галогенидов щелочных металлов. Крамер L. M. Cuprous halide films on alkali halide crystals. «J. Chem. Phys.», 1960, 33, № 4, 991—993 (англ.).—Пленки галогенидов Cu создавались путем напыления и конденсации в вакууме при комнатной t -ре на подложки из кристаллов галогенидов щел. металлов. Пленки отжигались в течение 15 мин. при t -рах 60—150°. Оптич. спектры поглощения свидетель-

ствуют о том, что отжиг вызывает диффузию CuCl и CuBr в KCl и KBr , но не в KJ или NaCl , а также диффузию CuJ в RbJ , но не в KCl , KBr , KJ или NaCl . Механизм диффузии путем внедрения согласуется с данными, полученными для всех случаев, за исключением CuJ .

Резюме автора
9Б186. Свойства и кристаллизация кремния. Kobayashi Tetsuo. «Тошиба ревю, Toshiba Rev.», 1960, 15, № 6, 597—600 (японск.; рез. англ.).—Показано, что электрич. и физ. свойства монокристаллов кремния зависят от метода получения (вытягивание из расплава или бестигельная зонная плавка).

Из резюме автора
9Б187. Преломление и поглощение света некоторыми кристаллами и стеклами. Медведев Н. М. В сб. «Стеклообраз. состояние». М.—Л., АН СССР, 1960, 318—324. Дискус., 343—344.—Путем выражения состава посредством атомных кол-в и применения ионно-атомных рефракций решается вопрос о зависимости оптич. свойств стекол и кристаллов от хим. состава. Результаты расчета показателя преломления для NaCl и KCl с точностью до нескольких сотых процента согласуются с опытом. Подобные же расчеты для CaF_2 в дальней УФ-области дали отклонение на 0,3—0,4%. Предполагается, что ион Ca^{2+} существенно увеличивает свою рефракцию, вступая в хим. соединения. Аналогичные расчеты выполнены для кварца. Приведены ф-лы зависимости коэф. поглощения от длины волны для NaCl , SiO_2 и кварцевого стекла.

А. Штейнберг
9Б188. Спектроскопическое исследование кристаллов при низких температурах. I—III. Tsujikawa Ikuji. «Нихон кагаку дзасси, Nippon Kagaku Zasshi, J. Chem. Soc. Japan. Pure Chem. Sec.», 1959, 80, № 12, 1385—1393 (японск.)

9Б189. Исследования оптических свойств и экситонных спектров красной и оранжевой модификаций йодной ртути. Sieskind Manuel. Recherches sur les propriétés optiques et les spectres excitoniques des variétés rouge et orangée de l'iodure mercurique. «Rev. Optique», 1960, 39, № 6, 239—287 (франц.).—Проведено спектроскопич. исследование красной и оранжевой модификаций кристаллич. HgI_2 . Оранжевая модификация, метастабильная при комнатной т-ре, получена путем кристаллизации органич. р-ров. Структура и параметры этой модификации изучены с помощью электронной дифракции. Спектр поглощения красной HgI_2 дихроичен. Край непрерывного спектра (соответствующий также началу собственной фотопроводимости) обыкновенного и необыкновенного лучей при 4°K находится соответственно при $\lambda 5230 \pm 50$ и 5050 ± 50 Å. С ростом т-ры он смещается в сторону более длинных волн. Начиная с т-ры жидкого азота, проявляются экситонные полосы, которые с понижением т-ры становятся более отчетливыми. Положение и ширина полос меняются с т-рой. Экситонный спектр необыкновенного луча существенным образом отличается от спектра обыкновенного луча. У оранжевой модификации также наблюдаются экситонные полосы при низких т-рах. У обеих модификаций были найдены при низких т-рах различные спектры люминесценции. Изучены также спектры отражения и определен показатель преломления n . По данным зависимости n от длины волны, а также по зависимости интенсивности отражения оценена сила осциллятора соответствующих переходов.

И. Дыкман
9Б190. Инфракрасные спектры кристаллов. Szegedi B. The infra-red spectra of crystals. «Proc. Roy. Soc.», 1960, A258, № 1294, 377—401 (англ.).—Систематически исследованы эффекты высших порядков в спектрах собственного ИК-поглощения кристаллов. Установлено, что в случае ионных кристаллов потенциал 3-го и 4-го порядка, дипольный момент 2-го и 3-го порядка, а также смешанные члены момента 2-го порядка и

потенциала 3-го порядка вносят в выражения для ИК-спектра члены одного порядка. Уширение основной полосы главным образом обусловлено потенциалом 3-го порядка; боковые полосы могут быть обусловлены моментом 2-го порядка, а также потенциалом 3-го порядка и их смешанными членами. Хотя собственное ИК-поглощение кристаллов, подобных алмазу и германию, обусловлено только моментом 2-го порядка, выражения для ИК-поглощения этих кристаллов и выражения для поглощения ионных кристаллов в боковых полосах напоминают друг друга. Это сходство свидетельствует о том, что спектры всех ионных кристаллов должны иметь ряд вторичных максимумов.

Из резюме автора
9Б191. Комбинационное рассеяние света смешанных кристаллов щелочногалогенных солей. Степанов А. И., Элвашберг М. Б. «Физ. твердого тела», 1960, 2, № 10, 2354—2355.—На основании исследования спектров комб. расс. 2-го порядка KBr и смешанных кристаллов $\text{KBr} \cdot \text{KCl}$ (с 20, 60 и 80% KCl). Сделан вывод, что в чистых кристаллах образование дефектов сопровождается появлением слабо связанных электронов, а в смешанных кристаллах преобладают дефекты без слабо связанных электронов.

А. Штейнберг
9Б192. Длины волн инфракрасного поглощения LiH и LiD в твердом состоянии. Zimmerman W. B., Montgomery D. J. Infrared absorption wavelengths for solid LiH and LiD . «Phys. Rev.», 1960, 120, № 2, 405 (англ.).—При комнатной т-ре в области 12,5—25 μ получены ИК-спектры поглощения тонких пленок LiH и LiD . Главной особенностью этих спектров являются широкие, но четкие максимумы поглощения при 17,0 μ в случае LiH и при 22,4 μ в случае LiD . Наблюдавшееся отношение длин волн $1,32 \pm 0,02$ хорошо согласуется с отношением квадратных корней из приведенных масс, равным 1,33. Это является подтверждением элементарной теории колебаний решетки Борна.

Резюме авторов
9Б193. Некоторые аспекты взаимодействия электромагнитных и упругих волн в твердых телах. Mathieu Jean-Paul, Poulet Henri, Tramer Andre. Sur certains aspects des interactions entre ondes électromagnétiques et ondes élastiques dans les solides. «Z. Elektrochem.», 1960, 64, № 5, 699—701 (франц.).—Представление о переменной электрич. поляризации кристалла, обусловленной колебаниями решетки, применено к объяснению комб. расс. света, рассеяния реаттеновских лучей, отражения и поглощения ИК-лучей кристаллами.

Т. Ребане
9Б194. Исследование длинноволнового края собственного поглощения поликристаллических пленок CdS и ZnSe при низкой температуре. Гросс Е. Ф., Разбири Б. С., Сафаров В. И. «Физ. твердого тела», 1960, 2, № 11, 2945—2949.—Пленки CdS и ZnSe получались сублимацией порошка или кристаллов на стеклянную или кварцевую подложку, разные участки которой имели разную т-ру. Толщина пленок 0,04—2 μ . Установлено, что в пленках, полученных при 500—600°K, длинноволновый край поглощения при т-ре 77,3°K располагался для CdS при 4950 Å, а для ZnSe при 4450 Å. В пленках CdS в этой области наблюдались три сильных пика поглощения, а в пленках ZnSe два сильных и один очень слабый. В спектрах поглощения пленок, полученных при т-рах $< 200^\circ\text{K}$ (холодные пленки), линейчатая структура отсутствует, а длинноволновый край поглощения заметно размыт. Электронографич. исследование участков пленок, полученных при различных т-рах, показало, что во всех случаях пленки CdS растут в гексагональные, а пленки ZnSe — в куб. модификации. Предполагается, что отсутствие дискретной структуры и сильное размытие края поглощения в холодных пленках обусловлено их чрезвычайной мелкокристаллическостью. Прогрев этих пленок, приводящий к сильному укрупнению кристал-

ликов, вызывает появление линейчатой структуры поглощения.

9Б195. Линии поглощения Cr^{3+} в рубине. Low W. Absorption lines of Cr^{3+} in ruby. *J. Chem. Phys.*, 1960, 33, № 4, 1162—1163 (англ.).—Исследован линейчатый спектр хрома в рубине. Обнаружены линии при 14 795, 14 950 и 15 178 см^{-1} . Эти линии отнесены к триплету 2F . Линия при 21 352 см^{-1} отнесена к триплету 2F_2 . Показано, что эти уровни получаются из уровней 2G и 2D соответственно со значительной примесью уровня 2H .

Резюме автора
9Б196. Предварительный анализ спектров иона U^{4+} в кристаллах. Satten Robert A., Young Donald, Gruen Dieter M. Preliminary analysis of U^{4+} ion spectra in crystals. *J. Chem. Phys.*, 1960, 33, № 4, 1140—1151 (англ.).—Приводится анализ ряда особенностей спектров поглощения ионов U^{4+} в кристаллах. При компактной т-ре, т-рах жидкого азота и жидкого гелия изучены спектры поглощения кристаллич. соединений Cs_2UCl_6 , $[\text{N}(\text{CH}_3)_4]_2\text{UCl}_6$ и $[\text{N}(\text{C}_2\text{H}_5)_4]_2\text{UCl}_6$. Видимый спектр носит целиком колебательный характер. В массивных кристаллах чисто электронные переходы отсутствуют или очень слабы, что согласуется с моделью дипольных переходов в пределах оболочек $5f^2$ в равновесном положении, характеризующем симметрией инверсии. Предполагается, что это первый обнаруженный случай практически чисто колебательного спектра солей редкоземельных элементов и актиноидов. Слабые чисто электронные переходы оказываются чрезвычайно реактивными, что свидетельствует о значительном экранировании в электронных состояниях $5f$. Сходство спектров трех изученных солей обусловлено тем, что кристаллич. поле в основном создает ближайшие соседние ионы Cl^- . Из резюме авторов

9Б197. Спектры поглощения и эффект Зеемана примесей меди и цинка в германии. Fisher P., Fan H. Y. Absorption spectra and Zeeman effect of copper and zinc impurities in germanium. *Phys. Rev. Letters*, 1960, 5, № 5, 195—197 (англ.).—Измерения спектров поглощения и зеемановского расщепления проводились при т-ре жидкого He. Использовались образцы Ge, соответствующим образом скомпенсированные примесью Sb. В спектре поглощения Zn^{2+} обнаружены только две линии. Расстояние между этими линиями примерно в 4,6 раза больше соответствующего расстояния в случае других акцепторов. В случае Cu обнаружены линии, идентифицированные с линиями B, C, D и G в спектрах поглощения других примесей. Установлено, что в магнитном поле линия D расщепляется во всех случаях на две компоненты, причем величина расщепления пропорциональна напряженности магнитного поля. Линия C для Zn и Cu уширяется и смещается в сторону больших энергий. В более сильных магнитных полях она разрешается на две компоненты. Эффект Зеемана, наблюдавшийся на линиях C и D, подтверждает предположение о том, что возбужденные состояния Cu и Zn аналогичны соответствующим состояниям примесей 3-й группы периодической системы и что наблюдаемый эффект в основном связан с возбужденными состояниями. Отмечено, что линии поглощения примесей в Ge гораздо уже соответствующих линий примесей в Si.

Резюме автора
9Б198. Локализованные ветви колебаний в кристаллах и детали спектра оптического поглощения. Engelman Robert. Localized moles in crystals and sharp details of the optical absorption spectra. *Philos. Mag.*, 1960, 5, № 55, 691—695 (англ.).—Дано качественное объяснение вида полосы поглощения (при 77° K), обусловленной наличием иона Cr в кристаллах MgO и Al_2O_3 . Возникновение локальных ветвей колебаний объясняется различием масс примесных катионов и катионов основной решетки. Отмечается, что при поглощении света катионами основной решетки возмож-

но возникновение локальных ветвей колебаний. Эксперим. данные указывают на наличие в кристалле типа каменной соли ветви T_{2g} локализованных колебаний.

И. Дикман
9Б199. Колебательная связь в возбужденном состоянии рубина $^4T_{2g}$. Ford R. A., Hill O. F. Vibronic coupling in the $^4T_{2g}$ excited state of ruby. *Spectrochim. acta*, 1960, 16, № 4, 493—496 (англ.).—При т-ре жидкого азота изучен спектр поглощения рубина (синтетич. кристалл корунда с примесью 0,05% Cr^{3+}) в области 5500 Å. При поляризации перпендикулярно оси C_2 обнаружена структура, которая определена как колебательная с частотами 216 и 178 см^{-1} . Эти частоты авторами связываются с частотами корунда 244 и 194 см^{-1} , возмущенными примесью Cr^{3+} . Наиболее длинноволновая полоса 16 760 см^{-1} принята как 0—0-полоса. Полученный спектр интерпретируется как расщепление возбужденного состояния $^4T_{2g}$ в кристаллич. поле.

И. Дикман
9Б200. Экситонные, электронные и дырочные процессы в аммонийгалогидных кристаллофосфорах. Луцкий Ч. Б., Уйбо Л. Я. «Тр. Ин-та физ. и астрон. АН ЭССР», 1960, № 12, 275—277.—На основании изучения литературных данных по спектрам поглощения и возбуждения щелочногалогидных кристаллов (ЩГК) и аммонийно-галогидных кристаллов (АГК) сделан вывод, что физ. явления, охватывающие в основном анионную подрешетку кристаллов, в ЩГК и АГК очень близки. Процессы, протекающие в катионной подрешетке кристаллов, в ЩГК и АГК существенно различны. Это рассматривается как эксперим. подтверждение того, что дырки движутся по анионной, а электроны по катионной подрешетке кристаллов.

А. Штейнберг
9Б201. Структура частиц активированного свинцом силиката кальция и спектры его люминесценции. Такаги К. «Нихон кагаку дзасси, Nippon Kagaku zasshi, J. Chem. Soc. Japan. Pure Chem. Sec.», 1960, 81, № 9, 1401—1404, A95 (японск.; рез. англ.).—Наблюдались спектры люминесценции прокаленных смесей CaCO_3 и SiO_2 с небольшими кол-вами $\text{Pb}(\text{NO}_3)_2$. Сместив максимум спектрального распределения зависит от степени прокаливания; это явление связано с последовательными превращениями в массе в-ва: $2\text{CaO} \cdot \text{SiO}_2 \rightarrow 3\text{CaO} \cdot 2\text{SiO}_2 \rightarrow \text{CaO} \cdot \text{SiO}_2$. Частицы образовавшегося таким образом в-ва состоят из нескольких концентрически расположенных слоев.

Резюме автора
9Б202. Кристаллофосфоры на основе галогидных солей металлов второй группы. Малышева А. Ф. «Тр. Ин-та физ. и астрон. АН ЭССР», 1960, № 12, 111—124 (рез. англ.).—Исследованы спектры поглощения, возбуждения и излучения фосфоров на основе галогидных солей некоторых металлов 2-й группы периодической системы, активированных Pb и Tl. Максимумы полос поглощения (возбуждения) этих фосфоров сопоставлены с электронными переходами в свободных ионах Pb и Tl. Отмечено малое различие в структуре спектров поглощения изученных фосфоров и щелочногалогидных фосфоров с теми же активаторами. Из сопоставления спектров излучения Tl-фосфоров на основе галогидных солей металлов 1-й и 2-й группы периодической системы делается вывод о наличии в фосфорах 2-й группы центров люминесценции одного типа, а в фосфорах 1-й группы возможно существование центров двух типов. Это различие связывается с разной зарядностью катионов основной решетки в этих фосфорах. Рассмотрены спектры поглощения чистых галогидных солей металлов 1-й и 2-й групп.

Р. А.
9Б203. Механизм окрашивания галогенидов щелочных металлов при низких температурах. Klick Clifford C. Mechanism for coloration of alkali halides at low temperatures. *Phys. Rev.*, 1960, 120, № 3, 760—762 (англ.).—Предложен механизм низкотемпера-

турного окрашивания галогенидов щел. металлов, заключающийся в том, что двукратная ионизация галогенидного иона или однократная ионизация двух смежных галогенидных ионов приводит к образованию незаряженной галогенидной молекулы, которая занимает два смежных галогенидных узла решетки. Если молекула локализуется в одном из этих узлов путем перехода ближайшего галогенидного иона в другой узел, то при этом возникают вакансии и внедренный атом. Захват электрона любым из этих несовершенств приводит к образованию *F*-центра и *H*-центра. Резюме автора

9Б204. Влияние температуры на две серии полос спектра зеленой флуоресценции чистого сернистого кадмия при низкой температуре. Банси-Грийо М., Гросс Е. Ф., Грийо Э., Разбирин Б. С. «Оптика и спектроскопия», 1960, 9, № 4, 542—544. — При 4—77° К исследована люминесценция различных кристаллов CdS. Обнаружено, что в случае кристаллов, у которых при 4° К наблюдается только 2-я серия полос (19310—300 с.м^{-1}), интенсивность этих полос при нагревании падает, и при этом появляются полосы 1-й серии (19450—300 с.м^{-1}), которые с ростом *т*-ры становятся более интенсивными. При 77° К полосы 2-й серии совершенно исчезают. Если спектр зеленой люминесценции кристалла при 4° К состоит только из полос 1-й серии, то нагревание образца до 77° К не приводит к появлению полос 2-й серии, а интенсивность полос 1-й серии существенно не меняется. Если при 4° К присутствуют одновременно обе серии, то с ростом *т*-ры при 77° К остается только 1-я серия. Подобное же перераспределение интенсивностей наблюдалось при наложении электрич. поля и погружении кристалла в жидкий Н₂. А. Штейнберг

9Б205. Влияние температуры на затухание фосфоресценции борных люминофоров. Халуповский М. Д. «Оптика и спектроскопия», 1960, 9, № 4, 525—527. — Рассмотрено влияние *т*-ры на закон затухания отдельных участков спектров люминесценции борных люминофоров. Активаторами служили фталевая, салициловая, сульфосалициловая и галловая к-ты, фталевый ангидрид, фталимид, фенантрен, флуоресцен, уранин. В случае борно-фталевого фосфора все участки спектра фосфоресценции затухают одинаково. Скорость затухания фосфоресценции борно-флуоресцеинового фосфора зависит при комнатной *т*-ре от длины волны; когда *т*-ра достигает 30—40°, скорость затухания становится примерно одинаковой для различных участков спектра. Закон затухания каждого спектрального участка люминесценции борно-фенантренового люминофора может быть аппроксимирован экспонентой, однако декременты затухания различных участков оказываются различными. А. Штейнберг

9Б206. Изучение разгорания люминесценции цинк-сульфидных фосфоров в области температурного тушения. Суворова Л. А. «Изв. высш. учебн. заведений. Физика», 1960, № 5, 124—130. — Подробно исследованы процессы разгорания и затухания люминесценции в области температурного тушения для кристаллофосфоров ZnS(Cu) (Cu 10^{-4} ат.); ZnS(Cu, Fe) (Cu $5 \cdot 10^{-5}$ ат. , Fe $2 \cdot 10^{-6}$ ат.) и ZnS(Cu) (ФКП-03*). Изучено влияние интенсивности возбуждающего света на процессы разгорания люминесценции. Предложена ф-ла для описания разгорания люминесценции в области температурного тушения, хорошо согласующаяся с результатами экспериментов. Из резюме автора

9Б207. Спектроскопия примесных центров в щелочно-галогенидных кристаллах, активированных благородными ионами. Луцкий Н. Е., Зазубович С. Г. «Тр. Ин-та физ. и астрон. АН ЭССР», 1960, № 12, 267—270. — Детально исследованы спектральные характеристики монокристаллов KCl и KBr, активированных Cu, Ag и Au. На основании сравнения характеристик примесных центров в кристаллах и свободных

ионов благородных металлов сделан вывод, что центрами люминесценции в кристаллах являются ионы Cu⁺, Ag⁺ и Au⁺, взаимодействующие с ближайшим окружением кристаллич. решетки. При поглощении и излучении света центрами меняется электронное состояние ионов благородных металлов и их взаимодействие с кристаллом. Основные полосы активаторного поглощения соответствуют электронным переходам $nd^{10} \rightarrow nd^9(n+1)p$. А. Штейнберг

9Б208. О роли дислокаций и границ блоков в люминесценции щелочно-галогенидных кристаллофосфоров. Гиндина Р. И. «Тр. Ин-та физ. и астрон. АН ЭССР», 1960, № 12, 271—274. — Исследованы рассеяние света и люминесценция монокристаллич. фосфоров: NaCl(Pb), KCl(Ag), KCl(Cu), KBr(Au), KJ(Tl), NaCl(Pb, Mn). При пластич. деформации сжатием кристаллов KCl(Tl), KBr(Tl), KJ(Tl), KBr(In), приводящей к возрастанию числа дислокаций на несколько порядков, активаторная абсорбция кристаллов почти не изменяется. Это объяснено отсутствием связи активатора, ответственного за поглощение, с дислокациями. Полученные результаты свидетельствуют в пользу того, что основными центрами люминесценции в активаторными центрами захвата электронов в щелочно-галогенидных кристаллах являются ионы активатора, расположенные в объемных узлах кристаллич. решетки. А. Штейнберг

9Б209. О валентности активатора марганца в кристаллофосфорах. Осико В. В., Максимова Г. В. «Оптика и спектроскопия», 1960, 9, № 4, 478—481. — В большом числе кристаллофосфоров химико-аналитическим методом изучалось валентное состояние активатора Mn. Определялась средняя валентность Mn в системе люминофора. Предполагается, что валентность Mn определяется совокупностью кристаллохим. и физ.-хим. факторов, а также свойствами соединения, в виде которого вводится Mn, и фазовым составом системы. При этом влияет также степень отклонения системы люминофора от состояния термодинамич. равновесия. А. Штейнберг

9Б210. Неизотермическая релаксация спектров люминесценции рентгеновонных кристаллов KCl, активированных ионами Tl⁺, In⁺, Ag⁺, Cu⁺. Витол И. В. «Оптика и спектроскопия», 1960, 9, № 4, 535—538. — Приведены результаты исследования спектров термолуминесценции кристаллов KCl, содержащих ионы Tl⁺, In⁺, Cu⁺, Ag⁺, Pb²⁺ и Sn²⁺. Полученные данные свидетельствуют о том, что при освобождении электронов с уровня захвата одного и того же типа в спектрах кристаллов, содержащих различные ионы активатора, наблюдаются полосы излучения, соответствующие электронным переходам в ионах активатора. Это строго доказывается пространственное разделение мест локализации электронов и мест, где происходит акт излучения, т. е. рекомбинационный характер фосфоресценции кристаллов галогенидов щел. металлов. А. Штейнберг

9Б211. Структура *F*-полосы в бромиде цезия. Rubin Herbert, Schulman James H. *F-band structure in cesium bromide*. «Phys. Rev. Letters», 1960, 4, № 6, 280—282 (англ.). — Исследовали *F*-полосу оптич. поглощения в кристаллах CsBr при комнатной *т*-ре и жидкого Ne. При комнатной *т*-ре спектры поглощения CsBr подобны спектрам поглощения *F*-центров в кристаллах галогенидов щел. металлов типа NaBr. При гелиевых *т*-рах в CsBr появляется субструктура *F*-полосы, связанная, по мнению авторов, с возбужденным состоянием *F*-центров, что отличается от поглощения *F*-полосы в кристаллах галогенидов щел. металлов типа NaCl. Р. Сурт

9Б212. *F*-центры в смешанных кристаллах NaCl-KCl. Burgers W. G. *F-centra in mengkristallen van NaCl en KCl*. «Verslag. Koninkl. nederl. akad. wet. Al

naturkunde», 1960, 69, № 7, 108—113 (гол.).—Обзор. Библ. 12 назв.

9Б213. Создание F-центров в кристалле KJ—Ti ультрафиолетовой радиацией. Лидья Г. Г., Язк И. В. «Тр. Ин-та физ. и астрон. АН ЭССР», 1960, № 12, 281—284.—Подробно изучены процессы создания F-центров в монокристаллич. слоях фосфора KJ(Ti). Установлено, что в зависимости от энергии возбуждения наблюдаются 3 различных механизма аккумуляции световой энергии: электронно-дырочный, экситонный и «делокализованный» (РЖХим, 1960, № 9, 33849). Все они приводят к образованию F-центров. Исследована также люминесценция KJ(Ti) во время возбуждения. Стационарное свечение состоит из двух компонент: «быстрой» (время разгорания менее 1 сек.) и «рекомбинационной» (время разгорания порядка 1 мин.). При возбуждении в области основного поглощения наблюдается внешнее температурное тушение: рекомбинационная часть гасится при 260—370° К, то есть значительно раньше, чем наступает внутреннее тушение. А. Штейнберг

9Б214. Механизмы фосфоресценции. I. Метод исследования и общий анализ. II. Описание фосфорометра. III. Метод анализа. IV. Скорости затухания спектров свечения рубина, уранового стекла и активированного марганцем сульфида цинка. Billington C. Phosphorescence mechanisms. I. Approach and general analysis. II. Description of phosphorimeter. III. Method of analysis. IV. Decay rate spectra of ruby, uranium glass, and Mn-activated zinc sulfide. «Phys. Rev.», 1960, 120, № 3, 697—701; 702—707; 708—709; 710—714 (англ.).—I. Описан метод изучения механизмов затухания свечения фосфоров. Если фосфор возбуждается излучением, интенсивность которого модулируется менее чем на 10%, то интенсивность испускаемого излучения содержит незначительную гармонику, составляющую. Количеств. сравнение этих двух модулированных сигналов, проводимое с достаточной точностью и в достаточно широком интервале, позволяет качественно выделять отдельные основные механизмы и проводить их количеств. анализ. В частности, таким путем удается с полной достоверностью различать мономолекулярные и бимолекулярные процессы.

II. Фосфорометр предназначен для возбуждения фосфора УФ-излучением, интенсивность которого синусоидально модулирована, для измерения частоты модуляции, для оценки интенсивностей возбуждения и излучения и получения из их модулированных компонент соответствующих коэф. затухания.

III. Описан метод обработки эксперим. данных для случая, когда фосфоресценция распределена между рядом конкурирующих компонент с различными скоростями затухания.

IV. С помощью фосфорометра изучены рубин, урановое стекло и ZnS(Mn); исследования проводились при различных т-рах и различных средних интенсивностях возбуждения. По мнению автора, часть механизмов фосфоресценции, действующих в кристаллах ZnS(Mn), включает рекомбинацию. Из резюме автора

9Б215. Экспериментальная методика исследования температурной зависимости рентгеновских спектров поглощения порошкообразных веществ. Старый И. В., Бриль М. Н. «Научн. зап. физ.-матем. фак. Одесск. гос. пед. ин-та», 1958, 22, № 1, 87.—Для возможности изучения температурных зависимостей при высоких т-рах (> 200°) предложена методика изготовления поглотителей на основе асбеста. В. Штерн

9Б216. К вопросу о природе асимметрии $K_{\alpha 1,2}$ -линий рентгеновского спектра. Котляр Б. И. «Научн. зап. физ.-матем. фак. Одесск. гос. пед. ин-та», 1958, 22, № 1, 77—80.—Высказаны некоторые соображения о возможности использования асимметрии рентгенов-

ских K_{α} -линий для суждения о кристаллохим. структуре твердых тел. В. Штерн

9Б217. Электропроводность бурм. Jelenić I., Lovreček B., Maričić S., Vekseli Z. Electrical conductivity of borax. «Croat. chem. acta», 1960, 32, № 2, 111—113 (англ.; рез. сербо-хем.)

9Б218. Электрические свойства Ag_2Te . Gottlieb G. E., Kane W. M., Walsh J. F., Wood C. Electrical properties of Ag_2Te . «J. Phys. and Chem. Solids», 1960, 15, № 1-2, 183—185 (англ.)

9Б219. Электропроводность окиси магния. Schmalzried Hermann. Electrical conduction in magnesium oxide. «J. Chem. Phys.», 1960, 33, № 3, 940 (англ.).—Для проверки типа проводимости в монокристалле MgO измерена э. д. с. элемента Pt|Fe, FeO|MgO|Ni, NiO|Pt. Монокристаллы MgO имели форму диска и содержали 8, 100 и 1300 ч. Fe на 1 млн. При 1100° э. д. с. каждого из трех элементов составляла $0,285 \pm 0,01$ в. Сравнение результатов с данными других авторов показывает, что при 1100° MgO свойственна в основном ионная, а не электронная проводимость. Соотношение между ионной и электронной проводимостью изменяется в зависимости от величины хим. потенциала неметаллич. компонентов.

В. Миркин
9Б220. Замечания к письму д-ра Шмалзрида. Mitoff S. P. Comments on Dr. Schmalzried's letter. «J. Chem. Phys.», 1960, 33, № 3, 941 (англ.).—В согласии с предыдущей статьей (реф. 9Б219) автор считает проводимость MgO преимущественно ионной. Однако по полученным им данным ~17% тока переносится электронами.

9Б221. Переполаризационные свойства тетраметил-аммонийтрихлоромеркурата. Fatuzzo E. Switching properties of tetramethylammonium-trichloro-mercurate. «Proc. Phys. Soc.», 1960, 76, № 5, 797—799 (англ.).—Измерена зависимость времени переполаризации τ_s от приложенного электрич. поля E и т-ры на монокристаллах образцов тетраметиламмонийтрихлоромеркурата. Обнаружено, что для всех т-р выполняется соотношение $\tau_s = kE^{-n}$, где k — постоянная, а n — число, величина которого падает от 7 при комнатной т-ре до 3 при 200°.

Г. Степанов
9Б222. Рентгенографическое исследование и электрические свойства $Ba_xSr_{(1-x)}MoO_3$. Brixner L. H. X-ray study and electrical properties of the system $Ba_xSr_{(1-x)}MoO_3$. «J. Inorg. and Nucl. Chem.», 1960, 14, № 3-4, 225—230 (англ.).— $BaMoO_3$ и $SrMoO_3$ обладают неограниченной растворимостью друг в друге и образуют твердый р-р типа $Ba_xSr_{(1-x)}MoO_3$ (I). При изменении x от 1 до 0 параметр решетки I линейно уменьшался от 4,0404 до 3,9751 Å. Уд. электросопротивление ρ при этом увеличивается от 53 до 78,2 мом.см. ρ увеличивается с возрастанием т-ры, что свидетельствует о металлич. проводимости I. Исследования термо-э. д. с. и теплопроводности I также подтвердили предположение о металлич. характере I. И. Левтонов

9Б223. К теории диэлектрических свойств галогенидов щелочных металлов. Havinga E. E. Contribution to the theory of the dielectric properties of the alkali halides. «Phys. Rev.», 1960, 119, № 4, 1193—1198 (англ.).—Выведены некоторые соотношения между диэлектрич. свойствами гранецентр. куб. ионных кристаллов на основе оболочечной модели. Эти соотношения, не содержащие констант, характерных для модели, хорошо согласуются с наблюдаемыми.

Из резюме авторов
9Б224. Электропроводность и фотопроводимость слоев окиси свинца, обработанных серой, селеном и теллуром. Коноров П. П., Соколов А. Н. «Физ. твердого тела», 1960, 2, № 9, 2240—2242.—Описаны технологии напыления слоев PbO и два способа обработки их парам серы, селена и теллура. Обработанные па-

рами слоев PbO подвергались прогреву на воздухе до 250° и быстрому охлаждению. Зависимость электропроводности от t -ра и спектральное распределение фотопроводимости слоев показали, что фотопроводимость в ИК-области спектра имеет примесный характер и связана с внедрением атомов S и Se в решетку PbO. Большие размеры атомов Te препятствуют их внедрению в решетку PbO и практически не создают ИК-чувствительности.

9Б225. Зависимость явлений дипольной релаксации от температуры. Le Montagner S. Phénomènes de relaxation dipolaire en fonction de la température, «J. phys. et radium», 1960, 21, № 7, 609—614 (франц.; рез. англ.).—Исследованы ур-ния Дебая для дипольной релаксации, причем в качестве независимой переменной выбрана t -ра (T), а не частота (ω), что позволяет существенно упростить эксперимент. Теоретически предсказана форма кривых $\epsilon(T)$ (ϵ — диэлектрич. постоянная) при постоянной ω ; рассмотрено поведение действительной и мнимой частей ϵ . Показано, что на кривых может возникать максимум, положение которого зависит от ω . Полученные кривые заметно отличаются от классич. $\epsilon(\omega)$, особенно в областях, где $d\epsilon/dT < 0$ (ϵ — статич. ϵ при $\omega = 0$), т. е. вблизи фазового перехода. Приведено сравнение с экспериментом для аммониевых квасцов (алюминиевых и железных).

9Б226. Диэлектрические свойства керамики на основе смешанных титанатов и цирконатов свинца при низких частотах. Gerson Robert. Dielectric properties of lead titanate zirconate ceramics at very low frequencies. «J. Appl. Phys.», 1960, 31, № 9, 1615—1617 (англ.).—Исследованы диэлектрич. свойства $PbZr_{0.53}Pb_{0.47}O_3$ (I) и I с добавкой 1% Nb при 25—140° и частотах $f = 0,1$ —10 гц . При изменении f диэлектрич. постоянная ϵ/ϵ_0 и коэф. затухания R керамики I с добавкой 1% Nb слабо изменяются при 28 и 100°, однако при 140° с уменьшением f значения ϵ/ϵ_0 и R возрастают. Для I изменение свойств с уменьшением f обнаруживается уже при комнатных t -рах и весьма сильно выражено при 100°. Эти явления, по-видимому, объясняются аномальной проводимостью, а не сегнето-электрич. поляризацией. При исследованных t -рах и частотах обнаружена линейная связь между действительной и мнимой компонентами диэлектрич. постоянной.

9Б227. Метод расчета внутренних электрических полей в сложных дипольных структурах и его применение к CaTiO_3 . Соловьев С. П., Веневцев Ю. Н., Жданов Г. С., Иванова В. В. «Изв. АН СССР. Сер. физ.», 1960, 24, № 10, 1191—1194

9Б228. Внутренние поля, действующие в некоторых сегнето- и антисегнетоэлектрических модельных структурах на основе BaTiO_3 . Крайник Н. Н. «Изв. АН СССР. Сер. физ.», 1960, 24, № 10, 1187—1190

9Б229. Исследование возможности управления электропроводностью сегнетоэлектрического метанбита свинца путем введения малых добавок. Гуревич В. М., Рез И. С. «Изв. АН СССР. Сер. физ.», 1960, 24, № 10, 1259—1260.—При 100—500° определяли влияние вводимых примесей Li^+ , K^+ и La^{3+} на температурную зависимость электропроводности чистого PbNbO_3 с t -рой Кюри — 560—580°.

9Б230. О сегнетоэлектрических свойствах NaNbO_3 . Сонин А. С., Желудев И. С., Добржанский Г. Ф. «Изв. АН СССР. Сер. физ.», 1960, 24, № 10, 1209—1212.—При 0—200° исследовали температурную зависимость диэлектрич. проницаемости ϵ и вид петли гистерезиса для монокристаллич. образцов NaNbO_3 . Измерение ϵ производили при 500 гц по осям a , b и c кристалла. Найдено, что при t -ре фазового перехода (165°) ϵ_a , ϵ_b и ϵ_c имеют резкие максимумы и достигают величин 13, 7 и 600 соответственно. Петли гистерезиса

исследовали при 50 гц с помощью схемы, предусматривающей компенсацию проводимости. Обнаружено, что петли гистерезиса появляются лишь при t -рах $> 120^\circ$. Рассчитанные по петлям гистерезиса температурные зависимости спонтанной поляризации P_s и эрривитивной силы E_k показывают резкое уменьшение P_s и E_k при приближении к точке Кюри и указывают на большую электрич. жесткость NaNbO_3 в интервале 0—147°.

9Б231. Парамагнитный резонанс в твердых веществах. Vrehen Q. H. F., Volger J. Paramagnetische resonantie in de vaste stof. «Nederl. tijdschr. natuurkunde», 1960, 26, № 10, 289—304 (гол.).—Обзор. Выб. 19 назв.

9Б232. Парамагнитный и оптический спектры итербия в кубическом поле фторида кальция. Low W. Paramagnetic and optical spectra of ytterbium in the cubic field of calcium fluoride. «Phys. Rev.», 1960, 118, № 6, 1608—1609 (англ.).—Основное состояние иона Yb^{3+} ($^2F_{7/2}$) расщепляется в куб. поле на дублеты симметрии Γ_6 и Γ_7 и кватрет Γ_8 . Вычисленный g -фактор дублет Γ_7 изотропен и равен $34/7$. Измерения спектра парамагнитного резонанса ионов Yb^{3+} в CaF_2 проведены на волне 3 см при t -ре 20° К. Наблюдаемый спектр описан гамма-функцией $g\beta H \cdot S + A I \cdot S$ с константами $g = 3,426$, $S = 1/2$, $A^{173} = 886,5 \cdot 10^{-4}$, $A^{175} = 242,4 \cdot 10^{-4} \text{ см}^{-1}$, $I^{173} = 1/2$, $I^{175} = 5/2$; отношение моментов ядер равно $\mu^{173}/\mu^{175} = 1,374$. Судя по g -факторам, нижним является дублет Γ_7 . Оптич. спектр поглощения состоит из линий 9774, 9770 и 9763 Å, а также более широких полос 9060 и 12730 Å. Оптич. линии обусловлены переходами между штарковскими подуровнями $^2F_{7/2}$ и $^2F_{5/2}$; последний уровень лежит выше нижнего на 10 300 см^{-1} .

9Б233. Изучение поликристаллического NH_4ClO_4 методом ядерного магнитного резонанса. Ibers J. A. Nuclear magnetic resonance study of polycrystalline NH_4ClO_4 . «J. Chem. Phys.», 1960, 32, № 5, 1448—1449 (англ.).—Для интерпретации результатов по дифракции нейтронов из NH_4ClO_4 пришлось допустить, что группы NH_4 при комнатной t -ре находятся в свободном вращении вокруг произвольных осей. Для изучения движения групп NH_4 применен метод протонного резонанса. Второй момент протонных линий оказался равным 1,27 и 1,48 э^2 при 70 и 298° К соответственно, тогда как для находящихся в покое групп NH_4 теоретически 2-й момент должен быть равен $\sim 40 \text{ э}^2$. Определены также значения T_1 для протонов, равные 0,0059, 0,083, 0,143 и 0,154 сек. при 77, 102, 114 и 298° К. Судя по температурным изменениям второго момента и T_1 , вращение групп NH_4 происходит с преодолением барьера 2,0 ккал. Полученные данные сравниваются с результатами измерений в NH_4Cl , NH_4Br , NH_4I .

9Б234. Резонансное поглощение в твердом циклогексане. Rasmussen Robert A. Resonance absorption in solid cyclohexane. «J. Acoust. Soc. America», 1960, 32, № 6, 774—775 (англ.).—Вследствие взаимодействия между акустич. колебаниями мол. кристалла и внутренними колебаниями молекул возможно дополнительное большое поглощение ультразвука. Измерения этого поглощения произведены на частотах 3—8 Мгц на монокристаллах циклогексана длиной 6 дм , diam. 10 см . Ультразвук направлялся импульсами длительностью 10 $\mu\text{сек}$. Скорость звука оказалась равной $1,86 \cdot 10^5 \text{ см/сек}$. Поглощение довольно быстро возрастает с частотой ультразвука; скорость роста совпадает с предсказываемой теорией.

9Б235. Ядерный магнитный резонанс в литий-разбавленных литий-магниевого сплавах. Hughes D. G. Nuclear magnetic resonance in lithium and dilute lithium-magnesium alloys. «Philos. Mag.», 1960, 5, № 5, 467—471 (англ.).—Измерены лантоский сдвиг (относительно резонанса свободного иона Li^{2+}) для

сплошно резонанс Li^{2+} — Mg тивного линей в славе Li состав ширине квадруто возбужда снуается диффузии 10 ат. % нов в сл

9Б236. Свaki A. de 25, № 2, ых сини досылку кутками велико (ильност стоянного сть им магичин ройки и кутками ады вре тем удов ией сиги азвертк

9Б237. магнитом K. Валие magnetic 1960, 118, 1958, № на ядрах снены в дер F^{19} тате удов морфен с ожения и ориент ия проп рациюпо нным н одного ироном F а попе рона от 9Б238. трямым angled su e 10, 498, ого обм использо ые обес ноль при т КОВ еличина использо том под ом оказ ьшого ия обос ричной ьль бол обитыми 9Б239. bira n

Химия

сительно линии Li^{7} в водн. р-ре LiCl и ширина ΔH резонансной линии ядер Li^{7} в металлич. Li и в сплавах $\text{Li}-\text{Mg}$ при конц-ях $\text{Mg} < 10$ ат.%. Измерения нейтронского сдвига проведены в поле 6750 э при t -ре 75° ; ширина линейно убывает по мере увеличения конц-и Mg в сплаве. Ширина линии в твердой решетке в чистом Li составляет 6,2 э и в сплаве с 10 ат.% Mg 5,9 э; эта ширина обусловлена дипольными взаимодействиями; квадратичное уширение отсутствует. При нагревании возбуждается самодиффузия атомов, и линия скачком сужается; судя по t -ре перехода, энергия активации диффузии в чистом Li равна 13,1 ккал/моль, а в сплаве с 10 ат.% Mg 14,5 ккал/моль; как видно, упаковка атомов в сплаве более плотная, чем в чистом Li .

К. Валиев

95236. Об измерении T_1 методом спинного эхо. Saaki Attila, Béne Georges. Une méthode de mesure de T_1 par échos de spin. «C. r. Acad. sci.», 1960, 251, № 2, 228—229 (франц.).—Методики стимулированных спинных эхо для измерения T_1 предусматривают посылку на образец пар импульсов 180° , 90° , с промежутками времени между парами больше T_1 . Если T_1 велико (~ 20 сек.), указанные методики требуют стабильности частоты генератора и напряженности постоянного поля. Авторы предложили последовательность импульсов, позволяющую записать кривую намагничивания $M(t)$ в течение времени порядка T_1 : три импульса 90° , 180° , 90° посылаются с промежутками времени t_2 после 1-го 180° импульса; интервалы времени в пределах одной тройки равны $2t_1$, причем удовлетворяется условие $T_1 > t_2 \gg 2t_1$. По отбоям сигнала эхо на экране осциллографа с линейной разверткой можно определять T_1 .

К. Валиев

95237. Ядерный магнитный резонанс в парамагнитном FeF_2 . Stout J. W., Shulman R. G. Nuclear magnetic resonance in paramagnetic FeF_2 . «Phys. Rev.», 1960, 118, № 5, 1136—1141 (англ.).—Ранее (РЖХим, 1958, № 19, 63476; № 23, 76370) был изучен резонанс на ядрах F^{19} в MnF_2 ; особенности резонанса были объяснены возникновением сверхтонкого взаимодействия ядер F^{19} и магнитных электронов ионов Mn^{2+} в результате электронного перехода $\text{Mn} \rightarrow \text{F}$. Фторид FeF_2 изоморфен с MnF_2 . Резонансная линия F^{19} смещена от положения линии F^{19} в диамагнетике: $h\nu = g_N \beta_N H(1 + a)$; смещение a составляет $(3-7) \cdot 10^{-2}$ и зависит от t -ры ориентации кристалла в магнитном поле. Измерения проведены на частоте 60 Мгц. Линия имеет лоренцеву форму; при 300°K $T_2 \approx 10^{-6}$ сек. По наблюдаемым значениям a вычислены постоянные сверхтонкого взаимодействия спина F^{19} с магнитным электроном Fe^{2+} , а также степень электронного перехода: на ионе F^- присутствует 0,46% неспаренного $2s$ -электрона от каждого из ближайших ионов Fe^{2+} .

95238. Косвенное обменное взаимодействие под прямым углом. Casselman T. N., Keffer F. Right-angled superexchange. «Phys. Rev. Letters», 1960, 4, № 10, 498—500 (англ.).—Общепринятая модель косвенного обменного взаимодействия (КОВ) основана на использовании гантелеобразных p_x -орбит аниона, которые обеспечивают связь катионов, расположенных под прямым углом по обе стороны от аниона. Расчет КОВ с использованием p_x -орбит показывает, что величина КОВ имеет такой же порядок, что и при использовании p_z -орбит, но катионы расположены при этом под прямыми углами относительно аниона. При этом оказывается возможным объяснить участие в КОВ большого числа ближайших соседей, что необходимо для обоснования наблюдаемого значения t -ры Неэля. Причиной появления нового типа КОВ является очень большое перекрытие p_x -орбит аниона с (xy -) орбитами катиона.

А. Бердышев

95239. Нейтроннографическое исследование Ti_2O_3 . Hirane G., Pickart S. J., Newnham R. Neutron-

diffraction study of Ti_2O_3 . «J. Phys. and Chem. Solids», 1960, 13, № 1-2, 166—168 (англ.).—Проведено нейтроннографич. исследование магнитной структуры Ti_2O_3 (структура типа корунда) на порошках и монокристалле. Не обнаружено никакого магнитного упорядочения в интервале t -р от комнатной до $4,2^\circ \text{K}$. Полученные нейтроннограммы интерпретировались с хорошей степенью точности ядерным рассеянием ромбоэдрич. Ti_2O_3 с параметрами, определяющими положение атомов Ti и O , равными $u = 0,345$ и $x = 0,565$ соответственно. Максим. величина магнитного момента атомов Ti в предположении наличия антиферромагнитного упорядочения оценена в $0,5 \mu_B$ из порошковых и в $0,3 \mu_B$ из монокристалльных данных. Наличие аномалий на кривых температурной зависимости магнитной восприимчивости объясняется гипотезой об упорядочении валентных электронов по связям, что приводит к малому магнитному моменту атомов Ti .

Р. Озеров

95240. Нейтроннографическое исследование антиферромагнетизма CrF_2 и CrCl_2 . Cable J. W., Wilkins M. K., Wollan E. O. Neutron diffraction studies of antiferromagnetism in CrF_2 and CrCl_2 . «Phys. Rev.», 1960, 118, № 4, 950—955 (англ.).—На порошках CrF_2 (I) и CrCl_2 (II) проведено нейтроннографич. исследование их магнитной структуры при t -ре от комнатной до $4,2^\circ \text{K}$. Искажения атомной структуры (отклонения от структуры типа рутила) исследованы рентгенографически ранее (РЖХим, 1956, № 6, 16858). Установлено наличие антиферромагнетизма с t -рой Неэля, равной 53°K . Анализ интенсивности магнитных рефлексов показал, что магнитная и атомная элементарные ячейки (ЭЯ) совпадают друг с другом, причем магнитные моменты (ММ) атомов Cr в центре ЭЯ ориентированы антипараллельно ММ в углах; направление ММ, по-видимому, совпадает с наиболее длинной связью $\text{Cr}-\text{F}$ (хотя лучшее совпадение получается для направления с углом 32° с осью c' в плоскости (010)). Установлено наличие антиферромагнетизма с t -рой Неэля, равной 20°K . Нет такого простого соответствия между магнитной и атомной ЭЯ: $a_M = a$, $b_M = 2b_A$, $c_M = 2c_A$. Магнитная структура более сложна. И в этом случае направление ММ совпадает с направлением наиболее длинной связи $\text{Cr}-\text{Cl}$. Из диффузного парамагнитного фона нейтроннограмм, полученных при комнатной t -ре, после вычета теплового и изотропного некогерентного фона выведен форм-фактор магнитного рассеяния иона Cr^{2+} (со скомпенсированным орбитальным моментом). Сравнение с форм-фактором Mn^{2+} показывает, что в случае Cr^{2+} спад кривой идет быстрее, из чего делается заключение о несколько большем эффективном радиусе $3d$ -оболочки ионов Cr по сравнению с Mn . Полагается, что электронная структура ионов Cr^{2+} описывается ф-лой $(dx_z, dy_z, dx_y)^2(dz^2)^1$, с орбитой d_{z^2} , осуществляющей связь в направлении наиболее длинной связи $\text{Cr}-\text{F}(\text{Cl})$.

Р. Озеров

95241. Получение монокристаллов сегнетоэлектриков из расплавов. Крамаров О. П. «Изв. АН СССР. Сер. физ.», 1960, 24, № 10, 1251—1254.—Дано описание универсальной печи, с помощью которой можно выращивать монокристаллы методом зонной рекристаллизации (РЖХим, 1959, № 19, 67184) и методом Вернейля. По методу Вернейля на печь крепится механизм подачи порошка и помещается свеча с затравкой или без нее. Для более равномерной подачи применялись порошки с размером зерна 20—30 мк. Предварительная работа над установкой проводилась зонной плавкой твердых р-ров $\text{BaTiO}_3 + 5\% \text{SrTiO}_3$ и плавкой порошка BaTiO_3 . В образцах, прошедших зонную плавку, присутствовали монокристалльные блоки и почти не было газовых пор. Образцы, полученные по мето-

ду Вернейля без затравки, имели крупнокристаллич. структуру.

95242. Применение метода интерферометрии в белом поляризованном свете к изучению роста кристаллов. Follenius M. Application d'une méthode interférométrique en lumière blanche polarisée à l'étude de la croissance cristalline. «Bull. Soc. franç. minéral. et cristallogr.», 1959, 82, № 10—12, 343—360 (франц.).— Процессы кристаллизации и декристаллизации в водн. р-рах изучены с помощью наблюдения изменений концы маточного р-ра вблизи растущего кристалла. Распределение концы в р-ре определялось по изохроматич. полосам, возникающим при интерференции в белом поляризованном свете и соответствующим местам равных показателей преломления р-ра. На примере NaClO_3 изучена зависимость скорости роста и коэф. скорости от величины пересыщения р-ра и кол-ва примеси Na_2SO_4 в нем; установлена логарифмич. зависимость коэф. скорости от пересыщения. Проведено сравнение распределений концы в р-ре при дендритном и «регулярном» росте. Опыты показали, что при регулярном росте тепловой эффект вблизи вершин кристалла пренебрежимо мал. Изучением распределения изохроматич. полос при дендритном росте установлено, что его направление (дендритная ось) определяется скоростями роста плоских поверхностей, охраняющих дендрит.

Н. Гляки

95243. Получение монокристаллов железа по методу зонной плавки. Hillmann Hans, Mager Albrecht. Erzeugung von Eiseinkristallen durch das Zonenschmelzverfahren. «Z. Metallkunde», 1960, 51, № 11, 663—666 (нем.; рез. англ.).—Доклад на собрании Немецкого общества по металлосведению в июне 1960 г. в Вене.

Э. Г.

95244. Синтез алмазов. Mellor D. P. Synthesis of diamond. «Proc. Roy. Austral. Chem. Inst.», 1960, 27, № 5, 208—215 (англ.).—Лекция, прочитанная для учителей химиков в Университете (Новый Южный Уэльс, Австралия) 11 января 1960 г.

Э. Г.

95245. Эпитаксиальный рост монокристаллов германия из пара в процессе замкнутого цикла. Marinas J. C. Epitaxial vapor growth of Ge single crystals in a closed-cycle process. «IBM J. Res. and Developm.», 1960, 4, № 3, 248—255 (англ.).—Детально описан процесс «закрытой трубки» для получения ориентированных осадков чистого Ge и указано, как он должен быть изменен при выращивании осадков, загрязненных желательными примесями. Германий переносится в вакууме или инертном газе от высокотемпературного источника чистого Ge к низкотемпературной области (подкладке). Осаждение Ge осуществляется в результате р-ции диспропорционирования J_{12} с Ge. Продукты р-ции циркулируют циклически. Кроме источника чистого Ge, могут быть использованы 2 или больше источников примеси, действующих одновременно или порознь. Скорость переноса зависит от обеих т-р, скорости циркуляции и от давления J_2 . Показано, что кристаллич. структура зародыша определяет структуру осадка; наибольшей и равномерной скоростью роста обладают направления $\langle 110 \rangle$ и $\langle 211 \rangle$, медленной — $\langle 100 \rangle$ и $\langle 111 \rangle$. Дефекты решетки Ge, выращенного из пара, той же природы, что и Ge, выращенного из расплава. Хим. чистота обеих также сравнима. При использовании двух источников внутри запаянной трубки на разных концах и изменении т-ры можно осадить Ge р- или л-типа.

А. Кралина

95246. Гидротермальный рост нитридных кристаллов молибдена на подкладке MoO_3 — SiO_2 . Callahan James L., Petrucci Ralph H., Brown Charles A. The hydrothermal growth of molybdena whiskers on MoO_3 — SiO_2 substrate. «J. Colloid Sci.», 1960, 15, № 5, 418—426 (англ.).

95247. Эпитаксиальный рост кремния. Waide E. S., Kippenhan B. W., White W. H. Epitaxial growth of silicon. «IBM J. Res. and Developm.», 1960, № 3, 288—295 (англ.).—Исследован эпитаксиальный рост из паровой фазы слоев Si на Si-подкладке. Р-ция диспропорционирования SiH_4 используется для переноса Si из области высокотемпературного источника в зону низкотемпературной подкладки. Достаточно равномерное осаждение достигалось сведением к минимуму примесной пленки на подкладке путем хим. обработки. Медленные скорости роста действуют в этом же направлении. Найдено, что процесс разложения (обратного осаждения) от подкладки к источнику дает сильное выравненное покрытие, последующий рост на которой очень неравномерен. Рост слоев Si происходит на подкладках, внешние поверхности которых параллельны (111) и (100). Рентгенографические показания, что осадки, в основном монокристалльные, имеют р- ориентацию, что и подкладки. Толщина осадков 25—800 м. Найдено сцепление между подкладкой и осаждаемым слоем было в случае проведения процесса в атмосфере H_2 . Определены 2 стадии роста кристаллов Si из паровой фазы: перенос пара из зонного источника к кристаллич. поверхности и зародышеобразование и рост нового слоя на поверхности подкладки.

А. Кралина

95248. Выращивание больших монокристаллов свинца. Zivanović Miodrag D., Konstantinović Jovan M., Jović Djordje M. Growing large monocrystals of lead. «Bull. Inst. Nucl. Sci.», 1960, № 43—46 (англ.; рез. франц.).—Большие монокристаллы Pb $16 \times 6 \times 0,8$ см с нужной ориентировкой выращены из расплава от зародыша, предварительно полученного в спец. тигле при медленном вытягивании из расплава. Оптим. скорость вытягивания 8 см/час. Выращивание больших монокристаллов осуществлялось по методу Чалмерса путем частичного под давлением зародыша и соприкосновения его с остальной загрузкой тигля.

А. Кралина

95249. Опыты по образованию и кристаллографической стабильности зерен бромида серебра в насыщенных растворах комплекса бромида с аммиаком. Matejcek R. Experiments on the formation and crystallographic stability of silver bromide grains in saturated bromide- and ammonia-complex solutions. «Photogr. Sci. and Engng», 1960, 4, № 5, 281—284 (англ.).

95250. Об очень тонких пластинчатых монокристаллах золота. Brüche Barbara. Über sehr dünne Goldeinkristall-Plättchen. «Kolloid-Z.», 1960, 170, № 3, 97—104 (нем.).—Выращивание тонких монокристаллов Au производилось из смеси водн. р-ра AuCl_3 с салцидовой к-той. Исследованы условия роста тонких монокристалльных пластинок Au. Электронномикроскопически найдено, что величина пластинок зависит от концы Au в р-ре от величины pH и т-р р-ции. При низких концы AuCl₃ (0,01 вес.%) получаются тонкие маленькие кристаллики, при высоких (0,06 вес.%) — толстые кристаллики; между ними найдена область винтовых кристаллов. Кристаллич. пластинки тем больше, чем продолжительнее рост. Самые длинные пластинки вырастают в направлении [111]. При медленном росте оказалось возможным вырастить совершенные кристаллы — пластиночки величиной 15—60 м и толщиной до 100 А, а иногда величиной 160 м и толщиной 150 А. Величина винтовых кристаллов 8—25 м при толщине 100 А.

А. Кралина

95251. Выращивание и обработка монокристаллов натрия. Retting W. Züchtung und Verarbeitung von Natriumjodid-Einkristallen. «Med.-Markt.», 1960, № 5, 183—184, 186, 11 (нем.; рез. франц., англ., исп.).—Описано выращивание монокристаллов (M) NaJ, применяемых в качестве индикатора радиоактивного излучения, методом вытягивания из расплава без зародыша (передвижением расплава через изотермическую область).

вадения) и с зародышем кристаллизации. Передвижение фронта кристаллизации очень медленное, время выращивания ~ 3 недели. Метод является видоизменением методов Бриджмена — Стокбаргера и Киропулоса. Готовый кристалл вынимался после медленного охлаждения до комнатной т-ры. Резкий градиент и сотрясение вызывают растрескивание М. Исходное в-во очень высокой чистоты способствует развитию однородного по свойствам М. Полученные М можно подвергать переработке. Качество обработки оправы кристаллов оказывают большое влияние на их свойства.

9Б252. Изучение поведения ступенчатого роста на кристаллах сахарозы. Albon N., Dunning W. J. Studies on the behaviour of growth steps on sucrose crystals. «Acta crystallogr.», 1960, 13, № 6, 495—498 (англ.).—Для наблюдения за движением ступенчатого роста кристаллы сахарозы выращивались из соответствующего р-ра, содержащего следы силиконовой смазки. Вследствие действия последней при удалении ее поверхность кристалла оставалась несмоченной и ее рельеф становился доступным изучению. Выяснено влияние примесей декстрозы и рафинозы на скорость движения ступеней. Изучена температурная зависимость скорости движения ступеней на грани (100) в направлении [010]. Энергия активации процесса определена в 16,7 кал/моль, что значительно выше энергии активации для диффузии сахарозы в р-ре.

9Б253. Синтез и исследование монокристаллов люминофора (Zn, Be)₂SiO₄. Соболев Б. П., Клягина Л. П. Неорганическая химия, 1960, 5, № 10, 2294—2299.—Изучено образование α -Zn₂SiO₄ из ZnO и SiO₂ с минерализаторами NaF, BeF₂ и Na₂BeF₄. Показано, что наиболее низкая т-ра ($\sim 620^\circ$) р-ции наблюдается при обжиге в окисл. атмосфере NaF и BeF₂. Исследовано минералообразование при 1200° в смеси окислов ZnO, BeO и SiO₂ в отношении ZnO:BeO:SiO₂ от 0,5:1 до 3:1 с доп. минерализатора Na₂BeF₄. Рентгенографически кристаллооптически показано образование Be₂SiO₄ твердого р-ра (Zn, Be)₂SiO₄. Проиндифференцирована программа кристаллов твердого р-ра, найдены параметры гексагона. решетки: a 13,80, c 9,24 кХ. При проведении р-ции наблюдалось явление «транспортировки» не только Be₂SiO₄ (РЖХим, 1959, № 9, 67544), но и (Zn, Be)₂SiO₄. Таким образом, цинк ведет себя в присутствии фторобериллата натрия, как и бериллий, переходя в газовую фазу в виде фтористого соединения.

Возможно, что механизм его переноса через газовую фазу аналогичен предложенному ранее для бериллия (см. ссылку выше). Используя явление «транспортировки» силикатов, были впервые получены монокристаллы цинк-бериллий силиката до 6 мм и толщиной 1 мм. Обнаружено, что при отношениях ZnO:BeO 0,5:1 до 2:1 (включительно) транспортируется в основном часть ампулы Be₂SiO₄, при ZnO:BeO = 3:1 транспортируется твердый р-р (Zn, Be)₂SiO₄. Рентгенографически показано, что при 1200° за 24 часа в смеси ZnO, BeO и SiO₂ (без минерализатора) не образуется твердого р-ра. Получен спеканием ZnO и SiO₂ чистый Zn₂SiO₄. При индифференцировании его порошкограммы найдены параметры гексагона. решетки: a 13,92, c 9,30 кХ.

9Б254. Кристаллографические аспекты баянитного перерождения. Bowles J. S., Kennon N. F. Crystallographic aspects of the bainite transformation. «J. Metall. Inst. Metals», 1960, 5, № 2, 106—113 (англ.). **9Б255.** Травление дислокаций. Sears Gerald W. Dislocation etchings. «J. Chem. Phys.», 1960, 32, № 5, 17—122 (англ.).—Описаны результаты опытов, проведенных с целью выяснения механизма растворения на дислокациях. Изучалось растворение поверхности кристаллов LiF в чистой дистил. воде и в присутствии примесей NH₄OH и NaCN, понижающих

конц-ию иона Fe в р-ре. Отмечается образование канавок растворения, которые рассматриваются как отрицательные игольчатые кристаллы. Установлено значительное увеличение интенсивности растворения в присутствии NaCN и подтверждено предположение об отравляющем действии ионов Fe (содержащихся в растворяемом кристалле в виде твердого р-ра и переходящих при его растворении в р-р) на процессы роста и растворения LiF. Теоретически рассмотрены условия избирательного растворения поверхности на дислокациях; поверхностная энергия LiF на границе с его водн. р-ром определена равной 165 эрг/см²; время отравления оценено в 10⁻⁹ сек.

9Б256. О реальной структуре кристаллов сульфида кадмия. Radelt Heinz. Zur Realstruktur der Kadmiumsulfidkristalle. «Wiss. Z. Humboldt-Univ. Berlin. Math.-naturwiss. Reihe», 1959—1960, 9, № 3, 365—375 (нем.; рез. русск., англ., франц.).

9Б257. Скольжение в монокристаллах по многим кристаллографическим направлениям. Kocks U. F. Polyslip in single crystals. «Acta metallurg.», 1960, 8, № 6, 345—352 (англ.; рез. франц., нем.).—Изучено одновременное скольжение (Ск) по направлениям шести или восьми простых форм в гранецентр. монокристаллах с помощью создания поверхностного наклепа, рентгенографич. метода и теоретич. рассуждений. Методика позволяла производить чистый сдвиг в определенных кристаллографич. направлениях. Наблюдение производилось на Al при комнатной т-ре. Найдена сильная зависимость характеристик деформации растяжения или сжатия от точной комбинации систем Ск, особенно заметная разница имеется между системами Ск <100> и <111>. Неустойчивость некоторых комбинаций систем Ск, подавление действия одной из двух систем Ск в критич. соотношении связано с взаимодействием дислокаций. Показано, что только с помощью линейных дислокаций Ломер—Коттрелла нельзя объяснить всех наблюдаемых характеристик при Ск. По-видимому, скопление дислокаций образует двумерную стенку, которая создает эффективное препятствие для Ск по нескольким плоскостям и создает условие начала поперечного Ск гораздо раньше, чем при моноскольжении.

9Б258. О влиянии химического состава реагентов на форму кристаллических осадков. Родионов Ф. Ф. «Тр. Одесск. техн. ин-та лиц. и холодильн. промышленности», 1959, 9, № 2, 169—185

9Б259. Люминесценция и электронно-дырочные процессы в фотохимически окрашенных кристаллах щелочно-галогенных соединений. Кац М. Л. Саратов, Саратовск. ун-т, 1960, 271 стр., илл., 8 р.

См. также: Рентгенографич. исследования 9Б23, 9Б36, 9Б128, 9Б248, 9Б250. Фазовые превращения, полиморфизм 9Б381, 9Б404, 9Б310. Термодинамика 9Б305. Спектры и другие оптич. свойства 9Б79, 9Б509. Рост 9Б409. Природа хим. связи 9Б131. Приборы и оборудование 9Е9, 9Е10

ГАЗЫ. ЖИДКОСТИ. АМОРФНЫЕ ТЕЛА

Редактор А. Б. Алмазов

9Б260. Явления переноса для газов, молекулы которых взаимодействуют по закону $-c/r^n$. Kihara Taro, Taylor Marion H., Hirschfelder Joseph O. Transport properties for gases assuming inverse power intermolecular potentials. «Phys. Fluids», 1960, 3, № 5, 715—720 (англ.).—Исследуется влияние вида потенциала взаимодействия между молекулами на интегралы, определяющие неравновесные свойства газов. Рассматривается газ, молекулы которого на

больших расстояниях взаимодействуют силами притяжения по закону $-c/r^n$ (c — константа, r — расстояние между молекулами). Взаимодействие молекул газа на малых расстояниях (при $r \rightarrow 0$) описывается с помощью трех различных моделей: 1) моделью «твердого ядра» (потенциал взаимодействия равен $-c/r^n$ при $r > 0$ и $+\infty$ при $r = 0$); 2) моделью «прозрачного ядра» (пределный случай при $r_0 \rightarrow 0$ потенциала, равного $-c/r^n$ при $r > r_0$ и $-c/r_0^n$ при $r \leq r_0$) и 3) моделью «беспорядочно рассеивающего ядра». Найдена явная зависимость интегралов столкновений Чепмена — Каулинга от n для всех трех указанных видов потенциала взаимодействия при $r \rightarrow 0$. Ю. Гуляев

9Б261. Самодиффузия He^4 и квантовые поправки. Saxena S. C. Self-diffusion of ^4He and quantum corrections. «Physica», 1960, 26, № 9, 730—736 (англ.). — Произведен приближенный квантовомеханич. расчет коэф. самодиффузии He^4 , справедливый в широкой области т-р (2—300° К). В качестве потенциала взаимодействия молекул взят потенциал Леннарда-Джонса (12—6). В расчете используются результаты квантовомеханич. вычисления вязкости He^4 при низких т-рах. Для сравнения теории с опытом пересчитаны данные Бендта (РЖХим, 1959, № 1, 334) по исследованию взаимной диффузии He^3 — He^4 на случай самодиффузии. Получено удовлетворительное согласие теории с экспериментом во всем интервале т-р, при низких т-рах в целях большей точности теории использованы известные значения интегралов столкновений (РЖХим, 1956, № 5, 12302). Ю. Гуляев

9Б262. Приближенные формулы для квантовомеханического вычисления равновесия изотопного обмена и применение к молекулам с O^{16} . Vojta G. Näherungsformeln zur quantenstatistischen Berechnung chemischer Isotopenaustauschgleichgewichte und Anwendung auf Moleküle mit ^{16}O . «Kernenergie», 1960, 3, № 9, 927—930 (нем.; реф. англ., русск.). — Термодинамические функции системы с изотопами определяются величиной $(\sigma_2/\sigma_1)f$, которая зависит от собственных частот колебаний молекул с обим изотопич. ядрами. Она может быть разложена в ряд по разностям собственных частот обычной и меченой молекулы Δ_i , где $\Delta_i = h\nu_i/kT$, и представлена в виде $1 + \sum G(u)\Delta_i$, где суммирование ведется по всем собственным частотам. Показано, что функция $G(u)$ выражается через cthu , что значительно облегчает вычисления. Для более точных вычислений можно сохранить в разложении члены $(\Delta_i)^2$. На примере молекул типов HO_3 и HO_4 с изотопами O^{16} и O^{18} проведено сравнение различных приближенных ф-л. И. Левинсон

9Б263. Межмолекулярные потенциалы и вторые вириальные коэффициенты некоторых галогензамещенных метана. Байбуз В. Ф. «Сб. тр. Гос. ин-та прикл. химии», 1960, вып. 46, 43—50. — На основе эксперим. данных для второго вириального коэф. вычислены энергетич. параметры межмолекулярных потенциалов для CH_3Cl , CH_3Br , CH_3I , CHF_3 , CHCl_3 , CH_2Cl_2 , CF_4 , CF_3Cl , CF_3Br , CF_3I . С помощью найденных параметров рассчитаны значения второго вириального коэф. до 1000° К. В качестве межмолекулярного потенциала использован потенциал Стокмайера $U = 4e[(\sigma/r)^{12} - (\sigma/r)^6] - (\mu/r^2)g$, где r — расстояние между молекулами, μ — дипольный момент, σ — диаметр столкновения, e — энергия, соответствующая состоянию равновесия, g — множитель, зависящий от углов между диполями. Определялись следующие энергетич. параметры: $\epsilon^* = \mu^2/\sqrt{8}\sigma^2e$, e/k (k — постоянная Больцмана) и $b_0 = (2\pi/3)\pi N\sigma^2$ (N — число Авогадро). И. Левинсон

9Б264. Вязкость смесей водорода и водяного пара при 295° К. Fox J. W., Smith A. C. N. Viscosity of mixtures of hydrogen and water vapor at 295° К. «J. Chem. Phys.», 1960, 33, № 2, 623—624 (англ.). — Вязкость η смесей H_2 и водяного пара при 22° С вы-

числялась двумя способами: на основе эмпирич. соотношений, описывающих силы мол. взаимодействия (Hirschfelder J. O. и др. «Molecular theory of gases and liquids». New York, 1954) из коэф. взаимной диффузии компонентов, найденного из эксперим. данных (Schwartz F. A. и др. «J. Chem. Phys.», 1951, 19, 64). Зависимость η от состава проходит через максимум, причем второй способ расчета дает более высокие значения, чем первый. Найденные величины хорошо совпадают с эксперим. величиной η , найденной авторами ранее для смеси, содержащей 2,5% H_2O . Б. Ананьев

9Б265. Быстрое определение коэффициентов диффузии газов с помощью аппаратуры для газовой хроматографии. Giddings J. Calvin, Seager S. R. Rapid determination of gaseous diffusion coefficients by means of gas chromatography apparatus. «J. Chem. Phys.», 1960, 33, № 5, 1579—1580 (англ.). — Предлагается определять коэф. диффузии газов на аппаратуре, применяемой для газовой хроматографии. Для расчета используется ф-ла $Lt^2/l^2 = 2D/v + v^2/r^2$ (v — скорость течения газа, t — время его прохождения через колонку, L — длина колонки, r — ее радиус — эксперим. параметр). Все необходимые величины определяются при следующих условиях: 1) течение газа ламинарное; 2) трение о стенки колонки ничтожно; 3) применяемый детектор и кол-во газа не влияют на положение пика. Последнее условие осуществляется подбором достаточно длинной трубки и детектора с малым рабочим объемом. Постоянные ошибки аппаратуры учитываются проведением измерений на двух колонках: длинной и короткой, одинакового диаметра; при одинаковых условиях. Экспериментально определены коэф. диффузии H_2 в N_2 на хроматографе модели Перкина — Эльмера 154-С при давл. 600 мм Hg и 23° С с относительной ошибкой 1,9%. Метод можно использовать для определения коэф. диффузии жидкостей от C_2H_6 до C_6H_6 . В. Волков

9Б266. О связи коэффициентов взаимодиффузии с самодиффузией. Косов Н. Д. В сб. «Исслед. процессов переноса. «Вопр. теории относительности». Алма-Ата, 1959, 126—136. — На основании предложенной автором ф-лы (сб. «Исследование физ. основ работ по процессу топков и печей» под ред. Л. А. Вулиса, М. АН КазССР, 1957) выведено соотношение для взаимной диффузии (КВД) и самодиффузии (КСД), позволяющее определять коэф. диффузии одного газа в другой, если известны их КСД, мол. веса и постоянные Свэрленда при различных т-рах. Соотношение проверено по эксперим. данным различных авторов для 10 систем: N_2 — N_2 , O_2 — O_2 , Ar — Ar , CO_2 — N_2 , O_2 , N_2 — CO_2 , N_2 — Ar , Ar — O_2 , O_2 — CO_2 , CO_2 — CO_2 . Вычисленные и эксперим. значения КВД совпадают в пределах ошибок опыта. Найдено соотношение, позволяющее вычислять КВД двух газов, если известны КВД этих газов в третий и КСД третьего газа. Измеренные ф-лы также проверены по эксперим. данным для различных систем. Все ф-лы значительно точнее, когда все т-ры одинаковы, так как в этом случае исключаются эксперим. постоянные Свэрленда. В. Волков

9Б267. Исследование молекулярной и термической диффузии методом подобия. Усманов А. Г. В сб. «Режимы А. Н. В сб. «Конвектив. и лучистый теплообмен». М., АН СССР, 1960, 188—204. — На основе принципов подобия анализируются эксперим. данные процессов мол. переноса в газах. Полученные оценочные зависимости дают возможность определять коэф. диффузии паров в газах и величины, характеризующие процесс термодиффузионного разделения парных газовых смесей в широких интервалах изменения т-р и конц-ий. Правильность полученных соотношений продемонстрирована на смесях с воздухом $\text{C}_2\text{H}_5\text{OH}$ (I), CH_3OH (II), C_6H_6 (III), $\text{C}_6\text{H}_5\text{CH}_3$ (IV) и $\text{C}_6\text{H}_5\text{I}$ (V). В. Волков

CH₄ (V), C₂H₆ (VI), C₃H₈ (VII), циклогексана (VIII), метилциклогексана (IX), CH₃COOH (X), CCl₄, CS₂; с жидким: V—IX, изо-C₈H₁₈ (XI); с кислородом: VII—IX, I; с водородом: I—XI, этилацетат (XII), CS₂, H₂O; толуолом: 16,5% Ar + 83,5% H₂, 31% Ar + 69% H₂, 14% Ar + 48,6% H₂; с аргоном: IV, VI, VII, XI; с гелием: VI, VII, XI, H₂O; с дейтерием: VI, VII, XI; с CO₂—III, X, XII, CS₂.

А. Алмазов
9Б268. Диффузия газов вблизи критической точки. Ричардский И. Р., Хазанова Н. Е., Линшиц И. Р. «Инж.-физ. ж.», 1960, 3, № 10, 117—118 (рез. англ.).—Экспериментально исследована диффузия газа в двуокиси углерода. Вблизи крит. точки коэффици. диффузии D $\sim 10^{-6}$ см²/сек. Вдали от крит. точки коэф. диффузии по крайней мере на 3 порядка выше. А. Головин

9Б269. Теплопроводность и фактор Эйкена в бинарных смесях H—He, H—Ne, H—Kr и H—Xe. Laguna A. K. Thermal conductivity and Eucken-type factor for the binary mixtures H—He, H—Ne, H—Kr and H—Xe. «Indian J. Phys.», 1960, 34, № 4, 169—183 (англ.).—Описанным ранее методом (РЖХим, 1960, № 17, 68536) определена теплопроводность K бинарных газовых смесей H₂—He, H₂—Ne, H₂—Kr и H₂—Xe при 30 и 45° и вычислены факторы Эйкена K/M , где K —теплопроводность одноатомного газа

тех же условий, для указанных смесей. Значения K для чистых газов оказались меньше вычисленных по уравнению Хиршфельдера (РЖХим, 1957, № 17, 6832, 56962; 1959, № 20, 70774). Значения K для бинарных смесей также меньше вычисленных по Хиршфельдеру; однако если при вычислениях использовать эксперим. (а не расчетные) значения K для чистых газов, то достигается хорошее согласие теории с опытом. Отсюда следует, что теория Хиршфельдера вполне удовлетворительно описывает зависимость K газовых смесей от их состава. Другие приближенные ф-лы РЖХим, 1960, № 17, 68536) менее точны, чем уравнение Хиршфельдера.

А. Шейнин
9Б270. Рассеяние рентгеновских лучей жидкостью на основе ячеечной модели. Lund L. H. X-ray scattering by a cell-model liquid. «J. Chem. Phys.», 1960, 33, № 4, 1086—1093 (англ.).—На основе ячеечной модели выведено выражение для интенсивности когерентного рассеяния рентгеновских лучей и упругого рассеяния нейтронов в жидкостях. В случае отсутствия корреляции между молекулами найденное выражение позволяет установить бинарную функцию распределения центров ячеек. Рассмотрены частные случаи сферич. ячеек, «эйнштейновой» жидкости с молекулами в виде независимых изотропных осцилляторов и модели Дебая. Для жидкого Ar вычислено бинарное распределение из рентгенографич. данных.

А. Левин
9Б271. Плотность расплавленных фторидов металлов в области 1600—2500° K. Kirshenbaum A. D., Cahill J. A., Stokes C. S. The density of molten metal fluorides in the range of 1600—2500° K. «J. Inorg. Nucl. Chem.», 1960, 15, № 3-4, 297—304 (англ.).—Измерением вольфрамового блока, погруженного в расплав, измерены плотности (в г/см³) шести фторидов (в скобках соответствующие интервалы t в °K): RaF₂ 3,235—5,24 $\cdot 10^{-4}$ T (1650—2100); CaF₂ 3,179—3,91 $\cdot 10^{-4}$ T (1640—2300); SrF₂ 4,784—7,51 $\cdot 10^{-4}$ T (1750—2000); BaF₂ 5,75—9,99 $\cdot 10^{-4}$ T (1600—2000); LaF₃ 5,793—8,2 $\cdot 10^{-4}$ T (1750—2450); CeF₃ 6,253—9,36 $\cdot 10^{-4}$ T (1700—2200). Расплав находился в графитовом тигле.

Препаратом служила электрич. печь сопротивления, ботающаяся в атмосфере аргона. Мол. объемы фторидов металлов в жидком и твердом состоянии зависят от номера периода. Экстраполяция приводит к значению плотности RaF₂ 5,18 г/см³ при 1600°. Отмечено, что мол. объемы жидких фторидов IA, IIA и IIIA подгрупп периодич. системы не зависят от

номера группы, что позволяет предсказать для ScF₃ (при 1350° K) и YF₃ (при 1875° K) плотности, равные 3,09 и 3,76 г/см³. Рассчитано изменение объема при плавлении, составляющее для CaF₂ 11,5%. В. Лебедев

9Б272. Исследование вязкости и плотности n -бутилового спирта. Кэсэмэнли Ф. n -бутил спиртинин өздүлүк өз сыхлыгынын температурдан асылыгынын тадиги. «Ме'рузэлэр. АзербССР. Елмлэр Акад., Докл. АН АзербССР», 1960, 16, № 8, 739—742 (азерб.; рез. русск.).—Приводятся результаты исследования температурной зависимости вязкости и плотности n -бутилового спирта. Вязкость сначала резко падает, а затем медленно уменьшается. Резкое падение вязкости, по-видимому, объясняется переходом молекул в неассоциированное состояние при повышении t -ры. Результаты по вязкости хорошо согласуются с одними данными и расходятся с другими. Проверилась зависимость $\lg \eta$ от $1/T$, которая носит линейный характер для бутилового спирта только до 220°, а далее имеются большие отклонения, которые, вероятно, указывают на изменение мол. структуры бутилового спирта выше этой t -ры.

Из резюме автора

9Б273. Отрицательный изотопный эффект в вязкости дейтеросоединений. Рабинович И. Б., Лобашов А. А., Кучерявый В. И. «Ж. физ. химии», 1960, 34, № 10, 2202—2204 (рез. англ.).—Описывается впервые обнаруженное явление отрицательного изотопного эффекта в вязкости, т. е. уменьшения ее при замещении легкого изотопа тяжелым. Измерена вязкость хлороформа при 10—50° и тетрабромэтана при 20—80° с точностью 0,2%. Замена водорода дейтерием вызывает уменьшение вязкости на 1—1,5%. Результаты представлены таблицей. Указывается, что вычисленное уменьшение энергии активации вязкого течения близко к ошибке определения. Отрицательный изотопный эффект в вязкости наряду с ранее исследованным положительным эффектом объясняется наложением двух факторов, влияющих на вязкость в противоположных направлениях: повышения мол. веса и ослабления ван-дер-ваальсового взаимодействия.

В. Егоров

9Б274. О простом определении зависимости вязкости жидкости от температуры. Vilim Otakar, Režabek Antonín. Příspěvek k jednoduchému určení závislosti viskozity kapalin na teplotě. «Chem. průmysl», 1960, 10, № 10, 533—534 (чешск.).—Метод Перри, состоящий в построении общей для ряда жидкостей кривой зависимости от разности t -р, если известно значение вязкости при одной t -ре, не является достаточно точным. Можно повысить его точность, если в качестве независимой переменной брать разность приведенных t -р. Точность (несколько %) усовершенствованного метода иллюстрируется вычислением вязкости следующих жидкостей: гексан, октан, изопентан, гексен-1, октен-1, CCl₄, C₂H₅Br, метилпропиловый эфир, пропиловый эфир, ацетон, хлорбензол, бензол, этилбензол, кумол, анилин, ацетофенон, пиридин.

С. Шушурин

9Б275. Самодиффузия в расплаве PbCl₂. Perkins Gerald, Jr., Escue R. B., Lamb James F., Wimblerley J. Wayne. Self-diffusion in molten PbCl₂. «J. Phys. Chem.», 1960, 64, № 11, 1792 (англ.).—Уточнены эксперим. значения коэф. самодиффузии D_{Pb} и D_{Cl} в расплаве (PbCl₂) при 510—566°. Отсутствует указанный ранее разрыв непрерывности функции $D(T)$. Результаты согласуются с аналогичными для других систем.

А. Головин

9Б276. Измерения самодиффузии в жидкостях по методу спинного эхо. Woessner D. E. Self-diffusion measurements in liquids by the spin-echo technique. «Rev. Scient. Instrum.», 1960, 31, № 10, 1146 (англ.).—Метод основан на использовании затухания амплитуды спин-эхо в результате самодиффузии молекул,

1960, 314—318. Дискус., 343—344. — Исследована скорость звука в натриевосиликатных и фосфатных стеклах и их сжимаемость во всей области их существования для $+16$ и -196° . Обнаружены аномальные явления у плавленого кварца и метафосфата натрия, что связано со сшиванием цепочек в процессе предварительной полимеризации SiO_4 -тетраэдров к фосфорнокислородному цепочечному каркасу. B_2O_3 деполимеризует структуру стекловидного SiO_2 , а также структуру натриевосиликатных стекол. Однако у последних имеется область, в которой B_2O_3 укрепляет структуру и которая соответствует метасиликату, трисиликату и силикату с модулем 10. Роль Na_2O в натриевосиликатных стеклах противоположна его роли в силикатных стеклах. Na_2O служит источником образования трехмерной структуры, что объясняется переносом бора в четверную координацию. С увеличением содержания Na_2O осуществляется сшивание B_2O_3 по схеме $\text{B} \leftarrow \text{Na}_2\text{O} \rightarrow \text{B} \equiv$. При обжиге происходит увеличение скорости звука, что свидетельствует об увеличении разветвленности кремнекислородного каркаса.

С. Дембовский

9Б284. О деполимеризации неорганических стекол механическим резонансом. Ратобильская В. А., Карасов В. В. В сб. «Стеклообраз. состояния». М.—Л., АН СССР, 1960, 396—399. Дискус., 415—417. — Методом составного пьезокардового резонатора (Bathuth. «Phys. Rev.», 1934, 45, 715) получены резонансные кривые для стекол, прошедших различную термич. и хим. деполимеризацию. Результаты представлены графически. Исследованы плавленый кварц, стекловидный борный ангидрид и трисульфид мышьяка. Наименьший декремент затухания обнаружен у кварца, наибольший — у трисульфида мышьяка. Стекловидный As_2S_3 , прошедший термич. обработку при t -рах 200, 300 и 350° , имеет последовательно снижающиеся по фактору добротности резонансные характеристики. Сняты резонансные кривые для стекловидного борного ангидрида и натриевоборатных стекол переменного состава; результаты указывают на уменьшение «добротности» с увеличением в стекле щелочей. Ю. Поляков

9Б285. Расположение атомов в твердых аморфных веществах и в одноатомных металлических расплавах. Richter H. Atomanordnung in festen amorphen Stoffen und in einatomigen Metallschmelzen. «Fortschr. Phys.», 1960, 8, № 9, 493—527 (нем.). — Обзор. Библиограф. назв. А. Левин

9Б286. Оптические свойства халькогенидных стекол. Коломиец Б. Т., Павлов Б. В. В сб. «Стеклообраз. состояния». М.—Л., АН СССР, 1960, 460—464. Дискус., 478—479. — Спектроскопически изучен характер поглощения в сплавах халькогенидов таллия, мышьяка и сурьмы, а также связь между границей поглощения хим. составом этих в-в. Описаны методики приготовления образцов. Получены спектры пропускания в области $0,4$ — 18μ для следующих систем: As_2S_3 — As_2Se_3 ; As_2S_3 — As_2Te_3 ; Sb_2S_3 — As_2S_3 ; Sb_2S_3 — As_2Se_3 ; Sb_2S_3 — As_2Te_3 ; Sb_2S_3 — As_2S_3 и Te_2S_3 — As_2S_3 . Измерено поглощение в системе сложных составов $\text{Te} - \text{Se} - \text{As}$ — As_2S_3 . Приведены данные по составу $2(\text{As}_2\text{S}_3 \cdot \text{Te}_2\text{S}_3) \cdot (\text{As}_2\text{Te}_3 \cdot \text{Te}_2\text{S}_3)$. Изучена зависимость оптич. поглощения от изменения состава за счет элементов, образующих халькогенидные стекла. Приведены результаты, полученные на стеклах состава $\text{As}_2\text{S}_3 \cdot \text{As}_2\text{Te}_3$. При изменении мол. соотношения между компонентами, образующими стекло, край полосы поглощения плавно смещается. Смещение края полосы поглощения наблюдается и при изменении состава только за счет элементов. Общий характер поглощения в рассмотренных системах определяется характером поглощения As_2S_3 и As_2Te_3 . Значительное смещение края полосы поглощения в сочетании с большой крутизной дает возможность получения хороших светофильтров с краем пропускания от $0,6$ до 2 — 3μ . Ю. Поляков

9Б287. Химические особенности полимерных стеклообразующих веществ и природа стеклообразования. Мюллер Р. Л. В сб. «Стеклообраз. состояния». М.—Л., АН СССР, 1960, 61—74. Дискус., 98—112. — Критический обзор. Библиограф. назв.

См. также: Термодинамика и статистич. физика 9Б318, 9Б319. Межмолекулярное взаимодействие 9Б666, 9Б670, 9Б692, 9Б693, 9Б102, 9Б107 9Б127, 9Б133, 9Б538. Строение и физ. характеристики 9Б113, 9Б129, 9К111, 9К304—9К306, 9К310, 9М186

РАДИОХИМИЯ. ИЗОТОПЫ

Редактор В. И. Левин

9Б288. Сечение деления Th^{229} для тепловых нейтронов. Gindler J. E., Flynn K. F., Gray J. Jr. Thermal neutron fission cross-section of ^{229}Th . «J. Inorg. and Nucl. Chem.», 1960, 15, № 1—2, 1—3 (англ.). — Сечение деления (σ) Th^{229} для тепловых нейтронов равно $30,5 \text{ барн}$. Величину σ определили двойными камерами деления с образцом Th^{229} и контрольным образцом U^{233} или Pu^{239} . Камеры помещали в поток тепловых нейтронов $1,5 \cdot 10^{11}$ — $4 \cdot 10^{11}$ нейтрон/см² сек с кадрированным отношением $\sim 1,3 \cdot 10^3$. При счете актов деления $\sim 5 \cdot 10^4$ — $2 \cdot 10^5$ имп/мин фон камер составлял 70 — 270 имп/мин. Кол-во атомов Th , U и Pu на образцах определяли по α -активности и табличным значениям $T_{1/2}$ ^{234}Th , ^{234}Pa и ^{234}U соответственно. Также проведен масс-спектрометрич. анализ U и Pu . Th^{229} выделяли из р-ра материнского U^{233} в 1 M HNO_3 путем сорбции на катионите с последующим вымыванием р-ром цитрата аммония при pH 6. Дано описание последующей тщательной очистки от следов U и Pu , включающей многократное осаждение на LaF_3 и $\text{La}(\text{OH})_3$, очистку на анионообменных колонках и экстракцию р-рами $0,1 \text{ M}$ монооктилфосфата в толуоле и $0,2 \text{ M}$ теноилтрифторацетона в C_6H_6 . И. Кеирим-Маркус

9Б289. Итоги и перспективы развития радиохимии. Haissinsky M. La radiochimie bilan et perspectives. «Bull. Soc. chim. France», 1960, № 10, 1683—1687 (франц.). — В область радиохимии автор включает разделы: 1) химия радиоактивных элементов и хим. свойства в-в в «невесомых» кол-вах, 2) ядерная химия, 3) химия горячих атомов, 4) радиационная химия, 5) изотопы и применение радиоактивных индикаторов. Рассматриваются основные проблемы и достижения каждого раздела. В. Левин

9Б290. Химия горячих атомов. I. Историческое введение и физика освобождения горячего атома. II. Реакции в жидкой и газовой фазах. III. Реакции в твердой фазе. Chemie horkých atomů. I. Svoboda Kristián. Historický úvod a fyzika uvolňování horkého atomu. II. Číska Jifi. Reakce v plynné a kapalně fázi. III. Pánek Karel. Reakce v pevné fázi. «Jaderná energie», 1960, 6, № 10, 326—332; 333—340; 341—346 (чешск., русск., англ., нем.). — I. Обзор. Библиограф. назв.

II. Обзор. Библиограф. назв.

III. Обзор. Библиограф. назв.

9Б291. Химия N^{13} -атомов отдачи в некоторых соединениях углерода. Schmied Henry, Koski W. S. Chemistry of N^{13} recoils in some carbon compounds. «J. Amer. Chem. Soc.», 1960, 82, № 18, 4766—4770 (англ.). — Идентифицированы содержание N^{13} продукты нейтронной бомбардировки (ПДБ) CH_3Br (I), CH_3Cl (II), CHCl_3 (III) и CCl_4 (IV). ПДБ разделялись и определялись методом газовой хроматографии с тепловым кондуктометрич. детектором, а также после прибавления носителей и другими методами аналитич. химии. При облучении I и II N^{13} вошел в основном в образовавшуюся HCN (V), а при облучении IV — в ClCN (VI). Среди ПДБ III обнаружены радиоактивные V и

VI. Предполагается, что радиоактивные N_2 и окислы азота, найденные среди ПДБ, образовались за счет р-ции между N^{13} и O_2 или N_2 , адсорбированными на стенках реакционного сосуда. Отмечается, что горячие атомы N^{13} так же, как и тепловые атомы (РЖХим, 1957, № 9, 29990, 29991; 1959, № 7, 22523), не разрывают связей C—H, так как среди ПДБ не обнаружено радиоактивного NH_3 .

9Б292. Влияние ядерной отдачи в системе $Cr(3+)$ —тиоцианат. Kaufman Shelcon. Effects of nuclear recoil in the chromium (III) — thiocyanate system of complexes. «J. Amer. Chem. Soc.», 1960, 82, № 11, 2963—2964 (англ.).—С целью изучения химич. последствий ядерной отдачи, происходящей при р-ции $Cr^{50}(n, \gamma)Cr^{51}$, разб. р-р $(NH_4)_2Cr(NCS)_6$ облучался нейтронами (10^{13} нейтрон/см²сек) в течение 1 мин., после чего хроматографированием на катионите Дау-экс-50 и на окиси аммония разделены все продукты $Cr(NCS)_x(H_2O)_{6-x}$ и определено содержание радиоактивного Cr^{51} в них. Найдено следующее распределение Cr^{51} : $Cr(NCS)_6^{3-} < 0.1\%$; $Cr(NCS)_5^{2-} 0.1\%$; $Cr(NCS)_4^{1-} 3.9\%$; $Cr(NCS)_3 1.9\%$; $цис-Cr(NCS)_2^{+} 15.5\%$; $транс-Cr(NCS)_2^{+} 4.8\%$; $Cr(NCS)^{2+} 33.6\%$; $Cr^{3+} 29.1\%$. Удержание не имеет места в исходном в-ве и в комплексах с двумя группами NCS и более. Тот факт, что Cr^{51} все же сохраняется в моно- и даже дитиоцианатах, несмотря на большую энергию отдачи (энергия Cr^{51} может достигать 880 эв), значительно превышающую энергию разрыва связей Cr—NCS, автор объясняет частичной рекомбинацией «горячего» Cr с тиоцианатными радикалами.

9Б293. Явление радиолиза в водных растворах йодида натрия (с J^{131}) без носителя. Burgess J. S., Partington E. J. Radiation decomposition effects in aqueous solutions of carrier-free sodium iodide I-131. «Atomic Energy Res. Establish.», 1960, NRCC/R 98, 6 pp., ill. (англ.).—Исследовано радиоционно-хим. окисление тиосульфата (I) и йодида в р-ре, содержащем J^{131} без носителя. Исходная конц-ия I 0.02 н. Скорость окисления прямо пропорциональна уд. активности (A) р-ра. Хим. состояние I изучали электрофорезом на бумаге. В присутствии I J существует только в виде J⁻. Через 1 день после исчезновения всего I при исходной A J^{131} 75 мюри/мл ~4% общей A находится в виде йодата (II). По истечении 1 недели II исчезает и появляется примесь элементарного йода (III). При исходной A 50 мюри/мл ~1% A в виде II появляется через несколько часов после окончания окисления I. Исчезновение II и появление III протекает как и в I-м случае. При исходной A 40 мюри/мл после окисления I в р-ре не найдено ни II, ни III. Для предотвращения окисления J^{131} в течение его средней продолжительности жизни достаточно наличия начальной конц-ии I $5 \cdot 10^{-5}$ ммоль на 1 мюри J^{131} .

9Б294. Выделение P^{32} , свободного от носителя, из элементарной серы на колонке из силикагеля. Jovanović-Kovačević Olga Z. Separation of carrier-free P^{32} from elementary sulphur on a silica gel column. «Bull. Inst. Nucl. Sci.», 1960, 10, 51—59 (англ., рез. франц.).—Разработан метод выделения P^{32} , свободного от носителя, из облученной нейтронами серы на колонке из силикагеля (I). Облучению подвергали α -модификацию серы, получаемую кристаллизацией из смеси ксилола, толуола, хлороформа и трихлорэтилена. Облученная сера растворялась в CS_2 . Р-р пропускался через колонку с I. Степень адсорбции P^{32} равна 98—100%. Для десорбции P^{32} с колонки применялись 5 н. HNO_3 , 5 н. NH_4OH и H_2O , причем 5 н. HNO_3 оказалась лучшим десорбентом, исследовано влияние важнейших факторов на степень извлечения P^{32} . Оптимальные условия выделения P^{32} . Адсорбция из р-ра серы в CS_2 на колонке с I, обработанным 1 н. NH_4OH , затем 0.1 н. NH_4OH , 1 н. HCl и водой до удаления ионов Cl^- ; промытая колонка чистым CS_2 ; сушка колонки воздухом; вельми-

вание P^{32} р-ром 5 н. HNO_3 (скорость потока элюента 0.5 мл/мин на 1 см²). При этих условиях выход P^{32} ~80%.

9Б295. Концентрирование P^{32} без носителя адсорбцией на окиси алюминия. Veljković Slobodan R., Milenković Slavko M. Concentration of carrier-free P^{32} by adsorption on alumina. «Bull. Inst. Nucl. Sci.», 1960, 10, 61—69 (англ., рез. русск.).—Изучена адсорбция P^{32} из водн. р-ров $[NaCl, NH_4CNS, (NH_4)_2SO_4, MgSO_4, Na_2HPO_4, HCl, HNO_3]$ на хроматографич. окиси алюминия (I). При конц-иях солей до 2 н. адсорбция P^{32} составляет 96.5—99.1%. Для H^+ - и Na -форм I получены одинаковые результаты. Адсорбция практически не изменяется при возрастании скорости пропускания р-ра до 30 мл/мин см². Исследованы различные выходящие р-ры для удаления адсорбированного P^{32} с колонки. Наилучшие результаты (75% извлечения P^{32}) получены при вымывании со скоростью 0.2 мл/мин см² 2.5 н. р-ром $NH_4OH + H_2O_2$. Без H_2O_2 выход 50%. Описанный метод использован для выделения P^{32} из облученной нейтронами $MgSO_4$.

9Б296. Отделение P^{32} от S^{35} и от некоторых других анионов адсорбцией на MgO . Veljković Slobodan R., Milenković Slavko M. Separation of P^{32} from S-35 and from some other anions on MgO . «Bull. Inst. Nucl. Sci.», 1960, 10, 71—74 (англ., рез. русск.). Изучалась адсорбция P^{32} на MgO (≤ 200 мкг) при pH 7.5 и 25°. В результате 20-минутного контакта на 10 мкг MgO адсорбируется 99.8% P^{32} без носителя, при этом адсорбируется $\leq 0.05\%$ S^{35} без носителя. В р-ров с конц-ией до 1 н. $MgSO_4$ адсорбируется $< 0.01\%$ сульфатов. Адсорбция A P^{32} уменьшается до 67% в 2 н. р-ре $MgSO_4$. Однако увеличение кол-ва MgO в 500 мкг повышает адсорбцию до 92.5%. Повышение адсорбции имеет место также при увеличении времени адсорбции. Для P^{32} адсорбция достигает 99.2% на 0.1 н. NH_4OH .

9Б297. Сорбция радиоактивных изотопов на окислах. II. Сорбция стронция и иттрия на гидроксиде окисного железа и алюминия. Kolarik Z., Kouřil V. Sorption radioaktiver Isotope an Niederschlägen. I. Strontium- und Yttriumadsorption an Eisen (III)- und Aluminiumhydroxyd. «Collect. Czechosl. Chem. Commun.», 1960, 25, № 4, 1000—1007 (нем., рез. русск.). Исследована сорбция и десорбция различных изотопов стронция и следов иттрия на $Fe(OH)_3$ и $Al(OH)_3$. Изучено влияние ионов H^+ и NH_4^+ на сорбционное равновесие. Показано, что Sr адсорбируется на $Fe(OH)_3$ вследствие обмена с водородным ионом гидроксидов. Сорбция Sr падает с т-рой, тогда как сорбция Y т-рой не зависит. Сорбция Sr на смеси $Fe(OH)_3$ и $Al(OH)_3$ максимальна, если обе гидроксиды осаждаются одновременно из р-ра, содержащего ионы Sr. Коэффициент I см. РЖХим, 1960, № 3, 8177.

9Б298. Очистка водных растворов от Cs^{137} и Sr^{90} ионным обменом на вермикулите. Sammon D., Watts R. E. The removal of ^{137}Cs and ^{90}Sr from aqueous solution by ion exchange on vermiculite. «Atomic Energy Res. Establish.», 1960, № R3274, III, 22 pp., ill. (англ.).—Изучена очистка водн. р-ров $NaNO_3$ при ~ 11.5 в колонках, заполненных вермикулитом (В). Cs^{137} , Sr^{90} и Y^{90} . Использовались два образца В — обработанный и расщепленный. Обменная емкость, определяемая в динамич. условиях, равнялась ~ 0.56 экв/г и не зависела от типа В, однако обмен на не обработанном В шел гораздо медленнее. Поэтому для очистки радиоактивных р-ров лучше использовать расщепленный В. Из 0.01 н. р-ра $NaNO_3$ при pH 7—11 В удалялось 99.95% Sr^{90} (из 160 объемов р-ра по отношению к сорбенту, при конц-иях Ca^{+2} в р-ре ~ 5 мкг Cs^{137} сорбировавшаяся с такой же эффективностью, но с более высокой активностью в вытекающем р-ре наблюдался гораздо раньше. Адсорбированные Sr^{90} и Cs^{137} очень медленно смываются с В водой, по-видимому, за счет

Н-обмена. Обсуждаются некоторые вопросы строения В и необратимой сорбции катионов на В. Результаты опытов подтверждают предположение, что В и бистит взаимно превращаются в процессе ионообменной сорбции катионов.

В. Громов

9Б299. Определение $Zr^{95} + Nb^{95}$ методом ионообменного отделения от других продуктов деления. Leaf A. C. The determination of zirconium-95 plus niobium-95 by anion-exchange separation from other fission products. «Talanta», 1960, 6, 265—272 (англ.).— Описан метод отделения $Zr^{95} + Nb^{95}$ от других продуктов деления. К исследуемому образцу добавляют носители Zr , Nb и Se , обрабатывают р-р избытком NH_4OH и растворяют осадок в 0,3 М HCl . SeF_6 отделяется центрифугированием, а декантат пропускается через колонку длиной 100 мм и диам. 7 мм, наполненную смолой Дауэкс-1— X_4 во фторидной форме. Осадок SeF_6 промывается 2 раза 5 мл 0,3 М HCl и промывной р-р также переносится в колонку. Смола промывается 20 мл 3 М HCl , переносится в пробирку и просчитывается на многоканальном сцинтилляционном спектрометре с кристаллом $NaJ(Tl)$ колодезного типа. $Zr^{95} + Nb^{95}$ адсорбируется на 99,5% Ru^{100} — на 4,4%, а Cs^{137} и Ce^{144} — на 0,1% от первоначального кол-ва. Точность определения $Zr^{95} + Nb^{95}$ ($99,5 \pm 0,7$ %). Определены коэф. распределения $Zr^{95} + Nb^{95}$ между смолой и р-ром HCl в интервале конц-ий 0,1—6,0 М. Изучено влияние U^{4+} , Fe^{3+} , Al^{3+} , Fe^{3+} и Al^{3+} не влияют на адсорбцию $Zr^{95} + Nb^{95}$, тогда как наличие 200 и 400 мг U^{4+} в колонке снижает адсорбцию на 4 и 13% соответственно. Указываются особенности расчета, вызванные содержанием U^{4+} в растворе.

В. Саламатин

9Б300. Короткоживущие изотопы Nb и Zr среди продуктов деления. Orth C. J., Smith R. K. Short-lived isotopes of Nb and Zr from fission. «J. Inorg. and Nucl. Chem.», 1960, 15, № 1—2, 4—17 (англ.).— Из продуктов деления U^{235} выделили изотопы Nb^{98} , Nb^{99} , Nb^{100} , Nb^{101} , Zr^{98} , Zr^{99} с $T_{1/2}$ 51,5; 2,4; 3,0; 1,0; ~1 мин. и 35 сек. соответственно. Выход Nb^{98} приблизительно в 4 раза выше, чем Nb^{97} . $UO_2(NO_3)_2$, обогащенный на 93% по U^{235} , облучали 20—60 сек. в потоке 10^{12} нейтрон/см².— сек. Хим. анализ начинали спустя 10 сек. после конца облучения. Nb выделяли осаждением в виде $Nb_2O_5 \cdot nH_2O$ (I) в присутствии носителей Mo , Te , Zr ; осадок растворяли в HCl и экстрагировали Nb диизопропилакетом. Очистка от Sb производилась осаждением Sb_2S_3 . Хим. выход Nb ~30%, Zr выделяли, растворяя мишень в 8 М HNO_3 , экстрагируя Zr теноилтрифтороацетатом в ксилоле и осаждая в виде $BaZrF_6$. Хим. выход ~20%. Для выделения из Nb дочернего Mo осадок I растворяли в $HNO_3 + HF$ в присутствии носителя Mo и вновь осаждали Nb с помощью NH_4OH , Mo оставался в р-ре. Каждый цикл выделения Mo занимал ~2 мин. Для выделения дочерних продуктов из Zr последний осаждали в виде $Zr_3(PO_4)_4$ в присутствии носителей Mo и Nb . Каждый цикл продолжался ~1,5 мин. Активность измеряли сцинтилляционными спектрометрами β - γ -излучения и γ - γ -совпадений с кристаллами $NaJ - Ti$ (76 × 76 и 38 × 38 мм), стиблена (40 × 16 мм) и пропорциональным β -счетчиком. Энергия β -распада Nb^{98} равна 4,6 Мэв; максим. энергия β -спектра 3,1 Мэв. Обнаружены γ -линии с энергиями (в Мэв): 0,33 (9), 0,72 (75), 0,78 (100), 1,16 (30), 1,44 (10), 1,52 (4), 1,68 (10), 1,88 (4), 1,93 (8), 2,24; 2,44 и 2,7 (слабые; в скобках — относительная интенсивность). Предложена схема распада. Изотоп идентифицировали по $T_{1/2}$, получив его по р-ции $Mo^{96}(n, p)Nb^{96}$. В спектре Nb^{99} обнаружены γ -линии 0,10 и 0,26 Мэв равной интенсивности; в спектре Nb^{100} — линии (в Мэв): 0,14 (10), 0,36 (55), 0,45 (40), 0,53 (100), 0,65; 2,2; 2,3; 2,65 и 2,85. Получить Nb^{100} по р-ции $Mo^{100}(n, p)$ не удалось; сечение р-ции 0,5 мбарн. Не обнаружен изомер Nb^{96} со спином 1+, который искали среди продуктов р-ции $Zr(p, n)$

при энергии протонов 3—5,5 Мэв. $T_{1/2}$ изомера должен быть менее 5 сек.

И. Кеппим-Маркус

9Б301. Определение радиобария. Hunter G. J., Perkins M. The determination of radiobarium. «Atomic Energy Res. Establish.», 1960, № AM65, 9 pp. (англ.).— К р-ру, содержащему радиобарий и некоторые другие радиоизотопы, прибавляют по 10 мг/мл стабильного Ba и Sr . Затем осаждают карбонаты, Ba и Sr растворяют в 6 М HNO_3 и основа осаждают в виде нитратов дымящейся HNO_3 , отделяют от маточного р-ра и растворяют в H_2O . Далее следует очистка Ba и Sr осаждением $Fe(OH)_3$ и отделение Ba от Sr в виде $BaCrO_4$. Осадок $BaCrO_4$ растворяют в 6 М HCl , Ba выделяют из р-ров HCl в виде $BaCl_2$, прибавляя к р-ру $(C_2H_5)_2O$. Осадок $BaCl_2$ растворяют в H_2O и Ba окончательно выделяют в виде $BaCO_3$, промывают и сушат. По истечении 14 дней с момента выделения $BaCO_3$ (для установления радиоактивного равновесия $Ba^{140} - La^{140}$ и распада короткоживущих изотопов Ba) производят измерения активности $BaCO_3$.

В. Громов

9Б302. Химические исследования с радиоактивными индикаторами. XXI. Выделение техничеия, свободного от носителя. Ishibashi Masayoshi, Fujinaga Taitiro, Koyama Mutsuo. «Nihon Kagaku Zasshi, Nippon Kagaku zasshi, J. Chem. Soc. Japan. Pure Chem. Sec.», 1960, 81, № 8, 1260—1263, A87 (японск., рез. англ.).— Изучено применение метода дистилляции для выделения и хим. очистки Tc , полученного бомбардировкой протонами Mo -мишени. Эффективность дистилляции из р-ра в H_2SO_4 повышается добавлением окислителей (HNO_3 , $HClO_4$). Хорошие результаты дает предварительная экстракция пиридином. Tc отделяется от $Sr^{90} - Y^{90}$, $Cs^{137} - Ba^{137}$, $Ce^{144} - Pr^{144}$ и Mo . Сообщения XX см. РЖХим, 1960, № 10, 37873.

Из резюме авторов

9Б303. Выделение весовых количеств чистого протактиния-231. Спицын В. И., Дьячкова Р. А. «Докл. АН СССР», 1960, 134, № 5, 1111—1114.— Для концентрирования Pa^{231} из отходов производства урана использована адсорбция из азотнокислых р-ров на осадке MnO_2 . При этом происходила эффективная очистка Pa от Al , Fe и Ca . Получен концентрат состава (в %): MnO_2 81, SiO_2 4,1, Fe_2O_3 2,4, Al_2O_3 0,9, TiO_2 0,4, ZrO_2 0,3, CaO 0,03, P_2O_5 1,5, As_2O_5 2,9 и Pa^{231} 2,5 · 10⁻⁴. При растворении концентрата в 1 н. HCl с добавкой $NaNO_2$ образуется гель кремневой к-ты, который полностью захватывает Pa . Примеси к Pa в геле: Fe , P , As , Mn , Ti , Zr и Nb . Кремниевую кислоту удаляли щел. обработкой или отгонкой с HF , остаток растворяли в HCl и Pa^{231} выделяли с осадком фосфатов Zr , Ti и Nb . Осадок кипятили с 10%-ным р-ром $NaOH$ и полученные гидроокиси растворяли в HNO_3 . Р-р, содержащий Pa^{231} , Zr , Ti и Nb , пропускали через колонку с MnO_2 , Zr и Ti удалялись при промывке колонки 10 н. HNO_3 . Оставшиеся на сорбенте Pa^{231} и Nb разделяли при пропускании р-ра 0,5 н. HNO_3 и 0,2 н. NH_4F . Pa^{231} переходил в этот р-р. Вместе с Pa в р-р попадали незначительные кол-ва Mn , который отделялся пропусканием р-ра через колонку со смесью $KV-2$. В отличие от Mn Pa^{231} , образующий устойчивый отрицательно заряженный комплекс с F -ионами, не сорбировался смесью, Mn — оставался в колонке. Используя описанную методику, авторы получили из нескольких кг концентрата миллиграммовые кол-ва Pa^{231} , идентификация которого проводилась спектральным анализом, методом изотопного разбавления и исследованием характера излучения.

В. Громов

9Б304. Разделение изотопов бора. IV. Система диметилсульфид — BF_3 . Palko A. A., Drury J. S. Separation of boron isotopes. IV. The methyl sulfide- BF_3 system. «J. Chem. Phys.», 1960, 33, № 3, 779—781 (англ.).— Изучен обмен B между BF_3 (газ) и комплексом $(CH_3)_2S \cdot BF_3$ (жидк.) при t -рах от —20 до +26°. Опре-

делены коэф. разделения α (при -20 , $-10,0$ и $+26^\circ$). Показано, что В концентрируется в жидкой фазе с изменением α от 1,056 до 1,031 при повышении т-ры. Зависимость α от т-ры подчиняется у-нью: $\lg \alpha = 16,9/T - 0,0440$. Методом, описанным ранее (РЖХим, 1958, № 20, 66729), измерено давление пара $(\text{CH}_3)_2\text{S}$ и смеси его с BF_3 , а также оценено изменение энтропии и теплот р-ции обмена: $\text{B}^{10}\text{F}_3(\text{газ}) + \text{B}^{11}\text{F}_3(\text{CH}_3)_2\text{S}(\text{жидк.}) \rightleftharpoons \text{B}^{11}\text{F}_3(\text{газ}) + \text{B}^{10}(\text{CH}_3)_2\text{S}(\text{жидк.})$. Сообщение III см. РЖХим, 1960, № 3, 8171.

9Б305. О новом способе разделения изотопов бора. Кузнецова Е. М., Панченков Г. М., Филиппова Р. С., Малахов В. Ф. «Ж. физ. химии», 1960, 34, № 10, 2370—2371.—Метод жидкостной экстракции применен к разделению изотопов В с использованием ранее описанной установки (РЖХим, 1957, № 24, 77438). В качестве р-рителей были выбраны вода и изометилловый спирт, загрузка в виде H_3BO_3 составляла 0,5. Изотопный анализ проводился на масс-спектрометре МС-4. Показана принципиальная возможность применения жидкостной экстракции к разделению изотопов В. Получен коэф. разделения $\alpha = 1,0027$.

9Б306. К разделению изотопов бора химическим обменом. Киселев Б. П. «Атом. энергия», 1960, 9, № 4, 312—313.—Изучено разделение изотопов В методом хим. обмена при $20-30^\circ$ между борфтористоводородной к-той и $\text{BF}_3(\text{газ})$. B^{10} концентрируется в газовой фазе с α 1,028 \pm 0,008.

9Б307. Распределение трития между паровой и жидкой фазами тритированной воды. Sepall O., Mason S. G. Vapor/liquid partition of tritium in tritiated water. «Canad. J. Chem.», 1960, 38, № 10, 2024—2025 (англ.).—Определена зависимость коэф. распределения трития между фазами от т-ры в пределах от 0° до 90° . Определения коэф. распределения производились путем измерения абс. активности метана, полученного при взаимодействии конденсата паров тритиевой воды с реактивом Гриньяра (CH_3MgJ), в счетчике внутреннего наполнения. Образцы паров отбирались путем их вымораживания после равновесной дистилляции через длинный капилляр. Результаты сравниваются с ранее полученными данными.

9Б308. Измерение радиоактивности паров бензина и бензола, меченных тритием или углеродом-14. Финкель Э. Э. «Ж. физ. химии», 1960, 34, № 10, 2365—2366 (рез. англ.).—Изучены счетные и загрузочные характеристики счетчиков СБС-2 и СБС-5 при заполнении их парами бензина и бензола, меченных Т или C^{14} . Исследована зависимость рабочих напряжений и длины плато счетчиков от давления в них паров заполнителей ($5-25$ мм рт. ст.). В этой области длина плато ≥ 200 в при наклоне $< 5\%$ на 100 в. При 25 мм допустимая скорость счета равна $\sim 5000-6000$ имп/мин, а мертвое время $\sim 9,6 \cdot 10^{-4}$ сек.

9Б309. К вопросу о масс-спектрометрическом анализе изотопного состава элементарного бора. Зопп Ю. А. «Ж. аналит. химии», 1960, 15, № 5, 643—645 (рез. англ.).—Разработана методика изотопного анализа элементарного В на масс-спектрометре типа МИ-1301 с источником для испарения твердых в-в. На испаритель (W-фольга толщиной $0,02$ мм) наносили $0,1$ мг В в виде спирт. суспензии и получали необходимое давление пара в корбочке плавным повышением т-ры (РЖХим, 1958, № 13, 43131) до достижения ионного тока наиболее интенсивной массы $\sim 1000-1500$ м. Измерен изотопный состав природного В и обогащенного по B^{10} и проведено сравнение с изотопным составом В в H_3BO_3 . Изучен процесс испарения В с ленточкой и показано, что в процессе испарения наблюдается фракционирование изотопов, которое, однако, не влияет на точность измерений.

9Б310. Определение содержания бора в графите ядерного реактора. Kikuchi Kinshiro, Nakamura Shigeru, Tsukino Kazuo. «Фудзи дзихо, Fuji

Electr. J.», 1960, 33, № 7, 549—556 (японск.; рез. англ.).—Исследованы колориметрич. и спектральные методы определения В в графите ядерного реактора. Образцы графита прокачивали с $\text{Ca}(\text{OH})_2$ при 900° , извлекали В перегонкой с метанолом и дистиллят переносили в л-щ. р-р $\text{Co}(\text{OH})_2$. Цветной реагент (куркумин) добавляли в полученный р-р, который испаряли при $55 \pm 3^\circ$, остаток растворяли в этаноле и фильтровали. Анализ проводился на спектрофотометре при 550 м. Для спектрального анализа бор также поглощали CaO . Затем определяли В при помощи дуги постоянного тока с использованием в качестве внутреннего стандарта спектральных линий Au или Li (лучшие результаты получены с Au).

9Б311. Определение радиоактивного теллура в продуктах деления. I. Uzumasa Yasumitsu, Nishimura Masakichi, Akaiwa Hideo. «Бунсаку какаку, Japan Analyst», 1960, 9, № 7, 584—587 (японск.; рез. англ.).—Видоизменен ранее описанный метод (Wilkinson G., Grummitt W. E. «Nucl. Sci.», 1951, 9, 52) определения радиоактивного Те в продуктах деления. В качестве восстанавливающего агента использован хлорид олова. Установлено, что экстракцией р-ра теноилтрифторацетона в C_6H_6 удаляется большинство продуктов деления, кроме Те.

9Б312. Радиохимический анализ отдельных частиц радиоактивных осадков. Mackin J., Zigman P., Love D., Mac-Donald D., Sam D. Radiochemical analysis of individual fallout particles. «J. Inorg. and Nucl. Chem.», 1960, 15, № 1—2, 20—36 (англ.).—Выполнены колич. измерения радиоактивности, размеров, веса отдельных частиц, выпавших при ядерном взрыве в атолле Бикини в 1956 г. Радиоактивные частицы собирались непосредственно во время их выпадения. Все частицы внешне можно было разделить на две группы: частицы коралла, не подвергшиеся изменению (группа 1), и измененные частицы (группа 2). Однако, по видимому, все частицы подвергались хим. изменениям. Цвет частиц: белые, желтые, серые, бесцветные; размер $50-1000$ м, вес $0,0094-457$ мг. Общая активность $\sim 10^4$ делений на 1 г для группы 2 и $\sim 10^2$ делений на 1 г для группы 1, активность отдельной частицы в среднем $\geq 10^3$ делений. Наиболее активные частицы анализировались на Mo^{99} , Ba^{140} , La^{140} , Sr^{90} , Nb^{93} (определялось отношение кол-ва данного изотопа к Mo^{99}). Полученные данные показывают, что в группе 2 было меньше Ba^{140} и La^{140} , чем в группе 1, в группе 2 также наблюдается избыток жестких γ -фотонов с энергией более $0,4$ Мэв. Частицы группы 2 были объединены по Sr^{90} .

9Б313. Радиохимический анализ долгоживущих продуктов распада радона и их использование как природных индикаторов атмосферы. Burton W. M., Stewart N. G. The radiochemical analysis of long-lived radon decay products and their use as natural atmospheric tracers. «Atomic Energy Res. Establ.», 1960, № HP/R 2084, III, 30 pp., ill. (англ.).—Описывается методика радиохим. определения небольших кол-в RaD , RaE и RaF , содержащихся в дождевой воде и собранных на спец. фильтры из воздуха. Бумажные фильтры, содержащие радиоактивные в-ва, разрушают смесью $\text{H}_2\text{SO}_4 + \text{HNO}_3$ в присутствии носителей (Pb и Bi). Р-р упаривают для удаления HNO_3 , разбавляют фильтруют. Осадок (PbSO_4) растворяют в цитрате аммония, добавляют к р-ру KCN и экстрагируют Pb диглизоном при pH 9. Экстракт промывают и переводят Pb в водн. р-р HNO_3 . К этому р-р добавляют H_2SO_4 , упаривают, разбавляют и отфильтровывают осадок PbSO_4 , который используют для определения β -активности RaD и хим. выхода Pb . К первому фильтрату добавляют теллурит и осаждают $\text{Te} + \text{Po}$ р-ром NaH_2PO_4 . Осадок отфильтровывают, растворяют в конц. $\text{HCl} + \text{Br}_2$, отделяют Te осаждением $\text{N}_2\text{H}_4 \cdot \text{HCl}$. Филь-

трат (Po + Bi) доводят до конца HCl 0,5 M и отделяют Po электроосаждением на Ag-диск, который используют для измерения α -активности RaF. К р-ру после электролиза добавляют цитрат аммония и KCN и экстрагируют Bi дитизоном при pH 9. Экстракт промывают и реактивируют Bi HNO₃. Из р-ра осаждают BiPO₄, фильтруют и используют для определения β -активности RaE и хим. выхода Bi. Хим. выход RaD равен 80—100%, RaE = 70—100%, RaF \geq 80%. Предел чувствительности этих определений $\sim 10^{-12}$ кюри. Выделение и измерение RaD, RaE и RaF, попадающих в атмосферу вследствие естественного выхода Rn из земной коры, велось в присутствии радиоактивных продуктов деления (Cs¹³⁷, Sr⁹⁰, Y⁹⁰, Ru¹⁰⁶ и т. д.), образовавшихся при испытаниях ядерного оружия, кол-во которых в атмосфере превышает содержание RaD, RaE и RaF более чем в 100 раз. Однако только 0,01% продуктов деления от их кол-ва в первоначальных пробах попадает в конечные фракции. Систематич. определения RaD, RaE и RaF в атмосфере над Великобританией на высотах до 1,5 км показали, что отношение RaF/RaD закономерно увеличивается с высотой и что данные изотопы могут быть использованы как естественные индикаторы процессов, происходящих в атмосфере. В. Громов

9Б314. Газовые сцинтилляторы высокого давления. Engelke Charles E. High pressure gas scintillators. «IRE Trans. Nucl. Sci.», 1960, 7, № 2-3, 32—35 (англ.).—Световой выход в газовых сцинтилляторах составляет до 1/4 от величины в NaJ-Tl. Амплитуды α -импульсов не зависят от давления в интервале 5—75 атм для газовых сцинтилляторов Ne + Xe, N₂ + Ar, N₂ + Xe. В жидких смесях и чистых N и Ar величина импульсов приблизительно такая же, как в газах. Использование р-ций N¹⁴(n, p), N¹⁴(n, α) и Ne²⁰(n, α) и ядер отдачи в He⁴ позволяет получить детекторы нейтронов с резким энергетич. порогом и с эффективностью $\sim 20\%$ при 1 Мэв. Приведена схема камеры газового счетчика. В качестве преобразователя спектра люминесценции использован слой 75 μ /см² дифенилстильбена на MgO, который в 3 раза эффективнее солицилата Na. Кварцевое окно камеры покрыто 10 μ /см² сцинтиллятора и пропускает 95% света люминесценции. При низких давлениях Ar или Xe небольшие кол-ва N₂ увеличивали амплитуду импульсов, при высоких — амплитуды уменьшаются по мере увеличения давления N₂ из-за образования возбужденных молекул N₂, излучающих в ИК-области. В смеси 7 атм N₂ + 28 атм Xe полуширина тока от нейтронов с энергией 0,5 Мэв — 29,5%; уменьшение энергии на 1% приводит к уменьшению амплитуды на 88%. Обсуждаются практич. преимущества исследованных детекторов. И. Кеирим-Маркус

9Б315. Основные параметры газового наполнения счетчиков Гейгера — Мюллера. Этанол-аргоновые смеси. Storrs Charles D., Kiser Robert W. Characteristic parameters of Geiger — Müller counter gases. «Appl. Scient. Res.», 1960, B8, № 4, 387—396 (англ.).

9Б316. Иодистый цезий как γ -спектрометр. Schmidt C. T. Cesium iodide as a gamma ray spectrometer. «IRE Trans. Nucl. Sci.», 1960, 7, № 2-3, 25—28 (англ.).—Для спектрометрии γ -лучей высоких энергий кристалл CsJ — Tl обладает преимуществами по сравнению с NaJ — Tl, поскольку при равных размерах имеет лучшее отношение площади фотопика к остальной площади спектра (N) (в 1,25 раза при 2,76 Мэв). Преимущества сказываются сильнее при больших энергиях γ -квантов. В экспериментах использовали кристалл (127 \times 89 мм) и фотоумножитель diam. 76 мм в защите из 15 см свинца с коллиматором diam. 6,3 мм снаружи и 12,7 мм — у кристалла. Полуширина γ -линии Cs¹³⁷ 9,3%; для Co⁶⁰ N равно 2,7. Световой выход кристалла постоянен для γ -квантов с энер-

гией от 80 кэв до 7,13 Мэв (N¹⁶). Измеренное время затухания сцинтилляций равно 1,2 мсек.

И. Кеирим-Маркус
9Б317. Sr⁹⁰ и Cs¹³⁷ в осадках в Испре. Benco A., Gaglione P., Malvicini A., Vido L. ⁹⁰Sr e ¹³⁷Cs nel fallout di Ispra. Febbr. 1958 — dic. 1959. «Minerva nucl.», 1959, 4, № 9, 229—234 (итал.; рез. англ.).—Данные по содержанию Sr⁹⁰ и Cs¹³⁷ в радиоактивных осадках, выпавших в Испре (Италия), указывают на их значительное увеличение весной 1959 года, что связано с ядерными взрывами за период октябрь — ноябрь 1958 года. Установлено, что среднее время пребывания Sr⁹⁰ в стратосфере значительно меньше, чем это считали прежде. Радиоактивность осадков весной 1959 года вызвала значительное увеличение радиоактивности в растениях, некоторых пищевых продуктах. Приведены данные спектрального и радиометрич. анализа золь молока. По резюме авторов

См. также: Ядерные свойства 9Б1—9Б28. Введение в молекулу 9Б35, 9Б36, 9Б80, 9Б97, 9Б111, 9Б196, 9Б237, 9Б261. Изотопные эффекты 9Б273, 9Б450. Изотопный обмен 9Б262. Химия радиоактивных элементов 9Б321, 9Б322, 9Б346, 9Б377, 9Б410, 9Б422, 9Б435, 9Б468, 9Б472, 9Б550, 9Б15, 9Б27, 9Б49—9Б53, 9Д35, 9Д47—9Д49, 9Д51, 9Д57, 9Д84, 9Д95, 9Д96, 9Д103—9Д106, 9Д151. Приборы с радиоактивными датчиками 9Б431, 9Д16. Применение в исследовании: кинетики и механизма р-ций 9Б400, 9Б433; Строения хим. соединений 9Б454, 9К13; в физ.-хим. исследованиях 9Б551, 9Б552, 9Б561, 9Б618; в биохимии 9С5, 9С20—9С23, 9С36, 9С51, 9С57, 9С66, 9С91, 9С151, 9С193, 9С216, 9С218, 9С237, 9С250, 9С266, 9С272, 9С285, 9С310, 9С315, 9С324, 9С600, 9С641, 9С652, 9С654, 9С655, 9С661, 9С670, 9С677, 9С679, 9С683, 9С694, 9С709, 9С713, 9С717, 9С719, 9С733, 9С735, 9С750, 9С752, 9С761, 9С765, 9С770, 9С775, 9С782, 9С806, 9С812, 9С824, 9С835, 9С838, 9С840, 9С845, 9С848, 9С856, 9С863, 9С868—9С870, 9С873, 9С878, 9С881—9С883, 9С895, 9С896, 9С903, 9С911, 9С919, 9С921, 9С930, 9С951, 9С963, 9С982—9С984, 9С986, 9С987, 9С989, 9С991, 9С993, 9С996, 9С1000—9С1002, 9С1015, 9С1021, 9С1024, 9С1030, 9С1031, 9С1035, 9С1037, 9С1041, 9С1046, 9С1049, 9С1055, 9С1060, 9С1066, 9С1107, 9С1123, 9С1125, 9С1129, 9С1155, 9С1161, 9С1171, 9С1181, 9С1213, 9С1238, 9С1262, 9С1266, 9С1267, 9С1324, 9С1355—9С1357, 9С1365, 9С1408, 9С1420, 9С1431, 9С1443, 9С1479, 9С1514, 9С1515, 9С1534, 9С1560, 9С1582, 9С1615; в пром-сти 9И8, 9И9, 9И260, 9И227, 9И7, 9И125, 9И352, 9И496; в аналитич. химии 9Д2, 9Д50, 9Д76, 9Д176. Хим.-технологич. вопросы ядерной техники 9К1—9К45. Изотопы в геохимии и космохимии 9Г6, 9Г29, 9Г91, 9Г108—9Г110, 9Г125, 9Г126, 9Г130. Защита от излучений 9И317—9И330, 9К307. Радиоактивные отходы 9И262, 9И263, 9И265, 9И267, 9И268, 9И275, 9И291—9И294. Аппаратура для работы с изотопами 9Е21, 9Е38

ТЕРМОДИНАМИКА. ТЕРМОХИМИЯ. РАВНОВЕСИЯ. ФАЗОВЫЕ ПЕРЕХОДЫ. ФИЗИКО-ХИМИЧЕСКИЙ АНАЛИЗ

Редакторы Д. Л. Агеева, В. А. Соколов

9Б318. Уравнение состояния и фазовый переход в сферическом решеточном газе. Pressman Walter, Keller Joseph B. Equation of state and phase transition of the spherical lattice gas. «Phys. Rev.», 1960, 120, № 1, 22—32 (англ.).—Рассматривается решеточный газ, для которого числа заполнения — произвольные числа, заключенные между +1 и -1. Сумма квадратов чисел заполнения ячейки равна числу ячеек. Это позволяет интегрированием по поверхности некоторой сферы вычислить ячейочную фракцию

лучше, чем суммированием по точкам решетки. Вычислены статистич. сумма и ур-ние состояния. Найдено, что конденсация газа происходит в трехмерном, но не в двухмерном случае. Представлены графики кривой фазового перехода и изотермы для одно-, двух- и трехмерного газа. Аналитич. работа упрощается при использовании соотношения между свойствами решеточного газа и модели Изинга для ферромагнетиков. Это соотношение (Yang C. N., Lec T. P. «Phys. Rev.», 1952, 87, 410) применено к рассматриваемой модели и сферич. модели ферромагнетиков. Свойства решетки вычислены описанным ранее методом (Berlin T. H., Kac M. «Phys. Rev.», 1952, 86, 821). Приводятся полученные изотермы сферич. модели магнетиков.

Из резюме авторов

9Б319. Релаксация изолированного ансамбля гармонических осцилляторов. Shuler Kurt E. Relaxation of an isolated ensemble of harmonic oscillators. «J. Chem. Phys.», 1960, 32, № 6, 1692–1697 (англ.).—Решены кинетич. ур-ния, описывающие релаксацию неравновесной функции распределения изолированного ансамбля одинаковых гармонич. осцилляторов. Предполагается, что в результате взаимодействия осцилляторов при двойных столкновениях происходят одноквантовые переходы между соседними колебательными уровнями $n \rightarrow n+1$ и $m \rightarrow m-1$ каждого осциллятора. Вероятность такого перехода, рассчитанная в первом приближении теории возмущений в предположении линейной зависимости энергии взаимодействия от колебательных координат, равна $P_{n,n+1}; m,m-1 = P_{0,1} \cdot 1.0 \cdot (n+1) \cdot m$. В этом случае систему квадратичных релаксационных ур-ний удается линеаризовать и свести к системе, решенной ранее. Стационарное распределение при $t \rightarrow \infty$ (t — время) является больцмановским с t -рой, определяющей полной энергией системы. Для δ -образного начального распределения подробно исследована релаксация колебательной функции распределения, вычислена и изучена временная зависимость H -функции Больцмана.

Е. Никитин

9Б320. Физическая химия для химиков. I. II. Термодинамика. Сионоя С. «Kagaku kogô, Chem. Ind.» (Japan), 1960, 11, № 8, 798–803 (японск.).

9Б321. Теплоемкость и термодинамические функции урана в интервале от 5 до 350° K. Floto W. Howard E., Lohr Harold R. The heat capacity and thermodynamic functions of uranium from 5 to 350° K. «J. Phys. Chem.», 1960, 64, № 7, 904–906 (англ.).—С помощью описанной ранее методики (РЖХим, 1960, № 7, 25662) в интервале 5–350° K измерена теплоемкость c_p металлич. α -урана высокой чистоты (99,99%). Ошибка измерений оценивается в 5% при 5° K, 1% при 14° K и 0,2% выше 30° K. Результаты сравнены с измерениями других авторов, работавших с менее чистыми образцами (см., напр., Jones W. M. и др. «J. Chem. Phys.», 1952, 20, 605; Smith P. L., Wolcott N. M. Conference de physique des basses temperatures. Paris, 2–8 Sept., 1955, Annexe 1955–3, Suppl. bull. Inst. Internat. Froid, pp. 283–286). На основании измерений в интервале 5–298° K для 42 точек вычислены и табулированы c_p^0 , S^0 , $-(F - H^0)/T$ и $H^0 - H^0$. При 298,15° K указанные функции соответственно равны: $6,612 \pm 0,013$; $12,00 \pm 0,02$; $6,893 \pm 0,014$ кал/град моль и 1521 ± 3 кал/моль.

И. Годнев

9Б322. Теплоемкость тетрафторида урана от 1,3 до 20° K и термодинамические функции до 300° K. Калориметр для области 0,8–20° K. Burns John H., Osborne Darrell W., Westrum Edgar F., Jr. Heat capacity of uranium tetrafluoride from 1.3° to 20° K and the thermodynamic functions to 300° K. Calorimeter for the range 0.8° to 20° K. «J. Chem. Phys.», 1960, 33, № 2, 387–394 (англ.).—Измерена c_p двух образцов UF_4 , порошкообразного (I) и гранулированного (II), в

интервале от 1,3 до 20° K. Для образца II приведен способ получения и результаты анализа. Измерения проводились в изотермич. калориметре, в который вмонтированы газовый термометр и резервуар для жидких Ne^3 или Ne^4 (для калибровки угольного термометра сопоставления). Описан калориметр и способ построения температурной шкалы. c_p представлены в таблицах и на графике. Точность измерений $c_p \sim 2\%$ при 1,3° K, 0,6% при 2° K, 0,2% в интервале 2,4–18° K и 0,4% при 20° K. Заметное различие в c_p образцов I и II авторы объясняют адсорбцией введенного в калориметр Ne . Кривая $c_p - T$ обнаруживает аномалию Шоттки при 6,4° K, являющуюся, по-видимому, следствием расщепления электронных уровней энергии под действием поля лигандов. С использованием ранее опубликованных данных (РЖХим, 1956, № 14, 42581) в интервале 5–300° K рассчитаны и табулированы термодинамич. функции UF_4 : при 298,15° K $S^0 = 36,25 \pm 0,04$ энтр. ед., $H^0 - H^0 = 5390 \pm 6$ кал/моль и $-(F^0 - H^0)/T = 18,17 \pm 0,02$ кал/моль град. Экстраполяция кривой $c_p - T$ ниже 1,3° K проводилась по ур-нию $c_p = 0,0049 T^3$. Э. Серетин

9Б323. Теплоемкость хлорида лития в интервале 15–325° K. Shirley D. A. The heat capacity of lithium chloride from 15 to 325 degrees Kelvin. «J. Amer. Chem. Soc.», 1960, 82, № 15, 3841–3843 (англ.).—В описанном ранее калориметре (РЖХим, 1956, № 14, 42589) измерена c_p $LiCl$ (99,1%) в интервале 15–325° K. Измеренные c_p табулированы. Точность измерения c_p выше 30° K составляла $\sim 0,1\%$, ниже 20° K $\sim 1\%$. Для той же области t -р рассчитаны и табулированы S_T^0 , $(F^0 - H^0)/T$ и $(H^0 - H^0)/T$; $S_{298,15}^0$ равняется $-14,17 \pm 0,02$ гиббс/моль. На основании изучения зависимости $c_p/T^3 - T$ сделан вывод, что модель оптич. области фонового спектра двухатомной кристаллич. решетки типа $NaCl$, согласно которой теплоемкость при низких t -рах в первом приближении может быть представлена комбинацией трех изохроматич. функций Эйнштейна и одной функции Дебая, подтверждается для $LiCl$ только качественно (максимум c_p/T^3 наблюдается при 33° K). Показано также на примере некоторых галогенидов щел. металлов, что модель лучше оправдывается для солей, ионы которых больше различаются по массе. Э. Серетин

9Б324. Химико-термодинамические свойства метилциклопентана и 1-цис-3-диметилциклопентана. Scott D. W., Berg W. T., McCullough J. P. Chemical thermodynamic properties of methylcyclopentane and 1-cis-3-dimethylcyclopentane. «J. Phys. Chem.», 1960, 64, № 7, 906–908 (англ.).—Опубликованные ранее измерения теплоемкости паров метилциклопентана (I) и 1-цис-3-диметилциклопентана (II) (РЖХим, 1960, № 14, 56184) применены для более точного вычисления термодинамич. свойств указанных соединений в идеальном газовом состоянии (ср. Kilpatrick J. E. и др., «J. Res. Natl. Bur. Stand.», 1947, 39, 523; Epstein M. B. и др., «J. Res. Natl. Bur. Stand.», 1949, 43, 245). Вычисления для I были выполнены статистич. методом с учетом 46 гармонич. колебаний, внутреннего вращения метиловой группы с барьером 3000 кал/моль и псевдовращения пятичленного кольца с барьером 750 кал/моль и эффективным моментом инерции $18 \cdot 10^{-40}$ гсм². Указанные параметры были подобраны так, чтобы обеспечить согласие с эксперим. калориметрич. данными. Пятичленное кольцо при вычислении моментов инерции предполагалось плоским и длины связей и углов были приняты значения: C—C 1,54 Å, C—H 1,09 Å, <C—C—C (кольцо) 108°, остальные углы 109°28'. Термодинамич. функции II были вычислены уточненным методом инкрементов (РЖХим, 1956, № 1, 344). Были использованы следующие ф-лы: $c_p^0 = c_p^0(I) + c_p^0(CH_2) + 0,81$; $S^0 = S^0(I) + S^0(CH_2) + 0,81 \ln T - 7,60$; $H - H^0 = (H^0 - H^0)(I) + (H^0 -$

6252) рассчитана средняя энергия диссоциации связи В—ОСН₃ (116,5 ккал/моль) и энергия диссоциации связи В—Н (92,5 ккал/моль), что хорошо согласуется со значением энергии связи В—Н, найденной на основании теплоты образования ВН₃ (РЖХим, 1957, № 2, 3461).

9Б332. Теплоты гидрирования. VII. Циклопента-триенилий (тропилий) — ион. Turner Richard B., Prinzbach H., Doering W. von E. Heats of hydrogenation. VII. The cyclopentatrienylium (tropylum) ion. «J. Amer. Chem. Soc.», 1960, 82, № 13, 3451—3454 (англ.).—Теплота гидрирования тропилийхлорида (I) в уксусной к-те при 25°, равная $-86,20 \pm 0,33$ ккал/моль, определена в калориметре, описанном ранее (РЖХим, 1959, № 10, 31660). Также измерены при 25° теплоты растворения I, циклопентана, бензилхлорида в гидрированном р-ре I в уксусной к-те (II); I в воде; соляной к-ты в уксусной, а также теплота смещения соответствующих катионов воды и уксусной к-ты. Найденная на основании этих данных теплота образования I (в II), равная $+19,8$ ккал/моль, сравнена с вычисленными в предположении ковалентного характера связи хлора в I. Сделана попытка сравнить теплоты образования тропилий- и бензилкарбоний-ионов. Авторы оценивают теплоту гидратации газообразного тропилий-иона, лежащей в интервале от -50 до -68 ккал/моль. Сообщение VI см. РЖХим, 1958, № 19, 63676.

9Б333. «Энтальпийное титрование» и термохимия в расплавленных солях. Jordan Joseph, Meier Jurg, Billingham Edward J., Jr, Pendergrast James. Enthalpy titrations and thermochemistry in molten salts. «Nature» (Engl.), 1960, 187, № 4734, 316—319 (англ.).—По полученным в адиабатич. условиях кривым термометрич. титрования KCl, KBr, KJ и K₂CrO₄ нитратом серебра в расплаве LiNO₃—KNO₃ найдены энтальпии соответствующих р-ций образования твердых солей серебра (ккал/моль, $-18,9 \pm 0,9$; $-26,1 \pm 0,7$; $-32,1 \pm 1$; $-18,7 \pm 0,5$), рассчитаны произведения растворимости (K_{sp}), свободные энергии ($\Delta F^0 = RT \ln K_{sp}$) и энтропии р-ций осаждения. Точность измерения т-ры $\pm 0,0005^\circ$, подъем т-ры при титровании был порядка $\sim 0,01$ — $0,05^\circ$ при средней т-ре 500—800° К; конц-ии титруемых в-в составляли 10^{-4} — 10^{-2} моля на 1000 г расплава. Аппаратура для записи кривых титрования описана ранее (1960, № 7, 26342; № 22, 88255). Сделаны предположения о состоянии в-в в расплаве.

9Б334. Вычисление констант равновесия из спектрофотометрических данных. Nash C. P. The calculation of equilibrium constants from spectrophotometric data. «J. Phys. Chem.», 1960, 64, № 7, 950—953 (англ.).—Рассмотрен вопрос о вычислении константы равновесия K р-ции $S + D \rightleftharpoons SD$ из спектрофотометрич. данных в предположении, что S и SD одновременно поглощают свет в рассматриваемой области длин волн, причем соблюдается закон Бера, а конц-ия c_S мала по сравнению с конц-ией c_{SD} . Применяя в качестве переменных $Y = 1/c_D$ и $X = A^0/(A^0 - A)$, где $A = \epsilon_S c_S + \epsilon_{SD} c_{SD}$, $A^0 = \epsilon_S c_S^0$ — суть оптич. плотности при толщине поглощающего слоя $l = 1$ см, автор получает ур-ние прямой $Y = X/(K - \alpha) - K$, позволяющее по опытным значениям A находить K (без отдельного определения ϵ_{SD}) в виде отрезка, отсекаемого прямой на оси ординат. В качестве примеров рассмотрены равновесия диоксан — йод в CCl₄, дибутиловый эфир — йод в циклогексане, фенол — триэтиламин в *n*-гептане.

9Б335. Термодинамический анализ процессов восстановления хлоратов сернистым ангидридом и метиловым спиртом. Флис И. Е. «Ж. прикл. химии», 1960, 33, № 8, 1767—1774.—Вычислены значения ΔZ^0 для

различных ступеней восстановления хлоратов при действии SO₂ и CH₃OH. Предложен механизм процесса восстановления, хлоратов до двуокиси хлора: в первой стадии $ClO_3^- + 3SO_2(p-p) + 3H_2O(жидк.) \rightleftharpoons Cl^- + 3SO_4^{2-} + 6H^+$; $ClO_3^- + CH_3OH(жидк.) \rightleftharpoons Cl^- + CO_2 + 2H_2O(жидк.)$. Во второй стадии $ClO_2^- + Cl^- + 2H^+ \rightleftharpoons ClO_2 + \frac{1}{2}Cl_2 + H_2O(жидк.)$. Предложено использовать хлориды в качестве восстановителей вместо SO₂ и CH₃OH при получении двуокиси хлора. А. Бонеев

9Б336. Равновесные и кинетические свойства системы четыреххлористый углерод — дихлорметан. Mueller Charles R., Ignatowski Albert J. Equilibrium and transport properties of the carbon tetrachloride-methylene chloride system. «J. Chem. Phys.», 1960, 32, № 5, 1430—1434 (англ.).—Измерены уд. вес и вязкость смесей CCl₄ и CH₂Cl₂ при 20°, а также с помощью видоизмененного прибора Скоттчада исследовано равновесие жидкость — пар в системе, образованной этими компонентами, при т-рах 30, 35 и 39°; рассчитаны коэф. активности компонентов. Избыточная свободная энергия практически не зависит от т-ры и имеет наибольшее значение (~ 70 ккал/моль) при 40—50 мол.% CCl₄. Измерена вязкость паров смесей при 20, 80 и 140° и рассчитаны константы в ур-нии потенциала Леннард-Джонса. По данным о вязкости жидких смесей рассчитаны значения избыточной свободной энергии активации вязкого течения. В. Коган

9Б337. Абсорбция водорода палладиево-платиновыми сплавами. Часть 3. Некоторые термодинамические факторы. Carson A. W., Flanagan Ted B., Lewis F. A. Absorption of hydrogen in palladium/platinum alloys. Part 3. Some thermodynamic factors. «Trans. Faraday Soc.», 1960, 56, № 9, 1332—1339 (англ.).—Из измерений электродных потенциалов вычислены свободные энергии растворения водорода и давление пара гидридов в зависимости от содержания водорода. Построены изотермы абсорбции для серии сплавов платины с палладием (от 2,79 до 12 ат.% Pt) при т-рах 0—58°. Для абсорбции водорода при 1 атм сплавами с содержанием 2,79, 5,73, 8,80 ат.% Pt при одновременном образовании гидридных α - и β -фаз вычислены парц. термодинамич. величины. Полученные результаты показывают, что крит. т-ра и давление одновременного существования гидридных α - и β -фаз понижаются с увеличением содержания Pt в сплавах. Абсорбция водорода в сплавах с содержанием > 35 ат.% Pt не является экзотермич. процессом, как это указывается в литературе. Часть 2 см. РЖХим, 1960, № 19, 76695.

9Б338. Термодинамические функции для реакции растворения гидроксидов кальция в воде. Greenberg S. A., Copeland L. E. The thermodynamic functions for the solution of calcium hydroxide in water. «J. Phys. Chem.», 1960, 64, № 8, 1057—1059 (англ.).—По литературным данным рассчитана энергия кристаллич. решеток Ca(OH)₂, равная -562 ккал/моль. Оценено растворение Ca—OH, равное 2,43 А. Из цикла Борна—Габера для Ca(OH)₂ для энергии родства электрона к гидроксиду получена величина 77 ккал/моль. Константа равновесия (K) р-ции Ca(OH)₂(тв.) + nH₂O(жидк.) = Ca²⁺(водн.) + 2OH⁻(водн.) подчиняется ур-нию $\ln K = 17,67 \ln T - 0,078 T - 89,0$. Следовательно, для этой р-ции изменение свободной энергии есть $\Delta F^0 = -17,67 RT \ln T + 0,078 RT^2 + 89,0 RT$, изменение энтальпии $\Delta H^0 = 17,67 RT - 0,078 RT^2$ и изменение энтропии $\Delta S^0 = 17,67 R \ln T - 0,156 RT - 71,3 R$. При 25° произведение растворимости равно $9,10 \cdot 10^{-6}$. Библ. 29 назв.

9Б339. Влияние анионов на положение равновесия реакции между спиртом и кислотой. Киреев М. Н. «Тр. Омского мед. ин-та», 1959, вып. 26, 103—108.—С целью выяснения влияния анионов исследовано равновесие р-ций этилового спирта с уксусной к-той в присутствии HCl и HBr и с муравьиной к-той в при-

существовании NaCl, NaBr, KCl, KBr и KJ при 20°. Концентрация спирта в равновесной смеси составляла 33—35 об.%. Смещение равновесия и находящаяся из него гидратация 1—1-электролитов с одним и тем же катионом возрастает с увеличением аниона. Влияние анионов и катионов на равновесие противоположно. Чем больше отношение радиуса аниона к радиусу катиона, тем сильнее электролит (исключение составляет K) смещает равновесие, причем $Mg^{2+} > Ca^{2+} > Sr^{2+} > Ba^{2+} > Li^{+} > Na^{+} > K^{+}$ и $J^{-} > Br^{-} > Cl^{-}$. При сравнении этих рядов с лиотропными наблюдается обратное расположение в рядах одно- и двухвалентных катионов.

9Б340. Положение равновесия реакции между спиртом и кислотой в присутствии электролитов. Киреев М. Н. «Изв. высш. учебн. заведений. Химия и хим. технол.», 1960, 3, № 3, 439—442. — Описаным ранее методом (Шлезингер Н. А., Киреев М. Н. «Ж. общ. химии», 1937, 7, 2335) изучалось влияние катионов (Na, K, Mg, Ca, Sr, Ba) на константу равновесия р-ции этерификации в системе этиловый спирт — монохлоруксусная к-та и анионов (Cl, Br и J) в системе этиловый спирт — муравьиная (уксусная) к-та. Опытные данные по смещению равновесия электролитом хорошо согласуются (расхождение ~1,3%) с эмпирич. ур-нием $K = K_0 - am$, где K и K_0 — константы равновесия в присутствии и в отсутствие электролита, m — концентрация электролита в момент установления равновесия и a — константа. Установлено: 1) относительное изменение константы равновесия р-ции между спиртом и к-той в присутствии электролитов зависит от концентрации, заряда и радиуса ионов электролита; 2) для одного и того же типа электролитов смещение равновесия увеличивается с уменьшением радиуса катиона и увеличением радиуса аниона; 3) для электролитов, имеющих приблизительно одинаковые ионные радиусы и различные заряды катионов, смещение равновесия пропорционально ионной силе р-ра.

9Б341. Термодинамические свойства окиси свинца, растворенной в расплавленном метафосфате натрия. Делимарский Ю. К., Андреева В. Н. «Ж. неорг. химии», 1960, 5, № 8, 1800—1805. — Измерена эдс. цепи: Pb | расплав $NaPO_3$ и PbO | $O_2(Pt)$ при 720, 800, 860, 900, 940 и 980°. Обратимый кислородный электрод выполнен в виде платиновой трубочки, через которую продувается чистый кислород с некоторой оптимальной скоростью, найденной экспериментально. Мол. доля Nb_2O_5 в расплавах равнялась: 0,01, 0,05, 0,10, 0,20, 0,30 и 1,0. При любой т-ре эдс. резко уменьшается при увеличении Nb_2O_5 . По полученным данным рассчитаны изобарный потенциал, активность, энтропия и энthalпия PbO в расплавах. Расплавы образуются с большим выделением тепла. Результаты свидетельствуют о глубоком хим. взаимодействии между $NaPO_3$, PbO и о процессе деполимеризации $NaPO_3$ при внесении в него PbO .

9Б342. Термодинамические свойства некоторых окислов металлов, растворенных в расплавленном метафосфате натрия. Андреева В. Н., Делимарский Ю. К. «Ж. неорг. химии», 1960, 5, № 9, 2075—2083. — В продолжение работы (см. реф. 9Б341) и таким же методом при т-рах от 720 до 960° измерены эдс. цепей типа M /расплав $MO(N)$ и $NaPO_3/O_2(Pt)$ (N — мол. доля окисла в расплаве). По полученным результатам рассчитаны активность, изобарный потенциал, энтропия и энthalпия MO в расплавах. При внесении Bi_2O_3 (N от 0,01 до 1,0) в $NaPO_3$ происходит значительное хим. взаимодействие при незначительной деполимеризации $NaPO_3$, а при внесении NiO (N от 0,005 до 1,0) — интенсивная деполимеризация $NaPO_3$ при незначительном хим. взаимодействии. Для $M = Mo$ и Sb и $M = MoO_3$ и Sb_2O_3 цепи необратимы из-за побочных р-ций (восстановление Mo до низших валентностей, образование высших кислород-

ных соединений Sb). Все опытные и расчетные величины табулированы.

А. Стрельников
9Б343. Изучение окислительно-восстановительных равновесий Mn-виостита с газовой фазой с точки зрения статистической термодинамики. Takeuchi Sakae, Furukawa Kazuo, Gunji Koki. «Нахон киндоку гаккайси, J. Japan Inst. Metals», 1960, 24, № 3, 187—191 (японск.; реф. англ.). — Изучено равновесие $(Fe, Mn)O$ с кислородом. С учетом предыдущих работ по исследованию твердых р-ров виостита и магнетита, предложена следующая конфигурационная модель для Mn-виостита: 1) ионы O^{2-} и ионы металла образуют решетку типа NaCl, 2) в месте локализации ионов O^{2-} решетка имеет совершенную структуру, 3) в месте локализации положительно заряженных частиц ионы Fe^{2+} , ионы Mn^{2+} и вакансии распределены беспорядочно, 4) недостаток электронов компенсируется окислением некоторых ионов Fe^{2+} до трехвалентного состояния, причем суммарный электрич. заряд кристалла нейтрализуется. На основе такого представления и с позиций статистич. термодинамики составлена функция распределения для Mn-виостита, а также вычислено равновесное соотношение между составом твердой фазы и давлением кислорода в газовой фазе. Результаты расчета находятся в удовлетворительном совпадении с литературными экперим. значениями, а также с опытными данными авторов, полученными по изменению веса при помощи пружинных весов.

А. Грановская
9Б344. Поведение дисульфида германия при высоких температурах. Погорелый А. Д., Морозов Н. К. «Изв. высш. учебн. заведений. Цветн. металлургия», 1960, № 4, 113—121. — Разработана методика приготовления стабильного на воздухе кристаллич. прекурсора GeS_2 , получающегося при взаимодействии паров $GeCl_4$ с H_2S . Для точки плавления GeS_2 под давлением собственных паров дается величина $825 \pm 3^\circ$. Определены некоторые кристаллографич. характеристики. Методом потока измерено давление насыщ. пара GeS_2 (500—800°), $\lg P(\text{мм рт. ст.}) = 9030/T + 43,97 \lg T - 139,19$. (При расчете величины P не учитывалась диссоциация GeS_2 на GeS и S_2 .) Из наблюдений кажущегося давления паров GeS_2 в атмосфере из 9% Ar и 10% H_2 рассчитаны (Способ расчета: Погорелый А. Д. «Ж. физ. химии», 1948, № 5) константы р-ции диссоциации $2GeS_2 \rightleftharpoons 2GeS + S_2$, $\lg K_{T, \text{с}} = \lg P_{GeS}^2 / P_{S_2} = -35470/T + 30,10 (\text{атм}^3) (500-700^\circ)$. Изменение изобарного потенциала для этой р-ции может быть рассчитано из: $\Delta G^\circ_T = -162,0 + 0,1377/T \text{ ккал}$. Обсуждены причины расхождений полученных результатов с данными ряда авторов.

В. Карелин
9Б345. О поведении систем пар — жидкость выше и ниже критической точки. Meijer P. H. E. Note on the behaviour of a vapourliquid system above and below the critical point. «Proc. Phys. Soc.», 1960, 76, № 2, 303—306 (англ.). — Исходя из ур-ния Ван-дер-Ваальса, показано, что максимум теплоемкости при постоянном давлении лежит на непрерывной кривой, проходящей через крит. точку. Эксперим. данные хорошо согласуются с этой кривой как выше, так и ниже крит. точки, несмотря на то, что ур-ние Ван-дер-Ваальса не вполне точно.

По резюме автора
9Б346. Результаты низкотемпературных исследований. XXX. Различия давлений паров $C^{12}H_4$ и $C^{13}H_4$ в интервале между температурами плавления и кипения. Clusius K., Endtinger F., Schleich K. Ergebnisse der Tieftemperaturforschung. XXX. Die Dampfdruckdifferenz von $^{12}CH_4$ und $^{13}CH_4$ zwischen Schmelz- und Siedepunkt. «Helv. chim. acta», 1960, 43, № 5, 1267—1274 (нем.). — Сопоставляются полученные разными авторами данные о различии давлений паров $C^{12}H_4$ (P_L) и $C^{13}H_4$ (P_S) и отмечается большое расхождение. Измерено различие давления паров

обычного метана, содержащего 1,08% $C^{13}H_4$, и тяжелого метана, содержащего 99,5% $C^{13}H_4$. Путем экстраполяции с помощью закона Рауля полученных данных на чистые в-ва получено у-ние для отношения давлений паров $C^{12}H_4$ и $C^{13}H_4$: $\lg(P_1/P_2) = 72,477/T^2 - 0,900/T + 3,547 \cdot 10^{-3} (91,17^\circ - 110,44^\circ K)$. Т-ры плавления и кипения $C^{12}H_4$ и $C^{13}H_4$ равны соответственно 90,67, 111,69 и 90,70, 111,70, а давления паров в тройной точке: 87,73 и 87,82 мм рт. ст. Коэф. относительной летучести в системе $C^{12}H_4-C^{13}H_4$ примерно вдвое меньше, чем в системе $C^{12}O_2-C^{13}O_2$. Поэтому для получения C^{13} более эффективен процесс ректификации CO , а не CH_4 . Сообщение XXIX см. РЖХим, 1961, 1Б351.

9Б347. Масс-спектрометрическое изучение системы осмий — кислород. Grimley R. T., Burns R. P., Ingham Mark G. Mass-spectrometric study of the osmium — oxygen system. «J. Chem. Phys.», 1960, 33, № 1, 308—309 (англ.). — Масс-спектрометрически изучена система $Os-O$ в интервале 1100—1750° K. Вкладывая из Al_2O_3 , в котором находился металл Os , помещался в эффузионную Мо-камеру, в которую подавался O_2 . В паре системы $Os-O$ присутствуют молекулы OsO_2 и OsO_4 . Кол-во молекул OsO_2 не превышает 0,1% от OsO_4 при 1700° K. Для р-ции $OsO_4(газ) \rightarrow OsO_2(газ) + 1/2 O_2(газ)$ $\Delta H_{1400}^\circ = 11,8 \pm 1$ ккал/моль.

Ю. Ходеев
9Б348. Измерения равновесия в системе платина — кислород. Газообразная двуокись платины. Schäfer Harald, Tebben Alfred. Gleichgewichtsmessungen im System Platin — Sauerstoff. Gasförmiges Platindioxyd. «Z. Anorgan. und allgem. Chem.», 1960, 304, № 5—6, 317—321 (нем.; рез. англ.). — Сделано заключение, что в присутствии кислорода платина при нагревании улетучивается в виде двуокиси PtO_2 . Методом струи в присутствии кислорода в интервале 1107—1208° изучено равновесие р-ции: $Pt + O_2 = PtO_2(газ)$ (1). Изменение константы равновесия $K_p = P(PtO_2)/P(O_2)$ в зависимости от т-ры дается у-нием: $\lg K_p = 0,374 - 8757/T$. Интерполяционная ф-ла зависимости $\lg K_p$ от T для более широкой температурной области имеет вид: $\lg K_p = -8925/T - 0,8861 + 0,5536/T - 0,2557 \cdot 10^{-3} T - 0,0765 \cdot 10^5/T^2$. Для р-ции (1) рассчитано: $\Delta H_{1400}^\circ = 40,07$; $\Delta H_{298}^\circ = 41,30$ ккал; $\Delta S_{1400}^\circ = +1,71$; $\Delta S_{298}^\circ = 3,01$ кал. Энтропия газообразного PtO_2 $S(PtO_2, газ, 298) = 62,0$ кал.

И. Соколова
9Б349. Давление пара над жидкими растворами $Bi-BiCl_3$. Keneshea F. J., Jr, Wilson W., Cubicciotti Daniel. The vapor pressures of liquid $Bi-BiCl_3$ solutions. «J. Phys. Chem.», 1960, 64, № 6, 827—829 (англ.). — Для выяснения вопроса о существовании над расплавами $Bi-BiCl_3$ лишь мономерных молекул треххлористого висмута. В дополнение к ранее выполненным измерениям (РЖХим, 1958, № 22, 73200; 1959, № 4, 10979; № 20, 70724) давление пара $BiCl_3$ над системой измерено двумя методами: кназистатическим и спиральным манометром. Оба метода дали сходные величины теплоты испарения соответственно $18,5 \pm 0,2$ и $18,9 \pm 0,2$ ккал/моль, что указывает на существование только мономерных молекул. Давление пара $BiCl_3$ при 301, 356 и 392° практически не зависит от конц-ии висмута в пределах от 0,41 до 0,94 мольной доли Bi , что согласуется с наличием двухфазной области на диаграмме состояния. Активность $BiCl_3$ подчиняется закону Рауля при низких конц-иях Bi и обнаруживает значительные положительные отклонения при более высоких концентрациях.

А. Грановская
9Б350. Скрытая теплота испарения и состав. Wright Franklin J. Latent heat of vaporisation and composition. «Recueil trav. chim.», 1960, 79, № 7, 784—789 (англ.). — С целью эксперим. проверки эмпи- рич. ур-ний Джонса и Боудена (Jones W. J., Bowden S. T. «Philos. Mag.», 1946, 28, 485), выражающих зависимость скрытой теплоты испарения от мол. веса и разности плотностей жидкости и пара, измерены давления паров и плотности 32 гомологичных в-в в интервале т-р от комнатной до т-ры кипения, а также показатели преломления при 20°. По полученным опытным данным с помощью ур-ния Клапейрона-Клаузиуса рассчитаны скрытые теплоты испарения при т-ре кипения и полученные значения сопоставлены с рассчитанными по ур-ниям Джонса и Боудена. Показано, что константы в этих ур-ниях являются аддитивными функциями состава и строения соединений. Найден значения атомных и структурных составляющих для расчета указанных констант.

В. Котин
9Б351. Равновесие жидкость — пар углеводородов и параметр растворимости. Prausnitz J. M., Edmister W. C., Chao K. C. Hydrocarbon vapor — liquid equilibria and solubility parameter. «A. I. Ch. E. Journal», 1960, 6, № 2, 214—219 (англ.). — Метод расчета равновесия жидкость — пар для смесей углеводородов основывается на теории регулярных р-ров. Коэф. активности компонента i γ_i определяется по ур-нию $\ln \gamma_i = V_i(\delta_i - \delta)^2/RT$ (V_i — мол. объем компонента i , δ_i — параметр растворимости компонента i и δ — средний объемный параметр растворимости многокомпонентной смеси. Величина δ_i определяется по изменению энтальпии при испарении по ур-нию Гильдебранда. Коэф. фугативности вычисляется с помощью ур-ния состояния (Redlich O., Kwong J. N. S. «Chem. Rev.», 1949, 44, 233). Если компонент i является газообразным, δ_i рассчитывается с помощью данных о растворимости. Рассчитаны значения δ и γ для водорода, метана, этана и пропана и найдены константы равновесия указанных в-в при различных т-рах и давлениях в многокомпонентных смесях (р-ры в парафинном, олефиновом и ароматич. маслах). Среднее отклонение рассчитанных и эксперим. величин для 42 различных значений составляет 13%.

В. Котин

9Б352. Определение парциальных давлений по зависимости общего давления пара от состава жидкости. Christian Sherrill D. The determination of partial pressures from total vapor pressure — liquid composition data. «J. Phys. Chem.», 1960, 64, № 6, 764—767 (англ.). — Предложен метод расчета парц. давлений компонентов бинарных систем по зависимости общего давления пара от состава жидкости при постоянной т-ре, основанный на том, что коэф. активности компонентов могут быть представлены в функции состава жидкости в виде степенного ряда. Принимается, что паровая фаза следует законам идеальных газов. Зависимость общего давления P от состава выражается ур-нием $P = x_1 P_1^0 \exp\{(1-x_1)^2(A + Bx_1 + Cx_1^2) + (1-x_1)P_2^0 \exp\{x_1^2[(A-B)/2 + (B-2C/3)x_1 + Cx_1^2]\}$, где P_1^0 и P_2^0 — давления паров чистых компонентов, x_1 — мол. доля компонента 1 в жидкости и A , B и C — константы. Подэкспоненциальные выражения представляют логарифмы коэф. активности соответственно компонентов 1 и 2. Метод расчета коэф. активности заключается в подборе значений констант A , B и C дающих наилучшее совпадение опытных и рассчитанных по приведенному ур-нию значений P . Описывается способ расчета констант A , B и C с помощью электронной счетной машины. Предложенный метод применен для расчета коэф. активности в системах CCl_4 — бензол (I), I — гептан, гексан — хлорбензол, ацетон — диэтиловый эфир, изопропанол — I и CCl_4 — этанол. Получено хорошее согласие опытных и рассчитанных значений парц. давлений. Выведено ур-ние для расчета коэф. активности для случая, когда один из компонентов образует в паровой фазе димеры. В. Котин

9Б353. Метод вычисления давления насыщенного пара по его составу для двухкомпонентной системы

463—465 (чешск.; реф. русск., англ.).—Выведены у-ния для предсказания свойств четырехкомпонентной системы по данным, полученным для бинарной системы, и обобщены для систем с числом компонентов n . Метод применим для ряда равновесных и неравновесных свойств системы и дает результаты, точность которых, как правило, достаточна для технич. практики. Метод пригоден для корреляции эксперим. данных для многокомпонентных систем. Из резюме автора

9Б363. Обменные ряды галогенид-сульфатных взаимных систем. Бергман А. Г., Бухалова Г. А., Бакумская Е. Л., Гладущенко В. А. «Тр. Ростовск.-й/Д. инж.-строит. ин-та», 1960, вып. 10, 26—32.—Представлены в виде таблиц или графически обменные ряды тройных взаимных систем типа $M^+, M^{2+} \parallel X, SO_4$ и $M^{2+}, M^{2+} \parallel X, SO_4$ (где M^+, M^{2+} — ионы одно- и двухвалентного металла, X — галогенидный ион), характеризующие зависимость состояния обменного равновесия в системе от величины условного термодинам. эффекта r -ции обмена (Q). Катионные ряды фторид-сульфатных и хлорид-сульфатных взаимных систем не совпадают. Системы с величиной Q , близкой к нулю, являются обратимо-взаимными, а при наличии комплексобразования — диагональными ич диагональными с подчиненной диагональю. С возрастанием Q появляются необратимо-взаимные системы, а затем системы с расслоением. Е. Банашек

9Б364. О компонентном анализе бинарных систем по ослаблению γ -излучения. Меркулов В. С., Климушев А. В. «Ж. физ. химии», 1960, 34, № 6, 1373—1376 (реф. англ.).—Дается теория метода компонентного анализа различных смесей, эмульсий, р-ров и хим. соединений, основанного на ослаблении интенсивности γ -излучения, после прохождения через образец. Зная коэф. ослабления компонентов системы и коэф. ослабления оболочки, можно составить у-ние, которое позволит определить конц-ию исследуемого компонента на основе эксперим. данных по ослаблению γ -излучения в системе. Ф. Перельман

9Б365. К исследованию системы гафний — водород. Espragno Lucien, Azou Pierre, Bastien Paul. Contribution à l'étude du système hafnium — hydrogène. «C. r. Acad. sci.», 1960, 250, № 26, 4352—4354 (франц.).—Аналогично проведенным ранее исследованиям по системе Zr—H (РЖХим, 1960, № 4, 12583; № 15, 60333) исследован процесс растворения H_2 в Hf. На диаграмме состав — температура имеются две изотермич. площадки: 950° ($HfH_{0.2}$ — $HfH_{0.5}$) и 400° ($\sim HfH_{1.7}$). В отношении кинетики поглощения H_2 имеется значительное сходство между свойствами Hf и Zr. Расширение образцов Hf при насыщении их H_2 описывается кривой, полученной для Zr. Приведены результаты рентгеноструктурного анализа. Чистый Hf: гексагон., a 3,206 Å; c 5,067 Å. $HfH_{1.64}$: куб. градецентрир., a 4,702 Å. Составу HfH отвечает тетрагон. решетка, a 4,70 Å; c 4,68. обратимо переходящая в кубическую при 85—100°. В области устойчивости куб. формы параметр решетки является функцией содержания водорода. Ю. Варшавский

9Б366. Исследование диаграммы состояния системы Bi—Se. Абрикосов Н. Х., Банкина В. Ф., Харитонович К. Ф. «Ж. неорг. химии», 1960, 5, № 9, 2011—2016.—Исследована система Bi—Se в пределах от 0 до 37% Se методами изучения микроструктуры, термич. анализа и измерения электропроводности и термо-а.д.с. Найдено новое соединение, близкое по составу к Bi_2Se , образующееся по перитектич. р-ции при t -ре 468°. На основе соединения $BiSe$ образуется область твердых р-ров в пределах конц-ий 21—32% Se. Этой области отвечает перитектич. р-ция при t -ре 607°. Кривые изменения свойств показывают небольшую растворимость Bi и Se в соединении Bi_2Se_3 .

Резюме авторов

9Б367. О высокотемпературных модификациях хрома и диаграмме состояния хром — железо при высоких температурах в области, богатой хромом. Григорьев А. Т., Соколовская Е. М., Симанов Ю. П., Соколова И. Г., Максимова М. В., Петигорская Л. И. «Ж. неорг. химии», 1960, 5, № 2136—2138.—Методами термич. анализа, микроструктуры, твердости и электропроводности на диаграмме состояния системы Cr—Fe установлены четыре области твердых р-ров, образованных на основе ϵ , γ , β -модификаций Cr и трех двухфазных областей, которые исходят из точек взаимных переходов модификаций Cr: 1830° ($\epsilon \pm \delta$); 1650° ($\delta \pm \gamma$) и $\sim 1300^\circ$ ($\gamma \pm \beta$). Рентгеновскими исследованиями установлено, что ϵ - и γ -модификация имеют решетку куб. объемноцентрич., β -модификация — куб. градецентрир., а δ -модификация — гексагон. решетку. Из резюме автора

9Б368. Диаграмма состояния системы цирконий — бериллий. Емельянов В. С., Годинов Ю. Г., Востужкин А. И., Русаков А. А. «Атомн. энергия», 1960, 9, № 1, 33—38.—Методами металлографии, термич. и рентгеновского качеств. фазового анализа измерением твердости исследована система Zr—Be построена диаграмма ее состояния. В системе установлено наличие промежуточных фаз: $ZrBe_2$, $ZrBe$ и $ZrBe_{1/2}$. Первые три соединения образуются по перитектич. р-циям при 1235, 1475 и 1555° соответственно, последнее соединение плавится с открытым максимумом при 1645° . При 965° и 5 вес. % Be между $ZrBe_2$ и Zr образуется эвтектика. Добавки Be ведут к понижению t -ры α — β -превращения и образованию эвтектоиды при 800°. Растворимость Be в α -Zr составляет $< 0,1$ вес. %, а в β -Zr $< 0,3$ %. Растворимость Zr в Be 0,3%. Резюме автора

9Б369. Система гафний — германий. Nowotny H., Benesovsky F., Schob O. Ein Beitrag zum System: Hafnium — Germanium. «Monatsh. Chem.», 1961, № 2, 270—275 (нем.).—Образцы сплавов Hf—Ge с 5—66,6 ат. % Ge, изготовленные как методами порошковой металлургии, так и выплавленные в атмосфере Ar, исследованы с помощью рентгенографии и металлографии (только плавленные образцы) методов анализа. Установлено существование наряду с твердым α на основе Hf и ранее известными фазами Hf_2Ge_3 (C, O) со структурой типа D_{8h} (ориентированная t -ра плавления выше 2000°) и $HfGe_2$ с решеткой типа $ZrSi_2$, новая фаза Hf_2Ge с решеткой типа C с параметрами a 6,57 кХ, c 5,36 кХ. Hf_2Ge образуется по-видимому, по перитектич. р-ции $L + Hf_2Ge_3$. В пробах, содержащих 50 ат. % Ge, установлено наличие фазы $HfGe$, определить параметры решетки которой не удалось. Твердого р-ра на основе Ge в данном исследовании не обнаружено. Л. Шварц

9Б370. К вопросу о структуре электроосажденных сплавов системы Cu—Sn. Крыжановский А. «Научн. зап. Физ.-матем. фак. Одесск. гос. пед. ин-та», 1958, 22, № 1, 81—86.—С точки зрения соответствия структуры электроосажденных сплавов равновесной диаграмме состояния рентгенография, методом исследовались электроосажденные сплавы Cu—Sn. Однако, что предельная растворимость Sn в Cu 14%. Сплавы с 14—17,8% Sn являются пересыщ. твердым р-р Sn в Cu. Сплав с 17,8% Sn является двухфазным. Д.

9Б371. Сплавы системы бор — кремний — углерод. Портной К. И., Самсонов Г. В., Солонина Л. А. «Ж. неорг. химии», 1960, 5, № 9, 2041.—Проведены микроскопич., рентгеновское, микродюрметрич. и хим. исследования, а также измерения t -р плавления и электрич. свойств сплавов разнор. B_4C —Si и SiC—B тройной системы B—Si—C. Не обнаружено существование двух тройных соединений B_2SiC_2 и $B_3Si_2C_2$, обладающих высокой твердостью, ходящей для первого из них до 7000 кг/мм², жаростойкостью и стойкостью против действия H_2 и их смеси.

Показано, что сплавы исследованных разрезов обладают полупроводниковыми свойствами, причем термоэдс. обнаруженных соединений достигает 150—200 мВ/град.

9Б372. Диаграмма плавленности системы алюминий — медь — литий. Михеева В. И., Стерлякина З. К., Крюкова О. Н. «Ж. неорг. химии», 1960, 5, № 8, 1788—1795. — Построена диаграмма плавленности системы $Al-Cu-Li$ до 75 ат. % $Cu + Li$. Найдены две тройные неконгруэнтно плавящиеся фазы: S — фаза соединения Al_2CuLi и T — тройная фаза, область однофазности которой близка к составу Al_3CuLi_2 . Тройная эвтектика, отвечающая совместной кристаллизации алюминийного твердого р-ра, фазы $\theta (Al_2Cu)$ и фазы S при 526° отвечает конц-н 73% Al , 18,6% Cu и 8,4 ат. % Li . Найдено 8 инвариантных точек перехода.

9Б373. Исследование физико-химических свойств сплавов тройной системы титан — ванадий — ниобий. Корнялов И. Н., Власов В. С. «Ж. неорг. химии», 1960, 5, № 9, 2017—2024. — Проведено исследование электросопротивления, термич. расширения и твердости сплавов двойной системы $Ti-Nb$ и тройной системы $Ti-V-Nb$ и построены соответствующие диаграммы состав — свойство.

9Б374. Влияние фактора времени на характер диаграммы состав — жаропрочность сплавов пятикомпонентной системы $Ni-Cr-W-Ti-Al$. Корнилов И. И., Прякина Л. И., Ожикова О. В. В сб. «Исслед. по жаропрочн. сплавам». Т. 6. М., АН СССР, 1960, 278—283

9Б375. Эвтектическая кристаллизация серого чугуна. Бунин К. П., Таран Ю. Н. В сб.: «Кристаллизация металлов». М., АН СССР, 1960, 180—191

9Б376. Ликвидация в процессе затвердевания стального слитка. Božić Branko I. Seigerungen beim Erstarrungsvorgang des Stahlblockes. «Гласник хем. друштва», 1958—1959, 23—24, № 3-4, 191—210 (нем.; рез. сербо-хорв.)

9Б377. Несмешиваемость жидких фаз в силикатных системах. Glasser F. P., Warshaw I., Roy R. Liquid immiscibility in silicate systems. «Phys. and Chem. Glasses», 1960, 1, № 2, 39—45 (англ.; рез. нем., франц.). — На основании литературных данных, в том числе результатов, полученных авторами для ряда бинарных силикатных систем, показано, что имеется линейная зависимость для ионов одной валентности между протяженностью области несмешиваемости жидкостей и ионным потенциалом (Z/r) второго катиона. При знании т-ры плавления второго оксида, координационного числа и т. д. такая корреляция может быть использована для предсказания характера фазовой диаграммы при т-рах ликвидуса. На основании полученного графика предсказаны области несмешиваемости в двойных системах ZrO_2-SiO_2 , HfO_2-SiO_2 , UO_2-SiO_2 и ThO_2-SiO_2 ; первичными фазами, кристаллизующимися в области расслаивания, должны быть ZrO_2 , HfO_2 , UO_2 и ThO_2 соответственно.

9Б378. Образование твердого раствора $NiO-Li_2O$ по реакции в твердой фазе. Iida Yoshio, Ozaki Shunro, Shimada Kenzo. «Наояа корэ гидзюу сэнсэй кокуу, Rpts Govt Industr. Res. Inst. Nagoya», 1960, 9, № 6, 266—270 (японск.; рез. англ.). — Методом пламенной фотометрии и измерением электросопротивления изучено образование твердого р-ра $NiO-Li_2O$ по р-ции в твердой фазе из NiO и Li_2CO_3 . Образование твердого р-ра начинается при 300°, причем при 800—1000° кол-во растворенного Li_2O достигает максимума и уменьшается при дальнейшем увеличении т-ры за счет испарения Li_2O из твердого р-ра. Кол-во растворенного Li_2O при 600—700° выражается ур-нием $A = kt^{1/2}$, где t — время нагрева, k — константа, вы-

числяемая по ур-нию Аррениуса. Энергия активации растворения Li_2O в NiO равна ~ 115 ккал/моль.

9Б379. Влияние парциального давления кислорода на концентрационную зависимость электросопротивления в системе $MgO-Cr_2O_3$. Еременко В. Н., Листовничий В. Е. «Ж. неорг. химии», 1960, 5, № 9, 2056—2060. — Зондовым методом измерено уд. электросопротивление образцов системы $MgO-Cr_2O_3$ в атмосфере воздуха и в вакууме $\sim 10^{-5}$ мм рт. ст. при т-рах до 1000°. Сделано заключение, что изменение равновесного парц. давления кислорода (в том случае, если это не приводит к появлению новых фаз) не изменяет общего характера концентрационной зависимости электросопротивления, определенного ранее (РЖХим, 1958, № 1, 402); электросопротивление при этом может изменяться на несколько порядков. Сделан вывод, что исследование электропроводности окисных систем может служить чувствительным методом физ.-хим. анализа.

9Б380. О тройной системе $Na_2O-Al_2O_3-SiO_2$. Манвелян М. Г., Абрамян А. В., Абрамян А. А. В сб. «Материалы Всес. совещания по химии и технол. глинозема, 1958». Новосибирск, Сиб. отд. АН СССР, 1960, 59—70. — Проведен синтез соединений $Na_2O \cdot Al_2O_3 \cdot SiO_2$ и $Na_2O \cdot Al_2O_3 \cdot 2SiO_2$ из андалузита, кванита, нефелинового концентрата и отдельных окислов.

9Б381. Фазовые равновесия в ферритной области системы $FeO-MgO-Fe_2O_3$. Paladino A. E. Phase equilibria in the ferrite region of the system $FeO-MgO-Fe_2O_3$. «J. Amer. Ceram. Soc.», 1960, 43, № 4, 183—191 (англ.). — Исследованы фазовые равновесия в ферритной области системы $FeO-MgO-Fe_2O_3$ при т-рах до 1300° и давлениях кислорода от 0,01 до 1,0 ат. Найдено, что фаза со структурой шпинели может существовать при недостатке кислорода в богатой магнием области системы. Mg^{2+} может заменять Fe^{2+} в Fe_2O_4 за пределами «стехиометрического» $MgFe_2O_4$, отвечая ф-ле $(MgO)_x MgFe_2O_4$, где $x = 0,082 \pm 0,004$, и не зависит от т-ры. В поле шпинели нет однофазной области, отвечающей $MgFe_2O_4$. Постоянная решетка шпинели зависит от распределения катионов; изменение распределения катионов с т-рой зависит от содержания Mg в шпинели.

9Б382. Растворение избытка окиси железа в $Ni-Zn$ -феррите. Латш В. В., Минаев Н. Г., Сомин Б. Х., Степина Н. Э. «Физ. твердого тела», 1960, 2, № 9, 2191—2198. — При нагревании $Ni-Zn$ -ферритов с избытком Fe_2O_3 в воздушной среде избыток Fe_2O_3 диссоциирует до магнетита, образующего с ферритом непрерывный ряд твердых р-ров ($Fe-Ni-ZnFe_2O_4$). В зависимости от колич. соотношения феррита и Fe_2O_3 т-ра полной диссоциации избытка окиси железа до Fe_2O_4 смещается от 1450 для чистой Fe_2O_3 до почти 900° при малом избытке окиси железа. При охлаждении в воздушной атмосфере растворенный в феррите магнетит частично или полностью окисляется либо до $\gamma-Fe_2O_3$, образующей с ферритом твердые р-ры вычитания, либо до $\alpha-Fe_2O_3$, выделяющейся в виде второй фазы. Образование твердого р-ра $\gamma-Fe_2O_3$ в феррите возможно лишь за счет окисления растворенного в феррите магнетита при пониженных т-рах.

9Б383. О фосфатах алюминия. Диаграмма равновесия $P_2O_5-Al_2O_3-H_2O$ при 60°. Martin René, Duc Maugé Cyrille, Guérin Henri. Sur les phosphates d'aluminium. Diagramme d'équilibre $P_2O_5-Al_2O_3-H_2O$ à 60°. «Bull. Soc. chim. France», 1960, № 5, 851—856 (франц.). — Система $P_2O_5-Al_2O_3-H_2O$ исследована методом остатков (по Шрейнемакерсу) при 60°. Для приготовления смесей использовались H_3PO_4 , Al_2O_3 и H_2O . Время достижения равновесия при содержаниях $P_2O_5 > 58\%$ ~ 1 месяца; при $P_2O_5 < 45\%$ до

9Б396. Исследование систем $MnCl_2 - LiCl - CH_3OH$ и $ZnCl_2 - LiCl - CH_3OH$ методами физико-химического анализа. Дейч А. Я. «Ж. неорганической химии», 1960, 5, № 9, 2111—2114. — Изучены системы $MnCl_2 - LiCl - CH_3OH$, $ZnCl_2 - LiCl - CH_3OH$ по данным плотности, вязкости и поверхностного натяжения (первая из систем — также и по оптич. плотности). В системе $MnCl_2 - LiCl - CH_3OH$ обнаружено незначительное взаимодействие компонентов. В системе $ZnCl_2 - LiCl - CH_3OH$ обнаружено легко диссоциирующее мол. соединение, которое по данным объемных изменений, а также по отклонению от аддитивности плотностей, логарифма вязкости и кинематич. вязкости, имеет состав $Li_2[ZnCl_4]$. Из резюме автора

9Б397. Исследование электропроводности в системе борная кислота — аммиак — этиленгликоль. Шаталов А. Я., Сенцова В. П., Ключников В. Р. «Ж. Всес. хим. о-ва им. Д. И. Менделеева», 1960, 5, № 3, 346—347. — При комнатной т-ре измерены уд. сопротивления (ρ) гомог. смесей в системе H_3BO_3 (I) — вода, $p-p$ (27%) аммиака — этиленгликоль (II). Смесь I — II — NH_3 применяются при изготовлении электролитных конденсаторов. Наибольшим ρ обладает NH_3 , а при добавлении к нему II (до 100%) или I (до 49%) ρ быстро уменьшается. Результаты табулированы и по ним на треугольнике состава построены линии равных ρ . А. Стрельников

9Б398. Свойства системы вода — бензол — диметилловый эфир триэтиленгликоля при 25°. Murphy Nelson F., McConnell Sarah P. Properties of the water — benzene — triethylene glycol dimethyl ether system at 25° C. «J. Chem. and Engng Data», 1960, 5, № 2, 143—146 (англ.). — Исследовано равновесие жидкость — жидкость в системе вода — бензол (I) — диметилловый эфир триэтиленгликоля (II) при 25°. Состав смесей определялся по показателю преломления, который был определен для смесей II с водой и I, а также для насыщ. p -ров, образованных этими в-вами. Растворимость в трехкомпонентной системе определялась путем титрования до появления муты. Найден состав p -ра в крит. точке смешения: 65,8 вес.% II, 8,9% I и 25,3% воды. Полученные данные о составах равновесных фаз обработаны в виде зависимости $X_{22}/X_{22} = r(X_{31}/X_{11})^n$, где X_{22} и X_{31} — конц-ии II соответственно в воде и бензолном слое, X_{22} — конц-ия воды в водн. слое, X_{11} — конц-ия I в бензолном слое, r и n — константы. Для части гетерог. области, ближайшей к вершине II, $n = 0,6177$ и $r = 0,8180$. Из рассмотрения полученных данных следует, что применяя I для экстракции II из водн. p -ров, содержащих < 20% II, может быть достигнуто обогащение II до 100 раз. Обсуждается явление обращения растворимости, имеющее место в исследованной системе, относящейся к солотропному типу. В. Коган

9Б399. Диаграммы растворимости для тройных систем капролактама — вода — бензол, капролактама — вода — четыреххлористый углерод и капролактама — вода — дихлоратан. Морачевский А. Г., Сабина В. Е. «Ж. прикл. химии», 1960, 33, № 8, 1775—1779. — Исследованы растворимость и равновесие жидкость — жидкость при 20° в системах капролактама (I) — вода — бензол, I — вода — CCl_4 и I — вода — дихлоратан. Растворимость определялась методом титрования до появления муты. С помощью зависимости показателя преломления насыщ. p -ров от состава определялся состав равновесных жидких фаз, пробы которых отбирались после 30—40-минутного перемешивания гетерог. системы и последующего расслаивания. Полученные данные, представленные в виде таблиц и графиков, показывают, что во всех системах имеет место распределение I в пользу водн. слоя, причем наиболее резко это выражено для систем I — вода — бензол и I — вода — CCl_4 . В. Коган

9Б400. Экстрагирование дитизонатов ртути, балла и таллия в зависимости от некоторых факторов. Шеянова Ф. Р., Кожокина Г. Я. «Тр. химии и хим. технол. (Горький)», 1960, вып. 1, 70—73. — С применением Tl^{204} , Co^{60} и Hg^{203} изучено влияние p -водн. фазы на степень извлечения (α) дитизонатов (Д) $Tl(1+)$, $Co(2+)$ и $Hg(2+)$ хлороформом при 10-кратном избытке дитизона против теоретически необходимого. Показано, что скорость установления равновесия между водн. и органич. p -рами при образовании и экстрагировании Д, а также α возрастают с ростом pH и уменьшением константы нестойкости (K) соответствующего Д. Отмечено увеличение α с ростом конц-ии экстрагируемого металла. Установлено, что для более полного образования и экстрагирования требуется тем более высокое значение pH , чем выше величина K . А. Соловьев

9Б401. Взаимодействие между растворенным веществом и растворителем в системе соляная кислота — вода — три- n -бутилфосфат. Kertes A. S. Solvent interaction in the system hydrochloric acid-water-tri- n -butyl phosphate. «J. Inorg. and Nucl. Chem.», 1960, 14, № 1-2, 104—113 (англ.). — Изучено влияние конц-ии HCl в равновесной водн. фазе (C_0) на совместную экстракцию HCl и H_2O три- n -бутилфосфатом (ТБФ) при 20°. На основании анализа кривых распределения HCl и H_2O , а также из данных по изменению объема органич. фазы в процессе экстракции и измерениям плотности, вязкости и электропроводности p -ров HCl в ТБФ автор заключает, что HCl образует в фазе ТБФ комплексы состава $[(ТБФ)_2 \cdot HCl \cdot (H_2O)_2]$ (в области $C_0 < 7 M$) и $[(ТБФ) \cdot HCl \cdot (H_2O)_2]$ (в области $C_0 > 10 M$). Показано, что степень кониации (α) HCl проходит через максимум при конц-ии k -ты в органич. фазе (C_0) 1,924 M ($\alpha = 0,57\%$) и затем падает до 0,40% при $C_0 = 3,622 M$. А. Соловьев

9Б402. Коэффициенты распределения жирных кислот. Кузнецов Ф. А., Лилеева А. К., Смирнов Н. И. «Тр. Ленингр. технол. ин-та им. Ленсовета», 1960, вып. 60, 206—209. — Определены коэф. распределения в системах бензол (I) — уксусная к-та — вода, I — пропионовая к-та — вода, I — масляная к-та — вода, I — салицил — уксусная к-та — вода и керосин — пропионовая к-та — при t -рах 5—20°, начиная с конц-ии k -ты в углеводородной фазе 0,3—1 kg/m^3 и конечная конц-иями 170—220 kg/m^3 . Полученные данные представлены в виде таблиц, показывающих уменьшение коэф. распределения по мере роста конц-ии k -ты в углеводородной фазе. Н. Смирнов

9Б403. О физической природе фазовых переходов II рода. Семенченко В. К. «Ж. физ. химии», 1960, 34, № 7, 1649—1650. — На основе сформулированной в первом (РЖХим, 1960, № 2, 3934; 3935) теореме о предельно устойчивых состояниях доказана априори возможность существования фазовых переходов II рода как предельного случая равновесия, при котором коэф. устойчивости равновесных фаз не равны друг другу. Фазовые переходы II рода оказываются особым случаем крит. переходов, возможным только в равновесии между сверхфазами (напр., сверхпроводник) и обычными фазами. Для ряда параметров таковой переход не сопровождается развитием флуктуаций. В. Урбан

9Б404. Геометрическая модель для описания полиморфных фазовых переходов в кристаллах. Копцев В. А. В сб. «Физика диэлектриков». М., АН СССР, 1960, 347—350. Дискус., 429—431. — Структура диэлектрического кристалла трактуется как система вставленных в раздельном положении решеток, узлы которых заняты частицами определенных сортов. Точечная группа симметрии такой структуры определяется как совокупность (пересечение) совпадающих операций симметрии подрешеток и частиц, находящихся в узлах

решеток, при заданном их взаимном расположении. Вводятся безразмерные структурные коэф. k_i , характеризующие геометрию полярности (или неполярности) структуры. Макроскопич. коэф. расширения кристаллов выражаются через коэф. расширения связей α_i и структурные коэф. полярности k_i . Показано на примерах BaTiO_3 и KH_2PO_4 , что феноменологич. причиной полиморфизма является анизотропия теплового расширения кристаллов вдоль различных кристаллографич. осей. В. Копчик

9Б405. Определение точки затвердевания. Ноаге James P. Freezing point measurement. «J. Chem. Educ.», 1960, 37, № 3, 146—147 (англ.).—Рекомендуется способ определения точки затвердевания T^p для р-ров, где наблюдается переохлаждение, по полученным кривым охлаждения р-ра, помещенного в холодильник с жидкостью T_b . После переохлаждения р-ра до T_{sc} т-ра поднимается до T_f за счет скрытой теплоты плавления. Показано, что при $(T^p - T_b) \gg (T^p - T_{sc})$ при постоянной геометрии сосуда и при постоянной скорости перемешивания в нем р-ра, T_f является однозначной функцией ΔT_{sc} ($\Delta T_{sc} = T_f - T_{sc}$). Опытным путем для 0,15 и 1 M р-ров CrO_2 в 1,79 M р-ре H_2SO_4 в воде установлено, что зависимость T_f от ΔT_{sc} — линейная, тогда при $\Delta T_{sc} = 0$, $T_f = T^p$. А. Стрельников

9Б406. Исследование превращений в хrome при нагреве и охлаждении методом дифференциального термического анализа. Свечников В. Н., Кобзенко Г. Ф., Кочержинский Ю. А. В сб. «Исслед. по теплофизич. сплавам». Т. 6. М., АН СССР, 1960, 238—250.—Проведен дифференциальный термич. анализ прома, подвергнутого зонной очистке. Не обнаружено эффектов, связанных с аллотропич. превращениями.

Из резюме авторов

9Б407. Влияние температуры на кристаллизацию солей калия из растворов. Фигуровский Н. А., Комарова Т. А., Романьков Ю. И. «Ж. физ. химии», 1960, 34, № 8, 1826—1832 (рез. англ.).—На основании исследований кинетики кристаллизации (Kp) KClO_4 , KBrO_3 , KIO_3 , KNO_3 , K_2SO_4 , KCl установлено, что максим. скорость Kp тем больше, чем выше т-ра и пересыщение. Это обусловлено увеличением взаимодействия между ионами с повышением конц-ии р-ров и ослаблением взаимодействия молекул воды между собой и ионов с молекулами воды. Для K_2SO_4 (и отчасти для KCl) увеличение скорости Kp при переходе от т-ры 0° к 20° более значительно, чем в интервале от 20 до 40° ; для KBrO_3 и KClO_4 максим. скорость Kp линейно растет с т-рой; у KIO_3 и KNO_3 наблюдается более значительный рост в интервале 20 — 40° . Температурный градиент Kp падает с ростом т-ры и увеличивается при возрастании пересыщения. С увеличением т-ры влияние природы анионов на температурный градиент уменьшается тем больше, чем ниже пересыщение.

Резюме авторов

9Б408. Исследование межмолекулярного взаимодействия в n -дихлорбензоле вблизи точки кристаллизации. Айвазова А. А., Горбатов И. А. «Оптика и спектроскопия», 1960, 9, № 3, 415—417.—С целью изучения характера теплового движения молекул жидкости вблизи точки кристаллизации исследовано изменение ширины линии релеевского рассеяния для n -дихлорбензола. Результаты определения времени релаксации показывают, что в области от 90 до 85° эксперим. точки ложатся на прямую линию, по наклону которой найдена энергия активации, равная $4,4 \text{ ккал/моль}$. В области от 85 до 60° наблюдается уменьшение времени релаксации с т-рой, что свидетельствует о происходящих в жидкости изменениях, обусловленных усилением межмолекулярного взаимодействия. Это подтверждается результатами измерения зависимости интенсивности рассеянного света от т-ры, обнаруживающими аномалию около 70° . Измерения показали,

что показатель преломления обнаруживает аномалию в той же области т-р, что и время релаксации.

В. Коган

9Б409. Рост кристаллов из паров вблизи тройной точки. Леммлейн Г. Г., Дукова Е. Д., Чернов А. А. «Кристаллография», 1960, 5, № 4, 662—665 (рез. англ.).—Экспериментально изучена скорость роста кристаллов при возгонке твердой или жидкой фазы того же в-ва, имеющей более высокую т-ру. Установлена нелинейная зависимость этой скорости от т-ры вблизи тройной точки T_t и линейная — при т-рах, более чем на 1° отличающихся от T_t . Это объяснено образованием жидкой пленки на поверхности растущего кристалла при т-рах, близких к T_t .

М. Баранаев

9Б410. Некоторые вопросы термодинамики и кинетики растворения окислов урана в кислой среде. Спичин И., Несмеянова Г. М., Каневский Е. А. «Ж. неорг. химии», 1960, 5, № 9, 1938—1942.—Вычислены по литературным данным изобарные потенциалы процессов растворения UO_2 , UO_3 , U_2O_5 в р-рах H_2SO_4 различной конц-ии с учетом комплексобразования. Величины ΔZ и ΔZ° для этих процессов сопоставлены с результатами исследования растворения UO_2 и U_2O_5 в р-рах H_2SO_4 150—1000 г/л. Установлено, что эксперим. данные находятся в согласии с термодинамич. расчетом. Величины изобарных потенциалов процессов растворения UO_2 , UO_3 и U_2O_5 в особенности в разб. р-рах к-т показывают, что при проведении этих процессов в случае UO_2 и U_2O_5 целесообразно применение окислителей. Вместе с тем, сопоставление эксперим. данных по растворению U_2O_5 и нормальных окислительно-восстановительных потенциалов соответствующих окислителей не обнаруживает однозначной зависимости между ними. Влияние т-ры на растворение этих окислов в изученных условиях свидетельствует о решающем влиянии кинетич. факторов в случае использования некоторых окислителей. Резюме авторов

9Б411. Растворение монокристалла кремния. Okamoto Hideo, Ajiki Toshio. «Об бупури, J. Appl. Phys., Japan», 1960, 29, № 5, 296—302 (японск.; рез. англ.).—Изучена скорость растворения монокристалла кремния в нормальном и тангенциальном направлениях к поверхности (111) в зависимости от т-ры и состава р-ров. Образцы представляли собой диски из кремния n -типа около $0,3$; 4 и 100 ом.см. В качестве р-рителей применялись водн. р-ры HNO_3 , HF или NaOH . Применялись также добавки CH_3COOH , HCl , H_2SO_4 , H_3PO_4 , CrO_3 , Br , AgNO_3 , $\text{Hg}_2(\text{NO}_3)_2$, $\text{Au}(\text{NO}_3)_3$, $\text{Pb}(\text{NO}_3)_2$ и NaNO_3 .

Из резюме авторов

9Б412. Теория критической опалесценции в бинарных смесях. Pearson F. J. The theory of critical opalescence in binary mixtures. «Proc. Phys. Soc.», 1960, 75, № 5, 633—639 (англ.).—Современная теория рассеяния рентгеновских лучей простыми жидкостями и бинарными смесями применена к явлению крит. опалесценции в бинарных смесях. Условие разделения фаз выражено в величинах трех функций радиального распределения для бинарной смеси и показано, что в точке разделения фаз все эти функции имеют одну форму, хотя и различаются в масштабе. Форма этих функций может быть в принципе определена из эксперим. наблюдений видимой опалесценции. Проведено сравнение с ранее проведенными работами (РЖХим, 1956, № 14, 42607).

Из резюме автора

9Б413. Дилатометрическое исследование системы циклогексан — анилин вблизи критической температуры растворения. Jacob Marilyn E., MacQueen John T., Rice O. K. A dilatometric study of the cyclohexane-aniline system near its critical separation temperature. «J. Phys. Chem.», 1960, 64, № 8, 972—975 (англ.).—Измерены коэф. объемного расширения смесей циклогексана и анилина при т-рах 29,524—29,571°.

Дилатометр помещался в баню, т-ра которой измерялась с точностью $\pm 0,001^\circ$ с помощью платинового термометра сопротивления. Коэф. объемного расширения гомог. смесей при т-рах выше крит. т-ры растворения $T(\text{кр.})$ (значение которой найдено равным $29,533^\circ$) имеет нормальную величину $1,2 \cdot 10^{-3} \text{ см}^3/\text{см}^3$. Изменение объема, происходящее при смещении двух фаз, находившихся в равновесии при т-ре немного ниже $T(\text{кр.})$ и нагретых до т-ры немного выше $T(\text{кр.})$, оказывается значительно меньшим, чем можно ожидать. Полученные результаты обсуждаются с точки зрения механизма смещения вблизи крит. точки. В. Коган

9Б414. Расчет температуры образования ядер кристаллизации в переохлажденных жидкостях. Buckle E. R. Reduced temperatures for nucleation in supercooled liquids. «Nature (Engl.)», 1960, 186, № 4728, 875—876 (англ.).—Критическое переохлаждение θ капель расплавленных металлов и мол. жидкостей приблизительно пропорционально абс. т-ре плавления T_f . При этом, $T_f - \theta/T_f \approx 0,8$. Теоретически получена ф-ла, выражающая связь этой величины с числом атомов или ионов, образующих зародыши кристаллов. М. Баранаев

9Б415. К вопросу об измерении коэффициента конденсации. Кучеров Р. Я., Рикентлаз Л. Э. (Докл. АН СССР, 1960, 133, № 5, 1130—1131.—Показано, что при измерениях скорости испарения летучих жидкостей при давлениях, немного меньших давления насыщ. пара, и вычислении коэф. конденсации по ф-ле Герца — Кнудсена допускается ошибка, которая определяется главным образом скачком т-ры на границе поверхности жидкостной — пар и не учитывается в ф-ле Кнудсена. Авторами введена поправка в эту ф-лу в виде множителя χ , для которого дана расчетная ф-ла, а также график в функции χ для случая одноатомного газа при коэф. аккомодации энергии, равном единице. М. Баранаев

9Б416. Термодинамика. Введение в физическую теорию равновесной термостатики и необратимую термодинамику. Callen Herbert B. Thermodynamics. An introduction to the physical theories of equilibrium thermostatics and irreversible thermodynamics. New York — London, John Wiley and Sons, Inc., 1960, XVI, 376 pp., ill. (англ.)

9Б417. Равновесие жидкость — пар. Перев. с чешск. Hálal E. Gleichgewicht Flüssigkeit — Dampf. Übers. aus dem Tschech. Berlin, Akad.-Verl., 1960, XIX, 331 S., ill., 48.—DM. (нем.).—Английское издание см. РЖХим, 1959, № 12 41622.

9Б418. Термодинамические таблицы и другие данные. Изд. 2-е. Thermodynamic tables and other data. 2nd ed. Ed. Haywood R. W. Cambridge, Univ. Press, 1960, 23 pp., 2 sh. 6 d. (англ.)

9Б419. Физическая химия металлических растворов и интерметаллических соединений. Конференция. Том. I. The Physical Chemistry of Metallic Solutions and Intermetallic Compounds. Symposium. Vol. I. New York, N. Y., Chem. Publ. Co., Inc., 1960, 433 pp., ill., 8.50 doll. (англ.)

9Б420. Труды Американского общества металлов. Том 52. Transactions of American Society for Metals. Vol. 52. Ed. Bayless Ray T. Novelty, Ohio, 1960 1164 pp., ill. (англ.).—В число статей сборника входят: Dickerson R. F., Металлография урана; Peterson D. T., Veerntsens D. J., Диаграмма равновесия; Elliott R. P., Система ниобий — кислород; Semmel J. W., Jr., Высокотемпературное исследование сплавов вольфрам — ниобий; Peretti E. A., Структурные исследования богатой сурьмой и висмутом области системы $\text{Sr} - \text{Bi} - \text{In}$; Obinata I., Takeuchi Y., Saikawa I., Система титан — висмут; Obinata I., Takeuchi Y., Saikawa S., Система титан — кальций; Gibson E. D., Carlson O. N., Система иттрий — магний; Each D. T., Carlson O. N., Исследование си-

стемы торий — иттрий; Tanner L. F., Levinson D. W., Система цирконий — железо — олово. Д. А.

9Б421. Экспериментальные исследования фазового превращения кварца. Mayer Guy. Recherches expérimentales sur une transformation du quartz. Thèse. Rapp. CEA, 1960, № 1330, 104 p., ill. (франц.; рез. англ.)

9Б422. Изучение превращения при отжиге кубической центрированной γ -фазы в сплавах уран — молибден. Mikailoff Hubert. Etude des transformations par revenu de la phase γ cubique centrée des alliages uranium — molybdène. Thèse. Rapp. CEA, 1960, № 1270, 65 p., ill. (франц.; рез. англ.)

9Б423. Исследование системы $\text{Ga}_2\text{O}_3 - \text{SiO}_2$ и некоторых галлосиликатов. Линь Цау-сян Автореферат дисс. канд. хим. н., Ин-т химии силикатов АН СССР, Л., 1960

См. также: Фазовые переходы 9Б136, 9Б137, 9Б144, 9Б145, 9Б245, 9Б249, 9Б514, 6К250, 9К252. Термодинамика 9Б70, 9Б612, 9Б615. Термодинамика: кристаллохимия 9Б79, 9Б135, 9Б148, 9Б167, 9Б173, 9Б174; жидкостей, газов 9Б260, 9Б262, 9Б263, 9Б269, 9Б279, 9И10, 9И17-ров 9Б529, 9Б534, 9Б535, 9Б548, 9Б559, 9Б568; полимеров 9Р6, 9Р8, 9Р9, 9Р11, 9Р12, 9Р43, 9Р96. Углеродистые соединения 9Б268, 9И26, 9И186. Равновесия 9Б92, 9Б111, 9Б133, 9Б304, 9Б307, 9Б441, 9Б451, 9Б594, 9Б52, 9Б56, 9Б66, 9Б67, 9В70, 9И73, 9К21. Экстракция 9Б302, 9Б311, 9В4, 9И74, 9К23. Физ.-хим. анализ систем: металл. 9Б181; неорганич. 9Б145, 9Б549—9Б553, 9Б555—9Б556, 9Б561, 9К249, 9К305, 9К306, 3К310; органич. 9Б532, 9Б533, 9Б557, 9И11, 9И71. Приборы и методы 9Е19, 9Е20, 9Е22, 9Е23, 9Е35, 9Е49

КИНЕТИКА.

ГОРЕНИЕ, ВЗРЫВЫ, ТОПОХИМИЯ, КАТАЛИЗ.

Редакторы Х. С. Багдасарьян, А. С. Соколик, А. Б. Шегер

9Б424. Механизм реакций сопряженных молекул, связанных с переносом заряда. Fukui Kenichi, Morokuma Keiji, Yonezawa Teijiro, Nagata Chikayoshi. Charge transfer mechanism of reaction of conjugated molecules. «J. Chem. Phys.», 1960, 32, № 6, 1743—1747 (англ.).—Сопоставляются теоретическое толкование р-ций замещения для молекул с сопряженными связями по методу фронтальных электронов (Fukui K. и др. «J. Chem. Phys.», 1952, 20, 722) и по методу Броуна (РЖХим, 1960, № 5, 16551). Энергия стабилизации комплекса по Броуну может быть определена из трансцендентного ур-ния (тождественное с ур-нием локальной теории возмущений), в которое входят порядки связей и энергии невозмущенных МО. Выяснение на основе этого ур-ния связи между величиной Z Броуна и условием осуществления р-ции по методу фронтальных электронов показывает, что по Броуну электрофильные р-ции должны происходить в положениях, когда минимум заряда переходит в заместители. Этот вывод противоречит теории фронтальных электронов и хим. представлениям. Аналогичное противоречие возникает и для нуклеофильных р-ций. Обсуждается вопрос о структуре переходного комплекса в теории Броуна и в методе фронтальных электронов. Е. Никитин

9Б425. Замечание о методе расчета влияния температуры на выход реакции. Laidlaw W. G., Marr R. M. Note on a method for computing the effect of temperature on reaction yields. «Chem. Engng Sci.», 1960, № 1, 39—40 (англ.).—Предложена упрощенная схема расчета влияния т-ры на выход неравновесных р-ций. Е. Никитин

9B426. Последовательные химические реакции первого порядка. Silva Pinto A. J. Garras da Silva Pinto A. J. Reações químicas sucessivas, de primeira ordem. Constantes, cinéticas. «Técnica», 1960, 34, № 305, 23-30 (порт.)

9B427. О зависимости между предэкспонентом и энергией активации. Денисов Е. Т. «Изв. АН СССР. Отд. хим. н.», 1960, № 7, 1298-1300. По литературным данным приведены примеры линейной зависимости между энергией активации E и предэкспонентом A в константах скоростей p -ций распада $XY \rightarrow \dot{X} + \dot{Y}$ и радикального замещения $\dot{X} + RH \rightarrow XH + \dot{R}$; $\lg A = -\alpha + \beta E$ (1). На основании известных значений α , β и E для p -ций типа $RO_2 + RH \rightarrow ROOH + R$ вычислены значения A для ряда в-в RH в жидкой фазе (тетралин, этилдиолеат окта-1, 1-метилциклогексен, циклогексен, дигидромирицен, этилбензол, 1,3,5-триметилциклогексен, 1,2-диметилциклогексен, 4-метилпентен-3, циклогексан, n -декан). Вычисленные значения совпадают с опытными. Отмечается, что для в-в, для которых выполняется зависимость (1), следует ожидать температурной инверсии относительной реакционной способности.

9B428. Замечания о механизме реакции активного азота с этиленом и окисью азота. Zinman Walter G. Comments on the mechanism of the reaction of active nitrogen with ethylene and nitric oxide. «J. Phys. Chem.», 1960, 64, № 9, 1343-1344 (англ.). Для объяснения результатов (РЖХим, 1960, № 22, 87770) p -ции активного азота, полученного с помощью конденсированного разряда, с NO и C_2H_4 , автор предлагает схему механизма процесса, где единственным активным реагентом является атомарный N . Из этого механизма следует, что: при последовательном титровании активного N_2 с помощью NO и C_2H_4 , величина $(HCN(образ.)/NO(расход.))/(1 - HCN(образ.)/NO(расход.))$ должна быть обратно пропорциональна общему давлению смеси, что и наблюдается на опыте.

9B429. Измерение абсолютных скоростей реакций O -атома с этиленом и бутаном. Elias L., Schiff H. I. Absolute rate measurements of O -atom reactions with ethylene and with butane. «Canad. J. Chem.», 1960, 38, № 10, 1657-1665 (англ.). Измерены константы скорости p -ций атомов O с C_2H_4 и C_4H_{10} в интервале t -р от -50 до 200°. Атомы O образовывались в безэлектродном разряде. Начальная конц-ия O измерялась титрованием NO_2 . p -ция проводилась в потоке, в трубе длиной 30 см. К потоку газа добавлялось небольшое кол-во NO и по фотометрич. измерениям света, испускаемого в результате p -ции $O + NO \rightarrow NO_2 + h\nu$, судили о распределении $[O]$. Спираль с нанесенной CoO вводили на различную глубину, в реакционный сосуд, что приводило к полному прекращению p -ции и что позволило измерить конц-ию непрореагировавшего углеродорода. Возбужденные молекулы O_2 не принимают участия в p -ции, так как введение в смесь He , увеличивающего образование O_2 , не влияет на константу скорости. Константы скорости равны для C_2H_4 , 1,8. $(\pm 0,6) 10^{-11} \exp(-1600/RT)$, для C_4H_{10} , 5,0 $(\pm 1,6) 10^{-11} \cdot \exp(-4200/RT) \text{ см}^3 \text{ моль}^{-1} \text{ сек}^{-1}$.

9B430. Механизм разложения озона. Schumacher H. J. Mechanism of ozone decomposition. «J. Chem. Phys.», 1960, 33, № 3, 938-939 (англ.). Анализ эксперим. данных по фотолизу O_3 , по мнению автора, указывают на существование энергетич. цепей в этом процессе (Schumacher H. J. «Z. phys. Chem.», 1962, B17, 405). Энергетич. цепи инициируются молекулами O_2 с большим избытком энергии возбуждения, образующимися при сильно экзотермич. p -ции $O + O_3 \rightarrow 2O_2$. Этим объясняется квантовый выход p -ции Φ значительно > 2 при фотолизе светом как с λ 3130 Å, так и с λ 6400 Å. Механизм, предлагаемый Бенсоном (РЖХим, 1957, № 22, 71191), не может объяснить

высокого значения Φ при фотолизе светом с λ 6400 Å.

9B431. Масс-спектрометрическое исследование химических процессов, происходящих в самогасящемся счетчике Гейгера — Мюллера, заполненном насыщенными углеводородами с длинной цепью. Zlotowski I., Wincel H. Mass spectrometric studies of chemical processes occurring in a self-quenching geiger-müller counter filled with long-chain saturated hydrocarbons. «Kernenergie», 1960, 3, № 9, 870-879 (англ.; рез. нем., русск.). С помощью масс-спектрометра изучали кинетику изменения состава газа (n -пентана (I) и n -гексана (II)), наполняющего при давл. 60 мм рт. ст. самогасящийся счетчик Гейгера — Мюллера, при работе этого счетчика. Катод счетчика представлял собой медную напыленную пленку на поверхности стекла. Источник излучения — препарат Zn^{65} активностью 5 мюри создавал скорость счета $\sim 10^8$ имп/сек. Осциллографич. методом определяли кол-во электронов, проходящих через газ за время одного импульса. Показано, что при работе счетчика происходит уменьшение конц-ии I и II, причем сначала оно происходит быстро, по-видимому, вследствие адсорбции на поверхности электронов и стекла, а затем более медленно. Медленное уменьшение протекает по закону 1-го порядка с уд. электронными выходами 56,4 и 21,5 молекул I и II на 1 электрон. С удлинением цепи углеводорода (I, II, n -гептан) кол-во электронов, проходящих за время импульса через газ, последовательно увеличивается.

9B432. О количественной зависимости между структурной и скоростью реакции в некоторых реакциях в растворах. Euranto Erkki. Rakenteen ja reaktiionopeuden välisestä kvantitatiivisesta riippuvaisuudesta eräissä liuosreaktioissa. «Suomen kem.», 1960, 33, № 9, A179-A184 (финск.). Обзор. Библ. 10 назв. М. Тойкка

9B433. Изучение механизма реакций получения перекиси водорода и перекисот изотопными методами. Бродский А. И. «Kernenergie», 1960, 3, № 9, 822-827 (рез. нем.; англ.)

9B434. Об электронном обмене между одновалентными и трехвалентными ионами таллия. Born H. J., Vogt H. Zum Elektronenaustausch zwischen Thallium (I) und Thallium (III). «Z. Naturforsch.», 1960, 15a, № 8, 738 (нем.). Обсуждаются механизм «неизмеримо быстрого» электронного обмена между $Tl(I+)$ и $Tl(3+)$ (Prestwood R. J., Wahl A. C. «J. Amer. Chem. Soc.», 1949, 71, 3137) (контроль по Tl^{204}). Обнаружена сильная зависимость степени обмена от скорости прилипания осадителя, напр. NH_3 . В связи с этим авторы высказывают предположение о гетерогенном электронном обмене между твердым гидратом окиси таллия и растворенным $Tl+$. Зависимость глубины обмена от «времени старения» осадка объясняется геометрией поверхности. Количественно подтверждена возможность катализа гомогенного обмена $Tl(1+)$ — $Tl(3+)$ платиновой жезью, что приводит к уменьшению энергии активации от 14,5 до 5,6 ккал/моль.

9B435. Влияние комплексообразования четырехвалентного урана на кинетику его окисления в сернистом растворе. Каневский Е. А., Федорова Л. А. «Ж. неорганич. химии», 1960, 5 № 10, 2216-2219. При равных начальных конц-иях $U(4+)$, $H+$ и окислителя $KClO_3$, начальная скорость окисления наибольшая в p -рах $HClO_4$, смешанные p -ры занимают промежуточное положение, наименьшая скорость в p -рах H_2SO_4 , что указывает на значительную зависимость скорости окисления от степени комплексообразования. Сделан вывод, что в p -рах $HClO_4$ окисляется U^{4+} , а в H_2SO_4 — либо недиссоциированные молекулы $U(SO_4)_2$, либо USO_4^{2+} . Энергия активации процесса в p -ре $HClO_4$ ~ 9 , а в H_2SO_4 18 ккал/моль. При окислении p -рами H_2O_2 скорость окисления не зависит от комплексообразования.

зования, так как р-ция протекает в диффузионной области.

9Б436. Каталитическое окисление раствора сульфита. Дмитриев А. К., Кустодина В. А. «Тр. Ленингр. технол. ин-та». 1959, вып. 7, 175—177. — Изучено влияние катионов Ba^{2+} , Pb^{2+} , Mg^{2+} , Al^{3+} , Cr^{3+} , Mn^{2+} , Fe^{3+} , Ca^{2+} , Ni^{2+} , Zn^{2+} , Cd^{2+} , Cu^{2+} , Ag^{+} , K^{+} при различных конц-ях H^{+} на окисление сульфита. Показано, что одни и те же катионы могут оказывать противоположное действие в зависимости от рН среды. Наиболее сильными замедлителями оказались Cu^{2+} (в кислой среде) и Cr^{3+} (в щел. среде). Сильными ускорителями в щел. среде являются: Fe^{3+} , Co^{2+} , Ni^{2+} , Cu^{2+} , в кислой — Ag^{+} , Mn^{2+} . При одновременном введении в р-р двух катионов с одинаковым действием взаимного усиления влияния не обнаружено. При введении 2 катионов с антагонистич. действием показана возможность подавления одного антагониста другим.

9Б437. Механизм реакции между перманганатом и гидроперекисью в щелочном растворе. Lott K. A. K., Symons M. C. R., Trevalion P. A. The mechanism of reaction between permanganate and hydroperoxide in alkaline solution. «Proc. Chem. Soc.», 1960, Oct., 357 (англ.). — Изучено влияние H_2O_2 и манганата на р-цию восстановления $KMnO_4$ в щел. р-ре. В качестве р-рителя использовалась H_2O , содержащая 0,75 ат. % O^{18} . Показано, что в присутствии H_2O_2 увеличение конц-и манганата приводит к увеличению процента обогащения выделяющегося O_2 , что подтверждает стадию: $MnO_4^- + O^- + OH^- \rightleftharpoons MnO_4^{2-} + HO_2^-$. В. Кнорре

9Б438. Кинетика диспропорционирования тиосульфата натрия в сульфид и сульфат натрия. Pryor William A. The kinetics of the disproportionation of sodium thiosulfate to sodium sulfide and sulfate. «J. Amer. Chem. Soc.», 1960, 82, № 18, 4794—4797 (англ.). — В небольших кол-вах образуются сера, полисульфид и сульфит. Р-ция осуществлялась в трубке из нержавеющей стали. Скорость р-ции подчиняется ур-нию 2-го порядка по $S_2O_3^{2-}$. В фосфатном и ацетатном буферах константа скорости (k) практически пропорциональна конц-и протонов (измеренной при 22 и 75°). Величина k слабо зависит от конц-и ацетат-ионов в буфере при постоянстве общей конц-и солей, что указывает на специфич. катализ H^{+} . Эффективная энергия активации в фосфатном и боратном буферах 57 и 54 ккал/моль соответственно. Из сопоставления констант скоростей распада $Na_2S_2O_3$ и Na_2SO_3 делается вывод, что SO_3^{2-} не является промежуточн. продуктом при распаде $Na_2S_2O_3$.

9Б439. Кинетика растворения окиси железа в растворах серной кислоты (К теории выщелачивания обожженных цинковых концентратов растворами серной кислоты). Вольский А. Н., Сергиевская Е. М. «Изв. высш. учебн. заведений. Цветн. металлургия», 1960, № 5, 37—42. — Снята кинетика растворения Fe_2O_3 при 16—58° в 0,72 М H_2SO_4 . Кажущаяся энергия активации через час после начала растворения $5,8 \pm 1,5$ ккал/моль. С ростом конц-и H_2SO_4 наблюдается увеличение скорости р-ции. Из сопоставления скоростей растворения Fe_2O_3 , ZnO и CuO в аналогичных условиях с соответствующими коэффициентами диффузии делается вывод о том, что процесс растворения контролируется не скоростью диффузии, а скоростью хим. р-ции на поверхности раздела фаз.

9Б440. Гидролиз цианамид в растворе разбавленной кислоты. Eloranta Jorma. The hydrolysis of cyanamide in dilute acid solution. «Suomen kem.», 1960, 33, № 7-8, B152—B155 (англ.). — Изучена кинетика гидролиза $C(NH)_2$ в 0,02 н. р-ре H_2SO_4 при 85 и 60°, протекающего по предполагаемой схеме: $C(NH)_2 + H_2O \rightarrow$

$\rightarrow C(NH)_2O \xrightarrow{k_2} CO_2 + 2NH_3$. За ходом р-ции сле-

дили по титрованию проб р-ром $Ba(OH)_2$. Из кинетич. данных по суммарной р-ции и из отдельных опытов по 2-й стадии получены значения k_1 и k_2 (1-й и 2-й стадии), равные $1,5 \cdot 10^{-4}$ и $6,85 \cdot 10^{-6}$ сек $^{-1}$ при 85° и $7,6 \cdot 10^{-5}$ и $2,16 \cdot 10^{-7}$ сек $^{-1}$ при 60°, $E_1 = 29$ ккал/моль. При гидролизе димера $C(NH)_2$ образуется не CO_2 и NH_3 , а гуанидимочевина, а расход H^{+} при этом в 4 раза меньше, чем при гидролизе $C(NH)_2$. На этом основании заключают, что при гидролизе $C(NH)_2$ его димер не образуется.

9Б441. Изучение разложения водных растворов мочевины. Kresáková-Halušková Magda, Kresák Dušan, Veselý Václav. Studium rozkladu vodných roztokov močoviny. «Ropa a uhlie», 1960, 2, № 4, 102—106 (словацк.; рез. русск., англ.). — Нейтральные водн. р-ры мочевины разлагаются на цианат, а не на $(NH_4)_2CO_3$. В конц. р-рах р-ция идет до состояния равновесия. Рассчитаны константы равновесия и скорости р-ции. В промышленных условиях в 10 М р-ре при 70° разлагается 0,12%, а при 95° 7,2% мочевины в час. Ионы NH_4^{+} снижают степень разложения мочевины на 40%, ионы Fe , наоборот, ускоряют разложение на 30%.

9Б442. Объем активации при разложении соли ароматических диазосоединений. Brower K. R. The volume change of activation in the decomposition of aromatic diazonium salts. «J. Amer. Chem. Soc.», 1960, 82, № 17, 4535—4537 (англ.). — Исследовано влияние давления до 1360 атм на скорость разложения в воде следующих соединений: $C_6H_5N_2BF_4$, $n-NO_2C_6H_4N_2BF_4$, $n-CH_3C_6H_4N_2BF_4$, $n-CH_3OC_6H_4N_2BF_4$, $n-ClC_6H_4N_2BF_4$, $n-O_2SC_6H_4N_2$, $m-NO_2C_6H_4N_2BF_4$, $m-ClC_6H_4N_2BF_4$. Ход р-ции наблюдался по выделению N_2 . Объем активации, рассчитываемый согласно ур-нию $\Delta V^* = -RT(d \ln / dp)$, для разложения всех этих соединений одинаков и равен 10 ± 1 мл/моль, что указывает на мономолекулярный механизм р-ции. Показано также, что бимолекулярная р-ция N,N,N -триметил- n -нитроанилинильхрид + OH^- при давл. 1360 атм замедляется на 4% в сравнении с атмосфер. давлением, что указывает на значительную десольватацию реагентов при образовании активированного комплекса.

9Б443. Исследование восстановления хлорида ртути щавелевой кислотой, индуцированного персульфатом калия. Saxena L. K., Singhal C. P. Investigations on the reduction of mercuric chloride by oxalic acid induced by potassium persulphate. «J. Indian Chem. Soc.», 1960, 37, № 7, 405—410 (англ.). — Изучение кинетики р-ции при 45—60° показало, что процесс может быть разделен на 5 стадий: период индукции, р-ция нулевого порядка, автокаталитич. р-ция, автоингибируемая р-ция и обратимая р-ция. Предложен целый механизм р-ции, где ведущими радикалами являются CO_2^- и SO_4^- .

9Б444. Электрические эффекты алкильных групп. Кислотное расщепление m -алкилфенилтриизопропилаканов. Benkeser Robert A., Clark Frank S. The electrical effects of alkyl groups. The acid cleavage of m -alkylphenyltriisopropylsilanes. «J. Amer. Chem. Soc.», 1960, 82, № 18, 4881—4883 (англ.). — Кинетика отщепления SiR_3 от $m-R_1C_6H_4SiR_3$ изучена в присутствии смеси серной и уксусной к-т при 25°. Скорость р-ции возрастает в ряду $RH < CH_3 < C_2H_5 < iso-C_3H_7 < tri-C_3H_7$. Стерич. и сольватные влияния не имеют в изученной р-ции большого значения. Различие в скорости отрыва для разных R уменьшается в ряду $R'CH_3 < C_2H_5 < iso-C_3H_7$. Это уменьшение объясняется различием в переходных состояниях. На фактор селективности (РХХХ), 1960, № 18, 73285) влияет не только активность атакующих групп, но и различия в отщепляющихся группах.

9Б445. Кинетика образования оксима бензальдегида. Domanský R., Juránková O. Die Kinetik der Benzaldoximbildung. «Z. phys. Chem.» (DDR), 1960, 240

№ 1-2, 133—139 (нем.). — Изучена кинетика образования окисла C_6H_5CHO в кислой и нейтр. среде при 25—45°. Р-ция протекает по 2-му порядку. Скорость окислительной имеет отчетливый максимум в области pH 5—6. Наличие максимума объясняется конкуренцией двух процессов, происходящих в кислой среде: перехода C_6H_5CHO в электрофильный катион $[C_6H_5CHOH]^+$, который непосредственно соединяется с нейтр. молекулой гидроксилamina, и образованием сопряженной к-ты $[NH_3OH]^+$. Вычислены энергии и энтропии активации при различных pH.

В. Кнорре
9B446. Хлорирование ароматических углеводородов в четыреххлористом углероде, катализируемое трифторуксусной кислотой. Инигибирование уксусной кислотой. Keefe R. M., Andrews L. J. The trifluoroacetic acid catalyzed chlorination of aromatic hydrocarbons in carbon tetrachloride. Inhibition by acetic acid. «J. Amer. Chem. Soc.», 1960, 82, № 17, 4547—4553 (англ.). — Кинетика хлорирования толуола (I) и дурола (II) в CCl_4 в присутствии трифторуксусной к-ты (III) изучалась при 25° спектрофотометрически. Замещение идет главным образом в кольце. Для II р-ция следует порядку $1/2$ по конц-ии III, для I р-ция протекает по двум направлениям с порядком $1/2$ и $1/2$ по конц-ии III. По-видимому, в активированном комплексе (AK) участвуют 1 молекула мономера и 1 молекула димера III. При добавлении уксусной к-ты (IV) скорость р-ции уменьшается в широком интервале конц-ий IV благодаря образованию каталитически неактивного смешанного димера III·IV. Из кинетич. опытов с I константа равновесия р-ции $(III)_2 + (IV)_2 \rightleftharpoons 2III \cdot IV$ оценена в 9,3—16,1. Трихлоруксусная к-та (V) катализирует р-цию в меньшей степени, чем III; в присутствии смеси III и V р-ция идет быстрее, чем для одной III. Авторы считают, что сольватация электроотрицательного конца диполя АК резко выражена, в то время как положительный заряд распределен по бензольному кольцу. Дополнительно (см. РЖХим, 1961, 4Б453) изучалась р-ция диссоциации дихлорида йодбензола; в этой р-ции добавление V усиливает каталитич. действие III, частично за счет изменения полярности среды; в присутствии IV каталитич. активность III·IV в ≈ 2 раза ниже, чем $(III)_2$.

А. Ревзин
9B447. Кинетика и механизм присоединения к олефиновым соединениям. Часть VII. Некоторые наблюдения относительно линейных зависимостей свободной энергии в реакциях олефиновых соединений. Mare P. B. D. de la. The kinetics and mechanisms of addition to olefinic substances. Part VII. Some observations relating to linear free-energy relations in reactions of olefinic substances. «J. Chem. Soc.», 1960, Oct., 3623—3626 (англ.). — На основании литературных данных автор отмечает, что для р-ций присоединения галогенов к олефиновым соединениям (I) влияние распределения электронов в I на скорость р-ции больше, чем для сольволиза 1-арил-1-метилэтилгалогенидов, но меньше, чем для нитрования или мол. галогенирования ароматич. соединений. Фенильная группа в I проявляет свою способность к сопряжению лучше, чем в ароматич. в-вах, где стерич. затруднения нарушают колпачность, и оказывается лучшим донором электронов, чем метильная группа в р-циях присоединения галогенов и мономолекулярного сольволиза аллилгалогенидов. Автор считает, что возможность распространения постоянных σ^+ в ур-нии Гамметта для ароматич. в-в на близкие по строению олефиновые системы имеет очень ограниченный характер. Часть VI см. РЖХим, 1961, 5Б567.

А. Ревзин
9B448. Кинетика гидролиза трифенилметилфторида в водном ацетоне. Coverdale A. K., Kohnstam G. The kinetics of the hydrolysis of triphenylmethyl fluoride in aqueous acetone. «J. Chem. Soc.», 1960, Oct., 3806—3811 (англ.). — Изучалась кинетика гидролиза 0,015—0,30 M р-ра трифенилметилфторида в 70%-ном

водн. ацетоне с добавками HCl (0,001—0,01 M), NaCl (0,003—0,01 M) и NaF (0,006—0,01 M). Измерение скорости проводилось при 40° с применением ампульной методики. Показано, что эта р-ция автокаталитическая, причем добавление HCl увеличивает скорость гидролиза, а добавление NaCl и NaF практически не влияет на скорость. Авторы приходят к выводу, что автокатализ происходит главным образом за счет недиссоциированных молекул HF, а каталитич. действие малых добавок HCl связано в основном с подавлением диссоциации HF.

И. Баркалов
9B449. Кинетика ксантанной реакции аллилового и фурфуролового спирта, гликолевой кислоты и метилгликоля. Wroński M. The kinetics of xanthate reaction of allyl and furfuryl alcohol, glycolic acid and methylene glycol. «Soc. scient. lodz. acta chim.», 1960, 4, № 3, 55—63 (англ.; рец. польск.). — Кинетика р-ции $RON + NaOH + CS_2 = ROCSSNa + H_2O$ изучалась для разных RON при 15 и 25°. С аллиловым спиртом и гликолем Na р-ция протекает без осложнений. С а-фурфуроловым спиртом (I) образуются значительные кол-ва монотиокарбонатов (II). Из соотношений между продуктами р-ции автор заключает, что I в р-ре NaOH сильно ионизирован и что в ходе р-ции происходит превращение фуранового кольца в тиофеновое, а также частичный гидролиз II. При р-ции с метилгликолем (III) образующийся ксантат быстро гидролизует, что позволяет рассматривать III как катализатор щел. гидролиза CS_2 . С фенолом р-ция не идет.

А. Ревзин
9B450. Кинетический изотопный эффект C-13 при сольволизе 1-бром-1-фенилэтана. Stothers J. B., Bourns A. N. Carbon-13 kinetic isotope effects in the solvolysis of 1-bromo-1-phenylethane. «Canad. J. Chem.», 1960, 38, № 6, 923—935 (англ.). — Путем спектроскопич. определения изменения природного содержания C^{13} и C^{12} в продуктах р-ции по сравнению с исходными в-вами исследован кинетич. изотопный эффект C^{13} при сольволизе 1-бром-1-фенилэтана в метилом и этиловом спиртах. При метанолизе кинетич. изотопный эффект $k^{12}/k^{13} = 1,0065 + 0,0006$ (25°), при этанолизе $k^{12}/k^{13} = 1,0064 + 0,0010$ (45°). Предполагается модель переходного состояния, на основе которой можно объяснить малую величину изотопного эффекта. Модель используется для расчета эффективной массы в ур-нии Бигелайзена.

Ю. Ершов
9B451. Кинетика изотопного обмена в гетерогенных системах, усложненная наличием нескольких равновесий. Scheffer F., Ulrich B., Bencke P., Sandler W. Kinetik des Isotopenaustauschs in heterogenen Systemen mit multiplen Gleichgewichten. «Naturwissenschaften», 1960, 47, № 14, 321 (нем.). — Исходя из предположений о том, что отдельные р-ции изотопного обмена протекают по 1-му порядку и что во времени они достаточно отделены друг от друга, предложен метод расчета констант равновесия отдельных р-ций обмена, протекающих в гетерог. системах.

К. Сакодынский
9B452. Иницированное основаниями дегидрогалогенирование и перегруппировка 1-гало-2,2-дифенилэтиленов в трет-бутиловом спирте. Влияние дейтерированного растворителя. Pritchard J. G., Bothner-Bu A. A. Base-initiated dehydrohalogenation and rearrangement of 1-halo-2,2-diphenylethylenes in *t*-butyl alcohol. The effect of deuterated solvent. «J. Phys. Chem.», 1960, 64, № 9, 1271—1277 (англ.). — Кинетика дегидрогалогенирования и перегруппировки 1-хлор-(I), 1-бром-(II) и 1-йод-2,2-дифенилэтилена (III) в присутствии трет- C_4H_9OK (IV) с образованием дифенилацетилена с выходом $\approx 90\%$ изучалась в р-ре трет- C_4H_9OH (V) при 95° спектрофотометрически. Скорость р-ции следует ур-нию $-d(I)/dt = k(I)(IV)^{3/2}/(V)$, где $\lg k = \lg k_{01} + \lg(V) - 3/2 \lg(IV)$. Величина k ($A^{1/2}$ моль $^{1/2}$ сек) $2 \cdot 10^{-5}$ $1,5 \cdot 10^{-5}$ и $9 \cdot 10^{-5}$ для I, II и III соответственно. В р-ре

трет- C_4H_9OD (IV) р-ция идет в $1,9 \pm 0,3$ раза быстрее, чем в V. Водородный обмен II с VI протекает по порядку $3/2$ по конц-ии IV с константной скоростью $2,4 \cdot 10^{-4}$ сек $^{-1}$ при 35° , т. е. в сотни раз быстрее, чем изучаемая р-ция. Авторы считают, что в первой стадии р-ции равновесно образуется винильный ион карбония, который затем в стадии, лимитирующей скорость р-ции, перегруппировывается с выделением иона газо-гена. Зависимость скорости р-ции от конц-ии IV объясняется образованием ионной тройки типа $[K(трет-C_4H_9O)_2]^-$. Приводятся методы получения и спектры I, II и III.

А. Ревзин

9Б453. О кинетике образования изомеров алкилбензолов в процессе алкилирования. Бабин Е. П., Плоский В. Г., Алексеева И. А. «Изв. Сибирск. отд. АН СССР», 1960, № 8, 75—83.—При алкилировании бензола пропиленом при 60° в присутствии $AlCl_3$ (0,03 моля на моль C_6H_6) образуются изопропилбензол, *m*- и *p*-диизопропилбензолы, 1,3,5-триизопропилбензол и 1,2,4,5-тетраизопропилбензол. При молярном отношении C_3H_6/C_6H_6 $n = 0,5$ —1 отношение *m*- и *p*-изомеров диизопропилбензола равно 3, с увеличением n это отношение падает до 1,5. Наибольший выход *m* (34,5%) и *p* (15,5%) изомеров соответствует $n \approx 2$. Учитывая изомерный состав углеводородов алкилата, авторы предлагают схему процесса алкилирования, которая приводит к соотношениям между значениями констант скоростей образования продуктов последовательных параллельных р-ций, согласующихся с эксперим. данными.

Г. Зайков

9Б454. Образование терефталата путем перегруппировки карбоксильных групп в атмосфере $C^{14}O_2$. Riedel O., Kienitz H. Bildung von Terephthalat durch Carboxylgruppen-Umlagerung in $^{14}CO_2$ -Atmosphäre. «Angew. Chem.», 1960, 72, № 19-20, 736—740 III—IV (нем.; рез. англ., франц., итал., исп.).—Р-ция получения терефталата (I) путем перегруппировки орто-(II) или изофталата (III) и карбоксилирования бензоата (IV) проводилась в автоклаве в присутствии катализатора CaO в атмосфере $C^{14}O_2$ при давл. 30 атм и t -ре 425—440°. Выход I составлял 90% и выше. Активность I составляла 4,7—56% от исходной активности $C^{14}O_2$. Из сравнения опытных данных с теоретич. кривыми авторы заключают, что перегруппировка карбоксильных групп происходит межмолекулярно, причем подвижна только одна карбоксильная группа в молекуле. Степень межмолекулярной перегруппировки для II значительно меньше, чем для III и IV. Выход I уменьшается линейно с увеличением кол-ва H_2O в реакционной смеси.

А. Ревзин

9Б455. Аэротермические свойства пламен. Manson M. Propriétés aérothermiques des flammes, «Méc. élect.», 1960, 44, № 132, 57—62; № 133, 49—53; № 134, 100—112 (франц.; рез. нем., англ., исп.).—Обзор, содержащий: классификацию основных видов пламен как предварительно перемешанных газов, так и диффузионных (включая горение распыленных жидких топлив); методы расчета t -ры горения в условиях постоянства объема и давления; применение этих расчетов для ракетных камер; принципы стабилизации пламени; свойства детонационного горения. Библ. 24 назв. А. С.

9Б456. Разреженные диффузионные пламена окиси азота и фтора. Rapp Donald, Johnston Harold S. Nitric oxide-fluorine dilute diffusion flame. «J. Chem. Phys.», 1960, 33, № 3, 695—699 (англ.).—Разреженные диффузионные пламена F_2 в NO получались методом Поляни, при истечении струи N_2 , содержащего 1% F_2 , из сопла (стальная трубка диам. 1,8 мм) в медный цилиндр диам. 50 мм, через который пропускается струя N_2 с 10% NO при давл. 3 мм рт. ст. Выход продуктов р-ции на различных расстояниях от сопла определялся по распределению интенсивности свечения, измеряемой с помощью микрофотометра по фотографиям пламен с различными выдержками. Полу-

чено выражение для константы скорости р-ции: $k = 6 \cdot 10^{11} \exp(-1500/RT)$ см 3 /моль сек. Авторы предполагают, что скорость р-ции лимитируется стадией: $NO + F_2 \rightarrow ONF + F$, за которой следует р-ция $NO + F \rightarrow ONF^*$.

А. Соколик

9Б457. Кинетические параметры для пламен водорода и этилена, выведенные из измерений условий обратного проскака. Fine B. Kinetic parameters for the hydrogen and ethylene flames from flashback measurements. «Combustion and Flame», 1960, 4, № 3, 243—252 (англ.).—Для определения кинетич. параметров пламен H_2 и C_2H_4 были использованы данные измерений критич. величины градиента скорости в пограничном слое при обратном проскаке пламени горелки $g = 8uD$, где u — средняя скорость течения на выходе из горелки, D — ее диаметр. Из общего соотношения: $g \sim [p^{-1}F(T_f)]$, где p — давление, T_f — t -ра пламени, может быть определен общий порядок р-ции в пламени g . Из результатов измерений автора и литературных данных для давл. < 1 атм получены значения g для H_2 2,3, для C_2H_4 1,8. Из зависимости величин $\lg(T_0/298) - 1/2 - 1$, (в которой T_0 — начальная t -ра, x_2 — конц-ия O_2) от $1/T$ автор получает эффективные энергии активации р-ции в пламени, величины которых при повышении t -ры пламени растут для горючих смесей разб. N_2 и остаются постоянными при разбавлении Ar .

А. Соколик

9Б458. Роль перекисей в сгорании углеводородов. Влияние дитретичной бутилперекиси на различные предпламенные стадии окисления метилциклогексана и бензола. Salooja K. C. The role of peroxides in the combustion of hydrocarbons: effect of di-*t*-butyl peroxide on the different pre-flame stages of methylcyclohexane and benzene. «Z. phys. Chem. (BRD)», 1960, 24, № 5-6, 336—344* (англ.).—Исследовалось влияние дитретичной бутилперекиси (I) на окисление метилциклогексана (II) как топлива, дающего три предпламенные стадии: холоднопламенную и стадии отрицательного и положительного температурного коэф., а также на окисление бензола, для которого характерны одна (третья) стадия. Опыты проводились с выростом топлива (или топлива, содержащего I) в поток холодного воздуха, поступающего в нагретую часть реакционной кварцевой трубы. Добавка к топливу 5 мол.% I снижает t -ру начала окисления для обоих топлив до $\sim 240^\circ$, но только в случае II окисление охватывает основное топливо. Индуцируя возникновение холодного пламени, I тормозит последующее окисление в стадии отрицательного температурного коэф. и promotes р-цию в стадии положительного коэф. В механизме торможения главная роль отводится превращению перекисных радикалов в спирты.

А. Соколик

9Б459. Прохождение взрыва через узкие цилиндрические каналы. Wolfhard H. G., Bruszak A. E. The passage of explosions through narrow cylindrical channels. «Combustion and Flame», 1960, 4, № 2, 140—159 (англ.).—В связи с проблемой подбора взрывобезопасных зазоров в электрич. рудничной аппаратуре исследовался механизм распространения взрыва через узкие каналы. Стехиометрич. смесь $CH_4-O_2-N_2$ с переменным кислородным индексом $I_O = [O_2]/[O_2 + N_2]$ воспламенялась от искры в цилиндрич. камере диам. 3,4 мм высотой 8,7 см, соединенной цилиндрич. каналом диам. 0,8—3,0 мм с большой камерой диам. 9 мм высотой 61 см, заполненной испытуемой смесью горючего с воздухом. Критич. величина $I_O(I_O(крит.))$, при которой в данных условиях происходит передача взрыва, для смесей CH_4 и этана минимальна при 20%-ном избытке воздуха, а для смесей CO уменьшается с ростом конц-ии CO . При уменьшении диаметра канала $I_O(крит.)$ растет, особенно резко для диам. < 1 мм. При изменении диаметра канала $I(крит.)$ проходит через минимум при диаметре 5—10 мм.

А. Соколик

9Б460. Об измерении задержек воспламенения при высоких температурах. Когарко С. М., Борисов А. А. «Изв. АН СССР. Отд. хим. н.», 1960, № 8, 1848—1853. — Исследовалось воспламенение углеводородо-воздушных смесей в ударной волне, отраженной от торца трубы. Опыты проводились в трубе, состоящей из 3 секций: 1), в которой распространяется детонационная волна в смеси $\text{CH}_4 + 2\text{O}_2$; 2) отделенной от 1-й диафрагмой и заполненной буферным инертным газом; 3) отделенной от 2-й краем и заполненной испытуемой смесью. Состояние газа в отраженной волне определялось по скорости падающей волны, которая измерялась методом непрерывной фотозащелки света, проходящего через слой воды. р-ра желатина, нанесенного на стеклянное окно. Задержка воспламенения τ определялась по регистрациям момента воспламенения на осциллограмм ионизационного тока с помощью датчика, расположенного в торце трубы. Изменение τ с т-рой в отраженной волне (без учета изменения давления) дает следующие значения величин A и B в ф-ле: $\tau = A \exp(B/T)$ для стехиометрич. воздушных смесей: CH_4 $A = 10^{-14}$, $B = 30,25$ ккал; C_2H_6 $A = 10^{-10}$, $B = 16,1$; C_3H_8 $A = 10^{-13,6}$, $B = 26,2$; C_4H_{10} $A = 10^{-11,9}$, $B = 20,2$. С учетом изменения давления в ударной волне получено для C_2H_6 $A = 10^{-9}$, $B = 13,9$. Для парафиновых углеводородов от CH_4 до $\text{C}_{16}\text{H}_{34}$ при т-рах сжатия $> 1500^\circ\text{K}$ величины τ почти одинаковы ($\leq 10^{-3}$ сек). Выше 1200°C для пропана, бутана и гептана больше, чем для бензола.

9Б461. Поведение азотисто-водородной кислоты в ударной волне; новые данные о системе полюс $^3\text{P} - ^3\Sigma$ NH. Guenebaut Henri, Pannetier Guy, Goudmand Pierre. Sur le comportement de l'acide azotique dans une onde de choc; donnée nouvelle sur le système $^3\text{P} - ^3\Sigma$ de NH. «С. г. Acad. sci.», 1960, 251, № 11, 1166—1168 (франц.) В ударной трубе с перепадом давления 750/1 исследовался спектр свечения, возникающего при распространении ударной волны в N_3H или N_3D . Для устранения в спектре линий металла (Fe или Cu) были использованы (для секции низкого давления) трубы из пирекса и диафрагмы из ацетилцеллолозы. В основной серии полюс $v' - v'' = 0$ триплета NH $^3\text{P} - ^3\Sigma$ обнаружена новая вибрационная полоса (3,3) при 3402 Å. В опытах с N_3D установлено соответствующее изотопич. смещение. Сплошное излучение, наблюдающееся при 4200 Å, связывается с возбуждением радикала NH_2 .

9Б462. О существовании ненормального режима горения при зажигании некоторых проперголей на базе азотной кислоты. Bernard Michel L. J. Sur l'existence d'un régime anormal dans l'allumage de certains propergols à acide nitrique. «С. г. Acad. sci.», 1960, 250, № 26, 4361—4363 (франц.). — При воспламенении некоторых ракетных топлив (этилендиамина, диэтиламиноэтанол гидразин, триэтиламин, диметилгидразин) наблюдалось ненормально высокое повышение давления — до 100 ат и разрывы камер сгорания. Обнаруженный при этом твердый осадок оказался сходным с динитратом этилендиамина, способным к детонации при резких скачках давления в камере. Ненормальный режим воспламенения перечисленных топлив объясняется образованием промежуточных продуктов такого типа, обладающих свойствами ВВ. А. Соколик

9Б463. Применение закона подобия при взрывах в отношении передачи детонации. Беляев А. Ф., Садовский М. А., Тамм И. И. «Ж. прикл. механ. и техн. физ.», 1960, № 1, 3—17. — Для выяснения параметров активного заряда ВВ, определяющих расстояние передачи детонации (ПД) пассивному заряду, измерялись расстояния 50%-ной вероятности ПД методами непрерывной развертки свечения и луны времени. Из опытов со сферич. активным и цилиндрич. пассивным зарядами авторы делают вывод, что ПД связана с ве-

личной давления в ударной волне, которое может быть определено по измеренной скорости разлета продуктов детонации. Расстояния ПД $\sim (C)^{1/2}$, где C — тротиловый эквивалент заряда. В условиях 50%-ной ПД наблюдается задержка возникновения детонации 10—20 мсек. При меньшем времени действия для ПД необходимо меньшее расстояние. Для зарядов несферич. формы условия ПД осложняются направленным действием взрыва.

9Б464. Измерение температуры пламен взрывчатых веществ методом обращения спектральной линии. Mizushima Yon Yojiro. «Токай когэ сикакэс хококу. Repts Govt Chem. Industr. Res. Inst. Tokyo», 1960, 55, № 1, 23—33, 2 (японск.; рез. нем.). — Т-ры невзрывного горения ВВ определялись методом обращения D-линии Na. Приводятся измеренные т-ры в атмосфере O_2 , Ar, CO_2 для тринитротолуола, тетрила, пентолита и промешанных ВВ.

9Б465. О передаче детонации через газовый промежуток. Hikita T., Yoneda K. «Kogé каяку кейкай. J. Industr. Explos. Soc., Japan», 1960, 21, № 1, 21—23 (японск.; рез. англ.). — Изучалась передача детонации в конденсированных ВВ через промежуток, заполненный различными газами. Результаты представлены в виде критич. длин промежутка, критич. скоростей детонации и задержек инициирования воспринимающего заряда. С понижением давления скорость инициирующей волны повышается. Заметное влияние O_2 на инициирование связано, по-видимому, с его способностью окислять принимающий заряд. Представлены фотографии для различных случаев передачи детонации.

9Б466. Замечания о явлении сверхвысокой скорости волны в конденсированных взрывчатых веществах. Chaiken R. F. Comments on hypervelocity wave phenomena in condensed explosives. «J. Chem. Phys.», 1960, 33, № 3, 760—761 (англ.). — В работах (РЖХим, 1958, № 15, 49641; 1961, 5Б593) и работах автора, при детонации конденсированных ВВ, напр. нитрометана, наблюдалось распространение свечения за фронтом инициирующей ударной волны со скоростью, значительно превышающей скорость стационарной детонационной волны (D_s). Это явление трактуется как возникновение волны р-ции с конечным периодом индукции за фронтом ударной волны и распространение волны в ударно сжатом газе с суммарной скоростью $D_s + U$, где U — скорость частиц за фронтом инициирующей ударной волны.

9Б467. Газохроматографическое исследование продуктов разложения смешанных солей. Dreyer Hans, Nehring Dietwart. Gaschromatische Untersuchungen der Zersetzungsprodukte von Mischsalzen. «Naturwissenschaften», 1960, 47, № 6, 132 (нем.). — Газохроматографический метод использован для качеств. и количеств. анализа газов, образующихся при термич. разложении смешанных формиатов, оксалатов и карбонатов. Газообразные продукты разложения, освобожденные от паров воды, вместе с газом-носителем поступали в хроматографич. колонку, заполненную активированным углем. Разделение газов проводили при 25°C . Для полного разделения продуктов разложения, образующихся при 800°C , длина хроматографич. колонки должна быть ≥ 3 м. Приведена хроматограмма газообразных продуктов, образующихся при разложении 5,1 мг смешанного формиата Ni и Mg, содержащего 45,4 мол. % Ni.

9Б468. Диссоциация трехокиси урана. Власов В. Г., Лебедев А. Г. «Изв. высш. учебн. заведений. Черн. металлургия», 1960, № 7, 5—9. — Методом непрерывного взвешивания в высоковакуумной установке изучали кинетику диссоциации UO_3 (I) при 450 — 550°C . При длительности опытов 1 час полную диссоциацию I до U_2O_5 наблюдали только при 550°C . Диссоциация I при всех изученных т-рах характеризуется в начале-

ном периоде постоянной скоростью разложения. Определены кинетич. ур-ния для диссоциации I и предложен механизм процесса. Кажущаяся энергия активации процесса диссоциации I, рассчитанная для начальных стадий (до 30%) восстановления, равна 37,2 ккал/моль, что хорошо совпадает с тепловым эффектом р-ции $6\text{UO}_3 = 2\text{U}_2\text{O}_3 + \text{O}_2$, равным (35 ккал/моль). Л. Березкина

9Б469. Изучение кинетических особенностей течения процесса восстановления четыреххлористого титана магнием. Огурцов С. В., Резниченко В. А. В сб. «Титан и его сплавы». Вып. 4. М., АН СССР, 1960 132—139. — Приводятся результаты изучения кинетич. особенностей восстановления TiCl_4 магнием в начальный период процесса взаимодействия и при использовании 20, 40 и 60% TiCl_4 . Резюме авторов

9Б470. Влияние давления и измельчения на восстановление закиси никеля водородом. Iida Yoshio, Shimada Kenzo. Effect of compacting and grinding on the hydrogen reduction of nickel oxide. «Bull. Chem. Soc. Japan», 1960, 33, № 9, 1194—1196 (англ.). — Исследовано влияние давления таблетирования (0—2000 кг/см²) и измельчения монокристаллов NiO (до 50 м) на скорость восстановления водородом NiO в изотермич. условиях (200°). Исследовано также восстановление NiO, полученной прокаливанием NiSO_4 (размер частиц 0,5 м). Установлено, что v возрастает с повышением давления до 1000 кг/см². При дальнейшем повышении давления v несколько снижается. Уд. вес образцов с повышением давления возрастает, но уд. поверхность изменяется незначительно. v измельченных монокристаллов NiO выше v образцов, полученных прокаливанием. По мнению авторов, увеличение v связано с искажениями решетки, возникающими в кристаллах в результате пластич. деформации при измельчении и давлении. В. Штерн

9Б471. Тонкие окисные пленки на титане, цирконии, молибдене и сплавах титана. Андреева В. В., Алексеева Е. А. «Докл. АН СССР», 1960, 134, № 1, 106—109. — При 50—400° в токе O_2 изучена кинетика окисления Ti, Zr, Mo, сплава Ti с 10% Mo и сплава Ti с 3% Al и 5% Cr при 50—400°. С применением оптич. поляризационного метода измерения толщин тонких невидимых пленок окислов установлено, что окисление Zr становится заметным при 50°, окисление Ti и сплава Ti с 10% Mo при 100°, окисление Mo и сплава Ti с 5% Cr с 3% Al при 150°. При этих т-рах у всех изученных металлов и сплавов скорость окисления практически доходит до нуля и окисление прекращается, когда образующаяся пленка достигает некоторой предельной толщины. При повышении т-ры (в случае Zr и Mo > 200°, в случае Ti и сплавов, указанных выше, > 350°) наблюдается быстрый рост толщины пленки. Вычислены энергии активации процесса окисления. Из этих данных следует, что процесс взаимодействия Zr и Mo с O_2 протекает по одному и тому же механизму. Значительно более высокая устойчивость сплава Ti с 5% Cr и 3% Al к окислению по сравнению с чистым Ti, по-видимому, объясняется образованием смешанного окисла типа шпиннели. А. Штейнберг

9Б472. Изучение кинетики окисления, нитрирования и гидрогенизации урана. Adda Yves. Etude cinétique de l'oxydation, de la nitruration et de l'hydruration de l'uranium. Rapp. CEA, 1958, № 757, 57 p., ill. (франц.; рез. англ.). — Различными физ.-хим. методами изучена кинетика окисления, гидрогенизации и нитрирования U. Эксперим. результаты показывают, что кинетика этих р-ций зависит от многих факторов; правило Пиллинга и Бедуэртса выполняется только в очень немногих случаях, что, по-видимому, связано с наличием большого числа механич. дефектов в соединениях, полученных путем сухой коррозии металлич. U. Резюме автора

9Б473. Глубина окисления графита. Теоретическое исследование. Dodson M. H. The depth of oxidation of graphite: a theoretical approach. Developm. and Engng. Group. U. K. Atomic Energy Author., 1960, Rept. N 14 (CA), 16 pp. (англ.). — При р-ции графита с O_2 глубина окисления L равна $L = (Z/K_v)^{0.5}$, где Z — «эффективный» коэф. диффузии кислорода в газе, находящемся в порах графита, K_v — константа скорости (выраженная через объем потребленного O_2). Когда L намного меньше размеров образца графита, скорость окисления пропорциональна x от поверхности пропорциональна x^2 ($-x/L$). Аналогичные результаты получены и при р-ции графита с CO_2 . Для изученного сорта графита отношение Z к обычному коэф. диффузии в газе равно $\sim 0,02$. Из резюме автора

9Б474. Реакция углерода с двуокисью углерода при высоких давлениях. Blackwood J. D., Ingemi A. J. The reaction of carbon with carbon dioxide at high pressure. «Austral. J. Chem.», 1960, 13, № 2, 194—200 (англ.). — В проточном реакторе при 790—870° исследовали кинетику и механизм взаимодействия активных углей с CO_2 (р-ция (1)) при давл. 5—40 атм, а также влияние на р-цию (1) добавок CO к CO_2 . При высоких давл. CO_2 и CO скорость образования C больше, чем это следует из предположения, высказанного ранее (Gadsby и др., «Proc. Roy. Soc.», 1948, A193, 357); предложен механизм процесса, включающий р-цию (2) — «полнительную стадию взаимодействия молекулы CO_2 с адсорбированной молекулой CO : $\text{CO} + \text{CO}_2 + \text{C}(\text{адс.}) \rightarrow 2\text{CO} + \text{O}(\text{адс.})$. Выведено ур-ние скорости р-ции (1), удовлетворительно согласующееся с эксперим. данными. Показано, что реакционные способности углей, приготовленных при различных т-рах, зависят от содержания в них кислорода. Сделан вывод, что активные центры при взаимодействии углей с CO не совпадают с активными центрами при р-ции углей с водяным паром. Из резюме автора

9Б475. Поверхностные явления при взаимодействии твердого MgO с различными газами при высоких температурах. Spero D. M., Shupp L. S. Surface phenomena during the interaction between MgO (s) and various gases at elevated temperatures. «J. Phys. and Chem. Solids», 1960, 15, № 1-2, 157—166 (англ.).

9Б476. К вопросу об образовании бейерита при р-ции между алюминием и кипящей или перегретой водой. Altenpohl D. Zur Frage des Auftretens von Böhmit bei der Reaktion zwischen Aluminium und kochendem oder überhitztem Wasser. Aluminium (BRD) 1960, 36, № 8, 438—441 (нем.; рез. англ., франц.). — Физико-химическими методами изучали окисление Al дистил. водой и парами H_2O при 97—350°. Изучение продуктов р-ции методом ИК-спектрального анализа показало, что при т-рах > 250° образуется кристаллич. бейерит, а при 100—250° — псевдобейерит, молекула которого содержит более одной молекулы H_2O . При кратковременном кипячении Al в дистил. воде образуются $\text{Al}_2\text{O}_3 \cdot 3\text{H}_2\text{O}$. По электронографии, данным поверхностный окисный слой состоит из двух или из трех слоев с различными структурами и растворимостями. Образование бейерита не обнаружено. Л. Березкина

9Б477. Успехи в изучении гетерогенного катализа. Kemball Charles. Progress in the study of heterogeneous catalysis. «Proc. Chem. Soc.», 1960, Aug., 274 (англ.). — Обзорный доклад. Библиограф. 28 назв.

9Б478. О природе неоднородности активной поверхности полупроводниковых контактов. Кейер Н. «Пробл. кинетики и катализа», 1960, 10, 73—84. Предложена гипотеза для объяснения данных по влиянию введения окиси лития и окиси железа в NiO адсорбцию газов-доноров и акцепторов электронов (РЖХим, 1958, № 14, 46142; 1959, № 11, 37919). Автор считает, что в NiO активными центрами хемосорбции являются окислы лития и железа. Из резюме автора

газов-доноров с миним. энергией активации являются катионы Ni^{3+} , не связанные с катионами Li^+ . Наличие вблизи Ni^{3+} катионов Li^+ снижает активность Ni^{3+} в адсорбции, что автор связывает с влиянием электростатич. поля, создаваемого избыточным отрицательным зарядом кислородного иона вблизи Li^+ . Активность катионов Ni^{2+} , являющихся центрами адсорбции газов-акцепторов (напр., кислорода: $Ni^{2+} + O_2 \text{ (газ)} \rightleftharpoons Ni^{3+} + (O_2^-)$ (адс.)), повышается в присутствии нескомпенсированного отрицательного заряда вблизи Li^+ . Неравноценное положение катионов Ni^{3+} и Ni^{2+} по отношению к примесному катиону с аномальным нескомпенсированным зарядом приводит к неоднородности активных центров адсорбции.

9Б479. Магнитные свойства нанесенных платиновых катализаторов. Haberditzl W., Nicolau C. Zum magnetischen Verhalten von Platin-Trägerkatalysatoren. «Naturwissenschaften», 1960, 47, № 11, 251—252 (нем.).—Измерена магнитная восприимчивость χ катализаторов состава Pt:C = 5:100, приготовленных пропиткой активного угля р-ром H_2PtCl_6 с последующим восстановлением гидразингидратом. Найденное высокое значение $\chi = 2,6 \cdot 10^{-6}$ CGS, по мнению авторов, указывают, что Pt частично содержится в катализаторе в виде атомов π , возможно, входит в состав комплексных соединений. А. Ш.

9Б480. Отравление катализаторов с неоднородной поверхностью. Krause A. Die Vergiftung der inhomogenen Katalysatoroberfläche. «Bull. Acad. polon. sci. Sér. sci. chim.», 1960, 8, № 7, 373—377 (нем.; рез. русск.).—На основе выдвинутой автором ранее модели активных центров поверхности катализаторов (РЖХим, 1961, 1Б493) предлагается хим. схема палимодействия активных центров с ядами и промоторами. Автор считает, что эти схемы могут объяснить особенности отравления катализаторов с широко неоднородными поверхностями и появление максимумов модифицирования катализаторов, описанные ранее (Рогинский С. З. Адсорбция и катализ на неоднородных поверхностях. Изд-во АН СССР, 1947). С. Р.

9Б481. Химия катализатора. Максима С., Сайто Я. «Kagaku koge, Chem. Ind. (Japan)», 1960, 11, № 10, 929—932 (японск.).—Обзорная статья.

9Б482. Влияние различной газовой обработки на каталитические и магнитные свойства окисно-хромового катализатора. Баладин А. А., Рождественская И. Д., Сливкин А. А. «Докл. АН СССР», 1960, 134, № 1, 110—113.—Проведено сравнение магнитных свойств ряда препаратов Cr_2O_3 , полученных обработкой $Cr(OH)_3$ в атмосфере воздуха, H_2 и атомарного водорода, и их каталитич. свойств по отношению к разложению изо- C_3H_7OH (р-ция(1)) и дегидрогенизации C_6H_{12} (р-ция(2)). Найденно, что в зависимости от условий обработки получаются образцы, различающиеся как по магнитным, так и по каталитич. свойствам. Обработка атомарным H приводит к резкой инактивации катализатора в отношении р-ции (2) и усилению дегидратации в р-ции (1). Обнаружено отсутствие однозначной связи между магнитными и хим. характеристиками катализаторов.

В. Вассерберг

9Б483. Радиационные повреждения твердых тел катализаторов. Turkevich John. Radiation damage and catalysis. «Large Radiat. Sources Ipd. Vol. 2. «Vienna», 1960, 111—117. Discuss., 117 (англ.; рез. франц., русск., исп.).—При воздействии нейтронного излучения изменяются оптич. свойства ZnS и каталитич. активность древесного угля по отношению к пара-орто-конверсии водорода и к дейтеро-водородному обмену.

Из резюме автора

9Б484. О механизме изотопного обмена водород-дейтерий на никеле. Schwab G.—M., Killmann E. Zum Mechanismus des Wasserstoff-Deuterium—

Austausches an Nickel. «Z. phys. Chem. (BRD)», 1960, 24, № 1-2, 119—129 (нем.).—В циркуляционной системе при 100—165° изучали кинетику изотопного обмена водорода с дейтерием на Ni-катализаторе. Скорость обмена описывается ур-нием: $d[HD]/dt = 2,3 B \times \frac{[HD] - [HD]}{[HD] + [HD]}$ (где $[HD]$ — текущая, $[HD]$ — равновесная концентрации HD, t — время, B — постоянная). Найденно значение энергии активации 7,5 ккал/моль. При увеличении парц. давления D_2 в смеси $H_2 + D_2$ начальная скорость обмена повышается. Обсуждаются различные возможные механизмы обмена. Авторы считают, что эксперим. результаты лучше всего согласуются со следующим механизмом: $H - D$ обмена: $MH_2 + MD_2 \rightleftharpoons 2MHD$; $2MHD \rightarrow 2M + 2HD$. По мнению авторов, лимитирующей стадией процесса является р-ция между двумя соседними адсорбированными молекулами H_2 и D_2 . В. Линде

9Б485. Изучение каталитического разложения окиси углерода. Schenck Hermann, Maschlanka Walter. Untersuchungen über die katalytische Beeinflussung des Zerfalls von Kohlenmonoxyd. «Arch. Eisenhüttenwesen», 1960, 31, № 5, 271—277 (нем.).—Исследованы условия каталитич. разложения CO : $2CO \rightarrow C + CO_2$ на ряде Fe-катализаторов, приготовленных различными методами. Р-цию проводили в проточной и циркуляционной системах; активность катализатора оценивали по кол-ву отложившегося C и по содержанию CO_2 в отходящем газе. Наибольшая скорость разложения найдена при ~550°. Понижение т-ры предельного восстановления катализатора от 900° до 400° повышает скорость разложения CO ; по мнению авторов, это обусловлено сохранением дефектов — активных центров в решетке катализатора. Повышение содержания CO_2 в смеси с CO снижает степень распада CO . H_2S и SO_2 , добавленные в кол-вах ~0,01—0,10% к CO , вызывают необратимое, а добавление $(CN)_2$, NH_3 , Cl_2 и NO_2 — обратимое отравление Fe-катализаторов. Авторы считают, что полученные результаты могут способствовать пониманию механизма металлургич. процессов. В. Линде

9Б486. Окисление окиси углерода на записи никеля. Matsuura Ikuya, Kubokawa Yutaka, Toyama Osamu. «Nihon kagaku zasshi, J. Chem. Soc. Japan. Pure Chem. Sci.», 1960, 81, № 7, 1003—1007, A72 (японск.; рез. англ.).—Динамическим методом при 200—500° и давл. 0,1—760 мм рт. ст. исследована кинетика окисления CO на NiO и NiO с добавками Li^+ и Cr^{3+} . В ходе р-ции измеряли электропроводность катализаторов. Кинетич. результаты соответствуют данным Вагнера и Хауффе (Wagner C., Hauffe K., Z. Elektrochem., 1938, 44, 172) и показывают, что контролирующей стадией р-ции является взаимодействие CO с кислородом решетки. Энергии активации р-ции одинакова для чистой NiO и для легированных образцов NiO (16—18 ккал). Эти результаты отличаются от данных Шваба (РЖХим, 1956, № 15, 46436), полученных в статич. условиях, где, как указывают авторы, возможно отравляющее действие CO_2 .

А. Крылова

9Б487. Каталитическая активность различных ферритов. Fukudome Miyoshi, Kusano Kazuhito «Koré kagaku zasshi, Kogyo kagaku zasshi, J. Chem. Soc. Japan. Industr. Chem. Sec.», 1960, 63, № 7, 1186—1190 (японск.; рез. англ.).—Изучены структура и каталитич. активность по отношению к конверсии водяного газа (р-ция (1) различных ферритов (Ф), приготовленных сухим способом при 1000—1200° и содержащих один из переходных элементов группы железа. Большинство Ф малоактивны, но Ф, содержащие CoO или NiO , обладают высокой активностью. В частности, очень активен $CoO \cdot Fe_2O_3$; на нем р-ция (1) даже при 300° протекает более чем на 90%. Катализаторы приобретают достаточно высокую активность только после контакта с реагирующим газом в течение

ние нескольких часов при т-ре конверсии. Это может быть связано с восстановлением катализатора реагирующим газом. Спекание катализаторов, по-видимому, не понижает их активности. Резюме авторов

9Б488. Синтез углеводородов из окиси углерода и водяного пара. Сообщение V. Кинетика и механизм реакции на железных и кобальтовых катализаторах. Kolbel Herbert, Hammer Hans. Synthese von Kohlenwasserstoffen aus Kohlenoxyd und Wasserdampf. V. Mitt. Kinetik und Mechanismus der Reaktion an Eisen- und Kobaltkatalysatoren. «Z. Elektrochem.», 1960, 64, № 2, 224—234 (нем.).—В проточной установке при 180—280° и давлениях до 25 ат изучены кинетика и механизм синтеза парафинов, олефинов и кислородосодержащих соединений из СО и водяного пара на Fe- и Co-катализаторах. Скорость расхода СО можно выразить ур-нием: $r = k_1 \cdot P_{CO}^a \cdot P_{H_2O}^b + k_2 P_{CO}^c \cdot P_{H_2}^d$ (r — суммарная скорость синтеза, P_{CO}^a , $P_{H_2O}^b$, P_{CO}^c и $P_{H_2}^d$ — парц. давления компонентов реагирующей смеси, k_1 — константа скорости образования H_2 в ходе процесса, k_2 — константа скорости расходования H_2). Кинетич. кривые показывают, что в изучаемом процессе участвует ряд сопряженных р-ций. Установлено образование водорода как промежуточного продукта процесса синтеза. Сообщение IV см. РЖХим, 1959, № 19, 67318. В. Линде

9Б489. Исследование кинетики окисления сернистого ангидрида на платиновом катализаторе в условиях установившегося химического равновесия. Ройтер В. А., Стухановская Н. О., Корнийчук Г. П., Волюковская Н. С., Голодец Г. И. Дослідження кінетики окислення сірчаного ангідриду на платиновому каталізаторі в умовах стану хімічної рівноваги. «Доповіди АН УРСР», 1960, № 9, 1241—1244 (укр.; рез. русск., англ.).—При помощи применения радиоактивного изотопа серы в качестве метки исследована кинетика окисления сернистого ангидрида на Pt-сетке в условиях равновесия, а при помощи обычного проточно-циркуляционного метода — вне равновесия. Показано, что кинетика в обоих случаях одинакова, что свидетельствует об общности механизма. Обосновывается схема течения р-ции. Наблюдаемые различия в величинах теплот активации и констант скоростей в обоих случаях объяснены отравлением платины кислородом в условиях равновесия.

Резюме авторов
9Б490. Рений как дегидрирующий катализатор. Баландин А. А., Карпейская Е. И., Толстомятова А. А. В об: «Редк. металлы и сплавы». М., Metallurgizdat, 1960, 72—79.—Приведены данные об активности ренийевых катализаторов по отношению к дегидрированию C_6H_{12} , дегидроциклизации n -гептана и 1,4-бутандиола и дегидрированию боковых цепей жирноароматич. углеводородов. Отмечая широкие возможности рения как дегидрирующего катализатора, авторы указывают на недостатки изученных ими образцов: необходимость работы при более высоких т-рах, чем с катализаторами VIII группы, и малую стабильность. С. Киперман

9Б491. Изучение поверхностных свойств Pd/силикагель-катализаторов гидрогенизации ацетиленов. Sato Masaki. «Tokai kōgei sikenjō hōoku, Repts Govt Chem. Industr. Res. Inst., Tokyo», 1960, 55, № 5, 165—175, 18—19 (японск.; рез. англ.).—Изучены величины уд. поверхности, распределение пор, адсорбционная способность и каталитич. активность различных катализаторов Pd/силикагель (Ka). Уд. поверхность Ka, как правило, повышается с увеличением содержания Pd (α), и только при увеличении α от $1,42 \cdot 10^{-4}$ до $2,10 \cdot 10^{-4}$ г/г уменьшается. Средний диаметр пор при увеличении α изменяется от 30 до 37 Å. При добавлении промоторов (Pb или Fe) размеры пор существенно из-

меняются. Адсорбционная емкость падает с увеличением α и достигает минимума при $\alpha = 1,14 \cdot 10^{-4}$ г/г. При дальнейшем увеличении α адсорбционная емкость увеличивается и достигает максимума при $\alpha = 2,84 \cdot 10^{-4}$ г/г. Из резюме автора

9Б492. Исследование превращений циклогексана на молибденовом катализаторе. Бурская Н. Р., Маслянский Г. Н. «Ж. общ. химии», 1960, 30, № 11, 3702—3708.—Изучены превращения C_6H_{12} на Mo-катализаторе (MoO_3/Al_2O_3) при 455—495°, давления H_2 10—30 ат и разных соотношениях H_2 и углеводорода. Показано, что в этих условиях на катализаторе протекают 2 параллельные и обратимые р-ции — дегидрирование C_6H_{12} в C_6H_6 и изомеризация C_6H_{12} в метилциклопентан. При 455—495° и давления $H_2 \sim 20$ ат скорости р-ций изомеризации и дегидрирования C_6H_{12} соизмеримы. Количественное соотношение C_6H_6 и метилциклопентана в катализате меняется по мере увеличения глубины превращения C_6H_{12} . С увеличением давления H_2 скорость образования C_6H_6 уменьшается, а скорость образования метилциклопентана растет.

Резюме авторов
9Б493. О влиянии природы металлов на их каталитическую активность. Баландин А. А., Тетенин П. «Докл. АН СССР», 1960, 132, № 3, 577—580.—Получены данные о кинетике дегидрирования изопропанового спирта (р-ция (1)) в присутствии Ag, Pt или Ni в проточной системе при 206—296° и давл. 1 атм. Определены значения относительных адсорбционных коэффициентов скорости р-ции по ур-нию А. А. Баландина (Ж. общ. химии, 1942, 12, 160) и энергии активации (Е). Значения Е сопоставлены с физ. свойствами различных катализаторов, активных по отношению к р-ции (1). Сделан вывод о наличии линейной связи между Е и межатомными расстояниями в решетках Ni, Co, Cu, Pd, Pt, Ag, а также об отсутствии симфонности между изменением электронных свойств и значений Е при переходе от одного металла к другому. С. Киперман

9Б494. Гидрирование 2-метилбутена-1 в присутствии платиновой черни в среде дейтерированного спирта. Казанский Б. А., Панченко Г. М., Лазарев В. И. Докл. АН СССР, 1960, 132, № 4, 832—835.—При гидрировании 2-метилбутена-1 (I) на платиновой черни при 20° в р-ре этанола, содержащего 3,3% C_2H_5OD , получается изопентан, содержащий 2,3% изо- $C_5H_{11}D$. В отсутствие H_2 образуется 0,67% монодейтерозамещенного I. В отсутствие I образуется 3,4% HD. Авторы считают, что вначале происходит изотопный обмен с водородом, а затем присоединение образующегося HD к I. Меньшее содержание дейтерия в конечном продукте, чем в водороде, авторы объясняют различием скоростей гидрирования и изотопного обмена; общей лимитирующей стадией для этих процессов является сорбция водорода на Pt; непосредственного обмена I со спиртом в изученных условиях не происходит.

С. Киперман
9Б495. О механизме действия модифицирующих добавок на селективность окисл. цинка по отношению к дегидрированию и дегидратации изопропилового спирта. Жаброва Г. М., Владимирова В. И., Виноградова О. М. «Докл. АН СССР», 1960, 132, № 6, 1375—1378.—Модифицированные образцы Zn-катализатора готовили путем дозирования введения в поверхность ZnO добавок Na_2O и Li_2O (притяжкой ZnO соответствующими оксалатами с последующим их разложением при 450—500°). Введение добавок $ZnSO_4$ осуществляли хим. сорбцией из его р-ра. Определение уд. поверхностей исследуемых образцов производили по адсорбции n -гептана хроматографич. методом, а для некоторых образцов — по адсорбции Kr при 196° по методу БЭТ. Сопоставляя полученные кинетические, хемосорбционные и электронные характеристики действия модифицирующих добавок на про-

цессы дегидрирования и дегидратации изопропилового спирта, авторы приходят к выводу, что дегидрирование является электронным (донорно-акцепторным) процессом, роль лимитирующей стадии которого играет акцепторная стадия десорбции ацетона. Дегидратацию изопропилового спирта авторы считают процессом кислотного типа, осуществляемым путем переноса протонов от катализатора к реагирующей молекуле и обратно.

И. Гуревич
9Б496. Изомеризация *цис*-стильбена и *цис*-коричной кислоты при каталитическом гидрировании. Belinzona Giuseppe, Bettinetti Gian Franco. Isomerizzazione del *cis* stilbene e dell'acido *cis* cinnamico con idrogeno e catalizzatori. «Gazz. chim. ital.», 1960, 90, № 2-3, 426—433 (итал.). Методом абсорбционной ИК-спектрофотометрии определялась степень стереоизомеризации (α) *цис*-стильбена при каталитическом его гидрировании. Предварительными опытами было установлено, что в отсутствие H_2 из всех применявшихся катализаторов только Ru на угле в спирт. р-ре приводил к заметной стереоизомеризации. При гидрировании максим. α (38%) была обнаружена с Rh-катализатором на Al в р-ре безвод. C_2H_5OH при нормальных т-ре и давлении. С Pd-катализаторами в тех же условиях получены α 4—13%, а с Pt-Адмакс 2%. Такие же небольшие α были получены с Pt и Ru на угле. $N(C_2H_5)_3$ уменьшает α в спирт. р-рах, но при этом ускоряется сама р-ция гидрирования. Повышение т-ры способствует стереоизомеризации. При каталитич. гидрировании *цис*-коричной к-ты в различных условиях $\alpha \leq 2\%$. Обсуждается механизм стереоизомеризации.

Б. Каплан
9Б497. Изучение поведения адсорбированного водорода в реакциях гидрирования органических веществ на платиновом и родиевом электродах-катализаторах. Хомченко Г. П., Гришина Т. М., Красникова Л. Я., Плещинская А. И., Циндевич В. М., Вовченко Г. Д. «Вестн. Моск. ун-та. Химия», 1960, № 5, 39—46. С помощью электрохим. методов установлена каталитич. неравноценность адсорбированного водорода в р-циях гидрирования аллилацетона, ацетона, бутидинола, кротонового и масляного альдегидов и кротоновой к-ты на Pt- и Rh-электродах-катализаторах. Определены колич. соотношения между активным, малоактивным и неактивным водородом в р-циях гидрирования. Показано, что реакционная способность водорода зависит от природы гидрируемых в-в, электрода и состава электролита. По отношению к изученным в-вам реакционноспособным является водород, характеризующийся малым значением энергии связи. Выявлена специфичность Rh-катализатора. В отличие от Rh, Pt имеет более широкий набор центров с различным адсорбционным потенциалом по отношению к водороду. Определено влияние состава электролита. При переходе от р-ров сильной к-ты к серной к-те и щелочи возрастает энергия связи адсорбированного водорода и в такой же последовательности убывает его каталитич. активность. Сопоставлены процессы каталитич. гидрирования с электрогидрированием в зоне до обратного водородного потенциала и показано, что в обоих случаях р-ция идет через адсорбированный водород с малой энергией связи. Процесс электрогидрирования является каталитическим.

Резюме авторов
9Б498. Исследование в области парофазной каталитической гидратации ацетилен и его производных. VII. Изучение медькальцийфосфатных катализаторов. Горин Ю. А., Светозарова В. М., Горин Л. К., Крупышева Т. А. «Ж. общ. химии», 1960, № 11, 3817—3822. Показано, что нанесение 0,1—0,3% фосфата меди на фосфат кальция дает возможность получить высокоактивные и селективные катализаторы (Ka) для процесса гидратации C_2H_2 . Установлена зависимость между активностью медькаль-

цийфосфатного Ka и соотношением средних и кислых фосфатов кальция, входящих в его состав. Показано, что наибольшую активность и стабильность имеют Ka, состав которых приближается к среднему ортофосфату. Применение различных других солей двухвалентной меди в качестве добавки (0,1—0,3%) к фосфату кальция вызывает примерно такое же действие, как и равная добавка фосфата меди. Активность Ka, приготовленных с применением металлич. Cu и полухлористой меди, незначительна. На медькальцийфосфатных Ka при соответствующих условиях приготовления представляется возможным вести процесс гидратации C_2H_2 с циклом контактирования до 100 час. при общей длительности работы Ka до 600 час. Ч. VI см. РЖХим, 1960, № 10, 38033. Р. А.

9Б499. Углеобразование при разложении изопропилового, *n*-гексилового спиртов и циклогексанола на катализаторе медь-силикагель. Стегнер Г., Руденко А. П., Баладин А. А. «Изв. АН СССР. Отд. хим. н.», 1960, № 11, 1930—1937. При разложении изопропилового *n*-гексилового спиртов и циклогексанола на катализаторе Cu/силикагель наблюдается 3 механизма углеобразования при 200—950°. Предложены схемы механизмов углеобразования: а) низкотемпературный механизм (200—600°) — поликонденсация продуктов каталитич. дегидрогенизации спиртов (альдегидов и кетонов); б) промежуточный механизм (600—750°) — поликонденсация продуктов каталитич. дегидратации спиртов (пропилена, гексена и циклогексена); в) высокотемпературный механизм (750—950°) — поликонденсация продуктов разложения исходных спиртов (низших парафинов и этилена), поликонденсация ароматич. углеводородов, предварительно образующихся при разложении спиртов, и поликонденсация самих исходных спиртов.

Р. А.
9Б500. Изменение фазового состава окислительных катализаторов в процессе окисления пропилена в акролеин. Вермель Е. Е. В сб. «Материалы Конференции молодых научн. сотруди. (Вост.-Сиб. фил. Сиб. отд. АН СССР). Вып. 3». Благовещенск, 1960, 33—38. Показано, что независимо от начального фазового состава катализатор 1,5% меди на карбиде кремния в процессе окисления пропилен постепенно приходит к равновесному состоянию между Cu_2O (70—80%) и CuO (30—20% CuO). Показано, что катализатор в-вом при окислении пропилен в акролеин является Cu_2O . Установлено, что изменение фазового состава медного катализатора в процессе работы влияет на его активность.

Резюме автора
9Б501. Каталитическое окисление изохинолина воздухом. Часть II. Окисление и использование высококипящих фракций оснований каменноугольного дегтя. Часть IX. Комацу Ф., Одзono Я., Сакураи К., Комори Х. «Кору тару, Coal Tar», 1960, 12, № 8, 420—434 (японск.). Предыдущее сообщение см. РЖХим, 1959, № 21, 74295.

9Б502. Влияние состава ванадиевых катализаторов на их активность в процессе парофазного окисления фурфурола. Шиманская М., Гиллер С. «LatvPSR Zinatnu Akad. vēstis, Изв. АН ЛатвССР», 1960, № 9, 93—102 (рез. англ., лат.). Найдено, что катализатор, состоящий из окислов V и Mo и приготовленный с применением фосфорной к-ты и солей Ti, обладает в процессе парофазного контактного окисления фурфурола кислородом воздуха в малеиновый антридид высокой активностью (выход малеиновой к-ты 75—80%, а производительность катализатора 15—30 г/час). Выяснено, что оптим. содержанием фосфорной к-ты в катализаторе является 10—15% по отношению к основной массе окисных компонентов. Применение восстановителя (щавелевой к-ты), а также кислотного способа приготовления оказывает отрицательное влияние на активность катализатора. Наиболее активные катализаторы получены на алюминие-

вом носителе, причем одинаковой активностью обладают катализаторы, приготовленные на Al-гранулах, цилиндрич. отрезках или спиральх из Al-проволоки. Обработка цилиндрич. отрезков Al к-тами оказывает отрицательное влияние на свойства катализатора, обработка щелочью не изменяет активности контакта.

Резюме авторов
9Б503. Платиновые катализаторы реформинг-процессов. Connor H. Platinum reforming catalysts. «Chemistry and Industry», 1960, № 48, 1454—1472 (англ.).—Обзор. Библ. 280 назв.

9Б504. Успехи в катализе и близких областях. Том XI. Eds Eley D. D., Selwood P. W., Weisz Paul B. Advances in catalysis and related subjects. Vol. XI. New York—London, Acad. Press Inc., 1959, X, 384 pp., ill. (англ.).—Том XI содержит статьи: Natta G., Pasquon I. Кинетика стереоспецифической полимеризации α -олефинов. Culver R. V., Tompkins F. C. Поверхностные потенциалы и адсорбция на металлах. Walker P. L., Frank Rusinko, Jr., Austin L. G. Реакции газов с углями. Kemball C. Каталитический обмен углеводородов с дейтерием. Chessik J. J., Zettlemoyer A. C. Теплоты смачивания и природа твердых поверхностей. Halpern J. Каталитическая активация водорода в гомогенных, гетерогенных и биологических системах.

9Б505. Катализ. Том 7. Катализаторы окисления, гидратации, дегидратации и крекинга. Ed. Emmett Paul Hugh. Catalysis. Vol. 7. Oxidation, hydration, dehydration and cracking catalysts. New York, Reinhold Publ. Corp.; London, Chapman and Hall, 1960, VI, 378 pp., ill., £5 8 sh. (англ.)

9Б506. Радиохимическое исследование промышленных катализаторов синтеза аммиака. Сняк Ю. Е. Автореф. дисс. канд. хим. н., Н.-и. физ.-хим. ин-т им. Л. И. Карпова, М., 1960

См. также раздел *Производство катализаторов и сорбентов* и рефераты: Реакционная способность и строение 9Б43, 9Б59, 9Р90. Кинетика и механизмы р-ций 9Б51, 9Б53—9Б56, 9Б93, 9Б508—9Б515, 9Б577, 9Б584, 9Б587, 9Б588, 9Б591, 9Б595, 9Б599, 9Б45, 9Б56, 9Р7—9Р35, 9И153, 9М215, 9Р47, 9Р49, 9Р50, 9Р69, 9Р78. Горение и взрывы 9И329, 9Л573, 9Л575, 9М204—9М207, 9М213, 9М214. Гетерогенный органич. катализ 9Р54, 9Р69, 9Р82, 9Р106. Топохимия 9Б348, 9Б378. Произ-во и свойства катализаторов 9Л8, 9Л9, 9Л46, 9Л59, 9М166, 9М168, 9М169, 9Д152. Каталитич. процессы 9Л11, 9Л38, 9Л40. Адсорбция 9Б613. Опред. уд. поверхности металлич. порошков 9Б621. Исследование пористой структуры активных углей 9Б624

РАДИАЦИОННАЯ ХИМИЯ. ФОТОХИМИЯ. ТЕОРИЯ ФОТОГРАФИЧЕСКОГО ПРОЦЕССА

Редактор Х. С. Багдасарьян

9Б507. Роль атома $Hg^{63}P_0$ в фотосенсибилизации ртути. I. Реакции в присутствии азота. Kimbell G. H., Le Roy D. J. The role of $Hg^{63}P_0$ atoms in mercury photosensitization. I. Reactions in the presence of nitrogen. «Canad. J. Chem.», 1960, 38, № 10, 1714—1721 (англ.).—Фотолиз паров Hg при давлении, равном насыщенному при т-ре 15°, содержащих добавки N_2 , проводился в кварцевой ячейке при освещении светом двух ламп, наполненных смесью паров Hg и инертного газа. Исследовалась возможность использования интенсивности поглощения при λ 4047 Å, связанного с переходом $6^3P_0-7^3S_1$, и интенсивности линии эмиссионного спектра при λ 2656 Å (запрещенный переход

$6^3P_0-6^1S_0$) в качестве меры концентрации атомов $Hg^{63}P_0$. Эти атомы образовывались в результате ударов 2-го рода между атомами $Hg^{63}P_1$ и молекулами N_2 (0,06—140 мм рт. ст.). Обнаружено, что оптич. плотность полосы поглощения при λ 4047 Å при увеличении давления N_2 проходит через максимум, тогда как интенсивность линии при λ 2656 Å сначала увеличивается с ростом давления N_2 , а затем не зависит от него. Предложен механизм указанных процессов и определены константы некоторых элементарных процессов. В. С.

9Б508. Изучение рекомбинации атомов брома в широком интервале температур с помощью комбинации методов импульсного фотоллиза и ударной волны. Burns George, Hornig D. F. A combined flash photolysis and shock wave method for the study of bromine atom recombination over a wide temperature range. «Canad. J. Chem.», 1960, 38, № 10, 1702—1713 (англ.).—Изучали кинетику рекомбинации атомов Br при комнатной т-ре и 950° К. Бром в конц-ии $(0,96-3,36) \cdot 10^{-4} M$ в смеси с Ar $(0,64-3,9) \cdot 10^{-2} M$ находился в пирексовой трубке диам. 7,6 см, длиной 27 см. Скорость рекомбинации Br при комнатной т-ре измерена методом импульсного фотоллиза (ИФ) при изменении соотношения $[Br]/[Ar]$ в 15 раз. Константа скорости три-молекулярной р-ции $Br + Br + Br \rightarrow Br_2 + Br_2$ оказалась $< 50 \cdot 10^9 \text{ л}^2 \text{ моль}^{-2} \text{ сек}^{-1}$. Были проведены опыты при которых через трубку, содержащую Br_2 $(3,7 \cdot 10^{-5} M)$ и Ar $(6,05 \cdot 10^{-3} M)$, после ИФ проходила ударная волна (УВ) со скоростью, равной 2,80—3,00 М. В УВ смесь разогревалась до 950° К и рекомбинация Br происходила при этой т-ре. Константа рекомбинации равна $(8,2 \pm 1,1) \cdot 10^9 \text{ л}^2 \text{ моль}^{-2} \text{ сек}^{-1}$. Обсуждаются причины расхождения с данными других авторов (РЖХим, 1957, № 23, 73935). В. Скур

9Б509. Образование колебательно возбужденных молекул моносульфида углерода и серы при импульсном фотоллизе сероуглерода. Callear A. B., Narish R. G. W. Formation of vibrationally excited carbon monosulphide and sulphur by the flash photolysis of carbon disulphide. «Nature» (Engl.), 1960, 188, № 4744, 53—54 (англ.).—Исследован импульсный фотоллиз CS_2 при давл. 0,5 мм рт. ст., разбавленном 750 мм рт. ст. Ar или N_2 . Энергия вспышки 2000 Дж. Наблюдалось образование колебательно возбужденных ($v = 0, 1, 2, 3, 4$) радикалов CS в основном электронном состоянии $X^1\Sigma^+$. Показано, что чем больше величина v , тем быстрее исчезает колебательно возбужденное (KB). Образования KB молекул не наблюдалось, когда разбавителем являлся CO_2 , или же в смеси $CS_2 + Ar$ вводилась добавка 1 мм рт. ст. бутена-1. Скорость образования $CS(X^1\Sigma^+)$ ($v > 0$) пропорциональна квадрату энергии вспышки. При исследовании обнаружено также спектр поглощения молекул серы в области 2900—3700 Å ($B^3\Sigma_u^- - X^3\Sigma_g^-$), возникающих при рекомбинации атомов S. Часть этих молекул обладает избыточной колебательной энергией ($v > 0$). При низких давлениях CS_2 ($< 0,05$ мм рт. ст.) наблюдался эмиссионный спектр CS . В. Скур

9Б510. Семь механизмов фотоллиза NO_2 светом длинами волн в интервале 3100—3700 Å. Ford H. L. Seven mechanisms in the photolysis of NO_2 between 3100 and 3700 Å. «Canad. J. Chem.», 1960, 38, № 10, 1780—1794 (англ.).—Анализируются литературные данные по фотолизу NO_2 в различных условиях светом с λ 3100—3700 Å. Обсуждаются два механизма р-ции. В одном механизме предполагается, что атом реагирует с NO_2 двумя путями, образуя NO и O_2 из возбужденной молекулы NO_2^* . В другом механизме предполагается только образование молекулы NO . NO_2^* затем может распасться на O и NO_2 , дезактивировавшись или вступить в р-цию с NO_2 . Привлечение данных по термич. разложению NO_2 и N_2O_5 позволяет сделать вывод, что более вероятным является первый механизм. В. Скур

9Б511. Фотохимия 1,3-бутадиена и 1,3-циклогексадиена. Srinivasan R. The photochemistry of 1,3-butadiene and 1,3-cyclohexadiene. *J. Amer. Chem. Soc.*, 1960, 82, № 19, 5063—5066 (англ.).—Фотолит ($\lambda < 2500 \text{ \AA}$) 1,3-бутадиена (I) и 1,3-циклогексадиена (II) при давл. 4 мм рт. ст. и комнатной т-ре проводился в кварцевых ячейках. Продукты анализировались методами масс-спектрометрии и хроматографии. Главные продукты фотолитиза I: H_2 , C_2H_2 , C_2H_4 , C_2H_6 , 1-бутин, 1,2-бутадиен; обнаружены также CH_4 , 2-бутин, пентен, два соединения с массой $M = 84$ (C_6H_{12}), два соединения с $M = 78$ (C_6H_6) и соединение с $M = 94$ (C_7H_{10}). Продукт с $M = 54$ (C_4H_4) не обнаружен. При фотолитизе II образуются H_2 , C_2H_6 , C_2H_4 , C_2H_2 , 1,3,4-гексатриен, бензол и соединение с $M = 80$ (C_6H_8). В обоих случаях образуется также белый полимер на стенках ячеек. Зависимость выхода продуктов от времени фотолитиза линейна при степени превращения, равной 0—30%. Обнаружено, что при повышении начального давления I до 91 мм рт. ст. или при разбавлении CO_2 выход продуктов падает, откуда сделан вывод о том, что в первичном акте образуется возбужденная молекула I^* , которая может дезактивироваться при столкновениях или распадаться. Продукты могут образоваться в результате следующих независимых процессов: перегруппировка I^* с образованием колебательно-возбужденной молекулы 1,2-бутадиена, которая может стабилизироваться при столкновении или распадаться на радикалы CH_3 и C_3H_3 , р-ция $\text{I}^* \rightarrow \text{C}_2\text{H}_4 + \text{C}_2\text{H}_2$, р-ция образования H_2 . Предлагаются аналогичные первичные процессы для фотолитиза II. В. Скурят

9Б512. Импульсный фотолит галогенат-ионов и других ионов в растворе. Bridge N. K., Matheson M. S. The flash photolysis of halate and other ions in solution. *J. Phys. Chem.*, 1960, 64, № 9, 1280—1285 (англ.).—При импульсном фотолитизе (ИФ) водн. р-ров KBrO_3 , KIO_3 , KClO_3 и KNO_3 обнаружено образование короткоживущих радикалов, имеющих поглощение при 300—500, 450—500, 250 и 300 мк соответственно. Опыты проводились при 25° экспозиции 25 мсек., интенсивность составляла 10^{10} квант за 1 вспышку. В случае фотолитиза KBrO_3 образуются два короткоживущих радикала BrO_3 и BrO , поглощающих при 350—390 и 400 мк соответственно. Конц-ия радикалов BrO возрастает с ростом pH, а также при добавлении иона NH_4^+ . Радикал BrO_3 исчезает по р-ции 1-го порядка, BrO — 2-го порядка. С целью выяснения механизма разложения радикала BrO проведен ИФ бромуксусной, дибромуксусной к-ты и дибромэтана. Данные ИФ сопоставлены с данными, полученными в условиях стационарного облучения. А. Егунов

9Б513. Фотохимическое разложение воды ионами двухвалентного железа. Naylor E., Weiss J. Photochemical decomposition of water by ferrous ions. *J. Chem. Soc.*, 1960, Oct., 3866—3872 (англ.).—Исследован фотолитиз ионов Fe^{2+} в кислых р-рах в отсутствие воздуха. Выход растет при повышении конц-ии H_2SO_4 (до 10 н.). При низких pH (~ 0.5) выход зависит от конц-ии Fe^{2+} (0,1—1 M). Исследована зависимость выхода окисления от pH в присутствии акриловой к-ты. Полученные результаты истолковываются на основе механизма р-ции, включающего участие H_2^+ и возбужденных ионов Fe^{2+} . В. Шубин

9Б514. Влияние фазовых переходов в матрице на гибель радикалов, образующихся при фотолитизе замороженного 25%-ного раствора H_2O_2 в воде. Гурман В. С., Яковенко Е. И., Паписова В. И. *Ж. физ. химии*, 1960, 34, № 10, 2372.—Методом электронного парамагнитного резонанса исследовано накопление и рекомбинация радикалов, полученных фотолитизом УФ-светом замороженного при -196° 25%-ного р-ра H_2O_2 в воде. При нагревании образца после освещения в интервале от -125° до -120° радикалы быстро гибнут. Освещение образцов при т-ре $> -115^\circ$ вновь приводит

к образованию радикалов, устойчивых до -53° , при которой опять происходит рекомбинация. Из термограммы неосвещенного образца следует, что при -116° и -53° имеют место фазовые переходы. В. Цивенко

9Б515. К фотодимеризации аценафтилена в растворенном, расплавленном и кристаллическом состоянии. Ueberreiter Kurt, Jander Klaus. Zur Photodimerisation von Acenaphthylen in Lösung, Schmelze und als Kristall. *Makromolek. Chem.*, 1960, 40, № 1-2, 95—100 (нем.; рез. англ.).—Исследовалась кинетика фотодимеризации аценафтилена (I), растворенного в метаноле, бензоле, смеси метанола с водой. Содержание димера определялось гравиметрич. методом. Скорость димеризации следует р-ции 1-го порядка и резко зависит от природы р-рителя: скорость димеризации в метаноле в 2 раза больше, чем в бензоле; добавление к метанолу воды также вызывает увеличение скорости процесса. Указанное явление авторы объясняют различной степенью диссоциации поглощенной энергии в зависимости от растворяющей способности р-рителя. При облучении твердого I наблюдается образование тонкого поверхностного слоя димера, препятствующего превращению во внутренних слоях I. Установлена идентичность продукта димеризации с α -гептадикеном. Расплавленный I полимеризуется термически; при облучении расплава скорость р-ции увеличивается. В. Дуженков

9Б516. Периодические явления в фотосинтезе. Чернавская Н. М., Чернавский Д. С. «Успехи физ. наук», 1960, 72, № 3, 627—652

9Б517. О люминесценции люминола. Х. Тушение хемилюминесценции люминола паратионом и параоксоном. Mrazović M., Weber K. O luminescenciji luminola. X. Inhibicija kemiluminescencije luminola utjecajem parationa i paraoksosona. *Arh. hig. rada i toksikol.*, 1958, 9, № 4, 349—364 (сербо-хорв.; рез. нем.).—Установлено, что фосфорорганич. соединения могут действовать на хемилюминесценцию люминола (I) не только как промоторы, но и как ингибиторы р-ции с I, на которую катализирующее действие оказывают другие в-ва (комплексы соединения железа и т. п.). Путем фотоэлектрич. измерений исследовано ингибирующее влияние паратиона (E605) и параоксона (E600) на р-цию I, катализируемую добавкой р-ра крови, в которой предварительно гемоглобин переводился в гемиглобин. Возможно использовать описанное ингибирующее действие для обнаружения и определения соответствующего фосфорорганич. соединения. Сообщение IX см. РЖХим, 1960, № 16, 64664.

По резюме авторов
9Б518. Ионно-молекулярные реакции гидридов элементов пятой группы. Giardini-Guidoni A., Volpi G. G. Ion-molecules reactions of the fifth group element hydrides. *«Nuovo cimento»*, 1960, 17, № 6, 919—927 (англ.; рез. итал.).—Масс-спектрометрическим методом изучались ионно-молекулярные р-ции типа $\text{M}^+ + \text{XH} \rightarrow \text{MH}^+ + \text{X}$, где $\text{M}^+ = \text{NH}_3^+$, PH_3^+ , AsH_3^+ или Ar^+ , а $\text{XH} = \text{NH}_3$, PH_3 , AsH_3 , D_2 или H_2 . Р-ция протекает для $\text{X} = \text{P}$ и As . В системе $\text{XH}_3 + \text{D}_2$ обнаружена р-ция $\text{D}_3^+ + \text{XH}_3 \rightarrow \text{D}_2\text{H}^+ + \text{XH}_2$. Р-ция $\text{Ar}^+ + \text{XH}_3 \rightarrow \text{ArH}^+ + \text{XH}_2$ не обнаружена. Р-ции, имеющие энергию активации $> 4-5$ ккал/моль, не могут быть обнаружены этим методом. Определены сечения р-ций и константы скорости, которые сопоставлены с теоретически вычисленными константами для р-ций между ионом и наведенным диполем. Ю. Ямпольский

9Б519. К статистической теории радиационно-химических реакций в конденсированных телах. Хант Ю. Л. «Докл. АН СССР», 1960, 134, № 4, 883—886.—Предложенный ранее метод (РЖФиз, 1960, № 11, 30345) расчета скоростей активационных процессов в конденсированных телах распространен на случай хим. р-ций, индуцированных ионизирующим излучением. Взаимодействие ионизирующей частицы со сре-

дой автор рассматривает как передачу объема Q среды некоторой энергии ΔE . Радиационно-хим. р-цию автор трактует как конц-ию на определенных степенях свободы объема Q энергии, достаточной для начала р-ции.

В. Филиновский

9Б520. Роль гидроксида двухвалентного железа в окислении атомарным водородом. Czarski G., Jortner J. Role of ferrous hydride in the oxidation of ferrous ion by hydrogen atoms. «Nature» (Engl.), 1960, 188, № 4744, 50–51 (англ.).—В связи с данными (РЖХим, 1961, 3Б589) по радиолизу насыщ. N_2O р-ров Fe^{2+} при различных рН, предложен механизм р-ции и выведено ур-ние для зависимости выхода N_2 , образующегося по р-ции $N_2O + H \rightarrow N_2 + OH$ (1), от $[H^+]$. Отношение констант скоростей р-ции $Fe^{2+} + H \rightarrow FeH^{2+}$ и р-ции (1) равно 60.

В. Шубин

9Б521. Радиационная химия водных растворов муравьиной кислоты. Влияние концентрации. Smithies Donald, Hart Edwin J. Radiation chemistry of aqueous formic acid solutions. Effect of concentration. «J. Amer. Chem. Soc.», 1960, 82, № 13, 4775–4779.—Определены выходы (G) CO_2 , CO , H_2 или H_2CO в зависимости от конц-ии $HCOOH$, мощности дозы и т-ры. $G(CO_2)$ растет пропорционально $[HCOOH]^{1/2}$ и [мощность дозы] $^{1/2}$. $G(CO)$ растет с увеличением $[HCOOH]$ до 1,25 в чистой $HCOOH$, а $G(H_2)$ падает с 3,2 в разб. р-рах до 2,4 в 5–10 М р-ре. Энергия активации образования CO_2 , CO и H_2 составляет 3,0–7,6 ккал/моль. Добавки $Fe_2(SO_4)_3$ и бензохинона оказывают ингибирующее действие. Водн. р-ры $HCOOH$ разлагаются светом с длиной волны 2669, 2537 и 1860 Å, давая CO_2 и CO . Результаты подтверждают цепной характер образования CO_2 по схеме $COOH + HCOOH \rightarrow CO_2 + HCO + H_2O$; $HCO + HCOOH \rightarrow HCHO + COOH$. Образование CO объясняется диссоциацией молекул $HCOOH$, возбужденных электронами с энергией, меньшей энергии возбуждения воды.

С. Брусенцева

9Б522. Восстановление двуокиси углерода в водных растворах под действием излучения. Getoff N., Scholes G., Weiss J. Reduction of carbon dioxide in aqueous solutions under the influence of radiation. «Tetrahedron Letters», 1960, № 18, 17–23 (англ.).—Исследовано действие γ -лучей Co^{60} на водн. р-ры CO_2 с различными рН. Обнаружено, что при этом образуется формальдегид (I), ацетальдегид и $HCOOH$ (II). При низких рН и в щел. среде (рН 10,9) конц-ия альдегидов проходит через максимум при дозе $\sim (1-6) \cdot 10^{17}$ эв/см³. При рН 6,7 максимума не наблюдается. Выход I равен 0,85. Выход II и H_2 падает с дозой и с увеличением рН р-ра. Добавки $FeSO_4$ увеличивают выход I и II; а O_2 снижает выход I. В присутствии $FeSO_4$ (10^{-3} М) обнаруживается CO с выходом 0,1. Результаты объясняются восстановлением CO_2 отрицательными поляронами (РЖХим, 1960, № 24, 95784) и атомами H, в щел. р-рах возможны р-ции с радикалами OH. Образование II может идти из CO_2 через радикал $COOH$. При облучении УФ-светом р-ров $FeSO_4$, насыщенных CO_2 , образуется I. С. Брусенцева

9Б523. Действие α -излучения полония на концентрированные растворы серной кислоты. Владмирова М. В., Ершова З. В. «Радиохимия», 1960, 2, № 4, 495–499.—Определены выходы образования H_2O_2 при действии α -лучей Po^{210} на р-ры H_2SO_4 различной конц-ии. При изменении $[H_2SO_4]$ в пределах 0,8–7 н. $G(H_2O_2)$ снижается от 1,2 до 0,15. Результаты обсуждаются на основе диффузионной теории трека.

В. Шубин

9Б524. Проверка оптической активности облученного γ -лучами бензола. Spialter Leonard, Futtell Jean H. Examination of γ -irradiated benzene for optical activity. «Nature» (Engl.), 1960, 188, № 4746, 225–226 (англ.).—Образцы жидкого оптич. бензола (I) объемом 30 мл облучались в откачанных запаянных пирексовых ампулах γ -лучами Co^{60} при мощности

дозы $6,0 \cdot 10^7$ эрг/г час. Полная доза $3,3 \cdot 10^7$ рентген. В результате облучения показатель рефракции изменялся от $n_D^{20} = 1,5009 + 0,0001$ до $1,4990 + 0,0001$. Загустрировано различие спектров поглощения в области 2800–8000 Å исходного и облученного I. При этом обнаружено 4 пика: при 4459 (0,27), 4137 (0,79), 3688 (2,5), 2767 Å (38,8) (в скобках приведены относительные интенсивности). Показано, что облученный I не обладает способностью вращать плоскость поляризации света, о которой сообщалось ранее (РЖХим, 1960, № 12, 46316).

В. Скурин

9Б525. Радиационная химия жидкого аммиака. Cleaver D., Collinson E., Dainton F. S. The radiation chemistry of liquid ammonia. «Trans. Faraday Soc.», 1960, 56, № 11, 1640–1655 (англ.).—Исследован радиолиз при т-ре 20° жидкого NH_3 (под давлением) при действии γ -лучей Co^{60} и рентгеновских лучей с энергией 50 кэ. Облучение проводили в ампулах из пирексового стекла. Радиационный выход G продуктов γ -радиолиза NH_3 при дозах $< 2,5 \cdot 10^{23}$ эв/л определяется ур-нием $0,7 NH_3 \rightarrow 0,22 N_2 + 0,81 H_2 + 0,13 N_2H_4$. Образование NH_3 не обнаружено. При более высоких дозах $G(N_2)$ увеличивается, $G(N_2H_4)$ уменьшается, а $G(H_2)$ остается неизменным. Эти изменения, по-видимому, вызваны разложением образующегося N_2H_4 , что подтверждается опытами по радиолизу р-ров N_2H_4 и NH_3 . Величина $G(-Na)$ в р-рах $(0,5-4) \cdot 10^{-3}$ М Na в NH_3 не зависит от конц-ии Na в интервале (0,7–3,5) $\cdot 10^{-3}$ М и равна 1,75 для γ -радиолиза и 2,14 $\pm 0,26$ для радиолиза при действии рентгеновских лучей. Значение $G(H_2)$ 1,12, для р-ра с конц-ией Na $7 \cdot 10^{-3}$ М $G(N_2H_4)$ $0,08 \pm 0,01$. Исследовано влияние кислотности р-ров в NH_3 на выход продуктов. Значения G для р-ров 0,1 М KCl: H_2 0,84, N_2 0,24, N_2H_4 0,09; 0,01 М $NaNH_2$: H_2 0,14, N_2 0,13, N_2H_4 0,005. Полученные данные объясняются р-циями образованных в первичном акте радикалов H и NH_2 . Первичный акт γ -радиолиза представлен стехиометрич. схемой $2,0 NH_3 \rightarrow 1,75 H_2 + 1,75 NH_2 + 0,125 H_2 + 0,125 N_2H_4$ (поглощение энергии 100 эв). Отличие полученных величин G от значений G для γ -радиолиза H_2O объясняется близостью пространственных распределений H и NH_2 , что облегчает их рекомбинацию. Это, в свою очередь, объясняется низкими значениями диэлектрич. постоянной, приводящей к более эффективному возвращению вторичных электронов к положительным ионам. Обсуждаются также р-ции положительных ионов при радиолизе NH_3 .

В. Скурин

9Б526. Разложение углекислого газа в электрическом разряде. Faraggi M. Décomposition du gaz carbonique dans la décharge électrique. «J. chim. phys. et phys.-chim. biol.», 1960, 57, № 7-8, 647–648 (франц.).—Изучалось разложение CO_2 и его смесей с O_2 , CO и N_2 при атмосферном давлении и комнатной т-ре в тлеющем разряде. Опыты проводились на струйном установке при скорости струи $V = 15-1000$ мл/мин, энергия, поглощаемая в разряде (E), была равна $2 \cdot 10^{16}-2 \cdot 10^{19}$ эв/мл. CO_2 разлагается на CO , O_2 и O . Выход CO менялся в пределах $5 \cdot 10^{-4}-0,4\%$. Независимо от V и E $[O]/[CO] = 9,4 \pm 0,5\%$. При постоянном времени контакта t выполняется соотношение $[CO] = K_1 E + K_1'$; при малых значениях t и E $[CO] = K_2 E$.

Выход CO (кол-во молекул CO , образованных при поглощении энергии 100 эв) $G(CO) = K_3 t^{-0,4}$ (при $t = 188$ сек. $G = 0,5$, при $t = 2,8$ сек. $G = 2,7$). Добавка 0,2–4,6% O_2 увеличивают конц-ию CO на 5%, а O_2 в 10 раз. Добавка 0,97% NO_2 подавляет образование O_2 . Добавка 0,236–3,38% CO снижает степень разложения CO_2 , причем кол-во образующегося CO повышается в значительной степени. Добавки O_2 и NO_2 , по-видимому, захватывают атомы O. Предполагаются последовательные р-ции возбуждения молекул CO .

В. Скурин

См. т. Радиационная химия, 1960, 9Б520, 9Б520Б, 9Б520В, 9Б520Г, 9Б520Д, 9Б520Е, 9Б520Ж, 9Б520З, 9Б520И, 9Б520Й, 9Б520К, 9Б520Л, 9Б520М, 9Б520Н, 9Б520О, 9Б520П, 9Б520Р, 9Б520С, 9Б520Т, 9Б520У, 9Б520Ф, 9Б520Х, 9Б520Ц, 9Б520Ч, 9Б520Ш, 9Б520Щ, 9Б520Ъ, 9Б520Ы, 9Б520Ь, 9Б520Э, 9Б520Ю, 9Б520Я, 9Б520А, 9Б520Б, 9Б520В, 9Б520Г, 9Б520Д, 9Б520Е, 9Б520Ж, 9Б520З, 9Б520И, 9Б520Й, 9Б520К, 9Б520Л, 9Б520М, 9Б520Н, 9Б520О, 9Б520П, 9Б520Р, 9Б520С, 9Б520Т, 9Б520У, 9Б520Ф, 9Б520Х, 9Б520Ц, 9Б520Ч, 9Б520Ш, 9Б520Щ, 9Б520Ъ, 9Б520Ы, 9Б520Ь, 9Б520Э, 9Б520Ю, 9Б520Я, 9Б520А, 9Б520Б, 9Б520В, 9Б520Г, 9Б520Д, 9Б520Е, 9Б520Ж, 9Б520З, 9Б520И, 9Б520Й, 9Б520К, 9Б520Л, 9Б520М, 9Б520Н, 9Б520О, 9Б520П, 9Б520Р, 9Б520С, 9Б520Т, 9Б520У, 9Б520Ф, 9Б520Х, 9Б520Ц, 9Б520Ч, 9Б520Ш, 9Б520Щ, 9Б520Ъ, 9Б520Ы, 9Б520Ь, 9Б520Э, 9Б520Ю, 9Б520Я, 9Б520А, 9Б520Б, 9Б520В, 9Б520Г, 9Б520Д, 9Б520Е, 9Б520Ж, 9Б520З, 9Б520И, 9Б520Й, 9Б520К, 9Б520Л, 9Б520М, 9Б520Н, 9Б520О, 9Б520П, 9Б520Р, 9Б520С, 9Б520Т, 9Б520У, 9Б520Ф, 9Б520Х, 9Б520Ц, 9Б520Ч, 9Б520Ш, 9Б520Щ, 9Б520Ъ, 9Б520Ы, 9Б520Ь, 9Б520Э, 9Б520Ю, 9Б520Я, 9Б520А, 9Б520Б, 9Б520В, 9Б520Г, 9Б520Д, 9Б520Е, 9Б520Ж, 9Б520З, 9Б520И, 9Б520Й, 9Б520К, 9Б520Л, 9Б520М, 9Б520Н, 9Б520О, 9Б520П, 9Б520Р, 9Б520С, 9Б520Т, 9Б520У, 9Б520Ф, 9Б520Х, 9Б520Ц, 9Б520Ч, 9Б520Ш, 9Б520Щ, 9Б520Ъ, 9Б520Ы, 9Б520Ь, 9Б520Э, 9Б520Ю, 9Б520Я, 9Б520А, 9Б520Б, 9Б520В, 9Б520Г, 9Б520Д, 9Б520Е, 9Б520Ж, 9Б520З, 9Б520И, 9Б520Й, 9Б520К, 9Б520Л, 9Б520М, 9Б520Н, 9Б520О, 9Б520П, 9Б520Р, 9Б520С, 9Б520Т, 9Б520У, 9Б520Ф, 9Б520Х, 9Б520Ц, 9Б520Ч, 9Б520Ш, 9Б520Щ, 9Б520Ъ, 9Б520Ы, 9Б520Ь, 9Б520Э, 9Б520Ю, 9Б520Я, 9Б520А, 9Б520Б, 9Б520В, 9Б520Г, 9Б520Д, 9Б520Е, 9Б520Ж, 9Б520З, 9Б520И, 9Б520Й, 9Б520К, 9Б520Л, 9Б520М, 9Б520Н, 9Б520О, 9Б520П, 9Б520Р, 9Б520С, 9Б520Т, 9Б520У, 9Б520Ф, 9Б520Х, 9Б520Ц, 9Б520Ч, 9Б520Ш, 9Б520Щ, 9Б520Ъ, 9Б520Ы, 9Б520Ь, 9Б520Э, 9Б520Ю, 9Б520Я, 9Б520А, 9Б520Б, 9Б520В, 9Б520Г, 9Б520Д, 9Б520Е, 9Б520Ж, 9Б520З, 9Б520И, 9Б520Й, 9Б520К, 9Б520Л, 9Б520М, 9Б520Н, 9Б520О, 9Б520П, 9Б520Р, 9Б520С, 9Б520Т, 9Б520У, 9Б520Ф, 9Б520Х, 9Б520Ц, 9Б520Ч, 9Б520Ш, 9Б520Щ, 9Б520Ъ, 9Б520Ы, 9Б520Ь, 9Б520Э, 9Б520Ю, 9Б520Я, 9Б520А, 9Б520Б, 9Б520В, 9Б520Г, 9Б520Д, 9Б520Е, 9Б520Ж, 9Б520З, 9Б520И, 9Б520Й, 9Б520К, 9Б520Л, 9Б520М, 9Б520Н, 9Б520О, 9Б520П, 9Б520Р, 9Б520С, 9Б520Т, 9Б520У, 9Б520Ф, 9Б520Х, 9Б520Ц, 9Б520Ч, 9Б520Ш, 9Б520Щ, 9Б520Ъ, 9Б520Ы, 9Б520Ь, 9Б520Э, 9Б520Ю, 9Б520Я, 9Б520А, 9Б520Б, 9Б520В, 9Б520Г, 9Б520Д, 9Б520Е, 9Б520Ж, 9Б520З, 9Б520И, 9Б520Й, 9Б520К, 9Б520Л, 9Б520М, 9Б520Н, 9Б520О, 9Б520П, 9Б520Р, 9Б520С, 9Б520Т, 9Б520У, 9Б520Ф, 9Б520Х, 9Б520Ц, 9Б520Ч, 9Б520Ш, 9Б520Щ, 9Б520Ъ, 9Б520Ы, 9Б520Ь, 9Б520Э, 9Б520Ю, 9Б520Я, 9Б520А, 9Б520Б, 9Б520В, 9Б520Г, 9Б520Д, 9Б520Е, 9Б520Ж, 9Б520З, 9Б520И, 9Б520Й, 9Б520К, 9Б520Л, 9Б520М, 9Б520Н, 9Б520О, 9Б520П, 9Б520Р, 9Б520С, 9Б520Т, 9Б520У, 9Б520Ф, 9Б520Х, 9Б520Ц, 9Б520Ч, 9Б520Ш, 9Б520Щ, 9Б520Ъ, 9Б520Ы, 9Б520Ь, 9Б520Э, 9Б520Ю, 9Б520Я, 9Б520А, 9Б520Б, 9Б520В, 9Б520Г, 9Б520Д, 9Б520Е, 9Б520Ж, 9Б520З, 9Б520И, 9Б520Й, 9Б520К, 9Б520Л, 9Б520М, 9Б520Н, 9Б520О, 9Б520П, 9Б520Р, 9Б520С, 9Б520Т, 9Б520У, 9Б520Ф, 9Б520Х, 9Б520Ц, 9Б520Ч, 9Б520Ш, 9Б520Щ, 9Б520Ъ, 9Б520Ы, 9Б520Ь, 9Б520Э, 9Б520Ю, 9Б520Я, 9Б520А, 9Б520Б, 9Б520В, 9Б520Г, 9Б520Д, 9Б520Е, 9Б520Ж, 9Б520З, 9Б520И, 9Б520Й, 9Б520К, 9Б520Л, 9Б520М, 9Б520Н, 9Б520О, 9Б520П, 9Б520Р, 9Б520С, 9Б520Т, 9Б520У, 9Б520Ф, 9Б520Х, 9Б520Ц, 9Б520Ч, 9Б520Ш, 9Б520Щ, 9Б520Ъ, 9Б520Ы, 9Б520Ь, 9Б520Э, 9Б520Ю, 9Б520Я, 9Б520А, 9Б520Б, 9Б520В, 9Б520Г, 9Б520Д, 9Б520Е, 9Б520Ж, 9Б520З, 9Б520И, 9Б520Й, 9Б520К, 9Б520Л, 9Б520М, 9Б520Н, 9Б520О, 9Б520П, 9Б520Р, 9Б520С, 9Б520Т, 9Б520У, 9Б520Ф, 9Б520Х, 9Б520Ц, 9Б520Ч, 9Б520Ш, 9Б520Щ, 9Б520Ъ, 9Б520Ы, 9Б520Ь, 9Б520Э, 9Б520Ю, 9Б520Я, 9Б520А, 9Б520Б, 9Б520В, 9Б520Г, 9Б520Д, 9Б520Е, 9Б520Ж, 9Б520З, 9Б520И, 9Б520Й, 9Б520К, 9Б520Л, 9Б520М, 9Б520Н, 9Б520О, 9Б520П, 9Б520Р, 9Б520С, 9Б520Т, 9Б520У, 9Б520Ф, 9Б520Х, 9Б520Ц, 9Б520Ч, 9Б520Ш, 9Б520Щ, 9Б520Ъ, 9Б520Ы, 9Б520Ь, 9Б520Э, 9Б520Ю, 9Б520Я, 9Б520А, 9Б520Б, 9Б520В, 9Б520Г, 9Б520Д, 9Б520Е, 9Б520Ж, 9Б520З, 9Б520И, 9Б520Й, 9Б520К, 9Б520Л, 9Б520М, 9Б520Н, 9Б520О, 9Б520П, 9Б520Р, 9Б520С, 9Б520Т, 9Б520У, 9Б520Ф, 9Б520Х, 9Б520Ц, 9Б520Ч, 9Б520Ш, 9Б520Щ, 9Б520Ъ, 9Б520Ы, 9Б520Ь, 9Б520Э, 9Б520Ю, 9Б520Я, 9Б520А, 9Б520Б, 9Б520В, 9Б520Г, 9Б520Д, 9Б520Е, 9Б520Ж, 9Б520З, 9Б520И, 9Б520Й, 9Б520К, 9Б520Л, 9Б520М, 9Б520Н, 9Б520О, 9Б520П, 9Б520Р, 9Б520С, 9Б520Т, 9Б520У, 9Б520Ф, 9Б520Х, 9Б520Ц, 9Б520Ч, 9Б520Ш, 9Б520Щ, 9Б520Ъ, 9Б520Ы, 9Б520Ь, 9Б520Э, 9Б520Ю, 9Б520Я, 9Б520А, 9Б520Б, 9Б520В, 9Б520Г, 9Б520Д, 9Б520Е, 9Б520Ж, 9Б520З, 9Б520И, 9Б520Й, 9Б520К, 9Б520Л, 9Б520М, 9Б520Н, 9Б520О, 9Б520П, 9Б520Р, 9Б520С, 9Б520Т, 9Б520У, 9Б520Ф, 9Б520Х, 9Б520Ц, 9Б520Ч, 9Б520Ш, 9Б520Щ, 9Б520Ъ, 9Б520Ы, 9Б520Ь, 9Б520Э, 9Б520Ю, 9Б520Я, 9Б520А, 9Б520Б, 9Б520В, 9Б520Г, 9Б520Д, 9Б520Е, 9Б520Ж, 9Б520З, 9Б520И, 9Б520Й, 9Б520К, 9Б520Л, 9Б520М, 9Б520Н, 9Б520О, 9Б520П, 9Б520Р, 9Б520С, 9Б520Т, 9Б520У, 9Б520Ф, 9Б520Х, 9Б520Ц, 9Б520Ч, 9Б520Ш, 9Б520Щ, 9Б520Ъ, 9Б520Ы, 9Б520Ь, 9Б520Э, 9Б520Ю, 9Б520Я, 9Б520А, 9Б520Б, 9Б520В, 9Б520Г, 9Б520Д, 9Б520Е, 9Б520Ж, 9Б520З, 9Б520И, 9Б520Й, 9Б520К, 9Б520Л, 9Б520М, 9Б520Н, 9Б520О, 9Б520П, 9Б520Р, 9Б520С, 9Б520Т, 9Б520У, 9Б520Ф, 9Б520Х, 9Б520Ц, 9Б520Ч, 9Б520Ш, 9Б520Щ, 9Б520Ъ, 9Б520Ы, 9Б520Ь, 9Б520Э, 9Б520Ю, 9Б520Я, 9Б520А, 9Б520Б, 9Б520В, 9Б520Г, 9Б520Д, 9Б520Е, 9Б520Ж, 9Б520З, 9Б520И, 9Б520Й, 9Б520К, 9Б520Л, 9Б520М, 9Б520Н, 9Б520О, 9Б520П, 9Б520Р, 9Б520С, 9Б520Т, 9Б520У, 9Б520Ф, 9Б520Х, 9Б520Ц, 9Б520Ч, 9Б520Ш, 9Б520Щ, 9Б520Ъ, 9Б520Ы, 9Б520Ь, 9Б520Э, 9Б520Ю, 9Б520Я, 9Б520А, 9Б520Б, 9Б520В, 9Б520Г, 9Б520Д, 9Б520Е, 9Б520Ж, 9Б520З, 9Б520И, 9Б520Й, 9Б520К, 9Б520Л, 9Б520М, 9Б520Н, 9Б520О, 9Б520П, 9Б520Р, 9Б520С, 9Б520Т, 9Б520У, 9Б520Ф, 9Б520Х, 9Б520Ц, 9Б520Ч, 9Б520Ш, 9Б520Щ, 9Б520Ъ, 9Б520Ы, 9Б520Ь, 9Б520Э, 9Б520Ю, 9Б520Я, 9Б520А, 9Б520Б, 9Б520В, 9Б520Г, 9Б520Д, 9Б520Е, 9Б520Ж, 9Б520З, 9Б520И, 9Б520Й, 9Б520К, 9Б520Л, 9Б520М, 9Б520Н, 9Б520О, 9Б520П, 9Б520Р, 9Б520С, 9Б520Т, 9Б520У, 9Б520Ф, 9Б520Х, 9Б520Ц, 9Б520Ч, 9Б520Ш, 9Б520Щ, 9Б520Ъ, 9Б520Ы, 9Б520Ь, 9Б520Э, 9Б520Ю, 9Б520Я, 9Б520А, 9Б520Б, 9Б520В, 9Б520Г, 9Б520Д, 9Б520Е, 9Б520Ж, 9Б520З, 9Б520И, 9Б520Й, 9Б520К, 9Б520Л, 9Б520М, 9Б520Н, 9Б520О, 9Б520П, 9Б520Р, 9Б520С, 9Б520Т, 9Б520У, 9Б520Ф, 9Б520Х, 9Б520Ц, 9Б520Ч, 9Б520Ш, 9Б520Щ, 9Б520Ъ, 9Б520Ы, 9Б520Ь, 9Б520Э, 9Б520Ю, 9Б520Я, 9Б520А, 9Б520Б, 9Б520В, 9Б520Г, 9Б520Д, 9Б520Е, 9Б520Ж, 9Б520З, 9Б520И, 9Б520Й, 9Б520К, 9Б520Л, 9Б520М, 9Б520Н, 9Б520О, 9Б520П, 9Б520Р, 9Б520С, 9Б520Т, 9Б520У, 9Б520Ф, 9Б520Х, 9Б520Ц, 9Б520Ч, 9Б520Ш, 9Б520Щ, 9Б520Ъ, 9Б520Ы, 9Б520Ь, 9Б520Э, 9Б520Ю, 9Б520Я, 9Б520А, 9Б520Б, 9Б520В, 9Б520Г, 9Б520Д, 9Б520Е, 9Б520Ж, 9Б520З, 9Б520И, 9Б520Й, 9Б520К, 9Б520Л, 9Б520М, 9Б520Н, 9Б520О, 9Б520П, 9Б520Р, 9Б520С, 9Б520Т, 9Б520У, 9Б520Ф, 9Б520Х, 9Б520Ц, 9Б520Ч, 9Б520Ш, 9Б520Щ, 9Б520Ъ, 9Б520Ы, 9Б520Ь, 9Б520Э, 9Б520Ю, 9Б520Я, 9Б520А, 9Б520Б, 9Б520В, 9Б520Г, 9Б520Д, 9Б520Е, 9Б520Ж, 9Б520З, 9Б520И, 9Б520Й, 9Б520К, 9Б520Л, 9Б520М, 9Б520Н, 9Б520О, 9Б520П, 9Б520Р, 9Б520С, 9Б520Т, 9Б520У, 9Б520Ф, 9Б520Х, 9Б520Ц, 9Б520Ч, 9Б520Ш, 9Б520Щ, 9Б520Ъ, 9Б520Ы, 9Б520Ь, 9Б520Э, 9Б520Ю, 9Б520Я, 9Б520А, 9Б520Б, 9Б520В, 9Б520Г, 9Б520Д, 9Б520Е, 9Б520Ж, 9Б520З, 9Б520И, 9Б520Й, 9Б520К, 9Б520Л, 9Б520М, 9Б520Н, 9Б520О, 9Б520П, 9Б520Р, 9Б520С, 9Б520Т, 9Б520У, 9Б520Ф, 9Б520Х, 9Б520Ц, 9Б520Ч, 9Б520Ш, 9Б520Щ, 9Б520Ъ, 9Б520Ы, 9Б520Ь, 9Б520Э, 9Б520Ю, 9Б520Я, 9Б520А, 9Б520Б, 9Б520В, 9Б520Г, 9Б520Д, 9Б520Е, 9Б520Ж, 9Б520З, 9Б520И, 9Б520Й, 9Б520К, 9Б520Л, 9Б520М, 9Б520Н, 9Б520О, 9Б520П, 9Б520Р, 9Б520С, 9Б520Т, 9Б520У, 9Б520Ф, 9Б520Х, 9Б520Ц, 9Б520Ч, 9Б520Ш, 9Б520Щ, 9Б520Ъ, 9Б520Ы, 9Б520Ь, 9Б520Э, 9Б520Ю, 9Б520Я, 9Б520А, 9Б520Б, 9Б520В, 9Б520Г, 9Б520Д, 9Б520Е, 9Б520Ж, 9Б520З, 9Б520И, 9Б520Й, 9Б520К, 9Б520Л, 9Б520М, 9Б520Н, 9Б520О, 9Б520П, 9Б520Р, 9Б520С, 9Б520Т, 9Б520У, 9Б520Ф, 9Б520Х, 9Б520Ц, 9Б520Ч, 9Б520Ш, 9Б520Щ, 9Б520Ъ, 9Б520Ы, 9Б520Ь, 9Б520Э, 9Б520Ю, 9Б520Я, 9Б520А, 9Б520Б, 9Б520В, 9Б520Г, 9Б520Д, 9Б520Е, 9Б520Ж, 9Б520З, 9Б520И, 9Б520Й, 9Б520К, 9Б520Л, 9Б520М, 9Б520Н, 9Б520О, 9Б520П, 9Б520Р, 9Б520С, 9Б520Т, 9Б520У, 9Б520Ф, 9Б520Х, 9Б520Ц, 9Б520Ч, 9Б520Ш, 9Б520Щ, 9Б520Ъ, 9Б520Ы, 9Б520Ь, 9Б520Э, 9Б520Ю, 9Б520Я, 9Б520А, 9Б520Б, 9Б520В, 9Б520Г, 9Б5

См. также: Фотохимия 9Б65, 9Б171, 9Б48, 9Ж16, 9Р97. Радиационная химия 9Б178, 9Б293, 9Р39—9Р41, 9Р66, 9Р84—9Р86. Теория фотоаграфич. процесса 9Б203, 9Б207, 9Б208, 9Б210—9Б213, 9Б551, 9В36, 9Л536—9Л538

РАСТВОРЫ. ТЕОРИЯ КИСЛОТ И ОСНОВАНИЙ

Редактор Д. Л. Агеева

9Б527. Теория растворов неэлектролитов. Низкомолекулярные растворы. Nývlt Jaroslav, Solc Karel. *Teorie roztoků neelektrolytů. Nízkomolekulární roztoky*. «Chem. listy», 1960, 54, № 2, 171—216 (чешск.; рез. русск., нем.).—Обзор важнейших теорий р-ров низкомолекулярных неэлектролитов. Вступительные главы касаются строения жидкостей, межмолекулярных сил, термодинамики и статистич. описания р-ров. В дальнейшем приводятся термодинамич. теории, решеточные теории, теорема соответствующих состояний, теория конформальных р-ров, модель среднего потенциала и метод мол. функций распределения. Указаны приложения вышеприведенных теорий к глобулярным молекулам. Библ. 368 назв.

9Б528. Осмотическое давление или осмотическое насыщение? Koefoed Jørgen. *Osmotisk tryk eller osmotisk sug?* «Kemisk», 1960, 41, № 4, 28, 31 (датск.)

9Б529. Коэффициенты активности и осмотические коэффициенты 2,2-электролитов. Guggenheim E. A. Activity coefficients and osmotic coefficients of 2,2-electrolytes. «Trans. Faraday Soc.», 1960, 56, № 8, 1152—1158 (англ.).—Обсуждается расчет коэф. активности и осмотич. коэф. (Ф) симметричных электролитов предложенным ранее методом (РЖХим, 1960, № 14, 56331) точного численного интегрирования ур-ния Пуассона—Больцмана. Показано, что этот метод дает хорошие результаты в случае 2,2-электролитов. В случае 3,3-электролитов велики расхождения с экспериментом, а в случае 1,1-электролитов указанный метод не дает преимуществ по сравнению с приближением Дебая—Хюккеля. Сравнение рассчитанных Ф с эксперим. значениями для водн. р-ров ряда сульфатов (РЖХим, 1956, № 21, 67982) показывает, что теоретич. кривые хорошо согласуются с экспериментом.

9Б530. Приближенный метод измерения коэффициента внутреннего взаимодействия неэлектролитов в двухкомпонентных растворах. Grunwald Ernest, Vaughan George. An approximate method for measuring the self-interaction constant of nonelectrolytes in two-component solvents. «J. Phys. Chem.», 1960, 64, № 7, 933—934 (англ.).—За меру коэф. внутреннего взаимодействия неэлектролита принимается величина k_1 в соотношении $\ln \gamma_1 = k_1 m_1$, где γ_1 — коэф. активности, m_1 — моляльность. На основе примененного ранее метода (РЖХим, 1957, № 6, 18469) в сочетании с данными по растворимости определена величина $k_1 = -2,18$ для нафталина при 25° в смеси диоксан— H_2O в отношении 1:1.

9Б531. К теории растворов. Х. О влиянии флуктуаций на диэлектрическую проницаемость однородных изотропных систем. Шахпаронов М. И. «Ж. физ. химии», 1960, 34, № 7, 1478—1487 (рез. англ.).—Рассмотрены причины отклонения эксперим. значений диэлектрич. проницаемости р-ров от значений, вытекающих из теории Онзагера. Развита теория, учитывающая влияние флуктуаций на е однородных изотропных систем. Показано, что средний квадрат флуктуаций е является функцией средней локальной е.

9Б532. Рентгенографическое исследование изменений размеров флуктуаций концентрации в системе сероуглерод—метиловый спирт в зависимости от температуры. Мохов Н. В., Кирш И. В. «Ж. физ. химии», 1960, 34, № 7, 1553—1555 (рез. англ.).—На осно-

вании изучения кривых интенсивности рассеянных под малыми углами рентгеновских лучей, регистрируемой счетчиком, изучены изменения флуктуаций концентрации в р-ре CS_2 (32 вес. %) в CH_3OH при т-рах 12—63°. Найдено, что с повышением т-ры размеры флуктуаций изменяются вначале незначительно, а по мере удаления от крит. т-ры растворения наблюдается резкое уменьшение их размеров.

9Б533. Исследование степени деполаризации и интенсивности релеевского рассеяния света в растворах метилового спирта—бензол и метилового спирта—ортоксилол. Зацепина Л. П., Шахпаронов М. И. «Вестн. Моск. ун-та. Физ. астрон.», 1960, № 4, 9—17.—Фотоэлектрическим методом исследованы интенсивность и степень деполаризации релеевского рассеяния света Δ в р-рах метилового спирта в бензоле и ортоксилоле в интервале т-р от —20 до 30°. Вычислены интенсивности рассеяния на флуктуациях плотности, концентрации и ориентации. Обнаружена «инверсия» зависимости Δ от т-ры вследствие роста интенсивности концентрационного рассеяния при понижении т-ры. Полученные эксперим. данные подвергнуты анализу с позиций феноменологической и мол. теории рассеяния света в жидкостях.

9Б534. Теплопроводность неводных растворов солей. II. К механизму теплопроводности электролитов. Эльдаров Ф. Г. «Ж. физ. химии», 1960, 34, № 7, 1414—1419 (рез. англ.).—Теплопроводность неводн. р-ров электролитов и их температурная зависимость удовлетворительно описываются ф-лой Вебера—Предводителева («Ж. физ. химии», 1948, 32, 2443). Рассмотрена применимость соотношения Бриджмена (Физика высоких давлений. М., 1935) для расчета теплопроводности р-ров электролитов. Для неводн. р-ров солей получается удовлетворительное согласие между опытыми и вычисленными результатами. Для водн. р-ров электролитов в ф-лу Бриджмена необходимо ввести поправку, связанную с учетом электрострикционных явлений в водн. р-рах электролитов. Сообщение I см. РЖХим, 1959, № 11, 37972. Резюме автора

9Б535. Теплопроводность неводных растворов солей. Эльдаров Ф. Г., «Ж. физ. химии», 1960, 34, № 6, 1205—1211 (рез. англ.).—Измерена теплопроводность р-ров солей NaBr, NaJ, KJ, CdJ₂, $CaCl_2$, NH_4NO_3 , $SbCl_3$ в метиловом спирте, $ZnCl_2$, KOH, CdJ₂, NaJ, $Ca(NO_3)_2$ в этиловом спирте, NaJ в изопропиловом спирте, в бензоле $SbCl_3$, $ZnCl_2$ и CdJ₂ в ацетоне в зависимости от концентрации при различных т-рах. Измерена в адиабатном калориметре теплоемкость следующих систем: метанол—CdJ₂, метанол— $SbCl_3$, метанол— NH_4NO_3 , ацетон— $ZnCl_2$ и ацетон— $SbCl_3$. Теплоемкость неводн. р-ров отклоняется от правила аддитивности в сторону уменьшения. Дается эмпирич. соотношение для вычисления теплопроводности как водных, так и неводн. р-ров солей.

9Б536. Исследование парциальной плотности растворителя в водных растворах электролитов. Lengyel S. Investigation of the partial density of the solvent in aqueous ionic solutions. «Ann. Univ. Scient. Budapest. Sec. chim.», 1959, 1, 96—108 (англ.).—На основании обработки известных данных по плотности водн. р-ров ряда электролитов найдено, что обратная величина парц. мол. объема воды является линейной функцией молярности в значительной области конц-ий водн. р-ров электролитов, не образующих комплексов. Анализ кривых плотность—конц-ия для 1,1- и 2,2-валентных электролитов показал возрастание плотности воды вокруг иона на расстояниях 30 и 50 Å соответственно. На основании эмпирич. ф-лы для плотности конц. водн. р-ров электролитов плотность воды в гидратной оболочке выведена как функция расстояния от центра иона. По тем же ф-лам могут быть выведены разумные значения конных радиусов.

Из резюме автора

9Б537. О механизме сольватации ионов. Михайлов В. А., Дракин С. И. «Изв. Сибирск. отд. АН СССР», 1960, № 6, 44—52. — Критически рассмотрены существующие представления о сольватации ионов. Показано, что при описании сольватации как процесса образования новой электронной системы из иона и молекулы р-рителя появляется возможность объяснения ряда факторов, которые не могут быть истолкованы в рамках общепринятых представлений о сольватации.

Резюме авторов
9Б538. Ионные реакции в тионилхлориде. Часть I. Комплексы сольвокислот с несольватированными основаниями. Sandhu Sarjit Singh, Chakkal Bhupindar Singh, Sandhu Gurmit Sarjit. Ionic reactions in thionyl chloride. Part I. Complexes of solvo-acids and ansolv-bases. «J. Indian Chem. Soc.», 1960, 37, № 6, 329—333 (англ.). — Изучены р-ции взаимодействия сольвокислот и несольватированных оснований в среде SOCl_2 . При растворении в SOCl_2 , TiCl_4 , SnCl_4 и ZrCl_4 образуются сольвокислоты $\text{MCl}_4 \cdot 2\text{SOCl}_2$, которые взаимодействуют с несольватированными основаниями с образованием комплексов. В качестве оснований были использованы $(\text{CH}_3)_3\text{NCl}$; $(\text{CH}_3)_3\text{C}_6\text{H}_5\text{NCl}$; $(\text{CH}_3)_2\text{C}_6\text{H}_5 \cdot \text{C}_7\text{H}_7\text{NCl}$; $(\text{CH}_3)_3\text{C}_7\text{H}_7\text{NCl}$ (I); $(\text{C}_2\text{H}_5)_3\text{C}_7\text{H}_7\text{NCl}$ (II). Состав комплексов отвечает общей ф-ле $(\text{R}_3\text{N})_2\text{MCl}_4$. При взаимодействии р-ров MCl_4 и R_3NCl , содержащих группу CH_3 , образуются осадки комплексов. Комплексы $[(\text{C}_2\text{H}_5)_3\text{NC}_7\text{H}_7]_2\text{MCl}_6$ выделяются в осадок после добавления к р-ру сухого этилацетата. Образование комплексов в р-ре происходит по у-нию: $2(\text{CH}_3)_3\text{N} + 2\text{SOCl}_2 + 2\text{Cl}^- + \text{TiCl}_4^{2-} \rightarrow [(\text{CH}_3)_3\text{N}]_2\text{TiCl}_6 + 2\text{SOCl}_2$. Изучено кондуктометрич. титрование I и II р-ром ZrCl_4 в среде SOCl_2 . Л. Быкова

9Б539. Проточный вариант метода изотопного разбавления для изучения гидратации ионов. Baldwin H. W., Taube H. Flow adaptation of the isotopic dilution method for the study of ionic hydration. «J. Chem. Phys.», 1960, 33, № 1, 206—210 (англ.). — Применение метода изотопного разбавления для определения чисел гидратации (n) ионов в воде. р-рах затрудняется тем, что в предложенных для этой цели аппаратах миним. промежуток времени между разбавлением р-ра тяжелой водой и отбором пробы р-рителя составляет ~1 мин. Разработан новый вариант метода, позволяющий сократить указанный промежуток времени до $\sim 2 \cdot 10^{-2}$ сек. Р-р исследуемого катиона в обычной воде и вода, обогащенная изотопом O^{18} , по отдельным трубкам непрерывно поступают в камеру смешения; разб. р-р через короткий капилляр вытекает в газовую фазу и затем скрывается под поверхностью n -пентана, охлажденного до -78° . Отбор пробы р-рителя осуществляется путем испарения р-ра при его прохождении через газовую фазу, для чего в эту фазу непрерывно поступает струя сухого N_2 , направляемая затем в спец. ловушку. Разработано два конструктивных варианта метода, различающихся способом подачи воды и р-ра в камеру смешения. Предлагаемая методика не позволяет осуществлять абс. измерения и требует предварительной калировки прибора по р-ру какого-либо иона с известным n . Применяя в качестве такового ион $\text{Cr}(\text{H}_2\text{O})_6^{3+}$, авторы исследовали гидратационное равновесие для ионов Al^{3+} , Fe^{3+} и Ni^{2+} . Величина n для Al^{3+} найдена равной 6; для Fe^{3+} и Ni^{2+} определения оказались невозможными из-за слишком большой скорости изотопного обмена между гидратной водой и р-рителем. А. Шейнин

9Б540. Исследование гидролиза хлорпобоматов. Szychliński Jerzy, Lenarcik Benjamin. Badania hydrolizy chloropobomianów. «Roczn. chem.», 1960, 34, № 3—4, 817—824 (польск.; рез. русск., англ., франц.). — Исследовались условия гидролиза $(\text{NH}_4)_2\text{PbCl}_6$ (I) и H_2PbCl_6 (II) при т-рах 20—40°. Добавление HCl и NaCl , а также понижение т-ры понижают степень гидролиза. Оценен порядок константы гидроли-

за иона $(\text{PbCl}_6)^{2-}$ (III) $k = a \cdot 10^{-n}$, где $n > 10$ для комнатных и более высоких т-р. Малое значение k свидетельствует о ковалентном характере связей $\text{Pb}—\text{Cl}$. Определены тепловые эффекты разложения I и PbCl_6 (IV) в р-ре NaOH , а также тепловой эффект растворения PbO_2 в HCl . Рассчитаны теплоты образования I и II из компонентов. Установлено, что гидролиз III эндотермичен, а образование III из жидкого IV и сольватированных ионов Cl^- — экзотермично так же, как и образование кристаллич. решетки I из сольватированных ионов. Определена энергия связи $\text{Pb}—\text{Cl}$ в IV $\sim 35\,500$ кал/моль. Б. Каплан

9Б541. Константа диссоциации и предельная электропроводность LiBr в жидкой SO_2 при 0,22°. Доказательство сольватации Li^+ . Lightin Norman N., Rao K. Narayana. Dissociation constant and limiting conductance of LiBr in liquid SO_2 at 0.22°: evidence for the solvation. «J. Phys. Chem.», 1960, 64, № 7, 945—948 (англ.). — В продолжение работ (РЖХим, 1958, № 8, 17164; № 21, 70197) измерена электропроводность LiBr в жидкой SO_2 при 0,22° и разбавлениях 4602—22580 л моль $^{-1}$. Эквивалентные электропроводности (Λ) соответственно равны 59,7 и 103,9 ом $^{-1}$ см 2 моль $^{-1}$. По методу Шедловского определены предельная величина $\Lambda_0 = 189 \pm 9$ и константа диссоциации $K = (2,6 \pm 0,23) \cdot 10^{-5}$ моль л $^{-1}$. Расстояние максим. сближения в Бьеррму равно 2,70 $\pm 0,03$ А, что является средней величиной между суммой лаунинговских ионных радиусов и эксперим. межионным расстоянием в кристалле LiBr . На основании снижения подвижности Li^+ делаются заключения о его сольватации. Полученные данные показывают, что сольватация Li^+ не препятствует проникновению аниона в сольватную оболочку. Ю. Ермо

9Б542. Ниобиевые кислоты и растворимые в водниобаты щелочных металлов. I. Измерения светопропускания и диффузии в растворах ниобатов щелочных металлов. II. Препаративные и аналитические исследования. III. Кондуктометрическое титрование и сравнительное рентгенографическое исследование. Схематическая изополниобатов. Jander G., Ertel D. Über Niobsäuren und wasserlösliche Alkaliniobate. I. Lichtabsorptions- und Diffusionsmessungen an Alkaliniobatlösungen. II. Präparativanalytische Untersuchungen. III. Konduktometrische Titraktionen und vergleichende röntgenographische Untersuchungen. Das Hydrolyseschema der Isopolyniobate. «J. Inorg. und Nucl. Chem.», 1960, 14, № 1—2, 71—76; 77—84; 85—90 (нем., рез. англ.). — I. В интервале pH 5—14 исследованы УФ-спектры поглощения р-ров ниобатов K и Na. Результаты указывают на существование трех типов анионов полиниобатов, два из которых преобладают в р-ре при pH 13—14, а третий при pH < 9. С помощью описанной ранее методики (РЖХим, 1958, № 8, 24275) определены при т-ре 19,6 $\pm 0,2^\circ$ коэф. диффузии р-ров ниобата K в интервале pH 8—14. Из полученных данных следует, что при pH 11—14 анионы ниобиевой к-ты имеют мол. вес ~ 1000 , а при pH < 9 ~ 3000 .

II. Действием конц. NaOH на р-ры $\text{K}_2[\text{Nb}_6\text{O}_{19} \cdot a\text{q}]$ и $\text{Na}_2[\text{Nb}_6\text{O}_{19} \cdot a\text{q}]$ лирирован гексааниобат Na состава $\text{Na}_2[\text{Nb}_6\text{O}_{19} \cdot a\text{q}]$ (I). Перекристаллизацией этой соли из водн. р-ров, а также сплавлением Nb_2O_5 с NaOH или Na_2CO_3 с последующим выпариванием H_2O может быть получен гексааниобат Na состава $\text{Na}_2[\text{H}(\text{Nb}_6\text{O}_{19} \cdot a\text{q})]$ (II). При действии CH_3OH на весьма разбавленные водн. р-ры гексааниобата K в осадок выпадает гексаметаниобат состава $(\text{K}_2\text{Nb}_6\text{O}_{19}a\text{q})_n$, где $3 < n < 4$. В водн. р-рах различные анионы ниобиевой к-ты находятся в равновесии между собой в соответствии со схемой $[\text{Nb}_6\text{O}_{19} \cdot a\text{q}]^{2-} \rightleftharpoons [\text{H}(\text{Nb}_6\text{O}_{19} \cdot a\text{q})]^- \rightleftharpoons [\text{Nb}_6\text{O}_{18} \cdot a\text{q}]^{3-}$, причем первый и указываемых схемой переходов осуществляется при pH ≈ 13 , а второй при pH ≈ 9 . Вычисленные мол. веса соответствующих ниобатов хорошо согласуются с результатами измерений коэф. диффузии (см. сообще-

ние I). Наиболее богатая Na соль ниобиевой к-ты, выделенная из сплава $\text{NaOH} - \text{Nb}_2\text{O}_5$, соответствует ф-ле Na_3NbO_4 (III). Действие воды на III приводит к необратимому гидролизу с образованием I; при кипячении III в абс. CH_3OH происходит медленный сольволиз с образованием NaNbO_3 .

III. При комнатной т-ре проведено кондуктометрич. титрование HClO_4 (или H_2SO_4) водн. р-ров ниобатов: III; I; II и $(\text{K}_2\text{Nb}_2\text{O}_7 \cdot \text{aq})_3$. Результаты, представленные в форме графиков, подтверждают предложенную выше (см. сообщение II) схему гидролиза солей ниобиевой к-ты. Дебаеграммы всех изолированных авторами ниобатов отличаются друг от друга. Прокаливание при 1000° приводит к превращению всех гексаниобатов в один и тот же продукт, дебаеграмма которого соответствует метаниобату типа MnNbO_3 ; только дебаеграмма соли III при прокаливании не меняется. Приводится сводная схема гидролиза и взаимопревращений ниобатов щел. металлов.

В. Рабинович

9Б543. Кислотность сульфанов и состав водных растворов полисульфидов. Schwarzenbach G., Fischer Adolphe. Die Acidität der Sulfane und die Zusammensetzung wässriger Polysulfidlösungen. «Helv. chim. acta», 1960, 43, № 5, 1365—1390 (нем.; рез. англ.).—Получены кривые потенциометрич. титрования ~ 0.002 н. водн. р-ров чистых полисульфидов (Na_2S_2 , K_2S_2 , K_2S_3 , Na_2S_4 , K_2S_4 и K_2S_5) соляной к-той: титрования проводилось при постоянной ионной силе $\mu = 0.1$, которая устанавливалась введением в р-р KCl. С целью предупреждения разложения образующихся при взаимодействии в HCl многосернистых водородов (сульфанов) титрование проводилось в специально сконструированном проточном аппарате, позволяющем смешивать две жидкости и определять стеклянным электродом pH конечного р-ра в течение 0,01 сек. Из результатов титрования K_2S_3 для констант диссоциации H_2S_3 найдено: $pK_1 = 3.5$; $pK_2 = 5.7$. В случае низших полисульфидов полученные результаты объясняются протеканием в р-ре, наряду с диссоциацией соответствующих многосернистых водородов, р-ций диспропорционирования: $4\text{S}_4^{2-} + \text{H}_2\text{O} \rightleftharpoons \text{HS}^- + \text{OH}^- + 3\text{S}_2^{2-}$; $3\text{S}_3^{2-} + \text{H}_2\text{O} \rightleftharpoons 2\text{S}_2^{2-} + \text{HS}^- + \text{OH}^-$; $3\text{S}_2^{2-} + 2\text{H}_2\text{O} \rightleftharpoons 2\text{HS}^- + 2\text{OH}^- + \text{S}_2^{2-}$; с учетом этих р-ций для констант диссоциации H_2S_4 найдено: $pK_1 = 3.8$; $pK_2 = 6.3$. Вычислены конц-ны ионов OH^- , SH^- , S_2^{2-} и S_3^{2-} в исследованных р-рах. Признаков существования в водн. р-рах ионов S_2^{2-} и S_3^{2-} не обнаружено, однако предполагается, что эти ионы могут существовать в сильнокисл. р-рах (pH 13—14). На основании определенных оптич. плотности р-ров полисульфидов вычислены и представлены в график. форме коэф. экстинкции ионов S_2^{2-} и S_3^{2-} в интервале длин волн 290—470 мμ. Результаты спектрофотометрич. исследования согласуются с данными потенциометрич. титрования.

В. Рабинович

9Б544. Основность индола и некоторых его моно- и диметилпроизводных. Berti Giancarlo, Da Settimo Antonio, Segnini Domenico. La basicità dell'indolo e di alcuni suoi mono- e dimetilderivati. «Ricerca scient.», 1960, 30, № 7, 1057—1060 (итал.).—Примененный ранее методом (РЖХим, 1956, № 12, 35465) определены pK_a индола (—2,70) и его производных: 1- (—1,85), 2- (—0,13), 3-метилиндолов (—3,26), 1,2- (0,35) и 2,3-диметилиндолов (—1,10).

Б. Каплан

9Б545. Реологические свойства растворов глицерина. Думанский И. А., Хайленко Л. В., «Коллоид. ж.», 1960, 22, № 3, 277—281 (рез. англ.).—Получены кривые течения р-ров глицерин (I) — вода, I — метанол и I — этанол. Найдено, что система I — вода представляет собой квазиполимерную структурированную жидкость, структурирование которой обусловлено водородными связями, причем эта связь предполагается такой же подвижной, как и в эластичных моле-

кулах. Замена воды на спирт в р-ре I лишает его способности к структурообразованию, что можно объяснить блокировкой водородных связей радикалами CH_3 или C_2H_5 . Существенным фактором структурообразования является «возраст» системы. Структура р-ра I — вода в процессе деформации может давать явление разрушения, что объясняется мгновенным падением вязкости. Переохлаждение не влияет на возникновение в жидкости эластич. явлений и только повышает общую вязкость системы.

Д. А.

9Б546. Замечания к статье Андрусова «Вязкость растворов электролитов. Расчет концентрационной и температурной зависимости экспоненциальным методом». Kaminsky Manfred. Bemerkungen zu der Arbeit von L. Andrussov «Viskosität von Elektrolytlösungen. Berechnung der Konzentrations- und Temperaturabhängigkeit mittels der Exponentenmethode». «Z. Elektrochem.», 1960, 64, № 6, 867—869 (нем.).—Дискуссионная статья. Статью Л. Андрусова см. РЖХим, 1959, № 5, 14750.

9Б547. Коэффициенты поглощения кислорода растворами гидроокиси калия. Pospíšil J., Lužný Z. Absorptionskoeffizienten des Sauerstoffes in Lösungen von Kaliumhydroxyd. «Collect. Czechosl. Chem. Commun.», 1960, 25, № 2, 589—592 (нем., рез. русск.).—В связи с изучением кинетики окисления двуатомных фенолов были определены коэф. поглощения Бунзена кислорода водн. р-рами КОН при 20° . Измерение проводили с применением простой аппаратуры (описание которой приводится), позволившей определить поглощение в сравнительно широком диапазоне растворимости с точностью $\pm 0.9\%$. Измерения поглощения кислорода были дополнены определением плотности р-ров КОН в воде, в CH_3OH и в смеси вода- CH_3OH .

V. Růžicka

9Б548. О растворимости газов в воде под давлением. Намиот А. Ю. «Ж. физ. химии», 1960, 34, № 7, 1593—1598 (рез. англ.).—На основании полученных ранее эксперим. данных (Намиот А. Ю., Бондарева М. М. Научно-технический сборник по добыче нефти. Гостоптехиздат. вып. 4, 1959) установлено, что для р-ров CH_4 , N_2 и CO_2 в воде при 25° и давлениях до 450 атм приблизительно выполняется закон Генри в его термодинамич. формулировке. Показано, что растворимость смесей этих газов в воде под давлением может быть рассчитана по данным о растворимости в двойных системах вода — газ и по коэф. активности компонентов в газовой фазе.

Из резюме автора

9Б549. Исследование растворимости борной кислоты в насыщенном водяном паре. Стырикович М. А., Цхвирашвили Д. Г., Небиеридзе Д. П. «Докл. АН СССР», 1960, 134, № 3, 615—617.—В спец. установке методом выпаривания незначительной части р-ра заданной конц-ии исследована растворимость H_3BO_3 в насыщ. водяном паре при давл. 1—200 ата. Найдена линейная зависимость конц-ии B_2O_3 в насыщ. паре от конц-ии ее в воде.

Д. А.

9Б550. Растворимость сульфата серебра в растворах электролитов. Часть 7. Растворимость в растворах сульфата уранила. Lietzke M. H., Stoughton R. W. The solubility of silver sulfate in electrolyte solutions. Part 7. Solubility in uranyl sulfate solutions. «J. Phys. Chem.», 1960, 64, № 6, 816—820 (англ.).—В продолжение предыдущих работ (РЖХим, 1960, 34142, 60685) определена и представлена в график. и табличной форме растворимость Ag_2SO_4 в водн. р-рах UO_2SO_4 (0,1; 0,4; 0,6; 1,0 и 1,348 M) при т-рах от 25 до $150-200^\circ$. Результаты хорошо описываются ур-нем Дебая — Хюккеля (при соответствующем подборе эмпирич. параметров) только при учете протекающих в р-ре процессов гидролиза и ассоциации ионов $\text{UO}_2^{2+} + 2\text{UO}_2^{2+} + \text{H}_2\text{O} \rightleftharpoons \text{U}_3\text{O}_8^{2+} + 2\text{H}^+$ (1); $\text{UO}_2^{2+} + \text{SO}_4^{2-} \rightleftharpoons \text{UO}_2\text{SO}_4$ (2); $\text{UO}_2\text{SO}_4 + \text{SO}_4^{2-} \rightleftharpoons \text{UO}_2(\text{SO}_4)_2^{2-}$ (3). Вычислены и табу-

лированы значения конц-ий UO_2^{2+} , UO_2SO_4 , $\text{UO}_2(\text{SO}_4)_2^{2-}$, $\text{U}_2\text{O}_5^{2+}$, SO_4^{2-} , HSO_4^- и H^+ в насыщ. р-рах в указанных выше пределах т-р и суммарных конц-ий UO_2SO_4 . Установлено, что с повышением т-ры устойчивость UO_2SO_4 возрастает по сравнению с устойчивостью UO_2^{2+} и $\text{UO}_2(\text{SO}_4)_2^{2-}$. В интервале т-р 25–200° вычислены значения ΔH° и ΔS° для р-ций (2) и (3). С повышением т-ры значения ΔH° и ΔS° для р-ции (2) сильно возрастают, что указывает на значительные изменения в строении р-ров в случае образования нейтр. частиц UO_2SO_4 при повышенных т-рах. Часть 6 см. РЖХим, 1960, № 23, 91744.

В. Рабинович
9Б551. Радиохимическое измерение растворимости галогенидов серебра в растворах нитрата серебра и образование комплексов галогенидов серебра с ионами серебра. Lieser K. H. Radiochemische Messung der Löslichkeit von Silberhalogeniden in Silbernitratlösungen und die Komplexbildung der Silberhalogenide mit Silberionen. «Z. anorgan. und allgem. Chem.», 1960, 304, № 5–6, 296–306 (нем.; рез. англ.).—С помощью радиоизотопов Cl^{36} , Br^{82} и I^{131} определена при 20° растворимость AgCl , AgBr и AgI в водн. р-рах AgNO_3 (10^{-3} – $2,0$ моль/л). Результаты представлены в форме таблиц и графиков; растворимость AgCl и AgI в H_2O при 20° найдена соответственно равной $(1,10 \pm 0,02) \cdot 10^{-5}$ и $(6,7 \pm 0,2) \cdot 10^{-9}$ моль/л. При достаточно малой конц-ии AgNO_3 (10^{-5} – 10^{-2} моль/л) растворимость солей AgX проходит через минимум. Анализ полученных данных приводит к выводу о существовании в р-рах комплексов типа $[\text{Ag}_2\text{X}]^+$ и $[\text{Ag}_3\text{X}]^{2+}$, устойчивость которых возрастает от хлоридов к йодидам. Для Cl , Br и I константы равновесия р-ций $[\text{Ag}_2\text{X}]^+ \rightleftharpoons 2\text{Ag}^+ + \text{X}^-$ равны $2,5 \cdot 10^{-5}$; $8,8 \cdot 10^{-6}$ и $1,0 \cdot 10^{-11}$, а константы равновесия р-ций $[\text{Ag}_3\text{X}]^{2+} \rightleftharpoons 3\text{Ag}^+ + \text{X}^-$ соответственно $1,1 \cdot 10^{-5}$; $7,4 \cdot 10^{-9}$ и $2,4 \cdot 10^{-14}$.

В. Рабинович
9Б552. Определение растворимости фтористого висмута методом радиоактивных индикаторов. Krivák V., Hladký Z. Stanovenie rozpustnosti fluoridu bizmutitého metódou rádioaktívnych indikátorov. «Chem. zvesti», 1960, 14, № 5, 385–387 (словацк.; рез. русск., нем.).—Определена растворимость BiF_3 в зависимости от pH (при pH 1,15–4,3) по методу радиоактивных индикаторов с применением Bi^{210} . С повышением pH до 3,85 растворимость быстро падает, после чего понижение растворимости уже незначительно. Значение растворимости при pH 1,15: $5,03 \pm 0,50 \cdot 10^{-3}$ моль/л, при pH 4,3: $5,62 \pm 0,56 \cdot 10^{-6}$ моль/л.

Резюме автора
9Б553. Растворимость нитрата кальция в азотной кислоте. Перов Е. В., Толмачева Л. П., Гордеева Н. Н. «Ж. прикл. химии», 1960, 33, № 9, 2140–2141.—Изучена растворимость $\text{Ca}(\text{NO}_3)_2$ в HNO_3 при 10, 20 и 30°.

Д. А.
9Б554. О потенциале самопроизвольного растворения металлов в малом объеме растворителя. Лешкарев А. Г. «Изв. высш. учебн. заведений. Химия и хим. технол.», 1960, 3, № 3, 422–426.—Экспериментально исследован потенциал саморастворения Cu и Fe в HNO_3 , Fe и Sn в HCl , Al в р-ре NaOH в случае, когда р-ритель в небольшом объеме (0,08 мл) наносился непосредственно на поверхность металла. Предложено ур-ние, устанавливающее зависимость потенциала саморастворения металла от конц-ии р-рителя. Это ур-ние показывает, что если скорость растворения лимитируется скоростью диффузии р-рителя, то потенциал является линейной функцией логарифма продолжительности растворения. В том случае, когда скорость растворения высокополяризирующегося металла лимитируется скоростью электрохимического процесса, потенциал во время растворения остается постоянным.

Резюме автора
9Б555. Исследование растворимости гидроокиси индия в растворах едкого натра. Иванов-Эмин В. Н., Нисельсон Л. А., Грекса Ю. «Ж. неорган. химии», 1960, 5, № 9, 1996–1998.—Изучена растворимость

$\text{In}(\text{OH})_3$ в р-рах NaOH при конц-ии от 1 до 17 М и т-р 25°. Максим. растворимость $\text{In}(\text{OH})_3$ составляет 11,0 моль/л при конц-ии щелочи 11,33 М. Твердая фаза при конц-ии NaOH до максимума растворимости является гидроксидом индия, при более высоких конц-иях NaOH твердая фаза представляет собой гидрат гексагидроксоиндия натрия.

Резюме автора
9Б556. О растворимости ферроцианида цинка в воде и в водных растворах. Basiński Antoni, Micha Janina. O rozpuszczalności żelazocyjanku cynkowego w wodzie i roztworach wodnych. «Roczn. chem.», 1960, 34, № 3–4, 811–816 (польск.; рез. русск., англ.).—Примененными ранее методами (РЖХим, 1958, № 17, 56724; 1960, № 6, 21602) определена растворимость $\text{Zn}_2\text{Fe}(\text{CN})_6$ (I) в воде ($1,14 \cdot 10^{-5}$ моль/л при 25°) и в водн. р-рах HCl , HNO_3 , CH_3COCH_3 , CH_3OH и $\text{C}_2\text{H}_5\text{OH}$. Повышение pH (с 1 до 4) и введение органич. р-рителя приводит к понижению растворимости I.

Б. Каплан
9Б557. О растворимости гидратов окисей кадмия, свинца и цинка в растворах виннокислого натрия и гидрата окиси алюминия в растворах лимоннокислого натрия. Золотухин В. К. «Ж. неорган. химии», 1960, 5, № 8, 1886–1888.—Приведены эксперим. данные растворимости гидратов окисей Cd , Pb и Zn в р-рах тартрата натрия и $\text{Al}(\text{OH})_3$ в р-рах цитрата натрия, а также предложены схемы возможных р-рителей.

Резюме автора
9Б558. Растворимость йодистого тетраметиламмония в присутствии основания тетраметиламмония. Спин Г. С. «Ж. прикл. химии», 1960, 33, № 8, 1903–1904.

9Б559. Термодинамические свойства компонентов в жидких растворах системы алюминий—цинк. Еремко В. Н. «Ж. физ. химии», 1960, 34, № 7, 1496–1502 (рез. англ.).—Измерены электродвижущие силы и температурные коэф. э.д.с. концентрационных пар: $\text{Al}(\text{жидк.})/\text{Al}^{3+}$ в расплаве $\text{KCl} + \text{NaCl}/(\text{Al}, \text{Zn})$ (жидк.) во всем ряду конц-ий р-ров Al в Zn в интервале 670–850°. Вычислены активности, коэф. активности, относительные парц. мол. теплосодержания обоих компонентов и парц. мол. энтропия Al в жидких р-рах Al в Zn . В системе имеют место положительные отклонения от закона Рауля, существенно уменьшающиеся с ростом т-ры. Показано, что разность теплоемкости компонентов в чистом жидком состоянии и парц. мол. теплоемкости в р-ре зависит только от состава, но не от т-ры. Вычислены теплоты смешения при образовании жидких р-ров Al с Zn . Теплоты смешения отрицательны и не зависят от т-ры. Найдено, что парц. мол. энтропия Al в р-ре значительно превосходит идеальную энтропию растворения при всех составах; это дает основание для заключения, что при растворении происходит диссоциация комплексов, присутствующих в чистом жидком Al .

Резюме автора
9Б560. Структура расплавленных галогенидов двухвалентной ртути. IV. Смеси бромид ртути—бромиды щелочных металлов. Janz George J., Goodkin Jerome. Structure of molten mercuric halides. IV. Mercuric bromide-alkali metal bromide mixtures. «J. Phys. Chem.», 1960, 64, № 6, 808–811 (англ.).—Исследовано понижение т-р затвердевания расплавленной HgBr_2 при растворении в ней LiBr , NaBr , KBr , RbBr и CsBr (0,00–0,12 моль/кг). Результаты представлены в табличной и графич. форме и близко соответствуют поведению идеального р-ра для случая $v=1$ (одной частицы на молекулу растворенного в-ва). На основании полученных данных высказано предположение, что, за исключением RbBr и CsBr ($v=1,4$), взаимодействие между компонентами р-ра протекает в соответствии с ур-нием: $2\text{MBr} + \text{HgBr}_2 \rightleftharpoons \text{M}^+ + (\text{MHgBr}_2)^-$, причем равновесие в этой р-ции почти наполовину смещено вправо. Предыдущее сообщение см. РЖХим, 1960, № 20, 80141.

В. Рабинович

9Б561. Фториды иттрия и редкоземельных элементов. Растворимость в различных расплавленных растворителях NaF—ZrF₄ и NaF—ZrF₄—UF₄. Ward W. T., Strehlow R. A., Grimes W. R., Watson G. M. Rare earth and yttrium fluorides. Solubility relations in various molten NaF—ZrF₄ and NaF—ZrF₄—UF₄ solvents. «J. Chem. and Engng Data», 1960, 5, № 2, 137—142 (англ.).—Цель исследования — выяснение условий отделения нелетучих продуктов деления из топлива ядерных реакторов, работающих на р-рах расщепляемого материала в расплавленных фторидах. На первом этапе работы с помощью меченных Ce¹⁴¹, La¹⁴⁰, Sm¹⁵³ и Y⁹¹ фторидов исследована растворимость MF₃, где M = La, Ce, Sm и Y, в расплавленных фторидах. Найдены следующие значения растворимости Се (в мол. %) в расплавах NaF—ZrF₄ при 550, 675 и 800°: (NaF 42 мол. %) 3,0, 8,2 и 10,3; (NaF 50) 2,12, 3,0 и 4,4; (NaF 53) 1,64, 2,37 и 3,9; (NaF 59) 0,56, 0,62 и 1,61; (NaF 63) 0,26, 0,44 и 1,07; (NaF 80,5) 4,71 (при 800°). Все приведенные ниже данные относятся к растворимости в расплаве 50% NaF + 46% ZrF₄ + 4% UF₄. Интерполированные растворимости при 550, 600, 700 и 800° соответственно равны: La 1,80, 2,04, 2,68 и 4,03; Ce 2,02, 2,27, 3,00 и 4,30; Sm 2,23, 2,52, 3,38 и 4,97. При каждой из т-р растворимость почти линейно растет с уменьшением радиуса иона M³⁺. Растворимость У при 540, 639, 686, 740 и 839° равна 2,67, 4,65, 5,87, 7,32 и 13,07. Растворимость смесей двух MF₃ (за исключением системы Sm—Y) промежуточна между растворимостями индивидуальных MF₃ при той же т-ре. Совместная растворимость La и Ce соответствует практически равновесию Ce(тв. р-р) + La(р-р) \rightleftharpoons La(тв. р-р) + Ce(р-р). И. Рысс

См. также: Растворимость 9Б338, 9Б398, 9Б399. Термодинамика р-ров 9Б331, 9Б332. Диффузия 9Б565. Дипольные моменты 9Б117, 9Б119, 9Б123. Структура р-ров 9Б114, 9Б120, 9Б127, 9Б129, 9Б132, 9Б133. Электропроводность р-ров 9Б397, 9Б562—9Б564. Кислотно-основное равновесие 9Б334, 9Б339, 9Б340. Сольволиз и сольватация 9Б440, 9Б448, 9Б450, 9Б58, 9Д166, 9Я8, 9Я9, 9Я217

ЭЛЕКТРОХИМИЯ

Редакторы О. А. Есин, В. В. Лосев

9Б562. Об особенностях изотерм электропроводности 1-1-валентных солей в растворах с низкой диэлектрической проницаемостью. Сухотина А. М., Рыжков Е. М. «Ж. физ. химии», 1960, 34, № 4, 762—767 (рез. англ.).—В продолжение работ, опубликованных ранее (РЖХим, 1960, № 13, 51296; № 14, 56339; № 15, 60670), измерены электропроводность Λ , вязкость η и диэлектрич. проницаемость D р-ров LiCl, LiBr, LiI в NaCl в смеси с бутанолом с тексаном в интервале D 2,02—17,3 при 25°. Сравнение кривых зависимости Λ , η и D р-ров от концентрации показывает, что рост Λ после минимума приблизительно совпадает с возрастанием D , а спад Λ после максимума может быть связан с увеличением η . Вычислены константы диссоциации ионных пар K и межионные расстояния. Показано, что зависимость (K, D) удовлетворительно описывается уравнениями Бьеррума и Сухотиной (РЖХим, 1958, № 10, 31842). Ю. Поваров

9Б563. Электропроводность этаноламмониевых солей в воде при 25°. Varimbi Joseph, Fuoss R. A. Conductance of ethanol-ammonium salts in water at 25°. «J. Phys. Chem.», 1960, 64, № 9, 1335—1336 (англ.).—Определена эквивалентная электропроводность Λ водн. р-ров солей типа R₄-N(EtOH)_n для $n = 0, 1$ и 2 при различных концентрациях с солей и 25°.

Эксперим. зависимость (Λ, c) выражена с помощью предложенного ранее уравнения (РЖХим, 1958, № 6, 17183; 1960, № 1, 593). Заметного взаимодействия этанольных групп с молекулами воды не обнаружено, поведение этих солей аналогично солям четвертичных аммониевых оснований. Ю. Поваров

9Б564. Применение теории электропроводности Фуосса — Онзагера к галогенидам щелочных металлов в разных растворителях. Kay Robert L. An application of the Fuoss-Onsager conductance theory to the alkali halides in several solvents. «J. Amer. Chem. Soc.», 1960, 82, № 9, 2099—2105 (англ.).—С помощью электроной вычислительной машины решается видоизмененное уравнение электропроводности Фуосса — Онзагера (РЖХим, 1959, № 11, 37974; 1960, № 1, 593). По методу наименьших квадратов для ассоциированных и неассоциированных электролитов обработаны литературные данные для р-ров ряда солей в воде, в смеси вода — метанол (1:1), в метаноле, этаноле, 1-пропанол и жидком NH₃ при различных т-рах. Вычислены предельные эквивалентные электропроводности, расстояния наибольшего сближения ионов a и константы ассоциации K_A . При переходе от солей Li к солям Cs a уменьшаются по величине и несколько меньше, чем вычисленные обычными методами. Для некоторых солей a меньше кристаллографич. радиусов. Порядок уменьшения a в ряду Li — Cs можно объяснить ростом K_A в том же ряду. С помощью представления об ионной «полости» (РЖХим, 1956, № 20, 64427) вычислены K_A для водн. р-ров хлоридов щел. металлов, которые согласуются с полученными ранее результатами (РЖХим, 1956, № 14, 42775). Ю. Поваров

9Б565. Одновременное определение диффузии, переноса и подвижности ионов в расплавленных силикатах кобальта. Тетерин Г. А., Есин О. А. «Ж. физ. химии», 1960, 34, № 9, 1976—1979 (рез. англ.).—В продолжение опубликованных ранее работ (РЖХим, 1958, № 10, 31856; 1960, № 1, 448; № 16, 64702) разработана методика, основанная на использовании меченых атомов, для одновременного определения в расплавленных средах подвижности ионов U , их чисел переноса n и коэф. массопередачи D . Найдено, что в метасиликате Со при 1450—1460° U равна $1,2 \cdot 10^{-4}$ $\text{cm}^2/\text{сек}$; $n_{\text{Со}}$ близко к единице, $D_{\text{Со}} = (1-3,7) \cdot 10^{-6}$ $\text{cm}^2/\text{сек}$. Опытные значения уд. электропроводности хорошо совпадают с рассчитанными по величинам U , n и D . В. Лебедев

9Б566. Число переноса в твердом бромиде цезия. Laurance Neal. Transport number in solid cesium bromide. «Phys. Rev.», 1960, 118, № 4, 988—989 (англ.).—Число переноса катиона в монокристаллах CsBr, измеренное методом Тубанда, не зависит от т-ры при 350—450° и равно $0,49 \pm 0,05$. Обнаружено, что в процессе электролиза происходит преимущественный рост одного кристалла за счет другого, и характер роста зависит от направления тока. Это может оказать влияние на измерения чисел переноса. Ю. Веклов

9Б567. Потенциалы электрода Hg₂SO₄|Hg. Beck W. H., Dobson J. V., Wynne-Jones W. F. K. The potentials of the mercurous sulphate/mercury electrode. «Trans. Faraday Soc.», 1960, 56, № 8, 1172—1178 (англ.).—Измерена э.д.с. цепи Pt(H₂)|H₂SO₄(m)|Hg₂SO₄, Hg(Pt) при т-рах 5—55° с интервалами по 10° для конц-ий H₂SO₄ 0,1—8 м. С помощью коэф. активности H₂SO₄ вычислены стандартный электродный потенциал цепи для 25°, температурные коэф. э.д.с. и парц. моляльное теплосодержание р-ров H₂SO₄. Полученные результаты хорошо согласуются с данными по давлению пара р-ров H₂SO₄. Ю. Поваров

9Б568. Об электродвижущей силе химической цепи Pb|PbCl₂|Cl₂. Алабышев А. Ф., Лантратов

М. Ф., Морачевский А. Г. «Изв. высш. учебн. заведений. Химия и хим. технол.», 1960, 3, № 4, 649—652.—На примере э.д.с. цепи $Pb|PbCl_2|Cl_2$ сделана попытка рассмотреть основные причины расхождений между разными литературными эксперим. данными по э.д.с. и температурным коэф. э.д.с. и их отличие от величин, полученных термодинамич. расчетом. Сделан вывод, что заниженные величины э.д.с. обусловлены нарушениями обратимости потенциала Cl_2 -электрода. Для получения обратимого Cl_2 -электрода существенное значение имеет разделение электродных пространств диафрагмой, а также чистота применяемого графита.

Б. Марков

9Б569. О дифференциальной емкости ртутного водородного электрода. Natsuda Akiya. On the differential capacity of mercury hydrogen electrode. «J. Res. Inst. Catalysis, Hokkaido Univ.», 1960, 8, № 1, 29—42 (англ.).—В продолжение предыдущей работы (РЖХим, 1960, № 9, 34169) предложена теория для интерпретации кривых зависимости дифференциальной емкости C Hg-электрода от потенциала ϕ в p -рах к-т, основанная на предположении специфич. адсорбции иона H_2^+ и постоянства емкости гельмгольцевского слоя (K). Согласно теории, в присутствии H_2^+ кривая (C, ϕ) должна проходить через максимум, в котором $C \geq K$, в то время как при отсутствии H_2^+ величина C либо минимальна при ϕ нулевого заряда и монотонно возрастает до значения K (разб. p -ры), либо сохраняет постоянное значение, равное K (конц. p -ры). Наличие «горба» на кривых (C, ϕ) в конц. p -рах к-т автор рассматривает как доказательство специфич. адсорбции ионов H_2^+ на поверхности Hg-электрода.

Б. Дамаскин

9Б570. Влияние воды на дифференциальную емкость двойного слоя в бутиловом спирте. Кирков П. А. «Ж. физ. химии», 1960, 34, № 10, 2375—2377.—Измерены кривые зависимости дифференциальной емкости C от потенциала ϕ Hg-электрода в 0,53 н. LiCl в чистом бутиловом спирте (I) и в I с добавками воды (0,11—8,25 M). При конц-иях воды 2,75 и 5,5 M на отрицательной ветви кривых (C, ϕ) наблюдается максимум, соответствующий десорбции молекул H_2O при уменьшении заряда поверхности Hg.

Б. Дамаскин

9Б571. Об изотерме адсорбции органических молекул и ионов на ртутном электроде. I, II. Zur Adsorptionsisotherme organischer Moleküle und Molekülionen an Quecksilberelektroden. I. Lorenz W., Möckel F., Müller W. H. Lorenz W., Müller W. «Z. phys. Chem.» (BRD), 1960, 25, № 3-4, 145—160, 161—174 (нем.).—I. В продолжение предыдущих работ (РЖХим, 1959, № 3, 7634; № 8, 26592) с помощью импедансного моста измерена дифференциальная емкость C стационарного капельного Hg-электрода в p -рах n -пропиламина (I), n -бутиламина (II), диэтиламина (III), изоксидиламина (IV), триэтиламина (V), а также хлоридов $[(C_2H_5)_3NH]^+$ (VI), $[(C_2H_5)_4N]^+$ (VII) и $[(C_2H_5)_4N]^+$ (VIII) на фоне 1 н. KCl. Полученные значения C использованы для определения изотерм адсорбции (ИА) I—VIII при потенциалах ϕ максим. адсорбции. Для нейтр. молекул IV, V ИА имеют S-образную форму, а для катионов VI—VIII ИА близки к изотерме Ленгмюра. Выведено ур-ние для S-образной ИА, учитывающее двумерную ассоциацию адсорбированных частиц, с помощью которого можно оценить степень ассоциации.

II. Измерены ИА на Hg-электроде четвертичного амиллового спирта (IX) на фоне 1 н. KF, KCl и $NaClO_4$. ИА имеют S-образную форму, которая объяснена авторами двумерной ассоциацией IX. Сопоставление экспериментально и теоретически рассчитанной ИА позволяет определить степень ассоциации ν адсорбированных молекул. Для p -ров IX при ϕ максим. адсорбции $\nu = 5-6$. Развита вторая метод определения ν ,

в котором величина ν связана с шириной десорбционного пика (ДП) на кривых (C, ϕ) при $1/2$ (или $3/4$) высоты ДП и с зависимостью ϕ ДП от логарифма конц-ии адсорбирующего в-ва. Для p -ров IX на фоне 1 н. KF и KCl этим методом получено: $\nu = 5-6$ при катодных ДП и $\nu = 17-20$ при анодных ДП; на фоне 1 н. $NaClO_4$ при анодных ДП $\nu = 4,5-2$.

Б. Дамаскин

9Б572. К исследованию явлений концентрационной поляризации. Piontelli R. Contributo allo studio del fenomeno di «polarizzazione di concentrazione». «Atti Real. soc. esp. fis. y quim.», 1960, B56, № 5, 465—471 (итал., рез. исп.).—Краткий обзор работ автора.

Б. Кашан

9Б573. О природе рассеивающей способности электролитов. Гнусин Н. П. «Изв. высш. учебн. заведений. Химия и хим. технол.», 1960, 3, № 4, 642—648.—Рассматривается разложение электрич. поля в электролите (Э) на первичное поле (а) (поляризации катода не изменяется) и поле поляризации (б). На примере разложения поля вторичного распределения тока в щелевой ячейке показано, что вектор плотности тока i действительно представляет собой геометрич. сумму векторов а и б. С точки зрения взаимодействия а и б обсуждается механизм образования поля вторичного распределения тока в Э и природа рассеивающей способности Э. Определены некоторые свойства б, в частности его локализация у поверхности электрода и сильное ослабление с глубиной Э, его направленность от участков с большей i к участкам с меньшей i .

З. Соловьев

9Б574. Возможность обнаружения ионных пар интерферометрич. O'Brien R. N., Rosenfield C. Possible discovery of ion-pairs by interferometry. «Nature (Engl.)», 1960, 187, № 4741, 935—936 (англ.).—Интерферометрическая картина p -ра электролита в узкой щели между двумя электродами в процессе электроосаждения металлов содержит так называемый «аномальный максимум» или «вторую волну» вблизи катода (РЖХим, 1956, № 23, 74513; 1959, № 8, 28101). Это явление отсутствует, если не образуются ионные пары (ИП), напр. в p -ре $NiSO_4$. Катодный максимум может быть объяснен диссоциацией ИП. При электроосаждении Cu максимумы на анодной и катодной «вторых волнах» находятся на расстоянии $\sim 0,1$ мм от электродов. Из величин подвижностей ионов следует, что это расстояние они преодолевают примерно за 9 сек. Эта величина позволяет качественно судить о скорости образования ИП.

С. Жданов

9Б575. Влияние состава пленки на образование сплавов при электроосаждении хрома с другими элементами. Vagramjan A. T., Ussatchov D. N., Klimassenko N. L. Der Einfluß der Zusammensetzung des Films auf die Legierungsbildung bei der elektrolytischen Abscheidung von Chrom durch andere Elemente. «Z. phys. Chem.» (DDR), 1960, 215, № 1-2, 57—62 (нем.).—В продолжение работы, опубликованной ранее (РЖХим, 1960, № 19, 76630), изучено влияние анионов SeO_4^{2-} (и SeO_3^{2-}) на электровосстановление (ЭВ) CrO_3 и состав образующегося сплава Cr-Se. Показано, что анионы SeO_4^{2-} (и SeO_3^{2-}) оказывают такое же влияние на восстановление CrO_3 и на характер поляризационных кривых (E, i) , как ионы SO_4^{2-} , т. е. при определенной i (ЭВ) $Cr(6+)$ до Cr^{3+} резко замедляется и на катоде образуется пленка, продукты которой восстанавливаются до металла. В результате вхождения в пленку анионов SeO_4^{2-} на катоде наряду с Cr осаждается Se. При непрерывном увеличении конц-ии SeO_4^{2-} в p -ре конц-ия Se в сплаве увеличивается лишь до определенного значения. При одновременном введении в p -р CrO_3 ионов SeO_4^{2-} и SO_4^{2-} конц-ия Se в осадке уменьшается, причем больше конц-ия SO_4^{2-} в p -ре, тем меньше конц-ия

Se в
Устан
при в
ствие
други
като
дукто
соро
не в
9Б57
роде
kler
Hydro
1960,
Иссле
ленно
ктрод
сущ.
актив
ф раз
мост
дукто
электр
№ 8, 2
9Б57
раств
ла А.
2, 124
бавок
(I); 0,
лм) мо
ла ско
с-рах
увелич
т-ры. Е
зывают
50 раз)
но возр

9Б57
раствор
potenzi
«Ricerca»
франц.
теница.
вания и
= -1,9
той 99,
стоянно
ких ил
торм, в
предвар
9Б579
сетки с
серной
Jankov
gen von
fähigkeit
(нем.).—
снятия
мельчен
способн
 H_2SO_4 по
лений К
увеличи
рицатель
добные
вания ц
с искаж
стни, из
искажен
сле отжи

Se в силане при постоянной конц-ии SeO_4^{2-} в р-ре. Установленное изменение конц-ии Se в силане Cr — Se при изменении конц-ии анионов в р-ре является следствием взаимного вытеснения одних ионов в пленке другими и подтверждает, что осаждение металла на катоде при ЭВ Cr_2O_3 происходит путем разряда продуктов пленки, а не непосредственно ионов р-ра и скорость ЭВ ионов зависит от конц-ии их в пленке, а не в р-ре.

З. Соловьева

9Б576. Об активном железном электроде и электроде из гидрата закиси железа в растворе KOH. Winkler H. Über die aktive Eisen- und Eisen-II-Hydroxydelektrode in Kalilauge. [Electrochim. acta], 1960, 3, № 1-2, 123—126 (нем.; рез. англ., франц.). Исследовано поведение электрода из свежеприготовленного $\text{Fe}(\text{OH})_2$ в р-ре KOH. Потенциал ф этого электрода при разряде током 1 ма составляет 0,986 в (насыщ. к. э.), т. е. выше, чем ф второй ступени разряда активного порошкового Fe-электрода. Более высокий ф разряда для $\text{Fe}(\text{OH})_2$ -электрода и его незаряжаемость при повторных циклах подтверждают, что продуктом первой стадии разряда порошкообразного Fe-электрода является FeO, а не $\text{Fe}(\text{OH})_2$ (РЖХим, 1956, № 8, 23004; 1957, № 24, 77674; 1960, № 5, 17159).

Н. Шурмовская

9Б577. Влияние анабазина-оксалата на скорость растворения алюминия в соляной кислоте. Добычина А. М. Уч. зап. Моск. гос. заочн. пед. ин-т, 1959, 2, 124—131. —Весовым путем определялось влияние добавок ингибиторов [0,5% апетилацетон; 0,01 и 0,1% KJ (I); 0,5% бензоатмоноэтаноламин; 0,5% фосфорнокислый моноэтаноламин и 0,1—2% анабазин-оксалат (II)] на скорость растворения (CP) Al в 1—3 н. HCl при t -рах 0° — 40° . В чистых р-рах HCl CP возрастает с увеличением конц-ии HCl, продолжительности опыта и t -ры. Наибольшее ингибирующее действие на CP оказывают I и особенно II (замедление CP в 2 н. HCl в 50 раз); эффект ингибирования в присутствии II сильно возрастает с увеличением конц-ии HCl.

Г. Головина

9Б578. Потенциал алюминиевого электрода в 0,1 н. растворе NaOH. Scarano Elio, Letizia Italo. Il potenziale dell'elettrodo di alluminio in NaOH. 0,1 N. [Ricerca scient.], 1960, 30, № 9, 1384—1390 (итал.; рез. франц., англ., нем.). Исследована стационарный потенциал E Al-электродов в 0,1 н. NaOH при перемешивании в атмосфере H_2 . У спектрально чистого Al $E = -1,948 \pm 2$ в (насыщ. к. э.), а у электрода с чистой 99,99% $E = -1,890$ до $-1,910$ в (насыщ. к. э.). Постоянное значение E достигается в течение нескольких или нескольких десятков мин. Обсуждаются факторы, влияющие на величину E, в частности характер предварительной обработки электрода.

Б. Каплан

9Б579. Влияние искажений кристаллической решетки свинцового порошка на его взаимодействие с серной кислотой. Appelt K., Elbanowski M., Janko A. Über den Einfluss des Kristallgitterstörungen von Bleipulver auf dessen Schwefelsäure-Aufnahmefähigkeit. [Electrochim. acta], 1960, 3, № 1-2, 149—153 (нем.). Порошок Pb отжигался в атмосфере CO_2 для снятия искажений кристаллич. решеток (KP), и измельченные пробы исследовались на реакционную способность, мерой которой служило поглощение р-ра H_2SO_4 порошком. Показано, что с повышением искажений KP Pb и его окислов реакционная способность увеличивается, а потенциал порошка смещается в отрицательную сторону (РЖХим, 1960, № 12, 46434). Подобные же результаты были получены при исследовании проб в процессе постепенного отжига порошка с искаженной KP. Свойства аккумуляторных Pb-пластин, изготовленных на основе исходного продукта с искаженной KP и с нормальной KP, полученной после отжига, также оказались различными.

Ю. Полукаров

9Б580. О методе исследования высоких электрохимических напряжений путем выключения тока электролиза. Joly C., Mille, Barret J.-P., Erelboin I. Sur une méthode d'étude des fortes tensions électrochimiques par coupure du courant d'électrolyse. [Rev. gén. électr.], 1960, 69, № 9, 475—484 (франц.). Создана осциллографич. установка (ОУ) для исследования изменения потенциала ф металлич. электродов во времени после выключения поляризующего тока. Установлено, что в спирт. р-ре $\text{Mg}(\text{ClO}_4)_2$ (100 г/л) на поляризационных кривых (ф измерялся после выключения тока) для твердых Hg- и Ga-анодов (соответственно при -60 и $+6^\circ$) наблюдаются площадки соответственно в пределах 8—30 и 20—60 в. На поляризационных кривых для жидких Hg- и Ga-анодов такие площадки отсутствуют. При помощи ОУ найдено, что ф указанных твердых анодов после выключения тока изменяется медленно, а ф жидких электродов изменяется быстро. ф Al-катада исчезает быстро, хотя электрод покрывается пленкой $\text{Mg}(\text{OH})_2$ и $3\text{Mg}(\text{OH})_2 \cdot \text{MgCl}_2 \cdot 3\text{H}_2\text{O}$. При анодной поляризации Al в р-ре в пределах от 4 до 60 в происходит анодная полировка электрода. Через 10^{-5} сек. после выключения тока ф Al-анода понижается на 13%.

Б. Каплан

9Б581. Приспособление для электрохимической резки металлических монокристаллов. Spinedi Paolo, Crudeli Mario. Dispositivo per il taglio elettrolitico di monocristalli metallici. [Ricerca scient.], 1960, 30, № 7, 1045—1050 (итал.; рез. франц., англ., нем.). Описано приспособление для электрохим. полировки и травления монокристаллов (МК) и поликристаллич. образцов для металлографич. анализа. Приспособление позволяет также производить резку проб тонкой струей электролита, при этом образец является анодом, а солено — катодом. Приводятся некоторые примеры использования этого способа и обсуждаются его преимущества (резка МК Zn, травление поверхности МК и поликристаллич. образцов Zn).

Ю. Полукаров

9Б582. Кристаллизация аморфной окиси ниобия при анодном окислении. Lakhiani D. M., Shreir L. L. Crystallization of amorphous niobium oxide during anodic oxidation. [Nature] (Engl.), 1960, 188, № 4744, 49—50 (англ.). На анодный процесс окисления Nb в уксусной, хлоруксусной, муравьиной, фосфорной, борной и др. к-тах сильно влияют t -ра и плотность тока. Кривые зависимости напряжения на ванне V от времени t при 25° линейны вплоть до 190 в, а повышение t -ры приводит к появлению горизонтального участка (плато) (V, t)-кривых. Электронографич. исследованием установлено, что окислы, полученные в интервалах V ниже плато, имели аморфное строение, а при V выше плато — кристаллич. строение. Электронно-микроскопически установлено, что до появления плато окислы имеют однородное строение, а при более высоких V на поверхности окислов наблюдаются трещины, образование которых связано с кристаллизацией аморфного окисла. Предполагается, что на процессе кристаллизации влияет сильное электрич. поле.

Ю. Полукаров

9Б583. Анодные окисные пленки на Nb: толщина, диэлектрическая постоянная, дисперсия, минимумы отражения, напряженность поля, необходимая для образования пленки, и площадь поверхности. Young L. Anodic oxide films on niobium: thickness, dielectric constant, dispersion, reflection minima, formation field strength, and surface area. [Canad. J. Chem.], 1960, 38, № 7, 1141—1147 (англ.). В продолжение предыдущей работы (РЖХим, 1958, № 16, 53100) спектrophотометрически определены длины волн λ , соответствующие миним. отражающей способности (вследствие интерференции) при угле падения 11° пленок (Пл), образующихся на поверхности Nb после хим. полировки. Определен коэф. преломления Пл как функция λ , и

измерены емкость ПЛ в переменном токе и заряд, необходимый для образования ПЛ. По этим данным определена толщина ПЛ. Эффективная площадь поверхности хим. отполированного Nb на 7% больше геометрической. Для анодной ПЛ, образованной при $i = 10 \text{ ма/см}^2$, напряженность поля в ПЛ составляет $4,96 \cdot 10^6 \text{ в/см}$. Свойства ПЛ из Nb_2O_5 сравнены с свойствами ПЛ из Ta_2O_5 .

9Б584. Электрохимическое и коррозионное поведение полупроводников в растворах электролитов. III. Растворение германия в контакте с другими металлами. Дерягина О. Г., Палеолог Е. Н., Томашов Н. Д. «Ж. физ. химии», 1960, 34, № 9, 1952—1959 (рез. англ.).—Исследовались электрохим. поведение Ge n -типа и механизм его саморастворения в р-рах 1 н. NaOH, 17,5 н. H_2O_2 и NaOH + H_2O_2 в контакте с In, Sn и Cu. По снятым предварительно поляризационным кривым каждого из перечисленных металлов в отдельности построена поляризационная диаграмма системы Ge—In—Sn—Cu, в частности, для Ge-дио-да ДПЦ-22. В р-рах, содержащих H_2O_2 , наиболее эффективным анодом является Ge, наиболее эффективным катодом—Cu, Sn и In, являясь в зависимости от условий катодами или анодами, сильно поляризуются и не оказывают существенного влияния на величину тока коррозии. В р-рах NaOH основным анодом является Sn; Ge является катодом и заметно не растворяется. Скорость перехода Ge в р-р (в паре с Cu) значительно выше скорости анодного растворения, рассчитанной по поляризационной диаграмме, что объясняется саморастворением Ge. С повышением конц-н H_2O_2 в р-ре доля саморастворения в общем процессе перехода Ge в р-р растет. Сообщ. II см. РЖХим, 1961, 8Б613.

9Б585. $P-i-n$ -переход в анодной оксидной пленке тантала. Sasaki Y. $p-i-n$ Junction in the anodic oxide film of tantalum. «J. Phys. and Chem. Solids», 1960, 13, № 3-4, 177—186 (англ.).—Для выяснения структуры относительно тонких оксидных пленок Ta, полученных анодным окислением, исследованы фотоэлектрич. свойства и изменения емкости пленок под напряжением смещения в р-рах с pH 1—13. В исследованных пленках образуется $p-i-n$ -переход. В контакте с основным металлом находится слой n -типа, донорные уровни которого образованы избыточными атомами Ta. На слое n -типа находится почти стехиометрич. i -слой (собственной проводимости), выше него расположен слой p -типа, акцепторные уровни которого образованы избыточными атомами O, а также адсорбированными ионами O. Толщина n - и p -слоев почти не зависит от напряжения анодирования и составляет 20—50 Å, тогда как толщина i -слоя пропорциональна напряжению. Вследствие почти аморфной структуры окисла скорость рекомбинации инжектированных в переход носителей очень велика.

9Б586. Фотогальванический эффект Беккерели в бинарных соединениях. Williams Richard. Begerel photovoltaic effect in binary compounds. «J. Chem. Phys.», 1960, 32, № 5, 1505—1514 (англ.).—Изучена фото-э.д.с. поверхности некоторых бинарных полупроводниковых соединений (CdS , CdSe , Cu_2S , ZnO и др.) в 0,1 М KCl. Электрод из CdS химически взаимодействует с р-ром, причем, судя по термодинамич. данным, наиболее вероятно p -ция $\text{CdS} = \text{Cd}^{2+} + 2e + \text{S}$. При этой р-ции ион Cd^{2+} переходит в р-р; под действием света электрон от атома S переходит в зону проводимости; электрод заряжается отрицательно, а свободная S выделяется на электроде. Такой эффект должен наблюдаться только на полупроводнике n -типа. Если термодинамически наиболее вероятен переход в р-р отрицательного иона, то при этом под действием света электрон из валентной зоны переходит к положительному иону; в валентной зоне появляются

свободные дырки, и электрод заряжается положительно. Такой эффект может быть только на полупроводнике p -типа. Эти положения подтверждаются эксперим. результатами. Соединение GaAs n -типа не взаимодействует химически с р-ром электролита, но может служить инертным электродом, участвующим в электронном обмене окислительно-восстановительной системы.

9Б587. Исследование влияния диффундирующего атомарного водорода на кинетику электрохимического выделения его. Багодкая И. А., Ковба Л. Д., Оше А. И. «Ж. физ. химии», 1960, 34, № 7, 1508—1516 (рез. англ.).—Проверены ранее полученные результаты (РЖХим, 1956, № 23, 74533; 1957, № 11, 37293) по влиянию диффундирующего водорода (ДВ) на перенапряжение η на чистом Fe и на Fe, отравленном Hg в 1 н. NaOH, в условиях отсутствия контакта электрода со смазкой. Электродом служила выштампованная из армо-Fe чашечка с толщиной стенок $\sim 0,1-0,07 \text{ мм}$, наполненная р-ром 1 н. NaOH; дно чашечки подвергалось катодной поляризации (КП) при $i = 1 \cdot 10^{-2} \text{ а}$ в р-ре 2 н. H_2SO_4 , содержащем следы $\text{Pb}(\text{NO}_3)_2$. Внутренняя поверхность дна чашечки подвергалась КП с i от $0,4 \cdot 10^{-6}$ до $1,6 \cdot 10^{-4} \text{ а/см}^2$. Водород диффундировал с внешней поверхности чашечки во внутреннюю. Полученные результаты подтверждают данные, полученные на Fe-мембранах (см. ссылки выше): на чистом Fe ДВ повышает η тем меньше, чем больше КП; на Fe, отравленном Hg, ДВ понижает η . На Fe-мембранах количественно определено увеличение скорости электрохим. выделения H_2 (Δi) при $\eta = \text{const}$ на Fe, отравленном Hg, и на гальванич. осадке Zn, нанесенном на Fe. В первом случае в 3 н. NaOH ($\Delta i/i' \approx 1,72$ (i' — поток ДВ) и падает до 1,37 в 0,5 н. NaOH. Во втором случае в 4 н. NaOH ($\Delta i/i' \approx 0,2-0,3$). Исследовано также влияние i , КП и pH на величину повышения η ($\Delta \eta$) под влиянием ДВ на чистом Fe и на гальванич. осадке Ni ($d \sim 1 \cdot 10^{-4} \text{ см}$), нанесенном на Fe. В 1 н. NaOH при постоянной КП $\Delta \eta$ вначале растет с ростом i' , затем стремится к пределу. С увеличением КП и уменьшением pH $\Delta \eta$ падает.

9Б588. Исследование влияния состояния диффузионной стороны железной мембраны на скорость диффузии электролитического водорода. Багодкая И. А., Ковба Л. Д. Докл. АН СССР, 1960, 133, № 4, 862—865.—Описанным ранее методом (РЖХим, 1956, № 23, 74533; 1957, № 11, 37293) исследовано влияние катодной поляризации (КП) диффузионной стороны (ДС) Fe-мембраны в 1 н. NaOH на скорость диффузии V_g электролитич. водорода через мембрану из р-ра 2 н. H_2SO_4 или 2 н. HCl с добавкой $\text{Pb}(\text{NO}_3)_2 + \text{Na}_2\text{S}$ при постоянной КП поляризационной стороны ($i_n = 50 \cdot 10^{-3} \text{ а/см}^2$). При отравлении ДС ртутью или свинцом при увеличении плотности тока на ДС $i_{\text{гет}}$ $4 \cdot 10^{-6}$ до $2 \cdot 10^{-3} \text{ а/см}^2$ V_g возрастает примерно на 25%, независимо от абсолютной величины потока диффундирующего водорода. Исследованием влияния анодной поляризации ДС на V_g показано, что этот эффект не связан с возможным наличием окисной пленки на ДС, которая при увеличении КП восстанавливается, и при уменьшении образуется вновь. Показано, что ускоряющее действие КП ДС на V_g наблюдается только при такой поляризации, начиная с которой H(адс.) легко удаляется по р-ции электрохим. десорбции (РЭД); дальнейшее увеличение КП облегчает РЭД и одновременно увеличивает V_g . Поэтому авторы связывают это ускоряющее действие с удалением диффундирующего водорода по РЭД: $\text{H(адс.)} + \text{H}_2\text{O} + e^- \rightarrow \text{H}_2 + \text{OH}^-$. Поскольку на Fe, отравленном Hg, протекание РЭД не сопровождается уменьшением заполнения поверхности электрода H(адс.), делается предположение, что в РЭД вступают атомы водорода, растворенные вблизи поверхности электрода, минуя

«нормаль-
ход ато-
в одно-
9Б588
железа
нием
Hydrog
iron by
Sér. sci
(РЖХи
(РЖХи
95848;
поглощ
Fe) по
+ 0,01
волоки
ботки,
провода
что об
ного сл
нов Н
торую п
95848;
из трех
растет
зависет
ных фс
дого р-
лярого
9Б590
ций пел
становл
Grab
Teres
netics
electro
«Roczn
польск.
I при п
кинети
бензаль
ующей
иает с
(пред)
нии I
ственно
ного сл
частич,
а также
весне
Значит
предме
может
кул, на
двойног
изменя
9Б591
огранич
гализир
G a b o
Wikt o
to an a
tion. «R
польск.
для пре
но, что
комбин
ражае
для кин
катализ
дрямой
чески п
по). Ис

«нормальное» равновесное состояние $H(адс)$, т. е. выход атомарного водорода из металла в р-р происходит в одном элементарном акте РЭД.

9Б589. Поглощение водорода железом и хрупкость железа, обусловленная электролитическим насыщением водородом. Raczynski W., Smialowski M. Hydrogen absorption and embrittlement produced in iron by electrolytic charging. «Bull. Acad. polon. sci. Sér. sci. chim.», 1960, 8, № 4, 209—214 (англ.; рез. русск.).—В связи с опубликованными ранее работами (РЖХим, 1959, № 4, 10887; № 13, 45243; 1960, № 24, 95848; 1961, 2Б138) исследовалась зависимость кол-ва поглощенного Fe-проволокой водорода v ($см^3$ на 100 г Fe) при катодной поляризации в 0,4 н. H_2SO_4 + 0,01 г/л As_2O_3 при $t = 6 \cdot 10^{-3}$ г/см² от диаметра проволоки d и предварительной холодной механич. обработки, а также влияние v на хрупкость с стальной проволокой. Показано, что v резко убывает с ростом d , что объяснено образованием на поверхности Fe тонкого слоя с высоким содержанием водорода (0,7 атомов H на 1 атом Fe) — β -фазы, диффузия H через которую в глубь металла затруднена (РЖХим, 1960, № 24, 95848; 1961, 2Б138). Кривая зависимости v от d состоит из трех резко выраженных участков: вначале v резко растет с d , затем более медленно и наконец перестает зависеть от d . Предполагается наличие трех возможных форм существования водорода в Fe: в виде твердого р-ра H атомов в решетке Fe, β -фазы и молекулярного водорода в порах и трещинах.

9Б590. Влияние двойного слоя на кинетику реакций переноса протона, предшествующих электровосстановлению некоторых замещенных бензальдегидов. Grabowski Zbigniew Ryszard, Bartel Ewa Teresa. The influence of the double layer on the kinetics of the proton transfer reactions preceding the electroreduction of some substituted benzaldehydes. «Roczn. chem.», 1960, 34, № 2, 611—619 (англ.; рез. польск., русск.).—Исследовано влияние ионной силы I при почти неизменном рН на i (пред.) полярографич. кинетик. волн n -диметиламинобензальдегида и l -оксисбензальдегида, ограниченных скоростью предшествующей р-ции присоединения протона. i (пред.) возрастает с понижением I . Сопоставление увеличения i (пред.) с возрастанием ψ_1 -потенциала при уменьшении I показывает, что влияние I может быть количественно объяснено влиянием диффузной части двойного слоя на распределение у электрода заряженных частиц, участвующих в предшествующей хим. р-ции, а также ионов H^+ , определяющих протолитич. равновесие кислотной и основной форм деполаризатора. Значительное повышение значений констант скорости предшествующих хим. р-ций объяснено тем, что р-ция может происходить с участием адсорбированных молекул, находящихся в очень сильном электрич. поле двойного слоя, которое может, по мнению авторов, изменять их реакционную способность.

9Б591. Различия между кинетическими токами, ограниченными рекомбинацией кислот и кислотно-катализированной реакцией. Bartel Ewa Teresa, Grabowski Zbigniew Ryszard, Kemula Wiktor. Distinction between the kinetic currents due to an acid recombination or to an acid-catalyzed reaction. «Roczn. chem.», 1960, 34, № 1, 341—343 (англ.; рез. польск.).—На основании анализа ур-ния Коутежского для предельного полярографич. кинетич. тока показано, что в случае токов, ограниченных скоростью рекомбинации к-т, зависимость $\lg [i_k / (i_d - i_k)]$ от рН выражается прямой с наклоном, равным -1 , тогда как для кинетич. волн, ограниченных скоростью кислотно-катализированной р-ции, эта зависимость выражается прямой с наклоном, равным $-(1/2)$ (i_k и i_d — кинетически предельный и диффузионный токи соответственно). Используя этот критерий, авторы показали, что

кинетич. ток l -оксисбензальдегида ограничен скоростью рекомбинации его с протонами, а не кинетикой кислотно-катализированного таутомерного превращения, как предполагалось ранее (РЖХим, 1958, № 12, 39426).

9Б592. О возможности определения константы диссоциации азотсодержащих органических соединений по полярографическим каталитическим волнам. Kurze Mitteilung Pungor E., Rokosinyi-Hollós E. Über die Möglichkeit, die Dissoziationskonstante stickstoffhaltiger organischer Verbindungen durch katalytische Wellen polarographisch zu ermitteln. «Acta chim. Acad. scient. hung.», 1960, 22, № 1, 69—72 (нем.).—На примере каталитич. волн водорода (КВВ), вызываемых никотинамидом и метиленовой голубой (I), проверена возможность нахождения констант диссоциации K катализаторов описанным ранее способом (Klobloch E., Collect. czechosl. chem. Commun., 1947, 12, 407), исходя из зависимости КВВ от рН. Показано, что найденные таким путем значения K отличаются от определенных потенциометрически (особенно для хорошо адсорбирующегося I). Присутствие индифферентных солей сильно влияет на K . Авторы считают, что определяемая по КВВ величина K отвечает не гомог. равновесию в р-ре, а гетерог. равновесию на поверхности электрода.

9Б593. Восстановление гадолиния, диспрозия, гольмия и эрбия на капельном ртутном электроде. Iwase Akio. «Nihon Kagaku Zasshi, J. Chem. Soc. Japan. Pure Chem. Sec.», 1960, 81, № 8, 1266—1271, A87—A88 (японск.; рез. англ.).—На фоне 0,1 M LiCl, содержащего 0,01% желатин, Gd, Dy, Ho и Er, дают одну волну (РЖХим, 1956, № 11, 32123) отдельно от волны выделения H_2 с $E_{1/2} = -1,80$ в (насыщ. к.э.) при рН 3; $E_{1/2}$ не зависит от конц-ии деполаризатора, но становится более отрицательными при уменьшении рН в интервале 5—2,3. При рН < 3,2 наклон логарифмич. графика волны (0,02 в) соответствует трехэлектронному обратимому процессу; при рН > 3,2 процесс необратим. Разность между стандартным потенциалом и $E_{1/2}$ уменьшается при увеличении радиуса иона и при уменьшении его основности.

9Б594. Исследование комплексов в системе кадмий—йодид. I. Полярографическое исследование йодидных комплексов кадмия. Chang Chen-ping, Liu Lien-sen. «Хуасюэ сюэбао, Acta chim. sinica», 1960, 26, № 3, 148—156 (кит.; рез. англ.).—Определены $E_{1/2}$ Cd(2+) в смесях $NaClO_4$ —NaJ в интервале конц-ий NaJ 0,01—2,50 M при ионной силе 3,00 M и т-рах 18, 25 и 30°. Установлено существование CdJ^+ , CdJ_2^- , CdJ_3^{2-} , CdJ_4^{3-} с константами устойчивости (при 25°) 40,7; 3,72 · 10²; 2,95 · 10⁴; 2,37 · 10⁶; 1,04 · 10⁶; 3,70 · 10⁴. Вычислены стандартные энтальпии, энтропии и свободные энергии р-ций комплексообразования.

9Б595. Полярографическое исследование кинетики образования роданистных комплексов никеля в водном растворе. Турьян Я. И., Серова Г. Ф. «Ж. физ. химии», 1960, 34, № 5, 1009—1017 (рез. англ.).—Изучено влияние конц-ий Ni^{2+} и CNS⁻ на трехступенчатую полярограмму роданистных комплексов (PK) Ni^{2+} (РЖХим, 1958, № 11, 35564) в р-рах с постоянной ионной силой 1,0 (добавление KNO_3) при различных высотах Hg-столба. Первые две ступени, имеющие кинетич. характер, приписаны соответственно восстановлению $Ni(CNS)_2$ и $Ni(CNS)^+$, образующихся из Ni^{2+} и CNS⁻ в приэлектродном слое; 3-я волна приписана разряду Ni^{2+} . С учетом констант нестойкости PK Ni^{2+} и различия их коэф. диффузии из опытных данных рассчитаны константы скорости K образования $Ni(CNS)_2$ и $Ni(CNS)^+$ (соответственно 1,9 · 10³ и 1,8 · 10² д/моль · сек). Для $Ni(CNS)^+$ значение K , рассчитанное по ви-

доизмененному авторами ур-нию Коутецкого, равно $1 \cdot 10^{-6}$ л/мольсек.

9Б596. Полярографическое восстановление бензилгалоксидов. Marple Leland W., Hummelstedt Leif E. I., Rogers L. B. Polarographic reductions of benzyl halides. *J. Electrochem. Soc.*, 1960, 107, № 5, 437—441 (англ.).—Изучено полярографич. поведение галоксидбензолов: хлористого (I), бромистого (II), йодистого (III), а также хлорпроизводных I, замещенных в ядре, (IV) и 1-(хлорметил)-нафталина (V). I дает одноступенчатую полярографич. волну, не зависящую от pH и отвечающую присоединению двух электронов. В отличие от волн других галоксидпроизводных на площадке $i(\text{пред.})$ волны I, наблюдается минимум (M), аналогичный M на волнах неорганич. анионов (РЖХим, 1959, № 22, 77934), исчезающий при добавлении ионов тетраметиламмония (0,07 M). Появление M объяснено образованием (в результате присоединения одного электрона) устойчивого аниона I, дальнейшее восстановление которого затруднено из-за электростатич. отталкивания. Аналогичный M наблюдается для некоторых IV; глубина M уменьшается с ростом числа атомов Cl в ядре IV. II и III дают при конц-ях $< 10^{-4}$ M двухступенчатые волны без M; каждая из ступеней ограничена диффузией и отвечает присоединению одного электрона. 1-я волна отвечает возникновению радикалов, быстрая димеризация которых приводит к образованию дибензила (VI) (VI обнаружен масс-спектрометрически). При увеличении конц-ии II и III выше 10^{-4} M рост 1-й волны замедляется, суммарная высота обеих волн остается диффузионно-ограниченной. 1-я волна частично ограничена адсорбционными факторами. При конц-ии II и III выше 10^{-3} M волны становятся нерегулярными. Масс-спектрометрич. анализ продуктов электролиза при избытке II показал наличие в них большого кол-ва $\text{C}_6\text{H}_5\text{CH}_2\text{C}_6\text{H}_4\text{CH}_2\text{Br}$ и родственных в-в. Влияние адсорбционных факторов на волны изученных в-в доказано электрокапиллярными данными.

9Б597. О восстановлении некоторых хлорнитробензолов на ртутном электроде. Ralea R., Mayer A., Olaru M. Asupra reducerii pe electrodul de mercur a unor derivați clorinitrobenzenici. *Studii și cercetări științ. Acad. RPR Fil. Iași Chim.*, 1959, 10, № 1, 13—24 (рум.; рез. русск., франц.).—С целью изучения влияния строения на полярографич. поведение хлорнитробензолов на фоне буферных р-ров (pH 4—10) и содержащих 50% этанола снимались обычные и осциллографические полярограммы для следующих в-в: 2,4,5-трихлор-1-нитробензола (I), 2,4,5-трихлор-1,3-динитробензола (II), 2,3,5,6-тетрахлор-1-нитробензола (III) и 2,3,5,6-тетрахлор-1,4-динитробензола (IV). В кислой (pH 1/4) и щел. (pH 10) средах восстановление необратимо. В кислой среде I и III дают одну, а II и IV — две волны восстановления; во всех случаях восстанавливается NO_2 -группа. $E_{1/2}$ при pH 4: I 0,3090; II 0,1454 и 0,6727; III 0,4720; IV 0,1363 и 0,3182 в (насыщ. к. э.). В щел. среде V отвечают восстановлению I—IV до соответствующих гидросиламинов, при этом II и IV дают многоступенчатые В. Из сравнения $E_{1/2}$ авторы заключают, что восстановление NO_2 -группы облегчается при введении второй NO_2 -группы; этот эффект увеличивается при переходе от м-динитро- к п-динитро-производным. При введении нового атома Cl в орто-положение к NO_2 -группе с одновременной заменой положения другого атома Cl с пара- на мета- $E_{1/2}$ становится более отрицательным.

9Б598. Полярографическое поведение некоторых гидразонов, производных изоникотиновой кислоты. Колушева А., Ниньо Н., Коев В. Полярографски отнасяния на някои хидразони, производни на хидразида на изоникотиновата киселина. *«Изв. Хим. ин-т. Бълг. АН»*, 1960, 7, 27—40 (болг.; рез. русск., нем.).—

В буферных р-рах (pH 2—12), содержащих 0,025% желатина, полярографич. исследованы гидразоны (Г) — продукты взаимодействия гидразида изоникотиновой к-ты с формальдегидом (I), ацетальдегидом (II), антоном (III), фурфуролом (IV), бензальдегидом (V), салициловым альдегидом (VI) и 5-нитрофурфуролом (VII). Для всех изученных Г при pH 2 $i(\text{пред.})$ пропорционален конц-ям Г. Соединения Г I—Г IV дают одну волну восстановления с близкими $E_{1/2}$. С ростом pH $i(\text{пред.})$ падает, а $E_{1/2}$ сдвигается к более отрицательным E до pH 10, а при pH > 10 $E_{1/2}$ перестает зависеть от pH. Г V в кислых р-рах дает одну волну, которая разделяется на две при $4 < \text{pH} < 10$. Г VI при pH < 6 дает две волны, а при pH ≥ 6 одну волну; $E_{1/2}$ обеих волн становятся более отрицательными с ростом pH. Наличие двух волн у Г VI объяснено наличием равновесия между недиссоциированной и анионной формами. Г VII при pH ≤ 4 дает четыре четкие волны. С увеличением pH число волн в Г VI уменьшается. Первые две волны в Г VII соответствуют восстановлению нитрогруппы (сначала до гидросиламина, затем до амина), а две последние — восстановлению азометиновой гидразонной группы. Из исследования зависимости $i(\text{пред.})$ от высоты ртутного столба и измерения температурного коэф. $i(\text{пред.})$ сделан вывод о диффузионной природе почти всех волн. Отмечается падение $i(\text{пред.})$ Г во времени из-за гидролиза Г, особенно заметное в щел. среде. Наименьшая скорость гидролиза наблюдается у Г IV и Г V. Показана возможность применения полярографии Г для аналитич. целей.

9Б599. Механизм полярографического восстановления котарнина. Györbirő K. Der Mechanismus der polarographischen Reduktion des Kottarnins. *«Period. polytechn. Chem. Engng»*, 1960, 4, № 1, 61—67 (нем.).—В продолжение предыдущей работы (РЖХим, 1960, № 24, 95867) исследовано полярографич. поведение котарнина (I). В 25—32%-ном этаноле или диоксане в кислой среде I дает одну четкую двухэлектронную волну (Вл) восстановления с $E_{1/2}$, не зависящую от pH; при переходе к нейтр. или щел. р-рам эта Вл разделяется на две Вл с равными высотами (их сумма равна высоте Вл I в кислой среде); $E_{1/2}$ первой из этих Вл совпадает с $E_{1/2}$ Вл в кислой среде и также не зависит от pH. Из этих данных и из логарифмич. графика Вл для каждой из двух Вл. в щел. среде найдено $n=1$. Предполагается, что первая (более положительная) Вл обусловлена образованием радикала при присоединении к катиону I одного электрона; вторая Вл, для которой $(\Delta E_{1/2}) \approx 0,6$ в, отвечает присоединению к полученному радикалу одного электрона и одного протона.

См. также: Электроосаждение металлов 9Б596—9Б198. Коррозия 9Б410, 9Б411, 9Б439, 9Б146, 9Б148, 9Б208. Полярография 9Д22, 9Д72, 9Д90, 9Д106, 9Д141, 9Д165, 9Д175, 9Д179, 9Б149, 9Б154, 9Б158. Химический ток 9Б169. Электропроводность 9Б397. Электрохимия 9Б541. Методика электрохим. измерений 9Д23. Электрохимия раскислов 9Б342.

ПОВЕРХНОСТНЫЕ ЯВЛЕНИЯ. АДсорбция. ХРОМАТОГРАФИЯ. ИОННЫЙ ОБМЕН

Редактор Н. А. Фукс

9Б600. Температурная зависимость поверхностного натяжения германия. Лазарев В. Б., Пугачев П. П. *«Докл. АН СССР»*, 1960, 134, № 1, 132—133.—Методом максим. давления в газовом пузырьке (Ar) при

использовании двух спектрально-чистых графитовых капилляров с ножевым срезом, погруженных в расплав на одинаковую глубину, измерено σ Ge (с точностью до 1%) в интервале t -р 980—1225°. Измерение максим. давлений производилось с помощью магнито-мембранного манометра. Результаты измерений представлены в виде таблицы и хорошо передаются ф-лой $\sigma = 621,4 - 0,261(t - 936)$, где 621,4 дин/см — величина σ при t -ре плавления Ge (936°), хорошо согласующаяся с теоретич. расчетами С. Н. Задумкина (РЖХим, 1957, № 23, 74074; 1959, № 23, 81113).

9Б601. Температурная зависимость поверхностного натяжения галлия. Тимофеевичева О. А., Пугачевич П. П. «Докл. АН СССР», 1960, 134, № 4, 840—843. — Методом максим. давления в капле в вакууме на гравитационном приборе Пугачевича (РЖХим, 1959, № 20, 70886) измерено σ Ga (чистой 99,9%) в интервале t -р 30—500°. Результаты представлены в виде таблицы и хорошо передаются ф-лой $\sigma = 706,6 - 0,000647(t - 29,78) - 0,0000965(t - 29,78)^2$, где 29,78° — t -ра плавления Ga. Нелинейную зависимость σ от t -ры авторы объясняют наличием поверхностно-активных примесей в Ga. Отмечается периодич. зависимость σ элементов от их порядкового номера.

9Б602. Поверхностное натяжение жидких сплавов Bi—U и Sn—Ti. Herczynska E. Surface tension of diluted Bi—U and Sn—Ti alloys. «Z. phys. Chem. (DDR)», 1960, 214, № 5-6, 355—357 (англ.). — На гравитационном приборе Пугачевича (РЖХим, 1959, № 20, 70886) с наполнением Ag (во избежание образования окислов) измерено σ Bi и Sn и их сплавов с U и Ti (до ~0,2% вес. последних) в интервале 300—500° с точностью $\pm 0,5$ дин/см . Найдено, что U поверхностно активен в Sn и Bi. В сплаве Sn—Ti (до конц-ии ~0,1%) Ti активен, выше этой конц-ии — инактивен. По ур-нию Гиббса рассчитана адсорбция в названных сплавах.

9Б603. Межфазная активность кислорода в системах жидкий металл — твердый оксид. Еременко В. Н., Найдич Ю. В., Носонович А. А. «Ж. физ. химии», 1960, 34, № 6, 1186—1189 (рез. англ.). — Методом лежащей капли в атмосфере Ag при 1150° проведено измерение краевых углов смачивания, межфазного натяжения и работы адгезии сплавов Cu с оксидом на подложках Al_2O_3 и MgO . В обеих системах Cu(O) — Al_2O_3 (1) и Cu(O) — MgO (2) обнаружено резкое увеличение смачиваемости при содержании кислорода ~3 ат.%. Кислород, являясь поверхностно-активным элементом на межфазной границе, увеличивает в то же время работу адгезии сплава к поверхности оксида. Рассчитано, что максимум полной адсорбции кислорода на межфазной границе в этих системах достигается примерно при 1 ат.% кислорода, причем полная адсорбция складывается из атомов расплава и атомов химически связанных с поверхностью оксида. Высказано предположение, что местами поверхности оксида, где адсорбируются ионы кислорода, являются узлы решетки оксида, занятые ионами металла, причем на один узел приходится один атом кислорода.

9Б604. Смачивание полиметил-метакрилата и полистирола водой и слюной. Craig R. G., Berry G. C., Peyton F. A. Wetting of poly(methyl methacrylate) and polystyrene by water and saliva. «J. Phys. Chem.», 1960, 64, № 5, 541—543 (англ.). — Изучено смачивание водой и слюной полиметил-метакрилата (I) и полистирола (II). Методом отрыва кольца найдено, что σ слюны (при 25°) равно 53,4—57,0 дин/см . Краевые углы θ измерялись при натекании и оттекании капли. Для обеих слюны гистерезис смачивания на I и II достигал ~25°. После 48 час. θ изменялись (угол оттекания становился равным нулю), что объяснено адсорб-

цией поверхностями I и II некоторых компонентов слюны; гистерезис смачивания достигал 50—70°. Измерена сила F отрыва I и II от стеклянной пластинки при наличии между ними пленки воды или слюны: Значение F совпало с рассчитанным по ф-ле $F = 2\sigma S \cos \theta / d$, где S — площадь пленки, d — ее толщина, θ — краевой угол оттекания.

9Б605. Растекание жидкостей и твердых тел по поверхности воды. Miida Seido, Matuura Ryoh-ichi. Spreading of liquid or solid on the surface of water. «Mem. Fac. Sci. Kyushu Univ.», 1960, C3, № 3, 119—126 (англ.). — Исследовано растекание бензольного r -ра дифенилтиокарбазона (I) по поверхности воды в присутствии металлич. и водородных ионов. 0,1%-ный r -р I не растекается по поверхности чистой воды, и после испарения бензола на поверхности образуются отдельные мелкие частицы I. Присутствие ионов Ag, Hg и Cu вызывает растекание r -ра I с образованием плотной немомолекулярной поверхностной пленки. Давление растекания при образовании таких пленок ~10 дин/см . Ионы Zn, Pb и Ni не дают этого эффекта. Добавление в-в, образующих монослой, вызывало образование смешанных пленок. Растекание твердых тел (аспирин, пирамидона, фенацетил и ментола) оценивалось качественно по интенсивности движения мелких твердых частиц этих в-в на поверхности воды. По кол-ву поверхностно-активной сыворотки, добавляемой к воде и вызывавшей прекращение бегаия мелких частиц различных в-в, найдено, что интенсивность их движения симбатна с их поверхностной активностью.

9Б606. Капиллярный гистерезис при подъеме жидкости в капиллярах переменного сечения. Кусак-ов М. М., Некрасов Д. Н. «Ж. физ. химии», 1960, 34, № 7, 1602—1609 (рез. англ.). — Подробное изложение ранее опубликованной работы авторов (РЖХим, 1958, № 23, 76839). Расширена эксперим. проверка метода.

9Б607. Нестационарные процессы на поверхности раздела полностью смешивающихся жидкостей. Brückner R. Stationäre Grenzflächenvorgänge zwischen mischbaren Flüssigkeiten. «Naturwissenschaften», 1960, 47, № 16, 371—372 (нем.). — Описывается явление вращательного движения жидкости, наблюдаемое на поверхности раздела двух смешивающихся жидкостей (с разными поверхностными натяжениями σ_1 и σ_2 и плотностями), если каплю одной из них (σ_2) нанести на поверхность другой (σ_1). Возникновение вихревого движения вызывается изменением во времени $\sigma_1(t)$, $\sigma_2(t)$ и $\sigma_{12}(t)$ в результате взаимного растворения жидкостей. Направление вращения зависит от знака производной $d\sigma_{12}/dt$. Установившаяся угловая скорость вихря определяется динамич. равновесием сил поверхностного и межфазного натяжений и сил вязкости и инерции. При положительном давлении растекания вихрь удаляется от места его зарождения (диоксан на нитробензоле). Приводятся фотоснимки вихрей.

9Б608. Нестационарные процессы на поверхности раздела ограниченно смешивающихся жидкостей. Brückner R. Stationäre Grenzflächenvorgänge zwischen partiell mischbaren Lösungen. «Naturwissenschaften», 1960, 47, № 16, 372—373 (нем.). — В дополнение к предыдущей статье (см. реф. 9Б607) описано возникновение вихрей в разных точках капли при частичной взаимной растворимости жидкостей. Наложение вихрей в ряде случаев приводило к извержению жидкости с поверхности. Отмечается возможное влияние описанных процессов при выплавке силикатных стекол.

9Б609. Адсорбция на поверхности раздела масло — вода, и расчет электрических потенциалов в водной поверхностной фазе. II. Влияние размера ионов. Haydon D. A., Taylor F. H. On adsorption at the

oil water interface and the calculation of electrical potentials in the aqueous surface phase. II. The effects of ionic size. «Philos. Trans. Roy. Soc. London», 1960, A253, № 1027, 255—275 (англ.).—Результаты предыдущей работы (сообщение I, РЖХим, 1960, № 13, 51333), относящиеся к теории двойного электрич. слоя (ДЭС), усовершенствованы с учетом собственных размеров ионов, входящих в ДЭС. Получено ур-ние, аналогичное ур-нию Гуи для плоского диффузного слоя, с учетом размеров адсорбируемых ионов. Рассмотрено ур-ние, показывающее изменение электрич. потенциала с изменением расстояния от плоскости центров ионов, образующих поверхностный монослой. Выведено ур-ние состояния полностью ионизированного адсорбционного слоя. На основе полученных соотношений произведены расчеты электрич. потенциалов, изотерм адсорбции и кривых состояния для пленок алкилсульфатов Na и бромидов додецилтриметиламмония, адсорбированных на границе петролейный эфир—вода. Полученные результаты показывают, что учет собственных размеров ионов в теории ДЭС значительно приближает теоретич. выводы к эксперим. данным. Обсуждены другие возможные поправки к теории ДЭС.

9Б610. Флотация органических ионов. Sebbä F. Organic ion flotation. «Nature» (Engl.), 1960, 188, № 4752, 736—737 (англ.).—В продолжение ранее опубликованной работы (РЖХим, 1960, № 17, 68791) проведены опыты с раб. (0,01 мг/л) водн. р-рами красителей (Кр): индигосульфата К, конго красного, метилового оранжевого, бромфенолового синего и фенолфталеина. После добавления к р-ру NH_4OH (при этом Кр становится анионоактивным) через него барботируют воздух, приливая одновременно р-р лауриллиридинхлорида в абс. спирт. При этом р-р обесцвечивается. Однако катионоактивные Кр извлечь с помощью катионоактивного коллектора (Кл) нельзя. Для этого следует слегка подкислить р-р (рН 5) и добавлять в качестве Кл α -сульфоллауриновую к-ту. Некоторые Кр, в составе которых имеются как анионоактивные, так и катионоактивные группы, можно извлечь либо анионоактивным, либо катионоактивным Кл (в зависимости от рН), однако для других требуется лишь один тип Кл. В качестве катионоактивных Кл наиболее подходящими являются четвертичные алкилпроизводные аммония и длинноцепочечные амины, а в качестве анионоактивных — α -сульфоллауриновая к-та и ее калийная соль.

9Б611. Проницаемость монослоев для углекислого газа. Blank M., Roughton F. J. W. The permeability of monolayers to carbon dioxide. «Trans. Faraday Soc.», 1960, 56, № 12, 1832—1841 (англ.).—С помощью дифференциального манометра измерена проницаемость монослоев на поверхности раздела газ—вода по отношению к CO_2 . Опыты производились при 18° и давлении CO_2 0,8 атм с различными 0,1 М буферными р-рами, покрытыми монослоями цетилового и октадецилового спиртов, стеариновой к-ты, гентадециламина, этилпальмитата, холестерина и альбумина бычьей сыворотки. Значения проницаемости варьируют в пределах $2 \cdot 10^{-3}$ — 10^{-2} см/сек и не зависят от состава адсорбирующего р-ра. Значения относительной проницаемости различных монослоев находятся в согласии с опытами других авторов для воды. Проницаемость монослоя, по-видимому, зависит от длины и строения углеводородной группы, а также от величины полярной группы.

Резюме авторов
9Б612. Теплота адсорбции водорода на некоторых типах ионных решеток. Цхай В. А. «Уч. зап. Свердл. гос. пед. ин-та», 1959, вып. 17, 47—63.—См. РЖХим, 1960, № 18, 72705.

9Б613. Хемосорбция водорода на окиси цинка. III. Влияние добавок посторонних ионов к окиси цинка. Kubokawa Yutaka. Chemisorption of hydrogen on zinc oxide. III. The effect of additions of foreign ions

to zinc oxide. «Bull. Chem. Soc. Japan», 1960, 33, № 7, 936—940 (англ.).—Изучена скорость хемосорбции и десорбции, а также адсорбционное равновесие H_2 и CO на ZnO до и после введения небольших кол-в диссоциирующих на ионы окислов: Al_2O_3 , Ga_2O_3 и Li_2O в интервале т-р 70—270°. Из полученных данных численно энергетич. характеристики хемосорбционного процесса. Энергии активации адсорбции (10 — 15 ккал/моль) и десорбции H_2 (10 — 33 ккал/моль), теплоты адсорбции H_2 (18 ккал/моль) и CO (10 — 12 ккал/моль) мало изменяются с введением ионов. На этом основании высказано предположение, что электронная структура ZnO при введении ионов практически не меняется, а изменение характера хемосорбции (в частности, увеличение доли прочносвязанного H_2), так же как увеличение активности ZnO — катализатора в отношении р-ции обмена водород — дейтерий, обусловлено изменениями гетерогенности поверхности ZnO после введения ионов. Сообщение II см. РЖХим, 1961, 1Б658.

9Б614. Исследование физической адсорбции воды на силикагеле с гидратированной поверхностью методом инфракрасной спектроскопии. Киселев А. Р., Лыгин В. И., «Коллоидн. ж.», 1960, 22, № 4, 403—410 (рез. англ.).—Исследованы ИК-спектры валентных и деформационных колебаний обычной и тяжелой воды, адсорбированной на исходном и дейтерированном силикагеле (СГ) при заполнении поверхности монослоем и в условиях капиллярной конденсации. Уменьшение интенсивности полосы поглощения валентных колебаний поверхностных гидроксильных групп СГ (3749 см $^{-1}$) и появление новых полос поглощения в более длинноволновой области объяснено образованием водородной связи между адсорбированными молекулами воды и ОН-группами СГ. Сделан вывод, что ОН-группы на поверхности полностью гидратированного СГ являются основными центрами адсорбции воды. Изменение спектра деформационных колебаний адсорбированных молекул воды подтверждает этот вывод. Указано на возможность использования спектральных характеристик адсорбированной в-в для статистич. расчетов их термодинамич. функций.

А. Карнаухова
9Б615. Теплота адсорбции аргона и криптона в дисульфиде молибдена. Разделение энталпий на рациональные компоненты. Cannon Peter. The heat of adsorption of argon and krypton on molybdenum disulfide — separation of enthalpies into rational components. «J. Phys. Chem.», 1960, 64, № 9, 1285—1290 (англ.).—Молярные интегральные теплоты адсорбции Ar и Kr на свободной от окислов поверхности MoS_2 представлены в функции степени заполнения поверхности. Результаты измерений обсуждены на основе представлений о взаимодействиях: сорбат — сорбент и сорбат — сорбат. Величины взаимодействий могут быть рассчитаны из основных физ. свойств компонентов системы. Вычисление дисперсионных сил для системы газ — твердое тело выполнено с помощью выражения для дисперсионной константы, выведенного Лондоню. Опыты проведены при относительном давлении $4 \cdot 10^{-7}$ — $2 \cdot 10^{-3}$ для Ar и $4 \cdot 10^{-4}$ — $4 \cdot 10^{-1}$ для Kr . В пленке Ar наблюдается переход газ — жидкость; в пленке Kr обнаружен максимум энергии межмолекулярного взаимодействия, равный половине теплоты сжижения Kr .

Резюме автора
9Б616. Сорбция паров воды дегидратированным гипсом. Razouk R. I., Salem A. Sh., Mikhail B. Sh. The sorption of water vapor on dehydrated gypsum. «J. Phys. Chem.», 1960, 64, № 10, 1350—1355 (англ.).—С помощью пружинных весов сняты при 30° изотермы сорбции — десорбции паров воды гипсом, полностью или частично дегидратированным при 100—600°. Показано, что характер изотерм мало зависит от степени дегидратации. На изотермах имеется большой пик

горизонтальный участок вплоть до давления насыщ. пара. На этом участке процесс сорбции — десорбции полностью обратим, но если десорбцию начинать от насыщ. пара, наблюдается явно выраженный гистерезис. Для гипса, дегидратированного при т-рах ниже 400°, начальное быстрое поглощение паров соответствует образованию гемигидрата (I). Из него в насыщ. парах воды в течение нескольких дней образуется дегидрат (II). Дегидратация при т-ре выше 500° делает ангидрит не способным к образованию II, хотя образование I все же происходит. Сделан вывод, что превращение ангидрита в I является быстрым, а превращение I в II — медленным процессом, происходящим в присутствии насыщ. паров воды, и более зависящим от т-ры дегидратации. Адсорбционные ИК-спектры и рентгеновский анализ системы $\text{CaSO}_4 \cdot \text{H}_2\text{O}$ подтверждают эту точку зрения.

И. Гуревич
9Б617. Адсорбция ионов некоторых металлов на сахарном угле, труднорастворимых дисперсных солей и окислах. Зубович И. А., Витальская Н. М. Уч. зап. Ярославск. технол. ин-та, 1960, 5, 27—32. — Путь адсорбции на BaSO_4 , PbSO_4 , силикате, $\text{Al}(\text{OH})_3$ и сахарном угле из водн. р-ров MnCl_2 , FeCl_3 , CoSO_4 , NiCl_2 , CuSO_4 и ZnCl_2 приготовлен ряд ионно-металлич. катализаторов с содержанием ионов металлов от 0,0003 до 0,2% от веса носителя. Показано, что по адсорбционной активности носители можно расположить в следующий ряд: сахарный уголь > $\text{Al}(\text{OH})_3$ > силикагель > BaSO_4 > PbSO_4 и что адсорбция является полной и необратимой.

И. Гуревич
9Б618. Адсорбция и изотопное разделение фосфатных ионов в соприкосновении с гидроксидами металлов и глинами. Blanchet R. Adsorption et dilution isotopique des ions phosphoriques au contact des hydroxydes métalliques et des argiles. «Ann. Inst. nat. rech. agron.», 1960, A11, № 1, 55—74 (франц.; рез. англ., нем., русск.). — Исследована адсорбция (Ад) ионов PO_4^{3-} в суспензиях $\text{Al}(\text{OH})_3$ (I), $\text{Fe}(\text{OH})_3$ (II), Самонтириллонита (III) и Са-каолинита (IV), возрастающая в порядке: IV, III, II, I. Кристаллич. гидроксиды Fe (гетит) слабо адсорбируют PO_4^{3-} . Наряду с Ад при соприкосновении с I и II происходит осаждение фосфатов, особенно значительное для I. Изучение кинетики изотопного разделения показало, что подвижность адсорбированных ионов PO_4^{3-} имеют одинаковый порядок величины для всех исследованных адсорбентов. Ионы PO_4^{3-} , удерживаемые обменными Са-ионами, более подвижны, чем удерживаемые атомами Al глины, а также I и II. Изотопное разделение адсорбированных ионов PO_4^{3-} может рассматриваться как процесс диффузии, скорость которого не зависит от активности PO_4^{3-} в р-ре, но зависит от т-ры, хотя энергия активации невелика.

Г. Васильев
9Б619. Диффузия при адсорбции на границе твердой и жидкой фаз. Хо И., Фукуда И. Токё дайгаку сэйсан гидзюку кэнкисе хококу, Rept Inst. Industr. Sci. Univ. Tokyo, 1960, 9, № 4, pp. 146—199, ill. (японск.; рез. англ.). — На основании эксперим. изучения систем адсорбированный уголь — водн. р-р метиленового голубого, а также ряда литературных данных обсужден механизм адсорбции (Ад) и диффузии (Д) на границе жидкость — твердое тело. С целью выделения чисто кинетич. данных по Ад и Д исследована зависимость величины Ад от формы и величины зерен угля, времени контакта угля с р-ром, интенсивности перемешивания, начальной конц-ии р-ра, соотношения масс р-ра и адсорбента, способа прибавления угля к р-ру (одновременное или постепенное прибавление), формы сосуда и других факторов. Обсуждена зависимость коэф. переноса от величины Ад. Показано, что кинетика Ад не может контролироваться наружной Д в-ва к частицам адсорбента. Наряду с внешней Д обсуждена Д внутри частиц адсорбента при предположении, что частицы

имеют сферич. или цилиндрич. форму. Отмечена роль поверхностной двумерной Д в процессах Ад.

А. Русанов

9Б620. Микропористые вещества. Boer J. H. de. Microporous substances. «Svensk kem. tidskr.», 1960, 72, № 9, 587—600 (англ.). — Пористые в-ва с размером пор < 500 Å классифицируются как микропористые в-ва. Приводятся способы получения этих в-в; обсуждены методы определения их характеристик. свойств, таких как уд. поверхность, объем пор, плотность по гелию, средний радиус пор, распределение пор по радиусу, форма капилляров. Сделаны замечания о зависимости между размером пор микропористых в-в и их применением в различных областях.

Резюме автора

9Б621. Состояние поверхности порошка вольфрама. 1. Упрощенная методика определения удельной поверхности металлических порошков с помощью газовой адсорбции. 2. Удельная поверхность порошка вольфрама. Takayanagi Shigetoshi. «Нихон киндзюку гаккайси, J. Japan. Inst. Metals», 1960, 24, № 2, 74—78; № 3, 142—146 (японск.; рез. англ.). — Предложена упрощенная модификация метода БЭТ для определения уд. поверхности S металл. порошков: в качестве адсорбата используется CO_2 , и определение изотермы адсорбции производится по трем точкам; кроме того, введены другие упрощения. Для порошков W и Mo этот метод дает такие же результаты, как и при применении N_2 . Для измерения S какого-либо образца достаточно 1,5 часа; ошибка при этом не превышает 2%.

2. Изложенным методом исследована поверхность порошка W, восстановленного водородом. Поверхность частиц чистого порошка W гладкая, поверхность же частиц W с добавками-активаторами шероховата и покрыта слоем щел. компонентов активатора. Заметное влияние на S оказывает промывание порошка чистой водой или разб. р-рами к-т и щелочей. Окисление или восстановление порошка также приводит к изменению S. На воздухе при комнатной т-ре порошок W окисляется.

Резюме автора

9Б622. К теории корпускулярной структуры адсорбентов. П. Полимолекулярная адсорбция в пористых адсорбентах. Карнаухова А. П., Киселев А. В. «Ж. физ. химии», 1960, 34, № 10, 2146—2155 (рез. англ.). — Теоретически рассмотрено влияние геометр. факторов (формы и размеров пор) на чисто адсорбционный процесс (без капиллярной конденсации) на примере модели пористой системы, образованной касающимися сферич. частицами. Рассчитано изменение поверхности S^1 адсорбционной пленки N_2 , а также изотермы адсорбции пара N_2 для систем из сферич. частиц кремнезема радиусом 50, 100 и 200 Å, упакованных с числами касаний $n = 0,2, 3, 4, 6, 8$ и 12. Показано, что для любых размеров частиц при $n = 0,2, 3$ в ходе адсорбционного процесса S^1 всегда возрастает, для более плотных упаковок — уменьшается. Особенно резко S^1 изменяется для систем с малыми размерами частиц, что приводит в этих случаях к ошибкам при вычислении уд. поверхности частиц по БЭТ. Сделан вывод, что форма изотермы полимолекулярной адсорбции определяется не только природой системы адсорбент — адсорбат, но и чисто геометр. характеристиками данного пористого тела. Количественно рассмотрен эффект ультрапористости при адсорбции молекул сферич. формы на адсорбентах глобулярной структуры. Сообщение I см. РЖХим, 1958, № 19, 63923.

А. Карнаухова

9Б623. Адсорбционное равновесие. IV. Исследование свойств активного угля методом адсорбции из газобразной фазы. Hodek J., Juliš J. Adsorptionsgleichgewichte. IV. Studium der Eigenschaften von Aktivkohle nach dem Verfahren der Adsorption aus der Gasphase. «Collect. Czechosl. Chem. Commun.», 1960, 25,

№ 6, 1545—1551 (нем.; рез. русск.).—Измерены изотермы адсорбции CO_2 при -79° на нескольких видах активного угля (АУ) различного происхождения (чехословацкий и голландский технический АУ и пыль из генераторов Винклера). Определен ряд параметров: тип структуры АУ, соответствующие константы, предельный объем адсорбционного пространства (методом Дубинина) и величина уд. поверхности (по Джойнеру, Вейнбергеру и Монтомери (ДжВМ) и методом Грегга). Лучшим оказался метод Дубинина, метод ДжВМ имеет значение для исследования АУ 2-го структурного типа, тогда как метод Грегга оказался непригодным. Сообщение III см. РЖХим, 1959, № 19, 87415.

I. Frič
9Б624. Электронномикроскопическое исследование пористой структуры активных углей при помощи метода реплик. Леонтьев Е. А., Лукьянович В. М. «Изв. АН СССР. Отд. хим. н.», 1960, № 11, 1955—1961.—При помощи двухступенчатого метода реплик проведено электронномикроскопич. исследование пористой структуры некоторых образцов активных углей. Метод позволил установить наличие в углях переходных пор и макропор в виде шаровидных полостей. Обсуждается возможный механизм образования переходных пор в активных углях и характер их связи между собой.

Резюме авторов
9Б625. Об участии внутренней поверхности пор при окислении и горении ископаемых углей. Яворский И. А. «Изв. Сибирск. отд. АН СССР», 1960, № 9, 72—81.—Показано, что для пористых материалов типа ископаемых углей общая поверхность всегда больше реагирующей. При этом абсолютная величина последней зависит от длины свободного пути и величины молекул реагирующих газов. Предложена типовая схема изменения реагирующей поверхности ископаемых углей в процессе повышения их т-ры с учетом влияния летучих в-в и адсорбционных процессов. Дано общее математич. выражение скорости изменения веса угольного в-ва при окислении и горении с учетом адсорбционных процессов и термич. разложения и его решение в общем виде.

Резюме автора
9Б626. Адсорбционные свойства карбонизированных растительных отходов. I. Адсорбция некоторых паров карбонизированными рисовыми стеблями и шелухой. Razouk B. I., El-Inany G. A., Fahim R. B., Mikhail R. Sh. The adsorptive properties of carbonised agricultural wastes. I. Adsorption of some vapours on carbonised rice husks and rice stalks. «J. Chem. U.A.R.», 1960, 3, № 1, 14—22 (англ.; рез. араб.).—При 35° сняты изотермы адсорбции $(\text{Ad})\text{CH}_3\text{OH}$, циклогексана и CCl_4 углями, полученными карбонизацией рисовой шелухи и стеблей при 400 — 1200° в течение 3 час. с последующей дегазацией в течение 3 час. при 300° . Показано, что на $\text{Ad CH}_3\text{OH}$ изменение т-ры карбонизации в интервале 400 — 600° влияет незначительно, но последующее повышение т-ры ведет к заметному уменьшению Ad . Циклогексан и CCl_4 адсорбируются хуже CH_3OH , причем с повышением т-ры карбонизации Ad возрастает.

И. Гуревич
9Б627. Теория динамики ионообменной сорбции и хроматографии. Сообщение I. Равновесная динамика ионообменной сорбции. Рачинский В. В. «Изв. Тимирязевск. с.-х. акад.», 1960, № 5, 184—193 (рез. англ.).—На основе развитой ранее (РЖХим, 1960, № 9, 34217; № 15, 60767; № 20, 80449) общей теории динамики сорбции и хроматографии разработана теория равновесной динамики ионообменной сорбции и хроматографии: проанализированы условия образования первичных ионообменных хроматограмм, и даны ур-ния для расчета скорости движения границ хроматографич. зон и распределения ионов в зонах; проанализированы условия разделения ионов способом промывания, и даны, в частности, ф-лы для расчета скорости движения зон при промывании первичной хро-

матограммы р-ром иона-макрокомпонента; указаны условия разделения ионов методом вытеснительной хроматографии; даны ф-лы для расчета скорости движения и ширины зон вытеснительной хроматограммы ионов.

Резюме автора
9Б628. Математическая модель газо-жидкостной распределительной хроматографии. Funk J. E., Houghton G. A mathematical model for gas-liquid partition chromatography. «Nature» (Engl.), 1960, 188, № 4748, 389—391 (англ.).—Модель соединяет в себе преимущества ранее предложенных моделей и дополнительно учитывает влияние нелинейности изотермы сорбции и перепада давления в колонке. Чтобы не пользоваться произвольными общими коэф. массопередачи, сопротивление массопередаче разделяют на 2 части, соответствующие газовой и жидкой пленкам. Даны численное и аналитич. решения дифференциальных ур-ний, описывающих диффузию в газовой фазе, нелинейное соотношение равновесия между фазами и мол. диффузию в жидкой фазе. Из найденных решений вытекает, что «кажущееся» время удерживания пропорционально объему неподвижной фазы и длине колонки и обратно пропорционально давлению пара растворенного в-ва и скорости потока газа-носителя; при постоянной скорости оно не зависит от абс. величины давления.

Б. Анвар
9Б629. «Реакционная» газовая хроматография смес. Drawert F., Felgenhauer R., Kupfer G. Reaktions-Gaschromatographie. «Angew. Chem.», 1960, 72, № 16, 555—559, 1, 11 (нем.; рез. англ., франц., итал. исп.).—Для облегчения разделения сложных смесей компоненты иногда предварительно превращают посредством хим. р-ций в другие в-ва. Авторы называют такого рода методы «реакционной газовой хроматографией». Разработанная для этой цели установка содержит, наряду с обычными хроматографич. колонками и детектором, дополнительную колонку (реактор) для проведения хим. р-ций, которая помещается на наружной стенке термостата. Рассмотрены методы анализа спиртов C_1 — C_{10} посредством превращения их в эфиры азотистой к-ты (с применением реактора, содержащего NaNO_2), в олефины (с применением H_2PO_4) и в парафины (при применении H_2 в качестве газ-носителя и никеля Ранея для восстановления). Получаемые в-ва разделяют на хроматографич. колонках, содержащих динонифталат и силиконовую смазку, в качестве неподвижных фаз.

Б. Анвар
9Б630. Исследование скорости протекания растерителя через хроматографические колонки. VIII. Влияние смесей жидкостей на значение константы протекания $Vh\eta/d$. Gupta D. R., Bhattacharya Abani K. Studies on the velocity of flow of liquids through adsorbent columns. VIII. The influence of liquid mixtures on the value of the flow constant $Vh\eta/d$. «Bull. Acad. polon. sci. Ser. sci. chim.», 1960, 8, № 4, 177—180 (англ.; рез. русск.).—Показано, что величина $Vh\eta/d$ (h — высота адсорбента, V — объем, d — плотность, η — вязкость протекающей жидкости) остается постоянной не только для данного ряда жидкостей-гомологов, но и для их смесей при прочих постоянных условиях (сечение колонки, разность давлений и т. д.), хотя имеет разную величину для различных гомогич. рядов. На основании этого делается вывод, что скорость прохождения р-рителя через сорбент зависит кроме гидродинамич. условий (высоты и зернистости сорбента, разности давлений и т. д.), еще и от функциональных групп молекул жидкости из-за их взаимодействия с сорбентом. Сообщение III см. РЖХим, 1959, № 9, 25318.

Л. Дмитриев
9Б631. Исследование обмена ионов разной валентности на набухающих монтитах и применение найденных закономерностей для определения величин ряда ионов в растворе. Трофимов А. М., Степанова Л. Н. «Вестн. Ленингр. ун-та», 1960, № 22, 70—

(рез. англ.).—Исследованы закономерности обмена ионов различной валентности на набухающих ионитах. Эксперим. исследование выполнено радиоим. методом. Установлена зависимость коэф. распределения ионов микрокомпонента в р-ре от уд. емкости смолы и ее уд. объема в набухшем состоянии. Предложен метод определения величины заряда ионов радиоизотопа в р-ре, основанный на применении ионообменной смолы с различным набуханием. Метод применен к определению величины заряда ионов радиоциркония в азотокислых р-рах и его изменения в зависимости от концентрации HNO_3 , а также к определению величины заряда многоядерных комплексных ионов рутения.

Резюме авторов

9Б632. Изучение амфотерных ионообменных смол. Lumbroso Roger. Contribution à l'étude des résines amphotères échangeuses d'ions. «J. rech. Centre nat. rech. scient.», 1960, № 50, 33—53 (франц.).—Амфотерные ионообменные смолы, имеющие определенную структуру и содержащие кислотные и основные группы в строго определенных положениях, приготовлялись сополимеризацией и сополиконденсацией х. ч. мономеров с известным строением. Фенолформальдегидные смолы (ФС) получались сополиконденсацией диметил-*п*-крезола и *о*-оксисбензильного спирта с различными фенолами, содержащими ионогенные группы в пара-положении. Исследована методика определения содержания активных групп в трехмерной структуре ФС (потенциометрич. и кондуктометрич. методы, определение обменной емкости с помощью комплексобразования). Попытка применить ФС к деионизации природных вод и к разделению Co и Ni не дала положительных результатов. Изучение получения амфотерных полистирольных смол сополимеризацией *п*-сульфометилстирола и *п*-аминостирола со стиролом и дивинилбензолом не привело к приготовлению строго определенных в хим. отношении сополимеров. По мнению автора, для ионного обмена не обязательно наличие трехмерной структуры; достаточно, чтобы макромолекулы отличались нерастворимостью.

Г. Васильев

9Б633. Изучение анионного обмена. XXXI. Адсорбция $\text{Zn}(2+)$ и $\text{Ga}(3+)$ из растворов HCl в интервале температур 25—150°. Kraus Kurt A., Raridon Richard J. Anion exchange studies. XXXI. Adsorption of $\text{Zn}(\text{II})$ and $\text{Ga}(\text{III})$ from HCl solutions in the temperature range 25 to 150°. «J. Amer. Chem. Soc.», 1960, 82, № 13, 3271—3276 (англ.).—Измерены коэф. распределения $\text{Zn}(2+)$ и $\text{Ga}(3+)$ между Cl-формой анионита Дауэкс-1X10 и р-рами HCl (0,02—8 M) при t -рах 25, 70, 115 и 150°. Отмечено значительное уменьшение адсорбируемости отрицательно заряженных комплексов Zn и Ga с возрастанием t -ры. Значение ΔH (изменение энтальпии при ионообменной сорбции, экстраполированное к нулевой конц-ии HCl) для GaCl_4^- составило 14 ккал. Показано, что степень комплексобразования $\text{Zn}(2+)$ и $\text{Ga}(3+)$ при постоянной конц-ии Cl-ионов быстро повышается с ростом t -ры. На основании оценок среднего теплового эффекта р-ий комплексобразования сделано заключение об изменении констант стабильности комплексов Zn и Ga с ростом t -ры в направлении преобладания незаряженных или слабозаряженных комплексов. Сообщение 29 см. РЖХим, 1960, № 19, 76727.

Г. Елькин

9Б634. Влияние некоторых факторов на сорбцию комплексного иона $(\text{IrCl}_6)^{3-}$ анионитами в статических условиях. Коробкин А. А. «Изд. высш. учебн. заведений. Цветн. металлургия», 1960, № 5, 99—104.—Изучено влияние продолжительности контакта, t -ры, конц-ии извлекаемого металла и свободной соляной и-ты на сорбцию иридия в статических условиях из чистых р-ров H_2IrCl_6 анионитами ЭДЭ-10П и АН-2Ф. Установлено, что в процессе сорбции Ir из чистых р-ров при определенных условиях проходят глубокие

окислительно-восстановительные процессы, в результате которых наблюдаются, с одной стороны, частичная деструкция ионитов, с другой — частичное восстановление Ir до трехвалентного состояния. Опыты показали высокую сорбционную способность смолы ЭДЭ-10П и несколько меньшую — смолы АН-2Ф по сорбции Ir из чистых р-ров H_2IrCl_6 . Опытами по изучению влияния t -ры на сорбцию Ir ионитами подтверждена возможность отделения этого металла, после предварительного его перевода в трехвалентное состояние, от суммы платины и палладия с помощью ионообменных смол. Это хорошо видно при сравнении данных настоящей работы с данными работ, опубликованных ранее (РЖХим, 1959, № 19, 67434; № 15, 52824).

Резюме автора

9Б635. Избирательная проницаемость катионообменных мембран по отношению к катионам. Yamabe Takeo, Tanaka Yonekichi. «Kogei kagaku zasshi, J. Chem. Soc. Japan, Industr. Chem. Sec.», 1960, 63, № 8, 1342—1343, A74 (японск.; рез. англ.).—Изучен процесс электролиза в ячейке, разделенной гетерогенными сильнокислотными катионообменными и сильноосновными анионообменными мембранами (МБ) на 7 отделений. Плотность тока поддерживали постоянной (2 a/dm^2). Исследованы как двухкатионные ($\text{Na} - \text{Ca}$, $\text{Na} - \text{Mg}$, $\text{Ca} - \text{Mg}$ и $\text{NH}_4^+ - \text{Mg}$), так и трехкатионные системы ($\text{Ca}^{2+} - \text{Mg}^{2+} - \text{M}^+$, где $\text{M}^+ = \text{H}^+$, K^+ , NH_4^+ или Na^+). Исходная конц-ия каждого из ионов 0,05 н., кроме Na^+ , для которого она была 0,5 н. Показано, что при 2—4 час. электролизе указанные ионы располагаются в ряд в порядке уменьшения избирательной проницаемости: катионообменных МБ по отношению к ним: $\text{H}^+ > \text{K}^+ > \text{NH}_4^+ > \text{Ca}^{2+} > \text{Mg}^{2+} > \text{Na}^+$. Избирательность МБ возрастает с разбавлением р-ра. В трехкатионных системах Mg^{2+} и Ca^{2+} переносятся совместно. Г. Е.

См. также: Адсорбция 9Б295, 9Б296, 9Б297, 9Б478, 9Б495, 9Б497, 9Б571, 9Г114, 9Д10, 9С35, 9М76, 9К4, 9К117, 9К149, 9К166, 9М7, 9М296, 9С9, 9С177. Поверхностное натяжение, смачивание, монослои 9Р11, 9Р19, 9Р38, 9Р77. Исследование поверхностей 9Б475, 9Б491. Хроматография 9Б265, 9Б467, 9Б5, 9Б41, 9Д11—9Д15, 9Д53, 9Д60, 9Д81, 9Д162, 9Д163, 9Д170, 9Д172, 9Д173, 9Д180, 9Д181, 9Д185, 9Д192, 9Д195, 9Е39—9Е41, 9Е46, 9Л5, 9Л299, 9П300, 9Л323, 9Н106, 9П304, 9С31, 9С40, 9С45—9С47, 9С103, 9С108. Электрофорез 9Д20, 9С24, 9С32—9С34, 9С62, 9С80, 9С105, 9С160. Ионный обмен 9Б298, 9Б299, 9Б22, 9Д17—9Д19, 9Д43, 9Д44, 9Д51, 9Д52, 9Д54, 9Д55, 9Д141, 9Д186, 9К29, 9К74, 9К203, 9С30, 9С139

ХИМИЯ КОЛЛОИДОВ. ДИСПЕРСНЫЕ СИСТЕМЫ

Редактор Н. А. Фукс

9Б636. Получение золя йодида серебра с помощью ионообменной смолы. Van der Wee P. Preparation of silver iodide sol by ion-exchange resin. «Nature» (Engl.), 1960, 188, № 4751, 655—656 (англ.).—Золь AgI , полученный по р-ции $\text{AgNO}_3 + 2\text{KI} = \text{AgI} + \text{K}^+ + \text{I}^-$, необходимо очистить от KNO_3 . Вместо трудоемкого электролиза автор предлагает использовать для очистки ионообменную смолу, предварительно подвергнутую экстрагированию в аппарате Сокслета в течение 24 час. Такая обработка исключает загрязнение золя органич. примесями. Из приведенного примера следует, что метод обеспечивает 80%-ный выход золя с электропроводностью $\leq 2-3 \cdot 10^{-5} \text{ ом}^{-1} \text{ см}^{-1}$.

И. Гуревич

9Б637. Уменьшение размеров частиц глинистых минералов при замерзании и таянии. McDowall I. C. Particle size reduction of clay minerals by freezing and thawing. «N. Z. J. Geol. and Geophys.», 1960, 3, № 3,

337—343 (англ.).—Путем многократного замораживания и оттаивания изучено влияние этих процессов на уменьшение размеров частиц тонких порошков каолинита, галлоизита и др. минералов. Показано, что замораживание понижает размер частиц по-разному в зависимости от структуры и морфологии минерала. Если связи между основными плоскостями компонентов минерала прочны, то уменьшение размеров частиц при замораживании невелико; при слабых связях лед, образованный водой, находящейся между основными плоскостями, вызывает быстрое дробление. Высказано предположение, что замерзание является основным процессом образования тонких осадков в условиях холодного климата.

И. Гуревич
9Б638. Течение вязкопластичной дисперсной системы на вращающемся диске. Гуткин А. М. «Коллоиды. ж.», 1960, 22, № 5, 573—575 (рез. англ.).—Найдено распределение скоростей в вязкопластич. дисперсной системе, находящейся на вращающемся диске. Установлена связь между расходом, скоростью вращения и вязкопластичными параметрами среды.

Резюме автора
9Б639. Моделирование реологических процессов в твердых телах с поляризационно-оптическим исследованием напряжений. Гзовский М. В., Осокина Д. Н. «Коллоиды. ж.», 1960, 22, № 5, 560—568 (рез. англ.).—Излагаются принципы моделирования процессов деформации и разрушения горных пород, протекающих в объектах больших размеров в течение длительных периодов времени. Получены условия, которым должны удовлетворять величины оптич. активности эквивалентного материала по напряжениям сдвига, при которых возможно исследование напряженного состояния поляризационно-опт. методом. У. Андрес

9Б640. Соотношение вязкость — концентрация и текучесть — концентрация для сферических частиц в ньютоновских жидкостях. Ford T. F. Viscosity-concentration and fluidity-concentration relationships for suspensions of spherical particles in newtonian liquids. «J. Phys. Chem.», 1960, 64, № 9, 1168—1174. Discuss. 1174 (англ.).—Приводится обзор теоретич. и эксперим. исследований по вязкости бесструктурных суспензий, причем исходя из Бингамова определения текучести Ф автор представляет ф-лы, связывающие вязкость суспензий с конц-ией $\eta/\eta_0 = f(c)$ (1) в виде $\Phi/\Phi_0 = \Phi(c)$ (2). Отмечается, что график зависимости (2) сохраняет линейность в значительно большем диапазоне, чем (1). η/η_0 с увеличением конц-ии изменяется от 0 до ∞ , Φ/Φ_0 лежит в пределах от 0 до 1. Приводятся данные многочисленных опытов по определению вязкости суспензий сферич. частиц и эмульсий в зависимости от конц-ии, выраженные через Φ .

У. Андрес
9Б641. Взаимодействие двух параллельных пластин в бинарном асимметричном электролите. I. Одновалентный коагулирующий ион. Levine S., Bell G. M. Interaction of two parallel plates in a binary asymmetrical electrolyte. I. Univalent coagulating ion. «Canad. J. Chem.», 1960, 38, № 8, 1346—1362 (англ.).—На основе теории устойчивости Дерягина — Фервея — Овербека выведены ур-ния для расчета взаимодействия между двумя параллельными заряженными пластинчатыми частицами в р-ре 1 — m -валентного электролита с одновалентным коагулирующим ионом. Рассмотрено перекрывание двух диффузных слоев для случая, когда поверхностный потенциал ψ не зависит от расстояния между пластинами и от конц-ии электролита (при постоянной малой конц-ии потенциалопределяющих ионов). Рассмотрена также модель Штерна при отсутствии специфич. адсорбции и с учетом потенциала, обусловленного ориентацией молекул р-рителя. Расчет, проведенный для порога коагуляции (полная энергия взаимодействия равна нулю) показывает, что с увеличением валентности m побочного

иона крит. конц-ия коагулирующего иона C_k возрастает, но в меньшей степени, чем этого требует правильное коэф. активности Оствальда. Для модели Штерна расчет дает еще меньший рост, а при некоторых значениях ψ — даже уменьшение C_k (в частности, для 1—2-электролита).

Д. Фридрихсберг
9Б642. Процесс коагуляции гидрозоля глинозема алюминия под влиянием электролитов в свете уравнения Кумара и Бхаттачарья. Marciniak-Fabianowa Agnieszka, Wójciak Wacław. Proces koagulacji hydrozolu wodorotlenku glinowego pod wpływem elektrolitów w świetle równania Ram Kumar i Bhattacharya. «Prace Komis. mat.-przyrodn. Poznań. towarz. przyjaciół nauk», 1960, 7, № 10, 53—63 (польск.; рез. англ.).—Показано, что ур-ние Кумара и Бхаттачарья (РЖХим, 1956, № 17, 54136; 1957, № 1, 627; № 2, 4051; 1959, № 6, 18730) может применяться для исследования процесса свободной коагуляции вышеуказанного гидрозоля.

Резюме автора
9Б643. Диспергирующее действие и адсорбция новых поверхностно-активных веществ. Тамаки К. «Абура кагаку, Yūkagaku, J. Japan Oil Chemists Soc.», 1960, 9, № 8, 426—428 (японск.; рез. англ.).—Изучена адсорбция (Ад) и диспергирующее действие (ДД) на сажу р-ров додецилсульфата Na (I), хлорида додециламмония (II), додецилпиридинбромид и хлорида додецилтриметиламмония. Обнаружено, что между ДД и Ад этих в-в не существует обязательной связи. При малых конц-иях II не обладает ДД, но адсорбируется в большей мере, чем I. ДД I и II резко возрастает с конц-ией до достижения насыщения Ад. В области насыщения Ад наблюдалось образование стойких суспензий, обусловленное ориентацией адсорбированных ионов на поверхности твердых частиц. При высоких конц-иях катион- и анионоактивных в-в их ДД понижается.

А. Русанов
9Б644. Равновесие в коллоидном растворе канфоли. Харин С. Е., Бурлак Т. А. «Тр. Одеск. гос. ун-та. хим. и холодильн. пром-сти», 1959, 9, № 2, 127—133.—Установлено, что в колл. р-ре канфоли в присутствии осадка дисперсной фазы колл. частицы имеют вполне определенный радиус. Термодинамическое рассмотрение этого наблюдения приводит к мысли о существовании колл. растворимости. Величина радиуса частиц, в условиях нашего опыта, почти не зависит от конц-ии молекулярнорастворимой части канфоли, но зависит от конц-ии коллоиднорастворимой части. При повышении т-ры устойчивых золей, а затем при охлаждении до исходной т-ры радиус частиц уменьшается, а затем увеличивается до первоначальной величины. Повышение т-ры золей от 20 до 40° в присутствии осадка не изменяет радиуса частиц. Резюме автора

9Б645. Исследование структурно-механических свойств желатиниз. Левин С. М. «Коллоиды. ж.», 1960, 22, № 5, 599—605 (рез. англ.).—В зависимости от конц-ии и т-ры р-ры желатиниз (I) могут быть ньютоновскими жидкостями или упруговязкими телами. Образование структуры при охлаждении р-ров требует определенного времени, в течение которого р-ры обладают только вязкостью. С момента возникновения структуры геля в р-рах I наблюдается непрерывный тиксотропный рост вязкости и напряжения сдвига, в результате чего р-р теряет свою текучесть и превращается в гель. Во время этого перехода происходят существенные изменения структуры р-ра, остающиеся в скачкообразном росте напряжения сдвига и модуля упругости.

Резюме автора
9Б646. Зависимость процесса синерезиса кремнегеля от условий его получения. Проскура Г. Ф. «Тр. Свердл. с.-х. ин-та», 1960, 7, 385—388. Конц-ия кремнекислоты (I) в р-ре оказывает на скорость синерезиса меньшее влияние, чем на процесс образования кремнегеля. Кол-ва I, остающиеся в р-ре, зависят от кол-ва образующегося геля, от конц-ии

ной к-
выдел
SiO₂)
при т-
1, ост
0,3% о
9Б64
фильт
листки
хаван
1960, 3
для из
чащел
еще н
средн.
душны
медле
помощ
суюто
мана. 5
быстро
телам.

9Б1.
Some se
Engrs»,
можно
топлив
Библ. 1
9Б2.
соели. N
salt elec
817—820
В элект
лиз про
д, с к
жения
H₂O, ист
отношен
ультате
дукте до
KCl, 33%
рез ален
вания п

9Б3.
тантал.
АН СССР
Та с I₂ и
нагреван
иной энал
и-ция на
335—550°
препреп
иодидног
или ориен
Та-керна
важных
ионации
не содер
микрове
9Б4.
рибутил
иопи м
Рассе in
русск., а
азотна

ной к-ты и от исходной конц-ии I. Наиболее полное выделение больших кол-в I (отвечающих 0,5—0,6 г SiO_2) достигается в р-рах 0,13 M I и 17 н. серной к-ты при т-ре 100° и длительности выделения 45 мин. Кол-во I, остающееся в р-ре, при этих условиях составляет 0,3% общего содержания. Резюме автора

9Б647. Новый метод определения коэффициента фильтрации жидкости и скорости капиллярной проницаемости в порошкообразных телах. Дерягин Б. В., Захарова Н. Н., Лопатина А. М. «Инж.-физ. ж.», 1960, 3, № 10, 66—68 (рез. англ.).—Предложен способ для измерения коэф. фильтрации жидкости (K) в начальной стадии проницаемости, когда скорость фильтрации еще не заторможена сопротивлением поглощающей среды. При этом исключается возможность захвата воздушных пузырьков между частицами порошка, что замедляет проницаемость. Эксперим. данные, полученные с помощью прибора для определения K, хорошо согласуются с теоретическими, подсчитанными по ф-ле Кармана. Это дает возможность рекомендовать прибор для быстрого измерения K в порошкообразных и пористых телах. Резюме авторов

9Б648. Определение размеров облачных капелек при помощи пленки колларгола. Godard Serge. *Measure des gouttelettes de nuage avec un film de collargol.* «Bull. Observ. Puy-re-Dôme», 1960, № 2, 41—46 (франц.; рез. англ.).—Для определения размеров капелек тумана или облака используются пленки из р-ра колларгола, наносимые на предметные стекла или на пластинки из ацетата целлюлозы. Осевшие капли образуют на пленке круглые отпечатки, число и размеры которых определяются микроскопированием. Путем киносъемки капель, падающих на пленку колларгола, получена зависимость $d = KD$, где d — диаметр капли, D — диаметр отпечатка, $K = 0,34 \pm 0,03$ в диапазоне d от 15 до 60 м. Метод позволяет обнаруживать капли с $d \geq 0,5$ м. В. Дунский

См. также раздел Химия высокомолекулярных соединений и рефераты: Гели 9Г31. Коллоиды 9Г96. Аэрозоли 9Г107, 9Е37, 9И325, 9И354 (Флотация 9И63). Эмульсии 9М356

В. НЕОРГАНИЧЕСКАЯ ХИМИЯ. КОМПЛЕКСНЫЕ СОЕДИНЕНИЯ

Редактор А. Б. Нейдинг

9Б1. Некоторые свойства цезия. Granet Irving. *Some selected properties of cesium.* «J. Amer. Soc. Naval Engngs», 1960, 72, № 2, 319—323 (англ.).—В связи с возможностью использования Cs в качестве ракетного топлива дан обзор его важнейших физ.-хим. свойств. Библиограф. 14 назв.

9Б2. Получение бора электролизом расплавленных солей. Nies Nelson P. *Preparation of boron by fused salt electrolysis.* «J. Electrochem. Soc.», 1960, 107, № 10, 817—820 (англ.).—Изучено получение элементарного В электролизом расплава смеси солей с B_2O_3 . Электролиз проводился в графитовом тигле, служившем анодом, с катодом из стали или железа Армо при напряжениях 4—5 в и т-ре 800—900°. В качестве флюсов для B_2O_3 использовались смеси KCl, KF и K_2O в различных соотношениях, а также NaCl, NaF и MgF_2 . Лучшие результаты (выход по току до 67%, содержание В в продукте до 87%) получены при электролизе смеси 44% KCl, 33% KF и 23% B_2O_3 . Барботирование HCl -газа через электролитическую ванну для предотвращения образования щелочи повышает чистоту продукта до 96%.

9Б3. Образование йодидов тантала и йодидный тантал. Чижиков Д. М., Рабинович Б. Н. «Докл. АН СССР», 1960, 134, № 2, 368—370.—Взаимодействие Ta с I_2 изучено термографически путем записи кривой нагревания стехиометрич. смеси компонентов в запаянной эвакуированной кварцевой ампуле. Экзотермич. реакция начинается при 370—400° и заканчивается при 535—550°. Образующиеся соединения состава $\text{TaI}_{2.8-3.0}$ претерпевают эндотермич. превращение при 620°. Нить йодидного тантала, полученная на W-керне, состоит из ориентированных в одну сторону кристаллов; на Ta-керне осадок состоит из мелких разно ориентированных кристаллов. Полученный в результате диссоциации йодидов на раскаленной Ta-нити тантал почти не содержит газовых и металлич. примесей и имеет твердость 130—150 кг/мм². В. Росоловский

9Б4. Разделение гафния и циркония экстракцией трибутилфосфатом. Patzek T. *Rozdział hafnu od cyrkonu metodą ekstrakcji fosforanem trójbutylovym.* «Prace inst. hutn.», 1960, 12, № 2, 93—100 (польск.; рез. русск., англ.).—Методом экстракции трибутилфосфатом из азотнокислых р-ров в многоступенчатой батарее из

смесителей и отстойников получена окись циркония, содержащая 0,01—0,04% HfO_2 . Обсуждены вопросы подбора циркулирующего р-рителя и возможной интенсификации процесса. А. Немодрук

9Б5. Получение циркония с малым содержанием гафния методом ионообменной хроматографии. Krynicky J. *Otrzymywanie cyrkonu o malej zawartości hafnu metodą chromatografii jonowymienniej.* «Prace inst. hutn.», 1960, 12, № 2, 101—106 (польск.; рез. русск., англ.).—Исследовано разделение Zr и Hf в сернокислых р-рах методом ионообменной хроматографии с применением вофатита-F в качестве ионообменника. Установлено, что ион ZrO^{2+} легче, чем HfO^{2+} образует анионные комплексы с ионами SO_4^{2-} , вследствие чего проходит через ионообменную колонку, заполненную смолой в H-форме, тогда как Hf адсорбируется в виде ионов HfO^{2+} . При отделении Zr от Hf методом фронтальной хроматографии конц-ия H_2SO_4 0,8—1,0 н. является оптимальной. Отделение Zr от Hf тем полнее, чем меньше их конц-ия в исходном р-ре и тем меньше скорость его прохождения через колонку. При вытекании р-ра (с конц-ией Zr $\sim 1,0$ г/л) из колонки со скоростью 0,3 мл/час на 1 г смолы содержание Hf (по отношению к Zr) в элюате уменьшается от 1 до 0,4%. Трехкратное хроматографирование позволяет снизить содержание Hf до 0,15%. А. Немодрук

9Б6. Вода. Мурата Хироси. «Kagaku to kōgō, Sci. and Ind.», 1960, 34, № 3, 103—107 (японск.)

9Б7. Новый гексаборан. Gibbins S. G., Shapiro I. *A new hexaborane.* «J. Amer. Chem. Soc.», 1960, 82, № 11, 2968—2969 (англ.).—В продуктах, получающихся при электрич. разряде в B_2H_6 , масс-спектрометрич. методом обнаружен, помимо B_6H_{10} , новый гексаборан, предположительно B_6H_{12} (I), менее устойчивый, чем B_6H_{10} , и разрушающийся при термич. обработке. Наличие I может быть причиной расхождений при определении давления пара B_6H_{10} . Существование I доказано наличием пиков при $m/e = 78$ и 77. Не исключено, однако, что I содержит 14 атомов H. В масс-спектре I ионы $\text{B}_6\text{H}_{10}^+$ и B_6H_8^+ представлены в большей мере, чем в спектре B_6H_{10} . Ионы $\text{B}_5\text{H}_{11}^+$ и $\text{B}_5\text{H}_{10}^+$ в спектре I, как и в спектре B_6H_{10} , не обнаружены. М. Дяткина

9Б8. Образование триэтанолминбората в водном растворе. Lucchesi C. A., DeFord D. D. *Formation*

of triethanolamine borate in aqueous solution. «J. Inorg. and Nucl. Chem.», 1960, 14, № 3-4, 290 (англ.).—В водн. р-ре триэтианоламина (I) образует с борной к-той (II) внутримолекулярное соединение со структурой «триптика». Для определения равновесной кон-ции этого комплекса производилось титрование HCl смеси эквивалентных кол-в 0,05 M р-ров I и II сразу после составления смеси и через несколько часов. Разница в результатах титрования показала, что в водн. р-ре 19% I связано в комплекс; в р-ре C_4H_9OH эта величина составила 22%.

В. Росоловский

9В9. О синтезе метапикриката и метафосфата лития. Гризник А. А., Плющев В. Е. «Ж. Всес. хим. о-ва им. Д. И. Менделеева» 1960, 5, № 3, 349—350.—Методом высокотемпературного синтеза, взаимодействием ZrO_2 (соответственно HfO_2) с Li_2CO_3 , получены Li_2ZrO_3 (I) и Li_2HfO_3 (II). Мол. отношения между Li_2O и MO_2 , где M = Zr или Hf, изменялись в интервале 1:4—6:1. Опыты проводились при 800—1200°. Исходные в-ва тщательно измельчались и перемешивались в агатовой ступке, затем нагревались в серебряных (<900°) или алундовых (>900°) тиглях. Продукты р-ции извлекались, измельчались и подвергались фазовому хим. и рентгеновскому анализу. Показано, что при отношении $Li_2O:MO_2$ 1:1—1:4 отношение кол-ва MO_2 , связанного с Li_2O , всегда постоянно и соответствует составу соединений с ф-лой Li_2MO_3 . Чистые I и II получались взаимодействием MO_2 и Li_2CO_3 (при отношении $Li_2O:MO_2 = 1:1$) при 1100 ± 20°. Смеси выдерживали 1,5 час., охлаждали над безводн. $CaCl_2$, растирали и перемешивали, затем снова нагревали в прежних условиях. I и II получены в виде кристаллич. порошков белого цвета с высокими показателями преломления. Кристаллы I крупнее II и дают образования в виде нескольких округленных на концах призм. Пикнометрич. методом найдены следующие значения плотности при 20°: для I 4,123 ± 0,003; для II 6,453 ± 0,003. I и II плавятся при t-ре > 1500° и являются негигроскопичными; однако длительное хранение I на воздухе приводит к частичному его разложению; водой I и II гидролизуются. I и II разлагаются при кипячении в разб. (1:1) HCl и H_2SO_4 ; конц. H_2SO_4 разлагает их на холоду. Действию 0,1—10,0 н. щелочей I и II подвержены в незначительной степени. II характеризуется (в отличие от I) сильной люминесценцией под действием рентгеновских лучей. Яркое голубое свечение наблюдается у образцов II, независимо от условий их получения. Эта особенность может служить основой для изыскания областей применения II.

Ю. Муромский

9В10. Получение гипофосфата натрия и фосфорноватой кислоты. Genge J. A. R., Nevett B. A., Salmon J. E. The preparation of sodium hypophosphate and hypophosphoric acid. «Chemistry and Industry», 1960, № 34, 1061—1062 (англ.).—Для получения гипофосфата натрия 17%-ный водн. р-р $NaClO_2$ пропускали через колонку, заполненную красным фосфором на фарфоре и стеклянной вате, при интенсивном охлаждении проточной водой. К аляуту добавляли р-р NaOH до pH 5,2 и получали $Na_2H_2P_2O_6 \cdot 6H_2O$ (I), или до pH 10 и получали $Na_4P_2O_6 \cdot 10H_2O$. После двух перекристаллизаций получен 99,5% I. Путем пропускания теплого конц. р-ра I через катионообменную колонку со смолкой Зекарб-225 в Н-форме получена $H_2P_2O_6$.

В. Росоловский

9В11. Тройное соединение $SbCl_5 \cdot TiCl_4 \cdot 3POCl_3$. Adolfsson Goran, Bryntse Ragnar, Lindqvist Ingvar. The ternary compound $SbCl_5 \cdot TiCl_4 \cdot 3POCl_3$, «Acta chem. scand.», 1960, 14, № 4, 949 (англ.).—Соединение $SbCl_5 \cdot TiCl_4 \cdot 3POCl_3$, т. пл. 200°, получено взаимодействием в дихлорэтановом р-ре эквивалентных кол-в $SbCl_5$ и $TiCl_4$ с избытком $POCl_3$. Уд. электропроводность этого соединения ($6,3 \cdot 10^{-3} \text{ ом}^{-1} \text{ см}^{-1}$) значительно выше, чем у $SbCl_5 \cdot POCl_3$ ($2,4 \cdot 10^{-5} \text{ ом}^{-1} \text{ см}^{-1}$) и $TiCl_4 \cdot 2POCl_3$ ($3,7 \cdot 10^{-4} \text{ ом}^{-1} \text{ см}^{-1}$). Для соединения предложена ф-ла $[TiCl_3(OPCl_2)_3]_3[SbCl_6]^-$. В системах

$SbCl_5 - SnCl_4 - POCl_3$ и $SbCl_5 - AsCl_3 - POCl_3$ аналогичных тройных соединений не найдено. В. Волков

9В12. Получение ванадиевого ангидрида высокой степени чистоты с применением процесса хлорирования. McCauley Robert E., Roddy James W. The preparation of high purity vanadium pentoxide by a chlorination procedure. «J. Less-Common Metals.», 1960, 2, № 1, 29—35 (англ.).—Для получения ванадиевого ангидрида (I) исходное сырье, содержащее 88% V_2O_5 и примеси Mg, Na, Al, Ca, Cu, Si, Mn, Fe, Cr, Mo, Nb и Ti, смешивали с углем в отношении C: $V_2O_5 = 3:2$, смесь высушивали при 400° и подвергали хлорированию при 450°. Образующийся $VOCl_3$ конденсировали в охлаждаемом приемнике, перегоняли и гидролизовали путем введения с небольшой скоростью в водн. р-р NH_3 . Осажденный NH_4VO_3 сушили при 200° и прокачивали при 500—600° в аппарате из стекла «викор». Полученный I содержал 99,99% основного продукта. В. Росоловский

9В13. Выделение и характеристика S_2 в окрашенных конденсатах серы при низких температурах. Meyer Beat, Schumacher Ernst. Isolierung und Charakterisierung von S_2 in gefärbten Schwefelkondensaten bei tiefen Temperaturen. «Helv. chim. acta», 1960, 43, № 5, 1333—1349 (нем.; рез. англ.).—Детально описана аппаратура для образования мол. пучков пара серы в условиях, при которых устанавливается термич. равновесие между различными молекулами, и конденсации мол. пучка пара (чистого или в смеси с Xe или CO_2) на сильно охлажд. поверхности. Исследования окраска, УФ- и ИК-спектры, парамагнитный электронный резонанс, электропроводность и хим. активность конденсатов, полученных в разных условиях, а также зависимость этих свойств от t-ры конденсата и времени. Наличие индуцированного колебательного периода при $668,5 \text{ см}^{-1}$, зеленый цвет и характер спектра поглощения в видимой и близкой УФ-области подтверждают наличие S_2 в конденсатах. Цвет конденсатов объяснен избирательным рассеянием комочками серы, обладающими размерами порядка 500—1000 Å и содержащими цепи переменной длины, образующиеся при конденсации S_2 на охлажд. поверхности. И. Рыко

9В14. Изучение химического поведения соединений серы. X. Тиосульфат пиперидина. Sharada K., Vasudeva Murthy A. R. Studies in the chemical behaviour of sulphur compounds. X. Piperidine thiosulphate. «Z. anorg. und allgem. Chem.», 1960, 304, № 54, 344—350 (англ.; рез. нем.).—При растворении серы в пиперидине образуется красный р-р полисульфида $(C_5H_{10}N)_2S_x$. Пропусканием через этот р-р сухого O_2 получен $(C_5H_{10}N)_2S_2O_3$ (I) в виде желтых, очень гигроскопичных кристаллов, плавящихся в интервале t-ре 55—126° в желтую жидкость, темнеющую при дальнейшем нагревании. В маточном р-ре обнаружено немного SO_3^{2-} и SO_4^{2-} , образовавшихся в результате частичного окисления I. Предыдущее сообщение см. РХХим. 1954, № 3, 14382.

В. Росоловский

9В15. Хлорид-бромид уранила и калия. Prigent Jacques, Lucas Jacques. Sur un uranyle chlorure-bromure de potassium. «C. r. Acad. sci.», 1960, 251, № 3, 388—390 (франц.).—Кристаллы $K_2UO_2Cl_2Br_2 \cdot H_2O$ (I), хорошо растворимые в воде, полученные испарением при 90° р-ра UO_2Cl_2 (II) и KBr (в мол. отношении 1:2) и 20%-ной HCl. При 110° в токе сухого азота I обезвоживается без разложения до $K_2UO_2Cl_2Br_2$ (III), который может быть непосредственно получен сплавлением тщательно смешанных безводн. компонентов при 270°. В дебаеграммах III отсутствуют линии, характерные для II или KBr; дебаеграммы I и II идентичны. Во влажном воздухе III превращается в дигидрат (IV). III превращается в токе Cl_2 при 300° в $K_2UO_2Cl_4$ (V), а в токе O_2 при 350° — в K_2UO_4 . В ИК-спектрах I, IV или $K_2UO_2Cl_4 \cdot 2H_2O$, помимо полос воды, есть сильная полоса поглощения при 905 см^{-1} ; в III или V она смещена к 916 см^{-1} . Эта полоса приписана асимметричному ви-

лебанию прессо- ИК-сп- 9В16. ловс В. А. Предл- трубеко конденс основан в пера HClO₄ ема 60% верхних пропус- стве ол- только

9В17. содерж- ма п fluorin- дит ч- получе- разных к-сы при л-гучес- ного пр- дукта I BaF₂ · 2- тельно (5,25); натной сталлич-

9В18. to n T. rates. «Р-цией 0-го без бораты диния. скопич. в деление боратов при 517 полосы 9В19. нов. А у silanes Aug, 3- чения S По опи- 74974) ниятрих- ном р-р- и остав- продукт хлорбен- чение I затрудн- смеси I силана с на H₂, б- форма д-

9В18. to n T. rates. «Р-цией 0-го без бораты диния. скопич. в деление боратов при 517 полосы 9В19. нов. А у silanes Aug, 3- чения S По опи- 74974) ниятрих- ном р-р- и остав- продукт хлорбен- чение I затрудн- смеси I силана с на H₂, б- форма д-

9В19. нов. А у silanes Aug, 3- чения S По опи- 74974) ниятрих- ном р-р- и остав- продукт хлорбен- чение I затрудн- смеси I силана с на H₂, б- форма д-

9В20. тетрагал- M. Über Silicium Chem.», При вза- оттошен-

лебанию V_2 комплексного иона. Образование I при прессовании $II \cdot H_2O$ с KBr приводит к изменению ИК-спектра $II \cdot H_2O$. И. Рысс

9В16. Получение хлорного ангидрида. Росоловский В. Я., Зинovieв А. А., Прохоров В. А. «Ж. неорг. химии», 1960, 5, № 10, 2148—2152. Предложены 2 метода получения Cl_2O_7 . Пары безводн. $HClO_4$ под вакуумом пропускают через слой P_2O_5 в трубке, охлажденной до -30° ; образующийся Cl_2O_7 конденсируют при -78° . Выход $\sim 50\%$. Второй метод основан на р-ции $2HClO_4 \cdot 2H_2O + 5SO_3 = Cl_2O_7 + 5H_2SO_4$ и не растворимости Cl_2O_7 в H_2SO_4 . К 70—75%-ному р-ру $HClO_4$ медленно при охлаждении приливают 3,5 объема 60% олеума, смеси дают расслоиться, после чего верхний слой сливают и перегоняют под вакуумом, пропуская пары Cl_2O_7 над P_2O_5 . Выход $\sim 60\%$. В качестве охлаждающих смесей рекомендуется применять только негорючие жидкости (CCl_4 , $CHCl_3$).

В. Росоловский
9В17. Гексагональное ферромагнитное соединение, содержащее фтор. Frei E. H., Schieber H., Shtrikman S. Hexagonal ferrimagnetic compound containing fluorine. «Phys. Rev.», 1960, 118, № 3, 657 (англ.).—Продукт частичного замещения O на F в $BaO \cdot 6Fe_2O_3$ (I) получен спеканием смесей BaF_2 (II) и Fe_2O_3 , взятых в разных отношениях. Окончательный обжиг смесей велся при 1250° в течение 20 час. в атмосфере сухого O_2 ; летучесть II при 1250° затрудняла получение однофазного продукта. После промывания измельченного продукта HCl получали чистую магнетоплюмбиту фазу $BaF_2 \cdot 2FeO \cdot Fe_2O_3$ (III). В HCl III растворим значительно меньше, чем I; уд. веса I и III одинаковы (5,25); намагниченность насыщения III и I при комнатной т-ре соответственно равна 72 и 67 CGS/g. Кристаллич. структуры I и III сходны. И. Рысс

9В18. Получение тетраидодоборатов. Waddington T. C., White J. A. The preparation of tetraiodoborates. «Proc. Chem. Soc.», 1960, Sept., 315 (англ.).—Р-цией BJ_3 с соответствующим йодидом в среде жидкого безводн. йодистого водорода получены тетраидодобораты тетраметиламмония, тетраэтиламмония и пиридиния. Соединения представляют собой белые гигроскопич. твердые тела, под действием света окрашиваясь в красноватый цвет вследствие разложения с выделением свободного йода. В ИК-спектрах тетраидодоборатов имеется характерная для иона BJ_4^- полоса при 517 см^{-1} , менее интенсивная, чем соответствующие полосы ионов BCl_4^- и BF_4^- . И. Словим

9В19. Получение йодиланов из фенилхлорсиланов. Aylett B. J., Ellis I. A. The preparation of iodosilanes from phenylchlorosilanes. «J. Chem. Soc.», 1960, Aug., 3415—3416 (англ.).—Разработаны методы получения SiH_3J (I) и SiH_2J_2 (II) из фенилхлорсиланов. По описанному ранее методу (РЖХИ, 1956, № 23, 74974) получают $ClC_6H_5SiH_3$ (III) хлорированием фенилтрихлорсилана и восстановлением $LiAlH_4$ в эфирном р-ре. Запавивают смесь III с безводн. HJ в трубку и оставляют на 12 час. при комнатной т-ре. В летучих продуктах р-ции содержится I, а также избыток HJ , хлорбензол и др. Выход I 60%, т. пл. $-56 \pm 2^\circ$. Получение I из фенилсилана и HJ этим методом было бы затруднительно вследствие образования неразделимой смеси I и бензола. II получают р-цией дифенилхлорсилана с избытком HJ . Образующуюся смесь II, избытка HJ , бензола и небольших кол-в H_2 , I и силиколыода форма разделяют фракционированием, выход II 55%. И. Словим

9В20. О реакциях между дифенилсульфоксидом и тетрагалогенидами кремния. Issleib K., Tzschach M. Über die Reaktion zwischen Diphenylsulfoxid und Silicium (IV)-halogeniden. «Z. anorgan. und allgem. Chem.», 1960, 305, № 3-4, 198—206 (нем.; рез. англ.).—При взаимодействии $SiCl_4$ с Ph_2SO (I) ($Ph = C_6H_5$) в отношении 2:1 в бензольном р-ре образуется желтый

осадок Ph_2SiCl_2 , легко гидролизующийся от влаги атмосферы и разлагающийся при комнатной т-ре. В р-ре путем фракционирования под вакуумом обнаружена смесь Si_2OCl_6 , $Si_3O_2Cl_8$ и $Si_4O_3Cl_{10}$. При избытке I образуются только SiO_2 и $PhSiCl_2$. При отношении реагентов 1:1 кремний после упаривания р-ра обнаружен главным образом в виде $Si_2O_3Cl_4$. Действием $SiBr_4$ на I в бензольном р-ре получены желтые кристаллы $SiBr_4 \cdot (OSPh_2)_2$, экзотермически разлагающиеся при комнатной т-ре в течение нескольких минут с образованием Ph_2SBr_2 и SiO_2 , загрязненного 4,4'-дибромдифенилсульфидом, 4-бромдифенилсульфидом и другими в-вами. SiJ_4 образует с I в р-ре смеси эфира с петр. эфиром при -50° объемистый желтый осадок $SiJ_4(OSPh_2)_2$, легко разлагающийся с образованием J_2 , SiO_2 и Ph_2S . Взаимодействие $SiHCl_3$ с I протекает бурно, среди продуктов идентифицирован только SiO_2 . Р-ция SiF_4 с I не идет. В. Росоловский

9В21. О получении шестиводных оксинитратов циркония и гафния. Юранова Л. И. Комиссарова Л. Н., Плющев В. Е. «Ж. Всес. хим. о-ва им. Д. И. Менделеева», 1960, 5, № 3, 346.—При изыскании методов синтеза и выделения в чистом виде нитратов Zr и Hf, а также при изучении системы $ZrO_2 \cdot N_2O_5 \cdot H_2O$ при 25° методами физ.-хим. анализа установлено существование $ZrO(NO_3)_2 \cdot 6H_2O$ (I), кристаллизующегося из р-ров, содержащих 21,35—4,50 вес.% ZrO_2 и 1,93—40,00 вес.% N_2O_5 . Аналогично может быть получен и $HfO(NO_3)_2 \cdot 6H_2O$ (II). Образование I и II имеет также место при внесении небольшого избытка $ZrO(NO_3)_2 \cdot 2H_2O$ и $HfO(NO_3)_2 \cdot 2H_2O$ в насыщ. р-ры этих соединений или при смешивании дигидратов оксинитратов Zr и Hf с определенным кол-вом H_2O , недостаточным для полного растворения исходных солей (мол. отношение H_2O и дигидратов оксинитратов изменялось от 2:1 до 8:1). Образование I и II подтверждено рентгенографически. I и II хорошо растворимы в воде, устойчивы на воздухе. Пикнометрически определены плотности I и II при 20°, равные соответственно 2,08 + 0,02 и 2,66 + 0,02. Ю. Муромский

9В22. Исследование соединений четырехвалентного титана в серной и хлорной кислотах методом ионного обмена. Beukenkamp John, Herrington Kermit D. Ion-exchange investigation of the nature of titanium(IV) in sulfuric acid and perchloric acid. «J. Amer. Chem. Soc.», 1960, 82, № 12, 3025—3031 (англ.).—Методом ионного обмена на колонке со смолой AG50-Wx8 в H-форме изучены равновесия в р-ре $Ti(4+)$ в $HClO_4$ и H_2SO_4 . При конц-ии $HClO_4 \leq 1,5 \text{ M}$ в р-ре $Ti(4+)$ имеет место равновесие $Ti(OH)_3^+ + H^+ \rightleftharpoons Ti(OH)_2^{2+} + (1)$, константа которого $K_1 = 2,0$. При более высокой конц-ии $HClO_4$, по-видимому, происходит комплексообразование между Ti и ClO_4^- . В р-ре в H_2SO_4 , помимо равновесия (1), происходит образование комплексов с HSO_4^- -ионом в качестве лиганда: $Ti(OH)_3^+ + HSO_4^- \rightleftharpoons Ti(OH)_2HSO_4$, $K_2 = 11,3$, $Ti(OH)_2^{2+} + HSO_4^- \rightleftharpoons Ti(OH)_2HSO_4^+$, $K_3 = 0,64$. При увеличении конц-ии H_2SO_4 от 0,2 до 2,5 M доля $Ti(4+)$, присутствующего в р-ре в виде $Ti(OH)_3^+$, падает от ~ 30 до $\sim 3\%$, доля $Ti(OH)_2^{2+}$ почти не меняется ($\sim 20\%$), $Ti(OH)_2HSO_4^+$ равномерно возрастает от 0 до $\sim 20\%$ и $Ti(OH)_2HSO_4$ вначале возрастает от ~ 50 до $\sim 64\%$ (при 0,7 M H_2SO_4) и затем медленно убывает до $\sim 58\%$. В. Росоловский

9В23. Бромфосфазены («фосфонитрильбромиды»). Bean N. E., Shaw R. A. Bromophosphazenes («phosphonitrilic bromides»). «Chemistry and Industry», 1960, № 38, 1189 (англ.).—Описан способ получения гексабромциклотрифосфазотетраена $P_3N_3Br_6$ (I) и октабромциклотетрафосфазотетраена $P_4N_4Br_8$ (II). Нагревают в течение 7 суток с обратным холодильником р-р PBr_3 , Br_2 и NH_4Br в тетрагидротане. Через р-р пропускают ток сухого N_2 . Охлаждают, фильтруют, отгоняют р-ритель под вакуумом и экстрагируют твердый осадок

ток петр. эфиром. Из экстракта отгоняют р-ритель и сублимируют при давл. 0,5 мм рт. ст. При 105—110° возгоняется I и при 140—150° II. После перекристаллизации из бензола получается I в виде призм с т. пл. 192°, выход 25—30%, и II в виде тонких игол с т. пл. 202°, выход 6—8%. При нагревании I и II до 250—300° получается слегка окрашенный эластомер, гидролизующийся на воздухе и твердеющий при стоянии.

И. Слоним

9В24. Изучение моноиоортофосфатов натрия и аммония. Tridot Gabriel, Tudo Joseph. Contribution à l'étude des monothioorthophosphates de sodium et d'ammonium. «Bull. Soc. chim. France», 1960, № 6, 1231—1240 (франц.).—Исследованы свойства Na_2PSO_3 (I), Na_2HPSO_3 (II) и их гидратов, а также $(\text{NH}_4)_2\text{HPSO}_3$ (III), не образующего гидратов. Обезвоживание $\text{I} \cdot 12\text{H}_2\text{O}$ исследовано на термовесах и дифференциальным термич. анализом. При 48—60° $\text{I} \cdot 12\text{H}_2\text{O}$ обезвоживается до $\text{I} \cdot 9\text{H}_2\text{O}$, плавящегося при 64°; в расплаве протекает гидролиз. Давление диссоциации $\text{I} \cdot 12\text{H}_2\text{O}$ при 15, 20 и 25° равно 6,50, 7,70 и 9,70 мм рт. ст.; для $\text{I} \cdot 9\text{H}_2\text{O}$ оно при тех же т-рах равно 2,35, 4,10 и 6,45 мм рт. ст. I получен дегидратацией $\text{I} \cdot 12\text{H}_2\text{O}$ вакуумным с метанолом; в токе влажного N_2 он быстро превращается в $\text{I} \cdot 9\text{H}_2\text{O}$ и медленнее в $\text{I} \cdot 12\text{H}_2\text{O}$. В токе O_2 I загорается при 296°, образуя SO_2 , фосфат, пирофосфат и сульфат Na. В атмосфере N_2 или в вакууме разложение I (с отщеплением S) происходит при 300—800°. Гидрат $\text{II} \cdot 5\text{H}_2\text{O}$ полностью разлагается при 60° на $\text{Na}_4\text{P}_2\text{O}_7$, H_2S и H_2O ; промежуточно образуются некоторые кол-ва $\text{II} \cdot \text{H}_2\text{O}$. В вакууме над P_2O_5 при комнатной т-ре $\text{II} \cdot 5\text{H}_2\text{O}$ превращается в II, загрязненный примесью пирофосфата. При 224° происходит р-ция $2\text{II} \rightarrow \text{Na}_4\text{P}_2\text{O}_7$ (IV) + H_2S ; IV разлагается при 300—450°. Изучены ИК-спектры $\text{I} \cdot 12\text{H}_2\text{O}$, I и $\text{II} \cdot 5\text{H}_2\text{O}$. При нагревании III протекают р-ции $\text{III} \rightarrow \text{NH}_4\text{H}_2\text{PO}_3$ (V) + NH_3 и $2\text{V} \rightarrow (\text{NH}_4)_2\text{H}_2\text{P}_2\text{O}_6$ (VI) + H_2S (до 140°), а при более высоких т-рах $\text{VII} \rightarrow 2\text{NH}_4\text{PO}_3$ + H_2S ; при 273° образуется метафосфорная кислота.

И. Рысс

9В25. Присутствие и разделение высших полиотионов кислот в жидкости Вакенродера. Barbieri R., Bruno M. Occurrence and separation of higher polythionic acids in Wackendorfer liquid. «J. Inorg. and Nucl. Chem.», 1960, 14, № 1-2, 148 (англ.).—Продукты р-ции Вакенродера исследованы с применением метода хроматографии на бумаге. В р-ре, полученном р-цией H_2S и SO_2 в воде, найдены $\text{H}_2\text{S}_n\text{O}_6$ со следующими n (в скобках R_f): 4 (~0,15, диффузно); 5 (0,20), 6 (0,25), 7 (0,30), 8 (0,37), 9 (0,45), 10 (0,52), $n > 10$ (~0,65, диффузно) и H_2S (0,90). При р-ции H_2S и SO_2 в 50%-ной воде. CH_3COOH найдены к-ты с $n = 3-12$, а в 8—10 M HCl — к-ты с $n = 8-11$. Первыми продуктами р-ции Вакенродера являются $\text{H}_2\text{S}_2\text{O}_3$ и $\text{H}_2\text{S}_3\text{O}_6$. К-ты с $n = 6$ разлагаются при прибавлении CH_3COOH к жидкости Вакенродера. Эти результаты согласуются с предложенным ранее (van der Heijde H. B. Contribution to the chemistry of the inorganic acids of sulphur, 1955) механизмом образования полиотионовых к-т, в предположении, что длина цепи промежуточного соединения растет с кислотностью раствора.

И. Рысс

9В26. Новый метод синтеза хлоридов металлов. Austin T. E., Tyree S. Y., Jr. «J. Inorg. and Nucl. Chem.», 1960, 14, № 1-2, 141—142 (англ.).—Разработан метод синтеза хлоридов металлов FeCl_3 , NbCl_5 и MoCl_5 . Окись металла нагревают с гексахлорбутадиеном-1,3, пропуская одновременно газообразный Cl_2 ; через 18—24 часа, когда весь окисел прореагирует, охлаждают реакционную смесь и отделяют образовавшиеся кристаллы хлорида металла. Метод не пригоден для получения хлоридов Be, Al, Cr(3+), Zn, Zr, Mo(6+), In, Ta и W(6+).

И. Слоним

9В27. К синтезу окислов урана определенного состава. I. Brčić B. S., Rozman J., Škerjanc J. K. sintezi definiranih uranovih oksidov. I. «Vestn. Slov.

kem. društva», 1959, 6, № 1-2, 9—15 (словенск.; нем.).—Из $\text{UO}_2(\text{NO}_3)_2$, U_3O_8 , UF_6 и диурата аммония получена UO_2 ; исследовано поведение UO_2 при нагревании до 900°; в этих же условиях исследованы смеси UO_2 с окислами Ti, Zr и Th. Плотность полученных таблеток UO_2 + ThO_2 (100:1) равна 10,6.

Из резюме авторов

9В28. Смешанные галогеноокислоты элементов II и III групп периодической системы. Galinos Andreas G. Mixed halogen acids of the elements of the II and III periodic groups. «J. Amer. Chem. Soc.», 1960, 82, № 12, 3032—3033 (англ.).—Получены смешанные галогеноокислоты в виде комплексных соединений с эфиром состава $\text{H}[\text{MX}_2\text{X}'] \cdot 2(\text{C}_2\text{H}_5)_2\text{O}$ (I) и $\text{H}[\text{MX}_3\text{X}'] \cdot 2(\text{C}_2\text{H}_5)_2\text{O}$ (II), где M = Zn, Cd, Hg; M' = Al, Ga, In; X = Cl, Br, J; X' = Cl, Br. Соединения I с M = Hg и X = Cl, Br и II с M' = Ga и X = J не получены. Метод получения: безводн. галогениды соответствующих металлов добавлялись к избытку абс. эфира, насыщенного сухим HCl или HBr-газом. Образовавшиеся I и II отделялись от эфирной фазы и сушили в вакууме. I и II могут быть выделены в кристаллич. состоянии при —80°. Определены криоскопически в нитробензоле мол. веса некоторых I и II; найденные величины составили ~1/2 от мол. веса, вычисленного теоретически по формулам I и II. Комплексы I и II окрашены. Их окраска (от светло-желтой до коричневой) зависит от природы металла и галогенов. I и II представляют собой маслянистые жидкости, замерзающие при низких т-рах (от 8 до —80°); т-ры плавления неотчетливы. I и II дымят на воздухе; с водой бурно реагируют с выделением HCl (соответственно HBr). I и II растворимы в полярных р-рителях (нитробензол, CHCl_3 , жидкая SO_2) и нерастворимы в неполярных р-рителях (эфир, C_6H_6 и т. д.). Р-ры I и II в полярных р-рителях проводят электрич. ток, т. е. I и II диссоциируют на ионы I и II могут быть использованы в качестве катализаторов при этерификации спиртов и при полимеризации стирола и α -пинена.

Ю. Муромский

9В29. Синтез фторидов двух металлов реакции между газообразным HF и кристаллическими хлоридами. Allamagny Paul. Synthèses de fluorures de deux métaux par réactions entre le gaz HF et des chlorures cristallisés. «Bull. Soc. chim. France», 1960, № 6, 1099—1106 (франц.).— Li_2NiF_4 (I) и MnNiF_4 где M = Na (II), K (III) или Rb (IV), получены нагреванием смесей теоретич. кол-в безводн. хлоридов металлов в токе сухого HF-газа при т-рах до 600—700°; в первых стадиях р-ции образуется смесь фторидов, соединяющихся между собой при более высоких т-рах. Параметры a куб. гранецентр. ячеек I, II и IV равны 8,813, 7,64 и 8,20 Å; IV кристаллизуется в типе перовскита. При действии HF-газа на индивидуальные соли, LiCl превращается в LiF при 100° или при более высоких т-рах, превращение NiCl_2 в NiF_2 облегчается повышением т-ры и заканчивается при ~400°; напротив, превращение KCl, RbCl или CsCl во фториды, происходящее при 100°, затрудняется при более высоких т-рах сдвигом положения равновесия в сторону хлоридов. Это подтверждено превращением MF в MCl при нагревании в токе HCl. Соединения I—IV получены также нагреванием MnNiCl_4 в токе HF. Попытки получения CsNiF_4 не привели к успеху.

9В30. Получение ферритов анодным окислением сплавов в водной среде. Forestier Hubert, Petit Jean-Camille. Préparation de ferrites par oxydation anodique d'alliages en milieu aqueux. «C. r. Acad. sci.», 1960, 250, № 26, 4267—4269 (франц.).—Исследованы ферромагнитные осадки, полученные при анодном окислении Fe и его сплавов, содержащих 33% Ni, 36% Co или 33% Mn. Окисление вели в 0,1 н. р-ре NaCl (pH 7) при комнатной т-ре, плотности тока 0,015 а/см² и напряжении 10 в; катодом служила Pt-фольда. Осадки, полученные в течение нескольких часов, от-

фильтр
P₂O₅. Д
шиннел
ченных
сплавов
гидрокс
нов соот
те терм
Fe, Fe—
ответстн
нетику
ты кри

9В31.

ми во в
химия»,
бую гру
которых
лигандо
или N,
связей
связей
лексных
привади
ных сви
быть р
O₂Cl₂,
клетные
лов V,
ных ком
ду орди
реляция
ся меро
лентным
ной свя
личия
этом м
ионным
лигандо
Но в сл
омия,
денция
лагается
няемых
да (ОН)
транс-п
плотнос
для обр
аксепери
лов в кр
нича свя
связей.
критери
с кратн
ния на
неметал
клетные
диссоци
«оскодо
9В32.
Компле
стан, с
sat A.
liques d
l'acetyl
tiques,
(франц.
мифуфер
мнению
стимул у
при pH
разруша
шобатке
графики

фильтровывали, промывали и сушили в вакууме над P_2O_5 . Дебаграммы осадков указывают на структуру шпинели и сходны с дебаграммами ферритов, полученных при высоких t -рах. В осадках, полученных из сплавов Fe—Co или Fe—Mn, найдены также линии гидроксидов или соответственно δ -FeOOH. Составы осадков соответствуют общей ф-ле $Fe_2O_3 \cdot MO$. В результате термоманитного анализа осадков, полученных из Fe, Fe—Ni, Fe—Co и Fe—Mn, найдены t -ры Кюри соответственно 575, 590, 520 и 300°, соответствующие магнетиту и ферритам Ni, Co или Mn. Полученные ферриты кристаллически; размер кристаллов достигает 1 μ .

И. Рысс

9В31. Комплексные соединения с кратными связями во внутренней сфере. Бок и Г. Б. «Ж. структ. химии», 1960, 1, № 1, 72—79.—Автор выделяет в особую группу комплексных соединений те комплексы, в которых имеются кратные связи между металлом и лигандом, в частности с одиноким атомом, напр. O или N, и указывает, что при наличии таких кратных связей появляется резкая неравноценность отдельных связей в комплексах (в отличие от «обычных» комплексных соединений), где все координационные связи принадлежат к одному типу). При образовании кратных связей координационное число металла может быть равно или даже меньше его валентности (как в $OsO_4Cl_2^{2-}$ или OsO_4N^{2-}). Способность образовывать кратные связи характерна для многовалентных металлов V, VI, VII и VIII групп. Связи M с N в нитрозильных комплексах трактуются как промежуточные между ordinary и тройными, причем установлена корреляция между расстоянием между M и N, являющимся мерой кратности (а также расстоянием N—O), и валентным углом M—N—O, составляющим 180° при тройной связи $M \equiv N$ и 105° при ordinary связи. При наличии в комплексе кратных связей остальные связи атома металла становятся, по мнению автора, более слабыми. Это определяет переменное число остальных лигандов, как это имеет место в комплексах уранила. Но в случае более сильного комплексобразователя — осмия, наличие группировки $Os \equiv N$ не изменяет тенденции к образованию октаэдрич. комплексов. Предполагается, что наличие кратной связи M с NO в соединениях Ru предопределяет появление другого лиганда (OH) в транс-положении к NO за счет того, что транс-положение, от которого оттянута электронная плотность к связи M с NO, наиболее приспособлено для образования связи с анионом. Автор выводит из эксперим. значений расстояний радиусы атомов металлов в кратных связях и указывает, что радиусы в тройных связях на 0,2—0,3 Å меньше, чем для ordinary связей. На основании этого предложен кристаллохим. критерий для обнаружения комплексных соединений с кратными связями, а именно уменьшение расстояния на ~0,2 Å (0,1 Å за счет радиуса металла и 0,1 Å — неметалла). Предполагается, что при высоких t -рах кратные связи в комплексных соединениях должны диссоциировать в последнюю очередь, сохраняясь в «осколочных» радикалах.

М. Дяткина

9В32. Соединения металлов с β -дикетими. 1. Комплекс меди с диоксимом ацетилацетона, его состав, свойства и аналитические аспекты. Ben-Bassat A. H. I., Sa'at Y., Sarel S. Les composés métalliques des β -dioximes. I. Le complexe cuivre-dioxime de l'acétylacétone: composition, propriétés et aspects analytiques. «Bull. Soc. chim. France», 1960, № 5, 948—954 (франц.).—Добавление диоксима ацетилацетона (I) к амбуферным до pH 5,5 p -рам $Cu(NO_3)_2$ ведет к смещению максимума поглощения от 800 до 600 м μ . Максимум устойчивости образующегося комплекса лежит при pH 5—6. С повышением кислотности p -ра комплекс разрушается, а при pH 0—2 не образуется даже при избытке I. По данным метода непрерывных изменений, графики зависимости оптич. плотности (или pH) p -ра

от его состава указывают на образование комплекса, содержащего на 1 атом Cu 1 молекулу I; его константа нестойкости составляет $1,26 \cdot 10^{-3}$. Поскольку p -р комплекса обнаруживает все характерные p -ции Cu^+ (с SCN^- , J^- , α, α' -дипиридилем), авторы принимают предположение об образовании соединения $Cu(I^+)$ и приводят его вероятные структуры. Соединения с другими отношениями Cu : I (кроме 1 : 1) не образуются ни при взаимодействии $Cu(NO_3)_2$ с I, ни при растворении $Cu(OH)_2$ в I. Между тем для полного связывания Cu на каждый атом комплексобразователя при pH 5,5 необходимо вводить 1,5 молекулы I. При растворении $Cu(OH)_2$ в I наблюдается повышение pH от 6 до 8, которое авторы связывают с высвобождением 2 ионов OH^- на каждый атом Cu; при комплексобразовании на 1 атом Cu выделяется только 1 ион H^+ . Р-ция взаимодействия с водн. p -рами I может быть использована для колич. определения Cu колориметрич. методом; закон Бера для образующегося комплекса выполняется. Также возможно титрование I солями Cu.

Н. Полянский

9В33. Фталоцианины меди со степенью окисления нуль. Watt G. W., Dawes J. W. Copper (0) phthalocyanine. «J. Inorg. and Nucl. Chem.», 1960, 14, № 1-2, 32—34 (англ.).—При взаимодействии фталоцианина 2-валентной меди ($Cu^{(2+)}PC$) (I) в аммиачном p -ре с K происходит восстановление $Cu^{(2+)}PC + 2K^+ + 2e^- \rightarrow 4NH_3 \rightarrow K_2(Cu^{(0)}PC) \cdot 4NH_3$ (II). Образующиеся пурпурные кристаллы II имеют магнитный момент 1,65 μ_B . Четыре молекулы NH_3 легко удаляются с образованием несольватированного комплекса. Предполагается, что 2 лишних электрона, присоединяющихся к I, заполняют 3d-орбиты, так что неспаренный электрон оказывается на 4p-орбите. II стабилен в инертной атмосфере даже при повышенной t -ре, но в окислительных условиях быстро окисляется в I. Предполагается, что промежуточное ярко-зеленое окрашивание соответствует образованию комплекса $Cu(I^+)$, который быстро диспропорционируется в I и II.

М. Дяткина

9В34. Колориметрическое изучение комплекса меди с 3,4-диоксисбензойной (протокатехиновой) кислотой. Sinha A. Colorimetric study of copper ion complex with dihydroxy benzoic acid (protocatechuic acid). «Proc. Nat. Acad. Sci. India», 1959, A28, № 6, 342—345 (англ.).—Колориметрически (с применением фотоэлектродетектора с фильтрами, пропускающими области длин волн 400—465 и 500—570 м μ) определен состав комплексов, образуемых $Cu^{(2+)}$ в водн. p -рах, содержащих $CuSO_4$ и K-соль 3,4-диоксисбензойной к-ты, при различных значениях pH p -ров. Установлено, что в p -рах образуются комплексы с соотношением Cu : лиганд = 1 : 1 (в смесях состава $CuSO_4$: лиганд = 1 : 1) и 1 : 2 (в смесях состава $CuSO_4$: лиганд = 1 : 2 и 1 : 3) при значениях pH соответственно 5,5 и 5,8. При промежуточных значениях pH образуются оба комплекса. Максим. интенсивность окраски комплексов 1 : 1 и 1 : 2 наблюдается при значениях pH 5,5 и 5,8 соответственно.

Ю. Харитонов

9В35. Внутриклеточные соединения. I. Внутриклеточные соединения меди и бериллия с эфирами 4-ацетил-5-кетогексановой кислоты. Kluiber Rudolph W., Oberender Frederick G., Rossi Carl J. Inner complexes. I. Copper and beryllium chelates of 4-acetyl-5-ketohexanoic esters. «J. Organ. Chem.», 1960, 25, № 6, 1069—1070 (англ.).—Медь и бериллий образуют с эфирами 4-ацетил-5-кетогексановой к-ты внутриклеточные соединения $M((CH_3CO)_2C(CH_2CH_2COOR))_2$. Выход (1-я цифра, в %) и т. пл. (2-я цифра, в °C) соединений составляют при $M = Cu(2^+)$ и R = метил (I) 35, 200 (разл.); этил (II) 60, 205 (разл.); аллил (III) 20, 174—175; бутил (IV) 32, 157—159; n -амил (V) 20, 148,5—152; изоамил (VI) 25, 151,5—152; 2-октил

дее сильными комплексообразователями (или соответственно более слабыми к-тами). Некоторое улучшение способности разделения следует ожидать у α -оксизовалериановой к-ты, где наблюдается за счет большого объема лиганда резкое падение прочности комплексов Со.

9В41. Отделение циркония от гафния хроматографическим методом на геле кремневой кислоты. Waltenberger Raźniewska M. Oddzielenie cyrkonu od hafnu metodą chromatografii na żelu krzemionkowym. «Prace inst. hutn.», 1960, 12, № 2, 107—109 (польск.; рус., англ.).—Разработанный ранее (Hansen R. S. J. Amer. Chem. Soc., 1949, 71, 4158) метод отделения Zr от Hf хроматографич. методом на геле кремневой к-ты (ГРК) улучшен путем применения наиболее эффективных образцов ГРК и установления оптимальной конц-ии метанольного р-ра смеси $ZrCl_4$ и $HfCl_4$, идущей на разделение. Для разделения применена колонка диам. 27 мм, высотой 100 см, наполненная ГРК, предварительно обработанная безводн. CH_3OH . Установлено, что ГРК, полученный нейтр-цией р-ра Na_2SiO_3 соляной к-той в присутствии большого кол-ва $Ni(NO_3)_2$, намного эффективнее, чем ГРК, выпадающий из р-ра Na_2SiO_3 при пропускании через него CO_2 . Выход очнч. окиси циркония, содержащей $\leq 0,01\%$ Hf (считая на сумму Zr и Hf), достигает 85% вместо 27%, получаемых по методу Хансена (см. ссылку выше).

9В42. Комплексные соединения галогенидов германия с пиридином, 2,2'-дипиридилом и 1,10-фенантролином. Лебедев В. Г., Тронева В. Г. «Ж. неорганич. химии», 1960, 5, № 8, 1725—1729.—Синтезированы соединения галогенидов германия с пиридином (Py), 2,2'-дипиридилом (Dipy) и 1,10-фенантролином (Phen) общей ф-лы $GeX \cdot 2R$, где X = Cl или Br, R = Py, $\frac{1}{2}$ Dipy, $\frac{1}{2}$ Phen. Определен мол вес комплексных хлоридов, образовавшихся мономерами. Изучена оптич. методика системы $GeCl_4$ —Phen в р-ре хлороформа. Установлено образование соединения $GeCl_4 \cdot C_{12}H_8N_2$. Отмечено закономерное изменение термич. устойчивости соединений $GeCl_4$ и $GeBr_4$ с аминами, и высказаны предположения о возможном строении полученных комплексов.

9В43. Синтез гексакарбонила ванадия. Ercoli R., Calderazzo F., Alberola A. Synthesis of vanadium hexacarbonyl. «J. Amer. Chem. Soc.», 1960, 82, № 14, 2966—2967 (англ.).—Методом восстановительного карбонилирования получен $V(CO)_6$ (I) — карбонил, в котором эффективный порядковый номер центрального атома меньше 18. Р-ция проводилась с безводн. VCl_3 (который может быть заменен $VOCl_3$ или ацетилацетонатом $V(3+)$) в безводн. пиридине со смесью Mg + Zn, активированной йодом, в автоклаве под давл. CO (до 135 ат) при энергичном перемешивании, нагревании до 135° в течение 8 час., последующем охлаждении, отделении твердого остатка, добавлении воды и эфира, подкислении, отделении эфирного слоя и выпаривания р-рителя (все операции в атмосфере N_2); выход I после сушки над P_2O_5 составляет 38%. Без подкисления из реакционной смеси получены $NiPhen[V(CO)_6]$ и $Na[V(CO)_6] \cdot 2Diox$ (Phen — о-фенантролин, Diox — диоксан), при восстановлении которых получается $V(CO)_6$. Соли получают также из I при р-ции с основаниями (ди-н-бутыловый эфир, пиридин, диоксан, метанол, ацетон). I летуч и неустойчив на воздухе, разлагается при 60—70° в атмосфере N_2 , сине-зеленого цвета, парамагнитен и имеет 1 неспаренный электрон, что указывает на его мономерный характер.

9В44. Получение мононитратотриоксованадия (5+). Pantoni John A., Fischer Albert K., Beintz Edward A. The preparation of mononitratodioxovanadium (V), VO_2NO_3 . «J. Inorg. and Nucl. Chem.», 1960, 14, № 1-2, 145—147 (англ.).— VO_2NO_3

(I) получен действием жидкого N_2O_4 на V-стружки в присутствии ацетонитрила как катализатора. Р-ция проходит при т-ре 0—5° в течение 5—6 час. по ур-нию CH_3CN

$V + 2N_2O_4 \rightarrow VO_2NO_3 + 3NO$ с выходом 91%. Соединение I представляет собой кирпично-красный порошок, неустойчивый во влажном воздухе, хорошо растворимый в воде. При конц-ии водн. р-ров I $> 0,73\%$ они в течение суток превращаются в гель, р-ры меньшей конц-ии устойчивы. При выпаривании р-ров I образуется V_2O_5 . Нагревание сухого I до 350° в вакууме или в Ag ведет к разложению $2VO_2NO_3 \rightarrow V_2O_5 + N_2O_5$. В ИК-спектре I имеются полосы, характерные для нитратов и для связей V—O. I рентгеноаморфен, $d_{220}^0 = 2,055$. При комнатной т-ре I слабо диамагнитен, при -195° мол. магнитная восприимчивость равна $116 \cdot 10^{-6}$, что соответствует магнитному моменту $0,08 \mu_B$ эти данные указывают на отсутствие неспаренных электронов.

9В45. Кинетические исследования комплексов трех валентного хрома. 5. Кинетика и механизм акватации этилендиаминдиоксалохромиат-иона в водных хлорнокислых растворах. Schläfer H. L., Kling O., Mähler L., Opitz H. P. Kinetische Untersuchungen an Chrom(III)-Komplexen. 5. Kinetik und Mechanismus der Aquotisierung des Äthylendiamindioxalato-Chrom-(III)-Komplexions in wässriger perchlorsaurer Lösung. «Z. phys. Chem. (BRD)», 1960, 24, № 5-6, 307—336 (нем.).—Кинетика темновой акватации $[Cr(Ox)_2En]^-$ (I) до $[Cr(Ox)_2(H_2O)_2]^-$ (II), где $Ox = C_2O_4$, в хлорнокислых р-рах (рН 1—3, ионная сила 0,16) изучена методами измерения рН, спектрофотометрически и дифференциально-рефрактометрически. Первая стадия р-ции состоит в разрыве одной связи Cr—N и образовании $[Cr(Ox)_2EnH(H_2O)]^0$ (III), находящегося в равновесии с $[Cr(Ox)_2EnH(OH)]^-$ (IV); во 2-й стадии III и IV превращаются в $cis-II$; превращение IV происходит в 30—50 раз быстрее, чем превращение III. Вычисленные из измерений рН величины 10^2k_2 , где k_2 — усредненная для III и IV константа скорости 2-й стадии в час $^{-1}$, при 5, 10, 15 и 20° равны $0,46 \pm 0,02$, $0,89 \pm 0,02$, $1,60 \pm 0,03$ и $2,85 \pm 0,09$. Из спектрофотометрич. измерений, выполненных при постоянном рН 1,1, найдены несколько более высокие значения 10^2k_2 при тех же т-рах: $0,60 \pm 0,02$, $1,08 \pm 0,03$, $2,05 \pm 0,04$ и $3,60 \pm 0,08$; вычисленные из этих данных энергии и энтропии активации равны $19,5 \pm 0,6$ ккал/моль и $-14,9 \pm 1,7$ (для 20°); предэкспоненциальный фактор равен $(3,4 \pm 3,0) \cdot 10^9$ сек $^{-1}$. Константы скорости 1-й стадии р-ции в 30—80 раз больше, чем k_2 . $Cis-II$ испытывает дальнейшее медленное превращение, обнаруживаемое только спектрофотометрически. Сообщение 4 см. РЖХим, 1959, № 24, 85629.

9В46. Комплексы молибдена со степенью окисления нуль с двутретичными фосфинами. Chatt J., Watson H. R. Diteriary phosphine complexes of molybdenum(0). «Proc. Chem. Soc.», 1960, July, 243 (англ.).—Нагреванием трех эквивалентов двутретичных фосфинов с $Mo(C_6H_5)_2$ (I) в запаянных трубках в атмосфере N_2 при 140° в течение времени до 50 час. достигнуто полное вытеснение C_6H_6 . Перекристаллизацией продуктов из указанных ниже р-рителей получены $Mo(C_6H_5)_4P(CH_3)_2_3$ (II), $Mo(o-C_6H_4)_2P(C_2H_5)_2_3$ (III) и $Mo(C_2H_4)_4P(C_6H_5)_2_3$ (IV). Бледно-желтые кристаллы II (из C_6H_6), т. пл. 397° (разл.), мало растворимы в органич. р-рителях, сублимируются в вакууме при 280°. Красно-черные иглы III (из ацетона), т. пл. 236,5°, очень хорошо растворимы в C_6H_6 и петр. эфире. Блестящие красно-оранжевые кристаллы IV (из C_6H_6), т. пл. 281,5° (разл.), умеренно растворимы в C_6H_6 . II—IV диамагнитны, окисляются на воздухе, устойчивы в углеводородных р-рах (в атмосфере N_2), разлагаются полярными р-рителями. В описанных условиях I не

реагирует с $P(C_6H_5)_3$; с $P(CH_3)_3$ образуется очень неустойчивое желтое твердое в-во. I устойчив при атмосферном давлении до 150° . $Cl(C_6H_5)_2$ не реагирует с двутретичными фосфинами даже при t -рах $>200^\circ$.

И. Рысс

9В47. Получение 9-вольфрамобериллиевой кислоты. Brown D. H. The preparation of 9-tungstoberyllic acid. *J. Inorg. and Nucl. Chem.*, 1960, 14, № 1—2, 129—132 (англ.).—Для получения 9-вольфрамобериллиевой к-ты (I) водн. р-р $BeSO_4$ медленно добавляли к нагретому почти до кипения водн. р-ру Na_2WO_4 . выпадающий вначале осадок постепенно растворялся. Образовавшийся р-р подкисляли 1 н. H_2SO_4 (II) до pH 3, t -ра поддерживалась равной $\sim 90^\circ$. Р-р упаривали до ~ 150 мл и оставляли на несколько дней. Выпавший паравольфрамат Na отфильтровывали, а к р-ру добавляли эфир и 12 н. II для удаления метавольфрамовой к-ты (в виде эфирного комплекса). Затем водн. слой нагревали и через него пропускали ток N_2 для удаления эфира. Из водн. слоя экстрагировали I амилловым спиртом. Промывкой водой экстракта получен водн. р-р I; выход по W $\sim 60\%$. В свободном состоянии I выделить не удалось из-за ее неустойчивости. Водн. р-р I использован для получения солей. Получены соли I с гуанидином $3(CN_2H_5)_2O \cdot BeO \cdot 9WO_3 \cdot 3H_2O$, пиридином $2,5(C_5H_5N)_2O \cdot BeO \cdot 9WO_3 \cdot 3H_2O$, свинцом $3PbO \cdot BeO \cdot 9WO_3 \cdot 3H_2O$ (III), серебром $3Ag_2O \cdot BeO \cdot 9WO_3 \cdot 14H_2O$ (IV), хинином, бруцином, нитроном, цинхоином. Соли NH_4 , K и Na сильно растворимы в воде и их трудно выделить в чистом виде. Очистка II и IV может быть произведена дробной кристаллизацией. Относительно высокое содержание H_2O в III и IV не специфично и зависит от условий получения последних. Соли I термически неустойчивы и начинают разлагаться при t -ре ~ 100 — 120° .

Ю. Муромский

9В48. Фотохимическое получение пиридин- и анилин-пентакарбонилвольфрама и дипиридин-тетракарбонилвольфрама. Strohmeyer W., Gerlach K.I., Matthias G. Photochemische Darstellung von Pyridin- und Anilin-pentacarbonylwolfram sowie Dipyridin-tetra-carbonylwolfram. *Z. Naturforsch.*, 1960, 15b, № 9, 621—623 (нем.).—При УФ-облучении р-ра $W(CO)_6$ (I) и пиридина (Py) в тетрагидрофуране, продолженном до отщепления 1 моля CO, образуется смесь $W(CO)_5Py$ (II) и $W(CO)_4Py_2$ (III) в отношении 2:1; описаны условия их разделения. II и III гидрофобны, устойчивы на воздухе, желтого цвета, растворимы в спирте и ацетоне. II хорошо растворим в C_6H_6 , растворим в петр. эфире; III сублимируется в высоком вакууме при $\sim 80^\circ$, т. пл. 144° . III мало растворим в C_6H_6 , нерастворим в петр. эфире; III не может быть сублимирован, т. разл. $\sim 120^\circ$. При УФ-облучении смеси I и Py в тетрагидрофуране, продолженном до отщепления 2 молей CO, получается только III. Желтый гидрофобный $W(CO)_5C_6H_5NH_2$ (IV), т. разл. 145 — 147° , выделен из продуктов УФ-облучения р-ра I и анилина в тетрагидрофуране до отщепления 1 моля CO; IV хорошо растворим в C_6H_6 , ацетоне и анилине, плохо растворим (~ 1 г/л) в петр. эфире.

И. Рысс

9В49. Спектрофотометрическое исследование комплексобразования уранила с этилендиаминтетрауксеной кислотой. Козлов А. Г., Крот Н. Н. *Ж. неорган. химии*, 1960, 5, № 9, 1959—1963.—Оптическая плотность р-ров (μ 0,1), содержащих $UO_2(NO_3)_2$ ($2 \cdot 10^{-3}$ M) и ЭДТА ($1,2 \cdot 10^{-3}$ — $5 \cdot 10^{-2}$ M), при 24° , определялась как функция pH. Вычислены показатели констант нестойкости для комплексов $\{UO_2\}_2Y$ (pK $15,2 \pm 0,3$ при pH ~ 2), $[UO_2Y]^-$ (pK $10,4 \pm 0,3$ при pH 3—6). Выделены кристаллич. соединения $[(UO_2)_2Y] \cdot H_2O$ и $K_2[UO_2Y] \cdot nH_2O$.

М. Ф.

9В50. Роданидные соединения уранила. Марков В. П., Траггейм Е. Н. *Ж. неорган. химии*, 1960, 5, № 7, 1467—1473.—Описано получение $UO_2(CNS)_2 \cdot 3H_2O$, $(C_{10}H_8N_2H_3)_3 \cdot UO_2(CNS)_5$, $(C_{13}H_9NH)_3 \cdot UO_2(CNS)_5$,

$\{[C_2H_5)_2N]_3 \cdot WO_2(CNS)_5$. Исследована растворимость полученных соединений, их термич. разложение, определена их мол. электропроводность в воде и в CH_3OH . Полученные соединения представляют собой комплексы с малоустойчивой внутренней сферой. Устойчивость последней повышается в CH_3OH .

М. Ф.

9В51. Роданосоединения уранила. Марков В. П., Траггейм Е. Н. *Ж. неорган. химии*, 1960, 5, № 7, 1493—1501.—Описано получение $NH_4[UO_2(CNS)_3 \cdot 2H_2O]$ (I), $K[UO_2(CNS)_3 \cdot 2H_2O]$ (II), $Rb[UO_2(CNS)_3 \cdot 2H_2O]$ (III), $(NH_4)_4[UO_2(CNS)_4 \cdot 2H_2O]$ (IV), $Cs_3[UO_2(CNS)_5]$ (V). Соединения I—V растворимы в воде, спирте, ацетоне, эфире, нерастворимы в бензоле и толуоле. Определена термич. устойчивость I—V и их мол. электропроводность в воде и в CH_3OH . Установлена малая устойчивость комплексов в воде и несколько большая — в CH_3OH . Предполагается, что координационное число уранила в I, II, III, V равно 6, причем роданогруппы связывают 2 иона уранила, занимающие mostовое положение.

М. Ф.

9В52. Изучение комплексов уранила с ацетил-п-крезоловой кислотой. Agrawal S. P., Aggarwal R. C., Srivastava T. N. A study on the uranyl complexes of acetyl-p-cresotic acid. *J. prakt. Chem.*, 1960, 14, № 1—2, 35—39 (англ.).—Спектрофотометрически исследована система уранилнитрат—ацетил-п-крезоловая к-та—вода. Установлено существование одного комплекса типа 1:1, что подтверждено результатами измерений pH. Из спектрофотометрич. данных найдено значение константы образования этого комплекса, равное $5,10 \cdot 10^2$.

В. Волков

9В53. О комплексной природе уранатов. Чарняев И. И., Головин В. А., Эллерт Г. В. *Ж. неорган. химии*, 1960, 5, № 7, 1481—1492.—На основании обобщения обширного эксперим. материала, опубликованного авторами и полученного ранее, выдвинуто новое представление о составе и строении уранатов. Отмечается, что ион уранила — типичный ион-комплексобразователь, способный образовывать генетич. ряды комплексных соединений на основе проведения р-ций внутрикомплексных замещений. Уранаты, осаждаемые из р-ров, авторы относят к генетич. ряду актиноидных комплексов. Из генетич. ряда гидроксоаквокомплексов UO_2^{2+} , в который теоретически должно входить 12 типов соединений, выделено 5 (с отношениями $OH:U = 0,5:1, 1:1, 2:1, 3:1, 4:1$). Существование двух выделенных членов этого ряда (с отношениями $OH:U = 1,5:1$ и $2,5:1$) в р-ре доказано физ.-хим. методами. Соединения с отношениями $OH:U$, равными $3,5:1, 4,5:1, 5,5:1$ и $6:1$, не получены, но отмечена широкая аналогия генетич. ряда гидроксокомплексов с генетич. рядом фторокомплексов UO_2^{2+} , для которого синтезировано 10 из 12 теоретически ожидаемых членов ряда. Из числа синтезированных гидроксокомплексов соединения $K_4[UO_2(OH)(CO_3)_2(H_2O)]$ получено взаимодействием $[UO_2(OH)_2(NH_2OH)_2H_2O]$ и K_2CO_3 с последующим добавлением $(CH_3)_2CO$. Соединение $(NH_4)_4[UO_2(OH)(CO_3)_2(H_2O)]$ (I) синтезировано взаимодействием $UO_2(NO_3)_2$ (II) с избытком $(NH_4)_2[UO_2 \cdot (CO_3)_3]$ (III). Получены также соединения этого типа с Ba, Ag и Tl взаимодействием I с растворимыми солями этих элементов. При взаимодействии эквивалентных кол-в II и III и последующим добавлением C_2H_5OH выделен осадок $(NH_4)_4[UO_2 \cdot (OH)CO_3(H_2O)]$ IV. Взаимодействием IV с солями Ba, Ag, Tl получены подобные соединения этих элементов. Другие соединения ряда гидроксокомплексов UO_2^{2+} синтезировались и описаны в литературе методиками. Высказаны предположения о строении выделенных соединений. Структура $[UO_2(OH)_2 \cdot (H_2O)_4]$, по-видимому, может быть представлена в виде додекаэдра, в центре которого находится атом U, причем 6 вершин, лежащих в одной плоскости, заняты 2 группами OH и четырьмя H_2O , 2 вершины заняты атомами O уранила. Аналогично

строение, по-видимому, имеют соединения типа $M(UO_2)_2 \cdot (OH)_2 \cdot (H_2O)_2$. Строение соединений типа $M[(UO_2)_2 \cdot (OH)_2 \cdot (H_2O)_2]$, вероятно, может быть представлено в виде двух подобных додекаэдров, имеющих общую вершину или ребро с общими 1, 2 или 3 ОН группами. Исходя из полученных данных, а также из результатов С. А. Брусиловского (РЖХим, 1959, № 4, 14022), показавшего невозможность образования полимерных цепочек UO_2^{2+} , содержащих более чем 2 атома U(+6), авторы отмечают неправомерность взглядов Саттона на механизм гидролиза UO_2^{2+} (Sutton J. J. Chem. Soc., Suppl. Iss., 1949, № 2, 275), согласно которым гидролиз UO_2^{2+} сопровождается образованием многоядерных соединений.

В. Шмидт 9В54. Устойчивость смешанных комплексов аминокислот с карбоновой кислотой и перекиси водорода. I. Устойчивость комплекса $Fe(3+) - 1,2$ -диаминоциклоксантетрауксусная кислота $- H_2O_2$. Beck Mihály, Sziszár Béla. Az amino-polikarbonsav-hidrogénperoxid vegyes komplexek stabilitása. I. Az $Fe(III) - 1,2$ -diaminociklohexantetraecetsav $- H_2O_2$ komplex stabilitása. Magyar kém. folyóirat., 1960, 66, № 7, 259—262 (неп.; рез. англ.).—Спектрофотометрически, по изменению поглощения с рН, изучена устойчивость смешанного комплекса $Fe(3+) - 1,2$ -диаминоциклоксантетрауксусная к-та $- H_2O_2$. Константа равновесия комплекса равна 741.

Из резюме авторов 9В55. О существовании *цис*- и *транс*-диаминодиметилглиоксиматокобальтисолей. Аблоу А. В., Филиппов М. П., Самусь Н. М. (Докл. АН СССР, 1960, 133, № 3, 575—577.—Найдено, что кривые поглощения света $[Co(DH)_2(OH)_2] \cdot 3H_2O$ (I), $[CoH_2O(DH)_2(OH)] \cdot H_2O$ (II) (РЖХим, 1958, № 7, 20893), снятые в достаточно кислой среде, обеспечивающей их полный переход в диаквосоединения, не совпадают друг с другом. Две разные кривые поглощения света получены также при снятии спектров I и II в достаточно щел. среде, обеспечивающей в обоих случаях наличие только гидроксоанионов. Приведенные факты заставляют предположить существование двух форм иона $[Co(DH)_2(OH)_2]^-$ и соответственно двух форм иона $[Co(H_2O)(DH)_2]^+$. Сходство кривых поглощения, снятых при различных рН, I и *транс*-диаминодиметилглиоксиматокобальтисолей (III), описанное ранее (РЖХим, 1955, № 6, 9372), приводит к заключению, что оксимидные остатки в I и III расположены сходным образом и 2 гидроксильные группы I находятся в *цис*-положении. При спектрофотометрич. изучении изменений II в щел. среде найдено, что постепенно при обыкновенной т-ре, быстрее при нагревании, *транс*-форма переходит в *цис*-форму. $1,6[Co(H_2O)_2(DH)_2]NO_3 \cdot H_2O$ (IV) и $1,6[Co(H_2O)_2(DH)_2]ClO_4 \cdot 5H_2O$ (V) синтезированы растворением II в к-тах. Кристаллы IV желто-коричневого, а кристаллы V желтого цвета. Кривые поглощения IV и V в кислой среде полностью совпадают с кривой поглощения II, снятой в кислой среде. Дебаегграмма IV отличается от дебаегграммы красного *цис*- $[Co(H_2O)_2(DH)_2]NO_3$ (РЖХим, 1958, № 7, 20893).

А. Аблоу 9В56. К кинетике реакций разложения комплексных кобальтноксалатов в водных растворах. Murgulescu I. G., Oncescu T. Zur Kinetik der Zersetzungsreaktionen von komplexen Kobalt(III)-Oxalaten in wässrigen Lösungen. «Z. phys. Chem. (DDR)», 1960, 214, № 3-4, 338—352 (нем.).—Кинетика темного разложения кобальтноксалатов в водн. р-рах изучена спектрофотометрически по поглощению при 574 мμ. Разложение $Co(Ox)_2(H_2O)_2$ (I), где $Ox = C_2H_4$, описываемое суммарным ур-нием $2I \rightarrow 2CoOx + Ox^{2-} + 2CO_2 + 4H_2O$, является р-цией 1-го по отношению к I порядка, скорость которой не зависит от конц-й Ox^{2-} и небольшого избытка H^+ . Принято, что скорость р-ции v определяется процессом $I \rightarrow CoOx + Ox^- + 2H_2O$, за которым следует быстрая р-ция $I + Ox^- \rightarrow CoOx + Ox^{2-} + 2CO_2 + 2H_2O$. Константа скорости

(k_1), соответствующая ур-нию $-dI/dt = 2k_1 I$, где t — время, при 16, 25 и 33° равна $0,287 \cdot 10^{-4}$, $0,890 \cdot 10^{-4}$ и $1,92 \cdot 10^{-4}$ сек., энергия активации $E = 18$ ккал/моль и энтропия активации $\Delta S^\ddagger = -17,42$ энтр. ед. (при 25°). Разложение $Co(Ox)_2 \cdot OH \cdot H_2O^{2-}$ (II) протекает как р-ция 1-го порядка по суммарному ур-нию $3II \rightarrow Co(CH_3)_3 + 2Co(Ox)_2^{2-} + Ox^{2-} + 2CO_2 + 3H_2O$; принято, что определяющей v стадией является $II + H_2O \rightarrow Co(OH)_3 + 2Ox^{2-} + 2H^+$; соответствующая ур-нию $-dII/dt = 3k_2 III[H_2O]$ величина k_2 при 60, 70 и 80° соответственно равна $0,00130$, $0,00284$ и $0,00637$ см³моль⁻¹сек⁻¹, $E = 18,61$ и $\Delta S^\ddagger = -18,45$ (для 70°). Разложение $Co(Ox)_3^{3-}$ (III) по суммарному ур-нию $2III = 2Co(Ox)_2^{2-} + Ox^{2-} = 2CO_2$ также является р-цией 1-го порядка, но катализируется ионами H^+ . Принято, что в нейтр. среде имеется равновесие $III + H_2O \rightleftharpoons Co(Ox)_2OC_2O_3 \cdot H_2O^{3-}$ (IV), константа равновесия которого равна K , а v определяется стадией $IV \rightarrow Co(Ox)_2^{2-} + Ox^- + H_2O$, константа скорости которой равна k ; за ней следует процесс $III + Ox^- \rightarrow Co(Ox)_2^{2-} + Ox^{2-} + 2CO_2$. Кинетич. ур-ние р-ции: $-dIII/dt = 2k_0[III][H_2O]$, где $k_0 = Kk$. При 50, 60 и 70° величины k_0 равны соответственно $1,53 \cdot 10^{-4}$, $7,15 \cdot 10^{-4}$ и $12,56 \cdot 10^{-4}$ см³моль⁻¹сек⁻¹, E и ΔS^\ddagger (при 60°) равны 30,85 ккал/моль и $-17,42$ энтр. ед. Принято, что в кислой среде имеется 2-е равновесие $III + H_3O^+ \rightleftharpoons Co(Ox)_2OH \cdot H_2O^{2-}$ (V), а v определяется разложением IV и V; наблюдаемая константа скорости $k_r = k_0 + k_m [H_3O^+]$, где k_m может быть приближенно выражена через константы скорости разложения V (k_{a2}) и равновесия (K_a) образования V из III и H_3O^+ : $k_m = k_{a2}K_a/[H_2O]$. При 50, 60 и 70° k_m равны соответственно $0,0572$, $0,1873$ и $0,4800$ см³моль⁻¹сек⁻¹, кажущиеся E и ΔS^\ddagger (при 60°) и равны 23,8 ккал/моль и $-7,30$ энтр. ед.

И. Рысс

9В57. Исследование термического разложения комплексных соединений. I. Термическое разложение некоторых комплексных соединений гексаминкобальтида в атмосфере аммиака. Kékedy L., Kröbl P., Szurkos A., Kékedy E. Contribuții la studiul descompunerii termice a combinațiilor complexe. I. Descompunerea termică a unor combinații complexe din seria hexamino-cobaltică în atmosferă deamoniac. «Studia Univ. Babeș — Bolyai. Chem.», 1958, 3, № 4, 99—110 (рум.; рез. русск., франц.).—Методом, описанным ранее (РЖХим, 1956, № 3, 6388; РЖХимБх, 1958, № 16, 21442), изучено термич. разложение гексаминкобальтидхлорида, -бромиды, -йодида, -оксалата, -хромата, -сульфата, -фосфата и карбоната в атмосфере NH_3 . Сняты термограммы, и показано, что у соединений с одинаковой внутренней координационной сферой устойчивость понижается с ростом аниона, находящегося во внешней сфере комплекса.

По резюме авторов

9В58. Ориентационные эффекты при октаэдрической аквации. Ingold Christopher, Nyholm R. S., Tobe M. L. Orienting effects in octahedral aquation. «Nature (Engl.)», 1960, 187, № 4736, 477—480 (англ.).—Рассмотрены литературные данные по скоростям аквации октаэдрич. комплексов и соотношению образующихся изомеров для р-ций типа $[CoEn_2AX]^+ + H_2O \rightarrow [CoEn_2AOH]^+ + X^-$ при $X = Cl$ (*цис*- и *транс*- к А), Br и NO_2 и $A = OH$, N_3 , Cl , NCS , NH_3^+ , OH_2^+ , NO_2 . В перечисленном ряду «ориентирующих» лигандов А (при данном X и данном стереохим. соотношении между X и А (*цис*- или *транс*-)) скорость аквации сначала быстро падает, а затем быстро возрастает. Авторы сопоставляют это с тем, что в указанном ряду А возрастает оттягивание электронов от металла (или уменьшается передача электронов металлу). Предполагается, что восходящая и нисходящая части кривых зависимости скорости от А соответствуют двум разным механизмам. На нисходящей части для достижения переходного состояния требуется отхо-

электронов от места р-ции, к чему ведет отрыв лиганда, в соответствии с механизмом $S_N 1$. Вдоль восходящей части необходим перенос электрона к месту р-ции за счет подходящей молекулы воды и механизмом бимолекулярный $S_N 2$. Для объяснения соотношения образующихся изомеров рассмотрены полярные свойства лигандов. По индуктивному электростатич. эффекту ($\pm I$) лиганды располагаются в ряд (по убывающей электроположительности): $\text{OH}, \text{N}_3 > \text{Cl}, \text{NCS} > \text{NO}_2 > \text{NH}_3^+ > \text{Et}^{1/2} > \text{OH}_2^+$, причем у первых пяти лигандов имеется $+I$ -эффект, а у $\text{OH}_2^+ - I$ -эффект (NH_3^+ выбран за начало отсчета). I -эффект сказывается на всем комплексе, особенно на наиболее поляризуемых электронах соседнего атома, например на $3d$ -электронах Co , не занятых в связях. $+I$ -эффект должен вызвать смещение этих электронов от металла (в направлениях между лигандами) и накопление электронов на лигандах, особенно на *транс*-лиганде. Авторы связывают с этим эффект *транс*-влияния. При этом должен облегчаться отход X и затрудняется приближение H_2O , так что $+I$ -эффект способствует р-циям $S_N 1$ и затрудняет р-ции $S_N 2$, причем в *транс*-положении сильнее, чем в *цис*. Если у лиганда есть неподеленная пара, то она может перейти на свободную орбиту металла, освобождающуюся при отрыве X до того, пока еще не образована с водой. Таким $+E$ -(электромерным)-эффектом в переходном состоянии обладает A в порядке $\text{OH}, \text{N}_3, \text{Cl}, \text{NCS}$. Этот эффект должен облегчать р-ции $S_N 1$, но не проявляется в р-циях $S_N 2$. При этом из-за ортогональности орбит $+E$ -эффект может проявляться только от *цис*-, но не от *транс*-лигандов и может содействовать перегруппировке, при которой *транс*-лиганд переходит в *цис*-положение (для облегчения отрыва). Если у лиганда есть двойная связь, которая может превращаться в полярную с положительным концом вблизи металла, то на освободившуюся пустую орбиту могут переходить электроны из неподеленных $3d$ пар металла ($-M$ (мезомерный)-эффект). Такая тенденция растет в ряду $\text{N}_3 < \text{NO}_2$. Это облегчает подход воды, т. е. р-ции $S_N 2$, и препятствует отрыву (р-ции $S_N 1$) и должно проявляться главным образом на *транс*-лигандах. Поскольку в органич. р-циях эффекты сопряжения ($+E$ и $-M$) сильнее, чем I -эффекты, скорость $S_N 1$ должна быть максимальной при больших $+E$ -эффектах, а скорость $S_N 2$ должна возрастать с усилением $-M$ -эффекта, что согласуется с опытыми данными. Как правило, акватация должна идти с сохранением конфигурации. Исключения могут составлять случаи, когда имеются группы с сильным $+E$ -эффектом. Д. Дяткин

9B59. Реакционная способность органической оксигруппы в β -положении к месту координации в комплексах трехвалентного кобальта. Drinkard William C., Bauer Frederick H., Bailar John C. Jr. Reactivity of organic hydroxy groups β to the coordination site in cobalt (III) complexes. *J. Amer. Chem. Soc.*, 1960, 82, № 12, 2992—2994 (англ.). —Использована реакционная способность оксигруппы органич. дигандов в комплексных соединениях в связи с проблемой использования таких оксигрупп для получения неорг. полимеров. При попытке получения *трис*-(*N*-оксисетил-этилендиамин)-кобальта (I) окислением смеси амина и CoCl_2 получен с выходом 17% *трис*-(этилендиамин)-кобальт, что указывает на разрыв связи C—N. Комплекс I получен вытеснением NH_3 в $\text{Co}(\text{NH}_3)_6^{3+}$ в водн. р-ре на паровой бане; р-ция заметно ускоряется при добавлении активированного угля. В виде хлорида I (красного цвета) легко растворяется в воде и спирте, осаждается из водн. р-ра только с анионом $\text{Cr}(\text{NH}_3)_2(\text{SCN})_2^-$ в виде пурпурного порошка. Красный цвет (в отличие от обычного желтого при координации 6N вокруг $\text{Co}(3+)$) указывает, по мнению авторов, на влияние

группы ОН на атом металла. Аналогично, вытеснение NH_3 , получен *бис*-(N-оксидиэтилдиглицилентриамин)-но-балит (И), также красного цвета (в виде хлорида). Группы ОН в I и II не реагируют с HNO_3 , тиоцианхлоридом, бензоилхлоридом и ацетилхлоридом, хотя координированные амины могут быть получены без изменения при разложении комплексов водн. р-ром H_2S . Эта необычная инертность групп ОН также указывает на изменение характера ОН в комплексе. При этом авторы считают маловероятным непосредственную координацию ОН с Со повышением координационного числа до 9 или замену координированных групп NH_2 на ОН (так как при этом обнаруживались бы свободные аминогруппы), а указывают на возможность образования водородной связи между группами ОН и атомами водорода координированных с металлом групп NH_2 . Предполагается, что при атаке положительным ионом (NO_2^+) или положительным центром реагента ($\text{R}_1\text{R}_2\text{C}^{\delta+} = \text{O}^{\delta-}$) электронной пары атома О группы ОН расположение атома О вблизи положительного атома Со повышает энергию активации, что и обуславливает инертность группы ОН. Изменение окраски объясняется индуктивным эффектом, обусловленным образованием водородной связи, нарушающим поле, создаваемое атомами N. С целью элиминирования влияния поля вокруг положительного иона получены нейтральные комплексы *трис*-(роданидо)-*бис*-(N-оксидиэтилдиглицилентриамин)-кобальт и тринитро-ди-(N-оксидиэтилдиглицилентриамин)-кобальт, но изучить реакционную способность ОН в них не удалось, так как при действии более перечисленных выше реагентов комплексы разлагаются.

9В60. Нитрозильные комплексы никели. Felt
ham R. D. Nickel nitrosyl complexes. «J. Inorg. and
Nucl. Chem.», 1960, 14, № 3-4, 307-308 (англ.).—О
сан метод получения комплекса $[(C_6H_5)_3P]_2NiNOBr$ (I)
с т. пл. $203-209^\circ$ (в вакууме). К р-ру $[(C_6H_5)_3P]_2NiNO$
в тетрагидрофуране прибавляют безводн. $NaNO_2$, кин
тят 30 мин., фильтруют и упаривают р-р вдвое. При
прибавлении *n*-гексана выделяется зеленое масло, ко
рое отделяют декантацией и охлаждают. Выпавши
осадок I отфильтровывают, промывают и сушат. В ИК
спектре I имеется сильная полоса NO при 1735 см^{-1}
ряд полос до 700 см^{-1} , характерных для $(C_6H_5)_3P$. Ко
м I получены и другие нитрозильные комплексы Ni
в том числе $(C_6H_5)_3PONiOCH_3 \cdot 2CH_3OH$. И. Сюлю

9961. Новый тип тетраэдрических комплексов двухвалентного никеля. Cotton F. A., Goodgame D. M. L. New type of tetrahedral complex of nickel (II). «J. Amer. Chem. Soc.», 1960, 82, № 11, 2967—2968 (англ.).—Взаимодействие $M-RNX$, $(C_6H_5)_3P$ и NiX_2 в бутаноле получили комплексы $(R_4N)[(C_6H_5)_3PNiX_3]$ где $X = Br$ и $R = C_2H_5$ (I) или $X = I$ и $R = n-C_4H_9$ (II). В-во I зеленого цвета, магнитный момент I равен $3,66 \mu_B$ и мол. электропроводностью $80 \text{ ом}^{-1} (0,001 \text{ M}$ в $CH_3NO_2)$. В спектре I обнаружены полосы 386 мμ (полоса переноса заряда) и 635, 675, 1050, 1150 и 1600 мμ (полосы $d-d$ -переходов). II темно-красного цвета, магнитный момент $3,46 \mu_B$ и мол. электропроводность 72 ом^{-1} . Авторы считают, что анионы $[(C_6H_5)_3PNiX_3]^-$ имеют тетраэдрич. конфигурацию. Возможность уложить наблюдаемые полосы $d-d$ -переходов в схему уровней в тетраэдрич. поле объясняется искажением правильной тетраэдрич. симметрии при замещении одной группы X на фосфин. По мнению авторов, полученные ранее РЖХИМ, 1960, № 2, 87508) в-ва, которым приписываются ф-лы $[(C_6H_5)_3P]_2NiBr_2$ (в виде солей с $трет-C_4H_9Br$ или $2 C_6H_5Br$) представляют собой $[(C_6H_5)_3 (трет-C_4H_9)P][C_6H_5_3PBr_3]$ и $[(C_6H_5)_3P](NiBr_4)$. М. Дятко

9B62. Координационные соединения хлорида палладия с олеиновой и элаидиновой кислотами. Cuta F., Vydra F. Koordinationsverbindungen der Öl- und Elaidinsäure mit Palladiumchlorid. *Chem. Zvesti.*, 1966, 20, № 1, с. 10-11, 12 рис.

дinsäure
Communi
Изучено
эластин
вым эф
не раст
изучен
сметь с
новлено
отношен
казано,
зольных
ния (70
спектра
свидете
ных сое
в молек
углерод
дается
ся при
придир
ложена
заны ди
молекул
ассоции
к атома

9В63.
Орган. Г
прото при
(I) или
(III), С
уют), с
Вг. По
 $\text{Pr}(\text{NO}_2)_3$
следую
лины: I
 $\text{C}_2\text{H}_5\text{Cl}$,
 $\text{C}_2\text{H}_5\text{Br}$,
 $\text{C}_2\text{H}_5\text{I}$,
 $\text{CN}\cdot 2\text{CIPr}$
IV выде
сольско
ру I. С
мен II
чен X,
часы т
ные в
ение 2
цвет. С
имеют
ны в Н
 CHBr_3
XII по
VI и VI
стет во
VIII, ч
вещи
зученн
домени
стии H
долато
ичных
рдик р
ваться
Получе
ри нап
ри бол
Shaw
9В64.
ильный
complex

dinsäure mit Palladiumchlorid. «Collect. Czechosl. Chem. Communis», 1960, 25, № 4, 967—976 (нем.; рез. русск.).—Изучено комплексобразование PdCl_2 с олеиновой (I), алаидиновой (II), стеариновой (III) к-тами и этиловым эфиром I (IV) в невод. р-рителях. Р-ция PdCl_2 не растворяющегося в использованных р-рителях, с изученными лигандами ускоряется при введении в смесь сухого HCl . Спектрофотометрич. методом установлено образование комплексов PdCl_2 с I, II и IV с отношением PdCl_2 :лиганд = 1:1. Кривоскопически показано, что комплексы PdCl_2 с I и IV — димеры в бензольных р-рах. Составление ИК-спектров поглощения (700—3300 см^{-1}) р-ров чистых I—IV в CS_2 со спектрами аналогичных р-ров в присутствии PdCl_2 свидетельствует о том, что в образующихся комплексных соединениях атом Pd связан с двойными связями в молекулах лигандов. Сохранение двойных углерод-углеродных связей в молекулах лигандов подтверждается р-цией присоединения J_2 к I, освобождающейся при разложении комплекса под действием HCl , пиридина или KCN . Для изученных комплексов предложена структурная ф-ла, в которой 2 атома Pd связаны двумя мостиковыми атомами Cl, а каждая из молекул лигандов, карбоксильные группы которых ассоциированы через водородные связи, присоединена к атомам Pd двойной углерод-углеродной связью.

K. Kámen
9В63. Комплексные соединения платины с нитрилами. Головина В. А., Ни Цзя-цзянь. «Ж. неорганич. химии», 1960, 5, № 7, 1474—1480.—Показано, что при р-циях $\text{K}_2[\text{PtCl}_4]$ или $(\text{NH}_4)_2[\text{PtCl}_4]$ и $\text{K}_2[\text{PtBr}_4]$ (I) или $(\text{NH}_4)_2[\text{PtBr}_4]$ с нитрилами CH_3CN (II), $\text{C}_2\text{H}_5\text{CN}$ (III), $\text{C}_3\text{H}_7\text{CN}$, $\text{C}_4\text{H}_9\text{CN}$ и $\text{C}_6\text{H}_5\text{CN}$ в водн. р-рах образуются соединения типа $[\text{Pt} \cdot 2\text{RCN} \cdot 2\text{X}]$, где $\text{X} = \text{Cl}$, Br . Получить этот тип соединений из солей $[\text{Pt}(\text{NO}_2)_2]^{2-}$ или $[\text{PtJ}_2]^{2-}$ не удалось. Синтезированы следующие нитрильные соединения 2-валентной платины: $[\text{Pt} \cdot 2\text{CH}_3\text{CN} \cdot 2\text{Br}]$ (IV), $[\text{Pt} \cdot 2\text{C}_2\text{H}_5\text{CN} \cdot 2\text{Br}]$ (V), $[\text{Pt} \cdot 2\text{C}_3\text{H}_7\text{CN} \cdot 2\text{Br}]$ (VI), $[\text{Pt} \cdot 2\text{C}_4\text{H}_9\text{CN} \cdot 2\text{Cl}]$ (VII), $[\text{Pt} \cdot 2\text{C}_6\text{H}_5\text{CN} \cdot 2\text{Cl}]$ (VIII), $[\text{Pt} \cdot 2\text{C}_6\text{H}_5\text{CN} \cdot 2\text{Cl}]$ (IX), $[\text{Pt} \cdot 2\text{C}_6\text{H}_5\text{CN} \cdot 2\text{Br}]$ (X), $[\text{Pt} \cdot 2\text{C}_6\text{H}_5\text{CN} \cdot 2\text{Br}]$ (XI), $[\text{Pt} \cdot 2\text{CH}_3\text{CN} \cdot 2\text{Cl}]$ (XII), $[\text{Pt} \cdot 2\text{C}_2\text{H}_5\text{CN} \cdot 2\text{Cl}]$ (XIII). Кристаллы IV выделялись после стояния смеси, полученной при добавлении небольшого избытка II к насыщ. водн. р-ру I. Кристаллы V выделялись при длительном (несколько суток) стоянии смеси, полученной добавлением III к насыщ. р-ру I. Подобным способом получены X, VI и XI. Метод синтеза VII, VIII и IX отличался тем, что компоненты исходной смеси, запаянные в пробирках, непрерывно перемешивались в течение 20—30 дней. IV—XIII окрашены в желтый цвет. С помощью р-ции Курнакова показано, что они имеют *чис-строение*. IV—VII и IX—XIII нерастворимы в H_2O и $\text{C}_2\text{H}_5\text{OH}$, V—XIII растворимы в CHCl_3 , CHBr_3 и $(\text{CH}_3)_2\text{CO}$. Неэлектролитный характер IV—XIII показан измерениями электропроводности р-ров VI и VIII в CH_3OH . Электропроводность этих р-ров растет во времени и несколько выше для VI, чем для VIII, что свидетельствует о более высокой способности Br , чем Cl , вымываться из внутренней сферы изученных соединений. Определены показатели преломления IV, V, VII, VIII, IX, XII, XIII. При действии HCl или HBr IV—XIII превращаются в тетрадиоксидоаты. Скорость р-ции расщепления к-той у различных соединений различна. При действии HCl р-ция расщепления XII, XIII, VII, VIII и IX заканчивалась соответственно за 30, 16, 63, 230 мин. и 12 час. Получены кривые нагревания IV—XIII. Показано, что при нагревании нейтральные группы отщепляются при более низких т-рах, чем Cl^- и Br^- . В. Шмидт

9В64. Новые пути получения гидридо- и карбонильных комплексов переходных металлов. Chatt J., Shaw B. L. A novel route to hydrido and carbonyl complexes of transition metals. «Chemistry and Indust-

ry», 1960, № 29, 931 (англ.).—При кипячении комплексов переходных металлов с третичными фосфинами или арсинами с KOH или Na_2CO_3 в спиртах получают гидридокомплексы, а также карбонилы. Таким путем из $\text{PtCl}_2[\text{P}(\text{C}_2\text{H}_5)_3]_2$ с KOH получены *транс*- $\text{PtHCl} \cdot [\text{P}(\text{C}_2\text{H}_5)_3]_2$ (выход 85%) и ацетальдегид. Аналогично из $\text{IrCl}_3[\text{P}(\text{C}_2\text{H}_5)_3]_3$, т. пл. 111—114°, получен $\text{IrHCl}_2 \cdot [\text{P}(\text{C}_2\text{H}_5)_3]_3$ (I), выход 90%, т. пл. 81—84°, желтого цвета, диамагнитный, дипольный момент 2,55 D, частота вал. кол. (v) $\text{Ir}-\text{H}$ 2114 см^{-1} , хим. сдвиг H (при Ir) 17,9 $\cdot 10^{-6}$ (относительно H_2O). При стоянии I превращается в белый изомер, т. пл. 99—100°, дипольный момент 8,0 D, $\nu_{\text{Ir}-\text{H}}$ 2213 см^{-1} , хим. сдвиг 27. Из $[\text{Ru}_2\text{Cl}_5][\text{P}(\text{C}_2\text{H}_5)_2(\text{C}_6\text{H}_5)]_2\text{Cl}$ с KOH в $\text{C}_2\text{H}_5\text{OH}$ получен $\text{RuHCl}(\text{CO}) \cdot [\text{P}(\text{C}_2\text{H}_5)_2(\text{C}_6\text{H}_5)]_2$, т. пл. 102,5—103,5° (предположительно с выделением CH_4), с интенсивными ИК-полосами 1901, 1886 и 1858 см^{-1} (CO и $\text{Ru}-\text{H}$), а из него с разб. HCl получен $\text{RuCl}_2(\text{CO}) \cdot [\text{P}(\text{C}_2\text{H}_5)_2 \cdot (\text{C}_6\text{H}_5)]_2$, т. пл. 232—250° (разл.), который при кипячении с KOH дает $\text{RuHCl}(\text{CO})[\text{P}(\text{C}_2\text{H}_5)_2(\text{C}_6\text{H}_5)]_2$. Из $\text{RhCl}_3[\text{P}(\text{C}_2\text{H}_5)_3]_3$ с KOH с последующим подкислением получен $\text{RhCl}(\text{CO})[\text{P}(\text{C}_2\text{H}_5)_3]_2$, т. пл. 75—76°. При кипячении в алиловом спирте карбонилотетрааминные комплексы образуются и без добавления KOH ; таким образом из $\text{RhCl}_3[\text{P}(\text{C}_2\text{H}_5)_2(\text{C}_6\text{H}_5)]_3$ получен $\text{RhCl}(\text{CO}) \cdot [\text{P}(\text{C}_2\text{H}_5)_2 \cdot (\text{C}_6\text{H}_5)]_2$. При кипячении $\text{IrCl}_3[\text{P}(\text{C}_2\text{H}_5)_2(\text{C}_6\text{H}_5)]_3$ в алиловом спирте с KOH получен карбонил Ir, содержащий предположительно «алильную» группу, как в алильных комплексах Pd. М. Дяткина

9В65. Соединение салициловой, гентизиновой и салицилуровой кислот с катионами тяжелых металлов. Pecci Joseph, Foye William O. The avidity of salicylic, gentisic, and salicyluric acids for heavy metal cations. «J. Amer. Pharmac. Assoc. Scient. Ed.», 1960, 49, № 7, 411—414 (англ.).—Потенциометрически изучено поведение салициловой, гентизиновой и салицилуровой к-т в присутствии катионов ряда металлов. Показано, что Cu^{2+} , Fe^{3+} и Al^{3+} образуют с указанными к-тами устойчивые внутрикомплексные соединения. Для ионов Co^{2+} , Ni^{2+} , Zn^{2+} , Mg^{2+} , Ca^{2+} и Ag^{+} доказательств образования комплексов не получено. Определены константы устойчивости комплексов Cu^{2+} , Fe^{3+} и Al^{3+} . Из резюме авторов

9В66. Исследования координационных соединений. XVIII. Константы образования солей некоторых металлов с оксиквинонами. Kido H., Fernelius W. Conard, Haas C. G., Jr. Studies on coordination compounds. XVIII. Formation constants of some metals salts of hydroxyquinones. «Anal. chim. acta», 1960, 23, № 2, 116—123 (англ.; рез. франц., нем.).—Определены константы диссоциации ряда оксиквинонов и окси-γ-пионов в 75%-ном (по объему) диоксане при 30°: 2-окси-1,4-нафтохинон (I), 2-окси-3-метил-1,4-нафтохинон (II), 2-окси-3-(3'-метилкритил)-1,4-нафтохинон (III), 5-окси-1,4-нафтохинон (IV), 1-оксинантрахинон (V), 1,2-диоксинантрахинон (VI), 1,8-диоксинантрахинон (VII), 1,2-диокси-3-нитронантрахинон (VIII), 1,2,7-триоксинантрахинон, койевая к-та (IX), хлоркойевая к-та (X), 3-оксифлавоны (XI), и вычислены константы образования комплексов I—V, VII, IX—XI с 2-валентными металлами. Сняты ИК-спектры поглощения I—VIII, IX—XI, 1,3-диоксинантрахинона, 1,2,7-триоксинантрахинона, 1,8-диоксинантрахинона, 1,8-10-триоксинантрахинона. Отмечена значительно большая кислотность соединений, в которых водородная связь между карбонильной и оксигруппой замыкает 5-членный цикл, сравнительно с соединениями, имеющими аналогичный 6-членный цикл, что объясняется различием в прочности водородной связи в 5-6-членных циклах и влиянием смежного карбонила. Устойчивость комплексов с каким-либо металлом тем выше, чем слабее кислотность (в пределах определенного класса соединений). Устойчивость комплексов, образуе-

мых металлами с одним и тем же соединением, уменьшается в ряду: $\text{UO}_2 > \text{Cu} > \text{Zn}, > \text{Be} > \text{Ni} > \text{Co} > \text{Mn}, \text{Cd}$. Обсуждается влияние образования циклов с водородной связью на смещение частот полос поглощения окси- и карбонильной групп. Сообщение XVII см. РЖХим, 1960, № 2, 4351. М. Ф.

9В67. Константы устойчивости комплексов различных металлов с 2-оксиметилнафтимидазолами. Lane Thomas J., Quinlan Kenneth P. Stability constants of various metal ions with the 2-hydroxymethylnaphthimidazoles. «J. Amer. Chem. Soc.», 1960, 82, № 12, 2997—2999 (англ.).—Методом потенциометрического титрования со стеклянным электродом в 50%-ном (по объему) диоксане при 25° определены константы кислотной диссоциации (отдельно для OH- и NH-групп) двух изомерных лигандов: 2-оксиметилнафт-[1,2]-имидазола (I) и 2-оксиметилнафт-[2,3]-имидазола (II); найдены значения pK_{NH} I 4,44 ± 0,2; II 4,50 ± 0,2; pK_{OH} I 12,93; II 12,30. Определены константы образования ($\lg K_1$) комплексов I и II с Cu^{2+} (I 8,94, II 9,70), Ni^{2+} (II 6,89), Co^{2+} (I 5,93, II 8,98), Mn^{2+} (II 7,05), Zn^{2+} (II 6,81), La^{3+} (I 7,70, II 7,41). Большую устойчивость комплексов металлов с II, чем с I, авторы объясняют различиями в электронной структуре изомеров. Комплексы с Cd^{2+} , Pb^{2+} , Mg^{2+} малоустойчивы. Выделен в твердом виде комплекс II с медью состава II:Cu = 1:1. М. Ф.

9В68. Карбонильные соединения металлов с ненасыщенными углеводородами. Pauson P. L. Hydrocarbon metal carbonyls. «Proc. Chem. Soc.», 1960, Sept, 297—305 (англ.).—Обзор. Библ. 30 назв.

9В69. Необычные координирующие агенты. I. P.P.P.P'-тетраэтилендифосфин. Wymore C. Elmer, Bailar John C., Jr. Uncommon co-ordinating agents. I. P.P.P.P'-tetraethylethylenediphosphine. «J. Inorg. and Nucl. Chem.», 1960, 14, № 1-2, 42—54 (англ.).—При пропускании сухого PH_3 в р-р Na в жидком NH_3 в атмосфере N_2 при -78° с последующим добавлением $\text{C}_2\text{H}_5\text{Br}$ и затем р-ра NaNH_2 в жидком NH_3 и $\text{ClCH}_2\text{CH}_2\text{Cl}$, растворением образовавшихся солей в воде и эфире (свободных от O_2), промыванием эфиром и выпариванием эфира получен $(\text{C}_2\text{H}_5)_2\text{PCH}_2\text{CH}_2\text{P}(\text{C}_2\text{H}_5)_2$ (TER), выход 54%, желтая жидкость, дающая с H_2O гидрат, т. пл. 181—183° (не полностью). Взаимодействие солей металлов в спирто-водн. смесях с TER получены комплексы $[\text{Co}(\text{TER})_2\text{X}]$ (I) с $\text{X} = \text{Cl}, \text{Br}, \text{J}$ (из которых комплексы с $\text{X} = \text{Cl}$ и J диамагнитны, а комплекс с $\text{X} = \text{Br}$ слабо парамагнитен), $[\text{Co}(\text{TER})_2]$ (II) (в отсутствие воздуха), $[\text{Co}(\text{TER})_2](\text{CoBr}_4)$ (III), $[\text{Ni}(\text{TER})_2\text{X}]$ (IV) с $\text{X} = \text{Cl}$ и Br , $[\text{Ni}(\text{TER})_2](\text{ClO}_4)_2$ (V), $[\text{Ni}(\text{TER})_2\text{Br}_3]$ (VI), $[\text{Cu}(\text{TER})_2][\text{Cu}(\text{TER})_2\text{J}_2]$, $[\text{Ag}(\text{TER})_2]\text{AgJ}_2$, $[\text{Au}(\text{TER})\text{AuJ}]$ (VII), $[\text{J}_3\text{Au}(\text{TER})\text{AuJ}_3]$ (VIII), $[\text{Zn}(\text{TER})\text{Br}_2]$ (IX), $[\text{Cd}(\text{TER})\text{Br}_2]$ (X), $[\text{Cd}_2(\text{TER})_2\text{Br}_6]$ (XI), $[\text{Hg}(\text{TER})\text{Br}_2]$, $[\text{Pd}(\text{TER})\text{Cl}_2]$, $[\text{Pb}(\text{TER})\text{Br}_2]$, $[\text{Pb}(\text{TER})_2(\text{ClO}_4)_4]$. Комплексы I проводят ток в $\text{C}_6\text{H}_5\text{NO}_2$ с электропроводностью несколько большей, чем для 1:1-электролита. Предполагается, что в комплексных октаэдрах катионах два атома галогена находятся в транс-положении. II окисляются в I. Комплекс II также является 1:1-электролитом, так что он содержит катион $[\text{Co}(\text{TER})_2]^{2+}$ с координационным числом (KЧ) Co, равным 5 (если шестое координационное место не занято молекулой р-рителя). Магнитный момент II равен 2,2 μ_B , что отвечает наличию одного неспаренного электрона и большой орбитальной составляющей, но для катиона II предполагается тетрагон. структура с молекулами TER в основании. Магнитный момент III равен 3,7 μ_B ; предполагается, что это значение является средним из моментов тетраэдрич. CoBr_4^{2-} (4,7) и плоского $[\text{Co}(\text{TER})_2]^{2+}$ (2,3) в согласии с электропроводностью в $\text{C}_6\text{H}_5\text{NO}_2$ указывающей, что III является 2:2-электролитом. IV и V диамагнитны и, вероятно, плоские, а VI, получаю-

щийся окислением IV с $\text{X} = \text{Br}$, парамагнитен с магнитным моментом 2,0 μ_B , так что VI является, по видимому, комплексом $\text{Ni}(3+)$. Этот комплекс не электролит и, вероятно, в нем осуществляется КЧ 5 в р-ре и полимерная структура с КЧ 6 в твердом состоянии. Комплексам Cu и Ag приписана новая структура на основании измерений электропроводности (1:1-электролиты). По тенденции образовывать с Cu и Ag комплексы с КЧ 4 TER сходен с диацетинами. В комплексе VII, имеющем мол. вес, соответствующий указанной формуле, и являющемся неэлектролитом, TER функционирует как мостик (с линейной конфигурацией связей Au), а в VIII вокруг Au имеется, вероятно, квадрат. IX и X — неэлектролиты, а XI формулируется, как смешанные кристаллы $2\text{Cd}(\text{TER})\text{Br}_2 \cdot \text{CdBr}_2$. Отмечается, что по координационной способности TER отличается от En и стоит ближе к диацетинам. Это, вероятно, связано со способностью P и As к образованию π-связей с металлом, что и обуславливает стабилизацию высоких степеней окисления в комплексах с TER (напр. $\text{Ni}(3+)$). М. Дяткина

9В70. Связь металлов с бензимидазолами. Lane Thomas J., Quinlan Kenneth P. Metal binding of the benzimidazoles. «J. Amer. Chem. Soc.», 1960, 82, № 12, 2994—2997 (англ.).—С целью выяснения влияния бензольных колец на комплексообразование имидазолов исследована способность к комплексообразованию бензимидазолов. Потенциометрич. методом измерены концентрационные константы диссоциации протонированного бензимидазола (pK равны 6,00 при 4°, 5,58 при 25° и 5,36 при 35°) и его производных: 2-метил (соответственно 6,96; 6,29 и 6,18), 2-этил (6,30; 6,27 и 6,14), 2-оксиметил (5,40 для H и 11,55 для OH при 25°) и 4-метил-2-оксиметил (соответственно 5,35 и 11,45) при ионной силе 0,16. Для первых трех не найдены ΔH° , равные соответственно 8,7; 9,8 и 9,3 ккал/моль, так что теплоты диссоциации больше, чем для имидазола, и повышенная основность имидазолов является энтропийным эффектом. Потенциометрич. методом Бьеррума исследована ассоциация бензимидазола и его комплексов с $\text{Cu}(2+)$, $\text{Ni}(2+)$, $\text{Pb}(2+)$, $\text{Co}(2+)$, $\text{Zn}(2+)$, $\text{La}(3+)$, причем образование координационного соединения отмечено только в случае $\text{Cu}(2+)$ с бензимидазолом и его 2-метилпроизводным. В предположении, что координационное число Cu равно 4, найдены ступенчатые константы комплексообразования (K) с бензимидазолом при 4° ($\lg K$ равны 3,82; 3,35; 2,86 и 2,4) и при 25° (3,43; 2,98; 2,4 и 2,0) и ΔH для 1-й стадии комплексообразования $-9,0 \pm 1,0$ ккал/моль. Это значение выше, чем для 4-метилимидазола, хотя $\lg K_1$ выше, так что пониженное значение $\lg K_1$ в случае бензимидазола обусловлено неблагоприятным энтропийным членом. Для 2-оксиметилбензимидазола и 1-метилпроизводного значения $\lg K_1$ при 25° равны 9,30 и 9,66. Для комплексов Cd с бензимидазолом и 2-метилпроизводным константы образования определены полярографич. методом. Для бензимидазола найдены значения $\lg K_1$, $\lg K_2$, $\lg K_3$ соответственно 2,00; 1,42 и 1,02. Полученные данные показывают, что бензимидазол образует менее прочные комплексы, чем имидазол, вследствие большего pK имидазолов и стерич. препятствий, создаваемых бензольными кольцами. Эти препятствия минимальны в комплексах с Cd, который образует тетраэдрич. комплексы. Комплексы с $\text{Cu}(2+)$ не могут быть в стерич. причинах плоскими, а бензольные кольца должны быть выведены из плоскости (вероятно, вращены в низ). Сопоставление данных по 2-окси- и 1-метил-2-оксibenзимидазолам определенно показывает, что координация происходит через ненасыщ. атом N.

М. Дяткина

9В71. Сульфоксиды в качестве лигандов. I. Препаративные данные о комплексах металлов с суль-

фосфидами. Cotton F. A., Francis R. Sulfoxides as ligands. I. A preliminary survey of methyl sulfoxide complexes. *J. Amer. Chem. Soc.*, 1960, 82, № 12, 2986—2991 (англ.).—Взаимодействием соответствующих компонентов были получены следующие комплексы диметилсульфоксида (R) с BCl_3 (1:1); AlCl_3 (1:6); $\text{Al}(\text{NO}_3)_3$ (1:6); SnCl_4 (1:2); $\text{Mn}(2+)$ (1:1 в виде перхлората), $\text{Fe}(3+)$ в виде $(\text{FeR}_6)(\text{ClO}_4)_3\text{R}$; $\text{Co}(2+)$, $\text{Ni}(2+)$, $\text{Zn}(2+)$, $\text{Cr}(3+)$ (все 1:6 в виде перхлоратов); $\text{Cu}(2+)$ (1:4); $\text{CoX}_2 \cdot 3\text{R}$ ($\text{X} = \text{Cl}$ и Br), $\text{CoJ}_2 \cdot 6\text{R}$; $\text{NiCl}_2 \cdot 3\text{R}$; $\text{MnCl}_2 \cdot 3\text{R}$; $\text{MnBr}_2 \cdot 2\text{R}$; $\text{MnJ}_2 \cdot 4\text{R}$; $\text{FeCl}_2 \cdot 2\text{R}$; $\text{FeBr}_2 \cdot 8\text{R}$; $\text{CrCl}_3 \cdot 3\text{R}$; $\text{CuCl}_2 \cdot 2\text{R}$; $\text{CuBr}_2 \cdot 2\text{R}$; $\text{CuBr}_2 \cdot 3\text{R}$; $\text{Cu}(\text{NO}_3)_2 \cdot 2\text{R}$; $\text{CuSO}_4 \cdot 2\text{R}$; $\text{PdCl}_2 \cdot 2\text{R}$; $\text{Zn}(\text{NO}_3)_2 \cdot 2\text{R}$; $\text{ZnCl}_2 \cdot 2\text{R}$; $\text{ZnBr}_2 \cdot \text{R}$; $\text{CdCl}_2 \cdot \text{R}$; $\text{UO}_2(\text{NO}_3)_2 \cdot 2\text{R}$; $\text{Th}(\text{NO}_3)_4 \cdot 6\text{R}$; $\text{Mn}(\text{ClO}_4)_2 \cdot 3\text{R} \cdot 4\text{H}_2\text{O}$; $\text{MnBr}_2 \cdot 3\text{R} \cdot 6\text{H}_2\text{O}$. Рассмотрен вопрос о том, какой из возможных донорных атомов в R (O или S) осуществляет координационную связь. В соединениях $(\text{MR}_6)^+$ координация через S, по-видимому, невозможна из-за стерич. препятствий, создаваемых группами CH_3 — и $-\text{O}-$, тогда как при координации через O препятствий нет. Комплексы с CoX_2 ($\text{X} = \text{Cl}$ и Br) формулируются авторами как $(\text{CoR}_6)^{2+}(\text{CoX}_4)^{2-}$, так как магнитный момент $(\text{CoR}_6) \cdot (\text{ClO}_4)_2$ равен 5,01, а момент $\text{CoCl}_2 \cdot 3\text{R}$ составляет 4,83 μ_B , что отвечает среднему геометрическому из моментов CoCl_4^{2-} и $\text{Co}(2+)$ при координационном числе 6. Спектр $\text{CoCl}_2 \cdot 3\text{R}$ также является наложением спектров CoCl_4^{2-} и CoR_6^{2+} . Аналогичное строение $(\text{NiR}_6)^{2+}(\text{NiCl}_4)^{2-}$ предполагается для комплекса $\text{Ni}(2+)$ с тетраэдрич. анионом, так как этот комплекс имеет магнитный момент 3,65 μ_B , совпадающий со средним из моментов $(\text{NiR}_6)(\text{ClO}_4)_2$ (3,36) и ожидаемого момента NiCl_4^{2-} (3,92). Для Cu характерно образование комплексов с 2R; третья молекула R в $\text{CuBr}_2 \cdot 3\text{R}$ легко выделяется при стоянии на воздухе. В комплексе с PdCl_2 частота вал. кол. S—O на 60 cm^{-1} ниже, чем в свободном R, на основании чего предполагается, что в этом случае координация осуществляется через S. Показано, что R может заменять часть групп CO в карбонилах.

М. Дяткина

9В72. Влияние карбоната на степень дисперсии и термическое поведение осажденной гидроокиси магния. Berak Józef M., Guzalowski Romuald, Wójcik Jerzy, Zalwert Stefan. Wpływ węglanu na stopień dyspersji oraz zachowanie termiczne osadzonego wodorotlenku magnezowego. *«Przem. chem.»*, 1960, 39, № 5, 298—300 (польск.; рез. русск., англ.).—Исследованы степень дисперсии и термич. поведение систем $\text{Mg}(\text{OH})_2$ (I) — MgCO_3 (II). Осаждение I проводилось обработкой 5 н. р-ра MgSO_4 5 н. (по иону Mg^{2+}) смесью р-ров NaOH и Na_2CO_3 при комнатной темп. и сильным перемешивании. Осадок промывался удалением иона SO_4^{2-} , после чего подвергался сушке в течение 24 час. при 110°. Содержание II в полученном продукте зависит от исходной конц-ии Na_2CO_3 . Интенсивность продукта содержит только линии, относящиеся к I; отсутствие спектра II указывает на аморфное состояние последнего. С увеличением конц-ии Na_2CO_3 в продукте растет ширина интерференционных линий, что указывает на возрастание степени дисперсии системы. Из термографич. кривых, полученных при скорости нагрева 10 град/мин., видно, что т-ра разложения продукта, независимо от содержания II, составляет ~360°. Подбором конц-ии Na_2CO_3 в исходном р-ре можно регулировать величину кристаллитов I, что имеет большое значение в произ-ве катализаторов.

В. Левинсон

9В73. Восстановление α - и γ -оксидов алюминия гидридом лития. Hagenmuller Paul, Debray Jean. Réduction des aluminés α et γ par l'hydride de lithium. *«C. r. Acad. sci.»*, 1960, 250, № 23, 3847—3848 (франц.).—Взаимодействие Al_2O_3 с LiH приводит к образованию LiAlO_2 , LiAlO , Al , LiAl , $\text{Li}_2\text{Al}(\alpha)$, Li_2Al

(β), Li в зависимости от состава исходной реакционной смеси. На основании рентгенографич. и хим. анализов продуктов, образующихся при различных отношениях в исходной смеси, предложен механизм последовательного восстановления Al_2O_3 : 1) образование жидкой фазы, по составу близкой к Li_2Al , в результате р-ции $16\text{Al}_2\text{O}_3 + 10\text{LiH} \rightarrow 2\text{Li}_2\text{Al} + 6\text{LiAlO}_2 + 5\text{H}_2$; 2) р-цией $16\text{Al}_2\text{O}_3 + 3\text{Li}_2\text{Al} \rightarrow 6\text{LiAlO}_2 + 5\text{Al}$ и $2\text{LiAlO}_2 + 3\text{Li}_2\text{Al} \rightarrow 8\text{LiAlO}_2 + 5\text{Al}$; 3) при $1 < \text{Al}_2\text{O}_3$: $\text{LiH} < 8$: $2\text{Al} + 2\text{LiH} \rightarrow 2\text{LiAl} + \text{H}_2$ и $2\text{LiAl} + 2\text{LiH} \rightarrow 2\text{Li}_2\text{Al}(\alpha) + \text{H}_2$; при охлаждении $\text{Li}_2\text{Al}(\alpha) \rightarrow \text{Li}_2\text{Al}(\beta)$; 4) $2\text{LiAlO}_2 + 6\text{LiAl} \rightarrow 8\text{LiAlO}_2 + 8\text{Al}$. При отношении Al_2O_3 : $\text{LiH} > 8$ образуется твердый р-р Al в Li; восстановление α - Al_2O_3 начинается при 530°; γ - Al_2O_3 при 450°. Относительная легкость восстановления γ - Al_2O_3 объясняется сходством его структуры со структурой пентаалюмината: в процессе р-ции атомы Li внедряются в тетраэдрические и октаэдрические пустоты, образованные кислородной решеткой γ - Al_2O_3 .

Ю. Варшавский

9В74. Влияние кислорода и перекиси водорода на окисляющее действие азотистой кислоты. Johnson A., Lockett A. P. The effect of oxygen and hydrogen peroxide on the oxidising action of nitrous acid. *«Proc. Chem. Soc.»*, 1960, June, 218 (англ.).—Ускоряющее действие кислорода на процесс окисления некоторых органич. в-в (сульфокислот фенола, муравьиной к-ты и др.) р-ром HNO_2 авторы объясняют первоначальным восстановлением O_2 до $\cdot\text{HO}_2$ и H_2O_2 . Эти перекисные соединения с HNO_2 образуют HOONO , которая, распадаясь, дает радикалы $\cdot\text{OH}$, окисляющие органич. в-во и инициирующие цепную р-цию. Развитие цепи идет по р-циям: $\text{HONO} + \text{ONO} \rightarrow \text{HOONO} + \cdot\text{NO}$ и $\text{ONO} \rightarrow \cdot\text{NO}_2$, обрыв цепи: $\cdot\text{HO} + \cdot\text{NO}_2 \rightarrow \text{HNO}_3$. Аналогично развивается процесс при введении H_2O_2 .

В. Росоловский

9В75. Об электролизе безводного оксихлорида фосфора и безводного тионилхлорида. Spandau H., Beyer A., Preugschat F. Über die Elektrolysen von wasserfreiem Phosphoroxychlorid und wasserfreiem Thionylchlorid. *«Z. anorgan. und allgem. Chem.»*, 1960, 306, № 1-2, 13—20 (нем.; рез. англ.).—Изучен электролиз POCl_3 (I) и SOCl_2 (II) с добавками $[(\text{C}_2\text{H}_5)_3\text{NH}]\text{Cl}$ для увеличения электропроводности. Электролиз I проводился при 0°, напряжении 220 в и силе тока ~0,03 а. В соответствии с диссоциацией I на POCl_2^+ и Cl^- на аноде выделялся Cl_2 , который полностью растворялся в I, окрашивая его в желтый цвет. На катоде по р-ции $\text{POCl}_2^+ + 3\text{e}^- \rightarrow \text{PO} + \text{I}$ образовывался полимерный PO в виде светло-коричневого осадка, нерастворимого в обычных р-рителях. Электролиз II производился при 15, 0°, —15° и —78°, напряжении 220 в и силе тока 55 ма. Выделявшийся на аноде Cl_2 оставался в р-ре в II; после разбавления анодной жидкости водой в продуктах гидролиза появляется H_2SO_4 за счет окисления H_2SO_3 хлором. На катоде сначала образовывался нестойкий SOCl , который при 15 и 0° разлагался на S_2O , SO_2 , S_2Cl_2 , Cl_2 и II, а при —15° — в основном на S_2O . Последний выделялся в виде пластичного в-ва, окрашенного в цвет серы. При комнатной т-ре в атмосфере N_2 за несколько час. оно превращалось в твердую массу. При —78° на катоде образовывалась SO , которая лишь частично разлагалась на S_2O и SO_2 при этой температуре.

В. Росоловский

9В76. Реакции фосфина с триметиллиндием. Didchenko R., Alix J. E., Toeniskoetter R. H. Reactions of phosphine with trimethylindium. *«J. Inorg. and Nucl. Chem.»*, 1960, 14, № 1-2, 35—37 (англ.).—При пропускании PH_3 в бензольный р-р $\text{In}(\text{CH}_3)_3$ выпадает желтый хлопьевидный осадок, нерастворимый в органич. р-рителях, быстро окисляющийся на воздухе и выделяющий CH_4 и PH_3 под действием воды и

к-т. При нагревании высушенного осадка в инертной атмосфере при 100—120° иногда происходит взрыв; разложение заканчивается при 250—270° образованием InP. Разложение в вакууме также идет до InP и сопровождается выделением 1 моля CH_4 на 1 моль InP. Соединение рентгеноаморфно и представляет собой полимер $(-\text{CH}_3\text{In}-\text{PH}-)_n$ (I). При р-ции $\text{In}(\text{CH}_3)_3$ с жидким PH_3 при -123° образуется соединение 1:1, которое при -78° разлагается на 75% на исходные в-ва и на 25% — на I. При нагревании полученный I темнеет, при 95° начинает выделять CH_4 и при 275° полностью переходит в InP. В. Росоловский

9В77. Неорганическая химия (Муки кагаку). Том I. Титани Тосимицу. Токио, Сангё тосё кабусики кайся, 1960, 457 стр., илл., 60 пен. (японск.)

См. также раздел: Элементы. Окислы, минеральные кислоты, основания, соли и рефераты: Элементы и простые в-ва 9Б367, 9Д53. Строение и свойства молекул и кристаллов 9Б150, 9Б152, 9Б344. Кинетика и механизм неорганич. р-ций 9Б335, 9Б430, 9Б434—9Б438, 9Б468, 9Б472, 9Ж245—9Ж248. Комплексные соединения 9Б67, 9Б70, 9Б119, 9Б128, 9Б131, 9Б150, 9Б390, 9Д4

Рефе

9Г1.
робь
1960, 2
довани
терист
тел и
геологи
цвету,
ному с
чениям
ора т
сущест
факты
рии на
быть с
9Г2.
пронех
ment 1
«Natur
В связ
плавле
ным и
и Ga в
извест
услови
ведены
титов
литони
Слонов
6.10-6
6 обра
песчан
ритных
.10-4%
ней и
акземп
9.10-6
шение
матери
Ge яв
конц-и
вождае
очень
ванне
ловивш
риала.
при вз
новени
9Г3.
свойст

РЕФЕРАТИВНЫЙ ЖУРНАЛ ХИМИЯ

II

Рефераты 9Г1—9Е63

№ 9

10 мая 1961 г.

Г. КОСМОХИМИЯ. ГЕОХИМИЯ. ГИДРОХИМИЯ

Редакторы Г. Г. Воробьев, В. Д. Коншин

9Г1. Проблема тектитов и силика-глассов. Воробьев Г. Г. В сб. «Метеоритика». Вып. 19, М., 1960, 26—62.—Приведены история открытия и исследования тектитов и силика-глассов, подробные характеристики отдельных территориальных типов этих тел и сводные данные по географич. распределению, геологич. условиям нахождения, формам, структуре, цвету, основным физ. свойствам, хим. составу, изотопному составу, абс. возрасту, газовым и твердым включениям и фольклору. На основании этих данных и обзора теорий происхождения показано, что ни одна из существующих теорий не в состоянии объяснить все факты, касающиеся тектитов, но в целом космич. теории на современном уровне наших знаний не могут быть опровергнуты. Библ. 155 назв. Г. Воробьев

9Г2. Соотношения редких элементов и земное происхождение тектитов. Cohen Alvin J. Trace element relationships and terrestrial origin of tektites. «Nature» (Engl.), 1960, 188, № 4751, 653—654 (англ.).—В связи с гипотезой, что тектиты образовались при плавлении земных пород, сопровождающемся частичным испарением в-ва, автор определил содержание Ge и Ga в некоторых тектитах и других материалах. Как известно, Ge является легколетучим элементом и в условиях плавления должен испариться. В статье приведены некоторые из этих анализов. В 9 образцах тектитов (молдавит, австралит, филиппинит, яванит, билитонит, индошинит, тектиты из Таиланда и Берега Слоновой Кости) содержится $9 \cdot 10^{-5}$ — $9,8 \cdot 10^{-4}\%$ Ga, $6 \cdot 10^{-6}$ — $4 \cdot 10^{-5}\%$ Ge, отношение Ga:Ge 14—45; в 6 образцах Дарвиновского стекла, импактитов, песка, песчаников и стекловатой пемзы из районов метеоритных кратеров — $1,5$ — $9,6 \cdot 10^{-4}\%$ Ga, $4 \cdot 10^{-6}$ — $1,84 \cdot 10^{-4}\%$ Ge, Ga:Ge 2—7. В пробах, взятых из внутренней и внешней (вторично оплавленной) частей одного экземпляра австралита, содержится соответственно $0 \cdot 10^{-5}$ и $1,5 \cdot 10^{-4}\%$ Ga, $6 \cdot 10^{-6}$ и $4 \cdot 10^{-6}\%$ Ge, отношение Ga:Ge 15 и 37. В импактитах, по сравнению с материнскими породами, относительное содержание Ge является также уменьшенным. Повышенная концентрация Ge в природных стеклах, как правило, сопровождается присутствием кристаллитов, в том числе очень характерного поцита. Таким образом, образование тектитов происходило при высоких т-рах, обусловивших глубокое переплавление силикатного материала. Подобные условия могли создаваться на Земле при взрывах колоссальных энергий, напр. при столкновении Земли с кометами (гипотеза Юри). Г. В.

9Г3. Сравнение химического состава и магнитных свойств тектитов и стекол, образованных при плавлении

земных пород. Friedman Irving, Thorpe Arthur, Senftle Frank E. Comparison of the chemical composition and magnetic properties of tektites and glasses formed by fusion of terrestrial rocks. «Nature» (Engl.), 1960, 187, № 4743, 1089—1092 (англ.).—В связи с предположением некоторых исследователей, что тектиты образовались по типу фульгуритов при ударе молнии в силикатные породы, авторы подвергли плавлению (от 3 до 45 мин. при т-ре 2500°) образцы песка, бентонита, базальта, обсидиана и двух риколитов. Сравнительные хим. анализы показали, что при плавлении, как правило, уменьшается кол-во SiO_2 , Fe_2O_3 , Na_2O , K_2O и увеличивается кол-во Al_2O_3 , FeO, MgO. Величина отношения $\text{Fe}^{3+}:\text{Fe}^{2+}$ при этом уменьшается и во всех случаях приблизительно достигает 0,4. Переход $\text{Fe}_2\text{O}_3 \rightarrow \text{FeO}$ осуществляется при т-ре 1300 — 1400° и заканчивается при 1700° . В тектитах (по литературным данным) отношение $\text{Fe}^{3+}:\text{Fe}^{2+} < 0,4$, что объясняется их нагреванием в газовой фазе при давлении кислорода $< 0,2$ атм и т-ре 2500° . Вторичное нагревание тектитов могло происходить во время прохождения их через верхние слои атмосферы, где давление кислорода составляет $< n \cdot 10^{-4}$ — $n \cdot 10^{-6}$ атм. При достижении более плотных нижних слоев происходило постепенное остывание тел. Это предположение согласуется с фактом образования у каменных метеоритов тонкой коры плавления, которая до падения метеоритов на Землю полностью застывает. Установлено также, что при плавлении горных пород заметно уменьшается их магнитная восприимчивость χ , а величина намагниченности σ уменьшается очень сильно и почти во всех случаях достигает нуля. Отсутствие намагниченности указывает, что Fe полностью присутствует в растворенной форме. Это состояние может быть достигнуто в течение 1 мин. при 2000° и значительно скорее при более высокой т-ре. Период нагревания тектитов лежит в интервале до 15—20 мин. и увеличивается для объектов с исключительно высоким содержанием Si (напр., стекло Ливийской пустыни). Молдавиты, бедизиты и горные породы из района их нахождения имеют различную величину χ , что позволяет сомневаться в образовании тектитов in situ (в том числе при ударе молнии). Подтверждением этого служат и закономерности изменения хим. состава при плавлении пород.

Г. Воробьев
9Г4. Никель в тектитах по данным активационного анализа. Ehmann W. D. Nickel in tektites by activation analysis. «Geochim. et cosmochim. acta», 1960, 19, № 3, 149—155 (англ.).—С помощью описанного ме-

тогда нейтронной активации определено содержание Ni в 17 образцах, классифицированных следующим образом: тектиты — австралиты, бедиазиты, индопхиниты, тектиты Индонезии, тектиты Берега Слоновой Кости, стекло Ливийской пустыни, молдавиты, филиппиниты, тектиты Таиланда; импактные стекла, включая Дарвиново стекло; обсидианы, включая американиты. Попутно в этих же образцах весовым методом определялось содержание Fe. Установлено, что при общем кол-ве Fe 2,4—4,7% тектиты по Ni образуют две группы: $0,8 \cdot 10^{-4}$ — $3,2 \cdot 10^{-3}\%$ (Хайнань, Техас, Австралия, Таиланд, Филиппины) и $1,05$ — $2,16 \cdot 10^{-2}\%$ (Берег Слоновой Кости, Камбоджа, Аннам, Ява); особняком стоят молдавиты ($0,92\%$ Fe и $9,2 \cdot 10^{-4}\%$ Ni), ливиты ($0,33\%$ Fe и $3,3 \cdot 10^{-4}\%$ Ni) и американиты Перу (Fe 0,36%, Ni не обнаружен, т. е. присутствует в кол-ве $< 5 \cdot 10^{-5}\%$). Соответственно отношение Ni: Fe ($\times 10^{-4}$) колеблется в тектитах от 3,1 (Хайнань) до 57 (Ява). При этом молдавиты и ливиты имеют одинаковую величину данного отношения (10). Индопхиниты по этим признакам образуют по крайней мере два самостоятельных поля. Тогда как три поля филиппинитов, выделяемых по геологич. условиям и физ. признакам, не отличаются по Ni друг от друга. В целом филиппиниты, а также австралиты обнаруживают по Ni большое сходство с бедиазитами, хотя другие признаки не подтверждают эту особенность. Силка-глассы метеоритных кратеров (импактиты) содержат Ni больше, а обсидианы — меньше, чем тектиты. Однако большинство описанных метеоритных кратеров было образовано железными метеоритами, и не исключена возможность, что столкновение каменных метеоритов или комет с Землей привело к образованию тектитов.

9Г5. Геохимия ландшафтов и методы ее исследования. Глазовская М. А. В сб. «Методы геогр. исслед.». М., Географизд, 1960, 275—286 (рез. англ.). — Все многообразие элементарных ландшафтов можно свести к трем основным типам: элювиальному, суперэлювиальному и субкальвальному. Элювиальные ландшафты развиваются на поверхности водоразделов и характеризуются поступлением в-ва только из атмосферы; препятствием для выноса в-ва (в том числе биологически активных элементов) является растительность; только инертные элементы достигают грунтовых вод и выносятся ими. Суперэлювиальные ландшафты формируются в пониженных элементах рельефа в условиях избыточного увлажнения; кроме атмосферного привноса в-ва, здесь наблюдается твердый и жидкий сток; ряд элементов, выносимых из элювиальных ландшафтов, накапливаются в грунтах, почвах и растениях; при этом возникают определенные осадки (солончаки, солонцы) и типичные для них растения. Субкальвальный ландшафт характерен для местных водоемов; в-во поступает сюда за счет твердого и жидкого стока; привнос из атмосферы незначительный. Кроме комплексного геолого-географич. изучения ландшафта, специфика работ требует опробования коренных пород, коры выветривания, рыхлых наносов, почв, вод и растительности, что позволяет охватить весь геохим. цикл элементов. На основании получаемых материалов вычисляется коэф. водн. миграции и биологич. аккумуляции элементов. Геохимия ландшафтов находит применение при поисках месторождений полезных ископаемых, так как воды, почвы и растения могут быть обогащены теми или иными элементами, вынесенными из рудных тел месторождений, создавая тем самым вторичные ореолы рассеивания. В отдельных случаях накопление элементов в почвах, водах и растениях бывает настолько велико, что ведет к резкому изменению внешнего облика ландшафта.

9Г6. О поисках редких и рассеянных элементов радиоактивными методами. Гвайта Т. И., Тер-

Оганесов Я. Г. «Айкакан ССР Гитутюннери Академия текекагир. Геологикакан ев ашхархагракан гитутюннер, Изв. АН АрмССР. Геол. и геогр. н.э., 1960, 13, № 3-4, 57—63 (рез. арм.). — Применение радиоактивных методов поисков месторождений редких и рассеянных элементов основано на том принципе, что многие минералы этих элементов являются U- или Th-содержащими соединениями. Кроме того, ряд этих минералов встречается в парагенезисе с минералами U или Th. Природа радиоактивных аномалий определяется генетич. типом месторождений. В составе магматогенных месторождений имеется два типа: собственно магматич. и пегматитовый. В первом обнаружены месторождения 3 подтипов. Для ранне-магматич. подтипа характерна Th-природа аномалий, в пост-магматич. подтипе среди довольно высокого фона всего массива четко выделяются аномалии, связанные с зонами альбитизации, где концентрируются радиоактивные элементы. Природа аномалий смешанная (преимущественно Th). 3-й подтип — карбонатитовый (среди ультраосновных щел. пород) — характеризуется U — Th-природой аномалий, приуроченных к карбонатитам. Аномалии, связанные с пегматитами, незначительны по размерам и обязаны отдельным скоплениям минералов U и Th. Пневматолито-гидротермальные месторождения Be, W, Mo, Sn и TR обнаруживаются по локальным аномалиям урановой природы. Наиболее эффективный метод поисков этих месторождений является самолетный, проводимый в комплексе с аэромагнитной съемкой.

9Г7. Геохронологическая шкала в абсолютном летоисчислении по данным лабораторий СССР за 1960 г. — Изв. АН СССР. Сер. геол., 1960, № 10, 17—21. — Приведен вариант новой геохронологич. шкалы, утвержденной сессией Комиссии по определению абс. возраста геологич. формаций. Р. Хмельницкий

9Г8. Геологическое значение исследований абсолютного возраста горных пород. Афанасьев Г. Д. В сб. «Магматизм и связь с ним полезных ископаемых». М., Госгеолтехиздат, 1960, 40—51. Дискус., 154—162. — Кратко рассмотрены основные методы определения абс. возраста, новейшие данные исследования пород и минералов за рубежом и некоторые результаты определения абс. возраста геологич. формаций в СССР. Р. Хмельницкий

9Г9. Новый метод определения «двухвалентного железа» и «избытка кислорода» в породах, минералах и окислах. Ingamells C. Oliver. A new method for «ferrous iron» and «excess oxygen» in rocks, minerals, and oxides. «Talanta», 1960, 4, № 4, 268—273 (англ.; рез. нем., франц.). — Новый метод определения «избытка» или «недостатка» кислорода основан на стабильности Mn^{2+} и Mn^{3+} в смеси ортофосфорной к-ты и пирофосфата натрия. Образец растворяют в этой смеси, содержащей избыток Mn^{2+} со стандартным окислителем или без него. Mn^{3+} , оставшийся в р-ре или образованный благодаря р-ции с образцом, титруют железоммониевым сульфатом с использованием дифениламинсульфата Вa в качестве индикатора. Приведены данные определения этим методом FeO в 12 образцах минералов и пород (навески 0,1—0,5 г) и определение «избытка» кислорода в 12 образцах окислов некоторых металлов. Р. Хмельницкий

9Г10. Изучение [процесса] выделения оснований из минералов и почв. IV. Выделение кальция и магния при кипячении с нормальной соляной кислотой. Ståhlberg S. Studies on the release of bases from minerals and soils. IV. The release of calcium and magnesium by boiling normal hydrochloric acid. «Acta agric. scand.», 1960, 10, № 2-3, 205—225 (англ.). — Изучен процесс извлечения Ca и Mg из плагиоклазов, аггита, роговой обманки, биотита, флогопита, 131 образца почв и их глинистой фракции. При кипячении

течение 10 мин. в HCl порошков плагиоклазов в р-р переходит 4,1—15% от ΣCa и 2,6—12,0% от ΣNa ; при этом на более основных плагиоклазов выделяется значительно больше Ca и Na. С увеличением размера фракции величина извлекаемого из андезита Ca уменьшается с 15 до 1,9%, а Na с 11 до 1,1%. Из авгита и роговой обманки выделяются соответственно 2,7 и 3,1% Ca от ΣCa и 17 и 7,4% Mg от ΣMg . Из биотита и флогопита в р-р переходит 93 и 56% Mg от ΣMg , причем с уменьшением размера фракций эта величина сокращается до 27 и 18%. Определение понообменных и кислоторастворимых форм Ca и Mg в 131 образце шведских почв показало, что между этими величинами для каждого элемента существует прямая зависимость, причем для Ca она более четкая. Отмеченные закономерности подтверждаются расчетами коэф. корреляции и у-урный регрессии. Сообщение П. см. РЖХим, 1960, № 18, 72863. Г. Волков

9Г11. Методика минералогического анализа силикатосодержащих проб. Ли А. Ф., Брадинская Е. М. «Сб. научн. тр. Иркутский н.-и. ин-т редк. мет.», 1959, вып. 8, 64—73

9Г12. Улучшенный препаративный метод рентгенографического исследования листоватых глинистых минералов. Pollmann Siegfried. Eine verbesserte Präparationsmethode zur röntgenographischen Untersuchung blätternförmiger Tonminerale. «Neues Jahrb. Mineral. Monatsh.», 1960, № 5, 111—115 (нем.; рез. англ.).—Кратко описана модификация существующих методов определения, заключающаяся в том, что образец для съемки подготавливается при центрифугировании глинистой суспензии. Р. Хмельницкий

9Г13. Применение термического анализа к трудноанализируемым минералам. Smith David S. Hard-to-analyze minerals yield to thermal analysis. «Enging and Mining J.», 1960, 160, № 10, 107—109 (англ.).—В популярной форме описаны аппаратура, принципы, область применения и общая методика работы. Р. Хмельницкий

9Г14. Экспериментальное исследование силикатных систем, содержащих летучие компоненты. Часть I. Геометрическое рассмотрение. Wyllie P. J., Tuttle O. F. Experimental investigation of silicate systems containing two volatile components. Part I. Geometrical considerations. «Amer. J. Sci.», 1960, 258, № 7, 498—517 (англ.).—Рассмотрены модели следующих систем: альбит — вода, тройные системы с двумя летучими компонентами, системы, содержащие H_2O и CO_2 . Литературные данные по системам альбит — H_2O — CO_2 , «гранит» — H_2O — CO_2 и CaO — CO_2 — H_2O сравнены с описанными моделями. Р. Хмельницкий

9Г15. Диметилтионил — новый разбавитель метилгидридной тяжелой жидкости. Cuttitta Frank, Meyrowitz Robert, Levin Betsy. Dimethyl sulfoxide, a new diluent for methylene iodide heavy liquid. «Amer. Mineralogist», 1960, 45, № 5-6, 726—728 (англ.).—Кратко описано применение диметилтионила вместо ацетона и этилового спирта для приготовления тяжелых жидкостей, используемых при разделении минералов и определении их уд. веса. Р. Хмельницкий

9Г16. Новый борат — стронциоборат. Лобанова В. В. «Докл. АН СССР», 1960, 135, № 1, 173—175.—Минерал обнаружен при изучении соляной толщи кунгура Прикаспия вместе с джидноритом, борацитом, галургитом и ангидритом. Значительных скоплений не образует; находится в виде тончайших бесцветных полупрозрачных пластинок изометрич. формы (максим. размеры пластинок 2 мм, обычные 0,10—0,15 мм); хрупок; в воде не растворяется, в х-тах растворяется хорошо; двусосный, $2V$, $\approx 85^\circ$, (+), по иногда (—), n_g 1,579, n_m 1,510, n_r 1,470, сильное двулучепреломление 0,109, удлинение положительное и отрицательное, погасание косое (до $< 45^\circ$) и прямое; сингония моно-

клинная (?). Хим. состав (в %): CaO 4,15, SrO 21,66, MgO 5,75, B_2O_3 57,85, H_2O 11,52, сумма 100,93; ф-ла $4(\text{Ca}, \text{Sr}) 0,2 \text{MgO} \cdot 12 \text{B}_2\text{O}_3 \cdot 9 \text{H}_2\text{O}$. Приведены данные рентгеноскопич. анализа. Каменная соль, в которой обнаружен стронциоборат, имеет отчетливую тонко-слоистую структуру, обусловленную неравномерным послойным распределением мелкозернистых боратов. Стронциоборат находится в промежутках между зернами и образует микровключения в галите; вероятно, он является первичным минералом. Р. Хмельницкий

9Г17. О никеле- и кобальтомеланах. Гинзбург И. И. В сб. «Кора выветривания». Вып. 3. М., АН СССР, 1960, 56—66.—Приведены результаты хим. анализа 17 образцов и рентгенограммы наиболее типичных никеле- и кобальтомеланов Урала. Автор считает необходимым выделить среди них группы Ni- и Co-содержащих аномомеланов (I) без SiO_2 или содержащих $\text{SiO}_2 < \text{Al}_2\text{O}_3$, ферри-никеле-кобальтомеланов, а также бариевые, щел. и щел.-зем. их разновидности. В последних CaO и MgO не связаны в силикаты и карбонаты и не находятся в виде продуктов сорбиции. Так как I могут образоваться в результате одновременного выпадения окислов и гидроксидов Mn, Ni, Co, Fe, Al, Ba и др. элементов, а также путем гидратации и сорбиции Ni и Co ранее существовавшими минералами Mn или путем дегидратации последних, то естественно возможность возникновения различных минер. образований, отражающих переходные стадии между отдельными фазами, а также сочетания в одном образце минер. образований ряда стадий. Рассмотрение рентгенограмм приводит к выводу, что имеется два крайних типа I: первый — елизаветинскит, соответствующий гидрату окиси Fe (лепидокрокиту), и второй — соответствующий вернадиту и криптомелану. К этим двум типам добавляются примеси гидратов окиси Fe и гидрата закиси Ni. Отмечено, что т. I присутствует Co^{2+} . Высказано предположение, что один из рассмотренных минералов является новым; после дополнительных исследований, если указанные различия подтвердятся, этому минералу будет дано наименование «бурыктальскит». Р. Хмельницкий

9Г18. Малайский ильменит и арizonит. Flinter B. H. Malayan ilmenite vs. arizonite. «Econ. Geol.», 1960, 55, № 5, 1068—1070 (англ.).—Возражая против критики (РЖХим, 1960, № 8, 30280) своей ранней статьи, автор подтверждает высказывание, что термин «арizonит» должен остаться для обозначения перекристаллизованных смешанных фаз окисей Fe и Ti. Р. Х.

9Г19. Классификация аренинов. Crook Keith A. W. Classification of arenites. «Amer. J. Sci.», 1960, 258, № 6, 419—428 (англ.).—На основании рассмотрения литературных данных предложена классификация, представляющая собой модификацию ранее предложенной схемы (Packham G. H. «Amer. J. Sci.», 1954, 252, № 8, 466). Р. Хмельницкий

9Г20. Вермикулит, его свойства, распространение и применение. Kubicz Andrzej. Vermikulit, jego własności, występowanie i zastosowanie. «Przegl. geol.», 1960, 8, № 7, 376—380 (польск.; рез. русск.).—В настоящем обзоре приведены состав 14 характерных вермикулитов из различных районов земного шара (включая СССР и США) и цифры добычи для 8 стран — важнейших производителей этого сырья. Г. Воробьев

9Г21. Структуры гидраргиллитов и промежуточные образования при их обезвоживании. Saalfeld Horst. Strukturen des Hydrargillits und der Zwischenstufen beim Entwässern. «Neues Jahrb. Mineral. Abhandl.», 1960, 95, № 1, 1—87 (нем.).—Рассмотрены минералогия и структура гидраргиллитов. С помощью рентгеноскопич. и оптич. методов изучены промежуточные и конечные продукты, образующиеся в процессе термич. обезвоживания. Описан механизм процесса и приведена схема превращений модификации. Р. Хмельницкий

9Г22. Диэлектрические характеристики дымчатого кварца — природного и подвергнутого облучению рентгеновскими и γ -лучами. Kiriyaama Ryūiti, Kawai Shichio. Dielectric phenomena of smoky quartz, natural and X- and γ -ray irradiated. «Mineral. J.», 1960, 3, № 1, 19—29 (англ.).—Показано, что диэлектрич. характеристики природного дымчатого кварца сходны с характеристиками образца, искусственно полученного при облучении рентгеновскими лучами бесцветного кристалла. Изменение этих характеристик связано с дозами облучения. Некоторые их отличия от образцов, полученных при облучении γ -лучами, объясняются тем, что в природных условиях действие γ -луча смягчается окружающими породообразующими минералами. Сделана попытка объяснить диэлектрич. явление степенью диссоциации молекул воды в решетке кварца. Р. Хмельницкий

9Г23. Константы кристаллической решетки и вероятная пространственная группа безводного медного сульфата (синтетический халькокопранит). Pistorius Carl W. F. T. Lattice constants and probable space group of anhydrous cupric sulfate (artificial chalcocyanite). «Amer. Mineralogist», 1960, 45, № 5-6, 744—746 (англ.).—Безводный медный сульфат был приготовлен при нагревании $\text{CuSO}_4 \cdot 5\text{H}_2\text{O}$ до $\sim 300^\circ$ в течение 2 час. Приведены данные рентгеновского исследования. Соотношение осей $a : b : c$ 1,232 : 1 : 0,7043. Уд. вес. 3,65 (вычисленный 3,873, при $Z = 4$). Пространственная группа $Pnma$ (для дипирамидальной CuSO_4). Р. Хмельницкий

9Г24. Оптическая ориентировка и химический состав некоторых высоко- и низкотемпературных плагиоклазов. Glauser Alfred, Wenk Edward. Optische Orientierung und chemische Zusammensetzung einiger Hoch- und Tieftemperatur-Plagioklasse. «Schweiz. mineral. und petrogr. Mitt.», 1960, 40, № 1, 37—53 (англ.).—В продолжение ранней работы (РЖХим, 1958, № 5, 13661) исследовались хим. состав и оптич. характеристики 27 образцов плагиоклазов из различных пород месторождений Европы. В большинстве случаев установлена зависимость между полученными данными, характером вмещающих пород и температурными условиями образования плагиоклазов. Р. Хмельницкий

9Г25. К геохимическим особенностям вольфрамитов. Ганев И. Г., Сечина Н. П. «Геохимия», 1960, № 6, 518—523 (рез. англ.).—С целью выяснения причины неравномерного распределения элементов-примесей в вольфрамитах (I) в пределах одного месторождения, одной жилы и одного монокристалла изучена геология месторождения Кара-Оба и спектрально проанализировано 85 проб I; в 16 пробах определено также содержание FeO , MnO и WO_3 . На месторождении выделены и описаны разновозрастные группы жил с характерными минер. ассоциациями. Приведены неполные данные по содержанию Sc, Nb, Y, Fe и Mn в этих жилах и различных частях монокристаллов I. На основании этого исследования установлено отсутствие зависимости между содержанием в I Sc, Nb, Ti, Sn и Mo; установлена линейная зависимость между Sc, Y, Fe и Mn для различных типов жил одного месторождения, а также в пределах одной жилы и даже одного монокристалла. Изоморфное вхождение в вольфрамиты Sc и Y возможно по схеме $2\text{Sc}^{3+} \rightarrow 3\text{Fe}^{2+}$ и $2\text{Y}^{3+} \rightarrow 3\text{Mn}^{2+}$. Остальные элементы, вероятно, связаны с наличием минер. примесей. Р. Хмельницкий

9Г26. О параметрах элементарных ячеек и пространственной группе ферсмита и его искусственного аналога. Комков А. И. «Зап. Всес. минералог. о-ва», 1960, 89, № 4, 455—458.—Проведено рентгеновское исследование искусств. ферсмита (I), CaNb_2O_6 , полученного путем спекания окислов CaO и Nb_2O_5 . По рентгенограмме вращения, снятой вдоль [100], [010] и [001] были определены следующие параметры элемен-

тарной ячейки: $a = 5,73$, $b = 14,96$, $c = 5,21$ кХ (точность $\pm 0,01$). Эти значения параметров несколько отличаются от ошибочно рассчитанных для I из Монтаны (РЖХим, 1959, № 22, 74535). В результате индифференцирования рентгенограмм вращения и рентгенометрии, разверток нулевых слоев линий, полученных на рентгенометре типа КФОР, установлена пространственная группа I $Pca2_1$, вместо $Pbcn$ (найденной там же). Приведены дебаеграмма искусств. I с вновь проиндифференцированной автором дебаеграммой I из Монтаны и рассчитанные по ним параметры элементарной ячейки. На основании проведенных исследований установлено, что I относится к группе эвксенита — подгруппы. И. Липова

9Г27. Состав редких земель в гадолинитах и месторождений различных генетических типов. Вайштейн Э. Е., Александрова И. Т., Тураевская Н. В. «Геохимия», 1960, № 6, 498—505 (рез. англ.).—В дополнение к предыдущим исследованиям (РЖХим, 1958, № 7, 20964; 1959, № 4, 11348; 1960, № 5, 17373) произведены рентгеновские анализы 10 новых образцов гадолинитов (I) из разных месторождений. Все месторождения I разделены на две группы: 1) генетически связанные с нормальными гранитоидами и 2) связанные с щел. гранитами, граносиенитами и сиенитами. В пределах этих групп выделено несколько типов, характеризующихся своеобразным распределением TR и Y в I. Показано, что характер распределения этих элементов в силу большой ионной емкости минерала зависит от условий его образования и изменяется для месторождений различных генетич. типов: I в виде акцессорного минерала в гранитах характеризуется значительным (более чем в 10 раз) преобладанием ΣCe над ΣY . Содержание индивидуальных TR во всех группах I (за исключением одной) связано между собой соотношениями, справедливыми для других комплексных минералов. Эти соотношения позволяют установить относительный состав элементов в минерале по величине трех отношений — $\text{Ce} : \text{Nd}$, $\text{Yb} : \text{Nd}$ и $\text{Er} : \text{Nd}$. Наиболее обогащены Y I, связанные с гранитами и щел. пегматитами. Обогащены Ce акцессорные I, относительные содержания индивидуальных элементов, Ce-группы которых закономерно связаны друг с другом и так же, как в селективно-первичных минералах, могут быть охарактеризованы величиной отношения $\text{Ce} : \text{Nd}$. Исследования состава I различных месторождений и в особенности установление соотношений $\text{Ce} : \text{Nd}$, $\Sigma\text{Y} : \Sigma\text{Ce}$ и $\text{Y} : \Sigma\text{TR}$ может явиться очень чувствительным геохим. индикатором. Р. Хмельницкий

9Г28. Синтез морденита в природных гидротермальных растворах. Ellis A. J. Morlenite synthesis in a natural hydrothermal solution. «Geochim. et cosmochim. acta», 1960, 19, № 2, 445—446 (англ.).—Пороши обидиана, заключенный в спец. прибор, опускался по буровой скважине на глубину 319 м. Здесь в зоне нейтр. (pH 5,7) гидротермальных р-ров с устойчивой t-рой 230° за 17 суток происходило превращение обидиана в минерал морденит. Приведен хим. состав обидиана и гидротермального р-ра. Опыты показывают, что цеолиты могут образоваться не только в условиях щел. среды. А. Алексеев

9Г29. Определение окисленного состояния урановой смолки в рудах. Stonhill L. G. The estimation of the oxidation state of pitchblende in ores. «Geochim. et cosmochim. acta», 1960, 19, № 3, 168—176 (англ.).—Подробно описана методика определения соотношения $\text{U}^{4+} : \text{U}^{6+}$, основанная на колич. взаимодействии чистой окиси U (или смеси ее с окисями других металлов) с HF (газ). Образующийся UO_2F_2 позволяет определить содержание U^{6+} с помощью данной методики исследовано 2 образца концентрата урановой смолки, содержащие (в %): U_3O_8 52,2; 21,5; S 0,24; O_2 . $\text{U}^{4+} : \text{U}^{6+}$ 3:1; 17:1. Р. Хмельницкий

9Г30. Ионное состояние синтезированной андезитовой смолки. Как и кристаллическая структура. 9Г31. Довод фактора лова (11—14) продол в случ чистоты чем пр процес му окисл на 18% 9Г32. Железа ković centrac «Tehni 174—17 теты и делени

9Г33. Леде. ern Ny e прои Wyll SiO₂ an sic roc (англ.) CaO — сти на домент чае пла турни магмы. ответс ается жащая подним акспери смотра

9Г35. Ловозер ский и № 7, 59 и Zn в урититов ювков и тней (10—1 Устано содерж больше при чем массиве промхс

9Г36. Массива

9Г30. О синтетическом кобальтхризотиле и его отношении к другим соленосиликатам. Noll W. Über synthetischen Kobaltchrysotil und seine Beziehungen zu anderen Solenosilikaten. «Silikat-Technik», 1960, 11, № 8, 395—396 (нем.).—Кратко сообщается о синтезе минерала при нагревании гелей жидкого стекла, едкого натра и р-ра сульфата Со при t -ре 300—350° в автоклаве. Как и у остальных членов группы соленосиликатов, кристаллы кобальтхризотила обладают трубчатой структурой. Отмечена высокая уд. поверхность минерала.

9Г31. Окисление в водных растворах гелей сульфидов железа, меди и кобальта при действии различных факторов. Дуров С. А., Дробашева Т. И., Фролова Р. И. «Тр. Новочерк. политех. ин-та», 1960, 98, 111—115.—Проведена серия сравнительных опытов продолжительностью до 18 суток. Опыты показали, что в случае сульфидов Си и Со окисление в атмосфере чистого кислорода идет примерно в два раза быстрее, чем при действии атмосферного воздуха. На скорость процесса превращения сульфида Fe в сульфатную форму оказывает действие свет; солнечное освещение ускоряет этот процесс на 35%, а рассеянный свет — на 18%.

9Г32. Количественное изучение минералов окиси железа из месторождения Любия. Lešić Đura, Jančević Radica. Osvrt na ispitivanja mogućnosti koncentracije oksidnih minerala željeza ljubijskih ruda. «Tehnika», 1960, 15, № 8, «Rud. i metalurg.», 11, № 8, 171—176 (сербо-хорв.; рез. англ.).—Приведены результаты изучения процессов обогащения Fe руд (распределение Fe, Mn, SiO₂ и CaO в различных фракциях).

9Г33. Радиоактивные минералы в Южном Ньясаленде. Bosazza V. L. Radioactive minerals in Southern Nyasaland. «Mining. Mag.», 1959, 101, 49—55.

9Г34. Система CaO—MgO—FeO—SiO₂ и ее связь с происхождением ультраосновных и основных пород. Wyllie Peter J. The system CaO—MgO—FeO—SiO₂ and its bearing on the origin of ultrabasic and basic rocks. «Mineral Mag.», 1960, 32, № 249, 459—470 (англ.).—Экспериментальное исследование системы CaO—MgO—FeO—SiO₂ свидетельствует о возможности наличия плато на ликвидусе и солидусе многокомпонентной системы базальт—перидотит. В этом случае плавление перидотита приводит в широком температурном интервале к образованию лишь базальтовой магмы. Когда t -ра достигает порогового значения (соответствующего пересечению ликвидуса плато), образуется пикритовая магма. Базальтовая магма, содержащая суспендированные форстеритовые кристаллы оливина, может растворить их, если t -ра медленно поднимается выше порогового значения. Полученные эксперим. данные указывают на необходимость пересмотра некоторых петрологич. аксиом.

9Г35. О распределении свинца и цинка в породах Ловозерского массива. [Кольский п-ов]. Герасимовский В. И., Несмеянова Л. И. «Геохимия», 1960, № 7, 590—593 (рез. англ.).—Определено содержание Pb и Zn в 35 образцах сиенитов, нефелиновых сиенитов, уртитов, ийолитов, фойлитов, лувяритов, малинитов, ливитов, молчичитов и вмещающих пород (эффузивов и гнейсов). Пределы содержания: Zn $8,6 \cdot 10^{-3}$ — $1,07 \cdot 10^{-1}$ (в гнейсе $5,3 \cdot 10^{-3}$), Pb $2 \cdot 10^{-4}$ — $1,02 \cdot 10^{-2}$ %. Установлено, что Zn и Pb концентрируются в нефелино-содержащих породах Ловозерского массива гораздо больше, чем в нефелиновых сиенитах других регионов, причем Zn резко преобладает над Pb (в среднем для массива Zn:Pb = 16,2). В ходе магматич. процесса происходило накопление этих элементов, особенно Pb.

9Г36. О содержании цезия в породах Ловозерского массива. Герасимовский В. И., Лебедев В. И.

«Геохимия», 1960, № 6, 545—546.—Методом пламенной фотометрии изучен 21 образец пород из 4 интрузивных фаз массива. Пределы содержания (в %): Cs₂O $8 \cdot 10^{-5}$ — $3,1 \cdot 10^{-4}$, Rb₂O $6,7 \cdot 10^{-3}$ — $3,8 \cdot 10^{-2}$, K₂O 3,00—6,02, отношения Rb:Cs 36—368 (среднее ~174), K:Cs 13 000—62 000, K:Rb 121—409. Отмечено, что кол-во Rb и Cs увеличивается в породах массива от первой интрузивной фазы к третьей; величина K:Rb между тем уменьшается. Накопление Cs происходит к концу магматич. процесса.

9Г37. Горючие газы и битумы щелочных пород Кольского полуострова. Петерсилье И. А. В сб. «Петрогр. провинции, изверженные и метаморфич. горн. породы». М., АН СССР, 1960, 210—224 (рез. англ.).—Приведены литературные и эксперим. данные по составу газов в различных породах, элементарному составу хлороформенного экстракта битума А из пород, ИК-спектрам битумов только из щел. пород. Средний состав газа в закрытых порах различных пород Хибинских и Ловозерских тундр соответственно (в см³ на 1 кг породы): CH₄ до 46,51; до 42,29; C₂H₆ до 0,45; до 3,920; C₃H₈ до 0,52; до 1,270; C₄H₁₀ до 0,07; до 0,20, H₂ 0,031—5,39; 0,90—13,12; CO до 4,28; до 2,56; CO₂ до 25,10; 0,02—54,20. По ИК-спектрам в битумах из фойлитов, хибинита и пятнистой апатито-нефелиновой породы представлены главным образом кислородные соединения типа алифатич. эфиров, характерные для сингенетич. битумов осадочных пород. Масляная фракция битума из хибинита имеет чисто углеводородный состав, во фракциях смол и асфальтенов преобладают кислородные соединения, отмечены также ароматич. структуры. Установлено наличие углеводородных газов в щел. породах и отсутствие их во вмещающих горных породах. Газы, содержащиеся в порах изверженных горных пород, сингенетичны породам и являются составной частью их в-ва. Зависимость содержания битума от концентрации углеводородных газов указывает на генетич. связь между ними.

9Г38. Геохимия гранодиорита Олдер, Донегал, Ирландия. Mercy Edward L. P. The geochemistry of the Older Cranodiorite, Co. Donegal, Ireland. «Trans. Roy. Soc. Edinburgh», 1958—1959 (1960), 64, № 5-6, 101—127 (англ.).—Для выяснения условий образования массива, залегающего среди пелитовых пород, были отобраны 42 образца гранодиоритов и 23 образца пелитов и подвергнуты силикатному хим. анализу. Опробование проводилось по определенным линиям. Результаты анализов пересчитаны по методу Эскола (РЖХим, 1956, № 21, 68133), и определены новые соотношения. Нанесение этих данных на карту показывает, что в направлении с востока на запад происходит возрастание кол-ва Si, K, O и уменьшение других компонентов породы при почти постоянном содержании Na. Из сопоставления анализов гранодиоритов и пелитовых пород видно, что первые образовались за счет гранитизации вторых. Процесс гранитизации начался с привноса Na, K и Ca в алюмосиликатную среду, которая характеризовалась достаточными кол-вами Mg и Fe. Однако в ходе процесса соотношение между величиной привноса и конц-ей элементов вмещающей среды изменялось по мере перемещения фронта гранитизации. Сама среда гранитизации имела водн. характер, в которой происходило интенсивное независимое перемещение Na и K, о чем свидетельствует отсутствие линейной корреляции между этими элементами.

9Г39. Пермские сиенитовые порфиры из Валле-ди-Даоне (западная часть Триентской области). Dieni Iginio. I porfidi sienitici permiani della Valle di Daone. (Trentino occidentale). «Studi trentini sci. nat.», 1958, 35, № 1, 3—13 (итал.).—Рассмотрены 2 типа порфиров — красно-фиолетовый (КФП) и зеленый (ЗП), принадлежащие к пермо-триасовой формации. В отношении химизма заметную разницу между эти-

ми типами составляет отношение $\text{FeO}/\text{Fe}_2\text{O}_3$: в ЗП преобладает FeO , в КФП — Fe_2O_3 . Значительное общее содержание щелочей (9,32 и 8,11% соответственно) и преобладание Na над K показывает принадлежность их к натриевому сленитовому типу порфиров. Наблюдения показывают происхождение ЗП из КФП вследствие процессов последовательного изменения, вероятно, связанного с поздними вулканич. гидротермич. явлениями. Эта гипотеза поддерживается отсутствием четкой границы между названными типами и наличием переходной зоны, в которой порода местами красная с зелеными пятнами, а местами — наоборот.

Н. Халатова

9Г40. Петрохимические характеристики магматических пород сложного массива Миямото, плато Южное Абукума. Огура И. «Тисицутаку даэси, J. Geol. Soc. Japan», 1960, 66, № 776, 341—351 (японск.; рез. англ.). — Сложно построенный массив зажат между двумя метаморфич. толщами. Восточная его часть сложена основными и средними породами — габброидными, диоритовыми и кварц-диоритовыми. В строении западной части принимают участие кислые разности пород — основные трондjemитовые, трондjemитовые и адамеллитовые, обладающие метаморфич. текстурами. Приведены результаты минералогич. и хим. изучения пород. Показано, что с ростом кислотности пород возрастает кон-ция щелочей и уменьшаются кол-ва щел.-зем. элементов. По данным 8 хим. анализов образцов биотита увеличение отношения $\text{MgO}:\text{FeO}$ сопровождается уменьшением показателя преломления минерала, а также кол-ва анортитовой молекулы в плагиоклазе. Колич. спектральный анализ 6 образцов роговой обманки, 10 образцов биотита и 10 образцов магнетита свидетельствуют о неравномерной кон-ции микроэлементов в этих минералах.

Г. Волков

9Г41. Щелочные элементы и таллий в эффузивных породах Северного Кавказа и их петрогенетическое значение. Воскресенская Н. Т., Короновский Н. В., Титкова Н. Ф., Шуляковская Н. С. «Вестн. Моск. ун-та. Геология», 1960, № 4, 21—28. — В 55 образцах пород из Эльбурской вулканич. области и 14 образцах из Грузии и Армении определены Na (1,7—3,36%), K (0,8—3,75%), Rb (0,16—2,3·10⁻⁴%), Tl (0,20—1,60·10⁻⁴%). Содержание K, Rb и Tl изменяется при переходе от средних к кислым эффузивам, увеличиваясь в липаритах и андезито-дацитах; в андезито-базальтах их меньше всего. Кол-во Rb в андезито-базальтах несколько выше, чем кларковое. Кол-во Tl отвечает среднему его содержанию в основных породах. Однотипные породы разных центров Эльбурской вулканич. области имеют одинаковые средние кон-ции K, Na, Rb, Tl. Отмечается некоторое обогащение липаритов Тырмауза Tl. Кол-во Tl и Rb в туфах Верхне-Чегемского р-на выше, чем в соответствующих лавах. Для пород всей области отмечается хорошая корреляция между K, Rb и Tl. Однако кол-ва Tl изменяются в ходе эволюции очага (породы поздних фаз обеднены Tl). Это объясняется тем, что при проявлении мощных вулканич. извержений из магмы выделялись летучие компоненты, в том числе и Tl. Вычисление отношений Rb:K, Tl:K, Rb:Tl показывает, что их величины одинаковы для всех эффузивов разных центров Эльбурской вулканич. области в связи с общностью магматич. источника.

Г. Волков

9Г42. Форма лополита Седбери. Hamilton W. J. Form of the Sudbury lopolite. «Canad. Mineral.», 1960, 6, № 4, 437—447 (англ.). — На основе петрохим. данных подтверждается представление о форме массива Седбери как крупном лополите, сложенном снизу норитами и гранодиорами сверху. Такое строение обусловлено процессами магматич. дифференциации.

Г. Велюсов

9Г43. К познанию изверженных пород Пунта-дель-Пьетре-Нере (пров. Фоджа, Италия). Burri Conrad.

Zur Kenntnis der Eruptivgesteine der Punta delle Pietre Nere (Prov. Foggia, Italien). «Eclogae geol. helv.», 1960, 52, № 2, 407—416 (нем.). — Исследованный район изверженных пород среди осадочных толщ рассматривается как часть субвулканич. интрузива, захваченного гипсовым диалитовым ядром и по составу приближающегося к вогезито-керсанитовым липарифирам. Из хим. анализов 3 разновидностей: 1) оливинсодержащей, 2) богатой биотитом и санидином и 3) обильной авгитом — вытекает, что породы близки к анкаратритам и особенно к вулканич. бомбам и выбросам лав вулканич. областей атлант. типа. Данные ассоциации минералов рассматриваются как продукты гравитационного обогащения. В непосредственной близости от магматич. очага не исключен последующий принос щел. полевых шпатов и заполнение ими межзерновых пространств.

Н. Беркин

9Г44. Вулкан Сибатасар. Каранетян К. И. «Академия наук СССР Гитутюннери Академиян телекагир. Геоагакан ев ашхархагракан гитутюннер. Изв. АН Арм. ССР. Геол. и геогр. н.», 1960, 13, № 3—4, 33—45 (арм.). — Вулкан расположен в пределах Варденисского хребта, сложенного вулканогенно-осадочными образованиями эоцена, олигоцена, миоценона и раннечетвертичного времени. Описаны строение вулкана, петрография и химизм (включая полукрич. спектральный анализ) лав. Последние представлены черной основной массой, в которой равномерно рассеяно небольшое число вкрапленников плагиоклазов, клипироксенов и базальт. роговой обманки (9,8%). Основная масса складывается из микролитов плагиоклаза, клипироксена, стекла и рудного материала. По своему химизму лавы близки к среднему типу авгитовых андезитов Дали, от которых они отличаются повышенным кол-вом щелочей и неравномерным содержанием Fe.

Г. Волков

9Г45. Кислотность-щелочность как главнейший фактор магматических и послемагматических процессов. Коржинский Д. С. В сб. «Магматизм и связь с ним полезн. ископаемых». М., Гостеолтехиздат, 1960, 21—30. Дискус., 154—162. — Химическая активность компонентов магмы и магматогенных р-ров зависит не только от их кон-ции, но и от общей кислотности-щелочности (К-Щ) среды. Повышение кислотности вызывает понижение активности оснований и повышение активности к-т. Этот эффект находится в прямой зависимости от степени диссоциации последних. Изменение кислотности магматогенных р-ров приводит к определенным р-циям с вмещающими породами и определяется следующими основными случаями: 1) обогащением остаточных магматогенных р-ров кислотными компонентами; 2) инфильтрацией р-ров и менее основных в более основные породы, приводящей к повышению щелочности; 3) воздействием «продвигавшей волны кислотности», появляющейся за счет кислотно-фильтрационного эффекта (т. е. более быстрой фильтрации кислотных компонентов по сравнению с другими). В образовании эндогенных рудных месторождений решающая роль принадлежит режиму К-Щ р-ров. В стадии повышающейся кислотности преобладает растворение пород, при понижающейся кислотности преобладает осаждение в сети трещин. Таким образом, происходит К-Щ-дифференциация. Поскольку в кислотную стадию выделяются значительные массы пород, рудные компоненты последних могут являться существенным источником для последующего рудоотложения. В магматич. расплавах показателем основности является кон-ция O^{2-} , освобождающегося при ионизации оснований и поглощающегося при ионизации к-т, подобно OH в водн. р-рах (напр. $\text{SiO}^- = \text{Ca}^{2+} + \text{O}^{2-}$; $\text{SiO}_2 + \text{O}^{2-} = \text{SiO}_3^{2-}$ и др.). К-Щ магмы зависит от режима вполне подвижных компонентов куда входит наиболее сильные основания и наиболее сильные к-ты (K_2O , Na_2O , HCl , H_2SO_4 и др.), и от хим.

кристаллизации (выпадение минералов, богатых сильными основаниями Ca, Mg, и обогащение остаточного расплава SiO_2). Изменение К-Щ расплава приводит к изменению активности его компонентов, тектич. и эвтектич. составов, последовательности кристаллизации и состава переменных минералов. Так, образование аплитовых и лампрофировых пород определяется существованием апоэвтектич. подкисленных и щелочных меты.

Т. Козинцева
9Г46. Дайки гранитоидов и некоторые особенности генезиса рудоносных растворов. Шипулин Ф. К. В сб. «Петрогр. провинции, изверженные и метаморфич. горн. породы». М., АН СССР, 1960, 92—103 (рез. англ.).—Изучение интрузивных тел группы «отщепленных пород» в различных р-нах СССР позволило установить некоторые генетич. особенности этих пород и ассоциирующихся с ними оруждений. Небольшие тела дайковой формы залегания связаны с крупными интрузиями, образуются в завершающий период кристаллизации магмы, наследуют признаки вещественного состава материнских пород и состоят из минералов, кристаллизующихся в интрузии последними. Если в их числе оказывается магнетит, то происходит насыщение им отделяющихся позднемагматич. высокотемпературных газовых р-ров, перенос и последующее отложение в скарнах. Из остаточного эвтектичного расплава возникают дайки аплитов. Имеется ряд данных, свидетельствующих в пользу послемагматич. и растянутого во времени процесса образования рудоносных гидротермальных р-ров. Эти различные по составу р-ры возникают в интрузивах постепенно по мере охлаждения полностью закристаллизовавшихся пород до т-ры окружающей среды. Охлаждение сопровождается периодич. трещинообразованием и подвижками. Первичные газообразные р-ры обладают большой подвижностью и содержат наряду с галоидами гидриды металлов. Появление водорода является следствием резкого повышения т-ры на контакте, при внедрении интрузии в верхние водонасыщ. горизонты, и разложения воды. Перемещаясь навстречу тепловому потоку (к интрузии), этот водород насыщает раскаленные породы, дает летучие соединения с металлами и служит восстановителем. Различия состава рудоносных р-ров уже в момент отделения от интрузии не исключает влияния вмещающих пород на пути движения. По мере падения т-ры интрузивов на состав послемагматич. р-ров начинают влиять минерализованные подземные воды, обогащенные сульфатами, хлоридами и бикарбонатами щел. и щел.-зем. металлов. Таким образом, интрузивные породы становятся главными источниками металлов, а подземные воды из вмещающих пород — источниками анионной части гидротермальных р-ров.

Т. Козинцева
9Г47. Опыт изучения количественной зависимости магнитной восприимчивости магматических и метаморфических пород от содержания в них ферромагнитных минералов. Ефимов Ф. Н. В сб. «Магматизм и связь с ним полезных ископаемых». М., Госгеолтехиздат, 1960, 752—755.—Разработана и опробована методика магнитно-фракционно-минералогич. анализа на образцах магматич. и метаморфич. пород Украинского кристаллич. щита и частично Курской аномалии. Сделан предварительный вывод, что величина магнитной восприимчивости является объективным и очень тонким критерием физ. состояния пород и минералов, которое в свою очередь обусловлено хим. составом минералов и минералогич. составом пород, а также условиями образования и метаморфич. изменениями. Основным фактором, определяющим величину χ , является содержание в породах ферромагнитных минералов, главным образом магнетита, а также титаномagnetита, пирротита и др. Возможно также влияние на магнитность пород Fe-содержащих минералов, в частности, мета- и ортосиликатов. Численное значение χ пород и ми-

нералов необходимо использовать не только в связи с задачами геологич. истолкования геоматнитных полей, но и при минералогич. и петрографич. исследованиях.

Р. Хмельницкий

9Г48. К распределению элементов в осадочных и магматических сульфидных рудах. (К вопросу окси- и сульфидилизма). Szádeczky-Kardoss Elemér. Zur Verteilung der Elemente in den sedimentären und magmatischen Sulfiderzen. (Ein Beitrag zur Frage der Oxyund Sulfophilie.). «Freiberger Forschungsh.», 1960, С. № 79, 106—125 (нем.).—На основании обобщения литературных данных рассмотрена связь между элементарным (ионным) составом соединений и их принадлежностью к оксифилам и сульфифилам. Приведены характеристика основных минералов руд, их место в парагенезисе, содержание (табличные данные отсутствуют) в различных фазах магматич. и осадочных пород. Сделан практич. вывод, что обогащение Ge, Ga и, вероятно, другими оксифильными и сульфопегматифильными элементами с определенной статистич. вероятностью происходит в рудах частично смешанного осадочно-магматич. или осадочного происхождения. Ярко выраженные магматическо-гидротермальные месторождения содержат эти элементы в относительно меньших количествах. Таким образом, руды осадочного и магматическо-гидротермального происхождения могут различаться на основании микросодержания определенных оксифильных элементов. Если магматич. гидротермальные руды содержат относительно большое кол-во Ge, то это свидетельствует о воздействии латераль-секреционных р-ров. Библ. 35 назв.

Р. Хмельницкий

9Г49. К геохимии тантала и ниобия на одном из пегматитовых месторождений Сибири. Сергеева Н. Е. «Вестн. Моск. ун-та. Геология», 1960, № 4, 29—35.—Приведены материалы по распределению Ta и Nb во вмещающих породах (10 образцов) и минералах пегматитов (41 образец). Вмещающие песчано-сланцевые породы характеризуются кларковыми содержаниями Nb (0,002%), а кол-ва Ta (0,003%) в 10 раз превышают кларк. В основных породообразующих минералах содержания Ta и Nb выдержанные ($\text{Ta} \cdot 10^{-4}$, $\text{Nb} \cdot 10^{-3}$). В мусковите их в 10 раз больше, чем в кварце, при этом в мусковите грейзенового комплекса отмечается обогащенность Ta. Аналогичны содержания Ta и Nb в берилле. Довольно высокие их кол-ва обнаружены в биотите, гранате, турмалине, где они замещают Ti, причем в гранате происходит преимущественное накопление Ta. Наличие обоих элементов в касситерите объясняется мелкими включениями колумбит-танталита. Анализ 15 образцов колумбит-танталита различных генераций показывает, что накопление Ta происходит в минерале 3-й генерации. В стадии Na-метасоматоза Nb и Ta переносятся в щел. р-ре в форме комплексных соединений типа фтороксаниобатов и фтортанталатов, которые при выпадении дают труднорастворимые аниобитанталы Fe и Mn. Поскольку растворимость соединений Nb выше в щел. среде, то соотношение $\text{Ta}_2\text{O}_5 : \text{Nb}_2\text{O}_5$ в этом случае сдвигается в сторону Nb, что наблюдается в рудных минералах 2-й генерации. В минералах 3-й генерации, связанной с процессами грейзенизации, отношение $\text{Ta}_2\text{O}_5 : \text{Nb}_2\text{O}_5$ резко возрастает.

Г. Волков

9Г50. Петрология некоторых пегматитов района Кистон, Блэк-Хилс, Южная Дакота. Orville P. M. Petrology of several pegmatites in the Keystone District, Black Hills, South Dakota. «Bull. Geol. Soc. America», 1960, 71, № 10, 1467—1489 (англ.).—В периферич. частях докембрийского гранитного массива, внедрившегося в докембрийские кварц-слюдистые сланцы, обнаружены 3 пегматитовые жилы сравнительно простого состава. Минералогически они представлены кварцем, плагиоклазом, микроклином, мусковитом, и < 1% всего объема занимают турмалин, гранат и апатит. Они-

ми типами составляет отношение $\text{FeO}/\text{Fe}_2\text{O}_3$: в ЗП преобладает FeO , в КФП — Fe_2O_3 . Значительное общее содержание щелочей (9,52 и 8,11% соответственно) и преобладание Na над K показывает принадлежность их к натриево-снитовому типу порфиров. Наблюдения показывают происхождение ЗП из КФП вследствие процессов последовательного изменения, вероятно, связанного с поздними вулканич. гидротермич. явлениями. Эта гипотеза поддерживается отсутствием четкой границы между названными типами и наличием переходной зоны, в которой порода местами красная с зелеными пятнами, а местами — наоборот.

Н. Халатова

9Г40. Петрохимические характеристики магматических пород сложного массива Миямото, плато Южное Абукума. Огура Й. «Тисипутаку дзасси, J. Geol. Soc. Japan», 1960, 66, № 776, 341—351 (японск.; рез. англ.). — Сложно построенный массив зажат между двумя метаморфич. толщами. Восточная его часть сложена основными и средними породами — габброидными, диоритовыми и кварц-диоритовыми. В строении западной части принимают участие кислые разновидности пород — основные трондjemитовые, трондjemитовые и адалмелитовые, обладающие метаморфич. текстурами. Приведены результаты минералогич. и хим. изучения пород. Показано, что с ростом кислотности пород возрастает концент. щелочей и уменьшаются кол-ва щел.-зем. элементов. По данным 8 хим. анализов образцов биотита увеличение отношения $\text{MgO}:\text{FeO}$ сопровождается уменьшением показателя преломления минерала, а также кол-ва аортитовой молекулы в плагиоклазе. Колич. спектральный анализ 6 образцов роговой обманки, 10 образцов биотита и 10 образцов магнетита свидетельствуют о неравномерной концент. микроэлементов в этих минералах.

Г. Волков

9Г41. Щелочные элементы и таллий в эффузивных породах Северного Кавказа и их петрогенетическое значение. Воскресенская Н. Т., Коронковский Н. В., Титкова Н. Ф., Шуляковская Н. С. «Вестн. Моск. ун-та. Геология», 1960, № 4, 21—28. — В 55 образцах пород из Эльбурской вулканич. области и 14 образцах из Грузии и Армении определены Na (1,7—3,36%), K (0,8—3,75%), Rb (0,16—2,3·10⁻²%), Tl (0,20—1,60·10⁻⁴%). Содержание K, Rb и Tl изменяется при переходе от средних к кислым эффузивам, увеличиваясь в липаритах и андезито-дацитах; в андезито-базальтах их меньше всего. Кол-во Rb в андезито-базальтах несколько выше, чем кларковое. Кол-во Tl отвечает среднему его содержанию в основных породах. Однотипные породы разных центров Эльбурской вулканич. области имеют одинаковые средние концент. K, Na, Rb, Tl. Отмечается некоторое обогащение липаритов Тырмауза Tl. Кол-во Tl и Rb в туфах Верхне-Чегемского р-на выше, чем в соответствующих лавах. Для пород всей области отмечается хорошая корреляция между K, Rb и Tl. Однако кол-ва Tl изменяются в ходе эволюции очага (породы поздних фаз обеднены Tl). Это объясняется тем, что при проявлении мощных взрывных извержений из магмы выделились летучие компоненты, в том числе и Tl. Вычисление отношений $\text{Rb}:\text{K}$, $\text{Tl}:\text{K}$, $\text{Rb}:\text{Tl}$ показывает, что их величины одинаковы для всех эффузивов разных центров Эльбурской вулканич. области в связи с общностью магматич. источника.

Г. Волков

9Г42. Форма лополита Сэдбери. Hamilton W. R. Form of the Sudbury lopolite. «Canad. Mineral.», 1960, 6, № 4, 437—447 (англ.). — На основе петрохим. данных подтверждается предположение о форме массива Сэдбери как крупном лополите, сложенном снизу поритами и гранофирами сверху. Такое строение обусловлено процессами магматич. дифференциации.

Г. Белоусов

9Г43. К познанию изверженных пород Пунта-дель-Пьетре-Нере (пров. Фоджа, Италия). Burri Conrad.

Zur Kenntnis der Eruptivgesteine der Punta delle Pietre Nere (Prov. Foggia, Italien). «Eclogae geol. helv.», 1960 (1960), 52, № 2, 407—416 (нем.). — Исследованный выход изверженных пород среди осадочных толщ рассматривается как часть субвулканич. интрузива, захваченного гипсовым диапировым ядром и по составу приближающегося к вогезито-керсантитовым микропрофирам. Из хим. анализов 3 разновидностей: 1) окислительной, 2) богатой биотитом и сангидином и 3) обильной авгитом — вытекает, что породы близки к анкаратритам и особенно к вулканич. бомбам и выбросам лав вулканич. областей атлант. типа. Данные ассоциации минералов рассматриваются как продукты гравитационного обогащения. В непосредственной близости от магматич. очага не исключен последующий привнос щел. полевых шпатов и заполнение ими мезозерновых пространств.

Н. Берман

9Г44. Вулкан Смбакасар. Каранетян К. И. «Академия наук СССР. Гитутюннери Академиян тегекагир. Геологиякан ев ашхархагракан гитутюннер. Изв. АН Арм. ССР. Геол. и геогр. н.», 1960, 13, № 3—4, 33—45 (арм.). — Вулкан расположен в пределах Варденисского хребта, сложенного вулканогенно-осадочными образованиями эоцена, олигоцена, миоценона и раннемиоценового времени. Описаны строение вулкана, петрография и химизм (включая полукочил. спектральные анализы) лав. Последние представлены черной основной массой, в которой равномерно рассеяно небольшое число вкрапленников плагиоклазов, клипироксенов и базальтов. роговой обманки (9,8%). Основная масса складывается из микролитов плагиоклаза, клинопироксена, стекла и рудного материала. По своему химизму лавы близки к среднему типу авгитовых андезитов Дала, от которых они отличаются повышенным кол-вом щелочей и неравномерным содержанием Fe.

Г. Волков

9Г45. Кислотность-щелочность как главный фактор магматических и послемагматических процессов. Коржикский Д. С. В сб. «Магматизм и связь с ним полезн. ископаемых». М., Госгеолтехиздат, 1960, 21—30. Дискус., 154—162. — Химическая активность компонентов магмы и магматогенных р-ров зависит не только от их концент., но и от общей кислотности щелочности (К-Щ) среды. Повышение кислотности вызывает понижение активности оснований и повышение активности к-т. Этот эффект находится в прямой зависимости от степени диссоциации последних. Изменение кислотности магматогенных р-ров приводит к определенным р-циям с вмещающими породами и определяется следующими основными случаями: 1) обогащением остаточных магматогенных р-ров кислотными компонентами; 2) инфильтрацией р-ров и менее основных в более основные породы, приводящей к повышению щелочности; 3) воздействием «проникающей» волны кислотности, появляющейся за счет кислотно-фильтрационного эффекта (т. е. более сильной фильтрации кислотных компонентов по сравнению с другими). В образовании эндогенных рудных месторождений решающая роль принадлежит режиму К-Щ р-ров. В стадии повышающейся кислотности преобладает растворение пород, при понижающейся кислотности преобладает осаждение в сети трещин. Таким образом, происходит К-Щ-дифференциация. Поскольку в кислотную стадию выплываются значительные массы пород, рудные компоненты последних могут являться существенным источником для последующего рудоотложения. В магматич. расплавах показателем основности является концент. O^{2-} , освобождающегося при ионизации оснований и поглощающегося при ионизации к-т, подобно OH в водн. р-рах (напр., $\text{CaO} = \text{Ca}^{2+} + \text{O}^{2-}$; $\text{SiO}_2 + \text{O}^{2-} = \text{SiO}_3^{2-}$ и др.). К-Щ магмы зависит от режима вполне подвижных компонентов, куда входят наиболее сильные основания и наиболее сильные к-ты (K_2O , Na_2O , HCl , H_2SO_4 и др.), и от хим.

кристаллизации (выпадение минералов, богатых сильными основаниями Са, Mg, и обогащение остаточного расплава SiO_2). Изменение К-Щ расплава приводит к изменению активности его компонентов, котектич. и эвтектич. составов, последовательности кристаллизации и состава переменных минералов. Так, образование аплитовых и лампрофировых пород определяется существованием апоэвтектич. подкисленных и щелочных метам.

Т. Козинцева

9Г46. Дайки гранитоидов и некоторые особенности генезиса рудоносных растворов. Шипулин Ф. К. В сб. «Петрогр. провинция, изверженные и метаморф. горн. породы». М., АН СССР, 1960, 92—103 (рез. англ.).—Изучение интрузивных тел группы «отщепленных пород» в различных р-нах СССР позволило установить некоторые генетич. особенности этих пород и ассоциирующих с ними оруженений. Небольшие тела дайковой формы залегания связаны с крупными интрузиями, образуются в завершающий период кристаллизации магмы, следуют признаки вещественного состава материнских пород и состоят из минералов, кристаллизующихся в интрузии последними. Если в их числе оказывается магнетит, то происходит насыщение им отделяющихся позднематматич. высокотемпературных газовых р-ров, перенос и последующее отложение в скарнах. Из остаточного эвтектоидного расплава возникают дайки аплитов. Имеется ряд данных, свидетельствующих в пользу послематматич. и растянутого во времени процесса образования рудоносных гидротермальных р-ров. Эти различные по составу р-ры возникают в интрузивах постепенно по мере охлаждения полностью закристаллизовавшихся пород до т-ры окружающей среды. Охлаждение сопровождается периодич. трещинообразованием и подвижками. Первичные газообразные р-ры обладают большой подвижностью и содержат наряду с галогенами гидриды металлов. Появление водорода является следствием резкого повышения т-ры на контакте, при внедрении интрузии в верхние водонасыщ. горизонты, и разложения воды. Перемещаясь навстречу тепловому потоку (к интрузии), этот водород насыщает раскаленные породы, дает летучие соединения с металлами и служит восстановителем. Различие состава рудоносных р-ров уже в момент отделения от интрузии не исключает влияния вмещающих пород на пути движения. По мере падения т-ры интрузивов на состав послематматич. р-ров начинают влиять минерализованные подземные воды, обогащенные сульфатами, хлоридами и бикарбонатами щел. и щел.-зем. металлов. Таким образом, интрузивные породы становятся главными источниками металлов, а подземные воды из вмещающих пород — источниками анионной части гидротермальных р-ров.

Т. Козинцева

9Г47. Опыт изучения количественной зависимости магнитной восприимчивости магматических и метаморфических пород от содержания в них ферромагнитных минералов. Ефимов Ф. Н. В сб. «Магнетизм и связь с ним полезных ископаемых». М., Госгеолтехиздат, 1960, 732—755.—Разработана и опробована методика магнитно-фракционно-минералогич. анализа на образцах магматич. и метаморфич. пород Украинского кристаллич. щита и частично Курской аномалии. Сделан предварительный вывод, что величина магнитной восприимчивости χ является объективным и очень тонким критерием физ. состояния пород и минералов, которое в свою очередь обусловлено хим. составом минералов и минералогич. составом пород, а также условиями образования и метаморфич. изменениями. Основным фактором, определяющим величину χ , является содержание в породах ферромагнитных минералов, главным образом магнетита, а также титаномagnetита, пирротина и др. Возможно также влияние на магнитность пород Fe-содержащих минералов, в частности, метаб. ортосиликатов. Численное значение χ пород и ми-

нералов необходимо использовать не только в связи с задачами геологич. истолкования геомагнитных полей, но и при минералогич. и петрографич. исследованиях.

Р. Хмельницкий

9Г48. К распределению элементов в осадочных и магматических сульфидных рудах. (К вопросу окисн. и сульфидности). Szádeczky-Kardoss Elemér. Zur Verteilung der Elemente in den sedimentären und magmatischen Sulfiderzen. (Ein Beitrag zur Frage der Oxyund Sulfophilie.). «Freiberger Forschungsh.», 1960, С. № 79, 106—125 (нем.).—На основании обобщения литературных данных рассмотрена связь между элементарным (ионным) составом соединений и их принадлежностью к оксифилам и сульффилам. Приведены характеристика основных минералов руд, их место в парагенезисе, содержание (табличные данные отсутствуют) в различных фазах магматич. и осадочных пород. Сделан практич. вывод, что обогащение Ge, Ga и, вероятно, другими оксифильными и сульфопегматифильными элементами с определенной статистикой. Вероятностью происходит в рудах частично смешанного осадочно-магматич. или осадочного происхождения. Яркое выраженные магматическо-гидротермальные месторождения содержат эти элементы в относительно меньших количествах. Таким образом, руды осадочного и магматическо-гидротермального происхождения могут различаться на основании микросодержания определенных оксифильных элементов. Если магматич. гидротермальные руды содержат относительно большое кол-во Ge, то это свидетельствует о воздействии латераль-секреционных р-ров. Библ. 35 назв.

Р. Хмельницкий

9Г49. К геохимии тантала и ниобия на одном из пегматитовых месторождений Сибири. Сергеева Н. Е. «Вестн. Моск. ун-та. Геология», 1960, № 4, 29—35.—Приведены материалы по распределению Ta и Nb во вмещающих породах (10 образцов) и минералах пегматитов (41 образец). Вмещающие песчано-сланцевые породы характеризуются кларковыми содержаниями Nb (0,002%), а кол-ва Ta (0,003%) в 10 раз превышают кларк. В основных породообразующих минералах содержания Ta и Nb выдержанные ($\text{Ta} \cdot 10^{-4}$, $\text{Nb} \cdot 10^{-3}$). В мусковите их в 10 раз больше, чем в кварце, при этом в мусковите грейзенового комплекса отмечается обогащение Ta. Аналогичны содержания Ta и Nb в берилле. Довольно высокие их кол-ва обнаружены в биотите, гранате, турмалине, где они замещают Ti, причем в гранате происходит преимущественное накопление Ta. Наличие обоих элементов в касситерите объясняется мелкими включениями колумбит-танталита. Анализ 15 образцов колумбит-танталита различных генераций показывает, что накопление Ta происходит в минерале 3-й генерации. В стадии Na-метасоматоза Nb и Ta переносятся в щел. р-ре в форме комплексных соединений типа фтороксиниобатов и фтортанталатов, которые при выщелачивании дают труднорастворимые ниоботанталы Fe и Mn. Поскольку растворимость соединений Nb выше в щел. среде, то соотношение $\text{Ta}_2\text{O}_5 : \text{Nb}_2\text{O}_5$ в этом случае сдвигается в сторону Nb, что наблюдается в рудных минералах 2-й генерации. В минералах 3-й генерации, связанной с процессами грейзенизации, отношение $\text{Ta}_2\text{O}_5 : \text{Nb}_2\text{O}_5$ резко возрастает.

Г. Волков

9Г50. Петрология некоторых пегматитов района Кистон, Блэк-Хилс, Южная Дакота. Orville P. M. Petrology of several pegmatites in the Keystone District, Black Hills, South Dakota. «Bull. Geol. Soc. America», 1960, 71, № 10, 1467—1489 (англ.).—В периферич. частях докембрийского гранитного массива, внедрившегося в докембрийские кварц-слюдистые сланцы, обнаружены 3 пегматитовые жилы сравнительно простого состава. Минералогически они представлены кварцем, плагиоклазом, микроклином, мусковитом, и < 1% всего объема занимают турмалин, гранат и апатит. Они-

сание минералогич. состава сопровождается хим. анализами 29 образцов. Результаты анализов, нанесенные на диаграмму $\text{SiO}_2 - \text{Ab} - \text{Or}$, лежат около границы фаз кварц — полевой шпат, указывая, что кристаллизация расплава началась с выделения кварца и богатого Na полевого шпата. Считается, что граниты и пегматиты являются образованиями одной магмы.

Г. Волков
9Г51. О парагенезисе минералов молибдена в некоторых пегматитовых и кварцевых жилах. Богомолова Л. К. «Тр. Горно-геол. ин-та. Уральский фил. АН СССР», 1960, вып. 35, 157—170. На материалах изучения нескольких месторождений установлен новый для Урала парагенезис минералов Mo: молибденит (I), гипогенный и гипергенный повеллит, ферримоллибдит и впервые обнаруженный неустойчивый ильземанит. Взаимоотношения I и вторичных минералов Mo в реакционных плагноклазитовых, плагноклазит-кварцевых и кварцевых жилах различны. Предложена следующая схема окисления I: I и гипогенный оповеллитизированный I в щел. среде → ильземанит; I и гипергенный повеллит в нейтр. или слабощелочной среде → ферримоллибдит. Приведены результаты неполных хим. и качеств. спектральных анализов названных минералов.

Т. Козинцева
9Г52. Химическое изучение содержащих редкие элементы минералов из Кюсю. Орит из Утино и Кофудзи, префектура Фукуока. Misumi Seizo, Ide Yasushi. «Нихон кагаку дзасси, Nippon Kagaku zasshi, J. Chem. Soc. Japan. Pure Chem. Sec.», 1960, 81, № 8, 1349—1350, A92 (японск.; рез. англ.).—Приведены результаты хим. и рентгенографич. изучения ортита из пегматитов двух названных районов. Хим. состав соответственно (в %): MgO 0,02; 0,05; CaO 11,49; 10,16; MnO 0,86; 1,46; FeO 11,59; 11,49; Fe_2O_3 3,49; 5,24; Al_2O_3 15,56; 16,14; Ce_2O_3 6,60; 9,12; SLa_2O_3 7,49; 5,20; SY_2O_3 6,28; 4,65; ThO_2 1,95; 1,79; SiO_2 31,42; 31,30; H_2O 3,56; 2,53; сумма 100,31; 99,12; ф-лы: $(\text{Ca}, \text{Mn}, \text{SLa}, \text{Th})_2(\text{Al}, \text{Fe}^{2+}, \text{Fe}^{3+}, \text{Mg})_3\text{Si}_2(\text{O}, \text{OH})_{13}$ и $(\text{Ca}, \text{ScCe})_2(\text{Al}, \text{Fe}^{2+}, \text{Fe}^{3+}, \text{Mg})_3\text{Si}_4(\text{O}, \text{OH})_{13}$.

Г. Волков
9Г53. Мариуполитизация и связанные с ней процессы оруденения. Царовский И. Д. В сб. «Магматизм и связь с ним полезн. ископаемых». М., Гостеолтехиздат, 1960, 475—478. Дискус., 492—504.—Под термином «мариуполит» понимаются породы эгирин-нефелин-альбитового сочетания породообразующих минералов с ограниченным кол-вом K-полевого шпата. Изменение сиенитовых пород, связанное с возрастанием Sr_2O за счет привноса Na (с выносом и без выноса K), и резкое повышение степени окисления Fe называются мариуполитизацией. Этот процесс проявляется вне видимой связи с пегматитообразованием, но часто в тесном соответствии с ним. В мариуполитизированных породах обнаруживается наложенное минералообразование, с которым связаны денафелинизация и деэгринизация. При этом щел. р-рами в породы привносятся Zr, Nb и TR. В зависимости от условий, в которых происходил процесс мариуполитизация, фиксируются 2 типа оруденения: Nb-Zr и существенно Zr. Первое обычно сопутствует Fe^{2+} — Na-виду замещения. При этом заметно возрастает содержание Nb, особенно в приконтактных зонах с основными породами. Допускается, что их влияние связано с извлечением Nb из минералов пород. Наложенное Na—Si-замещение в мариуполитах сопровождается выносом не только K, но и Ca, что сказывается на смещении отношения Nb:Zr в сторону преобладания Zr.

Г. Волков
9Г54. Фенитизация и мариуполитизация — типы щелочного замещения пород. Царовский И. Д. В сб. «Петрогр. провинция, изверженные и метаморфич. гори. породы». М., АН СССР, 1960, 122—132 (рез. англ.).—Изучение Украинской щел. провинции (юго-восток УССР) и анализ литературных данных по зарубежным щел. массивам (Скандинавия, Канада и др.)

позволили разграничить процесс щел. метасоматич. преобразования на 2 стадии: 1) фенитизация, связанная с фойитами и 2) мариуполитизация — ферри-натри-кремниевый тип замещения. В условиях частичной эрозии массива нефелиновых сиенитов (Октябрьский плутон) выделяется 2-этапная фенитизация: 1) субщелочная, протекавшая до становления нефелиновых сиенитов и связанная с перекристаллизацией и метасоматозом пород (извлечение Si, Fe, Mg в Ca); 2) контактово-реакционная — результат воздействия нефелиновых сиенитов. В более позднюю стадию по фенитизированным и нефелиновым породам (точнее — нефелиновым микросиенитам и альбитам) происходила мариуполитизация — образование породы с эгирин-нефелин-альбитовой ассоциацией минералов. Процесс позднего щел. замещения протекал в 2 этапа: 1) обмен щелочей и связывание натрия Fe^{3+} -силлатом (эгринизация) и 2) обмен щелочей с привносом Si (альбитизация). Последний определяет деструктивное изменение мариуполитов, связанное с обязательным влиянием пегматитового процесса, и по своей направленности противоположен фенитизации (привнос Si вместо выноса). Наличие в Приазовье отщепленной фации нефелиновых сиенитов свидетельствует о разобщенности во времени процессов типа фенитизации и мариуполитизации.

Т. Козинцева
9Г55. Проявления амфиболовой минерализации в Джезказганском районе и их поисковые геологические критерии. Ведерников Н. Н., Есенов Ш. Е. «КазССР Ғылым Акад. хабаршысы, Вестн. АН КазССР», 1960, № 9, 49—56 (рез. каз.).—В Джезказганском р-не в пермских отложениях обнаружена амфиболовая минерализация. Приведены результаты изучения особенностей литологич. и структурного строения этих участков. Минерализация, представленная рыхлыми, кристаллич. и волокнистыми разновидностями, приурочена к контакту красноцветной и келгирской свит нижней перми. В плотных алевритах обнаружен волокнистый амфибол, в песчаниках — кристаллический, в мергелях — рыхлый.

Г. Волков
9Г56. Типы метасоматической зональности на контакте доломитов с алюмосиликатными породами и место в ней флогопита (на примере промышленных флогопитовых месторождений СССР). Лицарев М. А. В сб. «Магматизм и связь с ним полезн. ископаемых». М., Гостеолтехиздат, 1960, 559—562. Дискус., 557—559.—Флогопитовые месторождения возникают при воздействии послемагматич. р-ров на доломиты и находящиеся в контакте алюмосиликатные породы. Для месторождений Алдана, Памира и Слюдянки установлены 2 основных типа метасоматич. зональности. I тип характеризуется присутствием флогопит-пироксеновой зоны, возникающей одновременно с другими зонами, во II типе ее место занимает шпинель-пироксеновая зона. В каждом типе выделены две разновидности в зависимости от наличия или отсутствия паргаситовой зоны. Если в I типе флогопит образуется одновременно с минералами всех других зон, то во II типе образование его является наложенным процессом (р-ции шпинели с пироксеном и замещение этих минералов флогопитом). Образование различных типов зональности за счет одной и той же породы обуславливается, вероятно, различной конц-ией щелочей в воздействующих р-рах (нормальная щелочность для I типа и пониженная в отношении K_2O для II). Существование паргаситовой зоны определяется конц-ией Fe в р-рах или содержанием его в исходных породах.

Т. Козинцева
9Г57. О листовниках из околорудно-наложенных пород Запрудинского рудопроизведения на Алтае. Член и д-р В. Б. «КазССР Ғылым Акад. хабаршысы, Вестн. АН КазССР», 1960, № 8, 79—81 (рез. каз.).—Листовники медно-пирротитового рудопроизведения встречаются в виде разобщенных линз (в минераль-

зованных зонах дробления), которые чередуются с прослоями турмалинизированных мусковито- и биотитовых пород с кордиеритом. Минералогич. состав лиственитов (в %): карбонат 60—70, кварц 25—35 и флюит 5—8. Установлено близкое по времени развитие лиственитизации и комплекса окислительных изменений вмещающих пород. Наиболее вероятным представляется автометаморфич. генезис данных лиственитов.

9Г58. Грейзенизация — новый тип изменения гранита в Восточных Судах. Knotek Zdeněk. Greisenisatione — nový úpr. přeměny žuly ve východních Sudetech. (Přírodověd. časop. slezský, 1960, 21, № 2, 271—278 (чешск.; рез. русск.).) — В грейзенизированном аплитовидном микроклиновом граните южн. склона горы Рудна микроклин замещается кварцем и мусковитом; нередко появляются пирит и флюорит. В отношении химизма отмечено обогащение гранита W, Mo и Nb (на 10—20%), характерно отсутствие Li и Be; региональный кларк Be в пегматитах массива 0,003%, максимум содержание 0,012%. По металлогенит. специализации массив является послеплатиновым малым интрузивом.

9Г59. Контактный метаморфизм в районе хребта Санта-Роза, Невада. Compton Robert R. Contact metamorphism in Santa Rosa Range, Nevada. (Bull. Geol. Soc. America, 1960, 71, № 9, 1383—1416 (англ.).) — Метаморфические породы района представляют осадочными образованиями, сильно смятыми, метаморфизованными и прерванными потоками гранитов. Породы в основном метапелитовые, но распространены также кварцевые, известковистые и доломитовые разновидности. По данным 46 хим. анализов, метапелиты имеют следующий состав (в %): SiO₂ 61,3, TiO₂ 1,0, Al₂O₃ 19,3, Fe₂O₃ 1,2, FeO 5,5, MnO 0,07, MgO 1,9, CaO 0,6, Na₂O 1,5, K₂O 3,0, H₂O 3,9, P₂O₅ 0,15. Интрузивные породы представлены главным образом, На-гранодиоритами (приведен хим. состав 2 образцов). До и во время регионального метаморфизма происходило превращение пород с появлением ассоциации: кварц, альбит, мусковит, хлорит и карбонаты. При прогрессивном контактовом метасоматозе, кроме дегидратации, наблюдалась небольшая десиликация и привнос Fe. Последняя стадия кристаллизации интрузивных тел сопровождалась десиликацией контактных рогунов и более поздней регидратацией метаморфизованных пород со значительным привносом K₂O. Во внешней и внутренней зонах контактовых ореолов развиты четыре основных парагенезиса минералов: кордиерит — биотит, кордиерит — андалузит — биотит, ставролит — андалузит — биотит и андалузит — биотит.

9Г60. О приорите из месторождения Восточной Сибири. Костин Н. Е., Петрова Е. А., Сидоренко Г. А., Скоробогатова Н. В. В сб. «Минералы. сырьев». Вып. 1. М., 1960, 121—128. — Месторождение приурочено к интрузии гранитоидов, превращенных пегмато-гидротермальными процессами в альбититы. По трещинам в альбититах широко развиты альбит-малакон-рибекитовые жилы с неравномерной вкрапленностью титано-ниобатов. Среди них выявлены две разновидности: желтая и красно-бурая, которые подверглись термич. и рентгенографич. исследованиям. Хим. состав этих разновидностей соответственно (в %): Na₂O 0,21; —; K₂O 0,27; —; CaO 0,39; —; MgO 0,15; —; SrO 0,36,55; 33,20; ThO₂ 1,85; 2,75; UO₂ 0,51; 0,68; UO₃ 0,57; не определен; Al₂O₃ 0,64; 1,60; SiO₂ 0,64; 2,04; FeO 0,50; 2,0; TiO₂ 21,77; 26,10; Nb₂O₅ 34,37; 27,62; ZrO₂ —; 0,60; F 0,90; —; H₂O+ 0,52; —; H₂O —; 2,40; сумма 100,25; 99,21; состав TR (в относительных %): La₂O₃ —; 0,45; Ce₂O₃ —; 1,62; Pr₂O₃ —; 0,59; Nd₂O₃ —; 3,51; Sm₂O₃ 6,09; 4,10; Gd₂O₃ 9,91; 8,33; Tb₂O₃ 4,92; 2,78; Dy₂O₃ 20,90; 17,82; Ho₂O₃ 3,97; 3,66; Er₂O₃ 12,82; 7,46; Tm₂O₃ 0,58; 0,89; Yb₂O₃ 4,08; 6,0; Lu₂O₃ —; 0,59; Y₂O₃

36,68; 42,20. Обе разновидности характеризуются резким преобладанием ΣY₂O₃, преимущественно Y, Dy и Fr, и низкими содержаниями U и Ta. Отношение (Na, Ta)₂O₅:TiO₂ для первой разновидности равно 1:1,06, для второй 1:1,55. Хим. состав минерала близок к составу крайнего члена ряда эпинит — приорит.

Г. Волков

9Г61. О тигровом глазе и гриквалентите из Криво-го Рога. Петрунь В. Ф. «Зап. Всес. минералог. о-ва», 1960, 89, № 5, 564—570. — Минеральные агрегаты изучены с помощью микроскопич., рентгеноскопич. хим. и полукристаллич. спектроскопич. методов. Тигровый глаз (I) из Кривого Рога оказывается сложной псевдоморфозой гетита и кварца по крокидолит-асбесту с унаследованной параллельно-шестовой или параллельно-волокнистой текстурой. Как и в Южн. Африке, I приурочен в зоне окисления, но генетически связан не с куммингтонитами, а с «синими» амфиболами, которые быстрее подвергаются лимонитизации и окремнению в гипергенных условиях. Сравнение хим. анализов I и гриквалентита (II) из Южн. Африки показывает, что разница между этими минер. агрегатами определяется лишь содержанием SiO₂, привнос которой в гипергенных условиях играет основную роль в процессе превращения II в I. Автор считает, что в генетич. ряду II—I несомненно существуют промежуточные по содержанию SiO₂ и физ. свойствам разновидности. Исследуемый образец, занимающий промежуточное положение между II и I из Африки, является по ювелирным свойствам настоящим I.

Р. Хмельницкий

9Г62. О рудоконтролирующем значении структуры расщепления для некоторых низкотемпературных рудных и полиметаллических месторождений. Федорчук В. П. «Уч. зап. Среднеаз. н.-и. ин-т геол. и минерал. сырья», 1960, вып. 3, 150—158

9Г63. Парагенетические ассоциации золота в рудах Ольховского месторождения. Гребенникова О. Т. «Сб. научн. тр. Иркутский н.-и. ин-т редк. мет.», 1959, вып. 8, 55—63

9Г64. Петрографическое и рудномикроскопическое изображение месторождения золота в пров. Альмерия (Испания). Friedrich Günther. Petrographische und erzmikroskopische Beobachtungen an der Goldlagerstätte Rodalquilar, Prov. Almeria/Spain. «Neues Jahrb. Mineral. Abhandl.», 1960, 94, № 1, 208—227 (нем.; рез. англ.).

9Г65. Анкерит из золоторудного месторождения Гондо, Вале (Швейцария). Friedrich Günther. Ankerit von der Goldlagerstätte Gondo, Wallis (Schweiz). «Aufschluss», 1960, 11, № 8, 215—216 (нем.). — Исследованные гнейсы секутся карбонатными жилами и жильными друзами. В них карбонатный слой толщиной 0,5—1 см покрыт веерообразными кристалликами, которые по N₀ = 1,698, значению межплоскостных расстояний, сильно сдвинутых в сторону доломита — анкерита, и хим. составу (отношение FeO:MgO = 10:12) отвечают анкериту.

Н. Берлинг

9Г66. Об ильванте, гизингерите и дашкесаните из южных участков Дашкесанского месторождения (Азербайджан). Грудев А. П., Ратникова Г. И. «Изв. высш. учебн. заведений. Геол. и разведка», 1960, № 5, 89—93. — С помощью оптич., хим. и качеств. спектроскопич. методов изучены три минерала, впервые обнаруженные в данном месторождении. Результаты хим. анализов (в %): ильвант (I) SiO₂ 29,15, Al₂O₃ 0,62, Fe₂O₃ 20,15, FeO 29,53, MnO 4,24, MgO 0,19, CaO 12,94, H₂O 2,02, сумма 98,84; гизингерит (II) SiO₂ 34,12, Fe₂O₃ 46,99, MgO 0,83, CaO 3,20, H₂O 14,75, сумма 99,89. По данным спектральных анализов в I содержится также Zn, Co, Ni, Cu, Ti (?). По физ. свойствам, парагенезису и составу выделены две разновидности II: патечная коллоидальная разновидность, развивающаяся в пустотах, и землестый II, развивающийся по пириту; по данным спектральных анализов для последней разновидности II харак-

терно содержание Ag и Sr, которые отсутствуют в II из пустот, а также повышенное содержание Mg, Cu и Ca; обе разновидности II содержат Mn. Хим. анализом в даткесаните (III) определено содержание Cl, которое колеблется от 1,0 до 3,3%; параллельно увеличению содержания Cl увеличивается коэф. преломления. Сделано предположение, что I является одним из ранних скарновых минералов, формирующихся после породообразующего граната. Выделение II происходило в низкотемпературную стадию гидротермального процесса в условиях повышенного кислородного потенциала и окисления первичных минералов, богатых Fe. III развился заметно позже по отношению к основной массе магнетита. Изучение состава рассмотренных минералов и их взаимоотношений с главными скарновыми минералами позволяют сделать вывод о том, что на ранних стадиях скарнового процесса резко возрастала роль Fe, вплоть до образования магнетита. В более поздние стадии значение Fe уменьшалось. Одновременно создавались благоприятные условия для массовой фиксации Cl в III. При низкотемпературном изменении минералов с высоким содержанием Fe возникали вторичные продукты, также богатые им.

Р. Хмельницкий

9Г67. Диктит из восточных районов Донбасса. Зап. Вост. минералог. о-ва, 1960, 89, № 5, 584—588.—Вблизи станции Таинской Приволжской ж. д. скважиной на гл. 747—767 м в песчано-глинистых породах свиты C_2^4 вскрыты кварцево-диктитовые прожилки с подчиненным развитием других минералов. Приведены результаты хим., термич., качеств. спектрального рентгенографич. и электрографич. изучения диктита. Его хим. состав (в %): SiO_2 46,24, Al_2O_3 39,77, H_2O 13,50; ф-ла $Al_{4,02}[Si_{3,03}O_{10}](OH)_{7,74}$. Условия залегания, парагенезис минералов, сходство минералогич. состава прожилков с составом жильной массы Никитовского месторождения Hg и полиметаллич. месторождений Нагольного края позволяют считать кварцево-диктитовые прожилки гидротермальными образованиями.

Г. Волков

9Г68. Новые воззрения о появлении меди в осадочных образованиях нижнего кембрия. Ekiert Franciszek. Neue Anschauungen über die Herkunft des in den Sedimenten des unteren Zechsteins auftretenden Kupfers. «Freiberger Forschungsh.», 1960, С. № 79, 190—201 (нем.).—Критикуются существующие теории образования крупных месторождений Cu в нижнем кембрии и выдвинута гипотеза, согласно которой источником Cu в этих месторождениях являются гидротермальные р-ры, проникшие в верхние зоны земной коры с глубины ~15 км. С этих позиций многочисленные месторождения, рассматриваемые ранее как классические осадочные, имеют гидротермальное происхождение.

Р. Хмельницкий

9Г69. К геохимии Усинского марганцевого месторождения. Пущкина З. В. «Докл. АН СССР», 1960, 135, № 1, 176—178.—Оруденение приурочено к богатым Mn нижнекембрийским известнякам и представлено родохрозитовым мангано-кальцитовым типом. Распределение Co, Cu, V, Ni, Cr, P, Mn, S (орг.) и CO_2 изучалось на 9 образцах родохрозитовых руд, 3 мангано-кальцитовых, 4 марганцевых известняков, 16 известняков и 7 глинистых сланцев. Установлено, что кол-во Cu, Ni и Co в Mn-рудах и Mn-известняках выше, чем в известняках, и не обнаруживает прямой зависимости от общего содержания Mn. Обогащение руд Ni, Co и Cu связано с их сорбцией гелями Mn. Cr в рудах и известняках очень мало, V отсутствует. Эти элементы появляются в глинистых сланцах с различными конц-ями S (орг.). Сланцы характеризуются также повышенными кол-вами Ni и Co. Особенности распределения V и Cr свидетельствуют, что эти элементы переносились речными водами в составе взвесей. Cu, Ni и

Со мигрировали в форме р-ров, что и обусловило их накопление в Mn-рудах.

Г. Волков

9Г70. О минералах, образовавшихся при выветривании бокситов Южноуральского бассейна, и их роль в геохимии бокситов. Гладковский А. К., Шарова А. К. «Изв. высш. учебн. заведений. Геол. и разведка», 1960, № 7, 130—134.—В коре выветривания девонских бокситов обнаружены вторичные минералы: гиббсит, фельзобанит, аллофан. Приведены физ., оптич., термич., рентгенографич. и хим. характеристики этих минералов. Все они образовались при выветривании бокситов в ходе воздействия H_2SO_4 (выделившейся при разложении серых и темно-серых пиритизированных бокситов) на диаспор или бёмит. При отсутствии SiO_2 в поверхностных водах образуется фельзобанит по схеме: $2H_2SO_4 + 8AlO(OH)$ (бёмит) + $14H_2O = 2Al_4(SO_4)(OH)_{10} \cdot 5H_2O$. В присутствии SiO_2 образуются все три минерала: $2H_2SO_4 + 16AlO(OH) + 22H_2O + 4SiO_2 = 2Al_4(SO_4)(OH)_{10} \cdot 5H_2O + 4Al(OH)_3 + 2Al_4O_3 \cdot 3H_2O$.

Г. Волков

9Г71. Гипергенное изменение цинковых и свинцовых отложений в известняках. Takahashi T. Supergene alteration of zinc and lead deposits in limestone. «Econ. Geol.», 1960, 55, № 6, 1083—1115 (англ.).—Описаны парагенетич. ассоциации гипергенных минералов Zn и Pb из 3 районов США, отличающихся по тр-е и химизму преобразующих р-ров. Экспериментально установлена зависимость растворимости указанных минералов от величины pH и конц-ии CO_2 в р-вах. На основании проведенных исследований объяснена распространенность различных Zn-минералов в изученных районах, в частности обычное нахождение гидродиктита в аридных областях и редкость его в гумидных областях. Тесная парагенетич. связь смитсонита, гидродиктита и гемиморфита в природных условиях определяется близкой растворимостью этих минералов в слабощел. среде (pH 7—8, конц-ия CO_2 0,03 моль/л). При рассмотрении устойчивых полей различных минералов, построенных на величинах pH, Eh, конц-ии S или CO_2 , установлены следующие закономерности: 1) платтнерит образуется из слабощел. р-ров с Eh > 0,7 в; 2) массивот и миним устойчивы в р-вах с содержанием CO_2 ; 3) церуссит устойчив в карбонатной среде; 4) в присутствии Mo вульфенит имеет большую устойчивость по сравнению с церусситом; 5) гринокит легко растворим в щел. среде (в окислительных условиях) и устойчив в кислом р-ре при слабом окислении или в восстановительных условиях. Приведены результаты 32 полуколич. спектральных анализов минералов и пород показали, что источником Mo и As в гипергенных фациях является галенит, а V и P — вмещающие породы (известняки, сланцы).

И. Липин

9Г72. Минералогическая и химическая характеристика промышленных типов железных руд Ангара-Питского бассейна. Юдин Н. И. В сб. «Спектрон. пром. освоения Ангара-Питск. железорудного бассейна». М., АН СССР, 1960, 39—46.—Осадочные мезорудные месторождения включают следующие парагенетич. типы: хлорито-гематитовый, хлорито-сидерито-магнетитовый и сидерито-магнетито-гематитовый. Определен хим. состав отдельных типов и выделенного хлоритоида. По данным полуколич. спектральных анализов (в статье не приводятся), руды содержат незначительные кол-ва микроэлементов.

9Г73. Замечания по классификации карбонатных пород на основании химического состава. Chilingar George V. Notes on classification of carbonate rocks on basis of chemical composition. «J. Sediment. Petrology», 1960, 30, № 1, 157—158 (англ.).—Перечисляя предложенные ранее классификации карбонатных пород, автор указывает, что ценность предложенной им классификации известняков и доломитов на основании отношения Ca:Mg с подразделением в зависимости

от способа образования (см. РЖГео, 1959, № 2, 2650) состоит в том, что она одновременно учитывает состав и генетич. признаки.

Н. Берлинг

9Г74. Вопросы геохимии, относящиеся к месторождению Монтепони [Юго-Зап. Сардиния]. Сосоо Г., Угаз И. *Problemi geochimici relativi al giacimento di Monteponi*. «Atti. Soc. tosc. sci. natur.», 1959 (1960), 106, № 2, 362—382 (итал.; рез. англ.).—48 образцов доломитов из известково-доломитового месторождения были подвергнуты хим. анализу для определения соотношений $\text{CaO}:\text{MgO}$, $\text{CaO}:\text{Fe}_2\text{O}_3$ и $(\text{CaO} + \text{Al}_2\text{O}_3):(\text{MgO} + \text{Fe}_2\text{O}_3)$ как показателей процесса доломитизации. Содержание Pb и Zn как показателей рудной минерализации определялось рентгено-спектральным методом. Статистич. обработка полученных данных (графики и гистограммы) свидетельствует о естественном механизме распределения Pb и Zn в исследованных доломитах и отсутствии взаимосвязи между доломитизацией и Pb—Zn-минерализацией. Н. Халатова

9Г75. Засоленность пород каракумской свиты. Рехинская Л. Г. «Вестн. Моск. ун-та. Геология», 1960, № 4, 36—46.—В каракумской свите выделяют две пачки: нижнюю песчано-глинистую и верхнюю песчаную. Изучение состава солей 9 разрезов позволяет говорить, что они представлены карбонатами (10—26%) и гипсами (0,011—3,5%). Содержание легко-растворимых солей невелико: в песчаных разностях 0,2—0,5%, в глинистых 1,2—2,0%. На глубине 15,7 м их величина постоянна (1%), и соли представлены хлоридами R_2O , в меньшей степени сульфатами R_2O . В породах более тяжелого состава отмечаются повышенные содержания водорастворимых солей, гипса и карбоната. В верхней пачке содержится до 30% карбонатов, кол-во которых с глубиной уменьшается; гипса <1%. В перевеваемом слое содержание гипса возрастает до 7%. Легко растворимых солей в песках этой пачки мало ($n \cdot 10^{-3}$).

Г. Волков

9Г76. Агрономические руды Башкирии. Вахрушев Г. В. в сб. «Почвы Башкирии и пути рационального использования». Вып. 3. Уфа, 1960, 28—53.—Приведены результаты хим. изучения различных агрономич. руд (фосфатных, калий-натриевых, серных, органоминеральных), месторождения которых расположены на территории Башкирии.

Г. Волков

9Г77. Малые элементы в ангидритах и эпигенетических гипсах Пермского Предураля. Кропачев А. М. «Зав. Всес. минералог. о-ва», 1960, 89, № 5, 598—602.—Иреньская свита кунгурского яруса представлена сульфатными породами — ангидритами (I) и гипсами (II), содержащими значительные кол-ва малых элементов. Хим. состав I и II представлен в виде таблиц с 14 и 8 анализами (на основные компоненты). Состав малых элементов определялся спектральным анализом (360 проб). В I обнаружены (в %): V 0,0016, Sr 0,06, Mn 0,012, Cu 0,0005, V 0,0; в II: V 0,0017, Sr 0,135, Mn 0,037, Cu 0,0023, V 0,0002. В I конц-ии B и Mn близки к их кларку в осадочных породах, а содержание Sr выше его кларка; кол-во Cu и V значительно выше кларкового. Аналогично распределение этих элементов и в II. Спектральным анализом удалось установить, что в процессе гидратации I происходит перераспределение малых элементов. Содержание Mn, Sr, Cu и V в II значительно выше, чем в I (для Mn в 3,5—48 раз, для Sr в 3 раза, для Cu в 12 раз). Обогащение II малыми элементами свидетельствует о миграции и захвате их II при гидратации I. Считается, что основным источником малых элементов являются подземные воды, из которых они захватывались и удерживались сложной решеткой II.

Г. Волков

9Г78. Элементы-примеси в гипсовых конкрециях из отложений средне-верхнечетвертичного возраста аридной зоны. Добровольский В. В. «Геохимия», 1960, № 7, 644—645.—Приведены сводные данные хим. спектроскопич. изучения конкреций, возникших при

почвообразовательных и гипергенных процессах в аридной зоне. Установлено, что конц-ия всех малых элементов в этих конкрециях ниже, чем во вмещающих породах. Исключение составляет только Sr, кол-во которого здесь увеличивается в 3—5 раз. В конкрециях карбонатного и хлоридно-сульфатного состава накопление Sr происходит менее интенсивно.

Г. Воробьев

9Г79. К минералогической характеристике Окуз-Булакского соляного месторождения. Ефименко Л. С., Азарова Е. И. «Изв. АН ТуркмССР. Сер. физ.-техн., хим. и геол. н.э.», 1960, № 3, 38—42.—Кристалло-оптическим и термографич. методами изучены пробы, представленные в основном галитом и сильвинитом (21,60—42,37% KCl). В виде ничтожных примесей присутствуют левент и астраханит. В нерастворимом в воде остатке установлены магнезит, кальцит, брейнерит, мусковит, гипс и контронит. Нонтронит и брейнерит характерны для морских осадков, образованных в теплом климате.

Н. Берлинг

9Г80. Генетические типы фосфоритов Западного Прибайкалья. Егорова О. П. «Геология и геофизика», 1960, № 7, 31—49 (рез. англ.).—В Западном Прибайкалье различают морские геосинклинальные и континентальные фосфориты, которые делятся на ряд подгрупп и разновидностей. Последние охарактеризованы в отношении физ., оптич. и некоторых хим. свойств. Полные хим. анализы приведены для 15 образцов. В морских фосфоритах галитовое в-во представлено аллофаном и сапонитом группы монтмориллонита — бейделлита, в континентальных — минералом группы гидрослюд, иллитом. Монофосфаты, практически лишенные примесей, сложены изотропным фосфатным минералом, обладающим кристаллич. структурой. По данным спектрального анализа, в монофосфатах присутствуют примеси Co, Ni, Ti, Sr, Be < 0,01% и Ca, Mo, V, Pb, Cu, Zn < 0,001%. В некоторых других разновидностях отмечены Sr, Be и Li, а в континентальных фосфоритах обнаружены повышенные содержания редких элементов.

Н. Берлинг

9Г81. К минералогии гипергенеза четвертичных отложений Центрально-Русской лесостепи. Добровольский В. В. «Бюл. Моск. о-ва испыт. природы. Отд. геол.», 1960, 35, № 4, 83—99 (рез. англ.).—Приведены результаты минералогич., хим. и качеств. спектрального изучения новообразований (Нв) четвертичных отложений. Нв возникают метасоматически с замещением коллоидно-дисперсной массы, иногда сопровождающейся коррозией кварцевых частиц. Преобладание метаколлоидных структур указывает на колл. состояние новообразованного в-ва. При гипергенезе Ca, Mg, Fe, Mn, SiO_2 , P приобретают подвижность и местами концентрируются, способствуя возникновению Нв. В процессе перемещения принимают участие и рассеянные элементы, в результате чего Нв, возникшие за счет метасоматоза, обогащаются элементами-примесями. При этом происходит накопление отдельных элементов в определенных Нв (Sr концентрируется в сульфатных и карбонатных образованиях, Ni — в железистых, Ba — в марганцевых). Наиболее четкое избирательное накопление характерно для Ba, Sr, Cu, Ni, Co, Cr, As. Почти во всех Нв обнаружены Ti, V, Zr, Ga, Zn, Pb. Для каждой ландшафтно-геохим. зоны характерны Нв определенного состава. В лесостепных условиях преобладают карбонаты Ca и железистые формы, в таежно-подзолистой первые отсутствуют, но широко распространены железистые образования. В степных и полупустынных условиях наиболее характерны сульфатные и карбонатные образования, а железистых очень мало.

Г. Волков

9Г82. Распределение химических элементов в глинистых минералах. Катченков С. М. «Докл. АН СССР», 1960, 134, № 3, 680—683.—Исследовались глини-

стые минералы различного генезиса: из морских осадочных (I), континентальных (II) и современных отложений (III). Использовались рентгеноскопич., термич., электронномикроскопич. методы; одновременно спектроскопич. и хим. методами определялись некоторые элементы, в том числе малые, органич. углерод и битум. Приведены средние содержания хим. элементов и глинистых минералов во фракции $< 0,001$ мм и коэф. конц-ии элементов в глинистых минералах по отношению к породе. Показано, что глинистые минералы II несколько беднее цел.-зем. элементами, что объясняется преобладанием в них каолинитовых глин, а по содержанию остальных элементов они отличаются незначительно от минералов I. Глинистые минералы III содержат больше Na, Ca, Mg, Sr, Ba, Mn, Cu и несколько меньше остальных элементов; они представлены гидрослюдами, иногда с незначительной примесью каолинита. Содержание органич. углерода во всех минералах колеблется незначительно, тогда как битума в минералах I содержится в два с лишним раза больше, чем в минералах II. Приведенные исследования показывают, что распределение ряда элементов в глинистых минералах зависит от физ.-хим. свойств элемента, условий образования минерала, состава материнских пород и интенсивности хим. выветривания (климата). В минералах I и II эти различия могут быть замечены по соотношениям пар элементов.

Р. Хмельницкий

9Г83. Пальгорскитовая глина из Черкасского месторождения бентонитоподобных глин. Куковский Е. Г., Островская А. Б. В сб. «Бентонитовые глины Украины». 4. Киев, АН УССР, 1960, 15—23.— Исследование производилось с помощью термич., рентгеноскопич., микроскопич., электронномикроскопич. и хим. методов; определены также адсорбционные характеристики. Исследуемые глины представляют большой интерес как высококачественный сорбент, обладающий хорошей активностью и отсутствием способности к увеличению объема. Касаясь предварительных генетич. выводов, авторы отмечают сохранение структурных исходных минералов (амфиболов), по которым в процессе выветривания образовался пальгорскит. Образование всей толщи, вероятно, проходило в результате выветривания амфиболов и пироксенов в морском бассейне. Наличие массивов основных и ультраосновных пород на территории Украинского кристаллич. массива предполагает находки пальгорскитовых глин в отложениях миоценового времени, где, по-видимому, магнезиальная обстановка была весьма благоприятной. Р. Хмельницкий

изменения гли-

глинистых минералов в связи с нефтеобразованием. Зхус И. Д. «Бюл. Моск. о-ва испыт. природы. Отд. геол.», 1960, 35, № 4, 22—29 (рез. англ.).—Нефтематеринские глинистые отложения Предкавказья характеризуются широким развитием монтмориллонита, гидрослюда и гидрослюда монтмориллонита и гидрослюда. В процессе преобразования органич. в-ва монтмориллонит замещается гидрослюдой. В восстановительных условиях происходит насыщение органич. в-ва Н, что сопровождается увеличением щелочности среды. При этом повышается подвижность Al_2O_3 и SiO_2 , и Si^{4+} в тетраэдрич. сетках монтмориллонита замещается на Al^{3+} . Избыточный отрицательный заряд компенсируется K^+ , постоянно существующим компонентом морской среды, который занимает структурно-фиксированное положение между слоями, увеличивая жесткость связей и слоев. Подобное преобразование глинистых минералов сопровождается выделением энергии и уменьшением сорбционной способности. Благодаря последнему сорбирующее органич. в-во освобождается и получает возможность перемещения. Г. Волков

9Г85. Рассмотрение органических компонентов и литологии нефтематеринских пород в бассейне На-

И. Лейфман

9Г86. Влияние смачиваемости на удельное сопротивление карбонатных пород из нефтяного резервуара. Sweeney S. A., Jennings H. Y., Jr. Effect of wettability on the electrical resistivity of carbonate rock from a petroleum reservoir. «J. Phys. Chem.», 1960, 64, № 5, 551—553 (англ.).—Для получения критериев, характеризующих породы в нефтяных месторождениях, исследовалось 25 образцов из кернов пористых карбонатных пород (месторождения не указаны). Определялось уд. сопротивление образцов, содержащих различное кол-во электролита и алифатич. углеводородов. Разница в поведении карбонатов, смоченных преимущественно углеводородами, объясняется величиной их характером пор. Р. Хмельницкий

Р. Хмельницький

9Г87. К характеристике рассеянного органического вещества осадочных пород Прибалханского района. Старобинец И. С., Парпиев А., Олексий П. Е. «Изв. АН ТуркмССР. Сер. физ.-техн., хим. и геол. н.», 1960, № 3, 64—72.—Изучено 76 образцов пород мезокайнозойского комплекса, полученных при бурении или отобранных из обнажений. Пределы содержания (в %): нерастворимый в HCl остаток пород 23,6—98,5, органич. углерод 0,04—1,57, битум А 0,04, битум А + С до 0,142, гуминовые к-ты до 0,04. Нерастворимая часть органич. в-ва до 2,02. Наиболее обогащены органич. в-вом юрские отложения Большого Балхана, однако доля как битумной, так и гуминовой частей в органич. в-ве ничтожна, что позволяет отнести его к угольному ряду и к геохим. типу каменных углей. Битумы из глин третичных отложений сенона наиболее восстановлены; наименее восстановлены битумы сеномана и среднего альба. В общем восстановленность битума уменьшается со strat. глубиной. Нефтеносные плиоценовые отложения Прибалханского р-на по характеристике органич. в-ва не выделяются среди других отложений. Небольшое содержание органич. в-ва, повышенная доля гуминовых в-в и пониженное содержание битумов позволяет также отнести это в-во к угольному ряду и геохим. типу бурых углей. Данные отложения не могут являться нефтепроизводящими. И. Лейф

И. Лейфман

9Г88. К характеристике распределения серы в фракциях компонентного анализа битумов. Беляев, Л. С. «Тр. Вес. н.-н. геологоразвед. ин-та», 1960, вып. 155, 97—125.—Приведены литературные и экспериментальные данные о соотношении масел, смол, асфальтенов и серы в них S для 101 образца нефтей и битумов Второго Баку, Сев. Кавказа, Эмбы, Сибири и других районов. Вычислены коэф. корреляции между S

материала. Соли. Установлено, что в мало- и высоко-сернистых битумах наблюдается прогрессирующее возрастание кол-ва S в ряду масла — смолы — асфальтены. Доля S, приходящаяся на асфальтово-смолистую часть, увеличивается при переходе от малосернистых нефтей к твердым битумам, независимо от степени обогащения битума S. При повышенной осерненности меньший процент S наблюдается в асфальтово-смолистой части битума; у малосернистых битумов относительно меньший процент S — в масляной части. По-видимому, аналогичная зависимость имеет место и для асфальтенов. Выявленные признаки различий между малосернистыми и высокосернистыми битумами в части распределения S указывают на необходимость изучения геохим. обстановки осернения.

И. Лейфман
9Г89. Гипотеза аккумуляции углеводородов осадка в виде сырой нефти. Baker E. G. A hypothesis concerning the accumulation of sediment hydrocarbons to form crude oil. «Geochim. et cosmochim. acta», 1960, 19, № 4, 309—317 (англ.).—На основании литературных и собственных данных рассмотрена возможность образования нефти в результате миграции нефтеподобных углеводородов в природных водах. р-рах (РЖХим, 1960, № 8, 30351). Изучено распределение отдельных типов углеводородов в современных осадках и сырой нефти в связи растворимости углеводородов в природных водах с их конц-ней в сырой нефти. Предложен механизм формирования нефти. По мнению автора, наличие некоторых одинаковых типов углеводородов в современных осадках и сырых нефтях свидетельствует, по-видимому, об их происхождении из органич. соединений, выработанных живыми организмами. Присутствие в водах природных растворенных в-в увеличивает селективную растворимость в них углеводородов в соотношениях, соответствующих содержанию этих углеводородов в сырых нефтях. Углеводороды, освобождающиеся при попадании вод из пород в песок, существуют вначале в виде капель, которые могут соединиться и собираться в более высоких частях породы-резервуара, образуя нефтяные площади. Предложенная гипотеза согласуется, по-видимому, с геологич. данными о местонахождении нефти и хим. данными о составе углеводородов осадка и сырой нефти. Библи. 19 назв.

И. Лейфман
9Г90. Диагенез продуктов обмена веществ и дискусия о происхождении нефтяных углеводородов. Bregger I. A. Diagenesis of metabolites and a discussion of the origin of petroleum hydrocarbons. «Geochim. et cosmochim. acta», 1960, 19, № 4, 297—308 (англ.).—На основании исследований автора и литературных данных рассматривается роль важнейших продуктов обмена в-в (белков, углеводов и жиров), а также липидов и пигментов в процессах нефтеобразования. Предложен механизм р-ций, ведущих от жирных к-т к смесям аллифатич., алициклич. и ароматич. углеводородов. Белки и аминокислоты неустойчивы и могут разлагаться при биохим. процессах, давая CO_2 , H_2O , NH_3 , N_2 и H_2S . Некоторые белки (гемоглобин) при разложении могут дать устойчивые к биохим. распаду в-ва, напр. порфирины, найденные в нефти. Углеводы сильно подвержены биохим. деятельности, однако в некоторых условиях могут сохраняться в течение геологич. времени. В результате биологич. процессов природные глицериды быстро исчезают из осадка. Жирные к-ты, имеющие в основе углеводородоподобные структуры и высокую степень устойчивости по сравнению с другими продуктами обмена в-в, представляют класс в-в, особо интересных для происхождения нефти. Первоначальное биологич. разложение и ассоциация по р-ции Дильса — Альдера может превращать жирные к-ты в соединения с прямой цепью как с четным, так и четным кол-вом углеродных атомов,

в алициклич. соединения, и далее при дегидрогенизации в ароматич. соединения. Многочисленные возможности, возникающие при р-циях насыщ. и ненасыщ. соединений, могли легко привести к смеси структур, найденных в сырой нефти. Сырая нефть могла образоваться в осадках с высокой конц-ней жиров. Поэтому парафинистый характер старых и нефтяных и ароматич. характер молодых нефтей вероятно связан с изменениями в насыщ. и ненасыщ. жирах. Библи. 15 назв.

И. Лейфман
9Г91. О наличии урана в золе португальских антрацитов. Herculano de Carvalho A., Legrand de Moura M. O urânio nas cinzas das antracites portuguesas. «Tecnica», 1960, 34, № 302, 449—450 (порт.).—Кратко рассмотрены результаты систематич. исследования горючих ископаемых, в частности антрацитов из месторождений Педро-да-Кова и Пейхао, с целью установления присутствия U в золе. U определяли описанным ранее методом (РЖХим, 1958, № 22, 73723). Отмечено, что в пробах золы в 1940 г. содержание U_3O_8 составляло для исследованных месторождений 0,033 и 0,036%, в то время как к 1957 г. оно изменилось соответственно до 0,025 и 0,045%. Приведены результаты определений других микропримесей. Изучены возможности рекуперации U из золы. Т. Леви

9Г92. К геохимии германия в Пильзенском каменноугольном бассейне. Zahradník Lubomír, Tyrolier Jiří, Vondráková Zdenka. Příspěvek ke geochemii germania v Píseňské kamenouhelné pánvi. «Věstn. Ústřed. ústavu geol.», 1960, 35, № 6, 459—468 (чешск.; рез. русск.).—Исследовано содержание Ge в угольных пластах в зависимости от мощности, расстояния до кровли или подошвы и петрографич. состава вмещающих пород. Определено также содержание Ge в подземных водах и гидротермальных рудных жилах, связанных с гранитными интрузиями данного района. Предполагается, что Ge мог поступать в уголь не столько из рудных жил, где его содержание составляет $1-3 \cdot 10^{-4}\%$, сколько из самих гранитов. Этот процесс происходил в период мощного вулканизма, когда минерализованные р-ры могли сорбировать его в 10 и 100 раз больше, чем сейчас ($1-10 \text{ мг/м}^3$). Происходившие при этом процессы метаморфизма облегчали проникновение Ge в угольные толщи и его хим. сорбцию углями. Эти выводы подтверждаются данными по сорбционной способности угля, сравнительно легкой выщелачиваемости из него Ge, приуроченности максим. кол-ва Ge к крайним частям пластов, а также к участкам их выклинивания и наибольшего проявления метаморфизма.

Г. Воробьев
9Г93. Образование вторичных минералов на первой стадии формирования почв. Горбунов Н. И., Сун Да-чен. «Докл. сов. почвоведов к VII Междунар. конгрессу в США». М., АН СССР, 1960, 453—460 (рез. англ.).—См. РЖХим, 1961, 8Г94.

9Г94. Формирование химического состава почвенных растворов под влиянием грунтовых вод. Ша в р-ги и П. И. «Почвоведение», 1960, № 12, 98—101 (рез. англ.).—Возрастание конц-ии грунтовых вод и почвенных р-ров сопровождается р-циями взаимодействия между поглощающим комплексом почвы и воды. р-ром. Концентрирование грунтовых вод и почвенных р-ров при их испарении, помимо обменных р-ций, обычно приводит к переходу в твердую фазу почвы бикарбонатов Ca и Mg и гипса. Взаимодействие воды. р-ров с почвой нередко сопровождается переходом из почвы в р-р некоторых легкорастворимых солей.

Резюме автора
9Г95. Геохимическое распределение меди и кобальта в некоторых почвах, развитых на кристаллических сланцах области Сучавы. Р. Н. Р. A b a b i V. Distribuția geochimică a Cu și Co în unele soluri evoluate pe șisturi cristaline din Regiunea suceava. «An. științ. Univ. Iași», 1960, Sec. 1, 6, № 1, 187—197 (рум.; рез. русск.,

последующим определением кристобалита колич. методом дифракции рентгеновских лучей. Определение опала в 2 колонках из Берингова моря (р-на Чинук) показало, что с глубиной коло-во опала уменьшается: содержание его в верхнем слое ~20%, на гл. 30 см 10–15%. В одной из колонок наблюдается, кроме того, увеличение содержания опала на гл. ~48 см. Отмечается, что содержание Ва в отложениях изменяется параллельно содержанию опала. По-видимому, осаждение того и другого связано с биологич. процессами.

9Г103. Периодические вариации содержания CO_2 в атмосфере Скандинавии. Bischof Walter. Periodical variations of the atmospheric CO_2 -content in Scandinavia. «Tellus», 1960, 12, № 2, 216–226 (англ.).—В течение 1955–1959 гг. на 19 станциях в Скандинавии проводились измерения конц-ии CO_2 в атмосфере. На всех станциях ежегодно наблюдались сезонные изменения конц-ии CO_2 , которая в течение каждого года достигала дважды максим. и дважды миним. значений. В отдельных случаях периодичность прерывалась нерегулярными колебаниями, и иногда максимумы и минимумы были очень слабы, особенно осенью. Поведение CO_2 в 1959 г. явилось исключением, ввиду появления третьего максимума между весенним и осенним максимумами. Средние годовые величины конц-ии CO_2 для Скандинавии составили (в 10^{-4} об. %) 326, 321, 323, 315 и 331 соответственно для 1955–1959 гг.

9Г104. Изменение отношения Cl/Na в атмосфере с высотой и расстоянием от источника NaCl и распределение нитратов в атмосфере над США. Parée Henry M., Montefinale Alberto. Change of the chlorine: sodium ratio in the atmosphere with altitude and distance from the source of sodium chloride, and the distribution of atmospheric nitrate over the United States. «Nature» (Engl.), 1960, 187, № 4743, 1103–1104 (англ.).—Ранее выполненные измерения содержания Cl и Na в атмосфере показали уменьшение отношения Cl/Na с увеличением высоты и расстояния от источника NaCl . Теоретич. рассмотрение проблемы подтверждает возможность такого уменьшения отношения Cl/Na . Вероятно, это уменьшение обусловлено прогрессирующим окислением Cl с высотой и восстановлением его в нижних слоях атмосферы. Увеличение конц-ии нитратов (в ~2 раза), наблюдаемое в атмосфере на вост. побережье США, при переходе к более высоким широтам вызывается хим. процессами, связанными с географич. или геомагнитными координатами.

9Г105. К методике определения мышьяка и 3,4-бензпирена в атмосфере пражского воздуха. Vondráček Vladimír, Škrámovský Václav. K metodice stanovení arzenu a 3,4-benzpyrenu v pražském ovzduší. «Českosl. hyg.», 1960, 5, № 5, 291–296 (чешск.; русск., англ.).—При исследовании продуктов загрязнения атмосферы в г. Праге проводилось определение конц-ии канцерогенных в-в (As и 3,4-бензпирен), поступающих в атмосферу от сжигания угля и нефтепродуктов. Содержание As в чехословацком угле колеблется от 0,0010 до 0,0250%. В пробах атмосферных осадков, содержащих 60–80% неорганич. в-в, в ряде случаев содержание As может быть замечено количественно. Содержание 3,4-бензпирена было очень низким, и в пробах весом до 10 г его колич. измерение оказалось невозможным. Это, вероятно, можно объяснить тем, что в пражских домах сжигают бурый уголь, в кошоти которого содержится в 60 раз меньше 3,4-бензпирена, чем в кошоти каменного угля.

9Г106. К вопросу об образовании NO^+ в верхней атмосфере. Данилов А. Д. В сб. «Искусств. спутники Земли». Вып. 5. М., АН СССР, 1960, 60–65.—Показано, что величина конц-ии NO^+ выше 100 км

определяется двумя р-циями: перезарядкой ионов $\text{O}^+ + \text{N}_2 \rightarrow \text{NO}^+ + \text{N}$ и р-цией диссоциативной рекомбинации $\text{NO}^+ + e \rightarrow \text{N} + \text{O}$. Получено удовлетворительное согласие хода изменения с высотой отношения NO^+/O^+ с результатами эксперим. наблюдения на ракетах и спутниках. Вычислениями показано, что конц-ия NO^+ возрастает с высотой, достигает максимума на высоте 200–250 км ($1,5 \cdot 10^5$ ионов на 1 см^3), а затем быстро убывает. Недостаток эксперим. данных позволяет сделать только грубое заключение о соответствии вычисленного и наблюдаемого изменения конц-ии NO^+ с высотой в интервале 150–400 км.

9Г107. Возникновение, содержание и измерение малых аэрозольных частиц smog. Goetz Alexander. Ursprung, Verhalten und Bestimmung der Submikronen-Aerosole des Smogs. «Staub», 1960, 20, № 8, 303–308. Diskuss., 311–312 (нем.; рус. англ., франц.).—С помощью аэрозольного спектрометра проведено измерение величины, конц-ии и образования в атмосфере аэрозольных частиц, состоящих из частичек тумана, копоти и дыма — smog. В городах с большим автомобильным движением и крупных промышленных центрах появление smog наблюдается через несколько часов после восхода солнца, к полудню достигает максимума и затем медленно исчезает. Smog возникает в результате фотохим. р-ции между неполностью сожженными углеводородами, NO_2 и SO_2 при интенсивном солнечном освещении. На ранней стадии окисления образуются высокополярные соединения, обладающие сильной тенденцией к конденсации и адсорбирующиеся на всегда присутствующих в атмосфере аэрозольных частицах. Появление smog сопровождается интенсивным физиологич. раздражением слизистых оболочек (особенно глаза), коррозией и снижением видимости. Эти эффекты возрастают с увеличением конц-ии олефиновой компоненты неполностью сожженных углеводородов. Дальнейшее окисление (в результате продолжающегося освещения) превращает эти соединения в летучие компоненты (CO_2 , H_2O и др.) и приводит к постепенному исчезновению smog.

9Г108. О радиоактивности атомного происхождения в воздухе и осадках. Garrigue H. Sur la radioactivité d'origine atomique de l'air et des précipitations. «C. r. Acad. sci.», 1960, 251, № 16, 1645–1646 (франц.).—Измерялась радиоактивность (РА) атомного происхождения в воздухе и осадках. РА свободного воздуха, вычисленная на основании результатов измерений, снижается быстрее РА поверхности почвы. Это означает, что осадки (дождь, снег, иней) имеют большое значение для внесения в почву искусств. РА, происходящей из «стратосферных резервов». Н. Халатова

9Г109. Свежие продукты расщепления в атмосфере. Mageru V., Blănarău D., Gabe I. Frische Kernspaltprodukte in der Atmosphäre. «Naturwissenschaften», 1960, 47, № 14, 319 (англ.).—В пробах атмосферных осадков, собранных 23–25 II и 16–20 III 1960 г. в Яссах (Румыния), зарегистрирован резко возросший (в 30 раз по сравнению с предыдущими месяцами) уровень радиоактивности, составивший 1000 $\mu\text{кюри/см}^2$. Активность принадлежала короткоживущим изотопам, в частности обнаружены Ba^{140} и La^{140} , и обусловлена атомными взрывами в Сахаре.

9Г110. О находящихся в атмосфере радиоактивных частицах продуктов расщепления. Kern Wolfhard. Über die radioaktiven Partikel in der Spaltproduktaktivität der Atmosphäre. «Nukleonik», 1960, 2, № 5, 203–213 (нем.).—Из частиц продуктов расщепления, найденных в атмосфере Средней Европы за последние годы (с осени 1957 г.), наибольший интерес представляют так называемые «горячие частицы» (ГЧ). Они образуются в центре взрыва и представляют 3 типа:

1) частицы конденсации из газовой фазы радиоактивных продуктов расщепления и нерасщепленного материала бомб и оборудования; 2) крупные жидкие частицы, получающиеся из расплавленного материала почвы и оборудования и состоящие из CaO , SiO_2 или Fe_2O_3 и других хим. соединений; 3) твердые частицы подпочвенных в-в, получающие активность от адсорбции частиц 1-го типа. Величина ГЧ 1-го типа составляет 0,2—1 μ в диаметре; вследствие аггломерации диаметр может достигать 8 μ . Радиоактивность ГЧ составляет от 10^{-13} до $5 \cdot 10^{-9}$ кюри на 1 частицу. Описываются методы обнаружения ГЧ, статистич. закономерности, γ - и β -спектры, физ.-хим. свойства, а также метеорологич. и биологич. явления, связанные с передвижением и внедрением ГЧ. Н. Халатова

9Г111. Новый метод прямого определения солёности. Lyman John, Barquist Richard F., Wolf A. V. A new method for direct determination of salinity. «J. Marine Res.», 1958, 17, 335—340 (англ.).—Сухой остаток морской воды, полученный вымораживанием, не является истинной мерой солёности, поскольку он содержит 9—10% кристаллизационной воды, содержание которой является функцией t -ры и влажности воздуха. Эта остаточная вода может быть определена реактивом Карла Фишера (p -р J , SO_2 и пиридина в метаноле). Такого рода определение не может дать солёности с точностью, достижимой титрованием по Кнудсену. Общее содержание солей (Σ'), найденное вымораживанием и определением остаточной воды реактивом Карла Фишера, пропорционально сухому остатку при дегидрировании гидрокарбонатов (1 молекула H_2O на молекулу HCO_3) и борной к-ты (3 молекулы H_2O на молекулу H_3BO_3); при этом судьба органич. в-ва точно неизвестна. Пренебрегая органич. в-вом, теоретич. отношение Σ' к Σ при обычной хлорности океана должно равняться 1,0028, в то время как отношение Σ к Σ' (Lyman J., Fleming R. H. «J. Marine Res.», 1940, 3, 134—146) равно 1,0046.

Резюме авторов

9Г112. Организация международного обмена проб воды для анализа микроэлементов в морской воде. Cooper L. H. N. A system for international exchange of samples for trace element analysis of ocean water. «J. Marine Res.», 1958, 17, 128—132 (англ.).—Автор указывает на недостаточность и ненадежность наших знаний о содержании микроэлементов в морской воде, выясняет причины загрязнений исследуемых проб и возможные пути их устранения (отбор проб воды в пластмассовые сосуды для анализа на металлы, употребление стеклянной посуды из особо чистого стекла, пользование запаявающейся стеклянной посудой и т. д.), предлагает для точных определений отбор проб на спец. стандартных станциях, расположенных в разных частях Земного шара, а также организацию обмена проб воды и проверки методов анализа микроэлементов в международном масштабе. В. Коншин

9Г113. Второстепенные элементы морской воды. Karpanna A. N., Gadre G. T., Bhavnagar H. M., Joshi J. M. Minor constituents of sea-water. «Current Sci.», 1960, 29, № 7, 271—272 (англ.).—Приводятся данные анализа проб прибрежных вод Индии, собранных в III—IV 1959 г. у Бхаунагар (в $\mu\text{л}$): Sr 11 800, Fe 2200, F 800, Si 515, Rb 640, Li 160, Al 26,8, Fe 160, Cu 30,0. Полученные данные сравниваются с имеющимися в литературе. В. Коншин

9Г114. К изучению сорбции микроэлементов карбонатной системой природных вод. Алексин О. А., Моричева Н. П. «Докл. АН СССР», 1960, 133, № 4, 943—946.—Изучалась адсорбция 6 микроэлементов (Cu, Zn, Pb, Mn, Co, Ni) в конц-ях, близких к встречающимся в природных водах. В качестве p -ров были использованы: 1) искусств. морская вода с $S\%$ 0,18 и 35 и щелочностью 2,8; 3,0; 3,2 мг-экв/л ; 2) искусств. вода Цимлянского водохранилища с щелочностью 3,0

и 3,5 мг-экв/л и разной цветностью; 3) бидистиллят с растворенным $\text{Ca}(\text{HCO}_3)_2$ при конц-ях 3,0; 3,5; 4,0 мг-экв/л . Установлено, что степень адсорбции микроэлементов находится в прямой зависимости от дозы выделения в осадок CaCO_3 . Последняя в свою очередь зависит, помимо CO_2 и pH, от начальной конц-ии HCO_3^- (чем выше конц-ия HCO_3^- , тем раньше и полнее происходит выделение CaCO_3), величины общей минерализации (уменьшение выделяющегося CaCO_3 с ростом минерализации вследствие большей его растворимости при увеличении ионной силы p -ра) и условий осаждения (скорость образования осадка; присутствие в-в, стабилизирующих пересыщение). Сорбируемость на CaCO_3 выше всего у Zn и Cu. Полное выделение всех 6 микроэлементов на CaCO_3 может происходить в случае значительного пересыщения CaCO_3 и отсутствия цветности в пресных водах при содержании $\text{HCO}_3^- > 3$, в солоноватых $> 3,5 \text{ мг-экв/л}$. В морях и океанах выделение CaCO_3 в осадок вполне возможно для поверхностных вод (до гл. 200—500 м) в умеренных и низких широтах, где при pH $> 7,9$ воды пересыщены CaCO_3 при всех t -рах, а при pH $< 7,9$ — при t -рах $> 12^\circ$. В глубинных слоях океана, где вода незначительно недосыщена CaCO_3 , CaCO_3 при седиментации подвергается лишь частичному растворению. Эксперименты по адсорбции микроэлементов на взвесь, выносимых в море реками, показали, что поглощение микроэлементов лучше всего происходит: 1) в воде, содержащей минер. (р. Аму-Дарья), а не органич. взвеси (р. Дон); 2) в воде при миним. минерализации (с увеличением последней она падает из-за коагуляции взвесей и конкуренции ионов); 3) для Cu и Zn лучше, чем для других исследованных элементов. Возможно, что и в этом случае имеет значение наличие во взвесьях обломочного карбоната.

В. Коншин

9Г115. Фтор, как микроэлемент в природных водах Иркутской области. Ружникова Т. Н. «Изв. Иркутского с.-х. ин-та», 1959, вып. 14, 45—49.—Согласно спектральному анализу содержание F (в мг/л) в реках Иркутской области 0,018—0,5; оно выше в реках Китой и Тельминка Усольского района (0,92; 0,676), Унга и Ока Тывретского р-на (0,667; 0,75), Киренга Киренского р-на (0,93), Заларинка Нукутского р-на (1,7). Содержание F в колодцах, как правило, не превышает 0,5; только в колодцах поселка Усть-Орды оно в среднем 0,82, в колодце Рысево Черемховского р-на 3,6.

В. Коншин

9Г116. Фтор в поверхностных водах Казахстана. Крепкогорский Л. Н. «Гидрохим. материалы», 1960, 30, 32—42.—Более половины обследованных поверхностных водоемов Казахстана характеризуется содержанием F в воде $> 0,5 \text{ мг/л}$, а 23% их содержат F в конц-ях $> 0,99 \text{ мг/л}$ (до $> 3 \text{ мг/л}$). Подавляющее большинство выявленных источников с повышенным содержанием F дислоцируется в области Центрального Казахстана (Казахский мелкосопочник) и в p -не преград Зайлийского Алатау. Наиболее высокие конц-ии F обнаруживаются в воде водоемов, дренирующих регионы распространения поверхностных выходов гранитных интрузий, преимущественно герцинского времени. Согласно произведенным опытам, водорастворимые F-содержащие минералы распределяются в горных породах не диффузно, а, по-видимому, концентрируются в отдельных участках этих пород. Содержание F в поверхностных водах Казахстана весьма варьирует по сезонам года, наиболее снижаясь в периоды весеннего половодья. Талые воды без примесей грунтовых и почвенных вод не содержат F, так же как и воды ручьев чисто снегового и ледникового питания в бассейне р. Большой Алмаатинки. Содержание F в водах озер Казахстана увеличивается в процессе концентрирования растворенных солей вследствие испарения (оз. Балхаш, озера Боровского р-на).

В. Коншин

9Г117. О географическом распространении фтора в водопроводной воде в районе Усти на Эльбе. Navrátil Vladimír, Jouba Leopold. *Zeměpisné rozšíření fluoru ve vodovodech Ústeckého kraje*. «Sb. vyšší ped. školy Ústí na Labem. Rada zeměpisná», Praha, 1959, 90—98 (чешск.; рез. нем.).—Наличие F в питьевой воде р-на Усти на Эльбе связано с вулканич. деятельностью третичного периода. Из исследованных 360 источников 74 не содержат F, 15 (главным образом в округе Духов и Теплице) содержат его > 1 мг/л. В. Коншин

9Г118. Содержание фтора в водных источниках Благоевградского округа. Иванов Г. Проучване съдържанието на флуора във водоизточниците на Благоевградски окръг. «Стоматология» (Бълг.), 1960, № 4, 30—32 (болг.).—Исследовано около 400 источников. Из них 80% содержат F 0,00—0,50, 13% 0,50—1,50, 3% 1,50—5,00, 4% $> 5,00$ мг/л. В. Коншин

9Г119. Содержание общего йода и йода йодатов в морской воде. Barkley Richard A., Thompson Thomas G. The total iodine and iodate-iodine content of sea-water. «Deep-Sea Res.», 1960, 7, № 1, 24—34 (англ.).—Определения в сев.-вост. части Тихого океана и в Северном Ледовитом океане показали, что содержание общего J равно 50—76 μ /л, отношение же J/Cl $\%$ для гл. 250—4000 м постоянно и равно $3,32 \cdot 10^{-6} \pm 0,12 \cdot 10^{-6}$. Значительные изменения в этом отношении наблюдаются в поверхностных слоях. В сев. части Тихого океана $1/3$ — $2/3$ общего J являются йодатами, без заметных изменений их кол-ва по глубине и местоположению. В Северном Ледовитом океане содержание йодатов увеличивается с глубиной от минимума близ поверхности до максимума на 500—1000 м, где все 100% J являются йодатами. В Северном Ледовитом океане на гл. 200—2000 м содержание йода йодатов больше, чем в любой пробе из сев. части Тихого океана. В водах суши шт. Вашингтон содержание общего J 30—48 μ /л, отношение J/Cl $\%$ на 15% ниже, чем в океанич. водах, по-видимому, за счет поглощения J бентическими водорослями. Резюме авторов

9Г120. О содержании йода в воде бассейна озера Байкал (предварительные данные). Баранская В. В. «Изв. Иркутского с.-х. ин-та», 1959, вып. 14, 50—52.—Пробы воды отбирались ежемесячно в период VIII 1958 г. — IV 1959 г. Содержание J (в μ /л) в оз. Байкал 1,92—6,17 (в среднем 3,5); в реках Слюдянского р-на Иркутской области, впадающих в Байкал, 0,46—4,6; в Ангаре 2,93—3,3, Лене 1,86, Витиме 1,83, Бодайбинке 3,3. В. Коншин

9Г121. Содержание йода в водных источниках Восточной Сибири (в районах распространения эндемического зоба). Алябьев Г. А. В сб. «Материалы научн. конференции по вопр. краевой патол., эпидемиол. и излуч. местн. курортн. ресурсов». Чита, 1959, 12—13.—Исследовано 17 «питьевых источников» (реки, ключи, родники, колодцы) в Шахтоминском р-не Читинской области. Содержание в них J 0,79—1,92 $\cdot 10^{-7}$ %. В. Коншин

9Г122. Соосаждение в растворах, содержащих ионы окисленного железа, окисного железа и двухвалентной меди. Nem J. D., Skougstad M. W. Coprecipitation effects in solutions containing ferrous, ferric, and cupric ions. «Geol. Surv. Water-Supply Paper», 1960, № 1459-E, pp. I—IV, 95—110, ill. (англ.).—Осадок Fe(OH) $_3$, который образуется в р-рах, содержащих Fe $^{2+}$ при увеличении pH или Eh, может удалять другие ионы из р-ра соосаждением. В опытах р-ры, содержащие Fe от 1 до 10 мг/л и Cu около 0,5 мг/л, доводились до определенного pH от 3,8 до 8,5 путем прибавления Na $_2$ CO $_3$ или NaHCO $_3$. Было найдено, что из р-ров с pH 5,5 и более удаляется больше Cu, чем можно было бы ожидать, если бы Fe отсутствовало. Стабильные или метастабильные колл. суспензии Fe(OH) $_3$ имеют положительный ζ -потенциал и не адсорбируют Cu; но когда ζ -потенциал уменьшается или становится отрицательным

в результате изменения (увеличения) pH р-ра, Cu адсорбируется осадком Fe(OH) $_3$. Fe, осаждающееся в пробах воды после их взятия, может удалять растворенную Cu. Пробы, в которых Fe выпало, могут быть подкислены в момент анализа с целью вернуть всю Cu в р-р. Осаждение Fe может быть предотвращено понижением pH пробы в момент ее отбора до 4,5 и ниже, если требуется определить кол-во растворенной Cu.

Резюме авторов

9Г123. Химия железа в природных водах. Обзор биохимической литературы. Oborn Eugene T. A survey of pertinent biochemical literature. «Geol. Surv. Water-Supply Paper», 1960, № 1459-F, pp. I—IV, 111—190, ill. (англ.).—На основании рассмотрения литературных данных показано, что Fe играет существенную роль в метаболизме грибов, бактерий, водных и земных растений и животных. Многие организмы осаждают или растворяют Fe. Водяные растения занимают важное место в цикле Fe; они извлекают Fe из затопленных почв или из воды, и далее происходит либо возвращение его в р-р, либо отложение в донном иле после распада погибшего растительного материала. Анаэробные бактерии при отсутствии O $_2$ восстанавливают осажженный Fe $^{3+}$ и возвращают его в р-р. Многие из этих бактерий в присутствии O $_2$ фиксируют Fe в виде гуматов, хелатных или других сложных соединений. В окислительных и щел. условиях слой ила на дне водоема действует как адсорбент по отношению к нерастворимому иону металла. Отмечено, что окислительно-восстановительный потенциал воды зависит от кол-ва растворенного Fe $^{2+}$ и Fe $^{3+}$. Библ. 837 назв. Р. Хмельницкий

9Г124. Годовой круговорот фосфора и азота в прибрежных водах Новой Англии. Ketchum Bostwick H., Vaccaro Ralph F., Corwin Nathaniel. The annual cycle of phosphorus and nitrogen in New England coastal waters. «J. Marine Res.», 1958, 17, 282—301 (англ.).—В поверхностных водах нитратный N иногда потребляется полностью; в то же время небольшие конц-ии (0,2—0,5 μ г-атом/л) P всегда имеются. Отношение конц-ий атомов N:P изменяется в поверхностных водах от максимума 10:1 до 0, когда нитраты полностью потребляются. Однако отношение изменений конц-ий $\Delta N:\Delta P$ равно приблизительно 15:1, за исключением летних месяцев, когда оно уменьшается. В течение лета вертикальные перемешивание доставляет в эуфотную зону N и P в более высоких отношениях, чем отношения их конц-ий в эуфотной зоне. На глубоководн. станциях близ шельфа отношение N:P равно около 12,5 и в слое минимума O $_2$ — максимума биогеов не наблюдается сезонных изменений в конц-иях P и нитратов. Резюме авторов

9Г125. Определение Sr 90 в поверхностных водах. Gandino C., Malvicini A., Vido L. Determinazione del ^{90}Sr nelle acque di superficie. «Minerva nucl.», 1960, 4, № 10, 268—271 (итал.; рез. англ.).—Описан метод определения конц-ии Sr 90 в поверхностных водах. В январе 1960 г. содержание Sr 90 (в 10^{-9} мкюри) в озерах Лаго-Маджоре 0,3, Комаббио 1,4, Монате 1,6, Варесе 1,3, в ряде питьевых вод $< 0,05$ —0,16.

В. Коншин

9Г126. Распределение искусственной радиоактивности в северной части Тихого океана в течение лета 1955 г. Miyake Yasuo, Saruhashi Katsuko. Distribution of man-made radioactivity in the North Pacific through summer 1955. «J. Marine Res.», 1958, 17, 383—389 (англ.).—Радиоактивность, вызванная испытаниями в Бикини и Эниветок весной 1954 г., распространилась главным образом на запад, далее на север к берегам Японии и, наконец, к югу вдоль течения Куросиво. Зараженная площадь, где радиоактивность морской воды превышала 0,1 мкюри Sr 90 на 1 л, в VI.1954 г., III—IV.1955 г. и VIII—IX. 1955 г. равнялась соответственно $4,2 \cdot 10^6$, $1,9 \cdot 10^7$ и $2,7 \cdot 10^7$ км 2 . Весной

1955 г. радиоактивность распространилась вглубь на 600 м от поверхности океана. На вертикальное распределение радиоактивных изотопов в меньшей степени влияют вертикальная миграция и разложение морских организмов, чем чисто физ. перемешивание. Исходя из времени распределения радиоактивности в океане, получен коэф. горизонтального турбулентного перемешивания, равный $0,8-1,4 \cdot 10^9$. Резюме авторов

9Г127. Взвешенное вещество в слое кислородного минимума. Rakestraw Norris W. Particulate matter in the oxygen-minimum layer. «J. Marine Res.», 1958, 17, 429-431 (англ.).—Кол-во взвешенного в-ва в морской воде определялось по содержанию в нем N (пробы отбирались на 3 станциях в Атлантическом океане в 1937-1939 гг.). Показано, что более высокие концентрации взвешенного в-ва в слое кислородного минимума наблюдаются.

9Г128. Химическое исследование взвешенных веществ ручьев Асофён-Шед и Печей-патак. Szabó Ernő. Az Aszófői-Séd és a Pécsely-patak lebegtetett hordalékának kémiai vizsgálata. «Magyar tud. akad. Tihanyi biol. kutatóint. évk.», 1959, 26, 317-328 (венг.; рез. нем.).—По данным, полученным с II 1957 г. по II 1958 г., найдено, что в оз. Балатон взвешенными в-вами ручьев Асофён-Шед и Печей-патак (при среднегодовом расходе воды соответственно 75,9 и 110,1 л/сек и годовом кол-ве вносимого в-ва 25 700 и 13 500 кг) ежегодно вносится соответственно (в кг): органич. C 1840, 840; общего N 250, 120; общего P 0,18, 0,09.

9Г129. Органический углерод в водах северной части Черного моря. Скопинцев Б. А., Тимофеева С. Н. «Докл. АН СССР», 1960, 134, № 3, 688-690.—Содержание органич. C (в мг/л) в сев. части Черного моря 4,07-1,96, в среднем ~3,0. Наибольшая концентрация органич. C отмечена в поверхностном слое, далее с глубиной она резко падает, на гл. ~200 м несколько увеличивается, ниже 200 м и до дна постепенно убывает. Согласно расчетам общее содержание органич. C в водах Черного моря $1,6 \cdot 10^9$ т; ежегодное образование в Черном море водн. гумуса планктонного происхождения (выражено в органич. C) $7,5 \cdot 10^6$ т; ежегодный принос рекими в Черное море органич. C терригенного происхождения $3,5 \cdot 10^6$ т; ежегодное суммарное поступление в Черное море органич. C $1,1 \cdot 10^7$ т или ~1% от имеющегося в воде; в расчете на 1 л это составляет 0,02 мг.

9Г130. Углерод-13 в воде озер и его возможное значение в палеолимнологии. Oana Shinya, Devey Edward S. Carbon 13 in lake waters, and its possible bearing on paleolimnology. «Amer. J. Sci.», 1960, 258-A, 253-272 (англ.).—Величина $\delta^{13}\text{C}$, т. е. $[(^{13}\text{C}/^{12}\text{C}) \text{ образца воды} - ^{13}\text{C}/^{12}\text{C} \text{ стандарта}] : ^{13}\text{C}/^{12}\text{C} \text{ стандарта} \times 1000$, в поверхностной воде димиктич. озер (озер умеренного типа) в Коннектикуте равна -8,6‰, в воде гипolimниона $\geq -22,6$ ‰; в сестоне, иле и теле моллюсков она равна -30‰, в то время как погруженные растения имеют более высокую величину $\delta^{13}\text{C}$. Источниками CO_2 в гипolimнионе могут быть: а) CO_2 поверхностного слоя ($\delta^{13}\text{C} = 9$ ‰), поступающая при циркуляции; б) CO_2 , образующаяся в процессах дыхания и окисления сестона в аэробных условиях ($\delta^{13}\text{C} = 30$ ‰); в) CO_2 , образующаяся при анаэробном разложении органич. в-ва в иле ($\delta^{13}\text{C} = 5$ ‰; обогащение ^{13}C за счет образования CH_4 с $\delta^{13}\text{C} = -70$ ‰); д) карбонатная CO_2 ($\delta^{13}\text{C} \sim 0$ ‰), имеющая большое значение в жестких водах. Из этих источников б + в представляют биогенный обмен (БО) в-в; с и д, обогащенные ^{13}C , могут быть различаемы анализом C^{14} , поскольку древние карбонатные породы его не содержат. В оз. Куоссаго с очень мягкой водой, где величина CO_2 за счет д. незначительна, с равно 4-20% от всего БО. В оз. Кунчи с очень жесткой водой величина д выражает всю CO_2 , обогащенную ^{13}C .

В пруду Линсли с умеренно жесткой водой величина с после исключения д дает, по-видимому, 40% всего БО. В приложениях к палеолимнологии определение ^{13}C может не приводить к определенному заключению, поскольку анаэробное разложение в иле стремится повысить $\delta^{13}\text{C}$, понижаемое аэробным разложением. Фракционирование ^{13}C , несмотря на постоянную стагнацию, не наблюдается ни в меромиктич. озере гумидной области (оз. Холл-Лейк), по-видимому за счет с, ни в меромиктич. соленом озере (оз. Соп) вследствие преобладания д. В плейстоценовом оз. Сёрлс самые ранние органич. отложения обогащены ^{13}C , по-видимому, вследствие того, что озеро вновь растворяло большое кол-во карбонатов. В среднегурском рывике с прослойками Fe в Мичигане слои, обогащенные FeCO_3 , могут содержать меньше ^{13}C , чем слои, обогащенные SiO_2 ; такое обеднение сидеритов ^{13}C говорит в пользу их озерного происхождения. Резюме авторов

9Г131. Исследования по «потенциалу продуцирования кислорода» речным планктоном. Knörr H. Untersuchungen über das Sauerstoff-Produktions-Potential von Flussplankton. «Schweiz. Z. Hydrol.», 1960, 22, № 1, 152-166 (нем.).—На протяжении 1958 и 1959 гг. с интервалами в 2-3 недели систематически измерялся «потенциал продуцирования кислорода» (ПО) планктоном р. Рейн у Кобленца путем экспонирования на сутки проб воды в темноте и на свету (400 л) в лабор. условиях при 27-29° и определений начальных и конечных содержаний O_2 в воде. В летнее время эта величина достигает максимума (15 мг O_2 /л в сутки) в мае, зимой минимальна. Приведены также кривые сезонного хода стока реки, среднемесячные величины часов солнечного сияния, т-ры воды и содержания O_2 в воде р. Рейн в месте наблюдений. Среднемесячные величины ПО находятся в ясной положительной зависимости от световых условий предыдущего месяца. Отдельные измерения показывают отчетливую положительную корреляцию с т-рой воды, причем резко возрастание весной и снижение осенью приходится на «критич. т-ру» 12°. Во время вегетационного сезона хорошо выражена обратная зависимость ПО от величины стока реки. На основании полученных данных опубликованных ранее измерений фотосинтеза планктона путем установок склянок непосредственно в реку автор высказывает распространяемое мнение, что фотосинтетич. реаэрация загрязненных рек отстает от задний план перед атмосферной и считает, что за счет компенсации повышенной скорости потребления O_2 водой в летнее время при высокой температуре.

9Г132. О водном и солевом балансе Черного моря. Бруевич С. В. «Тр. Ин-та океанол. АН СССР», 1960, 42, 255-272.—При наиболее вероятных величинах стока, осадков и испарения Черное море получает избыток пресной воды около 225 км³ в год (превышение суммы речного стока и осадков над испарением). Подсчет водообмена в Босфоре с учетом силы и направления ветров дает для верхнего стогового течения 400 км³/год, для нижнего приточного — 190 км³/год. Из последней величины 175 км³ действительно поступает в Черное море и около 15 км³ возвращается обратно, входя в состав верхнего стогового течения. Солевой баланс Черного моря в настоящее время очень близок к уравновешенному с небольшим тенденцией к превышению выноса солей из моря за счет поступления в него. Колебания климата, отражающиеся на водн. балансе Черного моря и водообмене в Босфоре, должны обуславливать циклич. колебания в соотношении кол-в солей, поступающих в Черное море и уходящих из него. В позднечетвертичное время, от конца плейстоцена (новозакисовская стадия развития Черного моря) до настоящего времени соленость придонных вод Черного моря равномерно повышалась от 7,25‰ (4‰ хлорности) до совр.

менной солености 22,4‰ (12,4‰ хлорности); основной причиной этого повышения в геологич. аспекте является планомерное увеличение нижнего босфорского приточного течения в Черное море, обусловливаемое увеличением глубин пролива.

Из резюме автора
9Г133. Железистые и сероводородные минеральные воды основных источников Черновицкой области. Лапшин Ф. В. «Сб. научн. работ Черновицк. мед. ин-та», 1959, вып. 10, 301—306.—Приведены данные исследований 1953—1959 гг. (ионный состав, некоторые микрокомпоненты, окисляемость) для 8 сероводородных (содержание H_2S 10—143 мг/л) и 4 железистых (содержание Fe 11—36 мг/л) вод. В. Коншин

9Г134. Минеральные воды Северного Приаралья и условия их формирования. Сотников А. В., Сыдыков Ж. «КазССР Гылым Акад. хабарлары, Иав. АН КазССР. Сер. геол.», 1960, вып. 2 (39), 102—111 (рез. каз.).—В Челкарском артезианском бассейне подземные воды на гл. 200—220 м имеют сухой остаток 1,4—2,5 г/л, хим. состав по Алекину Cl_1^{Na} , газовый состав вод воздушного происхождения. В Донгустауском артезианском бассейне минер. воды имеют 2 типа: Актумуский и Аккудукский. Первый тип с гл. 520—560 м по хим. составу, типу и степени минерализации имеет большое сходство с челкарскими минер. водами, отличаясь лишь несколько повышенным содержанием SO_4^{2-} . Аккудукский тип вод, установленный лишь по одной скважине, имеет на гл. 380 м сухой остаток 1,85 г/л, хим. состав по Алекину Cl_1^{Na} II—III.

М. Яншина
9Г135. Формирование термальных вод Сайно-Байкальской горной страны. Ткачук В. Г. «Тр. 2-го совещания по подземн. водам и инж. геол. Вост. Сибири», 1958. Вып. 1». Иркутск, 1959, 44—59.—Приводятся условия выхода термальных вод на поверхность, их т-ра, хим. состав, а для ряда источников и газовый состав. В зависимости от этих особенностей выделяется 6 типов терм: 1) хлоридно-сульфатные натриевые азотные (газирующие азотом) гипертермальные воды; 2) сульфатные натриевые азотные воды, преимущественно гипертермальные, иногда термальные и субтермальные; 3) гидрокарбонатные натриевые азотные воды различной т-ры; 4) гидрокарбонатные натриевые метановые термальные и субтермальные воды; 5) гидрокарбонатные натриевые и кальциевые углекислые термальные и субтермальные воды; 6) гидрокарбонатные натриевые и кальциевые углекисло-азотные субтермальные воды. Перечисленные типы объединяются в 2 группы — сульфатных и гидрокарбонатных терм. Рассмотрение типичных признаков терм каждой из этих групп свидетельствует об условиях их формирования в различных глубинных зонах: хлоридно-сульфатных, сульфатных и гидрокарбонатных терм. Ряд признаков (высокое содержание Cl, глубинный характер N_2 , насыщающего термы, возраст вод) приводит к заключению о связи термальных вод с глубинными магматич. очагами, оказывающими влияние и на их хим. состав. Формирование терм гидрокарбонатного типа происходит в менее глубокой зоне с большим участием просачивающихся поверхностных вод. В пределах участков молодого вулканизма в формировании гидрокарбонатных терм существенную роль играет метаморфич. CO_2 .

Из резюме автора
9Г136. О происхождении минерализации термальных вод курорта Баиле-Геркулане. Rău Victor Corvin. Asupra originii mineralizației apelor termale de la Băile-Herculane. «Studii și cercetări geol. Acad. RPR», 1960, 5, № 1, 135—147 (рум.; рез. русск., франц.).—Происхождение минер. и термальных вод курорта Баиле-Геркулане связано с инфильтрацией поверхностных вод на глубину, главным образом в

зоне пересечения продольных разломов, проходящих почти параллельно долине р. Черны, и поперечных, расположенных более или менее перпендикулярно к первым. Геотермич. градиент вполне достаточен для объяснения высокой т-ры вод, в результате чего они отличаются повышенной способностью растворения. Источником повышенной минерализации является глинистая толща слоев Наданова, а радиоактивности — граниты. Минерализация достигает максим. значений на южн. участке исследованной территории и постепенно снижается к северу, обратно пропорционально радиоактивности.

Резюме автора
9Г137. О роли геохимии подземных вод при решении некоторых металлогенических вопросов. Зауашивили Б. З. «Разведка и охрана недр», 1960, № 11, 37—43.—В 1957—1958 гг. в бассейне р. Мериси Аджарской АССР производились гидрогеохим. исследования в комплексе с другими видами гидрогеологич. работ с целью выявления закономерностей формирования хим. состава подземных вод и их металлоносности, а также установления гидрогеохим. признаков сульфидного оруденения. Установлено, что под влиянием окисления сульфидных месторождений хим. состав подземных вод изменяется: повышается содержание рудных элементов Zn, Pb, Cu, водородных ионов, SO_4^{2-} . Концентрация элементов увеличивается при слабом окислении руд, SO_4^{2-} — при интенсивных процессах окисления в рудах и гидротермально измененных безрудных зонах. В поверхностных потоках аномальные содержания рудных элементов и водородных ионов не отмечаются, а SO_4^{2-} хорошо выражены.

В. Коншин
9Г138. Гидрохимическая характеристика вод свиты ПК Бузовны-Маштагинского нефтяного месторождения в связи с применением вторичных методов разведки. Шэфидзева С. Б. Тезисы докладов на заседании Азерб. нефт. тасэрруфаты, 1960, № 10, 32—34 (азерб.; рез. русск.)

9Г139. Пересчет химических анализов изверженных горных пород и определение химических типов их. Справочное пособие. 2. изд. Заварицкий А. Н. М., Гостеолтехиздат, 1960, 156 стр., илл., 12 р. 65 к.

9Г140. О генезисе алмазов. К познанию [процесса] алмазообразования в природе и лаборатории и о полиморфизме гетерогенной решетки образующихся модификаций. Rodewald Hans J. Zur Genesis des Diamanten. Beiträge zur Kenntnis der Diamantbildung in der Natur und im Labor und zur Polymorphie der artfremde getter bildenden Modifikationen. Schaffhausen, Meier, 1960, 69 S., ill., 8,60 str. (нем.)

9Г141. Таллий. Основные черты геохимии и минералогии, генетич. типы месторождений и геохим. провинции. Иванов В. В., Волгин В. Ю., Краснов А. А., Лизунов Н. В., М., АН СССР, 1960, 156 стр., 7 р. 15 к.

9Г142. Магматизм и оруденение Средней Азии. Абдуллаев Х. М. Ташкент, АН УзССР, 1960, 147 стр., илл., 17 р. 70 к.

9Г143. Ресурсы поверхностных вод районов освоения целинных и залежных земель. Вып. 4. Павлодарская область Казахской ССР. Ред. Урываев В. А. (Гл. упр. гидрометеорол. службы при Сов. Мин. СССР, Гос. гидролог. ин-т). Л., Гидрометеоздат, 1959, 576 стр., илл., карты, 43 р. 80 к.

9Г144. Грунтовые воды г. Казани. Капитанов С. Г. Казань, Казанск. ун-т, 1959, 164 стр., илл., карты, 5 р. 75 к.

9Г145. Гидрогеохимия основных нефтяных месторождений Азербайджана. Агаларов М. С. Баку, Азнефтеиздат, 1960, 263 стр., илл., 9 р. 70 к.

См. также: Физ.-хим. методы анализа минералов, почв, руд, вод, пород и т. д. 9Б141, 9Д133, 9Д137—9Д143, 9К225. Структура, состав и свойства минералов 9Б155,

9Б156. Состав и свойства руд, природных вод, углей 9Б105, 9Б142, 9Б153, 9И262, 9И264, 8Б39

Д. АНАЛИТИЧЕСКАЯ ХИМИЯ

ОБЩИЕ ВОПРОСЫ

Редакторы Г. И. Кибисов, А. А. Немодрук,
Н. Н. Чудинова

9Д1. Научно-исследовательский центр по аналитической химии в Токио. Йокотакэ Таро. «Karaku to kogē, Chem. and Chem. Ind.», 1960, 13, № 4, 428—433 (японск.).—Приведен план н.-и. работ, состав кадров и оборудование лабораторий. А. Петренко

9Д2. Роль химика-аналитика в технологии ядерных реакторов. Susano C. D. The role of the analytical chemist in nuclear reactor technology. «Talanta», 1960, 6, III—XI (англ.).—Библ. 13 назв.

9Д3. К основным проблемам комплексомерии. III. О некоторых преимуществах ацетатной буферной смеси. Berndt W., Sára J. Contribution to the basic problems of complexometry. III. Some advantages of acetate buffer. «Talanta», 1960, 5, № 3—4, 281—283 (англ.; рец. нем., франц.).—В развитие ранее сообщенных фактов (РЖХим, 1960, № 10, 38355) показано, что в качестве вспомогательных комплексообразующих реактивов (ВКР) для устранения блокирования индикаторов при комплексометрич. определении Cu^{2+} кроме о-фенантролина с успехом могут быть применены также α,α' -дипиридил, купферон, этилендиамин (I), дикупраль, о-фенилендиамин (II) и глицин (III). Причем при титровании в ацетатной буферной среде требуется ввести лишь миллиграммовые кол-ва этих ВКР (1 мг дикупрала, 2 мг купферона, 20 мг II, 25 мг I или 300 мг III), тогда как при титровании в уротропиновой буферной среде для получения таких же эффектов необходимо добавлять гораздо большие кол-ва этих же ВКР (0,2 г II, 0,3 г I или 1 г III); кроме того в последнем случае успех титрования зависит также от порядка введения реактивов. С использованием ацетатной буферной смеси можно комплексометрически титровать Cu^{2+} при t -ре $\sim 70^\circ$ по кислеловому оранжевому или метилтимоловому синему даже без введения ВКР, что совершенно невозможно с уротропином. Причина различного поведения CH_3COONa и уротропина еще полностью не выяснена, но считается несомненной безучастность в этом различии рН р-ра и предполагается, что CH_3COONa при титровании играет роль ВКР. Сообщение II см. РЖХим, 1960, № 13, 51617. Ф. Судаков

9Д4. О взаимодействии трехвалентного таллия с диатриевой солью этилендиаминтетрауксусной кислоты. Бусев А. И., Типцова В. Г., Соколова Т. А. «Ж. неорг. химии», 1960, 5, № 12, 2749—2758.—Изучено состояние в р-ре комплексного соединения Tl^{3+} с этилендиаминтетрауксусной к-той (I) в зависимости от рН. Потенциометрич. методом при 20° на фоне 0,1 М NaClO_4 определены первая и вторая константы кислотной диссоциации комплекса $\text{HTlY}(\text{H}_2\text{O})$ $K_1 = \frac{[\text{H}^+][\text{TiY}(\text{H}_2\text{O})^-]}{[\text{HTlY}(\text{H}_2\text{O})]} = 0,5 \cdot 10^{-2}$ и $K_2 = \frac{[\text{H}^+][\text{TiY}(\text{OH})^-]}{[\text{HTlY}(\text{H}_2\text{O})]} = 1,5 \cdot 10^{-6}$ (Y^{4-} — анион I). Показано, что $\text{TiY}(\text{H}_2\text{O})^-$ существует в р-рах NaClO_4 , NaCl и NaBr при рН 2,5—5,5, 2,5—6,0 и 2,5—7,5 соответственно, а $\text{TiY}(\text{OH})^-$ — при рН 7—11 (NaClO_4), 8—11 (NaCl) и 9,5—11 (NaBr). При рН > 11 начинается выделение $\text{Ti}(\text{OH})_3$. Константа нестойкости комплексонов Tl^{3+} $K = \frac{[\text{Tl}^{3+}][\text{Y}^{4-}]}{[\text{TiY}(\text{H}_2\text{O})^-]}$ при 20° и ионной силе 0,4 найдена равной $3,3(\pm 3,5) \cdot 10^{-22}$, а рК при 20° и ионной силе 0,1 равно $22,5 \pm 0,5$. Пока-

зано, что минимальным рН, начиная с которого возможно колич. комплексомерич. определение Tl^{3+} , является 1,7. В. Типцова

9Д5. К вопросу о влиянии природы хромофора на функционально-аналитическую группу. Ямпольский М. З. «Тр. Комис. по аналит. химии. АН СССР», 1960, 11, 5—12.—Рассмотрены р-ции Ga и In с органич. реактивами различных классов, и показано, что для Ga и In характерны функционально-аналитич. группы, состоящие из двух орторасположенных групп OH и ON и COOH. Так как некоторые из органич. реактивов, содержащих характерную для данного элемента функционально-аналитич. группу, не взаимодействуют с ним, то при выборе реактива для фотометрич. определения рекомендуется учитывать также природу хромофора, содержащегося в молекуле реактива. Н. Басарин

9Д6. Характеристика 2,2',4'-триоксиназобензол-5-сульфокислоты как реактива для спектрофотометрического анализа. Fletcher Mary H. Characteristic constants of 2,2',4'-trihydroxyazobenzene-5-sulfonic acid as a reagent for spectrophotometric analysis. «Anal. Chem.», 1960, 32, № 13, 1822—1827 (англ.).—Изучены некоторые свойства 2,2',4'-триоксиназобензол-5-сульфокислоты (I), предлагаемого в качестве реактива для фотометрич. определения Zr (реф. 9Д7). I в очид. виде представляет собой темно-красный тонкокристаллич. гигроскопич. продукт, содержащий 1 молекулу кристаллизационной воды; активный компонент этого продукта, по данным простого прокалывания в печи и по результатам термогравиметрич. исследования, составляет 0,964 (для материала, высушенного при 150—170°). Сульфогруппа и все 3 гидроксильные группы I обладают кислотными свойствами, причем диссоциация этих групп в водн. р-ре сопровождается цветовыми изменениями. По спектрам поглощения 10^{-5} — 10^{-6} М р-ра I, снятым в области 350—750 мμ при различных кислотностях (от 10,35 М HCl до рН 12, определены области рН устойчивого существования различных форм I: простые спектры поглощения соответствуют 3,74—10,35 М р-рам HCl (область существования H_4D , где D — остаток I), рН 2,0—3,5 (область существования H_3D^-) и рН 9,8—12 (область существования HD^{3-}); при других условиях рН совместно существуют H_4D , H_3D^- , H_2D^{2-} , HD^{3-} и, возможно, D- в соответствующих комбинациях. В сильнощел. р-рах (1,0—8,4 М относительно KOH) существует 6-я форма I, природа которой не установлена. На спектрах поглощения р-ров I 490 мμ соответствует максим. поглощению H_4D и максим. разнице в поглощениях H_4D и H_3D^- ; 408 мμ является изобестич. точкой для H_4D и H_2D^{2-} ; 468 мμ — для H_2D^{2-} и HD^{3-} , 422 мμ — для HD^{3-} и D^{4-} , а 513 мμ — для D^{4-} и 6-й формой I; 400 мμ является изобесорбционной точкой для HD^{3-} и 6-й формой I. Те же спектрофотометрич. данные использованы для графич. определения кажущихся констант диссоциации для более лабильных протонов одной сульфогруппы и двух ортогидроксильных групп (рК₁ 0,10, рК₂ 6,14, рК₃ 7,72); величина K_4 , соответствующая диссоциации парагидроксильной группы (HD^{3-}), определена лишь приблизительно (рК₄ > 13). Ф. Судаков

9Д7. Теоретическое изучение реакции между 2,2',4'-триоксиназобензол-5-сульфокислотой и цирконием. Fletcher Mary H. Theoretical study of the reaction between 2,2',4'-trihydroxyazobenzene-5-sulfonic acid

and zirconium. «*Analyt. Chem.*», 1960, 32, № 13, 1827—1836 (англ.).—Установлено, что 2,2',4'-триоксисбензол-5-сульфокислота (I) реагирует с Zr в кислой среде с образованием двух комплексов состава 1:1 и 2:1. Оба комплекса имеют внутрикомплексный характер, причем атом Zr выступает как мостик между двумя орто-гидроксильными группами одной и той же молекулы I, а сульфогруппа в комплексобразовании не участвует. Спектр поглощения (350—750 мμ) р-ров, 18,89·10⁻⁶ M по I, 1,3·10⁻³ M по Zr и 0,1 н. по HCl, состоит из семейства кривых с изобсорбционной точкой при 456—457 мμ. Максим. разница в величинах светопоглощения Zr-содержащего и холостого р-ров наблюдается при 490 мμ, причем с увеличением pH > 2,2 эта разница уменьшается, по-видимому, вследствие понижения конц-ии Zr⁴⁺ за счет усиливающих процессов полимеризации и гидролиза. Так как при pH < 2,2 в водн. р-ре могут существовать в значительных кол-вах только H₂D и H₃D⁻ (реф. 9Д6), то в комплексобразование с Zr⁴⁺ вступает H₃D⁻. Кажущиеся константы равновесия р-ции Zr⁴⁺ + H₃D⁻ ⇌ Zr(HD)⁺ + 2H⁺ и Zr(HD)⁺ + H₃D⁻ ⇌ Zr(HD)₂²⁻ + 2H⁺ соответственно равны 1,96·10⁵ и 23,2; константы образования 1-го и 2-го комплексов составляют 1,42·10¹⁰ и 1,68·10¹⁵. Поскольку единственно возможными компонентами окрашенной системы являются две формы I (H₂D и H₃D⁻) и два комплекса I с Zr (Zr(HD)⁺ и Zr(HD)₂²⁻), приводимые спектры поглощения этих компонентов (при 350—350 мμ — для р-ров 0,0064—7 н. относительно HCl) полностью описывают эту систему, точно так же, как найденные константы равновесия и образования полностью характеризуют протекающие в этой системе р-ции. Полученные результаты могут быть использованы при разработке методики фотометрич. определения Zr в различных материалах на основе р-ции его с I. Автором эти р-ции уже использованы для определения активного компонента в препаратах.

Ф. Судаков

9Д8. Спектрофотометрическое изучение реакции Шиффа в приложении к количественному определению двухионной серы. Nauman Robert V., West Philip W., Tron François, Gaek G. C., Jr. A spectrophotometric study of the schiff reaction as applied to the quantitative determination of sulfur dioxide. «*Analyt. Chem.*», 1960, 32, № 10, 1307—1311 (англ.).—Исследован механизм р-ции между двухионной серой (I), парарозанилином (II) и формальдегидом (III). При действии I на бесцветное соединение, образующееся в кислой среде при взаимодействии II с III, возникает красное окрашивание, по интенсивности которого определяют I. Показано, что в спектре поглощения (СП) II имеется три полосы с максимумами при 538, 280 и 232 мμ. 1-я — соответствует положительному иону триаминотрифенилметана, 2-я — электронному переходу между бензольным ядром и аминотрующей, 3-я — электронному переходу около центрального углеродного атома. Прибавление сульфита при pH 6 приводит к исчезновению 1-й полосы, уменьшению 2-й и росту 3-й. Избыток к-ты приводит к исчезновению всех трех полос вследствие образования трехзамещенной соли II с фиксированным положением зарядов. III сам по себе на поглощение р-ров почти не оказывает влияния. В кислой среде I и III взаимодействуют с образованием соединения, СП которого сходен со СП II, но содержит еще одну полосу при 560 мμ. На основании сопоставления ряда данных авторы находят, что при этом образуется не Шиффово основание, а сульфокислота II по схеме: R—NH₂ + SO₂ + HCHO → R—NH—CH₂—SO₃H. Это соединение сходно с II, но основные свойства его резко ослаблены, поэтому оно, в противоположность II, устойчиво к кислотам.

А. Бабко

9Д9. Аналитическое значение хлорциана. Ruppert E., Schulek E. Die analytische Bedeutung des

Chlorcyans. «*Ann. Univ. scient. budapest. Sec. chim.*», 1960, 2, 99—100 (нем.).—На основе кинетич. изучения р-ции ClCN с J⁻ и CN⁻ установлено, что ClCN, реагирующий с J⁻ с образованием JClCN, в присутствии избытка CN⁻ взаимодействует с последним по р-ции 1-го порядка, образуя CNCICN, не реагирующий с J⁻. Поэтому при йодометрич. определении Br⁻ (состоящем в окислении Br⁻ водн. р-ром Cl₂ до ClBr, переведения последнего в BrCN и последующем йодометрич. титровании) первоначально образующийся ClCN при избытке CN⁻ в течение нескольких минут превращается в CNCICN и не мешает определению Br. Аналогично при йодометрич. определении J⁻ с использованием в качестве окислителя Cl₂ избыток последнего можно связывать посредством CN⁻.

В. Иванов

9Д10. Адсорбционные ряды катионов металлов на сульфидах. Görlich E., Görlich Z. Metal adsorption series on sulphides. «*Bull. Acad. polon. sci. Sér. sci. chim.*», 1960, 8, № 7, 379—382 (англ.; рез. русск.).—В результате изучения сорбционного поведения различных катионов на колонках, наполненных PbS, CdS или ZnS, установлен сорбционный ряд, в котором каждый предыдущий катион сорбируется сильнее последующего: Cu²⁺, Pb²⁺, Cd²⁺, Ti⁴⁺, Zn²⁺, Mn²⁺, Co²⁺, Ni²⁺. Этот ряд лишь частично согласуется с рядом растворимости сульфидов: Cu, Pb, Cd, Ni, Co, Mn, Zn и рядом Шермана: Cu, Cd, Pb, Zn, Ni, Co, Mn. По мнению авторов, положение элемента в сорбционном ряду определяется способностью катиона этого элемента замещать катион сульфида, находящегося в колонке, различием растворимости сульфида-сорбента и образующегося сульфида, физ. адсорбцией катионов и pH среды. Установленный ряд наиболее полно согласуется с аналитич. поведением элементов.

Н. Полянский

9Д11. Осадочная хроматография. Диффузия и осаждение сульфидов металлов в колонках с гелем agar-agar. Spain James D. Precipitation chromatography. Diffusion and precipitation of metal sulfides on agar gel columns. «*Analyt. Chem.*», 1960, 32, № 12, 1622—1624 (англ.).—Разработан метод разделения ионов металлов, основанный на их диффузии из анализируемого р-ра в хроматографич. колонке (ХК) в гель agar-агара (I), содержащий (NH₄)₂S, и образовании отдельных зон сульфидов. Гель I готовят из 4 г I, который сначала выдерживают в 100 мл воды для набухания и удаления воднорастворимых примесей, а затем вводят его в 200 мл кипящего р-ра ацетата Na (содержащего 54 г CH₃COONa·3H₂O). После 5-мин. кипячения гель I отфильтровывают через стеклянную вату, добавляют по 3 капли р-ра (NH₄)₂S на каждые 25 мл геля и вводят его в суженную на конце ХК диам. 6 мм. Затем в ХК вводят анализируемый р-р, разбавленный 6 н. р-ром HCl до конц-ии каждого иона ~5 мг/мл. Формирование зон наблюдают через 24, а затем через 48 час. Самое верхнее положение в ХК занимает зона SnS, затем следуют сульфиды Hg, Cu, Pb, Bi, Cd, Sb, As, Zn, Co + Ni и Fe. В некоторых случаях зоны перекрываются. В отличие от ионообменной хроматографии, в описанном методе отрицательные ионы фиксируют свое положение в ХК только после образования осадка сульфида с анализируемыми катионами. Поскольку каждая зона содержит примеси металла, образующего более растворимый сульфид, автор рассматривает предлагаемый метод как разновидность фронтального анализа. Метод рекомендуется для открытия катионов, образующих окрашенные сульфиды. Относительное расположение зон определяется в основном величиной произведения растворимости сульфидов. Их абс. положение зависит от конц-ии ионов металлов и S²⁻, pH, конц-ии геля I и т-ры.

Н. Полянский

9Д12. Адсорбционно-комплексобразовательный хроматографический метод. Гапон Т. Б., Гурвич

А. М., Чмутов К. В. «Вестн. АН СССР», 1960, № 10, 58—60.—Краткое изложение принципа и практич. значения метода. Авторы отмечают, что, в отличие от комплексобразовательного элюирования ионообменных хроматограмм, на адсорбционно-комплексобразовательных хроматографич. колонках порядок поступления катионов в фильтрат совпадает с порядком констант нестойкости их соединений с комплексобразующим реактивом: первым в фильтрат проходит катион, образующий наименее прочный комплекс. Отмечается, что взаимодействие комплексобразующих и других реактивов в этих колонках может протекать иначе, чем в статич. условиях. Отмечается высокая селективность метода.

Н. Полянский

9Д13. Предварительные рекомендации по номенклатуре и представлению данных в газовой хроматографии.— Preliminary recommendations on nomenclature and presentation of data in gas chromatography. «Pure and Appl. Chem.», 1960, 1, № 1, 177—185 (англ.).—См. РЖХим, 1961, 1Б701

9Д14. Газовая хроматография и ее применение. Сообщения I, II. Фудзивара Фудзиро. «Kagaku to kōgō, Sci. and Ind.», 1960, 34, № 6, 238—241; № 8, 314—320 (японск.).—Обзор.

9Д15. Дискуссия по статье Гиддингса «Турбулентная диффузия в хроматографии» с ответом автора. Klinkenberg A., Sjenitzer F. Discussion on the paper «Eddy diffusion in chromatography» by Giddings J. Calvin. Autor reply. «Nature» (Engl.), 1960, 187, № 4742, 1023—1024 (англ.).—Дискуссия по поводу правильности рассмотрения фактора n в ур-нии Гиддингса (РЖХим, 1960, № 18, 72730) как аддитивного.

Н. Полянский

9Д16. Определение очень малых количеств неорганических газов с использованием ионизационного детектора. Lesser R. Nachweis sehr kleiner Mengen anorganischer Gase mit einem Ionisationsdetektor. «Angew. Chem.», 1960, 72, № 21, 775—777, III, IV (нем.; рез. англ., франц., итал., исп.).—Предложенный ранее (РЖХим, 1958, № 18, 60789) ионизационный детектор с β -излучением, позволяющий определять малые кол-ва органич. в-в в токе Ar, используемого в качестве газа-носителя, очень мало чувствителен к неорганич. газам. Автор обнаружил, что ионизационные пики, соответствующие N_2 и CO, значительно возрастают в присутствии небольших кол-в трихлорэтилена (аналогичное явление было независимо установлено ранее, РЖХим, 1960, № 9, 34468). Показана возможность определения N_2 , N_2O , O_2 , CO и CH_4 при добавлении к Ar паров органич. в-в с применением ионизационного детектора. Для введения в поток Ar постоянного кол-ва органич. в-ва рекомендуется пропускать Ar через трубку, содержащую твердое органич. соединение, напр. 1,2,4,5-тетрахлорбензол. Метод применен для анализа смесей, образующихся при горячей экстракции газов из металлов, содержащих H_2 , N_2 , CH_4 и CO, после хроматографич. разделения их на колонке с мол. ситом 5А.

Б. Анвар

9Д17. Исследования в области хроматографии на бумаге. I. Корректирование значений R_f . Хасэгава Х. «Якугаку дайсси, Yakugaku zasshi, J. Pharmac. Soc. Japan», 1960, 80, № 9, 1175—1184 (японск.; рез. англ.).—Показано, что на величины R_f при распределительной хроматографии на импрегнированной бумаге влияют: т-ра, сорт и адсорбционные свойства бумаги, состав стационарной (СФ) и подвижной (ПФ) фаз, объемное отношение V_S/V_m (где V_S —объем СФ, а V_m —объем ПФ на единицу веса бумаги), атмосферная влажность и равномерность распределения СФ в бумаге. Найдено, что главным фактором, изменяющим значение R_f при постоянной т-ре, является отношение V_S/V_m . Выведена поправочная ф-ла для значений R_f при разной набу-

хаемости бумаги: $R_{fu} = 2R_f / [V_m/V_S - (V_m/V_S - 2)]$, где R_{fu} соответствует значению $V_S/V_m = 1/2$. Э. Усуми

9Д18. Применение ионообменных смол. II. П. Какихана Х., Цубота Х. «Бунсэки кагакү, Japan Analyst», 1960, 9, № 9, 791—794; № 10, 916—919 (японск.).—II. Общие вопросы подготовки, использования и регенерирования ионообменных смол.

III. Описаны общие принципы приготовления ионообменных колонок, определения ионообменной емкости смолы и методы разделения ионов. Сообщение I см. РЖХим, 1961, 4Б723.

9Д19. Ионный обмен в смесях растворителей. III. О распределении хлорида тория между его спиртовыми солянокислыми растворами и сильноосновными анионитами. Korkisch J., Tera F. Ionenaustausch in Lösungsmittelgemischen. III. Über die Verteilung des Thoriumchlorids zwischen seinen alkoholischen salzsäuren Lösungen und stark basischen Anionenaustauschern. «J. Inorg. and Nucl. Chem.», 1960, 15, № 1—2, 177—181 (англ.).—Установлено, что добавки этанола (I) к водн. солянокислым р-рам $ThCl_4$ повышают сорбцию Th сильноосновными анионитами. Однако в присутствии 80% I амберлит IRA-400 (II) в Cl-форме все еще слабо сорбирует Th. С повышением конц-ии I до 96% сорбция Th резко возрастает, а при более высоких конц-иях I— снова падает. В несколько большей степени увеличивают сорбцию Th добавки n -пропанола, изопропанола, n -бутанола, изобутанола и амиллового спирта; метанол оказывает значительно более слабое действие. Кислотность р-ра, содержащего 96% изопропанола и 0,04—0,5 н. по HCl, не влияет на сорбцию Th, и кол-во поглощенного Th до определенного предела возрастает с увеличением его конц-ии в р-ре. Коэф. распределения Th между II и р-ром в этих условиях достигает ~ 1500 , что можно использовать для его колич. извлечения методом колоночной фильтрации. Сообщение II см. РЖХим, 1961, 5Д51.

Н. Полянский

9Д20. Электрофорез минеральных катионов на бумаге в присутствии комплексобразующих реактивов. Wenger P.-E., Kapetanidis I., Janstein W. von A. Electrophorèse sur papier des cations minéraux en présence d'agents complexants. «Mikrochim. acta», 1960, № 5—6, 961—966 (франц.; рез. нем., англ.).—В качестве комплексобразующего в-ва при электрофорезе (Э) ионов Ag^+ , Hg^{2+} и Pb^{2+} использован β, β' -диаминодиптиловый эфир N, N' -тетрауксусной к-ты. К анализируемому р-ру прибавляют р-р β, β' -диаминодиптилового эфира N, N' -тетрауксусной к-ты, буферную смесь и воду. Полученный р-р вводят в обе кюветы прибора для Э и увлажняют им бумагу Ватман № 1 (ВМ1), которую затем отжимают между двумя листами фильтровальной бумаги при нагрузке 500 г, и производят Э в течение 30 мин. при градиенте потенциалов 21,5 в/см; используемый прибор обеспечивает постоянство т-ры и влажности ВМ1. По окончании Э ВМ1 высушивают и проявляют ф-ром $(NH_4)_2S$. При рН 2—3 Ag^+ сильно смещается к катоду; скорость миграции с повышением рН уменьшается. Начиная с рН 8 Ag^+ мигрирует и к катоду, и к аноду, что авторы связывают с образованием анионного комплекса. В интервале рН 9—12 Ag^+ мигрирует к аноду, причем скорость миграции возрастает с увеличением рН р-ра. Hg^{2+} образует комплекс, мигрирующий к аноду, начиная с рН 2. Скорость миграции возрастает до рН 7 и при дальнейшем повышении рН снова уменьшается. Pb^{2+} при рН 2 перемещается к катоду. При рН ≥ 3 Pb^{2+} ведет себя подобно Hg^{2+} . Полученные данные указывают на возможность разделения двухкомпонентных смесей методом Э. Для разделения трехкомпонентных смесей этот метод непригоден.

Н. Полянский

9Д21. Применение графитового индикаторного электрода при потенциометрическом титровании

методу нейтрализации. Berčík Juraj. Použitie grafitej elektrody na indikáciu pri neutralizačných potenciometrických titráciách. «Chem zvesti», 1960, 14, № 5, 372—384 (словацк.; рез. русск., нем.).—Для ацидиметрич. и алкалиметрич. титрований с потенциометрич. индикацией конечной точки титрования применен графитовый электрод (ГЭ), активированный посредством KMnO_4 . ГЭ, длиной 100 мм с сечением 8×8 мм, изготовляют из графита (уд. сопротивление при 20°C $22 \text{ ом мм}^2/\text{м}$), содержащего $\sim 0,03\%$ золы, и импрегнируют 2 часа при 100°C парафином (т. пл. $50-52^\circ$) и церезином (т. пл. $75-80^\circ$). Нижнюю поверхность ГЭ очищают наждачной бумагой. Приготовленный таким образом ГЭ характеризуется малым внутренним сопротивлением, механич. прочностью и устойчивостью к действию окислителей и восстановителей. При титровании к анализируемому р-ру прибавляют KMnO_4 до конечн. $\sim 10^{-4}$ моль/л; в случае титрования восстановителей ГЭ активируют погружением на 5—10 мин. в цел. $0,5 \text{ M}$ р-р KMnO_4 . Для активированного ГЭ соблюдается линейная зависимость между потенциалом электрода (относительно насыщ. к. э.) и рН р-ра. Метод проверен при титровании $0,1 \text{ M}$ р-ров H_2SO_4 , HNO_3 , HClO_4 , HCl , HF , CH_3COOH , $\text{C}_2\text{H}_5(\text{OH})_2(\text{COOH})_2$, H_2SO_3 , H_3PO_4 , H_2CrO_4 , Na_2CO_3 , NaOH и N_2H_4 .

9Д22. Полирография с переменным током. Сообщение IV. О минимуме на полирограммах никеля, индия и меди. Shirai Hideko. «Nihon kagaku daishi, Nippon kagaku zasshi, J. Chem. Soc. Japan. Pure Chem. Sec.», 1960, 81, № 8, 1248—1253, A86—A87 (японск.; рез. англ.).—Установлено, что на полирограммах $\text{Ni}(\text{NO}_3)_2$ и $\text{In}(\text{NO}_3)_3$ на фоне KSCN , а также CuSO_4 на фоне NH_4NO_3 наблюдаются минимумы, которые зависят от конц-ии фона и рН, а также от конц-ии деполяризатора. Сообщение III см. РЖХим, 1960, № 21, 84541.

9Д23. Чувствительность современного вольтамперометрического анализа. Imai Hideo. «Kagaku to kōgō, Chem. and Chem. Ind.», 1960, 13, № 4, 404—411 (японск.).—Обзорная статья по вопросу определения малых конц-ий в-в (порядка 10^{-10} моль/л) вольтамперометрич. методом. Библ. 30 назв.

9Д24. Чувствительность современных методов спектрального анализа и пути его повышения. Айдаров Т. К. «Докл. Межвуз. научн. конференции по спектроскопии и спектр. анализу». Томск, Томский ун-т, 1960, 6—8.—Краткое изложение содержания обзорного доклада. Сделана попытка классификации методов. Дальнейшие исследования по повышению чувствительности анализа должны быть направлены на более углубленное изучение применяемых источников света, на создание новых и в особенности таких способов возбуждения, при которых в-во могло бы продолжительное время оставаться в зоне разряда.

9Д25. Высокотемпературный плазменный источник света и его применение в эмиссионной спектроскопии. Артамонов Г. П., Грановский Э. И., Кока П. А. «Докл. Межвуз. научн. конференции по спектроскопии и спектр. анализу». Томск, Томский ун-т, 1960, 10—11.—Внутри эбонитовой закрытой со всех сторон камеры укрепляют электроды. Верхний электрод—катод имеет отверстие, сообщающее камеру с окружающей средой. В камеру по касательной к внутренней ее поверхности пускают Ar , N или CO_2 при давл. $0,4-1 \text{ атм}$. Дуговой разряд при токе $17-50 \text{ а}$ поджигают ВЧ-разрядом. Струя плазмы выбрасывается из отверстия катода в виде узкого пламени высотой $10-15 \text{ мм}$. В пламя вдувают р-р. По искроподобному спектру р-ра производят анализ с высокой степенью воспроизводимости.

9Д26. Использование дуги переменного тока, горящей между металлическими электродами в аргоне, для спектрального анализа. Рафф Е. Л. «Докл. Меж-

вуз. научн. конференции по спектроскопии и спектр. анализу». Томск, Томский ун-т, 1960, 62—64.—Отмечено повышение искрового характера спектра металлич. электродов при переходе от дугового разряда переменного тока в воздухе к разряду в аргоне. Одновременно повышается в два раза концентрационная чувствительность определения Ti и V в стали. Снижение интенсивностей дуговых линий и повышение искровых позволяет классифицировать линии в спектрах.

9Д27. Сильноточная дуга переменного тока в искродуговом режиме и ее применение в практике спектрального анализа. Чесников О. Ф., Сухневич В. С. «Докл. Межвуз. научн. конференции по спектроскопии и спектр. анализу». Томск, Томский ун-т, 1960, 77—78.—Предложено в генераторе ДГ-1 и ДГ-2 выключать полностью реостаты дуги и вместо них ставить конденсаторы емкостью $100-150 \text{ мкФ}$. При таком последовательном включении емкости при токе до 40 а возбуждают спектры Se , J , и C в области $1950-2150 \text{ Å}$. Порошкообразные в-ва вводят в разряд вдуванием. Отмечено резкое ослабление полос CN^- и понижение влияния валового состава проб на результаты анализа. Полученный мощный импульсный разряд весьма стабилен.

9Д28. Обыскривание винтообразных электродов. Zimmer K., Török T. Abfunken von Schraubenelektroden. «Ann. Univ. scient. budapest. Sec. chim.», 1960, 2, 403—407 (нем.).—На примере определения Mg в Al -сплавах исследованы свойства искрового разряда между винтообразно вращающимся цилиндром, электродом и неподвижным контрэлектродом (РЖХим, 1960, № 16, 65027; 1961, 4Д11, 7Д33). Эффект обыскривания в данном случае отсутствует, и градуировочный график в координатах ΔS , $\lg C$ прямолинеен в области низких конц-ий. Точность измерений при подвижном электроде повышается, а полученные результаты отражают среднее содержание элемента в поверхностном слое образца. Метод целесообразно применять для исследования различных покрытий и поверхностных загрязнений, а также для исследования процессов диффузии, коррозии и т. п.

9Д29. Влияние условий возбуждения (спектров) на кривые обыскривания и градуировочные графики для алюминиевых сплавов. Zimmer K., Török T. Einfluss der Anregungsbedingungen auf die Abfunken- und Auswertungskurve der Aluminiumlegierungen. «Ann. Univ. scient. budapest. Sec. chim.», 1960, 2, 395—402 (нем.).—Исследовано действие самоиндукции L и емкости C на вид кривых обыскривания и градуировочных графиков при возбуждении спектров Al -сплавов с добавкой Mg в высоковольтном искровом разряде. При отсутствии в разрядной цепи L в ходе обыскривания интенсивность линии Al увеличивается, а при включении L ($0,8 \text{ мкн}$)—уменьшается. Уменьшение интенсивности вызвано более энергичным окислением электродов вследствие увеличения времени действия разряда в ~ 33 раза согласно ф-ле: $T = 2\pi(LC)^{1/2}$. Интенсивность линии Mg в обоих случаях уменьшается, однако в случае большей L этот эффект выражен слабее. В случае малого значения L плотность тока в начальный период разряда, согласно ф-ле $I = UC^{1/2}L^{-1/2}$ (U —напряжение), выше и поэтому испарение Mg с поверхности образца происходит более интенсивно, а поступление Mg на поверхность путем диффузии затруднено вследствие малого T . Действие C на характер кривой обыскривания Mg аналогично L , но эффект выражен слабее потому, что при увеличении C возрастает как I , так и T . Форма, наклон и положение градуировочного графика зависят от выбранных L и времени предварительного обыскривания t . График, построенный в координатах ΔS , $\lg C$, криволинеен в области низких конц-ий Mg . Степень искривления умень-

шается с увеличением t и L . При $L = 0,8$ мм и $t \sim 30$ сек. график представляет собой уже практически прямую линию. Чем больше t , тем больше наклон графика и тем больше точность определения, однако график при этом смещается вниз по оси ординат, что приводит к уменьшению чувствительности анализа. Величина C мало влияет на вид графика. В. Мосичев

9Д30. Фотоэлектрические методы спектрального анализа. Сухенко К. А., Монсеева К. А., Денисов Ю. Н., Тишин И. Г., Баканов Д. Г. «Докл. Межвуз. научн. конференции по спектроскопии и спектр. анализу». Томск, Томский ун-т, 1960, 66. — Кратко описаны особенности многоканальной фотоэлектрич. установки ДФС-10 и разработанные методики анализа сплавов. Г. Кибисов

9Д31. Исследование взаимного влияния двуокиси кремния и некоторых соединений щелочных элементов на относительную интенсивность спектральных линий хрома и молибдена. Кожевникова Л. А., Шаврин А. М. «Докл. Межвуз. научн. конференции по спектроскопии и спектр. анализу». Томск, Томский ун-т, 1960, 31—33. — Были изготовлены образцы с концентром SiO_2 в пределах 0—99%; остальная масса состояла из сульфатов и нитратов Li, Na, K и Cs и из 0,6% Cr_2O_3 и 3% Mo. Образцы помещали в отверстие Si-электрода. Спектр возбуждали в дуговом разряде переменного тока при 5 а и фотографировали на среднем спектрографе. Измеряли относительную интенсивность линий Cr 2677,2 и Mo 2679,8 Å. Найдено, что абсолютные и относительные интенсивности линий изменяются различным образом и зависят от мол. состава смесей, в частности, от анионов. Г. Кибисов

9Д32. Спектральные методы количественного определения редких и рассеянных элементов в рудах и минералах. Захария Н. Ф., Лейдерман Ц. А. В сб. «Спектр. анализ в цветн. металлургии». М., Металлургиздат, 1960, 275—284. — Приведен ряд методов спектрального анализа, основанных на введении спец. добавок, вступающих в хим. р-ции с определенными элементами в процессе самого спектрального анализа, что значительно сокращает продолжительность и повышает точность определений. Так например для фракционного испарения определяемых элементов щел. металлы переводят в легколетучие хлориды, а In и Tl — в йодиды путем брикетирования с $\text{CaCO}_3 + \text{NH}_4\text{Cl}$ и AgI соответственно и возбуждения в воздушно-ацетиленовом пламени. Для определения Re (в молибдитах) образец предварительно спекают с $\text{Pb}(\text{NO}_3)_2$ (1:3) и отгоняют в виде Re_2O_7 в пламени дуги переменного тока. Другие элементы, наоборот, концентрируют в остатке и спектрографируют только конечную стадию процесса после испарения основной массы пробы. Для определения Nb, Ta и Zr в рудах образцы в смеси с угольным порошком и внутренним стандартом (Mo) испаряют из угольных электродов; при этом образуются труднолетучие низшие окислы или карбиды Nb, Ta, Zr и Mo, поступающие в пламя дуги только после отгонки большей части главных компонентов. Г. Кибисов

9Д33. Характеристика цветовых качеств перехода индикаторов. Дополнительная трехфакторная колориметрия. Reilley Charles N., Flaschka H. A., Laurent Sif, Laurent Bertel. Characterization of the color quality of indicator transition. Complementary tristimulus colorimetry. «Analyst. Chem.», 1960, 32, № 10, 1218—1232 (англ.). — Для характеристики индикатора важна оценка 2 факторов: 1) хим. факторы (соотношение соответствующих констант диссоциации, скорость р-ции и т. д.) и 2) цветовые явления и их влияние на глаз. Авторы рассматривают только второй фактор путем сочетания закона Бера и трехфакторной схемы цветов, принятой международной комиссией по освещению. Для общей оценки цветовых качеств индикатора рассмотрено ур-ние: $P_r = G_r - I(Q_r - G_r) =$

$= G_r - IV_r$, где P_r соответствует координатам наблюдаемого цвета в хроматич. диаграмме, G_r — координатам освещающего света, Q_r — координатам поглощаемого света (точка дополнительного цвета), I — «коэффициент цвета» и V_r — «относительной серости» цвета. Для расчета отдельных функций из эксперим. спектрофотометрич. и других данных рекомендуется номограф фирмы Бауш и Ломб. Рассмотрены также графики, методы хроматич. диаграмма (ХД). Описан дихроматизм и примеры таких систем (р-ры нитрата хрома и др.). Для ряда металлохромных индикаторов и их солей с Zn^{2+} приведены таблицы параметров для расчета координат их цветов на ХД. На этом основании проведено сравнение ряда индикаторов: метилмолибденового синего, эриохрома черного Т (I), 1-(2-пиридазано)-2-нафтаола, эриохрома красного, широкотехникового фиолетового и цинкона (II). Показаны существенные преимущества II: расстояние между координатами цвета II и его соли с Zn^{2+} на ХД значительно больше, чем для других индикаторов; цвета II и его Zn-соли почти строго дополнительные, и линия между координатами этих цветов проходит около точки «серого цвета» (такие переходы окраски легче воспринимаются); координаты цветов II и его Zn-соли находятся почти на периферии ХД, т. е. оба цвета яркие, что еще более улучшает качество цветового перехода в конечной точке титрования. Аналогично рассмотрено титрование ионов различных металлов с одним и тем же индикатором I. В этом случае переход окраски лучше для Mg^{2+} и Mn^{2+} , хуже для Zn^{2+} и Pb^{2+} . В то же время отмечается противоречие этой оценки цветов с хим. характеристиками, так как комплекс Mg^{2+} с I наименее прочен, а р-ция его с комплексом III протекает медленно. Рассмотрено в общей форме значение расстояния между координатами цветов крайних форм индикатора в ХД и влияние «фактора памяти», так как при близкой окраске двух форм индикатора при медленном титровании анализатору труднее запомнить цвет р-ра до прибавления очередной порции реактива. В этих случаях необходим р-р сравнения. Подробно рассмотрен приближенный способ оценки различия цветов с использованием ХД. При смещении форм индикатора, даже с яркими оттенками, вследствие наложения дополнительных цветов возникает определенная «серость» или «грязный переход цветов». Авторы разработали колич. выражения для «серости», исходя из положения цветов обеих форм индикатора в ХД. Рассмотрена также в математич. форме проблема «экранирования» — подбора дополнительных красителей (внутренних светофильтров) для улучшения перехода окраски индикатора в конечной точке титрования. Приведен пример расчета координат в ХД и расчета других цветовых характеристик красителя при стандартном освещении. А. Бабко

9Д34. Химические приложения дополнительной трехфакторной колориметрии. Reilley Charles N., Smith Ellis M. Chemical applications of complementary tristimulus colorimetry. «Analyst. Chem.», 1960, 32, № 10, 1233—1240 (англ.). — Рассмотрен способ расчета координат цветов красителя в хроматич. диаграмме на основании эксперим. данных о пропускании (или поглощении) в различных участках спектра. Приведена таблица множителей для значений пропускания при 415—685 мμ через каждые 30 мμ. Для облегчения расчетов координат авторы рекомендуют простую счетную машину; приведена подробная схема этой машины. Получены спектральные характеристики метилового красного (I), и подробно описан расчет дополнительных «экранирующих» красителей (внутренних светофильтров) для наилучшего изменения окраски I в конечной точке кислотно-основного титрования. Указано, что такие смеси дают более высокую воспроизводимость: в среднем из 30 опытов отклонение составляет 0,03 единицы pH, тогда как в обычных условиях для I отклонение достигает 0,16 единицы pH. Рассмотрено

также применение тех же принципов для математич. трактовки перехода цветов, точного расчета рК индикаторов на основании их спектров поглощения при изменении pH, а также расчета состава и констант диссоциации комплексов, если из экспериментальных данных известны их спектры поглощения при изменяющемся избытке соли металла.

А. Бабко
9Д35. Количественный гамма-спектрометрический анализ смесей нуклидов путем последовательной компенсации спектра стандартными источниками. Olson D. G. Quantitative gamma-ray spectrometric analysis of nuclide mixtures consecutive standard sources nullification. «Talanta», 1960, 6, 201—208 (англ.).—Разработан быстрый γ -спектрометрич. метод анализа смеси радионуклидов с использованием магнитной памяти. Активность пробы измеряют на 256-канальном γ -спектрометре, затем в том же геометрич. положении последовательно измеряют стандартные образцы чистых изотопов, но таким образом, чтобы активность стандарта вычиталась из активности пробы, фиксируют время, необходимое для полной компенсации фотодика данного изотопа стандартом, и рассчитывают абс. активность этого изотопа в пробе. Метод применен для анализа смеси Ce^{144} , Ru^{106} , Cs^{137} и Nb^{95} . Продолжительность определения ~ 30 мин., относительная ошибка (в %) для $\text{Ce} \pm 13$, для $\text{Ru} \pm 4,8$, $\text{Cs} \pm 8,8$ и $\text{Nb} \pm 7,3$. Метод применим для анализа лишь относительно долгоживущих изотопов.

Э. Чудинов
9Д36. Электронный щуп — дополнительный метод в химическом анализе. Birks L. S. The electron probe: an added dimension in chemical analysis. «Analyst. Chem.», 1960, 32, № 9, A19—A22, A24, A26, A28 (англ.).—Изложены возможности хим. анализа микрообъемов при помощи электронного щупа для определения состава сплавов, диффузии металлов, толщины пленок и изучения процессов коррозии. Библ. 32 назв.

Л. Смирнов
9Д37. Оптические явления в турбидиметрическом методе анализа, применяемом для определения сульфатов в фосфорной кислоте. Dahlgren Sven-Eric. Optical phenomena in turbidimetric analysis applied to sulfate determination in phosphoric acid. «Acta chem. scand.», 1960, 14, № 6, 1279—1287 (англ.).—Теоретически выведена зависимость светопоглощения суспензий труднорастворимых в-в (E) от эффективного радиуса диспергированных частиц r (эфф.) эффективного коэф. активации \bar{Q} , конц-ии в-ва C и его растворимости S , выражаемая ф-лой $E = k\bar{Q}l/r(\text{эфф.})(C-S)$, где k — постоянная и l — толщина слоя. Также отмечается зависимость \bar{Q} от соотношения показателей преломления диспергированных частиц в-ва и самой среды, которыми можно пренебречь, если оно близко к единице. Из установленного соотношения вытекает необходимость выбора для фотометрирования суспензий той длины волны, при которой возможное изменение r (эфф.) в процессе приготовления р-ров было бы элиминировано пропорциональным изменением \bar{Q} . Для этого сопоставляют кривые $E = f(\lambda)$ (λ — длина волны) и $\bar{Q} = f(r(\text{эфф.}))$ и выбирают такой участок по оси абсцисс, в пределах которого \bar{Q} и E одинаково изменяются от r (эфф.) и λ соответственно. Разработан метод определения 0,05—0,20 мг S в 50 мл, основанный на спектрофотометрировании при 420 мк стабилизированных с помощью желатинных суспензий BaSO_4 в 5-см кюветах. Показано, что точность метода возрастает с уменьшением λ , однако область конц-ий, в которой соблюдается закон Бера, при этом сужается. В. Типцова

9Д38. Способ спектрального анализа жидкостей. Цап М. Л., Толкачева Л. А. Авт. св. СССР 129038, 1.06.60.—Жидкость превращают в аэрозоль посредством распылителя, действующего сжатым воздухом. Аэрозоль поступает в какой-либо источник света. Устрой-

ство сходно с установками для пламенного спектрального анализа.

Г. Кибисов

См. также: Осаждение 9Б393. ВЧ-титрование 9Е59. Экстракция 9Б400, 9Б4. Комплексы 9Б32, 9Б34, 9Б35, 9Б40, 9Б42, 9Б49—9Б52, 9Б54, 9Б57. Органич. реактивы 9Б67. Хроматография 9Б467, 9Б627—9Б635, 9Е39—9Е46. Абсорбционная спектроскопия 9Б85, 9Б96, 9Б98, 9Б542, 9Е5—9Е7. Флуорометрия 9Б214. Рентгеновская спектроскопия 9Б115, 9Б215, 9Е8. Электрохим. методы 9Б594, 9С77. Изотопный анализ 9Б299, 9Б301—9Б306, 9Б309—9Б313, 9Г125, 9Н125, 9С91. Газовый анализ 9Б467, 9Г105, 9Е60

АНАЛИЗ НЕОРГАНИЧЕСКИХ ВЕЩЕСТВ

Редакторы Г. И. Кибисов, А. А. Немодрук,
Н. Н. Чудинова

9Д39. Новые реактивы, осаждающие ионы натрия и лития в присутствии ионов калия. Gaspar y Arnal Téofilo. Nouveaux réactifs précipitant les ions sodium et lithium en présence de l'ion potassium. Séparation alternative. «Chimie et industrie», 1960, 84, № 4, 523—528 (франц.; рез. англ., нем., исп.).—Обсуждается возможность разделения Na^+ , Li^+ и Ti^+ осаждением в водно-этанольной среде р-рами KH_2PO_4 и KOH (РЖ-Хим., 1960, № 18, 73008), осаждения Na^+ в этанольно-метанольной среде р-рами $(\text{NH}_4)_2\text{HPO}_4$ или $\text{NH}_4\text{H}_2\text{PO}_4$ в присутствии NH_4OH с целью отделения Na^+ от K^+ и осаждения K^+ этанольным р-ром $\text{Ca}_2\text{Fe}(\text{CN})_6$ с целью отделения его от Na^+ .

9Д40. Разделение стронция и кальция с использованием комплексона ГГ. Определение Sr в апатитах. Афанасьева Л. И. «Ж. аналит. химии», 1960, 15, № 5, 564—567 (рез. англ.).—Разработан метод колич. разделения Sr и Ca, основанный на осаждении SrSO_4 при pH 4,5 в присутствии комплексона III (I), удерживающего Ca в р-ре. Смесь окислов Sr и Ca растворяют в миним. кол-ве разб. HNO_3 или HCl , к полученному р-ру, содержащему < 150 мг окислов, прибавляют I из расчета 800 мг на каждые 100 мг окислов, нейтрализуют р-ром NH_4OH по метиловому красному (II), вводят 10 мл 10%-ного р-ра $(\text{NH}_4)_2\text{SO}_4$, разбавляют водой до 30—35 мл, нагревают, прибавляют по каплям разб. H_2SO_4 до pH $\sim 4,5$ и выдерживают 20—30 мин. при 70—80°. Через 2 часа осадок отфильтровывают, промывают 5—6 раз водой, содержащей небольшое кол-во $(\text{NH}_4)_2\text{SO}_4$, прокалывают при т-ре темно-красного каления и взвешивают или растворяют на холоду в аммиачном р-ре I и оттитровывают избыток I р-ром MgCl_2 , применяя в качестве индикатора хром кислотный темно-синий или эриохром черный Т — тропеолин ОО. Содержание Ca вычисляют по разности или определяют осаждением Ca в фильтрате в виде оксалата. Относительная ошибка определения Sr при соотношении Sr: Ca от 2:1 до 1:5 составляет $\sim 1\%$. При содержании $\text{Sr} \geq 1$ мг и $\text{Ca} \leq 200$ мг кислотный р-р окислов после добавления I, II и аммиака разбавляют до 30 мл, прибавляют разб. H_2SO_4 до кислотной р-ции, вводят 10 мл ацетатного буферного р-ра с pH 4,5, 10 мл 10%-ного р-ра $(\text{NH}_4)_2\text{SO}_4$, 50 мл 96%-ного этанола и выдерживают ~ 24 часа. Осадок отфильтровывают через двойной плотный фильтр, промывают 5—6 раз 50%-ным этанолом, содержащим небольшое кол-во $(\text{NH}_4)_2\text{SO}_4$, прокалывают и взвешивают. Метод применен для определения Sr в апатите. Пробу (0,2 г) растворяют в HNO_3 , прибавляют 10 мл 10%-ного р-ра I до щел. р-ции по II и далее анализируют, как описано выше при определении малых кол-в Sr. Полученные результаты хорошо согласуются с данными определения Sr методом изотопного разбавления.

Е. Богомольская

9Д41. Быстрый анализ щелочноземельных элементов. II. Отделение бария от стронция. III. Отделение кальция от магния. Такамото С. «Нихон кагаку засси, Nippon Kagaku zasshi, J. Chem. Soc. Japan. Pure Chem. Sec.», 1960, 81, № 10, 1539—1544, A104 (японск.; рез. англ.).—II. Модифицирована обычная методика отделения Ba от Sr, основанная на осаждении Ba в виде хромата: для надежного удержания больших кол-в Sr в р-ре использована оксэтилэтилендиуксусная (I) или нитрилтриуксусная (II) к-ты. К аммиачному анализируемому р-ру, содержащему Ba^{2+} , Sr^{2+} и большой избыток маскирующего реактива, прибавляют K_2CrO_4 , нагревают 10 мин. на кипящей водяной бане, охлаждают 1 час льдом и центрифугируют. Осадок промывают, растворяют в H_3PO_4 , и освобожденный CrO_4^{2-} титруют р-ром соли $Fe(2+)$ с использованием дифениламинсульфокислоты в качестве индикатора. По этой методике можно легко отделить $<0,1$ ммоль Ba от $<0,8$ ммоль Sr с небольшим соосаждением. II обладает большей маскирующей силой, чем I, но более чувствительна к изменению pH среды. Ионы щел. металлов и обычные анионы не мешают, но мешают анионы — осадители Sr (F^- , CO_3^{2-} , $C_2O_4^{2-}$, PO_4^{3-} и др.).

III. Модифицирована обычная методика отделения Ca от Mg, основанная на осаждении Ca в виде оксалата: для надежного удержания больших кол-в Mg в р-ре использован глицин или иминодиуксусная к-та (III). К аммиачному анализируемому р-ру, содержащему Ca^{2+} , Mg^{2+} и большой избыток маскирующего реактива, прибавляют $K_2C_2O_4$, нагревают 10 мин. на кипящей водяной бане, охлаждают 1 час льдом и центрифугируют. Осадок промывают, растворяют в стандартном р-ре комплексона III, и избыток последнего оттитровывают при pH 10 р-ром соли Mg. По этой методике можно легко отделить $<0,2$ ммоль Ca от <2 ммоль Mg однократным осаждением. III обладает большей маскирующей силой, чем глицин, но в ее присутствии очень малые кол-ва Ca ($<0,02$ ммоль) осаждаются незначительно. Ионы щел. металлов и обычные анионы не мешают, но F^- и PO_4^{3-} осаждают Mg. Сообщение I см. РЖХим, 1961, 3Д56. Резюме автора

9Д42. Новый простой метод разделения рения и молибдена. Новиков А. И. «Докл. Акад. Фанзон РСФСР», 1960, 3, № 2, 19—21 (рез. тадж.).—Разработан метод разделения Mo и Re, основанный на соосаждении молибдат-ионов с $Fe(OH)_3$ при pH $<7,5$. К 10—50 мл р-ра, содержащего 1 мг Mo и 1—100 μ Re, прибавляют NH_4Cl до конц-ии 1 моль/л, вводят ~ 10 мг Fe^{3+} (≥ 7 мг Fe^{3+} на каждый мг Mo), осторожно осаждают $Fe(OH)_3$, прибавлением аммиака или пиридина до коагуляции осадка и центрифугируют (весь Re находится в р-ре, а Mo — в осадке). Для отделения Mo от носителя осадок растворяют в HCl, полученный р-р выливают при перемешивании в избыток щелочи и центрифугируют. При этом Mo переходит в р-р. Продолжительность разделения 10—15 мин.

Е. Богомилская
9Д43. Исследования новообменной экстракции высокомолекулярными аминами. Сообщение V. Экстракция германия, олова и свинца из серноокислых растворов. Сообщение VI. Экстракция четырехвалентных селена и теллура и их разделение. Nakagawa Genkichi. «Нихон кагаку засси, Nippon Kagaku zasshi, J. Chem. Soc. Japan. Pure Chem. Sec.», 1960, 81, № 8, 1255—1260, A87 (японск.; рез. англ.).—V. Раствор N-додецилтриалкилметиламина (I) в ксилоле (II) почти нацело экстрагирует Ge из 7—11 М HCl. Из 2 М HCl р-р I в II практически не извлекает Ge, но экстрагирует $\sim 40\%$ Pb и 70% Sn(4+). С повышением конц-ии HCl до 4,5—6 моль/л экстрагирование Sn(4+) достигает максимума (97%). Pb экстрагируется при конц-ии HCl 0,5—6 моль/л; максимум извлечения Pb имеет место при конц-ии HCl в р-ре 1,5 М. Экстрагированный р-ром I Ge реэкстрагируют 0,5—1,0 М р-ром HCl,

Sn(4+) — 0,5—1,0 М р-ром HNO_3 , Pb — 0,5 М р-ром HNO_3 , или 0,5 М р-ром CH_3COONa .

VI. В качестве экстрагента наряду с р-ром I в II исследован р-р трибензиламина (III) в $CHCl_3$. Р-р I в II экстрагирует Se(4+) из р-ров с конц-ией HCl > 5 моль/л. Извлеченный анионитом Se не реэкстрагируется водой, HCl, HNO_3 или NaOH. Se, экстрагированный р-ром III в $CHCl_3$, реэкстрагируется водой или разб. HCl. Te(4+) легко экстрагируется при конц-ии HCl > 4 моль/л; Te количественно экстрагируется из р-ров > 6 М по HCl. Реэкстракция Te осуществляется водой. Метод может быть использован для отделения Se от Te. Сообщ. IV см. РЖХим, 1961, 5Д41. Н. П.

9Д44. Исследования новообменной экстракции высокомолекулярными аминами. VII. Экстракция меди, серебра, кадмия, ртути, галлия и индия из солянокислых растворов. VIII. Экстракция трех- и шестивалентного хрома, четырех- и пентавалентного ванадия и двухвалентного марганца. Отделение железа от хрома, хрома от титана и ванадия, ванадия от титана. Накагава Г. «Нихон кагаку засси, Nippon Kagaku zasshi, J. Chem. Soc. Japan. Pure Chem. Sec.», 1960, 81, № 10, 1533—1539, A103 (японск.; рез. англ.).—VII. Изучено поведение $Cu(2+)$, Ag, Cd, Hg(2+), Ga(3+) и In при их экстрагировании из солянокислых р-ров ксилольным р-ром N-додецилтриалкилметиламина (Амберлита LA-1). Установлено, что $Cu(2+)$ начинает экстрагироваться при конц-ии HCl > 3 моль/л и обнаруживает максим. экстрагируемость ($\sim 35\%$) при конц-ии HCl 7 моль/л. Ag экстрагируется из разб. солянокислых р-ров, и экстрагируемость его заметно уменьшается с увеличением конц-ии HCl. Cd хорошо экстрагируется в широком интервале конц-ий HCl и имеет максим. экстрагируемость ($\sim 97\%$) при конц-ии HCl 1—8 моль/л. Колич. экстракция Hg(2+) происходит, как и в случае Cd, из 1—8 М HCl. Ga(3+) полностью извлекается при конц-ии HCl > 4 моль/л. Максим. экстракция In ($\sim 87\%$) наблюдается из 6—7 М HCl; с повышением конц-ии HCl экстрагируемость In заметно уменьшается. Эффективным реэкстрагентом для Ag является 4 М NH_4OH , для Cd — разб. HNO_3 , для Hg(2+) — 6—8 М HNO_3 , для Ga(3+) и In — разб. HNO_3 или H_2SO_4 . Отмечена аналогия между экстрагируемостью металлов амином и их сорбируемостью на анионите.

VIII. Изучено поведение $Cr(3+)$, $Cr(6+)$, V(4+), V(5+) и Mn(2+) при их экстрагировании из солянокислых р-ров ксилольным р-ром Амберлита LA-1. Найдено, что $Cr(3+)$ не извлекается ни из солянокислых, ни из серноокислых р-ров. $Cr(6+)$ экстрагируется количественно из обоих р-ров, но в > 6 М HCl $Cr(6+)$ восстанавливается до $Cr(3+)$, и его экстрагируемость резко уменьшается. V(5+) начинает экстрагироваться из > 3 М HCl и проявляет максим. экстрагируемость ($\sim 90\%$) при конц-ии HCl 6—7 моль/л; при конц-ии HCl > 8 моль/л V(5+) восстанавливается до VO^{2+} , и экстрагируемость его снижается. Из серноокислых р-ров V(5+) экстрагируется плохо. V(4+) не извлекается ни из солянокислых, ни из серноокислых р-ров. Mn(2+) начинает экстрагироваться из > 4 М HCl и достигает максим. экстрагируемости ($\sim 12\%$) при конц-ии HCl 6,5 моль/л. Полная реэкстракция $Cr(6+)$ из органич. фазы происходит при обработке 0,5 М NaOH или 0,1 М $FeSO_4$, а для колич. реэкстрагирования V(5+) пригодны разб. HNO_3 , H_2SO_4 или NaOH. Полученные результаты с успехом использованы для разработки экстракционных методов отделения Fe от Cr, Cr от Ti и V от Ti. Резюме автора

9Д45. Триалкилтиофосфаты как избирательные экстрагенты для серебра и ртути. Handley T. H., Dean John A. Trialkyl thiophosphates. Selective extractants of silver and mercury. «Analyst. Chem.», 1960, 32, № 13, 1878—1883 (англ.).—С помощью радиоактивных индикаторов Ag^{110} и Hg^{203} показана возможность

применения триизоктилтиофосфата (I) и три-*n*-бутилтиофосфата (II) — эфиров монотиофосфорной к-ты, содержащей слабую электронодонорную P-S-группу, — для избирательного экстрагирования Ag и Hg(2+) из азотнокислых р-ров. Из 20 мл воды, р-ра, 6 М относительно HNO₃, при однократном взбалтывании с 5 мл 30%-ного р-ра I или 15%-ного р-ра II в CCl₄ количественно извлекаются такие малые кол-ва Ag, как 0,04 μ . Экстрагируемость Hg из 6 М HNO₃ в 0,67 М р-р I в CCl₄ достигает 97% (после двух экстракционных равновесий); более полно Hg извлекается при использовании в качестве экстрагента 1,06 М р-ра II в CCl₄. Экстракция HNO₃ в р-ры I и II в CCl₄, происходящая и в отсутствие Ag и Hg, заметно усиливается в их присутствии, и HNO₃ начинает конкурировать с AgNO₃ или Hg(NO₃)₂ в образовании ионоассоциированных комплексов с I или II (структура и механизм образования таких солятов между молекулами экстрагента, HNO₃ и нитрата металла обсуждаются). Такое конкурирующее влияние HNO₃ во многом определяет экстракционную картину для Ag и Hg, хотя выявляет определенную зависимость между экстрагированными кол-вами AgNO₃ (или Hg(NO₃)₂) и HNO₃ при данных конц-ях этих в-в в водн. фазе не представляется возможным. Для практич. целей оптимальные конц-ии HNO₃ и AgNO₃ в водн. фазе соответствуют 6 и 0,019 моль/л, а конц-ия I в органич. фазе — 0,669 моль/л. При увеличении т-ры экстрагируемость Ag в отсутствие HNO₃ уменьшается, а экстрагируемость HNO₃ в отсутствие Ag, наоборот, увеличивается; при совместном присутствии AgNO₃ и HNO₃ коэф. распределения Ag с возрастанием т-ры (при конц-ии I 0,67 моль/л) заметно увеличивается, в то время как экстрагируемость HNO₃ практически не зависит от т-ры. Присутствие других анионов и к-т на экстракцию Ag и Hg в р-ры I и II существенного влияния не оказывает. Введение 2-го нитрата (напр., NaNO₃) в экстракционную систему приводит, через влияние одноименного иона, к увеличению конц-ии ионоассоциированных солятных молекул, а следовательно, и к улучшению экстракции (эффект высаливания). Реэкстракция Ag и Hg из органич. фазы происходит при многократной обработке органич. фазы водой, но более эффективным реэкстрагентом для Ag и Hg является разб. р-р NaOH (или NH₄OH). Из 35 испытанных элементов только V и Ta проявляют незначительную склонность к экстракции в условиях извлечения Ag и Hg(2+); поэтому I и II являются превосходными реагентами для экстракционного отделения Ag и Hg от других элементов.

Ф. Судаков

9D46. Отделение олова от свинца экстрагированием высокомолекулярными аминами. Накагава Г. «Бунсёки какаку, Japan Analyst», 1960, 9, № 10, 821—825 (японск.; рез. англ.).—Изучено поведение Sn(4+) и Pb при экстрагировании их из солянокислых р-ров ксилольным р-ром *N*-лаурилтриалкилметиламина (Амберлита LA-2). Установлено, что указанным р-рителем экстрагируется 96—98% Sn при конц-ии HCl 5—9 моль/л; Pb практически не извлекается при конц-ии HCl > 8 моль/л. Оптимальной конц-ией HCl в водн. фазе для колич. разделения Sn—Pb признана 7—8 М. На основании полученных результатов разработан метод экстракционного отделения Sn от Pb. 20 мл анализируемого р-ра (7—8 М относительно HCl) взбалтывают 2 раза с 20 мл 10%-ного ксилольного р-ра Амберлита LA-2. Объединенные экстракты промывают 7—8 М р-ром HCl (20 мл) и взбалтывают 3 раза с 30 мл 0,5 М HNO₃. В полученных водн. р-рах определяют Sn и Pb фотографически на фоне HCl—NH₄Cl и тартрата Na соответственно. При анализе Cu-сплавов на Sn и Pb получены хорошие результаты.

Резюме автора

9D47. Разделение и микроопределение циркония и гафния. V. О радиохимической чистоте гафния-181 (P). VI. Разделение циркония и гафния экстрагированием

циклогексаном. Хосино II. «Нихон какаку дзасси, Nippon Kagaku Zasshi, J. Chem. Soc. Japan. Pure Chem. Sec.», 1960, 81, № 10, 1569—1574, 1574—1578, A105 (японск.; рез. англ.).—Установлено, что некоторые образцы радиоизотопа Hf¹⁸¹ могут содержать Sc⁴⁶ в качестве радиоим. примеси. При доказательстве этого Hf¹⁸¹ сорбировали из 2 н. HNO₃ ионообменной смолой Амберлит IR-120 и элюировали 1 н. р-ром H₂SO₄; затем для удаления остаточной радиоактивности через колонку пропускали 3 н. HCl и в полученном элюате по периоду полураспада и энергиям β - и γ -излучения идентифицировали Sc⁴⁶.

VI. При 30° определены коэф. распределения Zr и Hf (отношение конц-ии Zr или Hf в циклогексановой фазе к конц-ии Zr или Hf в водн. фазе) и коэф. разделения Zr—Hf (отношение коэф. распределения Hf к коэф. распределения Zr). Выявлены преимущества циклогексана (I) как экстрагента перед метилизобутилкетон и диэтиловым эфиром: 1) I имеет высокий коэф. разделения (до 120), а также большие коэф. распределения (в ~10 раз превышающие соответствующие величины для метилизобутилкетона); 2) влияющие конц-ии (NH₄)₂SO₄ в водн. фазе на величину коэф. разделения сравнительно мало; 3) коэф. разделения увеличивается с уменьшением т-ры; 4) HSCN, растворенная в I, достаточно устойчива. Сообщения IV см. РЖХим, 1961, 7Д53.

Резюме автора

9D48. Экстракционное отделение тория от редкоземельных элементов. Тада К., Ои Н., Цуго Я. «Нихон какаку дзасси, Nippon Kagaku Zasshi, J. Chem. Soc. Japan. Pure Chem. Sec.», 1960, 81, № 10, 1554—1558, A104—A105 (японск.; рез. англ.).—Показана возможность отделения Th от редкоземельных элементов (РЗЭ) путем однократного экстрагирования его из водн. р-ра, содержащего NH₄NO₃, смесью метилизобутилкетона с азином (метилизобутилкетазин, изофорокетазин или дибензалгидразин). Этот р-рителю экстрагирует Th более эффективно, чем один метилизобутилкетон или трибутилфосфат. Экстрагируемость РЗЭ в присутствии Th (0—0,5 μ -ион/л), проверенная радиометрически по Ce¹⁴⁴, Pr¹⁴⁴, Sm¹⁵³, Eu¹⁵²⁻¹⁵⁴ и Th¹⁷⁰, хотя в общем возрастает при добавлении к р-рителю азина, но все же остается незначительной по сравнению с экстрагируемостью Th (при конц-ии Th < 0,3 μ -ион/л получается в 100—1000 раз больший коэф. разделения, чем при использовании трибутилфосфата или окиси мезитила).

Резюме авторов

9D49. Экстракция урана и плутония из ацетатного раствора триизоктиламином. Отделение от тория и продуктов деления. Мооре F. L. Liquid-liquid extraction of uranium and plutonium from acetate solution with triisooctylamine. Separation from thorium and fission products. «Analyst. Chem.», 1960, 32, № 9, 1075—1079 (англ.).—Установлено, что триизоктиламин (I) в ксилоле экстрагирует из ацетатных р-ров U(6+) и Pu(6+) (макро- и микроколичества) на 97—98%. Pu³⁺ экстрагируется меньше чем на 1%. Pu⁴⁺ — на 1,9%. В качестве р-рителя можно применять также метилизобутилкетон, метилхлорид и хлороформ. Условия экстрагирования изучены с применением 5%-ного р-ра I в ксилоле и U²³³. Прибавление к экстрагенту 3% (по объему) бутилцеллольва улучшает расслоение фаз после взбалтывания. U извлекается количественно экстрагированием в 2 приема из 0,5—1 М CH₃COOH. При наличии в р-ре минер. к-т (HCl, HNO₃, H₂SO₄) уран предварительно выделяют аммиаком, и осадок растворяют в CH₃COOH; малые кол-ва U выделяют на Fe(OH)₃. Из уксуснокислого р-ра Fe³⁺ не экстрагируется. Если в р-ре присутствует Nb, то при обработке осадка уксусной к-той U полностью переходит в р-р. Реэкстракцию лучше всего выполнять 1 М р-ром NH₄HCO₃ (за один прием реэкстрагируется > 99,9% U); менее полно реэкстрагируют конц. аммиак и минер. к-ты. Cs¹³⁷, Sr⁸⁵, Eu¹⁵² из 1 М CH₃COOH экстрагиру-

ются менее чем на 0,001%, Ru^{106} экстрагируется на 11,5%, Zr^{95} на 27,9%, Nb^{95} на 11,1%. В. Лукьянов

9Д50. Отделение индия от меди электролизом с ртутным катодом. Цыб П. П., Саюн М. Г., Латхер К. Х. «Сб. тр. Всес. н.-и. горно-металлург. ин-т цвет. мет.», 1959, № 5, 83—87.—Показана возможность отделения малых кол-в In от больших кол-в Cu электролитич. разложением амальгамы, содержащей Cu и In. Для этого предварительно проводят электролиз с Hg-катодом из р-ров, содержащих In и Cu; полную выделение In контролируют с помощью радиоактивного изотопа In^{114} . По окончании электролиза амальгаму отделяют от электролита под током, помещают ее в электролизер, прибавляют 80 мл 1 н. H_2SO_4 , и проводят разложение амальгамы при плотности тока 0—10 ma/cm^2 . Потенциал анода при этом составляет от —0,26 до —0,22 в, и в процессе разложения амальгамы In изменяется мало (лишь после того, как на поверхности амальгамы In практически не остается, потенциал возрастает до значений, необходимых для окисления Cu). В этот момент амальгаму (под током) отделяют от электролита, и определяют кол-во In в р-ре. При этом In количественно в р-р не извлекается. Для выделения остающегося в амальгаме In амальгаму вновь помещают в электролизер, добавляют 80 мл 1 н. H_2SO_4 , и проводят разложение амальгамы без приложения внешней э.д.с. при перемешивании и т-ре 80° в течение 1 часа; после этого р-р отделяют от амальгамы и определяют In. Н. Удалцова

9Д51. Определение продуктов деления в дождевой воде и пыли. I. Ионнообменное разделение стронция и цезия. Цубота Х. «Бунсэки кагаку, Japan Analyst», 1960, 9, № 9, 763—790 (японск.).—Обзор. Библ. 24 назв.

А. Петренко

9Д52. Отделение бериллия от алюминия и железа методом ионного обмена. Гордеева М. Н., Провириков В. Д. «Уч. зап. ЛГУ», 1960, № 297, 5—9.—Разработан метод, основанный на различном строении разделяемых катионов к катиониту КУ-2 и избирательном извлечении Be. Наибольшей избирательностью по отношению к сорбируемому смолой Be обладает 2,5 н. HCl, которая не десорбирует Al и Fe, но вымывает Ti. Метод рекомендуется для определения Be в силикатных породах (СП). Для выполнения анализа 1 г СП сплавляют с Na_2CO_3 , плав выплавляют HCl (1:4), отделяют кремневую к-ту и добавлением р-ра NH_4OH осаждают гидроокиси Al, Fe, Ti, Be и др. элементов. Осадок промывают 2%-ным р-ром NH_4NO_3 , растворяют в возможно малом кол-ве конц. HCl и разбавляют до определенного объема водой. В аликвотной порции р-ра комплексометрич. методом определяют Al и Fe, а другую пропускают со скоростью 0,5 мл/мин через колонку диам. 0,9 см и высотой 9 см (наполненную катионитом КУ-2), которую затем промывают 20—30 мл воды и пропускают 150—200 мл 0,5 н. HCl (со скоростью 1—2 мл/мин) для извлечения Be и Ti. В полученном фильтрате Be определяют фотометрич. методом при помощи бериллона. Al и Fe десорбируют пропусканием 20—25 мл 4 н. HCl. Метод позволяет отделять ≤ 2 мг Be от значительно превосходящих кол-в Al и Fe. Однако для обеспечения полноты разделения общее кол-во поглощенных ионов в расчете на 1 г смолы не должно превышать 5—6 мг. Метод применен для определения Be в СП с его содержанием 0,02—0,075%. Н. Полянский

9Д53. Разделение некоторых редкоземельных элементов методом распределительной хроматографии с обращенными фазами. Siekierski S., Fidelis I. Separation of some rare earths by reversed-phase partition chromatography. «J. Chromatogr.», 1960, 4, № 1, 60—64 (англ.).—Разделение основано на поглощении анализируемой смеси редкоземельных элементов (РЗЭ) хроматографич. колонкой (ХК), заполненной кизельгуром (I) и содержащей трибутилфосфат (II) в

качестве неподвижной фазы, и последующем элюировании РЗЭ конц. HNO_3 . Фракцию I с размером зерен $< 0,08$ мм смешивают с водой, отбирают частицы, осевшие в течение 10 мин., отделяют их от воды, высушивают, обрабатывают в соответствии с ранее описанным методом (Howard G. A., Martin A. J. P. «Biochem. J.», 1950, 46, 523) дихлордиметилсилианом и заполняют ими ХК (диам. 0,3 см, длина 11 см). Затем вводят 0,18 мл II и продавливанием воды вытесняют воздух. Приготовленная указанным способом ХК имеет эффективность в 400 теоретич. тарелок. Перед использованием ХК промывают р-ром HNO_3 , насыщенным II, и в верхнюю часть ХК вводят 0,05 мл анализируемого активного р-ра, после чего пропускают вымывающий р-р со скоростью 4 капли в мин. В качестве вымывающего р-ра для разделения смесей Ce + Nd + Pm применяют 15,8 М HNO_3 ; при этом кривые элюирования отдельных компонентов несколько перекрываются. Смесью Ce + Pm + Sm + Eu + Gd + Tb разделяют с помощью 15,1 М HNO_3 с некоторым перекрыванием кривых элюирования для Eu и Gd. Разделение Eu + Tb + Y осуществляют 11,5 М р-ром HNO_3 . Метод использован для разделения радиоактивных изотопов без носителей, а также для фракционирования больших кол-в смесей (порядка 0,02 мг). Н. Полянский

9Д54. Выделение германия методом ионного обмена. Шостак Ф. Т., Виттих М. В., Шарова А. К., Чуфарова И. Г. «Изв. Сибирск. отд. АН СССР», 1960, № 8, 69—74.—Исследованы различные ионообменные смолы (ИС) (в том числе впервые синтезированные авторами) с целью выбора наиболее специфичных для Ge. Установлено, что сульфокатиониты (СК) практически не сорбируют Ge из сернокислых или солянокислых р-ров. Наибольшие кол-ва Ge (1,1 мг/г из сернокислого р-ра и 1,5 мг/г из солянокислого р-ра) в статич. условиях сорбирует бифункциональный катионит РОАС, содержащий OH- и COOH-группы. По мнению авторов, повышенная сорбция Ge в данном случае обусловливается образованием комплексных соединений. Введение 1 г $NH_4OH \cdot HCl$ на 100 мл р-ра соли Ge вызывает значительное повышение сорбируемости Ge на сульфокатионных КУ-1Г и КУ-21, содержащих SO_3H , COOH- и OH-группы; емкость указанных катионитов по Ge составляет соответственно 3,3 и 4,9 мг/г. Новые селективные ИС синтезированы на основе новолачных смол, двух- и трехатомных фенолов и их производных, различных изомеров оксихинолина, танина, фенилфлуорона и органич. соединений различной природы. Из синтезированных авторами ИС наибольшее кол-во Ge из 3—5%-ной H_2SO_4 сорбируют смолы 118-Ge (8,7 мг/г) и 122-Ge (8,7 мг/г). Для отделения Ge от других элементов рекомендуется, как наиболее селективная, ИС 105-Ge, которая из 3,5%-ной H_2SO_4 практически не поглощает Zn, As(3+) и As(5+).

Н. Полянский

9Д55. Ионнообменное отделение германия. Cabell Thomas R., Orr Allen A., Hayes John R. Ion exchange separation of germanium. «Analyst. Chem.», 1960, 32, № 12, 1602—1603 (англ.).—Описан метод отделения Ge от примесей при помощи смешанной катионитово-анионитовой колонки с последующим фотометрич. определением Ge ранее описанным способом (РЖХИМ, 1957, № 11, 37981). Для заполнения колонки диам. 14 мм и длиной 50 см применяют смесь 7 г калцита HCR в H-форме (степень поперечной связанности 8%, величина зерен 50—100 меш) с 3 г слабоосновного анионита Амберлит IR-45. Для каждого разделения берут свежую смесь смол. Ge не поглощается колонкой и нацело вымывается 300 мл воды. Для определения Ge в каменном угле пробу растирают до 100 меш, доводят до воздушно-сухого состояния и затем (0,3000 г) сплавляют с 0,15 г Na_2CO_3 вначале при 450°, а потом при 1000°. Плав растворяют в 6 М HCl, вводят (для оценки точности метода) 0,300 мг Ge

фильтруют, добавляют NaOH до pH 2 и пропускают через колонку. Колонку промывают водой в фильтрате, объединяем с промывной жидкостью, определяют Ge. Средняя квадратичная ошибка определения $\leq 1,1$ отн.%. При таком отделении Fe, Sn, Cr, Sb и Mo, содержащиеся в анализируемых образцах, не мешают определению Ge. Метод не обеспечивает отделение Ge от Ti и W.

Н. Полянский
9Д56. Применение комплексона III для количественного разделения пятивалентного ванадия и трехвалентного хрома. Ш и шков в Д. А. Приложение на комплексон III за хроматографско разделение на ванадий (V) и хром (III). «Химия и индустрия» (Бълг.), 1960, 32, № 3, 69—71 (болг.; рез. русск., нем.).—Метод основан на образовании устойчивого анионного комплекса V(5+) с комплексом III (I), избирательно поглощаемого анионитом ЭДЭ-10П (II) в Cl-форме и не поглощаемого катионитом КУ-2 (III) в Na-форме из р-ра с pH 3—5. Для выполнения разделения к анализируемому р-ру прибавляют I до его конц-ии в р-ре 0,5%, устанавливают pH ~ 4 и пропускают со скоростью 3 мл/мин через колонку диам. 10 мм, заполненную 10 г II или III с размером зерен 0,5—1 мм и предварительно промытую 0,5%-ным р-ром I с pH 4. Несорбируемый компонент вымывают пропусканием 50 мл 0,5%-ного I с pH 4. В случае применения II в фильтрате определяют V, в случае применения III — Cr. Метод с успехом использован для разделения смесей с отношением V:Cr от 10 000:1 до 1:10 000.

В. Полянский
9Д57. Отделение урана от редкоземельных элементов. Purushottam D. Separation of uranium and rare earths. «Current Sci.», 1960, 29, № 8, 308—309 (англ.).—Для отделения U от редкоземельных элементов (PЗЭ) Ce-группы р-р нитратов (~ 100 мл) пропускают со скоростью 3 мл/мин через колонку высотой 1 см и сечением 1 см², заполненную ионообменной смолкой Амберлит IR-120 и предварительно промытую 100 мл 2%-ного р-ра NaCl, 200 мл 5%-ной HCl и 300 мл воды. Промыванием колонки 350 мл 1 н. HCl нацело вымывают U, а затем десорбируют PЗЭ с помощью 600 мл 1,68 н. HCl. При отношении PЗЭ:U = 12:1 часть PЗЭ проскакивает в первый фильтрат. Чтобы избежать проскока U вымывают 2 л 0,5 н. HCl. Затем десорбируют PЗЭ, пропускавая 1,2 л 1,68 н. HCl.

Н. Полянский
9Д58. Использование разложения ферроцианида в анализе. II. Открытие ртути с помощью ферроцианида в присутствии некоторых нитрозосоединений. III. Фотометрическое определение ультрамикрочислеств серебра. IV. Новая капельная реакция на золото. Kraljić I. Dekompozicija heksacijanoferata (II) u analizi. II. Dokaz žive s heksacijanoferatom (II) uz neke nitrozospojeve. III. Photometrische Silberbestimmung im Ultramikrobereich. IV. New spot test for gold. «Croat. chem. acta», 1960, 32, № 2, 103—107 (серб.-хорв.; рез. англ.); «Mikrochim. acta», 1960, № 4, 586—591 (нем.; рез. англ., франц.); «Anal. chim. acta», 1960, 23, № 6, 514—517 (англ.; рез. франц., нем.).—II. При открытии Hg, основанном на каталитич. действии Hg на разложение $\text{Fe}(\text{CN})_6^{4-}$ в присутствии нитроэнобенола, исследована возможность замены $\text{C}_6\text{H}_5\text{NO}_2$ неустойчивого в водн. р-рах, другими нитроэнопроизводными. В результате изучения оптимальных условий р-ций и чувствительности открытия Hg установлено, что наиболее удобными реактивами — легко синтезируемыми и достаточно устойчивыми в водн. р-рах — являются *n*-нитроэнодиметиланилин и *n*-нитроэнодиэтиланилин. Однако чувствительность открытия Hg в этом случае понижается до 0,004 μg Hg в капле р-ра.

III. Разработан метод определения ультрамикрочислества Ag, основанный на каталитич. разложении $\text{K}_4\text{Fe}(\text{CN})_6$ под действием Ag^+ (при 60° и pH 3,2) с последующим спектрофотометрированием при 522 мк

комплекса выделившегося Fe^{2+} с 2,2'-диперидилом. К 5 мл анализируемого р-ра прибавляют 0,5 мл 0,2%-ного р-ра 2,2'-диперидила в ацетатной буферной смеси (pH 3,2) и 0,25 мл 1%-ного р-ра $\text{K}_4\text{Fe}(\text{CN})_6$, выдерживают 3 мин. в термостате при 60° (при комнатной т-ре р-ция протекает медленно, при т-ре $> 80^\circ$ изменяется окраска р-ра сравнения), быстро охлаждают до комнатной т-ры и спектрофотометрируют при 522 мк в 0,5-см кюветах, используя в качестве р-ра сравнения р-р, обработанный аналогичным способом, но не содержащий Ag. При содержании Ag $2 \cdot 10^{-7}$ — $2 \cdot 10^{-6}$ моль/л ошибка $\leq 8,2\%$.

IV. Предложена новая капельная р-ция для открытия Au, основанная на каталитич. разложении $\text{K}_4\text{Fe}(\text{CN})_6$ под действием Au^{3+} в присутствии нитробензола. К капле 0,5%-ного р-ра $\text{K}_4\text{Fe}(\text{CN})_6$ прибавляют каплю р-ра смеси (1:4) ацетатного буферного р-ра (pH 5) и нитробензола и каплю анализируемого р-ра. Через некоторое время в присутствии Au появляется ярко-розовая или фиолетовая окраска (контрольная проба бесцветная или бледно-желтая). Р-цию проводят в затененном месте или при электрич. свете. Открытый минимум 0,05 μg Au на 0,05 мл, предельное разбавление 1:1 000 000. Мешающее действие Fe^{3+} , Cu^{2+} и UO_2^{2+} устраняют прибавлением KJ , $\text{S}_2\text{O}_3^{2-}$, SO_3^{2-} и CN^- значительно снижают чувствительность р-ции. Сообщение I см. РЖХим, 1960, № 23, 9207.

С. Зеленов

9Д59. Сравнение прямого комплексометрического определения кальция и магния в присутствии алюминия, железа и титана методами Британской и Французской керамических ассоциаций. Zalesky Z., Voinovitch I. A. Vergleichung der Methoden BCRA und SFC der direkten komplexometrischen Bestimmung von Ca und Mg bei Anwesenheit von Al, Fe und Ti. «Keram. Z.», 1960, 12, № 9, 491—493 (нем.).—Проведено сравнительное изучение комплексометрич. методов определения Ca и Mg в присутствии Al, Fe и Ti, используемых Британской (1-й метод) и Французской (2-й метод) керамич. ассоциациями. По 1-му методу Ca титруют р-ром комплексона III (I) при pH 12 в присутствии триэтанолamina (II) и смеси мурексида и нафтолового зеленого В, а Mg — при pH 10 с о-крезол-фталенинкомплексом (III) в качестве индикатора. 2-й метод включает титрование Ca р-ром I при pH 12 с кальцеином в присутствии винной к-ты и титрование Mg при pH 10 в присутствии винной к-ты и II с применением эриохрома черного Т в качестве индикатора. По 1-му методу возможно определение Ca в присутствии 170 мг Al_2O_3 , 50 мг Fe_2O_3 и 10 мг TiO_2 и Mg — в присутствии 170 мг Al_2O_3 , 50 мг Fe_2O_3 и 30 мг TiO_2 . По 2-му методу определению Ca не мешают 170 мг Al_2O_3 , 10 мг Fe_2O_3 и 5 мг TiO_2 , а определению Mg — 50 мг Al_2O_3 , 10 мг Fe_2O_3 и 10 мг TiO_2 . Отмечено, что переход окраски в конечной точке при титровании Ca с кальцеином более четкий, чем с применением смеси мурексида с нафтоловым зеленым В, в то же время конечная точка при определении Mg по 2-му методу устанавливается труднее, чем по 1-му. Поэтому при определении Ca и Mg в силикатах после удаления SiO_2 смесью H_2SO_4 и HF рекомендуется проводить определение Ca по 2-му, а Mg — по 1-му методам. Для определения Ca к 50 мл солянокислого р-ра прибавляют 10 мл 2%-ного р-ра винной к-ты, 10 мл 4 н. р-ра КОН, 100 мг смеси кальцеина с NaCl (1:100) и титруют 0,01 или 0,05 М р-ром I до перехода желто-зеленой окраски в розовую. Для определения Mg к такой же порции р-ра прибавляют 20 мл II, аммиачный буферный р-р с pH 10 до синего окрашивания лакмусовой бумаги и сверх этого еще 10 мл этого р-ра, вводят 10 капель 0,1%-ного р-ра III и титруют р-ром I до исчезновения фиолетовой окраски.

В. Тишцова

9Д60. Осадочная хроматография катионов на бумаге с применением оксихинолина. VII. Определение

меди и железа по площади зон. Nagai Hideo, Kikuchi Takeshi. «Нихон катяку дзасси, Nippon Kagaku zasshi, J. Chem. Soc. Japan. Pure Chem. Sec.», 1960, 81, № 8, 1271—1273, A88 (японск.; рез. англ.).—При изучении разделения Cu и Fe методом осадочной хроматографии на бумаге с применением оксихинолина установлена прямая зависимость между размером зоны и содержанием в ней металла. Точность определения Cu и Fe может быть несколько улучшена в результате замены $n\text{-C}_4\text{H}_9\text{OH}$, применяемого для хроматографирования, на $\text{iso-C}_4\text{H}_9\text{OH}$ и регулированием pH анализируемого р-ра и проявителя. Сообщение VI см. РЖХим, 1959, № 10, 34577.

9Д61. Внутренний электролиз при заданном потенциале. II. Определение серебра кулонометрическим внутренним электролизом при заданном потенциале. III. Определение висмута в присутствии свинца и кадмия кулонометрическим внутренним электролизом при заданном потенциале. Niwa Ichihiko, Musha Soichiro. «Нихон катяку дзасси, J. Chem. Soc. Japan. Pure Chem. Sec.», 1960, 81, № 7, 1097—1102, 1102—1105, A78 (японск.; рез. англ.).—II. При определении Ag методом внутреннего электролиза анализируемый р-р помещают в катодное отделение ячейки, состоящей из двух сосудов, разделенных диафрагмой. В одном сосуде находится р-р $\text{Bi}(\text{NO}_3)_3$ и электрод — насыщ. амальгама Bi, в другом — Au-катод. При замыкании цепи Ag отлагается на катоде с выходом по току 100%. Для удаления растворенного O_2 через р-р пропускают ток N_2 . Кол-во протекающего электричества определяют из графика «сила тока — время» пламетрически или при помощи включенного в цепь самописца — интегратора тока. Относит. ошибка определения 0,5—2 мг Ag составляет $\pm 3\%$.

III. Очень малые кол-ва Bi определяют в присутствии больших кол-в Pb и Cd методом, аналогичным описанному выше. Bi выделяют на Cu-амальгамированном электроде из р-ра 0,01 F по HNO_3 и 0,1 F по KNO_3 . Анаодом является насыщ. амальгама свинца. Кол-во электричества регистрируют самописцем — интегратором тока. Метод позволяет определять 125—506 μg Bi с ошибкой $\sim 3\%$ в присутствии 10-кратного избытка Pb и Cd. При 400-кратном избытке Pb и Cd ошибка возрастает до 5%. Сообщение I см. РЖХим, 1958, № 24, 81289.

9Д62. Количественное определение бериллия, кремния и алюминия в растворах спектральным методом. Таскаева Т. П., Парыгина Г. К. «Докл. Междуз. научн. конференции по спектроскопии и спектр. анализу». Томск, Томский ун-т, 1960, 69—70.—Краткое сообщение об определении Be в р-рах при конц-ях 10^{-3} — $10^{-1}\%$. Внутренний стандарт — Ba вводит в виде р-ра $\text{Ba}(\text{NO}_3)_2$. После сплавления пробы с Na_2CO_3 в течение часа при 900° и растворения плава с добавлением р-ра Mo определяют высокие конц-ии Al и Si в шлаках. Р-ры наносят на конец угольного электрода, пропитанного полистиролом. Спектр возбуждают в дуговом разряде переменного тока. Градуировочные графики в координатах $\Delta S, \lg C$ строят по линиям (в Å): Be 2348,6 — Ba 2347,7, Si 2681,5 — Mo 2871,5 и Al 3082 — Mo 3195,9. Ошибка анализа не более $\pm 10\%$.

9Д63. Определение низких концентраций алюминия и хрома. Pittwell L. R. Determination of low concentrations of aluminium and chromium. «Analyst», 1960, 85, № 1016, 849—850 (англ.).—Небольшие кол-ва Al и Cr выделяют из образцов Mg, Ca и Th в виде гидроксидов путем соосаждения с La, который добавляют в качестве носителя. Осадок высушивают, прокаляют при 1000° и сжигают в дуге постоянного тока. Анализ производят по линиям Al 2568 — La 2855 и Cr 2835 — La 2855 Å. Дополнительно к этой методике (РЖХим, 1959, № 4, 11470) сообщают подробности хим. выделения примесей. Для полного выделения La осаж-

дение с помощью NH_4OH лучше производить не из азотнокислого р-ра, а из солинокислого в присутствии 30 мл конц. HCl. Миним. конц-ия Al, которая может быть определена в 10 г образца с 50 мг La, составляет $1 \cdot 10^{-5}$, для Cr — $5 \cdot 10^{-6}\%$.

9Д64. Спектрохимическое определение церия и лантана в облученном топливе. Boyes C. W., Jr, Ram-say J. B., Phelps R. T. Spectrochemical analysis of 'fission' for cerium and lanthanum. «Talanta», 1960, 6, 209—214 (англ.).—В связи с исследованием пиromеталлургич. методов очистки плутониевого топлива для реактора разработана методика спектрального определения La и Ce в сплаве Pu, содержащем в среднем 2,5% Fe, 0,7% Ce, 1,3% La, 0,7% Mo, 1,3% Ru, 0,8% Zr. Твердый образец растворяют в смеси HCl, HNO_3 или HClO_4 и к р-ру, содержащему 40—100 μg La и Ce, добавляют в качестве носителя 1 мг Eu. В присутствии HClO_4 Pu окисляют при нагревании до Pu^{6+} и добавлением HNO_3 осаждают Ce, La и Eu в виде фторидов. Конц-ия HClO_4 должна быть не менее 1—3 н. На торцах Cu-электродов высушивают по 0,025 мл р-ра. Спектры возбуждают в искровом разряде между Cu-электродами при емкости 0,0075 μf , самоиндукции 600 μH , высокочастотном токе 4 а и аналитич. промежутке 2,5 мм. Пробу наносят на концы обоих электродов. Спектры фотографируют 30 сек. во II порядке 3,4-м дифракционным спектрографом фирмы Jarell-Ash. Анализ производят по линиям La 4322,5, 4333,7 и 4186,6 Å; линия сравнения — Eu 4237,5 Å. Кол-ва La и Ce в интервале 40—200 μg определяют с ошибкой воспроизводимости 2-кратного определения, равной $\sim 6\%$. Чувствительность обнаружения La в присутствии до 100 мг Pu равна 5 μg . Для Ce предел обнаружения равен 6 μg в отсутствие Pu и 10 μg — в присутствии 100 мг Pu. Результаты спектрального определения соответствуют данным колориметрич. анализа. За 8 час. делают анализ шести образцов.

9Д65. Определение примеси калия в хлориде рубидия пламенно-фотометрическим методом. Степанов Б. Д., Плющев В. Е. «Ж. аналит. химии», 1960, 15, № 5, 556—560 (рез. англ.).—Для определения K в хлориде рубидия использован спектрограф ИСП-51 с фотоэлектрич. приставкой ФЭП-1. Определение производят по методу внутреннего стандарта путем сравнения интенсивностей линий K при 766,5 мμ и линии Rb при 780 мμ. В ацетилено-воздушное пламя вводят 4%-ный р-р анализируемой пробы и последовательно записывают при сканировании спектра линии K и линию Rb, ослабленную с помощью светофильтра HCl . Чувствительность метода 0,002% K, средняя относительная ошибка $\pm 6,6\%$.

9Д66. Применение пикролоновой кислоты для открытия следовых количеств меди с помощью электронного микроскопа. Wisenberger E. Die Anwendung der Pikrolonsäure zum Nachweis von Kupferspuren mit dem Elektronenmikroskop. «Mikrochim. acta», 1960, № 5—6, 946—960 (нем.; рез. англ., франц.).—Предложено метод открытия ультрамикрочистоты Cu ($> 5 \cdot 10^{-11}$ г), основанный на фиксировании электронов микроскопом характерных игольчатых кристаллов пикрولاتа Cu (I), образующихся при взаимодействии электролитически выделенной металлик. Cu с р-ром пикролоновой к-ты. Электролиз подвешивают в 1 мл слабосернокислого р-ра CuSO_4 , помещенного ушко Pt-проволоки при плотности тока $5 \cdot 10^{-3}$ а/см² на специальной установке, позволяющей наблюдать процесс электролиза. Оптимальными условиями получения кристаллов I характерной формы является нанесение при помощи ушка из Pt-проволоки на тигельную промытую водой поверхность выделенной Cu капли насыщ. р-ра пикролоновой к-ты, контактирующей с Cu в течение 30 сек. После промывания водой присутствие характерных кристаллов I устанавливается с помощью электронного микроскопа.

9Д6
татро
Ау
S. W.
thran
№ 2
ромет
татно
к-ты
их ме
9Д6
в фото
малых
тиоло
The a
metry
amoun
blue.
нем,
проли
нин —
цестве
самет
равую
фиде
конц-
ракт
светос
~150
состав
рН) 7,
соотве
р-ции
(в 600)
(в пре
во вре
ритель
р-ра п
рония
Co²⁺,
ных ре
нию а
фотом
в биол
9Д69
тив дл
ния ка
ve met
iometri
№ 3-4,
аналит
лин-3,6
та сам
1-амин
(0,5%-
фиде
темно-п
предпо
атомов
лекулы
нов ок
только
Mg²⁺,
I ре
продук
хартер
светос
ным м
Ca²⁺ к
я ком
енных
сатель
2,5 μ
тимо п
Хим

9Д67. Применение трития при радиометрическом титровании. Система медь — антралиновая кислота. Aylward G. H., Garnett J. L., Hayes J. W., Law S. W. Tritium in radiometric titrations: the copper — anthranilic acid system. «Chemistry and Industry», 1960, № 20, 560—561 (англ.). — Сравнением результатов амперометрич. и радиометрич. титрования 10,0 мкг Cu в ацетатной буферной смеси (pH 4,6) р-ром антралиновой к-ты, меченой тритием, показано, что точность обоих методов одинакова.

9Д68. Применение металлохромных индикаторов в фотометрии. I. Спектрофотометрическое определение малых количеств меди при помощи аналогов глицин-тимолового синего. Koch M., Svoboda V., Körbl J. The application of metallochromic indicators in colorimetry. I. The spectrophotometric determination of minute amounts of copper with analogues of glycine thymol blue. «Talanta», 1960, 5, № 3-4, 141—146 (англ.; рез. нем., франц.). — Пять производных тимолового синего: пролин- (I), саркозин- (II), глицин- (III), метиламин- (IV) и серин-тимоловый синий (V) изучены в качестве фотометрич. реактива для Cu. I—V с Cu²⁺ в гексаметилендиамин-солянокислой буферной среде образуют продукты, окрашенные от небесно-голубого до фиолетового или зеленого цвета (в зависимости от концентрации Cu). Образование комплексов I—V с Cu²⁺ характеризуется bathochромным смещением максимумов светопоглощения самих реактивов при ~450 мμ на ~150 мμ. Чувствительность р-дий I—V с Cu²⁺ (рД) составляет (в скобках указаны оптимальные значения рД) 7,6 (4,9), 7,6 (4,6), 7,6 (5,4), 7,4 (5,1) и 7,4 (6,0) соответственно. По высокой чувствительности цветной р-ции (мол. коэф. светопоглощения при 595 мμ равен 19 600), малой зависимости светопоглощения от pH (в пределах 4,9—5,4), хорошей устойчивости окраски во времени (в течение нескольких дней), удовлетворительного подчинения закону Бера (до 25 γ в 25 мл р-ра при 595 мμ) и малой чувствительности к посторонним ионам (мешают лишь большие кол-ва Fe²⁺, Co²⁺, Ni²⁺, Zn²⁺, Pb²⁺, Be²⁺ и UO₂²⁺) среди изученных реактивов заметно выделяется I, который, по мнению авторов, является очень удобным реактивом для фотометрич. определения малых кол-в Cu, особенно в биологич. материалах.

9Д69. Новый избирательный металлохромный реактив для открытия и комплексометрического определения кальция. Close R. A., West T. S. A new selective metallochromic reagent for the detection and chelometric determination of calcium. «Talanta», 1960, 5, № 3-4, 221—230 (англ.; рез. нем., франц.). — Изучены аналитич. свойства цикло-трис-7-(1-азо-8-оксинафталин-3,6-дисульфокислоты) (кальцихрома) (I) — продукта самосочетания диазотированной Н-кислоты (8-оксинафталин-3,6-дисульфокислоты). Водн. р-р I (0,5%-ный) имеет малиновую окраску при pH 2—8,5, фиолетовую — при pH 10—11,5, синюю — при pH 13 и темно-красную — в сильнощел. среде, что подтверждает предположение авторов о наличии трех ионизируемых атомов Н в молекуле I (окончательная структура молекулы I еще не выяснена). Из испытанных 37 катионов окрашенные продукты с I при различных pH дают только 9 катионов (Ba²⁺, Ca²⁺, Cd²⁺, Cu²⁺, La³⁺, Mg²⁺, V⁴⁺ и Zn²⁺), а в сильнощел. среде (при pH 13) I реагирует только Ca²⁺ с образованием красного продукта. Комплексообразование между I и Ca²⁺ характеризуется гипсохромным смещением максимума светопоглощения I (при 600 мμ) на ~80 мμ; по данному методу непрерывных изменений соотношение Ca²⁺ к остаткам Н-кислоты в молекуле образующегося комплекса соответствует 1:3. На основании полученных результатов разработан избирательный метод надежного открытия Ca²⁺ (открываемый минимум 0,25 γ при предельном разбавлении 1:1 000 000; допустимо присутствие по 8 ч. Ba, Sr, Cu, Zn, Cd и Mg на

1 ч. Ca при условии предварительной обработки пробы ацетоном р-ром H₂S или тиоацетамида), а также методики комплексометрич. титрования Ca²⁺ в присутствии Ba²⁺ или Sr²⁺ (для повышения избирательности титрования в качестве титранта вместо комплексона III использована транс-1,2-диаминоциклогексан-N,N,N',N'-тетрауксусная к-та; при титровании Ca²⁺ в присутствии ≤ 12-кратных кол-в Ba²⁺ получаются превосходные результаты, но титрование Ca²⁺ в присутствии Sr²⁺ дает менее точные результаты). Приведена методика синтеза I.

9Д70. Фотометрическое определение стронция. Palouš R., Mizera S. Colorimetrische bestimmung von strontium. «Analyt. chim. acta», 1961, 24, № 1, 96—97 (нем.). — См. РЖХим, 1961, 6Д87.

9Д71. Об определении металлического цинка в присутствии сульфидов свинца и цинка. Христофоров Б. С., Артеменко А. Р., Битарова В. А. «Сб. тр. Всес. н.-и. горно-металлург. ин-т цветн. мет.», 1959, № 5, 151—155. — Изучено влияние сульфидов Zn и Pb на определение металлич. Zn окислением его р-ром Fe₂(SO₄)₃ с последующим титрованием образовавшегося Fe³⁺ р-ром KMnO₄ или K₂Cr₂O₇. Установлено, что определению Zn не мешают ≤ 4-кратные кол-ва сульфидов Pb и Zn (за исключением сульфидов, полученных осаждением из водн. р-ров).

9Д72. Определение ферритного цинка в агломератах свинцового производства. Христофоров Б. С., Строительева Г. П., Зинovieva Л. Д. «Сб. тр. Всес. н.-и. горно-металлург. ин-т цветн. мет.», 1959, № 5, 143—150. — Установлено, что 15%-ный р-р H₂O₂ избирательно растворяет сульфид цинка в присутствии феррита. На этой основе разработана методика полярографич. определения форм Zn в агломерате. Для определения общего содержания Zn к 0,2 г агломерата в конич. колбе прибавляют 0,5 г NH₄F и 10—15 мл HCl, кипятят 5—10 мин., вводят 3—5 мл HNO₃, снова кипятят, прибавляют 10 мл H₂SO₄ (1:1) и выпаривают до появления густых паров H₂SO₄. Стенки колбы обмывают водой, р-р выпаривают, прибавляют 30 мл воды, нагревают до кипения, по охлаждении прибавляют конц. NH₄OH до осаждения Fe(OH)₃ и сверх этого еще 10 мл, вводят 10 мл насыщ. р-ра Na₂SO₃ и 1 мл 1%-ного р-ра клея, разбавляют водой до 100 мл и полярографируют. Для определения ZnO 0,2 г пробы нагревают в 100 мл аммиачного р-ра NH₄Cl, избегая кипячения и поддерживая объем р-ра постоянным прибавлением NH₄OH (1:1). Р-р отфильтровывают, остаток промывают 2%-ным р-ром NH₄Cl, фильтрат кипятят до исчезновения запаха NH₃ и определяют Zn полярографически, как описано выше. Для определения Zn силикатного остаток кипятят в 100 мл 30%-ной CH₃COOH и фильтруют. Остаток промывают 5—6 раз водой, подкисленной уксусной к-той, фильтрат упаривают до 10—15 мл, добавляют 10 мл H₂SO₄ (1:1), выпаривают до появления густых паров H₂SO₄ и определяют Zn полярографически. Для определения ZnS остаток, после обработки р-ром CH₃COOH, вместе с фильтром осторожно кипятят 30 мин. в 100 мл H₂O₂ (1:1), разбавляя по мере упаривания водой до 100 мл. Затем добавляют 50 мл горячей воды и фильтруют. Остаток промывают 5—6 раз горячей водой, фильтрат выпаривают досуха, добавляют 10 мл H₂SO₄ (1:1), 20—30 мл воды, кипятят и далее определяют Zn, как описано выше. Для определения ферритного Zn остаток, после обработки р-ром H₂O₂, озоняют при 500°, кипятят с HCl и NH₄F (как при определении общего Zn), упаривают с 5—10 мл конц. HNO₃, прибавляют 10 мл H₂SO₄ (1:1), выпаривают и далее анализируют, как описано выше.

9Д73. Поведение мореснетита при определении форм соединений цинка в рудах. Христофоров Б. С. «Сб. тр. Всес. н.-и. горно-металлург. ин-т цветн. мет.», 1959, № 5, 156—157. — В результате фазового ана-

лиза мореснетита — алюмосиликата цинка состава $4\text{SiO}_2 \cdot 2\text{Al}_2\text{O}_3 \cdot 3\text{ZnO} \cdot 6\text{H}_2\text{O} + 3\text{H}_2\text{O}$ — установлено, что основная масса Zn (~78%) переходит в уксуснокислый р-р, т. е. определяется как Zn силикатный. Таким образом, при рациональном анализе руд и продуктов обогащения в уксуснокислой вытяжке определяются совместно цинк силикатный и алюмосиликатный.

В. Звенигородская

9Д74. Капельная реакция для открытия кадмия в металлических покрытиях. Sabo John G. Spot Test detection of cadmium in plating. «Chemists-Analyst», 1960, 49, № 3, 78 (англ.). — На поверхность образца наносят 1—2 капли насыщ. р-ра NH_4NO_3 ; через 45 сек. р-р сорбируют фильтровальной бумагой и обрабатывают 1 каплей 10%-ного р-ра Na_2S . В присутствии Cd немедленно появляется желтое пятно. Р-ция очень избирательна, если NH_4NO_3 реагирует с металлом не более 45 сек. В течение этого времени Be, Ti, Zr, Cr, Mo, Fe, Co, Ni, Cu, Ag, Hg, Al, Sn, Sb и Bi не реагируют, а Zn, Mn и Pb лишь слабо реагируют с NH_4NO_3 .

В. Звенигородская

9Д75. Быстрое спектрофотометрическое определение алюминия в стали. Radonić Vjera. Brzo fotometrijski određivanje aluminija u čeliku. «Kemija u industriji», 1960, 9, № 5, 131—132 (сербо-хорв.). — Описан спектрофотометрич. метод определения Al в стали при помощи эриоцианина R, 0,2 г образца (<0,1% Al) растворяют в 10 мл 3 н. HNO_3 , прибавляют небольшой избыток 2%-ного р-ра KMnO_4 , нагревают 2—3 мин., прибавляют 10%-ный р-р KNO_2 до обесцвечивания анализируемого р-ра и сверх этого еще 2 капли, снова нагревают, охлаждают и разбавляют водой до 100 мл. К 5 мл полученного р-ра прибавляют 5 мл 1%-ного р-ра аскорбиновой к-ты (для маскирования Fe^{3+}), вводят 2 мл 0,1%-ного р-ра эриоцианина R, через 1—2 мин. разбавляют до 25 мл буферным р-ром с pH 5,7 (274 г $\text{CH}_3\text{COONH}_4$, 109 г CH_3COONa и 6 мл CH_3COOH в 6 л р-ра) и еще через 2—3 мин. спектрофотометрируют при 535 мμ. Ошибка определения $\pm 0,002\%$, продолжительность 20 мин.

Н. Туркевич

9Д76. Радиометрическое определение алюминия в силиманитовых рудах и продуктах обогащения с применением Fe^{55} и Co^{60} . Дорош В. М. «Сб. научн. тр. Иркутский н.-и. ин-та редк. мет.», 1959, вып. 8, 38—42. — Разработан метод косвенного радиометрич. определения Al, основанный на соосаждении Fe^{55} и Co^{60} с гидроксидом или оксихинолином Al, вследствие чего устраняется необходимость колич. выделения этих осадков. Пробу (0,25 г) сплавляют с Na_2O_2 в Fe-тигле, плав выщелачивают водой, фильтруют и разбавляют до 250 мл. К 100 мл полученного р-ра прибавляют HCl до кислой р-ции по метиловому оранжевому, 5 мл р-ра содержащего Fe^{55} или Co^{60} , 30 мл 4%-ного р-ра оксихинолина, нагревают до кипения и вводят по каплям 50%-ный р-р $\text{CH}_3\text{COONH}_4$ (I) до появления не исчезающей муты. После кристаллизации осадка прибавляют еще 3—4 мл I, выдерживают на водяной бане 10 мин. и фильтруют в горячем состоянии. Осадок промывают сначала небольшим кол-вом горячей, а затем холодной воды до обесцвечивания промывных вод, сушат при 120—150°, отбирают порции по 50 мг и измеряют их активность. Содержание Al_2O_3 в процентах вычисляют по градуировочному графику. Метод применен для определения Al (6—60%) в силиманитовых рудах и продуктах их обогащения.

Е. Симонов

9Д77. Исследование влияния состава пробы на чувствительность и точность полуколичественного анализа порошков на индий. Сандыбаев О. «Тр. Пржевальского пед. ин-та», 1957 (1958), вып. 5, 153—163. — Установлено, что состав пробы, в частности, наличие легко ионизируемых элементов, сильно влияет на интенсивность аналитич. линий In: добавка калия увеличивает интенсивность линий In, ослабляет фон и повышает чувствительность спектрального анализа. При

полуколич. спектральном анализе руд на In без учета состава пробы можно допустить ошибку в оценке концентрации на порядки и более.

Резюме автора

9Д78. К микроопределению таллия. Alimarin I. P., Krausz I. Beiträge zur Mikroanalytik des Thalliums. «Ann. Univ. scient. budapest. Sec. chim.», 1960, 2, 491—495 (нем.). — Разработан микрометод гравиметрич. и титриметрич. определения Tl^+ , основанный на осаднении Tl^+ р-ром $[(\text{C}_6\text{H}_5)_3\text{BNa}]$ (I). При гравиметрич. определении Tl к 10 мл анализируемого р-ра (300 γ — 2 мг Tl) прибавляют 0,10 г CH_3COONa , 2 мл 5%-ного р-ра I, выдерживают р-р с осадком 15 мин. на водяной бане, охлаждают 30 мин. и фильтруют через фильтрующий фарфоровый микротигель. Осадок промывают холодной водой (2 мл), сушат при 120° в течение часа и взвешивают. В присутствии комплексона III определению не мешают большие кол-ва Zn и Cd. При титриметрич. определении 400 γ — 2 мг Tl осаждают 0,01 н. р-ром I (2 мл) и избыток последнего титруют 0,01 н. р-ром AgNO_3 в присутствии эозина. Можно также проводить непосредственное титрование известного кол-ва I анализируемым р-ром TlNO_3 с тем же индикатором.

В. Тищенко

9Д79. К химии таллия и мышьяка. Броматометрический метод определения таллия в присутствии мышьяка. Schulek E., Pataki L. Beiträge zur Chemie des Thalliums und Arsens. Bromatometrisches Verfahren zur Bestimmung des Thalliums auch in Gegenwart von Arsen. «Mikrochim. acta», 1960, № 5—6, 715—720 (нем.; рез. англ., франц.). — Установлено, что при кипячении с конц. H_2SO_4 не меняет своей валентности, а Tl^{3+} за 1 час практически количественно восстанавливается до Tl^+ с выделением кислорода. Способ восстановления падает пропорционально увеличению содержания воды в H_2SO_4 , достигая очень значительной величины в $\text{H}_2\text{SO}_4 \cdot 6\text{H}_2\text{O}$ (в течение 2-час. кипячения восстанавливается только 0,6—0,8% Tl^{3+}). В присутствии Cl^- в кол-ве, эквивалентном содержанию Tl^{3+} , а также 3—5 мл 30%-ного р-ра H_2O_2 восстановление в конц. H_2SO_4 заканчивается за 2—3 мин. $\text{As}(5+)$ в этих условиях не восстанавливается, что позволяет проводить броматометрич. определение Tl в присутствии As . К анализируемому р-ру, содержащему Tl и As (получаемому, например, при растворении TlAsS_2), прибавляют 3 мл 30%-ного р-ра H_2O_2 , 5 мл конц. H_2SO_4 , кипятят 4—5 мин. для восстановления Tl^{3+} до Tl^+ и окисления $\text{As}(3+)$ до $\text{As}(5+)$ и продолжают кипячение до удаления избытка H_2O_2 . Затем разбавляют водой до 100 мл, к нагретому до 50—60° р-ру добавляют 1 мл 20%-ного р-ра HCl , 0,2 г KBr , 2 капли 0,1%-ного этанольного р-ра π -токсиризольфина и титруют 0,1 н. р-ром KBrO_3 до исчезновения красной окраски. Определению не мешают Cu , Fe , Sn , Mg и Ag ; $\text{V}(5+)$ восстанавливается до $\text{V}(4+)$, большой избыток которого затрудняет наблюдение конечной точки титрования из-за интенсивной голубой окраски.

В. Тищенко

9Д80. Определение скандия в растворах спектральным методом. Протопопова Н. П. «Докл. Междунауч. конференции по спектроскопии и спектр. анализу». Томск, Томский ун-т, 1960, 54—55. — Краткое изложение методики. Р-р вводят флуоругором в ряд конденсированной искры. Спектры возбуждают генератором ИГ-2, работающим по сложной схеме емкости 0,01 мф, самоиндукции 0,05 мн, токе 1,6 в. Вспомогательным и рабочем промежутках 2 мм. Спектры фотографируют на среднем спектрографе. Градуировочные графики в координатах ΔS , $\lg C$ строят линиями Sc 3613,8 — La 3713,5 Å. Чувствительность метода 0,005 мг/мл; квадратичная ошибка анализа ~7%. Влияние K, Na, Al, Ca, Fe не обнаружено. Г. Кибин

9Д81. Аналитическая химия редкоземельных элементов. Простой хроматографический метод количественного анализа. Brunisholz G., Quinche I.

Zur analytischen Chemie der Seltenen Erden. Einfaches chromatographisches Verfahren zur quantitativen Analyse von Gemischen. «Chimija», 1960, 14, № 10, 343—352 (нем.).—Разработан метод, основанный на поглощении анализируемой смеси редкоземельных элементов (РЗЭ) капиллярной колонкой (КК), заполненной катионитом, разделении тетраацетата аммония (I) и измерения длины образовавшихся зон, освещенных УФ-светом. Нейтр. р-р, содержащий $\sim 0,3$ ммоль РЗЭ и не содержащий комплексобразующих анионов, в том числе и CH_3COO^- , просасывают через КК, верхняя расширенная часть которой заполнена 3-см слоем катионитом Дауэкс 50 WX2 (II) в NH_4 -форме; капиллярная часть КК заполняется смесью II в Н- и Си-форме (1:1). Затем КК промывают водой и пропускают $0,04$ М р-р I с pH 3—4,6 (pH устанавливается добавлением формата или ацетата аммония) со скоростью $0,04$ мл/см²/мин. Полученную хроматограмму освещают УФ-светом, измеряют длину каждой зоны и рассчитывают содержание каждого РЗЭ. Ошибка определения 1—2%. Определение малых примесей одного РЗЭ в другом выполняют на КК с длиной капиллярного слоя 50 см; в верхнюю расширенную часть КК вводят II в Си- и Н-форме (1:1) слоем 5 см. Термостатирование КК при 50—60° обеспечивает значительное ускорение анализа. Продолжительность анализа при комнатной т-ре 5—6 дней, при 50—60° — 4 сутки. Небольшие кол-ва Mg^{2+} , Ca^{2+} , Se^{3+} , Cu^{2+} , Fe^{3+} , Th^{4+} и Ni^{2+} не мешают. Мешающее влияние Zn, Cd, Mn и Pb устраняют осаждением в виде оксалатов, Pb осаждают в виде PbS . Н. Полянский

9D82. Фотокolorиметрический метод определения церия в сплавах на никелевой основе. Мальцев В. Ф., Мазан А. К. В сб. «Произ-во труб». Вып. 3. Харьков, 1960, 149—153.—Разработан фотометрич. метод определения Се в сплавах на Ni-основе, состоящий в окислении Ce^{3+} р-ром KMnO_4 и измерении ослабления окраски последнего. Образец (1 г) растворяют в 30 мл кислотной смеси (1 ч. HNO_3 , 1 ч. воды и 2 ч. HCl), вводят 5 мл конц. H_2SO_4 (если содержание Fe в сплаве < 1%, то прибавляют 1 мл р-ра, получаемого растворением 1 г чистого железа в 20 мл HNO_3 (1:1) и разбавлением до 100 мл водой) и нагревают до появления паров H_2SO_4 . По охлаждении прибавляют 50 мл горячей воды и нагревают до растворения выпавших кристаллов. Р-р разбавляют до 200 мл, вводят 80—100 мл 50%-ного р-ра $(\text{NH}_4)_2\text{S}_2\text{O}_8$, кипятят 10—15 мин. до разрушения избытка $(\text{NH}_4)_2\text{S}_2\text{O}_8$, по охлаждению прибавляют избыток 25%-ного р-ра NH_4OH , отфильтровывают осадок гидроксидов, промывают его горячей водой и растворяют в 50 мл горячей HCl (1:4). Полученный р-р охлаждают, вводят 125 мл 50%-ного р-ра CH_3COONa , 25 мл 4%-ного р-ра Na_2HPO_4 , перемешивают и выдерживают ~ 12 час. Осадок отфильтровывают, промывают холодной водой, растворяют на фильтре в 20 мл горячей 1 н. HCl , по охлаждению вводят 15 мл 47,2%-ного р-ра пирофосфата К, 2 мл 0,01 н. KMnO_4 , разбавляют до 50 мл тем же р-ром пирофосфата К, перемешивают и фотометрируют в 20-мм кюветках с зеленым светофильтром. В качестве р-ра сравнения применяют р-р, полученный при такой же обработке сплава аналогичного состава, не содержащего Се. Метод позволяет определять 0,01—0,1% Се в Ni-сплавах, содержащих $\leq 4\%$ Fe.

А. Зозуля

9D83. Быстрое определение эрбия методом активации нейтронами с последующей γ -спектроскопией. Okada Minoru. Rapid analysis of erbium by neutron activation followed by γ -ray spectrometry. «Nature» (Engl.), 1960, 188, № 4744, 52 (англ.).—Разработан акцидентальный метод определения Ер в природных объектах путем измерения активности $\text{Er}^{167\text{m}}$ ($T_{1/2}$ 2,5 сек., энергия γ -лучей 0,208 Мэв), 0,001—1,0 г пробы запаивают в полиэтиленовую ампулу, облучают в реакторе потоком $4 \cdot 10^{10}$ нейтрон/см² сек) в течение 3 сек., охлаж-

дают 5 сек., измеряют активность на 256-канальном γ -спектрометре в течение 3 сек., повторно охлаждают 2 сек. и измеряют активность 3 сек. При определении 156 γ Ер ошибка 9,9%.

Э. Чудинов

9D84. Определение плутония с использованием бихромата калия, поставляемого из Национального Бюро Стандартов. Pietri C. E., Baglio J. A. The determination of plutonium based on national bureau of standards potassium bichromate. «Talanta», 1960, 6, 159—166 (англ.).—Кратко описаны приборы и аналитич. оборудование лаборатории в Нью-Брунsvике (США). В лаборатории используются перчаточные боксы улучшенной конструкции для работ по приготовлению соединений, используемых в качестве стандартов, для разработки методов анализа Pu и определения примесей в последнем, а также для изучения химии Pu. Изучена возможность оксидиметрич. определения больших кол-в Pu потенциометрич. титрованием р-рами $\text{K}_2\text{Cr}_2\text{O}_7$, поставляемого из Национального Бюро Стандартов. Исследовано влияние на результаты определения применяемого восстановителя, конц-ии титранта, метода определения конечной точки, конц-ии к-ты в титруемом р-ре и присутствия кислорода воздуха. На основе проведенного исследования предложен следующий метод определения Pu. Образец металл. плутония растворяют в 4 н. H_2SO_4 , восстанавливают Pu^{4+} до Pu^{3+} пропусканием р-ра через редуктор, заполненный амальгамированным Zn, и титруют стандартным р-ром $\text{K}_2\text{Cr}_2\text{O}_7$ при размешивании, добавляя сразу почти все кол-во титранта из весовой бюретки и дотитровывая более разб. р-ром $\text{K}_2\text{Cr}_2\text{O}_7$, добавляемым из микробюретки. Конечную точку определяют с помощью двух поляризованных Au-электродов (последовательно соединяют батарею в 45 в, сопротивление 22 Ом и электроды, изготовленные из блестящей Al-фольги; расстояние между электродами 1 см), присоединяемых к ламповому вольтметру типа pH-индикатора Лидса и Нортона (модель 7664). При указанной кислотности титруемого р-ра (~ 4 н. H_2SO_4) вблизи конечной точки наблюдается отчетливый скачок потенциала; при уменьшении кислотности получается плавный перегиб кривой титрования, не позволяющий надежно определить конечную точку. При анализе металл. плутония (содержащего 70—141 мг Pu) ошибка $\leq 0,4\%$. Кратко обсуждены преимущества $\text{K}_2\text{Cr}_2\text{O}_7$ как первичного стандарта перед $\text{Ce}(\text{SO}_4)_2$ и биамперометрич. метода определения конечной точки по сравнению с обычным потенциометрич. методом.

А. Зозуля

9D85. Колориметрическое определение германия в продуктах свинцового, цинкового и медного производства. Милаев С. М. «Сб. тр. Всес. н.-н. горно-металлург. ин-т цветн. мет.», 1959, № 5, 28—40.—Изучена реакция $\text{Ge}(4+)$ с фенилфлуороном (I). Установлено, что в состав образующегося комплексного соединения Ge и I входят в отношении 1:4. Максимум светопоглощения р-ров комплексного соединения находится при 500—510 мμ. Вследствие значительного светопоглощения I в области 500—510 мμ измерение оптич. плотности при фотометрич. определении Ge рекомендуется проводить при 520—530 мμ. Для полного связывания Ge в окрашенный комплекс достаточно вводить 5—6-кратный избыток I. Изменение конц-ии HCl в пределах 0,5—3 н. не влияет на оптич. плотность р-ров фенилфлуората германия. Для отделения Ge от мешающих примесей его экстрагируют в CCl_4 (из р-ров 9 н. по HCl). Для определения Ge пробу (0,1 г при содержании Ge $> 0,001\%$ или 0,5 г при содержании Ge $< 0,001\%$) сплавляют в Fe-тигле с 1—3 г Na_2O_2 при 550—600° в течение 3—5 мин. Плав выплавляют водой, и по охлаждении р-ра прибавляют к нему конц. HCl до растворения выпавших гидроксидов и разбавляют водой до 100—150 мл. Затем, прибавляя р-р NH_4OH до полного осаждения гидроксидов, нагревают до кипения, осадок отфильтровывают, промывают 4—5 раз

горячим 1%-ным р-ром NH_4Cl и растворяют в 20–30 мл конц. HCl . Нерастворившийся остаток отфильтровывают через вату и промывают 90–120 мл конц. HCl . К фильтрату в делительной воронке прибавляют 10 мл CCl_4 и встряхивают в течение 2 мин. После разделения фаз слой CCl_4 помещают в другую делительную воронку и повторяют экстрагирование Ge еще раз 10 мл CCl_4 . Объединенные экстракты промывают 2 раза (по 10 мл) 9 н. р-ром HCl , затем прибавляют 5 мл воды, встряхивают в течение 1 мин., водн. р-р отделяют и повторяют реэкстракцию Ge еще 2 раза. К полученному реэкстракту прибавляют 2,5 мл конц. HCl , 2,5 мл 1%-ного р-ра желатин, перемешивают, добавляют 2 мл 0,05%-ного р-ра I и разбавляют водой до 25 мл. Через 30 мин. измеряют оптич. плотность р-ра на фотометре Пульфриха или фотоэлектроколориметре с зеленым светофильтром. Определению Ge не мешают (присутствующие в пробе) следующие элементы (в мг): Ca 5, Sb^{3+} 200, Sn^{4+} 200, Mo 20, Ti , 25, Bi 10, As^{3+} 20, W 20, Zr 20, Fe^{3+} 1000. Н. Удальцова

9Д86. Количественное спектральное определение германия в железных рудах. Кока П. А., Чиркина З. А. «Докл. Межвуз. научн. конференции по спектроскопии и спектр. анализу». Томск, Томский ун-т, 1960, 35–36. — Высокая чувствительность определения Ge (0,0001%) достигается за счет его возгонки в начальный период горения дуги переменного тока. Для этого пробу смешивают с буферной смесью (1:1) из KIO_3 с 0,5% Bi и помещают в отверстие угольного электрода. Анализа производят по линиям Ge 2651,1 — Bi 2627,2 Å по графикам в координатах ΔS , $\lg C$. В первую минуту горения дуги испаряется почти весь Ge и Bi и очень мало Fe . Г. Кибисов

9Д87. Определение германия в кеках свинцового производства. Палатбеков П. Н., Жеребенко А. В., Дуйсебаева Ж. А. «Докл. Межвуз. научн. конференции по спектроскопии и спектр. анализу». Томск, Томский ун-т, 1960, 53–54. — Ввиду сложности состава кеков и взаимного наложения спектров анализ производят по линиям Ge 2691,3 — Bi 2897,9 Å. Эталоны готовят для области конц-ий 0,001–0,04%. В пробы и эталоны вводят 0,5% Bi . Для снижения влияния фона и образования летучих соединений Ge в-ва смешивают с серой в отношении 1:1. Образующийся GeS_2 испаряется из канала угольного электрода за 30–40 сек. горения дуги. Испарение некоторых других элементов начинается позднее. Градуировочные графики строят в координатах $\lg I_{1/2}$, $\lg C$. Ошибка анализа ± 10 –12%. Г. Кибисов

9Д88. О применении железа, восстановленного водородом, при полярографическом определении свинца. Лысенко В. И., Яровой И. А. «Сб. тр. Всес. н.-и. горно-металлург. ин-т цветн. мет.», 1959, № 5, 129–132. — Изучены причины возникновения ошибок при полярографич. определении Pb в руде, связанных с применением Fe , восстановленного водородом. Исследовано 4 образца порошков металл. Fe : тонкораздробленный Ж-1, мелкозернистый РЖ-14856 и РЖ-14756 и крупнозернистый РЖ-2454. Установлено, что восстановительная способность Ж-1 > РЖ-2454 > РЖ-14856 > РЖ-14756 (Ж-1 полностью восстанавливает Fe^{3+} за 10 мин., остальные образцы — за 80–120 мин.). При применении Ж-1 потеря Pb не происходит. Наибольшие потери (0,81–1,13%) наблюдаются при применении РЖ-14756, содержащего большие кол-ва Mn и Cr , что объясняется явлением цементации Pb марганцем и хромом, а не высокой активностью металл. Fe . Предварительное измельчение образцов РЖ-2454 и РЖ-14856 способствует увеличению их активности (восстановление Fe^{3+} заканчивается за 8–10 мин.); заметных потерь Pb при этом не наблюдается. Г. Прохорова

9Д89. Обнаружение и определение титана с хромотроповой кислотой. Окач А. «Тр. Комис. по аналит.

химии. АН СССР», 1960, 11, 285–286. — См. РЖХим, 1958, № 10, 32180.

9Д90. Полярографическое определение титана в железном сурик. Stabryn Jaroslav. Polarografické stanovení titanu v železitě červené. «Chem. přímýsl», 1960, 10, № 11, 584–585 (чешск.; рез. русск., англ.). — Для полярографич. определения Ti в железном сурик 2,5 г образца растворяют в 50 мл конц. HCl и 4 мл конц. HNO_3 , р-р упаривают досуха, остаток смачивают 5 мл конц. HCl и снова упаривают досуха. К остатку прибавляют 10 мл конц. HCl и упаривают до сиропообразной консистенции. Fe^{3+} , мешающее полярографированию, экстрагируют эфиром (2 порции по 80 мл). Эфирные слои отделяют и в каждом случае промывают 10 мл HCl (1:1), кислотные промывают присоединяют к водн. фазе и упаривают до ~15 мл. После разбавления до определенного объема отбирают две аликвотные порции р-ра в мерные колбы емк. 50 мл, в каждую из них вводят по 15 мл 6 М CH_3COOH , NH_4 и 1 мл 0,5%-ного р-ра желатин. В одну из проб вводят 5 мл солянокислого р-ра $\text{Ti}(4+)$, содержащего 0,8010 г/л TiO_2 , разбавляют водой до метки и полярографируют в интервале от -0,6 до -1,90 в (относительно насыщ. к. э.). В этих условиях потенциал полу волны $\text{Ti}(4+)$ равен -1,12 в. Экстрагируемый р-р должен содержать нитратов и сульфатов, Ca^{2+} , $\text{Mn}(4+)$, $\text{V}(5+)$ и Pb^{2+} не мешают определению. Н. Басаргин

9Д91. Комплексометрическое титрование циркония с использованием 2-(4-сульфофталлазо)-1,8-диокси-2-нитрозо-нафталин-3,6-дисульфокислоты. Datta S. chindra Kumar. Titration complexométrique du zirconium utilisant l'acide (sulfo-4 naphtalazo)-2 dihydroxy-1,8 nitroso-2' naphthalène disulfonique-3,6. «Chim. analyt.», 1960, 42, № 11, 562–564 (франц.). — При определении Zr анализируемый р-р, содержащий $\text{Zr}(\text{NO}_3)_2$, разбавляют водой до 25 мл, прибавляют 0,01 н. NaOH из HCl до pH 2–2,4, вводят 1 мл 0,05%-ного р-ра 2-(4-сульфофталлазо)-1,8-диокси-2'-нитрозо-нафталин-3,6-дисульфокислоты и титруют 0,02 М р-ром комплексона III до перехода красно-коричневой окраски в желтую. Изменение т-ры (20–35°) и уменьшение р-ва вблизи точки эквивалентности не влияют на результаты титрования. Определению мешают Fe^{3+} , Th^{4+} , Ce^{4+} , Sn^{2+} , Al^{3+} , F^- , PO_4^{3-} , $\text{C}_2\text{O}_4^{2-}$ и цел.-зем. элементы, а также большие кол-ва Cu и Ag . Fe^{3+} маскируют аскорбиновой кислотой. В. Иванов

9Д92. Определение циркония в ниобиевых сплавах. Черников Ю. А., Владимиров В. М. «Заводская лаборатория», 1960, 26, № 11, 1207–1208. — Установлено, что амперометрич. метод определения Zr , основанный на обратном титровании избытка комплексона III р-ром Bi^{3+} при pH 2 (РЖХим, 1956, № 22, 71973) пригоден для определения Zr в присутствии 10–30%-ных кол-в Nb , а также для анализа систем $\text{Zr}-\text{Nb}-\text{W}$ и $\text{Zr}-\text{Nb}-\text{Mo}$. На этой основе разработана методика определения ≥ 2 –3% Zr в сплавах без предварительного отделения Nb ; при содержании $\text{Zr} < 2\%$ отделяют сплавлением с K_2CO_3 . Образец (~0,3 г) с содержанием $\text{Zr} > 2\%$ растворяют при нагревании в песчаной бане в 20 мл HNO_3 (1:1) с добавкой HF , растворяют вводят 15 мл H_2SO_4 (1:1) и выпаривают до получения влажных сульфатов, которые сплавляют с 2 г KHSO_4 . Плав выплавляют 20%-ным р-ром водной к-ты и разбавляют этим же р-ром до 50 мл. 5–10 мл полученного р-ра кипятят 1–2 мин. с 10 мл HCl (1:1), разбавляют водой до ~40 мл (при мутном р-р становится прозрачным), вводят 1 г $\text{Na}_2\text{CO}_3\text{NH}_4$ и избыток 0,01 М р-ра I , нейтрализуют амперометрич. методом по титрованию OO (pH 2) и оттитровывают ток I амперометрически 0,01 М р-ром Bi^{3+} по восстановлению Bi на капельном Hg -катоде при -0,4 (относительно насыщ. к. э.). При содержании $\text{Zr} < 0,5$ (0,5–1,0 г) обжигают в муфеле до окис-

сплавляют с 6-кратным кол-вом K_2CO_3 в течение 15—20 мин. при 900—1000°. Плав выплавляют при нагревании водой (60—70 мл) и фильтруют через плотный фильтр с мацерированной бумагой. Остаток промывают 2—3 раза 2%-ным р-ром K_2CO_3 , сплавляют с 1—2 г $K_2S_2O_8$, плав выплавляют 10%-ным р-ром винной к-ты и далее анализируют как описано выше.

В. Иванов

9Д93. Спектральное определение гафния и циркония в бинарных смесях их оксидов. Rajan K. S., Gupta J. Spectrographic estimation of hafnium and Zirconium in their binary oxide mixtures. *J. Sci. and Industr. Res.*, 1960, BC19, № 9, B341—B344 (англ.). Для контроля процесса фракционного разделения Hf и Zr в бинарных смесях разработан метод спектрального определения отношения Hf/Zr и Zr/Hf. Образцы в виде оксидов весом 5 мг помещают в канал графитового электрода глубиной 4,5 и diam. 1,5 мм и закрепляют каплей р-ра фенолформальдегида в ацетоне. Спектры возбуждают в дуге переменного тока при 4—4,5 а, аналитич. промежутке 4 мм и фотографируют большим применяемым спектрографом E-492 в течение 45 сек. после 10 сек. предварительного обжига. В качестве аналитических применяют, в зависимости от соотношения Hf/Zr, следующие линии (в Å): Hf 2641,4—Zr 2643,4; Hf 2606,3—Zr 2643,4; Zr 2678,7—Hf 2665,9; Zr 2700,1—Hf 2706,7; Zr 2722,6—Hf 2706,7. Эталоны готовят из смеси оксидов в интервале отношения Hf/Zr 0,032—64% и Zr/Hf 0,1—90%. Градуировочные графики строят в координатах $\lg I_{Hf}/I_{Zr}$, ΔS с учетом фона около линий. Воспроизводимость анализа характеризуется ошибкой 5—8%. При анализе циркониевых минералов 0,5 г образца сплавляют в течение 30 мин. с 5 г Na_2O_2 . Сплав обрабатывают 50 мл HCl (1:1), выпаривают и дегадрируют кремний на песчаной бане. Остаток растворяют в разб. HCl и отфильтровывают. Гидроокиси Hf и Zr осаждают аммиаком и прокалывают при 750—800° до оксидов.

Б. Львов

9Д94. Спектральное определение гафния в оксид циркония методом «пропитывания». Морита К. «Натяга когэ гидрокоз сикэсэе хохокко, Repts. Govt Industr. Res. Inst., Nagoya», 1960, 9, № 9, 442—447 (японск.; рез. англ.). Описан метод спектрального определения Hf в ZrO_2 в пределах конц-ий 0,018—77,31%. Образцы в виде р-ра, подогретого до 80°, наносят на торце графитового электрода и подсушивают при 120° в течение 30 мин. Спектры возбуждают в дуге постоянного тока при 10 а и фотографируют в течение 30—50 сек. 3,4-м дифракционным спектрографом фирмы IACO. Аналитич. линиями служат Hf 2820—Zr 2665 и Hf 2641—Zr 2665 А при конц-ии Hf < 1%; Hf 2683—Zr 2754 и Hf 2898—Zr 2833 А при конц-ии Hf от 1 до 20%; Hf 2822—Zr 2700 и Hf 2683—Zr 2700 А при конц-ии Hf > 20%. Ошибка анализа ± 6 —8% во всем интервале конц-ий.

Б. Львов

9Д95. Спектрофотометрическое определение тория при помощи эриохрома черного Т. Этилендиаминтетрауксусная кислота и 2,2,2'-нитрилтриэтанол как маскирующие реактивы. Lott Peter F., Cheng K. L., Kwan Bennet C. H. Spectrophotometric determination of thorium with Eriochrome Black T. (ethylenedinitrilo)-tetraacetic acid and 2,2,2'-nitritriethanol as masking agents. *Anal. Chem.*, 1960, 32, № 12, 1702—1704 (англ.). Установлено, что Th^{4+} с эриохромом черным Т (П) образует красный комплекс состава 1:1 с максимумом светопоглощения при ~ 540 мμ (максимум светопоглощения I находится при ~ 620 мμ). Светопоглощение как I, так и его комплекса с Th постоянно при pH 8—10. Закон Бера не соблюдается во всем изученном интервале длин волн; колич. измерения удобно производить в области 650—700 мμ, где уменьшение светопоглощения I является колич. мерой конц-ии Th (светопоглощение комплекса в этой области спектра

ничтожно мало). Мол. коэф. поглощения комплекса ~ 35 000; чувствительность р-ции 0,004 μ/cm^2 на 0,001 ед. оптич. плотности при 700 мμ. Как I, так и его комплекс с Th не экстрагируются обычными р-рителями. Многие другие катионы (щел., щел.-зем., редкоземельных, переходных и тяжелых металлов), также образующие окрашенные комплексы с I, надежно маскируются смесью комплексона III (II) и 2,2,2'-нитрилтриэтанолом (III). Мешающее влияние $Fe(3+)$ можно устранить экстрагированием эфиром или осаждением в виде сульфида. Для устранения возможного влияния Zr, V и Ti, образующих комплексы с I (хотя и медленно) даже в присутствии II и III, фотометрирование Th рекомендуется производить возможно быстро. В присутствии окислителей (напр., $Ce(4+)$, $V(5+)$ или $U(6+)$, во избежание окисления I следует прибавлять к анализируемому р-ру $NH_4OH \cdot HCl$ или другие подобные восстановители. SO_4^{2-} , CH_3COO^- , NO_3^- , цитрат, нитрилтриуксусная к-та, а также небольшие кол-ва PO_4^{3-} и F^- не мешают. Для определения Th в присутствии посторонних ионов к 5 мл анализируемого р-ра ($\sim 0,0001 M$ Th) прибавляют 1 мл 0,1 F $NH_4OH \cdot HCl$, 1 мл маскирующего р-ра (37,2 г II + 25 г III в 1 л), 5 мл 0,001 M метанольного р-ра I и 3 мл аммиачной буферной смеси с pH 9,0—9,5, разбавляют водой до 100 мл и фотометрируют при 700 мμ, используя воду в качестве р-ра сравнения. Ошибка определения $\pm 2\%$.

Ф. Судачков

9Д96. Колориметрическое определение тория с арсеназо III в ниобийсодержащих продуктах. В. М. Давидович Н. К. «Заводск. лаборатория», 1960, 26, № 11, 1210—1212. Установлено, что фотометрич. определению Th при помощи арсеназо III в среде 3 н. HCl в присутствии $H_2C_2O_4$ или $(NH_4)_2C_2O_4$ не мешают даже большие кол-ва Nb. Метод использован для определения 0,006—1,6% Th в хлоридах, гидроокиси и пентаокси Nb, а также пиррохлоре. При анализе хлоридов пробу растворяют при нагревании в 4%-ном р-ре $(NH_4)_2C_2O_4$ и разбавляют этим же р-ром до 50—100 мл. К 1—5 мл полученного р-ра прибавляют соответственно 19—15 мл 4%-ного р-ра $(NH_4)_2C_2O_4$ (общее кол-во этого р-ра должно составлять 20 мл), вводят 12,5 мл конц. HCl, 2 мл 0,1%-ного р-ра арсеназо III, разбавляют до 50 мл и фотометрируют с красным светофильтром. При анализе гидроокиси и пентаокси Nb 0,1—0,2 г пробы сплавляют с 2—3 г $K_2S_2O_8$ при 500—600° и плав выплавляют 4%-ным $(NH_4)_2C_2O_4$. Пробу пиррохлора (0,1 г) разлагают двукратным выпариванием с HF (5 и 10 мл), а затем с 10 и 5 мл H_2SO_4 (1:1). Остаток растворяют в 50 мл HCl (1:1), разбавляют водой до 100 мл и анализируют, как описано выше. При определении Th в бедных продуктах пробу (1—2 г) разлагают выпариванием с 10—15 мл HF. К остатку прибавляют 5 мл HF, 50—60 мл воды и 15—20 мг Са (коллектор), выдерживают 2 час. и фильтруют. Осадок промывают 5%-ным р-ром HF, прокалывают, обрабатывают р-ром H_2SO_4 (для удаления F-), остаток растворяют в HCl (1:1), разбавляют этим же р-ром до 50 мл и анализируют, как описано выше. По точности разработанный метод не уступает определению Th при помощи арсеназо I с предварительным выделением Th в виде фторида или оксалата.

В. Иванов

9Д97. Спектрофотометрическое определение ванадия при помощи роданида. Deshmukh G. S., Tatwawadi S. V. Determinazione colorimetrica del vanadio mediante tiocianato. *Ann. chimica*, 1960, 50, № 3-4, 428—431 (итал.). Разработан метод определения ванадатов, основанный на спектрофотометрировании при 575 мμ синей окраски, развивающейся при взаимодействии $V(5+)$ с KSCN в кислой среде: $KSCN + 6H_2VO_4 + 4H_2O = KCN + 6V(OH)_4 + H_2SO_4$. К анализируемому р-ру (< 25 мг H_2VO_4) прибавляют 1 мл $\sim 0,1$ н. KSCN, разбавляют р-ром H_2SO_4 до 30 мл (конц-ия H_2SO_4 в р-ре должна составлять 1 г-экв/мл),

нагревают до $\sim 80^\circ$, охлаждают и спектрофотометрируют.

Н. Туркенич
9Д98. К вопросу колориметрического определения тантала. Красильникова Л. Н. «Сб. тр. Всес. н.-и. горно-металлург. ин-т цветн. мет.», 1959, № 5, 13—19. — Проверены фотометрич. методы определения Та в рудах, основанные на р-ции образования окрашенного комплекса Та с пирогаллолом или нерастворимого соединения Та с метилфлуореном. Установлено, что ни один из опробованных методов (при малом и большом содержании Та) не дает достаточно воспроизводимых результатов. Высказано предположение, что это объясняется колл. характером р-ров Та. Е. Богомильская

9Д99. Некоторые данные о выделении малых количеств ниобия и тантала. Дорош В. М. «Сб. научн. тр. Иркутский н.-и. ин-т редк. мет.», 1959, вып. 8, 29—32. — С помощью Nb^{95} установлено, что осаждение Nb тантингом происходит неполно и не зависит от продолжительности выдерживания р-ра с осадком. Малые кол-ва Nb и Та могут быть количественно выделены соосаждением с MnO_2 в сернокислой среде при pH 1,4. После соосаждения Nb и Та можно определять колориметрич. методами. В. Иванов

9Д100. Спектрофотометрическое определение трехвалентного хрома при помощи этилендиаминтетрауксусной кислоты. Boef G. Den, Jong W. J. de, Krijn G. C., Poppe H. Spectrophotometric determination of chromium (III) with EDTA. «Anal. chim. acta», 1960, 23, № 6, 557—564 (англ.; рез. франц., нем.). — Изучены описанные ранее (R. Přibil and J. Klubalova «Collection Czechoslov. Chem. Commun», 1950, 15, 42) условия спектрофотометрич. определения Cr^{3+} при помощи комплекса III (I). Установлено, что определение можно проводить не только в кислой (при 390 и 545 мμ) и нейтральной (при 545 мμ), но и в щел. среде (при 590 мμ), причем закон Бера соблюдается при всех pH. Оптическая плотность (ОП) комплекса не зависит от pH в интервалах 3—6 и 9—11. Определению не мешают щел. и щел.-зем. металлы, металлы сероводородной группы (кроме Cu), Al, Mn, Zn, Cl⁻, NO₃⁻, CH₃COO⁻ и SO₄²⁻. Мешают Cu, Fe, Co и Ni. Разработан метод отделения мешающих элементов (кроме Ni) в виде гидроксилов в аммиачной среде и при помощи тиаоацетамида в кислой среде. Кроме того, разработан быстрый метод определения Cr^{3+} в присутствии Ni и других мешающих элементов, основанный на различной скорости образования комплексов Cr^{3+} и мешающих элементов с I при 95° и при комнатной т-ре. К пробе (0,5—7,5 мг Cr^{3+}) прибавляют 5%-ный р-р NH₄OH (до начала осаждения гидроксилов металлов), 3 мл 0,2 М р-ра I, нагревают 30 мин. при 95°, охлаждают, переносят в колбу, содержащую 10 мл ацетатного буферного р-ра (pH 3,5), разбавляют водой до 100 мл и спектрофотометрируют при 545 мμ в 4-см кюветах. Опыт повторяют при комнатной т-ре (т. е. измеряют ОП мешающих элементов), и по разности ОП определяют содержание хрома. Метод применим для определения Cr в хромо-никелевых сталях. С. Зеличенко

9Д101. К вопросу колориметрического определения вольфрама и молибдена. Красильникова Л. Н. «Сб. тр. Всес. н.-и. горно-металлург. ин-т цветн. мет.», 1959, № 5, 20—27. — Разработан фотометрич. метод определения W и Mo в бедных рудах, включающий разложение пробы сплавлением со смесью NH₄F и NH₄NO₃, что значительно упрощает анализ (за счет исключения операции удаления SiO₂). W и Mo определяют в отдельных аликвотных порциях р-ра в виде их роданидных комплексов. В качестве восстановителя при определении W применяют TiCl₃, оптич. плотность измеряют с помощью фотоэлектроколориметра ФЭК-М с фиолетовым светофильтром, применяя р-р смеси реактивов в качестве р-ра сравнения. W восстанавливают тиомочевинной в присутствии CuSO₄ и после прибавления NH₄SCN фотометрируют (фотоэлектроколори-

метр ФЭК-М с синим светофильтром, р-р сравнения — вода). Метод видоизменен также для определения больших содержаний W и Mo и рекомендуется для их определения в концентратах. В. Звенигородская

9Д102. Применение вращающегося рентгеновского эмиссионного анализа для определения высокого содержания вольфрама в стали. Bělohávek Otakar, Lažanský Josef. Zkušební s použitím sekundární rentgenové emisní analýzy k stanovení vysokého obsahu wolframu v oceli. «Hutn. listy», 1960, 15, № 7, 546—548 (чешск.). — Для определения W в сталях отливок или вырезают при т-ре красного каления образец 30 × 30 × 10 мм, нагревают его ~ 1 мин. при 900°, охлаждают в масле, повторяют обжиг и охлаждение и анализируют в аппаратуре Драгокупилы, которая состоит из спектрометра, источника высокого напряжения и измерительных электронных приборов. Первичные рентгеновские лучи подаются на поверхность образца, а затем линия W, выделенная с помощью кристалла LiF, снимается Г.-М. счетчиком, причем время регистрации определяется с точностью до 0,01 сек. Одновременно анализируют стандартные пробы с известным кол-вом W. Продолжительность анализа < 20 мин. Ошибка определения от $\pm 1,5$ до $\pm 2,5\%$ при содержании в образце 10% W. Н. Туркенич

9Д103. Быстрое открытие следовых количеств урана в присутствии железа и меди. Majchrzak K. Rapid detection of uranium traces in the presence of iron and copper. Inst. badań jądrow. PAN, 1960, № 179/IV, 3 пр. (англ.; рез. польск., русск.). — Разработан метод открытия U в присутствии Fe и Cu, основанный на сорбировании сульфатного комплекса уранила сильносвязанным анионом и последующем окрашивании смолы обработкой р-ром K₄Fe(CN)₆; при pH < 1 сорбция Fe смолы минимальна, и Fe не мешает открытию U. 5 мл сернокислого анализируемого р-ра размешивают в течение 3—5 мин. с 0,2—0,3 г анионита Дукэкс 1-X7,5 с размером зерен < 0,3 мм; затем смолу отфильтровывают, промывают 4—6 раз водой (в отсутствие Fe³⁺ и Cu²⁺ операцию промывания можно опустить) и прямо на фильтре обрабатывают 5 мл насыщен. р-ра K₄Fe(CN)₆. Окрашивание смолы в бурый цвет свидетельствует о присутствии U. Чувствительность открытия U в отсутствие Fe составляет 1 γ/мл, а в присутствии Fe она снижается до 2—2,5 γ/мл. Продолжительность открытия 5—7 мин. Ф. Суданов

9Д104. Ферриметрическое определение четырехвалентного урана с использованием роданина 6G в качестве флуоресцентного индикатора. Sagi Seetarama Raju, Rao G. Gopala. Ferrimetric determination of uranium using Rhodamine 6G as fluorescent indicator. «Talanta», 1960, 5, № 3-4, 154—161 (англ.; рез. нем., франц.). — Разработан метод определения U в титровании 0,05 н. р-ром FeCl₃ в среде 2—3 н. HCl при 98—100° (при комнатной т-ре р-ция U⁴⁺ с Fe³⁺ протекает медленно) с использованием в качестве индикатора роданина 6G (I) (2,0 мл 0,05%-ного р-ра I на каждые 30 мл титруемого р-ра). Желто-зеленая флуоресценция I, возникающая при облучении титруемого р-ра УФ-лучами, гасится в присутствии небольшого избытка Fe³⁺ (индикаторная поправка 0,04 мл 0,05 н. р-ра FeCl₃). Ошибка определения $\sim 0,4\%$. Определению не мешают Zn (1—5 г ZnSO₄ · 7H₂O) и Cr³⁺ (< 0,02 г хромовых квасцов). V и Mo должны отсутствовать. Разработанный метод определения U удобен фотометрич. титрованием и титрованием с использованием в качестве индикатора KSCN. В. Иванов

9Д105. Полярография урана. Сообщение IV. Определение урана в водной среде гексона. Сообщение V. Определение урана в неводной среде трибутилфосфат — керосин. Мурата Т. «Нихон какаку дзаси» Nippon Kagaku Zasshi, J. Chem. Soc. Japan. Pure Chem. Sec., 1960, 81, № 9, 1404—1411, А 96 (японск.; рез. англ.). — IV. Установлено, что UO₂²⁺ в р-ре, содержа-

пцем 20% гексона, 30% C_2H_5OH и 0,2 моль/л $LiClO_4$, образует волну с $E_{1/2} = -0,27$ в (относительно насыщ. к. а.), соответствующую 1-электронному восстановлению, пригодную для аналитич. целей. Высота волны пропорциональна конц-ии UO_2^{2+} в интервале $1 \cdot 10^{-4}$ — $8 \cdot 10^{-3}$ моль/л. Метод применен для быстрого определения U в гексоне.

V. Изучено полярнографич. поведение UO_2^{2+} в неводн. среде, содержащей трибутилфосфат, керосин и спирт (C_2H_5OH , *изо*- C_3H_7OH или *изо*- $C_5H_{11}OH$). В этих условиях U образует четкую волну с $E_{1/2} = -0,25$ в. Волна UO_2^{2+} , образующаяся в р-ре, содержащем 20—40% трибутилфосфата, 10—20% керосина, 40—70% C_2H_5OH , 0,01 M Tween-80 и 0,2 моль/л $LiClO_4$, пригодна для аналитич. целей. Высота волны пропорциональна конц-ии UO_2^{2+} в интервале $1 \cdot 10^{-3}$ — $6 \cdot 10^{-3}$ моль/л. Метод пригоден для серийных определений U. Сообщения III см. РЖХим, 1961, 7Д104.

Г. Прохорова 9Д106. К флуориметрическому определению урана. Schönfeld T., ElGarhy M., Friedmann Christina, Veselsky J. Ausführung und Probleme der fluorimetrischen Uranbestimmung. «Mikrochim. acta», 1960, № 5—6, 883—897 (нем.; реэ. англ., франц.).—Критически рассмотрены методы флуориметрич. определения U в золах, горных породах и вытяжках каменноугольных зол. Обсуждаются методика работы, подготовка пробы, приготовление и величина перлов, воспроизводимость и чувствительность измерения флуоресценции, влияние добавок и посторонних ионов на интенсивность флуоресценции. Разработана методика определения и концентрирования очень малых кол-в U ($\leq 10^{-9}$ г) экстрагированием его этилацетатом с последующим испарением р-рителя или высаливанием U посредством $Al(NO_3)_3$.

В. Иванов 9Д107. Определение марганца и двуокиси марганца. Часть I. Своеобразное поведение графитового стержня с двуокисью марганца на его поверхности. Часть II. Простой и быстрый титриметрический метод определения марганца и его применение к анализу железа, стали, и двуокиси марганца. Часть III. Усовершенствование метода определения двуокиси марганца. Analysis of manganese and manganese dioxide. Part I. Kozawa Akiya. An interesting behavior of graphite rod with manganese dioxide on its surface. Part 2. Kozawa Akiya, Sasaki Kumazo. A simple and rapid volumetric method for determination of manganese and its application to iron and steel analysis and manganese analysis in MnO_2 . Part 3. Kozawa Akiya. Improvements in the analytical method of MnO_2 . «Mem. Fac. Engng, Nagoya Univ.», 1959, 11, № 1-2, 229—235; 236—242; 243—247 (англ.).—I. Установлено, что графитовые стержни, применяемые для электролитич. выделения MnO_2 , благодаря своей пористой структуре способны удерживать некоторые кол-ва электролита, в р-ре которого их выдерживают (KOH , NH_4Cl или $NH_4Cl + NH_4OH$). Но, по мнению автора, при последующем погружении стержней в р-р H_2SO_4 , приводит к появлению местного каталитич. элемента, катодом которого является MnO_2 в р-ре H_2SO_4 , а анодом — внутренняя поверхность пор графита в р-ре сорбированного щел. электролита. За время работы этого элемента происходит частичное восстановление $Mn(4+)$ до низших валентностей (на катод) и выделение газа (на аноде) с преимущественным содержанием O_2 (из р-ра KOH) или N_2 (из р-ра NH_4Cl или $NH_4Cl + NH_4OH$). Для определения x в MnO_x , выделившемся на графите при обычных условиях (90°, 25 ма, 30 мин.), последний выдерживают 15 час. в р-ре определенного электролита, промывают водой, затем помещают в р-р, содержащий 10 мл 0,1 н. $FeSO_4$ в 3,6 н. H_2SO_4 , и растворяют MnO_2 при комнатной т-ре или 80—90°. Избыток $FeSO_4$ титруют 0,05 н. р-ром $KMnO_4$, после чего прибавляют H_2SO_4 до конц-ии 4 г-экв/л, $HgSO_4$ (для связывания Cl^-) и

~1 г $NaBiO_3$, избыток которого удаляют фильтрованием. К фильтрату добавляют определенное кол-во р-ра $FeSO_4$, избыток которого титруют р-ром $KMnO_4$. Таким образом было найдено $x < 2$, что явилось экспериментальным доказательством предположенного механизма поведения графитовых стержней с MnO_2 .

II. Усовершенствован висмутатный метод определения Mn^{2+} за счет замены трудоемкого процесса отфильтровывания избытка непрореагировавшего $NaBiO_3$ каталитич. разложением его в присутствии Ag^+ . Установлена зависимость скорости разложения от конц-ии Ag^+ , H_2SO_4 и времени. Для определения Mn^{2+} к анализируемому р-ру (3—20 мз Mn) прибавляют такое кол-во воды и H_2SO_4 , чтобы объем р-ра был ~90 мл, а кислотность 4 н., нагревают до 30—40°, вводят $0,5 \pm 0,05$ г $NaBiO_3$ и встряхивают 4—5 сек. Через 30—60 сек. прибавляют 2 мл насыщ. р-ра Ag_2SO_4 , разбавляют водой до 100 мл, закрывают пробкой и перемешивают колбу 5 раз, после чего, открыв пробку, выдерживают 10—30 мин. К 50 мл р-ра прибавляют известное кол-во р-ра $FeSO_4$ и оттитровывают его избыток 0,05 н. р-ром $KMnO_4$. Метод применен к определению Mn в железе и стали. При анализе чугуна во избежание получения заниженных результатов из-за окисления C, последний после растворения образца удаляют фильтрованием. Аналогично определяют Mn в MnO_2 . Метод не очень точен, но легко выполним. Продолжительность одного анализа ~18 мин.

III. Установлено, что продолжительность растворения MnO_2 в р-ре восстанавливающего реагента значительно сокращается при перемешивании. Определение действительного содержания кислорода в MnO_2 проводят путем введения известного кол-ва $FeSO_4$, избыток которого оттитровывают р-ром $KMnO_4$. В полном р-ре общее содержание Mn^{2+} определяют потенциометрич. титрованием р-ром $KMnO_4$ при pH 6—7 в присутствии пирофосфата натрия. Показано, что в присутствии больших кол-в Fe^{3+} небольшая часть Mn^{2+} может окисляться до Mn^{3+} кислородом воздуха при местном повышении pH в процессе нейтр-ции р-ром KOH . Поэтому во избежание получения заниженных результатов нейтр-цию р-ра рекомендуется проводить только р-ром $Na_2P_2O_7 \cdot 10H_2O$ или сначала р-ром KOH , а затем пирофосфатом. К анализируемому образцу (~200 мз) прибавляют 25 мл 0,25 M $FeSO_4$ в 3,6 н. р-ре H_2SO_4 , перемешивают магнитной мешалкой до растворения и титруют 0,1 н. р-ром $KMnO_4$. Затем нейтрализуют до pH 6—7 с помощью $Na_2P_2O_7 \cdot 10H_2O$ и титруют потенциометрически 0,1 н. р-ром $KMnO_4$. При определении MnO_2 в р-рах, содержащих NH_4Cl , вводят 1 г $HgSO_4$. Ошибка определения O и Mn в $MnO_2 \leq 0,3\%$.

В. Типцова 9Д108. Микрохимический анализ. VI. Ультрамикрорадиометрическое определение технеция и рения. Jasim F., Magee R. J., Wilson C. L. Chemical analysis on the microgram scale. VI. The ultramicrogravimetric determination of technetium and rhenium. «Mikrochim. acta», 1960, № 5—6, 721—728 (англ.; реэ. нем., франц.).—Описан метод определения Tc и Re, основанный на осаждении их и взвешивании в виде $[(C_6H_5)_4As]TcO_4$ и $[(C_6H_5)_4As]ReO_4$ с применением особой конструкции ультрамикровесов с точностью $\pm 0,08$ у. Для определения Tc анализируемый р-р (содержащий 2 у Tc) помещают во взвешенный конусовидный капилляр, прибавляют 20%-ный р-р Na_2CO_3 до pH 8—10 и 4 M р-р $NaCl$ до его конц-ии 0,25 моль/л, перемешивают и нагревают 5 мин. при 70°. Затем прибавляют $0,8 \cdot 10^{-3}$ мл 1%-ного р-ра $(C_6H_5)_4AsCl$, выдерживают 2 часа и центрифугируют 5 мин. Центрифугат удаляют, осадок промывают 3 раза погружением капилляра в ледяную воду, высушивают (5 мин. при 100° и 20 мин. при 110°) и взвешивают. Re определяют аналогично, но без добавления Na_2CO_3 ; т-ра высушивания в этом случае равна 126°. Предложен также

метод отделения Тс и Ре от других элементов, осаждающихся р-ром $(C_6H_5)_4AsCl$ и друг от друга, включающий соосаждение Тс с $Fe(OH)_3$ после предварительного восстановления его в 9 н. р-ре HCl при 40-мин. нагревании (80°); Ре в этих условиях в виде ReO_4^- остается в р-ре. Для выделения Тс осадок $Fe(OH)_3$ промывают р-ром сульфата гидразина и растворяют в миним. кол-ве разб. H_2SO_4 , прибавляют $0,3 \cdot 10^{-4}$ мл 6%-ного р-ра H_2O_2 и повторяют осаждение Fe конц. р-ром NH_4OH ; Тс при этом переходит в р-р. Сообщение V см. РЖХим, 1958, № 8, 24699.

В. Типцова
9Д109. Открытие железа концентрированием его на малой реакционной поверхности. Hahn F. L. Eisenprobe durch automatische Anreicherung an einer kleinen Reagenzfläche. «Mikrochim. acta», 1960, № 5-6, 675-677 (нем.; реф. англ., франц.).—Описан метод открытия микроколичеств Fe, основанный на появлении синего пятна на полоске бумаги с нанесенным на нее $K_2Zn_3[Fe(CN)_6]_2$ после погружения ее в эфирный слой, содержащий извлеченное из анализируемого р-ра Fe в виде роданидного комплекса. Для очистки NH_4SCN от примеси Fe 25 г его прибавляют к 80 мл эквимольной смеси янтарной к-ты и ее однозамещенной Na-соли с pH 4,2, добавляют 0,4 г $K_4Fe(CN)_6$, разбавляют водой до 100 мл и вводят 0,5 г $ZnSO_4$. Осадок отстаивают и отфильтровывают через плотный фильтр. Для открытия Fe в воде к 60 мл анализируемой воды прибавляют 10 мл очич. р-ра NH_4SCN и экстрагируют Fe 30 мл эфира, после чего закрывают колбу пробкой, погружая в слой эфира полоску бумаги длиной 0,5-1 см, на которую наносят сначала одну каплю 1%-ного р-ра $K_4Fe(CN)_6$, а затем одну каплю 1%-ного р-ра $ZnSO_4$. При содержании 3,6 γ Fe через 0,5-1 час появляется синее пятно, при 1,8 γ оно отсутствует.

В. Типцова
9Д110. Аналитическое применение 3-ацетил-4-оксикумарина. II. Спектрофотометрическое определение двухвалентного железа. Bhat A. N., Jain B. D. Analytical applications of 3-acetyl-4-hydroxycoumarin. II. Spectrophotometric determination of iron II. «Talanta», 1960, 5, № 3-4, 271-275 (англ.; реф. нем., франц.).—Установлено, что 3-ацетил-4-оксикумарин (I) с Fe^{2+} образует оранжево-красный комплекс, растворимый в 50%-ном (по объему) этаноле и пригодный для фотометрич. определения Fe. Этот комплекс, состав которого выражается мол. соотношением $Fe:I = 1:3$, имеет максимум светопоглощения при 400 мк. Окраска комплекса устойчива при pH 2,8-4,3 в течение ≤ 1 недели в интервале т-р 5-40 $^\circ$; закон Бера соблюдается для конц-ий Fe 1,3-5,5 ч. на 1 млн. (при 400 мк). При определении Fe мол. соотношение I:Fe в реакционной среде должно быть > 8 -кратным (0,02 М этанольный р-р I). Определению Fe^{2+} посредством I мешают Cu^{2+} , MoO_4^{2-} , WO_4^{2-} и цитрат (даже в небольших кол-вах); допустимо присутствие (в ч. на 1 млн.) тартрата (< 200), оксалата (< 10), Ni^{2+} ($< 5,8$), Pb^{2+} (< 115), Mn^{2+} (< 15), Mg^{2+} (< 125) и Be^{2+} ($< 4,5$), а также очень больших кол-в Cl^- , Br^- , J^- , SCN^- , Na^+ и K^+ . Пред. сообщение РЖХим, 1961, 5 Д42.

Ф. С.
9Д111. Сравнение различных методов определения свободного железа в почвах. Asami Tetsuo, Kumada Kyoichi. Comparison of several methods for determining free iron in soils. «Soil and Plant Food», 1960, 5, № 4, 179-183 (англ.).—Проведено сравнительное изучение 5 методов определения свободного Fe в истощенных почвах. Найдено, что наиболее пригодным является метод с использованием $Na_2S_2O_4$ и комплекса III (РЖХим, 1961, 8Г93), при котором не требуется разложения органич. в-в и повторной обработки пробы. Метод быстро выполняем и не зависит от кол-ва взятой пробы почвы (в пределах 0,5-2,0 г). Описан метод фотометрич. определения Fe в почвенных экстрактах. К 2 мл пробы прибавляют р-р комплексо-

образующих в-в (или 0,02 М р-р комплексона III или р-р, полученный смешением р-ров, 4,15 г $K_2C_2O_4$ в 40 мл воды с р-ром 0,95 г $H_2C_2O_4$ в 10 мл воды, или 0,3 М р-р цитрата Na), перемешивают, вводят 1 мл 5%-ного р-ра $NH_4OH \cdot HCl$, 2 мл 0,1%-ного о-фенавтрлина, 1,5 мл ацетатной буферной смеси или р-ра CH_3COONa , разбавляют водой до 25 мл и измеряют светопоглощение при 508 мк через 30 мин., а затем через 24 часа. Установлено, что определение Fe можно проводить, не прибегая к разрушению внутрикомплексных соединений.

Е. Кондратьев
9Д112. Определение окислов железа в железных рудах с высоким содержанием серы путем предварительной обработки проб метанольным раствором брома. I. Поведение сернистых соединений железа в метанольном растворе брома. II. Определение отношения $2Fe(2+)/Fe(3+)$ в железных рудах с высоким содержанием серы. Окура И. «Бунсёки кагаку, Jap. Analyst», 1960, 9, № 10, 845-848; 849-852 (японск.; реф. англ.).—I. Отмечено, что при растворении проб Fe-руд, содержащих большие кол-ва S, в обычном р-р-теле (HCl) в атмосфере индифферентного газа, результаты последующего определения FeO и Fe_2O_3 получаются ненадежными вследствие мешающего влияния сернистых соединений. Более эффективной предварительной обработкой Fe-руд оказалась обработка метанольным р-ром брома (МРБ), ранее примененная автором для выделения нитрида Al из сталей (РЖХим, 1960, № 17, 69237, 69238). В результате эксперим. исследования, проведенного с целью получения сведений относительно поведения индивидуальных S-содержащих компонентов Fe-руд (сульфидов, сульфатов) в МРБ, установлено, что сульфиды Fe легко и количественно растворяются в холодном 10%-ном р-ре МРБ, тогда как $FeSO_4$ и $Fe_2(SO_4)_3$ извлекаются не всегда количественно. В этих же условиях обработки Fe-руд посредством МРБ FeO (наряду с Fe_2O_3 и металлич. Fe) остается нетронутой в твердом остатке.

II. На основании результатов, описанных выше, разработана методика определения FeO и Fe_2O_3 в рудах с высоким содержанием S. 0,2-0,5 г руды (150 меш) размешивают в течение 1 часа при комнатной т-ре ($< 25^\circ$) в 20 мл метанола, содержащего 2 мл брома, и р-р фильтруют через фильтрующий тител Гуча. Нерастворимый остаток тщательно промывают сначала метанолом, а затем водой и обрабатывают 40 мл HCl (1:1) в течение 40 мин. при непрерывном пропускании CO_2 ; в полученном р-ре определяют $Fe(2+)$ перманганатометрич. титрованием. Затем оттитрованный р-р выпаривают почти досуха и обрабатывают 20 мл HCl (1:1); в полученном р-ре, после обработки его р-рами $SnCl_2$, $HgCl_2$ и $MnSO_4$, определяют перманганатометрически общее содержание Fe. По разности между общим содержанием Fe и содержанием $Fe(2+)$ находят содержание Fe_2O_3 . Найденное по описанной методике отношение $2Fe(2+)/Fe(3+)$ в Fe-рудах оказалось равным единице.

Резюме автора
9Д113. Быстрый гравиметрический метод микроопределения кобальта в комплексных соединениях посредством разложения перекисью водорода в щелочной среде. Bogdan E. L., Motaş M., Giurgiu D. O metodă gravimetrică rapidă semimicro de dozare a cobaltului din combinațiile complexe, prin dezagregarea cu H_2O_2 în mediu alcalin. «Studii şi cercetări ştiinţ. Acad. RPR Fil. Iaşi. Chim.», 1959, 10, № 2, 195-196 (рум.; реф. русск., франц.).—Метод основан на разложении комплексных солей Co ($Na_3[Co(NO_2)_6]$, $K_4[Co(NO_2)_6]$, $[Co(NH_3)_5Cl]Cl_2$, $[Co(NH_3)_5H_2O]Cl_2$ или $[Co(NO_2)_6]^{3-}$) 45%-ной H_2O_2 в щел. среде с последующим взвешиванием выделившегося кристаллич. осадка Co_2O_3 . В спец. микрососуд (из двух трубок, разделенных пористой пластинкой) вносят пробу анализируемого в-ва (0,02-0,4 г), сверху помещают 1-2 мл $NaOH$

III или CoSO_4 , или CoCl_2 , или $\text{Co(NO}_3)_2$ (р-ция очень бурная). Выделившийся осадок Co_2O_3 в том же сосуде отфильтровывают, промывают 4—5 раз теплой водой, высушивают при 105° и взвешивают. Результаты гравиметрич. метода хорошо согласуются с данными фотометрич. определения Co^{2+} в осадке Co_2O_3 с использованием Na-соли α -нитрозо- β -нафтолсульфокислоты. Метод пригоден также для определения Co в минер. солях. 45%-ную H_2O_2 получают упариванием 30%-ной H_2O_2 на водяной бане при 65° в течение 30—40 мин.

Б. Маноле
9Д114. Новые окислительно-восстановительные системы. Сообщение III. Косвенное цериметрическое определение кобальта. Vydra František, Příbil Rudolf. New Redox systems — III. Indirect cerimetric determination of cobalt. «Talanta», 1960, 5, № 2, 92—96 (англ.; рез. нем., франц.).—Разработан косвенный метод определения Co, основанный на окислении Co^{2+} р-ром FeCl_3 в присутствии 1,10-фенантролина (I) при pH 2—4 и последующем титровании образовавшегося Fe^{2+} ~0,1 M р-ром $(\text{Ce}(\text{SO}_4)_2$ в сильно кислой среде (титрование проводят потенциометрически или визуально до перехода красной окраски индикатора в синюю). Установлено, что при большом избытке Fe окисление Co^{2+} замедляется или полностью прекращается. Определение 3 мг Co в присутствии 5 мл 0,1 M р-ра I возможно при содержании 90 мг Fe^{2+} . Определению 2,9 мг Co (с ошибкой <1%) не мешают (в мг): Ni <110, Cd <25, Zn <65, Cu <20, Mo <30, V <45, W <50; мешают Ag, Hg и Tl. 0,5 г стали растворяют в царской водке, р-р фильтруют и разбавляют до 250 мл. 25 мл полученного р-ра нейтрализуют 5%-ным р-ром NaOH, затем устанавливают pH 2—4, вводят избыток FeCl_3 , прибавляют 10 мл 0,1 M р-ра I (рН 3), через 15 мин. вводят 50 мл 9 н. H_2SO_4 , разбавляют водой до 200 мл и титруют 0,05—0,1 M р-ром $\text{Ce}(\text{SO}_4)_2$. Метод применим для определения Co^{2+} в сталях и сплавах с содержанием Co 2—40%. Сообщение II см. РЖХим, 1961, 6Д136.

С. Зеличенко
9Д115. Новые реакции для открытия и фотометрического определения малых количеств никеля. Hartkamp Heinrich. Neue Reaktionen zum Nachweis und zur quantitativen photometrischen Bestimmung kleiner Nickelgehalte. «Z. analyt. Chem.», 1960, 178, № 1, 19—27 (нем.).—Установлено, что пиридин-2,6-диацетоксим (I) и синфенил-2-пиридилкетоксим (II) в слабом. среде с Ni^{2+} образуют желто-оранжевые продукты, которые при воздействии с окислителями превращаются в ярко-синий (I) и серовато-синий (II) соединения, представляющие собой комплексы $\text{Ni}(4+)$ с I и II. Наиболее подходящим из испытанных окислителей (KJO_4 , $(\text{NH}_4)_2\text{S}_2\text{O}_8$, H_2O_2 , J_2 , Br_2 , KMnO_4 , PbO_2 , NaBiO_3) является KJO_4 (при pH 7—9,5). Комплекс $\text{Ni}(4+)$ с I имеет состав 1:2 и характеризуется двумя максимумами светопоглощения при 403 мμ (мол. коэф. поглощения 20600) и 575 мμ (14260); комплекс $\text{Ni}(4+)$ с II состава 1:3 обладает одним максимумом светопоглощения при 585 мμ (мол. коэф. поглощения 8630). Окраска комплексов устойчива длительное время; закон Бера соблюдается в широком интервале конц-ии Ni. Для фотометрич. определения Ni к нейтр. анализируемому р-ру (10—500 γ Ni) прибавляют 10 мл 0,5%-ного ацетатового р-ра I или II, 10 мл буферного р-ра (10 мл 2 н. NH_4OH + 900 мл 2 н. NH_4Cl) и 10 мл насыщ. водн. р-ра KJO_4 , нагревают несколько секунд на пламени бунзеновской горелки, охлаждают, разбавляют водой до 10 мл и фотометрируют при 575 (I) или 585 мμ (II). В присутствии больших кол-в посторонних ионов требуется их отделение или маскирование.

Ф. Судаков
9Д116. Гравиметрическое определение платины в виде комплекса с 1-фенилтиосемикарбазидом. Комару С., Исидзак Д. «Нихон какаку даэсси, Nippon

какаку зашши, J. Chem. Soc. Japan. Pure Chem. Sec.», 1960, 81, № 10, 1623—1624, A 108 (японск.; рез. англ.).—Установлено, что 1-фенилтиосемикарбазид с Pt^{4+} в кислой среде образует зеленый труднорастворимый комплекс $\text{Pt}(\text{C}_6\text{H}_5\text{N}_3\text{S})_2$, пригодный для гравиметрич. определения Pt. К анализируемому р-ру прибавляют р-р 1-фенилтиосемикарбазида в 3 н. CH_3COOH до полного осаждения Pt, разбавляют водой до ~100 мл, устанавливают конц-ию CH_3COOH в р-ре равной 2,5 н, нагревают на водяной бане в течение 30 мин., охлаждают, нейтрализуют аммиаком и вновь нагревают на водяной бане в течение 30 мин. Выделившийся осадок отфильтровывают через стеклянный фильтр G4, промывают теплой водой, высушивают при 105° и взвешивают. Присутствие до 20 γ/мл Cu^{2+} , 9,5 γ/мл Hg^{2+} и 1,5 γ/мл Ag^+ мешают.

Резюме авторов
9Д117. Определение распределения Xe в облученных топливных элементах из UO_2 . Morgan W. W., Hart R. G., Miller F. C., Olmstead W. J. Determination of the distribution of fission Xe in irradiated UO_2 fuel elements. «Talanta», 1960, 6, 275 (англ.).—Разработан метод определения кол-ва и распределения Xe, образующегося при делении U. Облученную UO_2 помещают в вакуумную горячую камеру, нагревают, поглощают выделяющиеся N_2 и O_2 металлическим Ca, отделяют Xe от Ar, Kr и Ne вымораживанием при -195° и измеряют объем и давление Xe манометром Мак-Леода. Относительная ошибка определения 2%. Для определения кол-ва Xe, еще оставшегося в UO_2 , пробу (20—200 мг) замораживают в миним. кол-ве HNO_3 и помещают в прибор для измерения. Прибор эвакуируют, затем изолируют реакционный объем, и нагревают пробу с к-той до 100° . После завершения растворения р-р снова замораживают до -80° , выделившиеся газы отсчитывают, как описано выше, и измеряют объем Xe. Относительная ошибка определения 10—25%.

Э. Чудинов
9Д118. Алкаиметрическое титрование бора после отделения мешающих примесей электролизом на ртутном катоде и осаждения гидроокисей. Neace James C. Alkalimetric titration of boron after mercury cathode and hydroxide separations of interferences. «Chemist-Analyst», 1960, 49, № 3, 71—72 (англ.).—Образец (5 г, с содержанием B ~0,2%) разлагают 150 мл H_2SO_4 (1:1) в конич. колбе, снабженной воздушным холодильником. Полученный р-р фильтруют через бумажный фильтр, неразложившийся остаток озоляют вместе с фильтром в Pt-тигле и сплавляют с 15 г Na_2CO_3 при 950° в течение 30—40 мин. Pt-тигель с плавом помещают в полиэтиленовый стакан емк. ~400 мл, вливают ранее полученный фильтрат и после растворения плава разбавляют водой до 500 мл (если в пробе присутствует U, то при выпаривании плава окис урана может не раствориться и ее отфильтровывают). Алквотную порцию р-ра (50 мл) помещают в электролизер с Hg-катодом и проводят электролиз в течение 1—2 час. при силе тока 6 а. Затем р-р переносят в полиэтиленовый сосуд, прибавляют 50%-ный р-р NaOH до pH 7,5, выделившийся осадок гидроокисей отфильтровывают, фильтрат помещают в колбу, снабженную обратным холодильником, добавляют 2 капли H_2SO_4 (1:4) и кипятят для удаления CO_2 . По охлаждении устанавливают pH равным 7,3 (с помощью pH-метра), прибавляют 7 г маннита и титруют образовавшуюся маннитоборную к-ту 0,005 н. р-ром NaOH. Метод может быть применен к самым различным образцам (перхлоратным сталям, двуокиси урана, карбиду циркония и др.). При содержании B $\geq 0,1\%$ ошибка определения составляет ~2%.

Н. Удальцова
9Д119. Определение бора в алюминии и кремнево-алюминиевых сплавах. Towndrow E. G., Webb H. W. The determination of boron in aluminium and silicon-aluminium alloys. «Analyst», 1960, 85, № 1018, 850—851 (англ.).—Разработан метод фотометрич. опре-

деления В в металл. алюминии и его сплавах с кремнием. 0,1 г образца (содержащего 0,5—1% В) сплавляют с 2 г Na_2O_2 , плав выщелачивают 250 мл воды и отстаивают (для отделения $\text{Ni}(\text{OH})_2$). 10 мл полученного р-ра помещают в полиэтиленовый или Pt-стакан, доводят pH до ~2 добавлением 2 н. H_2SO_4 и пропускают через колонку, заполненную катионитом (Цеокарб 225) в Н-форме (высота колонки ~17,8 см, диам. ~2,5 см). Колонку промывают 250 мл воды, pH элюата доводят до 8—9 (добавлением 10%-ного р-ра Na_2CO_3), упаривают досуха, остаток растворяют в 7,5 мл воды, добавляют 7,5 мл H_2SO_4 (4:1), и полученный р-р разбавляют до 20 мл тем же р-ром H_2SO_4 . К 5 мл р-ра добавляют 5 мл 0,02%-ного р-ра 1,1'-диантримиды в конц. H_2SO_4 , прибавляют конц. H_2SO_4 до объема 50 мл и в кварцевой пробирке с притертой пробой нагревают 16 час. при 95°. После охлаждения фотометрируют в 4-см кюветах при 640 мμ. При анализе сплавов, не содержащих мешающих элементов (Cr и V), стадию хроматографирования опускают.

9Д120. Флуориметрическое определение бора. Применение к анализу кремния, морской воды и сталей. Parker C., Barnes W. J. Fluorimetric determination of boron. Application to silicon, sea water and steel. «Analyst», 1960, 85, № 1016, 828—838 (англ.).—Описаны методы флуориметрии. определения следовых кол-в В в кремнии, морской воде и сталях с помощью бензоина. В присутствии больших кол-в мешающих в-в В отгоняют на водно-этанольный смеск под вакуумом (оптимальные конц-ии компонентов в конечном р-ре составляют 72% $\text{C}_6\text{H}_5\text{OH}$, 0,042% Na_2CO_3 и 0,14% бензоина), а в благоприятных случаях (напр. при определении В в морской воде) анализируемую пробу пропускают через колонку, наполненную катионитом Амберлит IR-120 в Н-форме, и определяют В непосредственно в полученном элюате. Описана аппаратура для отгонки В и для флуориметрирования. В качестве источника возбуждения используют Hg-лампу мощностью 250 в; возбуждающая линия Hg 405 мμ выделяется с помощью жидкостных фильтров; флуориметрируемый р-р термостатируют в спец. ячейке при 20°. Особое внимание уделяется очистке используемых реагентов и удалению окисляющих примесей. Разработанные и подробно описанные методы позволяют определять до $0,01\text{—}0,08$ γ В при отсутствии мешающих примесей (чувствительность 0,002 γ В); в кремнии $\geq 0,1$ γ (чувствительность — 0,03 γ В) и в сталях ≥ 5 γ (чувствительность ~1 γ В определяется чистотой используемых реагентов и может быть повышена дополнительной очисткой последних). При определении В в морских водах ошибка составляет $\pm 2\%$.

9Д121. Спектральное определение бора в кремнии. Chang Pei-huan. Die spektralanalytische Bestimmung von Bor in Silicium. «Monatsber. Dtsch. Akad. Wiss. Berlin», 1960, 2, № 8, 474—479 (нем.).—Смесь тонкого измельченного образца с безборным угольным порошком в отношении 2:1 в кол-ве 15 мг набивают в кольцевую канавку, выточенную в торце угольного электрода диам. 5 мм; глубина канавки 2 мм, внутренний диам. 1 мм, внешний 3,4 мм. Контролектрод зачищают на притупленное острие. Электроды устанавливают в камере с кварцевым окном, и образец испаряют при 18 а из анода дуги постоянного тока в атмосфере N_2 . Спектры фотографируют 8 мин. кварцевым спектрографом средней дисперсии при щели 0,015 мм. Эталоны готовят добавлением к смеси Si с безборным угольным порошком р-ра H_3BO_3 в дистил. H_2O . Полученную пасту перемешивают, высушивают 2 часа при 120° и измельчают. Остальные эталоны готовят разбавлением старшего эталона. Анализ производят по линиям В 2497,7—2568,6 А. Градуировочные графики строят в координатах $\Delta S - \lg C$ и $\lg J_1/J_2 \lg C$ с учетом фона. В последнем случае анализ ведут по методу твердого графика. Точность определения по графику

$\lg J_1/J_2 = f(\lg C)$ выше, чем по графику $\Delta S = f(\lg C)$. Средняя арифметич. ошибка меньше $\pm 8\%$ при содержании В 10^{-1} — $10^{-3}\%$. При содержании В 10^{-3} — $10^{-4}\%$ ошибка увеличивается на 40%. В. Мосичев

9Д122. Эмиссионный спектральный метод определения малых содержаний бора в реакторном графите. Brandenstein M., Janda I., Schroll E. Emissionsspektrographische Methode zur Bestimmung geringster Borgehalte in Reaktorgraphiten. «Mikrochim. acta», 1960, № 5-6, 935—945 (нем.; рез. англ., франц.).—Исследовано действие HF , KHSO_4 , LiF , KHSO_4 + LiF , KHSO_4 + CaF_2 , KNO_3 , LiF + $\text{Ba}(\text{OH})_2$, NaF , AlF_3 , AlF_3 + NaF на скорость испарения В в угольной дуге. При испарении смеси графита с AlF_3 и NaF в отношении 2:1:1 летучесть В одинакова с летучестью Hg. Спектры возбуждают в двойной дуге Аренса при токе 12 а. Контролектроды зачищают на плоскость. Расстояние между верхним контролектродом и тиглем составляет 5 мм, между тиглем и нижним электродом — 3 мм. Спектры фотографируют 100 сек. кварцевым спектрографом средней дисперсии при щели 0,01 мм. Эталоны готовят на основе безборного угольного порошка, в который вводят 1% As в форме H_3AsO_3 . Анализ производят по линиям В 2497,7—As 2349,8 А с учетом фона. При конц-ях В в пределах 10^{-4} — $10^{-6}\%$ ошибка определения равна $\pm 5\%$. Прямое определение конц-ии $< 3 \cdot 10^{-7}\%$ невозможно из-за присутствия В в материале тигля и в реактивах. Путем озоления пробы чувствительность может быть повышена до 10^{-8} — $10^{-9}\%$. (РЖХим, 1961, 6Д147).

9Д123. Определение очень малых количеств двуокиси углерода, и аналитическое использование метода. Schulek E., Trompler J., Havas-Endrői A., Remport I. Bestimmung sehr kleiner Mengen Kohlendioxyd und die analytische Anwendung des Verfahrens. «Ann. Univ. scient. budapest. Ses. chim.», 1960, 2, 607—617 (нем.).—Описан полумикро- и микрометод определения связанной или свободной CO_2 , основанный на ее взаимодействии с известным объемом стандартного р-ра $\text{Ba}(\text{OH})_2$ и последующем титровании избытка последнего р-ром HCl по фенолфталеину (для 0,1 и р-ров) или по n-нафтолфталеину (для 0,01 и п-ров) в присутствии пентана, предохраняющего р-р от попадания CO_2 из воздуха, BaCl_2 и этанола, понижающих гидролиз образующегося BaCO_3 . Для определения CO_2 в CaCO_3 и KHCO_3 предложен специальный прибор, в котором водоструйным насосом создается перепад давлений на границе сосуда-поглотителя и внешнего воздуха, что обеспечивает наиболее полное поглощение CO_2 в процессе разложения CaCO_3 60%-ной HClO_4 и KHCO_3 — 85%-ной H_2SO_4 . Для предотвращения поглощения CO_2 из воздуха к прибору присоединяют склянку с 28%-ным р-ром KOH . При определении 10 мг CO_2 ошибка составляет $\pm 0,5\%$, а для 0,7 мг CO_2 $\pm 1\%$. Метод также применен для определения С в органич. в-вах (путем их сжигания в токе O_2 и титрования избытка $\text{Ba}(\text{OH})_2$ после поглощения образовавшейся CO_2).

9Д124. Техника вытеснения для осаждения двуокиси углерода в виде свободного от загрязнений карбоната бария. Goodman Jerome, Steigman Joseph. Displacement technique for the contaminant-free precipitation of carbon dioxide as barium carbonate. «Chemist-Analyst», 1960, 49, № 3, 86 (англ.).—Разработан метод определения CO_2 в виде BaCO_3 , исключаящий помехи, обычно встречающиеся при поглощении CO_2 щелочью или баритом. Поглощение CO_2 производится в вертикальном приемнике, в виде конич. колбы, присоединенного через трехходовой кран и насадку непосредственно к выходному отверстию трубки для сжигания. Нижний конец колбы вытянут в полую трубку, на которую на пробке одевают взвешенный стеклянный тигель с пористым дном. Снизу тигель заку-

(lg C), содержащий 10–14% окислов, подвергают предварительной обработке. Emission spectroscopy. В анг. яз. Lit. (OH)₂ в аз. с AlF₃ в кон. аз. и при дуге на электролизном аноде. 00 сек. и при анодном токе 7–10 А. В пределах прямого отклика. Путем повышения температуры до 1000°C. В методе определения содержания металлов в образцах. В. Ф. (1960, 2, 100). В. Ф. (1960, 2, 100). В. Ф. (1960, 2, 100).

поривают пробкой. В атмосфере O₂ в приемник вводят 180 мл CCl₄ и 30 мл 0,1 M Ba(OH)₂ и соединяют его с печью; тигель откупоривают и начинают сожжение, повернув трехходовой кран так, чтобы кислород и продукты сгорания поступали в приемник, вытесняя из него через пористое дно тигля часть CCl₄. По окончании сожжения (30 мин. при скорости пропускания O₂ 5 мл/мин) трехходовой кран закрывают. Диффузия CO₂ в слой Ba(OH)₂ заканчивается через 30 мин. После этого приемник вместе с тиглем насаживают на колбу Бунзена и быстро отсасывают CCl₄ и Ba(OH)₂. Тигель с осадком BaCO₃ высушивают и взвешивают. Погрешка на контрольный (глухой) опыт исключается; ошибка определения не превышает ошибки взвешивания.

В. Зенгеновская
9Д125. Об источниках ошибок при определении кремния колориметрическим методом. Проскуракова Г. Ф. «Тр. Свердл. с.-х. ин-та», 1960, 7, 389–392.—Установлено, что введение большого избытка (NH₄)₂MoO₄ вызывает сужение области оптимальной кислотности образования кремнемолибденовой к-ты таким образом, что при молярном отношении SiO₂:MoO₃ равном 1:20, 1:40 и 1:80, она составляет (в единицах pH) 4,1–2,0; 0,8–1,7 и 0,8–1,1 соответственно. Поэтому при определении Si рекомендуется устанавливать pH 0,8–1,7, а молярное отношение SiO₂:MoO₃ от 1:30 до 1:40, что создает добавлением 0,8–0,4 мл 4 н. H₂SO₄ и 2,5–3 мл 5%-ного р-ра (NH₄)₂MoO₄ на 40 мл анализируемого р-ра (≤ 2 мг Si), нейтрализованного р-ром NH₄OH по фенолфталеину или до появления слабой муты (в присутствии легко гидролизующихся элементов). Изучена зависимость полного образования кремнемолибденовой к-ты от концентрации посторонних ионов. Наименьшее влияние оказывает SO₄²⁻, наибольшее — Cl⁻. NO₃⁻ медленно разрушает комплекс. Из катионов наибольшее влияние оказывают трехвалентные, задерживающие образование гетерополиоксидов. Влияние солевого состава элиминируют применением добавок.

В. Типцова
9Д126. Фотометрическое определение и бесструктурное обнаружение кремния в стали. Pangrác Miroslav. Fotometrické stanovení a bezstrukturální důkaz křemíku v oceli. «Hutn. listy», 1960, 15, № 10, 807–808 (чешск.).—Для определения Si в стали на очищ. поверхность образца наносят 1 каплю HNO₃ (1:1) (в случае высоколегированных сталей наносят смесь HNO₃ + HCl), по окончании растворения р-р переносит в колбу на 25 мл, прибавляют 5 мл воды, 3–4 капли H₂SO₄ (1:4), кипятят 15 сек., разбавляют водой, вводят 1–2 мл 5%-ного р-ра молибдата аммония, слабо нагревают, через ~2 мин. прибавляют 1–2 мл 10%-ного р-ра H₂C₂O₄, разбавляют водой до 25 мл и фотометрируют. Кол-во образца, перешедшее в р-р, устанавливают титрованием Fe комплексом III в присутствии сульфосалицилата Na.

Н. Туревич
9Д127. К вопросу определения кремния в природной воде в присутствии фосфора. Немецкий Г. Е., Симегазова В. Ф. «Тр. Сев.-Осетинск. с.-х. ин-та», 1960, 21, 271–272.—Разработан фотометрич. метод определения Si в присутствии P, основанный на том, что фосформолибденовый комплекс, образовавшийся при оптимальной кислотности (0,02–0,1 н. по H₂SO₄), при дальнейшем подкислении (до 1,6–2 н. по H₂SO₄) разрушается, а кремне-молибденовый комплекс не изменяется. К пробе (< 50 мкг/л SiO₂ и < 20 мкг/л P₂O₅) прибавляют 2,5 мл 2 н. H₂SO₄ 5 мл 5%-ного р-ра молибденово-кислого аммония, перемешивают, выдерживают 10–15 мин., затем добавляют 10 мл 8–10 н. H₂SO₄, разбавляют водой до 50 мл, выдерживают 1 час и фотометрируют с синим светофильтром.

Е. Богомыльская
9Д128. Микроопределение азота в породах и силикатах методом разложения в запаянной трубке. Stevenson F. J. Microdetermination of nitrogen in rocks and silicate minerals by sealed tube digestion. «Analyst»

Chem., 1960, 32, № 12, 1704–1706 (англ.).—Предложен метод разложения анализируемой пробы при определении азота нагреванием с конц. H₂SO₄ в запаянной трубке. 50–500 мг измельченной пробы помещают в трубку из боросиликатного стекла длиной 55–60 мм и внутренним diam. 17 мм, прибавляют 1,5 мл конц. H₂SO₄, запаявают и помещают в защитном кожухе в муфельную печь при 420° на 90 мин. (силикатные и горные породы) или 60 мин. (осадочные породы). После вскрытия трубку выдерживают 15 мин. при 100°, переносят содержимое ее в микродистилляционную колбу Кьельдаля, применяя 8–10 мл воды, прибавляют 8 мл 45%-ного р-ра NaOH и отгоняют NH₃, который поглощают 0,25 мл 0,05 н. H₂SO₄ (при < 50 γ N) или 5 мл р-ра H₂BO₃ (> 100 γ N). В первом случае для определения NH₄⁺ прибавляют к р-ру 1 мл реактива Несслера и фотометрируют при 435 мμ, во втором случае — титруют полученный р-р 0,01 н. р-ром H₂SO₄. Показано, что предложенный метод точнее обычного метода Кьельдаля.

В. Типцова
9Д129. Гравиметрическое определение аммония в виде тетрафенилбораммония. Crane Francis E., Jr., Smith Eva Agnes. Gravimetric determination of ammonium as ammonium tetraphenylboron. «Chemist—Analyst», 1960, 49, № 2, 38–40 (англ.).—Установлены оптимальные условия гравиметрич. определения NH₄⁺ в виде тетрафенилбораммония (I). В пробе, содержащей 0,4–0,7 ммоль NH₄⁺, устанавливают pH 1,0–3,0 (для лучшей коагуляции и фильтрации осадка), прибавляют р-р инертной соли (напр. Na₂SO₄) средней конц-ии, вводят избыток (25–50 мол.%) р-ра тетрафенилборнатрия, разбавляют водой до 60 мл, выдерживают при 20–25° ~1 час и фильтруют. Осадок промывают малыми порциями 1%-ного р-ра HCOOH и водой, насыщенным I, осторожно высушивают при < 100° (при 130° I начинает разлагаться) и взвешивают.

Е. Богомыльская
9Д130. Спектрофотометрическое определение фосфора в сталях, содержащих ниобий. Кавахата М., Мотидзукки Х., Мисаки Т. «Бунсакки кагаку, Japan Analyst», 1960, 9, № 9, 727–730 (японск.; рез. англ.).—Установлено, что при определении P в сталях, содержащих Nb и Ta, получаются заниженные результаты вследствие соосаждения P с ниобиевой и танталовой к-тами. Для определения P в таких сталях рекомендуются два метода: 1. Р-р анализируемой пробы обрабатывают р-ром Na₂WO₄ для соосаждения Nb и Ta с вольфрамовой к-той, осадок отделяют, и в фильтрате определяют P спектрофотометрически в виде синего фосформолибденового комплекса, после экстрагирования р-рителем. Метод дает хорошие результаты при содержании Nb < 2% и Ta < 1%. 2. P соосаждают с ниобиевой и танталовой к-тами и определяют его содержание как в осадке, так и в фильтрате после отделения этого осадка и суммируют полученные данные. Осадок обрабатывают р-ром NaOH и H₂O₂ и в полученном р-ре определяют P спектрофотометрич. методом.

Резюме авторов
9Д131. Микроопределение фосфора с применением сухого озонирования. Dmochowski A., Krajewski T., Urbanek H. Mikrooznaczanie fosforu za pomocą mineralizacji na drodze suchej. «Chem. analit.» (Polska), 1960, 5, № 4, 683–686 (польск.).—Разработан метод микроопределения P в биолитич. материалах, состоящих в озонировании анализируемой пробы в присутствии смеси Na₂CO₃ с KNO₃ с последующим растворением плава и фотометрич. определением P в виде фосформолибденовой сини. 1–15 мг анализируемого материала смешивают с 4-кратным кол-вом смеси Na₂CO₃ с KNO₃ (3:2) и осторожно нагревают до полного окисления органич. в-в. Плав выплавляют горячей водой, по охлаждении нейтрализуют 4 н. р-ром H₂SO₄, по л-нитрофенолу, разбавляют водой до 5 мл, прибавляют 2,5 мл 4 н. H₂SO₄, 1 мл 7,5%-ного р-ра (NH₄)₂MoO₄,

0,5 мл воды и хорошо перемешивают. Затем вводят 1 мл р-ра SnCl_2 (40 г SnCl_2 растворяют в 100 мл конц. HCl и перед употреблением разбавляют в 200 раз) и через 2 мин. спектрофотометрируют при 720 мμ в 1-см кювете. При определении Р в казеине и фибриногене (из навесок 0,87—13,3 мг), содержащих 1—15,7 γ Р, получены результаты, хорошо совпадающие с данными, найденными по методу мокрого озоления.

А. Немодрук

9Д132. Точное определение следовых количеств пирофосфата в ортофосфатах. Kolloff R. H., Ward H. K., Ziemba V. F. Precise determination of traces of pyrophosphate in orthophosphates. «Analyst. Chem.», 1960, 32, № 12, 1687—1690 (англ.).—Для определения $\text{P}_2\text{O}_7^{4-}$ в ортофосфатах применен фотометрич. метод, основанный на ослаблении интенсивности окраски роданидного комплекса $\text{Fe}(3+)$ за счет образования бесцветного пирофосфатного комплекса $\text{Fe}(3+)$. Уменьшение мешающего влияния PO_4^{3-} и увеличение чувствительности определения $\text{P}_2\text{O}_7^{4-}$ (до 0,002% $\text{Na}_4\text{P}_2\text{O}_7$ на 0,001 ед. оптич. плотности) достигается проведением анализа при низких значениях pH (1,6), сравнительно высоких конц-ях SCN^- (0,13 М NH_4SCN) и Fe^{3+} (40 ч. на 1 млн.) и низких конц-ях пробы (0,5%). 0,5000 г NaH_2PO_4 (или 0,5917 г Na_2HPO_4) растворяют в мерной колбе емк. 100 мл в ~25 мл воды, устанавливают pH 1,6 (в случае Na_2HPO_4 для превращения его в NaH_2PO_4 прибавляют 7 мл 0,6 М HClO_4) вводят 10 мл стандартного р-ра Fe^{3+} (100 ч. на 1 млн. по Fe^{3+} и 0,6 М по HClO_4) и 10 мл 1,32 М NH_4SCN , быстро разбавляют водой до метки, выдерживают 10 мин. и фотометрируют в течение следующих 20 мин. в 1-см кювете при 435 мμ и комнатной т-ре ($\pm 1^\circ$). Стандартное отклонение при анализе продажного Na_2HPO_4 составляет 0,004% $\text{Na}_4\text{P}_2\text{O}_7$. Влияние Al^{3+} , Fe^{3+} , а также PO_4^{3-} учитывают при помощи специально построенных калибровочных графиков. Cu, Bi, Ti, U, Mo, Co, Mn, Hg, Cd, Zn, Sb, $\text{C}_2\text{O}_4^{2-}$ и F⁻ (обычные мешающие в-ва в роданидном методе), а также Ca и Mg (образующие пирофосфатные комплексы) в продажных фосфатах натрия или отсутствуют совсем, или присутствуют в ничтожных кол-вах. Найдено, что в присутствии PO_4^{3-} происходит смещение максимума светопоглощения роданидного комплекса $\text{Fe}(3+)$ в коротковолновую область спектра (от 475 к 400 мμ) и наблюдается уменьшение интенсивности светопоглощения.

Ф. Судаков

9Д133. Определение малых количеств мышьяка и сурьмы в сульфидных рудах и минералах. Schulek E., Barcsa L. Bestimmung geringer Mengen Arsen und Antimon in sulfidischen Erzen und Mineralen. «Ann. Univ. scient. budapest. Sec. chim.», 1960, 2, 527—529 (нем.).—Изучены условия броматометрич. определения As и Sb в сульфидных рудах и минералах. Пробу разлагают р-ром HNO_3 и смесью H_2SO_4 с H_2O_2 (при отделении S вводят дополнительную обработку бромом). Для отделения As используют дистилляцию: 2 мл сернокислого р-ра пробы смешивают с 5 мл воды и 10 мл 20%-ной HCl , прибавляют 0,2 г KBr и отгоняют 5 мл р-ра, вновь добавляют 5 мл HCl и еще дважды повторяют дистилляцию (в присутствии мешающих ионов в р-р для дистилляции вводят $\text{Na}_2\text{H}_2\text{SO}_4$). При содержании в пробе $\leq 0,8$ мг As достаточно 2-кратной дистилляции порциями по 5 мл; при содержании As ≥ 20 —200 мг дистилляцию повторяют ≥ 7 раз. В дистилляте As определяют броматометрически с использованием *n*-этоксихризоидина в качестве индикатора. Sb определяют броматометрически без предварительного выделения. Fe^{3+} маскируют р-ром H_3PO_4 , а Pb^{2+} и Hg^{2+} осаждают р-ром KBr. При определении As и Sb в присутствии 20—2500-кратных кол-в других элементов As отделяют дистилляцией (6—7 раз при малом содержании Sb), а в остатке определяют Sb. В присутствии больших кол-в Sb необходима повторная дистилляция,

так как Sb частично переходит в дистиллят. Ошибка определения As ± 4 γ, Sb ± 12 γ. Метод применен для определения As (0,004—0,8%) и Sb (0,012—0,2%) в халькопите, халькопирите, киновари, алабандите, сфалерите, галените, арсенопирите, реальгаре, никелине, смальтине, антимоните и тетраэдрите.

В. Иванов

9Д134. Определение висмута в виде фосфата осаждением из гомогенного раствора. Ross Harley H., Hahn Richard B. Determination of bismuth as bismuth phosphate by precipitation from homogeneous solution. «Analyst. Chem.», 1960, 32, № 12, 1690—1692 (англ.).—Разработан метод гравиметрич. определения Bi, который основан на осаждении его ортофосфорной к-той, образующейся в результате гидролиза метафосфорной к-ты в кислой среде. Метод успешно применен для анализа Bi-сплавов. Образец сплава (100—200 мг Bi) растворяют при нагревании (~15 мин.) в 15—20 мл конц. HNO_3 , р-р разбавляют равным объемом воды, отфильтровывают осадок метаоловянной к-ты, промывают его 1 М р-ром HNO_3 и промывные воды присоединяют к основному фильтрату. К полученному р-ру прибавляют сначала NH_4OH (1:1) до появления муты, а затем 10 мл конц. HNO_3 (р-р должен быть прозрачным, в противном случае добавляют еще HNO_3), вводят 25 мл 10%-ной HPO_3 (содержащей 1 мл конц. HNO_3 в 100 мл), разбавляют водой до 300 мл, нагревают 1 час в закрытом стакане при т-ре кипения, охлаждают, декантируют через фильтровальную бумагу Ватман № 40 и промывают бумагу 10%-ным р-ром NH_4NO_3 (100 мл). Осадок в стакане растворяют в 10 мл конц. HNO_3 , вновь прибавляют 25 мл 10%-ной HPO_3 , разбавляют кипящей водой до 300 мл, нагревают 1 час, охлаждают и фильтруют через тот же фильтр (для полного перенесения осадка на фильтр используют 10%-ный р-р NH_4NO_3). Фильтр с осадком сжигают, и осадок прокалывают при т-ре красного каления. Фактор пересчета Bi/ BiPO_4 равен 0,68755. При кислотности анализируемого р-ра 0,5 н. (по HNO_3) другие обычные компоненты Bi-сплавов (в том числе и Pb) определению Bi (1—250 мг) не мешают.

Ф. Судаков

9Д135. Открытие элементарной серы посредством ацетона. Ingram G., Toms B. A. The detection of elementary sulphur by means of acetone. «Analyst.», 1960, 85, № 1015, 766 (англ.).—Разработан метод открытия S, основанный на появлении синего окрашивания при обработке полисульфида ($n\text{S} + \text{S}^{2-} \rightarrow \text{S}_n^{2-}$) ацетоном. К 1 капле анализируемого р-ра в фарфоровом тигле емк. 1 мл прибавляют 1 каплю 2%-ного водн. р-ра Na_2S и 0,5 мл ацетона. В присутствии S развивается окраска от небесно-голубой до зеленовато-синей в зависимости от конц-и S. При анализе твердых в-в несколько мг порошкообразного материала помещают в тигель, обрабатывают при нагревании (если нужно) 3—4 каплями этанола и прибавляют 1 каплю р-ра Na_2S и 0,5 мл ацетона. Открываемый минимум 6 γ S; предельное разбавление 1:30 000. Открытию S не мешают SCN^- , $\text{S}_2\text{O}_3^{2-}$ и S^{2-} .

Ф. Судаков

9Д136. Спектрофотометрическое определение четырехвалентного селена при помощи 1,1'-диантримиды. Langmuir F. J., O'Connell S. H. Spectrophotometric determination of selenium (IV) with 1,1'-dianthrime. «Analyst. chim. acta», 1960, 23, № 6, 565—568 (англ.; реф. франц., нем.).—Разработан спектрофотометрич. метод определения Se^{4+} при помощи 1,1'-диантримиды (I), основанный на образовании комплекса Se^{4+} с I с максимумом светопоглощения при 480 и 585 мμ с соотношением $\text{Se}^{4+} : \text{I} = 1 : 1$. Р-ция проходит в сернозном р-ре, причем величина оптич. плотности комплекса зависит от конц-и H_2SO_4 . Установлено, что при комнатной т-ре р-ция идет очень медленно, при 70° ускоряется, при т-ре $> 70^\circ$ I разлагается. Пробу 0,02—0,25 мг Se^{4+} разбавляют 1%-ным р-ром NaOH до 1 мл, вводят 5 мл 0,05%-ного р-ра I и 20 мл 96%-ного р-ра H_2SO_4 , нагревают 16 час. при 70° и спектрофотометри-

руют при 480 или 585 мμ. Определению мешают только B^{3+} , Ge^{4+} , Te^{4+} , Br^- , F^- . С. Зеличенко

9Д137. Быстрые методы анализа силикатов (углеродсодержащие сланцы, шлаки, глины, цементы и т. д.) и минералов железа. Garzón Ruipérez León. Métodos rápidos de análisis de silicatos (pizarras carbonosas, escorias, arcillas, cementos, etc.) y minerales de hierro. «Inform. quim. analit.», 1960, 14, № 3, 64—70 (исп.).—При анализе силикатов и минералов Fe содержание воды определяют высушиванием 100 г пробы при 105—110°, а летучие в-ва — прокаливанием 1 г пробы при 900 ± 20°. Для определения SiO_2 пробу (0,2—0,5 г) ссыпают 5 мин. с 10 гранулами NaOH в Ni-тигле при 300°, затем прибавляют немного Na_2O_2 и нагревают еще 5 мин. при 850°. Плав выщелачивают водой (~100 мл) при 90°. Полученный р-р подкисляют соляной к-той, вводят 100 мл H_2SO_4 (1:1), кипятят, охлаждают до 60—70°, прибавляют 40 мл 1%-ного р-ра желатин, разбавляют водой до 400 мл и фильтруют через фильтр № 238. Осадок промывают 3 раза 10%-ной HCl, а затем 5—6 раз водой, прокаливают и взвешивают. Для определения Al_2O_3 и TiO_2 пробу (0,1—0,5 г) разлагают, как указано выше, вытяжку, подкисленную HCl, нейтрализуют р-ром NH_4OH , прибавляют 4 мл HCl (1:1), 15 мл 80%-ной CH_3COOH и 30 мл 30%-ного р-ра $Na_2S_2O_3$, разбавляют водой до 600 мл, нагревают 5 мин., вводят 30 мл 10%-ного р-ра $(NH_4)_2HPO_4$, кипятят 10 мин., прибавляют небольшое кол-во CH_3COONH_4 и через 5 мин. фильтруют. Осадок промывают водой, еще раз переосаждают без прибавления CH_3COONH_4 , прокаливают при 900° и взвешивают. В осадке определяют Ti фотометрически. Для определения общего содержания Fe пробу (0,5 г) разлагают, как указано выше, и из солянокислого р-ра осаждают гидроокись добавлением NH_4OH . Осадок отфильтровывают, растворяют в HCl, прибавляют р-р $SnCl_2$ (60 г $SnCl_2 \cdot 2H_2O$ в 200 мл конц. HCl, разбавляют водой до 1 л), вводят 200—300 мл воды, 15 мл насыщ. р-ра $HgCl_2$, 15 мл смеси к-т (150 мл конц. H_2SO_4 + 150 мл конц. H_3PO_4 в 1 л р-ра) и титруют р-ром $K_2Cr_2O_7$ в присутствии дифениламиносульфата Ba. Из р-ра после выделения $Fe(OH)_3$ осаждают CaC_2O_4 (определение Ca заканчивают перманганатометрически), а в фильтрате определяют MgO . Для определения FeO 1 г пробы нагревают с 100 мл HCl (1:1) с добавлением 4 капель HF и небольшого кол-ва $NaHCO_3$; через 10 мин. р-р разбавляют водой (300 мл) и титруют р-ром $K_2Cr_2O_7$. Н. Туркевич

9Д138. Быстрый метод определения основных компонентов силикатных пород. Behr A., Blanchet M. L., Malaprade L. Méthode rapide de dosage des principaux éléments d'une roche silicatée naturelle. «Chim. analyt.», 1960, 42, № 10, 501—507 (франц.).—Описана методика ускоренного анализа силикатных пород. Потери при прокаливании определяют нагреванием пробы (1 г) при 1000°. Для определения SiO_2 и Al_2O_3 ~0,050 г пробы ссыпают с NaOH в Ni-тигле, плав выщелачивают и в аликвотной части р-ра содержание SiO_2 находят спектрофотометрированием (при 650 мμ) синего кремнемолибденового комплекса (в качестве восстановителя применяют аскорбиновую к-ту) в присутствии винной к-ты. Al определяют фотометрически с ализирином S (при 475 мμ). Мешающее влияние Fe устраняют добавлением $K_3[Fe(CN)_6]$. Содержание Fe^{2+} определяют в р-ре, полученном после кипячения 0,5 г породы в смеси H_2SO_4 + HF, титрованием р-ром $K_2Cr_2O_7$ в присутствии H_3BO_3 и H_3PO_4 . Остальные компоненты определяют в отдельных аликвотных частях р-ра, полученного после разложения 2 г породы смесью H_2SO_4 + HF. Общее кол-во Fe определяют титрованием р-ром $K_2Cr_2O_7$ с применением дифениламиносульфата бария (после его предварительного восстановления до Fe^{2+} добавлением $TiCl_3$ в присутствии мышьяково-вольфрамовой к-ты. Mn (после его окисления йодатом до MnO_4^-) определяют фотометрирова-

нием при 525 мμ. Содержание Ti находят фотометрич. методом с применением H_2O_2 в качестве реактива. Сумму Ca и Mg титруют р-ром комплексона III в присутствии эриохрома черного Т. В отдельной аликвотной части р-ра при pH ≈ 12 титруют Ca р-ром комплексона III в присутствии хрома кислотного темного. Mg находят по разности. Р определяют фотометрич. методом в виде молибденованадиевофосфорной гетерополиакислоты. Содержание Na и K определяют методом пламенной фотометрии. В этом случае рекомендуется строить калибровочный график с применением стандартных р-ров K- и Na-солей с введением основных компонентов анализируемого образца в соответствующих конц-ях. За рабочую неделю может быть выполнено ~8 анализов. В. Звенигородская

9Д139. Спектральное определение следовых количеств элементов в глинах с угольной дугой постоянного тока. Hegemann F., Kostyga H., Kostyga J. Die spektrographische Bestimmung der Spurenelemente in Tonen mit dem Gleichstrom-Kohlelichtbogen. «Ber. Dtsch. keram. Ges.», 1960, 37, № 8, 372—377 (нем.; рез. англ., франц.).—Пробу, высушенную при комнатной т-ре, разбавляют угольным порошком в отношении 1:4, растирают 20 мин. в ступке и набивают в канал угольного электрода диам. 2 и глубиной 4 мм. Электроды готовят из стержней диам. 5 мм, ставящую верхнюю часть до диам. 3 мм на длине 8 мм. Канал электроды затачивают на усеченный конус. Для определения В применяют безборные угли. Спектры возбуждают при дуговом испарении из анода при 9 а, межэлектродном промежутке 4 мм и фотографируют 75 сек. кварцевым спектрографом средней дисперсии со щелью 0,01 мм. Элементом сравнения для определения В, Be, Ca, Cr, Cu, Fe, Mg, Mn, Ni, Pb, Sn, Sr, Ti, V, Y и Zr служит Со, который вводят в виде Co_3O_4 в угольный порошок в кол-ве 1%; при определении В для сравнения в угольный порошок добавляют 0,1% Be в виде BeO . Эталоны готовят на основе природного каолина высокой чистоты. Для определения В эталонами служат образцы глины с добавками H_3BO_3 . Градуировочные графики строят в координатах $lg I_{1/2}$, $lg C$ с учетом фона и наличия примесей в основе эталонов. Фон измеряют в точно установленных участках спектра. Определение $lg I_{1/2}$ производят с помощью расчетной доски Кайзера. Содержание В определяют по линиям В 2497,7 — Be 2494,7 А с учетом наложения на линию В канта полосы SiO по методу Аренса. Для определения Fe, Ti, Mg и Ca эталонами служат образцы глины с известным содержанием этих элементов. Нижняя граница обнаружения В, Be, Cu и Mn при 4-кратном разбавлении пробы угольным порошком составляет (в %): Fe_2O_3 $3 \cdot 10^{-4}$, Ni $1 \cdot 10^{-3}$, Ba, CaO, Cr, MgO, Pb, Sn, TiO_2 , Zr и Y $3 \cdot 5 \cdot 10^{-3}$, Sr и V $1 \cdot 2 \cdot 10^{-2}$. В. Мосичев

9Д140. Спектрохимическое определение редких земель в минералах. Верховод Б. Н., Дедешко М. П., Кожбанова М. О. «Докл. Межвуз. научн. конференции по спектроскопии и спектр. анализу». Томск, Томский ун-т, 1960, 18.—После хим. разложения проб (методика не описана) определяемые элементы концентрируют на CaO . Эталоны готовят на основе $CaCO_3$. Спектры возбуждают в дуговом разряде переменного тока при 10 а и фотографируют в УФ-области спектрографом АФС-3 с решеткой 1200 штрих/мм. Указаны аналитич. линии Y, La, Ce, Nd, Sm, Gd, Th, Dy, Ho, Er, Yb, Lu, элемент сравнения Sc. Чувствительность определения 10^{-1} — 10^{-4} % в зависимости от элемента. Г. Кибисов

9Д141. Применение ионообменной хроматографии при полярографическом анализе руд цветных металлов и продуктов их переработки. Лысенко В. И. «Сб. тр. Всес. н.-и. горно-металлург. ин-т цветн. мет.», 1959, № 5, 88—97.—Исследованы методы подготовки проб к полярографированию In, Pb, Cd, Zn и Bi с применением анионитов. Показано, что анионит

ЭДЭ-10П в Cl-форме количественно поглощает Bi и Pb из 0,5 н. HCl. Sb(5+) и As(5+) поглощаются из 0,5–4 н. HCl на 5–10%. Максимум сорбции In и Te имеет место в 4–5 н. и Cu — в 7–8 н. HCl. Ni, Co, Mn²⁺, Se, Cr(3+), Fe(3+), Al, Mg, щел. и щел.-зем. элементы ЭДЭ-10П не поглощаются. In, Sn, Cd, Zn, Pb и Te десорбируются со смолы водой или 0,012–0,5 н. р-ром HCl. Bi — 1 н. р-ром HNO₃. Для определения In в рудах 1–5 г пробы смачивают водой, прибавляют 0,5–2 г NH₄F, 10–30 мл конц. HCl и упаривают до небольшого объема. К остатку прибавляют 5–15 мл конц. HNO₃, выпаривают до влажных солей, добавляют 30 мл 4%-ной HCl, нагревают и по охлаждению фильтруют, осадок промывают той же к-той 3–4 раза. К фильтрату добавляют ~3 г NH₄Cl, и при нагревании осаждают аммиаком Fe(OH)₃ и In(OH)₃. Осадок отфильтровывают, промывают, растворяют в HCl (1:1) и снова осаждают аммиаком. Пересажженный осадок растворяют в 5 н. HCl, и р-р пропускают через колонку, заполненную ЭДЭ-10П, промытой 4 н. р-ром HCl. Затем колонку промывают 4 н. р-ром HCl до полного удаления Fe. Оставшийся на колонке In десорбируют 160–170 мл 0,5 н. HCl, полученный р-р выпаривают до 1–2 мл и разбавляют 3 н. р-ром HCl до 25 мл (при содержании In < 0,002% — до 10 мл). Если полученный р-р содержит Cd, вводят 5 мл 5%-ного р-ра FeCl₃, конц. NH₄OH (для осаждения Fe и In в виде гидроокисей), осадок промывают 1%-ным р-ром NH₄Cl, растворяют в HCl (1:3) и разбавляют до определенного объема. К 10–20 мл р-ра добавляют 0,1–0,2 г металлич. Fe и через 30–40 мин. производят полярографию. Определение In. Метод применен для определения 0,0008–0,066% In в рудах и концентратах. Описано также отделение Cd и Zn от Cu, Fe, Ni, Mn и Co и отделение Pb от Bi, Cu, Fe, Te и Sn.

Н. Полянский
9Д142. Спектральный анализ горных пород на породобразующие элементы. Берман Е. Л., Федорова Е. М. «Докл. Межвуз. научн. конференции по спектроскопии и спектр. анализу». Томск, Томский ун-т, 1960, 13–14. — Кратко описано колич. определение Si, Al, Mn, Ti, Fe, Ca, Mg при возбуждении спектров в дуге переменного тока. Пробы смешивают с углем (1:9), содержащим Sr и Cu в качестве внутренних стандартов. Отмечено отсутствие взаимного влияния элементов. Ошибка, характеризующая воспроизводимость анализа, равна ±4,7%.

Г. Кибисов
9Д143. Пробирно-химический метод определения золота и серебра в сырые заводов цветной металлургии. Бухарин А. Ф. «Сб. тр. Всес. н.-и. горно-металлург. ин-т цветн. мет.», 1959, № 5, 209–220. — Разработан пробирно-хим. метод определения Au и Ag, дающий более точные результаты определения Ag, чем пробирный. Ход анализа при определении Au и Ag в пробирном веркбле состоит из следующих операций: пробирная плавка в-ва на веркблей; растворение веркбеля в HNO₃ (1:2) и отделение нерастворившегося Au фильтрованием; растворение Au в р-ре хлоридов и титрование его гидрохиноном; весовое определение Ag осажждением его из фильтрата в виде AgCl с последующим растворением AgCl в NH₄OH и осажждением металлич. Ag солянокислым гидразином. Метод предназначен для всех минералов, не содержащих металлов Pt-группы, с содержанием Au > 40 г/т и Ag > 1000 г/т. В тех случаях, когда содержание Au < 40 г/т, титриметрич. определение Au заменяют пробирным.

В. Звенигородская
9Д144. Спектрографический анализ кремнеземистых огнеупоров. Vilnat J., Liode N., Voinovitch I. A. Analyse des refractaires a base de silice par spectrographie quantitative. «Bull. Soc. franc. céram.», 1960, № 47, 107–116, V, XI (франц.; рез. англ., нем.). — Экспериментально проверено пять методик определения примесей в силикатах. Пробы смешивают с угольным порошком и вносят внутренний стандарт Ni или Cu.

В одной из методик для сравнения берут линии Si. Во всех случаях источником возбуждения служит дуга постоянного тока; пробу испаряют из анода. В одной из методик применяют катодное возбуждение без угольного порошка и вносят окиси Ag или Co в качестве внутренних стандартов. При сравнении с данными хим. анализа установлено, что методика, разработанная лабораторией французского керамического общества, является лучшей. С Ni как внутренним стандартом построены, калибровочные кривые, позволяющие определить Al, Ti, Fe, Ca, Mg, Pb, Mn, Sn, Cu, Co, V, Cr, Zn, Ba и Sr. Металлы Na, K и Li определяют пламеннофотометрич. методом. Получена высокая воспроизводимость результатов. При силе тока 25–30 а можно повысить чувствительность до 10⁻⁴–10⁻⁵%. По резюме авторов

9Д145. Спектральный анализ ферросплавов. II. Определение микроколичеств свинца, меди и цинка в ферромарганце. IIP. Определение примесей в феррохроме. Yokoyama Y. Spectrographic determination of ferroalloys. II. Determination of microamounts of lead, copper and zinc in ferromanganese. III. Determination of impurities in ferrochrome. «Sci. Repts. Insts. Tohoku Univ.», 1960, A12, № 5, 430–436 (англ.). — II. Куски ферромарганца измельчают в алмазной ступке до 100 меш и смешивают с графитовым порошком в отношении 1:1. Около 15 мг смеси помещают в канал графитового электрода глубиной 3 и диам. 2,5 мм. Спектры возбуждают при 10 а в прерывистой дуге постоянного тока при испарении из анода. Контролектрод, заточенный на конус, устанавливают на расстоянии 2,5 мм. Скважность разряда равна 1:2, частота прерывания разряда 6 гц. Спектры фотографируют в течение 25 сек. на спектрографе Q-24 при щели 10 м. Аналитич. линиями служат: Pb 2833 — Mn 2830; Cu 3273 — Mn 3296; Zn 3302 — Mn 3296 A. Содержание Mn предварительно определяют по линиям Mn 3296 — Fe 3286 A, считая сумму конц-ий Mn и Fe равной 95,5%. Градуировочные графики строят в интервале конц-ий 0,02–0,05% Pb, 0,02–0,06% Cu и 0,06–0,15% Zn в координатах $\Delta S, \lg(C_x/C_{Mn})$. Ошибка анализа ±7% для Pb и Cu и 16% для Zn.

III. Поверхность образца феррохрома обрабатывают тонким напильником. Контролектрод из графита заточивают на усеченный конус и предварительно обжигают в дуге. Спектры возбуждают прерывистой дугой постоянного тока. При токе 9,5 а, частоте прерывания разряда 6 гц, скважности 1:7 и величине аналитич. промежутка 3,5 мм достигают максим. отношения полезного сигнала к фону и наилучшей воспроизводимости результатов. Спектры фотографируют 15 сек. спектрографом Q-24 при щели 10 м. Конц-ии примесей определяют по следующим линиям в интервалах: 0,01–0,03% Cu 3273 — Cr 3295; 0,1–1,0% Ti 3372 — Cr 3295; 0,3–2% Si 2506 — Cr 2504; 0,4–0,9% Mn 2798 — Cr 2798 A. Градуировочные графики строят в координатах $\Delta S, \lg(C_x/C_{Cr})$. Содержание Cr в образцах предварительно определяют по линиям Cr 3295 — Fe 3265 A, исходя из среднего суммарного содержания Cr + Fe = 97,9%. Воспроизводимость анализа характеризуется ошибкой ±10%. Предыдущее сообщение см. РЖХим, 1960, № 15, 61114.

Б. Львов
9Д146. Методы спектрального анализа при определении микропримесей в золоте высокой чистоты. Храпай В. П. «Докл. Межвуз. научн. конференции по спектроскопии и спектр. анализу». Томск, Томский ун-т, 1960, 70–72. — Кратко описано применение разноточности глобульной дуги для анализа Au чистоты 99,999%. Навеску в кол-ве 500 мг сплавляют в графитовом стаканчике при 1100°. Повторно корольок расплавляют на плоском конце угольного электрода и только потом получают спектр, снятый на одно место пластинки от пяти корольков. Чувствительность опре-

деления Ga, Zn, B, Cu, Bi, Pb, Ag, Fe, Si, Sn и Sb равна $1-2 \cdot 10^{-5}\%$. Применяют также метод испарения при 2000° для концентрирования примесей на конце вспомогательного электрода (РЖХИМ, 1960, № 5, 17649). Чувствительность повышается до $10^{-6}\%$. Для расширения перечня определяемых элементов производят хим. концентрирование растворением золота и отделением его от примесей сернистым газом. Фильтрат упаривают, смешивают с угольным порошком, сушат, и примеси испаряют из кратера угольного электрода. Происходит частичная (до 25%) потеря примесей. Чувствительность анализа $10^{-4}-10^{-5}\%$. Более совершенный способ заключается в экстрагировании золота эфиром из солянокислых р-ров. Р-р упаривают досуха и остаток подвергают анализу. Г. Кибисов

9Д147. Определение висмута, меди и свинца в электролитическом золоте методом квадратноугольной полярографии. Itsuki Kamihiko, Nishino Kazuo. «Бунсэки кагаку, Japan Analyst», 1960, 9, № 7, 557-561 (японск.; рез. англ.).—Bi, Cu, Pb отделяют от Au эфирной экстракцией и определяют в 1 н. HCl методом квадратноугольной полярографии. Другие примеси не мешают определению, так как в электролит. Au содержатся в малых кол-вах. Предлагаемый метод выгодно отличается от других вариантов полярографич. анализа быстротой и меньшей затратой анализируемого материала. В. Лукьянов

9Д148. Спектроаналитические исследования металлургического алюминия методом вращающегося электрода. Török T., Szakacs O., Szabó Z. L. Spektralanalytische Untersuchungen von Hüttenaluminium mit Drehelektroden — Verfahren. «Ann. Univ. scient. budapest. Sec. chim.», 1960, 2, 367-371 (нем.).—Исследованы условия спектрального определения низких конц-ий Mg, Cu, Si, Fe, Ti и Zn в металлургич. Al. Изготовленный из пробы электрод диам. 18 и длиной 80 мм располагают горизонтально и мотором сообщают ему поступательно-вращательное движение с передвижением вдоль оси на 2 мм за 1 оборот. Контрэлектродом служит угольный стержень диам. 6 мм, заточенный на конус под углом 60°; величина дугового промежутка — 2,5 мм. Спектры возбуждают в поляризованной дуге переменного тока, представляющей собой комбинацию дуги Пфайльштикера с разрядом от искрового генератора Фейснера. Поляризацию осуществляют подпиткой дуги ВЧ-разрядом в один из полупериодов в момент максимума напряжения. Для этого применяют синхронный выключатель. Спектры фотографируют в течение 8 сек. при щели спектрографа 0,020 мм, токе 12 а и напряжении 220 в. Применяют безблизовое освещение щели; расстояние источника от щели 320 мм. При включении пробы анодом точность результатов выше. Исследованы 3 скорости вращения электрода: 105, 7,5 и 3,7 об/мин. Точность измерений повышается с уменьшением скорости вращения. Достигнутая чувствительность сравнима с чувствительностью обычного метода спектрального анализа Al. В. Мосичев

9Д149. Спектральное определение следовых количеств элементов в пробах катодного никеля. Szakacs O. Spektralanalytische Bestimmung der Spurenelemente in Kathoden — Nickel Proben. «Ann. Univ. scient. budapest. Sec. chim.», 1960, 2, 373-375 (нем.).—Эталон готовят из 10%-ного р-ра чистого NiSO₄, в который вводят соответствующие кол-ва р-ров определяемых элементов. Пробу растворяют в HNO₃ (1:1) с последующим добавлением H₂SO₄ (1:2), а в эталонные р-ры вводят HNO₃ так, чтобы конц-ии ионов SO₄ и NO₃ были приблизительно одинаковы. Р-р в кол-ве 0,02 мл наносят на торец угольного электрода диам. 6 мм, сточенного в верхней части на высоте 4 мм до диам. 3,5 мм. Спектры возбуждают при 7-9 а в прерывистой дуге переменного тока при отношении импульса к паузе 1:6 и фотографируют средним спектрографом ИСП-22 со щелью 0,020 мм при безблизовом освещении. На один

и тот же участок фотопластины фотографируют 3 спектра при экспозиции 3×30 сек. с дуговым промежутком 2,5 мм и при расстоянии источника от щели 322 мм. Анализ производят по наиболее чувствительным линиям УФ-области. Для сравнения выбраны линии Ni. Воспроизводимость метода характеризуют ошибкой $\pm 5-10\%$. Чувствительность обнаружения Cu, Mg, Mn и Ag составляет $3 \cdot 10^{-3}-1 \cdot 10^{-3}\%$, Pb, Mo, Fe, Co и Al $10^{-2}\%$. Определение Pb производят из отдельной навески, так как одновременное определение возможно только с недопустимо большой ошибкой.

В. Мосичев

9Д150. Разработка методики экспрессного спектрального анализа основных марганцевых шлаков. Шаталин А. А. «Докл. Межвуз. научн. конференции по спектроскопии и спектр. анализу». Томск, Томский ун-т, 1960, 78-79.—Краткое описание. Испытано семь способов введения в-ва в разряд, тип которого не указан. Наилучшая фотометрич. воспроизводимость получается при растворении шлака и применении флуоратора. Также возможно брикетирование шлака с Si-порошком или углем. Высокая фотометрич. воспроизводимость еще не обеспечивает построения градуировочных графиков и правильности анализа. Наиболее достоверные анализы получают для шлаков в пределах основности от 0,2 до 3,0. В этом случае средняя ошибка анализа менее $\pm 6\%$. Г. Кибисов

9Д151. Количественное спектральное определение низких концентраций элементов в окиси тория. Накадзима Т., Фукусима Х. «Бунсэки кагаку, Japan Analyst», 1960, 9, № 10, 830-836 (японск.; рез. англ.).—Описано спектральное определение примесей 17 элементов в ThO₂ методом фракционного испарения с носителем. Из 13 различных типов носителей наибольшую интенсивность аналитич. линий дает AgCl при соотношении ThO₂ и AgCl, равном 96:4. Смесь образца с AgCl испаряют из канала графитового электрода, заточенного в форме рюмки и включенного анодом. Спектры фотографируют 4-призмным спектрографом фирмы Fuess в течение 30 сек. в области 2200-3550 Å при токе 12 а и дуговом промежутке 4 мм. В качестве аналитических выбраны наиболее чувствительные линии. Приводимые градуировочные графики для B, Cd, Cr, Si, Co, Mg, Fe, V, построенные в координатах $\lg I$, $\lg C$, прямолинейны. Предел обнаружения B (в %) равен $5 \cdot 10^{-6}$; Be, Cd $1 \cdot 10^{-5}$; Mn, Ni, Pb $5 \cdot 10^{-5}$; Bi, Co, Fe, Mg, V ($1 \cdot 10^{-4}$); Cr и Si $5 \cdot 10^{-4}$; Al и Mo $1 \cdot 10^{-3}$ и $2 \cdot 10^{-3}$. Воспроизводимость результатов анализа характеризуют ошибкой $\pm 20\%$ для Al и Si и 3-8% для всех остальных элементов. Б. Львов

9Д152. Анализ катализатора для реформинга бензинов. Определение платины в присутствии трехвалентного хрома после их ионообменного отделения друг от друга. Palo včiková Magdaléna. Rozbor katalyzátora pre reformovanie benzínov. Stanovenie platiny vedľa CrIII delením na iontomenci. «Ropa a uhlie», 1960, 2, № 10, 302 (словацк.; рез. русск., англ.).—Метод сводится к избирательному поглощению Cr³⁺ катионообменивающей смолы из солянокислого р-ра, отмывке сорбента от платинохлористоводородной к-ты водой и последующему колориметрич. определению Pt. Cr десорбируют с колонки 3 н. р-ром HCl и определяют йодометрич. методом. Н. Полянский

9Д153. Способ подготовки проб железных руд к спектральному анализу на редкие элементы. Каплан Б. Я., Ли ф ш и ц Л. М. Авт. св. СССР 131540, 10.09.60.—Руду в смеси с SiO₂ перемешивают с 6-кратным кол-вом NH₄Cl и нагревают 20-30 мин. при 350° в фарфоровом тигле с крышкой. Полуожидкую массу (благодаря образованию FeCl₃) нагревают до 500° при снятой крышке до окончания выделения дыма. Для удаления остатков FeCl₃ вносят вновь 1-1,5 г NH₄Cl и повторяют отгонку.

Остаток в-ва в тигле переносят в угольный электрод для спектрального анализа. Г. Кибисов

См. также: Разделение Zr — Hf 9В4, 9В41. Определение 9Н11, 9Н267, К 9Н11, 9Н267, Mg 9С99, Ca 9Н267, 9С99, Cu 9С73, Al 9Л293, Ti 9Н316, Sn 9Н12, Pb 9С74, V 9М240, U 9В196, Fe 9Н164, Ni 9И333, 9М240, В 9М26, 9М123, CO₂ 9Е48, Si 9С75, NO₂— 9Н185, NO₃— 9Н185, As 9Г105, 9Л292, O₂ 9Е50—9Е52, 9И257, 9И258, 9С72; H₂S 9И351, SO₂ 9И351, Cl 9Н108, Cl— 9С97, H₂O 9Е45, 9Е48; H₄[Fe(CN)₆] 9Н282; HF 9Е53. Анализ воды 9И257—9И259; морской воды 9Г111, 9Г112; углеродистых материалов 9В141; минералов и горных пород 9Г9, 9Г13, 9Г52, 9Е48, 9К225; пиритных огарков 9К370

АНАЛИЗ ОРГАНИЧЕСКИХ ВЕЩЕСТВ

Редактор А. А. Черкасский

9Д154. Применение ядерного магнитного резонанса к определению органических соединений. Юкава Я. Юки госэй какаку кёкайси, J. Soc. Organ. Synth. Chem., Japan», 1960, 18, № 10, 674—682 (японск.)

9Д155. Анализ смесей органических веществ с помощью метода разностного спектрофотометрирования в инфракрасной области. Плахов В. А., Коптюг В. А. «Докл. Межвуз. научн. конференции по спектроскопии и спектр. анализу». Томск, Томский ун-т, 1960, 122—123.—Применение методики снятия разностных спектров при колич. ИК-анализе смесей, получаемых непосредственно после проведения р-ции, позволяет определять небольшие (1—5%) кол-ва примесей. Метод заключается в том, что в луч сравнения 2-лучевого спектрофотометра (ИКС-14) вместо р-рителя помещают р-р в-ва, являющегося основным компонентом анализируемой смеси. При равенстве конц-й р-ров этого в-ва в обоих лучах прибор записывает кривую поглощения примеси, по которому определяют ее содержание. Метод применен для анализа продуктов катализа, изомеризации 1,8-дизамещенных нафталинов, содержащих Cl, Br и SO₂CH₃-группы. В. Плахов

9Д156. Быстрый микроаналитический метод определения углерода и водорода во фторорганических соединениях. Wood P. R. Rapid microanalytical method for determining carbon and hydrogen in fluoro-organic compounds. «Analyst», 1960, 85, № 1015, 764—765 (англ.).—При определении C и H во фторорганич. соединениях по описанному ранее методу (Belcher R., Goulden R., Microchemie, 1951, № 36/37, 679) NaF для поглощения SiF₄ помещают в спец. трубку из стекла Пирекс длиной 190 мм, наружным диам. 11 мм. Один конец трубки сужен (длина сужения 30 мм, наружный диам. 3,5 мм), другой — снабжен пробкой с конусом длиной 30 мм, оттянутым в сторону трубки для соединения. Для предотвращения конденсации воды оба сужения и конус пробки заполняют Ag-ватой, а в сужение трубки дополнительно помещают Pt-проволоку. Трубку на 120 мм заполняют гранулированной NaF (пасту из порошка NaF и воды спекают при 110° и измельчают до размера зерен 10—14 меш), остальную часть трубки заполняют Ag-ватой. Трубку с NaF нагревают до 270 ± 10° печью, изготовленной из Al-стержня (диам. 25 см) и имеющей 2 отверстия — одно для трубки и другое для нагревательного электрич. элемента. Одно нахождение служит для ~200 определений. Точность определения C и H в соединениях, содержащих F, O, N, S и галогиды, ± 0,2%. М. В.

9Д157. Определение азота методом непрерывного разложения и анализа. Ferrari Andres. Nitrogen determination by a continuous digestion and analysis system. «Ann. N. Y. Acad. Sci.», 1960, 87, № 2, 792—800 (англ.).—Автоматизирована стадия разложения органич. соединений при определении N по методу Кьель-

даля. В качестве сосуда для разложения используется автоматически вращающаяся трубка (Тр) из стекла Пирекс со стенками, образующими спиральный канал, обеспечивающий поступательное перемещение жидкости вдоль Тр при ее вращении. Длина Тр ~50 см, диам. ~4 см, внутренний диаметр спирального канала ~0,6 см. Тр обогревается трубчатой электропечью (ЭП) с зональным обогревом при 400—600°. Введение анализируемой пробы, окислительной смеси (ОС), отсасывание образующихся в реакционной смеси (РС) паров, удаление избытка ОС производится с помощью спец. дифференциальных насосов. Для приготовления ОС к 1 л 50%-ной H₂SO₄ прибавляют 3,0 мл HClO₄ и 4,8 мл оксихлорида селена. Скорость минерализации в-ва регулируют, заменяя т-ру ЭП и скорость вращения Тр. По окончании окисления аликвотная часть РС отбирается на выходе из Тр, разбавляется водой и вводится в струю 26%-ного р-ра NaOH. Через полученный р-р пропускается очищ. воздух для выделения NH₃, который автоматически определяет фотометрически в виде индофенола (Russell J. A. «J. Biol. Chem.», 1944, 156, 457—461) после взаимодействия с C₆H₅ONa в NaClO или любым другим методом. Приведены результаты анализов протеина. Максим. отклонение ± 0,35%, продолжительность одного определения 9—18 мин. Н. Егорова

9Д158. Определение малых количеств мышьяка в органических веществах.—The determination of small amounts of arsenic in organic matter. «Analyst», 1960, 85, № 1014, 629—643 (англ.).—Изучены 2 метода определения As в органич. соединениях (ОС): спектрофотометрич. определение при помощи молибденовой сани и определение на бумаге, пропитанной р-ром HgCl₂ по методу Гуттайта (Analytical Methods Committee, Analyst, 1930, 55, 102). Первый метод включает мокрое окисление ОС при помощи HNO₃, H₂SO₄ и HClO₄ (РЖХим, 1961, 4Д120). Если в пробе содержится > 1000 γ тяжелых металлов или много нерастворимого остатка, из реакционной массы отгоняют As в виде AsCl₃. Обычно р-р после окисления разбавляют 15 мл воды, кипятят, охлаждают до 70° и прибавляют 10 мл конц. HCl. Такую пробу или дистиллят AsCl₃ нагревают до 40°, прибавляют 2 мл 10%-ной титрогликолевой к-ты и, при комнатной т-ре, 1 мл р-ра 15 г К₂С₂ аскорбиновой к-ты в 100 мл воды. Смесь переносит в делительную воронку (ДВ), содержащую немного CHCl₃, экстрагируют сначала 5 мл, а затем 2 мл р-ра 1 г дитиодитиокарбамата дитиоламмония в 100 мл CHCl₃. Экстракты собирают в другую ДВ, прибавляют 10 мл 1 н. H₂SO₄, хлороформный слой переносят в колбу, прибавляют 2 мл р-ра молибдата (250 мл 10 н. H₂SO₄ смешивают с 250 мл 7%-ного р-ра (NH₄)₂MoO₄·4H₂O в воде, фильтруют, прибавляют 250 мл 4 н. HClO₄, разбавляют водой до 1000 мл) и отгоняют CHCl₃. Остаток выпаривают, закрыв колбу стеклянным конусом, до появления паров HClO₄, нагревают еще 1 мин., удаляют конус, промыв его предварительной водой, и снова нагревают до появления паров HClO₄. Опускают в колбу пробирку с холодной водой, играющую роль конденсатора, так, чтобы ее дно было на 5—10 мм выше уровня жидкости в колбе, и нагревают колбу 10 мин. на электроплитке при 250°. Колбу охлаждают, ополаскивают пробирку-конденсатор 7 мл 1 н. H₂SO₄ и 2 мл воды, и выпаривают жидкость до объема 6—7 мл для удаления хлора. Р-р охлаждают, прибавляют 1 мл 0,03%-ного р-ра глутраинсульфата, разбавляют водой до 10 мл, нагревают 15 мин. на водяной бане, охлаждают и фотометрируют при 840 мμ. Метод пригоден для определения 1,5—5 γ As; для определения 0,5 γ As реактивы нуждаются в дополнительной очистке. Метод использован для определения As в табаке, сухом молоке и плазме крови. Ошибка определения 5—17% при содержании As 10—0,5 γ As соответственно. Метод Гуттайта пригоден для определения 0,5—5 γ As, более прочно

и требует меньшей затраты времени. Первый метод более объективен и имеет все преимущества фотометрич. методов.

9Д159. Быстрое открытие фтора в органических фторсодержащих веществах по несмачиваемости стекла. Дубиников Л. М., Чеботарев О. В. «Ж. аналит. химии», 1930, 15, № 4, 511—516 (рез. англ.).—Для открытия F в органич. фторсодержащих в-вах в стеклянную трубку J-формы Клинского з-да марки Ц-32 диам. 5 мм вводят 0,7 мл 4%-ного р-ра $K_2Cr_2O_7$ (для легкогидролизующихся в-в — фторангидридов или в-в, содержащих группу CFH_2) или 2%-ного р-ра $KMnO_4$ (для трудногидролизующихся в-в — фторхлоридов или в-в, содержащих группу CF_3) в oleуме. Покачиванием трубки очищают поверхность стекла, добиваясь хорошего смачивания oleумом. В короткое колено трубки при комнатной т-ре вносят каплю исследуемого в-ва или его р-ра. Пробу перемешивают покачиванием трубки. В присутствии F сразу или через несколько минут (для фторхлоридов через 3—4 часа) наблюдается несмачиваемость стенок в коротком колене трубки. Для ускорения р-ции трубку нагревают до 50°. Открываемый минимум с $K_2Cr_2O_7$ 10—20, с $KMnO_4$ — 1—10 γ F в капле.

9Д160. Минерализация органических веществ магнием. VIII. Элементарный углерод — источник ошибок при определении галогенов в органических веществах методом минерализации металлами. Jeník J., Jureček M., Pátek V. Über den Magnesiumaufschluss organischer Substanzen. VIII. Elementarer Kohlenstoff als Fehlerquelle bei der Halogenbestimmung in organischen Verbindungen mittels Metallaufschlusses. «Collect. Czechosl. chem. Commun», 1960, 25, № 5, 1450—1457 (нем.).—Исследовано мешающее влияние элементарного C (связанное с адсорбцией галогенидов на C), образующегося при разложении органич. в-ва, на результаты микроопределения галогенов методом восстановительной минерализации металлами (Mg, K) и последующего титрования анионов галогенов, а также влияние Fe на результаты определения J, 5—10 мг глюкозы разлагают при действии 0,5 г Mg обычным способом, реакционную массу обрабатывают уксусной к-той (при определении J) или смесью разб. H_2SO_4 и 0,5%-ного р-ра HNO_3 , недолго кипятят (при определении Cl и Br), прибавляют известное кол-во стандартного р-ра галогенида K, р-р фильтруют и в фильтрате определяют ионы галогена argentометрически. J определяют йодометрически после окисления J- до IO_3^- действием Br_2 и восстановления его избытка по методу Кайнца. Установлено, что адсорбция ионов галогенов, приводящая к пониженным результатам, происходит только на крупных частицах C, тогда как колл. фильтрующаяся форма C при определении J окисляется под действием Br_2 до CO_2 , а при определении Cl или Br дезактивируется солью $Fe(3+)$, прибавляемой при титровании по методу Фольгарда. Адсорбция на крупных частицах C устраняется прибавлением Al-соли к анализируемому р-ру тотчас после минерализации органич. в-ва с Mg (перед фильтрованием). При определении Cl и Br десорбирующие действуют также соли $Fe(3+)$. Небольшие кол-ва Fe, которые могут присутствовать в Mg, при определении J не мешают, при условии окисления J- только после фильтрования р-ра. Сообщение VII см. РЖХим, 1961, 2Д137.

9Д161. Определение двойной связи C=C в веществах с высокой улетучиваемостью паров. Falk F. Bestimmung der C=C-Doppelbindung von Substanzen mit hohem Dampfdruck. «Monatsber. Dtsch. Akad. Wiss. Berlin», 1960, 2, № 6, 359—363 (нем.).—Гидрогенизация легко летучих в-в обычными методами сопровождается большими потерями в-ва и не дает удовлетворительных результатов. Авторы модифицировали прибор для гидрогенизации, приспособив к нему край от прибора Ореса и спец. бюретку так, что р-р испытуемого в-ва и

кол-ве 10^{-4} моля (в расчете на одну связь C=C) попадают в сосуд для гидрогенизации уже после эвакуации из него воздуха, заполнения его H_2 и внесения катализатора (приведен чертеж прибора). Гидрогенизацию ведут обычным образом и вычисляют кол-во двойных связей по расходу H_2 . Ошибка определения $\pm 1-2\%$. Метод универсален. Приведена пропись определения для н-децена-1 и результаты определений для 11 в-в в различных р-рителях и с разными катализаторами.

9Д162. Разделение некоторых легких углеводородов методом газо-адсорбционной хроматографии. McKenna Thomas A., Jr, Idleman John A. Gas-solid chromatographic separation of some light hydrocarbons. «Anal. Chem.», 1960, 32, № 10, 1299—1301 (англ.).—Методом газо-адсорбционной хроматографии при 91° на двух соединенных последовательно колонках длиной по 305 см и диам. по 0,6 см каждая (первая заполнена 22 г силикагеля с величиной частиц 60—80 меш, предварительно выдержанного в течение 1 часа при 310°, вторая — 52 г Al_2O_3 , предварительно выдержанной в течение ночи при 110°) разделены углеводороды $C_1 - C_4$, содержащиеся в продуктах дегидрирования бутана. Газ-проявитель не пропускали со скоростью 100—200 мл/мин; объем пробы 0,25 мл. Перед проведением анализа колонку продували при 100° током He для удаления следов воды. Об отсутствии воды судили по окраске осушительной индикаторной трубки, содержащей драйерит (8 меш) и присоединенной к выпускной трубке детектора. Перед колонками присоединяли трубку, содержащую ~9 г аскарита (8—20 меш). Методом газо-жидкостной хроматографии на колонке длиной 915 см, заполненной пропиленкарбонатом (20,8 вес.%) и Al_2O_3 , можно разделить указанную смесь при комнатной т-ре.

9Д163. Гидрирование с целью идентификации ненасыщенных углеводородов при их анализе методом газовой хроматографии. Smith Bengt, Ohlson Ragnar. Hydrogenation as an aid in the identification of unsaturated hydrocarbons by gas chromatography. «Acta chem. scand.», 1960, 14, № 6, 1317—1324 (англ.).—Описан метод идентификации ненасыщ. углеводородов (ННУ), основанный на гидрировании (Г) фракций после их разделения методом газовой хроматографии, конденсации продуктов и повторном хроматографировании образовавшихся насыщ. углеводородов (НУ). После хроматографии колонки помещают U-образную трубку, заполненную катализатором ($PtO_2 - Fe$) и охлаждаемую смесью твердая углекислота — ацетон, в которой происходит конденсация фракций ННУ. В этой же трубке проводят Г (1 мин., давление H_2 3 кг/см²), выдерживают 10 мин. при 80—90°, затем трубку присоединяют к входу во вторую колонку и хроматографируют полученные НУ. Для получения частично восстановленных алкадиенов ННУ гидрируют, не вынимая трубку из охлаждающей смеси, а после присоединения ко второй колонке погружают ее на 5—10 сек. в горячую воду (80—90°). Для получения частично восстановленных алкинов Г проводят, как в случае полного Г, но без нагревания. Изучены результаты полного и частичного Г 10 ННУ $C_4 - C_6$. При хроматографировании продуктов Г применяют колонки с хромосорбом (30—60 меш), содержащим 20% диметилсульфола или β, β -оксидипропионитрила; т-ра колонки 25°; газ-проявитель — He.

9Д164. Открытие одноосновных эфиров фосфорной кислоты превращением их в ингибиторы холинэстеразы. Yurow Harvey W., Rosenblatt David H., Epstein Joseph. Detection of monobasic phosphorus acid esters by conversion to cholinesterase inhibitors. «Talanta», 1960, 5, № 3—4, 199—204 (англ.; рез. нем., франц.).—Многие одноосновные к-ты пятивалентного фосфора превращаются при взаимодействии с кетоном (K) в ингибиторы холинэстеразы (I) — анти-

холинэстеразу (II). Это свойство использовано в новой капельной пробе на бумаге для открытия фосфорорганич. соединений (ФОС) указанного типа. I омыляет ацетилхолин (III), причем образуются холин и CH_3COOH , вызывающая изменение окраски индикатора бромтимолового голубого (IV) из синей в желтую. В присутствии II р-ция не идет и IV сохраняет синюю окраску. На бумагу наносят каплю р-ра ФОС в абс. CH_3OH и помещают на 5 мин. в шкаф при 125° для удаления CH_3OH . Затем бумагу вносят на 5 мин. в пары Кт в приборе (Wang S. C., Schueler F. W. «J. Chem. Educ.», 1949, 26, 323), в котором образуется Кт ($10\text{--}40\text{ мг Кт в мин.}$) и снова на 1 мин. в шкаф при 125° для удаления избытка Кт. Бумагу обрызгивают свежеприготовленным р-ром, состоящим из 1 ч. лошадиной сыровотки, содержащей I, 1 ч. 1,2%-ного водн. р-ра III и 0,4 ч. 2,5%-ного р-ра IV в 0,1 н. р-ре NaOH. Окрашенную в синий цвет бумагу помещают между двумя стеклянными пластинками. Через 30 мин. бумага желтеет и только в тех местах, где находится II, остаются синие пятна. Из 19 испытанных одноосновных к-т 17 открываются с помощью этой р-ции. ФОС другого типа, как правило, не реагируют. Чувствительность пробы $0,05\text{--}1,0\text{ }\mu\text{г/см}^2$. Ю. Лянде

9Д165. Использование катодно-лучевого полярографа при анализе взрывчатых веществ. III. Одновременное определение нитроглицерина и динитроглицерола. Hetman J. S. The application of the cathode ray polarograph to the analysis of explosives. III. Simultaneous determination of nitroglycerine and dinitroglycerol. «Talanta», 1960, 5, № 3-4, 267-271 (англ.; рец. нем., франц.).—Разработан полярографич. метод одновременного определения нитроглицерина (I) и динитроглицерола (II) во взрывчатых смесях. На фоне $\text{KCl-NH}_4\text{Cl}$ I образует три волны с E пика $-0,35$, $-0,44$ и $-0,62$ в (относительно Hg-анода), II образует две волны с E пика $-0,44$ и $-0,62$ в. На производных полярограммах пики хорошо разделяются, что позволяет одновременно определять I и II. В присутствии пиридина II не восстанавливается, а I образует волну при $-0,27$ в, что позволяет определять I в присутствии большого кол-ва II. 0,5 г пробы растворяют в 25 мл CH_3OH и доводят водой объем р-ра до 50 мл. 1 мл р-ра разбавляют до 10 мл фоном (10 мл 1 н. р-ра KCl , 50 мл 2 н. р-ра NH_4Cl и 40 мл воды, pH 6) и полярографируют от $-0,15$ и от $-0,3$ в. Для сравнения готовят стандартный р-р, содержащий в 50 мл 300 мг NH_4NO_3 , 140 мг NaCl , 25 мл р-ра I в CH_3OH (2 мг/мл) и 6,25 мл р-ра II; 1 мл этого р-ра разбавляют фоном до 10 мл и полярографируют, как указано выше. Обсужден механизм восстановления I и II. Г. Прохорова

9Д166. Гидролиз азотнокислых эфиров и аналитический контроль его. Schulek E., Burger K., Fehér M. Über die Hydrolyse und analytische Kontrolle der Salpetersäureester («Nitrokörper»). «Z. analyt. Chem.», 1960, 177, № 2, 81-86 (нем.).—На основании определения азотсодержащих в-в в гидролизате исследован щел. гидролиз глицерин-тринитрата (I), пентаэритрит-тетранитрата (II), нитроцеллюлозы (III) и нитрокрахмала (IV). Азот в гидролизате содержится в виде NH_3 , CN^- , NO_2^- и NO_3^- . Метод анализа такой смеси описан ранее (РЖХим, 1959, № 20, 71263). Пробу в-ва растворяют в этаноле, прибавляют р-р NaOH и NH_3 отгоняют из щел. среды, улавливают в процессе гидролиза ватой, пропитанной 1 н. HCl , а затем определяют, как было описано ранее (РЖХим, 1959, № 24, 86172). Из гидролизата отгоняют большую часть р-рителя, прибавляют борную к-ту, устанавливают pH 7-8 и отгоняют CN^- . Остаток разбавляют до объема 100 мл, в аликвотных частях определяют содержание NO_2^- и NO_3^- и вычисляют соотношение (NO_3^-):(NO_2^-), которое составляет в среднем для II 1:0,83, для I и IV 1:2,44, для III 1:1,46. В отличие от I, III и IV, при гидролизе II не образуется CN^- . Ю. Лянде

9Д167. Новый спектрофотометрический метод микроопределения эфиров серной кислоты в сульфатидных фракциях. Witmer Frank J., Austin James H. A new spectrophotometric method for the micro determination of sulfuric acid esters in sulfatide fractions. «Mikrochim. acta», 1960, № 4, 502-509 (англ.; рец. нем., франц.).—Эфиры серной к-ты (ЭСК) в сульфатидных фракциях предложено определять по полосе поглощения при $8,02\text{ }\mu$, характерной для SO_4 -группы. В качестве стандартного в-ва использован очищенный образец ($\sim 3\%$ органич. S) ЭСК цереброзида. Обсуждено влияние возможных (в том числе Р-содержащих) примесей. Подробно описана техника приготовления КВ-дисков из измельченного сухого остатка, образующегося после выпаривания р-ра смеси пробы с KBr в смеси $\text{CHCl}_3\text{--CH}_3\text{OH}$ (2:1). В. Плахов

9Д168. Определение альдегидов по образованию гемиацеталей. Forrester J. S. Determination of aldehydes from hemiacetal formation. «Analyst. Chem.», 1960, 32, № 12, 1668-1670 (англ.).—Предложен метод определения алифатич. альдегидов (АА) в присутствии других поглощающих в-в, основанный на том, что равновесие р-ции образования гемиацетала из АА и алифатич. спирта (АС) при повышении т-ры сильно сдвигается в сторону образования АА. Для определения АА снимают спектр стандартного и анализируемого р-ров АА в АС в интервале 250-300 мμ при двух т-рах и рассчитывают конц-ию АА по ф-ле $C_a = C_{st} (A_{100} - A_{25}) / (A_{100} - A_{25})$, где C_a и C_{st} — конц-ии анализируемого и стандартного р-ров, A_{100} и A_{25} — оптич. плотности анализируемого р-ра при 100 и 25°, A_{100} и A_{25} — то же для стандартного р-ра. При анализе р-ров $\text{C}_6\text{H}_{13}\text{CHO}$ в $\text{C}_{10}\text{H}_{21}\text{OH}$ (3-5 г/л) в присутствии маскирующего поглощение карбонильного соединения фенольного ингибитора абс. ошибка достигает 2-5%. Метод особенно рекомендуется для контроля непрерывных процессов, причем анализируемый р-р непрерывно пропускают через 2 термостатированные при разных т-рах кюветы, и прибор регистрирует величину $(A_{100} - A_{25})$, пропорциональную величине C_a . В. Плахов

9Д169. Амперометрическое определение ацетальдегида с помощью солянокислого гидроксилана. Atta R. E. van, Harrison W. W., Sellers D. E. Amperometric determination of acetaldehyde with hydroxylamine hydrochloride. «Analyst. Chem.», 1960, 32, № 12, 1548-1550 (англ.).—Разработан амперометрич. метод титрования ацетальдегида (I) 0,1 М р-ром $\text{NH}_2\text{OH}\cdot\text{HCl}$, основанный на измерении тока восстановления оксима I при $-1,25$ в (относительно насыщ. к. э.) на капельном Hg-электрод. Метод пригоден для определения 1-100 ммоль I с точностью $\pm 1\%$. Определения не мешают 5-кратные избытки $\text{C}_2\text{H}_5\text{OH}$, $\text{C}_2\text{H}_5\text{OOCCH}_3$ в CH_3COOH , а также примесь CH_3COCH_3 до 40% от кол-ва I. Оптимальные условия титрования: pH р-ра 5-6, конц-ия I 5 ммоль, предварительное продувание р-ра азотом в течение 5 мин. Г. Прохорова

9Д170. К методике определения органических кислот методом распределительной хроматографии на силикагеле. Сообщение 3. Пятницкий М. П., Кирач Л. И., «Уч. зап. Краснодарск. гос. пед. ин-та», 1959, вып. 24, 258-276.—Описан новый и наиболее простой способ приготовления зернового силикагеля (ЗС) для хроматографич. разделения органич. к-т. 0,5 г $\text{Na}_2\text{SiO}_3 \cdot 9\text{H}_2\text{O}$ растирают в ступке, с помощью ~ 800 мл воды переносит в колбу, растворяют при 100° , охлаждают и доводят уд. вес. р-ра водой до 1,21. Полученный р-р вливают в двойной объем H_2SO_4 (уд. в. 1,25) при $t \leq 40^\circ$; р-р при стоянии превращается в гель, в центре которого на другой день делают углубление до дна сосуда и накапливающийся маточный р-р вытирают пипеткой. После созревания в течение 4 суток гель медленно промывают ~ 80 л воды, оставляют на ночь, промывают затем до нейтральной р-ции

по мети-
вают вод-
ровых к-
разделен-
монной и
ная фаз-
такие же
готовлен-
«Biochem-
чем с ЗС
А. С., «С-
6). Уста-
фурана
см. РЖХ
9Д171.

венном а-
и анали-
кислот. I
ganat in
von Am-
Oxalsäur-
1960, 176
метода о-
вом K_2MnO_4
(II) и у-
пробавля-
 K_2MnO_4 ,
43-90 мг
KJ, подк-
определя-
меньшего
средство
при 55° .
выдержк-
ляют 5 м-
и закан-
пробавля-
1-3 М,
1 час пр-
определя-
рически
печиваю-
лет по
лиза сме-
и K_2MnO_4
совсем.
ски. Для
конц-не-
щел. сре-
жел. сре-
лажда
0,1 н. р-
ная до 6
с 120 мг
р-ром а-
деления

9Д172.

апарон-
фрами
calte I
acids us-
acid. «N-
(англ.).
нолика-
форной
разделк-
полная
иновой
100-80
-той. П-
лат и Н-
олонки
можно р-
разделк-

по метиловому оранжевому и еще трижды, отцеживают воду через марлю и высушивают гель в фарфоровых чашках при 500°. На колонке с полученным 3С разделена смесь янтарной, щавелевой, яблочной и лимонной к-т; стационарная фаза — 0,5 н. H_2SO_4 , подвижная фаза — смесь $C_2H_5OH - CHCl_3$ (2:8). Получены также же результаты, как при разделении на 3С, приготовленном по методу Ишервуда (Isherwood F. A., «Biochem. J.», 1946, № 5, № 6, 40), и несколько лучшие, чем с 3С, приготовленным по методу Нейша (Neish A. C., «Canad. J. Res. Sec. B, Chem. Sci.», 1949, vol. 27, 6). Установлено, что главным продуктом окисления фурана H_2O_2 является малоновая к-та. Сообщение 2 см. РЖХим., 1958, № 7, 21228. Э. Усова

9Д171. Применение манганата калия в количественном анализе. VI. Определение муравьиной кислоты и анализ смесей муравьиной, щавелевой и уксусной кислот. Polak H. L. Die Anwendung von Kaliummanganat in der quantitativen Analyse. VI. Die Bestimmung von Ameisensäure und die Analyse von Ameisensäure-Oxalsäure — Essigsäuregemischen. «Z. analyt. Chem.», 1960, 176, № 1, 34—38 (нем.). — Описаны три варианта метода определения $HCNO$ (I) окислением посредством K_2MnO_4 и метод анализа смеси I с щавелевой (II) и уксусной (III) к-тами. 1. К 25 мл 0,035 М р-ра I прибавляют твердую щелочь до конца — 1—3 М K_2MnO_4 , смесь нагревают до 60° и выдерживают 45—90 мин. при этой т-ре. По охлаждению прибавляют KJ , подкисляют H_2SO_4 и титруют 0,1 н. р-ром $Na_2S_2O_3$, определяя избыток K_2MnO_4 . Для определения в 10 раз меньшего кол-ва I р-р I в 2 М р-ре KOH окисляют посредством 30 мг K_2MnO_4 и выдерживают смесь 1—3 час. при 55°. 2. Приготовляют описанную выше смесь, после выдержки при 60° в течение 25 мин. к р-ру прибавляют 5 мл 0,02 М р-ра $KMnO_4$, нагревают еще 5—10 мин. и заканчивают анализ, как описано выше. 3. 16 мг I растворяют в 10 мл воды, прибавляют KOH до конца — 1—3 М, 120 мг K_2MnO_4 и 100 мг H_2TeO_4 и выдерживают 1 час при 60°. Затем прибавляют еще 100 мг H_2TeO_4 , и определяют избыток K_2MnO_4 , титруя его потенциометрически 0,02 М р-ром арсенита. Все три варианта обеспечивают очень высокую точность определения. Р-ция идет по ур-нию $HCNOH + O \rightarrow CO_2 + H_2O$. Метод анализа смеси I, II и III основан на том, что II окисляется K_2MnO_4 только в кислой среде, а III не окисляется совсем. Сумму I, II и III определяют алкалметрически. Для определения суммы I и II 10 мл р-ра с конц-ей I и II 0,055 М нагревают до 60° (1 час.) в щел. среде с 225 мг K_2MnO_4 , р-р подкисляют H_2SO_4 , охлаждают, через 5 мин. прибавляют KJ и титруют 0,1 н. р-ром $Na_2S_2O_3$. Содержание I определяют, нагревая до 60° (1 час.) 10 мл р-ра смеси к-т в щел. среде с 120 мг K_2MnO_4 , по охлаждении р-р титруют 0,02 М р-ром арсенита в присутствии H_2TeO_4 . Ошибка определения 0,7—0,8%. Сообщение V см. РЖХим, 1961, 6Д6. Ю. Лянде

9Д172. Газо-жидкостная хроматография неэтерифицированных жирных кислот на колонках с полиэфирными, обработанными фосфорной кислотой. Metcalfe L. D. Gas chromatography of unesterified fatty acids using polyester columns treated with phosphoric acid. «Nature» (Engl.), 1960, 188, № 4745, 142—143 (англ.). — Методом газо-жидкостной хроматографии на колонках, содержащих полиэфир, обработанные фосфорной к-той, разделены высшие жирные к-ты. Для разделения насыщ. и ненасыщ. к-т $C_4 - C_{22}$ колонку наполняют смесью полиэфир дитилглицоля и адипиновой к-ты (25%). 85%-ной H_2PO_4 (2%) и Целита 545 (80—80 меш) (73%), предварительно обработанного к-той. Полиэфир растворяют в $CHCl_3$, прибавляют целит и H_2PO_4 , и испаряют из суспензии р-ритель. Т-ра колонки 220—235°; при 180° на тех же колонках возможно разделение метиловых эфиров к-т. Неполное разделение стеариновой и олеиновой к-т устраняют

увеличением длины колонки или изменением условий обработки полиэфир. Описанная стационарная фаза обеспечивает превосходное разделение и получение симметричных пиков для высших кислот. Э. Усова

9Д173. Разделение предельных и непредельных жирных кислот C_4 и C_6 методом газо-жидкостной хроматографии. Janák J., Dobíášová M., Vereš K. Trennung gesättigter und ungesättigter C_4 und C_6 Fettsäuren durch Gaschromatographie. «Collect. Czechosl. Chem. Commun.», 1960, 25, № 6, 1566—1572 (нем., рез. русск.). — Описано разделение ряда предельных и непредельных жирных к-т и их эфиров с помощью трех неподвижных фаз, нанесенных в кол-ве 25 вес.% на Целит 545: полипропиленгликолядаптан (Реолекс 400), сквалана и силиконового эластомера Е 301. В качестве газа-проявителя применяли H_2 . При разделении свободных к-т хроматографирование производили при 180—200°, при разделении эфиров — при 80—140°. Приведены уд. объемы удерживания изомасляной, масляной, метакриловой, винилуксусной, изокротоновой, кротоновой, капроновой, 4-гексеновой и 3-гексеновой к-т и их метиловых эфиров, а также пропеновой, акриловой и 2-гексеновой к-т. Обсуждено влияние положения и числа ненасыщ. связей на продолжительность элюирования и четкость разделения. К. Setinek

9Д174. Идентификация органических веществ. XXXII. Идентификация и разделение алифатических первичных аминов в виде N-алкил-3,5-динитробензамидов. Večeřa M., Voláková B., Kozáková M., Jureček M. Substanzen. XXXII. Identifizierung und Trennung aliphatischer primärer Amine als N-Alkyl-3,5-dinitrobenzamide. «Collect. Czechosl. Chem. Commun.», 1960, 25, № 5, 1281—1286 (нем.; рез. русск.). — Описан общий и простой метод идентификации первичных алифатич. аминов (АА) путем их превращения в соответствующие N-алкил-3,5-динитробензамиды (АДНБ) и определения их т-ры плавления, эвтектич. т-ры (ЭТ) смесей АДНБ с подходящими стандартами и показателя преломления (ПП) расплава АДНБ. При анализе смесей АА можно разделить отдельные АА в виде АДНБ методом хроматографии на бумаге и идентифицировать отдельные в-ва по значениям R_f . При макроанализе р-р 2,5 г АА в 25 мл $CHCl_3$ смешивают при охлаждении с 5 г 3,5-динитробензоилхлорла, смесь встряхивают 20 мин. с 20 мл 40%-ного р-ра K_2CO_3 , через 12 час., хлороформный слой отделяют, водн. слой дважды экстрагируют 10 мл $CHCl_3$, хлороформные вытяжки высушивают безводн. сульфатом Na , фильтруют, выпаривают до объема 5 мл, осаждают АДНБ 20 мл бензина, осадок растворяют в миним. кол-ве горячей смеси $C_6H_6 - C_2H_5OH$ (4:1) и осаждают АДНБ бензином или перекристаллизуют его из водн. или конц. этанола. При микроанализе АДНБ получают так же, но берут 0,1 г АА и соответственно меньшие кол-ва реактивов. Т-ры плавления АДНБ определяют в блоке Кофлера, ПП — методом стеклянных порошков. Хроматографич. разделение смесей АДНБ осуществляют нижеследующим методом на бумаге Ватман № 1, обработанной формамидом (I) с помощью смеси $C_6H_6 -$ циклогексан (2:1), насыщенной I. АДНБ наносят в виде 1%-ных р-ров в C_6H_6 (иногда с добавкой диоксана) в объеме 1—2 мл и открывают их на хроматограмме, после обрызгивания 1%-ным этанольным р-ром α-нафтиламина, в УФ-свете или в дневном свете после 10-мин. облучения хроматограммы Hg-лампой. Для обрызгивания можно применять также свежеприготовленную смесь ацетона с 2 н. р-ром $NaOH$ (1:1). Для АДНБ, полученных из АА $C_1 - C_6$, приведены т-ры плавления, ЭТ смесей АА с бензолом, ацетанилидом, фенапетином, бензанилидом, салофеном и значения ПП и R_f . АДНБ, полученные из смесей *n*-пропил- и изопропиламинов, *n*-бутил-, изобутил- и *втор*-бутиламинов и *трет*-бутил-, *n*-амил- и изоамиламинов, хроматографически

не разделяются. Сообщение XXXI см. РЖХим, 1961, 1Д201.

9Д175. Полярографическое определение тиоэтанол-амина и его дисульфида при совместном присутствии. Chevalier Edward C., Purdy William C. The polarographic determination of thioethanolamine and its disulfide in the presence of one another. «Analyst. chim. acta», 1960, 23, № 6, 574—576 (англ.; рез. франц., нем.).— Описан прямой полярографич. метод определения тиоэтанол-амина (I) и его дисульфида (II) при совместном присутствии. В буферном р-ре (рН 7,4) I образует волну с $E_{1/2}$ 0,42 в (относительно насыщ. к. э.); значение $E_{1/2}$ для II на 200 мВ более отрицательно. На волне II наблюдается максимум, который исчезает при прибавлении 2 капель 0,2%-ного р-ра желатин. Диффузионный ток пропорционален конц-ии в интервале конц-ий $2 \cdot 10^{-5}$ — $4 \cdot 10^{-2}$ М (I) и $7,5 \cdot 10^{-6}$ — $7,5 \cdot 10^{-3}$ М (II). Ошибка определения < 2%. Определение II возможно в присутствии 100-кратного избытка I с ошибкой < 5%. Установлено, что в данных условиях I быстро окисляется до II под действием воздуха, поэтому перед внесением I в электролизер необходимо тщательно продувать фон азотом. Г. Прохорова

9Д176. Количественное определение тиомочевины, меченой S^{35} . Бухаров И. Н., Сысоева Е. С. В сб. «Методы получения и измерения радиоакт. препаратов». М., Атомиздат, 1960, 205—210.—Предложены методы броматометрического и меркуриметрич. определения тиомочевины (I) как нерадиоактивной, так и меченой S^{35} при содержании ее в пробе в кол-ве 5—9 мг. По первому методу к 8—12 мл р-ра, содержащего ~0,6 мг/мл I, прибавляют 10 мл воды, 6 мл H_2SO_4 (1:1), 1,3—1,5 мл 1%-ного р-ра КJ, 1 мл 0,6%-ного р-ра крахмала и титруют 0,01 н. бромидброматным р-ром со скоростью 30 капель в 1 мин. (последние 5—6 капель прибавляют со скоростью 2 капли в 1 мин.). Аналогично проводят контрольный опыт. Ошибка определения $\pm 0,02$ —0,6%. По второму методу к р-ру исследуемой пробы с содержанием ~0,6 мг/мл I прибавляют 2—3 мл HNO_3 (уд. в. 1,15), 1 мл 0,01 н. р-ра NH_4SCN , 2—3 капли насыщ. р-ра желез-аммонийных квасцов и титруют 0,01 н. р-ром $Hg(NO_3)_2$ до исчезновения красной окраски. Аналогично проводят контрольный опыт. Ошибка определения $\pm 0,5\%$. Е. Колоколов

9Д177. Кинетика разложения дитиокарбаматов в растворах гидроокиси натрия. Wroński Mieczysław. Kinetyka rozkładu dwutiokarbaminianów w roztworach wodorotlenku sodowego. «Zesz. nauk. Uniwers. Łódz.», 1959, Ser. 2, № 6, 121—128 (польск.; рез. нем.).— Установлено, что р-ция гидролиза дитиокарбаматов (I) в щел. р-рах проходит по схеме: $RNHCSS^- + OH^- \rightleftharpoons RN:C(S^-)S^- + H_2O$; $RN:C(S^-)S^- \rightarrow RNCS + S^{2-}$. Для определения I пробу разбавляют водой до 100 мл, подкисляют 1 н. H_2SO_4 по метиловому оранжевому и удаляют H_2S пропусканием тока воздуха в течение 5 мин. Затем прибавляют 5 мл 8 н. H_2SO_4 и титруют 0,1 н. р-ром I_2 в присутствии крахмала, или прибавляют ацетатный буферный р-р (рН 5) и титруют 0,1 н. р-ром $AgNO_3$ в присутствии дифенилкарбазона. В последнем случае титруются также ионы SCN^- . Для определения суммы I , S^{2-} и CS_3^{2-} пробу разбавляют водой до 100 мл, прибавляют 5 мл 8 н. H_2SO_4 и титруют 0,1 н. р-ром I_2 . Отдельно определяют CS_3^{2-} фотометрически (РЖХим, 1957, № 21, 70301). Для определения суммы $(C_2H_5)_2NCSS^-$ и S^{2-} пробу разбавляют водой до 100 мл, прибавляют буферный р-р (рН 5) и титруют р-ром I_2 . Другую пробу подкисляют 2 мл 8 н. H_2SO_4 в закрытой колбе, в которой создают разрежение, через 5 мин. прибавляют 20 мл 1 н. NH_4OH , 80 мл воды и титруют S^{2-} 0,05 н. р-ром о-оксимеркурибензоата Na в присутствии тифлофлуоресцина. На основании результатов описанных анализов вычислены константы скорости гидролиза для NH_4CSS^- , $C_6H_5NHCSS^-$ и $C_2H_5NHCSS^-$. Н. Туркевич

9Д178. Цериметрия в неводных средах. Rao G. Prabhakar, Murthy A. R. Vasudeva. Cerimetry in nonaqueous media. «Z. analyt. Chem.», 1960, 177, № 2, 86—89 (англ.).—Описан метод титрования этилсульфогената калия (I) р-ром $Ce(NO_3)_4 + NH_4NO_3$ в ацетонитриле (II). Титр р-ра устанавливают йодометрически, он устойчив в течение нескольких дней. Пробу I растворяют в II и титруют 0,05 н. р-ром по $Ce(NO_3)_4$ появления желтой окраски титруемого р-ра. При титровании I окисляется до дисантогена. При конц-ии $I \leq 3 \cdot 10^{-4}$ М ошибка определения $\pm 1,5\%$. При больших конц-иях I получаются пониженные результаты. Л. Быков

9Д179. Определение стирола в виде псевдонитро-зита. Sedivec V., Flek J. Bestimmung des Styrols als Pseudonitrosit. «Collect. Czechosl. Chem. Commun.», 1960, 25, № 5, 1293—1301 (нем.; рез. русск.).—Работан простой полярографич. метод определения стирола (I), основанный на взаимодействии I с $NaNO_2$ в среде лед. CH_3COOH (II), в результате которого образуется полярографически активный псевдонитрозит стирола (III) (α -нитрозо- β -нитроэтилбензол), дающий характерную полярографич. волну, высота которой пропорциональна конц-ии III; $E_{1/2} = -0,27$ в. Подробно описаны условия р-ции и найденные условия, обеспечивающие количественное образование III в р-ре, пригодные для полярографии. Избыток $NaNO_2$ понижает выход III. Оптимальная т-ра р-ции $20 \pm 3^\circ$, продолжительность 15—20 мин.; по истечении этого времени необходимо прибавить CH_3COONa до рН 4. Пробу, содержащую 0,25—25,0 мг I, растворяют в II, объем р-ра доводят до 25 мл; 10 мл этого р-ра смешивают при $20 \pm 3^\circ$ с 0,5 мл 33%-ного р-ра II, через 15—20 мин. прибавляют 5 мл 50%-ного р-ра CH_3COONa , 1 мл 0,5%-ного р-ра желатина и доводят водой объем р-ра до 25 мл. В течение 10 мин. через р-р пропускают N_2 и полярографируют в интервале от 0 до $-0,45$ в. Метод пригоден для определения 0,01—10,0 мг I. Максим. ошибка анализа $\pm 3\%$. Определению не мешает даже большой избыток алифатич. и ароматич. углеводородов (за исключением бутадена и углеводородов типа винилбензола) и их галогидпроизводных, спиртов, некоторых сложных эфиров и альдегидов. Акрилонитрил и метакрилат не мешают при 10- и 2-кратном избытке неответственных фенолов, при содержании > 5%, необходимо предварительно отделять от I промыванием р-ра NaOH. К. Кámp

9Д180. Хроматография на бумаге продуктов конденсации фенолов с формальдегидом после предварительного образования азокрасителей. Reich C., Barthel W., Müller L. Über die Papierchromatographie formaldehydkondensierter Hydroxyaryle aus vorheriger Kupplung zu Azofarbstoffen. «Z. analyt. Chem.», 1960, 177, № 4, 274—277 (нем.).—Методом хроматографии на бумаге изучены продукты конденсации (ПК) 2-нафтола, 2-нафтол-6- и 2-нафтол-3,6-дисульфокислот с формальдегидом, применяющиеся в качестве синтетич. дубителей. ПК превращают в азокрасители действием диазосоединения, и хроматографируют красители или хроматографируют ПК и превращают их в красители на хроматограмме. В первом случае 25 мл р-ра сульфаниловой к-ты (7,5 г в 1 л) смешивают с 2 мл р-ра $NaNO_2$ (50 г в 1 л) и 4,5 мл полученного р-ра прибавляют в 1 мл р-ра продукта конденсации (в-ва в 100 мл). С помощью 2 н. р-ра NaOH рН доводят до 9 и берут для хроматографирования 30 мл р-ра. В качестве элюирующего р-ра применяют органич. слой смеси $n\text{-C}_4H_9OH$ — CH_3COOH — H_2O (4:1:1) к 100 мл которого добавляют 10 мл этиленгликоля. Мага—Шлейхер и Шюльз 2040 а. Хроматография можно проявлять также с помощью смесей $n\text{-C}_4H_9OH$ —14 н. NH_4OH (3:1) и $н\text{-C}_4H_9OH$ —9 н. NH_4OH (7:1). Приведены значения R_f для перечисленных ПК и ответствующих азокрасителей. Э. Уол

9Д181. Хроматография ароматических изомеров.

XIV. Об отношении между величинами дипольного момента и относительного объема удерживания изомерных фенолов. Franc J. Chromatographie aromatischer Isomeren. XIV. Über die Beziehung zwischen der Grösse des Dipolmoments und dem Relativen Elutionsvolumen isomerer Phenole. «Collect. Czechosl. Chem. Commun», 1960, 25, № 6, 1573—1579 (нем., рез. русск.).—Установлено ранее для хроматографии на бумаге и жидкостной хроматографии на колонках зависимости между величиной дипольного момента и хроматографическим поведением органич. соединений на примере ряда фенолов распространены на их поведение при газовой хроматографии. Выводы сделаны на основании данных, приведенных различными авторами и касающихся относительной продолжительности элюирования при разделении изомерных фенолов в различных условиях. Липейное отношение, выявленное сравнением значений $Ig q$ в зависимости от величины дипольного момента, выражено ф-лой $Ig q = C + k\mu$, где q — относительный объем удерживания, C и k — константы, зависящие от τ -ры и характера стационарной фазы, μ — суммарное значение дипольного момента, вычисленное по значениям дипольмоментов отдельных групп. Установлено, что значения константы C при замещении фенола на каждую CH_3 -группу повышается на одинаковую величину (ΔC_{CH_3}), увеличивающуюся с возрастанием τ -ры и уменьшающуюся с увеличением полярности неподвижной фазы. Значение постоянной k , пропорциональное различию значений времени удерживания, увеличивается с повышением полярности неподвижной фазы. Установлена и графически изображена зависимость между значениями ΔC_{CH_3} и k . Вышеприведенная ф-ла справедлива также для фенолов с замещенными ОН-группами (анизолов, фенолов и др.), она позволяет вычислять относительные объемы удерживания ароматич. изомеров и облегчает идентификацию неизвестных компонентов. Часть XIII см. РЖХим. 1961, 2Д152. J. Veneček

9Д182. Новая капельная реакция на различные производные нитробензола. Anger V. Eine neue Tüpfelreaktion auf verschiedene Nitrobenzolderivate. «Mikrochim. acta», 1960, № 5—6, 827—830 (нем.; рез. англ., франц.).—Некоторые производные нитробензола (ПНБ) окисляют в присутствии сплава Дебарда (СД) дифенилбензидин (I), причем образуется краситель дифенилбензидиновый синий (РЖХим. 1960, № 18, 73159). Р-ция может быть использована как капельная проба для открытия ПНБ. В пробирку помещают 0,5 мл р-ра 1 мг I в 10 мл 80%-ной H_2SO_4 , прибавляют 1 каплю пробы и 1 каплю суспензии 10 мг порошка I в 40 мл воды и погружают пробирку в кипящую воду. В присутствии ПНБ через 1—5 мин. развивается сильная окраска, которую сравнивают с окраской, возникающей при контрольном опыте. Открываемый минимум ПНБ 5—10 μ . Реагируют n -хлорнитробензол, 4-хлор-4-нитробензол-2-сульфокислота, 3-нитросалициловая к-та, o - и n -нитрофенолсульфокислоты, o - и n -нитроанилины, n -бромнитробензол, 2,4-динитрохлорбензол, o - и n -нитрофенолы, 2,4-динитрофенол, пикриновая к-та, 2,4-динитроанилин, n -нитро- o -толуидин, 2,2-динитрометилдифениламин, n -нитро- и 2,4-динитрофенилгидразины, 3,4-динитроацетанидин, n -динитробензол, n -нитрофениларсоновая к-та. Не реагируют нитробензол, o -нитротолуол, m -динитробензол, 2,4,6-тринитротолуол, o -хлорнитробензол, 1,4-дихлорнитробензол, 4-хлор-2-нитротолуол, m -нитроанилин, 2,4-динитродифениламин, n -нитробензальдегид, n -нитробензойная к-та, ангидрид 3-нитрофталевой к-ты, o,o' - и m,m' -динитрофенилдисульфиды. Ю. Лянде

9Д183. Спектрофотометрическое определение флексзона 3Ц и других производных n -фенилендиамин. Hilton C. L. Spectrophotometric determination of

flexzone 3C and other p -phenylenediamine derivatives. «Analyt. Chem.», 1960, 32, № 12, 1554—1557 (англ.).—Предложен метод определения производных n -фенилендиамина — антиоксидантов (А), применяющихся в производстве резины. 2 г пробы резины экстрагируют 16 час. этанолом или метанолом и доводят объем экстракта до 100 мл. К 5 мл р-ра прибавляют 2 мл окисляющего р-ра (ОР) (в 1 л этанольного р-ра 0,5 г $(CH_3COO)_2Cu \cdot H_2O$, 4,66 г KCl, 10 мл 0,5 н. HCl и 250 мл H_2O). Если при этом возникает красная окраска р-ра, что свидетельствует о присутствии ди- или тетраалкилпроизводного n -фенилендиамина, то прибавляют 2 мл 0,125 н. HCl и этанол до объема 25 мл; если окраска не возникает, то прибавляют еще 18 мл ОР. Затем спектрофотометрируют полученный р-р (устойчивый в течение 30 мин.) при 400—750 м μ . По спектру определяют тип и кол-во А. Для р-ров, получающихся из 27 А (в том числе из наиболее эффективного А — флексзона 3Ц, N -фенил- N' -изопропил- n -фенилендиамина), приведены значения λ (макс.) и коэф. поглощения при λ (макс.), а также характерные кривые поглощения. Относит. ошибка $\pm 3\%$. Определению мешают ди-тиокарбамат и тиурамсульфид. В. Плахов

9Д184. Определение пентозанов. Часть 5. Фотометрическое определение фурфурола в присутствии 5-оксиметилфурфурола. Bethge Per-Olof, Eggers Jürgen H. Determination of pentasans. Part 5. Colorimetric determination of furfural in the presence of 5-hydroxymethylfurfural. «Svensk papperstidn.», 1960, 63, № 21, 745—748 (англ.; рез. шведск., нем.).—Изучены и сравнены два фотометрич. метода определения фурфурола (I) в присутствии 5-оксиметилфурфурола (II): анилиновый (РЖХим. 1959, № 1, 1039) и стандартный орциновый (Johansson A. «Svensk Papperstidn.», 1952, 55, 820) методы. Показано, что первый метод более чувствителен; он рекомендован для проб с низким содержанием I и II. Второй метод более удобен для анализа дистиллятов Толленса нормального состава. Ошибка обоих методов ~ 2 —3%. Предыдущую часть см. РЖХим. 1959, № 9, 31106. В. Плахов

9Д185. Газо-жидкостная хроматография азотсодержащих гетероциклических соединений. I. Разделение и анализ хинолиновых и высших пиридиновых оснований и индолов методом газо-жидкостной хроматографии. Janák J., Hřivnáč M. Gaschromatographie stickstoffhaltiger heterocyclischer Verbindungen. I. Trennung und Analyse von Chinolin- und höheren Pyridinbasen sowie Indolen durch Gas-Flüssigkeits-Chromatographie. «Collect. Czechosl. Chem. Commun», 1960, 25, № 6, 1557—1565 (нем., рез. русск.).—Описан анализ ряда гетероцикл. соединений методом распределительной газо-жидкостной хроматографии. В качестве неподвижных фаз (НФ) применяли полипропиленглицольадипат (Реоплекс 400), Аппезон L и силиконовый эластомер (полисилоксан — Е-301) на Целите 545 (20—30% НФ). Разделения проводили при 200°, применяя в качестве газа-носителя H_2 . Приведены уд. объемы удерживания хинолина и 7 его гомологов, изохинолина и 2 его гомологов, 3-триметилпиридинов, 2,3,5,6-тетраметилпиридина, 2 метилэтилпиридинов, индола и 4 метилиндолов, нафталина и 5 его гомологов, дифенила, аценафтена, окиси дифенилена и флуороена. Обсуждено влияние положения и числа заместителей на величину поляризации молекулы, вызванной присутствием гетероатома в молекуле и влияние величины этой поляризации на сорбцию для каждой из примененных неподвижных фаз. Приведены примеры применения этого метода для анализа фракций каменноугольной смолы. К. Setinek

9Д186. О поведении какодиловой кислоты на ионообменных смолах. Baumgärtel E. Über das Verhalten von Kakodylsäure an Ionenaustauscherharzen. «Naturwissenschaften», 1960, 47, № 20, 468 (нем.).—Установлено, что при ионообменной хроматографии на

Н-форме вофатита F какодиловая к-та (I) превращается в катион $[(CH_3)_2As(OH)_2]^+$, который реагирует с кислотными группами ионообменной смолы (ИС) и связывается ими. При хроматографировании I на К-форме ИС такая р-ция не имеет места и I не удерживается ИС.

Б. Колоколов

9Д187. Одновременное определение тетранитрата пентаэритрита и циклотриметилентринитрамина. Hettman J. S. Simultaneous polarographic determination of pentaerythritol tetranitrate and cyclotrimethylene trinitramine. «Analyst. Chem.», 1960, 32, № 12, 1699—1701 (англ.).—Описан полярографич. метод одновременного определения тетранитрата пентаэритрита (I) и циклотриметилентринитрамина (II) на фоне, содержащем 30 мл пиридина, 7 мл 1 М р-ра KNO_3 , 35 мл 2 М р-ра NH_4NO_3 и 28 мл воды (рН 7,6). В указанном фоне I образует волну с $E_{1/2}$ = 0,27 в (относительно Hg-анода), II — с $E_{1/2}$ = -0,85 в. Линейная зависимость между высотой волны и конц-ией наблюдается в широком интервале конц-ий I и II. Определению не мешают нитроцеллюлоза, ClO_4^- , 2-нитродифениламин, м-нитротолуол, этиленгликольдинитрат. Определению II мешают динитротолуол, тринитротолуол; определению I мешают тринитротолуол, тринитрат пентаэритрита и нитроглицерин (III). Для определения I в присутствии III содержание III предварительно определяют на фоне, содержащем 10 мл 1 М р-ра KCl, 50 мл 2 М р-ра NH_4Cl и 40 мл воды. В указанных условиях I выпадает в осадок и определению III не мешает. Длительность определения I и II 15—20 мин., ошибка $\leq 1\%$.

Г. Прохорова

9Д188. Амперометрическое определение глюкозы, фруктозы и сахарозы без наложения внешней электродвижущей силы. Michalski E., Czarniecki K., Ignaszak M. Amperometric determination of glucose, fructose and saccharose at zero applied potential. «Talanta», 1960, 5, № 3—4, 137—140 (англ.; рец. нем., франц.).—Разработан метод определения глюкозы (I), фруктозы (II) и сахарозы (III), основанный на их окислении ионами Ce^{4+} в среде 1 н. $HClO_4$ при 60° в последующем амперометрич. титровании избытка Ce^{4+} оксалатом натрия на Pt-электрод без наложения э. д. с. К анализируемому образцу прибавляют двойной избыток 0,15 н. р-ра соли Ce^{4+} в 1 н. $HClO_4$ и нагревают на водяной бане при 60° в течение 35—45, 45 и 50 мин. для I, II и III соответственно. После охлаждения р-р титруют амперометрически 0,15 н. р-ром оксалата Na в 1 н. $HClO_4$. Ошибка анализа $< 0,2\%$ при определении нескольких мг сахаров, $< 0,5\%$ для кол-в ~ 1 мг и $< 0,9\%$ для кол-в < 1 мг.

Г. Прохорова

9Д189. Спектрофотометрическое определение фукозы. Нарасакити Т., Кавамура С. «Бунсэки кагаку, Japan Analyst», 1960, 9, № 10, 889—891 (японск.).

9Д190. Определение камфоры. Matsubara Yoshiharu, Wakabayashi Syoji, Morita Minoru. «Kōgō kagaku zasshi, Kogyo kagaku zasshi, J. Chem. Soc. Japan. Industr. Chem. Sec.», 1960, 63, № 7, 1250—1251, A68 (японск.; рец. англ.).—При определении камфоры оксимным методом (ОМ) точный результат анализа может получить только искусный экспериментатор, так как конечная точка при обратном титровании неясна. Для усовершенствования ОМ авторы обратили особое внимание на описанный ранее метод определения кетонов и альдегидов (РЖХим, 1959, № 14, 49306) и попытались применить его для определения камфоры. Меняя р-ритель, конц-ию реагента и т-ру р-ции при применении названного метода, авторы установили, что после внесенных улучшений этот метод проще, требует меньшей затраты времени и точнее, чем обычный ОМ.

И. Нефёдова

9Д191. Применение N-этилмалеинового кислот для фотометрического определения аминокислот. Peizker Z. Anwendung des N-Äthylmaleinimids zur

kolorimetrischen Bestimmung von Aminosäuren. «Collect. Czechosl. Chem. Commun.», 1960, 25, № 5, 1514—1516 (нем., рец. русск.).—Дитиокарбаминикарбоновые к-ты, полученные взаимодействием аминокислот (АК) с CS_2 , дают с N-этилмидом малеинового к-ты (I) в цел. среде в присутствии ионов CN^- красную окраску (РЖХим, 1958, № 12, 14651), интенсивность которой подчиняется закону Бера при конц-ии АК до 10^{-4} М. 0,5 мл р-ра АК и 0,5 мл 0,07 М р-ра $Na_2B_4O_7$ смешивают при комнатной т-ре с 1 мл 1%-ного р-ра CS_2 в ацетоне, через 30 мин. прибавляют 2 мл 0,07 М р-ра $Na_2B_4O_7$, промывают 3 мин. N_2 для удаления CS_2 , к р-ру прибавляют 0,2 мл 5%-ного р-ра KCN и добавляют воду до объема 5 мл. К 0,5 мл полученного р-ра прибавляют 0,5 мл воды, 1 мл 0,1 М р-ра I и 0,2 мл этанольного р-ра KCN и через 1 час фотометрируют при 510 мμ. Приведены коэффициенты экстинкции 22 АК, сильно различающиеся между собой. При помощи описанного метода можно определить 5—500 γ АК в 1 мл р-ра. Средние ошибки определения $\pm 3,36\%$. Ионы Cu^{2+} и Hg^{2+} мешают, так как образуют с АК стабильные комплексы.

V. Tomášek

9Д192. Анализ смесей аминокислот методом газожидкостной хроматографии. Melamed N., Renard M. Analyse de mélanges d'acides aminés par chromatographie gazeuse. «J. Chromatogr.», 1960, 4, № 4, 339—346 (франц., рец. англ.).—Методом газожидкостной хроматографии разделены и количественно определены смеси α-моноаминомонокарбоновых к-т в виде метиловых эфиров (МЭ) соответствующих α-хлоридов. Смесь аминокислот обрабатывают трехкратным по весу кол-вом конц. HCl и конц. HNO_3 , смесь нагревают 1 час на кипящей водяной бане, охлаждают, экстрагируют полученные хлоркислоты эфиром и превращают их в МЭ с помощью диазометана. МЭ хроматографируют на двух последовательно соединенных колонках длиной 2 м, заполненных полиэтиленгликолем и смесью силиконового масла — стеариновой к-та соответственно, при т-ре 130° и при скорости газа-проявителя N_2 2,0—2,6 г/час. Данным методом разделены глицин, аланин, α-аминомасляная к-та, валин, норвалин, лейцин, изолейцин и норлейцин.

Э. Усман

9Д193. Нингидрин в качестве реагента для N-метиламинокислот. Russell D. W. Ninhydrin as a reagent for N-methyl-amino acids. «J. Chromatogr.», 1960, 4, № 3, 251—252 (англ.).—Разработан способ открытия и определения первичных аминокислот (ПАК) и N-метиламинокислот (МАК) методом хроматографии на бумаге Ватман № 3 MM с помощью смеси трет-бутиловый спирт — NH_4OH (уд. в. 0,90) — H_2O (20:1:4). Для колич. определения хроматограмму обрызгивали 1%-ным р-ром нингидрина (I) в н-бутаноле, предварительно доведенным до рН 7,05 М фосфатным буферным р-ром, и выдерживали при 105° ~ 30 мин. (РЖХимБХ, 1957, № 1, 394). Пятна отрезали, электроваля, и р-ры фотометрировали при 570 мμ. Для открытия аминокислот бумагу слегка обрызгивали смесью равных объемов 0,33%-ного р-ра I в трет-бутаноле и смеси лед. CH_3COOH — вода — пиридин (1:5:5) и выдерживали при 100—110° 10—15 мин. ПАК и МАК открываются в виде пурпурных пятен. Открываемый минимум 0,01 ммоля. МАК открываются в виде слабо окрашенных пятен, появляющихся при обрызгивании хроматограммы р-ром I в н-бутаноле, содержащем 2% лед. CH_3COOH и насыщенном водой.

И. Виз

9Д194. Спектральный анализ продуктов на основе поливинилхлорида. Часть II. Эмиссионный спектральный анализ. Bennett W. J., Law E. M. Spectroscopic analysis of polyvinyl chloride compounds. Part II. Emission spectrographic analysis. «Appl. Spectroscopy», 1960, 14, № 4, 101—103 (англ.).—Описано применение эмиссионного спектрального метода для определения стабилизаторов и наполнителей в продуктах на основе полихлорвинила. Неорганич. часть, составляющая

5—15%
сти, к
Остав
станд
рошес
помеш
вого с
стерж
Ph, Si
генер
фракц
пригот
держа
с CuO
указан
рител
9Д19
адсорб
бо м
tion ch
323—3
идент
фосфо
новой
пласти
держк
цент
нанос
электро
бензол
(4:1)
дене з
для 16
но в с
ма (Х
окраск
личны
коммен
9Е1.
струме
gress in
4, № 3
9Е2.
fische
591—56
9Е3.
электр
зона, Э
Temper
та, 19
дой
~300 л
ный к
чувств
нипин
ада к
9Е4.
ядерно
шаюше
Temper
solution
strum.
9Е5.
тометр

5—15% в навеске продукта, отделяют от органич. части, как описано ранее (РЖХим, 1960, № 22, 88379). Оставшийся порошок смешивают с CuO (внутренний стандарт), брикетируют в таблетку с графитовым порошком; отношение компонентов 1:19:20. Таблетку помещают поверх специально обработанного графитового стержня (анод). Верхний электрод — графитовый стержень с конусообразным концом. Спектры Al , Cu , Pb , Si , Ca , Sb возбуждали с помощью универсального генератора и регистрировали на спектрографе с дифракционной решеткой. Эталоны готовили смешением приотловленных стабилизаторов и наполнителей, содержащих основные соли Pb , глинозем, CaCO_3 , Sb_2O_3 с CuO , и брикетировали с графитовым порошком, как указано выше. Предложенный метод имеет удовлетворительную чувствительность и точность определения.

Б. Талалаев

9Д195. Анализ пластификаторов методом микроадсорбционной хроматографии. Coriis-Perreboom J. W. The analysis of plasticizers by micro-adsorption chromatography. «J. Chromatogr.», 1960, 4, № 4, 323—328 (англ.). — Изучена возможность разделения и идентификации 16 пластификаторов (Пл) (эфиров фосфорной, фталевой, лимонной, адипиновой, себацовой и стеариновой к-т) методом хроматографии на пластинках, покрытых слоем силикагеля (0,3 мм), содержащего гипс и 0,005% водорастворимого флуоресцентного индикатора Ультрафтор. На стартовую линию наносят 10 мкл 5%-ного р-ра исследуемого в-ва в эфире, элюируют Пл смесью изокта — этилацетат (I) (9:1), бензол — I (19:1) или дибутыловый эфир — гексан (4:1) и затем открывают пятна Пл в УФ-свете. Приведены значения R_A (относительно дибутылсебацата) для 16 Пл. Для облегчения идентификации Пл, особенно в случае их неполного разделения на хроматограммах (Хр), рекомендованы 9 р-ров реактивов и указаны окраски, появляющиеся при их взаимодействии с различными Пл при обрызгивании проявленных Хр. Рекомендованы следующие реактивы: 10%-ный этаноль-

ный р-р фосфомолибденовой к-ты (Хр после обрызгивания этим р-ром нагревают 20 мин. при 100°); 20%-ный этанольный р-р резорцина, содержащий ZnCl_2 (Хр нагревают 10 мин. при 150° после обрызгивания реактивом, обрызгивают 4 н. H_2SO_4 , нагревают 20 мин. при 120° и обрызгивают 40%-ным р-ром KOH); 20%-ный этанольный р-р тимола (Хр после обрызгивания реактивом нагревают 10 мин. при 90°, обрызгивают 4 н. H_2SO_4 и нагревают 10—15 мин. при 120°); 1 н. этанольный р-р KOH (реактив только на цитраты; Хр после обрызгивания реактивом нагревают 15 мин. при 60°; после обрызгивания 50%-ным р-ром мочевины образуются пятна с сильной флуоресценцией в УФ-свете); 20%-ный этанольный р-р ванилина (Хр нагревают 10 мин. при 80°, обрызгивают 4 н. H_2SO_4 , нагревают 30 мин. при 110°); 2%-ный этанольный р-р 2,6-дихлорхинонхлоримида (Хр обрызгивают реактивом и через 2—3 часа 2%-ным р-ром буры); смесь 1%-ного р-ра KMnO_4 и 2%-ного р-ра Na_2CO_3 (1:1) (окраска появляется через 1—2 часа); смесь $(\text{CH}_3\text{CO})_2\text{O}$ с 50%-ной H_2SO_4 (1:2) (Хр нагревают 10 мин. при 80°); 0,5 н. этанольный р-р KOH (Хр нагревают 15 мин. при 60° и обрызгивают затем р-ром *n*-нитродиазобензола).

Б. Колоколов

См. также: раздел *Общие вопросы. Методы биохимических исследований* (выпуск. Биологическая химия) и рефераты: Функциональный анализ 9Е52. Определение спиртов 9И346; галондопроизводных 9И340; элементоорганич. соединений 9И344, 9М246, 9М247; углеводов 9И259, 9Н365; аминокислот 9Е39, 9Н256; алкалоидов 9Л235. Анализ лекарственных в-в 9Л177, 9Л287—9Л324; твердых горючих ископаемых 9М125, 9М126; нефтепродуктов 9Л298, 9М239—9М243, 9М246—9М249; пищевых продуктов 9Н7—9Н15, 9Н106—9Н108, 9Н122—9Н129, 9Н155, 9Н163, 9Н164, 9Н167, 9Н185, 9Н316; масел и жиров 9Н420—9Н423; эфирных масел 9Н474, 9Н475, 9Н478; пластмасс 9П8; лаков и красок 9П256; каучука 9П346

Е. ОБОРУДОВАНИЕ ЛАБОРАТОРИЙ.

ПРИБОРЫ, ИХ ТЕОРИЯ, КОНСТРУКЦИЯ, ПРИМЕНЕНИЕ

Редактор А. И. Саранов

9Е1. Достижения в области новых приборов и инструментов, 1959 г. Francis Howard J., Jr. Progress in equipment and tools: 1959. «Microchem. J.», 1960, 4, № 3, 387—396 (англ.). — Обзор. Библ. 104 назв.

9Е2. Аналитические весы. Dhont J. H. De analytische balans. «Chemie en techniek», 1960, 15, № 12, 591—594 (гол.). — Обзор.

9Е3. Установка для исследования парамагнитного электронного резонанса на частотах метрового диапазона. Эльстин О. Г. «Приборы и техн. эксперименты», 1960, № 5, 64—66. — Описана установка повышенной чувствительности, использующая частоты ~300 Мгц. Исследуемое в-во помещается в ненастроенный контур, индуктивно связанный с генератором; чувствительность в $1,4 \cdot 10^{-8}$ моль кристаллич. дифенилкрилдизаила определена при отношении сигнала к шуму 2:1.

9Е4. Термостатированный постоянный магнит для ядерного магнитного резонанса при высокой разрешающей способности. Evans B. A., Richards R. E. Temperature-controlled permanent magnet for high-resolution nuclear magnetic resonance. «J. Scient. Instrum.», 1960, 37, № 9, 353—355 (англ.).

9Е5. Компенсационное устройство для спектрофотометра. Mach Otakar. Kompensacni zariadeni ke

spektrofotometru. «Chem. listy», 1960, 54, № 4, 379—383 (чешск.; рез. русск., нем.). — Предложено усовершенствование системы фотометрирования проходящего света в советском спектрофотометре УМ-2. С этой целью селеновый фотоэлемент заменен вакуумным фотоэлементом СЦВ-3. Ток в фотоэлементе модулируют переменным магнитным полем, что позволяет использовать для усиления фототока недорогой усилитель переменного тока.

М. Рыба

9Е6. Метод измерения толщины кювет для абсорбционных измерений в инфракрасной области. Montilla J. Metodo de medida de espesores de celulas de absorcion para infrarrojo. «An. Real soc. esp. fis. y quim.», 1960, A56, № 3-4, 105—108 (исп.; рез. англ.). — Описан новый интерферометрич. метод измерения толщины жидкостных кювет для исследования ИК-спектров. Метод основан на прямом измерении сдвига интерференционных полос в интерферометре Майкельсона. Точность 0,0002 мм и не зависит от толщины кюветы.

Л. Грибов

9Е7. Коротко- и длинноволновый одноламповый ультрафиолетовый спектрометр. Изюмский С. И. «Докл. Межвуз. научн. конференции по спектроскопии и спектр. анализу.» Томск, Томский ун-т, 1960, 92—93. — Для исследования мелких и редких включе-

ний минералов в пробах создан УФ-осветитель, обеспечивающий последовательную работу лампы ПРК-4 в режимах тлеющего ($\lambda(\text{макс.})$ 254 мμ) или дугового ($\lambda(\text{макс.})$ 365 мμ) разрядов со светофильтрами УФС-1 и УФС-3. За время определения характеристик люминесценции и при быстром чередовании тлеющего и дугового разрядов изменение спектрального излучения лампы незначительно и не мешает работе.

Л. Грибов

9Е8. Микрофотометр для рентгеноструктурного анализа с автоматической регистрацией. Вустер В. А. «Кристаллография», 1960, 5, № 5, 788—794.—Разработана конструкция микрофотометра для измерения интенсивности отражений на рентгенограммах от порошков, монокристаллов, текстур, а также от в-в с неупорядоченным расположением атомов или молекул. Прибор может быть использован для изучения спектрограмм, кинематограмм и т. п. В приборе использован принцип разделения светового пучка по Добсону (G. M. V. Dobson. «Proc. Roy. Soc.», 1923, A54, 248). Свет от лампы проходит через оптич. модулятор и направляется то к исследуемой пленке, то к нейтр. клину. Интенсивность светового пучка измеряется фотоэлементом. Выходной сигнал возникает в результате неодинаковой интенсивности обоих пучков света. При помощи спец. электронной схемы и сервомотора интенсивность световых пучков поддерживается одинаковой. Тахогенератор, соединенный с сервомотором, вырабатывает выходной сигнал, пропорциональный скорости сервомотора. Перо самописца через определенные интервалы отмечает перемещение каретки в двух взаимно перпендикулярных направлениях. Перемещение пера контролируется микровыключателями. Для изучения текстур имеется поворотный столик. Для нахождения интегральных интенсивностей каретка может колебаться относительно двух осей. Точность измерения интенсивности на описанном приборе составляет 5%.

А. Бабад-Захряпин

9Е9. Приспособление для возвратно-поступательного перемещения образца в рентгеновской порошковой камере. Northrop David A. Translating device for an X-ray powder camera. «Rev. Scient. Instrum.», 1960, 31, № 10, 1160 (англ.).—Для получения равномерного распределения интенсивностей дифракционных линий от порошковых образцов в камере General Electric, кроме вращения образца, осуществлено его возвратно-поступательное перемещение перпендикулярно направлению первичного рентгеновского пучка. Перемещение образца производится кривошипно-палатунным механизмом. Вращение палатун осуществляется червячной парой. Для вращения образца и его перемещения используется один мотор.

А. Бабад-Захряпин

9Е10. Прибор для расшифровки рентгенограмм поликристаллических веществ триклинной системы. Нудельман С. Л. «Кристаллография», 1960, 5, № 5, 819—823.—Разработан метод применения прибора для расшифровки рентгенограмм поликристаллич. в-в ромбич. и моноклинной систем, а также для расшифровки рентгенограмм от в-в триклинной системы. Для этого квадратичная форма в функции параметров обратной решетки для триклинной системы разбивается на отдельные слагаемые, соответствующие индексам $h00$, $0k0$, $00l$, $h k 0$, $h 0 l$ и $0 k l$. Слагаемые, соответствующие первым трем комбинациям индексов, могут быть расшифрованы, так же как в случае ромбич. системы. Другие 3 слагаемых расшифровываются отдельно аналогично случаю моноклинной системы (РЖХим, 1960, № 6, 24219). Затем на основании известных зависимостей между параметрами прямой и обратной решеток определяются параметры прямой решетки. Процесс расшифровки рентгенограмм от в-в триклинной системы подробно описан на примере расшифровки дебаграммы от $\text{CuSO}_4 \cdot 5\text{H}_2\text{O}$.

А. Бабад-Захряпин

9Е11. Торсионные магнитные весы с компенсацией смещения образца постоянным током. Севастьянов Б. К., Харахашьян Э. Г. «Приборы и техн. эксперимента», 1960, № 5, 135—137.—Описаны торсионные весы для измерения крутящих моментов $1 \cdot 10^{-4}$ — 10 дн см. Весы позволяют определять магнитные моменты в широком диапазоне т-р вплоть до гелиевых. Положение образца в поле фиксировано с точностью $5 \cdot 10^{-5}$ рад.

Резюме авторов

9Е12. Торсионные магнитные весы с компенсацией смещения образца переменным током. Севастьянов Б. К. «Приборы и техн. эксперимента», 1960, № 5, 137—139.—Описаны торсионные весы для измерения магнитного момента в широком диапазоне т-р вплоть до гелиевых. Ориентация образца в магнитном поле фиксирована с точностью $5 \cdot 10^{-5}$ рад. Рассеянные магнитные поля не влияют на точность измерений. Весы позволяют измерять крутящие моменты от $\sim 5 \cdot 10^{-5}$ до 4 дн см.

Резюме автора

9Е13. Исследование точных измерений вязкости, выполненных методом падающего шарика. Измерение вязкости в цилиндрической трубке неодинакового диаметра. Kawata Michio, Kurase Kimio. «Тюо кэйрэй кэнтэйсё хококу. Rept. Centr. Inspect. Inst. Weights and Measures, Tokyo», 1960, 8, № 4, 50—55 (японск.; рез. англ.).—Исследовано, как влияет на результаты измерения вязкости применение при расчете выражения для среднего эффективного диаметра трубки $D = \sum_{n=1}^{\infty} D_m/n$ для тех случаев, когда диаметр трубки неодинаков в различных её сечениях. Была измерена вязкость жидкости при постоянной т-ре в 8 цилиндрич. трубках с различным изменением диаметра каждой трубки по ее длине. Установлено, что если непостоянство диаметра $D - D_m/D$ составляет $\sim 0,1$, то вязкость при условии введения величины D может быть измерена с точностью $\sim 0,1\%$.

А. К.

9Е14. Стержневой вискозиметр с коническим аннелусом. Tollenaar D. A bar viscometer with conical annulus. «J. Colloid Sci.», 1960, 15, № 4, 381—383 (англ.).—Приводится расчет для нового варианта вискозиметра с цилиндрич. стержнем, падающим сквозь узкий концентрич. канал, наполненный исследуемой жидкостью. В этом варианте прибора канал имеет конич. форму с малым углом наклона стенок к оси. Для силы F , приложенной к стержню, среднего напряжения сдвига τ_m у поверхности стержня и среднего градиента скорости D_m выводятся следующие ф-лы: $F = (2\pi r v \eta h / (r_1 - r_2)) [\ln(r_1 - r/r_2 - r)]$; $\tau_m = (v \eta / (r_1 - r_2)) [\ln(r_1 - r/r_2 - r)]$; $D_m = (v / (r_1 - r_2)) [\ln(r_1 - r/r_2 - r)]$, где r , r_1 , r_2 — соответственно радиусы стержня и концов канала, v — скорость падения стержня, η — вязкость, h — длина канала. Конич. форма канала, по словам автора, обеспечивает лучшую центровку стержня.

А. Кислинский

9Е15. Вискозиметр с катящимся шариком для структурированных жидкостей. Scott Blair G. W., Oosthuizen J. C. Rolling-sphere viscometer for structured liquids. «Brit. J. Appl. Phys.», 1960, 11, № 8, 332—334 (англ.).—Предлагается для исследования тиксотропных и др. структурированных жидкостей вискозиметр, в котором диаметр катящегося шарика намного меньше диаметра трубки с исследуемой жидкостью. Эту трубку, наклоненную под углом θ , поворачивают после каждого опыта вокруг ее оси на небольшой угол с тем, чтобы для следующего опыта была использована жидкость с ненарушенной структурой. Прибор погружен в водяной термостат. Расчет вязкости η ведется по ур-нию $F = A \eta v = \frac{4}{3} \pi r^3 (q_b - q) \sin \theta - B q_1 v^2$, где v — скорость движения шарика, r — радиус шарика, q_b — соответственно его радиус и плотность, q_1 — плотность исследуемой жидкости, A , B — константы, причем при $v < 3$ см/сек принимается $B \approx \frac{1}{2} \pi r^2$; при больших v значение $B > \frac{1}{2} \pi r^2$. Показано, на смесях глине-

рип — вода и образцах обезжиренного молока, что между F и v существует пропорциональная зависимость. График, сравнением данных с результатами, полученными на вискозиметре Оствальда, подтверждена справедливость допущения $B \approx 1/2\pi r^2$. Приведены графики результатов измерения вязкости обезжиренного молока и молока с введенным в него ферментом, выполненные на данном вискозиметре и на других приборах.

А. Кислянский

9E16. Применение ультразвуковых вискозиметров в полимерных процессах. Wotring A. W., McAvoy T. B. Applying ultrasonic viscometers to polymer processes. «ISA Journal», 1960, 7, № 10, 67—69 (англ.).— Ультразвуковой вискозиметр-пробник (УВП), работающий по принципу погружения вибрирующей пластины в исследуемый образец (РЖХим, 1955, № 1, 740), дает мгновенную и точную информацию о кинематической вязкости ν полимерных р-ров, расплавов и дисперсий. По своему физ. характеру измерения ν равносильны измерениям в обычных вискозиметрах при бесконечном градиенте скорости. Поэтому УВП практически нечувствителен к вариации мол. веса неньютоновых систем — конц. р-ров и расплавов. Зато он с большой точностью реагирует на изменения конц-ии, скажем, в процессе полимеризации, на изменение состава мультифазных систем (напр., при эмульсионной или суспензионной полимеризации) и т. д.

С. Френкель

9E17. Тангенциально смещаема пластина как инструмент определения релаксации и вязкости при неустановившемся потоке. Колташев Н. Г. «Тр. Пермск. фармацевт. ин-та», 1959, вып. 1, 168—174.— Предложен новый способ определения на эластометре Вейлера — Ребиндера (Вейлер С. Я., Ребиндер П. А. «Докл. СССР», 1945, 49, 354) периода релаксации T и вязкости η для структурированных систем в неустановившемся потоке. С помощью графика «время — усилие» из ур-ния Максвелла, написанного для конечных изменений, вычисляется T , а из него находится η по ф-ле $\eta = ET$, где E — модуль сдвига. Приводятся для модели солидола результаты определения η , найденные на эластометре Вейлера — Ребиндера 3 способами и на ротационном вискозиметре Сирля. Первые 3 результата практически одинаковы и резко отличаются от последнего.

А. Кислянский

9E18. Указатель уровня сжиженных газов. Бевилотга Л. Л., Ланге Ф. К. «Приборы и техн. эксперимента», 1960, № 5, 144—145.— Предложен прибор для измерения уровня сжиженных газов. Для указания уровня жидкости используется понижение давления в замкнутой системе, вызванное конденсацией газа-наполнителя в омывающейся жидкостью части системы.

Резюме авторов

9E19. Использование манометров Мак-Леода при комнатной температуре для измерения давления газов с высокой критической температурой. Bixler H. J., Michaels A. S., Parker R. B. Use of McLeod gauges at room temperature for gases with high critical temperatures. «Rev. Scient. Instrum.», 1960, 31, № 10, 1155 (англ.).— Известно, что обычный манометр Мак-Леода (ММЛ) дает вполне надежные результаты при измерениях давления газов, критич. т-ра которых значительно ниже комнатной. Вместе с тем применение его в случае легко конденсирующихся газов и паров приводит к значительным ошибкам. В этой связи сделана попытка оценить применимость ММЛ при измерении давления CO_2 , SF_6 , CH_3Cl и др. путем использования следующей методики. Небольшой объем газа ($\sim 1 \text{ см}^3$) при сравнительно высоком давлении расширяют путем подсоса большого ($\sim 1200 \text{ см}^3$) эвакуированного объема. После выдержки в течение ~ 30 сек. для установления равновесия измеряют давление ММЛ обычным способом и производят пересчет по закону Бойля — Мариотта. Начальные давления газа определяют точно при помощи жидкостного манометра и катетометра. Показано, что эксперим. значения давлений отличаются от расчетных менее чем на 4%.

Э. Финкель

9E20. Ультравысоковакуумная система с масляным диффузионным насосом и с неморажаемой ловушкой. Wiesendanger H. U. D., Pasternak R. A. An ultra-high vacuum system using an oil-diffusion pump with a non-refrigerated isolation trap. «Experientia», 1960, 16, № 10, 467—468 (англ.; рез. нем.).— В вакуумной системе с трехступенчатым масляным диффузионным насосом и с неохлаждаемой ловушкой, заполненной активированным алюмогелем, был получен вакуум 10^{-9} — 10^{-10} мм рт. ст. Скорость откачки ловушки для H_2 14—24 л/сек при давл. 10^{-6} — 10^{-8} мм рт. ст. Кратко описана методика активирования алюмогеля. Описанная система применялась при изучении взаимодействия H_2 и N_2 с Мо.

А. Бабад-Захрияни

9E21. Плутониевый радиоактивный ионизационный манометр. Хавкин Л. П. «Приборы и техн. эксперимента», 1960, № 5, 101—106.— Приводится методика расчета радиоактивного ионизационного манометра, у которого радиоактивное α -во равномерно распределено по внутренней поверхности цилиндрич. анода. Обнаружено, что характеристика такого манометра с тонкослойным плутониевым источником нелинейна вследствие вылета из источника атомов отдачи, и найден метод линеаризации его рабочей характеристики. Описан безопасный в эксплуатации радиоактивный ионизационный манометр с плутониевым источником, имеющий линейную характеристику в диапазоне 10^{-3} —100 мм рт. ст. Приводятся результаты градуировки его по некоторым газам, а также полумширич. ф-ла для расчета относительной чувствительности радиоактивных манометров по разным газам.

Резюме автора

9E22. Получение сверхнизких давлений в стеклянных установках сорбции газов напыленными пленками титана. Мартинсон Е. Н. «Приборы и техн. эксперимента», 1960, № 5, 109—113.— Описаны аппаратура и методика получения давл. $1 \cdot 10^{-9}$ — $5 \cdot 10^{-10}$ мм рт. ст. запылением Ti стенок стеклянных объемов, предварительно обезгаженных прогревом при откачке парогутными насосами. Показано, что величина предельного вакуума в объемах, запыленных Ti , существенно снижается при использовании для предварительной откачки паромасляных насосов с обычными ловушками, охлаждаемыми жидким азотом.

Резюме автора

9E23. Диафрагменно-емкостный манометр для измерения давления жидкости порядка 25 мм рт. ст. Lodge A. S. Low-compliance diaphragm-capacitance gauge for measurement of liquid pressures of the order of 1 in. water. «J. Scient. Instrum.», 1960, 37, № 11, 401—403 (англ.).— Предлагается конструкция диафрагменно-емкостного манометра, предназначенного для измерения давления вязких жидкостей. Манометр используется как нуль-инструмент путем подачи противодавления воздуха, компенсирующего прогиб диафрагмы. Чувствительность составляет несколько десятых μf на 1 мм водн. ст. Линейность характеристики $\geq 2\%$ в диапазоне давлений от 12 до 25 мм водн. ст. Приведено общее описание конструкции прибора и его основные характеристики.

Э. Финкель

9E24. Омегатрон с неоднородным магнитным полем. Леонтьев Н. И., Удовиченко Ю. К., Максимов М. З. «Приборы и техн. эксперимента», 1960, № 5, 97—99.— Проведен расчет разрешающей способности и экспериментально исследован омегатрон с неоднородным магнитным полем, спадающим вдоль радиуса по параболич. закону. Экспериментально показано, что в омегатроне, который применяется для масс-спектрометрич. измерений, целесообразно иметь

максим. спад поля в рабочем объеме анализатора 3—4%.

9E25. Термоэлементы платино-родий — платина. Lacroix Roger. Termoelementy platynarod — platyna. «Pomiary, automat, kontrola», 1960, 6, № 9, 344—346 (польск.).—Установлено, что разница характеристик термодар PtRhPt, исследованных Национальным Бюро Стандартов (НБС) США и Национальной физической лабораторией Великобритании, связана с тем, что НБС получены данные для термодар с несколько заниженным содержанием Rh в сплаве PtRh (9,96—9,97 вместо 10% и 12,8 вместо 13%).

9E26. Новая солнечная печь. Конструкция и принцип действия. Marcus Rudolph J., Wohlers Henry C. A new solar furnace. Design and operation. «Industr. and Engng Chem.», 1960, 52, № 10, 825—826 (англ.).—Изготовлена солнечная печь, используемая в качестве источника света с λ 3000—3500 Å при исследовании фотохим. р-ций. Зеркало печи представляет собой параболоид диам. ~65 см из Co—Cr—W-сплава (стеллит). Отражающая способность зеркала в области 3000—8000 Å 60—70%; размер Солнца в фокусе 2,2 мм. Зеркало установлено на спец. приспособлении, следящем за движением Солнца. В области фокуса помещается реакционная ячейка из кварца. Приведены данные по механизму восстановления Se (IV) из перхлората в водн. р-ре.

9E27. Компрессор для работ с ценными газами. Аульхорн В. О., Бевилогга Л. Л., Кнорн М. Г. «Приборы и техн. эксперимента», 1960, № 5, 143—144.—Описан компрессор с продувочным пространством ~5 см³ и с вредным подсосом, не превышающим 10 см³/ч. Компрессором были достигнуты давления до 40 ат, производительность ~250 л/ч при 10 ат.

9E28. Малогабаритный лабораторный гидравлический пресс на 1 кг. Верещагин Л. Ф., Семерчан А. А., Исайков В. К., Рябинин Ю. Н. «Приборы и техн. эксперимента», 1960, № 5, 93—95.—Описан гидравлич. пресс на 1 кг, рабочее давление в цилиндре применялось до 5 кг. Измерялись потери на трение между цилиндром и поршнем пресса.

9E29. Мультипликатор для исследований при сверхвысоких давлениях и высоких температурах. Шаховской Г. П. «Приборы и техн. эксперимента», 1960, № 5, 95—97.—Описан мультипликатор для проведения различных исследований при сверхвысоких давлениях до 30 кг и высоких т-рах — до 1500°, с использованием как жидкости, так и газа в качестве передающей давление среды. Рабочий объем мультипликатора при максим. давлении составляет 100—120 см³. В канал мультипликатора может быть введено до 10—12 электроизолированных проводов, необходимых при проведении исследований. Приведено краткое описание методики измерения давлений и т-ры во время исследований непосредственно в канале мультипликатора.

9E30. Исследования интенсификации электролизеров. I. Цилиндрический электролизер с тангенциальным притоком электролита. Regner A., Roušar I. Studie über die Intensifizierung der Elektrolyseure. I. Zylinderförmiger Elektrolyseur mit tangentialen Elektrolytenzufluss. «Collect. Czechosl. Chem. Commun.», 1960, 25, № 4, 1132—1142 (нем.; рез. русск.).—Произведена оценка безразмерных критериев, при помощи которых можно описать ход электролиза у процессов, скорость которых определяется диффузионной поляризацией. Этот способ применен к обработке измерений, полученных на цилиндрич. электролизере с тангенциальным притоком электролита. Получены расчетные ф-лы, которые позволяют сравнить электролизеры с коаксиальным и тангенциальным притоком электролита. В последнем случае достигается значительное по-

вышение интенсивности перемешивания, а следовательно, и большие предельные токи.

9E31. К вопросу об эквивалентной электрической схеме озонатора. Ястребов В. В. «Ж. физ. химии», 1960, 34, № 11, 2393—2395 (рез. англ.).—Предложена эквивалентная электрич. схема озонатора с диэлектрич. барьерами, позволяющая моделировать работу озонатора как электрич. прибора; полученные при ее помощи осциллограммы тока охватывают основные типы осциллограмм, наблюдавшихся ранее для реальных озонаторов.

9E32. Осометр с малым объемом камеры для быстрого измерения осмотического давления. Bruss D. B., Stross F. H. A small-volume high-speed osmometer. «Anal. Chem.», 1960, 32, № 11, 1456—1458 (англ.).—Для измерения осмотич. давления с целью определения мол. веса полимеров в малых пробах разработан прибор новой конструкции, позволяющий быстро проводить измерения с объемом р-ра < 10 мл. Прибор состоит из массивного корпуса, изготовленного из нержавеющей стали, в боковых стенках которого устроены концентрич. круглые желобки, удерживающие мембрану. Р-р вводится посредством шприца через капиллярную трубку диам. 1,6 мм в центральную трубку диам. 3 мм. Другая капиллярная трубка диам. 0,5 мм служит для измерения. Оба капилляра ввинчиваются в корпус с герметизацией тефлоновыми прокладками. Весь прибор помещают в резервуар с р-рителем. Приведены кривые калибровки и экстраполяции до бесконечного разведения для полистирола. Сравнение полученных результатов с данными ранее описанных методов приводит к хорошему совпадению.

9E33. Быстродействующий диализер для малых образцов. Cabib E., Algranati I. D. A rapid dialyser for small samples. «Nature» (Engl.), 1960, 188, № 4748, 409—410 (англ.).—Ячейка диализатора изготовлена из листового плексигласа толщиной 1 мм в виде квадрата со стороной 6,2 см. В квадрате имеются прорезы в виде 4 равнобедренных треугольников. На поверхность квадрата наматывается трубка из целлюлозы. Один конец трубки заглушается, а через другой вводится р-р, после чего герметизируется и этот конец трубки. Ячейка с р-ром опускается в 1000-мл стакан с соответствующей жидкостью. При помощи моторчика, электр. привода водила и груза производится непрерывное перемещение ячейки в стакане. Эффективность ячейки при диализе 1 М р-ра сукрозы при 20° сопоставлена с эффективностью других приспособлений. Показано, что процесс диализа ускоряется в несколько раз при применении описанной ячейки.

9E34. Простой способ изготовления точных гоменизаторов. Drášil Vladimír, Soudek Dušan. Jednoduchý způsob zhotovení přesných homogenizátorů. «Chem. listy», 1960, 54, № 4, 385—387 (нем.; рез. русск., нем.).—Описаны изготовление пробирок для гоменизации и поршней для гоменизаторов из техн. Дентакрила, при котором поршни отливают прямо в пробирке для гоменизации. При этом можно получить поршни диаметром всего на 10—20 м меньше, чем внутренний диаметр пробирки. Для предохранения пробирок от растрескивания предлагается покрывать их полиэтиленовой оболочкой.

9E35. Адсорбционная установка с автоматическим калориметром для измерения теплот адсорбции паров. Муттик Г. Г., Фролов Б. А. «Тр. Дальневост. фил. Сиб. отд. АН СССР. Сер. хим.», 1960, вып. 4, 83—87.—Описаны калориметр и адсорбционная установка, с помощью которых были определены изотермы адсорбции и теплоты адсорбции ряда углеводородов на крупнозернистом силикагеле СК-2. Калориметр построен с постоянным теплообменом и с автоматическим управляемой оболочкой. Приведены схемы устройства

калориметра, его измерительного и управляющего устройств и адсорбционной установки.

9E36. Дилатометр для исследования пористых материалов в условиях переменной температуры и влажности. Лифанов И. И., Стрелков П. Г. «Приборы и техн. эксперимента», 1960, № 5, 76—80.—Описан дилатометр, позволяющий исследовать образцы пористых тел небольших размеров в условиях переменной температуры и влажности. Оптимальные размеры образцов 10—40 мм в длину и 8—15 мм в поперечном размере. Оценена разрешающая способность прибора при исследовании объемных изменений. Приведены примеры измерения скачков размера при замораживании влажного и воздушно-сухого бетонных образцов.

9E37. Генератор для образования аэрозолей с низкой концентрацией дисперсной фазы. Chaikin Saul W., Wilbur Arthur C. Generator for low concentrations of aerosols. «Chemist-Analyst», 1960, 49, № 2, 52 (англ.).—Генератор состоит из горизонтального вращающегося диска, медленно вращаемого синхронным электродвигателем (15 об/час) через редуктор с передаточным числом 50:1, стеклянного аспиратора типа вентури и перевернутой стеклянной бутылки, соединенной с ротационным вакуум-насосом. На верхней поверхности диска выточены V-образные канавки глубиной 1 мм, с углом при вершине 60°; диаметр наибольшей канавки 190 мм. В всасывающей трубке аспиратора прикреплен W-образной длиной 1 см. Канавка наполняется распыливаемым порошком. Острые иглы, двигаясь по канавке, разрыхляют порошок. Через аспиратор подается воздух под давлением; под действием разрежения разрыхленный порошок всасывается вверх в узкое сечение трубки вентури. Воздушный поток распыливает порошок (разрушает агрегаты частиц); образующийся аэрозоль поступает в бутылку со скоростью 4 л/мин и при этом дополнительно разбавляется воздухом (70 л/мин). Концентрация дисперсной фазы 0,12—1,2 г/л.

9E38. Быстродействующий счетчик мелких взвешенных частиц. Cornwall J. B., Davison R. M. Rapid counter for small particles in suspension. «J. Scient. Instrum.», 1960, 37, № 11, 414—417 (англ.).—Счетчик состоит из микроскопа, капилляра с осветителем, фотоэлементом и двухкаскадного усилителя. Исследуемая суспензия пропускается с определенной скоростью через капилляр. Свет, прошедший через освещенный участок капилляра, направляется через объектив и окуляр микроскопа на фотоэлемент. Импульсы тока, создаваемые фотоэлементом при прохождении каждой частицы через освещенный участок капилляра, усиливаются и регистрируются электронным счетчиком. Максим. скорость счета 2000 частиц/сек, точность $\pm 3\%$. Счетчик применяется для подсчета числа клеток в образце ткани яблока данного объема с целью определения среднего объема клетки; для этого приготавливалась водн. суспензия отделенных друг от друга подкрашенных клеток. Размер клеток составлял 70—50 м. Счетчик может быть приспособлен для счета любых непрозрачных частиц, взвешенных в прозрачной жидкости с малой вязкостью.

9E39. Автоматическое устройство для хроматографии аминокислот. Lindqvist Börje. Automatiserad aminosyrakromatografi. «Medd. forskarnas kontakorgan IVA», 1960, № 33, 99—108 (шведск.).—Описана модификация метода Мура и Стейна. Применен поочередный обменник с величиной зерна 40 м, давлением в колонке 2—4 атм. Колонка имеет водн. рубашку (35—50°) и непрерывное смешение с нингидрином (I), подаваемым дозировочным насосом. Р-р объемом 2 мл, содержащий ~5 мг аминокислот (II), вливают в длинную и короткую колонки и далее заполняют бу-

ферным р-ром. В короткой колонке элюцию начинают немедленно и выпускают сначала вместе смесь кислых и нейтр. II, далее — разделенных основных II и после смешения последних с I и прохода через погруженную в кипящую воду тefлоновую трубку длиной 30 м для проявления окраски пропускают через фотометр с 3 каналами. Показания фотометра самописец выдает в форме хроматограммы. Элюцией на длинной колонке разделяют таким же образом кислые и нейтр. II. Переключения производят программным регулятором. За сутки получают хроматограмму смеси II.

9E40. Новая несложная установка для хроматографии на бумаге. Malkus Z. Nové jednoduché zařízení pro papírovou chromatografii. «Českosl. hyg.», 1960, 5, № 7, 448—450 (чешск.; рез. русск., англ.).—Для разделения смеси в-в методом восходящей хроматографии были использованы бумажные патроны, применяемые при определении жиров по Сокслету. Образцы смеси наносятся по окружности на боковой поверхности патрона недалеко от края, и затем патрон ставится (вверх дном) в чашку Петри с проявителем и закрывается стаканом подходящей величины. Метод быстрый и пригоден для ориентировочных опытов, особенно при разделении красителей, в которых не требуется окрашивания.

9E41. Средство увеличения производительности камеры для хроматографии на бумаге. Nakamura R., Kushinsky S., Wu J. Expedient for increasing capacity of paper chromatography tanks. «Chemist-Analyst», 1960, 49, № 2, 54 (англ.).—Описано, каким образом можно увеличить вдвое кол-во одновременно проявляемых хроматограмм при нисходящей хроматографии в приборе Саварда (РЖХимБх, 1955, № 2, 614), для чего требуются лишь дополнительно две такие же стеклянные пластины, которые уже используются в аппарате для зажима полос бумаги при проявлении.

9E42. Детекторы для газовой хроматографии. Machiroux R. Les détecteurs en chromatographie Gazeuse. «Ind. chim. belge», 1960, 25, № 9, 1061—1072 (франц.; рез. флам., англ., нем.).—Обзор. Библ. 27 назв.

9E43. Водородный пламенно-ионизационный детектор. Ette Leslie S., Claudy H. Newell. Hydrogen flame ionization detector. «Chem. Canada», 1960, 12, № 9, 34—36 (англ.).—Кратко описаны 2 модели пламенно-ионизационного детектора (РЖХим, 1958, № 18, 60792; 1959, № 24, 86397), одна из которых предназначена для применения в газовых хроматографах с капиллярными колонками (РЖХим, 1960, № 13, 51351), а другая — для определения суммарного содержания органич. в-в в воздухе или других неорганич. газах. Исследовано влияние различных параметров опыта на показания детектора. Детектор нечувствителен к H_2 , O_2 , N_2 , редким газам, H_2S , SO_2 , COS , CS_2 , NH_3 , окислам N , H_2O , $SiCl_4$, $SiHCl_3$ и SiF_4 . Для парафинов и первичных спиртов показания детектора при равной концентрации зависят линейным образом от числа атомов C в молекуле. Для углеводородов различных типов с равным числом атомов C показания почти одинаковы. При замещении H в молекуле на Cl и OH показания значительно снижаются. Оптимальное отношение между скоростями потока, воздуха и H_2 не зависит от концентрации образца; изменение этого отношения значительно влияет на чувствительность детектора и стабильность его показаний.

9E44. Сверхчувствительный ионизационный детектор для анализа постоянных газов. Berry R. An ultra-sensitive ionization detector for permanent gas analysis. «Nature» (Engl.), 1960, 188, № 4750, 578—579 (англ.).—Разработан радиоактивный детектор ионизационного типа для хроматографич. анализа газовых смесей. В качестве несущего газа используется He , поскольку

метастабильные атомы Не способны вызывать ионизацию всех постоянных газов, ионизационные потенциалы которых лежат в интервале от 12 до 16 эв. Используя хроматографич. колонку диам. 4 мм и длиной 30 см, наполненную набивкой типа мол. сита, можно обнаруживать присутствие H_2 , Ar, O_2 , N_2 , CH_4 и CO в кол-ве менее чем 0,001 м.л. за время ~2 мин. Колонка работает при комнатной т-ре, за исключением анализа смеси O_2 — Ar, когда требуется охлаждение до -80° . Нижний предел обнаружения составляет $\sim 10^{-12}$ моля анализируемой примеси на 1 мл несущего газа. Используемый Не необходимо тщательно очищать от всех примесей, кроме Не, ионизационный потенциал которого выше, чем энергия метастабильного состояния атома Не.

9E45. Фотоионизационный детектор для газов и паров. Lovelock J. E. A photoionization detector for gases and vapours. «Nature» (Engl.), 1960, 188, № 4748, 401 (англ.).—Детектором является разрядная трубка, в которой создается УФ-излучение в результате электрич. разряда в разреженном H, N или He. В качестве газа-носителя могут применяться только те газы, которые не ионизируются УФ-излучением (напр., воздух, насыщенный парами воды). В разрядной трубке помещены 2 плоских электрода, ток между которыми пропорционален концентрации определяемого газа (пара). Найдено, что чувствительность детектора к пропану составляет 0,01%.

9E46. Метод введения проб твердых веществ при высокотемпературной, до 500° , газовой хроматографии. Dubský Hanniel E., Janák Jaroslav. A sampling method for solid substances in high-temperature gas chromatography up to 500° . «J. Chromatogr.», 1960, 4, № 1, 1—5 (англ.).—Для ввода твердых или жидких образцов использовались тонкостенные капилляры, изготовленные из сплава Вуда. Капилляры сворачивались из тонкой фольги, полученной при падении горячей капли сплава на холодное стекло и закаливались вместе с навеской исследуемого в-ва. Затем капилляр помещается в холодную часть установки и продувается газом-носителем для удаления воздуха. После поворота крана капилляр проваливается в зону т-ры хроматографич. колонки. Здесь оболочка плавится (если т-ра колонки выше $60,5^\circ$) и образец испаряется. Воздух в капилляре дает маленький пик на хроматограмме, который принимается в последующем за исходную точку хроматограммы. Метод может применяться до 500° для жидких и твердых образцов и не пригоден в случае в-в, реагирующих со сплавом.

9E47. Видоизмененный прибор для определения микроколичеств влаги в органических веществах. Thomas A. C. A modified apparatus for the micro-determination of moisture in organic compounds. «Analyst», 1960, 85, № 1015, 771—772 (англ.).—В предлагаемом приборе определение содержания влаги в нагреваемой до определенной т-ры пробе может производиться как посредством пропускания над пробой сухого N_2 , так и путем создания вакуума в системе в присутствии P_2O_5 . В обоих случаях влага определяется весовым путем. Прибор состоит из трубки, изготовленной из стекла пирекс, которая укрепляется в горизонтальном положении и оканчивается с одной стороны трубкой с краном, а с другой стороны к ней присоединяется на шлифе (для первого способа) такая же трубка с краном, а для второго — баллон с P_2O_5 , соединенный с вакуумной линией. Для обогрева трубку покрывают электропроводящим слоем. Т-ра нагрева регулируется трансформатором. Образец помещают в Рт-лодочку в трубочку для взвешивания, к которой с обоих концов припаяны пробочки.

9E48. Системы с замкнутой циркуляцией для определения содержания воды, двуокиси углерода и общего углерода в силикатных горных породах и ми-

нералах. Jeffery P. G., Wilson A. D. Closed-circulation systems for determining water, carbon, dioxide and total carbon in silicate rocks and minerals. «Analyst», 1960, 85, № 1015, 749—755 (англ.).—Предложено применение многократной циркуляции определенного объема воздуха в системе при определении содержания H_2O , CO_2 и общего С. Прибор для определения воды, выделяемой при 105° , состоит из нагревательной бани, термостатируемой кипящим изобутиловым спиртом (т-ра 104 — 106°), в которую вводится стеклянная трубка, содержащая лодочку с исследуемым образцом; для контроля скорости циркуляции включается барботер с H_3PO_4 . Для определения общего содержания воды образец помещается в фарфоровую лодочку в кварцевую трубку, нагреваемую в печи до 1000° ; или же образец помещают в Рт-лодочку и сплавляют при помощи вольфрамата Na и буры. Для определения CO_2 образец разлагают разб. H_3PO_4 или HCl. Определение общего С производится по методу Диксона с применением смеси фосфорной и хромовой к-т. Во всех описанных методах применяется циркуляция воздуха. Результаты хорошо совпадают с данными ранее применявшихся методов.

9E49. Установка для измерения упругости паров хлоридов и йодидов циркония и гафния. Евстигхин А. И., Баринов И. П. В сб. «Металлургия и металловедение чистых металлов». Вып. 2. М., Атомиздат, 1960, 49—57.—Основной частью установки является кварцевый мембранный манометр (ММ), отличающийся от обычных конструкций тем, что отчетное устройство посредством применения длинного штока вынесено из зоны нагрева; это позволяет хорошо термостатировать камеру давления и обеспечивает наблюдение за изменением показаний. ММ используется в качестве нуль-инструмента путем создания противодействия воздуха, которое измеряют U-образным манометром с помощью катетометра. Точность измерений давления не менее $\pm 0,1$ мм рт. ст. Метод измерения позволяет вносить поправки на флуктуации, образующиеся при раздвигании стекла аппаратуры исследуемыми парами. Описана методика приготовления чистых безвод. хлоридов Hf и Zr.

9E50. Дифференциальный анализатор для определения кислорода. Linderström-Lang C. U. A differential oxygen analyser. «Acta chem. scand.», 1960, 14, № 5, 1031—1036 (англ.).—Прибор основан на абсорбции O_2 р-ром пирогаллола и измерении разности давления в результате абсорбции для двух образцов, что позволяет определять очень малые различия в содержании O_2 с точностью 0,005%. Прибор состоит из 2 сосудов, соединенных между собой через шлифы и манометр, заполненный силиконовым маслом. В каждом из сосудов помещается в одной части бумажный мешочек с твердым пирогаллолом, в другой — р-р KOH. В обеих частях помещаются также магниты. Перед началом опыта всю систему заполняют азотом. Проба исследуемых газов вводят в сосуды через спец. вводы. При повороте сосудов в шлифе отверстия в боковых стенках совмещаются с трубками, соединяющими их с манометром. При магнитным перемешивании мешочки перетираются и образуется р-р пирогаллола. Рассмотрена теория расчета анализа и ошибки, вызываемые образованием CO (Kiday M. V. «J. Research», NBS, 1950, 45, RP 2112).

9E51. Магнитные приборы для определения кислорода. Dorfman E. Aparate magnetice pentru analiza oxigenului. «Metrol. apl.», 1960, 7, № 3, 117—122, 143, 144 (рум.; рез. русск., франц., англ., нем.).—Обзор магнитных анализаторов для определения O_2 . Подробно описаны приборы фирм Сименс — Гальске, Юнкалор и Кант.

9E52. Новый способ приспособления колбы Кьельдаля для ускоренной минерализации. Herzman J., Janda J. Uprava kjeldahlizáční baňky pro urychlenou

mineralizaci. «Casop. lékařů česk.», 1960, 99, № 47, 1493—1494 (чешск.; рез. русск., англ., франц.).—Предложен новый способ приспособления колбы Кьельдаля для ускоренной минерализации. Приводится оценка преимуществ применения этого метода в лабораториях.

Резюме авторов

9E53. Генератор для получения малых концентраций фтористого водорода в воздухе. Chaikin Saul W. Generator for atmospheres containing low concentrations of hydrogen fluoride. «Chemist-Analyst», 1960, 49, № 3, 82 (англ.).—Для получения смеси воздуха с определенным кол-вом HF, пригодной для титриметрич. анализов, описан генератор, представляющий собой Pt-трубку (ПТ), в которой при определенной т-ре происходит р-ция: $\text{NaHF}_2 \rightleftharpoons \text{NaF} + \text{HF}$. ПТ окружена рубашкой с необходимой постоянной т-рой, поддерживаемой парами жидкости с постоянной точкой кипения (ацетон, бензол, толуол, вода). В ПТ через игольчатый клапан подается чистый сухой воздух со скоростью 0,5—3 мл/мин, который увлекает газообразный HF и выходит из ПТ в смесительный сосуд, в котором может быть произведено дополнительное разбавление воздухом. Получаемые смеси воспроизводятся с точностью $\pm 1\%$ по содержанию HF. Генератор имеет среднюю эффективность 50%.

И. Зимakov

9E54. Простой фильтр для вакуум-фильтрации в полумикромасштабе. Mitchell M. J. Simple semi-micro suction filter. «Chemist-Analyst», 1960, 49, № 1, 30 (англ.).—В колбу Бунзена вставляют на пробке обычную медицинскую пипетку, сверху ее закрывают куском фильтровальной бумаги диам. 13 мм, затем на пипетку надевают кусок тайгоновой трубки внутр. диам. 7 мм. Фильтрат собирают в пробирку. Метод позволяет фильтровать кристаллич. осадки весом 1—150 мг.

Б. Анваер

9E55. Прибор для полумикромолекулярной перегонки с улучшенной фракционирующей способностью. Watt P. Ridgway. A semi-micro molecular still with improved fractionating power. «Chemistry and Industry», 1960, № 39, 1207—1210 (англ.).—Прибор состоит из испарителя, представляющего собой трубку из стекла пирекс длиной 125 мм, диам. 33 мм, наклоненную к горизонту под углом 5° и заканчивающуюся расширенной частью, в которую помещают исследуемую жидкость; вращающегося вала из нержавеющей стали, на котором укреплен холодильник, состоящий из 5 усеченных конусов из диоралюминия или стекла; низковольтных нихромовых излучающих нагревателей для нагревания испарителя и колонки; приемника на 10 пробирок. Сначала производится дегазация жидкости при скорости вращения 300 об/мин, затем давление в системе доводится до 5 мрт. ст., и скорость снижается до 100—120 об/мин, после чего происходит перегонка. Эффективность перегонки проверялась на смесях сложных эфиров изоктилового спирта и фталевой и себаценовой к-т или соответствующих эфиров ди-2-этилгексенового спирта.

Б. Анваер

9E56. Модификация установки Штадлера для получения дистиллированной воды. Večerek B., Kácl K., Chundela B., Svamberk P. Úprava Stadlerova přístroje k přípravě destilované vody. «Chem. průmysl», 1960, 10, № 10, 534—535 (чешск.).—Установка Штадлера дополнена двумя каплеотделителями диам. 6 см. Взамен обычной колбы установлена колба с тремя губками, один из которых служит для соединения с основной аппаратурой, остальные для размещения электродов (Э). Применяются Э из нержавеющей стали спец. конструкции либо стержни из графита. Суммарная поверхность Э 13,5 см², поверхность погружения ~9 см², расстояние между Э ~8 см. Электропроводность воды регулируется добавлением КОН. Качество дистил. воды удовлетворяет требованиям чехословацкой фармакопей.

Я. Сатуновский

9E57. Пористые фильтры из полиэтилена. Křížek Miroslav. Porézní polyethylenové filtry. «Chem. listy», 1960, 54, № 4, 383—385 (чешск.; рез. русск., нем.).—Описан лаб. способ приготовления круглых и конусообразных фильтрующих вкладок из пористого полиэтилена, удобных для фильтрования сильнощелочных или сильноокислых, особенно фтористоводородных, р-ров при т-рах до 90°. Фильтры получают спеканием порошкового полиэтилена, смешанного с мелким порошком NaCl, после чего NaCl вымывают водой.

М. Рыба

9E58. Успехи в области вакуумной науки и техники. Том I. Основные проблемы в технике сверхвысокого вакуума. Том II. Применение вакуумных систем в различных областях науки и техники. Advances in Vacuum Science and Technology. (Proc. 1st Internat. Congr. Vacuum Techn., 10th—13th June, 1958, Namur). Vol. I. Fundamental problems in vacuum techniques ultrahigh vacuum. Vol. II. Vacuum systems applications in various sciences techniques. Ed. Thomas E. Oxford—London—New York—Paris, Pergamon Press, 1960, XXXVIII, 469 pp., ill.; pp. 1—X, 473—824, ill. (англ., франц., нем.).—Труды, представленные на I Международном конгрессе по вакуумной технике, состоявшемся 10—13 июня 1958 г. в Намюре.

9E59. Титрование с применением токов высокой частоты. Накано Куньо [Тоа дэмна когэ кабусики кайсэ]. Японск. пат. 5949, 4.07.59.—Предложен электрод для ВЧ-титрования. Электрод представляет собой один незамкнутый виток из металлич. ленты, индуктивно связанный с колебательным контуром электроизмерительной схемы. В исследуемый р-р погружаются только концы электрода.

А. Сарахов

9E60. Приспособление для определения объема газа в жидкости или газовой смеси. Rice Francis Owen. Apparatus for determining the volume of a gas in a liquid or gaseous mixture. Пат. США 2913316, 17.11.59.—Патентуется простейшее приспособление, состоящее из стеклянного цилиндра с капиллярной трубкой и краном внизу и плотно входящего в него плунжера с капиллярным отверстием вдоль оси и краном сверху. На плунжере нанесена шкала объемов.

В. Ремнев

9E61. Коллектор фракций с отбором по объему. Pelzer Helmut. Volumengesteuerter Fraktions-sammler. Пат. ФРГ 1064258, 11.02.60.—Для отбора по объему используется 2 сифона—один неподвижный (верхний) и второй, меньшего объема, укреплен на коромысле под первым ряд, что коромысло замыкает Hg-контакты только при начале слива из первого сифона. Размыкание контактов производится после слива р-ра из второго сифона. Р-р попадает в пробирку на вращающемся диске, который с помощью электромагнита и простого устройства в виде подвижной пластины со скосом перемещается на одну пробирку перед сливом очередной фракции (электромагнит включается коромыслом посредством Hg-контактов). Одновременно можно производить сбор с 3 колопок, для чего установлено 3 таких системы с сифонами и коромыслами параллельно. Фракции с первой колонки направляются во внешний ряд пробирок, со второй—во второй и т. д. Сбор фракций при этом производится не в каждую пробирку каждого ряда, а через одну, две или другое, но определенное кол-во пробирок, в зависимости от соотношения скоростей вытекания р-ра из колопок.

Л. Дмитриенко

9E62. Сцинтилоскоп. Yakimac Alexis Alexis de. Scintilloscope. Пат. США 2933603, 19.04.60.—Предлагается конструкция сцинтилоскопа, предназначенного для демонстрации явлений радиоактивного распада, а также для обнаружения радиоактивных примесей в различных образцах, например руды, и

проведения сравнительных испытаний. Сцинтилоскоп состоит из цилиндрич. корпуса, в верхней части которого установлена линза с небольшим увеличением, а в нижней расположен экран, покрытый флуоресцирующим или фосфоресцирующим под действием излучения в-вом. На боковой поверхности цилиндрич. корпуса имеется вертикальная щель, вдоль которой можно перемещать держатель образца; форма держателя обеспечивает светонепроницаемость корпуса при перемещении образца вверх и вниз. Для удобства проведения сравнительных серийных испытаний аналогичных образцов на боковую поверхность корпуса нанесена шкала.

Э. Финкель
9Е63. Вискозиметр.—Viskosimeter. [C. S. O. Nagberg]. Швец. пат. 170711, 15.03.60.—Предлагается маятниковый вискозиметр, пригодный для измерения сравнительно летучих жидкостей. «Измерительное тело» той или иной формы подвешено на нити в сосуде с

исследуемой жидкостью. Нить огибает ролик, находящийся над сосудом, и своим свободным концом прикрепляется к маятнику, который может совершать колебания с незначительным трением в оси. Если маятник приведен в колебательное движение, то «измерительное тело» будет колебаться в жидкости по вертикали с тем же периодом. По уменьшению амплитуды качания маятника, отсчитываемой по шкале, можно судить о вязкости измеряемой жидкости.

М. Тойкина

См. также: раздел Контрольно-измерительные приборы. Автоматическое регулирование и рефераты: Приборы для получения гексахлорана 9А34. Газовые сцинтилляторы высокого давления 9В314. Калориметр 9В322. Установка для получения тяжелой воды дистиляцией водорода 9К18. Прибор для измерения внутренних напряжений электролитич. осадков, 9К198

Рефе

Ре

9Ж1.
Кази
3. Ф. «
На осн
диазон
Ar = л
а такж
ние, ч
азота
9Ж2.
Bern
zoate i
(англ.)

новать

C₆H₄CO
может
мах, о
ные со
тверды
лых,
нейтра
I нахо
ных а
виде I
ко Ia.
обе фо
9Ж3
нона п
гориам
son F
lis B
by the
accepte
2449 (
раани
вызыв
р-ров.
~575
окрас
следов
F₂CO
CH₂Cl.
вод, ч
(II). J
в CICI

РЕФЕРАТИВНЫЙ ЖУРНАЛ ХИМИЯ

III

Рефераты 9Ж1—9Ж320

№ 9

10 мая 1961 г.

Ж. ОРГАНИЧЕСКАЯ ХИМИЯ

ОБЩИЕ И ТЕОРЕТИЧЕСКИЕ ВОПРОСЫ

Редакторы М. Е. Вольпин, И. Д. Цветкова

9Ж1. О структуре двойных диазониевых солей. Казицина Л. А., Реутов О. А., Бучковский З. Ф. «Изв. АН СССР. Отд. хим. н.», 1960, № 8, 1523.— На основании изучения УФ- и ИК-спектров двойных диазониевых солей $(ArN_2Cl)_2MCl_2$, где $M = Co$ или Cu , $Ar = n-C_6H_5$, $n-ClC_6H_4$, $n-NO_2C_6H_4$, $n-C_6H_4OOCCH_3$, а также $n-BrC_6H_4N_2Cl \cdot MCl_2$, высказано предположение, что между атомом металла и концевым атомом азота имеется хим. связь. И. Зайцев

9Ж2. Строение иона *o*-формилбензойной кислоты. Bernatek Erling. Structure of the *o*-formylbenzoate ion. «Acta chem. scand.», 1960, 14, № 4, 785—788 (англ.).—*o*-Формилбензойная к-та (I) может сущест-

вовать в двух формах: $O=CHC_6H_4COOH$ (Ia) и $HOCH=C_6H_4COO$ (Ib). Iб имеет асимметрию атом углерода и может существовать в двух оптически изомерных формах, однако попытки их разделения через алкалоидные соли (AC) не удалась. Измерениями ИК-спектров твердых AC I, а также водн. р-ров I или AC I (кислых, наполовину нейтрализованных и полностью нейтрализованных NaOH) показано, что в составе AC I находится только анион Ia, не имеющий асимметричных атомов. В кислом р-ре I находится полностью в виде Iб. В нейтральном р-ре присутствует только Ia. В частично нейтральном р-ре присутствуют обе формы. Н. Спасокукоцкий

9Ж3. Образование трианизилметилкарбониевого иона при взаимодействии тетраанизилэтилена с акцепторами электронов. Buckles Robert E., Erickson Ronald E., Snyder John D., Person Willis B. The formation of trianisylmethylcarbonium ion by the interaction of tetraanisylethylene with electron acceptors. «J. Amer. Chem. Soc.», 1960, 82, № 10, 2444—2449 (англ.).—Показано, что взаимодействие р-ров тетраанизилэтилена (I) с акцепторами электронов (АЭ) вызывает прогрессирующие изменения в спектре р-ров. Сначала возникает синяя окраска $\lambda(\text{макс.}) \sim 575 \text{ м}\mu$, затем в разб. р-рах ($\sim 10^{-3} M$) синяя окраска переходит в желтую $\lambda(\text{макс.}) \sim 490 \text{ м}\mu$. Исследованы следующие АЭ: Br_2 , JCl , JBr , J_2 , Cl_2 , H_2SO_4 , F_3CCOON , Cl_3CCOON , C_6H_5ON , BF_3 , PCl_5 , PCl_3 , $C_6H_5CH_2Cl$. Из характера спектра желтого р-ра сделан вывод, что он содержит трианизилметилкарбониевый ион (II). Для перхлората II (III) найдено $\lambda(\text{макс.}) 490 \text{ м}\mu$ в $SiCH_2CH_2Cl$ или CH_2Cl_2 . Высказано предположение,

что первоначальная синяя окраска обусловлена образованием комплекса I с АЭ. Согласно спектральным данным II образуется с выходом 50% при взаимодействии I с JCl , Cl_3CCOON или F_3CCOON . В случае взаимодействия I с Cl_2 (или Cl_3CCOON) был выделен конечный продукт р-ции 4'-метокси-2,2,2-трианизилацетофенон (IV). Найдено, что IV реагирует с АЭ, образуя II. Исследовано взаимодействие IV с J_2 , Br_2 , JCl и F_3CCOON . При действии JCl II образуется с выходом 99—100%, если конц-ия IV не превышает $10^{-3} M$. С остальными реагентами выход II 22—64%. Р-ция не идет в темноте. IV реагирует энергичнее, чем I. Сравнением ИК-спектров р-ров, полученных при р-ции IV с JCl , Br_2 и Cl_3CCOON , со спектрами I, III, IV, дианизилметана, 4,4'-диметоксибензофенона (V), анизол, 1,1,2,2-тетраанизилэтилендиол-1,2 (VI) и трианизилкарбинола (VII) подтверждено образование II при р-ции IV с АЭ. Также подтверждены данные (см. РЖХим, 1959, № 7, 22217), что Si -пыль разрушает синий комплекс I с галоидами, регенерируя I. Переход от II к I под действием Si -пыли не подтвердился, хотя желтая окраска р-ров исчезает при добавлении Si и частично регенерируется при добавлении галоида. Действие Si объяснено разрушением иона X_2^- и образованием ковалентного трианизилметилхлорида. При добавлении галоида желтая окраска регенерируется за счет р-ции: $Ar_3CX + X_2 \rightleftharpoons Ar_3C^+X_2^-$. К р-ру II, полученному взаимодействием IV с Cl_3CCOON , был добавлен водн. р-р $NaHCO_3$, что вызвало разрушение II и образование VII (согласно ИК-спектру). 2,2,2-трифенилацетофенон (VIII), 2,2-дианизил-2-фенилацетофенон (IX) и 2,2-дианизил-2-(*n*-бромфенил)-4'-бром-ацетофенон (X) тоже реагируют с JCl . При этом в спектрах полученных р-ров появляются двойные пики: VIII (437, 414 мμ), IX (505, 417), X (512, 433), совместимые с предположением об образовании соответствующих карбониевых ионов. Из многих исследованных тетраарилэтиленов аналогично I реагировал с JCl только 1,2-дианизил-1,2-дифенилэтилен (XI). Судя по спектру из IX и XI (510, 430 мμ) образуются разные карбониевые ионы. Авторы отмечают, что механизм описанных процессов не вполне ясен. Возможно, что в р-ции участвуют радикалы (благоприятное влияние освещения). Во всяком случае переход от I к II, вероятно, предполагает комплексообразование и затем миграцию $CH_2C_6H_4$ -группы и диссоциацию, а переход $IV \rightarrow II$ — комплексообразование по карбонильной группе и диссоциацию. Комплексообразование по CO -группе подтверждается тем, что при добавлении JCl или Cl_3CCOON к V карбонильная частота в ИК-спектре последнего подавляется. Пропуская Cl_2 (0,25 мо-

ля) через 0,25 моля I_2 , получают JCl , т. пл. 27,1—27,3°. 0,039 моля I_2 растворяют в 0,37 моля Br_2 , испаряют избыток Br_2 и оставляют, образуется и возгоняется JBr . 10 г V в 1 л изопропанола, содержащем каплю CH_3COOH , оставляют на 2 месяца на солнечном свете, получают 8 г VI , т. пл. 178° (из бзл.). 7 г VI кипятят 10 мин. с 0,05 г I_2 в 30 мл лед. CH_3COOH , выливают на 80 г льда и получают IV , т. пл. 136—137° (из сп. бзл.). Облучением (1 неделя) 10 г 4-метоксibenзофенона в 250 мл $(CH_3)_2CHOH$, содержащего CH_3COOH , синтезируют 1,2-дианизил-1,2-дифенилэтандиол-1,2, т. пл. 157—159° (из абс. сп.). 3,5 г последнего кипячением (1 час) с I_2 в 20 мл лед. CH_3COOH превращают в IX , т. пл. 124—125° (из абс. сп.). Тем же методом 12 г 4-бром-4'-метоксibenзофенона превращают сначала в 5 г 1,2-бис-(*n*-бромфенил)-1,2-дианизилэтандиола-1,2, т. пл. 168—170°, а затем в X , выход 9,5 г (из 11 г дiola), т. пл. 164—165° (из бзл.). Р-р $1,97 \cdot 10^{-3}$ моля I и $2,3 \cdot 10^{-3}$ моля Cl_2 в $ClCH_2CH_2Cl$ был оставлен на рассеянном свете на 2 дня, образовался IV , выход 22%, т. пл. 139—140° (из абс. сп.). Взаимодействие I с A_2 осуществляли в $ClCH_2CH_2Cl$, CH_2Cl_2 , CCl_4 или CH_3COOH . Конц-н I от 10^{-1} до 10^{-5} M . Молярное отношение $A_2 : I$ от 1 до 10^4 . Взаимодействие IV с A_2 проводили в $ClCH_2CH_2Cl$, конц-н IV порядка 10^{-5} M , конц-н A_2 порядка 10^{-4} . Все опыты с VIII—XI проводили в $ClCH_2CH_2Cl$, конц-н ароматич. соединения $\sim 10^{-4}$ M , а JCl 10^{-2} M .

Н. Волькену

9Ж4. Динафтоксил — стабильный ароксильный радикал. Rieche A., Elschner B., Landbeck M. «Dinaphthoxy» als stabile Aroxyl — Radikale. «Angew. Chem.», 1960, 72, № 11, 385 (нем.). — Исследована структура продуктов дегидрирования 1,1'-динафтола-2,2' (I) и 2-оксис-1,1'-динафтиленокси-8,2' (II) с помощью $K_2Fe(CN)_6$ (Pummerer R. и др., Ber., 1914, 47, 1472; 1926, 59, 2161). Спектр электронного парамагнитного резонанса (ЭПР) в 0,01 M $CHCl_3$ указывает на 90%-ный распад на радикалы. Р-р дегидро- I в $CHCl_3$ более устойчив, чем дегидро- II . Сверхтонкая структура дегидро- I имеет три линии с соотношением интенсивностей 1:2:1, а в случае дегидро- II не полностью разрешается за счет взаимодействия неспаренного электрона с большим кол-вом неэквивалентных протонов. G -фактор в обоих случаях равен $2,004 \pm 0,001$. Дегидрированием I в C_6H_6 с помощью Ag_2O получено окрашенное кристаллич. в-во, обнаруживающее сильный сигнал ЭПР. Все кристаллич. продукты устойчивы к окислению воздухом. Полученные в-ва представляют собой, по-видимому, динафтоксильные радикалы. В. Я.

9Ж5. Асимметричные эффекты аннелирования. IV. Дибензацины. Clag E. Asymmetric annellation effects. IV. Dibenzacenes. «Tetrahedron», 1960, 9, № 3-4, 202—209 (англ.). — Возможны две схемы, объясняющие асимметричный эффект аннелирования (АН) (см. РЖХим, 1960, № 12, 47479): а) при первом АН, напр. при переходе от C_6H_6 (I) к 1,2,3,4-дибензанафталину (II), к bathochromному смещению (БС) полосы поглощения за счет увеличения общего кол-ва связей прибавляется БС за счет образования центрального бензонидного кольца, тогда как при втором АН, напр. при переходе от II к 1,2,3,4-5,6-7,8-тетрабензантрацену (III), образующееся центральное кольцо оказывается «пустым» и отсутствует добавочное БС эффекта ароматизации; б) при первом АН имеет место БС за счет увеличения кол-ва связей, но центральное кольцо остается «пустым», тогда как образование центрального бензонидного кольца при втором АН ведет к смещению полосы поглощения к коротким волнам, нейтрализующему БС увеличения кол-ва связей. Последний взгляд подтверждается рядом примеров большого БС при образовании [при р-ции с малеиновым ангидридом (IV)] 1,2-бензпроизводных нафталина, антрацена, тетрацена и пентацена (БС соответственно 300, 355, 420 и 450 Å) и практич. неизменности поглощения при переходе от

1,2-бензо- к соответствующим 1,2-3,4-дибензпроизводным (БС соответственно +60, —10, —30 и —50 Å). При первом аннелировании, хотя увеличение числа связей нейтрализуется образованием бензонидного кольца, но зато образуется фиксированная двойная связь, сопряженная с обоими кольцами, тогда как при втором аннелировании имеет место только взаимно нейтрализующееся увеличение числа связей и образование ароматич. кольца. По-видимому, ароматизация внутреннего кольца проявляется лишь тогда, когда при любом расположении связей: 1) одно из внутренних колец системы имеет три двойные связи или 2) оба внутренних кольца либо бензонидные, либо пустые, т. е. в среднем всегда есть индуцированное бензонидное кольцо. В II центральное кольцо в среднем лишь наполовину ароматич. и индуцированная ароматизация не проявляется. Автор считает, что в каждом ядре бензогруппы II две пары электронов находятся на основном уровне, а одна — на более высоком уровне, причем электроны каждой пары расположены по разные стороны плоскости ядра и имеют противоположные моменты. Во взаимодействии с электронами другой бензогруппы могут быть только электроны пары, находящейся на высшем уровне и по одну сторону плоскости молекулы. Магнитные моменты электронов разных групп могут находиться либо в связывающем, либо в антисвязывающем состоянии. В дифениле, соответствующем двум бензогруппам II , они находятся в состоянии связывания, но моменты электронов третьей бензогруппы не могут находиться в состоянии связывания одновременно с двумя другими электронами в одной с ними плоскости. Вследствие этого электроны подвижной пары третьей бензогруппы II не могут участвовать в индуцировании внутреннего бензонидного ядра. В тетрабензпроизводных это компенсируется наличием еще двух новых бензогрупп.

Н. Спасокукоцкий

9Ж6. Изучение стереохимии цикланов. 46. Эпимеризация алкоколятов алкилциклогексанолов с аксильным гидроксильном под действием кислорода на холоду. Alexandre Bernard, Cornubert Raymond, Fagnoni Yves, Kondrachoff Wladimir. Contribution à l'étude de la stéréochimie cyclanique (46-e mémoire). Transposition d'alcoylcyclohexanols à fonction axiale à l'état d'alcoolate sous l'influence de l'oxygène à froid. «Bull. Soc. chim. France», 1960, № 4, 661—670 (франц.). — Изучена эпимеризация под действием O_2 семи алкилзамещ. циклогексанолов с аксильными HO -группами: 3,3,5,5-диметил- (I), 3,3-метил-5,5-изопропил- (II), 3,3,5,5-дифенил- (III), 4,3-метил- (IV), 3,3-метил- (V), 3,3, 5,3, 5,4-триметил- (VI) и 2,3-метилциклогексанолов-1А (VII). Спирты эпимеризовались в виде алкоколятов Na при $\sim 20^\circ$ в присутствии O_2 . Показано, что А-формы $I—VI$ в этих условиях превращаются в Э-формы. Р-ция идет в эфире (хуже в других р-рителях) и требует определенной конц-н $I—VII$. Р-ция не идет в N_2 , а в атмосфере O_2 идет быстрее чем на воздухе. Соотношение циклогексанол: Na должно быть 1:1. Эпимеризация ускоряется при добавлении смеси флуоренон ($VIII$)-флуоренол (IX) или бензофенон (X) — бензгидрол (XI). В описанных условиях VII (А-ОН) не подвергается эпимеризации. Ни избыток Na , ни атмосфера O_2 не вызывают превращения $цис-VII \rightarrow транс-VII$. В присутствии O_2 происходит только образование небольших кол-в 2-метилциклопентанона (XII). Эпимеризацию VII можно вызвать, добавив к реакционной массе смеси $VIII + IX$, X или любой из компонентов этих смесей. Наиболее эффективен X . Ради выяснения механизма действия эти добавки исследовано взаимодействие $VIII—XI$ с Na . O_2 . Выяснено, что X реагирует по схеме: $(C_6H_5)_2C=O + Na \rightarrow (C_6H_5)_2C(ONa) + Na$; $(C_6H_5)_2C(ONa) + 1/2 O_2 \rightarrow (C_6H_5)_2CO + 1/2 Na_2O_2$. XI в условиях опыта постепенно переходит в X и эпимеризацию вызывает последний. От

ление XI до X происходит частично в результате действия O_2 на бензгидролят натрия, частично — в результате действия Na_2O_2 (образуется в первом процессе) на XI. В-ва VIII и IX исследованы менее подробно, но высказано предположение, что они реагируют, как X и XI соответственно. Авторы полагают, что X вызывает эпимеризацию VII следующим образом. Na_2O_2 , образующаяся при взаимодействии X с Na и O_2 , окисляет VII (A-OH) до XII, а избыток Na восстанавливает XII до VII (Э-OH). Приведенный механизм доказан тем, что: 1) установлено возникновение Na_2O_2 в процессе р-ции; 2) показано, что р-ция требует избытка Na; 3) отдельно показано, что при восстановлении XII натрием образуется VII (Э-OH). XI в условиях опыта переходит в X и последний вызывает эпимеризацию описанным выше способом. Подтверждением механизма служит то, что трифенилкарбинол не способен вызвать эпимеризацию, так как $(C_6H_5)_3COH$ не может окислиться до кетона. VIII влияет на эпимеризацию, вероятно, так же, как X (выделен промежуточно образующийся XII). IX также превращает VII (A-OH) в XII. Констатировать эпимеризацию в этом случае не удалось. Показано, что взаимодействие X с Na в присутствии циклогексанола (XIII) может служить препаративным методом получения XI. В этих условиях VIII дает низкий выход IX. Изопропанол тоже вызывает эпимеризацию VII (A-OH), хотя и слабее, чем X. Показано, что при взаимодействии $(CH_3)_2CHOH$ с O_2 образуются Na_2O_2 и ацетон. Сделан вывод, что механизмом действия $(CH_3)_2CHOH$ на VII (A-OH) тот же, что в случае X. В обычных условиях опыта V (Э-OH) не изменяется. Чистый IV (Э-OH) получают через кислый фталат (КФ). 10 г IV (Э-OH) превращают в алкоголь Na, подвергают его действию O_2 (поглощается 560 мл) и оставляют на 48 час. под N_2 , получают 0,8 г п-т, 5,75 г IV и 4,3 г 4-метилциклогексанола. Полученный IV содержит 5% IV (A-OH). 68 г 3,5-диметилциклогексанола (XIV) (т. кип. 71°/21 мм; оксим, т. пл. 78°) восстанавливают Na во влажном эфире, получают 7 г пинакона и 55 г чистого I (Э-OH), т. кип. 88°/20 мм; фенилуретан (ФУ), т. пл. 108°; КФ, т. пл. 106°. I (A-OH) получают, восстанавливая XIV над Pt-чернью в $CH_3COOH + HCl$ и гидролизуют полученный ацетат 40–12%-ным избытком K_2CO_3 , выход неочищ. I (A-OH) 83–91%. Чистый I (A-OH), т. кип. 78°/19 мм, т. пл. 42°, выделяют через динитробензоат (ДНБ), т. пл. 139°; ФУ, т. пл. 123°; КФ, т. пл. 106°. Алкоголят Na [из 10 г I (85% I с A-OH) в 200 мл эфира] подвергают действию O_2 (поглощается 1220 мл) и оставляют на 48 час. под N_2 , получают 0,42 г XIV, 5,53 г I и 2 г п-т. I содержит 73–96% I (Э-OH). Практические р-ция заканчивается за 4 часа. VI (A-OH), т. пл. 55–57°, получают восстановлением (Pt-чернь в $CH_3COOH + HCl$) 3,3,4,5,5-триметилциклогексанола; ДНБ, т. пл. 96–97°. 10 г VI (A-OH) и 8,1 г Na в 80 мл эфира оставляют на воздухе на 24 часа и получают 8 г VI, содержащего 90% VI (Э-OH). 4,7 г II (A-OH) (из ДНБ, т. пл. 113–114°) и 3,45 г Na в 50 мл эфира оставляют на воздухе на 48 час. и получают 4 г чистого II (Э-OH); ДНБ, т. пл. 102–103°. 5 г а-атомов Na оставляют 1 молю X в различных р-рителях на воздухе. В эфире реагирует 1,8 г а-атома Na и после разложения выделяют 90% X. В C_6H_6 реагирует 1,65 г а-атома Na и образуется 8 г XI, т. пл. 59–64°, и 2 г X, т. пл. 37–44,5°. В петр. эфире р-ция не идет. В эфире в атмосфере N_2 после разложения получают 6,3 г бензиннакона, т. пл. 180–182°, 1,6 г XI и 7,5 г X. 1 моль X металлизуют 2 г а-атома Na в эфире. Через несколько дней смесь насыщают O_2 (поглощается 0,82 г а-атома) и получают после разложения водой X и 0,6 г C_6H_5COOH . В водн. р-ре доказано присутствие Na_2O_2 . Бензгидролят Na получают взаимодействием 1 моля XI и 2 г а-атома Na в 250 мл эфира (12 час., N_2), выход 100%. На полученный так бензгидролят Na действуют O_2 (поглощается

1605 мл; поглощение заканчивается за 1 час), после разложения получают до 98% X, $\sim 0,35$ г C_6H_5COOH и XI. В водн. р-ре доказано присутствие Na_2O_2 . На 1 моль VIII действуют 5 г а-атомов Na в 116 мл эфира и полученную смесь оставляют на воздухе на 8 дней. При этом реагирует 2,7 г а-атома Na. После разложения водой получают 7,8 г VIII, т. пл. 80–84°. Опыт с IX проводят так же, причем реагирует 3,3 г а-атома Na и образуется 77% VIII. Взаимодействием 1 моля VII (A-OH) с 4 г а-атомов Na в 200 мл эфира (кипение 4 дня) получают алкоголь Na, который не эпимеризуется при действии O_2 в отсутствие добавок. Из 15,96 г X и 10,1 г Na в 110 мл эфира (6 час.) получают Na-производное. К нему прибавляют 10 г VII и выдерживают на воздухе 48 час., образуется 70% VII (Э-OH), примесь XII, 8 г XI и 6,7 г X. С теми же кол-вами VII (A-OH) и X, но без избытка Na, VII (A-OH) возвращается неизменным. Кроме того, выделяют 92% X, 1,5 г п-т и XII. При взаимодействии 10 г XII с 10,25 г Na в 110 мл эфира (48 час. на воздухе) получают 7 г смеси XII (18,5%) и VII (Э-OH) (81,5%). На 1 моль XI действуют 5 г а-атомов Na в 110 мл эфира (2 часа), прибавляют 10 г VII (A-OH) и оставляют на воздухе, получают 7,1 г смеси XII (18%) и VII (82%) и 12,5 г XI. Полученный VII на 60% состоит из VII (Э-OH). Без избытка Na эпимеризация не идет, но образуется 11,8 г X. При взаимодействии 1 моля XI, 3,25 г а-атома Na и 10 г XII (48 час., N_2) получают 7,7 г смеси, содержащей 5% XII и 95% VII [на 98% состоит из VII (Э-OH)]. Кроме того, выделяют 4 г XI, т. пл. 68°, и 9,7 г окиси бензгидроля, т. пл. 109–111°. При взаимодействии 1 моля VII (A-OH), 5 г а-атомов Na и 1 моля VIII в 110 мл эфира на воздухе (72 часа) выделяют 5,8 г смеси XII ($\sim 77\%$) и VII (23%). VII на 95% состоит из VII (Э-OH). Кроме того, выделяют 5,2 г VIII и 6,4 г IX. Взаимодействием 15,96 г IX, 10,1 г Na и 10 г VII (A-OH) в 120 мл эфира и 100 мл C_6H_6 (48 час. на воздухе) получают 5,5 г смеси XII (81%) и VII (19%) и смесь VIII и IX. На 1 моль X действуют 5 г а-атомов Na и 10 г XIII в 110 мл эфира (4 часа на воздухе), получают 82% XI, 1,1 г X и 8,5 г смеси XIII и циклогексанола (7%). При взаимодействии 1 моля VII (A-OH), 1 моля $(CH_3)_2CHOH$ и 5 г а-атомов Na в 110 мл эфира (48 час. на воздухе) выделяют 8 г смеси VII (93%) и XII (7%). VII содержит 55% VII (Э-OH). Сообщение 45 см. РЖХим, 1958, № 20, 71407. Н. Волькену

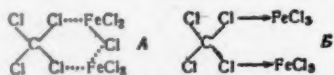
9Ж7. Скорости сольволиза 2-оксидциклогексилброзилатов. Mori Nobuo. Rates of solvolysis of 2-hydroxycyclohexyl brosylates. «Bull. Chem. Soc. Japan», 1960, 33, № 8, 1144–1145 (англ.).—Константы скорости сольволиза *цис*-2-оксидциклогексилброзилата (*цис*-I) при 100° равна в этаноле $9,5 \cdot 10^{-2}$ и в CH_3COOH $2,23 \cdot 10^{-2}$. Аналогичные данные для *транс*-I $8,5 \cdot 10^{-2}$ и $2,15 \cdot 10^{-2}$. В р-ции сольволиза, вероятно, принимает участие не только оксигруппа, но и атом водорода в β -положении, чем объясняется легкость сольволиза *цис*-I. Несколько большая реакционная способность *цис*-I, по сравнению с *транс*-I, по-видимому, обусловлена 1,4, 3,4-взаимодействием (В — напряжением). Р-р 0,5 г *цис*-циклогексантиола-1,2 в 2 мл сухого пиридина обработан при 5–10° 2,5 г *n*-бромбензолсульфонилхлорида; выход *цис*-I 0,7 г, т. пл. 110,6° (из бал. и лигр.).

Г. Балуева

9Ж8. Синтез и кинетика сольволиза некоторых производных β, β -трихлорэтанола. Salomaa Pentti, Linnantie Raili. The preparation and the kinetics of solvolysis of some derivatives of β, β -trichloroethanol. «Acta chem. scand.», 1960, 14, № 3, 777–779 (англ.).—В продолжение работ авторов по кинетике сольволиза алкоксизамещ. соединений (см. РЖХим, 1957, № 20, 65699; № 22, 71154; 1958, № 1, 439; 1959, № 14, 48789; 1961, 56566) синтезирован ряд производных β, β -трихлорэтанола (I) общей ф-лы XCH_2-

OCH_2CCl_2 (II) и изучен их сольволиз. Для скорости сольволиза II ($X = \text{Cl}$) в этаноле найдены следующие значения $k \cdot 10^5$ при 25° (в сек $^{-1}$), E (акт.) (в ккал·моль $^{-1}$) и $\lg A$: 17,8, 18,44, 9,77. Соответствующие данные для смеси этанол-диоксан (53,3% этанола): 3,95, 16,43, 7,64. Сопоставление с ранее полученными данными для α -хлорэфиров ROCH_2Cl (III) (см. РЖХим, 1960, № 22, 87778) показывает, что скорость этанолиза быстро уменьшается (в 12–14 раз на каждый атом хлора) в ряду R : $\text{CH}_3\text{CH}_2 > \text{CH}_2\text{ClCH}_2 > \text{CCl}_2\text{CH}_2$, вследствие быстрого возрастания E (акт.). Незначительное изменение $\lg A$ указывает на близость величин энтропии активации. Характер структурных влияний на реакционную способность III согласуется с предлагаемым мономолекулярным механизмом этанолиза, идущего через нон карбония. Для синтеза II ($X = \text{Cl}$) в смеси 0,31 моля I и 0,43 моля параформа приливали 20 мл конц. HCl , так чтобы образовался верхний слой, охлаждали льдом, насыщали 5 час. HCl (газ), оставляли на 8 суток при -2° (периодически встряхивая) и затем повторно насыщали HCl . II ($X = \text{CCl}_2\text{CH}_2\text{O}$) получен двумя методами — р-цией эквимольных кол-в I и II ($X = \text{Cl}$) при 50° в течение 10 час. (продувание CO_2 для удаления HCl) или же нагреванием (50 – 60° , 24 часа) смеси I, параформа и безводн. ZnCl_2 при молярном соотношении 2:1:0,1. Первый метод дает лучший выход (~60%). II ($X = n\text{-C}_3\text{H}_7\text{O}$ или *втор-С}_3\text{H}_7\text{O}) синтезированы нагреванием эквимольных кол-в I и соответствующего дипропилформала в присутствии *n*-толуолсульфокислоты, выход ~100%. β, β, β -трихлорэтоксиметилловые эфиры муравьиной и уксусной к-т получены из II ($X = \text{Cl}$) и безводн. HCOOK или CH_3COOK . Ниже для II приведены, X , т. кип. в $^\circ\text{C}/\text{мм}$, n_D^{20} , d_4^{20} : Cl , 80–84/24, 1,4833, 1,5113; $\text{CCl}_2\text{CH}_2\text{O}$, 125–128/7, 1,4942, 1,5482; $n\text{-C}_3\text{H}_7\text{O}$, 76–78/6, 1,4510, 1,2379; *втор-С}_3\text{H}_7\text{O}, 69–70/7, 1,4486, 1,2349; HCOO , 90–92/7, 1,4670, 1,4722; CH_3COO , 104–106/7, 1,4568, 1,3784.**

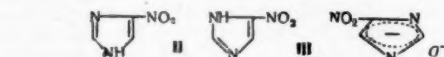
Г. Балуева
9Ж9. Гидролиз трихлорметилных соединений, катализируемый галогенидами металлов. Hill Marion E. Metal halide catalyzed hydrolysis of trichloromethyl compounds. «J. Organ. Chem.», 1960, 25, № 7, 1115–1118 (англ.). В присутствии безводн. FeCl_3 , CaCl_2 или SbCl_5 кипящий CCl_4 легко гидролизуется постепенно добавляемой водой с выделением почти стехиометрич. кол-в фосгена. Для этой цели также могут быть использованы $\text{FeCl}_3 \cdot 4\text{H}_2\text{O}$ (но не $\text{FeCl}_3 \cdot 6\text{H}_2\text{O}$) или $\text{CaCl}_2 \cdot 2\text{H}_2\text{O}$, без дополнительного введения воды. Последняя р-ция является удобным способом получения безводн. FeCl_3 и CaCl_2 из их кристаллогидратов. Попытки применения безводн. ZnCl_2 или AlCl_3 (с добавкой или без $\text{AlCl}_3 \cdot 6\text{H}_2\text{O}$) в качестве катализаторов гидролиза CCl_4 успеха не имели. CBrCl_3 и CBr_2Cl_2 тоже взаимодействуют с H_2O в присутствии FeCl_3 , образуя COCl_2 с выходами ~30%. Бурная р-ция 1,1,1-трихлорэтана с гидратированным FeCl_3 при 30° проходит поэтапно: вначале образуется CH_3COOH , выход 70%, затем (с обезвоженным FeCl_3) хлористый винилден (I). Побочным продуктом р-ции является в-во с эмпирич. ф-лой $\text{C}_6\text{H}_5\text{O}_2\text{Cl}$, идентичное с побочным продуктом ацетилирования I посредством CH_3COCl (см. РЖХим, 1956, № 12, 35792), т. пл. 85 – 86° (из гексана). Использование гидратированного FeCl_3 позволяет провести мягкий гидролиз *п-м*-(CCl_3) $_2\text{C}_6\text{H}_4$ (25°) и $\text{C}_6\text{H}_5\text{CCl}_3$ (при 0°); выходы со-



ответствующих карбоновых к-т 88–98%. Каталитич. активность хлоридов металлов при гидролизе CCl_4 находится в согласии с высказанными ранее соображениями по бензоилированию толуола в присутствии

этих хлоридов (см. РЖХим, 1959, № 4, 11074). Предположено, что процесс может проходить с промежуточным участием комплексов типа (A), (B) или же $\text{Cl}_3\text{CCl} \rightarrow \text{Fe}(\text{Cl}_2)\text{Cl} \rightarrow \text{FeCl}_3 \rightleftharpoons \text{Cl}_3\text{C} + \text{Fe}_2\text{Cl}_7$. Безводн. FeCl_3 способен дегидратировать $\text{AlCl}_3 \cdot 6\text{H}_2\text{O}$ в CCl_4 (кипчение 24 часа). С полученным таким образом смешанным катализатором проведено гладкое бензоилирование толуола.

Ю. Соронин
9Ж10. Механизмы N-замещения в производных глиоксалина. Часть I. Введение. Изучение прототропного равновесия, включающего 4(5)-нитроглиоксалин. Часть II. Метилирование 4(5)-нитроглиоксалина диметилсульфатом. Часть III. Факторы, определяющие ориентацию N-метилирования в замещенных глиоксалинах и бензимидазолах. The mechanisms of N-substitution in glyoxaline derivatives. Part I. Grimison A., Ridd J. H., Smith B. V. Introduction, and study of prototropic equilibria involving 4(5)-nitroglyoxaline. Part II. The methylation of 4(5)-nitroglyoxaline by methyl sulphate. Part III. Ridd J. H., Smith B. V. Factors determining the orientation of N-methylation in substituted glyoxalines and benzimidazoles. «J. Chem. Soc.», 1960, March, 1352–1356; 1357–1362; 1363–1369 (англ.). N-замещение в 4(5)-нитроглиоксалине (I) может осуществляться путем атаки электрофильного реагента (X^+) на сопряженное основание, образующееся в результате ионизации связи $\text{N}-\text{H}$ ($\text{S}_\text{E}2'$) или путем атаки X^+ на третичный N-атом кольца с последующим отделением протона от иминогруппы ($\text{S}_\text{E}2''$). Поскольку I в р-рах может существовать в таутомерных формах (II) \rightleftharpoons (III), авторы исследовали кислотно-основное равновесие этого в-ва, а также продуктов метилирования его: 1-метил-4 (IV) и 1-метил-5-нитроглиоксалинов (V). Спектры поглощения водн. р-ров I имеют одну полосу, максимум которой сдвигается по мере возрастания кислотности от 350 до 270 мμ. В 0,1 M NaOH I существует в виде сопряженного основания, в буферных р-рах при pH 8–10 спектр соответствует равновесию: нейтр. I (ниже обозначен GH) \rightleftharpoons сопряженное основание (G^-). Переход I в сопряженную к-ту $\text{G}-\text{H}_2^+$ завершается в 5 M HClO_4 . Спектр спирт. р-ров I, аналогичный спектру водн. р-ров с pH 5, соответствует $\text{G}-\text{H}$. По найденным значениям pH и коэф. экстинкции вычислена величина pK для $\text{G}-\text{H}$ (9, 3). Для согласования величин pK у $\text{G}-\text{H}_2^+$ в 5 M HClO_4 и HCl , которые расходятся при вычислении с использованием функции кислотности Гаммета (H_0), применен графич. метод. Экстраполированием к нулевой конц-ии в координатах $\lg ([\text{GH}_2^+]/[\text{GH}]) - \lg [\text{H}^+]$ — молярность к-ты, для $\text{G}-\text{H}_2^+$ найден $pK = -0,05$ [$\text{GH} = 4(5)$ -нитроглиоксалин]. Замещение CH_3 -группой при N-атоме кольца почти не влияет на спектр, но заметно изменяет основность, которая у V ($pK_a = -0,53$) меньше, а у IV значительно больше (pK_a 2,13), чем у I. На основании такого различия, авторы считают, что в р-рах таутомерное равновесие сильно (~ 400 раз) сдвинуто в сторону II. Устойчивость формы II объясняется суммарной кислотностью $\text{G}-\text{H}_2^+$, в которой N-атом иминогруппы под влиянием соседней NO_2 -группы приобретает повышенную кислотность.



II. Для выяснения механизма метилирования I диметилсульфатом (VI) изучена кинетика р-ции в 0,08 M NaOH, содержащем 10% спирта, при 25° и в безводн. HCOOH , содержащем 1 M HCOONa , при 50° . В среде метилирование проходит по механизму $\text{S}_\text{E}2'$ (см. часть I) со скоростью $v = k_2[\text{VI}][\text{G}^-]$ (I). При большом избытке VI близость величин k_2 и констант

скорости (k') конкурирующего гидролиза VI указывает на почти одинаковую нуклеофильность OH^- и G-по отношению к C-атомам VI. Спектрометрически найдено, что продукты р-ции состоят из $\sim 11\%$ V и 89% IV. Из соотношения V/IV и величины k_2 в ур-нии (I) вычислены значения k замещения при обоих атомах N в (G-). В кислой среде р-ция проходит медленно и наряду с V образуется четвертичное основание 1,3-диметил-5-нитроглиоксалина (VII). Для устранения осложнений, связанных с появлением VII, кинетика р-ции изучалась на начальной стадии (до 10% прохождения р-ции). По величине k_2 из ур-ния $v = k_2 [\text{VI}] [\text{GH}]$ для молекулярного I и результатам анализа продукта р-ции вычислено значение k замещения $S_{E2'}$ при непротонированном N в II ($1,4 \cdot 10^{-4}$). Поскольку в кислой среде образуется не более 10% 1,5-производного и соотношение III/II = 1:400, для замещения в III по механизму $S_{E2'}$ $k' = 5,6 \cdot 10^{-8}$ л моль $^{-1}$ сек $^{-1}$. Сравнение k р-ции двух атомов N по механизмам $S_{E2\text{CB}}$ и $S_{E2'}$ показывает, что соотношение их нуклеофильной реакционной способности значительно меньше соотношения между их основностями. Предположено, что между k р-ции при одном атоме N и соответствующей константой кислотного равновесия (K) выполняется зависимость $k \propto K^{-a}$ ($a \sim 0,3$).

III. Ориентация заместителя при метилировании (посредством VI) 4(5)-бромглиоксалина (VIII) аналогична таковой для I. Переход от механизма $S_{E2\text{CB}}$ к $S_{E2'}$ у I происходит при величине pH на 3 единицы меньшей кислотного рK нейтр. молекулы. Исходя из величины рK глиоксалина (~ 14) и I (см. часть I), переход между механизмами р-ции для глиоксалинов, имеющих —J-заместители, должен осуществляться в интервале pH 6—11. Из выражения $k \propto K^{-a}$ ($0 < a < 1$) следует, что главный продукт замещения должен определяться переходом $S_{E2\text{CB}} \rightarrow S_{E2'}$ и преобладающим таутомером. Метилирование VIII в щел. среде приводит, однако, к соотношению изомерных продуктов $\sim 1:1$ (вместо преобладания 4-изомера), что обусловлено, по-видимому, гетерогенностью реакционной системы. Главным продуктом замещения в 4(5)-фенилглиоксалине является не ожидаемый 1-метил-5-фенил-, а 1-метил-4-фенилизомер, хотя р-ция при N-атоме, соседнем с C_6H_5 -группой, должна быть пространственно затруднена. Попытки предсказания ориентации N-замещения в замещ. бензимидазолах не имели успеха. Изучение р-ции было проведено путем сопоставления ИК-спектров смесей N-метилированных продуктов со спектрами N-метильных производных 2-метил-5(6)-нитро-(IX), 5(6)-нитро-(X), 5(6)-бром-2-метилбензимидазолов (XI) и некоторых других в-в. Р-ция IX с VI приводит главным образом к четвертичному соединению (выделенному в виде «карбинольного основания»); общий выход изомеров 1,2-диметил-5(XII) и 1,2-диметил-6-нитробензимидазола (XIII) ($\sim 1:1$) 20%. В присутствии щелочи выход повышается до 90%, причем отношение XII/XIII немного возрастает. При аналогичном метилировании X выход 1-метил-5-нитробензимидазола (XIV) 50—60%. Щелочь почти не влияет на соотношение между изомерами. ИК-спектры сняты в CHCl_3 в области 11,1 μ , где 1-метил-6-нитробензимидазол (XV) (в отличие от XIV) не имеет максимума поглощения. Главным продуктом р-ции X с VI в отсутствие щелочи является четвертичное соединение, но в ходе процесса соотношение между изомерами почти не меняется. Выход 5-бром-(XVI) и 6-бром-1,2-диметилбензимидазолов (XVII) 40%, причем кол-во XVI составляет (качественно, по ИК-спектрам) 60—70%. Полностью разделить смесь двух изомерных N-метилированных нитробензимидазолов трудно; лишь XVI и XVII удалось выделить в виде пикратов с т. пл. 274 и 239—240° путем дробной

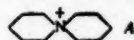
кристаллизации. XIII синтезирован по Фрису (см. Liebigs Ann. Chem., 1927, 454, 219) из 2-амино-N-метил-4-нитроанилина, т. пл. 252°. XVII и его 6-Cl-аналог получены из 5-бром(5-хлор)-N-метил-2-нитроанилинов, соответственно т. пл. 146 и 157,5° (из водн. сп.); пикрат, т. пл. 240° (разл.). 2-метил-5(6)-нитробензимидазол с CH_3J (1:2) при нагревании (135°) дает йодистый 1,2,3-триметил-5,6-динитробензимидазол (XVIII), т. пл. 268° (из CH_3OH); пикрат с т. пл. 183°. Из водн. р-ра XVIII щелочью было осаждено «карбинольное основание», желтые иголки с т. пл. 163—164° (из сп.). Т-ры плавления XIII и XVII не соответствуют известным ранее (см. Phillips, J. Chem. Soc., 1931, 1143).

Ю. Сорокин

9Ж11. Сульфирование ароматических соединений. I. Сульфирование бензола и толуола водусодержащей серной кислотой (предварительное сообщение). Serfontain H., Kaandorp A. W., Sixma F. L. J. Aromatic sulphonation I. sulphonation of benzene and toluene in aqueous sulphuric acid. (prelim. commun.). «Recueil trav. chim.», 1960, 79, № 8, 935—936 (англ.). — Изучена кинетика гомог. сульфирования бензола (I) и толуола (II) 82,9%-ной H_2SO_4 при 25°. Р-ция следует первому порядку относительно I или II вплоть до 98% превращения. Константа скорости р-ции для сульфирования I $3,31 \pm 0,06 \cdot 10^{-6}$ сек $^{-1}$, а для II $218 \pm 4 \cdot 10^{-6}$ сек $^{-1}$. При сульфировании II 82,3%-ной H_2SO_4 соотношение полученных изомеров составляет: пара 65,1%, мета 2,9%, орто 32%. На основании этих данных вычислены факторы парц. скоростей: $f_p(\text{CH}_3)$ 258, $f_m(\text{CH}_3)$ 5,7, $f_o(\text{CH}_3)$ 63,4. Эти данные значительно отличаются от литературных.

А. Белоцветов

9Ж12. О механизме алкилирования β -кетозифов. IV. Роль катиона при метилировании эфиров β -оксикумариловых кислот. Forsblad Ingemar. On the mechanism of alkylation of β -keto esters. IV. The role of the cation on methylation of β -hydroxycoumarilic ester. «Arkiv kemi», 1960, 15, № 5, 403—417 (англ.). — Для выяснения роли катионов в механизме алкилирования β -кетозифов измерена (при 50° в CH_3OH) скорость р-ции CH_3J с Li-, Na-, K- и бис-пиперидиниевой солями этилового эфира β -оксикумариловой к-ты (I), а также в этаноле, n -пропанол-е и n -бутаноле в присутствии Li^+ . Р-ция следует ур-нию второго порядка. Приведены для различных катионов и р-рителей степень диссоциации соли, константы скорости р-ции, соотношение продуктов C- и O-алкилирования и вычисленные по этим данным константы скорости для



р-ции соли в форме иона k_i и в форме ионной пары k_m . В то время как величина k_i практически одинакова для всех солей (для р-ции C- и O-алкилирования она соответственно равна 34 и 6 л моль $^{-1}$ мин $^{-1}$), значение k_m меняется в широких пределах (примерно в 25 раз) в зависимости от характера катиона соли, причем оно возрастает по мере возрастания радиуса катиона. Для наибольшего катиона бис-пиперидиния (A) $k_m > k_i$, что указывает на большую энергетич. выгодность переходного состояния в р-ции ионной пары по сравнению с р-цией иона. Для всех солей в конц. р-рах алкилирование I идет главным образом по механизму с участием ионной пары, а в разб. р-рах — по ионному механизму. Скорость алкилирования постепенно уменьшается при переходе от CH_3OH к его гомологам, очевидно, вследствие уменьшения степени диссоциации соли. Однако скорость C-алкилирования уменьшается быстрее, чем O-алкилирования, что может быть объяснено участием р-рителя в реакционном комплексе при O-алкилировании. Сообщение III см. РЖХим, 1959, № 19, 67830.

Г. Балуева

9Ж13. Аллилирование фенолята натрия радиоактивным аллилбромидом. Barner R., Schmid H. *Allylierung von Natriumphenolat mit radioaktivem Allylbromid*. «*Helv. chim. acta*», 1960, 43, № 5, 1393—1401 (нем.).—При взаимодействии C_6H_5ONa (I) с бромистым аллилом (3- C^{14}) [II-(3- C^{14})] в C_6H_6 (встряхивание 60 час. при 50,2°) получены фенилаллиловый (3- C^{14}) эфир [III-(3- C^{14})], выход 16,9%, и *о*-аллил (3- C^{14})-фенол [IV-(3- C^{14})], выход 34,1%. Таким образом, III и IV образуются из I и II без изомеризации, и обе *р*-ции О-аллилирование и *о*-С-аллилирование — являются обычными *р*-циями замещения типа $S_N 2$, протекающими вероятно, через соответствующие переходные состояния (А и Б). Исходный II-(3- C^{14}) синтезирован из 3-хлорпропанола-1-(1- C^{14}) (V) через 3-феноксипропанола-1-(1- C^{14}) (VI), йодметилат 3-фенокси-1-диметиламинопропана-(1- C^{14}) (VII) и III-(3- C^{14}). Расщепление последнего HBr привело к смеси, состоящей из 91%



II-(3- C^{14}) и 9% II-(1- C^{14}); эта смесь и использовалась для аллилирования. Для определения изотопного состава III-(3- C^{14}) и метиловый эфир IV-(3- C^{14}) гидроксिलировали OsO_4 , а полученные гликоли окисляли HNO_3 до CH_2O (определявшегося в виде димедонового производного) и $C_6H_5OCH_2CHO$ и *о*- $CH_2C_6H_4CH_2CHO$ (определявшихся в виде семикарбазонов). II-(3- C^{14}) действием 2,4-(NO_2) $_2C_6H_3SNa$ переводили в 2,4-динитрофенилаллилсульфид, который озонированием превращали в CH_2O . Изучалась также *р*-ция I с II в различных водах, средах (встряхивание, 20°); перечислены *р*-ритель, время *р*-ции в часах, общий выход продуктов аллилирования в % (считая на II), полученные продукты и их содержание в смеси в мол. %: 90%-ный $HCON(CH_3)_2$, 2, 83, III, 99 IV, <1; 85%-ный CH_3OH , 2, 76, III, 98, *п*-аллилфенол (VIII), ~1, IV, ~1; 90%-ный диоксан, 2, 56, III, 96, IV + VIII, 3—4; 40%-ный C_2H_5OH , 4, 75, III, 81, IV, 6,5, VIII, 5,2, 2-аллилфенилаллиловый эфир (IX), 3,0, 4-аллилфенилаллиловый эфир (X), 4,0; 30%-ный диоксан, 2, 64, III, 78, IV, 8,1, VIII, 7,1, IX, 2,8, X, 4,4; вода, 4, 71, III, 53, IV, 16, VIII, 21, IX, 1,8, X, 3,1, 2,6-диаллилфенол (XI), 0,9, 2,4-диаллилфенол (XII), 3,9; вода + 1 экв C_6H_5OH , 4, 84, III, 56, IV, 18, VIII, 25, IX, <1. При взаимодействии II с C_6H_5OH в воде в присутствии 1 экв $AgNO_3$ (4 часа, 20°) с выходом 64% получена смесь, состоящая из 3,7% III, 29% IV, 40% VIII, ~1% IX, 1,3% X, 3,0% XI и 23% XII. В этих же условиях из II и *п*-крезола (XIII) с выходом 55% образуется смесь, состоящая из 45% 2-аллил-4-метилфенола, 4,8% 2,6-диаллил-4-метилфенола, 41% 4-аллил-4-метилциклогексаксен-2,5-она-1 (XIV) и 10% *п*-крезолалилового эфира. С выходом 28% XIV получают также при аллилировании Na -соли XIII в воде. *Р*-р 2,56 г C_6H_5OH и 1,10 г $NaOH$ в 11,5 мл воды и 2,07 г V перемешивают 3 часа при 125° и выделяют VI, выход 81%, т. кип. 123—125° (т-ра баня)/11 мм, n_D^{20} 1,5291. К 2,58 г VI в 12,6 мл $CHCl_3$ и 1,55 мл пиридина при 0° прибавляют по каплям 1,85 мл $SOCl_2$ и нагревают 2 часа при 90°, полученный 3-фенокси-1-хлорпропан-(1- C^{14}), выход 83%, т. кип. 140° (т-ра баня)/11 мм, n_D^{20} 1,5258, действием NaI в ацетоне (кипчение 16 час.) переводят в соответствующий йодид, который нагревают с избытком $(CH_3)_3N$ в 7 мл спирта и 3,5 мл C_6H_6 (2,5 часа в запаянной трубке, ~100°) и выделяют VII, выход 86%, т. пл. 173—174° (на сп.). Гофмановское расщепление VIII (ср. Schmid H., Schmid K., *Helv. chim. acta*, 1952, 35, 1879) приводит к

III-(3- C^{14}) (очистка хроматографированием на Al_2O_3 в пентане), выход 83%, т. кип. 74°/12 мм, n_D^{20} 1,5219, 790 мг III-(3- C^{14}), 4,2 мл 40%-ной HBr и 16,7 мл лед. CH_3COOH нагревают в токе N_2 7,5 часа при 85—90°, отгоняют II, выход 76—77%.

Л. Нейман

9Ж14. Присоединение галоидов и галоидсодержащих соединений к аллильным хлоридам. III. Относительные скорости присоединения галоидов к аллильным хлоридам. Shelton J. Reid, Lee Lieng-Huang. *Addition of halogens and halogen compounds to allylic chlorides. III. Relative rates of halogen addition to allylic chlorides*. III. «*J. Organ. Chem.*», 1960, 25, № 3, 428—430 (англ.).—Измерена скорость присоединения хлора к галоидзамещ. соединениям аллильной и, для сравнения, винильной структуры в *р*-ред. и разб. CH_3COOH (I). Найдены следующие значения констант скорости *р*-ции (моль⁻¹мин⁻¹): винилбромид 0,33 (I); 3,3-дихлорпропен 0,67 (I); *цис*-1,3-дихлорпропен 1,0 (10%-ный *р*-р H_2O в I); *транс*-1,3-дихлорпропен 0,85 (10%-ный *р*-р H_2O в I); *цис*-дихлорэтилен 0,011 (20%-ный *р*-р H_2O в I); *транс*-1,3-дихлорпропен 5,1 (20%-ный *р*-р H_2O в I); 3,3,3-трихлорпропен (II) 0,72 (20%-ный *р*-р H_2O в I); II, 4,9 (40%-ный *р*-р H_2O в I); 1,1,3-трихлорпропен 0,86 (40%-ный *р*-р H_2O в I). Относительные скорости присоединения галоида (скорость *р*-ции с C_2H_4 принята за 1) выражаются следующими цифрами: $CH_2=CHX$ 10^{-5} ; $XCH=CHX$ 10^{-4} ; $X_2C=CHX$ 10^{-11} ; $CH_2=CHCH_2X$ 10^{-2} ; $XCH=CHCH_2X$ 10^{-6} ; $X_2C=CHCH_2X$ 10^{-8} . Таким образом, введение каждого последующего атома галоида в соединение аллильного или винильного типа на несколько порядков уменьшает скорость *р*-ции присоединения галоида. Скорость присоединения галоида к соединениям винильного типа в 10^8 раз меньше, чем к соответствующим аллильным соединениям. Сообщение II см. РЖ-Хим. 1960, № 10, 33611.

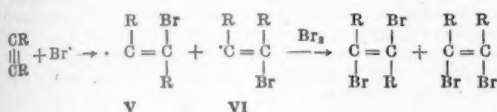
Р. Калинин

9Ж15. Стереохимия реакций присоединения к ацетальдегиду втор-бутил- и бутенилмагнибромидов. Gault Yvonne. *Stereochimie des réactions d'addition sur l'acétaldéhyde des bromures de *s*-butylmagnésium et de buténylmagnésium*. «*C. r. Acad. sci.*», 1960, 250, № 14, 2584—2586 (франц.).—Изучались *р*-ции присоединения CH_3CHO к втор-бутил-(I) и бутенил-(II)-магнибромидам в эфире в интервале от —70 до 35°. *Р*-ции мало стереоспецифичны: с I образуются эритро-(III) и трео-(IV)-3-метилпентано-2-лы (избыток эритро-формы 3%); с II — эритро-(V) и трео-(VI)-3-метилпентан-4-олы-2 с избытком трео-формы от 1% до (при —70°) 5%. Стереоспецифичность последней *р*-ции, по мнению автора, свидетельствует о том, что II реагирует с CH_3CHO в виде $CH_2=CHCHMgBrCH_3$, хотя в *р*-ре Гриньяра преобладает, вероятно, форма кротила. Разделение диастереоизомеров производилось с помощью газовой хроматографии (колонна 5 м, 25% смеси 0:1 диглицерина с полиэтиленгликолем 400 на кирличе); конфигурация подтверждена встречным синтезом. Для 3,5-динитробензоатов перечислены исходный спирт, т. пл. в °C: III, 55,5—56; IV, 55—56; V, 70—71; VI 60,5—61.

Е. Караулова

9Ж16. Стереохимия реакций присоединения к тройной связи. Сообщение 5. Стереохимия бромирования дизамещенных ацетиленов. Бергелсон Л. Д. Сообщение 6. Сравнительное изучение пространственной направленности бромирования дизамещенных ацетиленов и олефинов. Бергелсон Л. Д., Бадеикова Л. П. «*Изв. АН СССР. Отд. хим. н.*», 1960, № 6, 1066—1079.—5. При изучении стереохимии бромирования дизамещ. ацетиленов в зависимости от освещения, *р*-рителя и добавок $LiBr$ найдено, что фотохим. присоединение брома к бутиндиолу-1,4 (I), диацетату I (II) и к 2,5-диметилгексин-3-диолу-2,5 (III) в неполярных *р*-рителях приводит преимущественно к *цис*-дибромидом, тогда как толан (IV) дает в аналогичных условиях главным образом продукт *транс*-присоединения.

Склонность диамещ. ацетиленов к *цис*-присоединению в условиях фотохим. р-ции брома падает с объемом заместителя в ряду CH_3OH , COOH , $(\text{CH}_3)_2\text{C}(\text{OH})$, C_6H_5 . Это явление объяснено исходя из предположения, что стереохимия процесса определяется в основном термодинамич. устойчивостью радикалов (V) и (VI), зависящей в свою очередь от относительного взаимного отталкивания двух заместителей R, с одной стороны,

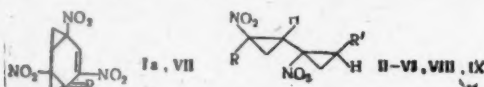


и атома брома и заместителя R — с другой (см. схему). При bromировании I в среде CH_3COOH образуется в основном 4-бромтетрагидрофуран-3 (VII). Конфигурация продуктов bromирования I—IV принята на основе их ИК-спектров. Кроме того, конфигурация *цис*-3,4-дибром-2,5-диметилгексен-3-диола-2,5 (*цис*-VIII) подтверждена его дегидратацией в 3,4-дибром-2,2,5,5-тетраметил-2,5-дигидрофуран (IX). К нагретому до 55° р-ру 10 г I в 900 мл CCl_4 добавляют при освещении р-р 19,5 г Br_2 в 30 мл CCl_4 , по охлаждению отфильтровывают 24,7 г *цис*-дибромбутен-2-диола-2,3 (X), т. пл. 114,5—116° (из бал.-сп.). Из маточных р-ров выделяют 3,4-дибромдигидрофуран (?), n_D^{20} 1,5110. В тех же условиях из 15,7 г III получают 22,6 г *цис*-VIII, т. пл. 149—150° (из бал.-сп.) и 4,8 г IX, т. пл. 49,3—49,5° (из сп.). 30 г I bromируют в 95%-ной водн. CH_3COOH (20° 2 часа), упаривают в вакууме при 30—35° и выделяют VII, выход 70,5%, т. пл. 59,5—61° (из сп.-гексана, 3:1). К р-ру 10 г I в 30 мл ДМФ добавляют в темноте при 20° р-р 19,5 г Br_2 в 30 мл ДМФ, через 2 часа р-ритель отгоняют при 1 мм, остаток разлагают водой и выделяют 15,3 г X. Аналогично, но при 50°, из 7 г III получают 11,7 г *транс*-VIII, т. пл. 129—130° (из эф.). 17 г II bromируют в 700 мл гексана при освещении (20°), перекристаллизацией продукта р-ции из смеси C_6H_6 -гексан (3:1) выделяют 26,1 г диацетата X (Ха), т. пл. 62—63°. К 11 г X добавляют 24 г $(\text{CH}_3\text{CO})_2\text{O}$, содержащего 0,1 г $n\text{-CH}_3\text{C}_6\text{H}_4\text{SO}_3\text{H}$, нагревают 1 час при 50°, оставляют на 12 час. при 20°, разбавляют водой, нагревают 1,5 часа при 100°, эфиром извлекают Ха, выход 12,2 г. К р-ру 2,8 г V в 65 мл CH_3OH добавляют 8 г Br_2 в 40 мл CH_3OH (0—5°, 1 час), оставляют на 12 час. при 20°, упаривают в вакууме и получают 4,8 г дибромфумаровой к-ты (XI), т. пл. 231—232° (разл.; из бал.-эф. 5:1). Из маточных р-ров перегонкой при 130—135°/0,9 мм выделяют 1,2 г диброммалеиновой к-ты (XII), т. пл. 139—140° (в запаянном капилляре). Bromированием V в эфире (20°, 12 час., дневной свет) получают смесь XI и XII (1:10). При bromировании 9 г IV в гексане получают смесь бромидов, из которой выделяют *транс*-дибромстильбен, т. пл. 204—205°. Из спиртового экстракта выделяют 2,7 г молекулярного соединения IV с *цис*-дибромстильбеном, т. пл. 77°. *Транс*-VIII и XI не изомеризуются при УФ-облучении в CCl_4 или эфире (30 мин.—1 час, 20°). Приведены кривые ИК-спектров *цис*-VIII, *транс*-VIII, IX и X. 6. При фотохим. bromировании в неполярных р-рителях или при ионном bromировании в лед. CH_3COOH циклогексен (XIII), *цис*-бутен-2-диол-1,4 (*цис*-XIV), *транс*-XIV, диацетаты *цис*-XIV и *транс*-XIV, *цис*-2,5-диметилгексен-3-диол-2,5 (*цис*-XV) и *транс*-XV дают соответственно *транс*-1,2-дибромциклогексан (XVI), *dl*-2,3-дибромбутандиол-1,4 (*dl*-XVII), *мезо*-XVII, диацетат *dl*-XVII, диацетат *мезо*-XVII, *dl*-3,4-дибром-2,5-диметилгексан (*dl*-XVIII), *мезо*-XVIII. Конфигурация стереоизомерных дибромидов установлена изучением скорости их р-ции с KJ в CH_3OH . Таким образом, изученные олефины образуют при фотохим. bromировании продукты *транс*-присое-

единения, тогда как их ацетиленовые аналоги дают преимущественно *цис*-дибромиды. Различное поведение ацетиленов и олефинов объясняется тем, что первые реагируют в неполярных р-рителях преимущественно по гомолитич., а вторые — по ионному механизму, что, вероятно, обусловлено большей поляризуемостью π -алектронной двойной связи по сравнению с π -алектронами ацетиленов. Радикальный характер bromирования II в толуоле подтвержден тем, что небольшая добавка II приводит к образованию бромистого бензила, тогда как в присутствии XV образуется в основном смесь о- и п-бромтолуолов. Изучена сравнительная скорость bromирования ацетиленовых и этиленовых гликолей. Большое различие в скоростях bromирования III в CCl_4 и ДМФ указывает, что III реагирует в CCl_4 преимущественно по гомолитич., а в ДМФ — по ионному механизму: bromирование *транс*-XIV протекает по ионному механизму как в CCl_4 , так и в ДМФ, а I в обоих р-рителях bromируется в основном по гомолитич. механизму. В присутствии больших кол-в LiBr р-ция bromирования I замедляется, вероятно, потому, что становится частично гетеролитической. Bromированием 16,4 г XIII в гексане при освещении или в лед. CH_3COOH в темноте получают *транс*-дибромциклогексан (XIX), выход 93% и 77% соответственно т. пл. —7—5°; т. кип. 100—102°/13 мм. К р-ру 25,8 г *цис*-XIV в 100 г CH_2Cl_2 добавляют при 0° при освещении 40 г Br_2 в 40 мл CH_2Cl_2 , упаривают в вакууме и получают *dl*-XVII (44,3 г), т. пл. 86—87° (из бал.). В аналогичных условиях, но с применением эквивалентных кол-в реагентов 10 г *транс*-XIV дают 21,6 г *мезо*-XVII, 3 г *транс*-XV образуют 5,7 г *мезо*-XVIII, т. пл. 82—83° (из CCl_4), а 3 г *цис*-XV переходят в *dl*-XVIII (6,1 г) в виде масла с n_D^{20} 1,5212. К р-ру 2 г диацетата *цис*-XIV в 40 мл лед. CH_3COOH добавляют порциями при нагревании 4,2 г бромидрата пиридиндибромиды, оставляют на 12 час. при 20°, CH_3COOH отгоняют в вакууме, остаток разбавляют водой, эфиром извлекают диацетат *мезо*-XVII (0,5 г), т. пл. 84—86° и диацетат *dl*-XVII (5 г) в виде масла, т. кип. 110—112°/0,01 мм. n_D^{20} 1,5028, переходящее при стоянии или при перегонке частично в *мезо*-форму. В тех же условиях 2 г диацетата *транс*-XIV дает 2,6 г диацетата *мезо*-XVII. Приведены данные по спектру комб. расщ. XIX. Часть 4 см. РЖХим, 1961, 8Ж12.

9Ж17. Нуклеофильное ароматическое присоединение. III. Установление структуры триметилентринитробензола. Boer Th. J. de, Velzen J. C. van. Nucleophilic aromatic addition. III. The structural proof of trimethylentritrobenzene. «Recueil trav. chim.», 1960, 79, № 5, 430—442 (англ.). Подтверждена предложенная ранее структура (Ia) (см. РЖХим, 1960, № 20, 80965) для триметилентринитробензола (I), продукта р-ции 1,3,5-тринитробензола с CH_2N_2 . Озонолиз I приводит к альдегидокислоте (II), которая при окислении переходит в дикарбоновую к-ту (III), способную легко декарбоксилироваться с образованием к-ты (IV). II под действием щелочи расщепляется как α -цикл- α -нитроолефин (вместо двойной связи циклопропильное кольцо), давая HCOOH и IV. Образование III и IV можно объяснить только исходя из строения I. Озонолиз I в CH_3OH приводит к (V), которая после отщепления воды дает эфир (VI), идентичный продукту диазометанирования III. Строение продуктов, выделенных при озонолизе, позволяет предположить, что озонолиз протекает по механизму, описанному ранее (см. РЖХим, 1956, № 22, 71595). При окислении I действием CrO_3 в $(\text{CH}_3\text{CO})_2\text{O}$ выделяют кетон (VII), который расщепляется под влиянием CH_3ONa с образованием к-ты (VIII), содержащей первичную NO_2 -группу, что возможно только в том случае, если I имеет структуру Ia. Строения II, III, IV, V и VII подтверждены ИК-спектрами. В смесь 3 г I и 75 мл 80%-ной CH_3COOH при 0° пропускают 6 час. O_3 , р-ри-

тель удаляют, получают II, выход 64%, т. пл. 160° (разл.; из хлф.-ацетона); 2,4-динитрофенилгидразон, т. пл. 169–173° (разл.; из сп.-ацетона). 1 г II и 1 г $\text{Na}_2\text{Cr}_2\text{O}_7$ перемешивают 16 час. в 25 мл 75%-ной H_2SO_4 , выделяют III, выход 56%, т. пл. 160° (разл.; из хлф.-



Ia R = H; II R = CHO, R' = CH₂COOH; III R = COOH, R' = CH₂COOH; IV R = H, R' = CH₂COOH; V R = CH(OCH₃)COOH, R' = CH₂COOH; VI R = COOCH₃, R' = CH₂COOCH₃; VII R = O, R' = CH(OCH₃)CH₂NO₂; VIII R = COOH, R' = COOH; IX R = R' = COOH.

ацетона). Диазометанированием III получают диметилловый эфир III, т. пл. 79–80° (из петр. эф.-ацетона). Нагревание 1 г III в 10 мл воды (2 часа, 100°) приводит к IV, выход 32%, т. пл. 174–176° (разл.; из хлф.-ацетона). Р-р 7 г II в 40 мл 10%-ного КОН оставляют на 24 часа при 0°, подкисляют, отфильтровывают IV, выход 74%, т. пл. 174–176° (разл.; из хлф.-ацетона). В фильтрате обнаруживают НСООН. Диазометанированием IV получают метилловый эфир IV, т. пл. 86–87° (из хлф.-ацетона). В смесь 4 г I и 100 мл CH_3OH пропускают 8 час. O_2 , р-р концентрируют до 15 мл, оставляют на 12 час. при –15°, получают V, выход 51%, т. пл. 127,5–129,5° (из сп.). V нагревают 3 часа при 100–105°, экстрагируют эфиром, экстракт упаривают досуха, получают диметилловый эфир III, т. пл. 77° (из сп.-петр. эф.). К 8 г I и 30 мл $(\text{CH}_3\text{CO})_2\text{O}$ прибавляют р-р 7 г CrO_3 в 20 мл $(\text{CH}_3\text{CO})_2\text{O}$, перемешивают 20 час. при 20°, выделяют VII, выход 50%, т. разл. 175° (из CH_3COOH и ацетона); 2,4-динитрофенилгидразон, т. разл. 225° (из этилацетата). VII окисляют действием $\text{Na}_2\text{Cr}_2\text{O}_7$ в (IX). К р-ру CH_3ONa (из 0,5 г Na и 18 мл CH_3OH) прибавляют 1 г VII, оставляют на 1,5 часа при –15°, осадок отфильтровывают, растворяют в 10 мл воды, подкисляют CH_3COOH , выделяют VIII, выход 32%, т. пл. 167–169° (из хлф.). Окисление VIII действием $\text{Na}_2\text{Cr}_2\text{O}_7$ в 75%-ной H_2SO_4 приводит к IX. 100 мг IX обрабатывают избытком CH_2N_2 в эфире, получают метилловый эфир IX, выход 65%, т. пл. 140–141° (из сп.). Приведены кривые ИК-спектров II–V, VII. Собр. II см. РЖХим, 1960, № 24, 96417. Т. М.

9Ж18. К вопросу о механизме диспропорционирования фенилглиоксала в мандиловую кислоту. Heyns Kurt, Walter Wolfgang, Scharmann Harry. Beitrag zum Mechanismus der Disproportionierung des Phenylglyoxals zu Mandelsäure. «Chem. Ber.», 1960, 93, № 9, 2057–2062 (нем.).—Показано, что диспропорционирование фенилглиоксала (I) в цел. р-ре в мандиловую к-ту (II) происходит благодаря внутримолекулярному перемещению гидрид-иона от $\text{C}_{(1)}$ к $\text{C}_{(2)}$. Это следует из того, что дейтерий в $\text{C}_6\text{H}_5\text{COCDO}$ (Ia) полностью переходит к C_2 -атому II с образованием $\text{C}_6\text{H}_5\text{CD}(\text{OH})\text{COOH}$. Выказано предположение, что полиграфич. окисление I происходит за счет того, что H^+ , находящийся на поверхности Hg, отрывает: H от альдегидного атома C. В пользу этого механизма свидетельствуют данные по окислению NaBH_4 в водно-цел. р-ре. Синтез Ia проведен по схеме: $\text{O}=\text{C}=\text{C}=\text{C}=\text{O} + \text{D}_2\text{O} \rightarrow \text{DOCCD}_2\text{COOD} \rightarrow \text{D}_2\text{CCOOD} \rightarrow \text{D}_2\text{CCOCl} \rightarrow \text{C}_6\text{H}_5\text{COCDO} \rightarrow \text{Ia}$. Диспропорционирование Ia проводили в водн. р-ре BaO . В полученной II-D масс-спектрометрически определено 0,98 атома D на 1 моль. ИК-спектр II-D идентичен ИК-спектру II-B, полученному по схеме: $\text{C}_6\text{H}_5\text{COCOOH} + \text{NaHg} + \text{D}_2\text{O} \rightarrow \text{C}_6\text{H}_5\text{CD}(\text{OD})\text{COOD}$ (III); III + $\text{H}_2\text{O} \rightarrow \text{C}_6\text{H}_5\text{CD}(\text{OH})\text{COOH}$. З.

9Ж19. Образование, расщепление кольца и изомеризация производных этиленминкарбонной-2 кислоты. Gundermann Karl-Dietrich, Holtmann

Gerhard, Rose Hans-Joachim, Schulze Helmut. Bildung, Ringspaltung und Isomerisierung von Äthylenimin-carbonsäure-(2)-Derivaten. «Chem. Ber.», 1960, 93, № 7, 1632–1643 (нем.).—В продолжение предыдущих исследований (см. РЖХим, 1958, № 21, 70970) было найдено, что спиртовый р-р хлоргидрата этилового эфира α -хлор- β -аминопропионовой к-ты (I) в присутствии щел. агентов, напр. триэтилоламина, отщепляет HCl на ~80%, а в отсутствие триэтилоламина только на ~40% с образованием производного этиленминкарбонной к-ты (IIa R = OC_2H_5 , R' = H). Гидролиз IIa с помощью LiOH с последующей обработкой AgNO_3 и HCl приводит к II (R = OH, R' = H) (IIb). Кинетика отщепления HCl в присутствии NaOH (35,5%) от α -хлор- β -аминопропионовой (III) и α -амино- β -хлор-аминопропионовой к-т (IV) подчиняется у-нью первого порядка, причем III в ~3 раза быстрее реагирует чем IV. Промежуточно образующаяся IIb гидролизуется (рН 6, 100°) с образованием 83% *dl*-серина (V) и 17% *dl*-изосерина (VI). При ацидолизе II (R = ONa, R' = H) (IIв) в среде HCl или HBr при –4–+20°, также получают преимущественно α -аминопроизводные (70–90%). IIa и II (R = OH, R' = H) (IIг) с тиреусной к-той дают главным образом производные изоцистеина со следами производных цистеина; так, при последующей обработке Na в жидком NH_3 и $\text{C}_6\text{H}_5\text{CH}_2\text{Cl}$ получают S-бензил-*dl*-изоцистеин, выход 35%, а



при восстановлении скелетными Ni – β -аланин. Авторы приходят к выводу, что при расщеплении кольца II с увеличением нуклеофильности реагентов уменьшается тенденция к образованию β -замещ. α -аминокислот в соответствии с рядом: $\text{H}_2\text{O} > \text{Cl}^- > \text{Br}^- > \text{S}_2^-$, RS^- , CH_3COS^- . Обнаружен новый тип превращения: изомеризация этиленминнитрилов (VII) в α -иминонитрилы: так, нитрил N-бензилэтиленминкарбонной-2 к-ты (VIII) термически (100°) перегруппировывается в нитрилы α -N-бензилимино-(IX) и α -N-бензальминпропионовой к-ты (X). Из безазольного р-ра метилового эфира α -хлоракриловой к-ты и фталимида в CH_3OH (0,5 часа, нагревание) получают метилловый эфир α -хлор- β -фталимидпропионовой к-ты (XI), выход 72%, т. пл. 125° (из CH_3OH). Обработкой XI 20%-ной HCl (кипение, 5 час.) получают хлоргидрат α -хлор- β -аминопропионовой к-ты, выход 80%. На с NH_3 в CH_3OH (0°, 12 час.) дает II (R = NH_2 , R' = H) (IIд), выход 44–48%, т. пл. 124° (из этилацетата и петр. эф.). IIa обрабатывают 1 н. LiOH (0°, 24 часа), получают IIг, выход 30–40%, т. пл. 260–270°. Обработкой р-ром AgNO_3 IIг переводят в II (R = OAg, R' = H) (IIе). Водн. р-р IIг обрабатывают 20%-ной H_2SO_4 (20°, 12 час., кипение 1 час), получают V, выход 82%, и VI, выход 8%. Р-р нитрила α , β -дигидропропионовой к-ты (XII), триэтиламина (XIII) и бензиламина C_6H_5 дают смесь VIII–X; последующая обработка р-ром HCl (20°, 12 час., 100°, 5 час.) приводит к хлоргидрату N-бензил-V, выход 30%, т. пл. 152° (разл.), в аланин (XIV), выход 23–28%. Обработкой р-ром 1 н. HCl (100°, 3 часа) смесь VIII–X переводят в бензальдегид и XIV. Гидролиз смеси VIII–X 6 н. HCl (20°) приводит к хлоргидрату бензиламина и XIV. В-в XII, XIII и N-н-бутиламина дают VII (R = α - C_4H_9), выход 77%, т. кип. 85–87°/12 мм, n_D^{20} 1,4430; VII (R = α - C_4H_9) со спирт. р-ром КОН образует амид N-бутилэтиленминкарбонной-2 к-ты, выход 70%, т. пл. 61° (из блз.-петр. эф.). XII, XIII и N-неопентиламина дают VII (R = $\text{CH}_2\text{C}(\text{CH}_3)_3$), выход 67%, т. кип. 83–84°/14 мм, n_D^{20} 1,4428. XII, XIII и N-хлорбензиламина дают VII (R = α - $\text{CH}_2\text{C}_6\text{H}_4\text{Cl}$), выход 66%, т. пл. 69° (из блз.). XII, XIII и N-анизиламина дают VII (R = $\text{CH}_2\text{OC}_6\text{H}_4$), выход

35%, т. кип. 126—127°/0,05 мм, n_D^{20} 1,5556. Образование IX и X доказано также с помощью ИК-спектров.

9Ж20. Действие алканолов на малоновую кислоту. Clark Louis Watts. The effect of alcohols on malonic acid. «J. Phys. Chem.», 1960, 64, № 4, 508—510 (англ.).—Изучена кинетика декарбоксилирования малоновой к-ты (I) в алифатич. алкохолях — *n*-бутиловом (II), изоамиловом (III), *n*-амиловом (IV), *n*-гексильном спиртах (V), 2-этилгексанол-1 (VI) и диизобутилкарбиноле (VII), при 100—130°. Скорость р-ции подчиняется ур-нию 1-го порядка независимо от концентрации р-ра I в алкоhole. Приведены *r*-итель, константа кинетич. ур-ния при 100° *k* в сек⁻¹, ΔH (акт.) в ккал, ΔS (акт.) в энтр. ед.: II, 1,07, 27,2, —4,4; III, 1,07, 27,1, —4,5; IV, 1,02, 26,0, —7,6; V, 1,02, 26,0, —7,6; VI, 1,23, 24,8, —10,4; VII, 1,07, 24,8, —10,7; *n*-масляная к-та, 0,03, 32,3, +2,5; вода, 0,16, 30,1, —0,4; анилин, 1,41, 26,8, —4,5. Эффект наличия алкильных групп состоит, по мнению автора, в увеличении положительного индуктивного влияния заместителя на электронную плотность у О-атома в молекуле алкоhole, что усиливает притяжение между молекулами I и алкоholeм. Ацильные группы снижают электронную плотность у О-атома. В соответствии с этим значение ΔH (акт.) для р-ции в *n*-масляной к-те на 5 ккал больше, чем для р-ции в II. Близость значений *k* декарбоксилирования I в II—VII автор объясняет тем, что снижение величин ΔH (акт.) почти полностью компенсирует пространственные затруднения, возрастающие по мере усложнения молекулы *r*-рителя. Полученные результаты согласуются с предложенным ранее механизмом р-ции (см. РЖХим, 1955, № 18, 39752), состоящим в образовании промежуточного комплекса, включающего координационную связь между электрофильным карбонильным атомом С I и неподеленной парой электронов нуклеофильного атома молекулы *r*-рителя.

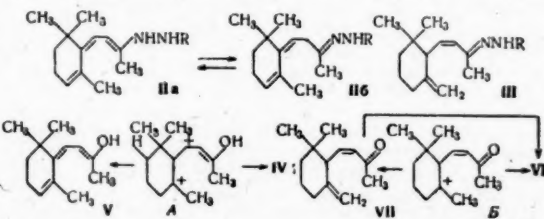
9Ж21. Цис-отщепление при пиролизе. De Ru C. H., King R. W. Pyrolytic cis eliminations. «Chem. Revs.», 1960, 60, № 5, 431—457 (англ.).—Обзор р-ций, протекающих с образованием олефинов. Библ. 195 назв.

9Ж22. Скорости взаимодействия диизоцианатов со спиртами при повышенных температурах. Каталитическое влияние три-*n*-бутиламина. Cunningham Robert E., Mastin Thomas G. Rates of diisocyanate-alcohol reactions at elevated temperatures. Effect of tri-*n*-butyl amine catalysis. «J. Organ. Chem.», 1959, 24, № 10, 1585—1587 (англ.).—Измерена скорость образования уретанов при взаимодействии *m*-фенилендиизоцианата (I), 2,4-толилендиизоцианата (II), 4,4'-метилена-*bis*-(фенилизоцианата) (III) и 3,3'-диметил-4,4'-бифенилендиизоцианата (IV) с октанолом-1 (V) и октанолом-2 (VI) при 115° в хлорбензоле, параллельно в отсутствие катализатора и в присутствии три-*n*-бутиламина (VII). Начальные концы диизоцианатов (ДИЦ) и октанолов равнялись 0,1 н. VII—0,01 н. Скорости р-ции выражаются ур-ниями 2-го порядка. V реагирует быстрее, чем VI. В случае I и II находят две константы скорости (k_1 и k_2), что связано с последовательным вовлечением в р-цию двух изоцианатных групп, хотя ввиду малых различий в значениях k_1 и k_2 можно предполагать некоторое наложение обеих р-ций. Значения констант скорости катализируемой и некатализируемой р-ции (в лг-экв-лмин⁻¹) соответственно равны: (приведены ДИЦ, k_1 катализируемой и некатализируемой р-ции и k_2 катализируемой и некатализируемой р-ции): для р-ции ДИЦ с октанолом-1: I, 0,75, 0,14, 0,46, 0,12; II, 0,30, 0,054, 0,16, 0,027; III, 0,29, 0,04, —, —; IV, 0,10, 0,011, —, —; для р-ции с октанолом-2: I, 0,21, 0,083, 0,15, 0,42; II, 0,10, 0,033, 0,04, 0,007; III, 0,084, 0,031, —, —; IV, 0,035, 0,007, —, —. Образование побочных продуктов протекает в незначительной степени. Скорость р-ции определяли путем нагревания проб с избытком дибутил-

амина (для связывания непрореагировавшего ДИЦ) с последующим потенциометрич. титрованием избыточного дибутиламина 0,025 н. HCl. Вводилась поправка на кол-во добавленного VII.

9Ж23. Комплексное соединение хлорного железа с хлористым этиленом и его каталитическое влияние на хлорирование этилена. Zieliński Antoni Zbigniew. Związek kompleksowy chloru żelazowego z chlorem etylenu i jego wpływ katalityczny na chlorowanie etylenu. «Chem. stosow.», 1959, 3, № 3, 385—398 (польск.; рез. англ.).—При хлорировании C_2H_4 в отсутствие катализатора 25% реагирующего Cl_2 участвуют в р-ции замещения. Темная форма *r*-ров $FeCl_3$, образующаяся в безводн. условиях, обладает избирательным каталитич. действием и уменьшает расход Cl_2 на р-цию замещения до 1—3%. Желтая форма *r*-ров $FeCl_3$, образующихся в присутствии влаги, оказывает общее каталитич. влияние на хлорирование C_2H_4 , но не столь селективно, расход Cl_2 на р-цию замещения составляет 3—11%. Осадок, появляющийся в темных *r*-рах $FeCl_3$, не оказывает каталитич. влияния на р-цию, однако его присутствие указывает на правильный ход р-ции. Темная форма является комплексом $C_2H_4Cl_2$ и $FeCl_3$, на основании абсорбционных исследований ей приписывают форму $FeCl_3 \cdot C_2H_4Cl_2$. Желтая форма является комплексом $FeCl_3$ с H_2O . Эти данные подтверждены исследованием спектров поглощения *r*-ров $FeCl_3$ в различных средах. Р. Титкова

9Ж24. Исследование механизма циклизации псевдонона, катализируемой кислотами. II. Действие катализатора. Szabó Dezső. Vizsgálatok a pseudojonon savkatalizálta ciklizációjának mechanizmusáról. II. A katalizátor hatása. «Magyar tud. akad. Kém. tud. oszt. közl.», 1960, 13, № 1, 39—44 (венг.).—Установлено, что при циклизации псевдонона (I) относительное содержание β -компонента увеличивается при увеличении силы к-ты, вызывающей циклизацию. Для выяснения этого явления исследовалось циклизующее действие H_3PO_4 и H_2SO_4 . В обоих случаях при помощи 2,4-динитрофенилгидразина удалось изолировать такие 2,4-динитрофенилгидразоны (ДНФГ), которые



отличались от ДНФГ α - и β -нона. При окислении ДНФГ промежуточного продукта (II), полученного из I при действии H_3PO_4 в среде C_6H_6 , выделены N-ацетил-2,4-динитрофенилгидразин и 2,4-динитрофенилгидразон ацетона. При окислении $KMnO_4$ в среде лед. CH_3COOH получен 2-метилпентандион-3,4. При действии O_3 образовалось незначительное кол-во CH_2O , а также CH_3CHO . Это указывает на наличие CH_3CH -группы. Можно предполагать, что II имеет строение ДНФГ до сих пор неизвестного ретронона ($II \neq III$, R всюду 2,4-(NO_2) $_2C_6H_3$). В случае более сильной H_2SO_4 бензольный *r*-р ДНФГ промежуточного продукта под влиянием $KMnO_4$ уже на холоду выделял CO_2 . После окисления выделен ДНФГ пировиноградной к-ты. После озонирования образовался CH_2O . Следовательно, можно предполагать, что промежуточный продукт, полученный при циклизации с H_2SO_4 , имеет структуру ДНФГ ν -нона (III). В соответствии с полученными данными предложен механизм циклизации I при действии слабых к-т через промежуточ-

ный ион (A) в α -ион (IV) и ретроион (V) и при действии сильных к-т через промежуточный ион (B) в β -ион (VI) и в γ -ион (VII), превращающийся далее в VI. Сообщение I см. РЖХим, 1960, № 18, 73294.

9Ж25. Тиокислоты. Часть III. Механизм действия арилметаллических соединений на диарилдисульфиды и ароматические тиокислоты. Mohamed Abdel-Fattah Elkashef, Kamal El-Din Mokhtar. Thio-acids. Part III. Mechanism of the action of aryl-metallic compounds on diaryl disulphides and aromatic thio-acids. *J. Chem. Soc.*, 1960, June, 2533—2536 (англ.).—Изучена р-ция RLi (Ia—r) и $RMgBr$ (IIa—r) с $R'COSR_2$ (IIIa—r) и $R'COSH$ (IVa—r, где $a = R = R' = C_6H_5$, $b = R = R' = n\text{-CH}_2OC_6H_4$, в $R = R' = n\text{-CH}_2C_6H_4$, $g = R = R' = n\text{-ClC}_6H_4$). Показано, что р-ция с I протекает так же, как с изученными ранее (см. часть II РЖХим, 1960, № 7, 26603) II. Предложена следующая схема взаимодействия I и II с III: 1) $III \rightarrow 2R'COS$; 2) $2R'COS + I$ (или II) $\rightarrow R'COSM$ (V) + $R'COSR$ (VI) ($M = Li, MgBr$); 3) $V + 2I$ (или 2II) $\rightarrow R'_2CSM$ (VII); $VI + 2I$ (или 2II) $\rightarrow R'_2COM$ (VIII); 4) $V + VII \rightarrow R'COSCR'_2$ (IX). Первая стадия приведенной выше схемы доказана выделением IVg и IVv при р-ции IIIg с Ia и IIIv с Ib—v. При избытке I—II образуются VII и VIII. 3 моля Ia—b или IIa—b приводят только к IX, в то время как 6 молей IIa дают VIII и после безизбирочного приведения к IX. Р-ция V—VII протекает легче, чем VI—VIII. Предложена следующая схема р-ции I и II с IV: 1) $V \rightarrow R'COS + M$; 2) $2R'COS \rightarrow III$; 3) $COS \rightarrow R + COS$; 4) $I + COS \rightarrow V$. 3 моля Ia или IIa с Va дают IX и VIII. Схема подтверждена выделением Vb и IIa при р-ции 3 молей Ib—v с 1 молем Va. Р-р 2,74 г IIIa в сухом C_6H_6 прибавляют к IIv (из 3,8 мл $n\text{-BrC}_6H_4CH_3$) в эфире, оставляют на 12 час., кипятят 4 часа, разлагают разб. HCl при 0°, получают 1,1 г IX ($R = n\text{-CH}_2C_6H_4$, $R' = C_6H_5$) (IXh), т. пл. 136° (из сл.). IIa (из 1,6 мл BrC_6H_5) и 1,7 г IIIg дают 0,3 г $n\text{-ClC}_6H_4COOH$. Продукт р-ции IIa (из 12,6 мл BrC_6H_5) и 5,5 г IIIa обрабатывают 4,6 мл C_6H_5COCl , кипятят 4 часа, выливают в разб. H_2SO_4 при 0°, выделяют VIIIa ($M = H$), выход 3,8 г, т. пл. 163°, и IXa, выход 0,35 г, т. пл. 188°. Из Ia (из 0,83 г Li и 6,3 мл BrC_6H_5) и 5,5 г IIIa получают 2,8 г IXa и VIIIa ($M = H$). Р-ция Ib (из 3,7 мл $n\text{-BrC}_6H_4OCH_3$) и 2,75 г IIIa приводит к 0,53 г C_6H_5COOH и 0,25 г серы. После разложения водой продуктов взаимодействия 2,74 г IIIa и Ib (из 3,8 мл $n\text{-BrC}_6H_4CH_3$) выделена IVa. При р-ции 2,74 г IIIa с Ib (из 6,3 г $n\text{-BrC}_6H_4CH_3$) и разложении разб. H_2SO_4 получают IXd, при разложении водой образуется 1,6 г C_6H_5COOH . 1,7 г IIIg и Ia (из 1,6 мл BrC_6H_5) дают 1,1 г $n\text{-ClC}_6H_4COOH$ и 0,4 г IVg, т. пл. 187° (из петр. эф.). Взаимодействие Ia (из 3,1 мл BrC_6H_5) и 3,4 г IIIb приводит к 1,1 г IX ($R = C_6H_5$, $R' = CH_2OC_6H_4$), т. пл. 178° (из петр. эф.). При р-ции 3,4 г IIIb и Ib (из 3,8 мл $CH_3OC_6H_4Br$) выделяют 1,7 г $CH_3OC_6H_4COOH$, 3,34 г IIIb и Ib (из 4 мл или 6,3 мл $n\text{-CH}_2C_6H_4Br$) дают $CH_3OC_6H_4COOH$. Из 2,76 г IVa и Ia (из 6,3 мл BrC_6H_5) получают после разложения к-той VIIIa ($M = H$), выход 2,4 г, и 0,2 г IXa; разложение водой приводит к 2,6 г VIIIa ($M = H$) и 2,3 г IVa. 2,76 г IVa и Ib (из 7,5 мл $BrC_6H_4OCH_3$) после кислотного разложения дают 2,0 г $CH_3OC_6H_4COOH$ и 0,2 г IIIa. Р-ция Ib (из 11,3 мл $CH_3C_6H_4Br$) и IVa приводит к 1,1 г IIIa.

9Ж26. Реакции карбенов как промежуточных соединений. Инамота Н. Reactions of carbenes as intermediates. «Юки гоэй катяку кёкайси», *J. Soc. Organ. Synth. Chem., Japan*, 1960, 18, № 10, 725—737 (японск.).—Обзор. Библ. 93 назв.

9Ж27. Свободнорадикальное замещение в ароматических соединениях. Beckwith A. L. J. Free-radical substitution in aromatic compounds. *Proc. Roy. Austral. Chem. Inst.*, 1960, 27, № 9, 400—404 (англ.).—

Краткий обзор. Рассматриваются механизм р-ции, ориентация, пути теоретич. расчета реакционной способности. Библ. 7 назв.

9Ж28. Электронные эффекты в реакции Гомберга. Weingarten Harold. Electronic effects in the Gomberg reaction. *J. Organ. Chem.*, 1960, 25, № 3, 1066—1067 (англ.).—Для колич. проверки влияния электроакцепторных заместителей в бензольном ядре на соотношение относительных скоростей (OC) в конкурирующих р-циях Гомберга проведено разложение 0,1 моля $C_6H_5N_2Cl$ в смеси (по 2 моля) C_6H_6 с C_6H_5Cl при 0—10° и $3,4\text{-Cl}_2C_6H_4N_2Cl$ в той же смеси. Найденные посредством газо-жидкостной хроматографии, OC соответственно равны 1,35 и 0,73. Полученные данные находятся в хорошем согласии с известными ранее (см. РЖХим, 1958, № 12, 39572).

9Ж29. Реакции алкильных радикалов. Часть VI. Реакции метильных радикалов с алифатическими альдегидами. Birrell R. N., Trotman-Dickenson A. F. The reactions of alkyl radicals. Part VI. The reactions of methyl radicals with aliphatic aldehydes. *J. Chem. Soc.*, 1960, May, 2059—2063 (англ.).—Определены константы скорости р-ции радикалов CH_3 , получаемых разложением ди-трет-бутилперекиси, с уксусным, n -масляным (I), изомасляным (II), n -валериановым (III), изовалериановым (IV), 2-метилмасляным (V), пивалиновым (VI) и кротоновым (VII) альдегидами в интервале t -р 119—175°. Ниже перечислены в-во, E (акт.) в ккал/моль и $\log A$ моль $^{-1}$ сек $^{-1}$: I, 7,3, 11,8; II, 8,7, 12,6; III, 8,0, 12,1; IV, 8,4, 12,3; V, 10,4, 13,1; VI, 10,2, 13,0; VII, 10,9, 13,3. Несмотря на различие аргументов параметров $\log k$ при 182° практически одинаковы для всех альдегидов ($\sim 8,2$ моль $^{-1}$ сек $^{-1}$) и не зависят от природы алкильных групп. Часть V см. РЖХим, 1961, 46407.

9Ж30. Использование хлоридов железа и меди для улавливания промежуточных радикальных продуктов и синтеза алкилхлоридов. Kumamoto J., De La Mare H. E., Rust F. F. The use of cupric and ferric chlorides in the trapping of radical intermediates and the synthesis of alkyl chlorides. *J. Amer. Chem. Soc.*, 1960, 82, № 8, 1935—1939 (англ.).—Алкильные радикалы, образующиеся при разложении азо-бис-изобутилонитрила (I), трет-бутилперекиси (II), ди-трет-бутилперекиси (III), гидроперекиси 2-тетрагидропирана (IV), 2,5-диметил-2,5-дигидропероксигексана (V), улавливались солями $FeCl_3$ и $CuCl_2$ с образованием соответствующих алкилхлоридов. Как промежуточные соединения предполагаются комплексы радикала и неорганич. хлорида: $R + CuCl_2 \rightarrow [R \cdots Cl \cdots CuCl] \rightarrow RCl + CuCl$. I разлагается в водно-диоксановом р-ре в присутствии $CuCl_2$ по ур-нию 1-го порядка относительно I и нулевого относительно $CuCl_2$. Период полураспада I при 75° равен $3,4 \pm 0,3$ часа. В продуктах р-ции открыты 2-хлор-2-метилпропионитрил и тетраметилсукцинонитрил, т. пл. 162—165°. $Fe^{2+} + CuCl_2$ превращает II в трет-бутоксиг-радикал, распадающийся на ацетон и CH_3 . Продукты р-ции содержат: CH_4 , C_2H_6 , CH_3Cl (7—16—30 мол.%), трет-бутиловый спирт и ацетон. III нагревают до 122° и затем 3 дня при 132° в сосуде со стенками, покрытыми $CuCl_2$. В продуктах р-ции найдены CH_3Cl (7—41 молей на 100 молей III), C_2H_6 , CH_4 и $(CH_3)_2CCl$ (150 молей на 100 молей III), образующийся, по-видимому, по неадиабатическому механизму. При разложении IV в присутствии $FeCl_3$ в $CuCl_2$ получен 4-хлор-1-бутилформат с выходом 36%. Водн. р-р V образует в присутствии $FeSO_4$ при 25—40° много газа (C_2H_4 , C_2H_6 , C_4H_{10}). В жидких продуктах найдены в вес. %: CH_3OH (0,8), ацетон (77), метилэтилкетон (0,8), трет-амиловый спирт (3,2), этил-трет-амилперекись (16), 2-метилгексанол-2 (2,4). При добавлении к смеси V и $FeSO_4$ р-ра $CuCl_2$ при 25—40°

газообразные продукты не образуются. В продуктах р-ции были обнаружены CH_3OH (92 мол. %), 1,2-дихлорэтан, ацетон (6,8 мол. %), 4-хлор-2-метилбутанол-2, 2-метилбутен-2-ол-1. В тех случаях, когда циклич. гидроперекиси легко доступны, они могут явиться удобным источником получения бифункциональных производных (хлоркислот, хлорозэфиров, хлоркетонов и т. д.).

9Ж31. Гомолитическое присоединение бромистого водорода к 1-фтор-1,1-дихлорпропену. Кост В. Н., Сидорова Т. Т., Фрейдлина Р. Х., Несмеянов А. Н. «Докл. АН СССР», 1960, 132, № 3, 606—608. В развитии предыдущих исследований (РЖХим, 1961, 6Ж36) найдено, что радикал $\text{BrCH}_2\text{CHClCF}_2$ (I) способен гомолитически перегруппировываться в радикал $\text{CH}_2\text{BrCHClCF}_2$ (II). Однако скорость гомолитич. перегруппировки I в II настолько снижается стабилизирующим влиянием фтора, что при взаимодействии $\text{CH}_2=\text{CHClCF}_2$ (III) с HBr -газом удается выделить как продукт р-ции II с HBr — $\text{CH}_2\text{BrCHClCF}_2\text{H}$ (IV), так и продукт р-ции I с HBr — $\text{CH}_2\text{BrCH}_2\text{CF}_2\text{H}$ (V). Р-цией 1 моля $\text{CCl}_2\text{CH}_2\text{CH}_2\text{Cl}$ с 0,5 моля SbF_3 и 3 м. SbCl_5 получено $\text{FCClCH}_2\text{CH}_2\text{Cl}$ (VI), выход 45%. При дегидрохлорировании VI в этилцеллозолье (VII) по описанной методике (Несмеянов А. Н., Избранные труды, 3, 508) выделены III, выход 59%, и $\text{FCCl}=\text{CHCH}_2\text{Cl}$, выход 10%, т. кип. $89-90^\circ$, n_D^{20} 1,4350, d_4^{20} 1,3219; пикрат изотипуриновой соли (III), т. пл. $176-177^\circ$ (из водн. сл.). Ток HBr пропускают 10 час. через 50 г III при освещении УФ-светом, перегонкой выделяют 32 г V [т. кип. $69-70^\circ/70$ мм, $136^\circ/760$ мм, n_D^{20} 1,4630, d_4^{20} 1,7307; III, т. пл. 164° (из сл.)] и 15 г IV, т. кип. $72-73^\circ/40$ мм, $161^\circ/760$ мм, n_D^{20} 1,4870, d_4^{20} 1,8200; III, т. пл. 171° (из сл.). При дегидробромировании V KOH в VII при 0° получен III. Кроме того, V синтезирован р-цией $\text{CCl}_2\text{CH}_2\text{CH}_2\text{Br}$ с SbF_3 , при этом образуется также $\text{CCl}_2=\text{CHCH}_2\text{Cl}$. При дегидробромировании IV получен $\text{CHFCICCl}=\text{CH}_2$ (VIII), выход 54%, т. кип. 84° , n_D^{20} 1,4290, d_4^{20} 1,3214; III, т. пл. $160-161^\circ$. При озоновании VIII получены CH_2O и ClFCHCOOH , т. кип. 162° , n_D^{20} 1,4090; анид, т. пл. $86-87^\circ$ (из гепта.). IV получен также с малым выходом р-цией $\text{HSClCHClCH}_2\text{Br}$ с SbF_3 . Из 50 г $\text{CCl}_2\text{CH}=\text{CH}_2$ при насыщении HBr за 2,5 часа получено 68 г $\text{CHCl}_2\text{CHClCH}_2\text{Br}$, т. кип. $84-85^\circ/16$ мм, n_D^{20} 1,5295, d_4^{20} 1,8390.

Ф. Величко

9Ж32. Кинетика газофазного нитрования метана азотной кислотой. Schay G., Giber J. Kinetics of the gas phase nitration of methane by nitric acid. «Acta chim. Acad. scient. hung.», 1960, 22, № 4, 409—433 (англ.; реф. нем., русск.). — Изучено нитрование CH_4 действием HNO_3 в газовой фазе (т-ра $280-490^\circ$, время контакта 0,5—7 сек., разбавитель N_2). Кривые конверсии проходят через максимум (15,8% при 430° и 2 сек.). На основании кинетич. данных найдено экспериментально ур-ние скорости р-ции для начального периода $w = 0,9 \cdot 10^{15} e^{-46000/RT} [\text{CH}_4] \cdot [\text{HNO}_3]$ и предложен ступенчатый радикальный механизм р-ции из следующих стадий: $\text{HNO}_3 + \text{N}_2 \rightarrow \text{NO}_2 + \text{OH} \cdot + \text{N}_2$; $\text{HNO}_3 + \text{CH}_4 \rightarrow \text{NO}_2 + \text{OH} \cdot + \text{CH}_3$; $\text{OH} \cdot + \text{CH}_4 \rightarrow \text{CH}_3 \cdot + \text{H}_2\text{O}$; $\text{CH}_3 \cdot + \text{HNO}_3 \rightarrow \text{CH}_3\text{NO}_2 + \text{OH} \cdot$; $\text{CH}_3 \cdot + \text{NO}_2 \rightarrow \text{CH}_3\text{NO}_2$. На р-цию оказывают ингибирующее действие NO , NO_2 и H_2 .

Л. Романов

9Ж33. Свободнорадикальный характер реакции гидроксилирования ароматических соединений под действием кислорода, аскорбиновой кислоты и ионов железа. Acheson R. M., Hazelwood C. M. The free radical nature of aromatic hydroxylation effected by oxygen, ascorbic acid and ferrous ions. «Biochim. et biophys. acta», 1960, 42, № 1, 49—55 (англ.). — При гидроксилировании бензойной к-ты (I), 2-, 3-, и 4-оксибензойных к-т (2-, 3-, 4-И) действием O_2 в присутствии аскорбиновой к-ты (III), FeSO_4 , этилендиамина

тетрауксусной к-ты (IV) в фосфатном буфере при pH 3,1 и $\sim 20^\circ$ после 1 часа р-ции из I получены 2-И, 3-И, 4-И и 2,5-диоксибензойная к-та (2,5-V) в соотношении 5:1:2:1 \sim 2; из 2-И образуются 2,3-V, 2,5-V, (в соотношении 7:5) и следы 2,4-V; из 3-И образуются 2,3-V, 2,5-V, 3,4-V в соотношении 5:4:8; из 4-И образуется 3,4-V. Общая степень превращения I, 2-И, 3-И в этих условиях составляла соответственно 1, 20 и 6%. Через 4 часа в продуктах р-ции I была обнаружена 2,3-V, а через 21 час — 3,4-V. В продуктах р-ции 4-И через 21 час была обнаружена 2,4-V. При увеличении pH до 6,6 скорость р-ции значительно возрастает. Соотношение изомеров (напр., преобладание 2-И и 4-И, но не 3-И при гидроксилировании I) во всех случаях подтверждает гомолитич. механизм гидроксилирования и исключает возможность электрофильных атак на кольцо. В спец. опытах по гидроксилированию I в присутствии метилметакрилата (VI) была обнаружена значительная полимеризация VI. Это свидетельствует о том, что р-ция гидроксилирования протекает с участием свободных радикалов. При отсутствии в гидроксилирующей смеси III полимеризация VI не наблюдалась. Гидроксилирование проводили в фосфатном буфере (250 мл), состоящем из Na_2HPO_4 (0,947 г) и KH_2PO_4 (1,36 г) и насыщ. IV (1,0 г). К буферу добавляли III (3,0 г), FeSO_4 (0,20 г) и гидроксилируемое в-во (0,3 г). Р-цию проводили в атмосфере O_2 при встряхивании. По окончании р-ции смесь подкисляли H_2SO_4 , насыщали $(\text{NH}_4)_2\text{SO}_4$ и экстрагировали эфиром.

Р. Калинин

9Ж34. Роль перекисей при медленном окислении углеводородов. Cartledge J., Tipper C. F. N. The role of peroxides in slow combustion of hydrocarbons. «Proc. Chem. Soc.», 1960, June, 219 (англ.). — При изучении окисления смеси $\text{C}_3\text{H}_8 : \text{O}_2 = 2:1$ в проточной системе при 327° в продуктах р-ции методом бумажной хроматографии алкильные гидроперекиси не обнаружены, что согласуется с результатами, полученными ранее (см. РЖХим, 1960, № 19, 77240). Наблюдалось лишь образование H_2O_2 и продуктов присоединения H_2O_2 к альдегидам: $\text{RCH}(\text{OH})\text{OON}$ и $\text{RCH}(\text{OH})\text{OOSCH}_2\text{RON}$. В продуктах же окисления C_4H_{10} при $315-345^\circ$ были обнаружены значительные кол-ва (5—10%) гидроперекиси бутила и продуктов присоединения ее к альдегиду ($\text{C}_4\text{H}_9\text{OOSCH}_2\text{RON}$). Аналогично при окислении циклогексана при $300-316^\circ$ и $n\text{-C}_6\text{H}_{14}$ при 310° в продуктах были обнаружены соответственно моногидроперекись циклогексана и дигидроперекись гептана. Наблюдалось также образование H_2O_2 и продуктов присоединения перекисей к альдегидам. В тех случаях, когда при окислении углеводородов наблюдается образование алкилгидроперекисей, выработанное разветвление в системе может осуществляться за счет гомог. распада алкилгидроперекисей на радикалы. Р-ция O_2 с альдегидами также могут приводить к разветвлению и относительная роль этих двух промежуточных продуктов в р-циях окисления зависит от характера углеводорода, т-ры, поверхности реакционного сосуда и соотношения сырья и O_2 .

Р. Калинин

9Ж35. Окисление органических соединений при действии надкислот. Цудуми С. On the oxidation of organic compounds with peroxyacids. «Юки гоэй какаку кёкаиси, J. Soc. Organ. Synth. Chem., Japan», 1960, 18, № 10, 701—707 (японск.). — Обзор механизмов р-ций, протекающих при действии RC(O)OON на органич. соединения. Библ. 9 назв.

М. В.

9Ж36. Окончательные правила номенклатуры органических соединений. — Definitive rules for nomenclature of organic chemistry. «J. Amer. Chem. Soc.», 1960, 82, № 21, 5545—5574 (англ.). — Свод официальных правил, принятых Комиссией по номенклатуре органич. соединений Всемирного союза чистой и прикладной химии (так называемые правила IUPAC 1957). При-

ведены основные принципы номенклатуры, правила номенклатуры для ациклич., полициклич. углеводородов, для терпенов и для основных гетероциклич. моно- и полициклич. систем. М. В.

9Ж37. Окончательные правила номенклатуры органических соединений. Правила IUPAC 1957 г. S a B J. Die endgültigen Regeln für die Nomenklatur der Organischen Chemie I.U.P.A.C.-Rules 1957. «Lab.-Prax.», 1960, 12, № 11, 161—164; № 12, 177—179 (нем.).—Начало публикации свода правил IUPAC (см. реф. 9Ж35). Ациклич. углеводороды. М. В.

9Ж38. Органическая химия. Учебное пособие. Вып. 2. Зонис С. А. Сев.-зап. заочн. политехн. ин-т, Л., 1960, 384 стр., илл., 8 р. 90 к.

9Ж39. Органическая химия (Юки-катаку). Хаяси Тивака. Токио, Сангё тоёё кабусики кайся, 1958, 236 стр., илл., 300 иен (японск.)

9Ж40. Пространственные эффекты в органической химии. Ред. Ньюмен М. С. Перев. с англ. М., Изд-во ин. лит., 1960, 719 стр., илл., 35 р. 20 к.

9Ж41. Новые органические реакции. Alexander Elliot Ritchie. Podstawy jonyowych reakcji organicznych. Tlum. z ang. Warszawa, PWN, 1959, 299 s., il., 50 zł. (польск.)

См. также: Строение органич. соединений 9Б48, 9Б71, 9Б122. Реакционная способность 9Ж204, 9Ж307. Механизмы и кинетика р-ций см. раздел Кинетика и рефераты 9Б494, 9Б496, 9Ж125, 9Ж235

СИНТЕТИЧЕСКАЯ ОРГАНИЧЕСКАЯ ХИМИЯ

Редакторы М. А. Атабекова, В. М. Беликов, Н. С. Бульфон, Б. М. Дубинин, В. А. Загоревский, Я. Ф. Комиссаров, Г. Я. Кондратьева, Г. П. Крупина, Е. С. Тарасевич, Л. А. Хейфиц

9Ж42. Упрощенный метод получения натрийгидрида и сложных гидридов на его основе. Nenitzescu Costin D., Badea Florin G. Simplified method for the preparation of sodium hydride and complex hydrides derived from it. «Bul. Inst. politehn. Bucureşti», 1958, 20, № 3, 93—98 (англ.; рез. русск., нем., франц.).—Гидрированием Na в циклогексане (I) в автоклаве получают NaN. Аналогичным путем получают LiH. В присутствии $AlCl_3$, $BF_3 \cdot (C_2H_5)_2$, $Al(OC_2H_5)_3$, $Al(OC_3H_7)_3$ NaN восстанавливает $C_6H_5COOCH_3$ (II) в $C_6H_5CH_2OH$ (III) с выходом 15—20%. Р-цией NaN с $B(OOCC_2H_5)_3$ (IV) получают $Na[HB(OOCC_2H_5)_3]$ (V) наряду с $Na[H_2B(OOCC_2H_5)_2]$. III превращает C_6H_5CHO в диоксане (VI) в $C_6H_5COOCH_2C_6H_5$ с выходом ~100%. Получен $Na[HB(OC_2H_5)_3]$, который является плохим восстановителем. Из NaN и $Al(OC_2H_5)_3$ (VII) получен $Na[Al(OC_2H_5)_3]$ (VIII), который менее реакционноспособен, чем $LiAlH_4$. VIII восстанавливает II в III в эфире в автоклаве при 70° с выходом 74%. При восстановлении II смесью NaN и VI в автоклаве выход III 59%. В автоклав емк. 0,5 л помещают 50 г Na, 5—6 железных шариков диам. 15 мм и I, перемешивают 2 часа под давлением H_2 150—200 ат; NaN получен 92%-ой чистоты. NaN в I устойчив при хранении. К суспензии NaN в VI добавляют р-р IV в VI со скоростью, обеспечивающей кипение смеси, нагревают еще 4 часа и выделяют V белого цвета, нерастворимый в органич. р-рителях. Для получения VIII проводят р-цию NaN с VII (смесь α - и β -форм) в эфире в автоклаве при перемешивании в присутствии железных шариков. С. Иоффе

9Ж43. Реакция Шмидта как определенный метод расщепления для изомеров положения алифатических продуктов замещения. I. О месте атаки кислорода на

n-парафины. Pritzkow Wilhelm, Schubert Appenmarie. Die Schmidt-Reaktion als definierte Abbaumethode für stellungsisomere aliphatische Substitutionsprodukte. I. Über den Ort des Sauerstoffangriffs auf n-Paraffine. «Chem. Ber.», 1960, 93, № 8, 1725—1732 (нем.).—С целью определения места атаки O_2 при окислении n-парафинов проведен анализ образующихся при окислении $n-C_7H_{16}$ (I), $n-C_9H_{20}$ (II) и $n-C_{12}H_{26}$ (III) изомерных карбонильных соединений (КС) расщеплением их по Шмидту (т-ра —20—0°) с последующим омылением продуктов расщепления в амине и хроматографированием последних на бумаге. При ~130° все вторичные С-атомы I—III подвержены воздействию O_2 почти в равной мере. Образующиеся при окислении I—III сложные эфиры перед расщеплением предварительно омыляют, а спирты действием CrO_3 в лед. CH_3COOH окисляют соответственно в кетоны или альдегиды. Спирты и олефины претерпевают расщепление по Шмидту при более высоких т-рах (от 0—40° до 50—60°). 476 г II с добавкой 0,1% М-соли стеариновой к-ты (IV к-та) окисляют воздухом при 120—130° (давл. ~1 ата, 25 час.), подщелачивают 2 н. NaOH до pH 8,2—10, водн. р-р Na-солей карбоновых к-т упаривают досуха и анализируют. Оставшиеся после отделения к-т и неизмененного II нейтр. продукты (50 г) освобождают от сложных эфиров кипячением 3 часа с двойным избытком 20%-ной KOH, выход нейтр. продуктов без эфиров (НП) 23 г, т. кип. 82—116°/22 мм. Аналогично аутоокислением 229 г III в присутствии 0,1% М-соли IV (120—130°, 11 час.) получают 233 г продуктов окисления, выход НП 10 г; а окисление 1740 г I с добавкой 0,1% Со-соли IV (120—130°, давл. 5—6 атм, 2 часа) дает 1140 г продуктов окисления, выход НП 23 г, т. кип. 142—176°/760 мм. 21,3 г НП (из II) нагревают 3 часа при 170° с аликвидом фталевой к-ты и пиридином в мол. отношении к спиртам соответственно 2:1 и 3:1, выливают в водн. нейтрализуют 2 н. КОН до pH 8,2—10, C_6H_6 извлекают 5,9 г смеси изомерных нонанолов; из водн. слоя омылением избытком 2 н. КОН (2 часа) с последующей перегонкой с паром выделяют изомерные нонанолы, выход 8,2 г. Аналогично из 40 г НП (из I) выделяют 11 г изомерных гептанонов и 7 г гептанола. К 10%-ному р-ру 6 г последних в CH_3COOH приливают 10 каплям стехиометрич. кол-во 1 М р-ра CrO_3 в 90%-ной CH_3COOH (25—30°, 30—60 мин.), выливают в водн. избыток CrO_3 восстанавливают насыщ. р-ром $FeSO_4$ перегонкой с паром выделяют 4,3 г изомерных гептанонов. Из 5,2 г смеси изомерных $C_9H_{19}OH$ получают 3,3 г, а из 4,4 г НП (из III) — 2,9 г соответствующих КС. К смеси 5 ммоль изомерных КС, выделенных непосредственно из продуктов окисления I—III или полученных окислением соответствующих смесей спиртов, и 5 ммоль HN_3 в $CHCl_3$ [конц-ия 1,2—2 М; получен по методу (Wolff H., Org. Reactions, 1946, 111, 307)] прибавляют 2 мл конц. H_2SO_4 (<0°), продукты разложения по окончании выделения N_2 разбавляют 20 мл воды, освобождают от $CHCl_3$, омыляют (5 час. кипячения), разбавляют 20 мл воды и с паром отгоняют нейтр. продукты. Остаток подщелачивают 50 мл 20%-ной КОН, выделившиеся амины отгоняют в лед. CH_3COOH и хроматографируют на бумаге. Во всех случаях идентифицированы все амины от CH_3NH_2 до $n-C_{12}-H_{2n-3}NH_2$ (значения R_f повышаются в том же порядке), где n — число С-атомов в исходном КС (а следовательно, I—III), что по данным подобного разложения индивидуальных гептанонов соответствует содержанию в продуктах окисления I—III почти равных кол-в всех возможных изомерных кетонов и вторичных спиртов. Смесь 5 ммоль сухих Na-солей к-т, выделенных из продуктов окисления I—III, и 7,8 ммоль Na_3S прибавляют к 5 мл H_2SO_4 в 20 мл $CHCl_3$ (23°), нагревают 1 час (~60°), разбавляют 30 мл воды, обрабатывают и хроматографируют. Идентифици-

вани все амины от CH_3NH_2 до $n\text{-C}_n\text{H}_{2n+1}\text{NH}_2$ (интенсивность полос немного понижается в том же порядке), где n — число С-атомов в исходном I—III, что соответствует содержанию в продуктах окисления I—III всех предельных нормальных к-т с числом С-атомов от 1 до $n-2$ в почти равных кол-вах (содержание нормальных к-т состава $\text{C}_n\text{H}_{2n+1}$ и C_n незначительно). О. Нефедов

9Ж44. Реакция Шмидта как определенный метод расщепления для изомеров положения алифатических продуктов замещения. II. О месте атаки кислорода на сложные эфиры нормальных карбоновых кислот. Pritzkow Wilhelm, Dietzsch Klaus. Die Schmidt-Reaktion als definierte Abbaumethode für stellungsisomere aliphatische Substitutionsprodukte. II. Über den Ort des Sauerstoffangriffes auf n -Carbonsäureester. «Chem. Ber.», 1960, 93, № 8, 1733—1740 (нем.). — Установлено, что расщепление по Шмидту (см. реф. 9Ж42) эфиров изомерных кетокaproновых к-т $\text{H}(\text{CH}_2)_n\text{CO}(\text{CH}_2)_m\text{COOR}$ (I) ($\text{R} = \text{C}_2\text{H}_5$) (Ia), где $n = 1-4$ (т-ра $< 0^\circ$), приводит к соответствующим аминам $\text{H}(\text{CH}_2)_n\text{NH}_2$ (II) и аминокислотам $\text{H}_2\text{N}(\text{CH}_2)_m\text{COOH}$ (III) (за исключением III с $n = 4$). Применением этого метода анализа к исследованию продуктов аутоокисления (АО) $n\text{-C}_n\text{H}_{2n+1}\text{COOCH}_3$ (IV) показано, что последние содержат примерно равные кол-ва I ($\text{R} = \text{CH}_3$) (Ib) (где $n = 1, 2$ и 4) и $n\text{-C}_n\text{H}_{2n+1}\text{COCH}_3$ (V) (образуется вследствие легкости омыления и декарбоксилирования в условиях АО Ib с $n = 3$), и, следовательно, атака O_2 при АО IV при 130° направлена почти в равной мере на все вторичные С-атомы IV. Синтезированы изомерные Ia (указаны n , исходное в-во, выход Ia в % на исходное в-во, т. кип. в $^\circ\text{C}/\text{мм}$, n^{25D} , d^{20}_4): 1, $n\text{-C}_4\text{H}_9\text{C}(=\text{NOH})\text{COOC}_2\text{H}_5$, 39, 88—89/12, 1,4211, 0,978; 3, $n\text{-C}_3\text{H}_7\text{CO}(\text{COOC}_2\text{H}_5)_2$, 81, 86—88/10, 1,4292, 0,994; 2, $(\text{CH}_3\text{CO})_2\text{O}$ и $\text{C}_2\text{H}_5\text{MgI}$, 7, 97—98/10, 1,4269, 1,000; 1, $\text{C}_2\text{H}_5\text{OOCCH}_2\text{CH}_2\text{CH}(\text{CH}_3\text{CO})\text{COOC}_2\text{H}_5$, 30, 88—89/5, 1,4271, 0,994. Ib расщепляют действием эквивалентного кол-ва HN_3 в CHCl_3 в присутствии H_2SO_4 при $< 0^\circ$, как описано в предыдущем сообщении, образующийся II отгоняют в 0,1 н. H_2SO_4 и хроматографируют на бумаге (указаны n и выход II в %): 4, 35; 3, 34—35; 2, 45—52; 1, 15—16. В остатке после отгонки II также хроматографируют на бумаге идентифицируют III. Через ~ 450 г IV [в ряде опытов с добавкой 0,1% ($n\text{-C}_{17}\text{H}_{35}\text{COO})_2\text{Co}$] пропускают 25 час. при 130° воздух со скоростью 20 л/час. Продукты АО [содержание карбонильных соединений (КС) 9—10%] разбавляют равным объемом C_6H_6 , экстрагируют примерно эквивалентным кол-вом 2 н. NaOH (щел. экстракт), фракционированием остатка выделяют летучие КС, 2,4 вес.% фракции, т. кип. 85—91/10 мм, и 4,1 вес.% фракции, т. кип. 91—95/10 мм, которые по данным расщепления по Шмидту и последующего хроматографирования на бумаге содержат Ib ($n = 1, 2$ и 4), и 1,6 вес.% фракции, т. кип. 95/10 мм — 140/3 мм, содержащей Ib ($n = 1$ и 2). Летучие КС обрабатывают 2,4-динитрофенилгидразином и р-р образовавшихся 2,4-динитрофенилгидразонов в CHCl_3 хроматографируют на бумаге, идентифицированы V, CH_3CHO , КС состава C_n , а также небольшие кол-ва КС состава C_4 и альдегида C_6 . Расщепление по Шмидту щел. экстракта приводит к образованию (также по данным хроматографирования на бумаге) II с n — от 1 до 5 (интенсивность полос уменьшается в том же порядке), что указывает на содержание в продуктах АО карбоновых к-т с числом С-атомов от 2 до 6. $\text{C}_6\text{H}_{11}\text{COOCH}_3$ (VI) окисляют воздухом (скорость подачи 20 л/час) при 100° до содержания перекисей 4,9—7% (продолжительность до 100 час.), остаток после отгонки неизмененного VI содержит 55,6% α -гидроперекиси VI. Последняя отличается большой стабильностью (не разлагается при выдержке 4 дня при $\sim 20^\circ$) и при гидрировании над Pd/BaSO_4 образует α -окси-VI (т. кип. 55—60/0,5 мм),

который действием NaOH омыляют в α -оксикетокетоксанкарбоновую к-ту, т. пл. $107-108^\circ$ (из воды). О. Н.

9Ж45. Несимметричные тетраалкилметаны. IV. Общий метод синтеза тетраалкилметанов. Rabjohn Norman, Phillips L. V., DeFeo R. J. Unsymmetrical tetraalkylmethanes. IV. General method of synthesis of tetraalkylmethanes. «J. Organ. Chem.», 1959, 24, № 12, 1964—1969 (англ.). — Исходя из несимметрич. кетонов синтезированы $\text{RR}'\text{R}''\text{C}(\text{CH}_3)_3$ (I). Кетоны по описанному ранее методу (Core A. C. и др., J. Amer. Chem. Soc., 1941, 63, 3452) превращены в $\text{RR}'\text{C}=\text{C}(\text{CN})\text{COOR}$ (II). Приведены R, R', R'', выход в %, т. кип. в $^\circ\text{C}/\text{мм}$, n^{25D} : C_2H_5 , C_3H_7 , C_2H_5 , 59, 100—103/15, 1,4642; CH_3 , C_6H_{13} , C_2H_5 (IIa), —, 134—137/3, 1,4649; C_3H_7 , C_4H_9 , C_2H_5 , 74, 158—160/15, 1,4654; C_2H_5 , C_7H_{15} , C_2H_5 , 81, 139—142/1, 1,4651; C_6H_{11} , C_6H_{13} , C_2H_5 , 88, 153—156/1, 1,4652; C_7H_{15} , C_8H_{17} , CH_3 , 68, 208—210/3, 1,4661; C_7H_{15} , $\text{C}_{10}\text{H}_{21}$, C_2H_5 , 51, 199—201/0,5, 1,4660; $\text{C}_{10}\text{H}_{21}$, $\text{C}_{11}\text{H}_{23}$, C_2H_5 , 69, 220—222/1,5, 1,4690. Взаимодействием II с реактивом Гриньяра получены $\text{RR}'\text{R}''\text{CCH}(\text{CN})\text{COOR}$ (III). Метод А: к 0,16 моля IIа и 0,8 г CuI_2 в 93 мл эфира прибавляют $\text{C}_{10}\text{H}_{21}\text{MgBr}$ (из 0,24 г-атома Mg и 0,24 моля $\text{C}_{10}\text{H}_{21}\text{Br}$ в 100 мл эфира), кипятят 1 час, через 20 час. ($\sim 20^\circ$) смесь выливают в 47 мл конц. HCl и 100 г льда, эфиром извлекают III ($\text{R} = \text{CH}_3$, $\text{R}' = \text{C}_6\text{H}_{13}$, $\text{R}'' = \text{C}_{10}\text{H}_{21}$, $\text{R}''' = \text{C}_2\text{H}_5$) (IIIa), выход 78,5%, т. кип. 200—204/1 мм, n^{25D} 1,4529, 5,66 г эйкозана и 1,76 г в-ва, т. кип. 120—126/1 мм. При прибавлении эфирного р-ра IIа к смеси $\text{C}_{10}\text{H}_{21}\text{MgBr}$ и CuI_2 (метод Б) образуется 29% IIIa. При проведении р-ции в отсутствие CuI_2 по методу А получено 46,9% IIIa, а по методу Б 43%. Аналогично получены III (приведены R, R', R'', R''', выход в %, т. кип. в $^\circ\text{C}/\text{мм}$, n^{25D}): C_2H_5 , C_3H_7 , $\text{C}_{12}\text{H}_{25}$, C_2H_5 , 60, 195—198/1, 1,4550; C_3H_7 , C_4H_9 , $\text{C}_{10}\text{H}_{21}$, C_2H_5 , 65, 178—180/1, 1,4552; C_2H_5 , C_7H_{15} , C_8H_{17} , C_2H_5 , 81, 190—194/1, 1,4549; C_6H_{11} , C_6H_{13} , C_7H_{15} , C_2H_5 , 71, 186—190/1, 1,4549; C_7H_{15} , C_8H_{17} , $\text{C}_{10}\text{H}_{21}$, CH_3 , 60, 238—240/0,5, 1,4590. Смесь 2,4 моля 85%-ного KOH в 660 мл воды, 0,49 моля IIа и 128 мл спирта кипятят 6 час., спирт упаривают, добавляют 800 мл 20%-ной H_2SO_4 и кипятят 4 часа, экстрагируют эфиром, эфир отгоняют, остаток размешивают с 0,8 г порошка Cu , декарбоксилируют при $150-160^\circ$ в смеси пропускают CO_2 , затем нагревают короткое время при 180° , выделяют $\text{C}_{10}\text{H}_{21}\text{C}(\text{CH}_3)(\text{C}_6\text{H}_{13})\text{CH}_2\text{CN}$, выход 86%, т. кип. 181—183/1 мм, n^{25D} 1,4493. Аналогично получены $\text{RR}'\text{R}''\text{CCH}_2\text{CN}$ (приведены R, R', R'', R''', выход в %, т. кип. в $^\circ\text{C}/\text{мм}$, n^{25D}): C_2H_5 , C_3H_7 , $\text{C}_{12}\text{H}_{25}$, 56, 172—175/1, 1,4520; C_3H_7 , C_4H_9 , $\text{C}_{10}\text{H}_{21}$, 69, 168—170/1, 1,4522; C_2H_5 , C_7H_{15} , C_8H_{17} (IV), 87, 177—180/1, 1,4524; C_6H_{11} , C_6H_{13} , C_7H_{15} , 85, 169—173/1, 1,4510; C_7H_{15} , C_8H_{17} , $\text{C}_{10}\text{H}_{21}$, 96, 226—228/1, 1,4570; C_7H_{15} , $\text{C}_{10}\text{H}_{21}$, $\text{C}_{12}\text{H}_{25}$, 78, 262—265/0,5, 1,4580; $\text{C}_{10}\text{H}_{21}$, $\text{C}_{11}\text{H}_{23}$, $\text{C}_{12}\text{H}_{25}$, 36, 278—281/0,5, 1,4598. К $\text{C}_7\text{H}_{15}\text{MgBr}$ (из 0,78 г-атома Mg и 0,77 моля $\text{C}_7\text{H}_{15}\text{Br}$ в 400 мл эфира) прибавляют 0,51 моля IV, кипятят 11 час., выливают в смесь 180 мл конц. HCl и 280 г льда, органич. слой упаривают, остаток выливают в 65 мл конц. HCl и 450 мл воды, кипятят 1 час, эфиром извлекают $\text{RR}'\text{R}''\text{CCH}_2\text{COR}$ (V) ($\text{R} = \text{C}_2\text{H}_5$, $\text{R}' = \text{C}_6\text{H}_{17}$, $\text{R}'' = \text{C}_7\text{H}_{15}$), выход 83%, т. кип. 212—214/2 мм, n^{25D} 1,4548. Аналогично получены V (здесь и далее приведены R, R', R'', R''', выход в %, т. кип. в $^\circ\text{C}/\text{мм}$, n^{25D}): C_2H_5 , C_3H_7 , $\text{C}_{12}\text{H}_{25}$, C_7H_{15} , 43, 215—216/1, 1,4551; C_3H_7 , C_4H_9 , $\text{C}_{10}\text{H}_{21}$, C_7H_{15} , 86, 223—225/2, 1,4540; CH_3 , C_6H_{13} , $\text{C}_{10}\text{H}_{21}$, C_7H_{15} , 75, 202—206/1, 1,4531; C_6H_{11} , C_6H_{13} , C_7H_{15} , C_6H_{13} (Va), 42, 195—197/1, 1,4531; C_7H_{15} , C_8H_{17} , $\text{C}_{10}\text{H}_{21}$, C_7H_{15} , 88, 253—256/1, 1,4582; $\text{C}_{10}\text{H}_{21}$, $\text{C}_{11}\text{H}_{23}$, $\text{C}_{12}\text{H}_{25}$, C_7H_{15} , 57, 270—273/0,5, 1,4613; C_7H_{15} , $\text{C}_{10}\text{H}_{21}$, $\text{C}_{12}\text{H}_{25}$, $\text{C}_{15}\text{H}_{37}$, 71, 292—295/0,1, 1,4620. При восстановлении 0,32 моля Va в 160 мл эфира с помощью 0,34 моля LiAlH_4 в 640 мл эфира получают $\text{RR}'\text{R}''\text{CCH}_2\text{CHOHR}$ (VI) ($\text{R} = \text{C}_6\text{H}_{11}$, $\text{R}' = \text{C}_7\text{H}_{15}$, $\text{R}'' = \text{C}_8\text{H}_{17}$), выход 98%, т. кип. 199—203/1 мм, n^{25D} 1,4580. Восстановить Va NaBH_4 не удалось. Аналогично получены VI: C_2H_5 , C_3H_7 , $\text{C}_{12}\text{H}_{25}$, C_7H_{15} , 93,

воду и из органич. слоя выделяют II (приведены II, выход в %, т. кип. в °C/мм, n_D^{20} , d_4^{20}): а, 82,4, 58—59/2, 1,4390, 0,8224; б, 68, 64—65/2, 1,4390, 0,8208; в, 63, 71—1,4390, 0,8234; г, 44,7, 95—97,5/4, 1,4395, 0,8229; 74/1, 1,4392, 0,8234; д, 40, 86—89/4, 1,4371, 0,8171; е, 35,2, 102—103,5/3, 1,4385, 0,8179; ж, 66,9, 77,5—79/2, 1,4468, 0,8320; з, 23,6, 150—152/3, 1,4902, 0,9232; и, 35,7, 173/2, 1,4572, 0,8703; к, 52,7, 194—197/2, 1,4635, 0,9451. Приведены данные ИК-спектра III. Сообщение V см. РЖХим, 1960, № 4, 13403.

Л. Блинова

9Ж52. О катализируемом кислотами разложении изомерных гидроперексидов *n*-октана. Pritzko Wilhelm, Schaefer Hans. Über die durch Säuren katalysierte Zersetzung der isomeren Hydroperoxy-*n*-octane. «Chem. Ber.», 1960, 93, № 9, 2151—2156 (нем.).—Исследован распад 1-(I), 2-(II), 3-(III), 4-гидроперексидов *n*-октана (IV) и 3-гидроперексидов *n*-гептана (V). Разложение проводилось в 0,1 *M* р-ре CH_3COOH в присутствии HNO_3 (0,01 *M*) при 60°. Реакционная смесь обрабатывалась р-ром 2,4-(NO_2) $_2\text{C}_6\text{H}_3\text{NHNH}_2$, гидрозоны извлекались бензолом и идентифицировались по хроматограмме на бумаге. Установлено, что из двух возможных направлений распада I—V: $\text{RR}'\text{CHOOH} + \text{H}^+ \rightleftharpoons \text{RR}'\text{CHOO} + \text{H}_2 \rightarrow \text{RR}'\text{CHO} + \text{H}_2\text{O}$ (VI) (A) $\text{RCOR}' + \text{H}^+ \rightleftharpoons \text{RC} + \text{HOR}' \rightarrow \text{RCHO} + \text{R}'\text{OH}$ (B) — осуществляется главным образом первое (A). Доля продуктов перегруппировки катиона VI по схеме B составляет 4—6% в случае вторичных гидроперексидов и 0,1% при разложении I. Приводятся исходные в-во, т. кип. в °C/10⁻³—10⁻² мм, n_D^{20} , d_4^{20} , продукт разложения, выход в мол. %: I, 40—44, 1,4314, 0,8787, CH_3O , 0,1, $\text{C}_8\text{H}_{17}\text{CHO}$, 62,2; II, 39—42, 1,4299, 0,8772, CH_3CHO , 4, $\text{C}_8\text{H}_{17}\text{COCH}_3$, 80,2; III, 32—34, 1,4308, 0,8823, $\text{C}_8\text{H}_{17}\text{CHO}$, 3, $\text{C}_8\text{H}_{17}\text{COCH}_3$, 2, $\text{C}_8\text{H}_{17}\text{COCH}_2\text{CH}_3$, 80,7; IV, 35—37, 1,4297, 0,8882, $\text{C}_8\text{H}_{17}\text{CHO}$, 3, $\text{C}_8\text{H}_{17}\text{COCH}_3$, 3, $\text{C}_8\text{H}_{17}\text{COCH}_2\text{CH}_3$, 80,8; V, 32—34/0,3 мм, 1,4266, 0,8825, $\text{C}_8\text{H}_{17}\text{CHO}$, 3, $\text{C}_8\text{H}_{17}\text{COCH}_3$, 2, $\text{C}_8\text{H}_{17}\text{COCH}_2\text{CH}_3$, 74,1. Приведены значения R_f 2,4-динитрофенилгидразонов всех полученных карбонильных соединений [хроматографирование на бумаге с HCONHCH_3 , р-тель $\text{H}-\text{C}_8\text{H}_{16}-\text{HCONHCH}_3$ (5:1) и $\text{C}_6\text{H}_5\text{C}_2\text{H}_5-\text{HCONHCH}_3$ (4:1)].

Г. Кондратьева

9Ж53. Синтез альдегидов и ацеталей из ортоэфиров муравьиной кислоты, окиси углерода и водорода в присутствии кобальтового катализатора. Cioni F. P. Synthesis of aldehydes and acetals from orthoformic esters, carbon monoxide and hydrogen in the presence of cobalt catalysts. «Chemistry and Industry», 1960, № 40, 1240—1241 (англ.).—При взаимодействии $\text{HC}(\text{OC}_2\text{H}_5)_3$ с CO и H_2 ($\text{CO}:\text{H}_2 = 1$) под давл. 100—200 атм и при 80—150° в присутствии $[\text{Co}(\text{CO})_4]_2$ образуется 1,1-диэтоксипропан (т. кип. 124,5—125,5°, n_D^{20} 1,3894), HCOOC_2H_5 и $\text{C}_2\text{H}_5\text{OH}$. При этом $[\text{Co}(\text{CO})_4]_2$ превращается в $\text{HCo}(\text{CO})_4$. Из $\text{HC}(\text{OC}_2\text{H}_5)_3$ образуется 1,4-дипропоксибутан с выходом 90% (т. кип. 87—88°/16 мм, n_D^{20} 1,4086). Из (+)-(-)- (S) -2-метилбутилортоформата (т. кип. 105°/1,3 мм, n_D^{20} 1,4254, $[\alpha]_D^{20} +2,76^\circ$) получен с выходом 95% (+)-1,1-бис-(S)-2-метилбутон-3-метилэтанол (т. кип. 95—96°/1,4 мм, n_D^{20} 1,4282, $[\alpha]_D^{20} +4,90^\circ$). Установлено, что в двух последних случаях ацетали образуются путем непосредственного взаимодействия ортоэфиров муравьиной к-ты с $\text{Co}(\text{CO})_4$. Напротив, $\text{HC}(\text{OC}_3\text{H}_7)_3$ (т. кип. 63°/19 мм, n_D^{20} 1,3944) подвергается гидроформилированию при 80°. В продуктах р-ции, кроме диэтоксипропанола, содержащего значительное кол-во свободных альдегидов. Изомаляновый альдегид и его диэтоксипропанола являются главными продуктами р-ции, но при помощи газовой хроматографии был обнаружен *n*-малеиновый альдегид, что может быть объяснено изомеризацией изопропиловых групп. Процесс гидроформилирования ортоэфиров протекает через стадию образования комплекса различных изомерных олефинов с $\text{HCo}(\text{CO})_4$.

В. Фюрст

9Ж54. Каталитическая изомеризация γ -оксеей. Превращение алкилтетрагидрофурилкарбинолов в алифатические кетоны. Шуйкин Н. И., Бельский И. Ф., Шостаковский В. М., «Ж. общ. химии», 1960, 30, № 8, 2757—2759.—Изучена каталитич. изомеризация $\text{RCH}(\text{OH})\text{CH}_2\text{CH}_2\text{CH}_2\text{O}$ (Ia—г; а $\text{R} = \text{CH}_3$, б $\text{R} = \text{C}_2\text{H}_5$, в $\text{R} = \text{изо-C}_3\text{H}_7$, г $\text{R} = \text{C}_4\text{H}_9$) над 10%-ной Pt/C в паровой фазе при 280—300° в смеси или без H_2 , объемной скоростью 0,1 час⁻¹. Установлено, что γ -оксеей кольцо I изомеризуется с раскрытием цикла по $\text{C}-\text{O}$ -связи 1,2 соседней с боковым заместителем в α -положении и с образованием 55—60% кетона RCOC_2H_5 ; что имеет место гидрогенолиз цикла по боковому $\text{C}-\text{O}$ -связям с образованием 35—40% кетона RCOC_4H_9 . Полагают, что изомеризации предшествует

дегидрирование Ia—г в $\text{RCOCHCH}_2\text{CH}_2\text{CH}_2\text{O}$. Синтезированы с выходом 47—72% (приведены константы) исходные Ia—г.

А. Волков

9Ж55. Синтез 2,4-диметил-3-оксигексенопентанали. Wiley Paul F. Weaver Ollidene Synthesis of 2,4-dimethyl-3-hydroxy-6-oxoheptanal. «J. Organ. Chem.», 1960, 25, № 9, 1664—1665 (англ.).—2,4-диметил-3-оксигексенопентаналь (I) синтезирован следующим путем. Гидрированием 2,6-диметилбензохинона-1,4 (35 ат при 180°) получен 2,6-диметилциклогександиол-1,4 (выход 13,5%, т. кип. 85—90°/0,3 мм), при окислении 0,014 моля которого с помощью 0,009 моля CrO_3 в лед. CH_3COOH (2 часа при ~20°, а затем 15 мин. при 100°) образуется 3,5-диметил-4-оксидициклогексанон (II), т. кип. 86°/0,5 мм, n_D^{20} 1,4690, 2,4-динитрофенилгидразон, т. пл. 143—145° (из сп.); *n*-толуолсульфонат, т. пл. 125—127° (из CH_3OH). При нагревании 0,035 моля II с 0,35 моля $(\text{CH}_3\text{CO})_2\text{O}$ в 120 мл $\text{C}_6\text{H}_5\text{N}$ (2 часа при 100°) образуется 4-ацетоксигексенопентаналь (III) (выход 51%, т. кип. 120°/12 мм), который при действии CH_3MgI превращается в 4-ацетоксигексенопентаналь (IV) (выход 38%, т. кип. 80°/0,3 мм, n_D^{20} 1,4608). При кипячении 0,041 моля IV с 0,55 г I_2 в 70 мл сухого толуола (4 часа) получается ацетат 2,4,6-триметилциклогексен-3-ола (V, VI спирт) (выход 46%, т. кип. 82—93°/11 мм, n_D^{20} 1,4638), омылением которого водно-спирт. NaOH получен VI, т. кип. 85—97°/12 мм. При действии озона на VI (из 2 г V) в 100 мл $\text{CH}_3\text{COOC}_2\text{H}_5$ (1,5 часа) с последующей отгонкой р-теля и обработкой 0,8 г Zn -пыли и 1,1 г лед. CH_3COOH в сухом эфире получен с чистым выходом неочищ. I. Приведены данные ИК-спектров I—IV, VI и УФ-спектра II.

В. Дашунина

9Ж56. Некоторые исследования в области конденсации кетонов. Кулешов А. М., Левшина А. М., Зульфугарова А. Г. «Азерб. хим. ж., Азерб. хим. ж.», 1959, № 5, 29—34 (рез. азерб.).—Конденсацией CH_3COR (а $\text{R} = \text{CH}_3$, б $\text{R} = \text{C}_2\text{H}_5$) над Al_2O_3 при ~20° в видеизмененном аппарате Сокслета получены соответствующие $\text{RCOH}(\text{CH}_3)\text{CH}_2\text{COR}$ (Ia, б). Выход Ia достигает 30%.

Г. Крупина

9Ж57. Синтез *cis*-10-оксидецен-2-овой кислоты. Fray G. I., Morgan E. D., Robinson Robert. Synthesis of *cis*-10-hydroxydec-2-enoic acid. «Tetrahedron Letters», 1960, № 13, 34—35 (англ.).—Этерификация иминовой к-ты с последующим восстановлением LiAlH_4 дает гептандиол-1,7, который с помощью HCl -к-ты и Cu_2Cl_2 превращают в 1,7-хлоргидрин и затем в $\text{Cl}(\text{CH}_2)_7\text{OR}$ (здесь и далее $\text{R} = \text{тетрагидропиранил-1}$), т. кип. 92—95°/0,2 мм. При обработке последнего NaI в ацетоне и затем $\text{CH}\equiv\text{CNa}$ в диметилформамиде образуется $\text{CH}\equiv\text{C}(\text{CH}_2)_7\text{OR}$, т. кип. 90—91°/0,3 мм, из которого действием C_2H_2 с $\text{C}_2\text{H}_5\text{MgBr}$ с последующей обработкой CO_2 получают $\text{RO}(\text{CH}_2)_7\text{C}\equiv\text{CCOOH}$. Последнюю гидролизуют в $\text{HO}(\text{CH}_2)_7\text{CH}=\text{CHCOOH}$ (I), т. пл. 72—73°. Гидрированием I в присутствии катализатора Линдлара получают *cis*-10-оксидецен-2-овую к-ту (II),

т. пл. 73,5—74,5°. Приведены данные ИК-спектров I и II и УФ-спектра II. Г. Крупина

9Ж58. Новый способ окисления фурана в маленовую кислоту. Лапкова Л. Б., Пятицкий М. П., Кипрач Л. И. «Уч. зап. Краснодарск. гос. пед. ин-та», 1959, вып. 24, 277—280. Предложен метод получения маленовой к-ты (I) окислением фурана (II) пергидролом (III) при $\sim 20^\circ$. Смесь 6 г II и 36 г III выдерживают 40 дней в запаянной ампуле, упаривание смеси и высушивание остатка дает 7,3 г кристаллич. продукта. Хроматографирование на силикагеле, пропитанном 0,5 NH_4SO_4 , и титрование показали, что выход I достигает 81% от взятой навески и 94% от общей суммы к-т в этой навеске. Нагревание смеси II и III до 80° сокращает время р-ции до 4 час. и увеличивает выход кристаллич. продуктов. И. Болесов

9Ж59. Тетровые кислоты. Haynes L. J., Plimmet J. R. Tetronic acids. «Quart. Revs. London. Chem. Soc.», 1960, 14, № 3, 292—315 (англ.). Обзор. Библ. 95 назв.

9Ж60. Карбонилирование ацетилена окисью углерода, водородом и этанолом. Crowe B. F. Carbonylation of acetylene with carbon monoxide, hydrogen and ethanol. «Chemistry and Industry», 1960, № 31, 1000 (англ.). Изучено введение в ацетилен сложной эфирной и альдегидной групп при взаимодействии C_2H_2 , CO и H_2 в соотношении 1:2:1 с избытком этанола при 50 атм при 102—112°. При этом получена фракция, т. кип. 76—80°, содержащая этилпропионат, пропионовый альдегид, ацеталь последнего и следы этилакрилата, и фракция, т. кип. 72—85°/3,5 мм, состоящая из диэтилового эфира янтарной к-ты, этилового эфира γ,γ -диэтоксимасляной к-ты, весовое соотношение которых остается постоянным первые несколько часов, хотя выходы их повышаются во времени. И. Болесов

9Ж61. Новые методы введения защитной карбо-трет-бутоксигруппы. Синтез трет-бутилового эфира цианомуравьиной кислоты. Carpino Louis A. New methods of introducing the carbo-*t*-butoxy protective group. Preparation of *t*-butyl cyanofornate. «J. Amer. Chem. Soc.», 1960, 82, № 11, 2725—2727 (англ.). Карбо-трет-бутоксигруппа служит удобной защитной группировкой для разнообразных аминогрупп, имеющей ряд преимуществ перед другими блокирующими группировками. Описаны новые пути синтеза трет-бутилового эфира гидразинкарбоновой к-ты (I), промежуточного соединения при получении трет-бутилового эфира азиомуравьиной к-ты (II), являющегося известным карбо-трет-бутоксигруппирующим агентом (см. РЖХим, 1958, № 8, 25130; 1959, № 19, 67894), а также другого ацилирующего агента — трет-бутилового эфира цианомуравьиной к-ты (III). В предварительно нагретую суспензию $(\text{CH}_3)_3\text{CONa}$ (из 46 г Na) в 1500 мл $(\text{CH}_3)_2\text{CO}$ при перемешивании пропускают COS до прекращения экзотермич. р-ции (~ 2 часа), за 15—20 мин. прибавляют 355 г CH_3J и перемешивают ~ 12 час. при $\sim 20^\circ$. Реакционную смесь обрабатывают 1 л воды, органич. слой высаливают K_2CO_3 и получают трет-бутил-S-метилловый эфир моноотиоугольной к-ты (IV), выход 65%, т. кип. 60—62°/20 мм. Смесь 192,5 г IV и 72 г 64%-ного NH_4NH_2 кипятят, перемешивая, 24 часа, разбавляют 250 мл CH_2Cl_2 , высаливают MgSO_4 и получают I высокой степени чистоты, выход 84%, т. пл. 40—41° (из лигр.-петр. эф.). К охлаждаемой льдом смеси 41,5 мл трет- $\text{C}_4\text{H}_9\text{OH}$, 35,2 мл $\text{C}_6\text{H}_5\text{N}$ и 100 мл CH_2Cl_2 при перемешивании за 1,5 часа прибавляют 100 г бромангидрида α -бромизомаляной к-ты, перемешивают 4 часа при $\sim 0^\circ$ и 15 час. при $\sim 20^\circ$ и получают трет-бутиловый эфир α -бромизомаляной к-ты (V), выход 69%, т. кип. 35—37°/1,0 мм. Смесь 22,3 г V, 10,5 г NaNO_2 и 80 мл $(\text{CH}_3)_2\text{O}$ перемешивают 15 час., разбавляют водой, экстрагируют CH_2Cl_2 и получают трет-бутиловый эфир α -нитроизомаляной к-ты (VI), выход 71,4%, т. кип. 39°/0,4 мм. При нагревании смеси 3,8 г VI и 1,5 г 98%-ного NH_2NH_2 в течение

15 час. при 98—100° образуется I с выходом 32%. К перемешиваемому р-ру 15 мл 100%-ного гидразингидрата в 40 мл диметилформамида (VII) за 5—7 мин. прибавляют 22 г трет-бутилового эфира трихлоруксусной к-ты, перемешивают 10 час. при $\sim 20^\circ$, прибавляют р-р 40 г NaOH в 500 мл воды, перемешивают еще 15 час. и непрерывной экстракцией выделяют I с выходом 34%. В хорошо перемешиваемую смесь трет- $\text{C}_4\text{H}_9\text{OK}$ (из 20 г K), 500 мл трет- $\text{C}_4\text{H}_9\text{OH}$ и 400 мл C_6H_6 ~ 30 мин. пропускают CO_2 , прибавляют 75 мл VII и 82,5 г $\text{C}_6\text{H}_5\text{N}$, кипятят 48 час., прибавляют воду и получают возможный промежуточный продукт для синтеза I — этил-трет-бутиловый эфир угольной к-ты (VIII), выход 39%, т. кип. 140—141°. Взаимодействие хлоругольного эфира с суспензией трет- $\text{C}_4\text{H}_9\text{OK}$ в трет- $\text{C}_4\text{H}_9\text{OH}$ также приводит к VIII, выход 56%. Смесь 150 г N-бромсукцинимиды, 5 г $\text{CH}_2=\text{CHCH}_2\text{Cl}$, 0,1 г перекиси бензола и 750 мл CHCl_3 кипятят 15 час., образовавшийся β -бромпропионилизоцианат (выход 110 г, т. кип. 60—62°/3 мм) за 5—8 мин. при перемешивании прибавляют к 200 мл трет- $\text{C}_4\text{H}_9\text{OH}$ и получают трет-бутиловый эфир N- β -бромпропионилкарбаминной к-ты (IX), выход 61,5%, т. пл. 100—103°. К перемешиваемому р-ру 93 г NaOH в 1500 мл воды при 75—80° в одну порцию прибавляют 139 г IX, через 2—3 мин. фильтруют, быстро охлаждают до $\sim 0^\circ$ и получают трет-бутиловый эфир карбаминной к-ты (X), выход 73%, т. пл. 108—110°. К смеси 35,2 г трет- $\text{C}_4\text{H}_9\text{OH}$, 37,6 г $\text{C}_6\text{H}_5\text{N}$ и 100 мл CH_2Cl_2 при перемешивании при $\sim 0^\circ$ за 1 час прибавляют 64,8 г хлорангидрида моноэтилового эфира шавелевой к-ты, перемешивают 4 часа при $\sim 0^\circ$, ~ 12 час. при $\sim 20^\circ$, прибавляют воду и получают этил-трет-бутиловый эфир шавелевой к-ты (XI), выход 70,4%, т. кип. 48°/1,0 мм. Аналогично синтезируют этил-трет-бутиловый эфир шавелевой к-ты (XII), выход 70%, т. кип. 46°/0,3 мм. К р-ру 100 г XI в 30 мл спирта за 3—5 мин. прибавляют 40 мл конц. NH_4OH , выдерживают 12 час. при $\sim 20^\circ$, прибавляют 200 мл CH_2Cl_2 и получают трет-бутиловый эфир моноамида шавелевой к-ты (XIII), выход 82%, т. пл. 89,5—90,5° (из б. лигр.). К перемешиваемой смеси 30 г XIII и 36,8 г $\text{C}_6\text{H}_5\text{N}$ при $\sim 0^\circ$ за 10 мин. прибавляют 52 г $(\text{CF}_3\text{CO})_2\text{O}$, перемешивают 10 мин. при $\sim 20^\circ$, прибавляют 50 мл эфира, перемешивают еще 5 мин., обрабатывают водой и выделяют III, выход 78%, т. кип. 64—65°/55 мм. Ацилирование аминов с помощью III проходит энергичнее, чем в случае II, но приводит к менее чистым продуктам; при применении $(\text{C}_2\text{H}_5)_3\text{N}$ в качестве катализатора образуются только маслообразные продукты неизвестного строения. Смесь 1,27 г III, 10 мл конц. NH_4OH и 5 мл воды выдерживают 12 час. при $\sim 20^\circ$ и получают X, выход 85,5%. Р-р 1,32 г I и 1,27 г III в 2 мл VII выдерживают 48 час. при $\sim 20^\circ$ и получают ди-трет-бутиловый эфир гидразиндицианомуравьиной к-ты (выход 77,5%, т. пл. 122,5—124,5°), образующийся при применении II с выходом лишь $\sim 40\%$. Р-р 0,01 моля III и 0,01 моля фенилгидразина в 5 г CH_2Cl_2 выдерживают 1 неделю при $\sim 20^\circ$ и получают трет-бутиловый эфир 2-фенилгидразинкарбоновой к-ты, выход 62%, т. пл. 91—93°. При выдерживании при $\sim 20^\circ$ (4 дня) смеси 0,01 моля III и 0,01 моля анилина образуется трет-бутиловый эфир N-анилинкарбоновой к-ты, выход 55,5%, т. пл. 135,5—138°. Суспензию 2,4 г дибензилдиаминной к-ты в 25 мл CH_2Cl_2 обрабатывают до разложения окислами N (из NaNO_2 и HNO_3), прибавляют воду и получают $(\text{C}_6\text{H}_5\text{CO})_2\text{O}$, выход 88,5%. Получение аналогичной р-ции с $(\text{CH}_3)_3\text{CCOOCNCOOC}(\text{CH}_3)_2$ целью синтеза нового возможного ацилирующего агента — $[(\text{CH}_3)_3\text{CCOOC}]_2\text{O}$ была безуспешной. Приведены ИК-спектры III—VI и XI—XIII. В. Андреев

9Ж62. Синтез изоалкильных эфиров α -хлорангидридной кислоты. Лосев И. П., Смирнова О. В., Денко Л. М. «Тр. Моск. хим.-технол. ин-та Д. И. Менделеева», 1959, вып. 29, 17—22. Хим.

ванием 5 молей акрилонитрила в присутствии 3% диметилформамида получен $\text{CH}_2\text{ClCHClCN}$ (I), выход 92,3%, т. кип. $58-59/7-8$ мм, n_D^{20} 1,4640, d_4^{20} 1,3500. К смеси 1 моля воды и 1,1 моля H_2SO_4 при $50-55^\circ$ прибавляют за 1 час 1 моль I, нагревают медленно до $80-85^\circ$ и через 1-1,5 часа ($80-85^\circ$) прибавляют за 30-40 мин. соответствующий ROH, из органич. слоев выделяют $\text{CH}_2\text{ClCHClCOOR}$ (II) (приведены R. выход в %, т. кип. в $^\circ\text{C}/\text{мм}$, n_D^{20} , d_4^{20}): *изо*- C_3H_7 (2-2,5 часа, $110-115^\circ$), 57,8, 60-62/3, 1,444, 1,1922; *изо*- C_4H_9 (т-ра р-ции $117-122^\circ$), 58,8, 74-75/1-3, 1,446, 1,1593; *изо*- C_6H_{11} ($125-130^\circ$) 66,6, 100-102/5-6, 1,450, 1,1342. Также II синтезированы непосредственным хлорированием 7-8 час. при $35-37^\circ$ последовательной смеси 3 молей ROH, 2 молей воды, 2 моля H_2SO_4 , 2 молей акрилонитрила и 4 г SiO_2 , с последующим кипячением смеси до 3 час., при этом выход II почти не меняется. Дегидрохлорированием 3-3,5 часа 0,5 моля II в 18 г воды с помощью 0,6 моля CH_3COONa в присутствии 4% гидроксинона получены $\text{CH}_2=\text{CClCOOR}$ (приведены R. т-ра р-ции, выход в %, т. кип. в $^\circ\text{C}/\text{мм}$, n_D^{20} , d_4^{20}): *изо*- C_3H_7 , 108-110, 73,3, 37-40/2, 1,4340, 1,0810; *изо*- C_4H_9 , 110-115, 68,8, 56-58/2-3, 1,4405, 1,0618; *изо*- C_6H_{11} , 120-125, 68,2, 79-80/5-6, 1,4440, 1,0385. Л. В.

9Ж63. Присоединение альдегидов к эфирам малеиновой, фумаровой и ацетилендикарбоновой кислот, происходящее под влиянием γ -лучей. Wiley Richard H., Nagrell J. R. γ -radiation-induced addition of aldehydes to esters of maleic, fumaric, and acetylenedicarboxylic acids. *J. Organ. Chem.*, 1960, 25, № 6, 903-904 (англ.). При присоединении альдегидов под влиянием облучения γ -лучами (Co^{60}) к дивалевым эфирам (ДЭЭ) малеиновой к-ты (I), фумаровой к-ты (II), диметиловому эфиру (ДМЭ) ацетилендикарбоновой к-ты (III; IV к-та) и ДЭЭ IV (V) образуются соответствующие эфиры ацилалтарных к-т, идентичные получаемым под влиянием $(\text{C}_6\text{H}_5\text{COO})_2$ или УФ-света (Patrick T. M., *J. Org. Chem.*, 1952, 17, 1009, 1269). Смесь 20,2 г масляного альдегида (VI) и 12,4 г I запаявают в стеклянную трубку, предварительно эвакуированную до полного обезгаживания, облучают дозой γ -лучей в 27,6 М ф. э. р. (400 000-450 000 ф. э. р./час) при 22° и получают ДЭЭ 2-бутирилалтарной к-ты (VII) [выход 84% (G 70), т. кип. $121/1-2$ мм, n_D^{25} 1,4344], при омылении дающий γ -кетогептановую к-ту, т. пл. 50° . В случае облучения смеси II и VI также образуется VII, но с выходом 36% (G 23). Аналогично из 9,3 г I и 15,4 г изомасляного альдегида (VIII) (доза γ -лучей 17,4 М ф. э. р.) получают ДЭЭ 2-изобутирилалтарной к-ты (IX) [выход 27% (G 35), т. кип. $99/2$ мм, n_D^{25} 1,405, 1,5012. Аналогично синтезируют: из 19 г VI и 9,35 г III (10,4 М ф. э. р.) ДМЭ 2,3-дибутирилалтарной к-ты (XI), выход 23% (G 54), т. кип. $170-175/2$ мм, т. пл. $112,5^\circ$ (из разб. CH_3OH); из 13,4 г ацетальдегида (XII) и 10,2 г III (18,8 М ф. э. р.) — ДМЭ 2,3-диацетиленалтарной к-ты, выход 31% (G 54), т. кип. $120-135/1$ мм, т. пл. 148° (из разб. CH_3OH); из XII и V — ДЭЭ 2,3-диацетиленалтарной к-ты (XIII), выход 26% (G 46), т. пл. 90° (из лигн. и из 50%-ной CH_3COOH); из 16,2 г VIII и 8,6 г V (17,4 М ф. э. р.) ДЭЭ 2,3-диизобутирилалтарной к-ты (XIV), выход 9% (G 11), т. кип. $112/1$ мм. Строение XI подтверждают его синтезом из VI и III кипячением с $(\text{C}_6\text{H}_5\text{COO})_2$ (выход 22%), а строение XIII — синтезом из ацетоуксусного эфира, Na и J. Авторы полагают, что присоединение альдегидов к I-III и IV под влиянием γ -лучей происходит по свободно-радикальному механизму; в случае ионного механизма р-ции для эфиров IV следовало бы ожидать образования 2,2-диацетиленпроизводных. Приведены ИК-спектры VII, IX—XI, XIII и XIV.

В. Андреев

9Ж64. Формилирование и ацилирование органических соединений замещенными амидами карбоновых

кислот. Минкин В. И., Дорофеев Г. Н. «Успехи химии», 1960, 29, № 11, 1301-1335.—Обзор. Библ. 160 назв.

9Ж65. Перегруппировка некоторых трихлорметилкарбинолов в хлорангидриды α -хлоркислот. Kündiger Donald G., Ikenberry Ernest A., Ovist E. B. W., Peterson J. Gregory, Dick Clarence R. The rearrangement of certain trichloromethylcarbinols to α -chloro acid chlorides. *J. Amer. Chem. Soc.*, 1960, 82, № 11, 2953-2956 (англ.). Изучено поведение хлоретона (1,1,1-трихлор-2-метилпропанола-2) (I) и некоторых других трихлорметилкарбинолов в условиях пинаколиновой перегруппировки с целью получения хлорангидрида — α -хлоризомасляной к-ты (II; III к-та) и аналогичных хлорангидридов α -хлоркислот. Предложен механизм этой р-ции, сходный с механизмом пинаколиновой перегруппировки. К 200 мл H_2SO_4 при перемешивании прибавляют 1 моль I, после окончания выделения HCl -газа смесь выливают в лед и экстрагируют C_6H_6 . При этом в различных условиях получают следующие выходы III (т. кип. $91/17$ мм) (перечисляются конц-ия H_2SO_4 в %, т-ра р-ции в $^\circ\text{C}$, выход III в %): 98,5, 20-25, 94; 96, 50, 84; 90, 70, 62; 80, 120, 34; 50, кипячение, 0. К 3 молям I, помещенным в специально сконструированный реактор, снабженный эффективной охлаждающей водяной рубашкой и распылителем для введения препятствующего пенообразованию средства (петр. эфира), прибавляют 270 мл 100%-ной H_2SO_4 со скоростью 8-16 мл/мин, поддерживая внутри реактора т-ру 25° . Через несколько минут после окончания прибавления H_2SO_4 наступает особенно бурная стадия р-ции, которая сопровождается энергичным выделением HCl -газа и продолжается ~5 мин. Смесь выдерживают еще 5 мин. и получают в верхнем слое II (т. кип. $58-59/80$ мм, $62-65/112$ мм); нижний слой выливают в лед, экстрагируют C_6H_6 и выделяют III. При этом в зависимости от содержания воды в исходном I получают следующие результаты (перечисляются кол-во воды в I в %, время р-ции в мин., выход II в %, выход III в %): 0,16, 34, 64, 17; 0,2, 29, 58, 25; 0,5, 34, 54, 27; 0,6, 30, 48, 28; 1,3, 53, 43, 36; 1,7, 48, 39, 36; 2,9, 60, 17, —; 4,4, 150, —, 0,72. Перегруппировка 1,1,1,3-тетрахлор-2-метилпропанола-2 (IV) в хлорангидрид α , β -дихлоризомасляной к-ты (V; VI к-та) под влиянием 100%-ной H_2SO_4 происходит гораздо медленнее, чем перегруппировка I, что объясняется сильным противоположно направленным индуктивным влиянием ClCH_2 -группы в IV на протонизованную HO-группу, препятствующим отщеплению ее в виде молекулы воды. К 255 г безводн. IV в описанном выше реакторе прибавляют 110 мл 100%-ной H_2SO_4 при $40-50^\circ$, нагревают при этой т-ре 5,5 час., из смеси после обычной обработки получают V (выход 47%, т. кип. $89-90/85$ мм, n_D^{20} 1,4688, d_4^{20} 1,388) и VI, выход 13%, т. кип. $113-114/15$ мм, n_D^{20} 1,4825, d_4^{20} 1,450. При 25° р-ция идет чрезвычайно медленно. Р-ция V с *n*-хлорфенолом в присутствии AlCl_3 приводит к *n*-хлорфениловому эфиру VI (т. кип. $112-114/1,0$ мм, n_D^{20} 1,5281, d_4^{20} 1,358), а р-ция с 2,4-диметилфенолом — к 2,4-диметилфениловому эфиру VI, т. кип. $94-99/0,4$ мм, т. пл. $68,0-68,5^\circ$ (из разб. сп.). В противоположность I и IV трихлорметилкарбинолы, содержащие Н-атомы в α -положении к карбинольному С-атому, при действии H_2SO_4 претерпевают главным образом дегидратацию. Напр., взаимодействие 169 г 1,1,1-трихлор-2-метилоктанола-2 (VII) с 125 мл 100%-ной H_2SO_4 ($25-45^\circ$) приводит к 2-хлор-2-метилоктановой к-те (VIII) (выход 26%, т. кип. $122-124/2,4$ мм, n_D^{20} 1,4555-1,4550), смеси трихлоренонов (выход 9%) и продуктов омыления (50%). При обратном прибавлении реагентов также образуется смесь изомерных трихлоренонов (44%), VIII (15%) и продуктов омыления (~30%). Прибавление 1-трихлорметилциклогексанола-1 (IX) к 100%-ной H_2SO_4 приводит лишь к 10% сме-

си к-т, состоящей, как показывает ИК-спектр, из 52% 1-хлорциклогексанкарбоновой к-ты и 48% 1-хлорциклогексенкарбоновой к-ты. Трихлорметилкарбинолы, которые вследствие особенностей их строения не могут образовывать переходный карбониевый ион, оказались неспособными к перегруппировке. Так, 1,1,1-трихлор-3-нитропропанол-2- и 2,2,2-трихлорэтанол возвращаются неизменными при обработке конц. или 100%-ной H_2SO_4 , а 1,1,1-трихлор-2-фенилэтанол-2-образует лишь полимерные продукты. К кипящему р-ру 178 г I в 500 мл сухого CCl_4 прибавляют 5 г $(C_6H_5COO)_2$, затем, по каплям, 148 г SO_2Cl_2 , а затем еще 5 г $(C_6H_5COO)_2$, после чего продолжают кипячение (время р-ции 5–6 час.) и получают IV (выход 70–73%, т. кип. 98–100°/14 мм, n_D^{20} 1,5138–1,5145, d_4^{20} 1,591), а также дихлорпроизводное I (т. кип. 112–113°/14 мм, n_D^{20} 1,5252, d_4^{20} 1,614) незначительного строения. Вместо $(C_6H_5COO)_2$ можно применять α,α' -азодизобутиронитрил; при применении перекиси ди-трет-бутила выход IV составляет 30%. К смеси 2,0 моля октанона-2 и 1,0 моля $CHCl_3$ при 0–5° при перемешивании прибавляют 1 моль порошкообразного КОН, выдерживают 1 час и получают VII, выход 13%, т. кип. 137–140°/19 мм, n_D^{20} 1,4770, d_4^{20} 1,160. Аналогично смесь 1,0 моля $CHCl_3$ и 4,0 моля циклогексана обрабатывают 0,5 моля КОН и получают IX, выход 37%, т. кип. 120–124°/14 мм, т. пл. 58–59°.

В. Андреев

9Ж66. Новый тип органических соединений — цианоуглеводороды. Remond J. Une nouvelle famille de composés organiques les cyanocarbores. «Rev. prod. chim.», 1960, 63, № 1277, 407–412 (франц.). Обзор путей получения и р-ций тетрацианоэтилена. Библ. 7 назв.

9Ж67. Алифатические и жирноароматические бистриазены. Починок В. Я., Шрубович В. А., Портнягина В. А., Полянская А. Л. «Укр. хим. ж.», 1959, 25, № 6, 774–780. Взаимодействием 1,2-дiazидоэтана (I) 1,2- и 1,3-diazидопропана (II, III), 1,3-diazидобензола и 4,4'-diazидобифенила с $RMgX$ (где X — галоген) синтезированы $(CH_2)_n(N_3HR)_2$ (IV). Исследованы р-ции расщепления ряда IV бензойной к-той (V) в эфире и C_6H_6 и найдено, что IV могут служить алкилирующим средством. Смесь 94 г C_2H_5Br , 80 мл спирта, 65 г NaN_3 и 200 мл воды нагревают 40 час., выливают в 500 мл воды, эфиром извлекают 66% I, т. кип. 54–55°/11 мм, n_D^{20} 1,4785. Аналогично получены (приведены в-во, выход в %, т. кип. в °C/мм n_D^{20}): II, 81, 36–37/6, 1,4774; III, 73, 48–50/2, 1,4789, d_4^{21} 1,4042. К эфирному р-ру $RMgX$ прибавляют diaзид (молярное соотношение 2,1:1), магнийорганич. комплекс разлагают водн. р-ром NH_4Cl с NH_3 , эфиром извлекают IV. Маслообразные IV идентифицированы в виде Ag-солей. Приведены R, н, выход в %, т. пл. в °C, т. разл. Ag-соли в °C: C_2H_5 , 2, 41, 57–58 (из petr. эф.), 149–151; $n-C_3H_7$, 2, —, 58–59 (из petr. эф.), 140–142; $iso-C_3H_7$, 2, 72, —, 154–156; $n-C_4H_9$, 2, 71, 59–60 (из petr. эф.), —; $iso-C_4H_9$, 2, 61, 60–61 (из petr. эф.), —; $n-C_4H_9$, 3, 65, 51 (из petr. эф.), —; C_6H_5 , 3, 78, 87–88 (из petr. эф.), —; также получены 1,2-ди-(n -бутилтриазено)-пропан, 87, —, 120–123; 1,2-ди-(фенилтриазено)-пропан, 85, —, 160–162; 1,3-ди-(метилтриазено)-бензол, 92, 125–128 (из бэн., т. кип. 85–100°), —. Аналогично синтезированы 4,4'-ди-(алкилтриазено)-бифенил (приведены алкил, выход в %, т. пл. в °C): CH_3 , 80, 134–135 (из CCl_4); C_2H_5 , 80, 127–128 (из хлф.); $n-C_3H_7$, 76, 99–100 (из хлф.); $iso-C_3H_7$, 70, 93–94 (из хлф.); $n-C_4H_9$, 72, 105–106 (из хлф.); $iso-C_4H_9$, 78, 116–117 (из хлф.); циклогексил, 79, 119–120 (из хлф.); пропил-1-ил, 90, 205–207 (пересаживают водой из р-ра в диоксане). Жирноароматич. IV расщепляют действием V по описанной методике. (Починок В. Я., Портнягина В. А., Укр. хим. ж., 1952, 18, 631), с образованием сложных эфиров V с выходом 53–87% и ароматич. аминов с выходом ~100%. При разложении алифатич.

IV образуются сложные эфиры V с выходом 54–84% и $NH_2(CH_2)_nNH_2$ в виде дубензойной соли с выходом 40–82%. Л. Блинова

9Ж68. Превращения альдоксимов в α -оксимонитрилы, α,α -динитронитрилы и 1,1-динитропарафилы. Kissinger L. W., Ungnade H. E. The conversion of aldoximes to α -oximinonitriles, α,α -dinitronitriles, and 1,1-dinitroparaffins. «J. Organ. Chem.», 1960, 25, № 9, 1471–1473 (англ.). — Описан метод превращения альдоксимов (I) в $RC(CN)=NOH$ (II) и $R-C(NO_2)_2N+H$ (III). I с HCN дают $RCH(NHOH)CN$ (IV), нитрованием которых получают $RC(NO_2)_2CN$ (V). Промежуточными продуктами нитрования являются II, которые могут быть получены в чистом виде при дегидрировании IV с помощью хлорона (VI). Нитрование II приводит к чистым III, которые при действии NH_3 образуют III, III, IV, V охарактеризованы ИК-спектрами. К смеси I с р-ром бисульфита на холоду добавляют конц. водн. р-р цианида, далее следуют методу А или С, описанному ранее (РЖХим, 1959, № 3, 8188). А дает лучшие выходы IV, 0,1 моля IV в 500 мл C_6H_6 обрабатывают 0,1 моля VI и нагревают 3–5 час. Смесь охлаждают, р-р упаривают в вакууме. Остаток вносят в CCl_4 или смесь C_6H_6 + CCl_4 , фильтруют и перегоняют. Выход II 41–64%. Приводятся R, т. кип. II в °C/мм n_D^{20} : CH_3 , 35/0,9, 1,4542; C_2H_5 , 42/1, 1,4528; $n-C_3H_7$, 32/0,03, 1,4531. Метод А. В эвклимолярную смесь 100%-ной HNO_3 и NH_4NO_3 при 20° медленно добавляют IV, через час выливают на лед, экстрагируют CH_2Cl_2 . Перегонкой выделяют V с примесью карбонильных соединений. Метод Б. В 2%-ный р-р IV в CH_2Cl_2 медленно пропускают NO , при 25° до появления р-ра. Упаривание в вакууме дает с хорошим выходом масло со спектром II. Дальнейшим нитрованием по методу А получают V. Обработка сырых V NH_3 приводит к III. Приводятся R, выход V в %, т. кип. °C, n_D^{20} : CH_3 , 8, 45/7, 1,4390; C_2H_5 , 12, 40/2, 1,4372; $n-C_3H_7$, 22, 45/2, 1,4377. 1–2%-ный раствор V в CH_2Cl_2 или $CHCl_3$ насыщают сухим NH_3 , через час упаривают в вакууме. III кристаллизуют из раствора NH_3 в абс. CH_3OH , выход ~10%.

М. Рожкова

9Ж69. Гидрирование нитрилов в первичные амины. Gould Francis E., Johnson Grannis S., Ferris Arthur F. The hydrogenation of nitriles to primary amines. «J. Organ. Chem.», 1960, 25, № 9, 1658–1660 (англ.). — Гидрирование нитрилов (I) с катализатором (KT) Ренея (Ni, Ni-Cr, Co) в $(CH_3CO)_2O$ (II) в присутствии основных добавок дает прекрасные выходы первичных аминов (III). Восстановление I с Ni и CH_3COONa (IV) при 50° и 3,5 ат H_2 завершается за 45–60 мин. Так же эффективен Ni-Cr, Co эффективен менее. Активность KT, взятых с добавкой CH_3COONa , полностью падает после 3 циклов, с NaOH активность сохраняется, скорость восстановления выше, но р-ция сильно экзотермична. C_6H_5CN легко восстанавливается без добавок с выходом 91%. $CH_2=CHCN$ дает при 25° $C_2H_5NH_2$ (92%), $(CH_3)_2C(OH)CN$ образует трудно выделяемый гидроокисный оксид. 2–3 г KT, отмытого от H_2O абс. C_2H_5OH и II, и 42 г сухого IV добавляют к 0,1 молю I в 120 мл II, нагревают до 50° (начальное давление II 3,5 ат). После полного падения давления выделяют ацетиламин (V). В некоторых случаях V подвергают гидролизу и выделяют III в виде хлоридов или бензилпроизводных. Приводятся исходные I, выход в % V при восстановлении с Ni и IV: $C_6H_5CH_2CN$, 97; $CH_3(CH_2)_4CN$, 100; $NC(CH_2)_4CN$, 100. М. Рожкова

9Ж70. Реакции амидов кислот. XXI. Реакции ацилирования трис-формаминометана. Некоторые трис-апиламинометаны. Brederock Hellmut, Gompfer Rudolf, Effenberger Franz, Keck Hans, Heise Hartmut. Säureamid-Reaktionen. XXI. Acylierungsreaktionen an Tris-formaminomethan. Über einige Tris-acylaminomethane. «Chem. Ber.», 1960, 93, № 1398–1401 (нем.). — Трис-формаминометан (I) (см. 9Ж68).

общее
руете
ших
торы
дейст
HCON
(HCO
В-во,
идент
ля (С
II, гд
воды)
160°),
% и т
52, 21
0,2 мм
5 кал
HC(O
100°,
ют со

9Ж7
кислот
J. J. T
acid.
(англ.
(I) с
хлорид
К 0,1
ляют
10 мил
больш
ацетон
трофог
и след
та эти
VI и I
зуют 2
подки
извлеч
CH₃OH
на 1/4,
(0°) и
143° (1
пробав
HCl, 0,
в ваку
ним. к
отгоня
абс. сл
80%. А
ую и
ром из
А и Б
криста
0,86 м
действ
ют 45
-6H₂O
NaOH
30 (во
вымыт
водн. с
уже пр
возмо
в шел.
9Ж72
ring
«Angew
ваны 0
кислоти
+ Cl₂ —
раствор
бавляю

12 Хим

общение XX РЖХим, 1961, 8Ж196) легко переацелируется ангидридами к-т с образованием соответствующих *трис-ацетиламинометанов* (II), выход 50–60%, которые с меньшим выходом получают также взаимодействием $\text{HC}(\text{OC}_2\text{H}_5)_3$ с 3 экв RCONH_2 или р-цией HCONH_2 и $(\text{RCO})_2\text{O}$. При нагревании некоторых II с $(\text{RCO})_2\text{O}$ происходит дальнейшее переацелирование. В-во, описанное Пиннером как метенилтриацетамид, идентично *трис-ацетиламинометану*. 0,1 моля I и 0,4 моля $(\text{CH}_3\text{CO})_2\text{O}$ нагревают 45 мин. при 140° и отделяют II, где ацил- CH_3CO , выход 55%, т. пл. 261° (разл.; из воды). Аналогично, при нагревании 60–80 мин. (140–160°), получают следующие II (указаны ацил, выход в % и т. пл. в °C): $\text{C}_2\text{H}_5\text{CO}$, 54, 236 (из CH_3OH); $\text{C}_3\text{H}_7\text{CO}$, 52, 216 (из CH_3OH); $\text{C}_6\text{H}_5\text{CO}$, 63, 230–231° (из сл.). К р-ру 0,2 моля RCONH_2 в 80 мл $\text{HCON}(\text{CH}_3)_2$, содержащему 5 капель H_2SO_4 , приливают (20 мин., 100°) 0,05 моля $\text{HC}(\text{OC}_2\text{H}_5)_3$ в 20 мл $\text{HCON}(\text{CH}_3)_2$, нагревают 1 час при 100°, отгоняют в вакууме р-ритель, остаток смешивают со спиртом и отделяют II, выход 33–36%.

Л. Шукина

9Ж71. Синтез и свойства γ -аминоацетоуксусной кислоты. Neilands J. B., Neuberger A., Scott J. J. The synthesis and properties of γ -aminoacetoacetic acid. *J. Amer. Chem. Soc.*, 1960, 82, № 1, 214–217 (англ.).—Нитрозированием ацетондикарбоновой к-ты (I) с последующим восстановлением синтезирован хлоргидрат γ -аминоацетоуксусной к-ты (II, III к-та). К 0,1 моля I в 70 мл воды и 20 мл конц. HCl прибавляют 1 час при 5° 0,1 моля NaNO_2 в 50 мл воды, через 10 мин. (5°) осадок отфильтровывают и промывают небольшим кол-вом разб. HCl, получают 5,6 г γ -оксиминоацетоуксусной к-ты (IV), содержащей согласно электрофоретич. анализу на бумаге диоксиминацетон (V) и следы оксиминацетона VI (продукт A). Из фильтрата этилацетатом извлекают 4,2 г IV, загрязненной V, VI и I (продукт B). Р-р I в 200 мл воды нейтрализуют 2 н. NaOH до pH 5, извлекают V и VI эфиром, подкисляют 20 мл конц. HCl, прибавив 50 г $(\text{NH}_4)_2\text{SO}_4$, извлекают эфиром 30% IV (на I). IV в 100 вес. ч. CH_3OH разбавляют вдвое водой, упаривают в вакууме на 1/4, прибавляют 1/2 объема конц. HCl, через 12 час. (0°) промывают разб. HCl, выделяют IV, т. пл. 142–143° (разл.). R 5,34 ммоль неочищ. IV в 75 мл CH_3OH прибавляют 20 мл охлажденной до 0° воды, 2 мл конц. HCl, 0,3 г Pd/C и гидрируют 45 мин., отгонкой р-рителя в вакууме выделяют неочищ. II, растворяют его в мин. кол-ве абс. спирта, прибавляют сухой этилацетат, отгоняют р-ритель, вновь растворяют в мин. кол-ве абс. спирта и переосаждают сухим эфиром II, выход 80%. Аналогично очищают B, выделяют IV, содержащую немного I; при гидрировании извлекают I эфиром из р-ра перед выделением II. Общий выход II из A и B (на I) 28%, т. пл. 140–142° (разл.); содержит кристаллизационную воду. При декарбоксилировании 0,86 ммоль II в автоклаве (120°, несколько минут) выделяется 93% CO_2 . 1 ммоль II в 100 мл воды гидрируют 45 мин. в присутствии 100 мг Pd/C, 40 мг $\text{H}_2\text{PtCl}_6 \cdot 6\text{H}_2\text{O}$ и 2 мг $\text{FeCl}_3 \cdot 6\text{H}_2\text{O}$, фильтрат нейтрализуют разб. NaOH до pH 6 и удаляют катионы на колонке с даяуекс-50 (водородная форма). γ -Амино- β -оксимасляную к-ту осаждают 1 н. NH_4OH ; выход 65%, т. пл. 217–218° (из водн. сл.). Сухой II устойчив при 20°; в разб. водн. р-ре при 5° превращается в аминаоацетон. Отмечено возможное биол. значение III. Даны УФ-спектры III в жел. р-рах.

М. Шварцберг

9Ж72. Синтез α,α' -диацилксаноалканов. Benzing E. Darstellung von α,α' -Diacyloxy-azoalkanen. *Angew. Chem.*, 1960, 72, № 18, 709 (нем.).—Синтезируются $\text{RR}'\text{C}(\text{OCOR})\text{N}=\text{NCR}'\text{R}'(\text{OCOR})$ (I), исходя из кеталинов по схеме: $\text{RR}'\text{C}=\text{NN}=\text{CRR}' + 2\text{NaOCOR} + \text{Cl}_2 \rightarrow \text{I} + 2\text{NaCl}$. 4 г-экв Na-соли (избыток 100%) растворяют в соответствующем кол-ве безводн. к-ты, добавляют 1 моль кеталина и при перемешивании вводят

1 г-экв Cl_2 при 10–20°, через 0,5 часа эфиром извлекают I (приведены R, R', R'', выход в %, т. кип. в °C/мм, т. пл. в °C, n_D^{20}): CH_3 , CH_3 , H, 75, 40/0,1, —, 1,4320; CH_3 , C_2H_5 , H, 45, 79/0,4, —, 1,4445; CH_3 , *изо*- C_4H_9 , H, 54, 93/0,4, —, 1,4486; C_2H_5 , C_2H_5 , H, 57, 89/0,25, —, 1,4530; $\text{RR}' = +(\text{CH}_2)_5$, H, 27, —, 100, —; CH_3 , CH_3 , CH_3 , 79, —, 103, —; $\text{RR}' = (\text{CH}_2)_7$, C_2H_5 , 32, —, 58, —. В. Фюрст **9Ж73.** Производные цианамиды. LVII. Новый способ получения дигуанидина. Shirai Kozo, Sugino Kiichiro. Cyanamide derivatives. LVII. New route for preparation of biguanide. *J. Organ. Chem.*, 1960, 25, № 6, 1045–1046 (англ.).—Взаимодействием $\text{NH}_2\text{C}(\text{NH})\text{OR}$ (Ia–b) (a R = C_2H_5 , b CH_3) с $\text{NH}_2\text{C}(\text{NH})\text{NH}_2$ (II) синтезированы $\text{NH}_2\text{C}(\text{NH})\text{NHC}(\text{NH})\text{NH}_2$ (III). Р-р 88,1 г Ia, 59,1 г II и 191 г хлоргидрата (XG) II в 500 мл абс. спирта нагревают 3 час. (60–65°), осадок растворяют в 200 мл воды, из фильтрата выделяют 54% XG III, т. пл. 224–225°; III, т. пл. 130°; нитрат III, т. пл. 202°; пикрат III, т. пл. 232°. Из нерастворимого остатка вы-

деляют 19% $\text{NH}_2\text{C}=\text{NC}(\text{NH}_2)=\text{NC}(\text{NH}_2)=\text{N}$, т. пл. 349°. Аналогично из 74,1 г 16, 59,1 г II и 191 г XG II в 400 мл CH_3OH получают 54% XG III и 19% IV. Сообщение LVI см. РЖХим, 1961, 9Ж74.

А. Волков

9Ж74. Способ получения меркаптолов и тритио-алкиловых эфиров ортоумравильной кислоты. Шостаковский М. Ф. Богданова А. В. Плотникова Г. И., Долгих А. Н. Изв. АН СССР. Отд. хим. н., 1960, № 10, 1901.—Синтезируются $(\text{CH}_3)_2\text{C}(\text{SC}_2\text{H}_5)_2$ (I) и $\text{CH}(\text{SC}_2\text{H}_5)_3$ (II). Нагреванием 12 час. 5 г $(\text{CH}_3)_2\text{C}(\text{OC}_2\text{H}_5)_2$ и 5 г $\text{C}_2\text{H}_5\text{SH}$ в запаянной ампуле при 120–130° получен I, выход 80,7%, т. кип. 77,5–78°/15 мм, n_D^{20} 1,4950, d_4^{20} 0,9460. Аналогично из 4,7 г $\text{CH}(\text{OC}_2\text{H}_5)_3$ и 11,2 г $\text{C}_2\text{H}_5\text{SH}$ получают II, выход 87%, т. кип. 144°/26 мм, n_D^{20} 1,5405, d_4^{20} 1,0555.

Г. Крушина

9Ж75. Исследование в области производных диацетиленов. Сообщение 5. Синтез смешанных триэфиров бутадиена-1,3 и оптическое исследование различных диацетиленовых производных. Шостаковский М. Ф., Богданова А. В., Плотникова Г. И., Андреев Н. С. Изв. АН СССР. Отд. хим. н., 1960, № 7, 1279–1285.—Показано, что меркаптаны гладко присоединяются к тритио связи простых этиливиниловых эфиров, приводя к соответствующим тиоалкил-(арил)бутадиеновым эфирам, тогда как в аналогичных условиях присоединения спиртов к этиливиниловым тиоэфирам не происходит. Смесь 3,4 г этиливинилбутилового эфира (I), 5,1 г этилмеркаптана и 0,025 г нитрила азоксозамасляной к-ты (II) нагревают в запаянной ампуле 8 час. при 75–80°, получают 1-буктокси-4-тиоэтилбутадиен-1,3 (III), выход 96,0%, т. кип. 102,8°/2 мм, n_D^{20} 1,5198, d_4^{20} 0,9461. Аналогично при применении 0,1 г KOH вместо II получают 97,5% III. Подобным же образом (соотношение компонентов 1:1) из этиливинилциклогексильного эфира (IV) в присутствии KOH синтезируют 1-циклогексильокси-4-тиоэтилбутадиен-1,3 (V) [выход 43,1% (нагревают 5 час.), 72,8% (нагревают 6,5 час.), 92,4% (нагревают 6,5 час. в присутствии II вместо KOH), т. кип. 134,0°/3 мм, n_D^{20} 1,5468, d_4^{20} 1,0013] и из этиливинилбензильного эфира (VI) (в присутствии II) — 1-бензилокси-4-тиоэтилбутадиен-1,3 (VII), выход 39,4% (нагревают 7 час.), т. кип. 148–148,5°/2,5 мм, n_D^{20} 1,5755, d_4^{20} 1,0122. К смеси 4,6 г IV и 0,02 г II прибавляют 3,3 г тиофенола (г-ра самопроизвольно повышается до 152°), получают 1-циклогексильокси-4-тиофенилбутадиен-1,3 (VIII), выход 93,0%, т. кип. 183–183,5°/2 мм, n_D^{20} 1,6122, d_4^{20} 1,0663. Аналогично из I в присутствии KOH синтезируют 1-буктокси-4-тиофенилбутадиен-1,3 (IX) (выход 80,8%, т. кип. 153–153,5°/2 мм, n_D^{20} 1,5929, d_4^{20} 1,0261), а VI дает 1-бензилокси-4-тиофенилбутадиен-1,3 (X), выход 84,2%, т. кип. 203°/3,5 мм, n_D^{20} 1,6184, d_4^{20} 1,1196. Строение III, V и VII—X доказано титрованием спирт. р-ром HgCl_2 , их диеновой р-цией с малеиновым ангидридом

(XI) (напр., смесь 1,1 г III, 0,55 г XI и 10 мл C_6H_6 нагревают в запаянной ампуле 10 час. при 125–130°), приводящей к фталевому ангидриду (выход 70–85%), и спектроскопически. На основании рассмотрения ИК-спектров и спектров комб. расщ. света (КРС) не вошедшей в р-цию с XI части 1,4-бис-тиоэтилбутадиена-1,3 (XII) авторы придают не реагирующим с XI частям III, V и VII—X строение *цис*-изомеров. Этилвинилтиоэтиловый эфир (XIII) не реагирует со спиртом в присутствии конц. HCl (4 часа, ~20°) и в присутствии II (6 час., 65–70°). Показано также, что I не реагирует с $n-C_4H_9OH$ (7,5 час., 100–110°) по свободно радикальному механизму (в присутствии II), тогда как этилвинилтиоэтиловый эфир легко присоединяют спирты в ионных условиях (Шостаковский М. Ф., Богданова А. В., Красильникова Г. К., Докл. АН СССР, 1957, 114, 1250). Изучение ИК-спектров и спектров КРС этилвинилтиоэтиловых эфиров и тиоэфиров, ацеталей бутин-2-аля, дитиоалкил(фенил)бутадиенов-1,3 и смешанных тиоалкил(фенил)бутадиенов-1,3 эфиров, по мнению авторов, показало, что в их молекулах имеются взаимные влияния кратных связей, гетероатомов и радикалов. Приведены ИК-спектры I, III—X, XII, XIII, этилвинилтиофенолового эфира, дибензалацетала бутин-2-аля, 1,4-бис-тиофенилбутадиена-1,3 и 1-тиоэтил-4-тиофенилбутадиена-1,3 и спектры КРС I, III, V, XII и этилвинилтиоэтилового эфира. Предыдущее сообщение см. РЖХим, 1960, № 9, 34713. В. Андреев

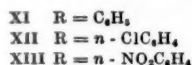
9Ж76. Химия циануглеродов. XVI. 1,1,2,2-тетрацианоциклопропан. Scribner R. M., Sausen G. N., Prichard W. W. Cyanocarbon chemistry. XVI. 1,1,2,2-tetracyanocyclopropane. «J. Organ. Chem.», 1960, 25, № 8, 1440–1442 (англ.).—1,1,2,2-тетрацианоциклопропан (I) синтезирован несколькими методами. А. Бромирование 1,1,3,3-тетрацианопропана (0,07 моля) в CH_3CN N-бромсукцинимидом (0,14 моля) в атмосфере N_2 приводит к неустойчивому 1,3-дибром-1,1,3,3-тетрацианопропану (II), выход 91%, т. пл. 124–129° (разл.), при перемешивании ацетонового р-ра отгонки с водн. р-ром KJ образуется I, выход 78%, т. пл. 224° (разл.; из CH_3OH или бэл.-сп.). При взаимодействии II с водн. р-ром KCN в $CH_3COOC_2H_5$ выход I снижается до 28%. Б. Действие эфирного р-ра CH_2N_2 на эквимолярный р-р тетрацианоэтилена (III) в сухом тетрагидрофуране сопровождается выделением N_2 и приводит к I с выходом 38%. В. При взаимодействии р-ра броммалонитрила (0,04 моля) в водн. тетрагидрофуране с водн. р-ром KJ (0,04 моля) и 37%-ным формалином (0,02 моля) I образуется с выходом 66%. Д. Наиболее удобный способ получения I состоит в действии водн. р-ра Br_2 (0,1 моля) на водн. р-р малонитрила (0,2 моля) и формалина (0,1 моля) в присутствии следов β-аланина (1 час при 45°), выход 85%. Строение I подтверждено ИК-спектром и спектром ядерного магнитного резонанса (ЯМР). I не изменяется при действии Br_2 в CCl_4 , N-бромсукцинимидом в кипящем CH_3CN , SeO_2 в кипящем диоксане, горячего SO_2Cl_2 [без $(C_6H_5CO)_2O_2$ и в его присутствии] и диазотированного м-хлоранилина. Растворяется в 1 M р-ре NaOH (вероятно, с окислением одной или более CN-групп). Взаимодействие $CHN_2COOC_2H_5$ (0,18 моля) с III (0,15 моля) в тетрагидрофуране (5 час. при ~20°) приводит не к I или соответствующему пиразолину, а к 1-карбэтокс-5-трициановинилтриазолу-1,2,3 (IV), выход 16 г, т. пл. 120–123° (из бэл.-ацетата), образующемуся в результате присоединения $CHN_2COOC_2H_5$ к CN-группе. Приведены данные ИК-спектра и спектра ЯМР I, а также ИК- и УФ-спектров IV. Сообщение XV см. РЖХим, 1961, 7Ж166. Л. Хейфиз

9Ж77. Получение некоторых винилалкилпинатов. Lewis J. B., Hedrick G. W. Preparation of some vinyl alkyl pinates. «J. Organ. Chem.», 1960, 25, № 4, 623–625 (англ.).—Ошано винилирование 2,2-диметил-(3-алкоксикарбонил)-циклобутануксусных к-т (I) и 2,2-

диметил-3-(карбокси)-циклобутаналкилацетатов (II). К смеси 214 г 2,2-диметил-3-(этоксикарбонил)-циклобутануксусной к-ты (III), 1193 г винилацетата (IV) и 1,22 г резината Cu добавляют последовательно 9,4 г $(CH_3COO)_2Hg$ и 2,33 г конц. H_2SO_4 , выдерживают 72 часа, добавляют 10 г CH_3COONa , отгоняют избыток IV в вакууме, остаток разбавляют эфиром. После обычной обработки отгоняют неочищ. дивинилпинат (V) (44 г) и винильный эфир III, выход 217 г (неочищ.), т. кип. 113°/2 мм, n_D^{20} 1,4558, d_4^{20} 1,0220. Аналогично получают следующие винильные эфиры I и II (указаны исходная к-та, алкил в I или II, т. кип. в °C/мм, n_D^{20} , d_4^{20}): I, $n-C_4H_9$, 135–136/2, 1,4569, 0,9992; I, 2-этилгексил, 142/0,4, 1,4594, 0,9691; II, C_6H_5 , 113/2, 1,4556, 1,0200; II, $n-C_4H_9$, 130–134/2, 1,4560, 0,9980; II, 2-этилгексил, 138/0,1, 1,4592, 0,9686; II, гидротиол, 170/0,1, 1,4872, 1,0287. Тем же методом из моно-2-этилгексилфталата (VI) получают винильный эфир VI, т. кип. 144°/0,1 мм, n_D^{20} 1,5008, d_4^{20} 1,0364. Чистый V имеет т. кип. 110–112°/2 мм, n_D^{20} 1,4667, d_4^{20} 1,0343. Л. Бергелсон

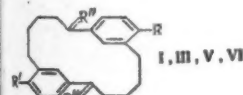
9Ж78. Арилирование циклогептатриена. Weiss Karl, Lalande Marie. The arylation of cycloheptatriene. «J. Amer. Chem. Soc.», 1960, 82, № 12, 3147–3152 (англ.).—Изучено арилирование циклогептатриена (I) в условиях р-ции Меервейна. На основании УФ- и ИК-спектров и литературных данных полученным при этом фенилциклогептатриену (II), *n*-хлорфенилциклогептатриену (III) и *n*-нитрофенилциклогептатриену (IV) придают строение 3-арилзамещенных. Р-р 14,0 г анилина в смеси 37,5 мл конц. HCl, 15 мл воды и 15 г льда диазотируют р-ром 10,4 г $NaNO_2$ в 20 мл воды. Образовавшийся р-р $C_6H_5N_2Cl$ за 20 мин. при 35–40° в атмосфере N_2 прибавляют к перемешиваемой смеси 200 мл ацетона, 3,3 мл 9 M р-ра $CuCl_2 \cdot 2H_2O$ и 18,5 г I и по окончании выделения N_2 (30–45 мин.) экстрагируют эфиром. Остаток после отгонки р-рителя нагревают 15 мин. при 100° с 80 г хинолина, экстрагируют и получают II (выход 16%, т. кип. 57–59°/0,05 мм, n_D^{20} 1,6203), а также небольшое кол-во неочищ. циклогептатриенацетона (V). К смеси 300 мл ацетона, 6 мл 9 M р-ра $CuCl_2 \cdot 2H_2O$, р-ра 24,0 г CH_3COONa в 30 мл воды и 44,0 г I прибавляют р-р $n-C_6H_4N_2Cl$ (из 38,2 г *n*-хлоранилина, 72,5 мл конц. HCl, 70 мл воды, 30 г льда и 21,0 г $NaNO_2$) и перемешивают 60 мин. Продукт р-ции экстрагируют, растворяют в 200 мл C_6H_6 , кипятят 15–30 мин. с 75 г γ-коллидина и после фракционирования перегонки выделяют чистый V [выход 1,4 г, т. кип. 67–68°/0,5 мм, n_D^{25} 1,5244; ДНФГ (VI), т. пл. 170–171° (из сп.)] и III, выход 29%, т. кип. 101–102°/0,1 мм, n_D^{20} 1,6302. Р-р $n-NO_2C_6H_4N_2Cl$ (из 20,7 г *n*-нитроанилина, 45,0 мл конц. HCl, 35 мл воды и 10,4 г $NaNO_2$) разбавляют водой до объема 150 мл и медленно прибавляют к перемешиваемой смеси 200 мл ацетона, 3,3 мл 9 M р-ра $CuCl_2 \cdot 2H_2O$ и 18,5 г I. По окончании выделения N_2 (10 мин.) ацетон отгоняют в вакууме, остаток перегоняют с паром и получают *n*-нитрохлорбензол, выход 26%. Остаток от перегонки экстрагируют C_6H_6 и получают IV, выход 7%, т. пл. 108–109° (из 85%-ного CH_3OH). Аdditуктов, содержащих алифатич. Cl-атомы, подобных получающимся при аналогичном арилировании бутадиена (Coupner E. C., Ropp G. A., J. Amer. Chem. Soc., 1948, 70, 2283), здесь совершенно не образуется. Гидрирование II над 5%-ным Pd/C приводит к фенилциклогептену, т. кип. 76°/0,5 мм, n_D^{25} 1,5303; моноацимидное производное (VII), т. пл. 172–173° (из разб. сп.); бис-ацетамидное производное, т. пл. 241–242°. При аналогичном гидрировании III получают *n*-хлорфенилциклогептан (т. кип. 163–164°/0,5 мм, n_D^{20} 1,5420), при гидрировании V и последующем ацетилировании — VII, а при гидрировании V — циклогептатриенацетон (VIII), т. кип. 54–55°/0,5 мм, n_D^{25} 1,4620; ДНФГ (IX), т. пл. 125–126° (из разб. сп.). Кипячение активированных кол-в II и маленького ангидрида (X) в C_6H_6 в течение 24 час. приводит к аддукту II и X (XI); не-

ход 42%, т. пл. 136—137° (из бал.-пентана). Аналогично синтезируют аддукт III и X (XII) [выход 22%, т. пл. 129—130° (из бал.-пентана)] и аддукт IV и X (XIII),



выход 96%, т. пл. 238—239° (из этилацетата). Двойная связь в XII не гидрируется в присутствии Pt (из PtO₂); XI—XIII не реагируют с Br₂ в CCl₄ и с нейтр. р-ром KMnO₄. На основании сравнения УФ-спектров II, полученного путем арилирования I и синтезированного из тропинова (Core A, D'Addieso A., J. Amer. Chem. Soc., 1951, 73, 3419), а также рассмотрения возможных механизмов образования II из I авторы заключают, что II имеет строение 3-замещенного или являясь смесью 4- и 3-замещенных. Аналогично из УФ-спектров выводятся строение III и IV. Строение II—IV подтверждается также их ИК-спектрами и ИК-спектрами XI—XIII. Высокий выход XIII показывает, что IV является чистым 3-арилзамещенным, тогда как на основании низких выходов XI и XII делается вывод, что II и III представляют собой смеси изомеров, содержащие лишь определенные пропорции 3-замещенных. Авторы приводят XI—XIII конфигурацию, аналогичную предложенной для аддукта I и X (см. РЖХим, 1955, № 13, 26123). Приведены УФ-спектры II—IV, VI и IX и ИК-спектры II—V, VIII и XI—XIII. А. Андреев

9Ж79. Получение (5,5)-метациклофана. Bien Shlomo. The preparation of (5,5)-metacyclophane. «J. Chem. Soc.», 1960, Oct., 4015—4018 (англ.).—(5,5)-метациклофан (I) синтезирован следующим образом. Циклизация δ-о-метоксифенилвалериановой к-ты (II) (7,5 г) под действием полифосфорной к-ты (перемешивать 2 часа при 90°) протекает межмолекулярно и приводит к дикетону (III) [выход 0,65 г, т. пл. 205° (из бал.); диоксим, т. пл. 261—262° (из 2-метоксипентанола)] и тримерному трикетону (IV), выход ~0,07 г, т. пл. 165—167° (из бал.). III и IV выделены хроматографированием на Al₂O₃ (III вымывают C₆H₆, а IV — смесью C₆H₆ + CHCl₃). При восстановлении III (0,5 г) по Хуан-Минлону и последующем метилировании продукта гидрирования с помощью (CH₃)₂SO, образуется диметилловый эфир (V) [выход 0,4 г, т. пл. 139—140° (из CH₃COOH)], окисление которого KMnO₄ в смеси эфира,



IR = R' = H, R'' = H₂; III R = R' = OCH₃, R'' = O; V R = R' = OCH₃, R'' = H₂; VI R = R' = OH, R'' = H₂; VII R = R' = R'' = H; VIII R = R' = R'' = H, R' = OH; IX R = R' = H, R'' = OH; X R = R' = O, R'' = R''' = H; XI R = R' = O, R'' = R''' = O

C₆H₅N и 0,1 н. р-ра NaOH приводит к 4-метоксиизофталевой к-те, выход 54%, т. пл. 269—271° (из воды). Деметилирование V (0,4 г) кипячением со смесью HBr и H₂ в CH₃COOH (3 час.) или нагревание V (0,21 г) с CH₃MgI (1,5 часа при 180°) приводит к фенолу (VI) [выход 0,25 г и 0,12 г соответственно, т. пл. 159—161° (из CCl₄)], выделенному хроматографированием на SiO₂ с вымыванием смесью C₆H₆ + OHCl₃ и CHCl₃. Гидрирование VI в лед. CH₃COOH над PtO₂ в присутствии 3 М HCl и дальнейшее восстановление продукта р-ции LiAlH₄ с последующим хроматографированием на Al₂O₃

приводит к углеводороду (VII), выход 0,12 г (вымывают гексаном), и смеси окси- (VIII) и диоксисоединений (IX), выход 0,15 г (вымывают C₆H₆, C₆H₆ + CHCl₃ и CHCl₃). Дегидрированием VII над 30%-ным Pd/C при 250—300° получают I, выход 0,07 г (из 0,12 г), т. пл. 67°. Смесь VIII и IX (0,15 г) окисляют хромовой смесью и продукт окисления хроматографированием разделяют на монокетон (X) [выход 0,08 г; 2,4-динитрофенилгидразон (ДНФГ), т. пл. 183—184° (из этилацетата)] и дикетон (XI); бис-ДНФГ, т. пл. 325—330°. Второй путь получения I состоит в окислении смеси VII, VIII и IX хромовой смесью, восстановлении продукта окисления по Хуан-Минлону и дегидрировании образовавшегося VII. II получена конденсацией o-CH₃OC₆H₄CHO (13,6 г) с CH₃CH=CHCOOCH₃ (20 г) в присутствии р-ра трет-С₄H₉OK в трет-С₄H₉ОН с последующим гидрированием продукта р-ции над 10%-ным Pd/C в CH₃COOC₂H₅ при 4,2 ат, выход II 20 г, т. пл. 85° (из 2,2,4-триметилпентана). Л. Хейфил

9Ж80. Реакция электрофильного замещения 1,3-дихлоразулена. Anderson Arthur G., Jr., Replogle Lanny L. Electrophilic substitution of 1,3-dichloroazulene. «J. Organ. Chem.», 1960, 25, № 7, 1275 (англ.).—Электрофильное дизамещение azulena проходит в 1,3-положении. На основании расчетов (см. РЖХим, 1956, № 2, 3129), показавших, что после 1,3-положений максим. плотность электронов в молекуле azulena имеется в 5-положении, следует ожидать вступления третьего заместителя к С₅(1). Действительно, ацилирование 1,3-дихлоразулена CH₃COCl в CCl₄ в присутствии SnCl₂ приводит к 1,3-дихлор-5-ацетилазулену (I), выход 16%, двойная т. пл. ~95° и 103—104°. Строение I доказывается его спектрами и синтезом из 5-ацетилазулена действием N-хлорсукцинимидом, выход 40%. Приведены УФ- и ИК-спектры I, а также его спектр поглощения в видимой области. В. Андреев

9Ж81. Идентификация алкилбензолов. II. Анализ бинарных смесей ациламинопроизводных 2-фенилбутана и 3-фенилпентана. Залесская Т. Е., Журавлева Л. Е. «Ж. общ. химии», 1960, 30, № 7, 2164—2166.—Для идентификации смесей C₆H₅CH(CH₃)C₂H₅ (I) и C₆H₅CH(C₂H₅)₂ (II) синтезированы I (II), полученные их ациламинопроизводные и произведен термич. анализ бинарных смесей соответствующих пар последних. Аналогично получению I (Залесская Т. Е., Ж. общ. химии, 1947, 17, 491) 31 г C₆H₅C(C₂H₅)OH (т. кип. 116,5—118°/24 мм) восстанавливают H₂ [из 7 г Р, 25 мл H₂ (т. кип. 127°) и 34 г J₂], выделяют 24 г II, т. кип. 78—79°/18 мм, 79—80°/19 мм, d₄¹⁵ 0,8667, d₄⁰ 0,8780. Нитрование аналогично нитрованию I (см. ссылку выше) из 17,5 г II получают 7 г 4-NO₂C₆H₄CH(C₂H₅)₂ (III) (т. кип. 148—149°/13 мм, n_D²⁰ 1,52521, d₄²⁰ 1,04881, d₄⁰ 1,06328) и 9,7 г 2,4-(NO₂)₂C₆H₃CH(C₂H₅)₂ (IV), т. кип. 187—188°/14 мм, т. пл. 54—55° (из сл.). 8,2 г III восстанавливают (Sn + HCl) до 4-NH₂C₆H₄CH(C₂H₅)₂, выход 4 г, т. кип. 126°/14 мм, n_D²⁰ 1,52225, d₄²⁰ 0,9369, d₄⁰ 0,9510; бензойное производное (БП), т. пл. 154,4—155° (из разб. сл.). Восстановлением 4,25 г IV (те же условия) получают 2,9 г неочищ. 2,4-(NH₂)₂C₆H₃CH(C₂H₅)₂; диацильное производное, т. пл. 200,6—201,4° (из сл.); ди-БП, т. пл. 243—243,4° (из C₆H₅OH). Приведены кривые: процентный состав, т-ры плавления бинарных смесей соответствующих пар синтезированных ациламинопроизводных I и II. В. Скородумов

9Ж82. Изучение расщепления молекул при каталитическом гидрировании. XXVII. Каталитическое гидрирование циннамонитрила и β-фенилпропионитрила. Tanaka Masaru. «Нихон кагаку дзасси, Nippon Kagaku zasshi, J. Chem. Soc. Japan. Pure Chem. Sec.», 1960, 81, № 2, 282—286, A19 (японск.; рез. англ.).—Гидрирование в газовой фазе в присутствии катализатора CuO-NiO на кизельгуре при 260° C₆H₅CH=CHCN (I) и C₆H₅CH₂CH₂CN (II) приводит к n-пропилбензолу (III) с вы-

ходом > 80%, а при 350° к этилбензолу (IV) с выходом 70%. На первой стадии р-ции I восстанавливается до II, который затем переходит в конечный продукт. Р-ция отщепления CN-группы, находящейся в β-положении боковой цепи I и II при соответствующей т-ре протекает, как в случае бензонитрила; гидрирование CN-группы при высокой т-ре (350°) несколько облегчено эффектом сопряжения двойной связи боковой цепи с бензольным кольцом. I (т. кип. 255°, 128°/10 мм) получен методом (см. Posner T., Liebigs Ann. Chem., 1912, 389, 417). II (т. кип. 250°, 114°/9,5 мм) получен бромированием β-фенилэтилового спирта с помощью PBr₃ с дальнейшей обработкой полученного продукта KCN. Гидрирование 6 г I или II проводят в присутствии 14 г NiO—CuO (Ni : Cu = 6 : 4) на 11 г кизельгура. Перечислены т-ра р-ции в °C, время р-ции, скорость прибавления исходного в-ва в г/мин, скорость пропускания H₂ в см³/мин, общий выход NH₃ и CH₃NH₂ в %, выходы IV, III, II в % (для исходного I): 260, 2,5, 0,067, 117, 100, —, —, 89,6, 2,4; 300, 2 часа 20 мин., 0,078, 114, 97, 63,9, 47,9, 9; 320, 2,5, 0,069, 117, 81, 66,9, 14,3, 7,4; 355, 2,5, 0,06, 144, 75, 76, 7,2, 3,3; 260, 1,5, 0,2, 138, 80, —, 63,6, 16,4; 240, 1 час 15 мин., 0,4, 157, 31, —, 26, 46,8; 355, 1 час 15 мин., 0,333, 170, 41, 44,6, 3,6, 26,2. Для исходного II: 260, 2,5, 0,068, 121, 100, —, 86,5, 2,5; 300, 2 часа 20 мин., 0,08, 133, 100, 64,9, 19,1, 6,7; 352, 2 часа 20 мин., 0,074, 115, 82, 68, 5,5, 16,7; 355, 1 час 20 мин., 0,316, 144, 44, 46,4, 3,6, 44,2; 351, 1 час 15 мин., 0,353, 140, 39, 37,1, 1,8, 53,3. В продуктах р-ции во всех случаях присутствуют первичные амины. Сообщение XXVI см. РЖХим, 1960, № 15, 61374. Э. Драгунов

9Ж83. Иницированное жидкофазное окисление дибензила. Сергеев П. Г., Емельянов Н. П. «Ж. общ. химии», 1960, 30, № 10, 3383—3386. — Для получения и исследования гидроперекиси дибензила (I) осуществлено жидкофазное окисление дибензила (II) кислородом воздуха в присутствии Mn-резината (III); при этом идет расщепление молекулы II и образуются бензойная к-та (IV), бензилдегид (V) и бензиловый спирт (VI). В присутствии гидроперекиси кумола (VII) (несколько капель) получают IV и I, из которой легко получить стирбен (VIII). Окисление II в отсутствие металл. добавок, окислов или солей тяжелых металлов приводит к образованию I. Последний под действием H₂SO₄ распадается на фенол и фенилацетальдегид. I восстанавливается NaHSO₃ в фенилбензилкарбинол; последний дегидратируется в транс-VIII. В смесь 60 г II и 0,6 г III при 140° продувают воздух (4 л/час), охлаждают, разбавляют равным кол-вом C₆H₆, извлекают 10%-ным р-ром Na₂CO₃, подкисляют HCl (к-той), получают 12,5 г IV. Из органич. слоя обычным способом выделяют V·NaHSO₃, разлагают Na₂CO₃ и получают 1,8 г V. После удаления C₆H₆ и V остаток фракционируют и получают 2,1 г VI и 24,3 г исходного II. Аналогично, окисляя 60 г II с 0,07 г III, получают 35,1 г исходного II, 7,55 г IV и 0,1 г V. Аналогично в тех же условиях окисляют II в присутствии нескольких капель VII (27—40 час.), обрабатывают, как указано выше, и получают 91,5—153 г реакционной массы с содержанием в ней 0,42—1,63% IV. Из органич. слоя извлекают 25%-ным р-ром NaOH при 0° C₆H₅CH(OONa)CH₂C₆H₅·xH₂O, фильтруют, промывают C₆H₆, подсушивают на воздухе, растворяют в воде, насыщают CO₂ и получают реакционную массу с содержанием в ней 20—26% I, т. пл. 52—53° (из петр. эф.). К р-ру I в C₆H₆ добавляют конц. H₂SO₄ (2 капли на 1 г I), выдерживают при 40° до исчезновения р-ции на гидроперекись, нейтрализуют K₂CO₃ и обычным методом извлекают фенол, выход 38%, т. кип. 70—80°/3 мм; бензоат, т. пл. 67—68°. После удаления фенола и отгонки C₆H₆ остаток разгоняют в вакууме, получают фенилацетальдегид, т. кип. 70—90°/3 мм; семикарбазон, т. пл. 150°; дальнейшей перегонкой остатка с т. кип. 160—170°/3 мм выделили VIII, т. пл. 148°. К р-ру I в

5-кратном кол-ве C₆H₆ постепенно добавляют 40%-ный р-р NaHSO₃ (150% от теоретически необходимого кол-ва), размешивают до исчезновения р-ции на гидроперекись, фильтруют, из водн. слоя подкислением HCl (к-той) и экстрагированием эфиром выделяют фенилбензилкарбинол, т. пл. 64—65° (из водн. CH₃OH). От органич. слоя отгоняют р-ритель, остаток перегоняют в вакууме, из фракции с т. кип. до 146°/2 мм получают VIII. Б. Тимошевский

9Ж84. Получение арилгалогенидов из ароматических оксисоединений. Нефедов О. М., Левачов Я. Л., Петров А. Д. «Докл. АН СССР», 1960, 133, № 4, 855—856. — Усовершенствован метод получения ArCl и ArBr из ArOH посредством взаимодействия 4 молей ArOH с 1 молей PCl₅ или PBr₅ с последующим протитич. разложением образующегося (ArO)₃PX. Образующиеся при гидролизе триалкилфосфаты гидролизуются до ArOH, которые могут быть повторно использованы. Указанное видоизменение известного метода (РЖХим, 1958, № 7, 21538) полностью исключает образование побочных и изомерных продуктов, сокращает продолжительность процесса и повышает выход ArX. 125 г PCl₅ и 346 г β-нафтола перемешивают 5 час. при 140—145° и нагревают 15—20 мин. при 300°, вых. β-ClC₁₀H₇ 95%, т. кип. 263—265°/760 мм, т. пл. 55—56° (из сн.). Аналогично получают α-ClC₁₀H₇, вых. 93%, т. кип. 112,5—113°/4 мм, n_D²⁰ 1,6335, d₄²⁰ 1,1937, и о-хлорбифенил, вых. 92,5%, т. кип. 98—98,5°/2,5 мм, т. пл. 31—32°. К 49,5 мл PBr₅ в 100 мл CHCl₃ при т-ре от —15 до —5° добавляют по каплям 27,7 мл Br₂ в 400 мл CHCl₃, перемешивают 4,5 часа, добавляют при ~20° за 2 часа 216 г м-крезола, отгоняют р-ритель, нагревают при 130° до прекращения выделения HBr (2 часа) и нагревают 30 мин. при 280°, вых. м-BrC₆H₄CH₃ 70%, т. кип. 180,5—182°/751 мм, n_D²⁰ 1,5528, d₄²⁰ 1,4106. Аналогично получают α-BrC₁₀H₇, вых. 87%, т. кип. 140—140,5°/13 мм, n_D²⁰ 1,6580, d₄²⁰ 1,4830; β-BrC₁₀H₇, вых. 93,5%, т. кип. 162—163,5°/8,5 мм, т. пл. 56,5—57° (из сн.), и о-бромбифенил, вых. 79%, т. кип. 90—91,5°/1,5 мм, n_D²⁰ 1,6243, d₄²⁰ 1,2766. 17 г (β-C₁₀H₇O)₂PO и 18,3 г KOH в 50 мл воды перемешивают при 100—105° в течение 5 час., обрабатывают 150 мл 10%-ной HCl, осадок растворяют в 120 мл эфира, вых. β-нафтола 65%. Аналогично из (α-C₁₀H₇O)₂PO выделяют α-нафтол, вых. 60%. Ю. Болькештейн

9Ж85. Каталитический синтез алкилфенолов. Шуйкин Н. И., Викторова Е. А. «Успехи химии», 1960, 29, № 10, 1229—1259. — О5ор. Библи. 335 назв.

9Ж86. Арилалкилирование фенола стиролом и метилстиролом. Завгородний С. В., Зайцев Б. А., Ельчинов Д. П. «Ж. общ. химии», 1960, 30, № 7, 2196—2199. — При действии C₆H₅OH (I) на CH₂=C(R)C₆H₅ (IIa—б, где а R = H, б R = CH₃) в присутствии (C₆H₅)₂O·BF₃ (III) (метод А) или BF₃ в 75%-ной H₂PO₄ (IV) (метод Б) получают 4-НОС₆H₄C(R)(CH₃)₂C₆H₅ (V). С Iа по методу А получается смесь V (R = H) (Va) с более высокими значениями в-вами и полимеризации IIа; при молярном отношении (МО) I : IIа : III = 2 : 1 : 0,06 и 95—97° за 2 часа вых. Va 46%; в определенных условиях полимеризация становится главной р-цией; при МО I : IIа : III = 1 : 1 : 0,04 и ~20° on 24 часа вых. Va 48%, а полимера IIа 61%. При тех же МО, но в присутствии IV при 18—22° за 12 час. вых. Va всего 4%. П6 более стоек к полимеризации. При р-ции с I по методу А получается смесь V (R = CH₃) (Vб) с 1,1,3-триметил-3-фенилгиданом (VI) (димер IIб) и смолстыми продуктами; при МО I : IIб : III = 3 : 1 : 0,15 и 80—83° за 9 час. получают 60% Vб 10,4 г IIа (т. кип. 53°/18 мм, d₄²⁰ 0,9130) и соответствующее кол-во I охлаждают до —5°, прибавляют рассчитанное кол-во III, оставляют на 1—2 часа в охлаждающей смеси и на заданное время при ~20° или нагревают при ~100°, обрабатывают 5%-ным NaOH, выделяют полимеры IIа, из шел. р-ра 5—10%-ной HCl

осаждают фенольные п-ва, перегонкой выделяют Na (т. кип. $162-165^\circ/7-8$ мм, $n_D^{20} 1,5942$, $d_4^{20} 1,0870$; безвзв. т. пл. $79-81^\circ$), и, по-видимому, ди-(α -фенилэтил)фенол, т. кип. $234-240^\circ/10$ мм, $d_4^{20} 1,6000$, $d_4^{20} 1,0830$. К Zn и Pb и рассчитанному кол-ву I при заданной тр-ре прибавляют по каплям III , после р-ции смесь промывают водой, высушивают и перегонкой выделяют смесь Vb [т. кип. $152-153^\circ/4$ мм, т. пл. 72° (из петр. эф.)] с VI , т. пл. $51-52^\circ$ (из сп.); Vb отделяется от VI через растворимую в щелочи Na -соль или перекристаллизацией из петр. эфира. Приведены табличные данные результатов взаимодействия I с Na и Pb при различных MO , т-рах и продолжительности р-ции.

В. СКОРОДУМОВ

91887. Алкилирование фенолов посредством оксидатов. Сообщение II. Метилирование и этилирование фенолов. Sakakibara Yoshiaki. «Нихон кагаку дзасси, Nippon kagaku zasshi, J. Chem. Soc. Japan. Pure Chem. Sec.», 1960, 81, № 3, 495—499, A34 (японск.; рез. англ.).—При нагревании Na- или K-фенолятов с $(\text{COO}-\text{CH}_3)_2$ (I) или $(\text{COOC}_2\text{H}_5)_2$ (II) до 200—250° получают соответственно метиловые и этиловые эфиры фенолов. К р-ру CH_3OK (из 5,7 г К и 40 мл CH_3OH) добавляют 10,9 г м-крезола и 11,8 г I, отгоняют CH_3OH , нагревают до 240° и получают $m\text{-CH}_3\text{C}_6\text{H}_4\text{OCH}_3$ (III), выход 79,5%; при замене К на Na выход III составляет 73,8%. Из $o\text{-CH}_3\text{C}_6\text{H}_4\text{OK}$ и $o\text{-CH}_3\text{C}_6\text{H}_4\text{ONa}$ также получают $o\text{-CH}_3\text{C}_6\text{H}_4\text{OCH}_3$, выход соответственно 83,6 и 86,9%. Из $\text{C}_6\text{H}_5\text{ONa}$, *n*-, *m*- и $o\text{-CH}_3\text{C}_6\text{H}_4\text{ONa}$ с $\text{C}_2\text{H}_5\text{ONa}$ и II аналогично синтезируют соответствующие этиловые эфиры, выход соответственно 84,5%, 59%, 72,8%, 71,3%. Приведены исходный нафтол или дифенол, кол-во его в молях, кол-во α -атомов (Na, кол-во мл CH_3OH , кол-во молей I, *t*-ра в °C и время нагревания, выход в % метилового эфира нафтола или соответственно диметилового эфира дифенола: α -нафтол, 0,1, 0,15, 50, 0,1, 200—220, 3 часа, 75,9; β -нафтол, 0,1, 0,13, 45, 0,1, 200—220, 3 часа, 92,4; гидрохинон, 0,1, 0,29, 140, 0,2, 250, 1 час, 77,5; резорцин, 0,1, 0,29, 140, 0,2, 205, 1 час, 25, пирокатехин, 0,1, 0,29, 140, 0,20, 250, 1 час, 49,9. При замене I на II и CH_3OH на спирт также получают этиловые эфиры α -нафтола и β -нафтола с выходами 62,9 и 71,4% или этиловые эфиры гидрохинона, резорцина и пирокатехина с выходами соответственно 80,7, 0 и 35,5%. Исследуют зависимость выхода эфиров от соотношения реагентов, времени и *t*-ра нагревания. Н. Шведцов

97888. К вопросу об окислении хлоридов винильного типа. II. Синтез и окисление некоторых замещенных в ядре γ -хлоркритиловых эфиров фенолов. Исагулянец В. И., Азизян Т. А. «Айканан ССР Гитутюнпер Академия. Закуйцнер, Докл. АН АрмССР», 1960, 30, № 5, 279—286 (рез. арм.).—В продолжение работы (Исагулянец В. И., Азизян Т. А., Изв. АН АрмССР, 1947, № 4; 1950, 3, № 8; Докл. АН АрмССР, 1947, 7, 21) найдено, что при окислении $\text{ArOCH}_2\text{CH}=\text{CClCH}_3$ (I) в мягких условиях разрыв боковой цепи происходит по двойной связи с образованием $\text{ArOCH}_2\text{COOH}$ (II), что является новым способом получения этих α -в, многие из которых применяются в качестве гербицидов; C_6H_5 -группы в ядре при этом сохраняются. Из $o\text{-(CH}_2\text{CCl=CHCH}_2\text{O)}_2\text{C}_6\text{H}_4$ (III) в тех же условиях получается $o\text{-(OCH}_2\text{CH}_2\text{COOH)}_2\text{C}_6\text{H}_4$ (IV). При окислении I, содержащих также и в ядре $\text{CH}_2\text{CCl=CHCH}_2$ -группу, последняя превращается в COOH -группу, т. е. разрыв цепи здесь происходит между атомами углерода в α и β -положениях. Так же протекает окисление $\text{C}_6\text{H}_5\text{-CH}_2\text{CH}_2\text{CH}_2\text{CH}=\text{CClCH}_3$ и $\text{C}_6\text{H}_5\text{-CH}_2\text{CH}_2\text{CH}_2\text{CH}_2\text{CH}=\text{CClCH}_3$. Указанное выше иное направление окисления I объясняется тем, что атом О препятствует активированию ядром атомов углерода в α -положении. Нагреванием $\text{SiO}_2\text{CH}=\text{CClCH}_3$ с соответствующим фенолом в ацетоне в присутствии K_2CO_3 получают I. Приведены заместители в ядре, выход в %, т. кип. в $^{\circ}\text{C}/\text{мм}$, n_D , d_4 (в скобках т-ра в $^{\circ}\text{C}$): 2-метил, 71,4, 102—104/3, 1,5372,

1,08724 (19°); 2-метил-4-окси, 16, 130—131/5, 1,5523, 1,1228 (24°); 2,4,5-трихлор (Ia), 79,6, 155—156/4 (т. пл. 47—48°). —, —; 4-γ-хлоркротил (Iб), 30,6, 160—161/4, 1,5519, 1,1501 (15°); 2-метил-4-γ-хлоркротил (Iв), 64,8, 165—166/5, 1,5468, 1,12947 (22°). Так же получают III, выход 73%, т. кип. 170—171/5 мм, n_D^{18} 1,5538, d_4^{18} 1,1986. I окисляют $KMnO_4$ в ацетоне при охлаждении льдом, оставляют на ~12 час., отфильтровывают осадок, извлекают его горячей водой, упаривают р-р и подкислением получают II (приведены исходный I, заместители в ядре, выход II в %, т. пл. в °C): $C_6H_5OCH_2CH=CHCOCH_3$ —, 40,3, 150—151; Ia, 2,4,5-трихлор, 58, 158; Ib, 4-карбоксы, 40,8, 277—278; Iв, 2-метил-4-карбоксы, 38, 279—280. Так же получают IV, выход 36%, т. пл. 173—174°. А. Белошкетов

А. Белоцветов

9Ж89. Окисление производных трехатомных фенолов. Pospíšil Jan. Oxydace trojmocných fenolických látek. «Chem. listy», 1960, **54**, № 1, 34–50 (чешск.).— Обзор. Библ. 46 назв. В. Скородумов

В. СКОРОДУМОВ

92К90. Побочная реакция в синтезе Вильямсона. H. Baker Robert H., Martin William B. A side reaction in the Williamson synthesis. II. « J. Organ. Chem. », 1960, 25, № 9, 1496—1498 (англ.). — Изучена более детально открытая ранее (Baker R. H., J. Amer. Chem. Soc., 1948, 70, 3857) побочная р-ция при получении $C_6H_5CH_2CH_2SCH_2CH_2C_6H_5$ (I) из $C_6H_5CH_2CH_2CH_2ONa$ (II) и $C_6H_5CH_2Cl$ (III) в толуоле; образование $(C_6H_5CH_2)_2C-(C_6H_5)CH_2OH$ (IV). Установлено, что С-бензилирование обуславливается примесью карбонильных соединений, так как оно не происходит при применении свежеперегнанных $C_6H_5CH_2CH_2OH$ (V), 2,3-дифенилпропанола-1, 2,3-дифенилпропанола-1, а также при нагревании смеси I и III; при добавлении же карбонильных соединений к смеси II и III в толуоле IV получается со значительным выходом. Приведены добавленные карбонильные соединения, кол-во его в молях на 100 молей V, выход IV в % (считая на V): $C_6H_5CH_2CHO$, 5, 4,5; C_6H_5CHO (VI), 3,8, 11,6; VI, 7,6, 19,2; VI, 7,6 (2 моля III на 1 моль V), 38,4; $(C_6H_5)_2CO$ (VIII), 7,6, 26,7; флуоренон, 7,6, 23,6. Предполагается следующий механизм р-ции: $C_6H_5CH_2CH_2O^- + R_2CO \rightleftharpoons C_6H_5CH_2CHO + R_2CHO^-$; $C_6H_5CH_2CH_2CHO + C_6H_5CH_2CH_2O^- \rightleftharpoons C_6H_5CH_2CH_2CHO + C_6H_5CH_2CH_2OH$; $C_6H_5CH_2CH_2CHO + C_6H_5CH_2CH_2Cl \rightarrow C_6H_5CH_2CH_2CH_2CHO + C_6H_5CH_2CH_2CH_2Cl$; $C_6H_5CH_2CH_2CH_2CHO + C_6H_5CH_2CH_2O^- \rightleftharpoons C_6H_5CH_2CH_2CH_2CHO + C_6H_5CH_2CH_2CH_2O^-$; $C_6H_5CH_2CH_2CH_2CHO + C_6H_5CH_2CH_2O^- \rightleftharpoons C_6H_5CH_2CH_2CH_2CHO + C_6H_5CH_2CH_2O^-$; $C_6H_5CH_2CH_2CH_2CHO + C_6H_5CH_2CH_2O^- \rightleftharpoons C_6H_5CH_2CH_2CH_2CHO + C_6H_5CH_2CH_2O^-$. Данный механизм подтвержден получением из $C_6H_5(CH_2)_2OH$ (VIII) и III в присутствии VII $C_6H_5CH_2CH_2CH_2CHO$ (IX) и $C_6H_5CH_2CH_2CH_2CH_2CHO$ (X), строение которых установлено встречным синтезом. Побочная р-ция протекает также при взаимодействии $C_6H_5(CH_2)_2ONa$ с III с образованием $C_6H_5CH_2CH_2CH_2CH_2CHO$ (XI), полученного также встречным синтезом. При действии $OH_2 = SCH_2CH_2Cl$ (XII) на II происходит С-аллилирование также в β -положение по отношению к OH -группе с образованием $C_6H_5C(CH_2CH=CH_2)CH_2OH$ (XIII); с C_6H_5Vg подобной р-ции не наблюдается. К 0,25 α -атома Na, диспергированного в 150 мл толуола, прибавляют при нагревании 0,25 моля V, вводят за 5—25 мин. р-р 0,02 моля VI (или другого карбонильного соединения) в 0,25 моля III, кипятят ~1 час, добавляют воду, отделяют органич. слой, отгоняют в вакууме толуол и I (выход ~40%) и, обрабатывая остаток петр. эфиром, получают IV, т. пл. 101—103°. Аналогично проводят р-цию VIII с III в присутствии VII, перегонкой в вакууме получают фракцию с т. кип. 200—217°/2 мм (3,5 г), из которой хроматографированием на Al_2O_3 выделяют X, т. пл. 80° (из CH_3OH -бэл.), и IX (т. пл. 122—124° (из водн. CH_3OH); неочищ. 2,4-дигиофетилгидразон, т. пл. 175—176°), превращенный действием $LiAlH_4$ в X. $C_6H_5(CH_2)_2OH$ (XIV) получен по описанному ранее методу (Adkins H. и др., J. Amer. Chem. Soc., 1933,

85—86; г, 50, 94—95; д, 58, 79—80; е, 60, 53—54; ж, 60, 73—74. IVa, т. пл. 69—70°, пригтовлен восстановлением соответствующего кетона; IVm, т. пл. 98—99°, получен по описанной методике (Sachs F., Sachs L., Ber. 1905, 38, 514). К р-ру 60 г сульфаниловой к-ты и 18,4 г Na_2CO_3 в 200 мл воды прибавляют понемногу при 0—5° 64 мл конц. HCl (к-ты) и р-р 24,4 г NaNO_2 в 75 мл воды, нейтрализуют до pH 6 при помощи р-ра 70 г CH_3COONa в 200 мл воды, к реакционной смеси приливают р-р 0,2 моля IV в 500 мл ацетона и затем еще 200 мл ацетона. Смесь перемешивают в токе N_2 при 0—5° 30 мин., затем 30 мин. без охлаждения, разбавляют водой, экстрагируют эфиром, сушат и перегоняют I в токе N_2 . Приведены I, выход в %, т. кип. в °C/мм, т. пл. в °C 2,4-динитрофенилгидразона (ДНФГ): а, 60, 119—120/740, 99—100; б, 64, 71—72/1,5, 155—157; в, 45 (при выделении в виде бисульфитного производного выход 69%), 50—53/20, 175—176; г, 68, 46—47/0,6, 208—209; д, 75, 79—80/1,5, 252—254; е, 82, 59—60/0,4, 212—213; ж, 72, 58—59/1, —; з, 80 (выделен в виде ДНФГ), —, 241—243; и, 70, 105/0,5, 256—257; к, 50 (получен из неочищ. IVm), —, т. пл. 100—101°. Метилловый эфир м-бромбензойной к-ты (V), т. кип. 69—70°/0,2 мм, получен этерификацией к-ты, выход 84%. К р-ру 2,25 моля CH_3MgBr в 1,5 л эфира прибавляют р-р 150 г V в 300 мл эфира, перемешивают ~12 час. и выделяют м-бромфенилдиметилкарбинол (VI), выход 85%, т. кип. 79—80°/0,24 мм. 0,2 моля VI гидрируют при 3 ат над 3 г 5%-ного Pd/C в 200 мл лед. CH_3COOH в присутствии 1 мл 70%-ной HClO_4 , отгоняют в вакууме 3/4 CH_3COOH , остаток перегоняют с паром и получают м-бромкумол, выход 80%, т. кип. 208—210°.

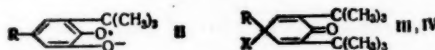
Э. Сафонова

9Ж94. К вопросу о каталитических превращениях кетонов. Изомеризация α,α -метилэтилгидрофенона. Залеская Т. Е. «Ж. общ. химии», 1960, 30, № 7, 2166—2170. При нагревании $\text{CH}_3\text{C}(\text{C}_2\text{H}_5)_2\text{COC}_6\text{H}_5$ (I) с ZnCl_2 происходит изомеризация по двум направлениям с образованием $\text{C}_6\text{H}_5\text{C}(\text{C}_2\text{H}_5)_2\text{COCCH}_3$ (II) и $\text{C}_6\text{H}_5\text{C}(\text{CH}_3)_2\text{COC}_6\text{H}_5$ (III) при значительном преобладании первого направления. Приводится объяснение этого факта. Нагреванием 32 г $\text{C}_6\text{H}_5\text{COCCH}(\text{CH}_3)\text{C}_6\text{H}_5$, 10 г NaH_2PO_4 и 150 мл C_6H_6 получают 22 г I, т. кип. 125—126°/12 мм; оксим, т. пл. 120,8—121° (из сп.). 20 г I и 40 г аса прибавляют к 35 г ZnCl_2 при 320—325°. Отгоняют с паром, эфиром извлекают 8,5 г смеси II и III с т. кип. 113—117°/7 мм. 4,5 г смеси кетонов и 10 г KOH в 80 мл спирта нагревают 4 часа при 130—140°, прибавляют воду, насыщают CO_2 , эфиром извлекают смесь $\text{C}_6\text{H}_5\text{CH}(\text{OH})\text{C}(\text{C}_2\text{H}_5)_2$ (IV) и $\text{C}_6\text{H}_5\text{CH}(\text{C}_2\text{H}_5)_2$ (V) с т. кип. 79—92°/20 мм. К 4,5 г смеси IV и V приливают 8 мл нитроульф. смеси [1 объем HNO_3 (d 1,5) и 2 объема H_2SO_4 (d 1,84)] при <5°, выливают на лед, извлекают эфиром, отгоняют р-ратель, остаток восстанавливают 8 г Sn, 8 мл HCl и 3 мл спирта, подщелачивают NaOH, извлекают эфиром, эфир частично отгоняют, к остатку прибавляют 1,5 мл $\text{C}_6\text{H}_5\text{COCl}$ и 5 мл 2 н. NaOH, выделяют 0,03 г смеси п-бензоламинопроизводных (PBA) IV и V в отношении 1:1, а также 0,152 г 2-(2,4-дигидроксиаминофенил)-пентана и 0,082 г смеси 2,4-ди-PBA IV (90%) и 2,4-ди-PBA V (10%).

В. Скородумов

9Ж95. Окисление пространственно затрудненных фенолов в семикиноны. Congradi J. J., McLaren G. A. Oxidation of hindered phenols to semiquinones. J. Amer. Chem. Soc., 1960, 82, № 17, 4745 (англ.). В щел. р-рах из 2,6- $(\text{CH}_3)_2\text{C}_6\text{H}_3$ 4- $\text{RC}_6\text{H}_4\text{OH}$ [а—г; здесь а R = CH_3 , б R = $(\text{CH}_3)_2\text{C}$, в R = $(\text{CH}_3)_2\text{CH}$, г R = C_6H_5], в результате окисления O_2 с отщеплением изо- C_6H_5 , идентифицированного методами газовой хроматографии и масс-спектрометрии, образуются семикиноны (Па—г). Строение Па—б доказано идентичностью их спектров электронного парамагнитного резонанса (ЭПР) со спектрами семикинонов, получен-

ных окислением 5-метил-3-трет-бутилгидрокатехина и соответственно 3,5-ди-трет-бутилгидрокатехина. При разложении Паа (X = OOH) в щел. р-ре спектр ЭПР



Па появляется через ~4 часа, а для эквимольных щел. р-ров Паа и Ia или гидроперекиси кумола и IVa (X = OH) возникает немедленно. Приведены данные по спектрам ЭПР Ia—г.

А. Белоцветов

9Ж96. Конденсация Штоббе. Prajer-Janczewska Lidia. Kondensacja Stobbeo. «Wiadom. chem.», 1960, 14, № 7, 433—452 (польск.; рез. англ.).—Обзор. Библ. 38 назв. В. Скородумов

9Ж97. Получение терефталевой кислоты методами изомеризации и диспропорционирования. Sherwood Peter W. Terephthalic acid by isomerisation and disproportionation. «Chemistry and Industry», 1960, № 35, 1096—1100 (англ.).—Обзор. Библ. 21 назв.

9Ж98. Пространственные препятствия в реакциях Фиттингера и Вольфа—Кижнера с производными дуроло. Buu-Hoi N. P., Sy Michel, Riche Jean. Empêchement stérique dans les réactions de Pfitzinger et de Wolff—Kishner chez les dérivés du durène. «Bull. Soc. chim. France», 1960, № 8—9, 1493—1495 (франц.). Изучено взаимодействие 2,3,5,6- $(\text{CH}_3)_4\text{C}_6\text{H}_2\text{COOH}$ (I) и 2,3,4,5- $(\text{CH}_3)_4\text{C}_6\text{H}_2\text{COCH}_3$ (II) с изатинном (III) и гидразингидратом (IV). Показано, что I не реагирует ни с III, ни с IV, что авторы объясняют пространственными препятствиями, создаваемыми о- CH_3 -группами. Аналогичные результаты получены при действии IV на пропионилдурол (V), фенацетилдурол (VI) и β -(2,3,5,6-тетраметилбензоил)-пропионовую к-ту (VII). При окислении I NaOBr выход 2,3,5,6-тетраметилбензойной к-ты составил лишь 5%. В отличие от I при взаимодействии II с III получается 80% 2-(2,3,4,5-тетраметилфенил)-динитроминовой к-ты (VIII); при окислении II NaOBr получается 70% 2,3,4,5-тетраметилбензойной к-ты (IX), а при восстановлении II действием IV образуется 75% 1-этил-2,3,4,5-тетраметилбензола (X). 3710 г кислоты метилировали CH_3Cl в присутствии AlCl_3 , образовавшуюся смесь продуктов фракционировали и получали дурол (XI), выход 805 г, т. кип. 197,5—198,5°, и пентаметилбензол (XII), выход 1390 г, т. кип. 225—233°. К р-ру 33,5 г XI и 26 г $\text{C}_6\text{H}_5\text{COCl}$ в 100 мл CS_2 прибавляли при 0° 40 г AlCl_3 , смесь размешивали 3 часа, гидролизовали, извлекали CHCl_3 и после перегонки получали 92% I, т. кип. 150—150,5°/22 мм, т. пл. 74°. Аналогично из I и $\text{C}_6\text{H}_5\text{COCl}$ получали V, выход 82%, т. пл. 73,5° (из сп.), и из I и $\text{C}_6\text{H}_5\text{CH}_2\text{COCl}$ получали VI, выход 73%, т. пл. 107°. VII синтезировали по ранее описанному методу (см. Muhr F., Ber., 1895, 28, 3215). 1250 г XII обрабатывали нагретой H_2SO_4 и выделяли 87,4% пренитола (XIII), т. кип. 203—206°. В условиях описанных для получения I превращали XIII в II выход 94%, т. кип. 151—153°/14 мм. Таким же способом из XII получали фенацетилпренитол, выход 60%, т. пл. 53°. При действии 5,9 г K_2CO_3 и 5,1 г III в 60 мл спирта (нагревание 24 часа) на 5 г II получали 80% VIII, т. пл. 216° (из сп.). Декарбоксилированием VIII получали 2-(2,3,4,5-тетраметилфенил)-хинолин, выделенный в виде пикрата, т. пл. 222—223° (из сп.). При окислении II NaOBr образуется IX, т. пл. 167°. II восстанавливали в X, т. кип. 120—124°/14 мм, действием IV по методу Хуан-Минлона.

В. Антонов

9Ж99. Получение 3-метилполиметоксифталидов. Sumimoto Yukiko, Maekawa Eturo. Zur Darstellung von 3-methylpolymethoxyphthaliden. «Bull. Chem. Soc. Japan», 1960, 33, № 7, 941—944 (нем.). При взаимодействии 2-формилбензойной к-ты (I) с N-бромсукцинимидом (II) в присутствии $(\text{C}_6\text{H}_5\text{COO})_2$ (III) с выделением HCl получен фталевый ангидрид (IV), вы-

ход 96,4%. Тем же путем полиметоксипроизводные I (V) превращены в полиметоксипроизводные IV (VI) (приведены положения CH_2O -групп в ядрах V и VI, выход VI в %, т. пл. в °C): 4,5 (Va), 4,5 (Via), 90, 172—174; 5,6, 3,4 (VIB), 96,3, 166—167; 3, 4, 5, 3, 4, 5 (VIb), 95, 143—144; 4,5,6 (Vb) 3,4,5, 96,7, 143—144; 3,4, 5,6, 3,4,5,6 (VIr), 93,7, 137—138. При этом не происходит бромирования, димеризации или образования в-в, содержащих OH-группу. VI конденсацией с $\text{CH}_2(\text{CO}-\text{OH})_2$ (VII) в присутствии $\text{C}_6\text{H}_5\text{N}$ превращены в полиметоксипроизводные 2-ацетилбензойной к-ты, которые без выделения восстановлены в полиметоксипроизводные 3-метилфталата (VIII). Приведены исходный VI, положение CH_2O -групп в ядре VIII, выход в % (считая на превращенный VI), т. пл. в °C: VIa, 5,6 (VIIIa), 35 (кроме того, выделен 1% 5,6-диметоксифталата, т. пл. 154—155°), 109—110; VIb, 6,7 (VIIIb), 17, 100—101; VIc, 5,6,7 (VIIIc), 12, 103,5—104,5. При этом вследствие пространственных затруднений со стороны находящейся в орто-положении CH_2O -группы из VIb не образуется изомерного 4,5-диметокси-3-метилфталата, так же как из VIc не образуется 4,5,6-триметокси-3-метилфталата; из VIg соответствующий VIII вообще не образуется. Из р-ра 0,033 моля I в 200 мл C_6H_6 отгоняют 20 мл C_6H_6 для удаления влаги, добавляют 200 мл CCl_4 , 0,033 моля II и небольшое кол-во III и кипятят 1 час, облучая 0,5 кат вольфрамовой лампой. После охлаждения отфильтровывают 3,3 г сукцинимид, упаривают маточный р-р и получают IV, 4 г VIa, 2,3 г VII, 3 мл $\text{C}_6\text{H}_5\text{N}$ и 10 мл кислоты нагревают 3 часа при ~100°. После охлаждения отфильтровывают 3,3 г VIa, добавляют к маточному р-ру 80 мл воды, подкисляют конц. HCl и извлекают эфиром. Эфирный экстракт промывают водой, упаривают, остаток кипятят с водой и упаривают водн. р-р. Полученный осадок (0,45 г) нагревают 2 часа с 1 г Zn-пыли в смеси 1 мл воды с 4 мл лед. OH_2COOH , упаривают в вакууме, остаток извлекают эфиром, упаривают и дробной кристаллизацией из воды получают 0,185 г VIIIa, 3,5 г VIb, 1,8 г VII и 4,5 мл $\text{C}_6\text{H}_5\text{N}$ нагревают 3 часа при ~100°, добавляют 25 мл воды, подкисляют конц. HCl и извлекают эфиром. Эфирный р-р промывают водой, упаривают, растворяют остаток в воде и испаряют водн. р-р при ~20°, получая 2,3 г 3,4,5-триметоксифталевой к-ты. Маточный р-р упаривают, полученный осадок (1 г) растворяют в р-ре 2 г NaOH в 150 мл воды, добавляют амальгаму Na (из 0,65 г Na и 30 г Hg), оставляют на 24 часа при ~20°, добавляют 50 мл воды и нагревают 8 час. при ~100°. Водн. слой подкисляют конц. HCl, упаривают до объема 50 мл, извлекают эфиром и получают 0,15 г VIIIb. Из 4 г VIb, 2,3 г VII и 5 мл $\text{C}_6\text{H}_5\text{N}$ аналогично получают 0,23 г VIIIb и 2,67 г 3,4-диметоксифталевой к-ты. К суспензии 3,7 г VI в 500 мл эфира прибавляют по каплям при охлаждении льдом реактив Гриньяра (из 9,5 г CH_3I и 1,7 г Mg), перемешивают 1 час, кипятят 1 час, подкисляют 2 н. H_2SO_4 , извлекают эфиром и получают 0,16 г VIIIa, т. пл. 108—110° (из воды). К реактиву Гриньяра (из 5,5 г CH_3I и 0,8 г Mg) прибавляют по каплям р-р 2 г 6-метил-3,4,5-триметокси-2-формилбензойной к-ты, т. пл. 109—113° (IX), в 320 мл эфира и обычной обработкой получают из эфирного р-ра 0,2 г IX, а после упаривания выделяют 0,76 г 3,7-диметил-4,5,6-триметоксифталата, т. пл. 80—81,5° (из водн. сп.). Аналогично из 1,5 г Vb, 3 г CH_3I , 0,5 г Mg и 500 мл эфира получают 0,8 г VIIIb, т. пл. 103,5—104,5° (из воды).

А. Белоцветов

9Ж100. Изучение реакции Розенмунда — Брауна. I. Akanuma Kaneo, Amamiya Hiroko, Hayashi Toshio, Watanabe Kenichi, Hata Kazuo. «Nihon Kagaku Zasshi, Nippon Kagaku Zasshi, J. Chem. Soc. Japan. Pure Chem. Sec.», 1960, 81, № 2, 333—335, A22—A23 (японск.; рез. англ.).—Реакция Розенмунда — Брауна рекомендована как общий метод син-

теза ароматич. нитрилов, более удобный, чем р-ция Зандмейера. Р-ция ускоряется при наличии в ароматич. кольце нитрогрупп и затрудняется при наличии оксигрупп. В оптимальных условиях смесь 0,11 моля *n*-броманизола, 0,12 моля $\text{Si}_2(\text{CN})_2$ и 7 мл пиридина нагревают 8 час. при 195—210°, затем при 100° добавляют 50 мл NH_4OH (1:1), хорошо растирают, затем смешивают с 50 мл C_6H_6 и 100 мл эфира, на другой день из органич. слоя выделяют *n*-метоксифенилнитрил, выход 58%, т. кип. 129—139°/27—30 мм, т. пл. 58,5—59,5°. Аналогично получают [даны bromoproducts, его кол-во в г, кол-ва в г $\text{Si}_2(\text{CN})_2$ и пиридина, т-ра р-ции в °C и время р-ции в час., выход конечного нитрила в %]: бромбензол, 20, 12, 15, 140—155, 9, 85; *n*-диформилбензол, 20, 16,2, 14, 190—210, 3,5, 50; *n*-нитробромбензол, 20, 9,9, 20, 140—155, 9, 80; *n*-броманилин, 10, 5,8, 10, 160—200, 5, 72; *n*-бромфенол, 10, 5,7, 15, 150—175, 9, следы; *n*-бромбензойная к-та, 10, 5, 10, 140—155, 8, 82; *o*-бромнитробензол, 10, 5, 10, 140—155, 2, 91; *o*-броманилин, 15, 8,6, 15, 145—155, 9, 83; *o*-бром-ацетофенон, 25, 12,5, 75, 120, 1,5, 70; бромбензилбензол, 20, 9,9, 10, 165—175, 8, 80.

Л. Яновская

9Ж101. Промежуточные вещества при бромировании этилового эфира *n*-трет-бутил-β-циан-α-оксипропильной кислоты. Skinner Glenn S., Hartman George R. The bromination of ethyl-*n*-*tert*-butyl-β-cyano-α-hydroxycinnamate intermediates. «J. Organ. Chem.», 1960, 25, № 9, 1487—1491 (англ.).—При бромировании *n*-трет- $\text{C}_4\text{H}_9\text{C}_6\text{H}_4\text{C}(\text{CN})=\text{C}(\text{OH})\text{COOC}_2\text{H}_5$ (I) в безвод. среде выделены *n*-трет- $\text{C}_4\text{H}_9\text{C}_6\text{H}_4\text{CBr}(\text{CN}=\text{NH})\text{COOC}_2\text{H}_5$ (II) и имид *n*-трет-бутилфенилбромцислевоеусусной к-ты (III). При действии воды или спирта II дал α-(*n*-трет-бутилфенил)-α'-оксималенимид (IV). При р-ции II с водно-спирт. КОН образовался *n*-трет-бутилфенилацетамид (V), а при действии водн. р-р. КОН как II, так и III дали *n*-трет-бутилфенилмаленимидную к-ту (VI). Взаимодействие II или III с сухим толуолом привело к образованию IV и бромистого бензила (VII). Даже с сухим C_6H_6 II дал IV. При взаимодействии II с циклогексеном (VIII) образовались α-β-α'-R'-маленимиды [$\text{R} = \text{n-трет-C}_4\text{H}_9\text{C}_6\text{H}_4\text{CH}(\text{CONH}_2)\text{C}(\text{OH})(\text{COOC}_2\text{H}_5)\text{O}$, $\text{R}' = \text{n-трет-C}_4\text{H}_9$] (IX) и 1,2-дифенилциклопентан (X). IX при действии гидролизе дал *n*-трет-бутилфенилцислевую к-ту (XI), при действии 30%-ной H_2SO_4 — IV и *n*-трет-бутилфенилпировиноградную к-ту (XII), а при действии HCl в спирте — IV и (*n*-трет-бутилфенил)-этоксималенимид (XIII). Кроме того, XIII синтезирован из *n*-трет- $\text{C}_4\text{H}_9\text{C}_6\text{H}_4\text{C}(\text{CN})=\text{C}(\text{OC}_2\text{H}_5)\text{COOC}_2\text{H}_5$ (XIV). XIV в отличие от I не бромировался в тех же условиях. Рассмотрены возможные механизмы бромирования и доказательства строения полученных в-в. К р-ру 0,066 моля I в 45 мл сухого CCl_4 прибавили 4,5 мл сухого Br_2 , через 24 часа кирпично-красный II отделили, быстро промыли CCl_4 и тотчас же поместили в вакуум-экстрактор над КОН и P_2O_5 ; т. пл. II 156,5—157,5° (разл.). При растирании с водой или перекристаллизации из спирта образовался IV, т. пл. 249—250°. В другом опыте исход из р-ра 19 г I в CCl_4 после отделения II оставлен на 4 месяца, выпавший осадок отделен и хроматографирован на SiO_2 ; получен 1,8 г IV и 2,8 г III, т. пл. 163—165°. Последний немедленно выделял J_2 из р-ра NaI в ацетоне. Кроме того, III образовался с плохим выходом при стоянии II с CCl_4 и Br_2 (3 месяца). К кипящей смеси 20 мл спирта и 3 мл 40%-ного р-ра КОН прибавили 5,8 ммоль II и нагревание продолжали 28 час., причем добавили 9 мл воды и 4—5 кусочков КОН, выпало 0,9 г оксалата K, из фильтрата выделили V, т. пл. 125,5—127° (из бал. лигр.). К горячему р-ру 1,7 г КОН в 20 мл воды прибавили 3,5 ммоль II и смесь кипятили 2 часа, добавили 6,5 мл спирта и нагревание продолжали 36 час., после обработки эфиром из водн. р-ра выделили 0,025 г V, т. пл. 149—150° (из бал.). Смесь 0,7 г III, 10 мл воды и 1 г КОН кипятили 6,5 часа, из фильтрата выделили

0,16 г VI. После стояния (5 месяцев) смеси 0,5 г II и 5 мл сухого толуола из осадка выделили 0,22 г IV и 0,02 г NH_4Br , а из р-ра — 0,1 г VII, идентифицированного превращением в бензил- β -нафтиловый эфир, т. пл. 100–101°. В результате нагревания (113 час., 95–100°), 0,52 г III и 4 мл сухого толуола образовалось 97% IV и 0,25 г VII. К II, полученному из 0,033 моля I (6 час.), прибавили 13 мл CCl_4 и 5 мл VIII, свежеперегнанного над Na в токе N_2 , через 45 мин. выделился IX, выход 1,1 г, т. пл. 220–232° (разл.; из сп.). Из маточного р-ра в CCl_4 после прибавления 1 мл воды получили еще 0,7 г IX, а также 2 г X, т. кип. 50,5–52°/0,2 мм, n_D^{20} 1,5507. Смесь 0,5 г IX, 1 г KOH, 10 мл воды и 5 мл спирта кипятят 21 час., р-р упарили наплочину, подкислили и получили 0,33 г XI, т. пл. 79–80° (из петр. аф.). В фильтрате обнаружена $(\text{COOH})_2$. Смесь 1 г IX и 25 мл 30%-ной H_2SO_4 кипятят 48 час., осадок нагревали со смесью лигрина и C_6H_6 (20:1), причем не растворился IV, выход 0,46 г; из фильтрата выделили XII, выход 0,06 г, т. пл. 164–165° (из бал.). При окислении H_2O_2 XII дала XI, выход 82%. При такой же обработке 0,5 г IV получили 0,046 г XII. Через смесь 0,19 моля IX, 30 мл спирта и 0,05 мл HCl (d 1,18) пропустили 1 час HCl-газ, после выдержки (3 часа, кипячение и 16 час., 20°) р-р упарили и осадок промыли C_6H_6 , не растворилось 0,5 г IV; из бензольного р-ра выделили 0,08 г XIII, т. пл. 133–134° (из лигр.). К р-ру 16 г I в 50 мл эфира при 0° медленно прибавили р-р 3,28 г диазоэтана в 150 мл эфира, через 16 час. (20°) получили XIV, выход 14,3 г, т. кип. 153–153,5°/0,1 мм, т. пл. 41–43°, n_D^{20} 1,5315, d_4^{24} 1,0389. В смеси 10 мл спирта и 0,26 мл воды пропустили HCl-газ 35 мин., прибавили р-р 4,3 г XIV в 8 мл спирта и пропускали газ еще 1 час, через 16 час. (20°) получили 2,8 г XIII.

А. Берлин

9Ж102. Определение цис- и транс-форм 4,4'-дизамещенных α,α' -диметилэтилбензов. Shimozama Takashi, Nagai Yoichiro. «Нихон какаку дзасси, Nippon Kagaku zasshi, J. Chem. Soc. Japan. Pure Chem. Sec.», 1960, 81, № 1, 22–23, A2 (японск.; рез. англ.). На основании величин дипольных моментов (D), измеренных в C_6H_6 при 25°, придана цис-конфигурация $n\text{-R-C}_6\text{H}_4\text{C}(\text{CH}_3)=\text{C}(\text{CH}_3)\text{C}_6\text{H}_4\text{-n}$ (I) (даны R, т. пл. °C, D): Cl, 75,2, 88; Br, 82, 3,00; I, 109, 2,88; NO_2 , 155, 6,88; придана транс-конфигурация I (даны R, т. пл. °C, D): Cl, 134, 0,94; Br, 146, 0,84; I, 175, 0,64; NO_2 , 217, 0,68. Выводы совпадают с заключениями, полученными на основе т-р плавления и растворимости. Для I ($R = \text{OCH}_3$), т. пл. 52°, и I ($R = \text{OCH}_3$), т. пл. 132°, определение пространственной конфигурации оказалось невозможным, поскольку значения D равны соответственно 1,77 и 1,80.

Л. Яновская

9Ж103. Конфигурация α,β -дифенилэтиламина. Pratesi P., La Manna A., Vitali G. La configurazione dell' α,β -difenetilamina. «Farmaco. Ed. scient.», 1960, 15, № 6, 387–395 (итал.; рез. англ.). Полностью выясняется конфигурация энантиомерных α,β -дифенилэтиламина. Гидрогенолизом стереоизомерных (–)-трео-(I) и (+)-эритро- $\text{C}_6\text{H}_5\text{CH}(\text{OSOC}(\text{CH}_3)\text{CH}(\text{C}_6\text{H}_5)\text{NHCOC}(\text{CH}_3)_2$ (II) уничтожается центр асимметрии при β -C-атоме и получается один и тот же (+)- $\text{C}_6\text{H}_5\text{CH}_2\text{-CH}(\text{C}_6\text{H}_5)\text{NHCOC}(\text{CH}_3)_2$ (III). К 4 г (–)-трео- $\text{C}_6\text{H}_5\text{CH}(\text{OH})\text{CH}(\text{C}_6\text{H}_5)\text{NH}_2$ [т. пл. 114–115°, $[\alpha]_D^{18}$ –117,5° (с 1,2; абс. сп.)] в 30 мл абс. C_6H_6 по каплям прибавляют 1,8 г CH_3COCl , кипятят, через 20 мин. выделяют 5,37 г белого в-ва, его растворяют в 700 мл горячего спирта, эфиром выделяют 82,2% (–)-трео- $\text{C}_6\text{H}_5\text{CH}(\text{OSOC}(\text{CH}_3)\text{CH}(\text{C}_6\text{H}_5)\text{NH}_2 \cdot \text{HCl}$ (IV), т. пл. 179–180° (из сп.-эф.), $[\alpha]_D^{18}$ –32,1° (с 0,96; вода). 3 г IV в 150 мл воды подщелачивают NH_4OH , выделяют 2,4 г (–)-трео- $\text{C}_6\text{H}_5\text{-CH}(\text{OH})\text{CH}(\text{C}_6\text{H}_5)\text{NHCOC}(\text{CH}_3)_2$ (V), т. пл. 159–160° ($[\alpha]_D^{18}$ –8,6° (с 1; сп.), $[\alpha]_D^{17}$ –7,4° (с 1,2; тетрагидроуран). К 0,6 г V в 30 мл абс. спирта прибавляют теоретич. кол-во HCl в абс. спирте, 150 мл эфира осаждают 0,5 г

IV. К 1 г V в 12 мл CH_3COCl прибавляют 1,25 г PCl_5 , оставляют на 4 часа при $\sim 20^\circ$, выпаривают в вакууме, прибавляют воду со льдом, выделяют 69% I, т. пл. 129–131° (из сп.), $[\alpha]_D^{20} + 24,9^\circ$ (с 0,59; абс. сп.). Из 2,1 г (–)-трео- $\text{C}_6\text{H}_5\text{CH}(\text{OH})\text{CH}(\text{C}_6\text{H}_5)\text{NH}_2$ действием $(\text{CH}_3\text{CO})_2\text{O}$ по ранее известному методу (Read J. и др., J. Chem. Soc., 1929, 2305) получают 1,2 г I. К 2 г (–)-эритро- $\text{C}_6\text{H}_5\text{CH}(\text{OH})\text{CH}(\text{C}_6\text{H}_5)\text{NH}_2$ (VI) [т. пл. 142–143°, $[\alpha]_D^{20} - 11,9^\circ$ (с 0,64; сп.)] в 35 мл абс. $\text{C}_6\text{H}_5\text{N}$ прибавляют 1 г $(\text{CH}_3\text{CO})_2\text{O}$ аналогично известному методу (Fodor G. и др., J. Organ. Chem., 1949, 14, 338), нагревают 2 часа при 45°, отгоняют летучие в-ва в вакууме, выделяют 79% (–)-эритро- $\text{C}_6\text{H}_5\text{CH}(\text{OH})\text{CH}(\text{C}_6\text{H}_5)\text{NHCOC}(\text{CH}_3)_2$ (VII), т. пл. 208–210° (из сп.), $[\alpha]_D^{18} - 12,3^\circ$ (с 0,87; абс. сп.). Аналогично синтезируют (+)-эритро- $\text{C}_6\text{H}_5\text{CH}(\text{OH})\text{CH}(\text{C}_6\text{H}_5)\text{NHCOC}(\text{CH}_3)_2$, т. пл. 209–210°, $[\alpha]_D^{20} + 11,8^\circ$ (с 0,75; абс. сп.). К 1,1 г VII в 13 мл CH_3COCl прибавляют 1,5 г PCl_5 , оставляют на 20 час. при -20° , выпаривают в вакууме, выделяют 39% II, т. пл. 231–232° (из сп.), $[\alpha]_D^{18} - 19,5^\circ$ (с 0,36; сп.). 2 г VI в 12 мл $(\text{CH}_3\text{CO})_2\text{O}$ кипятят 1,5 часа, получают 61% II. 1 г I в 30 мл абс. спирта гидрируют в присутствии 0,6 г 5%-ного $\text{Pd/Al}_2\text{O}_3$ при 4 ат и $\sim 20^\circ$ 3 часа, из фильтрата выделяют 43,5% III, т. пл. 164–165° (из бал., сп. и лигр.), $[\alpha]_D^{20} + 13,8^\circ$ (с 0,72; сп.). 1 г II в 200 мл абс. спирта гидрируют над 0,6 г 5%-ного $\text{Pd/Al}_2\text{O}_3$ при 4 ат и 40° аналогично предыдущему, получают 68,3% III. Приведены кривые ИК-спектров III–V и VII.

В. Скородумов

9Ж104. Реакции конденсации аминоспиртов с имидами. I. Конденсация N,N-диэтиламиноэтанола с различными имидами; образование N,N-диэтилэтилэтилэтиламина. Nakajima Kazuo. «Нихон какаку дзасси, Nippon Kagaku zasshi, J. Chem. Soc. Japan. Pure Chem. Sec.», 1960, 81, № 2, 323–327, A22 (японск.; рез. англ.). Нагреванием N,N-диэтиламиноэтанола (I) с имидами к-т приготавлен ряд $\text{R} < (\text{CO})_2 > \text{NCH}_2\text{CH}_2\text{N}(\text{C}_2\text{H}_5)_2$ (II). Гидролиз II в различных условиях дал N,N-диэтилэтилэтиламин (III). Смесь 0,25 моля сукцинимидов и 0,27 моля I нагревают до 360° (бани) с отгонкой, собирают фракцию с т. кип. 284°, получают II ($R = \text{CH}_2\text{CH}_2$) (IIa), выход 85%, т. кип. 141°/6 мм; пикрат (PKR), т. пл. 155° (из $\text{C}_6\text{H}_5\text{OH}$); хлоридативат (XT), т. разл. 200°. Аналогично получают II [даны R, выход в %, т. кип. в °C/мм и (или) т. пл. в °C, т. пл. в °C PKR, т. разл. в °C XT]: $\text{CH}(\text{CH}_3)\text{CH}_2$, 75, 132/6, 123, –; $\text{CH}(\text{C}_6\text{H}_5)\text{CH}_2$, 90, 220/6, –, 115; $\text{CH}(\text{CH}_3)\text{CH}(\text{CH}_3)$, 80, 125/6, –, –, $\text{CH}(\text{C}_6\text{H}_5)\text{CH}(\text{C}_6\text{H}_5)$, 60, 265/9, 140, –, $\text{C}(\text{CH}_3)_2\text{CH}_2$, 70, 268, –, –, $\text{C}(\text{CH}_3)_2\text{CH}(\text{CH}_3)$, 75, 272, –, –, $\text{C}(\text{CH}_3)_2\text{C}(\text{CH}_3)_2$, 59, 285, 150, –, $(\text{CH}_2)_3$, 75, 284, 142, –, $\text{CH}_2\text{C}(\text{CH}_3)\text{CH}_2$, 30, 294–295, –, –, $\text{CH}_2\text{C}(\text{CH}_3)_2$, 42, 295, (т. пл. 42°), –, 222; $\text{CH}(\text{CH}_2)_2\text{C}(\text{CH}_3)_2$, 50, 320, 110, –, 1,6- C_6H_4 , 96, 167/6, 46, 200 (разл.), 190, 20 г III и 50 мл 21%-ной HCl кипятят 3 часа, фильтруют, упаривают в вакууме, обрабатывают избытком измельченного NaOH, отгоняют III, выход 70%, т. кип. 144–146°. 20 г IIa нагревают с 24 г 50%-ного NaOH с отгонкой, получают после насыщения NaOH и вторичной отгонкой III, выход 75%, перегоняют смесь 20 г IIa и 7,5 г β -аминоэтанола (IV), получают III, выход 90%. N-оксипиридинимид (V), т. кип. 215°/6 мм, т. пл. 60°; при обработке V посредством PBz_3 получают N- β -бромэтилсукцинимид, т. кип. 150°/6 мм, т. пл. 61°. Аналогично вышеописанному при нагревании II ($R = 1,6\text{-C}_6\text{H}_4$) с IV получают III и N- β -оксипиридинимид (VI), т. кип. 188°/6 мм, т. пл. 128°; из VI и PBz_3 получают N- β -бромэтилфталимид, т. кип. 167°/6 мм, т. пл. 82–83,5°. Смесь 0,1 моля сахараина, 0,12 моля I и 10 г ацетофенона кипятят с отгонкой (аналогично получению II), выделяют N-диэтиламиноэтилсахарин, выход 35–40%, т. кип. 194°/6 мм, т. пл. 65°; PKR, т. пл. 170°; XT, т. разл. 222°. Кроме того, получают N,N-диэтиламиноэтиловый эфир о-сульфамидо-бензойной к-ты, выход 50%, т. пл. 276°. Л. Яновская

9Ж105. Реакция конденсации аминоспиртов с имидами. Сообщение II. Продукты конденсации некоторых N,N -диалкиламиноспиртов с сукцинимидом и фталимидом. Nakajima Kazuo, «Нихон какаку дзасси, Nippon Kagaku Zasshi, J. Chem. Soc. Japan. Pure Chem. Sec.», 1960, 81, № 3, 499—504, А 34 (японск.; рез. англ.).—Нагреванием N,N -диэтиламиноспиртов $RR'N-CH_2CH_2OH$ (I) с сукцинимидом получают β -диалкиламиносукцинимиды $RR'NCH_2CH_2N(COCH_2)_2$ (II), а из I и фталимида (нагревают при 200—250° ~3 часа) получают β -диалкиламиносукцинимиды $RR'NCH_2CH_2N(OC_2H_4)_2$ (III) с выходом 60—90%. Гидролиз II и III приводит к N,N -диалкилэтилендиаминам $RR'NCH_2CH_2NH_2$ (IV), выходы 50—90%. Приведены R, R', полученный продукт (II—III), т. кип. в °C при 10, 20, 50, 100 и 760 мм, т. пл. в °C пикрата, т. разл. в °C хлорплатината: CH_3 , CH_3 , II, 147, 165, 189, 210, 280, 186, 220, III (т. пл. 103°), 170, 190, 215, 236, 309, 223, 218; CH_3 , C_2H_5 , II, 132, 157, 181, 202, 279, 118, 194, III, 172, 192, 217, 238, 311, 205, 195; C_2H_5 , C_2H_5 , II, 158, 176, 200, 221, 291, 155, 200, III, (т. пл. 46°), 184, 203, 229, 247, 320, 200, 190; $n-C_3H_7$, $n-C_3H_7$, II, 155, 173, 197, 218, 287, —, III, 200, 220, 224, 261, 335, 147, 224; *изо*- C_3H_7 , *изо*- C_3H_7 , II (т. пл. 49°), 163, 181, 206, 226, 297, — (масло), —, III (т. пл. 55°), 199, 215, 244, 263, 337, 175, 200; $n-C_4H_9$, $n-C_4H_9$, II, 223, 242, 265, 288, 357, 87, 186, III, 213, 232, 256, 277, 347, — (масло), 195; *изо*- C_4H_9 , *изо*- C_4H_9 , II, 184, 202, 226, 247, 317, — (масло), 196, III (т. пл. 53°), 202, 219, 241, 262, 332, — (масло), 200; *изо*- C_5H_{11} , *изо*- C_5H_{11} , 202, 222, 246, 267, 337, — (масло), 160, III, 223, 242, 265, 288, 356, 153, —; $H(CH_2)_4CH(C_2H_5)CH_2$, $H(C_2H_5)_2CH(C_2H_5)CH_2$, II, 222, 248, 275, 295, 357, — (масло), 190, III, 249, 269, 298, 319, 365 (разл.), — (масло), —; CH_3 , *цикло*- C_6H_{11} , II, 194, 210, 232, 253, 320, — (масло), 255, III, 224, 241, 266, 288, 345, 184, 202; *цикло*- C_6H_{11} , *цикло*- C_6H_{11} , II (т. пл. 100°), 241, 259, 285, 305, — (масло), 288, III (т. пл. 101°), 269, 288, 318, 344 — (масло), 166, 218; $C_6H_5CH_2$, $C_6H_5CH_2$, II (т. пл. 94°), 257, 275, 299, 320 (разл.), — (масло), 84, 220, III (т. пл. 125°), —, —, —, —, 138—140, 220. Приведены R, R', т. кип. IV в °C, т. пл. в °C пикрата, т. разл. в °C хлорплатината: CH_3 , CH_3 , 107, 225, —; CH_3 , C_2H_5 , 131, 210, 213; C_2H_5 , C_2H_5 , 145, 211, 230; $n-C_3H_7$, $n-C_3H_7$, 184, 115; 228; *изо*- C_3H_7 , *изо*- C_3H_7 , 178, — (масло), 230; $n-C_4H_9$, $n-C_4H_9$, 214, 180, 235; *изо*- C_4H_9 , *изо*- C_4H_9 , 210, — (масло), 217; *изо*- C_5H_{11} , *изо*- C_5H_{11} , 235, 166, 218; $H(C_2H_5)_2CH(C_2H_5)CH_2$, 162/10 мм, 142, 216; CH_3 , *цикло*- C_6H_{11} , 222, — (масло), 235; *цикло*- C_6H_{11} , *цикло*- C_6H_{11} , 304, 171, 235; $C_6H_5CH_2$, $C_6H_5CH_2$, 186/7 мм, 174, —. Н. Шведов

9Ж106. Гидрирование органических соединений над никелевым катализатором по Урусибара. IV. Гидрирование нитрилов и оксимов с $U-Ni-NH_3$ и $U-Ni-B$. Nishimura Shigeo, Sugimori Akira, «Нихон какаку дзасси, Nippon Kagaku Zasshi, J. Chem. Soc. Japan. Pure Chem. Sec.», 1960, 81, № 2, 314—316, A21 (японск.; рез. англ.).—В продолжение прошлой работы (см. Сообщение III, 1959, № 3, 8119) изучено гидрирование бензилнитрила (I), бензонитрила (II), адипонитрила (III) и α -бензальоксида (IV) в присутствии никелевых катализаторов: $U-Ni-NH_3$ (A); катализатор приготовлен из 10 мл р-ра $NiCl_2$ (из 1 г Ni) и 10 г порошка U (см. РЖХим, 1956, № 11, 32037), обработан при 50—60° 100 мл 14%-ного NH_4OH в течение 15—20 мин., после декантации 2 раза промывает по 20 мл CH_3OH ; 0,1 моля I—IV насыщена 40 мл H_2 при 100 kg/cm^2 и 80°, катализатор $U-Ni-B$ (B) приготовлен, как описано ранее (см. вторую ссылку), промывает 2×20 мл CH_3OH ; катализатор $U-Co-B$ (B) приготовлен аналогично B с использованием $CoCl_2$. Гидрирование I, II, III или IV (0,1 моля) проводилось в присутствии 1 г Ni -или Co -катализатора в 40 мл CH_3OH , получены следующие результаты (дано исходный продукт, катализатор, оптимальная т-ра р-ции в °C, конечные продукты, выход в %): I, B, 92, β -фе-

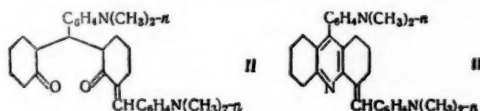
нитэтиламин (V), 79, т. кип. 90—91°/20 мм, *бис*-(β -фенилэтил)-амин (VI), 12, т. кип. 180°/20 мм; I, A, 82, V, 84, VI, 3; II, B, 86, бензиламин (VII), 72, т. кип. 77—78°/20 мм, дибензиламин (VIII), 20, т. кип. 176—177°/20 мм; II, A, 88, VII, 68, VIII, 21; III, B, 92, гексаметилендиамин (IX), 59, т. кип. 83—85°/13 мм; III, A, 96, IX, 74; III, B, 96, IX, 80; IV, B, 90, VII, 35, VIII, 57; IV, A, 90, VII, 50, VIII, 40. Сообщение III см. РЖХим, 1959, № 3, 8119. Л. Яновская

9Ж107. Восстановительная димеризация в муравьиной кислоте. Heuningen Earle van, Cassidy Donald R. Reductive dimerization in formic acid. «J. Organ. Chem.», 1960, 25, № 8, 1325—1328 (англ.).—При попытке осуществить конденсацию 1,1-*бис*-(n -диметиламинофенил)-этилена (I) с ацетоуксусным эфиром (II) в $HSOON$ образовался в результате димеризации и восстановления 1,1,3,3-тетраakis-(n -диметиламинофенил)-бутан (III). Попытки получить III другим путем, из 4,4-*бис*-(n -диметиламинофенил)-бутанона-2 (IV) с диметиланилином (V) или из продукта конденсации IV с диметиламинофениллитием, были неудачны. В последнем случае выделено лейкооксаноид кристаллической-виолет (VI). Из *бис*-(n -диметиламинофенил)-карбинола (VII) через β -*бис*-(n -диметиламинофенил)-пропионовую к-ту (VIII), ее этиловый эфир (IX) и 1,1,3,3-тетраakis-(n -диметиламинофенил)-1-оксипропан (X) синтезированы 1,1,3,3-тетраakis-(n -диметиламинофенил)-пропан (XI). В результате конденсации V с ацетилацетоном (XII) вместо производного пентана образовался 2,2-*бис*-(n -диметиламинофенил)-пропан (XIII). Приведены соображения о механизме рассматриваемых р-ций. Смешали 0,01 моля I, 0,01 моля II и 25 мл 98—100%-ной $HSOON$, после выдержки (12 час, 20° и 3 часа, 100°) $HSOON$ удалили в вакууме и получили 0,5 г III, т. пл. 149—151° (из ацетона- CH_3OH). Так же III образовался и в опыте без II. При нагревании (16 час, 100°) смеси 130 г II, 270 г VII и 7 г CH_3COOH образовался продукт конденсации, который омылением водно-спирт. р-ром $NaOH$ и декарбоксилированием (15 час, 100°) превращался в IV, выход 74%, т. пл. 125—126° (из сл.). Конденсация IV с V в конц. HCl (24 часа, 130°) не прошла. К 0,288 г атома Li в N_2 по калиям прибавили р-р 0,144 моля 4-бром-диметиламинилана (XIV) в 70 мл эфира, через несколько часов смесь разбавили эфиром до 230 мл и профильтровали. К 30 мл полученного р-ра в N_2 прибавили по калиям при 20° р-р 0,0129 моля IV в 300 мл эфира, после выдержки (16 час, 20° и 1 час, кипячение) смесь вылили в р-р NH_4Cl , к выделенному осадку в-ву прибавили 0,025 моля V и 0,065 моля конц. HCl и смесь нагревали 18 час. при 150°; после нейтрализации, извлечения $CHCl_3$, отгонки р-рителя и удаления избытка V с водяным паром выделился VI, т. пл. 172—173° (из CH_3OH). Смесь 0,06 моля VII и 0,06 моля малоновой к-ты нагревали 0,5 часа при 100°, через 16 час. (20°) прибавили 50 мл спирта и массу нагревали еще 1,5 часа, выделено 69% неочищ. производного малоновой к-ты, которое декарбоксилировано нагреванием (3 часа, 105°) с 100 мл 30%-ной H_2SO_4 ; после нейтракции р-ром NH_3 до pH 7 получили VIII, выход 40%, т. пл. 228—230° (из сл.); IX, т. пл. 85—87° (из водн. сл.). К профильтрованному в N_2 р-ру, приготовленному из 0,0403 моля XIV в 20 мл эфира и 0,0806 г атома Li, прибавили р-р 0,0156 моля IX в 100 мл эфира, через 2 часа смесь вылили в р-р NH_4Cl и получили X, выход 51%, т. пл. 187—187,5° (из ацетона). При гидрировании 3,73 ммоль X в 150 мл абс. спирта в присутствии 1 г 5%-ного Pd/C (2 часа, 40—50°, 2,5 ат H_2) образовался XI с плохим выходом, т. пл. 180—181° (из сл.). Смесь 0,4 моля V, 0,1 моля XII и 33,4 мл конц. HCl нагревали 6 час. при 150°, после нейтр-ции $NaHCO_3$, обработкой эфиром и отгонкой с паром избытка V получили XIII, т. пл. 82—83,5° (из водн. сл.). А. Берли

9Ж108. Дегидратация α -фенилциклогексанонокси-
ма. Wenkert Ernest, Barnett Buford F. De-
hydration of α -phenylcyclohexanone oxime. «J. Amer.
Chem. Soc.», 1960, 82, № 17, 4671—4675 (англ.).—
В результате пиролизной разложения α -фенилцикло-
гексанонокси-ма (I) выделены 2-оксибензил (II), транс-
2-фенилциклогексилламин (III), 2-аминобензил (IV),
 α -фенилциклогексанон (V), тетрагидрокарбазол (VI),
карбазол (VII), нитрил ϵ -фенилкапроновой к-ты
(VIII), $C_6H_5CH=CH(CH_2)_3CN$ (IX), ϵ -фенил- ϵ -капро-
лактан (X), амид ϵ -фенилкапроновой к-ты (XI), транс-
2-фенилциклогексанол (XII) и $C_6H_5CH=CH(CH_2)_3CONH_2$ (XIII). Строение XIII доказано синтезом из
 δ -бензилвалериановой к-ты (XIV) через амид ϵ -фе-
нил- ϵ -капроновой к-ты (XV), а строение X дока-
зано получением его из I при действии n -толуолсул-
фохлорида (XVI). Кроме того, X превращен в XIII.
При нагревании VI с NH_2OH в C_6H_6 (24 часа, 270°) де-
гидрирование не шло, а при действии на VI цикло-
гексанонокси-ма (XVII) образовался VII. Из 2-нитро-
бензила (XVIII) получен 2-гидроксиламинобензил
(XIX), при пиролизе которого получены IV, 2,2'-азо-
бензил (XX) и 2,2'-азоксибензил (XXI). Аналогич-
ные результаты получены из XIX при действии к-ты
или XVI. При нагревании 3,5-динитробензоата I (XXII)
с $(C_2H_5)_3N$ в пиридине образовался VI. Р-р 10 г I
(т. пл. 173—174°) в 30 мл C_6H_6 нагревали 24 часа при
270° и промывали 10%-ными р-рами NaOH и HCl; после
подкисления щел. р-ра, обработки продукта C_6H_5COCl
в пиридине и хроматографирования на Al_2O_3 выделено
700 мг бензоата II, т. пл. 73—76° (из петр. эф.); из
кислого р-ра после подщелачивания, бензоилирования
и хроматографирования получено 620 мг N-бензоил-
III, т. пл. 179—182°, и 600 мг N-бензоил-IV, т. пл. 83—
86°; бензольные р-ры от 5 таких же опытов подверг-
нуты многократному хроматографированию на Al_2O_3 ,
причем выделены (приведены в-во, выход в г, т. пл. в °C): V, 12,49, 56—58; VI, 1,25, 116—118 (из петр. эф.); VII, 7,39, 238—240 (из бзл.- C_6H_{12}); VIII, 1,3, —; IX, 2,7
(по продуктам их гидролиза); —, X, 1,2, 136—138 (из
водн. сп.); XI, 1,2, 94—96 (из C_6H_{12}); XII, 4,1, 120—121
(из водн. сп.); XIII, 2,4, 106—107 (из C_6H_{12}). К р-ру 4 г
XIV в 5%-ном р-ре Na_2CO_3 понемногу прибавляли 2 г
NaBH, и смесь перемешивали 2 часа, после подкисле-
ния, извлечения эфиром и отгонки р-рителя остаток
кипятили 30 мин. с 20 мл $SOCl_2$, р-р выпили при 0° в
75 мл р-ра NH_3 и получили XVI, т. пл. 90—92° (из водн.
сп.). Полученный XV с 10 мл коллидина кипятят
1 час и выпили в воду, после подкисления 10%-ной
HCl и извлечения эфиром выделили 1,6 г XIII. К р-ру
9,5 г I в 25 мл безводн. пиридина при 0—5° прибавили
16,5 г XVI и р-р постепенно нагревали до 20° за 12 час,
смесь выпили в 400 мл воды, подкислили, оставили на
2 часа и получили 12,3 г X, т. пл. 139—141°. Смесь 5 г
X и 50 мл 20%-ной HCl кипятят 2 часа, после чего
при 0—5° медленно прибавили р-р 5 г $NaNO_2$ в 20 мл
воды, при 20° диазораствор насыщали NaCl и обраба-
тывали эфиром, после удаления р-рителя остаток ки-
пятили 2 часа с 20 мл $SOCl_2$ и выпили в 100 мл конц.
р-ра NH_3 , в результате обработки продукта р-ции петр.
эфиром получили XIII. В результате нагревания
(24 час., 270°) р-ра 4 г VI и 10 г XVII в 20 мл C_6H_6 ,
обычной обработки и хроматографирования на Al_2O_3
выделили 2,4 г VII. К р-ру 5 г XVIII в 75 мл спирта
прибавили р-р 5 г NH_4Cl в 50 мл воды, затем 5 г
амальгамированного Zn, смесь кипятят при переме-
шивании 45 мин. и добавили 50 мл воды, образовался
XIX, выход 3,4 г, т. пл. 69—71° (из петр. эф.). Р-р 4 г
XIX в 100 мл толуола кипятят в N_2 12 час., после
обработки 10%-ной HCl, подщелачивания, обработки
эфиром и ацетилирования продукта р-ции $(CH_3CO)_2O$
выделили 800 мг N-ацетил-IV, т. пл. 118—120° (из водн.
сп.); из толуольного р-ра после хроматографирования
на Al_2O_3 получили 120 мг XX, т. пл. 136—139°, и 850 мг

XXI, т. пл. 160—163°. Из 5 г I в 20 мл пиридина и 7 г
хлористого 3,5-динитробензола (2 мин., 100°) получен
XXII, выход 10,5 г, т. пл. 116—117° (из сп.). Смесь 3,7 г
XXII, 4 мл $(C_2H_5)_3N$ и 75 мл C_6H_6 кипятят 48 час.,
упарили в вакууме, остаток растворили в C_6H_6 , обра-
ботали водой, 5%-ным NaOH и 10%-ной HCl и из щел.
р-ра получили 1,15 г 3,5-динитробензойной к-ты, а при
хроматографировании бензольного р-ра выделили
25 мг VI. А. Берлин

9Ж109. Конденсация альдегидов и кетонов. VII.
Конденсация циклогексанона с 1,3-ди-(n -диметил-
аминобензаль)-циклогексаном-2. Тиличенко
М. Н. «Ж. общ. химии», 1960, 30, № 8, 2562—2564.—
Конденсацией циклогексанона с 1,3-ди-(n -диметил-
аминобензаль)-циклогексаном-2 (I) получен дикетон
(II). Пиридиновым синтезом из II получено



гидроакридиновое основание (III). К 17 г I в 180 мл
циклогексанона при кипении прибавляют 35 мл
10%-ного спирт. NaOH, кипятят 5 мин. и выделяют II,
выход 78,7%, т. пл. 225—227° (из диоксана); 2,4-динитро-
фенилгидразон, т. пл. 184—186°. Нагревают 30 мин.
14 г II, 42 г CH_3COONH_4 и 50 мл лед. CH_3COOH , ней-
трализуют и выделяют III, выход 98%, т. пл. 236—238°
(из сп.); пикрат, т. пл. 242—243° (разл.; из диоксана);
трихлоридрат, т. пл. 201—203 (из ацетона). Сообще-
ние VI см. РЖХим, 1961, 8Ж178. Т. Гладышева

9Ж110. Синтез и расщепление на оптические анти-
поды анилидов, полученных в катализируемых папаи-
ном реакциях между (оксикал)-анилинами и N-
ациламинокислотами. Abernethy John Leo, Col-
lins Brother Myron. Syntheses and resolutions
involving papain-catalyzed reactions between (hydro-
xyalkyl) anilines and N-acylamino acids. «J. Organ.
Chem.», 1960, 25, № 9, 1558—1562 (англ.).—Изучалась
возможность стереоспецифич. образования оптически
активных анилидов при взаимодействии m -(1-окси-
этил)-анилина (I), m -аминобензилитового спирта (II)
или n -(2-оксиэтил)-анилина (III) с N-ациламинокис-
лотами общей ф-лы $RCH(NHCO)COOH$ (IVa—д, где
а R = H, R' = C_6H_5 ; б (dl-форма) R = CH_3 , R' = OCH_2 -
 C_6H_5 ; в (l-форма) R = CH_3 , R' = $OCH_2C_6H_5$; г (dl-форма)
R = CH_3 , R' = C_6H_5 ; д (l-форма) R = CH_3 ,
R' = C_6H_5 в присутствии папаина (V). Положитель-
ный результат получен при р-ции II с IVb или IVв и
при р-ции III с IVb, IVв или IVг. Не прошла р-ция
между II и IVг или IVд, а также между III и IVд.
Хорошие выходы получены при взаимодействии I, II
и III с IVa, но в первом случае не произошло стерео-
специфич. расщепления за счет остатка I. Получены
анилиды общей ф-лы $RCH(NHCO)CONHC_6H_4R'$
[IVa—е, где а R = H, R' = C_6H_5 , R'' = m -(CH_2CHON);
б R = H, R' = C_6H_5 , R'' = m - CH_2CHON ; в (l-форма)
R = CH_3 , R' = $OCH_2C_6H_5$, R'' = m - CH_2CHON ; г R = H,
R' = C_6H_5 , R'' = n - CH_2CH_2ON ; д (l-форма) R = CH_3 ,
R' = $OCH_2C_6H_5$, R'' = n - CH_2CH_2ON ; е (l-форма)
R = CH_3 , R' = C_6H_5 , R'' = n - CH_2CH_2ON]. Исследовалась
скорость образования анилидов. Лучшие выходы по-
лучены при pH ~4.7. Приведены соображения о меха-
низме р-ции. Описано получение I. К 10 г $LiAlH_4$ за
2 часа прибавили взвесь 13,52 г растертого m -амино-
ацетофенона в 500 мл эфира и перемешивание про-
должали еще 2 часа, после выдержки (16 час., 20°)
осторожно прибавили 100 мл воды и 250 мл 15%-ного
NaOH, получили I, выход 81%, т. пл. 70—71°. В 125 мл
буферного р-ра растворили 0,02 моля II или III,
0,02 моля IVa, IVb или IVг (или 0,01 моля IVв), 0,5 г

хлоргидрата L-цистеина и 0,5 г активированного V, р-р выдерживался при 40°, через определенные промежутки времени отфильтровывали выпавший анид [перечислены исходные амин, ациламиноокислоты, полученный анид, выход в г за 0—18, 18—42, 42—210 час от начала опыта, т. пл. в °C, $[\alpha]_D^{20}$ (с 2; пиридин)]: II, IVa, VIb, 0,33, 0,85, 1,52, 185—186, 0°; II, IVb, VIa, 1,78, 0,53, 0,32, 133,5—134, —31,3°; II, IVa, VIa, 1,52, 0,14, 0, 133,5—134, —33°; III, IVa, VIr, 1,43, 1,25, 0,79, 173—174, 0°; III, IVb, VIд, 2,45, 0,185, 0,28, 152—153, —43,8°; III, IVa, VIд, 3,26, 0,03, 0,132, 155—155,5, —44,9°; III, IVr, VIe, 1,28, 0,62, 0,21, 189—190, —76°. В аналогичном опыте с 0,05 моля I и 0,05 моля IVa получены следующие кол-ва оптически неактивного VIa: за 0—16 час. 0 г; за 16—24 часа 1,4 г; за 24—48 час. 2,8 г; за 48—72 часа 1,56 г; за 72—96 час. 0,8 г; за 96—120 час. 0,44 г; за 120—144 часа 0,21 г; за 144—168 час. 0,09 г; за 168—336 час. 0,37 г.

9Ж111. Реакции магнизиламинов. VIII. Синтез и свойства ариламинов N-арил(алкил)- и N-арилзамещенных антралиновых кислот. Петюнин П. А., Кожевников Ю. В. «Ж. общ. химии», 1960, 30, № 8, 2453—2457. — Взаимодействием $o\text{-CH}_3\text{OOCCH}_2\text{NHR}$ (I) с $R'\text{N}(\text{MgX})_2$ (II) ($X = \text{Br}$ или J) в эфире (I : II = 1 : 1,5) синтезированы $o\text{-R}'\text{NHCOC}_6\text{H}_4\text{NHR}$ (III) [приведены R, R', выход III в %, т. пл. в °C (из сп.)]: C_6H_5 , C_6H_5 (IIIa), 90,3, 118—119; C_6H_5 , $o\text{-CH}_3\text{C}_6\text{H}_4$, 96, 119—120; CH_3 , C_6H_5 , 80, 125; CH_3 , $\text{C}_6\text{H}_5\text{CH}_2$, 50, 84—86; CH_3 , $n\text{-CH}_2\text{C}_6\text{H}_4$, 72,2, 125—127; CH_3 , $\text{C}_6\text{H}_5\text{CH}(\text{CH}_3)$ (IIIб), 81, 122—123; C_6H_5 , $\text{C}_6\text{H}_5\text{CH}(\text{CH}_3)$ (IIIв), 45, 98—99; $n\text{-C}_4\text{H}_9$, $\text{C}_6\text{H}_5\text{CH}(\text{CH}_3)$ (IIIr), 57, 96—97. Р-ция I с II протекает медленнее, чем для $o\text{-CH}_3\text{OOCCH}_2\text{NH}_2$, а $o\text{-CH}_3\text{OOCCH}_2\text{N}(\text{C}_6\text{H}_5)_2$ вследствие пространственных затруднений совсем не вступает в р-цию с $\text{C}_6\text{H}_5\text{N}(\text{MgBr})_2$ в среде эфира, C_6H_5 , $\text{C}_6\text{H}_5\text{N}$ или диоксана. Из $o\text{-CH}_3\text{OOCCH}_2\text{N}(\text{C}_6\text{H}_5)\text{NHCOR}$ и II в тех же условиях получены $o\text{-R}'\text{NHCOC}_6\text{H}_4\text{NHCOR}$ (IV) [приведены R, R', выход IV в %, т. пл. в °C]: H, $o\text{-CH}_3\text{C}_6\text{H}_4$, 62,5, 165 (из сп.); H, $n\text{-CH}_2\text{C}_6\text{H}_4$, 48, 162 (из сп.); H, $n\text{-CH}_2\text{OC}_6\text{H}_4$, 57, 155—156 (из сп.); CH_3 , C_6H_5 , 64,7, 167—168 (из сп.); CH_3 , $o\text{-CH}_3\text{C}_6\text{H}_4$, 82, 167—168 (из ацетона- CCl_4); CH_3 , $n\text{-CH}_2\text{C}_6\text{H}_4$, 71, 185—186 (из сп.); C_6H_5 , C_6H_5 , 85,4, 278 (из толуола); C_6H_5 , $n\text{-CH}_2\text{C}_6\text{H}_4$, 91, 219—220 (из толуола); C_6H_5 , $o\text{-CH}_3\text{C}_6\text{H}_4$, 77, 205—206 (из толуола). IV синтезированы также взаимодействием II с N-ацетилантралилами. Из $\text{C}_6\text{H}_5\text{N}(\text{CH}_3)\text{MgX}$ (V) и I ($R = \text{CH}_3$) получен $o\text{-C}_6\text{H}_5\text{N}(\text{CH}_3)\text{COC}_6\text{H}_4\text{NHCCH}_3$, выход 90,3%, т. пл. 68—69° (из бзн.), а из V и I ($R = \text{C}_6\text{H}_5$) получен $o\text{-C}_6\text{H}_5\text{N}(\text{CH}_3)\text{COC}_6\text{H}_4\text{NHC}_6\text{H}_5$, выход 83,3%, т. пл. 129—130° (из сп.). 57 г $o\text{-HOOCCH}_2\text{NHC}_6\text{H}_5$, 20 мл конц. H_2SO_4 и 220 мл CH_3OH кипятят 5 час., отгоняют CH_3OH , выливают в воду, нейтрализуют Na_2CO_3 , извлекают эфиром и получают I ($R = \text{C}_6\text{H}_5$), выход 95,8%, т. кип. 180—181°/10 мм, т. пл. 59° (из бзн.). Аналогично из $o\text{-H}_2\text{C}_6\text{H}_4\text{NHC}_6\text{H}_4\text{COOH}$ получают I ($R = n\text{-C}_4\text{H}_9$), выход 84%, т. кип. 164—165°/17 мм, d_{20}^{20} 1,0503. K II (из 23,4 г $\text{C}_6\text{H}_5\text{J}$, 3,6 г Mg и 7 г $\text{C}_6\text{H}_5\text{NH}_2$ в 70 мл эфира) приливают эфирный р-р 11,35 г I ($R = \text{C}_6\text{H}_5$), кипятят 1 час, разлагают разб. HCl, отделяют эфирный слой, отгоняют с паром эфир и получают IIIa. K (C_6H_5)₂NMgJ [из 6,24 г $\text{C}_6\text{H}_5\text{J}$, 0,96 г Mg и 6,76 г (C_6H_5)₂NH в 30 мл эфира] приливают эфирный р-р 3,18 г N-ацетилантралила, кипятят 20 мин., разлагают разб. HCl и получают $o\text{-C}_6\text{H}_5\text{N}(\text{CH}_3)\text{COC}_6\text{H}_4\text{NHCCH}_3$, выход ~100%, т. пл. 175—176° (из сп.). IIIб-г обладают местноанестетич. действием, но более слабым, чем анестезин. Сообщение VII см. РЖХим, 1961, 9Ж114.

9Ж112. Расщепление цикла у оксазолов при действии 2,4-динитрофенилгидразина. Brederick Hellmut, Gompfer Rudolf, Reich, Friedrich, Gotsmann Ulrich. Ringaufspaltung von Oxazolen mit 2,4-Dinitrophenylhydrazin. «Chem. Ber.», 1960, 93, № 9, 2010—2015 (нем.). — При действии 2,4-ди-

нитрофенилгидразина (I) на производные оксазола (II): 4,5-дифенил-II (III), 2,4,5-триметил-II (IV), 4-фенил-5-метил-II (V), этиловый эфир 2-метилоксазолкарбонной-4 к-ты (VI), 4-фенил-II (VII), 2-метил-4-фенил-II (VIII), 4-фенил-5-этил-II (IX), 2-метил-4-фенил-5-этил-II (X), 4-фенил-5-н-пропил-II (XI), 2,4-диметил-5-фенил-II (XII), 2,5-диметил-4-фенил-II (XIII), 4-метил-5-бензил-II (XIV), 2,4-диметил-5-бензил-II (XV), 2,5-диметил-4-бензил-II (XVI), 4,5-диметил-II (XVII), 2-метил-4,5-диэтил-II (XVIII), 2,4,5-триэтил-II (XIX), 4,5-диэтил-II (XX), имело место расщепление цикла. В мягких условиях из VI, VII и VIII частично образовались 2,4-(NO_2)₂ $\text{C}_6\text{H}_3\text{NHN}=\text{CHCH}(\text{NHCOC}_6\text{H}_5)\text{COOC}_6\text{H}_5$ (XXI) и моно-2,4-динитрофенилгидразон бензоилкарбоната (XXII) наряду с соответствующими оксазолами. В жестких условиях получены оксазоны общей ф-лы 2,4-(NO_2)₂ $\text{C}_6\text{H}_3\text{NHN}=\text{C}(\text{R})\text{C}(\text{R}')=\text{NNHC}_6\text{H}_5(\text{NO}_2)_2$ (XXIIIa—г), где а R = R' = C_6H_5 ; б R = R' = CH_3 ; в R = CH_3 , R' = C_6H_5 ; г R = R' = H; д R = C_6H_5 , R' = H; е R = C_2H_5 , R' = C_6H_5 ; ж R = $n\text{-C}_4\text{H}_9$, R' = C_6H_5 ; з R = CH_3 , R' = $\text{CH}_2\text{C}_6\text{H}_5$; и R = R = C_2H_5 . Из 53 г бензоина, 225 г HCONH_2 и 49 г конц. H_2SO_4 (1 час, 100—120° и 2 часа, 150°) получен III, выход 61%, т. кип. 115°/0,002 мм, т. пл. 44°. Из 63 г α-бромпропиофенона, 96 г HCOONH_4 , 390 г HCOOH и 45 г $(\text{CH}_3\text{CO})_2\text{O}$ (5 час., кипячение) получен V, выход 51%, т. кип. 122°/11 мм, т. пл. 1°, n_D^{20} 1,5723. Из 100 г α-бромацетофенона и 50 г ацетамида (2 часа, 120—140°) получен VIII, выход 44%, т. кип. 116°/11 мм, т. пл. 42,5°. Так же получены оксазолы (перечислены в-во, т. кип. в °C, n_D^{20}): IV, 43/11, 1,4270; XVII, 128/760, 1,4281; XVIII, 76/30, 1,4423; XIX, 85/30, 1,4494. К р-ру 0,005 моля оксазола в 10 мл CH_3OH прибавляли 600 мл насыщ. на холоду р-ра I в 2 н. HCl, смесь стояла определенное время и выделившийся осадок разделяли дробной перекристаллизацией из этилацетата; получены следующие результаты (перечислены исходной оксазол, продолжительность р-ции в днях, продукт р-ции, его т. пл. в °C): VI, 2, XXI, 185—186; VI, 12, XXI, —, XXIIIr, 328—330; VII, 42, XXII, 234—235, XXIIIд, 290—300; VIII, 14, XXII, —, XXIIIд, —. R 400 мл горячего 1%-ного р-ра I в 2 н. HCl прибавляли 1 г оксазола и смесь кипятили до прекращения образования осадка; последний отделяли (выход 75—95%) и перекристаллизовывали из этилацетата (приведены исходные оксазолы, полученный оксазол и его т. пл. в °C): III, XXIIIa, 310—311 (разл.); IV, XVII, XXIIIб, 330—333 (разл.); V, XII, XIII, XXIIIe, 259; VI, XXIIIr, —; VII, VIII, XXIIIд, —; IX, X, XXIIIe, 226; XI, XXIIIж, 244; XIV, XV, XVI, XXIIIz, 264; XVII, XIX, XX, XXIIIg, 290—291. Кроме того, XXIIIa синтезирован из 2 г бензола и 5 г I в 400 мл разб. HCl (10 час., кипячение).

А. Берлин
9Ж113. Конденсация дифенилкетимина с ариладриазинами. Сообщение I. Синтез N-бензгидрильных производных ариладриазина. Cantarel Roger, Guenzet Jacques. Condensation de la diphenylcétimine et des arylhydrazines. I-er mémoire. Synthèse de dérivés N-benzhydriylés d'arylhydrazines. «Bull. Soc. chim. France», 1960, № 8-9, 1549—1551 (франц.). — При конденсации $(\text{C}_6\text{H}_5)_2\text{C}=\text{NH}$ (I) с ArNHNH_2 (IIa—f; всюду а Ar = C_6H_5 , б Ar = $n\text{-NO}_2\text{C}_6\text{H}_4$) образуются соответственно $(\text{C}_6\text{H}_5)_2\text{C}=\text{NNHAr}$ (IIIa), т. пл. 137°, IIIб, т. пл. 154,5°. Восстановление IIIa и IIIб H_2 в присутствии скелетного Ni приводит соответственно к $(\text{C}_6\text{H}_5)_2\text{CHNHNHC}_6\text{H}_5$ и $(\text{C}_6\text{H}_5)_2\text{CHNHNHC}_6\text{H}_4\text{NH}_2$ (IV) (разл.). При конденсации IV с I получается $(\text{C}_6\text{H}_5)_2\text{CHNHNHC}_6\text{H}_4\text{N}=\text{C}(\text{C}_6\text{H}_5)_2$ (V), т. пл. 186°, который восстанавливается до $(\text{C}_6\text{H}_5)_2\text{CHNHNHC}_6\text{H}_4\text{NHCCH}_3$ (VI). Взаимодействие I с IIIa, IIIб или IIIг изучено при различных т-рах (приведены кривые зависимости выхода от времени р-ции при данной т-ре). Показано, что р-ция I с IIIa или IIIб идет с оптимальными вы-

дами (соответственно 98 и 97%) при 90–100° и длится 40–60 мин. Р-ция I с IV приводит к 92% V при 103° через 5 часов. В. Антонов

9Ж114. Получение производных амидинмочевины и их реакции. Skowrońska-Serafin B., Urbaniński T. Preparation of derivatives of amidineurea and their reactions. «Tetrahedron», 1960, 10, № 1-2, 12–25 (англ.).—Производные амидинмочевины получены двумя новыми методами: А) $RNH_2 + NCNHC(=NH)NH_2$ (I) \rightarrow $RNHCONHC(=NH)NH_2$ (II) и Б) $RNHC(=NH)NHC(=NH)NH_2$ (III) \rightarrow II. Обе р-ции идут в присутствии конц. HCl (к-ты); в случае применения 12%-ной к-ты по методу А вместо II образуется III. Получение алифатич. II ($R = C_6H_5CH_2, C_6H_5$) методом А не удается; по методу Б выход алифатич. II незначителен. Алифатич. II можно получить при слиянии солей аминов с I. Соли II реагируют с $R'NH_2$ (IV), образуя $RNHCONHR'$ (V) и $NH_2C(=NH)NH_2 \cdot HX$; V затем реагирует с IV, давая $R'NHCONHR'$ (VI) + RNH_2 . При взаимодействии II с вторичными ариламидами аминами образуются $RNHCONR'R''$ (VII); диалкилкарбамиды типа VI не образуются. Метод А. К р-ру 13,8 г *n*-нитроанилина в 17 мл HCl и 11 мл H_2O прибавляют при 50° 8,4 г I, нагревают 30 мин., охлаждают, фильтруют, осадок промывают 22%-ной HCl и спиртом и получают 13,5 г хлоргидрата (XГ) II ($R = n-NO_2C_6H_4$), выход 90%, т. пл. 280–282° (разл.; из разб. HCl); основание, т. пл. 231–232° (из сп.). Аналогично получены другие II (перечисляются R, выход в %, т. пл. в °C XГ и основания): *n*-HOOC C_6H_4 , 82, 247–248 (сульфат; из разб. H_2SO_4), 198–200 (из воды); C_6H_5 (IIa), 83, 163–164 (моногоидрат; из разб. HCl), —; *n*-NH $_2$ SO $_2$ C_6H_4 , 20, —, 212–213 (из воды); *n*-Br C_6H_4 , 20, 200 (из разб. HCl), 171–172 (из воды). В случае $R = o-, m-$ и *n*-HOOC C_6H_4 и *n*-Cl C_6H_4 , получение II не удалось. Метод Б. 3 г XГ III ($R = C_6H_5$) нагревают 1 час с 3,3 мл конц. HCl, после охлаждения получают XГ II ($R = C_6H_5$), выход 65%. Аналогично получены другие II (перечисляются R, выход в %, т. пл. в °C хлоргидрата и основания): *n*-NO $_2$ C_6H_4 , 90, —, 231–232 (из сп.); *n*-HOOC C_6H_4 , 95, >350, 198–200 (из воды); *n*-NH $_2$ SO $_2$ C_6H_4 , 60, ~220, 212–213; *n*-Cl C_6H_4 , 65, 206–207, 143–144; *n*-Br C_6H_4 , 70, —, 171–172; *n*-HO $_3$ SC C_6H_4 , 50, —, 267–269 (из насыщ. NaHCO $_3$); *n*-HOOC C_6H_4 , 10, 214–215 (сульфат; из воды), —; *m*-HOOC C_6H_4 , 14, 220–222 (сульфат; из воды), —; β -нафтил, 21, 279–281, 177–179 (из разб. сп.); $C_6H_5CH_2$, 11, 167–168 (тозилат; из воды), 142–144. Из XГ I-фенил-1-метилбигуанида методом Б получен XГ I-фенил-1-метил-3-амидинмочевины, выход 60%, т. пл. 237–238° (из 5%-ной HCl). 2,5 г XГ IIa и 3 г *n*-толуидина (VIII) нагревают, после осветления охлаждают, добавляют разб. HCl, отфильтровывают V ($R = C_6H_5, R' = n-CH_3C_6H_4$) (Va), выход 68%, т. пл. 231–232° (из сп.); продолжительное нагревание IIa и VIII или Va и VIII дает VI ($R' = n-CH_3C_6H_4$), выход 79%. Аналогично получены другие V и VI (перечисляются R, R', выход V в %, т. пл. V в °C и выход VI в %): C_6H_5 , 96, 236–237, —; C_6H_5 , *o*-CH $_3$ C_6H_4 , 58,4, 202–203, 65; C_6H_5 , *m*-CH $_3$ C_6H_4 , 42, 174–175, 67; C_6H_5 , *n*-CH $_3$ C_6H_4 , 94, 130–131, —; C_6H_5 , циклогексил, 75, 182–183, 75; C_6H_5 , 2-пиридил, 50, 189–190, —; *n*-NO $_2$ C_6H_4 , C_6H_5 , 80, 218–219, 60; *n*-NO $_2$ C_6H_4 , *n*-CH $_3$ C_6H_4 , следы, 147–149, —; *n*-NO $_2$ C_6H_4 , циклогексил, 95, 205–207, 80; *n*-NO $_2$ C_6H_4 , 2-пиридил, 66, 242–247, 10; *n*-HOOC C_6H_4 , C_6H_5 , 80, 300, 98; *n*-NH $_2$ SO $_2$ C_6H_4 , C_6H_5 , 90, 228–230, 60; *n*-Cl C_6H_4 , C_6H_5 , 40, 227–238, 62; *n*-Br C_6H_4 , C_6H_5 , 30, 243–245, 70; β -нафтил, C_6H_5 , 51, 237–238, 80; β -нафтил, циклогексил, 92, 204–205, 68; β -нафтил, *n*-CH $_3$ C_6H_4 , 98, 149–150, —; β -нафтил, 2-пиридил, 20, 247–248, —; β -нафтил, 2-пиперидил, 94, 153–154, —; $C_6H_5CH_2$, $C_6H_5CH_2$, 90, 165–166, —; $C_6H_5CH_2$, C_6H_5 , 75, 169–170, 30; *n*-CH $_3$ C_6H_4 , C_6H_5 , 70–71, —; *n*-CH $_3$ C_6H_4 , C_6H_5 , 50, 129–130, 30. Нагревают 1,2 г *N*-метиланилина (IX) и нитрата IIa, после освет-

ления охлаждают, добавляют разб. HCl, осадок экстрагируют бензолом, получают VII ($R = R' = C_6H_5, R'' = CH_3$), выход 65%, т. пл. 104–105° (из сп.). Аналогично получены другие VII (перечисляются R, R', R'', выход в %, т. пл. в °C): C_6H_5 , C_6H_5 , C_2H_5 , 50, 85–86; *n*-NO $_2$ C_6H_4 , C_6H_5 , CH_3 , 26, 124–125; *n*-NO $_2$ C_6H_4 , C_6H_5 , C_2H_5 , 35, 77–79; *n*-Cl C_6H_4 , C_6H_5 , C_2H_5 , 30, 123–124. Из 1-фенил-1-метил-3-амидинмочевины и IX получен $C_6H_5N(CH_3)OON(CH_3)C_6H_5$, выход 38%, т. пл. 121–122°. Приведены ИК-спектры поглощения II и изомерной ему 1-фениламидинмочевины, доказывающие различие в структурах этих соединений. В-ва II относительно малотоксичны; наибольшей противотуберкулезной активностью *in vitro* обладают II ($R = n-NO_2C_6H_4, n-ClC_6H_4$ и *n*-Br C_6H_4) (1–5 мг%), а также β -нафтил- и *n*-нитрофенилбигуаниды. В экспериментах *in vivo* активность пропадает. Приведены результаты испытаний II и III *in vitro* по отношению к карциноме, саркоме, а также лейкоцитам морской свинки. Наибольшей противоопухолевой активностью обладает II ($R = n-NO_2C_6H_4$). Т. Гладышева

9Ж115. О *N*-замещенных 3,4,5-триметоксибензоилглициндиэтиламидах. Röhner H. Über *N*-substituierte 3,4,5-Trimethoxybenzoylglycindiäthylamide. «Arch. Pharmazie», 1960, 293/65, № 6, 573–576 (нем.).—При поисках новых фармакологически активных препаратов синтезированы 3,4,5-(CH $_3$) $_3$ $C_6H_2CON(R)CH_2CON(C_2H_5)_2$ (I) по схеме: $ClCH_2COCl(II) \rightarrow ClCH_2CON(C_2H_5)_2(III) \rightarrow RNHCH_2CON(C_2H_5)_2(IV)$; 3,4,5-(CH $_3$) $_3$ $C_6H_2COCl(V) + IV \rightarrow I$. К 97 г NH(C $_2H_5$) $_2$ в 200 мл C_6H_6 при <30° медленно прибавляют 75 г II в 200 мл C_6H_6 , из фильтрата выделяют 63% III, т. кип. 113–115°/12 мм. 27 г III в 200 мл конц. NH $_4$ OH оставляют на 2 дня, выпаривают в вакууме, остаток растворяют в спирте, очищают углем, из фильтрата выделяют 43% хлоргидрата (XГ) IV ($R = H$; IVa основание), т. пл. 115° (из сп.-этилацетата). 98 г II в 400 мл конц. NH $_4$ OH оставляют на 24 часа, порциями прибавляют 33 г твердого NaOH, выпаривают досуха, эфиром извлекают 75% IVa. Аналогично, применяя вместо NH $_4$ OH моноалкаламины, синтезируют IV с выходом 70–80%. К 16,6 г XГ IVa, в 150 мл 8%-ного NaHCO $_3$ одновременно по каплям прибавляют 23 г V в 300 мл C_6H_6 и 150 мл 8%-ного NaHCO $_3$, размешивают 2 часа, из органич. слоя выделяют 80% I ($R = H$), т. пл. 132–133° (из этилацетата). К 24 г IV ($R = CH_3$), в 150 мл C_6H_6 при охлаждении водой за 15 мин. прибавляют 34,5 г V в 150 мл C_6H_6 , размешивают 2 часа с 300 мл 5%-ного NaHCO $_3$, из органич. слоя выделяют 59% I ($R = CH_3$), т. пл. 94–95° (из CCl $_4$ -эф.). Аналогично или с небольшими изменениями синтезируют I (приводятся R, выход в %, т. пл. в °C): C_2H_5 , 48, 94–95 (из CCl $_4$ -эф.); $CH_2CH_2N(C_2H_5)_2$, 38 (в толуоле, без *p*-ра NaHCO $_3$), —[XГ, т. пл. 141–143° (из ацетона)]; C_6H_5 , 65, 79 (из CCl $_4$ -эф.); циклогексил, 54, 125. В. Скородумов

9Ж116. Строение одноокислотных катионов 4-аминоазобензола и его производных. Lewis C. E. Structures of the monoacid cations of 4-aminoazobenzene and its derivatives. «Tetrahedron», 1960, 10, № 3-4, 129–134 (англ.).—Обзор. Библ. 34 назв.

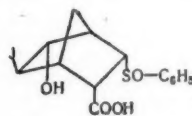
9Ж117. Мускарфин. Часть III. Действие диазотированной антрапиловой кислоты на гидрохиноны. Edwards R. L., Lewis D. G. Muscarufin. Part III. The action of diazotised anthranilic acid on quinols. «J. Chem. Soc.», 1960, July, 2833–2836 (англ.).—Описание взаимодействия диазотированной антрапиловой к-ты (I) с гидрохиноном (II), хлор-II (III), 2,5-дихлор-II (IV) и 2-(4-карбоксибутадие-1,3-ил)-5-хлор-II (V). Метод А. 27,4 г I диазотируют обычным методом, добавляют сначала CH $_3$ COONa до щел. р-ции, а затем при 5° р-р 22 г II в 300 мл воды, через 90 мин. фильтруют, оставляют на ~16 час., вновь фильтруют, подкисляют HCl и получают ди-(карбоксифенил)-2'-5'-диоксифенилкарбоную-2 к-ту (VI) (положение азотгруп

не установлено), выход 0,8 г, т. пл. 244° (из CH_3COOH). Метод Б. Р-р $\text{o-HOOCCH}_2\text{H}_2\text{N}_2\text{Cl}$ (из 27,4 г I) добавляют за 4 часа к р-ру 22 г II в 300 мл воды, содержащему 50 г NaHCO_3 , подкисляют разб. H_2SO_4 и осадок экстрагируют последовательно 100 мл спирта и 100 мл CH_3COOH . Из спирт. экстракта получают лактон 2-о-карбоксифенил-III (VII), выход 6,5 г, т. пл. 225° (из сп.); ацетат (AII), т. пл. 138°. Из уксуснокислого экстракта получают дилактон 2,5-ди-о-карбоксифенил-II, выход 1,0 г, т. пл. ~400°. По методу А получают из 14,5 г III лактон 2-о-карбоксифенил-5-хлор-II (VIII), выход 0,8 г, т. пл. 242° (из сп.), AII, т. п. 193° (из сп.), дилактон 2,5-ди-о-карбоксифенил-3,6-диоксibenзохинона-1,4 (IX), выход 0,4 г, т. пл. >400° (из анизола), и 0,14 г VI; из 5,3 г IV получают лактон 2-о-карбоксифенил-3,6-дихлорбензохинона-1,4, выход 0,4 г, т. пл. >400° (из сп.), и 2,6 г X. Продукт р-ции 1,2 г V с 1,5 г I экстрагируют CHCl_3 , растворяют в 3 мл $(\text{CH}_3\text{CO})_2\text{O}$ и 0,5 мл конц. H_2SO_4 , нагревая 1 мин. при 40°, выливают в воду и экстрагируют 25 мл C_6H_6 лактон ди-о-карбоксифенил-ацетоки-II (строение не установлено), выход 10,5 г, т. пл. 238° (разл.; из бzl.). Сообщение II см. РЖХим, 1960, № 16, 65615 К, Бутин

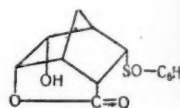
9Ж118. Синтез меркаптофенолов и их гомологов. Hotelling E. B., Windgassen R. J., Previc E. P., Newworth M. B. Synthesis of mercaptophenols and alkyl derivatives. «J. Organ. Chem.», 1959, 24, № 10, 1598—1600 (англ.). Действием S_2Cl_2 на фенолы с последующим гидрированием полученной смеси моно-, ди- и полисульфидов фенолов синтезированы меркаптофенолы (I) с целью их испытания в качестве ингибиторов полимеризации. Для $\text{C}_6\text{H}_5\text{OH}$ (II) замещение серой происходит лишь в пара-, но не в орто-положение к OH-группе. На этом основании и по данным ИК-спектра в-ву, полученному из о-крезола (III), приспано строение 2-метил-4-меркаптофенола (IV). Приведены исходный фенол, полученный I, выход в %, т. кип. в °С/мм, т. пл. в °С: II, 4-HSC₆H₄OH, 19, 149—150/25, 32—35; III, IV, 28, —, 39—42; 2,6-(CH₃)₂C₆H₃OH (V), 2,6-(CH₃)₂4-HSC₆H₃OH (Ia), 49, 137—138/10, 85—87; 2,4-(CH₃)₂C₆H₃OH, 2,4-(CH₃)₂6-HSC₆H₃OH (Ib), 48, 99—100/6,5, 37—39; 2-CH₃-6-(CH₃)₂CC₆H₃OH (VI), 2-CH₃-6-(CH₃)₂4-HSC₆H₃OH (Ia), 42, 134—135/5, —; 2-CH₃-4-(CH₃)₂CC₆H₃OH (VII), 2-CH₃-4-(CH₃)₂6-HSC₆H₃OH (Ic), 40, 124—125/5, —; 4-CH₃-2-(CH₃)₂CC₆H₃OH (VIII), 4-CH₃-2-(CH₃)₂6-HSC₆H₃OH (Id), 41, 118—118,5/5,5, 40—42; 2-трет-С₃H₇-C₆H₄OH, 2-трет-С₃H₇-4-HSC₆H₃OH, 40, 140—141/5, —; 2,6-(изо-С₃H₇)₂C₆H₃OH, 2,6-(изо-С₃H₇)₂4-HSC₆H₃OH, 30, 82—90/0,2, —; 2,6-(трет-С₃H₇)₂C₆H₃OH, 2,6-(трет-С₃H₇)₂4-HSC₆H₃OH, 31, 85—97/0,2, 65—69. I охарактеризованы получением $\text{HOOCCH}_2\text{SAgOCH}_2\text{COOH}$ (IX) из динатриевой соли I и BrCH_2COOH [приведены исходный I и т. пл. IX в °С (разл.)]: Ia, 171—172; Ib, 132; Ic, 118—120; Id, 140—141. I охарактеризован также получением из I $\text{HOOCCH}_2\text{CH}_2\text{SAgOH}$ (X) (РЖХим, 1958, № 10, 32440) (приведены исходный I и т. пл. в °С X): Ia, 106—108; Ib, 78—80; из I получен также 2,4-(NO₂)₂C₆H₃SAgOH (Bost R. W. и др., J. Amer. Chem. Soc., 1932, 54, 1985) (приведены те же показатели): Ia, 191—193; Ib, 154—156; Ic, 185—186. Взаимодействием III с изо-С₄H₉ в присутствии H_2SO_4 с последующей фракционной перегонкой получают VI, т. кип. 118°/20 мм, и VII, т. кип. 132°/20 мм. Аналогично из п-крезола получают VIII, т. кип. 125—126°/20 мм, т. пл. 51°. К 1 молю V и 1 г S в 500 мл CCl_4 прибавляют по каплям р-р 0,55 моля S_2Cl_2 в 200 мл CCl_4 в токе N_2 при <30° (~1 час), кипятят 20 мин. и отгоняют CCl_4 в вакууме. Остаток растворяют в толуоле, гидрируют над MoS_2 (10 % по весу) на Al_2O_3 при начальном давл. 115 ат и

140° до прекращения поглощения H_2 и фракционной перегонкой получают V (~15%), Ia и 4-Cl-2,6-(CH₃)₂C₆H₃OH (5%). Т-ры плавления исправлены.

А. Белоцветов
9Ж119. Исследования в области этиленовых препаратов. Сообщение IX. Стереохимия диенового синтеза с этиленсульфидами. Сообщение II. 2-фенилсульфинилакриловые кислоты. Albera Diana, Bonincentro Maria, Montanari Fernando. Ricerche sulla Etilenazione. Nota XIX. Stereochimica delle sintesi dieniche con solfossidi etilenici. Nota II. Acidi 2-fenilsolfonil-acrilici. «Gazz. chim. ital.», 1960, 90, № 5-6, 709—730 (итал.). Транс-2-фенилсульфинилакриловая к-та (I) легко реагирует с циклопентадиеном (II), образуя 3,6-метано-4-фенилсульфинил-5-карбоксиллогексены-1 (III): экзо-син (IIIa), экзо-анти (IIIб), эндо-син (IIIв) и эндо-анти (IIIг). Разделение экзо- и эндо-изомеров осуществляют путем обработки $\text{J}_2 + \text{NaHCO}_3$, причем IIIa и IIIб образуют соответствующие йодлактоны (IVa, б), в то время как IIIв и IIIг, где карбоксид находится в положении экзо, дают йодгидрины (Vв, г). При мягком восстановлении IVa, б дают исходные IIIa, б. Более жесткое восста-



XVI



XVII

новление IVa, б приводит к 3,6-метано-4-экзофенилмеркапто-5-эндокарбоксиллогексену-1 (VI). Восстановление IVa, б при помощи H_2 дает йодлактон VI (VII), а при окислении IVa, б превращаются в йодлактон 3,6-метано-4-экзофенилсульфонил-5-эндокарбоксиллогексена-1 (VIII; IX к-та). Эти факты указывают на то, что IVa и IVб отличаются только конформацией при SO. Окисление IIIa, IIIб и VI приводит к IX. Изомеры Vв и Vг также отличаются только конформацией при группе SO, вследствие чего при восстановлении дают один и те же в-ва. Восстановление Vв, г при помощи Zn/Cu приводит к смеси 3,6-метано-1(или 2)-окси-4-эндофенилмеркапто-5-экзокарбоксиллогексана (X) и 3,6-метано-4-эндофенилмеркапто-5-экзокарбоксиллогексена-1 (XI). Последний карбоксил окислен в 3,6-метано-4-эндофенилсульфонил-5-экзокарбоксиллогексен-1 (XII). Получаемая при конденсации смесь IIIa—г подвергается лактонизации под действием конц. H_2SO_4 ; при этом IIIв—г дают растворимые в воде эфиры серной к-ты, а IIIa, б превращаются в лактоны (XIIIa, б), отличающиеся конформацией при группе SO. Восстановление XIIIa, б приводит к лактону VI (XIV), а окисление дает лактон IX (XV). Конденсация II с цис-1 также дает всевозможные изомеры III с цис-расположением заместителей — экзо-син (IIIд), экзо-анти (IIIе), эндо-син (IIIж) и эндо-анти (IIIз), причем основным продуктом р-ции являются IIIз. Как IIIж, так и IIIа дают соответствующие йодлактоны (IVж и IVз) наряду с йодгидрином (XVI) и оксиллактоном (XVII). При восстановлении IVж, з получены 3,6-метано-4-эндофенилмеркапто-5-эндокарбоксиллогексен-1 (XVIII) и IIIж. В-во XVI может быть получено из IVа; действие NaHCO_3 на XVI приводит к XVII, а окисление XVI дает йодлактон 3,6-метано-4-эндофенилсульфонил-5-эндокарбоксиллогексена-1 (XIX). При действии конц. H_2SO_4 на IIIж и IIIз получают соответствующие лактоны (XIIIж и XIIIз). Для установления паличия IIIд и IIIе производят окисление реакционной смеси в сульфоны, причем IIIж и IIIз дают сульфон, который отделяется после лактонизации, а IIIд и IIIе образуют 3,6-метано-4-экзофенилсульфонил-5-экзокарбоксиллогексен-1

(XX). 27 г *транс*-2-фенилмеркаптоакриловой к-ты (XXI) нагревают 2 часа с 2 экв $\text{CH}_3\text{CO}_2\text{H}$ и получают *транс*-I, выход 78%, т. пл. 134–135° (из ксилола). Р-р 21 г *транс*-I и 21 г II в 450 мл C_6H_6 кипятят 2 часа, охлаждают, отфильтровывают 20,1 г в-ва с т. пл. 164–176° (фракция А), бензоновый р-р извлекают 5%-ным Na_2CO_3 , подкисляют и получают 6,05 г в-ва с т. пл. 125–155° (фракция В); выход смеси IIIa–г 93%. К р-ру фракции А и 12,9 г NaHCO_3 в 400 мл воды прибавляют смесь 39 г I_2 , 78 г KI, 300 мл воды и 500 мл CHCl_3 , через 18 час. обесцвечивают гипосульфитом, извлекают хлороформом и после испарения его получают 15,4 г смеси IVa и IVb, т. пл. 156–176° (фракция В). Из воды. р-ра после подкисления, фильтрования и экстракции CHCl_3 выделяют 13,72 г смеси Vb и Vg (фракция Г). Аналогично обрабатывают фракцию Б и выделяют 2,17 г смеси IVa и IVb (фракция Д), 4,23 г непосредственно осажженной смеси Vb и Vg (фракция Е) и 1,67 г этой смеси, извлеченной CHCl_3 (фракция Ж). Фракции В и Д извлекают 3–4 раза кипящим лигроином (общий объем 1,5 л) и из лигроиана выделяют IVa, т. пл. 165–167° (из сп.), в остатке остается IVb, т. пл. 208–210° (из сп.). Смесь IVa и IVb состоит на 40% из IVa и на 60% из IVb. Фракцию Е кристаллизуют из CH_3COOH и получают Vb (или Vg), т. пл. 213° (разл.); сложный метиловый эфир (CH_2N_2), т. пл. 240° (из сп.). Фракции Г и Ж кристаллизуют из спирта и получают Vg (или Vb), т. пл. 177–178° (разл.); сложный метиловый эфир, т. пл. 173° (из сп.). К р-ру 3,9 г IVb в 30 мл лед. CH_3COOH прибавляют за 10 мин. при постепенном нагревании 3,9 г Zn-пыли, нагревают за 10 мин. до кипения, разбавляют водой, отфильтровывают VI, выход 60%, т. пл. 122–124° (из сп.), извлекают CHCl_3 и получают IIb, выход 36%, т. пл. 196–197° (из сп.). При восстановлении за 10 мин. выход IIb 65%. При действии $\text{C}_6\text{H}_5\text{N}_2$ в тетрагидрофуране IIb дает метиловый эфир, т. пл. 138–139° (из лигр.). Аналогично из IVa получают 0,15 г и 63% IIIa, т. пл. 204–205° (из сп.); метиловый эфир, т. пл. 122–124° (из лигр.). IIIa получается также при кристаллизации фракции А из спирта. 0,5 г IVa (или IVb) кипятят 5 мин. с р-ром 0,5 мл 54%-ной HJ в 5 мл CH_3COOH и выделяют VII, выход 90–92%, т. пл. 83–84° (из лигр.). 0,45 г IVa или IVb окисляют при ~20° 2 экв $\text{C}_6\text{H}_5\text{CO}_2\text{H}$ в CHCl_3 и получают VIII, выход 85%, т. пл. 175–177° (из бал.). 1,3 г IIIa нагревают 2 часа с 2 экв $\text{CH}_3\text{CO}_2\text{H}$ и выделяют IX, выход 69%, т. пл. 183° (из бал.). 2 г Vg в 25 мл лед. CH_3COOH кипятят 2 часа с 2 г Zn/Cu в виде кашицы со спиртом, фильтруют, разбавляют водой, извлекают CHCl_3 , упаривают, обрабатывают эфиром и из остатка получают X, выход 69%, т. пл. 155–156° (из бал.). Эфирный р-р упаривают, извлекают пентаном, упаривают и получают XI, выход 14%, т. пл. 62–64° (из пентана). 0,2 г XI нагревают 2 часа с 4 экв $\text{CH}_3\text{CO}_2\text{H}$ и выделяют 0,2 г XII, т. пл. 176–178° (из бал.). Р-р 6,75 г смеси фракций А и Б в 40 мл конц. H_2SO_4 оставляют на 14 час. при ~20°, выливают на лед, извлекают CHCl_3 и получают 44% смеси XIIIa и XIIIb, один из которых имеет т. пл. 124–125° (из бал.-лигр.), а другой т. пл. 75–78°. 1,5 г XIIIa (или XIIIb), т. пл. 124–125°, кипятят 5 мин. с р-ром 3 мл HJ к-ты в 12 мл лед. CH_3COOH и получают XIV, выход 92%, т. пл. 63–65° (из лигр.). 0,5 г XIIIa (или XIIIb) окисляют 2 экв $\text{C}_6\text{H}_5\text{COOH}$ и выделяют XV, выход 96%, т. пл. 131–132° (из бал.-лигр.). Монокисление VII приводит к IVa и IVb, а монокисление XIV дает XIIIa и XIIIb. 0,5 г IVa в 2 мл конц. H_2SO_4 через 8 час. дает смесь IVa и IVb. Аналогично ведет себя IVb. 20,35 г *цис*-XXI окисляют так же, как *транс*-изомер и получают *цис*-I, выход 88%, т. пл. 125–127° (из ксилола); метиловый эфир, т. пл. 80–81° (из петр. эф.). 10 г *цис*-I и 10 г II кипятят 40 мин. в 450 мл абс. C_6H_6 , отфильтровывают 12,5 г в-ва, т. пл. 185–192° (фракция З), бензоновый Р-р промывают 5%-ным Na_2CO_3 и выделяют 0,5 г в-ва,

т. пл. 148–180° (фракция И). Фракцию З кристаллизуют из спирта и получают IIIз, т. пл. 184–185°; метиловый эфир, т. пл. 135–136° (из лигр.). 12 г смеси фракций З и И подвергают йодлактонизации аналогично фракции А и после испарения CHCl_3 получают 7,52 г смеси IVж и IVз (фракция К). Водн. р-р подкисляют и получают 5,6 г XVI, т. пл. 161° (разл.; из сп.); сложный метиловый эфир, т. пл. 163° (из бал.), фильтрат от XVI оставляют на 24 часа, отфильтровывают и извлекают CHCl_3 2,7 г XVII, т. пл. 224–225° (из CH_3COOH). При проведении р-ции за 20 час. получается 11,2 г смеси IVж и IVа, 2,34 г XVI и 0,7 г XVII. Из 8 г фракции К после кристаллизации из спирта получают 5,9 г IVа, т. пл. 172–173°, и 0,32 г IVж, т. пл. 210–211° (из CH_3COOH). 5,2 г фракции К кипятят 1 мин. с 5,2 г Zn-пыли и 35 мл CH_3COOH , выливают в воду, отфильтровывают 2,4 г XVIII, т. пл. 95–96° (из лигр.), фильтрат извлекают CHCl_3 и выделяют 0,55 г IIIж, т. пл. 194° (из сп.). При йодлактонизации IIIж (20 мин.) получен с выходом 80% IVж, а восстановление IVж приводит к XVIII, выход 32%, а IIIж, выход 68% при общем выходе 70%. Восстановление XVI при помощи Zn/Cu в CH_3COOH дает XVIII с выходом 63% и в-во с т. пл. 147–152°. 3,5 г смеси IVж и IVз кипятят 5 мин. с р-ром 3,5 мл 54%-ной HJ в 25 мл CH_3COOH и получают йодлактон XVIII, выход 92%, т. пл. 153–154° (из сп.). То же в-во получается при йодлактонизации XVIII. Смесь IVж и IVз окисляют 2 экв $\text{C}_6\text{H}_5\text{CO}_2\text{H}$ в CHCl_3 и получают с выходом 85% XIX, т. пл. 255–256° (из ксилола). 2 г смеси IVж и IVз в 10 мл конц. H_2SO_4 оставляют на 30 час, после чего выделяют XVI с выходом 89%. Р-р 0,5 г XVI и 0,25 г NaHCO_3 в 10 мл воды оставляют на 12 час. и отфильтровывают XVII, выход 42%, т. пл. 224–225° (из CH_3COOH). 4,7 г смеси IIIж и IIIа в 28 мл конц. H_2SO_4 оставляют на 3 часа, выливают на лед и выделяют смесь XIIIж и XIIIз с выходом 49%; один из них имеет т. пл. 198–199° (из сп.), другой 104–112° (неочищ.). Восстановление смеси XIIIж и XIIIз при помощи HJ приводит к лактону XVIII, выход 95%, т. пл. 107–109° (из лигр.). Окисление смеси XIIIж и IIIз $\text{C}_6\text{H}_5\text{CO}_2\text{H}$ дает лактон 3,6-метано-4-эндофенилсульфонил-5-эндокарбоксихидрокси-1, выход 90%, т. пл. 166–168° (из ксилола). 4 г смеси IIIд-з окисляют 2 экв $\text{CH}_3\text{CO}_2\text{H}$ и получают с выходом 90% смесь лактонов, которую подвергают йодлактонизации и выделяют растворимый в NaHCO_3 XX, выход 5,1%, т. пл. 236–238° (из ксилола). Сообщение XVIII см. РЖХИм, 1960, № 12, 47594.

9Ж120. Взаимодействие алкоксипроизводных ароматического ряда с расплавленной мочевиной. Лаврищев В. А., Плакидин Вал. Л., Кретов А. Е. «Ж. общ. химии», 1960, 30, № 9, 3064–3072. — Замещенные анилины ArNH_2 (Ia–e; здесь и далее $\text{Ar} = 2,4\text{-(NO}_2)_2\text{C}_6\text{H}_3$, 6 $\text{Ar} = 2\text{-(NO}_2)_4\text{C}_6\text{H}_2$, в $\text{Ar} = 2\text{-NO}_2\text{-4-CH}_3\text{NHSO}_2\text{C}_6\text{H}_4$, г $\text{Ar} = 2\text{-NO}_2\text{-4-C}_6\text{H}_4\text{SO}_2\text{C}_6\text{H}_5$, д $\text{Ar} = 2\text{-NO}_2\text{-4-C}_6\text{H}_4\text{CH}_2\text{SO}_2\text{C}_6\text{H}_5$, е $\text{Ar} = 4\text{-NO}_2\text{-2-CH}_3\text{NHSO}_2\text{C}_6\text{H}_5$) получены из ArOCH_3 (IIб–е) и ArOC_6H_5 (IIIа–е) при сплавлении их с мочевиной (IV) (РЖХИм, 1961, 4Ж114). $n\text{-ClC}_6\text{H}_4\text{SAr}$ (Va, в, д) и $2,5\text{-(CH}_3)_2\text{C}_6\text{H}_3\text{SAr}$ (Vla, в, д) не реагируют с IV. 4-ацетокси-3-нитрофенилметилсульфон (VII) при р-ции с IV дает 4-оксипро-3-нитрофенилметилсульфон (VIII). Для получения II, III, V и VI исходят из соответствующих хлорнитросульфонов (IX) и хлорнитросульфамидов (X). К кипящему р-ру 0,1 моля IX или X в 120 мл CH_3OH прибавляют за 1 час р-р 0,15 моля NaOH в 50 мл CH_3OH , кипятят 4–5 час, охлаждают и отфильтровывают II. Приведены II, выход в %, и т. пл. в °C (из сп.): б, 91, 144–145; в, 89,5, 116–117; г, 87,6, 101–102; д, 86, 146–147; е, 87, 149–150. IIIа–е, а также Va, в, д и Vla, в, д получают по описанной методике сплавлением IX и X с $\text{C}_6\text{H}_5\text{OH}$ или ароматич. меркаптанами в присутствии KF (РЖХИм, 1958, № 17,

57431). Указаны в-во, выход в % и т. пл. в °C: IIIa, 86, 70—71; IIIb, 83, 99—100 (из сп.); IIIв, 76, 114—115 (из сп., затем из CH_3COOH); IIIг, 79, 121—122 (из водн. сп.); IIIд, 81, 141—142 (из сп.); IIIе, 72, 166—167 (из сп.); Va, 91, 122—123 (из сп.); Vв, 82, 182—183 (из CH_3OH); Vд, 88, 181—182 (из водн. сп.); VIa, 89, 132—133 (из сп., затем из CH_3COOH); VIв, 84, 167—168 (из сп.); VIд, 86, 163—164 (из CH_3OH). 0,01 моля IIб—е или IIIа—е и 2,4 г IV выдерживают 30 мин. при 200°, выливают в воду, охлаждают и отфильтровывают I. Приведены I, выход в % из AgOCH_3 и из AgOC_6H_5 , т. пл. I в °C (из сп.): а, 86 (из динитроанизола), 74, 182—183; б, 81, 75, 199—200; в, 83, 74, 158—159; г, 79, 68, 171—172; д, 85, 76, 185—186; е, 68, 62, 184—185. При кипячении с 10%-ным р-ром NaOH Iб—ж (ж Ar-2-NO₂-4-NH₂SO₂C₆H₃) образует ArOH. Приведены в-во, выход в % и т. пл. в °C (из 75%-ного сп.): б, 93, 164—165; в, 90, 130—131; г, 92, 135—136; д, 96, 172—173; е, 93, 196—197; ж, 89, 207—208. 1,2 г VII и 4 г IV нагревают 30 мин. при 200°, выливают в 50 мл воды, отфильтровывают пиануровую к-ту, фильтрат подкисляют и получают 0,62 г VIII, т. пл. 164—165° (из сп.). 25 мл пиридина, 10 мл $(\text{CH}_3\text{CO})_2\text{O}$ и 5 г VIII кипятят 3 часа, выливают в 150 мл воды и получают 1,5 г VII, т. пл. 139,5—140° (из сп.). Э. Сафонова

9Ж121. Общая реакция образования диарилдитиокарбонатов и этилового эфира этилксантогеновой кислоты в синтезе тиофенолов по Лейкарту. Cox James R., Jr., Gladys Casimir L., Field Lamar, Pearson D. E. General formation of aryl dithiolcarbonates and ethyl ethylxanthate in the leuckart thiophenol synthesis. *J. Organ. Chem.*, 1960, 25, № 7, 1083—1092 (англ.). Показано, что при р-ции диазотированных 2,6-диметиланилина (I), 2,6-диэтиланилина (II), о-толуидина (III), анилина (IV), *n*-анилидина (V) и *n*-нитроанилина (VI) с этилксантогенатом К (VII) образуются не только соответствующие ариловые эфиры этилксантогеновой к-ты общей ф-лы RSCOC_2H_5 (VIIIa—е; здесь и далее а R = 2,6-(CH₃)₂C₆H₃, б R = 2,6-(C₂H₅)₂C₆H₃, в R = 2-CH₃C₆H₄, г R = C₆H₅, д R = 4-CH₃OC₆H₄, е R = 4-NO₂C₆H₄), как полагали ранее, но также этиловый эфир этилксантогеновой к-ты (IX) и диарилдитиокарбонаты общей ф-лы $(\text{RCS})_2\text{CO}$ (Xa—е). Из Xa получены 2,6-диметилтиофенол (XI) и ди-(2,6-диметилфенил)-дисульфид (XII). Строение VIIIa подтверждено синтезом из XI и этилхлортиоугольного эфира (XIII), строение IX подтверждено синтезом из VII и C₂H₅Br, строение Xa — синтезом из XI и фосгена. В случае II при применении не VII, а бензилксантогената К (XIV) образовались 2,6-диэтилфениловый эфир бензилксантогеновой к-ты (XV) и Xб, а при применении изопропилксантогената К (XVI) — 2,6-диэтилфениловый эфир изопропилксантогеновой к-ты (XVII) и Xб. Приведены соображения о механизме р-ции. К р-ру 60,5 г I в 500 мл воды, содержащей 42 мл H₂SO₄ (d 1,84), при —5° прибавили по каплям холодный р-р 34,5 г NaNO₂ в 200 мл воды, диазораствор нейтрализовали при —5° 30%-ным водн. р-ром Na₂CO₃ по конто и вылили в р-р 100 г VII в 500 мл воды при 50—60°, по прекращении выделения газа смесь охладили, обработали эфиром, эфирный р-р промыли 5%-ной HCl, 5%-ным NaOH и водой, получили Xa, выход 72%, т. пл. 103—104,5° (из CCl₄-метилциклопексана). Кроме того, из щел. промывного р-ра выделили 0,3 г 2,6-диметилфенола, т. пл. 45—47°. В другом опыте после частичной отгонки и хроматографирования остатка на Al₂O₃ выделили VIIIa и IX, т. кип. 85—87°/15 мм, 80—82°/9 мм, 34—38°/1,3 мм, *n*_D²⁰ 1,5353—1,5354; фенилгидразид, т. пл. 71—73,5°; производное хлорамина Т, т. пл. 185—186°. В таких же стандартных условиях из I—VI получены следующие результаты (перечислены исходный анилин, ксантогенат К, полученный ариловый эфир алкилксантогената, его выход в %, т. кип. в °C/мм, т. пл. в °C, *n*_D²⁰, выход IX в %, дитиокарбо-

нат, его выход в %, т. пл. в °C): I, VII, VIIIa, 32, ~110—114/0,4, 48,5—49,5 (из эф.), —, 55, Xa, 62, —, II, VII, VIIIb, 29, —, 43—44 (из сп.), —, 33, Xб, 40, 56,5—57 (из сп.); III, VII, VIIIc, 42, 89/0,5, —, 1,600, 45, Xв, 50, 49—49,5 (из сп.); IV, XII, VIIIг, 50, 110—111/0,3, —, 1,6078, 22, Xг, 30, 41—43 (из сп.); V, VII, VIIIд, 36, 82—84/0,05, —, 1,6073, 25, Xд, 20, 110—111 (из сп.-бзл.); VI, VII, VIIIе, 42, —, 49,5—50, —, 21, Xе, 27, 183,5—184,5 (из бзл.); II, XIV, XV, 43, —, 65,5—66 (из сп.), —, Xб, 50, —; II, XVI, XVII, 29, —, 1,5452—1,5730, —, Xб, 37, —. При взаимодействии диазотированного II и VII также выделено немного идентифицированного в-ва, т. пл. 32,5—36°, а в случае IV получено 9% дифенилдисульфида, т. пл. 59,5—61°. Кроме того, последний образовался из Xг при нагревании (0,5 часа, 304°) с выходом 35%. Смесь 10 г Xа и р-ра 20 г NaOH в 100 мл спирта (1:1) кипятили 4 часа, после разбавления водой, фильтрация и отгонки спирта прибавили по каплям Br₂ до прекращения обесцвечивания и получили XII, выход 86%, т. пл. 103—104° (из пентана). К 7,5 г Xа в 50 мл эфира прибавили по каплям р-р 1,52 г LiAlH₄ в 30 мл эфира, через 8 час. прибавили влажный эфир и затем разб. HCl и получили XI, выход 64%, т. кип. 62—64°/2 мм, *n*_D²⁰ 1,5734. Из XII и LiAlH₄ XI образовался с выходом 75%. К р-ру 0,99 г COCl₂ в 15 мл C₆H₆ прибавили последовательно р-р 2,77 г XI в 10 мл C₆H₆ и 2,27 г пиридина, по окончании р-ции смесь кипятили 0,5 часа и после обычной обработки выделили Xа. К р-ру 4,5 г XI в 15 мл C₆H₆ при 5° прибавили 4 г XIII и затем по каплям при т-ре < 10° смесь 5 г пиридина и 15 мл C₆H₆, после выдержки (16 час., 10°) из бензольного р-ра получили 32% VIIIa. В результате нагревания (4,5 часа, 50°) смеси 40,1 г VII, 32,7 г C₂H₅Br и 30 мл спирта образовался IX с выходом 82%. А. Берлин

9Ж122. Исследования несимметричных производных 1,6-диарилгидразидотиокарбонамидов. I. Дубенко Р. Г., Пелькис П. С. «Ж. общ. химии», 1960, 30, № 5, 1437—1441. — Р-ция $\text{RC}_6\text{H}_4\text{NCS}$ (I) с $\text{N}_2\text{H}_4 \cdot \text{H}_2\text{O}$ (II) дает $\text{RC}_6\text{H}_4\text{NHCNHNH}_2$ (III). Приведены R, выход в %, т. пл.: о-*n*-C₃H₇O, 71, 88; *n*-*n*-C₃H₇O, 68, 107; о-*n*-C₄H₉O, 85, 81; о-*изо*-C₄H₉O, 80, 75; о-*изо*-C₆H₁₁O, 88, 108; *n*-*изо*-C₅H₁₁O, 90, 159; *n*-C₂H₅, 87, 159; *n*-(CH₃)₂, 72, 139; *n*-CH₃CO, 73, 149; *n*-C₂H₅COO, 80, 150; *n*-CH₃CONH, 98, 185; о-Br, 96, 158; *m*-Br, 80, 103; *n*-Br, 75, 107; о-*J*, 92, 154; *m*-*J*, 65, 136; *n*-*J*, 182; *n*-H₂NSO₂, 82, 178. Из III (R = H) и I синтезированы C₆H₅NHCNHNH-CSNHC₆H₄R (IV). Приведены R, выход в % и т. пл.: *n*-CH₃O, 98, 181; о-*C*₂H₅O, 73, 132; *n*-C₂H₅O, 65, 188; о-*n*-C₃H₇O, 63, 141; *n*-*n*-C₃H₇O, 55, 183; *n*-*изо*-C₃H₇O, 88, 180; о-*n*-C₄H₉O, 52, 130; *n*-*n*-C₄H₉O, 89, 178; о-*изо*-C₄H₉O, 89, 133; о-*изо*-C₆H₁₁O, 50, 142; *n*-*изо*-C₆H₁₁O, 97, 178; *n*-C₂H₅, 96, 182; *n*-(CH₃)₂C, 92, 187; *n*-CH₃CO, 93, 217; о-Br, 97, 157; *m*-Br, 96, 144; *n*-Br, 94, 154; о-*J*, 95, 166; *m*-*J*, 95, 134; *n*-*J*, 93, 158; *n*-H₂NSO₂, 99, 206; XNHSO₂ (всюду X = тиазол-2), 97, 180; YNHSO₂ (всюду Y = 5-этил-1,3,4-тиадиазол-2), 60, 169. Аналогично III (R = *n*-C₂H₅O) и I получены *n*-C₂H₅OC₆H₄NHCNHNH-CSNHC₆H₄R. Приведены R, выход в %, т. пл. в °C: о-CH₃, 46, 169; *n*-CH₃, 46, 189; о-*C*₂H₅O, 82, 151; о-*C*₃H₇O, 32, 188; *n*-*n*-C₃H₇O, 96, 188; *n*-*изо*-C₃H₇O, 47, 190; о-*n*-C₄H₉O, 97, 135; *n*-*n*-C₄H₉O, 98, 189; о-*изо*-C₄H₉O, 65, 128; о-*изо*-C₆H₁₁O, 63, 189; *n*-*изо*-C₆H₁₁O, 73, 192; *m*-*J*, 78, 178; *n*-H₂NSO₂, 99, 188; XNHSO₂, 90, 188; YNHSO₂, 80, 174; так же синтезирован *n*-C₂H₅OC₆H₄NHCNHNH-CSNHC₆H₃(CH₃)₂-2,4, выход 56%, т. пл. 160°C. К р-ру 18,6 г CSCL₂ в 125 мл воды прибавляют р-р 15 г *n*-C₆H₅C₆H₄NH₂ в 75 мл CHCl₃ при т-ре < 15°, перемешивают 1 час и получают I (R = *n*-C₂H₅), выход 85%, т. кип. 113°/4—5 мм. Аналогично синтезируют I (R = *n*-(CH₃)₂C), выход 83%, т. пл. 126°/4—5 мм. К р-ру 3,3 г I (R = *n*-C₂H₅) в 8 мл спирта прибавляют р-р охлаждения льдом смесь 1,6 мл 50%-ного водн. р-ра II с 5 мл воды и отфильтровывают III (R = *n*-C₂H₅),

1,8 г I
кипятя
в-во об
= H).
о-*n*-C₂H₅
(R =
м-Br,
в 1%-н
9Ж121
кислот.
tion de
Болг.
русск.)
(6 час.
методу
3-н-толу
276,5°
226—228
денон
и полу
1)-инде
тиурон
ных су
дуктов
9Ж121
воны в
Вое н-
30, № 7
пользуе
цикл.
Δ-цикл
превра
исходит
смеси э
нее изв
Н. Д.
(ОН)C(6
и цикл
(III), т.
отгоня
(IV), в
20 г II
(CH₃CO)
гревают
54% а
к-ты (V
пентр. эф
II, 67 г
300 мл
окталин
т. кип.
также
лонента
выход 3
пентр. эф
кислоте
12,8 г R
прекрат
10%-ной
лиа (X
X и 0,8
1-метил
пикрат,
гревают
целочью
на (XI),
*n*_D²⁰ 1,54
но X по
131°/14
143°. 13
прекрат
пентр. эф
ляют 48,9
*n*_D²⁰ 1,53
13 Химия

1,8 г III ($R = H$) и 2 г I ($R = n-C_2H_5O$) в абс. спирте кипятят 1 час и получают IV ($R = n-C_2H_5O$). Это же в-во образуется также из III ($R = n-C_2H_5O$) и I ($R = H$). Приведены кривые УФ-спектров III ($R = H$, $o-n-C_3H_7O$, $n-n-C_3H_7O$, $o-Br$, $m-Br$, $n-Br$) в спирте, IV ($R = H$, $o-C_2H_5O$, $n-C_2H_5O$, $o-n-C_3H_7O$, $n-n-C_3H_7O$, $o-Br$, $m-Br$, $n-Br$) в спирте и IV ($R = H$, $o-C_2H_5O$, $n-C_2H_5O$) в 1%-ной водн. щелочи.

А. Белоцветов
9Ж123. О получении некоторых индонмоносульфокислот. Stoianova-Ivanova B. Sur la pr paration de certains acides indone-monosulfoniques. Докл. Болг. АН, 1959, 12, № 4, 321—324 (франц.; рез. русск.).—2-фенил-3-*n*-толилинденов сульфорируют (6 час.) избытком конц. H_2SO_4 (1:30) по описанному методу (РЖХим, 1959, № 4, 11794) в 2-*n*-сульфопенил-3-*n*-толилинденон, выход Na-соли 79,8%, т. пл. 275—276,5° (из абс. сп.) S-бензилтиуриониевая соль, т. пл. 226—226,5° (из 50%-ного сп.). 2-Фенил-3-(нафтил-1-инденон (1 г) сульфорируют в тех же условиях (2 мин.) и получают 0,24 г Na-соли 2-фенил-3-(4-сульфонафтил-1-инденон, т. пл. 221—222° (из абс. сп.); S-бензилтиуриониевая соль, т. пл. 249—251°. Строение полученных сульфокислот подтверждено исследованием продуктов их окисления водн. р-ром $KMnO_4$.

Э. Бамдас
9Ж124. Ароматические углеводороды. XV. Пинаконы в диеновом синтезе. Скарварченко В. Р., Лян Ваен-лянь, Левиная Р. Я. общ. химии. 1960, 30, № 7, 2141—2145.—Для диенового синтеза (ДС) используются смешанные пинаконы из $(CH_3)_2CO$ (I) и циклич. кетонов. Получаемые при этом ангидриды Δ^4 -циклоалкенилдикарбоновых-1,2 к-т действием P_2O_5 превращаются в замещ. тетралины и инданы. ДС происходит однозначно. Восстановлением Al-Hg в C_6H_6 смеси акцимолярных кол-в I и циклогексана по ранее известному методу (Елагина Н. В., Зелинский Н. Д., ДАН СССР, 1950, 71, 293) синтезируют $C_{10}H_{10}(OH)C(CH_3)_2OH$ (II), т. пл. 81—82°. Аналогично из I и циклопентана получают $C_9H_8(OH)C(CH_3)_2OH$ (III), т. пл. 64°. 20 г II и 0,5 г J_2 нагревают при $\sim 100^\circ$, отгоняя образующийся изопропенилдиклогексен-1 (IV), выход 40%, т. кип. 65—67°/20 мм, n_D^{20} 1,4975. 20 г II и 80 г малеинового ангидрида (V) в 250 мл $(CH_3CO)_2O$ в присутствии 0,1 г гидрохинона (VI) нагревают 15 мин. в токе N_2 , через ~ 12 час. выделяют 54% ангидрида 4-метил- Δ^4 -окталиндикарбоновой-1,2 к-ты (VII), т. кип. 150—180°/10 мм, т. пл. 74—75° (из петр. эф.). Аналогично (нагревание 30 мин.) из 31,6 г II, 67 г метилмалеинового ангидрида и 0,1 г VI в 300 мл $(CH_3CO)_2O$ получают ангидрид 1,4-диметил- Δ^4 -окталиндикарбоновой-1,2 к-ты (VIII), выход 47%, т. кип. 156—158°/8 мм, т. пл. 102° (из I-петр. эф.), а также (из 20 г III и 80 г V) ангидрид 4-метил-5,6-дишештано- Δ^4 -циклогексендикарбоновой-1,2 к-ты (IX), выход 35%, т. кип. 150—180°/15 мм, т. пл. 58—59° (из петр. эф.). Взаимодействием V с IV при кипячении в ксилоле или C_2H_5COOH получается VII. 18,2 г VII и 12,8 г P_2O_5 постепенно нагревают от 160 до 300° до прекращения выделения CO , дистилят промывают 10%-ной H_2SO_4 и водой, получают 50% 5-метилтетралина (X), т. кип. 75°/5 мм, n_D^{20} 1,5470, d_4^{20} 0,9699. 1,8 г X и 0,8 г S нагревают при 220—240° 4 часа, выделяют 1-метилнафталин, выход 54%, т. кип. 148—149°/57 мм, пикрат, т. пл. 141° (из сп.). 17,5 г VIII и 12 г P_2O_5 нагревают от 210 до 290°, дистилят нагревают с 25%-ной щелочью, эфиром извлекают 62% 5,8-диметилтетралина (XI), т. кип. 250—251°/748 мм, 129—130°/19,5 мм, n_D^{20} 1,5475, d_4^{20} 0,9694. Дегидрированием XI аналогично X получают 1,4-диметилнафталин, т. кип. 130—131°/14 мм, n_D^{20} 1,6100, d_4^{20} 1,0130; пикрат, т. пл. 142—143°. 13 г IX и 8,5 г P_2O_5 нагревают от 210 до 350° до прекращения выделения CO , дистилят растворяют в петр. эфире, кипятят 1 час с 20%-ным NaOH, выделяют 48% 4-метилпидана (XII), т. кип. 101—103°/32 мм, n_D^{20} 1,5324, d_4^{20} 0,9564. Бромированием XII в присут-

ствии следов J_2 получают 5,6,7-трибром-4-метилпидан, т. пл. 183—183,5° (из сп.-толуола). Сообщение XIV см. РЖХим, 1960, № 16, 65422.

В. Скородумов

9Ж125. Синтез углеводородов ряда индана с боковыми цепями в пятичленном и бензольном кольцах. Цытович Н. Э., Покровская Е. С. «Докл. АН СССР», 1960, 134, № 5, 1119—1122.—Синтезировав ряд производных индана (I) с заместителями в 5-, 6-членных кольцах и в обоих кольцах вместе. Инден (II) конденсируют с соответствующим кетоном в присутствии спирт. р-ра KOH и полученный фульвен гидрируют; для введения заместителей в бензольное кольцо II гидрируют и затем алкилируют олефинами в присутствии H_2SO_4 . К эфирному р-ру 147 г II и 62 г циклогексана добавляют по каплям при нагревании р-р 16 г KOH в 30 мл CH_3OH , через 2 часа отгоняют эфир в токе N_2 и получают циклогексилбензофульвен (выход 54%, т. кип. 127—130°/1 мм, n_D^{20} 1,6159), который гидрируют при $\sim 20^\circ$ над скелетным Ni до 1-циклогексил-1, т. кип. 121°/2 мм, т. заст. —58°, n_D^{20} 1,5464, d_4^{20} 0,9917. Аналогично из 362 г I и 90 г ацетона получают 1-изопропил-1 (III), т. кип. 86—88°/4 мм, т. заст. —65°, n_D^{20} 1,5219—1,5238, d_4^{20} 0,9336—0,9350. K 118 г I, полученного гидрированием III над скелетным Ni, добавляют по каплям 70 г децена и 98 г конц. H_2SO_4 при охлаждении ледяной водой и через 1,5 часа получают децил-1, выход 76%, т. кип. 160—161°/4 мм, т. заст. —65°, n_D^{20} 1,5066, d_4^{20} 0,9017. Аналогично из 22 г III, 14 г H_2SO_4 и 4 г изобутилена получают смесь 1-изопропил-5-трет-бутил-1, выход 35%, т. кип. 112—113°/1,5 мм, т. заст. —35°, n_D^{20} 1,5050, d_4^{20} 0,8967, и 3 г 1-изопропил-5,7-ди-трет-бутил-1, т. кип. 139—140°/1,5 мм, т. заст. —26°, n_D^{20} 1,5090, d_4^{20} 0,8987.

К. Бутин

9Ж126. Калиевые производные флуорена в качестве промежуточных продуктов при получении C_9 -замещенных флуоренов. I. Получение 9-флуоренилкалиия и ИК-спектр флуорена и некоторых C_9 -замещенных флуоренов. Scherf G. W. H., Brown R. K. Potassium derivatives of fluorene as intermediates in the preparation of C_9 -substituted fluorenes. I. The preparation of 9-fluorenyl potassium and the infrared spectra of fluorene and some C_9 -substituted fluorenes. «Canad. J. Chem.», 1960, 38, № 5, 697—711 (англ.).—Разработан метод синтеза 9-замещ. флуоренов через калиевые производные флуорена. 9-флуоренилкалиий (I) получен при кипячении 3 часа смеси 8,3 г флуорена (II) и 1,95 г K. После охлаждения осадок отфильтровали и промыли гексаном от остатков II. Действием тяжелой воды на I с последующей экстракцией эфиром и отгонкой р-рителя получили 9-дейтерофлуорен. 9,9-дейтерофлуорен (III) получен при нагревании 35 час. 1,5 мл D_2O с 1,66 г II и 0,78 г K в 5 мл диоксана, выход III 1,56 г. 18 г II и 3,9 г $NaNH_2$ нагревали 5 час. в 50 мл декалина в токе сухого азота при 180°. По охлаждении р-ритель удаляли декантацией, осадок промывали гексаном, добавляли 12 мл CH_3J в 50 мл гексана, смесь кипятили 12 час. при перемешивании в токе азота. После промывки водой и сушки гексан отгоняли, масло растворяли в пентане, непрореагировавший II вымораживали в холодильнике и выделяли 9-метилфлуорен, т. пл. 45—46°, хроматографированием на колонке. 9,9-диметилфлуорен, т. пл. 95—96°, синтезирован взаимодействием 20 мл CH_3J со смесью, полученной нагреванием (5 час.) 16,6 г II с 7,8 г K в 80 мл диоксана в атмосфере азота. После разбавления эфиром смесь промывали водой, перегоняли и очищали хроматографированием на Al_2O_3 в гексане. 9-бензилфлуорен (IV), т. пл. 126° (из сп.), получен при действии 40 мл хлористого бензила (V) в 40 мл гексана на 9-флуоренилнатрий, полученный нагреванием (4 часа, 180°) 18,3 г II и 3,9 г $NaNH_2$ в декалине. После разбавления эфиром, промывки водой, удаления р-рителя и хроматографирования выделили 12,5 г IV. При действии 21 мл V на I, полученный из 16,6 г II

и 7,8 г К в 80 мл диоксана, получили 11,2 г 9,9-дибензилфлуорена, т. пл. 146°; он получен также действием 1,2 мл V на смесь 2,6 г IV и 0,39 г К в 12 мл диоксана. 9-дейтеро-9-бензилфлуорен с выходом 0,5 г, т. пл. 134°, выделен при действии D₂O (0,8 мл) на продукт взаимодействия 2,56 г IV с 0,39 г К в р-ре диоксана. Аналогично получен 9-дейтеро-9-метилфлуорен, т. пл. 45,5°. К р-ру 2,5 г К в 125 мл абс. спирта добавили 5 г III и 4,5 г свежеперегнанного бензальдегида в 10 мл спирта, после 3 суток стояния при 45° получили 9-бензильденфлуорен, т. пл. 74–75° (из сл.). 3,9 г NaNH₂ и 18 г II кипятили 4 часа с 40 мл декалина в атмосфере азота, декалин заменили пентаном (50 мл) и образовавшийся 9-флуоренилнатрий обработали 50 мл бромистого аллила (VI), смесь кипятили 8 час., промывали водой и после удаления р-рителя и вакуумной перегонки получили 11,5 г 9-аллилфлуорена, т. кип. 132–137°/3 мм. 8,65 мл VI добавляли по каплям к р-ру I (из 8,3 г II и 3,9 г К), полученный осадок промыли водой, экстрагировали эфиром, отогнали р-ритель и перегонкой в вакууме остатка выделили 7,9 г 9,9-диаллилфлуорена, т. кип. 144°/3 мм. Приведены ИК-спектры всех полученных продуктов в области 600–1500 см⁻¹. Частоты в областях 2930, 1400, 1298, 952 и 692 см⁻¹ отнесены к колебаниям метиленовой группы.

Б. Локшин

9Ж127. Парофазное окисление метилнафталинов. Morita Shigeru. Vapor phase oxidation of methyl naphthalenes. «Bull. Chem. Soc. Japan», 1960, 33, № 4, 511–515 (англ.).—Исследован механизм парофазного окисления (ПО) метил- и диметилнафталинов и близких к ним соединений с целью выяснения причин низкого выхода фталевого ангидрида (I) в указанной р-ции. Все опыты проводились при 350–500° над 50 мл катализатора V₂O₅-MoO₃-пемза (РЖХим, 1961, 8Ж36) при скоростях подачи в-ва 1,5 г/час, воздуха 150 л/час. Предварительные исследования по окислению при 400° о-ксилола (II), 1,2,3- и 1,2,4-триметилбензолов и бензилтриметилкарбонной-1,2,4 к-ты (III) показали, что лишь из II образуется 66% I и 7% маленинового ангидрида (IV), из остальных выделены лишь 3–5% IV. Автор рассматривает возможные механизмы ПО замещ. C₁₀H₈: А) 2-CH₃C₁₀H₇ (V) → 2-NOOCC₁₀H₇ → нафтохинон-1,4 (VI) → I; Б) V → C₁₀H₈ → VI → I; В) V → 6-CH₃-VI → III → I; Г) V → 2-CH₃-VI (VII) → I и на основании своих и литературных данных считает обоснованным лишь вариант «Г», т. е. раскрытие замещ. бензольного кольца с выходом I 60–70%. В тех случаях, когда идет раскрытие незамещ. кольца, что зависит от состава катализатора ПО, образуется примесь III, и выход I снижается. Подтверждение своим взглядам автор находит и в данных по образованию I из диметилнафталинов и аценафтена (VIII). Приведены данные (исходное в-во, т-ра ПО в °С, выход I, IV и III в мол.%): C₁₀H₈, т. пл. 80,3°, 450, 68, 7, 0; 1-CH₃C₁₀H₇, т. кип. 245,0°, т. эаст. –32,0°, 400, 26, 4, следы (СЛ); V, т. кип. 241,6°, т. пл. 32,0°, 450, 42, 6, СЛ; 1-NOOCC₁₀H₇, т. пл. 160,5°, 400, 27, 21, —; 2-NOOCC₁₀H₇, т. пл. 183,5–184,0°, 400, 36, 16, —; 2,6-(CH₃)₂C₁₀H₆, т. пл. 109,5–110,0°, 450, 0, 18, СЛ; 2,7-(CH₃)₂C₁₀H₆, т. пл. 95,5–96,5°, 450, 0, 20, СЛ; диметилнафталиновая фракция, т. кип. 260–268°, 400, 15, 8, СЛ; тетралон (IX), т. кип. 127°/13 мм, d₄²⁰ 1,092, 400, 62, 8, 0; 7-метил-IX, 400, 0, 3, СЛ; VIII, т. пл. 94,5°, 450, 0, 14, 0, и 39 мол.% нафталевого ангидрида.

И. Леви

9Ж128. Взаимодействие 1,4-нафтохинона с бисульфитом натрия. Горелык М. В., Богданов С. В., Родионов А. Н. «Ж. общ. химии», 1960, 30, № 9, 2959–2964.—При р-ции 1,4-нафтохинона (I) с NaHSO₃ (II) в водн. среде образуются Na-соль 1,4-диоксинафталин-2-сульфокислоты (III) (основной продукт), 1,4-диоксинафталин (IV) и динатриевая соль 1-оксо-4-окси-1,2,3,4-тетрагидронафталин-2,4-дисульфокислоты (V). Начальной стадией взаимодействия I со II является

1,4-присоединение к системе —C=C—C=O, после чего происходит 1,2-присоединение. V с NH₂OH·HCl (VI) дает Na-соль 1,4-нафтохинон-1-оксим-2-сульфокислоты (VII). III при окислении переходит в Na-соль 1,4-нафтохинон-2-сульфокислоты (VIII), а при ацетилировании в Na-соль 1,4-диацетоксинафталин-2-сульфокислоты (IX). К 30 г 38%-ного р-ра II за 20 мин. прибавляют 7,9 г I, через 2 часа (35°) оставляют на ~16 час., отделяют осадок и из него экстрагируют эфиром IV, выход 9,5%; диацетильное производное, т. пл. 130° (из сл.). Остаток после экстракции растворяют в 150 мл кипящего безводн. спирта и отфильтровывают небольшое кол-во V, а из фильтрата выделяют 8,9 г III. Водн. р-р после отделения IV упаривают, экстрагируют кипящим безводн. спиртом и получают еще 1,3 г III, общий выход 78%. Объединенные остатки после экстракции III растворяют в 50 мл воды, прибавляют 20%-ный р-р (CH₃COO)₂Ba, фильтруют, упаривают, остаток экстрагируют 100 мл кипящего спирта и получают V, выход 11,3%. Р-р 3,94 г III в 10 мл воды и 5 г 38%-ного II нагревают 16 час. при 85–90° и получают V, выход 5,5%, и 91,5% исходного III. В-во V не окисляется CrO₃, не дает окраски с FeCl₃, не образует осадка с BaCl₂ и AgNO₃, при подщелачивании дает I, разрушается кипячением с 20%-ной H₂SO₄, но почти не разрушается при кипячении с 0,5 н. H₂SO₄. К 35 г 13%-ного р-ра II прибавляют 3,16 г I, через 30–40 мин. отфильтровывают IV, выход 5,3%, а из фильтрата получают III, выход 86%, и V, выход 8,3%. Смесь 2,62 г III, 5 г CH₃COONa (X) и 40 мл (CH₃CO)₂O кипятят 15 мин. и получают IX, выход 2,2 г. К р-ру 2,62 г III в 10 мл воды прибавляют 40 мл 3 M р-ра CrO₃ в 20%-ной H₂SO₄ и отфильтровывают VIII, выход 83%, VIII с водн. р-ром анилина дает 2-фенилметил-1,4-нафтохинон, т. пл. 192° (из сл.). К 40 г 9%-ного р-ра II прибавляют 3,16 г I, через 20–30 мин. профильтрованный р-р охлаждают до 0°, приливают 10 мл 3 M р-ра CrO₃ в 20%-ной H₂SO₄ и после прибавления 30 мл насыщ. р-ра NaCl выделяют VII, выход 60%. К суспензии 8 г VIII в 70 мл воды при 50° добавляют 2,5 г VI, а затем 80 мл насыщ. р-ра NaCl и получают VII, выход 5 г. Р-р 3,66 г V, 1,65 г VI и 5 г X в 10 мл воды нагревают при 50–60° 4 часа и получают VII, выход 76%. Р-р 1 г III, 1 г X и 0,5 г VI нагревают 1 час при 100° и получают VII, выход 0,605 г. К р-ру 0,4 г VII в 20 мл воды при 80° добавляют 4 мл 10%-ного водн. р-ра n-CH₃C₆H₄NH₂·HCl и получают n-толуидиновую соль VII, выход 0,54 г, т. пл. 197° (разд.). К суспензии 5 г К-соли 1-нафтол-2-сульфокислоты в 25 мл воды прибавляют 5 мл 24%-ного р-ра NaNO₂, затем при 25–30° за 10 мин. 5–6 мл 12%-ной HCl и выделяют 1,4-нафтохинон-4-оксим-2-сульфокислоту (XI), выход 4,3 г; n-толуидиновая соль разлагается при 240°. При восстановлении XI SnCl₂ получают 4-амино-1-нафтол-2-сульфокислоту. В отличие от VII в-во XI с разб. HNO₃ дает 2,4-динитро-1-нафтол. К р-ру 3,11 г III в 40 мл воды при 90° прибавляют р-р 10 г SnCl₂ в 12 мл 20%-ной HCl и получают 4-амино-1-нафтол-3-сульфокислоту, выход ~100%.

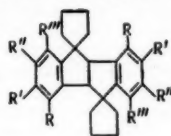
К. Бутин

9Ж129. Армадузные кислоты. Сообщение II. Синтез 2,3,6,7-тетраметоксис-9,10-дигидроантраценкарбонвой-9 кислоты. Werber Giuseppe, Garofalo Torquato, Arcoleo Antonino. Ricerche sugli acidi arilacetici. Nota II. Sintesi dell'acido 2,3,6,7-tetrametossi-9,10-diidroantracen-9-carbonico. «Ann. Chimica», 1960, 50, № 8-9, 1173–1184 (итал.).—Осуществлен встречный синтез полученной ранее (РЖХим, 1958, № 7, 21386) 2,3,6,7-тетраметоксис-9,10-дигидроантраценкарбонвой-9 к-ты (I). 3,4,3',4'-тетраметоксидифенилуксусная к-та (II) при действии CH₂O образует дитон 6-оксиметил-II (III; IV к-та). Строение III подтверждено ИК-спектром, а также опытом окисления III, причем получены 5,6-диметоксис-3-(3,4-диметоксифенил)-фталид (V), 4,5,3',4'-тетраметоксис-2-бензой-

бензойной (VII). Листья лагивать от III к образует, который I. При н. происход. трацен (I). II в 25 мл баляют 98%-ной 24 часа, 124–125° на II HCl, щему р-ра за 3 часа 2-атомо баляют фильтрат 0,6 г VI, и 0,4 г V. III в 40 мл 8 час. су. водной со. но часов кууме и 220°/0,000 ра I кипи. воды и в. сл.). 0,2 г робензол. отловое шение I 9Ж130. с хинона Chodk i mure de l'antrhone (франц.). Хим, 1957, в антрахи. –30° с 1,2-диокси. при дейст. при дейст. дигидроан. ответвенн. лишь мов. рофенина. редение л. фенилпро. мичево, ч. т. пл. 21°. эомером водносоел. р-ре ТГФ. пл. 8,10-д. 85°, тогда праена (I. Конде. рил-9)-1, Ма V и R. анной р-р. 0701) по. рил-9). (C₆H₅)₂C(при дейст. баляется, од 98%, ом 1,5%) лпей. 9Ж131. их его г. пентамол.

бензойная к-та (VI) и 2,3,6,7-тетраметоксидантрахинон (VII). Лактон III легко омыляется в IV, однако скорость лактонизации IV настолько велика, что зафиксировать его не удастся. Для того, чтобы перейти от III к I обрабатывают III HCl в спирте; при этом образуется неустойчивое хлорметильное производное, которое отщепляет HCl и переходит в этиловый эфир I. При нагревании I, а также медленно при $t_{\text{ре}} \sim 20^\circ$ происходит превращение его в 2,3,6,7-тетраметоксидантрахинон (VIII). При окислении I получается VII. К 10 г II в 25 мл лед. CH_3COOH при охлаждении льдом прибавляют 5 мл 38%-ного CH_2O , затем понемногу 5 мл 98%-ной H_2SO_4 , перемешивают 1 час, оставляют на 24 часа, разлагают водой и получают 9 г III, т. пл. $124-125^\circ$ (из сп.). III получен также при действии на II HCl + CH_2O или хлорметилового эфира. К кипящему р-ру 3 г III в 20 мл лед. CH_3COOH прибавляют за 3 часа 25 мл р-ра $\text{Na}_2\text{Cr}_2\text{O}_7$ в CH_3COOH , содержащего 2 атома кислорода в 1 л, кипятят 1 час, отфильтровывают 1 г VII, т. пл. $345-346^\circ$ (из CH_3COOH), из фильтрата после удаления хромовых солей выделяют 0,6 г VI, т. пл. $217-218^\circ$ (из разб. сп., разб. CH_3COOH), и 0,4 г V, т. пл. 237° (из CH_3COOH). В суспензии 10 г III в 100 мл абс. спирта при $t_{\text{ре}} \leq 5^\circ$ пропускают 8 час. сухой HCl, оставляют на ~ 12 час., разлагают водой со льдом, выпавший продукт нагревают несколько часов под водоструйным насосом, перегоняют в вакууме и получают 1,5 г этилового эфира I, т. кип. $230^\circ/0,0005$ мм, т. пл. 142° (из сп.). 0,1 г этилового эфира I кипятят 4 часа с 10 мл спирта и 0,5 г KOH в 1 мл воды и выделяют 0,05 г I, т. пл. 184° (моногидрат; из сп.). 0,2 г I нагревают 1 час при 230° и навешивают нитробензолом VIII, т. пл. 370° . Приведены ИК-спектры I, этилового эфира I и III и УФ-спектры II и III. Сообщение 1 см. РЖХим, 1960, № 17, 69476. В. Беликов 9Ж130. Конденсация пропаргилалюминийбромида с хинонами и антроном. Skowronski Romuald, Chodkiewicz Wladyslaw. Condensation du bromure de propargyl-aluminium sur les quinones et sur l'anthrone. «C. r. Acad. sci.», 1960, 251, № 4, 547-549 (франц.).—Пропаргилалюминийбромид (I) (см. РЖХим, 1957, № 15, 51141) реагирует с аценафтенхиноном и антрахиноном в р-ре тетрагидрофурана (ТГФ) при -30° с образованием соответствующих дихинов: 1,2-диокси-1,2-дипропаргиланафтена, выход 85%, т. пл. 176° ; и *цис*(?) 9,10-диокси-9,10-дипропаргил-9,10-дигидроантрацена (II), выход 35%, т. пл. 164° соответственно. Фенантренхинон в этих условиях дает лишь монооксид 10-оксо-9-оксо-9-пропаргил-9,10-дигидрофенилатрен, выход 86%, т. пл. 95° ; аналогично поведению и бензила, превращающегося в α -бензоил- α -фенилпропаргилэтиловый спирт, выход 72%, т. пл. 101° . Отметим, что наряду с II образуются соединения с т. пл. 211° и 143° , являющиеся, по-видимому, транс-изомером II и продуктом моногидратации II. При конденсации I с антроном (III) установлено, что в р-ре ТГФ р-ция идет с образованием 9-оксо-9-пропаргил-9,10-дигидроантрацена (IV), выход 91%, т. пл. 165° , тогда как в эфире образуется 81% 9-пропаргилантрацена (V), т. пл. 124° . В можно получить также из IV. Конденсация V с бензофеноном приводит к 4-(антраквил-9)-1,4-дифенилбутин-2-олу, выход 90%, т. пл. 167° . На V в $\text{RG} \equiv \text{CBr}$ в присутствии солей Cu(I+) по описанной ранее методике (см. РЖХим, 1959, № 17, 30701) получены $\text{C}_{14}\text{H}_9\text{CH}_2\text{C} \equiv \text{CC} \equiv \text{CR}$ [где C_{14}H_9 = (антраквил-9)]. Приведены R, выход в %, т. пл. в $^\circ\text{C}$: C_6H_5 84, 142; C_6H_5 80, 173; $\text{C}_6\text{H}_5\text{CH}_2$ 98, 353. При действии щелочей на V последний перегруппировывается, по-видимому, в 9-(пропин-1-ил)-антрацен, выход 98%, т. пл. 130° , образующийся также (с выходом 1,5%) из III и $\text{CH}_3\text{C} \equiv \text{CN}$ с последующей дегидратацией. И. Левя 9Ж131. Реакции алкилирования бензола и некоторых его гомологов диакетатом 1,1'-этиленбисциклопентанола в присутствии безводного AlCl_3 . Лагиндз

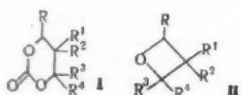
Р. М., Двалишвили А. И. «Сакартвелос ССР Мецниеребата Академикс моамбе, 1959, 23, № 6, 663-670 (груз.); Сообщ. АН ГрузССР», 1959, 23, № 6, 663-670 (русс.).—При действии диакетата 1,1'-этиленбисциклопентанола (I) на простейшие гомологи бензола (ГБ) в присутствии AlCl_3 синтезированы (II-VI). В качестве промежуточного продукта р-ции I и C_6H_6 образуется 1-фенил-2-ацетокси-1,2-дихлорпентилденэтан (VII) (или его изомер с двойными связями в циклах). Гидрированием VII получают 1-фенил-2-ацет-



II $\text{R} = \text{R}' = \text{R}'' = \text{H}$, $\text{R}' = \text{CH}_3$;
 III $\text{R} = \text{R}' = \text{R}'' = \text{H}$, $\text{R}' = \text{CH}(\text{CH}_3)_2$;
 IV $\text{R} = \text{R}' = \text{R}'' = \text{CH}_3$, $\text{R}' = \text{R}'' = \text{H}$;
 V $\text{R} = \text{R}' = \text{CH}_3$, $\text{R}' = \text{R}'' = \text{H}$;
 VI $\text{R} = \text{R}' = \text{H}$, $\text{R}' = \text{R}'' = \text{CH}_3$;
 VII $\text{R} = \text{R}' = \text{R}'' = \text{R}''' = \text{H}$

окс-1,2-дихлорпентилденэтан (VIII), который омыляется до 1-фенил-2-окс-1,2-дихлорпентилденэтана (IX). Омылением VII синтезируют 1-фенил-2-окс-1,2-дихлорпентилденэтан (X). При взаимодействии VII с AlCl_3 получается ничтожное кол-во неизученного в-ва с т. пл. $\sim 170^\circ$ (XI). При таком же взаимодействии, но в присутствии C_6H_6 получается (XII). При окислении XII CrO_3 выделяется кристаллич. в-во с т. пл. $206-207^\circ$, 0,039 моля I в 50 мл толуола при $15-20^\circ$ по каплям прибавляют к 0,067 моля AlCl_3 в 100 мл толуола, нагревают 3 часа при $45-50^\circ$, за $10-15$ мин. т-ру повышают до 80° , разгонкой выделяют $25-28\%$ II, т. кип. $195-197^\circ/1-2$ мм, т. пл. $154-155^\circ$ (из сп.-бзл.). Аналогично получают (приводятся в-во, исходный ГБ, кол-во молей ГБ, кол-во молей I, кол-во молей AlCl_3 , в скобках условия р-ции, выход в %, т. кип. в $^\circ\text{C}/\text{мм}$, т. пл. в $^\circ\text{C}$): III, кумол, 0,583, 0,036, 0,074, ($73-75^\circ$, 3 часа, затем 92°), 30, $170-172^\circ/1-2$, — [выделен также $4(\text{CH}_3)_2\text{CHC}_6\text{H}_4\text{COCH}_3$, т. кип. $75-80^\circ/2-3$ мм, n_D^{20} 1,5110, d_4^{20} 0,9745; 2,4-динитрофенилгидразон, т. кип. $178-179^\circ$]; IV, *n*-кислот, 0,9, 0,036, 0,06, ($25-30^\circ$, 2 часа при 70° , $10-15$ мин. при 80°), 28, $202-205^\circ/1-2$, $212-213$ (из сп.-бзл.); V, *m*-кислот, т. кип. 135° , n_D^{20} 1,4995, 1,13, 0,04, 0,074, (аналогично предыдущему), 30-32, $202-205^\circ/1-2$, $143-144$ (из сп.); VI, *o*-кислот, т. кип. 140° , n_D^{20} 1,5075, 1,07, 0,036, 0,067, ($10-13^\circ$, 2 часа при $70-75^\circ$, 30 мин. при 90°), 26, $198-204^\circ/1-2$, $161-162$ (из сп.-бзл.). VII (n_D^{20} 1,5440) выделяют с небольшим выходом из продуктов взаимодействия C_6H_6 и I по ранее известному методу (РЖХим, 1956, № 14, 43105). 2,22 г VII в 30 мл абс. спирта гидрируют 2 часа над 0,4 г Pt-черни, из фильтрата выделяют VIII, т. кип. $125-128^\circ/0,5-1$ мм, n_D^{20} 1,5420, d_4^{20} 1,0846. На омыление 0,2676 г VIII расходуется 1,92 мл 0,5 н. спирт. KOH, разбавляют водой, масло растворяют в эфире, из р-ра выделяют IX, т. кип. $138-140^\circ/1-2$ мм, n_D^{20} 1,5435, d_4^{20} 1,0593. При аналогичном омылении VII выделяют X, т. кип. $140-142^\circ/1$ мм. 5 ммоль VII в 5 мл деароматизированного бензина (т. кип. $100-110^\circ$) прибавляют к 10 ммольям AlCl_3 в 5 мл бензина, нагревают при $\sim 70^\circ$ до окончания выделения HCl (~ 2 часа), обычной обработкой выделяют очень небольшое кол-во XI, т. пл. $\sim 170^\circ$ (из сп.). В аналогичном опыте с 3 ммольями VII, 7 ммольями AlCl_3 и 0,19 моля C_6H_6 выделяют XII, т. кип. $150-160^\circ/1-2$ мм, т. пл. $83-83,5^\circ$ (из сп.). Б. Скородумов 9Ж132. Каталитическое разложение угольных эфиров 1,3-диолов. Searles Scott, Hummel Donald G. Nukina Shogo, Throckmorton Peter E. Catalytic decomposition of carbonate esters of 1,3-diols. «J. Amer. Chem. Soc.», 1960, 82, № 11, 2928-2931 (англ.).—При пиролизе (Ia-ш; здесь и далее а $\text{R}' = \text{CH}_3$; б $\text{R}^3 = \text{CH}_3$; в $\text{R} = \text{R}^3 = \text{R}^4 = \text{CH}_3$; г $\text{R}' = \text{R}^2 = \text{CH}_3$, $\text{R}^4 = (\text{CH}_3)_2\text{CH}$; д $\text{R}^2 = \text{C}_2\text{H}_5$; е $\text{R}' = \text{R}^2 = \text{CH}_3$; ж $\text{R}' = \text{R}^2 = \text{C}_6\text{H}_5\text{CH}_2$; з $\text{R}' = \text{C}_2\text{H}_5$, $\text{R}^2 = \text{C}_6\text{H}_5$, неуказанные $\text{R} = \text{H}$) в присутствии основных

катализаторов главными продуктами являются оксатаны (IIa—з) и CO_2 . В случае $\text{R}' = \text{R}^2 = \text{H}$ происходит превращение в аллиловые спирты, так из Ia—г, и образуются соответственно $\text{CH}_2=\text{C}(\text{CH}_3)\text{CH}_2\text{OH}$ (III), $\text{CH}_3\text{CH}=\text{CHCH}_2\text{OH}$ (IV), $(\text{CH}_3)_2\text{C}=\text{CHC}(\text{CH}_3)\text{OH}$ (V), $(\text{CH}_3)_2\text{C}=\text{CHC}(\text{CH}_3)_2\text{CH}_2\text{OH}$ (VI) и $\text{CH}_2=\text{CHCH}_2\text{OH}$ (VII), кроме того из Ig образуется $(\text{CH}_3)_2\text{C}=\text{CH}(\text{CH}_3)_2$ [у авторов $(\text{CH}_3)_2\text{C}=\text{CHC}_2\text{H}_5$ (VIII)], из Id образуются $(\text{C}_2\text{H}_5)_2\text{C}=\text{CH}_2$ (IX) и CH_2O , а из Iз получают α -этилстирол (X), CH_2O и $\text{C}_6\text{H}_5\text{C}(\text{CH}_3)(\text{C}_2\text{H}_5)\text{CHO}$ (XI). Приведены механизмы р-ций, объясняющие образование перечисленных продуктов. Полимеры Id, е (XII, XIII) реагируют так же, как и мономерные угольные эфиры. Смесь 1,0 моля соответствующего 1,3-диола и 1,1 моля $\text{OC}(\text{OC}_2\text{H}_5)_2$, в котором растворено 0,5 г Na, нагревают при 130—170° до прекращения отгонки спирта, извлекают C_6H_6 и получают (указан продукт,



выход в %, т. кип. в °C/мм и т. пл. в °C): Ia, —, 121—125/0,05, —; б, 60, 100—110/0,8, —; в, 76, 113—120/0,1, 97,5—98 (из лигр.-бэл.); г, 60, 132/2, —, n_D^{20} 1,4580; д, 67, 117—120/0,1, 44—45 (из лигр.-бэл.); е, 52, 120—125/0,2, 115 (из лигр.-бэл.); ж, 73, —, 227—229 (из лигр.-бэл.); и, 50, 90—110/0,2, 47—48 (из лигр.-бэл.). 10 г Id и 2 г KCN нагревают в токе N_2 45 мин. при 235—250°, дистиллят повторно перегоняют над Na и получают Id, выход 0,5 г, IX, выход 0,85 г, т. кип. 55—59°, n_D^{20} 1,3961, и Id, выход 65%, т. кип. 139—141°, n_D^{20} 1,4230. С другими катализаторами выход Id уменьшается (приведены катализатор, т-ра р-ции в °C и выход Id в %): Al_2O_3 (шел.), 230—350, 58; $\text{CuCO}_3 \cdot \text{Cu}(\text{OH})_2$, 180—220, 55; NaCN , 250—265, 46; K_2CO_3 , 245—265, 45; Na_2CO_3 , 255—260, 39; Ag_2CO_3 , 240—260, 37; $\text{CH}_3\text{CH}_2\text{COOK}$, 240—250, 39; CH_3COOK , 240—250, 24; $\text{CH}_3\text{COON}(\text{CH}_3)_2$, 240—250, 36; MgO , 275—300, 36; CaO , 235—280, 28; NaOCH_3 , 210—300, 28 [примесь $(\text{C}_2\text{H}_5)_2\text{C}(\text{CH}_2\text{OH})_2$ (XIV)]; KOH , 245—300, 34 [примесь XIV]. Аналогично Id получают (приведены исходное в-во, катализатор, т-ра р-ции в °C, полученные продукты, их выход, т. кип. в °C, n_D^{20}): Ia, K_2CO_3 , 205—240, IIa, 2, —, III, 20, 80—110, —, α -фталитуретан (HV), т. пл. 78—79°, Ib, K_2CO_3 , 190—195, IIб, 15, —, IV, 71, 110—118, —, HV, т. пл. 88°; Ic, K_2CO_3 , 190—200, IIв, 10, —, V, 64, 120—130, —, HV, т. пл. 82—84°; Ig, KCN, 245—265, IIг, 49, 135, 14157, VI, 16, 163—166, 1,4488, VIII, 5, 66—68, 1,3980; XII (т. пл. 60—64°), K_2CO_3 , 230—280, IIд, 57, —, —; Ie, KCN, 230—240, IIе, 66, 80—81, 1,3950; Ie, K_2CO_3 , 245—265, IIе, 45, —, —; XIII (т. пл. 71—91°), K_2CO_3 , 200—230, IIе, 54, —, —; Iж, K_2CO_3 , 200—210, IIж, 25, 135/0,1 мм, 1,5765; Iз, KCN, 200—210 (при 40 мин.), X, 20, 170—180, 1,5270, IIз, 6, 215—225, 1,5153, XI, 12, 225—228, 1,5195, семикарбазон, т. пл. 152—152,5°; Iи, K_2CO_3 , 210—240, VII, 59, 95—96, 1,4132, HV, т. пл. 107,5—108°. Для идентификации 0,1 г X окисляют 0,35 г KMnO_4 в 1 мл лед. CH_3COOH при $\sim 20^\circ$, нейтрализуют, извлекают эфиром пропиофенон; 2,4-динитрофенилгидразон, т. пл. 191—192°, 1,2 г IIг кипятят 35 час. с 0,2 г LiAlH_4 в 20 мл тетрагидрофурана, разлагают 3 мл 20%-ной соды и получают 2,4-диметил-2-гексанол, выход 0,45 г, т. пл. 145—148°, n_D^{20} 1,4270; 3,5-динитробензоат, т. пл. 99—100°. Предыдущее сообщение см. РЖХим, 1960, № 20, 80952.

Л. Виноград

9Ж133. Реакции соединений фурана. XVIII. Ацетоксилирование ядра. XIX. Синтезы 2-метоксифурана и его 5-метил- и 5-метоксиметилпроизводных. D'Alorio G. Frank, Williams Carl J., Jr, Wilson Christopher L. Reactions of furan compounds.

XVIII. Nuclear acetoxylation. XIX. Synthesis of 2-methoxyfuran and its 5-methyl- and 5-methoxymethyl derivatives. «J. Organ. Chem.», 1960, 25, № 6, 1025—1028, 1028—1030 (англ.). XVIII. Пироллиз 2,5-диацетоксид-2,5-дигидрофурана (I, II фуран), катализируемый к-тами

приводит к 2-ацетокси-II (III) и к $\text{OCH}_2\text{CH}=\text{CHCOOCH}_3$ (IV). При действии Br_2 , CH_3COOK в CH_3COOH и $(\text{CH}_3\text{CO})_2\text{O}$ на 2-метил-II (V), фурфурилацетат (VI), фурфуральдиацетат (VII) и 2-метоксиметил-II (VIII) получены соответственно 2-ацетокси-5-метил-II (IX), анемонин (X), 5-ацетоксиметил-ен-(XI) и 5-метоксиметил-2-оксо-2,5-дигидро-II (XII) и смолы; промежуточно, вероятно, образуются производные I, 92 г I и 0,2 г $\beta\text{-C}_{10}\text{H}_7\text{SO}_3\text{H}$ (XIII) нагревают при 105°, дистиллят (52,7 г) повторно перегоняют и получают IV, выход 9%, т. кип. 85—95°/12 мм, n_D^{25} 1,4666, 12,6 г III (т. кип. 59—60°/15 мм, n_D^{20} 1,4467) и 0,01 г XIII нагревают 30 мин. при 100° и получают IV, выход 48%, т. кип. 56—70°/4 мм, n_D^{20} 1,4680, CH_3COOH , выход 30%, т. кип. 49—62°/70 мм, n_D^{20} 1,3732, и $(\text{CH}_3\text{CO})_2\text{O}$, выход 68%, т. кип. 62°/70 мм, 30°/10 мм, n_D^{20} 1,3892. К смеси 40 г V, 51 г CH_3COOK , 100 мл CH_3COOH и 150 мл $(\text{CH}_3\text{CO})_2\text{O}$ добавляют при -20° 40 г III, размешивают 1 час при 0°, нагревают до 80°, через 13 мин. фильтруют, осадок KBr упаривают (70°/10—15 мм) р-рителем, извлекают эфиром, перегоняют из колбы, покрытой CH_3COOK , и получают 2-оксо-5-ацетокси-2,5-дигидро-II, выход 64%, т. кип. 92—96°/3 мм, n_D^{20} 1,4596. Аналогично получают (перечислены исходное в-во, кол-во в г, кол-во Br_2 и CH_3COOK в г и CH_3COOH и $(\text{CH}_3\text{CO})_2\text{O}$ в мл, продукты, выход в %, т. кип. в °C/мм, т. пл. в °C, n_D^{20}): V, 82, 180, 205, 400, 600, VIII, 6,1, 72—73/10, —, —; VI, 114, 180, 205, 400, 600, VII, 1,6, —, 48,0—48,4, и X, 4,9, 142—142,5, —, аддукт с малеиновым ангидридом (XIV), т. пл. 127—130°; VII, 50, 80, 100, 400, 600 (1 час при 80°), XI, 21—24, —, —; VIII, 28, 40, 51,5, —, 150, XII, 6,4, 51—52/3, —, 1,4743, 0,648 г IX обрабатывают 0,45 г XIV и получают 3-ацетокси-6-метил-3,6-этокси- Δ^4 -тетрагидрофталевый ангидрид, т. пл. 149,8—150° (из бал.-метр. эф., 9:1). Аналогично из 0,54 г IX и 0,3 г фумарового ангидрида получают 3-ацетокси-6-метил-3,6-этокси- Δ^4 -тетрагидрофталонитрил, т. пл. 130,0—130,4° (из бал.-метр. эф.). 1 г XI обрабатывают 4 г CrO_3 в 40 мл CH_3COOH , через 24 часа при 20° упаривают р-рителем, извлекают эфиром, добавляют 0,5 мл $\text{C}_6\text{H}_5\text{NH}_2$ и получают диамид XIV, т. пл. 186—188°.

XIX. Путем нагревания 2,5-диметокси-2,5-дигидрофурана (XV), 2-метил-XV (XVI) и 2-метоксиметил-XV (XVII) в дибутил-(XVIII) и диоктилфталате (XIX) присутствии XIII или о-фосфорной к-ты (XX) получают 2-метоксифуран (XXI), 5-метил-XXI (XXII) и 5-метоксиметил-XXI (XXIII). XXII и XXIII превращены соответственно в 6-метил-(XXIV) и 6-метоксиметил-3-метокси-3,6-этокси- Δ^4 -тетрагидрофталевый ангидрид (XXV). Ароматизация XXIV приводит к 3-метокси-6-метилфталевому ангидриду (XXVI). Исходные XV—XVII получены согласно описанному (Clauson-Kaas и др., Acta Chem. Scand., 1952, 6, 545, 556). Р-р 12 г NH_4Br и 17,3 г II в 60 мл CH_3OH подвергают при 2 электrolизу (анод и катод из графита, 16 а/час), выливают на р-р 1 г Na в 20 мл CH_3OH , перегоняют, получают XV, выход 72%, т. кип. 159—165°, n_D^{20} 1,4316. Аналогично получают (указаны исходное в-во, кол-во в г, кол-во NH_4Br в г и CH_3OH в мл, продукты, выход в %, т. кип. в °C/мм): V, 29,5, 2,2, 48, XVI, 86—91/55, n_D^{20} 1,4304; VII, 28, 1,2, 48, XVIII, 72, 94/9, n_D^{20} 1,4412. В смесь 25 мл XVIII и XIII, выливают до 220—250°, вносят по каплям 99 г XV, дистиллят (82,2 г, т. кип. 60—140°) обрабатывают насыщ. р-р CaCl_2 , извлекают эфиром XXI, выход 50,8%, т. кип. 110°, n_D^{20} 1,4522. Смесь 25 г XVI, 0,1 г XIII и 0,2 г CH_3COOH вносят по каплям в 25 мл сильно нагретого XV, дистиллят (22,2 г, т. кип. 125°/750 мм) обрабатывают

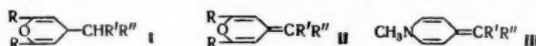
как описано выше, и получают XXII, выход 28%, т. кип. 136—137°/750 мм, n_D^{20} 1,4600, и XVI, выход 7,2 г. Смесь 23,3 г XVII и 0,5 г XX вносят по каплям в нагретую до 230° смесь 0,25 г XX и 11 г XIX, дистилят (17,1 г, т. кип. 60—105°) обрабатывают как описано выше и получают XXIII, выход 23%, т. кип. 93—100°/80 мм, n_D^{20} 1,4620. К р-ру 0,5 г XIV в 0,6 г XXII добавляют 3 мл C_6H_6 , осаждают петр. эфиром XXIV, выход 62%, т. пл. 133—135°. Аналогично из XXIII получают XXV, выход 14%, т. пл. 95—97°, 0,5 г XXIV растворяют при нагревании в 2 мл CH_3OH и получают XXVI, выход 75%, т. пл. 186—187°. 0,1 г XXIV нагревают 10 мин. при 25° с 3 мл XX, выливают в воду и получают XXVI, выход 20%. Сообщение XVII см. РЖХим, 1960, № 5, 17757.

Л. Виноград

9Ж134. Необычная перегруппировка Чепмена. Schulenberg John W., Archer S. An abnormal Chapman rearrangement. *J. Amer. Chem. Soc.*, 1960, 82, № 8, 2035—2038 (англ.).—Пиролиз N-фенилбензимино-о-(карбометоксиметил)-фенилового эфира (I), полученного из $C_6H_5C(Cl)=NC_6H_5$ (II) и о-НОС $_6$ H $_4$ CH $_2$ CO $_2$ CH $_3$ (III, IV к-та), кроме нормального продукта перегруппировки Чепмена — метилового эфира о-(N-бензоиланилино)-фенилуксусной к-ты (V, VI к-та), дает также 3-бензанилимино-2-(3H)-бензфуранон (VII). Строение V подтверждено превращением в N-фенилосекиндол (VIII) и VI. Гидролиз VII приводит к $C_6H_5NH_2$, 2-оксидеоксисбензойну (IX), 2-фенилбензофурану (X) и 3-карбокси-X (XI). XI получен также из 3-бензоил-2-(3H)-бензофуранона (XII). Осуществлен встречный синтез VII из изокумаранона (XIII), а также из I при низкой т-ре. Предложен механизм образования V и VII. Из о-CH $_2$ OC $_6$ H $_4$ CHO известным методом (Levine J. и др., *J. Amer. Chem. Soc.*, 1948, 70, 1930) получают IV, т. кип. 90—94°/0,1 мм. XIV нагревают до прекращения отгонки воды, перегоняют и получают XIII, выход 57%, т. кип. 131—134°/22 мм, т. пл. 47,5—49,5° (из эф.-гексана). 20,1 г XIII кипятят 5 час. с 200 мл р-ра HCl в CH_3OH , упаривают и получают III, выход 84%, т. пл. 71—73° (из эф.-пентана). Смесь 296 г бензанилида и 312 г PCl_5 кипятят 2 часа и получают II, выход 94%, т. кип. 115—120°/0,3 мм, т. пл. 38—40°. К р-ру 27 г CH_3ONa в 600 мл CH_3OH добавляют 83 г III и р-р 108 г II в 150 мл эфира, через 16 час. упаривают в вакууме, разбавляют водой и получают I, выход 74%, т. пл. 103—105° (из изопропанола). Р-р I в спирте гидрируют над 10%-ным Pd/C, отфильтровывают катализатор, подкисляют спирт. HCl и получают хлоргидрат N-фенилбензиламина, т. пл. 212—215°. I кипятят 10 мин. с конц. HCl и получают о-бензоил-оксифенилуксусную к-ту, т. пл. 141—143° (из хлф.-гексана). 25 г I нагревают 45 мин. при 268° (баня из кипящего дибензила), разбавляют 75 мл спирта и получают VII, выход 29%, т. пл. 210—213° (из хлф.-этилацетата), в парах определяют CH_3OH в виде нитробензоата, маточный р-р охлаждают и получают V, выход 20%, т. пл. 132,5—134,5° (из сп.). При очистке VII выделяют также 10—25% неидентифицированного продукта с т. пл. 223,5—225,0° (из этилацетата). 0,5 г V и 3 г КОН кипятят 3 часа с 7 мл воды и 20 мл CH_3OH , подкисляют, нагревают при ~100° и таким образом циклизуют о-анилинофенилуксусную к-ту в VIII, т. пл. 115—118° (из водн. сп.). Р-р 6,9 г V и 1,08 г CH_3ONa в 50 мл CH_3OH и 20 мл воды кипятят 2 часа, подкисляют и получают VI, выход 58%, т. пл. 155,5—157° (из этилацетата-гексана). К р-ру 1,66 г VI в 5 мл $CHCl_3$ добавляют 5 мл $SOCl_2$, кипятят 3 часа, отгоняют р-ри-тель, растворяют в 10 мл $C_6H_5NO_2$, смешивают с 2 г $AlCl_3$ в 5 мл $C_6H_5NO_2$, разлагают льдом и HCl, извлекают $CHCl_3$. VIII. Р-р 662 мг VI в 5 мл $CHCl_3$ кипятят 30 мин. с 3 мл $SOCl_2$, хлорангидрид кипятят 30 мин. с 15 мл CH_3OH и получают V, выход 65%. 3 г V и 4 г КОН кипятят 1 час в 15 мл воды и 45 мл CH_3OH , извлекают эфиром, затем водн. р-ром HCl и получают $C_6H_5NH_2$; хлоргидрат, т. пл. 197—199°; из эфирного слоя выделяют IX, т. пл. 127,5—131,5° (из этилацетата-гексана); 2,4-динитрофенилгидразон (ДНФГ), т. пл. 197—198,5° (из сп.). При более продолжительном действии HCl получают только X. Кипятят 1 час IX с CH_3J и CH_3ONa в спирте и получают метиловый эфир IX; ДНФГ, т. пл. 177,5—179° (из сп.). Р-р 1 г бензоата IX (XIV) в 3 мл воды и 10 мл CH_3OH кипятят 3 часа, извлекают эфиром IX. К смеси 212 мг IX и 5 мл 10%-ного NaOH добавляют 0,15 мл C_6H_5COCl и получают XIV, т. пл. 103—105° (из сп.). К р-ру 0,1 г IX в 5 мл CH_3COOH добавляют HCl, нагревают 10 мин. при ~100°, разбавляют водой и получают X, т. пл. 119,5—121° (из сп.). 1 г VII кипятят 5 час. с 25 мл 48%-ной HBr и 25 спирта и получают XI, т. пл. 194,5—197° (из гептана); при замене HBr на HCl (150 мин.) получают кроме того X. 1 г XII кипятят 1 час с 35 мл спирта и 25 мл конц. HCl и получают XI. 20,1 г XIII и 32,4 г II медленно нагревают до 240° и получают VII, выход 60%. К р-ру 3,45 г I в 50 мл C_6H_6 добавляют 1 г CH_3ONa , кипятят 90 мин., подкисляют, извлекают C_6H_6 . VII, выход 56%. Приведены ИК- и УФ-максимумы полученных в-в.

Л. Виноград

9Ж135. Дегидрирование 4Н-производных пирана, катализированное радикалами трифенилфеноксила. Dimroth K., Wolf K. H. Triphenylphenoxy-katalysierte Dehydrierung von 4Н-Pyran-Derivaten. *Angew. Chem.*, 1960, 72, № 21, 777—778 (нем.).—При дегидрировании щел. р-ром ферроцианата 4Н-производных пирана (Ia—r, где a R = C_6H_5 , R' = H, R'' = NO $_2$; б R = C_6H_5 , R' = R'' = COCH $_3$; в R = C_6H_5 , R' = H, R'' = C_6H_5 ; г R = CH_3 , R' = R'' = CN), содержащих при C_4 -углеродородном радикале хотя бы один H, в присутствии 1—2 мол. % 2,4,6-трифенилфенола получены соответствующие дегидропираны (IIa—r) с выходами 73—87%, т. пл. 170—171, 123, 137—138, 190—192° соответ-

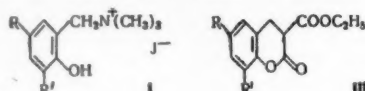


ственно. С сильными к-тами IIa, б, г образуют соли пирилы, а при действии CH_3NH_2 превращаются в IIIa, б, г. т. пл. 243—245, 220—222, 307—310° соответственно. При окислении дибензила в тех же условиях получен стильбен.

В. Титов

9Ж136. δ -Лактоны и δ -лактамы, XXII. Нитрование 5,6-дизамещенных пиранов-2. Шуперина Н. П., Дмитриева Н. Д., Козлова Т. Ф., Левина Р. Я. *Ж. общ. химии*, 1960, 30, № 9, 2829—2832.—При нитровании 70%-ной HNO_3 в присутствии H_2SO_4 5,6-диметилпирана-2 (I) и 5,6-циклогексанопирана-2 (II) образуются соответственно 3-нитро-5,6-диметилпиран-2 (III) и 3-нитро-5,6-циклогексанопиран-2 (IV) (5,6-циклопентано-пиран-2 в этих условиях осмоляется), а при нитровании 6-метил-5-фенилпирана-2 (V) и 5-метил-6-фенилпирана-2 (VI) соответственно образуются 6-метил-5-(*n*-нитрофенил)-пиран-2 (VII) и 5-метил-6-(*n*-нитрофенил)-пиран-2 (VIII). Положение нитрогруппы в VII и VIII доказано окислением их в *n*-NO $_2$ C_6H_4 COOH (IX). Нитрование V и VI дымящей HNO_3 также приводит к VII и VIII, последний в этих условиях неустойчив и окисляется с выходом 75% до IX. Показано, что нитропираны инертны в р-ции диенового синтеза. К р-ру пирана-2 в охлажд. конц. H_2SO_4 по каплям прибавляют 70%-ную HNO_3 при нужной т-ре и после перемешивания 2 часа при 0—3° выливают на лед. Получены следующие в-ва (приведены исходный пиран, его кол-во в г, кол-во H_2SO_4 в мл, кол-во HNO_3 в г, т-ра р-ции в °C, нитропиран, выход в %, т. пл. в °C): II, 5, 15, 4,7, —3 до —5, IV 50, 86—87 (из сп.); I, 1,9, 5,5, 2, 1—3, III, 37, 96—97 (петр. эф.- C_6H_6); V, 0,5, 2, 0,6, —5 до —3, VII, 84, 152—153 (из сп.); VI, 1,16, 4, 1,2, —5 до —3, VIII, 79, 188—189 (из сп.). Окислением VII и VIII

р-ром KMnO_4 в течение 4 час. получена IX, выход 96—98%, т. пл. 237—238°. Из 0,5 г V и 0,6 г дымящейся HNO_3 получен VII, выход 80%. При нагревании 4 часа IV и малеинового ангидрида был выделен исходный IV. Сообщение XXI см. РЖХим, 1961, 6Ж198. Б. Грибов 9Ж137. С-алкилирование оснований Манниха моноциклических фенолов. Friedrich K., Kreuschner H. C-Alkylierungen mit Mannich-Basen monocyclischer Phenole. «Angew. Chem.», 1960, 72, № 21, 780 (нем.).—Реакцией йодметилатов оснований Манниха фенолов (I) с этокси-Mg-малоновым эфиром (II) получены (III). Алкилирование этокси-Mg-формамидомалонового эфира дает DL-о-тирозин. Действием йодметилата 4-(диметиламинометил)-фенола на II получена



трудно очищаемая β -(4-оксифенил)-пропионовая к-та. Смесь 0,1 моля I с II кипятят в $\text{C}_6\text{H}_5\text{Cl}$, отгоняют триэтиламин, разлагают разб. HCl -к-той (1:1), из органич. слоя отгоняют р-ритель и малоновый эфир и получают III (указаны R, R', время р-ции в часах, выход в %, т. пл. в °C): H, H, 10, 52,3, 53—55; CH_3 , H, 8, 59,8, 88—90; CH_3 , CH_3 , 15, 74,5, 88—89; COOC_2H_5 , H, 8, 35, 104—106. В. Титов

9Ж138. О 5,6-диоксифлаваноне. Chopin Jean, Bouillant Marie-Louise, Chadenson Michèle. Sur la dihydroxy-5,6 flavanone. «C. r. Acad. sci.», 1960, 251, № 8, 1021—1023 (франц.).—Конденсацией 2,5-диокси-6-метоксиацетофенона с $\text{C}_6\text{H}_5\text{CHO}$ с последующей циклизацией промежуточного халкона получен 5-метокси-6-оксифлаванон (I), т. пл. 153—154°, который при действии $(\text{CH}_3)_2\text{SO}_4$ в ацетоне дает 5,6-диметоксифлаванон (II). Деметилирование I AlCl_3 в безводн. эфире, приводит не к 5,8-диоксифлаванону (III), а к 5,6-диоксифлаванону (IV), т. пл. 158°. Это подтверждается смешанной пробой плавления и определением R_f III и IV в системе петр. эфир + C_6H_6 + CH_3OH . При обработке IV эквивалентным кол-вом $(\text{CH}_3)_2\text{SO}_4$ получен II; с избытком $(\text{CH}_3)_2\text{SO}_4$ в присутствии воды Na_2CO_3 образуется 2,3,6-триметоксифлаванон, т. пл. 98°. Прямую изомеризацию IV в III осуществить также не удалось [нагревание со спирт. $\text{C}_2\text{H}_5\text{ONa}$ в атмосфере N_2 или кипячение 1 час со смесью (1:1) HBr (к-та) + $(\text{CH}_3\text{CO})_2\text{O}$]. Эта устойчивость к перегруппировкам характерна и для большинства эфиров III и IV. Деметилирование 5-окси-6-метокси- и 5-окси-8-метоксифлаванонов действием HBr (к-ты) приводит исключительно к IV или соответственно к III со следами IV. В тех же условиях II дает IV с примесью III. Однако, I при обработке HBr (к-той) превращается в III и IV в почти равных кол-вах. В этом случае с заметной скоростью протекает и параллельная р-ция расщепления гетероциклич. кольца. С. Суминов

9Ж139. Полимеризация флаванов. Часть III. Действие тетраацетата свинца на флаваны. Bokadia M. M., Brown B. R., Gummings W. Polymerisation of flavans. Part III. The action of lead tetra-acetate on flavans. «J. Chem. Soc.», 1960, Aug., 3308—3313 (англ.).—В связи с исследованием структуры полимеров, образующихся при полимеризации флаванов, изучалось окисление последних в мягких условиях. Избранный метод — действие тетраацетата свинца в уксусной к-те при 80° был предварительно проверен на 4-метокси-фенилметане и в результате получен (после гидролиза) α -п-метоксифенилбензиловый спирт. Флаваны первоначально реагируют в положении 4, превращаются в ацетоксипроизводные и после гидролиза в флаван-4-олы. Аналогичным образом были получены соответствующие метоксипроизводные. Выходы спиртов сни-

жаются с увеличением степени замещения метоксильными группами в ядре флавана. Это, по-видимому, объясняется побочными р-циями, обусловленными действием тетраацетата свинца на углерод в положении 2, а также одновременно на метоксильную группу и бензольное кольцо. Флаван-3,4-диолы (лейкоантоцианидины) расщепляются с образованием небольших кол-в бензальдегида и салицилового альдегида и соединения, которому приписывается строение 2-формил-2,3-диоксипро-3-окси-2-фенилбензофурана. Флаван-2,3-диолы не дают в аналогичных условиях дибензофуранов, что дает возможность на основании изучения продуктов р-ции отличить друг от друга диолы обоих типов. Часть II см. РЖХим, 1959, № 13, 45831. Н. Мотовилов

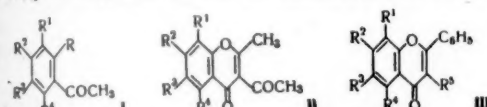
9Ж140. Изучение 3-ацилкатехинов. II. Новый синтез 8-оксифлавана. Awad W. I., El-Newehy M. P., Selim S. F. Studies on 3-acylcatechols. II. A new synthesis of 8-hydroxyflavone. «J. Organ. Chem.», 1960, 25, № 8, 1333—1336 (англ.).—По методу, предложенному ранее (см. сообщение I, РЖХим, 1959, № 13, 45796), получен ряд 3-ацилпрокатехинов $3\text{-RCOC}_6\text{H}_4(\text{OH})_2$ (Ia—g, где $\text{R} = (\text{CH}_3)_2\text{CHCH}_2$, б $\text{R} = \text{C}_6\text{H}_5$, в $\text{R} = n\text{-C}_4\text{H}_9$, г $\text{R} = n\text{-C}_6\text{H}_{13}$), строение которых подтверждается цветными р-циями и изучением ИК-спектров. Сделан вывод о наличии заметных внутримолекулярных и межмолекулярных водородных связей в кристаллах I. Соединение Ia неидентично с в-вом, ранее выделенным при перегруппировке Фриса и описанным под этим названием (см. Miller E. и др., J. Amer. Chem. Soc., 1938, 60, 7). Р-ция I ($\text{R} = \text{CH}_3$) с $n\text{-RC}_6\text{H}_4\text{CHO}$ приводит к халконам $n\text{-RC}_6\text{H}_4\text{CH}=\text{CHCOC}_6\text{H}_4(\text{OH})_2$ (IIa—v, где $\text{a} = \text{R} = \text{H}$, б $\text{R} = \text{CH}_3\text{O}$, в $\text{R} = \text{Cl}$), переведенных действием H_2SO_4 и SeO_2 в соответствующие R'-оксифлаваноны (IIIa—v) и 8-оксифлаван (IVa). IVa также синтезирован конденсацией 2,3-диметоксифенона (V) и этилбензоата с последующим деметилированием и циклизацией. К р-ру $\text{изо-C}_4\text{H}_9\text{MgI}$ (из 13,4 г $\text{изо-C}_4\text{H}_9\text{I}$ и 1,8 г Mg) при охлаждении добавляют 10 г 2,3-диметоксифенилбензиловый спирт (VI) и, как описано ранее, получают 2,3-диметоксифенилбутан-2-ол (VII), выход 9,7 г, т. кип. 118—120°/0,5 мм. К смеси 18 г $\text{K}_2\text{Cr}_2\text{O}_7$, 90 мл воды и 8,2 мл конц. H_2SO_4 добавляют 9 г VII, перегоняют с паром, дистиллят экстрагируют эфиром и получают 2,3-диметоксифенилпропан-2-ол (VIII), выход 5,3 г, т. кип. 130°/3 мм. 6 г VIII в р-р 25 г HCl (к-ты) (d 1,71) и равного объема лед. CH_3COOH кипятят 6 час. и получают Ia, выход 4,6 г, т. пл. 48° (из петр. эф.). Аналогично из 10 г VI, 138 г $n\text{-C}_6\text{H}_{13}\text{I}$ и 1,8 г Mg получают 2,3-диметоксифенил-4'-хлорфенилкарбинол, выход 18,1 г, т. кип. 220—225°/7—8 мм, окислением 5 г которого р-ром бихромата (из 10 г $\text{K}_2\text{Cr}_2\text{O}_7$, 50 мл воды и 48 мл H_2SO_4) синтезируют 2,3-диметоксифенил-4'-хлорбензофенон (IX), выход 4,2 г, т. кип. 130—132°/3 мм. Деметилированием 4 г IX получают II, выход 2,9 г, т. пл. 115° (из петр. эф.). III получены двумя методами. Метод А. К теплому р-ру 1 г I ($\text{R} = \text{CH}_3$) и 0,5 г $\text{C}_6\text{H}_5\text{CHO}$ в 12,5 мл спирта добавляют по каплям 12,5 мл 30%-ной NaOH , через 10—15 мин. добавляют лед и разб. к-ту. экстрагируют эфиром, эфирный р-р выпаривают, остаток обрабатывают CH_3OH и получают IIIa, выход 0,62 г, т. пл. 192° (из сп.). Из маточного р-ра действием воды (0°, 48 час.) выделяют IIa, выход 0,4 г, т. пл. 151° (из петр. эф.). Метод Б. К р-ру 0,2 г Na в 15 мл спирта добавляют H_2SO_4 , кипятят 8 час., спирт упаривают и получают IIIa, выход 0,16 г. Смесь 1 г IIIa, 1 г SeO_2 и 30 мл $\text{изо-C}_6\text{H}_{11}\text{OH}$ кипятят 12 час., фильтруют горячей, р-ритель отгоняют с паром, отделяют IVa, выход 0,35 г, т. пл. 245°. По методу А р-цией 1 г I ($\text{R} = \text{CH}_3$), 0,5 г $n\text{-CH}_3\text{OC}_6\text{H}_4\text{CHO}$ или $n\text{-C}_6\text{H}_5\text{CHO}$ в 12,5 мл спирта и 0,5 мл щелочи получают IIb, выход 0,7 г, т. пл. 171° (из петр. эф.), и $n\text{-C}_6\text{H}_5\text{CHO}$ получают IIв, выход 0,6 г, т. пл. 141° (из петр. эф.). По методу Б из 0,2 г IIb получают IIб, выход 0,15 г, т. пл. 183° (из петр. эф.), и из IIв полу-

IIIa, в
V, 5 г
баты
~16 г
эфиром
т. кип.
с 30 м
ливаю
ный р-
чают I
9Ж14
ние по
водным
Seth
Kostan
ves of
Soc.»,
по Ко
фенол
соотве
(IIIa)
(CH₃CO
в воду



Неуказ
= R' =
= OH,
6 R =
R' = CO
e R' =
безвод
зодат
изот
выдер
и пол
ациль
вого а
COOH
177—1
211; г
IIa, 2
бензо
ствую
(указ
д, 230
Анал
Часть
9Ж14
на и
wate
ratic
pine.
(англ.
роокс
гидро
2-окс
подтв
(IV),
лином
16; в
зана
низ
карбе
хлорн
VIa и
ем V
(VII)
(0—5

9Ж141. Хромоны и флавоны. Часть II. Ацилирование по Костанецкому-Робинсону некоторых йодпроизводных 2,4- и 2,6-диоксиацетофенона. Shah M. V., Sethna Suresh. Chromones and flavones. Part II. Kostanecki—Robinson acylation of some iodo-derivatives of 2,4- and 2,6-dihydroxyacetophenone. «J. Chem. Soc.», 1960, Oct., 3899—3901 (англ.).—Ацилированием по Костанецкому—Робинсону йодпроизводных ацетофенона (Ia—r) с последующим гидролизом получены соответствующие хромоны (IIa—r) и флавоны (IIIa—v). Смесь 1 г I и 5 г безвод. CH_3COONa в 20 мл $(\text{CH}_3\text{CO})_2\text{O}$ нагревают 6 час. при 155—160°, выливая в воду и получают ацетат II. Аналогично из 2 г I, 1 г



базовид. C_6H_5COONa и 20 г $(C_6H_5CO)_2O$ получают бензоат **III**. Р-р ацетата **II** или бензоата **III** в конц. H_2SO_4 выдерживают при $\sim 20^\circ C$ 4–16 час., выливают на лед и получают [указано в-во, т. пл. в $^\circ C$ (из CH_3COOH), ацильное производное, т. пл. в $^\circ C$, т. пл. в $^\circ C$, метилового эфира (МЭ)]: **Па**, 240, ацетат, 190–191 (из CH_3COOH), 164; **б**, 253–254, ацетат, 149 (из CH_3COOH), 177–178; **в**, 234, ацетат, 230–231 (из CH_3COOH), 210–211; **г**, 219, ацетат, 175–176 (из CH_3COOH), 213–214; **Иа**, 246, —, —, 235–236; **б**, 303, —, —, 273–274; **в**, 228, бензоат, 235 (из сж.), 198–199. Подтверждением соответствующих в-в являются следующие флавоны (**Шг**—**ж**) (указаны **III**, т. пл. в $^\circ C$, т. пл. в $^\circ C$ МЭ): **г**, 252, 246; **д**, 230, 210–211; **е**, 282–283, 198–199; **ж**, 208, 236–239. Аналогично получен **Иг**, т. пл. 133 $^\circ$; **Мэ**, т. пл. 83–84 $^\circ$.
Часть I см. РЖХим. 1960. № 13. 51984. Р. Жури

0,92 моля CH_3ONa , перемешивают в атмосфере N_2 24 часа, добавляют 200 мл воды, экстрагируют петр. эфиром и перегонкой выделяют III, выход 75%, т. кип. $50^\circ/1$ мм, $76-74^\circ/9-8$ мм, $n_D^{25} 1,4975$. К р-ру 0,25 г атома Na в ~ 45 мл жидкого NH_3 прибавляют по каплям 0,039 моля III в 20 мл сухого эфира за 2 часа, а затем 50 мл эфира с одномерной отгонкой NH_3 , осторожно добавляют 1 мл CH_3OH и 50 мл воды и из органич. слоя получают IV, выход 1,38 г, т. кип. 122° , $n_D^{25} 1,4488$. 0,06 моля II и 18 г перегнанного V нагревают 45 мин. при $145^\circ/78$ мм в одновременно отгоняют через колонку Iб, выход 83%, т. кип. $75^\circ/25$ мм, $103-107^\circ/78$ мм, $n_D^{25} 1,5166$. 3,54 моля $\text{C}_2\text{H}_5\text{Li}$ в C_7H_{16} при т-ре от -10 до -20° прибавляют 4 часа к смеси 4,5 моля II и 4,5 моля CH_2Cl_2 , выдерживают при $\sim 20^\circ \sim 16$ час., добавляют 600 мл воды и петр. эфиром извлекают смесь VI, выход 28%, т. кип. $45^\circ/3$ мм $-48^\circ/1,5$ мм, $n_D^{25} 1,4798-1,4879$, которую фракционированием разделяют на VIa, т. кип. $34^\circ/1,1$ мм, $n_D^{25} 1,4765$, и VIb, т. кип. $48^\circ/1,5$ мм, $n_D^{25} 1,4873$. Из 4 г VI и 1,2 г Na в 25 мл жидкого NH_3 обычным образом получают IV, выход 1,5 г. 2 г V и 0,075 моля VIb нагревают при $150^\circ/156$ мм и, как обычно, получают Iб, выход 74%, т. кип. $61^\circ/100$ мм, $n_D^{25} 1,4965$. Гидрируют Ia над PtO_2 до поглощения 2 молей H_2 и получают VII, выход 89% т. кип. $121^\circ/741$ мм, $n_D^{25} 1,4351$. Приведены данные по ИК-спектрам и спектрам ядерного магнитного резонанса I и VI.

С. Суминю

$\text{CH}_2\text{OCH(R)CH}_2\text{CH}_2\text{O}$ (Ia—г, где а R = C_4H_9 , б R = C_5H_{11} , в R = C_6H_{13} , г R = C_7H_{15}). Дегидратации $\text{C}_6\text{H}_{13}\text{OH}$, $\text{C}_7\text{H}_{15}\text{OH}$, $\text{C}_8\text{H}_{17}\text{OH}$ и $\text{C}_9\text{H}_{19}\text{OH}$ над Al_2O_3 при $380\text{--}420^\circ$ получены соответствующие алкены (приведены алкен, т. кип. в $^\circ\text{C}$, n_D^{20} , d_4^{20}): гексен-1, 63, 1,3882, 0,6732; гептен-1, 93, 1,3990, 0,6973; октен-1, 122, 1,4090, 0,7150; нонен-1, 146, 1,4146, 0,7301. Смесь 1 ч. соответствующего алкена и 4—5 ч. формалина нагревают 5—6 час. при $95\text{--}100^\circ$, прибавляя по каплям 8—10 мл конц. HCl -к-ты, и из органич. слоя получают (приведены I, выход в %, т. кип. в $^\circ\text{C}/2\text{--}4$ мм, n_D^{20} , d_4^{20}): а, 30, 46—50, 1,4475, 0,9542; б, 25, 66—68, 1,4484, 0,9530; в, 25, 75—77, 1,4496, 0,9513; г, 20, 80—85, 1,4544, 0,9409.

(IV). Строение II подтверждено р-цией с 1-метил-6,8-динитро-2-этокси-1,2-дигидрохинолином (V). 0,2 моля $(CH_3)_3C(OH)CH_2COCH_3$ смешивают при -20° с 0,3 моля 30%-ной H_2O_2 и 100 мл H_2SO_4 и после стояния 4 недели получают IV, выход 49,3%, т. пл. 122° (из бн.). Смесь 0,05 моля I с 0,025 моля 84%-ной H_2O_2 прибавляют по каплям при $20-30^\circ$ к 1 мл 70%-ной H_2SO_4 , выдерживают 1 час и отфильтровывают IV, выход 75%. Аналогично получают IV из смеси 1,32 г I и 0,01 моля II (0°), выход 80%. 2 моля III смешивают при -40° с 20 мл 30%-ной NaOH и прибавляют при $0-5^\circ$ 400 г 30%-ной H_2O_2 , выдерживают 12 час., экстрагируют

$(\text{CH}_3\text{CO})_2\text{O}$ и 1,5 г безводн. CH_3COONa кипятят 6 час., разбавляют водой, извлекают эфиром ($\text{CH}_2\text{ClCH}_2\text{Cl}$)₂ — CHOCOSCH_3 , выход 9,8 г, т. кип. 106—110°/0,03 мм, т. пл. 44—45° (из petr. эф.-бzl.). Смесь 24,8 г VII, 15 мл ацетона и 40 мл HCl кипятят 24 часа в присутствии 4 капель конц. HCl , упаривают, остаток извлекают эфиром, получают IX, выход 11,4 г, т. кип. 117—118°/11 мм, n_D^{17} 1,5635. Р-р 5 г IX в 15 мл CH_3COOH окисляют 15 мл 30%-ной H_2O_2 , добавляют 5 мл H_2O_2 , нагревают 1 час при ~100° и получают X, выход 5,23 г, т. пл. 258—260° (из воды). Аналогично из XI получают XII, т. пл. 103—105° (из воды). К смеси 24 г VII, 21 мл $\text{C}_6\text{H}_5\text{CHO}$ и 60 мл C_6H_6 добавляют 1 мл конц. HCl , через 24 часа упаривают и получают XIII, выход 9,24 г, т. пл. 141—142° (из бzl.); из фильтрата экстрагируют petr. эфиром XIIIa, т. пл. 103—104° (из CH_3OH). Аналогично из 0,94 г VIII и 0,8 мл $\text{C}_6\text{H}_5\text{CHO}$ в 5 мл C_6H_6 получают XIV, выход 0,60 г, т. пл. 145—146° (из бzl.-petr. эф.), и смесь изомеров (?), т. пл. 112—115°. К р-ру 2,78 г VI в 150 мл жидкого NH_3 добавляют 0,93 г Na, полученное динатриевое производное обрабатывают 10 мин. 51 г $\text{C}_6\text{H}_5\text{CH}_2\text{Cl}$ через 2 часа испаряют NH_3 , разбавляют водой, извлекают эфиром 3,4-дибензилдиглиобутан-2-ол, выход 3,26 г, т. кип. 165—167°/0,1 мм, n_D^{20} 1,6042; НУ, т. пл. 84—85° (из petr. эф.). К р-ру 11,5 г Na в 400 мл спирта добавляют 59 мл XV, затем при 0° 58 г XVII, через 46 час. отделяют NaBr, фильтрат упаривают и получают XXI, т. кип. 172—174°/0,1 мм, n_D^{15} 1,6047. Неочищ. XXI растворяют в 150 мл эфира, 20 мл спирта и 800 мл жидкого NH_3 , добавляют 23 г Na, испаряют NH_3 , разбавляют водой, извлекают эфиром XXXIII, водн. слой подкисляют HCl и получают VIII, выход 51%, т. кип. 50—52°/0,1 мм, n_D^{20} 1,5584. Этот же продукт с выходом 62% получают аналогичным путем из V через XXI. Аналогично VIII из 23,2 г II получают смесь XXII и XXVII, выход 22,1 г, т. кип. 172—174°/0,06 мм; 9,5 г этой смеси превращают как описано выше, в смесь VI и XXVIII ($\leq 15\%$ XXVIII), т. кип. 53—54°/0,1 мм. Таким же способом из 12,7 г III получают XXIII, выход 11,9 г, т. кип. 195—197°/0,05 мм, n_D^{22} 1,6030; НУ, т. пл. 83—84° (из бzl.-petr. эф.). Р-р XXIII (из 69,6 г III) в 150 мл эфира и 15 мл спирта восстанавливают 26,1 г Na в жидком NH_3 и получают XXIX, выход 25,0 г, т. кип. 67—71°/0,05 мм, 68—69°/0,02 мм, n_D^{20} 1,5580. К р-ру 16,4 г Na и 84 мл XV в 325 мл спирта прибавляют р-р 61 г XVIII в 150 мл спирта, кипятят 5 час., фильтрат упаривают в вакууме и получают XXIV, выход 127 г, т. пл. 30—35° (из бута.-пол.-petr. эф.). Р-р неочищ. 127 г XXIV в 200 мл эфира и 25 мл спирта восстанавливают 32,8 г Na в жидком NH_3 и получают XXX, выход 37,2 г, т. кип. 92—101°/0,3 мм, n_D^{17} 0,005 мм, n_D^{19} 1,5365. К р-ру 6,9 г Na и 35 мл XV в 60 мл спирта прибавляют 16,8 г XIX в 20 мл спирта, кипятят 45 мин., разбавляют водой, извлекают эфиром XXV, экстракт вносят в 500 мл жидкого NH_3 и 15 мл спирта, восстанавливают Na, как описано выше, и получают XXXI, выход 10,1 г, т. кип. 96—100°/0,0005 мм, n_D^{22} 1,6131, 5 г XXXI, 25 мл $(\text{CH}_3\text{CO})_2\text{O}$ и 6 г CH_3COONa кипятят 4 часа, выливают на лед и получают тетраацетат, выход 9,9 г, т. пл. 76° (из водн. сп.). К р-ру 118 мл XV и 23 г Na в 400 мл спирта одновременно за 20 мин. приливают р-ры 86,5 г XI и 11,5 г Na в спирте, спустя 2 суток подкисляют HCl , извлекают эфиром XXVI, выход 98%, т. пл. 111—112° (из бzl.); этиловый эфир, т. пл. 38—40° (из водн. CH_3OH). К р-ру 48 г XXVI в 550 мл жидкого NH_3 добавляют порциями 12,8 г Na, после испарения NH_3 разбавляют водой, подкисляют HCl , извлекают эфиром XXXII, выход неочищ. 22,5 г, очнщ. 39%, т. пл. 74—77° (из бzl.); триацетат, т. пл. 113—114° (из воды); метиловый эфир триацетата (CH_2N_2 в эфире), т. пл. 50—60° (из водн. сп.). К 101 г XXII добавляют при охлаждении р-р 44,6 г КОН и 60,5 г XLI в 150 мл CH_3OH , через 2 дня отфильтровывают осадок, фильтрат упаривают, извле-

кают эфиром XLVII, выход 62,7 г, т. кип. 137—143°/0,15 мм, 140—141°/0,4 мм, n_D^{20} 1,5091. К р-ру 30,4 г XLI в 70 мл C_6H_5N приливают 47 г XLIII, через 16 час. подкисляют, извлекают эфиром XLVIII, выход 34,2 г, т. кип. 166—176°/0,02 мм, n_D^{21} 1,4986. К 12 ч. LiAlH₄ в 450 мл эфира приливают 36,6 г LII в 150 мл эфира, через 1 час выливают на 600 мл 6%-ной H_2SO_4 , извлекают эфиром, перегоняют в присутствии CH_3COONH_4 и получают LVI, выход 15,2 г, т. кип. 75—79°/0,05 мм. Аналогично восстанавливают 24,6 г XLVI и получают LIII, выход 10,8 г, т. кип. 83—94°/0,1 мм, 93—95°/0,3 мм, n_D^{20} 1,5492. Точно так же из 45 г XLVII получают LIV, выход 20,7 г, т. кип. 140°/0,005 мм, n_D^{21} 1,5096. 26 г XLVI и 34,2 г CH_3COSK кипятят 6 час. в 250 мл спирта, обрабатывают, как описано выше, и получают I, выход 2,5 г, т. кип. 56—61°/0,03 мм, 53°/0,05 мм, n_D^{19} 1,4730, в красное масло неуставленного строения, выход 6,0 г, т. кип. 97—120°/0,05 мм. Аналогично из 26 г XXXV получают LI, выход 3,14 г, т. кип. 42—46°/0,2 мм, n_D^{17} 1,4758. К р-ру 4,6 г Na и 24,8 г XV в 400 мл спирта добавляют 27,4 г XXXIV, обрабатывают, как описано выше, и получают XXXVII, выход 10,9 г, т. кип. 95—110°/0,1 мм, 99—102°/0,03 мм, n_D^{20} 1,5301, и XLI, т. кип. 120—150°/0,1 мм. Аналогично из 26 г XXXV и 0,2 моля XVI в 150 мл CH_3OH получают XL, выход 16,6 г, т. пл. 68—70°; из фильтрата выделяют XXXVIII, выход 10,8 г, т. кип. 81°/0,01 мм, n_D^{21} 1,5340. Таким же способом из 123 г XXXVI и 1 моля XVI в 500 мл CH_3OH получают XXXIX, выход 47,0 г, т. кип. 98—102°/0,1 мм, n_D^{17} 1,5492, и красное масло, выход 42,5 г, т. кип. 163—180°/0,2 мм, которое содержит 26,5 г XL и метил α,β -ди-(бензилтио)-пропионат, т. кип. 166—169°/0,15 мм. При кислотном гидролизе XXXIX получают $C_6H_5CHSCH_2CH_2COOH$, т. пл. 79—81° (из водн. CH_3OH), а при окислении H_2O_2 в CH_3COOH получают $C_6H_5CH_2SO_2CH_2CH_2COOCH_3$, т. пл. 99—100°. 57,9 г XLIV и 33,1 г XLI кипятят 18 час. и получают XLV, выход 63,1 г, т. кип. 142—146°/14 мм. К р-ру 16 ч. XLI в 80 мл C_6H_5N добавляют при 0—5° 42,4 г XLV, спустя 21 час нагревают 90 мин. при ~100°, подкисляют 5 н. HCl, извлекают эфиром XLVIII, выход 35,2 г, т. кип. 108—110°/0,02 мм, n_D^{22} 1,5065. 19,6 г XLIX восстанавливают 6,5 г LiAlH₄, как описано выше, и получают LV, выход 5,05 г, т. кип. 67—69°/0,01 мм, n_D^{18} 1,5540. 5,3 г LVII и 6,2 г I встряхивают 16 час. с 2 мл 10%-ной NaOH, извлекают эфиром LVII, выход 3 г, и LIX, выход 3 г, т. кип. 141—145°/0,0003 мм. К р-ру 0,05 моля тиола в 50 мл спирта, содержащего 50 мг Na, добавляют при охлаждении 0,05 моля LXI, спустя 16 час. приливают 1 мл воды, насыщают CO_2 , фильтруют, упаривают фильтрат в вакууме и получают [указан тиол, полученный продукт, выход в г, т. кип. в °C/мм, n_D (т-ра в °C)]: LXII, LXVI, 3,8, 74/0,05, 1,5369 (32); LXIII, LXVII, 1,0, 92—96/0,15, 1,5324 (24); I, LXVIII, 1,8, 132—136/0,005, 1,5783 (20), триацетат, т. кип. 140—149°/0,00005 мм, n_D^{20} 1,5338; VII, LXIX, 1,2, 115/0,0005, 1,5604 (26), и LXX, 1,2, 172/0,0002, 1,5726 (26); LXIV, LXXI, 2,8, 70—75/0,07, 1,5728 (23), и LXXII, 2,5, 90/0,07, 1,5762 (23); LVIII, LXXIII, 1,8, 79/0,05, 1,5600 (23), и LXXIV, 1,6, 100/0,0001, 1,5660 (23); LXV, LXXV, 3,1, 99—102/0,0003, 1,6018 (20), и LXXVI, 1,4, 142—146/0,0001, 1,5991 (22). К р-ру 7 г LXV в 40 мл спирта, содержащего следы Na, добавляют при охлаждении 2,9 г LXXVII, через 24 часа к неочищ. LXXVIII добавляют 50 мл $(CH_3CO)_2O$ и 6 г CH_3COONa , кипятят 8 час. и получают триацетат, выход 4,1 г, т. кип. 133—136°/0,00002 мм, n_D^{21} 1,5289. К р-ру 3 г Na и 17 г LXXX в 200 мл спирта приливают р-р 30 г LXXXIX в 160 мл C_6H_6 , кипятят 6 час., упаривают и получают LXXXI, выход 24,6 г, т. пл. 68—70° (из сп.). К 14 г LXXXI в 160 мл спирта добавляют при 60—65° 17 г $AgNO_3$ в 80 мл воды, через 3 часа отделяют осадок (23 г), растворяют его в 150 мл CH_3OH и насыщают 3 часа H_2S , фильтрат упаривают в вакууме в токе N_2 и по-

лучают LXXXII, выход 3,48 г, т. кип. 120—124°/0,1 мм, n_D^{18} 1,6217.

II. С целью испытания противотуберкулезных свойств из I получен трипропионат (LXXXIII) и три-*n*-бутират (LXXXIV); из LV, LVI, XXIX, VI, VII, LIII, XXX и LIV получены триацетаты (LXXXV—XCII). LXXXIII—XCII под действием $NaHCO_3$ превращаются в 3-пропионилтио- и 3-бутилтиопропиленсульфиды (XCIII—XCIV), 1-, 2-ацетилтиоэтил-, 1-ацетилтиоэтил-2-метил-, 1-ацетилтиоэтил-1-метил-, 3-ацетилтиопропил- и 4-ацетилтиобутилтиленсульфиды (XCV—C). При взаимодействии I, VII, VIII, LVI, XXIX и LIII с HCl происходит замыкание 3- и 5-членных циклов и образуются соответственно LVII, LVII, (Cl R = CH_3), 3-меркаптотиофан (CII) и 2-меркаптометилтиофан (CIII); в случае р-дий с I и VII выделен промежуточный образующийся хлоридтиол (CIV), имеющий строение $HSCH_2CH(SH)CH_2Cl$ или $HSCH_2CH(SH)CH_2SH$, а в случае VIII выделен хлоридтиол (CV). Наличие этиленсульфидного цикла в LVII и XCIII—CI подтверждается образованием триметилсульфониййодида (CVI) при взаимодействии с CH_3J . Йодметилат CII (CVII) при разложении образует 3-метилтиофен (CVIII). Смесь 0,1 моля димеркантоалканол, 0,65 моля ангидрида и 0,2 моля безводн. Na-соли соответствующей к-ты кипятят 8 час., разбавляют водой и извлекают эфиром (указаны исходный димеркантоалканол, полученный продукт, выход в %, т. кип. в °C/мм, n_D^{20}): I, LXXXIII, 79, 132—136/0,1, 1,5038; I, LXXXIV, 84, 156—160/0,15, 1,4940; LV, LXXXV, 7, 107/0,04, 1,5123; LVI, LXXXVI, 71, 117—119/0,1, 1,5122; XXIX, LXXXVII, 77, 119—120/0,1, 1,5095; VI, LXXXVIII, 80, 106/0,2, 1,5085; VIII, LXXXIX, 86, 115—116/0,1, 1,5118; LIII, XC, 74, 134—136/0,03, 1,5107; XXX, XCI, 92, 122—124/0,03, 1,5044; LIV, XCII, 77, 156—170/0,0006, 1,4943. Смесь 17,5 г LXXXIII, 20 г $NaHCO_3$ и 200 мл воды перегоняют 22 часа при 60°/150 мм, из дистиллята извлекают петр. эфиром XCIII, выход 38%, т. кип. 45—47°/0,01 мм, и неизмененный LXXXIII (8 г). Аналогично получают (70°/200 мм, 7 час.) (указаны исходное в-во, полученный продукт, выход в %, т. кип. в °C/мм, n_D^{20}): LXXXV, XCV, 69, 64—66/0,1, 1,5400; LXXXVI, XCVI, 65, 66/0,05, 1,5504; LXXXVII, XCVI, 62, —, LXXXVIII, XCVII, 59, 42/0,08, —, LXXXIX, XCVIII, 53, 41/0,15, 1,5397; XC, XCIX, 46, 78—80/0,15, 1,5428; XCI, C, 56, 79/0,05, 1,5382; LXXXIV, XCIV, 1, 67/0,25, —, LXXXIV (добавляют HOC_2H_4OH), XCIV, —, —. В 200 мл конц. HCl вносят 100 г I, спустя 48 час. разбавляют водой и извлекают эфиром CIV, выход 104 г, т. кип. 30—31°/0,1 мм. 104 г неочищ. CIV смешивают с р-ром 70 г $NaHCO_3$ в 600 мл воды и извлекают эфиром LVII, выход 57%, т. кип. 61—65°/20 мм, n_D^{20} 1,5813; фенилуретан (FУ), т. пл. 100° (из циклогексана). 20 г VII и 60 мл конц. HCl нагревают в запаянной трубке 18 час. при 70—80°, извлекают эфиром и получают 5,94 г CIV, т. кип. 33—40°/0,1—0,2 мм, 35—36°/0,1 мм. 5,9 г CIV обрабатывают 7 г $CaCO_3$ в воде и получают 1,98 г LVII, т. кип. 64—65°/22 мм, n_D^{18} 1,5814. 10 г VIII обрабатывают 20 мл HCl и извлекают эфиром CV, выход 5,08 г, т. кип. 44—46°/0,9 мм, 30—31°/0,1 мм, n_D^{20} 1,5477. 8 г неочищ. CV обрабатывают 150 мл 8 г $NaHCO_3$ в 80 мл и извлекают эфиром CI, выход 54%, т. кип. 66—67°/17 мм, n_D^{20} 1,5534; FУ, т. пл. 80—81° (из бал.-петр. эф.). 13,8 г LVI обрабатывают 20 мл HCl и через 3 дня извлекают эфиром CV, выход 4,5 г, т. кип. 27—28°/0,04 мм; FУ, т. пл. 108—109° (из петр. эф.). Аналогично получают (указаны исходное в-во, кол-во в г, кол-во HCl в мл, полученный продукт, выход в г, т. кип. в °C/мм, т. пл. в °C FУ): XXIX, 10, 20, CII, 3,53, 30/0,3, 107—109; LIII, 5, 10, CII, 2,61, 89—90/12, 87—89 (из бал.-петр. эф.). 21 г CII, 8 мл $(CH_3CO)_2O$ и 2 г CH_3COONa кипятят 150 мин. и извлекают эфиром 3-ацетилтиофен, выход 2,31 г, т. кип. 58—60°/0,15 мм, n_D^{25} 1,5569. LVII и XCII—C

обрабатывают несколько дней избытком CH_3I и получают CVI, т. пл. 197—198° (разл.; из сп.). Аналогично из 15 г СII и 50 мл CH_3I получают CVII, выход 27,2 г, т. пл. 94—95° (из CH_3OH). К р-ру 20 г CVII в 300 мл воды добавляют 15 г NaHCO_3 в 200 мл воды, спустя 40 мин. извлекают эфиром CVIII (?), выход 8,8 г, т. кип. 89—90°/12 мм, n_D^{20} 1,5481. Л. Виноград 9Ж149.

Ацетиленкарбоновые кислоты. Сообщение XIII. Образование пирролонов-2 из амидов замещенных пентин-4-карбоновых кислот. Schulte K. E., Reisch J., Hobl R. Zur Kenntnis der Acetylen-carbon-säuren. XIII. Mitt. Pyrrolon-(2)-Bildung aus substituierten Pentin-4-säureamiden. Arch. Pharmazie, 1960, 293/65, № 7, 687—693 (нем.).—Показано, что характер превращений амидов алкин-4-карбоновых к-т типа $\text{RC}\equiv\text{CCH}_2\text{CH(R')CONHR''}$ (I) в присутствии алколюатов щел. металлов зависит от природы радикалов R, R' и R''. Радикалы, повышающие кислотность амидной группы, благоприятствуют циклизации I в соответ-

ствующие $\text{CH}_3\text{C}\equiv\text{CHCH}_2\text{R}'\text{C(=O)NR''}$ (II). При р-ции хлорангидридов алкин-4-карбоновых к-т с аммиаком или анилинами получены I (указаны R, R', R'', выход в %, т. пл. в °C): H, H, H (Ia), 95, 112; *n*-C₄H₉, H, H (Ib), 76, 98; C₆H₅, H, H (Ic), 88, 114; H, *n*-C₄H₉, H (Id), 66, 78; H, C₆H₅, H (Ie), 88, 109; H, $\text{HC}\equiv\text{CCH}_2$, H (If), 90, 100; H, $\text{HC}\equiv\text{CCH}_2$, C₆H₅ (Ig), 86, 154. К р-ру алколюата (из 0,01 моля K и 100 мл *n*-бутанола или 0,01 моля Na и 100 мл спирта) прибавляют 0,01 моля I, кипятят 2—24 часа, нейтрализуют лед. CH_3COOH , упаривают и остаток извлекают этилацетатом или C₆H₆. Описанным способом из Ig, Id и If получают соответственно II (указаны R', R'', алколюат, т-ра р-ции в °C, продолжительность нагревания в часах, выход в %, т. кип. в °C/мм, т. пл. в °C): *n*-C₄H₉, H (Ia), бутилат K, 120, 5, 13, 105—108/0,26, —; C₆H₅, H, бутилат K, 120, 8, 24, —, 93; $\text{HC}\equiv\text{CCH}_2$, C₆H₅ (If), этилат Na, 80, 24, 23, —, 137 (наряду с IIb образуется также анилид *m*-толиловой к-ты (III к-та), выход 3%, т. пл. 128°). В аналогичных условиях Ia и Ib не претерпевают изменений, а из Ic и If образуются соответственно амид 5-фенилпентадиен-2,4-карбоновой к-ты (IV), выход 55%, т. пл. 187°, и амид III, выход 27%, т. пл. 94°. Смесь 4,5 г 3-бутил- α -ангеликактона и конц. NH_4OH оставляют на 14 дней при ~20°, получают IIa, выход 44%. При обработке 0,1 г IIb смесью 80 мл 50%-ной H_2SO_4 и 40 мл спирта получают 2-пропариллевулиновую к-ту (V), выход 70%, т. пл. 75° (из эф.). Аналогично из IIa получают 2-бутиллевулиновую к-ту; семикарбазон, т. пл. 174°. Приведены ИК-спектры для Ia, Ib, Ig, IV и УФ-спектры для IV, V. Сообщение XII см. РЖХим, 1960, № 7, 26802.

А. Травин

9Ж150. Синтетические исследования в ряду дипирролиметенов. Филиппович Е. И., Евстигнеева Р. П., Преображенский Н. А. «Ж. общ. химии», 1960, 30, № 10, 3253—3257.—Разработан метод синтеза лезо-замещ. пиррометенов, дающий возможность получать несимметричные дипирролиметены. В зависимости от рН среды метены могут существовать в пиррометиновой или этиленовой формах. Устойчивость той или иной формы зависит от характера и положения заместителей в пиррольных кольцах. Растворяют 5 г 4-диметил-3-карботоксипиррола (I) (т. пл. 75—76°) и 7 г $\text{CNCH}_2\text{COOC}_2\text{H}_5$ в 25 мл эфира и при —15° пропускают ток HCl (1 час). Через 3 часа эфир отгоняют, к остатку прибавляют 50 мл воды, нагревают (60—65°, 5 мин.), выделяют этиловый эфир β -(2,4-диметил-3-карботоксипиррил-5)- β -кетопропионовой к-ты (II), выход 86,2%, т. пл. 140,5—142°. К р-ру 4 г Na в 30 мл спирта прибавляют 3,5 мл воды и 40 г 2,4-диметил-3,5-дикарботоксипиррола (т. пл. 134—135°) в 150 мл спирта и кипятят 2 часа. Спирт отгоняют в вакууме, остаток растворяют в 250 мл воды, фильтруют, выделяют 2,4-дими-

тил-3-карботоксипиррол, выход 90,6%, т. пл. 202° (разл.). 1 г II и 0,6 г I растворяют в 50 мл C₆H₆, добавляют 2 г P₂O₅ и кипятят 3 часа. Бензольный р-р сливают, остаток обрабатывают C₆H₆ (3 раза по 20 мл). Из объединенного бензольного р-ра выделяют 3,3',5,5'-тетраметил-4,4'-дикарботоксимезокарботоксиметилпиррометен (III), выход 43,9%, т. пл. 70—72° (из водн. сп.). После промывки бензином полученной смеси структурных изомеров выделяют дипирролиметен, т. пл. 184—186°. Растворяют 0,5 г III в 10 мл спирта и прибавляют 5 капель 10%-ного р-ра щелочи; при этом фиолетовая окраска переходит в коричнево-красную, разбавляют 20 мл воды и эфиром извлекают 3,3',5,5'-тетраметил-4,4'-дикарботоксимезокарботоксиметилпиррометен (IV), выход 62,6%, т. пл. 132—134°. IV с выходом 50,6% получают при хроматографировании III на Al₂O₃ [вымывание смесью бензола и спирта (1:1)]. Растворяют 3,02 г 2,3-диметил-4-карботоксипиррола (V) и 4 г $\text{CNCH}_2\text{COOC}_2\text{H}_5$ в 40 мл эфира, пропускают ток HCl (3 часа), через 12 час. эфир удаляют, остаток растворяют в 200 мл воды, фильтрат нагревают 20 мин. при 50—60°, выделяют этиловый эфир β -(2,3-диметил-4-карботоксипиррил-5)- β -кетопропионовой к-ты (VI), выход 61,5%, т. пл. 56—57° (из сп.). 0,38 г VI и 0,22 г I растворяют в 10 мл CHCl_3 , прибавляют 0,76 г P₂O₅. Через 4 часа (20°) нейтрализуют 1%-ным NH_4OH (окраска из красно-фиолетовой становится коричнево-красной), промывают водой, упаривают, остаток обрабатывают петр. эфиром, упаривают, вновь обрабатывают абс. эфиром, получают 4,5,4',5'-тетраметил-3,4'-дикарботоксимезокарботоксиметилпиррометен (VII), выход 44,6%, т. пл. 181—182°. 50 мг VII растворяют в 2 мл CHCl_3 и пропускают ток HCl, р-р становится фиолетово-красным, CHCl_3 отгоняют, получают красный порошок, т. пл. 70—87°. При стоянии на воздухе или обработке р-рителями вновь образуется VII. 0,38 г VI и 0,22 г V растворяют в 10 мл CHCl_3 , прибавляют 0,76 г P₂O₅, через 4 часа (20°) нейтрализуют 1%-ным NH_4OH , получают 4,5,4',5'-тетраметил-3,3'-дикарботоксимезокарботоксиметилпиррометен, выход 50%, т. пл. 159—160°.

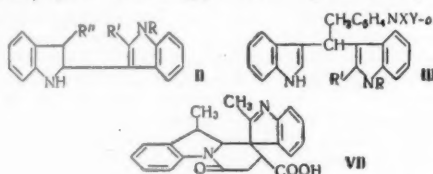
Л. Аканова

9Ж151. Реакция енаминов IV. Присоединение этилакрилового эфира к 1-метил-2-алкин- Δ^2 -пирролинам. Cervinka O. Reaktionen der Enamine IV. Addition von Äthylacrylat an 1-Methyl-2-alkyl- Δ^2 -pyrrolone. «Collect. Czechosl. Chem. Commun.», 1960, 25, № 4, 1183—1189 (нем.; рез. русск.).—При конденсации 1,2-диметил- Δ^2 -пирролина (I) с этилакриловым эфиром (II) получают смесь 1,2-диметил-3-(2'-карботоксипиррил)- Δ^2 -пирролина (III) и 1-метил-2-(3'-карботоксипропил)- Δ^2 -пирролина (IV), последние восстанавливают LiAlH₄, циклизуют и ацетатным расщеплением переводят в 8-метил-1-азабицикло-[1,2,3]-октан (V) и δ -коницин (VI). 1-метил-2-этилиденпирролидин (VII) с II дает

кетолактам $\text{CH}_3\text{NCOCH}_2\text{CH}(\text{CH}_3)\text{COCCH}_2\text{CH}_2\text{CH}_2$ (VIII), который циклизуется в 1,5-диметил-4-оксо- Δ^8 -гексагидроиндол (IX). Восстановлением IX HCOOH получают 4,7-диметилгексагидроиндол (X), из которого дегидрированием получают 1,7-диметилиндол (XI). 4 г I выдерживают 4 дня с 4 г II в 20 мл диоксана, отгоняют последний и перегоняют в вакууме, получают смесь III и IV с выходом 50%, т. кип. 118—119°/10 мм и с т. кип. 174—178°/2 мм, т. пл. 106—107° (из эф.) получают, вероятно, 4,1 г 1-метил-4-оксо- Δ^8 -гексагидроиндола или 1-метил-6-оксо- Δ^7 -гексагидроиндол; пикрат (PK). т. пл. 161—162° (из сп.). 3,5 г смеси III и IV в 12 мл спирта гидрируют над PtO₂, получают смесь 1,2-диметил-3-(2'-карботоксипиррил)-пирролидина с 1-метил-2-(3'-карботоксипропил)-пирролидином с выходом 87,6%, т. кип. 102—103°/9 мм; 2,5 г этой смеси в 25 мл эфира кипятят 5 час. с 1 г LiAlH₄ в 100 мл эфира, получают смесь 1,2-диметил-3-(3'-оксипропил)-пирролидина и 1-метил-2-(4'-оксипропил)-пирролидина, выход 91,3%,

т. кип. 117–119°/8 мм, 4,8 г этой смеси в 20 мл НВг-к-ты насыщают НВг-газом при 0° и нагревают 6 час. в запаянной трубке до 135–140°, р-р упаривают, добавляют 50 мл воды, добавляют Ag_2O , фильтруют через 4 дня, фильтрат упаривают в вакууме, подкисляют уксусной к-той, из части р-ра получают метопК, т. разл. 310°; остальную часть перегоняют, дистиллят нейтрализуют, отгоняют с паром, нейтрализуют 5,2 мл 1 н. HCl , упаривают в вакууме, NaOH выделяют основание, экстрагируют эфиром, получают смесь оснований, т. кип. 68–69°/28 мм, из которой получают ПК V, т. пл. 315° (разл.); V, т. кип. 72–74°/30 мм; из маточного р-ра от пикрата V получают ПК VI, т. пл. 230–231°, 4,4 г VII и 4 г II в 20 мл диоксана выдерживают 40 дней и перегонкой получают VIII, т. кип. 125–128°/0,3 мм; ПК IX, т. пл. 153–154° (из воды). 2,5 г смеси VIII и IX с 40 мл 95%-ного HCOOH и 10 г HCOOK нагревают 6 час. при 160–170°, подщелачивают NaOH , перегоняют с паром, нейтрализуют 11,5 мл 1 н. HCl , упаривают в вакууме, подщелачивают NaOH , экстрагируют эфиром, получают 1,5 г X, т. кип. 72–73°/11 мм; ПК, т. пл. 174,5–175,5° (из воды). 0,75 г X нагревают с 0,5 г Pd/асбест 7 час., получают XI, выход 72,4%, т. кип. 122–123°/9 мм, т. пл. 76,5–77,5°; ПК, т. пл. 151,5–152,5° (из бал.). 3,3 г VII и 1,1 г акролеина в 20 мл диоксана выдерживают 45 час., перегоняют, получают 3,1 г в-ва с т. кип. 176°/14 мм, 2,65 г этого в-ва нагревают 4 часа в 10 мл мезитилена с 2 г $\text{Pd/Al}_2\text{O}_3$, получают XI, выход 42,7%. Сообщение III см. РЖХим, 1961, 8Ж174.

9Ж152. Смешанные димеры и тримеры индола и их ацильные производные. Noland Wayland E., Hammer Charles F. Mixed indole dimers, trimers, and their acyl derivatives. *J. Organ. Chem.*, 1960, 25, № 9, 1525–1535 (англ.).—Индолы, незамещенные в положении 2 (компонент А), при действии сухого HCl образуют димеры и тримеры с индолами или пирролами, более нуклеофильными, чем компонент А. Так при медленном пропускании сухого HCl в эквимолярную смесь индола (I) и 2-метил-I в абс. эфире образуется димер [IIa, R = CH_3 (неуказанные R везде H)]; при быстром пропускании HCl или в присутствии влаги получается также тример [IIIa, R' = CH_3 (неуказанные X, Y везде H)]. В тех же условиях из I и 1,2-диметил-I получают димер (IIb) (R = R' = CH_3) и тример (IIIb) (R = R' = CH_3); из I и 2-фенил-I образуют-



ся только димер (IIa) (R' = C_6H_5); скатол дает с 2-метил-I димер (IIr) (R' = R'' = CH_3), причем образуется также дискатол; 1,3-диметил-I димеризуется в 1,1,3,3-тетраметилдиндиол-2,2' (IV), аналогичный дискатолу; 2,5-диметилпиррол образует с I димер — 3-(индолил-2)-2,5-диметилпиррол (V) и тример — 2-β-(бис-2,5-диметилпиррил-3)-этилантин (VI). Полученные димеры и тримеры охарактеризованы в виде ацильных производных, причем ацилируется N-атом индолиновой части молекулы; при ацилировании IIa, б малениновым ангидридом кроме малеиновых производных (МП) получены фумарильные производные (ФП) IIa, б; те и другие гидрированы в сукцинильные производные (СП) IIa, б, полученные также ацилированием IIa, б янтарным ангидридом. IIr с малениновым ангидридом дает МП; в полярных р-рителях образуется изомер, которому приписано строение (VII), т. пл. 257–258° (разл.; из CH_3CN). Строение синтезирован-

ных соединений подтверждено спектральными характеристиками, показывающими наличие индолиновой части молекулы, и сопоставлением с димером I (все R = H), синтезированным другим путем. Димер IIb неидентичен диметилтриндиолу, т. пл. 165–166°, полученному р-цией триндиола с CH_3J в присутствии K_2CO_3 и, по-видимому, имеющему строение III (X = Y = CH_3). В р-р 76,2 ммоль I и 76,2 ммоль 2-метил-I в 150 мл абс. эфира очень медленно пропускают сухой HCl , через 10 мин. скорость тока HCl увеличивают и через 1 час отделяют хлоридат (ХГ) IIa, выход ~100%, т. пл. 133–135°. К 0,07 моля ХГ IIa в 250 мл CH_2Cl_2 приливают 50 мл воды, нейтрализуют конц. NH_4OH , органич. слой отделяют, сушат, вносят 72,3 ммоль маленинового ангидрида, размешивают 3 часа и отделяют МП IIa, выход 38%, т. пл. 156–157° (разл.; из CH_3CN); из маточного р-ра спустя 3 дня получают ФП IIa, выход 19%, т. пл. 215–217° (разл.; из ацетона). Аналогично синтезируют следующие производные IIa (приведены производное, т. пл. в °C): сукцинильное, 135–137; итаконильное, 171–172 (разл.); цитраконильное, 146–147 (разл.). При быстром пропускании HCl в описанном выше опыте получают IIa, выделяемый в виде СП, выход 15%, т. пл. 224–225°, или цитраконильного производного, выход 62%, т. пл. 196–197° (разл.). Теми же методами получают (указаны в-во, выход в %, т. пл. в °C, производное, т. пл. в °C): II (все R = H), 93, —, итаконильное производное, 164–165 (разл.; из сп.), бензолсульфонильное производное, 170–172 (из 60%-ного сп.); дискатол, 98, —, оксалат, 184–185 (из сп.); IIb, 98, 134–135 (из CH_3OH), ХГ, 149–151, МП, 164–165 (разл.; из CH_3CN); ФП, 211–212,5 (разл.; из CH_3CN), СП, 181–182 (разл.; из CH_3CN); в, 23, —, МП, 189,5–191,5 (разл.; из CH_3CN); г, 37, —, МП, 154–155 (разл.; из CH_3CN); IIIb, 14, 165–166 (из CH_3OH), МП, 183–183,5 (разл.; из CH_3CN), моно К-соль МП IIIb, т. пл. 283–285° (разл.; из CH_3OH); IV, 94, 124–125,5 (из сп.), ХГ, 143–147; V, 90, —, ХГ, 134–136, МП, 156–157,5 (разл.; из CH_3CN); VI, 41, 197–199 (из сп.). — М. Карапетян

9Ж153. Новая перегруппировка, включающая димеры индолов. Noland Wayland E., Hammer Charles F. A novel rearrangement involving indole dimers. *J. Organ. Chem.*, 1960, 25, № 9, 1536–1542 (англ.).—Щел. гидролиз некоторых из описанных (см. реф. 9Ж152) димеров индола сопровождается перегруппировкой. Так при гидролизе малеиновых производных (МП) и фумарильных производных (ФП) соединений (I) (R = CH_3 , R' = R'' = H) (Ia) (см. димер IIa в реф. 9Ж152) вместо ожидаемой индолил-3-янтарной к-ты (II) получают индол, (2-метилиндолил-3)-янтарную к-ту (III), которая образуется также вместе со скатолом при гидролизе МП I (R = H, R' = R'' = CH_3), и соединения (IV) (см. Ф-лу VII в реф. 9Ж152). МП I (R = R'' = H, R' = C_6H_5) (Ib) гидролизует в (2-фенилиндолил-3)-янтарную к-ту (V), строение которой подтверждено встречным синтезом. Итаконильное и цитраконильное производные Ia превращаются при щел. гидролизе в одну и ту же к-ту, которой приписано строение 2-метил-2-(2-метилиндолил-3)-янтарной к-ты (VI). МП и ФП I (R = R' = CH_3 , R'' = H) (Ia) гидролизуются без перегруппировки, образуя II и янтарную к-ту; МП и ФП дискатола также не подвержены перегруппировке. МП и ФП Ib и дискатола, а также МП 1,1,3,3-тетраметилдиндиол-2,2' гидролизуются без перегруппировки в исходные димеры и соответствующие к-ты. Перегруппировка, по-видимому, связана с миграцией ацильного остатка из положения 1 индолинового цикла в положение 3 индолинового цикла димера через промежуточное спироассоцирование и может быть использована для получения II и ее производных и (индолил-3)-пропионовой к-ты. С целью сопоставления синтезирован ряд ацилпроизводных индолина (VII), т. кип. 65–67°/0,5–1,5 мм, n_D^{20} 1,586

[пикрат, т. пл. 174—176° (из бзл.)], полученного гидрированием индола над скелетным Ni в абс. спирте при 95—101° и 100 ат. При гидрировании 2-метилиндола в тех же условиях получены 2-метилгидроиндол, выход 38%, т. кип. 79—84°/19 мм, n_D^{28} 1,4786, и 2-метил-VII, выход 34%, т. кип. 112—114°/19 мм, 108°/17 мм, n_D^{28} 1,5653; пикрат, т. пл. 159—160° (из бзл.). Ацилированием VII малеиновым ангидридом в C_6H_6 синтезированы сольват МП VII, т. пл. 128—130° (с выделением C_6H_6), затвердевающий и плавящийся вторично при 158—159° (из CH_3CN). Обычными приемами синтезированы 1-сукцинил-VII, выход 88%, т. пл. 167—168° (из CH_3CN), и 1-малеил-2-метил-VII, выход 81%, т. пл. 114—144,5° (из бзл.), гидролизованные 30%-ным р-ром КОН в VII и 2-метил-VII. 27 ммоль МП Ia и 90 мл 30%-ного КОН кипятят 3 часа, извлекают эфиром индол, выход 87%, подкисляют ~50%-ной H_2SO_4 и извлекают эфиром III, выход 96%, т. пл. 209—212° (разл.; из CH_3CN). При гидролизе ФП Ia получают III, выход 87%. Аналогично из МП Ib получают V, выход 79%, т. пл. 255—258°; комплексное соединение с CH_3CN , т. пл. 189—190° (из CH_3CN). Смесь 76 ммоль 2-фенил-индола и 7,6 ммоль малеинового к-ты нагревают 15 мин. при 140° и получают V. 7,6 ммоль смеси комплексного соединения V с CH_3CN и 50 мл $(CH_3CO)_2O$ выдерживают 2,5 дня при ~20°, отгоняют в вакууме р-ритель, остаток растворяют в смеси CH_2Cl_2 -п-тр. эфира, выдерживают 30 дней при 0° и отделяют ангидрид V, выход 35%, т. пл. 194° (из CH_2Cl_2 -п-тр. эф.). Описанным выше способом получают VI, выход 37%, т. пл. 223—224,5° (из CH_3CN), которую выдерживают 3 дня с $(CH_3CO)_2O$, кипятят 1 час, оставляют на 2 дня, отгоняют р-ритель и получают (см. выше, выдержка 3 дня) ангидрид VI, выход 50%, т. пл. 144° (из CH_2Cl_2 -п-тр. эф.). 0,09 моля 2-метилиндола и 0,1 моля итаконового ангидрида нагревают 15 мин. при 100° и получают ангидрид (2-метилсукцил-3)-янтарной к-ты (VIII к-та), выход 87%, т. пл. 134—135° (из бзл.), который гидролизуют кипящим р-ром КОН в VIII, выход 73%, т. пл. 149—151° (разл.; из бзл.). Гидролизуют МП 3-(индолил-2)-индола и получают II, т. пл. 197—198,5°.

М. Карапетян
9Ж154. О поведении дезосоединения из 1,4,4-триметилпиперидина. Lukeš Rudolf, Hofman Jifi. Über das Verhalten der Desbase aus 1,4,4-Trimethylpiperidin. «Chem. Ber.», 1960, 93, № 11, 2556—2561 (нем.).— При расщеплении по Гофману 1,4,4-триметилпиперидина (I) получен 1-диметиламино-3,3-диметилпентен-4 (II), расщеплением которого получен 3,3-диметилпентадиен-1,4 (III). При обработке II Br_2 в р-ре HBr получен бромгидрат 1-диметиламино-3,3-диметил-4,5-дибромпентана (IV), который циклизуется в бромид 1,4,4-тетраметил-3-бромпиперидина (V). К р-ру 57 г $LiAlH_4$ в 1200 мл эфира прибавляют в течение 6 час. р-р 157,5 г метилимида β , β -диметилглутаровой к-ты и кипятят 18 час. Избыток $LiAlH_4$ разлагают 200 мл воды, отделяют эфирный слой, воды. слой подслаивают 1200 мл 30%-ной КОН и перегоняют с паром. Дистиллят (4 л) нейтрализуют HCl, упаривают, подщелачивают КОН и экстрагируют эфиром. Из объединенных эфирных экстрактов выделяют I, выход 80%, т. кип. 142°/740 мм, n_D^{20} 1,4410, d_4^{20} 0,81294; пикрат (PK), т. пл. 232° (из воды); бромметилат, т. пл. 348° (из 90%-ного сп.). 31 г бромметилата I в 200 мл воды обрабатывают Ag_2O (из 34,4 г $AgNO_3$) в течение 2 час. при 20°, фильтруют, фильтрат перегоняют, остаток перегоняют с паром, получают II, выход 83%, т. кип. 149°, n_D^{20} 1,4313, d_4^{20} 0,7739; PK, т. пл. 164° (из воды); бромметилат, т. пл. 288° (из сп.). Аналогично из 21 г бромметилата II, получают III, выход 34,6%, т. кип. 70°/742 мм, n_D^{20} 1,4088, d_4^{20} 0,7051. При гидрировании 0,154 г III с 0,03147 г PtO_2 получен 3,3-диметилпентадиен, т. кип. 91° (баня), n_D^{20} 1,3917. К 16,8 г II в 100 мл 40%-ной HBr прибавляют при 0° 25,3 г Br_2 в 220 мл

40%-ной HBr, получают IV, выход 75%, т. пл. 183° (из сп.). К р-ру 37,8 г IV в 540 мл воды при 15° прибавляют 5,5 г NaOH в 50 мл воды, через 12 час. упаривают в вакууме до 60 мл, получают V, выход 86,4%, т. пл. 260° (из воды). 18,5 г V в 400 мл воды встряхивают с Ag_2O (из 46,8 г $AgNO_3$), фильтруют, отбирают 30 мл фильтрата и к ним прибавляют 0,9 г пикриновой к-ты, выделяют PK гидроокиси 1,4,4-тетраметилтетрагидропиридина (VI основание), выход 0,8 г, т. пл. 172—172,5° (из сп.). 467 мл р-ра VI подкисляют 7 г лед. CH_3COOH и перегоняют, из дистиллята отделяют масло, высушивают и разгоняют на колонке, получают 3 фракции: A, 0,6 г, т. кип. 55—56°, B, 1,6 г, т. кип. 139—141°, n_D^{20} 1,4631, d_4^{20} 0,8467 [1,4,4-триметил- Δ^2 -тетрагидропиридин (VII)], и B, т. кип. 1250/10 мм. Получены PK, VII, т. пл. 157° (из сп.), и перхлорат VII, т. пл. 80° (из эф.-сп.). При гидрировании 0,6432 г VII с 0,0245 г PtO_2 получен 1,4,4-триметилпиперидин; PK, т. пл. 229° (из воды).

Л. Аксанова

9Ж155. Разделение смеси основания промедола и 1,2,5-триметил-4-фенил-4-пиперидола. Назаров И. Н., Простаков Н. С., Михеева Н. Н. «Мед. пром-сть СССР», 1960, № 6, 26—30.— В синтезе промедола (хлоргидрата 1,2,5-триметил-4-фенил-4-пропионоксинпиридина) (I, II основание) (см. РЖХим, 1957, № 17, 57516) осуществлено разделение II и 1,2,5-триметил-4-фенилпиперидола-4 (III) хроматографированием на Al_2O_3 . К р-ру C_6H_5Li (из 5 г Li и 67 г C_6H_5Br) в 220 мл абс. эфира при охлаждении добавляют (Na_2) 45 г 1,2,5-триметилпиперидола-4 (IV), 34 г C_2H_5COCl , через ~12 час. разлагают 15%-ной HCl, водн. слой обрабатывают Na_2CO_3 , экстрагируют эфиром смесь оснований, выход 55,3 г, т. кип. 151—154°/4 мм. К 18 г смеси оснований в 15 мл безводн. C_6H_6 добавляют р-р 6,4 г C_2H_5COCl в 5 мл C_6H_6 , через ~12 час. отделяют осадок, который кипятят 0,5 часа в 20 мл ацетона и отделяют I, выход 8,3 г, т. пл. 196—198°. Р-р 5 г I в 10 мл воды обрабатывают в присутствии эфира содой, выделяют из эфира 4,4 г II, который растворяют в 4 мл C_6H_6 , добавляют 1,5 г C_2H_5COCl , получают I, выход 98,5%, хроматографируют 18 г смеси оснований (200 г Al_2O_3 , р-ритель бензин), вымывают бензином CH_3OH и упаривают; из эфирного р-ра первой и второй фракций осаждают HCl (газом) I, выход 7,2 г, т. пл. 221—222° (из ацетона); из второй фракции кипячением с 10 мл бензина выделяют γ -изомер III, выход 2,2 г, т. пл. 105—106°. При р-ции 5 г Li, 67 г C_6H_5Br , 40 г IV и 38,4 г C_2H_5COCl после обычной обработки получают 61 г смеси оснований, 30 г которой хроматографируют (Al_2O_3 , р-ритель бензин, CH_3OH), выделяют 10%-ной HCl I, выход 10,1 г, и II, выход 2,8 г. К эфирному р-ру 2,1 г смеси оснований, вымытых бензином, добавляют эфирный р-р 0,3 г HCl (газа), после обычной обработки получают 1,6 г I. Во всех случаях выход I 25,4—25,6%. К 0,092 моля γ -изомера III в 20 мл безводн. C_6H_6 прибавляют по каплям 0,23 моля C_2H_5COCl , перемешивают при ~20° 1 час, кипятят 7 час., через ~12 час. отделяют осадок, промывают C_6H_6 (2×15 мл) и кипятят 10 мин. в 25 мл ацетона, получают I, выход 15,5 г; маточные р-ры упаривают в вакууме, остаток растворяют в 40 мл воды, обрабатывают 70 г Na_2CO_3 , экстрагируют эфиром, к остатку добавляют 20 г NaOH, экстрагируют эфиром и перегонкой выделяют 8,4 г п-ва, т. кип. 148—168°/2,5 мм, из которого добавлением бензина осаждают 2 г III, т. пл. 99—105°, из фильтрата хроматографией выделяют 1,3 г I и 0,8 г γ -изомера III.

С. Суминов

9Ж156. Синтез 2,5-диоксиметилпиридина. Yoshida Michio, Kumagai Hirokichi. «Нихон какаку дзасси, Nippon Kagaku zasshi, J. Chem. Soc. Japan. Pure Chem. Sec.», 1960, 81, № 2, 345—346, A23 (японск.; рез. англ.).—Двумя путями осуществлен синтез 2,5-диоксиметилпиридина (I). К р-ру 6 г $LiAlH_4$ в 100 мл абс. диоксана при 80—85° добавляют по каплям р-р

20 г диметилового эфира изоциномероновой к-ты в 300 мл диоксана, нагревают 8 час., добавляют 100 мл воды, 100 мл 20%-ной H_2SO_4 , упаривают в вакууме, доводят насыщ. р-ром K_2CO_3 pH до 7,2, извлекают CHCl_3 , упаривают в вакууме, получают I (масло), выход 13,99%; пикрат, т. пл. 157° (из CH_3OH). Аналогично вышеописанному (эфир, при 20°, затем кипячение 2 часа) из метилового эфира 2-метилпиридинкарбоновой-5 к-ты получают 2-метил-5-оксиметилпиридин (II), выход 26,2%, т. кип. 129–133°/7–8 мм, т. пл. 46°. Смесь 5,3 г II, 26 мл лед. CH_3COOH и 5 мл 30%-ной H_2O нагревают 3 часа при 70–80°, добавляют 3 мл H_2O , ведут р-цию 10 час., упаривают при 20 мм, добавляют немного воды, упаривают, нейтрализуют K_2CO_3 , извлекают CHCl_3 , получают N-окис II, т. пл. 87°. Р-р 5,9 г N-окиси II в 15 г $(\text{CH}_3\text{CO})_2\text{O}$ нагревают 3 часа при 100° и 1 час при 160°, добавляют ледяной воды, нейтрализуют K_2CO_3 , извлекают CHCl_3 , разгонкой выделяют 2,5-диацетоксиметилпиридин (III), выход 52%, т. кип. 165–167°/11 мм, n_D^{20} 1,5004; пикрат, т. пл. 102–103°. 5 г III кипятят 8 час. с 10%-ным NaOH, упаривают в вакууме до объема 90 мл, доводят pH до 7,2, извлекают CHCl_3 , получают I, выход 64,5%, т. пл. 65–66° (из бал.).

Л. Яновская

9Ж157. Синтез и доказательство строения амида 2,4-диметил-6-оксикинолиновой кислоты. Buckles H. E., Langsjoen A., Mueller L., Svendsen I. The synthesis and proof of structure of 2,4-dimethyl-6-hydroxynicotinamide. «Proc. Minnesota Acad. Sci.», 1957–1958 (1960), 25–26, 257–258 (англ.).—Соединение с т. пл. 330°, образующееся при р-ции эфиров ацетоксусной к-ты с аммиаком, имеет, по-видимому, строение амида 2,4-диметил-6-оксикинолиновой к-ты. При бромировании этого соединения и при его р-ции с POCl_3 получают соответственно амид 2,4-диметил-5-бром-6-оксикинолиновой к-ты и нитрид 2,4-диметил-6-хлорникоотиновой к-ты. Восстановление соединения Зинцелью приводит к образованию амида 2,4-диметилникоотиновой к-ты и 2,4-лутидина.

А. Травин

9Ж158. К изучению изомеров 1-карботокси-2-оксикинолизида. Winterfeld K., Knieps R. Zur Kenntnis der Isomeren des 1-Carboxy-2-hydroxyquinolizidins. «Arch. Pharmazie», 1960, 293/65, № 7, 706–710 (нем.).—При восстановлении 1-карботокси-2-оксикинолизида (I) действием NaBH_4 или каталитич. гидрированием над скелетным Ni и PtO_2 образуется смесь α -, β -, γ - и δ -изомеров 1-карботокси-2-оксикинолизида (II–V). Описан способ разделения изомеров (за исключением V, который образуется в очень небольшом кол-ве), основанный на различной растворимости их кислотных сернокислых солей, с последующим хроматографированием на Al_2O_3 . К 7,4 г I в 100 мл CH_3OH прибавляют за 3 часа 1,5 г NaBH_4 , оставляют на 12 час., подкисляют 3 н. HCl, упаривают в вакууме при 30–40°, остаток растворяют в 5 мл воды, подщелачивают и извлекают эфиром, получают смесь II, III и V с преобладанием II. Р-р 6 г I в 250 мл спирта гидрируют при ~20° над 6 г скелетного Ni до поглощения вычисленного кол-ва H_2 (48 час.), получают 6,2 г смеси II, III, IV и V, в которой преобладает IV. Р-р 2 г I в 150 мл спирта гидрируют 24 часа при ~20° над 0,2 г PtO_2 , получают 2,1 г смеси II, III и IV, состоящую главным образом из II. К р-ру 6 г смеси изомеров в 50 мл ас. спирта прибавляют при охлаждении 2,5 г конц. H_2SO_4 , разбавляют абс. эфиром до появления мутн., оставляют на 12 час. в рефрижераторе и фильтруют, в осадке получают смесь бисульфатов II и III; при обработке маточного р-ра эфиром получают дополнительное кол-во смеси бисульфатов. Р-р 5 г смеси бисульфатов в 30 мл воды подщелачивают, извлекают эфиром (25 мл \times 8), вытяжку высушивают, упаривают, остаток высушивают 12 час. над P_2O_5 при 15 мм, растворяют в 80 мл петр. эфира и хроматографируют на 55 г Al_2O_3 , вымывая последовательно эфи-

ром (500 мл), смесью петр. эфира (50 мл) с 5, 10, 20 и 40%-ным C_6H_6 и эфиром (100 мл). Из первого и последнего элюатов, полученных при помощи петр. эфира и эфира, получают соответственно очид. III (масло) и очид. II (масло); смешанные элюаты содержат в первых фракциях II и III и в последних фракциях II. Р-р II (масло) в петр. эфире оставляют на несколько дней в открытом сосуде, добавляя по мере испарения р-рителя свежие порции последнего, получают кристаллич. моногидрат II, т. пл. 77,5–78,5°; бисульфат, т. пл. 201–203° (из сл.); перхлорат, т. пл. 167–168° (из сл.). Бисульфат II при нагревании до 210–220° превращается во внутреннюю соль кислото сернокислого эфира II, т. пл. 266–269° (разл.). Аналогично на III (масло) получают кристаллич. III, т. пл. 90–91° (из петр. эф.); бисульфат, т. пл. 140,5–141,5° (из сл. эф.); пикрат, т. пл. 192,5–193,5° (из сл.). Маточный р-р после отделения смеси бисульфатов II и III упаривают в вакууме при 25–30°, остаток растворяют в 30 мл воды, подщелачивают, извлекают эфиром и вытяжку обрабатывают, как указано при получении II и III. Из первого и последнего элюатов получают соответственно III и IV; смешанные элюаты содержат в первых фракциях III, IV и V и в последних только IV. Последний после очистки имеет т. пл. 100,5–101,5°. А. Травин

9Ж159. Производные 8-оксикиноликарбоновой-5 кислоты. Ito Motoko, Matsumura Konomi. 5-carboxy-8-quinolinol derivatives. «J. Organ. Chem.», 1960, 25, № 5, 856–857 (англ.).—С целью изучения противотуберкулезной активности синтезированы производные 8-оксикиноликарбоновой-5 к-ты (Ia–и, II к-та, где а R = OC_2H_5 , X = H; б R = OC_4H_9 , X = H; в R = OC_2H_5 , X = NO_2 ; г R = OC_4H_9 , X = NO_2 ; д R = OC_2H_5 , X = NH_2 ; е R = OC_4H_9 , X = NH_2 ; ж R = OC_2H_5 , X = NHCOCH_3 ; з R = OC_4H_9 , X = NHCOCH_3 ; и R = NHNH_2 , X = H). Конденсацией 8-оксикинолина (III) (Lippmann E., Fleissner F., Ber., 1886, 19, 2467) с CCl_4 получают II, выход 22%, т. пл. 272° (разл.); из реакционной массы отгоняют с паром непрореагировавший III, остаток экстрагируют CCl_4 , получают 1,2 г Ia, т. пл. 124,5–125,5°; хлоргидрат (ХГ), т. пл. 263° (разл.); нерастворимый в CCl_4 остаток перекристаллизовывают



из разб. HCl, выделяют ХГ бис-8-оксикинолил-5-кетона (IV основание), т. пл. 309–311° (разл.), который разлагают р-ром Na_2CO_3 , получают IV, т. пл. 282–283° (из $\text{C}_6\text{H}_5\text{NO}_2$, лед. CH_3COOH); диацетил-IV, т. пл. 201–203° (из разб. CH_3COOH). Смесь 1,9 г II, 2,2 г PCl_5 и 2,9 г POCl_3 нагревают при 100–105° 1 час, отгоняют POCl_3 в вакууме, остаток обрабатывают 60 мл холодного ацетона, насыщенный аммиаком при 0°, выделяют 8-оксис-5-карбамилхинолин (V), выход 0,32 г, т. пл. 275–276° (разл.; из 90%-ного сл.), и 0,72 г II; при проведении этой р-ции 5 час. получают V, выход 0,17 г, и из маточного р-ра выделяют 8-хлор-5-карбамилхинолин, выход 0,4 г, т. пл. 230–231°; пикрат, т. пл. 200–202° (из сл.). 1,14 г II, 5 мл бутанола и 0,6 г конц. H_2SO_4 нагревают 16 час. при 120°, получают Iб, выход 73%, т. пл. 83° (из сл.); ХГ, т. пл. 239–240° (из разб. HCl). 0,001 моля Ia–б с 4 мл 10%-ной HNO_3 нагревают при 80° 1 час, получают Iв, г, которые действием 2 г NaHSO_3 в аммиачно-спирт. р-ре при ~20° восстанавливают в Id, е; последние ацилируют $(\text{CH}_3\text{CO})_2\text{O}$ с CH_3COONa в эфире при ~20° 4 дня, получают соответствующие производные Iж–з. Приведены I, выход в %, т. пл. в °C: в, 88, 285 (разл.; из C_6H_6); г, 84, 220 (разл.; из C_6H_6); д, 60, 132–132,5 (из эф.), ди-ХГ, т. пл. 254° (разл.; из разб. HCl); е, 80, 139–140 (из эф.), ди-ХГ, т. пл. 211° (разл.; из разб. HCl); ж, ~100, 192 (из C_6H_6); з, ~100, 185–186 (из C_6H_6). 0,25 г Ia в

0,5 г 80%-ного $\text{NH}_2\text{NH}_2 \cdot \text{H}_2\text{O}$ нагревают 13 час. при 100° , получают **Ив**, выход 59%, т. пл. 268° (разл.; из CH_3OH).

9Ж160. Соединения акридиния циклизацией оксимов. Bradsher C. K., Solomons T. W. G., Vaughan F. R. *Acridinium compounds by the cyclization of oximes*. «J. Organ. Chem.», 1960, 25, № 5, 757—759 (англ.).—Пиколиновый альдоксим $\text{C}_6\text{H}_4\text{N}-2-\text{C}(\text{R})=\text{NOH}$ (**Ia**, **б**, где $\text{R} = \text{H}$, $\text{б R} = \text{CH}_3$) образует с галогенированными бензилами соли 1-арилметил-2-(1-оксимино-алкил)-пиридиния (**II**). Циклизацией **II** с HBr получают соли замещ. акридиния (**III**). В р-р 0,01 моля **Ia**, **б** в 5–6 мл диметилформамида добавляют 0,011 моля бензилбромиды, выдерживают 5–7 дней, осадок растирают с этилацетатом и промывают эфиром, получают бромиды **II** (приведены алкил, арил, т. пл. в $^\circ\text{C}$): **II**, C_6H_5 , 202; **II**, $4-\text{CH}_3\text{C}_6\text{H}_4$, 206; **II**, $1-\text{C}_6\text{H}_4$, 200–201; CH_3 , C_6H_5 , 153 (разл.; из CH_3OH -этилацетата); CH_3 , $4-\text{CH}_3\text{C}_6\text{H}_4$, 172 (разл.; из CH_3OH -этилацетата); CH_3 , $3-\text{CH}_3\text{C}_6\text{H}_4$ (**IIa**), 122 (разл.; из CH_3OH -этилацетата). **I** и **II** кипятят в 5–10 мл 48%-ной HBr , отгоняют в вакууме, добавляют 10 мл спирта, упаривают и перекристаллизовывают из спирта, получают бромиды **III** (приведены заместители, время кипячения в час., выход в %, т. пл. в $^\circ\text{C}$): —, **б**, 89, 240–241; $9-\text{CH}_3$, **б**, 28, 192–194 (пикрат, **IIIK**), т. пл. $248-250^\circ$; бенз[**б**], 125, 85, 304–307; $11-\text{CH}_3$, **б**, 21, 199–201; $9,11-\text{CH}_3$, **б**, 0,5 40 (**IIIK**), 208–209,5 (**IIIK**); $8-\text{OH}$ - $11-\text{CH}_3$ (**IIIa**), 0,75, 99, 302–303 (**IIIK**, т. пл. $201-203^\circ$). 2 г $\text{C}_6\text{H}_5\text{N}_2\text{CH}_2\text{Cl}$ и 2 г 6-метилпиридинальдегида-2 в 5 мл абс. CH_3OH кипятят 14 час., CH_3OH отгоняют в вакууме, остаток промывают эфиром, растворяют в 25 мл конц. HCl и кипятят 8 час., отгоняют в вакууме, остаток растворяют в спирте и выделяют в виде **IIIK** 4-метил-**III**, выход 2,5%, т. пл. $230-233^\circ$ (разл.; из ацетона). К 0,8 г бромиды **IIa** добавляют 50 мл жидкого HF . Последний испаряют за 2 дня, остаток растворяют в спирте, получают в виде **IIIK** **IIIa**, выход 75%. Ф. Псалты

9Ж161. Синтезы в ряду 3-азафлуорена. Часть II. Новый синтез 3-азафлуорена. Chatterjee J. N., Prasad K. *Synthesis in the 3-azafluorene group. Part II. A new synthesis of 3-azafluorenone*. «J. Indian Chem. Soc.», 1960, 37, № 6, 357–362 (англ.).—Предложен метод получения 3-азафлуорена (**I**) через 7,8-бензизохинолина (**II**), а также метод получения 1-метил-7,8-бензизохинолина (**III**). 1-моль 2-нафтонитрила прибавляют при -2°C к р-ру $\text{Li}(\text{OC}_2\text{H}_5)_2\text{AlH}$ (из 1,5 г $\text{CH}_3\text{COOC}_2\text{H}_5$ и 1,3 моля LiAlH_4), смесь перемешивают при 0° 3 часа, избыток гидрида разлагают, получают 2-нафталдегид (**IV**), выход 50%. 10 г **IV**, 30 г малонового к-ты, 2 мл пиперидина и 50 мл пиридина нагревают 6 час. при $\sim 100^\circ$, получают 12,2 г β -2-нафтил-акриловой к-ты (**V**), т. пл. 195° . К суспензии 10 г **V** в воде при $40-50^\circ$ и перемешивании постепенно прибавляют 400 г амальгамы Na , подкисляют, получают 8,9 г β -2-нафтилпропионовой к-ты (**VI**), т. пл. 135° (из водн. сп.). **VI** циклизуют при нагревании с SnCl_2 , разлагают водой, экстрагируют эфиром, получают 8 г 6,7-бензиндафона-1 (**VII**); из нерастворимого оловянного комплекса получают при экстракции кипящим пиридином еще 3 г **VII**; 2,4-динитрофенилгидразон, т. пл. 295° (разл.; из CH_3COOH). 8 г **VII** растворяют в 25 мл спирта, содержащем 15 г амилнитрита, нагревают при $\sim 100^\circ$, к р-ру при перемешивании добавляют 6 мл конц. HCl , перемешивают 1 час, охлаждают, получают 7,5 г 2-изонитрозо-6,7-бензиндафона-1 (**VIII**), т. пл. $234-235^\circ$ (из сп.). Р-р **б** в **VIII** в 60 мл теплого 10%-ного NaOH обрабатывают при перемешивании при 40° 8 г n -толуолсульфохлорида, нагревают при $\sim 100^\circ$, добавляют 40 мл 10%-ного NaOH , кипятят 4 часа, охлаждают, подкисляют, экстрагируют эфиром, получают 5 г 1-карбокси-нафталинсульфокислоты-2 к-ты (**IX**), т. пл. $184-185^\circ$ (из воды); 4,9 г **IX** этерифицируют избытком CH_2N_2 в эфире, получают 4,12 г диметилового

эфира (**X**), т. кип. $184^\circ/2$ мм. Смесь 4 г **X** в 40 мл сухого эфира и 5 г метилформиата прибавляют к безводн. CH_3ONa (из 0,8 г Na) при перемешивании в 20° , оставляют на 12 час., прибавляют еще 3 г метилформиата, перемешивают 1 час, к остатку после удаления эфира добавляют 12 мл воды, 5 мл CH_3COOH и 5 мл конц. HCl , нагревают при $\sim 100^\circ$, получают 2,9 г метилового эфира 7,8-бензизокумаринкарбоновой-4 к-ты (**XI**), т. пл. 157° (из CH_3COOH). 2,8 г **XI** омыляют смесью 6 мл CH_3COOH и 8 мл конц. HCl в течение 12 час., после охлаждения и разбавления водой выделяют смесь, содержащую 1,5 г 7,8-бензизокумарина (**XII**) и 1,2 г 7,8-бензизокумаринкарбоновой-4 к-ты (**XIII**); смесь **XII** и **XIII** разделяют NaHCO_3 , **XIII** декарбоксилируют при нагревании до $\sim 250^\circ$ с 0,1 г медной бронзы, перегоняют, получают 2,1 г **XII**, т. пл. 144° (из сп.). Смесь 2 г **XII** и 10 мл насыщ. спирт. р-ра аммиака нагревают 10 час. при 140° в запаянной трубке, получают 1-окси-7,8-бензизохинолин (**XIV**), т. возг. 202° . **XIV** превращают в 1-хлор-7,8-бензизохинолин (**XV**), 1,2 г **XV** восстанавливают 0,4 г 5%-ного Pd/C в р-ре CH_3OH с 0,5 г KOH , за 20 мин. выделяют 0,95 г **II**; пикрат, т. пл. 232° (из $\text{C}_6\text{H}_5\text{OH}$); пикролат, т. пл. $278-280^\circ$ (разл.; из $\text{C}_6\text{H}_5\text{OH}$). К кипящей смеси 0,85 г **II** в 80 мл воды прибавляют за 30 мин. насыщ. р-р 2,2 г KMnO_4 , фильтруют, промывают водой, фильтрат упаривают до 5 мл, подкисляют CH_3COOH , получают 0,5 г 3-о-карбоксифенилзонаикотиновой к-ты (**XVI**), т. пл. 265° (разл.). 0,45 г **XVI** подвергают пиролизу при 360° в трубке за 10 мин., экстрагируют горячим C_6H_6 и очищают хроматографированием (Al_2O_3), из р-ра C_6H_6 экстрагируют разб. HCl , подкисляют и экстрагируют эфиром, получают 15 мг **I**, т. пл. $128-129^\circ$ (из сп.). Р-р 30 г этилового эфира 2-нафтилсульфокислоты к-ты в 50 мл эфира прибавляют к 10 г LiAlH_4 в 100 мл эфира при кипении, смесь перемешивают 0,5 часа, разлагают избыток гидрида, эфир сгущают, остаток перегоняют, получают 23 г β -2-нафтилэтанола (**XVII**), т. пл. $70-71^\circ$. Смесь 22 г **XVII**, 5,5 г параформальдегида и 125 мл CS_2 насыщают сухим HCl (газом) при охлаждении ледяной смесью и перемешивании 8 час., смесь оставляют на 12 час. при 20° , обрабатывают ледяной водой, органич. слой сушат, после удаления р-рителя остаток перегоняют, получают 12,5 г 7,8-бензизохромена (**XVIII**), т. кип. $150-155^\circ/2,5$ мм, т. пл. $38-40^\circ$ (из петр. эф.); пикрат, $134-135^\circ$ (из сп.); в остатке [ди-(β -2-оксипропил)- α -нафтил]-метан, т. кип. $270-275^\circ/2,5$ мм, кристаллизующийся при стоянии (т. пл. 58°); ди-3,5-динитробензоат, т. пл. 174° (из сп.). К р-ру 10 г **XVIII** в 10 мл CCl_4 прибавляют 8 г Br_2 в 10 мл CCl_4 на солнечном свете, перемешивают 0,5 часа в УФ-свете, р-ритель удаляют, остаток нагревают 1 час при 140° в вакууме, перегоняют, получают в-во с т. кип. $180-190^\circ/2,5$ мм, которое не дает бисульфитного производного; получают 0,4 г 2,4-динитрофенилгидразона β -(2-оксипропил)-нафталдегида, т. пл. 274° (из CH_3COOH). К суспензии 2,5 г ω -ацетиламино-2-ацетонафта в 50 мл воды при сильном перемешивании постепенно прибавляют р-р 2 г KBr в 10 мл воды, перемешивают 10 час., оставляют на 12 час., фильтруют, промывают ледяной водой, получают 1,2 г N -ацетил- β -окси- β -(2-нафтил)-этиламин, т. пл. 95° . Р-р 0,5 г последнего в CS_2 обрабатывают 3 г P_2O_5 при кипении, прибавляют P_2O_5 (2×3 г) с интервалами в 0,5 часа, через 1,5 часа нагревания смесь охлаждают, получают небольшое кол-во **III**; пикрат, т. пл. 245° (из сп.). Часть I см. РЖХим, 1961, 8Ж168.

9Ж162. Образование метилениспроизводных. Mehta C. M., Patel G. H. *Formation of methylenebis-derivatives*. «Current Sci.», 1960, 29, № 3, 95–96 (англ.).—При кипячении ариламинов ацетоуксусной к-ты $\text{CH}_3\text{COCH}_2\text{CONHR}$ (**I**) с $\text{ONCH}_2\text{SO}_3\text{Na}$ в 90%-ном CH_3OH образуются метилениспроизводные типа $\text{RHNCOCH}(\text{COCH}_3)\text{CH}_2\text{CH}(\text{COCH}_3)\text{CONHR}$ (**II**). Р-ция

протекает, по-видимому, через промежуточное соединение $\text{RNHCOCH}(\text{COCH}_3)\text{CH}_2\text{SO}_3\text{Na}$, которое при взаимодействии со второй молекулой I образует II, выход II (после кристаллизации из CH_3COOH) 55–60%. При нагревании II с $(\text{CH}_3\text{CO})_2\text{O}$ и конц. H_2SO_4 получают с выходом 40–45% соответствующие производные 3,3'-метилден-бис-(2-окси-4-метилхинолина). К смеси 0,01 моля II ($\text{R} = \text{C}_6\text{H}_5$) и 3 мл $(\text{CH}_3\text{CO})_2\text{O}$ постепенно прибавляют 3 мл конц. H_2SO_4 , оставляют на 30 мин. при $\sim 20^\circ$, нагревают 5 мин. при $\sim 100^\circ$, выливают в ледяную воду, фильтруют, получают 3,3'-метилден-бис-(2-окси-4-метилхинолина). А. Травин

9Ж163. Исследования в области химии цианиновых красителей. XV. Цианиновые красители, содержащие в качестве заместителей фталимидные остатки. Ушенко И. К., Човняк Л. И. «Ж. общ. химии», 1960, 30, № 8, 2658–2664.—Конденсацией фталевого ангидрида (I) с аминобензтиазолами, аминобензоксазолами и аминохинолинами получены следующие производные бензтиазола (II): 2-метил-6-фталимидо-II (III), 2-метил-5-фталимидо-II (IV), 2-этил-6-фталимидо-II (V), 2-метил-меркапто-6-фталимидо-II (VI), 2-метил-6-диметиламино-5-фталимидо-II (VII), 2-фталимидо-II (VIII), а также 2-метил-6-фталимидобензоксазол (IX) и 2-метил-6-фталимидохинолин (X). Некоторые из этих оснований действием этилового эфира *n*-толуолсульфокислоты (XI) превращены в четвертичные соли, конденсированные с ортоэфирами карбоновых к-т в карбоцианины, а с *n*-диметиламинобензальдегидом (XII) в стирилы. Исходные гетероциклич. аминны получены восстановлением соответствующих нитро соединений. Молярные кол-ва амина и I нагревают до $140\text{--}185^\circ$, затем затвердевший плав нагревают до $215\text{--}230^\circ$, выдерживают при этой *t*-ре 3–5 мин., растворяют, промывают кипящим спиртом и получают (пересчитывая в-во, выход в %, т. пл. в $^\circ\text{C}$): III, 70, 219 (из $\text{C}_6\text{H}_5\text{OH}$); IV, 82, 247 (из *изо*- $\text{C}_5\text{H}_9\text{OH}$); V, 77, 157 (из $\text{C}_6\text{H}_5\text{OH}$); VI, 80, 210 (из *изо*- $\text{C}_5\text{H}_9\text{OH}$); VII, 56, 214–215 (из $\text{C}_6\text{H}_5\text{OH}$); VIII, 75, 247–248 (из $\text{C}_6\text{H}_5\text{OH}$); IX, 60, 239–240 (из $\text{C}_6\text{H}_5\text{OH}$); X, 71, 205–206 (из $\text{C}_6\text{H}_5\text{OH}$). 2,9 г III и 6 г XI нагревают 7 час. при $150\text{--}160^\circ$, растворяют в кипящей воде, *p-p* промывают C_6H_6 , упаривают и выделяют этил-*n*-толуолсульфонат (ЭТС) III, выход 95%. Аналогично получают ЭТС IV–VI, выходы 91, 82 и 75%. 0,98 г ЭТС III, 1 г $\text{HC}(\text{OC}_2\text{H}_5)_2$ или $\text{C}_2\text{H}_5\text{C}(\text{OC}_2\text{H}_5)_2$ и 6 мл $(\text{CH}_3\text{CO})_2\text{O}$ кипятят 15–25 мин., продукт растворяют в CH_3OH , выливают в горячий *p-p* KI и отфильтровывают 3,3'-диэтил- или 3,3',9-триэтил-6,6'-дифталимидтиакарбониянидийды, выходы 29 и 24%, т. пл. $220\text{--}223$ и $215\text{--}216^\circ$ (из сп.). Аналогично из ЭТС IV и $\text{HC}(\text{OC}_2\text{H}_5)_2$ или $\text{C}_2\text{H}_5\text{C}(\text{OC}_2\text{H}_5)_2$ получают 3,3'-диэтил-3,3',9-триэтил-5,5'-дифталимидтиакарбониянидийды, выходы 34 и 21%, т. пл. $229\text{--}230$ и $212\text{--}214^\circ$. 0,49 г ЭТС III или 0,5 г ЭТС V, 0,15 г XII и 5 мл $(\text{CH}_3\text{CO})_2\text{O}$ кипятят 30 мин. и водн. *p-ром* KI осаждают йодэтилат 2-(*n*-диметиламино)стирил- и 2-(*n*-диметиламино- β -метилстирил)-6-фталимидобензтиазолов, т. пл. $231\text{--}233^\circ$ (разл.; из сп.) и $205\text{--}206^\circ$ (разл.). К 20,8 г 2-этил-6-нитро-II в 115 мл конц. HCl при $55\text{--}65^\circ$ добавляют (2,5–3 часа) 19,2 г губчатого Sn, перемешивают ($65\text{--}70^\circ$, 3 часа), через ~ 12 час. разбавляют 200 мл воды, нагревают до растворения осадка, к фильтрату добавляют избыток NaOH и отфильтровывают 2-этил-6-амино-II, выход 90%, т. кип. $162\text{--}183^\circ/2\text{--}3$ мм, т. пл. 72° (из толуола); ацетильное производное, т. пл. 138° (из 50%-ного сп.). 58,2 г 2-метил-6-нитро-II (т. пл. $163\text{--}164^\circ$) восстанавливают Sn в HCl и выделяют 2-метил-6-амино-II, выход 95%, т. кип. $169\text{--}171^\circ/2\text{--}3$ мм, т. пл. $118\text{--}119^\circ$. 2-метил-5-ацетиламино-II, выход 91%, т. пл. $160\text{--}161^\circ$ (из водн. сп.), получают кипячением 16,4 г амина с 13 г $(\text{CH}_3\text{CO})_2\text{O}$ в 50 мл C_6H_6 . 2-метилмеркапто-6-нитро-II восстанавливают SnCl₂ и HCl при $65\text{--}70^\circ$ и выделяют 2-метилмеркапто-6-амино-II, выход 80%, т. кип. 185--

$187^\circ/2\text{--}3$ мм, т. пл. $109\text{--}110^\circ$; ацетильное производное, т. пл. 167° (из сп.). 2-метил-6-нитробензоксазол восстанавливают Fe и водн. CH_3COOH в 2-метил-6-аминобензоксазол, выход 53%, т. пл. $146\text{--}147^\circ$ (из бzl.). Смесь 70 г *n*-нитроанилина, 750 мл CH_3OH , 500 мл воды, 80 мл паральдегида и 60 мл конц. HCl кипятят 3 часа, разбавляют 1,4 л воды, через ~ 12 час. *p-p* декантируют, нейтрализуют 20%-ным NaOH и отделяют 6-нитрохинолин, выход 27%, т. пл. $172\text{--}173^\circ$ (из сп.), который восстанавливают Sn и HCl при $65\text{--}70^\circ$ в 6-аминохинолин, выход 76%, т. пл. $190\text{--}191^\circ$ (из водн. сп.). Часть XIV см. РЖХим, 1960, № 13, 52048. С. Г.

9Ж164. Реакция Бишлера-Напиральского в смеси пятиокиси фосфора с пиридином. IV. Синтез производных 1-ацетонилизохинолина. Itoh Nobuo. Bischler-Napieralski reaction in phosphorus pentoxide-pyridine. IV. Synthesis of 1-acetonilysoquinoline derivatives. «Chem. and Pharmac. Bull.», 1960, 8, № 5, 441–444 (англ.).—Циклизацией 3,4-диметоксифенетиламинной соли 3,3-этилендиоксимасляной к-ты (I, *p*-к-то) в смеси P_2O_5 и $\text{C}_6\text{H}_5\text{N}$ получен 1-(2,2-этилендиоксипропил)-6,7-диметоксис-3,4-дигидроизохинолин (II), гидролизированный в 1-ацетонил-6,7-диметоксис-3,4-дигидроизохинолин (IV); строение IV подтверждено восстановлением по Хуан-Мишлоу в 1-пропил-6,7-диметоксис-3,4-дигидроизохинолин, т. пл. $174\text{--}175^\circ$ (из сп.); нагреванием с POCl_3 IV циклизуют в 2-метил-8,9-диметоксис-5,6-дигидро-2Н-изоксазол-[3,2-а]-изохинолин (V), образующийся также при циклизации N-3, 4-диметоксифенетиламина (VIII) постепенно приливают 4 г II в 20 мл асб. эфира и отделяют I, выход 100%, т. пл. 115° (из бzl.). В кипящий *p-p* 5 г I в 80 мл $\text{C}_6\text{H}_5\text{N}$ вносят в 4 приема смесь 15 г P_2O_5 и 80 г песка, кипятят 6 час. и выделяют 3,2 г III, который гидролизуют 10%-ной HCl, *p-p* подщелачивают, продукт хроматографируют в C_6H_6 на Al_2O_3 и получают 2,3 г IV, т. пл. $65\text{--}67^\circ$ (из бzl.); пикрат (IIIK), т. пл. $206\text{--}207^\circ$ (разл.); 2,4-дигидрофенилгидразон (ДНФГ), т. пл. 168° (разл.; из сп.). 0,5 г IV в 3 мл C_6H_6 и 1,5 г POCl_3 кипятят 20 мин., разбавляют петр. эфиром, через некоторое время сливают верхний слой, продукт растворяют в воде, подщелачивают K_2CO_3 и извлекают C_6H_6 0,5 г V, т. пл. $140\text{--}141^\circ$ (из *n*- C_5H_{11}). Смесь 5,7 г II в 25 мл C_6H_6 и 6,3 г SOCl_2 в 15 мл C_6H_6 нагревают 3 часа при $40\text{--}45^\circ$, полученный *p-p* вливают в *p-p* 6 г VIII в 20 мл C_6H_6 , подщелачивают NaOH, размешивают 1 час и из органич. слоя выделяют 6,5 г VI; ДНФГ, т. пл. $159\text{--}160^\circ$. 2,8 г VI в 20 мл C_6H_6 и 5 г POCl_3 кипятят 2 часа, отгоняют C_6H_6 и POCl_3 , остаток обрабатывают 30 мл 5%-ной HCl в спиртом, нагревают 0,5 часа, встряхивают с C_6H_6 , подщелачивают NH_4OH и извлекают эфиром 1,5 г V. 1 г V в 20 мл спирта, содержащего 0,5 мл 10%-ной HCl, гидролизуют над PtO_2 , отгоняют спирт, продукт растворяют в воде, подщелачивают K_2CO_3 и извлекают C_6H_6 1 г VIIa, т. пл. 214° (разл.; из сп.). Ацетилятуют $\text{CH}_3\text{CH}_2\text{COCl}$ в 10%-ном *p-p* Na_2CO_3 на холоду, полученное 0,9-ди-АП гидролизуют *p-ром* NaOH в CH_3OH (кипчение 3 часа) и выделяют АП VIIa, которое (0,5 г) растворяют в 5 мл $\text{C}_6\text{H}_5\text{N}$, приливают 0,2 г CrO_3 в 10 мл $\text{C}_6\text{H}_5\text{N}$, размешивают 2 часа, выдерживают 16 час., разбавляют водой и извлекают эфиром 0,3 г VIIb; ДНФГ, т. пл. $139\text{--}140^\circ$ (из сп.). 0,2 г VIIb нагревают 3 часа с 10%-ной HCl и выделяют 0,12 г VIIa, т. пл. $203\text{--}204^\circ$ (разл.; из сп.). Предыдущее сообщение см. РЖХим, 1960, № 21, 84787. М. Карапетян

9Ж165. 5-дибенз-[b, f]-азепин. Bergmann Ern D., Rabinovitz Mordecai. 5-Dibenzo[b, f]azepine

J. Org. Chem. 1960, 25, 1000. Восстановление 9-оксипиридина водит к суспензии ацетонной и C_6H_6 , выход CH_3OH 90%. Нагревают эфир, получают ацетил-9-оксипиридин, т. пл. 115° (из бzl.). Смесь 70 г *n*-нитроанилина, 750 мл CH_3OH , 500 мл воды, 80 мл паральдегида и 60 мл конц. HCl кипятят 3 часа, разбавляют 1,4 л воды, через ~ 12 час. *p-p* декантируют, нейтрализуют 20%-ным NaOH и отделяют 6-нитрохинолин, выход 27%, т. пл. $172\text{--}173^\circ$ (из сп.), который восстанавливают Sn и HCl при $65\text{--}70^\circ$ в 6-аминохинолин, выход 76%, т. пл. $190\text{--}191^\circ$ (из водн. сп.). Часть XIV см. РЖХим, 1960, № 13, 52048. С. Г.

9Ж166. Реакция Бишлера-Напиральского в смеси пятиокиси фосфора с пиридином. IV. Синтез производных 1-ацетонилизохинолина. Itoh Nobuo. Bischler-Napieralski reaction in phosphorus pentoxide-pyridine. IV. Synthesis of 1-acetonilysoquinoline derivatives. «Chem. and Pharmac. Bull.», 1960, 8, № 5, 441–444 (англ.).—Циклизацией 3,4-диметоксифенетиламинной соли 3,3-этилендиоксимасляной к-ты (I, *p*-к-то) в смеси P_2O_5 и $\text{C}_6\text{H}_5\text{N}$ получен 1-(2,2-этилендиоксипропил)-6,7-диметоксис-3,4-дигидроизохинолин (II), гидролизированный в 1-ацетонил-6,7-диметоксис-3,4-дигидроизохинолин (IV); строение IV подтверждено восстановлением по Хуан-Мишлоу в 1-пропил-6,7-диметоксис-3,4-дигидроизохинолин, т. пл. $174\text{--}175^\circ$ (из сп.); нагреванием с POCl_3 IV циклизуют в 2-метил-8,9-диметоксис-5,6-дигидро-2Н-изоксазол-[3,2-а]-изохинолин (V), образующийся также при циклизации N-3, 4-диметоксифенетиламина (VIII) постепенно приливают 4 г II в 20 мл асб. эфира и отделяют I, выход 100%, т. пл. 115° (из бzl.). В кипящий *p-p* 5 г I в 80 мл $\text{C}_6\text{H}_5\text{N}$ вносят в 4 приема смесь 15 г P_2O_5 и 80 г песка, кипятят 6 час. и выделяют 3,2 г III, который гидролизуют 10%-ной HCl, *p-p* подщелачивают, продукт хроматографируют в C_6H_6 на Al_2O_3 и получают 2,3 г IV, т. пл. $65\text{--}67^\circ$ (из бzl.); пикрат (IIIK), т. пл. $206\text{--}207^\circ$ (разл.); 2,4-дигидрофенилгидразон (ДНФГ), т. пл. 168° (разл.; из сп.). 0,5 г IV в 3 мл C_6H_6 и 1,5 г POCl_3 кипятят 20 мин., разбавляют петр. эфиром, через некоторое время сливают верхний слой, продукт растворяют в воде, подщелачивают K_2CO_3 и извлекают C_6H_6 0,5 г V, т. пл. $140\text{--}141^\circ$ (из *n*- C_5H_{11}). Смесь 5,7 г II в 25 мл C_6H_6 и 6,3 г SOCl_2 в 15 мл C_6H_6 нагревают 3 часа при $40\text{--}45^\circ$, полученный *p-p* вливают в *p-p* 6 г VIII в 20 мл C_6H_6 , подщелачивают NaOH, размешивают 1 час и из органич. слоя выделяют 6,5 г VI; ДНФГ, т. пл. $159\text{--}160^\circ$. 2,8 г VI в 20 мл C_6H_6 и 5 г POCl_3 кипятят 2 часа, отгоняют C_6H_6 и POCl_3 , остаток обрабатывают 30 мл 5%-ной HCl в спиртом, нагревают 0,5 часа, встряхивают с C_6H_6 , подщелачивают NH_4OH и извлекают эфиром 1,5 г V. 1 г V в 20 мл спирта, содержащего 0,5 мл 10%-ной HCl, гидролизуют над PtO_2 , отгоняют спирт, продукт растворяют в воде, подщелачивают K_2CO_3 и извлекают C_6H_6 1 г VIIa, т. пл. 214° (разл.; из сп.). Ацетилятуют $\text{CH}_3\text{CH}_2\text{COCl}$ в 10%-ном *p-p* Na_2CO_3 на холоду, полученное 0,9-ди-АП гидролизуют *p-ром* NaOH в CH_3OH (кипчение 3 часа) и выделяют АП VIIa, которое (0,5 г) растворяют в 5 мл $\text{C}_6\text{H}_5\text{N}$, приливают 0,2 г CrO_3 в 10 мл $\text{C}_6\text{H}_5\text{N}$, размешивают 2 часа, выдерживают 16 час., разбавляют водой и извлекают эфиром 0,3 г VIIb; ДНФГ, т. пл. $139\text{--}140^\circ$ (из сп.). 0,2 г VIIb нагревают 3 часа с 10%-ной HCl и выделяют 0,12 г VIIa, т. пл. $203\text{--}204^\circ$ (разл.; из сп.). Предыдущее сообщение см. РЖХим, 1960, № 21, 84787. М. Карапетян

9Ж165. 5-дибенз-[b, f]-азепин. Bergmann Ern D., Rabinovitz Mordecai. 5-Dibenzo[b, f]azepine

«J. Organ. Chem.», 1960, 25, № 5, 827—828 (англ.).— Восстановление акридинкарбоновой-9 к-ты (I) получают 9-оксиметил-9,10-дигидроакридин (II), дегидратация которого под действием полифосфорной к-ты приводит к образованию 5-дибенз-[b, f]-азепина (III). К суспензии 40 г I в эфире добавляют (N₂) при охлаждении 13 г LiAlH₄, кипятят 3 часа, разлагают водой и ацетоном, декантируют, остаток экстрагируют эфиром и C₆H₆, упаривают, выделяют легко окисляющийся II, выход 80%, т. пл. 135—136° (из б.д.-птр. эф. или CH₃OH). Смесь 2,5 г II и 150 мл полифосфорной к-ты нагревают при 160° 3 часа, добавляют воды, экстрагируют эфиром и C₆H₆, упаривают и 2-кратным хроматографированием в эфире или птр. эфире на Al₂O₃ получают III, т. пл. 189—191°. Приведены данные ИК-спектра III. С. Суминов

9Ж166. Изучение N-окисей пиридазина. K. Ma-gai Manprei. «Nihon Kagaku daissi, Nippon Kagaku zasshi, J. Chem. Soc. Japan. Pure Chem. Sec.», 1960, 81, № 2, 350, A24 (японск.; рез. англ.).—Обычным способом получены N-моноокиси-3-метилпиридазина (I), т. кип. 145°/6 мм, и 6-метил-3-фенилпиридазина (II), т. пл. 163° (из разб. CH₃COOH). I не перегруппировывается при кипячении с (CH₃CO)₂O; II при кипячении 4 часа с (CH₃CO)₂O превращается в 6-ацетоксиметил-3-фенилпиридазин, т. пл. 191° (из разб. сп.), на основании чего II придается структура I-окиси.

Л. Яновская
9Ж167. Реакции амидов кислот. XXII. Синтез пиридинов из трис-формаминометанов. Bredereck Hellmut, Gompper Rudolf, Geiger Berno. Säureamid-Reaktionen. XXII. Synthese von Pyrimidinen mittels Tris-formamino-methans. «Chem. Ber.», 1960, 93, № 6, 1402—1406 (нем.).—Реакция трис-формаминометана (I) с кетонами RCH₂COR' в присутствии n-CH₃-C₆H₄SO₃H или POCl₃ приводит к образованию 4-R'-5-R-пиридинов (II). CH₃COC₂H₅ дает в этих условиях II, где R = R' = CH₃; из циклогексанола и циклогексанола получают 4,5-триметил- и 4,5-тетраметилпиридин (III, IV). При аналогичной р-ции с альдегидами выходы пиридинов очень невелики. 1 моль CH₃COCH₃, 0,5 моля I, 60 мл HCONH₂ и 1 г n-CH₃-C₆H₄SO₃H нагревают 10 час. при 155°, обрабатывают 1 н. NaOH и извлекают CHCl₃ II (R = H, R' = CH₃), выход 39%, т. кип. 141°/750 мм, n_D²⁰ 1,4941. Аналогично (нагревание 8—10 час., 150—160°) получают следующие II [указаны R, R', выход в %, т. кип. в °C/мм, n_D²⁰ и т. пл. в °C его пикрата (PK)]: H, изo-C₄H₉, 35, 75—76/12, 14824, 131—132 (из CH₃OH); H, трет-C₄H₉, 17, 67/14, 14835, 78—79 (из CH₃OH) (n,n'-дихлордифенил-сульфамидная соль, т. пл. 141°); H, C₆H₅, 72, 140—144/14, — (т. пл. 66°), 165; H, 2-метилпентил-5, 43, 168/14, — (т. пл. 99° (из птр. эф.)), 195—196; CH₃, CH₃, 47, 169—171/750, 15017 (т. пл. 2°), 162 (из сп. этилацетата); CH₃, C₂H₅, 37, 72/11, 15013 110,5—111; CH₃, C₆H₅, 53, 158—154/15, —, (т. пл. 29—31°), 140 (из CH₃OH); C₂H₅, C₆H₅, 26, 161—162/13, 15861, 118,5—119 (из CH₃OH); а также III, выход 52%, т. кип. 90°/12 мм, т. пл. 36° [PK, т. пл. 137° (из CH₃OH)], и IV, выход 36%, т. кип. 108—108°/12 мм, n_D²⁰ 1,5386; PK, т. пл. 108°. В тех же условиях из I и паральдегида получают 5-пиридин, выход 8%; из I и C₂H₅CNO синтезируют 5-метилпиридин, выход 8%, т. кип. 154°/750 мм, т. пл. 29—30°, n_D²⁰ 1,4939; PK, т. пл. 140—142°. Сообщение XXI см. реф. 9Ж170.

Л. Шукина
9Ж168. Реакции амидов кислот. XXIII. Получение имидазолов из кетонов. Bredereck Hellmut, Effenberger Franz, Marquez Francisco. Ockewitz Karl. Säureamid-Reaktionen. XXIII. Darstellung von Imidazolen aus Ketonen. «Chem. Ber.», 1960, 93, № 9, 2083—2084 (нем.).—Замещенные имидазолы (I) получают с хорошими выходами бромированием соответствующих кетонов в избытке HCONH₂ с последующей обработкой образующегося галогидкетона су-

хим NH₃. Р-ция может быть проведена без выделения галогидкетона. К 1 молю кетона в 6 молях HCONH₂ приливают по каплям (1 час, 60—70°) 1 моль Br₂, нагревают 1 час при той же т-ре, р-р вливают в воду и извлекают эфиром бромкетон. Этим методом получают следующие соединения (указаны в-во, выход в %, т. кип. в °C/12 мм): α-бромацетофенон, 88, 135—139 (т. пл. 40—50°); α-бромпропиофенон, 98, 130—132; α-бромбутирофенон, 89, 135—138. К 1 молю ацетофенона в 6 молях HCONH₂ приливают (1 час, 60—70°) 1 моль Br₂, добавляют 24 моля HCONH₂, в р-р пропускают 1 час при 160—170° ток сухого NH₃, выдерживают 5 час. при той же т-ре, вливают в воду, подщелачивают NH₄OH или KOH и отделяют 4(5)-фенил-I, выход 61%, т. пл. 129—130° (из воды). Аналогично из дезоксигенина, бутирофенона и пропиофенона (или метилбензилкетона) синтезируют (указаны в-во, выход в %, т. пл. в °C): 4,5-дифенил-I, 67, 233—234 (из водн. сп.); 4(5)-этил-5(4)-фенил-I, 81, 169—170 (из бутилацетата); 4(5)-метил-5(4)-фенил-I, 83, 186—187 (из бутилацетата). М. Карапетян

9Ж169. О нитровании хиноксалинов (дополнение). Otomatsu Hirotsuka, Yoshida Kei. On the nitration of quinoxalines (addendum). «Chem. and Pharmac. Bull.», 1960, 8, № 5, 475—478 (англ.).—2-оксихиноксалин (I) нитруется в зависимости от условий в 6-нитро-I (II) или 7-нитро-I (III). Нагреванием 2 часа с избытком POCl₃ II превращен в 2-хлор-6-нитрохиноксалин, т. пл. 202° (из CH₃OH); при метилировании II (C₂H₅)₂SO₄ в щел. р-ре при ~20° получен 1-метил-2-кетон-6-нитро-1,2-дигидрохиноксалин, т. пл. 213° (из CH₃OH), синтезированный иначе кипячением 1 час смеси I с 1-метиламино-2-амино-4-нитробензола и бутилгликолата (IV) в спирте. При кипячении IV и 1,2-диамино-4-нитробензола (V) в спирте получена смесь II и III; последний образуется также при нитровании I смесью конц. HNO₃ и CH₃COOH. Конденсация 1,2 г V и 0,8 г пиридиноградной к-ты в 70 мл горячего CH₃OH синтезирован 3-метил-7-нитро-I, выход 0,8 г, т. пл. 255° (из ацетона); из маточного р-ра выделен 3-метил-6-нитро-I, выход 0,2 г, т. пл. 280° (разл.), оба в-ва превращены нагреванием с POCl₃ в 7-нитро-6-нитро-2-хлор-3-метилхиноксалины, т. пл. 153 и 136° (после возгонки в глубоком вакууме). В р-р 0,5 г I в 5 мл конц. H₂SO₄ вносят 0,35 г KNO₃, нагревают 10 мин. при 40°, вливают в ледяную воду и отделяют II, выход 77%, т. пл. 306° (из CH₃OH). Смесь 4 г IV и 4 г V в 8 мл спирта кипятят 2 часа, осадок растворяют в 1,3 л кипящего спирта, сгущают до 0,8 л и отделяют 0,8 г II; маточный р-р упаривают досуха и получают III, который очищают в виде 2-хлор-7-нитрохиноксалина, т. пл. 185—186° (из б.д.), и последний гидролизуют кипящей водно-спирт. HCl в III, т. пл. 275—276° (из ацетона). Предыдущее сообщение см. РЖХим, 1960, № 3, 9283.

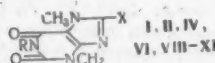
М. Карапетян
9Ж170. Синтезы некоторых 8-пуринал-бис-(β-хлорэтил)-аминов. Chu Shin-Hsi, Harris Jack E., Mautner Henry G. Synthesis of some 8-purinylnitrogen mustards. «J. Organ. Chem.», 1960, 25, № 10, 1759—1761 (англ.).—С целью изучения в-в, обладающих биологич. активностью, синтезированы 8-бис-(β-хлорэтил)-аминопроизводные ксантина (I), гипоксантина (II) и аденина (III). Смесь 0,0248 моля 8-бром-III и 25 г диэтанолamina в 50 мл монометилового эфира этиленгликоля кипятят 20 час. в токе N₂, р-ритель упаривают, остаток экстрагируют горячим ацетоном. К остатку добавляют спирт, фильтруют, из фильтра выделяют 8-бис-(β-оксиэтил)-амино-III, выход 50%, т. пл. 245—249° (из воды). Аналогично получены (приведены в-во, выход в %, т. пл. в °C): 8-бис-(β-оксиэтил)-амино-II, 49, 250—255 (гидрат, разл.; из воды); 8-бис-(β-оксиэтил)-аминогуанин (IV), 89, 321 (разл.; из воды); 8-бис-(β-оксиэтил)-амино-I, 47, 246 (разл.). Смесь 0,001678 моля 8-бис-(β-оксиэтил)-амино-III, 10 мл

SOCl_2 и 0,5 мл диметилформамида в 30 мл CHCl_3 кипятят 3 часа в токе N_2 , упаривают, остаток растворяют в абс. спирте, насыщают HCl , выделяют хлоргидрат 8-бис-(β -хлорэтил)-амино-III, выход 85,5%, т. пл. 155–162° (из сп.-эф.). Аналогично получены хлоргидраты (приведены основание, выход в %, т. пл. в °C): 8-бис-(β -хлорэтил)-амино-II, 88, 190–193 (разл.; из сп.-эф.); 8-бис-(β -хлорэтил)-амино-I, 19, 155 (разл.; из сп.-эф.). Приведены данные по УФ-спектрам всех полученных в-в.

Л. Аксанова

9Ж171. Синтезы в ряду производных изоксантина.

II. Некоторые аминокислотные производные метилированного ксантина и изоксантина. Чаман Е. С., Черкасова А. А., Головинская Е. С., «Ж. общ. химии», 1960, 30, № 6, 1878–1884. — С целью поисков биологически активных в-в синтезированы β -(кофеин-8)- α -аланин (I), β -(теобромин-8)- α -аланин (II) и β -(изоксантин-8)- α -аланин (III). Синтез I осуществлен по схемам А и Б. Схема А: кофеин-8-альдегид (IV) + тиопириновая к-та (V) \rightarrow 4-(кофеин-8)-метил-2-фенилуксазолинон-5 (VIa–б) \rightarrow I; схема Б: 8-(хлорметил)-кофеин + натриевое производное ацетиламиномалонового эфира (VII) \rightarrow (кофеин-8-метил)-ацетиламиномалонового эфира (VIII) \rightarrow I. Для синтеза II были изучены вопросы хлорирования 8-метилтеобромина (IX) и найдены условия образования смеси 8-дин-трихлорпроизводных IX, содержащей преобладающее кол-во 8-дихлорметилтеобромина (X); из этой смеси был выделен X и гидролизован в теобромин-8-альдегид (XI). По схеме, аналогичной А, из XI синтезирован II. В результате хлорирования метилизоксантина (1,3,8,9-тетраметилизоксантина) (XII) действием Cl_2 , предпринятого с целью получения различных моно-, ди- и три-8-хлорметилпроизводных изоксантина (XIII изоксантин) выделены только 8-трихлорметил XIII (XIV), гидролизом которого получают XIII; получить 8-моноклорметил-XIII (XV) или 8-дихлорметил-XIII в этих условиях не удалось. Поэтому XV был синтезирован из 8-хлор-XIII, а из XV, по схеме аналогичной Б, был осуществлен синтез III. В кипящую взвес 20 г IX в 250 мл $\text{C}_6\text{H}_5\text{Cl}$ пропускают 1 час 15 г Cl_2 , отгоняют $\text{C}_6\text{H}_5\text{Cl}$, остаток извлекают горячим этилацетатом или C_6H_6 (остается 5,35 г IX), при охлаждении из р-ра выпадает 9,78 г X, т. пл. 240,5–241,5° (из этилацетата); из фильтратов от кристаллизации X выделяют 3,95 г 8-трихлор-IX, т. пл. 172–198°. Кипятят 17 г X с 270 мл воды 4 часа, при охлаждении выделяют 10,7 г XI, т. пл. 288–290° (разл. из воды); анил XI, т. пл. 283,5–283,8° (из сп.). Во взвес 200 г XII в 2200 мл $\text{C}_6\text{H}_5\text{Cl}$ пропускают 40 г Cl_2 при 90–100°, после охлаждения выделяют 260 г XIV, т. пл. 214,5–215° (разл.; из C_6H_6). Кипятят 200 г неочищ. XIV с 720 мл воды, из охлажд. р-ра 40%-ным р-ром NaOH (рН 6,7–6,8) осаждают XIII, выход 110–111 г, т. пл. 285–286° (из воды). Кипятят 2 г XIV с 10 мл спирта 2 часа, выделяют 1,86 г 8-карбатоена XIII, т. пл. 261,5–262° (из сп.). Смешивают 4,7 г V, 1,7 г K_2CO_3 и 20 мл $(\text{CH}_3\text{CO})_2\text{O}$, через 30 мин. вносят 5,5 г IV, через 24–30 час. обрабатывают



I X = $\text{CH}_2\text{CH}(\text{NH}_2)\text{COOH}$, R = CH_3 ; II X = $\text{CH}_2\text{CH}(\text{NH}_2)\text{COOH}$, R = H; III X = $\text{CH}_2\text{CH}(\text{NH}_2)\text{COOH}$, R = CONH_2 , R = CH_3 ; VI X = метил-4-(2-фенил)-оксазолинон-5, а R = CH_3 , б R = H; VIII X = $\text{CH}_2\text{CH}(\text{NH}_2)\text{COOH}$, R = CONH_2 , R = CH_3 ; IX X = CH_3 ; X X = $\text{CH}_2\text{CH}(\text{NH}_2)\text{COOH}$, R = H; XI X = $\text{CH}_2\text{CH}(\text{NH}_2)\text{COOH}$, R = H; XII X = CH_3 ; XIII X = H; XIV X = COCl ; XV X = $\text{CH}_2\text{CH}(\text{NH}_2)\text{COOH}$; XVI X = $\text{CH}_2\text{CH}(\text{NH}_2)\text{COOH}$.

50 мл ледяной воды и еще через 2–3 часа фильтруют, получают 7,6 г VIa, т. пл. 261–262° (разл.; из CH_3COOH). Из 0,7 г VIa с 50 мл абс. спирта и NaOCC_6H_5 (катализ. кол-во) через 12 час. образуется 0,7 г этилово-

го эфира α -бензоилиламино- β -(кофеин-8)-акрилового к-ты, т. пл. 256–258° (из сп.). К смеси 3,6 г VIa, 2 г Р и 12,5 мл $(\text{CH}_3\text{CO})_2\text{O}$ прибавляют 13 мл 49%-ной H_2N , кипятят 4 часа; охлаждают, фильтруют, упаривают в вакууме досуха, остаток растворяют в 100 мл спирта, нейтрализуют $(\text{C}_2\text{H}_5)_3\text{N}$ (рН 7) и выделяют I, выход 33%, т. пл. 275–277° (разл.; из воды). Аналогично получают II [выход VIb 78%, т. пл. 301–302° (разл.; из CH_3COOH)], выход 47%, т. пл. 282–284° (разл.; из воды). Кипятят 30 мин. р-р 0,74 г Na в 60 мл спирта с 7,03 г VII, вносят 7,3 г 8-(хлорметил)-кофеина, через 1,5–2 часа отделяют осадок, выход VIII 9,82 г, т. пл. 214–215° (из сп.). Кипячением 9 г неочищ. VIII с 100 мл 20%-ной HCl (6 час.) получают 3,82 г I. К р-ру VII в 20 мл спирта добавляют 6,6 г XV, получают 7,9 г XVII, т. пл. 222–224° (из сп.). Из 6,6 г XVII получают III (аналогично получению I из VIII), выход 2,1 г, т. пл. 254–256° (разл.; из воды). Сообщение I см. 1961, 7Ж186.

9Ж172. Потенциальные антагонисты пурина. XXII. Получение и реакции некоторых производных 2-амино-6-меркаптопурина. Daves G. Doyle, Jr., Noell C. Wayne, Robins Roland K., Koppel Henry C., Beaman Alden G. Potential purine antagonists. XXII. The preparation and reactions of certain derivatives of 2-amino-6-purinethiol. «J. Amer. Chem. Soc.», 1960, 82, № 10, 2633–2640 (англ.). — В поисках новых противоопухолевых средств синтезированы ряд 2-амино-6-алкилмеркаптопуринов (Ia–б, где а алкил = R = CH_3 и б R = $\text{CH}_2\text{C}_6\text{H}_5$) из производных 2,4-диаминопиридина (II) по схеме: 6-хлор-II (III) \rightarrow 6-меркапто-II (IV) \rightarrow 6-алкилмеркапто-II (V) \rightarrow 5-изонитро-6-алкилмеркапто-II (VI) \rightarrow 5-амино-6-алкилмеркапто-II (VII) \rightarrow I. Найден новый способ получения I одновременным меркапторированием и циклизацией 5-формидино-6-окси-II (VIII) с последующим алкилированием образующегося 2-амино-6-меркаптопурина (IX) галоидальными (RX). Изучены способы алкилирования и очистки полученных I от примесей исходного IX. Действием Cl_2 на Ia в CH_3OH получен 2-амино-6-хлорпурин (X). При кипячении с р-ром NaHS X превращается в IX; с 1 н. HCl из X получается гуанин (XI), а при нагревании в щел. среде X не изменяется. При действии CS_2 в $\text{C}_6\text{H}_5\text{N}$ на VII (алкил = CH_3) (VIIa) образуется 8-меркапто-Ia, метилированный 8-метилмеркапто-Ia, который может быть также получен из 8-меркапто-IX. При действии P_2S_5 на 8-метилмеркапто-XI в $\text{C}_6\text{H}_5\text{N}$ образуется 8-метилмеркапто-IX. Вносят 320 г $\text{NaHS} \cdot 3\text{H}_2\text{O}$ в 520 мл $(\text{CH}_2\text{OH})_2$, прибавляют при 60° 120 г III, нагревают 30 мин. до 140–150°, размешивают при этой т-ре 30 мин., охлаждают до 60°, вливают в 1,6 л воды, подкисляют разб. H_2SO_4 (1:1) до рН 1; осадок растворяют в 1,6 л разб. NH_4OH при 50° и выделяют подкислением р-ра 85 г IV, т. разл. > 200°. Р-р 50 г IV в 0,5 л воды, содержащей 30 г KOH и 55 г CH_3I , размешивают 1 час при 50°, получают 46 г V (R = CH_3), т. пл. 202–204° (из разб. водн. NH_4OH). Аналогично получают V (R = $n\text{-C}_6\text{H}_5$), т. пл. 107–108° (из разб. водн. NH_4OH), и V (R = $\text{CH}_2\text{C}_6\text{H}_5$), т. пл. 146–148° (из блз.). VII синтезируют без выделения промежуточных V и VI, тремя методами: метод 1: р-р 100 г IV в 1,1 л 1 н. KOH размешивают 1 час при 20° с 0,73 моля RX, осадок V растворяют в 0,4 л воды с 0,2 л CH_3COOH , приливают по каплям р-р 60 г NaNO_2 в 150 мл воды (т-ра < 30°), размешивают 1 час, отсасывают VI, восстанавливают его в 1,1 л воды при 0° действием $\text{Na}_2\text{S}_2\text{O}_4$ и выделяют VII добавлением NH_4OH ; метод 2: прибавляют 0,18 моля RX в 50 мл диоксиана к р-ру 20 г IV в 250 мл воды, р-ра KOH (8% 3 часа), нитрозируют полученный V в смеси 100 мл воды с 50 мл CH_3COOH р-ром 10 г NaNO_2 в 25 мл воды и прибавляют $\text{Na}_2\text{S}_2\text{O}_4$ в 0,8 л воды при 70°; метод 3: нагревают 0,29 моля RX, 40 г IV, 36 г K_2CO_3 и 140 мл $\text{HCON}(\text{CH}_3)_2$ при 70° 1 час, добавляют 0,6 л воды, осаж-

док нитрозируют и восстанавливают по методу 2. Этими способами получены следующие VII (перечислены алкил, метод, выход в % и т. пл. в °C): CH_3 , 1, 67, 191—192 (из водн. CH_3OH); C_2H_5 , 1, 52, 150—151 (из воды); $n\text{-C}_4\text{H}_9$, 2, 50, 145—146° (из водн. CH_3OH); $n\text{-C}_6\text{H}_{13}$, 2, 47, 80—90 [из $n\text{-C}_7\text{H}_{15}$ -этилацетата (XII)]; $\text{CH}_2=\text{CH}$, 2, 56, 149—151 (из разб. NH_4OH); $\text{CH}_2\text{C}_6\text{H}_4\text{Cl}$ -н, 2, 83, 173—175 (из водн. CH_3OH); $\text{CH}_2\text{C}_6\text{H}_5$, 3, 76, 177—178 (из водн. сп.). I синтезируют следующими методами: метод А: кипятят 2—3 часа 250 мл смеси $\text{HC}(\text{OC}_2\text{H}_5)_3$ и $(\text{CH}_3\text{CO})_2\text{O}$ (1:1) с 20 г VII, отгоняют р-ритель в вакууме, растворяют остаток в 0,2 л р-ра КОН и нейтрализуют фильтрат CH_3COOH ; метод Б: к 10 г IX в 150—200 мл 26%-ного р-ра NH_4OH прибавляют 0,065—0,07 моля RX в 25 мл диоксана (35—40°, 15—30 мин.), размешивают (20°, 2—5 час.), отсасывают I; метод В: кипятят 10 г IX в 150 мл 1 н. КОН с ~0,07 моля RX, подкисляют р-р до pH 5; метод Г) к 0,2 л 1 н. КОН прибавляют 10 л IX и ~0,07 моля RCHBrCOOH , кипятят 2—3 часа, прибавляют 6 н. HCl до pH 3, фильтруют, осадок размешивают в 0,3 л воды с избытком NaHCO_3 2 часа, к кипящему фильтрату прибавляют 6 н. HCl до pH 3, охлаждают и отсасывают I; метод Д: потируют метод Б, но без диоксана. Получены следующие I (приведены алкил, метод получения, выход в %, т. пл. в °C): CH_3 , А, 89, 238—241 (из воды); C_2H_5 , А, 86, 206—208 (из CH_3OH -XII); $n\text{-C}_4\text{H}_9$, А, 92, 191—193 (из CH_3OH -XII); $n\text{-C}_6\text{H}_{13}$, А, 76, 204—206 (из CH_3OH -XII); $\text{CH}_2\text{C}_6\text{H}_4\text{Cl}$ -н, А, 87, 238—239 (из водн. CH_3OH); $\text{CH}_2\text{C}_6\text{H}_5$, А, 79, 212—214 (из водн. CH_3OH); $n\text{-C}_{11}\text{H}_{23}$, Б, 65,7, 202 (из водн. CH_3OH); CH_2COOH , Г, 69, >300; $n\text{-C}_6\text{H}_{13}$, Б, 55,8, 180—182 (из бал.-XII); $(\text{CH}_2)_3\text{CH}(\text{CH}_3)_2$, Б, 36,8, 201—203 (из XII-бал.); $\text{CH}(\text{CH}_3)_2\text{C}_6\text{H}_5$, В, 50,4, 158—160 (из XII- C_7H_{15}); $\text{CH}_2\text{CH}(\text{CH}_3)_2$, В, 66,3, 168—191 (из XII- C_7H_{15}); $\text{CH}_2\text{C}_6\text{H}_4\text{F}$ -н, Б, 78,1, 245—246 [из сп.- $\text{HCON}(\text{CH}_3)_2$]; $\text{CH}_2\text{C}_6\text{H}_4\text{COOH}$, Г, 56,1, 250 (разл.); $(\text{CH}_2)_3\text{C}_6\text{H}_5$, Б, 28,4, 190—192 (из сп.); $\text{CH}(\text{COOH})\text{C}_6\text{H}_5$, Г, 62,5, 223—228; $\text{CH}_2\text{C}=\text{CH}$, Б, 51,3, 214—216 (из воды); $(\text{CH}_2)_3\text{CH}_3$, Б, 60,1, 204—206 (из XII-бал.); $(\text{CH}_2)_6\text{CH}_3$, Б, 81,7, 153—155 (из XII- C_7H_{15}); $\text{CH}_2\text{CH}=\text{CHC}_6\text{H}_5$, Б, 48,8, 164—165 (из XII- C_7H_{15}); CH_2CONH_2 , Б, 79,8, 285 (разл.); из воды; $\text{CH}_2\text{COC}_6\text{H}_5$, Б, 40,2, 208—209 (из водн.); $\text{CH}_2\text{CH}=\text{CH}_2$, Б, 45,3, 198—200 (из XII); $(\text{CH}_2)_3\text{OH}$, Б, 61,3, 240 (разл.); из воды; 5-нитро-6-метиламинопиридин-4-л, Д, 78,1, 200 (разл.); из водн. $\text{HCON}(\text{CH}_3)_2$; $\text{CH}_2\text{COC}_6\text{H}_4\text{Br}$ -н, Д, 54,6, 231—232 [из водн. $\text{HCON}(\text{CH}_3)_2$]; $\text{CH}_2\text{COC}_6\text{H}_5$, А, 36,9, 258—261 [из водн. $\text{HCON}(\text{CH}_3)_2$]; $\text{CH}(\text{COOH})\text{CH}(\text{CH}_3)_2 \cdot \text{H}_2\text{O}$, Г, 48,7, 200 (разл.); $\text{CH}(\text{COOH})(\text{C}_6\text{H}_{11})$, Г, 47,2, 215—217; $(\text{CH}_2)_3\text{C}_6\text{H}_5$, Б, 62, 121—123 (из XII); $\text{CH}_2\text{C}_6\text{H}_4\text{NO}_2$ -н, Б, 78, 265 [разл.; из водн. $\text{HCON}(\text{CH}_3)_2$]; $\text{CH}_2\text{C}_6\text{H}_4\text{NO}_2$ -о, Б, 76, 235—236 [из сп. $\text{HCON}(\text{CH}_3)_2$]; В 150 мл насыщ. при 15° р-ра Cl_2 в CH_3OH вносят частями 10 г Ia, пропускают Cl_2 (т-ра <25°), размешивают при охлаждении 20 мин., получают 4 г X, т. разл. 275° (из воды). 20 г VIIa в 120 мл CH_3OH кипятят 2 часа с 30 мл CS_2 , получают 19,6 г 8-меркапто-Ia. 30 г 8-меркапто-Ia в 0,9 л р-ра 27 г КОН в 0,9 л воды размешивают 1,5 часа при 20° с 21 г CH_3J , подкисляют и получают 31,8 г 8-метилмеркапто-Ia, т. пл. 283—284° (из водн. CH_3OH). Смесь 50 г 5-ацетамидо-6-оксипиридина (XIII) с 200 г CH_3CONH_2 кипятят 3 часа, вливают горячий р-р в 0,8 л кипящей воды, после охлаждения отделяют осадок, кипятят его с 0,8 л воды, добавляют 6 н. HCl до образования р-ра, продукт разлагает щелочью и получают 8-метил-XI, выход 64,4%, т. пл. >300°. Взвес 25 г 8-метил-XI и 87 г P_2S_5 в 0,6 л $\text{C}_6\text{H}_5\text{N}$ кипятят 8 час., отгоняют $\text{C}_6\text{H}_5\text{N}$ в вакууме, остаток обрабатывают 0,8 л воды, через 12 час. фильтруют, горячий р-р осадка в 0,8 л 10—15%-ного р-ра NH_4OH нейтрализуют CH_3COOH , получают 8-метил-IX, выход 36,9%. Его получают анало-

гично из XIII с выходом 51,8%. Размешивают 4 г 8-метил-IX, 3,2 г CH_3J и 50 мл 1 н. КОН 4 часа при 20°, отделяют 8-метил-Ia, выход 62,8%, т. пл. 292—293° (из абс. сп.). Из 5 г XIII и 3,6 г $\text{C}_6\text{H}_5\text{CH}_2\text{Cl}$ в 60 мл 1 н. КОН (50°, 6 час.) получают 8-метил-Ib, выход 58,6%, т. пл. 185—186° (из абс. сп.). Кипятят 200 г XI, 700 г P_2S_5 и 3,5 л $\text{C}_6\text{H}_5\text{N}$ 18 час., отгоняют $\text{C}_6\text{H}_5\text{N}$ в вакууме, приливают 0,4 л воды, через 12 час. отделяют IX, выход 88 г, т. пл. >300°, который получают аналогично из VIII, а также кипячением 2 часа X с 2 н. NaHS. Сообщение XXI см. РЖХим, 1960, № 17, 69583.

Е. Головинская

9Ж173. Потенциальные антагонисты пуринов. XXIII. Синтез некоторых 7-замещенных амино-виц-триазоло-[d]-пиримидинов. Weiss Ronald, Robins Roland K., Noell C. W. Potential purine antagonists. XXIII. Synthesis of some 7-substituted amino-*v*-triazolo-(d)-pyrimidines. «J. Organ. Chem.», 1960, 25, № 5, 765—770 (англ.).—При аминировании 7-метилмеркапто-виц-триазоло-[d]-пириимидина (I) получены 7-RNH-виц-триазоло-[d]-пириимидины (II). Аналогично при нагревании 3-метил-7-метилмеркапто-виц-триазоло-[d]-пириимидина (III) с NH_4OH синтезирован 7-амино-3-метил-виц-триазоло-[d]-пириимидин (IV), который получен также путем циклизации 4,5-диамино-6-метиламинопириимидина (V) HNO_2 . При циклизации 6-RS-2,4,5-триаминопириимидинов (VI) HNO_2 образуются 7-RS-5-амино-виц-триазоло-[d]-пириимидины (VII). Попытка хлорирования VII (R = CH_3) (VIIa) Cl_2 в CH_3OH привела к 5-амино-7-хлор-, а к 5-амино-7-метокси-виц-триазоло-[d]-пириимидину (VIII), полученному также циклизацией HNO_2 6-метокси-2,4,5-триаминопириимидина (IX). Смесь 6 г 4-амино-6-хлор-5-нитропириимидина, 85 мл диоксана и 6,7 г $\text{HN}(\text{C}_2\text{H}_5)_2$ размешивают 30 мин., выливают на 100 г ледяной воды, отделяют 7 г 4-амино-5-нитро-6-ди-(*n*-пропил) аминопириимидина (X), т. пл. 115—117° (из абс. сп.). Р-р 5 г X в 150 мл CH_3OH гидрируют (3 ат, 1 час) над Ni-катализатором, нагревают с углем, маточный р-р упаривают досуха, получают 3,7 г 4,5-диамино-6-ди-(*n*-пропил) аминопириимидина (XI), т. пл. 108—110° (из этилацетата). К холодному р-ру 1 г XI в 20 мл воды и 10 мл лед. CH_3COOH приливают р-р 0,6 г NaNO_2 в 10 мл воды, отделиют 0,7 г 7-R₂N-виц-триазоло-[d]-пириимидина (XII); (R = $n\text{-C}_3\text{H}_7$), т. пл. 104—106° (из петр. эф.). Аналогично получают XII (R = $n\text{-C}_2\text{H}_5$), т. пл. 188—190° (из воды). К р-ру 2 г 4,5-диамино-6-метилмеркаптопириимидина в 110 мл воды и 0,9 мл H_2SO_4 приливают (~0°) р-р 1 г NaNO_2 в 10 мл воды, отделиют 1,5 г I, т. пл. 203—205° (из воды). К р-ру 1 г 6-бензилмеркапто-4,5-диаминопириимидина в 35 мл воды, содержащей 7 мл HCl-к-ты, постепенно приливают р-р 0,7 г NaNO_2 в 40 мл воды, отделиют 1 г 7-бензилмеркапто-виц-триазоло-[d]-пириимидина, т. пл. 164—166° (из воды). Смесь 7 г I, 8 г фурфурамина и 100 мл воды кипятят 4 часа, р-р упаривают досуха в вакууме, остаток растворяют в разб. NH_4OH , нейтрализуют лед. CH_3COOH , получают II (R = фурфурил), выход 53,8%, т. пл. 255—257° (из этилацетата). Аналогично синтезируют II (приведены R, выход в % и т. пл. в °C): CH_3 , 95, >300 (из воды); C_2H_5 , 98, 260—262 (из воды); *трет*- C_4H_9 , 49,6, 248—250 (из сп.); $n\text{-C}_4\text{H}_9$, 61, 223—225 (из сп.). Смесь 2 г I и 50 мл 40%-ного $\text{HN}(\text{CH}_3)_2$ кипятят 3 часа, упаривают в вакууме досуха, получают 1,7 г XII (R = CH_3), т. пл. 288—290° (из этилацетата). К холодному р-ру 1 г 4,5-диамино-6-диметилмеркаптопириимидина в 50 мл воды, содержащих 10 мл лед. CH_3COOH , прибавляют р-р 0,6 г NaNO_2 в 10 мл воды, получают 0,8 г XII (R = CH_3). К р-ру 2 г 5-амино-4,6-бис-(метиламино)-пириимидина в 50 мл воды прибавляют CH_3COOH до pH 5, приливают (~0°) р-р 1 г NaNO_2 в 10 мл воды, отделиют 3-R-7-RNH-виц-триазоло-[d]-пириимидин (XIII) (R = CH_3), т. пл. 233—235° (из абс. сп.). К р-ру 10 г 4,6-дихлор-5-нитропириимидина в 200 мл спирта постепенно прибав-

ляют 12 г $C_6H_5NH_2$, смесь кипятят с углем, фильтрат упаривают в вакууме досуха, остаток растворяют в 150 мл CH_3OH , гидрируют (~ 3 ат, 1 час) над Ni-катализатором. Р-р кипятят с углем, фильтрат упаривают в вакууме досуха, остаток растворяют в 20 мл воды и 5 мл CH_3COOH , прибавляют ($\sim 0^\circ$) р-р 3 г $NaNO_2$ в 10 мл воды, получают XIII ($R = C_2H_5$), т. пл. 104–106°. К р-ру 10 г 4-хлор-6-метиламино-5-нитропиримидина в 120 мл дioxсана постепенно прибавляют 8,3 г $HN(C_2H_5)_2$, смесь кипятят 1 час, упаривают в вакууме досуха, остаток растворяют в 150 мл CH_3OH , гидрируют (3 ат, 1 час) над Ni-катализатором и аналогично XIII ($R = C_2H_5$) выделяют 7-диэтиламино-3-метил-виц-тридин ([d]-пиримидин), т. пл. 87–89° (из гептана). Р-р 5 г 5-амино-4-метиламино-6-меркаптопиридина в 50 мл 1 н. КОН перемешивают 30 мин. с 2,5 мл CH_3I , выпавший 6-метилмеркапто-5-амино-4-метиламинопиримидин растворяют в 145 мл воды и 5 мл H_2SO_4 , к холодному ($\sim 10^\circ$) р-ру прибавляют р-р 4 г $NaNO_2$ в 10 мл воды, перемешивают 10 мин., при pH 8–9 отделяют 2,8 г III, т. пл. 122–124° (из воды). К р-ру 1 г сульфата V в 75 мл воды прибавляют по каплям (10°) р-р 0,5 г $NaNO_2$ в 10 мл воды, выдерживают ($\sim 20^\circ$, 30 мин.) и при pH 8 выделяют 0,5 г IV, т. пл. 313–315° (из абс. сп.). Р-р 1 г III в 75 мл NH_4OH кипятят 2 часа, получают 0,8 г IV. К р-ру 10 г VI ($R = CH_3$) в 30 мл CH_3COOH и 100 мл воды по каплям прибавляют (20 мин.) р-р 6 г $NaNO_2$ в 24 мл воды, отделяют 3,4 г VIIa, т. пл. 282–284° (разл.; из воды. CH_3OH). К р-ру 10 г VI ($R = n-C_4H_9CH_2$) в 50 мл CH_3COOH и 150 мл воды по каплям прибавляют (20 мин.) р-р 10 г $NaNO_2$ в 40 мл воды, перемешивают 1 час, отделяют 3,5 г VII ($R = n-C_4H_9CH_2$), т. пл. 242–244° (разл.; из воды. сп.). Аналогично синтезируют VII (перечислены R, выход в % и т. пл. в °C): C_2H_5 , 95,5, 206–208 (из воды. сп.); $n-C_3H_7$, 87,5, 200–202 (из этилацетата); $n-C_4H_9$, 71,5, 195–197 (из воды. сп.); $CH_3CH=CH$, 90,5, 231–233 (из этилацетата). Через р-р 5 г VIIa в 50 мл CH_3OH пропускают 20 мин. Cl_2 , отделяют VIII, т. пл. $> 300^\circ$ (из воды). К р-ру 1 г сульфата IX в 40 мл воды прибавляют 0,75 г $NaNO_2$, отделяют 0,7 г VIII. Полученные соединения охарактеризованы данными УФ-спектров при pH 1 и 11.

9Ж174. N-окиси пуринов. VIII. N-окиси азапуринов. Stevens Marcus A., Smith Herman W., Brown George Bosworth. Purine N-oxides. VIII. N-oxides of azapurines. *J. Amer. Chem. Soc.*, 1960, 82, № 12, 3189–3192 (англ.).—На основании сравнения УФ-спектров и свойств N-окиси аденина (I) со свойствами N-окиси 8-азааденина (II) и двух устойчивых к гидролизу изомерных N-окисей (IIIa, б), полученных при окислении 2-азааденина (IV) H_2O_2 и CH_3COOH , показано, что II и IIIa образующиеся в большом кол-ве, чем IIIб, являются, подобно I, N-окисями азапуринов. Строение IIIa подтверждено встречным синтезом из амидоксима 4-аминоимидазол-5-карбонной к-ты (V); строение IIIб установить не удалось; авторы считают, что IIIб является N_2 - или N_3 -окисью IV. Гидролизом II HCl синтезирован амидоксим 4-амино-1,2,3-триазолкарбонной-5 к-ты (VI, VII к-ты), при восстановлении или дальнейшем гидролизе которого соответственно получены амидин и амид VII (VIIIa, б). Циклизацией VI HNO_2 синтезирована N-окис 2,8-дизаааденина (IX). Рибозил-V, полученный щел. гидролизом 1-N-окиси аденозина, превращен действием HNO_2 в N-окис 2-азааденозина (X), а из оксима 4-этил-5-аминоимидазола (XI) получена N-окис 6-метил-2-азапурина (XII). К р-ру 1 г 8-азааденина в 70 мл CH_3COOH прибавляют (25–30°) 4 мл 30%-ной H_2O_2 , выдерживают 5 дней при 20° и отделяют II, выход 56,4%, т. разл. $\sim 120^\circ$ (из воды). 9,9 мг II в 9 мл воды гидрируют (40°, 2 часа) над 12 мг скелетного Ni и получают 8-азааденин. Смесь 680 мг IV, 50 мл CH_3COOH и 10 мл 30%-ной H_2O_2 перемешивают

(60–65°, 20 час.), фильтруют, осадок растворяют при 65° в 6%-ном NH_4OH , прибавляют 60%-ную CH_3COOH до pH 8 и отделяют IIIб, выход 15%, т. разл. $> 350^\circ$; при прибавлении к маточному р-ру 60%-ной CH_3COOH до pH 6,5 получают IIIa, выход 52%, темнеет при 115–120°, т. разл. $> 350^\circ$. Р-р 2 г I в 40 мл 3 н. HCl кипятят 10 мин., р-р упаривают в вакууме, получают дихлоргидрат V, который растворяют в 100 мл воды, прибавляют при 0° по каплям р-р 0,9 г $NaNO_2$ в 50 мл воды, выделяют IIIa, выход 70%. 5 г N-окиси аденозина кипятят 9 мин. с 75 мл 3 н. NaOH, холодную смесь подкисляют лед. CH_3COOH , обрабатывают 1,5 г $NaNO_2$, р-р разбавляют 0,5 л воды, нейтрализуют 2 н. NaOH, пропускают при 0° через ионообменную смолу дукс-50 (H+-форма), упаривают, в вакууме и получают 235 мг X; колонну промывают 1 л воды и 2 л 2 н. CH_3COOH , р-ры упаривают и получают еще 400 мг X, т. разл. 195–200° (из 90%-ного сп.). Взвес 280 мг II в 2 мл конц. HCl выдерживают 5 мин. при $\sim 20^\circ$, р-р упаривают в вакууме и получают VI, выход 84%, хлоргидрат (XI), т. разл. 174° (из CH_3OH). 236 мг XI VI в 10 мл 10%-ного K_2CO_3 гидрируют (40°, 6 час.) над 30 мг скелетного Ni и выделяют VIIIa, выход 41%, т. разл. $\sim 295^\circ$. При гидролизе (150°, 8 час.) 255 мг XI VI в 80 мл воды получают VIIIб, выход 39%, т. пл. 225° (разл.; из CH_3COOH и воды). Взвес 0,4 г II в 25 мл 2 н. HCl нагревают (75–80°, 20 мин.), приливают при 5° 0,2 г $NaNO_2$ в 5 мл воды, выделяют IX, выход 60%. К р-ру 370 мг XI VI в 50 мл CH_3OH прибавляют 306 мг $NH_4OH \cdot HCl$, кипятят 94 часа, упаривают, остаток растворяют в 75 мл CH_3COOH и 10 мл воды, к р-ру приливают 3 мл $n-C_4H_9ONa$ в 7 мл CH_3COOH , смесь охлаждают (5°, ~ 12 час.), упаривают в вакууме, получают XII, т. разл. 230° (из воды). Сообщение VII см. РЖХим, 1961, 11К220.

9Ж175. Синтез некоторых 8,9-пентаметиленпуринов. Глушкова Р. Г., Матидсон О. Ю. *Докл. АН СССР*, 1960, 133, № 3, 585–587.—В связи с исследованием химиотерапии рака конденсацией O-метилпиралактима с α -амино- α -цианацетамидом в этилцетат-солье получен амид 1,2-пентаметилен-5-аминоимидазолкарбонной-4 к-ты (I), т. пл. 272–274° (разл.), из которого обычными методами синтезированы следующие 6-Р-8,9-пентаметиленпурины (перечислены R и т. пл. в °C): OH, 308–311 (разл.); Cl, 141–143; NH_2 , 226,5–228,5; $N(CH_3)_2$, 142–144; $NHCH_2C_6H_5$, 153–155; фуруриламид, 168–170; $N(CH_2CH_2OH)_2$, 177–178; SH, 290–292 (разл.); H, 99–101 (пикрат, т. пл. 166–169°); SC_2H_5 , 139–141. При сплавлении I с тиомочевой, вместо ожидаемого 2-меркапто-6-окси-8,9-пентаметиленгуанина, получен 8,9-пентаметиленгуанин, т. пл. $> 360^\circ$. Строение синтезированных соединений подтверждено УФ- и ИК-спектрами. Попытки получения 8,9-пентаметиленоксантина конденсацией O-метилкарполактима с урамилем не привели к успеху.

9Ж176. Гетероциклические соединения из производных мочевины. Часть I. Новый синтез 3-амино-5-меркапто (и -окси)-1,2,4-триазолов. Godfrey Leonard E. A., Kurzer Frederick. Heterocyclic compounds from urea derivatives. Part I. A new synthesis of 3-amino-5-mercapto (and -hydroxy)-1,2,4-triazoles. *J. Chem. Soc.*, 1960, Sept., 3437–3444 (англ.).—Конденсацией аминогуанидина (Ia) с RNCS и R'COR' в присутствии Na или бензилденминаногуанидина (Ib) с RNCS в пиридине синтезированы 1-замещ. 3-амино-амидинотиомочевинны RNHCNHC(=NH)NHN=CR' (IIa—д, где $a = R = C_6H_5$, $R' = R'' = CH_3$; б $R = n-C_6H_4$, $R' = R'' = CH_3$; в $R = C_6H_5$, $R' = CH_3$, $R'' = C_6H_5$; г $R = R' = C_6H_5$, $R'' = H$; д $R = CH_3$, $R' = C_6H_5$, $R'' = H$). Аналогично, но с применением RNCO вместо RNCS, получены провазодные мочевины RNHCNHC(=NH)NHN=CR' (IIa—в, где $a = R = C_6H_5$, $R' = R'' = CH_3$; б $R = 4-C_6H_4C_6H_5$, $R' = R'' = CH_3$; в $R = R'' =$

$=C_6H_5$, $R''=H$). Гидролиз соединений III и III сильными к-тами (HCl) приводит к 5-меркапто- и 5-окси-3-амино-1,2,4-триазиолам (IV, V) соответственно; щел. гидролиз соединений II вызывает отщепление H_2S и $R'COR''$ и образование 3-амино-5-(R-амино)-1,2,4-триазолов (VI). Триазол IV окислен в ди-(3-амино-1,2,4-триазолил-5)-дисульфид (VII) и алкилирован в 5-бензилмеркапто- и 5-(п-хлорбензил)-меркапто-3-амино-1,2,4-триазолы (VIIIa, б). В р-р 0,1 г атома Na в 150 мл ацетона вносят 0,12 моля сульфата моногидрата Ia, кипятят 30 мин., добавляют 0,08 моля C_6H_5NCS , кипятят 30 мин., вливают в 1 л воды и отделяют при 0° Ma, выход 65–72%, т. пл. 167–169° (разл.; из ацетона-сп.); пикрат (ПК), т. пл. 170–172° (разл.; из сп.). В сходных условиях синтезируют (указаны в-во, выход в %, т. пл. в °C основания и ПК): IIб, 64, 160–162 (разл.; из сп.), 175–177 (разл.; из водн. сп.); в, 65, 153–155 (разл.; из сп.), 148–150 (разл.; из сп.). Смесь 0,01 моля Ib в 6 мл пиридина и 0,01 ммоль C_6H_5NCS или CH_3NCS нагревают 20 мин. при 100°, вливают в воду, подкисленную HCl, и отделяют: Пг, 80, 168–170 (из сп.), 170–172 (разл.; из водн. сп.), или IIд, 42, —, 191–193 (разл.; из 50%-ного сп.); хлоргидрат, т. пл. 180–183° (разл.). Теми же методами получают (указаны в-во, выход в % и т. пл. в °C основания, ПК и хлоргидрата): IIIa, 59–65, 124–126 (из сп.-пел. эф.), 240–242 (разл.; из водн. сп.), 191–192 (разл.; из сп.-пел. эф.); б, 65, 170–172 (разл.; из сп.), 216–219 (из водн. сп.), —; в, 70, 159–161 (из сп.), 206–210 (разл.; из водн. сп.), 197–198 (разл.; из сп.). Суспензию, содержащую 0,02 моля IIa в 30 мл 1 н. HCl кипятят в течение 5 мин. и по охлаждению отделяют триазол IV, выход 75–85%, т. пл. 300–302° (разл.; из водн. сп.); после этого фильтрат подщелачивают NaOH, затем перегоняют с паром, остаток нейтрализуют HCl и отделяют VI ($R=C_6H_5$) (VIa), выход 10%; ПК, т. пл. 230–232° (разл.; из сп.); диацетат, т. пл. 122–125° (разл.; из сп.-пел. эф.). 0,01 моля IIa кипятят 15 мин. в 30 мл 1 н. NaOH, подкисляют CH_3COOH и отделяют VIa, выход 85%; VIa получают также при кипячении IIa с 2 н. CH_3COOH . Аналогично из IIб получают VI ($R=n-C_3H_7CaH_4$), выход 90%, т. пл. 179–180° (из воды). Гидролизом IIIa 2 н. HCl получают V, выход 73%, т. пл. 286–290° (разл.; из воды). К р-ру 5 ммоль IV в 5 мл 1 н. NaOH приливают 12,5 мл 0,2 M водн. Br_2 и отделяют при 0° VII, выход 65%, т. пл. 232–236° (разл.; из воды). Р-р 0,01 моля IV в 10 мл 1 н. NaOH и 12 ммоль $CH_3CH_2CH_2Cl$ в 20 мл спирта нагревают 10 мин. при 60–70°, сгущают при 50–60°, разбавляют водой и отделяют VIIIa, выход 72%, т. пл. 109–111° (из бал. сп.). Аналогично синтезируют VIIIб, выход 82%, т. пл. 142–144° (из сп.-пел. эф.).

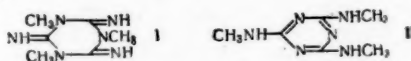
М. Карапетян

9Ж177. О реакциях гидразонов никотиновой кислоты и триазинов с перекисью водорода. Hasselquist Hans. Über die Reaktionen von Nicotinsäurehydrazonen und Triazinen mit Wasserstoffperoxid. «Arkiv kemi», 1960, 15, № 5, 387–391 (нем.).—Для объяснения механизма действия H_2O_2 в CH_3COOH на производные пиридина и триазина взаимодействием диацетилмононикотиноилгидразона (I) с $NH_2OH \cdot HCl$ синтезирован диацетилбисникотиноилгидразон (II), который получают также из I и гидразиды никотиновой к-ты (III). Окисление II H_2O_2 в присутствии CH_3COOH приводит к N-окиси никотиновой к-ты (IV), в то время как I в таких же условиях дает N-окись I (V). Конденсация N-окиси III (VI), полученной из N-окиси этилового эфира никотиновой к-ты (VII) и $N_2H_4 \cdot H_2O$, с диацетиллом (VIII) также приводит к V. 5,6-диметил-3-никотирил-1,2,4-триазин (IX), описанный ранее (см. РЖХим, 1957, № 4, 11775), под действием H_2O_2 распадается до N-окиси никотинамида (X). К р-ру 9,8 ммоль I в 35 мл воды прибавляют р-р 11 ммоль $NH_2OH \cdot HCl$ и 1 г CH_3COOK в 10 мл воды, нагревают, выдерживают 3 часа при 20°, выпавший осадок извлекают

абс. спиртом, в остатке получают 1 г II, т. пл. 270–270,5° (из воды); из экстракта выделяют 0,25 г диметилглиоксима. Р-р 1 ммоль I и 1 ммоль III в 3 мл воды нагревают 1 час ($\sim 100^\circ$), получают 0,26 г II. Смесь 7,8 ммоль II, 50 мл CH_3COOH и 10 мл H_2O_2 нагревают 18 час. при 60–70°, упаривают досуха, добавляют 3 мл спирта и отделяют 0,82 г IV, т. пл. 254–255° (из сп.-воды). Эквимольные кол-ва VII и $N_2H_4 \cdot H_2O$ нагревают со спиртом, охлаждают и получают VI, выход $\sim 100^\circ$, т. пл. 221,5° (из разб. сп.). Смесь VI и VIII нагревают с водой, охлаждают, получают V, выход $\sim 100\%$, т. пл. 234° (из CH_3OH). К р-ру 1 ммоль I в 20 мл CH_3COOH прибавляют 2 мл 30%-ной H_2O_2 , выдерживают 24 часа при 20°, упаривают в вакууме, остаток промывают водой, получают V. Смесь 0,8 ммоль IX, 20 мл CH_3COOH и 2 мл H_2O_2 выдерживают 48 час. при 20°, упаривают, прибавляют CH_3OH , получают 0,1 г X, т. пл. 287° (из сп.).

В. Ерашко

9Ж178. Производные цианамиды. LVI. 06 изомерх триметилметиламина. Kitawaki Rokuro, Sugino Kiichiro. Cyanamide derivatives. LVI. On the isomers of trimethylmelamine. «J. Organ. Chem.», 1960, 25, № 6, 1043–1045 (англ.).—При нагревании триметилизомерамеламин (I) выше т-ры плавления образуется изомерный n-триметилмеламин (II). Различие в строении I и II подтверждено УФ- и ИК-спектрами, а также кислотным гидролизом I и II до триметилизоциануровой (III) и циануровой (IV) к-т. Гидролиз III в баритовой воде приводит к $CO(NHCH_3)_2$, CH_3NH_2 и CO_2 . В р-р 26,5 г $BrCN$ в 200 мл абс. эфира пропускают



2 часа при т-ре от -3 до -7° сухой CH_3NH_2 , фильтруют, маточный р-р упаривают при т-ре $< 5^\circ$, остаток растворяют в 30 мл абс. эфира, фильтруют, вновь упаривают, получают 11,5 г CH_3NHCN (V). Р-р 10 г V в 200 мл воды подщелачивают NH_4OH , нагревают ($\sim 90^\circ$, 1 час), отделяют I, т. пл. 178° (из воды). 5 г I нагревают (180°, 2 часа), получают 4 г II, т. кип. 310–320°; оксалат, т. пл. 223–224° (из 70–80%-ного сп.). К смеси 1,68 г I в 7 мл воды по каплям прибавляют 7 мл конц. HCl, р-р нагревают (140°, 5 час.) в запаянной трубке, получают III, выход 67%, т. пл. 175–176° (из воды). Аналогично, но при 150–160°, получают IV, выход 79%, т. пл. $> 350^\circ$; хлоргидрат, т. пл. 145°; из маточного р-ра выделяют 2,46 г $CH_3NH_2 \cdot HCl$. Предыдущее сообщение см. РЖХим, 1959, № 12, 41762.

Р. Глушков

9Ж179. Синтез β -(6-азаурацил-5)-пропионовой кислоты и некоторых ее производных. Slouka J. Synthese der β -(6-Azauracilyl (5)-)propionsäure und einiger ihrer Derivate. «Pharmazie», 1960, 15, № 6, 317–319 (нем.).—Синтезирована β -(6-азаурацил-5)-пропионовая к-та (I). Тиосемикарбазон α -кетоглутаровой к-ты (II) циклизovan в β -(2-тио-6-азаурацил-5)-пропионовую к-ту (III), которая получена также гидролизом и декарбоксилацией третилового эфира оксалил-антарной к-ты. Алкилирование к-ты III действием CH_3OH и HCl или CH_3I приводит к образованию метилового эфира III (IV) и 3-метилмеркапто-5-окси-6-(β -карбоксизтил)-1,2,4-триазина (V) соответственно. I получена обработкой III хлорусусной к-той (VI) или окислением $KMnO_4$, а также гидролизом V. Р-р 3,42 ммоль α -кетоглутаровой к-ты и 3,29 ммоль тиосемикарбазида (VII) в 5 мл воды упаривают до 1 мл и через несколько дней отделяют II, выход 76,39%, т. пл. 181–182° (разл.; из воды). 11,41 ммоль II и 26,7 ммоль KOH нагревают (100°, 3 часа) в 15 мл воды подкисляют конц. HCl до pH 0 и затем отделяют III, выход 89,3%, т. пл. 212–213° (из воды); или к взвеси

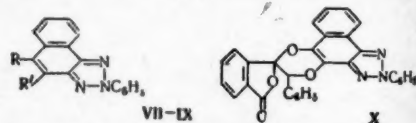
C_2H_5ONa (из 4 г Na и 8 г абс. спирта) в 200 мл абс. эфира добавляют 24 г диэтилсукцината, через 5 час. вносят 30 г диэтилсукцината, выдерживают 3 дня, встряхивают с 0,5 л воды, водн. слой фильтруют, подкисляют 20 мл конц. HCl, продукт промывают 1%-ным р-ром соды и водой, заливают 40 мл конц. HCl, на следующий день смесь нагревают (100°, 4 часа), отгоняют в вакууме HCl, к остатку добавляют 9,5 г VII и 17 г КОН в 150 мл воды, через 4 дня р-р подкисляют конц. HCl и выделяют III. 1 ммоль III в 15 мл абс. CH_3OH насыщают 1 час сухим HCl, упаривают и получают IV, т. пл. 178—180° (из разб. CH_3OH). Смесь III, Na_2CO_3 и CH_3I (по 2 ммоль каждого) в 6 мл воды выдерживают 12 час. и после подкисления конц. HCl выделяют V, выход 71,7%, т. пл. 231—233° (из воды). 2,48 ммоль III и 5,3 ммоль VI кипятят 2 часа в 5 мл воды и после упаривания выделяют I, выход 71,7%, т. пл. 197—198° (из воды); к 1 ммоль III и 250 мл КОН в 4 мл воды добавляют теплый р-р 2,02 ммоль $KMnO_4$ в 6 мл воды, фильтрат сильно подкисляют конц. HCl и выделяют I, выход 81%; 1 ммоль V кипятят 2 часа с 7 мл конц. HCl и при упаривании получают I, выход 83,7%.

С. Гурвич
9Ж180. 4-амино-3,5-бис-(ω -оксисалкил)-1,2,4-триазолы. Adamek M. 4-Amino-3,5-bis-(ω -oxyalkyl)-1,2,4-triazole. «Collect. Czechoslov. Chem. Commun», 1960, 25, № 6, 1694—1697 (нем.; рец. русск.).—4-амино-3,5-бис-(оксиметил)-1,2,4-триазол (I) получают нагреванием до т-ры плавления 10 г гидразид гликолевой к-ты, т-ру повышают постепенно за 3 часа до 160—175° и выдерживают 3 часа, выход I 96,2%, т. пл. 207—208° (из воды). При нагревании 6 час. до 100° 80 г гликолевой к-ты с 100 г $N_2H_4 \cdot H_2O$ и отгонки избытка $N_2H_4 \cdot H_2O$ и нагревают 3 часа при 185—168°, получают I, выход 94,7%. 111 г $N_2H_4 \cdot H_2O$ и 60 г этиленциангидрина кипятят при 130° 32 часа, отгоняют избыток $N_2H_4 \cdot H_2O$ и нагревают 30 мин. при 170°, получают 4-амино-3,5-бис-(ω -оксиметил)-1,2,4-триазол (II), выход 84,2%, т. пл. 141—142° (из сл.). При ацетилировании I получают диацетильное производное. Аналогично получают диацетильное производное II.
Jiří Vaneček

9Ж181. Поведение аминотетразолов в реакции Манниха. Новиков С. С., Лапшина З. Я., Руденко В. А., Семенов Л. С. «Изв. АН СССР. Отд. хим. н.», 1960, № 7, 1302—1304.—Исследовано поведение 5-аминотетразола (I) и 1- или 2-алкил-5-аминотетразолов (II, III) в р-ции Манниха с HCHO и нитроформом. Установлено, что I не вступает в р-цию, а II и III легко дают 1- или 2-алкил-5-тринитроэтил-аминотетразолы (IV, V). Такое различие в поведении I и II или III следует, очевидно, объяснить проявлением основных свойств NH_2 -группы I при замещении алкильными радикалами атома водорода NH -группы кольца, который обладает кислотными свойствами, образуя соли с основаниями. К 0,06 моля нитроформа прибавляют 5,4 мл 30%-ного водн. р-ра HCHO, поддерживая т-ру < 35°, выдерживают (20°, 1 час), разбавляют 25 мл воды, прибавляют 0,04 моля II (алкил = метил), нагревают (50—55°, 1 час), охлаждают до ~20°, получают IV (алкил = метил), выход 70,9%, т. пл. 137—138° (из дихлорэтана); азотнокислая соль (HNO_3 , d 1,35), т. пл. 104—105°. К 0,025 моля нитроформа прибавляют 2,3 мл 30%-ного водн. р-ра HCHO при 20—35°, выдерживают (20°, 30 мин.), разбавляют 25 мл воды, прибавляют 0,02 моля III (алкил = метил) (IIIa) при ~20°, нагревают до 30—35°, выдерживают (30—35°, 1 час), охлаждают до 0—2° 1 час, получают V (алкил = метил) (Va), выход ~90%, т. пл. 125° (из хлф. или осаждением водой из HNO_3). К р-ру 0,025 моля тринитроэтилового спирта в 25 мл воды, нагретому до 35—40°, прибавляют 0,02 моля IIIa, нагревают до 50°, медленно охлаждают до 5°, получают Va, выход 100%. К 0,021 моля нитроформа прибавляют 2 мл 30%-ного водн. р-ра HCHO при 20—35°, выдерживают (20° 1 час),

разбавляют 25 мл воды, прибавляют при 20° 0,0177 моля II (алкил = этил), нагревают до 60°, выдерживают (60°, 1 час), охлаждают до 10°, получают IV (алкил = этил), выход 50,6%, т. пл. 134—135° (из дихлорэтана). К 3,4 г нитроформа прибавляют (20—35°) 2,1 мл 30%-ного водн. р-ра HCHO, выдерживают (20—35°, 1 час), разбавляют 25 мл воды, прибавляют 2 г III (алкил = этил) (IIIb) при 30°, нагревают (35—40°, 1 час), охлаждают до 10°, кристаллы растворяют в 50 мл HNO_3 , выливают в воду, получают V (алкил = этил) (Vb), выход 51,23%, т. пл. 99—100° (из CCl_4). 4 г тринитроэтилового спирта разбавляют 25 мл воды, смешивают с 2 г IIIb, нагревают (35—40°, 1 час), охлаждают до 10°, выделяют Vb, выход 42,4%.

Ю. Розанова
9Ж182. Фотохимические реакции на солнечном свете. Опыты с 2-N-фенил- α,β -нафто-1,2,3-триазолином и его монооксидом на солнечном свете и в темноте. Ahmed Mustafa, Abdel Kader Mansour, Hussein Abdel Azim Zaher. Photochemical reactions in sunlight. Experiments with 2-N-phenyl- α,β -naphtho-1,2,3-triazolequinone and monoxide derivative in sunlight and in dark. «J. Organ. Chem.», 1960, 25, № 6, 949—950 (англ.).—Показано, что фотохим. р-ция 2-N-фенил- α,β -нафто-1,2,3-триазолинона (I, H оксим) с $n-CH_3OC_6H_4NO$ (III), 3,4-(H_5C_2O) $_2C_6H_3NO$ (IV), а также со стилибеном (V) и бензофталидом (VI) протекает с участием $>C=O$ -групп I. При взаимодействии I с III или IV соответственно синтезированы (VIIa—f) везде а $Ar = n-CH_3OC_6H_4$, б $Ar = 3,4-(C_2H_5O)_2C_6H_3$.



VII R + R' = OC (OH) (Ar) O; VIII R + R' = OC (Ar) = N;
IX R + R' = OCH (C₆H₅) CH (C₆H₅) O

Аналогично II при р-ции с III и IV соответственно превращен в (VIIa—f) (положение гетероатомов в оксидальном цикле не установлено). Подобно VII и I при р-ции с V и VI получены (IX) и (X) соответственно. Смесь 0,8 г I и 0,7 г III в 35 мл C_6H_6 выдерживают 7 дней на солнечном свете, отделяют VIIa, выход ~76%, т. пл. 227—228° (из кислоты). Аналогично при взаимодействии (10 дней) из I и IV получают VIIb, выход ~80%, т. пл. 230° (из кислоты). При кипячении 5 час. 0,5 г VIIa в 30 мл лед. CH_3COOH и 3 мл конц. HCl выделяют I и м-метоксibenзойную к-ту. Аналогично VIIa, при р-ции (7 дней) 0,9 г I с 0,8 г V в 35 мл C_6H_6 получают IX, выход ~82%, т. пл. 253—254° (из бзл.). Термич. разложение в вакууме (265—270°, 1 час) IX приводит к V и I. Аналогично IX, при взаимодействии 0,7 г I с 1 г VI в 45 мл C_6H_6 получают X, выход ~78%, т. пл. 333° (из C_6H_5Cl). Смесь 0,8 г II и 0,9 г III в 80 мл C_6H_6 выдерживают 28 дней на солнечном свете, получают, очевидно, продукт присоединения II к III, выход ~48%, т. пл. 250—251° (из кислоты), из которого при нагревании (255°, 0,5 часа) в вакууме получают VIIa. Смесь 0,3 г II, 0,4 г III и небольшого пиперидина нагревают (160—170°, 2 часа), отделяют VIIa, выход ~71%, т. пл. 275° (из кислоты). Аналогично из II и IV получают VIIb, выход ~41%, т. пл. 219° (из CH_3COOH).

Р. Глушова
9Ж183. О 1,2,5,6-тетраазадициклооктатетраене (2,4,6,8). Schlesinger H. Über 1,2,5,6-Tetraazacyclooctatetraene (2,4,6,8). «Angew. Chem.», 1960, 72, № 16, 563 (нем.).—Взаимодействием дигидразонов аромат. 1,2-дикетон с различными 1,2-дикетонами или 2,2-дипиридинон получают с выходами не более 15% различные производные 1,2,5,6-тетрааза- $\Delta^{2,4,6,8}$ -дициклоокта-

тетраена (I), что не удается сделать по известному методу (см. РЖХим, 1957, № 6, 19235). Нагреванием (3 часа, 130°) 0,05 моля дигидразона бензила (II) с 0,05 моля бензила (III) получают 3,4,7,8-тетрафенил-I (IV), выход 11%, т. пл. 285–286° (из бзл.). При нагревании (45 час.) II и III в монометиловом эфире гликоля выход IV составляет 13%. Нагреванием (13 час., 160°) эквимольных кол-в II и анизила получают 3,4-ди-(4'-метоксифенил)-7,8-дифенил-I, выход 9%, т. пл. 228–229° (из бзл.). Кипячение (100 час.) дигидразона анизила с 4-метоксифенилом в монометиловом эфире гликоля приводит к 3,7,8-три-(4'-метоксифенил)-4-фенил-I, выход 15%, т. пл. 253–255° (из спирта). Аналогично получены производные 7,8-дифенил-I (здесь и далее приведены радикалы и т. пл. в °C): 3,4-ди-(4'-атоксифенил)-, 194–195; 3,4-ди-(4'-феноксифенил)-, 233–234; 3,4-ди-(4'-хлорфенил)-, 238; 3,4-ди-(3,4'-диоксиметилфенил)-, 249–250; 3,4-ди-(2'-оксис-3-бромфенил)-, 279–280; 3-(4'-метоксифенил)-4-фенил-, 229–230; 3,4-ди-(α-пиридил)-, 278–279. Синтезированные также производные 7,8-(4'-метоксифенил)-I: 3,4-ди-(4'-метоксифенил)-, 322–323; 3,4-ди-(4'-атоксифенил)-, 235–236; 3,4-ди-(2'-оксис-5'-бромфенил)-, 260–261; 3,4-ди-(4'-хлорфенил)-, 292–293; 3-(4'-диметиламинофенил)-4-фенил-, 260–261.

Г. Сегаль
9Ж184. Феноксазины. I. Производные, замещенные в кольце. Vonderbaeghe J. Phenoxazines. I. Ring-substituted derivatives. J. Organ. Chem., 1960, 25, № 5, 747–753 (англ.). По р-дин Фриделя — Крафта получены некоторые 2-ацетилфеноксазины (I феноксазин), структура которых подтверждена исследованием УФ- и ИК-спектров 2-ацетил-10-этил-I (IIa) и 3-ацетил-10-этил-I (IIb). Обнаружено, что полосы спектров, типичные для 1,2,4-тризамещ. C_6H_3 , присутствуют в 2-ацетил-I, а также в фенотазине, имеющим триформетилфтор- или метилмеркаптозаместители. 2-ацетил-I получают тремя методами: метод А: Суспензию 0,10 моля 10-ацетилфеноксазина (III) в 400 мл CS_2 прибавляют медленно к 0,3 моля $AlCl_3$, кипятят 1 час, прибавляют 0,15 моля CH_3COCl , кипятят 2 часа, по охлаждению р-тель декантируют, осадок разлагают льдом и конц. HCl , промытый осадок суспендируют в 200 мл лед. CH_3COOH и 50 мл 20%-ной HCl , кипятят 10 мин., получают 2-ацетил-I (Ia), выход 89%, т. пл. 211–213°. В одном из опытов был получен 2,10-диацетилфеноксазин, т. пл. 106–108° (из сп.). При кипячении Ia с $NH_4OH \cdot HCl$ в р-ре пиридина-спирта получают оксим Ia, т. пл. 217–220° (разл.); метод Б: Суспензию 2,6-дихлорацетил-I и 3,2-г Zn-пыли в 20 мл лед. CH_3COOH нагревают (90–95°, 2,5 часа), немного кипятят, отфильтровывают Zn, получают Ia, выход 75%; метод В: $AlCl_3$ прибавляют к р-ру I и CH_3COCl в CS_2 , по описанному методу (РЖХим, 1959, № 21, 75012) получают 5,5-г III, т. пл. 142–145°, и 4,2-г Ia, 0,18 моля 2-хлорацетил-III растворяют при нагревании в 200 мл пиридина, выдерживают (90°, 10 мин.), по охлаждению выливают в 500 мл сухого эфира, фильтруют, осадок промывают 150 мл эфира, растворяют в 150 мл горячего спирта, подщелачивают 500 мл 10%-ного р-ра $NaOH$, кипятят 10 мин., отгоняют избыток спирта, 20%-ной HCl выделяют феноксазинкарбоновую-2-к-ту (IV), выход 88%, т. пл. 252–254° (из сп.-воды); этиловый эфир IV, т. пл. 200–202°. Смесь 64,5-г Ia и 53 мл 80%-ного $N_2H_4 \cdot H_2O$ в 270 мл этиленгликоля (ЭГ) кипятят 30 мин., прибавляют р-р 48-г КОН в 110 мл ЭГ, кипятят 1 час, отгоняют воду и ЭГ до т. кип. 190–195°, кипятят 3 часа, по охлаждению прибавляют 600 мл спирта и 1200 мл воды, промытый разб. к-той осадок растворяют в C_6H_6 , выделяют 2-этил-I (Ib), выход 83%, т. кип. 170°/0,7 мм, т. пл. 110–112° (после возгонки при 100°/0,5 мм). 4б кипятят 3 часа с $(CH_3CO)_2O$, р-р разлагают водой, через несколько недель кристаллизуется 2-этил-10-ацетил-I, т. пл. 45–48° (из сп.-воды). Эквимольные кол-ва $NaNO_2$ и 1б в толуоле кипятят 3 часа

с 1,6 моля C_2H_5J , получают 2,10-диэтил-I, т. кип. 160°/0,25 мм. 750 мг $NaBH_4$ в 20 мл $iso-C_3H_7OH$ прибавляют к р-ру 2,8-г Ia в 80 мл диоксана, перемешивают 2 часа, нагревают (~100°, 30 мин.), по охлаждении избыток $NaBH_4$ разлагают к-той упаривают, выделяют 2,25-г 1-(2-феноксазинил)-этанола, т. пл. 132–134° (из бзл.-птр. эф. и циклогексана-бзл.). Смесь, состоящую из 20-г Ia, 160 мл ЭГ, 500 мл толуола и 600 мл $n-C_4H_9SO_3H \cdot H_2O$, перегоняют 7 час, нейтрализуют р-ром, $NaHCO_3$, промывают водой, сушат, упаривают досуха, остаток растворяют в 200 мл C_6H_6 , отфильтровывают непрореагировавший Ia (2 г), фильтрат хроматографируют на SiO_2 , вымывают 500 мл C_6H_6 , получают этиленкеталь Ia (V), выход 39%, т. пл. 127–129° (из сп.). V с выходом 60% получают также при нагревании 10-г Ia, 100 мл 2-метил-2-этил-1,3-диоксола и 500 мг $n-C_4H_9SO_3H \cdot H_2O$. К р-ру 40 ммоль V в 15 мл толуола прибавляют 40 ммоль $NaNH_2$, кипятят 15 мин., прибавляют 80 ммоль C_2H_5J , кипятят 2 часа, промывают водой и сушат, отгоняют р-тель, остаток кипятят 15 мин. с 50 мл спирта и 100 мл 3,5%-ной HCl , разбавляют водой, экстрагируют 500 мл C_6H_6 (нерастворимый продукт — 0,64-г Ia), бензольный р-р промывают, сушат, упаривают до 100 мл, выделяют еще 0,66-г Ia, фильтрат хроматографируют на SiO_2 , вымывая C_6H_6 , р-р концентрируют до небольшого объема, птр. эфиром осаждают 5,7-г IIa, т. пл. 77–79° (из сп.-воды и CH_3OH). IIa не удалось получить при нагревании Ia с C_2H_5J в абс. спирте при 120°. К 15 ммоль Br_2 в р-ре 40 ммоль $NaOH$ в 15 мл воды (0°) прибавляют р-р 5 ммоль IIa в 10 мл диоксана, перемешивают (0°, 30 мин.; ~20°/60 мин.), отгоняют диоксан (т-ра бани до 50°), выделяют 400 мг 10-этилфеноксазинкарбоновую-2-к-ту, т. пл. 218–220° (из сп.-воды). Смесь 0,05 моля Ia, 0,08 моля серы и 20 мл морфолина кипятят 11 час., охлаждают, через 12 час. прибавляют 50 мл спирта, получают β-(2-феноксазинил)-тиоацетоморфолин (VI), выход 54%, т. пл. 187–189° (разл.). Смесь 8-г VI и 135 мл 10%-ного спирта. КОН кипятят 14 час., разбавляют 270 мл воды, подкисляют HCl , получают феноксазинилуксусную-2-к-ту, выход 83%, т. пл. 192–193° (из сп.). 1-г к-ты декарбоксилируют при 195°, возгоняют в вакууме, растворяют в C_6H_6 , выпаривают р-р, остаток (140 мг) повторно возгоняют в вакууме, получают в-во с т. пл. 128–140°. Смесь 31-г 10-этил-I (VII), 21-г N-метилформанилида, 21-г $POCl_3$ и 30 мл о-дихлорбензола нагревают (~100°, 4 часа), прибавляют 90-г CH_3COONa в 200 мл воды, отгоняют с паром летучие продукты, остаток растворяют в C_6H_6 , выделяют 3-формил-VIIa (VIIa), выход 50%, т. пл. 127–133° (из сп.-бзл.-птр. эф.). Смесь 50 ммоль VIIa, 150 ммоль $NH_4OH \cdot HCl$ и 75 мл пиридина нагревают 30 мин., выливают в воду, получают 12,5-г 3-альдокс-VII (VIIb), т. пл. 152–154°, 16,9-г VIIb и 160 мл $(CH_3CO)_2O$ кипятят 2 часа, р-р выливают в воду, экстрагируют эфиром, выделяют 3-циан-VIIb (VIIb), выход 67%, т. пл. 123–125° (из сп.-воды). Р-р 1,78-г VIIb в 75 мл спирта и 18 мл 20%-ного р-ра $NaOH$ кипятят 7 час., разбавляют 18 мл воды, отгоняют спирт, р-р подкисляют разб. HCl , получают 3-карбоксив-VIIb, выход 65%, т. пл. 204–206° (из сп.-воды); этиловый эфир, т. пл. 86–89° (из этилацетата-птр. эф.). 30 ммоль Mg обрабатывают 20 ммоль CH_3J в 15 мл абс. эфира в атмосфере N_2 , прибавляют 20 ммоль VIIb в 50 мл C_6H_6 , кипятят 2 часа, медленно прибавляют 10 мл 6 н. HCl (0°) бензольный слой отделяют, осадок растворяют в спирте, подкисляют 10 мл 6 н. HCl , кипятят 6 час., разбавляют водой, экстрагируют C_6H_6 , получают IIb, выход 33%, т. пл. 153–154° (из сп.); оксим, т. пл. 175–178°. К р-ру 0,085 моля VII и 0,085 моля CH_3COCl в 300 мл CS_2 прибавляют 0,26 моля $AlCl_3$, кипятят 8 час., р-тель декантируют, остаток разлагают льдом и конц. HCl , экстрагируют эфиром, выделяют 5-г VII, нерастворимый в эфире остаток (7,7-г) экстрагируют C_6H_6 ,

выделяют 2,2 г 3,7-диацетил-VII, т. пл. 178–180° (из сп.); оксим, т. пл. 236–237° (разл.). Ю. Розанова

9Ж185. О 5-(*о*-метоксифеноксиметил)-оксазолидон-2 или метефеноксалоне. Pages J., Langer M. Note à propos de l'(*о*-méthoxyphénoxyméthyl)-5-oxazolidone-2 ou méthéphenoxalane. «Helv. chim. acta», 1960, 43, № 6, 1862–1864 (франц.).—5-(*о*-метоксифеноксиметил)-оксазолидон-2 (I) синтезирован конденсацией 1-амино-3-(*о*-метоксифенокси)-пропанола-2 (II) с $\text{ClCOOC}_2\text{H}_5$ с последующей циклизацией. Растворяют при нагревании 0,12 моля II в 215 мл диоксана, охлаждают до 40°, прибавляют р-р 0,06 моля $\text{ClCOOC}_2\text{H}_5$ в 30 мл диоксана, выпадает белый осадок и т-ра поднимается до 60°, охлаждают до 10°, отфильтровывают 13,82 г хлоргидрата II, т. пл. 171–172°; фильтрат упаривают, остаток растаивают с петр. эфиром, выделяют карботокси-II, выход 94,7%, т. пл. 56–57° (из этилацетата). Растворяют 0,025 моля карботокси-II в 40 мл кумола при 100° и прибавляют суспензию 0,2 г $\text{C}_2\text{H}_5\text{ONa}$ в 5 мл кумола, через 1 час (160°) охлаждают и через 12 час. выделяют I, выход 83,7%, т. пл. 142–143° (из воды). Приведена кривая ИК-спектра и данные УФ-спектра I.

Л. Аксанова
9Ж186. Новый метод получения 4,5-замещенных оксазолинонов-2. Willems J., Vandenberghe A. A new method for the preparation of 4,5 substituted oxazolinones (2). «Bull. Soc. chim. belg.», 1960, 69, № 9-10, 517–518 (англ.).—Приведен синтез $\text{RC}=\text{C}(\text{R}')\text{-OC}(\text{S})\text{N}(\text{H})$ (I) взаимодействием $\text{RCH}(\text{OH})\text{COR}'$ (II) с HSCN в кислой среде. 1,5 моля KSCN растворяют в 2 л спирта, прибавляют 150 мл конц. HCl, фильтруют, фильтрат кипятят 24 часа с 1 молем II ($\text{R}=\text{R}'=\text{C}_6\text{H}_5$), охлаждают, фильтруют, к фильтрату прибавляют 4 л воды, отфильтровывают осадок; последний растворяют в 1 л NaOH, отфильтровывают нерастворимый II, из фильтрата CH_3COOH осаждают I ($\text{R}=\text{R}'=\text{C}_6\text{H}_5$), выход 86%, т. пл. 260° (из монометилевого эфира этиленгликоля). Аналогично получают I из II, где $\text{R}=\text{R}'=\text{CH}_3$, $\text{R}=\text{R}'=\text{C}_2\text{H}_5$, $\text{R}=\text{R}'=\text{n}-(\text{CH}_2)_2\text{NC}_6\text{H}_4$, $\text{R}=\text{R}'=\text{n}-\text{CH}_2\text{OC}_6\text{H}_4$, а также из α -оксикиклогексанола.

Е. Тарасевич
9Ж187. Бензазолы. XI. Амино- и оксисбензоксазолы. Zinner Helmut, Wigert Heinz. Benzazole. XI. Amino- und Hydroxybenzoxazolone. «Chem. Ber.», 1960, 93, № 6, 1331–1339 (нем.).—Аминобензоксазолы (I бензоксазолон) получены восстановлением нитро-I, а окси-I сплавлением хлоргидратов аминдиоксибензолов с мочевиной. 5-, 6- и 7-амино-I и р-ци с диазометаном и $(\text{CH}_3\text{CO})_2\text{O}$ образуют производные только лактамной формы [3-метил-5(6,7-амино-I и 3-ацетил-5(6,7)-ацетил-амино-I)]. При метилировании 4-амино-I образует только производные лактимной формы [2-метокси-4-аминобензоксазол (II бензоксазол)], а при ацетилировании образует производные обеих форм. Все окси-I при метилировании и ацетилировании образуют производные только лактамной формы. При разведении 1:1000 окси-I подавляли рост лишь некоторых немногих дерматофитов, в то время как амино-I оказались неактивными; оба в-ва не действуют на *Alternaria tenuis*, *Trichothetium roseum*, *Sclerotium* и *Aspergillus niger*. 0,01 моля нитро-I в 80 мл ацетона с 0,5 г скелетного Ni восстанавливают (~20°, 30 мин.) рассчитанным кол-вом H_2 , отделяют катализатор, фильтрат выпаривают лучше в токе CO_2 , получают амино-I и сушат его при 0,01 моля нитро-I в 80 мл ацетона с 0,5 г скелетного Ni Fe-порошка и 0,3 мл конц. HCl прибавляют (90°, 30 мин.) частями 1,8 г нитро-I, смесь перемешивают еще 30 мин., охлаждают, добавляют к ней 6 мл 5 н. NaOH и нагревают (40–50°), осадок отделяют, промывают теплой водой и фильтрат при 0° нейтрализуют 5 н. HCl (метод В). Получены следующие амино-I [приведены положение аминогруппы, выход в %

по методу А, по методу В, т. пл. в °C (из сп.): 4, 83, 84, 298–300 (из воды); 5, 92, —, 222–223; 6, 85, 80, 202–205; 7, 84, 85, 188–190. По методу А или В (осадок от прибавления NaOH промывают холодной водой и экстрагируют горячей водой или спиртом) из 3-метил-нитро-I получены соответствующие производные амино-I; или 0,01 моля размельченного 6-амино-I или 7-амино-I вносят в р-р 1 г диазометана в 30 мл эфира и при перемешивании (20°) оставляют до прекращения выделения N_2 , после чего отгоняют р-ритель (метод В); получены следующие 3-метил- α -амино-I [приводятся α , выход в % по методам А, Б, В, т. пл. в °C (из сп.): 4, 90, 80, —, 164–165; 5, 85, 79, —, 233–235; 6, 84, 80, 67, 154–155; 7, 84, 90, 75, 212–213. По методу В из 4-амино-I получен 2-метокси-4-амино-II, выход 82%, т. пл. 154° (из сп.). Нагревают (~100°, 30 мин.) 0,01 моля 3-метил- α -амино-I в 10 мл $(\text{CH}_3\text{CO})_2\text{O}$, охлаждают и выливают смесь в 50 мл воды, получают 3-метил- α -ацетамидо-I (здесь и далее приводятся α , выход в %, т. пл. в °C): 4, 75, 184–185 (из воды); 5, 80, 213–214 (из сп.); 6, 81, 263–264 (из сп.); 7, 71, 227 (из CH_3OH). По методу А из 3-ацетил- α -нитро-I (0,01 моля в 80 мл ацетона) получены 3-ацетил- α -амино-I: 5, 75, 170–175 (из сп.- CH_3OH , 1:1); 6, 80, 187–189 (из сп.); 7, 83, 164–165 (из сп.). Нагревают (~100°, 30 мин.). По методу А 0,01 моля 3-ацетил- α -амино-I в 10 мл $(\text{CH}_3\text{CO})_2\text{O}$ охлаждают и выливают в 80 мл воды или по методу В нагревают (~100°, 2 часа) 0,01 моля амино-I с 20 мл $(\text{CH}_3\text{CO})_2\text{O}$, охлаждают до ~20° (или осаждают 100 мл воды) и получают 3-ацетил- α -ацетамидо-I (приводятся α , выход в % по методу А, Б, т. пл. в °C): 4, —, 24, 223–224 (из сп.-воды); 5, 81, 76, 229–230 (из сп.); 6, 87, —, 234 (из сп.); 7, 90, 77, 218–219 (из сп.). После ацетилирования 4-амино-I по методу В отделяют 3-ацетил-4-ацетамидо-I, а к фильтрату добавляют 100 мл воды и оставляют смесь на несколько часов, выпадает 2-ацетокси-4-ацетамидо-II, выход 56%, т. пл. 151° (из сп.). Нагревают (145°, 3 часа) смесь 0,02 моля хлоргидрата 2-аминорезорцина или аминогидрохинона, или 4-аминорезорцина, или 3-аминопирокатехина с 4 г мочевины и получают соответствующие окси-I [приводятся положение оксигруппы, выход в %, т. пл. в °C (из воды): 4, 65, 281–283; 5, 47, 209–210; 6, 34, 288–292; 7, 54, 232. 0,01 моля торкарзмельченного окси-I вносят в р-р 1 г диазометана в 30 мл эфира и перемешивают при 20° до прекращения выделения N_2 , получают 3-метил- α -метокси-I [приводятся α , выход в %, т. пл. в °C (из CH_3OH): 4, 85, 108–109; 5, 78, 129; 6, 73, 105; 7, 80, 132. Нагревают (~100°, 2 часа) 0,01 моля окси-I в 20 мл $(\text{CH}_3\text{CO})_2\text{O}$, охлаждают и выливают в 100 мл воды, получают соответствующий 3-ацетил- α -ацетокси-I [приводятся α , выход в %, т. пл. в °C (из сп. или CH_3OH): 4, 70, 91–92; 5, 83, 144–146; 6, 81, 144–145; 7, 90, 100. Сообщения Х см. РЖХим, 1960, № 1, 1183.

9Ж188. Синтез некоторых производных бензоазина-1,4 и их антимикробная активность. Honkanen Erkki, Virtanen Artturi I. Synthesis of some 1,4-benzoxazine derivatives and their antimicrobial activity. «Acta chem. scand.», 1960, 14, № 5, 1214–1217 (англ.).—Смесь 225 мг этилового эфира (39) *о*-нитрофеноксикусуной к-ты, 0,2 г NH_4Cl и 0,2 г Zn-пыли в 10 мл 60%-ного спирта вбалтуют 2 часа (~20°), фильтруют и промывают 2%-ной CH_3COOH (для разложения Zn-соли гидроксамовой к-ты) и спиртом. Фильтрат разбавляют водой и экстрагируют эфиром; эфирный р-р промывают разб. р-ром NaOH. Вода, слой нейтрализуют HCl, извлекают эфиром; из упаренного экстракта получают 4-оксибензоксазин-1,4-он-3 (I), выход 0,1 г, т. пл. 168–169° (из воды), R_f 0,39 [изо-Сали OH + NH_4OH + вода, 8:1:1 (смесь А)]. Восстановление I Zn-пылью приводит к 2Н-бензоксазин-1,4-(4Н)-ону-3 (II), т-ра плавления и смешанная т-ра плавления с препаратом II 171–172° (см. РЖХим, 1960,

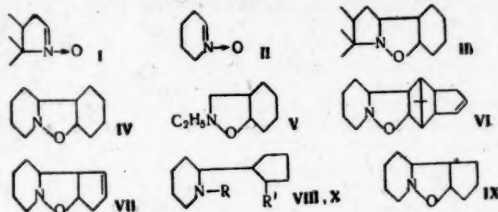
№ 13, новой (см. В. больш. данные бис-(*о*-часть NaOH экстрагирующую растворившая фильтрат из воды экстрагировав 128–130 4 часа NaHCO₃ кузуме. Смесь 10 мл фильтрат эфиром он-3 24 ме р-р при экстрагирова он-3 0,41 (с си)-фе постеп ра; эф р-р ос 15 мин лают экстра (VI), R_f 0,00 20 у/а оксаза- дон-2: итал, 19 LiANH₂ 2Н-бен оксисбен 3, I, II (приве активе активе (приве активн до пол активн давлене водень 9Ж18 С. W., lor C- и and ol (англ.) ства с торь с I (к $\text{C}_6\text{H}_5\text{NH}$ (II), с алли. Бутади лопент вание (VIII) си в-в лентад проду

№ 13, 44600). При синтезе ди-ЭЭ *o*-нитрофеноксималоновой к-ты (III к-та) по ранее описанному методу (см. Bischoff C., Ber., 1907, 40, 3134, 3150) получено небольшое кол-во в-ва с т. пл. 115–118°. На основании данных мол. веса и анализа это в-во является ди-ЭЭ *бис*-(*o*-нитрофенокси)-малоновой к-ты. Некристаллич. часть реакционной смеси гидролизуют водн. р-ром NaOH (~20°), добавляют HCl до pH 6, *o*-нитрофенол экстрагируют эфиром. Водн. р-р подкисляют и экстрагируют эфиром. Остаток просушенного экстракта растворяют в нескольких мл конц. р-ра NH₄OH, добавляют спирт до выделения кристаллов; NH₄-соль отфильтровывают, промывают спиртом, кристаллизуют из водн. спирта. Водн. р-р кристаллов подкисляют HCl, экстрагируют эфиром, из экстракта получают III, т. пл. 128–130° (из эф.-бал.). Для этерификации III кипятят 4 часа с 1%-ным р-ром HCl в абс. спирте, р-ритель упаривают, эфирный р-р остатка промывают р-ром NaHCO₃, сушат и упаривают, остаток перегоняют в вакууме, получают ди-ЭЭ III, т. кип. 145–150°/0,05 мм. Смесь 297 мг ди-ЭЭ III, 0,2 г NH₄Cl и 0,2 г Zn-пильки в 10 мл 60%-ного спирта взбалтывают 2 часа (~20°), фильтруют, фильтрат разбавляют водой, экстрагируют эфиром, получают 4-окси-2-карбоксібенозоксазин-1,4-дион-3 (IV), выход 50%, т. пл. 133–134° (из бал.). Р-р 24 мг IV в 1 мл 1 н. NaOH оставляют на ~15 час., р-р подкисляют HCl и экстрагируют эфиром, из экстракта получают 4-окси-2-карбоксібенозоксазин-1,4-дион-3 (V), выход 71%, т. пл. 144–146° (из эф.-бал.), R_f 0,11 (смесь А). К р-ру 3,3 г неочищ. *o*-(метоксиметокс)-фенилгидроксиламина в 50 мл сухого эфира (0°) постепенно добавляют 1,5 г C₂H₅OOCCl в 20 мл эфира; эфирный р-р декантируют и упаривают досуха. Р-р остатка в 20 мл CH₃OH и 2 мл 2 н. HCl кипятят 15 мин., р-ритель удаляют в вакууме, остаток разбавляют водой, экстрагируют эфиром, из упаренного экстракта получают 4-оксibenзоксазин-1,4-дион-2,3 (VI), выход 21%, т. пл. 230–233° (разл.; из сд.-бал.); R_f 0,08 (смесь А). При нагревании разб. водн. р-ра (20 г/мл) VI (30 мин., ~100°) он превращается в бензоксазолинон (VII). Синтезирован бензоксазин-1,4-дион-2,3 (VIII) (см. Puxeddu E., Sanna G., Gazz. chim. ital., 1931, 61, 158). При восстановлении II с помощью LiAlH₄ (см. первую ссылку) образуется 3,4-дигидро-2H-бензоксазин-1,4 (IX). Исследовано действие 2,4-диоксibenзоксазин-1,4-дион-3 (X), 2-оксibenзоксазин-1,4-дион-3, I, II, V, VI и IX на подавление роста *Fusarium nivale* (приведены кривые). Определена антибактериальная активность I, V, VI и X против *St. aureus* и *E. coli* (приведены кривые). Наибольшую антифунгальную активность показал IX, у которого гетероциклич. кольцо полностью гидрировано. В-ва с NHO-группой вдвое активнее в-в с NH-группой. В конц-ии 1 мг/мл I подавляет рост *St. aureus*, *Ps. fluorescens* и *E. coli*. Приведены данные по УФ-спектрам I и IV–IX.

А. Лютенберг

9Ж189. Конденсация нитронов и олефинов. Brown C. W., Marsden K., Rogers M. A. Thorold, Taylor C. M. B., Wright R. The condensation of nitrones and olefins. (Proc. Chem. Soc., 1960, July, 254–255 (англ.).) — Описана без эксперим. деталей и доказательства строения конденсация нитронов (I) и (II) с некоторыми олефинами и диенами. Р-цией циклогексена с I (кипение 40 час.), II (12 час., 130°) и со смесью C₆H₅NHOH и (CH₂O)₂ (8 час., 100°) получены в-ва (III), (IV) и (V). Получены продукты конденсации I с ацетилацетоном, кротононитрилом и акрилонитрилом. Бутадиен образует продукты с I и 2 молями II. Циклопентадиен дает с I и II в-ва (VI) и (VII); гидрирование последнего над скелетным Ni приводит к в-ву (VIII R = H, R' = OH), а над Pt-катализатором к смеси в-в (IX) и (X R = OH, R' = H). Тетрафенилциклопентадиенон, реагируя с II, вероятно, дает нормальный продукт диенового синтеза. Все указанные р-ции про-

текают с высокими выходами; полученные изоксазолидины выделяют подкислением реакционной массы, экс-

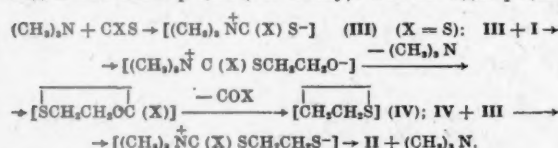


тракцией эфиром примесей и осаждением целевого в-ва подщелачиванием.

С. Гурвич
9Ж190. Синтез диарилоксазолов. Aldous Duane L., Riebsomer J. L., Castle Raymond N. Synthesis of diaryloxazoles. (J. Organ. Chem., 1960, 25, № 7, 1151–1154 (англ.).) — Конденсацией α -бромпропиофенона (I) с RCOONa получены эфиры C₆H₅COCH(CH₃)OCOR (IIa–m, где a R = C₆H₅, б R = α -C₁₀H₇, в R = β -C₁₀H₇, г R = хинолид-2, д R = хинолид-6, е R = γ -C₆H₄N, ж R = β -C₆H₄N, з R = α -C₆H₄N, и R = 2,6-дипиридил). Соединение IIa–д циклизованы кипячением с CH₃COONH₄ в CH₃COOH в 2-Р-4-фенил-5-метилоксазолах (IIIa–д). Конденсацией 2-метил-4,5-дифенилоксазола (IV) с ароматич. альдегидами синтезированы 2-(R'-метил)-4,5-дифенилоксазолы (Va–г, где а R' = C₆H₅, б R' = n -CH₂OC₆H₅, в R' = o -HOC₆H₄, г R' = 3,4-(CH₂O)₂C₆H₃). При действии на IV N-бромсукцинимид (VI) выделен 2-бромметил-4,5-дифенилоксазол (VII), превращенный действием водно-спирт. р-ра AgNO₃ в 4,5-дифенил-2-оксиметилоксазол (VIII). Предложен метод введения COOH-группы в положение 5 оксазола, основанный на взаимодействии этилового эфира (ЭЭ) α -бромбензойлуксусной к-ты (IX) с солями к-т, последующей циклизации продукта в ЭЭ 2,4-дифенилимидазол-5-карбоновой к-ты (X), щел. гидролиз которого дает 2,4-дифенилоксазол-5-карбоновую к-ту (XI); последнюю идентифицируют в виде N-диметиламинопропиламида (XII). При циклизации IIa, д наряду с IIIa, д выделены 2-бензоламидо-1-фенилпропанол (XIII) и 1-фенил-2-(хинолинкарбоксамидо)пропанол (XIV). К 1,2 моля пропиофенона в 150 мл абс. эфира добавляют при 0° 1,5 г безводн. AlCl₃, 1,2 моля Br₂ (за 45 мин.) и 150 мл абс. эфира, смесь выливают в воду и из эфирного слоя отмытого от Br⁻, выделяют I, выход 86%, т. кип. 135–144°/19 мм. Смесь 0,1 моля I, 0,1 моля C₆H₅COONa, 125 мл абс. спирта и 3 кап. конц. H₂SO₄ кипятят 8 час. выливают в 0,3 л воды и извлекают C₆H₅ IIa, выход 69%, т. пл. 109–110° (из этилацетата). Аналогично получают (приведены в-во, выход в %, т. пл. в °C): IIб, 83, 104,5–105,5 (из этилацетата); в, 67, 105–107 (из этилацетата); г, 55, 121–122 (из этилацетата); д, 62, 120–121 (из сп.); е, 23, 112–113 (из сп.); ж, следы 84,5–85,5 (из 50%-ного сп.); з, 39, 93–94 (из сп.); и, 5, 187–189 (из этилацетата). Смесь 0,02 моля IV, 0,148 моля C₆H₅CHO и 0,01 моля ZnCl₂ кипятят 3 часа в атмосфере N₂, разбавляют C₆H₆, промывают водой, отгоняют C₆H₆, избыток C₆H₅CHO и IV, получают Va, выход 29%; т. пл. 119–119,5° (из сп.). Аналогично получают (перечисляются в-во, выход в %, т. пл. в °C (из сп.)): Vб, следы 269–271; в, 62, 216–217; г, следы 142,5–143. 0,05 моля IV и 0,05 моля VI кипятят 6 час. в 40 мл CCl₄ с 2 г перекиси бензоила, по охлаждении фильтрат перегоняют в вакууме и получают VII, т. кип. 170°/0,025 мм, т. пл. 104–106°. К 0,05 моля VII в 0,1 л спирта добавляют 10 г AgNO₃ в 12 мл воды, нагревают (100°, 1 час), фильтрат упаривают и из остатка извлекают эфиром VIII, т. кип. 151–156°/0,1 мм. Бромнуют ЭЭ бензойлуксусной к-ты и выделяют IX, выход 88% т. кип. 113–133°/0,1 мм. IX превращают аналогич-

но Па в 33 α -бензоилоксибензоилуксусной к-ты, выход 75%, т. пл. 61–62° (из сп.), который циклизуют (Davidson D., Weiss M., Jelling M., J. Organ. Chem., 1937, 2, 328) в X, т. пл. 166–167,5° (из сп.). 0,02 моля X кипятят 1,75 часа с 1,6 г КОН в 50 мл воды, отгоняют спирт, фильтрат подкисляют 5%-ной HCl и отделяют XI, выход 100%, т. пл. 222–223°. 0,03 моля измельченной К-соли XI всыпают в 60 мл абс. C₆H₆, добавляют (0°, 20 мин.) р-р 0,03 моля (COCl)₂ в 15 мл абс. C₆H₆, перемешивают 30 мин. при 0° и 3 часа при ~20°, добавляют (20 мин.) 0,031 моля диметиламинопропиламина в 15 мл абс. C₆H₆, перемешивают 15 мин., нагревают до кипения, охлаждают, подкисляют 5%-ной HCl, осадок растворяют в 5%-ной HCl, нейтрализуют NH₄OH и получают XII, т. пл. 161,5–163°. Смесь 0,05 моля Па и 0,25 моля CH₃COONH₄ в 50 мл лед. CH₃COOH кипятят 1 час, выливают на лед и извлекают эфиром IIIа, т. пл. 74–75° (из циклогексана), и XIII, т. пл. 108–109,5°; семикарбазон, т. пл. 202–203°. Аналогично получают [приведены в-во, выход в %, т. пл. в °C (из сп.)]: IIIб, 53, 77,5–78,5; в, 77, 98,5–100; г, 18, 163–163,5; д, 49, 150–151; XIV, —, 195–197; семикарбазон, т. пл. 209–211°. При попытке циклизации Пи получают N,N'-бис-(α -бензоилэтил)-амид пиридиндикарбоновой-2,6 к-ты, т. пл. 244–243°.

9Ж191. Получение алкентриэтиокарбонатов. Dugden John A., Jr., Stansbury Harry A., Jr., Catlette William H. The preparation of alkene triethiocarbonates. «J. Amer. Chem. Soc.», 1960, 82, № 12, 3082–3084 (англ.). Окиси алкиленов (ОА) реагируют с CS₂ под давлением в присутствии катализаторов — третичных аминов, образуя 2-тио-1,3-дитиоланы (алкентриэтиокарбонаты). Оптимальные условия р-ции для окиси этилена (I): начальное давл. (N₂) 34 ат (0°), мол. отношение (МО) CS₂/I = 2,5, кол-во катализатора — (CH₃)₃N 0,56 вес. %, т-ра 150° время 30 мин. В газобразных продуктах р-ции при МО 2,5 находится COS в кол-ве, эквивалентном полученному этилентриэтиокарбонату (II), и в меньшем кол-ве CO₂. При МО 1 выход II падает, а кол-во CO₂ возрастает за счет COS. Из катализаторов наиболее активны сильносоосновные третичные амины; к-ты тормозят р-цию. Приведены выходы II в (%) с различными катализаторами в указанных выше условиях (в скобках pK_a): (C₂H₅)₃N (10,72), 50; триэтилендиамин, 52; (CH₃)₃N (9,80), 77; пиридин (5,19), 5; N-метилморфлин (<10,72), 2; (n-C₄H₉)₂Sn (OCOCH₃)₂ (к-та), 0; NH₄Cl (к-та), 0. Приведен механизм р-ции (см. схему). Так же идет р-ция



с CXS (X = O). Предложено объяснение более высокого выхода триэтиокарбоната из нитрила 3,4-эпоксициклогексенкарбоновой к-ты (V) по сравнению с окисью циклогексена (VI). Взаимодействием II с пиперидином и морфолином получены дисульфиды соответствующих N,N-диамещ. 2-меркаптоэтилдитиокарбаматов (Delaby R. и др., Compt. rend., 1950, 230, 1671). Из n-C₄H₉NH₂ и II получена N,N'-дибутилтиомочевина (VII) (по-видимому, первый случай образования тиомочевин из II и амина). Этилендиамин дает с II при ~20° этилен-тиомочевину, выход 84%, т. пл. 198–200°. Смесь ОА, CS₂ (МО CS₂/ОА 2,5) и (CH₃)₃N нагревают в автоклаве из нержавеющей стали, как указано для I. Ниже приведены ОА, кол-во (CH₃)₃N в вес. %, т-ра р-ции в °C, выход соответствующего триэтиокарбоната в %, т. пл. в °C (из этилацетата): V, 2, 200, 19, 163–185; окись пропилена, 2, 200, 36, т. кип. 126°/3 мм. — VI, 2, 200, 3,5, 165–166; окись стирола, 1, 150, 22, 83–85. Смесь II

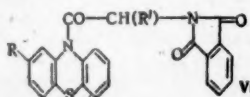
и пиперидина (по 0,3 моля) нагревают (2,5 часа, 40°), через 12 час. обрабатывают разб. HCl и водой, выход 1,40-дипиперидино-1,40-дитиоксо-2,5,6,9-тетрагидродекана (VIII) 21%, т. пл. 104–105° (из ацетона). Так же получают из II и морфолина 1,40-ди-(4-морфолино)-аналог VIII, выход 40%, т. пл. 102–103°. Оба в-ва, судя по ИК-спектрам, не содержат SH-групп. Кипятят 4 часа 0,1 моля II с 0,2 моля n-C₄H₉NH₂ в 20 мл спирта, через 12 час. частично упаривают в вакууме, выход VII 32%, т. пл. 61–62° (из сп.).

А. Точилин
9Ж192. Восстановление нитрозогрупп и фуросановых колец боргидридом натрия. Boyer J. H., Ellzey S. E., Jr. Sodium borohydride reduction of nitroso groups and furoxan rings. «J. Amer. Chem. Soc.», 1960, 82, № 10, 2525–2528 (англ.). Нитрозобензол (I) и β -фенилгидроксилламин (II) восстанавливаются NaBH₄ (III) до азоксибензола (IV), а *n*-нитрозофенол (V) до *n*-аминофенола (VI). Из *o*- и *p*-динитрозоароматич. соединений при действии III образуются соответствующие диоксимы (ДО), р-ция идет труднее в случае полициклич. соединений. Требуемое кол-во III и кол-во выделяющегося H₂ при восстановлении динитрозо соединений не совпадают с теоретич. возможно, за счет дальнейшего восстановления оксимных групп. Фуросаны также восстанавливаются только до ДО (глиоксимов); в некоторых случаях образуются фуразаны (ангидриды глиоксимов). Диалкилфуросаны менее реакционноспособны, чем диарилзамещ. Из дифенилфуросана (VII) образуется ДО β -(*син*)-бензила (VIII), вероятно, через промежуточный ДО γ -(*амфи*)-бензила. В диген-аилфуросане (IX) восстанавливаются только СО-группы с возникновением бис-(α -оксисбензил)-фуросана (X), идентифицированного по ИК-спектру и цел. гидролиз до бензальдегида. Оксим циклогексанона (XI) дает с III в присутствии LiBr циклогексилламин (XII). К 30 ммольям I в 25 мл спирта прибавляют за 15 мин. р-р 19 ммольей III в 25 мл спирта (разогревание до 45°), размешивают (30 мин., 25–30°) и выливают в воду, выход IV 73 и 75% при обратном порядке смешения I и III. Аналогично из II получают IV, выход 54%. К 10 ммольям V в 15 мл воды и 5 мл 10%-ного NaOH прибавляют 13 ммольей III и размешивают (5 час., 50–60°), добавляют 50 мл воды, подкисляют 5 мл лед. CH₃COOH (т-ра <10°), смесь экстрагируют эфиром 17 час., конц. эфирный экстракт (50 мл) разбавляют 50 мл C₆H₆, выход VI 42%, O,N-диген-аил-VI, т. пл. 240–241° (из воды). В р-р 51,3 ммольей III в 50 мл O(CH₂CH₂OCH₂)₂ (XIII) вносят 51,9 ммольей LiBr, при ~20° прибавляют 50,0 ммольей XI, кипятят с размешиванием 4 часа и отгоняют 30 мл дистиллята с т. кип. 85°/40–52 мм. К остатку добавляют 25 мл XIII, отгоняют еще 35 мл дистиллята с т. кип. 85–87°/40 мм. Дистилляты насыщают сухим HCl и упаривают, выход хлоргидрата XII 19%, т. пл. 209–210° (из абс. изо-C₃H₇OH-этилацетата). Из остатка от перегонки выделено 31% XI. При нагревании (15 час., 100°) выход XII (хлоргидрат) 5%, возвращено 23% XI. Восстановлением 7,35 ммольей *o*-динитробензола (XIV) посредством 9,2 ммольей III в XIII (35–40°, 30 мин.) получен ДО *o*-бензохинона (XV), выход 54% (те же выходы при т-ре р-ции 55°), т. пл. 148–149° (разл.; из разб. сп.). XV (в спирте) дает с водн. Ni(NO₃)₂ черный Ni-комплекс. При т-ре р-ции 15° XV не найдено (выделено 37% XIV), при обратном порядке загрузки выходы XV 0–30%; при этом выделено нерастворимое в щелочи красно-оранжевое в-во, не плавящееся до 300° (т. возг. 170–180°/0,02 мм). Аналогично восстановлены (приведены исходное в-во, р-ритель, т-ра в °C и время р-ции в час., кол-во III в мол. эквивалентах, продукт, выход в %): *p*-динитробензол XIII, 30, 1, 1,3, ДО *p*-бензохинона, 62, т. пл. 235–240° (разл.), диацетат анти-формы, т. пл. 199–203° (разл.); 4-метил-XIV (XVI), спирт, 40–45, 3, 1,3, ДО 4-метилбензохинона 1,2, 41; XVI, спирт, 78, 1, 2,0, 5-метилбензофуразан, 42; 1,2-динитроазаф

талия, XIII, 130—140, 8, 1,3, 1,2-нафтофуразан, 66; 9,10-динитрозофенантрен, XIII, 160, 2, 1,3, 9,10-фенантрофуразан, 57; 3,6-дифенил-4,5-динитропиридазин (XVII), спирт, 78, 1, 2,6, 4,7-дифенилфуразано-[d]-пиридазин (XVIII), 48; VII, XIII, 160, 2, 1,3, VIII, 43; IX, спирт, 25—30, 2, 0,6, X, 45, т. пл. 132,2—132,6° (из CH_2Cl_2 -гексана); диметилфуроксан, диоксан, 102, 10, 1,0, диметилглиоксим, 4,3; тетраметилфуроксан (XIX), диоксан, 102, 8, 1,0, ниоксим, 10,7, т. пл. 170—176° (разл.); XIX, XIII, 160, 2, 1,3, ниоксим (выделен в виде Ni-комплекса), 18. Неочищ. продукт восстановления XVIII — ДО 3,6-дифенил-4,5-диазбензохинона-1,2 (XX) кипячением в ацетоне превращается в XVIII, выход 39%; шел. гипогалогенит окисляет XX до XVII, выход 71%; XVIII устойчив к гидрохлориту. Приведены результаты измерений кол-ва H_2 , выделяющегося при р-ции XIV и XV с III.

9Ж193. Перегруппировка Курциуса применительно к α -оксиминиксидам. Vaughan W. yman R., Spence John L. Curtius rearrangement of α -oximinokids. *J. Organ. Chem.*, 1960, 25, № 7 1077—1079 (англ.). Описан новый метод синтеза 3-замещ. 5-оксипи-2,4-оксадиазолов (I), исходя из эфиров α -оксиминиксидов. Окислы метилового эфира пириновградной (IIa), этилового эфира бензоилмуравьиной (IIb) и этилового эфира фенилпириновградной (IIa) к-т превращают в оксимы гидразидов (IIIa—в) и далее в оксимы азидов (IVa—в) этих к-т. Перегруппировкой Курциуса из IVb—в получают (Ia—в, где а заместитель = R = стирол, б R = фенил, в R = бензил). Полученный обычным методом IIa, выход 78%, т. пл. 116—126° (из водн. CH_3OH), с 10%-ным NaOH образует оксим к-ты, при стоянии с конц. H_2SO_4 (12 час.—7 дней) не циклизует; при кипячении 2 часа с наибольшим избытком Br_2 дает дибромпропадион, выход 77%, т. пл. 186—190° (разл.; из бзл.). 9,7 ммоль IIa и 2 мл N_2H_4 в 12 мл CH_3OH нагревают 20 мин. при 100° разбавляют равным объемом воды, выход IIIa 85%, т. пл. 192—193° (разл.; из сп.). К 2,4 ммоль IIa в смеси 20 мл CH_3COOH и 5 мл воды добавляют при 0° 3,6 ммоль NaNO_2 в 5 мл воды, выход IVa 76%, т. пл. 108° (разл.; высаживание водой из CH_3OH). 0,2 г IVa кипятят 2 часа в 30 мл спирта, отгоняют р-ритель, остаток растирают с водой и получают 0,1 г Ia, т. пл. 198,5—200° (из водн. сп.), или кипятят 2 часа 0,2 г IVa в 20 мл C_6H_6 и получают 0,1 г Ia; последний выделяют также из амидоксима коричной к-ты последовательной обработкой SiOOC_2H_5 и щелочью. 1 г IIb и 1 мл N_2H_4 нагревают (100°, 10 мин.) в 6 мл спирта, упаривают до 1/3 объема, разбавляют водой и отдают 1 г IIIb, т. пл. 164—172° (из сп.- CCl_4 и водн. сп.), который превращают, как описано выше, в IVb, т. пл. 110° (разл.), и 1б, т. пл. 197—200,5° (из бзл.); 1б получают также из бензамидоксима. Аналогично из IIa синтезируют IIb, т. пл. 143—146° (из бзл., водн. сп. и $\text{CHCl}_3 + \text{CCl}_4$), и IVb, т. пл. 95° (разл.). 1 г IIb кипятят 30 мин. в 25 мл C_6H_6 , р-ритель отгоняют и получают 0,4 г Ib, т. пл. 112—115° (из CCl_4 , воды и петр. эф.-бзл.), который синтезируют также из фенилацетамидоксима обычным путем.

9Ж194. Получение 10-(N-фталиламиноацетил)-фентиазинов. Bräuniger H., Menger S. Die Darstellung von 10-(N-Phthalylaminoacetyl)-phenothiazinen. *Pharmaz. Zentralhalle*, 1960, 99, № 7, 395—398 (нем.). Сплавлением фентиазина (I) и 3-хлор-I (II) с ангидридами N-фталилглицина (III, IV к-та), N-фталил-DL-



аланина и N-фталил-DL-фенилаланина (V) синтезируются (VI). Смесь 0,0025 моля I и 0,0025 моля III нагревают 8 час. при 170—180°, измельчают и промыва-

ют эфиром, получают VI (R = R' = H), выход 82,8%, т. пл. 240—242° (здесь и далее из водн. сп.). Последний получают с выходом 72,5% взаимодействием I с хлорангидридом IV в смеси C_6H_6 и CHCl_3 . Аналогично при р-ции I и II с ангидридами N-фталиламиноацетил получают VI (указаны R, R', т-ра р-ции в °C, продолжительность р-ции в часах, выход в %, т. пл. в °C): H, CH_3 , 170—180, 8, 77,5, 199; Cl, H, 180—190, 7, 83,8, 240—242; Cl, CH_3 , 170—180, 7, 65,5, 243—245. Смесь эквимолярных кол-в I и V нагревают 8 час. при 170—180°, измельчают, кипятят с водой, фильтруют и осадок промывают эфиром, получают VI (R = H, R' = C_6H_5 - CH_2), выход 48,7%, т. пл. 202°. Аналогично (применяя для промывания ацетон вместо эфира) получают VI (R = Cl, R' = $\text{C}_6\text{H}_5\text{CH}_2$), выход 45,4%, т. пл. 135°.

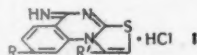
9Ж195. Синтез некоторых замещенных сульфатиазолов. Sen A. B., Roy A. K. Synthesis of some substituted sulphathiazoles. *J. Indian Chem. Soc.*, 1960, 37, № 7, 427—428 (англ.). Конденсацией замещ. 2-оксипиринов с тиомочевинной в присутствии J_2 синтезированы 2-амино-4-(2-оксипиридин-5-ил)-тиазолы (Ia—e; везде а R = CH_3 , б R = CH_3 , в R = C_2H_5 , г R = C_3H_7 , д R = C_4H_9 , е R = C_6H_5); 2-амино-4- R' -тиазол (Iж, везде R' = 4-(p -хлорфенил-5-метил)]. Соединения I действием N -ацетамидобензолсульфохлорида (II) превращены в 2-ацетилсульфаниламидо-4-(2-оксипиридин-5-ил)-тиазолы (IIa—e) и 2-ацетилсульфаниламидо-4- R' -тиазол (IIж); в-ва IIb, в, е, ж гидролизуют в 2-сульфаниламидо-4-(2-оксипиридин-5-ил)-тиазолы (IVb, в, е) и 2-сульфаниламидо-4- R' -тиазол (IVж). 8,4 г N -хлорпропиофенона, 7,6 г тиомочевины и 12,2 г J_2 нагревают 24 часа при 100°, извлекают эфиром, остаток кипятят с водой, фильтрат подщелачивают NH_4OH и отдают Iж, выход 55%, т. пл. 140° (из сп.); ацетильное производное, т. пл. 235°. Аналогично синтезируют (указаны в-во, выход в %, т. пл. в °C основания и ацетильного производного): Ia, 46, 200, 216; б, 42, 175, 195; в, 52, 132, 153; г, 39, 207, 241; д, 25, 117, —; е, 48, 185, 261 (все из сп.). 1,9 г Ia—ж, 2,3 г II и 15 мл $\text{C}_6\text{H}_5\text{N}$ нагревают 2,5 часа при 65—70°, разбавляют водой и отдают (здесь и далее указано в-во, выход в % и т. пл. в °C): IIIa, 50, 200; б, 56, 250; в, 55, 152; г, 58, 195; д, 45, 93; е, 48, 165; ж, 58, 296 (все из сп.). Кипятят 2 часа III с 12%-ной HCl и выделяют: IVb, 40, 189; в, 45, 144; е, 35, 148; ж, 30, 162 (все из сп.).

9Ж196. Образование четвертичных солей замещенных оксазолов и тиазолов. Kerr Vernon N., Ott Donald G., Hayes F. Newton. Quaternary salt formation of substituted oxazoles and thiazoles. *J. Amer. Chem. Soc.*, 1960, 82, № 1, 186—189 (англ.). Получены четвертичные соли (ЧС) оксазола (I) и тиазола (II) с $\text{n-C}_6\text{H}_4\text{SO}_3\text{H}$ (III) для выяснения зависимости между гипотензивной активностью и хим. структурой. I и II легко образуют с III моно-ЧС при отсутствии заместителей с основным атомом азота. Аминофенил-, пиридил- и хинолилазещ. I и II образуют как моно-, так и ди-ЧС в зависимости от положения заместителя в кольце. При наличии заместителя с основным атомом азота в положении 2 I и II образуют только моно-ЧС, исключение составляет 2-(p -диметиламинофенил)-фенил-II. Получены (приведены ЧС-III, т. пл. в °C): 2,3-диметил-5-фенилоксазоль, 165—167; 3-метил-2-(p -нитрофенил)-5-фенилоксазоль, 226—228; 3-метил-2-(2,5-ксилил)-5-фенилоксазоль, 167—168; 3-метил-5-(1-нафтил)-2-фенилоксазоль, 204—206; 3-метил-5-(N,N,N-триметил- p -анилиний)-2-фенилоксазоль, 249—252; 3-метил-5-(N,N,N-триметил- p -анилиний)-2- p -толилоксазоль, 233—235; 2-(p -метоксифенил)-3-метил-5-(N,N,N-триметил- p -анилиний)-оксазоль, 242—244; 3-метил-5-(N,N,N-триметил- p -анилиний)-2-(1-нафтил)-оксазоль, 209—212; N,N,N-триметил- p -(5-фенил-2-оксазоль)-анилиний, 212—213; N,N-диэтил-N-метил- p -(5-фенил-2-оксазоль)-анилиний, 136—138; 1-метил-4-(5-фенил-2-окса-

золил-пиридиний, 270 (возг.; хлоргидрат); 1-метил-2-(5-фенил-2-оксазолил)-хинолиний, 222—224; 1-метил-6-(5-фенил-2-оксазолил)-хинолиний, 228—229; 2,5-оксазолиден-бис-(N,N,N-триметил-п-анилиний), 178—210; 1-метил-3-[5-(N,N,N-триметил-п-анилиний)-2-оксазолил]-пиридиний, 239—242; 3-фенил-5-фенил-2-(5-фенил-2-оксазолил)-оксазолий, 264—268; 4-(4-бифенилил)-2,3-диметил-оксазолий, 194—196; 1-метил-4-[5-фенил-2-(1,3,4-оксадиазолил)]-пиридиний, 200—210; 2-(п-фторфенил)-3-метил-5-фенилтиазолий, 157 (168—169); 2-(п-хлорфенил)-3-метил-5-фенилтиазолий, 192—194; 2-(о-йодфенил)-3-метил-5-фенилтиазолий, 210—213; 2-(м-йодфенил)-3-метил-5-фенилтиазолий, 172—174; 3-метил-5-фенил-2-стирилтиазолий, 90—99; 2-(4-бифенилил)-3-метил-5-фенилтиазолий, 238—240; 3-метил-2-(1-нафтил)-5-фенилтиазолий, 151(173—175); 3-метил-5-(2-нафтил)-2-фенилтиазолий, 210—212; 3-метил-5-фенил-2-(2-тиенил)-тиазолий, 173—176; 3-метил-2-(N,N,N-триметил-п-анилиний)-5-фенилтиазолий, 238—240; 1-метил-3-(5-фенил-2-тиазолил)-пиридиний, 206—209; 1-метил-4-(5-фенил-2-тиазолил)-пиридиний, 224—228; 7,72 г CH_3CONH_2 и 35,7 г $n\text{-C}_6\text{H}_5\text{C}_6\text{H}_4\text{COCN}_2\text{Br}$ нагревают 4 часа при 165°, промывают водой, сухой остаток экстрагируют кипящим спиртом, получают 0,34 г 4-(4-бифенилил)-2-метилоксазола, т. пл. 149—150° (из гексана). К 4,1 мл $\text{C}_6\text{H}_5\text{COCN}_2\text{Br}$ в $\text{C}_6\text{H}_5\text{N}$ прибавляют 5,1 г гидраза изоникотиновой к-ты, нагревают 5 мин. при ~100°, охлаждают, выливают в воду, получают 7 г 1-бензоил-2-изоникотиноилгидраза (IV), т. пл. 232—234° (из воды). 4,9 г IV в 25 мл POCl_3 кипятят 5 час., удаляют избыток POCl_3 , остаток выливают в воду, доводят до pH 6, получают 2,8 г 4-[5-фенил-2-(1,3,4-оксадиазолил)]-пиридина, т. пл. 143—144°. 15 мл лед. CH_3COOH , 1 г 4-(5-фенил-2-оксазолил)-пиридина (V) и 1,5 мл 30%-ного H_2O_2 нагревают 7 час. при ~100°, упаривают досуха, промывают эфиром, получают 0,46 г N-окиси V, т. пл. 230—231° (из ацетона).

9Ж197. Перегруппировка енаминов из 2-ацетилфурана в N-замещенные о-аминофенолы. Birkofer L., Daum G. *Umlagerung von Enaminen aus 2-Acetylfuran in N-substituierte o-Aminophenole*. «Angew. Chem.», 1960, 72, № 18, 707 (нем.).—При взаимодействии 2-ацетилфурана с вторичными аминами: пиперидином, пирролидином, морфолином и ди-*n*-бутиламином в присутствии катализ. кол-ва лед. CH_3COOH получают соответственно N-[1-(α -фурил)-винил-1]-пиперидин (I), N-[1-(α -фурил)-винил-1]-пирролидин (II), N-[1-(α -фурил)-винил-1]-морфолин (III) и [1-(α -фурил)-винил-1]-ди-*n*-бутиламин (IV). При перегонке I—IV отщепляется фурановое кольцо с образованием N-замещ. о-аминофенола (V) (перечисляются исходные, полученные V, выход в %, т. пл. в °C, т. пл. в °C хлоргидрата): I, о-(пиперидил-1)-фенол, 65, 75, 175; II, о-(пирролидил-1)-фенол, 65, 111, 188; III, о-(морфолил-4)-фенол, 56, 131, 220; IV, о-(ди-*n*-бутиламино)-фенол, 50, т. кип. 143°/13 мм., —, 181.

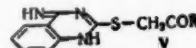
9Ж198. Производные тиопегана. Часть XVII. Синтез хлоргидратов 4-имино-9,10-тиопегана-2,10-диена и его 7 хлорпроизводных. Sachdev H. S., Ralhan N. K. *Thiopegan derivatives. Part XVII. Synthesis of 4-imino-9,10-thiopegan-2,10-diene hydrochlorides and their 7-chloro derivatives*. «J. Scient. and Industr. Res.», 1960, BC19, № 5, C109—C112 (англ.).—Синтез хлоргидратов 4-ими-



но-9,10-тиопегана-2,10-диенов [IIa—з, где $\text{R} = \text{H}$, $\text{R}' = \text{C}_6\text{H}_5$; б $\text{R} = \text{H}$, $\text{R}' = n\text{-CH}_2\text{C}_6\text{H}_4$; в $\text{R} = \text{H}$, $\text{R}' = n\text{-CH}_2\text{OC}_6\text{H}_4$; г $\text{R} = \text{H}$, $\text{R}' = n\text{-ClC}_6\text{H}_4$; д $\text{R} = \text{H}$, $\text{R}' = n\text{-BrC}_6\text{H}_4$; е $\text{R} = \text{Cl}$, $\text{R}' = \text{C}_6\text{H}_5$; ж $\text{R} = \text{Cl}$, $\text{R}' = n\text{-CH}_2\text{OC}_6\text{H}_4$; з $\text{R} = \text{Cl}$, $\text{R}' = n\text{-BrC}_6\text{H}_4$] осуществлен взаимодействием хлоргидрата (XI) о-аминобензонитрила (II) или XI

2-амино-4-хлорбензонитрила (III) с о-тиоцианацетофенонами $\text{R}'\text{C}_6\text{H}_4\text{COCN}_2\text{SCN}$ (IV). I устойчивы к горячей конц. HCl , но кипящей водой или холодными щелочными переводятся в 4-кетопроизводные. Предложен механизм р-ции синтеза I, в котором первой ступенью является образование производного тиомочевины. Приведены данные испытаний антибактериального действия Ia, б, г, д на различных микроорганизмах. Обработкой о-аминобензонитрила абс. эфиром, насыщенным сухим HCl , получают II, т. пл. 202° (из лед. CH_3COOH). Р-р 2 г 2-амино-4-хлорбензонитрила в 15 мл сухого ацетона обрабатывают 15 мл абс. эфира, насыщенного сухим HCl , и отделяют ХГ III, т. пл. 166° (из ацетона + следы HCl). Смесь р-ров II и IV в миним. кол-вах абс. спирта кипятят 3—5 час., I отфильтровывают, получают дополнительное кол-во в-ва при упаривании маточного р-ра; аналогично проводят р-цию III с IV (абс. спирт сушат над Mg), время кипячения 5—7 час. Получены следующие I [перечисляются в-во, выход в %, т. пл. в °C (все разл.; Ia—д из лед. CH_3COOH , Ia—з из сп. эф.)]: а, 22,77, 345; б, 87,18, 287—288; в, 83,5, 300; г, 86,01, 305; д, 81,6, 326; е, 52,6, 345; ж, 30, 350; з, 29,12, 400. Р-р 2 г Ig в 10 мл $\text{C}_6\text{H}_5\text{N}$ + 15 мл воды при охлаждении подщелачивают NaOH , затвердевшее масло растирают, промывают водой, растворяют в 50 мл разб. спирта, кипятят 6 час., разбавляют 50 мл воды и выделяют 3-(п-хлорфенил)-9,10-тиопегана-2,10-диенон-4, т. пл. 268—270° (из водн. сп.). Предыдущую часть см. РЖХим, 1959, № 9, 31408.

9Ж199. Производные тиопегана. Часть XVIII. Синтез 4-кето- и 4-имино-2-тиотетрагидрохиназолинов и их S-замещенных производных. Ralhan N. K., Sachdev H. S. *Thiopegan derivatives. Part XVIII. Synthesis of 4-keto and 4-imino-2-thiotetrahydroquinazolines and their S-substituted derivatives*. «J. Scient. and Industr. Res.», 1960, BC19, № 6, B215—B216 (англ.).—Предложен одностадийный синтез 4-кето- и 4-имино-2-тетрагидрохиназолина (I и II) взаимодействием антрапино-



вой к-ты (III) и соответственно о-аминобензонитрила (IV) с NH_4NCS . Конденсацией II с α -галлоидкетонами (хлорацетон и о-бром-ацетофеноны) получены (V). 1 моль III нагревают с 1,1 моля NH_4NCS (170—180°, 15 мин.), обрабатывают р-ром Na_2CO_3 и после перегонки экстракции из CH_3COOH и пересаживания через NaOH сухое CH_3COOH получают I, выход 88%. Аналогично синтезируют (приведены в-во, выход в %): 6-хлор-I, 86; 6-метил-I, 90; 8-метил-I, 93. NH_4NCS нагревают с IV в тех же условиях и без обработки Na_2CO_3 выделяют II, выход 38,31 %, т. пл. 300° (из лед. CH_3COOH). Р-р II в эквивалентном кол-ве 2%-ного NaOH разбавляют двойным объемом воды и после фильтрования прибавляют р-р эквивалентного кол-ва α -галлоидкетона в спирте (1 г в 20—25 мл спирта), через 30 мин. выделяют V (перечисляются R, выход в %, т. пл. в °C): CH_3 , 20, 168 (из сп.); C_6H_5 , 59, 240 (из лед. CH_3COOH + $\text{CH}_3\text{COC}_6\text{H}_5$); $n\text{-CH}_2\text{C}_6\text{H}_4$ (хлоргидрат), 51, 235; $n\text{-BrC}_6\text{H}_4$, 40, 189 (из сп.).

9Ж200. Пиролиз продуктов реакции о-аминотиофенолов с кетонами. Elderfield Robert C., McLeachan Ellsworth C. *Pyrolysis of the products of the reaction of o-aminobenzenethiols with ketones*. «Amer. Chem. Soc.», 1960, 82, № 8, 1982—1988 (англ.).—С целью исследования расщепления C—C-связи в микроволновых условиях (ср. пиролиз 2,2-дизамещ. бензимидазолинов, см. РЖХим, 1961, 8Ж21) конденсацией о-аминотиофенола (I) и его производных с кетонами RCOCH_3 получены 2,2- $\text{R}'\text{R}'$ -бензтиазолины (II), которые при пиролизе образуют 2- R -бензтиазолины (III) и углеводороды $\text{R}'\text{H}$. Показано, что из II ($\text{R} = \text{CH}_3$, $\text{R}' = \text{алил}$)

выделяется R'H (этан, пропан, изобутан, циклопропан), напротив, в случае II ($R = CH_3$, $R' = \text{арил}$) выделяется метан. Трудно объяснить устойчивость к пиролизу ($> 300^\circ$) продуктов конденсации I с бензофеноном и с бензилдом, так как 2,2-фенилбензидолин расщепляется уже при 190° . Исследована кинетика р-ции пиролиза некоторых II, вычислена энергия активации и подтвержден и расширен на II с учетом стeric. факторов) ранее предложенный авторами (J. Amer. Chem. Soc., 1951, 73, 975) механизм пиролиза замещ. бензимидазолинов. Метод A. Смесь 35 г I и 59,5 г ацетона кипятят 8 час., отгоняют в вакууме избыток ацетона и образовавшуюся воду, остаток выдерживают 12 час. при 0° и отделяют от масла кристаллы II ($R = R' = CH_3$) (IIa), выход 86,6%, т. пл. $46-48^\circ$ (из хлф.-птр. эф.). Метод B. 30 г I и 120 г ацетона кипятят 24 часа, отгоняют в вакууме избыток ацетона и получают II ($R = CH_3$, $R' = C_6H_5$) (IIb), выход 73,5%, т. кип. $139-142^\circ/0,02$ мм. Метод B. 30 г I и 75 г *n*-метилацетона кипятят 24 часа, сушат $CaSO_4$ и перегоняют II ($R = CH_3$, $R' = C_6H_5CH_2$) (IIв), выход 61,5%, т. кип. $180-183^\circ/1,5$ мм. Получены также следующие II (перечислены R, R' или R + R', метод, выход в %, т. кип. в $^\circ C/мм$, т. пл. в $^\circ C$): CH_3 , C_6H_5 (IIr), A, 84,5, $101-103/1$, —; CH_3 , $n-C_3H_7$ (IIд), A, 69, $142-144/5$, —; CH_3 , *изо*- C_4H_9 (IIe), A, не очищались; CH_3 , *изо*- C_4H_9 (IIж), A, 78, $108-110/0,3$, —; CH_3 , *трет*- C_4H_9 (IIз), A, 92, $119-120/1,5$, $53-54$ (из птр. эф.); CH_3 , $n-C_5H_{11}$ (IIи), A, не очищались; CH_3 , $C_6H_4-OC_2H_5$ (IIк), B, 66, $201-204/1$, $104-105$ (из сп.), и $240-242$ (вторая форма); CH_3 , $C_6H_4NO_2$ -*м* (IIл), A, не очищались; CH_3 , циклопропил (IIм), A, 58, $110-112/0,75$, — (быстро разлагается); C_6H_5 , $n-C_4H_9$ (IIн), B (смесь) оставляют на 12 час. при $\sim 100^\circ$, 91, $134-136/1$, —; C_6H_5 , 2-фенилбензотиазолил (из I бензила), A, 95, —, $116-117$; (CH_2)₅ (IIо), A, 58, $112-114/0,75$, $114-115$; $OH_2CH(CH_3)CH_2CH_2CH_2$ (IIп), A, 50, $122-125/0,5$, — (быстро разлагается); CH_3 , $CH_3(6-Cl)$ (IIр), A, —, не очищались; CH_3 , *трет*- $C_4H_9(6-Cl)$ (IIс), A, 44, $149-152/0,75$, — (быстро разлагается); (CH_2)₄, B (30 г I и 42 г циклопентана нагревают 24 часа при $\sim 100^\circ$), 48, $126-129/1$, $57-58$ (из птр. эф.), разлагается при стоянии; CH_3 , *трет*- $C_4H_9(6-CH_3O)$ (IIт) [в эфирный р-р 5-метокси-I (из 17 г *n*-анилидина) прибавляют 25 г метил-*трет*-бутилкетона, отгоняют эфир, кипятят 2 часа, сушат $CaSO_4$, 42 , $140-143/0,75$, — (неустойчив); CH_3 , $CH_3(5-Cl)$ (IIу) (10 г хлоргидрата 4-хлор-I, 30 мл диметиламина и 3,2 г ацетона кипятят ~ 12 час., отгоняют амин, остаток промывают водой), 59, $76-80/0,05$, $37-38$ (быстро разлагается). 12 г I и 21 г 1,3-дифенилпропана-2 нагревают 2 часа при 250° , отгоняют толуол (79,5%) с водой, остаток растворяют в эфире и выделяют в виде хлоргидрата (т. пл. $145-149^\circ$) или пикрата (т. пл. $144-145^\circ$) III ($R = \text{бензил}$), т. кип. $198-200^\circ/5$ мм. 10 г II в аппарате (приводится описание) нагревают со скоростью $1-2^\circ$ в 1 мин. до начала устойчивого выделения газа (т-ра пиролиза) и получают следующие в-ва (перечислены исходный II, т-ра пиролиза $\pm 8^\circ$, R'H, R у III, выход III в %): IIa, 275, CH_4 , CH_4 , 37; II ($R = CH_3$, $R' = \text{изобутил}$) (30 г I и 64 г окиси мезитила кипятят 24 часа, отгоняют в вакууме и выделяют крайне неустойчивое масло, выход 27%, т. кип. $135-137^\circ/3,5$ мм), 212, CH_4 (видимо вследствие разложения изобутильной цепи), CH_4 , 41; 6, 285, CH_4 , C_6H_6 , 70; в, 270, CH_4 , $C_6H_5CH_3$ -*п*, 53,5; г, 255, CH_4 , CH_3 , 60,6; д, 245, C_3H_8 , CH_3 , 69,3; е, 230, C_3H_8 , CH_3 , низкий ж, 248, *изо*- C_4H_{10} , CH_3 , 65,5; з, 215, *изо*- C_4H_{10} , CH_3 , 81; а, 145 (0,5 г IIa, 10 мл *n*- $C_6H_{11}OH$ и 0,5 г Na), *изо*- C_4H_{10} (88%), —, —; м, —, *n*- C_6H_{14} , CH_3 , —; к, 233, CH_3 , $C_6H_5CH_3$ -*п*, 46; л, 260, CH_4 , —, —; н, 265, циклопропан, CH_3 , 61,5; п, 240, C_2H_6 + C_4H_{10} (1:1), *n*- C_4H_{10} , 44 [III ($R = C_6H_5$), выход 40%]; о, 270 (15 час.), —, *n*- C_6H_{11} , 40; п, 270 (20 час.), —, *n*- C_6H_{13} , 62; р, 270, CH_4 , $CH_3(6-Cl)$, —; с, 210, *изо*- C_4H_{10} , —, —; т, 205, *изо*- C_4H_{10} , $CH_3(6-Cl)$, —; у, 270, CH_4 , $CH_3(5-Cl)$, —; II ($R = CH_3$, $R' = C_6H_5CH_2$), —, толуол, CH_3 , —; II ($R = R' = C_6H_5CH_2$), —, толуол, $C_6H_5CH_2$, 79,5; II ($R + R' = (CH_2)_4$), 260 (4 часа), —, *n*- C_6H_{10} , 30.

O. Кьялдишени
9Ж201. Замещенные 1-тиокарбамилтриметиленимины и их перегруппировка в производные 2-имино-3,4,5,6-тетрагидро-1,3-тиазина. Tisler M. Substituierte 1-Thiocarbamyltrimethylenimine und ihre Umlagerung in Derivate des 2-Imino-3,4,5,6-tetrahydro-1,3-thiazins. «Arch. Pharmazie», 1960, 293/65, № 6, 621-626 (нем.). — Замещенные 1-тиокарбамилтриметиленимины [Ia—ж], где а $R = C_6H_5$, б $R = n-C_3H_7$, в $R = 2,4-(CH_3)_2C_6H_3$, г $R = n-C_2H_5OC_6H_4$, д $R = m-ClC_6H_4$, е $R = p-ClC_6H_4$, ж $R = n-C_3H_7OC_6H_4$, полученные взаимодействием три-



метиленимина (II) с арилизотиоцианатами (III), гладко и с почти колич. выходами перегруппировываются в соответствующие производные 2-имино-3,4,5,6-тетрагидро-1,3-тиазина (IVa—к, где а $R = C_6H_5$, б $R = n-C_3H_7$, в $R = n-C_2H_5OC_6H_4$, г $R = m-ClC_6H_4$, д $R = p-ClC_6H_4$, е $R = n-C_3H_7OC_6H_4$, ж $R = o-CH_3C_6H_4$, з $R = m-CH_3C_6H_4$, и $R = o-CH_3OC_6H_4$, к $R = \text{циклогексил}$). Строение IV доказано самостоятельным и встречным синтезом ряда IV из III и 3-аминопропанола-1 (V). Доказано также, что IV имеют строение иминоформы, а не аминформы $-C(NHR)=N-$, поскольку ИК-спектры IV совпадают с ИК-спектрами 2-фениламино-3-фенил-3,4,5,6-тетрагидро-1,3-тиазина (VI) и 2-фениламина-3-метил-3,4,5,6-тетрагидро-1,3-тиазина (VII), для которых возможна лишь иминоформа. К 0,01 моля III в 10 мл эфира приливают 0,6 г II в 5 мл эфира, по окончании р-ции I кристаллизуют из C_6H_6 -птр. эфира; получены следующие I (перечисляются в-во, т. пл. в $^\circ C$): а, 112 (из водн. сп.); б, 144-145; в, 167; г, 120; д, 112; е, 146-147; ж, масло (которое тотчас перегруппировывают в IVе). 1 г Ia кипятят 15 мин. с 30 мл конц. HCl, разбавляют равным объемом воды, фильтрат обрабатывают 10%-ным NaOH и отделяют IVa, выход 92%, т. пл. 127° (из водн. сп.); аналогично получают IVб, в, д, е, 0,02 моля III и 1,5 г V кипятят 10 мин. в 15 мл эфира р-ритель удаляют, остаток нагревают 15 мин. с 10 мл конц. HCl, разбавляют водой и подщелачивают 10%-ным NaOH; аналогично получают IVв, в, д, ж, з, и, к. Аналогично получены следующие IV (перечисляются в-во, т. пл. в $^\circ C$): б, 140 (из воды); в, 132 (из сп.); г, 150 (из сп.); д, 156-157 (из сп.-воды, 1:3); е, 144 (из воды); ж, 121 (из сп.); з, 90-91 (из сп.-воды, 1:3); и, 127 (из сп.); к, 113 (из сп.-воды, 1:1). VI, т. пл. $137-138^\circ$, получают нагреванием эквивалентных кол-в 1,3-дибромпропана с сим-дифенилтиомочевны или конденсацией фенилизотиоцианата с 3-фениламинопропанола-1 и последующей циклизацией продукта конденсации под действием HCl. 1 г IVa и 0,8 г NaOH в 5 мл воды обрабатывают (100° , 10 мин.), 1,5 г (CH_3)₂SO₄, продукт извлекают эфиром и перегоняют, выход VII, 0,8 г, т. кип. $175-180^\circ/12$ мм; VIII получают также метилированием IVa CH_3J в присутствии CH_3ONa .

C. Гурвич

9Ж202. Об устойчивости водных растворов некоторых производных фентанина. Waaler T. Über die Stabilität von wässrigen Lösungen einiger Phenothiazinderivate. «Pharmac. acta helv.», 1960, 35, № 4-5, 168-172 (нем.). — Обнаружено, что при кипячении водн. р-ра хлоргидрата N-(2-диметиламино-1-пропил)-фентанина (прометазина) (I) происходит его расщепление с образованием N-метилфентанина, ацетальдегида и диметиламина. Аналогично разлагается N-(2-диметиламинопропил-1)-фентанин (парседол) (II). В этих условиях изопрометазин, N-(3-диметиламинопропил)-фентанин и N-(3-диметиламинопропил)-3-хлорфентанин не изменяются. При нагревании ампул, не пол-

ностью заполненных 10%-ным р-ром I, стабилизированным NaHSO_3 , наблюдается появление окраски и продуктов расщепления, что не имеет места при нагревании полностью заполненных ампул. Предполагается, что расщепление I и II происходит по свободнорадикальному механизму и что кислород воздуха активизирует фентиазиновую молекулу; после чего имеет место гидролиз, при котором боковая цепочка подвергается нуклеофильной атаке ионами гидроксила.

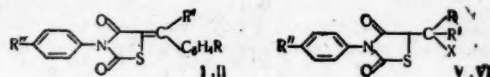
В. Янгуский

9Ж203. Исследования в ряду фентиазина. III. Реакции замещения водорода на металл. Sauquill Germaine, Casadevall André, Casadevall Eliette. Recherches dans la serie de la phénothiazine. (3-е мѐм.). Réactions de métallation. «Bull. Soc. chim. France», 1960, № 6, 1048—1066 (франц.).—Изучены р-ции $n\text{-C}_4\text{H}_9\text{Li}$ (I) и $\text{C}_6\text{H}_5\text{Li}$ (II) с фентиазином (III), 10-алкил-III, 10-аллил-III и р-ции полученных Li-соединений III и замещ. III с CO_2 , органич. солями Li, CH_3O , окисью этилена, $\text{SO}_4(\text{CH}_3)_2$, CH_3COCl , $n\text{-CH}_3\text{C}_6\text{H}_4\text{SO}_2\text{C}_2\text{H}_4\text{Cl}$ и $\text{ONCN}(\text{CH}_3)_2\text{C}_6\text{H}_5$. Предполагается, что III и I при молекулярном соотношении 1:2 и продолжительном контакте образует 1,10-ди-Li-производное III; при соотношении 1:1 и кратковременном контакте получается 1-Li-производное III; из II образуется лишь 1-литий-III. Приведены попытки теоретич. обоснования строения этих соединений и механизмы их получения. К 50 мл абс. эфира прибавляют в атмосфере N_2 4 г атома Li и 10 капель р-ра 0,2 моля $n\text{-C}_4\text{H}_9\text{Br}$ (IV) в 50 мл эфира, добавляют (30 мин., -10°) по каплям остаток р-ра IV, перемешивают ($\sim 20^\circ$, 1 час) до исчезновения Li, постепенно прибавляют 0,1 моля сухого III, затем 50 мл эфира, перемешивают 30 час., охлаждают до $\sim 0^\circ$ и выливают полученный р-р (р-р А) на смесь твердой CO_2 с абс. эфиром, прибавляют при $\sim 20^\circ$ воду, извлекают эфиром III и из водн. слоя осаждают к-той 1-карбокси-III (V), выход 12,85 г, т. пл. 280° (из этилацетата); метиловый эфир, т. пл. 117° (из CH_3OH -ацетона). К р-ру II в эфире [из 0,25 г атома Li и 0,125 моля $\text{C}_6\text{H}_5\text{Br}$ (VI)] прибавляют постепенно 0,1 моля III, перемешивают 15 мин., к полученному р-ру (р-р Б) прибавляют по каплям ($\sim 0^\circ$) 0,125 моля $\text{SO}_4(\text{CH}_3)_2$ в 50 мл эфира; на другой день смесь разлагают водой ($\sim 0^\circ$) и извлекают эфиром 10-метил-III (VII), выход 93,8%, т. пл. 90° (из сп.-ацетона). Аналогично из р-ра А (приготовлен в атмосфере N_2) и 0,2 моля $\text{SO}_4(\text{CH}_3)_2$ получают VII, выход 98,5%. К р-ру А прибавляют 0,1 моля $\text{SO}_4(\text{CH}_3)_2$ в 50 мл эфира, допуская повышение т-ры до $\sim 20^\circ$, вновь охлаждают и выливают на смесь твердой CO_2 с эфиром; при 15° разлагают водой и извлекают эфиром VII (18 г) и III (2 г), из водн. слоя получают V (0,6 г). К р-ру Б (через 40 час. после его приготовления) прибавляют по каплям при охлаждении 0,125 моля CH_3COCl в 50 мл эфира; на другой день смесь разлагают ледяной водой, выпадает 10-ацетил III (VIII), выход 39,5%, т. пл. 190° ; из фильтрата извлекают эфиром 10 г III. К р-ру А (из 0,6 г атома Li) прибавляют 0,2 моля CH_3COCl в 50 мл эфира, получают VIII, выход 87,5%, и 1 г III. В р-р Б пропускают 15 мин. CH_2O , кипятят 15 мин., получают III. В тех же условиях из р-ра А получают III и масло, т. кип. $225^\circ/1$ мм. К р-ру Б из 0,5 г атома Li, 0,25 моля IV и 0,25 моля III прибавляют по каплям при охлаждении в токе N_2 р-р 0,25 моля окиси этилена в 50 мл эфира; на другой день смесь разлагают водой и извлекают эфиром 10-(β -оксэтил)-III (IX), выход 83%, т. кип. $205/0,8$ мм, $215\text{—}217^\circ/3$ мм, т. пл. 60° ; бензоат, т. пл. 85° (из сп.); уретан, т. пл. 120° (из сп.-ацетона). Аналогично из р-ра А из двойного кол-ва реагентов и 0,4 моля окиси этилена в 50 мл эфира получают IX, выход 91,7%. В тех же условиях из р-ра Б и $n\text{-ClCH}_2\text{CH}_2\text{O}_2\text{S-C}_6\text{H}_4\text{CH}_3$ получают 10- β -хлорэтил-III, выход 69,5%, т. пл. $96\text{—}97^\circ$. Р-р А с $\text{ONCN}(\text{CH}_3)_2\text{C}_6\text{H}_5$ дает III и обугленный продукт. Р-р А перемешивают 1 час с 2 молями

CH_3COOLi , затем кипятят 6 час., смесь охлаждают и экстрагируют эфиром III и 1-ацетил-III (X), выход 39,5%, т. пл. 100° (из сп.-ацетона); оксим, т. пл. 134° (из бэл.-птр. эф.); семикарбазон, т. пл. 230° (из сп. или бэл.), X при метилировании $\text{SO}_4(\text{CH}_3)_2$ дает 1-ацетил-10-метил-III (XI), т. кип. $184\text{—}185^\circ$; оксим, т. пл. 135 и 180° (из птр. эф.-бэл.); семикарбазон, т. пл. 215° (из сп. или бэл.). Нагревают XIa и J в пиридине ($\sim 100^\circ$, 1 час), на другой день извлекают эфиром, экстракт промывают водой, выпаривают, остаток нагревают ($\sim 100^\circ$, 1 час) с 5%-ным NaOH и из фильтрата извлекают эфиром 10-метил-V. Нагревают (70° , 4 часа) XI с ClONa (80 г на 1 л воды), получают 5,5-дикето-10-метил-V, т. пл. 245° (из CH_3OH -сп.). К р-ру А (из двойного кол-ва реагентов) при $\sim 0^\circ$ добавляют 0,4 моля $n\text{-C}_4\text{H}_9\text{Li}$, перемешивают 1 час, кипятят 6 час., охлаждают, осторожно разлагают льдом и экстрагируют эфиром, при выпаривании выпадает III; из остатка получают 1-пропил-III, выход 32,9%, т. кип. $213^\circ/1$ мм, т. пл. 49° (из сп.-ацетона); оксим, т. пл. 84° (из эф.-птр. эф.). Аналогично получают 1-бензоил-III (XII), выход 41,25%, т. кип. $250\text{—}255^\circ/1$ мм, $270^\circ/2$ мм, т. пл. 91° (из сп.-ацетона); оксим, т. пл. 178° (этилацетата). XII спитизирует так же, как описано выше, из Li, VII и Li-соли V. К р-ру I в эфире (из 0,6 г атома Li и 0,3 моля IV) прибавляют 0,15 моля VII и 100 мл абс. эфира, перемешивают 30 час., полученный р-р (р-р В) охлаждают ($\sim 0^\circ$), выливают на смесь эфира и твердой CO_2 , разлагают водой при $\sim 20^\circ$, извлекают эфиром 15 г VII, водн. слой подкисляют, выпадает 10-метил-4-карбокси-VII (XIII), выход 6,2 г, т. пл. 250° (из сп.-ацетона), и 10-метил-1-карбокси-III, выход 5,5 г; метиловый эфир, соответственно, т. кип. $230^\circ/1,5$ мм, т. пл. 80° (из сп.-ацетона) и т. кип. $230\text{—}235^\circ/2$ мм, т. пл. 92° (из сп.-ацетона). К 2,5 г карбокси-III (XIV) в 250 мл 10%-ного Na_2CO_3 прибавляют несколько мл $\text{C}_6\text{H}_{11}\text{OH}$ и постепенно 25 г сплава Реней, нагревают ($\sim 100^\circ$, 2 часа), теплую смесь фильтруют, р-р сильно подкисляют конц. HCl и извлекают эфиром N-метилдифениламинкарбоную-3 к-ту, выход 100%, т. пл. 118° (из 25—30%-ного сп.). К р-ру I (из 0,8 г атома Li, 0,4 моля IV) прибавляют 0,2 моля 10-этил-III (XV) и 100 мл абс. эфира, перемешивают 30 час., охлаждают ($\sim 0^\circ$) и выливают р-р (р-р Г) на смесь эфира и твердой CO_2 , разлагают водой при $\sim 20^\circ$ и извлекают эфиром XV (22,3 г); из водн. слоя осаждают к-ту (25 г), которую кипятят (24 часа) с 200 мл CH_3OH и 2,5%-ной конц. H_2SO_4 ; р-р экстрагируют эфиром, остаток (т. кип. $203\text{—}210^\circ/0,5$ мм) кипятят (4 часа) с 150 мл 10%-ного спир. K_2CO_3 , спирт отгоняют, остаток растворяют в воде и к-той выделяют 10-этил-1-карбокси-III, выход 7,2 г, т. пл. 163° (из CHCl_3 -птр. эф. бэл. и сп.); метиловый эфир, т. пл. 89° ; 10-этил-4-карбокси-III, выход 7,7 г, т. пл. 182° ; метиловый эфир, т. пл. 113° . 10-этил-III и 10-этил-XIV при восстановлении сплавом Реней образуют N-этилдифениламинкарбоную-3 к-ту. Из р-ра В (0,1 моля VII) и $\text{SO}_4(\text{CH}_3)_2$ получают 4,10-диметил-III, выход 5,6 г, и VII (10 г). В тех же условиях с CH_3COCl получают 10-метил-1-карбокси-III (18 г) и продукт с т. кип. $220\text{—}225^\circ/2$ мм. Из р-ра В и CH_3O (кипение 15 мин.) получают VII (14,5 г) и 4-оксиметил-10-метил-III (XVI), выход 9,9%, т. пл. 113° (из сп.-ацетона); с $\text{O}=\text{C}=\text{NC}_6\text{H}_5$ дает производное, т. пл. 167° (из сп.-ацетона). XVI получают также восстановлением LiAlH₄ 4-карбометокси-10-метил-III. К р-ру В прибавляют при охлаждении 0,2 моля окиси этилена в 30 мл эфира, на другой день смесь разлагают и получают VIII (14,5 г) и 4-оксиметил-10-этил-III, выход 9,75%, т. кип. $220^\circ/1$ мм, т. пл. 120° (из сп.-ацетона); бензоат, т. пл. 123° (из сп.-ацетона); фенилуретан, т. пл. 142° (из CH_3OH). К р-ру В прибавляют по каплям 0,4 моля $\text{HCON}(\text{CH}_3)_2\text{C}_6\text{H}_5$ в 50 мл эфира, кипятят 1 час и при $\sim 0^\circ$ разлагают водой; экстрагируют эфиром и из экстракта получают VII (34 г) и 4-формил-10-метил-III.

выход 10,3%, т. кип. 224—228°/1 мм, т. пл. 103° (из сп.-ацетона); семикарбазон, т. пл. 255°; при восстановлении по Вольфу—Кизнеру дает 4,40-диметил-III. К р-ру I (из 1 г-атома Li и 0,5 моля IV) прибавляют сразу 0,185 моля VII, затем 100 мл эфира, перемешивают в атмосфере N₂ 30 час., добавляя сразу 0,5 моля CH₃COOLi, спустя 1 час кипятят (6 час.), разлагают водой при ~0°, экстрагируют эфиром, из эфирного экстракта получают VII и 2 фракции: 200—220°/1,5 мм (6,5 г) и 200—228°/1,5 мм (11 г), из которых дробной кристаллизацией получен 4-ацетил-10-метил-III (XVII), выход 10,65 г, т. пл. 107 и 120° (более устойчивая форма); из некристаллизующегося остатка получены оксимы XVII и 3-ацетил-10-метил-III, т. пл. 165 и 200° (из бал. и петр. эф.). Вывес XVII в NaClO (80 г на 1 л воды) нагревают до 60—70°, очень медленно прибавляют 20 мл диоксана, выдерживают 30 мин. при 60—70°, перемешивают 4 часа, разрушают избыток NaClO давлением K₂S₂O₈, избегая избытка; отгоняют в вакууме диоксан и половину воды и разб. HCl (1:3), осаждают 5,5-диоксо-10-метил-4-карбокси-III, выход 8,7 г, т. пл. 300° (из CH₃OH); метиловый эфир, т. пл. 240° (из CH₃OH-ацетона). К р-ру, полученному из 1 г-атома Li, 0,5 моля IV и 0,185 моля XV, прибавляют 0,5 моля CH₃COOLi, кипятят 6 час., разлагают при ~0° ледяной водой и экстрагируют эфиром 32 г XV, т. кип. 185°/0,5 мм, и 4-ацетил-10-этил-III (XVIII), выход 7 г, т. кип. 216—218°/0,5 мм, 116—117°/0,6 мм, т. пл. 88° (из сп.-ацетона); оксим, т. пл. 181° (из сп.). К р-ру 0,8 г Li и 8 г CH₃J в эфире прибавляют 4,5 г 10-этил-4-карбокси-III, перемешивают 3 часа, разлагают ледяной водой и извлекают эфиром XVIII, выход 3 г. Кипятят (6 час.) эфирный р-р, полученный из 1 г-атома Li, 0,5 моля IV и 0,185 моля VII (р-р Г) с 0,5 моля C₂H₅COOLi, разлагают при 0° ледяной водой и эфиром извлекают 32 г VII и 4-пропилил-10-метил-III, выход 8,5 г, т. кип. 229—230°/1 мм, т. пл. 107° (из сп.-ацетона); оксим, т. пл. 182° (из сп.). Аналогично из р-ра Г и C₂H₅COOLi получают 0,4 г 3-бензил-10-метил-III и 4-бензил-10-метил-III (XIX), выход 12 г, т. пл. 150° (из сп.-ацетона); оксим, т. пл. 215° (из этилацетата). XIX получают также при действии II в атмосфере N₂ на Li-соль 10-метил-III. Аналогично получена 4-бензил-10-этил-III (XX), выход 10,5 г, т. кип. 266°/0,7 мм, т. пл. 121° (из сп.-ацетона); оксим, т. пл. 260° (из петр. эф.-сп.). XX получают также при действии II на Li-соль 10-этил-III. Р-р А, в котором VII заменен на 10-пропил-III (XXI) (р-р Д) выливают на смесь эфира и твердой CO₂, смешивают с водой, эфиром извлекают 20 г III и 2 г в-в, т. пл. 132°. К р-ру Д прибавляют по каплям, охлаждая, 0,2 моля SO₄(CH₃)₂, смесь разлагают ледяной водой и эфиром извлекают в-во, т. кип. 80°/2 мм, 20 г VII и небольшое кол-во XXI. Смешивают 0,1 моля II и 0,1 моля XXI, через 1 час прибавляют по каплям в охлажд. смесь 0,1 моля SO₄(CH₃)₂, разлагают водой (~20°) и эфиром извлекают 11 г VII, 3 г XXI и 5 г 1,1-дифенилпропилена, т. кип. 125°/2 мм, т. пл. 52° (из петр. эф.) (при окислении образует бензофенон), получается также при действии II на пропиофенон. Сообщение II см. РЖХим, 1956, № 19, 61586. П. Соколов 9Ж204. О реакционной способности экзациклической двойной связи в 5-арилден-3-арилтиазолидинон-2,4, реакция их с диазоалканами, л-тиокрезолом и пиперидином. Ahmed Mustafa, Wafia Asker, Mohamed Ezz El-din Sobhy. On the reactivity of the exocyclic double bond in 5-arylidene-3-aryl-2,4-thiazolidinediones; their reaction with diazoalkanes, p-thiocresol and piperidine. J. Amer. Chem. Soc., 1960, 82, № 10, 2567—2601 (англ.).—5-арилден-3-арилтиазолидинон-2,4 (Ia—ж) дают с CH₃N₂ или CH₃CHN₂ 5-арилтиазолиден-3-арилтиазолидинон-2,4 (IIa—н). При соединении к экзациклич. двойной связи I л-тиокрезол (III) и пиперидина (IV) (в C₆H₆) получены соответствующие аддукты (Va—в) и (Via—к). При нагре-

вании I с избытком IV гетерокольцо расщепляется с образованием фенилпиперидилмочевин (VII). Строение II придано в соответствии с общим характером р-ции диазоалканов с олефинами и подтверждено окислением IIa KMnO₄ до ацетофенона (VIII), наличием



I а—ж R' = H, R'' = CH₃, а R' = H, б R-OCH₃, в R=2-OCH₃, г R=2-OC₂H₅, д R=3,4-O₂CH₃, е R=2-Cl, ж R=4-CH₃, II а—и R' = CH₃, II о, п R' = C₂H₅, а R = R' = H, б R = 4-CH₃, R'' = H, в R = 4-OCH₃, R'' = H, г R = 2-OCH₃, R'' = H, д R = 2-OC₂H₅, R'' = H, е R = 2-Cl, R'' = H, ж R = 3,4-O₂CH₃, R'' = H, а R = 4-N(CH₃)₂, R'' = H, и R = H, R'' = CH₃, к R = 4-OCH₃, R'' = CH₃, л R = 2-OCH₃, R'' = CH₃, м R = 2-OC₂H₅, R'' = CH₃, н R = 3,4-O₂CH₃, R'' = CH₃, о R = R' = H, п R = 2-Cl, R'' = H; Va—в X = SC₆H₄CH₂-, R'' = H, а R = C₆H₅, R' = H, б R = C₆H₅, R' = CH₃, в R = R' = CH₃; Via—к X = NC₆H₄-, R' = H, а R = C₆H₅, R'' = H, б R = 4-CH₃C₆H₄-, R'' = H, в R = 2-ClC₆H₄-, R'' = H, г R = 3,4-O₂CH₃C₆H₄-, R'' = H, д R = C₆H₅, R'' = CH₃, е R = 2-CH₃OC₆H₄-, R'' = CH₃, ж R = 3-CH₃C₆H₄-, R'' = H, а R = 3-NO₂C₆H₄-, R'' = H, и R = 2-ClC₆H₄-, R'' = CH₃, к R = 4-CH₃C₆H₄-, R'' = CH₃.

в ИК-спектре IIa сильной полосы поглощения сопряженной СО-группы, а также данными УФ-спектра. В пользу указанного строения V и VI говорит легкая регенерация II при нагревании V и VI выше т-ры плавления. 3-фенилтиазолидинон-2,4 (IX) не дает IIa при р-ции с VIII в присутствии NH₃ и NH₄Cl, но расщепляется до фенилмочевин (X) (то же в отсутствие VIII). Аналогично 3-фенилтиазолидинон-4-тион-2 расщепляется с NH₃ и NH₄Cl до фенилтиомочевин и некоторые 2-тиоаналоги I при р-ции с C₆H₅CH₂NH₂ (XI) превращаются в бензилфенилтиомочевину (XII). Конденсацией 3-п-толилтиазолидинон-2,4 [получен с выходом 98%, т. пл. 157° (из CH₃COOH)] с соответствующими альдегидами синтезированы Ia—ж [здесь и далее приведены в-во, выход в %, т. пл. в °C (из лед. CH₃COOH и бал.)]: Ia, 87, 201; б, 84, 197; в, 82, 162; г, 83, 170; д, 77, 218; е, 79, 181; ж, 86, 179. Кипятят 36 час. 20 г IX с 30 мл ацетона в 200 мл сухого C₆H₆, содержащего 0,5 мл лед. CH₃COOH и 1 мл IV, и упаривают, выход 5-изопропилиден-IX (XIII) ~80%, т. пл. 122° (из сп. или бал.-петр. эф.). Из IX получают также 5-циклогексилден-IX, выход ~35%, т. пл. 112° (из бал.). Р-р I в CHCl₃ обрабатывают эфирным р-ром CH₃N₂ (из 5 г нитрозометилмочевин), через несколько дней (0°) добавляют еще CH₃N₂ в эфире, упаривают и IIa—и кристаллизуют из спирта. Аналогично получают IIo—п из 1 г соответствующего I с эфирным CH₃CHN₂ (из 6 г нитроэтилмочевин). Синтезированы II: а, 73, 133; б, 71, 141; в, 62, 144; г, 70, 152; д, 69, 145; е, 61, 153; ж, 66, 142; з, 60, 177; и, 72, 165; к, 63, 210; л, 70, 161; м, 71, 137; н, 67, 172; о, 62, 162; п, 59, 142. Нагревают смесь 0,5 г III с 0,5 г IIa или XIII (100°, 2 часа), либо Ia (140° 3 часа) с 1 каплей IV, по охлаждению разбавляют петр. эфиром, получают V: а, ~88, 152 (из бал.-петр. эф.); б, ~81, 118 (из петр. эф.); в, ~83, 98 (из петр. эф.). Кипятят 3 часа 5 г IX с 10 мл конц. NH₄OH и 10 г NH₄Cl (в 20 мл воды) в 25 мл спирта и выделяют X упариванием в вакууме. Р-р 1 г RCH=CC(O)-

N(C₆H₅)C(S)S (R = C₆H₅, 4-CH₃OC₆H₄, 3,4-CH₂O₂C₆H₃) в 40 мл сухого C₆H₆ кипятят 4 часа с 2 мл XI, упаривают и получают XII, т. пл. 153° (из сп.). Кипятят 24 часа 1 г Ia с 25 мл IV, по охлаждению выливают в разб. HCl и VII экстрагируют эфиром, т. пл. 171° (из сп.). Смесь 1 г I и 1 мл IV в 30 мл сухого C₆H₆ оставляют на 48 час., испаряют C₆H₆ и остаток растирают со

спиртом, получают VI: а, 82, 164; б, 79, 148; в, 73, 176; г, 74, 184; д, 81, 176; е, 66, 149; ж, 76, 158; з, 69, 155; и, 67, 151; к, 70, 157 (все из C_6H_5 или сп.); ни в одно случае не наблюдалось образования изомерных рацематов VI. Все I и почти все II и VI дают цветные окраски с конц. H_2SO_4 .

А. Точилкин
9Ж205. О некоторых 2-аралкиламино- или 2-арил-аминотиазолинах, обладающих вазомоторной активностью. Najer Henry, Giudicelli René. Sur quelques aralcylamino- ou arylamino-2 thiazolines douées d'activité vasculaire. «Bull. Soc. chim. France», 1960, № 5, 960—963 (франц.). — Циклизацией тиомочевин $RHNC(=S)NHC_6H_5CH_2OH$ (I), полученных взаимодействием эквивалентных кол-в эфиров изотиоановой к-ты $S=C=N-R$ (II) и $H_2NCH_2CH_2OH$ (III), синтезированы 2-(R-амино)-тиазолины (IV). Все IV, за исключением IV (R = C_6H_5), обладают местноанестезирующей активностью, приближающейся к активности кокаина, но являются также общими возбуждателями. При тех же R IV обладают в меньшей степени сосудорасширяющими и болеутоляющими свойствами сравнительно с аналогичными оксазолинами (см. РЖХимБХ, 1960, № 12, 16254; № 16, 21927). Следуя известному методу (см. РЖХим, 1956, № 8, 22421), синтезируют II (приводятся R, выход в %, т. кип. в °C/мм или т. пл. в °C): $CH_3C_6H_5$, 61, 94—95/2—3; $CH(C_6H_5)_2$, 73, 59—60; $CH(4-ClC_6H_4)(C_6H_5)$, 89, 175—179/3—4, n_D^{20} 1,6338; C_6H_5 , 62, 104/18—19; $2-CH_3C_6H_4$, 37, 80/2; $2,6-(CH_3)_2C_6H_3$, 53, 89/2; $2-CH_3-3-ClC_6H_4$, 56, 99/2—3, n_D^{20} 1,6468; $\alpha-C_{10}H_7$, 40, 57. К 0,0552 моля II [R = $2,6-(CH_3)_2C_6H_3$] при охлаждении и перемешивании прибавляют 0,0552 моля III; по окончании экзотермич. р-ции выдерживают смесь 1,5 часа при $\sim 20^\circ$ и получают I [R = $2,6-(CH_3)_2C_6H_3$], выход 86%, т. пл. 129° (из $CH_3CH_2CH_2Cl$ (V)). Аналогично получают следующие I (приводятся R, выход в %, т. пл. в °C): $CH_3C_6H_5$, 52, 63—64 (из C_6H_{14} -V); $CH(C_6H_5)_2$, 87, 131 (из V); $CH(4-ClC_6H_4)(C_6H_5)$, 70, 150 (из V); C_6H_5 , 84, 141 (из абс. сп.); $2-CH_3C_6H_4$, 92, 124 (из V); $2-CH_3-3-ClC_6H_4$, 93, 140 (из 50%-ного сп.); $\alpha-C_{10}H_7$, 89, 168 (из абс. сп.). Нагревают (100—105°, 6 час.) 0,044 моля I [R = $2,6-(CH_3)_2C_6H_3$] в 20 мл конц. HCl, охлаждают, подщелачивают конц. NH_4OH , оставляют на 14—16 час. при $\sim 0^\circ$ и отделивают IV [R = $2,6-(CH_3)_2C_6H_3$], выход 100%, т. пл. 102° (из 40%-ного сп.). Аналогично получают IV [приводятся R, выход в %, т. пл. в °C (из 50%-ного сп.)]: $CH_3C_6H_5$, 67, 83; C_6H_5 , 84, 162; $2-CH_3C_6H_4$, 91, 105; $2-CH_3-3-ClC_6H_4$, 84, 119; $\alpha-C_{10}H_7$, 69, 153 (из абс. сп.). К 0,1097 моля I [R = $(C_6H_5)_2CH$] прибавляют по каплям 9,5 мл $SOCl_2$, нагревают ($\sim 100^\circ$, 2 часа) избыток $SOCl_2$, отгоняют в вакууме, остаток обрабатывают C_6H_6 , отгоняют C_6H_6 в вакууме, продукт извлекают кипящей водой; водн. экстракт подщелачивают NH_4OH , через 14 час. при $\sim 0^\circ$ отделивают IV [R = $(C_6H_5)_2CH$], выход 92,5%, т. пл. 131°. Тем же методом синтезируют I [R' = $4-ClC_6H_4$], т. пл. 125° (из 60%-ного сп.); хлоргидрат, т. пл. 198° (разл.; из V).

П. Соков
9Ж206. Тиазолотетразолы и триазены из них. По-чипок В. Я., Зайцева С. Д. «Укр. хим. ж.», 1960, 26, № 3, 351—355. — Нагреванием тиазолотетразолов (I) с NaCN или KCN в спирте получены циантриазол-триазены, которые реагируют с H_2S в присутствии избыточного кол-ва NH_4OH с образованием производных азотомочевин. Производные (бензотиазол-2)-азотомочевин токсичны. Миним. смертельная доза Na-соли равна 125 мг на 1 кг веса белой мыши. Введение CH_3 -группы и галоида в положение 6 бензотиазол-ного ядра увеличивает токсичность в 10 раз. Р-р ами-на в H_2PO_4 прибавляют при $-10-0^\circ$ к $ONHSO_3$, через 30 мин. приливают р-р NaN_3 в миним. кол-ве воды, выливают на лед и получают [перечисляются исходные амины, их т. пл. в °C, I, выход в %, т. разл. в °C (из сп.)]: 2-амино-4-метилтиазол, 44—45, 4-метил-I (II), 14, 116; 2-амино-6-фторбензотиазол, 182, 6-фторбенз-I (III), 163, 123 (т. пл. 92—94°); 2-амино-6-хлорбензотиазол, 197,

6-хлорбенз-I (IV), 36, 120—123; 2-амино-6-бромбензотиазол, 210—211, 6-бромбенз-I (V), 20, 136—137. II извлекают из реакционной смеси $CHCl_3$. Из IV и C_6H_5MgBr (Укр. хим. ж., 1951, 17, 509) получают фенил-(6-хлорбензотиазол-2)-триазен, выход 65%, т. разл. 182—184°, 0,8 г NaCN и 0,1 г NaOH растворяют в смеси 15 мл спирта и 5 мл воды, прибавляют 1 г II, нагревают 30 мин., р-р выливают в 50 мл воды, из фильтрата подкислением CH_3COOH выделяют (4-метилтиазол-2)-циантриазен (VI), выход 84%, т. пл. 167—168° (из сп.). Аналогично получают следующие циантриазены [перечисляются исходный I, заместитель циантриазена, выход в %, т. разл. в °C (из сп.)]: бензотиазолтетразол (VII), бензотиазол-2, 75, 145—147 (Na-соль, т. пл. 200—202°); 6-метил-VII, 6-метилбензотиазол-2, 78, 165—166; 6-метокси-VII, 6-метоксибензотиазол-2, 92, 179—181; а-нафто-I, а-нафтотиазол-2, 2, 78, 173—174; III, 6-фторбензотиазол-2, 50, 157—158; IV, 6-хлорбензотиазол-2, 45, 163—167; V, 6-бромбензотиазол-2, 64, 162—163. В смеси 0,3 г VI с 50 мл воды, подделочной несколькими каплями NH_4OH , пропускают 3 часа H_2S , получают (4-метилтиазол-2)-азотомочевину, выход 56%, т. пл. 175—176° (разл.; из сп.); Na-соль, т. пл. 148—150° (разл.). Аналогично из соответствующих циантриазенов и H_2S получают следующие азотомочевин [перечисляются заместитель азотомочевин, выход в %, т. разл. в °C (из сп.)]: бензотиазол-2, 75, 164—165; 6-метилбензотиазол-2, 77, 170—174; 6-фторбензотиазол-2, 86, 174—175; 6-хлорбензотиазол-2, 87, 176—178; 6-бромбензотиазол-2, 75, 232—234. Ю. Р.

9Ж207. Исследование в области химии 2,1,3-тиодиазола. XI. Хлорирование и бромирование 1,2-нафт-2,1,3-тиодиазола. Песин В. Г., Халецкий А. М., Каукова Л. А. «Ж. общ. химии», 1960, 30, № 7, 2187—2192. — 1,2-нафт-2,1,3-тиодиазол (I) реагирует с Cl_2 и Br_2 в CH_3COOH с образованием дихлор- и dibромпроизводных I (II, III) неустановленного строения, которые не взаимодействуют в обычных условиях со спир. щелочью. При р-ции I с Cl_2 и Br_2 в расклапе образуются 3',4'-дихлордигидро-I (IV) и 3',4'-дибромдигидро-I (V), которые со спир. щелочью превращаются в 4'-хлор-I (VI) и смесь 4'- и 3'-бромпроизводных в I (VII, VIII). Строение VI и VII подтверждено синтезом из 4-хлор- и 4-бром-1,2-нафтиленидиамин (IX, X) с CaH_2 NSO (XI). 3,2 и расщепленного I насыщают при 100° Cl_2 и получают 4,45 и IV, т. пл. 153—153,5° (из сп.). IV, 0,6 мл 40%-ного NaOH и 35 мл спирта кипятят 1 час, добавляют 35 мл воды, кипятят 15 мин. и отделивают 0,75 г VI, т. пл. 124° (из разб. сп.), или нагревают (100°, 1 час) 2,6 г IX и 2,2 мл XI в 20 мл C_6H_5N , р-р подкисляют HCl и отделивают VI, 4 г I и 2 мл Br_2 кипятят 1 час, испаряют избыток Br_2 , получают 7,3 г V, т. пл. 210° (из ацетона). 1,5 г V, 0,3 г KOH в 0,6 мл воды и 50 мл спирта кипятят 2 часа, разбавляют водой, осадок кипятят 30 мин. в спирте, отделивают 0,25 г VIII, т. пл. 187—197°, горячий фильтрат разбавляют водой и спиртом и по охлаждению отделивают 0,51 г смеси VII и VIII, т. пл. 113—124° (из сп.). VII, т. пл. 124—125° (из 50%-ной CH_3COOH), получают нагреванием (100°, 1 час). 6 г X и 4,2 мл XI в 50 мл C_6H_5N с последующим подкислением 4%-ной HCl; 2 г I в 50 мл CH_3COOH насыщают Cl_2 (15 мин., 50°), р-р сгущают, обрабатывают 40 мл горячего спирта и выделяют II, т. пл. 138—140° (из сп.). Аналогично из 2 г I и 0,65 мл Br_2 в 21,5 мл лед. CH_3COOH выделяют 3,2 г III, т. пл. 132—132,5° (из сп.). 300 г $C_6H_5NH_2 \cdot HCl$ и 125 мл $SOCl_2$ кипятят 12 час. в 60 мл C_6H_5 , фильтруют и отгоняют при 12 мм 205 г XI. $C_6H_5N_2Cl$ (из 9,3 г $C_6H_5NH_2$) смешивают с 18 г хлоридата β-нафтиламина в присутствии 18 г CH_3COONa , азокраситель восстанавливают изл. пелью и 20%-ной CH_3COOH , фильтруют в 150 мл 20%-ной H_2SO_4 и осаждают содой 12,5 г 1,2-нафтиленидиамин (XII), т. пл. 95—96°. 2,3 г XII и 3 г XI нагревают (100°, 1 час) в 0,1 л толуола и выделяют I, выход 80%

т. пл.
(C_6H_5),
жидкая
а-нафт
нагрева
 HNO_3 ,
еще 19
деляют
168—17
24 г 2-
(из сп.
спирта
20 мин.
амин,а
получа
обработ
2-нафто
лед. CH
и спирт
бал.),
и NH_4Cl
на XVI
14 мл V
т. пл. 19
ОН при
 CH_3COOH
226—230
(40—50°
пл. 194—
ильно и
р-р NH
Хам, 196
9Ж208
лей орга
Н. А. «Д
 $Hg(OCO)$
= C_6H_5 ,
перекис
даются
поперек
водени
р-рителе
ды в %
и CH_3COOH
рених с
 CH_3 , III,
COOH), 97
VII, —
Va, 11, V
98, 116, 8
(C_6H_5)
V6, 16, C
— C_6H_5 ,
COO C_6H_5 ,
 C_6H_5 , 80,
Vt, 45, N
(CH_3) CH_2
— VI, —
облучени
с выходо
(CH_3) CH
выпол II
9Ж209.
ис-н-бен
Ольден
меша, 196
44) Hg (I
различны
пущим рт
и их вых
 CH_3R , —;
5 Хими

т. пл. 81° (из сп.); или 103 г сульфата XII, 100 мл $(C_6H_5)_3N$ и 122 мл XI нагревают (100°, 20 мин.), подкисляют разб. HCl и получают I, выход 96%. 60 г о-нафтиламина, 55 мл $(CH_3CO)_2O$ и 0,4 л лед. CH_3COOH нагревают 20 мин. при 100°, добавляют при 22° 10 мл HNO_3 (d 1,42), затем приливают за 15 мин. при 15° еще 19 мл HNO_3 , перемешивают 20 час. при 15° и отделяют 68,4 г 4-нитро-1-ацетнафталида (XIII), т. пл. 168—170°; фильтрат разбавляют водой и выделяют 24 г 2-нитро-1-ацетнафталида (XIV), т. пл. 108—190° (из сп.). 20 г смеси XIII и XIV в 250 мл горячего спирта подщелачивают конц. NaOH, нагревают (100°, 20 мин.) и через сутки отделяют 7 г 4-нитро-1-нафтиламина, т. пл. 191—193°; разбавлением фильтрата водой получают 7,64 г XIII. 20 г XIV в 50 мл лед. CH_3COOH обрабатывают Cl_2 (100°, 30 мин.), получают 11 г 4-хлор-2-нитро-1-ацетиламинафталина (XV), т. пл. 219° (из лед. CH_3COOH). XV гидролизуют смесью разб. H_2SO_4 и спирта в 4-хлор-2-нитро-1-нафтиламина, т. пл. 201° (из бал.), который восстанавливают Zn-пылью и р-ром NH_4Cl в IX, т. пл. 92—93°. 39 г 1-ацетиламинафталина (XVI) в 225 мл лед. CH_3COOH обрабатывают р-ром 14 мл BH_3 в 37 мл CH_3COOH , получают 47 г 4-бром-XVI, т. пл. 190—192°. К 21 г бром-XVI в 300 мл лед. CH_3COOH прибавляют при 60° 6 мл HNO_3 (d 1,5) в 6 мл лед. CH_3COOH и выделяют 24 г 4-бром-2-нитро-XVI, т. пл. 226—230° (из сп.), который гидролизуют конц. H_2SO_4 (40—50°, 3—4 мин.) в 4-бром-2-нитро-1-нафтиламина, т. пл. 194—196° (из сп.); последний восстанавливают Zn-пылью в 200 мл 50%-ного спирта и 11 г насыщ. водн. р-ра NH_4Cl в X, т. пл. 100—102°. Сообщение X см. РЖХим, 1960, № 15, 61491.

9Ж208. Реакции декарбоксилирования ртутных солей органических кислот. Ольдекко Ю. А., Майер Н. А. «Докл. АН БССР», 1960, 4, № 7, 288—290. — $Hg(OCOR)_2$ (Ia—г; здесь и далее $R = CH_3$, $b R = C_2H_5$, в $R = n-C_6H_{13}$, $g R = ClCH_2$) под воздействием перекиси или УФ-света в C_6H_6 или CH_3COOH распадается при нагревании с выделением CO_2 и образованием $RHgOSCOR$ (II). В CH_3COOH выход II больше. Проведены следующие р-ции (перечислены R, перекись, р-ритель, т-ра р-ции в °C, продукты р-ции и их выходы в %): CH_3 , $(CH_3CO)_2O_2$, CH_3COOH , 97—98, IIa, 95, CH_3COOH , —, $HgOSCOCH_3$, —, CH_3 , диацилидгидроперекиси циклогексана (III), CH_3COOH , 97—98, IIa, 98; CH_3 , III, C_6H_6 , 80, IIa, 75; CH_3 , $(C_6H_5COO)_2$ (IV), CH_3COOH , 97—98, IIa, 95, $C_6H_5HgOSCOR$ (Va), 6, C_6H_5COOH (VI), —, C_6H_5 , —, $(C_6H_5)_2$, —; CH_3 , IV, C_6H_6 , 80, IIa, 70, Va, II, VI, —; C_2H_5 , $(C_2H_5COO)_2$, C_2H_5COOH (VII), 97—98, IIb, 88,8, $HgOSOC_2H_5$, —, $C_2H_5COOC_2H_5$, —, $HOOSCH(CH_3)CH(CH_3)COOH$, —; C_2H_5 , IV, VII, 97—98, IIb, 55,4, Va, 16, C_6H_6 , —; C_2H_5 , IV, C_6H_6 , 80, IIb, 38,7, Vb, 50, VI, —; C_6H_{19} , $(C_6H_{19}COO)_2$, C_6H_{19} , 80, IIa, 46,5, Vb, 16, $HgOSOC_6H_{19}$, 22,5, $C_6H_{19}COOH$, —, $C_6H_{19}OH$, —; C_6H_{19} , IV, C_6H_6 , 80, Vb, 88,5, $ClCH_2$, $(ClCH_2COO)_2$, C_6H_6 , 80, IIg, 0,58, Vg, 45, $HgOSOC_6H_{13}Cl$ (VIII), —, $ClCH_2COOH$ (IX), —, $ClCH_2CH_2Cl$, —; $ClCH_2$, IV, C_6H_6 , 80, Vg, —, VIII, —, Hg , —, $(C_6H_5)_2$, —, VII, —, IX, —; C_6H_5 , IV, $n-C_6H_{13}$, —, C_6H_5 , —, VI, —; C_6H_5 , IV, CCl_4 , —, C_6H_5Cl , —, VI, —. При УФ-облучении в C_6H_6 из I ($R = CH_3$, C_2H_5) получены IIa, b с выходом 30—34% и $HgOSCOR$, выход 61—70%. При облучении I ($R = CH_3$, C_2H_5) в соответствующих к-тах выход II 66—68%.

Ф. Величко 9Ж209. Фотореакция металлоорганических соединений ртути в растворах. XV. Фотореакция ртутирибис-*n*-бензойной кислоты и ее диметилового эфира. Ольдекко Ю. А., Идельчик З. Б. «Ж. общ. химии», 1960, 30, № 8, 2564—2567. — Фотораспад ($n-RC_6H_4$) Hg (Ia, b; везде $a R = COOH$, $b R = COOCH_3$) в различных средах (~20°, УФ-облучение) ведет к следующим продуктам р-ции (перечислены исходное в-во, р-ритель, время облучения в часах, продукты р-ции и их выходы в %): Iб, CH_3OH , 45, Hg , 87,5, CH_2O , —, CH_3I , —; Iб, диоксал, 15, Hg , 94, C_6H_5R , —, n^2D 1,5168;

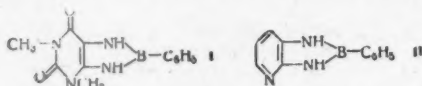
Iб, CCl_4 , 164, Iб, 8, $n-RC_6H_4HgCl$ (IIб), 51, т. пл. 258—259°, C_2Cl_4 , —, $n-ClC_6H_4R$, —; Iб, $CHCl_3$, 54, Hg , 94, Hg_2Cl_2 , 8, Iб, 28, IIб, 30,4, C_2Cl_6 , —, RC_6H_5 , —; Ia, CH_3OH , 270, Hg , 77, Ia, 15, CH_2O , —, RC_6H_5 , —; Ia, диоксал, 95, Hg , 93,7, RC_6H_5 , —. Сообщение XIV см. РЖХим, 1955, № 2, 2109.

Ф. Величко 9Ж210. Реакция диборана с ди-*трет*-бутилэтиленом и ди-*трет*-бутилацетиленом. Logan Ted J., Flaunt Thomas J. The reaction of diborane with di-*t*-butylethylene and di-*t*-butylacetylene. «J. Amer. Chem. Soc.», 1960, 82, № 13, 3446—3451 (англ.). — $Trans-RCH=CHR$ (I; здесь и далее $R = трет-C_4H_9$) реагирует с B_2H_6 с образованием $RCH_2CH(R)BH_2$ (II), который при окислении и гидролизе превращается в $RCH_2CH(OH)R$ (III). При нагревании II в диглиме (ДГ) при 160—165° и последующих окислении и гидролизе образуется $HOCH_2C(CH_3)_2CH_2CH(OH)R$ (IV), строение которого установлено на основании ИК-спектров и спектров ядерного магнитного резонанса (приведены кривые). Предполагается, что при нагревании II дегидрируется с образованием 2-*трет*-бутил-4,4-диметилборациклопентана, который под действием щел. H_2O_2 превращается в IV. Гидроборирование $RC\equiv CR$ и последующие термич. изомеризация и окисление приводят к смеси продуктов, содержащей III и, вероятно, $RCH(OH)CH(OH)R$ (V). Гидроборированием, термич. изомеризацией и окислением из $RC\equiv CR$ получают IV с выходом 20%. I получают пиролизом $RCH_2CH(R)OSOCN_3$ (см. РЖХим, 1959, № 24, 86478). В р-р 0,1 моля I в 250 мл эфира пропускают 2 часа диборан (из 4,82 г $NaBH_4$ в 150 мл ДГ и 34,2 г $BF_3 \cdot O(C_2H_5)_2$ (VI)), перемешивают 1 час, током N_2 отгоняют эфир и B_2H_6 , остаток (15,8 г) кристаллизуют из эфира (<32°) и получают II. В аналогичном опыте с заменой эфира 136 мл ДГ по окончании гидроборирования последовательно прибавили по каплям 50 мл воды, р-р 14,4 г NaOH в 25 мл воды и 37,4 г 30%-ной H_2O_2 , перемешивали 1 час с 275 мл воды и из органич. слоя выделяли III, выход 82,2%, т. пл. 52,5—53°; фенилуретановое производное (ФП), т. пл. 125—126°. I гидроборируют в ДГ, как описано выше, кипятят (160—165°) 20 час., по охлаждению гидролизуют, окисляют (см. выше) и выделяют IV, выход 59,8%, т. кип. 94—97°/3 мм, т. пл. 40,5—42,5°; ди-ФП, т. пл. 146° (из CCl_4 -пепр. эф.). $RC\equiv CR$ (0,1 моля) гидроборируют 6,43 г $NaBH_4$ в 200 мл ДГ и 45,6 г VI, гидролизуют, окисляют и получают 1,21 г III и 0,54 г V, т. пл. 113—113,5°. В другом опыте после кипячения продукта гидроборирования 20 час. в ДГ, гидролиза и окисления выделены 1,6 г III и 3,56 г IV.

П. А. 9Ж211. Бис-(3-метилбутил-2)-боран как избирательный реагент для направленного гидроборирования. Brown Herbert C., Zweifel George. Bis-3-methyl-2-butylborane as a selective reagent for steric control of the direction of hydroboration. «J. Amer. Chem. Soc.», 1960, 82, № 12, 3222—3223 (англ.). — При действии $[(CH_3)_2CHCH(CH_3)_2]_2BH$ (I) на олефин и последующем окислении образуется только один изомер спирта, наименее пространственно затрудненный. Этим путем осуществлены превращения гексена-1 в гексанол-1 (чистота 99%), транс-изопропилметилэтилена в 4-метилпентанол-2 (95%), стирола и *n*-метоксистирола (II) в соответствующие первичные спирты (98—99%). При гидроборировании при 0° 2-метилбутена-2 (III) (даже при его избытке) образуется только I. К 0,33 моля III, 0,125 моля $NaBH_4$ и 80 мл $(CH_3OCH_2CH_2)_2O$ при ~0° прибавляют за 30 мин. 0,166 моля $BF_3 \cdot O(C_2H_5)_2$, через 1 час (0°) за 5 мин. прибавляют 0,15 моля II, дают нагреть до ~20° (за ~2 часа), окисляют 50 мл 30%-ной H_2O_2 и 50 мл 3 н. NaOH, извлекают эфиром 2-(*n*-анилил)-этанол, выход 80%, т. кип. 138—140°/10 мм, т. пл. 27—28°, чистота 98% (по данным хроматографии).

П. Аронович 9Ж212. Функциональные борорганические соединения. Zimmer Hans, Sill Arthur D., Andrews

Edwin R. Functional organo-boron compounds. «Naturwissenschaften», 1960, 47, № 16, 378 (англ.).—Синтезированы бордеривативы аналог пиридина (I) и пиридо-борадизазол (II). Конденсацией 1,3-диметил-5,6-диами-



шоурацила с $(C_6H_5BO)_3$ (III) в кипящем толуоле с отгонкой воды получают I с выходом 90%, т. пл. 268–275° (разл.); неустойчив к действию воды, CH_3OH и CH_3CN . Аналогично из 2,3-диаминопиридина и III синтезируют II, выход 93%, т. пл. 221,5–222,5° (из толуола). Приведены данные по ИК-спектрам I–II.

П. Аронович
9ЖК213. Реакция трифенилалюминия с галогенидами соединений титана в растворе фторбензола и дейтеробензола. Митрофанова Е. В., Артёмов А. Н., Петухов Г. Г. «Ж. общ. химии», 1963, 30, № 7, 2138–2141. $(C_6H_5)_3Al$ (I) реагирует с $TiCl_4$ (48 час., 15°) в C_6H_5F , как и в неполярных р-телях, без образования свободных радикалов. Р-ция I с $TiCl_4$ в дейтеробензоле сопровождается глубоким (до 98%) H–D-обменом. Так же протекает р-ция I с $TiOCl_2$ и $TiCl_3$. Во всех случаях образуется дифенил, выход до 41,5%, как продукт распада первоначально образующегося комплекса.
Ф. Величко

9ЖК214. Синтез первичных γ -кремнеорганических ацетиленовых спиртов. Комаров Н. В., Шостаковский М. Ф. «Изв. АН СССР. Отд. хим. н.», 1960, № 7, 1300–1302. —Описано получение $R_2R'SiC\equiv CH_2OH$ (Ia—в; здесь и далее $A = R' = CH_3$; б $R = R' = C_2H_5$; в $R = CH_3$, $R' = C_2H_5$) взаимодействием $R_2R'SiCl$ (II) с $BrMgC\equiv CH_2OMgBr$ (III). Строение Ia—в доказано титрованием и ацетилизацией. К эфирному р-ру III (из 2 молей C_2H_5Br и 1 моля $HC\equiv CH_2OH$) добавляют 2 г $SiCl_4$ и 1 моль IIa, через 2 часа (20°) нагревают 8 час., разлагают 150 мл влажного эфира и 5%-ной HCl и из эфирного р-ра после обычной обработки выделяют Ia (здесь и далее для полученных в-в приведены выход в %, т. кип. в °C/мм, n_D^{20} , d_4^{20}). 40,2, 61/2, 1,4523, 0,8806. Аналогично получены Ib, 44,7, 109–110/6, 1,4670, 0,8932, и Ic, 67,8, 131–132/2, 1,5335, 0,9996. К смеси 0,05 моля $C_6H_5OCH=CH_2$ и 0,05 моля Ia прибавляют 1 каплю конц. HCl, нагревают 2 часа при 100°, через ~12 час. смесь нейтрализуют K_2CO_3 и выделяют $CH_3CH(OC_6H_5)OCH_2C\equiv Si(CH_3)_3$, 71, 95/5, 1,4378, 0,8683. Гидрированием, 12,8 г Ia в автоклаве в 50 мл спирта над 1 г скелетного Ni получен $(CH_3)_3Si(CH_2)_3OH$, 90, 61–62/10, 1,4295, 0,8406. Г. Мочарев

9ЖК215. Синтезы бис-(диэтоксиметилсилильных)-производных 4,4'-дибромбифенила, 4-бромфенилового эфира, α , α -дибромтолуола и 1,6-дибромгексана. В. Г. Reed L. W. Synthesis of bis-(diethoxymethylsilyl) derivatives of 4,4'-dibromobiphenyl, 4-bromophenyl ether, α , α -dibromotoluene, and 1,6-dibromohexane. «J. Organ. Chem.», 1960, 25, № 7, 1138–1202 (англ.).—Синтезированы $[(C_2H_5O)_2(CH_3)_2Si]_2A$ [Ia—г, где $A = n-C_6H_4C_6H_4$, б $A = n-C_6H_4OC_6H_4$, в $A = n-C_6H_4CH_2$, г $A = (CH_2)_6$]. В-во Ia получено р-цией $[BrMgC_6H_4]_2$ с $(C_2H_5O)_2(CH_3)_2SiCl$ (II) в тетрагидрофуране (ТГФ) наряду с $n-C_6H_5C_6H_4$ $(C_2H_5O)_2(CH_3)_2Si$ (III). В-во Ib получено из II и $n-Br-C_6H_4$ (IV) в присутствии Na. Ic получен конденсацией II с $n-Cl-C_6H_4CH_2(C_2H_5O)_2(CH_3)_2Si$ (V) в присутствии Na. Ig получен из $BrMg(CH_2)_6MgBr$ и II в эфире. Заменить в синтезе Ia Mg на Li или Na не удалось. Смешивают 0,5 моля IV, 2,2 моля II, 2,2 моля Na-про-волоки в 1375 мл эфира без охлаждения, через 3 часа кипятят еще 20 час., выделяют Ib (здесь и далее для полученных в-в приведены выход в %, т. кип. в °C/мм, n_D^{20} , d_4^{20}). 29,3, 195/0,1, 1,5013, 1,054. Аналогичным пу-

тем вместо ожидаемого $[(C_2H_5O)_2(C_6H_5)_2SiC_6H_4]_2$ получают неочищенный $n-BrC_6H_4OC_6H_4Si(C_6H_5)(OC_2H_5)_2$ (ра-регонки (в бане) 325°/10–4 мм, n_D^{25} 1,5555, d_4^{25} 1,2380). К смеси 42 г $[n-BrC_6H_4]_2$ (VI) и 1,06 моля Mg в 160 мл ТГФ добавляют по каплям за 3 часа р-р 83 г VI (весов 0,4 моля) и 0,8 моля II в 800 ТГФ, кипятят 12 час., добавляют 1 л толуола, отгоняют 1800 мл р-рителя, продолжают кипячение еще 16 час., получают Ia, 23, 185–187/0,4, 1,5253, 1,084 (24°), и III, 14, 131–132/0,1, 1,5470 (26°), 1,076. Из 1 моля $Br(CH_2)_6Br$ и II получают Ig, 42,5, 130/0,1, 1,4252, 0,910. Из 1,86 моля Mg, 1,49 моля $n-ClC_6H_4CH_2Cl$ и 1,55 моля II в 850 мл эфира (3 часа) с последующим добавлением 1,3 л толуола получен V, 70, 118–119/5, 1,4854, 1,066. Из 0,24 моля $n-BrC_6H_4CH_2Cl$ и II аналогичным путем получен $n-BrC_6H_4CH_2(C_2H_5O)_2(CH_3)_2Si$, 42,4, 124–128/3, 7,5027, 1,216. Из 1,57 моля $n-BrC_6H_4CH_2Cl$ и 0,65 моля V в 405 мл толуола при кипячении получен Ic, 69,5, 122–124/0,1, 1,4665 (24°), 0,999 (25°). Провести эту р-цию с Mg в ТГФ не удалось.

С. Нодф
9ЖК216. Некоторые производные трибензилсилана Gilman Henry, Marrs Oren L. Some derivatives of tribenzylsilane. «J. Organ. Chem.», 1960, 25, № 7, 1194–1198 (англ.). —Описаны синтезы $(C_6H_5CH_2)_3SiR$ [Ia—н; здесь и далее $A = n-C_6H_4CH_2$, б $R = n-C_6H_4CH_2$, в $R = n-C_6H_4CH_2$, г $R = n-C_6H_4CH_2$, д $R = n-C_6H_4CH_2$, е $R = n-C_6H_4CH_2$, ж $R = n-C_6H_4CH_2$, з $R = n-C_6H_4CH_2$, и $R = n-C_6H_4CH_2$, л $R = n-BrC_6H_4$, м $R = n-BrC_6H_4$, н $R = n-C_6H_4CH_2C_6H_4$] взаимодействием $(C_6H_5CH_2)_3SiCl$ (II) с RLi (IIIа—н). Ia—н термически стабильны, низкоплавные в-ва, летучи > 440°. 0,047 моля IIIа, 40 мл эфира добавляют к 0,03 моля II в 50 мл эфира кипятят 68 час., гидролизуют разб. к-той и после обычной обработки выделяют Ia (здесь и далее для полученных в-в приведены выход в %, т. кип. в °C/мм, n_D^{20} , d_4^{20}). 48, 70–71 (из петр. эф.). Аналогично получают Ib, 30,8, 151–191/0,005, 1,6163, 1,0692; Ic, 68, 41–43; Id, 15,8, 124–125 (из петр. эф.); Ie, 8,1, 133–134 (из петр. эф.); If, 5,1, 121–123; Ig, 28,3, 200–202/0,005, 1,5952, 1,0362. К эфирному р-ру 0,028 моля II добавляют IIIж, кипятят 14 час., гидролизуют разб. H_2SO_4 и выделяют Ih, 81–82,5 (из петр. эф.). 0,018 моля II в 60 мл эфира добавляют при –15° к IIIа [из 0,02 моля $n-C_6H_4CH_2$ (II) и 0,02 моля $n-C_6H_4CH_2OC_6H_4Br$], нагревают до 20°, кипятят 20 час., гидролизуют насыщ. р-ром NH_4Cl и выделяют Iа, 68,6, 240–243/0,003, —. Аналогично получают Im, 56,8, 105–107; In, 25,9, 114,5–115,8 (из бал.-пентана); Io, 24,6, 125–127 (из петр. эф.-толуола). Для выделения Iл эфирный р-р 0,35 моля II добавляют к IIIа (из 0,35 моля $n-C_6H_4CH_2$ и 0,35 моля IV в 250 мл эфира от –15 до 20°, 5 час.), нагревают до 20°, кипятят 34 часа, гидролизуют разб. HCl и выделяют Il, 32,8, 72–73 (из петр. эф.). Побочно образуется $n-C_6H_4Si(CH_2C_6H_5)_3$ (V), 14,3, 155–157 (из бал.-петр. эф.). Р-р $n-C_6H_4CH_2Si(CH_2C_6H_5)_3Li$ (VI) (из 5 ммоль IV и 5 ммоль Ia, 20°, 2 часа) в 50 мл эфира выливают в эфирный р-р CO_2 , нагревают до 20°, гидролизуют, подкислением водного слоя выделяют $(C_6H_5CH_2)_3SiC_6H_4COOH$, 36,5, 150–151 (из петр. эф.). К эфирному р-ру VI (из 0,022 моля II и 0,022 моля IV) добавляют 0,022 моля $CH_3(CH_2)_6Si(CH_2C_6H_5)_3Li$ (VII) в 25 мл эфира, через 3 часа (20°) гидролизуют разб. к-той и выделяют $CH_3(C_6H_5)_2Si(CH_2C_6H_5)_3$ [п- $(C_6H_5CH_2)_3SiC_6H_4Si$, 56,1, 290–291/0,003, —. Эфирный р-р 7 ммоль $SiCl_4$ добавляют по каплям 28 ммоль VI, через 18 час. (20°) гидролизуют разб. к-той и выделяют $[n-(C_6H_5CH_2)_3SiC_6H_4]_2Si$, 51, 150–151 (из петр. эф.). Аналогично взаимодействием VI с II (из $(C_6H_5)_2SiCl$ получен V, 15, 155–157 (из бал.-петр. эф.) и $[n-(C_6H_5CH_2)_3SiC_6H_4]_2Si(C_6H_5)_2$, 43,4, 142–143,5 (из бал.-петр. эф.).

9ЖК217. Гидролиз трифенилсилилацетата. Mod n a G., Todesco P. E. Idrolisi dell'acetato di trifeni-

cio. «Boll. scient. Fac. chim. industr. Bologna», 1960, 18, № 2, 109—111 (итал.).—Описана р-ция гидролиза $(\text{C}_6\text{H}_5)_3\text{SiOCOC}_2\text{H}_5$ (I) в водн. диоксиде. При большом избытке воды гидролиз протекает, как р-ция первого порядка; р-ция необратима. Гидролиз I сильно катализируется минер. к-тами, а также солями $(\text{F}^-, \text{CH}_3\text{COO}^-)$. При повышении т-ры на 10° скорость р-ции возрастает вдвое. Аликвотное кол-во р-ра 0.05 моля I в диоксиде (5 мл) выливают в смесь петр. эфира и воды (50 + 50 мл), перемешивают и титруют 1/20 н. CH_3ONa . Обсуждается механизм р-ции. Г. Модарев

9Ж218. Синтез кремнеорганических соединений на основе парадибромбензола. Андрианов К. А., Никитенков В. Е., Соколов Н. Н. «Изв. АН СССР, Отд. хим. н.», 1960, № 7, 1224—1226.—Описаны синтезы $n\text{-R-C}_6\text{H}_4\text{Si}(\text{CH}_3)_3$ [Ia—б, где $\text{R} = \text{Br}$, б $\text{R} = (\text{CH}_3)_3\text{Si}$] и $n\text{-Br-C}_6\text{H}_4\text{Si}(\text{CH}_3)_3$ (C₆H₅)₂R [IIa—б, где $\text{R} = \text{Cl}$, б $\text{R} = (\text{CH}_3)_3\text{Si}$] из $n\text{-Br-C}_6\text{H}_4\text{Br}$ (III), $(\text{CH}_3)_3\text{SiCl}$ (IV) и $\text{C}_6\text{H}_5\text{Si}(\text{CH}_3)_2\text{SiCl}_2$ (V). Ia и Ib образуются одновременно в отношении 4:4:1 при взаимодействии Mg с III и IV. К эфирному р-ру $n\text{-Br-C}_6\text{H}_4\text{MgBr}$ (VI) (из 1 моля III) прибавляют 1 моль IV, кипятят 7 час. при 36—41° и из эфирного р-ра выделяют Ia (здесь и далее для полученных в-в приведены выход в %, т. кип. в °C/мм, т. пл. в °C, n_D^{20} , d_4^{20}), 52, 69/1 (100/10), —, 1.5309, 1.2219, и Ib, 11.8, 194/742, 95.5—96.5 (из сп.), —, —. К эфирному р-ру VI (из 1 моля III) прибавляют 1 моль V, кипятят 6 час. при 36—41° и выделяют IIa, 25.8, 130—131/1, —, 1.5950, 1.3575. К 2 г абс. $\text{C}_2\text{H}_5\text{OH}$ прибавляют 9.4 г IIa (24—26°, 45 мин.), нагревают 12 час. при 71—78° и выделяют IIb, 92, 145/1, —, 1.5706, 1.2626. Г. М.

9Ж219. Исследования в области алкоксисиланов. XV. Реакция расщепления гексаалкилдисилоксанов фенолами. Новый метод синтеза триалкилсилоксанов производных ароматических углеводородов. Воронков М. Г., Шабарова З. И. «Ж. общ. химии», 1960, 30, № 6, 1955—1958.—Описан синтез $\text{ROSi}(\text{CH}_3)_3$ (Ia—д, где $\text{R} = \text{C}_6\text{H}_5$, б $\text{R} = 2\text{-CH}_3\text{C}_6\text{H}_4$, в $\text{R} = 3\text{-CH}_3\text{C}_6\text{H}_4$, г $\text{R} = 4\text{-CH}_3\text{C}_6\text{H}_4$, д $\text{R} = 4\text{-ClC}_6\text{H}_4$), $2\text{-HO-C}_6\text{H}_4\text{OSi}(\text{CH}_3)_3$ (II), м- и п- $\text{C}_6\text{H}_4\text{OSi}(\text{CH}_3)_3$ (III), и $1,3,5\text{-C}_6\text{H}_3\text{OSi}(\text{CH}_3)_3$ (IV) расщеплением $(\text{CH}_3)_3\text{SiOSi}(\text{CH}_3)_3$ (V) действием $\text{C}_6\text{H}_5\text{-n}(\text{OH})_n$ в присутствии кислотных реагентов [напр., $\text{C}_6\text{H}_5\text{SO}_3\text{H}$ (VI)]. Смесь 0.4 моля V, 0.2 моля фенола и 1 г VI кипятят до прекращения выделения воды (3 мл за 20 час.) и выделяют Ia (здесь и далее для полученных в-в приведены выход в %, т. кип. в °C или в °C/мм, n_D^{20} , d_4^{20}), 72, 178, 1.4789, 0.9261. При р-ции в присутствии 2 г конц. H_2SO_4 или 1 г безводн. ZnCl_2 выход Ia составляет соответственно 50 и 15%. Для очистки от фенола р-р Ia в 50 мл C_6H_6 обрабатывают металлич. Na (20°, 24 часа), фильтруют и перегоняют. Аналогично получают Ib, 88, 192 (77/12), 1.4730, 0.9287; Ia, 88, 113/50, 1.4791, 0.9186; Ig, 42, 59/1, 1.4890, 0.9183; Id, 59, 214/758, 1.4930, 1.0320; II, 87, 218 (97/2), 1.4870, 0.9840; м-III, 59, 238/776 (116/7), 1.4743, 0.9474; п-III, 28, 246/760, т. пл. 46°, —, —; IV, 60, 144/4, 1.4679, —. Обсуждается механизм р-ции. Сообщение XIV см. РЖХим. 1960, № 5, 17917.

9Ж220. Реакции трифенилсилиллития с галоформами и с галондими метиленами. Gilman H., Aoki D. Reactions of triphenylsilyl-lithium with haloforms and methylene halides. «Chemistry and Industry», 1960, № 37, 1165 (англ.).—При взаимодействии $(\text{C}_6\text{H}_5)_3\text{SiLi}$ (I) с CHX_3 в эфирном р-ре (—60°) образуются $[(\text{C}_6\text{H}_5)_3\text{Si}]_2\text{SiX}_2$ (II) (здесь и далее в скобках выход в %) (60—65) $(\text{C}_6\text{H}_5)_3\text{SiH}$ (III) (0—6), $(\text{C}_6\text{H}_5)_3\text{SiCH}_3$ (IV) (0—3), $(\text{C}_6\text{H}_5)_3\text{SiCH}_2\text{X}$ (V) (3—10), $(\text{C}_6\text{H}_5)_3\text{SiCHX}_2$ (2—16) и $[(\text{C}_6\text{H}_5)_3\text{Si}]_2\text{CH}_2$ (VI) (0—10). Так как основной продукт II, то предполагается, что первично образуются III и $(\text{C}_6\text{H}_5)_3\text{SiX}$ (VII) наряду с CX_3Li и CHX_2Li (VIII), распадающимися с отщеплением LiX. Карбен CHX присоединяется к I, образуя $(\text{C}_6\text{H}_5)_3\text{SiCHXLi}$. Последний реагирует с CH_2X_2 , превращаясь в смесь IV и $(\text{C}_6\text{H}_5)_3\text{SiCH}_2\text{X}$, из которого и получается VI. При р-ции I с

CH_2X_2 образуются II (45—60), IV (14—20), V (1—5) и VI (0—6). Отсутствие III указывает, что первично образуется только VII и VIII.

В. Вавер
9Ж221. К вопросу о механохимической реакции кварца с органическими соединениями. Grohn Hans, Paudert Roman. Zur Frage der mechanochemischen Reaktion von Quarz mit organischen Verbindungen. «J. prakt. Chem.», 1960, 11, № 1-2, 63—72 (нем.).—При взаимодействии кварца с CH_3Cl в вибраторной мельнице (1420 об/мин, амплитуда 1.75 мм) через 12 час. выделены продукты, содержащие ~1% OSi-групп , согласно р-ции: $\equiv\text{Si-O-Si}\equiv + \text{CH}_3\text{Cl} \rightarrow \equiv\text{Si-O-CH}_3 + \equiv\text{Si-Cl}$. Продукты взаимодействия с $\text{CH}_2=\text{CHCl}$ через 60 час. содержали 0.43% углерода. После гидролиза продуктов р-ции кварца с CCl_4 обнаружен Cl (возможно образование связи Si-CCl_3). После р-ции 75 час. в мельнице кварца с $\text{C}_6\text{H}_5\text{CH}_2\text{Cl}$, $n\text{-C}_4\text{H}_9\text{OH}$, $n\text{-C}_5\text{H}_{11}\text{OH}$, $\text{C}_6\text{H}_5\text{CH}_2\text{OH}$ и циклогексанолом выделены продукты, содержащие ~1.77% углерода. При обработке 72 часа 100 г кварца с 50 мл $\text{CH}_2=\text{C}(\text{CH}_3)\text{COOCH}_3$, наступает частичное образование C-O-Si -связей (подтверждено ИК-спектрами) и частичная полимеризация. Максимум содержания углерода составляет 2.9%. Продукты р-ции заметно гидрофобны. С. Юффе

9Ж222. Взаимодействие кремнегидридов с α- и β-хлорнафталинами и п-дихлорбензолом. Пиролиз этилхлорсиланов в присутствии хлористых арилов. Петров А. Д., Чернышев Е. А., Ли Гуан-лиан, Докл. АН СССР, 1960, 132, № 5, 1099—1102.—Конденсацией $\text{HSi}(\text{CH}_3)_n\text{Cl}_{3-n}$ (I) с RCl (IIa—в; здесь и далее $\text{R} = \alpha\text{-C}_{10}\text{H}_7$, б $\text{R} = \beta\text{-C}_{10}\text{H}_7$, в $\text{R} = n\text{-ClC}_6\text{H}_4$) получают $\text{R}(\text{CH}_3)_n\text{SiCl}_{3-n}$ (IIIa—в); побочная р-ция: IIa—в + I → RH + $(\text{CH}_3)_n\text{SiCl}_{3-n}$. Взаимодействие I с IIa—б наступает при более низкой т-ре, чем с $\text{C}_6\text{H}_5\text{Cl}$, при этом основная р-ция преобладает над побочной. Взаимодействием IIa с HSiCl_3 (640°, время контакта 30 сек., IIa:I = 2:1) получают IIIa ($n=0$) (здесь и далее для полученных в-в приведены выход в %, т. кип. в °C/мм, т. пл. в °C, n_D^{20} , d_4^{20}), 60, 126—127/1, 54—55, —, — и SiCl_4 , выход 12%. Аналогично из IIa и I ($n=1$) получают IIIa ($n=1$), 52, 128—129/1, —, 1.6074, 1.2832, и CH_3SiCl_3 (IV), выход 32%; из IIб и HSiCl_3 получают IIIб ($n=0$), 51, 183—185/1, 51—52, —, — и SiCl_4 , выход 13%; из IIб и I ($n=1$) получают IIIб ($n=1$), 41, 126—128/1, 37—38, —, —, IV, выход 33%. Метилирование IIIa—б действием CH_3MgBr ведет к $\alpha\text{-C}_{10}\text{H}_7\text{Si}(\text{CH}_3)_3$, 80, 118—119/3, —, 1.5882, 0.9880, и $\beta\text{-C}_{10}\text{H}_7\text{Si}(\text{CH}_3)_3$, 78, 102—103/1, —, 1.5725, 0.9698. Взаимодействие в аналогичных условиях HSiCl_3 с IIв с побочной р-ра реагентов в C_6H_6 в зону р-ции (IIв:I: $\text{C}_6\text{H}_6 = 1:1:1$) приводит к IIIв ($n=0$), .29, 102—104/4, —, 1.5408, 1.4258, и $n\text{-(Cl}_2\text{Si)}_2\text{C}_6\text{H}_4$ (V), 4, 114—115/2, 76—77, —, — и SiCl_4 , выход 18%. Аналогично из II ($n=1$) и IIв получают IIIв ($n=1$), 20, 81—83/2, —, 1.5345, 1.2854, $n\text{-(Cl}_2\text{CH}_2\text{Si)}_2\text{C}_6\text{H}_4$ (VI), 5, 116—117/1, 56—57, —, —, и IV, выход 35%. При соотношении IIв:I: $\text{C}_6\text{H}_6 = 1:2:2$ из I ($n=0$) и IIв получают $\text{C}_6\text{H}_5\text{SiCl}_3$ (VII) (12%), IIIв ($n=0$) (30%), V (15%) и SiCl_4 (14%). Из I ($n=1$) и IIв в C_6H_6 (1:2:2) получают $\text{C}_6\text{H}_5(\text{CH}_3)\text{SiCl}_2$ (15%), IIIв ($n=1$) (19%), VI (8%) и IV (22%). Метилирование V ведет к $n\text{-(CH}_3)_2\text{SiC}_6\text{H}_4$, 80, 116/1, 92—93, —. После взаимодействия $\text{C}_6\text{H}_5\text{Cl}$ и $\text{C}_6\text{H}_5\text{SiHCl}_2$ (VIII) (2:1, 560°, 40 сек.) из продуктов р-ции выделяют VIII (27%), $\text{C}_6\text{H}_5\text{SiCl}_3$ (IX) (24%), $\text{C}_6\text{H}_5\text{SiHCl}_2$ (9%), VII (12%), $\text{C}_6\text{H}_5\text{Si}(\text{C}_6\text{H}_5)\text{Cl}_2$ (X) (8%), $(\text{C}_6\text{H}_5)_2\text{SiCl}_2$ (XI) (3%); при 700° (30 сек.) образуются HSiCl_3 (5%), SiCl_4 (9%), IX (15%), VII (23%), X (3%) и XI (7%). Взаимодействием IX и $\text{C}_6\text{H}_5\text{Cl}$ (1:1, 620°, 30 сек.) получают IX (20%) и VII (29%); продуктами р-ции $\text{C}_6\text{H}_5\text{Cl}$ с $(\text{C}_6\text{H}_5)_2\text{SiCl}_2$ (1:1, 550°, 30 сек.) являются $\text{C}_6\text{H}_5\text{SiHCl}_2$ (5%), $\text{C}_6\text{H}_5(\text{C}_6\text{H}_5)\text{SiCl}_2$ (6%) и XI (5%). Р-цией VIII с IIa (1:2, 560°, 30 сек.) получен $\alpha\text{-C}_{10}\text{H}_7(\text{C}_6\text{H}_5)\text{SiCl}_3$, 21, 178—177/5, —, 1.5995, 1.2224, и IIIa ($n=1$) (30%). Г. Модарев

9Ж223. Реакции октафенилциклотетрасилана с некоторыми неорганическими галогенидами. Gilman H., Jarvie A. W. P. Reactions of octaphenylcyclotetrasilane with some inorganic halides. «Chemistry and Industry», 1960, № 30, 965 (англ.). — Изучены р-ции тетрациклич. $[(C_6H_5)_2Si]_4$ (I) с $HgCl_2$ и $SnCl_4$. К суспензии 8,1 ммольа $HgCl_2$ в 30 мл C_6H_6 добавляют 4,1 ммольа I, кипятят 4 часа, охлаждают и отделяют $HgCl_2$, выход 94%; упариванием фильтрата получают $Cl(C_6H_5)_2Si_2Cl$ (II) (см. РЖХим, 1961, 4Ж235), выход 92%, т. пл. 182–183° (из бэл.-петр. эф.). Аналогично I реагирует с $HgBr_2$ и HgJ_2 . При взаимодействии I с $SnCl_4$ выход II 40%.

Г. Моцарев

9Ж224. Реакции бис-(фениламинометил)-тетраметилдисилоксана с кислотами. Андрианов К. А., Волкова Л. М. «Ж. общ. химии», 1960, 30, № 7, 2397–2400. — При взаимодействии $[C_6H_5NHC(CH_3)_2Si(CH_3)_2O]$ (I) с адипиновой (II), терефталевой (III), янтарной (IV) и фумаровой (V) к-тами расщепляются Si—C и Si—O—Si-связи без образования полиамидов. К 390 г $C_6H_5NH_2$ прибавляют 93 г $ClCH_2(CH_2)_2SiCl$ (40 мин.), нагревают 5 час. при 130–140°, охлаждают, добавляют 200 мл воды и 100 г 50%-ного водн. NaOH, нагревают 2 часа при 50° и из органич. слоя выделяют I, выход 75%, т. кип. 243–246°/14 мм, n_D^{20} 1,5400, d_4^{20} 1,0275. Смесь 13 г I и 5,5 г II нагревают в атмосфере N_2 (250° 5 час.) и после обычной обработки выделяют 1,2 г $[(CH_3)_2SiO]_2$ (VI), т. кип. 130–135°, т. пл. 54–57°, 1,2 г $[(CH_3)_2SiO]_4$ (VII), т. кип. 170–175°, n_D^{20} 1,3940, d_4^{20} 0,9550, и 1,2 г $C_6H_5NH(CH_2)_2 \cdot HCl$ (VIII), т. пл. 121–123°. Аналогично при нагревании 26,1 г I и 11,1 г II при 250–300° (10 час.) получено 18,5 г продукта, состоящего из VI, VII и VIII. При нагревании 13 г I и 6,6 г III (230–250°, 4 часа) из продуктов р-ции выделены 1 г VI, 1 г VII и 2,1 г VIII. Аналогичные результаты получены при нагревании 3,4 г I с 1,18 г IV (180°) и 3,4 г I с 1,16 г V. Обсуждается механизм р-ции.

Г. Моцарев

9Ж225. Перфторалкильные соединения германия. Clark H. C., Willis C. J. Perfluoroalkyl compounds of germanium. «Proc. Chem. Soc.», 1960, Aug., 282 (англ.). — Нагреванием 10 дней в трубке при 100–105° GeI_2 с CF_3J получен CF_3GeI_2 , т. кип. 40–42°/10–3 мм, соломенного цвета, темнеет при хранении, не смешивается с водой. При действии водн. щелочи на холоду медленно, быстрее при нагревании, выделяется CHF_3 и отщепляется J-. ИК-спектр сходен со спектрами CF_3AsX_2 (X = Cl, J или H) (см. РЖХим, 1956, № 17, 54518).

С. Оффен

9Ж226. Окись дифенилгермания. Metlesics W., Zeiss H. Diphenylgermanium oxide. «J. Amer. Chem. Soc.», 1960, 82, № 13, 3324–3326 (англ.). — При гидролизе $(C_6H_5)_2GeBr_2$ (I), полученного кипячением $(C_6H_5)_4Ge$ с Br_2 в дибромэтано, водн. р-ром KOH образуется неочищ. $[(C_6H_5)_2GeO]_n$ (II), т. пл. 230–295°. При продолжительном перемешивании с кипящей CH_3COOH II переходит в II ($n = 4$), т. пл. 248°. При нагревании II (30 мин., 100°) с HJ (d 1,7) в запаянной ампуле образуется $(C_6H_5)_2GeJ_2$, при гидролизе водой дающий II ($n = 3$), т. кип. 300° (т-ра бани) 0,2 мм, т. пл. 149°. II ($n = 3$) при кипячении с CH_3COOH переходит в II ($n = 4$). При перегонке II ($n = 4$) переходит в II ($n = 3$). Кипячением с 60%-ным водн. спиртом II ($n = 3$) переведен в II с т. пл. 298°. При действии HBr на II (т. пл. 298°) и II ($n = 4$) образуется I, т. кип. 140–143°/0,2 мм. Сходство ИК-спектров II ($n = 3$ и 4) указывает на однотипность их строения.

Ф. Величко

9Ж227. Продукты реакции четыреххлористого циркония с фенолами и ароматическими кислотами. Sandhu Sarjit Singh, Sandhu Jagtar Singh, Sandhu Gurmit Sarjit. Reaction products of zirconium tetrachloride with phenols and aromatic acids.

«Current Sci.», 1960, 29, № 6, 222–223 (англ.). — Фенол, о- и м-крезол, о-нитрофенол (I), резорцин, м- и п-толуиловые к-ты (II) реагируют с $ZrCl_4$ с образованием продуктов типа $(RO)_2ZrCl_2$ [в случае II $(CH_3C_6H_4COO)_2ZrCl_2$]. п-Крезол с $ZrCl_4$ образует $(CH_3C_6H_4O)_2ZrCl_2$; из м-нитрофенола получен $(O_2NC_6H_4O)_2ZrCl_2$. Р-цией п-крезокатахины с $ZrCl_4$ получен $(OC_6H_4O)_2Zr(OC_6H_4OH)Cl$. С избытком м-II $ZrCl_4$ образует $(CH_3C_6H_4COO)_2ZrCl_2 \cdot 3CH_3C_6H_4COOH$. С избытком I $ZrCl_4$ реагирует не стехиометрически.

Ф. Величко

9Ж228. Циклопентадиенилтриметилтитан. Giannini Umberto, Cesca Sebastiano. Cyclopentadienyltrimethyltitanium. Tetrahedron Letters, 1960, № 14, 19–20 (англ.). — Получен $C_5H_5Ti(CH_3)_3$ (I), не устойчивый термически. I в отличие от $(C_5H_5)_2TiR_2$ реагирует с O_2 , водой, C_2H_5OH . 18,2 ммольа $C_5H_5TiCl_4$ и 100 мл эфира смешали при –30° с р-ром 60 ммольа CH_3Li в 80 мл эфира в токе N_2 , через 2 часа р-ритель удалили и I возогнали при ~20°/0,5 мм, получили 1,1 г I, который быстро разлагается при т-ре > 40° и медленно при 0°, устойчив при –70° под N_2 .

Н. Несменнов

9Ж229. Получение и некоторые реакции трис-триметилсилфосфина. Leffler Amos J., Teach Eugene G. Preparation and some reactions of tris-trimethylsilylphosphine. «J. Amer. Chem. Soc.», 1960, 82, № 11, 2710–2712 (англ.). — Реакцией $NaPH_2$ с $(CH_3)_3SiCl$ (I) получен $[(CH_3)_3Si]_3P$ (II) (РЖХим, 1960, № 15, 61504), окисленный в $[(CH_3)_3SiO]_3PO$ (III). В-во II с BH_3 дает аддукт II· BH_3 . III с $CoCl_2$ образует, по-видимому, Co_2P . При нагревании II в присутствии катализатора $(CH_3)_3B$ выделен $(CH_3)_2Si_2$ (IV). При нагревании II с $(C_6H_5)_3SiCl_2$ (V) получен продукт, по-видимому, строения $R[Si(C_6H_5)_2P]_2Si(CH_3)_3$ (VI) ($R = CH_3$ или OH ; в результате гидролиза). К 24,8 г Na в дисперсном состоянии в 125 мл толуола добавляли 125 мл р-рителя типа $(CH_3OCH_2)_2$, пропускают PH_3 и добавляют по каплям 106 г I, после окончания выделения PH_3 осадок отделяют центрифугированием и получают II, выход 40%, т. кип. 102°/16 мм, d_4^{20} ~0,87. II на воздухе через несколько недель превращается в III, n_D^{30} 1,4023, d_4^{20} 0,928 (строение подтверждено ИК-спектром). При нагревании II· BH_3 (14 час., 135°) образуется $(CH_3)_3SiH$ (VII) и жидкость, которая энергично (выделением газов) реагирует с CH_3OH с образованием небольшого осадка $\{[(CH_3)_3Si]_2PBH_2\}_n$, т. т. пл. 140–205° (из CH_3OH). Смесь 3,75 ммольа II и 4,66 ммольа пентабора в трубке 20 час. при 90° образует 5,66 ммольа VII и неплавкий полимер, нерастворимый в воде и спирте, стабильный на воздухе. Суспензию 2 г безводн. $CoCl_2$ в 50 мл тетрагидрофурана (ТГФ) обрабатывают 6 мл II в 50 мл ТГФ, черный осадок Co_3P отделяют центрифугированием и промывают петр. эфиром. Смесь 3,0464 г II и 1,4606 г $(C_2H_5)_3B$ нагревают (19 час., 108°) и выделяют 1,0534 г смеси IV и $(C_2H_5)_3B$; нелетучий остаток обрабатывают избытком PCl_5 в трубке (10 час., 200°) и выделяют I. Смесь 12,6 г V и 17,6 г II в 50 мл инертного р-рителя кипятят в атмосфере N_2 12 час, затем р-ритель отгоняют, остаток нагревают 3 часа при 400° и выделяют VI, т. пл. 265–269° (из бэл.).

В. Гиллров

9Ж230. Синтез и гидролитическая стабильность некоторых кремнийсодержащих эфиров алкилфосфиновых кислот. Barnes Garrett H., Jr., David Mary P. Synthesis and hydrolytic stability of some organophosphonic acid esters. «J. Organ. Chem.», 1960, 25, № 7, 1191–1194 (англ.). — Описано получение $(CH_3)_2(R)_2Si(CH_2)_nP(O)(OR)_2$ (Ia–6; везде $R = C_6H_5$, $6 R = n-C_4H_9$) присоединением $HP(O)(OR)_2$ (IIa–6) к $(CH_3)_2(R)_2Si(CH_2)_n$ (III) или $(CH_3)_2(R)_2Si(CH_2)_n$ (IVa–n, где $R = CH=CH_2$, $6 R = CH_2CH=CH_2$, в R = 2-диглоксенил-3) в присутствии $(trp-C_6H_5O)_2$ (V). При гидролизе I конц. HCl сохраняются Si–C-связи и образуются соответствующие алкилфос-

финовые к-ты. Смесь III или IV, II и V нагревают 16 час. до 120° [с низкотемпературным IV р-цию ведут в запаянной ампуле; с IVa ($n=0$) при 130°. с IVb ($n=1$) при 150°] и выделяют Ia—б ($n=0-3$, $m=2-3$). Таким путем получены Ib ($n=3$, $m=2$) (здесь и далее для полученных в-в приведены выход в %, т. кип. в °C/мм, n_D^{20} , d_4^{25}), 55, 128/1, 1,4353, 0,936; Ib ($n=m=2$), 50, 157/1, 1,4388, 0,954; Ia ($n=m=2$), 55, 115/1, 1,4299, 0,999; Ia ($n=2$, $m=3$), 62, 120/1, 1,4320, 0,986; Ia ($n=1$, $m=2$), 48, 124/2, 1,4270, 1,019; Ia ($n=0$, $m=2$), 33, 141/2, 1,4216, 1,031. Аналогично получают $\text{CH}_3(\text{C}_6\text{H}_5)_2\text{Si}(\text{CH}_2)_2\text{C}_6\text{H}_9\text{P}(\text{O})(\text{OC}_2\text{H}_5)_2$, 52, 198/2, 1,4515, 1,071. Смесь I и конц. HCl (10-кратный избыток) кипятят 24 часа, упаривают досуха, сухой остаток высушивают до постоянного веса при 100° и перекристаллизовывают из циклогексана. Таким путем выделяют $(\text{CH}_3)_2\text{Si}(\text{CH}_2)_2\text{P}(\text{O})(\text{OH})_2 \cdot \text{H}_2\text{O}$, т. пл. 147°, $[(\text{HO})_2(\text{O})\text{P}(\text{CH}_2)_2\text{Si}(\text{CH}_3)_2\text{SiO}_2]$, вязкая жидкость; $[(\text{HO})_2(\text{O})\text{P}(\text{CH}_2)_3(\text{CH}_3)_2\text{SiO}_2]$, вязкая жидкость; $[(\text{HO})_2(\text{O})\text{P}(\text{CH}_2)_2(\text{CH}_3)\text{SiO}-n, (\text{HO})_2(\text{O})\text{P}(\text{CH}_2)_2\text{SiO}_2/2n]$, хрупкая смола; $[(\text{OH})_2(\text{O})\text{P}(\text{CH}_2)_2\text{SiO}-n, (\text{CH}_3)_2\text{SiCH}_2\text{P}(\text{O})(\text{OH})_2]$, 0,03 моля Ib ($n=m=2$) кипятят с 0,9 н. NaOH (24 часа), подкисляют, экстрагируют бензолом в-во, которому приписывают структуру $[(n-\text{C}_4\text{H}_9\text{O})(\text{HO})\text{P}(\text{O})(\text{CH}_2)_2(\text{CH}_3)_2\text{SiO}_2]$, выход 73%.

Г. Модарев
9Ж231. Триорганосилил-фосфаты. Орлов Н. Ф., Воронков М. Г. «Ж. общ. химии», 1960, 30, № 7, 2223—2229. Описаны методы получения $[\text{R}_2\text{R}'\text{SiO}_3\text{P}(\text{O})]$ (Ia—г; здесь и далее $\text{a R}=\text{R}'=\text{CH}_3$; б $\text{R}=\text{CH}_3$, $\text{R}'=\text{C}_6\text{H}_5$; в $\text{R}=\text{R}'=\text{C}_6\text{H}_5$; г $\text{R}=\text{R}'=\text{C}_6\text{H}_5$) взаимодействием $\text{R}_2\text{R}'\text{SiOH}$ (II) с P_2O_5 или H_3PO_4 , каталитич. расщеплением $[\text{R}_2\text{R}'\text{Si}_2\text{O}]$ (III) с помощью H_3PO_4 в присутствии H_2SO_4 или ZnCl_2 и взаимодействием $\text{R}_2\text{R}'\text{SiH}$ (IV) с H_3PO_4 в присутствии колл. Ni. 0,02 моля P_2O_5 , 0,12 моля IIв и 100 мл C_6H_6 кипятят 4 часа до прекращения отделения воды и полного растворения P_2O_5 и выделяют Ib (здесь и далее для полученных в-в приведены выход в %, т. кип. в °C/мм, n_D^{20} , d_4^{25}), 51,202—205/10 (180—181,35, 178—181/4, 182/4), 1,4445, 0,9668. Ib образуется также при кипячении 0,12 моля IIв, 0,4 моля H_3PO_4 и 80 мл C_6H_6 (6 час.), выход 90,9%. Смесь 0,06 моля IIг, 0,02 моля H_3PO_4 и 100 мл толуола нагревают 8 час. и выделяют Ig, 85, —, т. пл. 244° (из бzl), —. С POCl_3 в присутствии $\text{C}_6\text{H}_5\text{NH}$ р-ция не идет. Смесь 0,12 моля IIIa, 0,08 моля H_3PO_4 , 100 мл C_6H_6 и 3 кап. H_2SO_4 кипятят 8 час. и выделяют Ia, 25, 161—163/80 (110—112/10), 1,4075—1,4080, 0,9602. Ia образуется также при нагревании в аналогичных условиях 0,24 моля IIIa, 0,16 моля H_3PO_4 , 1 г ZnCl_2 и 100 мл C_6H_6 (12 час.), выход Ia 60%. Аналогичным путем получены Ib, 45, 117—121/3, 1,4233, 0,9632, и Ig, выход 51%. 0,5 моля IVв и 0,5 г NiCl_2 кипятят до образования черного осадка колл. Ni, к охлаждению смеси добавляют 0,16 моля H_3PO_4 , нагревают за 4 часа до 207° и выделяют Iv, выход 54,5%; побочно образуется IIв. Обсуждается механизм получения I.

Г. Модарев
9Ж232. Дифенилалкокси- и дифенилароксифосфаты. Шевченко В. И., Стратенко В. Т. «Ж. общ. химии», 1960, 30, № 6, 1958—1960. Реакцией $\text{R}_2\text{CIP}=\text{NSO}_2\text{Ar}$ (I: $\text{R}=\text{C}_6\text{H}_5$; $\text{Ar}=\text{C}_6\text{H}_5$) с $\text{R}'\text{ONa}$ или RONa получают $\text{R}_2(\text{R}')\text{P}=\text{NSO}_2\text{Ar}$ (II). К р-ру $\text{R}'\text{ONa}$ (из 1,5 ммоль Na и 10 мл $\text{R}'\text{OH}$) добавляют 10 мл перемешивания р-р 1,5 ммоль I в 10 мл C_6H_6 , отгоняют р-рител, к остатку добавляют 40—50 мл воды и отделяют II. Р-р 1 ммоль II в 12 мл 0,002 н. водно-спирт. NaOH кипятят 1 час, при подкислении получают $\text{ArSO}_2\text{NHP}(\text{O})\text{R}_2$, выходы ~100%. Далее приведены для II: Аг, выход в %, т. пл. в °C (из сп.) при $\text{R}'=\text{CH}_3$, C_6H_5 , 63,3, 109—110; о- $\text{CH}_3\text{C}_6\text{H}_4$, 75,1, 123—124; $n\text{-CH}_3\text{C}_6\text{H}_4$, 70,8, 112—113; $\beta\text{-C}_{10}\text{H}_7$, 68,5, 118—119; $n\text{-NO}_2\text{C}_6\text{H}_4$, 66,6, 170—172; при $\text{R}=\text{C}_6\text{H}_5$: C_6H_5 , 71,5, 117—118; $\beta\text{-C}_{10}\text{H}_7$, 74,8, 122—123; $n\text{-CH}_3\text{C}_6\text{H}_4$, 75, 96—97; $\beta\text{-C}_{10}\text{H}_7$, 66,2, 104—105; $n\text{-NO}_2\text{C}_6\text{H}_4$, 66,2, 49—50; при $\text{R}'=\text{C}_6\text{H}_5$:

: C_6H_5 , 84,6, 113—114; о- $\text{CH}_3\text{C}_6\text{H}_4$, 86, 139—140; $n\text{-CH}_3\text{C}_6\text{H}_4$, 85,2, 125—126; $\beta\text{-C}_{10}\text{H}_7$, 78,2, 130—132. В. Гиларов

9Ж233. Дифенилхлорфосфосульфогариллы. Шевченко В. И., Стратенко В. Т., Пинчук А. М. «Ж. общ. химии», 1960, 30, № 5, 1566—1570. Реакцией ArSO_2NH_2 (I) с Cl_3PR_2 (II; здесь и далее $\text{R}=\text{C}_6\text{H}_5$) получены $\text{R}_2\text{CIP}=\text{NSO}_2\text{Ar}$ (III). В-во III ($\text{Ar}=\text{C}_6\text{H}_5$) получено также из R_2PCl и $\text{R}_2\text{SO}_2\text{NNaCl}$ (этот метод менее удобен для получения III). Гидролизом III получены $\text{ArSO}_2\text{NHP}(\text{O})\text{R}_2$ (IV). В-во IV ($\text{Ar}=\text{C}_6\text{H}_5$) (IVa) получено также окислением неочищ. $\text{R}_2\text{SO}_2\text{NHP}_2$ (V). Смесь 0,02 моля I и 0,02 моля II нагревают до 100—105°, после прекращения вскипания нагревают 1,5—2 часа при 125—130°, в случае $\text{Ar}=\text{o-}$ и $n\text{-NO}_2\text{C}_6\text{H}_4$ смесь нагревают до 170—175°. Смолообразные III переводят в кристаллич. состояние обработкой при нагревании абс. эфиром ($\text{Ar}=\text{C}_6\text{H}_5$), этилацетатом ($\text{Ar}=\beta\text{-C}_{10}\text{H}_7$, о- и $m\text{-NO}_2\text{C}_6\text{H}_4$) и CCl_4 . К 0,05 моля III приливают 120—130 мл 0,1 н. NaOH, нагревают до растворения, подкисляют и получают следующие IV: перечисляются Аг, выходы III и IV в %, т. пл. III и IV в °C (из сп.): C_6H_5 , 90,5, 98, 109—111, 205—206; о- $\text{CH}_3\text{C}_6\text{H}_4$, 93, 96,2, 129—130, 183—184; $n\text{-CH}_3\text{C}_6\text{H}_4$, 88, 81,5, 99—101, 214—215; $\alpha\text{-C}_{10}\text{H}_7$, 51, 97,5, 114—116, 212—213; $\beta\text{-C}_{10}\text{H}_7$, 90,5, 98,5, 135—138, 213,5—214; о- $\text{NO}_2\text{C}_6\text{H}_4$, 99,8, 93,5, 159—161, 199—200; $m\text{-NO}_2\text{C}_6\text{H}_4$, 87, 98,7, 118—120, 192—193; $n\text{-NO}_2\text{C}_6\text{H}_4$, 72,7, 98,3, 164—168, 204—206; $n\text{-ClC}_6\text{H}_4$, ~100, 96,2, смола, 220—221. К р-ру 0,02 моля R_2PCl в 50 мл C_6H_6 прибавляют 0,02 моля $\text{C}_6\text{H}_5\text{SO}_2\text{NHNa}$ и нагревают 20—30 мин., к полученному р-ру неочищ. V добавляют 30 мл пергидрола и взбалтывают, выход IVa 65—70%. К р-ру 0,02 моля неочищ. V приливают при размешивании р-р 0,023—0,025 моля Br₂, выход IVa 15—20%. В. Гиларов

9Ж234. О действии диэтилфосфористой кислоты на параксинон и α -нафтохинон. Арбузов Б. А., Полежаева Н. А., Виноградова В. С. «Изв. АН СССР. Отд. хим. н.», 1960, № 7, 1218—1223. Реакцией n -хинона (I) или α -нафтохинона (II) с $(\text{C}_2\text{H}_5\text{O})_2\text{P}(\text{O})\text{H}$ (III) получены $n\text{-HOC}_6\text{H}_4\text{OP}(\text{O})(\text{OC}_2\text{H}_5)_2$ (IV) и соответственное эфир α -нафтогидрохинона (V). Строение IV доказано УФ-спектром и гидролизом [образуется гидрохинон (VI) и H_3PO_4] и превращением в моноацетат IV, который при омылении в разб. HCl образует VI и H_3PO_4 . Аналогично при гидролизе V получен 1,4-диоксинафталин (VII), а ацилированием V получен моноацетат V, при гидролизе которого образуются VII и H_3PO_4 . Р-цией VI с $(\text{C}_2\text{H}_5\text{O})_2\text{P}(\text{O})\text{Cl}$ в присутствии $(\text{C}_2\text{H}_5)_3\text{N}$ в эфирном р-ре получен IV (с примесью VI). К смеси 7 г I и 9 г III добавляют 15 кап. насыщ. р-ра CH_3ONa , нагревают 3 часа при ~95°, нейтрализуют CH_3COOH и выделяют 9,3 г IV, т. пл. 171—174°/0,01 мм, n_D^{20} 1,5020, d_4^{25} 1,2313. 2,3 г IV нагревают 24 часа с 25 мл разб. HCl (1:1), получают 1,2 г VI; H_3PO_4 выделяют в виде соли с $\text{C}_6\text{H}_5\text{NHNH}_2$. К 4 г IV добавляют 2,9 г CH_3COCl и нагревают 1 час при ~50° и 1 час при ~100°, выход моноацетата IV 1,5 г, т. кип. 113—115°/0,035 мм, n_D^{20} 1,4841, d_4^{25} 1,2049. К р-ру 8,7 г II и 7,5 г III в 20 мл диоксиана добавляют 25 кап. насыщ. р-ра $\text{C}_2\text{H}_5\text{ONa}$, нагревают 0,5 часа при 80°, по охлаждению добавляют 1 мл CH_3COOH и смесь выливают в воду, отделяют V, т. пл. 101—102° (из эф.). К 1,2 г V приливают 0,8 г CH_3COCl и смесь нагревают 20 мин., выход моноацетата V 0,9 г, т. кип. 199—202°/0,3 мм, n_D^{20} 1,5383, d_4^{25} 1,2277. В. Гиларов

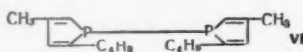
9Ж235. Свободнорадикальное образование арилфосфиновых кислот. Fields E. K., Rolih R. J. Free-radical phosphorylation of aromatic compounds. «Chemistry and Industry», 1960, № 31, 999—1000 (англ.). Предложен новый метод получения ароматич. фосфиновых к-т. При р-ции $\text{C}_6\text{H}_5\text{COOCH}_3$ (I), $(\text{C}_6\text{H}_5\text{O})_2\text{PONH}_2$ (II) и $\text{трет-C}_4\text{H}_9\text{O}_2$ (III) получают после гидролиза HCl (к-той) $n\text{-HOOC}_6\text{H}_4\text{PO}(\text{OH})_2$ (IV) и изо- $\text{C}_6\text{H}_5\text{PO}(\text{OH})_2$ (V). Предполагается, что сначала

C_4H_9O присоединяется к II с образованием $(C_2H_5O)_2P=O$ и C_4H_9OH . Из P-содержащего радикала в I образуется циклогексацидальный радикал, который ароматизируется в результате отрыва атома H действием C_4H_9O . V может образовываться при р-ции $(C_2H_5O)_2P=O$ с изобутиленом, возникшим из *трет*- C_4H_9OH . Смесь 1 моля I, 1 моля II и 0,5 моля III кипятят 24 часа, выделяют I, II, *изо*- $C_4H_9PO(OC_2H_5)_2$ (VI) [выход 45% (на II), т. кип. $83/3$ мм] и остаток, который кипячением с конц. HCl (4 часа) с последующим упариванием и экстракцией кипящим диоксаном переводят в IV, выход 30 г, т. пл. $377-379^\circ$ (из воды). Гидролиз VI конц. HCl приводит к V, т. пл. $122-124^\circ$; VI получена также р-цией $(C_2H_5O)_2PONA$ с *изо*- C_4H_9Br .

Т. Мелентьева

9ЖК236. Новый синтез аралдихлорфосфинов. Quin Louis D., Humphrey J., Stevenson, Jr. A new synthesis of arylphosphonous dichlorides. *J. Amer. Chem. Soc.*, 1960, 82, № 14, 3795-3796 (англ.).—Восстановлением $[ArP(Cl)_2]BF_4^-$ [образующегося при р-ции $ArN_2^+BF_4^-$ с PCl_3 (Doak G. O., Freedman L. D., J. Amer. Chem. Soc., 1951, 73, 5658)] с Mg получены $ArP(ON)(OH)Cl$. В типовом опыте в атмосфере N_2 к 0,2 л этилалцетата, 0,2 моля $n-CNC_6H_4N_2BF_4$ и 1,7 г Cu_2Br_2 добавляли 0,23 моля PCl_3 , после размешивания 30 мин. смесь нагревают до 40° и после окончания бурной р-ции добавляют 0,2 моля Mg при охлаждении ($40-50^\circ$), р-тель отгоняют, остаток экстрагируют смесью C_6H_6 + гексан (1:1) и из экстракта выделяют $ArP(ON)(OH)Cl$. Приведены для $ArP(ON)(OH)Cl$ Ag, выход в %, т. кип. в $^\circ C/mm$: $n-C_6H_5$, 37 (неочищ.), $132-133/20$; $n-C_6H_4$, 11, $109-110/11$; $m-C_6H_4$, 33, $124-125/18$; $n-CNC_6H_4$, 25, $127-128/4,5$. Гидролизом $ArP(ON)(OH)Cl$ получены $ArP(ON)(OH)H$ (приведены Ag и т. пл. в $^\circ C$): $m-C_6H_4$, $90,5-91,5$ (из CCl_4); $n-CNC_6H_4$, $166-167$ (из сп.- CCl_4). В. Гилларов

9ЖК237. Взаимодействие фосфористого водорода с α -окисями ацилиенового ряда. Первеев Ф. Я., Рихтер К. *Ж. общ. химии*, 1960, 30, № 3, 784-789.—К р-ру C_2H_5MgBr (из 40 г C_2H_5Br) в эфире добавили 30 г гексина-1, смесь нагревали 1 час при 36° , обработали 35 г CH_3COCH_2Cl (I), снова нагревали 1 час и через 8 час. после обычной обработки получили 1-хлор-2-метилэтилен-3-ол-2 (II) (здесь и далее при описании в-в приводятся выход в %, т. кип. в $^\circ C/mm$, n_D^{20} , d_4^{20}), 72, 58/1, 1,4676, 1,0019. Аналогичным образом из 88,5 г метилпропилацетиленилкарбинола, C_3H_5MgBr (из



51 мл C_2H_5Br) и 32 г I получен 2,3-диметил-5-окси-1,2-эпоксикетин-3, 50, 89/0,5, 1,4618, 0,9556. Из 40 г II и 26 г KOH в 40 мл эфира (6-10 час., 36°) получен 2-метил-1,2-эпоксикетин-3 (III), 60, 48/2-3, 1,4474, 0,8777. Смесь 46 г III и $NaPH_2$ (из 10 г Na в жидком NH_3) перемешивали 80 час. ($60-40^\circ$) и получили $C_3H_5C\equiv CC(CH_3)(OH)CH_2PH_2$ (IV), 73, 64-65/0,5, 1,4948, 0,9360. Аналогично из 31 г 2-метил-1,2-эпоксипентина-3 (46 час.) получен $CH_3C\equiv CC(CH_3)(OH)CH_2PH_2$ (V), 73, 50-51/1, 1,5063, 0,9880. В ИК-спектрах IV и V обнаружена полоса поглощения при $2270-2440$ cm^{-1} , характерная для P-H-связи. После дегидратации IV нагреванием с $(NH_2CH_2)_2$ при $135-140^\circ$ получено в-во, по-видимому, строения (VI), 67, 188-140/1, 1,5448, 1,0010. Строение VI подтверждено данными ИК-спектра. Аналогично получен продукт дегидратации V, —, 76/0,5, 1,5832, 1,0724.

Р. Стерлин

9ЖК238. Затруднение, встреченное при применении йодистого метилтрифенилфосфония в реакции Виттига. Collins Carol H., Hammond George S. A difficulty encountered in the use of methyltriphenylphosphonium iodide in the Wittig reaction. *J. Organ. Chem.*, 1960, 25, № 8, 1434-1435 (англ.).—Не удалось

использовать $(C_6H_5)_3CH_2PJ$ для синтеза метиленилпентана из циклопентанона. В. Гилларов

9ЖК239. Органические соединения фтора I. Фторированные ацилиеновые карбинолы. Hudlicky M. Organic compounds of fluorine. I. Fluorinated acetylenic carbinols. *Collect. Czechosl. Chem. Commun.*, 1960, 25, № 4, 1199-1209 (англ.; рез. русск.).—Успех р-ции Шмидта в случае исходных толуидинов в значительной мере зависит как от к-ты, в которой ведется диазотирование, так и от способа получения диазонийфторборатов. о-Фтортолуол (I; здесь и далее для полученных в-в перечисляются выход в %, т. кип. в $^\circ C$ или в $^\circ C/mm$, n_D^{20} , d_4^{20}), 74,5, 113-113,5, 1,4733, 0,9993, образуется легче всего из о-толуидина (254 г) постепенным внесением на холоду при размешивании в смесь 290 г конц. H_2SO_4 и 500 мл воды и диазотированием при $0-5^\circ$ (т-ра р-ра достигает -18°); фильтрат промывают охлажд. CH_3OH и эфиром и высушивают на воздухе. Разложение сухого фторбората проводят обычным способом перегонкой с паром подщелоченной смеси. Аналогично получены м-фтортолуол (II), 62, 115-115,5, 1,4697, 0,9913, и п-фтортолуол (III), 53,3-64,4, 115-115,5, 1,4688, 0,9930. Подробно изучено окисление I-III в FC_6H_4CHO (IV). Наиболее выгодным выходов IV достигают дибромированием с последующим гидролизом, в случае III более выгодным оказалось монобромирование и последующий окислительный гидролиз, к одинаковым результатам ведет окисление CrO_2Cl_2 и р-ция Соммелле. о-IV, 48, 173/73, 1,5220, 1,806, получают прибавлением 182 г Br_2 по каплям к 110 г I при $105-120^\circ$ при УФ-облучении, смесь нагревают 15 мин. до 150° , после охлаждения прибавляют 175 г $Pb(NO_3)_2$ в 1 л кипящей воды, нагревают 5-6 час., перегоняют с водяным паром и очищают о-IV через аддукт с $NaHSO_4$; кроме того, в небольшом кол-ве образуется о- FC_6H_4COOH . м-IV, 39,5, 175,5/74, 1,5188, 1,1756, синтезировано окислением 47 г II в 100 мл CCl_4 в присутствии 0,5 мл пинена при $44-48^\circ$ р-ром 132,5 г $CrCl_2O_2$ в 140 мл CCl_4 (2,5 часа), смесь размешивали 1 час, через 24 часа выделенный м-IV- $2CrO_2Cl_2$ отсасывали, вносили по частям в 600 мл лед. воды, пропускали SO_2 до появления зеленого окрашивания, экстрагировали эфиром м-IV, очищали через аддукт с $NaHSO_4$. м-IV, 62,3, 177,5, 1,5210, 1,1752, получен из III через п-фтор- ω,ω -дибромтолуол. м-Трифторметилбензальдегид (V), 48,3, 178,5/74,5, 1,4644, 1,3024, получен из бензотрифторида (VI) через промежуточный м-бромбензотрифторид, 60, 156-157/74, 1,4723, —, превращенный в м- $CF_3C_6H_4MgBr$, из которого р-цией с N-метилформанилидом получен VI, 61, 103-104,5, 1,4160, —; VI выгоднее всего получать нагреванием 15 г бензотрихлорида и 15 г SbF_3 до начала р-ции. Присоединением ацетилена к IV, V и к бензальдегиду в жидком аммиаке через Li-, Na- или Ca-ацетилиды получены $RC_6H_4CH(OH)C\equiv CH$ (VII). В 550 мл жидкого NH_3 , охлаждаемого сухим льдом, вводят за 10 мин. ацетилен, затем постепенно прибавляют 3,7 г Li и при постоянном размешивании пропускают 1 час ацетилен, потом за 1 час прибавляют по каплям 66 г м-IV в 65 мл эфира при непрерывном пропускании ацетилена, остаток после испарения NH_3 разлагают водой и разб. H_2SO_4 , продукты р-ции извлекают эфиром, промывают р-ром $NaHCO_3$ (0,44 м- FC_6H_4COOH), р-ром $NaHSO_4$ (30,4% м-IV) и получают VII (R = м-F) 61,2, 66-68/0,28, 1,5224, 1,1642. Также получены VII (R = о-F), 51,5, 65,5-66,5/0,28, 1,5263, 1,1688; VII (R = п-F), 88,1, 68/0,18, 1,5243, 1,1633; VII (R = H), 81, 71-72/0,25, 1,5517 (с Na). — Из V получен аналогичным способом только нечистый VII (R = м- CF_3), содержащий значительную примесь а- $CF_3C_6H_4CH_2OH$. При получении VII (R = F) лучшие выходы достигнуты при применении Li. Все IV нестановлены $NaBH_4$ в $FC_6H_4CH_2OH$ (VIII). Нагреванием 0,025 моля VII с 2,1 г KOH и 4,1 г CCl_3COOH в 25 мл

CCl_4 , 18–20 час. до 50–60°, промывают водой и р-ром NaHCO_3 , отгоняют CCl_4 в вакууме и выделяют кристаллич. $\text{FC}_6\text{H}_4\text{CH}(\text{C}\equiv\text{CH})\text{OOCNH}_2$ (IX) (из CCl_4) (даны н-во, выход в %, т. пл. в °C): м-IX, 27, 72–73; о-IX, 60, 106–107; п-IX, 28, 90–91; IX (Н вместо F), 37,7, 98–90. При этом выд. содержания в VII примесей VIII, образовавшихся в результате канишипаризации IV, полученные в небольшом кол-ве $\text{FC}_6\text{H}_4\text{CH}_2\text{OCONH}_2$ (X), выделенные также из чистых VIII. Получены н-во, выход в %, т. пл. в °C: о-X, 79,1, 87–88; м-X, 45,5, 76–77; п-X, 79,2, 91–92. Из неочищ. VII (R = м- CF_3) получен X (м- CF_3 вместо F), т. пл. 82–83°. Взаимодействием VII (R = п-F) с фенилизотиоанатом получен н- $\text{FC}_6\text{H}_4\text{CH}(\text{C}\equiv\text{CH})\text{OOCNHC}_6\text{H}_5$, т. пл. 98–99°. Взаимодействием VII (R = Н) с фосгеном в смеси $\text{C}_2\text{H}_5\text{N}$ + эфир и последующим насыщением NH_3 вместо ожидаемого карбамата получена смесь 1-фенил-1-хлорпропина, —, 54–60/0,29, 1,5536, —, и $\text{OCS}(\text{C}_6\text{H}_5)_2$, $\text{C}\equiv\text{CH}$, т. пл. 124,5–125,5° (из сл.-эф.). IX обладают менее интенсивным снотворным действием и немного более токсичны, чем $\text{C}_6\text{H}_5\text{CH}(\text{C}\equiv\text{CH})\text{OCONH}_2$.

J. Plešek

9Ж240. Фторорганические соединения. Часть XVI. Получение и реакции этилового эфира этоксилифторуксусной кислоты. Shahak Israel, Bergmann Ernst D. Organic fluorine compounds. Part XVI. The preparation and reactions of ethyl ethoxylfluoroacetate. *J. Chem. Soc.*, 1960, Aug., 3225–3229 (англ.). При получении $\text{C}_2\text{H}_5\text{OOCSCF}_2\text{HCOOC}_2\text{H}_5$ (I) (РЖХим, 1964, № 20, 44671) конденсацией $(\text{COOC}_2\text{H}_5)_2$ (II) и $\text{CH}_2\text{FCOOC}_2\text{H}_5$ (III) в присутствии $\text{C}_2\text{H}_5\text{ONa}$ или NaH имеет место равновесие $(\text{C}_2\text{H}_5\text{OOCSCF}_2\text{HCOOC}_2\text{H}_5)_2\text{Na}^+$ (IV) + $2\text{C}_2\text{H}_5\text{OH} \rightleftharpoons \text{II} + \text{III} + \text{C}_2\text{H}_5\text{ONa} \rightleftharpoons \text{II} + (\text{CHFCOOC}_2\text{H}_5)_2\text{Na}^+$. В качестве побочного продукта образуется $\text{CH}_2\text{FCOOCF}(\text{COOC}_2\text{H}_5)_2\text{COCOC}_2\text{H}_5$ (V). С анилизацией IV получены $\text{CFR}(\text{COOC}_2\text{H}_5)_2\text{COCOC}_2\text{H}_5$ (VIa–г, где а R = COOC_2H_5 , б R = $\text{C}_6\text{H}_5\text{CO}$, в R = CH_3CO , г R = $\text{C}_6\text{H}_5\text{SO}_2$). Гидролизом VIб получена $\text{C}_6\text{H}_5\text{COCHFCOOC}_2\text{H}_5$ (VII). Алкоголяты вызывают расщепление VI. Из VIб и $\text{C}_2\text{H}_5\text{ONa}$ получены $\text{C}_6\text{H}_5\text{COOC}_2\text{H}_5$, II, $\text{CO}(\text{OC}_2\text{H}_5)_2$, $\text{C}_6\text{H}_5\text{COCHFCOOC}_2\text{H}_5$ и I. Из IV и Br_2 синтезирована $\text{CFBr}(\text{COOC}_2\text{H}_5)_2\text{COCOC}_2\text{H}_5$ (VIII), которая действием HCl превращается в $\text{CHBrBrCOOC}_2\text{H}_5$ (IX); действием л- $\text{CH}_3\text{C}_6\text{H}_4\text{SO}_3\text{H}$ (X) на VIII получен этиловый эфир IX. Действием $\text{C}_2\text{H}_5\text{ONa}$ на VIII получен I. Из VIII и $\text{CHNA}(\text{COOC}_2\text{H}_5)_2$ получены $\text{BrCH}(\text{COOC}_2\text{H}_5)_2$ (XI) и I. К взвеси 1 моля NaH в 750 мл эфира добавляют 1 моль II, 10 мл III и несколько капель абс. спирта, кипятят с прекращением выделения H_2 , добавляют еще 93 г III, через 15 час. (~20°) охлаждают до –15° и медленно добавляют 200 мл 50%-ной HCl (<0°), выход I 55%, наряду с V (здесь и далее для полученных в-в приведены выход в % и т. кип. в °C/мм), 12–15, 175–177/1,2; р-цией с $\text{C}_6\text{H}_5\text{COCl}$ установлено присутствие Na-производного III. К взвеси 24 г NaH в 0,3 л тетрагидрофурана добавляют 150 г II, 10 г III и после нагревания добавляют еще 96 г III, кипятят еще 2,5 часа, охлаждают до –10°, выливают в смесь 150 мл C_6H_6 , 150 г льда и 110 мл конц. HCl и получают I, 68, 96–98/1; кроме того, получено 7 г V с т. кип. 160–165°/0,05 мм. Из IV и Br_2 в C_6H_6 получена VIII, 60–62, 94–96/0,5. Из 57 г VIII и 100 мл 20%-ной HCl (15 мин., ~20° и 3 часа, кипячение) получена IX, 65, 95–97/0,5, т. пл. 102–103° (из бзл.); из мешающей фракции (т. кип. 160°/1 мм, содержит, видимо, ангидрид бромфторхлоруксусной к-ты) действием CH_3N_2 выделен $\text{CFBr}(\text{COOC}_2\text{H}_5)_2\text{COCOC}_2\text{H}_5$, т. кип. 90–91°/0,5 мм. Гидролизом 28,5 г VIII, 5 г X, 1,5Н₂O и 1 мл воды при 150–160° получен этиловый эфир IX, 50, 90–92/30. Перемешивают 30 мин. 2,4 г NaH , 16,6 г $\text{CH}_2(\text{COOC}_2\text{H}_5)_2$ и 150 мл C_6H_6 при ~20° и добавляют 28,5 г VIII (<30°), через 12 час. продукты р-ции выливают в 50 мл 10%-ной HCl при 0°, получают XI, 60, 78–80/0,5, и I, 70, 95/0,6. Из 104 г

$\text{ClCOOC}_2\text{H}_5$ и IV (из 146 г II, 106 г III и 24 г NaOH в 750 мл C_6H_6) кипячением 3 часа получен VIa, 61, 135–136/1. Аналогично получены VIб, 45, 162–165/18; VIв, 48, 105–107/1; VIг, 57, 169–170/0,5. Кипячением 2 часа VIб с CH_3COOH и 48%-ной HBr выделена VII; бис-2,4-динитрофенилгидразон, т. пл. 260–262° (разл.). Кипятят 1 час 27 г V с CH_3COOH и 10 мл 48%-ной HBr , разбавляют 25 мл воды, нейтрализуют NaHCO_3 и экстрагируют эфиром, к водн. р-ру добавляют 150 мл $\text{C}_2\text{H}_5\text{OH}$ и 12 г H_2SO_4 , получают 8,5 г $\text{CH}_2\text{FCOOC}_2\text{H}_5$, т. кип. 78–80°/1 мм, и 2,5 г $\text{FCH}_2\text{COCHFCOOC}_2\text{H}_5$, т. кип. 102–103°/1 мм. Предыдущее сообщение см. РЖХим, 1960, № 17, 69618.

С. Иоффе

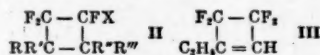
9Ж241. Получение фенилового эфира трифторуксусной кислоты. Benoiton Leo, Rydon N. N., Willett J. E. Preparation of phenyl trifluoroacetate. *«Chemistry and Industry»*, 1960, № 33, 1060 (англ.). Получен $\text{CF}_3\text{COOC}_6\text{H}_5$ (I) р-цией CF_3COOH (II) с $\text{C}_6\text{H}_5\text{O}_3\text{P}$ (III). 0,22 моля III кипятят 2,5 часа при 100° с 0,20 моля II, выход I 56%, т. кип. 145–149°, n_D^{20} 1,4335.

С. Иоффе

9Ж242. Фторуглеродные производные пестицидной серы, содержащие шесть и двенадцать атомов углерода. Dresdner R. D., Reed T. M., III, Taylor T. E., Young J. A. Six and twelve carbon fluorocarbon derivatives of sulfur hexafluoride. *«J. Organ. Chem.»*, 1960, 25, № 8, 1464–1466 (англ.). Проведено электрохим. фторирование $(\text{C}_6\text{H}_{13})_2\text{S}$ (I) и $(\text{C}_6\text{H}_5)_2\text{S}$ (II). При электролизе 2,3 моля I (4,6 г, ~10 а) 340 час. получено 411 г смеси с т. кип. 57,2–58°, n_D^{20} 1,2501, содержащей ~75% м- C_6F_{14} и ~20% изомеров. Из 234 г фракции с т. кип. 117,8–118,5° хроматографированием выделен $\text{C}_6\text{F}_{13}\text{SF}_5$ с т. кип. 118,2°, т. пл. от –31,5 до –30,5°, n_D^{20} 1,2829, d_4^{25} 1,8910. Выделено также ~50 г $(\text{C}_6\text{F}_{13})_2\text{SF}_4$ с т. пл. 71–72° и неочищ. 51 г $\text{C}_{12}\text{F}_{26}$ с т. кип. 85°/51 мм. Из 2,1 моля II (5,1 г, ~10 а) за 267 час. получено 925 г смеси, содержащей 375 г C_6F_{12} и 30 г $\text{C}_6\text{F}_{11}\text{SF}_3$ с т. кип. 109,5–110,5°, n_D^{20} 1,3041, d_4^{20} 1,9530, кроме того, получено 117 г $(\text{C}_6\text{F}_{11})_2$ с т. пл. 75,5–76° и $(\text{C}_6\text{F}_{11})_2\text{SF}_4$ с т. пл. 90–91°.

С. Иоффе

9Ж243. Синтез некоторых фторированных циклобутанов и циклобутенов. Park J. D., Holler N. V., Lacher J. R. Synthesis of several fluorinated cyclobutanes and cyclobutenes. *«J. Organ. Chem.»*, 1960, 25, № 6, 990–993 (англ.). Димеризацией $\text{CF}_2=\text{CR}^1\text{R}^2$ (Ia–г, где а R = R' = F; б R = F, R' = Cl; в R = F, R' = Br; г R = R' = F) и присоединением I к олефинам в описанных условиях (Coffman D. D. и др., *J. Amer. Chem. Soc.*, 1949, 71, 490) получены фторированные циклобутаны (IIa–д). Аналогичным образом из Ia и $\text{C}_2\text{H}_5\text{C}\equiv\text{CH}$ синтезирован (III). Циклоприсоедине-

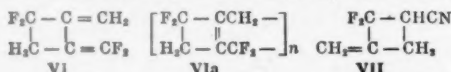


Неуказанные R = H; IIa X = F, R = Br; б X = Cl; в X = Cl, R = CH = CH₂; г X = F, R = R' = F, R' = Br; д X = F, R = R' = R'' = F, R' = Br

ние протекает легко, только когда R и R' в I представляют атомы галоидов. Порядок присоединения несимметричных I, по-видимому, определяется переходным бирадикальным состоянием, напр. $[\text{CFXCF}_2\text{CF}_2\text{CFX}]$, с наименьшей энергией и с почти свободным вращением вокруг простой связи в концевых положениях. Этот вывод подтверждается образованием смеси *цис*- и *транс*-II (X = F, R = R' = F, R' = R'' = Cl) (1:1) при 130–225°. В отличие от циклобутенов в-ва типа III не изомеризуются в соответствующие бутандины (установлено бромированием). К 75 г порошкообразного КОН в минер. масле (~20°) прибавляют по каплям 36 г IIa, перемешивают 5 час. при 80° и выде-
ляют 3,3,4,4-тетрафторциклобутен (IV). После УФ-облучения смеси 5 г IV и 8 г Br_2 в запаянной трубке

1 день получен IIa ($R'' = Br$) (IIe). Подобно IV из IIb в присутствии трет-бутилпирокафехина и $(C_6H_5)_2NH$ синтезированы 2,3,3-трифторциклобутен (V). Бромированием V получен 2,3-дибром-1,1,2-трифторциклобутан (VI). Нагревают 10 г бутадиена, 23 г Iб, 0,1 г гидрохинона и 0,5 мл ингибитора (смесь лимонена и терпинолена с т. кип. 176—196°) 36 час. при 100°, 12 час. при 120°, 24 часа при 150° и 30 час. при 180° и получают IIв. При озоноллизе IIв образуется α,α-дифторглутаровая к-та, т. пл. 102—103°. Бромированием III получен монобромзамещ. $C_6H_5BrF_4$ (VII) и ненасыщ. трибромид $C_6H_5BrF_4$ (VIII). Дебромированием IIг действием Zn пылью в дибутокситетраэтиленгликоле получен гексафторциклобутен. Аналогично из IIд получен 1,2-дибром-IV (IX). Приведены полученное в-во, выход в %, т. кип. в °C/мм, n_D , d_4 (т-ра в °C): IIa, 12, 85,5/632, 1,3787, 1,777 (20); IIб, 19,5, 75/634, 1,3597, 1,347 (20); IIв, 78, 109/631, 1,3927, 1,424 (25); IIг, 25, 90—90,5/638, 1,3838 (25). —; IIд, 28, —, т. пл. 153—154°, —, —; IIе, 63, 63—64/79, 1,4220, 2,129 (20); III, 28, 55/100, 1,3472, 1,499 (20); IV, 36, 50,4—50,5/634, 1,3114, 1,358 (20); V, 21, 26,8/631, 1,3170, 1,190 (25); VI, 53, 76/59, 1,4544, 2,125 (25); VII, —, 73—74/50, 1,4171, 1,687 (25); VIII, —, 88—90/6, 1,5095 (25), —; IX, 24, 92—94/635, 1,4222, 2,112 (25). Не удалось получить соответствующие II из $CF_2=CHX$, где $X = F, Cl$ или Br . Я. Комиссаров

9ЖК244. Синтез и химические свойства 1,1-дифтораллена. Knoth W. H., Coffman D. D. *Synthesis and chemistry of 1,1-difluoroallene*. «J. Amer. Chem. Soc.», 1960, 82, № 15, 3873—3875 (англ.). Синтезирована $CF_2=C=CH_2$ (I) следующим путем: из $CF_2=CF_2$ (II) и $CH_3COOCH_2CH=CH_2$ (III) получен 1-ацетоксиметил-2,2,3,3-тетрафторциклобутан (IV), пиролизом которого или 1-метилен-2,2,3,3-тетрафторциклобутана (V) получен I. В результате димеризации I образуется 1,1-дифтор-2-метилен-3-диформетиленициклобутан (VI). 1,4-полимеризацией VI получен полимер (VIIa),



который размягчается при ~140° и может прессоваться при этой т-ре в прозрачные гибкие пленки, устойчивые к кипящей HNO_3 . I присоединяется к $CH_2=CHCN$ с образованием аддукта (VII), гидролизом которого получена 2,2-дифтор-3-метиленициклобутанкарбоновая к-та (VIII). Гидролизом аддукта I с малиновым ангидридом (IX) получена 1,1-дифтор-2-метиленициклобутандикарбоновая-3,4 к-та (X). Из I и II получен аддукт (XI) состава 2:1. Присоединением к I $(C_6H_5OOCN=)$ (XII) получен 1-диформетилен-2,3-дикарбоноксис-2,3-диазациклобутан (XIII). В-во I является диенофилом и образует аддукт (XIV) с циклопентадиеном (XV) состава 1:1. При обращении с I требуется предосторожность, ввиду взрывоопасности. Из 1,75 моля III и 0,4 моля II в присутствии добавки гидрохинона (XVI) (3 часа, 215°) получен IV, выход 66%, т. кип. 121—123°/464 мм, n_D^{20} 1,3690. Пропускают 0,79 моля IV при 832—857° и 0,7—1,3 мм через кварцевую трубку с кварцевой насадкой со скоростью 35 г/час и получают I, выход 31,6%, т. кип. —27°, наряду с V, выход 25%, и CH_3COOH , выход 88%. В этих условиях пиролизом 0,49 моля V получен I с выходом 27%. Пропусканием I со скоростью 1 г/мин через трубку из стекла пирекс при 250—295° (выпущенный без взрывов) получен VI с выходом 30%, т. кип. 47—50°/300 мм, в отсутствие фентазина быстро полимеризуется. Из 0,17 моля I, 0,8 моля $CH_2=CHCN$ и 0,5 г XVI в 40 мл C_6H_6 (8 час., 150°) получен VII, выход 43%, т. кип. 104—108°/100 мм, n_D^{20} 1,4082—1,4120. Из 0,034 моля VII и 8 г конц. HCl кипячением 3 часа получена VIII, выход 34%, т. кип. 90—96°/6 мм, т. пл. 35—40°. Нагревают 0,13 моля I, 0,66 моля IX и 0,5 г XVI в 50 мл C_6H_6 8 час.

при 150° и получают 4,6 г желтого масла с т. кип. 112°/5,5 мм, которое нагреванием с 15 мл воды при 100° превращено в XI, выход 16%, т. пл. 58—65°. 0,31 моля XII и 0,5 г XVI нагревают с I при 1,7 ат до 120°, вследствие экзотермич. р-ции т-ра поднимается до 192°, выход XIII 6,8%, т. кип. 97°/1,4 мм, n_D^{20} 1,4314, 0,4 моля II, 0,24 моля I и 0,5 г XVI нагревают 8 час. при 20° и атмосферном давлении, выход XI 9,2%, т. кип. 118—124°. Из 100 г XV и 23 г I (~20°) получают XIV, выход 90%, т. кип. 117°.

9ЖК245. Получение ферроцена из безводного хлористого железа и из гидрата хлористого железа в спиртовом растворе. Little William F., Koestler Robert C., Eisenenthal Robert. *Preparation of ferrocene from anhydrous and hydrated ferrous chloride in alcohol*. «J. Organ. Chem.», 1960, 25, № 8, 1435—1436 (англ.). Улучшен выход ферроцена (I) при получении его из циклопентадиена (II) и C_2H_5ONa . К взвеси 1 моля $FeCl_2$ (из 108 г безводи. $FeCl_2$ и 30 г порошка Fe) в 400 мл тетрагидрофурана добавили под N_2 р-р $NaOC_2H_5$ (из 2,2 моля Na и 800 мл абс. спирта) и затем 2 моля II, массу перемешивали 3 часа, добавили медленно 200 мл воды, 0,5 г $NaHSO_4$, разб. HCl и затем еще 2 л воды, выход I 90%, т. пл. 174,5—175,5° (из петр. эф. CH_2Cl_2). Из технич. $FeCl_2 \cdot 4H_2O$ и избытка C_2H_5ONa (0,65 моля на 0,2 моля II) получили I с выходом 30%. Н. Несмеянов

9ЖК246. Ферроценалемитилит. Несмеянов А. Н., Перевалова Э. Г., Устынюк Ю. А. «Докл. АН СССР», 1960, 133, № 5, 1105—1107. Нагреванием RON (где $R = C_6H_5FeC_5H_4CH_2$) с $R'ON$ в присутствии CH_3COON получили ROH . Действием Li на $ROCH_3$ в тетрагидрофуране (ТГФ) получили RLi , который при действии $FeCl_3$ дает R_2 , а с $(CH_3)_3SiCl$ дает $RSi(CH_3)_3$ (I). Р-р 0,015 моля RON в 90 мл CH_3OH и 2,7 мл лед. CH_3COON нагрели 5 час., добавили 100 мл эфира, из р-ра выделили $ROCH_3$ с выходом 73%. Аналогично получены ROC_2H_5 и $ROCH_2C_6H_5$ с выходами 80 и 73% соответственно. К смеси 0,7 г Li в 8 мл ТГФ добавляли за 45 мин. при —7° 1,15 г $ROCH_3$ в 7 мл ТГФ, через 1 час при —5° р-р RLi фильтровали, при гидролизе выделен HN с выходом 82%. К р-ру RLi (из 4,6 г $ROCH_3$) в ТГФ добавляли за 15 мин. р-р $(CH_3)_3SiCl$ в 8 мл ТГФ при —5°, через 10 мин. (0°), 1 час. (~20°) и 1 час. при кипении смесь вылили в 150 мл воды и I экстрагировали бензолом. I очищен хроматографически на Al_2O_3 , выход 68,5%, т. пл. 46,5—47,5° (из CH_3OH). К р-ру RLi (из 1,4 г $ROCH_3$) при —30° добавили за 20 мин. р-р 1,62 г безводи. $FeCl_3$ в 50 мл эфира, выход $(C_6H_5FeC_5H_4CH_2)_2$ 40%, т. пл. 102—103° (в вакууме). Н. Н.

9ЖК247. Оксиферроцены и их производные. Несмеянов А. Н., Сазонова В. А., Дрозд В. Н., Никонова Л. А. «Докл. АН СССР», 1960, 133, № 1, 126—129. В развитие исследования (см. РЖХим, 1960, № 17, 69620) изучены свойства $H-A-ON$ (I); здесь и далее $A = C_6H_4FeC_5H_4$ и $A(ON)_2$ (II). I как к-та слабее фенола (pK I, 10,17 ± 0,10). 0,30 и I, 1,5 г K_2CO_3 и 0,5 мл $CH_2=CHCNH_2Br$ нагревали в 7 мл ацетона 2 часа, получили аллиловый эфир I (III), выход 84%, т. пл. 28—30° (из CH_3OH). III не вступает в перегульировку Кляйзена, при 215—220° дает I. В-во I реагирует с $CH_2ClCOON$ в щелочи с образованием $H-A-OCN$, $COON$, т. пл. 136—137,5° (из бал.), выход 62%. $A(OCOCN)_2$ (IV) получен двумя путями. К горячему р-ру 2 г $Br-A-Br(ON)_2$ прилили р-р 5,4 г $(CH_3COO)_2Cu$ (V), смесь нагрели до кипения и по охлаждению экстрагировали эфиром. Эфирный р-р промыли 5%-ным КОН, водой, выход IV 83%, т. пл. 55—56° (из гексана). Из $Cl-A-Br(ON)_2$ IV получен с выходом 70%. К горячему взвес 2 г $A[Br(ON)_2]_2$ в 400 мл воды добавили р-р 5,8 г V. Смесь нагрели 40 мин. при 100°, выход IV 41%. IV нагрели с 10%-ным КОН 10 мин., при окислении выпали кристаллы II, легко окисляющиеся на воздухе. Через эфирный р-р II (полученного гидро-

ливом 0,8 г IV) пропустили ток воздуха 1,5 часа, осадок промыли эфиром, из эфирного р-ра выделили с выходом 14% димер пиклопентадиенена с т. пл. 96—98° (возгонка): Дибензоат II получен по Шоттен—Бауману с выходом 68%, т. пл. 114—115° (из сл.). Аналогично получен дибензосульфат II, выход 72%, т. пл. 110,5—120,5° (из сл.). $A(OCH_3)_2$ получен из II с помощью $(CH_3O)_2SO_2$ аналогично $H-A-OCH_3$ (см. статью выше), выход 95%, т. пл. 35—36° (из гексана). К гидролизату 0,5 г IV в 6 мл 10%-ного КОН добавили р-р 1 г $CH_3ClCOOH$ в 10%-ном КОН, смесь нагрели 3 часа, по охлаждению выпали кристаллы $A(OCH_2COOK)_2$. Выход $A(OCH_2COOH)_2$ 76%, т. пл. 168,5—169,5° (из воды).

Н. Несмеянов

9Ж248. Формилрутеноцен, полученный перегруппировкой фенилрутеноценкарбилазида. Bublitz D. E., Kleinberg J., McEwen W. E. Ruthenocene-carboxaldehyde from the rearrangement of phenylruthenocarbonyl azide. «Chemistry and Industry», 1960, № 20, 936 (англ.).—Получен $RCHO$ (I; здесь и далее $R = C_6H_5RuC_5H_4$) перегруппировкой $RCH(N_3)C_6H_5$ (II). В-во II (т. пл. 48,5—50°) синтезировано р-цией $RCH(OH)C_6H_5$ (III) (т. пл. 105,6—106,2°) с HN_3 . III получили восстановлением $RCOC_6H_5$ (IV) действием $LiAlH_4$. IV синтезировали по Фриделю—Крафту, наряду с IV выделили немного гомоаннуларного дибензилрутеноцена с т. пл. 141,8—142,4°. Р-р II в $CHCl_3$ добавили к избытку конц. H_2SO_4 . После перемешивания 12 час. (~20°) смесь вылили на лед и продукты р-ции извлекли бензолом. I очистили хроматографически, т. пл. 97—98°; семикарбазон I, т. пл. 208—208,4°; 2,4-динитрофенилкарбазон I, т. пл. 220—222° (разл.).

Н. Несмеянов

9Ж249. Органические препараты, меченные радиоактивными изотопами. Ш и ш ков В. П. В сб. «Методы получения и измерения радиоакт. препаратов». М., Атомиздат, 1960, 135—139.—Краткий обзор основных путей синтеза меченых соединений. Библ. 7 назв.

М. В.

9Ж250. Микросинтезы с мечеными элементами. XIV. Синтез йодистого метила- C^{14} . Ronzio A. R. Microsyntheses with tracer elements. XIV. Synthesis of methyl- C^{14} iodide. «Microchem. J.», 1960, 4, № 2, 163—166 (англ.).—Разработан метод синтеза $C^{14}H_3J$ при взаимодействии $C^{14}H_3ON$ с HJ в микроколичествах (~1—5 ммоль) с выходом 95—100% в спец. приборе.

Т. Шаткина

9Ж251. Синтез $CH_3C^{14}H_2Br$. Wolff R. E., Pichat L. Synthèse de $CH_3CH_2Br-^{14}C$. «Rapp. CEA», 1958, № 812, 3 p., ill. (франц.; рез. англ.).—Синтезирован $CH_3C^{14}H_2Br$ (I) действием на $CH_3C^{14}H_2OH$ (II) смесь 40%-ной HBr и конц. H_2SO_4 . Синтез проводят в спец. аппарате. К 7 мл 40%-ной HBr при —80° прибавляют 8 мл конц. H_2SO_4 , затем при —180°—1,2 мл II, нагревают 1 час при 60—70° и 30 мин. при 110°, выход 188%.

Т. Мелентьева

9Ж252. Синтез N-метил- C^{14} -бис-(2-хлорэтил)-амин- N -оксида и его выделение с мочой собаки. Ishidate Morizo, Tsukagoshi Shigeru. The synthesis of N-methyl(C^{14})-bis(2-chloroethyl)amine N-oxide and its excretion in the urine of dog. «Chem. and Pharmac. Bull.», 1960, 8, № 2, 87—89 (англ.).—Для биохим. и фармакологич. исследований синтезировали $C^{14}H_3N(O)(CH_2CH_2Cl)_2$ (I). Исходя из $C^{14}H_3J$ и $NH(CH_2CH_2OH)_2$ (II) получают $C^{14}H_3N(CH_2CH_2OH)_2$ (III), который действием $SOCl_2$ переводят в $C^{14}H_3N(CH_2CH_2Cl)_2$ (IV); последний окисляют H_2O_2 в I. Уд. активность (а) I равна 6,500 имп/мин/ммоль. I введен внутривенно собаке (5 мг/кг), через 4 часа определено содержание I в моче измерениями радиоактивности. Хроматография на бумаге показала наличие в моче I и продукта

его превращения $ClCH_2CH_2N^+(CH_3)CH_2CH_2OCl^-$ (V).

Отношение концентраций соединений V к I возрастает с течением времени. Приведена кривая изменения радиоактивности мочи со временем. 70 мг $C^{14}H_3J$ (активность 1 мкюри) разбавляют в 100 раз CH_3J , прибавляют 15,8 г II, 13,8 г безводн. K_2CO_3 и 250 мл CH_3OH , кипятят 1,5 часа, упаривают досуха, прибавляют 80 мл $(CH_3CO)_2O$, при 0° кипятят 1 час, получают $C^{14}H_3N(CH_2CH_2OCOSCH_3)_2$, выход 60%, т. кип. 110°/3,5 мм; последний растворяют в конц. HCl при 0°, нагревают 1 час при 140°, упаривают, выделяют III, к которому добавляют 2 объема $SOCl_2$, нагревают до 80° за 15 мин., удаляют $SOCl_2$, получают хлоргидрат IV, выход 58%, т. пл. 108—110° (из CH_3OH), а 6,500 имп/мин/ммоль. Окисление II H_2O_2 и $(CH_3CO)_2O$ проводят по описанному ранее методу (Aiko J. и др., Yakugaku Zasshi, 1952, 72, 1297), получают хлоргидрат I, выход 84%, т. пл. 108—110° (из ацетона), а 6,500 имп/мин/ммоль.

Т. Мелентьева

9Ж253. Синтез радиоактивных меченых соединений. Сообщение I. Получение бензимидазола-(2- C^{14}). Schütte Horst Robert, Liebisch Hans Werner. Synthese radioaktiv markierter Verbindungen. I. Mitt. über die Darstellung von Benzimidazol-(2- C^{14}). «Chem. Techn.», 1960, 12, № 9, 547 (нем.).—Нагревают в ампуле при 250° 5 час. 2 ммоль $HC^{14}OONa$, 2,2 ммоль о-фенилендиамина и 1 мл 5 н. HCl , р-р затем кипятят с активированным углем, нейтрализуют, выход бензимидазола-(2- C^{14}) 80—84%, т. пл. 174° (после возгонки при 160°/15 мм).

Т. Шаткина

9Ж254. Синтез 2-меркаптобензотиазола- S^3 . Ben-tov M. Synthèse du mercapto-2-benzothiazole (S^3). «Rapp. CEA», 1958, № 831, 6 p., ill. (франц.; рез. англ.).—Для изучения механизма ускорения вулканизации 2-меркаптобензотиазолом (I) синтезирован I- S^3 , меченный в боковой цепи. При р-ции I с SO_2Cl_2 получают 2-хлорбензотиазол (II), т. кип. 129—130°, т. пл. 22°. В спец. приборе к 576 мг CdS^{35} [активность (а) 6,1 мкюри/ммоль] прибавляют 85 г сухой HPO_4 , нагревают, выделяющийся H_2S^3 пропускают в 4,2 мл 0,95 н. р-ра C_2H_5ONa в спирте, перемешивают 12 час., прибавляют при —80° 3,4 мл 20%-ного р-ра II в спирте, перемешивают 12 час., р-ритель удаляют, остаток многократно экстрагируют эфиром и затем извлекают 20%-ным Na_2CO_3 , подкисляют 1 н. HCl , получают I- S^3 , выход 75,5%, а 5,5 мкюри/ммоль.

Т. Мелентьева

См. также разделы Промышленный органический синтез. Промышленный синтез красителей. Лекарственные вещества и рефераты: Соединения алифатич. 9Н462, 9Н497; алициклич. 9Б492, 9Н495, 9Н496, 9М282; ароматич. 9Б64, 9Н463; гетероциклич. 9Н493

ПРИРОДНЫЕ ВЕЩЕСТВА И ИХ СИНТЕТИЧЕСКИЕ АНАЛОГИ

Редакторы Л. А. Аксанова, М. М. Ботвинник, А. Д. Кузовков, И. С. Лишанский, В. В. Некрасов, И. В. Торазов, Л. М. Уткин, В. В. Шпанов

9Ж255. Терпеноидные соединения смешанного биогенетического происхождения, содержащиеся в грибах. Birch A. J. Terpenoid compounds of mixed biogenetic origins in fungi. «Chem. weekbl.», 1960, 56, № 44, 597—602 (англ.).—Обзор по терпеноидным соединениям, содержащимся в грибах, главным образом, по кислородсодержащим гетероциклам и алкалоидам спорыньи. Библ. 31 назв.

В. III.

9Ж256. Исследование в ряду терпенов. Часть VII. К вопросу о дегидратации терпинеола. Verghese James. Studies in terpenes. Part VII. A contribution to the chemistry of terpineol dehydration. «J. Indian

Chem. Soc., 1960, 37, № 5, 260—266 (англ.).—Изучена зависимость между условиями дегидратации терпинена (I) и кол-вом образующихся продуктов: α -терпинена (II), *dl*-лимонена (III), терпинолена (IV) и насыщ. в-в (НВ), главным образом *n*-цимена (V) и цинеолов. Анализ получающихся при дегидратации смесей проводился по следующей схеме: (а) удаление II при *r*-ции с малеиновым ангидридом (этот метод предпочтительнее, чем окисление смесью Бекмана); (б) удаление III с помощью $Hg(CH_3COO)_2$ и идентификация его в виде терпингидрата; (в) выделение IV в виде тетрабромида (к *r*-пу 1 г масла в 1 мл n - $C_5H_{11}OH$ и 2 мл эфира прибавляют Br_2 и аддукт осаждают CH_3OH); содержание IV оценивается по разности между общим содержанием ненасыщ. терпенов и суммой II + III; (г) определение суммы НВ путем обработки всей смеси 80%-ной H_2SO_4 и идентификация V окислением до терефталевой к-ты, которую превращают в диметилловый эфир или нитропроизводное. Получены следующие результаты (пересчитаны к кол-ву исходного I в г, дегидратирующий агент, его кол-во в г, *r*-тра *r*-ции в °C, время *r*-ции в часах, общий выход продуктов дегидратации в % и процентное содержание II, III, IV и НВ в полученных смесях): 25, $KHSO_4$, 50, 185—190, 1, 80, 15, 63, —, 5; 40, вода, $(COOH)_2$ (1:2), 360, 105—110, 5, 81, 34, 20, —, 8,5; 20, вода, $(COOH)_2$ (1:2), 60, 105—110, 0,5, 34, 17, 43, —, 0; 30, H_2SO_4 , 2 мл в 100 мл CH_3COOH и 4 мл воды, 95—100, 7, 11; 3, следы, 0, 48; (а) 40, I_2 , несколько мг, —, 1,70, 44, 33, 10, 13; (б) 25, H_3BO_3 , 10, —, 2, 76, 42, 29, —, 0; 19,5, γ - Al_2O_3 , 15,15, 400, —, 83, 15, 9, —, 10. Методы (а) и (б) для дегидратации I применены впервые; предпочтение отдается методу (а). Обсуждается механизм дегидратации. I. Сообщение VI см. РЖХим, 1960, № 9, 34935. Э. Серебряков

9Ж257. Гидрогенолитическое расщепление ментофурана. Tagaki Waichiro, Mitsui Tetsuo. Hydrogenolytic cleavage of menthofuran. «J. Organ. Chem.», 1960, 25, № 2, 301—303 (англ.).—При гидрировании ментофурана (I) над Pt (из PtO_2) в CH_3COOH наряду с тетрагидро-I образуется ~20% смеси ментолов. Хроматографированием 3,5-динитробензоатов этой смеси и омылением выделены (+)-неоментол (II) и (+)-неоизоментол (III). Содержание II и III в смеси изменяется в зависимости от температуры гидрирования от 1:2 при 20° до 1:1,2 при 60°, причем общее кол-во смеси ментолов не изменяется. Присутствие *n*-ментана-9 не было обнаружено. Э. Мистриков

9Ж258. О *n*-цимоле и его производных. Сообщение XIII. Получение α -(*n*-толил)-пропиональдегида. Strubell W. Über *p*-Cymol und seine Derivate. XIII. Darstellung von α -(*p*-Tolyl)-propionaldehyd. «J. prakt. Chem.», 1960, 10, № 5-6, 111—112 (нем.).—При *r*-ции *n*-цимола (I) с CrO_2Cl_2 образуется 2-(*n*-толил)-пропональ (II), а не куминовый альдегид, как это считалось ранее (Etard A., Ber., 1880, 13, 929). К эфирному *r*-пу 1 моля I при 0° и перемешивании за 3 часа прибавляют по каплям 2 моля эфирного *r*-ра CrO_2Cl_2 и нагревают 30 мин. при 35°. После промывания эфиром комплексное соединение разлагают при 0° водой, нейтрализуют *r*-ром NaOH и получают II, выход 85%, т. кип. 110—111°/15 мм. При проведении *r*-ции I с CrO_2Cl_2 в CS_2 получают смесь *n*-толуиловой к-ты и 30—35% II; *n*-толуилэтилкетон в отличие от раннего сообщения (Richter V., Schüchner G., Ber., 1884, 17, 1930) выделен не был. Сообщение XII см. РЖХим, 1960, № 19, 77475. Л. Лысанчук

9Ж259. О *n*-цимоле и его производных. Сообщение XIV. Синтез бичимилен. Strubell W., Baumgärtel H. Über *p*-Cymol und seine Derivate. XIV. Über die Synthese des Bicymylens. «J. prakt. Chem.», 1960, 10, № 5-6, 113—114 (нем.).—При кипячении (1 час.) избытка ацетофенона с бромистым *n*-цимилмагнем-2 в эфире наряду с метилфенилкарбином с выходом 40% получен бичимилен состава $C_{20}H_{24}$, т. кип.

201—203°/12 мм. Обсуждается возможный механизм этой *r*-ции. Л. Лысанчук

9Ж260. О *n*-цимоле и его производных. Сообщение XV. Синтез 2-амино-*n*-цимола, 3-амино-*n*-цимола и бичимила. Strubell W., Baumgärtel H. Über *p*-Cymol und seine Derivate. XV. Über 2-Amino-*p*-cymol, 3-Amino-*p*-cymol und Bicymyl. «J. prakt. Chem.», 1960, 10, № 5-6, 115—116 (нем.).—*r*-ция 2-бром-*n*-цимола (I) с $NaNH_2$ в присутствии *Si*-производного пропиональдегида (II) приводит к разделенной фракционированной смеси *n*-цимола, I, 2-амино-*n*-цимола (III) (т. кип. 120—121°/17 мм), 3-амино-*n*-цимола (IV) (т. кип. 117—119°/17 мм) и бичимила состава $C_{20}H_{24}$ (V), т. кип. 228—230°/8 мм, *n*_D 1,5782. Последний с выходом 30% получают также при взаимодействии I с Na в присутствии *Si*-порошка. В отсутствие II при *r*-ции I с $NaNH_2$ образуется 40% смеси III и IV и 33% V. При увеличении конц-ии II выход смеси III и IV падает от 44% до 17%, в то время как выход V повышается от 34% до 76%. Л. Лысанчук

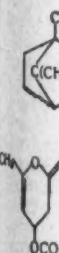
9Ж261. О *n*-цимоле и его производных. Сообщение XVI. Взаимодействие 2-бром-*n*-цимола с амидом лития. Strubell Wolfgang. Über *p*-Cymol und seine Derivate. XVI. Umsetzung von 2-Brom-*p*-cymol mit Lithiumamid. «Liebigs Ann. Chem.», 1960, 631, № 1-3, 100—102 (нем.).—При взаимодействии 2-бром-*n*-цимола (I) с NH_3 в присутствии C_6H_5Li (II) образуется смесь 2-амино- и 3-амино-*n*-цимолов (III и IV соответственно). Предложен механизм *r*-ции через образование ариана (см. РЖХим, 1958, № 18, 60908). К *r*-пу $LiNH_2$ полученному пропусканием NH_3 при *t*-ре <30° через *r*-р 8,4 г II в 200 мл эфира, прибавляют 21,3 г I в 100 мл эфира, выдерживают 3 часа и 2 часа кипятят, избыток II разлагают разб. HCl и перегонкой в вакууме получают IV, выход 30%, т. кип. 107—110° (ацетат, т. пл. 112°), и III, выход 35%, т. кип. 113—115° (ацетат, т. пл. 72°). Ж. Николаева

9Ж262. Пиролиз 1,8-цинеола в присутствии никеля Ренея, из которого водород был десорбирован. Waki Takeshi. «Nihon Kagaku Zasshi, Nippon Kagaku Zasshi, J. Chem. Soc. Japan. Pure Chem. Sec.», 1960, 81, № 1, 131—133, A8 (японск.; рез. англ.).—Изучен пиролиз 1,8-цинеола (I) в присутствии скелетного Ni (притовление см. Hauptmann H., Liebigs Ann. Chem., 1952, 576, 44), из которого H_2 был удален десорбцией нагреванием при 400°/3 мм в течение 2 час. Пиролиз I (270°) дает: дипентен (II), 55%, тетрабромид, т. пл. 124—125°, α -терпинен (III), 14%, аддукт с малеиновым ангидридом, т. пл. 134—135°, терпинолен (IV), 1%; тетрабромид, т. пл. 114—115°; *n*-цимол (V), 21%, идентифицирован окислением посредством $KMnO_4$ до *n*-оксизопропилензойной к-ты, т. пл. 154—155°; α -терпинеол (VI), идентифицирован по *R*_f 23 при хроматографировании на пластинке после отделения не вошедшего в *r*-цию I в виде продукта присоединения к резорцину. Пиролиз при 350° привел к образованию (даны в-во, выход в мол.%): II, 14; III, 1,5; IV, 4; V, 70; *n*-ментан (VII), 6; VI не образуется. Предложен следующий ход *r*-ции пиролиза I: I \rightarrow VI \rightarrow II \rightarrow IV \rightarrow III \rightarrow V + VI. Л. Я.

9Ж263. Замена водорода у третичного атома углерода на гидроксил действием щел. раствора перманганата калия. Eastman Richard H., Quinn Ross A. Replacement of hydrogen at a tertiary carbon atom with OH by alkaline permanganate. «J. Amer. Chem. Soc.», 1960, 82, № 16, 4249—4252 (англ.).—Некоторые третич. спирты, содержащие третичный H-атом, окисляются щел. *r*-ром $KMnO_4$, давая с выходом 12—60% гликоли с конфигурацией входящего гидроксила, соответствующей окисляемой связи C—H. 308 α -терпинеола (I), т. пл. 34,5—36,9°, *n*_D 1,4810, в 150 мл спирта гидрируют над скелетным Ni при 100° и ~150 ат. Фракционированием получают транс-диэпо-*r*-I (II) из фракции, т. кип. 136,3—137,3°/90 мм, т. пл. 34,5—35° (сублима), *n*_D 1,4630 (нитрит, т. кип.

31,5°/1 мм, т. пл. 1,4664; ровный сплав чистого оставил 0,5 г при акцион экстрак свою по лют 0, ле подп логичн нение, чис-1,8- 2,5-дим 34—42° пентан; сана); *n*_D 1,45 30, 100, санол (1,3-дим (на пет условия Строи тем б ато IV, смотра doglu G.

9Ж264. рандион violet s mistry a определ тевров и после метила ватрия, тлацетт рий с г рандион Строи NaOH с тилпент метилке А(макс. рактора лвом I камфор ое (Д((IV) пр кетена,



III, VIII, гидрокс метиый

54,5°/1 мм, n_D 1,4491] и *цис*-дигидро-1 (III) (из фракции, т. кип. 137,7—138°/90 мм), т. пл. 46,7—47°, n_D 1,4664; нитрит, т. кип. 53°/1 мм, n_D 1,4594. При гидрировании 77 г I над Pt (из PtO₂) получают 38 г II. К суспензии 3 г III в 90 мл воды добавляют 0,548 г измельченного KMnO₄, встряхивают смесь до растворения и оставляют на 2 дня при 20°. Постепенно, порциями в 0,5 г прибавляют KMnO₄ (до общего кол-ва 4,22 г). Реакционную смесь экстрагируют эфиром (из эфирного экстракта получают 1,92 г исходного III), а из водной после 4-х дневной непрерывной экстракции выделяют 0,47 г *транс*-1,8-терпина, т. пл. 157,4—157,6° и после подкисления HCl (к-той) — терпениловую к-ту. Аналогичным образом получают (указаны исходные соединения, продукт р-ции, выход в % и т. пл. в °C): II, *цис*-1,8-терпин, 12, 116—117°; 2,5-диметилгексанол-2, 2,5-диметилгександиол-2,5, 37, 89,2—90,2 (сублимат), 34—42° (гидрат); 2,4-диметилпентанол-2, 2,4-диметилпентандиол-2,4, 52, —борт, т. пл. 99,8—101,3° (из гексана); 1,3-диметилциклогексанол (IV) (т. кип. 75°/15 мм, n_D 1,4545), *транс*-1,3-диметилциклогександиол-1,3 (V), 30, 100,4—103 (из этилацетата); 1,3-диметилциклогексанол (VI) (т. кип. 68,5—68,8°/15 мм, n_D 1,4504), *цис*-1,3-диметилциклогександиол-1,3 (VII), 31, 88, 9—90 (из петр. эф.) (борт, т. пл. 93,4—95,2°). В аналогичных условиях метилфенилхлоридный спирт не окисляется. Строение гликолей V и VII подтверждается образованием боратов и ИК-спектрами. Из данных по окислению IV и VI делается вывод о необходимости пересмотра приписанной им ранее конфигурации (Chirugoglu G., Bull. soc. chim. Belg., 1938, 47, 241).

Э. Мистрюков

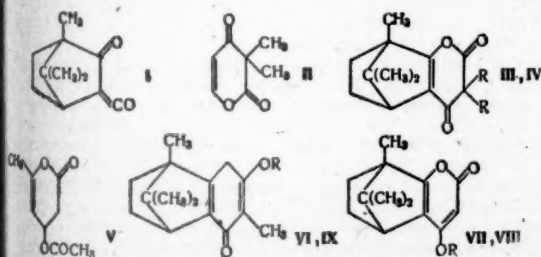
9Ж264. УФ-спектры некоторых производных 2,4-пирандиона. Chahdross E. A., Yates P. The ultraviolet spectra of some 2,4-pyranidone derivatives. «Chemistry and Industry», 1960, № 6, 149—151 (англ.). Для определения строения димеров камфокетена (I) синтезированы модельные соединения — 2,4-пирандионы и исследовались их УФ-спектры. Формилируют α,α -диметилацетоуксусный эфир этилформатом с гидридом натрия, получают этиловый эфир γ -формил- α,α -диметилацетоуксусной к-ты, т. кип. 76—77° при 3 мм, который с горючей конц. H₂SO₄ дал 3,3-дигидропиранидион-2,4 (II), т. пл. 56—58°, λ (макс.) 250 мμ (ε 7400). Строение II подтверждается гидролизом водн. 5%-ным NaOH с последующим декарбоксилированием до 4-метилпентандиона-1,3. Продукту присоединения I и диметилкетена придается строение (III) [(т. пл. 89—90,5°, λ (макс.) 282 мμ (ε 7050)] на основании аналогичного характера ИК-спектров II и III, подтверждаемое гидролизом III HCl-к-той в CH₃COOH до α -3-изобутирилкамфоры, N-(2,4-динитрофенил)пиразольное производное (ДФП), т. пл. 132,5—133,5°. Аналогичное строение (IV) придается продукту присоединения I и дифенилкетена, т. пл. 135,5—136,5°, λ (макс.) 293 мμ (ε 6700). При

тилдигидропиранидион-2,4, получают О-ацетат (V), т. пл. 46,5—47,5°, λ (макс.) 283 мμ (ε 6000). При р-ции хлорангидрида α -камфоркарбоновой-3 к-ты с натрийметилмалоновым эфиром с последующей обработкой продукта р-ции H₂SO₄ получают (VI), т. пл. 243,5—245,5°, λ (макс.) 311 мμ (ε 10300). Строение VI подтверждают деградацией до α -3-пропионилкамфоры, ДФП, т. пл. 150,5—151,5°. Из характера УФ-спектра VI предполагается, что VI в разб. спирт. р-ре существует в виде VII. При метилировании VI CH₂N₂ получают два эфира — (VIII), т. пл. 115—116°, λ (макс.) 320 мμ (ε 9830) и (IX), т. пл. 90—92°, λ (макс.) 256 мμ (ε 27300). VI — ацетату, т. пл. 100—101°, λ (макс.) 324 мμ (ε 10500), на основании ИК-спектра придается строение (X). Отмечается аномальное поглощение в УФ-спектре соед. II по сравнению с ожидаемым (≤ 225 мμ), а также bathochromic сдвиг, вызываемый при замене гидроксильной или метоксильной группы α -пирона на ацетоксигруппу. Э. Мистрюков

9Ж265. Взаимодействие норборнена с йодом и ацетатом серебра. Krieger H. Umsetzung von Norbornen mit Jod und Silberacetat. «Suomen kem.», 1960, 33, № 5-6, B127—B128 (нем.). Для изучения превращения галогидкетон и галогидринов ряда бицикло-[2,2,1]-гептана синтезирован *син*-7-йод-эко-норборнеол-2 (I). К перемешиваемой смеси 36 г норборнена, 150 г CH₃COOAg и 1350 мл лед. CH₃COOH за 1 час при ~20° прибавляют 105 г J₂, затем 6 мл воды и нагревают 4 часа при 90—95° и после обработки и фракционированной перегонки получают ацетат нортицикланола, выход 24%, т. кип. 71—72°/9 мм, n_D^{20} 1,4703 (строение придано на основании ИК-спектра), и ацетат I (II), выход 42%, т. кип. 126—128°/7 мм, образованный в результате перегруппировки Вагнера — Мейервейна. Строение II доказано дегалогенированием Zn-Cu в 80%-ном CH₃OH (~20°, 10 дней) в ацетат эко-норборнеола, а также восстановлением LiAlH₄ в I, т. кип. 121—123°/8 мм, т. пл. 54,0—54,5° (из петр. эф.). При окислении I CrO₃ в CH₃COOH при ~20° образуется *син*-7-йодпироксифора (III), разлагающаяся при перегонке; семикарбазон, т. пл. 198,5—200°. Восстановление III LiAlH₄ приводит к I. Л. Лысачук

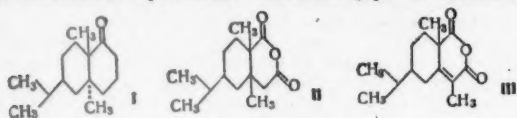
9Ж266. О разложении метилового эфира α -лонгифоловой кислоты реактивом Гриньяра. Ogura Isao, «Nihon Kagaku Zasshi, Nippon Kagaku zasshi, J. Chem. Soc. Japan. Pure Chem. Sec.», 1960, 81, № 1, 129—130, A8, (японск.; рез. англ.). При р-ции 2 г монометилового эфира α -лонгифоловой к-ты (I) с C₆H₅MgBr образуется C₁₄H₂₁(C₆H₅)₂COOH (II), выход 1,8 г, т. пл. 156—157° (из сп.). Окисление II посредством CrO₃ привело к небольшому выходом к C₁₂H₂₁COCOON (III), 2,4-динитрофенилидразон, т. пл. 147—149° (из сп.), *n*-бромфенилловый эфир, т. пл. 91—93° (из сп.). При р-ции метилового эфира лонгифоловой к-ты с C₆H₅MgBr получен карбинол, т. пл. 120—121°, окисление которого CrO₃ также привело к III, одновременно получен продукт дегидратации карбинола, т. пл. 109—110°. 5 г α -лонгифоловой к-ты в 20 мл 1 н. NaOH метилируют 5 г (CH₃)₂SO₄ обычным способом, получают 4,8 г I, т. пл. 63—64° (из сп.). Л. Яновская

9Ж267. Строение ятамансона. Govindachari T. R., Pai B. R., Purushothaman K. K., Rajadurai S. Structure of jatamansone, «Chemistry and Industry», 1960, № 33, 1059—1060 (англ.). Предложены ф-лы ятамансона (I) и ангидрида норятманановой к-ты (II). Строение II подтверждено его спектром ядерного магнитного резонанса, а также дегидрированием II над Pd/C с образованием 1,2-диметил-4-изопропилбензола; сульфонамид, т. пл. 158°. Бромирование II и последующее дегидробромирование сопровождаются миграцией CH₃-группы и приводят к ангидриду дегидронорятманановой к-ты (III). При окислении III посредством KMnO₄ и NaJO₄ получен 1-*транс*-карвонентон, чем определяется абсолютная конфигура-



III, VIII, IX R = CH₃; IV R = C₂H₅; VI, VII R = H; X R = COCH₃. Гидролизе IV получают α -3-дифенилацетилкамфору, модный комплекс, т. пл. 236—237°. Ацетируют 6-ме-

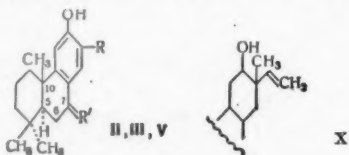
ция I при $C_{(6)}$. Транс-сочленение колец в I принято на основании сравнения значений $[\alpha]_D$ ятамансовой



к-ты (+40,0°) и норьятамансовой к-ты (+49,9°), а абсолютная конфигурация при $C_{(6)}$ и $C_{(10)}$ — на основании кривой дисперсии оптич. вращения I (отрицательный Коттон-эффект).

Л. Бергельсон

9ЖК268. Терпеноиды и родственные соединения. I. Компоненты коры ствола *Melia azadirachta* Linn. Sen Gupta P., Choudhuri S. N., Khastgir H. N. Terpenoids and related compounds. I. Constituents of the trunk bark of melia azadirachta linn. and the structure of the ketophenol, nimbiol. «Tetrahedron», 1960, 10, № 1-2, 45—54 (англ.). Из коры ствола дерева *Melia azadirachta* Linn, произрастающего в Индии, выделены алифатич. спирт $C_{26}H_{54}O$ (I), сугиол (II) и нимбиол (III). Выделенный ранее из той же коры нимбостерин (Siddiqui S. и др., J. Sci. Ind. Res. India, 1949, 813, 188) оказался идентичным β -ситостерину (IV). При восстановлении по Клемменсену III переходит в дезоконимбиол (V), ацетат которого образуется также при каталитич. гидрировании ацетата III в присутствии $HClO_4$. Дегидрирование V над Se в мягких условиях



I R = ω - C_6H_5 , R' = O; III R = CH_3 , R' = O; V R = CH_3 , R' = H

приводит к 1,1,7-триметил-6-оксид-1,2,3,4-тетрагидрофенантрону (VI), тогда как в более жестких условиях образуются 1,1,7-триметил-1,2,3,4-тетрагидрофенантрен (VII), 1,7-диметил-6-оксифенантрен (VIII) и пимантрен (IX). Конфигурация III принята авторами на основании сходства кривых дисперсии оптич. вращения метиловых эфиров II и III. Транс-сочленение колец A/B в III подтверждается образованием III в качестве единственного продукта при окислении ацетата V посредством CrO_3 . Метиловые эфиры II и III не конденсируются с $HCO_2C_6H_5$ или фурфуралем в шел. среде, что, вероятно, обусловлено экранированием положения 6 экваториальной CH_3 -группой при $C_{(4)}$. Авторы считают, что II и III образуются из одного и того же биогенетического предшественника (X). 1 кг измельченной сухой коры *M. azadirachta* Linn. экстрагируют бензолом в аппарате Сокслета (30 час.), извлеченный продукт (25 г) растворяют в эфире, промывают 5%-ным р-ром NaOH (шел. р-р А), нейтр. фракцию (3 г) растворяют в петр. эфире, экстрагируют 80%-ным водн. CH_3OH , углеводородный слой упаривают, остаток (5,5 г) кипятят 6 час. с р-ром 5 г КОН в 90 мл CH_3OH и 10 мл водн.-экстрагируют эфиром, извлеченный продукт (2,5 г) хроматографируют на Al_2O_3 . Смесь петр. эф.- C_6H_6 (7:3) вымывают I, выход 0,09 г, т. пл. 82—83° (из циклогексана), $[\alpha]_D +7,8^\circ$, а чистым C_6H_6 вымывают IV, выход 0,04 г, т. пл. 136—137° (из CH_3OH), $[\alpha]_D -38^\circ$. Экстракт А (из 3,6 кг коры) подкисляют разб. HCl , экстрагируют эфиром, извлеченный продукт хроматографируют на Al_2O_3 , дезактивированной 10%-ной водн. CH_3COOH (12 мл к-ты на 400 г Al_2O_3). Бензолом вымывают II, выход 0,25 г, т. пл. 202—204° (из CH_3OH), $[\alpha]_D +26^\circ$ (сп.), а вымыва-

нием смесью C_6H_6 -эфир (9:1) выделяют III, выход 0,42 г, т. пл. 250—261° (из бал. и CH_3OH), $[\alpha]_D +32,3^\circ$. К нагретому р-ру 0,09 г II в 15 мл CH_3OH и 0,16 мл 10% водн. NaOH добавляют 0,04 мл $(CH_3)_2SO_4$, встряхивают, по охлаждению выливают в воду и получают метиловый эфир II. выход 0,05 г, т. пл. 137—138° (из CH_3OH), $[\alpha]_D +37,4^\circ$. В тех же условиях 0,5 г III дают 0,26 г метилового эфира III, т. пл. 142—143° (из CH_3OH), $[\alpha]_D +43,7^\circ$, семикарбазон, т. пл. 208—210° (из CH_3OH). Смесь 0,32 г II, 25 мл ацетона, 2 г K_2CO_3 и 1,5 мл $(CH_3)_2SO_4$ кипятят 5 час., выливают в воду и выделяют метиловый эфир II, выход 0,25 г. Аналогично из 0,38 г III получают 0,24 г метилового эфира III. Р-р 1,46 г III в 15 мл пиридина и 15 мл $(CH_3CO)_2O$ нагревают 4 часа при 100°; получают ацетат III, выход 0,75 г, т. пл. 100—103° (из водн. CH_3OH), $[\alpha]_D +22,6^\circ$. 1,1 г ацетата III гидрируют над 10%-ным Pd/C (0,5 г) в 20 мл лед. CH_3COOH , содержащей 0,2 мл $HClO_4$, при 20° до поглощения 2 молей H_2 ; выделяют ацетат V, выход 0,7 г, т. пл. 102—103° (из CH_3OH), $[\alpha]_D +56,4^\circ$ (хлф.). К Zn-амальгаме (из 1,8 г Zn) добавляют 2 мл конц. HCl , 2 мл воды и р-р 0,3 г III в 4 мл толуола и 1 мл спирта, кипятят 24 часа, добавляя каждый час по 0,1 мл конц. HCl , экстрагируют эфиром, продукт ацетилируют $(CH_3CO)_2O$ -пиридином; хроматографированием на Al_2O_3 дезактивированной 10%-ной CH_3COOH выделяют ацетат V (вымывают петр. эфиром), выход 0,08 г. 1,7 г ацетата V кипятят 4 часа с 10 мл 10%-ного метанольного р-ра КОН; полученный V не кристаллизуется. Смесь 0,8 г V и 2 г Se нагревают 11 час. при 300—320°, экстрагируют эфиром, продукт хроматографируют на дезактивированной Al_2O_3 . Смесью петр. эф.- C_6H_6 (1:1) вымывают VI, выход 0,08 г, т. пл. 147—148° (из петр. эф.); метиловый эфир (VIa) (0,05 г VI, 0,4 г $(CH_3)_2SO_4$ и 0,5 г K_2CO_3 в 10 мл ацетона кипятят 5 час.), т. пл. 145—146° (из CH_3OH). 1,1 г V и 4 г Se нагревают 50 час. при 320—340°, продукт р-ции разделяют на фракцию А, нерастворимую в петр. эфире (т. пл. 155—156°, 0,25 г), и растворимую фракцию Б (0,7 г, аморф.). Двукратным хроматографированием фракции Б на Al_2O_3 (вымывают петр. эфиром) выделяют 0,18 г VII, т. пл. 82—83° (из абс. сп., затем возгонка при 95°/0,2 мм). Фракцию А хроматографируют на дезактивированной Al_2O_3 . Смесью петр. эф.- C_6H_6 вымывают 0,1 г VI, а чистым C_6H_6 выделяют VIII, выход 0,06 г (очищают вторичным хроматографированием на дезактивированной Al_2O_3), т. пл. 189—190° (из бал.-петр. эф., затем возгонка при 170°/0,2 мм); метиловый эфир (получают как VIa), т. пл. 119—120° (из CH_3OH). Смесью 0,62 г V и 3 г Se нагревают 42 часа при 340—360°, кристаллизацией продукта р-ции (0,6 г) из петр.-эфира получают VIII; из маточных р-ров хроматографированием на Al_2O_3 выделяют IX (вымывают петр. эфиром), выход 0,05 г, т. пл. 83—84° (из CH_3OH , затем возгонка при 100—115°/0,1 мм); пикрат, т. пл. 130—131°. 0,1 г ацетата V в 1 мл лед. CH_3COOH окисляют посредством 0,13 г CrO_3 в 0,6 мл 80%-ной CH_3COOH , продукт р-ции кипятят 5 час. с 5%-ным метанольным р-ром КОН и выделяют III, выход 0,05 г. Приведены данные по ИК-спектрам I—III, ацетатов III и V, по УФ-спектрам II, III, VII—IX, ацетатов III и V и кривые дисперсии оптич. вращения II и III. $[\alpha]_D$ определены в $CHCl_3$.

Л. Бергельсон

9ЖК269. Новый синтез саптена. Предварительное сообщение. Toivonen N. J., Wuolijoki E. Eine neue synthese des saptens. (Vorläuf. Mitt.). «Svensk kem.», 1960, 33, № 5-6, B119—B120 (нем.). Динитро конденсация циклопентадиена с пропенилацетатом с выходом 10% приводит к ацетату 3-метилдигидропорборнеола (I, II спирт), омыление которого дает II, т-ро затвердевает 17°. При каталитич. гидрировании I образуется ацетат 3-метилдигидропорборнеола (III спирт), омылением которого получают III с т. пл. 63°. Окисление III конц. HNO_3 при ~20° с выходом 80%

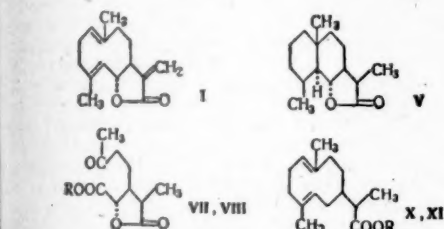
приводит к 3-метилноркамфору (IV), взаимодействие которой с CH_3MgI дает 2,3-диметилнорборнеол (V), т. пл. 63–65°, по-видимому, идентичный «у-сантенолу», описанному ранее (Diels O., Alder K., Liebig's Ann. Chem., 1931, 486, 202). При дегидратации V под влиянием KHSO_4 получают сантен. В условиях р-ции Бертрам — Вальбаумшена V претерпевает перегруппировку Вагнера — Мейервейна, превращаясь в ацетат α -сантена.

Л. Лысанчук

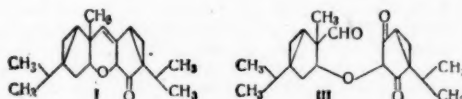
9Ж270. Терпеноиды. XXI. Структура костунолида, нового сесквитерпенового лактона из костусового масла. Rao A. Somasekar, Kelkar G. R., Bhattacharya S. C. Terpenoids. XXI. The structure of costunolide, a new sesquiterpene lactone from costus root oil. «Tetrahedron», 1960, 9, № 3-4, 275–283 (англ.). Из масла, полученного путем экстракции корней *Saussiaea lappa* Clarke петр. эфиром, выделен лактон $\text{C}_{15}\text{H}_{22}\text{O}_2$ (I), названный костунолидом. Масло разбавляют 4-кратным кол-вом петр. эфира, при стоянии в течение недели при 0° выкристаллизовывается I, т. пл. 106–107° (из CH_3OH), $[\alpha]_D^{20} +128^\circ$. При гидрировании I в спирте при 20° и 60 ат на Pt-катализаторе образуется гексагидрокостунолид (II), т. кип. 135–138°/0,6 мм; восстановление XI LiAlH_4 привело к диолу, т. кип. 135–140°/0,05 мм, 2) окисление VI посредством MnO_2 ведет к образованию α,β -непредельного кетона с характерным поглощением в УФ-спектре (λ (макс.) 229 мк $\lg \epsilon$ 3,2); обе р-ции можно объяснить только предположив наличие аллильной системы. Нагревание III с CH_3COOH и $(\text{CH}_3\text{CO})_2\text{O}$ в течение 4 час. ведет к превращению его в циклодигидрокостунолид, т. пл. 134–136° (из петр. эф.). С целью определения абс. конфигурации V и II были превращены путем восстановления LiAlH_4 в соответствующие диолы (XII и XIII), т. пл. 116–117° (из бэл.-петр. эф.), $[\alpha]_D^{20} -6,2^\circ$ (с 4,8; хлф.) и т. кип. 153–155°/0,4 мм, $[\alpha]_D^{20} -11^\circ$ (с 2,4; хлф.). Применяв метод разности молекулярных вращений и парам соединений V—XII и II и XIII, авторы пришли к выводу, что I имеет D-конфигурацию при C_6 и транс-соединение лактонового и десятичленного колец. Приведены данные по УФ-спектру I и ИК-спектрам I, II, III, V, VI, XII и XIII. Сообщение XX см. РЖХим, 1960, № 19, 78618.

О. Чижов

9Ж271. Взаимодействие d-сабинола с двуокисью селена. III. Строение главного продукта. Коварж Я., Петру Ф., «Collect. Czechosl. Chem. Commun», 1960, 25, № 2, 604–607 (рез. нем.). Для аномального продукта окисления d-сабинола посредством SeO_2 на основании окислительной деструкции предложена формула (I). Смесь 1 г I с 3,6 г KMnO_4 и 2,5 мл 8% NaOH в 100 мл воды встряхивают 50 час., добавляют еще 1 г KMnO_4 и продолжают встряхивание до обеспечения. Смесь подкисляют H_2SO_4 , извлекают эфиром, полученное упариванием эфирного р-ра масло растворяют в р-ре NaHCO_3 , бикарбонатный р-р промывают эфиром, подкисляют HCl и снова экстрагируют эфиром, упариванием эфирной вытяжки получают 10 мг α -гуадакарбонной к-ты (II), т. пл. 139–140°. При озонлизе I в CH_3COOH при 20° с последующим окислением продуктов озонлиза посредством KMnO_4 также



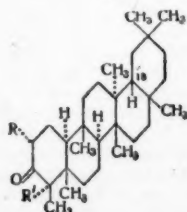
0,4 мм, $n_D^{20} 1,4880$, $d_{20}^{20} 1,007$, $[\alpha]_D^{20} -36^\circ$ (с 3,6; хлф.). Гидрированием I на Pd/C в спирте при 30° получен дигидрокостунолид (III), т. пл. 77–78° (из петр. эф.). $[\alpha]_D^{20} +113,6^\circ$ (с 3,0; хлф.). Озонлиз I приводит к формальдегиду, идентифицированному в виде диметилового производного, т. пл. 190–191°, в то время как при озонлизе III были получены лишь следы формальдегида. Таким образом I является моноциклич. лактоном, содержащим 3 двойные связи. Одна из них сопряжена с карбониллом γ -лактона, как это следует из сравнения УФ и ИК-спектров I—III, причем из результатов озонлиза ясно, что именно эта семициклич. двойная связь в первую очередь подвергается гидрированию. При восстановлении I посредством LiAlH_4 в эфире получен диол (IV), т. кип. 160–180°/10⁻³ мм. Нагревание IV с Se в атмосфере N_2 при 300° в течение 48 час. привело к 1,6-диметилнафталину, т. кип. 128–135°/9 мм, идентифицированному в виде цикрата, т. пл. 110–111° (из сп.) и тринитробензоата, т. пл. 130–131° (из сп.). Гидрирование I в CH_3COOH при 20° на Pt-катализаторе дало насыщ. бициклич. лактон (V), вероятно идентичный «сантену» С., т. пл. 154–155° (из петр. эф.), $[\alpha]_D^{20} +55,1^\circ$ (с 3,5; хлф.). Дегидрирование V с Se ведет к 1-метил-7-этилнафталину, тринитробензолату, т. пл. 107–108° (из сп.). Восстановление III действием LiAlH_4 в эфире был получен диол (VI), $[\alpha]_D^{20} +35,1^\circ$ (хлф.). При озонлизе I, III и IV в этилацетате при 0° образуется леулиновая к-та, выделенная в виде метилового эфира, т. кип. 88–91°/15 мм, $n_D^{20} 1,464$, динитрофенилгидразон (ДНФГ), т. пл. 140–141°. При озонлизе III, кроме того, была выделена кето-лактонокислота $\text{C}_{10}\text{H}_{14}\text{O}_5$ (VII R = H), т. кип. 150–170°/0,002 мм, метилового эфира (VIII R = CH_3), т. кип. 180–185°/3 мм, $n_D^{20} 1,4620$, $[\alpha]_D^{20} 0^\circ$, ДНФГ, т. пл. 94–95°. Восстановление VIII действием LiAlH_4 в эфире привело к выделению аморфного тетраоксисоединения (IX), которое при окислении NaIO_4 дало формальдегид. Все вышеприведенные данные согласуются с формулой I для костунолида. Даль-



получена II. Озонлиз I в $\text{CH}_3\text{COOC}_2\text{H}_5$ при -20° с последующим гидрированием над Pt приводит к альдегиду $\text{C}_{20}\text{H}_{28}\text{O}_4$, т. пл. 81–81,5° (из сп.), которому авторы приписывают ф-лу (III). Окислением I посредством CrO_3 в CH_3COOH также получают III. Сообщение II см. РЖХим, 1960, № 15, 61538.

О. Чижов

9Ж272. Действие N-бромсукцинимидов на фриделин и родственные соединения. Kane V. V., Stevenson R. Action of N-bromosuccinimide on friedelin and related compounds. «Chemistry and Industry», 1960, № 40, 1243–1244 (англ.). Фриделин (I) реагирует с N-бром-



I R = R' = H; II R = H, R' = Br;
III R = Br, R' = H; IV R = Br,
R' = H, Δ^1 ; V R = R' = H, Δ^1 ;
VI R = H, R' = Br, Δ^1 .

сукцинимидом (BC) с образованием 4 α -бромфриделина (II), тогда как р-ция BC с 2 α -бромфриделином (III) (продуктом бромирования I в лед. CH_3COOH) приводит

к 2а-бром- Δ^1 -фриделенону-3 (IV), т. пл. 207—208°, $[\alpha]_D^{20} -139^\circ$. Дебромированием IV посредством Zn получают Δ^1 -фриделенон-3 (V), т. пл. 266—269°, $[\alpha]_D -28^\circ$. Аналогично II с БС дает 4а-бром- Δ^1 -фриделенон-3 (VI), т. пл. 185—186°, $[\alpha]_D +87^\circ$, переходящий при дебромировании с Zn в V. VI образуется также при действии БС на V. Восстановление V с помощью $LiAlH_4$ приводит к Δ^1 -фриделену-3 β , т. пл. 277—279°, $[\alpha]_D +25^\circ$; ацетат, т. пл. 281—282°, $[\alpha]_D +30^\circ$. При восстановлении V по Хуану—Миллсону получают Δ^1 -фриделен, т. пл. 242—244°, $[\alpha]_D +17^\circ$. Последний при действии CaH_2 - CO_2H образует окись, т. пл. 260—261°, $[\alpha]_D +34^\circ$, но не поддается гидроксигированию с OsO_4 и катализом гидрированию. При дегидробромировании VI действием CH_3COOAg получают неоспаренный диепен, т. пл. 233—235°, $[\alpha]_D -42.5^\circ$. Найдено, что р-ция фриделена с БС приводит к Δ^1 -фриделену, откуда следует, что специфич. действие БС на производные I не зависит от наличия 3-кетогруппы. Л. Бергельсон

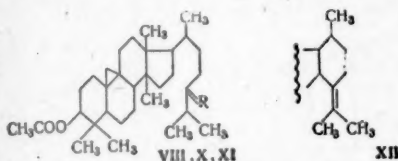
9Ж273. Севегенин, тетрациклический тритерпен с новой кольчатой системой. Shamma M., Reiff L. P. Senegenin, a tetracyclic triterpene of novel nuclear structure. «Chemistry and Industry», 1960, № 41, 1272—1273 (англ.).—Выделенный из *Polygala senega* тритерпен сенегенин (I), $C_{50}H_{84}O_8$, имеет две $COOH$ -, 1,2-гликольную группировку и шестичленный лактонный цикл, что подтверждается данными ядерного магнитного резонанса (ЯМР) и ИК-спектром для диметилового эфира диацетата I (II). I имеет устойчивую к гидрированию тризамещенную двойную связь. При окислении II надбензойной к-той образуется соединение (III), $C_{50}H_{82}O_{11}$, имеющее новую третичную OH -группу и пятичленный лактонный цикл. Таким образом двойная связь в II должна быть в $\beta\gamma$ или $\gamma\delta$ -положении к CO -группе лактонного цикла. При восстановлении I получают гексаол (IV), $C_{50}H_{82}O_6$, который дает только пентацетат, что подтверждает наличие третич. OH -группы в III. Наличие 1,2-гликольной группировки в I подтверждено окислением с $Pb(OOCCl_3)_4$. I или IV поглощают 2 моля реагента, тогда как диметилловый эфир I (V) только один моль. Скорость окисления (k $8.92 \cdot 10^{-2}$) указывает на *цис*-конфигурацию обеих OH -групп в I, который дает ацетонат. При окислении I происходит декарбоксигирование с образованием монокарбоновой к-ты (VI), $C_{49}H_{82}O_7 \cdot H_2O$, тогда как V дает при этом диметилловый эфир, $C_{48}H_{80}O_8 \cdot H_2O$. Таким образом I является первой тритерпеновой α,β -дигидрокарбоновой к-той и должен быть тетрациклич. соединением с новой кольчатой структурой. Приведены данные спектров ЯМР для I и VI и данные по УФ-спектру для I. Г. Сегаль

9Ж274. О тритерпенах. VI. Сапогенин *Bredemeyera floribunda* Willd. Tschesche Rudolf, Gupta Achintya Kumar Sen. Über Triterpene, VI. Über die Sapogenine von *Bredemeyera floribunda* Willd. «Chem. Ber.», 1960, 93, № 8, 1903—1913 (нем.).—Смесь сапогенинов, выделенная из коры и корней *B. floribunda* Willd (сем. изодовых), была подвергнута гидролизу посредством разб. HCl в CH_3OH . Полученная смесь генинов разделена на кислую и нейтр. фракции. В кислой фракции посредством хроматографии на бумаге в системах изоктанол-пентанол-10%-ный водн. пиридин-формамид (6:2:1:4) (система А, подвижная фаза — водная, бумага пропитана органич. слоем), изоктанол-пентанол-10%-ный водн. морфолин (5:5:7) (система В, подвижная фаза — органическая, бумага пропитана водн. слоем) и бутанол-2 н. NH_4OH (система С) показано присутствие 6 в-в, разделение которых осуществлено путем распределительной хроматографии на целлюлозе в системах В и С и адсорбционной хроматографии на силикагеле. В результате выделены бредемоловая к-та (I), $C_{50}H_{84}O_8$, т. пл. 288—292° (из бэл.- CH_3OH), $[\alpha]_D^{20} +100.5^\circ$ (с 1.0; пиридин), R_f 0,32 (А), 0,95 (В); тетуифоловая к-та (II), $C_{50}H_{84}O_8$, т. пл.

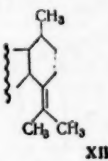
254—256° [из этилацетата (ЭА)], $[\alpha]_D^{20} +37^\circ$ (с 0,3; CH_3OH). R_f 0,42 (В), «к-та В», $C_{50}H_{84}O_7$, т. пл. 232—234° (из ЭА-циклогексана), R_f 0,13 (В); и глюкозид III, т. пл. 266—268° (из ЭА- CH_3OH), $[\alpha]_D^{20} +23^\circ$ (с 1,0; пиридин). Остальные два в-ва в чистом виде не выделены. Из нейтр. фракции хроматографированием на Al_2O_3 выделено в-во $C_{48}H_{80}O_8$, т. пл. 32—95° (из бэл.-пентр. эфира), $[\alpha]_D^{20}$ 0°. Из I получены: метилловый эфир (МЭ), т. пл. 254—258°; (из циклогексана), $[\alpha]_D^{20} +98^\circ$ (с 1,0; пиридин), диацетат, т. пл. 206—210° (из пентр. эфира), $[\alpha]_D^{20} +84.3^\circ$ (с 0,8; пиридин) и диацетат метилового эфира (ДАМЭ), т. пл. 220—223° (из пентр. эфира), $[\alpha]_D^{20} +74^\circ$ (с 0,5; пиридин). Авторы считают, что I относится к ряду β -амирина. МЭ I не выделяется при 7 час. кипячения с 10%-ным КОН в CH_3OH , следовательно, карбоксильная группа I является анулярной и находится вероятно, в положении 17, что подтверждается также образованием бромлактона (III), т. пл. 280—283° (из пентр. эфира), $[\alpha]_D^{20} +68^\circ$ (с 0,5; пиридин), при обработке I бромом в метаноле. Двойная связь находится в положении 12, что было подтверждено получением дегидросоединения, обладающего характерным для производных β -амирина УФ-спектром, при взаимодействии ДАМЭ I с SeO_2 в CH_3COOH . Взаимодействие МЭ I с ацетоном в присутствии безвод. $CuSO_4$ ведет к ацетониду, т. пл. 233—234° (из CH_3OH). Авторы предлагают для I две альтернативные ф-лы с OH -группами в положениях 3 β и 24 или 3 α и 23 соответственно. Для II описаны диметилловый эфир (ДМЭ), т. пл. 130—133° (из пентр. эфира), $[\alpha]_D^{20} +32^\circ$ (с 1,0; CH_3OH) и диацетат, т. пл. 260—265° (из бэл.-циклогексана), $[\alpha]_D^{20} 46^\circ$ (с 0,9; CH_3OH). Дегидрогенизация ДМЭ диацетата II посредством SeO_2 в CH_3COOH дала $\Delta^{11,13(19)}$ -диен с характерным для производных β -амирина УФ-спектром, а обработка II бромом в CH_3OH дала бромлактон, т. пл. 177—184° (из ацетона-пентр. эфира), $[\alpha]_D^{20} +30^\circ$ (с 0,5; CH_3OH). При нагревании II теряет CO_2 , что авторы объясняют нахождением второй $COOH$ -группы при С(14). При нагревании II в течение 2,5 часа в кипящем хинолине происходит отщепление воды и образование ангидропроизводного II, т. пл. 263—267° (из водн. CH_3OH), $[\alpha]_D^{20} +25^\circ$ (с 0,5; пиридин), которое не является сопряженным диеном. Показано, что описанные ранее тетуифенины А и В (Chou T. Q. и др., J. Amer. Pharm. Assoc., 1947, 36, 261) на самом деле являются смесью главным компонентом которых является II. Сообщения В. см. РЖХим, 1959, № 22, 78705. О. Чинго

9Ж275. Исследование составных частей масел рисовых отрубей. III. Строение оризанола-С. IV. Строение оризанола-С. V. Повторное исследование оризанола-С. Studies on the constituents of ricebran oil. III. Ohta Genkichi. Structure of oryzanol-C. (1). IV. Ohta Genkichi. Structure of oryzanol-C. (2). V. Shimizu Masao, Ohta Genkichi. Reexamination of oryzanol-B. «Chem. and Pharmac. Bull.», 1960, 8, № 1, 5—9—13; № 2, 108—111 (англ.).—III. Установлено, что выделенный из масла (М) рисовых отрубей оризанола-С (1) является эфиром ферулового к-ты (II, к-та) и 24-метиленацклоартанола (III). Согласно ИК-спектру и химич. превращениям III содержит винилиденовую группу, скелет, аналогичный циклоартену (IV), отличается от циклолауденола положением двойной связи. Из р-ра 48 кг М в дихлорэтаноле обработан 40%-ным р-ром Na_2CO_3 и экстракцией р-ром КОН выделяют 740 г фенольной фракции; растиганием последней с CH_3OH получают 170 г твердой части, которую растворяют в 500 мл $CHCl_3$ и добавляют 500 г силикагеля (100 меш). Смесь упаривают досуха, помещают на слой силикагеля (2 кг) и вымывают 13 л CH_3OH и 13 л смеси CH_3OH + C_2H_5OH (1:1), при этом выделяют 34 г масла. Дальнейшим вымыванием последней 15 л спирта, 12 л смеси C_2H_5OH + CH_3COOH (4:1), 12 л той же смеси (1:1) и 12 л ацетона, выделяют 120 г в-ва, которое ацетируют ($[CH_3CO]_D^{20}$ 1,3

ридин). Кристаллизацией ацетатов из этилацетата выделяют: 20 г фракции А, т. пл. 204—212°, 32 г фракции В, т. пл. 187—208° [содержит ацетат оризанола-В (V)], 30 г фракции В, т. пл. 175—185° [содержит ацетат оризанола-А (VI)] и 16 г фракции Г с т. пл. 155—170°. Из фракции В после омыления выделено 10 г оризанола-А (VII), т. пл. 120—150° (из сп. и бал.), $[\alpha]_D^{20} +40^\circ$, VI, 186—187°, $[\alpha]_D^{20} +40^\circ$. При дальнейшем хроматографировании фракции А выделяют 15 г ацетата I, т. пл. 216—218° (из этилацетата и бал.), $[\alpha]_D^{20} +39^\circ$, омыление которого 0,2 н. р-ром КОН в CH_3OH приводит к I, выход 13,5 г, двойная т. пл. 162—164° и 193—194°, $[\alpha]_D^{20} +36^\circ$. При кипячении 9,8 г I с 700 мл 10%-ного КОН в спирте образуется 2,3 г II, т. пл. 171° (из водн. сп.),



VIII, X, XI



XII

и 6 г III, т. пл. 121—122° (из сп. и CH_3OH), $[\alpha]_D^{20} +43^\circ$, $[M]_D^{20} +189^\circ$; ацетат III (VIII R = CH_3), т. пл. 116—117° (из CHCl_3 и CH_3OH) (XM), $[\alpha]_D^{20} +54^\circ$, бензоат III, т. пл. 156—157° (из XM), $[\alpha]_D^{20} +62^\circ$; *n*-нитробензоат III, т. пл. 234—235° (из XM). Кипячением 1,4 г I с 2,76 г K_2CO_3 и 1,26 г $(\text{CH}_3)_2\text{SO}_4$ в 50 мл ацетона получают метиловый эфир I, т. пл. 156—157° (из XM), $[\alpha]_D^{20} +36,5^\circ$, который при омылении дает III и 3,4-диметоксисорбиновую к-ту, т. пл. 181—182°. От смеси 0,21 г III, 1 мл циклогексанона и 20 мл толуола отгоняют 10 мл р-рителя, добавляют 0,3 г Al (*трет*- $\text{C}_4\text{H}_9\text{O}$)₃ и кипятят 6 час. После обычной обработки выделяют кетон, выход 0,135 г, т. пл. 111—112° (из XM), $[\alpha]_D^{20} +20^\circ$, $[M]_D^{20} +88^\circ$; оксим, т. пл. 189—190° (из XM). Бромирование р-ра 0,4 г VIII в 10 мл CCl_4 с помощью 8 мл р-ра 16 г Br в CCl_4 при 0° приводит к дибромиду $\text{C}_{33}\text{H}_{54}\text{O}_2\text{Br}_2$, т. пл. 185—186° (разл.; из XM), $[\alpha]_D^{20} +37^\circ$. При взаимодействии 0,5138 г VIII с 20 мл 0,171 н. р-ра $\text{C}_6\text{H}_5\text{CO}_3\text{H}$ в CHCl_3 и последующим хроматографированием продукта р-ции на Al_2O_3 получают 0,22 г эпиксидиоацетата, $\text{C}_{33}\text{H}_{54}\text{O}_4$, т. пл. 133—135° $[\alpha]_D^{20} +55^\circ$. После гидрирования 0,6 г III в 100 мл CH_3COOH в присутствии Pt (из 0,15 г PtO_2) восстанавливается двойная связь и образуется 0,48 г гидро-III (IX), $\text{C}_{33}\text{H}_{56}\text{O}_4$, т. пл. 135,5—136,5° (из XM), $[\alpha]_D^{20} +46,5^\circ$, $[M]_D^{20} +205^\circ$; ацетат IX, т. пл. 123—124° (из XM), $[\alpha]_D^{20} +54,5^\circ$, $[M]_D^{20} +264^\circ$.

IV. Дальнейшим подтверждением строения III служит: образование CH_2O и кетона (X R = O) при озонировании VIII; восстановление X по Вольфу—Кижнеру до ацетата циклоартанола (XI, R = H_2); восстановление X в карбинол (с последующей дегидратацией продукта) и образованием ацетата IV (XII) и превращение X при окислении в 3 β -окси-25,26,27-триинорциклоартановую-24 к-ту (XIII). Р-р 2,07 г VIII в 100 мл CHCl_3 обрабатывают при -50° двумя молями O_3 , затем добавляют 20 мл CH_3COOH и 12 г порошка Zn и перемешивают смесь при $\sim 20^\circ$; р-р фильтруют, промывают водой и при pH 6 обрабатывают 140 мл 1%-ного водн. р-ра димедола. Через 24 часа выделяют 0,73 г димедолового производного HCHO , т. пл. 185—189° (из водн. сп.). Из р-ра после упаривания и хроматографирования на Al_2O_3 дезактивированной CH_3COOH получают 1,24 г X, т. пл. 121—123° (из XM), $[\alpha]_D^{20} +52^\circ$; оксим, т. пл. 196—194°, $[\alpha]_D^{20} +50^\circ$. При кипячении 0,15 г X с 50 мл 5%-ного р-ра КОН в CH_3OH образуется кетоспирт, выход 0,09 г, т. пл. 92—94° (из CH_3OH), $[\alpha]_D^{20} +44,5^\circ$. От смеси 0,26 г X с 0,3 мл $\text{NH}_4\text{NH}_2 \cdot \text{H}_2\text{O}$ и 40 мл $(\text{CH}_3\text{OH})_2$ отгоняют р-ритель до т-ры 190°, добавляют 1,3 г КОН, кипятят смесь 14 час. Смесь выливают в воду, экстрагируют эфиром и полученный продукт аце-

тилируют с $(\text{CH}_3\text{CO})_2\text{O}$ в пиридине. После хроматографирования на Al_2O_3 выделяют 0,16 г XI, т. пл. 132—133°, $[\alpha]_D^{20} +59,5^\circ$. Гидролиз XI 3%-ным р-ром КОН в CH_3OH приводит к циклоартанолу (XIV), т. пл. 100° (из CH_3OH), $[\alpha]_D^{20} +46^\circ$. Смесь 0,72 г X и 0,2 г NaBH_4 в 90 мл CH_3OH выдерживают 3 часа при $\sim 20^\circ$; обычным путем получают 0,57 г ацетата гликоля, т. пл. 128—132°, $[\alpha]_D^{20} +27^\circ$. Смесь 0,24 г последнего, 4 мл пиридина и 0,8 мл POCl_3 нагревают 1 час при 100°, выливают смесь в 30 мл ледяной воды и экстрагируют эфиром. С помощью хроматографии на Al_2O_3 выделяют XII, т. пл. 121,5—123° (из XM), $[\alpha]_D^{20} +55^\circ$. Смесь 0,45 г X, 10 мг *n*-толуолсульфоновой к-ты и 15 мл 5%-ной $\text{CH}_3\text{CO}_3\text{H}$ нагревают 8 час. при 40—50°, экстрагируют смесь эфиром и после удаления р-рителя кипятят 2 часа, остаток с 20 мл 5%-ного р-ра КОН в CH_3OH . После обычной обработки получают 0,36 г XIII, т. пл. 220—222° (из ацетона), $[\alpha]_D^{20} +49^\circ$. Взаимодействием XIII с CH_3N_2 получают метиловый эфир XIII (XV), т. пл. 131—132° (из XM), $[\alpha]_D^{20} +42^\circ$, а при ацетилировании XV получают метиловый эфир 3- β -ацетокси-25,26,27-триинорциклоартановой к-ты (XVI к-та), т. пл. 121,5—122,5° (из XM), $[\alpha]_D^{20} +54^\circ$. Гидрированием 0,65 г XII в 100 мл CH_3COOH над Pt получают 0,58 г XI, т. пл. 132—133° (из XM), $[\alpha]_D^{20} +57^\circ$, $[M]_D^{20} +268^\circ$. Гидролиз последнего приводит к XIV, т. пл. 190—197° (из CH_3OH), $[\alpha]_D^{20} +45,5^\circ$, $[M]_D^{20} +195^\circ$. Озонолиз 0,5 г XII приводит к 0,35 г ацетата XIII, т. пл. 217—219° [из $(\text{CH}_3)_2\text{CO}$], $[\alpha]_D^{20} +59^\circ$.

V. Сравнением производных и разложением оризанола-В показано, что он является смесью VII и I. Для доказательства составлена искусственная смесь I и VII, т. пл. 199—204° [из $(\text{CH}_3)_2\text{CO}$] и смеси соответствующих спиртов, т. пл. 113—115°, ацетатов, т. пл. 107—110°, $[\alpha]_D^{20} +57^\circ$, бензоатов, т. пл. 117—119° и *n*-нитробензоатов, т. пл. 225—227°. Деацетилированием V и последующим омылением выделяют продукт (XVII), т. пл. 113—115° (из CH_3OH), $[\alpha]_D^{20} +50^\circ$, бензоат, т. пл. 116—117°, ацетат, т. пл. 108—110°, $[\alpha]_D^{20} +58^\circ$, идентичен со смесью VIII и XII; *n*-нитробензоат XVII, т. пл. 226—227°. Озонолизом ацетата XVII при $\sim 20^\circ$ получают CH_2O , а озонирование ацетата XVII при -60° с последующим восстановлением полученных продуктов Zn в CH_3COOH и окислением с помощью CrO_3 в CH_3COOH приводит к XVI и X; оксим, т. пл. 192—194° (из эф. и петр. эф.), который не изменяется под действием CrO_3 при $\sim 20^\circ$. Из продуктов озонлиза выделено также немного XI, гидролизом которого получают XIV. Сообщение II см. РЖХим, 1958, № 22, 75336.

Г. М. 9Ж276. Синтез 2-этиленкетала анти-транс- Δ^6 -декагидрофенантритриона-2,5,8. Пивницкий К. К., Торгов И. В. «Изв. АН СССР. Отд. хим. п.», 1960, № 10, 1902.—Взаимодействием 3-винил- Δ^2 -циклогексенона-1 с метилэтилдиксоаном получают этиленкеталь 3-винил- Δ^3 -циклогексенона-1, выход 53%, т. кип. 69—71°/0,5 мм, n_D^{20} 1,5162, который при диеновом синтезе с хиноном дает 7-этиленкеталь син-цис- Δ^2 , Δ^6 -декагидрофенантритриона-1,4,7 (I), выход 87%, т. пл. 165—166°. Строение I подтверждено превращением его в фенантрол-2. Гидрированием I получают 7-этиленкеталь син-цис- Δ^2 , Δ^6 -декагидрофенантритриона-1,4,7 (II), выход 80%, т. пл. 155,5—157°, который при действия щел. Al_2O_3 изомеризуется в анти-транс-изомер II, выход 88%, т. пл. 154,5—155°.

Г. Сегаль 9Ж277. Реакция *n*-толуолсульфоната холестерина с диметилаульфидом и метантиолом. Blau N. F., Stuckwisch C. G. The reaction of cholesterol *p*-toluenesulfonate with dimethyl sulfide and methanethiol. «J. Organ. Chem.», 1960, 25, № 9, 1611—1614 (англ.).—Реакции *n*-толуолсульфоната холестерина (I) с $(\text{CH}_3)_2\text{S}$ и с CH_3SH приводят соответственно к *n*-толуолсульфонату 3 β -диметилсульфинию- Δ^5 -холестерина (II) и к 3 β -метилтио- Δ^5 -холестерину (III), наряду с которым образуются небольшие кол-ва 3 α -метилтио- Δ^5 -холестерина (IV) и

3,5-цикло-6β-метилтиохолестена (V). Строение V подтверждено его перегруппировкой в ацетат холестерина (VI), протекающей в среде CH_3COOH в присутствии H_2SO_4 и превращением V в III под влиянием CH_3SH и $\text{n-CH}_3\text{C}_6\text{H}_4\text{SO}_3\text{H}$. К суспензии 2,71 г I в 75 мл CH_3NO_2 добавляют 10–15 мл $(\text{CH}_3)_2\text{S}$, смесь выдерживают 4 дня в закрытом сосуде при 40°, охлаждают до 0° и отфильтровывают II, выход 90%, т. пл. 195–200° (из $\text{CH}_3\text{OH-эф.}$), $[\alpha]_D^{25} -15^\circ$ (сп.). При проведении р-ции при 80° (24 часа) получают III и идентифицированное в-во с т. пл. 200°. Смесь 2,1 г III, 2 мл $\text{n-CH}_3\text{C}_6\text{H}_4\text{SO}_3\text{CH}_3$ и 25 мл CH_3NO_2 нагревают 10 дней при 40°, разбавляют эфиром и выделяют II, т. пл. 204° (из сп.). Смесь 2,71 г I, 25 мл лед. CH_3COOH и 5 мл CH_3SH выдерживают в закрытом сосуде 4–5 дней при 40° и отфильтровывают III, выход 79%, т. пл. 125–126° (из эф.- CH_3OH ; затем из ацетона), $[\alpha]_D^{25} -19^\circ$ (хлф.). Из маточных р-ров выделяют небольшое кол-во IV, т. пл. 110°. $[\alpha]_D^{25} -24^\circ$ (хлф.). При проведении р-ции в аналогичных условиях, но в среде CH_3NO_2 получают наряду с III (основной продукт) 70–100 мг V, т. пл. 90–92°, $[\alpha]_D^{25} +15^\circ$ (хлф.). Смесь 2 г Δ⁵-холестениола-3β, 5 мл CH_3I и 50 мл 2%-ного спирт. р-ра КОН выдерживают в закрытом сосуде 24 часа при 40° при периодич. встряхивании, разбавляют водой и отфильтровывают III, выход 85%. Р-р 0,7 г III и 1 мл CH_3I в 5 мл эфира оставляют на 4 часа при 20°; выделяют йодистый 3β-диметилсульфоний-Δ⁵-холестен (VI), выход 95%, т. пл. 165°. В аналогичных условиях (24 часа) IV дает 3α-эпимер VI (VII), т. пл. 162°. Смесь 1,5 г II, 10 г КОН, 50 мл воды и 50 мл спирта кипятят 2 часа, разбавляют водой и отфильтровывают III. В тех же условиях VI также дает III, а VII переходит в холестадиен-3,5, т. пл. 79–80° (из CH_3OH), $[\alpha]_D^{25} -91,5^\circ$. 1 г II и 1 г анилина нагревают 2 часа при 160°, разбавляют эфиром, экстрагируют 5%-ной HCl (водн. экстракт А), из эфирного слоя выделяют III. Экстракт А подщелачивают, обрабатывают $\text{CaH}_2\text{SO}_4\text{Cl}$ и выделяют N-метилбензолсульфанилид, т. пл. 79°. 1 г II восстанавливают действием 10 г скелетного Ni в диоксане (кипчение 7 час.) до Δ⁵-холестена (VIII), т. пл. 90–91°. В тех же условиях III также переходит в VIII. К 90 г влажного амберлита IRA-410 добавляют метанольный р-р 6,5 г II, оставляют на 48 час, встряхивают 3 часа, промывают смолу CH_3OH и выделяют хлористый 3β-диметилсульфоний-Δ⁵-холестен, выход 5 г, т. пл. 187° (из $\text{CH}_3\text{OH-эф.}$); при стоянии разлагается. К р-ру 416 мг V в эфире добавляют 1 мл CH_3I , выдерживают 6 час и отфильтровывают йодистый 3,5-цикло-6β-диметилсульфонийхолестан (IX), т. пл. 148°. Нагревание IX с водноспирт. р-ром КОН приводит к 3,5-цикло-Δ⁶-холестену, т. пл. 71–72°. Смесь 0,2 г V, 5 мл лед. CH_3COOH и 1 капля H_2SO_4 кипятят 30 мин., разбавляют водой, эфиром извлекают ацетат холестерина, т. пл. 112°. Р-р 0,2 г V и 0,1 г $\text{n-CH}_3\text{C}_6\text{H}_4\text{SO}_3\text{H}$ в 5 мл C_6H_6 и 5 мл CH_3SH выдерживают 48 час. при 50°, промывают NaHCO_3 , упаривают досуха и выделяют III, выход 50 мг. Приведены УФ-спектры II и III. Л. Б.

9ЖК278. Стероиды ненормальной конфигурации. Часть II. Продукты восстановления лумистерина: гексагидросоединения. Castells J., Fletcher G. A., Jones E. R. H., Meakins G. D., Swindells R. Steroids of unnatural configuration. Part II. Reduction products of lumisterol: hexahydro-compounds. «J. Chem. Soc.», 1960, June, 2627–2639 (англ.).—Исследовано строение продуктов восстановления лумистерина (I) Na в жидком NH_3 и каталитич. путем (см. часть I, РЖХим, 1959, № 23, 82416). Р-р 20 г Δ^{7,22}-5β-лумистадиенола-3β в 600 мл этилацетата (ЭА) и 0,7 мл р-ра HClO_4 (приготовленного из 10 мл 60%-ной HClO_4 и 90 мл ЭА) гидрируют над 1,3 г PtO_2 (1,5 часа) и получают 16,5 г 5β-лумистанола-3β (II), т. пл. 126–128° (из сп.), $[\alpha]_D^{25} +8^\circ$ (с 1,0); ацетат (III), т. пл. 82–84,5° (из сп.), $[\alpha]_D^{25} +9^\circ$ (с 1,0); 3,5-динитробензоат, т. пл.

176,5–177,5° (из хлф.-сп.), $[\alpha]_D^{25} +21^\circ$ (с 1,4). III (0,55 г) получают также при восстановлении указанным методом 0,7 г ацетата Δ⁷-5β-лумистанола-3β (IV) или при гидроксигировании IV. Смесь 2 г OsO_4 , 1,7 г IV в 60 мл эфира и 6 мл $\text{C}_6\text{H}_5\text{N}$ кипятят 1 час, отгоняют р-ритель и остаток кипятят в 30 мл тетрагидрофурана с избытком LiAlH_4 (30 мин.). После хроматографирования продуктов р-ции на Al_2O_3 получают 0,6 г IV и 1 г 5β-лумистадиенола-3β, 7,5, 8,5 (V), т. пл. 80–85° (из водн. CH_3OH), $[\alpha]_D^{25} +23^\circ$ (с 1,2). Р-р 1 г V в 75 мл CH_3OH и 75 мл 10%-ного р-ра H_2SO_4 в CH_3OH оставляют на 2 часа при 20°. После разбавления водой и хроматографирования на Al_2O_3 выпавшего при этом продукта р-ции получают 0,35 г Δ^{8,14}-5β-лумистадиенола-3β, т. пл. 132,5–133,5° (из CH_3OH), и 0,6 г 5β-лумистанола-3β-она-7 (VI), т. пл. 131–134° (из CH_3OH), $[\alpha]_D^{25} +105^\circ$ (с 0,6). VI не изомеризуется при кипячении (30 мин.) с 5%-ным спирт. р-ром КОН и при восстановлении лю Хуан — Минлоу дает II. 4 г II окисляют в 250 мл ацетона 8 н. р-ром (по активному O) H_2CrO_4 в разб. H_2SO_4 и получают 3,2 г 5β-лумистанола-3 (VII), т. пл. 123–125° (из ацетона), $[\alpha]_D^{25} -11^\circ$ (с 1,3); 2,4-динитрофенилгидразон (ДНФГ), т. пл. 214–216° (из хлф.-сп.). VII (3,8 г) получают также путем восстановления 6,3 г I в 100 мл ЭА и 0,25 мл р-ра HClO_4 над 500 мг PtO_2 при 100° и 70 ат (6 час.) с последующим окислением CrO_3 или из Δ⁷-лумистанола-3 (VIII): 250 мг Li добавляют к р-ру 36 мг VIII в 10 мл эфира и 20 мл жидкого NH_3 . После окисления продукта р-ции и хроматографирования на Al_2O_3 получают 25 мг VII. К кипящему р-ру 1 г VII в 150 мл $\text{iso-C}_3\text{H}_7\text{OH}$ прибавляют 10 г Na (3 часа) и разбавляют смесью водой. Из эфирного экстракта выделяют 220 мг II и 780 мг 5β-лумистанола-3α (IX), т. пл. 78–82° (из CH_3OH), $[\alpha]_D^{25} +10^\circ$ (с 1,1); ацетат (X), т. пл. 67–69°, $[\alpha]_D^{25} +18^\circ$ (с 0,6). 9,49 г ацетата Δ⁷-5α-лумистанола-3β (XI) в 450 мл CH_3COOH гидрируют над 3,5 г PtO_2 23 часа при 20°, продукт р-ции кипятят 30 мин. с 90 мл спирта и 9 г КОН в 10 мл воды, хроматографируют на Al_2O_3 и получают (после ацилирования) 721 мг 3,5-динитробензоата (ДБ) 5α,14β-лумистанола-3β (XII, спирт), т. пл. 141,5–142,5° (из ЭА-сп.), $[\alpha]_D^{25} -5^\circ$ (с 1,0), из которого при гидролизе (на щелочной Al_2O_3) получают XII, т. пл. 75–78° (из петр. эф.), $[\alpha]_D^{25} +23^\circ$ (с 1,3); ацетат (XIII), т. пл. 70–72° (из сп.), $[\alpha]_D^{25} -7^\circ$ (с 0,5). Из остатков после отделения ДБ XII получают 1,29 г ДБ 5α-лумистанола-3β (XIV, спирт), т. пл. 190–190,5° (из ЭА-сп.), $[\alpha]_D^{25} -9^\circ$ (с 1,1), который дает XIV, двойная т. пл. 87–90° и 115–118° (из CH_3OH); ацетат (XV), т. пл. 83–85° (из CH_3OH), $[\alpha]_D^{25} -12^\circ$ (с 1,1). Из последующих фракций получают еще 2,52 г XIV. 200 мг XI гидрируют в CH_3COOH над PtO_2 до прекращения поглощения водорода, добавляют PtO_2 и гидрируют при 80°. Продукт р-ции омыляют, превращают в ДБ и получают 66 мг ДБ XIV. В аналогичных условиях из 220 мг ацетата Δ⁸(14)-5α-лумистанола-3β получают 98 мг ДБ XII. Окислением 1,2 г XIV 8 н. р-ром H_2CrO_4 получают 0,9 г 5α-лумистанола-3 (XVI), т. пл. 89,5–91° (из сп.), $[\alpha]_D^{25} +38^\circ$ (с 0,7); ДНФГ, т. пл. 178–180° (из ЭА-сп.). Аналогичным образом из XII получают 5α,14β-лумистанон-3 (XVII), т. пл. 84–86° (из ацетона- CH_3OH), $[\alpha]_D^{25} +27^\circ$ (с 0,7). К кипящему р-ру 500 мг XVII в 100 мл $\text{iso-C}_3\text{H}_7\text{OH}$ прибавляют 5 г Na (3 часа) и получают 410 мг XII. Конфигурация у C₁₄ в VII и XIV и у C₁₃ в XVI подтверждается опытами по бромированию и дегадированию. К р-ру 1,5 г VII в 100 мл CH_3COOH прибавляют 4 мл 0,98 М р-ра Br_2 в CH_3COOH и 0,15 мл 50%-ного р-ра HBr в CH_3COOH , смесь нагревают при 100° 3 мин. и оставляют на 12 час. при 20°, кристаллизуется 2β-бром-5β-лумистанон-3 (XVIII), т. пл. 201–203° (из ЭА), $[\alpha]_D^{25} -30^\circ$ (с 0,8). XVIII не изомеризуется при нагревании в р-ром HBr в CH_3COOH . 400 мг XVIII и 165 мг 2,4-динитрофенилгидразина (XIX) кипятят 5 мин. под N_2

получают (водн. раствор). К кипящему (я-ти) кипятят $[\alpha]_D^{25} + \text{Br}_2$ в 2α,4β-ДБ (разб.); 1 молекула миставин +21° (CH_3COOH) т. пл. $[\alpha]_D^{25} -$ ния 5 получа хлф.-сп. основана (наприм. CH_3COOH в точч. реангент 1,12 г пл. 222° XXIV в присущи ш разном лат хр А-нор-5-тона-СН-214–21 А-нор-5–27 (с ИК-спек ные по СНС₂).

Часть I. рина. С Me a k configu natives 2792 (а полного 20 г асп (10 мл р-руют осадок и получ спирт), двойная –6° (с 190° (и 10 мл д ропка эволюго –20° (с того NI лют п ровани диевола Δ^{7,22}-5β- на 40 г 10 г Li (из сп. (из ЭА- р-руют H₂ и вы IX спн через Д сп.), $[\alpha]_D^{25}$ 16 Хим

получают 334 мг ДНФГ Δ'-5β-лумистенона-3 (XX кетон), т. пл. 208,5—209,5° (из хлф.-сп.), который (300 мг) кипятят (45 мин.) с 65 мл ацетона, 1,6 мл конц. HCl (к-ты) добавляют 1,6 г SnCl₂ в 6 мл конц. HCl (к-ты), кипятят еще 40 мин. и получают 174 мг XX, масло, [α]_D²⁰ +32° (с 1,1). Бромированием 250 мг XVI 2 молями Br₂ в CH₃COOH (12 час. при 20°), получают 300 мг 2α,4β-дибром-5α-лумистенона-3 (XXI), т. пл. 202—203° (раств.; из ЭА), [α]_D²⁰ +23° (с 0,8); при бромировании 1 молею брома наряду с XXI получают 4α-бром-5α-лумистанон-3 (XXII), т. пл. 194—197° (из сп.-ЭА), [α]_D²⁰ +21° (с 0,8). Из XXII и XIX получают (45 мин., 100° в CH₃COOH) ДНФГ Δ'-5α-лумистенона-3 (XXIII кетон), т. пл. 183—185°, из которого выделяют XXIII, масло, [α]_D²⁰ -29° (с 0,3). Аналогичным образом, при кипячении 5 мин. 45 мг XIX, 97 мг XXII и 10 мл CH₃COOH получают ДНФГ VIII, выход 65 мг, т. пл. 207—209° (из хлф.-сп.). Конфигурация у C₅ выводилась также на основании результатов окислительного расщепления (направление енолизации): к р-ру 9 г II в 180 мл CH₃COOH при 60° добавляют 22 г CrO₃ в 20 мл воды в течение 1 часа, перемешивают еще 1 час и избыток реагента разлагают SO₂. Из щел. вытяжек получают 1,12 г 2,3-секо-5β-лумистандиеновой-2,3 к-ты (XXIV), т. пл. 223—226° (из ЭА), [α]_D²⁰ +25° (с 1,2). Р-р 1,5 г XXIV в 36 мл спирта и 4 мл воды осторожно кипятят в присутствии Ba(OH)₂ 4 часа (в аппарате для экстракции щелочи парами р-рителя), полученную таким образом Ba-соль нагревают при 300—350°/0,03 мм, дестиллят хроматографируют на Al₂O₃ и получают 631 мг А-нор-5β-лумистанона-2 (XXV), т. пл. 97,5—99° (из ацетона-CH₃OH), [α]_D²⁰ -116° (с 1,0); ДНФГ (XXVI), т. пл. 214—216° (из бзл.). При восстановлении XXV получают А-нор-5β-лумистан, т. пл. 69—71° (из ацетона), [α]_D²⁰ -27° (с 0,8). Приведены (и обсуждаются) данные по ИК-спектрам для II, III, IX, X, XII—XV и XXV, данные по УФ-спектру для XXVI. [α]_D определены в CHCl₃. Часть I см. РЖХим, 1959, № 23, 82416.

Э. Мистрюков

9Ж279. Стероиды ненормальной конфигурации. Часть III. Дигидро- и тетрагидропроизводные лумистерина. Castells J., Fletcher G. A., Jones E. R. H., Meakins G. D., Swindells R. Steroids of unnatural configuration. Part III. Dihydro- and Tetrahydro-derivatives of lumisterol. «J. Chem. Soc.», 1960, July, 2785—2792 (англ.).—Исследовалось строение продуктов неполного восстановления лумистерина (I). Насыщ. р-р 20 г ацетата I в 375 мл CH₃COOH и 3 мл р-ра HClO₄ (10 мл 60%-ной HClO₄ в 900 мл этилацетата (ЭА) гидрируют над 1,2 г PtO₂ до поглощения 2,1 моля H₂, осадок фильтруют, промывают 100 мл 1 н р-ра NaHCO₃ и получают 9,36 г ацетата Δ'-5α-лумистенола-3β (II, III спирт), т. пл. 176—178° (из ЭА), [α]_D²⁰ -32° (с 0,8); III, двойная т. пл. 115—118 и 124—126° (из CH₃OH), [α]_D²⁰ -6° (с 1,2); 3,5-дигидробензоат (ДБ) III, т. пл. 198—199° (из ЭА-сп.), [α]_D²⁰ -37° (с 1,3). Р-р 400 мг III в 10 мл диоксана и 2 мл C₆H₅CH₂Cl нагревают с 4 г порошка KOC при 100° (1 час) и получают 400 мг безазолового эфира III, т. пл. 109—111° (из CH₃OH), [α]_D²⁰ -20° (с 0,8). К р-ру 1 г I в 50 мл эфира и 60 мл жидкого NH₃ прибавляют 1 г Na и через 30 мин. прибавляют постепенно 10 мл спирта. После хроматографирования на Al₂O₃ получают 0,85 г Δ'-5β-лумистадиенола-3β (IV), т. пл. 141—144° (из CH₃OH), и 0,1 г Δ'-5β-лумистадиенола-3α (V). Аналогичным образом из 40 г I в 1500 мл эфира и 1500 мл жидкого NH₃ и 10 г Li получают 35 г IV; ацетат (VI), т. пл. 141—142° (из сп.), [α]_D²⁰ +22° (с 1,3); ДБ-IV, т. пл. 166,5—167,5° (из ЭА-сп.), [α]_D²⁰ +3° (с 1,1). 10 г ацетата IV (VII) гидрируют в 300 мл ЭА над PtO₂ до поглощения 1,1 моля H₂ и выделяют 8 г ацетата Δ'-5β-лумистенола-3β (VIII, IX спирт), т. пл. 111—112,5° (из сп., после очистки через ДБ), [α]_D²⁰ +29° (с 1,3); IX, т. пл. 128—131° (из сп.), [α]_D²⁰ +29,5° (с 1,9); ДБ IX, т. пл. 157,5—159° (из

ЭА-сп.), [α]_D²⁰ +2,5° (с 1,8). Строение IV, VIII и IX подтверждается спектральными данными, титрованием C₆H₅CO₂H и окислением до соответствующих 3-кетосоединений. К р-ру 2 г IV в 30 мл ацетона прибавляют 1,3 мл 8 н р-ра CrO₃, через 2 мин. смесь выливают в воду и получают 1,22 г Δ'-5β-лумистадиенона-3 (X) т. пл. 168—172° (из CH₃OH), [α]_D²⁰ +34° (с 0,5). К кипящему р-ру 500 мг X в 100 мл изо-C₃H₇OH прибавляют постепенно за 3 часа 5 г Na. Разбавляют водой, экстрагируют эфиром и продукты р-ции хроматографируют на Al₂O₃. Получают 50 мг IV и 420 мг V, т. пл. 135—138° (из сп., после очистки), [α]_D²⁰ +45° (с 0,7); ДБ-V, т. пл. 168—169° (из ЭА-сп.), [α]_D²⁰ +29° (с 1,0); ацетат V (Va), т. пл. 125—128° (из CH₃OH), [α]_D²⁰ +54° (с 0,6). При восстановлении 500 мг X LiAlH₄ получают 60 мг IV и 410 мг V. Окислением 1 г IX в 20 мл ацетона 0,6 мл 8 н р-ра CrO₃ получают 0,77 г Δ'-5β-лумистенона-3 (XI), т. пл. 161—164° (из CH₃OH), [α]_D²⁰ +37° (с 1,2). Восстановление 500 мг XI Na в изо-C₃H₇OH приводит к 60 мг IX и 405 мг Δ'-лумистенола-3α (XII), т. пл. 139—142° (из CH₃OH), [α]_D²⁰ +63° (с 1,1); ацетат (XIII), т. пл. 117—119° (из ацетона-метанола), [α]_D²⁰ +54° (с 0,8). XIII получают также при гидрировании Va в ЭА над PtO₂. Из 500 мг XI с LiAlH₄ получают 95 мг IX и 390 мг XII. 1 г в 20 мл ацетона окисляют CrO₃ и получают 0,7 г Δ'-5α-лумистенона-3 (XIV), т. пл. 125—140° (из ацетона-CH₃OH). XIV получают также при окислении III с (трет-C₄H₉)₃Al и ацетоном. XIV после очистки через семикарбазон (т. пл. 205—210°, из сп.) имеет т. пл. 139—143° (из ацетона-метанола), [α]_D²⁰ -5° (с 0,9). 1 г XIV в 150 мл изо-C₃H₇OH восстанавливают 10 г Na (3 часа) и получают III (после очистки через ДБ, выход ДБ 1,4 г). При применении LiAlH₄ выход ДБ III составляет 690 мг из 500 мг XIV. При восстановлении 800 мг XIV с 1,5 г (изо-C₃H₇)₃Al и 60 мл изо-C₃H₇OH получают 250 мг XIV и 500 мг III. При аналогичном восстановлении 5α,14β-лумистанона-3 (см. часть II. реф. 9Ж278) любым из трех методов получают 5α,14β-лумистанол-3β (XV), выход соответственно 82, 80 и 81%. Строение полученных спиртов подтверждается ИК-спектрами, сравнением [M]_D и следующими превращениями тозилата IV (XVI), т. пл. 131—133° (из сп.), который разлагают на Al₂O₃, пропитанной КОН и высушенной при 250°, после 66 час. получают Δ^{2,7}-5β-лумистатриен (?), выход 0,6 г (из 1 г XVI), т. пл. 111—113°, и 0,15 г IV. Аналогичным образом из тозилата III (XVII), т. пл. 165—170°, получают 0,27 г Δ^{2,7}-5α-лумистадиена (?), т. пл. 89—91° (из CH₃OH) и 0,37 г Δ'-5α-лумистенола-3α (XVIII), т. пл. (после очистки через ДБ) 124—125° (из сп.), [α]_D²⁰ -14° (с 0,5); ацетат (XIX), т. пл. 71—74° (из CH₃OH), [α]_D²⁰ -12° (с 0,7); ДБ XVIII, т. пл. 177—179° (из ЭА-сп.), [α]_D²⁰ -33° (с 0,5). Аналогично, из тозилата XV (XX), т. пл. 154—158°, получают 0,2 г олефина и 0,25 г 5α,14β-лумистанолола-3α (XXI), т. пл. 121—124° (из CH₃OH), [α]_D²⁰ +40° (с 0,6); ДБ, т. пл. 184—186° (из ЭА-сп.), [α]_D²⁰ +38° (с 0,3); ацетат (XXII), масло, [α]_D²⁰ +23° (с 1,0). Приведены данные по ИК-спектрам для II, IV—VI, VIII—XII и XVI—XXII, [α]_D определены в CHCl₃.

Э. Мистрюков

9Ж280. Стереохимические исследования. I. Конфигурация некоторых 4-азахолестанов. Edward J. T., Morand Peter F. Stereochemical studies. I. Configurations of some 4-azacholestanes. «Canad. J. Chem.» 1960, 38, № 8, 1316—1324 (англ.).—Получены изомерные 4-аза-5β- и 4-аза-5α-холестаноны-3 (I и II) и исследовалось их стереохим. поведение. От смеси 2,6 г 3,4-секо-5β-холестандикарбоновой-3,4 к-ты (Langer, Z. physiol. Chem., 1933, 216, 191) и 12 мл (CH₃CO)₂O постепенно отгоняют (30 мин.) избыток (CH₃CO)₂O и перегонкой остатка выделяют фракцию 260—274°/4 мм. Из нейтр. части этой фракции кристаллизацией из CH₃OH и хроматографированием на Al₂O₃ выделяют 1,35 г А-нор-5β-холестанона-3 (III), т. пл. 73—74°, [α]_D²⁰ +122° (с 1,995). Смесь 0,6 г III, 0,5 г NH₂OH·HCl и 0,6 г без-

води. NaOOCCH_3 кипятят 6 час. с 50 мл 75%-ного спирта и получают 0,55 г оксима III (IV), т. пл. 123—124° (из CH_3OH), $[\alpha]_D^{25} + 81,7^\circ$ (с 0,416). 0,5 г IV и 0,25 г *n*-ацетиламинобензолсульфохлорида в 13 мл $\text{C}_5\text{H}_5\text{N}$ оставляют на 48 час., разбавляют водой и подкисляют разб. H_2SO_4 . После хроматографирования продуктов р-ции на Al_2O_3 получают обратно 173 мг IV и 59 мг I, т. пл. 151—155° (из CH_3OH), $[\alpha]_D^{25} + 68,2^\circ$ (с 0,909). Строение IV подтверждается синтезом из оксима 5-кето-3,5-секо-А-норхолестановой-3 к-ты (V, Va кетокислота) (Windaus, Ber., 1906, 39, 2008). 2,2 г V гидрируют в CH_3COOH над Pt (из PtO_2), получают 1,65 г N-окси-4-аза-5 β -холестано-3 (VI), т. пл. 122—124° (из CH_3OH , $[\alpha]_D^{25} + 31,8^\circ$ (с 1,949); бензоат (VII), т. пл. 209—212° (из литр.-бэл.), $[\alpha]_D^{25} - 6,4^\circ$ (с 0,621); N-метилловый эфир (VIII), т. пл. 114—115° (из водн. CH_3OH). Смесь 0,309 г I, 300 мг LiAlH_4 и 35 мл диоксана кипятят 40 час. и получают 4-аза-5 β -холестан (IX), масло, $[\alpha]_D^{25} + 22,1^\circ$ (с 1,808); перхлорат (X), т. пл. 203—206° (из CH_3OH), $[\alpha]_D^{25} + 21,4^\circ$ (с 2,049). IX, выход 295 мг, получают также при восстановлении 0,307 г VI кипячением (7 час.) с 3 г гранулированного Sn в 9 мл спирта и 3 мл конц. HCl -к-ты. K 2,5 г HCOONH_4 прибавляют при 16° суспензию 1,7 г Va в 10 мл нитробензола, смесь нагревают при 180—200° 24 часа и получают 1,27 г II, т. пл. 250—252° (разл.; из CH_3OH), $[\alpha]_D^{25} + 45^\circ$ (с 1,585). 0,14 г V восстанавливают 1,09 г Zn-пыли в 20 мл CH_3COOH 1 час при 90—95° и получают 0,59 г N-окси-4-аза-5 α -холестано-3 (XI), т. пл. 185—187° (разл.; из CH_3OH), $[\alpha]_D^{25} - 49,5^\circ$ (с 1,98). При восстановлении 121 мг XI кипячением (12 час.) с 0,3 г LiAlH_4 в 50 мл эфира получают 4-аза-5 α -холестан (XII), т. пл. 114—115° (из ацетона), $[\alpha]_D^{25} + 36^\circ$; перхлорат (XIII), т. пл. 224—225° (из CH_3OH), $[\alpha]_D^{25} + 21,1^\circ$ (с 2,36). XII получают также при восстановлении II LiAlH_4 в эфире; *N*-*n*-нитробензоат (XIV), т. пл. 243—245° (разл.; из CH_3OH). При метилировании IX и XII CH_2O в HCOONH_4 получены соответствующие N-метил-IX (XV), масло [перхлорат (XVI), т. пл. 246—251°] и N-метил- XII (XVIII), т. пл. 63—64°, перхлорат, т. пл. 231—235°. Р-р 0,51 г XII и 1,78 г $\text{Hg}(\text{OOCCH}_3)_2$ в 10 мл 5%-ной CH_3COOH нагревают 2 часа при 100°, смесь охлаждают, отфильтровывают HgO , OCCN_3 , насыщают фильтрат H_2S и отделяют от сульфидов. После подщелачивания 40%-ным р-ром NaOH продукт р-ции экстрагируют эфиром и очисткой через перхлорат (XVIII), т. пл. 212—213° (из CH_3OH), получают Δ^2 -азахолестен (XIX), т. пл. 101—102° (из ацетона). 30 мг XVIII восстанавливают 0,1 г LiAlH_4 в 8 мл эфира при кипячении (4,5 часа) и получают XII, который образуется также при гидрировании XVIII в спирте над Pt (из PtO_2). $[\alpha]_D$ определены в CHCl_3 . Приведены данные по ИК-спектрам для I, II, IV, VI—XVII.

Э. Мистрюков

9Ж281. Реакция енолацетатов стероидов с изоцианурхлоридом. Mukawa Fumikazu. «Нихон катэку дзасси, Nippon Kagaku zasshi, J. Chem. Soc. Japan. Pure Chem. Sec.», 1960, 81, № 2, 331—333, A22 (японск.; рез. англ.).—При взаимодействии изоцианурхлорида (I) с диацетатом $\Delta^2,6$ -прегнадиенол-3,17 α -она-20 (II), ацетатом 3-метокси- $\Delta^1,9,16$ -эстратетраенола-17 (III) и ацетатом Δ^2 -холестенола-3 (IV) образуются соответственно ацетат 6 β -хлор-17 α -ацетоксипрегестерона (V), метиловый эфир 16 α -хлорэстро-на (VI) и 2 α -хлорхолестано-3 (VII). 6 α -хлор-17 α -ацетоксипрегестерон (VIII), полученный при эпимеризации V, более активен при приеме per os, чем 17 α -ацетоксипрегестерон. Смесь 1 г 17 α -ацетоксипрегестерона, 45 мл изопропилацетата и 0,3 г *n*- $\text{CH}_3\text{C}_6\text{H}_5\text{SO}_3\text{H}$ кипятят 12 час., избыток реагента отгоняют в вакууме, остаток извлекают эфиром, получают 0,3 г II, т. пл. 202—205° (из CH_3OH). Смесь 0,3 г II, 30 мл ацетона и 0,1 г I перемешивают 15 час. при 23°, разбавляют водой, извлекают эфиром и получают V, выход 0,2 г, т. пл. 204—207° (разл.; из CH_3OH -гексана), $[\alpha]_D^{25} - 14,9^\circ$; V образуется также при р-ции II с N-хлор-

сукцинимидом (IX) в ацетоне (~12 час., 20°). Смесь 0,3 г V и 20 мл р-ра HCl в CHCl_3 выдерживают 12 час. при 20°, получают 0,2 г VIII, т. пл. 192° (из эф.-петр. эф.), $[\alpha]_D^{25} + 50^\circ$. Аналогично II из 3 г метилового эфира эстро-на (X) получен III, выход 1,5 г, т. пл. 113° (из CH_3OH). При р-ции 0,2 г III с I аналогично вышеописанному (20 час., 20°, диоксан) получено 0,13 г VI, т. пл. 175—178° (из CH_3OH), $[\alpha]_D^{25} + 163^\circ$; VI образуется также при действии IX на III. Из 0,3 г IV и I (CCl_4 , 10 час., 22°) получают 0,2 г VII; из 0,3 г IV при хлорировании посредством IX в CCl_4 (10 час., 20°) получают 0,2 г VIII. При стоянии (8 час., 19°) смеси 0,5 г IV в 20 мл CCl_4 и р-ра 0,1 г Cl_2 в 10 мл CCl_4 образуется 0,2 г 2,2'-дихлор-5 α -холестано-3, и 50 мг VII. Для V, VI и VIII приведены данные по УФ-спектрам, для II, VI, X данные по ИК-спектрам.

Л. Яновская

9Ж282. О новом случае замыкания 5 $\alpha,6\alpha$ -окисного цикла в ряду андростана. Ахрем А. А., Гержманек С., Сыгора К., Завельская И. Г. «Изв. АН СССР. Отд. хим. н.», 1960, № 10, 1898—1899.—При р-ции 3,6-диацетата транс-андростантриола-3 $\beta,5,6$ -она-17 (I, II-триол) с магнийвинилбромидом (III) при -20° в смеси абс. тетрагидрофурана и эфира вместо ожидаемого винилкарбинола образуется 3-ацетат 5 $\alpha,6\alpha$ -эпиксандростанол-3 β -она-17 (IV), выход 90%, т. пл. 218° (из эф.). При замене III на $\text{C}_2\text{H}_5\text{MgBr}$ выход IV падает до 40%. Ранее (Ehrenstein M., J. Organ. Chem., 1940, 5, 544, 1941, 6, 626) II приписывалось строение 3 $\beta,5,6$ -триола. Однако IV может образоваться только из 3 $\beta,5,6$ -триола, а следовательно конфигурация II, приписанная ему ранее, неверна. Рассмотрен вероятный механизм образования 5 $\alpha,6\alpha$ -окисного цикла. При нагревании I с воднометанольным р-ром KHSO_4 не образуется 5 $\alpha,6\alpha$ -эпикс, вместо этого происходит омыление I во II, т. пл. 290° (из сп.). 3,6-диацетат андростантриол-3 $\beta,5,6$ -она-17 при р-ции с III обычным образом дает моноацетат 17-виниландростантриола-3 $\beta,5,6$, т. пл. 168—169°.

9Ж283. Реакция 3-кето- Δ^4 -стероидов с изоцианурхлоридом. Fumikazu Mukawa. The reaction of 3-oxo- Δ^4 steroids with isocyanuric chloride. «Bull. Chem. Soc. Japan», 1960, 33, № 1, 25—26 (англ.).—При взаимодействии 3-кето- Δ^4 -стероидов с изоцианурхлоридом (I) в CH_3COCH_3 + CH_3COOH (или HClO_4) образуются соответствующие 3-кето-4-хлор- Δ^4 -стероиды. Полученные при этом ацетат и пропионат 4-хлоргестостерона (II и III) обладают большим анаболич. и меньшим андрогенным действием, чем пропионат тестостерона. II и III не оказывают затормаживающего действия на гонадотропную секрецию при внутриселезенном введении 4-хлоргестостерон (IV) и ацетат 4-хлор- Δ^4 -прегненол-17 α -диона-3,20 (V, VI кетол) не обладают протестеронным действием. 1 г ацетата прегненолола, 0,5 г I кипятят 5 мин. в 30 мл ацетона в присутствии 30%-ной CH_3COOH и получают 0,6 г 3-ацетата 5 α -хлорпрегнадиола-3 $\beta,6\beta$, т. пл. 195° (разл.; из водн. ацетона), $[\alpha]_D^{25} + 36^\circ$ (с 1,2). В аналогичных условиях (кипячение 1 час. с заменой CH_3COOH на 10%-ную HClO_4 или без последней) получают (перечисляются соединения, т. пл. в °C, в скобках указан р-ритель для кристаллизации): II, 228 (из ацетона); III, 164 (из CH_3OH); IV, 220 (из ацетона); V, 194 (из ацетона); VI, 218 (из CH_2Cl_2 + CH_3OH); 4-хлор-17 α -метил-19-нортестостерон, 148 (из эф.-гексана); ацетат 4-хлоркортизона, 234 (из ацетонгексана). $[\alpha]_D$ измерены в CHCl_3 . Приведены данные по УФ-спектрам синтезированных соединений.

Г. Сегаль

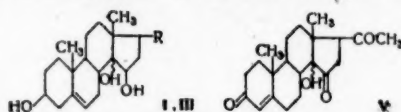
9Ж284. Синтез ацетата 6 α -метилгидрокортизона. Huang-minlon, Tsai Tsu-yun, Wang Chih-chin. Synthese von 6-Methyl-Hydrocortison Acetat. «Scientia sinica», 1960, 9, № 4, 475—480. Transl. «Хим. сб.», Acta chim. sinica, 1959, 25, № 5, 308—311 (нем.).—Описан синтез 21-ацетата 6 α -метилгидрокортизона (I). 3,20-бисэтилендиокси-16 $\alpha,17\alpha$ -эпокси- Δ^2 -прег-

неон-11 (II), полученный из 16 α ,17 α -эпокси- Δ^4 -прегнентриона-3,11,20 (III), полупродукт в синтезе кортизона из диосгенина, восстанавливают LiAlH_4 в 3,20-бис-этилендиокси- Δ^5 -прегнентриол-11 β ,17 α (IV). IV при обработке моноадреталевой к-той образует 3,20-бисэтилендиокси-5 α ,6 α -эпокси-прегнентриол-11 β ,17 α (V) и немного 3,20-бисэтилендиокси-6 β -метилпрегнентриол-5 α ,11 β ,17 α (VI), который действием к-ты переводит в 6 β -метилпрегнентриол-5 α ,11 β ,17 α -дион-3,20 (IX). Действием CH_3MgJ на V получают 3,20-бисэтилендиокси-6 β -метилпрегнентриол-5 α ,11 β ,17 α -дион-3,20 (IX). При действии J_2 , CaO и CH_3COOK на IX получают I. К смеси 150 мг III, 2,5 мл этиленгликоля и 18 мл абс. C_6H_6 добавляют (после отгонки 6 мл C_6H_6) 20 мг $\text{n-CH}_3\text{C}_6\text{H}_4\text{SO}_3\text{H}$ и 6 мл C_6H_6 , кипятят 4 часа и после обычной обработки выделяют 120 мг II, т. пл. 169–170°, $[\alpha]_D^{25} + 31,7^\circ$ (CHCl_3). К р-ру 2,8 г II в 560 мл абс. тетрагидрофурана (ТГФ) прибавляют 150 мл 6,5%-ного эфирного р-ра LiAlH_4 , кипятят 5 час., разлагают избыток LiAlH_4 этилацетатом (ЭА) (50 мл) и добавляют 10%-ный р-р NaOH . Выделяют 1,96 г IV, т. пл. 230–232° (из $\text{CHCl}_3\text{-CH}_3\text{OH}$) и из маточного р-ра дополнительно 0,22 г IV с т. пл. 225–228°. К р-ру 2,5 г IV в 120 мл сух. CHCl_3 прибавляют по каплям 42 мл 11%-ного р-ра моноадреталевой к-ты в CHCl_3 и 60 мл эфира (–50°), оставляют на 18 час. (–5°), затем выливают в воду и органич. слой промывают 5%-ным р-ром NaOH (2 раза) и водой. После выпаривания и добавления небольшого кол-ва ЭА выделяют 1,87 г V, т. пл. 283–285° (из $\text{CHCl}_3\text{-ЭА}$), $[\alpha]_D^{25} - 53,96^\circ$ (CHCl_3). Из маточного р-ра выделяют 0,17 г VI, т. пл. 234–236°. К р-ру CH_3MgJ (из 7 г Mg и 23 мл CH_3J) в 200 мл эфира прибавляют по каплям р-р 2,74 г V в 250 мл ТГФ и 200 мл C_6H_6 , кипятят 5 час. и разлагают избыток CH_3MgJ прибавлением р-ра 20 г NH_4Cl в 200 мл воды. Эфирный слой промывают водой и после упаривания выделяют 2,6 г VII, т. пл. 176–178°. К р-ру 2,8 г VII в 400 мл CH_3OH прибавляют 10 мл 10%-ной H_2SO_4 , смесь кипятят 30 мин., затем прибавляют р-р 10 г Na_2CO_3 в 300 мл воды и отфильтровывают 2,02 г VIII, т. пл. 264–266°. К суспензии 3,35 г VIII в 110 мл CH_3OH прибавляют 6,8 мл 5%-ного р-ра KOH в CH_3OH и кипятят 1 час (Na). После обработки получают 1,78 г IX, т. пл. 224–227° (из CH_3OH), $[\alpha]_D^{25} + 93,7^\circ$ (CHCl_3). К р-ру 400 мг IX в 6,1 мл ТГФ и 3,2 мл абс. CH_3OH прибавляют 400 мг CaO и затем прибавляют по каплям р-р 340 мг J_2 в 1 мл ТГФ и 6 мл CH_3OH так, чтобы предыдущая капля J_2 успела обесцветиться. Профильтрованный р-р упаривают в вакууме, к остатку прибавляют 50 мл водн. р-ра, содержащего 2 мл CH_3COOH и 400 мг $\text{Na}_2\text{S}_2\text{O}_3$, отфильтрованное соединение промывают водой и сушат (P_2O_5), после чего растворяют в 10 мл диметилформамиде добавляют 2 г CH_3COOK и нагревают (50°, 30 мин.). Смесь разбавляют 50 мл воды, осадок (240 мг) растворяют в ацетоне, обесцвечивают активированным углем, удаляют ацетон, растворяют в смеси CHCl_3 + C_6H_6 и фильтруют через Al_2O_3 . Выделяют 75 мг I, т. пл. 200–201° (дважды из ЭА), $[\alpha]_D^{25} + 115,5^\circ$ (ацетон). Приведены данные по ИК-спектрам для I–V, VII и IX.

9Ж285. Структура дигинатигенина. Okada Masashi, Yamada Atsushi, Ishidate Morizo. The structure of diginatinigenin. «Chem. and Pharmac. Bull.», 1960, 8, № 6, 535–538 (англ.).—Доказана структура дигинатигенина (I), как 3 β ,12 β ,14,16 β -тетраоксид- $\Delta^{20(21)}$ -5 β -карденолида. Из 16-моноацетата I (II) получен диацетат 14,16-диангидродигинатигенина (III), полученный также из диацетата дигоксигенина по методу Платтнера (P. A. Plattner, H. Neusser Helv. chim. acta, 1946, 24, 727). Оба образца оказались идентичными. К р-ру 30 мг II в 4,5 мл 80% спирта прибавляют 0,5 мл конц. HCl и нагревают 4 часа при 80°. Продукт р-ции ацетилируют (CH_3CO) $_2\text{O}$ в пиридине и хроматографируют на Al_2O_3 , получают III, т. пл. 234–241° (из

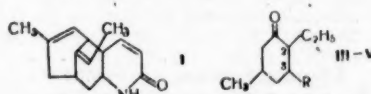
ацетона-петр. эф.), $[\alpha]_D^{25} + 492$ (хлф.). Приведены кривые УФ- и ИК-спектров III.

О. Чижов
9Ж286. Изучение гликозидов дигиталиса. Структура пурпигенина и пурпрогенина. Satoh Daisuke, Ishii Hiroshi, Oyama Yoshiko. Studies on digitalis glycosides structure of purpigenin and purprogenin. «Chem. and Pharmac. Bull.», 1960, 8, № 7, 657–658 (англ.).—Кислотный гидролиз гликозидов пурпигенина и пурпрогенина дает пурпигенин $\text{C}_{21}\text{H}_{32}\text{O}_4$ (I, R = $-\text{COCH}_3$), т. пл. 239–243°, $[\alpha]_D^{25} + 21,1^\circ$, и пурпрогенин $\text{C}_{21}\text{H}_{30}\text{O}_5$ (II), т. пл. 240–252°, $[\alpha]_D^{25} + 80,0^\circ$. Как I, так и II дают р-цию Либермана и содержат 3 $\text{C}-\text{CH}_3$ -группы; таким образом I и II являются, по-видимому, стероидными агликонами типа дигитанола. Оба в-ва дают отрицательную р-цию Розенхайма, но окисляются по Оппенгауэру, что указывает на вероятное при-



существование Δ^5 -3-оксигруппы. Из I получены диацетат, т. пл. 150–153° (Ia), и монооксим, т. пл. 276–279°, а из II диацетат (IIa), т. пл. 187–190°, и диоксим, т. пл. 247–249°. ИК-спектры Ia и IIa указывают на наличие свободного гидроксиды, из чего следует, что I имеет 2 ацилируемых и 1 неацилируемую OH-группу и 1 карбонил, а II содержит, кроме того, еще один карбонил. Восстановление I и II по Кижверу дает один и тот же триол (III R = C_2H_5) с т. пл. 216–219°. Спектральные данные, а также образование $\text{C}_8\text{H}_5\text{COOH}$ при окислении III по Куну — Роту указывают на наличие $-\text{COCH}_3$ -группы у C_{17} в I и II. Оба соединения не дают р-ции на α -кетольную группу, но поглощают 1 моль H_2O и содержат, таким образом, α -гликольную группу. Окисление I по Оппенгауэру дает Δ^4 -3-кетопроизводное (IV), т. пл. 203–205°, дальнейшее окисление которого средством CrO_3 в CH_3COOH дало дикетон (V) с т. пл. 232–235°, $[\alpha]_D^{25} + 117,8^\circ$. ИК-спектр V содержит карбонильную частоту пятичленного кетона. Так как V не проявляет свойств β -дикетона, наиболее вероятно, что вновь образовавшаяся группа находится при C_{15} . Положение 2-го карбонила в II не установлено. Приведены УФ- и ИК-спектры I, II, IV и V.

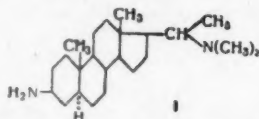
О. Ч.
9Ж287. Подтверждение структуры селлагина. Yoshimura H., Valenta Z., Wiesner K. A rigorous proof of the selagine structure. «Tetrahedron Letters», 1960, № 12, 14–17 (англ.).—Продолжено изучение строения селлагина (I) (РЖХим, 1961, 7Ж283). 8,5 ммоль тетрагидроселлагина (II) окисляли в водн. NaOH - K_2CO_3 р-ре 102 ммольями NaJO_4 и 5 ммольями KMnO_4 6 час. при $\sim 20^\circ$. После хроматографирования на SiO_2 выделена кетокислота $\text{C}_{10}\text{H}_{16}\text{O}_3$ (III), т. пл. 135–139°, содержащая 2 CCH_3 -группы; 2,4-динитрофенилгидразон, т. пл. 212–214°. III идентична 2-этил-3-карбокси-5-метилциклогексанону. Рацемич. эфир последнего (IIa) был синтезирован, исходя из (IV) через (V), известный ранее (Wallach O., Ann., 1913, 397, 181). Кипи-



III R = COOH ; IV R = H; V = H, Δ^2 (3)

чение V с KCN в CH_3OH 4 часа, последующий гидролиз в кипящей конц. HCl в течение 3 час. дало (IIIa), т. пл. 120–123°. В молекуле IIIa все заместители аксиальные, III представляет собой диастереомер одного из оптич. изомеров IIIa. Т. Платонова

9Ж288. Строение хонеморфина и синтез дезамино-оксихонеморфина. Chatterjee A., Das B. Constitution of chonemorphine and synthesis of deamino-oxychonemorphine. «Chemistry and Industry», 1960, № 40, 1247—1248 (англ.).—Для хонеморфина (I) доказана структура 3β-амино-20α-диметиламино-5α-прегнана. I при действии NaNO_2 в водн. CH_3COOH дает дезамино-оксихонеморфин $\text{C}_{21}\text{H}_{35}\text{ON}(\text{CH}_3)_2$ (II), т. пл. 170—171°, $[\alpha]_D^{20} + 23^\circ$ (хлф.). Йодметилат II при гофманском распаде образует безазотистое оксипроизводное — хонеморфинен (III), имеющий согласно ИК-спектру винильную группу. Гидрированием III в спирте или этилацетате над PtO_2 получают дигидро-III, т. пл.



136°, $[\alpha]_D^{20} + 18^\circ$ (хлф.), идентичный 3β-окси-5α-прегнану. Ацетилдигидро-III, т. пл. 113°, $[\alpha]_D^{20} + 5,5^\circ$ (хлф.), идентичен 3β-ацетокси-5α-прегнану. При окислении по Оппенгауэру OH-группы II образуется дезаминооксихонеморфин, который при восстановлении с NaNH_4 дает II. Отсюда следует, что NH_2 -группа в I имеет β- и α-положение, так как при замене NH_2 -группы на OH-группу действием NaNO_2 в CH_3COOH конфигурация при $\text{C}_{(3)}$ сохраняется (РЖХим, 1958, № 3, 8109). α-Конфигурация $(\text{CH}_3)_2\text{N}$ -группы установлена синтезом II из Δ⁵-3β-окси-20α-аминопрегнена, который метилированием $\text{CH}_2\text{O} + \text{HCOOH}$ превращают в Δ⁵-3β-окси-20α-диметиламинопрегнен и далее гидрированием над PtO_2 в лед. CH_3COOH переводят в II.

Е. Цветков

9Ж289. Исследование в области производных замещенных уксусных кислот. Сообщ. XXI. Некоторые сложные эфиры тропина. Мнджоян А. Л., Папаян Г. Л., Оганджанян Н. М. «Айканан ССР Гитутюн-перн Академия. Зекуйнер, Докл. АН АрмССР», 1960, 31, № 1, 37—42 (рез. арм.).—Для фармакологич. испытаний синтезировано 10 эфиров тропина (I). К 0,05 моля хлорангидрида фенилпропилуксусной к-ты (II к-та) в 40 мл C_6H_6 при охлаждении добавляют 0,05 моля I в 30 мл C_6H_6 , нагревают 6—8 час. на водяной бане, обрабатывают р-ром HCl в эфире, выделяют хлоридат тропинового эфира II, выход 71%, т. пл. 110—112°, хлоридат, т. пл. 110—112°, йодметилат, т. пл. 253—254°, йодатилат, т. пл. 182—184°. Аналогично получены эфиры I (приведена к-та, выход эфира в %, т. пл. в °C хлоридата, йодметилата, йодатилата): м-метоксibenзойная, 76, 203—205, 255—257, 250—252; м-метоксibenзойная, 65,3, 125—127, 258—260, 188—190; 3,4-диметоксibenзойная, 69,8, 132—134, 260—261, 208—210; 3,4,5-триметоксibenзойная, 64,5, 188—190, 257—259, 250—252; 1-фенилциклопентилкарбонная-1, 70,3, 184—185, 290 (обугливание), 300 (обугливание); метилфенилэтилуксусная, 73,7, 116—118, 248—250, 175—177; дифенилметилуксусная, 66,2, 166—168, 244—245, 220—222; дифенилпропилуксусная, 62,7, 190—191, 222—223, 175—177; флуоренкарбонная, 77,5, 200—201, 288—290, 270—272. Предыдущее сообщение см. РЖХим, 1961, 1Ж110.

Л. Аксанова

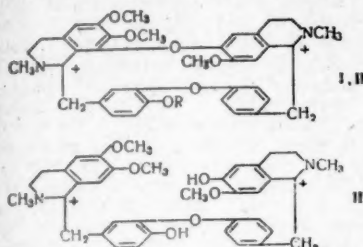
9Ж290. Предварительное изучение стереохимии эметина. II. Ультрафиолетовые и инфракрасные спектры поглощения 3,4-дигидроизохинолина и его гомологов. Van Yoshio, Yonemitsu Osamu, Tera-shima Masanao. Preliminary studies on the stereochemistry of emetine. II. Ultraviolet and infrared absorption spectra of 3,4-dihydroisoquinoline and its homologs. «Chem. and Pharmac. Bull.», 1960, 8, № 3, 194—204 (англ.).—С целью интерпретации спектров 2'-ацетил-2'-бензоил-5,11b-дигидроэметина (I и II) (ср. часть

I РЖХим, 1961, 2Ж336) измерены и обсуждены УФ-ИК-спектры N-бензилдигидроэметина (III), N-(o-метилбензилдигидро)-эметина (IV), N-(3,4-диметоксibenзилдигидро)-эметина (V), 3,4-дигидроизохинолина (VI), 1-метил-, 1-этил-, 1-пропил- и 1-бензил-3,4-дигидроизохинолинов (VII, VIII, IX и X соответственно), 6,7-диметокси-3,4-дигидроизохинолина (XI), 1-метил-, 1-этил- и 1-пропил-6,7-диметокси-3,4-дигидроизохинолинов (XII, XIII и XIV) и солей 9,10-диметокси-1,2,3,4,6,7-гексагидробензо[а]-хинолизиния (XV) и 1,4,6,7-тетрагидробензо[а, g]-хинолизиния (XVI). Введение 2- CH_3O -групп в ароматич. ядро (сравнение спектров XI—XIV со спектрами VI—X) вызывает bathochromic сдвиг максимумов поглощения в УФ-области и перемещение частот колебаний связи $\text{C}=\text{N}$ в область более низких частот. Такое же влияние оказывает образование кольца B (сравнение спектров VI и XI со спектрами III и V), а введение алкильного заместителя в положение 1 (сравнение спектров VII—X и XII—XIV со спектрами VI и XI) приводит к bathochromic сдвигу в УФ-области и небольшому перемещению $\nu(\text{C}=\text{N})$ в область более высоких частот. Образование солей — хлоридатов (XI) и йодметилатов (IM) — вызывает bathochromic сдвиг в УФ-спектре и смещение $\nu(\text{C}=\text{N})$ в область более высоких частот. При образовании кольца C (сравнение спектров йодидов XV и XVI со спектрами IM X и IM XIV) $\nu(\text{C}=\text{N})$ смещается в область более высоких частот, а в УФ-спектре наблюдались как гипсохромный (переход от IM XIV к йодиду XVI), так и bathochromic (переход от IM X к йодиду XV) сдвиги. На основании полученных результатов в ИК-спектре тетрагидрата перхлората I полосы при 1645 cm^{-1} и 1635 cm^{-1} интерпретированы как частоты колебаний групп $\text{C}=\text{N}$ и $\text{C}=\text{O}$ соответственно, а три полосы при 1605, 1570 и 1510 cm^{-1} рассматриваются как колебания бензольного кольца. Аналогично интерпретирован ИК-спектр тетрагидрата перхлората II: 1644 cm^{-1} ($\text{C}=\text{N}$), 1619 cm^{-1} ($\text{C}=\text{O}$), 1605, 1575 и 1515 cm^{-1} (бензольное кольцо). VI—XIV синтезированы по известным методам (Snyder H. R., Werber F. X., J. Amer. Chem. Soc. 1950, 72, 2962; Späth E. и др., Ber., 1930, 63, 134; Späth E., Polgar N., Monatsh., 1929, 51, 190); перечислены в-та, т. кип. в °C/мм, т. пл. в °C пикрата, XI и IM в °C: VI, 106—108/30, 175—177, —, 124—126; VII, 128—132/26, 188—190, 191—193, 191—193; VIII, 128—135/16, 180—191, —, 107—109; IX, 130—134/15, 171—173, —, 131—133; X, 165—171/25, 174—176, 223—225, 197—199; XI, 146—148/2, 201—202, 201—205 (разл.), 199—201; XII, т. пл. 97—99, 205—207, —, 173—176; XIII, 146—150/2, 190—192, —, 147; XIV, 153—157/2, 174—176, 179—182 (разл.), 167—169.

Л. Нейма

9Ж291. Изучение алкалоидов *Thalictrum Thunbergii* DC. VII. Структура таликберина и O-метилталикберина — третичных оснований стебля и листьев. (3). Tomimatsu Toshiaki. «Якугаку дзасси, Yakugaku zasshi. J. Pharmac. Soc. Japan», 1959, 79, № 11, 1386—1390 (японск.; рез. англ.).—В продолжение прошлой работы (см. сообщение VI РЖХим, 1961, 3Ж286) с целью подтверждения принятой ранее (сообщение VI) структуры для таликберина (I, R = H) и O-метилталикберина (II, R = C_2H_5), выделенных из *T. thunbergii* DC., I подвергнут расщеплению Na в жидком NH_3 . Полученное основание (III) типа дауринина после O-этилирования вновь подвергнуто расщеплению Na в жидком NH_3 , в результате получены d-1-(4'-этоксибензил)-2-метил-6,7-диметокси-1,2,3,4-тетрагидроизохинолин (IV) и d-1-(4'-оксибензил)-2-метил-6-этокси-3,4-метокси-1,2,3,4-тетрагидроизохинолин (V). Это подтверждает принятую для I и II структуру. Р-р 1:1 в 10 мл тетрагидрофурана к 10 мл эфира добавляют по каплям к 500 мл жидкого NH_3 , затем добавляют немного (~1 час) 1,5 г Na, выдерживают 3 часа при т-ре от -35 до ~-40°, на другой день NH_3 испаряют,

с помощью противоточного распределения (CHCl_3 -буферный р-р Мак Илвейна с pH 5,6) выделяют 0,67 г



гидро- I $\text{C}_{35}\text{H}_{66}\text{O}_{12}$ (III) (напр., с диоксаном). Окисление I и III периодатом дало HCOOH и кетоксифир C_{34} (IV), разлагаемый на 2 соединения — C_{15} и C_{19} . Исчерпывающее ацетилирование I, III и IV показало, что все атомы O, кроме лактонных, находятся в форме гидроксидов. Щел. гидролиз с последующим периодатным расщеплением дал очищенную с помощью противоточного распределения C_{19} -полиоксикислоту (V) с одной OCH_3 -группой. Восстановление дитиоацетата V над скелетным Ni дало полиоксикислоту (VI) с двумя SCH_3 -группами. Положение OH-групп в V выяснено окислением V и VI с HNO_3 и колич. идентификацией продуктов окисления: соотношение отгоняемых с паром к-т, определенных с помощью ГЖХ C_6 : C_8 : C_4 : C_3

$\text{C}_{19}\text{H}_{31}\text{CH}(\text{OH})\text{CH} - [\text{CH}(\text{OH})\text{CH}_2]_n - \text{CH}(\text{OH})\text{CH}(\text{R})\text{CH}_2\text{OH}$

I, II $\text{COOCH}(\text{CH}_3)\text{CH}(\text{OH})[\text{CH}=\text{CH}]_n\text{CH}=\text{CH}_2$,
 $\text{C}_{19}\text{H}_{31}\text{CH}(\text{OH})\text{CH}(\text{COOH}) - [\text{CH}(\text{OH})\text{CH}_2]_n$ R, V, VI
 I R = OH, II R = H, V R = CHO, VI R = CH₃

для V было 100:55:35:33; а для VI 100:47:27:79. ГЖХ метиловых эфиров нелетучих к-т, полученных окислением V, показала отсутствие глутаровой и других более тяжелых членов этого ряда к-т и присутствие лишь 0,015 моля янтарной к-ты. Это доказывает отсутствие элементов — CH_2CH_2 — в V. Также изучена рентгенограмма III. ИК-спектры I и II подобны. Окисление II (аналогично окислению I) дало V.

А. Краевский

9Ж297. Тетрациклины. Burstall M. L. The tetracyclines. «Manufact. Chemists», 1960, 31, № 11, 474—478, 483 (англ.).—Обзор. Библ. 27 назв.

9Ж298. Идентификация баккатина А как смеси энниатинов А и В. Hall G. E. Identification of baccatin A as a mixture of enniatins A and B. «Chemistry and Industry», 1960, № 41, 1270 (англ.).—Показано, что баккатин А (I), антибиотик из *Gibberella baccata* (Guerillot-Vinet J., Guyat L. и др., Comp. rend., 1950, 230, 1424), очищенный хроматографированием на Al_2O_3 , т. пл. 140—142° (из водн. сп.), $[\alpha]_D^{25} -105,3^\circ$ (с 1,27; хлф.), является смесью энниатинов в (II) и А (III) (Plattner Pl. A. и др., Helv. chim. Acta, 1948, 31, 594, 665, 2192, 2203) в соотношении ~2,5:1. Исчерпывающий кислотный гидролиз I дает N-метилвалин и N-метилизолейцин в соотношении 2,5:1 (по данным хроматографии на бумаге); при противоточном распределении I в 90 ячеек с помощью смеси р-рителей петр. эф. + CH_3OH + вода = 10:7:3 получают кривую, отличную от теоретической; в-во, содержащееся в одной из фракций, сходно с II по т-ре плавления. Обработка I NH_3 в CH_3OH приводит к $(\text{CH}_3)_2\text{CHCONHCON}(\text{CH}_3)\text{CH}(\text{CONH}_2)\text{CH}(\text{CH}_3)_2$, т. пл. 113—115°, образуемому также из II. Щел. гидролиз I в водн. CH_3OH дает соль карбоновой к-ты (IV): свободную к-ту перегонкой переводят в лактон, сравнение которого с соответствующим лактоном из II методом газо-жидкостной хроматографии показывает, что I является смесью II и III в соотношении 3:1. Приведены ИК-спектры I, IV и УФ-спектры I.

А. Усов

9Ж299. О конфигурации азотсодержащих соединений. IX. О конфигурации β-диметиламино-β-фенилпропионовой кислоты. Lukeš R., Kloubek J., Kovář J., Bláha K. Zur Konfiguration stickstoffhaltiger Verbindungen. IX. Über die Konfiguration der β-Dimethylamino-β-phenylpropionsäure. «Collect. Czechosl. Chem. Commun», 1960, 25, № 2, 601—603 (нем.; рез. русск.).—L-(+)- или D-(—)-β-амино-β-фенилпропионовую к-ту, рацемич. форма которой получена гидролизом таксина, алкалоида *Taxus baccata* и конфигурация которой определена уже раньше (см. РЖХим, 1959, № 6, 19284; 1958, № 18, 60814), при помощи HCOOH + HCON метилировали в L-(+)- или же D-(—)-β-диметиламино-β-

маслянистого III, его обрабатывают эфирным CH_3CHN_2 (~20°, 7 дней), остаток после отгонки р-рителя растворяют в 5%-ной CH_3COOH , подщелачивают разб. NaOH , извлекают эфиром, получают 0,68 г этилового эфира III, $[\alpha]_D^{25} +105,6^\circ$ (с 0,3786; хлф.). 0,67 г эфира расщепляют Na в жидком NH_3 аналогично I (перемешивание 1 час 20 мин.), обычным способом разделяют на фенольное и нефенольное основание, получают 0,32 г IV, йодметилат, т. пл. 195—197° (из сп.), $[\alpha]_D^{25} +152^\circ$ (с 0,3156; сп.), и 0,25 г V, т. пл. 135—137°, $[\alpha]_D^{25} +104,2^\circ$ (с 0,2994; хлф.). O-метильное производное V (V , CH_3N_2 , метанол-эфир, ~20°, 4 дня), оксалат, т. пл. 145° (разл.; из сп.), $[\alpha]_D^{25} +146,3^\circ$ (с 0,3008; CH_3OH). III, IV и V характеризованы ИК-спектрами. R_f (хроматография на бумаге, р-ритель бутанол- CH_3COOH -вода, 63:10:27) 0,43 (для I), 0,57 (для III); приведена хроматограмма на забуференной бумаге (I при pH 5, III при pH 5,6).

Л. Яновская

9Ж292. Аспидофиллин, фенольный алкалоид из *Aspidosperma pyrifolium* Mart. Antonaccio Libero D. Aspidofilin, the phenolic alkaloid of *Aspidosperma pyrifolium* Mart. «J. Organ. Chem.», 1960, 25, № 7, 1262—1263 (англ.).—Новый алкалоид аспидофиллин $\text{C}_{30}\text{H}_{42}\text{N}_2\text{O}_2$ (I) выделен экстракцией эфиром из 2 кг измельченных листьев дерева *A. pyrifolium* Mart. с выходом 2 г, т. пл. 186—187° (из эфира), пикрат, т. пл. 146° (из ацетона). Спектральные исследования показали, что I относится к фенольным основаниям ряда N-метилдигидроиндолных алкалоидов, таких как септадинин (РЖХим, 1957, № 22, 71765), аспидоспермин, воминин, диметиласпидоспермин (Witkop B., J. Amer. Chem. Soc., 1948, 70, 3712; РЖХим, 1957, № 10, 35523) и галофитин (РЖХим, 1959, № 2, 4851). Приведены данные об ИК-спектрах I.

К. Старосельская

9Ж293. Синтезы в ряду витамина А. Pommer Horst. Synthesen in der Vitamin-A-Reihe. «Angew. Chem.», 1960, 72, № 22, 811—819, III, IV (нем.; рез. англ., франц., итал., исп.).—Обзор. Библ. 37 назв.

9Ж294. Новые методы удлинения полиеновой цепи и создания функциональных групп, новые синтезы β-моноиденукусного альдегида, ретинола и витамина А. Самохвалов Г. И., Давыдова Л. П. В сб. «Вопр. химии терпенов и терпеноидов». Вильнюс, 1960, 37—41.—Обзор. Библ. 22 назв.

9Ж295. Исследования по синтезу кислородсодержащих каротиноидов. Самохвалов Г. И., Вакулова Л. А. В сб. «Вопр. химии терпенов и терпеноидов». Вильнюс, 1960, 43—49.—Обзор. Библ. 10 назв.

9Ж296. Структуры лагозина и филипина. Dhar M. L., Thaller V., Whiting M. C. The structures of lagosin and filipin. «Proc. Chem. Soc.», 1960, Sept., 310—311 (англ.).—Предложена структура антибиотиков лагозина $\text{C}_{35}\text{H}_{58}\text{O}_{12}$ (I) и филипина $\text{C}_{35}\text{H}_{58}\text{O}_{11}$ (II). Газо-жидкостная хроматография (ГЖХ) и хроматография на бумаге I доказали чистоту I в образцах, а наличие колебаний в мол. весах, определенных в предыдущих работах (РЖХимВх, 1959, № 2, 1412; 1960, № 22, 31218), объясняется сольватированностью I и пер-

фенилпропаною к-ту (I). При восстановлении I с LiAlH_4 образуется L-(—) или же D-(+) 3-диметиламино-3-фенилпропанол. Восстановлением хлоргидрата DI-I с LiAlH_4 в эфире образуется за 15 час. при 20° с 83%-ным выходом 3-диметиламино-3-фенилпропанол (II), т. кип. 124—126°/4 мм, n_D^{20} 1,5298; йодметилат, т. пл. 159—160° (из сп.-эф.). Бензоилированием II в SnCl_4 при 20° получили маслянистый 3-диметиламино-3-фенил-1-бензоилоксипропан; пикрат, т. пл. 148° (из сп.); кислый оксалат, т. пл. 84—86° (из сп.-эф.); йодметилат, т. пл. 140—145° (разл.). Так же как II восстановлением хлоргидрата L-(+)-I [т. пл. 173°, $[\alpha]_D^{20} +6,1 \pm 1,5$ (с 1,4; сп.)] получили L-(—) 3-диметиламино-3-фенилпропанол, т. кип. 131°/2 мм, n_D^{20} 1,5302, $[\alpha]_D^{20} -24^\circ$ (с 9,6; ацетон); йодметилат, т. пл. 172—173° (из сп.-эф.). $[\alpha]_D^{20} -3,3^\circ \pm 1^\circ$ (с 4,8; сп.). Аналогично восстановлением хлоргидрата D-(—)-I получили D-(+) 3-диметиламино-3-фенилпропанол, $[\alpha]_D^{20} +23^\circ$ (с 11,3; ацетон); йодметилат, т. пл. 176° (из сп.-эф.), $[\alpha]_D^{20} +5,0^\circ \pm 1,5^\circ$ (с 1,8; сп.). Сообщение VIII см. РЖХим, 1961, 8Ж127.

Antonin Emr

9Ж300. Алкилирование производных глицина в жидком аммиаке. III. Дефталонилирование и N-бензиллирование фталонилиглицина в жидком аммиаке. Asami Ryuzo, Shimo Kotaro, Sato Kenji. «Нихон кагаку заасси, Nippon Kagaku zasshi, J. Chem. Soc. Japan. Pure Chem. Sec.», 1960, 81, № 3, 462—464, A32 (японск.).—Металлирование этилового эфира фталонилиглицина (I) в жидком NH_3 посредством 1,2 α -атом Na, K или же 1,2 моля NaNH_2 или KNH_2 с последующим действием 1,4 моля бензилхлорида (II) в течение 20 час. при ~20° приводит к дефталонилированию I с образованием N-бензилфталимида (III), выходы соответственно 20, 26, 41 и 42%, и N,N-дибензилфталимида (IV), выходы соответственно 29, 28, 38 и 31%; при использовании 2,4 моля II (с KNH_2) получены III, выход 25%, и IV, выход 55%; при проведении р-ции в ксилоле (с K) вместо жидкого NH_3 III и IV не образуются, получен фталимид (V), выход 28%. В аналогичных условиях металлирование и последующее бензилирование фталонилиглицина (VI) так же привело к III и IV (даны металлирующий агент, выход III в %, выход IV в %): Na, 26, 42 (2,4 моля II), NaNH_2 , 40, 35, KNH_2 , 55, 30; металлирование и бензилирование фталонилиглицина (VII) так же привело к III и IV (даны металлирующий агент (2,1—2,3 моля), кол-во II в молях, выход III в %, выход IV в %): Li, 1,6, 9, 26; Na, 1,6, 14, 24; K, 1,6, 22, 10; LiNH_2 , 1,4, 38, 26; NaNH_2 , 1,2, 43, 26; NaNH_2 , 3,3, 10, 46; KNH_2 , 1,2, 60, 15; при проведении р-ции в C_6H_6 как и в случае I, не образуются III и IV, получен лишь V, выход 30%. При проведении р-ции при т-ре от -40 до -50° получена N-бензил-о-карбамоилглициновая к-та (VIII), что объяснено первоначальным аммонолизом I, IV или VII с образованием циклич. системы V с последующим дефталонилированием до фталамида и глицина посредством щел. амидов в жидком NH_3 и дальнейшим бензилированием. Даны исходный продукт, металлирующий агент (1,1 моля или α -атом), выход VIII в % (использовано 1,2 моля II): I, Na, 32; I, KNH_2 , 65; VI, KNH_2 , 60. Р-р 2 г I в 40 мл жидкого NH_3 оставляют на ~12 час., получают VI, выход 86%, т. пл. 253—255° (из разб. сп.). Сообщ. II см. РЖХим, 1957, № 22, 71793. Л. Я.

9Ж301. N-(β -пиколил)-глицин, N-(β -пиколил)- β -аминопропионовая кислота и их метилпроизводные. Wingfield Harvey N., Jr. N-(β -picolyl)glycine, N-(β -picolyl)- β -aminopropionic acid, and their methyl derivatives. «J. Organ. Chem.», 1960, 25, № 9, 1671—1672 (англ.).—Синтезированы не описанные в литературе N-(β -пиколил)-глицин (I), N-метил-N-(β -пиколил)-глицин (II), N-(β -пиколил)- β -аминопропионовая к-та (III), N-(β -пиколил)- β -метиламинопропионовая к-та и ее нитрил (IV и IVa). К этиловому эфиру глицина (из 0,1 моля хлоргидрата) в миним. кол-ве воды и

спирта добавляют 0,1 моля пиридин- β -карбоксальгида и смесь гидрируют над скелетным Ni или Pd. Фильтрат упаривают и остаток последовательно обрабатывают $(\text{CH}_3)_2\text{CO}$ и SnCl_4 , каждый раз упаривая р-р, выделяют этиловый эфир I (масло), выход (неочич.) 50—60%. Последний омыляют 15%-ной H_2SO_4 , 48 час. и получают I, т. пл. 209—210° (разл.; из сп.-ацетона); тиогидантоин, т. пл. 176—177° (разл.). Аналогично из 0,2 моля этилового эфира I и 100 мл HCON получают II, выход (неочич.) почти количественный, т. пл. 175—176°, хлороплатинат, т. пл. 217° (разл.; из водн. сп.). К охлажд. 0,5 моля β -пиколиламина добавляют (2 часа) 0,47 моля $\text{CH}_2=\text{CHCN}$, через несколько дней смесь разгоняют и собирают 3 фракции: 1) т. кип. 95—96°; 2) 165—170°; 3) >170°. Фракцию 2 нагревают 20 час. с 15%-ной H_2SO_4 , обрабатывают $\text{Ba}(\text{OH})_2$, фильтрат концентрируют, обрабатывают SnCl_4 , водн. слой обрабатывают CO_2 , фильтруют и вновь концентрируют. Через несколько недель выпадает III, выход 40—12%, т. пл. ~270° (из абс. сп.-ацетона); хлороплатинат, т. разл. >250° (разл.; из водн. сп.); тиоуред, т. пл. 174—176° (разл.). К 0,2 моля β -пиколиламина в 150 мл C_6H_6 добавляют 4—5 кусочков KOH и р-р 0,4 моля $\text{CH}_2=\text{CHCN}$, через 2 дня смесь нагревают несколько дней ~100°. Фильтрат разгоняют и получают IVa, т. кип. 121—125°/1 мм, т. пл. 228° (разл.; из водн. сп.). IVa гидролизуют до IV 50%-ной H_2SO_4 и обрабатывают аналогично III, получить IV в кристаллич. виде не удалось, дихлоргидрат IV, т. пл. 205—206°.

9Ж302. Модельные реакции биосинтеза тироксина. III. Синтез устойчивых хинольных эфиров и их превращение в устойчивые аналоги тироксина. Matsuga Tetsuo, Cahnmann H. J. Model reactions for the biosynthesis of thyroxine. III. The synthesis of hindered quinol ethers and their conversion to hindered analogs of thyroxine. «J. Amer. Chem. Soc.», 1960, 82, № 8, 2055—2062 (англ.).—Для подтверждения схемы биосинтеза тироксина из дийодтирозина, предложенной ранее (Johnson T. B., Tewkesbury L. B., Jr, Proc. Nat. Acad. Sci. U. S. A., 1942, 28, 73), проведен синтез ряда устойчивых хинольных эфиров, превращенных в аналоги тироксина. Р-ция протекает по свободнорадикальному механизму. Получены 4-[л-(карботоксиметил)-фенокси] (I), 4-[л-(карботоксизетил)-фенокси] (II), 4-[л-(2-карботоксизетил)-фенокси] (III), 4-[2,6-дибром-4-(карботоксиметил)-фенокси] (IV), 4-[2,6-дибром-4-(2-карботоксизетил)-фенокси] (V), 4-[2,6-дибром-4-(2-карботоксизетил)-фенокси] (VI), 4-[2,6-дидод-4-(2-карботоксиметил)-фенокси] (VII), 4-[2,6-дидод-4-(2-карботоксизетил)-фенокси] (VIII) и 4-[2,6-дидод-4-(2-карботоксизетил)-фенокси]-2,4,6-три-трет-бутил-2,5-циклопентадие-1-он (IX). Из 30 ммоль этилового эфира (ЭЭ) л-о-оксифенилуксусной к-ты (X) в SnCl_4 и 3,09 мл Br_2 в 20 мл SnCl_4 синтезируют ЭЭ 3,5-дибром-4-оксифенилуксусной к-ты (XI), выход 88%, т. пл. 106—108° (из бал.-октана). Аналогично из X и Br_2 получают ЭЭ 3-(3,5-дибром-4-оксифенил)-пропионовой к-ты (XII), выход 78%, т. пл. 47—48° (из эф.-н-пентана). Насыщение HCl 36,4 ммоль 3,5-дидод-4-оксифенилуксусной к-ты в абс. $\text{C}_2\text{H}_5\text{OH}$ приводит к ЭЭ 3,5-дидод-4-оксифенилуксусной к-ты (XIII), выход 94%, т. пл. 121—122° (из водн. сп.). В таких же условиях из 3-(3,5-дидод-4-оксифенил)-пропионовой к-ты (XIV) синтезируют ее ЭЭ (XV), выход 89%, т. пл. 86—87° (из водн. сп.). К 15 ммоль 2,4,6-три-трет-бутилфенола (XVI) в 200 мл C_6H_6 добавляют 46 ммоль $\text{K}_3[\text{Fe}(\text{CN})_6]$ и 0,15 моля KOH в 75 мл воды (перемешивание 2 часа). К бензольному слою добавляют 7,4 ммоль 0,3 M р-ра X в C_6H_6 до бледно-зеленого цвета и затем 23 ммоль $\text{K}_3[\text{Fe}(\text{CN})_6]$ и 71 ммоль KOH в 50 мл воды, через 2 часа к бензольному слою вновь добавляют 2,7 ммоль X и затем $\text{K}_3[\text{Fe}(\text{CN})_6]$ и 2,5 ммоль X, через 5 час. реакционную смесь упаривают в вакууме и выделяют I, выход 55%,

т. пл. 65–67° (из CH_3OH). С меньшим выходом I получают из 10 ммольей 4-бром-2,4,6-три-*терт*-бутил-2,5-дициклогексидиен-1-она и 10 ммольей Na-соли X. Аналогично I синтезируют следующие в-ва (здесь и далее даются названия и кол-ва реагентов, выход в %, т. пл. в °C): II — из 20 ммольей XVI, 100 мл, 50 мл и 50 мл 20%-ного р-ра $\text{K}_2\text{Fe}(\text{CN})_6$ и 11%-ного KOH, 0,4 M X (9,9; 4,2 и 2,6 ммоль), 65; 32,5–33,5; III — из 20 ммольей XVI, 10 ммольей 3-(*п*-оксифенил)-пропионовой к-ты (XVII) в 20 мл C_6H_6 и 30 мл этилацетата (ЭА), 62; 141–143 (из разб. CH_3OH); IV — из 20 ммольей XVI, 10; 5 и 3,6 ммольей XI в 50 мл C_6H_6 ; 67, 89,5–90,5 (из пентана); V — из 20 ммольей XVI, 17,8 ммольей XII в C_6H_6 ; 74, 103–104 (из *н*-пентана); VI — из 40 ммольей XVI, 20 ммольей 3-(3,5-дибром-4-оксифенил)-пропионовой к-ты (полученной из 30 ммольей XVII в 150 мл воды и 3,09 мл Br_2 в 40 мл 20%-ного KBr) в 50 мл эфира; 68; 119 (разл.; из 90%-ного CH_3OH); VII — из 20 ммольей XVI, 10 ммольей XIII в 50 мл C_6H_6 ; 62, 89–90 (разл.); VIII — из 20 ммольей XVI, 10 ммольей XV в 50 мл ЭА; 90; 97 (разл.); IX — из 20 ммольей XVI, 10 ммольей XIV в 60 мл ЭА; 26; 114 (разл.). При нагревании (160–190°) 3 ммольей I образует реакционную смесь, которую фракционируют разгонкой в вакууме, фракцию 180–210° нагревают с 2 мл 2 н. NaOH и 10 мл $\text{C}_2\text{H}_5\text{OH}$ и приходят к 3',5'-ди-*терт*-бутилпропаноату Na (XVIII), выход 51%. Пирролизом (165–190°), а также кислотным катализом (в присутствии б-нафталинсульфонокислоты) III получают 3,5-ди-*терт*-бутилпропионовую к-ту (XIX). Аналогично XIX из VI (165–170°) образуется 3,5-дибром-3',5'-ди-*терт*-бутилпропионовая к-та (XX). Приведены условия и результаты разложения пирролизом и кислотным катализом IX, а также спонтанного разложения VII. Указаны данные ИК-спектров для I–IX, XVIII и XX. УФ-спектра для I, величины R_f для XVIII и XX. Сообщение II см. РЖХим, 1961, 5С351.

9Ж303. N-Трифторацетиламиноокислоты. XVII. N-TFA-L-аспарагил- α -пептиды из ангидрида N-TFA-L-аспарагиновой кислоты. Weygand Friedrich, Adernann Gerhard. N-Trifluoracetyl-aminosäuren. XVII. N-TFA-L-Asparagyl- α -peptide aus N-TFA-L-Asparaginsäure-anhydrid. «Chem. Ber.», 1960, 93, № 10, 2334–2339 (нем.). Конденсацией ангидрида N-трифторацетила (TFA)-аспарагиновой к-ты (I) (все аминокислоты I-рида) с этиловым эфиром глицина (II), метиловым эфиром аланина (III), метиловым эфиром серина (IV), этиловым эфиром фенилаланина (V), этиловым эфиром валина (VI), метиловым эфиром лейцина (VII), диэтиловым эфиром аспарагиновой к-ты (VIII), диэтиловым эфиром глутаминовой к-ты (IX) и этиловым эфиром тирозина (X) при ~20° получены эфиры N-TFA-аспарагилпептидов с II–X (соответственно XI–XIX). В случае XI строение доказывалось выделением из него аспарагил- α -глицина (XX). Из XI действием PCl_5 с последующей обработкой жидким NH_3 получены α -трифторацетиламино-N-карбоксиметилсукцинимид (XXI), 48 г I в 100 мл смеси тетрагидрофуран (ТГФ)-эфир (1:1) обрабатывают 9 г II, через 1 час упаривают, в-во растворяют в 250 мл абс. спирта, добавляют $(\text{C}_2\text{H}_5)_3\text{NH}$ в спирте и выделяют дициклогексиламмониевую соль XI, т. пл. 191–193° (CH_3OH — диэтилопропиловый эфир). Обработкой дауэкс-50 (H-форма) выделяют XI, выход 20,5%, т. пл. 135–137° (ацетон + эфир + петр. эф.); $[\alpha]_D^{25} -44,1^\circ$ (с 0,43; абс. сп.). 1,4 г хлоргидрата III в 15 мл CHCl_3 обрабатывают 1 г $\text{N}(\text{C}_2\text{H}_5)_3$, добавляют 30 мл ТГФ, и в фильтрат при 0° вносят 2,11 г I, через 12 час упаривают, в-во растворяют в 20 мл ТГФ, добавляют 1,8 г $(\text{C}_2\text{H}_5)_3\text{NH}$ и получают дициклогексиламмониевую соль XII, т. пл. 196–198°; из соли выделяют XII, выход 19,1%, т. пл. 143–145°, $[\alpha]_D^{25} -47,3^\circ$ (с 0,39; абс. сп.). К IV (из 3,1 г хлоргидрата IV) в 50 мл ТГФ приливают р-р 4,2 г I в 20 мл ТГФ, через 36 час. фильтрат упари-

вают и выделяют XIII в виде соли, т. пл. 172–176° и из нее XIII, выход 9,1%, т. пл. 143–145°, $[\alpha]_D^{25} -23,9^\circ$ (с 0,42; абс. сп.). Аналогично синтезированы XIV–XIX; ниже перечисляются в-ва, выходы в %, т. пл. в °C, $[\alpha]_D^{25}$ в абс. сп. и т. пл. в °C дициклогексил-аммониевой соли: XIV; 14,9; 162–164 (ацетон + эф. + петр. эф.), $[\alpha]_D^{25} -24,7^\circ$ (с 0,39); 162–190; XV, 16,9; 121–123 (вода со сп.); $[\alpha]_D^{25} -50,2^\circ$ (с 0,43); 195–197; XVI; 8,4; 116–118, $[\alpha]_D^{25} -54,4^\circ$ (с 0,37); 163–165; XVII, 21,2; 103–105 (вода со сп.), $[\alpha]_D^{25} -35,2^\circ$ (с 0,41); 165–167 (вода со сп.); XVIII, 25,3; 126–128 (из воды), $[\alpha]_D^{25} -28,6^\circ$ (с 0,4), 152–155; XIX, 11,9; 175–177 (сп. + эф. + петр. эф. и из воды), $[\alpha]_D^{25} -19,8^\circ$ (с 0,4), 176–178 (сп. + эф.). 1,5 г XI оставляют на 4 часа в 75 мл 0,2 н. $\text{Ba}(\text{OH})_2$, пропускают через смолу дауэкс-50, промывают 4 л воды, элюируют 1 н. CH_3COOH , упаривают до объема 15 мл и добавлением спирта получают XX, выход 66%, т. пл. 182–184°. XI обрабатывают 0,2 н. $\text{Ba}(\text{OH})_2$, подкисляют 0,2 н. H_2SO_4 , центрифугируют, упаривают, получают XX, выход 83%, т. пл. 183–185°, $[\alpha]_D^{25} +36,2^\circ$ (с 0,437; вода + 1 моль HCl). 0,7 г XI в 10 мл ТГФ обрабатывают 0,5 г PCl_5 при –5–0°, через 2 часа упаривают, промывают петр. эфиром, растворяют в ТГФ, при –60° обрабатывают 0,5 мл жидкого NH_3 и получают XXI, выход 23%, т. пл. 93–95° (из разб. сп. или воды). 4,71 г XI, 2,25 г $\text{N}(\text{C}_2\text{H}_5)_3$ и 3,6 г SiCl_4CN нагревают 2 часа при 70°, упаривают, извлекают 200 мл этилацетата при нагревании, упаривают и получают XXI, выход 34%. 13,5 г аспарагина перемешивают с 18,8 мл $\text{CF}_3\text{CO}\cdot\text{SC}_2\text{H}_5$ в 90 мл 1 н. NaOH, через 48 час. нейтрализуют конц. HCl и получают N-TFA-аспарагин (XXIII), выход 61%, т. пл. 160–162°; $[\alpha]_D^{25} -11,7^\circ$ (с 0,54; абс. сп.). К 4,9 г неочищ. цианметилового эфира XXIII в 25 мл абс. ТГФ прибавляют 1,9 г II, через 15 час. фильтруют (~20°), получают этиловый эфир N-TFA-аспарагилглицина, выход 35%, т. пл. 176–178° (сп. + петр. эф.); $[\alpha]_D^{25} -34,9^\circ$ (с 0,408; абс. сп.). Сообщение XVI см. РЖХим, 1961, 4Ж336. В. Максимов

9Ж304. К вопросу о синтезе полипептидов путем реакции амидов с алколатами. Вихтерле О., Экснер О. «Collect. Czechosl. chem. Commun.», 1960, 25, № 5, 1371–1376 (рез. нем.). По данным авторов в условиях, описанных Бреслером С. Е. и Селезневой Н. А. (Ж. общ. химии, 1950, 20, 356), для р-ций $\text{C}_2\text{H}_5\text{OH}$ с CH_3ONH_2 (I) в присутствии $\text{C}_2\text{H}_5\text{ONa}$ образуется не N-этилацетамид, а CH_3COONa (II), $\text{CH}_3\text{COOC}_2\text{H}_5$, NH_3 и регенерируется часть I. При взаимодействии I с бутилатом Na в бутаноле образуется NH_3 , II и уксусно-бутиловый эфир.

9Ж305. Исследование полипептидов. XVII. Синтез амидов трех ацилтридекапептидов, обладающих высокой меланофорной активностью *in vitro*. Hofmann Klaus, Yajima Haruaki, Schwartz Eleanor T. Studies on polypeptides. XVII. The synthesis of three acyltridecapeptide amides possessing a high level of melanocyte-expanding activity *in vitro*. «J. Amer. Chem. Soc.», 1960, 82, № 14, 3732–3737 (англ.). Продолжено исследование зависимости биол. активности меланофорного гормона (α -МФГ) от длины и строения пептидов. Синтезированы: амид карбобензокси (кбз)-сер.-тир.-сер.-мет.-глутаминил-гис.-фал.-арг.-трип.-глин.-N⁺-тозил-лиз.-прол.-валина (I); α -МФГ, у которого вместо кбз-группы стоит CH_3CO (II); II, у которого вместо N⁺-тозильной группы стоит формильная (III). Гидролизаты I, II, III проанализированы хроматографически, III — также по Штейну и Муру. К р-ру 458 мг гидрозида кбз-сер.-тир.-сер.-мет.-глутаминина (IV) пептид) в 23 мл 2 н. HCl и 23 мл воды, при 0°, добавляют 42 мг NaNO_2 в 4 мл воды, а затем 8 мл насыщ. р-ра NaCl (0°), через 10 мин. отделяют азид IV (V), выход 136 мг. 130 мг V прибавляют к 193 мг амида гис.-фал.-арг.-трип.-глин.-N⁺-тозил-лиз.-прол.-валина

(VI) (в виде диацетата дигидрата) в 10 мл диметилформамида (ДМФА) с 0,02 мл $N(C_2H_5)_3$. Через 96 час. (0—3°) добавляют 60 мг V, через 48 час. упаривают в токе N_2 и очищают методом противоточного распределения в системе $C_4H_9OH + 10\%$ -ная CH_3COOH и электрофорезом, выход I 145 мг, $[\alpha]^{25}_D - 24,6^\circ$ (с 0,7; лед. CH_3COOH). 150 мг гидразида ацетил-сер-тир-сер-мет-глутамин (VII пептид) в 5 мл 1 н. HCl превращают в азид VII (VIII), обработкой 15 мг $NaNO_2$ в 2 мл воды при 0° и конденсируют с 0,1 г VI и 0,01 мл $N(C_2H_5)_3$ в 5 мл диметилформамида через 68 час. (0—3°), прибавляют еще 30 мг VIII и оставляют еще на 52 часа при 0—3°. После упаривания остаток растворяют в эфире и получают 180 мг в-ва с активностью $5,4 \cdot 10^6$ м.е./г. Его очищают методом противоточного распределения и двукратным препаративным электрофорезом в 0,1 М пиридинацетате при pH 5,1 и получают II, $[\alpha]^{25}_D - 40,8^\circ$ (с 0,5; 10%-ная CH_3COOH). 323 мг VIII конденсируют с 234 мг амида гис.-фал.-арг.-трип.-глин.-N⁶-формил-лиз.-прол.-валина в 10 мл ДМФА и 0,028 мл $N(C_2H_5)_3$, через 120 час. добавляют 2 мл $HSCN_2COOH$ и оставляют при 37° под N_2 на 72 часа, упаривают, очищают противоточным распределением и получают III, выход 156 мг; $[\alpha]^{25}_D - 43,8^\circ$ (с 0,6; 10%-ная CH_3COOH). Ниже перечисляются м.е./г. для I, II, III: $1,5 \cdot 10^6$, $2,0 \cdot 10^6$, $0,6 - 2,2 \cdot 10^6$. Все аминокислоты L-формы. Сообщение XVI см. РЖХим, 1961, 7Ж300.

В. Максимов

9Ж306. О пептидах. XVI. Глицил-L-валилглицил-L-аланилглицил-L-тирозин. Zahn Helmut, La France Norman H. Über Peptide. XVI. Glycyl-L-valylglycyl-L-alanyl-glycyl-L-tyrosin. «Hoppe-Seyler's Z. physiol. Chem.», 1960, 319, 143—150 (нем.; рез. англ.).—Синтезировали глицил-L-вал-глицил-L-ал-глицил-L-тирозин (I) методом смешанных ангидридов из карбобензоэкс (кбз)-глицил-L-вал-глицина (II) и L-ал-глицил-L-тирозина (III). I использован для идентификации пептида (IV), выделенного из химотрипсинового гидролизата фибрина шелка (см. РЖХимБх, 1956, № 10, 9430). I и IV имеют одинаковые R_f в 2 системах р-рителей (A — $etor-C_4H_9OH : HCOOH : H_2O$, 75 : 15 : 10 и лутидин : коллидин, 1 : 1), но ведут себя различно при электрофорезе на бумаге (7000 Å, 14 ма, $HCOOH : CH_3COOH$, pH 1,9). Сделан вывод, что IV состоит более чем из 6 аминокислотных остатков. К 0,2 моля гидразида кбз-глицина (см. Erlanger B. F., Brand E., J. Amer. Chem. Soc., 1951, 73, 3508) в 240 мл лед. CH_3COOH , 96 мл 5 н. HCl и 1 л воды при -5° прибавляют по каплям водн. р-р 0,26 моля $NaNO_2$ при перемешивании. Азид экстрагируют 1 л эфира, р-р промывают, быстро сушат и фильтрат добавляют к сухому эфирному р-ру 0,2 моля этилового эфира L-валина. Через 36 час. (~20°) р-р упаривают и получают этиловый эфир кбз-глицил-L-валина (V), выход 75% (масло). 0,15 моля V в 200 мл спирта нагревают 1 час с 20 г 93%-ного гидразида и оставляют на 20 час. (~20°). Р-р упаривают вдвое, выпадает гидразид кбз-глицил-L-валина (VI), выход 42,5%, т. пл. 190—191° (из сл.эф. и затем воды), $[\alpha]^{25}_D - 19 \pm 0,5^\circ$ (с 2; лед. CH_3COOH). Азид, полученный из 60 молей VI и 70 ммелей $NaNO_2$ в этилацетате-эфире (1:1) смешивают с 100 ммелями этилового эфира глицина. Через 24 часа при ~20° и 12 час. при 0° выделяют этиловый эфир кбз-глицил-L-вал-глицина (VII), выход 80,5%, т. пл. 163—165° (из этилацетата и эф.), $[\alpha]^{25}_D - 36 \pm 0,5^\circ$ (с 2; лед. CH_3COOH). После омыления 30 ммелей VII 18 мл 2 н. NaOH в 225 мл CH_3OH (1 час, 37°) р-р подкисляют 2 н. HCl и упаривают; получают II, выход 68%, т. пл. 189—191° (из воды), $[\alpha]^{25}_D - 9,5 \pm 0,5^\circ$ (с 1; ацетон), $[\alpha]^{25}_D - 31,5 \pm 0,5^\circ$ (с 1; 0,05 н. NaOH), R_f 0,46 (B — $etor-C_4H_9OH + 10\%$ -ный NH_4OH , 85 : 15). После гидрирования 6 ммелей II в 100 мл CH_3OH (с несколькими каплями лед. CH_3COOH) над Pd (из 1 г $PdCl_2$) фильтрат упаривают и получают глицил-L-вал-глицин (VIII), выход 86%, т. пл.

222—226° (разл.; из сл. вода, 4 : 1); $[\alpha]^{25}_D - 43,5^\circ$ (с 2; вода), R_f 0,28 (A), 0,66 (80% фенол — B), pK (NH_3^+) 8,02 pK (COOH) 3,45. Из 45 ммелей гидразида кбз-ал-глицина (Smith E. C., Bergmann M., J. Biol. Chem., 1944, 153, 627) в 100 мл лед. CH_3COOH , 25 мл конц. HCl и 350 мл H_2O добавлением 50 ммелей $NaNO_2$ при -5° готовят азид, который извлекают в 750 мл этилацетата и смешивают с р-ром 50 ммелей хлоргидрата бензильного эфира L-тирозина, 50 ммелей $(C_2H_5)_3N$ в $CHCl_3$. Смесь оставляют на 24 часа и затем упариванием получают бензильный эфир кбз-L-ал-глицил-L-тирозина (IX), выход 67% (сироп). Гидрированием 30 ммелей IX в 100 мл спирта над Pd получают полу-гидрат III, выход 78% (неочищ.), т. пл. 202—204° (из водн. сл.). 220—230° (разл.), $[\alpha]^{25}_D + 53,0^\circ$ (с 2; вода), R_f 0,36 (A), 0,73 (B), pK (фенольный OH) 9,78, pK (NH_3^+) 7,92, pK (COOH) 3,15. К смеси 6 ммелей II в 150 мл тетрагидрофурана и 6 ммелей $(C_2H_5)_3N$ при -10° прибавляют при перемешивании 6 ммелей $SiCOOC_2H_5$. Через 10 мин. к фильтрату медленно добавляют р-р 6,3 ммелей III в 12,6 мл I NaOH (pH 8,0). Через 2 часа (20°) добавляют эфир, водн. слой отделяют, подкисляют и получают кбз-глицил-L-вал-глицил-L-тирозин (X), выход 83% (масло), R_f 0,24 (B), 5 ммелей X в 100 мл 50%-ного спирта (с несколькими каплями лед. CH_3COOH) гидрируют над Pd чернью при 40°. Фильтрат упаривают в вакууме, получают полутират I, выход 79%, т. пл. 206—208° (разл.; из водн. сл.), $[\alpha]^{25}_D - 18,25^\circ$ (с 2; вода), R_f 0,32 (A), 0,94 (B); pK (фенольный OH) 9,8, pK (NH_3^+) 7,75, pK (COOH) 3,32. Для I, III и VIII приведены ИК-спектры. Сообщение XV см. РЖХим, 1961, 7Ж297.

М. Коновалова

9Ж307. Реакционная способность эфиров аминокислот как моделей аминокислотной РНК. II. Zachau Hans Georg, Karau Wolfgang. Reaktionsfähige Aminosäureester als Modelle der Aminoacylribonucleinsäure. II. «Chem. Ber.», 1960, 93, № 8, 1830—1839 (нем.).—С целью выяснения влияния циклического кислорода в соседней 3'(2')-гидроксильной группы рибозы на характер связи РНК-аминокислота в аминокислотированной растворимой РНК (см. сообщение I РЖХим, 1961, 5Ж337) синтезированы O-Р-производные 3-окситетрагидрофурана (I), циклопентанола (II), цикло-III и транс-3,4-диокситетрагидрофурана (IV), цикло-V и транс-1,2-диоксидициклопентана (VI) [где R la-Val ацетил, 16—V16 глицил, 1a—V1a валил, 1r—V1r карбобензоэкс (кбз)-глицил, 1d—V1d кбз-валил] и изучена кинетика их р-ции омыления и р-ции с NH_4OH . Показано, что наличие циклического кислорода значительно увеличивает реакционную способность эфиров. Благодаря влиянию соседней с эфирной связью гидроксильной группы эфиры III—VI омыляются и реагируют с NH_4OH значительно легче, чем эфиры I и II, при этом влияние *цис*-гидроксила более существенно, чем *транс*-гидроксила. По мнению авторов, последнее обстоятельство объясняется возникновением карбонного иона при образовании водородной связи между карбонильным кислородом и гидроксильным, что облегчает нуклеофильную атаку. Установлено, что эфиры глицина более реакционноспособны, чем валина и CH_3COOH . 70 г 2,5-дигидрофурана окисляют надмурмановой к-той (Org. Syntheses, 1948, 28, 35) образовавшийся эфир омыляют, р-р нейтрализуют CH_3COOH , упаривают в вакууме, остаток экстрагируют диоксаном и IV перегоняют при 180—185° (т-ра бани)/17 мм, выход IV 33%. Аналогично получают из мезоэритрита III (РЖХим, 1958, № 2, 4508), перегоняют при 160—170° (т-ра бани)/0,2 мм, выход 51%. V и VI получают из циклопентана по описанному методу (Owen L. N., Smith P. N., J. Chem. Soc., 1952, 4026). Для получения 1r—V1r и 1d—V1d соответствующую кбз-аминокислоту и N,N' -карбондидимидазол (в соотношении 1 : 1,1) кипятят 1 час в 30 мл тетрагидрофурана (ТГФ), прибавляют

I—VI (1,1 моля на 1 моль α -аминокислоты) в 10 мл ТГФ, кипятят 1 час, сгущают в вакууме, остаток растворяют в 50 мл CHCl_3 , промывают насыщ. р-ром NaHCO_3 и пропускают через кизельгуровую колонку, в-ва вымывают смесью ацетон- CHCl_3 (15:85); в идентичности эфиров убеждаются с помощью тонкослойной хроматографии (Dünnschicht Chromatographie) [система CHCl_3 -ацетон (85:15)], хроматограммы проявляют по описанному методу (Rydon H. N. Smith P. W. G., Nature, 1952, 169, 922). Фракции, содержащие моноэфиры, упаривают в вакууме; ниже перечисляются название в-ва, выход в %, т. пл. в °C: Ig 89 (масло), Id 91 (масло), Ig 81 (масло), Id 30 (масло), IIIg 32, 71 (из бел.-петр. эф.), IIId 61 (масло), IVg 31, 66 (из толуола), IVd 52 (масло), Vg 41, 63,5—65 (из бел.-петр. эф.), VId 60 (масло). 4 ммоль α -глицина и 4,8 ммоль IV оставляют на 24 часа с 3 ммольми дициклогексилкарбодиимидом в 7 мл сухого пиридина при $\sim 20^\circ$, р-р упаривают в вакууме, остаток промывают петр. эфиром, растворяют в CHCl_3 и хроматографируют вышеописанным способом, выход IVg 40%. I и Ig—VIg и Id—IVd гидрируют в 10 мл лед. CH_3COOH над PtO_2 , CH_3COOH удаляют вымораживанием, остаток растворяют в спирте, прибавляют спирт, р-р щавелевой к-ты и оксалаты Iб—VIб и Ib—IVb высаживают эфиром и перекристаллизовывают (из сл. эф.), выход 40—90%, т. пл. Iб 143—144°, Ib 142—143°, Iв 165—167°, IIб 165—167°, IIб 146—147°, IIв 149°, IVб 136—137°, IVв 136—160—161°, VIб 135—137°. Ia, IIa и IVa получают взаимодействием CH_3COCl с I, II и IV в ТГФ, т. кип. Ia 62°/12 мм, IIa 82—83°/0,5 мм, IVa 86—97°/0,3 мм. 40 μ моля эфира I—VI омыляют в атмосфере N_2 при pH 9,8, за ходом гидролиза следят с помощью титрования: $k \times 10^{-4}$ (в сек.⁻¹) и время полураспада (в мин.) равно 1,5 и 75 для Iб, 10 и 11 для IIб, 1,2 и 100 для IIIб, 3,4 и 35 для IVб, 0,43 и 270 для IVв, 1,5 и 77 для Vб и 1,2 и 94 для VIб (для остальных эфиров данные не могли быть получены с достаточной точностью вследствие крайне высокой или крайне малой скорости гидролиза). Гидроксомовая р-ция эфиров I—VI изучалась в описанных условиях (см. сообщение I) $k \times 10^{-4}$ (в сек.⁻¹) и время полураспада (в мин.) при pH 6 и 0 равно 9,5 и 12 для IIб 0,6 и 100 для IIIб, 3,2 и 37 для IVб, при pH 6 и 35° 10 и 11 для Iб, 7,1 и 16 для IIа, 230 и 0,51 для IIIб, 14 и 8,3 для IIIв, 2,7 и 42 для IVа, 77 и 4,5 для IVб, 6,1 и 19 для IVв, 5,9 и 20 для Vб и 6,2 и 19 для VIб, при pH 8 и 35° 5,1 и 22 для Ia, 71 и 1,6 для Iб, 3,1 и 37 для Ib, 3,2 и 36 для IIб, 3,4 и 3,4 для IVа, 20 и 5,7 для IVв, 31 и 3,7 для VIб.

А. Богданов
9Ж308. Упрощенные методы синтеза глицеридов. Hartman. Uproszczone metody syntezy glicerydów. «Wiadom. chem.», 1960, 14, № 7, 425—432 (польск.; рез. англ.). Обзор методов по синтезам глицеридов, α -глицеридов и β -моноглицеридов. Библ. 22 назв.

А. Краевский
9Ж309. Полнацетиленовые соединения. XXVII. Строение и синтез одного полиина из видов *Matricaria*. Bohlmann Ferdinand, Bornowski Hans, Herbst Peter. Polyacetylenverbindungen. XXVII. Konstitution und Synthese eines Polyins aus *Matricaria*-Arten. «Chem. Ber.», 1960, 93, № 9, 1931—1937 (нем.).—Из корней *Matricaria chamomilla* L. и *M. discoidea* DC. выделен ацетат тридекадиин-9,11-триен-3,5,7-ола-1 (I), названный авторами «хамомилла-эфир». Строение I установлено с помощью хим. превращений, спектральных исследований и его синтеза. При гидрировании I получают ацетат n -тридеканола (II), а при омылении тридекадиин-2,4-триен-3,5,7-ола-1 (III) получают гексадиин-2,4-карболовую-1 к-ту (IV). Для синтеза I исходный октадиин-4,6-ен-2-аль-1 (V) переводят в ацеталь (VI), который конденсируют с $\text{CH}_2=\text{CHOH}$. Полученный при этом эфироацеталь (VII) гидролизуют в кислой среде в декадиин-6,8-диен-2,4-

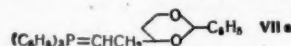
аль-1 (VIII). Последний вводят в р-цию Виттига с фосфониевой солью (γ -бромпропил)-тетрагидропиранового-2 эфира $[\text{RO}(\text{CH}_2)_3\text{P}(\text{C}_6\text{H}_5)_3]$, здесь и всюду далее R = тетрагидропиранил-2)] (IX) и продукт конденсации расщепляют в III, который ацетируют в I, идентичный природному соединению. ИК-спектрами в условиях синтеза определена конфигурация I как полностью транс. Для изучения физ. свойств соединения с противоположной хромоморфной системой авторами получен ацетат тридекадиин-3,5-триен-7,9,11-ола-1 (X). Из $(\text{C}_6\text{H}_5)_3\text{PNHBr}$ (XI) и пентен-2-ин-4-ола-1 (XII) по р-ции Виттига получают нонатриен-3,5,7-ин-1 (XIII), который конденсируют с ацетатом бутин-3-ола-1 (XIV) с одновременным окислением. При этом получают смесь X, октадекадиин-8,10-гексатриен-2,4,6,12,14,16 (XV), диацетата октадиин-3,5-диола-1,8 (XVI), разделяемую хроматографированием на Al_2O_3 . 3 кг корней *M. discoidea* DC. извлекают смесью эфир + петр. эфир (1:1) и упаривают. Остаток извлекают петр. эфиром и фильтруют через 250 г Al_2O_3 . Элюат подвергают повторному хроматографированию [вымывание производят смесью петр. эфир + эфир (30:1)]. Получают масло, содержащее согласно УФ-спектру 0,2 и 1. Из петр. эфира получают 25 мг I, т. пл. 65—66,5°. 1,5 г масла, содержащего 0,15 г I, растворяют в 40 мл CH_3OH и выдерживают 2 часа с 1 г КОН в 10 мл воды. Затем к смеси прибавляют воду, извлекают эфиром и хроматографируют на 50 г Al_2O_3 (вымывание производят эфиром). Получают III, выход 70 мг, т. пл. 86,5° (из эф. + петр. эф.). 15 мг III в 5 мл лед. CH_3COOH озонируют при 0°, упаривают, озонид растворяют в 0,5 мл диоксиана и нагревают с 2 мл 10%-ной H_2O_2 (15 мин., 80°) и подвергают обычной обработке. Получают IV, которая с CH_2N_2 дает метиловый эфир 4-пропанилгексакарбонной-3 к-ты (IVa), выход 2,3 мг, т. пл. 99° (из эф.). 8 мг I в 5 мл CH_3COOH гидрируют над PtO_2 в II; при нагревании I с малеиновым ангидридом в C_6H_6 (2 часа, 90°) получают соответствующий аддукт (Ia). Р-р 2,7 г V (РЖХим, 1959, № 5, 15562) в 8 мл $\text{CH}(\text{OC}_2\text{H}_5)_3$ выдерживают 24 часа при $\sim 20^\circ$ с 2 мл $n\text{-CH}_3\text{C}_6\text{H}_4\text{SO}_3\text{H}$ в 8 мл CH_3OH , затем извлекают эфиром, упаривают. Получают VI, выход 3,95 г, т. кип. 102° (т-ра бани)/0,01 мм. 3,9 г VI смешивают с 0,3 мл 10%-ного р-ра ZnCl_2 в CH_3COOH и постепенно прибавляют при 40—45° и перемешивании 2 г $\text{CH}_2=\text{CHOC}_2\text{H}_5$, выдерживают 1 час при 45°, разбавляют эфиром и промывают разб. NaOH. Остаток после удаления р-рителя перегоняют, получают VII, выход 2,8 г, т. кип. 140° (т-ра бани)/0,01 мм. Р-р 2,6 г VII в 50 мл диоксиана, 10 мл воды и 1 мл 85%-ной H_3PO_4 нагревают (3 часа, 100°) в присутствии следов гидрохинона в атмосфере N_2 . Охлажд. реакционную смесь выливают на лед, нейтрализуют, извлекают эфиром и хроматографируют на Al_2O_3 (вымывают смесью петр. эф. + эф., 10:1). Получают VIII, выход 1,1 г, т. пл. 140° (из эф. + петр. эф.). К 10 г диэдрипропана прибавляют при перемешивании 2 капли POCl_3 и 13,9 г 3-бромпропанола-1. После охлаждения реакционную смесь перегоняют при 111—112° (т-ра бани)/12 мм, растворяют в петр. эфире и фильтруют через Al_2O_3 . После удаления р-рителя получают бромэфир $\text{RO}(\text{CH}_2)_3\text{Br}$, выход 14,4 г. 5 г бромэфира, нагревают с 6,5 г трифенилфосфина в 50 мл абс. эфира (36 час., 100°, в трубке). Полученный неочищ. IX кипятят с C_6H_6 и сушат 4 часа при 120° в вакууме, выход чистого IX 3 г, т. пл. 238° (разл.). 1,14 г IX в 40 мл абс. эфира смешивают с 2,6 мл 1,2 н. эфирного р-ра $n\text{-C}_4\text{H}_9\text{Li}$, через 10 мин. прибавляют р-р 220 мг VIII в 20 мл абс. эфира и кипятят 3 часа. Образовавшийся осадок растворяют в 10 мл CH_3OH и 10 мл 10%-ной H_2SO_4 , извлекают эфиром, нейтрализуют NaHCO_3 и упаривают в вакууме. К остатку прибавляют 25 мл CH_3OH и оставляют с 7 мл разб. H_2SO_4 на 15 час. при $\sim 20^\circ$. Реакционную смесь нейтрализуют NaHCO_3 , упаривают, разбавляют водой, извлекают эфиром, сушат и упарива-

ют. Р-р остатка в петр. эфире-эфире (1:1) фильтруют через Al_2O_3 . Получают III, выход 0,2 г, III ацетируют 10 мл $(\text{CH}_3\text{CO})_2\text{O}$ (2 часа, $\sim 100^\circ$) в I. Выход 0,1 г, т. пл. $68,5^\circ$ (из петр. эф.). ИК-спектры I и природного соединения полностью идентичны. 20 г XI размельчают в 120 мл эфира, смешивают с 0,045 моля $n\text{-C}_4\text{H}_9\text{Li}$ в эфире, перемешивают 1 час и к полученному члену $\text{ROCH}_2\text{CH}_2\text{CH}=\text{P}(\text{C}_2\text{H}_5)_2$ прибавляют 3 г XII в 40 мл абс. эфира. Реакционную смесь перемешивают 1 час, фильтруют и остаток перегоняют. Получают XIII, выход 50%, т. кип. 50° (т-ра бани) / 0,01 мм. 1,2 г XIII смешивают с 10 г XIV в 150 мл CH_3OH , с 20 г CuCl , 60 г NH_4Cl в 150 мл воды и устанавливают pH 4,5. После 4 час. встряхивания с O_2 реакционную смесь разбавляют водой, извлекают эфиром, упаривают и остаток хроматографируют на Al_2O_3 . При вымывании петр. эфиром получают XV, выход 60 мг, т. пл. $143\text{--}146^\circ$ (реал.; из петр. эф.). При использовании смеси петр. эфир + эфир (4:1) получают X, выход 1 г, т. пл. $82,5^\circ$ (из петр. эф.); омыляется метанольным р-ром КОН в соответствующую к-ту, т. пл. $90\text{--}91^\circ$ (из эф. + петр. эф.). Из эфирного элюата выделяют XVI, выход 4 г, т. пл. $61,5^\circ$ (из CH_3OH -эф.). Приведены 2 (макс.) УФ-спектров для природных и синтетич. I, Ia, III, VI, VIII, X, XIII—XV, а также ИК-спектры I, IVa, VIII, XIII, X. Часть XXVI см. РЖХим, 1960, № 23, 92534. Г. С.

9Ж310. Полиацетиленовые соединения. XXVIII. О полиинах *Anthemideae* L. Bohlmann Ferdinand, Arndt Christian, Bornowski Hans. Polyacetylenverbindungen. XXVIII. Über weitere Polyline aus dem Tribus *Anthemideae* L. «Chem. Ber.», 1960, 93, № 9, 1937—1944 (нем.).—Из корней *Artemisia pontica* L. экстракцией и хроматографированием на Al_2O_3 выделяют полиин, названный авторами «понтика-эпоксида» $\text{C}_{13}\text{H}_{10}\text{O}$ (I). УФ-спектр I показал наличие триненового хромофора, а ИК-спектр — кислородной функции. Для установления структуры I гидролизуют в тридекатриин-7,9,11-диен-1,5-диол-3,4 (II), который подвергается двойной аллильной перегруппировке в тридекатриин-7,9,11-диен-3,5-диол-1,2 (III). При расщеплении II и III H_2O , получают декастриин-4,6,8-ен-2-аль-1 (IV), гидрируемый в n -деканол, HCHO и $\text{CH}_2=\text{CHCHO}$. На основании данных результатов для I предложена структура тридекатриин-7,9,11-ен-1-эпоксида-3,4. Из «корней *Tanacetum vulgare* L. теми же методами выделяют I, тиофеновое производное (V) (РЖХим, 1960, № 13, 52198), артемизана-кетон (VI) (РЖХим, 1956, № 22, 71835), ацетиленовое соединение неизвестной структуры, обозначенное, как в-во «319» (VII). Кроме того, выделяют соединение, содержащее триненовый хромофор (VIII), при гидрировании дает спирт, идентифицированный с помощью газовой хроматографии как первичный C_{14} -спирт. Однако VII не идентичен тетрадекатриин-8,10,12-ен-6-олу-3 (IX) и тетрадекатриин-8,10,12-ен-6-олу-5 (X), строение VIII полностью не выяснено. Из *T. vulgare* выделяют 1-карботокситетрадекатриин-8,10,12-диен-4,6 (XI), строение которого установлено на основании изучения ИК- и УФ-спектров гидрирования соответствующего ему спирта в первичный n -тетрадеканол. 2,5 кг корней *A. pontica* экстрагируют смесь эфир + 10% петр. эфира, упаривают и хроматографируют в-ва, растворимые в петр. эфире, на 250 г Al_2O_3 . Вымывание I производят петр. эфиром + 2% эфира, выход 0,25 г, т. пл. 66° (из петр. эф.), $[\alpha]_D^{20} + 201^\circ$ (с 1; ацетон). Из части экстракта, нерастворимой в петр. эфире, выделяют соединение неизвестного строения (XIII), т. пл. $129,5^\circ$ (из эф.). Согласно УФ- и ИК-спектрам XIII содержит лактоновую и свободную OH-группы, с $(\text{CH}_3\text{CO})_2\text{O}$ дает О-ацетат, при гидрировании в присутствии Pt поглощает моль H_2 . 70 мг I в 10 мл диоксана и 5 мл 5%-ной H_2SO_4 нагревают 5 мин., охлаждают, перемешивают 45 мин. с 0,2 г NaIO_4 , извлекают эфиром, упаривают. Получают IV, т. пл. $103\text{--}104^\circ$ (из петр. эф.). 45 мг IV восстанавливают

NaBH_4 и Pd/BaSO_4 в n -деканол. Из водн. части выделяют 2,4-динитрофенилгидразон (ДНФГ) HCHO . При проведении расщепления в вакууме с охлаждаемой ловушкой получают акролеин, выделяемый в виде ДНФГ. 20 мг корней *T. vulgare* экстрагируют смесь петр. эфир-эфир, 10:1, упаривают, остаток перемешивают с той же смесью, нерастворимую часть отфильтровывают и р-р хроматографируют на 400 г Al_2O_3 . Из петр. эфирного элюата выделяют I, выход 0,1 г, т. пл. 61° (из петр. эф.), идентичен соединению из *A. pontica*. При вымывании смесью петр. эфир + 5% эфира получают V, т. пл. 101° (из петр. эф.). Из элюата петр. эфир + 10% эфира выделяют смесь в-в, из которой многократным хроматографированием и кристаллизацией выделяют VI, т. пл. 57° (из петр. эф.), и VII, т. пл. $82\text{--}84^\circ$ (из эф.-петр. эф.). Для полного отделения VI смесь VI и VII восстанавливают LiAlH_4 , и эфирный р-р хроматографируют на Al_2O_3 . Общий выход VII 1,6 г. При вымывании эфиром получают XI, очищаемый повторной хроматографией (эф.-петр. эф., 4:1), выход 30 мг, т. пл. $31,5^\circ$ (из петр. эф.). При хроматографировании на Al_2O_3 XI частично омыляется в XII, т. пл. 104° (из эф.); эфир азобензолкарбонной к-ты (ЭАБК) (XIV), т. пл. 117° (из петр. эф.). XIV озонируют в этилацетате 2,5 моля O_3 и озонид разлагают смесью диоксан-вода. Нейтр. часть содержит XIV. При хроматографировании спирт. фракция, полученной омылением неочищ. XI на Al_2O_3 , выделяют VIII, выход 10 мг; ЭАБК, т. пл. $115\text{--}119^\circ$. VI гидрируют KBH_4 в CH_3OH , полученное масло фильтруют через Al_2O_3 и переводят в ЭАБК IX, т. пл. 78° (из петр. эф.). 0,5 г IV смешивают с избытком $n\text{-C}_4\text{H}_9\text{MgBr}$ в эфире, через 5 мин. разлагают р-ром NH_4Cl и полученный X хроматографируют на Al_2O_3 ; ЭАБК, т. пл. 67° (из петр. эф.). Приведены кривые УФ-спектров для I, XI, кривая ИК-спектра для I, данные по УФ-спектрам для I, IV, V, VII, VIII, ЭАБК IX, ЭАБК X, XI—XIV, данные по ИК-спектрам для I, IV, V, VII, VIII, XI—XIV. Г. Серебрянников

9Ж311. Полиацетиленовые соединения. XXIX. Синтез главного полиина из *Centaurea cyanus* L. Bohlmann Ferdinand, Ruhnke Joachim. Polyacetylenverbindungen. XXIX. Synthese des Hauptpolyins aus *Centaurea cyanus* L. «Chem. Ber.», 1960, 93, № 9, 1945—1947 (нем.).—Для синтеза 1,3-диацетоксипентадекатриен-5,7,13-диена-9,11, названного авторами «центаур X» (I), исходный 1,3,5-триацетоксипентан (II) (из $\text{CH}_2=\text{CH}(\text{CH}_2)_2\text{OH}$ по р-ции Принса) омыляют в триол (III), который при взаимодействии с $\text{C}_6\text{H}_5\text{CHO}$ дает соответствующий ацеталь (IV), его переводят в йодид (V) через стадию получения эфира n -толуолсульфонилоты (ТСК) (VI). V дает с $(\text{C}_6\text{H}_5)_3\text{P}$ фосфониевую соль



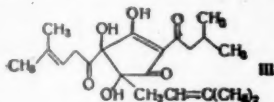
(VII), переводимую с помощью $n\text{-C}_4\text{H}_9\text{Li}$ в соответствующий член (VIIa). Последний конденсируют с декадилен-4,6-ен-8-алем-1 (матрикарнаналем) (VIII), полученный ацеталь (IX) гидролизуют в 1,3-диоксипентадекатриен-5,7,13-диин-9,11 (X), при ацетилировании X получают I, идентичный природному соединению по ИК- и УФ-спектрам. 17 г II кипятят 2 часа с 100 мл 15%-го метанольного р-ра HCl . После удаления р-рителя получают III, выход 97%, т. кип. $130\text{--}140^\circ$ (т-ра бани) / 0,03 мм. 8 г III кипятят 48 час. с 6,9 г $\text{C}_6\text{H}_5\text{CHO}$ и 30 мл ТСК в 60 мл C_6H_6 . Остаток после удаления р-рителя извлекают эфиром, промывают до нейтр. р-ции, сушат Na_2SO_4 . Выход IV 60%, т. кип. $115\text{--}120^\circ$ (т-ра бани) / 0,7 мм. Р-р 8,4 г IV в 4 мл пиридина выдерживают 24 часа с 8 г $n\text{-CH}_3\text{C}_6\text{H}_4\text{SO}_2\text{Cl}$, выливают в воду, извлекают CHCl_3 , упаривают, получают VI, выход 5,2 г, т. пл. $74,5^\circ$ (из эф.). 933 мг VI кипятят 36 час. с 424 мг NaI в 7 мл сухого ацетона, фильтруют, маточный р-р упаривают, остаток после упаривания разбавляют водой, из-

влекают р-ром $\text{K}_2\text{Cr}_2\text{O}_7$ хроматом CH_2Cl_2 , в V нагнать $(\text{C}_6\text{H}_5)_3\text{P}$ фильтруют, 87,5%, т. абс. эфир. лентным реакцией по не тят 1 час HCl , упаривают, 0,6 г IX, 0,55 г ТСК, промывают, фильтруют, ривают в лизуют из Al_2O_3 , 75 мг X, от хрома эфир (XI), ления эф. прессии, УФ- и ИК- 9Ж312. Verzel of humul (англ.).— ниса р-р № 10, 3383. Получени

для III с 39752) II п в CH_3OH с тоном р смеси 15 CH_3OH с ф фенилден 9Ж313. кой цепи Natural (weekbl.), 38 назв. 9Ж314. Grover g pulvinic а (англ.).— рзусется нейтр. р-р 121° и п-6 конденсат шем шел. акс-2,5-диг мола (VI) ретения II к-ты 1934, 67, 15 ромфенил вылинии на 4-бром-1-4-бромб- MnO_2 дал ссением XI ан

влекают эфиром. Эфирный р-р промывают 10%-ным р-ром КОН, водой, сушат Na_2SO_4 и упаривают. Остаток хроматографируют на Al_2O_3 (вымывание производят C_6H_6), выход VI 82,8%, т. кип. 130–140°/0,01 мм. 1,63 г V нагревают (72 часа, 100° в бомбе) с р-ром 2 г $(\text{C}_6\text{H}_5)_3\text{P}$ в 15 мл абс. эфира. Выпавшие кристаллы отфильтровывают, промывают C_6H_6 , эфиром, выход VII 87,5%, т. пл. 207–209°. 2,614 г VII суспендируют в 90 мл абс. эфира и при перемешивании смешивают с эквивалентным кол-вом $n\text{-C}_4\text{H}_9\text{Li}$ в эфире. Через 15 мин. к реакционной смеси, не выделяя из нее VIIa, прибавляют по каплям р-р 0,52 г VIII в 3 мл абс. эфира, кипятят 1 час, фильтруют. Эфирный р-р промывают разб. HCl, упаривают, IX хроматографируют на Al_2O_3 . Р-р 0,6 г IX в 70 мл CH_3OH кипятят 5 час. с 2 мл воды, 0,55 г TSK упаривают, остаток растворяют в эфире, промывают р-ром NaHSO_4 . 0,37 г неочищ. диола X ацетилируют (кипятиение 30 мин.) с 10 мл $(\text{CH}_3\text{CO})_2\text{O}$. Упаривают в вакууме, остаток растворяют в эфире, нейтрализуют и после удаления эфира I хроматографируют на Al_2O_3 (вымывание производят петр. эф.-эф., 1:3), 75 мг X этилифицируют $n\text{-C}_4\text{H}_9\text{N}=\text{NC}_6\text{H}_5\text{COCl}$ и очищают хроматографированием, получают соответствующий эфир (XI), т. пл. 94–95° (из эф.). Смешанная т-ра плавления эфиров из синтетич. и природного X не дает депрессии, УФ- и ИК-спектры их идентичны. Приведены УФ- и ИК-спектры для XI.

Г. Серебренникова
9Ж312. О строении гумулинона: Shoolery J. N., Verzele M., Alderweireldt F. On the structure of humulinone. «Tetrahedron», 1960, 9, № 3–4, 274–274 (англ.).—Изучены спектры ядерного магнитного резонанса р-ром гумулона (I), дигидро-I (II) (РЖХим, 1960, № 10, 38830 гумулинона (III) в дейтерированном CHCl_3 . Полученные данные свидетельствуют в пользу ф-лы

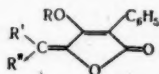


для III с пятичленным циклом (РЖХим, 1958, № 12, 3752). II получают при частичном гидрировании р-ра I в CH_3OH с 5% PtO_2 при pH 5 с последующим противоточным распределением продукта между изоктаном и смесью 15% $(\text{HOCH}_2\text{CH}_2)_2\text{N}$, 0,6 н. HCl и 25% $\text{HOCH}_2\text{CH}_2\text{OH}$ с pH 7,6 и кристаллизацией комплекса II с о-фенилендиаминном.

А. Усов
9Ж313. Природные хиноны с изопреноидной боковой цепью. Isler O., Rüegg R., Langemann A. Natural quinones with isoprenoid side chains. «Chem. weekbl.», 1960, 56, № 45, 613–621 (англ.).—Обзор. Библ. 38 назв.

9Ж314. Бромпроизводные пульвиновой кислоты. Grover P. K., Seshadri T. R. Bromo-derivatives of pulvinic acid. «J. Chem. Soc.», 1960, May, 2134–2138 (англ.).—При бромировании пульвиновой к-ты (I) образуется 4-бром-I (II). При окислении II KMnO_4 в нейтр. р-ре получают бензойную к-ту (III), т. пл. 120–121°, и п-бром-III (IV), т. пл. 250–251° (из воды); при конденсации II с о-фенилендиаминном (V) и последующем щел. расщеплении полученного 2-а-(4-п-бромфенил)-2,5-дигидро-3-окси-5-оксо-2-фурилиден-бензимидазола (VI) получен 2-бензилдиолбензимидазол (VII). Дегидратация II $(\text{CH}_3\text{CO})_2\text{O}$ дала дилактон п-бромпульвиновой к-ты (VIII), полученный (Asano, Kameda, Berg, 1954, 67, 1522) из 4-бромбензиланида (IX) через α-п-бромфенил-β,β-диоксо-α'-фенилдиолдинитрил (X). При окислении VIII водн. NaOH и гидролизе X была получена 4-бром-I (XI), из которой (аналогично VII) получен (4'-бромбензил)-бензимидазол (XII); окисление XI KMnO_4 дало III и IV. Строение II и XI подтверждено окислением их метиловых эфиров HJO_4 . Стереизомерия XI аналогична стереоизомерии пинастровой к-ты

(см. РЖХим, 1959, № 12, 42571). Бромирование 5 г I в 100 мл CHCl_3 1 мл Br_2 при ~20° дало 3,8 г II, т. пл. 207–208° (из CH_3COOH). Конденсацией 1 г II с 0,50 г V (4 часа 200°) в 25 мл N,N-диметиламина получено 0,39 г VI, т. разл. 332–334° (из этилацетата-петр. эф.). 0,3 г VI (кипятили 5 час. в 10 мл 15%-ного р-ра КОН в абс. спирте; получили VII, т. пл. 185–187° (из этилацетата-петр. эф.). При дегидратации 100 мг II или XI (30 мин., 140°) в 5 мл $(\text{CH}_3\text{CO})_2\text{O}$ образуется VIII, выход 85 мг, т. пл. 210–212° (из бал.). К охлажд. р-ру 1,3 г Na в 15 мл абс. спирта прибавили при перемешивании 12 г IX и 20 мл диэтилоксалата. После 1,5 час. кипячения получен этиловый эфир α-п-бромфенил-α-цианоэтироноградной к-ты (XIII), выход 18,0 г, т. пл. 146–147° (из CS_2). К р-ру 0,9 г Na в 15 мл абс. спирта прибавили 8 г XIII, а затем 4,8 мл бензилцианида и смесь кипятили 2 часа, получили X, выход 2,9 г, т. пл. 272–273° (разл. при 257°; из CH_3COOH). Кипятиение 1 г X в смеси 16 мл CH_3COOH , 8 мл конц. H_2SO_4 и 10 мл воды дало транс-транс-XI, выход 0,3 г, т. пл. 212–213° (из CH_3COOH). Транс-транс-XI получают также при омылении 2%-ными NaOH или Ba(OH)₂ VIII или метилового эфира XI. Конденсация 1 г XI с 0,5 г V (аналогично VI) дала 2-[4-бром-α-(2,5-дигидро-3-окси-5-оксо-4-фенил-2-фурилиден)-бензил]-бензимидазол (XIV), выход 0,35 г, т. разл. 346–348° (из этилацетата-петр. эф.); из 0,3 г XIV (аналогично VII) получен XII, т. пл. 212–213° (из этилацетата-петр. эф.). XII получен также нагреванием (2 часа, 180°) акцимоляриды кол-в V и п-бромфенилуксусной к-ты (XV). Конденсацией 1 г VIII и 0,48 г V (аналогично VI) получен XIV, выход 0,4 г, превращенный далее в XII. После получасовой обработки 1 г VIII 200 мл 2%-ного КОН в абс. CH_3OH и последующем подкислении реакционной массы из нее выделился осадок, часть которого растворилась в р-ре NaHCO_3 . Нерастворимая часть разделена кристаллизацией из бал. C_6H_6 на (XVI), т. пл. 154–156°, и (XVII), т. пл. 110–112°. Кристаллизацией в-в, полученных при подкислении растворенной в NaHCO_3 фракции, из C_6H_6 получены (XVIII), т. пл. 180–182°, и (XIX), т. пл. 126–128°. При омылении XVIII 2%-ным р-ром Ba(OH)₂ получена транс-цис-XI, т. пл. 226–228°. Из XVIII и XIX



XVI R = CH₃, R' = n-BrC₆H₄,
R' = COOCH₃; XVII R = CH₃,
R' = COOCH₃, R' = n-BrC₆H₄,
XVIII R = H, R' = n-BrC₆H₄, R' = COOCH₃, XIX R = H,
R' = COOCH₃, R' = n-BrC₆H₄.

получен XIV, а затем XII. XVI получен также при действии избытка CH_3I на XVIII, а XVII — на XIX или транс-транс-XI. При окислении XIX насыщ. водн. р-ром NaJO_4 (~20°) и омылении продуктов окисления 5%-ным р-ром NaOH получены XV (идентифицированная в виде амида, т. пл. 192–194°), III, т. пл. 120–121°, [R_f 0,59 (бутанол, насыщ. NH_3); шавелевая к-та (R_f 0,30). Нагреванием 1 г II в ацетоне с 0,27 мл диметилсульфата в присутствии K_2CO_3 в течение 3 час. получен метиловый эфир транс-транс-II (XX), т. пл. 130–132° (из CH_3OH). При аналогичном окислении XX получены IV, т. пл. 250–251°, и фенилуксусная к-та (п-толуидид, т. пл. 134–136°). Строение цис-транс-изомеров подтверждено данными УФ-спектров. Транс-транс-XI образует внутрикомплексное соединение. Приведены УФ-спектры VIII, XVIII, XIX и XX.

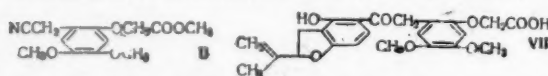
В. В.
9Ж315. Изучение флавоноида листьев кунжута. I. Строение гликозида педалиина. Morita Naokata. Studies on the flavonoid of sesame leaves. I. On the structure of the glycoside, pedaliin. «Chem. and Pharm. Bull.», 1960, 8, № 1, 59–65 (англ.).—Из листьев *Sesamum indicum* L. экстракции CH_3OH выделен новый флавоноид педалиин (I) $\text{C}_{22}\text{H}_{22}\text{O}_{12} \cdot 2,5 \text{ H}_2\text{O}$, выход 0,3%, т. пл. 254° (разл.; из пиридина + вода), [α]_D

+27,2° (с 0,294; пиридин-сп., 1:9), являющийся 7-глюкозидом 5,3',4'-триокси-6-метоксифлавона. Гидролизом 10%-ной H_2SO_4 получены глюкоза и агликон педальитили или 5,7,3',4'-тетраокси-6-метоксифлавоны (II), $C_{18}H_{12}O_7 \cdot \frac{1}{2}H_2O$, выход 65,92%, т. пл. 300—301° (из CH_3OH). Тетраацетат II, $C_{24}H_{20}O_{11} \cdot \frac{1}{2}H_2O$ (III), т. пл. 242—243° (из CH_3OH). При метилировании II CH_3N_2 образуется 7,3',4'-три-О-метил-II (IV), т. пл. 189—190° (из 70%-го CH_3OH). Метилирование II $(CH_3)_2SO_4$ ведет к тетра-О-метил-II (V), т. пл. 172—173° (из водн. CH_3OH). Моноацетат IV, т. пл. 179—180°. 5-О-этил-IV, т. пл. 151°. Исчерпывающим метилированием I $(CH_3)_2N_2$ с последующим гидролизом метилированного продукта 5%-ной H_2SO_4 получен 5,3',4'-три-О-метил-II (VI), т. пл. 221—222° (из 50%-ного CH_3OH). При деметилировании II с помощью HJ (160—165°, 5 час.) образуется 5,6,7,3',4'-пентаоксифлавоны $C_{18}H_{10}O_7 \cdot 2H_2O$ (VII), т. пл. > 325° (из CH_3OH). Пентаацетат VII, т. пл. 245—246°, не идентичен с III. После сплавления II с KOH выделена лишь протокатеиховая к-та (VIII). При кипячении с 25—30%-ным р-ром KOH (2—6 час., атмосфера N_2) из II получены 3,4-диоксиацетофенон и VIII, из V синтезирован 3,4,5-триметоксифенол, из IV выделены 4,5-диметоксирезорцин и вератровая к-та (IX), а из VI получен лишь IX. Действием $(C_2H_5)_2SO_4$ VI превращен в 7-О-этил-VI, т. пл. 160° (из водн. CH_3OH); из последнего, как и из 5-О-этил-IV при кипячении с 30%-ным р-ром KOH (6—8 час.), образуется, по-видимому, один и тот же не выделенный 3-этокси-4,5-диметоксифенол. Приведены кривые и данные УФ-спектров IV, VI, а также 7,3',4'- и 5,3',4'-три-О-метилптеолина.

Ю. Оводов
9Ж316. Полный синтез хлорофилла. Ито С. Total synthesis of chlorophyll. «Kagaku-no renki, Kagaku-no gyokai, J. Japan. Chem.», 1960, 14, № 10, 673—681 (японск.).—Изложение работы Вудурда (см. РЖХим, 1961, 5Ж408).

В. Ш.
9Ж317. Прямой синтез пригенина. Farkas L. and Varady Jozsef. Direkt-synthese des Irigenins. «Tetrahedron Letters», 1960, № 20, 23—24 (нем.).—См. РЖХим, 1961, 8Ж340.

9Ж318. Синтез и изучение конфигурации ротеинов. Часть XVIII. Полный синтез природного ротеиона. Miyano Masateru, Kobayashi Akio, Matsui Masanao. Synthese and configurational elucidation of rotenoids. Part XVIII. The total synthesis of the natural rotenone. «Bull. Agric. Chem. Soc. Japan.», 1960, 24, № 5, 540—542 (англ.).—2-ацетил-4-оксикумарон через его бензилый эфир с последующей р-цией Гриньяра превращен в 2-(α -оксизпропан-4-бензилоксикумарон (I). Гидрированием I над скелетным Ni получен дигидро-4, конденсация последнего по Гему с нитрилом (II)



и последующее омыление привели к смеси dl-, оксидигидродерривисовой к-ты (III), dl-хлордигидродерривисовой к-ты (IV) и изомеру III $C_{22}H_{20}O_5 \cdot CH_3OH$ (V), т. пл. 153—155°. III и IV разделены хроматографированием. Метилловый эфир III (с CH_3N_2) при обработке $POBr_3$ в пиридине дает дегидрированное соединение (VI), VI было превращено в dl-дерривисовую к-ту (VII) $C_{22}H_{20}O_5$, т. пл. 158—160° (из сп.). ИК-спектр VII идентичен спектру l-дерривисовой к-ты, полученной из природного ротеиона (VIII). l- α -Фенилэтиламин образует соль только с l-VII, т. пл. 162—163°, $[a]_D^{20} -46^\circ$ (с 2,72; хлф.), из соли выделена l-VII. 0,5 CH_3OH , т. пл. 151° (из CH_3OH). Синтез l-VIII из l-VII см. РЖХим, 1961, 7Ж320.

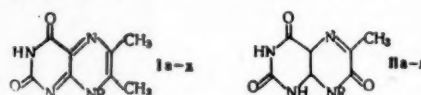
Л. Аксанова

9Ж319. Конденсация порфобилиногена в уропорфиноген. Mauegall D. The condensation of porphobilinogen to uroporphyrinogen. «J. Amer. Chem. Soc.», 1960,

82, № 10, 2605—2609 (англ.).—В развитии предыдущей работы (РЖХим, 1961, 8Ж349) изучалось распределение изомеров, выход уропорфиногена (I) и включение $C^{14}H_2O$ в I в различных условиях. При р-ции в щел. и нейтр. среде распределение изомеров I и кол-во включаемого CH_2O можно объяснить механизмом р-ции, включающим атаку катионом пиррил- $CH_2NH_3^+$ и элиминацию H^+ или $CH_2=NH_2^+$ из второго пиррольного кольца. Р-ция в кислой среде сопровождается образованием побочных продуктов.

В. Шибав

9Ж320. Птеридины. IX. Синтез 8-рибитил-6,7-диметил-2,4-диоксотетрагидро- и 8-рибитил-6-метил-2,4,7-триоксогексагидроптеридинов. Pfeleiderer Wolfgang, Nübel Gotthard. Pteridine. IX. Synthese des 8-Ribityl-6,7-dimethyl-2,4-dioxo-tetrahydro- und 8-Ribityl-6-methyl-2,4,7-trioxohexahydropteridins. «Chem. Ber.», 1960, 93, № 6, 1406—1416 (нем.).—Синтезированы природные птеридины: 8-рибитил-6,7-диметил-2,4-диоксотетрагидроптеридин (Ia) и 8-рибитил-6-метил-2,4,7-триоксогексагидроптеридин (IIa) и их аналоги (Ib—д) и (IIb—д). Сян-



а: R = $CH_2(CH_2OH)_2CH_2OH$, б: R = CH_3 , в: R = C_2H_5 , г: R = CH_2CH_2OH , д: R = $CH_2C_2H_5$.

тез Ia и IIa осуществлен восстановлением 4-рибитиламино-5-бензолаурацила (III) и конденсацией образовавшегося производного 5-аминоурацила (IV) с $(CH_3CO)_2$ (V) или CH_3COOCH_3 (VI). Исходный III получен по схеме: 4-хлорурацил (VII) \rightarrow 5-бензолаурацил (VIII) \rightarrow III. Остальные I и II синтезированы аналогично из соответствующих 4-алкиламинопроизводных IV. Полученные I и II исследованы хроматографически; изучены и подвергнуты детальному обсуждению их УФ-спектры, снятые при различных pH. 2 г хлоргидрата (XG) 4-этиламина-IV, 4 мл VI и 30 мл воды кипятят 30 мин., после длительного стояния отделили 1,1 г IIa, т. пл. > 330° (из подкисленной воды). Аналогично из XG 4-(β -оксипропил)-IV и XG 4-бензиламина-IV получили 1,3 г IIг, т. пл. > 330° (из воды), и 1,5 г IIд, т. пл. 301—302° (из воды). 2 г XG 4-метиламина-IV, 4 мл V и 30 мл воды нагревают при 80—85° 30 мин., р-р концентрируют в вакууме до 8 мл, прибавляют 30 мл спирта, охлаждают и отделили 1,4 г Ib, т. пл. 299—300° (разл.; из водн. сп.). Аналогично, но упаривая р-р до суха, получают (указаны в-во, выход в г, т. пл. в °C): Ib, 1,2, 294—295 (разл.); г, 1,1, 280 (разл.); из водн. сп.; д, 1,5, 264 [из $HCON(CH_3)_2$]. К р-ру 6 г VII в 200 мл 3,5%-ного р-ра $NaHCO_3$ приливают по каплям при 0° р-р $C_6H_5N_2Cl$ (из 4 г $C_6H_5NH_2$), размешивают 3 часа при 0°, получают 4—5 г VIII, т. пл. 230—240°. 7 г оксимарбозы в 0,3 л 80%-ного CH_3OH гидрируют при 20° над скелетным Ni, фильтрат концентрируют в вакууме, прибавляют 40 мл воды, размешивают (2 часа, 50—60°) с взвесью 10 г неочищ. VIII в 0,1 л диоксана, осаждают ацетоном 6 г III, т. пл. 232° (из воды). Кипятят 1 г III и 1 г Zn-пыли в 15 мл воды, прибавляют по каплям 5 п. H_2SO_4 до обесцвечивания р-ра, фильтрат (рН 1) кипятят 30 мин. с 2 мл VI, нейтрализуют 1 п. $NaOH$, охлаждают и отсаживают Na-соль IIa, из которой выделяют 0,3 г IIa, т. пл. 250° (из водн. сп., подкисленного до pH 1). Восстанавливают аналогично 1 г III, р-р (pH 2—3) нагревают 30 мин. с 2 мл V при 80°, осаждают спиртом, отделили выпавшие соли, концентрируют фильтрат в вакууме и осаждают спиртом, 0,25 г Ia, т. пл. 270—271° (разл.; из воды). Сообщение VII см. РЖХим, 1960, № 16, 65477.

Е. Головинская

См. также раздел Лекарственные вещества. Витамины. Антибиотики и рефераты: Терпены 9Н492, 9Н498

Рефер

Ред

9Н1.

гим.—Do

«Chem.

англ.)

9Н2.

Adam.

1960, 13

9Н3.

1959 г.

не он 1

656 (фр

9Н4.

экономи

and Che

9Н5.

Schön

ung. «O

(нем.)

9Н6.

основны

кодаз,

(японск

9Н7.

ческой

plant an

Engr.»,

№ 14, 5

9Н8.

мышлен

с Ма

6, № 6,

9Н9.

нике. S

ven Isot

1960, 10

Примен

ников и

лей кон

уровня,

См. т.

и разра

инжене

процесс

изводст

РЕФЕРАТИВНЫЙ ЖУРНАЛ ХИМИЯ

IV

Рефераты 9И1—9И369

№ 9

10 мая 1961 г.

И. ОБЩИЕ ВОПРОСЫ ХИМИЧЕСКОЙ ТЕХНОЛОГИИ

ОБЩИЕ ВОПРОСЫ

Редакторы М. Л. Карпентяц, Н. А. Ширяева

9И1. Развитие химической промышленности Венгрии.—Der Ausbau der chemischen Industrie in Ungarn. «Chem. Ind.», 1960, 12, № 11, 613—617, A1000 (нем.; рез. англ.)

9И2. Химическая промышленность КНР. Lach Adam. Przemysł chemiczny Chin Ludowych. «Chemik», 1960, 13, № 10, 381—385 (польск.)

9И3. Химическая промышленность Италии в 1959 г. Morandi Luigi. L'industrie chimique italienne en 1959. «Chimie et industrie», 1960, 84, № 5, 639—666 (франц.)

9И4. Развитие химической промышленности и экономики Японии. Хаяси Ю. «Кагаку то когё, Chem. and Chem. Ind.», 1960, 13, № 10, 873—878 (японск.)

9И5. Промышленность и исследовательская работа. Schönfellinger Hanns W. Industrie und Forschung. «Österr. Chem.-Ztg», 1960, 61, № 11, 330—332 (нем.)

9И6. Система отбора на заводах образцов сырья и основных видов продукции. Фукуи Гэн. «Кагаку кодаё, Chem. Factory», 1960, 4, № 9, 21—26 (японск.)

9И7. Инспекция установок и оборудования в химической промышленности. Young R. K. Inspection of plant and equipment for the chemical industry. «Quality Engng.», 1960, 24, № 3, 84—88 (англ.).—См. РЖХим, 1960, № 14, 57351

9И8. Применение радиоизотопов в химической промышленности. Хамасима Мототакэ, Такаха Са Масааки. «Гэнсирёку когё, Nucl. Engng», 1960, 6, № 6, 63—70 (японск.).—Обзор. Библ. 151 назв.

9И9. Использование радиоактивных изотопов в технике. Sagel Konrad. Die Anwendung der radioaktiven Isotope in der Verfahrenstechnik. «VDI-Zeitschrift», 1960, 102, № 23, 1095—1102, I (нем.; рез. англ.).—Обзор. Применение радиоактивных изотопов в качестве источников излучения в радиохимии и радиографии, для целей контроля и регулирования (измерения толщины, уровня, плотности). Библ. 30 назв. Л. Херсонская

См. также: Роль инженера-химика в исследованиях и разработке хим. производств 9А21. Использование инженеров-химиков в хим. пром-сти 9А23. Технологич. процессы хим. произ-ва 9И12. Автоматизация хим. производств 9И106

ПРОЦЕССЫ И АППАРАТЫ ХИМИЧЕСКОЙ ТЕХНОЛОГИИ

Редакторы В. А. Жужиков, Н. Ф. Кононов,
В. Г. Фастовский

9И10. Номограмма для определения коэффициента сжимаемости бутена-1 по данным о температуре и давлении. Davis D. S. Nomogram showing compressibility factors for butene-1. «Brit. Chem. Engng», 1960, 5, № 12, 882 (англ.)

9И11. Теоретические основы построения диаграммы теплосодержание — паросодержание для смеси воздух — пары бензола. Гурская Л. И., Кипнис Ю. Б., Кузнецов А. Р., Алявдин Н. А. «Научн. тр. Моск. технол. ин-т легкой пром-сти», 1959, сб. 14, 120—125

9И12. Технологические процессы химического производства. Jähne F. Verfahrenstechnische Fertigung. «VDI — Zeitschrift», 1960, 102, № 27, 1278—1282, III (нем.; рез. англ.).—Приведена классификация технологич. процессов. Рассмотрены технологич. схемы произ-ва пенициллина, хлорбензола и перлонового волокна. Е. Баклицкий

9И13. Методологические указания по расчету материального баланса процессов химической технологии. Curievici I., Haimovici Adolf. Elemente metodologice pentru calculul bilanşului de materiale în tehnologia chimică. «Bul. Inst. politehn. Iaşi», 1959, 5, № 3-4, 133—142 (рум.; рез. русск., франц.)

9И14. Установление оптимальных условий работы оборудования при его проектировании. Taborek Jerry J. Optimization in process equipment design. «Chem. Engng Progr.», 1960, 56, № 8, 37—41 (англ.).—Приведены различные практич. и аналитич. методы определения оптимальных размеров оборудования и условий осуществления хим. процессов. В качестве примера дан экономич. анализ охлаждения горячей воды воздухом, а также сравнительная оценка воздушного и водяного охлаждения в теплообменных устройствах. Описано применение счетных машин для решения приведенных задач. В. Герцовский

9И15. Установление оптимальных условий проведения химического процесса. Berg Clyde. Optimization in process development. «Chem. Engng Progr.», 1960, 56, № 8, 42—47 (англ.).—Приведены требования к эксперим. и теоретич. исследованию процесса с целью установления оптимальных условий его осуществления. Указано на необходимость создания в некоторых случаях математич. интерпретации процесса. В качестве примеров рассмотрены некоторые процессы

экстракции, дистилляции и транспортирования сыпучих материалов по трубам во взвешенном состоянии.

В. Герцовский

9И16. Спиральное движение идеальной жидкости в круглом цилиндрическом трубопроводе. Zarea Stefan. Le mouvement hélicoïdal d'une gromesca — beltrami d'un fluide parfait dans une conduite cylindrique circulaire. «Bul. Inst. politehn. București», 1958, 20, № 2, 65—69 (франц.; рез. русск., англ., нем.)

9И17. Уравнение движения жидкости по вращающемуся конусу с учетом поверхностного натяжения. Мухутдинов Р. Х. В сб. «Материалы 1-й конференции молодых науч. работн. г. Казани. Физ.-техн. и матем. секция». Казань, 1959, 109—116. — Теоретически установлено, что при течении тонких слоев жидкости в поле центробежных сил влияние поверхностного натяжения незначительно и форма свободной поверхности определяется в основном напряженностью поля. Указанный вывод получен при следующих допущениях: постоянство статич. давления по толщине слоя; равенство угловых скоростей вращения жидкости и конуса; кориолисова сила равна нулю; конвективные силы инерции не влияют на движение жидкости.

Б. Сумм

9И18. Захват газа при растекании жидкости по шероховатой поверхности. Bankoff S. G. Entrapment of gas in the spreading of a liquid over a rough surface. «A. I. Ch. E. Journal», 1958, 4, № 1, 24—26 (англ.). — Рассмотрено влияние различных факторов на захват газа (неполное его вытеснение) при набегании полугоризонтального фронта жидкости на канавки различной формы. Установлено, что для наиболее часто встречающихся на практике V-образных канавок захват газа имеет место при $\theta > 180^\circ - 2\phi$ и полное отсутствие захвата при $2\phi > \theta$, где θ — угол смачивания и ϕ — угол наклона стенок канавки. Указано, что первый случай имеет место при $\theta > 90^\circ$ и $\phi < 45^\circ$, а второй — при $\theta \leq 90^\circ$ (хорошая смачиваемость) и $\phi > 0^\circ$. Рассмотрены промежуточные случаи. Отмечено, что условия захвата газа конич. или цилиндрич. углублениями происходит почти так же, как в V-образных канавках и в канавках прямоугольного сечения соответственно. Обсуждено влияние захвата газа на перегревание жидкости при кипении и возникновение кавитации, а также на гистерезис, наблюдаемый при кипении, при различных величинах тепловых потоков.

В. Герцовский

9И19. Электронный регулятор электрического тока при исследовании потоков жидкостей. Oyama Matsujiro, Miyama Jun, Kita Kaoru, Usuba Toshihisa, Iwamoto Soroku. «Нихон касай гаккай ромбунсю, Bull. Fire Prevent. Soc. Japan», 1959, 9, № 1, 15—17 (японск.; рез. англ.). — Рассмотрен электронный регулятор для установления заранее заданных величин силы тока в проводниках, имитирующих трубопроводы, при их расчете методом электр. аналогии. Указано, что регулятор дает возможность легко устанавливать необходимые величины силы тока для случая соединения в одной точке более 5—6 проводников.

Из резюме авторов

9И20. Применение теории пограничного слоя к псевдопластичным жидкостям, подчиняющимся степенному закону. Подобные решения. Schowalter W. R. The application of boundary-layer theory to power-law pseudoplastic fluids: similar solutions. «A. I. Ch. E. Journal», 1960, 6, № 1, 24—28 (англ.). — Рассмотрены ур-ния, характеризующие передачу кол-ва движения в пограничном слое псевдопластичных и дилатантных жидкостей. Получены решения этих ур-ний для двумерных потоков при определенных зависимостях между градиентом скорости и касательным напряжением на стенке методами, применяемыми в подобных случаях к ньютоновским жидкостям. Указано, что для трехмерного потока ньютоновской жидкости

общее решение может быть получено только для случая обтекания плоской плиты при условии, что вектор скорости не параллелен ни одной оси координат. Сравнены аналогичные решения для ньютоновских жидкостей.

В. Герцовский

9И21. О нестационарном течении вязкой жидкости в пористой круглой кольцевой трубе. Джорбенадзе Н. П. «Сообщ. АН ГрузССР», 1960, 24, № 5, 523—528. — Выведено ур-ие для определения скорости, соответствующей ламинарному движению вязкой несжимаемой жидкости в области, ограниченной двумя коаксиальными цилиндрич. пористыми поверхностями.

Б. Сумм

9И22. Осевая дисперсия и эффективность перемешивания в отдельных порах при протекании жидкости через неподвижный слой гранулированного материала. Carberry James J. Axial dispersion and void-cell mixing efficiency in fluid flow in fixed beds. «A. I. Ch. E. Journal», 1958, 4, № 1, M13, M17—M18, M20, M22 (англ.). — Выведены следующие ур-ния, описывающие осевую дисперсию в потоке, движущемся через слой насадки: $n = 0.5Lv/E$, $\theta_n = L/(vn)$ и $B = 2E/v$, где n — кол-во смешительных ячейек, L — длина слоя, v — средняя скорость потока, E — коэф. осевой дисперсии, θ_n — время пребывания жидкости в отдельной ячейке, B — высота отдельной ячейки. Показано также, что для идеализированной насадки, в которой каждая ячейка рассматривается как идеальный смеситель, предельное значение критерия Pe равно примерно 2 (причем $Pe = D_p v/E$, где D_p — диаметр отдельной частицы).

Б. Сумм

9И23. Перемешивание в продольном направлении в насадочных колоннах. Prausnitz J. M. Longitudinal dispersion in a packed bed. «A. I. Ch. E. Journal», 1958, 4, № 1, M14, M22 (англ.). — Продольное перемешивание в насадочных колоннах связано с тем, что движущаяся частица среды, встречая на своем пути элемент насадки, отклоняется в сторону (в радиальном направлении) и попадает в такую зону, где скорость движения среды имеет другую величину. Возникновение при этом градиентов скорости и концен. обуславливают диффузию в продольном направлении. Внесены некоторые дополнения в модель механизма продольного перемешивания, предложенную ранее (Taylor G. I., Proc. Roy. Soc., 1954, A223, 446).

Ю. Петровский

9И24. Обратное перемешивание в аппаратах химических производств. Мияути Тарукацу. «Кагаку когаку, Chem. Engng (Japan)», 1960, 24, № 10, 769—777 (японск.). — Обзор. Библ. 25 назв.

М. Гусев

9И25. Экспериментальное определение весового расхода сыпучей среды (песка) при гравитационном истечении ее из вертикальных труб через дроссельные устройства. Борисевич В. А. «Инж.-физ. ж.», 1960, 3, № 11, 89—92 (рез. англ.).

9И26. Изотропные процессы с влажным паром. Knuth Eldon L. Isentropic processes involving wet vapors. «Industr. and Engng Chem.», 1960, 52, № 8, 688 (англ.). — Выведены теоретич. ур-ния для определения изменения состояния влажного пара при его течении с совершением работы при постоянной энтропии. Указано, что ур-ния могут применяться для определения изменения состояния пара в различных технич. устройствах, напр. в компрессорах.

В. Герцовский

9И27. Исследование движения суспензий в барбане тарельчатого сепаратора. Липатов Н. Н. «Изв. вып. учеб. заведений. Химия и хим. технол.», 1960, 3, № 3, 540—545. — Сообщается об эксперим. исследовании характера растекания дисперсной системы в межтарельчатом пространстве различных сепараторов («Держинец», «Волга-51», «СОМ-1000»), а также распределения жидкости (Ж) между отдельными тарелками. Сепарированию подвергалась вода, поступающая в котельную установку и содержащая 0,05—2 мг/л же-

лезв, прич-
тал 1—1,
распреде-
что Ж от
иной пря-
бана, ра-
появляе-
ступает м-
лагается,
целому за-
а по отде-
меньшего

9И28.

псевдоож-
жидкости
га резист-
cule fluid-
dii și cerc-
рум.; рез-
доожжен-
с целью о-
жения, в
гаиро-и
ществова-
ней непо-
ного слое
и миним.
нения.

9И29.

псевдоож-
рованным
ни-т неф-
102—115-
песка (20-
воздухом
перегород-
ные и 3-р-
ристку г-
критич. с-
симости с-
положени-
сток газа
значитель-
уменьшае-
При мал-
если ПП
местопол-
нем ω ф-
ается и
расширен-
иет фои-
9И30.
слоем сы-
Гельпе-
ск и й А.
Показано
сти аппа-
проблем-
скорость
слое (ВП
состояни-
ных ради-
рата. Гид-
личной
проблем-
124/1, где
г — уско-
ращения
Эксперим-
ситантны
вученни
жондени-

слу-
ектор
инат.
вских
вский
идко-
рбе-
№ 5,
рости,
й по-
двумя
тами.
Сумм
време-
ности
ости
нала.
id-cell
I. Ch.
M22
още
слоя
где
v—
рсии,
ейке.
и, что
ячей-
дель-
очем
жм.).
Сумм
теши
itudi-
rnal,
меш-
дви-
элем-
ность
икаю-
услов-
несе-
про-
(Тай-
вский
хими-
агаку
—777
Гусев
огого
оник
льные
1960,
аром.
z wet
3, 688
ления
ления
Ука-
ления
уст-
вский
баре-
«Иза.
1960,
дова-
меж-
торов
рас-
арел-
ощая
а же

диза, причем размер основной массы частиц не превышал 1—1,5 м. Работа сепаратора анализировалась по распределению осадков на листе бумаги. Установлено, что Ж отстает от тарелок, причем величина отстаивания прямо пропорциональна скорости вращения барабана, расстоянию между тарелками и кол-ву поступающей Ж. Обнаружено, что на верхние тарелки поступает меньше Ж, чем на средние и нижние. Предполагается, что подъем Ж происходит не по всему кольцевому зазору между корпусом и отбортовкой тарелок, а по отдельных участкам, расположенным в зонах наименьшего выхода Ж из межтарелочных пространств.

Б. Сумм
9128. О гидро- и аэродинамическом сопротивлении псевдооживленного слоя частиц в восходящем потоке жидкости или газа. Westfried F., Cazacu S. Asupra rezistenței hidro-aerodinamice a straturilor de particule fluidizate într-un curent ascendent de fluid. «Studii și cercetări energ. Acad. RPR», 1960, 10, № 1, 21—32 (рум.; рез. русск., франц.).—Рассмотрен процесс псевдооживления на основе имеющихся эксперим. данных с целью определения начала стационарного псевдооживления, в особенности в потоке газа. С помощью кривых гидро- и аэродинамич. сопротивления установлено существование переходного слоя между верхней границей неподвижного и нижней границей псевдооживленного слоев. Дано ур-ние для расчета критич. скорости и миним. расхода жидкости или газа при псевдооживлении.

Из резюме авторов
9129. Особенности гидродинамического режима псевдооживленного слоя с горизонтальными перфорированными перегородками. Петров В. Н. «Тр. Моск. ин-т нефтехим. и газ. пром-сти», 1960, вып. 28, 102—115.—Изучено псевдооживление узкой фракции песка (200—290 м) в стеклянной трубе $D = 70,5$ мм воздухом и влияние горизонтальных перфорированных перегородок (ПП) с отверстиями 1,2 и 3 мм (однорядные и 3-рядные) и жалюзийных решеток на характеристику псевдооживленного слоя (ПС); ПП повышают критич. скорость псевдооживления на 6—12% (в зависимости от типа перегородки, но не от высоты ее расположения в ПС). Многорядные ПП уменьшают проскок газа и увеличивают перемешивание ПС более значительно, чем однорядные. Жалюзийная решетка уменьшает проскок, но мало влияет на перемешивание. При малой скорости фильтрации w_f проскок меньше, если ПП находится сверху слоя, а при большой w_f местоположение ПП не влияет на проскок. С возрастанием w_f плотность ПС по высоте аппарата выравнивается и ПП уже не оказывают заметного влияния на расширение слоя. Расположение ПП сверху ПС уменьшает фонтанирование частиц.

С. Забродский
9130. Аппарат с псевдооживленным (кипящим) слоем сыпучего материала в поле центробежных сил. Гельперин Н. И., Айнштейн В. Г., Зайковский А. В. «Хим. машиностроение», 1960, № 3, 1—4.—Показано, что возможно увеличение производительности аппаратов с псевдооживленным слоем в поле центробежных сил, так как при этом повышается критич. скорость уноса. Во вращающемся псевдооживленном слое (ВПС) переход материала в псевдооживленное состояние происходит постепенно вследствие различных радиусов вращения материала по сечению аппарата. Гидравлич. сопротивление ВПС (пренебрегая величиной ускорения силы тяжести по сравнению с центробежным) можно рассчитать по ур-нию $\Delta p = G\omega^2/l$, где G , l — вес и длина (по образующей) слоя; ω — ускорение силы тяжести; ω — угловая скорость вращения ВПС. Δp не зависит от расширения ВПС. Эксперим. значения Δp были более низкими, чем рассчитанные по приведенному ур-нию, что объясняется неучтенным влиянием ускорения силы тяжести. Расходение уменьшается при увеличении ω . Приведены

схемы однослойных и многослойных аппаратов непрерывного действия.

С. Забродский

9131. Об основных закономерностях сопротивления в горизонтальных трубах при пневматическом транспорте. Шваб В. А. «Сб. научн. тр. Томский электромехан. ин-т инж. ж.-д. трансп.», 1960, 29, 5—32.—Рассмотрено установившееся движение твердых частиц (ТЧ) при пневмотранспорте материалов в горизонтальных трубах. Найдено, что основной причиной возникновения дополнительных гидравлич. сопротивлений является столкновение ТЧ со стенками трубопровода в процессе скачкообразного движения ТЧ; при ударе ТЧ о стенку происходит уменьшение поступательной скорости ТЧ, которая в дальнейшем восстанавливается за счет взаимодействия с потоком, что увеличивает гидравлич. сопротивление при пневмотранспорте. Установлены общие зависимости, определяющие скорость движения ТЧ и дополнительное гидравлич. сопротивление.

Б. Сумм

9132. Транспортирование твердых тел. Bonnington S. T. Transportation of solids. «Pumping», 1960, 2, № 21, 608—613 (англ.).—Кратко отмечены основные особенности, характеризующие транспортирование двухфазных систем (твердое тело — жидкость) по горизонтальным и вертикальным трубам. Рассмотрено влияние размеров частиц, а также шероховатости стенок трубы на скорость транспортирования. Приведены графич. зависимости, характеризующие влияние размеров частиц на производительность насоса, нагнетающего жидкость в транспортную линию. Описаны некоторые виды устройств, применяемых для подачи твердой фазы.

Б. Сумм

9133. Соединение аппаратов для механического разделения суспензий в аппаратах. Trauinsky H. F. Kombinationsschaltungen von Apparaten zur mechanischen Trennung fest-flüssiger Mischsysteme. «Chem.-Ingr-Techn.», 1960, 32, № 9, 576—581 (нем.; рез. англ., франц.).—Рассмотрено соединение аппаратов типа отстойников и сгустителей для разделения суспензий и шламов, в которых осуществляются, в частности, процессы седиментации и фильтрования. При параллельном включении двух одинаковых аппаратов повышается производительность без снижения полноты разделения, присущей аппаратам больших размеров. Последовательное включение тех же аппаратов применяется для повышения чистоты разделения. Так, напр., сильное сгущение при седиментации в одном аппарате приводит к помутнению верхнего продукта, во избежание чего необходимо повторное отстаивание. Подобным же образом повышается чистота разделения фракций при классификации сыпучих материалов. Рассматриваются схемы соединения аппаратов.

Е. Бакицкий

9134. Использование микрогидроциклонов для концентрирования шламов. Engel F. C., Weisman Joel. Miniature hydroclones as slurry concentrators. «A. I. Ch. E. Journal», 1960, 6, № 2, 262—267 (англ.).—Сообщено об эксперим. исследовании характеристик микрогидроциклонов (МГЦ) диам. 5—50 мм, проводившемся при комнатной т-ре, а также при т-ре 230° и давл. 140 кг/см²; в МГЦ разделялся шлам, содержащий соединения Th и U со средним размером частиц 0,3—7 м. Исследована эффективность МГЦ как функции размеров частиц. Найдено, что при комнатной т-ре процесс в МГЦ может быть описан ур-нием $V_p = V_S(\mu_L/\eta_1) [(p_p - p_m)/(p_p - p_L)]$, где V_p — скорость оседания отдельных частиц в исходном шламе, V_S — скорость оседания частицы, вычисленная по закону Стокса, μ_L — вязкость жидкой фазы, η_1 — модуль упругости шлама, p_p , p_m и p_L — плотности твердой фазы, исходного шлама и жидкой фазы. Сравнением с рядом данных других авторов установлено, что приведенное ур-ние применимо также и для гидроциклонов обычных

размеров. Дано уравнение для разделения шлама при упомянутых выше температуре и давлении. Б. Сумм

9ИЗ5. Унос частиц в осадочных центрифугах и сепараторах. Сабурдо Г. А. «Изв. высш. учебн. заведений. Пищ. технол.», 1960, № 2, 99—107.—Проведено теоретич. исследование процесса уноса частиц из осадочных центрифуг и сепараторов. Показано, что унос частиц в центрифугах существенно снижает производительность последних и качество разделения. Сделано допущение о том, что при течении жидкости вдоль поверхности осадка или барабана или вдоль поверхности тарелки сепаратора по направлению образующей толщина ламинарного пограничного слоя изменяется по такому же закону, как и при продольном обтекании плоской плиты. Выведены уравнения, пользуясь которыми можно определить среднюю допустимую скорость потока в центрифугах или тарельчатых сепараторах при данном условии разделения частиц по размерам.

В. Герцовский

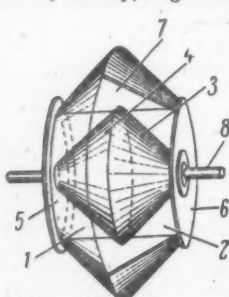
9ИЗ6. Тонкое фильтрование на слоевых фильтрах. Finfiltering medelst skiktfilter. «Focus» (Sver.), 1960, Sept., 4—14 (шведск.).—Кратко рассмотрен принцип действия фильтра, работающего со слоем вспомогательного в-ва, в частности из волокон асбеста или целлюлозы, а также частиц кизельгура. Отмечено адсорбционное действие слоя вспомогательного в-ва. Описаны конструкции некоторых слоевых фильтров и дана характеристика различных вспомогательных в-в. Указаны области применения тонкого фильтрования.

М. Тойкка

9ИЗ7. Измерение удельной поверхности песков, зернистых материалов и минеральных порошков. Walter Horst. Oberflächenmessungen an Sanden, Splitten und Mineralpulvern. «Chem. Rundschau», 1960, 13, № 20, 540—543 (нем.).—Отмечены недостатки способов определения уд. поверхности (УП) твердых частиц неправильной формы ситовым и седиментационным анализом. Рекомендовано определять УП твердых частиц на основании измерения проницаемости по отношению к воде и пористости слоя таких частиц. Даны уравнения для расчета УП. Описан прибор для определения УП твердых частиц различной степени дисперсности методом измерения проницаемости слоя таких частиц. Отмечено, что полученные по этому способу значения УП примерно вдвое превосходят значения УП, полученные ситовым или седиментационным анализом.

С. Глебов

9ИЗ8. Смешение сыпучих материалов. Мидзуэна Адуро, Осака Итиро, Морикава Сёдзо. «Кагаку когаку, Kagaku kogaku, Chem. Engng (Japan)», 1960, 24, № 8, 601—602 (японск.).—Исследована



работа мешалки, состоящей из двух внешних 1, 2 и двух внутренних 3, 4 усеченных конусов, причем 1 и 2 закрыты пластинками 5 и 6 и снабжены несколькими внутренними перегородками 7; мешалка вращается на горизонтальном валу 8. Приведены результаты опытов по смешению равных кол-в двуокиси кремния и двухромовокислого калия (размер частиц 35—45 и 200—250 меш) при различных числах оборотов и коэф. заполнения мешалки. Даны кривые в координатах продолжительность смешения—степень смешения.

М. Гусев

9ИЗ9. Смешение сыпучих материалов. Rathmell C. Granular solids mixing. «Chem. Engng Progr.», 1960, 56, № 4, 116, 119—120 (англ.).—Кратко рассмотрены некоторые конструкции горизонтальных и вертикальных

смесителей, даны области их применения и указаны достоинства и недостатки.

В. Герцовский

9И40. Смешение сыпучих материалов. Fischer John J. Solid-solid blending. «Chem. Engng», 1960, 63, № 16, 107—128 (англ.).—Рассмотрены некоторые свойства твердых сыпучих материалов, особенности процесса смешения, контроль, сравнение методов смешения, оборудование для смешения, вопросы экономичности.

В. Герцовский

9И41. Исследование гидродинамики потока при перемешивании жидкостей радиально-лопастными мешалками. Гзовский С. Я. «Хим. машиностроение», 1960, № 1, 17—20.—Аналитически выведены уравнения для определения давления в любой точке зон вихревого и невихревого движения жидкости, наибольшей высоты подъема жидкости у стенок сосуда, величины радиуса вихревой зоны. Исследована форма кривой, получающейся при продольном, осевом сечении воронки, образуемой вращающейся жидкостью. Предыдущее соотношение см. РЖХим, 1960, № 22, 88816. В. Герцовский

9И42. Способы измерения мощности, затрачиваемой на перемешивание. Błasiński Henryk. Metody pomiaru mocy mieszania. «Przem. chem.», 1960, 39, № 414—418 (польск.).—Обзор. Библ. 21 назв.

В. Соколовский

9И43. Изучение транспортировки вязких жидкостей вихревыми насосами. Itaya Shoji, Nishikawa Takao. «Нихон кикай гаккай ромбунсю, Trans. Japan Soc. Mech. Engrs», 1960, 26, № 162, 202—208 (японск.; рез. англ.).—Изучались гидродинамич. характеристики вихревого насоса при работе на вязких жидкостях. Даны диаграммы влияния вязкости на эти характеристики.

Р. Коган

9И44. Нагнетательные насосы. Rugenstein I. Verdrängerpumpen. «Maschinenbautechnik», 1960, 9, № 308—309 (нем.).—Рассмотрены последние достижения по созданию насосов для транспортирования и дозировки высоковязких жидкостей. Подробно описан принцип работы бесприводного 2-цилиндрового газового насоса новой конструкции. Указано, что дозирующие нагнетательные насосы находят все более широкое применение в связи с автоматизацией произ-ва. Библ. 18 назв.

М. Плясунов

9И45. Расчет «негерметичных» вакуумных установок. Roth Alex. Calculul instalațiilor de vid «neetane». «Rev. chim. (RPR)», 1960, 11, № 2, 78—83 (румунск.; нем., франц., англ.).—Приводится графоаналитич. метод расчета вакуумных установок с «негерметичной» аппаратурой. Рассматриваются характеристики работы вакуум-насосов и влияние на них коэф. герметичности.

З. Хаймский

9И46. Использование безразмерных отношений при установлении программы и оценки результатов приных испытаний турбокомпрессоров. Rögner Heini. Dimensionslose Kennzahlen für die Planung und Auswertung von Abnahmeversuchen an Kreiselpverdichtern. «Brennstoff — Wärme — Kraft», 1960, 12, № 9, 377—381 (нем.; рез. франц., англ.).

9И47. Метод лучистой теплопередачи в несмешиваемых потоках. Пегушин А. В. «Тр. Всес. ин-та переработки и использования топлива», 1960, вып. 8, 82—96.—Применительно к проблеме улучшения лучистого теплообмена между высокотемпературными потоками, не разделенными перегородкой, экспериментально исследовались различные методы достижения несмешиваемости потоков в камерах без разделительной стенки. Определены величины уд. массообмена между 2 параллельными встречнонаправленными потоками в горизонтальных и вертикальных камерах различной конфигурации и выявлена зависимость степени смешиваемости потоков от скоростей движения и соотношения их, а также от конструктивных размеров теплообменной камеры с промежуточным вихревым слоем.

А. Ровинский

9И48. У отдачу при контальной стромден Eigenkonve 538—539 процесс тепло нескимеамовных со венной ко ной медно рабочим у конденсир скорость в измерялис ма в турбу ции набли жидкости Pr = 2,5 + процесс т Нуссельта естественн (порядка ченными селта — I однако пр ие естес шения ра сток и т алиания и я. При екции на нено менн жидкости Выведено вания, та ной трубе Gr^{0,58}(Pr^{0,58} на потоку вычислен шает 7%. 9И49. ие пласт душный В резуль твления опытным ией, ус опытных шей при стве опр только на участок итенсив зависит ельствеу скорости ной его з позволяет соответств шдекс / с теплоотд ием: Ко (Pr_в)^{0,2} ния (вид) соотноше ния в не мерности характер тепловые ный реж 17 Химиз

9И48. Влияние свободной конвекции на теплоотдачу при вынужденном движении жидкости в горизонтальной трубе. Métais B. *Wärmeübergang bei strömenden Flüssigkeiten im waagerechten Rohr mit Eigenkonvektion*. «Chem.-Ingr.-Techn.», 1960, 32, № 8, 535—539 (нем.; реэ. англ., франц.).—Исследован процесс теплоотдачи в переходной области при течении несжимаемой жидкости в горизонтальной трубе в условиях совместного действия вынужденной и естественной конвекции. Опыты проводились с горизонтальной медной трубой диам. 50 мм и длиной 1900 мм с рабочим участком 1500 мм. Вода в трубе нагревалась конденсирующимся паром или охлаждалась водой; скорость воды 0—0,5 м/сек. Т-ры стенки трубы и воды измерялись термометрами. Переход ламинарного режима в турбулентный при наличии естественной конвекции наблюдался при $Re = 1000$; при постоянной т-ре жидкости на входе (25°) и скоростях 0,5—35 см/сек, $Pr = 2,5 \div 5,3$ и $Re > 20\,000$ в условиях нагревания процесс теплоотдачи описывается обычным ур-нием Нуссельта—Крауссоляда, которое не учитывает естественной конвекции; при небольших скоростях (порядка 1—2 см/сек) между коэф. теплоотдачи, полученными в опытах и рассчитанными по ур-нию Нуссельта—Крауссоляда, получены расхождения $\sim 400\%$, однако при дальнейшем уменьшении скорости влияния естественной конвекции резко падает из-за уменьшения разности т-р стенки и жидкости; входной участок и т-ра жидкости на входе почти не оказывали влияния на процесс теплоотдачи в условиях нагревания. При охлаждении воды влияние естественной конвекции на теплоотдачу выражено слабее, что объясняется меньшей разностью т-р стенки и жидкости; т-ра жидкости на входе оказывает влияние на теплоотдачу. Выведено ур-ние, которое применимо как для нагревания, так и для охлаждения жидкости в горизонтальной трубе при $500 < Re < 20\,000$: $Nu = 1,345 Re^{0,389} Pr^{0,032} Gr^{0,059} (Pr_f/Pr_w)^{0,108}$, где индексы F и W относятся к потоку и стенке. Среднее отклонение эксперим. и рассчитанных по этому ур-нию величин не превышает 7%.

В. Герцовский

9И49. Теплоотдача и гидравлическое сопротивление пластины. Михеев М. А. В сб. «Конвективный и лучистый теплообмен». М., АН СССР, 1960, 25—32.—В результате теоретич. анализа теплоотдачи и сопротивления при обтекании пластины, подтверждаемого опытными данными, полученными рядом исследователей, установлено. 1. При обработке и обобщении опытных данных целесообразно в качестве определяющей принимать начальную т-ру жидкости. 2. В качестве определяющего размера следует брать длину только нагреваемой или охлаждаемой части пластины: участок гидродинамич. стабилизации не влияет на интенсивность теплоотдачи. 3. Процесс теплообмена зависит от направления тельного потока, что свидетельствует о различии в закономерности изменения скорости и т-ры в пограничном слое, а также о различии его аффективной толщине. Параметр $(Pr_f/Pr_w)^{0,25}$ позволяет привести пограничный слой к состоянию, соответствующему течению в изотермич. условиях (индекс f относится к потоку, w — к стенке). 4. Связь между теплоотдачей и сопротивлением выражается соотношением: $Ko_x/Re_{f,x} = 0,5 C_{0,x}$, где $Ko_x = Nu_{f,x} Pr_f^{-0,43} (Pr_f/Pr_w)^{-0,26}$; $C_{0,x}$ — локальное значение коэф. сопротивления (индекс x характеризует локальные значения). Это соотношение позволяет уточнить гидродинамику течения в неизомерич. условиях, основываясь на закономерности теплоотдачи, и наоборот, по гидродинамич. характеристикам для изотермич. потока рассчитать тепловые. 5. В области $4 \cdot 10^4 < Re_x < 10^7$ (турбулентный режим) справедливо ур-ние: $C_{0,x} = 0,0592 \cdot Re_x^{-0,20}$.

В области $Re_x > 10^7 \dots C_{0,x} = 0,27 (\lg Re_x)^{-2,4}$. 6. Относительная шероховатость влияет на Nu и $C_{0,x}$. 7. Установленные для пластины закономерности пригодны для расчета теплоотдачи при внешнем продольном омывании труб, конусов, тел обтекаемого профиля, а также при течении в коротких трубах ($L/D < 10$). Для практич. расчетов теплоотдачи и сопротивления составлена номограмма, выражающая зависимость $Ko = 0,5 C_{0,x} Re_f$ от Re_f и охватывающая значения $Re_f = 10^3 \div 10^8$.

Ю. Петровский

9И50. Теплоотдача от воздуха, нагретого до высокой температуры, к внутренним стенкам трубы в условиях вынужденной конвекции. Zellnik Herbert E., Churchill Stuart W. Convective heat transfer from high temperature air inside a tube. «A. I. Ch. E. Journal», 1958, 4, № 1, 37—42 (англ.).—Исследованы локальные коэф. теплоотдачи на входном участке цилиндрич. трубы с внутренним диам. 25 мм, которая охлаждалась водой. Опыты проводились при т-ре воздуха 260—1090°; Re составлял 5000—20 000, т-ра внутренней стенки трубы 22,8—93,3°; плоский профиль т-ры и скорости на входе в трубу достигался пропусканием воздуха через сетки, которые устанавливались перед рабочим участком. Теплоотдача к стенкам трубы описывается ур-нием: $Nu = Ab Re^{0,8} Pr^{1/3} (T_b/T_s)^{0,31+m}$, где T_b и T_s — т-ра основной массы воздуха и внутренней стенки трубы. Даны значения Ab и m при различных условиях теплоотдачи. Указано, что локальный и средний коэф. теплоотдачи для сравнительно невысоких разностей $T_b - T_s$ могут быть рассчитаны по обычным ур-ниям для турбулентного режима при условии, что определяющей т-рой является T_b .

В. Герцовский

9И51. Конвективный теплообмен во вращающихся печах. Luderer Leszek. Wymiana ciepła w piecach obrotowych przez konwekcję. «Cement. Wapno. Gips», 1960, 15, № 6, 173—177 (польск.; реэ. русск., франц.).—Рассмотрены условия теплопередачи во всех зонах вращающейся печи и указано, что до т-ры 800° может быть рекомендовано ур-ние: $\alpha_k = 17,8 (WC_p)^{0,8} \lambda^{0,2} / D^{0,2}$, где α_k — коэф. теплоотдачи конвекцией, W — скорость дымовых газов в м/сек, C_p — теплоемкость в ккал/м³ град, λ — теплопроводность дымовых газов в ккал/м час град, D — диаметр печи в м. Свыше 800° коэф. теплоотдачи излучением в 2—20 превышает коэф. теплоотдачи конвекцией и α_k следует вычислять по ур-нию: $\alpha_k = 5,0 [1 + (0,06t)/100] W^{0,8}$, где t — т-ра в данной зоне печи.

Р. Терехин

9И52. Распределение температур в цилиндре с внутренними источниками и охлаждающем его турбулентном потоке жидкости. Перельман Т. Л. «Инж.-физ. ж.», 1960, 3, № 11, 72—76 (рез. англ.).

9И53. Градуировка и эксплуатация измерителей тепловых потоков. Карпов Б. И. «Тр. Совещания по расшир. произ-ва и ассортимента теплоизоляц. и акуст. материалов и их применению в стр-ве и других отраслях нар. х-ва», Рига, 1958, 280—300.

9И54. Теплоотдача к газу в трубах с насадкой. Schumacher R. Wärmeübergang an Gase in Füllkörper- und Kontaktrohren. «Chem.-Ingr.-Techn.», 1960, 32, № 9, 594—597 (нем.; реэ. англ., франц.).—Приведено обобщение эксперим. данных по теплообмену к воздуху в трубах с металлич. и неметаллич. насадкой на основе изучения влияния на теплоотдачу Re , L/D и d/D , где L и D соответственно длина и диаметр трубы, d — характерный размер насадки. Установлено также, что при $Re < 1600$ для обеих типов насадки Nu убывает с увеличением L/D . При $L/D = \text{const}$ и $d/D = 1/3$ выделены три области изменения Nu от Re ; для каждой из них Nu может быть представлен ур-нием $Nu = m Re^n$. В области $Re = (1 \div 16) \cdot 10^2$ постоянная $n = 1,17$ для обеих типов насадки. В области $Re =$

$= (1 \div 10) \cdot 10^4$ для металлич. насадки $n = 0,66$, для неметаллич. $n = 0,75$; константа m изменяется для каждого вида насадки и отношения L/D . В переходной области $Re = (1,6 \div 10) \cdot 10^3$ однородных значений n и m не найдено. Отмечено, что при $Re \leq 10^4$ и $L/D \leq 10 \div 100$ значения Nu для металлич. насадки превышают соответствующие величины Nu для неметаллич. насадки на 23%. Аномально высокие значения коэф. теплоотдачи к воздуху для металлич. насадки при $L/D = 1$, $Re \leq 10^4$ объясняются высокой ее теплопроводностью. Составлены диаграммы для определения $Nu = f(Re, L/D, d/D)$ при изменении параметров в следующих пределах: $Re = (0,1 \div 10^2) \cdot 10^3$, $L/D = 1 \div 10^2$, $d/D = 0 \div 1$. Применение диаграмм иллюстрируется примерами. Р. Артым

9И55. Воздухонагреватель для работы на отходящих дымовых газах от сжигания сернистых мазутов. Рахмилевич Р. З. «Изв. высш. учебн. заведений. Энергетика», 1960, № 4, 82—90. — Исследована работа трубчатого воздухонагревателя (В) с рециркуляцией воздуха; В имел две секции с пучками труб размером $51 \times 1,5$ мм и длиной 4500 мм; в каждой секции было 7 рядов труб по ходу воздуха (общее число труб в секции 35). Поверхность теплопередачи каждой секции 24 м^2 . Холодный воздух смешивался с горячим рециркулирующим воздухом в различных пропорциях. В межтрубное пространство воздухонагревателя подавались продукты сгорания отходов мазута или крекинг-газа. Расход топлива $65\text{—}136 \text{ кг/час}$, т-ра газов на входе $330\text{—}500^\circ$ и на выходе $174\text{—}246^\circ$, т-ра воздуха на входе $58\text{—}115^\circ$ и на выходе $170\text{—}238^\circ$, скорость газов и воздуха $12,8\text{—}19,0$ и $3,8\text{—}6,7 \text{ м/сек}$ соответственно, т-ра стенок труб $100\text{—}145^\circ$. Коэф. теплопередачи равен $11\text{—}16 \text{ ккал/м}^2 \text{ час град}$; гидравлич. сопротивление В на линии газов при скорости $16\text{—}19 \text{ м/сек}$ составило $65\text{—}75 \text{ мм вод. ст.}$, а на линии воздуха при скорости $5\text{—}6 \text{ м/сек}$ $15\text{—}25 \text{ мм вод. ст.}$. Необходимо один раз в смену в течение 10 мин. обдувать трубы сжатым воздухом для удаления отложений. В. Герцовский

9И56. Метод сравнения теплообменников. Rich Donald G. Coil rating factor puts heat exchanger on a comparable basis. «ASHRAE Journal», 1960, 2, № 6, 50—52, 58 (англ.). — Для сравнения теплообменников с различными коэф. теплопередачи и гидравлич. сопротивления введен фактор $Z = \Delta P \theta_m / \theta_a$ (ΔP — гидравлич. сопротивление теплообменника, θ_m — средняя разность т-р сред, θ_a — разность т-р воздуха на входе и выходе из теплообменника). Приведены графики зависимости Z от величин термич. сопротивления на стороне воздуха, общего термич. сопротивления теплообменника, поверхности теплообмена, веса, объема для трех теплообменников со спиральным оребрением. В. Герцовский

9И57. Выбор устройства для отвода конденсата из аппаратов, обогреваемых паром. Höffer Klaus. Probleme bei Kondensatableitern für dampfbeheizte Apparate der Verfahrenstechnik. «Chem.-Ing.-Techn.», 1960, 32, № 8, 532—535 (нем.; рез. англ., франц.). — Описаны принципы действия и особенности различных устройств для отвода конденсата и удаления газов, их недостатки и преимущества. М. Плясунов

9И58. Схемы трубопроводов теплотехнических установок, попеременно работающих как тепловой насос и холодильная машина. Кумото Йосицугу. «Рэйто, Refrigeration», 1960, 35, № 394, 64—68 (японск.).

9И59. Современное состояние техники термоэлектрического охлаждения. Суга Йосио. «Эйсэй когё кёкайси, J. Soc. Domest. and Sanit. Engng», 1960, 34, № 8, 519—525 (японск.).

9И60. Абсорбционные холодильные машины. Ямадзаки Дзюнъо. «Эйсэй когё кёкайси, J. Soc. Domest. and Sanit. Engng», 1959, 33, № 9, 497—502 (японск.). — Обзор. Библ. 8 назв. М. Гусев

9И61. Хладагенты и влажность. Кубота Кийо. «Рэйто, Refrigeration», 1960, 35, № 394, 620—628 (японск.). — Приведены данные о растворимости воды в различных хладагентах, в особенности во фреонах. Рассмотрено корродирующее действие хладагентов, гидролизующихся под влиянием влаги с образованием к-т. Даны сведения о в-вах, которые могут быть использованы в качестве обезвоживателей хладагентов. Описаны методы определения содержания влаги в хладагентах. М. Гусев

9И62. Некоторые вопросы расчета выпарных установок. Гуревич М. И. «Тр. Уральского политех. ин-та», 1960, сб. 76, 110—119. — Предлагается способ более точного расчета предварительного распределения выпариваемой воды по n корпусам многокорпусной выпарной установки, сокращающий объем последующих расчетов. Кол-во греющего пара, поступающего в первый корпус, следует определять по ур-нию $D_1 = (1 + 0,07 n) W/n$, где W — кол-во образующегося вторичного пара. При отсутствии отбора экстрапара оптимальное число корпусов установки определяется исходя из миним. стоимости эксплуатации ее и может быть найдено по ур-нию: $n = (W y d / 1000 a F)^{0,5}$, где y — коэф. недовыработки пара, d — стоимость 1 т греющего пара, в рублях, a — полная стоимость эксплуатации 1 м^2 греющей поверхности, в рублях, F — поверхность нагрева однокорпусного аппарата, выпаривающего $W \text{ кг/час}$ пара при тех же параметрах греющего пара и т-ре кипения р-ра, что и в последнем корпусе установки. А. Ровинский

9И63. Тепло- и массоотдача от тонкодиспергированных замедленно движущихся струй жидкости. Manning W. P., Gauvin W. H. Heat and mass transfer to decelerating finely atomized sprays. «A. I. Ch. E. Journal», 1960, 6, № 2, 184—190 (англ.). — Исследована тепло- и массоотдача от мелких капель воды, образованных при распылении в спец. насадке, к потоку воздуха, движущемуся перпендикулярно или в том же направлении. Исследования проводились на двух различных установках с применением идентичных методов измерения, существенно отличавшихся от общепринятых. Размер получаемых капель и распределение по сечению струи определялись после осаждения на специально подготовленной поверхности путем измерения под микроскопом; регистрировались капли размером $\leq 1 \text{ м}$. Степень испарения устанавливалась колориметрич. способом, для чего к воде добавлялась красная краска в разведении $1:10$; чувствительность метода позволяла оценивать изменение конц-ии до $10\text{—}5\%$. Т-ра воды в распыленной струе определялась термопарой, проводники которой пропускались через отверстие в тонкой игле для медицинского шприца; установлено, что т-ра воды близка к т-ре влажного термометра в потоке воздуха, используемого для испарения влаги (с точностью до $0,5^\circ$). Скорость падения капель измерялась по результатам скоростной киносъемки. Скорость воздуха практически совпадала со скоростью движения мельчайших капель, которая регистрировалась указанным выше способом. Т-ра воздуха в распыленной струе измерялась экранированными жидкостными термометрами. Влагосодержание воздуха определялось по электропроводности хлористого лития, который интенсивно поглощает влагу; прибор специально разработан для этого исследования. В первой установке струя воды распылялась сверху и проходила последовательно через 6 горизонтальных камер, расположенных друг над другом и имевших высоту 75, 100 и 150 мм. Сбоку в каждую из камер вводился воздух в такой кол-ве, чтобы скорость его во всех камерах была одинаковой. Во второй установке вода и воздух вводились сверху и двигались прямоютоком в стальной трубе внутренним диам. 200 мм; в стенке трубы выполнены

6 отвер
в резул
что они
выведен
Евгд
+ 0,66
выраже
терии
капель;
физ. св
ность, и

9И64.
наных
berry
particle
nal), 19
деляющ
неподви
маются
шающие
На осно
ур-ние;
= 1,15
отдачи;
Re = D
объем с
ные, по
и ж
ются с
ожидат
затель
ние ну
9И65.
процес
гесу
raific a
(RPR),
менени
задач

9И66.
капель.
of mass
Sci.,
влияни
(K) ка
располо
гружен
по кап
ющиеся
костов
плется
причем
личает
исходи
незави
или ор
ное в-н
ляется
несмот
постав
в этих
9И67.
ная ди
Dünns
Theori
№ 7, 22
принц
цессов
ляции
9И68.
лонны

6 отверстий для отбора проб и фотографирования. В результате обработки опытных данных установлено, что они удовлетворительно согласуются с ур-ниями, выведенными ранее (Ranz W. E., Marshall W. R., Chem. Engng. Progr., 1952, 48, 141, 173): $Nu = 2,0 + 0,66 Re^{0,5} Pr^{0,33}$ и $Nu' = 2,0 + 0,60 Re^{0,5} Sc^{0,33}$, причем в выражениях Nu , Nu' (тепловой и диффузионный критерии Нуссельта), а также Re входит средний диаметр капель; в выражениях всех критериев фигурируют физ. свойства газового слоя, окружающего каплю (вязкость, плотность, теплопроводность, теплоемкость).

Ю. Петровский
9И64. Механизм переноса вещества от гранулированных частиц к потоку в неподвижном слое. Carberry James J. A boundary-layer model of fluid-particle mass transfer in fixed beds. «A. I. Ch. E. Journal», 1960, 6, № 3, 460—463 (англ.). В качестве определяющего фактора при переносе в-ва от частиц в неподвижном слое к омывающему их потоку принимается диффузия в-ва через последовательно разрушающийся и восстанавливающийся пограничный слой. На основании теории пограничного слоя выведено ур-ние, описывающее перенос в-ва: $J_{BL} = (k/U_0) e Sc^{1/4} =$

$= 1,15 Re^{-0,5}$, где \bar{k} — средняя величина коэф. массоотдачи; U_0 — скорость в полном сечении аппарата; $Re = D_p U_0 / \nu$; D_p — диаметр частиц; e — уд. свободный объем слоя; ν — кинематич. вязкость. Опытные данные, полученные различными исследователями с газами и жидкостями ($Sc = 0,6 \div 10\,500$), хорошо согласуются с теоретич. ур-нием. В области $Sc < 1$ следует ожидать менее резко выраженного влияния Sc : показатель степени при Sc стремится к 0,5. Это заключение нуждается в эксперим. проверке. Ю. Петровский

9И65. Применение гидронитератора для расчета процессов диффузии. Sojerganu Didina, Florescu N., Oprescu M., Coilan Fl. Integrator hidraulic aplicat la procese de difuziune. «Rev. chim.» (RPR), 1960, 11, № 7, 417—419 (рум.). Описано применение гидронитератора Лукьянова для решения задач при анализе диффузионных процессов.

З. Хаимский
9И66. Влияние массопередачи на коалесценцию капель. Groothuis H., Zuideweg F. J. Influence of mass transfer on coalescence of drops. «Chem. Engng. Sci.», 1960, 12, № 4, 288—289 (англ.). Исследовано влияние направления массопередачи на коалесценцию (K) капель в ячейке, состоящей из двух капилляров, расположенных на одной горизонтальной оси и погруженных в сплошную фазу. Жидкости подавались по каплям, образуя на выходе из них соприкасающиеся капли. Время K капель после первого соприкосновения при отсутствии растворенного в-ва изменяется в широких пределах для исследованных систем, причем среднее время для разных систем заметно отличается. Если в-ва растворены в каплях, то K происходит почти сразу после первого соприкосновения, независимо от того, является дисперсной фазой вода или органич. р-ритель. В том случае, когда растворенное в-во находится в сплошной фазе, K сильно замедляется и в некоторых случаях совсем не происходит, несмотря на большой размер капель. Результаты сопоставлены с данными по поверхностному натяжению в этих системах. К. Сакодинский

9И67. Пленочная, молекулярная и высоковакуумная дистилляция в теории и практике. Kirsanov I. Dünnschicht-, Molekular- und Kurzweg-Destillation in Theorie und Praxis. «Riechstoffe und Aromen», 1960, 10, № 7, 229—230, 232—233 (нем.). Обсуждаются теоретич. принципы и некоторые технологич. особенности процессов пленочной, мол. и высоковакуумной дистилляции. В. Коган

9И68. Дистилляция и регулирование работы колонн. Части II, III. Keith R. Distillation and column

control. Parts II, III. «S. Afric. Engr.», 1960, 51, № 505, 35, 37, 39, 41; № 506, 35, 37, 39, 41, 43 (англ.).—II. Рассмотрены соотношения между флегмовым числом и числом тарелок, высказаны соображения о выборе оптимального значения флегмового числа. Отмечены особенности ректификации многокомпонентных смесей. Описаны системы регулирования поступления исходной смеси в колонну, отбора дистиллата и нижнего продукта, поддержания постоянного давления в условиях ректификации под вакуумом. III. Рассмотрены применяемые системы автоматич. регулирования давления в дистилляционных колоннах, работающих при повышенном давлении, а также системы контроля и регулирования кол-ва подводимого тепла, флегмового числа, т-ры поступающей на разделение смеси. Часть I см. РЖХим, 1960, № 21, 85048.

Ю. Петровский
9И69. Ректифицирующее действие насадочных колонн по данным новых измерений в свете теории подобия. Hausen H. Rektifizierungswirkung von Füllkörpersäulen nach neueren Messungen im Lichte der Ähnlichkeitstheorie. «Chem.-Ingr.-Techn.», 1960, 32, № 8, 509—512 (нем.; рез. англ., франц.). Приводятся результаты опытов по определению эффективности стеклянных колец Рашига размером $4,2 \times 4,1$ мм и $24 \times 24,5$ мм в колоннах диам. 25 и 150 мм при ректификации смесей бензола и гептана. Высота слоя насадки равна соответственно 60 и 360 мм. По опытным данным рассчитывались значения высоты насадки, эквивалентной единице переноса массы, отнесенной к паровой фазе (H_D). Результаты опытов находятся в соответствии с данными, полученными ранее для насадки из стеклянных шариков, и обнаруживают сильную зависимость ректифицирующего действия колонны от отношения расходов жидкости и пара F/D при различных составах исходных смесей. В соответствии с теорией подобия опытные данные для колец Рашига различного размера группируются около одной кривой в координатах $(H_D/d)(F/D)^{0,536} = f(D/D(\text{кр.})),$ где d — диаметр кольца Рашига и $D(\text{кр.})$ — предельно допустимый расход пара. В. Коган

9И70. Анализ способов определения эффективности колонных аппаратов тарельчатого типа. Евстафьев А. Г. «Изв. АН СССР. Отд. техн. и Металлургия и топлив», 1960, № 4, 179—184.—Рассматриваются различные способы определения эффективности ректификационных тарелок: по среднему числу теоретич. тарелок, приходящихся на одну действительную тарелку, $\eta_{\text{тр}}$ или по числу единиц переноса массы для тарелки $m_{\text{т}}$. Связь между величинами $\eta_{\text{тр}}$ и $m_{\text{т}}$ выражается ур-нием $\eta_{\text{тр}} = 1 - \exp(-m_{\text{т}})$. Способы оценки эффективности тарельчатых аппаратов не учитывают особенности работы аппарата перекрестного тока, в связи с чем теряет свою ценность применение способа оценки эффективности тарелок по числу единиц переноса массы. Получено следующее ур-ние, учитывающее особенности перекрестного тока жидкости и пара $\eta_{\text{тр}} = E_{\text{плн}} (\exp A_i - 1) / A_i$, где $A_i = (a/\varphi) E_{\text{плн}} (1 - E_{\text{плн}})$, $E_{\text{плн}}$ — точечный к. п. д. тарелки, характеризующий степень полноты взаимодействия между жидкостью и паром, $E_{\text{плн}}$ — к. п. д., характеризующий полноту массообмена между соседними слоями жидкости, a и φ — соответственно угловые коэф. линии равновесия и рабочей линии. В. Коган

9И71. К расчету насадочных ректификационных колонн. Billet Reinhard. Zur Vorausberechnung von Füllkörpersäulen für die Rektifikation. «Chem.-Ingr.-Techn.», 1960, 32, № 8, 517—520 (нем.; рез. англ., франц.). На основании опытных данных о ректификации систем этанол — вода, бензол — дихлорэтан, бензол — толуол и дихлорэтан — толуол в колоннах с на-

садкой из колец Рашига размером от $8 \times 8 \times 1,5$ мм до $50 \times 50 \times 5$ мм при отношении диаметров колонны и колец Рашига Φ в пределах от 12 до 22 выведены эмпирич. ур-ния для расчета высоты насадки. Расчет предельно допустимой скорости пара W_D рекомендуется производить по ур-нию: $W_D = C \sqrt{1/\gamma_D}$ в м/сек, где γ_D — уд. вес пара в кг/см³ и C — эмпирич. коэф., зависящий от диаметра кольца Рашига d в мм и равный 0,85 для $d=8$; 1,3 для $d=25$; 1,45 для $d=35$ и 1,55 для $d=50$. При высоте слоя насадки $H < 1$ м разделительное действие, оцениваемое числом теоретич. тарелок n_t , изменяется в зависимости от H нелинейно. При $H > 1$ м n_t изменяется прямо пропорционально H . Исходя из этого, для определения потребной высоты слоя насадки рекомендуется ур-ние $H = 1 + (n_t - 0,13\xi)(10 + d)/120$, м, где n_t — потребное число теоретич. тарелок, рассчитываемое известными способами, и ξ — коэф. сопротивления слоя насадки, определяемый по ур-нию $\xi = 2g\Delta p d \cdot 10^{-3} / (W_D^2 \gamma_D)$, где Δp — гидравлич. сопротивление слоя насадки высотой 1 м при скорости пара W_D в мм вод. ст. и g — ускорение силы тяжести. Рассчитанные по приведенному ур-нию значения H сопоставлены с опытными данными, полученными ранее (Fenske M. R., Lawroski S., Tongberg C. O., Ind Engng Chem., 1938, 30, 297), по ректификации смесей гентана и метилциклогексана в колонне диам. 51 мм и высотой 2,59 м с насадкой размером 6,4, 9,5 и 12,7 мм. Рассчитанные значения H в большинстве случаев несколько превышают опытные.

B. Kogan

9И72. Диаграмма Мак-Кэба — Тиле для идеального каскада. Surowiec Alfred J. McCabe-Thiele diagram for the ideal cascade. «Industr. and Engng Chem.», 1960, 52, № 9, 789 (англ.). — Описывается графич. расчет числа теоретич. тарелок при ректификации бинарной смеси по методу Мак-Кэба — Тиле.

B. Kogan

9И73. Графическое изображение состава и температуры бинарной жидкой смеси в ректификационной колонне. Smittenberg J. Graphical representation of composition and temperature of a binary liquid in a rectifying distillation column. «Recueil trav. chim.», 1960, 79, № 6, 635—638 (англ.). — Рассматривается графич. изображение изменения т-р и составов жидкости и пара по высоте колонны при ректификации бинарной смеси, исходя из предположения, что высота колонны, эквивалентная одной теоретич. тарелке, для данной бинарной смеси не зависит от состава. При бесконечном флегмовом числе зависимость составов жидкости и пара от высоты колонны изображается одной кривой линией. При конечном флегмовом числе получаются различные кривые для жидкости и пара, причем различие между этими кривыми возрастает с уменьшением флегмового числа.

B. Kogan

9И74. Расчет распределения компонентов, содержащихся в микроколичествах, в многоступенчатой экстракционной колонне. Bieß Günter. Rechnerische Ermittlung der Verteilung von Spurenkomponten in einer Mehrstoffextraktionskolonne. «Chem. Techn.», 1960, 12, № 7, 399—401 (нем.). — Получены ур-ния для расчета конечный микрокомпонентов в фазе экстракта и рафината путем составления и совместного решения ур-ний материального баланса для отдельных теоретич. ступеней экстракционной колонны и ур-ний равновесия. При этом предположено, что на распределение макрокомпонентов не влияет присутствие микрокомпонентов, а распределение последних зависит от распределения макрокомпонентов.

K. Сакодынский

9И75. Метод расчета высоты противоточных насадочных и тарельчатых колонн в процессах растворения однокомпонентной диспергированной фазы. Броунштейн Б. И. «Ж. прикл. химии», 1960, 33, № 9, 2056—2062. — Аналитически рассмотрен процесс рас-

творения диспергированной фазы в сплошной фазе в противоточной насадочной или тарельчатой колонне и получены ур-ния для вычисления размеров колонны в предположении, что сплошная фаза не растворяется в диспергированной и приведенный коэф. растворения $K_n = K\sigma S/V_g$ не зависит от V_g и y . Полученные расчетные ур-ния преобразованы также и для случая, когда зависимостью K_n от V_g и y пренебречь нельзя, однако использование их возможно только после эксперим. нахождения характера этой зависимости. Здесь K — коэф. растворения, отнесенный к единице межфазовой поверхности, σ — поверхность раздела фаз в единице объема, S — площадь сечения колонны, V_g — скорость подачи дисперсной фазы, y — концентрация дисперсной фазы в сплошной.

A. Ровинский

9И76. Обобщающий критерий для процесса адсорбции в жидкой фазе. Jones Herbert L., Stuart Edward B. Correlating criteria for liquid-phase adsorption. «A. I. Ch. E. Journal», 1960, 6, № 2, 332—335 (англ.). — Ранее предложенные ур-ния для расчета кривой равновесия между жидкой бинарной смесью и адсорбентом (РЖХим, 1959, № 20, 71697) при некоторых условиях указывают на наличие азеотропной точки, которой в действительности не существует. Получены равновесные кривые при адсорбции в статич. условиях смесей бензола с циклогексаном на трех сортах силикагеля, характеризующихся объемом пор 0,429—1,0876 см³/г, уд. поверхность 699—290 м²/г и средним диаметром пор 24,6—149,5 Å; опыты проводились при т-рах 8° и 78,2°. Расчеты по первоначальному ур-нию указали на наличие азеотропных точек, положение которых изменялось в зависимости от характеристик адсорбента. Расчеты по модифицированному методу дали равновесные кривые без азеотропных точек, удовлетворительно совпадающие с эксперим. данными во всем охваченном интервале диаметров пор и т-р.

A. Ровинский

9И77. Агрегат для измельчения и сушки влажных зернистых материалов. Моримото Масухиро. «Нэнрё оёби нэнсё», 1960, 27, № 3, 234—240 (японск.). — Описан агрегат, состоящий из устройства для нагревания воздуха, вертикального аппарата для измельчения, циклона и вентилятора; нагретый воздух поступает в нижнюю часть аппарата, из которого он увлекает измельченный влажный материал; последний высушивается нагретым воздухом в трубопроводе, между аппаратом для измельчения и циклоном, в котором высушенные твердые частицы отделяются от воздуха. Отмечено, что данный агрегат может быть использован для обработки зернистых материалов с размером частиц от 12 м до нескольких микрон при содержании влаги до 300%, причем объемный коэф. теплопередачи достигает 8000 ккал/м³ час град. Даны результаты опытов по измельчению и сушке в описанном агрегате карбоната кальция, карбоната магния, окиси железа, талька и глины.

M. Гусев

9И78. Сушка в псевдооживленном слое в колоннах с перфорированными тарелками. Такахаси Кэнъити. «Кэмикару эндзиниярингу», 1960, 5, № 8, 763—765 (японск.). — Даны краткие сведения об особенностях процесса в псевдооживленном слое. Даны схемы сушильных установок. Приведены данные о сушке песка, каменного угля, сульфата аммония и кокса.

M. Гусев

9И79. Сушка инфракрасными лучами, испускаемыми твердой поверхностью нагреваемого газом тела. Ханэсакэ Дзюндзи. «Нэнрё оёби нэнсё», 1959, 27, № 1, 1—11 (японск.). — Кратко рассмотрен принцип сушки ИК-лучами, испускаемыми твердой поверхностью тела, нагреваемого газом (газорadiационный способ нагревания). Описаны различные виды горелок, генерирующих ИК-излучение, и даны некоторые схемы сушильных устройств. Отмечены области применения

указани
ли бума
9И80.заки
№ 8, 7
принци
ни влаж
≤ 50 м
способн
и извест
ный пи
кальном
причем
(подобн
точнее с
который
риал сск9И81.
заки К
нэнсё»,9И82.
Jahresüb
1935—13
Евкл. 369И83.
в соотве
Z 8901-1
ществ. с«Рикага
Res.», 19
способпортлан
примени
промышл
тельныхпорошко
чае при
удовлет9И84.
ботки н
нище. N
Okubo
Engng R
143—145
4%-ных
Na₂HPO₄
• 2H₂O, л
кварцев
проводит
дой. Ус
несколь
стиц и
работка
на эфф9И85.
вой мел
Walzer
(нем.).ходных
успехом
ударныдействи
наиболь
выпусккак пок
мола. Птах оста
зультат
ных тип9И86.
химичес

указанного способа нагревания, в частности, для сушилки бумаги и лакокрасочных покрытий. М. Гусев

9И80. Вертикальная сушилка фирмы Убэ. Хамада-заки Киёси. «Кэмикару энджиниринг», 1960, 5, № 8, 778—788 (японск.).—Описаны конструкция и принцип действия сушилки, предназначенной для сушки влажных зернистых материалов с размером частиц ≤ 50 мм, которые не обладают большой адгезионной способностью, в частности измельченных угля, пирита и известняка; сушилка представляет собой вертикальный цилиндрический корпус, внутри которого на вертикальном валу вращается ряд горизонтальных полок, причем каждая полка состоит из ряда узких секторов (подобно вееру); каждый из секторов в определенной точке своего кругового пути поворачивается на некоторый угол, в результате чего высушиваемый материал сыпается на нижележащую полку. М. Гусев

9И81. Вертикальные сушилки фирмы Убэ. Хамада-заки Киёси, Акимото Томоюки. «Нэнрё обэн пансьё», 1960, 27, № 6, 567—578 (японск.).—См. реф. 9И80

9И82. Измельчение. Rumpf Hans. Zerkleineren. Jahresübersicht. «VDI-Zeitschrift», 1960, 102, № 28, 1335—1338, V (нем.; рез. англ.).—Ежегодный обзор. Библ. 39 назв. Е. Штейн

9И83. Способ получения порошкообразных веществ в соответствии с Японским промышленным стандартом Z 8901-1958 и измерение размеров частиц этих веществ. Ояма Йоситоси, Савабатакэ Ясуси. «Рикагаку кэнкюсё хококу», Repts Inst. Phys. and Chem. Res., 1960, 36, № 1, 104—113 (японск.).—Рассмотрен способ получения порошкообразных в-в (песок, тальк, портланд-цемент) с определенным размером частиц, применяемых для стандартных испытаний различных промышленных устройств (в частности, пылесосительных камер). Исследовано распределение частиц порошкообразных в-в по размеру и указано, что в случае применения шаровой мельницы это распределение удовлетворяет ур-нию Розина-Раммлера.

Из резюме авторов 9И84. Влияние химических реагентов и термообработки на эффективность измельчения в шаровой мельнице. Nakayama Hidetaro, Suzuki Tetsuo, Okubo Tsutomu. «Соро сикансё цэмпо, Annual Rept Engng Res. Inst. Fac. Engng, Univ. Tokyo», 1960, 18, № 2, 143—145 (японск.; рез. англ.).—Исследовано влияние 4%-ных водн. р-ров HCl , NaOH , NaHCO_3 , $\text{Na}_2\text{CO}_3 \cdot 10\text{H}_2\text{O}$, $\text{Na}_2\text{HPO}_4 \cdot 12\text{H}_2\text{O}$, $\text{Na}_2\text{H}_2\text{O}_2 \cdot 3\text{H}_2\text{O}$, $\text{MgCl}_2 \cdot 6\text{H}_2\text{O}$, $\text{BaCl}_2 \cdot 2\text{H}_2\text{O}$, $\text{AlCl}_3 \cdot 6\text{H}_2\text{O}$, NaCl , KCl на процесс измельчения кварцевого песка; для сравнения несколько опытов проводились с сухим песком и песком, смоченным водой. Установлено, что прибавление указанных р-ров несколько увеличивает сферичность измельченных частиц и уменьшает их размеры. Указано, что термообработка при 100—600° не оказывает заметного влияния на эффективность измельчения. В. Герцовский

9И85. Тонкое измельчение без применения вальцово-й мельницы. Penndorf F. Feinzerkleinerung ohne Walzerstuhl «Dtsch. Müller-Ztg», 1960, 58, № 5, 101—106 (нем.).—Показано, что тонкое измельчение мягких исходных материалов (особенно в пищевой промышленности) с успехом может быть осуществлено в быстроходных ударных и вихревых мельницах. Описаны принципы действия основных типов и особенности конструкций наиболее современных ударных и вихревых мельниц, выпускаемых в ФРГ и Швейцарии и обеспечивающих, как показали исследования, необходимую тонкость помола. Приведены диаграммы, на которых в координатах остаток на сите — размер ситовой ячейки, даны результаты измельчения различных продуктов на разных типах мельниц. М. Плясунов

9И86. Процессы и аппараты химической и нефтехимической технологии. [Учебник для механ. фак. тех-

нол. ин-тов и ин-тов хим. машиностр.]. Плановский А. Н., Николаев П. И. М., Гостоптехиздат, 1960, 551 стр., илл., 13 р.

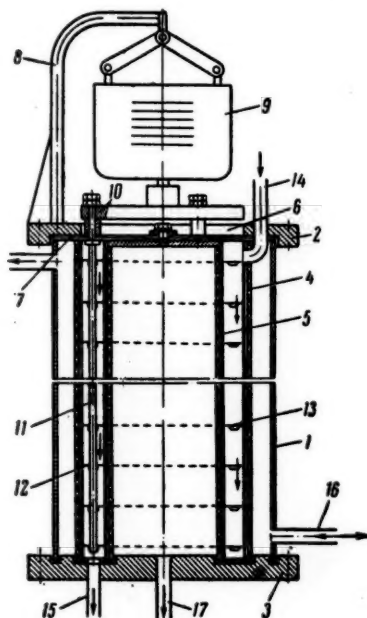
9И87. Физические основы технической гидродинамики. Том 1. Гидро- и аэростатика. Движение идеальной жидкости. Tietjens O. Strömungslehre. Physikalische Grundlagen vom technischen Standpunkt. Bd. 1. Hydro- und Aerostatik Bewegung der idealen Flüssigkeit. Berlin-Göttingen-Heidelberg, Springer, 1960, XVI, 536 S., илл. (нем.)

9И88. Руководство по фильтрованию. Handbook of filtration. Filtrertown, 1960, var. pag., илл., 2.50 долл. (англ.)

9И89. Холодильная техника. Энциклопедич. справочник. В 3-х кн. Кн. 1. Техника производства искусственного холода. Бадильес И. С., Бухтер Е. З., Вейнберг Б. С. и др. М., Госторгиздат, 1960, 544 стр., илл., 27 р.

9И90. Способ аэрирования жидкостей. Иванов А. А. Авт. св. СССР 127246, 25.03.60.—Описан способ аэрирования жидкостей при малых расходах воздуха или малой степени аэрации. Предлагаемый аэратор состоит из вертикально установленного диффузора (Д), помещенного в резервуар с жидкостью. В средней части Д расположен распределитель, куда под давлением поступает воздух. С помощью пропеллерного насоса, смонтированного в верхней части Д, создается нисходящий поток жидкости, увлекающий вниз поданный в Д воздух, который за счет кинетич. энергии потока подвергается дополнительному изотермич. сжатию, благодаря чему снижается уд. расход энергии на аэрирование. Б. Сумм

9И91. Устройство для обработки суспензий. Hagen Joseph. Einrichtung zum Behandeln von Suspensionen. [Sandoz A.-G.] Швейц. пат. 341797, 15.12.59.—В цилиндрич. кожухе 1 с крышкой 2 и дном 3 помещены два соосных перфорированных цилиндра 4 и 5, при-



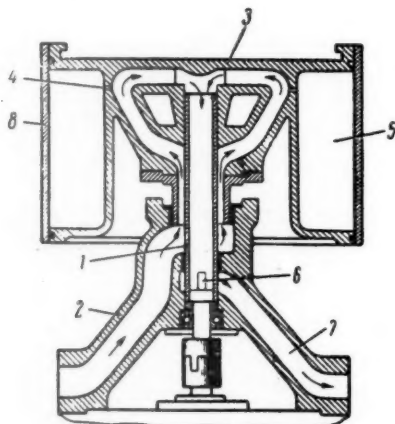
чем внутренняя сторона цилиндра 4 и внешняя сторона цилиндра 5 покрыты фильтровальной тканью. В 2 имеется отверстие 6, под которым расположена уплотнительная резиновая пластина 7. На 2 установлен

кронштейн 8, к которому подвешен вибратор 9, жестко соединенный с дугой 10. К последней прикреплены штанги 11, несущие кольцевые горизонтальные перегородки 12 с равномерно расположенными на них конич. отверстиями 13. По штуцеру 14 в кольцевое пространство между 4 и 5 поступает сгущаемая суспензия, которая подвергается вибрации под воздействием 12 и перемещается сверху вниз через 13; сгущенная суспензия удаляется по штуцеру 15. Фильтрат проходит через фильтровальную ткань и попадает в кольцевое пространство между 1 и 4 и в цилиндр, пространство внутри 5, из которых он удаляется по штуцеру 16 и 17. Жидкость для промывки сгущенной суспензии поступает по штуцеру 16 в пространство между 1 и 4 и проходит через обе фильтровальные перегородки внутри 5, откуда удаляется по штуцеру 17. Жидкость для промывки фильтровальной ткани подается по штуцеру 16 и 17 и удаляется по штуцеру 15. Преимуществом рассмотренного устройства является то, что при воздействии вибрации достигается однородность сгущенной суспензии, в результате чего улучшаются условия ее промывки. Это устройство особенно пригодно для разделения тонкодисперсных суспензий.

И. Мезенцев

9И92. Фильтр для очистки электролита. Симэда Масадзо. Японск. пат. 4942, 11.05.60.—Описан вертикальный цилиндр, фильтр со слоем песка в качестве фильтрующего материала; фильтр отличается способом промывки слоя песка обратным потоком воды с использованием размещенных внутри фильтра направляющих желобов для удаления загрязнений. М. Гусев

9И93. Центрифуга периодического действия для разделения суспензий. Dega Robert L. Centrifuge for clarifying fluid. [General Motors Corp.]. Пат. США, 2898037, 4.08.59.—Полый вал 1 центрифуги вращается в подшипниках, укрепленных в неподвижном корпусе 2;



на 1 находится барабан 3. Суспензия по каналу 2 подается в 3 (как показано стрелками). Твердые частицы, отброшенные центробежной силой, через отверстия 4 поступают в осадительную камеру 5. Осветленная жидкость через 1 и отверстия 6 проходит в канал 7. Съемный кожух 8 позволяет быстро выгружать осадок при остановке центрифуги.

Р. Коган

9И94. Гомогенизатор. Jones James B., Yocom Kenneth H. Homogenizing method and apparatus. [Aeroprojects, Inc.]. Пат. США, 2917386, 15.12.59.—Описан аппарат и метод для приготовления эмульсий и суспензий с размером частиц дисперсной фазы $< 10 \mu$. Смесь жидкостей (или жидкости и твердых частиц) и

воздух подают по двум коаксимальным трубам, причем указанная смесь проходит по кольцевому каналу, а воздух, давление которого $> 1,7 \text{ ат}$, проходит по внутреннему каналу со звуковой или сверхзвуковой скоростью. У выхода газовый поток увлекает смесь и с силой ударяет ее о металлич. барьер, расположенный под прямым углом по отношению к направлению движения газа и жидкости. Устройство помещено в кожухе, на дне которого собирается образовавшаяся суспензия или эмульсия.

В. Герповский

9И95. Устройство для поддержания постоянной концентрации летучего компонента в смеси. —Procédé et dispositif pour maintenir constante la concentration de substances volatiles dans des mélanges liquides [Josef Giladi, Fajvel Rajzman, Israel Cohen]. Франц. пат. 1212687, 25.03.60.—Предложено устройство для поддержания постоянной конц-ии летучего компонента, растворенного в жидкости. Резервуар (Р) с жидкостью, содержащей летучий компонент, соединен трубопроводом с небольшим бачком (Б), в который с помощью насоса непрерывно подается на анализ небольшое кол-во жидкости из резервуара. Пары жидкости, в состав которых входят пары летучего компонента, отсасываются вакуум-насосом из Б, проходят газоанализатор, связанный с прибором, преобразующим показания величины конц-ии летучего компонента в электрич. импульсы, и возвращаются в Б, барботируя через находящуюся в нем жидкость. Сигналы от преобразователя импульсов передаются на устройство, управляющее краном подачи в Р с жидкостью летучего компонента. При уменьшении конц-ии последнего ниже допустимого предела кран открывается и в Р поступает дополнительное кол-во летучего компонента. Б расположен выше Р и по второй трубе самотеком происходит постоянное перетекание из Б в Р избытка отбираемой насосом пробы.

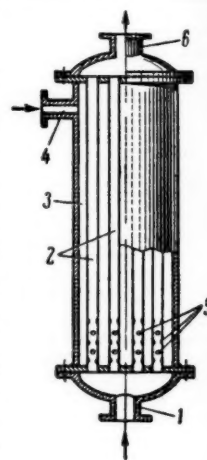
И. Рискин

9И96. Усовершенствование теплообменников. —Verbetering aan warmteuitwisselaars. [E. Wellens]. Бельг. пат. 546599, 23.10.59 (флам.).

—Патентуется конструкция парового водоподогревателя, используемого в системе центрального водяного отопления. Циркуляционная вода, прошедшая отопительные радиаторы и охлажденная в них, поступает в нагреватель снизу через штуцер 1 и движется через пучок трубок 2. В межтрубное пространство 3 через верхний боковой штуцер 4 вводится греющий пар под определенным избыточным давлением, который конденсируется на наружной поверхности 2, нагревая движущуюся через них воду. В нижней части 2 на $1/6$ их длины выполнены отверстия 5, через которые образовавшийся конденсат попадает в 2, где смешивается с водой, выходя вместе с нею через штуцер 6. Избыток воды в системе, соответствующий кол-ву образовавшегося конденсата, непрерывно выводится из расширительного бачка. Аппарат характеризуется высокой эффективностью.

Ю. Петровский

9И97. Плоскопараллельная насадка для охлаждения жидкостей. —Système de ruissellement pour le refroidissement des liquides. [M. Hamon]. Бельг. пат. 552881, 15.01.60.—Описана система крепления листов насадки, по которым стекает охлаждаемая жидкость. Последние опираются зашпечниками на две бетонные балки с гнездами для установки листов. В листах име-



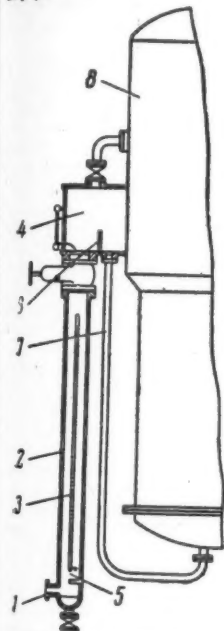
ются от
удержива
от друга
ных име
К реф. 9И



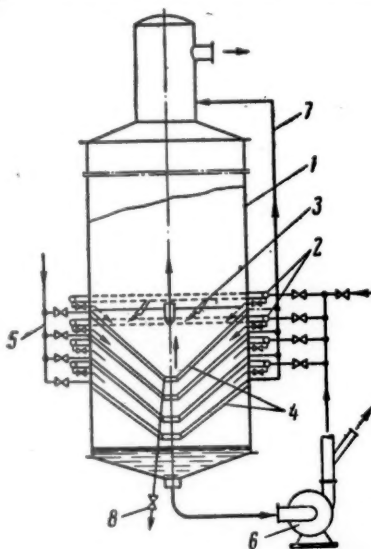
9И99.
СВЯ-59.
по К. Ф.
конструк
ляющая

жидкост
ти нагре
акторал

ются отверстия, через которые продеваются стержни, удерживающие листы на одинаковом расстоянии друг от друга и придающие аппарату жесткость. На стержнях имеются пазы, в которые при подъеме стержней вверх плотно входят верхние края отверстий в листах. Подобная посадка может применяться в градирнях. З. Хаимский



9И99. Выпарной беструбный аппарат системы СВЯ-59. Скриплев В. Е., Буряков Н. И., Яценко К. Ф. Авт. св. СССР 125237, 8.01.60.—Предложена конструкция беструбного выпарного аппарата, позволяющая интенсифицировать процесс выпаривания



жидкости и уменьшить отложение солей на поверхности нагревания. Жидкость подается в аппарат 1 по коллекторам 2 и через патрубки 3 распределяется тонкой

пленкой по внешним поверхностям конич. полостей 4, причем направление 3 таково, что жидкость получает вращательное движение. Греющий пар подают в полости по коллектору 5 противотоком к пленке выпариваемой жидкости. Собирающаяся на дне аппарата жидкость насосом 6 вновь направляется к 2; часть жидкости отбирается из насоса в качестве конечного продукта. Греющий пар отводится из установки по линии 8; конденсат выводится из установки по линии 8.

В. Герцовский

9И100. Установка для дистилляции высококипящих жидкостей под вакуумом. Balajka Bohumil.

Způsob vakuové destilace kapalin s vysokým bodem varu. Чехосл. пат. 92124, 15.10.59.—Смесь, подлежащую дистилляции, по трубопроводу 1 подают в конденсатор 2 на поверхность верхнего элемента 3, представляющего собой линзообразное тело. Смесь стекает по элементам 3 тонким слоем, нагреваясь при этом за счет теплоты конденсации паров дистиллята, проходящих внутри элемента. Нагретая смесь подается в дистилляционную колонну 4, в которой также находятся расположенные друг над другом элементы 5, выполняющие роль насадки. Смесь стекает по элементам 5 и испаряется при этом за счет тепла даутерма, который циркулирует внутри 5. Образующиеся пары через каплеотделитель 6 направляются в элементы 3, а неиспарившийся остаток по трубопроводу 7 удаляется в сборник.

В. Герцовский

9И101. Способ удаления полярных загрязнений из газов и паров. Zlámal Zdeněk, Kazda Antonín. Způsob odstraňování polárních nečistot z plynů a par. Чехосл. пат. 89822, 15.04.59.—Предложен способ очистки газов и паров от полярных примесей, не устраняемых обычными физ.-хим. методами и способных связываться к-той. Пар или газ пропускают через колонку, наполненную силикагелем, предварительно пропитанным до насыщения H_2SO_4 , где происходит селективная адсорбция полярных примесей, чему способствует также хроматографич. действие носителя. H_2SO_4 , насыщенная примесями, затем десорбируется, а отработанный силикагель регенерируют промыванием водой, сушкой и повторным насыщением H_2SO_4 . Пример. 600 г силикагеля пропитали 400 г 96%-ной H_2SO_4 и загрузили в две колонки, через которые пропустили со скоростью 2,5 л/мин смесь пропана и бутана при т-ре 20°. В 1 кг смеси содержалось 98 мг S и следы олефинов. После пропускания через колонки примесей S и олефинов не обнаружено.

В. Елинек

9И102. Колонна для экстракции в системе жидкость — жидкость. Mišek Tomáš. Kolona pro extrakci kapalin kapalinou. Чехосл. пат. 92281, 15.10.59.—Предложены конструкции перфорированных и щелевых тарелок без переливного порога, обеспечивающих благоприятные условия для протекания несмачивающей жидкости. С этой целью вся поверхность тарелки или ее часть выполнена под некоторым углом к горизонтальной плоскости (напр., в виде конуса, полусферы): при этом образуется более высокий слой несмачивающей жидкости, что облегчает ее прохождение сквозь отверстия в тарелке.

В. Герцовский

9И103. Устройство для экстрагирования различных веществ с помощью механических колебаний. Sauter Eugen. Einrichtung zum Auslaugen von Stoffen mittels mechanischer Schwingungen. [Siemens-Schuckertwerke A.-G.]. Пат. ФРГ 973167, 17.12.59.—Предложено устройство для экстрагирования р-рителями из р-ра различных в-в; интенсификация процесса экстрагирования достигается посредством создания механич. колебаний в звуковой или ультразвуковой области с одновременным нагреванием обрабатываемой смеси в поле высокочастотного конденсатора. Устройство характеризуется тем, что один из электродов высокочастотного конденсатора является одновременно одним из электродов пьезоэлектрич. генератора колебаний, служащего для создания механич. колебаний в обрабатываемой смеси. Таким образом, основное отличие предлагаемого устройства от других, работающих по тому же принципу, заключается в меньшем числе электродов, чем обусловливается большая простота конструкции аппаратов.

9И104. Печь для проведения каталитических гетерогенных процессов. Gross Gustav Adolf. Kontaktofen. [Ciba A.-G.]. Швейц. пат. 343377, 15.02.60.—Внутри горизонтального барабана с отверстиями для входа и выхода газа перпендикулярно к направлению его движения расположены не менее двух вертикальных слоев катализатора, пронизываемых для газа и состоящих из твердых частиц. Последние удерживаются поперечными перегородками, перфорированными в большей части поперечного сечения барабана. В каждом из отсеков барабана имеются боковые отверстия с приспособлениями для ввода и вывода катализатора под действием силы тяжести. Эти приспособления представляют собой шпунтера со шлюзовыми затворами. Шпунтера присоединяются на фланцах к устройствам для подачи и удаления катализатора.

9И105. Способ разделения жидких и твердых продуктов реакции. Reppe Walter, Baur Karl, Schweter Walter. Verfahren und Vorrichtung zur Zerlegung flüssiger und fester Reaktionsprodukte. [Badische Anilin- & Soda-Fabrik A.-G.]. Пат. ФРГ 1032217, 27.11.58.—Водяной пар подают таким образом в сосуд с водой, чтобы над поверхностью воды образовался пароводяной вихревой поток, в который вводят разделяемую смесь. Жидкие компоненты смеси испаряются и уносятся вихревым потоком через конденсатор в разделительную камеру, где освобождаются от воды, а твердые компоненты смеси оседают на дно сосуда, откуда периодически или непрерывно удаляются. Разделение ведут в сосуде с конич. днищем, сообщенным снизу с приемником для твердых компонентов. Для обеспечения постоянного уровня воды в сосуде в верхней части его предусмотрен слив (на уровне верха его конич. части). На глубине 10–30 см ниже уровня воды в сосуде устроен ввод пара в виде горизонтальной кольцевой трубки с отверстиями. Разделяемая смесь вводится в сосуд на уровне 0,5 высоты его цилиндрич. части. Преимущества способа: 1) нестойкие при повышенных т-рах жидкие компоненты быстро испаряются, находясь лишь непродолжительное время в соприкосновении с паром; 2) значительно снижается полимеризация легко полимеризующихся жидких компонентов, в особенности в присутствии катализаторов; 3) твердые компоненты могут непрерывно (или периодически) удаляться из системы; такой способ удаления твердых компонентов препятствует их отложению на стенках.

Я. Кантор

См. также: Центрифуга 9Н356. Гидроциклоны 9Н360, 9И484. Теплоизоляционные материалы 9К275. Выпаривание 9И485, 4И486, 4И487. Ректификация 9И164. Сушка 9Н380. Химич. реакторы 9И165. Трубы из пластмасс 9И187

КОНТРОЛЬНО-ИЗМЕРИТЕЛЬНЫЕ ПРИБОРЫ. АВТОМАТИЧЕСКОЕ РЕГУЛИРОВАНИЕ

Редактор Н. Я. Феста

9И106. Автоматизация химических производств. Миядзаки Сэйити. «Отомасэн, Automation», 1960, 5, № 8, 41–45 (японск.)

9И107. Введение в метод корреляции. Schäfer O. Eine Einführung in die Korrelations-Methode. «Regelungstechnik», 1960, 8, № 9, 312–314 (нем.).—В статье обсуждается возможность применения корреляционного метода для определения статич. и динамич. свойств объектов регулирования. Показывается построение автокорреляционных и перекрестнокорреляционных функций.

9И108. Методы выбора места и величины экстремального значения. Kaltenecker H. Methoden und Anwendungsgebiete der Extremwert- und Extremort-Auswahl. «Regelungstechnik», 1960, 8, № 9, 293–297 (нем.; рез. англ.).—При регулировании процессов по нескольким точкам часто бывает необходимо обеспечение не превышения значения параметра в любой из регулируемых точек определенного экстремума. Так, напр., при регулировании т-ры в печи необходимо, чтобы ни в одной из точек т-ра не превышала заданной. Для этой цели применяют спец. устройства, которые определяют точку, где значение параметра является экстремальным, и регулируют процесс по этой точке. Определение экстремальной точки производится непрерывно. Показываются возможности построения таких устройств механич., пневматич., гидравлич. и электр. путями. Приводятся примеры регулирования по экстремальной точке. Возможно также построение таких систем, где, кроме регулирования параметра, в экстремальной точке производится также автоматич. перемещение экстремума по точкам в зависимости от величины экстремума.

9И109. Регуляторы качества для процессов подкисления и хлорирования. Альбицкий Н. М. «Вест. техн. и экон. информ. Н.-и. ин-т техн.-экон. исслед. Гос. ком-та Сов. Мин. СССР по химии», 1959, № 2(14), 76–79.—В ГИПХ разработана схема автоматич. регулирования узла подкисления р-ров. В качестве датчика использована специально разработанная ячейка рН-метра с Sb-электродом и термокомпенсацией при помощи термометра сопротивления. Приведены 2 варианта схемы автоматич. регулирования процесса подкисления. Для автоматич. регулирования хлорирования bromо-держакх рассолов разработан датчик, окислительно-восстановительного потенциала устанавливаемый непосредственно в трубопроводе. Применена пара Pt-ломелевый электрод. Применение этого датчика позволило поддерживать конц-ию неокисленного Br с точностью до ± 10 мг/л.

9И110. Контроль и регулирование ЛД-конверторов при помощи приборов системы «TELEPERM». Liebig W. Die Überwachung und Regelung von LD-Tiegeln mit TELEPERM-Geräten. «Regelungstechn. Prakt.», 1960, 2, № 3, 120–125 (нем.).—В конверторах для очистки железа по методу Линца-Донавитта применяют кислородное дутье через спец. форму, охлаждаемую водой. Приводится технологич. схема процесса с указанием точек контроля и регулирования. По этой схеме: а) автоматически регулируется (двухпозиционно) расход O_2 ; б) контролируется мгновенный и интегральный расход O_2 ; в) сигнализируется наличие охлаждающей воды; г) производится дистанционное управление задвижками и глубиной погружения формы. Измерения производятся датчиками электрич. системы «Телеперм». При измерении и регулировании расхода O_2 автоматически вносятся поправки на изменение т-ры и давления газа. Применение этой системы с унифицированными выходным сигналом позволяет применять

однотипн
да к авто
9И111.
песа за
во «Кан
(японск.)
9И112.
городско
nation»,
9И113.
ического
но заго
таку код
(японск.)
9И114.
водства
Automati
9И115.
Richa
«Chem. I
Краткий
систем в
пресс в
устройст
ваную ус
доставля
о помош
лей. При
инт: инт
номер ее
и н
на пода
сущи
ющие м
са, выч
терпала
для нап
нестым
ные по
на перф
работни
к. Выш
стоимос
9И116.
вом же
Gru n
in teep
rust. Те
провер
стенка
и глуби
пары. П
произв
ли нер
0,76 м
способ
тивност
редиац
0,5 дж
опасно
9И11
ния ук
В. Е.
vol. «D
метка
работ
национ
диам.
контро
тильто
вод. с
в боко
создае

однотипные приборы и облегчает возможность перехода к автоматич. обработке информации. И. Ихлов

9И111. Улучшение автоматического контроля процесса замера бетона на бетонных заводах. Коя Кодзо «Кансацу-но кикайка», 1960, № 132, 58—61 (японск.)

9И112. Дистанционное управление распределением городского газа. Такаэти Осаму. «Отомэсэн, Automation», 1960, 5, № 4, 8—13 (японск.)

9И113. Система управления и аппаратура автоматического контроля процесса производства на заводах по изготовлению бутылок. Игараси Тосиёси. «Кагаку кодзё, Chem. Factory», 1960, 4, № 3, 26—31, 32 (японск.)

9И114. Пульт управления установки для производства двуокиси хлора. Итая Такао. «Отомэсэн, Automation», 1960, 5, № 8, 57—60 (японск.)

9И115. Взвешивание в контроле процессов. Moss Richard Y. Think of weighing for process control. «Chem. Engng», 1960, 67, № 16, 147—148, 150 (англ.).—Краткий обзор современного развития взвешивающих систем в производственных процессах. Отмечается прогресс в применении регистрирующих и регулирующих устройств и в способах объединения их в централизованную систему. В автоматич. управлении весовыми дозаторами применяется введение ф-лы взвешивания с помощью заранее заготовленных плат или штепселей. Применяются два вида работы конвейера с весами: интегрирование веса по скорости конвейера с учетом ее изменений или поддержание непрерывного равномерного потока материала путем воздействия весов на подачу материала из бункера. При взвешивании сыпучих материалов применяются электрич. суммирующие машины, которые отпечатавают полученные веса, вычитая при этом вес тары и оставшегося в ней материала. Отмечается применение автоматич. устройств для наполнения сосудов жидкостями, в том числе пестилыми жидкостями, и сыпучими материалами. Данные подаются на учетные машины или записываются на перфолентах или перфокартах для последующей обработки. Применяются и автоматич. пишущие машинки. Выходные данные используются для калькуляции стоимости.

9И116. Определение положения термодпары в носовом конусе с помощью проникающей радиации. Grund M. V. Determination of thermocouple location in reentry vehicles by penetrating radiation. «Nondestruct. Testing», 1960, 18, № 4, 258—262 (англ.).—С целью проверки нагрева стенок носового конуса ракеты в стенках сверлятся изнутри отверстия диам. 1,2 и 1,7 мм и глубиной до 50 мм, в которых располагаются термодпары. Рассматриваются способы практич. измерения в производственных условиях толщины оставшейся стенки нержавеющей стали или никеля в диапазоне 0,38—0,76 мм с точностью от ± 20 до $\pm 30\%$. Из возможных способов: ультразвукового, индукционного и радиоактивного, был выбран последний. В качестве источника радиации применялся стронций-90, интенсивность 0,5 мюри. Рассмотрены конструкции, соображения безопасности, методика калибровки и возможные ошибки.

9И117. Изменение потока воздуха низкого давления указывает уровень в бункере. Martin Ronald W. E. Diversion of low-pressure air indicates bunker level. «Design News», 1960, 15, № 13, 16—17 (англ.).—Заметка об индикаторе уровня сыпучих материалов, разработанного в исследовательском ин-те Британского национального управления угольной пром-сти. В трубу диам. 2 дюйма, нижний конец которой расположен на контролируемом уровне, с помощью небольшого вентилятора нагнетается воздух под давл. 100—150 мм вод. ст. и с расходом $\sim 0,6$ м³/мин. Благодаря этому в боковой трубке — отводе с заслонкой на конце создается подсос внешнего воздуха, отклоняющий за-

слонку внутрь. При подъеме уровня, когда создается препятствие выходу воздуха, вместо подсоса имеет место поток наружу, и заслонка отклоняется наружу. С заслонкой связываются или электрические контакты индикатора или якорь индуктивного датчика. Вместо заслонки может быть применена нагреваемая ток нить.

9И118. Измерители и регуляторы уровня жидкости. Вихман М. Е. «Вестн. техн. и экон. информ. Н.-и. ин-т техн.-экон. исслед. Гос. ком-та Сов. Мин. СССР по химии», 1959, № 4 (13), 45—48.—Описываются пневматич. буйковые бесальниковые приборы типов ИВВЦ-ШК и РУВЦ-ШК для условных давлений до 64 кг/см² и т-р до 300°, разработанные СКБ-АНН.

9И119. Радиоактивные изотопы для измерений при контроле производств. Schäfer Wolfgang. Radioaktive Isotope für Betriebskontrollmessungen. «AEG-Mitt.», 1960, 50, № 8-9, 318—320 (нем.).—Приводятся основы измерения уровня жидкости или сыпучих материалов с помощью просвечивания γ - или β -лучами радиоактивных изотопов. Дается перечень основных материалов для источников. В качестве приемников рекомендуются счетные трубки для интенсивных источников и ионизационные камеры — для слабых источников. Показываются также возможности применения радиоактивных методов для измерений плотности и толщины лент.

9И120. Колокольный дифманометр ДКФМ. Гафанович М. Д., Городецкий Б. Я. «Измерит. техника», 1960, № 9, 23-25.—Разработанный на Харьковском з-де контрольно-измерительных приборов и освоенный в произ-ве прибор (П) предназначен для измерения разности давлений неагрессивных газов и преобразования измеренной величины в электрич. сигнал. Под действием измеряемой разности давлений чувствительный элемент П (частично погруженный в масло колокол) перемещается. Перемещение колокола при помощи кинематич. системы рычагов, укрепленных на пружинных подвесках, вызывает поворот рамки ферродинамич. датчика. Для предохранения от корродирующего действия среды (взаимой в прибор) вся кинематич. часть помещается в спец. бачке, заполненном трансформаторным маслом. П выпускается с верхними пределами измерения: 4; 6,3; 10; 16; 25; 40 $\pm 3,2$; ± 5 ; ± 8 ; $\pm 12,5$; ± 20 мм вод. ст. Класс точности П равен 1,5 или 2,5 (в зависимости от предела измерения). Макс. допустимое давление среды в П 0,5 кгс/см². П может комплектоваться с вторичными регистрирующими и регулирующими П. Габаритные размеры дифманометра 370 \times 300 \times 308 мм. Вес П без масла ~ 30 кг. Приводятся описание конструкции П и основные расчетные соотношения, связывающие перемещение колокола с перепадом давлений на нем, физ. параметрами среды и конструктивными данными датчика.

9И121. Частотные характеристики ротаметров. Harrison G. S., Armstrong W. D. The frequency response of rotameters. «Chem. Engng Sci.», 1960, 12, № 4, 253—259 (англ.; рез. франц., нем.).—Описывается работа по определению динамич. характеристик ротаметров путем нахождения частотных характеристик на эксперим. установке, в которой на постоянный поток через ротаметр, с помощью байпасного клапана накладывается изменение потока по синусоидальному закону. Используются поплавки различных форм и материалов в двух различных жидкостях — воде и глицерине. Эксперим. результаты сравниваются с вычисленными по дифференциальному ур-нию, подробный вывод которого также приводится. Указывается, что влияние расхода и вязкости на частотные характеристики незначительно.

9И122. Новые приборы и регуляторы. Гольдштейн Р. Б., Народницкий Я. Е. «Вестн. техн. и экон. информ. Н.-и. ин-т техн.-экон. исслед. Гос. ком-та

Сов. Мин. СССР по химии», 1959, № 3 (15), 45—54.— Конструктивные схемы и описания приборов, разработанных в СКБ-АНН. 1. Индукционный ротаметр ГРМ-25 с пределами измерений по воде от 30—150 до 300—1500 л/час и по воздуху от 1—5 до 10—60 км³/час, допустимое давление до 40 кг/см². 2. Магнитный ротаметр с пневматич. передачей РМП-25М, с теми же данными. 3. Хроматограф ХПА-1, промышленный, регистрирующий, состоящий из 4 блоков: хроматографич. датчика, панели подготовки газа, блока управления и регистратора. 4. Датчик уд. веса ДУВ-1, пневматич. компенсационный, с чувствительным элементом в виде V-образной трубы; пределы измерения 0,5—1,2 г/см³, рабочее давление до 10 кг/см², погрешность 0,002 г/см³. 5. Полуавтоматич. электронный титрометр ЭПТ-2, измеряющий точку эквивалентности с помощью стеклянного и каломельного электродов. 6. Указатель уровня сжиженных газов ВУУЖ буйкового типа на рабочее давление до 18 кг/см² и пределами измерения до 2400 мм при уд. весе жидкости 0,5—1,0 г/см³. 7. Кроме того: дифреле РПЭД-02-56, регулирующие заслонки с пневмоприводом ЭЯП, электро-пневматич. клапан ЭПКД-ВЗГ и угловой регулирующий клапан.

В. Ремнев

9И123. Измерение температуры поверхности твердых тел. Lindorf H. Messung der Oberflächentemperatur fester Körper. «Ind.-Anz.», 1960, 82, № 85, 1415—1416 (нем.).—Краткий обзор методов измерения т-ры поверхности твердых тел (термоэлектрич. пирометры, радиационные пирометры, термокраски).

М. Людмирский

9И124. Автоматизация контроля процессов теплового расширения. Иси и Цура. «Егё кёкайси, Vogou kyokai shi, J. Ceram. Assoc. Japan», 1960, 68, № 772, C128—C132 (японск.).

9И125. Аналитический контроль процессов. McIntyre H. C. An analyzer for your process stream? «Canad. Chem. Process.», 1960, 44, № 9, 42—44, 46, 48 (англ.).—Обзор достижений и тенденций в области контроля и регулирования состава производственных потоков. Широкое развитие получают хроматографы (Х) для анализа и регулирования состава. В Северной Америке находятся в эксплуатации ~500 Х, из них ~40% в хим. пром-сти; ~20 Х являются регулирующими. Установка одного такого Х на 3-е для регулирования агрегата депропанализации окупается: а) каждую неделю за счет увеличения выхода продукта; б) каждые 6 недель за счет улучшения качества продукта; в) каждые 7 месяцев за счет экономии энергии и воды. Значительно повышена быстрота действия Х. Так, напр., фирма Perkin-Elmer выпускает модель 284 Фрактометр, производящую большинство анализов за 1 мин. или меньше. Среди новых разработок в этой области: а) ионизационный пламенный водородный детектор, позволяющий работать с малыми пробами (10 мл); б) применение инертной тефлоновой насадки; в) выпуск Х, печатающий результаты анализа в цифровой форме. Из электрохим. методов анализа наибольшее распространение получили рН и гН-метры. В последние годы разработан полярографич. прибор для анализа кон-н Кd в электролитах. В оптич. и спектрометрич. приборах намечается тенденция к использованию близкой ИК-спектральной области для анализа жидкостей. Разработан спец. трехлучевой ИК-анализатор, работающий на длинах волн. 2,6; 3 и 4 м для определения H₂O в D₂O и наоборот, с чувствительностью до 10 млн. долей. Фирма Applied Research Laboratories разработала эмиссионный спектрометр «Квантометр», определяющий до 11 элементов за 20 сек. Анализируемые пробы (до 1000 проб в день) подаются в прибор пневматически на расстоянии до 2,4 км. Результаты анализа печатаются на карточках вычислительной машины IBM-650, которая обеспечивает информацию, сравнивает ее с предыдущей и вы-

дает данные для коррекции процесса. Вся операция занимает 10 мин.; продолжается разработка приборов, основанных на ЯМР и ЭПР. Последние являются, по-видимому, единственными приборами для контроля свободных радикалов при низких кон-циях. Разработан новый дисперсионный X-лучевой анализатор, который может измерять количественно до 5 элементов одновременно. Прибор работает непрерывно и пригоден для целей автоматич. регулирования. К недостаткам прибора относятся: а) высокая стоимость (40 000—50 000); б) пригодность для определения элементов только выше Al; в) ограниченность применения, так как он не определяет соединения. Особое внимание обращается на методику обработки и подготовки проб для анализа. Фирма Haas Corp. разделила систему подготовки на 10 элементов и 8 категорий, что позволяет собирать из унифицированных 80 узлов до 40 различных систем, из которых 16 000 комбинаций являются работоспособными.

И. Илюв

9И126. Измерение концентрации рассолов на предприятиях по производству поваренной соли. Катагори и Масаки. «Отомасён, Automation», 1960, 5, № 2, 30—32 (японск.).

9И127. Хроматография для управления процессами. Wherry T. C. Chromatography for process control. «Chem. Engng Progr.», 1960, 56, № 9, 49—57 (англ.).—Для управления производственными процессами рекомендуется разделительная хроматография с жидким поглотителем, нанесенным на пористый трегер. Так как обычные хроматографич. методы требуют для проведения одного цикла анализа 5—30 мин., то применение их для целей регулирования ограничивается каскадными схемами, в которых хроматограф (Х) представляет заданное значение основного регулятора процесса. Напр., при регулировании разделительных колонн Х управляет регулятором флегмы колонны. В последнее время появились быстродействующие Х, в которых время цикла < 1 мин. Такие хроматографы могут непосредственно регулировать процесс. Приводятся несколько схем регулирования различных процессов по анализу Х, в том числе: разделительных колонн, установок по получению S из H₂S и экстрактивной дистилляции. Показывается та же возможность применения Х для регулирования по качеству кол-ва входящего сырья и для контроля микроконцентраций, в частности CO в C₂H₄. Особое внимание обращается на систему подготовки пробы, которая должна тщательно разрабатываться в зависимости от конкретных условий.

И. Илюв

9И128. Газоанализаторы инфракрасного поглощения и автоматическое регулирование состава газовых смесей. Кавакура Кийёси. «Karaku гяцзю тэмбо, Дэнси какаку, Electron. Sci.», 1960, 10, № 3, 36—39 (японск.).

9И129. Применение рентгеновских лучей для непрерывного анализа. Hoover Morgan M. X-rays now they track bulk on the run. «Mod. Mater. Handl.», 1960, 15, № 10, 127—129 (англ.).—Сообщается о применении рентгеновских лучей для непрерывного анализа состава ряда в-в и приведены схемы автоматич. регулирования с рентгеновским анализатором, которые используются для управления отдельными процессами в горнорудной и металлургич. пром-сти. Принцип работы прибора основан на облучении рентгеновскими лучами исследуемого в-ва с последующей регистрацией вторичного излучения. В ряде случаев расшифровка полученных измерений производится счетно-решающей машиной.

Б. Сумм

9И130. Экстремальный регулятор шагового типа и результаты его испытаний на туннельной печи. Агания И. Х. «Приборостроение», 1960, № 9, 17—19.—Экстремальный регулятор т-ры в зоне максим. т-р туннельной печи с воздействием на общий расход подаваемого в печь воздуха состоит из двух блоков: срав-

нопия и управления. Блок сравнения включает в себя заземленный диск, измерительную щетку, обрабатывающий реверсивный двигатель и реле исполнительного механизма. В блок управления входят все реле, шаговые искатели и командные устройства. Регулятор работает по принципу подачи на вход объекта пробных возмущений с дальнейшим определением направления движения регулируемого параметра. В случае удаления от точки экстремума схема производит автоматич. реверс движения исполнительного механизма. Промышленные испытания макета регулятора на Запорожском огнеупорном з-де показали высокую работоспособность регулятора. Прибор работал без нарушений и показал более стабильную работу по сравнению с экстремальным регулятором непрерывного действия, испытывавшемся в аналогичных условиях. Отмечается, что несмотря на применение экстремального регулятора оптимальное протекание технологич. процесса достигнуто не было из-за отсутствия отдельного подвода воздуха в зону максим. т-ры.

М. Людмирский

9И131. Метод модуляции для точного регулирования повышенных температур. Wittig F. E., Kempe G. Modulationsverfahren zur genauen Regelung höherer Temperaturen. «Chem.-Ing.-Techn.», 1960, 32, № 10, 685—691 (нем.; рез. англ., франц.).—Косвенные методы поддержания постоянства т-ры путем стабилизации питания нагревателя или применения кипящей жидкости не обеспечивают нужной точности и не позволяют применять программное изменение т-ры. Наиболее простой и дешевый метод терморегулирования достигается двухпозиционным регулятором (с падающей дужкой). Однако и этот метод не позволяет поддерживать т-ру с достаточной степенью точности. Для повышения точности применяют метод Тиана, с установкой между термостатом и печью термовыравнивающих тел, которые демпфируют колебания т-ры, получаемые при двухпозиционном регулировании. Наиболее способ терморегулирования является метод модуляции по Гой, при котором заданное значение регулятора синусоидально или линейно перемещается около постоянной величины. При этом характеристика регулирования становится квазипропорциональной и достигается возможность стабилизации т-ры порядка 500° с точностью 0,1°. Для более точного термостатирования металлич. блок термостата помещают внутри второго термостата. Применением двух таких терморегуляторов удается стабилизировать т-ру с точностью 0,001°. При этом внутренний термостат должен иметь малую мощность нагревателя (1—2 Вт). Показываются способы получения модуляции механич. и электрич. путями.

И. Ихлов

9И132. Основы электронной системы регулирования Английского нефтеперерабатывающего завода для Рупа. May Ernest D. Die Grundlagen des elektronischen Regulationssystems der BP — Ruhr — Raffinerie. «Erdöl und Kohlen», 1960, 13, № 10, 766—769 (нем.).—На новом нефтеперерабатывающем з-де в Динслагене (ФРГ) установлена электронная система автоматич. регулирования и измерения фирмы Evershed & Vignoles Ltd. Приводятся принципиальные схемы чувствительного элемента, преобразователя и ПИД регулятора. Регулятор выполнен в виде блока с печатным монтажом и стандартным выходным и входным сигналами (0—15 мА постоянной тока). Предусмотрены переход с ручного на автоматич. регулирование с миним. возмущением и устройство для самопроверки. В качестве регулирующих органов установлены пневматич. клапаны с электропневматич. преобразователем-позиционером.

И. Ихлов

9И133. Современная электронная измерительная аппаратура. Киносита Тосио. «Сэйси когё, J. Pulp and Paper Ind.», 1960, 9, № 6, 462—468 (японск.).

9И134. Электронные установки для автоматического контроля производственных процессов (в химической промышленности). Электронные установки с

магнитными усилителями. Нагатакигава Такаси. «Сэйси когё, J. Pulp and Paper Ind.», 1960, 9, № 6, 472—474, 479 (японск.).

9И135. Автоматический прибор для определения энергии активации оксидных полупроводников. Schleicher E. Ein automatisches Gerät zur Bestimmung der Aktivierungsenergie oxydischer Halbleiter. «Feingerätetechnik», 1960, 9, № 10, 443—447 (нем.).—См. РИХИм, 1960, № 21, 85098

9И136. Состояние компрессоростроения, в частности для целей измерения и регулирования. Thun O. Stand des Verdichterbaues, besonders für die Meß- und Regeltechnik. «Regelungstechn. Prax.», 1960, 2, № 3, 105—110 (нем.).—Обзор конструкций компрессоров, пригодных для питания сжатым воздухом пневматич. систем измерения и регулирования. Для устранения загрязнения сжатого воздуха маслом рекомендуется применение мембранных компрессоров, в которых воздух отделен от поршня мембраной. Пространство между поршнем и мембраной заполнено маслом. И. Ихлов

9И137. Автоматизация вращающейся печи для обжига цементного клинкера посредством простого моделирующего вычислительного устройства. Коста Г. (Междунар. федерация по автомат. упр. 1-й Междунар. конгресс по автомат. упр.). М., АН СССР, 1960, 15 стр., илл.—Проверенное в лаб. условиях вычислительное устройство предназначено для включения в схему автоматич. регулирования вращающейся печи для обжига цементного клинкера. Схема устройства, состоящая из активных постоянных и регулируемых (при помощи моторов) сопротивлений, моделирует статич. характеристики объекта. В определенные точки схемы в виде напряжений подается комплекс данных, характеризующих работу объекта (вес подаваемого угля, т-ра в зоне питания, расход воздуха и т. д.). Вычисленные на модели необходимые значения регулирующих параметров поступают на задатчики соответствующих регуляторов, куда также поступают фактич. значения этих параметров, измеренные на объекте. Регулятор воздействует на регулируемый параметр таким образом, чтобы разность между этими параметрами была равна нулю. Отмечается, что применение подобных устройств особенно целесообразно при регулировании объектов с большими емкостями, значительными запаздываниями, подвергающихся воздействию многих возмущающих факторов.

М. Людмирский

9И138. Вопросы пневмо- и гидроавтоматики. (Ин-т автоматизации и телемехан. АН СССР. Семинар по пневмогидравл. автоматике. 2—3 сессии). М., АН СССР, 1960, 212 стр., илл., 11 р. 50 к.

9И139. Прибор для измерения толщины. Norton Thomas, Rainey Hubert. Improvements relating to thickness measuring instruments. [A. V. Roe and Co. Ltd]. Англ. пат. 843624, 4.08.60.—Патентуется электромагнитный прибор для измерения толщины немагнитных материалов (напр., дерева, стекла, пластмасс) по величине переменного напряжения, индуцируемого в приемной катушке. Катушка возбуждения с пластинчатым незамкнутым сердечником питается переменным током от сети через силовую трансформатор. Она прижимается к одной стороне материала, а приемная катушка той же конструкции — к другой стороне, против катушки возбуждения, что находится по максимуму напряжения. Затем схема переключается на измерение и на шкалах с «утопленным» нулем находится точное значение индуцируемого напряжения. Диапазон измеряемых толщин 12—65 мм, точность лучше 1%.

В. Ремнев

9И140. Непрерывный газоанализатор. Katz Sidney, Weber Charles W. Continuous gas analyzer. [United States of America as represented by the United

States Atomic Energy Commission]. Пат. США 2925327, 16.02.60.—Предлагается хим. газоанализатор, в котором к исследуемому газу добавляется определенное кол-во вспомогательного газа, вступающего с искомым компонентом в хим. р-цию, связанную с изменением объема смеси. Так, напр., для определения F_2 рекомендуется в качестве вспомогательного газа применение SO_2 . Расходы обоих газов до р-ции поддерживаются постоянными по перепаду давлений на дроссельном устройстве. Такое же устройство применяется для измерения расхода смеси. При известном составе вспомогательного газа расходомер смеси может быть прокалиброван в единицах конц-ии искомого компонента.

И. Ихлов
9И141. Прибор для определения наличия органических газов или паров. McWilliam Ian Gordon. An apparatus for detecting the presence of organic gases and vapours. [Imperial Chemical Industries of Australia and New Zealand Ltd]. Австрал. пат. 224504, 21.10.59.—Предлагается ионизационно-пламенный детектор, в котором горелка изготовлена из инъекционной иглы из нержавеющей стали. В горелке сжигают смесь H_2 и O_2 с анализируемым газом. При сгорании органич. соединений изменяется сопротивление между горелкой и металлич. сеткой или проволокой, помещенной на расстоянии 1 см от горелки. Измерение производится электронным вольтметром по падению напряжения на постоянном сопротивлении. Для устранения влияния фона рекомендуется дифференциальная схема с двумя горелками, одна из которых питается смесью с испытуемым газом, а другая — без этого газа. Питание межпламенных промежутков может осуществляться переменным или постоянным током.

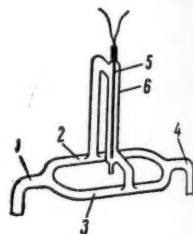
И. Ихлов
9И142. Полярографический анализатор сернистого ангидрида. Novák Jiří V. A. Polarografický analyzátor kyslíčnicku sířičitého. Чехосл. пат. 91896, 15.09.59.—

В электролитич. сосуд с угольным анодом 1 и Cu -катодом 2 по трубкам 3 и 4 подают водн. р-р H_2SO_4 конц-ии 0,5–10%, содержащий 0,1–2% $CuSO_4 \cdot 5H_2O$; этот р-р вблизи 1 пробукливается исследуемым газом, подводимым от маностата с постоянной скоростью 30–500 мл/мин по трубкам 5 и 4. Из электролитич. сосуда р-р и газ выводятся по трубке 6. К электродам 1 и 2 от источника тока 7 через делитель напряжения 8 подводится постоянное напряжение ~0,8 в, контролируемое вольтметром 9. Электрич. ток, протекающий по контуру, измеряется и записывается регистрирующим прибором 10. Потенциал Cu -катада остается практически постоянным благодаря присутствию в протекающем р-ре деполаризатора — Cu -ионов. Если в исследуемом газе присутствует SO_2 , заметное протекание тока наблюдается уже при напряжении ~0,5 в. Ток лимитируется кол-вом SO_2 , подходящего в результате конвекции и диффузии к поверхности анода, где происходит окисление SO_2 . В интервале 0,5–12 в ток пропорционален конц-ии SO_2 . При площади анода 0,5–1 см² конц-ий SO_2 в 0,1 об.% соответствует ток в 10–50 мкА. Анализатор пригоден для непрерывного измерения малых (~0,01 об.%), средних и высоких (выше 10 об.%) конц-ий SO_2 в печных газах; наличие примесей других газов измерению не мешает.

В. Елинек

9И143. Газоанализатор, основанный на принципе теплопроводности. Penn Walter, Lotz Friedrich. Auf dem Prinzip der Wärmeleitfähigkeitsmessung beruhendes Gasanalysegerät. [Hartmann & Braun A.-G.]. Пат. ФРГ 1061098, 17.12.59.—Известное стремление изготавливать чувствительные элементы термодуктометрич. газоанализаторов из стекла ограничивается необходимостью хорошего теплового контакта между сравнительной и измерительной ячейками, что трудно выполнимо. Предлагается стеклянные ячейки особой формы помещать в расточку металлич. блока, и все свободное пространство заполнять Al -порошком со связывающим в-вом типа лака.

Такое заполнение обладает хорошей теплопроводностью и плохой электропроводностью, что облегчает изоляцию выводов. Конструкция стеклянной ячейки дана на рисунке. Газ входит через трубку 1, разделяется на два потока 2 и 3, а затем выходит через трубку 4. Чувствительный элемент 5 помещен в трубке 6, которая соединяется с трубками 2 и 3 в точках, имеющих равное давление. Таким образом газовый поток через 6 определяется только диффузией и конвекцией и не зависит от расхода газа через 1.



И. Ихлов

9И144. Усовершенствования в приборах для обнаружения CO . Valentine Reginald. Improvements in and relating to apparatus for detecting carbon monoxide. [Coal Industry (Patents) Ltd]. Англ. пат. 835933, 25.05.60.—Предлагается усовершенствование ранее предложенного термохим. газоанализатора для анализа содержания CO в рудничной атмосфере (РЖХим, 1959, № 13, 46308). В этом газоанализаторе измеряется и сигнализируется повышение разности т-р двух термисторов, из которых один окружен окисляющим агентом, а другой — инертным в-вом. Мостовая схема, в которую включены термисторы, питается от генератора, работающего на транзисторах с частотой 1,5 КГц. Напряжение разбаланса, возникающее в результате наличия в воздухе CO , усиливается транзисторным усилителем и воздействует на вторичный прибор и сигнальное реле. Установка тока срабатывания этого реле производится при помощи подачи на вторую его обмотку размагничивающего тока. При срабатывании реле подаются оптич. и акустич. сигналы. Прибор может быть выполнен очень легким с питанием от аккумуляторов.

И. Ихлов
9И145. Устройство для отбора обогащенной солями пробы конденсата, насыщенного пара. Блинов К. А., Мостофин А. А. Авт. св. СССР 130492, 5.08.60.—В предлагаемом устройстве отбираемый из магистрали насыщ. пар высокого давления проходит последовательно теплообменник (типа труба в трубе) и многоступенчатый дроссель, в котором снижает давление, увлажняется и самопромывается, обеспечивая скопление солей в образующемся конденсате. Из дросселя конденсат с несконденсировавшимся паром поступает в линейный сепаратор, из которого через дроссель отводится к датчику солемера. Часть несконденсировавшегося пара низкого давления направляется в теплообменник для охлаждения отбираемой пробы. При данной системе кратность обогащения пробы конденсатом солями зависит только от начального давления отбираемого пара, независимо от кол-ва отбираемой пробы конденсата, так как теплосодержание пара пониженного давления после стабильного многоступенчатого дросселя зависит только от начального теплосодержания отбираемого пара. Ввиду частичной конденсации

пробы пров... в паре газо... проводност... приборов и... переменн...

См. так... пром-сти 9... произ-ва 9... ном дехе... КИП в не...

9И146.

tion of m... № 12, 742... Обзор осн... турной, ат... общие дан... Р. Рассмо... защиты, в... шпу и за...

9И147. korr G. L. schaden», ривается т... дений и и...

9И148. Barkan obn... sion. «El... (англ.).—

9И149. ского пов... поляризац... ие 2. Ка...

9И150. става стал... Тома ш... № 7, 1178...

9И151. ах в р-ре... новления... HNO_2 об...

9И152. р-рах при... продуктам... щих гоме... их восста... Cr и Ni в... электрохи... ного состо... щие стали...

9И153. хим. пове... ную хром...

9И154. не. Ар... № 10, 231... ведения с... что термо... происходи... ленного г... сти стали... которые л... чается, ч... мента по... фаты и х... насынно...

9И155. гранулир... зобетон»,

9И156. № 152, охлаждани...

пробы происходит хорошая сепарация присутствующих в паре газов, что исключает их влияние на уд. электропроводности конденсата. В качестве измерительных приборов используются автоматич. равновесные мосты переменного тока. М. Людмирский

См. также: Автоматич. контроль: в цементной пром-сти 9И366; на сахарном э-де 9И359; бумажного произ-ва 9И479, 9И480, 9И481. Автоматизация: в коксовом цехе 9М87, 9М99; в нефтехим. произ-ве 9М259. КИП в нефтяной пром-сти 9И156

КОРРОЗИЯ. ЗАЩИТА ОТ КОРРОЗИИ

Редактор И. Я. Клинов

9И146. Коррозия металлов. Mallon H. D. Corrosion of metals. «Engng Mater. and Design», 1960, 3, № 12, 742—747, 2 (англ.; рез. франц., нем., русск.).— Обзор основных видов коррозии (К): высокотемпературной, атмосферной и К в электролитах. Приводятся общие данные, касающиеся особенностей каждого вида К. Рассмотрены вопросы подбора материалов, методы защиты, включая защитные покрытия, катодную защиту и замедлители К. А. Гринши

9И147. Коррозионные разрушения металлов. Schick G. Korrosionsschäden an Metallen. «Maschinen-schaden», 1960, 33, № 9-10, 166—173 (нем.).—Рассматривается теория коррозии, виды коррозионных повреждений и их причины. А. Козьминский

9И148. Механизм коррозии и методы борьбы с ней. Barkan Harold E. The nature and control of corrosion. «Electr. Manufact», 1960, 66, № 3, 133—144 (англ.).—Обзор. Библ. 25 назв.

9И149. Изучение коррозионного и электрохимического поведения нержавеющих сталей при катодной поляризации в растворах азотной кислоты. Сообщение 2. Катодные процессы на нержавеющих сталях в растворах азотной кислоты. Сообщение 3. Влияние состава сталей. Мирослав Е. Н., Куртепов М. М., Томашов Н. Д. «Изв. АН СССР. Отд. хим. н.», 1960, № 7, 1178—1184; 1185—1190.—2. На нержавеющих сталях в р-рах HNO_3 протекает катодный процесс восстановления HNO_3 до HNO_2 (автокатализируемый HNO_2). HNO_2 образуется в полностью диссоциированных р-рах при взаимодействии ионов нитрата и H^+ с продуктами коррозии (Fe^{2+} , Cr^{2+}), в р-рах, содержащих гомеопольные молекулы HNO_2 , также и за счет их восстановления. 3. Изучение влияния содержания Cr и Ni в нержавеющих сталях на их коррозионное и электрохим. поведение в условиях нарушения пассивного состояния в р-ре HNO_3 . Добавка Ni в нержавеющие стали оказывает на их коррозионное и электрохим. поведение в р-ре HNO_3 влияние, обратное влиянию хрома. Часть 1 см. РЖХим, 1961, 5И166.

Из резюме авторов

9И150. Электрохимическое поведение стали в бетоне. Артамонов В. С. «Ж. прикл. химии», 1960, 33, № 10, 2311—2319.—При исследовании электрохим. поведения стали под цементным покрытием установлено, что торможение скорости коррозии (К) стали в бетоне происходит как за счет катодного процесса, обусловленного затруднением доступа кислорода к поверхности стали, так и анодного — накопления продуктов К, которые приостанавливают процесс К металла. Отмечается, что высокие защитные свойства портланд-цемента по сравнению с цементами, содержащими сульфаты и хлориды, объясняются возникновением особого пассивного состояния. Из резюме автора

9И151. О коррозии арматуры в железобетоне на гранулированном шлаке. Чехов А. П. «Бетон и железобетон», 1960, № 10, 480—481

9И152. Коррозионные элементы силумин/чугун в охлаждающей воде. Schick G. Gerhard. Über die

Korrosionselemente zwischen Silumin und Geßeisen in Kühlwasser. «Z. Metallkunde», 1960, 51, № 10, 590—595 (нем.; рез. англ.).—Рассматривается контактная коррозия (К), возникающая в автомобильных моторах в результате работы макропар «силумин (головки цилиндров) — литейный чугун (блок цилиндров)» в охлаждающей воде. При комнатной т-ре анодом в элементе является чугун и коррозионный ток незначителен. При повышенных т-рах анодом становится силумин и ток возрастает. Установлено в процессе К выделение H_2 и поглощение O_2 . Скорость К в аэрированном электролите для силумина равна 0,3 мм на 150 000 км пробега автомашины. А. Козьминский

9И153. Изучение коррозии. XXII. Энергия активации в условиях пассивации железа в серной кислоте. Smrček K., Sekerka I., Vorlíček J. Korrosionsstudium. XXII. Aktivierungsenergie der Passivierung des Eisens in Schwefelsäure. «Collect. Czechosl. Chem. Commun.», 1959, 24, № 10, 3335—3340 (нем.; рез. русск.).—См. РЖХим, 1960, № 14, 57464

9И154. Исследование механизма электрохимической коррозии титана. II. Коррозия и пассивность титана в растворах соляной кислоты в присутствии ионов платины, меди и железа. Томашов Н. Д., Альтовский Р. М. «Ж. физ. химии», 1960, 34, № 10, 2268—2274 (рез. англ.).—Установлено, что пассивность Ti в р-ре HCl в присутствии катионов Pt^{4+} , Cu^{2+} и Fe^{3+} возникает в результате смещения потенциала Ti в положительную сторону вследствие облегчения протекания катодного процесса и наступающей при этом анодной пассивности его поверхности. Сообщение 1 см. РЖХим, 1959, № 24, 86899. Из резюме авторов

9И155. Влияние добавки Pd к Ti и титановым сплавам на их пассивацию и коррозионную стойкость. Zwickler U. Einfluß eines Zusatzes von Palladium zu Titan und Titanlegierungen auf deren Korrosionsverhalten und Passivierung. «Metalloberfläche», 1960, 14, № 11, 334—337 (нем.).—Для исследования применялись две марки чистого Ti и Ti-сплавы марок TiAl4V4, TiAl6V4, TiCr5Al3 и TiAl9V3. В качестве коррозионных сред взяты водн. р-ры, содержащие 20% HCl с добавками 0,0013, 0,013, 1,3% HNO_3 . Установлено, что добавка 0,1% Pd улучшает коррозионную стойкость (КС) чистого Ti и его сплавов в этой среде. Наименьшей КС в чистой 20%-ной HCl из всех сплавов с Pd обладают TiAl4V4, TiAl6V4 и TiAl9V3. В р-рах, содержащих 0,18% и более HNO_3 , наибольшая КС наблюдается у сплавов TiAl4V4 и TiCr5Al3. Испытания показали, что при изучении КС сплавов без Pd и при условиях, отвечающих пассивному состоянию, р-р окрашивается в темно-фиолетовый цвет, в то время как при испытании сплавов с Pd окраска р-ров при переходе границы пассивности не изменяется. Г. Дегтярева

9И156. Изучение коррозионной стойкости циркония и его сплавов. 2. Коррозионная стойкость по отношению к горячей воде, к водным растворам при высокой температуре, содержащим соли уранила, к дифенилу и горячему воздуху. «Титаниум», 1960, 8, № 3, 48—56 (японск.).—Результаты коррозионных испытаний чистого Zr и его сплавов показали, что макс. коррозионной стойкостью (МКС) по отношению к горячей воде при высоких давлениях обладают сплавы Zr циркалой-2 и циркалой-3; по отношению к р-ру U_2OSO_4 МКС обладают Ti, затем идут сплавы Ti с Zr, циркалой-2 и -3 и на последнем месте стоит чистый Zr; по отношению к высокотемпературному дифенилу МКС обладает Al, затем идут Ti и чистый Zr; МКС по отношению к горячему воздуху показали циркалой-2 и -3. Сообщение 1 см. РЖХим, 1961, 2И167. М. Гусев

9И157. Защитные пленки на металлах. Sorensen W. J. Protective films on metals. «S. Afric. Industr. Chemists», 1960, 14, № 8, 144—157 (англ.).—Обзор. Библ. 62 назв. Н. П.

9И158. Разрушение защитной окисной пленки, образованной на некоторых сплавах. Smeltzer W. W. The breakdown of the protective oxide film on transition metal alloys. «Acta metallurg.», 1960, 8, № 4, 268—270 (англ.).—Показано, что увеличение скорости окисления Fe-Cr бинарных сплавов после небольшого начального периода замедленного окисления связано с фазовым переходом $\alpha \rightarrow \gamma$ в поверхностных слоях сплавов. Это превращение вызывается преимущественным окислением Cr при скорости окисления много большей, чем скорость пополнения его в поверхностном слое диффузией из внутренних слоев. Напряжения в образованной на сплаве окисной пленке, возникающие при этом фазовом превращении, являются причиной ее разрушения и потери защитных свойств. Проведены опыты по окислению бинарного сплава Cr-Fe (Cr 12 ат.%) в O_2 при атмосферном давлении и т-рах 825 и 855°. Этот сплав сохраняет ферритную структуру при 825° независимо от кол-ва окисленного Cr, с другой стороны, феррит превращается в аустенит во время окисления при 855° при обеднении поверхностного слоя Cr до 9,5%. Найдено, что скорость окисления сплава при 825° достигала величины $\sim 2,5 \text{ мг/см}^2$ за 7 час., в то время как при 855° за этот же период она увеличивается до 20 мг/см^2 , при т-ре 855° начальная скорость окисления сплава была такой же, как и при 825° в течение первого получаса, что соответствует привесу $\sim 100 \text{ мг/см}^2$, после чего она начинает сильно увеличиваться. А. Москвичев

9И159. Некоторые примеры конструктивного оформления химической аппаратуры из титана. Рычков А. И. «Тр. Моск. Ин-та хим. машиностр.», 1960, 22, 86—95

9И160. Обработка титана, применяемого для изготовления аппаратуры и оборудования. Такао Дээнъяиро. «Титаниум», 1960, 8, № 5-6, 120—124 (японск.).—Обзор. Описаны некоторые методы обработки титана с целью повышения его коррозионной стойкости. М. Гусев

9И161. Использование металлов платиновой группы в современной промышленности. Betteridge W., Rhys D. W. Modern industrial uses of the platinum metals. «Metal Ind.», 1960, 97, № 10, 183—185 (англ.).—Рассмотрено применение Pt и ее сплавов как конструктивных материалов. Н. П.

9И162. Образование трещин при коррозии под напряжением. I. Симодайра Сатуро. «Нихон кяндзю гаккайси, J. Japan Inst. Metals», 1960, 24, № 8, A191—A196 (японск.).—Обзор. Библ. 41 назв.

9И163. К дискуссии по теме «Коррозия под напряжением». Wassermann G. Diskussionsbemerkung zum Thema Spannungskorrosion. «Korrosion. 9. Weinheim, Bergstr., Verl. Chemie», 1958, 76—77 (нем.).—Указывается на существующую связь между нарушениями в кристаллич. решетке поверхностного слоя металла и возникновением явлений коррозии под напряжением. См. РЖХим, 1961, ЗИ201.

9И164. Коррозия. 9. К вопросу о коррозии под напряжением сплавов цветных металлов. 3. Дискуссия по общим вопросам. Korrosion. 9. Zur Deutung der Spannungskorrosion der Nichteisenmetalle — Legierungen. 3. Allgemeine Diskussion. — Korrosion. 9. Weinheim, Bergstr., Verl. Chemie, 1958, 79—90 (нем.).—См. РЖХим, 1961, ЗИ201

9И165. Усталостная прочность и усталостная коррозия алюминиевых бронз типа Xantal B и XM от гниба при вращении. Panzeri C., Leoni M., Mori L. Resistenza a fatica e corrosione a flessione rotante dei bronzi di alluminio tipo Xantal B e XM. «Aluminio», 1960, 29, № 3, 113—119 (итал.; рез. франц., англ., нем., исп., русск.).—Результаты коррозионных испытаний в атмосфере и в агрессивной среде прутков, подвергнутых термич. обработке в условиях из-

гиба при вращении, показали, что хим., механич. и металлографич. характеристики образцов из сплава Xantal B (в %): Cu 81; Al 11; Fe 4; Ni 4; и XM (в %): Cu 75; Al 8; Mn 12; Fe 3; Ni 2 оказались одинаковыми. Образцы, испытанные на воздухе, давали кривые «предел усталости — число циклов» ассиметрич. характера. Значение предела усталости для сплава Xantal B составило 34 кг/мм^2 , для сплава XM — $25,5 \text{ кг/мм}^2$. Испытания на сопротивление усталостной коррозии в солевом р-ре (3%-ный р-р NaCl) дали для сплава Xantal B значение сопротивления усталости 20 кг/мм^2 при числе циклов 50×10^6 , а для сплава XM в тех же условиях $\sim 14 \text{ кг/мм}^2$. Процентное снижение значения предела усталости в солевом р-ре по отношению к значению на воздухе было одного порядка величин и составило $\sim 40\%$. На образцах, подвергшихся длительным испытаниям (50×10^6 циклов), были обнаружены поверхностные изменения на глубину всего 6—8 м. Я. Лампа

9И166. Механизм коррозионного растрескивания аустенитных нержавеющих сталей. Van Rooyen D. Qualitative mechanism of stress corrosion cracking of austenitic stainless steels, «Corrosion», 1960, 16, № 9, 93—101 (англ.).—Процесс распространения трещин во время испытаний на коррозионное растрескивание (КР) исследован на аустенитной нержавеющей стали, малоуглеродистой стали, а также на Mg- и Al-сплавах. Измерялись потенциал, удлинение металла и акустич. явления, возникающие во время испытаний. Механизм КР аустенитной нержавеющей стали в 42%-ном р-ре MgCl_2 в основном электрохимический. Испытания велись при $\sigma = 28 \text{ кг/мм}^2$. Изменения потенциала и удлинения происходят плавн. Трещины появлялись только после достижения максимума потенциала, причем длина их увеличивается вместе с временем, прошедшим с момента достижения максимума потенциала. Холодная деформация и предварительное травление ускоряют КР. При испытании малоуглеродистой стали в нитратном р-ре с добавкой $\text{K}_2\text{Cr}_2\text{O}_7$ ($t = 110^\circ$, $\sigma = 22,5 \text{ кг/мм}^2$) распространение трещин происходит двумя, меняющимися друг друга стадиями: медленный рост сменяется быстрым, в процессе которого происходит быстрое снижение и обратное восстановление потенциала. В Al-сплавах (Al 4% Cu и Al 7% Mg), испытанных в 3%-ном р-ре NaCl при $\sim 20^\circ$ ($\sigma = 11$ и 13 кг/мм^2), постепенное распространение трещин прерывается резкими механич. разрывами в металле. Наблюдаются мгновенные скачки потенциала в отрицательную сторону; одновременно спец. акустич. установкой отмечено возникновение шумов в металле. Механизм КР Mg-сплава в 3,5%-ном р-ре NaCl с добавками 2% K_2CrO_4 или $\text{K}_2\text{Cr}_2\text{O}_7$ имеет полностью электрохим. характер. А. Гришп

9И167. Проблемы коррозии материалов оболочки топливных элементов ядерного горючего. Schleicher H.-W. Korrosionsprobleme bei Hüllmaterialien für Kernbrennelemente. «Werkstoffe und Korrosion», 1960, 11, № 11, 691—701, XL—XLI (нем.; рез. англ., франц.).—Рассматривается скорость коррозии Zr, Al и их сплавов, аустенитных нержавеющих сталей в воде и жидких металлах, а также Al, Be, Mg, Zr, Nb и сталей в газообразных охлаждающих в-вах и охлаждающих в-вах органич. происхождения. А. Козьминский

9И168. Коррозионное растрескивание α -латуни. Kamath K. V., Erdmann-Jesnitzer F. Spannungskorrosion von Alpha-Messing. Einfluß der chemischen Zusammensetzung, Verformung und Anlaßglühung. «Metall», 1960, 14, № 11, 1061—1072 (нем.).—Изучалось время до разрушения напряженных образцов из α -латуни. Наименьшая продолжительность жизни наблюдается после отпуска при т-рах 300—500°. Определялась зависимость коррозионного растрескивания (КР) от состава латуни в 10%-ном аммиачном р-ре, содержащем Cu. Показано, что Al увеличивает склон-

ность к КР Si увеличивает пол-по Si стойкость добавки повыше-ся обогат

9И169.

Аояма

Phys. at

(японск.)

розии Fe

дами, ме

аэлектрон

место по

примерно

место об

9И170.

матическ

Тага я

J. Iron an

(японск.)

9И171.

отращен

eisen U

«Werkst

XL (нем

9И172.

июнную

ленным

славск.

влияния

сти кор

ало, чт

раствори

на чутю

нием N

сильно

9И173.

A. Korro

1011—10

ржавею

Си. Отм

тельных

лов Cr_2

коррози

ривают

лей: ра

левая,

нием, I

ридов,

вергаю

которой

МК не

кратко

ды не

или ст

ким со

не скл

близки

9И17

сталей

hold.

Korros

1960, 5

гирова

X26, 1

Nb, W,

ности,

микро

во вл

перату

дость к КР, следы Сг и добавка 1% Zn не влияет, а Si увеличивает стойкость латуни к КР. Небольшое кол-во Sn в присутствии Si значительно повышает стойкость латуни к КР. Изучение механизма влияния добавки Si к латуни на склонность к КР показало, что повышение ее коррозионной устойчивости объясняется обогащением Si границ зерен.

Г. Дегтярева
9И169. Исследования продуктов коррозии железа. Аояма И. «Рикагаку кэнкюсё хококу. Repts. Inst. Phys. and Chem. Res.», 1960, 36, № 2, 256—259 (японск.).—Исследование продуктов электрохим. коррозии Fe рентгенографич. и электронографич. методами, методом поглощения ИК-лучей и при помощи электронного микроскопа показало, что на аноде имеет место повышение конц-ии ионов Cl и понижение pH примерно до 3. Кроме α -FeO·OH и γ -FeO·OH, имеет место образование β -FeO·OH. М. Гусев

9И170. Коррозия изделий из железа и стали в климатических условиях Индии и меры борьбы с ней. Тагай Масабис. «Тэцу то хагана, Tetsu to hagane, J. Iron and Steel Inst. Japan», 1960, 46, № 11, 1491—1493 (японск.).

9И171. Причины «роста» чугуна и меры его предотвращения. Reiningner H. Das «Wachsen» des Gußeisens Ursachen und eine bewährte Gegenmaßnahme. «Werkstoffe und Korrosion» 1960, 11, № 11, 680—690, XL (нем.; рез. англ., франц.).—Обзор. Библ. 84 назв.

А. Козьминский
9И172. Влияние легирующих элементов на коррозионную стойкость высокопрочных чугунов в расплавленном каолине. Литвинцев Ю. А. «Уч. зап. Ярославск. технол. ин-та», 1960, 5, 183—187.—Изучение влияния легирующих элементов на изменение скорости коррозии (K) при диффузионном контроле показало, что скорость K определяется главным образом растворимостью пленок продуктов K, образующихся на чугуне. Все исследованные элементы, за исключением Ni, способствуют их растворению, особенно сильно Cr и Si. Из резюме автора

9И173. Коррозия легированных сталей. Foulon A. Korrosion legierter Stähle. «Metall», 1960, 14, № 10, 1011—1012 (нем.).—Рассмотрены вопросы коррозии нержавеющих сталей, легированных Cr, Ni, Mo, Ti, Nb, Cu. Отмечается, что быстро образующаяся в окислительных средах на поверхности Cr сталей невидимая пассивная пленка состоит из мельчайших кристаллов Cr_2O_3 . Легирующие добавки Ni, Mo, Cu повышают коррозионную стойкость пассивной пленки. Рассматриваются основные виды коррозии легированных сталей: равномерная, местная, межкристаллитная, щелевая, гальванокоррозия и коррозия под напряжением. В кислых средах, особенно в присутствии хлоридов, ферритные и аустенитные стали часто подвергаются межкристаллитной коррозии (МК), при которой по границам зерен выделяются карбиды Cr. МК не наблюдается в нейтр. и щел. средах. При кратковременных нагревах, напр. при сварке, карбиды не выделяются, если сталь содержит C < 0,06%, или стабилизирована Ti или Nb. Сталь с более высоким содержанием C, не стабилизированная Ti или Nb, не склонна к МК, если после сварки проводится стабилизирующий отжиг.

Ю. Сорокин
9И174. Строение и свойства коррозионностойких сталей. Часть I. Kupper Horst, Justus Reinhold. Aufbau korrosionsbeständiger Stähle und deren Korrosionsarten. Teil I. «Techn. Zbl. prakt. Metallbearb.», 1960, 54, № 10, 511—518 (нем.).—Описаны свойства легированных коррозионностойких сталей типов X13, X26, 18/8, Cr-Ni-Mo, Cr-Mn, Cr-Al с добавками Ti, Ta, Nb, W, V и Se. Приводятся показатели механич. прочности, хим. состав, прочности в интервале 100—400° и микроструктура этих сталей. Отмечается положительное влияние Mo (2, 3, 4—5%), Al на повышение температурного предела применения сталей, Ti на пред-

отвращение межкристаллитной коррозии (K), повышенное (26%) на стойкость в окислительных средах содержание Cr, неудовлетворительность введения Mn как Ni-заменяющего элемента. Разобраны виды K (язвенная, контактная, коррозионное растрескивание, K под напряжением, межкристаллитная K), среды, которыми они вызываются, механизм K, методы борьбы с ней: замедлители K, снижение конц-ии ионов Cl, снижение t-ры, повышение pH > 10, катодная защита, повторная пассивация—для язвенной K, подбор металлов—для контактной K, снижение процента C в стали до 0,07, введение в сталь Ti, Ta, Nb, термообработка—для межкристаллитной K. Г. Киселев

9И175. Нержавеющие стали и другие сплавы железа. Luce W. A., Peacock J. H. Stainless steels and other ferrous alloys. «Industr. and Engng Chem.», 1960, 52, № 10, 881—885 (англ.).—Рассмотрены области применения различных сталей на железной основе в качестве коррозионностойких материалов. Библ. 56 назв. Н. Попова

9И176. Олово и его сплавы. Macintosh Robert M. Tin and its alloys. «Industr. and Engng Chem.», 1960, 52, № 11, 947—952 (англ.).—Рассмотрено применение Sn и его сплавов, в том числе и для защитных покрытий. Библ. 207 назв. Н. П.

9И177. Никель и сплавы с высоким содержанием никеля. Maillon A. J. Nickel and high nickel alloys. «Industr. and Engng Chem.», 1960, 52, № 11, 943—946 (англ.).—Обзор. Рассмотрено применение Ni и его сплавов как коррозионностойких конструктивных материалов. Библ. 65 назв. Н. Попова

9И178. Титан. Bumberger H. B., Clappett H. A., Jr. Titanium. «Industr. and Engng Chem.», 1960, 52, № 10, 886—888 (англ.).—Обзор. Рассмотрены свойства Ti и области его применения как коррозионностойкого материала в хим. пром-сти. Библ. 24 назв. Н. Попова

9И179. Коррозионная стойкость титана. Морисава Масахито. «Титаниуму», 1960, 8, № 5-6, 107—114 (японск.).—Обзор. Приведены данные по коррозионной стойкости Ti в различных коррозионных средах. Библ. 6 назв. М. Гусев

9И180. Конструкционные материалы для оборудования завода, производящего мочевины. Wilenitz I. Materials of construction for urea plants. «Petrol. Refiner.», 1959, 38, № 10, 98—106 (англ.).

9И181. Борьба с коррозией в коксовом цехе. Гончаренко И. Н. «Кокс и химия», 1960, № 10, 37

9И182. Борьба с коррозией электрооборудования на химических заводах. Такаэти Йосицугу. «Кагаку кодзё, Chem. Factory», 1960, 4, № 2, 84—90 (японск.).—Обзор. Библ. 7 назв. М. Гусев

9И183. Выбор материалов для регулирующих клапанов, работающих в агрессивной среде. Ито Тосихиса. «Отомасён, Automation», 1959, 4, № 9, 21—26 (японск.).

9И184. Коррозия сварных соединений из аустенитных сталей типа 18-8 в дымящей азотной кислоте. Bernard M. L. J., Flavian N. Corrosion au soudures des aciers inoxydables austénitiques du type 18-8 dans l'acide nitrique fumant. «Aciers stabilisés et bas carbone. «Corros. et anticorros.», 1960, 8, № 10, 359—370 (франц.).—Проводились коррозионные испытания образцов со сварным швом и сварных резервуаров из сталей Z3CN18 (0,03% C) и Z40CNT18 (0,10% C; 0,40% Ti) в дымящей HNO_3 при комнатной t-ре, при кипячении HNO_3 и при циклич. изменениях t-ры от —40° до +60°. При обычной t-ре потери в весе от коррозии (K) обеих сталей почти одинаковы, но тип K различен: на стали Z3CN18 по обеим сторонам шва имеет место возникновение межкристаллитной K, на стали Z40CNT18—узкие глубокие язвы. При циклич. изменениях t-ры коррозионная стойкость сварных деталей из стали Z40CNT18 много меньше, чем у Z3CN18. А. С.

9И185. Коррозия варочных котлов (в производстве сульфитных щелоков), облицованных нержавеющей сталью. Scott W. M. Corrosion in stainless steel lined sulphite digesters. «Canad. Pulp and Paper Ind.», 1960, 13, № 3, 26, 30, 32, 34 (англ.)

9И186. Коррозионная стойкость некоторых черных металлов в 92%-ной серной кислоте. Лялин Е. В. «Тр. Моск. ин-та хим. машиностр.», 1960, 22, 105—118.—Получены данные по коррозионной стойкости ряда черных металлов в 92%-ной H_2SO_4 при разных т-рах, давлениях, скоростях движения и в состоянии покоя. Отмечается, что наибольшей коррозионной стойкостью обладает высокохромистый чугун Х-28. Библ. 7 назв.

9И187. Коррозия при низкой температуре в паровых котлах, работающих на жидком топливе. Denis A. Les corrosions à basse température des chaudières alimentées au fuel. «Corros. et anticorros.», 1960, 8, № 10, 347—358 (франц.).—В конце газопроводов (Г) паровых котлов т-ра стенок может быть ниже точки росы, в результате чего имеет место коррозия (К) вследствие конденсации H_2SO_4 , образующейся при горении серосодержащего жидкого топлива. Описаны приборы для определения точки росы в котлах и скорости К металлов в производственных условиях. Испытанные органич. покрытия Г оказались нестойкими. Применение нашла покрытия керамикой и жароупорным бетоном. Замена черных металлов оказалась нецелесообразной. Наилучшие результаты дает применение чугунных труб. Вдувание углекислых солей и других нейтрализующих и тормозящих в-в может существенно снизить К. Вдувание доломита приводит к забиванию Г. Окисл и нафтенат Mg неэкономичны. Вдувание NH_3 может привести к забиванию Г лишним бисульфатом аммония. При правильном применении этого можно избежать. Замедлитель К терамин — продукт перегонки каменноугольного пека — еще малоизучен. Zn-пыль дает хорошие результаты при тщательном соблюдении технологии ее применения. Применяется вдувание порошка угля. Следует также применять определенные режимы горения. Конструкция экономизеров избыток воздуха (не выше 5%), газификация топлива и ряд других мероприятий снижают потери от К.

9И188. Исследование коррозии и продуктов коррозии в парогенераторах, работающих на нефтяном топливе. Chiampor Pietro. Studio relativo alle corrosioni ed ai depositi dei generatori di vapore funzionanti a olio combustibile. «Termotecnica», 1960, 14, № 4, 163—172 (итал.).—См. РЖХим, 1960, № 22, 88929

9И189. Коррозия перегревателей и подогревателей котлов, обогреваемых порошкообразным углем. Nelson Wharton, Cain Carl, Jr. Corrosion of superheaters and reheaters of pulverized — coal — fired boilers. «Trans. ASME», 1960, A82, № 3, 194—201. Discuss., 201—204 (англ.).—См. РЖХим, 1960, № 17, 69895

9И190. Коррозия меди в озонированном воздухе. Малкина Р. Г. «Тр. Моск. ин-та хим. машиностр.», 1960, 22, 51—62.—Установлено, что скорость роста продуктов коррозии на Cu увеличивается с увеличением конц-ии озона и повышения т-ры. При содержании его (до 1,4 объемн. %) на поверхности Cu образуется CuO и Cu_2O . В воздухе, содержащем озон, насыщенный влагой, происходит взаимное действие водяных паров с CuO с образованием $Cu(OH)_2$. Из резюме автора

9И191. О коррозии и обрастании подводных металлоконструкций гидроэлектростанций. Саркисов М. А. «Гидротехн. стр-во», 1960, № 9, 30—32

9И192. Изучение скорости растворения сплава титана в растворах серной и соляной кислот различных концентраций. Бруйле Е. С., Домбровская Н. С. «Ж. прикл. химии», 1960, 33, № 10, 2360—2362.—Изучение зависимости скорости коррозии (СК) сплава Ti с 5,7% Al в р-рах H_2SO_4 и HCl различных конц-ий

показало, что при применении H_2SO_4 максим. СК наблюдалась в 40%-ном р-ре к-ты и отвечала 120 мм. Установлено, что для HCl (к-та) максим. СК наблюдается в 30%-ном р-ре к-ты и соответствует 90 мм.

Из резюме авторов
9И193. Стойкость сварных титановых труб в соляной кислоте, насыщенной хлором. Конюшенко А. Т., Головкин Р. В., Цейтлин Х. А., Стрункин В. А. «Автомат. сварка», 1960, № 10, 67—71.—Установлена возможность применения сварных аппаратов и сварных труб из Ti марки BT1 для работы в HCl (к-та), непрерывно насыщаемой Cl_2 и, в частности, для процессов хлорирования в солянокислой среде. Такие аппараты и трубы из Ti могут работать в 5%-ной HCl при т-ре $\leq 90^\circ$, в 20%-ной HCl $\leq 60^\circ$ при наличии свободного $Cl_2 \sim 0,2$ г/100 мл к-ты.

Из резюме авторов
9И194. Влияние влаги на коррозию нефтехимического оборудования. Gladis George P. Effects of moisture on corrosion in petrochemical environments. «Chem. Engng Progr.», 1960, 56, № 10, 43—51 (англ.).—Рассматривается коррозия нефтехим. оборудования во влажных хлорированных углеводородах, хлорированных р-рителях, Cl_2 , NH_3 и SO_2 . Подробно разбирается стойкость различных материалов (углеродистая сталь, чугун, Cu, латунь, бронзы, Cu-Ni-сплавы, аустенитные нержавеющие стали, высоко-Ni-сплавы, Ni, Al и его сплавы, Ti, Pb) в указанных средах. Приводятся данные лаборатор. и промышленных коррозионных испытаний указанных металлов. Рекомендуются меры предотвращения коррозии нефтехим. оборудования в указанных условиях: предохранение аппаратуры от попадания в нее влаги извне (кроме тех случаев, когда вода или водяной пар вводятся в систему для нормального течения технологич. процесса); добавление замедлителей коррозии или стабилизаторов, а также щелочи для нейтрализации образующейся HCl (к-ты); повышение т-ры выше точки росы; выбор соответствующих материалов, устойчивых в данных условиях и др. В. Пахомов

9И195. Подвесная центрифуга с гидравлическим приводом. Weyermuller Gordon, Hancock David. Center-slung centrifuge has trouble-free drive. «Chem. Process. (USA)», 1960, 23, № 2, 125—126 (англ.).—Применение гидравлич. привода и использования хасталлой-В в качестве материала для корзины и деталей фильтра резко уменьшило аварии и износ центрифуги, подвергавшейся воздействию р-ров, содержащих HCl (к-та), CH_3COOH , H_2SO_4 и искусный ангидрид.

В. Герцовский
9И196. Особенности коррозии вентилей. Маэкава Мэюки. «Нацу то кэйэй, Heat and Manag.», 1960, 9, № 6, 33—37 (японск.)

9И197. Вентили для работы с корродирующими веществами. Holmberg E. G. Valves for severe corrosive service. «Chem. Engng», 1960, 67, № 13, 146, 148, 150 (англ.).—Кратко рассмотрены конструктивные особенности некоторых вентилей, применяемых в хим. пром-сти.

В. Герцовский
9И198. Защита стальных конструкций от коррозии. Wahl Eugen. Korrosionsschutz für Stahlkonstruktionen. «Industriekurier Wochenausg. Techn. und Forsch.», 1960, 13, № 36, 585 (нем.)

9И199. Коррозионно-защитные характеристики декоративного хрома. Safranek W. H., Miller H. R., Faust C. L. The corrosion protective characteristics of decorative chromium plate. «Plating», 1960, 47, № 5, 513—519 (англ.).—Результаты исследования, проведенного с целью определения условий осаждения плотного, не содержащего пор и трещин Cr-покрытия (II), показали, что коррозионные разрушения, всегда начинающиеся в разрывах Cr-II, зависят от толщины Cr-слоя, конц-ии хромовой к-ты, соотношения CrO_3 и H_2SO_4 к-т в р-ре и т-ры электролита. Главное влияние оказывает первый фактор. Пористость в Cr-II заметно

2(20)
на-
мни.
Обпо-
н.
горов
содя-
нко
рун-
74.—
аппа-
ты в
стено-
сре-
ть в
при
горов
миче-
ts of
ents.
л.).—
ия во
ован-
ается
тал,
тние
его
дан-
аний
тв-
ных
ния в
или
го те-
лите-
для
т-ры
ерна-
омов
ским
Da-
drive,
—126
льзо-
орзи-
из
ров,
ный
ский
еке-
ag.,
и ве-
ого-
148.
зные
хим.
ский
эни.
ktio-
ch.),
де-
Р.
cs of
№ 5,
ове-
лот-
(II),
на-
Cr-
з и
иние
етно

снижается, когда его толщина увеличивается до 0,6 м; при толщине 1,25 м и больше Cr, осаждаемый на гладкую поверхность, является почти беспористым. При толщине слоя 0,6 м и выше Cr начинает растрескиваться; интенсивность растрескивания повышается с увеличением толщины осадка. Увеличение концентрации CrO_3 в электролите, а также повышение его температуры уменьшает склонность осадка к растрескиванию. Увеличение соотношения к-т от 110:1 до 150:1 уменьшает пористость и их склонность к растрескиванию. Отмечено, что Cr-покрытия толщиной 0,75 м, осаждаемые при повышенном соотношении к-т, не растрескиваются в случае нагревания покрытых образцов до 160°; в отличие от осадков, полученных при низком соотношении к-т. На образование пор и трещин в Cr-покрытиях также влияют находящиеся в р-ре Cr^{3+} , Cu и Ni. Примесь Zn не влияет на качество осадка. Оптимальным режимом получения Cr-покрытия с наименьшим количеством пор и трещин являются условия: конц-ия CrO_3 338—350 г/л, H_2SO_4 2,18—2,22, $\text{Cr}^{3+} \geq 0,5$ г/л, соотношение CrO_3 и H_2SO_4 от 150:1 до 160:1, т-ра $55 \pm 1^\circ$, D 16—38 а/дм².

9И200. Улучшение коррозионной стойкости покрытий хром — никель. Reinsch Hans H. Verbesserung der Korrosionsbeständigkeit von Chrom-Nickel-Auflagen: «Metall-Reinig. + Vorbehandl.», 1960, 9, № 9, 155—157 (нем.).—Рассматриваются пути улучшения коррозионной стойкости покрытий (II) блестящего Ni путем использования Duplex — процесса. Возможно и дополнительное хромирование на 2,5—5 м. Отмечается высокая стойкость Cr-Ni-Cr (1,2 м матовый беспористый Cr + нормальное Ni-покрытие + блестящий Cr). Рассматривается влияние материала изделия и подготовки на качество. П. Библ. 11 назв.

9И201. Сопротивляемость тускнению золотого покрытия на серебряном подслое. Harding William B. The tarnish resistance of gold plating over silver. «Plating», 1960, 47, № 10, 1141—1145 (англ.).—Испытания латунных деталей, покрытых 10 м Ag + Au различной толщины, в камере над 0,2%-ным $(\text{NH}_4)_2\text{S}$ в течение 5 час. показали, что основным типом коррозии является потускнение поверхности. С увеличением толщины слоя Au до 2,5 м степень потемнения резко уменьшается, а при дальнейшем увеличении толщины Au уменьшается медленнее, и практически качество покрытия Au имеет толщину ≥ 10 м.

9И202. Быстрое нанесение покрытий из расплавов металлов с использованием явления сверхтекучести. Такахаши Ринтаро, Минэгиши Томоя. «Киндзюку хёмон гидзюцу, J. Metal Finish. Soc. Japan», 1960, 11, № 1, 26—30 (японск.).—Обзор. Отмечено, что при резком переохлаждении расплавов металлов при определенных условиях в металле возникает явление «сверхтекучести», подобное сверхтекучести He. Эта сверхтекучесть металла позволяет получать «мгновенное», ровное покрытие при сравнительно низких температурах расплава металла.

9И203. О прочности горячеоцинкованной проволоки. Zastera Anton. Über die Haltbarkeit von feuerverzinktem Draht bei Einfriedungen. «Allgem. Schlosser- und Maschinenbauer-Ztg», 1960, 62, № 4, 136—138 (нем.).—Существуют усиленное цинкование (I) и обычно действующее цинкование (II). С увеличением диаметра проволоки (II) прочность повышается. При одинаковом способе цинкования толстая II более коррозионно-устойчива, чем тонкая. II одинакового диаметра, оцинкованная методом I, обладает большей коррозионной устойчивостью, чем такая же II, оцинкованная методом II.

9И204. Защита железа и стали алюминиевыми покрытиями. Andrews D. R. The protection of iron and steel by aluminium coatings. «Metallurgia», 1960, 62, № 372, 153—158 (англ.).—Описываются методы и технология нанесения Al-покрытий на железо и сталь

(напыление, окунание в расплавленный металл, электроосаждение, плакирование, аэтирование и др.).

9И205. Хроматирование. Bellinger Kenneth P. Modern applications in chromate coatings. «Metal Finish. J.», 1960, 6, № 69, 365—367 (англ.).—Рассмотрены вопросы хроматирования деталей из Zn, Al, Cd.

9И206. Новый хроматный грунт АЛГ-14. Деккер И. И., Антропова В. И. «Лакокрасочн. материалы и их применение», 1960, № 4, 30—35.—Установлено, что грунт АЛГ-14 по скорости высыхания, водонабухаемости, адгезии и термостойкости значительно превосходит грунты АЛГ-1, АЛГ-5 и АЛГ-8. Грунт АЛГ-14 может быть применен в системах с различными быстровсыхающими эмалями, а также масляными и глифталевыми вместо применяемых обычных грунтов.

9И207. Фосфатирование. П. Quattrone C. Fosfatizatione. П. Calvanotecnica, 1960, 11, № 5, 103—104 (итал.).—Приведены составы р-ров и режимы нанесения фосфатных покрытий. Сообщение I см. РЖХим, 1961, 1И212.

9И208. Химическое оксидирование алюминия. Vučković Stanija. Hemiska eloksaža aluminijuma. «Zašt. mater.», 1960, 8, № 6, 259—261 (сербо-хорв.).—Приведены составы р-ров и режимы оксидирования Al и его сплавов.

9И209. Морфологическое исследование поверхности стали и чугуна после обработки методом сульфидирования. Desbrandes R. Contribution à l'étude morphologique des surfaces traitées par le procédé de sulfuration. «Métaux (corros. inds)», 1960, 35, № 422, 353—378 (франц.).—Описан процесс сульфидирования. Ванна для сульфидирования содержит цианаты, цианиды и сульфиды, примерно, в таких кол-вах: KCNO 30—60%; NaCN 20%; Na_2S 1—1,5%; остальное карбонаты. Обработка проводится при 570° в течение 2,5—3 час. Исследована металлографич. структура после сульфидирования поверхности малоуглеродистой низколегированной, средне- и высокоуглеродистой стали и чугуна. Установлено, что на поверхности образуется тонкий (1—12 м) хрупкий наружный слой, содержащий 10—20% серы. Под ним расположена зона диффузии нитридов Fe_3N , имеющих форму тонких пластинок. Глубина этой зоны колеблется в зависимости от условий 200—950 м. Изучено влияние продолжительности процесса, отпуска после сульфидирования при т-рах 150—700° и т. п. Максим. глубина диффузии наблюдается после отпуска при 300°.

9И210. Защитные свойства цементного раствора. Unz M. Insulating properties of cement mortar coating. «Corrosion», 1960, 16, № 7, 115—125 (англ.).—Изучалась природа защитных свойств цементного р-ра, применяемого в качестве изоляционного покрытия на предварительно напряженных железобетонных подземных трубах. Установлено, что цементный р-р в процессе твердения удаляет ржавчину и посторонние частицы с поверхности стальной арматуры. В результате процесса поверхностной коррозии эти частицы растворяются и образуют соли железа, которые проникают в цементный р-р и осаждаются в нем. В результате этого усиливается сцепление бетона с арматурой. Аналогичные процессы растворения поверхности металла протекают и под действием на трубы электрич. тока. Образующаяся цементная пленка защищает арматуру от дальнейшей коррозии. Автор разработал метод определения величин электрич. сопротивления цементного р-ра и рекомендации по защите труб от действия блуждающих электрич. токов.

9И211. Коррозионноустойчивые цементы и их применение. Evans V. Corrosion-resistant cements and their applications. «Corros. Technol.», 1960, 7, № 10, 309—314

rides A. C., Stern Milton. Inhibition of metal dissolution by ferric sulfate. *J. Electrochem. Soc.*, 1960, 107, № 11, 877—883 (англ.).—Изучался характер влияния иона Fe^{3+} на замедление скорости коррозии нержавеющей стали в р-рах H_2SO_4 . Анализ поляризационных кривых, полученных в присутствии $Fe_2(SO_4)_3$ и без него, приводит к заключению, что замедляющее действие Fe^{3+} не вызывается его адсорбцией на поверхности металла.

В. Левинсон
9И227. Временная защита от коррозии. Mindović E. i. Privremena zaštita od korozije. «Zašt. mater.», 1960, 8, № 5, 193—199 (сербо-хорв.).—Рассматриваются принципы защиты от коррозии деталей и узлов в период от их изготовления до пуска в эксплуатацию. Библи. 25 назв.

В. Леписон
9И228. Ингибитор питтинговой коррозии. Чен П. Г. «Ж. прикл. химии», 1960, 33, № 10, 2300—2305.—Установлено, что замедлитель коррозии КХ (коксохимический) в агрессивной среде (Cl^- -ион и др.) полностью устраняет точечную коррозию как при обычной т-ре, так и в условиях кипения р-ра, в последнем случае КХ увеличивает равномерную коррозию на грубой поверхности металла.

Из резюме автора
9И229. Влияние тиомочевины на растворение стали в серной кислоте. Филько А. И. «[Уч. зап.] Моск. гос. пед. ин-та им. В. И. Ленина», 1960, № 146, 62—91.—Установлено, что скорость коррозии (СК) стали в 2 н. и 5 н. р-рах H_2SO_4 зависит от времени растворения, от концентрации тиомочевины (ТМ) и концентрации к-ты. Найдено, что в 1, 2, 5 и 10 н. р-рах H_2SO_4 наиболее положительный электродный потенциал и наименьшая СК стали наблюдаются при одной и той же концентрации ТМ. Отмечается, что ТМ влияет на оба электродных процесса, протекающих на стали. Изучена адсорбция ТМ на стали при помощи ТМ с радиоактивным изотопом.

Из резюме автора
9И230. Аминосолы некоторых неорганических кислот как замедлители атмосферной коррозии металлов. Гинзбург С. А., Шрейдер А. В. «Ж. прикл. химии», 1960, 33, № 10, 2366—2368.—Установлено, что бораты моно- и триэтилоамины являются перспективными замедлителями атмосферной коррозии для защиты стальных изделий, сочетающих, помимо деталей из черных металлов без покрытий, детали никелированные и оцинкованные, либо детали из сплавов на основе Zn и Ni.

Н. Попова
9И231. Проблема коррозии оборудования для очистки дистилятом от H_2S на нефтеперерабатывающих заводах. Moore Kenneth L. Corrosion problems in a refinery diethanolamine system. «Corrosion», 1960, 16, № 10, 111—114 (англ.).—Отмечается, что очистка от H_2S в процессе нефтепереработки проводится посредством воды р-ра диэтилоамины (Д). Д легко регенерируется при нагревании, при этом H_2S используется для получения H_2SO_4 или S. Установлено было, что при концентрации H_2S не выше 0,34—0,40 моль на 1 моль Д коррозии не наблюдается. Концентрация H_2S поддается регулированию.

Ю. Аронсон
9И232. Использование сточной воды коксохимического завода для защиты металлов от коррозии. Чен П. Г. «Ж. прикл. химии», 1960, 33, № 10, 2305—2310.—Установлено, что сточная вода коксохим. з-да проявляет высокие защитные свойства и может быть применена для предохранения от коррозии первичных газовых холодильников и для борьбы со «стоянкой» коррозии на тепловых электростанциях коксохим. и металлургич. предприятий. Изучены защитные свойства замедлителя КХ (коксохимический) в нейтр. щел. и кислых средах и установлена его оптимальная защитная концентрация (0,5—1,0%).

Из резюме автора
9И233. Влияние органических присадок в топливо на коррозию и износ двигателей внутреннего сгорания. (Стендовые испытания антикоррозионных присадок в моторное топливо). Смирнова И. Н., Балежин

С. А., Голованов К. Н. «[Уч. зап.] Моск. гос. пед. ин-та им. В. И. Ленина», 1960, № 146, 127—146.—Установлено, что введение антикоррозионных присадок в топливо ведет к усиленному выносу из двигателя коррозионно-активной серы. Уменьшение кол-ва агрессивного агента приводит к снижению коррозии поверхностей двигателя. Антикоррозионные присадки тормозят с одной стороны, окисление SO_2 в SO_3 и способствуют, с другой, образованию защитной пленки на рабочих поверхностях двигателя.

Из резюме авторов
9И234. Замедление коррозии алюминия. Катодная защита наложенным током. Sundararajan J., Char T. L. Rama. Corrosion inhibition of aluminium. Cathodic protection by impressed current. «Corros. Prevent. and Control», 1960, 7, № 11, 49—50 (англ.).—Данные по катодной защите (КЗ) технич. Al с 92% Al (I), чистого Al Sr ВНН с 99,5% Al (II) и Zn сплава ДТД 687 с 86% Al (III) в 0,5; 1,0; 1,25 и 1,50 н. р-рах HCl с добавкой в качестве замедлителя коррозии (ЗК) 2—10 г/л тиомочевины и без нее, и в 0,3 и 0,4 н. р-рах $NaOH$ с добавкой в качестве ЗК 2—10 г/л декстрина и без него. Т-ра опытов $32 \pm 0,4^\circ$, длительность испытания 2 часа. Показано, что в щел. средах как в присутствии ЗК, так и без него полная КЗ изученных Al-сплавов невозможна. Поляризационные кривые и весовые потери сплава I в кислых р-рах показали, что полная КЗ возможна при наложении небольших катодных токов. Эффективность КЗ при плотностях тока 0,10; 0,15; 0,32; и 0,40 a/dm^2 соответственно была (%): 40—54; 80; 86 и 100. Коэф. торможения, без наложенного тока в тех же условиях был 70, 80 и 94% для 1,2 и 5 г/л тиомочевины соответственно. Полагают, что наиболее рациональным режимом для получения общего коэф. КЗ, близкого к 100% (96—98%), являются наложение тока 0,1 a/dm^2 и добавка тиомочевины 1—5 г/л. Показано, что КЗ сплава II возможна наложением токов более низких значений, чем это требуется для сплава I. Указывается, что КЗ эффективна для различных Al-сплавов в морской воде и почве при катодных потенциалах от $-0,63$ до $-0,73$ в, по НВЭ и плотностях тока 0,021—0,322 ma/dm^2 .

А. Москвичева
9И235. Проектирование катодной защиты трубопроводов. Часть 2. Specter D. Design for pipelines. Part 2. «Corros. Technol.», 1960, 7, № 7, 213—217 (англ.; рез. нем., франц.).—Рассматриваются условия защиты 6 дюймов продуктопровода Хайфа-Тель-Авив и 16 дюймов нефтепровода Ашдо-Хайфа. Указываются величины защитной плотности тока для 10-км секций 6 и 16 дюймов трубопроводов, соответственно, с различной величиной проводимости покрытия: 500 $\mu cm/m^2$ — 0,16 ma/m^2 ; 0,15 ma/m^2 ; 2000 $\mu cm/m^2$ — 0,73 ma/m^2 ; 0,66 ma/m^2 ; 10 000 $\mu cm/m^2$ — 6,8 ma/m^2 5,1 ma/m^2 . Общий защитный ток, необходимый для устранения вредного влияния на соседние металл. сооружения, увеличивается в среднем в 1,03—1,12 раза. Максим. величина увеличения тока защиты в 1,43 раза. Приводятся ф-лы для расчета величины сопротивления заземления. Рекомендуется иметь общее сопротивление заземления величиной 0,2—0,3 Ω . Расстояние между вертикальными заземлителями равно 3 м. При увеличении этого расстояния до 4,5 м сопротивление 10 заземлителей уменьшается только на 10%. Уменьшение расстояния между заземлителями до 1,5 м увеличивает сопротивление заземления на 25%. Часть 1 см. РЖХим, 1961, 4И270.

В. Притула
9И236. Некоторые экспериментальные данные об эффективности электрохимической защиты от коррозии газовых магистралей в районе Токио-Йокогама. Тамура Э. «Нихон гасу кёкайси, J. Japan Gas Assoc.», 1960, 13, № 7, 65—75 (японск.).

9И237. Об электрохимической защите корпусов морских судов от коррозии. Негреев В. Ф., Трифелъ М. С., Нуриев М. Р. «Азерб. кямја ж., Азерб. хим. ж.», 1960, № 3, 115—132 (рез. азерб.).—Отмечает-

Zn-П в течение 10 сек. при $\sim 650^\circ$ нагревают пламенем продукта разложения NH_3 . В результате нагрева сцепление Zn-П с поверхностью железа (стали) увеличивается на 20–40%. 2. На металлическую пластинку наносят из расплава Al-П, в течение 5 сек. при $\sim 800^\circ$ нагревают пламенем коксового газа, сцепление Al-П с поверхностью металла увеличивается на 20–30%.

В. Зломанов

9И255. Нанесение на поверхность железных труб покрытий из сплава свинца, олова и кадмия. Сагами Эйити, Кита Тосиро. [Манускрипт дэно кабуки тай]. Японск. пат. 3955, 25.05.59.—Железную трубу (Т) обрабатывают H_2SO_4 и удаляют с ее поверхности ржавчину. После этого Т погружают в расплав (Р) с т-рой $280\text{--}330^\circ$ состава (в %): PbCl_2 40–60, SnCl_2 30–50, CdCl_2 3–7. Одновременно с этим, используя оба конца Т как клеммы, пропускают по Т электр. ток низкого напряжения и большой силы. После того как Т-ра Т повысится до т-ры Р, ток выключают; Т вновь на 0,5–5,0 мин. погружают в указанный выше Р, после этого Т вынимают из Р и промывают водой. Прием. Железную водопроводную Т диам. 20 мм, длиной 3 м с толщиной стенок 1,6 мм обрабатывают теплой водой, содержащей H_2SO_4 , удаляют с ее поверхности ржавчину и погружают Т в Р с т-рой 300° состава (в %): PbCl_2 50, $\text{SnCl}_2 \cdot 2\text{H}_2\text{O}$ 45%, $\text{CdCl}_2 \cdot 2\frac{1}{2}\text{H}_2\text{O}$ 5%, одновременно по Т пропускают в течение 2 мин. электр. ток напряжением 10 в и силой 300 а, после этого Т вновь погружают на 3 мин. в указанный выше Р, затем Т вынимают из Р и промывают водой. В результате получают ровное блестящее покрытие, обладающее высокой коррозионной стойкостью.

В. Зломанов

9И256. Нанесение на поверхность металлов методом распыления покрытия из окиси алюминия. Такэи Такэси, Нагасака Хидэо. [Рикагаку кэнкюдзэ]. Японск. пат. 6525, 6.06.60.—К порошок Al_2O_3 со сферич. или близкой к сферич. форме частиц и с размером частиц < 300 меш добавляют 5 вес. % порошка металла. Al со сферич. формой частиц. Смесь хорошо перемешивают и, расплавляя ее на кислородно-ацетиленовом пламени, наносят на поверхность мягкой стали. Пластинку из мягкой стали с нанесенным на нее указанным методом покрытием толщиной 0,3 мм в течение 300 час. нагревали при 900° , после чего измерили увеличение ее веса, которое имеет место при окислении. Увеличение веса пластинки было равно $\frac{1}{15}$ части увеличения веса точно такой же контрольной пластинки, которую также нагревали в течение того же времени и при той же т-ре, не обработанной патентуемым методом. Отслаивания пленки, ее растрескивания или образования каких-либо других дефектов при нагреве пластинки обнаружено не было.

В. Зломанов

См. также раздел Лаки. Краски. Лакокрасочные покрытия и рефераты: Влияние фактора времени на характер диаграммы состав-жаропрочность сплавов пятикомпонентной системы Ni—Cr—W—Ti—Al 9Б374. Тонкие окисные пленки на Ti, Zr, Mo и сплавах Ti 9Б471. Кинетика окисления: У 9Б472; графита 9Б473. Образование бемита при р-ции между Al и кипящей или перегретой водой 9Б476. Электрохим. и коррозионное поведение полупроводников в р-рах электролитов 9Б584. Коррозия огнеупоров 9К269, 9К272. Коррозия и инкрустация в водопроводных сетях 9И271. Коррозия Cu в бензойной к-те 9М234. Гальванические покрытия: 9К176—9К199, 9К213—9К219. Защитные покрытия на основе гидрофобных материалов, перхлорвиниловых и эпоксидных лаков и эмалей 9К387. Коррозионная устойчивость цементного р-ра с добавкой порошкообразного Al 9К409. Вяжущий материал, устойчивый к агрессивным средам 9К418. Пластмасса 9Б57, 9К118,

9И27, 9И65—9И68, 9И79, 9И87, 9И91. Влияние анибази-на-оксалата на скорость растворения Al в HCl. Кислотостойкие ткани 9И369. Смазки 9М220, 9М221, 9М228

ПОДГОТОВКА ВОДЫ. СТОЧНЫЕ ВОДЫ

Редактор М. И. Лапшин

9И257. Электрометрическое определение растворенного кислорода в воде для питания паровых котлов. Schwabe Kurt, Vollrath Siegfried. Elektrometrische Sauerstoffmessungen im Kesselspeisewasser. «Chem. Techn.», 1960, 12, № 7, 406–408 (нем.).—Прибор для непрерывного определения конц-й растворенного O_2 основан на полярографии. Метод с использованием в качестве индикаторного электрода амальгамы золота, в качестве электрода сравнения р-ра Hg_2SO_4 , насыщенного K_2SO_4 (отделен от исследуемой жидкости пластинкой из пористого стекла). Установлена пропорциональность между диффузионным током и конц-ей растворенного O_2 в интервале 0–1800 $\mu\text{л}$ при т-рах 25–60°. Точность определения в интервале конц-й 0–6 $\mu\text{л}$ $\text{O}_2 \pm 0,1 \mu\text{л}$. Для производственных целей сконструирован датчик с рабочей поверхностью электрода 8,17 см^2 , рассчитанный на расход 20–100 л/час. Датчик включается после холодильника с электропневматич. регулированием т-ры. Перед датчиком включен ионитный фильтр. Прибор проходит испытания на одной электростанции.

Н. В.

9И258. Прибор для электрохимического определения растворенного кислорода в воде для питания паровых котлов. Albrecht Hildegard. Meßgerät zur elektrochemischen Bestimmung des im Kesselspeisewasser gelösten Sauerstoffs. «Glas-Instrum.-Techn.», 1960, 4, № 6, 227–230 (нем.).—Описана лабор. установка, в которой конц-я O_2 определяется по силе тока, протекающего через электроды, находящиеся под напряжением $\sim 0,7$ в. Один из электродов является амальгамой золота; другой, в зависимости от рН воды, свинцом (рН $< 3,5$) или цинком (рН 3,5–6). В интервале конц-й O_2 0–60 $\mu\text{л}$ калибровочная кривая имеет прямолинейный характер. Точность измерений $\pm 10\%$.

В. Ремнев

9И259. Автоматическое определение концентрации сахара в воде барометрического конденсатора и в воде для питания паровых котлов. Baum Elliott H. Automation of sugar analysis in barometric condensers and boiler waters. «Ann. N. Y. Acad. Sci.», 1960, 87, № 2, 894–903 (англ.).—Проба воды, подаваемая в прибор, подкисляется HCl до рН 1,5, подогрывается в змеевике до 96° (инверсия сахара) и поступает в верхнюю часть диализатора с полупроницаемой мембраной, через которую диффундирует инвертированный сахар. В нижнюю часть диализатора подается 0,075%-ный р-р $\text{K}_3\text{Fe}(\text{CN})_6$ в 2%-ном NaCl (2 мл/мин.). Смесь подщелачивается до рН 10,5 и нагревается до 96° . В результате восстановления $\text{K}_3\text{Fe}(\text{CN})_6$ в $\text{K}_4\text{Fe}(\text{CN})_6$ происходит снижение интенсивности окраски р-ра, оптич. плотность которого замеряется при λ 420 мμ. Длительность определения ~ 10 мин. Определяемые пределы 0–400 мг/л.

Н. Ваксберг

9И260. Измерение окислительного потенциала сточных вод. Henry Clarence R. Measuring the ORP of sewage. «J. Water Pollution Control Federat.», 1960, 32, № 8, 897–903 (англ.).—Описан портативный прибор для измерения окислительного потенциала СВ. Прибор представляет собой отрезок трубы, в котором закреплены Pt-электроды, присоединенные к рН-метру. Прибор позволяет определять окислительный потенциал на различных глубинах.

Н. Ваксберг

9И261. Водоросли и другие организмы, затрудняющие водоснабжение, в водах центральных южных штатов США. Palmer C. Mervin. Algae and other

interference organisms in the waters of the south central United States, «J. Amer. Water Works Assoc.», 1960, 52, № 7, 897—914 (англ.).—Изложены результаты исследований, проведенных в 6 штатах. Зарегистрировано несколько тысяч видов водорослей. Кол-во фитопланктонных организмов колеблется от 0 до $> 100\,000$ в 1 мл воды (в среднем 4000). Максимум развития планктона отмечается весной и осенью. Продукты метаболизма водорослей и актиноидов, а также распада органич. в-в сообщают воде землестый, затхлый и травянистый запах. Водоросли и другие организмы замедляют скорость фильтрования, образуют слизь на решетках и липкий слой на стенках фильтров и отстойников, увеличивают кол-во осадков в отстойниках, меняют pH воды, щелочность, конц-ию CO_2 и O_2 , придают воде окраску и мутность. В 1953 г. зарегистрировано массовое отравление рыб, водяных птиц и животных, потреблявших воду оз. Остин, что было вызвано обильным развитием динофлагеллат *Gymnodinium* и *Glenodinium*. Токсичное действие оказывает и сине-зеленая водоросль *Nostoc rivulare*. Для борьбы с водорослями рекомендуются различные альгициды: CuSO_4 в конц-ии 180—960 мг/м³; Cl_2 (доза 0,05 мг/л подавляет развитие *Oscillatoria* и диатомовых за 8 суток; 0,5 мг/л убивает их за 30 мин.; *Spirogyra* погибает за 3 часа при дозе 1,5 мг/л); хлорамин в конц-ии 0,8—1,0 мг/л; мышьяковистый натрий в конц-ии 2,5—8,0 мг/л. Активный уголь в дозах 2—30 мг/л, добавленный за 20 мин. до коагуляции или немедленно после образования хлопьев, устраняет запах, вкус, цвет и токсины. Библ. 71 назв.

Е. Дянова

9И262. Измерение радиоактивности воды в верхнем бассейне р. Пура. Сообщение I. О загрязнении радиоактивными примесями поверхностных и питьевых вод. Bucksteeg Wilhelm, Dietz Friedrich. Radioaktivitätsmessungen im Einzugsgebiet der Ruhr. I. Mitt. Über die Kontamination der Oberflächenwässer sowie des Trinkwassers, «Gas- und Wasserfach», 1960, 101, № 34, 856—859 (нем.).—Приведены результаты систематич. измерений радиоактивности поверхностных вод верхнего бассейна р. Пура, проводившихся с 1957 г. β -Активность речной и водопроводной воды зависит от активности и кол-ва атмосферных осадков. β -Активность речной воды в среднем на один порядок меньше предельно допустимой нормы (10^{-7} мюри/мл). Активность воды запрудных водохранилищ несколько меньше активности воды р. Пура. Активность водопроводной воды только в отдельных случаях была $> 10^{-8}$ мюри/мл; средняя активность воды водопровода г. Эссена ниже этой величины. При определении активности воды лучше применять выпаривание, так как метод осаждения с носителями дает не вполне удовлетворительные результаты. А. Смирнов

9И263. Проблемы, возникающие в связи со сбросом сточных вод, содержащих малые концентрации радиоактивных примесей, в прибрежные воды Голландии. Korringa P. Problems arising from disposal of low-activity radioactive waste in the coastal waters of the Netherlands, «Disposal Radioact. Wastes», Vol. 2. Vienna, Internat. Atomic Energy Agency, 1960, 51—56. Discuss., 139—148 (англ.; реф. франц., русск., исп.).—Основная опасность сброса СВ состоит в том, что внесенные в море радиоактивные примеси (РП) могут переходить в продукты человеческого питания путем: 1) адсорбции планктонными и бентосными организмами с дальнейшим переходом в организм рыб; 2) аккумуляции из воды р-ра гидробионтами, имеющими известковую оболочку; особенно интенсивно накапливаются этими организмами ионы Cu^{2+} , Zn^{2+} , Mn^{2+} и Co^{2+} ; дальнейшее поступление их в организм человека аналогично приведенному выше.

9И264. Метод вычисления распределения примесей в устьях рек. Dorrestein R. A method of compu-

ting the spreading of matter in the water of an estuary, «Disposal Radioact. Wastes», Vol. 2. Vienna, Internat. Atomic Energy Agency, 1960, 163—166. Discuss., 219—221 (англ.; реф. франц., русск., исп.).—Для описания процесса продольного распределения растворенных и взвешенных примесей в устьях рек (при установившемся режиме с периодич. приливами и отливами) предложено упр-ние, принципиально аналогичное, предложенному Штоммелем. А. Смирнов

9И265. Глинистые донные отложения как аккумулятор радиоактивных отходов, сбрасываемых в море. Rae K. M., Bader R. G. Clay-mineral sediments as a reservoir for radioactive materials in the sea. «Proc. Gulf and Caribbean Fish. Inst.», 1959 (1960), June, 55—61 (англ.).—Описаны лабор. опыты по изучению способности различных минералов (в основном глины) сорбировать некоторые органич. в-ва (глицин, янтарную к-ту, сахарозу, фруктозу), содержащие C^{14} , из р-ров с конц-ией 1,0—12 г/л при t-рах 5—15°. Максим. сорбционной емкостью обладает монтмориллонит (до 350% по весу), затем идут иллит, каолинит и кварц (2—12,5%). Изучена также сорбция этими минералами продуктов обмена (содержащих C^{14}) одноклеточных морских водорослей (максим. сорбционной емкостью обладает также монтмориллонит). Показано, что многие гидробионты способны усваивать органич. в-ва (в том числе содержащие радиоизотопы), сорбированные глинами. А. Смирнов

9И266. Влияние сточных вод предприятия Honshu Paper mfg Co. на водные организмы. Taga Nobuo, Tabata Kenji, Ozawa Kunio. «Сипа гиккен, J. Japan. Techn. Assoc. Pulp and Paper Ind.», 1959, 13, № 9, 650—656 (японск.; реф. англ.).—Экспериментально установлено разбавление, потребное для безопасного сброса СВ в реку. По резюме авторов

9И267. Влияние осколочных продуктов на радиоактивность некоторых гидробионтов Тихого океана. Моисеев П. А., Кардашев А. В. «Disposal Radioact. Wastes», Vol. 2. Vienna, Internat. Atomic Energy Agency, 1960, 93—98. Discuss., 139—148 (англ., русск.; реф. франц., исп.).—Исследования, проведенные на советском научно-исследовательском судне «Нора», показали, что в обширном районе, расположенном на северо-западе от атолла Бикини, конц-ия искусственных радиоактивных примесей (РП) в морской воде > 10 раз превысила естественную активность по K^{40} . Это повышение активности морской воды повлияло и на активность всех обитающих в ней гидробионтов, которые обладают способностью аккумулировать РП в конц-ии, во много раз превышающей окружающую их водную среду. Установлено заметное повышение радиоактивности у значительной части промысловых рыб, живущих вблизи берегов Сахалина и Камчатки, а также у моллюсков, голотурий, осьминогов и крабов волосатого. Таким образом опасность для здоровья человека может возникнуть не только от употребления в пищу рыб, мигрировавших из района взрыва, но и от тех, которые являются постоянными обитателями акватория, с относительно невысоким уровнем загрязненности РП вследствие аккумуляции последних гидробионтами. Л. Доливо-Добровольский

9И268. Загрязнение источников организованного водоснабжения радиоактивными осадками. Nogawa Isamu. «Юсю эйсэин канко хококу, Bull. Inst. Public Health», 1959, 8, № 4, 224—227 (англ.).—Для учета влияния радиоактивных атмосферных осадков на радиоактивность воды, подаваемой населению, выведены математич. зависимости, при помощи которых можно определить барьерную функцию водопроводных станций, имеющих различную систему очистки: $W_r = a + b \lg(C_1 \theta_1)$ и $W_l = a' W_r^{b'}$, где W_r и W_l — радиоактивность речной и очищ. воды; C_1 — радиоактивность выпавших осадков; θ_1 — кол-во выпавших осад-

ков; a , a' , b , b' — эмпирические условия, ходит к выводу, что в некоторых случаях, та

9И269. (Инт. Нью-Йорк) «Water Works» (англ.).—Н. производят новшества, а также извести, а воды в ме 45 мин. Су ми отстаива из 10 пестч

9И270. (Инт. Нью-Йорк) Allen E. servoirs in 1960, 52, N. жуков и з. является. Во избеж хранения шена от Крупные дни выхо жжены.

9И271. (Инт. Нью-Йорк) P. cettix. P. sion et inc. ca», 1960, 1960, № 7

9И272. (Инт. Нью-Йорк) John S. City», 1960. коагулянт чения, не pH, при т твердой ф ния; заря. влияния чения; в со. лиями яе. ири част (Инт. Ота вода име. дает алю. фат желе. зянтом к ний. Эко. ната нат. рия набл. воде по. менению. ного пр

9И273. (Инт. Нью-Йорк) M. g on at Coun 52, № 7, препарат ия взве. известко. в холоди. нно об. доза I (пает по. В некот. менение. I снижа

нов; a , a' , b , b' — константы, характеризующие местные условия и работу сооружений станций. Автор приходит к выводу об одинаковой барьерной функции как быстрых, так и медленных фильтров.

9И269. Водопроводная станция в Бингемитоне (шт. Нью-Йорк, США). — The Binghamton water plan. «Water Works Engng», 1960, 113, № 8, 722, 739—740 (англ.). — Новая водопроводная станция рассчитана на производительность 75 тыс. $\text{м}^3/\text{сутки}$ с возможностью повышения ее на 50%. В здании хим. обработки установлены автоматич. дозаторы для сульфата алюминия, извести, активного угля и хлора. Время пребывания воды в механич. смесителях 1,3 мин., в флоккуляторах 45 мин. Суточная нагрузка отстойников 32 $\text{м}^3/\text{м}^2$, время отстаивания 3,5 часа. Производительность каждого из 10 песчаных фильтров 7,5 тыс. $\text{м}^3/\text{сутки}$.

9И270. Проблемы привкусов и запахов воды в новых водоемах, расположенных в лесистых районах. Allen E. Jerry. Taste and odor problems in new reservoirs in wooded areas. «J. Amer. Water Works Assoc.», 1960, 52, № 8, 1027—1032 (англ.). — Возникновение привкусов и запахов воды в новых водохранилищах часто является следствием плохой подготовки котлована. Во избежание этого при устройстве запрудных водохранилищ затопляемая территория должна быть очищена от строений и всевозможной растительности. Крупные деревья должны быть спилены и вывезены, или выкорчеваны, мелкий кустарник и травы сожжены.

9И271. Коррозия и инкрустация в водопроводных сетях. Pourbaix M., Vandervelden F. Corrosion et incrustation des canalisations d'eau, «Termotecnica», 1960, 14, № 8, 359—372 (франц.). — См. РЖХим, 1960, № 7, 27067.

9И272. О правильном выборе коагулянтов. Hess John S. Coagulant choice — key to efficiency, «Amer. City», 1960, 75, № 8, 161, 163, 165—166 (англ.). — Выбор коагулянтов, применяемых при содоизвестковом умягчении, необходимо производить с учетом: величины pH, при которой происходит наилучшее формирование твердой фазы карбоната кальция и гидрата окиси магния; заряда частиц твердой фазы и ионов коагулянта; влияния добавки коагулянта на скорость р-ции умягчения; возможности хим. р-ций между коагулянтом и солями жесткости; ускорения или замедления агрегации частиц. Опыт эксплуатации станций Фримонт (шт. Огайо, США) показывает, что в периоды, когда вода имеет высокую жесткость, наилучшие результаты дает алюминат натрия, в случае мутной воды — сульфат железа. Переход от обработки воды одним коагулянтом к обработке другим не представляет затруднений. Экономически более выгодно применение алюмината натрия. При коагулировании алюминатом натрия наблюдается снижение конц-ии Al в обработанной воде по сравнению с исходной. Лабор. опыты по применению полиэлектролитов не показали их существенного преимуществ.

9И273. Применение алюмината натрия в качестве коагулянта в Каунсил-Блафе (шт. Айова, США). Rew Myron E. Use of sodium aluminate as a coagulant at Council Bluffs. «J. Amer. Water Works Assoc.», 1960, 52, № 7, 852—856 (англ.). — Алюминат натрия в виде препарата Nalco 614 (I) применен для коагулирования взвеси карбоната кальция в отстойниках при содоизвестковом умягчении воды. I дает хорошие хлопья в холодной воде (1,1—1,7°) при pH 9,3—9,8 и существенно облегчает последующее фильтрование. Средняя доза I (в течение года) 5,1 $\text{мг}/\text{л}$. Применение I уменьшает потребность в извести и кальцинированной соде. В некоторых случаях оказалось целесообразным применение I вместе с 5—7 $\text{мг}/\text{л}$ $\text{Al}_2(\text{SO}_4)_3$. Использование I снижает стоимость обработки воды.

Ю. В.

9И274. Осветление сильно окрашенных вод. Wise C. T. Clarification of high color waters, «Tappi», 1960, 43, № 7, 654—657 (англ.). — Описана станция подготовки воды для произ-ва высококачественной бумаги. Исходная вода имеет цветность 50—500 $\text{мг}/\text{л}$; конц-ия ГДП незначительна. Обработка воды производится сульфатом алюминия (I), известью, хлором, глиной и Сепаром 2610 (II). Режим обработки устанавливается путем пробных опытов в лаборатории. Особое внимание обращается на порядок и место ввода I и II. Для слабоокрашенных вод оптимум pH при коагуляции > 6,8; для сильно окрашенных < 4,8. Доза II при коагуляции сильноокрашенных вод составляет доли $\text{мг}/\text{л}$.

Ю. Вейцер

9И275. Удаление радиоизотопов при обычной схеме работы водопроводной станции. Jenkins Robert L. Removal of radionuclides from the Pasco supply by conventional treatment, «J. Amer. Water Works Assoc.», 1960, 52, № 7, 834—840 (англ.). — На водопроводной станции г. Паско (шт. Вашингтон, США) производительностью 23 000 $\text{м}^3/\text{сутки}$ используется вода р. Колумбии, загрязненная радиоактивными примесями, в результате сброса воды от охлаждения ядерных реакторов, расположенных на 63 км выше по течению. Вода от реакторов до сброса в реку задерживается в резервуарах в течение времени, обеспечивающего распад короткоживущих изотопов, после чего подается в стрежень реки, где происходит ее быстрое смешение и разбавление речной водой. В пункте забора речной воды водопроводной станцией в воде остаются изотопы: Mn^{56} , Cu^{64} , Zn^{65} , Na^{24} , As^{76} , Cr^{51} , и наблюдается сильное снижение общей радиоактивности в результате распада короткоживущих изотопов и самоочищения реки. Очистка воды состоит в коагулировании ($\text{Al}_2(\text{SO}_4)_3$), иногда с добавкой SiO_2) и хлорировании. После смешения с реагентами вода проходит отстойники, фильтруется и затем снова хлорируется. В результате очистки радиоактивность воды снижается до допустимых норм активности для питьевой воды.

А. Смирнов

9И276. Современные тенденции в опреснении морской воды. Campobasso John J. Modern trends in sea-water conversion. «J. New Engl. Water Works Assoc.», 1960, 74, № 1, 1—11 (англ.). — Ведущими методами опреснения морской воды являются дистилляция, вымораживание и электроионирование. Суммарная производительность дистилляционных установок (ДУ) в Кувейте ~ 20 000 $\text{м}^3/\text{сутки}$, на о-ве Аруба 11 300 $\text{м}^3/\text{сутки}$. Наиболее экономичны в стр-ве и эксплуатации ДУ компрессионного типа, работающие по принципу мгновенного (бесповерхностного) испарения. Для предотвращения накипеобразования практикуется работа при низкотемпературном режиме, рециркуляция рассола, регулирование pH и мероприятия по приспособлению деталей конструкции ДУ к условиям работы, исключаящим отложение твердой накипи. Парокомпрессионные ДУ работают под частичным вакуумом при ~ 65° с рециркуляцией рассола при скоростях 3—4,5 $\text{м}/\text{сек}$ в трубчатом теплообменнике, с мгновенным испарением в вынесенной камере. Наиболее производительны бесповерхностные ДУ с 3—6 ступенями испарения, обеспечивающие получение 4000—5000 $\text{м}^3/\text{сутки}$ дистиллята.

9И277. Обессоливание и опреснение соленых вод. O'Meara J. W. Saline water conversion. «Military Engng», 1960, 52, № 346, 91—94 (англ.). — Описаны строящиеся в США показательные установки производительностью 1—4 тыс. $\text{м}^3/\text{сутки}$ пресной воды из морской солоноватой. 1. Установка с 10 последовательно работающих вертикальными длиннотрубчатыми испарителями (II). Морская вода насосом подается в верхнюю часть II, откуда движется вниз по трубкам (диам. 50 мм), составляющим пучок > 500 шт. Греющий пар (от генератора пара) омывает трубки снаружи, обес-

печивая кипение воды. Горячий рассол и пар перепускаются в следующую ступень, где рассол вновь частично испаряется в трубах, отнимая тепло у греющего пара снаружи; последний частично конденсируется в межтрубном пространстве и отводится в коллектор дистиллята. Предотвращение накипобразования достигается введением в головную часть установки концентрированного рассола (кристаллизация солей на поверхности затравочных кристаллов). 2. Установка, работающая по методу мгновенного (бесповерхностного) испарения. Морская вода постепенно нагревается в теплообменниках, встроенных в верхнюю часть II, за счет скрытой теплоты конденсации получаемого пара. После дополнительного подогрева до $\sim 80^\circ$ она проходит каскад II в обратной последовательности. Дистиллят отводится в сборный приемник. 3. Установка, работающая на принципе пароконденсационной дистилляции, с принудительной циркуляцией пара, кипением в трубах, выходом дистиллята > 200 кг на 1 кг жидкого топлива (в одноступенчатых II ≤ 15 кг). 4. Установка (на 60 м³/сутки) для опреснения воды вымораживанием. Соленая вода разбрызгивается в вакуумизированном сосуде, частично испаряется и отнимая тепло у оставшейся воды, обуславливает образование ледяной шуги, в кол-ве $\sim 1/3$ по объему. Шуга передается в сепарационную колонну, где медленно всплывает, подвергаясь противоточной промывке пресной водой, подаваемой через спринклерные насадки сверху. Отмытая шуга декантируется и расплавляется, рассол отводится через донный выпуск. О. Ленчевский

9И278. О возможной перспективе одновременного получения пресной воды и льда на судах. Добровольский А. П. «Тр. Ленингр. кораблестроит. ин-та», 1959, вып. 29, 161—163. — На судах рыбопромышленного флота получают распространение опреснительно льдогенераторные установки, работающие по следующей схеме. Морская вода через дроссельный клапан поступает в форсунку, распыляющую воду в вакуумизированном сосуде, где происходит замерзание воды за счет собственной теплоты испарения. Лед отводится периодически или непрерывно. Холодный пар отсасывается паровым эжектором. Смесь холодного и рабочего пара поступает в конденсатор, откуда насосом откачивается конденсат. Выработка 250 кг/час льда сопровождается получением ~ 50 кг/час пресной воды. О. Ленчевский

9И279. Производительность и расход энергии при электроономитном обессоливании воды. Ments M. v. Throughput and energy consumption for water desalination by electrodialysis. «Industr. and Engng Chem.», 1960, 52, № 2, 149—152 (англ.). — Выведены основные уравнения в предположении полного совпадения проекций (на плоскость нормальную к направлению силовых линий) контуров камер диализата (Д) и рассола (Р), постоянства выхода по току (η) и плотности тока (i) по сечению ванны, равенства нулю температурного градиента, обратной зависимости между конц-иями Д C_d и рассола C_p , с одной стороны, и омич. сопротивлением R — с другой, малой величины электродных потенциалов по сравнению с полным напряжением, возможности включения сопротивлений, обусловленных поляризацией и диффузионными процессами, в сопротивление мембран. Для порционно-циклич. обработки производительность ванны G (в мл/сек) выражается следующим образом: $G = V_d / t_e = \eta n S i_0 (FC_{d0})^{-1} (1 + mC_{d0} : C_{b0})(1 + M_0) : (\ln[\gamma_e(1 + C_{d0}(1 - 1/\gamma_e) : FC_{b0})]^{m_0} - \int_{C_{d0}}^{C_{de}} 2R_m \alpha (k_r b)^{-1} dC_d)$, а уд. расход электроэнергии в атм сек/л: $P = K_r b i_0 F (1 + mC_{d0} : C_{b0})(1 + M_0) \times (1 - 1/\gamma_e) : \eta n + eF (C_{d0} - C_{de}) : \eta n$, где V_d — емкость бака Д в мл; t_e — продолжительность цикла в сек.; η — средний выход по току; n — кол-во камер Д в

ванне; S — рабочая площадь сечения ванны в см²; i_0 — начальная плотность тока в а/см²; C_{d0} — начальная конц-ия Д в баке в г-экв/мл; m — соотношение ширины камер рассола и Д; C_{b0} — начальная конц-ия рассола в баке в г-экв/мл; M_0 — коэф., учитывающий сопротивление мембран; γ_e — соотношение начальной и конечной конц-ий Д; F — соотношение емкостей баков рассола и Д; C_{de} — конечная конц-ия Д в г-экв/мл; R_m — уд. сопротивление мембраны в ом см²; α — уд. электропроводность в см⁻¹ см г-экв. k_r — коэф. сопротивления; b — расстояние между мембранами в см; C_{di} — конц-ия Д на входе в г-экв мл; e — полный средний электродный потенциал. При порционно-циклич. опреснении соленых вод расход электроэнергии в 2—2,5 раза меньше, чем при непрерывном процессе; последний, однако, обеспечивает в 1,5 раза более высокую производительность при меньших капитальных затратах. Выбор метода опреснения следует производить на основе экономич. сопоставления. На порционное опреснение воды с содержанием $3,5$ г/л при $i_0 = 120$ а/м² затрачивается $1,2$ кет.-ч/м³ электрич. энергии постоянного тока. О. Ленчевский

9И280. Опреснение морской воды вымораживанием. Kervran L. L'eau de mer dessalée par congélation conserve ses qualités vitales. Nouveaux essais sur le comportement des oligo-éléments. «Eau», 1960, 47, № 4, 98—101 (франц.). — В опресненной воде, полученной методом вымораживания, олиго-элементы находятся в тех же конц-иях, что и в исходной морской воде; конц-ия Ca^{2+} значительно повышается. Уд. расход электроэнергии на получение пресной воды 35 — 45 кет.-ч/м³. Допустимое содержание для стран жаркого пояса рекомендуется принимать 2 — 3 г/л, в зависимости от индивидуальных особенностей и привычки. О. Ленчевский

9И281. Обескремнивание воды магнетизмом. Olczakowski Wladyslaw, Motyka Ignacy, Chrzyszcz Jerzy. Odkreślenie wody magnezjtem. «Przegl. górń.», 1960, 16, № 3, Biul. Główn. Inst. Górń., 11, № 1, 5—9 (польск.). — Рекомендуется разделение процессов декарбонизации и обескремнивания, так как при этом исключается осаждение $CaCO_3$ на зернах магнетита (I) и улучшается степень использования и срок его службы. Емкость реактора можно рассчитывать на одночасовое время пребывания обрабатываемой воды. Тра сильно влияет на результаты обработки: оптимальный диапазон 35 — 45° ; дальнейшее повышение температуры ухудшает результаты; понижение температуры до 25° повышает конц-ию остаточной SiO_2 в ~ 3 раза. При фильтрационном методе снижается расход I и достигаются более устойчивые результаты. Периодич. дозирование I не оказывает существенного влияния на результаты обескремнивания, но более выгодно. О. Ленчевский

9И282. Улучшение качества пара. Thompson W. H. Cosani A. Miglioramento della qualità del vapore. «Termotecnica», 1960, 14, № 8, 373—377 (итал.). — Обзор по вопросам: нормы качества котловых вод; унос котловой воды с паром; образование пены; действие хим. пеногасителей. Приведены результаты их лаборатор. испытаний и примеры успешного эксплуатационного применения. Библ. 30 назв. А. Смирнов

9И283. Обработка котловой воды. Rao C. Natsingha. Treatment of boiler water. «Indian Sugar», 1960, 10, № 4, 271—273, 289 (англ.). — Освещены результаты применения внутрикотловой обработки воды на водотрубном котле (21 атм, 340° , 690 м³) сахарного э-да. Докотловая обработка состояла в известковании воды. В котел вводили $NaOH$, Na_2CO_3 и Na_3PO_4 (1 раз в смену). Солеосодержание и pH котловой воды поддерживали на заданном уровне (3000 мг/л; $10,5$) путем продувки котла (жесткость $< 1,4$ мг-экв/л; P_2O_5 ,

50—100 мг-экв/л; содержание Na_2CO_3 и Na_3PO_4 в котловой воде < 10 мг/л; жесткость $< 1,4$ мг-экв/л; P_2O_5 ,

9И284. di B. Clo. 1960, 14, татов опр. рых мет. тунь) в 0—50 мг/л; ванио ох. 9И285.

How to l. 31, № 9, устрои. налах и в них пе. ости. Даны ре. псколов.

9И286.

ды в шт. Culp R. bilization. 1959, № вх сист. бытовых. близаци. 0,9 м. Д. фальто. фатами. фильтра. расчета. отведен. БПК. поли. лия зар. в воде. ния) 1,1. держани. по БПК. пребыва. рий сии.

9И287.

тивным. Nicho. vated sl. Sewage. (англ.). но, что. аэратор. чении. стигнут. имене. го мех. повыше. объема. ности. р. ления. как с. с интер. в корп.

9И288.

ле. M. sludge. 60—73; се Nui. (AC) г. может. полнее. 100—40.

50–100 мг/л, гидратная щелочность 10% от общего содержания, но ≤ 12 мг-экв/л). На поверхностях нагрева имелась лишь тонкая пленка отложений, удалявшаяся щетками после окончания сезона сахарозаготовки.

9И284. Хлорирование промышленной воды. Соггади В. *Clorazione dell'acqua industriale*, «Termotecnica», 1960, 14, № 8, 351–358 (итал.).—На основании результатов опытов по коррозионным испытаниям некоторых металлов (различные марки стали, бронзы, латуни) в хлорированной речной воде (дозы Cl_2 0–50 мг/л) даны практич. рекомендации по хлорированию охлаждающей воды.

9И285. Удаление песка. Lebetkin George. How to lick and live with grit, «Wastes Engng», 1960, 31, № 9, 494–497, 532 (англ.).—Описаны песколовки, устроенные непосредственно в канализационных каналах и приведенные данные о кол-ве задерживаемого в них песка. Песколовки, сооружаемые на станциях очистки СВ, задерживают 9–10 дм³ из 1000 м³ СВ. Даны рекомендации по удалению песка из сети и из песколовок.

9И286. Окислительные и стабилизационные пруды в шт. Канзас (США). Metzler Dwight F., Culp Russell. A report on oxidation and waste stabilization ponds in Kansas. «Bull. Engng and Archit.», 1959, № 44, 5–15 (англ.).—Для мелких канализационных систем (≤ 3000 жителей) рекомендуется очистка бытовых и промышленных СВ в окислительных и стабилизационных прудах (СП). Рекомендуемая глубина 0,9 м. Дно и откосы изолируются глинистым и асфальтовым покрытием или обрабатываются полифосфатами. Допустимое понижение уровня воды за счет фильтрации ≤ 6 мм/сутки. Принимаемая нагрузка из расчета 396 человек на 1 га в сутки при норме водоотведения 170–284 л на человека. Нагрузка по БПК_{полн} 26,5–84 кг/га в сутки. С целью предотвращения зарастания почва пропитывается нерастворимыми в воде токсичными в-вами (напр., 3-(3,4-дихлорфенил)-1,1-диметилмочевинной). В одном из СП при содержании 50% СВ мясомолочной пром-сти и нагрузке по БПК_{полн} 28 кг/га наблюдалось загнивание СВ. При пребывании СВ в СП 30–90 суток кол-во *Coli*-бактерий снижается на 98%.

9И287. Достижения в очистке сточных вод с активным илом в Манчестере (Великобритания). Mc-Nicholas J., Tench H. B. A review of recent activated sludge research at Manchester. «J. and Proc. Inst. Sewage Purific.», 1959, № 4, 425–435. Discuss., 454–465 (англ.).—Опытами, проведенными на станции, показано, что период аэрирования в аэротенках с механич. аэраторами может быть снижен до 2 час. при увеличении скорости подачи O_2 в СВ. Это может быть достигнуто или уменьшением размеров аэротенка, или изменением формы и скорости вращения аэрационного механизма. Наблюдавшееся в некоторых опытах повышение затраты энергии на очистку единицы объема СВ объясняется или уменьшением эффективности работы аэратора, или тем, что скорость потребления O_2 на окисление не возрастала так же быстро, как скорость поступления O_2 в систему. Сооружения с интенсивным аэрированием способны поддерживать в хороших условиях большие кол-ва активного ила.

9И288. Очистка сточных вод в аэротенке-смесителе. McKinney Ross E. Complete mixing activated sludge. «Water and Sewage Works», 1960, 107, № 2, 60–73; «Water and Sewage Works», 1960, 107, Reference Number, 273–275, 278–279.—Аэротенк-смеситель (АС) выравнивает нагрузку по органич. примесям, может выдерживать залповые нагрузки, позволяет полное использовать воздух и снижать БПК СВ со 100–40 000 до 15 мг/л. АС допускает работу: 1) на пол-

ное окисление; 2) на высокий прирост активного ила (АИ). Скорость прироста АИ в АС зависит от соотношения кол-ва пищи (КП) к кол-ву микроорганизмов (КМ). Прирост АИ имеет максимум в фазе логарифмич. роста (ЛР) при КП:КМ > 5 и минимум в фазе эндогенного метаболизма (ЭМ) при малом КП:КМ. В этой фазе синтез активной протоплазмы достигает нуля, но в то же время протекает синтез инертных полисахаридов. Это является причиной, обуславливающей невозможность работы сооружения в фазе ЭМ без прироста АИ, который составляет $\sim 11\%$ от снижения БПК_з. Инертные в-ва по мере накопления выносятся с очищенной СВ, увлекая часть активных клеток. Это приводит к повышению КП:КМ, т. е. к переходу от работы по схеме 1 к работе по схеме 2 и к превращению 30–50% снижения БПК_з в активные клетки. Для фазы ЭМ характерен меньший прирост АИ при непрерывном поступлении питательных в-в в АС по сравнению с периодич. подачей. Флокуляция АИ обусловлена энергетич. уровнем микроорганизмов. Высокая конц-ия органич. в-в в АИ в фазе ЛР является причиной отсутствия флокуляции; низкое КП:КМ в фазе ЭМ вызывает полную флокуляцию АИ.

9И289. Борьба с психодой. DeRuiter Herbert. Control of Psychoda Flies. «Water and Sewage Works», 1960, 107, № 6, 211–213; «Water and Sewage Works», 1960, 107, Reference Number, 265–267 (англ.).—Описан опыт борьбы с психодой на станции очистки СВ в Вилла-Парке (шт. Иллинойс, США). На фильтрах со спиринклерным орошением хороший результат дал инсектицид R.S.C., содержащий в качестве основного компонента ДДТ. Кол-во взрослых психод снижалось после его применения на 50–75%; кол-во личинок на 50–90%; восстанавливалось число щетинконогих червей; появлялись зеленые водоросли. На фильтрах, орошаемых фидианом, хороший эффект дала смесь инсектицидов малатиона и линдана, взятых в соотношении 1:1. Для каждого опрыскивания применяли 15 л смеси инсектицидов, разбавленной водой в 50 раз. Эффективность работы очистных сооружений после применения инсектицидов не только не нарушалась, но в ряде случаев повышалась.

9И290. Работа дорожных сооружений для очистки сточных вод. Sander Irwin P. Operation of thruway treatment plants. «J. Water Pollution Control Fed. rat.», 1960, 32, № 8, 886–892 (англ.).—Дано описание 4 очистных установок, обслуживающих рестораны, кафе, термизации, закусовые.

9И291. Безопасное удаление радиоактивных отходов. Burns R. H. The safe disposal of radioactive wastes. «Roy. Soc. Health J.», 1960, 80, № 4, 214–219. Discuss., 231–233 (англ.).—Обзор практикуемых мероприятий.

9И292. Удаление радиоактивных отходов. Оценка радиоактивности и ее опасности. Kenney A. W. Disposal of radioactive solid wastes. An assessment of activity and hazards. «Internat. Civil Engr and Contractor», 1960, 12, № 4, 49–52; «Contractors Rec. and Municip. Engng», 1960, 71, № 10, 24–25, 27–28 (англ.).—Обзор.

9И293. Сброс жидких радиоактивных отходов с малой активностью и накопление радионуклидов в возделываемых почвах. Barbier G. Rejets d'effluents faiblement radioactifs at accumulation dans les sols cultives. «Disposal Radioact. Wastes». Vol. 2. Anna, Internat. Atomic Energy Agency, 1960, 401–406. Discuss., 449–454 (англ., франц.; рез. русск., исп.).—Описан метод расчета накопления долгоживущих радионуклидов (Р) в почвах и в выращенных на них овощах. Предложено ур-ние для вычисления предельного уровня накопления Р в 1 кг овощей, исходя из предельно допустимой конц-ии Р в орошающей воде.

А. Смирнов

9И294. Подземное захоронение радиоактивных отходов в Федеративной Республике Германия и связанные с этим геологические и гидрогеологические проблемы. Wager R., Richter W. Disposal of radioactive waste in the subsurface of the Federal Republic of Germany: geological and hydrogeological problems, «Disposal Radioact. Wastes». Vol. 2. Vienna, Internat. Atomic Energy Agency, 1960, 547—551. Discuss., 553—563 (англ.; рез. франц., русск., исп.).—Ввиду большой плотности населения в ФРГ, полностью исключается возможность захоронения радиоактивных отходов (РО) в подземных горизонтах, которые в какой-то степени связаны с источниками организованного водоснабжения. Однако на территории ФРГ, вблизи Ганновера, под четвертичными отложениями залегает глина, затем идет песчаник и известняк третичной, меловой, юрской и триассовой формаций. Под ними лежат пласты соли, толщиной 2000—4000 м, не имеющие особой экономич. ценности. В этих пластах находится купола очень большой емкости (до 20 млн. м³). Купола не имеют контакта с грунтовым потоком и не участвуют в гидрологич. и биологич. цикле. Авторы считают возможным использование их для захоронения РО.

Л. Долгово-Добровольский

9И295. Подводный сброс очищенных сточных вод химического завода. Gill J. M., Hugué J. N., Pearson E. A. Submarine dispersal system for treated chemical wastes, «J. Water Pollution Control Federat.», 1960, 32, № 8, 858—867 (англ.).—Описана запроектированная схема предварительной очистки СВ эда тетраэтилсвинца и сброса их в бухту Сан-Франциско.

Н. Ваксберг

9И296. Очистка сточных вод при помощи осветлителей. Гуричева З. Г. «Бум. пром-сть», 1960, № 9, 14—17.—Исследования по коагулированию $Al_2(SO_4)_3$ СВ бумажной ф-ки, проведенные на полупроизводственной установке, состоящей из контактного осветлителя (диам. 0,3 м, высота загрузки 2,5 м) и отстойника (диам. 0,31 м, высота 0,95 м, полезная емкость 44 л), показали: 1) эффект осветления СВ при скорости фильтрования (СФ) 5—8 м/час составляет 98—100% (конц-ия ГДП в исходной СВ 50—240 мг/л); 2) при высоте слоя песка (крупность 1—2 мм) 1,2 м, средняя длительность фильтроцикла (соответственно) составляет 15 и 9 час.; 3) доза сульфата алюминия при pH 7 и < 6 равна 4 и 2,5 мг/л (в пересчете на Al_2O_3); 4) промывка осветлителя осуществляется в течение 6—8 мин. 8—10% воды (от объема осветленной) при интенсивности 14 л/мин на 1 м². Изучены также потери напора и коэф. фильтрации загрузки.

Г. Морозкин

9И297. Снижение БПК производственных сточных вод в стабилизационных прудах. Berger Herbert F. BOD reduction of industrial effluents by use of stabilization basins and natural hydrographic features. «Pulp and Paper Mag. Canada», 1960, 61, № 3, T231—T235 (англ.).—Биохимическая очистка СВ целлюлозно-бумажной пром-сти может осуществляться в стабилизационных прудах (СП), глубина которых доходит до 4,5 м. Цветность и мутность этих СВ исключают развитие водорослей и поэтому с увеличением глубины скорость очистки понижается. За 12 суток снижение БПК(полн.) на глубине 15, 60 и 180 см составляет (соответственно в %): 90; 50; 30. Предварительное отстаивание СВ позволяет избежать анаэробного брожения осадка на дне СП. Дополнительное аэрирование (перемешиванием или пропусканием воздуха) резко повышает скорость снижения БПК. Система нескольких СП, связанных открытыми канавами с перепадами, также повышает эффект снижения БПК (по сравнению с одиночным СП). Экономический анализ показывает, что устройство СП выгодно при подходящем рельефе местности в странах с теплым климатом.

Н. Козлова

9И298. Очистка активным илом сточных вод целлюлозно-бумажной промышленности. Sullins J. K. The activated sludge process as applied to pulp and papermill effluents. «Pulp and Paper Mag. Canada», 1960, 61, № 3, T218—T220 (англ.).—Наиболее экономичным способом очистки СВ бумажной пром-сти является очистка их с активным илом (АИ). На станциях очистки СВ предварительно кондиционируют: снижение ГДП (в первичных отстойниках) до 100 мг/л, БПК_{полн} до 100—300 мг/л; pH 7 (допустимые колебания 6—9). В аэротенках (А) оптимальная конц-ия АИ (по сухому в-ву) 1,5—3 г/л; расход воздуха 7,4 м³/м³. Перед А в СВ добавляют биогенные элементы N и P; оптимальное отношение БПК: N:P = 100:5:1. Нормальный прирост АИ 0,5 кг/кг снижения БПК(полн.). В производственных условиях снижение БПК(полн.) достигает 75—90%.

Н. Козлова

9И299. Опыт использования стабилизационных прудов для очистки промышленных сточных вод. Dunstan Gilbert H., Smith Leonard L. Experimental operation of industrial waste stabilization ponds. Public Works, 1960, 91, № 4, 93—95 (англ.).—Пруды, используемые для очистки СВ консервных заводов и других сезонно-работающих предприятий, дающих СВ с высокой конц-ией органич. примесей, могут проектироваться на нагрузку по БПК ~11 г/м² в сутки. Использование ряда последовательных прудов оправдано в тех случаях, когда нагрузка по БПК значительно превышает указанную или когда обычным внезапные повышения нагрузки. Если условия позволяют создать в первом пруду анаэробный режим, то второй аэробный пруд дает очень хорошую очистку при нагрузках, значительно превышающих указанную.

И. Чурбанова

9И300. Опыты по очистке сточных вод молочного завода активным илом. Thom Rudolf, Glowacki Janusz. Badania nad oczyszczaniem ścieków mleczarskich metodą osadu czynnego, «Prace Inst. przem. mleczarsk.», 1959, 6, № 3, 51—76 (польск.; рез. русск., англ.).—Приведены результаты лаборатор. и полупроизводственных исследований по биохим. очистке. Достигнуто снижение БПК и ХПК на > 92% (в случае высокой конц-ии примесей в исходной СВ). Выявлены закономерности прироста активного ила, а также влияние температуры и концентрации СВ на эффект очистки. Показаны возможности удаления активного ила путем холодного сжигания. Библ. 53 назв.

О. Болотина

9И301. Исследование сточных вод установки для запарки картофеля на молочном заводе. Wälzholz G., Pester A., Lembke A., Schmidt G. Abwassertechnische Untersuchung der Kartoffeldämpfanlage eines Molkereibetriebes. «Molk- und Käser-Ztg.», 1960, 11, № 16, 506—510 (нем.).—При работе установки образуются 2 вида СВ: 1) от промывки картофеля содержащие частицы земли и небольшое кол-во растворенных и суспендированных органич. примесей; 2) конденсат, образующийся при запарке картофеля в котлах низкого давления, содержащий растворенные органич. примеси. Промывные СВ подвергаются механич. очистке в пятикамерном отстойнике и используются повторно. Конденсат присоединяется к промывным СВ перед поступлением в отстойник. После 5-суточного цикла работы шлам из отстойника удаляется, а вода заменяется свежей. Характеристика промывных СВ и конденсата (соответственно, в мг/л): окисляемость 285; 9700; БПК₅ 260; 4600; pH 6,0—6,3. Загрязнение СВ от обработки 1 т картофеля соответствует ~22 людским эквивалентам, из которых 18 приходится на конденсат и 4 на промывные СВ. Расход на 1 т картофеля конденсата 220 л, промывных СВ 700 л. СВ рекомендуется присоединять к системе биохим. очистки.

В. Генкин

9И302. Сточные воды от производства вин. Pimentel Eduardo Serpa. Effluents des installations pour la production du vin. «Bull. trimestr. CEBEDEAU», 1960, № 48, 148—149 (франц.).—Дан примерный расчет кол-ва СВ от произ-ва вин в Португалии. Мелкие х-ва потребляют 300 л воды на 500 л продукции. Предприятия с годовой производительностью > 50000 л вина тратят 200 л воды на 500 л продукции. Занимая большие площади под виноградники, они в основном используют СВ для орошения и редко их сбрасывают.

Н. Ваксберг
9И303. Нейтрализация сточных вод от производства оливкового масла. Gonçalves Marques I. De la possibilité de neutralisation économique des effluents des huileries. «Bull. trimestr. CEBEDEAU», 1960, № 48, 154—157 (франц.).—Дана характеристика и указан расход СВ от произ-ва оливкового масла в Португалии. Несмотря на наличие в СВ большого кол-ва полевых примесей (N, P, K и др.), непосредственное их использование в с. х. невозможно ввиду их высокой кислотности. Описана установка для нейтрации СВ, на которой используются зола из топок, извест, измельченный известняк. Одновременно СВ освобождаются от ГДП (пропускание через древесные стружки, крупный песок). После такой обработки СВ могут быть использованы для орошения.

Н. Ваксберг
9И304. Скоростное сбраживание осадков. Sawyer Clair N., Grumbling Jay S. Fundamental consideration in high rate digestion. «J. Sanit. Engng Div. Proc. Amer. Soc. Civil Engrs», 1960, 86, № 2, Part I, 40—63 (англ.).—Процесс сбраживания осадка СВ рассматривается как мономолекулярная р-ция. Опыты по сбраживанию осадка в метантенках, которые 1 раз в сутки загружались смесью осадка из первичных отстойников и избыточного активного ила, показали, что качество газа (при 15-суточном сбраживании) ухудшается при увеличении содержания сухого в-ва в смеси 4—10% (снижение содержания CH_4 на 8%). Процесс скоростного сбраживания требует тщательного перемешивания содержимого метантенка для непрерывного контакта микроорганизмов с питательными в-вами и для однородного распределения последних в сбраживаемой массе (СВ). Процент сухого в-ва в СВ зависит от зольности поступающего осадка и времени сбраживания. Увеличение сухого в-ва в СВ > 6% затрудняет ведение процесса. Повышение сухого в-ва в СВ до 8% допускается при условии, что беззольное в-во СВ превышает 65%. При скоростном сбраживании возрастает щелочность СВ и содержание N(аммон.) уменьшает разложение беззольных в-в и липоидов.

И. Чурбанова

9И305. Водоснабжение и канализация. Steel Ernest William. Water supply and sewerage. 4th ed. New York—London, McGraw—Hill Book Co., 1960, XIII, 655 pp., ill., 85 sh. 6 d. (англ.)

9И306. Сброс и отстаивание промышленных сточных вод, содержащих минеральные грубодисперсные примеси. Voiculescu-Dioști Șt. Evacuarea și decantarea apelor industriale cu suspensii minerale. Metodologia procedurii «Depunerea subacvatică dirijată». București, Ed. tehn., 1960, 191 p., il., 9,30 lei. (рум.)

9И307. Устройство для определения концентрации кислорода в загрязненных водах. Axt Günter. Verfahren und Vorrichtung zum Messen des Sauerstoffgehaltes in verschmutzten Wässern. [Chlorator G. m. B. H.]. Пат. ФРГ 1064737, 11.02.60.—Способ, пригодный для определения конц-ии O_2 в речной и СВ, основан на пропускании через исследуемую воду воздуха и сравнении в нем конц-ии O_2 до и после пропускания. Дано схематич. описание 2 вариантов прибора.

Н. Ваксберг

9И308. Метод дозирования газов в воду.—Werkwijze voor het inspuiten van een mengsel van gassen in water [Jan van Tilburg]. Гол. пат. 92664, 16.11.59.—Предложено устройство для введения в воду газов (напр., хлора) через насадку Вентури с использованием воздуха в качестве рабочей среды, с подсосом газообразного реагента или их смеси.

О. Ленчевский

9И309. Процесс и аппаратура для питания камеры хлопьеобразования.—Procédé et appareillages pour l'alimentation des flocculateurs. [Eau et Assainissement]. Франц. пат. 1202864, 14.01.60.—Предложена конструкция камеры хлопьеобразования водоворотного типа. Подвод воды, смешанной с реагентами, осуществлялся с малой скоростью в центральную зону камеры.

А. Смирнов

9И310. Усовершенствование осветлительных фильтров большой производительности.—Perfectionnements aux filtres pour clarification de débits importants d'eaux. [C. Chabal & Cio (Soc. en commandite par actions)]. Франц. пат. 1213829, 4.04.60.—Для улучшения процесса фильтрования воды на открытых осветлительных фильтрах предложено в качестве фильтрующего материала применять гранулированный пудцолан (размер зерен 2—8 мм). Для предохранения пудцолана от выноса во время промывки фильтров предусмотрена металлич. защитная сетка. Фильтры снабжены устройствами для ускорения вывода из них промывных вод.

А. Смирнов

9И311. Установка для мгновенной дистилляции. Bethon Henry Edwin. Flash-type distillation system. [United States of America as represented by the Secretary of the Navy]. Пат. США 2908648, 13.10.59.—Предложена технологич. схема установки, работающей по принципу мгновенной (бесповерхностной) дистилляции для обессоливания морской воды (МВ) в составе 6 ступеней испарения. Каждый испаритель представляет собой вертикальный сосуд с теплообменником змеевикового типа в верхней его части, под которым имеется лоток для сбора и отведения пароконденсата, а также присоединен штуцер с клапаном-регулятором на линии к вакуум-насосу, обеспечивающему также отсос неконденсирующихся газов. Исходная МВ, протекая через теплообменники в противоточном направлении, нагревается до 80° и далее в электронагревателе до 93°. Нагретая МВ протекает через испарители в обратной последовательности, испаряясь частично на каждой ступени под возрастающим вакуумом, при т-рах 87—66° с завершающим охлаждением дистиллята в выходном теплообменнике до 30°. Установка рекомендуется для применения на подводных лодках.

О. Ленчевский

9И312. Способ и устройство для получения питьевой воды из морской.—Procédé et dispositif pour rendre potable l'eau de mer. [Isidro Esteban Gomez]. Франц. пат. 1210910, 11.03.60.—Для опреснения морской воды ее фильтруют последовательно через 3 слоя ионитов: сульфифенольную смолу (I) (H-катионит); фенольную смолу (II) (OH-анионит); алюмосиликат типа бентонита (III) (H-катионит). Фильтр состоит из вертикального металлич. цилиндра, в который вмонтированы полиэтиленовый цилиндр, разделенный дырчатыми дисками на 3 отсека. Для получения I конденсируют C_2H_5OH и $HCHO$ в равных по весу кол-вах (с добавкой или без добавки катализатора) при 130—160° в течение нескольких часов; полученную массу нагревают 1 час при т-ре < 190°. Образовавшийся продукт смешивают с гексаметилентетрамином (20% по весу) и нагревают 2 часа при 100—110°. Затвердевшую массу размельчают и сульфатируют H_2SO_4 (уд. в. 1,84), взятой в кол-ве 5 вес. ч. на 1 ч. смолы; сульфирование ведут в течение нескольких часов при периодич. перемешивании; затем промывают I водой (плотность 1,0488). Для получения II берут смолу, полученную, как

указано выше, конденсацией C_6H_5OH с $HCHO$ и смешанную с гексаметиленотетраминном, и нитруют (без нагревания) в течение нескольких часов посредством HNO_3 (уд. в. 1,38) при периодич. перемешивании, отмывают водой, обрабатывают 1%-ным р-ром $NaOH$, промывают водой и высушивают при $\leq 100^\circ$ (плотность II 0,688). Подготовка III сводится к обработке его H_2SO_4 (уд. в. 1,71) в течение 3 час. при перемешивании.

9ИЗ13. Прямотно-оборотная система охлаждения. Putney David H. Combination process of effluent refrigeration and closed cycle refrigeration. [Stratford Engineering Corp.]. Пат. США 2906796, 29.09.59.—Предложена усовершенствованная схема охлаждения, состоящая в сочетании прямоточной и оборотной систем.

9ИЗ14. Способ обезвреживания сточных вод химических заводов и цехов гальванических покрытий. Drexler Stanislav, Dvofák Josef, Futera František, Kodad Jindřich. Způsob zneškodnění odpadních vod z povrchových úprav kovů a chemických provozů. Чехосл. пат. 91653, 15.09.59.—Отбирают среднепропорциональную пробу СВ, содержащей ядовитые примеси, напр. цианиды, к-ты, соли тяжелых металлов, и подвергают ее предварительной обработке оптимальными дозами соответствующих реагентов. Обработанную таким образом порцию СВ смешивают с остальным кол-вом СВ, к которой добавлен тот же реагент в тех же дозах. Указанным приемом достигается значительное ускорение процессов очистки СВ.

9ИЗ15. Способ удаления фенолов. Kissling Lehr F. Process for removing phenol. [Columbia-Southern Chemical Corp.]. Пат. США 2911363, 3.11.59.—Для удаления фенолов (I) из р-ров, содержащих в высоких конц-ях HCl (СВ от получения хлорированных I), р-ры пропускают через анионитный фильтр (амберлит IRA-410), селективно сорбирующий I. Регенерацию отработанного анионита производят 3–12%-ным р-ром гипохлорита.

9ИЗ16. Способ и установка для фильтрования несброженного осадка. Komline Thomas R. Method and apparatus for filtration of undigested sludge. [Komline-Sanderson Engineering Corp.]. Австрал. пат. 225897, 9.12.59.—Несброженный осадок рекомендуется подавать непосредственно на вакуум-фильтр, что позволяет использовать более дешевые ткани и снизить эксплуатационные затраты. Фильтрат после фильтра подвергается отстаиванию и вновь фильтруется, этим достигается достаточно полное задержание РДП. В качестве коагулянта применяется $Ca(OH)_2$ в кол-ве, пропорциональном содержанию сухого в-ва в осадке (в среднем 10% от веса сухого в-ва). При применении $Ca(OH)_2$ рН повышается до 9–11 и осадок становится безопасным в бактериальном отношении. Добавка других коагулянтов способствует уплотнению осадка и уничтожению неприятного запаха. Ткань вакуум-фильтра имеет отверстия 0,25–0,7 мм. На поверхности ткани вакуум-фильтра образуется слой кека. Образующийся слой кека способствует более полному обезвреживанию.

См. также: Анализ: Ca^{2+} 9Д69; Fe^{2+} 9Д110; Sr^{2+} 9Г125; SiO_2 9Д125, 9Д127. Свойства примесей: разложение мочевины в водных р-рах 9Б441. Физ.-хим. основы технологии: коагуляция $Al(OH)_3$ 9Б642. Внутрикотловые процессы: катализ, окисление сульфитов 9Б436. Иониты: синтез 9П199; получение мембран 9П197; 9П198; селективно-проницаемые мембраны 9Б635. Утилизация и удаление отходов: сульфитных целевых 9П485. Водоемы и водотоки: продуцирование O_2 планктоном 9Г131. Аппаратура и КИП: трубы из пластмасс 9П187. Подготовка воды для пивоварения 9Н284

ТЕХНИКА БЕЗОПАСНОСТИ. САНИТАРНАЯ ТЕХНИКА

Редакторы Н. Ф. Кононов, И. В. Саноцкий

9ИЗ17. Некоторые данные об ионизации атмосферы в городе Куйбышеве. Салманова М. И. «Тр. Куйбышевск. мед. ин-та», 1959, 10, 219–224.—Подчеркнуто, что при гигиенич. оценке воздушной среды следует обращать внимание не только на хим. состав и метеорологич. факторы, но также и на его электр. состояние. Приведены результаты измерений, проведенных на окраине г. Куйбышева (среднесуточные конц-ии тяжелых и легких ионов, коэф. униполярности для тяжелых и легких ионов) с помощью ионизатора «И-2» конструкции П. Н. Тversкого выполнено 560 измерений ионизации, которые сопровождались учетом метеорологич. условий. Отчетливой связи между конц-ией ионов и метеорологич. факторами не обнаружено. Указано, что степень ионизации воздуха является наглядным показателем его загрязнения. Необходимость изучения ионизации воздуха возрастает в связи с широким применением в мирных целях радиоактивных в-в.

9ИЗ18. Некоторые данные о естественной радиоактивности воздуха в г. Киеве. Тацкий Ю. А., Берштейн С. А. В сб. «Действие ионизирующих излучений на животн. организмы». Киев, Госмедиздат УССР, 1960, 124–127.—Проводились измерения естественной радиоактивности атмосферного воздуха в р-не г. Киева методом осаждения радиоактивных аэрозолей на фильтрующих тканях типа ФПП с последующим радиометрич. измерением активности осадка на фильтре. Для подсчета α -частиц использовалась сцинтилляционная приставка П-349-2 для подсчета β -частиц — торцовый счетчик МСТ-17 в свинцовом экране ЭСД-2. Измерения, проведенные в 85 помещениях и на открытом воздухе, показали, что активность воздуха в различное время года колеблется в пределах $2,5 \cdot 10^{-14}$ – $1,5 \cdot 10^{-12}$ кюри/л и зависит от следующих факторов: вентиляции помещений, строительного материала зданий, метеорологич. условий и пребывания в помещениях людей.

9ИЗ19. Опасности в промышленной радиографии. Turnbull J. G. M. Hazards in industrial radiography. «Instn Fire Engrs Quart.», 1960, XX, № 38, 91–94 (англ.).—Рассмотрены опасности, связанные с радиографич. исследованием сварных швов, металлич. литы и т. п. с помощью рентгеновских и γ -лучей, и меры, обеспечивающие безопасность обслуживающего персонала. Указано, что оба вида излучения вызывают ожоги кожи, опухоли, анемию, лейкоз, бесплодие, поражение потомства. Поражение небольших участков кожи вызывает доза 2500 рентген, смертельная доза при облучении всего тела 400–500 рентген. Исходя из максимально допустимой дозы, равной 3 рентген за 13 следующих друг за другом недель, общая допустимая доза облучения (в рентген) определяется как $D = 5(B-18)$, где B — возраст сотрудника в годах. Контроль интенсивности рентгеновского и γ -излучения рекомендуется осуществлять с помощью фотоленок в светонепроницаемой оболочке и миниатюрных ионизационных камер, укрепляемых на одежде сотрудника. Для безопасной транспортировки и хранения γ -активных изотопов рекомендованы контейнеры из Pb и W. Наиболее простым способом защиты от излучений является удаление радиоактивного источника на определенное расстояние.

9ИЗ20. Уменьшение опасностей лучевого поражения. Cherubin L. J. Minimizing radiation hazards. «Chem. Engng.», 1960, 67, № 13, 105–110 (англ.).—Краткий обзор типов радиоактивных излучений (РИ), их источников, различных путей поражения человека и последствий этого поражения, допустимых уровней

внешней радиации и концы радиоактивных в-в. Наиболее чувствительны к воздействию РИ кроветворные органы, половые железы и глаза. В результате хронич. воздействия РИ может возникнуть заболевание раком, бесплодие, катаракта. Для превращения опасного воздействия РИ на организм человека необходимо соблюдать установленные уровни радиации. Приведены предельно допустимые концы ряда радиоактивных изотопов (Pu^{239} , Sr^{90} , Sr^{90} , J^{131} , Ra^{224} и др.) в воздухе, воде и теле человека. Предельно допустимой дозой при облучении всего тела, глаз и половых желез является 12 бэр в год или 5 (N-18) бэр, где N — возраст облучавшегося человека; для головы, рук или ног 75 бэр в год; для отдельных органов (кроме глаз и половых желез) 15 бэр в год. Кратко описаны способы измерения различных видов РИ. Рекомендовано в качестве индивидуальных дозиметров использовать фотокассеты, кольцевые пленочные дозиметры, надеваемые на палец, и карманные миниатюрные ионизационные камеры.

В. Сильковский
9ИЗ21. Вредности окружающей среды, связанные с обработкой урановой руды. Harris W. B., Breslin A. J., Glauberman H., Weinstein M. S. Environmental hazards associated with the milling of uranium ore. «Arch. Industr. Health», 1959, 20, № 5, 365—382 (англ.).—Приведены результаты изучения условий труда на 12 з-дах гидрометаллургии. экстракции U. Дана оценка радиационной опасности для работающих на разных этапах технологич. процесса, определена эффективность существующих оздоровительных мероприятий, исследовано загрязнение радиоактивными в-вами окружающей территории з-дов; выяснена потенциальная опасность для лиц, непосредственно не участвующих в технологич. процессе, а также опасность в зависимости от изотопного состава обрабатываемых материалов. Указана загрязненность воздушной среды долгоживущими α -излучателями, Rn, SiO_2 , V. Приведены ур-ня внешнего β - и γ -облучения работающих; результаты исследования U в суточном кол-ве мочи и др. Все результаты исследований сравниваются с предельно допустимыми концами и уровнями, установленными в США. Установлено, что отношение радиометрич. данных определения U и Ra в отобранных пробах к данным, полученным при анализе, 1,37. Для правильной радиометрич. оценки кол-ва долгоживущих излучателей в пылевых пробах, отобранных в условиях умеренно высоких концев Rn, окончательный отчет следует делать не раньше чем через 2,5 месяца после отбора. Приведены рекомендации по улучшению условий труда.

Л. Еловская
9ИЗ22. Пары бензина и гигиенические требования с точки зрения отоларинголога. Pihrt Jaroslav. Hygienická problematika benzinových par z hlediska otolaryngologa. «Českosl. hyg.», 1960, 5, № 9, 547—550 (чешск.; рез. русск., англ.).—При санитарно-гигиенич. обследовании резинового произ-ва в воздухе рабочих помещений обнаружены высокие концы бензина (B) — до 0,68 мг/л (предельно допустимая концы B по нормам СССР 0,3 мг/л, по нормам США 2,0 мг/л). При медицинском обследовании 82 работающих на указанном произ-ве, имеющих контакт с B (стаж 5—19 лет), повреждения уха, горла, носа отмечены у 26,8% обследованных (хронич. катар, ларингит, фарингит, эрозия слизистой оболочки полости носа, эмпиэма челюстных полостей и т. п.). Ольфактометрич. измерения показали снижение обоняния в 15,9% случаев. Считают, что снижение обоняния является специфич. результатом воздействия B. При бактериологич. исследовании выделений слизистой оболочки носа патогенная флора обнаружена лишь в 10 случаях из 82. Чаще всего обнаруживались Staphylococcus pyogenes и Staphylococcus albus. При гистологич. исследовании слизистой оболочки полости носа отмече-

ны воспалительные явления, переходящие в атрофич. формы, перерождение цилиндрич. эпителия в плоский.

Т. Бржевская
9ИЗ23. Защита от излучений при работе с радиоактивными изотопами. Часть II. Fischer György. Sugárvédelem a radioaktív izotópok alkalmazásával kapcsolatban. II. rész. «Gyógyszerészet», 1960, 4, № 5, 164—168 (венг.; рез. нем.).—Рассмотрено применение радиоактивных изотопов (РИ) в фармакологии и в терапии; методы защиты от радиоактивных излучений внешних источников, а также от попадания РИ внутрь организма; вопросы уничтожения радиоактивных отходов атомных реакторов. Часть I см. РЖХим, 1961, № 3, 3ИЗ292.

Д. Пюшчеки
9ИЗ24. Проблемы обнаружения радиоактивных излучений в области защиты. Menoux A. Problèmes posés par la détection des rayonnements dans le domaine de la protection. «Energie nucl.», 1960, 2, № 4, 246—249 (франц.).—Обзор различных типов и характеристик приборов, разрабатываемых и используемых в области защиты от радиоактивных излучений (РАИ) по трем областям контроля: 1) внешней радиации; 2) поверхностного загрязнения (кожа, одежда, помещение) и объемного (атмосфера, вода, почва); 3) внутреннего загрязнения организма. Определяется связь между дозами биологич. абсорбции РАИ, выражаемой в рэб; дозами внешней радиации, измеряемой в рентген; потока частиц (число на 1 см^2 в сек.); кол-ва радиоактивных элементов в организме и их концы (кюри/см³); плотности поверхностного загрязнения (μ кюри/см²). Рассматриваются классификация и характеристика приборов: дозиметров, дебитметров, фотометров, электрометров, сцинтиллографов, Г.—М.-счетчиков и др. Ю. Скорецкий

9ИЗ25. Контроль взвешенных в воздухе радиоактивных веществ при производстве атомных продуктов в Ханфорде. Soldat J. K. Monitoring for airborne radioactive materials at Hanford atomic products operation. «J. Air Pollution Control Assoc.», 1960, 10, № 4, 265—270 (англ.).—Описываются методика, аппаратура и типичные результаты систематич. дозирующего контроля радиоактивности (РА) на з-де по произ-ву Pu. Система контроля распространяется на: 1) контроль РА в рабочих зонах; 2) анализ РА выбрасываемых в атмосферу газовых отходов; 3) анализ РА атмосферы и растительности на прилегающей к з-ду местности. Методы анализа для всех областей контроля почти одинаковы (различие состоит лишь в величине измеряемых концев РА). Контроль РА в рабочих зонах достигается прежде всего строгим распределением воздушных потоков в порядке возрастающей допустимой дозировки РА. Так, входящий чистый вентиляционный воздух направляется последовательно в следующие места: комнаты приема пищи, конторские помещения, раздевалки, лаборатория, ячейки технологич. оборудования, воздухоочистные устройства, вытяжные вентиляторы и, наконец, выхлопную трубу высотой 61 м. Отбор проб воздуха производится с помощью фильтровальной бумаги марки H-70 толщиной 0,4 мм при лобовых скоростях 0,5—250 см/сек. Суммарная РА проб определяется стандартными приборами для измерения α -, β - и γ -излучений. Кроме того, в разных точках з-да и прилегающей местности установлена 31 постоянная измерительная станция, оборудования автоматич. аппаратурой для отбора проб воздуха, анализа и регистрации РА атмосферы. Приведены данные измерений за 1958 г. Ю. Скорецкий

9ИЗ26. Отбор проб текущих жидких отходов для контроля радиоактивности. Ruddy J. M. Sampling flowing liquid wastes for radioactivity monitoring. «Air Condit., Heat and Ventil.», 1960, 57, № 9, 63—67 (англ.).—На основе восьмилетнего опыта Национальной лаборатории в Брукхавене описываются методы и аппаратура для отбора проб сточных вод на радио-

активность. Охвачены как малые прерывистые стоки объемом до сотен л/мин от небольших лабор. зданий, так и мощные канализационные установки с суточным расходом сточных вод в сотни и тысячи м³. Рассматриваются системы прямого контроля с установкой в стоке датчиков, соединенных с регистрирующими счетчиками радиоактивности и расходомерами, а также устройства отбора пропорциональных проб с отношением до 1:1900 для мощных стоков.

Ю. Скорейский

9ИЗ27. Исследования по очистке от радиоактивных веществ. Действие дегидратированных фосфатов при очистке от радиоактивных веществ металлических поверхностей. Tajima Yuzo, Wadachi Yoshi-ki «Нихон какаку дзэсси, Nippon kakaku zasshi, J. Chem. Soc. Japan. Pure Chem. Sec.», 1960, 81, № 6, 891—895, A 64 (японск.; рез. англ.).—При исследовании обеззараживания поверхности Fe, нержавеющей стали, Cu, латуни, Pb и Al на поверхность металла наносили Co⁶⁰; затем промывали поверхность водн. р-ром дегидратированных фосфатов (I) с помощью стандартной промышленной машины для опытов. Одновременно измеряли зависимость между pH и способностью I к образованию комплексов с CoCl₂ и продуктами деления. Установлены условия, необходимые для обеззараживания поверхности и образования комплексов: конц-ия I 0,1—0,01 моль/л, t-ра 30°, pH 3—6. При этой t-ре I не разлагаются, а при указании pH поверхность металлов становится коррозионнстойкой.

Из резюме авторов

9ИЗ28. Возможность использования замедленных излучений трития в промышленности. Kühn W., Hermann F. Anwendungsmöglichkeiten der Tritium-Bremsstrahlung in der Industrie. «Kerntechnik», 1960, 2, № 9, 268—270 (нем.).—Описано использование замедленных ионизирующих излучений трития в хим. и других отраслях пром-сти для непрерывного измерения конций и других величин. Низкая активность источников излучений позволяет обслуживающему персоналу работать без защитных приспособлений.

Е. Едигарев

9ИЗ29. Воспламеняемость магния и урана в воздухе и углекислом газе. Darras R., Baque P., Lecerq D. Inflammabilité du magnésium et de l'uranium dans l'air et le gaz carbonique. «3 Colloque métallurg. corrosion (seche et aqueuse). Saclay, 1959, Gif-sur-Yvette (S.-et-O.)—Amsterdam», 1960, 53—68. Discuss., 68—69 (франц.; рез. англ.).—В целях изучения гипотетич. условий возникновения пожара ядерного реактора с газовым охлаждением систематически определялись t-ры воспламенения Mg, U и их некоторых сплавов в воздухе, N₂ и CO₂ при атмосферном и повышенном давлении, в сухой или насыщенной влагой при 25° среде. Опыты велись путем нагревания тигля размером 20 × 15 × 2 мм с образцом испытываемого металла в электрич. печи или автоклаве, где поддерживалась заданная среда. Применялись два разных способа нагрева: а) непрерывного и быстрого (подъем t-ры 300° в час. до точки воспламенения металла); б) равномерного нагрева до t-ры несколько ниже точки воспламенения и затем поддержания при этой постоянной t-ре. Результаты в обоих случаях отчетливо различаются между собой. Влага оказывала мало влияния на t-ру воспламенения Mg в воздухе, но в атмосфере CO₂ влажность понижала t-ру воспламенения на 130—140°. Отмечается различие внешнего вида возгорания Mg и U, что привело к применению в данном случае разных терминов: «зажигание» и «воспламенение». Подробно излагаются теория, метод и результаты опытов.

Ю. Скорейский

9ИЗ30. Проектирование лабораторий изотопов Института общественного здравоохранения в Японии. Кобаяси Иотаро, Иосидзава Сусуму.

«Эйсай котё кёкайси, J. Soc. Domest. and Sanit. Engng», 1959, 33, № 10, 566—576 (японск.)

9ИЗ31. Загрязнение воздуха и цветной показатель крови. Picko Václav. Znečištění ovzduší a krevní barevný index. Příspěvek k řešení otázky vztahu mezi oběma jevy. «Českosl. hyg.», 1960, 5, № 5, 287—301 (чешск.).—Установлено, что цветной показатель крови (ЦП) у деревенских детей (особенно у девочек) выше, чем у городских. Причиной понижения ЦП у городских детей считают загрязнение воздуха вредными в-вами (в первую очередь аэрозолями и SO₂). Высказано мнение, что степень изменения ЦП зависит от конций вредных в-в в атмосферном воздухе.

Т. Брикверская

9ИЗ32. О загрязнении воздуха окисью углерода в некоторых зонах Женевы. Kanitz Stefano, Guano Francesco. Sull'inquinamento atmosferico da ossido di carbonio in alcune zone della città di Genova, «Riv. Ital. igiene», 1960, 20, № 1—4, 19—28 (итал.; рез. англ.).—Установлено, что в Женеве содержание CO в атмосферном воздухе значительно больше, чем в других городах; здесь оно достигает 400 ч. на 1 млн. (в Париже и Нью-Йорке 100, в Милане 50, СССР 0,015—среднее для нескольких городов). Отмечено, что в результате усовершенствования двигателя внутреннего сгорания при определенных условиях в выхлопных газах содержалось в 1927 г. 5%, а в 1954 г. только 1,8% CO. При ветре содержание CO в городском воздухе снижается. CO определяют спектрометрич., по его р-ции с PdCl₂.

Н. Соловьева

9ИЗ33. Определение никеля в воздухе производственных помещений методом амперометрического титрования. Григорова Л. П. В сб. «Материалы 1-й Научно-практ. конференции Свердл. гор. сан-эпидемиол. ст., 1959». Свердловск, 1960, 48—50.—В методике использована р-ция Чугаева, согласно которой Ni с диметилглиоксимом дает красный осадок диметилглиоксимата Ni. Количественно Ni определяется амперометрич. титрованием (АТ) р-ров солей Ni спир. р-ром диметилглиоксима. Метод позволяет определить 0,3 мк в 5 мл р-ра. При наличии жидкостных аэрозолей отбор проб производится в поглотитель Гернье (абсорбер). Поглотительный р-р готовится раствором 5 мл HNO₃ (уд. в. 1,4) в 110 мл воды. Скорость отбора 12,5—13,0 л/мин. Проба нейтрализуется аммиаком, затем титруется. Сущность метода заключается в измерении силы тока, проходящего через электролизер между индикаторным электродом (твердый серебряный амальгамированный электрод) и электродом сравнения (каломельный полуэлемент, соединенный с сосудом для титрования электролитич. ключом, наполненным насыщ. р-ром KCl) при постоянном напряжении. При АТ важно изменение силы тока, которое фиксируется гальванометром и служит для установления конца титрования.

Т. Черезова

9ИЗ34. Динамика возникновения случаев отравления свинцом. (Broadhurst V. A.), Trends in lead poisoning cases. «Paint Technol.», 1960, 24, № 269, 17—18, 30 (англ.).—На основании статистич. данных установлено увеличение вдвое числа отравлений Pb в произ-ве красителей в 1958 г. по сравнению с предшествующими 10 годами (в среднем по 4 случая в год). С 1949 по 1958 г. зарегистрировано 40 отравлений, из них 20% в 1958 г. Выявлено резкое падение числа отравлений Pb в первые 20 лет XX века, которое объясняется введением спец. санитарных правил для предприятий пром-сти красителей. Рассмотрен ряд случаев интоксикации Pb, указанные профессии и возраст пострадавших, причины отравления (в основном работа с хроматами Pb). Отмечено, что введенное в 1907 г. санитарное постановление касается только предприятий пром-сти красителей, применяющих PbO и соли Pb, и основывается на правилах, принятых для произ-ва с большим пылеобразованием. Основные по-

доения постановления: проведение ежемесячных медицинских осмотров работающих с Pb, применение защитных средств, защитной одежды (ее обработка, хранение) и др. Т. Соловьева

9И335. Состояние здоровья работающих на заводе по производству высокодисперсного кремния. Volk H. The health of workers in a plant making highly dispersed silica. «Arch. Environment. Health», 1960, 1, № 2, 125—128 (англ.).—При 10-летнем медицинском наблюдении за здоровьем работающих на производстве химически чистой SiO_2 (каждые 6 месяцев проводились рентгенологич. исследования) заболевания силикозом не были обнаружены. Только в одной рентгенограмме из 720 обнаружены признаки межлобного плеврита. Производственная пыль содержит 99,8% аморфной SiO_2 , примеси TiO_2 , Al_2O_3 , Fe_2O_3 . Размер частиц 5—40 мк (в среднем ~20 мк). Конц-ия SiO_2 в воздухе реакционного отделения 3—7 мг/м³, в упаковочном помещении 2—6 мг/м³. Считают, что вдыхание высокодисперсной пыли аморфного кремния в общем количестве < 120 мг в течение 8-часового рабочего дня (по расчёту) безвредно. Т. Бржевская

9И336. Применение диффузионной ячейки для получения заданных концентраций газообразных углеводородов. Altshuller Aubrey P., Cohen Israel R. Application of diffusion cells to the production of known concentrations of gaseous hydrocarbons. «Anal. Chem.», 1960, 32, № 7, 802—810 (англ.).—Метод получения заданных конц-ий паров различных углеводородов (от 0,0001 до 1%) применим при проведении исследовательских работ в области промышленной гигиены, очистки воздуха от загрязнений и т. п. Получение заданных конц-ий паров осуществляется в диффузионной ячейке, которая представляет собой сферич. стеклянную камеру, сужающуюся на концах, через которые введены 2 впаиваемые в них, расположенные друг против друга и закрытые на концах фильтрами из пористого стекла трубки для ввода в камеру газообразного разбавителя (воздух O_2 , N_2 или др.) и вывода готовой газовой смеси. Снизу в центр камеры вводится на 2 см составляющая с ней одно целое или присоединенная к ней пробирка с жидкостью (Ж), пары которой идут на приток паров газовой смеси. Т-ра, при которой производится испарение, поддерживается с помощью бани. Кол-во испаряющейся Ж контролируется весовым или объемным методом. Скорость диффузии (r) паров Ж из пробирки (г/сек) выражается ур-нием: $r = 2,303 D M P A / R T L \cdot \lg P/P - p$, где D — коэф. диффузии паров в разбавляющий газ, см²/сек; M — мол. вес паров; P — общее давление в диффузионной ячейке в атм; A — площадь поперечного сечения пробирки в см²; p — парц. давление паров при т-ре T в атм; R — газовая постоянная в л атм/моль °К; T — т-ра в °К; L — длина пути частиц в см. Рассмотрены факторы, определяющие процесс диффузии паров Ж и образования смеси с заданной конц-ией паров: 1) скорость установления динамич. равновесия; 2) давление и т-ра; 3) охлаждение поверхностного слоя Ж при ее испарении; 4) величина поперечного сечения и длина пробирки; 5) поверхностное натяжение Ж; 6) природа и режим течения разбавляющего газа. Проведено сопоставление эксперим. данных с литературными и результатами теоретич. расчетов. В. Синьковский

9И337. Вредные вещества, выделяющиеся при обработке льна и конопли. Aścić Kazimierz. Czynnik szkodliwe występujące w roszarniach lnu i konopi. «Przegl. włókienn.», 1960, 14, № 4, 189—192 (польск.); рез. русск., англ., нем., франц.).—Подробно описан процесс мочки льна (Л) и конопли на произ-ве льняного и конопляного волокала. Установлено, что процесс мочки Л сопровождается выделением в воздух рабочих помещений CO_2 (до 0,03 мг/л) метана, пыли, содержащей до 12,7%, свободной SiO_2 — до 283 мг/м³.

В состав жидкости для мочки Л входят к-ты. Отмечена взрыво- и пожароопасность пыли и соломы Л. Рекомендованы: герметизация оборудования, устройство местных отсосов, механизация транспорта отходов, контроль за влажностью воздуха, вынесение бассейнов для мочки Л в отдельные помещения с приточно-вытяжной вентиляцией, ношение защитной одежды, фартуков, обуви, рукавиц. Для защиты кожи работающих предложена защитная мазь следующего состава (в частях): вазелин 10, каучук 6, парафиновое масло 16, касторовое масло 0,6, глицерин 2,5, ZnO 1,5, растительный клейстер (5%) 70, или ZnO 2,5, стеарин 6, растительное масло 36,5, безводный ланолин 5, вода до 100. Для обработки кожи при небольших травмах рекомендуется жидкость Новикова (дубильная к-та 10, бриллиантовая зелень 2, спирт 2, касторовое масло 5, колодий до 200). Т. Бржевская

9И338. Замечания к статье А. Фукса, Б. Палечковой и М. Бартоновой «Опасность отравления бензолом при работе с клеями для кожи» Ответ авторам. Zeman Miroslav. Poznámky k práci «Riziko benzenu při práci s lepidly na kůži» od A. Fuchse, B. Palečkové — Wolfové. «Odpověď autorů. «Českosl. hyg.», 1960, 5, № 7, 451—456 (чешск.; рез. англ., русск.).—Недостатком работы А. Фукса и др. считают отсутствие в ней изучения содержания бензола (Б) в клеях (К) для кожи (в р-рителе «Робинольцемент»). Установлено, что в технич. бензине (фракция 60—80°), входящем в состав К, содержится до 48 вес.% Б и до 35 вес.% общих углеводородов, что значительно превышает предельно допустимую конц-ию этих в-в (6 вес.% для Б, 12 вес.% для углеводородов). Рекомендовано создание нового К, не содержащего Б, запрещение применения Б для произ-ва К, в р-рителе «Робинольцемент» применение бензина фракции 50—140°. Т. Бржевская

9И339. Хронаксиметрические изменения при хронической интоксикации бензолом и монохлорбензолом. Pislaru V. Modificări cronaximetrice în intoxicația cronică cu benzen și monoclorbenzen. «Igiena», 1960, 9, № 2, 127—135 (рум.; рез. русск., франц., англ., нем.).—В опытах на животных при хронич. ингаляционном воздействии паров бензола (I) в конц-ии 0,1 мг/л выявлены изменения хронаксии (торможение, исчезающее через некоторое время). Конц-ии I 2—3 мг/л вызывают торможение без последующего возвращения к первоначальному состоянию. При ингаляционном воздействии паров монохлорбензола (II) в конц-иях 0,1—1 мг/л у животных также отмечено состояние торможения, более выраженное, чем при интоксикации I. Указано, что изменения функции нервной системы при конц-иях II 0,1—1 мг/л возникают на 3—4 недели раньше изменений активности энзимов. При конц-иях II > 1 мг/л указанные явления могут стать постоянными. Т. Соловьева

9И340. Количественное определение малых количеств бромистого этила в воздухе. Рисаров В. М. «Тр. по химии и хим. технол. [Горький]», 1960, вып. 2, 238—234.—Бромистый этил (I) определялся в воздухе методом сжигания I при высокой т-ре на платиновой спирали с последующим колориметрич. определением Br при помощи р-ции с флуоресцином, дающей эозин: воздух, содержащий I, в течение 10 мин. пропусклся со скоростью 0,1 л/мин через кварцевую трубку диаметром 4 мм, в которой помещена платиновая спираль. Трубка нагревалась до 900°. Пары I сгорали, образовавшиеся Br и HBr пропусклись через 3 последовательно соединенных поглотителя Полежаева, в первый из которых наливался р-р для окисления HBr (3,5 мл 0,2%-ного KMnO_4 и 1,5 мл насыщ. р-ра KHSO_4), а в два других по 5 мл 0,0015% р-ра флуоресцина. После 5-минутного выдувания чистым воздухом (скорость 0,05 л/мин) содержимое двух последних поглотителей сливалось в отдельные коло-

риметрич. пробирки (№ 120/15), разбавлялось до 15 мл дистил. водой. Полученная окраска сравнивалась со стандартной шкалой и колориметрировалась на фотоэлектрич. микроколориметре ФЭК-Н-54 с зеленым светофильтром. Чувствительность метода 0,003 мкг Вг. Стандартная шкала в пределах 0,003, 0,060 мкг Вг готовилась следующим образом: в один из 2 последовательно соединенных поглотителей Полежаева наливался выше приведенный р-р для окисления HBr, в другой 5 мл 0,0015%-ного р-ра флуоресцина. В 1-й поглотитель приливалось определенное кол-во KBr, затем в течение 10 мин. через поглотитель пропускался воздух со скоростью 0,05 л/мин. Из данных оптич. измерения плотности р-ров шкалы строилась калибровочная кривая. При испытаниях метода в производственных условиях получены удовлетворительные результаты. Т. Бржевская

9ИЗ41. Материалы к обоснованию предельно допустимой концентрации ацетона в атмосферном воздухе. Фельдман Ю. Г., Гигиена и санитария, 1960, № 5, 3—10 (рез. англ.).—На основании всестороннего изучения воздействия находящегося в воздухе ацетона (I) на организм человека и длительного воздействия малых доз I на белых мышей сделан вывод о завышенности предельно допустимой конц-ии I в воздухе производственных помещений (0,2 мг/л). Предельно допустимая максимально-разовая и среднесуточная конц-ии I в атмосферном воздухе не должна превышать 0,35 мг/м³. Отмечено, что у наиболее чувствительных лиц порог ощущения запаха I составляет 1,1 мг/м³, порог действия I на световую чувствительность глаза 0,55 мг/м³, а порог действия I на электрич. активность мозга — 0,44 мг/м³. При хронич. заправке животных I в конц-ии 199 мг/м³ (45 суток по 8 час. в день) наблюдалось изменение моторной хрониксии. При непрерывном 45-суточном воздействии I в конц-ии 0,33 мг/м³ не обнаружено заметных изменений моторной хрониксии состава крови, веса и гистологич. картины внутренних органов. Показано, что для произ-в ацетатного шедка установленная санитарно-защитная зона (Н 101—54) должна быть увеличена со 100 до 750 м. В. Сильковский

9ИЗ42. Промышленные отравления диэтилstilбестролом: тест для раннего определения отравления. Watrous R. M., Olsen R. T. Diethylstilbestrol absorption in industry: a test for early detection as an aid in prevention. «Amer. Industr. Hyg. Assoc.», J., 1959, 20, № 6, 469—472 (англ.).—Установлено, что экстренная активность промучоточных продуктов при синтезе диэтилstilбестрола (I) в 320—1000 раз меньше, чем у I. Считают, что регулярный анализ мочи является эффективным средством контроля накопления I в организме рабочих. Приведены примеры определения содержания I (биологич. метод) у ряда рабочих, связанных с различными этапами синтеза I. Показано, что моча рабочих, не соприкасавшихся с I, содержит I в кол-ве, не превосходящем 0,02 мкг/мл (порог чувствительности метода), тогда как у рабочих, имеющих контакт с I, его конц-ия в моче достигает 0,06—0,55 мкг/мл. Ранние симптомы поражения организма I (набухание грудных желез, уменьшение полового влечения) появляются спустя 1—2 недели после того, как конц. I в моче достигнет или превысит 0,1 мкг/мл. В. Сильковский

9ИЗ43. Определение холинэстераз в крови и наблюдение неврологических изменений при профессиональном заболевании, вызванном фосфорорганическим соединением. Bauer H. Bestimmung der Cholinesterasen im Blut und neurologische Überwachung bei beruflicher Gefährdung durch Organophosphate. «Arch. Gewerbepathol. und Gewerbehyg.», 1960, 18, № 1, 91—106 (нем.).—Показано, что при отравлении организма фосфорорганич. соединениями (диазиноном) активность холинэстеразы (I) крови и в особенности псевдохол-

линэстеразы (II) снижается. Снижение активности I и II наблюдалось раньше, чем появлялись клинич. симптомы. Снижение активности I и II наблюдалось в случае хронич. отравлений, а также отравлений, вызванных малыми дозами яда и не сопровождающихся характерными клинич. симптомами. М. Баранов

9ИЗ44. Определение тетраэтилсвинца в воздухе. Duliński Władysław, Köhsling Zofia. Oznaczenie czteretylku ołowiu w powietrzu. «Nafta» (Polska), 1960, 16, № 8, 217—219 (польск.).—Описываемая методика анализа колич. содержания тетраэтилсвинца (ТЭС) в воздухе разработана в Горно-металлургической Академии ПНР. Метод анализа нефелометрический и состоит в пропуске пробы испытываемого воздуха объемом 500 л при скорости 5 л/мин и перепаде давл. 70—90 мм вод. ст. через трубку со стеклянной ватой, смоченной азотной к-той уд. в. 1,4. При наличии в воздухе ТЭС в результате р-ции образуется Pb(NO₃)₂, дающий при добавлении K₂Cr₂O₄ кол-р. р-р, степень помутнения которого является функцией содержания Pb. Определение конц-ии ТЭС производится путем сравнения при помощи нефелометра или визуально плотности окраски полученного р-ра с эталонными р-рами. Ю. Скорский

9ИЗ45. Гигиенические проблемы при применении третичного бутанолхромата как пассивирующего ингибитора коррозии металлов. Roubal Jan, Krivcová Marie. Hygienické problémy při použití terciárního butanolchromanu jako pasivčního inhibitoru proti korozi kovů. «Pracovní lékař.», 1960, 12, № 5, 251—255 (чешск.; рез. русск., англ.).—В воздухе лаборатории при импрегнировании бумаги парафином, содержащим 5% третичного бутанолхромата (I) при т-ре 55—60° обнаружено 2,4 мкг/л Cr⁶⁺. При хронич. статич. ингаляционной заправке I белых крыс (экспозиция 30—60 мин. ежедневно) у животных во время опыта наблюдалась апатия, ускоренное дыхание, раздражение кожи и др. У животных с поврежденной кожей через 12 час. после опыта обнаружены значительный некроз кожи, полнокровие сосудов, гибель через 20—60 час. При экспозиции 60 мин. пороговой дозой для крыс оказалось 3 мл I (объем заправочной камеры 5 л). При патолого-гистологич. исследовании в легких обнаружено уменьшение воздушности, полнокровие в бронхах — скопления экссудата, слущение эпителия, лейкоциты в альвеолах, скопления легкая окрашиваемая озоином массы. В печени — при больших конц-иях I — полнокровие, зернистость, в почках — гиперемия. При заправках крыс I и третичным бутанолом (II) в конц-ии 2 мл (объем камеры 5 л) установлено, что I вызывал постепенное развитие наркоза, тяжелое и ускоренное дыхание; полный наркоз и боковое положение животных не наблюдалось. При II отмечено быстрое развитие наркоза, боковое положение, спокойное дыхание. При гистологич. исследовании при воздействии I обнаружен острый отек легких, изменения в бронхах. При II легкие не изменены. Для профилактики отравлений рекомендованы: контроль за содержанием I в воздухе рабочих помещений ($\leq 0,1$ мкг/л CrO₃), защита кожи работающих от механич. повреждений, приготовление I в герметич. сосудах, смешивание I с парафином в герметич. сосудах под вытяжным шкафом, укрытие всех нагреваемых частей аппаратуры при пропитывании бумаги I при повышенной т-ре, хранение импрегнированной бумаги в спец. коробках, обработанных парафином, усовершенствование вентиляции в рабочих помещениях и др. Т. Бржевская

9ИЗ46. Определение паров высших жирных нормальных спиртов состава C₄—C₁₀. Липина Т. Г. «Тр. по химии и хим. технол. [Горький]», 1960, вып. 2, 323—327.—Описан колориметрич. метод определения паров высших жирных нормальных спиртов (С) состава C₄—C₁₀, основанный на р-ции конденсации С

сероводорода (I): к 3 м. 0,2 мл св. (той же к на кипяча получалоствост остнаров С. прибораскоростиние р-ры что опти3 дней. Очувствителспирта 2, до м-децини меткинаших С

9ИЗ47. Буроуголь, предназначенный для Гржгор. Тр. Всес. топлива, ологич. обензина — 1 до 65°, 106°, VI, обладали углеводородных соединений с подебалось и V фразбелых мэкспозиции конц-ии (1—4) и эффектусичны I по наступило концI—IV и потбали наиболее V и VI. ризации пахом пделно джна в рвоздухе I—1,5 мг

9ИЗ48. Контроль и effects, conc. № 1, 7—организмизмшпиленн в возеже в воде гланымбронхов. при обырета. Т. в верхниразмером вдыхадействиевенно и разработконц-ии для лп24-часово

сернокислой среде с *n*-диметиламинобензальдегидом (I): к 3 мл р-ра С в 75% (по объему) H_2SO_4 добавляли 0,2 мл свежеприготовленного 5%-ного р-ра I в H_2SO_4 (той же конц-ии). Пробу нагревали в течение 15 мин. на кипящей водяной бане. В случае *n*-бутилового С получалась оранжево-коричневая окраска, в присутствии остальных С — вишнево-красная. Улавливание паров С из воздуха производили в 2 поглотительных приборах с 4 мл 75%-ного (по объему) р-ра H_2SO_4 при скорости протягивания воздуха 20—25 л/час. Стандартные р-ры готовили на 75%-ной H_2SO_4 . Установлено, что оптич. плотность р-ров постоянна в течение 3 дней. Окраска шкалы сохранялась в течение 10 дней. Чувствительность метода (в мг/3 мл) для *n*-бутилового спирта 2,0 для *n*-амтилового С—2,0 С; от *n*-децилового С—5. Метод специфичен в присутствии метилового и этилового С и их эфиров, эфиры высших С мешают определению. Библ. 11 назв.

Т. Бржевальская

9И347. Исследование токсичности легких фракций буроугольного газового бензина (Щекинский завод), предназначенного для одоризации горючих газов. Григорьев В. З., Бабин И. Н., Драбкин А. Е., Тр. Всес. н.-и. ин-та переработки и использования топлива, 1959, вып. 8, 97—105. — Произведена токсикол. оценка 6 фракций буроугольного газового бензина — одоранта горючих газов (граница кипения I до 65°, II до 65—75°, III 75—85, IV 85—95°, V 95—105°, VI до 105°). В составе I, II и V фракций преобладали непредельные, а в III и IV ароматич. углеводороды; содержание парафиновых и нафтеновых соединений в пределах 14,9—27,6% (оно уменьшалось с повышением т-ры разгонки); содержание S колебалось от 1,7 до 2,8% и было наиболее высоким в I и V фракциях. При статич. ингаляционной заправке белых мышей (72 опыта на 720 мышах при 2-часовой экспозиции) установлены наркотич. и летальные конц-ии (в мг/л). Минимально смертельные конц-ии — 30—40, абсолютно-наркотич. — 30—50 (по наркотич. эффекту наиболее токсична фракция III, наименее токсичны I и V). В зависимости от конц-ии бензина наркоз наступал через 7—96 мин. Минимально-смертельные конц-ии 40—60 CL_{50} 54—130. CL_{100} для образцов I—IV и VI 60—150, для V не достигнута. Животные погибали через 45—150 мин. По критерию летальности наиболее токсичен образец I, наименее токсичны III, V и VI. Все фракции признаны пригодными для одоризации так как обладают сильным характерным запахом при безводных конц-иях. Рекомендуется предельно допустимая конц-ия паров буроугольного бензина в рабочем помещении 0,3 мг/л, в атмосферном воздухе разовая конц-ия ≤ 5 мг/м³, среднесуточная (1—1,5 мг/м³).

З. Камальдинова

9И348. Загрязнение воздуха — его действие, контроль и устранение. Irwin D. A. Air pollution its effects, control and abatement. «Industr. Wastes», 1960, 5, № 1, 7—9 (англ.). — Рассмотрено вредное действие на организм человека содержащихся в атмосфере промышленных районов загрязнений в виде паров, газов и взвешенных частиц. Указано, что все растворимые в воде газы и пары почти полностью задерживаются слизистыми поверхностями полости носа, гортани и бронхов. Нерастворимые газы проникают в легкие, но при обычных атмосферных конц-иях не причиняют вреда. Твердые частицы > 5 м также задерживаются в верхних дыхательных путях. Лишь $\sim 15\%$ частиц размером < 1 м проникают в альвеолы. Присутствие во вдыхаемом воздухе аэрозолей усиливает вредное действие газовых компонентов, способствуя проникновению последних в легкие. Считают необходимым разработку дифференцированных предельно допустимых конц-ий токсич. в-в в атмосфере для здоровых людей и для лиц, ослабленных возрастом или болезнью при 24-часовой экспозиции.

Ю. Скореецкий

9И349. Методы расчета концентрации примесей в воздухе промышленных районов. Клютин С. А. «Вестн. техн. и экон. информ. Н.-и. ин-т техн.-экон. исслед. Гос. ком-та Сов. Мин. СССР по химии», 1959, № 1 (13), 35—41. — Обсуждаются и уточняются способы расчета степени загрязненности воздуха промышленных районов путем определения конц-ий примесей воздуха в заранее заданных точках атмосферы. Установлено, что существует сложная зависимость между интенсивностью диффузии примесей, их конц-ией, характером земной поверхности, силой ветра, т-рой воздуха и т. п. Для расчета степени загрязненности воздуха считают возможным применять Ф-лу Саттона и Тевековского: $C = AQ/\pi S^2 v x t e^{x^2} e^{-x^2 + z^2/S^2 x^2}$, где C — конц-ия примесей в заданной точке в мг/м³, A — коэф., учитывающий замедление размыва газового потока при настипании его на поверхность земли или при слиянии с другими потоками; Q — кол-во примесей, поступающих в атмосферу в мг/сек; S — коэф. интенсивности турбулентной диффузии; v — скорость ветра в м/сек; t — коэф. тепловой устойчивости атмосферы; x, y, z — координаты заданной точки. Ф-ла дает результаты, близкие к экспериментальным, если она дополняется ф-лами, учитывающими факторы, характерные для промышленных районов. Приведены ф-лы, графики и диаграммы.

Т. Бржевальская

9И350. Оценка загрязняющих воздух выбросов на отдельном участке контроля загрязнения атмосферы. Crouse W. R., Johnson H. C., Coons J. D., Yocom J. E. The estimation of air pollution emissions in a regional air pollution control district. «J. Air Pollution Control Assoc.», 1960, 10, № 4, 285—291, 340 (англ.). — Описывается разработка методики и опыт ее осуществления для начального определения и колич. оценки источников загрязнения атмосферы (ЗА) в районе Сан-Франциско залива общей территорией 10 878 км². Метод определения и оценки источников ЗА складывался из: 1) литературного исследования; 2) письменного опроса более 2000 предприятий; 3) отбора проб выбросов из дымовых труб и анализа атмосферного воздуха для получения дополнительных данных; 4) использования консультаций опытных людей и организаций, хорошо осведомленных с аспектами борьбы с ЗА. В результате выявлено, оценено и зарегистрировано 3772 отдельных источника ЗА, в том числе 335 пылевидных ЗА и 3437 газообразных ЗА (2420 органич. и 1017 неорганич.). Приведена форма опросного листа и результаты его критич. разн. организациями. Дана сводная классификация обнаруженных источников ЗА. Библ. 73 назв.

Ю. Скореецкий

9И351. Об определении некоторых веществ, загрязняющих воздух в окрестностях нефтеочистительного завода. Kanitz Stefano. Sul rilevamento di alcuni inquinanti atmosferici nelle adiacenze di una raffineria di petrolio. «Riv. ital. igiene», 1960, 20, № 5-6, 167—184 (итал.; рез. англ.). — Обзор. Рассмотрены операции нефтеочистительного з-да в результате которых загрязняется атмосфера, методы определения кол-ва пыли, SO_2 и H_2S в воздухе. Установлено, что содержание SO_2 в воздухе в окрестностях нефтеочистит. з-да $\leq 0,26$ ч на млн., H_2S — следы, кол-во осаждающейся пыли не превышает кол-во пыли в воздухе населенных зон некоторых итальянских городов. Библ. 16 назв.

Н. Соловьева

9И352. Характеристики конструкции и работы скоростных высокоэффективных электрофильтров для очистки воздуха. White Harry J., Cole William H. Design and performance characteristics of high-velocity, high-efficiency air cleaning precipitators. «J. Air Pollution Control Assoc.», 1960, 10, № 3, 239—245 (англ.). — Сконструирован, изготовлен и экспериментально проверен воздухоочистительный электрофильтр

с разделенными зонами зарядки и осаждения частиц (ЭРЗО), который предназначается для очистки воздуха от масляного тумана с частицами $\geq 0,7 \mu$ при эффективности улавливания 99,8%. Скорость потока составляет 10 м/сек; максимально допустимая концентрация озона в очищенном воздухе $= 0,1 \text{ см}^3/\text{м}^3$; максимально допустимая потеря тяги 25 мм вод. ст.; предельная длина ЭРЗО = 1830 мм. Исходные конструктивные размеры ЭРЗО рассчитывались по ф-лам: $E = 1 - e^{-(A \cdot W/V)}$ (1) и $W = E_0 E_p A / 2 \eta \gamma C / 30,4$ (2), где E — эффективность улавливания частиц тумана; A — поверхность осадительных электродов; W — скорость перемещения частиц в направлении осадительного электрода; V — скорость потока воздуха; E_0 — напряженность поля зарядки; E_p — напряженность поля осаждения; a — радиус частиц; γ — величина заряда частиц по отношению к предельному; η — вязкость воздуха; C — поправка к закону Стокса для частиц, соизмеримых с длиной свободного пути молекул. Напряжение питания ионизатора 38–40 кВ, при токе 20 мА; напряженность поля осадителя 10 кВ/см. При испытании ЭРЗО рабочие характеристики его близко совпали с расчетными, кроме концентрации озона, составившей $0,15 \text{ см}^3/\text{м}^3$ вместо $0,1 \text{ см}^3/\text{м}^3$. Ю. Скорецкий

9И353. Текущие усовершенствования детекторов и наборов инструментов для отбора проб воздуха. Gislard J. Brennan. Current developments in detectors and test kits for air sampling. «Air Condit., Heat, and Ventil.», 1960, 57, № 9, 89–92 (англ.).—Приведены фотографии, краткие описания и характеристики девяти недавно выпущенных в США компактных портативных наборов инструментов для обнаружения и анализа в полевых условиях степени загрязненности атмосферного воздуха. Приборы состоят из: а) ручного насоса (аспиратора, резиновой группы, шприца) для отбора пробы воздуха фиксированного объема; б) детектирующего устройства (подготовленных р-ров, пропитанной реагентом бумаги, фильтров, абсорбентов), которое селективно реагирует на различные загрязнители воздуха. Результатом р-ции является окрашивание детектора, а интенсивность окраски или размеры окрашенной области служат мерой концентрации загрязнителя. В числе описанных приборов переносные анализаторы воздуха на загрязнение SO_2 , HF , CO и др. Ю. Скорецкий

9И354. Определение запыленности атмосферного воздуха. Часть I. Pocię Jan. Określanie zapylenia powietrza atmosferycznego. Cz. I. «Cement. Wapno. Gips», 1960, 15, № 9, 237–248 (польск.; рез. русск., франц.).—Описываются методики, аппаратура и области применения некоторых из числа известных способов гигиены. контроля запыленности воздуха, включающего определения: а) числа пылевых частиц в единице объема воздуха; б) дисперсного состава частиц; в) уд. и об. веса пыли; г) минералогия. и хим. состава частиц; д) содержания в пыли свободного кремнезема и др. Ю. Скорецкий

9И355. О загрязнении воздуха пылью в промышленном районе Катании. Mironi D., Amedeo G. Ricerche sull'inquinamento pulviscolare dell'aria in un'area industriale di Catania. «Riv. ital. igiene», 1960, 20, № 5-6, 154–166 (итал.; рез. англ.).—Источниками загрязнения воздуха в исследованном р-не являются теплоэлектроцентрали (ТЭЦ) и цементный з-д (ЦЗ). Установлено, что в пробах воздуха, отобранных на высоте 1,4 м от поверхности земли на расстоянии 600 м от ТЭЦ в 1 мл содержалось в среднем 485 частиц пыли, на расстоянии 1 км — 123, а в более удаленных пунктах (2–3 км) 29–56; с подветренной стороны около ЦЗ в 1 мл воздуха 156–408 частиц, с наветренной 46–112. Максимальное содержание пыли в воздухе (332–485 частиц/мл) оказалось в подветренной от ТЭЦ населенной зоне, куда дым от одной из топок

на буром угле выносился прямо без трубы после прохода через электростатич. фильтр. Н. Соловьева

9И356. Исследование загрязнения воздуха взвешенной пылью с помощью приборов для автоматического взятия проб. Kanitz Stefano. Il rilevamento dell'inquinamento atmosferico da pulviscolo sospeso mediante campionatori automatici. «Riv. ital. igiene», 1960, 20, № 1–4, 9–18 (итал.; рез. англ.).—Обзор. Кратко рассмотрены типы приборов для автоматич. и полуавтоматич. взятия проб воздуха, предложенные в период 1918–1956 г. при определении кол-ва взвешенных и осаждающихся частиц пыли; основные факторы, влияющие на точность метода. Библ. 21 назв. Н. Соловьева

9И357. Новые решения по вопросу очистки от дыма. Mechin J.-L. Nouvelles solutions à l'épuration des fumées. «РАСТ», 1960, 14, № 2, 141–143 (франц.).—Кратко рассмотрена история защиты атмосферы городов от загрязнения дымовыми выбросами предприятий (упоминается ряд исследователей и конструкций). Отмечено, что при содержании в атмосфере 2% CO_2 ритм дыхания ускоряется на 50%, поэтому скорость абсорбции CO гемоглобином крови увеличивается вдвое. Существующая санитарная норма содержания CO в атмосфере, в присутствии CO_2 неприемлема. Указано, что средняя концентрация CO_2 в атмосфере увеличилась с 0,0295% в 1900 г. до 0,033% в 1950 г. (присутствие в масштабе всей атмосферы равен $2 \cdot 10^{11}$, что примерно соответствует сумме сожженного за 50 лет топлива). Перечислены вредные газы в атмосфере: окислы азота, переходящие в бронхах в азотную и азотистую к-ты; H_2S и SO_2 , пары альдегидов; соли Ph. трикрезилат, алфатич. и политиклич. углеводороды и др. Вдыхание загрязненного этими газами воздуха вызывает у людей заболевание хронич. бронхитом, глубокую анемию, прогрессивную консервацию и др. Перечисляются способы анализа аэрозолей атмосферы. Приведены примеры типичных способов предотвращения или уменьшения дымовых выбросов: улучшение процессов сжигания топлива, механич. и электр. обеспыливание дымовых газов, мокрое пылеулавливание и др. Ю. Скорецкий

9И358. Крупногабаритная пылевая ловушка. King-sized dust trap. «Chem. Process», (USA), 1960, 23, № 9, 111–112 (англ.).—Ловушка для улавливания пыли, расчитанная на объем отсасываемого воздуха $\sim 120000 \text{ м}^3/\text{час}$, установлена на каждом из двух башенных грейферных кранов высотой $\sim 38 \text{ м}$, выгружающих боксы из судовых трюмов на алюминиевом э-де. Короба ловушек размещены по внутренней периферии проема площадью $\sim 30 \text{ м}^2$, служащего для пропуска грейферного ковша в полностью закрытую разгрузочную камеру над боксанным бункером крана. Скорость воздуха в проеме $\sim 70 \text{ м/мин}$, отсос производится вентилятором с диам. ротора 1700 мм и мощностью привода 100 л. с. Запыленный воздух из разгрузочной камеры направляется в два параллельных мокрых центробежных пылеуловителя производительностью по $60000 \text{ м}^3/\text{час}$ каждый. Пылеуловитель представляет собой неподвижный горизонтальный винтовой газоход (4 витка) внутри грушевидного по сечению корпуса, нижняя часть которого залита водой. Центробежной силой вращающегося воздушного потока взвешенная пыль отбрасывается в стенки газохода, покрытые пленкой воды, создаваемой за счет срыва и уноса капель жидкости при встрече вращающегося потока с поверхностью воды в нижней части корпуса. Удаляемый шлам содержит $\sim 1,4$ твердых в-в при расходе воды $\sim 940 \text{ л/мин}$. Эффективность пылеулавливания установок $\sim 98\%$. Ю. Скорецкий

9И359. Коронирующие электроды и электрофакторы. Lagaria J. S. Discharge electrodes and electrostatic precipitators. «J. Air Pollution Control Assoc.

1960, 10, № 4, 271—274 (англ.).—В электрофильтрах (Э) основная роль принадлежит коронирующим электродам (КЭ). Исследования модельных и промышленных Э показали прямую зависимость эффективности Э от расхода мощности на КЭ и, в частности, от уд. тока коронного разряда на единицу длины КЭ. Описываются опыты с КЭ четырех конфигураций: 1) провода квадратного сечения, 2) провода с размещенными по длине тонкими дисками, 3) колючей проволоки с редко распределенными по длине острями, 4) колючей проволоки с частыми острями. Наиболее эффективными оказались КЭ формы (4) и при замене ими обычных КЭ круглого сечения получено увеличение расхода мощности с 74 втсек/м^3 газа до 400 втсек/м^3 , при одновременном повышении эффективности осаждения цементной пыли с 76 до 93%. Аналогичная замена КЭ у электрофильтра на газах мартеновской печи с кислородным дутьем привела к увеличению расхода мощности со 106 до 520 втсек/м^3 и эффективности очистки газа с 60 до > 98%. Ю. Скореецкий

9И360. Рекомендации по установке и обслуживанию конденсаторов с воздушным охлаждением. Wolfe R. A. Tips on installing and maintaining air-cooled condensers. «Refriger. Serv. and Contract.», 1960, 28, № 9, 26—27, 36—37 (англ.).—Важно правильно выбрать место наружной установки конденсаторов воздушного охлаждения (КВО), обеспечивающее беспрепятственное и достаточное поступление воздуха. КВО располагаются так, чтобы вентиляторы противились воздуху по направлению господствующих ветров. Если наблюдаются сильные ветры и с противоположного господствующему направления, — требуется установка перед КВО отражателей для предотвращения перегрузки вентиляторов по статич. напору, что может полностью прекратить подачу воздуха в конденсатор. При установке параллельно нескольких КВО они размещаются так, чтобы выбрасываемый воздух одного КВО не попадал во входную линию другого. В случае монтажа КВО внутри помещения особое внимание обращается на транспортировку выбрасываемого наружу нагретого воздуха и забор холодного. Если соответствующие воздуховоды не получают достаточно короткими — предпочтительнее выбирать более высоконапорные центробежные вентиляторы взамен пропеллерных. Ю. Скореецкий

9И361. Распыление воды из труб посредством специальных экономичных форсунок. Drautz E. G. Wasserspritzrohre mit Spezial-Flachstrahldüsen «Wassersprende». «Wochenbl. Papierfabr.», 1960, 88, № 5, 171 (нем.).—Излагаются преимущества применения экономичных гидравлич. форсунок взамен перфорированных труб в дренажных устройствах при распылении воды в целях промывки сит и др. оборудования и в целях охлаждения. А. Приумов

9И362. Исследование взрывоопасности горючих смесей, образующихся при синтезе скантогенатов. Медведева В. С., Розловский А. И., Ройзен И. С. «Хим. пром-сть», 1960, № 4, 330—332.—Некоторые стадии процесса получения скантогенатов проводятся при давлении меньше атмосферного. В этом случае возможен подсос воздуха и образование взрывоопасных смесей в аппаратуре. Бывают случаи когда воздушные смеси CS_2 (I) с воздухом воспламеняются самопроизвольно при т-ре 100° и конц-ия I порядка сотых и тысячных долей процента. Работа проводилась с целью определения концентрационных пределов поджигания воздушных смесей газообразных продуктов процесса получения скантогенатов с целью установления границ допустимого взрывоопасного разбавления этих продуктов воздухом при его подсосе. Исследования проводились в стальной сфере. бомбе при общем давлении 1 ата. Проведено 3 серии опытов с горючими смесями разного состава. Смесей жидких компонентов кроме I содержали: 1 серия 62% этило-

вого спирта, 2 — 75% *n*-бутилового спирта, 3 — 75% *n*-бутилового спирта и 8% бензола. Конц. I в смеси горючих компонентов и воды изменялась от 0,5 до 3% мол. в каждой серии опытов. Результаты определения критич. условий поджигания показали, что миним. взрывоопасная конц-ия парообразных компонентов в рассматриваемых смесях составляет от 18 до 33%. Примеси I не оказывают значительного влияния на распространение пламени. И. Лекае

9И363. О безопасности применения новых отгасительных составов. Мантуров Н. «Пожар. дело», 1960, № 10, 12.—Отгасительные составы (ОС) «3,5» СЖ-Б, 4НД, изготовленные на основе $\text{C}_2\text{H}_5\text{Br}$ (I) являются наиболее эффективными и наименее токсичными из всех известных газовых ОС. Воспламеняемость паров I незначительна. Зажечь смесь паров I с воздухом удавалось только при наличии мощной электрич. искры. ОС содержат спец. добавки к I, исключающие малейшую возможность образования воспламеняющихся смесей. В состав «3,5» введено 30% по весу CO_2 , в состав СЖ-Б добавлено 27% $\text{C}_2\text{F}_4\text{Br}_2$. Возможность отравления персонала при массовых зарядах отгасителей данными ОС исключена. Т. Черезова

9И364. Взрывы пыли на заводах: исследование воспламеняемости и конструирование нового воспламенителя. Essenhigh R. H. Dust explosions in factories: ignition testing and design of a new inflammer. «Res. Rept. Safety Mines Res. Establ.», 1960, № 188, 21 pp., ill. (англ.).—Рассмотрены основы изучения воспламеняемости пыли, способы определения т-ры воспламенения, масштабов, в которых проводятся исследования и сопоставимость крупно- и мелкомасштабных подобного рода исследований. Новый прибор для изучения воспламеняемости пыли представляет собой изготовленную из термостойкого стекла вертикальную трубку с открытыми концами (диам. 7,6 см; высота 66 см), состоящую из трех припаянных и скрепленных друг с другом отрезков (25,4; 25,4 и 15,2 см). Два из них имеют сбоку по одному отверстию диам. 2,5 см: один (нижний отрезок) — для ввода воспламеняющей спирали (нихром, диам. 0,2 см), другой (средний) — для подсоединения загрузочной трубки, заполняемой предварительно исследуемой пылью и соединенной с источником сжатого воздуха, с помощью которого выдувается облако пыли в пространство над спиралью. В опытах использовалась пробковая пыль (об. в. 0,12 г/см^3 , уд. в. 0,2). При изучении воспламеняемости пыли было исследовано влияние на процесс т-ры воспламенения, обусловленной степенью нагрева спирали, давления диспергирующего пыль воздуха, конц-ии пылевого облака, размеров частиц пыли и пр. В. Сивьяковский

9И365. «Защитные атмосферы» и генераторы для их получения. Strandell P. O. Skyddsgas och apparatur för skyddsgasframställning. «Jernkontorets ann.», 1960, 144, № 6, 444—478 (шведск.; рез. англ.).—Рассматриваются р-ции взаимодействия между атмосферой печей для термич. обработки металлов (Me) и поверхностью Me. Приведены изменения величин свободной энергии для различных Me в случае окислительно-восстановительных процессов. Приведены парц. давление O_2 , а также отношения CO/CO_2 и $\text{H}_2/\text{H}_2\text{O}$ (пары). Обсуждены р-ции обезуглероживания, цементации и образования карбидов Me. Приводятся методы получения «защитной атмосферы» (ЗА) для печей из различных видов топлив и др. материалов. Описаны: 1) генераторы для приготовления H_2 — N_2 смесей с содержанием H_2 от 0,5 до 75% путем крекинга или крекинга и сжигания безводного NH_3 , 2) генераторы для получения «экогаза» путем неполного сгорания углеводородов с воздухом, 3) генераторы для приготовления «эндогаза» каталитическим крекингом углеводородов. Приводятся рекомендации по безопасному проведению операций в печах, где может создаваться

вырывоопасная атмосфера. Рекомендуется выбор ЗА в случае термич. обработки сталей и др. Ме и их сплавов.

Из резюме автора

9И366. Проектирование устройств для сжигания горючих смесей, отводящих от варочных котлов для приготовления лаков. Mills John L., Hammond William F., Adrian Robert C. Design of after-burners for varnish cookers. J. Air Pollution Control Assoc., 1960, 10, № 2, 161—168 (англ.).—Изготовление лаков включает взаимодействие при повышенной т-ре синтетич. или натуральных смол с быстросыхающими маслами и летучими р-рителями. Приводится обсуждение различных факторов, которые должны быть учтены при проектировании устройств для сжигания (УС) горючих компонентов, уносимых вытяжной вентиляцией в виде паров, капель и твердых частиц при изготовлении лаков в варочных котлах (К). Рассмотрены особенности работы вентиляционной системы, отводящей эти продукты из К в УС. Отмечено, что для предотвращения распространения пламени от УС к К на отдельных участках воздухопроводов рекомендуется уменьшать их сечение для достижения скорости газа до 24 м/сек, превосходящей скорость распространения пламени. Для улавливания твердых частиц и легко конденсирующихся жидкостей на пути от К к УС осуществляется промывка газа водой. Показано, что наиболее полное сгорание всех горючих компонентов смеси достигается при 650°, однако рекомендуется проектировать УС с рабочей т-рой 760°. Для осуществления хорошего смещения в камере сгорания УС очищаемый газ и топливо (природный газ) должны вводиться в нее по касательной при скорости не менее 0,5 м/сек. Отмечено, что для полного сгорания торючей смеси при указанных условиях необходимо ее пребывание в камере сгорания в течение ~0,5 сек. Система, состоящая из сируббера и УС, дает полное извлечение жидких частиц. Газообразные примеси извлекаются на 99% и твердые на 94%.

В. Синьковский

9И367. Усовершенствования контейнеров для транспортировки радиоактивных материалов. Reuschmaur Alphonse. Perfectionnements aux récipients destinés à transporter des corps radio-actifs. (Soc. Indatom). Франц. пат. 1226659, 15.07.60.—Предложена конструкция контейнеров (К) для транспортировки радиоактивных в-в (РВ). РВ, находящиеся в цилиндрич. оболочке из легкого металла, помещают в К, состоящий из бокового ограждения, имеющего в верхней части внутренний фланец, съемного днаща и крышки, общей для оболочки и ограждения. Боковое ограждение, крышка и днаще К изготовлены из свинца; К заключен в бетонный блок. Верхний внутренний фланец К имеет два ряда отверстий для болтов и для фиксирующих пальцев, необходимых для закрепления общей с оболочкой крышки. Ниже бокового ограждения расположен колодец дезактивации, где хранятся в обо-

лочке РВ. На крышке имеется петля для крюка, служащего для перемещения оболочки с РВ из колодца дезактивации в К и для транспортировки К с РВ после установки съемного дна и закрепления общей крышки.

В. Толстого

9И368. Усовершенствование сепарации твердых частиц из воздуха или других газов. Cruise Ambrose John. Improvements in and relating to the separation of particulate matter from air or other gases. [United Gas Industries Ltd]. Австрал. пат. 222334, 2.07.59.—Предложены метод и аппарат для извлечения из воздуха или другого газа взвешенных частиц аэрозолей с пределами размеров, соответствующими фракциям, проникающим в легкие людей при вдыхании, т. е. 0,5—10 м. Метод сепарации частиц аэрозолей состоит в принудительном движении пробы воздуха вдоль канализованного пути определенного сечения с такой выбранной скоростью, чтобы взвешенные частицы заданных размеров выпадали гравитационно из потока воздуха соответственно своим максим. скоростям витания и осаждались на ограниченном участке пути в соответствии с величиной своей массы.

Ю. Скорецкий

9И369. Усовершенствование аппаратуры для измерения концентрации компонентов в газовой смеси. Cummings William George, Redfearn Marion Winifred. Improvements in or relating to apparatus for measuring the concentration of a component of a gaseous mixture. [Central Electricity Generating Board]. Англ. пат. 837477, 15.06.60.—Для измерения концентрации SO_2 (I) в воздухе применяется абсорбционная аппаратура (А), при прохождении через которую I взаимодействует с реагентом. В качестве последнего используется или H_2O_2 , причем содержание образовавшейся H_2SO_4 определяется кондуктометрически, или же йодкрахмальный р-р, изменение окраски которого определяется с помощью фотоэлемента. Предложена А новой конструкции. А применяется в кондуктометрич. приборах, причем в последнем случае А заключаются в термостат. Произ-во новой А значительно проще, чем ранее применявшейся.

М. Бабина

См. также: Токсичность Hg в промышленных условиях. Обзор 9С1590; аллиламинов 9С1607; пестицидов 9И1509; силиконо-полиэтрафторэтиленового покрытия 9И260; ароматического в-ва «кумарина» 9С1606. Отравление инсектицидами 9С1598; тетрахлорметаном 9С1599; этилмаленимидом 9С1602; биохимия отравления метиловым спиртом 9С1595. Профессиональные заболевания в Калифорнии, вызванные пестицидами и удобрениями 9И1510. Исследование способностей ацетилглюкомина ослаблять действие ядов 9С1611. Работа с радиоактивными в-вами и их хранение 9К24. Удаление радиоактивных отходов. Оценка радиоактивности и опасности 9И292. Безопасное удаление радиоактивных отходов 9И291. Термическая обработка орлона для придания огнестойкости 9И570

Рефер

ХИ

9К1.

урановых
R. S. Imp
fication
1960, 8,
странени
ства (ко
ние при
U-содери
составом
или мин
менение
диоакти
исследо
ки. Библ

9К2.

ия, пат. М
Ma ju m
granite f
Fuels», 1
(в %):
мокрому
ной мел
ми по 50
с добавк
и т.
при фло
нефтяны
к-ты (84
0,01% U
го являе
9К3.

нитрата
дов прои
H, Sho
nium or
uranyl
Chem. E
(англ.).
UO₂(NO₃)
пеступа
Конго и
U из пр
работан
60%-ной

РЕФЕРАТИВНЫЙ ЖУРНАЛ ХИМИЯ

V

Рефераты 9K1—9K425

№ 9

10 мая 1961 г.

К. ТЕХНОЛОГИЯ НЕОРГАНИЧЕСКИХ ВЕЩЕСТВ

ХИМИКО-ТЕХНОЛОГИЧЕСКИЕ ВОПРОСЫ ЯДЕРНОЙ ТЕХНИКИ

Редактор В. Д. Мареев

9K1. Использование петрографии при обогащении урановых руд. Rao G. V. U., Rao Y. V. N., Parpu R. S. Importance of microscopic petrography in the beneficiation of uraniferous ore. «J. Mines, Metals and Fuels», 1960, 8, № 7, 137—141 (англ.).—Рассмотрено распространение U-содержащих минералов в Индии, их свойства (коэф. отражения, твердость) состав и поведение при обработке. Приведена связь между структурой U-содержащих минералов, текстурой и минералогич. составом. Рассмотрены способы выделения и обогащения минералов и влияние пустой породы. Описано применение толстослойных эмульсий для определения радиоактивности руды и пустой породы и минералогич. исследования материала на каждой стадии переработки. Библ. 12 назв. А. Армения

9K2. Флотация ураносодержащего гранита из Салема, шт. Мадрас (Индия). Raghaveshwara Rao B. V., Majumdar K. K. Studies in flotation of uraniferous granite from Salem, Madras State. «J. Mines, Metals and Fuels», 1960, 8, № 7, 57—58, 62 (англ.).—Гранит состава (в %): SiO₂ 67,22, CaO 1,76 и U₃O₈ 0,067 подвергали мокрому помолу до размера частиц —10 меш в шаровой мельнице; 33%-ную пульпу флотировали порциями по 500 г в лабор. ячейке емк. 3,2 л при pH 7,3—8,3 с добавками олеиновой к-ты, нефтяных сульфокислот, смеси олеиновой и линолевой к-т, ацетата додециламина и т. п. Максимум извлечения U₃O₈ (87%) получено при флотации в присутствии смеси олеиновой к-ты и нефтяных сульфокислот, а также одной олеиновой к-ты (84% U₃O₈) при pH 8,3. Из хвостов, содержащих 0,01% U₃O₈, извлекается до 60% урана (при 90% общего извлечения U из руды). Библ. 5 назв. А. Армения

9K3. Приготовление растворов очищенного уранилнитрата переработкой уранового концентрата и отходов производства урана на з-де в Спрингфилде. Page H., Shortis L. P., Dukes J. A. The processing of uranium ore concentrates and recycle residues to purified uranyl nitrate solution at Springfield. «Trans. Inst. Chem. Engrs» 1960, 38, № 4, 184—196. Discuss., 208—215 (англ.).—Описана установка для получения чистого UO₂(NO₃)₂ из концентратов, содержащих U 46—85%, поступающих из Южной Африки, Канады, Австралии, Конго и т. д., и отходов производства U (MgF₂ с 2,4% U из процесса восстановления UF₆). Концентраты обрабатывают при 95° HNO₃, составленной из свежей 60%-ной к-ты, регенерированной 48%-ной разб. к-ты и

промывных вод, затем р-р охлаждают до 30° и дважды фильтруют на барабанных вакуум-фильтрах через слой инфузорной земли (толщина 60—10 мм). U-содержащие отходы травят HNO₃, сушат и измельчают, затем растворяют в HNO₃ и р-р фильтруют на вакуум-фильтрах с полотном из терилена. Очистку UO₂(NO₃)₂ производят многократной экстракцией 20%-ным р-ром трибутилфосфата в керосине (без запаха). Очищ. UO₂(NO₃)₂, содержащий U ~100 г/л, перемишляют и хранят в 17 танках. Установка непрерывно перерабатывает урановый концентрат и позволяет вести централизованный контроль произ-ва. Описаны научно-исследовательские работы, выполненные на установке. Библ. 5 назв. А. Армения

9K4. Концентрирование урана из разбавленных растворов. I. Адсорбция урана осадком гидроокиси железа. II. Адсорбция урана осадком гидроокиси алюминия. Кадзитаия К. «Нароя корё гидзюцу сикэнсё хококу, Repts Govt Industr. Res. Inst., Nagoya», 1960, 9, № 7, 338—340; № 8, 337—339 (японск.; реф. англ.).—При адсорбции U из естественных вод и водн. р-ров, полученных при обработке глинистых руд, на осадке Fe(OH)₃ при начальных конц-ях U [в виде UO₂(NO₃)₂] 2,5 мг/л и Fe [в виде Fe₂(SO₄)₃] 200 мг/л и при pH 6—7, остаточная конц-я U в р-ре не превышает 10⁻² мг/л. Из р-ра с pH 5,5—7 и конц-ей U 2,5—10 мг/л и Al 60—200 мг/л при осаждении Al(OH)₃ вместе с осадком выделяется 90% U. При понижении конц-и U до 5·10⁻² мг/л в р-ре оставалось до 20% U.

Из резюме автора
9K5. Исследование экстракции урана из растворов, полученных при сернокислотном выщелачивании урановых руд. Dobrowolski Juliusz. Badania nad ekstrakcją uranu z roztworów potrawionych rud uranowych. «Nukleonika», 1960, 5, № 9, 583—584 (польск.).—Исследованы экстракционные свойства р-ров вторичных и третичных аминов по отношению к урану. Из р-ра U в H₂SO₄, содержащего ≤ 350 мг/л V⁵⁺, экстрагировали уран 0,1 M р-ром *n*-додецилтриалкилметил-амин в уайт-спирите. Установлено, что V⁵⁺ и U⁶⁺ при воздействии света вызывают частичное окисление аминов, благодаря чему снижается экстракционная способность последних. В. Левансон

9K6. Получение четырехфтористого урана в псевдооживленном слое на з-де в Спрингфилде. Hawthorn E., Shortis L. P., Lloyd J. E. The fluidized solids dryway process for the production of uranium tetrafluoride at Springfield. «Trans. Instn Chem. Engrs», 1960, 38, № 4, 197—207. Discuss., 208—215 (англ.).—Исследована возможность одностадийной прямой термич.

D₂O, на второй — 12%. D₂O. Т-ра холодных колонн 32°, горячих 130°, диам. колонн первой ступени 3,8 м, второй ступени 1,1 м, высота 50 м. Давление в системе 3 атм. Время приближения к равновесию 12 дней. Степень излучения дейтерия 17%. Дальнейшее концентрирование до 50% D₂O осуществляют также методом двухтемпературного обмена H₂O — H₂S и конечное концентрирование до 99,7% D₂O методом вакуумной ректификации. Приведена экономика строительства и технологич. процесса.

9K16. Способы получения тяжелой воды во Франции и ее использование. Paulsen F. R. Heavy water French research and processing. «Nucl. Energy», 1960, Oct., 471—473 (англ.).—Рассмотрено применение тяжелой воды в качестве замедлителя в ядерных реакторах и как топлива в будущих термоядерных реакторах. Особое внимание уделено явлениям радиолиза воды в реакторах под действием потока нейтронов и γ -лучей. Для произ-ва тяжелой воды разработан метод двухтемпературного изотопного обмена между H₂O и H₂S. Отмечено, что в будущем большое значение будет иметь более выгодный с термодинамич. точки зрения метод двухтемпературного изотопного обмена с использованием NH₃ вместо H₂S.

9K17. Производство тяжелой воды на ползаводской установке в Тулузе. Akar Philippe. La production de l'eau lourde dans l'usine pilote de Toulouse. «Nature» (France), 1960, № 3301, 196—199 (франц.).—Установка для получения D₂O ректификацией жидкого водорода сооружена на базе произ-ва синтетич. NH₃. Получение основано на том, что H₂ сжигается при —252,8°, а HD при —251,1°. Из газа для синтеза NH₃ выделяют водород сжижением, освобождают от примесей (кроме He), кипящих при т-рах выше —250°, и обогащают в ректификационных колонках I и II ступени соответственно до 1 и ~100% HD. Водород, обедненный D₂, направляют на синтез NH₃, а HD каталитически расщепляют с образованием смеси H₂, D₂ и HD. Сконцентрировав на две колонны 99,9%-ный D₂ окисляют до D₂O. Площадь установки 30 × 25 м, высота 10 м. Приведена схема технологич. процесса.

9K18. Ползаводская установка для получения тяжелой воды дистилляцией [водорода]. Stouls L. L'usine-pilote de Distillation. «Bull. inform. scient. et techn. Commissar. énergie atom.», 1960, № 40, 4—10 (франц.).—Описана конструкция установки в Тулузе для получения D₂O дистилляцией жидкого водорода. Производительность установки ~2 т/год, потребление газа для синтеза NH₃ ~4000 м³/час. Приведена аппаратура, материалы, контроль произ-ва, техника безопасности и подробная схема произ-ва D₂O и очистки водорода.

9K19. Производство тяжелой воды. Favre Jean. Production d'eau lourde. «Energie nucl.», 1960, 2, № 2, 106 (франц.).—Описана ползаводская установка в Тулузе.

9K20. Низкотемпературная установка для получения тяжелой воды. Hanny Jost. Eine Tieftemperaturanlage zur Gewinnung von schwerem Wasser. «Kälte», 1960, 13, № 10, 541—546 (нем.).—См. РЖХим, 1960, № 24, 97044.

9K21. Бинарная смесь H₂/HD. Karwat H. U. Das binäre Gemisch H₂/HD. «Chem.-Ingr.-Techn.», 1960, 32, № 9, 605—610 (нем.; рез. англ., франц.).—Рассмотрены методы определения летучести бинарных смесей. Описана конструкция криостата для работы в области т-р жидкого водорода; приведены схема дозировки проб газа и методика проведения опытов по определению давления паров H₂/HD. Анализ изотопного состава газовой и жидкой фаз производили по теплопроводности, методом газовой адсорбционной хроматографии и на масс-спектрометре. Рассчитаны значения коэф. активности в интервале конц-ий HD 0,082—61%. Библ. 16 назв.

К. Сакодынский

9K22. Неметаллические материалы для строительства реакторов. Reinhardt F. Nichtmetallische Werkstoffe für den Bau von Reaktoren. «Glas — Email — Keramik — Techn.», 1960, 11, № 9, 319—324 (нем.; рез. англ., франц.).—Обзор. Произ-во графита для замедлителей и топливных элементов ядерных реакторов. Материалы для защиты от радиоактивных излучений (барит, магнезит, соединения бора и т. п.). Л. Херсонская

9K23. Исследование процесса экстракции редкоземельных элементов органическими растворителями. I. Экстракция трибутилфосфатом. Ниси Томото, Фудзивара Итиро, Фудзи Ясудзи. «Kôto дайгаку когаку кэнкюсё ихо», Bull. Engng Res. Inst. Kyoto Univ., 1959, 16, 39—40 (японск.).—Изучен процесс извлечения соединений (ред.-зем. элементов Y(NO₃)₃ и La(NO₃)₃) методом бумажной хроматографии из азотнокислых р-ров (в присутствии нитратов NH₄, K или Na) при помощи р-ра трибутилфосфата в керосине, насыщ. HNO₃.

М. Гусев

9K24. Работа с радиоактивными веществами и их хранение. Savouyaud J. Manipulation et manutention des substances radioactives. «Bull. inform. scient. et techn. Commissar. énergie atom.», 1960, № 43, 24—31 (франц.).—Обзор. Контейнеры для хранения радиоактивных в-в. Конструкции камер для работы с радиоактивными в-вами, конструкционные и защитные материалы и средства, дистанционные манипуляторы. Камеры для облучения материалов и животных. Контейнеры для транспортировки радиоактивных жидкостей (~500 000 кюри).

А. Армения

9K25. Гамма-лучи, излучаемые тяжелой водой. Blanc A., Julliot C., Lansiart A. Rayonnements gamma émis par l'eau lourde. «Bull. inform. scient. et techn. Commissar. énergie atom.», 1960, № 40, 61—73 (франц.).—Тяжелая вода, используемая в ядерных реакторах, становится активной при облучении нейтронами самой воды и содержащихся в ней загрязнений. Измерена активность тяжелой воды из 2 реакторов EL-2 (работающего уже несколько лет) и EL-3 (исходная тяжелая вода во время пуска этого реактора была особенно чиста). Измерения проводили γ -спектрографом. Приведены данные по радиоактивности примесей, находящихся в тяжелой воде действующего реактора, данные по нормальной активности и активности ненормальной, вызванной присутствием в тяжелой воде продуктов распада вследствие повреждения оболочки топливного элемента, а также эксперим. и теоретич. данные о присутствии в тяжелой воде реактора EL-3 рт.

В. Толстогузов

9K26. Абразивная очистка трубчатого теплообменника. Battistella R. F., Powell J. L., Yeakey R. A., Bernstein S. Abrasive cleaning of shell and tube heat exchangers. «Industr. and Engng Chem.», 1960, 52, № 12, A58—A61 (англ.).—Мягкую напиль с внутренней поверхности медного трубчатого теплообменника, применяющегося при диффузионном разделении изотопов U, очищают многократной циркуляцией 20%-ной суспензии песка с размером частиц 40—160 меш в воде при скорости движения потока > 3 м/сек.

А. Армения

9K27. Обогащение урановых руд. Bachelet Maurice-Pierre, Cheylan Etienne. Traitement des minerais d'uranium. [Etat Français représenté par le Ministre de la Défense Nationale (Direction du Service des Poudres), Maurice — Pierre Bachelet]. Франц. пат. 73001, 22.09.60.—Урановую руду обрабатывают NaHCO₃ и осаждают U, нейтрализуя р-р серной, соляной или азотной к-той до pH 3, энергично промывая массу при этом воздухом, и доводят pH до 10 прибавлением Na₂CO₃. Из бедных руд U осаждают Na₂CO₃, полученной электролитически в самом р-ре при напряжении электролиза ~5—6 в. Из очень бедных руд U извлекают, про-

пускают р-р, содержащий $U \sim 0,01$ г/л, через ионообменную смолу и выливают из последней U 0,1 н. HNO_3 .

9K28. Разложение щелочью руд, содержащих уран и торий. Токуно Сюку, Кацумата Сигэру, Токумото Акигоси. [Асахи дэнка котэ кабусики кайся]. Японск. пат. 1103, 25.02.60.—Измельченную U - или Th -руду обрабатывают р-ром щелочи при нагревании и атмосферном давлении. Испаряющуюся в процессе воду конденсируют и частично возвращают в процесс, обработку производят до получения в реакционной массе соотношения $JK:T \leq 1$. Пример. 1 кг порошка монацита с размером частиц < 300 меш обрабатывают при $140^\circ (\pm 5^\circ)$ и атмосферном давлении 2,2 л 47%-ного р-ра $NaOH$; при этом испаряется за 90 мин. $\sim 70\%$ воды, содержащейся первоначально в массе. Далее выделяющиеся пары воды конденсируют и возвращают воду обратно в реактор. Через 3 часа после начала процесса получают продукт, имеющий отношение $JK:T = 0,5$ с коэф. разложения руды 98,4%. В. З.

9K29. Ионообменное извлечение [урана из пыли]. North Alan Arthur, Beaumont John Henry, Wells Ronald Arthur. Improvements in or relating to ion-exchange processes. [United Kingdom Atomic Energy Authority]. Англ. пат. 836155, 1.06.60.—При ионообменном извлечении металлов, напр. урана, по тиглу «смола в пульсе» смолу применяют в виде листов, расположенных вертикально в монообменной ячейке. Твердые частицы пыли поддерживают во взвешенном состоянии путем аэрации током воздуха. Пыль подает и отбирают из ячейки непрерывно. Частицы ионообменной смолы формируют в листы с помощью термопластичной смолы, напр. полиэтилена. При извлечении U из руд используют серию монообменных ячеек с листовой смолой.

9K30. Очистка отходов урана. Flint Oliver. Improvements in or relating to the cleaning of uranium waste. [United Kingdom Atomic Energy Authority]. Англ. пат. 836570, 9.06.60.—Мелкие урановые опилки, стружки и другие отходы металлообработки прессуют на холоду при давл. ~ 28 кг/см²; компактные заготовки измельчают и обрабатывают при т-ре кипения воды. р-ром дихлороборовой к-ты (щавелевой, малоновой, янтарной или яблочной) и ее солей с Fe^{3+} . К р-ру добавляют поверхностноактивный агент, предельно неомного характера, и эмульгатор. Перед обработкой урана его обезжиривают. Пример. Урановые стружки прессуют при давл. ~ 28 кг/см², заготовки измельчают и в корзинах из нержавеющей стали погружают на период 30 сек.—2 мин. в нагретый до $90-100^\circ$ р-р, содержащий 1 вес.% $H_2C_2O_4$, 5 вес.% $Fe_2(C_2O_4)_3$ и по 0,1 вес.% поверхностноактивного в-ва и эмульгатора. Корзины с U , очищенным от поверхностных пленок, затем быстро переносят в холодную воду и металл сушат в центрифуге.

9K31. Выделение тория и редких земель из металлургических шламов. Flynn James P. Recovery of thorium and rare earths from metallurgical sludges. [The Dow Chemical Co.]. Пат. США 2932555, 12.04.60.—Для выделения Th и редких земель из шламов, образующихся при получении Mg -сплавов, легированных этими элементами и содержащих MgF_2 , выщелачивают шламы водой для удаления растворимых солей, полученную пульпу фильтруют и твердый продукт прокаливают при $600-800^\circ$, затем добавляют к нему MgF_2 и окислы легированного элемента (последние берут в некотором избытке от стехиометрич. кол-ва по р-ции перевода окислов во фториды). Эту смесь выщелачивают разб. минер. к-той (HNO_3 , HCl или HBr) при повышенной т-ре, далее осадок отделяют от жидкости и промывают его водой, сушат при т-ре $> 100^\circ$ ($200-250^\circ$), прокаливают, обрабатывают избытком HF (к-та) для перевода оставшихся окислов во фториды, и из образовавшегося р-ра осаждают чистые фториды редких зе-

мель или Th . В кислый р-р, полученный после выщелачивания минер. к-той смесью окислов и фторидов, добавляют оксалат, выделяют осадок оксалатов, промывают последний и затем возвращают полученный оксалат в цикл. Приведены примеры. В. Матвеев

9K32. Изготовление топливных элементов из стекла для ядерных реакторов.—Produits vitreux et leur application aux réacteurs nucléaires. [Soc. An. des Manufactures des Glaces et Produits Chimiques de Saint-Gobain, Chauny & Cirey]. Франц. пат. 1220066, 23.05.60.—Топливные элементы изготавливают в виде шариков диам. $0,04-0,4$ мм ($0,06-0,1$ мм) из стекла или стеклокерамики, полученной низкотемпературной кристаллизацией стекла в присутствии Pt , Au или Ag . Оптимальный состав шариков в (%): SiO_2 30, TiO_2 7, ZrO_2 7, CaO 12, ZnO 8,5, MgO 3, BeO 2,5, UO_2 30. Поверхность шариков покрывают защитным слоем нерастворимого силиката, выдерживая их $100-150$ час. при 100° в р-ре $MgCl_2$ с конц-ией 100 г/л. Гидролиз стекла уменьшают добавлением в воду реактора ~ 170 мг/л геля SiO_2 и ~ 50 мг/л гидроокиси или слабо гидролизуемой соли Mg или Be .

9K33. Конструкция активной зоны реактора. Mahlmeister James E., Peck William S., Haber William V., Williams Ardell C. Nuclear reactor core design. [United States Atomic Energy Commission]. Пат. США 2929768, 22.03.60.—Активная зона реактора с графитовым замедлителем и теплоносителем — металлом. На представляет собой набор вертикально расположенных графитовых блоков шестиугольного сечения. Каждый блок заключен в металлическую оболочку (неражавеющая сталь, никонель, Ti или Zr), устойчивую в среде жидкого Na и имеющую относительно низкое сечение поглощения тепловых нейтронов. На каждой из сторон графитового блока (или в его углах) и соответственно в металлах оболочке выполнены продольные вырезы. Вырезы на сторонах двух соприкасающихся блоков (или вырезы в углах трех соприкасающихся этими углами блоков) образуют рабочие каналы, в которых расположены трубки для топливных элементов. Топливные элементы представляют собой наборы стержней из U , обогащенного U^{235} . Блоки-замедлители в нижней своей части снабжены металлическими пластинами, образующими основание рабочих каналов. В верхней части каждый блок заканчивается головкой в форме гексагональной пирамиды. Головки имеют вырезы, совпадающие с вырезами на сторонах (углах) блоков. Головка снабжена адсорбером для газов — гранулированным Zr . Приведена конструкция топливных элементов и графитовых блоков. И. Магидов

9K34. Конвекционный реактор. Hammond R. Philip, King L. D. Percival. Convection reactor. [United States of America as represented by the United States Atomic Energy Commission]. Пат. США 2929767, 22.03.60.—Гомогенный ядерный реактор представляет собой герметичный котел, разделенный на нижнюю, среднюю и верхнюю секции. Верхняя секция закрыта съемной коллекторной плитой. В средней секции смонтирован теплообменник. В качестве ядерного топлива используют жидкость, заполняющую при рабочих т-ре и давлении нижнюю и среднюю секции и перекрывающую теплообменник. Между зеркалом поверхности топлива и коллекторной плитой расположена область насыщ. паров. Концентрация делителя изотопа в р-ре при заполнении им нижней и средней секций должна обеспечивать создание критич. условий. В качестве рабочего р-ра используют $0,3$ М UO_2 в $17,5$ М H_3PO_4 . Рабочая т-ра $\sim 430^\circ$, давл. < 98 кг/см². Вязкость жидкого топлива достаточно низка для создания внутри реактора при рабочей т-ре конвекционных токов. Конвекционные токи направляются спец. устройством, смонтированным в нижней и средней секциях. Используемое топливо химически и радиолитически устойчи-

по при рабочей т-ре. Реактор имеет выносной резервуар, связанный топливной магистралью с нижней секцией котла. Резервуар снабжен предохранительным клапаном и устройством, поддерживающим в резервуаре давление, равное рабочему давлению в котле. Соответствующие изменения давления в котле приводят к изменениям в нем уровня жидкого топлива. Приведена схема коммуникации и питания реактора.

И. Магидсон

9K35. Выделение урана из облученного ядерного горючего. *Malý Jaromír, Berganová Hana, Veselý Václav, Seidl Karel. Spůsob extrakce uranu z ozařeného jaderného paliva.* Чехосл. пат. 92614, 15.11.59.—Из отработанного ядерного горючего U выделяют экстракцией метилциклогексаном в нейтр. или кислой среде (слабокислой) в присутствии высаливающих агентов, напр. нитратов щел. или щел.-зем. металлов или $Al(NO_3)_3$. Пример. 0,5 M p-р облученного U в 1 M HNO_3 нейтрализуют NaOH и добавляют $NaNO_3$ для получения конц-ии ионов NO_3^- в p-ре 6 M. Затем p-р перемешивают 10 мин. с равным объемом метилциклогексанона; разделяют водн. и органич. фазы и из органич. фазы U экстрагируют 0,1 M HNO_3 . Получен коэф. очистки от β и γ -активных продуктов расщепления при 3-ступенчатой экстракции, равный 7-10³.

В. Елинек

9K36. Фторидный способ удаления [продуктов деления] из урана.—A fluoride volatility process for the recovery of uranium. [United Kingdom Atomic Energy Authority]. Англ. пат. 840311, 6.07.60.—Отработанные урановые блоки растворяют в жидком галогенфториде (ClF_3 , BrF_3 , BrF_5 , $BrF_3 + Br$, BrF_5 или IF_5). Затем жидкую фазу, отделенную от нерастворимого остатка, разделяют фракционной дистилляцией. Фракцию, обогащенную UF_6 , отделивают. K BrF_5 добавляют SbF_5 , NbF_5 и SnF_4 . Пример. Кусок (209 г) уранового блока (облученный в ядерном реакторе 84 дня и затем выдержанный 70 дней) обрабатывают BrF_3 (806 г) при 135° в жидкостном реакционном сосуде, который предварительно запаян. Через реактор пропускают (барботированием через реакционную смесь) в течение 4 час. F_2 (66 г). Полученную смесь разделяют в 1-й колонке; фракции, содержащие UF_6 и BrF_5 , собирают. В эту фракцию вводят дополнительное кол-во BrF_5 , и полученную смесь разделяют в 2-й колонке. После проведения двух ступеней разделения получен коэф. очистки 10⁵ по γ - и 10⁴ по β -активности. П. Новиков

9K37. Удаление продуктов деления из органических растворов. *Moore Raymond H. Fission product removal from organic solutions.* [United States of America as represented by the United States Atomic Energy Commission]. Пат. США 2936318, 10.05.60.—В p-р трибутилфосфата (ТБФ), содержащий продукты деления, добавляют MnO_2 (1,2—4 г/л ТБФ), полученную прокаливанием на воздухе при 300—400° $MnCO_3$, одновременно подщелачивают p-р ТБФ добавлением 3—10% Na_2CO_3 или твердого CaO (до конц-ии 3,6—6 г/л ТБФ) при нагревании до 50—70°. Адсорбированные на MnO_2 продукты деления удаляют фильтрацией. А. Армениян

9K38. Использование восстановления плутония для отделения плутония от урана.—Procédé de réduction du plutonium et son application à la séparation du plutonium de l'uranium. [Commissariat à l'Energie Atomique]. Франц. пат. 1220081, 23.05.60.— Pu^{4+} из органич. p-ров (в трибутилфосфате), содержащих, напр., $UO_2(NO_3)_2$ 120—130 г/л и $Pu(NO_3)_4$ в кол-ве от нескольких мг до нескольких г на 1 л p-ра, восстанавливают до Pu^{3+} водн. p-ром аскорбиновой к-ты в присутствии свободной HNO_3 (6—12 г/л) при соотношении между водной и органич. фазами 1:5. На 1 моль Pu берут 10 моль аскорбиновой к-ты; при этом в водн. фазу переходит 93—94,5% исходного Pu . Восстановление аскорбиновой к-той не менее эффективно, чем восстановле-

ние смесью гидразина с Fe-сульфатом и лишено недостатков последнего.

А. Армениян

9K39. Приготовление галогенидов и оксигалогенидов плутония. *Davidson Norman R., Katz Joseph J. Method for the preparation of plutonium halides and oxyhalides.* [United States of America as represented by the United States Atomic Energy Commission]. Пат. США 2926068, 23.02.60.—Смесь PuX_3 и $PuOX$ (где: $X = F, Cl, Br$) получают взаимодействием PuO_2 при 300—1000° с HX в присутствии восстановителя (H_2 , NH_4J или NH_4Br). Для получения только PuX_3 образующуюся по р-ции воду удаляют. Пример. Безвод. $PuCl_3$ помещают в кварцевую реакционную трубку, которую после откачивания наполняют водяным паром при давлении, равном давлению насыщенного пара при 0°. Гидратация $PuCl_3$ протекает в течение ночи. Затем реакционную трубку погружают в жидкий азот, откачивают и нагревают за 4 часа до 400°, а затем за 0,5 часа до 520°. После этого реакционную трубку вновь помещают в жидкий азот для конденсации и удаления HCl и H_2O и получают продукт, содержащий 65% $PuOCl$ и 35% PuO_2 . Эту смесь полностью переводят в $PuOCl$ при введении в реакционную трубку HCl (давл. 55 мм рт. ст.) и H_2 (95 мм рт. ст.) и нагревании ее в течение 3 час. при 675°.

П. Новиков

9K40. Отделение стронция от других продуктов деления. *Glueckauf Eugen. Improvements in or relating to method of separating strontium from other fission products.* [United Kingdom Atomic Energy Authority]. Англ. пат. 844376, 10.06.60.—K водн. p-ру, содержащему Al и продукты деления, добавляют конц. HNO_3 до получения конц-ии к-ты в p-ре ≥ 18 M и осаждают практически весь Sr в виде $Sr(NO_3)_2$, а для предотвращения осаждения $Al(NO_3)_3$ т-пу p-ра повышают до 50°. Выделившийся осадок $Sr(NO_3)_2$ отделивают от p-ра. Пример. K 11 M p-ру по HNO_3 , содержащему нитраты металлов (в г/л): Rb 0,015, Cs 0,16, Sr 0,040, Ba 0,42, редких земель (Y, La, Ce, Pr и Nd) 0,20, Zr 0,12, Ru 0,046, U 5,0, Al 1,7, Pb 0,06, Fe 1,6, Ni 0,30 и Cr 0,20, а также меченый Sr, прибавляют при 50° удвоенный объем 23 M HNO_3 ; полученный 19 M p-р по HNO_3 выдерживают при 50° 12 час., затем отфильтровывают выделившийся осадок, содержащий 97% исходного Sr.

П. Новиков

9K41. Хлорирование цирконийсодержащих материалов. *Forman Herbert B. Process for the chlorination of zirconium-bearing materials.* [Metal & Thermite Corp.]. Пат. США 2914379, 24.11.59.—Цирконийный песок или Na_2ZrSiO_4 , полученный сплавлением циркония с Na_2CO_3 в дуговой печи или угольной печи сопротивления при 1200°, хлорируют 3—5 час. в кварцевой или фарфоровой лодке газообразной смесью Cl_2 с S_2Cl_2 , SCl_2 или с элементарной серой. Эту смесь получают пропусканием Cl_2 через расплавленную серу. Возможно производить хлорирование парами S_2Cl_2 или SCl_2 , полученными пропусканием азота через жидкие S_2Cl_2 или SCl_2 , а также чистым Cl_2 ; Na_2ZrSiO_4 перед хлорированием обрабатывают разб. H_2SO_4 для удаления Na_2O и образования $ZrSiO_4$. Хлорирование циркония производят при 1000—1200°, Na_2ZrSiO_4 — при 700—900°, $ZrSiO_4$ — при 600—900°. $ZrCl_4$ улавливают из отходящих газов в двух конденсаторах при т-ре 150—200° и в низкотемпературном конденсаторе со смесью сухого льда с ацетоном. В качестве побочного продукта получают $SiCl_4$. Приведены схема аппарата и примеры. А. Армениян

9K42. Получение хлоридов циркония. *Girardot Peter R. Process for preparing zirconium chlorides.* [Columbia-Southern Chemical Corp.]. Пат. США 2931705, 5.04.60.—Для проведения р-ции хлорирования циркониевой руды при более низкой т-ре, чем обычно, смесь тонкоизмельченной (3—300 меш) циркониевой руды, содержащей SiO_2 , напр. циркониевого песка, и элементарного углерода, содержащую 0,1—10% (0,2—5%) оксидов бора, напр. B_2O_3 , хлорируют в вертикальном

реакторе при 600—900° хлором или другим хлорирующим агентом, напр. CCl_4 . Образующийся газообразный ZrCl_4 конденсируют и выделяют в твердом виде.

В. Левинсон

9K43. Получение формованных блоков из бора. Best Peter, Thorpe Tom. Production of shaped boron bodies. [United Kingdom Atomic Energy Authority]. Англ. пат. 846292, 31.08.60.—Смесь порошков В и Cr, Mn, Fe, Co, Ni или Cu (5—20 вес.%) прессуют при $t_{\text{ре}} \geq 1500^\circ$ и давл. 156 кг/см^2 . Пример. Порошок аморфного бора (размер частиц 5 μ) тщательно перемешивают с порошком Ni (10 вес.%), помещают в графитовую форму, покрытую слоем нитрида В, под давлением 156 кг/см^2 нагревают за 20—30 мин. до 1900° и выдерживают при этой $t_{\text{ре}}$ 10 мин. Затем давление снимают, форму медленно охлаждают в течение 2,5—3 час. и из нее навлекают блок. Плотность бора в блоке, используемом в ядерном реакторе, равна 100% от теоретической.

П. Новиков

9K44. Определение содержания дейтерия в водороде.—Perfectionnements apportés aux moyens de dosage du deutérium dans les composés hydrogènes. [Commissariat à l'Energie Atomique]. Франц. пат. 1211625, 17.03.60.—Для определения дейтерия в водороде применяют спец. 80°-масс-спектрометр, предназначенный только для измерения массы 2 (ион H_2^+) и массы 3 (ион HD^+). Приведена схема прибора и вакуумной системы. Предлагаемый метод дает возможность определять содержание дейтерия быстро при точности 0,2 ч. на 1 млн. ч. водорода при содержании дейтерия несколько сот частей на 1 млн. (или точность $\sim 0,1\%$ при более высоких конц-ях дейтерия).

К. Сакодынский

9K45. Защита емкостей для хранения радиоактивных отходов.—Procédé de protection des piles-piscines et des réservoirs à déchets radioactifs. [Marcel Boutin, Charles Duivier]. Франц. пат. 1228856, 2.09.60.—Бетонные, каменные и металлические, стены и крышки резервуаров с радиоактивными отходами вместо железных листов покрывают снаружи и изнутри приваренными друг к другу полиэтиленовыми листами, приклеивая их горячей смолкой или прибавляя гвоздями и покрывая шляпки гвоздей слоем полиэтилена. Листовой полиэтилен также помещают между слоями бетонной защиты. Приведена схема соединений и креплений защитной футеровки.

А. Армения

См. также: Выделение P^{32} 9B294. Разделение изотопов В 9B304—9B306. Определение урановой смолки в рудах 9Г29. Экстракционное отделение Th от редкоземельных элементов 9Д48. Экстракция U и Pu 9Д49. Отделение U от редкоземельных элементов 9Д57

ЭЛЕМЕНТЫ. ОКСИДЫ.

МИНЕРАЛЬНЫЕ КИСЛОТЫ, ОСНОВАНИЯ, СОЛИ. ПОЛУЧЕНИЕ И РАЗДЕЛЕНИЕ ГАЗОВ

Серная кислота, сера и ее соединения

Редактор М. Л. Карапетянц

9K46. Новый способ получения элементарной серы из польских руд. Ciborowski Janusz, Młodziński Bolesław. Nowa metoda produkcji siarki elementarnej z rudy krajowej. [Przem. chem.], 1960, 39, № 10, 608—613 (польск.; рез. русск., англ.).—Рассмотрены термодинамич. условия нового способа получения S из руд, заключающегося в том, что одновременно часть S сгорает в псевдооживленном слое, а остальная отгоняется. Процесс следует проводить при возможно более низкой $t_{\text{ре}}$. Из бедной руды (напр., содержащей 20% S) отгонкой можно получить 45—75% S, остальная S сгорает в SO_2 . Более богатая руда дает более высо-

кий выход S. При использовании SO_2 для промывки H_2SO_4 способ вполне экономичен. Из резюме авторов

9K47. Обжиг колчедана в псевдооживленном слое в Венгерской народной республике. Wittmann Gyula. A fluidizációs piritörkolés hazai megvalósítása és tapasztalatai. «Magyar kém. lapja», 1960, 15, № 8 370—376 (венг.).—Описание пуска двух печей для обжига обогащенного пирита производительностью 25—30 т/сутки . Материал из бункера подают в печь через весы и тарельчатый питатель. Опорной перегородкой служит слой огнеупорного бетона со встроенными в него «грибами» для пропуска воздуха. Пуск печи осуществляют с помощью горелок, работающих на соляровом масле. Горячие газы из печи последовательно проходят охлаждающую трубу, циклон и электрофильтр. Нагрузка печи зависит от скорости воздуха и от величины охлаждающей поверхности змеевика, расположенного в псевдооживленном слое. При работе с более влажным сырьем ($W = 8—10\%$) необходимо применять питатель с регулируемым числом оборотов. Оптимальная нагрузка опорной перегородки 13—16 $\text{т/м}^2 \cdot \text{день}$.

Р. Ковач

9K48. Использование в паровых котлах отходящего тепла печей для обжига пиритов. Сигаки М. «Юсан, J. Sulfuric Acid Assoc. Japan», 1960, 13, № 10, 279—283 (японск.)

9K49. О применении восстановителей для регенерации отработанной серной кислоты. Витухновская М. С., Белянская Е. А. «Ж. прикл. химии», 1960, 33, № 11, 2427—2434.—Скорость р-ции восстановления SO_2 мала по сравнению со скоростью его термич. расщепления, если восстановитель для SO_2 подается в газовой фазе (CO). SO_2 , который в этом случае обнаруживается в выходных газах, является главным образом продуктом термич. расщепления по р-ции $2\text{SO}_3 = 2\text{SO}_2 + \text{O}_2$. В соответствии с этим значительные кол-ва SO_2 обнаруживаются лишь при 700—800°, когда равновесие этого процесса сдвинуто в сторону образования SO_2 . Р-ции восстановления SO_2 идут гораздо быстрее, и уже при 500° достигается высокая степень восстановления SO_2 в SO_3 (86%) при восстановлении твердым С. При этом основное кол-во SO_2 взаимодействует по р-ции $2\text{SO}_3 + \text{C} = 2\text{SO}_2 + \text{CO}_2$. Кривые зависимости переработки SO_2 от $t_{\text{ры}}$ показывают, что роль р-ции $2\text{SO}_3 + \text{C} = 2\text{SO}_2 + \text{CO}_2$ с увеличением $t_{\text{ры}}$ растет до определенного предела. Роль р-ции термич. разложения увеличивается с ростом $t_{\text{ры}}$ (особенно резко выше 600°). SO_2 успевает восстановиться до S, если вести процесс восстановления SO_2 на твердом С при 800°.

Из резюме авторов

9K50. Удаление в электропечи серы из пиритов и сплавов с примесью серы. Йонэмоти Сигэтаро. [Кансай дэнки сэйтэцу кабусики кайся]. Японск. пат. 3951, 25.05.59.—К руде или ферросплаву добавляют уголь, известь, SiO_2 , Al_2O_3 , MgO , шихту тщательно перемешивают и в электропечи восстанавливают частично содержащиеся в смеси окислы; восстановленные металлы возгоняют и отделяют от Fe. Пары металлов взаимодействуют с S и вместе с оставшимися окислами отделяются от расплавленного металла в виде легкоплавкого шлака. Пример. К 1220 кг руды состава (в %): Fe 68,20, Ni 16,38, S 9,34, C 1,64, Si 0,29 добавляют извести 320 кг, плавикового шпата 106 кг, коксовой мелочи 105 кг; смесь загружают в электропечь сопротивления и плавят. Выход металла после плавления 1000 кг; состав (в %): Fe 79,10, Ni 18,98, C 1,50, Si 0,30, P 0,00, S 0,02, расход электроэнергии 1720 $\text{квт} \cdot \text{час}$ на 1000 кг металла. Приведена схема печи.

В. Зломанов

9K51. Утилизация тепла экзотермических реакций. Michalička Ladislav, Dráský Jiří, Mayer Martin. Způsob využití odpadního tepla exotermických chemických reakcí. Чехосл. пат. 92485, 15.10.59.—В ряде

хим. проце
напр. в про
бели, при
металла на
использую
грящие в
реактор по
го двигате
произв-ве д
контактной
тателя пол
на процес
9K52.

или серов
dot, C eg
nek elemi
sata. [Bu
1503.60.—
 $\text{CaSO}_4 + 2$
 $+ 4\text{H}_2\text{O} +$
 $+ \text{SO}_2 = 2$
добавок
ного клин
виде пар
р-ции по
ры. Газы
дуть в по
дающих
в регенер
9K53.

ташного
ков с вы
руд. Ку
ски кай
руды обр
подверга
осадок Т
состава
 $\text{Al}_2(\text{SO}_4)_3$
руют от
 CaH_2 . К
щения
и други
добавля
осадок,
хлоридо
же мета
водяного
возвращ

См. те
торе 9B
активно
9H142.
рудах 9

9K54.
воды в
heavy v
(India)
ведено
же пер
в Нав
связан
выпуск
ры (20
9K55
Fisons.
Fisons.

хим. процессов, сопровождающихся выделением тепла, напр. в произ-ве H_2SO_4 , HNO_3 , водяного газа, цинковых белил, при газификации твердого топлива, конверсии метана на водород, тепло горячих продуктов р-ции используют для подогрева отдельных реагентов. Подогретые в утилизаторе компоненты перед введением в реактор используют в качестве рабочей среды теплового двигателя. При утилизации тепла в сернокислотном произ-ве для подогрева воздуха используют не только обжиговый газ, но и оставшийся в печи огарок; при контактом способе часть подогретого воздуха из двигателя подают прямо в контактный аппарат. Дана схема процесса.

9K52. Восстановление гипса или ангидрита серой или сероводородом. Zádor György, Dávid Sándor, Ceglédi Bala. Eljárás gipsznek vagy anhidritnek elemi kénnel való redukció útján történő feldolgozására. [Budapesti Kémsavgyár.] Венг. пат. 146404, 15.03.60.— SO_2 получают при 700–1200° по р-циям $CaSO_4 + 2S = CaS + 2SO_2$; $3CaSO_4 + 4H_2S = 3CaS + 4H_2O + 4SO_2$; $CaS + 3CaSO_4 = 4CaO + 4SO_2$; $CaS + SO_2 = 2CaO + 3S$. При введении соответствующих добавок возможно одновременное получение цементного клинкера. S вводит в реакционное пространство в виде пара, жидкости или твердого в-ва. Т-ру в зоне р-ции поддерживают за счет частичного сжигания серы. Газы содержат 5–30% SO_2 . Процесс можно проводить в псевдоожиженном слое, в шахтных и во вращающихся печах. Горячие газы могут использоваться в регенераторе. Дана схема.

9K53. Обработка раствора серной кислоты, отработанного в процессе извлечения окиси титана из шлаков с высоким содержанием титана или из титановых руд. Кубо Тэрунги ро. [Тиёда како кэнсэцу кабусики кайся]. Японск. пат. 4469, 30.05.59.—Шлак или руду обрабатывают H_2SO_4 , получая $TiOSO_4$, который подвергают гидролизу, затем отделяют и промывают осадок TiO_2 , а отработанный р-р H_2SO_4 уд. в. 1,45 и состава (в г/л): свободной H_2SO_4 360, $FeSO_4$ 53, $Al_2(SO_4)_3$ 80, $MgSO_4$ 43 и промывные воды концентрируют охлаждением жидким углеводородом (C_2H_6 , C_4H_{10}). Конц. р-р продают при т-ре ~20° до насыщения HCl (газ) и осаждают хлориды Fe, Al, Ni и других металлов. Осадок отделяют от р-ра, к р-ру добавляют HF , осаждают Mg (в виде MgF_2) и удаляют осадок, регенерируя таким образом H_2SO_4 . К осадку хлоридов и фторидов металлов добавляют окислы тех же металлов и обжигают при 350–400° в присутствии водяного пара; выделяющиеся HCl (газ) и HF (газ) возвращают в цикл.

В. Зломанов

См. также: Кинетика окисления SO_2 на Pt-катализаторе 9B489. Влияние состава V-катализаторов на их активность 9B502. Полярнографич. анализатор SO_2 9И142. Определение примесей As и Sb в сульфидных рудах 9Д133. Переработка конц. H_2S 9M80

Азотная промышленность

Редакторы В. Д. Матвеев, Н. А. Ширяева

9K54. Строющийся завод удобрений и тяжелой воды в Нангалле. Seshadri N. R. Nangal fertilizer and heavy water project — a bird's-eye view. «J. Instn Engrs» (India), 1960, 40, № 12, Suppl., 111–125 (англ.).—Приведено описание технологич. процесса и зданий, а также перспектива заканчивающегося строительством з-да в Нангалле (Индия) производствостью 80 000 т/год, связанного N на базе электролиза воды, который будет выпускать 388 000 т/год известково-аммиачной селитры (20,5% N) и тяжелую воду.

9K55. Платиновый катализатор для окисления аммиака. Условия работы на новой установке компании Fisons. Bell B. H. J. Platinum catalysts in ammonia

oxidation. Operating conditions in Fisons new nitric acid plant. «Platinum Metals Rev.», 1960, 4, № 4, 122–126 (англ.).—Установка для произ-ва HNO_3 на з-де в Станфорд-Ле-Хоп (РЖХим, 1960, № 5, 18452). Описан Pt-Rh-катализатор, его работа, способ улавливания Pt и регенерации сеток.

Г. Рабинович

9K56. Способ непрерывной денитрации серной кислоты. Коптев Г. П., Соркин М. М. «Кокс и химия», 1960, № 11, 40–42.—Разработана лабор. установка струйного типа для непрерывной денитрации Gloverной и регенерируемой к-ты, используемой в сатураторах для NH_3 на коксовых з-дах, поставляющих коксовый газ для синтеза NH_3 . Смесьитель обеспечивает большую поверхность контакта фаз между денитруемой смесью и воздухом. Определены оптимальные условия проведения процесса. Приведены схема установки. Рассчитаны размеры аппарата непрерывного действия промышленного типа. Из резюме авторов

9K57. Извлечение аммиака из газов с низкой концентрацией аммиака. Помитанияма Акира. [Асахи касэй котё кабусики кайся]. Японск. пат. 6543, 6.06.60.—Газы, содержащие незначительное кол-во NH_3 , пропускают через абсорбент, состоящий из р-ра $Na_2Cr_2O_7$, $(NH_4)_2CrO_4$ и Na_2CrO_4 , и абсорбируют NH_3 . Полученный р-р нагревают до 100–130°, разлагают образовавшийся $(NH_4)_2CrO_4$, выделившийся при этом NH_3 и пары воды выводят из установки, а р-р вновь возвращают в цикл абсорбции. Пример. Отходящие газы произ-ва искусств. волокна медно-аммиачным способом, содержащие 0,03–0,10% NH_3 , подают в абсорбционную колонну, через которую пропускают противотоком р-р, содержащий: $Na_2Cr_2O_7$ 12–35%, Na_2CrO_4 10–16% и $(NH_4)_2CrO_4$ 10–16%; при этом $Na_2Cr_2O_7$ частично переходит в Na_2CrO_4 и $(NH_4)_2CrO_4$. Затем вытякающий из абсорбционной колонны р-р нагревают в исчерпывающей колонне при 100–130°, выделяющийся NH_3 вместе с водяным паром (конц-ция NH_3 в водяном паре 10–30%) конденсируют, получая 20–25%-ный р-р NH_3 , а регенерированный р-р абсорбента возвращают в цикл.

В. Зломанов

9K58. Переработка газовой воды и аналогичных отходов. Grosskinsky Otto, Huck Georg, Klempt Walter, Oppenhoff Paul. Verfahren zur Aufarbeitung von Gaswasser u. dgl. [Bergwerksverband G. m. b. H.]. Пат. ФРГ 1001244, 7.01.60.— NH_3 -содержащую воду передают в приемник; горячую воду из приемника дегтеотделителя не требуемую для орошения приемника, пропускают через нагретую насадочную колонну, где происходит удаление воздуха. Из конденсата при 75° удаляется весь NH_3 и испаряется 5–6% воды. Отходящий воздух, содержащий NH_3 , для связывания последнего пропускают через H_2SO_4 . Насадочную колонну обогревают горячим газом, выходящим из приемника.

Л. Херсонская

9K59. Способ очистки выхлопных газов. Горфункель В. В. Е., Казакова Е. А., Чернявская М. К. Авт. св. СССР 129193, 15.06.60.—Газы, выходящие из колонны кислой абсорбции произ-ва слабой HNO_3 и содержащие ~0,3% окислов N, проходят холодильник-конденсатор, где охлаждаются рассолом до ~0°, причем конденсируется 85–90% влаги, находившейся в газах. Далее газы проходят брызгоуловитель и поступают в низ адсорбционной колонны с перфорированными тарелками. На верхнюю тарелку поступает регенерированный силикагель (с т-рой ~180°), откуда он непрерывно перетекает с полки на полку, причем на полках создаются псевдоожиженные слои силикагеля и происходит адсорбция остатков влаги, каталитич. окисление NO в NO_2 и адсорбция NO_2 . Тепловые эффекты адсорбции и окисления, а также охлаждение поступающего регенерированного силикагеля компенсируются начальным охлаждением газов до 0°. По выходе из адсорбционной колонны газы, содержа-

щие ~0,05% окислов N, проходят циклон для улавливания пыли силикагеля, а затем выбрасываются в атмосферу. Отработанный силикагель поступает в верх десорбера с тарелками и паровыми змеевиками; псевдоожиженный силикагель производится воздухом, подаваемым под нижнюю тарелку. Из верха десорбера выходят газы, содержащие ~25% окислов N, которые затем проходят циклон, холодильник-конденсатор, фильтр и направляются в колонну кислой абсорбции. Регенерированный силикагель подают в адсорбционную колонну при помощи пневмотранспорта. Приведена схема.

Г. Рабинович
9К60. Получение гидразина. Schaeffer William D. Hydrazine manufacture. [Union Oil Co. of California]. Пат. США 2935378, 3.05.60.—N₂H₄ получают изотермич. р-цией NH₃ с безводн. кислой солью гидросилилам-о-сульфокислоты (I), предпочтительно с сульфатом, при применении которого в результате р-ции, кроме N₂H₄, образуется только одна соль—(NH₄)₂SO₄. Р-цию проводят, не допуская окисления образовавшегося N₂H₄, конц. I, которое может иногда происходить со взрывом. Для предупреждения последнего при применении жидкого NH₃ берут его с большим избытком, причем охлаждением поддерживают т-ру от -77 до 132° (от -10 до 50°) и не отделяют избыток NH₃ до тех пор, пока не прореагировала большая часть I. Можно также пропускать NH₃ (газ) через I при 113,5–250°, причем образующийся N₂H₄ отгоняют из зоны р-ции, в которой после израсходования I остается только (NH₄)₂SO₄. Выход N₂H₄ (чистого) составляет ≥ 97%, считая на I. Последнюю получают р-цией (NH₂OH)·HX + SO₃ → (NH₂OSO₃H)HX. Г. Рабинович

9К61. Извлечение аммиака из реакционной смеси после синтеза гидразина по Рабиноу. Troyan James E. Process for recovering ammonia from a Raschig synthesis reaction. [Olin Mathieson Chemical Corp.]. Пат. США 2935451, 3.05.60.—Реакционную смесь, полученную при синтезе N₂H₄ и содержащую также избыток NH₃, NaCl и воду, дистиллируют при 125–155° в 2 ступени в 1-й под давл. 9,8–11,2 атм отгоняют 40–60% содержащегося в смеси NH₃ и получают погон—90–95% NH₃ (остальное вода)—и кубовый остаток, который охлаждают, а затем дистиллируют во 2-й ступени под давл. 0–1,4 атм и получают погон—практически безводн. NH₃—и кубовый остаток, содержащий N₂H₄, NaCl и воду. Т-ра кубовых остатков после обеих ступеней должна быть ≤ 155° для предупреждения разложения N₂H₄. Приведена схема установки.

Г. Рабинович

Остальные элементы, окислы, минеральные кислоты, основания, соли

Редакторы М. Л. Карапетянц, Н. А. Ширяева

9К62. Обезвоживание мирабилита в кипящем слое. Каганович Ю. Я., Злобинский А. Г. «Хим. пром-сть», 1960, № 5, 389–394.—Дана сравнительная оценка промышленных методов обезвоживания мирабилита и разработан промышленный способ обезвоживания его в псевдоожиженном слое, обеспечивающий одновременно простоту аппаратуры, интенсивность влагоудаления и высокий термич. к. п. д. Показаны: изменение среднего диаметра частиц сульфата во времени и в зависимости от скорости газов в слое; зависимость числа псевдоожижения от среднего диаметра частиц сульфата. Рассчитан коэф. теплоотдачи в слое, а также зависимость его от диаметра частиц сульфата. Дана схема установки и аппарата для обезвоживания. Библ. 9 назв.

Н. Ширяева
9К63. Влияние кислотности раствора на флотацию ртути. Romianowski Andrzej, Liszka Rudolf. Wplyw kwasowosci roztworu na flotacje rtęci. «Roczn. chem.», 1960, 34, № 2, 713–716 (польск.; рез.

англ.).—Изучался выход при флотации Hg в дистил. воде, р-рах 0,01 и 0,001 н. HCl, 0,01 и 0,1 н. NaOH, содержащих 1 мл 96%-ного C₂H₅OH и 10 мл этилксаногената калия (коллектор) в 550 мл р-ра. Максим. выход наблюдался в области умеренной кислотности (рН ~3). При рН < 3 выход быстро падает вследствие разложения ксаногената. Понижение выхода с нарастанием рН объясняется тем, что ионы OH- вытесняют постепенно анионы ксаногената с поверхности капелек ртути. Библ. 7 назв.

Из резюме авторов
9К64. Выход ртути при флотации как индикатор стабильности коллектора. Romianowski Andrzej, Liszka Rudolf. The yield of the flotation of mercury as an indicator of collector stability. «Roczn. chem.», 1960, 34, № 2, 717–720 (польск.; рез. англ.).—Изучена зависимость выхода W (в %) Hg в р-ре 0,001 н. HCl от т-ры и времени выдержки. Кривую зависимости от т-ры можно описать ур-нием $W = 101,9 - 58,4 \lg(T - 281,6)$, где T выражена в °K; точность его 0,3 ± 0,5%. Падение выхода Hg с ростом т-ры объясняется быстрым разрушением коллектора. При 20° $\lg W = 2 - 0,4 t$, где t—время выдержки в часах. Средний выход по мере разложения ксаногената не падает до нуля, а останавливается после 40 мин. выдержки на величине 11%, что, по мнению авторов, вызвано флотирующими свойствами продуктов разложения ксаногената. Л. Херсонская

9К65. Разложение нитрида бора кислотой и влияние добавок некоторых окисляющих агентов. Накамура С., Адзума Н., Араи Д. «Нагойя когё гидзюку сикэнсё хококу, Repts Govt Industr. Res. Inst., Nagoya», 1960, 9, № 10, 533–538 (японск.; рез. англ.).—Образцы стабилизированного BN помещают в запаянную стеклянную трубку с HCl, H₂SO₄ или H₃PO₄ и ускоряющими разложение добавками (KMnO₄, K₂Cr₂O₇ или KClO₄) и нагревают в автоклаве при 190–300°. Пример. BN 30 мг, 5 мол.%-ного р-ра H₂SO₄ 4 мл и KClO₄ 40 мг помещают в стеклянную трубку и нагревают в автоклаве 1–2 часа при 280°.

Из резюме авторов
9К66. Геотермические установки компании Larderello и новые технологические процессы. Gazzetti Goffredo. Gli impianti geotermoelettrici di Larderello e le nuove attività chimiche. «Ingegneria ferroviaria», 1960, 15, № 1, 33–36 (итал.; рез. франц., англ., нем.).—История развития предприятия, основанного в 1818 г. на базе горячих вулканич. источников, выпускающего в год 14 000 т различных соединений бора, NH₄HCO₃, серы, соды и хлора и производящего значительное кол-во электроэнергии (в 1958 г. 1,92 млрд. кВт-ч).

Е. Тимарева
9К67. Разделение лантанидов путем травления растворами аммонийных солей. Wysocka Janina, Wiścek Kazimiera. Rozdział lantanowców przez wytrawianie roztworami soli amonowych. «Przem. chem.», 1960, 39, № 9, 569–571 (польск.; рез. русск., англ.).—Разработан метод разделения смеси окислов редкоземельных элементов многократным выщелачиванием горячими водн. р-рами аммонийных солей (NH₄NO₃). Растворимость смесей с высоким содержанием CeO₂ невелика и растет в ряду солей: NH₄CH₃COO, NH₄Cl, NH₄(SO₄), NH₄NO₃, NH₄CNS. При небольшом содержании CeO₂ растворимость выше и растет в ряду: NH₄Cl, NH₄ClO₄, (NH₄)₂SO₄, NH₄CNS, NH₄NO₃, NH₄CH₃COO. В р-р в первую очередь переходят La, Pr и Nd. Библ. 7 назв.

В. Левинсон
9К68. Редкие земли и их применение. Meskelburg Ernst. Die Seltener Erden und ihre Verwendung. «Chem. Rundschau», 1960, 13, № 13, 471–473 (нем.).—Обзор. Свойства редкоземельных элементов; исходные материалы для их выделения; области применения (электроника, ядерная техника, стекло и керамика, металлосплавы). Л. Херсонская

9К69. Хлорирование кремния и тантала. Юрю Т. «Karaky kogё, Chem. Ind.» (Japan), 1960, 11, № 9,

856–860 (получения окиски Si соединений).

9К70. Нефтористый газ JF₄ 142–143.—образуя р-р переходящий горячей в JF₃ в вод.

9К71. И. И. «Тр. 83–104.—о-оксила дом возду переносчи кой игол > 80% о рН допу (KClO₃) .

·H₂O и т. востанов окислени при при 150° и д способ из нерсных за с доба мость ма ших тех

9К72. Андре издат, 19

9К73. Evergs Alkali Co

ция, исп для удал (в вес. % (или фт 4–15 о при 315–

9К74. водстве berg I of alkali

Австрал находя переход Ca(OH)₂ генерац или очи и удаля стик же шать см образо Ca(OH)₂

9К75. rett H Pont de Измельч влаж с (при ма виде рн жванни м е р. 2 вергают J₂ при изгот

856—860 (японск.).—Рассмотрены некоторые способы получения SiCl_4 , HSiCl_3 , органич. хлорсиланов, способы очистки SiCl_4 и SiHCl_3 и способы получения хлористых соединений Та. Библ. 8 назв.

9K70. О взаимодействии сфена (титанита) с кремнефтористым натрием. Новоселова А. В., Бацакова Л. Р. «Изв. Сибирск. отд. АН СССР», 1960, № 8, 142—143.—Сфен реагирует с Na_2SiF_6 при 740—760°, образуя растворимые фтористые соединения титана, переходящие в р-р при обработке продукта спекания горячей водой. При избытке кремнефторида (в 2,5 раз) в водн. р-р переходит > 90% титана.

Из резюме авторов
9K71. Порошки для магнитных лент. Элиасберг И. И. «Тр. Всес. н.-и. ин-та звукозаписи», 1959, вып. 6, 89—104.—Процесс изготовления исходного игольчатого окисла сводится к окислению металл. Fe кислородом воздуха в р-ре железного купороса, являющегося переносчиком окислителя. Для сохранения оптимальной игольчатой формы частиц при выходе продукта > 80% от теоретич. повышения начальной величины pH допустимо до 6—6,5 при введении окислителя (KClO_3) в пропорции $\geq 0,174$ моля на 1 моль $\text{FeSO}_4 \cdot 7\text{H}_2\text{O}$ и т-ре процесса $\leq 60^\circ$. Оптимальным является восстановление при 400° в течение 1 часа. В процессе окисления окиси-закиси железа до γ-окисла железа при применении вращающейся печи т-ра окисления 150° и длительность окисления 15 мин. Приводится способ изготовления и основные свойства тонкодисперсных игольчатых и сферич. порошков окисла железа с добавкой кобальта и без нее. Установлена зависимость магнитных свойств γ-окисла железа от важнейших технологич. параметров.

9K72. Добыча и переработка калийных солей. Андреев А. Н., Нудельман А. Б. М., Госхимиздат, 1960, 451 стр., илл., 10 р. 80 к.

9K73. Щелочная композиция. Ilenda Frank P., Everson Howard E. Alkaline composition. [Diamond Alkali Co.] Пат. США 2931778, 5.04.60.—Щел. композиция, используемая при обработке металлов, в частности для удаления окисины и очистки отливок, имеет состав (в вес.%): NaOH 50—95 (80), KOH 15—50 (15), NaF (или фторид другого щел. или щел.-зем. металла) 4—15 (5) и применяется в расплавленном состоянии при 315—593°.

9K74. Использование ионного обмена при производстве гидроокисей щелочных металлов. Rosenberg Norman W., Katz William E. Production of alkali metal hydroxides by ion exchange. [Ionics, Inc.] Австрал. пат. 227159, 2.03.60.—Анионообменную смолу, находящуюся в хлоридной форме, обрабатывают для перехода в гидроксильную форму водн. суспензией $\text{Ca}(\text{OH})_2$, а затем для получения щелочного р-ра и регенерации хлоридной формы смолы водн. р-ром NaCl или очищенной от Mg морской водой. Р-р упаривают и удаляют выпадающие кристаллы соли, получая каустик желаемой конц-ии. Можно первоначально смешать смолу с твердой гранулированной или порошкообразной $\text{Ca}(\text{OH})_2$, а затем обработать водой или р-ром $\text{Ca}(\text{OH})_2$ и р-ром NaCl.

9K75. Получение боргидрида натрия. Pryde Everett H. Preparation of sodium borohydride. [E. I. du Pont de Nemours and Co.] Пат. США 2926989, 1.03.60.—Измельчают при 300—380° и отсутствии воздуха и влаги смесь NaNH и безводного активированного B_2O_3 (при молярном отношении ~2:1). B_2O_3 приготавливают в виде рыхлой массы из хрупких полых частиц обезжелезиванием H_2BO_3 при нагревании под вакуумом. Пример. 2 моля NaNH и 1 моль гранулированного B_2O_3 подвергают совместному измельчению 3 час. в атмосфере N_2 при 305—346° в обогреваемой шаровой мельнице, изготовленной из нержавеющей стали. Полученный

продукт содержит NaNH 19,6% и NaBH_4 6,75% (выход 42,1%). После дополнительного 3-часового измельчения при 331—366° содержание NaNH составляет 2,0%, а NaBH_4 11,9% (выход последнего 74,3%). Продукт можно непосредственно использовать в качестве восстановителя или из него можно выделить NaBH_4 ~90%-ной чистоты. Очистку боргидрида Na проводят экстрагированием пропила-амином с последующим выпариванием последнего, растворением осадка в абсолютном этиловом спирте и осаждением NaBH_4 из этого р-ра. Дана схема установки.

И. Гильденблат
9K76. Получение боргидрида натрия. Bragdon Robert W. Preparation of sodium borohydride. [Metal Hydrides Inc.] Пат. США 2926991, 1.03.60.—Растворяют в воде продукт взаимодействия гидрида натрия с метилборатом натрия и полученный водно-метанольный р-р упаривают под вакуумом; насыщенный р-р NaBH_4 и NaOH смешивают с каким-либо спиртом (n-пропиловым, изопропиловым, n-бутиловым, изобутиловым, n-амиловым, вторичным амиловым) или с их смесями и дают отстояться, причем образуются два слоя: нижний водный, содержащий немного спирта, и верхний спиртовой, содержащий немного воды. Весовое соотношение NaBH_4 :NaOH в нижнем слое значительно выше, чем в исходном р-ре. Боргидрид натрия выделяют из нижнего слоя фракционной кристаллизацией. Пример. Водн. р-р, содержащий NaBH_4 14,3% и NaOH 41,7%, тщательно встряхивают с некоторым кол-вом изобутанола. Образуются два четких слоя. Верхний слой (70,7 г) содержит Na 2,319 г, B 0,133 г и H 0,0454 г. Нижний слой содержит Na 14,04 г, B 2,60 г и H 0,922 г. Соотношение NaBH_4 :NaOH в нижнем водн. слое 0,60, а в исходном р-ре 0,343. NaBH_4 от нижнего слоя, а NaOH от верхнего слоя отделяют фракционной кристаллизацией с регенерацией исходного р-ра.

А. Павлович
9K77. Получение боргидридов щелочных металлов. Jenkner Herbert. Verfahren zur Herstellung von komplexen Alkaliborhydriden. [Kali—Chemie A.-G.] Пат. ФРГ 1061301, 24.12.59.—Гидрид щел. металла, находящийся в форме бортриалкильного комплекса, растворенного предпочтительно в неполярном р-рителе, обрабатывают BCl_3 . Выпадающий в осадок боргидрид и хлорид щел. металла отделяют от р-ра центрифугированием или фильтрацией. Пример. 20 вес. ч. NaNH суспендируют в 220 вес. ч. октана и обрабатывают 85 вес. ч. бортризанола при 75—95°. В полученный $\text{NaNH}(\text{C}_2\text{H}_5)_3$ при 30—40° вводят 24,7 вес. ч. BCl_3 . Осадок отфильтровывают, промывают гексаном и сушат в вакууме при 100—150°. Получают 44,6 вес. ч. белого твердого остатка. Использование BCl_3 100%; выход NaBH_4 67% от теоретического. Процесс повторяют, причем после 4-го раза выход NaBH_4 приближается к количественному.

Л. Херсонская
9K78. Получение несодержащего железа 60%-ного раствора сульфида натрия. Menzer Winfried. Verfahren zur Herstellung eines eisenfreien Natriumsulfids mit 60% Natriumsulfidgehalt. [Kali—Chemie A.-G.] Пат. ФРГ 1068677, 28.04.60.—Продукт восстановления Na_2SO_4 выщелачивают водой. Сульфиды Fe осаждают из полученного р-ра Na_2S при 60—80° добавлением CH_3OH в кол-ве, равном половине объема р-ра. Осадок отфильтровывают, CH_3OH отгоняют при 90°. Р-р выпаривают до требуемого содержания Na_2S . Содержание Fe в р-ре 0,5—2·10⁻³%.

С. Ларионов
9K79. Способ стабилизации раствора гипохлорита натрия. Стрижевский И. И., Зайцева В. П. Авт. св. СССР 126980, 10.03.60.—В процессе очистки ацетилена от соединений Р изменяется pH поглотительного р-ра (NaClO), что вызывает коррозию трубопроводов и попадание хлора в ацетилен. Для стабилизации в р-р NaClO вводят борную к-ту (3,4 г/л). На 1 м³ ацетилена расходуется 10 л стабилизированного р-ра NaClO .

Н. Ширяева

9К80. Охлаждение на рамном фильтре остатков после горячего растворения сырой калийной соли. Jaisle Josef. Verfahren zum Kühlen des bei der Kaliröhsalz-Heißverflösung auffallenden Rückstandes auf einem Planfilter. [Gewerkschaft Baden]. Пат. ФРГ 1062229, 7.01.60.—Остатки после растворения соли, освобожденные в центрифуге от захваченного шелока, охлаждают на рамном фильтре воздухом, который нагнетают снизу вверх через отсасывающую трубу фильтра, а затем через движущийся горизонтально, то-есть перпендикулярно к струе воздуха, слой материала. Кол-во воздуха регулируют в зависимости от его т-ры и относительной влажности. Л. Херсонская

9К81. Получение мета-антимоната калия. Giordano Anthony. Process for producing potassium meta-antimonate. The Harshaw Chemical Co. Пат. США 2926994, 1.03.60.—Суспендируют Sb_2O_3 в водн. р-ре КОН и окисляют перекисью водорода до $KSbO_3$. Пример. К р-ру 201 г 85%-ного КОН в 260 мл воды медленно добавляют при тщательном перемешивании 437,3 г Sb_2O_3 . Затем к суспензии со скоростью 900 мл в час при тщательном перемешивании и охлаждении добавляют р-р, полученный смешением 800 мл воды и 300 мл 30,6%-ной H_2O_2 . При добавлении первых 900 мл р-ра H_2O_2 поддерживают т-ру 60°, а остальных 200 мл 75—90°. Получают р-р $KSbO_3$, употребляемый для получения мета-антимоната Си. И. Гильденблат

9К82. Получение боргидридов щелочных металлов. Köster Roland. Verfahren zur Herstellung von Alkaliborhydriden. [Studiengesellschaft Kohle m. b. H.]. Пат. ФРГ 1062227, 7.01.60.—Комплексные соединения типа $M(BH_4)_nR_L$, где М — щел. металл, R — углеводородный остаток, $n = 1-3$, полученные на основе свободных щел. металлов и алкилборгидридов, обрабатывают избыточным кол-вом соединения общей ф-лы $BHRR'$ (R — насыщ. алифатич. углеводородный остаток, R' — такой же остаток или H). Процесс проводят при нагревании (максим. т-ра 220°) в присутствии инертного р-рителя (углеводороды типа гексана или бензола). При использовании в качестве исходного материала диалкилдиборанов р-ция протекает при 140°. Побочный продукт р-ции — свободный В отмыкают соответствующим растворителем. Л. Херсонская

9К83. Способ очистки хлорида рубидия от калия. Плющев В. Е., Степин Б. Д. Авт. св. СССР 132627, 20.10.60.—Технич. хлорид рубидия растворяют при нагревании до 70—80° в миним. кол-ве дистил. воды, после чего в р-р добавляют определенное кол-во тонкоизмельченного йода, приливают бром и перемешивают при 70—80° до растворения всего йода. Р-р охлаждают до ~5°, выпавший красно-оранжевый осадок бромидхлорида рубидия отфильтровывают, промывают небольшими порциями охлажденной дистил. воды и прокачивают при 300—350° до полного побеления осадка, который является хлоридом рубидия. Для получения более чистой соли проводят одну—две перекристаллизации бромидхлорида рубидия из водн. р-ра и промытый осадок хлорида рубидия прокачивают. В. Борисова

9К84. Получение гидроокиси бария. Woodford Fred W. Production of barium hydroxide. [The Eagle — Picher Co.]. Пат. США 2927000, 1.03.60.—Растворяют ZnO в водн. р-ре гидроокиси бария (содержащем ≥ 12 г/л $Ba(OH)_2$) при непрерывном добавлении BaS и ZnO и поддержании избытка ионов Zn^{2+} в р-ре. Часть пылины непрерывно отводят для отфильтровывания осадка ZnS ; часть фильтра, представляющего собой р-р $Ba(OH)_2$, возвращают в процесс для растворения очередной порции ZnO. Процесс протекает при т-ре ~20° или ниже точки кипения р-ра при атмосферном давлении. Продукт свободен от примеси BaJ и содержит $\geq 99\%$ $Ba(OH)_2$. В качестве источника ZnO применяют отапок от концентрата цинковой обманки или содержащие ZnO отходы пирометаллургич.

процессов. Источником BaS служит жидкость от водного выщелачивания плава BaS . А. Павлович

9К85. Получение безводной гидроокиси бария. Menzer Winfried. Verfahren zur Herstellung von kristallwasserfreiem Bariumhydroxyd. [Kali-Chemie A.-G.]. Пат. ФРГ 1069128, 5.05.60.—Безводную $Ba(OH)_2$ получают взаимодействием при нагревании (80°) и тщательном перемешивании тонкоизмельченных кристаллогидрата $Ba(OH)_2 \cdot xH_2O$ и BaO , число молей которого должно быть равно x . С. Ларионов

9К86. Усовершенствование производства гидроокиси бария. Holmes William Raymond, Unwin Jack Trask. Improvements in or relating to the manufacture of barium hydroxide. [Laporte Chemicals Ltd.]. Англ. пат. 836192, 1.06.60.—Раствор гидратированной $Ba(OH)_2$ взбрызгивают с помощью вращающегося диска или форсунки в воздух или другой инертный по отношению к $Ba(OH)_2$ газ при низкой т-ре. В результате охлаждения образуются мелкие сферич. частицы кристаллич. $Ba(OH)_2 \cdot xH_2O$. Пример. 454 л р-ра $Ba(OH)_2 \cdot 8H_2O$ приготавливают путем введения BaO при 96° в соответствующее кол-во воды. После отделения нерастворимых частиц осветленный р-р подают со скоростью 0,45 кг/мин на разбрызгивающий диск с diam. 76,2 мм, вращающийся со скоростью 1500 об/мин. Получено 840,7 кг $Ba(OH)_2 \cdot 8H_2O$, содержащего $< 2,6$ кг $BaCO_3$. Л. Херсонская

9К87. Флотационное обогащение тяжелого шпата. Wolstein Friedrich, Herz Edmund von. Schwimmaufbereitung von Schwerspat. [Kali-Chemie A.-G.]. Пат. ФРГ 1061715, 7.01.60.—При флотации тяжелого шпата используют смесь каприната Na с лауратом Na в соотношении 5:5—9:1 (7:3). При этом извлекается 86,5% от общего кол-ва руды с содержанием $BaSO_4$ 94,5% и SiO_2 1,64%. Л. Херсонская

9К88. Удаление свинца из растворов сульфата цинка. Фукусима Сайтаро. [Сэнко сэйэн канкюдзэ-тэ]. Японск. пат. 6539, 6.06.60.—Примесь свинца из р-ра сульфата цинка осаждают р-ром изоамилксантогената, соли дитиокарбаминовой к-ты или тиурамсульфида. Пример. К 0,5 л р-ра, содержащего Zn 162 г/л, Mn 2 г/л, Co 20 мг/л, Fe 20 мг/л, Pb 9,95 г/л, 1,62 мг/л, добавляют H_2SO_4 до pH 2,3. Затем прибавляют 150,8 мг β -нафтаола и р-р $NaNO_2$ (72,2 мг в пересчете на $NaNO_2$), смесь 30 мин. подогреть при 40° при непрерывном перемешивании и добавляют ZnO до pH 4,8; после этого и р-ру сразу же (не фильтруя его) добавляют изоамилксантогенат или тетрамилтиурамсульфид, перемешивают 1 час и фильтруют. Этот метод позволяет уменьшить конц-ию Pb в р-ре до 0,3—0,07 мг/л, содержание Co до 1,6—0,4 мг/л и Fe до 7,7—3,8 мг/л. В. Зломанов

9К89. Способ получения аморфного бора. Аварба Р. Г., Кучумов В. А., Работнов В. В., Бондарь Д. Д. Авт. св. СССР 130497, 5.08.60.—Борид магния, содержащий 86—87% В, перемешивают с борным ангидридом, с метаборатом натрия или с обезвоженной бурой в вес. соотношениях: борид: борный ангидрид 1:0,125—1; борид: бура 1:0,24—1,24; борид: метаборат 1:11 и прессуют под давл. ~600 кг/см². Р-цию проводят в герметич. металлич. стакане diam. 46 мм и высотой 300 мм, снабженном резиновой пробкой, через которую введены конденсатор (для конденсации паров натрия) и тройник для создания вакуума и заполнения аргоном. Стакан вакуумируют при 400—500° в течение 30 мин., затем помещают в печь с т-рой 1000° и выдерживают под вакуумом 1—2 час. Для улучшения взаимодействия компонентов стакан заполняют аргоном и выдерживают при 1000° 15—20 мин. После быстрого охлаждения спек измельчают и обрабатывают 3 часа HCl (к-та) при кипячении для удаления избытка боратов и образовавшейся MgO . Сухой продукт содержит 94—96% В. Выход по В 95—100%. В. Борисова

9K90. Очистка треххлористого бора. Hesselgeser James Maxwell. Purification of boron trichloride. [Thiokol Chemical Corp.]. Пат. США 2934167, 26.04.60.—Треххлористый бор очищают от примесей фосгена и Cl_2 контактированием с природными или синтетич. цеолитами, причем последние сорбируют только BCl_3 . Пример. В стеклянную колонку диам. ~2,5 см и высотой ~1,5 м загружают ~500 г синтетич. кальций-алюмо-силикатного цеолита с величиной пор ~5 Å. Слой цеолита активируют 1 час при 300–350° под пониженным давлением и после охлаждения пропускают через него при т-ре ~20° паробразную смесь BCl_3 , ~3% (по объему) фосгена и ~8% Cl_2 . После прекращения подачи смеси и откачки паров при пониженном давлении в ловушку, охлаждаемую до -196°, нагревают сорбент, причем выделяется чистый BCl_3 . Извлечение BCl_3 составляет 100%. И. Гильденблат

9K91. Производство фторида алюминия. Matsush William R. Method for manufacture of aluminum fluoride. [International Minerals & Chemical Corp.]. Пат. США 2920938, 12.01.60.— AlF_3 с низким содержанием Р получают, исходя из Al-содержащего материала (боксит) и F-содержащей к-ты (H_2SiF_6), загрязненной фосфатами (P_2O_5 0,15–0,4 вес.%). Компоненты смешивают при ~38–88°, полученный р-р отделяют от осадка и подкисляют его сильной минер. к-той (HCl , H_2SO_4 , HNO_3 , HClO_4) до кислотности 0,5–5 н. При этом выпадают кристаллы $\text{AlF}_3 \cdot 3\text{H}_2\text{O}$, почти свободные от Р. Предпочтительно после установления необходимой кислотности в р-р вводят холодную суспензию затравочных кристаллов $\text{AlF}_3 \cdot 3\text{H}_2\text{O}$ и р-р перемешивают. К маточному р-ру после отделения кристаллов снова добавляют исходное сырье, смесь нагревают до 38–88° и еще раз повторяют описанный выше процесс. Пример. $\text{Al}_2\text{O}_3 \cdot 3\text{H}_2\text{O}$, 90% частиц которого проходят через сито 100 меш, вводят в 25%-ную H_2SiF_6 (состав в г/л: F 235,6, Si 61,4, P_2O_5 2,4) и выдерживают 1–1,5 час. при 72°. Осадок SiO_2 и непрореагировавший Al_2O_3 отфильтровывают. Фильтрат содержит в 1 л ~250 г AlF_3 . На каждые 1000 объемов фильтрата (рН 3–5) добавляют 27,8 объемов 96%-ной H_2SO_4 и затем в р-р при т-ре ~20° вводят затравочные кристаллы. По окончании кристаллизации кристаллы $\text{AlF}_3 \cdot 3\text{H}_2\text{O}$ отфильтровывают. Состав полученного продукта (в %): Al_2O_3 61,5, F 65,0, SiO_2 0,1, P_2O_5 0,08. Извлечение F ~70%. На каждые 1000 мл маточного р-ра, содержащего 36,3 г/л AlF_3 и 0,1 г/л P_2O_5 , добавляют 65 г $\text{Al}_2\text{O}_3 \cdot 3\text{H}_2\text{O}$ и процесс повторяют. Общее извлечение F ~90%. Л. Херсонская

9K92. Получение чистого кристаллического кремния. Voos Walter. Verfahren zur Herstellung von reinem Siliziummetall. [Lonza Elektrizitätswerke und Chemische Fabriken A.-G. (Gampel)]. Швейц. пат. 346532, 15.07.60.—80% от общего кол-ва тонкоизмельченного кристаллич. кремния, содержащего 96–98% Si, поливают тонкими струйками разбавленной HCl (к-та) конц-ии 200 г/л. Обработанный кремний покрывают слоем свежего материала и быстро приливают при перемешивании остаток к-ты (50–60% от общего ее кол-ва). Подготовленная масса вылеживается 1–3 дня в смеси HCl и HF -к-т, причем соотношение $\text{HCl}:\text{HF}$ зависит от вида и кол-ва примесей. Конц-ия HF 300 г/л. Выделение сланов при обработке невелико. Чистый кристаллич. кремний промывают и сушат. Чистота продукта меняется в зависимости от характера примесей (силициды Al, Mn, Fe, Ca, Mg) и кол-ва смеси к-т, составляя 99,5–99,97%. С. Ларионов

9K93. Получение SiBr_4 или SiI_4 , не содержащих BBr_3 или BI_3 . Pohl Franz Arthur. Verfahren zur Gewinnung von borbromid- bzw. jodidfreiem Siliciumbromid bzw. -jodid. [LICENTIA Patent-Verwaltungs-G. m. b. H.]. Пат. ФРГ 1066563, 24.03.60.—Примеси BBr_3 и BI_3 превращают в легкоотгоняемый BCl_3 , добавляя

к исходному продукту галогенозамещенные углеводороды, имеющие т-пу кипения ниже, чем у SiBr_4 или SiI_4 (CCl_4 , C_2Cl_4 , C_6Cl_6 , CBrCl_3), и нагревая до т-р, лежащих между 20° и т-рой кипения SiBr_4 (100°). Затем смесь подвергают фракционной перегонке для удаления BCl_3 . Н. Сахаров

9K94. Производство тетрахлорида титана. Mason Edward A., Cobb Carolus M. Method for producing titanium tetrachloride. [Ionics, Inc.]. Пат. США 2928724, 15.03.60.—Железистотитановые шлак, концентрат или руду, содержащие примеси Al, Si, Mg, Ca и V, восстанавливают углеродсодержащим восстановителем (уголь, кокс, топливный и природный газ) при 1000–1500° (1300–1500°). На 1 вес. ч. восстанавливаемого материала необходимо ≥ 0,2 вес. ч. С. Восстановленную массу охлаждают, измельчают и подают в хлоратор с псевдоожиженным слоем, создаваемым хлорирующим газом (Cl_2 , COCl_2 , CCl_4) или его смесью с инертным разбавителем (N_2). Хлорирование ведут при 200–500° (300–500°), достигая селективного удаления хлоридов Ti и Fe. Использование Cl_2 98%. Конденсируемый TiCl_4 не содержит примесей Al, Si, Ca, Mg. Дана схема.

И. Магидсон

9K95. Способ извлечения четыреххлористого титана из хлоридных пульп. Мирошников П. И., Гузь С. Ю., Бородин В. И., Крамник В. Ю., Цветков В. И., Гарба Л. С., Шигилов В. Ф., Гобов А. П. Авт. св. СССР 130496, 5.08.60.—Пульпу с добавкой (или без добавки) хлоридов или сульфатов щел. металлов загружают на поверхность расплава хлоридов щел. металлов. При этом TiCl_4 испаряется и улавливается в системе конденсации, а хлориды Al, Fe и других металлов образуют легкоплавкий сплав, выпускаемый через верхнюю летку печи. В нижнем слое поддерживают т-пу > 500° (700–800°), при этом диффундирующий в этот слой хлорид Al испаряется, способствуя перемешиванию расплава и разогриванию верхнего слоя, в котором проходит процесс испарения тетрахлорида. Нижняя летка предназначена для выпуска всего расплава при накоплении в нем осадков окислов. Для интенсификации процесса применяют дополнительное перемешивание расплава инертным газом (N_2) или газами, отходящими от печей хлорирования. В. Борисова

9K96. Способ получения хлористого олова. Степин Б. Д., Гринштейн С. А., Гуляева Г. М. Авт. св. СССР 128007, 28.04.60.—Гранулированное металлч. олово хлорируют Cl_2 (газ) и полученный SnCl_4 переводят в водн. р-р конц-ии 80–86%, который направляют в аппарат для восстановления. Восстановление SnCl_4 металлч. гранулированным оловом проводят при 100–120° (используя при этом тепло р-ции хлорирования) ~45 мин. Р-р, содержащий хлористое олово, охлаждают до 5–10°, выпавшие кристаллы отфильтровывают. Выход продукта 70–80% от теории (без учета маточных р-ров). Чистота продукта соответствует квалификации «ч.д.а.». Н. Ширяева

9K97. Способ получения хлорокиси свинца. Рублев С. Г., Мурат К. Л. Авт. св. СССР 130500, 5.08.60.—Свинцовый глет замачивают в смесителе водой и в полученную пульпу вводят 5–6%-ный водн. р-р NaCl в кол-ве ~1% от веса глета, что составляет 8–10% от требуемой его добавки. После 20–30-минутного размешивания наблюдается образование на поверхности глета пленки хлорокиси свинца без цементации последней. Затем в смеситель в течение 1 часа подают остаточное кол-во 5–6%-ного р-ра NaCl при непрерывном размешивании всей массы до полного ее побеления. Н. Ширяева

9K98. Получение с помощью эффекта Пельтье интерметаллических соединений для полупроводников. Такудзаки Наодзиро. Японск. пат. 2983, 31.03.60.—Соединение состава (в молях): Pb 1,00, Se 0,75–1,00, S 0,00–0,30 обрабатывают в течение

3—4 час. в потоке H_2S при давл. 750—770 мм рт. ст. и затем формируют кристаллы λ - или ρ -формы. М. Гусев

9К99. Получение водородных соединений элементов IV и V групп периодической системы. Jenkner Herbert. Verfahren zur Herstellung von Wasserstoffverbindungen der Elemente der 4. und 5. Gruppe des Periodischen Systems. [Kali-Chemie A.-G.] Пат. ФРГ 1061302, 24.12.59.—Водородные соединения элементов IV и V групп (за исключением Si) получают при взаимодействии галогенидов этих элементов, и комплексных соединений гидридов щел. металлов. В частности, галогенозамещенные органич. соединений взаимодействуют с комплексными соединениями гидридов щел. металлов с бортриалкилом, алюминийтриалкилом или алюминийдиалкилгидридом. Пример. 8,6 вес. ч. 48%-ной суспензии $NaNH_2$ в высококипящем минеральном масле (т-ра кип. при давл. 1 мм 200—240°) смешивают с 17 вес. ч. $B(C_2H_5)_3$, разбавленного 35 вес. ч. минерального масла, и проводят р-цию при 100°. После охлаждения до 0° добавляют 5,6 вес. ч. $GeCl_4$, растворенного в 12 вес. ч. минерального масла. После перегонки получают 1,32 вес. ч. GeH_4 . Л. Херсонская

9К100. Способ получения фосфина. Кузнецов Е. В., Валетдинов Р. К., Завалин П. М. Авт. св. СССР 125551, 15.01.60.—Для снижения огнеопасности и удобства регулирования процесс осуществляют путем прибавления воды к суспензии фосфида алюминия в органич. р-рителе, смешивающемся с водой. В круглодонную колбу заспаивают 355 г тонкоизмельченного фосфида алюминия и вливают 355 мл ацетона, после чего генератор присоединяют через уравнительную и промывную склянки к реактору, в котором фосфин используется для получения тетраоксиметилфосфоний хлорида. Затем всю систему продувают 10 мин. азотом и проверяют на герметичность, после чего включают мешалку и через капельную воронку приливают в течение 8 час. 350 мл воды. В конце работы в генераторе фосфина остается пламгидрат окиси алюминия весом (после высушивания) 505 г, что указывает на практически полное разложение фосфида алюминия. Н. Ширяева

9К101. Способ получения пентафторида фосфора. Brinker Keith Clark. Process for the preparation of phosphorus pentafluoride. [E. I. du Pont de Nemours and Co.] Пат. США 2933375, 19.04.60.—Для получения PF_5 и PCl_5 смесь PF_3 и Cl_2 в мол. отношении от 5:3 до 6:3 нагревают до 300—600° (400°) без доступа влаги, предпочтительно (для лучшего теплообмена) в присутствии активированного угля. Из полученной газовой смеси, состоящей из PF_5 и PCl_5 , при охлаждении конденсируются PCl_5 .

Г. Рабинович
9К102. Выделение ванадия из сырья, содержащего фосфаты и ванадий. Huber Hans, Rohlf Hans Adolf, Ambrosius Heinz, Schmidt Heinz. Verfahren zur Abtrennung von Vanadin aus Phosphat und Vanadin enthaltenden Rohstoffen. [Chemische Werke Albert]. Пат. ФРГ 1064929, 25.02.60.—Томас-шлак или природный фосфорит, содержащий фосфаты Ca, V и Fe, обрабатывают при 80—300° (при т-ре кипения) и повышенном давлении 50—75%-ным р-ром HNO_3 . Нерастворимый осадок, содержащий V, отделяют от р-ра и смешивают с $NaCl$. Смесь прокаливают при 650—840° (700—800°). Клинкер выщелачивают водой при 90—95°. Р-р, содержащий фосфат V, и осадок, содержащий $FePO_4$, разделяют. В. Храмченко

9К103. Получение хлористого сульфурала. Swoboda Richard. Verfahren zur Herstellung von Sulfurylchlorid. [Chemische Industrie G. m. b. H.] Пат. ФРГ 1063229, 21.04.60.—Газы, содержащие SO_2 в небольшой конц-ии (полученные при обжиге пирита, очищенные в электрофильтре и содержащие ~7% SO_2), смешивают с эквивалентным кол-вом Cl_2 , осушают газовую смесь 92—94%-ной H_2SO_4 и пропускают смесь в охлаждаемый снаружки (до 0—8°) реактор (1-я ступень), в

котором находится жидкий SO_2Cl_2 с суспендированным в нем катализатором — активированным углем, причем образуется SO_2Cl_2 , во 2-й ступени SO_2Cl_2 поглощается активированным углем. После насыщения уголь нагревают, причем происходит десорбция SO_2Cl_2 и разложение его с получением конц. смеси SO_2 и Cl_2 , из которой известным способом получают SO_2Cl_2 с выходом ~86%, считая на SO_2 в исходном газе. При охлаждении реактора 1-й ступени смесь льда с $NaCl$ выход повышается до 98—99%, а при охлаждении обычной водой выход составляет 60—65%.

Г. Рабинович
9К104. Получение солей двухвалентного хрома или их растворов. Lux Hermann, Illmann Günther. Herstellung von Chrom(II)-salzlösungen bzw. deren Salzen. Пат. ФРГ 1030318, 21.01.60.—На металлический хром, имеющий чистоту $\geq 99,8\%$ (99,99%), воздействуют H_2SO_4 , HCl , HBr , HI или $HClO_4$. Полученный р-р перерабатывают на твердую соль Cr^{2+} . Пример. Для получения устойчивого на воздухе $CrSO_4 \cdot 5H_2O$ 20 г грубозернистого хрома помещают в сосуд, заполненный чистым N_2 или CO_2 и содержащий 150 мл воды, куда затем при встряхивании вводят 46 г 96%-ной H_2SO_4 . Из полученного сильно пересыщенного синего р-ра выпадают кристаллы $CuSO_4 \cdot 5H_2O$. При концентрировании р-ра в вакууме можно получить почти теоретич. выход соли. Кристаллы после промывки ледяной водой и ацетоном совершенно стабильны на воздухе.

Л. Херсонская
9К105. Способ выделения молибдена из растворов, содержащих азотную и серную кислоты. Парусников В. Н. Авт. св. СССР 130879, 20.08.60.—Для повышения выхода молибдена и предотвращения коррозии аппаратуры кислый р-р нейтрализуют аммиаком до pH 5—9, а затем выпаривают до образования смеси солей $NH_4NO_3 \cdot (NH_4)_2SO_4 \cdot (NH_4)_2MoO_4$ и полученный осадок прокаливают при 500—600° до получения чистого молибденового ангидрида. Удаляющиеся при прокаливании NH_4HSO_4 можно уловить в вентиляционном устройстве. Выход продукта 93—98%. Расход NH_3 (~1 объем 25%-ного NH_3 на 1 объем кислого р-ра) компенсируется дополнительным получением $(NH_4)_2SO_4$. Кроме того, расход NH_3 на нейтр-цию можно снизить путем достворения молибденовых отходов в отработанной смеси к-т до удаления HNO_3 .

Н. Ширяева
9К106. Осаждение солей переходных металлов. Ziegler Max. Verfahren zur Abscheidung von Salzen der Übergangsmetalle. Пат. ФРГ 1060370, 10.12.59.—Соли переходных металлов осаждают добавлением к водн. р-ру соответствующей соли роданида щел. металла и полиэтиленгликолевого или полипропиленгликолевого эфира. Осадок соли переходного металла можно отфильтровать или отделить экстракцией органич. р-рителем (метиленхлоридом, хлороформом и акрилонитрилом). Экстракция органич. р-рителем возможна и в том случае, если не наступило выпадение осадка. Данный способ пригоден для выделения солей переходных металлов из очень разб. р-ров, для разделения пар металлов с близкими свойствами, а также для очистки соответствующих солей. Пример. К р-ру соли Co^{2+} прибавляют KCN и полигликолевый эфир стеариновой к-ты. Образуется голубой осадок, который отфильтровывают или экстрагируют метиленхлоридом или хлороформом. Без добавки указанного эфира соль Co данным р-рителем не экстрагируется.

Л. Херсонская
9К107. Получение комплексных соединений боргидридов и аммиаконов тяжелых металлов. Köhl-Flittard Eberhard Zingiebl, Bürger Alex. Verfahren zur Herstellung von Schwermetallamminkomplexboranaten. [Farbenfabriken Bayer A.-G.] Пат. ФРГ 1070148, 19.05.60.—При низких т-рах (—10°) проводят взаимодействие р-ров комплексных соединений тяже-

лых мет.
водосод.
металлоид.
содержащ.

См. та.
ClO₂ 9В3.
днелого
сталлов
9В16. Е.
9В248; Е.
получен
ей 9В4. С.
9И126. С.
элемент
редкозем
ным обм

9К108.
ци. S.
«AGA» ст.
9К109.
pure hy.
№ 17, 54.
получен
ся на Р.
мается д.
оставше
блок гл.
газ охл.
—171°.
жидким
кий N₂
денсир
отделяе
одна из
поглощ
теплооб
первого
давления
вместе
бента, п
янков
0,35 атм
(работн
линта, т

9К110.
становл
Чагу
ГрузССР
очистки
рования
перокси
ани. Ис
жащий
руда во
зования
жания
рование
тительн
ее служ
рабочей
вается
т-ры до
процесс
нерац
ностью
9К111
свойств

дых металлов с аммиаком или аминами и воды. или водосодержащих р-ров боргидридов щел. или щел.-зем. металлов. Осажденный продукт промывают ацетоном, содержащим NH_3 . С. Ларионов

См. также: Использование хлоридов для получения SiO_2 9B335. Получение: стабильного GeS_2 9B344; ванадиевого ангидрида высокой чистоты 9B12; монокристаллов Fe зонной плавкой 9B243; хлорного ангидрида 9B16. Выращивание: больших монокристаллов Pb 9B248; монокристаллов NaJ 9B251. Максимум р-ции получения H_2O_2 9B433. Разделение Ni и Zr экстракцией 9B4. Измерение конц-ий рассолов при произ-ве NaCl 9I126. Спектральное определение редких и рассеянных элементов в рудах 9D32. Хроматографич. разделение редкоземельных элементов 9D53. Выделение Ge полным обменом 9D54, 9D55

Получение и разделение газов

Редактор В. Г. Фастовский

9K108. Ацетиленовые и кислородные заводы Швеции. Svensson S. Presentation av bergslagsfilialen. «AGA svetsn.», 1960, № 2, 10—13 (шведск.)

9K109. Получение чистого водорода.—Generates pure hydrogen right in plant. «Chem. Engng», 1960, 67, № 17, 54—55 (англ.).—Приведена схема установки для получения очень чистого H_2 (99,995%). NH_3 разлагается на Fe-катализаторе, полученная смесь газов сжимается до 42 атм и проходит адсорбер для поглощения оставшегося NH_3 . Далее смесь $3\text{H}_2 + \text{N}_2$ поступает в блок глубокого охлаждения. В первом теплообменнике газ охлаждается обратными потоками (H_2 и N_2) до -171° , а затем последовательно в 3 теплообменниках жидким N_2 , кипящим при -190 , -201 и -204° (жидкий N_2 под вакуумом); при этом почти весь N_2 конденсируется. Образовавшийся конденсат (жидкий N_2) отделяется в сепараторе от H_2 ; последний проходит один из двух попеременно работающих адсорберов для поглощения примесей N_2 и выводится через первый теплообменник из блока под давлением. Жидкий N_2 из первого сепаратора направляется в сепаратор низкого давления, где выделяется растворенный H_2 , который вместе с H_2 , использованным для регенерации адсорбента, возвращается в цикл. Пары N_2 из теплообменников отсасываются вакуум-насосом и под давл. 0,35 атм поступают в газовую холодильную машину (рабочий агент — гелий), работающую по циклу Стирлинга, где конденсируются.

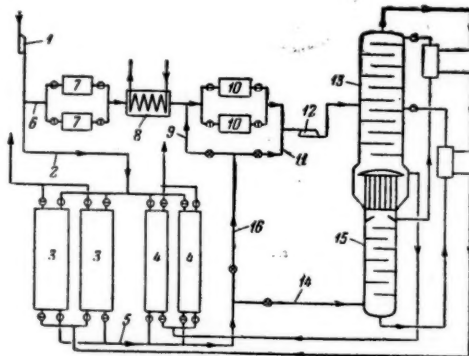
9K110. Очистка газов от примесей кислорода восстановленной пероксидной рудой. Какабадзе В. М., Чагунава В. Т., Кордзакхия Н. М. «Сообщ. АН ГрузССР», 1960, 24, № 4, 401—406.—Исследован метод очистки газов от примесей O_2 путем каталитич. гидрирования на активной поверхности восстановленной пероксидной руды Чхатарского месторождения в Грузии. Испытан материал с грануляцией 2—4 мм, содержащий ~92% MnO_2 , остальное SiO_2 , CaO , MgO и др.; руда восстанавливалась в токе H_2 при 350° до образования MnO . Установлено, что с увеличением содержания H_2 в возрастающей степени происходит гидрирование O_2 и в убывающей — связывание O_2 с поглощательной массой, что значительно увеличивает срок ее службы до следующей регенерации. С повышением рабочей т-ры от 250 до 300° активность массы увеличивается значительно, но при дальнейшем повышении т-ры до 350° растет мало; оптимальной рабочей т-рой процесса следует считать 300° . После повторной регенерации при 350° каталитич. масса практически полностью восстанавливает свою активность. А. Ровинский

9K111. Номотрама для определения физических свойств окиси углерода при атмосферном давлении.

Tans A. M. P. Physical properties of carbon monoxide at atmospheric pressure. «Brit. Chem. Engng», 1960, 5, № 10, 736 (англ.)

9K112. Процесс и установка для получения жидкого кислорода. Tsunoda Kenneth. Process and apparatus for producing liquid oxygen. [American Messer Corp.]. Пат. США 2924078, 9.02.60.—Патентуется технологич. схема воздухоразделительной установки, отличающейся применением переключающихся теплообменников с некомпенсированным каналом. Атмосферный воздух (В) сжимается до 200 кг/см^2 и поступает в один из двух переключающихся теплообменников, в котором охлаждается до т-ры -157° и при этом переходит в жидкое состояние. Жидкий В проходит через фильтр и адсорбер, задерживающие остатки CO_2 и углеводородов, а затем распределяется по двум направлениям: часть жидкого В направляется в змеевик испарителя нижней колонны воздухоразделительного аппарата двойной ректификации, а затем дросселируется в среднюю часть этой колонны; остальное кол-во жидкого В возвращается в теплообменник и движется в нем противотоком охлаждаемому В, испаряясь и нагреваясь при этом до т-ры -40° . Затем этот поток В поступает в поршневой детандер, где расширяется до давл. 6 кг/см^2 и направляется в нижнюю колонну. Газообразный N_2 , полученный в верхней колонне, через переохладитель жидкого N_2 поступает в тот теплообменник, через который в это время проходит сжатый В. Нагретый В в этом теплообменнике, N_2 поступает во второй (неработающий) теплообменник, проходит сверху вниз по азотным каналам, а затем проходит в обратном направлении через адсорбер, фильтр и воздушные каналы, удаляя примеси, выделившиеся из В в рабочий период, и выбрасывается в атмосферу. Периодически производится переключение теплообменников. Жидкий O_2 выводится из верхней колонны в хранилище. Ю. Петровский

9K113. Процесс разделения воздуха с внешним холодильным циклом.—Procédé de séparation de l'air avec circuit auxiliaire de refroidissement. [L'Air Liquide (Soc. An. pour l'étude et l'exploitation des Procédés Georges Claude)]. Франц. пат. 1210964, 11.03.60.—Патентуется технологич. схема воздухоразделительной установки низкого давления, отличающаяся применением аммиачного охлаждения части воздуха (В). Атмосферный В сжимается турбокомпрессором 1 до давл. ~5,5 атм и распределяется по двум направлениям:



1) 96% В по линии 2 направляется в азотные 3 и кислородные 4 регенераторы, где охлаждается до т-ры -160° , освобождаясь от влаги и CO_2 , и выводится из 3 и 4 по линии 5. 2) 4% В по линии 6 поступает в переключающиеся адсорберы 7 с силикагелем, где поглощается влага, после чего В охлаждается до т-ры -30°

в испарителе 8 аммиачной холодильной установки. К охлажденному до -30° В по линии 9 добавляется холодный В после 3 и 4 в таком кол-ве, чтобы т-ра смеси составила -130° , после чего В поступает в переключающиеся силикагелевые адсорберы 10, где поглощается CO_2 . Затем по линии 11 добавляется еще некоторое кол-во В с таким расчетом, чтобы т-ра смеси составила -150° , после чего В подвергается расширению в турбодетандере 12, откуда направляется в верхнюю колонну 13 воздуходелительного аппарата. После охлаждения в 3 и 4, В по линии 14 вводится в нижнюю колонну 15 воздуходелительного аппарата; часть В по линии 16 отбирается для смешения с В, охлажденным в 8. Газообразные N_2 и O_2 , полученные в 13, выводятся через 3 и 4. Применение аммиачного охлаждения части (4%) В позволяет уменьшить кол-во В, расширяемого в турбодетандере, с 22 до 14%, что улучшает условия ректификации в 13 и повышает чистоту продуктов разделения. В то же время обеспечиваются нормальные условия работы регенераторов.

Ю. Петровский

9K114. Получение низкотемпературных жидкостей. Rae Randolph Samuel. Production of low temperature liquids. [The Garrett Corp.]. Пат. США 2922285, 26.01.60.—Патентуется технолог. схема установки для получения O_2 и H_2 путем электролиза H_2O под давл. 140–280 kg/cm^2 и последующего их сжижения, отличающаяся применением турбодетандеров или поршневых детандеров и газового холодильного цикла. Газообразный O_2 под указанным давлением подвергается расширению в ряде последовательно включенных турбодетандеров, в результате чего интенсивно охлаждается; часть холодного O_2 используется для предварительного охлаждения сжатого газообразного H_2 , который затем также расширяется в ряде последовательно включенных турбодетандеров. Сжижение охлажденных кислорода и водорода достигается с помощью циркуляционного гелия, являющегося рабочим телом газового холодильного цикла.

Ю. Петровский

9K115. Производство жидкого кислорода. Rae Randolph Samuel. Production of liquid oxygen. [The Garrett Corp.]. Пат. США 2922286, 26.01.60.—В самолетах, использующих в качестве горючего жидкий H_2 , предлагается для получения из воздуха O_2 , необходимого для окисления горючего, осуществлять забор воздуха из атмосферы, охлаждение и сжижение его в системе теплообменников за счет холода испаряющегося и нагреваемого H_2 , а также обратных потоков продуктов разделения, а затем разделение с получением O_2 и N_2 . Жидкий O_2 испаряется, нагревается и поступает в рабочую камеру двигателя, а N_2 выводится в атмосферу.

Ю. Петровский

9K116. Сосуды-хранилища с тепловой изоляцией. Monroe Adam Gregory. Thermally insulated storage vessels. [British Oxygen Research and Development Ltd]. Англ. пат. 833613, 27.04.60.—Патентуется конструкция сосуда для хранения при низкой т-ре сжиженных газов (метана, кислорода, азота), отличающаяся системой теплоизоляции, обеспечивающей длительную ее сохранность и высокие теплоизоляционные свойства. Сосуд 1, вмещающий сжиженный газ, заключен в металлич. кожух 2, с которым связан несущими тросами 3 (в данном случае — цепями), крепящимися к скобам 4 и 5. При такой системе подвески 1 имеет возможность свободно деформироваться в результате понижения т-ры при заполнении холодной жидкостью или нагревания после опорожнения. В пространстве, образованном 1 и 2, помещается тепловая изоляция, которая выполняется из различных материалов. В нижней части располагается слой 6 мелких сферич. частиц диам. $\leq 3,2$ мм, достаточно упругих и обладающих малой теплопроводностью (напр., из фторопласта, нейлона, полихлорвинила, стекла). К 6 плот-

но прилегает кольцо 7 из упругого пенопласта (напр., полихлорвинила), которое центрирует 1 и в то же время служит перегородкой, препятствующей проникновению теплоизолирующего в-ва из вышележащей полости 8 — шлаковой или минер. ваты, перлита, вермикулита и т. п. При температурном расширении 1 нижний конец его давит на 6, и сферич. частицы легко перемещаются одна относительно другой, передавая усилие на 7, которое несколько сжимается. При последующем сокращении 1 (в результате заполнения холодной жидкостью) нижний конец его перемещается вверх, а освобождающийся объем в 6 немедленно заполняется сферич. частицами, на которые давит сжатый 7, возвращающийся при этом в свое первоначальное положение. Основная масса изоляции 8 не испытывает никаких воздействий со стороны 1 и длительно сохраняет свои качества.

Ю. Петровский

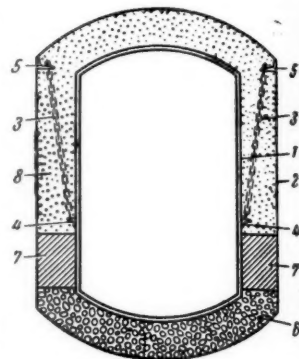
9K117. Разделение бинарной газовой смеси методом адсорбции.— Procédé de séparation d'un mélange gazeux binaire par adsorption. [L'Air Liquide (Soc. An. pour l'Etude et l'Exploitation des Procédés Georges Claude)]. Франц. пат. 1223261, 16.06.60.—Предлагается способ адсорбционного разделения газовых смесей, отличающийся применением определенных сортов цеолитов. Цеолиты 5A, 13X и 10X в одинаковых условиях поглощают в 3–3,5 раза больше N_2 , чем O_2 или Ar, благодаря чему их можно с успехом применить для разделения смесей N_2 и Ar. Это подтверждается следующими данными. В адсорбере (А) диам. 4 см и высотой 35 см находится 600 г цеолита 5A, предварительно обезвоженного в токе инертного газа при т-ре 300° , а затем откачанного до остаточного давл. 0,5–1 мм рт. ст. и охлажденного до т-ры 20° . Снизу в А вводится 5,84 л смеси, содержащей 21,8 мол.% O_2 и 78,2 мол.% N_2 ; при этом давление повышается до 2 атм, а продолжительность заполнения А составляет 40 сек. Затем в течение 40 сек. производится отбор 0,35 л газа, содержащего 89 мол.% O_2 , из верхнего конца А в газометр; давление в газометре и А после отбора устанавливается равным 1 атм. Газометр отключается и производится откачка А вакуум-насосом до остаточного давл. 0,5–1 мм рт. ст. по линии, присоединенной к средней части А; при этом отбирается 5,49 л газа, содержащего 17,5 мол.% O_2 . Затем процесс повторяется и т. д. Степень извлечения O_2 равна 24,4%. Такие же результаты получаются при разделении смеси N_2 -Ar. Комбинируя несколько А, можно осуществить непрерывный процесс разделения бинарной газовой смеси. Приведены некоторые схемы проведения процесса.

Ю. Петровский

УДОБРЕНИЯ

Редактор И. Л. Гофман

9K118. Трубопроводы, выложенные тефлоном, для кипящей азотной кислоты и горячего нитрата аммония.— Teflon-lined pipe handles boiling HNO_3 and hot NH_4NO_3 . «Chem. Process.» (USA), 1960, 23, № 10, 44–45



(англ.)—
время 2-л
в Джошпи
щем по с
ном состо
ремонта

9K119.

и алюми
рита Кар
На б и в
№ 5, 3–6
р-ции КС
вращения
нии фосф
Установл
и 0,5–2,5
вращения
11 назв. П
9873.

9K120.

ных комп
термичес
ни И. «П
J. Chem. S
1571–1576
ки разны
нералогич

(И) — Са
дифракци
с кол-вом
стабилиз
бой; то ж
9K121.
морфны
Япония
сталлич
минерало
При высо
тура ста
Минерал
при медл
системы
чения зна
нарпоти
разлагает
охлажден

9K121.

стве ста
Tausch
as soil st
32, № 10,
применен
(вместо л
ными до
ми следу
кой алиф
ной муки
ного и с
и др. Биб
1950, №

9K122.

кислотой
Гос. ин-т
В связи
ки отход
получени
ров на р
новлено,
т-ры и п
зависит
2:1 до 1
 H_2SO_4 98
отношен
ционная

(англ.).—Трубопроводы, выложенные тефлоном, за время 2-летней эксплуатации на заде Atlas Powder Co. в Джиопине (шт. Миссури) в цехе NH_4NO_3 , работающем по способу Stengel, оказались в удовлетворительном состоянии; получена значительная экономия на ремонте.

Г. Рабинович
9K119. О степени разложения соединений железа и алюминия при азотнокислотной переработке фосфорита Каратау и хлористого калия. Касымова М. А., Набиев М. Н. «Узб. химия ж., Узб. хим. ж.», 1960, № 5, 3—6 (рез. узб.).—Исследовано влияние продуктов р-ции KCl с HNO_3 , остающихся в р-ре, на степень извлечения окислов Fe и Al при последующем разложении фосфорита Каратау с помощью указанного р-ра. Установлено, что наличие в этом р-ре 4,9—5,1% K_2O и 0,5—2,5% Cl практически не влияет на степень извлечения Fe и Al из фосфорита в жидкую фазу. Библ. 11 назв. Предыдущее сообщение см. РЖХим, 1960, № 3, 9873.

Е. Бруцкус
9K120. Исследования точки размягчения и основных компонентов фосфорных удобрений, полученных термическим путем. Андо Д., Суми К., Сикатани И. «Kogei kagaku dzasshi, Kogyo kagaku zasshi, J. Chem. Soc. Japan, Industr. Chem. Sec.», 1960, 63, № 9, 1571—1576, A86 (японск.; рез. англ.).—Определены точки размягчения кальцинированных Р-удобрений и минералогич. состав системы Ca_2SiO_4 (I) — $\text{Ca}_3(\text{PO}_4)_2$ (II) — CaNaPO_4 (III). Установлено, что β -, α' - и α -модификации I стабилизируются II и III в соответствии с кол-вом этих компонентов, растворенных в I. α -III стабилизируются I. α -I и α -III изоморфны между собой; то же самое и α' -I и β -III. Нагельшмидт ($7\text{CaO} \cdot \text{P}_2\text{O}_5 \cdot 2\text{SiO}_2$) и минерал $5\text{CaO} \cdot \text{Na}_2\text{O} \cdot 2\text{P}_2\text{O}_5$ (IV) изоморфны между собой. Кальцинированный фосфат в Японии и силикофосфат в Англии состоят из кристаллич. р-ра этих двух минералов. Рентгенограммы минералов сходны с рентгенограммами α -I (α -III). При высокой т-ре минералы изменяются и их структура становится сходной со структурой α -I (α -III). Минерал IV разлагается с образованием β -II и β -III при медленном охлаждении. Точка размягчения всей системы $> 1550^\circ$. При добавлении SiO_2 точка размягчения значительно снижается. При нагревании силикокарбоната с SiO_2 получено соединение «X», которое разлагается с образованием α -II и α -I при медленном охлаждении.

Из резюме авторов
9K121. Применение соединений фосфора в качестве стабилизаторов почвы. Michaels Alan S., Tausch Frederick W., Jr. Phosphorus chemicals as soil stabilizers. «Industr. and Engng Chem.», 1960, 52, № 10, 857—858 (англ.).—Рассматривается вопрос о применении в качестве стабилизаторов глинистых почв (вместо цемента, извести и асфальта) под автомобильными дорогами, аэродромами и другими сооружениями следующих Р-соединений: H_3PO_4 одной и с добавкой алифатич. аминов, FeCl_3 , Na_2SiF_6 и др.; фосфоритной муки и H_2SO_4 ; кристаллич. ортоформы. P_2O_5 (одного и с добавками); Са-фосфатов с добавкой H_2SO_4 и др. Библ. 5 назв. Предыдущее сообщение см. РЖХим, 1950, № 4, 12379.

Е. Бруцкус
9K122. Разложение бифторида аммония серной кислотой. Некрасов Ю. Д., Марков С. С. «Сб. тр. Гос. ин-та прикл. химии», 1960, вып. 46, 324—328.—В связи с разработкой аммиачного способа переработки отходящих газов произ-ва суперфосфата с целью получения HF исследовано влияние различных факторов на разложение NH_4HF_2 93—98%-ной H_2SO_4 . Установлено, что выход HF увеличивается с повышением т-ры и понижением конц-и H_2SO_4 и при 200—250° не зависит от отношения $\text{H}_2\text{SO}_4 : \text{NH}_4\text{HF}_2$ (в пределах от 2:1 до 4:2). При оптимальных условиях: конц-и H_2SO_4 98% (для получения безводн. HF), т-ра 200—250°, отношение $\text{HF} : \text{NH}_4\text{HF}_2 = 1:1$ (для того, чтобы реакционная смесь оставалась жидкой при указанной т-ре),

выход HF составляет 93—96%; содержание F в NH_4HSO_4 1—2%. Библ. 13 назв. Г. Рабинович

9K123. Способ удаления из сульфата аммония сульфаминовой кислоты, ее солей и других аминов, амидов и имидов. Такэи Цунэити. [Тоа госэй кагаку когэ кабусики кайся]. Японск. пат. 4774, 9.06.59.— $(\text{NH}_4)_2\text{SO}_4$ или какое-либо удобрение, основным компонентом которого является $(\text{NH}_4)_2\text{SO}_4$, содержащие в качестве примесей сульфаминовую к-ту, ее соли или же другие амины, амиды и имиды, нагревают в присутствии HNO_3 или ее солей при т-ре $> 100^\circ$. Пример. Смесь, содержащую (в %): $(\text{NH}_4)_2\text{SO}_4$ 98,18, $\text{NH}_4\text{SO}_3\text{NH}_2$ 0,208, NH_4NO_3 1,00, HNO_3 0,05, NH_4OH 0,051 в течение 30 мин. нагревали при 130° ; при этом содержание в смеси $\text{NH}_4\text{SO}_3\text{NH}_2$ уменьшилось до 0,007%, а NH_4OH до 0,004%.

В. Зломанов
9K124. Способ удаления из сульфата аммония сульфаминовой кислоты, ее солей и других аминов, амидов и имидов. Ясуи Эйджо, Сибата Тадао, Мацухара Такаси. [Тоа госэй кагаку когэ кабусики кайся]. Японск. пат. 4775, 9.06.59.— $(\text{NH}_4)_2\text{SO}_4$ или какое-либо удобрение, основным компонентом которого является $(\text{NH}_4)_2\text{SO}_4$, содержащие в виде примесей сульфаминовую к-ту, ее соли или же другие амины, амиды и имиды, смешивают с HNO_3 или ее солями; в последнем случае добавляют какую-либо сильную к-ту. Р-цию смеси ведут при интенсивном перемешивании в течение, напр., 30 мин. при 60° ; затем смесь просушивают. В результате содержание $\text{NH}_4\text{SO}_3\text{NH}_2$ в ней снижается, напр., с 1,43 до 0,04%.

В. Зломанов
9K125. Способ и аппаратура для получения гранулированного нитрата аммония. Delaloye John A., Stafford Joseph D., Jr. Method and apparatus for producing granulated ammonium nitrate. [Phillips Petroleum Co.]. Пат. США 2931067, 5.04.60.—Горячий плав NH_4NO_3 подают в расположенные сверху грануляционной башни каплеобразователи, из которых под действием периодически изменяющегося давления плав инжектируется через капиллярные сопла в башню, где капли падают противотоком к воздуху, подаваемому снизу. Приведены схемы.

Г. Рабинович
9K126. Способ улучшения свойств гранулированного нитрата аммония, содержащего 33,5% азота и опудренного измельченным карбонатом кальция, а также предупреждения сегрегации опудриваемого вещества.—Procédé pour améliorer la présentation de l'ammonitrate granulé à 33,5% d'azote enrobé à l'aide de carbonate de calcium broyé et éviter la ségrégation de l'argent d'enrobage. [Appareils et Evaporateurs Kestner]. Франц. пат. 1225652, 4.07.60.—Гранулированный NH_4NO_3 опудривают тонкоизмельченным CaCO_3 , отсеивают CaCO_3 , неприставший к гранулам, и присоединяют его к NH_4NO_3 , поступающему на гранулирование. Приведена схема.

Г. Рабинович
9K127. Способ получения гранулированного цианамиды кальция. Икэкама Хиреси, Мики Такэо. [Тохоку дэнки сэйтэцу кабусики кайся]. Японск. пат. 6210, 17.07.59.—К мелкому порошку CaCN_2 добавляют разб. (0,2—1,4%-ный) водн. р-р поливинилового спирта. Смесь гранулируют (размер гранул 0,4—3 мм) и просушивают на воздухе. Получают удобрение с общим содержанием N $\sim 21,6\%$. В случае необходимости к смеси перед ее гранулированием могут быть добавлены в качестве стабилизатора MgCl_2 , CaCl_2 и HCl в кол-ве $\sim 1\%$.

М. Гусев
9K128. Осветление кислых фосфатных растворов. Clevenger Kyle D. Clarification of acidic phosphatic solutions. [International Minerals & Chemical Corp.]. Пат. США 2929777, 22.03.60.—Водн. р-р H_3PO_4 и (или) $\text{Ca}(\text{H}_2\text{PO}_4)_2$, напр. упаренную экстракционную H_3PO_4 или экстракт из суперфосфата, для очистки от суспендированных примесей (Са-сульфат, Fe-Al-фосфаты, Na-

и К-кремнефториды и др.) смешивают с 0,025—2,5 (0,05—1,5) вес. % В-соединений, напр. $B(OH)_3$ или $Na_2B_4O_7$, а затем с флоккулирующим агентом, напр. с водорастворимым полиакриламидом, взятым в кол-ве 0,00015—1 (0,00015—0,25) кг на 1 т р-ра; целесообразно также добавлять к р-ру 0,05—10% (0,5—6%) H_2SO_4 и 0,01—5% (0,02—5%) поверхностноактивного в-ва (моющего средства), напр. Na_2SO_4 , Na-лаурилсульфата или Na-додецилбензолсульфоната. После отстаивания, которое значительно ускоряется при повышении т-ры до 49—121° (79—121°), от осветленного р-ра отделяют осадок примесей, содержащий значительное кол-во P_2O_5 . Его можно использовать для произ-ва удобрений, в частности в качестве связующего для получения гранулированных удобрений. Е. Бруцкус

9K129. Способ получения дикальцийфосфата и экстракции фосфорной кислоты.—*Procédé permettant la préparation de phosphate bicalcique et l'extraction d'acide phosphorique.* [Potasse et Engrais Chimiques]. Франц. пат. 1226567, 13.07.60.—Водн. р-р Са-фосфата с мол. соотношением $CaO:P_2O_5 < 1$, напр. р-р Са (H_2PO_4)₂, смешивают с 1—5 объемами органич. р-рителя, напр. C_2H_5OH , ацетона, пиридина и др.; при т-ре ~0° осаждаются $CaHPO_4 \cdot 2H_2O$, а при комнатной (или выше) — $CaHPO_4$. Осадок отделяют, промывают и сушат. Получают чистый дикальцийфосфат, пригодный в качестве кормовой добавки и для других целей. Из жидкой фазы отгоняют р-ритель и получают H_3PO_4 , не содержащую Са. Пример. 900 г суперфосфата обрабатывают 1440 г воды и отфильтровывают нерастворимый остаток от экстракта с уд. в. 1,236 при 18°, содержащего (в г/а): P_2O_5 206, СаО 67,2, SO_4 2,15. К 1 л р-ра, разб. в 5 раз, при 20° добавляют при интенсивном перемешивании 3 л ацетона; выпавший осадок отфильтровывают, промывают и сушат. Получают 33,7 г дикальцийфосфата, содержащего 49% P_2O_5 и 37,9% СаО. Из фильтрата отгоняют ацетон и получают 1 л водн. р-ра H_3PO_4 , содержащего 24,7 г P_2O_5 . Е. Бруцкус

9K130. Способ получения удобрений, содержащих дикальцийфосфат. *Karhe Kurt, Boos Wilhelm, Klaus Heinrich. Verfahren zur Herstellung dicalciumphosphathaltiger Düngemittel.* [Gewerkschaft Victor]. Пат. ФРГ 1069161, 12.05.60.—Способ получения удобрений, содержащих $CaHPO_4$, разложением природных фосфатов азотной к-той отличается тем, что HNO_3 предварительно подогревают до ≥ 50 —60° (> 80°). Фосфат можно вводить в к-ту или непрерывно подавать в экстрактор одновременно оба реагента. К полученной массе добавляют стабилизатор ($MgSO_4$), нейтрализуют ее в той или иной степени аммиаком, разбавляют двойным объемом р-ра NH_4NO_3 (45%-ного), а затем фильтруют; при этом процесс фильтрования значительно ускоряется. Е. Бруцкус

9K131. Фосфорные удобрения. *Weeks Lloyd E. Phosphate compositions.* [Monsanto Chemical Co.]. Пат. США 2928728, 15.03.60.—К экстракционной H_3PO_4 , полученной разложением природных фосфатов H_2SO_4 , отработанной при процессе алкилирования, добавляют немного (0,5%) тиофосфата полиоксидиленов $C_nH_{2n+1}S(-CH_2CH_2O-)_nH$, где n — число от 10 до 20, нейтрализуют к-ту аммиаком при т-ре > 75°, а затем быстро охлаждают нейтр. р-р NH_4 -фосфата до < 35°. Е. Бруцкус

9K132. Получение удобрения с высоким содержанием фосфата мочевины и фосфата калия. Цугэ Тосихиса, Хосон Такуити. [Таки сэйкисэ]. Японск. пат. 8379, 17.09.59.—74,9 г KCl (62,76% K_2O) растворяют в 222,5 г 88%-ной H_3PO_4 . Р-р нагревают в течение 1 часа при 130°, после чего охлаждают до 70—80° и добавляют 66 г $CO(NH_2)_2$. При этом получают 308,9 г твердого удобрения, содержащего N 9,80%, водорастворимой P_2O_5 45,01% и водорастворимой K_2O 15,06%. М. Гусев

9K133. Получение кальцинированного фосфорного удобрения. Уэсуги Синтаро, Араи С.Ю. [Нобуоки кагаку когэ кабусики кайся]. Японск. пат. 2814, 22.04.59.—К 100 ч. фторидской фосфатной руды, содержащей (в %): P_2O_5 31,64, SiO_2 8,87, СаО 45,97, Fe_2O_3 + Al_2O_3 1,53, F 2,01, SO_3 0,78, п. п. п. 7,02, добавляют 22 ч. K_2SO_4 , 5 ч. древесного угля и 10 ч. конц. H_2SO_4 ; массу тщательно перемешивают. К смеси добавляют 14 ч. мазута (что соответствует ~10% от веса всей смеси), снова тщательно перемешивают, гранулируют и прокаливают при 1250°. При этом получают удобрение, содержащее (в %): P_2O_5 общей 30,46, P_2O_5 лимоннорастворимой 30,23 (99,31% от общего содержания P_2O_5), K_2O общей 10,68, K_2O лимоннорастворимой 10,65 (99,88 от общего содержания K_2O). Молярное отношение K_2O/P_2O_5 равно 0,56. М. Гусев

9K134. Способ получения термофосфатов. *Smrž Rudolf, Auerhan Jaroslav, Tichý Viliam, Káčer Ladislav. Spůsob výroby termofosfátů.* Чехосл. пат. 93262, 15.12.59.—Предлагается получать термофосфаты (ТФ) на крупных теплоцентралях одновременно с произ-вом электроэнергии. Размолотый природный фосфат, смешанный с порошкообразным углем и минер. добавками (напр., магнетиловыми отходами, золой), загружают в топку паровых котлов; при сгорании угля смесь нагревается до 1200—1600°. Полученный расплав ТФ отбирают из плавильных камер, быстро охлаждают его водой и гранулируют. На основе флотационного апатитового концентрата (39,4% P_2O_5) получают ТФ, напр., следующего состава (в %): P_2O_5 18, СаО + MgO 40, SiO_2 24,3, R_2O_3 15,2. В. Елинек

9K135. Получение препарата, содержащего соли фосфорной кислоты, для ускорения роста растений. Амага Са Митто, Иноуэ Рокудао, Огата Юкио, Тоёта Харуо, Уэмэмура Хироси. [Тоё коопу когэ кабусики кайся]. Японск. пат. 8377, 17.09.59.—С целью более быстрого и полного поглощения растениями фосфорных удобрений к последним добавляют в небольшом кол-ве продукт полимеризации окиси этилена с этиленгликолем, имеющий общую ф-лу $HO-CH_2-(CH_2-O-CH_2)_n-CH_2OH$, где $n < 10$. В. Зломаков

9K136. Новый флотационный процесс. *Fuchsman Charles H. Novel flotation process.* [Columbia-Southern Chemical Corp.]. Пат. США 2921678, 19.01.60.—Способ предусматривает извлечение KCl из сильвинитовых руд, содержащих 1—40% $CaSO_4$. Флотационную камеру наполовину заполняют насыщ. р-ром KCl—NaCl при т-ре воды 25° с добавлением 453,6 г руды, имеющей размер частиц —20 — +35 меш и содержащей 34 ± 2% KCl, 2,2 ± 0,3% водонерастворимых компонентов (в том числе $CaSO_4$) и 64 ± 2% NaCl. Устанавливают различные pH пульпы для каждой из операций флотации добавлением р-ров HCl различной конц-ии. Добавляют 3 см³ водн. р-ра реагента Armac TD. Содержимое флотационной камеры перемешивают в течение 2 мин. и подвергают аэрации с последующим собиранием пены, которую затем флотируют вторично. При pH пульпы 2,0, 2,5, 3,5 и 7,0 полученный продукт содержит соответственно 96,5, 95,7, 95,0 и 85,0% KCl. Расход реагента Armac TD составляет 227—544 г/т руды. И. Денисова

9K137. Получение удобрения. Амацу Хидэо, Симоямада Масадзи, Накадзима Нобору. [Ниссан кагаку когэ кабусики кайся]. Японск. пат. 472, 7.02.59.—К суперфосфату добавляют какое-либо К-удобрение или смесь К-удобрений, или плавящее фосфорное удобрение, содержащее Са и соли щел. металлов и фосфорной к-ты (мол. соотношение P_2O_5 : Na_2O (или K_2O) = 1:0,3—0,6) и воду. Смесь тщательно перемешивают, гранулируют и сушат. М. Гусев

9K138. жидких кн
д з и. [А
пат. 4135,
50,8%)
батывают
концентри
100—105°
менно 35
держании
и СаСО₃.
добавляю
1000 кг у
1, NH₄NO₃
1,2, KCl
Общее со
аммиачно
P₂O₅ 11,3,
10,6, водо
9K139.
ний, соде
сно Си
17.07.59.—
в кол-ве
нейтр-цин
в к матери
в форме,
NH₃ и сер
мерного с
лимонно
MgO лим
4,2, воды
к общему
9K140.
кислоту.
[Сумитом
пат. 6215
ерит; при
добавляю
или Na₂S
навестния
гут быть
В-рудам
Ni-штейн
на, служ
ния (в %
2,4, В₂O₃
9K141.
вания и
ley Jos
handling
ditioning
5.04.60.—
рошкови
зернисты
комплекс
мер. См
этиленди
1652 ч. F
в-в. Р-р
и сушиль

ПРОИЗ

9K142.
синтеза
V, Fe g
minéraux
tir de l'é

9K138. Получение синтетических удобрений, содержащих калий, фосфор и азот. Мунэката Хидэки. [Асахи касэй когё кабусики кайся]. Японск. пат. 4135, 27.05.59.—304 кг фосфорита (P_2O_5 37,0%, CaO 50,8%) разлагают 575 кг 62%-ной HNO_3 . Пульпу обрабатывают ~59 кг NH_3 и доводят pH р-ра до 3, а затем концентрируют до содержания < 10% воды и при 100–105° под давл. 1–1,5 кг/см² пропускают одновременно 35 кг NH_3 и 69 кг CO_2 . При этом $Ca(NO_3)_2$, содержащийся в реакционной массе, переходит в NH_4NO_3 и $CaCO_3$. К пульпе при тщательном перемешивании добавляют 181 кг KCl и сумат смесь. Получают 1000 кг удобрения следующего состава (в %): вода 1, NH_4NO_3 44,3, $Ca(H_2PO_4)_2$ 0,2, $CaHPO_4$ 20,3, $Ca_3(PO_4)_2$ 1,2, KCl 16,6, $CaCO_3$ 10,5, SiO_2 и другие примеси 5,9. Общее содержание в продукте (в %) N 15,5, из них аммиачного 7,5 и нитратного 7,75, содержание общей P_2O_5 11,3, водорастворимой P_2O_5 0,1, усвояемой P_2O_5 10,6, водорастворимой K_2O 10,5. М. Гусев

9K139. Способ получения синтетических удобрений, содержащих окись магния. Икэно Рёто, Вано Сигэаки. [Таки сэйдисё]. Японск. пат. 6212, 17.07.59.—К H_3PO_4 или смеси ее с H_2SO_4 добавляют NH_3 в кол-ве несколько меньшем, чем необходимо для нейтрализации к-ты. К полученной смеси добавляют серпентина или основные Mg-соли. По окончании р-ции к материалу могут быть добавлены также N и K_2O в форме, напр., $(NH_4)_2SO_4$ и K_2SO_4 . На основе H_3PO_4 , NH_3 и серпентина получают продукт следующего примерного состава (в %): P_2O_5 водорастворимой 12, P_2O_5 лимоннорастворимой 24,7, MgO водорастворимой 1,4, MgO лимоннорастворимой 8,6, общего содержания N 4,2, воды 21,6; отношение лимоннорастворимой MgO к общему ее содержанию 70%. М. Гусев

9K140. Получение удобрений, содержащего кремнекислоту. Мураяма Хия, Кинсита Хироси. [Сумитомо киндаоку косан кабусики кайся]. Японск. пат. 6215, 17.07.59.—Исходным сырьем служит гарнерит; при выплавке из последнего металлич. Ni к руде добавляют в качестве сульфидирующего агента Na_2SO_4 или Na_2S , а гипс, в качестве флюса — кремне-известняк, плавленый шпат. Кремне-известняк могут быть заменены частично или полностью Mn- или В-рудами. Смесь плавят при 1350–1400° и получают Ni-штейн. Отходы, полученные при выплавке Ni-штейна, служат удобрениями. Примерный состав удобрения (в %): MgO 23,2, SiO_2 41,5, CaO 14, Na_2O 4,5, MnO 2,4, B_2O_3 1,7. М. Гусев

9K141. Способ обработки жидкостей и гранулирования и кондиционирования твердых веществ. Kelley Joseph A., Ridgeway John L. Method for handling liquid materials and for granulating and conditioning solids. [Zonolite Co.]. Пат. США 2931716, 5.04.60.—Патентуется способ превращения жидких, порошковых и других материалов в рассыпчатые, зернистые продукты, в частности, содержащие внутрикомплексные соединения микроэлемента Fe. Пример. Смесь 5770 ч. 50%-ного водн. р-ра тетраэтилендиаминтетраацетата, 375 ч. 93,2%-ной H_2SO_4 и 1652 ч. $FeSO_4 \cdot 6H_2O$ нагревали до растворения твердых в-в. Р-р смешали с 1821 ч. расслоенного вермикулита и сушили смесь при ~150° до влажности 1%. Г. Рабнович

ПРОИЗВОДСТВО КАТАЛИЗАТОРОВ И СОРБЕНТОВ

Редактор В. Д. Матвеев

9K142. Влияние катализаторов из глины на процесс синтеза бутадиена из этилового спирта. Alexandre V., Fernandez T. Influence catalytique des differents minéraux argileux sur la synthèse du butadiène à partir de l'éthanol. «Silicates industr.», 1960, 25, № 5, 243—

248 (франц.; рез. англ., нем.).—Изучена активность катализаторов дегидратации спирта в бутадиене, приготовленных из смеси каолина, галлоизита или бентонита с MgO. Исследовано влияние кристаллич. структуры, хим. состава, содержания свободного SiO_2 в минералах, а также влияние т-ры, отношения глины: MgO и уд. поверхности. Из бентонита удаляли SiO_2 кипячением в 5%-ном р-ре Na_2CO_3 . Для приготовления катализатора осаждали $Mg(OH)_2$ в контакте с глиной сначала аммиаком, а затем Na_2CO_3 из жидкости, отделенной после первого осаждения. Эти два осадка промывали водой до pH 6–7, смешивали, сушили и формовали в таблетки диам. 2–3 мм. Отношение глины: MgO = 1:0,7–1,7. Таблетки сушили 1 час при 120°, активировали 6 час. при 390–400° в токе воздуха и 1 час при рабочей т-ре > 400°. Наиболее активный катализатор с рабочей т-рой 440° получен из смеси бентонита с MgO. Выход бутадиена возрастает с увеличением содержания MgO в катализаторе до отношения глины: MgO = 1:1,3, а затем падает. Отмечено отсутствие связи между уд. поверхностью и активностью. Структура катализатора сильнее влияет на активность, чем уд. поверхность. Свободный кремнезем, вероятно, увеличивает поверхность. Библ. 12 назв. В. Толстогузов

9K143. Катализаторы на основе окиси железа.—Iron oxide catalysts. «Chem. Process» (Engl.), 1960, 6, № 9, 19, 57 (англ.).—Исследована активность и селективность катализаторов на основе окислов железа, применяемых в синтезе Фишера — Троппа. Опыты по оценке активности проводили в реакторах объемом 50 мл; общее поведение катализатора изучали в реакторах объемом 500 и 1000 мл, однократная загрузка которых составляла 50 и 100 г катализатора соответственно. Синтез Фишера — Троппа на различных катализаторах исследовали в реакторе диам. 3 и высотой 8,5 м, производительность 227–364 л/сутки жидких продуктов. Опыты проводили при давл. 10 атм, отношении H_2 : CO = 0,65–1,2 и т-рах 250–290°. Присутствие SO_2 отравляет катализатор, но при содержании SO_2 в синтез-газе, равном < 0,9%, его эффект полностью устраняется добавлением к катализатору небольшого кол-ва Ba. Селективность катализатора для произ-ва продуктов с повышенным мол. весом увеличивается при увеличении вес. отношения K_2O/Fe от 0,1: 100 до 5: 100, однако при возрастании этого отношения > 2—100 активность катализатора падает. При увеличении отношения кол-ва Fe^{3+} к Fe^{2+} в катализаторе его активность уменьшается и селективность увеличивается. В. Герповский

9K144. Кобальт-молибденовый катализатор. Blue E. M., Spurlock B. Cobalt-moly catalyst. «Chem. Engng Progr.», 1960, 56, № 4, 54–59 (англ.).—Исследована очистка сырья платформинга от N, S, олефинов, As, Pb и Si в присутствии катализатора, широко применяемого в нефтепереработке, который содержит (вес.%): CoO 3,5, MoO₃ 10,0, Cl 0,04, Fe_2O_3 0,07, Na_2O 0,01, графита 4,0, летучих при 650° (в течение 1 часа) 1,0 и имеет поверхность (по адсорбции N_2) 143 м²/г и насыпную плотность 1,02 г/мл. До работы катализатор активируют 15 час. при 400° углеводородами, содержащими 0,86% S при давл. 56 ат, подаче сырья 2 час⁻¹. Катализатор понижает содержание в сырье следующих примесей: N с 0,25% до величины < 0,00001%, S с 0,11% до величины < 0,001%, Pb с 0,1% до < 0,00001% и удаляет полностью As. Примеси Si и кремнеорганич. соединений понижают активность катализатора в основном в лобовом его слое. Емкость катализатора по примесям составляет (в вес.%): As 0,45, Pb 0,9 и Si 2,0. Активность катализатора повышается при повышении т-ры и давления и понижении скорости подачи сырья, но при т-ре > 400° сильно повышается коксообразование и катализатор начинает дегидрировать некоторые нафтенy (при этом его

селективность ниже, чем у катализатора платформинга. Катализатор обратимо отравляется при конц-ии СО в газе $\geq 0,4\%$ и полностью регенерируется от СО продувкой H_2 и от кокса продувкой смеси $1\% O_2$ и N_2 при т-ре на входе 480° и в слое $\leq 560^\circ$. Ю. Голынец

9K145. Получение никелевых катализаторов. Такаутти Х. «Katakuri kōgi, Chem. Ind. (Japan)», 1960, 11, № 10, 948—952 (японск.).—Обзор. Получение катализатора Ренея, катализаторов на основе оксалата Ni и других типов Ni-катализаторов. М. Гусев

9K146. Изменение в структуре и активности катализаторов из платины на окиси алюминия при высокой температуре. Waters R. F., Peri J. B., John G. S., Seelig H. S. High temperature changes in alumina structure and activity of platinum-alumina catalysts. «Industr. and Engng Chem.», 1960, 52, № 5, 415—416 (англ.).—При $730-954^\circ$ в токе сухого или влажного воздуха катализатор платформинга, приготовленный на $\gamma-Al_2O_3$, сохраняет большую площадь поверхности, медленнее переходит в неактивную $\alpha-Al_2O_3$ и имеет более высокую каталитич. активность по сравнению с катализатором, приготовленным на $\eta-Al_2O_3$. Установлено, что $\alpha-Al_2O_3$ появляется в $\gamma-Al_2O_3$ лишь после понижения площади поверхности последней до $130 м^2/г$. Катализатор с $\eta-Al_2O_3$ дезактивируется ранее начала перехода ее в неактивную $\theta-Al_2O_3$. На основе данных электронной микроскопии выведен механизм понижения поверхности катализаторов при высокой т-ре. Библ. 7 назв. Ю. Голынец

9K147. Комбинированный гидрохимический щелочной способ переработки высококремнистых бокситов на глинозем. Ни Л. П. В сб. «Материалы Всес. совещания по химии и технол. глинозема, 1958». Новосибирск, Сиб. отд. АН СССР, 1960, 149—152.—Боксит (после подготовительных операций) выщелачивают оборотными алюминатными р-рами с высоким каустич. модулем (13—14), поступающими из ветви автоклавной обработки красного шлама. Дозировку боксита производят на расчетный модуль 1,8. Выщелачивание производят при конц-ии $Na_2O_{кауст}$ оборотного р-ра 200—240 г/л, продолжительности выщелачивания 1—2 часа, т-ре 105° . Полученную пульпу разбавляют и далее разделяют в системе сгустителей. Алюминатный р-р направляют на выделение Al_2O_3 выкручиванием. Красный шлам после промывки поступает на автоклавное выщелачивание оборотными алюминатными р-рами с каустич. модулем 30—35 при конц-ии $Na_2O_{кауст}$ оборотного алюминатного р-ра 350—400 г/л, дозировке CaO из расчета мол. отношения $CaO : SiO_2 = 1,5$, продолжительности выщелачивания 15 мин. и давл. 30 атм (т-ра $250-260^\circ$). Дозировку красного шлама производят на получение каустич. модуля алюминатного р-ра 13—14. При этом достигают выхода глинозема 85% от содержания его в красном шламе. Далее автоклавную пульпу разделяют. Автоклавный шлам после промывки подвергают обработке слабыми щел. р-рами ($Na_2O_{кауст}$ 60 г/л) с целью регенерации Na_2O . Оптимальные условия регенерации Na_2O : конц-ия исходного р-ра по $Na_2O_{кауст}$ = 60 г/л, отношение Ж:Т в исходной пульпе 6:1, т-ра 100° , продолжительность 12 час. При этих условиях извлекается до 95% Na_2O с получением р-ров, содержащих Na_2O 75 г/л. Далее шлам отделяют, промывают и переводят в отвал, а р-р щелочи поступает в оборот. Алюминатный р-р, полученный в результате выщелачивания красного шлама и разбавленный водами от промывки автоклавного шлама с каустич. модулем 13—14 и $Na_2O_{кауст}$ = 200—250 г/л, частично возвращают в голову процесса на выщелачивание новых порций боксита. Остальная часть его идет на обескремнивание и далее на упарку. Также на упаривание поступает маточный р-р после отделения $Al(OH)_3$, имеющий каустич. модуль 3,5. Упаривание производят до конц-ии по $Na_2O_{кауст}$ = 500 г/л.

Р-ры смешивают и получают р-р с каустич. модулем 5,5—6,5, который поступает на кристаллизацию алюмината натрия. Алюминатную пульпу разделяют. Маточный р-р после отделения алюмината натрия, имеющий каустич. модуль 3,5, возвращают на процесс автоклавного выщелачивания красного шлама. Кристаллы алюмината натрия растворяют в промывной воде от промывки $Al(OH)_3$, и р-р, имеющий каустич. модуль 1,6, после смешивания со сливом сгустителей ветви переработки боксита подвергают выкручиванию для выделения Al_2O_3 . Технологич. схема процесса состоит в себе две гидрохимич. ветви, включающие переработку боксита и красного шлама. В. Борисов

9K148. Отбеливающие земли РНР. Ababi V., Silvan S., Golgoțiu T. Contribuțiuni la cunoașterea pământurilor decolorante din R. P. R. «An. științ. Univ. Iași», 1959, Sec. 1, № 1, 185—206 (рум.; рез. русск., франц.).—Изучено 16 земель, в основном мергелей и глин, адсорбционные свойства которых сравнивали с бентонитом из Туфэры-Северина. В естественном состоянии земли мало пригодны для отбеливания (обесцвечивание ниже 39%). После активации отбеливание увеличивается до 57—60% у мергелей Подул Илоае-Яссы, Север-Яссы и Бучюм-Яссы. Оптимальные условия активации: конц-ия HCl (к-та) 32—48%, продолжительность 3 часа. Нефтепродукты обесцвечиваются многими землями на 80—90% и бентонитом на 96%. Дан состав земель. Библ. 15 назв.

Из резюме авторов
9K149. Сорбционные свойства феррогеля. Заблудская В. Л. «Ж. прикл. химии», 1960, 33, № 11, 2439—2449.—Изучено поглощение ионов молибдена и р-ров феррогелем, образующимся при выделении Mo в виде молибдата аммония из р-ра, полученного растворением ферримолибдата. Выявлена эффективная обменная емкость феррогеля при выделении Mo из р-ров. Вымывание Mo из феррогеля производили аммиачным р-ром при нагревании до 80° , что обеспечивает получение более конц. р-ров. Установлено, что сорбция Mo феррогелем сопровождается образованием автогидрокомплексов; щелочность р-ров не влияет на динамич. обменную емкость феррогеля. Н. Ширяева

9K150. Изготовление безводных силикатов серебра. Thilo Erich, Wodtcke Friedrich. Verfahren zur Herstellung von wasserfreien Silbersilicaten. [Deutsche Akademie der Wissenschaften zu Berlin]. Пат. ФРГ 1066192, 17.03.60.—К силикатам щел.-зем. металлов в тонкодисперсном состоянии добавляют $AgNO_3$ или смесь последнего с нитратами щел. металлов. Смесь нагревают до $200-400^\circ$ (300°), после чего силикаты щел. или щел.-зем. металлов выщелачиваются водой. Образующиеся безводные силикаты серебра, в частности $Ag_2Si_2O_5$, применяются в качестве высокоактивных катализаторов в р-циях гидратации и дегидратации. Л. Лифшиц

9K151. Производство катализатора. Houndry Eugene J. Method for the manufacture of catalysts [Oxy-Catalyst, Inc.]. Пат. США 2921033, 12.01.60.—Частично гидратированную окись алюминия, содержащую 5—20 вес. % хим. связанной воды, измельчают в колл. мельницах до размера всех частиц $< 40 \mu$ (50% всех частиц имеют размер $0,01-2 \mu$), при уд. поверхности $6-6,5 м^2/см^3$. К 10 вес. ч. суспензии, содержащей равные объемные кол-ва воды и твердого в-ва, при перемешивании прибавляют 1 вес. ч. $Al(NO_3)_3 \cdot 9H_2O$. Затем суспензию подсушивают до получения тестовой консистенции и экструдировывают под давл. 35—200 ат в таблетки, которые сушат при $200-260^\circ$ до полного разложения нитратов. Далее повышают т-ру до $260-815^\circ$, при этой т-ре таблетки прокалывают несколько часов и медленно охлаждают. Полученный

таблетированный катализатор обладает высокой прочностью на истирание. Вместо Al_2O_3 можно применять окислы Zr, Be, Si и их смеси. Пример. Смесь соосаженных гидратов оксидов Al и Si сушат, удаляя механически связанную воду, и материал, содержащий частично гидратированные окислы Al (12,5%) и Si (87,5%), измельчают на колл. мельнице в присутствии воды. Полученную пасту, содержащую ~30 вес.% твердой фазы, пропускают 7—8 раз через колл. мельницу с мин. зазором между измельчающими поверхностями при скорости вращения поверхности 20 000 об/мин. Далее массу частично подсушивают до получения тестообразной консистенции и экструдировать через отверстия с diam. ~3 мм при давл. 35—56 ат. Полученные таблетки сушат 1 ночь на открытом противне, затем 2 часа при 120° и прокалывают 2 часа при 700°.

9K152. Получение активных окислов [металлов]. Schöber Rolf. Verfahren zur Herstellung von aktiven oxydischen Verbindungen. [Kali-Chemie A.-G.] Пат. ФРГ 1062224, 7.01.60.—Активные окислы элементов, образующих фтористые комплексы, получают с помощью органич. производных NH_4F , взаимодействующих с пещенным окисным сырьем с отщеплением H_2O и аммиака. Р-цию проводят при повышенной т-ре и давлении в твердой фазе, водн. или органич. р-ре. Образовавшийся органометаллический фтораммонийный комплекс данного металла при более низкой т-ре реагирует со смесью отщепленных H_2O и аммиака, давая активный окисел и регенерируя производные NH_4F . Указанные органич. производные NH_4F берут в избытке против теоретически необходимого. Пример. 5 кг гидрата Al_2O_3 нагревают 2 часа при перемешивании (до слабого кипения) в 20 кг 35%-ного водн. р-ра фтористого метиламмония. При этом в р-р переходит 1,5 кг $\text{Al}(\text{OH})_3$ в виде комплекса состава $(\text{CH}_3\text{NH}_2)_3\text{AlF}_6$ и одновременно отгоняется смесь 4 кг H_2O и 1,8 кг CH_3NH_2 . Р-р отделяют фильтрацией от избытка $\text{Al}(\text{OH})_3$ и вводят в него р-р CH_3NH_2 , полученный конденсацией отогнанной смеси. Выпавший гель $\text{Al}(\text{OH})_3$ отфильтровывают, промывают и сушат. Полученный продукт имеет уд. поверхность 200 м²/г. Фильтрат и промывные воды используют для растворов свежих порций $\text{Al}(\text{OH})_3$.

9K153. Катализатор [конверсии углеводородов жирного ряда]. Zimmerschied Wilford J., Rylander Paul N. Catalysts. [Standard Oil Co.] Пат. США 2921081, 12.01.60.— ZrO_2 или галогениды циркония обрабатывают при 220—600° (220—350°) в течение 2—8 час. фосфорной к-той, причем в случае применения ZrO_2 берут молярное отношение $\text{Zr}:\text{P} = 0,2 \div 3,0:1$; для галогенидов циркония берут молярное отношение $\text{Zr}:\text{P} = 0,2 \div 0,75:1$. При взаимодействии ZrCl_4 и H_3PO_4 р-цию проводят при перемешивании, начиная с т-ры ~20° и постепенно повышая т-ру до 60—100° (что сопровождается ровным, контролируемым выделением HCl). При уменьшении кол-ва HCl т-ру поднимают до ~300° и выдерживают до выделения 3,5 молей HCl на 1 моль ZrCl_4 . Затем из смеси отгоняют остаток HCl. При использовании ZrO_2 к H_3PO_4 прибавляют некоторое кол-во P_2O_5 . Пример. В трехгорную колбу, снабженную мешалкой, капельной воронкой и дефлегматором помещают 98 г безводн. H_3PO_4 , полученной концентрированием под вакуумом 86%-ной H_3PO_4 , и прибавляют при перемешивании по каплям ZrCl_4 до получения молярного отношения $\text{Zr}:\text{P} = 0,4$. Выделяющиеся пары HCl отгоняют в токе азота и затем нагревают до ~300° 4 часа до прекращения выделения HCl. Полученную тестообразную массу отделяют от жидкой фазы и высушивают. Для испытания 5 г полученного катализатора помещают в стальной реактор объемом 250 см³ вместе с 50—60 г пропилена; получают выход жидкого полимера — 75%.

В. Герцовский

9K154. Приготовление окисных хромо-медных [катализаторов]. Cramer Robert H. Preparation of chromia-copper oxide hydrogels. [Socony Mobil Oil Co., Inc.] Пат. США 2910444, 27.10.59.—Гидрогели, содержащие 60—95 вес.% Cr_2O_3 и 5—40 вес.% CuO (являющиеся катализаторами гидрирования, циклизации, алкилирования, гидратации, дегидрирования, карбонилирования, изомеризации и конверсии карбоновых к-т в хлоркислоты действием полиалкоидных углеводородов), получают из гидрозолей, имеющих $\text{pH} > 10$ (10—12), которые образуются при сливании водн. р-ров аммиачной соли Cu с рН 7,5—12 и р-ром ацетата Cr, имеющим рН 6,5—10 (соотношение $\text{CH}_3\text{COO}^-:\text{Cr} = 3-1:1$). Золь формуют или выдерживают до затвердевания в течение < 24 час. (< 20 сек.) и сушат. рН водн. р-ров повышают добавлением KOH, LiOH, NaOH, Na_2CO_3 , $(\text{NH}_4)_2\text{CO}_3$ или NH_4OH . Пример. Смешивают 15 мл 20%-ного водн. NaOH с 25 мл водн. р-ра ацетата Cr, содержащего 10,2% Cr_2O_3 , имеющего рН 4,8 и соотношение $\text{CH}_3\text{COO}^-:\text{Cr} = 3:1$. Полученный р-р (рН 9) смешивают с 10 мл водн. р-ра, содержащего 20% CuCl_2 и 11,7% NH_3 (рН 11,3). Полученный гидрозолю имеет рН 10,2 и превращается в гидрогель в течение времени < 10 сек. при 27—32°. Гель сушат на водяной бане до стеклообразного состояния и получают катализатор, содержащий 30,3% CuO и 69,7% Cr_2O_3 . Приведены примеры.

9K155. Катализаторы реформинга нефти, состоящие из соединений металлов VI группы периодической системы на носителе $\eta\text{-Al}_2\text{O}_3$. Riblett Earl W., Burton William P., Kaufman Herman S., Lefrancois Philip A. Reforming of a naphtha with a catalyst composite consisting of a group VI metal compound supported on eta-alumina. [The M. W. Kellogg Co.] Пат. США 2913398, 17.11.59.—Катализатор реформинга состоит из окислов и (или) сульфидов металлов VI группы периодич. системы (MoO_3 , Cr_2O_3) и 0,1—10 вес.% SiO_2 , нанесенных на носитель из $\eta\text{-Al}_2\text{O}_3$; причем последнего в составе катализатора содержится 60—99% (75—97%). Реформинг проводят при 315—565° (455—510°), давл. 3,5—70 (7—35) атм, скорости подачи сырья 0,05—10 (0,25—5) час.⁻¹, соотношениях H_2 : сырье = 0,5—30.

9K156. Катализатор из окиси молибдена для конверсии углеводородов. Burton William P., Lefrancois Philip A., Riblett Earl W. Chemical conversion processes using a specially prepared molybdenum oxide catalyst. [The M. W. Kellogg Co.] Пат. США 2913400, 17.11.59.—При получении катализатора реформинга (MoO_3 на Al_2O_3) в р-р AlCl_3 вливают при 20—50° р-р NH_4OH , замещенного аммонийного основания или другой щелочи, сушат гель 6—60 (20—40) час. при 65—200°, взмучивают в воде, перестраивают гель при 40—90° (50—80°) обработкой NH_4OH или другой щелочью в течение времени, достаточного для превращения геля в желеобразный осадок, смешивают с MoO_3 , сушат при 65—200° и прокалывают 1—15 (2—8) час. при 590—870° (650—790°). Осадок можно пропитать еще р-ром молибдата NH_4 , H_2MoO_4 или ее соли, высушить и прокалить. Сушку можно совместить с прокаливанием. Готовый катализатор активируют прокаливанием в течение 2—10 (3—6) час. при т-ре на 28—140° выше т-ры обычного прокалывания (при 650—760° или выше). Его применяют в р-циях гидрирования, дегидрирования ($\text{C}_6\text{H}_5\text{NO}_2$ в анилин), крекинга, изомеризации, гидрообессеривания, окисления (HNO_3 или N_2H_4 из NH_3 , SO_3 из SO_2), ароматизации, циклизации, синтеза углеводородов, деалкилирования, дегидрирования в присутствии H_2 ($\text{CF}_2=\text{CClF}$ из $\text{C}_2\text{F}_5\text{Cl}_3$), полимеризации, дегидроксилирования (крезолов) и гидрирования угля тетралином или декалином. Пример. В р-р 5210 г $\text{AlCl}_3 \cdot 6\text{H}_2\text{O}$ в 14 л воды прибавляют 4 л конц. (28—30%) NH_4OH до рН 6,57 (при 30°), прибавляют 100 мл конц. NH_4OH и 4 л воды (до рН 7,15

при 30°, перемешивают 1 час, фильтруют, сушат 18 час. при 204°, перемешивают с 14 л дистил. воды, прибавляют 140 мл конц. NH_4OH до pH 6,82 (при 24°), перемешивают 0,5 час., фильтруют, повторяют промывку по описанной методике еще 10 раз, добываясь pH после 11-й промывки равной 10,00 (при 23°), промывают 15 л воды (pH 9,56, t-ра 23°), промывают 30 мл лед. CH_3COOH в 2,06 л воды и получают 7369 г гелеобразного осадка. Осадок разбавляют р-ром CH_3COOH , содержащим в 82 мл р-ра 41 мл лед. CH_3COOH , смешивают с р-ром 100 г MoO_3 (99%) в 80 мл конц. NH_4OH и 300 мл дистил. воды, прибавляют 5 л воды, перемешивают 15 мин. (pH 6,34 при 23°), сушат 65 час. при 104–110°, размалывают, прокалывают 3 часа при 540°, затем прокалывают еще 3 часа при 650°. При реформинге на этом катализаторе получен выход 81,4% продукта с октановым числом 85. Ю. Гольнец

9K157. Приготовление катализатора, состоящего из оксидов кобальта и молибдена на оксид алюминия. Erickson Henry. Preparation of a cobalt oxido-molybdenum oxide-alumina catalyst. [Sinclair Refining Co.]. Пат. США 2915478, 1.12.59.—При приготовления катализатора гидрообессернивания (состав: 1–20% CoO и 2–25% MoO_3 на Al_2O_3) смешивают Al_2O_3 и CoSO_4 с избытком Na_2CO_3 или же приливают р-р CoSO_4 к суспензии Al_2O_3 в р-ре Na_2CO_3 , содержащей 10–75% тригидрата Al_2O_3 . Полученную суспензию нагревают при t-ре $\geq 65^\circ$ (от 99° до t-ры кипения) до прекращения выделения CO_2 , фильтруют, отмывают водой от Na^+ и SO_4^{2-} , пропитывают р-ром молибдата NH_4 , формуют, сушат и прокалывают при 425–650°. Al_2O_3 может содержать до 25% промоторов и стабилизаторов: оксидов Si, Ti, Zr, Th, V или F. Пример. 45 кг Na_2CO_3 растворяют в воде, смешивают с 1065 кг гидрата Al_2O_3 (15% тригидрата и 85% аморфной Al_2O_3 или моногидрата), нагревают до кипения и сильно перемешивают. Водн. р-р CoSO_4 (32,7% Co) медленно прибавляют к кипящей взвеси, содержащей 8% сухого остатка, перемешивают и нагревают 1 час, фильтруют, отмывают от примесей, сушат при 118°, пропитывают р-ром 100 кг. $(\text{NH}_4)_2\text{MoO}_4 \cdot 4\text{H}_2\text{O}$, сушат при 120°, смачивают водой, формуют, сушат при 120° и прокалывают 6 час. при 480° в токе воздуха. Ю. Гольнец

9K158. Приготовление платиновых катализаторов. Coley John R., Heard Llewellyn. Preparation of platinum catalysts. [Standard Oil Co.]. Пат. США 2911375, 3.11.59.—При получении катализатора платформинга металл. Al растворяют в разб. CH_3COOH в присутствии Hg, смешивают полученный гидрозоль с р-ром соединения $\text{Pt}(\text{H}_2\text{PtCl}_6)$, обрабатывают водн. р-ром $(\text{NH}_4)_2\text{S}$, сушат и прокалывают в токе водорода. Катализатор может содержать 0,1–10% (от веса сухой Al_2O_3) добавок: F-, Cl-, оксидов бора, Ti, Cr, P, V и др. Пример. Металлич. Al растворяют в разб. уксусной к-те в присутствии металл. Hg. К 12 л гидрозоля (330 г сухой Al_2O_3) прибавляют 30 г хлорида Pt, осаждают в течение 2 час. добавлением 1,6 л формата NH_4 , сушат, прокалывают в токе воздуха и активируют водородом 0,1–40 час. при 260–590° (450–540°) и давл. 0–24,5 атм. Ю. Гольнец

9K159. Обработка катализаторов излучением большой мощности. Noddings C. R., Miller W. E., Engelder Theodore C. Treatment of catalyst materials with high energy radiations. [The Dow Chemical Co.]. Пат. США 2905608, 22.09.59.—При проведении процесса дегидрирования при 500–700° (575–650°) олефинов, имеющих 4–6 атомов углерода (≥ 4 атомов углерода в ненасыщ. цепи), в сопряженные длены в присутствии Ca-Ni-фосфатного катализатора (с отношением Ca:Ni = 6,5–12:1), селективность катализатора периодически или непрерывно (в процессе контактирования) повышают с $\leq 70\%$ до 75–95% облучением его γ -лучами Co^{60} с интенсивностью 100–500 000 (100 000–400 000) рентген/час и общей дозой 0,5–20.

• 10⁶ (2–20•10⁶) рентген. Катализатор может содержать 0,05–30 (1–5) вес.% окиси Cr. Пример. 150 мл отработанного катализатора (98% Ca-Ni-фосфата, 2% Cr_2O_3 , соотношение Ca:Ni = 8,2:1) в реакторе diam. 25,4 мм при 20° облучают в течение 5 час. γ -лучами Co^{60} интенсивностью 393 000 рентген/час при общей дозе 2•10⁶ рентген. Селективность катализатора по дегидрированию $n\text{-C}_4\text{H}_{10}$ при этом увеличивается с величины < 40 до 83%. Ю. Гольнец

9K160. Регенерация отработанного катализатора крекинга. Helmers Carl J., Turvey Charles R. Method for improving used cracking catalysts. [Phillips Petroleum Co.]. Пат. США 2921018, 12.01.60.—Катализатор (из активированной глины), потерявший активность и содержащий в качестве вредных примесей следы Fe, Ni, V в тяжелых металлов, регенерируют обычным способом для удаления углеродистых отложений с его поверхности и обрабатывают ~2% (от общего веса катализатора) H_3PO_4 . Затем катализатор сушат 18–24 час. при 120–200°, нагревают в атмосфере N_2 при 450–560° и выдерживают его при этой же t-ре в окислительной атмосфере в течение 1–8 час. до полного перехода фосфатов металлов — примесей в металлы пирофосфаты, которые не являются катализаторными ядами. Пример. Отработанный катализатор из активированной к-той бентонитовой глины импрегнируют H_3PO_4 до получения материала, содержащего 1,9% P, затем сушат 18 час. при 150°, нагревают до 480° в атмосфере N_2 и выдерживают при этой t-ре 1 час на воздухе. В. Герцовский

9K161. Регенерация алюмоплатинового катализатора. Thomson William P. Platinum-alumina catalyst regeneration procedure. [Standard Oil Co.]. Пат. США 2923679, 2.02.60.—Катализатор конверсии углеводородов, содержащих повышенное кол-во серы, потерявший активность в результате закоксовывания поверхности, продувают противотоком (к направлению движения углеводородов) циркулирующими дымовыми газами при давл. 3,5–70 атм. При достижении t-ры слоя 315–540° (370°) к циркулирующему сквозь слой газу прибавляют 0,2–2 мол.% кислорода; образующийся при этом фронт горения должен иметь t-ру $< 700^\circ$ ($< 570^\circ$). При достижении фронтом горения верхней части слоя катализатора, где скапливается S, прибавление кислорода к дымовым газам прекращают; момент достижения фронтом горения верхней части слоя определяют по резкому уменьшению pH воды (которой промываются дымовые газы) до величины < 5 . При этом давление в слое уменьшают до атмосферного, к дымовым газам добавляют значительное кол-во кислорода и выжигают остатки кокса и серы из катализатора. Затем давление в слое катализатора повышают до величины, необходимой для процесса конверсии, поднимают t-ру слоя и вводят углеводороды. Пример. При регенерации алюмоплатинового катализатора, содержащего 0,6% Pt, 0,6% Cl и 0,1% S, при достижении фронтом горения верхней части слоя дегидрирование SO_2 в дымовых газах, поступающих на промывку, возрастает с 0,003 до 0,043% и pH промывной воды уменьшается с 6,0 до 2,5. При прекращении подачи кислорода pH быстро становится равным 6,0. Приведена схема установки. В. Герцовский

9K162. Способ осветления пульпы глиноземного производства. Силина Е. И., Плюшкин М. З., Молочников Ф. Э., Якубович И. А., Виланский М. П., Пашин Н. П. Авт. св. СССР 129649, 1.07.60.—Осветляют пульпу красного шлама глиноземного произ-ва уд. в. 1,256, содержащую (в г/л): Al_2O_3 120, $\text{Na}_2\text{O}_{\text{общ}}$ 140, $\text{Na}_2\text{O}_{\text{науст}}$ 126 и красного шлама 35 г/л. В качестве флокулянта применяют синтетич. реагент АМФ-168, представляющий водорастворимые высокомолекулярные соединения полиакриламидного типа. Флокулянт берут в кол-ве 50 г/т, t-ра 90°. Н. Ширяева

9K163.

твердого

состоях ап

минатным

Method of

сопроиш

США 2930

завания и

ликата А

риалами

конденсап

ми термс

Приведен

9K164.

Heinz z.

Пат. ГДР

творят т

алюминат

≈ 1,4. М

разбавляя

троньява

цы вместе

кручиваю

гидроокси

жащей (и

рлют в т

40%-ного

 $\text{Na}_2\text{O} : \text{Al}_2$

разбавляя

яться 24

ют филь

Из филь

 $\text{Al}(\text{OH})_3$

(в %): 1

0,0001.

9K165.

лоты. Е

Herstellu

Chemie C

содержа

тельными

мельчени

логенсил

ных сме

ами или

участник

сий в ил

жающую

лич. или

–10° че

вую сме

водой, п

стью. Ч

их части

ку водо

Продукт

9K166.

E. Bond

Inc.] Па

щий и с

80–90%

связыва

(в виде

13,5%)

тривают

 CaO 37,5,0, SO_2

ем в т

при 300

ристую

замазыт

9K167.

ного ук

lung oc

9K163. Метод борьбы с образованием наростов твердого осадка в производстве глинозема [на поверхностях аппаратуры, соприкасающихся с щелочно-алюминатыми растворами]. Van Loenen William F. Method of handling liquors containing scale forming compounds. [Kaiser Aluminum & Chemical Corp.]. Пат. США 2930677, 29.03.60.—Для уменьшения наростообразования и снижения прочности осадков гидрата и силиката Al покрывают поверхности аппаратуры материалами на основе полиэтилена, тефлона, продукта конденсации эпихлоргидрина с фенолами или другими термoplastич. или термореактивными смолами. Приведены примеры.

9K164. Очистка гидроокиси алюминия. Bach Heinz. Verfahren zur Reinigung von Tonerdehydrat. Пат. ГДР 18300, 25.02.60.—Гидроокись алюминия растворяют в таком кол-ве р-ра NaOH, чтобы получить в алюминатном р-ре молярное соотношение $\text{Na}_2\text{O}:\text{Al}_2\text{O}_3 \approx 1,4$. Мутный алюминатный р-р охлаждают до 20° и разбавляют водой до плотности 23°Bé , затем отфильтровывают взвешенные в р-ре мелкокристаллич. частицы вместе с примесями. Из осветленного фильтрата выкручивают $\text{Al}(\text{OH})_3$ высокой чистоты. Пример. 100 кг гидроокиси Al, полученной по способу Байера и содержащей (%) Fe_2O_3 , 0,03, SiO_2 , 0,02 и TiO_2 , 0,003 растворяют в открытой емкости при $90-100^\circ$ в таком кол-ве 40%-ного р-ра NaOH, чтобы получить соотношение $\text{Na}_2\text{O}:\text{Al}_2\text{O}_3 = 1,4$. Слабомутный р-р охлаждают до 20° , разбавляют водой до плотности 23°Bé и дают отстояться 24 часа при 25° , после этого фильтруют и собирают фильтрат в фарфоровые или стеклянные емкости. Из фильтрата получают выкручиванием очень чистую $\text{Al}(\text{OH})_3$, которая после сушки дает Al_2O_3 , содержащую (%) Fe_2O_3 , 0,0005, SiO_2 , 0,0005, Na_2O , 0,0001 и TiO_2 , 0,0001.

9K165. Получение водородсодержащей кремнекислоты. Enk Eduard, Nickl Julius. Verfahren zur Herstellung wasserstoffhaltiger Kieselsäure. [Wacker-Chemie G. m. b. H.]. Пат. ФРГ 1062228, 7.01.60.—Водородсодержащую кремнекислоту, обладающую восстановительными свойствами, получают гидролизом тонкоизмельченных или разб. р-ров (или газовых смесей) галогенсиланов водой. Разбавление р-ров или газобразных смесей галогенсиланов производят инертными газами или р-рителем, или жидким соединением Si. Воду, участвующую в гидролизе, подают также в виде эмульсий в инертной жидкости. Полученную водородсодержащую кремнекислоту сушат, напр., при помощи органич. или неорганич. осушителей. Пример. При $t = -10^\circ$ через жидкий SiHCl_3 пропускают сухой H_2 . Газовую смесь гидролизуют при $0-10^\circ$ тонкораспыленной водой, причем оба потока подают с одинаковой скоростью. Частицы кремнекислоты попадают на сито, где их частично отмыывают от Cl^- . Окончательную отмылку водой производят при $0-10^\circ$ в отдельном аппарате. Продукт сушат сухим ацетоном.

9K166. Формовка адсорбентов. Hoffman John E. Bonding of adsorbent materials. [Sporlan Valve Co., Inc.]. Пат. США 2914487, 24.11.59.—Пористый фильтрующий и осушающий блок для холодильников состоит из 80–90% (83%) адсорбента (Al_2O_3) и 10–20% (17%) связывающего состава, полученного смешиванием (в виде р-ра) 86,5–90% силиката Na и <50% (10–13,5%) алюмината Ca, состоящего из моноалюмината, триалюмината или цемента. Состав цемента (в %): CaO 37,9, Al_2O_3 41,3, SiO_2 9,7, MgO 0,82, FeO 4,5, Fe_2O_3 5,0, SO_3 0,22. Полученную массу формуют под давлением в течение нескольких минут и прокаливают 4 часа при $300-500^\circ$. Связывающий состав должен иметь пористую структуру, не препятствовать адсорбции и не замазывать поверхность адсорбента.

9K167. Получение или регенерация активированного угля. Flesch Wilhelm. Verfahren zur Herstellung oder Wiederbelebung von Aktivkohle. [Badische

Anilin- & Soda-Fabrik Akt.-Ges.]. Пат. ФРГ 973312, 21.01.60.—Исходный материал перед активированием или регенерацией нагревают до красного каления путем пропускания через него нагретого воздуха. Процесс активирования или регенерации проводят в псевдооживленном слое, причем под решетку, на которую помещается исходный гранулированный материал, подают водяной пар или CO_2 ; O_2 частично подается также под решетку, а частично — радиально или тангенциально поверх решетки через один или несколько вводов. При этом над решеткой создают псевдооживленный слой с t -рой $700-950^\circ$. Поверх решетки подают такое миним. кол-во O_2 , которое исключает шлакование на решетке, происходящее в результате сплавления золы. В процессе одновременно с активированным углем получают высококалорийный горючий газ.

9K168. Уплотнение и гранулирование силиката кальция. Atkinson George H. Method of densifying and pelletizing alkaline earth metal silicates. [Columbia-Southern Chemical Corp.]. Пат. США 2929693, 22.03.60.—Тонкодисперсный аморфный порошок силиката Ca или другого щел.-зем. металла, имеющий поверхность частиц $20-70 \text{ м}^2/\text{г}$, насыпной вес $\leq 240 \text{ кг/м}^3$ и содержание свободной влаги $< 8\%$, засыпают в емкость так, чтобы он занимал 50–90% (75%) ее объема, и перемешивают вращением, качанием или встряхиванием емкости. При этом образуются прочные шарообразные гранулы размером 2–4 мм. И. Гильденблат

См. также: Влияние газовой обработки на свойства окисно-хромового катализатора 9B482. Pt-катализаторы реформинг-процессов 9B503; для реформинга бензина 9M168. Приготовление Fe-катализаторов 9M321

ЭЛЕКТРОХИМИЧЕСКИЕ ПРОИЗВОДСТВА. ЭЛЕКТРООСАЖДЕНИЕ. ХИМИЧЕСКИЕ ИСТОЧНИКИ ТОКА

Редактор М. М. Мельникова

9K169. Топливные элементы. Fuel cells. (Div. Gas and Fuel Chem., Sympos., 13th Meet. Amer. Chem. Soc., Atlantic City, N. J., Sept. 13th — 18th, 1959). «Industr. and Engng Chem.», 1960, 52, № 4, 291–310 (англ.)

9K170. Применение кремниевых выпрямителей в электрохимических производствах. Мидаусима Т., Ивасаки Д. «Фудзи дзико, Fuji Electr. J.», 1960, 33, № 10, 687–694 (японск.; рез. англ.)

9K171. Удаление карбонатной примеси и карбонатного цемента из пород методом электродиализа. Муравьев В. И., Зарубицкая А. Н. «Изв. АН СССР. Сер. геол.», 1960, № 9, 103–113.—Установлено, что применение электродиализа для освобождения пород от карбонатной примеси и цемента дает хорошие результаты. Во всех случаях необходимые минер. компоненты, растворимые в к-тах, при электродиализе с током CO_2 оказались почти не затронутыми процессами растворения. Потеря п-ва как изученных силикатов, так и апатита позволяет применять этот метод, не опасаясь растворения заметных кол-в глинистых минералов, цеолитов и апатита, и накапливать дезагрегированные фракции для их дальнейшей изучения или выделения чистых разновидностей. Кислотная обработка хлорита, монтмориллонита, сепиолита и каолинита привела к разлечному растворению этих минералов. Во всех случаях наблюдалась зависимость растворимости от исходной размерности фракции. В наибольшей степени эта зависимость обнаружилась при растворении сепиолита. Размерность исходной фракции оказывает серьезное влияние и на скорость выноса карбонатов. Опытами по очистке минер. смесей и рядом спец. экспери-

ментов по скорости растворения карбонатов установлены оптимальные режимы, осуществление которых дает наибольший эффект при работах по очистке смесей от карбонатного материала. Во всех случаях ток CO_2 в катодную камеру резко ускоряет процесс выноса Ca и Mg . При удалении кальцитовой примеси или кальцитового цемента оптимальной является т-ра 40—50°. В случае доломитовой или магнезитовой примеси оптимальна т-ра 10—15°. В случаях глинисто-карбонатных смесей для удаления 1 г кальцита требуется в 1,5—2 раза больше энергии (0,9—1,2 а-ч), чем в опытах с карбонатными песчаниками (0,6—0,7 а-ч). Такая разница объясняется наличием в глинах больших кол-в растворимых компонентов, в значительной мере повышающих проводимость системы и являющихся как бы «внутренним шунтом». Кроме того, непрерывное энергичное перемешивание взвеси с карбонатными и кварцевыми зёрнами приводит к сильному измельчению кальцита и поступлению в суспензию больших кол-в тонкодисперсного карбонатного материала. На скорость очистки породы от карбонатной примеси влияет также конструкция камеры. Сборку электроднализатора следует производить таким образом, чтобы анодная сетка была прижата к мембране, поскольку максим. доля падения напряжения приходится на анодную камеру. Следует оговориться, что в случае засорения образца сульфатами или галогенидами анод должен быть удален от мембраны, так как образующийся на нем атомарный хлор и HCl или H_2SO_4 разрушительно действуют на мембрану. При удалении анода от мембраны на нее действуют и уже разбавленные к-ты, не вызывающие быстрого разрушения целлофана, пергамента или коллодиевой пленки. Катодная сетка всегда должна быть несколько удалена от мембраны, так как образование карбонатных солей на катоде может привести к припаю мембраны и к образованию в ней трещин. В целях удобства периодич. очистки катода целесообразно применять погруженный электрод, удаляемый без разборки системы. Высокая проводимость системы при загрузке в центральную камеру карбонатных образцов позволяет вести опыты при силах тока $> 300\text{—}400\text{ ма}$, не повышая напряжения более 200—300 в. При таких режимах необходимо применение холодильников, так как установка довольно быстро разогревается до т-ры кипения. Из резюме авторов

9K172. О влиянии ионов кальция на работу хлорного электролизера с ртутным катодом. Волков Г. И., Изосенков Р. И. «Хим. пром-сть», 1960, № 7, 562—564.—На лабор. модели горизонтального электролизера с Hg -катодом проверена возможность работы на рассоле, содержащем 1,9 г/л Ca . Показано, что присутствие Ca в рассоле с pH 3—10 не приводит к разрушению процесса электролиза. Присутствие Fe (3 мг/л) даже в кислом рассоле, содержащем Ca , вызывает усиленное выделение H_2 на Hg -катоде. При работе на рассоле, содержащем Ca , рекомендуется принимать меры к тому, чтобы в рассол не попадали соли Fe .

Из резюме авторов

9K173. Об испытаниях износа графитовых анодов при электролизе водных растворов. Часть II. Электролитический износ и однородность графитовых анодов. Noda Tokiti, Sato Keiichi, Shibuya Takeo. «Tanco, Carbons», 1960, 8, № 1, 10—18 (японск.; реф. англ.).—9 образцов промышленных анодов разрезались на части размером $5 \times 10 \times 100\text{ мм}$ с длинной стороной в направлении выдавливания (HB) анода при его изготовлении и части размером $5 \times 10 \times 1\text{ мм}$ с направлением l , перпендикулярным HB . Измерялось электрич. сопротивление и износ графита при электролизе в 4 н. р-ре NaOH . Не было обнаружено прямой связи между износом анодов и их однородностью, оцениваемой по величине электрич. сопротивления. Предыдущее сообщение см. РЖХим, 1960, № 20, 81677.

Г. Волков

9K174. Расчет термического коэффициента фреоновой холодильной установки для получения жидкого хлора. Ириэ Кинти. «Kagaku kodai, Chem. Factory», 1960, 4, № 5, 65—72 (японск.)

9K175. Электролиз в черной металлургии. Стердер В. В. «КазССР Ғылым Акад. хабаршысы, Вестн. АН КазССР», 1960, № 10, 66—70 (реф. каз.).—Даны некоторые рекомендации по электролитич. получению чистых металлов (Cr , Mn , Fe) и сочетанию металлургии с хим. пром-вом. Библи. 24 назв.

9K176. Точная голтовка. E nyedy Ralph F. Precise barrel finishing. «Metal Finish.», 1960, 58, № 8, 54—59 (англ.).—Общие сведения о размерах и форме зерен абразивов, применяемых для обработки трудодоступных участков поверхности, применение в качестве абразива мягких металлов, полировка до высокого блеска, типы барабанов и абразивов и т. п. Часть 1 см. РЖХим, 1961, 5K160.

9K177. Контроль концентрации кислоты при травлении. Расчет и регулирование концентрации (в об. %). Mandel G. N. Acid dip concentration control. Calculation and adjustment of percent by volume. «Metal Finish.», 1960, 58, № 5, 56—58 (англ.)

9K178. Наводороживание сталей при травлении и электролитической обработке. Trägårdh Uno. Frägilisation de l'acier par l'hydrogene au cours du décapage et du revêtement électrolytique. «Corros. et anticorros.», 1960, 8, № 5, 177—184 (франц.)

9K179. Применение электролитического полирования в промышленности. Mondon R. Le polissage électrolytique industriel et ses applications en mécanique à l'exclusion des engrenages. «Groupem. avancement. mécat. industr.», 1960, № 1, 13—25 (франц.)

9K180. Факторы, влияющие на процесс твердого анодирования. Посимура О., Сатомура А., Аmano P., Ито Р. «Киндзюку хэмэн гидзюцу, J. Metal Finish. Soc. Japan», 1960, 11, № 8, 292—297 (японск.; реф. англ.).—Исследовано влияние т-ры ($-5\text{—}+10^\circ$), D_a ($2\text{—}4\text{ а/дм}^2$), составов сплава и р-ров на качество пленок, получаемых при анодировании сплавов Al (61S, 24S, силумин, AC4B) в р-рах состава (в г/л): I. H_2SO_4 100, $\text{H}_2\text{C}_2\text{O}_4$ 15; II. H_2SO_4 380, $\text{H}_2\text{C}_2\text{O}_4$ 10. Установлено, что формирование пленки идет тем легче, чем выше т-ра р-ра, ниже D_a и менее концентрированный р-р.

Из резюме авторов

9K181. Методы уплотнения анодных пленок на алюминии. Herrmann E. Dichten von anodischen Oxydschichten auf Aluminium. «Galvanotechnik», 1960, 51, № 12, 616—621 (нем.).—Обзор патентов. Рассмотрены различные методы уплотнения. Библи. 63 назв.

9K182. Нанесение гальванических покрытий на поверхность изделий. Технология нанесения комбинированных покрытий (медь-никель-хром). Strauch A. Oberflächenbehandlung durch galvanotechnische Verfahren. Verfahren zur Vorbehandlung und zur Abscheidung von Kupfer—Nickel—Chrom—Niederschlägen. «Technik», 1960, 15, № 8, 535—538 (нем.).—Обзор различных методов предварительной обработки поверхности перед Cu-Ni-Cr -покрытием. Приведены условия нанесения покрытия.

9K183. О хромовых покрытиях. Fishlock D. J. Restoring confidence in chromium plating. «Metalwork. Product.», 1960, 104, № 14, 601—607 (англ.).—Описан процесс декоративного хромирования (Cu-Ni-Cr). Приводятся оптимальные толщины Ni и Cr при покрытии стальных изделий и изделий из сплавов Zn , описываются магнитные и термо-электрич. методы измерения толщины покрытий.

9K184. Нанесение гальванических покрытий на изделия из титана. Mladenović Sreten. Galvanska prevlake na titanu. «Zašt. mater.», 1960, 8, № 6, 256—259 (сербо-хорв.).—Рассматриваются свойства Ti , области

его применения и способы электролитич. меднения, хромирования и никелирования. В. Левинсон

9K185. Нанесение гальванических покрытий на низколегированные стали. Niedermeier Otto. Über das Galvanisieren niedrig legierter Stähle. «Metaloberfläche», 1960, 14, № 9, 285 (нем.).—Рассматриваются условия обработки стали, содержащей (в %): С 0,22—0,29, Si 0,15—0,35, Mn 0,50—0,80, Cr 0,90—1,2, Mo 0,13—0,25, перед покрытием Ni-Cr. Дается несколько методов обработки, один из которых состоит в следующем: очистка в трихлорэтилене, обезжиривание венской известью, анодное обезжиривание в течение 1 мин. при т-ре 80—85°, промывка, декапирование в 10%-ной H_2SO_4 , промывка, никелирование и хромирование. Автор рекомендует при покрытии труб из этой стали применять внутренние аноды. С. Фиргер

9K186. Нанесение гальванических покрытий на изделия из мягкой стали (Качественные признаки, требования и гарантии). Hartung K.-H. Das Galvanisieren von weichem Stahl (Gütemerkmale, Anforderungen und Gewährleistungen). «Galvanotechnik», 1960, 51, № 12, 592—605 (нем.).—Рассматривается изготовление стальных листов и ленты и возникновение дефектов, влияющих на качество гальванич. покрытий.

А. Козьминский
9K187. Электрохимическое осаждение металлов на стекле и фарфоре. Крыжановский Б. П., Кузнецов А. Я., Третьяков Д. Н. «Ж. прикл. химии», 1960, 33, № 12, 2795—2796.—На поверхности керамич. изделий (стекло, фаянс, фарфор и т. д.) создают пленку SnO_2 , уд. поверхностное сопротивление которой $\leq 5-20$ ом. Затем изделие закрепляется в оправе, обрабатывается 0,2 н. р-ром NaOH при т-ре $\sim 18-20^\circ$ и погружается в электролит в качестве катода. Описаны условия осаждения Cu, Ni, Cr, Cd, Ag. М. М.

9K188. Влияние марганца при электроосаждении цинка. Стендер В. В., Кирьяков Г. Э., Вахидов Р. С. «Ж. прикл. химии», 1960, 33, № 10, 2238—2245.—Установлено, что коррозия Zn в стандартном электролите (60 г/л Zn + 100 г/л H_2SO_4) замедляется при конц-ии $MnO_2 \geq 0,1$ г/л и усиливается в присутствии MnO_4^- . Присутствие $MnSO_4$ (до 20 г/л) практически не влияет на процесс электроосаждения Zn. MnO_2 (< 5 г/л) благотворно влияет на электроосаждение Zn из загрязненных электролитов, уменьшая вредное действие примесей: Sb, Cu, Ni, Pb и др. При конц-ии > 5 г/л MnO_2 уменьшает BT_K Zn на 4—5%, но улучшает качество осадка (как поверхностноактивная добавка). BT_K Zn в присутствии MnO_4^- при высоких т-рах и низких D_K сильно снижается; но вместе с этим MnO_4^- (в кол-ве 0,3—0,5 г/л) снижает отрицательное влияние металлич. примесей. Р. А.

9K189. Цинкование полых стальных гильз. Некоторые подробности нанесения покрытий на внутреннюю и внешнюю поверхность. Bache H. J., Robinson R. F. C. Zinc plating of steel shell cases. Some details of practice for plating internally and externally. «Metal Finish. J.», 1960, 6, № 67, 265—272 (англ.).—Описывается технология цинкования стальных гильз, включающая щел. обезжиривание с применением воздушного перемешивания (ВП), травление в H_2SO_4 , анодное обезжиривание, декапирование в H_2SO_4 , цинкование в цианистом электролите с ВП, пассивацию. Электролит цинкования перед работой очищали добавлением Zn-пыли, активированного угля и Na_2S (с последующей фильтрацией). Гильзы монтировались на подвесках с внутренними анодами (ВА); так как толщина наружного покрытия была 10 м, а внутреннего 5 м, то D_A ВА составляла $\frac{1}{2} D_A$ внешних. ВА были сделаны из Ni, для очистки электролита от Ni^{2+} часть его циркулирует через бак очистки, куда добавлялась Zn-пыль, и фильтр. Показано, что даже без очистки от Ni^{2+} со-

держание его в ванне цинкования достигает 0,3 г/л лишь за несколько лет работы. ВП практически не влияет на карбонизацию цианистого электролита.

А. Скудин

9K190. Электроосаждение алюминия на металлы. Mladenović Sreten. Elektrolitičko prevlačenje metala aluminijumom. «Zašt. mater.», 1960, 8, № 7-8, 320—322 (сербо-хорв.).—Обзор. Кратко рассмотрены методы электроосаждения Al (из расплавов и р-ров органич. в-в). Библ. 5 назв. М. М.

9K191. Исследование электроосаждения железа из триэтаноламинового электролита. Накатава А. «Киндзюку хэмэн гидзюцу, J. Metal Finish. Soc. Japan», 1960, 11, № 5, 185—189 (японск.; реф. англ.).—Электролит содержит $Fe_2(SO_4)_3$, NaOH и триэтаноламин (I). Методами электрофореза на бумаге и исследованием спектра поглощения установлено наличие в электролите анионного трехзарядного комплекса (2 моля $I + 1$ моль Fe^{3+}). Т-ра 20—25°; $D_K = 0,5-10$ а/дм²; $BT_K \leq 20\%$; осадки — блестящие; обладают хорошим сцеплением с основой. См. также РЖХим, 1961, 6K161.

Из резюме автора

9K192. Никелирование закаляющихся нержавеющей сталей. Scott Bruce E. Direct nickel plating of hardenable stainless steel. «Metal Finish.», 1960, 58, № 11, 48—52 (англ.).—С целью защиты лопастей роторов компрессоров воздушных реактивных двигателей от коррозии выбиралась наиболее подходящая методика никелирования лопастей из сульфаминового электролита и изучалось влияние никелирования на свойства основного металла (сталь 410). Перед никелированием детали активировались обработкой в течение 2 мин. в р-ре HCl (или в конц. к-те при $\sim 20^\circ$, или в 50%-ной при 49—54°), в сульфаминовом электролите никелирования (pH ~ 1) и загружались в ванну никелирования под током. Первоначально $D_K = 0,67$ а/см²; затем снижалась до 0,167 а/см². После никелирования детали отжигались при 195° в течение 30 мин. Как показали испытания механич. и коррозионных свойств никелированных деталей, применение никелирования значительно повышает устойчивость работы лопастей. Ф. Новик

9K193. Электроосаждение сплавов никель-вольфрам из пирофосфатного электролита. Vasu K. I., Rama Char T. L. Electrodeposition of nickel-tungsten alloys from the pyrophosphate bath. «J. Scient. and Industr. Res.», 1960, BC19, № 10, B413—B414 (англ.).—Установлена возможность получения качеств. осадков Ni-W (47—94% Ni) из ванны состава (в молях): Ni 0,025—0,038, W 0,005—0,75, пирофосфат 0,0625—0,95, лимоннокислый аммоний 0,05; pH 7,7—10; т-ра 30—90°; $D_K = 3$ а/дм²; аноды — Pt; $BT_K = 5-74\%$. Содержание Ni в осадке увеличивается с увеличением конц-ии Ni в р-ре, D_K и pH и уменьшается с возрастанием конц-ии W в р-ре и перемешиванием р-ра. BT_K уменьшается с увеличением содержания W в сплаве. Блеск осадков увеличивается при введении в электролит желатин и л-оксиазобензола. При добавке в р-р пирофосфатов Cu, Zn, Sn, Fe и Co возможно осаждение тройных сплавов. М. М.

9K194. Заметки об отделке металлов. Контроль ванны никелирования. Mohler J. B. Finishing pointers. Control of watts nickel baths. «Metal Finish.», 1959, 57, № 12, 74 (англ.).—Предлагается быстрый метод контроля электролита Уатта путем определения уд. веса р-ра. К. Беляева

9K195. Прецизионный прибор для измерения толщины гальванических покрытий методом электролитического растворения. Mathur P. B. A precision instrument for testing the thickness of electroplates by electrolytic stripping method. «Plating», 1960, 47, № 11, 1274—1276 (англ.).—Описанный ранее прибор (РЖХим,

1960, № 1, 1830) для определения толщины покрытий применял для покрытий на разных подложках и приспособлен к работе с различными D . А. Скундин

9К196. Взаимодействие электроосажденного никеля с феррокислым раствором. Кониси С. «Киндзюку хэмэн гидзюцу, J. Metal Finish. Soc. Japan», 1960, 11, № 6, 210—213 (японск.; рез. англ.).—Исследован механизм растворения Ni в р-ре $K_3Fe(CN)_6$. Установлено, что $K_3Fe(CN)_6$ действует как окислитель и в присутствии NaCl растворяет Ni с образованием ферро- и феррианида: $2Fe(CN)_6^{3-} \rightarrow 2Fe(CN)_6^{4-}$; $Ni \rightarrow Ni^{2+}$. Окислительные свойства $K_3Fe(CN)_6$ в этом случае более сильны, чем окислительные свойства O_2 раствора в р-ре.

Из резюме автора
9К197. Измерение внутренних напряжений электролитических осадков. Касэ Х. «Киндзюку хэмэн гидзюцу, J. Metal Finish. Soc. Japan», 1960, 11, № 7, 259—263 (японск.; рез. англ.).—Метод измерения внутренних напряжений (ВН) Ni-осадков основан на изменении электрич. сопротивления проволочного катода. Установлено, что Ni-осадки из сульфатного электролита обладают ВН растяжения и что осадки с низкими ВН обладают высокой твердостью. Блескообразователи первого класса уменьшают ВН осадков, а добавка бензо-нафталин-сульфоната Na увеличивает ВН. При добавлении $NaCl_2$ к сульфатному электролиту ВН осадков можно уменьшить до 0. Некоторые блескообразователи первого класса в сочетании с другими добавками уменьшают ВН осадков.

Из резюме автора
9К198. Прибор для измерения внутренних напряжений электролитических осадков. Кониси С. «Киндзюку хэмэн гидзюцу, J. Metal Finish. Soc. Japan», 1960, 11, № 7, 263—268 (японск.; рез. англ.).—Используя усовершенствованный конформометр Бреннера и Сендероффа, были измерены внутренние напряжения Ni-осадков из ванны Уатта. Установлено, что точность измерений составляет $\pm 5\%$. Зависимость между увеличением толщины осадков и уменьшением внутренних напряжений (ВН) объясняется увеличением размера зерна осадков. ВН незначительно зависит от металла подложки (сталь, медь, латунь). Установлена зависимость ВН от способа обработки поверхности спирали.

Из резюме автора
9К199. Современные методы отделки металлов в Европе. Marino Daniel A. Metal finishing in Europe today. «Metal Finish.», 1959, 57, № 12, 54—58 (англ.).—Краткое описание гальванич. цехов машиностроительных заводов различных европейских стран.

К. Беляева
9К200. Производство и применение магния. Tangen Th. A. Fremstilling og anvendelse av magnesium. «Tekn. ukebl.», 1960, 107, № 20, 430—431 (норв.).—Рассмотрены методы получения Mg (в том числе электролиз расплава) и области его применения. М. Тойкка

9К201. Динамика хлора и магния при электролизе расплавленных хлоридов. Укше Е. А., Полякова Г. В., Медведькина Г. А. «Ж. прикл. химии», 1960, 33, № 10, 2279—2284.—Изучение работы водн. гидродинамич. модели магниевой ячейки, построенной на основании полученного критерияльного уравнения, показало, что существующая конструкция ячейки характеризуется заметным проскоком газа в катодное пространство и заносом капель металла в анодное. Установлен факт существования бурлящего слоя, увеличение толщины которого препятствует заносу капель в анодное пространство.

Из резюме авторов
9К202. Электролитический метод получения металлического циркония. Craiu Viorica, Anghel Paula, Călușaru A. Obținerea electrolitică a zirconului metalic. «Rev. chim.» (RPR), 1960, 11, № 9, 509—514 (рум.).—Подробно исследован способ получения металлич. Zr из смеси расплавов K_2ZrF_6 —NaCl в ат-

мосфере чистого аргона. Изучалась зависимость ВТ от D_K (250—600 a/dm^2), т-ры (800—900°), соотношения $K_2ZrF_6/NaCl$ (1/1—1/4), времени электролиза (1—2 1/4 часа), формы и природы катода. Оптимальные условия электролиза: $D_K = 360 a/dm^2$, т-ра 800—850°, $K_2ZrF_6/NaCl = 1/2$, время электролиза 2 часа 15 мин., катод Ni. Чистота Zr—99,9%, содержание Hf—0,01%. Рентгенографич. анализ не показал наличия газовых включений в полученном Zr. Я. Матлис

9К203. Ионнообменная очистка щелочных расплавов от тяжелых металлов. Sucharda Jaroslav, Stamberg Jiří, Rahm Jan. Způsob čištění alkalických solanek selektivními měničemi iontu od těžkých kovů. Чехосл. пат. 91138, 15.07.59.—Примеси металлов (Fe, Ni, Co, Cr, Cu, V, Ti, Mn, Ca, Mg и Hg) выделяют из расплава с помощью ионного обмена. Предлагается применение селективных ионитов с активной —SH-группой. Возникшие меркаптиты металлов прочно удерживаются на смоле и затем разрушаются 20%-ным р-ром Na_2S при 30—100°. Отмывка может контролироваться, визуально-темные шарики смолы с удалением Hg светлотеют. Ионнообменная мощность ионита 200 мг Hg/мл влажного ионита. Л. Херсонская

9К204. Ускорение осаждения примесей при очистке раствора поваренной соли для получения электролитическим путем едкого натра. Нагата Митикадзу, Индзима Токудзо, Самэдзима Ясуси. [Канафуту какаку когэ кабусики кайся]. Японск. пат. 2274, 9.04.59.—К р-ру NaCl, содержащему в виде примесей MgO и CaO, добавляли небольшое кол-во Na_2SiO_3 и понижали pH р-ра до <8. После этого к р-ру добавляли NaOH, $Ca(OH)_2$, Na_2CO_3 или их смесь. Смесь хорошо перемешивают и оставляют в покое на 1,5 мин. Пример. Взяли два р-ра NaCl с pH 9,2. Один р-р содержал 750 мг/л MgO и 480 мг/л CaO, второй—190 мг/л MgO и 155 мг/л CaO. Каждый из этих р-ров разлили в 4 пробирки. В 2 пробирках pH р-ров соответственно довели до 3 и 7 и добавили к ним Na_2SiO_3 из расчета, чтобы содержание Si в этих р-рах равнялось 10 мг/л. В 3-й пробирке pH р-ра повысили до 9,8, осадки из р-ра частично примеси и добавили Na_2SiO_3 из расчета, чтобы содержание Si в р-ре также равнялось 10 мг/л. Р-р в 4-й пробирке оставили без изменения. Пробирки поместили в термостат с т-рой 50° и добавили в них NaOH и Na_2CO_3 , то и другое в кол-ве, эквивалентном содержанию в р-рах ионов Mg и Ca. В пробирках 1-й, 2-й и 3-й р-р хорошо перемешивали в течение 0,5 мин., а в 4-й—в течение 5 мин. После этого налили в мерные стаканы по 100 см³ каждого из р-ров (высотой 20 см) и оставили их в покое в термостате. В результате в первых 2 пробирках спустя 30 мин. осаждение примесей полностью закончилось и верхний осветленный слой р-ров был совершенно чистым и прозрачным. В 3-й и 4-й пробирках р-р имел мутно-белый цвет и небольшое кол-во не осевших взвешенных в р-ре MgO и CaO. В. Зломанов

9К205. Способ электролиза растворов хлоридов щелочных металлов. Согомонян М. С., Манафов Б. М., Клица Э. Л., Волков Г. И., Свердлов Р. Ш. Авт. св. СССР 128853, 15.05.60.—Способ электролиза р-ров в горизонтальных ваннах с Hg-катодом при высокой скорости движения расплава с выводом последнего из ванны отличается тем, что с целью экономии электроэнергии вывод расплава из ванны осуществляется на уровне более низком, чем положение верхнего края анода в момент его наибольшего износа. Из резюме авторов

9К206. Устройство для распределения ртути в электролизере для электролиза поваренной соли с жидким ртутным катодом, стекающим в виде тонкой пленки. Йокота Норюки, Токуда Синго [Осака сода кабусики кайся]. Японск. пат. 2661, 20.04.59.—Желез-

ная вер-
стекает
ждения
вается,
контакт
ным м
пластик
вается
металла
ционным
мого пл
большим

9К207.
чения и
нием ж
Японск.
2 верти
Ртути и
электро
Рт-анод
и образ
же отде
проводу
дает в
внутрен
в пропе
9К208.
ртутным
лочи.
11.04.59.
линдра
лится в
зования
камере
щий фо
анода в
ны от а
полого
пастная
ральной
контроля
р-р NaCl
в камер
ный ка
9К209.
контроль
да Са
Оса ме
кайся].
зер для
лагател
бой дис
разным
оси вра
деленно
ходится
ные на
смачива
в крыш
цессе а
части и
положе
9К210.
получе
тодом.
Юкио
Ясу х
[Тоа го
7915, 8
нок ав
В каче
каучук
Футеро

ная вертикальная катодная пластинка, по которой стекает в виде тонкой пленки Hg, с целью предупреждения образования при электролизе водорода покрытия, за исключением той ее части, которая должна контактировать с Hg, каким-либо электроизоляционным материалом, напр. резиной. На одном уровне с пластинкой, под некоторым углом к ней устанавливается пластинка из Ni, Fe или какого-либо другого металла, смачиваемого Hg, покрытая частично изоляционным материалом. В верхней части угла, образуемого пластинками, устанавливается колбочка с небольшим отверстием в дне, по которому стекает Hg.

М. Гусев

9K207. Аппарат типа суперцентрифуги для получения щелочи электролитическим методом с применением жидкого ртутного катода. Сугияма Микю. Японск. пат. 2310, 11.04.59.—Установка состоит из 2 вертикальных соосных труб: внутренней и внешней. Ртуть и р-р NaCl поступают в электролизер и по мере электролиза поднимаются вверх. Cl₂, образующийся на Pt-аноде, в результате вращения внутренней трубки и образующейся при этом центробежной силы сразу же отделяется от электролита и выводится по трубопроводу в верхней части установки. Амальгама поступает в раздаточный (кольцевое пространство между внутренней трубой и внешней), ртуть возвращается в процесс.

М. Гусев

9K208. Электролизер с циркулирующим жидким ртутным катодом, применяемый для получения щелочи. Каваками Масуо. Японск. пат. 2311, 11.04.59.—Электролизер, имеющий форму полого цилиндра из пластмассы, кольцевой перегородкой делится на две кольцевые камеры: камеру А для образования амальгамы и камеру В для ее разложения. В камере А установлен полный графитовый анод, имеющий форму перевернутой воронки. В верхней части анода имеется резервуар для Hg, для изоляции ванны от атмосферы резервуар покрыт колпаком. Внутри полого анода на вращающейся оси установлена лопастная мешалка, которая помещается внутри центральной трубы, расположенной в нижней части электролизера. В камеру В заливают электролит (водн. р-р NaCl или какого-либо другого соединения хлора), в камеру А заливают р-р щелочи и помещают железный катод.

М. Гусев

9K209. Электролизер с ртутным катодом для электролиза растворов солей щелочных металлов. Йосида Сэйдзи, Терадзава Сетаро, Сираками Осаму, Фудзюка Сёго. [Асахи гарасу кабусики кайся]. Японск. пат. 2115, 9.04.59.—Описан электролизер для электролиза р-ров солей щел. металлов с раздаточным амальгамы. Электролизер представляет собой дискообразный резервуар с крышкой и конусообразным дном. Внутри электролизера на вертикальной оси вращается стальной диск, выше которого на определенном расстоянии от верхней поверхности его находятся неподвижные графитовые аноды, укрепленные на стержнях. Катодом служит стальной диск, смачиваемый Hg. Электролит поступает по патрубку в крышке электролизера; газ, образующийся в процессе электролиза, удаляется по патрубку в верхней части крышки. Описан вариант многоэтажного расположения подобных электролизеров.

М. Гусев

9K210. Внутренняя футеровка электролизеров для получения каустической соды с жидким ртутным катодом. Сака Такэо, Наватари Масаси, Хата Юкио, Сакакибара Кабатаро, Савада Ясукиса, Укаи Мунэеси, Хонда Хисаси. [Тоа гоэй какагу когё кабусики кайся]. Японск. пат. 7915, 8.09.59.—Внутренняя поверхность стальных стенок электролизера футеруется виниловой смолой. В качестве связки используют р-р смеси синтетич. каучука с фенольной смолой в метилэтилкетоне. Футеровка электролизера виниловыми смолами дает

возможность увеличить мощность электролизера при тех же размерах его с 6000—8000 а до 30000—50000 а и уменьшить на 3—5% ширину электролизера. Покрытие из виниловых смол обладает лучшим сцеплением со стенками электролизера, чем покрытие из эбонитовой резины.

М. Гусева

9K211. Усовершенствование многоячеековых ванн. Edwards George Ernest. Improvements in or relating to multi-electrolytic cells. [Imperial Chemical Industries Ltd]. Англ. пат. 845043, 17.08.60.—Патентуется конструкция многоячеековых биполярных ванн для электролизера р-ра NaCl с целью получения хлора, гипохлорита или хлората. Отличительным признаком конструкции является применение между ячейками разделительных перегородок из Ti, служащих для передачи тока от ячейки к ячейке. Ti-перегородки имеют с одной стороны выступы, которыми прижимаются к катодной сетке. С другой стороны к Ti-листам присоединяются аноды следующей ячейки. Аноды могут быть из Ti, покрытого платиновыми металлами, или из графита, прижимаемого к Ti-листу накладками. Для улучшения контакта между графитом и Ti могут применяться промежуточные металлы, слои, напр. из Pt или Cu. В последнем случае графит должен быть пропитан для предотвращения коррозии Cu. Предлагаемая конструкция позволяет получать хлор и каустик с напряжением 2,9 в при $D = 1,5 \text{ км}^2$. Г. Волков

9K212. Получение надсерной кислоты и ее солей путем электролиза сульфатов щелочных металлов. Окада Тацудзо, Йосидзава Сиро, Хидэ Фумио. Японск. пат. 3872, 18.04.60.—В качестве электролита используют р-ры сульфатов щел. металлов, в качестве анода — металлы с высоким перенапряжением кислорода, напр. Pt, PbO₂. В результате электролиза получают амальгаму или же едкие щелочи и H₂SO₄ и одновременно H₂S₂O₈ и Na₂S₂O₈. Пример. В камеру электролизера с Hg-катодом заливают анол состава (в г/л): H₂SO₄ 220, Na₂SO₄ · 10H₂O 120, NaCl 10; в катодную — р-р Na₂SO₄ · 10H₂O 240—250 г/л. В качестве анода используют Pt-пластинку площадью 1,0 дм², D_a 150 а/дм², D_k 42 а/дм², напряжение на ванне 5,6 в, т-ра анолита 7—12°, т-ра католита 15—20°. В результате электролиза получают в анодной камере р-р состава (в г/л): H₂SO₄ 190—200, Na₂SO₄ · 10H₂O 40—50, NaCl 10, Na₂S₂O₈ 60—65; в катодной камере р-р Na₂SO₄ · 10H₂O 210—220 г/л. Приведена схема электролизера.

В. Зломанов

9K213. Хроматирование алюминия. Russell William S., Van Vliet James L. Aluminum chromating process. Пат. США 2928763, 15.03.60.—Для хроматирования изделий из Al и его сплавов предлагается р-р состава (в г/л): PO₄³⁻ 5—150, CrO₃ 2,5—62, Al³⁺ 1—55, F⁻ 2,5—123; pH 0,8—1,5. Пленка имеет хорошее сцепление с основой и обладает высокими защитными свойствами. Пример состава р-ра (в %): PO₄³⁻ 14,5, Al³⁺ 5,3, Cr³⁺ 3,7, CrO₃ 3,3, F⁻ 10,5; pH = 1,05; F⁻/CrO₃ = 3,2. Т-ра р-ра 50°; время обработки 4 мин.

М. М.

9K214. Нанесение гальванических покрытий на детали из сплавов молибдена. Beach John G., Schaefer Glenn R. Electroplated articles having molybdenum base metal. [United States of America as represented by the Secretary of the Navy]. Пат. США 2928169, 15.03.60.—Для повышения устойчивости гальванически покрытых молибденовых деталей против окисления при повышенных т-рах (авторы считают, что окисление вызывается диффузией Mo через защитное покрытие на поверхность) предлагается наносить на них трехслойное покрытие Cr-Au-Cr. Детали нагревают (в атмосфере H₂ при 980°), затем травят химически (10 сек., 3 ч. HNO₃: 1 ч. H₂O), электрохимически (2 мин., 100 г/л CrO₃ + 10 г/л Na₂Cr₂O₇; D_a = 38 а/дм²; 87,2°), снова химически (15%-ный р-р

HCl) и хромируют ($D_K = 98 \text{ а/дм}^2$, т-ра $87,2^\circ$) на толщину $12,7 \text{ м}$. Cr-покрытие травят в 15%-ной HCl ($29,5^\circ$) и наносят Au-покрытие из р-ра состава (в г/л): $\text{KAu}(\text{CN})_2$ 40, KCN_{своб} 29, тартрат K 40, KOH 3, K_2CO_3 10, pH 12,0, при $D_K = 0,54\text{—}1,08 \text{ а/дм}^2$ и т-ре $54,4^\circ$. На слой Au снова осаждают слой Cr толщиной $76,2\text{—}127 \text{ м}$ из стандартного электролита ($250 \text{ г/л CrO}_3 + 2,5 \text{ H}_2\text{SO}_4$) при $D_K = 81 \text{ а/дм}^2$ и т-ре $87,2^\circ$. Исследования под микроскопом показали, что диффузия при нагреве вызывает образование сплавов Mo-Cr и Cr-Au, причем Mo относительно легко диффундирует через первый слой Cr, но образовавшийся сплав Cr-Au эффективно тормозит диффузию Mo по направлению к поверхности так, что Mo не проникает в верхний слой Cr, что существенно снижает окисление Mo при повышенных т-рах.

Н. Алпатова
9K215. Блескообразующая добавка. Robinson Richard S. Brightening agent for electroplating. [John A. Manning Paper Co., Inc.]. Пат. США 2932610, 12.04.60.—В кислые и цинкостые электролиты для осаждения Ag, Cu, Cd, Ni в целях получения пластичных осадков, обладающих высоким блеском, предлагается вводить $0,1\text{—}1 \text{ г/л}$ добавки, содержащей растительный клей. $D_K = 1\text{—}12 \text{ а/дм}^2$. Добавка вводится в ванну в виде водн. суспензии и представляет собой продукт спец. обработки семян «okra pod» (растение из семейства мальвовых).

М. М.
9K216. Электроосаждение кадмия. Strauss Simon W., Vlanes Peppino N. Process for electrodeposition of cadmium. Пат. США 2938840, 31.05.60.—С целью уменьшения наводороживания изделий при кадмировании предложено проводить кадмирование в р-ре $(\text{CH}_3\text{COO})_2\text{Cd}$ (40 вес. %) в метаноле. Содержанье H_2O в электролите ≤ 5 вес. %; $D_K = 0,7\text{—}3 \text{ а/дм}^2$; т-ра $-70\text{—}+20^\circ$ (оптимально от -10 до $+10^\circ$). Ванна выполнена из стекла, резины или пластмассы и охлаждается снаружи (напр., жидким CO_2). Аноды — Cd.

М. М.
9K217. Электроосаждение алюминия на другие металлы. Schickner William C. Process of electroplating metals with aluminum. [United States of America as represented by the United States Atomic Energy Commission]. Пат. США 2934478, 26.04.60.—В целях получения качественного Al-покрытия, обладающего хорошим сцеплением с поверхностью U (топливный элемент), последний предлагается покрыть слоем Ni и затем обработать в 30%-ном р-ре стеарата CrCl_3 в изопропиловом спирте и в к-те насыщ. ряда (олеиновой, лауриловой и т. д.). Затем осаждают Al из р-ра состава (в г/л): AlCl_3 322, LiH 6, этиловый эфир — до 1 л. Т-ра $20\text{—}32^\circ$; $D_K = 1\text{—}5 \text{ а/дм}^2$; электролиз ведут в атмосфере N_2 .

М. М.
9K218. Термическая обработка гальванических покрытий сплавами W-Co, W-Fe или W-Ni (с содержанием W $> 40\%$). Исидэ Такэо, Йосиока Сёдзо, Мидауно Кацудзо, Кудо Тосиюки. Японск. пат. 5261, 25.06.59 (японск.).—Сплав W-Co ($\sim 50\%$ W) получают из электролита состава (в г/л): Na_2WO_4 60, CoSO_4 20, $\text{Na}_2\text{C}_2\text{H}_3\text{O}_7$ 60, $\text{N}_2\text{H}_4 \cdot \text{H}_2\text{SO}_4$ 10; т-ра $> 70^\circ$; pH ~ 8 . pH регулируют добавками H_2SO_4 или NH_4OH . При получении сплавов W-Fe или W-Ni в электролит вместо CoSO_4 вводят FeSO_4 или NiSO_4 . Полученное покрытие в течение часа нагревают в атмосфере CO_2 при $\sim 1000^\circ$. Покрытие обладает твердостью $1100\text{—}1400 \text{ кг/мм}^2$ и высокими защитными свойствами.

В. Зломанов
9K219. Нанесение гальванических покрытий на проволоку и металлические ленты. Кобаяси Сигэси. Японск. пат. 7707, 3.09.59.—Описана конструкция электролизера. Приведены схемы расчета скорости подачи ленты и D_K .

М. Гусев

См. также: Источники тока 9B379, 9B579. Рассеивающая способность электролитов 9B573. Структура электроосажденных сплавов Cu-Sn 9B370. Электроосаждение: Cu и Ni 9B574; сплавов Cr 9B575. Наводороживание Fe 9B589. Получение бора 9B2. Отделение Zn от Cu электролизом с Hg-катодом 9D50. Определение Cd в металлич. покрытиях 9D74. Получение H_2 и O_2 электролизом 9K114. Анодное окисление Nb 9B582—9B583; Ta 9B585. Электролиз POCl_3 и SOCl_2 9B75. Цилиндрич. электролизер с тангенциальным притоком электролита 9E30

КЕРАМИКА. СТЕКЛО. ВЯЖУЩИЕ ВЕЩЕСТВА. БЕТОНЫ

Общие вопросы

Редакторы П. П. Будников, С. П. Горелкина, А. С. Пантелеев

9K220. Научные проблемы в области химии и технологии силикатов. Budnikow P. P. Probleme der Wissenschaft auf dem Gebiet der Chemie und Technologie der Silikate. «Silikatechnik», 1960, 11, № 10, 450—453 (нем.).—Подведены итоги исследовательской работы в области химии и технологии силикатов и намечены основные направления на будущее. В области химии и технологии цемента — изучение свойств клинкерных минералов, синтезированных в чистом виде; процессов, сопровождающих образование клинкера; поведение цементов под действием агрессивной среды и т. п. Необходимо работать над синтезом минералов, стойких к действию высоких т-р и сверхзвуковых скоростей газового потока. Освещены некоторые вопросы строения силикатных материалов. Отмечается важность повышения прочности электрофарфоровых изделий, исследований в области монокристаллов, многокомпонентных систем, изучение состава жидкой фазы при получении клинкера. Особое значение имеют исследования в области строения стекла, изучение связи строения стекла с его свойствами и процессов стеклообразования и кристаллизации в многокомпонентных силикатных системах. Особое значение имеет синтез стеклокристаллич. в-в с высокими физ.-техн. свойствами.

И. Явич
9K221. Кинетика реакций в системе CaO—SiO_2 в присутствии катализаторов. Bereszky Andreas. Reaktionskinetik des Systems CaO—SiO_2 in Anwesenheit von Katalysatoren. «Silikatechnik», 1960, 11, № 10, 474—475 (нем.).—Смеси кварца и карбоната кальция, соответствующие составам CS , CS_2 , C_2S и C_3S , обжигались при 900, 1000, 1100, 1200, 1300° в течение 30, 60 и 120 мин. Рентгенографически определялись силикаты кальция, образующиеся в твердой фазе в этих условиях. Р-ции протекают наиболее быстро в смесях с наибольшим содержанием извести. При увеличении поверхности исходного кварца с 1800 до $2300 \text{ см}^2/\text{г}$ степень связывания извести возрастала с 70 до 100%. Между полнотой р-ции и сроком термич. обработки зависимость не прямолинейная. Кварциты с тонкой структурой и кристобалит быстрее реагируют, чем кварцевый песок. В присутствии катализаторов LiCl , NaF , CaF_2 , CaCl_2 р-ции ускоряются. Дифференциальные термограммы выявляют образование новых кристаллич. фаз при 920—925° еще неизвестного состава. CaF_2 не ускоряет образования C_3S в твердой фазе, но имеются другие более активные катализаторы, которые следует применять при $< 1200^\circ$.

А. Говоров
9K222. Соединения $\text{NaF} \cdot \text{BeF}_2 \cdot 3\text{ThF}_4$ и $\text{NaF} \cdot \text{BeF}_2 \cdot 3\text{UF}_4$. Thoma R. E., Weaver C. F., Friedman H. A., Harris L. A. The compounds $\text{NaF} \cdot \text{BeF}_2 \cdot 3\text{ThF}_4$ and $\text{NaF} \cdot \text{BeF}_2 \cdot 3\text{UF}_4$. «J. Amer. Ceram. Soc.», 1960, 43, № 11, 608—609 (англ.).—Изучены некоторые

сцен-
тура
ктро-
водо-
ление
целе-
е Н₂
Nb
SOCl₂
ным

тех-
дер
шно-
50—

ра-
ме-
сти
пи-
де;
ера;
еды
лов,
ско-
осы
аж-
де-
ого-
азы
еют
ие
сов
по-
еет
ич.

внц
TiO₂
a s.
en-
10,
ия,
ки-
30,
ли-
гих
ях
ил
и²/₂
%
ой
кой
тем
CI,
ль-
ри-
ва.
но
то-
ров
F₂,
а п
F₂,
с.),
ые

составы в системах NaF—BeF₂—ThF₄ и NaF—BeF₂—UF₄, прилегающие к составу, содержащему (в мол. %): NaF 20, BeF₂ 20 и ThF₄ или UF₄ 60. В обеих системах найдены хим. соединения с мол. отношением 1:1:3 (NaF·BeF₂·ThF₄ и NaF·BeF₂·UF₄). Соединение NaF·BeF₂·3ThF₄ плавится с разложением при 745°, причем образуется твердый р-р на основе ThF₄ и жидкости. Соединение обладает тетрагональной решеткой с параметрами $a = 11,82 \text{ к\AA}$, $c = 10,29 \text{ к\AA}$. Кристаллы этого соединения бесцветные; показатели преломления равны $\omega = 1,544$, $\epsilon = 1,552$; кристаллы одноосные положительные. Соединение NaF·BeF₂·3UF₄ плавится при 548° с образованием UF₄ и жидкости. Кристаллич. решетка этого соединения тетрагональная с параметрами $a = 11,61$, $c = 10,12 \text{ к\AA}$. Кристаллы одноосные, положительные, зеленого цвета с показателями преломления $\omega = 1,598$, $\epsilon = 1,608$. Оба соединения изоструктурны.

В. Кушаковский

9K223. Летучесть бинарных расплавов силиката и бората свинца. Hirayama Chikara. Volatility of lead silicate and lead borate binary melts. «J. Amer. Ceram. Soc.», 1960, 43, № 10, 505—509 (англ.).—Изучено испарение окиси свинца из расплавов силиката и бората свинца, содержащих >71 вес. % PbO. В качестве исходных материалов использовали PbO и борную кислоту марки «ЧДА» и SiO₂, содержащую 99,9% основного в-ва. Скорость испарения PbO определяли весовым методом; образцы нагревали в платиновом тигле в стеклянной трубе, в которой создавали требуемое давление. Скорость испарения определяли в интервале 750—900° (т-ру контролировали с точностью $\pm 4^\circ$) при давл. 0,05—10 мм рт. ст. Изменение скорости испарения во времени подчиняется у-рнию: $V_t = ke^{-at}$, где V_t —скорость испарения после нагревания в течение времени t , k —первоначальная скорость, a —постоянная величина. Скорость испарения PbO из расплава силиката немного выше, чем таковая из расплава бората. При уменьшении внешнего давления с 10 до 0,1—0,05 мм рт. ст. скорость испарения при 750° возрастает с 0,06 до 14%. Скорость испарения PbO определяется скоростью диффузии последней через расплав. Давление паров PbO при 900° оценено равным 0,2 мм рт. ст.

В. Кушаковский

9K224. Усовершенствование методов исследований равновесных систем при высоких температурах. Insley H., Thoma R. E., Jr, Friedman H. L., Weaver C. F. Améliorations des méthodes de détermination des équilibres de phases à haute température dans les systèmes céramiques et associés. «Bull. Soc. franç. céram.», 1960, № 48, 57—62. Discuss., 62 (франц.; рез. англ., нем.).—В национальной лаборатории в Oak Ridge разработаны методы исследований равновесных систем, дающие более точные результаты в меньшие сроки, чем обычно. Эти методы применялись в исследованиях систем с фторидами U, Th, Zr и щелочей. В частности описывается печь, обеспечивающая нагрев исследуемой смеси в пределах 200—1150°. Смесь нагревается в никелевую трубку длиной 9 см и диам. 0,25 см, в которой имеется до 28 отделений. Одновременно нагреваются до 4 отделений, которые затем отдельно падают в ванну с маслом. Возможно устанавливать температурные перепады в печи и закалять одновременно образцы нескольких отделений трубки, соответствующие разным т-рам перепада. Благодаря этой установке стало возможным исследовать ряд сложных диаграмм, как NaF—ZrF₄; UF₄—ZrF₄; NaF—ZrF₄—UF₄; LiF—BeF₂—ThF₄; LiF—UF₄—ThF₄.

А. Говоров

9K225. Метод снятия инфракрасного спектра с порошкообразного материала и его применение к полевым шпатам и разновидностям SiO₂. Scholze H., Franz H. Eine Methode zur Aufnahme von Ultrarot-Spektren von körnigem Material und ihre Anwendung auf einige Feldspäte und SiO₂-Varietäten. «Ber. Dtsch.

keram. Ges.», 1960, 37, № 9, 420—423 (нем.; рез. англ., франц.).—Описан метод исследования порошкообразных материалов с помощью ИК-спектроскопии. Приводятся ИК-спектрограммы для 3 разновидностей полевого шпата—адюляра, санидина и микроклина, показывающие различное содержание в них воды в виде групп OH, которое может быть определено количественно. В ИК-спектрограммах разновидностей SiO₂—опала, гяалита и энгидроса также имеются большие кол-ва воды.

С. Туманов

9K226. Влияние структуры и тектуры на свойства слоистых минералов. Kiefer Ch. Wechselwirkung zwischen Struktur und Textur auf die Eigenschaften der blättrigen Minerale. «Keram. Z.», 1960, 12, № 10, 576—579 (нем.).—Минералы в крупных кристаллах всегда более стабильны, чем минералы того же вида в микрокристаллах. Повышение стабильности вследствие помола тем значительнее, чем менее стабильна решетка минерала. Интересный пример дают хлориты, крупнокристаллич. форма которых (клинохлор) дегидратируется при высоких т-рах, а при более низких т-рах—после помола или в выветренном тонкодисперсном состоянии. Хим. активность также меньше у макрокристаллич. форм, чем у микрокристаллич.: так, остатки дегидратации антигорита, реагируя между собой при дальнейшем нагреве, дают экзотермич. эффект $\sim 800^\circ$, значительно более сильный у молотого или природно тонкодисперсного антигорита, чем у крупнокристаллич. При переходе от стабильных к менее стабильным формам уменьшается расширение и увеличивается усадка минералов при нагреве. Предыдущее сообщение см. РЖХим, 1961, 5K229.

А. Говоров

9K227. Сущность минералогического анализа глин. Harkort H. Wesen und Sinn der Tonmineralanalyse. «Euro-Ceramics», 1960, 10, № 7, 207—210 (нем.; рез. англ., франц., исп.).—Кратко излагаются различные методы, применяемые для определения минералогич. состава глин: дифференциальный термич. анализ, термогравиметрич. анализ, динамич. дифференциальная калориметрия, dilatометрич. анализ, dilatометрия предварительно обожженных глинистых образцов, наблюдения в нагревательном микроскопе. Определение минералогич. состава позволяет в некоторой мере предвидеть технологич. свойства глин.

А. Говоров

9K228. Спекание Еленинского каолина в зависимости от температуры его обжига и добавок окислов MgO, CaO, Fe₂O₃, TiO₂, Na₂O и K₂O. Мамыкин П. С., Семкина Н. В. «Тр. Вост. ин-та огнеупоров», 1959, вып. 1, 34—39.—Изучалось влияние на спекание отменного каолина Еленинского месторождения следующих окислов: Na₂O, K₂O, MgO, CaO, Fe₂O₃ и TiO₂; первые два вводились в виде спеков, остальные в виде химически чистых окислов. Добавки в расчете на окислы вводились в кол-ве 0,5; 1,0; 1,5 и 2%. В процессе спекания часть добавок активизируют и углубляют процесс спекания (Na₂O, K₂O, TiO₂), другие тормозят его (CaO, MgO). Для повышения степени спекания необходима диффузия катиона добавки внутрь кристаллич. решетки и образование промежуточных соединений, разрушающих решетку, или твердых растворов, ее активизирующих.

Г. Герашенко

9K229. Каолины Домбаровского и Архангельского месторождений. Дьячкова З. С., Диеперова М. И. «Тр. Вост. ин-та огнеупоров», 1959, вып. 1, 20—33.—Хим., гранулометрич. и минералогич. составы, огнеупорность и физ.-керамич. свойства каолинов Домбаровского и Архангельского месторождений.

Г. Герашенко

9K230. Использование глин Банси в производстве огнеупоров. Seth S. N., Bhatia B. B., Parikh K. H. Utilization of Bansi clay in the manufacture of refractories. «Trans. Indian Ceram. Soc.», 1959, 18, № 3-4, 81—86 (англ.).—Близ деревни Банси (Уттар-Прадеш, округ

Мирзапур, Индия) обнаружено крупное месторождение глинозодобного непластичного материала, белого до желтого цвета, огнеупорностью 1650—1710°, среднего хим. состава (в вес. %): SiO_2 62, Al_2O_3 32, Fe_2O_3 0,4—1,1, н.п.п. 2—3,7. Из «глины» Банси были изготовлены сухим прессованием брикеты $51 \times 51 \times 110$ мм и обожжены на 1450°, а также из смесей 75—90% глины Банси с добавкой 25—10% огнеупорной глины Джаббалпур были сделаны брикеты пластичным способом и обожжены на 1250—1400°. Полученные образцы имели огнеупорность 1670—1710° и весьма высокую пористость (28—35%). Глина Банси признана пригодной для произ-ва шамотных огнеупоров для средних т-р. Работы по снижению пористости изделий из нее продолжаются.

9K231. Изменение связующей способности бентонитов при нагревании. Горшков А. А., Мархасев Б. И. В сб. «Бентонитовые глины Украины». 4. Киев, АН УССР, 1960, 83—86. — Устойчивость против необратимой дегидратации является важным показателем свойств бентонитов и глин литейного произ-ва. Из исследованных глин наибольшую устойчивость по отношению к шамотизации показали часов-ярская глина и огландинский бентонит, наименьшую — горбский бентонит и пятихатская глина. Предложены оптимальные т-ры сушки бентонитов и глин перед размолом.

Из резюме авторов

9K232. Месторождение пегматита близ Тиршенройта. Reumann O. Das Tirschenreuther «Pegmatit»-Vorkommen. «Keram. Z.», 1960, 12, № 10, 572—575 (нем.). — Месторождение является крупным поставщиком пегматита, каолина и отходов их обогащения в виде песка, богатого слюдой. Эти виды сырья находят широкое применение в керамич. пром-сти. Приводятся минералогич., хим., гранулометрич. составы, а также керамич. свойства.

9K233. Минералогические исследования тонких частиц песка месторождения Neuhaus. Wiegmann Joachim, Kranz Günter, Horte Carl Heinz. Mineralogische Untersuchungen an den Feinstanteilen des Neuhäuser Sandes. «Silikatechnik», 1960, 11, № 10, 460—462 (нем.). — Песок (П) состоит из (в %): кварца 70, полевого шпата 25 и небольшого кол-ва глинистых материалов. П содержит 20—25% тонких частиц размером 63 м, которые можно удалить флотацией. Тонкие фракции П подвергали минералогич. изучению в целях определения целесообразности их использования. Установлено, что тонкая фракция П состоит главным образом из слюдоподобного минерала, к которому в малых кол-вах примешаны полевой шпат, каолинит, кварц и минерал монтмориллонитового типа. Окраска тонкой фракции при обжиге в окислительной среде при 1000° светло-кремовая и при 1200° светло-серая. Сходство тонкой фракции П со слюдой из Saropatak'a (Венгрия) позволяет ее применять во многих керамич. массах, к черепку которых не предъявляются требований высокой белизны.

9K234. Извлечение различных минералов из песков штата Керала (Индия). Somnau J. Y. Recovery of economic minerals from Kerala sands. «J. Mines, Metals and Fuels», 1960, 8, № 7, 49—56 (англ.).

9K235. Плавиковый шпат в Индии и его обогащение. Ramani P. V., Narayanan P. I. A. Fluorspar and its beneficiation. «Blast Furnace and Steel Plant», 1960, 48, № 10, 1045—1050 (англ.). — Описаны месторождения и запасы плавикового шпата в Индии, а также характеристика отдельных его сортов и наиболее целесообразные методы их обогащения.

А. Павлович

См. также: О кристаллич. структуре муллита 9B155. Вермикулит, его свойства, распространение и применение 9I20. Спектральное определение В в SiO_2 9D121.

Быстрый метод определения основных компонентов силикатных пород 9D138. Спектральный анализ кремнеземистых огнеупоров 9D144

Керамика

Редакторы В. В. Аутко, С. В. Глебов, С. И. Горелкина

9K236. Современная технология керамики. Часть 5. Непластичные компоненты керамических масс. Dale A. J. Modern ceramic practice. Part 5. Non-plastics in ceramic body mixes. «Ceramics», 1960, 11, № 140, 46, 48, 51—52, 55—56 (англ.). — Роль непластичных компонентов керамики, масс: уменьшение клейкости масс, воздействие на усадку и на пористость, ограничение скорости оплавления, уменьшение деформаций при сушке и обжиге, воздействие на коэф. расширения изделий и т. д. Краткий обзор обычно применяемых минералов и их кристаллоструктурные особенности. Часть 4(6) см. РЖХим, 1961, 7K303.

9K237. Перспективы увеличения производства доломита в пятилетнем плане. Wanior Gotfryd. Perspektywy rozwoju produkcji dolomitu w planie pięcioletnim. «Wiadom. hutn.», 1960, 16, № 10, 316—319 (польск.).

9K238. Значение стеклообразующей фазы в формировании керамического черепка и цементного клинкера. Пономарев И. Ф. В сб. «Стеклообраз. состояние». М.-Л., АН СССР, 1960, 405—406. Дискус., 415—417

9K239. Соотношение между составом кирпичных глин и их поведением при обжиге. Nurse R. W. The relationship between the constitution of brickmaking clays and firing properties. «Clay Minerals Bull.», 1960, 4, № 23, 127—133 (англ.). — При определении механич. свойств и абсорбции 7 образцов глин разного происхождения с определенным минералогич. и хим. составом, обожженных до разных т-р (в пределах 850—1150°), установлено отсутствие связи между этими свойствами глин и их минералогич. составом. Отклонения от нормального хода кривых на диаграммах изменения объемов при обжиге под нагрузкой объясняются выделением CO_2 и разложением Fe_2O_3 . Н. Б.

9K240. Новые электроизоляционные материалы. Nahn L. Neue elektrische Isolierstoffe. «Technik», 1960, 15, № 12, 781—785 (нем.). — Обзор. Библ. 7 назв.

9K241. Зависимость механической прочности необожженного фарфора от его влажности. Cyganowicz Kazimierz. Mechaniczna wytrzymałość masy porcelanowej w stanie surowym w zależności od jej wilgotności. «Szkło i ceram.», 1960, 11, № 11, 331—335 (2 обл.) (польск.; рез. англ., русск., франц.). — Результаты определения механич. прочности необожженного фарфора 2 марок, каолина и глины в зависимости от кол-ва воды затворения и содержания гигроскопич. влаги.

9K242. Причины дефектов в производстве электротехнического фарфора и их устранение. Vlachovský Otto. Závady vyskytující se při výrobě elektrotechnického porcelánu, ich příčiny a odstránenie. «Sklář a keramik», 1960, 10, № 11, 295—302 (словацк.; рез. русск., англ., нем.).

9K243. Измерение величины натяжений в техническом фарфоре. Измерение удара и колебаний в высоковольтных распределительных устройствах. Picard K. H. Strain—gauge measurements on technical porcelains. Shock and vibration measurements on the porcelain of high-voltage switchgear. «Philips Serv. Sci. and Ind.», 1960, 7, № 3, 84—88 (англ.; рез. франц., нем.). — Во время работы высоковольтных выключателей механич. нагрузка на выключатель состоит из нормально действующей нагрузки и дополнительной, вызываемой вибрацией и ударами в системе. Эти дополнительные нагрузки легко могут быть заглушены,

если ясны причины их возникновения. Устранение их является необходимым не только для надежности работы распределительных устройств, но и их экономичности. Описывается пример, когда ударная нагрузка на фарфоровый изолятор с $\sigma_{\text{макс}} = 81 \text{ кг/см}^2$ была снижена до $\sigma = 20 \text{ кг/см}^2$. За последние 5 лет подобные измерения для высоковольтных выключателей стали стандартно-типовыми на предприятиях Сименса-Шукерта. Дается краткое описание производства этих измерений и применяемой аппаратуры.

С. Туманов

9K244. Как обжигать стеатитовую керамику. Koch William J. How steatite ceramics are fired. «Ceram. Ind.», 1960, 75, № 3, 112—114, 126—127, 134 (англ.).—Обжиг стеатитовой керамики должен быть исключительно точным процессом. Для получения изделий, отвечающих высоким требованиям радиоэлектроники как в отношении электрич. свойств, так и в отношении размеров, при проведении обжига отклонения т-ры от установленной по режиму должны быть минимальными. Учитывая малый интервал спекания стеатитовых масс, при разработке режима обжига и его проведения должны быть приняты во внимание все факторы, оказывающие влияние на процесс получения стеатитовых изделий. Так, важно знать тип использованного талька; распределение частиц по размерам в тальке, оказывающее влияние на огневую усадку масс; метод оформления изделий и др. Обжиг стеатитовых изделий обычно проводится в туннельных печах. Приведена типичная кривая обжига стеатита в туннельных печах и рассмотрены основные физ.-хим. процессы, протекающие при спекании стеатитовых масс на различных переделах обжига. Общая продолжительность обжига стеатита составляет 9,5 час. Максим. т-ра обжига — 1260° , но она может быть равной и 1138 и 1315° в зависимости от кол-ва и типа использованного талька, а также от кол-ва и типа флюсующих окислов. Указывается, что колебания максим. т-ры не должны превышать $\frac{1}{2}$ пирометрич. конуса. Отмечается, что для сохранения мелкокристаллич. структуры процесс охлаждения сначала проводится с большой скоростью, а затем существенно замедляется.

Г. Масленникова

9K245. Изготовление изделий тонкой керамики из окиси бериллия. Pump Karl, Entreß Kurt. Herstellung feinkeramischer Erzeugnisse aus Berylliumoxyd. «Silikatechnik», 1960, 11, № 10, 463—464 (нем.).—Изготовление литых изделий из BeO до сих пор представляет значительные трудности. Прежде всего надо исходить из очень чистой окиси с содержанием $\geq 99\%$ BeO, так как загрязнения снижают интервал спекания BeO и т-ру его плавления. Перед тонким помолом рекомендуется BeO прокалить при 1600° и затем спек раздробить до величины зерна в 1 м . Тонкий помол производится в шаровой мельнице, футерованной кварцем, шарами из BeO в течение 10 час. с добавкой 0,5% органич. пластификатора и 0,5% минерализатора. pH шлинера должно быть ~ 7 . Сушка тонкостенных изделий производится ИК-лучами и толстостенных — горячим воздухом. Для обжига применяют высокотемпературные печи с корундовой футеровкой. Отмечается недостаток этих печей, дающих возгон корунда, осаждающийся на изделиях. До 300° изделия нагревают медленно, затем в течение 20 час. т-ру поднимают до 1820° с выдержкой при ней в течение 1—2 час. Охлаждение производится относительно быстро. BeO при высоких т-рах энергично реагирует с Al_2O_3 , поэтому в качестве подставок применяют бомы из ZrO_2 . Заметная усадка изделий начинается с 1350° . Черепок из BeO в отличие от зинтеркорунда имеет газовые включения, что отрицательно отражается на его механич. прочности. Прочности на изгиб, сжатие и разрыв у изделий из BeO значительно ниже таковых из

других окислов, но зато они обладают лучшими термич. свойствами. Как электроизоляционный материал BeO годен для высоких т-р.

С. Туманов

9K246. Микроструктура керамики из спекшейся окиси бериллия. Ryshkewitch E. Microstructure of sintered beryllia. «Trans. Brit. Ceram. Soc.», 1960, 59, № 8, 303—314 (англ.).—Представлен ряд микрофотографий, показывающих зависимость микроструктуры керамики из спрессованного порошка окиси бериллия ($97\text{--}99\%$ BeO), обожженного при $1900\text{--}1920^\circ$, от содержания примесей, условий прессования, granulометрич. состава, условий обжига.

А. Говоров

9K247. Электрические свойства свинцово-бариевых ниобатов и подобных им материалов. Baxter P., Hellicar N. J. Electrical properties of lead-barium niobates and associated materials. «J. Amer. Ceram. Soc.», 1960, 43, № 11, 578—583 (англ.).—Изучены электрич. свойства материалов в системе ниобат свинца — ниобат бария. Материалы с особенно интересными свойствами получены при содержании 25—50 мол.% ниобата бария. Материалы, содержащие 40—45 мол.% ниобата бария, имеют проницаемость, равную 1500, и радиальный электромех. коэф. связи $>0,35$. Однако точка Кюри этих материалов лежит $\sim 250^\circ$. Это миним. величина точки Кюри в изучаемой системе. Более высокие значения точки Кюри сопутствуют более низким значениям проницаемости и коэф. связи. Изучено влияние добавок на свойства ниобата свинца и показано, что стронциево-бариевые ниобаты являются более слабыми ферроэлектриками при комнатной т-ре, чем свинцово-бариевые.

В. Кушаковский

9K248. Соединение $\text{BaTiGe}_2\text{O}_9$. Robbins C. R. The compound $\text{BaTiGe}_2\text{O}_9$. «J. Amer. Ceram. Soc.», 1960, 43, № 11, 610 (англ.).—Повторно изучено соединение $\text{BaTiGe}_2\text{O}_9$, которое, согласно Гольдшмиду (Nachr. Ges. Wiss. Göttingen, Math.-physik. Kl., 184—90, 1931 г.), изоструктурно бенитоиту $\text{BaTiSi}_3\text{O}_9$ и имеет следующие параметры решетки: $a = 6,72 \pm 0,01 \text{ кÅ}$; $c = 9,70 \pm 0,02 \text{ кÅ}$; $c/a = 1,443$; $Z = 2$. Для синтеза соединений использовали стехиометрич. смесь реагентов BaCO_3 , TiO_2 , GeO_2 , которые по степени чистоты отвечали марке «ХЧ». Из смеси под давл. 1050 кг/см^2 прессовали диски, которые обжигали при 600 и 1000° в течение 24 час. с промежуточным измельчением и повторным прессованием. Нагревание образцов $>1000^\circ$ проводили в запаянной платиновой капсуле для предотвращения испарения GeO_2 . Обнаружено, что соединение $\text{BaTiGe}_2\text{O}_9$ стабильно в температурном интервале $1132\text{--}1235 \pm 10^\circ$. Выше и ниже указанной т-ры происходит диссоциация соединения с образованием фазы $\text{BaGe}_{4-x}\text{Ti}_x\text{O}_9$ (где $x < 1$) и неидентифицированной фазы. Кристаллы $\text{BaTiGe}_2\text{O}_9$ пластинчатые с неправильными краями, одноосные, полнокристаллы с показателями преломления $n = 1,886$ и $\omega = 1,838 (\pm 0,003)$. Рентгенограммы, полученные при комнатной т-ре, идентифицированы на основе гексагональной ячейки с $a = 11,73 \text{ кÅ}$, $c = 10,02 \text{ кÅ}$ и $c/a = 0,8542$. Рентгеновская плотность равна $4,54 \text{ г/см}^3$ и $Z = 6$. При комнатной т-ре $\text{BaTiGe}_2\text{O}_9$ не изоструктурно $\text{BaTiSi}_3\text{O}_9$. Высокотемпературные рентгенографич. исследования при $1160 \pm 20^\circ$ показали, что в температурном интервале стабильности описываемое соединение изоструктурно $\text{BaTiSi}_3\text{O}_9$ и расчеты на основе решетки бенитоита дают следующие значения параметров: $a = 6,8 \text{ кÅ}$; $c = 10,04 \text{ кÅ}$.

В. Кушаковский

9K249. Некоторые керамические диэлектрики с очень низким температурным коэффициентом емкости. Marzullo S., Bunting E. N. Some ceramic dielectrics with a very low temperature coefficient of capacitance. «J. Amer. Ceram. Soc.», 1960, 43, № 11, 609 (англ.).—В системах $\text{MgO} - \text{La}_2\text{O}_3 - \text{TiO}_2$ и $\text{MgO} - \text{Nd}_2\text{O}_3 - \text{TiO}_2$ найдены новые материалы с очень небольшим ($10\text{--}50$ миллионных частей на градус) изме-

нением диэлектрич. константы с t -рой в интервале $-40 + 200^\circ$. Эти составы содержат приблизительно равное кол-во TiO_2 и редкоземельного оксида 1–10 вес. % MgO . Для изготовления образцов использовали рутил 99,5% чистоты, карбонат магния 99,5% чистоты, окись лантана 98% чистоты, причем основные примеси составляли вода и CO_2 , и окись неодима 99% чистоты. Образцы обжигали при $1200\text{--}1375^\circ$. В системе $\text{MgO} - \text{La}_2\text{O}_3 - \text{TiO}_2$ температурный коэф. в температурном интервале $-40 + 200^\circ$ изменяется от ± 10 до ± 50 миллионных долей на градус; величина диэлектрич. константы при 25° равна в зависимости от состава 30–48. В системе $\text{MgO} - \text{Nd}_2\text{O}_3 - \text{TiO}_2$ температурный коэф. изменяется в том же интервале t -р от -20 до $+40$ миллионных долей на градус; диэлектрич. постоянная при 25° равна 24–38. В. К.

9K250. Рентгеновское изучение фазовых переходов в ферроэлектрике PbNb_2O_6 в подобных материалах. Subbaga E. C. X-ray study of phase transitions in ferroelectric PbNb_2O_6 and related materials. *J. Amer. Ceram. Soc.*, 1960, 43, № 9, 439–442 (англ.). — Изучались фазовые переходы рентгеновским и dilatометрич. методами у PbNb_2O_6 и в составах типа $\text{Pb}_{1+x}(\text{B}_x\text{Nb}_{1-x})_2\text{O}_6$, где $\text{B} = \text{Ti}^{4+}, \text{Zr}^{4+}, \text{Sn}^{4+}$, при нагревании образцов до t -ры 650° . Образцы были изготовлены обычным керамич. методом из соответствующих окислов высокой степени чистоты. T -ра обжига образцов $1230\text{--}1330^\circ$. У всех образцов при нагревании параметры решетки a и c расширяются, а b сжимается линейно до t -ры Кюри, при t -ре Кюри a и c расширяются незначительно, а b резко сжимается, что приводит к общему уменьшению объема элементарной ячейки на $\sim 0,27\%$, происходит фазовый переход из орторомбич. структуры в тетрагональную. У составов типа $\text{Pb}_{1+x}(\text{B}_x\text{Nb}_{1-x})_2\text{O}_6$, кроме того, наблюдаются дополнительные фазовые изменения (при более или менее заметном расширении) при t -ре $300\text{--}450^\circ$ (в зависимости от состава). Такие же фазовые изменения наблюдаются и у PbNb_2O_6 при отклонении от стехиометрич. состава в ту или другую сторону на 1%. Измерение диэлектрич. постоянной в зависимости от t -ры показывает у всех образцов только один пик, соответствующий t -ре Кюри. И. Ермакова

9K251. Метод измерения диэлектрической постоянной ферроэлектрической керамики в S -диапазоне частот. Sharpe C. B., Brockus C. G. Method for measuring the dielectric constant of ferroelectric ceramics at S -band frequencies. *J. Amer. Ceram. Soc.*, 1960, 43, № 6, 302–305 (англ.). — Описан метод комплексного измерения диэлектрич. постоянных ферроэлектрич. керамики при микроволновых частотах. Проведено измерение диэлектрич. констант титаната бария, спрессованного под давл. 350 кг/см^2 и обожженного при соответствующей t -ре, и титаната бария, спрессованного при 1300° в течение 0,5 часа под давл. 385 кг/см^2 . Горячепрессованный титанат бария был значительно плотнее и имел более мелкие зерна, чем обожженный титанат. Величина диэлектрич. констант горячепрессованного титаната бария была значительно меньше таковой титаната, спрессованного на холоду, а затем обожженного. Определена зависимость диэлектрич. постоянных горячепрессованного ниобата кадмия ($\text{Cd}_2\text{Nb}_2\text{O}_7$) от частот в интервале $1,8\text{--}4,0 \text{ кмг}$. Отсутствие какой бы то ни было релаксации в этой области связано с низкой точкой Кюри этого ферроэлектрика (185°K). Наблюдалось, что при комнатной t -ре нет явной зависимости электрич. поля от диэлектрич. константы. В. Кушаковский

9K252. О сублимации Li из Li-Ni-ферритов. Salmon O. N., Marcus L. Note on sublimation of lithium from Li-Ni-ferrite. *J. Amer. Ceram. Soc.*, 1960, 43, № 10, 549–550 (англ.). — При обжиге тороидального образца из Li-Ni-феррита состава (в мол. %): 10 Li_2O , 20 NiO , 70 Fe_2O_3 , весом $1,3472 \text{ г}$ на кварцевой трубке при 1260°

образовался темный налет Li_2O , последнее подтверждается рентгенографически. Потеря веса составила $0,0275 \text{ г}$, из которых $0,0127 \text{ г}$ O_2 , что подтверждено расчетом. Микроскопич. исследование полированной поверхности образца показало наличие в структуре зерна немагнитной фазы, по-видимому, $\text{Li}_2\text{O} \cdot \text{Fe}_2\text{O}_3$ со структурой типа NaCl и магнитной шпинельной фазы. При 1260° происходит р-ция $6\text{LiFe}_2\text{O}_3 (S_1) \rightleftharpoons 3\text{Li}_2\text{O} \cdot \text{Fe}_2\text{O}_3 (S_2) + 8\text{Fe}_3\text{O}_4 (S_1) + 2\text{O}_2 (\text{газ})$, где S_1 — шпинельная фаза, S_2 — структура типа NaCl . Образующаяся немагнитная фаза разлагается по р-ции: $3\text{Li}_2\text{O} \cdot \text{Fe}_2\text{O}_3 (S_2) \rightleftharpoons 2\text{Fe}_3\text{O}_4 (S_1) + 3\text{Li}_2\text{O} (\text{газ}) + 0,5\text{O}_2 (\text{газ})$, снижая конц-ию $\text{Li}_2\text{O} \cdot \text{Fe}_2\text{O}_3$ у поверхности. Общая потеря Li_2O при обжиге $\sim 1260^\circ$ в течение 8 час. составила $19\text{--}48\%$. Г. Соколов

9K253. Об огнеупорной промышленности Англии. Стрелов К. К. «Огнеупоры», 1960, № 12, 577–580

9K254. Промышленность огнеупоров в Индии. Srinivasan N. R. Refractories industry in India. *Centr. Glass and Ceram. Res. Inst. Bull.*, 1960, 7, № 2, 87–89 (англ.)

9K255. Совершенствование методов испытания и системы контроля качества огнеупоров. Блудштейн М. Н. «Огнеупоры», 1960, № 12, 536–539. — Обзор. Выб. 28 назв. Г. Г.

9K256. Влияние добавок на спекание периклаза. Брон В. А. «Тр. Вост. ин-та огнеупоров», 1959, вып. 1, 104–118. — Действие добавок на спекание периклаза в твердой фазе зависит от энергетич. характеристики катионов добавок и ионных радиусов катионов. Спекание добавок повышает с увеличением энергетич. коэф. А. Е. Фермана катиона добавки p с уменьшением отношения величины ионных радиусов катионов добавок и спекаемого оксида. Особенно эффективно действие добавок TiO_2 и ZrO_2 . Добавки понижают микротвердость спекшего периклаза и влияют на микроструктуру изделий. Спекание действие добавок в технич. продуктах зависит от наличия примесей. Из резюме автора

9K257. Строение поверхности корунда. I. Трансляция дислокаций. Scheuplein R., Gibbs Peter. Surface structure in corundum. I. Etching of dislocations. *J. Amer. Ceram. Soc.*, 1960, 43, № 9, 458–472 (англ.). — Монокристаллы синтетич. корунда (МК) стглази под разными углами в пламени кислородо-ацетиленовой горелки или при охлаждении после нагрева на горелке. МК отжигали и выдерживали в печи с газовым оттошением, чтобы дать время образоваться мелким кристаллам. Затем шлифовали поверхность под разными углами по отношению к осям МК алмазными крутами и пастами ($15,6$ и 1 м), вновь нагревали до $1600\text{--}2000^\circ$, чтобы заглянуть в пламени мелкие штрихи от полировки, а затем травили шлифы 90% -ной H_2PO_4 при $125\text{--}375^\circ$ до получения фигур травления. После 5 мин. травления МК в H_2PO_4 в них наблюдались трехгранные углубления, соответствующие пересечению дислокаций (Д) вдоль граней МК. Этим методом были прослежены Д по плоскостям скольжения $\{0001\}$, $\langle 1120 \rangle$ (I) и $\{1210\}$, $\langle 1010 \rangle$ (II). Структура Д сильно зависит от постоянства t -ры во время деформации МК. МК, согнутые при 2000° , обнаруживали Д, имевшие построение рядами в плоскостях скольжения, в соответствии с ф-лой J. Nye (РЖ Хим, 1956, № 11, 31838). МК, согнутые при охлаждении, имели случайно расположенные Д, число которых было в ~ 2 раза больше, чем по ф-ле Nye. С. Глебов

9K258. Выявление микроструктуры корундовых изделий резким нагревом шлифов. Beauchamp Edwin K. «Flash etching» of Al_2O_3 grain boundaries. *J. Amer. Ceram. Soc.*, 1960, 43, № 10, 552 (англ.). — Для выявления микроструктуры корундовых изделий обычный метод обработки поверхности шлифов фосфорной k -той недостаточно эффективен. Путем

рекого нагрева полированной поверхности аншлифов до 1900° при помощи слегка восстановительного пламени кислородно-ацетиленовой горелки, с выдержкой в течение 2—5 сек., можно получать гораздо более четкие разграничения кристаллитов на микрофотографиях аншлифов.

А. Говоров
9K259. О возможности получения огнеупоров и алюминатов бария из барита. Grylicki M. Badania nad możliwościami przeróbki barytu na ogniotwórcze krzemiany i gliniany baru. «Prace Inst. hutn.», 1960, 12, № 4, 206—211 (польск.; рез. русск., англ.).—Исследования возможности получения безобжиговых огнеупоров и алюминатов бария, обладающих гидравлич. свойствами, из барита и отходов произ-ва литона путем взаимодействия в твердой фазе BaSO_4 с SiO_2 или Al_2O_3 . Получение ортосиликата сопровождается технологич. затруднениями из-за образования легкоплавких сплавов; процесс получения $\text{BaO} \cdot \text{Al}_2\text{O}_3$ при хорошем измельчении и перемешивании исходных материалов характеризуется высокой производительностью. Р. А.

9K260. О связывании керамического сырья монофосфатом алюминия (огнеупорная связка 32). Часть 1. Bechtel H., Ploss G. Über das Abbinden von keramischen Rohstoffen mit Monoaluminiumphosphat—Lösung (Feuerfestbinder 32). 1. Teil. «Ber. Dtsch. keram. Ges.», 1960, 37, № 8, 362—367 (нем.; рез. англ., франц.).—Огнеупорная связка 32 представляет собой р-р 46,5% монофосфата алюминия в воде, не содержащий свободной Al_2O_3 и содержащий 2,06% свободной P_2O_5 . Молекулярное соотношение $\text{Al}_2\text{O}_3 : \text{P}_2\text{O}_5 = 1 : 3,2$, уд. вес р-ра 1,475. При добавлении к керамич. материалам придает изделиям после сушки высокую прочность. Шамот связывается монофосфатом алюминия лишь при наличии в массе 10—20% глины. Добавка талька (2—10%), гидрата глинозема (5%), каустич. магнзита (1,5%) или фтористого аммония (0,2—0,5%) ускоряет процесс твердения и увеличивает прочность сырья. Увеличение т-ры сушки сокращает время затвердевания. Увеличение т-ры до 600° сопровождается повышением прочности сырья. После 600—900° прочность несколько снижается, а при повышении т-ры до 1350° вновь повышается. Корундовая масса (80% электрокорунда, 15% глины) связывается монофосфатом алюминия лишь при добавлении 5% гидрата глинозема. Хорошо связывается масса из 95% хромовой руды и 5% монофосфата алюминия, а также масса из 96 вес. ч. кварца и 40 вес. ч. огнеупорной связки 32.

Т. Ряховская
9K261. Качественный метод определения стекловатой формы и степени ее отделения от кристаллических фаз в алюмосиликатных огнеупорах. Стрелов К. К., Райченко Т. Ф. «Ж. прикл. химии», 1960, 33, № 11, 2421—2427.—Описан косвенный метод качества определения стекловатой формы и степени ее отделения от кристаллич. фаз по изменению суммарного показателя светопреломления в зависимости от т-ры. Повышение показателя светопреломления и его максим. значение определяется содержанием глинозема и кол-вом образующихся при обжиг мullита и корунда и не зависит, в определенной мере, от содержания глинозема в стекловатой форме. Снижение показателя светопреломления определяется увеличением кол-ва стекловатой формы и отделением ее от кристаллич. фаз. Исследовано влияние кол-ва и степени отделения стекловатой формы на некоторые свойства огнеупоров. Косвенный метод качеств. определения кол-ва и степени отделения стекловатой формы позволяет подробно исследовать огнеупорное сырье и алюмосиликатные изделия.

9K262. Термогравиметрическое исследование масс, содержащих карбонаты в атмосфере CO_2 . Longuet P. Etude thermogravimétrique des pâtes calcaires en atmosphère de CO_2 . «Bull. Soc. franç. céram.», 1960, № 48, 69—76. Discuss., 76 (франц.; рез. англ., нем.).—Чистый

карбонат кальция не показывает потерь веса при его нагреве ниже 900° в среде CO_2 . В тех же условиях в присутствии в-в, способных реагировать с ним, как напр. тонкодисперсный кремнезем, наблюдается потеря веса, т. е. выделение CO_2 , по которой можно определять реактивность смеси. Этот метод применим ко всем системам, содержащим углекислый кальций как главный компонент. Рассматриваются также случаи огнеупорной обмазки из песка и CaCO_3 , смесей полевого шпата с мелом, фаянсовых масс, содержащих карбонаты.

А. Говоров
9K263. О теоретических и практических вопросах производства основных огнеупоров на химических связках. Sövegjártó János. Vegyi kötészű bázikus téglák gyártásának elméleti és gyakorlati kérdései. «Építanyag», 1960, 12, № 10, 358—367 (венг.; рез. русск., нем.).

9K264. Исследование влияния печной среды и текстуры шамота на его теплопроводность при высоких температурах. Eckhoff P., Schwiete H. E. Untersuchungen über den Einfluß der Textur und der Ofenatmosphäre auf die Wärmeleitfähigkeit von Schamottesteinen bei hohen Temperaturen (Auszug Diss.). «Sprechsaal Keramik, Glas, Email», 1960, 93, № 19, 506—512; № 20, 539—542; № 21, 557—561 (нем.).—Теплопередача через шамот складывается из теплопередачи через основную массу, теплопроводности (Т) и конвекции газов, заключенных в порах, и излучения внутри пор. Поэтому Т зависит от хим. и минералогич. состава основной массы шамота, от Т газов в порах и текстуры. Напр., шамот с пористостью (П) 12% и содержанием Al_2O_3 38% имеет Т на 24,5% выше (при $t = 900^\circ$) Т шамота с П 24% и содержанием Al_2O_3 43%, а Т последнего выше на 17,8%, чем Т шамота с П 28% и содержанием Al_2O_3 40%. Дано описание различных методов определения Т. Приведены данные по исследованию Т шамота в интервале 900—1400° при содержании $\text{Al}_2\text{O}_3 + \text{TiO}_2 = 37,02\%$, уд. в. 2,64 кг/дм^3 , П 25,3%. Разработан метод определения Т в указанном интервале т-р при прогреве образца в различных средах. Тепловой поток, проходящий через поверхность образца, определялся спец. устройством (дано описание). Так как текстура в различных слоях изделия неоднородна, Т измерялась в 3 взаимно перпендикулярных направлениях. На образце укреплялось устройство для измерения теплового потока, образец помещали в печь и определяли коэф. теплопроводности. Приведена зависимость коэф. Т от средней т-ры в измерительном устройстве.

Приведены данные измерений Т, рассчитанные по формулам $\lambda_w/\delta_w = 0,201 \cdot t_m + 43,16$; $\lambda_s = \delta_s \cdot \lambda_w/\delta_w \cdot \Delta t_w/\Delta t_s$. Приведены графики зависимости коэф. Т от т-ры изделия. Приведены эксперим. данные по определению Т в зависимости от средней т-ры кирпича в окислительной или восстановительной атмосфере. Исследование Т образцов в 3 взаимно перпендикулярных направлениях показало в интервале т-р 900—1300° одинаковые величины в направлениях, перпендикулярных тычку и ложку, и увеличение на 40% в направлении, перпендикулярном постели. Т до 1200° увеличивается непрерывно, а температурный коэф. снижается до 0. Между 1200 и 1300° Т остается постоянной. Измеренные величины Т близки к литературным данным. Различие Т в различных направлениях определяется текстурой, при этом большую роль играет образование пор и поровых каналов в процессе формирования изделия. Т изделия определяется в конечном счете Т газов, заключенных в порах, ибо малый размер пор исключает роль конвекции и излучения. На Т влияет продолжительность действия газов, однако воздух не влияет на величину Т. Приведены данные газопрооницаемости шамотного кирпича и их связь с технологич. (формовка) и физ.-хим. (образования жидкой фазы, действие CO) процессами.

И. Явиц

Исследовано влияние текстуры и атмосферы печи при обжиге и испытании на T торговых шамотных огнеупоров (ШО) пластичного формирования при 950—1300°. T определяли на образцах, вышпеленных из кирпичей в 3 взаимно перпендикулярных направлениях. В качестве образцов были использованы ШО класса А II, со средней кажущейся пористостью в состоянии поставки 23%, и дополнительно обожженные при 1000 и 1400° на воздухе, при 1440° — в восстановительной или окислительной атмосфере (с добавкой O_2). Установлено, что а) T образцов ШО в интервале 900—1300° в направлениях, перпендикулярных к боковым граням кирпича, одинакова и равна 0,54—1,18 ккал/м град час; в направлении, перпендикулярном ложковой поверхности кирпича (т. е. в направлении движения бруса, выходящего из пресса), выше на ~40%; б) при обжиге ШО в атмосфере воздуха T растет в интервале 900—1200°, а при 1200—1300° остается постоянной; в восстановительной атмосфере при высоких t -рах T выше, чем в атмосфере воздуха, но ниже, чем в окислительной, что можно объяснить минерализующим действием соответствующих газов и снижением пористости ШО под влиянием повышенной t -ры обжига. Библ. 18 назв. С. Глебов

9K265. Физико-химические исследования расплавов огнеупорных окислов. Еромолаева Е. В. В сб. «Стеклообразия. Состояние». М.-Л., АН СССР, 1960, 407—412. Дискус. 415—417. —Проведены исследования расплавов ряда трехкомпонентных систем огнеупорных окислов при t -ре ликвидуса до 1700, перегреве и переохлаждении до $\geq 400^\circ$. Нагрев осуществлялся в печах с нагревателями из сплава Pt с 40% Rh в атмосфере воздуха и N_2 . Изучены вязкость, поверхностное натяжение, электропроводность, интервал затвердевания, смачивание ими сосуществующих твердых фаз, электродвижущая сила между ними и расплавом, показатель преломления закаленных стекол и ИК-спектры поглощения, выполнены петрографич. и рентгенографич. исследования. Г. Герашенко

9K266. Температурная зависимость пластических деформаций монокристаллов окиси магния. May J. E., Kronberg M. L. Temperature dependence of plastic yield stress of single crystals of magnesium oxide. «J. Amer. Ceram. Soc.», 1960, 43, № 10, 525—530 (англ.). —Исследуется влияние t -ры и предварительной термич. обработки искусств. кристаллов окиси магния на их пластич. деформации. Испытуемые образцы сечением 1—2 мм² отщеплялись от кристаллов по плоскостям спайности и подвергались трехточечной нагрузке на изгиб после 20-минутной выдержки при разных t -рах, вплоть до 1000°. Сопротивление пластич. деформации понижается при возрастании t -ры образца, при этом эта зависимость яснее выражена для образцов, испытанных предварительно на нагрев до 1250° с выдержкой 1 час и последующую закалку на воздухе. В этом случае сопротивление образцов проходит через минимум при 500—600°, затем через максимум ~700°, затем снова постепенно падает. Сильный разброс величин сопротивления у кристаллов, предварительно не прошедших термич. обработки, приписывается наличию примесей. Вследствие обжига и закалки эти примеси переходят в r -р, что понижает прочность, не уменьшает разброс показаний измерений. Микроскопически выявлены включения примесей. А. Говоров

9K267. Огнеупорные изделия из глины месторождения «Коммуна им. Цвиллинга». Брон В. А., Басьяс И. П., Ольховский И. А., Дворкин Д. М. М. «Тр. Вост. ин-та огнеупоров», 1959, вып. I, 5—19. —Лабораторные исследования хим. состава и огнеупорности глины месторождения «Коммуна Цвиллинга» позволили определить основные технологии, параметры изготовления шамотных изделий способами полусухого и пластич. прессования и составить временные технич. условия на глины. Г. Герашенко

9K268. Служба некоторых видов огнеупоров в кладке динасообжиговых печей. Сатановский П. Л., Игнатов Т. С. «Огнеупоры», 1960, № 11, 511—515. —Исследование службы некоторых видов огнеупоров в кладке динасообжиговых печей показало, что динасовый легковес является высокоэффективным материалом для сводов печей; для уменьшения пористости и дополнительной усадки шамотного кирпича, применяемого в кладке подподошвого массива, газовых каналов, боровов, колодцев и т. д., рекомендуется обжигать его вторично при 1380° в течение 14—18 час; для внутренней футеровки несущих стен в периодич. печах рекомендуется применять полукислый кирпич из кыштынского каолина. Г. Герашенко

9K269. О механизме коррозии хромомagneзитовой огнеупорной футеровки конвертеров для плавки меди. Ота Дзэндзо, Цукино Мицусики, Тенamura Фумикадзу, Мияти Хатиро. «Nihon Kōgō Kai», J. Mining and Metallurg. Inst. Japan, 1960, 76, № 866, 584—591 (японск.).

9K270. Получение термостойкого магнетитового огнеупора, связанного шпинелем. Кан Вон До, Зи Зе Ха, Цой Чан Сюн. «Хвахак на хвахак ковоп, К. химии и хим. пром.-сти», 1960, 4, № 2, 10—17 (кор.).

9K271. Магнезитовые набивные массы со спекающими добавками для сталеплавильных печей. Зубарева М. Н. «Тр. Вост. ин-та огнеупоров», 1959, вып. I, 74—79. —Результаты подбора промышленных шихт с магнетитовой составляющей укрупненного зернового состава, допустимого для произ-ва крупных набивных массивов футеровки печей. Г. Герашенко

9K272. Влияние условий работы вагранок на разьедаение огнеупоров в зоне плавления. Minami Yoshiakira, Tsukagoshi Yoichi. «Имоно, J. Japan Foundrymen's Soc.», 1960, 32, № 5, 371—377 (японск.; рез. англ.). —Исследована зависимость степени разьедаения огнеупоров от конструкции вагранки, способа загрузки шихты, кол-ва шлака, извести и объема выдуваемого газа. Из резюме авторов

9K273. Огнеупоры для металлургической промышленности. Ямамото Гэндзи-ро. «Тэккокай», 1960, 10, № 3, 77—83 (японск.). —Приведены данные о потреблении металлургич. пром.-стью Японии за 1951—1959 гг. различных огнеупоров: основных, динасовых, шамотных, с высоким содержанием Al_2O_3 . М. Гусев

9K274. О процессах формирования и разрушения подины основных мартековских печей. Басьяс И. П., Лепеса А. М. «Тр. Вост. ин-та огнеупоров», 1959, вып. I, 40—73

9K275. Производство теплоизоляционных огнеупоров. Фудзид Хиндзиро. «Kagaku kōgi sirō, Chem. Engr's Digest», 1960, 28, № 3, 111—113 (японск.). —Обзор.

9K276. Исследование и оценка трамбовочных масс карбида кремния для футеровки плавильных камер. Rauff Erich, Meier Fritz. Untersuchung und Beurteilung von Siliziumkarbid — Stampfmassen für Schmelzkammerauskleidungen. «Techn. Überwachung», 1960, 1, № 11, 423—426, III (нем.; рез. франц., англ.). —Применение паровых котлов, в которых происходит удаление жидкообразных шлаков, повысило требования к огнеупорным футеровкам. Оказалось, что наилучшими футеровками являются футеровки, изготовленные из карбида кремния. Рассмотрено влияние некоторых технологич. факторов на свойства изделий из трамбовочных масс карбида кремния. В качестве исходного сырья для проведения исследований использовали измельченный коммерческий карбид кремния. Для формирования опытных образцов применяли различные способы, однако наиболее пригодным (с точки зрения приближения к условиям формирования на произ-ве) оказался метод трамбовки в стальном ящике с внутренними размерами 95 × 95 × 45 мм. Для того, чтобы облегчить разрезание образцов, в ящик встав-

ляли крес-
важно по
равен на ч
формовани
при макс
SiC и во
премия
плотность
(5—5,5 кг
в которых
состав: зе
26% и <
предлага
кол-во для
крытую по
течение 1
содержани
(после 60
9K277.
при высок
tional про
raures. «
нем.). —О
TAC, VC,
а) образ
б) разным
карбидам
между Zn
связаны
производи
рт. ст. п
в след. п
для заме
гружки. Е
плавильн
цевой по
грузкой
ния 1—10
по борид
тем при
800—1400
аномальн
Понижен
диффуз
кристалл
щеди кон
по поверх
нимум в
деформат
ния t -ры
межкрист
бидов и
сокут t -
зависим
ни на кар
ляется к
В этой с
рый мон
(4—28 а
25 назв.
9K278.
рон из
for Ch
producti
82 (англ
Co. (Фир
способ с
труб, ка
машин
литейно
для чуг
дал пол
повысил
инемат

ляли крестовину, которая создавала на образцах два взаимно перпендикулярных паза, которые делили образец на четыре куба размером $45 \times 45 \times 45$ мм. После формирования образцы обжигали при 1200° с выдержкой при максим. т-ре 12 час. Изучено влияние содержания SiC и воды в массе, а также зернового состава карбида кремния на об. вес обожженных образцов. Максим. плотность $2,61 \text{ г/см}^3$ получена из полупластичных масс (5–5,5 кг воды на 100 кг массы; 87–88 вес. % SiC), в которых карбид кремния имел следующий зерновой состав: зерен размером 5–0,5 мм — 44%, 0,5–0,1 мм — 26% и < 0,1 мм — 30%. Для оценки трамбовочных масс предлагается определять: влажность, оптимальное кол-во для затворения, зерновой состав, об. вес и открытую пористость изделий после обжига при 1200° в течение 12 час., содержание SiC в исходном продукте, содержание SiC в массе, потери при прокаливании (после 60 мин. при 750°), рН воды. В. Кушаковский 9K277.

Фрикционные свойства карбидов и боридов при высоких температурах. Mordike B. L. The frictional properties of carbides and borides at high temperatures. «Wear», 1960, 3, № 5, 374–387 (англ.; рец. нем.).—Определен коэф. трения (КТ) между WC, TiC, TaC, VC, NbC и B₄C при следующих комбинациях: а) образцов одних и тех же карбидов между собой; б) разных карбидов между собой; в) между разными карбидами и графитом. Кроме того был определен КТ между ZrB и TiB. Все карбиды и бориды были самосмазанными, чтобы исключить влияние смазки. Опыты производили при т-рах 20–2000° под вакуумом 0,1 м.рт.ст. при атмосферном давлении. Нагревание вели в спец. печи, оборудованной пружинным механизмом для измерения крутящего момента и нормальной нагрузки. В качестве образцов были применены полые цилиндры diam. 30, высотой 30 мм, с тупой конической поверхностью. Испытание проводилось под нагрузкой 25–3000 г при линейной скорости перемещения 1–10 см/сек. КТ карбидов по карбидам и боридов по боридам сначала уменьшается с ростом т-ры, а затем при определенной воспроизводимой т-ре (между 800–1400°) вновь быстро возрастает. B₄C ведет себя аномально, давая медленное увеличение КТ с т-рой. Понижение КТ с т-рой объяснено уменьшением междиффузической адгезии (эквивалентной по эффекту междикристаллич. адгезии) при примерно постоянной площади контакта; сила сдвига и сила перемещения зерен по поверхности уменьшаются, что и снижает КТ. Минимум на кривой соответствует появлению пластич. деформации. Увеличение КТ при дальнейшем повышении т-ры объясняется ростом поверхности контакта и междикристаллич. диффузией. В случае различных карбидов и боридов более резкое повышение КТ при высоких т-рах объясняется взаимной диффузией и образованием твердых ф-ров в области контакта. При трении карбидов и боридов по графиту КТ медленно снижается и в основном определяется КТ самого графита. В этой связи дано объяснение аномалии КТ B₄C, который можно рассматривать как р-р переменных кол-в С (4–28 ат. %) в деформированной решетке В. Библ. 25 назв. Н. Згонник 9K278.

Способ утряски при производстве огнеупоров из карбидов повышает производительность. Taylor Charles H. Jolting carbide refractories increases production. «Brick and Clay Rec.», 1960, 137, № 4, 59, 80, 82 (англ.).—На огнеупорном з-де R. C. Remmey Sons Co. (Филадельфия, США) в виде опыта был применен способ формовки карборундовых изделий (КИ): плит, труб, капселей, при помощи «безударной утрясочной машины» марки «Табора», с успехом используемой в литейной пром-сти для изготовления форм и пишек для чугуна и стального литья. Опыт утряски КИ дал положительные результаты: производительность повысилась в 2–3 раза по сравнению со способом пневматич. трамбования; изделия имеют более глад-

кую внешнюю поверхность и более равномерную плотность. Утрясочные машины значительно дешевле мощных прессов, а также пневматич. оборудования, требующих для прессования КИ.

С. Глебов 9K279. **Распределение температурных напряжений в абразивных изделиях в процессе термической обработки (обжига).** П. Плат Ш. Н. «Изв. физ. ж.», 1960, 3, № 10, 97–102 (реф. англ.).—Изложен приближенный метод расчета температурных напряжений в конечных полых цилиндрах для различных условий теплообмена. На основе полученных ур-ний дана ориентировочная оценка температурных напряжений в абразивокерамич. кругах при их нагреве и охлаждении в процессе обжига. А. Новиков 9K280.

Керамические резы. Schmidt A. O. Ceramic tools. «Aircraft Product.», 1960, 22, № 11, 433–437 (англ.).—Опыты с керамич. резами показали, что с их помощью можно достигнуть высоких скоростей резания и освободиться от вибрации в течение процесса обработки металлов. Керамич. материалы могут дать большое экономич. преимущество по сравнению с другими материалами резов. Однако до сих пор основным недостатком керамич. резов является их хрупкость. В. Кушаковский 9K281.

Порошковый метод сварки керамических материалов. Schmidt J., Pustal M. Entwicklung eines Pulverschweißverfahrens für keramisches Material. «Mitt. Inst. Eneng.», 1960, № 26, 352–360 (нем.).—Описан примененный впервые в Англии метод «сухого» уплотнения: швы уплотняются порошком с добавкой флюса, наносимого на поверхность струей сжатого воздуха (30–50 мм вод. ст.). Смесь размягчается под действием т-ры стенки и уплотняет шов. В случае крупных трещин применяют устройство с принудительным подогревом места сварки спец. горелкой. Приводится хим. и ситовой анализ порошка (SiO₂ 91,9%, Al₂O₃ 5,42%, огнеупорность 1720°). Описана оригинальная установка, состоящая из газовой горелки, в которой спец. насадками регулируется подача O₂ и газа или только газа. Рабочие т-ры соответственно 1550 и 1370°. Описаны ацетиленовые горелки с водяным охлаждением. Установка состоит из стального корпуса с герметич. крышкой. Сжатый воздух поступает через редукторы и патроны с CaCl₂ в резервуар с порошком (предусмотрены предохранительный клапан и манометр). Внутри резервуара, в нижней его части, имеется дутьевое воздушное сопло, к которому подходит нижний конец смесительной трубы с 4 шлангами длиной 30 и шириной 2 мм, через них порошок входит в трубу и транспортируется к горелке в отличие от английской установки, где порошок находится в резервуаре, а воздушная коммуникация находится вне его. Приведена зависимость давления, расхода O₂ и требуемого кол-ва порошка. И. Явиц 9K282.

Происхождение структуры в кирпиче пластической формовки и ее устранение. Homayr J. Origine delle strutture nei laterizi formati in pasta molle e loro eliminazione. «Ind. ital. laterizi», 1960, 14, № 4, 127–132 (итал.; реф. франц., англ., нем.).—Изложены результаты изучения процессов пластич. формования кирпича и черепицы, проведенного исслед. ин-том кирпичной пром-сти в Эссене (ФРГ). Основными причинами возникновения так называемой «структуры» или S-образных трещин и расслоений в изделиях пластич. формования являются отношение материала к деформации, недостаточная гомогенность шихты и относительные сдвиги внутри массы при формовке ее на винтовых ленточных прессах. Для борьбы со структурой необходимо: а) подбирать оптимальное число оборотов вала пресса, исходя из пластичности влажной массы, или ее способности деформироваться без разрыва; б) использовать хорошо гомогенизированную массу, внутреннее трение которой, по возможности, приближается к значению трения массы о стальной шнек;

в) применять подогрев массы в момент выпуска кирпича до t -ры порядка 80° . С. Глебов

9K283. Два параметра сухого прессования: влажность — давление при производстве стеновых и половых плиток. Moitron J. Two parameters in dry pressing: moisture — pressure. (Wall tile and floor tile industries). «Иалкут гангуд лмехкар керани, Bull. Ceram. Res. Assoc. Israel», 1960, № 10, 5—12 (англ.), 8—13 (иврит.).—Рассмотрено влияние влажности (В) массы и давления (Д) прессования на точность размеров и образование дефектов при произ-ве стеновых и половых плиток методом сухого прессования. Известно, что по окончании прессования плиток на прессах происходит некоторое их разбухание, составляющее обычно 0,8—0,9% по толщине. Увеличение В массы снижает разбухание; оптимальная В составляет 7—14%, разбухание при этом равно $\sim 0,7\%$. Чрезвычайно существенно выдерживать одинаковую В, так как от нее сильно зависит общая усадка плиток. Разбухание плиток после прессования зависит также от Д прессования, которое для стеновых плиток должно быть 260—350 кг/см^2 , для спеченных половых $\sim 300 \text{ кг/см}^2$. Усадка заметно падает с повышением Д. Приведено описание дефектов плиток, возникающих от изменений В массы и Д прессования. Для получения высококачественных плиток необходимо равномерное распределение влаги в массе, почему хранение массы в силосах должно продолжаться ≥ 48 час. Для прессования плиток должны применяться автоматич. прессы, обеспечивающие равномерное распределение Д по площади плитки. С. Глебов

9K284. Лёссовые отложения Днепровской области и их применение в промышленности. Сафонов Л. И. «Тр. Днепронетр. с.-х. ин-та», 1960, 8, 59—75.—Проведено исследование лёссовых отложений с целью определения их пригодности для изготовления кирпича и черепицы методом полусухого прессования. Библ. 41 назв. Г. Геращенко

9K285. Проблема производительности сушил на кирпичных заводах Чехословакии в третьей пятилетке. Širhal H., Mařha R. Kapacita sušárenzákladní problém cihelen ve třetí pětiletce. «Stavivo», 1960, 38, № 11, 376—379 (чешск.; рез. русск., нем., англ., франц.).—На основе статистич. материала показана зависимость между производительностью сушил и печей на кирпичных з-дах; указываются направления модернизации существующих сушил. См. также РЖХим, 1961, 2K265; 7K352. Из резюме авторов

9K286. Изучение движения частиц в рабочем слое отсадочной машины. Lill G. D., Smith H. G. A study of the motion of particles in a jig bed. «Preprint. Internat. Mineral Process. Congr.», 1960, № 24, 21 pp., ill. (англ.; рез. франц., нем., русск.).—На лабор. отсадочной машине были проведены опыты с целью изучения законов движения частиц разного уд. веса и разных размеров в слое. С целью наблюдения была обеспечена просвечиваемость слоя использованием в нем стекла в среде бензола или плавикового шпата в парафине и использована техника ускоренной киносъемки. При лабор. опытах визуально (или киносъемкой) наблюдали за движением проникающих тел сквозь слой и рассчитывали скорость их движения как среднее из 25—100 опытов, в зависимости от диаметра, формы, уд. веса и других факторов; было установлено, что достаточно воспроизводимые данные получают в среднем из 50 опытов. С. Глебов

9K287. О дальнейшем развитии печей в стекольной и керамической промышленности и их влияния на экономию производства. Hollas Adolf. Další vývoj pecí ve sklářském a keramickém průmyslu a jejich vliv na hospodárání výroby. «Sklář a keramik», 1960, 10, № 11, 293—294 (чешск.)

9K288. Основные вопросы теории процессов обработки и формирования керамических масс. Ничипоренко С. П. Киев, АН УССР, 1960, 112 стр., илл., 3 р. 50 к.

9K289. Минералообразование в хромомagneзитовых огнеупорах. Зубаков С. М. Алма-Ата, АН КазССР, 1960, 104 стр., илл., 4 р. 90 к.

9K290. Способ получения органофильных глин нового типа. Csönka Lajos, Soha István, Szántó Ferenc, Várkonyi Bernát, Rapp Tamás. Eljárás organofil agyagféleségek előállítására. Венг. пат. 145884, 31.12.59.—Изобретение заключается в обработке глин катионоактивным в-вом — активатором (А) для приобретения ими способности смачиваться и разбухать в органич. р-рителях различной полярности. А являются также органич. соединения, в которых группа, способная к электролитич. диссоциации, связана с одним или несколькими радикалами асимметрично полярного характера. К примеру А является цетилметилевоый афр пиридинхлорида. По описанному способу глины диспергируются в водн. среде (конц-я суспензии 5—25%), и добавляется 5—10%-ный р-р А с t -рой 60—70° в кол-ве 5—40% (по сухому в-лу глин). Р-ция производится при интенсивном перемешивании, при t -ре 40—70°, осадок отделяется центрифугированием и сушится при 70° в течение нескольких часов. При этом А адсорбируется на поверхности глины (напр., натриево-монтмориллонитовой), обладающей отрицательным зарядом. Полученные органофильные глины могут с успехом применяться в лаковой и резиновой пром-сти в качестве стабилизаторов, гелеобразующих в-в и в-в, увеличивающих прочность и вязкость. Р. Ковач

9K291. Усовершенствование формовочных процессов. Turnbull John Stratton. Improvements in and relating to moulding and like processes. [Metropolitan-Vickers Electrical Co. Ltd.] Англ. пат. 847900, 14.09.60.—Изобретение основано на том, что связующий р-р фосфата Al в ортофосфорной к-те имеет достаточную пластичность в узких пределах конц-й р-ра. Это позволяет осуществлять отливку циркуляных форм или стержней для точного литья сталей и сплавов, причем отлитые формы быстро упрочняются и позволяют дальнейшую обработку. Связующий р-р, придающий пластичность формовочной смеси, содержит 50 вес.% Al_2O_3 и P_2O_5 (41,8—50,4%). Смешивание производится в лопастной мешалке для более равномерного смачивания смеси. Содержание $\text{Al}_2(\text{HPO}_4)_3$ или $\text{Al}(\text{H}_2\text{PO}_4)_3$ в р-ре может колебаться от 70 до 15 вес.%, кол-во связки составляет 2% от всего кол-ва формовочной смеси. При высыхании и повышении конц-й фосфатов в связке до 56,4 вес.% происходит схватывание. При изготовлении сложных форм с узкими пазами для более быстрого упрочнения массивной части формы следует предусмотреть продукцию сквозь нее аммония через отверстия, расположенные в формовочной плите. После схватывания связки форма может загружаться непосредственно в печь с t -рой 900° для подогревания и последующей заливки в нее металла. Г. Соколов

9K292. Производство тонких керамических плиток. Камэи Синдзабуро. [Манускрипт данки санто кабусики кайся]. Японск. пат. 7397, 18.06.60.—К порошку минерала добавляют связку, напр. крахмал. Смесь хорошо перемешивают до получения однородной пасты. Пасту наносят на бумагу или на пленку из синтетич. смолы, покрывают сверху той же бумагой или пленкой и пропускают через прокатные вальцы. После этого полученную пластину срезают, бумага или пленка из синтетич. смолы при этом сгорает. Пластина может применяться для керамич. конденсаторов. М. Гусев

9K293. Толщина method (0228751, шая раз > 2 м генерация от Опи пла обките. нагреван дельном нии до 1 стичи (-кую про размеротяжения их хруп тов в пр статок. (термала спензии стичи < подверга каленым непрока допуская дадет с делают товления

9K294. из стеат саку. пат. 4333 тита ос Fe₂O₃ 2- состава Fe₂O₃ 0- п. п. п. К смеси SiO₂ 47, л. п. п. MgO 32, л. п. п. хорошо мет и ст мой кер стоянно влажно де 5,5.

9K295. противле Haski ceramic States o Interior) под изг лемм ными а минер. ф-те X₂ жет бы (K+Ca+ стехимо 700°, за охладж илават зуют во волокон ляют и локнис предья

9К293. Керамический материал и метод его изготовления. Lyons Sanford C. Ceramic substance and method of making. [Georgia Kaolin Co.]. Пат. США 238751, 15.03.60.—Установлено, что существует большая разница в поведении при обжиге частиц глины $> 2 \mu$ и $< 2 \mu$. Частицы $< 2 \mu$ представляют собою гексагональные пластинки, они обеспечивают прочность отформовок в сухом состоянии и после обжига. Они пластичны и дают высокую усадку при сушке и обжиге. Частицы $> 2 \mu$ собраны в пакеты и они при нагревании при 600° необратимо расширяются в продольном направлении примерно на 20%. При нагревании до 1000° эти пакеты не агломерируются. Колл. частицы ($< 2 \mu$) агломерируются и обеспечивают высокую прочность изделий. Несимметричное изменение размеров пакетов при обжиге ведет к внутренним напряжениям, вызывает трещины в изделиях и делает их хрупкими. Предварительным прокаливанием пакетов в пределах $600-1000^\circ$ можно устранить этот недостаток. С целью создания однородного глинистого материала предлагается из воды, дефлокулированной суспензией глины путем центрифугирования выделять частицы $< 2 \mu$, более же крупные частицы после сушки подвергать прокаливанию в пределах $600-1000^\circ$. Прокаленные частицы в пропорции 63:37 смешиваются с непрокаленной тонкой фракцией. Получающаяся смесь допускает быстрый обжиг без растрескивания. Она обладает стабильностью размеров, исключительной гладкостью и высокой механич. прочностью. Эти качества делают эту смесь исключительным сырьем для изготовления высококачественных керамич. изделий.

С. Туманов

9К294. Способ получения керамических изделий из стеатита. Тогаши Масахару, Накамура Кисаку. [Токио Сибатура дэнки кабусики кайса]. Японск. пат. 4332, 26.04.60.—Смесь, состоящую из 10–40% стеатита состава (в %): SiO_2 45–48, MgO 27–30, Al_2O_3 2–6, Fe_2O_3 2–8, CaO 2–4, п. п. п. < 15 и 90–60% стеатита состава (в %): SiO_2 61–63, MgO 31–33, Al_2O_3 0–0,5, Fe_2O_3 0–0,5, CaO 0–0,5, окиси щел. металлов 0–0,05, п. п. п. 4,5–6,5, спекают при $1280-1320^\circ$. Пример. К смеси, состоящей из 27% стеатита состава (в %): SiO_2 47,83, MgO 29,05, Al_2O_3 4,59, Fe_2O_3 7,51, CaO 2,69, п. п. п. 9,43 и 61% стеатита состава (в %): SiO_2 61,97, MgO 32,15, Al_2O_3 0,18, Fe_2O_3 0,06, CaO 0,04, Na_2O 0,03, п. п. п. 5,7, добавляют 8% BaCO_3 и 4% глины. Смесь хорошо перемешивают, формуют необходимым предмет и спекают при 1300° . Прочность на излом получаемой керамики 1150, водопоглощение 0, диэлектрич. постоянная 6,52, $\text{tg } \sigma$ при комнатной т-ре и нормальной влажности $3,97 \cdot 10^{-4}$, $\text{tg } \sigma$ после 48-час. выдержки в воде $5,5 \cdot 10^{-4}$.

М. Гусев

9К295. Керамические диэлектрики с высоким сопротивлением удару и метод их изготовления. Shell Haskiel R., Comerford Jay E. Impact resistant ceramic dielectric and method of making same. [United States of America as represented by the Secretary of the Interior]. Пат. США 2934443, 26.04.60.—Предложен метод изготовления диэлектриков с высоким сопротивлением удару, повышенной термостойкостью и отличными электрич. свойствами из синтетич. волокнистых минер. материалов. Состав материала отвечает общей ф-ле $\text{X}_2\text{Pb}_4\text{Al}_2\text{Si}_2\text{O}_{10} + a\text{O}_2 + (v-a/2)$, где $\text{X} = \text{K}^+$, который может быть заменен на Pb^{2+} , Tl^+ , Rb^+ , $(\text{K} + \text{Ba}^{2+})$ или $(\text{K} + \text{Cs}^+)$, a — коэф. от 0 до 2, v — валентность X. Смесь стехиометрич. состава нагревают в тигле медленно до 700° , затем быстро до 1000° и полученный расплав охлаждают или гранулируют. Полученное стекло снова плавят и из расплава, применяя затравки, кристаллизуют волокнистый минерал состава $\text{K}_2\text{Pb}_4\text{Si}_2\text{O}_{10}$; длина волокон колеблется от 50 μ до 1 см. Изделия изготовляют или из волокнистого материала или из смеси волокнистого материала со стеклом. В зависимости от предъявляемых к изделиям свойств применяют стекло

того же состава, что и волокнистый материал, или другого состава. Из смесей формуют изделия и обжигают при $600-780^\circ$.

В. Кушаковский

9К296. Метод изготовления монокристаллов титаната кальция. Merker Leon. Method of making monocrystalline calcium titanate [National Lead Co.]. Пат. США 2936216, 10.05.60.—Описан метод произ-ва белых монокристаллов титаната кальция путем введения порошка титаната в кислородно-водородное пламя, расплавления титаната и кристаллизации в виде бульки. После кристаллизации, не охлаждая бульку, последнюю подвергают термич. обработке в окислительной среде при $1650-1750^\circ$ в течение 12–48 час. После термич. обработки бульку охлаждают со скоростью 30° в час.

В. Кушаковский

9К297. Способ производства спеченных титановых изделий. Ramisch Emil, Heywang Walter. Verfahren zur Herstellung gesinterter Titanatkörper. [Siemens & Halske Akt.-Ges.]. Пат. ФРГ 1056524, 7.01.60.—Изобретение предлагает обработку титанатов (Т) уксусной к-той совместно с добавкой небольшого кол-ва TiO_2 в смесь Т Ва с 10–30 мол. % Т Мг. Добавка TiO_2 составляет 10% против стехиометрически требуемой для Т и обычно $< 5\%$, напр. 1–2%. Обжиг изделий производится при $1300-1350^\circ$. Добавка Т Мг производится для получения изделий с диэлектрич. постоянной (ДП) < 1000 при небольшом температурном коэф. ДП, низких потерях на гистерезис и зависимости ДП от напряжения. См. также РЖХИМ, 1959, № 12, 43109.

Г. Соколов

9К298. Способ улучшения магнитных свойств ферритов. Eckert Oskar. Verfahren zur Verbesserung der magnetischen Eigenschaften von Ferriten. [Statit-Magnesia Akt.-Ges.]. Пат. ФРГ 973358, 4.02.60.—Для улучшения начальной и максим. проницаемости, остаточной магнитной индукции, высокочастотных характеристик и других свойств Mn-Zn-ферритов рекомендуется добавлять в исходные смеси окислы редкоземельных элементов №№ 58–71 или их карбонаты и ецетаты, которые переходят при обжиге в окислы. Особенно благоприятствуют добавке окислов Ce, Pr и Nd. Добавка 0,1 мол. % Nd в Mn-Zn-феррит повысила начальную проницаемость в 2 раза. Кол-во добавляемых окислов должно быть ≤ 1 мол. % с тем, чтобы в феррите они полностью переходили в твердый р-р.

Г. Соколов

9К299. Магниты из окислов металлов. Курихара Кадаунобу, Хиросэ Йорио. [Токио Сибатура дэнки кабусики кайса]. Японск. пат. 5172, 14.05.60.—К смеси типа Mn-Zn-Fe-шпинели, состоящей (в мол. %) из: MnO 16–40, ZnO 8–30, Fe_2O_3 остальное, добавляют соли оловянной к-ты типа шпинели $< 3,5$ мол. % в перерасчете на металлич. Sn. Пример. К смеси, состоящей (в мол. %) из: Fe_2O_3 30, MnO 25 и ZnO 25, добавляют станнат цинка ($\text{ZnSnO}_3 \cdot \text{H}_2\text{O}$) в пересчете на металлич. Sn < 2 мол. %. Смесь хорошо перемешивают и формуют кольцо с внешним диам. 27, внутренним диам. 17 мм. Кольцо спекают при $1250-1350^\circ$ и охлаждают в печи. Испытания полученных магнитов показали, что по мере повышения добавки Sn повышается и магнитная проницаемость магнита. Максим. магнитная проницаемость получалась при добавке в состав 1 мол. % Sn.

М. Гусев

9К300. Термисторы с отрицательным температурным коэффициентом. Никхи Хисао. [Хитати сэйсакудзё]. Японск. пат. 4924, 11.05.60.—К соединению, основным компонентом которого являются окислы Mn, Co, Ni, Fe, Cu или какого-либо другого переходного металла, добавляют окислы Pb и смесь спекают в печи с нихромовой обмоткой при т-рах $\leq 900^\circ$. Сопротивления получаемых термисторов, их составы и т-ры спекания приведены в таблице.

М. Гусев

9К301. Способ получения марганцевоцинковых оксидных магнитных материалов. Шольц Н. Н.,

Рабкин Л. И., Тимохин Б. И., Пискарев К. А., Морозов К. П. Авт. св. СССР, 128536, 15.05.60.—Способ получения марганцевоцинковых оксидных магнитных материалов из смеси 2 порошков разного состава, один из которых имеет избыток, а другой — такой же недостаток (0,5–1,0%) окиси Fe относительно заданного состава. Для получения заданных свойств смесь порошков, соотношение кол-в которых определяется расчетным путем по величине измеренных значений их температурных коэф. магнитной проницаемости, подвергают спеканию.

9K302. Усовершенствование печей. Nastrop William Thomas. Improvements in kilns. Англ. пат. 848902, 21.09.60.—Предложено усовершенствование конструкции круглых периодич. печей (ПП) с отоплением твердым топливом, сжигаемым в механич. стокерах. Первичный воздух для сжигания топлива подается при помощи индивидуального нагнетательного вентилятора через канал под подом в центр ПП и отсюда распределяется по малым воздухопроводам к каждому стокеру. По пути к стокеру воздух подогревается, так как малые каналы расположены в непосредственной близости к поду. Отходящие газы удаляются также через сборный канал в центре ПП и по нему в трубу. Сборный дымоход соединен с вылетом нагнетающего вентилятора и таким образом в начальном периоде обжига часть отходящих подогретых газов может повторно циркулировать через садку. С другой стороны, часть нагнетаемого воздуха может поступать не в данную ПП, а в ответвление от главного воздухопровода и может быть направлена в соседнюю ПП. Этот способ особенно удобен в периоде охлаждения ПП, когда часть горячего воздуха от остывающих изделий может быть использована для сушки или подогрева садки в других ПП. Кроме разреза и плана одной ПП, приведен план 4 облокированных ПП усовершенствованной конструкции. Система обеспечивает значительное повышение к. п. д. ПП.

9K303. Безмуфельная тоннельная газовая печь с подвижным подом. Шутый Г. В., Ковельман Г. А., Энтелис Ф. С. Авт. св. СССР 128781, 15.05.60.—Предлагается безмуфельная тоннельная газовая печь с подвижным подом и решетками в стенах для распределения продуктов горения, применяемая для закрепления надглазурных красок на керамич. изделиях. С целью ускорения процесса обжига под и стены на участке нагрева до 400° и зоны охлаждения полые и разделены на секции.

См. также: Из истории фарфора в Европе 9A2. Диэлектрич. свойства керамики на основе титанатов и цирконатов Pb при низких частотах 9B226. Внутренние поля, действующие в сегнето- и антисегнетоэлектрич. модельных структурах на основе BaTiO_3 9B228. Сплавы системы $\text{B-SiO}_2\text{-C}$ 9B371. Получение монокристаллов сегнетоэлектриков из расплавов 9B241. Испытание экстремального регулятора тягового типа в туннельной печи 9I130.

Стекло

Редакторы С. И. Горелкина, С. П. Нюфе,
Н. А. Михайлова

9K304. Исследование радиального распределения в стеклообразном борате бария. Bienenstock Arthur, Posner Aaron S., Block Stanley. Radial distribution study of vitreous barium borate. (J. Res. Nat. Bur. Standards), 1960, A64, № 3, 229–233 (англ.).—На стекле состава (вес. %): BaO 20 и B_2O_3 80 исследовались кривые распределения для дифракции рентгеновских лучей при использовании как атомной, так и электронной функций распределения. По полученным данным определено, что среднее расстояние между ато-

мами Ba 6,76 Å. Показано, что стеклообразный борат Ba имеет структуру, в которой координационное число В равно 4, а полиэдры В и Ва имеют общие ребра. Наиболее значительной особенностью кривых электронного радиального распределения явилось отсутствие на них пика при 5,5 Å и большой пик при 6,8 Å, свидетельствующий о структуре типа В. Расстояние Ва—О, предсказанное на основе ионных радиусов, равно 2,8 Å. Расстояние О—О должно быть равно 3,1 Å, Ва—В 3,4 Å. Наиболее интересной особенностью кривых атомного радиального распределения явилось наличие отчетливо выраженного пика при 6,8 Å, который обычно не наблюдается в стеклах, в связи с чем высказано предположение, что введение Ва в стекло увеличивает область упорядоченности.

9K305. Изучение некоторых свойств системы $\text{Na}_2\text{O}-\text{BaO}-\text{ZrO}_2-\text{SiO}_2$ в стеклообразном состоянии. Безбородов М. А., Ермоленко Н. Н., Кондратьева Ю. В. «Тр. 1-го Совещания работы. стеклян. пром-сти БССР», 1957. Минск, 1958, 24–33.—Для опытных стекол использована диаграмма состояния системы $\text{Na}_2\text{O}-\text{BaO}-\text{SiO}_2$. Выбор исходного состава стекла был сделан на пограничной линии поля устойчивости этой диаграммы в точке, соответствующей составу с 15% Na_2O . Кроме данного состава, было синтезировано еще 9 составов, лежащих на той же диаграмме $\text{Na}_2\text{O}-\text{BaO}-\text{SiO}_2$ вокруг выбранной точки. В каждом из 10 составов вместо SiO_2 вводилась ZrO_2 через каждые 4% до получения непроваривающихся стекол. Максимальное содержание ZrO_2 24%. Всего синтезировано 70 стекол. Определялись: показатель преломления (иммерсионный способ) и кристаллизационная способность (политермич. способ) при t -рах 700, 900 и 1100° с выдержкой в течение 2, 4 и 6 час. Получена серия прозрачных стекол, устойчивых к кристаллизации, имеющих повышенный показатель преломления (1,52–1,59) и содержащих до 20% ZrO_2 . Светопроломление стекол увеличивается с понижением в них содержания SiO_2 и с повышением кол-ва ZrO_2 и BaO . Наиболее устойчивы к кристаллизации стекла, содержащие 8–16% ZrO_2 . В исследованной части системы $\text{Na}_2\text{O}-\text{BaO}-\text{ZrO}_2-\text{SiO}_2$ граница, разделяющая разные области устойчивости, проходит вблизи составов, содержащих 10–14% ZrO_2 .

9K306. Свойства стекол системы $\text{V}_2\text{O}_5-\text{P}_2\text{O}_5$. Надор Б. «Стекло и керамика», 1960, № 10, 18–21.—Изучены свойства двухкомпонентной системы $\text{V}_2\text{O}_5-\text{P}_2\text{O}_5$ для объяснения структуры ванадиевых стекол. Исследовались процессы, происходящие при расплавлении смеси V_2O_5 и P_2O_5 , и определялись свойства стекол, полученных в данной системе. Установлено, что смесь V_2O_5 и P_2O_5 при плавлении отдает O_2 ; кол-во свободного O_2 увеличивается пропорционально содержанию P_2O_5 в смеси; в зависимости от содержания P_2O_5 пропорционально возрастает кол-во восстановленной V_2O_3 в образцах; O_2 выделяется из V_2O_5 . Практически может быть получен состав, в котором вся V_2O_5 термически диссоциирует. При плавлении V_2O_5 разлагается необратимо, поэтому система $\text{V}_2\text{O}_5-\text{P}_2\text{O}_5$ не является эвтектич. системой.

9K307. Защитные стекла, поглощающие рентгеновские и γ -лучи. Tuszyński Wacław. Szkła ochronne przeciw promieniowaniu χ i γ . «Szkło i ceram.», 1960, 11, № 11, 321–327, (2 обл.); № 12, 353–360 (польск.; рез. русск., франц., англ.).—Изагаются современные представления о характере и закономерностях поглощения лучей; представлены результаты работ автора по синтезу защитного стекла.

9K308. Физико-химические свойства растворов силиката натрия. Часть 7. Зависимость плотности и вязкости от состава раствора силиката Na и влияние состава на поведение молекул в растворе. Ukihashi Hiroshi. «Asahi garasu kankyo kokoku, Repts Res. Lab., Asahi Glass Co.», 1959, 9, № 2, 137–161 (японск.;

рез. англ.).
сти р-ров
вале т-р 5
может бы
делены д
Показана
и т-ры р-
ретич. и
нение эн
силиката
: Na_2O . Д
РЖХим,
9K309.

бочие ха
nald. T
working
Glass and
(англ.).—
вязкость
промышл
(в вес. %
лась та
исключе
0,50, 1. В
дит заме
ным зна
чение О
на вязко
стекла
волит к
аз). Дан
кол, гра
9K310.

9K310. MgO—Al₂O₃—BaO—SiO₂—P₂O₅—V₂O₅—ZrO₂—TiO₂—Na₂O—K₂O—CaO—SrO—BaO—PbO—Bi₂O₃—Sb₂O₃—SnO₂—As₂O₃—S₂O₃—SeO₂—TeO₂—UO₂—ThO₂—ZrO₂—HfO₂—Ta₂O₅—Nb₂O₅—MoO₃—WO₃—Cr₂O₃—Fe₂O₃—CoO—NiO—CuO—ZnO—MgO—CaO—SrO—BaO—PbO—Bi₂O₃—Sb₂O₃—SnO₂—As₂O₃—S₂O₃—SeO₂—TeO₂—UO₂—ThO₂—ZrO₂—HfO₂—Ta₂O₅—Nb₂O₅—MoO₃—WO₃—Cr₂O₃—Fe₂O₃—CoO—NiO—CuO—ZnO—MgO—CaO—SrO—BaO—PbO—Bi₂O₃—Sb₂O₃—SnO₂—As₂O₃—S₂O₃—SeO₂—TeO₂—UO₂—ThO₂—ZrO₂—HfO₂—Ta₂O₅—Nb₂O₅—MoO₃—WO₃—Cr₂O₃—Fe₂O₃—CoO—NiO—CuO—ZnO—MgO—CaO—SrO—BaO—PbO—Bi₂O₃—Sb₂O₃—SnO₂—As₂O₃—S₂O₃—SeO₂—TeO₂—UO₂—ThO₂—ZrO₂—HfO₂—Ta₂O₅—Nb₂O₅—MoO₃—WO₃—Cr₂O₃—Fe₂O₃—CoO—NiO—CuO—ZnO—MgO—CaO—SrO—BaO—PbO—Bi₂O₃—Sb₂O₃—SnO₂—As₂O₃—S₂O₃—SeO₂—TeO₂—UO₂—ThO₂—ZrO₂—HfO₂—Ta₂O₅—Nb₂O₅—MoO₃—WO₃—Cr₂O₃—Fe₂O₃—CoO—NiO—CuO—ZnO—MgO—CaO—SrO—BaO—PbO—Bi₂O₃—Sb₂O₃—SnO₂—As₂O₃—S₂O₃—SeO₂—TeO₂—UO₂—ThO₂—ZrO₂—HfO₂—Ta₂O₅—Nb₂O₅—MoO₃—WO₃—Cr₂O₃—Fe₂O₃—CoO—NiO—CuO—ZnO—MgO—CaO—SrO—BaO—PbO—Bi₂O₃—Sb₂O₃—SnO₂—As₂O₃—S₂O₃—SeO₂—TeO₂—UO₂—ThO₂—ZrO₂—HfO₂—Ta₂O₅—Nb₂O₅—MoO₃—WO₃—Cr₂O₃—Fe₂O₃—CoO—NiO—CuO—ZnO—MgO—CaO—SrO—BaO—PbO—Bi₂O₃—Sb₂O₃—SnO₂—As₂O₃—S₂O₃—SeO₂—TeO₂—UO₂—ThO₂—ZrO₂—HfO₂—Ta₂O₅—Nb₂O₅—MoO₃—WO₃—Cr₂O₃—Fe₂O₃—CoO—NiO—CuO—ZnO—MgO—CaO—SrO—BaO—PbO—Bi₂O₃—Sb₂O₃—SnO₂—As₂O₃—S₂O₃—SeO₂—TeO₂—UO₂—ThO₂—ZrO₂—HfO₂—Ta₂O₅—Nb₂O₅—MoO₃—WO₃—Cr₂O₃—Fe₂O₃—CoO—NiO—CuO—ZnO—MgO—CaO—SrO—BaO—PbO—Bi₂O₃—Sb₂O₃—SnO₂—As₂O₃—S₂O₃—SeO₂—TeO₂—UO₂—ThO₂—ZrO₂—HfO₂—Ta₂O₅—Nb₂O₅—MoO₃—WO₃—Cr₂O₃—Fe₂O₃—CoO—NiO—CuO—ZnO—MgO—CaO—SrO—BaO—PbO—Bi₂O₃—Sb₂O₃—SnO₂—As₂O₃—S₂O₃—SeO₂—TeO₂—UO₂—ThO₂—ZrO₂—HfO₂—Ta₂O₅—Nb₂O₅—MoO₃—WO₃—Cr₂O₃—Fe₂O₃—CoO—NiO—CuO—ZnO—MgO—CaO—SrO—BaO—PbO—Bi₂O₃—Sb₂O₃—SnO₂—As₂O₃—S₂O₃—SeO₂—TeO₂—UO₂—ThO₂—ZrO₂—HfO₂—Ta₂O₅—Nb₂O₅—MoO₃—WO₃—Cr₂O₃—Fe₂O₃—CoO—NiO—CuO—ZnO—MgO—CaO—SrO—BaO—PbO—Bi₂O₃—Sb₂O₃—SnO₂—As₂O₃—S₂O₃—SeO₂—TeO₂—UO₂—ThO₂—ZrO₂—HfO₂—Ta₂O₅—Nb₂O₅—MoO₃—WO₃—Cr₂O₃—Fe₂O₃—CoO—NiO—CuO—ZnO—MgO—CaO—SrO—BaO—PbO—Bi₂O₃—Sb₂O₃—SnO₂—As₂O₃—S₂O₃—SeO₂—TeO₂—UO₂—ThO₂—ZrO₂—HfO₂—Ta₂O₅—Nb₂O₅—MoO₃—WO₃—Cr₂O₃—Fe₂O₃—CoO—NiO—CuO—ZnO—MgO—CaO—SrO—BaO—PbO—Bi₂O₃—Sb₂O₃—SnO₂—As₂O₃—S₂O₃—SeO₂—TeO₂—UO₂—ThO₂—ZrO₂—HfO₂—Ta₂O₅—Nb₂O₅—MoO₃—WO₃—Cr₂O₃—Fe₂O₃—CoO—NiO—CuO—ZnO—MgO—CaO—SrO—BaO—PbO—Bi₂O₃—Sb₂O₃—SnO₂—As₂O₃—S₂O₃—SeO₂—TeO₂—UO₂—ThO₂—ZrO₂—HfO₂—Ta₂O₅—Nb₂O₅—MoO₃—WO₃—Cr₂O₃—Fe₂O₃—CoO—NiO—CuO—ZnO—MgO—CaO—SrO—BaO—PbO—Bi₂O₃—Sb₂O₃—SnO₂—As₂O₃—S₂O₃—SeO₂—TeO₂—UO₂—ThO₂—ZrO₂—HfO₂—Ta₂O₅—Nb₂O₅—MoO₃—WO₃—Cr₂O₃—Fe₂O₃—CoO—NiO—CuO—ZnO—MgO—CaO—SrO—BaO—PbO—Bi₂O₃—Sb₂O₃—SnO₂—As₂O₃—S₂O₃—SeO₂—TeO₂—UO₂—ThO₂—ZrO₂—HfO₂—Ta₂O₅—Nb₂O₅—MoO₃—WO₃—Cr₂O₃—Fe₂O₃—CoO—NiO—CuO—ZnO—MgO—CaO—SrO—BaO—PbO—Bi₂O₃—Sb₂O₃—SnO₂—As₂O₃—S₂O₃—SeO₂—TeO₂—UO₂—ThO₂—ZrO₂—HfO₂—Ta₂O₅—Nb₂O₅—MoO₃—WO₃—Cr₂O₃—Fe₂O₃—CoO—NiO—CuO—ZnO—MgO—CaO—SrO—BaO—PbO—Bi₂O₃—Sb₂O₃—SnO₂—As₂O₃—S₂O₃—SeO₂—TeO₂—UO₂—ThO₂—ZrO₂—HfO₂—Ta₂O₅—Nb₂O₅—MoO₃—WO₃—Cr₂O₃—Fe₂O₃—CoO—NiO—CuO—ZnO—MgO—CaO—SrO—BaO—PbO—Bi₂O₃—Sb₂O₃—SnO₂—As₂O₃—S₂O₃—SeO₂—TeO₂—UO₂—ThO₂—ZrO₂—HfO₂—Ta₂O₅—Nb₂O₅—MoO₃—WO₃—Cr₂O₃—Fe₂O₃—CoO—NiO—CuO—ZnO—MgO—CaO—SrO—BaO—PbO—Bi₂O₃—Sb₂O₃—SnO₂—As₂O₃—S₂O₃—SeO₂—TeO₂—UO₂—ThO₂—ZrO₂—HfO₂—Ta₂O₅—Nb₂O₅—MoO₃—WO₃—Cr₂O₃—Fe₂O₃—CoO—NiO—CuO—ZnO—MgO—CaO—SrO—BaO—PbO—Bi₂O₃—Sb₂O₃—SnO₂—As₂O₃—S₂O₃—SeO₂—TeO₂—UO₂—ThO₂—ZrO₂—HfO₂—Ta₂O₅—Nb₂O₅—MoO₃—WO₃—Cr₂O₃—Fe₂O₃—CoO—NiO—CuO—ZnO—MgO—CaO—SrO—BaO—PbO—Bi₂O₃—Sb₂O₃—SnO₂—As₂O₃—S₂O₃—SeO₂—TeO₂—UO₂—ThO₂—ZrO₂—HfO₂—Ta₂O₅—Nb₂O₅—MoO₃—WO₃—Cr₂O₃—Fe₂O₃—CoO—NiO—CuO—ZnO—MgO—CaO—SrO—BaO—PbO—Bi₂O₃—Sb₂O₃—SnO₂—As₂O₃—S₂O₃—SeO₂—TeO₂—UO₂—ThO₂—ZrO₂—HfO₂—Ta₂O₅—Nb₂O₅—MoO₃—WO₃—Cr₂O₃—Fe₂O₃—CoO—NiO—CuO—ZnO—MgO—CaO—SrO—BaO—PbO—Bi₂O₃—Sb₂O₃—SnO₂—As₂O₃—S₂O₃—SeO₂—TeO₂—UO₂—ThO₂—ZrO₂—HfO₂—Ta₂O₅—Nb₂O₅—MoO₃—WO₃—Cr₂O₃—Fe₂O₃—CoO—NiO—CuO—ZnO—MgO—CaO—SrO—BaO—PbO—Bi₂O₃—Sb₂O₃—SnO₂—As₂O₃—S₂O₃—SeO₂—TeO₂—UO₂—ThO₂—ZrO₂—HfO₂—Ta₂O₅—Nb₂O₅—MoO₃—WO₃—Cr₂O₃—Fe₂O₃—CoO—NiO—CuO—ZnO—MgO—CaO—SrO—BaO—PbO—Bi₂O₃—Sb₂O₃—SnO₂—As₂O₃—S₂O₃—SeO₂—TeO₂—UO₂—ThO₂—ZrO₂—HfO₂—Ta₂O₅—Nb₂O₅—MoO₃—WO₃—Cr₂O₃—Fe₂O₃—CoO—NiO—CuO—ZnO—MgO—CaO—SrO—BaO—PbO—Bi₂O₃—Sb₂O₃—SnO₂—As₂O₃—S₂O₃—SeO₂—TeO₂—UO₂—ThO₂—ZrO₂—HfO₂—Ta₂O₅—Nb₂O₅—MoO₃—WO₃—Cr₂O₃—Fe₂O₃—CoO—NiO—CuO—ZnO—MgO—CaO—SrO—BaO—PbO—Bi₂O₃—Sb₂O₃—SnO₂—As₂O₃—S₂O₃—SeO₂—TeO₂—UO₂—ThO₂—ZrO₂—HfO₂—Ta₂O₅—Nb₂O₅—MoO₃—WO₃—Cr₂O₃—Fe₂O₃—CoO—NiO—CuO—ZnO—MgO—CaO—SrO—BaO—PbO—Bi₂O₃—Sb₂O₃—SnO₂—As₂O₃—S₂O₃—SeO₂—TeO₂—UO₂—ThO₂—ZrO₂—HfO₂—Ta₂O₅—Nb₂O₅—MoO₃—WO₃—Cr₂O₃—Fe₂O₃—CoO—NiO—CuO—ZnO—MgO—CaO—SrO—BaO—PbO—Bi₂O₃—Sb₂O₃—SnO₂—As₂O₃—S₂O₃—SeO₂—TeO₂—UO₂—ThO₂—ZrO₂—HfO₂—Ta₂O₅—Nb₂O₅—MoO₃—WO₃—Cr₂O₃—Fe₂O₃—CoO—NiO—CuO—ZnO—MgO—CaO—SrO—BaO—PbO—Bi₂O₃—Sb₂O₃—SnO₂—As₂O₃—S₂O₃—SeO₂—TeO₂—UO₂—ThO₂—ZrO₂—HfO₂—Ta₂O₅—Nb₂O₅—MoO₃—WO₃—Cr₂O₃—Fe₂O₃—CoO—NiO—CuO—ZnO—MgO—CaO—SrO—BaO—PbO—Bi₂O₃—Sb₂O₃—SnO₂—As₂O₃—S₂O₃—SeO₂—TeO₂—UO₂—ThO₂—ZrO₂—HfO₂—Ta₂O₅—Nb₂O₅—MoO₃—WO₃—Cr₂O₃—Fe₂O₃—CoO—NiO—CuO—ZnO—MgO—CaO—SrO—BaO—PbO—Bi₂O₃—Sb₂O₃—SnO₂—As₂O₃—S₂O₃—SeO₂—TeO₂—UO₂—ThO₂—ZrO₂—HfO₂—Ta₂O₅—Nb₂O₅—MoO₃—WO₃—Cr₂O₃—Fe₂O₃—CoO—NiO—CuO—ZnO—MgO—CaO—SrO—BaO—PbO—Bi₂O₃—Sb₂O

рез. англ.).—Приведены результаты измерения плотности ρ -ров силиката Na различной модульности в интервале t -р 5—60°. Зависимость плотности от концентрации ρ -ра может быть выражена ур-нием, коэф. которого определены для ρ -ров силиката Na с различным модулем. Показана математич. зависимость вязкости от концентрации ρ -ра силиката Na. В результате сравнения теоретич. и эксперим. данных найдено наибольшее отклонение значений вязкости от теоретической для ρ -ров силиката Na с большим значением отношения $\text{SiO}_2 : \text{Na}_2\text{O}$. Дано объяснение этого явления. Часть 6 см. РКХИм, 1960, № 3, 10084.

И. Аснович
9K309. Влияние небольших добавок лития на рабочие характеристики тарных стекол. Lester W. Ronald. The influence of minor addition of lithia on the working characteristics of a container-type glass. «Centr. Glass and Ceram. Res. Inst. Bull.», 1960, 7, № 1, 34—37 (англ.).—Изучалось влияние небольших добавок Li на вязкость и рабочие характеристики двух серий стекол промышленных составов. В I серии производилась (в вес.%) замена Na_2O на Li_2O , во II серии производилась та же замена, и, кроме этого, из состава был исключен F. Li вводился в кол-вах (в вес.%) 0,25, 0,50, 1. В результате замещения Na_2O на Li_2O происходило заметное снижение t -р, соответствующих выбранным значениям вязкости. Показано также, что замещение 0,25% Na_2O на 0,25% Li_2O по своему влиянию на вязкость оказывается равным введению в состав стекла 0,25% F. Введение небольших добавок Li приводит к понижению вязкости и рабочей t -ры (10^8 пуз). Даны таблицы составов и свойств изученных стекол, график изменения вязкости с t -рой. Л. Егорова

9K310. Стеклокерамические материалы в системе $\text{MgO}-\text{Al}_2\text{O}_3-\text{SiO}_2$ с добавкой TiO_2 . Hinz Wilhelm, Baiburt Ljudmila. Vitrokeramprodukte aus dem System $\text{MgO}-\text{Al}_2\text{O}_3-\text{SiO}_2$ unter Zusatz von TiO_2 . «Silikattechnik», 1960, 11, № 10, 455—459 (нем.).—Краткий обзор составов системы $\text{MgO}-\text{Al}_2\text{O}_3-\text{SiO}_2$ с добавкой TiO_2 , пригодных для получения стеклокерамич. материалов (СКМ), обладающих достаточной склонностью к кристаллизации, однако затвердевающих в стеклоподобном состоянии, плавящихся в печах обычного типа и дающих после кристаллизации особую тонкозернистую структуру. СКМ обладают исключительно высокой прочностью и низким коэф. расширения (КР). Почти во всех случаях для составов, не содержащих TiO_2 , наблюдалась кристаллизация, идущая с поверхности радиально внутрь проб, дающая грубозернистую структуру. Удлинение выдержки при одной и той же t -ре приводило к росту кристаллитов. Добавка TiO_2 вызывала кристаллизацию по всему объему, при этом кристаллиты не были видны в обычном микроскопе. Дифференциальный термич. и рентгеноструктурный анализ показали наличие эффектов, аналогичных образованию магниевого алюминатаната и кордиерита. Образцы с различным содержанием TiO_2 (пластинки $50 \times 5 \times 5 \text{ мм}$) подвергались термообработке 3 способами: а) при 700—1000° (3 час.), б) при 700—1400° (6 час.), в) при 700—1200° (8 час.) и просматривались в электронном микроскопе. На основании полученных данных подробно рассмотрен механизм кристаллизации. Приведены зависимость КР от кристаллизационной способности и режима термообработки и данные по исследованию прочности. Сопротивление изгибу зависит главным образом от степени однородности и зернистости. Прочность в основном определяется тонкозернистой структурой, получаемой при режимах а и б. Максим. значение сопротивления изгибу составляет 1400—1440 кг/мм^2 , твердость по Моосу 7,8. Описан новый метод измерения t -ры деформации под нагрузкой. Палочка из огнеупорного материала, пропущенная через крышку в печь, оказывает на исследуемый образец давл. 0,5 кг/мм^2 . t -ра, при которой ямтина составляет 0,1 мм, считается t -рой деформации. Данные,

полученные по такому методу, несколько занижены по сравнению с dilatометрич. методом. Измеренная t -ра колеблется между 1320 и 1340° и не зависит существенно от условий нагрева. Библ. 5 назв.

И. Явниц
9K311. Новый термостойкий стеклокерамический материал. Sakaino Tetsuo. «Kogō Kagaku Zasshi, Kogyo Kagaku Zasshi, J. Chem. Soc. Japan. Industr. Chem. Sec.», 1960, 63, № 7, 1104—1108 (японск.).—Обзор. Библ. 24 назв. М. Гусев

9K312. Спекание стекол как результат влияния вязкости и поверхностного натяжения. Oel H. J. Das Sintern von Gläsern als Auswirkung von Zähigkeit und Oberflächenspannung. «Ber. Dtsch. keram. Ges.», 1960, 37, № 9, 424—428 (нем.; рез. англ., франц.).—В стеклах движущей силой при расплаве является получающаяся от сокращения поверхности свободная энергия δdF , где δ — поверхностное натяжение (ПН), а dF — изменение поверхности. Движение v -ва в стеклах связано с коэф. вязкости η . Следовательно, спекание стекол должно зависеть от ПН и вязкости. Описываются результаты опытов на моделях стеклянных капилляров, в которых действие ПН как движущей силы частично или полностью может быть компенсировано приложением давления. Кроме того, ПН может быть определено методом компенсации и измерением вязкости при больших деформациях и постоянных напряжениях. Найдено, что скорость фриттования зависит от ПН и вязкости стекла, которая в процессе опыта может изменяться. С. Туманов

9K313. Расчет вязкости щелочно- и кальциевощелочносиликатных стекол. Knapp Oscar. Berechnung der Zähigkeit von Alkali- und Alkalikalkgläsern aus ihrer Zusammensetzung. «Glastechn. Ber.», 1960, 33, № 9, 338—339 (нем.).—Дана эмпирич. ф-ла для расчета вязкости щел. и кальциевощелочных стекол, имеющая общий вид $\lg \eta = A + B/T^3$ (где T в °K). Константа B зависит от t -ры, а константа A — от содержания щел. и щел.-зем. окислов. Для щел. стекол предложено ур-ние $\lg \eta = A_1 - A_2C + B/T^3$, а для кальциевощелочных — $\lg \eta = A_1 - A_2C + A_3C_1 + B/T^3$, где C — содержание щел. окисла, а C_1 — сумма щел. и щел.-зем. окисла в мол.%, T в °K. Приведены значения констант A_1 , A_2 , A_3 и B для разных окислов, указаны отклонения расчетных величин $\lg \eta$ от измеренных. Уменьшение вязкости стекла при введении щел. окисла происходит вследствие разрыхляющего действия на структуру, благодаря разрыву O^{2-} -ионами связей $-\text{Si}-\text{O}-\text{Si}$. Увеличение вязкости щелочносиликатного стекла от введения CaO , по-видимому, происходит вследствие уменьшения рыхлости структуры. Предполагается, что Ca^{2+} -ионы являются не модификаторами, а мостикообразователями, когда два O^{2-} -иона двух тетраэдров образуют у вершин $-\text{O}-\text{Ca}-\text{O}$ -мостики. Такое предположение оказывается справедливым и для объяснения характера изменения электрич. свойств натриевых и кальциево-натриевых силикатных стекол. Е. Галант

9K314. Изменение плотности свинцового стекла в результате термообработки. Kishii Toku. Dichteänderung von Bleiglas durch Wärmebehandlung. «Glastechn. Ber.», 1960, 33, № 2, 47—52 (нем.; рез. англ., франц.).—Исследование проводилось на трубках из стекла состава (в вес.%) SiO_2 57,0, PbO 30,0, K_2O 8,0, Na_2O 4,0, R_2O_3 1,0. T -ра отжига 437° (вязкость $10^{13,4} \text{ пуз}$), t -ра размягчения 613° (вязкость $10^{7,65} \text{ пуз}$), начальная плотность стекла 3,06 г/см^3 ; размеры трубок — диам. 10 мм, длина 10 мм, толщина стенки 1 мм. Образцы выдерживались в течение 6—8 час. при 150—400°. Сжатие в результате выдержки при постоянной t -ре определялось путем измерения длины на интерференционном dilatометре. При t -ре >400° для исключения влияния вязкой текучести сжатие определялось по плотности методом взвешивания. Найдено, что об-

разры вначале сжимаются быстрее, а затем медленнее, т. е. обнаруживают стремление достигнуть квазиравновесного состояния. По мнению автора, при низких t -рах сжатие подчиняется другим законам, чем вблизи области стеклования. Исследовалось также влияние термич. прошлого на изменение плотности стекла. Результаты определения плотности позволили создать универсальную теорию, которая включает не только механизм сжатия. Установлена зависимость изменения объема стекла при постоянной t -ре от времени предварительной тепловой обработки, что хорошо согласуется с экспериментом. Е. Глиадзич

9К315. Прочность кварцевого стекла. Nárágy-Szabó I., Ladik J. Strength of silica glass. «Nature» (Engl.), 1960, 188, № 4746, 226—227 (англ.).—Дан новый расчет прочности кварцевого стекла, основанный на атомной структуре стекла. Полученные значения прочности для кварцевых волокон хорошо согласуются с эксперим. данными. Л. Егорова

9К316. Пути изучения лучистого теплообмена в нагретом стекле. Родникова В. В. «Изв. Киевск. политехн. ин-та», 1960, 30, 54—68.—Теоретическое вычисление коэф. лучепроводности нагретых стекол нельзя признать достаточно точным в связи с большой сложностью проблемы и некоторым расхождением результатов с опытыми данными. Определение приведенного коэф. теплопроводности (λ прив) промышленных стекол из экспериментов по измерению градиентов t -р в стекле, отражающих происходящие в определенных условиях реальные процессы теплообмена, является более достоверным. Освещается состояние проблемы теплообмена в стекле в СССР и за рубежом. Библ. 14 назв. И. Михайлова

9К317. Исследование проводящих ток прозрачных стекол. I. На подложках и пульверизационных растворах. Nakao Yasuhiro. Investigations of the transparent conducting glasses. I. On the substrates and spray solutions. «Repts. Res. Lab. Surface Sci., Fac. Sci., Okayama Univ.», 1960, 1, № 6, 151—155 (англ.).—Исследовалась уд. проводимость (УП) прозрачных оптич. стекол. Для увеличения УП поверхность полированного стекла покрывали токопроводящими пленками, нанесенными напылением из пульверизатора. Измерение производили при различных t -рах. Наибольшая УП наблюдалась при 550°. При более высоких t -рах сказывалось влияние размягчения стекла. Толщина проводящего слоя не была однородной. Оптич. кол-во покрытий—12 раз. При более толстых покрытиях терялась прозрачность стекла без увеличения УП. Покрытие стекол производилось p -ром $\text{SnCl}_4 \cdot 3\text{H}_2\text{O}$ в конц. HCl при 20°. Исследовались и другие p -ры SnCl_2 , SbCl_5 , TiCl_4 . Хорошие результаты были получены при полутонном разбавлении p -ров 95%-ным этиловым спиртом или водой и добавлением 0,1 см³ жидкой SnCl_4 к 24 см³ разб. p -ра. При исследовании обнаружено, что пленка на стекле состоит из SnO_2 и Sn . При t -ре > 550° происходит окисление пленки и уменьшение УП. Исследования проводились на полированных оптич. стеклах. Д. Сандулов

9К318. Электро- и теплопроводность стекольных пикт и расплавов. Kröger Carl. Das elektrische und Wärme-Leitvermögen von Glasgemengen und Glasschmelzen. «Forschungsber. Landes Nordrhein—Westfalen», 1960, № 883, 59 S., ill. (нем.)

9К319. Добыча песка для стекловарения в штате Айдахо (США). Utley Harry F. California silica producer takes over operation in Idaho. «Pit and Quarry», 1960, 53, № 4, 132—134 (англ.)

9К320. Изучение обесцвечивания стекла селеном. Gupta S. K., Prasad S. N. Studies on decolorisation of glass with selenium. «Trans. Indian Ceram. Soc.», 1958, 18, № 1—2, 55—64. Discuss., 64 (англ.).—Для исследования выбрано близкое к промышленному стекло состава (в %): SiO_2 73,3, Al_2O_3 1,7, Na_2O 17,0, CaO 7,5,

B_2O_3 0,5. Плавки производились в 2- и 20-кг тиглях при 1400° в течение 10 час. Степень обесцвечивания определялась визуально в рассеянном дневном свете, а также спектрофотометром. Эксперим. плавки показали, что стекло, содержащее 0,11% Fe_2O_3 , может быть хорошо обесцвечено Se , кол-во которого значительно меньше, чем используется в пром-сти. Кол-во Se и других ингредиентов, потребное для получения стекла с максим. обесцвечиванием в беском. (в %): As_2O_3 0,03, Sb_2O_3 0,01, NaNO_3 1,0, Se 0,0007, CoO 0,00009 от веса стекла; вводить их можно как раздельно, так и в сочетании друг с другом. Данные кол-ва обесцвечивателей могут явиться основой для плавки в ваучных печах. Условия плавки могут вызвать изменение указанных кол-в. Найдено, что обесцвечивание стекла улучшается с повышением t -ры отжига. З. Михайлова

9К321. К вопросу прочности брикетов стекольных пикт. Алентьев А. А., Соколовский А. Д. «Изв. Киевск. политехн. ин-та», 1960, 30, 82—86.—Исследована возможность увеличения прочности брикетов стекольных пикт (БШ) (на листовом стекле вертикального вытягивания) состава (в %): SiO_2 72, Al_2O_3 1,88, Fe_2O_3 0,12, CaO 7,5, MgO 3,5, Na_2O 1,5 введением синтетич. $\text{Mg}(\text{OH})_2$, полученной известковым способом из рапы оз. Старого. Также изучено влияние замены кальцинированной соды сульфатом Na на прочность БШ. Установлено, что БШ с синтетич. $\text{Mg}(\text{OH})_2$ при всех значениях влажности имеют прочность, в 2—4 раза превышающую прочность доломитовых пикт с тем же соотношением: сода—сульфат Na . При выделении БШ положительное влияние $\text{Mg}(\text{OH})_2$ увеличивается. БШ содовых, как с доломитом, так и с $\text{Mg}(\text{OH})_2$ при влажности 6—12% на ~100% прочнее БШ сульфатных. И. Михайлова

9К322. Отжиг листового стекла. Кононко В. П. «Изв. Киевск. политехн. ин-та», 1960, 30, 69—81.—Произведено сравнение существующих методик расчета высокотемпературного отжига. Предложена новая методика расчета высокотемпературного отжига. Из резюме автора

9К323. Оптический метод измерения главных нормальных напряжений. Roepert Erich. Die spannungsoptische Messung der Hauptnormalspannungen. «Chemiker-Ztg», 1960, 84, № 8, 259—261 (нем.).—Описано устройство и методика работы с прибором «Кляновларископ» фирмы Saint Gobain, служащим для определения величины и направления нормальных напряжений в стекле и синтетич. материалах. И. Михайлова

9К324. Поведение пузырей в стекле. Greene Charles H. The behavior of bubbles in glass. «Cent. Glass and Ceram. Res. Inst. Bull.», 1960, 7, № 1, 38—40 (англ.).—Одним из главных пороков стекла являются газовые пузыри. Различают крупные пузыри диам. > 1 мм и мелкие < 1 мм. Рассмотрен механизм процесса осветления; дается объяснение действию радиоосветителей таких, как As_2O_3 и Sb_2O_3 . При применении As_2O_3 на первой стадии плавки происходит его окисление и образование солей H_3AsO_4 . Выделение O_2 происходит при более высоких t -рах (1400—1500°). При более низких t -рах (1250—1350°) O_2 частично растворяется в стекле. В практике стекловарения стекло выдерживают в течение некоторого периода при t -ре, более низкой, чем верхняя t -ра плавки, но выше рабочей t -ры; за этот промежуток часть пузырей O_2 истекает, растворяясь в стекле. Приводится описание метода изучения поведения пузырей O_2 в стекле. Найден, что пузыри O_2 быстро растворяются в стекле, осветленном As_2O_3 , Sb_2O_3 и очень медленно в боросиликатном стекле, осветленном NaCl . Л. Егорова

9К325. Прибор для обнаружения свайлей и других пороков в изделиях из стекла. Ondráček M., Mach O. Přístroj pro zajišťování šlír a jiných skrytých vad ve

skleněných předmětch. «Sklář a keramika», 1960, 10, № 11, 309—312 (чешск.; рез. русск., нем., англ.).— Описание и схема прибора. И. Михайлова

9К326. Опыт синтеза оконных стекол с повышенной химической устойчивостью. Безбородов М. А., Савицкий С. Е. «Тр. I-го Совещания работ. стекольн. пром-сти БССР», 1957. Минск, 1958, 15—23.— Проведено исследование хим. устойчивости ряда стекол стечественных з-дов. Путем изменения хим. состава этих стекол получены составы, отличающиеся повышенной хим. устойчивостью. Данное исследование ценно тем, что позволяет осуществить выработку улучшенных составов стекол, не нарушая принятый в настоящее время технологич. процесс и сохраняя другие свойства этих стекол на прежнем уровне. Рекомендуются составы для произ-ва листового стекла: № 4, № 4—25, № 4—25—1. По комплексу свойств лучшим стеклом признано стекло № 4—25—1. Составы даны в таблицах. И. Михайлова

9К327. Производство технических стекол. Triet W. Herstellung technischer Gläser. «Glaswelt», 1960, 4, № 10, 296—298 (нем.).—Рассматриваются сырьевые материалы, печи, условия плавки, выработки и формования различных технич. стекол. Приводятся типовые промышленные составы: полых стекол, оконного, термометрич., неонского приборного 20, ампульного (флюиас), электрооблочного, хим. и электротехнич. стекол, для стеклянного волокна. З. Бронштейн

9К328. Опыт выработки аккумуляторных сосудов большой емкости механизированным способом. Миллер А. Х. «Стекло и керамика», 1960, № 12, 16—17.— Описание технологии произ-ва сосудов С-20 на ванной печи методом механизированного прессования. Даны схема пресса и общий вид машины. Опыт успешно осуществлен на стекольном з-де «Красный Май». И. Михайлова

9К329. Стеклянная тара. Wirtanen Maunu. Lasi—suosituttu pakkaus. «Tekn. kem. aikakauslehti», 1960, 17, № 17, 601—604 (финск.; рез. англ.).—Рассмотрены вопросы состава стекла для произ-ва бутылок, их прочности и применения. Обсуждаются развитие произ-ва стеклянной тары. Из резюме автора

9К330. О прочности тарного стекла. Jong J. de. Sterkte van verpakkingsglas. «Verpakkings», 1960, 13, № 3, 248—256 (гол.).

9К331. Специальные стекла. Blizzard John R. Specialty glass keeping pace with needs of space age. «Amer. Glass Rev.», 1960, 81, № 1, 24—25 (англ.).—Обзор. Описан ряд стекол, применяемых для спец. целей: для остекления (алюминаторы космич. кораблей), для защиты от вредных излучений; для изготовления электроннагревательных экранов и панелей, трубопроводов, веркал телескопов и т. д. И. Михайлова

9К332. Стекло, поглощающее инфракрасные лучи. Nowak Lutosław, Siudyka Stanisław. Szkło pochłaniające promienie podczerwone. «Szkło i ceram», 1960, 11, № 12, 361—364 (польск.; рез. русск., англ., франц.).—Разработана технология произ-ва листового стекла, поглощающего ИК-лучи (0,7—3,0 м), основанная на введении сидерита в шихту и плавке в восстановительной среде. Резюме авторов

9К333. О производстве и применении светочувствительного стекла. Бондарев К. Т., Бородай Ф. Я. «Стекло и керамика», 1960, № 10, 1—4.—В экспериментальном цехе Константиновского з-да «Автостекло» разработаны литневые составы светочувствительных стекол (СС), несколько отличные от обычно применяемых. Хим. состав стекол (в %): SiO_2 79—81, Al_2O_3 3—7, Li_2O 10—15, Na_2O или K_2O 2,5—4, CeO_2 0,015—0,05, SnO_2 0,03—0,1, AgCl 0,1—0,4. При подборе составов найдено, что SnO_2 обладает слабой светочувствительностью, а Ag дает наилучшие результаты при введении его в виде AgCl . Подробно описаны условия плавки и режи-

мы облучения, термообработки и травления. Показаны области применения СС. И. Михайлова

9К334. Развитие производства стекловолокна в США. Zawadzki Antoni, Wiczorkowski Zbigniew. Rozwój przemysłu włókien szklanych w USA. «Szkło i ceram.», 1960, 11, № 12, 365—367 (польск.).—Обзор. И. Михайлова

9К335. Стеклянное волокно и его применение. Хаяси Юкити. «Киндзоку, Kinzoku, Metals», 1960, 30, № 18, 42—47 (японск.)

9К336. Автоматизация процесса вытягивания стеклянных трубок. Roumégous A. Automatisation d'un groupe d'étirage de tubes de verre. «Automatisme», 1960, 5, № 10, 369—374 (франц.)

9К337. Обзор методов нанесения керамических покрытий. Кавасима Тихиро, Мурата Дзюмиро. «Киндзоку хэмэн гидзюцу, J. Metal Finish. Soc. Japan», 1960, 11, № 4, 123—130 (японск.).—Приведены краткие сведения о технологии нанесения керамич. покрытий, в частности о технологии покрытия различных марок стали карбидами, нитридами, боридами, силицидами, окислами, методами эмалирования, распыления расплавов в пламени, испарения металлов и плазменным методом. Библ. 7 назв. М. Гусев

9К338. Стекло системы $\text{Na}_2\text{O}-\text{TiO}_2-\text{SiO}_2$ как основа эмалей для алюминия. Варгин В. В., Гуторова Л. Л. «Стекло и керамика», 1960, № 10, 22—25.—Изучен ряд стекол состава $\text{Na}_2\text{O} \cdot 2(\text{SiO}_2 + \text{TiO}_2)$, в которых содержание TiO_2 изменялось от 0 до 17% моля. Определялись хим. устойчивость зерновым методом и плавкость методом растекаемости по наклонной Аl-пластинке капли, образующейся при нагревании в течение 7 мин. штабика стекла. Максимум устойчивости к воде стекла соответствует составу: $1\text{Na}_2\text{O} \cdot 4\text{TiO}_2 \cdot \text{SiO}_2$. Частичная замена TiO_2 на B_2O_3 , а также введение Li_2O повышает хим. устойчивость. В результате исследования синтезировано стекло № 13 состава (в вес. %): SiO_2 36,6, TiO_2 24,7, B_2O_3 4,0, Na_2O 30,7, Li_2O 4, которое при т-ре 570° хорошо растекается на Аl-подложке и отличается высокой устойчивостью к действию воды, 4%-ной CH_3COOH , 10%-ной лимонной к-те при 20°. На основе этого состава разработаны практич. составы эмалей для Аl. Содержание Na_2O , TiO_2 и SiO_2 в этих эмалях составляет > 80%. Свойства их даны в таблице. И. Михайлова

9К339. Изготовление стеклянной посуды из стекла с имитацией под лак. Ямада Такио. [Компакт Суму]. Японск. пат. 7400, 18.06.60.—На поверхность стеклянной пластины Au, Ag или каким-либо другим безвредным для человеческого организма пигментом наносят узор, подогревают стекло до т-ры размягчения (~600°), помещают в форму для формования. Полученное изделие покрывают с наружной стороны цветной глазурью и обжигают при ~550°. М. Гусев

9К340. Усовершенствованная электрическая печь для плавки и осветления стекла. Gell Philip Anthony Maunsell. Improvements relating to electric furnaces for melting and refining glass. [Elemelt Ltd]. Англ. пат. 845981; 845982, 24.08.60.—Предлагается электрич. стекловаренная печь с пластинчатыми электродами (3), расположенными у противоположных боковых стен печи. Для повышения эффективности плавки и осветления нижняя и боковые стороны 3 располагаются от стенок и дна печи на расстоянии ~50 мм. Электрич. сопротивление огнеупорной кладки должно быть больше, чем у примыкающей к ней стекломассы, т-ра которой изменяется от 1500 до 1600°. Максимум т-ра в объеме стекломассы, заключенном между 3, 1640°. Для кладки печи необходимо применять плавящиеся литые огнеупоры из окислов ZrO_2 , Al_2O_3 , SiO_2 или их сочетаний. Патентуемая электропечь рекомендуется для варки стекол боросиликатного состава, электропроводность которых можно искусственно повышать

путем добавок соединений щел. металлов, обладающих способностью к электролитич. диссоциации. Состав и кол-во этих соединений не должны ухудшать качества стекла. В качестве добавок применяют соли Li, Na или K, напр., NaCl или Li_2CO_3 (0,01—0,25 вес.%). Может также вводиться добавка петалита или других Li-содержащих минералов.

9К341. Электрическая печь для плавки кварца. Vatterodt Karl. Elektrisch beheizter Schachtofen zum Schmelzen von Quarz. [Patent-Treuhand-Ges. für elektrische Glühlampen m. b. H.] Pat. FRG 1069846, 12.05.60.—Предлагается шахтная электропечь для плавки и непрерывной выработки труб из кварца или высококремнеземистого стекла, характеризующаяся следующими особенностями: нагреватели (Н) из молибденовой или вольфрамовой проволоки, находящиеся в атмосфере инертного газа, располагаются вокруг цилиндрич. плавильного тигля параллельно осям последнего и шахты; во избежание ослабления Н при их удлинении, они находятся в натянутом состоянии, что осуществляется путем жесткого закрепления одних концов проволок к неподвижным, а противоположных концов — к подвижным клеммам, чем обеспечивается требуемая степень натяжения. Печь патентуется в двух вариантах применительно к конструктивным особенностям систем, управляющих равномерным и одинаковым натяжением всех Н; в одном случае натяжение регулируется подвижной конструкцией и весом нижней части печи, в другом — степень натяжения регулируется под воздействием двух систем пружин разных размеров и силы. В обоих вариантах регулирующая система предусматривает две степени натяжения; переход от одной степени к другой, применительно к изменению длины Н при изменении т-ры их нагрева, осуществляется автоматически. Поверхности отдельных элементов регулирующих механизмов рассчитываются достаточно большими и на достаточном отделении от зон излучения с тем, чтобы их т-ра не превышала 200°.

9К342. Стекланные детали для электрической аппаратуры. Broderick Edward J., Morrissey William J. Glass component for electrical apparatus. [General Electric Co.] Pat. США 2924636, 9.02.60.—Предложен ряд стекол, рекомендуемых для изготовления изоляторов, применяемых в электрич. аппаратуре (трансформаторах, конденсаторах и т. п.). Составы стекол находятся в следующих пределах (предпочтительное содержание указано в скобках в вес.%): SiO_2 38,5—55 (45—47,5), Al_2O_3 15—25 (19—20), CaO 8,5—17,5 (9,5—10), MgO 2,5—7,5 (6,9—7,5), B_2O_3 12,5—25 (14—15), Na_2O 0—1,0 (0,25—0,55), K_2O 0—0,55 (0,25—0,55), CeO_2 0,75—4,0 (1,5—4,0), TiO_2 0,5—2,0 (0,45—1,5). Отношение содержания окиси Ce к двуокиси Ti должно быть 2. Наилучшие результаты получены при соотношении $\text{CeO}_2 : \text{TiO}_2 = 3 : 1$. Приведен состав шихты, применяемой для получения указанных стекол. Плавка стекла производится в электрич. печи при т-рах 1250—1300°, отжиг — при 550—625°. Технологич. характеристики стекла приведенного состава дают возможность изготавливать изделия центробежным способом. Указанные стекла поглощают УФ-лучи (< 400 мμ) и пропускают лучи видимой части спектра, имеют низкий коэф. термич. расширения и высокую т-ру размягчения. Стекла обладают повышенной хим. устойчивостью.

9К343. Нанесение люминесцентных покрытий на внутреннюю поверхность электрических ламп. Оцубо Хироюти, Синовара Сигэру. [Хитати лампу кабусики кайся]. Японск. пат. 6875, 10.06.60.—Стекланую лампу (Л) в форме трубки, внутреннюю поверхность которой хотят покрыть люминесцентным составом, соединяют с распылительным устройством в виде трубки (Т), внешний диаметр которой равен или несколько больше внутреннего диаметра Л. Пример-

но в центре Т имеется кольцевая перегородка, по окружности которой расположен ряд отверстий небольшого диаметра; в центре перегородки имеется отверстие распылителя, смонтированного вместе с Т. В нижней части Т имеется патрубок, по которому подается сжатый воздух, для распыления люминесцентного состава. После окончания операции нанесения покрытия на внутреннюю поверхность Л, Т убирается. Описанный метод дает возможность получить равномерный слой покрытия.

9К344. Способ получения тонких светопропускающих слоев на твердых пропускающих или отражающих излучение подложках, в частности на стекле. Schröder Hubert. Verfahren zum Herstellen dünner, lichtabsorbierender Schichten auf festen, strahlungsdurchlässigen oder-reflektierenden Unterlagen, insbesondere Glas. [Jenaer Glaswerk Schott & Gen.] Pat. FRG 1063773, 28.01.60.—Изобретение предусматривает получение на стекле или пластмассах тонких слоев, которые содержат исключительно или преимущественно неорганич. в-ва, сообщающие подложкам необходимые светопропускающие свойства. Соединения наносятся на подложку совместно с содержащей их тонкой пленкой-носителем (ПН) и затем путем последующего восстановления переводятся в состояние, обеспечивающее желаемую степень поглощения света. Восстановление осуществляется в газообразных средах при повышенной т-ре или оно может происходить благодаря контакту с твердыми или жидкими восстановителями, добавляемыми к ПН и начинающими действовать при повышенной т-ре. К ПН добавляють органич. соединения, которые при нагревании выделяют СО или С, и полученную смесь наносят на подложку. Для получения ПН применяют кремнекислоту в смеси с окисью Ti, Sn, Zr или Th, а в качестве красителей пленки используют соли, эфиры или другие органич. соединения Fe, Co, Ni, V, Pt или какого-либо другого металла Pt-группы. Согласно другому варианту, ПН можно готовить из монокисл. Si или фторидов путем испарения в вакууме, а в качестве красителей следует применять окислы As, Sb, Bi, Te, Ti, Mo, W, Sn или Pb.

9К345. Смотровое стекло, покрытое с одной или двух сторон прозрачным защитным слоем, и способ его изготовления. Schröder Hubert, Kaufmann Reinhard. Ein- oder beiderseitig mit transparenter Schutzschicht überzogenes Sichtglas und Verfahren zu seiner Herstellung. [Jenaer Glaswerk Schott & Gen.] Pat. FRG 1062901, 14.01.60.—Смотровое стекло характеризуется тем, что защитные слои состоят из свободнорастворимых термостойкого до 250° покрытия из неорганич. окисных соединений (металлы IV группы; смесь SiO_2 и TiO_2 или ZrO_2) и металло- или металлоидоорганич. примесей (соединения типа $\text{R}''(\text{MeORR})_x \cdot \text{MeRR}'\text{R}''$ или $\text{R}''(\text{MeOR})_x \cdot \text{MeRR}''$, где Me может быть 3- или 4-валентным металлом или металлоидом, а R, R' и R'' — любой органич. радикал. R' и R'' частично могут быть заменены галоидами. Me представляет собой Al, Si, Sn или Ti, или смесь этих элементов). Содержание примесей колеблется в пределах 5—15% от веса готового нанесенного слоя. Защитные слои наносят на стеклянную поверхность центробежным способом, путем пульверизации, погружением или окунанием. Образующаяся пленка высушивается, а затем р-рители и возможные летучие продукты р-ции удаляются при нагревании.

9К346. Процесс и устройство для покрытия изделий, в частности стеклянных, погружением в жидкость, затвердевающую при повышенной температуре.—Procédé et dispositif pour le revêtement d'objets, notamment en verre, par immersion dans un liquide se fixant par élévation de température. [Soc. Verrière de la Brie & du Bugey]. Франц. пат. 1210420, 8.03.60.—Предложен процесс покрытия изделий, в основном стек-

лянных, с покрытием, которое издается при помощи способа регулирования выходов из ванны, осуществляется с помощью ИИ на способ предварительного измерения вертикального $V = K \sin$ станта, за а — угол, талью.

9К347. ные изде 9.04.59.—К своей водн сушнвалот газуэрю быть рав просохла, стекла н вают как поверхнос слоем Г з ром част стекло в ~1 часа в печи до 2-го чего сни 20°.

9К348. керамиче hod of sh Glass W лчение коэф. ли соединен ми типа сдлавлен 85—92, N содержа Изделия пока их КЛР в и ситаете

9К349. vitz B von Gl Research жен спо ланных ливостов вагием Процесс что мои камеры и без не пламени ный под аз ее к пламени использ ких усл кол или пламя д

линьных, слоем пластич. материала (напр., пластифицированного поливинилхлорида). Предварительный подогрев изделий перед погружением в ванну производится при 130—180°, что наряду с удлинением выдержки способствует сохранению изделием запаса тепла, компенсации пластич. материала требуемой толщины по выходе из ванны, сокращению времени выдержки в ванне, ускорению процесса охлаждения изделий. Устраняется необходимость электростатич. сушки или сушки ИК-лучами. Равномерному распределению осадка способствуют достаточный градиент т-р в печи для предварительного подогрева изделий и миним. перепада температуры в ванне. Установлено, что скорость вертикального погружения изделий следует по ур-нию $V = K \sin^2 \alpha$, где V — скорость погружения, K — константа, зависящая от вязкости пластич. материала, α — угол, образуемый профилем изделия с горизонталью. Ф. Шафит

9К347. Нанесение цветных рисунков на стеклянные изделия. Амэмия Киното. Японск. пат. 2288, 9.04.59.—На поверхность стекла р-ром Au или Pt в царской водке наносят рисунок или надпись, который просушивают и покрывают прозрачной или непрозрачной глазурью (Г); коэф. расширения последней должен быть равен коэф. расширения стекла. Пока Г еще не просохла, на ней при помощи небольших кусочков стекла или тонкой стеклянной проволоки выкладывают какой-либо узор; для устранения неровностей на поверхности стекла покрывают последнюю вторым слоем Г и тонким слоем стеклянного порошка с размером частиц 0,8—1,2 мкм; просушивают Г, помещают стекло в печь и нагревают его постепенно в течение ~1 часа до 200—250°, после чего резко повышают т-ру в печи до 400—450°; затем вновь резко повышают т-ру до т-ры плавления стекла с Г (~560—600°), после чего снижают т-ру до ~520°, а затем доводят ее до 20°. М. Гусев

9К348. Метод изготовления полукристаллических керамических изделий. Stookey Stanley D. Method of making a semicrystalline ceramic body. [Corning Glass Works]. Пат. США 2933857, 26.04.60.—Метод получения полукристаллич. керамики из высокими коэф. линейного расширения (КЛР), пригодных для соединения с такими металлами, как Al, Cu и сплавами типа латуней. Изделия изготовляют из стекол, сплавов при 1400° и содержащих (в вес. %): SiO₂ 85—92, Na₂O или K₂O 6,5—15, Al₂O₃ 0,8 и F 0—5. Общее содержание SiO₂ и цел. окисла должно быть ≥ 92%. Изделия отжигают в интервале 600—900° до тех пор, пока их КЛР не станет равным 175·10⁻⁷ при 0—300°. КЛР в интервале 0—300° для отдельных составов достигает значения 300·10⁻⁷. В. Кушаковский

9К349. Производство стеклянного волокна. Karlovitz Béla, Lewis Bernard, Elbe Guenther von. Glass fiber production. [Combustion and Explosives Research, Inc.]. Пат. США 2925620, 23.02.60.—Предложен способ произ-ва стеклянного волокна (СВ) из стеклянных стержней, диаметр которых меньше обычного листового стекла, порошка или расплава с использованием стабилизированного турбулентного пламени. Процесс включает стадию ускорения горючей смеси, что может быть осуществлено как с помощью спец. камеры сгорания с узким выходным отверстием, так и без нее с помощью примыкающего вспомогательного пламени. Регулировка скорости, давление, предварительный подогрев топливно-воздушной смеси (либо одного из ее компонентов), можно получить различную т-ру пламени. Значительно повысить т-ру пламени можно, используя топливо с высокой т-рой сгорания. При таких условиях можно получить СВ из тугоплавких стекол или в-в (напр., кварц или Al₂O₃). Турбулентное пламя дает возможность получать извитое СВ.

З. Михайлова

9К350. Способ производства стеклянного волокна с металлическим покрытием. Whitehurst Harry B., Otto William H. Method of producing glass fibers with metal coatings. [Owens-Corning Fiberglass Corp.]. Пат. США 2928716, 15.03.60.—Способ повышения абразивной устойчивости стеклянного волокна (СВ) путем создания на его поверхности металлич. пленки, состоящей в том, что затвердевшее, но не остывшее СВ проходит через щель сосуда, в которую непрерывно подается расплавленный металл. При этом на СВ остается тончайшая пленка металла. Для покрытия могут быть использованы различные легкоплавкие металлы и сплавы: Zn, Sn, 90% Sn + 10% Ag и др. Металл плавится в спец. сосуде, из которого по протокам подается в щель для покрытия СВ. Место контакта СВ с металлом определяется тем, что СВ должно иметь т-ру, равную или несколько большую, чем металл. Это необходимо для того, чтобы не вызвать вторичного подогрева СВ, а следовательно, не деформировать его и полностью исключить возможность кристаллизации стекла. З. Михайлова

9К351. Маркировка стекловолоконных изделий. Motter Theodore J. Identification of glass fiber mats. [L. O. F. Glass Fibers Co.]. Пат. США 2920202, 5.01.60.—Предложен метод маркировки изделий из стеклянного волокна нанесением на поверхность изделия (пудризацией или другим способом) водн. р-ра 3-нафтиного производного β-нафтол-6,8-дисульфонилоты, конц-ия которого может изменяться от 0,3 до 1 вес.%. Изделие, обработанное этим р-ром, флуоресцирует под воздействием УФ-света. После высушивания изделия метка не видна и теряет способность к флуоресценции. Повторное смачивание метки эту способность восстанавливает. Р-р может быть нанесен на все изделие или только на часть его; нанесение р-ра может быть совмещено с пропиткой стекловолокон смолами, а сушка — с процессом полимеризации смол. З. Михайлова

9К352. Индикаторный механизм для использования в операциях по изгибу стекла. Richardson Ronald E. Indicator mechanism for use in glass bending operations. [Pittsburgh Plate Glass Co.]. Австрал. пат. 225669, 4.12.59.—Предложен индикаторный механизм (ИМ), основной деталью которого является улик, касающийся нижней поверхности стекла и двигающийся вокруг пальца, укрепленного на стойке. Двигающийся улик соединен с указателем, перемещающимся по шкале, по которой отмечается величина прогиба стекла. ИМ монтируется на форме для моллирования в том месте, где можно наблюдать за процессом гнутья через смотровое окно печи. З. Михайлова

9К353. Сцепляющая подложка для эмалей на алюминии или сплавах алюминия. Hüttig Werner. Haftgrundlage für Email-Schichten auf Aluminium oder Aluminiumlegierungen. [Vereinigte Aluminium-Werke A.-G.]. Пат. ФРГ 1069449, 5.05.60.—После обезжиривания алюминия или его сплавов на поверхности изделия получают слой гидроокиси алюминия структуры бемита. Для этого изделия выдерживают 5 час. в атмосфере водяного пара, толщина слоя бемита должна быть 1—8 м. Эмаль желательно наносить через 5 сут, чтобы бемит прошел старение. Эмаль состава (в %): PbO 18, Na₂O 12, Li₂O 4, K₂O 8, SnO₂ 5, ZnO 8, Al₂O₃ 4, B₂O₃ 14, SiO₂ 12, TiO₂ 5, P₂O₅ 10. Испытания показали высокую прочность сцепления однослойного покрытия, имевшего толщину 30 м, как к механич. испытаниям, так и к воздействию 20%-ного р-ра HNO₃ в течение 21 суток. М. Серебрякова

9К354. Эмаль с высокой прочностью на удар и способ ее изготовления. Adlassnig Karl. Email mit hoher Schlagfestigkeit und Verfahren zu seiner Herstellung. [Eisenwerke Kaiserslautern]. Пат. ФРГ 1068083, 21.04.60.—Для повышения механич. и термич. стойкости пудровых эмалей для хим. аппаратуры предла-

гается добавлять к ним 2—15% карбидов, боридов и (или) нитридов Ti, Zr, Mo, Cr, V, W, а также SiC , BaSO_4 , ZrSiO_4 и (или) кварцевую муку. Предварительно эти добавки должны быть измельчены до размера частиц в десять раз тоньше, чем эмалевая пудра. Желательно предварительно перемешать их с пудрой в отношении 1:1 и только тогда перемешивать с общей массой пудры. Можно подвергнуть смесь предварительному фриттованию. Во время обжига добавки не растворяются в расплаве, образуя систему с большим кол-вом фазовых границ, что увеличивает ее эластичность и механич. прочность. При покрытии издельных слоев эмали с добавками можно чередовать со слоями стекловидной эмали без добавок. М. Серебрякова

9K355. Состав пикноты для изготовления белых титановых эмалей. Heimsoeth Werner, Bock August. Schmelzversatz zur Herstellung titangeltrübter weißer Emails. [Farbenfabriken Bayer A.-G.]. Пат. ФРГ 973690, 5.05.60.—Для получения безборных титановых эмалей с высоким глянцем рекомендуется вводить в их состав ~14% ZnO и 16% TiO_2 , а также небольшие кол-ва окислов щел.-зем. металлов, в частности BaO , и соединений F. Приведены 4 состава, один из них (в %): SiO_2 38,7, Al_2O_3 1,8, Na_2O 11,6, K_2O 1,0, CaF_2 7,0, CaO 0,3, NaF 8,6, ZnO 14,5, TiO_2 16,5.

9K356. Способ получения эмалей. Друченко В. А., Зарский И. А., Махлия А. Н. Авт. св. СССР 128548, 15.05.60.—Способ получения эмалей при помощи диспергирования пигментов в связующем, отличающийся тем, что с целью повышения качества эмалей и улучшения условий труда диспергирование исходного сырья производят при помощи ультразвуковых колебаний. Г. Геращенко

9K357. Аппарат для тонкого измельчения суспензий, например эмалей. Гордон С. Н. Авт. св. СССР 130331, 15.07.60.—Аппарат для тонкого измельчения суспензий, состоящий из цилиндрич. резервуара, затруженного шарами, в центре которого установлена вращающаяся труба с радиально закрепленными на ней стержнями для перемешивания шаров. Для интенсификации процесса внутри трубы центрично встроено вращающийся по вертикали возвратно-поступательное движение вала, снабженный на нижнем конце перфорированной чашей для удерживания шаров, имеющей контур, соответствующий контуру дна резервуара. Г. Геращенко

9K358. Бескремнеземно-бессвинцово-фосфатная эмаль для алюминия и его сплавов. Безбородов М. А., Гришина Н. П. Авт. св. СССР 128721, 15.05.60.—Предлагается бескремнеземно-бессвинцово-фосфатная эмаль для Al и его сплавов состава (в %): K_2O 3,9, Al_2O_3 12,2, B_2O_3 8,4, P_2O_5 44,4, Na_2O 13,2, Li_2O 2,9, TiO_2 6,7, ZnO 2,9 и красители в виде мельничных добавок для получения цветных эмалей. Эмаль химически устойчива против 4%-ной уксусной к-ты и кипящей воды. Г. Геращенко

9K359. Метод производства тонких пленок и изделия, содержащие эти пленки. Cameron Angus E. Method for producing thin films and articles containing same. Пат. США 2932592, 12.04.60.—Описан метод получения молекулярных и тонких пленок из соединений металлов, напр. Ag или Cu, с неметаллич. элементами такими, как O, S, Se и Te. Пленки получают путем одновременного испарения из отдельных лодочек металлов и неметаллич. компоненты в вакууме и осаждения соединения на соответствующую подложку. Подложку предварительно обесгаживают в вакууме 10^{-3} — 10^{-6} мм рт. ст. Металлы нагревают до такой т-ры, при которой их давление паров равно $7,6 \cdot 10^{-3}$ — $2,5 \cdot 10^{-2}$ мм рт. ст. S, Se и Te нагревают соответственно до 120—130, 330—350 и 460—490°. Указанным методом готовят тонкие пленки, фильтры, полупроводники, оптич. фильтры, используя соответствующие подлож-

ки и различное время испарения, для получения пленок с различной толщиной. В. Кушаковский

См. также: Преломление и поглощение света некоторыми кристаллами и стеклами 9B187. Дифракционные методы исследования стеклообразных в-в 9B281. Исследование полимерного строения неорганич. стекол 9B283. О деполимеризации неорганич. стекол и механич. резонанс 9B284. Хим. особенности полимерных стеклообразующих в-в и природа стеклообразования 9B287. Несмешиваемость жидких фаз в силикатных системах 9B377. Диэлектрич. характеристики дымчатого кварца—природного и подвергнутого облучению χ - и γ -лучами 9Г22. Изготовление топливных элементов из стекла для ядерных реакторов 9K32. Стеклопластики 9П149, 9П175, 9П179

Вязущие вещества. Бетоны и другие силикатные строительные материалы

Редакторы А. С. Пантелеев, М. Л. Степанова

9K360. Экспериментальные исследования механизма процессов гидратации молотой известки-кишечки. Данилов Б. П. В сб. «Строит. материалы и конструкции». Сталино, 1959, 7—12.—С помощью электронного и поляризационного микроскопов исследован механизм процесса гидратации известки-кишечки. Для интенсификации р-ции гидратация осуществлялась горячей водой. Обнаружено, что при затворении известки-кишечки водой как при комнатной т-ре, так и при кипячении образуются в-ва, обладающие кристаллич. строением, причем в первом случае эти кристаллы имеют в основном сферич. форму, а во втором — удлиненную игольчатую. При работе с электронным микроскопом в известково-водных суспензиях без особых предосторожностей невозможно обнаружить $\text{Ca}(\text{OH})_2$ в чистом виде, так как при соприкосновении с воздухом она покрывается пленкой аморфного CaCO_3 , что затрудняет исследования и может привести к ошибочным выводам. В. Савельев

9K361. О свойствах карбонатной известки. Пантелеев А. С. «Строит. материалы», 1960, № 9, 16—18.—Карбонатная известь (КИ) получается путем тонкого измельчения смеси из 30—40% известки-кишечки и 70—60% известняка или мела. Введение в смесь известняка позволяет увеличить кол-во воды затворения, необходимой для полной гидратации негашеной известки, и получить достаточно удобообрабатываемый и прочный р-р, свободный от избыточных объемных деформаций. Проведенные исследования системы CaO — CaCO_3 — H_2O и свойства КИ показали, что твердые известково-песчаных р-ров на КИ в первые сроки обуславливается гидратацией соединений, не прогидратовавшихся до укладки р-ра, а также взаимодействием между $\text{Ca}(\text{OH})_2$ и CaCO_3 . В дальнейшем твердение происходит за счет карбонизации $\text{Ca}(\text{OH})_2$ и получения новых частиц CaCO_3 . Образцы КИ сухого помола, содержащие до 3% MgO и до 2% $\text{SiO}_2 + \text{Al}_2\text{O}_3 + \text{Fe}_2\text{O}_3$, выдержали стандартные испытания на равномерность изменения объема. При более высоком содержании MgO (> 6%) наступают явления неравномерного изменения объема. Мокрый помол КИ особенно с повышенным содержанием MgO , имеет преимущество перед сухим. При сухом помоле КИ рекомендуется вводить двухудельный гипс. Б. Левман

9K362. Освоение технологии производства крупных стеновых блоков методом варки сырьевой силикатной смеси. Зуйков Г. Г., Данилов Б. П. В сб. «Строит. материалы и конструкции». Сталино, 1959, 36—39.—Разработана новая технология произ-ва крупноразмерных

и пле-
овский
еко-
овые
Иссле-
стекл
мехе-
рных
вания
атных
мча-
нению
емен-
ежко-

анн-
эки-
онст-
рон-
ме-
Для
лас-
зве-
при
лич.
для
дл-
ро-
бах
(Н)₂
ду-
что-
бо-
ль-
те-
8.-
ого
0.-
на-
не-
ти,
оч-
ма-
а-
ко-
д-
ав-
ж-
хо-
ых
ав-
ре-
е-
го
ия
ям
им.
од-
ан
их
ой
ит.
из-
из-

силикатных изделий, основанная на том, что силикатная масса обрабатывается в течение 20—30 мин. при 100° в спец. смесителе, при этом происходит сильное диспергирование извести. Смеситель оборудован двумя дисками, вращающимися в противоположном направлении, и заключен в кожух, образующий паровую рубашку, в которую поступает пар под давл. 2—3 атм. Блоки формируются в металлич. формах без принудительного уплотнения и запаиваются в автоклаве при 8 атм. Расход извести активностью 60% на 1 м³ литых изделий составил в среднем 200—220 кг. При изготовлении по новой технологии щелевидных блоков с автоклавной обработкой в течение 10 час. расход извести составил 150—180 кг/м³.

Б. Л. 9K363. Цементная промышленность КНР. Сыркин Я. М. «Научн. сообщ. Гос. Всес. н.-и. ин-т цемент. пром.-сти» 1960, № 7(38), 35—37.

9K364. ИК-спектроскопия гидросиликатов кальция. Corradini Giorgio, Mariani Eugenio. *Spettrografia i. r. di silicati idrati di calcio sintetici*. «Ricerca scient.», 1960, 30, № 9, 1346—1358 (итал.; рез. франц., англ., нем.).—Методом ИК-спектроскопии (длины волн 1—15 м) исследованы структуры гидросиликатов Са, полученных при гидратации C_3S и $\beta-C_2S$, а также синтезированных из извести и силикателя. Отмечается, что структуры гидросиликатов обоих типов аналогичны и состоят из тетраэдров SiO_4 .

Из резюме авторов 9K365. Пути усовершенствования концентраторов шлама. Хохлов В. К., Кройчук Л. А. «Научн. сообщ. Гос. Всес. н.-и. ин-т цемент. пром.-сти», 1960, № 9(40), 6—8.

9K366. Непрерывно действующий прибор для контроля реологических свойств цементного шлама. Papadakis Michel, Bombled Jean-Paul. *Réalisation d'un appareil à fonctionnement continu destiné au contrôle rhéologique des pâtes de cimenterie*. «Rev. mater. constr. et trav. publics», 1960, № 537, 157—159 (франц.).—С целью автоматич. контроля реологич. характеристик цементного шлама перед его подачей в вращающуюся печь предложен прибор — «консистометр», представляющий собой цилиндрич. сосуд с конусообразным дном, заканчивающимся патрубком diam. 12 и длиной 100 мм. Скорость протекания шлама через него при постоянном давлении тем больше, чем больше его текучесть. Струя шлама, выходящая из патрубка, попадает на горизонтальную пластинку 80 × 30 мм, которая связана с нитью весов. Каждому значению текучести соответствует своя скорость истечения, т. е. определенная сила удара и определенное положение пластинки. Движение пластинки, имеющей амплитуду колебания 20 мм, позволяет судить о силе, действующей на пластинку, которая, в свою очередь, определяется реологич. характеристиками материала, его объемом и высотой падения. Высота падения постоянна и равна 60 см, объем также считается постоянным, он лишь незначительно колеблется с уменьшением водосодержания шлама.

И. Кузнецова 9K367. Непрерывный способ приготовления сырьевых смесей — основа создания цементного завода-автомата. Стрелков М. И., Крыжановская И. А., Сыркин Я. М., Киряева Э. Е., Здоров А. И. «Цемент», 1960, № 5, 14—18.—Рассматриваются новые схемы подготовки сырья по мокрому и сухому способам произ-ва, позволяющие снизить расходы на строительство и эксплуатацию сырьевых цехов, получить однородный продукт и применить автоматизацию производственных процессов.

Резюме авторов 9K368. Изучение диэлектрических свойств твердеющего цемента. Le Bot Jacques. *Contribution à l'étude diélectrique de la prise des ciments*. «C. r. Acad. sci.», 1960, 250, № 9, 1640—1642 (франц.)

9K369. Изучение процессов тепловыделения цемента в начальные сроки твердения. Левчук Н. А. «Тр.

Харьковск. ин-та инж. ж.-д. трансп.», 1960, вып. 39, 19—27.—Исследовалось влияние на тепловыделение (Т) минералогич. состава, тонкости помола, различных добавок, длительности хранения и т.-ры гидратации. Для изучения Т в раннем возрасте определялось нарастание пластич. прочности (получение пластограмм), определение степени гидратации в разные сроки твердения и определение Т во времени (получение теплограмм). Установлено, что теплограммы находятся в хорошем соответствии с пластограммами. Повышение тонкости помола увеличивает Т в первые сроки твердения. Длительность периода формирования структуры у цементов различного минералогич. состава соответствует максим. Т. С увеличением содержания C_3A период формирования структуры сокращается. Цементы с повышенным содержанием C_3S отличаются большим Т. При повышенном содержании C_3A и значительном — C_3S максим. Т проявляется в более раннее время. Добавление трепела вызывает увеличение или уменьшение Т, в зависимости от величины добавки и содержания C_3S . Хранение цемента в течение 3 месяцев приводит к уменьшению Т.

Е. Штейн 9K370. Методика анализа пиритных огарков. Лукина М. Н. «Научн. сообщ. Гос. Всес. н.-и. ин-т цемент. пром.-сти», 1960, № 8(39), 28—32.

9K371. Влияние различных добавок на свойства магнезиальных цементов. Рояк С. М., Мышляева В. В., Осокина Т. А. «Научн. сообщ. Гос. Всес. н.-и. ин-т цемент. пром.-сти», 1960, № 9(40), 38—42.—Проведена работа по изучению возможности получения пуццоланового магнезиального портланд-цемента на Подольском з-де. В качестве добавок использовались тульский и липецкий шлаки, брянский и хотьковский трепелы, $CaCl_2$ и $MgCl_2$. Установлено, что вследствие резкого снижения прочности магнезиального цемента на сжатие при 30%-ной добавке трепела выпускать пуццолановый портланд-цемент на основе клинкеров Подольского з-да не рекомендуется. Целесообразнее всего выпускать шлаковый магнезиальный портланд-цемент с комбинированной добавкой 25% гранулированного тульского или липецкого доменного шлака и 15% брянского или хотьковского трепела. Для ускорения процессов твердения рекомендуется вводить в бетоны на магнезиальных цементах 1% $CaCl_2$ или $MgCl_2$.

М. Степанова 9K372. Петрографический анализ — оперативный метод контроля производства. Будницкая И. С. «Цемент», 1960, № 5, 32.—Описан способ определения коэф. насыщения по результатам петрографич. анализа клинкера, разработанный на Белгородском цементном з-де.

М. Степанова 9K373. Влияние минералогического состава и структуры глиноземистых шлаков на способность к гидравлическому твердению. Горюнов Н. А., Карамушко Р. И. «Тр. Ленингр. технол. ин-та им. Ленсовета», 1960, вып. 56, 35—45.—Исследовались гидравлич. свойства 16 составов высокоглиноземистых синтетич. шлаков в зависимости от их фазовой и минералогич. характеристики. Содержание CaO в шлаках изменялось в пределах 36—48%, SiO_2 4—13% и Al_2O_3 39—60%. Каждый из 16 шлаков охлаждался быстро (грануляция в воде) и медленно (в печи); часть гранулированных шлаков отжигалась. В результате определения хим. и минералогич. состава, петрографич. и термич. анализа, а также физико-механических испытаний было установлено, что гранулированные шлаки обладают очень слабыми вяжущими свойствами. Повышение содержания SiO_2 приводит к резкому снижению активности. Из общего числа 16 стекловидных шлаков представляют интерес лишь 6, использование которых является возможным при введении возбuditелей твердения. Из числа кристаллических шлаков наиболее высокую и наиболее устойчивую прочность имеют моно-

алюминатные шлаки и наименьшую — шлаки с большим содержанием геленита. Прочность отожженных шлаков в 2—3 раза превышает прочность гранулированных. Наименьшую прочность также имеют шлаки при повышенном содержании геленита. Е. Штейн

9K374. О влиянии величины добавки гипса и степени измельчения известково-шлакового цемента на его активность. Попко В. Н. «Строит. материалы», 1960, № 9, 30—32. Исследовалось влияние добавки гипса (содержание $\text{CaSO}_4 \cdot 2\text{H}_2\text{O}$ в камне — 94%) на активность известково-шлакового цемента при использовании кислого гранулированного доменного шлака, известки-кипелки (25% от веса смеси) и известки-пушонки (30% от веса смеси) при размоле до уд. поверхности порядка 3000, 4000 и 6000 $\text{см}^2/\text{г}$ и при твердении цемента на воздухе и пропаривании. Величина добавки гипса составляла 2,5, 5 и 7,5% по весу (сверх 100%). Наибольшая прочность оказалась в подавляющем большинстве случаев при 3—4%-ной добавке гипса в случае пропаривания и 5—6%-ной при твердении гипса на воздухе. Установлено исключительно большое значение тонкости помола. Так, при уд. поверхности порядка 3000 $\text{см}^2/\text{г}$ активность пропаренного цемента на пушонке составила 131 $\text{кг}/\text{см}^2$ и на кипелке — 300 $\text{кг}/\text{см}^2$, а при уд. поверхности 6000 $\text{см}^2/\text{г}$ — соответственно 355 и 660 $\text{кг}/\text{см}^2$; при твердении на воздухе в течение 7 суток соответственно 80 и 152 $\text{кг}/\text{см}^2$ и 183 и 416 $\text{кг}/\text{см}^2$ (образцы $2 \times 2 \times 2 \text{ см}$). Е. Штейн

9K375. Анализ результатов испытания цемента по Югославскому стандарту В.С.1.010, проведенного Институтом гражданского строительства в Загребе. Springer Z. Analiza rezultata ispitivanja cementa po JUS B.С.1.010 redovite kontrole tvornica cementa u N. R. Hrvatskoj, koju provodi Institut građevinarstva Hrvatske — Zagreb. «Cement» (Jugosl.), 1960, 4, № 2, 51—61 (серб.-хорв.; рез. англ., франц., нем.)

9K376. Экспериментальные исследования стойкости портланд-цементов на износ. Postacıoğlu Bekir Recherches expérimentales sur la résistance à l'usure des ciments Portland. «Istanbul tekn. üniv. bü.», 1959, (1960), 12, 15—40 (франц.; рез. турецк.). Изучено влияние различных факторов (свойств цемента, тонкости помола его и др.) на стойкость бетонных покрытий. Отмечается, что в ряде случаев цементы с пониженной прочностью на сжатие обладают высокой износостойкостью. М. Степанова

9K377. Упрочнение футеровки вращающейся печи. Хвостенков С. И. «Цемент», 1960, № 5, 29. Приведена схема футеровки у концевых обрезов печей с применением металлич. пластин, привариваемых к корпусу печи. Предлагаемый способ футеровки опробован на э-дах «Первомайский» и Краматорском.

9K378. Холодильники для цементных печей. Šafář J. Chladicí cementářských rotačních pecí. «Stavivo», 1960, 38, № 11, 366—370 (чешск.; рез. русск., нем., англ., франц.). Приведены основные параметры холодильников разного типа: барабанных, рекуператорных, колосниковых. Из резюме автора

9K379. Конструктивные и режимные характеристики вращающихся печей. (В порядке обсуждения). Ходоров Е. И. «Цемент», 1960, № 5, 5—10

9K380. Работа шаровой загрузки в цементной мельнице при помоле предварительно измельченного клинкера. Крехтия Г. С. «Научн. сообщ. Гос. Вес. н.-и. ин-т цемент. пром-сти», 1960, № 7 (38), 20—24

9K381. Новый цементный завод в США. Negrod Buren C. Southwestern boosts capacity with new Texas plant. «Pit and Quarry», 1960, 53, № 1, 164—169, 172 (англ.). Фирма Southwestern Portland Cement Company построила в г. Одесса (шт. Техас) новый цементный э-д мощностью ~210 тыс. т цемента в год. Э-д работает по сухому способу и оснащен вращающейся пещью размером $3,45 \times 120 \text{ м}$. К особенностям тех-

нологич. схемы относится тщательный контроль произ-ва с применением новейшей техники рентгенографии. Контроль качества на всех стадиях произ-ва осуществляется с центрального пюита управления, установленного в заводской лаборатории. Автоматич. пробоотборники регулярно отбирают пробы материала, выходящего из сепаратора сырьевой мельницы. Кроме того, ежедневно определяется содержание основных компонентов в сырьевой смеси. Анализ проводится автоматически с помощью рентгеноскопич. установки спец. конструкции («рентгено-спектрограф»). Другой особенностью технологии является отсутствие бункеров на сырьевых мельницах. Сырье после одностадийного дробления штабелируется, здесь же перемешивается и по системе закрытых транспортеров поступает прямо в мельницу. Б. Лейман

9K382. Новая техника в производстве бетона. Apitzsch Wolfgang. Neue Technik in der Betonindustrie. «Baustoffindustrie», 1960, 3, № 9, 175—176 (нем.). Описана технология произ-ва бетонных труб с предварительно напряженной арматурой. Л. Лифшиц

9K383. Исследования контактных слоев цементного камня в бетоне. Матвиенко А. Д., Лещинский М. Ю., Чернышев Ю. П. «Изв. высш. учеб. заведений. Стр.-во и архитек.», 1960, № 4, 83—87. Петрографич. и термографич. методами исследования обнаружено, что контактные слои цементного камня характеризуются повышенным содержанием известковых соединений, причем эти слои могут состоять не только из портландита ($\text{Ca}(\text{OH})_2$), но и из CaCO_3 . В. Савельев

9K384. Изучение прочностных характеристик крупнопористого бетона ультразвуковым импульсным методом. Воробьев Ю. Л., Степаненко М. Г. «Тр. Харьковск. ин-та инж. ж.-д. трансп.», 1960, вып. 39, 67—74

9K385. Определение физико-механических свойств растворов и бетонов резонансным методом. Петков В. д. ч. Използуване на резонансни звуков метод за определение на физико-механичните свойства на разтворите и бетоните. «Строителство», 1960, 7, № 5, 23—26 (болг.)

9K386. Применение ультразвукового прибора-бетоноскопа для исследования бетонных канализационных труб. Kuczyński Jędrzej, Pyszniak Józef. Zastosowanie betonoskopu ultradźwiękowego do badania wytrzymałości betonowych rur kanalizacyjnych. «Gaz, woda i techn. sanit.», 1960, 34, № 10, 382—388 (польск.)

9K387. Защитные покрытия на основе гидрофобных материалов, перхлорвиниловых и эпоксидных лаков и эмалей. Плунгянская М. Н. «Тр. Н.-и. ин-та бетона и железобетона Акад. стр.-ва и архитект. СССР», 1960, вып. 15, 103—109. Изучалось качество покрытий бетона фасадными перхлорвиниловыми красками марки ХФ, перхлорвиниловыми и эпоксидными лаками и эмалями, наносимыми непосредственно на бетон, на гидрофобизированную р-ром ГКЖ-94 в уайт-спирите поверхность, на битуминоэтинолевый грунт или на грунт ВХГМ. Краски ХФ, наносимые на бетон, пропиаемы при длительном воздействии воды; этот дефект смягчается при нанесении красок на обработанную поверхность. Приводятся сравнительные данные о пропиаемости и сопротивлении истиранию лаковых и эмалевых покрытий при различных видах грунта. Рекомендуется применение грунтов на основе холодных р-ров битумов. Е. Штейн

9K388. Пост промышленности товарного бетона. Ray B. J. Ready mixed concrete an expanding industry. «Public Works and Muck Shifter», 1960, 18, № 10, 401—404, 406—407 (англ.). Приводятся данные о развитии произ-ва товарного бетона в Англии. Описывается оборудование, применяемое на э-дах товарного бетона, и

транспор-
ставку б

9K389. на. Plo-
crete. «C-
289 (англ.)
позволяет
тонных с
роватных
тура сост-
нем вибр-
что движ-
вибрация
странств
обрабат-
деленное
съемную
и уплот-
ный лот-
этом пре-
из нижн-
тонной с
бообраба-
денные
консисте-
кое соот-
лотке, с
мости б

9K390. вних из
Syrjälä
betonoin-
Valtion
(финск.)
9K391.
водопог-
J. Aggre-
bulk den-
219—222
369 (англ.)
соединя-
пользова-
визимос-
быть по-
внутри,
вается,
делаться
ни час-
при пре-
цловну
пользо-
кой аб-
няются
ристич-
чистлен-
же абс-

9K392.
бетона.
Effects
Amer. С.
Экспер-
полнито-
различ-
исполь-
зерен и
Содерж-
525 $\text{кг}/\text{м}^3$
тия бет-
жащих
всегда
мером
по мер-
мечает

транспортные средства, обеспечивающие быструю доставку бетона высокого качества на стройки.

В. Левман

9K389. Определение удобообрабатываемости бетона. Plo w m a n J. M. Measuring the workability of concrete. «Cement, Lime and Gravel», 1960, 35, № 10, 285—289 (англ.).—Сконструирован прибор и описан метод, позволяющий определять удобообрабатываемость бетонных смесей, укладываемых вибрированием в армированные конструкции. Примененная автором аппаратура состоит из наклонного лотка с закрепленным на нем вибратором. Наклонный лоток сконструирован так, что движение по нему бетонной смеси под действием вибрации моделирует укладку бетонной смеси в пространство между арматурой. Для определения удобообрабатываемости бетона на весах взвешивается определенное кол-во бетонной смеси, которая засыпается в съемную форму, находящуюся в верхней части лотка, и уплотняется вручную по стандарту. Затем наклонный лоток подвергается вибрированию, фиксируя при этом время (в секундах), необходимое для истечения из нижней части лотка половины исходного веса бетонной смеси, которое принимается за показатель удобообрабатываемости. Предварительные опыты, проведенные с бетонными смесями, имеющими различные консистенцию и гранулометрич. состав, показали близкое соответствие данных, полученных на наклонном лотке, с результатами определения удобообрабатываемости бетонных смесей методом осадки конуса.

В. Горшков

9K390. Температурные изменения в бетоне в условиях зимнего бетонирования. Pihlajavaara S. E., Syrjälä Heikki. Betonin lämpötilanmuutokset talvi-betonointiolosuhteissa. Teoriaa ja sovellutusta. «Julk. Valtion tekn. tutkimuslaitos», 1960, № 50, 93 S., ill. (финск.; рез. англ.).

9K391. Заполнители для бетона. Удельный вес, водопоглощение, насыпной вес. Singleton-Green J. Aggregates for concrete. Specific gravity, absorption, bulk density. «Cement, Lime and Gravel», 1960, 35, № 8, 219—222; «Quarry Managers' J.», 1960, 44, № 9, 357—360 (англ.).—Приведены практич. соображения, касающиеся методики расчета бетонных смесей при использовании заполнителей различной влажности. В зависимости от содержания влаги заполнитель может быть полностью сухим, воздушно-сухим, насыщенным внутри, но сухим по поверхности и влажным. Указывается, что удельный вес заполнителя должен определяться в насыщенном воздушно-сухим состоянии частиц. Большинство заполнителей, используемых при произ-ве бетонных работ, имеет низкую абсорбционную способность по отношению к воде. При использовании сухого заполнителя, обладающего высокой абсорбционной способностью, значительно изменяются удобоукладываемость и прочностные характеристики бетона. Приведены расчетные ф-лы для вычисления уд. веса, процентного содержания пор, а также абсолютного объема заполнителя. В. Горшков

9K392. Влияние размера заполнителя на свойства бетона. Walker Stanton, Bloem Delmar L. Effects of aggregate size on properties of concrete. «J. Amer. Concrete Inst.», 1960, 32, № 3, 283—298 (англ.).—Экспериментально исследовано влияние размера заполнителя на изменение физ.-мех. свойств бетонов при различном расходе цемента. В качестве заполнителя использовался кварцевый гравий, максим. крупность зерен которого соответствовала 9,5, 19, 38 и 63,5 мм. Содержание цемента в бетоне составляло 262, 392 и 525 кг/м³. Опытами показано, что прочность при сжатии бетонов с расходом цемента 392 и 525 кг/м³, содержащих заполнитель с максим. размером 38 и 63,5 мм, всегда ниже, чем прочность бетона на заполнителе размером 19 мм. Для бетона с расходом цемента 262 кг/м³, по мере повышения максим. размера заполнителя, отмечается увеличение прочности при сжатии. Анало-

гичная зависимость получена для бетонов, содержащих воздушно-вовлекающие добавки. Для данного В/Ц прочность бетона снижается по мере увеличения максим. размера крупного заполнителя. Отношение между прочностью бетона и максим. размером заполнителя изменяется в зависимости от характера заполнителя. Снижение прочности, вследствие использования крупных заполнителей, в большинстве случаев отмечено для бетонов с высоким содержанием цемента. Данные по определению усадки при сушке показывают повышение объемных изменений бетонов, приготовленных на крупных заполнителях.

В. Горшков

9K393. Производство аглопорита из котельных шлаков в агломерационных чашах. Гофман В. В., Дергилева В. Е. «Строит. материалы», 1960, № 11, 28—29

9K394. Влияние поверхности заполнителей на прочность бетона при разрыве. Викторов А. М. «Бетон и железобетон», 1960, № 10, 481—482.—Определена прочность на разрыв и характер поверхности раскола бетонных образцов на портланд- и пуццолановом цементе марки 400 и щебне разного типа с окатанной и шероховатой поверхностью. Предлагается методика, позволяющая оценивать относительную степень сцепления цементного теста с заполнителем. М. Степанова

9K395. Отвалные доменные шлаки в качестве заполнителей для гидротехнического бетона. Стольников В. В., Значко-Яворский И. Л. «Строит. материалы», 1960, № 9, 25—28.—Исследована возможность использования отвалных доменных шлаков металлургич. з-дов Юга в качестве местного щебня и песка для гидротехнич. бетона. Проведено комплексное хим., петрографич. и физ.-мех. исследование исходных шлаков, а также изучение их в гидротехнич. бетонах лабор. изготовления для различных зон сооружений. Подтверждена принципиальная возможность использования шлаковых заполнителей в гидротехнич. строительстве. В. Савельев

9K396. Нижние доменные шлаки в производстве шлаковой пемзы. Перятинский Г. Ф., Дернова М. А., Розовский А. Д. «Строит. материалы», 1960, № 10, 27.—Опытами, проведенными в цехе шлаковой пемзы треста Магнитострой, установлена возможность использования нижних доменных шлаков в произ-ве шлаковой пемзы. Применение нижних доменных шлаков позволяет, не ухудшая качества шлаковой пемзы, увеличить производительность установки и снизить себестоимость продукции. М. С.

9K397. Повышение прочности и улучшение качества шлакобетона.—«Цзяньчжу, Jianzhu», 1960, № 11, 26—27 (кит.).—Отмечается, что прочность шлакобетона, активированного на бегунах, зависит от следующих факторов: кол-ва добавляемой воды, степени помола составляющих, кол-ва и вида добавок; кол-во воды, в свою очередь, зависит от вида шлака, состояния его поверхности. Установлены следующие пределы расхода воды—для тяжелых гранулированных шлаков 13—17%, для пористых гранулированных шлаков 15—22%. Прочность р-ра и бетона, активированного на бегунах, прямо пропорциональна степени (продолжительности) помола компонентов. В качестве активизирующих добавок рекомендуется использовать цемент, известь, гипс и хлористый кальций. Для бетонов марки 200 и ниже рекомендуется вводить 7—10% активизирующих добавок (от веса шлака), для бетонов марки > 400—10—15%. Для предотвращения коррозии арматуры, вызываемой действием CaCl₂, рекомендуется в качестве активизирующих добавок использовать известь, портланд-цемент марки 400 и пуццолановый цемент. При введении 1,5% CaCl₂ необходимо для нейтрализации его действия на арматуру вводить > 10% цемента. В. Требухин

9K398. Изучение физико-механических свойств гипсобетонов на шлаковом заполнителе, применяемых для кладки наружных стен. Komarnicki Edward. Badania nad stalymi materialowymi gipsobetonów żuźlowych stosowanych do ścian zewnętrznych. «Cement. Wapno. Gips», 1960, 15, № 9, 249—253 (польск.: рез. русск., франц.).

9K399. Использование золы-уноса во Франции. Jarrige A. Les résultats de l'emploi des cendres en France. «Flamme et thermique», 1960, 12, № 142, 23—26, 34—40 (франц.).—См. РЖХим, 1960, № 16, 66278.

9K400. О контроле качества бетона. Warris Birger. Zur Güteüberwachung des Betons. «Betonstein—Ztg», 1960, 26, № 11, 477—480. Diskuss., 480 (нем.).

9K401. Бетон для строительства плотины Юта. Миура Кисси, Исава Кэндзи. «Семэнто конкрито, Cement and Concrete», 1960, № 161, 32—40 (японск.).

9K402. Использование вибрирования в производстве сборного бетона. Wettern Eric F., Mitchell G. S. Die praktische Anwendung des Rüttelns bei der Betonstein—Herstellung. «Betonstein—Ztg», 1960, 26, № 11, 483—491 (нем.).

9K403. Уплотнение бетона на вибростоле. Walz Kurt. Verdichten von Beton aus Leichtzuschlägen auf Rütteltischen. «Betonstein—Ztg», 1960, 26, № 11, 491—494. Diskuss., 494 (нем.).

9K404. Высыхание газобетонов различного вида с учетом наличия обработки наружной поверхности. Kristén Th., Gottschalk J. Die Austrocknung verschiedener Gasbetonarten unter Berücksichtigung der Oberflächenbehandlung. «Betonstein—Ztg», 1960, 26, № 10, 415—420 (нем.; рез. англ., франц.).—Для определения теплозащитных свойств ячеистых бетонов исследовалась интенсивность водоотдачи газобетонов (ГБ) различного вида и марок 25 и 50 в срок до 1,5 лет при различных влажностных и температурных условиях. Образцы (стены, кубы, стелы) оштукатуривались, обрызгивались силиконами, покрывались пластмассами или оставались с необработанной поверхностью. Установлено, что интенсивность влагоотдачи из образцов размером $10 \times 10 \times 10$ см, оштукатуренных с одной стороны и с гидроизоляцией остальных плоскостей, была такой же, как и стенок толщиной в 20 см, оштукатуренных с двух сторон. Влияние атмосферных условий и колебаний т-ры невелико. Быстрее всего теряют воду образцы с необработанной поверхностью и при обработке силиконами, медленнее всего — образцы с цементной штукатуркой и с пластмассовым покрытием. Весьма существенное влияние оказывает вид ячеистого бетона. Наиболее интенсивно отдают влагу цементные ГБ марки 25, а наименее интенсивно — газозоло- и газопшлакосиликатные марки 50. Промежуточное положение занимают цементный ГБ марки 50 и ГБ марки 50 на цементно-известковом вяжущем. Целесообразно во всех случаях оставлять наружную поверхность бетонной конструкции как можно дольше необработанной.

9K405. Освоение производства и применение арболита — нового конструктивного и теплоизоляционного материала. Юрченко В. И. «Строит. материалы», 1960, № 11, 23—24.—Приведена технологич. схема и описан способ получения арболита — легкого бетона на цементном или местном вяжущем с древесным заполнителем (отходами деревоперерабатывающих предприятий).

9K406. Производство и применение глиносилкатных конструкций для крупнопанельного строительства. Новиков П. Ф., Медер В. А., Скатынский В. И. «Строит. материалы», 1960, № 10, 3—5.

9K407. Свойства дорожных асфальтов. Часть II. Welborn J. York, Halstead Woodrow J. Properties of highway asphalt. Part II. Various penetration grades. «Public Roads», 1960, 31, № 4, 73—85, 99

(англ.).—Приведены результаты изучения свойств асфальтовых материалов с числами пенетрации 60—70, 70—85, 120—150 и 150—200, производимых в США. Часть I см. РЖХим, 1960, № 19, 78234.

9K408. Активированные цементно-песчаные растворы и раздельная укладка составляющих бетона. Бернштейн С. А. «Тр. Укр. н.-и. ин-та органич. и механиз. шахт. стр-ва», 1959, вып. 10, 114—131.—Исследовались наиболее рациональные параметры виброактивации (ВА) цементного теста (из портланд-цемента и БТЦ) и цементно-песчаных р-ров, процессы структурообразования и свойства активированных р-ров, а также основные параметры технологии раздельного бетонирования. ВА осуществлялась в вибромельнице без мелющих тел и в вибротурбулентном одновальном активаторе. ВА значительно повышает прочность цементного камня (при В/Ц < 0,3). Повышение прочности объясняется диспергированием частиц цемента и пластифицированием цементного теста, особенно БТЦ, что, очевидно, объясняется повышенным содержанием С₃A. Оптимальная продолжительность ВА в проведенных исследованиях составила 10 мин. Не следует стремиться к увеличению частоты колебаний сверх обычной. При введении добавок CaCl₂ и Na₂SO₄ значительно уменьшается эффект пластификации. Целесообразна также ВА цементно-песчаных растворов смесей, причем больший эффект достигается при увеличении модуля крупности песка. Значительное повышение прочности бетона наблюдается при приготовлении бетонных смесей в вибромельнице. В результате ВА значительно возрастает пластичность цементного теста и растворов смесей. ВА способствует повышению прочности, однородности, устойчивости и уменьшению водопоглощения. Применение ВА и метода раздельной укладки растворов смесей и крупных заполнителей приводит к весьма существенному повышению прочности бетона в сухом состоянии.

9K409. Изучение коррозионной устойчивости цементного раствора с добавкой порошкообразного алюминия. Пелихов Г. В. «Тр. Харьковск. ин-та инж. ж.-д. трансп.», 1960, вып. 39, 83—87.—Коррозионная стойкость расширяющегося цементного р-ра с добавкой 0,1% алюминиевой пудры изучалась в 10%-ном р-ре Na₂SO₄, 5%-ных MgSO₄ и MgCl₂ и натуральной грунтовой воде Харькова. Установлено, что цемент без добавки Al в 10%-ном р-ре Na₂SO₄ и 5%-ном MgCl₂ обладает средней хим. стойкостью; в 5%-ном MgSO₄ и харьковской грунтовой воде — высокой стойкостью. Цемент с добавкой 0,1% Al имеет высокую хим. стойкость лишь в 10%-ном р-ре Na₂SO₄; в 5%-ном MgCl₂ и харьковской грунтовой воде обладает средней стойкостью; в 5%-ном MgSO₄ образцы его показывают низкую хим. стойкость.

9K410. Исследование поведения гипсо-известково-песчаных растворов. Volkart Karlheinz. Untersuchungen über das Verhalten von Gips-Kalk-Sand-Mörteln. «Bauwirtschaft», 1960, 14, № 36, 815—821 (нем.).—Изучалось изменение поверхностной твердости (Т) образцов размером $4 \times 4 \times 16$ см и $10 \times 10 \times 2$ см, изготовленных из гипсо-известково-песчаных р-ров состава от 2:1:3 до 0,2:1:3 (гипс: известковое тесто: песок, по объему), в зависимости от степени влажности образцов, а также изменение их объема. Степень влажности воздуха при т-ре 18° изменялась от 45 до 80%, будучи в большинстве случаев равной 70%. Р-ры с содержанием гипса не менее 0,5:1:3 достигают при нормальной влажности воздуха 70% конечной величины Т не позднее 21 суток с момента изготовления. При меньшем содержании гипса величина Т составляет ~50% от конечной. Т р-ров увеличивается с повышением содержания в них вяжущего и гипса. Если принять среднюю величину Т р-ра состава 0,2:1:3 за единицу, то Т р-ра с наибольшим содержанием гипса

(в 10 раз) стью обра- всех сост- ленном, а Чем боль- хание и, при нахо- воду осно- основани- от Т обу- причём Т- ли. Все с- ли усадк- личением- разцы — ми облад- 9K411. Chatte N. K. Ind 369—378

9K412. Учебник Колок 304 стр.

9K413. книг домо- ко Е. Р. илл., 1 р

9K414. ра. Eir zur Herz 25.02.60. весть (И- скребки правлен- гашения) чем сраз- шалку в- Вода для окончан- и скреби- в течен- нии изв- следние тивоточ- лотой, с мой вод- ного из- добавля- до 5% б- минер. 9K415. et instal- de cuis- Франц. са состо- труба в- вия тру- движен- лопасть- перегор- материа- во внут- подаетс- выходе- вей тру- раство- трубы в- ру обо- Движен- но нап- В трет-

(в 10 раз большим) равна 3,66. Связь между влажностью образцов и процессом твердения установлена для всех составов. При влажности $> 1\%$ твердение медленное, а при влажности $< 0,5\%$ — очень быстрое. Чем больше влажность воздуха, тем меньше Т. Высыхание и, следовательно, твердение р-ров ускоряется при нахождении образцов на сухом и всасывающем воду основании. Т образцов, находящихся на влажном основании, составляет в 6—8-часовом возрасте $\sim 20\%$ от Т образцов, установленных на сухое основание, причем Т не изменяется практически в течение недели. Все без исключения растворные образцы показали усадку в размере 0,590—0,016% (уменьшение с увеличением содержания гипса), а чисто гипсовые образцы — расширение (0,026%). Наилучшими свойствами обладал р-р состава 1:1:3.

Г. Копелянский
9K411. Добыча и использование асбеста в Индии. Chatterji A. K., Dhariyal K. D., Patwardhan N. K. Indian asbestos. «Chem. Age India», 1960, 11, № 3, 369—378 (англ.)

9K412. Производство минеральных вяжущих. [Учебник для стрит. техникумов]. Воробьев В. А., Колокольников В. С. М., Госстройиздат, 1960, 304 стр., илл., 8 р. 15 к.

9K413. Строительные материалы из огнеупорных доменных шлаков. Карташов Н. А., Тищенко Е. И. Свердловск, Книгоиздат, 1960, 102 стр., илл., 1 р. 60 к.

9K414. Способ производства известкового раствора. Eirich Wilhelm, Eirich Gustav. Verfahren zur Herstellung von Kalkmörtel. Пат. ФРГ 1064861, 25.02.60.—Способ отличается тем, что обожженная известь (И) смешивается в быстросхватывающей мешалке, скребки которой вращаются в противоположных направлениях, со стехиометрически необходимым для гашения И кол-вом холодной или горячей воды, причем сразу по окончании бурной р-ции гашения в мешалку вводится высушенный или влажный песок (П). Вода для получения растворной смеси добавляется по окончании смешения И с П. Число оборотов мешалки и скребков увеличивается на 50—100% временами или в течение всего процесса смешения. При изготовлении известкового р-ра с гидравлич. компонентами последние вводятся в тонкоразмолотом состоянии в противоточную мешалку, где смешиваются с тонкоразмолотой, отсеянной обожженной И и доливаемой водой гашения. Для получения битуминизированного известкового р-ра к И, подвергаемой гашению, добавляется в момент достижения наивысшей т-ры до 5% битума от веса И. К битуму добавляется до 10% минер. масла.

Е. Штейн
9K415. Установка для получения гипса.—. Procédé et installation pour la fabrication du plâtre et produits de cuisson analogues. [Pierre-Henri-Charles Belverge]. Франц. пат. 1212037, 21.03.60.—Печь для обжига гипса состоит из двух труб, расположенных по принципу: одна в трубе и вращающихся одновременно. Внутренняя труба оборудована винтом, обеспечивающим продвижение материала, а наружная — направляющими лопастями; кроме этого, наружная труба разделена перегородками на три камеры. Сырой измельченный материал размером до 15 мм поступает через теку в внутреннюю трубу, сюда же из печи и дымохода подается горячий газ. Т-ра газа в печи 900—1000°, на выходе из трубы 150°. В процессе обжига во внутренней трубе образуется смесь дигидрата, полугидрата, растворимого и нерастворимого ангидрита. В конце трубы через спец. отверстие и промежуточную камеру обожженный материал попадает во вторую трубу. Движение материала во второй трубе противоположно направлению движения материала в первой трубе. В третьей камере наружной трубы, в зоне вторичного

обжига, пары воды, выделившиеся из крупных зерен, соединяются с растворимым ангидритом с образованием полугидрата и нерастворимого ангидрита. Т-ра на выходе второй трубы 170°. Нужную т-ру в первой трубе поддерживают, регулируя т-ру газов на входе, кол-во подаваемого материала и разрежение на выходе.

И. Кузнецова
9K416. Получение гипсовых изделий из пластичных масс.—. Utilisation du plâtre par expression. [René-Marie Berthier]. Франц. пат. 1220003, 20.05.60.—Предлагается получать прочные изделия путем применения пластичных масс, состоящих из гипса и воды в кол-ве гораздо большем, чем нужно для процессов гидратации и схватывания гипса. Масса, заполнившая форму, подвергается давлению с целью удаления из нее воды. Прилагаемое давление должно быть небольшим, постоянным и равномерным по всему объему. При нормальном ходе процесса изделия вынимаются из формы, как только процесс удаления воды закончился, т. е. когда на поверхности изделия не будет наблюдаться следов «отпотевания». Для увеличения срока схватывания гипса вводят различные замедлители. При изготовлении изделий можно применять заполнители и арматуру.

И. Кузнецова
9K417. Способ изготовления гипсовых плит с облицовочными гипсовыми сердечниками. Лапшин П. В. Авт. св. СССР 124863, 12.12.59.—Предлагается способ изготовления облицовочных и теплоизоляционных гипсовых плит толщиной 30—100 мм с картонной или бумажной обложкой и облицовочным сердечником из газогипса об. в. 650 кг/м³. С целью улучшения сцепления сердечника с обложкой в процессе формирования между обложкой и сердечником вводят слой гипсового р-ра толщиной 2 мм с добавками пластификаторов.

М. Степанова
9K418. Получение быстросхватывающегося вяжущего материала, устойчивого к агрессивным агентам.—. Procédé de fabrication d'un liant à prise rapide résistant aux agents agressifs. [Soc. des Ciments de la Porte de France]. Франц. пат. 1209787, 3.03.60.—В качестве быстросхватывающегося вяжущего материала рекомендуется смесь из 50% тонкомолотого доменного шлака и 50% быстросхватывающегося цемента. Начало схватывания смеси через 5, конец схватывания через 10—15 мин. при т-ре 18°. Для смеси из 30% быстросхватывающегося цемента и 70% доменного шлака начало схватывания наступает через 15—20 мин., конец — через 1 час 30 мин.

И. Кузнецова
9K419. Устройство для обезвоживания, предварительного подогрева, декарбонизации или спекания карбонатных или сульфатных горных пород или цементного сырья. Rusche Hans. Vorrichtung zum Entwässern, Vorwärmen, Entsäuern oder Sintern von karbonatischen oder sulfatischen Gesteinen oder Zementrohstoffen. Пат. ФРГ 1066474, 31.03.60.—Устройство отличается наличием горизонтального вращающегося барабана, на одном конце которого имеется отверстие для загрузки сырья и выгрузное приспособление для теплообменных тел (ТТ), а на другом — отверстие в торцевой стенке для разгрузки нагретого продукта и отверстие для питания ТТ. Описанное устройство сконструировано таким образом, что загрузочное отверстие для сырья уже, чем разгрузочное, и питающее отверстие для ТТ расположено выше, чем выходящее. Таким образом, сырье скатывается по слою ТТ к противоположному концу барабана. На незначительном расстоянии от торцевой стенки расположена на стороне разгрузки нагретого сырья подпорная стенка с центральным отверстием в ней, снабженная прорезями и отверстиями. Ширина прорезей и диаметр отверстий меньше самого мелкого ТТ и крупнее самого крупного зерна нагреваемого сырья. На торцевой стенке со стороны подачи сырья или на небольшом от нее расстоянии расположены по периметру барабана ковши

с прорезями и отверстиями, по размеру меньшими самого мелкого ТТ. Внутри барабана имеются отверстия, через которые удаляются газы, а сырье и ТТ задерживаются в барабане.

Е. Штейн

9K420. Способ проведения эндотермического процесса на спекательной ленте. Meyer Kurt, Rausch Hans. Verfahren zur Durchführung endothermer Prozesse auf dem Sinterband. [Metallgesellschaft A.-G.]. Пат. ФРГ 1069579, 12.05.60.—Для дополнительного подвода тепла рекомендуется просасывать горячие газы через обжигаемый материал, содержащий в своем составе твердое топливо. В зависимости от вида твердого топлива доля горячих газов в общем расходе тепла составляет 20—60%. Короб, в который подводятся газы, должен перекрывать 15—60% всасывающей поверхности спекательной ленты. Горячие газы должны содержать в своем составе кислород в кол-ве, обеспечивающем одновременное сгорание твердого топлива, находящегося в обжигаемой смеси.

Г. Копелянский

9K421. Твердеющая масса и изделия из нее. Mélange durcissable et produits obtenus à partir de ou par application de ce mélange. [Samuel Guyot, dit Saint-Maur]. Франц. пат. 1227416, 19.08.60.—Предлагается способ получения твердеющей массы на основе цемента и синтетич. смол (в частности, полиэфирных), полимеризующихся при нормальной т-ре с добавками катализаторов или регуляторов скорости полимеризации. В качестве заполнителей могут вводиться тальк, молотый песок, гравий, а также красители и металлич. пудра. Получающаяся пластичная масса (состав не приведен) может формироваться вручную и использоваться для декоративных целей.

М. Степанова

9K422. Применение кристаллических затравок для ускорения схватывания и твердения цементов, строительных растворов и бетонов. Filčáková Elena, Běchyně Stanislav, Patzel Josef. Způsob výroby oškovacích krystalických zárodků pro urychlení tuhnutí a tvrdnutí cementů, malt a betonů. Чехосл. пат. 92438, 15.10.59.—Предлагается следующий способ приготовления кристаллич. затравок. Готовят цементное тесто с 25% воды. Затем разрезают его на несколько частей. Каждую часть помещают в термостаты с соответствующими температурами пара 80, 50, 25 и 20°. После соответствующего срока твердения образцы смешиваются и размалываются до высокой дисперсности. Полученный таким путем тонкодисперсный порошок в кол-ве 2% по весу добавляется к цементу.

Я. Сатуновский

9K423. Способ изготовления активированного шлакобетона. Matoušek Milan, Pokorný Adolf Gustav. Spůsob přípravy aktivovaného škvarového betonu. Чехосл. пат. 92499, 15.10.59.—Предложен способ изготовления активированного шлакобетона из котельного или агломерированного шлаков (Ш) путем активации на бегунковых смесителях. Измельченные Ш рассыпаются на ситах с отверстиями 2—7 мм. Фрак-

ция < 3 мм применяется для изготовления активированного вяжущего в-ва, более крупная добавляется в вяжущее в-во в качестве заполнителя. Для улучшения качества активированного бетона добавляют алкилнафталенсульфонат натрия. Для изготовления обычного шлакобетона для фасонного кирпича, потолочных перекрытий, блоков и т. д. указаны следующие смеси: 250 кг воздушно-сухого буроугольного Ш с размером частиц 0—3 мм 50 кг. После обработки смеси на бегунах к ней добавляют шлак с таким расчетом, чтобы получалась масса нужной удобообрабатываемости.

Я. Сатуновский

9K424. Улучшение ухода за бетоном. Shoop Stanley. Improvements connected with the curing of concrete. [John Laing & Son Ltd]. Англ. пат. 846885, 31.08.60.—Для предотвращения потери воды твердеющим бетоном его поверхность обрабатывается различными защитными пленкообразующими в-вами. В целях улучшения свойств таких покрытий предлагается вводить в состав пленкообразующего в-ва эмульсию порошкообразного алюминия в органич. р-рителе (напр., четыреххлористом углеводе или трихлорэтилене). Для защиты покрытия от разрушительного действия щел. солей, содержащихся в свежем бетоне, рекомендуется также вводить гидрофобную добавку типа стеарата кальция или цинка. Примерный состав предлагаемого защитного покрытия: на 100 вес. ч. обычно применяемого пленкообразующего в-ва — 2 вес. ч. порошкообразного алюминия, 2 вес. ч. CCl_4 , 0,5 вес. ч. стеарата кальция (или 1 вес. ч. стеарата цинка).

Б. Левман

9K425. Способ получения строительных изделий. Procédé de fabrication d'agglomérés. [Soc. An. pour la Fabrication des Produits Asphaltoid]. Франц. пат. 1229396, 6.09.60.—Заполнитель (щебень, гравий, песок, пробковая крошка) смешивается всухую с порошкообразным вяжущим (битумом, гудроном, смолами, пластмассами). К смеси добавляется р-ритель в кол-ве, обеспечивающем частичное увлажнение смеси и создание жидкой фазы на поверхности контакта зерен заполнителя с вяжущим. В состав смеси могут вводиться красители, гидрофобные добавки. Из смеси формируются изделия произвольной формы.

М. Степанова

См. также: Конвективный теплообмен во вращающихся печах 9И51. Влияние хим. реагентов на эффективность измельчения в шаровой мельнице 9И84. Автоматич. контроль процесса замеса бетона 9И111. Автоматизация вращающейся печи 9И137. О коррозии арматуры в железобетоне 9И151. Защитные свойства цементного р-ра 9И210. Коррозионностойкие цементы и их применение 9И211. Восстановление гипса или ангидрида серой или сероводородом 9К52. Смолы, применяемые в дорожном строительстве 9М85. Развитие технич. условий на дорожные битумы 9М182. Роль наполнителя в асфальтовых смесях 9М185

Р Е

Рефера

ПРОМ

Реда

9Л1. Charles «Canad. 103 (англ. наде хим. реактив).

9Л2. теза. Фу 109у, 196 9Л3. n a s a k a (Japan), Библ. 22

9Л4. 5,5-димети 5,5-dimeti ting agen Prod., 19

бром-5,5-д (1) може бром аи; 3) э вторичны агент им имидом (дуктов б ния). Пр которые 9Л5. техимиче «Абура н 1960, 9, 3

9Л6. с органи чение ин тийорган этиллити Hubbu Wilhel alkylen bindunge stoffe üb addition le», 1960, алкилти

РЕФЕРАТИВНЫЙ ЖУРНАЛ ХИМИЯ

VI

Рефераты 9Л1—9Л578

№ 9

10 мая 1961 г.

Л. ТЕХНОЛОГИЯ ОРГАНИЧЕСКИХ ВЕЩЕСТВ

ПРОМЫШЛЕННЫЙ ОРГАНИЧЕСКИЙ СИНТЕЗ

Редакторы Т. В. Кострома, З. Н. Пудельман,
С. З. Тайц, Б. П. Фабричный

9Л1. Химический завод в Монсанта. Graham Charles R. Monsanto — as diverse as they can make it. «Canad. Chem. Process.», 1960, 44, № 8, 58—59, 101—103 (англ.).—Приведено описание крупнейшего в Канаде хим. з-да в Монсанта, производящего различные реактивы, фармацевтич. препараты и полимеры.

Е. Замбровская
9Л2. Теплотехника на заводах органического синтеза. Фукао Ясутакэ. «Кагаку кодзэ, Chem. Factory», 1960, 4, № 2, 38—41 (японск.).

9Л3. Новое применение производных фтора. Funasaka W., Ando T. «Кагаку кодзэ, Chem. Ind. (Japan)», 1960, 11, № 2, 118—123 (японск.).—Обзор. Библ. 22 назв.

Г. Д.
9Л4. Полезный бромлирующий агент — 1,3-дибром-5,5-диметилгидантоин. Reed R. A. A useful brominating agent 1:3-dibromo-5:5-dimethylhydantoin. «Chem. Prod.», 1960, 23, № 7, 299—302 (англ.).—Обзор. 1,3-ди-

бром-5,5-диметилгидантоин $(\text{CH}_3)_2\text{CNBrC}(=\text{O})\text{NBrC}(=\text{O})$ (I) может участвовать в р-циях 4 типов: 1) аллильное бромирование; 2) гипобромирование двойной связи; 3) замещение активного H на Br; 4) окисление вторичных спиртов в кетоны. I как бромлирующий агент имеет ряд преимуществ перед N-бромсукцинимидом (большая устойчивость, лучшие выходы продуктов бромирования, большая легкость их выделения). Приведены примеры перечисленных р-ций и некоторые цифровые данные. Библ. 40 назв. Н. Майер

9Л5. Применение хроматографии на бумаге в нефтехимической промышленности. Nose Yoshiharu, «Абура кагаку, Yūkagaku, J. Japan Oil Chemists Soc.», 1960, 9, № 1, 19—24 (японск.).—Обзор. Библ. 32 назв.

9Л6. Получение алкиллития и взаимодействие его с органическими галогенидами соединениями. II. Получение индивидуальных углеводородов с помощью литийорганических соединений. Полиаддукты этилена и этиллития. Terres Ernst, Felde Ursula vom, Hubbuch Klaus, Frank Hildegard, Meyer Wilhelm. Zur Kenntnis der Darstellung von Lithiumalkylen und deren Umsatz mit organischen Halogenverbindungen. II. Darstellung definierter Kohlenwasserstoffe über lithiumorganische Verbindungen. Die Polyaddition von Äthylen an Lithiumäthyl. «Erdöl und Kohle», 1960, 13, № 3, 160—163 (нем.).—В результате р-ции алкиллития с алкил- или аллилхлоридами образуются

продукты определенного строения, в то время как взаимодействие алкиллития с соединениями, в которых атом галоида стоит при двойной связи, протекает сложнее и наряду с газообразными продуктами р-ции образуются высокомолекулярные продукты. Взаимодействие CH_3Li с этиленом протекает по иному механизму, чем с его более высокомолекулярными гомологами, имеющими неразветвленную цепь. Алкиллитий и CH_3COCl в зависимости от условий р-ции образуют метилалкилкетоны или метилдиалкилкарбинолы. Углеводороды, образующиеся в качестве побочных продуктов р-ции, невозможно отделить перегонкой от кетонов. Определение элементного состава отдельных фракций с помощью физ. констант показало, что с увеличением мол. веса фракций содержание в них углеводородов снижается, а кетонов возрастает. Напр., первая фракция содержит 11,4% $\text{C}_4\text{H}_9\text{COCH}_3$ и 88,6% $n\text{-C}_8\text{H}_{18}$, а шестая — 88,4% $\text{C}_{14}\text{H}_{29}\text{COCH}_3$ и 11,6% $n\text{-C}_{18}\text{H}_{38}$. Получаемые карбинолы представляют собой твердые продукты с мол. весом 500—750. Сообщение I см. РЖХим, 1961, 5Л31.

Б. Энглин
9Л7. Аналитическое исследование процесса ректификации изопрена. Dolejšek Z., Grubner O., Hanuš V., Kössler I., Matyska B., Vodehnal J. Analytické sledování rektifikace isoprenu. «Chem. průmysl», 1960, 10, № 11, 571—575 (чешск.; рез. русск., англ.).—Пользуясь газовой хроматографией, масс-спектрометрией и ИФ-спектроскопией, авторы исследовали процесс дистилляции двух образцов технич. изопрена (I), один из которых содержит ~96% I, а второй ~13% I. Найдены условия выделения I, отвечающего по чистоте требованиям, предъявляемым к монопиту. Одновременно, пользуясь приведенными аналитич. методами, произвели оценку выходов I при различных способах дистилляции.

Т. К.
9Л8. Дегидрогенизация n-декана на окисных катализаторах. Тимофеева Е. А., Смирнов В. С., Заева В. И. «Кинетика и катализ», 1960, 1, № 2, 300—305.—Исследовано дегидрирование n-декана (I) в присутствии двух окисных катализаторов, альмохромоного и промышленного K-5, при разных т-рах и объемных скоростях. Найдены условия селективного дегидрирования I на катализаторе K-5, при которых получен катализат с выходом 98,8%, содержащий 11% алкенов, из них 76% приходится на десяти. Ароматич. углеводороды в катализате практически отсутствовали. Парафиновая часть катализата представляет собой непрореагировавший I. Библ. 13 назв.

В. Восяцкий
9Л9. Четкая ректификация катализаторов дегидрирования изопентан-изоамиленовых смесей. Кофман

Л. С., Матвеева Т. Н. «Вестн. техн. и экон. информ. Н.-и. ин-т техн.-экон. исслед. Гос. ком-та Сов. Мин. СССР по химии», 1959, № 2(14), 28—36.—Установлены составы катализаторов с различным содержанием диенов (8—15%). В катализаторах содержатся C_5 -углеводороды нормального строения в кол-вах 5—10% от соответствующих углеводородов изоостроения, в том числе *цис*- и *транс*-пинерилены в соотношении 1:1. При ректификации на колонне с числом теоретич. тарелок ~60 можно 90% изопрена (I) собрать в 50%-ных концентратах, причем половина I выделяется в виде 90—96%-ного концентрата. Азеотроп I + *n*-пентан содержит ~30% *n*-пентана. Путем повторной ректификации фракций катализаторов, содержащих 20—30% I, примерно 85—90% I может быть выделено в виде 80—70%-ных концентратов. При ректификации смеси изомилена и I, содержащей 50% I, более 75% I выделяется в виде 96—99%-ного продукта. Т. Кострома

9Л10. Действие серной кислоты на триметилпентены. Назарова С. С. «Химия и технол. топлив и масел», 1960, № 5, 41—45.—Изучалось поведение триметилпентенов в условиях их образования в процессе «горячей» сернокислотной сополимеризации. Фракции триметилпентенов выделяли методом ректификации из продуктов «горячей» сернокислотной сополимеризации бутанбутиленовой фракции крекинг-газа. Сделав вывод, что одним из основных факторов, обуславливающих сложный состав продукта «горячей» сернокислотной сополимеризации бутилена, являются изомеризация и полимеризация образовавшихся октиленов. Обе р-ции отрицательно влияют на качество получаемого сополимеризата. При изомеризации значительные кол-ва наиболее желательных по антидетонационным свойствам углеводородов (2,4,4- и 2,2,3-триметилпентены) превращаются в менее ценный продукт (2,3,4-триметилпентен). К такому же обеднению сополимеризата ценными компонентами приводит и полимеризация октиленов, так как наибольшей скоростью полимеризации характеризуется 2,2,3-триметилпентен. По скорости изомеризации и полимеризации изученные октилены располагаются в порядке 2,2,3-, 2,4,4-, 2,3,2-триметилпентен. Основным продуктом изомеризации 2,2,3- и 2,4,4-триметилпентенов является 2,3,4-триметилпентен, который является наиболее термодинамически устойчивым из изученных изомеров триметилпентенов. 2,3,4-триметилпентен является вторичным продуктом изомеризации 2,2,3- и 2,4,4-триметилпентенов, образующихся при сополимеризации *изо*- и *н*-бутиленов. И. Рудевская

9Л11. Разработка технологии каталитического дегидрирования изобутана в изобутилен в «кипящем» слое пылевидного катализатора. Алиев В. С., Азизов А. Ф. «Азерб. хим. ж.», 1960, № 3, 77—87 (рез. азерб.).—Исследована дегидрогенизация изобутана (I) в «кипящем» слое пылевидного алюмохромового катализатора (КТ) K-5 при 570—600°, объемной скорости подачи сырья 175—600 на 1 кг в 1 час и фракционном составе КТ 35—100 меш. Установлено, что более высокие выходы изобутилена имеют место при 585—590° и объемной скорости подачи сырья 175—180 в 1 час при использовании I высокой чистоты и конц.-ии. Библ. 7 назв. Т. Кострома

9Л12. Винилиденхлорид. Sonoda Toyohisa. «Нихон кикай гаккайши», J. Japan Soc. Mech. Engrs, 1960, 63, № 497, 848—852 (японск.)

9Л13. Гипохлоритное окисление изобутилена и действие йода на окись изобутилена. Мовсумадзе М. М., Дедусенко Л. С., Тер-Иоанесян Л. А. «Изв. высш. учебн. заведений. Нефть и газ», 1960, № 7, 71—75.—При окислении изобутилена (I) *p*-ром хлорной извести в присутствии катализатора $CoCl_2$ в качестве основного продукта образуется $CHCl_3$. Применение $Ca(OCl)_2$ вместо хлорной извести ведет к уменьшению

выхода жидких продуктов р-ции. Первичным продуктом р-ции является окись I, которую не удается выделить в этих условиях, и она превращается в $CHCl_3$. При взаимодействии окиси I с кристаллич. I_2 образуется сложная смесь полимеров метакрилового альдегида или исходной окиси и $CHCl_3$. Е. Р.

9Л14. Взаимодействие окисей олефинов с гипохлоритами кальция и натрия. Ализаде З. А. «Азерб. хим. ж.», Азерб. хим. ж., 1960, № 4, 63—68 (рез. азерб.).—При взаимодействии окисей олефинов с *p*-рами $Ca(OCl)_2$ и $NaOCl$ в качестве первичного продукта р-ции образуются гликоли, которые далее превращаются в одноосновные жирные к-ты и $CHCl_3$. С увеличением мол. веса окисей выход $CHCl_3$ уменьшается. Библ. 7 назв. Т. Кострома

9Л15. Перспективы ускоренного развития производства метанола по новой технологической схеме. Макаров И. А. В сб. «Развитие производств. сил Вост. Сибири. Хим. пром-сть». М., АН СССР, 1960, 98—100.—Даны характеристика и перспективы внедрения в СССР однопоточной схемы синтеза CH_3OH и деструктивной гидрогенизации топлив с использованием усовершенствованной аппаратуры гидрогенизации. А. Мышкин

9Л16. Очистка этилового спирта, полученного методом прямой гидратации этилена. Далин М. А., Шендеров Р. И. «Хим. пром-сть», 1960, № 4, 275—277.—Установлена возможность очистки синтетич. спирта, получаемого методом прямой гидратации этилена, до кондиций на пищевой спирт, соответствующих ГОСТ 5062-51. Предложена технологич. схема очистки синтетич. спирта, включающая ректификацию товарного спирта, гидрирование основной спирт. фракции и ректификацию спирт. конденсата после гидрирования. Выход спирта 60%. Библ. 5 назв. В. Вонсяцкий

9Л17. Производство и применение бутиндиола-1,4. Rémond J. Le butynediol 1-4 sa fabrication et ses emplois. «Rev. prod. chim.», 1960, 63, № 1273, 215—219, 221 (франц.).—Библ. 29 назв. Предыдущее сообщение см. РЖХим, 1960, № 24, 97517. Г. Д.

9Л18. Получение технических высших алифатических спиртов из сульфитных свиных масел. II. Выделение высших алифатических спиртов с применением азеотропных агентов, не дающих азеотропных систем с высшими спиртами. Bułak Mieczysław, Burczyk Bogdan, Witek Stanisław. Otrzymywanie wyższych alkoholi alifatycznych o czystości technicznej z surowych fuźli posiarzynowych. II. Wydzielanie wyższych alkoholi alifatycznych przy użyciu czynników azeotropujących nie tworzących układów azeotropowych z wyższymi alkoholami. «Chem. stosow.», 1960, 4, № 1, 129—146 (польск.; рез. англ.).—Для выделения безводн. высших спиртов из сульфитных свиных масел применяют азеотропную перегонку с добавкой азеотропобразующего агента, не дающего азеотропов с высшими спиртами. Были испытаны $CHCl_3$ и $CH_3COOC_2H_5$. Последний признан непригодным из-за его высокой смешиваемости с водой. Хорошие результаты получены без добавки спец. агента при использовании отгонки азеотропа изобутанол-вода, однако в этом случае не получают безводн. пропанол. Проведены также опыты по высаливанию высших спиртов, наилучшим высаливающим агентом признан $NaCl$. Приведены подробные результаты различных опытов. Сообщение I см. РЖХим, 1960, № 20, 82546. А. Мышкин

9Л19. Высшие алкильные моноэфиры моно-, ди- и тетраэтиленгликоля. Wrigley A. N., Stirling A. J., Howard Edgar, Jr. Higher alkyl monoethers of mono- to tetraethylene glycol. «J. Organ. Chem.», 1960, 25, № 3, 439—444 (англ.).—Алкильные моноэфиры гликоля общей ф-лы $R(OCH_2CH_2)_n$ (Ia—г $R = n-C_{12}H_{25}$, $n = 1-4$; д—з $R = n-C_{14}H_{29}$, $n = 1-4$; и—м $R = n-C_{16}H_{33}$, $n = 1-4$).

$n = 1-4$; $n-R = n-C_{18}H_{37}$, $n = 1-4$) получены алкилированием соответствующих гликолей (полигликолей) с помощью RBr (способ 1) и $CH_3C_6H_4SO_2OR$ (способ 2), а также (способ 3) взаимодействием со спиртом ф-лы RON в присутствии щел. катализатора. Приведены свойства I [указаны в-во, способ получения, выход в %, т. кип. в $^{\circ}C/мм$, т. зам. в $^{\circ}C$, n_D (в индексе т-ра)]: Ia, 3, 18, 137/2,2, 20,3, 1,4435²⁵; б, 1, 80, 127/0,010, 19,0, 1,4462²⁵; в, 1, 62, 153/0,035, 17,2, 1,4487²⁵; г, 1, 78, 166/0,02, 20,5, 1,4507²⁵; д, 3, 16, 132/0,020, 31,7, 1,4330⁶⁰; е, 1, 80, 146/0,02, 28,5, 1,4352⁶⁰; ж, 1, 61, 156/0,018, 25,2, 1,4373⁶⁰; з, 1, 70, 183/0,018, 28,5, 1,4390⁶⁰; и, 2, 18, 151/1,0 (т. пл. 42,4—43,5), —, 1,4355⁶⁰; к, 1, 58, 154/0,02, 37,0, 1,4373⁶⁰; л, 1, 63, 172/0,013, 30,5, 1,4390⁶⁰; м, 1, 57, 193/0,010, 35,2, 1,4407⁶⁰; н, 2, 16, — (т. пл. 51,5—52,5), —, 1,4381⁶⁰; о, 2, 32, 175/0,1 (т. пл. 44,8—45,3), —, 1,4393⁶⁰; п, 2, 50, 187/0,018, 42,0, 1,4407⁶⁰; р, 1, 76, 214/0,05, 40,8, 1,4416⁶⁰. В ряду Ia—м минимум т-ры замерзания приходится на I, где $n = 3$. Иг, ж, и нерастворимы в воде, но растворимы в C_6H_6 , CCl_4 и спирте. Приведены данные по растворимости некоторых I в изоктане и воде при различных т-рах, а также ИК-спектры I. Распределение продуктов алкилирования $C_{18}H_{37}OH$ окисью этилена не согласуется с ф-лой Флори—Уяссона (см. Flory P. J., J. Am. Chem. Soc., 1940, 62, 4561), но хорошо согласуется с ф-лой Вейбулла—Нюкандера (см. РИХИм, 1957, № 14, 3787) с константой распределения 3,0. Способность $n-C_{12}H_{25}OH$ реагировать с окисью этилена в 1,5 раза выше, чем способность Io. Н. Майер

9120. Поглощение ацетона водой в пенном аппарате. Дроздов Н. П., Кисарова Л. И., Сидельникова Г. И. «Ж. прикл. химии», 1960, 33, № 11, 2609—2612.—Исследован процесс абсорбции водой ацетона, полученного неполным окислением изопропилового спирта, в пенном аппарате. Приведена схема установок. Библ. 11 назв. Т. К.

9121. Декарбоксилирование солей карбоновых кислот. I. Изучение пиролиза торивых солей карбоновых кислот методом меченых атомов. Okubo Masa o, Goto Ryozo. «Нихон какаку дзасси, J. Chem. Soc. Japan. Pure Chem. Sci.», 1960, 81, № 7, 1132—1136, A80 (японск.; рез. англ.).—С помощью меченых атомов C^{14} исследовали процесс декарбоксилирования солей $(RCOO)_2Th$, где $R = H, CH_3, C_2H_5, \text{изо-}C_3H_7, \text{трет-}C_4H_9, C_6H_5, C_6H_5CH_2$; их т-ру разложения определяли манометрич. методом. Получена удовлетворительная согласованность результатов обоих методов за исключением случая, когда $R = H$. Легкость декарбоксилирования $(RCOO)_2Th$ убывает в ряду $C_6H_5CH_2 > CH_3 > > C_2H_5 > \text{изо-}C_3H_7 > C_6H_5 > \text{трет-}C_4H_9$, в такой же последовательности уменьшается относительная скорость щел. гидролиза этиловых эфиров этих к-т. Н. Кульбовская

9122. Этерификация. Peterson Marvin L., Way John W., Carberry James J. Esterification. «Industr. and Engng Chem.», 1960, 52, № 9, 807—811 (англ.).—Обзор. Библ. 62 назв.

9123. Об образовании сложных эфиров. Мидзуки Гийти, Фукава Хироси. «Кёто дайгаку когаку кэнкюсё ихо, Bull. Engng. Res. Inst. Kyoto Univ.», 1959, 16, 93 (японск.).

9124. Сложные эфиры с конечными хлорсодержащими радикалами. Maeshima Toshihisa. «Kogё kagaku dзасси, Kogyo kagaku zasshi, J. Chem. Soc. Japan. Industr. Chem. Sec.», 1959, 62, № 12, 1845—1849 (японск.).—Обзор. Библ. 7 назв. Г. Д.

9125. Сложные эфиры, содержащие конечные нитрогруппы. Maeshima Toshihisa. «Kogё kagaku dзасси, Kogyo kagaku zasshi, J. Chem. Soc. Japan Industr. Chem. Sec.», 1959, 62, № 12, 1853—1855 (японск.).—Обзор. Библ. 14 назв. Г. Д.

9126. Сложные эфиры, содержащие конечные аминагруппы. Maeshima Toshihisa. «Kogё ka-

gaku dзасси, Kogyo kagaku zasshi, J. Chem. Soc. Japan. Industr. Chem. Sec.», 1959, 62, № 12, 1849—1852 (японск.).—Обзор. Библ. 7 назв. Г. Д.

9127. Получение винилацетата из смеси газов, содержащей небольшое количество ацетилена. Thurzó György, Jákaý Kornél. Vinilacetát előállítása kis acetiléntartalmú gázelegyekből. «Magyar kém. folyóirat», 1960, 66, № 10, 383—386 (венг.; рез. нем.).—Для повышения выхода винилацетата из C_2H_2 -содержащей смеси газов р-цию проводят в присутствии катализатора TiO_2 . Т. К.

9128. Определение ацетильной группы в глицидиацетате. Dumazert C., Senequier R. Sur le dosage du groupement acétyle dans les glucides acétylés. «Bull. Soc. pharmac. Marseille», 1960, 9, № 35, 235, 237, 239, 241 (франц.).—Метод определения ацетильной группы основан на замещении ацила тозилем в среде абс. спирта, омыления образующегося этилацетата избытком $NaOH$ с последующим ацидометрич. титрованием. Приводятся схема и описание прибора для определения. Л. Стекольников

9129. Циклизация линоленовой кислоты при щелочной изомеризации. Scholfield C. R., Cowan J. C. Cyclization of linolenic acid by alkali isomerization. «J. Amer. Oil Chemists Soc.», 1959, 36, № 12, 631—635 (англ.).—Исследовано влияние продолжительной обработки линоленовой к-ты щел. р-ром в этиленгликоле на образование циклич. мономеров и полимерных продуктов. Предварительной обработкой мочевиной (I) эфиров периллового масла получила концентрат, содержащий 85% метиллинолената (II), а из этого концентрата приготовили чистый II методом противоточного распределения между ацетонитрилом и гептангексановой смесью. Схема процесса изомеризации: нагрев смеси 30 г II, 30 г KOH и 125 мл этиленгликоля (7 час., 200 $^{\circ}$) в атмосфере N_2 , охлаждение до 100 $^{\circ}$, добавление воды и нагрев с обратным холодильником, охлаждение и обработка разб. H_2SO_4 , растворение к-т в эфире, промывка водой и высушивание над Na_2SO_4 . Эту процедуру повторили с другой такой же порцией II, оба эфирных р-ра соединили и добавили диазометан для образования метиловых эфиров; выход продукта после отгонки р-рителя 55,8 г или 93%. Затем р-р 90 г I в 300 мл CH_3OH добавили к изомеризованному метиловым эфирам, смесь нагрели, а затем охладили до 20 $^{\circ}$, аддукт отделили фильтрованием и промыли эфиром, который обработали водой, содержащей небольшое кол-во HCl , экстрагировали эфиром, экстракт промыли водой и высушили над Na_2SO_4 . Конечный продукт состоит из в-ва, образующего аддукт с I (4,5%), из полимера с мол. в. 570, не образующего аддукта с I и не дистиллируемого (13,7%), и из дистиллируемого мономера (М), не образующего аддукта с I (81,8%) с мол. в. 296. М имел максимум поглощения при 238 м μ и не давал спектра, характерного для триеновой структуры, отсутствовал также характерный для транс, транс- и цис, транс-форм ИК-спектр поглощения в области 10 м. М в своей подавляющей части имел циклич. структуру, что доказано обработкой М n -бромимидом янтарной к-ты, а затем диметилалином с отщеплением NH_3 и окислением полученного продукта перманганатом до фталевой к-ты. М может быть разделен на фракции с различными УФ-спектрами газовой хроматографией или противоточным распределением между ацетонитрилом и гептангексановой смесью (однако полное фракционирование с получением чистых компонентов при этом не было достигнуто). Г. Фрид

9130. Плавление дициандиамида при атмосферном давлении. Kurabayashi Masahiro, Yanagiya Koshin. «Kogё kagaku dзасси, Kogyo kagaku zasshi, J. Chem. Soc. Japan. Industr. Chem. Sec.», 1959, 62, № 12, 1872—1874 (японск.).

9Л131. Получение *n*-алифатических аминов при гидрировании нитрилов. Якушкин М. И. «Химия и техн. топлив и масел», 1960, № 8, 6—8.—Проведено гидрирование фракции нитрилов C_6-C_{13} на Ni Ренея в соответствующие первичные амины (ПА) при 120—200° и давлении H_2 20—60 ат. Найдено, что при увеличении т-ры р-ции выход ПА уменьшается. На примере гидрирования $C_6H_{11}CN$ показано, что добавление NH_3 и абс. спирта способствует увеличению выхода $n-C_6H_{13}NH_2$. Е. Р.

9Л132. Синтез высших ксантогенатов. Ionescu Mircea, Pascaliu Ch., Dinescu Gabriela. *Sinteza xantatilor superiori. «Cercetări metalurgice și miniere»*, 1960, № 2, 255—267 (рум.; рез. русск., нем., франц., англ.).—Описаны способы получения ксантогенатов и кинетич. характеристики процесса. Приведены технологич. схемы и аппаратура методов получения ксантогенатов различных типов. Т. Кострома

9Л133. О реакции дифенилдихлорсилана с некоторыми неорганическими веществами. Takiguchi Toshio, Iizuka Yasuichi, Ichimura Junji, Kishi Takeshi, Sakurai Masaru. «Korô Kagaku Kaishi», Kogyo Kagaku zasshi, J. Chem. Soc. Japan. *Industr. Chem. Sec.*, 1959, 62, № 12, 1875—1876 (японск.).

9Л134. Органические перекиси, содержащие металлы. Такэмото Кинти. «Kagaku, Chemistry (Japan)», 1959, 14, № 12, 1003—1005 (японск.).—Обзор. Библ. 9 назв. Г. Д.

9Л135. Получение и анализ триэтилалюминия. Huang Chi-Ya. «Чжунго ксюэюань инюу хуасюэ яньцзюэ цзикань. Тр. Ин-та прикл. химии АН Китая, *Collect. Papers Inst. Appl. Chem.*», 1960, № 4, 104—109 (кит.).—Описан способ получения $Al(C_2H_5)_3$ взаимодействием металлич. Al с $(C_2H_5)_2Hg$ и аппаратное оформление процесса, в котором предусматривается устранение опасности взрыва реакционной камеры под действием выделяющихся при терморазложении $(C_2H_5)_2Hg$ газов. Изучено влияние поверхностной активности и площади Al-фольги, концентрации $(C_2H_5)_2Hg$ и соотношения реагентов на скорость р-ции. Показано, что существует линейная зависимость между т-рой и скоростью р-ции, понижение конц-ии $(C_2H_5)_2Hg$ вызывает постепенное замедление р-ции; при повышении эквивалентного соотношения $Al/(C_2H_5)_2Hg$ скорость р-ции возрастает, однако при этом не наблюдается прямой пропорциональной зависимости. Приведена также методика анализа конечного продукта путем объемного определения C_2H_6 , выделяющегося при взаимодействии $(C_2H_5)_3Al$ с C_4H_9OH . Библ. 7 назв.

А. Зоннтаг
9Л136. Промышленное применение металлорганических соединений. Часть 5—6. Norwood J. H. *Industrial applications of the metal organic compounds. Part 5—6. «Industr. Chemist»*, 1959, 35, № 418, 580—582; 1960, 36, № 419, 30—34 (англ.).—Краткий обзор. Рассмотрены способы получения и области применения алкилпроизводных Li (наиболее важная область — полимеризация этилена и других непредельных углеводородов), арилпроизводных Li для синтеза и других металлорганич. соединений, алколюатов и солей Li и Li-мыл, а также некоторых других органич. производных Li. Рассмотрены соединения Na: получение и применение производных алкил-Na, в частности, для произ-ва полибутадиеновых каучуков, для синтеза на основе $NaC\equiv CH$, для синтеза фенилхлорсиланов и других соединений с применением C_6H_5Na . Описано также применение алколюатов, фенолюатов и комплексных алколюатов Na и других Na-органич. соединений. Библ. 27 назв. Часть 4 см. РЖХим, 1961, 7Л115. Л. Макарова

9Л137. Получение нитрита дициклогексиламмония в ротационном пленочном реакторе. Ujhidy Aurél, Babos Bárnabás, Farády László. *Vizsgálatok*

diciklohexilammóniumnitrit előállítására rotációs film-reaktorban. «Magyar kém. lapja», 1960, 15, № 8, 366—369 (венг.).—Нитрит дициклогексиламмония (I) получают р-цией дициклогексилamina с NH_4NO_2 . Р-цию проводят в непрерывнодействующем пленочном реакторе, равномерно измельчающем полученное в-во. Опыты были проведены с жестко закрепленными и подвижными вращающимися лопатками. Наиболее целесообразным оказалось применение подвижных (способных изменять расстояние от центра вращения и соприкасающихся со стенками цилиндра) лопаток. В реактор подают 50%-ный р-р I в CH_3OH со скоростью 50 г в 1 мин. и нитритный р-р ($NaNO_2 + NH_4HCO_3$) со скоростью 410 г в 1 мин. В зависимости от изменения кол-ва исходных реагентов $NaNO_2$ и NH_4HCO_3 и вращения лопаток получают I, т. пл. 199—201° (разл.), с различными выходами. Выход увеличивается с повышением избытка $NaNO_2$, с увеличением числа оборотов вращения лопаток, т. е. увеличением линейной скорости вращения (оптимальная скорость вращения 300—350 и в 1 мин.). I употребляется для защиты металлов от коррозии. М. Деже

9Л138. Дегидрогенизация изопропилбензола в α -метилстирол над стироловым катализатором. Taniowski Marian. *Odwodornianie izopropylbenzenu do α -metylostyrenu nad katalizatorem styrenowym. «Przem. chem.»*, 1960, 39, № 9, 576—580 (польск.; рез. русск., англ.).—Изучалось влияние т-ры, скорости подачи катализатора (KT) и разбавления изопропилбензола (I) водяным паром на течение р-ции дегидрогенизации I в α -метилстирол (II) в трубчатой установке над KT (Zn-стирол). Т-ра изменялась в пределах 560—610° (предварительно 580°), объемная скорость подачи I 0,20—0,40 л/л·час (предпочтительно 0,30 л/л·час), весовое отношение I: вода от 1:1 до 1:3,0 г/г (предпочтительно 1:2,0 г/г). Конверсия I 44,9—46,5%, содержание II в масле 39,0—40,0%, выход II 83,9—87,9 мол.%, а стирола 3,3—4,1 мол.%. Т. К.

9Л139. Превращения некоторых индивидуальных фенолов в условиях деструктивной гидрогенизации. Калечиц И. В., Си Цзю-вей, Салимгарева Ф. Г. «Тр. Вост.-Сиб. фил. Сиб. отд. АН СССР», 1959, вып. 26, 45—62.—Для уточнения химизма превращений фенолов в условиях деструктивной гидрогенизации проведены опыты с индивидуальными фенолами и исследованы составы гидрогенизатов. Показано, что введение алкильных заместителей ускоряет р-ции восстановления и деструкции, ускоряющий эффект зависит от мол. веса заместителя и его положения по отношению к гидроксилу (наиболее реакционноспособны пара-изомеры, наиболее устойчивы мета-изомеры). Фенильные заместители замедляют процесс восстановления и деструкции. При отщеплении алкильных заместителей или раскрытии метиленового кольца бициклич. фенолов доминирует разрыв по связям, примыкающим к бензольному кольцу в пара-положении. Наряду с деструкцией и восстановлением частично имеют место р-ции дегидрирования и изомеризации. Наиболее вероятен радикальный механизм этих р-ций.

Е. Р.
9Л140. Контактно-каталитические превращения простых эфиров фенолов. Шуйкин Н. И., Эрива-ская Л. А. В сб. «Новые методы рациональн. использования мест. топлив». Рига, АН ЛатССР, 1959, 277—284.—Исследован механизм превращений алкилфениловых эфиров (АФЭ) в контакте с Al_2O_3 , $ZnCl_2-Al_2O_3$, $TiO_2-Al_2O_3$ и алюмосиликатным катализатором при 150—180° и объемной скорости 0,1—2,0 в 1 час при нормальном давлении и в автоклаве при 150—250°. В результате р-ции образуются продукты перегруппировки АФЭ — алкилфенолы и продукты расщепления — фенол и алкен. С удлинением цепи алкильной группы возрастает степень расщепления АФЭ и уменьшается выход алкилфенолов. Повышение давления увеличивает

от прочно использов

9Л141. Gil-Av. *tization* 1960, 52, тизация 1,2—15,9 через ста с послед скелетной еи дегид главным продукта пия, фра но свын присутс дияса ц пия.

9Л142. тильной Novag group on stry», 19 15 назв.

9Л143. для про В. Е., П Чер к а 56.—Пре произ-в ием ный на тивафт очистки лация щия при талинов уменьш 1,018; о 4,5, НС довател H_2SO_4 , д нием ак 5 вес. % ние 20 той во тализм получа при со ния Д при со

9Л144. тилами дом на пром-с луюча каскад ден р при х Произ раз и Распл скорос тор. П натри щим следу раза, ным к 350 г неочи водой

ет прочность эфирной связи АФЭ. Р-ция может быть использована для лабор. получения о-замещ. фенолов.

Д. Цикарев

9Л141. Термическая ароматизация бутадиена-1,3. Gil-Av E., Shabtai J., Steckel F. Thermal aromatization of 1,3-butadiene. «Industr. and Engng Chem.», 1960, 52, № 1, 31—32 (англ.).—Изучена термич. ароматизация бутадиена-1,3 при 550° и времени контакта 1,2—15,9 сек. Найдено, что ароматизация протекает через стадию димеризации C_4H_6 в 4-винилциклогексен с последующей изомеризацией двойной связи и (или) скелетной изомеризацией. Полученный циклогексадиен дегидрируется затем в ароматич. углеводороды, главным образом этилбензол и стирол. В полученных продуктах р-ции методами хроматографии, спектроскопии, фракционированной перегонки и хим. обнаружено свыше 34 различных соединений, среди которых присутствуют ароматич. C_6 — C_{10} -углеводороды, являющиеся продуктами крекинга и скелетной изомеризации.

Ю. П.

9Л142. Гидролитическая стабильность трифторметильной группы у ароматического ядра. Filler R., Novak H. Hydrolytic stability of the trifluoromethyl group on the aromatic nucleus. «Chemistry and Industry», 1960, № 41, 1273—1274 (англ.).—Обзор. Библ. 15 назв.

9Л143. Получение «дистиллированного нафталина» для производства фталевого ангидрида. Привалов В. Е., Потаников М. М., Черкасова Л. М., Черкасов П. Х. «Кокс и химия», 1960, № 7, 50—56.—Предложен новый вид технич. нафталина (I) для произ-ва фталевого ангидрида (II) каталитич. окислением на ванадиевом катализаторе — «дистиллированный нафталин» (ДН), состоящий из I, 1- и 2-метил-I и тиноафтена. Показана необходимость тщательной очистки ДН от непредельных соединений (НС), осмолющихся при окислении I в II. Предложенная технология получения ДН дает увеличение выхода I из нафталиновой фракции (НФ) на 50% при значительном уменьшении его стоимости. НФ (т. кип. 200—245°, d_4^{20} 1,018; содержание в %: I 80,8, фенолов 3,4, оснований 4,5, НС 5,16, нелетучего остатка 0,125, золы 0,002) последовательно промывают 20%-ным NaOH и 25%-ной H_2SO_4 для извлечения фенолов и оснований и омыления нитролов. Затем отщипают от НС промыванием 3—5 вес. % 93,5%-ной H_2SO_4 при перемешивании в течение 20 мин., оставляют на 20 мин. и промывают нагретой водой для удаления сульфокислот, затем р-р нейтрализуют 20%-ным NaOH. Очищ. НФ перегоняют и получают ДН с выходом 92,5—94,8% (от исходной НФ) при содержании НС 0,9%. Проведены опыты получения ДН в промышленном масштабе, выход 85,6—94% при содержании НС 0,7%.

М. Николаева

9Л144. Непрерывный способ получения альфа-нафталина восстановлением нитронафталина дисульфидом натрия. Тимохин Г. А., Киссин Б. И. «Хим. пром-сть», 1960, № 3, 255—256.— α -Нафталин (I) получают восстановлением нитронафталина (II) на двухкаскадной установке со смешанным потоком (приведен рисунок), показатели работы которой стабильны при хороших выходах и высоком качестве продукта. Производительность установки (270 г в 1 час I) в пять раз выше, чем на установках периодич. типа. Расплавленный II (т. заст. 51,8—52°) из дозатора со скоростью 360 г в 1 час непрерывно подают в редуктор. После частичного восстановления II дисульфидом натрия (III), содержащимся в р-ре солей, поступающим из отстойника, реакционная смесь поступает в следующий отстойник. Операцию повторяют еще два раза, причем р-р III непрерывно подают центробежным насосом (концы III в последнем редукторе 300—350 г/л, скорость подачи 252 г в 1 час). Полученный неочищ. I, не содержащий II, непрерывно промывают водой (скорость подачи 720 мл в 1 час) в после от-

стаивания полученной эмульсии перегоняют при 20—30 мм. Выход I 85—87%, т. заст. 45,5—46°. Библ. 10 назв. М. Николаева

9Л145. К вопросу о получении моно- и диэтаноланилина из анилина и окиси этилена. Петров К. Д. «Пласт. массы», 1960, № 3, 52—54.—Установлены оптимальные условия получения моно-(I) и диэтаноланилина (II) из анилина (III) и окиси этилена (IV). Показано, что применение воды не является необходимым. При отношении III:IV = 30 молей:1 моль, времени р-ции 1 ч. 10 мин. и 120—126° выход I 66,79%, выход II 6,35%; при времени р-ции 3 часа и 96—102° выход I 70,9%, выход II 8,07% соответственно. При отношении III:IV = 1 моль:2,05—2,1 моля, выход II 96,85%. Время р-ции 10 час., т-ра р-ции 118—120°. В производственных условиях по этому методу получают II с выходом 90—96%. Продукты р-ции очищают вакуумной перегонкой.

Р. Материкова

9Л146. Способ получения фурана из фурфурола в паровой фазе в трубчатой печи с применением сплава в качестве катализатора. Mészáros Lajos. Ömledékgyas katalizátorok. «Magyar kém. folyóirat», 1960, 66, № 9, 369—372 (венг.; рез. нем.).—Смесь фурфурола и воздуха продают через сплав металла (предпочтительно Pb) или другого низкоплавкого соединения при 380—450° в отсутствие воды, образующаяся при этом фуранкарбоновая к-та декарбоксилируется в фуран, выход 97%. Pb на поверхности раздела фаз окисляется в PbO, которая катализирует процесс окисления фурфурола в к-ту.

Т. Кострома

9Л147. Побочные продукты синтеза меланина. Швецова З. Н., Казарновский С. Н. «Тр. Горьковск. политехн. ин-та», 1959, 15, № 5, 5—14.—Установлено, что содержащиеся в меланине (I) примеси, нерастворимые в воде (содержание N 54,1—59%), состоят из соединений различного типа; примеси, экстрагируемые щелочью (N 55,1—55,9%), являются оксиминопроизводными триазина (аммелин, аммелид и цианурат I); примеси нерастворимые в щелочи (ПНЩ) (N 59—60,3%) — продукты дезаминирования I. При анализах использовали определение содержания N по микрометоду Кельдаль и триазиновых колец методом гидролиза примесей HNO_3 до циануровой к-ты. Для идентификации ПНЩ сравнивали со специально полученными продуктами дезаминирования I. Определено влияние т-ры и времени нагревания на дезаминирование I. Показано, что в условиях получения I из дициандиамида (II) (300—500° и 50 ат N₂) дезаминирование I протекает очень медленно и при повышении т-ры р-ции содержание примесей в I увеличивается незначительно. Причиной образования ПНЩ являются кислородсодержащие примеси в исходном II. Проведены опыты аминирования ПНЩ и продуктов дезаминирования I. Во 2-м случае процесс наиболее полно идет при 350—375° — содержание I в продукте 98%. В 1-м случае также получен I с высоким выходом. Для уменьшения образования примесей в процессе синтеза I предложено в зону р-ции добавлять NH₃. Приведены кривые зависимости изменения содержания I и ПНЩ в продуктах аминирования I от т-ры и времени р-ции. Библ. 13 назв. А. Мышкин

9Л148. Иницирование цепных реакций со свободными атомами и радикалами. Nozaki Kenzie. Method for conducting free atom and free radical chain reactions. [Shell Development Co.]. Пат. США 2852565, 16.09.58.—Реакции иницируются 0,5—5% линейного полимера (мол. в. $7 \cdot 10^4$ — $7 \cdot 10^6$) при напряжении сдвига, превышающем напряжение, определенное по ф-ле: $1 \times 10^4 / (\text{мол. в.})^2$ в дин/см^2 . Считают, что разрыв полимерных цепей при достаточном напряжении сдвига вызывает образование радикала, который может иницировать цепные р-ции со свободными радикалами. 0,4 ч. полистирола (мол. в. $6,33 \times 10^6$) прибав-

ляют к 100 ч. CBr_4 , 7 ч. стирола (I) и 95 ч. CCl_4 , помещают в ампулу, откачивают воздух, запаивают и встряхивают со скоростью 330 толчков в 1 мин. в течение 95 час., после чего CBr_4 и CCl_4 отгоняют, возгоняют в вакууме для удаления следов CBr_4 , остаток перегоняют в вакууме и получают 1,1,1,3-тетрабром-3-фенилпропан, т. пл. 55–58°, выход 50% (по отношению к I). Экспериментально изучены р-ции бромирования толуола, окисления кумола, хлорирования циклогексана, взаимодействия меркаптанов со стиролом, CCl_4 с октен-1, CBr_4 со стиролом, меркаптана с октен-1 и PCl_3 с октен-1.

9149. Способ очистки ацетилена. Стрижевский И. И., Зайцева В. П. Авт. св. СССР 128016, 28.04.60.—Для сокращения расхода HNO_3 при очистке ацетилена (I), получаемого из CaC_2 , от примесей фосфористых и сернистых соединений, к ее р-ру добавляют 0,005 вес. % AgNO_3 . 1 л 30%-ного р-ра HNO_3 с добавкой 0,005% AgNO_3 количественно очищает 10 м³ I, содержащего 0,08% PH_3 .

9150. Подавление образования полимеров при выделении бутилена-1 и бутилена-2, полученных каталитическим дегидрированием n-бутана. Reinmuth Gene K. Inhibiting polymer formation in the separation of butene-1 and butene-2 produced in the catalytic dehydrogenation of n-butane. [Phillips Petroleum Co.]. Пат. США 2850550, 2.09.58.—Бутадие (I) получают из n-бутана (II) двухстадийным каталитич. дегидрированием с образованием на 1-й стадии бутилена (III) из II, а на 2-й стадии I из III. Приведена схема установки по произ-ву I, в которой образование и отложение полимеров в колонне для отделения C_3 -углеводородов исключается, благодаря удержанию полимеризующихся в-в (ПВ) в жидкой фазе. Для этого продукты 1-й стадии дегидрирования II пропускают через отпарную систему (с понижением давления с 12,6 до 8,4 ат), в результате чего образуется паровая фаза, обогащенная C_3H_8 , C_3H_6 и более низкокипящими продуктами, и жидкая фаза, из которой перегонкой при ~74°/8,75 ат в кубе и ~52°/8 ат вверх колонны (вместо ~88°/11,9 ат и ~66°/11,2 ат соответственно на существующих установках) получают бутен-1 (IV) и остаток, который содержит непрореагировавший II, бутен-2 (V) и ПВ в р-ре. II выделают из остатка и рециркулируют на 1-ю стадию дегидрирования, а V вместе с IV — на 2-ю стадию дегидрирования в I с последующей отпаркой продуктов дегидрирования.

9151. Способ производства бутадиена из бутилглицоля. Ион Фридрих, Шарф Хейнц, Бергер Гюнтер, Пройкшас Вернер. Авт. св. СССР 126490, 1.03.60.—При дегидратации бутилглицоля (I) в бутадие (II) над фосфатным катализатором с применением водяного пара в качестве разбавителя применяют дополнительный разбавитель — побочные продукты дегидрата-I в кол-ве до 20% в смеси. 750 мл I с 3% воды и 20% аллилкарбинола испаряют, разбавляют водяным паром в соотношении 1:1 и направляют в реактор, обогреваемый водн. паром с давл. 70 ат. За 16 дней выход II 82,6% против 80,6% при обычном способе. При использовании в качестве дополнительного разбавителя 10% пропилена выход II составляет 81,3%.

9152. Вакуумная дегидратация отходов производства бутадиена. Harvey Mortimer T., Rosamilia Peter L. Vacuum dehydration of the residue from the furfural extraction of butadiene. [Harvel Research — Corp.]. Пат. США. 2917488, 15.12.59.—Кубовый остаток стадии отгонки фурфурола, применяемого в качестве селективного р-рителя для обработки смесей бутадиена (I) с другими C_4 -углеводородами, нагревают первоначально для удаления воды при 105–113° и нормальном давлении, а затем в вакууме при 149–190°. Продукты, получающиеся после такой обработки, характеризуются т. разм. 54,4–115,5° и представляют собою

термопластические смолы, применимые в качестве антиозонантов и противостарителей в композициях с натуральным каучуком, с синтетич. каучуками на основе гомополимеров I, или сополимеров I со стиролом и акрилонитрилом (обычно в кол-ве 3–200 вес. ч. этих смол на 100 вес. ч. каучука). При 121–177° и pH 8,0–12 эти смолы могут полимеризоваться, превращаясь в практически неплавкие материалы, которые могут найти применение в произ-ве фрикционных или тормозных обкладок. 2153,24 кг содержащих воду отходов после очистки I нагревали сначала при 132° и нормальном давлении, а затем при 157°/660–711 мм (нагревание велось при размешивании массы) до получения продукта с т. разм. 76,7°; вес. продукта 1793,5 кг, отогнано 205 кг воды и 144,7 кг погона органич. в-в. Приведены другие аналогичные примеры.

9153. Способ получения четыреххлористого углерода. Вдовиченко В. Т., Глухоманюк А. М., Павленко Н. П. Авт. св. СССР 132630, 20.10.60.—Способ получения CCl_4 заключается в термич. хлорировании природного газа при 430–440° и объемном отношении $\text{Cl}_2:\text{CH}_4 = 3,2:3,9$. С целью облегчения управления процессом в зону р-ции непрерывно вводят смесь мелкодиспергированных продуктов хлорирования. Смесь природного газа с Cl_2 в объемном соотношении $\text{Cl}_2:\text{CH}_4 = 3,2$ подают в сосуд, нагретый до 500°, со скоростью 30 м³ на 1 м³ емкости реактора. Одновременно подают распыленную смесь жидких продуктов хлорирования CH_4 , полученных ранее в кол-ве 3,5–4,0 кг на 1 кг продуктов, образовавшихся в результате взаимодействия CH_4 и Cl_2 . Продукты р-ции (после удаления HCl) имеют состав (в вес. %): CCl_4 70,7, CHCl_3 20,3, $\text{Cl}_2\text{C}=\text{CCl}_2$ 7, C_2Cl_6 2, при соотношении $\text{Cl}_2:\text{CH}_4 = 3,9$ содержание CCl_4 90%. Расход Cl_2 в пересчете на 1 кг смеси продуктов хлорирования составляет 2,0–2,5 кг.

9154. Получение изопрена. Dempsey James F. Manufacture of isoprene. [Sun Oil Co.]. Пат. США 2914588, 24.11.59.—Дегидрогенизацию изопентана (I) в изопрен (II) проводят на окисном катализаторе (2–10% Cr_2O_3 на активированной Al_2O_3) при 480–650°, давл. 127–254 мм и объемной скорости 0,5–5,0 жидкости на объем реактора в 1 час. Образующийся в р-ции пинерлен (III) не отделяют от других C_5 -углеводородов, а рециркулируют, предварительно удалив II, в процесс. Показано, что в ходе р-ции устанавливается равновесие, при котором кол-во III в продуктах р-ции остается постоянным и, таким образом, присутствие III не мешает превращению I во II. При вводе в реактор исходной смеси с равновесным содержанием III (52% I, 28% III, 20% остальные C_5 -углеводороды) увеличивается селективность превращения I в II (59,5%) при постоянстве выхода II 12% за 1 цикл. Приведена схема процесса.

9155. Получение хлоропрена. Jenkins Philip Aldwyn. Production of chloroprene. [The Distillers Co. Ltd.]. Англ. пат. 836666, 9.06.60.—Хлоропрен (I) получают дегидрированием 3,4-дихлорбутена-1 (II) 20–20%-ным р-ром гидроокиси щел. или щел.-зем. металла при т-ре кипения I (60°) в присутствии ингибиторов полимеризации и смолообразования. В качестве ингибиторов применяют 0,1–5 вес. % (предпочтительно 1%) сульфидов и гидросульфидов щел. или щел.-зем. металлов, а также комплексов сульфидов с алкили или алкенилгалогенидами, в частности с II. Смесь 100 объемн. ч. 10%-ного NaOH , 0,492 вес. ч. $\text{Na}_2\text{S} \cdot 9\text{H}_2\text{O}$, 25 объемн. ч. II нагревают в течение 3 час., непрерывно отгоняя образующийся I. Остаток после отгонки I охлаждают, образовавшийся полимер отфильтровывают, промывают водой, петр. эфиром и высушивают (0,05 вес. ч.). Описаны примеры получения I с применением различных ингибиторов (перечислены ингибитор, кол-во в вес. ч., выход полимера в вес. ч.): K_2S , 0,25, 0,04; трет-бутилкатахин, 0,253, 1,232; тиодифе-

пиламин, 0,266, 0,98; антрацен, 0,025, —; пирогаллол, 0,252, 0,58.

9Л56. Способ получения 1,5-дихлорпента-2,4-диена. Преображенская Е. А. Авт. св. СССР 127249, 25.03.60. — 1,5-дихлорпента-2,4-диен (I) получают из тетрагидропирана (II) и HCl в присутствии катализатора $C_6H_5N \cdot HCl$ (III). 80 г C_6H_5N нагревают до 80° и при перемешивании пропускают 1 моль HCl, поднимают т-ру до 125° и при одновременном пропускании HCl приливают 86 г II с такой скоростью, чтобы т-ра смеси не опускалась < 120° (16 час.), смесь нагревают 6 час. при 130°, охлаждают, добавляют 50 мл воды, верхний слой отделяют и перегоняют вначале при атмосферном давлении, а затем в вакууме, получают 103 г I (80%), т. кип. 76–80°/20 мм. К III после отделения от него I добавляют 4 вес. % активированного угля, нагревают 1 час (60°) при перемешивании, охлаждают, отфильтровывают активированный уголь, от р-ра отгоняют воду, лучше в вакууме, получают сухой III, который снова используют в р-ции, выход I 81%. Л. Волкова

9Л57. Способ получения синтетических спиртов — n-бутанола и n-гексанола. Акопян А. Е., Ордян М. Б., Эмекджян С. П., Худоян К. Л. Авт. св. СССР 127647, 12.04.60. — n-Бутанол (I) и n-гексанол (II) получают гидрированием (1–10 час.) γ-хлорпропилового спирта (III) и 3-хлоргексадиен-2,4-ола (IV) соответственно при 50–120° и давл. 5–150 атм в присутствии скелетного Ni и едких щелочей в кол-ве, необходимом для связывания реакционного HCl, в среде I, II или CH_3OH . В автоклав загружали 53,5 г III, 23 г NaOH, 120 мл CH_3OH (или I) и 1,0 г скелетного Ni и вели гидрирование 10 час. при 90°, давлении H_2 100 атм и перемешивании, выход I 35,1 г (95%). Гидрирование 66,2 г IV (1 час) при 24° и давл. 8 атм в среде 300 мл CH_3OH (или II), в присутствии 23 г NaOH и 1,0 г катализатора дает 48,4 г (95%) II. Показано, что повышение или понижение давления (в пределах 50–150 атм) при гидрировании III или 5–15 атм при гидрировании IV несколько ускоряет или соответственно замедляет процесс, но на выходы I и II практически не влияет, равно как и изменения т-ры от 60 до 120° при гидрировании III. Исходные III и IV могут получаться из промышленных отходов: III из дихлорбутена омылением (6–8 час.) водн. р-ром едкой щелочи (1,5 моля на 1 моль дихлорбутена) при 80–90° с выходом 80%, а IV из дивинилацетилена путем катализа гидроклорирования в дихлоргексадиен и последующего щел. омыления. О. Черяцов

9Л58. Разделение спиртов. Lamb Sidney Arthur, Smith Henry Owen, Norcross Geoffrey. Improvements in and relating to the separation of alcohols. [Imperial Chemical Industries Ltd]. Англ. пат. 815091, 17.06.59. — Способ выделения алифатич. спиртов, содержащих 3–5 атомов C, из продукта гидрирования и карбонилирования C_2 – C_4 -олефинов состоит в том, что указанный продукт перегоняют при давл. < 1 ат, верхний погон, содержащий спирты, перегоняют при 1 ат в присутствии < 10 вес. % водяного пара, снова отбирают верхний погон, который содержит спирты и примеси, напр. эфиры, низшие спирты и углеводороды, и нижний погон — спирты с 3–5 C-атомами. И. Берлин

9Л59. Способ получения жирных спиртов путем гидрирования при повышенном давлении. Szretkó György. Eljárás zsíralkoholok előállítására napunomású hidrogénezéssel. Венг. пат. 145365, 15.10.59. — Предложен способ получения жирных спиртов из растительных масел, жиров, жирных к-т, диглицеридов и эфиров с помощью гидрирования H_2 в присутствии катализатора (КТ) (CuO , CuO/Cr_2O_3 или смеси окислов Cu, Zn, Mn, Cr, Ni) при 180–260° и давл. 175–200 ат. 150 г подсолнечного масла и 3 г (2% от веса масла) КТ загружают в автоклав из кислотоупорной стали с мешалкой, электрич. обогревом и приборами для изме-

рения давления и т-ры и нагревают. При 180° наблюдается быстрое падение давления (указывает на начало р-ции), затем т-ра самопроизвольно поднимается до 260°. По окончании р-ции КТ отфильтровывают и вновь используют для синтеза. Перегонкой фильтрата получают спирты с выходом 95%. Приготовление КТ: 25 г кристаллич. $CuSO_4$, 28 г кристаллич. $MnSO_4$ и 29 г кристаллич. $ZnSO_4$ растворяют в 3 л воды при 60–70°, фильтруют, к фильтрату при перемешивании добавляют р-р 35 г Na_2CO_3 до щел. р-ции по фенолфталеину, кипятят 10 мин. при перемешивании, промывают до нейтр. р-ции теплой водой. Осадок отфильтровывают и высушивают при 100°. Полученный КТ измельчают и выдерживают в течение 3–31 час. при 400–420°.

9Л60. Способ получения двухатомных спиртов. Büchner Karl, Meis Josef, Roelen Otto. Verfahren zur Herstellung von Dialkoholen. [Ruhchemie A.-G.]. Пат. ФРГ 1041940, 16.04.59. — Двухатомные спирты с числом атомов C > 18 получают следующим образом: моно- или полиненасыщенные карбоновые к-ты с числом атомов C > 17 (или их смеси) гидроформируют, затем полученные продукты гидратируют при нагревании и под давлением, после чего содержащиеся в них альдегидные группы путем мягкого гидрирования превращают в OH-группы. OH-группы этерифицируют $COOH$ -группами с удалением выделяющейся при р-ции воды и полученные эфиры вновь гидрируют до гликолей, которые затем выделяют из реакционной смеси разгонкой в вакууме. Получаемые по указанному способу диолы не содержат одноатомных спиртов, неомыляемых, окрашивающих и высокомолекулярных примесей. Смесь ненасыщ. жирных к-т с числом нейтр-ции (ЧН) 191, числом омыления (ЧО) 191, гидроксильным числом (ГЧ) 3, карбонильным числом (КЧ) 6 и с йодным числом (ЙЧ) 122, состоящую из олеиновой, изоолеиновой, линолевой, линоленовой, клунадоновой и других к-т, превращают в альдегидо-карбоновые к-ты. Последние затем переводят в неолит, смесь диолов (РЖХим, 1956, № 10, 30214; 1961, 4Л199) с ЧН 0,1, ЧО 3,5, ГЧ 330, КЧ 0 и ЙЧ 2. 1060 г указанной смеси перегоняют при 0,5 мм рт. ст. на колонне со стеклянной насадкой (диам. 3 мм, высота 3 мм). Получают 7 фракций (приведены кол-ва, т. кип. и другие характеристики фракций). Фракции [указаны их кол-ва в г, т. кип. в °C/мм, ЙЧ, ЧН, КЧ и ГЧ]: 469,0, 216–229/0,5, 0, 0, 368; 100,4, 229–250/0,5, 0, 0, 369; 110,7, 250–255/0,5–0,7, 0, 0, 370] составляют 66% всего дистиллята и имеют среднее ГЧ 369, что соответствует содержанию в них 99% гептадекандиметилола (I), т. пл. 50°. При переработке исходной смеси ненасыщ. к-т обычными методами [превращение в альдегидокислоты с последующими гидрированиями в присутствии 100 вес. ч. Со на 15 вес. ч. MgO и 100 вес. ч. кизельгура и затем в присутствии окисного Cu-Cr-катализатора (9 час., 280° 280 ат)] получают смесь с ЧН 1,9, ЧО 38,9, ГЧ 237, КЧ 5,5 и ЙЧ 1. Фракционирование этой смеси в указанных выше условиях приводит к образованию 5 фракций (даны кол-ва, т. кип. и другие характеристики), из которых 3 фракции содержат I со степенью чистоты 81%. Как в том, так и в другом случае, в качестве побочного продукта выделяют гептадекандиметилол. Получаемые гликоли используют для производства полиэфиров и других смол. Их также применяют в качестве мягчителей для полимеризационных и конденсационных продуктов. Н. Матория

9Л61. Получение этиленхлоргидрина. Nicolaisen Bernard H. Production of ethylene chlorohydrin. [Olin Mathieson Chemical Corp.]. Пат. США 2830095, 8.04.58. — Этиленхлоргидрин с 97,4%-ным выходом получают двухстадийным способом по принципу противотока из Cl_2 и воды с C_2H_4 . Этиленхлорид, образующийся в качестве побочного продукта, отделяют в промежуточном сепараторе. И. Берлин

9162. Способ получения многоатомных спиртов, преимущественно 1,3-пропиленгликоля, из гекситов. Bertossa Giuseppe, Conradin Fritz, Giesen Johann. Verfahren zur Herstellung von mehrwertigen Alkoholen, vorzugsweise 1,3-Propylenglykol, aus Hexiten. [Inventa A.-G. für Forschung und Patentverwertung Luzern]. Швейц. пат. 342554, 342555, 15.01.60.—Пат. 342554. Многоатомные спирты с <6 атомами С, преимущественно 1,3-пропиленгликоль (I), получают расщеплением гекситов в водн. р-ре при давлении H_2 100—200 ат, 195—200° в присутствии смешанного катализатора (КТ) (1—24% Со или Cu, 1—24% Ni и 70—80% MgO). Для получения КТ металл осаждают в виде оксалата из какой-либо соли, высушивают и восстанавливают при 400°. В автоклав, снабженный мешалкой, помещают 500 мл 10%-ного водн. р-ра сорбита (II) и 25 г КТ, содержащего 12,5% Ni, 12,5% Cu и 75% MgO, вводят H_2 до давл. 150 ат, выдерживают реакционную смесь 10 час. при 210°. После отгонки воды продукты р-ции перегоняют, получают 8% непрореагировавшего II, 38% I, 18% 1,2-пропиленгликоля (III) и 25% глицерина (IV) и 4% эритрита в остатке.

Пат. 342555. В автоклаве перемешивают 500 мл 10%-ного водн. р-ра II с 25 г КТ (20% Со, 5% Ni и 75% MgO), нагнетают H_2 (150 ат) и нагревают 10 час. при 210°. Из продуктов р-ции отгоняют воду при атмосферном давлении, а остаток перегоняют в вакууме, получают 7% непрореагировавшего II, 34% IV, 31% гликоля, 11% III, 49% I и 5% эритрита (выход продуктов рассчитан на вступивший в р-цию II).

9163. Получение синтетического глицерина с промежуточным выделением акролена. Skinner John R., Wilcoxon Charles H., Jr., Carlson George J. Synthetic glycerine production with intermediate removal of acrolein. [Shell Development Co.]. Пат. США 2862978, 2.12.58.—Аллиловый спирт (I) обрабатывают H_2O_2 в молярном соотношении 1:1—5:1 (1,2:1—3:1) в водн. среде [молярное отношение вода: H_2O_2 = 5:1—70:1 (15:40)] при pH ≥ 3 и 15—70° (35—60°) в присутствии 0,01—5 (0,02—0,5) % (от веса реакционной смеси) катализатора (водорастворимой соли H_2WO_4 , в частности Na_2WO_4) до тех пор, пока не прореагирует $\geq 98\%$ H_2O_2 , затем отгоняют акролен (II), избыток I и другие низкокипящие компоненты и завершают р-цию нагреванием реакционной смеси при pH < 7 и 80—200° (100—175°). Приведена схема процесса. Реактор на 1-й стадии процесса представляет систему 3 последовательно соединенных сосудов (емк. ~10 л), снабженных внутренним меевиковым нагревателем и циркуляционным насосом мощностью 4 л/мин. I, 20—27%-ная H_2O_2 , вода, водн. р-р катализатора и 1 н. NaOH (для регулирования pH) поступают в 1-й сосуд, откуда смесь последовательно стекает в остальные 2 сосуда. Вытекающая из 3-го сосуда реакционная смесь насосом подается на колпачковую колонну из 23 теоретич. тарелок между 12-й и 13-й тарелками и после стекания вниз подается насосом в работающий под давл. ~7,7 ат трубчатый реактор с паровой рубашкой длиной ~2,44 м и внутренним диам. 32 мм. Условия работы: а) на 1-й стадии гидроксирования молярное соотношение I: H_2O_2 = 1,5:1, воды: H_2O_2 = 33,5:1, H_2WO_4 0,5 вес. %, NaOH 0,083 вес. %, т-ра 45°, продолжительность р-ции 3,3 часа, pH 5,5—6,1, конверсия H_2O_2 99,1%; б) при перегонке: т-ра на 17-й тарелке 92—93°, т-ра в кубе 102—104°, флегмовое число 5:1, время пребывания в низшей отпарной секции 8 мин.; в) на 2-й стадии гидроксирования т-ра 145°, продолжительность р-ции 10 мин., начальная pH 6,4, конечная pH 5,9. Выход глицерина (III) (в мол. %) 88,2, от конвертированного I и 85,2 от израсходованной H_2O_2 ; выход II 2,72 от израсходованной H_2O_2 . Чистота глицерина 99% (вода 0,1%, II + глюкоза + NH_3 0,5%,

жирные к-ты и эфиры 0,0001 Э/100 г). Неперегнанный III содержал 0,7% II + глюкоза + NH_3 и 0,0007 Э/100 г жирных к-т и эфиров.

9164. Усовершенствование в производстве пентаэритрита и его гомологов. Roche, Besanne, Gajac. Perfectionnements à la fabrication de la pentaérythrite et autres corps de la même famille. [Etat Français représenté par le Secrétaire d'Etat à la Défense et aux Forces armées (Direction des Poudres)]. Франц. пат. 1211349, 15.03.60.—Патентуются способ и установка для непрерывного извлечения чистого пентаэритрита (I) и его гомологов из водн. маточных р-ров взаимодействия с альдегидами или кетонами (напр., C_6H_5CHO , $CH_3C_6H_4CHO$, фурфурол, циклогексанон, ацетофенон) при pH 0,1—1 и 10—70° с образованием нерастворимого в воде диацетала. Органич. слой, содержащий диацетал, промывают целл. р-ром или перегоняют для выделения HCOOH, нагревают 1—10 мин. при 150—200° с водяным паром, отгоняют р-ритель и альдегид, остаток концентрируют, кристаллизуют и получают I. Водн. р-р (pH 0,5), содержащий 10% I, обрабатывают равным объемом C_6H_5CHO при 50°, после декантирования водн. слой содержит <1% I.

9165. Превращение углеводов и их производных под действием СО в присутствии карбонилла кобальта в качестве катализатора. Freund Mihály, Berty József, Olta Ernő, Markó László, Szabó Zoltán, Werner Gyula, Egri László. Eljárás szénhidrogének és származékaik átalakítására kobaltkarbonil katalizátor jelenlétében szénmonoxiddal való reagáltatásuk útján. [Magyar Ásványolaj és Földgáz Kísérleti Intézet]. Венг. пат. 144996, 31.07.59.—Предложен метод каталитич. превращения углеводов и их производных под действием СО в присутствии катализатора (КТ) карбонилла Со в О-содержащие органич. соединения с числом атомов С на 1 больше, чем в исходной молекуле при повышенной т-ре и парц. давлении СО, обеспечивающую стабильность КТ. Рекомендуются сначала проводить р-цию в присутствии избытка СО, в дальнейшем часть выходящего из реактора газа, обогащенного СО, возвращают в цикл в таком кол-ве, чтобы в смеси с исходными в-вами обеспечивалась необходимая для выбранных параметров (т-ра, скорость р-ции) парц. давление СО. КТ разлагают, пропуская продукты р-ции через отдельный реактор (РТ) при повышенной т-ре и пониженном парц. давлении СО, а образующийся при этом токсодисперсный Со автокатализует разложение КТ. Приведена схема процесса с тремя РТ, описана технология произ-ва октилового спирта из фракции C_7 крекин-бензина и спирта, CH_3CHO и CH_3COOH из CH_3OH .

С. Розенфельд
9166. Усовершенствование в процессе получения органических соединений. Caldwell Alexander Muirhead Ure. Improvements in and relating to processes for the oxidation of organic compounds. [Imperial Chemical Industries Ltd]. Англ. пат. 835446, 18.05.60.—Способ незначительного окисления олефинов заключается в контактировании смеси олефина и O_2 или O_2 -содержащего газа при объемном соотношении 5—15:95—85 и 300—600° с катализатором (КТ), состоящим из 5—80 мол. % MoO_3 и окисла металла (Cu, Fe, Ca, Mg, Pb) на носителе. Время контактирования 0,1—2 сек. 20 мол. % CuO и 80 мол. % MoO_3 сглазывают, перемешивают, охлаждают и просеивают через сито с размером ячеек 150 м, 5 г полученного КТ наносят на 30 мл корунда (тонны 3,2—1,6 мм) и помещают в реактор, нагретый до 450° смесью $NaNO_2$ + $NaNO_3$. Смесью 35 объема ч. воздуха и 15 объема ч. изобутана (I) пропускают через реактор со скоростью 100 л в 1 час и получают CH_2O с выходом 36%, считая на прореагировавший I. Приведены примеры окисления бутена и I в присутствии КТ (MoO_3 :CuO = 7:93) при 503°, конверсия I 83%.
В. Вонсяцкий

9Л167. Способ получения октадиона-2,7 из симметричного диметилдивинилгликоля. Wiemann J., Sa Le Thi Thuan, Mme. Procédé de préparation de l'octadione 2-7 à partir du diméthyl-divinyl-glycol symétrique. [Centre National de la Recherche Scientifique]. Франц. пат. 1216421, 25.04.60.—Октадион-2,7 (I) получают, пропускаая сим-диметилдивинилгликоль (II) над Al_2O_3 (хроматографич.) или чистой ZnO 200—250° (при >250° образуется примесь циклопентена). В трубку (длина 1 м, диам. 2 см), содержащую 60 см Al_2O_3 и пемзу, при 250° сверху вводят со скоростью 3 капли в 1 сек. 5 г II, затем 5 г C_6H_6 и далее смесь равных кол-в II и C_6H_6 (всего 32 г II). Органич. фазу отделяют, перегонкой выделяют 15 г II и 7 г I, т. кип. 110—116°, т. пл. 42°, выход 25%. II возвращают в цикл. Применяя ZnO , получают I с выходом 30%. Н. Кульбковская

9Л168. Получение кеталей. Waters Rolland M., Lee John M. Preparation of ketals. [The Dow Chemical Co.]. Пат. США 2837575, 3.06.58.—2,2-диметоксипропан (I) или 2,2-диэтоксипропан, 2,2-диметокси- или 2,2-диэтоксипропан получают соответственно р-цией между ацетоном или метилэтилкетон (II) и CH_3OH или спиртом (в молярном отношении спирт: кетон = 4—8:1) при т-ре от -40° до т-ры кипения реакционной смеси (РС) (от -10 до 30°) в присутствии (в вес.%) 2—20 безводн. (<0,5 воды) H_2SO_4 или галогеноводородной к-ты (6—12 в случае ацетона и 6—14 в случае II). Продолжительность р-ции от нескольких секунд до 15 мин.; при т-ре от -40 до 30° р-ция завершается за 1—5 мин. Приведены кривые зависимости выхода кетала от времени р-ции при -10 и 61° и от концентрации к-ты (0,33—7,9% HCl); выход кетала увеличивается при понижении т-ры и повышении конц-ии к-ты. Кеталь экстрагируют насыщ. летучим углеводородом. После немедленной нейтр-ции экстракта 18—30%-ным NaOH и KOH из нейтр. экстракта удаляют непрореагировавшие кетон и спирт обработкой 0,5—0,1-кратным объемом 1—5%-ного воды. NaOH и KOH и выделяют перегонкой кеталь. Приведена схема непрерывного процесса (полупромышленная установка). Смесь 2960 г ацетона и 9800 г CH_3OH (молярное отношение 1:6) вводят в реактор (с мешалкой) со скоростью 600 мл в 1 час и пропускают 1290 г безводн. HCl со скоростью 45 г в 1 час (содержание HCl в РС \approx 8,6 вес.%), экстрагируют РС через 4,5 мин. при \approx 27° 4-кратным объемом углеводорода (т. кип. 130—170°), экстракт обрабатывают 25%-ным р-ром едкой щелочи со скоростью 242 г в 1 час, экстрагируют органич. фазу \sim 0,56-кратным объемом 2,3%-ной едкой щелочи и перегоняют. Получают продукт, состоящий из 2613 г I и 84 г II. Из водн. фаз экстракционных колонн выделено 1436 г II и 8135 г CH_3OH . Выход I составляет 49,3% от загруженного II и \sim 96% от прореагировавшего II. Я. Кантор

9Л169. Получение симметричного тетрафторацетона. Gordon Joseph, Wolff Cyril. Manufacture of sym-tetrafluoroacetone. [Allied Chemical Corp.]. Пат. США 2917546, 15.12.59.—Сим-тетрафторацетон $\text{CHF}_2\text{COCHF}_2$ (I) получают действием H_2 в паровой фазе на сим-тетрафтордихлорацетон $\text{CCl}_2\text{F}_2\text{COCCl}_2\text{F}_2$ (II) с Pd/C или Pd/CaF_2 в качестве катализатора при 125—350° (150—250°) и давления, обеспечивающем при установленном температурном режиме газообразное состояние II и I. Оптимальное соотношение реагентов соответствует 3—4,5 моля H_2 на 1 моль II. Время контакта снижается при повышении т-ры р-ции, увеличении кол-ва катализатора и содержания в нем Pd и равно 1—25 сек. (обычно 5—10 сек.). Для приготовления Pd/C -катализатора гранулы (8—14 меш) активированного угля, освобожденного от примеси SiO_2 предварительной обработкой HF (к-той), пропитывают р-ром PdCl_2 или другой растворимой в воде соли Pd , способной восстанавливаться H_2 до металла. Pd , сушат при 120° и нагревают затем при 150—300° в токе H_2 ; готовый катализатор должен содержать 0,5—10 вес.% Pd (обычно

1—5 вес.%). Исходный II может быть получен р-цией гексахлорацетона с безводн. HF в присутствии SbF_5 при умеренном нагревании (пат. США 2741634 см. РЖХим, 1957, № 16, 55488). В Ni-трубку (внутренний диам. 25,4 мм) загружали 36 г гранулированного (\sim 8 меш) активированного угля, содержащего 2 вес.% Pd , размещая катализатор в трубке на протяжении 736,6 мм (до данного опыта взятый катализатор уже использовался в аналогичной операции в течение 10 час.). Через трубку при 154—168° пропускали 10 час. 590 г II (в виде пара) и 24,4 г H_2 . Продукты р-ции конденсировали в ловушке, охлаждаемой смесью сухого льда и ацетона. Перегонка конденсата дала \sim 170 г непрореагировавшего II, т. кип. 44—46°, \sim 170 г сырого I, т. кип. 57—60°, и 50 г фракции, т. кип. 60—116°, представлявшей собою преимущественно моногидрат I. Выход чистого I 41%, т. кип. 59° (после вторичной перегонки фракции с т. кип. 57—60°). Последующие операции с тем же катализатором показали, что степень конверсии и выход I остаются приблизительно на том же уровне. I обладает реакционной способностью СО-группой, реагирующей с водой и неорганич. и органич. основаниями, и может поэтому служить в качестве полупродукта для различных синтезов.

О. Черников

9Л170. Способ очистки уксусной кислоты перегонкой. Ferdinand, Wimmer Josef Ernest. Verfahren zur Reinigung von Essigsäure durch Destillation. [Wacker-Chemie G.m.b.H.]. Пат. ФРГ 1016252, 3.09.59.—Описан видоизмененный метод очистки CH_3COOH (I) перегонкой при нормальном давлении (см. пат. ФРГ 959183, РЖХим, 1958, № 12, 40578). Через колонку с дефлегматором, разделенную на 2 ч., перегоняют 1000 л/час сырой I, содержащей после укреплений в нижней части колонны 0,5% низкокипящих и 0,02% высококипящих фракций. Обогрев колонны и дроссель нижней ее части регулируют так, чтобы при 116° отгонялось 250 л/час I. Отгоняемая в верхнюю часть I застаивается при 16,4° и 1 л ее в течение 3 мин. взаимодействует с 0,02 г KMnO_4 . С верха колонны отгоняется при 94° 50 л чистой I (орошение 200 л/час), которую можно использовать для пищевых целей, приготовления лекарств и т. д. Из нижней части колонны отбирают 700 л/час I для технич. целей. А. Мышкин

9Л171. Усовершенствование метода окисления и расщепления органических соединений с образованием кислотных продуктов. Snyder Jordan Pressman. Improvements in or relating to method of oxidizing and cleaving organic compounds to form acidic products. Англ. пат. 813172, 13.05.59.—Смесь карбоновых к-т получают в три стадии: 1) окисление органич. соединений HNO_3 или окислами N при 30—250° (80—170°) с образованием N-содержащих в-в; 2) выделение и обработка полученных соединений избытком щелочи при 30—130° и 3) окисление производных щел. металлов (окислители: HNO_3 , окислы N, H_2CrO_4 , горячая H_2SO_4 , щел. р-р KMnO_4 или HClO ; возможно использование катализаторов: солей Mn, V, Si или Co). Указанным методом можно окислять oleфины и полиолефины, содержащие группу $\text{C}=\text{CH}$, алкилфатич. и циклоалкилфатич. спирты и кетоны, имеющие 2 атома N в α -положении, C_4 — C_{30} -алканы и циклоалканы, содержащие группу $\text{C}-\text{CH}_2(\text{z})$, алкил- и циклоалкилароматич. углеводороды или алкилгетероциклич. соединения. Лучшим окисляющим агентом является 68%-ная HNO_3 при молярном отношении HNO_3 к окисляемому соединению от 1:1—100:1. Обсуждается механизм р-ции, которая идет через образование α -нитроспиртов или α -нитронитратов, 282 г технич. олеиновой к-ты постепенно прибавляют к 2000 г горячей 68%-ной HNO_3 при хорошем перемешивании, нагревают до 100° и выдерживают при этой т-ре всего 1 час, выделяются окислы N. Р-р упаривают в вакууме досуха, к остатку прибавляют 250 мл CHCl_3 , образующиеся кристаллы отфильтро-

где R и R' — различные алкилы и арилы, получают нагреванием R'OH и ROCH₂COOR, где X = Cl, Br, в присутствии катализаторов, напр. колл. Pd, Pt и Ru. 265 г C₆H₅OCCl₂COOC₂H₅ нагревают с 130 г первичного n-C₆H₁₃OH и 0,05 г Pd при t-ре 100°. Продукт промывают водой, сушат, перегоняют в вакууме. Выделяют 173 г n-C₆H₁₃OCCOOC₂H₅. Аналогично получают I, где R = C₂H₅, R' — циклогексил, C₆H₅CH₂, C₆H₅, β-C₁₀H₇; R = C₆H₅, R' = β-C₁₀H₇. Н. Кульбовская

9Л79. Способ получения эфиров α,β-ненасыщенных карбоновых кислот. Isler Otto, Rüegg Rudolf. Verfahren zur Herstellung von α,β-ungesättigten Carbonsäureestern. [F. Hoffmann-La Roche & Co. A.-G.]. Швейц. пат. 324187, 31.10.57.—Проводят р-цию между β-галогдвиниловым эфиром и амидом щел. металла в жидком NH₃, продукт р-ции конденсируют (не выделяя из NH₃) с альдегидом или кетоном, гидролизуют в присутствии NH₄-соли, после удаления NH₃ обрабатывают в среде инертного р-рителя минер. к-той и образующийся в результате перегруппировки эфир α,β-ненасыщ. к-ты омыляют. Р-цию с амидом проводят в открытом реакторе при t-ре кипения NH₃ или в автоклаве при ~20°. В 500 мл сухого жидкого NH₃ вводят 100 мг Fe(NO₃)₃ и 300 мг Na, в р-р продувают (1 мин.) сухой воздух, добавляют кусочками 13,8 г Na, дожидаясь после каждой добавки исчезновения синей окраски, добавляют при энергичном перемешивании 37,5 г β-хлорвинилэтилового эфира и через 10 мин. 31 г 6-метилгептен-5-она-2 (I). Реакционную смесь перемешивают 40 час., медленно добавляют 45 г NH₄Cl, удаляют NH₃, добавляют 800 мл петр. эфира, фильтруют, фильтрат сушат над Na₂SO₄, выпаривают р-рителем и остаток перегоняют. Получают 26 г 1-этокси-3-окси-3,7-диметилгексен-6-ина-1, т. кип. ~80°/0,05 мм, и 10 г непрореагировавшего I. Продукт р-ции растворяют в 300 мл эфира, обрабатывают 100 мл 10%-ной H₂SO₄ (16 час.) при ~20°, разбавляют водой, эфирный слой отделяют, промывают водой, сушат над Na₂SO₄ и после р-рителя получают 21 г этилового эфира 3,7-диметилгексен-2,6-овой-4 к-ты (II к-та), который кипятят 2 часа с 350 мл CH₃OH, 35 мл воды и 12,5 г NaOH, разбавляют 1 л воды, промывают эфиром, воду, р-р подкисляют разб. H₂SO₄, экстрагируют эфиром и получают 16 г II, т. кип. 90°/0,03 мм, n_D²⁰ 1,4769, выход 57% (теор.) в расчете на прореагировавший I. Описано получение 6-(2',6',6'-триметилциклогексен-1'-ил) - 4-метилгексадиен-(2,4)-овой-1 к-ты, λ(макс.) (в сп.) 255 мμ (E₁¹ 617), метилового эфира, т. кип. 116°/0,07 мм, n_D²⁰ 1,5242, λ(макс.) (в сп.) 268 мμ (E₁¹ 608). Полученные α,β-ненасыщ. к-ты являются промежуточными продуктами в синтезе каротина и его производных. Я. Кантор

9Л80. Получение моноэфиров. Smith Malcolm Kent. Production of mono-esters. [The Baker Castor Oil Co.]. Пат. США 2902500, 1.09.59.—Моноэфиры (МЭ) жирных оксикислот, содержащих 11—22 атома С в молекуле, и многоатомных спиртов (МС), содержащих ≤ 1 первичной и ≥ 1 вторичной ОН-группы в молекуле, получают действием МС на природные или синтетич. триглицериды оксикислот (ТГ). ТГ должен содержать < 0,8% (< 0,1) свободной к-ты. Р-цию проводят при 20—50° в присутствии катализатора (гидроокиси или алкоголяты щел. металлов), преимущественно в безводн. условиях. Молярное соотношение МС: ТГ = 4,5—9:1. Расход катализатора 0,01—1,0% от веса ТГ. Время р-ции 30—90 мин. По окончании протертификации реакционную смесь нейтрализуют H₃PO₃ или H₂BO₃ (до слабнокислой р-ции), промывают большим кол-вом воды и высушивают. Смесь (в вес. ч.) 300 кастрового масла (I), 225 пропандиола-1,2 (II) и 0,9 NaOH нагревают 1 час при 25—30°, выдерживают ~12 час. при ~20°, промывают водой (для ускорения расслоения эмульсии первую промывку производят солевой водой) и высушивают. Получают 2-оксипропил-

рицинолеат (III), n_D²⁵ 1,4701, d₄²⁵ 0,957, конверсия I в II ~100%. Описано получение III в иных условиях. Действием на I бутандиола-1,3 (IV) получают 3-оксибутилрицинолеат, n_D²⁵ 1,4692, d₄²⁵ 0,960. Аналогично получают МЭ из ТГ диоксиолеиновой к-ты и 2-этил-1,3-гександиола, ТГ амбреттолевой к-ты и рамнина, частично гидрогенизированного I и IV, частично гидроксилированного соевого масла и IV, ТГ гидроксилированной ундециленовой к-ты и II, гидроксилированного рапсового масла и II, гидроксилированного сельдяного жира и II. Описано ацетилирование МЭ. МЭ являются хорошими пластификаторами для натуральных и синтетич. каучуков и смол. Н. Майер

9Л81. Способ получения ацетата одновалентной меди. Arient Josef, Dvořák Jan. Způsob přípravy normálního octanu mědnatého. Чехосл. пат. 88229, 15.01.59.—Аналитической чистоты CH₃COOCu получают осаждением из 55—56%-ного р-ра Cu₂SO₄ 56—58%-ным р-ром CH₃COONH₄ (I) при 60—70°. 500 г Cu₂SO₄ при кипячении растворяют в 400 мл воды. Горячий р-р фильтруют, фильтрат промывают 50 мл воды и полученный фильтрат при 80—90° приливают к р-ру 385 г I, полученному из 289 мл 98,5%-ной CH₃COOH и 431 мл 21,5%-ного р-ра NH₃. Т-ра р-ра I 40°. Смесь при перемешивании охлаждают до 20°, осадок отфильтровывают, отсасывают, промывают 250 мл воды, сушат при 60° и получают 310 г CH₃COOCu. А. Мышкин

9Л82. Способ получения солей трихлоруксеной кислоты. Peto Fernand, Girard Marc-Louis-Joseph. Procédé de préparation de sels de l'acide trichloracétique. [Nobel — Bozell]. Франц. пат. 1215806, 21.04.60.—Порошкообразные соли CCl₃COONa (I), в частности CCl₃COONa (II), получают нейтр-цией при 60° водн. I (6—12 кг воды на 100 кг I) стехиометрич. кол-вом безводн. NaOH или Na₂CO₃. Смесь 50 кг в 1 час 97%-ной I и 3,5 л в 1 час воды при 25—30° (50°) со скоростью 31 л в 1 час и 16,5 кг в 1 час безводн. Na₂CO₃ подают в смеситель, полученную пасту (рН 6—8) направляют в дробилку, на выходе которой автоматическим образом измеряют рН и в зависимости от этого реле дозирует подачу безводн. II в следующий смеситель, откуда сырой порошок II (< 7% воды) через дозатор подают в сушилку, где сушат при 60° и 600—700 мм. Получают 113—114 кг в 1 час 94%-ного II, половину которого направляют в первый и второй смесители. Н. Кульбовская

9Л83. Новый способ получения производных хлоругольной кислоты. Nouveau procédé de préparation de dérivés de l'acide chloroformique. [Pierre Latour]. Франц. пат. 1217012, 29.04.60.—Газообразную смесь 1 моля COCl₂, CO₂ и ≥ 1 моля трет-C₄H₉OH, нагретых до 75°, подают в реакционную трубку, 1-я зона которой, заполненная контактной массой, охлаждается снаружи водой, 2-я зона нагревается до 35°, 3-я — до 65°. Время контакта 3 сек. В конденсаторе от продуктов р-ции отделяют HCl и CO₂, в приемнике собирают трет-C₄H₉OCCl и перегоняют в вакууме, выход 95%. Н. Кульбовская

9Л84. Получение дигидразона диформилгидразина. Grundmann Christoph J., Kreutzberger Alfred. Process. [Olin Mathieson Chemical Corp.]. Пат. США 2872485, 3.02.59.—1,3,5-триазин (получен р-цией HCl с HCN и обработкой продукта р-ции дегидрогенизирующим агентом, напр. хинолином) смешивают с безводн. NH₂NH₂ при 0—40° в инертном р-рителе (CH₃OH, C₂H₅OH, изо-C₃H₇OH, трет-C₄H₉OH, эфир, тетрагидрофуран, диоксан) и в атмосфере, свободной от окислителей, желательно в темноте. Р-ция идет по ур-нию: 2C₃H₃N₃ + 9NH₂NH₂ → 3N₂NN=CHNNHCH=NNH₂ + 6NH₃. К охлаждаемому льдом р-ру 3 г 1,3,5-триазина в 25 мл безводн. эфира прибавляют по каплям 5,3 г безводн. NH₂NH₂. Выделяется NH₃ и выпадает белый осадок. Смесь оставляют на 12 час. при ~20°, осадок отсасывают, промывают 10 мл холодного эфира

и высушивают над P_2O_5 . Получают 5,3 г (79%) дигидразона диформилгидразина (I), т. пл. 117—118°, который очищают экстрагированием (30 мин.) с 5 мл холодного абс. спирта и последующим быстрым фильтрованием в атмосфере N_2 . Очищ. продукт имеет т. пл. 122—123° (разл.). В отсутствие р-рителя выход I составляет 62,4%, в присутствии диоксана — 68%, тетрагидрофурана — 71%. I пригоден как промежуточное в-во для синтеза 1,2,4-триазола и амино-1,2,4-триазола, последний является гербицидом. Б. Фабричный

9185. Получение эфиров транс-N-карбамиламовых кислот. Stiteler Charles H. Making trans N-carbamylamic esters. [United States Rubber Co.]. Пат. США 2860157, 11.11.58. — Эфиры транс-N-карбамиламоновых ненасыщ. к-т и первичных и вторичных спиртов получают изомеризацией соответствующих цис-эфиров в присутствии воды и третичного амина при pH < 10 или непосредственно из N-карбамиламидов и спиртов. 51,6 ч. метилового эфира малеуевой к-ты (I к-та), 23,7 ч. пиридина (II) и 180 ч. воды перемешивают 20 мин. при ~20°, фильтруют, промывают водой, эфиром, сушат на воздухе и получают метиловый эфир N-карбамилафумаровой к-ты (III), выход 87%, т. пл. 230—232° (при 50° выход III 88%). 14 ч. N-карбамила-маленимида, 50 ч. CH_3OH , 100 ч. воды и 7,9 ч. II оставляют на 24 часа при ~20°, фильтруют, промывают, сушат и получают III с выходом 76%. 8,6 ч. I, 6 ч. диметиламина, 41 ч. воды и 32,5 ч. CH_3OH оставляют на несколько часов и получают 72% III. 21,4 г бутил-малеурата, 7,9 ч. II и 100 ч. воды оставляют на ~16 час. при ~20° и получают бутиловый эфир I, выход 82%, т. пл. 170—172°. Аналогично из 20,2 ч. 2-оксэтилмалеу-рата, 7,9 ч. II и 100 ч. воды получают 2-оксэтиловый эфир I, выход 80%, т. пл. 184—186°. И. Берлин

9186. Способ удаления примесей из водорастворимых акриламидов. Sheare Newton H., Jr., Coover Harry W., Jr. Process for the removal of impurities from water-soluble acrylamides. [Eastman Kodak Co.]. Пат. США 2865960, 23.12.59. — Для отделения примесей (в основном органич. и неорганич. к-т, оснований и их солей) от водорастворимых акриламидов (I) состава $CH_2=C(R)CON(R')_2$ (где $R=CH_3$ или H , $R'=H$ или низший алкильный радикал) р-р I обрабатывают сначала катионообменной смолой в кислой форме при т-ре < 90°, отделяют р-р I от смолы, обрабатывают его при т-ре < 55° анионообменной смолой в щел. форме и затем вновь отделяют р-р от смолы. Напр., 200 г сырого N-метилметакриламида (I') растворяют в 200 г дистил. воды и р-р пропускают в течение 25 мин. через 60 г амберлита IR-120, затем через колонку пропускают 25 мл воды и собирают ее в том же приемнике, где находится р-р II. Полученный кислый р-р пропускают в течение 40 мин. через 60 г регенерированного амберлита IRA-400 (получаемого обработкой сополимера полистирола и дивинилбензола хлорметиловым эфиром в присутствии агента набухания с последующей обработкой продукта третичным амином) и промывают 25 мл воды. Получаемый слабощел. р-р II вновь пропускают через колонку с амберлитом IR-120, промывают 25 мл воды, получают 455,4 г нейтр. р-ра II. Содержание II в р-ре составляет 38,7 вес.% (выход 88%). Д. Брондз

9187. Синтез акрилонитрила. Burrus Harry O., Sheard John L., Vines Sterling N. Acrylonitrile synthesis. [E. I. du Pont de Nemours and Co.]. Пат. США 2820068, 5.01.60. — Акрилонитрил (I) получают р-цией HCN и C_2H_2 при молярном соотношении 1:2—15 в жидкой фазе в присутствии катализатора (КТ) — безводи. р-ра $CuCl_2$ в органич. нитриле (ароматич. или алифатич.), кипящем > 100° и 0,01% сухого HCl (газа) по отношению к весу HCN . Безводи. р-р 400 г $CuCl_2$ в 400 мл фенилацетонитрила (II) нагревают в течение 4 час. до 150° и при перемешивании пропускают смесь HCN и C_2H_2 (1:6) и HCl (газа) (1—5%) с объемной ско-

ростью 90 в 1 час на 1 объем КТ. В р-цию входит 30 г HCN . I выделяют дистилляцией, а непрореагировавшие HCN , C_2H_2 и II возвращают в систему. Выход I 54%, конверсия HCN 40%. Приведены примеры с использованием данного КТ, но без добавления HCl . Показано, что в этом случае КТ теряет свою активность через 30 час. Приведена таблица зависимости выхода I от продолжительности р-ции, мол. соотношения и скорости подачи исходных продуктов при использовании р-ра $CuCl_2$ в бензонитриле с добавлением HCl -газа. В. Простякова

9188. Способ получения смесей нитрилов ω-галогидкарбоновых кислот. Schulz Hermann, Huemmer Hans. Verfahren zur Herstellung von Gemischen aus ω-Halogencarbonsäurenitrilen. [Deutsche Gold- und Silber-Scheideanstalt vormals Roessler]. Пат. ФРГ 972796, 24.09.59. — Смесей нитрилов ω-галогидкарбоновых к-т общей ф-лы XR_nCN (I), где $X=Cl$ или Br , а R — алкиловый остаток, получают теломеризацией олефинов R с галогидцианами XCN в присутствии катализаторов, способных генерировать свободные радикалы (алифатич. азосоединения или редокс-системы, состоящие из перекисей и аминов, преимущественно третичных, иногда с добавками производных сульфидных к-т и соединений металлов Cu , Mn , Co , Pt). Р-цию проводят периодич. способом, в присутствии или в отсутствие р-рителя при 90—100°, давл. 300—500 ат (до начала нагревания давл. 80—100 ат) и времени р-ции 1—2 часа или непрерывно, в отсутствие р-рителя при 150—180° и давл. 100—150 ат. Величина n в I зависит от катализатора, соотношения реагентов и т-ры р-ции. Стальной автоклав емк. 1 л, содержащий 250 мл жидкого $ClCN$, 200 мл толуола и 10,5 г азобисобутиронитрила (II), заполняют N_2 , затем вводят C_2H_4 до давл. 90 ат, повышают в течение 1 часа т-ру до 100—110° и выдерживают при этой т-ре еще 1 час (давление достигает 500 ат). Получают смесь I, $X=Cl$, $R=CH_2CH_3$, $n=1-5$ (Ia), перегоняющуюся при 61—207°/3 мм. При применении 90 мл $ClCN$, 3,8 г II, начальном давлении C_2H_4 100 ат и т-ре р-ции 120° получают смесь Ia с $n=1-7$, перегоняющуюся при 55—231°/2 мм. Аналогично из $ClCN$, изобутилена и II получают смесь I, $X=Cl$, $R=C_4H_9$, $n=5,5$. Описано получение Ia непрерывным способом. Смесей I могут быть разделены перегонкой. I являются сырьем для получения искусств. волокон. Н. Майер

9189. Способ получения хлоргидратов оксалиминоэфиров цианвалериановой кислоты. Зильберман Е. Н., Кулякова А. Е. Авт. св. СССР 125553, 8.01.60. — Хлоргидраты оксалиминоэфиров δ-цианвалериановой к-ты получают при действии 2 экв HCl , а затем после некоторой выдержки при 0—5° 1 экв глицола на 1 экв адипонитрила (I). В р-р 10,8 г (0,1 моля) I и 50 мл бензола при 0—5° вводят 7,5 г (0,2 моля) HCl , выдерживают 4 часа и при 0—5° и сильном перемешивании добавляют 9 г (0,1 моля) бутандиола-1,4, перемешивают еще 3—4 часа и через 16—20 час. бензольный слой декантируют, остаток растворяют в 30 мл теплой воды, через 2—3 часа отделяют верхний масляный слой, водн. слой экстрагируют этилацетатом, экстракт соединяют с масляным слоем, сушат Na_2SO_4 , отгоняют р-ритель, получают 16 г (80%) густой желтой жидкости, обрабатывают ее активным углем и получают очин. 4-оксэтиловый эфир δ-цианвалериановой к-ты, n_D^{20} 1,4588, d_4^{20} 1,0790. Л. Волкова

9190. Электролитический метод получения дихлорформоксима. Madaus John H., Urbach Hermann B. Electrolytic production of dichloroformoxime. [Olin Mathieson Chemical Corp.]. Пат. США 2918418, 22.12.59. — Дихлорформоксим (I) получают электролизом смеси, содержащей 10—60 вес.% хлорпикрина (II), 5—35 вес.% H_2SO_4 и 25—65 вес.% CH_3OH , C_2H_5OH или их смеси, непрерывным способом в ячейке, разделенной диафрагмой на две равные по объему части для като-

литы и 10—30 в р-рада олово, м для дигла, приго мера сти чество с рывно в ски восс смесь I. II, кото где в аи руется л раздвляе тролита, вращае ченным ну втор делется извлече каком-л ым или после о из-во, вт гич. схе кишцен 54°/25 м NH_2OH . как отр раатичн 9191. безводи Verfah freiem Fabrik A (2+ 0,1—1 м этих со ремеш поменат ном пер чение 3 склянк ной сме затем в 15 час. 1334 вес ается циклоо 9192. Gross urea. 19.08.58. из NH_3 вращат ходные в тако (II) с (2—4) рителе (17,25— юся п лирном при т-р денсат ИВД в нагрва при 170 руются ЖК см лирном и 220,5 NH_3 , 2 23 Хим

лита и анолита, при t -ре от -5 до 25° , напряжения $10-30$ в и плотности тока 100 мА/см^2 . В качестве материала для электродов могут служить платина, латунь, олово, медь, их сплавы и другие металлы, материалом для диафрагмы ячейки является катионообменная смола, приготовленная из высокосульфированного сополимера стирола и дивинилбензола, с полистиролом в качестве связующего. Электролит, поступающий непрерывно в катодное пространство, где II электролитически восстанавливается в I, вытесняет образовавшуюся смесь I с р-рителем ($\text{CH}_3\text{OH} + \text{H}_2\text{SO}_4$) и неизменным II, которая поступает на стадию первой экстракции, где в аппарате колонного типа эта смесь экстрагируется при $20-50^\circ$ II, насыщенным H_2SO_4 и CH_3OH , и разделяется на два несмешивающихся слоя: слой электролита, из которого извлекают образовавшийся I, возвращаемый в электролитич. ячейку, и слой II с извлеченным I. Последний слой передается далее на колонну второй экстракции, где обрабатывается водой и разделяется на II, используемый в следующих операциях извлечения, и воды, р-р I, из которого I извлекается каким-либо простым ди- $\text{C}_4\text{-C}_6$ -эфиром, напр. диэтиловым или диизопропиловым (стадия 3-ей экстракции), и после отгонки р-рителя, возвращаемого обратно в прона-во, выделяется в чистом виде. Даны общая технологич. схема процесса получения I и ее описание. При кипячении воды, р-ра I в течение 2-3 час. при $53-54/25 \text{ мм}$ I превращается с хорошим выходом в $\text{NH}_4\text{OH} \cdot \text{HCl}$. Кроме того, I может быть использован как отравляющее в-во и как полупродукт для синтеза различных органич. в-в.

О. Черныш

9Л91. Метод получения мелкокристаллического безводного цианида никеля (II). Schloeder H. A. Verfahren zur Herstellung von feinkristallinem, Wasserfreiem Nickel (II)-cyanid. [Badische Anilin- & Soda-Fabrik A.-G.]. Пат. ФРГ 1062688, 14.01.60.—Цианид никеля (2+) (I) с размером ячеек кристаллич. решетки $0,1-1 \text{ м}$ и получают р-цией NiCO_3 , Ni(OH)_2 или смеси этих соединений с безводн. HCN при интенсивном перемешивании и 40° . В закрытую вакуумную склянку помещают 1500 вес. ч. NiCO_3 (48% Ni), при энергичном перемешивании добавляют 1000 вес. ч. HCN в течение 3-4 час. через вентиль, находящийся в крышке склянки, охлаждаемой ледяной водой (t -ра реакционной смеси $25-30^\circ$), и оставляют при этой t -ре на 6 час., затем выдерживают 3-5 час. при 20° и нагревают $10-15$ час. при $150-180^\circ$ и давл. $5-10 \text{ ат}$, получают 1334 вес. ч. I, выход 98%, размер ячейки $0,5 \text{ м}$. I является катализатором полимеризации ацетилена в циклооктатетраен.

Е. Р.

9Л92. Синтез мочевины. Dewling William L. E., Grossmann Samuel W. Process for synthesis of urea. [Allied Chemical Corp.]. Пат. США 2848493, 19.08.58.—Предложен процесс получения мочевины (I) из NH_3 и CO_2 в присутствии воды, позволяющий возвращать снова в р-цию непрореагировавшие в-ва. Исходные в-ва вводят в реактор ($170-195^\circ$, $140-224 \text{ ат}$) в таком молярном отношении, чтобы продукт р-ции (II) содержал (в молях) $>3-9$ ($5-9$) NH_3 и $>0,5$ ($2-4$) воды на 1 CO_2 . II нагревают в пленочном испарителе высокого давления (ИВД) под давл. $10,5-29,75$ ($17,25-22,75$) ат, $\geq 90\%$ ($\sim 95\%$) NH_3 и CO_2 испаряются при $120-225^\circ$ ($160-170^\circ$) вместе с водой в молярном отношении $3-9:0,5-4:1$ ($4-7:1,5-2,5:1$), при t -ре $>30-115^\circ$ ($65-85^\circ$) образуется жидкий конденсат (ЖК), вновь рециркулируемый. Оставшийся в ИВД водн. плав I с $5-10\%$ непрореагировавших в-в нагревают в пленочном испарителе низкого давления при $170-200^\circ/1,75-4,9 \text{ ат}$, NH_3 , CO_2 и часть воды испаряются и при $\sim 35^\circ$ образуют ЖК, присоединяемый к ЖК смеси из ИВД. Введением NH_3 , CO_2 и воды в молярном отношении $\sim 4:1:1$ в автоклав (А) при 190° и $220,5 \text{ ат}$ получают I с выходом 45% и (в молях) $5,6 \text{ NH}_3$, $2,6$ воды на 1 CO_2 . Из II в ИВД (217° и $20,3 \text{ ат}$)

выделяют смесь $\sim 96\%$ непрореагировавшего NH_3 и $\sim 97\%$ непрореагировавшего CO_2 в газо-паровой фазе (167°) при молярном отношении NH_3 :вода: $\text{CO}_2 = 5,6:1,8:1$, эту смесь охлаждают до 65° и образовавшийся ЖК из сборника с t -рой $\sim 65^\circ$ (на 10° выше t -ры кристаллообразования, $\sim 57^\circ$) возвращают после нагрева до 130° в А, куда подают свежие NH_3 и CO_2 в кол-вах, необходимых для получения исходной смеси вышеуказанного состава. Приведены технологич. схема процесса и ряд примеров с другими молярными составами исходной смеси и II в указанных выше пределах.

Я. Кантор

9Л93. Органические тиосульфенаты и способ их приготовления. Louthan Rector P. Organic thiosulfenates and method of preparation. [Phillips Petroleum Co.]. Пат. США 2913475, 17.11.59.—Органические тиосульфенаты общей ф-лы RSSOR' (I), где R и R' — алкил-, арил-, аларкил-, алкаркил- или циклоалкилрадикалы, содержащие 1-20 атомов C ($\text{R} = \text{CH}_3$, $\text{R}' = \text{трет-С}_4\text{H}_9$ Ia), получают действием алкоголята общей ф-лы $\text{M(OR}^n)_n$ (II), где M — щел. или щел.-зем. металл валентности n, на в-ва общей ф-лы RSX (III), где X = Cl или Br. Р-цию проводят в среде органич. р-рителя (алканы C_4-C_7 , C_6H_6 , толуол, CCl_4 , CHCl_3) при $0-150^\circ$; на 1 г-экв II используют 1-2 моля III; процесс можно проводить периодич. или непрерывным способом. По окончании р-ции смесь промывают водой, отгоняют р-ритель и очищают I перегонкой, кристаллизацией и т. п. III получают действием X_2 на р-р R_2S_2 в избытке органич. р-рителя при $10-65^\circ$. К р-ру 4 молей III, полученному действием 142 г Cl_2 на 391 г ($\text{трет-С}_4\text{H}_9$) $_2\text{S}_2$, в 3000 мл $n\text{-C}_5\text{H}_{12}$ приливают в течение 5 мин. при 36° р-р 4 молей II (92 г Na, 750 мл асб. CH_3OH). Смесь промывают 500 мл воды, водн. слой экстрагируют 500 мл C_5H_{12} . Из органич. р-ра перегонкой получают $186,2 \text{ г}$ фракции с т. кип. $60,5-62/25 \text{ мм}$. Повторная перегонка этой фракции дает продукт, которому по данным анализа и ИК-спектру приписана ф-ла Ia, т. кип. $60/25 \text{ мм}$, $n_D^{20} 1,4822$, мол. в. 152,1. Описано получение Ia при других соотношениях реагентов. Ia — чрезвычайно сильный лакриматор и в смеси с CF_2Cl_2 и CFCl_3 может применяться для наполнения слезоточивых бомб. Вообще I могут применяться как интродукты резиновых смесей, а также как лакриматоры (в смеси с другими в-вами) и одоранты для бытового газа.

Н. Майер

9Л94. Способ получения индивидуальных хлоргидратов аминокансульфохлоридов. Feichtinger Hans, Puschhof Siegfried. Verfahren zur Herstellung von einheitlichen Aminoalkansulfochloridhydrochloriden. [Ruhrchemie A.-G.]. Пат. ФРГ 1038054, 19.02.59.—Соединения ф-лы $\text{HCl} \cdot \text{RNHR}'\text{SO}_2\text{Cl}$ (I) получают действием HCl (газа) при $\sim 20^\circ$ на пятичленные сульфамы $\text{R}'\text{SO}_2\text{NR}$, где R' — алкилен, содержащий 3 атома C между N- и S-атомами, R = H или углеводородный остаток. В р-р $0,5$ моля 1,3-пропансульфата в 700 мл C_6H_6 при перемешивании и 25° (охлаждение) пропускали за 30 мин. 25 мл сухого HCl (газа). Получали I, R = H, R' = $(\text{CH}_2)_3$, выход 96% , т. пл. $140-141^\circ$. Аналогично получают (даны в ф-ле I R и R', выход в %, т. пл. в $^\circ\text{C}$): H, $\text{CH}_2\text{CH}_2\text{CH}(\text{CH}_3)$, 95, $125-127$; H, $\text{CH}_2\text{CH}(\text{CH}_3)\text{CH}_2$, 92, $134-136$; CH_3 , $\text{CH}_2\text{CH}_2\text{CH}(\text{CH}_3)$, 87, $101-108$; $\text{C}_6\text{H}_5\text{CH}_2$, $\text{CH}_2\text{CH}_2\text{CH}(\text{CH}_3)$, 88, $122-124$.

М. Алексеева

9Л95. Способ получения дитиооксамида из дициана и сероводорода. Krážík J. a F. o m i l. Způsob výroby rubeanvodiku (dithioozamidu) (CSNH_2) $_2$ z dikyanu a sirovodiku. Чехосл. пат. 92095, 15.10.59.—Амид дитиошавелевой к-ты (CSNH_2) $_2$ (I) получают из $(\text{CN})_2$ и H_2S с использованием абсорбирующего катализатора, р-ра, являющегося одновременно сырьем для р-ции и позволяющего легко отделять образующийся I. $(\text{CN})_2$ и H_2S из генераторов, где они образуются за счет

р-ции $\text{CuSO}_4 + \text{KCN}(\text{NaCN})$ и $\text{FeS} + \text{HCl}$, постушают в смесительный вентиль и оттуда в батарею абсорберов, заполненных р-ром состава: 1 кг CaCl_2 , 10 кг $\text{Ca}(\text{OH})_2$ и 50 кг мягкой воды. Давление в абсорберах 0,3—0,5 ат. На 1 кг полученного I расходуют 2 кг CaCl_2 , 20 кг $\text{Ca}(\text{OH})_2$, 140 л $(\text{CN})_2$ и 500 л H_2S (при нормальных условиях). В случае загрязнения I парацианом I растворяют в избытке р-ра $\text{Ca}(\text{OH})_2$ на холоду, р-р фильтруют, разлагают 10%-ной HCl и выделившийся I промывают HCl и дистил. водой. Приведена схема батарейной установки. А. Мышкин

9Л96. Способ получения S-(2-цианэтил)-изотиоуровневых производных. Stépánek Josef, Černá Věra. Zprůso výroby derivátů S-(2-kyanethyl)-isothiuronových. Чехосл. пат. 89494, 15.04.59.—Галонидные соли S-(2-цианэтил)-изотиоурония (I) получают цианэтированием NH_2CSNH_2 или ее производных $\text{CH}_2=\text{CHCN}$ при 15—110° в присутствии галондородородных к-т в полярных р-рителях. 25 ч. $\text{CH}_2=\text{CHCN}$ и 40 ч. NH_2CSNH_2 добавляют к 200 объемн. ч. спирта, приливают 65 объемн. ч. ~35%-ной HCl , кипятят смесь 20—30 мин., охлаждают и отделяют мелкие бесцветные иглы I (хлорид), т. пл. 165,5—166° (после перекристаллизации), выход 60—90% (в зависимости от чистоты). Аналогично, добавляя *изо*- $\text{C}_3\text{H}_7\text{OH}$ и 49%-ную HBr , получают I (бромид), т. пл. 177°, выход 60—80%. Добавляя CH_3OH и 56%-ную HI , получают I (йодид), т. пл. 131—132°, выход ~60%. А. Мышкин

9Л97. Получение солей кислых алкилсульфатов. Harrington Robert C., Jr. Manufacture of salts of alkyl acid sulfates in one step. [Eastman Kodak Co.] Пат. США 2849450, 26.08.58.—Описан улучшенный способ получения замещ. аммонийных солей сульфированных спиртов, применяемых в качестве поверхностноактивных в-в, детергентов, смачивающих и т. д. 1 моль $\text{H}_2\text{NC}(\text{CH}_2)_2\text{CH}_2\text{OH}$ смешивают с 1 молем олеонового спирта, прибавляют 1 моль конц. H_2SO_4 , т-ру поднимают до 110°, слегка охлаждают, выдерживают 4 часа при 100° и получают N-(1,1-диметил-2-оксиптил)-аммонийолеилсульфат (эмульгатор). Аналогично получены следующие олеилсульфаты: N-(1-этил-2-оксиптил), N-[1,1-бис(оксиметил)пропил], N-фенил-N-(2-оксиптил), следующие аммонийлаурилсульфаты: (1,1-диметил-2-оксиптил), бис-(2-оксиптил), (2-оксиптил)-диметил и (1-оксип-2-бутил), олеилсульфаты морфолина, пиридина и пирролидина, лаурилсульфаты морфолина, пиридина и N-метилморфолина. В варианте метода амины смешивают с сульфированным агентом до обработки спиртом. И. Берлин

9Л98. Способ получения моноизобутилборгидридов натрия и лития. Захаркин Л. И. Авт. св. СССР 125548, 15.01.60.—Соединения ф-лы $\text{MeBNH}_2(\text{CH}_2\text{CH}(\text{CH}_3)\text{CH}_3)$ (I), где $\text{Me} = \text{Na}$, Li , получают р-цией $[\text{CH}_3\text{CH}(\text{CH}_3)\text{CH}_2]\text{B}$ (II) с MeH при повышенной т-ре с одновременной отгонкой выделяющегося $\text{CH}_3\text{C}(\text{CH}_3)=\text{CH}_2$ (III). 60 г и II и 8 г тонкоизмельченного NaH кипятят 3 часа, одновременно конденсируя в ловушке выделяющийся III. При нагревании реакционная масса постепенно затвердевает, из нее отгоняют в вакууме не вступивший в р-цию II, остаток растворяют в эфире и отфильтровывают от нерастворившихся частей, после чего отгоняют эфир, получают 26 г (84%) I ($\text{Me} = \text{Na}$). Т. Рострома

9Л99. Синтез алкоколятов. Esmaý Donald L., Johnson Carl E. Alkoxide synthesis. [Standard Oil Co.] Пат. США 2873290, 10.02.59.—Алюмо- или бороалкоколяты щел. металлов общей ф-лы $\text{MX}(\text{OCH}_2\text{CHRR}')_m$ ($\text{CH}_2\text{CHRR}'$)_n (I), где M — щел. металл, X = Al или B, R и R' — H, алкил, циклоалкил, арил, алкарил, аракил, m = 1—4, n = 3—0, m + n = 4, получают окислением соответствующих алюмо- или бороалкилов щел. металла ф-лы $\text{MX}(\text{CH}_2\text{CHRR}')_n$ (II) воздухом или чистым O_2 при т-ре от —30 до 300° (при 0—50°) и давл.

0,0007—25 ат (обычно 0,007—3,5 ат) в среде инертных низкокипящих разбавителей (n-пентан, n-октан), чем облегчается отвод тепла р-ции окисления. Исходные II получают р-цией олефинов типа $\text{RR}'\text{C}=\text{CH}_2$ (III) с алюмо- или борогидридами щел. металлов, MXH_n , при 75—170° (напр., при 120—150°) и нормальном или повышенном давлении (до 70—350 ат) в среде инертных р-рителей или разбавителей (C_6H_6 , тетрагидрофуран); проведение этой р-ции в атмосфере H_2 препятствует разложению (дегидрированию) MXH_n до вступления их в р-цию с III и тем способствует повышению выходов II. Гидролиз I приводит к гладкому образованию спиртов ф-лы $\text{RR}'\text{CHCH}_2\text{OH}$. Описанный способ получения I является одной из стадий получения этих спиртов из III, обычные способы гидратирования которых дают вторичные спирты. 0,058 моля LiAlH_4 и 1,8 моля дегена-1 размешивали ~11 час. в атмосфере N_2 при 120° до перехода первоначальной серо-голубой взвеси гидрида в светлый, мелкий порошок. Смесь охлаждали до 30—40°, пропускали в нее сухой воздух до прекращения теплообразования, медленно прибавляли 5 г воды, фильтровали и фракционированной пергонкой фильтра выделяли 17 г (~50%) деканола-1, т. кип. 220—235°, т. заст. 4°, n_D^{20} 1,437, d_4^{20} 0,824. Смесь 0,11 моля LiAlH_4 и 0,48 моля пропилена в 100 мл n-гексана нагревали в металлич. реакторе в течение 2 час. до 135°, при достижении этой т-ры происходила р-ция, сопровождавшаяся повышением т-ры на 5° и понижением давл. с 32,7 до 26,4 ат. Размешивали содержимое реактора при 135° еще 2 часа, охлаждали, удаляли 0,45 моля непрореагировавшего пропилен, пропускали около 2 час. (до прекращения поглощения) чистый O_2 , причем т-ра повышалась до 42°, гидролизовали полученный продукт добавлением 0,5 моля воды, отфильтровывали выделившийся $\text{Al}(\text{OH})_3$ и LiOH , промывали их гексаном, объединенный фильтрат экстрагировали 9 раз водой и разгонкой экстракта (~108 мл) выделяли 23,3 мл азеотропа n- $\text{C}_3\text{H}_7\text{OH}$ + вода, т. кип. 87—88°, n_D^{20} 1,3782, d_4^{20} 0,858, содержащего 71% n- $\text{C}_3\text{H}_7\text{OH}$, что соответствует выходу 59%. Даны другие аналогичные примеры. О. Чернов

9Л100. Усовершенствования в области приготовления алкильных производных бериллия и металлов III группы. Movsovic David Joseph, Ranadive Gajanan Mahadev. Improvements in or relating to the preparation of metal alkyls from beryllium and group III metals. [Petrochemicals Ltd.] Англ. пат. 817699, 6.08.59.—Для ингибирования побочной р-ции гидрирования олефина при получении алкильных производных Be, Al, In, Sc и Ga из порошка металла, олефина и H_2 в присутствии заранее приготовленного металлалкила к реакционной массе (PM) добавляют галонд, преимущественно J_2 , в кол-ве 0,01—10% (чаще всего 1—2%) от веса металла. При этом отпадает необходимость предварительного активирования металла. Процесс проводят при т-ре > 100° (125—140°) и давл. 20—200 ат (20—130 ат), иногда в присутствии углеводородного р-рителя. Для облегчения фильтрования реакционной массы добавляют 2—4 вес. % активированной глины (фуллеровая земля, бентонит, монтмориллонит). Смесь (в вес. ч.) 210 технич. порошка Al, 233 (изо- C_4H_9)₃Al (I) и 2 J_2 нагревают при перемешивании в автоклаве в атмосфере H_2 до 130°, вводят H_2 до давл. 40 ат и пропускают 16 час. смесь (2:1) изо- C_4H_9 и H_2 . Выход I 320 ч. (сверхзагруженного кол-ва). В отсутствие J_2 выход I 220 ч., причем образуется 207 ч. изо- C_4H_9 . Описан синтез I в иных условиях. I применяют в органич. синтезе, а также как катализатор для получения стереорегулярных полимеров. Н. Майер

9Л101. Способ получения высших алюминийалкилов. Голованенко Б. И., Меньяйло А. Т. Авт. св. СССР 132629, 20.10.60.—Высшие алюминийалкилы получают р-цией C_2H_4 или этангидрокарбонной фракции с $(\text{C}_2\text{H}_5)_3\text{Al}$ или с $(\text{C}_2\text{H}_5)_2\text{Al}$ при 100—130° и давл. 50—

100 ат. В дают 5%-этиленовую фракцию с 1:25, 120° смесь алк 11,5%, C_{10} выше 23,7%, от $(\text{C}_2\text{H}_5)_3\text{Al}$ 9Л102. Н. Wha (Union Carbide) Моноалкилсена (II) того газа ствия (до при т-ре фазе. II ш COOH , пр Sr в прису ном соотн (0,05 моля конц. HCl мешивают ованший H_2O влажный 12031 г II тике, вво NH_3 , сист ваться до работ в л шийся H_2 ку, содер —112°, ловушке, сылана, ч ситая на и < 0,1% тор, конде II, получе металл = ой смеси фаза полн замерют 461 см³ пр мешают в еднотной с ки (25,4 л охлаждает систему и ашущи I и 9Л103. Žižka J. Zpr. 8442, 15.0 CH_3Cl на и более В 2 стекл ыми мел 300 г пор 10% Cu ч 156 час. ч H_2SiCl_2 , пол на колонн SiCl_2 (I) и 7,4 и 70,8 рузке ре ускании 10 ч. 61,5 г. При загру остью 60 контакта 3,8 мол

100 ат. В реактор змеевикового типа непрерывно подают 5%-ный р-р $(C_2H_5)_3Al$ в изоктане и технич. этанол-этиленовую фракцию, применяемую в промышленности для получения спирта, при молярном соотношении реагентов 1:25, 120° и давл. 50 ат в течение 4 час., получают смесь алюминийалкилов состава: C_4 4%, C_6 8%, C_8 11,5%, C_{10} 14%, C_{12} 15,8%, C_{14} 16,5%, C_{16} 16,5%, C_{18} и выше 23,7%, общий выход 95%, считая на C_2H_5 , 90% от $(C_2H_5)_3Al$, конверсия C_2H_5 70%.

9Л1102. Получение моносилана. Lorenz James H., Whaley Fred R. Preparation of mono-silane. [Union Carbide Corp.]. Пат. США 2912308, 10.11.59.—Моносилан. (I) получают при взаимодействии силосила (II) с безводн. жидким NH_3 в атмосфере инертного газа (Ar , He) при t -рах $< -33^\circ$ или в присутствии (до 30% от веса реагентов) NH_4X ($X = Cl, I, Br$) при t -ре $> -33^\circ$, при этом NH_3 находится в жидкой фазе. II получают при действии водн. к-т (H_2SO_4 , CH_3COOH , предпочтительно HCl) на дисилид Ca , Ba или Si в присутствии низших спиртов ($C_1 - C_4$) и при атомном соотношении H^+ к-ты: металл = 8:1—11:1. 1. 6,7 г (0,05 моля) $CaSi_2$ прибавляют к р-ру 41,5 мл (0,5 моля) конц. HCl в 1000 мл спирта, реакционную смесь перемешивают 17 час. при $\sim 20^\circ$, отфильтровывают образовавшийся серый осадок II, промывают его спиртом, влажный II переносят в вакуум и сушат при 60° . 1,2081 г II, взвешенного в атмосфере Ar в спец. патрончике, вводят при -50° в реактор, содержащий ~ 16 мл NH_3 , систему вакуумируют и оставляют реактор нагреваться до -33° , после окончания р-ции I и NH_3 собирают в ловушке, охлаждаемой жидким N_2 , выделившийся I измеряют и откачивают из системы; ловушку, содержащую I и NH_3 , нагревают с помощью CCl_4F до -112° , I выпаривают и измеряют, NH_3 остается в ловушке, давл. 263 мм в 823,8 cm^3 принадлежит парам силана, что эквивалентно 0,141 г I, выход I 37,4%, считая на $CaSi_2$, масс-спектр показал наличие 96% I и $< 0,1\%$ высших силанов. 2. г NH_4I помещают в реактор, конденсируют ~ 16 мл NH_3 и прибавляют 0,8099 г II, полученного при атомном соотношении H^+ к-ты: металл = 18:1, систему вакуумируют, т-ру реакционной смеси поднимают до 20° , при этой т-ре жидкая фаза полностью остается, после окончания р-ции N_2 измеряют и откачивают из системы, давл. 140 мм в 461 cm^3 принадлежит II, выход 29,3%. 0,4788 г II помещают в трубку из стекла Викар (25,4 мм) и соединяют с системой, состоящей из обогреваемой трубки (25,4 мм), двух ртутных манометров и ловушки, охлаждаемой жидким N_2 , вводят NH_3 вместо He и систему нагревают 30 мин. при 350° , собирают в ловушку I и NH_3 , выход I 31,6%.

9Л1103. Способ получения метилхлорсиланов. Zizka Jaroslav, Cermák Jiří, Dvořák Mojmir. Způsob výroby methylchlorosilánů. Чехосл. пат. 89442, 15.04.59.—Метилхлорсиланы получают действием CH_3Cl на смесь или сплав Si и Cu при $250-400^\circ$ в 2 или более последовательно соединенных реакторах. В 2 стеклянных вертикальных реактора со спиральными мешалками и электрообогревом загружают по 600 г порошкообразной смеси 90% Si (98%-ного) и 10% Cu с уд. поверхностью 5300 cm^2/g . В течение 150 час. через реакторы при 280° пропускают 3654 г CH_3Cl , получают 3646 г продукта, который перегоняют на колонках с насадкой Седмана. Содержание $(CH_3)_2SiCl_2$ (I) в продуктах из 1 и 2 реакторов в мол. % за первые 100 час. 61,1 и 62,7, за последующие 56 час. 74 и 70,8. Не прореагировало 23,7 CH_3Cl . При загрузке реакторов по 1000 г того же контакта и пропускании при 290° в течение 211 час. 6697 г CH_3Cl получают 6181 г продукта, содержащего 57,7 мол. % I. При загрузке по 1000 г активного сплава с уд. поверхностью 6000 cm^2/g и подаче CH_3Cl 1 моль/час на 1 кг контакта полученный продукт содержит 76,4 мол. % I 3,8 мол. % $(CH_3)_3SiCl$. Проведен опыт с непрерыв-

ной подачей контакта в реакторы. При подаче CH_3Cl 0,52 моля/час и т-рах в реакторах 270 и 275° через 290 час. продукты в реакторах содержали 57,7 и 59,2 мол. % I.

9Л1104. Способ получения винилтрихлорсиланов и метилтрихлорсиланов. Миронов В. Ф. Авт. св. СССР 130884, 20.08.60.—Способ получения винилтрихлорсилана (I) и метилтрихлорсилана (II) заключается в том, что кубовые остатки прямого синтеза метилсиланхлоридов, содержащие дисиланхлориды, совмещают с $CH_2=CHCl$ и пропускают через кварцевую трубку (длиной 100 мм, диам. 15 мм), нагретую до $600-700^\circ$ (лучше 650°). Через нагретую трубку пропускают $CH_2=CHCl$ со скоростью 15 л в 1 час и добавляют из капельной воронки 400 г дисилановой фракции (т. кип. $140-160^\circ$) со скоростью 1 капля в 1 сек. в течение 4 час. Перегонной конденсата на колонке в 30 теоретич. тарелок получают 65 г II, т. кип. $65-66^\circ$, 32 г I, т. кип. 92° , и 150 г тяжелой фракции т. кип. $140-160^\circ$, при метилировании которой получают гексаметилдисилоксан.

9Л1105. Получение алкилхлорсиланов. Drysdale John J. Preparation of alkyl chlorosilanes. [E. I. du Pont de Nemours and Co.]. Пат. США, 2917529, 15.12.59.—Алкилхлорсиланы получают при взаимодействии $SiCl_4$ с этиленовыми углеводородами (C_2-C_8), имеющими ≤ 2 двойных связей, в присутствии Si или его сплава и хлоридов Cu , Sn и щел. металлов при $325-400^\circ$ в атмосфере H_2 под давл. $10-300$ ат, время р-ции 1—24 часа. 171 ч. $SiCl_4$, 50 ч. циклогексена (I), 25 ч. Si и 20 ч. $CuCl$ нагревают 16 час. при 350° под давлением H_2 140,4 kg/cm^2 , реакционную смесь перегоняют, получают 64 ч. циклогексилтрихлорсилана (II), т. кип. $201-204^\circ$, и 12—15 ч. дициклогексилтрихлорсилана (III), т. кип. $102-106^\circ/0,1$ мм. Аналогично без $CuCl$ получают 16 ч. сырого II, содержащего примеси углеводородов, т. кип. $204-212^\circ$; II обрабатывают HF , получают циклогексилтрифторсилан, т. кип. 104° ; если р-цию проводят с 10 ч. Cu вместо 20 ч. $CuCl$ и без H_2 , получают только 2 ч. II, т. кип. $201-207^\circ$, $n_D^{25} 1,4720$. Аналогично получают: из 25 ч. бутена-1 18 ч. смеси n - и is -бутилтрихлорсилана (IV), т. кип. $147-150^\circ$, и небольшое кол-во дибутилдихлорсилана (V) и октилтрихлорсилана; из изобутилена — 27,0 ч. IV, т. кип. $139-144^\circ$, и небольшое кол-во V и $C_4H_9Si_2Cl_6$; из 30 ч. is -бутена-2 — 12 ч. (преимущественно вторичного) IV, т. кип. $145-148^\circ$, и немного V; из 50 ч. октена-2 — 23 ч. $C_8H_{17}SiCl_3$, т. кип. $224-232^\circ$, $n_D^{25} 1,4508$, 4,2 ч. продукта с т. кип. 232 , $n_D^{25} 1,4512$, и 4,7 ч. $C_{16}H_{33}SiCl_3$, т. кип. $124^\circ/0,3$ мм; из 25 ч. дициклопентадена (VI) — 1 ч. 1-трихлорсиландициклопентена-2, содержащего VI, т. кип. $77^\circ/26$ мм, $n_D^{25} 1,4740$, и $C_{10}H_{14}Si_2Cl_6$, т. кип. $94-100^\circ/2$ мм, $n_D^{25} 1,4990$. Аналогично из I в присутствии 20 ч. $SnCl_2$ вместо $CuCl$ получают 23,5 ч. II, т. кип. $201-218^\circ$; в присутствии $CuCl_2$ вместо $CuCl$ — 54 ч. II, т. кип. $202-207^\circ$, и 12 ч. III, т. кип. $116-120^\circ/0,8$ мм; в присутствии ферросилиция (85% Si и 15% Fe вместо Si) — 18 ч. II, т. кип. $195-210^\circ$, и 5—10 ч. III, т. кип. $128-134^\circ/0,6$ мм. 171 ч. $SiCl_4$, 50 ч. I, 25 ч. $CuCl$, 25 ч. KCl и 20 ч. ферросилиция нагревают при 350° под давлением H_2 140,6 kg/cm^2 8 час., получают 18 ч. сырого II, т. кип. $200-210^\circ$, и 4 ч. III. Алкилхлорсиланы применяют в качестве гидрофобизирующих в-в и для получения полисилоксанов.

9Л1106. Способ получения диметилдихлорсилана. Лайнер Д. И., Малышева Л. А., Сотникова Л. И., Трофимова И. В., Лобусевич Н. П., Голубцов С. А., Белый А. П. Авт. св. СССР 122749, 10.10.59.—Для повышения выхода диметилдихлорсилана (I) в прямом синтезе, дающем смесь I и других хлорсиланов действием CH_3Cl на $Si-Cu$ -сплав, к последнему в качестве промотора добавляют 0,002—0,004% Sb . При проведении синтеза в стандартных

условиях на катализаторе, представляющем собой растертый в порошок сплав 90% Si марки Kp-1 и Cu марки M-4 с добавкой 0,002% Sb, через 9,5 часа при давл. 4,5 ат и 350–370° при скорости подачи SH_3Cl 300 г/час получают 225 г смеси хлорсиланов, содержащей 54,9% I. Аналогично при содержании в сплаве 0,008% Sb за 11 час. получают 190 г смеси хлорсиланов, содержащей 51,9% I. При содержании Sb 0,005% катализатор отравляется и выход I падает до 6–16%.

Л. Макарова

9Л107. Способ гидролиза алкил(арил)хлорсиланов. Карлин А. В., Коган Э. В., Маковецкая К. Н., Рыжикский В. З. Авт. св. СССР 123529, 10.11.60.—Для повышения выхода фракции низкомолекулярных циклосилоксанов при гидролизе алкил(арил)дихлорсиланов водой в присутствии органич. р-рителя по непрерывной схеме гидролиз ведут в трубчатом аппарате с пропеллерной или подобной мешалкой при объемном соотношении хлорсилана, воды и р-рителя 1:1,45–1,55:0,85–0,75. Выход указанной фракции при этом на 8–10% выше, чем при гидролизе в других условиях.

Л. Макарова

9Л108. Диаминополисилоксаны. Hurwitz Marvin J., Benneville Peter L. de. Diaminopolysiloxanes. [Rohm & Haas Co.]. Пат. США 2865948, 23.12.58.—Силоксаны ф-лы $\text{R}'\text{R}''\text{N}(\text{SiR}_2\text{O})_x\text{Si}(\text{R}_2)\text{NR}'\text{R}'$ получают из соответствующих хлорсиланов аналогично ранее описанному методу (см. РЖХим, 1960, 70491). Описан синтез бис-(трет-бутиламино)-полидиметилсилоксана (содержит в среднем 2,2 атома Si в молекуле), бис-морфолинового, дициклогексаламинового и других производных. Применение см. указанный реферат.

Л. Макарова

9Л109. Способ получения триалкилфосфитов. Завлин П. М., Ионин Б. И. Авт. св. СССР 130889, 20.08.60.—Триалкилфосфиты получают взаимодействием PCl_3 с предельными спиртами в присутствии первичных аминов для акцептирования HCl. К охлажденной до 7–10° смеси 9,6 г $\text{C}_2\text{H}_5\text{OH}$, 27,9 г $\text{C}_6\text{H}_5\text{NH}_2$ и 100 мл эфира приливают р-р 13,7 г PCl_3 в 50 мл эфира. Р-ция заканчивается за 1–1,5 часа, р-р отделяют от выделившегося $\text{C}_6\text{H}_5\text{NH}_2 \cdot \text{HCl}$, эфир отгоняют и получают $\text{P}(\text{OC}_2\text{H}_5)_3$, выход 80%, т. кип. 110–112°, n_D^{20} 1,4080. Аналогично получают $\text{P}(\text{OC}_2\text{H}_5)_3$, т. кип. 49°/11 мм, n_D^{20} 1,4130; $\text{P}(\text{OC}_2\text{H}_7)_3$, т. кип. 82–83°, n_D^{20} 1,4270.

Т. К.

9Л110. Алкиларилловые эфиры монохлорметанфосфоновой кислоты. Tey Arthur Deck Fon, Rattenbury Kenneth H. Alkyl aryl monochloromethane-phosphonate esters. [Victor Chemical Works]. Пат. США 2863903, 9.12.58.—Реакцией $\text{ClCH}_2\text{POCl}_2$ (I) с фенолами и спиртами получают сначала $\text{RO}(\text{ClCH}_2)_2\text{POCl}$ (II), а затем $\text{RO}(\text{R}'\text{O})(\text{ClCH}_2)_2\text{PO}$ (III). Если на 2-й ступени р-ции вводят арильные радикалы, то необходимо присутствие в-ва, являющегося акцептором H^+ , 648 г крезолита и 1506,6 г I нагревают до 245° в течение 4,5 часа и оставляют на ~12 час. при 245°. Получают 74,2% II (R—крезил), т. кип. 125–130°, n_D^{25} 1,5319, d_4^{25} 1,3361. 239 г последнего прибавляют при 0–5° к 33,6 г $\text{C}_2\text{H}_5\text{OH}$, 103,2 г $(\text{C}_6\text{H}_5)_3\text{N}$ и 400 мл C_6H_6 , получают 91% III (R—крезил, R'—метил), т. кип. 107–111°/0,5 мм, n_D^{25} 1,5154; d_4^{25} 1,2548. Получены также следующие II (приведены значения R): 2-этилгексил, n_D^{25} 1,4604, 99,5%; изооктил; бутил, n_D^{25} 1,4595. Из II были получены следующие III (перечислены R, R', n_D^{25}): 2-этилгексил, C_6H_5 , 1,4843, 1,0823, т. кип. 155–160°/1,5 мм, 77,4%; изооктил, C_6H_5 , 1,4840, 1,0804, т. кип. 155–175°/1,5–2,5, 60,5%; бутил, крезил, 1,4992, 1,1572, т. кип. 150–155°/1,5 мм; β-хлорпропил, крезил, 1,5142, 1,2728, т. кип. 130–135°/0,5 мм, 82,8%. Указанные продукты являются высококачественными пластификаторами для этилцеллюлозы, нитроцеллюлозы и винильных смол. Их можно применять также в ка-

честве гидравлич. жидкостей и добавок к бензину и смазочным маслам.

Э. Тукачинская

9Л111. Способ выделения моно- и диметилфосфатов. Петров К. А., Близняк Н. К., Фокин А. В., Макляев Ф. Л. Авт. св. СССР 123526, 9.11.58.—Средние и кислые эфиры фосфиновой к-ты разделяют обработкой смеси водн. щелочью, экстрагированием среднего эфира подходящим р-рителем и выделением оставшегося кислого эфира подкислением. К реакционной массе, полученной из $\text{изо-C}_4\text{H}_9\text{OH}$ и CH_3POCl_2 (молярное отношение 2,2:1), при 20–25° и хорошо продутой воздухом для удаления HCl добавляют 40%-ный р-р NaOH до щел. р-ции по фенолфталеину при t -ре $\leq 30^\circ$, после чего $\text{CH}_3\text{PO}(\text{OC}_4\text{H}_9\text{-изо})_2$ (I) увлекают бензолом и перегонкой экстракта получают чистый I, выход 82,5%, т. кип. 122°/17 мм. Оставшееся после отгонки I твердое в-во растворяют в миним. кол-ве воды, смешивают с водн. слоем от первого экстрагирования и обрабатывают конц. HCl (0,5 моля на 1 моль взятого в р-цию CH_3POCl_2). Масло экстрагируют эфиром и перегонкой вытяжки получают $\text{CH}_3\text{PO}(\text{OH})\text{OC}_4\text{H}_9\text{-изо}$, выход 10%, т. кип. 149–150°/2,5 мм.

Л. Макарова

9Л112. Способ получения фосфонатов. Beach Leland K. Process for preparing phosphonates. [Esso Research and Engineering Co.]. Пат. США 2908708, 13.10.59.—Вещества ф-лы $\text{CH}_3\text{P}(\text{O})(\text{OR})(\text{OR}')$ (I), где R и R' = H, CH_3 или Р-содержащие радикалы, получают при р-циях H_3PO_3 и (или) ее метиловых эфиров с метиловыми эфирами H_3PO_4 . Р-ции протекают при 100–300° (лучше 100–275°) в течение 10–60 мин. Допустимо применение в качестве катализатора BF_3 . Даны примеры превращения в указанных выше условиях монометилфосфата (II) с H_3PO_3 , II с H_3PO_3 и с $(\text{CH}_3)_3\text{PO}_4$, H_3PO_3 с $(\text{CH}_3)_3\text{PO}_4$, II с H_3PO_3 , II с H_3PO_3 и со смесью моно- и диметилфосфатов, H_3PO_3 со смесью моно- и диметилфосфатов. Приведены мол. % превращения P^{+3} , содержание (в мол. %) нежелательных P^{+5} -соединений и желательных I в продуктах р-ции и выходы в %; причем наиболее высокие (97 мол. %) при р-ции H_3PO_3 с $(\text{CH}_3)_3\text{PO}_4$. Навысший выход I (82%) получают при р-ции II с H_3PO_3 и $(\text{CH}_3)_3\text{PO}_4$. I применяют для изготовления топelin, смазочных масел, добавок к жирам, детергентов, замедлителей горения инсектицидов и пластификаторов.

Н. Маторина

9Л113. О,О-диалкил-β-циановинилфосфонаты. Frazza Everett J., Rapoport Lawrence. O,O-dialkyl-β-cyanovinyl phosphonates. [American Cyanamid Co.]. Пат. США 2920097, 5.01.60.—Соединения ф-лы $\text{NCCN}=\text{CHPO}(\text{OR})_2$ (I), где R—алкил, получают р-цией β-хлоракрилонитрила (II) с диалкилфосфитом при t -ре $\leq 38^\circ$ в среде инертного р-рителя и в присутствии акцептора галогеноводорода (напр., амина). Вместо диалкилфосфита используют его Na- и K-соли или триалкилфосфиты, причем в этом случае нет необходимости употреблять акцептор HCl. К р-ру 41,4 вес. ч. О,О-диэтилфосфита и 30,4 вес. ч. триэтиламина в 100 ч. C_6H_6 добавляют 26,3 ч. II при 38°. После прекращения выделения экзотермич. тепла смесь оставляют при 20° на ~12 час., затем добавляют 150 ч. эфира и выпавший осадок отфильтровывают. Фильтрат перегоняют в вакууме и получают 29,5 ч. неочищ. I (R = C_2H_5), т. кип. 87–92°/0,25 мм; после повторной перегонки, т. кип. 83–87°/0,3–0,5 мм, n_D^{25} 1,4501. Аналогично получают I (R = C_4H_9), т. кип. 119–120°/0,3 мм, n_D^{25} 1,4505. I используют для получения гербицидов и сополимеров.

В. Простякова

9Л114. Оловоорганические соединения и способ их получения. Weinberg Elliott L. Organotin compounds and process of preparation. [Metal & Thermit Corp.]. Пат. США 2857418, 21.10.58.—Оловоорганические соединения получают р-цией оксидов ф-лы R_2SnO (R—алкил, арил или аларкил с ≥ 2 атомами C) со смесью к-ты и эфира, полученной при р-ции окиссоединений

ф-лы $\text{R}'\text{OH}$ (алкил) с к-той, денасее ангидрид $\leq 135^\circ$. П. малеиновое получают $[\text{OCCN}=\text{C}]$ кисти. Пол. стабилизатор полимеров (ридов).

9Л115. Wintrin [Ethyl Corp.] нец. получ. 100 ч. Na-спец. авто. 6,32 кг/см² в автоклаве в т-ре ~10°. Хорошие 27,216 г с поверхностью 1,25 м² на

9Л116. единений, m and N. rounds. [Вестна] амина или податого протекают чае необн. ни тверд. ~150°). I применен ≤ 3 атом. случаях. I не расте, эфире ни распр. распаде а. Исходные нила Mn. 175 вес. ч. немедлен. стелзизу. A = $(\text{C}_6\text{H}_5)_3$ 150°/1 мм. ванин до

заны А. Br; $(\text{C}_6\text{H}_5)_3$ пример. октана и ния I. К 3150. 44,3 вес. бвляють минер. з. пятя 3. возгоняя маргане 76–78°. диевиль. использу. тиногра. щим ма. I приме. мер улу. с т. кип.

ф-лы R'OH (R' — алкил, циклоалкил, арил или арилалкил) с к-той ф-лы HOOCCH₂COOH (R'' — низший алкил, ненасыщ. алифатич. или ароматич. радикал) или ее ангидридом. Р-цию проводят при 80—160° (лучше < 135°). При р-ции 26 г изооктилового спирта, 29,4 г малеинового ангидрида и 49,8 г окиси дибутилового олоу чют соедине- ние ф-лы (C₈H₁₇OOCCH=CHCOO)₂·[OOCCH=CHCOO](C₄H₉)₂Sn[H₂O]_x в виде вязкой жидкости. Полученные соединения применяют в качестве стабилизаторов (в кол-ве ~0,25%) хлорсодержащих полимеров (напр., полимеров и сополимеров винилхлоридов).

А. Петрашко
9Л115. Способ этилирования. Bergin James J., Winttingham Arthur B. Ethylation process. [Ethyl Corp.] Пат. США 2819281, 7.01.58.—Тетраэтильсвязец получают при взаимодействии 40—60 ч. C₂H₅Cl со 100 ч. Na-Pb-сплава (молярное соотношение 1:1) в спец. автоклаве для этилирования при давл. 5,62—6,32 кг/см² и повышенной т-ре. Приведен пример р-ции в автоклаве с автоматич. поддержанием давл. ~4,3 ат и т-ре ~16° (охлаждение) и затем 95°. Выход 86—88%. Хорошие результаты получают при загрузке 20 412—27 216 г сплава на 0,02832 м³ объема и при отношении поверхности реакционной зоны к объему меньше чем 1,25 м² на 0,02832 м³.

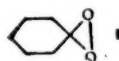
Л. Волкова
9Л116. Азотсодержащие марганецорганические соединения. Coffield Thomas H., Hebert Norman. Nitrogen containing organo manganese compounds. [Ethyl Corp.] Пат. США 2902489, 1.09.59.—Вещества ф-лы AMn(CO)₅X (I), где А — две молекулы амина или одна молекула диамина, X = Cl, Br или I, получают при р-ции аминов с пентакарбонилмарганецалогенидами общей ф-лы Mn(CO)₅X (II). Р-ции протекают при ~20—200° (лучше 60—150°) и (в случае необходимости) под давлением. При использовании твердых исходных в-в применяют р-рители (углеводороды и их галоидпроизводные с т. кип. 60—~150°). Время р-ции от 5 мин. до 10 час. В случаях применения диаминов с NH₂-группами, разделенными ≤ 3 атомами С, получают мономерные I, в других случаях продукты р-ции могут быть полимерными. I не растворяются в воде, слабо растворяются в спирте, эфире, ацетоне и в углеводородах и при нагревании распадаются на галогенид Mn и амин. Продукты распада зачастую образуют комплексы состава AMnX₂. Исходные II получают галогенированием пентакарбонила Mn. 80 вес. ч. II, X = Br 50 вес. ч. анилина и 175 вес. ч. сухого толуола нагревают до кипения, смесь немедленно охлаждают до ~20°, осадок отделяют, кристаллизуют его из абс. CH₃OH и получают 23 вес. ч. I, A = (C₆H₅NH₂)₂, X = Br, выход 86%, т. возг. 140—150°/1 мм (слабо разл.) (в-во не плавится при нагревании до 225°). Аналогично синтезируют другие I (ука-

заны А и X): [(C₂H₅)₂N]₂, J; (CH=CH—CH=CH—NH)₂, Br; (C₆H₁₁NH₂)₂, Cl; [(CH₃)₂N]₂, J; [(C₆H₅)₂NH₂], Cl (даны примеры с использованием в качестве р-рителей изоктана и о-хлортолуола). Дан также пример получения I, A = (C₆H₅NH₂)₂, X = Br (Ia), выход 79,5%. К 3150 вес. ч. свежеперегнанного (CH₃)₃CON с 44,3 вес. ч. свежеперегнанного циклопентадиена прибавляют 31 вес. ч. 50%-ной дисперсии Na в легком минер. масле. Смесь обрабатывают 200 вес. ч. Ia, кипятят 3 часа при 83°, упаривают в вакууме, остаток возгоняют и получают 35 вес. ч. циклопентадиенилмарганецтрикарбонила, выход 32,4% (на Ia), т. пл. 76—78°. Аналогично могут быть получены циклопентадиенильные производные из других I. Полученные I используют в качестве добавок к краскам, лакам, типографским краскам, синтетич. смолам и высыхающим маслам. Циклопентадиенильные производные из I применяют в качестве антидетонаторов. Дан пример улучшения антидетонационных свойств бензина с т. кип. 34—199° при помощи метилциклопентадиенил-

марганецтрикарбонила и пример улучшения высыхающих свойств смеси (в ч.): 100 эфира канифоли, 173 тутового масла, 23 льняного масла и 275 светлого лигроида.

Н. Маторина
9Л117. Выделение и очистка циклодиенов. McLean Lawrence W., Kenyon Leon C., Jr. Separation and purification of cyclodienes. [Esso Research and Engineering Co.] Пат. США 2867670, 6.01.59.—Описан процесс выделения и очистки циклопентадиена и метилциклопентадиена дистилляцией из смеси их неочищ. димеров.

И. Берлин
9Л118. Новая перекись циклопарафинового ряда и способ ее получения. Nouveau peroxyde de la série cyclanique et son procédé de préparation. [L'Air Liquide (Soc. An. pour l'étude et l'exploitation des procédés Georges Claude)]. Франц. пат. 1163205, 23.09.58.—Циклогексилперекись ф-лы (I) получают обработкой р-ра циклогексанона (II) в избытке лед. CH₃COOH при 0—60° (~40°) конц. р-ром H₂O₂ в присутствии небольшого кол-ва конц. сильной к-ты (H₂SO₄). К смеси 0,5 моля

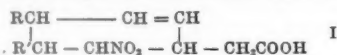


II, 180 г CH₃COOH и 1 г конц. H₂SO₄ добавляют по каплям (9 мин.) 50 г 34%-ной H₂O₂ при ~40° и оставляют на 6 час., после чего смесь выливают в 170 мл воды, осадок отфильтровывают, промывают 5 × 80 мл воды и сушат в вакуум-эксикаторе. Получают 35,5 г I, т. пл. 71—72° (из сп.); упариванием маточного р-ра выделяют еще 1,9 г (общий выход 65,5%). I применяют в качестве катализатора полимеризации, гермицида, отбеливающего средства, ракетного топлива и взрывчатого в-ва (взрывает при ~135°). Я. Кантор

9Л119. Способ получения ε-циклогексилденкапроновой кислоты и ε-(х-метилциклогексилден)-х-метилкапроновых кислот. Plešek Jaromír. Způsob přípravy kyseliny ε-cyklohexyldienkapronové a kyseliny ε-(x-methylcyklohexyldien)-x-methylkapronových. Чехосл. пат. 89210, 15.03.59.—ε-Циклогексилденкапроновую к-ту (I) и ε-(х-метилциклогексилден)-х-метилкапроновые к-ты (II) получают гидролизом 1-(х-метил-1-хлорциклогексил) - х-метилциклогексанон - 2-ов 2—10%-ными водн. р-рами едких щелочей при 10—70°. 100 г циклогексанона насыщают HCl (газом) при < 30°, р-р оставляют на 12 час., затем добавляют 500 мл 5%-ного NaOH и интенсивно перемешивают при 45—50°. Через 2 часа отделяют водн. слой, подкисляют его и получают 60 г I, т. кип. 145°/1 мм, т. пл. 10°. Оставшуюся нейтр. часть перегоняют, получая 18 г циклогексанилциклогексанона (III). 100 г III насыщают HCl (газом) при < 30° и через 5 час. гидролизуют 5%-ным NaOH, получая 74 г I и регенерируя 20% III. 100 г 2-(х-метилциклогексенил)-х-метилциклогексанона-2 насыщают HCl при < 30°. Через 5 час. при 50—60° в течение 4 час. интенсивно перемешивают с 5%-ным NaOH. Получают смесь II с выходом 70%, т. кип. 150—160°/1 мм. Соли II могут использоваться как эмульгаторы, а также для повышения водостойкости бетона. Свободные II могут использоваться при флотации или же для получения ряда производных (амидов, сложных эфиров, спиртов и т. д.), которые могут заменить те же производные жирных к-т (пальмитиновой, стеариновой и т. д.). Сплавлением смеси II со щелочью получают смесь γ-(х-метилциклогексил)-х-метилмасляных к-т, Al-соли которых являются прекрасными желатинизаторами углеводородов.

А. Мышкин
9Л120. Продукты присоединения жирных кислот и ненасыщенных нитросоединений. Teeter Howard M., Danzig Morris J., Cowan John C. Addition products of fatty acids and unsaturated nitro compounds. [United States of America as represented by the Secre-

tary of Agriculture]. Пат. США 2901495, 25.08.59.—При взаимодействии сопряженных полнолефиновых моно-



карбоновых к-т, содержащих 8—18 атомов С, с ненасыщ. нитросоединениями при 130—150° в течение 12—48 час. в органич. р-рителе (ароматич. углеводороды, CHCl_3 , гексан) образуются продукты присоединения ф-лы (I, где R и R' — алкил, арил). Бензольный р-р 1,6 моля нитроэтилена и 1 моля 9,11-октадекадиеновой к-ты кипятят 48 час. и получают с выходом 44,5% продукт, т. пл. 85—90°, 0,5 г полученного продукта растворяют в 30 мл спирта и гидрируют в присутствии 3 г Ni Ренея при 20° в течение 1 часа. Катализатор отфильтровывают, а фильтрат концентрируют. При добавлении эфира выпадает насыщ. аминокислота, выход 35%, т. пл. 155—165°.

В. Вонсяцкий

9Л121. Способ получения β -циклогексен-1-илэтиламина. Соколова В. Н., Магидсон О. Ю. Авт. св. СССР 130517, 5.08.60.— β -Циклогексен-1-илэтиламин (I) получают гидрированием циклогексен-1-ацетонитрила (II) с катализатором (КТ) Ni Ренея в метанолю-аммиачной среде. 150 г II в р-ре 500 мл 6—8%-ного (объемн.) NH_3 гидрируют в автоклаве в присутствии 15 г Ni Ренея, смоченного CH_3OH , при 67—70° и начальном давл. 60—65 ат. После поглощения 54—57 г H_2 (5—6 час.) р-цию заканчивают, от охлажд. реакционной массы отфильтровывают КТ и отгоняют CH_3OH , остаток размешивают со 100 мл воды и при охлаждении ледяной водой нейтрализуют конц. HCl до кислой р-ции на конго. Непрореагировавший II извлекают C_6H_6 , а из водн. кислого р-ра при подщелачивании NaOH и охлаждении выделяют I, отфильтровывают его, водн. слой 2—3 раза экстрагируют C_6H_6 и бензольные вытяжки соединяют с основной массой I, промывают экстракт насыщ. NaCl , сушат NaOH и перегонкой получают I, выход 70%, т. кип. 83—86°/17 мм. Полученный I содержит 2—4% циклогексилэтиламина.

Т. К.

9Л122. Способ получения азоксидциклогексана. Meister Herbert. Verfahren zur Herstellung von Azoxycyclohexan. [Chemische Werke Huls A.-G.]. Пат. ФРГ 1032249, 31.12.58.—Азоксидциклогексан (I) получают окислением циклогексилгидроксиламина (II) O_2 или O_2 -содержащим газом при т-ре $\sim 10^\circ$ в присутствии солей тяжелых металлов жирных или ароматических к-т в органич. р-рителе. В смесь 25 ч. II, 100 ч. CH_3OH и 3 ч. Mn-соли тетрапропиленкарбоновой к-ты вводят при энергичном перемешивании и 0—10° воздух, через 30 час. реакционную смесь фильтруют и перегоняют, выделяют 3,6 ч. циклогексаноксима и 18,6 ч. I, выход 81,5%, т. кип. 150—160°/12 мм, после повторной перегонки I, т. кип. 160—161°/14 мм, т. пл. 22—23°, n_D^{20} 1,4973, d_4^{20} 1,0075.

Т. Кострома

9Л123. Реакция Фриделя — Крафта с металлоскими производными циклопентадиенила. Kozikowski John. Friedel-Crafts reaction with metal cyclopentadienyl compounds. [Ethyl Corp.]. Пат. США 2916503, 8.12.59.—Предложен новый способ получения металл. координационного соединения замещ. циклопентадиена при действии галогеналкила, галогенацила, или олефина, в присутствии AlCl_3 на соединения ф-лы $\text{Al}_x\text{M}_y\text{C}_5$, где А — циклопентадиенил, имеющий СН-группу, М — переходный металл из IVB, VB, VIB, VIIIB, IIB и IIB групп периодической системы, В и С — доноры электронов: Н, CN и NC-группы CO, NH_2 , первичные, вторичные или третичные амины, нитрозил, $x=1-2$, $y=1-4$ и $z=0-2$. К р-ру 10,9 ч. $\text{CH}_3\text{C}_5\text{H}_4\text{Mn}(\text{CO})_5$ (I) в 63 ч. CS_2 прибавляют 7,5 ч. безводн. AlCl_3 и по каплям добавляют в атмосфере N_2 при 0° в темноте р-р 7,05 ч. $\text{C}_6\text{H}_5\text{COCl}$ в 63 ч. CS_2 , оставляют на 3 часа при 25°, разлагают льдом избыток AlCl_3 и

из эфирного экстракта получают с выходом 12,4% бензоязамещенный I, т. пл. 115—119° (из петр. эф.). Аналогично получают ацетилпроизводное I, т. кип. 160°/17 мм и др. Полученные соединения могут служить как добавки к углеводородным топливам, улучшающие рабочие характеристики двигателя.

С. Розенфельд

9Л124. Способ получения производных циклодекана. Wilke Günther, Pfohl Werner. Verfahren zur Herstellung von Cyclododecanderivaten. [Studiengesellschaft Kohle m. b. H.]. Пат. ФРГ 1059904, 3.12.59.—Соединения ф-лы $\text{C}_{12}\text{H}_{24-x}(\text{CH}_2\text{OH})_x$ (I), где $x=1-3$, получают гидрированием соответствующих альдегидов, получаемых оксосинтезом из циклодекана-1,5,9 (II) (пат. ФРГ 555180, 564175). Оксосинтез проводят в присутствии Со-соей жирных к-т или $\text{Co}_2(\text{CO})_8$ при 100—200° (135—145°) и давл. 50—400 ат (150—300) в инертном органич. р-рителе или без него. В автоклаве, снабженный магнитной мешалкой и нагревательной рубашкой, помещают 700 мл гексана, 7,5 г $(\text{C}_6\text{H}_5\text{COO})_2\text{Co}$ и 2,5 г Со на кизельгуре (обработанного H_2 при 430—470°), вводят СО до давл. 130 ат и H_2 до 110 ат, нагревают до 130—150° и добавляют в течение 2 час. 250 г II порциями по 25 мл, нагревают (140—145°) при перемешивании еще 2 часа 30 мин., избыточный газ выпускают при 40°, вводят еще H_2 (150 ат) и нагревают до тех пор, пока давление в автоклаве не станет постоянным. Из продукта р-ции отгоняют гексан, а образовавшийся альдегид растворяют в CH_3OH и гидрируют в присутствии Ni Ренея под давлением; перегонкой продукта получают 115 г I ($x=1$), выход 36%, т. кип. 90—91°/0,2 мм, т. пл. 33°, 445 г I ($x=2$), выход 45,9%, т. кип. 142—144°, и в остатке — 60 г I ($x=3$). I используют для синтеза мягчителей и полиэфиров.

Е. Р.

9Л125. Способ получения карбоновых кислот, ангидридов и эфиров ряда циклодекана. Wilke Günther, Pfohl Werner. Verfahren zur Herstellung von Carbonsäureanhydriden, Carbonsäuren und bzw. oder Carbonsäureestern der Cyclododecanreihe. [Studiengesellschaft Kohle m. b. H.]. Пат. ФРГ 1058506, 12.11.59.—Ангидриды ряда циклодекана получают р-цией 1 моля тривинилциклогексана (I) с 1—4 молями малеинового ангидрида (II) в инертном ароматич. р-рителе при 150—250° (150—200°); гидролизом или этерификацией ангидридов получают соответствующие к-ты или эфиры. Для получения аддукта I:II = 1:1 р-цию проводят в присутствии избытка I, а для получения аддуктов I:II = 1:3 (III) и 1:4 — в присутствии избытка II. В автоклаве, снабженном магнитной мешалкой, нагревают 363 г II и 106 г I в 600 г C_6H_6 при 170° в течение 30 час., отбирают пробу для определения числа омыления (ЧО) 510, затем нагревают 3 дня при 180° (ЧО 603), еще 3 дня при 180° (ЧО 660) и 4 дня при 180° (ЧО 720). I, II и C_6H_6 отгоняют в вакууме, получают с колич. выходом III, 10 г III кипятят с 45 мл спирта, 45 мл C_6H_6 и 0,7 г $n\text{-CH}_3\text{C}_6\text{H}_4\text{SO}_3\text{H}$ в течение 3 дней, отгоняют азеотроп вода- C_6H_6 , продукт р-ции экстрагируют эфиром, промывают водой, сушат и получают этиловый эфир циклодеканкарбоновой к-ты.

Е. Р.

9Л126. Способ количественного определения кобальта в нафтате кобальта. Калинина Л. С., Барулина М. В. Авт. св. СССР 131136, 20.08.60.—Количественное определение Со в нафтате Со (I) проводят путем потенциометрич. титрования ацетоноголоного или ацетонобензольного р-ра I ацетоновым р-ром HCl . 2—3 г стирольного р-ра I вводят в склянку емк. 150 мл, добавляют 50 мл смеси ацетона с толуолом или C_6H_6 (40:10) и р-р титруют при перемешивании на потенциометре III-5 со стеклянным и каломельным электродами свежеприготовленным ацетоновым р-ром 0,2 н. HCl , который прибавляют в начале титрования по 0,5 мл, в конце — по 0,1 мл до изменения потен-

циала в точке эквивалентности. Приведена ф-ла для расчета содержания Со.

9Л127. Комплексные соединения циклогептатриена с карбонилами переходных металлов VIB группы. Wilkinson Geoffrey. Cycloheptatriene-group VIB transition metal carbonyl complexes. Англ. пат. 832142, 6.04.60.—Координационные соединения циклогептатриена (I) и гексакарбонила металла (Cr, Mo, W) ф-лы $RM(CO)_6$, где R = I или его замещенное, M — переходные металлы VIB группы периодической системы, получают нагреванием реагентов при 115—130° (115—225°) в течение 1—10 (2—7) час. в высококипящем органич. р-рителе. В качестве р-рителя используют насыщ. углеводороды, алифатич. эфиры и полиафиры, силиконовые масла. Смесь 156 г $Mo(CO)_6$ и 80 г I кипятят при 116—118° в течение 7 час., затем избыток I удаляют в вакууме, а остаток экстрагируют несколькими порциями петр. эфира (т. кип. 40—60°). Соединенные экстракты фильтруют, охлаждают до -78°, выделяющиеся при этом красные кристаллы отделяют, перекристаллизовывают из петр. эфира и сублимируют в высоком вакууме при 78—85°. Получают 69 г комплекса, т. пл. 99,6°. В аналогичных условиях получают комплексы (указаны M, производные I, выход в %, т. пл. в °C): Cr, I, 40, 90; Mo, C_6H_5-I , —, 120; Mo, циклогептатриенил-I, —, 120.

9Л128. Способ получения производных 4,5,6,7,10,10-гексагалонд-4,7-эндометилен-4,7,8,9-тетрагидрофтала. Feichtinger Hans, Puschhof Siegfried. Verfahren zur Herstellung von Derivaten der 4,5,6,7,10,10-Hexahalogenen-4,7-endomethylen-4,7,8,9-tetrahydrophthalane. [Ruhchemie A.-G.]. Пат. ФРГ 1060869, 21.01.60.—При взаимодействии 1-бром-4,5,6,7,10,10-гексагалонд-4,7-эндометилен-4,7,8,9-тетрагидрофтала (I) (галонд = Cl, F) с солями щел. металлов O,O-диалкиловых эфиров фосфорной, тиофосфорной и дитиофосфорной к-ты, диалкиловых эфиров фосфористой или с фосфористокислыми эфирами (алкил содержит 1—8 атомов C) получают соответствующие производные 4,5,6,7,10,10-гексагалонд-4,7-эндометилен-4,7,8,9-тетрагидрофтала. 0,01 моля I (галонд = Cl) в 20 мл диоксана и 0,02 моля дитиофосфата натрия кипятят 5 час., прибавляют 100 мл воды и продукт р-ции экстрагируют C_6H_6 , получают 3,8 г O,O-диэтилового эфира (4,5,6,7,10,10-гексахлор-4,7-эндометилен-4,7,8,9-тетрагидрофтала-нил-1)-фосфорной к-ты (II к-та), т. пл. 228°. n_D^{20} 1,5502. Аналогично получают O,O-диэтиловые эфиры дитио-II, т. пл. 98—100°, тио-II, n_D^{25} 1,5580, (10,10-дифтор-4,5,6,7-тетрахлор-4,7-эндометилен-4,7,8,9-тетрагидрофтала-нил-1)-дитиофосфорной к-ты, (дитио-III к-та), n_D^{20} 1,5563, O,O-дипропиловый эфир III, n_D^{20} 1,5352 и O,O-дибутиловый эфир дитио-III, n_D^{20} 1,5405. Полученные соединения применяют в качестве мягчителей для обработки поливинилхлорида, поливинилацетата, полиэфиров, полиамидов и ацетилцеллюлозы.

9Л129. Реакция Ульмана, Hughes Lawrence J., Weaver Leo J. Ullmann reaction. [Monsanto Chemical Co.]. Пат. США 2907799, 6.10.59.—Новые катализаторы (КТ) для получения полиаренных ароматич. соединений при р-ции ароматич. галогенидов представляют собой смесь измельченной Cu (или Cu-сплава) с алифатич. C_{10} — C_{24} -кислотой [стеариновой (I), пальмитиновой, линолевой, лауриновой и др.]. Предполагают, что присутствие к-ты препятствует образованию защитной пленки на поверхности частиц Cu, что улучшает контакт реагентов и уменьшает индукционный период. Кол-во к-ты составляет 0,1—10% от стехиометрического. Р-ция протекает при 100—400° в среде инертного р-рителя (C_6H_6 , алкилбензолы, бензин, керосин и др.). К 200 г o - $ClC_6H_4NO_2$ постепенно за 25 мин. прибавляли смесь 133 г измельченной электролитич. Cu с 7 г I. Р-цию вели при 210°. После добавления всего КТ смесь нагревали дополнительно

50 мин., после чего охлаждали до 130° и разбавляли смесью керосина и алкилбензолов с т. кип. 135—190°. КТ отфильтровывали, а из фильтрата при охлаждении осаждали o , o' -динитродифенил (II). В аналогичных условиях без использования I выход II значительно ниже. Аналогично из C_6H_5Br получают дифенил, а из α -хлорнафталина соответствующий динафтил. Ю. П.

9Л130. Способ получения изопропибензола. Черторижский А. В., Назаров П. С., Глазунова Н. Б. Авт. св. СССР 130041, 15.07.60.—Для более полного удаления каталитич. комплекса (РК) из алкилата, полученного при алкилировании C_6H_6 пропиленом в присутствии $AlCl_3$, продукт р-ции после освобождения от основного кол-ва РК в отстойнике пропускают через фильтр, нейтрализуют на анионитном фильтре и подвергают депропаннизации с дальнейшей очисткой обычным путем. В качестве анионита рекомендуются применять смолу на основе меламмина, напр., АН-1.

9Л131. Способ получения ксиолов. Treszczanowicz Edward, Celler Witold, Popowicz Marian, Balcerzak Kazimierz. Sposób wytwarzania ksylenów syntetycznych. [Instytut Chemii Ogólnej]. Польш. пат. 42200, 19.09.59.—При контактировании толуола (I) и CH_3OH с катализатором (КТ) кислотного характера, промотированного TiO_2 , V_2O_5 или WO_3 , получают ксиол (II) и его метилазещенные. Смесь I и CH_3OH в объемном отношении 10:1 пропускают над КТ состава (в %): P_2O_5 64, ZnO 6, бетонита 3, SiO_2 26, промотированного 1 вес. % TiO_2 и высушенного в вакууме при 220°. Р-цию проводят в газовой фазе под давл. 33 ат при 330° и скорости 0,25 л смеси на 1 л КТ в 1 час в течение 13 суток. Получают 20% метил-I, из которых 13% ксильной фракции, содержащей 25% n -II и 6% высших метилазещен. Г.

М. Гольдберг

9Л132. Способ выделения n -ксилола из технических смесей. Bratzler Karl. Verfahren zur Abtrennung von p -Xylol aus seinen technischen Gemischen. [Metallgesellschaft A.-G.]. Пат. ФРГ 972036, 14.05.59.— n -Ксиол (n -I) выделяют из смесей его с o - и m -I и гомологами бензола (толуол, этилбензол и др.) двухступенчатым охлаждением. В первой стадии смесь охлаждают до t -ры, предшествующей выпадению кристаллов (от -10 до -45°) на двух- или многоступенчатой холодильной аммиачной машине. Охлаждение сопровождается введением газа, растворимого в смеси и имеющего t -ру сжижения от 20 до -100°, при нормальном давлении (SO_2 , C_2H_6 , C_3H_8 , C_4H_{10} или другой углеводородный газ C_1 — C_4). Газ вводят при нормальном или повышенном давлении. Вторую стадию проводят без дополнительного отвода тепла при адиабатич. испарении сжиженного растворенного газа (откачивание или снижение давления). T -ра смеси при этом снижается до t -ры от -55 до -77°, что вызывает выпадение крупных кристаллов, которые отделяют фильтрованием, декантацией или другими способами. Полученные кристаллы расплавляют (используя тепловой NH_3 , циркулирующий в установке) и кристаллизуют повторно. Возможно также проведение процесса с предварительной отгонкой o -I и последующей дробной кристаллизацией n - и m -I при t -ре от -25 до -30°. Смесь, содержащую (в вес. %): 19 n -I, 47 m -I, 21 o -I, 13 гомологов бензола охлаждают до -40° и при охлаждении вводят C_3H_8 до увеличения объема смеси на 1/3. После прекращения охлаждения сжиженный C_3H_8 отсасывают вакуумным насосом, что вызывает дальнейшее понижение t -ры до -70°. Выпавшие при этом кристаллы, отделяемые от маточного p -ра на путч-фильтре, содержат > 65% n - и 35% o -I. При расплавлении кристаллов и повторении процесса кристаллизации получен n -I 96%-ной чистоты. Аналогичные результаты получены при отделении от смеси o -I дистилляцией и последующем охлаждении смеси

n- и *m*-I до -28° с добавлением C_4H_{10} до увеличения объема смеси на $1/4$. При быстром отсасывании C_4H_{10} т-ра понижается до -40° . Выпавшие кристаллы отделяют описанным выше способом, содержание *n*-I 75% и *m*-I 25%. При неоднократном повторении процесса получают *n*-I 97%-ной чистоты с выходом $> 80\%$. Приведена технологич. схема дробной кристаллизации.

9Л1133. Получение триалкилбензолов алкилированием. Slaughter John I., McCaulay David A. Production of trialkylbenzenes by alkylation. [Standard Oil Co.]. Пат. США 2906788, 29.09.59.—1,3,5-триалкилбензолы (ТАБ), свободные от изомеров, получают *p*-цией C_6H_6 или других ароматич. углеводородов, содержащих ≤ 2 C_1 — C_3 -алкильных заместителей, с C_2 — C_4 -олефинами в присутствии H_3PO_4 (1—10 объемов к-ты на 1 объем C_6H_6), содержащей 60—83 вес.% P_2O_5 и BF_3 при давл. 3,5—350 ат и т-ре от -73 до 150° в зависимости от применяемого олефина. Практически чистый 1,3,5-ТАБ (примесь изомеров < 2 вес.%) отделяют от продуктов *p*-ции перегонкой. Вместо H_3PO_4 можно применять другие фосфорные к-ты. Время контакта от 1 мин. до 25 час. в зависимости от применяемых реагентов и условий. Скорость введения олефина должна быть достаточно мала для предотвращения образования полимера, а кол-во олефина составляет ~ 3 моля на 1 моль C_6H_6 . После завершения процесса кислотную фазу отделяют от углеводородной и из последней отгоняют 1,3,5-ТАБ. В H_3PO_4 , содержащую 81,3% P_2O_5 , пропускали BF_3 до полного насыщения, после чего смешивали ее с C_6H_6 (2:1) и медленно пропускали C_2H_4 (3 моля C_2H_4 на 1 моль C_6H_6) при 20° . *p*-ция алкилирования 1,3,5-ТАБ протекала лишь при парц. давлении BF_3 в автоклаве ≥ 35 ат. При времени *p*-ции 90 мин. 88% исходного C_6H_6 подвергалось алкилированию. Получена смесь, содержащая (в мол.%): 14 1,3,5-ТАБ (алкил- C_2H_5), 12 C_6H_6 , 28 этилбензола, 19 диэтилбензола и 26 тетраэтилбензола и высшие алкаты. При этом в смеси отсутствует изомерный 1,2,4-ТАБ. Получаемые 1,3,5-ТАБ являются ценными промежуточными соединениями для синтеза пластиков. Так, из 1,3,5-триэтилбензола дегидрированием получают соответствующий стирол. Высказываются предположения о механизме *p*-ции, идущей через стадию комплексобразования, и приводится схема проведения процесса.

9Л1134. Химический процесс [получение тетраалкилбензола]. Saffer Alfred, Landau Ralph. Chemical process. [Mid-Century Corp.]. Пат. США 2909575, 20.10.59.—1,2,4,5-диалкилдиизопропилбензол (I), где алкил содержит 1—3 атома C, получают *p*-цией 1,3—2,5 молей алкилирующего агента с 1 молею диизопропилбензола (II) в присутствии катализаторов типа Фриделя — Крафта при т-ре, зависящей от вводимого алкила от -40 до 120° для CH_3 , 20 — 110° для C_2H_5 , от -50 до 50° для *изо*- C_3H_7 . Кол-во катализатора, напр. $AlCl_3$, также зависит от вводимого алкила (2—3% для CH_3 , 5—6% для C_2H_5 и 8—10% для *изо*- C_3H_7). Время *p*-ции 0,5—50 час. (1—2 часа). Процесс можно проводить в среде инертного *p*-рителя, напр. нитропарафина. В стеклянный реактор с мешалкой, обратным холодильником, приспособлением для нагревания и охлаждения и трубой для ввода газа загружают смесь состава (в вес. ч.): 50 $AlCl_3$, 1000 *n*-II, к которой постепенно прибавляют 25 ч. безводн. HCl и затем 270 ч. C_2H_4 (95%-ный газ). Смесь перемешивают ~ 2 час. при 75° . После окончания адсорбции газа $AlCl_3$ отделяют от смеси и промывают остаток 10%-ным *p*-ром Na_2CO_3 , а затем водой. Углеводородный слой после отделения разгоняют. В основном в продуктах *p*-ции найден I (алкил- C_2H_5), т. кип. 255 — 259° . Кроме того, присутствуют небольшие кол-ва непрореагировавшего II и этил-II. Аналогичные результаты получены при использовании в качестве алкили-

рующего агента CH_3Cl и C_3H_6 . Получаемые I используют как промежуточные продукты, напр., для получения ароматич. к-т.

9Л1135. Получение дурола. Hendrickson Joe G., Wadsworth Francis T. Production of durene. [The American Oil Co.]. Пат. США 2906785, 29.09.59.—Дурол (I) 95%-ной чистоты получают конденсацией псевдокумола (II) с безводн. CH_2O (параформ III), взятым в кол-ве 2 моля II на 1 моль III в присутствии кислого катализатора [n - $CH_3C_6H_4SO_3H$ (IV), H_2SO_4 , BF_3 , $ZnCl_2$ и др.], кол-во которого составляет 0,1—5 вес. ч. на 1 ч. III. При времени контакта 2—4 часа и 50 — 175° образуется дипсевдкумуляметан (V), который отделяют от слоя IV и пропускают через слой твердого адсорбента, после чего подвергают гидрокрекингу (ГК) в присутствии H_2 на алюмомолибденовом катализаторе, содержащем 5—15 вес.% MoO_3 , при 300 — 500° и давл. < 7 ат. Катализатор предварительно активируют в токе H_2 при 350 — 750° . Конечный I отделяют от продуктов ГК ректификацией. Фракцию нефти с т. кип. 168 — 170° , состоящую на 98% из II с примесью мезитилена и парафиновых углеводородов, контактируют в реакторе с III в соотношении 2 моля II на 1 моль III в присутствии безводн. IV (1 вес. ч. а 1 ч. II) при 100° и времени контакта 4 часа. После окончания конденсации верхний углеводородный слой, содержащий V и небольшое кол-во непрореагировавшего II, отделяют от нижнего кислотного слоя и пропускают через твердый сорбент (кисельгур, инфузореи земли), который содержит алюмосиликаты, при 50 — 150° для предотвращения кристаллизации V. Фильтрование V через сорбент повышает конверсию V в I и уменьшает степень дезактивации катализатора. Затем смесь вводят в ректификационную колонну, где от нее отгоняют непрореагировавший II, который возвращают в рецикл, а оставшийся V подвергают ГК на катализаторе, содержащем 9 вес.% MoO_3 на Al_2O_3 , предварительно активированном при помощи H_2 , CO , синтез-газа, водяного пара и др. при 450° и давлении H_2 5 ат. ГК проводят при 500° , давления H_2 17 ат, молярном соотношении H_2 : V = 1:1—20:1 и объемной скорости 0,5 час $^{-1}$. От продуктов *p*-ции затем ректификацией отделяют чистый I с примесью 2% *изо*-I. Полученный I может быть окислен в пиромеллитовый ангидрид, который при этерификации дает ценные соединения и используется как промежуточный продукт в синтезе пластиков. Приведена технологич. схема процесса получения I из II.

9Л1136. Получение дурола и псевдокумола. Hendrickson Joe G. Production of durene and pseudocumene. [The American Oil Co.]. Пат. США 2906786, 29.09.59.—Дурол (I) и псевдокумол (II) получают при гидрокрекинге продуктов конденсации (ПК) ксилолов (III) с CH_2O , имеющих 5 молекул III и 4 молекулы CH_2O на 1 молекулу ПК и средний мол. в. 550 — 600 . Конденсацию формолитного типа проводят с катализаторами (КТ) типа Фриделя — Крафта (H_2SO_4 , HF , $AlCl_3$, BF_3 и др.) при соотношении 4 и более молей III на 1 моль CH_2O . После отделения КТ и отгонки непрореагировавших III смесь ПК разлагают на КТ гидрогенизации при 400 — 500° , давл. 3,5—70 ат, объемной скорости 0,1—10 час $^{-1}$ в присутствии 5—25 молей H_2 на 1 моль ПК. Перед гидрокрекингом смесь разбавляют равным объемом ароматич. *p*-рителя (C_6H_6 , толуол, III) для уменьшения ее вязкости. Наиболее желательный КТ 5—15% MoO_3 на Al_2O_3 — готовят пропиткой или соосаждением. Перед гидрокрекингом КТ активируют H_2 или CO при 350 — 750° , что снижает изомеризирующее действие КТ вследствие частичного восстановления Mo^{+6} . При гидрокрекинге смеси ПК III с CH_2O , имеющей средний мол. в. 570 (что соответствует 5 молекулам III, связанным четырьмя CH_2 мостиками) при 450° , объемной скорости 0,6 час $^{-1}$ и 7 ат над КТ, содержащим 9% MoO_3/Al_2O_3 , при соот-

ношении 2
дионная
(в вес. %):
чительные
22,3 непер
процесс.
9Л1137.
Willia
alkyl ben
2848509, 1
держажу
конденсир
затора (К
руют (3—
катализат
ростью (1
1 кг в 1 ч
алкилбен
рые разд
ляется 40
/ Al_2O_3 (п
использу
периодич
ствителях
ностью (с
денсацию
выпущени
чае 50—
проводят
В смесь
нагреваю
слабленн
земеики
для водн
37%-ног
ростью (в
ды, соде
912,3 г)
водн. (1
слой пр
регонной
на (III)
мерного
36,5% о
в 1 мин
в 1 час)
стали (и
 MoO_3/Al_2
в Ag-ва
пропуск
лаждае
в-ва, пе
142—144
цию В
ИК-ана
3,5 тем
(IV) (9
версия
9Л1138.
G. Proci
м водств
расщеп
пропил
них н
содери
лизато
превра
мываю
содери
рител
и свер
сидки.
рител

пошении 200 молей H_2 :1 моль ПК, получена реакционная смесь (выход 78%) следующего состава (в вес. %): 24,4 I, 36 II. Кроме того, содержатся незначительные кол-ва толуола, III, мезитилена, изо-I, 2,3 непрореагировавших ПК, которые возвращают в процесс.

Ю. П. 9Л137. Получение полиалкилбензолов. Toland William G., Jr, Williams L. G. Production of polyalkyl benzenes. [California Research Corp.]. Пат. США 2848509, 19.08.58.—Смесь ароматич. углеводородов, содержащую значительное кол-во изомеров ксилола (I), конденсируют с CH_2O в присутствии кислого катализатора (КК) и полученный диарилметан (II) гидрируют (3—40 молей H_2 на 1 моль II) в присутствии катализатора гидрирования (КГ) с объемной скоростью (в объемн. ч.) 0,1—10 (0,5—3) жидкого II на 1 кг в 1 час. При этом II расщепляется на ди- и полиалкилбензол с ≥ 3 низшими алкилами в цикле, которые разделяют фракционированием. Лучшим КК является 40—100%-ная H_2SO_4 , а лучшим КГ MoO (12%)/ Al_2O_3 (получение см. пат. США 2432286, 2481824); используют также металлы групп VI-6, VII-6 и VIII периодической системы, их окислы и сульфиды, на носителях с незначительной расщепляющей способностью (Al_2O_3 и силикагель высокой чистоты). Конденсацию проводят при т-рах от -1 до 149° (при повышении конц-ии H_2SO_4 т-ру р-ции понижают); в случае 50—70%-ной H_2SO_4 т-ра ~ 93 —149°. Гидрирование проводят при ~ 343 —482° (~ 357 —427°) и давл. 17,5 ат. В смесь 700 мл 97%-ного о-I и 190 мл 67,5%-ной H_2SO_4 нагретую до ~ 128 —132° (в трубомесителе емк. 1,5 л, снабженном вводной трубкой до дна, нагревательным змеевиком, обратным холодильником и сепаратором для воды), вводят со скоростью 1 мл в 1 мин. 76 мл 37%-ного формалина, одновременно с такой же скоростью удаляют из сепаратора воду (всего 73 мл воды, содержащей 0,09 г CH_2O). Продукт р-ции (всего 912,3 г) разделяется на 2 слоя: органич. (680 мл) и водн. (190 мл), содержащий 66,8 вес. % H_2SO_4 . Органич. слой промывают разб. едкой щелочью и водой и перегонкой получают 389,9 г о-I и 189,4 г ди-о-ксилиметана (III), т. кип. 218—222°/50 мм, и 21,8 г высокополимерного остатка; в р-цию вступило 99,7% CH_2O и 36,5% о-I. 146 г III пропускают со скоростью 1 мл в 1 мин. при одновременном пропускании H_2 (1,83 л в 1 час) через вертикальную трубку из нержавеющей стали (внутренний диам. ~ 16 мм), наполненную 49 г MoO/Al_2O_3 (в виде шариков диам. 330 мкм), нагретую в Аг-ване под давлением N_2 до ~ 399 °. Продукт р-ции пропускают последовательно через конденсаторы, охлаждаемые льдом и твердой CO_2 , получают 142,3 г в-ва, перегонкой которого получают 32,8 г о-I, т. кип. 142—147°, фракцию А (10 г), т. кип. 147—163°, фракцию Б (36,8 г), т. кип. 163—169°, и 55,2 г III. Согласно ИК-анализу, фракция А состоит (в об. %) из 3,5 о-I, 3,5 гемимеллитыла, 0,1 мезитилена и 93 псевдокумола (IV) (96,3 от общего кол-ва ароматич. C_9 -веществ). Конверсия III 62,2%, выход IV 70,8 мол. %.

Я. Кантор 9Л138. Методы очистки фенолов. Joris George G. Processes for the purification of phenols. [Allied Chemical Corp.]. Пат. США 2910511, 27.10.59.—При производстве фенола (I) и его метил- и галогидропроизводных расщеплением гидроперекисей соответствующих изопропилбензолов полученные фенолы после отгонки от них низкокипящих фракций перегоняют на колонне, содержащей активированный алюмосиликатный катализатор (АСК), в контакте с которым генетич. примеси превращаются в высококипящие соединения и вымываются фенольным орошением в низ колонны. I, содержащий 1% α -метилстирола (II), вводят в испаритель колонны, заполненной насадкой снизу до $1/2$ и сверху до $1/3$ ее части в АСК между слоями насадки. Давление в колонне 30 мм рт. ст., т-ра в испарителе 100—105°, в слое АСК 95—100° и вверху ко-

лонны ~ 95 °. Флегмовое число 1:1 (по объему). Полученный I дает положительные результаты при испытаниях на растворимость в воде и щелочи. Тот же исходный I смешивают с 6,7% глины типа бентонита, обработанной H_2SO_4 . Смесь перемешивают 1 час при 100° и перегоняют, получая I, выдерживающий испытания на растворимость в воде. Опыт повторяют в непрерывном варианте при времени контакта 10—15 мин., получают I, растворимый в щелочи. В колонне с АСК перегоняют *n*-крезол, содержащий 1% 4-метил-II. Т-ры соответственно 123, 118 и 113°, давл. 30 мм рт. ст. и флегмовое число 1:1. Полученный *n*-крезол не содержит 4-метил-II (по масс-спектрографич. анализу). Аналогично очищают *n*-фторфенол, содержащий 1% 4-фтор-II. Приведены схема колонны и описание ее действия.

А. Мышкин 9Л139. Получение бис-фенолов. Bender Howard L., Conte Louis B., Jr, Apel Francis N. Preparation of bis-phenols. [Union Carbide Corp.]. Пат. США 2858342, 28.10.58.—К 1229 ч. фенола при 50—60° прибавляют 270 ч. NaOH, нагревают до 180°, воду отгоняют, прибавляют в течение 1 часа 176 ч. ацетона, кипятят при перемешивании 16 час., охлаждают до ~ 20 °, подкисляют 6 н. HCl до pH 2—3, промывают водой, органич. слой перегоняют при 20 мм до 200°, остаток растворяют в равном кол-ве кипящего толуола, охлаждают до 20—25°, отфильтровывают и получают 2,2-бис-(4-оксифенил)-пропан, выход 47,5%, т. пл. 155°. Аналогично получены 1-фенил-1,1-бис-(4-оксифенил)-этан, т. пл. 187,2°; 1-фенил-2,2-бис-(4-оксифенил)-пропан, т. пл. 216—218°; дифенил-бис-(4-оксифенил)-метан, т. пл. 296—298°; 1,1-бис-(4-оксифенил)-циклогексан, т. пл. 187°; 1,1-бис-(3-метил-4-оксифенил)-циклогексан, т. пл. 186—198°, и 1,1-бис-(3-хлор-4-оксифенил)-циклогексан, т. пл. 134—141°.

И. Берлин

9Л140. Метилирование оксинароматических соединений. Gleim William K. T. Methylation of hydroaromatic compounds. [Universal Oil Products Co.]. Пат. США 2909568, 20.10.59.—Метилзамещенные оксинароматич. соединения получают гидрированием оксиметил-оксинароматич. соединений, имеющих OH-группу у ароматич. С-атома, при 50—200 ат и 100—225° в присутствии металлов группы Pt, нанесенных на твердый адсорбент. 124 г гваякола (I) смешивают с 405 г 10%-ного NaOH (после выпадения Na-соли I pH р-ра 9), добавляют 80 г 38%-ного CH_3O , перемешивают в течение 72 час. при ~ 20 °, выливают на 1 кг льда, содержащего 75 г конц. H_2SO_4 , отфильтровывают и сушат образовавшийся осадок, перекристаллизуют его из смеси C_6H_6 + спирт и получают 75 г ваниллинового спирта, т. пл. 110—112°. 5 г полученного спирта растворяют в 450 мл CH_3OH и загружают во вращающийся автоклав емк. 1 л вместе с 50 г Al_2O_3 , содержащей 0,375% Pt. Автоклав закрывают, вводят H_2 до 100 ат, нагревают до 160° и вращают в течение 5,5 часа. Из полученной смеси перегонкой выделяют 24 г креозола, т. кип. 220°. Аналогично из 310 г 2,6-диметоксифенола получают 80 г 2,6-диметокси-4-оксиметилфенола (II), т. пл. 128—129° (из C_6H_6 + сп.). 25 г II гидрируют в 300 мл CH_3OH с 25 г того же катализатора при 200 ат и 200° в течение 4 час., получают 15 г 2,6-диметокси-4-метилфенола (III), т. кип. 120—125°/0,5 мм, т. пл. 41° (после перекристаллизации). Гидрируя 55 г II в 500 мл CH_3OH с 10 г 5%-ного Pd на древесном угле при 160 ат и 160° в течение 5 час., получают 40 г III. 42 г 2,6-диоксиметил-4-метилфенола, полученного из *n*-крезола, гидрируют в 250 мл CH_3OH с 0,375% Pt на Al_2O_3 при 180 ат и 180° в течение 4 час., получают 15 г 2,4,6-триметилфенола, т. кип. 104—112°/15—20 мм, т. пл. 66—68°. Полученные соединения могут использоваться как антиокислители для различных органич. в-в, как антиозонанты для резин, а также как промежуточные продукты для синтеза

фармацевтич. препаратов, добавок к смазочным маслам и т. д.

9Л141. Способ алкилирования в ядро ароматических соединений, содержащих гидроксильные группы. Stroh Rudolf, Seydel Robert. Verfahren zur Kernalkylierung von hydroxylgruppenhaltigen aromatischen Verbindungen. [Farbenfabriken Bayer A.-G.]. Пат. ФРГ 1044825, 27.05.59.—Ароматич. соединения, содержащие ОН-группы, алкилируют в ядро в присутствии катализаторов по пат. ФРГ 944014 (см. РЖХим, 1957, № 20, 67199) и дополнительно — солей галогенводородных к-т. В толстостенном сосуде нагревают 200 ч. фенола (I) и 2 ч. мелкоизмельченного Al , добавляют 10 ч. тонкого порошка NaCl , нагревают до 220° и заканчивают C_2H_6 . Через 35 мин. поглощено 160 ч. C_2H_6 , выход 2,6-дизопропилфенола (II) 73,5%. При добавлении вместо NaCl 1 ч. AlCl_3 выход II 76,7%. При добавлении лишь AlCl_3 или NaCl (без Al) поглощение C_2H_6 начинается только при 340°, выход II $\leq 30\%$. При использовании одного Al выход II 60%. 200 ч. I, 2 ч. Al -стружки и 20 ч. NaCl нагревают при 200—220°, отводя выделяющийся H_2 , заканчивают постепенно 120 ч. *изо*- C_4H_{10} , получают 2,4-ди-*трет*-бутилфенол, выход 70%, т. пл. 56°. Увеличивая кол-во *изо*- C_4H_{10} , получают 2,4,6-три-*трет*-бутилфенол, выход 76%, т. пл. 130—131°. При тех же условиях алкилируют крезол, получая 2,6-ди-*трет*-бутил-4-крезол, выход 52%, т. пл. 69—70°. Уменьшая кол-во *изо*- C_4H_{10} , получают 2-*трет*-бутил-*n*-крезол, т. пл. 54,5—55°. В аналогичных опытах с гидрохиноном получают соответственно 2,5-ди-*трет*-бутилгидрохинон, выход 65%, т. пл. 213—214°, и *трет*-бутилгидрохинон, т. пл. 127—128°. Алкилируя при 340° 300 ч. I C_2H_4 в присутствии 6 ч. Ca и 30 ч. CaCl_2 , получают 2,6-диэтилфенол (III), выход 33%. Без добавки CaCl_2 выход III 25%. В присутствии 1 ч. Al и 30 ч. BaCl_2 (кристаллич.) получают III и 2-этилфенол с выходами 37,3 и 10%.

9Л142. Получение мономерных продуктов неполной конденсации фенолов с формальдегидом. Камикана Мюдэи, Иосино Тоситаро, Наокава Хитоси. [Сумитомо бакурайто кабусики кайса]. Японск. пат. 5712, 30.07.57.—300 г $\text{C}_6\text{H}_5\text{OH}$, 75 г $(\text{CH}_2\text{O})_x$, где x — целое число, и 150 г $\text{C}_4\text{H}_9\text{OH}$ нагревают 5 час. при 130°, *p-p* фильтруют, $\text{C}_6\text{H}_5\text{OH}$ и $\text{C}_4\text{H}_9\text{OH}$ удаляют в вакууме, остаток экстрагируют с помощью CS_2 и получают 110 г *o*- $\text{HOC}_6\text{H}_4\text{CH}_2\text{OH}$. Аналогично из 300 г $\text{C}_6\text{H}_5\text{OH}$, 108 г $(\text{CH}_2\text{O})_x$, 30 г CaCO_3 и 150 г $\text{C}_4\text{H}_9\text{OH}$ нагреванием при 130° в течение 2,2 часа получают 2,4-(HOCCH_2)₂ $\text{C}_6\text{H}_3\text{OH}$. Обработкой *o*- $\text{HOC}_6\text{H}_4\text{CH}_2\text{OH}$ с помощью $(\text{COOH})_2$ до pH 4,4 и последующим нагреванием при 130—150° в течение 3 час. получают (2- HOC_6H_4)₂ CH_2 , обработкой 4- $\text{HOC}_6\text{H}_4\text{CH}_2\text{OH}$ с помощью $(\text{COOH})_2$ до pH 1,5 и последующим нагреванием, как указано выше, получают (4- HOC_6H_4)₂ CH_2 .

9Л143. Производство алкилароматических соединений. Bew Derik George, Whittfield Gordon Howard. Improvements in and relating to the production of aromatic alkenyl compounds. [Imperial Chemical Industries Ltd.]. Англ. пат. 846616, 31.08.60.—Ароматические третичные спирты дегидратируют над катализатором (КТ) в алкилароматич. соединения, нагревая их от т-ры плавления спирта до 500° (предпочтительно при 200—350°) при пониженном давлении в атмосфере N_2 . В качестве КТ используют $\gamma\text{-Al}_2\text{O}_3$, силикагель, фосфаты Al , V , Na . В качестве исходных спиртов применяют *m*-(*m*-I) или *n*-дизопропилбензол- α -*o*-диол (*n*-I), α,α -диметилбензиловый спирт, α,α -диметил-*n*-метилбензиловый спирт и *n*-дизопропилбензол- α -*o*. В трубку, содержащую 100 мл силикагеля и качестве теплоносителя и 200 мл $\gamma\text{-Al}_2\text{O}_3$, при 250° добавляют по каплям расплавленный в атмосфере N_2 *n*-I (20,1 г) (т. кип. 280°/760 мм) в течение 1 часа

в атмосфере N_2 (20 л в 1 час). *n*-Дизопропилбензол (*n*-II) собирают в приемнике, после затвердевания продукт отделяют от воды, высушивают в вакууме, выход 79%, т. кип. 230°/760 мм, т. пл. 63—64° (из петр. эф.), бромное число 197 г/100 г. Из трубки извлекают метанол 4,7 г *n*-I. Аналогично из *m*-I (т. пл. 135°) получают *m*-II, выход 80,3%, т. кип. 102°/20 мм, n_D^{20} 1,5361, бромное число 197 г/100 г. Из смеси 198,9 г *m*-I и *n*-I, полученной окислением H_2O_2 , 70% *m*- и 30% *n*-дизопропилбензола, получают 128,1 г смеси *m*-II и *n*-II, выход 79%, т. кип. 102—120°/20 мм, бромное число 205 г/100 г. Алкилароматич. соединения применяют в произ-ве красителей и полимеров.

З. Полякова

9Л144. Способ совместного получения концентрированных изоамиленов и параизоамилфенола. Далин М. А., Бурмистров Е. Ф., Спивак Р. Е. Авт. св. СССР 129654, 1.07.60.—Способ совместного получения изоамиленов и параизоамилфенолов (I) заключается в алкилировании фенола (II) или его смесей с I изоамиленами (при весовом соотношении II:I = 1:4), содержащимися в пентаамиленовой фракции крекинг-газа в присутствии 0,5—1 вес.% H_2SO_4 с последующим деалкилированием образующегося алкилата при 200—210°. Условия алкилирования, проводимого в аппарате колонного типа с барботажом паров фракции через слой расплавленного II: т-ра 80°, давл. 1 ата, кол-во 100%-ной H_2SO_4 1,0%, скорость паров в свободном сечении колонны 1,0 м в 1 сек., насыщение алкилата 1,0 моль изоамиленов на 1 моль II. Условия деалкилирования, проводимого в аппарате типа грубой ректификационной колонны с кубом: т-ра куба $\leq 205^\circ$, время пребывания алкилата в кубе 15 мин., конечное насыщение — 0,6 моля изоамиленов на 1 моль II.

Т. Кострома

9Л145. Способ получения простых эфиров арилалкилкарбинолов. Розанова Ю. М., Дорохова М. И., Михалев В. А. Авт. св. СССР 128456, 15.05.60.—Простые эфиры арилалкилкарбинолов получают путем нагревания карбинолов в присутствии катализатора $\text{FeCl}_3 \cdot 6\text{H}_2\text{O}$. Смесь 250 г фенолметилкарбинола, 300 мл скипидала и 1,5 г $\text{FeCl}_3 \cdot 6\text{H}_2\text{O}$ кипятят 3 часа, отделяя воду при помощи сепаратора, снабженного градуированным приемником, с возвратом скипидала в реакционную смесь. По окончании р-ции (прекращение отгонки воды) смесь перегоняют в вакууме, получают 203 г ди- α -фенилэтилового эфира, выход 88%, т. кип. 152—154°/14,5—15 мм. Аналогично получают ди- α -(*m*-нитрофенил)-этиловый эфир, т. кип. 162—164°, т. пл. 87—92°, и ди- α -(*n*-нитрофенил)-этиловый эфир, т. пл. 188,5—189,5°.

Т. К.

9Л146. Метод получения *n,n'*-диоксифенилдиметилметана. Buser Karl, Schrader Otto. Verfahren zur Herstellung von *p,p'*-Dioxydiphenyldimethylmethan. Пат. ГДР 17984, 11.19.59.—*n,n'*-Диоксифенилдиметилметан (I) получают конденсацией фенола (II) в сильнокислой среде в присутствии водоотнимающих средств с неочищ. ацетоном, который образуется при обработке каменного угля, бурого угля и серых масел и содержит меркаптаны. 1128 г чистого II конденсируют при 45—47° с 174 г ацетона, полученного гидрированием угля в присутствии 180 г конц. HCl и 114 г CaCl_2 , избыток II удаляют перегонкой с паром, *p-p* нейтрализуют, выделившийся осадок отфильтровывают, промывают водой до отрицательной р-ции на Cl -ион и сушат. Получают I, выход 95%, т. пл. 153—156°.

Е. Р.

9Л147. Ортохиноны. Rocklin Albert L. O-quinones. [The Dow Chemical Co.]. Пат. США 2920082, 5.01.60.—Тетрахлор- и тетрабромортохиноны получают окислением хлорированных и бромированных фенолов HNO_3 при т-ре от —20 до 120° (лучше 0—100°) в присутствии органич. р-рителя (насыщ. алифатич. или

ароматич. тропронола ра до кип бавляю Переме охлажд Для уи воздух, охлажд получа дают Приве р-рителе HNO₃ о-бром нон и 9Л14 dige ititut Co.]. при ба при 35 льда а экстра экстр дой, с тироф логиц получ 95—97 рофен изобу луден цидон няч. 9Л1 Cloc ffe d США кисей нафт чае да в бавк в те заань р-ци лин 17,5. 9Л пере Phy Rh₂ мол кум солс Для при сол сре окис 80, III, 128 СН н-С же аат пеи лу оги

ароматич. углеводороды и их хлор-, бром-, фтор-, нитропроизводные, кипящие $\leq 200^\circ$). 100 г пентахлорфенола растворяют в 200 мл метилхлорида, нагревают до кипения (41°) и при сильном перемешивании добавляют 40 мл конц. (68%-ной) HNO_3 в течение 2 мин. Перемешивание продолжают еще 15 мин., затем р-р охлаждают до 20° и осторожно добавляют 75 мл воды. Для удаления окислов азота через смесь продувают воздух, органич. слой отделяют, промывают водой, охлаждают до 10° и фильтруют, р-ритель отгоняют и получают 72 г неочищ. о-хлоранила (I), который очищают перекристаллизацией из CCl_4 (3 мл на 1 г I). Приведена таблица зависимости выходов I от природы р-рителей, т-ры, продолжительности р-ции, конц-ии HNO_3 и отношений реагентов. Аналогично получают о-броманил, выход 60%, 3-хлор-4,5,6-трибромбензохинон и 3-бром-4,5,6-трихлорбензохинон. В. Простякова

9Л148. Замещенные α -хлоризобутирофеноны. Kunder Donald G., Ikenberry Ernest A. Substituted α -chloro-isobutyrophenones. [The Dow Chemical Co.]. Пат. США 2855439, 7.10.58.—212 г $(\text{CH}_3)_2\text{C}(\text{Cl})\text{COCl}$ прибавляют к дисперсии 133 г AlCl_3 в 509 мл $\text{C}_6\text{H}_5\text{Cl}$ при 33 — 35° , через 3 часа продукт выливают в смесь льда с конц. HCl , органич. слой отделяют, водн.—экстрагируют эфиром; органич. продукт и эфирные экстракты объединяют, промывают разб. NaOH и водой, сушат, перегоняют и получают α , α -дихлоризобутирофенон, т. кип. 76 — $79^\circ/0,5$ — $0,7$ мм, n_D^{20} 1,5500. Аналогично при обработке $\text{C}_6\text{H}_5\text{Br}$ анизолом и фенетолом получают α -хлор- n -бромизобутирофенон, т. кип. 95 — $97,5^\circ/0,7$ мм, n_D^{20} 1,5695, α -хлор- n -метоксизобутирофенон, т. кип. $113,5$ — $116,5^\circ/1,4$ мм, и α -хлор- n -этоксизобутирофенон, т. кип. $112^\circ/0,4$ мм, n_D^{20} 1,5430. Полученные соединения применяются в качестве гербицидов, фунгицидов и промежуточных продуктов органич. синтеза. И. Берлин

9Л149. Процесс образования гидроперекисей. Closson Rex D., Ligett Waldo B., Kolka Alfred J. Hydroperoxidation process. [Ethyl Corp.]. Пат. США 2868842, 13.01.59.—Способ получения гидроперекисей 1,4-диалкил- и 1,1,4-триалкил-2,3,4-тетрагидронафталина (алкил содержит 1—18 атомов C) заключается в пропускании O_2 через эмульсию углеводорода в воде. Через эмульсию, полученную с помощью добавки стеарата Na, при 90° медленно пропускают O_2 в течение 3—12 час. и получают гидроперекиси (указаны углеводород, вес в г, объем воды в %, время р-ции в час., выход гидроперекиси в %): 1,2,3,4-тетралин (I), 20, 40, 6, 4; 1-этил-I, 20, 40, 6, 6; 1,4-диэтил-I, 17,5, 40, 12, 43; 1,1,4-триэтил-I, 20, 40, 6, 4, 2. Т. К.

9Л150. Усовершенствование в производстве гидроперекиси кумола. Perfectionnements à la fabrication de l'hydroperoxyde de cumène. [Soc. des Usines Chimiques Rhône—Poulenc]. Франц. пат. 1218577, 11.05.60.—Кумол (I) окисляют мол. O_2 при 110° в гидроперекиси кумола (II) в жидкой гомог. фазе в присутствии щел. солей α -этилгексановой к-ты, напр. ее Na-соли (III). Для сравнения приведены данные по окислению I в присутствии различных щел. солей (перечислены щел. соли, кол-во мг соли на кг I, кол-во мг Na^+ на кг I, средняя скорость окисления, относительная скорость окисления, выход II производительность): Na_2CO_3 , 185, 80, 6,0, 100, 94,8, 100; K_2CO_3 , 140, 80, 6,9, 115, 90,2, 110; III, 288, 40, 11, 183, 89,9, 174; III, 72, 10, 7,8, 130, 93,3, 128; III, 36, 5, 7,3, 121, 93,9, 120. В присутствии Na-соли $\text{C}_8\text{H}_5\text{COOH}$, $\text{C}_8\text{H}_7\text{COOH}$, изо- $\text{C}_8\text{H}_7\text{COOH}$, n - $\text{C}_7\text{H}_{15}\text{COOH}$, n - $\text{C}_{11}\text{H}_{23}\text{COOH}$, $\text{C}_{17}\text{H}_{35}\text{COOH}$ средняя скорость р-ции того же порядка как для Na_2CO_3 и K_2CO_3 , но их применение затруднительно вследствие того, что они образуют пену и не растворимы в I. Н. Кульбовская

9Л151. Способ получения органических веществ путем окисления. Tomiška Josef. Způsob výroby organických látek oxidací. Чехосл. пат. 89395, 15.04.59.—

Органические в-ва получают окислением циклопарафинов, алкил- и арилциклопарафинов и алкилпроизводных ароматич. углеводородов O_2 или газами, содержащими O_2 , в присутствии Pb-, Cu-, Co-, Mn- и Fe-солей галогенированных органич. к-т или их смесей в кол-ве 0,01—5%. Через тетралин, содержащий 0,18% Co в форме дибромстеарата, пропускают при 70° распыленный O_2 . В течение 150—180 мин. протекает экзотермич. р-ция (необходимо охлаждение). Получают тетралин-1 (I) с выходом 50%. Повышение давления увеличивает скорость р-ции и выход I. Выход I увеличивают также применением дибромстеарата Cu. Аналогично окисляя n -ксилол, получают n -толуиловую к-ту, выход $\sim 90\%$. А. Мышкин

9Л152. Способ получения хлорбензойной кислоты и ее производных. Watson Gordon, Johnson Frank, Gladden George William. Process for the production of chloro-benzoic acids and derivatives thereof. [Cocker Chemical Co. Ltd.]. Англ. пат. 827422, 3.02.60.—Способ получения хлорбензойных к-т, содержащих > 2 атомов Cl в молекуле, заключается в хлорировании $\text{C}_6\text{H}_5\text{COCl}$ в присутствии катализатора (хлориды Al и Fe, SbCl_3 и йод) до тех пор, пока вес продукта не увеличится вдвое по сравнению с весом продукта, полученного в результате присоединения 1 атома Cl (заканчивается хлорирование при 60°), и последующем омылении продукта р-ции в присутствии щелочи. 281 г $\text{C}_6\text{H}_5\text{COCl}$ хлорируют в присутствии FeCl_3 в течение 26,5 часа; т-ра в процессе р-ции возрастает от 30 до 97° , скорость пропускания Cl_2 от 10 до 24. После увеличения веса продукта на 210 г р-цию заканчивают. Часть продукта гидролизуют разб. NaOH , катализатор отфильтровывают, а фильтрат подкисляют HCl , выделившийся осадок отделяют и сушат, получают трихлорбензойную к-ту, т. пл. 104 — 118° . 200 г продукта хлорирования фракционируют, выделяя хлорангидриды дихлор-, трихлор- и тетрахлорбензойной к-т, которые гидролизуют в соответствующие к-ты. Полученные к-ты используют для синтеза гербицидов. В. Воясяцкий

9Л153. Очистка толуиловой кислоты. Grantham Richard L., Liu Chien. Purification of toluic acid. [Richfield Oil Corp.]. Пат. США 2894985, 14.07.59.—250 г смеси неочищ. толуиловых к-т (I) (80,4% I, 3,6% $\text{C}_6\text{H}_5\text{COOH}$ и 16% нейтр. в-в), полученных окислением смеси ксилолов O_2 -содержащим газом, экстрагируют 550 мл дистил. воды при 80 — 260° и получают белые кристаллы очищ. I. Приведена схема. И. Берлин

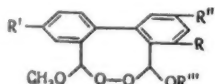
9Л154. Очистка терефталевой кислоты. Nesbitt Philip, Robertson John Skinner Macnab. Purification of terephthalic acid. [Imperial Chemical Industries Ltd.]. Англ. пат. 816892, 22.07.59.—Раствор 24 г неочищ. терефталевой к-ты (I), полученной окислением на воздухе n -ксилола в присутствии CoBr_2 и MnBr_2 в качестве катализаторов, в $\text{C}_6\text{H}_5\text{COOH}$ смешивают с 800 г $\text{C}_6\text{H}_5\text{COOH}$ и расплавляют, затем нагревают до 250° , фильтруют, фильтрат охлаждают до 150° , получают 22,5 г I, которую промывают водой при 100° до полного удаления примесей $\text{C}_6\text{H}_5\text{COOH}$. И. Берлин

9Л155. Способ разделения терефталевой и изофталевой кислот. Frane Jaroslav. Způsob dělení kyseliny tereftalové od kyseliny isoftalové. Чехосл. пат. 890688, 15.03.59.—Терефталевую к-ту (I) отделяют от изофталевой (II) нитрованием смеси к-т в такой степени, чтобы нитровалась только II и $\leq 0,2\%$ I. К 1 ч. смеси I и II при 0° и перемешивании добавляют 10 ч. нитрующей смеси (70% H_2SO_4 и 27% HNO_3). Р-цию проводят в течение 15 мин., отсасывают (или центрифугируют) осадок и промывают его 200 ч. горячей (99°) воды или 80 ч. CH_3OH , получая чистую I. 5-нитро-II выпадает из р-ра после охлаждения. А. Мышкин

9Л156. Способ получения эфиров терефталевой кислоты. Katschmann Ewald. Verfahren zur

зиды карбоновых к-т обрабатывают Cl_2 в присутствии HCl в инертной среде (нитроуглеводороды, хлоруглеводороды) или же действуют Cl_2 на хлоргидраты гидразидов органич. карбоновых к-т. Р-р 13,6 г $\text{C}_6\text{H}_5\text{CONHNH}_2$ в 200 мл теплого CH_3NO_2 (I) насыщают безводн. HCl через смесь пропускают безводн. Cl_2 до растворения осадка (~30 мин.). I отгоняют на водяной бане при 25 мм рт. ст. Остаток (12 г, 85,5%) перегоняют через насадочную колонку (30 см) и получают 10 г (71,1%) $\text{C}_6\text{H}_5\text{COCl}$, т. кип. 87—88°/25 мм, n_D^{20} 1,5519. Аналогично получают $m\text{-O}_2\text{NC}_6\text{H}_4\text{COCl}$, который, не выделяя, превращают в $m\text{-O}_2\text{NC}_6\text{H}_4\text{COCONH}_2$, выход 78,6%, т. пл. 137—139°. После одной кристаллизации из спирта т. пл. 139,5—140,5°, выход 62,5%; из $o\text{-ClC}_6\text{H}_4\text{CONHNH}_2$ готовят $o\text{-ClC}_6\text{H}_4\text{COCl}$, выход 74%, из $n\text{-C}_{11}\text{H}_{23}\text{CONHNH}_2$ (т. пл. 105—106°) в присутствии CHCl_3 получают $n\text{-C}_{11}\text{H}_{23}\text{COCl}$, т. кип. 143—148°/12 мм, выход 66,7%, анилид, т. пл. 90—91°; из $n\text{-H}_3\text{COCOC}_6\text{H}_4\text{CONHNH}_2$ (т. пл. 204—205°) получают $n\text{-H}_3\text{COCOC}_6\text{H}_4\text{COCl}$, выход 78,6%. Продукт без выделения превращен в $n\text{-H}_3\text{COCO}\text{-C}_6\text{H}_4\text{COCONH}_2$, т. пл. 141—143°; из гидразида изоникотиновой к-ты (II к-та) получают хлорангидрид II, а из него — хлоргидрат этилового эфира II, т. пл. 164—165°, выход 70%. Р-р 14 г Cl_2 в 50 мл охладж. твердой углекислотой $\text{C}_2\text{H}_5\text{NO}_2$ прибавляют за один прием к охладж. твердой CO_2 суспензии $\text{C}_6\text{H}_5\text{CH}_2\text{CONHNH}_2 \cdot \text{HCl}$ в 200 мл безводн. $\text{C}_2\text{H}_5\text{NO}_2$. Смесь удаляют из охладжающей бани и оставляют до начала бурной р-ции, выдерживают еще 2—3 мин. (т-ра возрастает до 0°) и поддерживают при 0° до завершения р-ции. Смесь, содержащую небольшой осадок хлоргидрата, охладжают до -10° и пропускают 2—3 мин. Cl_2 . Продукт выделяют, как указано выше. Получают 7,61 г (65,6%) $\text{C}_6\text{H}_5\text{CH}_2\text{COCl}$, т. кип. 98—99°/22 мм, n_D^{20} 1,5317. Аналогично получают $n\text{-O}_2\text{NC}_6\text{H}_4\text{COCl}$, т. кип. 96—97°/10,1 мм, выход 78,9%, т. пл. 71—73° (из петр. эф. с т. кип. 40—70°); из $(\text{CH}_3)_2\text{CHCONHNH}_2$ (т. пл. 102—103°) в среде CH_2Cl_2 + $\text{изо-C}_3\text{H}_7\text{COCl}$, выход 62,5%, т. кип. 90—91°; из $m\text{-H}_2\text{N}-\text{NHCOC}_6\text{H}_4\text{CONHNH}_2$ (т. пл. 226—230°) — $m\text{-ClCOC}_6\text{H}_4\text{COCl}$, который, не выделяя, превращают в $m\text{-H}_2\text{NCO}_2\text{C}_6\text{H}_4\text{CONH}_2$, т. пл. 282—284°, выход 71%. Поскольку $\text{H}_2\text{NNHCO}(\text{CH}_2)_2\text{CONHNH}_2$ не растворим в I, его дихлоргидрат готовят отдельно, суспендируют в I и пропускают Cl_2 . Получают $\text{ClCO}(\text{CH}_2)_2\text{COCl}$, т. кип. 90°/20 мм, охарактеризованный как $\text{H}_2\text{NCO}(\text{CH}_2)_2\text{CONH}_2$, т. пл. 232—234°. Метод не вызывает циклизации дикарбоновых к-т в их ангидриды, что имеет место при действии SOCl_2 . Б. Фабричный

9Л161. Озонирование фенантрена и получаемые продукты. Bailey Philip S. Ozonization of phenanthrenes and products obtained thereby. [Esso Research and Engineering Co.]. Пат. США 2851465, 9.09.58.—Перекиси ф-лы (Ia—g, где $a\text{ R} = \text{R}' = \text{R}'' = \text{H}$, $\text{R}''' = \text{CH}_3$; $b\text{ R} = \text{R}' = \text{CH}_3$, $\text{R}'' = \text{изо-C}_3\text{H}_7$, $\text{R}''' = \text{H}$; $c\text{ R} = \text{R}' = \text{H}$, $\text{R}'' = \text{R}''' = \text{CH}_3$; $d\text{ R} = \text{R}' = \text{R}'' = \text{H}$, $\text{R}''' = \text{C}_2\text{H}_5$) и соответствующие гидроперекиси (II) получают при озонировании фенантрена (II) и его моно-, ди- и триалкил-, фенил- и других замещенных в среде безводн. алфатич. $\text{C}_1\text{—C}_{10}$ -спиртов при т-ре от -100 до +30°. O_3 -со-



державший газ (1—10 вес. % O_3) пропускают через суспензию II в спирте со скоростью 1—500 л газа на 1 л суспензии в 1 час, что составляет 1—2 моля O_3 на 1 моль II. II, получаемые в р-ции, могут при стоянии давать I, 5,4 г II прибавляют к 125 мл безводн. CH_3OH и охладжают смесь до -20°, чтобы получить суспензию II. Через суспензию пропускают смесь кислорода и озона (4 вес. % O_3) при -20° со скоростью 17 л/час

до осветления р-ра (2 часа). При этом абсорбируется 1,1—1,2 моля O_3 на 1 моль II. Полученный р-р нагревают до ~20° и выдерживают 12 час. Выпавшие кристаллы отделяют фильтрованием. Получают 6,4 г (80%) Ia, т. пл. 180—181°, дающего положительную пробу на перекисную группу (с KI), но отрицательную на гидроперекисную (с тетраацетатом Pb). Аналогично получены Ib и в. При обработке р-ра, полученного после пропускания O_3 водой (200 мл) при перемешивании получают 5,7 г (75%) кристаллов ω -(2'-формил-2-бифенил)- ω -метоксиметил-III (III) с т. пл. 84—88°, разлагающейся при высокой т-ре. I и III обрабатывают 15 мл абс. спирта и выдерживают некоторое время. Получают Ig, т. пл. 156—157°. I используют для произ-ва 2,2'-диарилдикарбоновых к-т, в качестве катализаторов полимеризации виниловых соединений и как промежуточные соединения при синтезе пластмасс.

Ю. Плотников

9Л162. Способ получения *n*-нитроацетофенона. Neumann Jiří, Aunický Zdeněk. Zprůso výroby *n*-nitroacetofenonu. Чехосл. пат. 89196, 15.03.59.—*n*-Нитроацетофенон (*n*-I) и смеси *o*- и *n*-I получают окислением нитроэтилбензола (II) воздухом при 150—155° в присутствии смеси абетата Со (III) и абетиновой к-ты (IV), содержащей 5—15% (лучше 10%) Со, необходимого для полной нейтр-ции III. 15,1 г *n*-II, в котором растворены 0,014 г смеси III и IV и 0,014 г перекиси бензоила, помещают в реактор, заполненный седлами Берля так, чтобы уровень жидкости не поднимался выше 1/3 высоты насадки. Реактор нагревают до 150—155° и пропускают 2 л/мин профильтрованного и высушенного воздуха. Ежечасно отбирают пробы для анализа на перекиси, кетоны и к-ты. Через 8 час. общая конверсия 27,6% и конверсия в *n*-I 19,8%. При р-ции со смесью *o*- и *n*-II (1:1) общая конверсия 28,55% и конверсия в I 19,03%. А. Мышкин

9Л163. Новые производные хинонов и способы их получения. Henbest Harold Bernard. New quinone derivatives and a process for their preparation. [National Research Development Corp.]. Англ. пат. 819654, 9.09.59.—Замещенные хиноны ф-лы $\text{A}(\text{CR}=\text{CHNR}'')_n$ (I), где А — остаток хинона, R = H или $\text{C}_1\text{—C}_8$ -алкил, R' — алкил или оксипалкил, R'' — алкил, оксипалкил, ариалкил, арил или R' и R'' вместе с атомом N могут образовывать насыщ. гетероцикл. кольцо, $n = 1$ или 2, получают взаимодействием хинонов с альдегидами RCH_2CHO и вторичными аминами $\text{HNR}'\text{R}''$. Замещение атомов Н в ядре хинона электроотрицательными группами, напр. атомами галогена или алкоксильными группами, повышает реакционную способность хинона к нуклеофильным реагентам. 0,73 г диэтиламина прибавляют к р-ру 1,23 г тетрахлор-*n*-хинона и 0,22 г перегнанного CH_3CHO в 200 мл бензола при 21°. Смесь перемешивают 10 мин., добавляют 0,5 н. H_2SO_4 , хроматографируют на Al_2O_3 (50 г) частично упаренного бензольного слоя, получают 1,22 г 2,3,5-трихлор-6-диэтиламиновинил-*n*-бензохинона, т. пл. 131—133° (из бэл.). Описание получение (даны в ф-ле I при А — остатке 2,3,5-трихлор-*n*-хинона, R — везде H, R', R'' и n , т. пл. в °C): CH_3 , CH_3 , 1, 143—144; $\text{NR}'\text{R}''$ — морфоллин, 1, 155—157; $\text{CH}_2\text{CH}_2\text{OH}$, то же, 1, 132—135; CH_3 , C_6H_5 , 1, 161—163; C_2H_5 , C_2H_5 , 2 (в положениях 3 и 6), 126—133; при А — остатке 2-дихлорнафтохинона: CH_3 , CH_3 , 1, 158—161; C_2H_5 , C_2H_5 , 1, 92—95; а также 3,5-дихлор-2-метокси-6-диэтиламиновинил-*n*-хинон, т. пл. 119—121° (из толуола + петр. эф.). Полученные соединения применимы как красители фотосенсибилизаторы, лекарственные средства.

М. Алексеева

9Л164. Способ получения производных гидрохинона. Marxer Adrian. Verfahren zur Herstellung neuer Hydrohinonverbindungen. [CIBA A.-G.]. Швейц. пат. 334841, 31.01.59.—5,56 г 3,6-диэтоксис-2,5-бис-(этиленимино)-*n*-бензохинона в 200 мл спирта восстанавли-

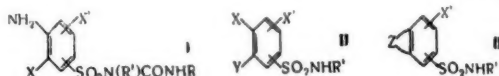
ливают в течение 10 мин. в присутствии 3 г Ni Ренея и получают 3,6-диэтокси-2,5-бис-(этиленмино)-гидрохинон, т. пл. 118—119° (разл.). Можно проводить восстановление с помощью $\text{Na}_2\text{S}_2\text{O}_4$. 25,9 г 3,6-дихлор-2,5-бис-(этиленмино)-*n*-бензохинона (I) прибавляют к р-ру, содержащему 5,06 г Na, 300 мл спирта и 40 г $\text{C}_2\text{H}_5\text{SH}$, выдерживают 9 час. при $\sim 20^\circ$ и получают 3,6-бис-(метилтио)-2,5-бис-(этиленмино)-гидрохинон, т. пл. 163—164° (разл.). Аналогично р-цией I, $\text{C}_2\text{H}_5\text{SH}$, спирта и Na получают 3,6-бис-(этилтио)-2,5-бис-(этиленмино)-гидрохинон, т. пл. 153—156° (разл.).

И. Берлин
9Л165. Способ получения производных гидрохинона. Marcker Adrian. Verfahren zur Herstellung neuer Hydrochinonverbindungen. [CIBA A.-G.]. Швейц. пат. 334842, 31.01.59.—Указанные соединения получают восстановлением бензохинонов. При восстановлении 3,5-дибром-2,6-бис-(этиленмино)-*n*-бензохинона (I) в CH_3COOH с Ni Ренея получают 3,5-дибром-2,6-бис-(этиленмино)-гидрохинон, темнеющий при 145°. При восстановлении соответствующих бензохинонов $\text{Na}_2\text{S}_2\text{O}_4$ получают 3,5-диэтокси- и 3,5-бис-(этилтио)-2,6-бис-(этиленмино)-гидрохиноны, т-ра плавления соответственно 275° (темнеет при 171—174°) и 128—130°. Последнее также получают при взаимодействии $\text{C}_2\text{H}_5\text{SH}$, I, Na и спирта.

И. Берлин
9Л166. Усовершенствование способа производства ароматических аминов. Preston Robert William Gunn, Stubbs Hubert William Dyson. Improvements in and relating to the production of aromatic amines. [Imperial Chemical Industries Ltd.]. Англ. пат. 817142, 22.07.59.—4-алкил-, 4-арил- или 4-циклогексил-аминодифениламин получают восстановительным алкилированием или арилированием *N*-нитрозо-4-нитродифениламина (I) (возможно замещенного арильными, алкильными или алкильными группами) в жидкой фазе алифатич. кетонами с 3—12 атомами C, циклогексанолами или альдегидами, при 100—180 и 30—300 ат в присутствии металлич. катализатора гидрирования (Pt/C, таблетированная под давл. $\geq 2,4$ г/см² Cu/Cr₂O₃, Cu/ZnO). Процесс можно вести непрерывно, возвращая в цикл $\geq 50\%$ продуктов р-ции для облегчения контроля т-ры. Объемная скорость подачи производного дифениламина 1 моль/л в 1 час. Р-р 54,4 г дифениламина в 800 мл C_6H_6 и 200 мл петр. эфира (т. кип. 60—80°) перемешивают при 2—4°, прибавляя в течение 20 мин. р-р 20 мл N_2O_4 в C_6H_6 . Через 1 час смесь фильтруют, фильтрат пропускают через колонку (204 × 38 мм) с безвод. Na_2CO_3 для удаления окислов азота. Р-рители отгоняют, остаток промывают 100 мл CH_3OH , фильтруют и после перекристаллизации из CH_3OH получают 29,7 г I, т. пл. 129—130°. 15 г I и 30 мл ацетона обрабатывают в присутствии 30%-ной Pt/C H_2 под давл. 80—100 ат (3 часа при $\sim 20^\circ$ и затем 6 час. при 160° до прекращения поглощения H_2). К продукту р-ции прибавляют 100 мл ацетона, смесь фильтруют, фильтрат упаривают и получают 9,1 г (65%) 4-изопропиламинодифениламина, т. пл. 78—79°. Из 15 г I и 30 мл метилэтилкетона в присутствии 1 г 5%-ной Pt/C аналогично получают 4-втор-бутиламинодифениламин, выход 77,6%, т. кип. 166—172°/0,7 мм, т. пл. 44—48° (из петр. эф. с т. кип. 40—60°); из 26,4 г I и 335 мл циклогексанола в присутствии 1 г 30%-ной Pt/C — 4-циклогексил-аминодифениламин, выход 78,9%, т. кип. 206—212°/0,8 мм, т. пл. 111—114° (из петр. эф. с т. кип. 80—100°). Преимуществом патентуемого способа является отсутствие введения в р-цию соединений, содержащих Cl или S, отравляющих катализаторы гидрирования, 4-изопропиламино- и 4-втор-бутиламинодифениламин являются антиоксидантами для бензинов.

Б. Фабричный
9Л167. Способ получения новых ароматических аминов. Jirou Marcel, Frey Jean-Marie. Nouvelles amines aromatiques et procédé pour leur prépara-

tion. [Cie Francaise des Matieres Colorantes]. Франц. пат. 1165628, 28.10.58.—Соединения ф-лы (I), где R = H, алкил, циклоалкил, арил или аралкил, R' = H, алкил или арил, X — комплексобразующая группа (OH, COOH, OCH₃, O, CH₂COOH, SCH₂COOH), а X' = H, галоген, алкил, алкокси-, циано-, нитро- или ациламино-группа, получают конденсацией изоцианата RNCО при т-ре от -10 до +30° в среде 2 н. NaOH + ацетон с



сульфамидом ф-лы (II) или (III), в которых R, R', X и X' имеют вышеуказанные значения, Y — группа, способная замещаться на аминогруппу или образовывать таковую (напр., галоген, ациламино-, фенилсульфонил-, ациламино- или толлулсульфонил-аминогруппа), а Z — кольцо, способное при омылении образовывать одновременно окси- и аминогруппу в *o*-положении друг к другу (в частности оксазолоновое или метилоксазолоновое кольцо), с последующим, по завершении конденсации, переводом Y в аминогруппу или омылением кольца Z. В качестве катализаторов р-ции конденсации применяют $\text{C}_6\text{H}_5\text{N}$, $(\text{C}_2\text{H}_5)_3\text{N}$, $(\text{CH}_3)_3\text{N}$, ZnO, CaO, CaCO₃. Можно также получать I, исходя из соответствующих нитро- или галогенпроизводных, с последующим восстановлением NO₂-групп и замещением галогенов на аминогруппы в продуктах конденсации. I применяют в качестве полупродуктов в произ-ве металлосодержащих азокрасителей. К охлажденному до 10° р-ру 21,9 г 2-нитро-4-сульфамидофенола в 100 мл 2 н. NaOH и 5 мл ацетона добавляют в течение 15 мин. при перемешивании 7,3 г $\text{C}_2\text{H}_5\text{NCO}$ (т-ра смеси 10—15°), подкисляют р-р 36 г 30%-ной CH_3COOH и осадок отфильтровывают, промывают 200 мл воды и сушат, получают N-(3-нитро-4-оксифенилсульфонил)-N'-этилмочевину (IV), т. пл. 240—241°, 28,9 г IV вводят в течение 30 мин. при 80—85° и перемешивании в р-р 72 г $\text{Na}_2\text{S} \cdot 9\text{H}_2\text{O}$ в 60 мл воды с т-рой 85°, перемешивают еще 1 час при 80°, подкисляют 65 г конц. HCl, фильтруют (80°), к фильтрату добавляют 12 г Na_2CO_3 (рН 6,5), осадок отфильтровывают, промывают 30 мл ледяной воды, сушат и перекристаллизуют из воды, получают N-(3-амино-4-оксифенилсульфонил)-N'-этилмочевину (V), т. пл. 168—169°, хлоридрат, т. пл. 204—205° (разл.); этилацетат сольватирует V в молярном соотношении 1:3, т. пл. 108—107°. Аналогично получают 5-метил-6-N'-этилмочевину-N-сульфонилбензоксазолон, т. пл. 267—268°, гидролизуют 10 н. NaOH в N-(3-окси-4-амино-6-метилфенилсульфонил)-N'-этилмочевину, т. пл. 148—150°; N-(3-метокси-4-ацетиламино-6-метилфенилсульфонил)-N'-этилмочевину, т. пл. 264—265°, гидролизуют 2 н. NaOH в N-(3-метокси-4-амино-6-метилфенилсульфонил)-N'-этилмочевину, т. пл. 194—195°.

Я. Кантор
9Л168. Способ получения фторанилинов. Воронцов Н. Н., Рубина Т. Д., Якобсон Г. Г. Авт. св. СССР 126484, 1.03.60.—Фторанилин (I) получают действием водн. р-ров NH_4OH на фторхлорбензол (II) при нагревании причем на NH_2 -группу замещается только Cl-атом II. Смесь 5,86 г *o*-II, 0,5 г CuCl и 50 мл 31%-ного водн. NH_4OH нагревают 6 час. при 250° во вращающемся автоклаве, экстрагируют по охлаждению эфиром (5 × 20 мл), объединенные вытяжки сушат над CaCl_2 , отгоняют эфир и перегонкой остатка выделяют 3,1 г *o*-I, т. кип. 167—169°/745 мм; ацетильное производное *o*-I, т. пл. 81°. Аналогично, из 5,86 г *n*-II получают 3,7 г *n*-I, т. кип. 183—185°/760 мм; ацетильное производное *n*-I, т. пл. 150°.

О. Чернецов
9Л169. Способ получения аминов из органических галогенидов. Schade Hubert, Michl Vinzenz. Způsob výroby aminů z organických halogenidů. Чехосл.

пат. 80637, Лондон и в изобретенных в нем в кол-вах в ацетоне в количестве 12% несколько водит изобретателем (написанная фаз. остаток не является амином алкилхлорид метилалкил-9Л170.

ним Walter, von Nitrilung von Пат. ФРГ фатич. или лизатора 100 ат (3 HCN. Проп. в р-р 300 ат, т. CO = 1: CO = 1 обрабатыв. ают орг. вают вод. дают $\text{C}_6\text{H}_5\text{N}$, $\text{C}_6\text{H}_5\text{N}$ вых. зуют CO_2 , ле отгоня. в водн. р-р 9Л171.

нов в А. 12.12.59.— р-ции при в CS_2 в и смесь ег. образован. дуктов. Е. на ОП-7. Смесь 30 80 г NaOH $\sim 50^\circ$ при. дее т-ра. Смесь вв. ся до 2 осадок 95—96%, выход I, выход I, 9Л172.

метилбен. Gerha. в Merc. A.-G.], RCONHC или ари. амидов в алкил, с. тич. или. катали. ного а. 1,8 г II. ного Na. N_2 отго. ляют по. = C_6H_5). гично ш. C_6H_5 , 67.

пат. 69637, 15.04.59.—Амины получают из органич. галлоидов и NH_3 или первичных и вторичных аминов, взятых в избытке, в присутствии р-рителя (вода), взятого в кол-ве 0,1—7 об.%. К 350 л жидкого NH_3 и 15 л воды в автоклаве при сильном перемешивании закартывают 126 кг $\text{C}_6\text{H}_5\text{CH}_2\text{Cl}$, нагревают смесь до 90° , через несколько часов добавляют 100 л 50%-ной щелочи, выводят избыточный NH_3 , а остаток экстрагируют р-рителем (напр., триэтиламино) и разделяют образующиеся фазы. От верхней фазы отгоняют р-ритель и остаток перегоняют в вакууме, получая > 70 кг бензиламина (в остатке ди- и трибензиламина). Из 250 кг алкилхлорида с содержанием Cl 15—16% с 200 кг диметиламина и 20 л воды при $180\text{--}200^\circ$ получают диметилалкиламин с содержанием N 3,8%. А. Мышкин

9Л170. Способ получения нитрилов с одновременным получением фенолов и синильной кислоты. Fuchs Walter, Glaser Fritz. Verfahren zur Herstellung von Nitrilen, gegebenenfalls unter gleichzeitiger Gewinnung von Phenolen und Blausäure. [Deutsche Shell A.-G.]. Пат. ФРГ 1059897, 10.12.59.—При взаимодействии алифатич. или ароматич. амина с CO в присутствии катализатора (напр., $\gamma\text{-Al}_2\text{O}_3$, MgO , ZnO) при 480° и давл. 100 атм (300 атм) получают смесь нитрила, $\text{C}_6\text{H}_5\text{OH}$ и HCN. Процесс проводят в аппаратуре высокого давления. В реактор помещают $\gamma\text{-Al}_2\text{O}_3$, вводят CO (давл. 300 атм, т-ра 480°) и $\text{C}_6\text{H}_5\text{NH}_2$ (I) (молярное отношение I:CO = 1:12); время контакта 1,5 сек. Продукт р-ции обрабатывают 10%-ной NaOH, добавляют эфир и отделяют органич. фазу от водной. Эфирный слой промывают водой и HCl, сушат CaCl_2 и перегоняют. Получают $\text{C}_6\text{H}_5\text{CN}$, выход 67%, т. кип. $84\frac{1}{2}^\circ$ мм, и $\text{C}_6\text{H}_5\text{NH}\text{-}\text{C}_6\text{H}_5$, выход 4%, т. кип. $184\frac{1}{2}/20$ мм. Водн. слой нейтрализуют CO_2 , экстрагируют эфиром, экстракт сушат и после отгонки р-рителя получают $\text{C}_6\text{H}_5\text{OH}$ (выход 21%). В водн. р-ре остаются Na_2CO_3 и NaCN. Е. Р.

9Л171. Способ получения тиокарбанилида. Ларионова А. С., Левченко Ф. Ф. Авт. св. СССР, 124432, 12.12.59.—Для устранения потерь CS_2 на побочные р-ции при получении тиокарбанилида (I) из анилина и CS_2 в качестве акцептора H_2S применяют NaNO₂ или смесь его с NaOH в соотношениях, обеспечивающих образование NH_3 и $\text{Na}_2\text{S}_2\text{O}_3$ в качестве побочных продуктов. В отсутствие NaOH I загрязнен серой. Добавка ОП-7 или ОП-10 (0,1—1,0%) увеличивает выход I. Смесь 300 г анилина, 600 мл водн. р-ров, содержащих 80 г NaNO_2 и 23,5 г NaOH и 137 г CS_2 , нагревают до $\sim 50^\circ$ при перемешивании в автоклаве емк. 1,5 л. Далее т-ра повышается до $62\text{--}70^\circ$ за счет теплоты р-ции. Смесь выдерживают 1,5—2 часа (давление повышается до 2 ат, а затем снижается), нагревают $90\text{--}100^\circ$, осадок I отфильтровывают и промывают. Выход 95—96%, т. пл. $149\text{--}150^\circ$. В присутствии 2—3 г ОП-10 выход I 97—98%. В отсутствие NaOH (59 г NaNO_2) выход I, загрязненного S, равен 92—93%. Н. Майер

9Л172. Способ получения замещенных меркаптометилбензамидов. Hellmann Heinrich, Haas Gerhard. Verfahren zur Herstellung von substituierten Mercaptomethylbenzamid. [Farbenfabriken Bayer A.-G.]. Пат. ФРГ 1059002, 26.11.59.—Соединения ф-лы $\text{RCONHCH}_2\text{SR}'$ (I), где R—арил, R'—алкил, аракил или арил, получают р-цией диалкиламинометилбензамидов ф-лы $\text{R-CO-NH-CH}_2\text{-N(R'')}_2$ (II), где R''—алкил, содержащий 1—4 атома C, с алифатич., ароматич. или аралифатич. меркаптанами в присутствии катализит. кол-ва твердой едкой щелочи или третичного амина в атмосфере инертного газа. 0,9 г $\text{C}_6\text{H}_5\text{SH}$, 1,8 г II (R = C_6H_5 , R'' = CH_3) и 0,01 г порошкообразного NaOH в 80 мл бензола кипятят 6 час. в атмосфере N_2 , отгоняют большую часть бензола, к остатку добавляют петр. эфир и выделяют 1,9 г I (R = C_6H_5 , R' = C_6H_5), выход 85%, т. пл. 56° (из петр. эф.). Аналогично получают I (указаны R, R', т. пл. в $^\circ\text{C}$): C_6H_5 , C_6H_5 , 67; C_6H_5 , $\text{C}_6\text{H}_5\text{CH}_2$, 82. Е. Разводовский

9Л173. Метод получения п-аминофенилсульфонил-N-алкилмочевин. Lautenberg Anatole, Zurni Michele. Verfahren zur Darstellung von p-Aminophenyl-sulfonyl-N-alkylharnstoffen. [Selectochimica Lautenberg Soc. An.]. Швейц. пат. 341812, 15.12.59.—Соединения ф-лы: $\text{p-NH}_2\text{C}_6\text{H}_4\text{SO}_2\text{NHCONHR}$ (I), где R—алкил, получают взаимодействием щел. солей сульфаниламида (II) с алкилуретанами в среде этиленгликоля, его моноэтилового и моноэтилового эфира или пиридина. II растворяют в стехиометрич. кол-ве KOH или алкоголята K и 42 г полученной соли II кипятят с 30—35 г изопропилуретана (III) в 45 мл метилцеллозольва в течение 20 час. Выделившийся осадок растворяют в воде, отделяют от непрореагировавшего III, обрабатывают углем и с помощью HCOOH выделяют 43,7 г I (изо- C_4H_9), выход 85%, т. пл. $137\text{--}141^\circ$. Аналогично получают I, R = $\text{p-C}_4\text{H}_9$, выход 87%, т. пл. $139\text{--}142^\circ$, I, R = $\text{изо-C}_4\text{H}_9$, выход 81%, т. пл. $174\text{--}176^\circ$. Е. Р.

9Л174. Получение борорганических соединений. Letsinger Robert L., Skoog Ivan H., Remes Nathaniel L. Preparation of organoboron compounds. [Callery Chemical Co.]. Пат. США 2872479, 3.02.59.—Диарил- и диалкилборные к-ты ф-лы RR'BOH (I) (где R и R'—алкил или арил) получают при р-ции соответствующих реактивов Гриньяра с $(\text{RO})_2\text{B}$ (R = $\text{изо-C}_4\text{H}_9$) (II), где R = алкил или $\text{ROBOCH}_2\text{CH}_2\text{O}$ (R = $\text{изо-C}_4\text{H}_9$) (III). После кислотного гидролиза продуктов р-ции I выделяют и идентифицируют в виде производных с этаноламином (IV) или этиленгликолем, из последних затем гидролизом получают I. 207 г $\text{C}_{10}\text{H}_7\text{Br}$ в 350 мл эфира прибавляют к 29,2 г Mg в 500 мл эфира при слабом кипении эфира в атмосфере N_2 . Образующийся осадок растворяют добавлением 300 мл C_6H_6 и полученный р-р прибавляют в течение 5 час. к 125 г II в 300 мл эфира при -60° . После выдерживания в течение ~ 12 час. смесь гидролизуют 10%-ной H_2SO_4 , органич. слой смешивают при охлаждении с 42,7 г IV, осадок $(\text{C}_{10}\text{H}_7)_2\text{BOCH}_2\text{CH}_2\text{NH}_2$ (V) промывают 200 мл теплого 50%-ного спирта, выход 58%, т. пл. $205\text{--}206^\circ$. V нагревают в 50%-ном CH_3OH , подкисленном HCl, выливают в ледяную воду, белый осадок I (где R = R' = C_{10}H_7 , т. пл. $105\text{--}106^\circ$) перекристаллизовывают и сушат над 65%-ной H_2SO_4 . Аналогично получают продукт р-ции $\text{C}_6\text{H}_5\text{MgBr}$ с II— NH_3 -производное, выход 23%, т. пл. $64\text{--}67^\circ$, из последнего получают производное с IV, выход 91%, т. пл. $189\text{--}190^\circ$, гидролиз которого дает $(\text{C}_6\text{H}_5)_2\text{BO}_2$, т. кип. $210\text{--}213/1$ мм, т. пл. $104\text{--}105^\circ$. Половину органич. слоя, полученного после разложения продукта р-ции 1,84 моля $\text{C}_6\text{H}_5\text{MgBr}$ с 0,92 моля III, смешивают с 20 мл $\text{n-C}_4\text{H}_9\text{OH}$ и 800 мл толуола и перегонкой в вакууме выделяют $(\text{C}_6\text{H}_5)_2\text{BO-C}_6\text{H}_5$, т. кип. $124\text{--}160/2$ мм, выход NH_3 -производного 48,5% кислотный гидролиз производного с IV дает $(\text{C}_6\text{H}_5)_2\text{BOH}$, масло. Описано получение других I (даны R, R' выходы в % производных с IV и этиленгликолем, их т. кип. и т. пл. в $^\circ\text{C}$): 1) C_6H_5 , C_{10}H_7 , 75, —, $225\text{--}228$; 2) C_6H_5 , C_6H_5 , —, $47,4$, $133\text{--}134/1$ мм, —; 3) $\text{изо-C}_5\text{H}_{11}$, $\text{изо-C}_5\text{H}_{11}$, —, 45 , $146\text{--}146/0,5$ мм, —. I используют для получения их алкильных эфиров, являющихся стабилизирующими добавками к смазочным маслам для операций при высоких давлениях, а также антикоррозийными стабилизаторами углеводородных масел. М. Николаева

9Л175. Способ получения арилсурьмяных кислот. Eimers Erich. Verfahren zur Herstellung von Arylsulfonsäuren. [Farbenfabriken Bayer A.-G.]. Пат. ФРГ 1064948, 3.03.60.—Арилсурьмяные к-ты образуются при разложении соответствующих двойных солей SbCl_3 и арилдизония в присутствии катализатора—тяжелых металлов или их солей (Cu , CuCl , FeSO_4 , MnSO_4). Двойные соли получают диазотированием ароматич. аминов в присутствии конц. водно-спирт. или соляно-

кислых спирт. р-ров Sb_2O_3 при 20° . 25,5 г *n*-хлоранилина растворяют в 50 мл конц. HCl (d 1,118) и 420 мл 96%-ного спирта, прибавляют профильтрованный р-р 35 г Sb_2O_3 в 200 мл конц. HCl и медленно добавляют (2 часа) при $20-25^\circ$ р-р 14 г NaNO_2 в 20 мл воды, перемешивают полчаса, вносят Cu_2Br_2 , нагревают реакционную смесь 4 часа при 60° , после чего отгоняют спирт, одновременно добавляя эквивалентное кол-во воды, и подщелачивают р-р до pH 2. Выделившуюся к-ту отфильтровывают, промывают водой и растворяют в 200 мл конц. HCl , р-р нагревают полчаса с активированным углем и фильтруют. К фильтрату прибавляют 100 г NH_4Cl и 800 мл конц. HCl , образовавшуюся комплексную соль отфильтровывают, промывают 500 мл конц. HCl , насыщенной NH_4Cl , и разлагают NaOH и льдом (pH 2). Образовавшуюся *n*-хлорфенилсурьмяную к-ту отфильтровывают, промывают водой и сушат при $70-80^\circ$, выход 36,2 г (64%).

Е. Разводовский

9Л176. Способ получения триалкилдисилоксипроизводных ароматических углеводородов. Воронков М. Г., Шабарова З. И. Авт. св. СССР 125565, 15.01.60.—Триалкилдисилоксипроизводные ароматич. углеводородов получают при нагревании гексаалкилдисилоксанов с фенолами в присутствии кислых катализаторов, напр. H_2SO_4 или бензолсульфокислоты, в условиях одновременной азеотропной отгонки образующейся воды. 13,8 г фенола, 65 г гексаметилдисилоксана (I) и 2 мл конц. H_2SO_4 кипятят с обратным холодильником, снабженным водоотборной ловушкой, 20 час., собирают 3 мл воды, отгоняют избыток I, остаток фракционируют, получают $(\text{CH}_3)_3\text{SiOC}_6\text{H}_5$, выход 60%, т. кип. $175-178^\circ$, после дополнительной очистки т. кип. $87^\circ/1$ мм, n_D^{20} 1,4789, d_4^{20} 0,9261. Аналогично нагревают 22 г резорцина, 65 г I и 1 г бензолсульфокислоты 24 часа, выделяют 3 мл воды, после фракционирования получают *m*-бис-(триметилдислокси)-бензол, выход 59%, т. кип. 238° , n_D^{20} 1,4740, d_4^{20} 0,9474.

Л. Волкова

9Л177. Способ получения смеси изомеров метил (диметиламинофенил) дихлорсилана. Михеев Е. П., Мальнова Г. Н. Авт. св. СССР 126496, 1.03.60.—Метил-(диметиламинофенил)-дихлорсилан (I, смесь изомеров) получают нагреванием эквимольных кол-в $\text{CH}_3\text{SiCl}_2\text{H}$ и $\text{C}_6\text{H}_5\text{N}(\text{CH}_3)_2$ в автоклаве при $260-280^\circ$ в присутствии H_3BO_3 . Смесь 1,3 моля $\text{CH}_3\text{SiCl}_2\text{H}$, 1,3 моля $\text{C}_6\text{H}_5\text{N}(\text{CH}_3)_2$ и 0,306 г H_3BO_3 нагревают в автоклаве из нержавеющей стали емк. 540 мл при т-ре в автоклаве 270° до достижения постоянного давл. 89 ат (3 часа 40 мин.). После двух ректификаций (при нормальном давлении и в вакууме) реакционной смеси выделяют 60,85 г I, т. кип. $137,5-144,5/6-7$ мм, т. пл. $\sim 40^\circ$.

Л. Макарова

9Л178. Способ выделения 1,8-нафтиламиносульфокислоты из реакционной смеси, содержащей 1,5-нафтиламиносульфокислоту. Haase Jaroslav, Pokorný Milif, Müller Rudolf. Způsob oddělení 1,8-naftylaminsulfokyseliny z reakční směsí s 1,5-naftylaminsulfokyseliny. Чехосл. пат. 89040, 15.03.59.—1,8-нафтиламиносульфокислоту (Ia) выделяют из реакционной смеси, содержащей 1,5-изомер-(Ib) путем добавки к нейтр. водн. р-ру (при $80-100^\circ$) хорошо растворимых в воде солей I (напр., Mg или NH_4) свободной Ib в кол-ве, эквивалентном или меньшем содержащейся Ia. К р-ру 223 ч. Ia и 223 ч. Ib в виде Mg -солей в 5000 ч. воды при $90-95^\circ$ и перемешивании добавляют 223 ч. Ib. Смесь кипятят 2-4 часа, охлаждают до 70° , отфильтровывают и промывают водой выделившуюся Ia. После сушки получают 221 ч. Ia, содержащей $< 2\%$ Ib. 2500 ч. р-ра, содержащего по 117 ч. Mg -солей Ia и Ib, нагревают до кипения, добавляют при перемешивании в течение $\sim 0,5$ часа 100 ч. 19,6%-ной H_2SO_4 , перемешивают при кипении еще 2-4 часа и охлаждают до 70° . Получают 83 ч. чистой Ia.

Маточный р-р нагревают до кипения, добавляют 50 ч. 19,6%-ной H_2SO_4 и перемешивают без нагревания в течение 24 час. Выделившийся осадок при 20° отфильтровывают и промывают водой, получают смесь 23,06 ч. Ia и 23,1 ч. Ib. К вновь нагретому до кипения р-ру добавляют еще 100 ч. к-ты и после охлаждения р-ру выделяют 82,2 ч. Ib, содержащей 0,8% Ia. Добавкой к 2500 ч. свежего р-ра того же состава 46,15 ч. полученной выше смеси I выделяют 104,2 ч. чистой Ia.

А. Мышкин

9Л179. Способ получения N-дигидро-1,2,2',1'-антрахиноназина. Marval Eduard, Vasek Oskar. Způsob výroby N-dihydro-1,2,2',1'-anthrachinonazinu. Чехосл. пат. 89813, 15.04.59.—Описан усовершенствованный метод получения N-дигидро-1,2,2',1'-антрахиноназина (I). Во вращающуюся печь помещают 160 ч. β -аминоантрахинона, печь при вращении нагревают до 220° , вводят смесь 220 ч. KOH , 84 ч. NaOH , 72 ч. CH_3COOK и 19 ч. NaNO_2 , нагревают до 220° . Печь нагревают (при вращении) еще 30 мин., охлаждают водяным душем до $< 50^\circ$ и добавляют к смеси 4000 объема ч. воды. При 48° к р-ру добавляют 40 ч. NaHSO_4 , охлаждают на воздухе до 42° , выделяют I и обрабатывают его обычным методом.

А. Мышкин

9Л180. Способ получения замеченных антрахинонов. Budziarek Richard, Coffey Samuel. Process for the manufacture of substituted anthraquinones. [Imperial Chemical Industries Ltd]. Англ. пат. 827563, 10.02.60.— α -Окси- β -нитроантрахиноны (I) получают р-цией антрахинонов, содержащих галоген, OH или NO_2 -группу в α -положении, с нитритом или комплексом нитрита со щел. металлом и к-той при $80-150^\circ$ в смеси с водой органич. р-рителем. 2 ч. 1-оксиантрахинона, 4 г NaNO_2 и 80 г диметилформамида перемешивают 6 час. при 150° до прекращения выделения N_2 , прибавляют р-р 3,3 ч. $\text{C}_6\text{H}_5\text{COOH}$ в 80 ч. I в течение 18 час., перемешивают 6 час. и выливают в 40 ч. 5%-ной водн. HCl . Осадок отфильтровывают, промывают и сушат, получают 1-окси-2-нитроантрахинон, т. пл. 194° (из β -этоксизэтанола). Аналогично получают 2-нитро-1,5-диоксиантрахинон, т. пл. 225° , 2-нитро-1-оксиантрахинон, т. пл. 194° , 2-нитро-5-бензоламино-1-оксиантрахинон, т. пл. $246-248^\circ$, 2-нитро-5-н-толуолсульфамидо-1-оксиантрахинон, т. пл. 222° , 2-нитро-1,8-диоксиантрахинон, т. пл. 220° , 2,6-динитро-1,5-диоксиантрахинон, т. пл. 275° .

Е. Р.

9Л181. Получение производных малеинового ангидрида. Walker George Henry Francis, Bradbury Frank Raymond. Production of maleic anhydride derivatives. [Imperial Chemical Industries Ltd]. Англ. пат. 818192, 12.08.59.—Замещенные у N пип-

ды галоидмалеиновых к-т общей ф-лы $\text{RNC}(=\text{O})$

$\text{CX}=\text{CXC}=\text{O}$ (I), где $\text{X} = \text{Cl}$ или Br , а R — алкил, циклоалкил или замещ. или незамещ. арил, получают действием первичного амина RNH_2 на дихлор- или диброммалеиновый ангидрид в среде лед. CH_3COOH (II) в присутствии или отсутствии дегидратирующего агента I (CH_3CO) $_2\text{O}$ или P_2O_5 . Т-ра р-ции $75-118^\circ$, более высокая т-ра ($80-118^\circ$) способствует получению более чистого продукта. В среде $\text{C}_6\text{H}_5\text{Cl}_3$ или других хлорбензолов при $70-80^\circ$ р-ция не идет, а при $140-160^\circ$ выходы I значительно меньше, чем в среде II. Р-р 18,25 г $n\text{-C}_4\text{H}_9\text{NH}_2$ в 50 мл II приливают при 100° к р-ру 41,75 г дихлормалеинового ангидрида в 150 мл II, затем смесь нагревают 20 мин. при 118° , охлаждают и выливают в ледяную воду. Осадок I, $\text{X} = \text{Cl}$, R = C_4H_9 , отделяют и промывают эфиром. Выход 82,9%, т. пл. $38-41^\circ$. Аналогично получают другие I (указаны R, X, выход в %, т. пл. в $^\circ\text{C}$): $n\text{-CH}_3\text{C}_2\text{H}_4$, Cl, 78,1; 193-194; C_2H_5 , Cl, 33, 143; C_6H_5 , Br, 55,4, 164 (из сп.); $n\text{-CH}_3\text{C}_2\text{H}_4$, Br, ~ 50 , 174 (из сп.); C_6H_{11} , Br, < 30 , 167-168. I применяют в фунгицидных составах и для других целей. Н. Майер

9Л182. Способ стабилизации альдегидов. Mýdlík Jiří. Způsob stabilisace aldehydů. Чехосл. пат. 88693, 15.02.59.—Альдегиды стабилизируют добавкой 0,001–0,1% йодидов одно-, двух- и трехвалентных металлов или йодгидратов сильных органич. оснований. Частый фурфурол (I), полученный нейтр-цией сырого I и перегонкой продукта нейтр-ции при 15 мм в инертном газе, помещают в бутылки из светлого стекла и хранят в затемненном помещении при $\sim 20^\circ$ с добавкой или без добавки стабилизатора. Степень полимеризации образцов определяют по их окраске и кислотному числу (КЧ). Ниже приведены стабилизатор, время хранения образца (в сутках), конечные окраска (в мг J₂) и КЧ (начальные окраска и КЧ всех образцов 0 и 0,13): без стабилизатора, 240, 172 и 0,45; KJ, 240, 0,8–1,2 и 0,15; CuJ, 240, 0,8–1,2 и 0,15; йодгидрат этилендиамина (II), 30, 1,2 и 0,14. Показано, что KJ хорошо стабилизирует I при перегонке в присутствии Fe или Cu. Энантиовый альдегид (III) и бензальдегид стабилизируются при хранении добавкой KJ, CuJ₂, FeJ₂, II и FeJ₃ (для III). А. Мышкин

9Л183. Внутримолекулярные дилактоны и их получение. Sauer John C. Endo-bridge dilactones and preparation thereof. [E. I. du Pont de Nemours and Co.] Пат. США 2859220, 4.11.58.—Соединения ф-лы (I), где R' и R'—H, галоидарил, алкоксарил или насыщ. углеводородные остатки (последние могут содержать ароматич. заместители), существующие в *цис*- и *транс*-форме, реагируют с 1 и 2 молями сопряженного диена (с 4–10 атомами C и с 2 или 3 сопряженными связями) с образованием циклич. дилактонов, содержащих 1 или 2 внутренних мостика. Р-ции протекают при 75–225°. Диеновый синтез ускоряют р-ри-



тели [C₆H₅, толуол, диоксан, этилацетат (II) и другие]. Время р-ции > 10 час. (лучше 14–30 час.). I получают р-цией RC≡CR' с CO в присутствии карбонила Со. В автоклав (емк. 400 мл) помещают 26 г C₂H₄, 200 мл ацетона и 1,5 г октакарбонила Со. Смесь нагревают 14–17 час. под давлением CO (1000 ат). Продукт фильтруют, твердое в-во экстрагируют 24 часа II и вытяжку оставляют кристаллизаться. Кристаллы отделяют, сушат их при $\sim 20^\circ$ и получают 20 г I (R=R'=H) (Ia), т. пл. 229° (из CH₃COOH). Из Ia можно выделить *цис*-Ia, т. пл. 240–248° и *транс*-Ia, т. пл. 230–237°. Ia при гидрировании над Pt в CH₃COOH дает пробковую к-ту. R,4 г *транс*-Ia и 13,8 г 2-метил-5-изопропилциклогексадиена-1,3 нагревают до кипения (175°). Наступает экзотермич. р-ция. Массу оставляют на несколько дней, кристаллы отделяют, промывают их петр. эфиром и получают 1:1-аддукт (АД), т. пл. 168–175°. Аналогично синтезируют другие АД (указаны I, диен, соотношение диена и I в АД, выход в %, т. пл. в °C и максимумы ИК-поглощения в μ): *транс*-Ia, дивинил, 1:1, 75, 109,5 (из II + петр. эф.), 3,2, 3,4, 5,5, 5,6, 6,5; *транс*-Ia, 2,3-диметилбутадиен-1,3 (III), 1:1, 84, 153–154 (из II + петр. эф.), 3,4, 5,55, 5,65, 5,88, 6,48; *цис*-Ia, III, 1:1, 24, 174–178 (из II), 5,50, 5,65, 5,88, 6,48, 3,4 [при р-ции образуется также 53% АД с т. пл. 156° (из II), идентичного продукту р-ции *транс*-Ia с III]; *транс*-Ia, III, 2:1, 23 (конверсия 50%), 244 (из CH₃COC₂H₅), 5,62; *транс*-Ia, дивинил, 2:1, 14, 232 (из II или CH₃COC₂H₅), —; *цис*-Ia, III, 2:1, 4, 11, 208–209 (из II), 3,45, 5,5, 5,7, 5,85, 6,1 [даны примеры синтезов в различных условиях и с использованием р-рителей (диоксан) и ингибиторов полимеризации (n-ONC₂H₄N (CH₃)₂ и гидрохинон)]. 2:1-АД синтезируют или непосредственно или из 1:1-АД. Смесь 0,72 г продукта р-ции *транс*-Ia с III (1:1) с 0,34 г гексаметилендиамина нагревают 1,5 часа в запаянной эвакуированной

трубке. Получают гибкую смолу, которая не растворяется в ацетоне и диметилформамиде. Аналогично могут быть приготовлены другие полиамиды.

Н. Маторина

9Л184. Способ получения амниофлуоресценна I. Михайлов Г. И., Мизрах Л. И., Эршлер А. Б. Авт. св. СССР 129770, 1.07.60.—Амиофлуоресцен (I) получают восстановлением NH₄-соли нитрофлуоресценна H₂ или NH₂NH₂·H₂O в присутствии катализатора скелетного Ni в водн. среде. 5 г нитрофлуоресценна вносят в 100 мл воды, прибавляют 20–25% NH₃ до полного растворения, 15 г скелетного Ni и пропускают H₂ при интенсивном перемешивании до тех пор, пока цвет р-ра не станет светло-красным. Катализатор отфильтровывают, р-р подкисляют CH₃COOH до pH 5–5,5 и выделившийся осадок отсасывают, промывают водой и сушат при 110° до постоянного веса, выход I 70–75%. Т. К.

9Л185. Способ получения новых производных иминодиуксусной кислоты и их применение. Emr Antonin, Köbrl Jiří, Přibil Rudolf. Způsob přípravy nových derivátů kyseliny iminodioxové a jejich použití. Чехосл. пат. 89388, 15.04.59.—Производные иминодиуксусной к-ты (I к-та) получают конденсацией сульфонфталеинов, имеющих свободные 3- и 3'-положения с I и CH₂O в щел. среде. 1 ч. о-крезолсульфонфталеина суспендируют в 2,5 ч. эфира и 1,25 ч. воды, добавляют р-р, полученный из 0,75 ч. I, 1,25 ч. воды, 1 ч. 30%-ного NaOH и 0,67 ч. 36%-ного CH₂O [CH₂O может быть добавлен после перемешивания суспензии с р-ром I]. Смесь выдерживают 24 часа, нагревают 7 час. при 70–90°, охлаждают, добавляют 1,25 ч. HCl (к-ты) и упаривают почти досуха при $\leq 40^\circ$ (лучше в вакууме). Остаток растворяют в 11,7 ч. горячего спирта, фильтруют, охлаждают фильтрат и при быстром перемешивании добавляют его к 167 ч. эфира. Выделившийся сырой продукт отсасывают и вновь растворяют в спирте и осаждают эфиром. Получают 1,58 ч. (98%) 3,3'-бис-(дикарбоксидиметилиминометил)-о-крезолсульфонфталеина. Аналогично проводят р-ции с тимол-, м-крезол- и ксилолсульфонфталеинами. Вместо CH₂O можно использовать другие альдегиды (напр., CH₃CHO). Полученные соединения являются индикаторам изменения конц-ции ионов металлов.

А. Мышкин

9Л186. Способ получения замещенных 1,2,4-триоксанов. Bell Edward R., Payne George B. Substituted 1,2,4-trioxanes, and a process for the preparation thereof. [Shell Development Co.] Пат. США 2853494, 23.09.58.—Новые замещ. 1,2,4-триоксаны получают обработкой ненасыщ. соединений H₂O₂ и альдегидом или кетоном в присутствии неорганич. надкислоты. 2 моля H₂O₂ прибавляют по каплям к смеси 1 моля циклогексена, 500 мл трет-С₄H₉ОН и 3 г H₂WO₄, перемешивают, охлаждают, выдерживают 4 часа при 40° и 16 час. при $\sim 20^\circ$, разбавляют равным объемом воды, экстрагируют 10 час. эфиром, экстракт промывают насыщ. р-ром (NH₄)₂SO₄, сушат, эфир отгоняют, перемешивают 24 часа со 100 мл ацетона, 500 мл петр. эфира и 100 мл 3 н. H₂SO₄, фазы разделяют, масляную фазу промывают водн. Na₂CO₃, сушат, перегоняют и получают 3,3-диметил-1,2,4-триоксапроизводное *транс*-декалина, т. кип. 50–52°/2 мм, выход 26%, n_D^{20} 1,4689. Получены другие производные триоксана. И. Берлин

9Л187. Способ получения пиперидинов. Spänig Hermann, Weickmann August. Verfahren zur Herstellung von Piperidinen. [Badische Anilin- & Soda-Fabrik A.-G.] Пат. ФРГ 1059910, 10.12.59.—Пиперидины получают р-цией диальдегидов ф-лы RCH(CH₂CH=O)₂ (I), где R—алкил, циклоалкил, арил, алкил, с NH₂ или азотистыми основаниями, содержащими первичную NH₂-группу при 0–10° в водн. р-ре или органич. р-рителе с последующим гидрированием продукта р-ции в присутствии катализатора (КТ) при 20–

150° и 10—150 ат. К охлажд. до 10° водн. р-ру I ($R = CH_3$), полученному нагреванием при 80° в течение 2 час. 426 вес. ч. α -этокси- γ -метил- α,β -дигидро- γ -пирона с 2160 вес. ч. воды и 1—2 вес. ч. HCl, быстро прибавляют при перемешивании и охлаждении 460 вес. ч. 25%-ного водн. NH_3 . Смесь переносят в автоклав, добавляют 200 вес. ч. пасты Со Ренея, нагнетают N_2 до давл. 100 ат, выдерживают при 20° до прекращения поглощения N_2 и затем т-ру повышают до 100—150°. После отделения КТ продукт р-ции перегоняют, дистилят насыщают КОН и выделяют 150 вес. ч. гексагидро- γ -пикколина, т. пл. 125°. Аналогично получают N-(β -оксипропил)-гексагидро- γ -пикколин, т. кип. 101°/18 мм.

9Л188. Стабилизация винилпиридинов. Schnitzer Anton M., Reusser Robert E. Stabilization of vinyl pyridines. [Phillips Petroleum Co.]. Пат. США 2857369, 21.10.58.—В качестве ингибиторов полимеризации винилпиридинов и их алкиламен, с числом атомов C в алкилах ≤ 12 применяють феноксазины или их оксониевые соли, содержащие в бензольном ядре следующие заместители: OH, COOH, NH_2 , $N(C_nH_{2n+1})_2$, где $n = 1-5$. В частности, для описываемых целей применяют хлорид 1,2-бензо-7-диметил-аминофеноксазония, диметиламинооксидифеноксазон-карбоновую к-ту (I), сульфат 1,2-бензо-3-амино-7-диэтиламинофеноксазония, 2-амино-3Н-изофеноксазин-3-он, 2-оксис-3Н-изофеноксазин-3-имин и другие соединения в кол-ве 0,01—5% к весу мономера. К 2-метил-5-винилпиридину (II), содержащему 5% воды, добавляют 0,6% I и кусочек железа, ампулу запаивают и нагревают 16 час. при 65°, после чего обнаруживают, что полимеризовалось 1,09% мономера. При нагревании нестабилизированного II полимеризуется 25% мономера.

9Л189. Способ получения гидразонов пиридинальдегида. Offe Hans Albert, König Hans Bodo. Verfahren zur Herstellung von Pyridinaldehydhydrazon-derivaten. [Farbenfabriken Bayer A.-G.]. Пат. ФРГ 1065417, 3.03.60.—Гидразоны пиридинальдегида получают р-цией солей щел. металлов или аминов дитиопиридинкарбоновой к-ты с производными гидразина, имеющими свободную NH_2 -группу в спирт. р-ре. Смесь 10 вес. ч. дитиопиридинкарбоновой к-ты, 5 вес. ч. фенилгидразина и 150 объемн. ч. абс. спирта кипятят 2,5 часа, затем охлаждают и фильтруют. Фильтрат упаривают в вакууме, добавляют 100 объемн. ч. воды и нерастворившийся остаток перекристаллизовывают из 50%-ного CH_3OH , получают 4,0 вес. ч. фенилгидразонпиридиналя-4, т. пл. 178° (из CH_3OH). Аналогично получают тиосемикарбазон пиридиналя-4, т. разл. 240°.

9Л190. Получение эфиров никотиновой кислоты. Aries Robert S. Preparation of nicotinic acid esters. Пат. США 2861077, 18.11.58.—Пиридиндикарбоновые к-ты кипятят с алканолом, образующим азеотроп с водой (n - $C_8H_{17}OH$, n - $C_8H_{17}OH$, втор- $C_8H_{17}OH$), удаляя выделяющуюся воду. В случае низших спиртов (CH_3OH , C_2H_5OH , n - C_3H_7OH , изо- C_3H_7OH) процесс ведут под давлением. 167 г цинхомероновой к-ты и 400 г n - $C_8H_{17}OH$ кипятят, перемешивая, ~30 час. Воду удаляют при помощи водоотделителя. Реакционную массу перегоняют через колонну под вакуумом (5—10 мм рт. ст.) при т-ре бани до 225°. Получают 280 г n - $C_8H_{17}OH$, 22 г промежуточной фракции, 158 г n -гексилового эфира никотиновой к-ты (I к-та) и 44 г остатка. Из 167 г изонцихомероновой к-ты (II) и 400 г n - $C_8H_{17}OH$ через 24 часа получают 185 г n -октилового эфира I. 167 г II и 600 г n - $C_8H_{17}OH$ кипятят несколько часов. Этерификация идет очень медленно. Обратный холодильный удалают, нагнетают N_2 до 1,75 ат и смесь нагревают 5 час. до 180—190° (давление возрастает до 14—17,5 ат). После охлаждения до 100° давление спускают и отгоняют 300 мл n - C_4H_9OH и воды. К остатку до-

бавляют 300 г n - C_4H_9OH и снова нагревают под давлением 5 час. при 180—190°. Перегонкой выделяют 133 г n -бутилового эфира I. Из 167 г II и 600 г втор- $C_8H_{17}OH$ при 180—190° аналогично получают 138 г вторично-бутилового эфира I. 167 г цинхомероновой к-ты и 600 г абс. C_2H_5OH нагревают в автоклаве под давлением N_2 (начальное давл. 1,75 ат) 8 час. при 160—180°. Спирт и воду отгоняют до т-ры в массе 130°. К остатку прибавляют 600 г абс. C_2H_5OH , нагревают 8 час. при 160—180°. Перегонкой получают 132 г этилового эфира I, из кубового остатка выделяют I.

9Л191. Способ производства метилолмеламинов и алкилированных метилолмеламинов. Kun Kenneth A., Schmidlein Joseph A. Process for the manufacture of methylol melamines and alkylated methylol melamines. [American Cyanamid Co.]. Пат. США 2918452, 22.12.59.—Метилолмеламин (I) получают р-цией 1 моля меламин (II) с 6,5—20 (обычно 6,5—10) молями CH_3OH (в виде параформа) (III) при pH 8—13 в присутствии 8—20% воды при непрерывном размешивании, поддерживая в начале процесса т-ру воды в рубашке реактора 40—70° (т-ра в массе бывает обычно на 10° ниже), а затем, когда начинается образование твердого продукта, снижая ее до $20 \pm 5^\circ$. В целях предупреждения застывания реакционной смеси в виде сплошной монолитной массы, весьма затрудняющего ее выгрузку из реактора, рекомендуется разбавлять эту смесь в начале или в конце процесса бензолом, толуолом, ксилолом или другими инертными разбавителями, которые не растворяют I. Смесь 126 вес. ч. II, 222 вес. ч. 95%-ного III, 37 вес. ч. воды (т. е. 17% от веса всей массы), 20 вес. ч. 2 н. NaOH и 500 вес. ч. кислоты нагревают при 65° (в рубашке реактора). Через 10 мин. (перемешивание) образуется прозрачный р-р, а еще через 5 мин. выделяется твердый продукт. Т-ру смеси понижают до 20° и суспензию I размешивают еще 20 мин., выход I 90% (на II). Описанный способ обеспечивает получение I в такой форме, которая не нуждается в предварительной дегидратации для переработки I в продукты его алкилирования. Алкилирование I C_1 — C_4 -спиртами насыщ. ряда для получения полностью алкилированных I ведут, действуя 20—50 (лучше 25—30) молями спирта на 1 моль I при 15—40° и pH < 3 (лучше 1—1,5). По окончании р-ции доводят pH до 8—10, что обеспечивает получение алкилированных I в мономерной форме. Продукты алкилирования выделяют, отгоняя из реакционной массы избыток исходных спиртов и р-рителя при 10—70°/5—250 мм (предпочтительно при 25—30°/20 мм) и заканчивая операцию отгонки после того, как основная масса летучих примесей будет удалена, при 80—90°. Применяя меньшие молярные кол-ва спиртов на 1 моль I, можно в тех же условиях получать алкилмеламины различной степени алкилирования. К суспензии I в ксилоле прибавляют 640 вес. ч. CH_3OH и 10 вес. ч. конц. H_2SO_4 ; через 10 мин. выдерживании при 20—30° образовавшийся р-р нейтрализуют NaHCO₃ до установления pH 8—10, фильтруют и фильтрат упаривают при 30—50°/20 мм. Из остатка (р-р метилированного I в ксилоле) чистое в-во выделяют обычными методами, выход (на II) 90%. Аналогично получают бутилированный I. Алкилированные I совместимы с многими алкидными смолами, а также с композициями алкидных смол с аминопластами, и способствуют улучшению свойств этих смол как средств для защитных покрытий.

9Л192. Способ получения ненасыщенных эфиров циануровой кислоты. Schulze Horst. Verfahren zur Herstellung von ungesättigten Cyanursäureestern. Пат. ГДР 18104, 19.01.60.—Эфиры ф-лы (ROCN)₃ (I), где R—аллил и метиллил, получают р-цией циануралогенида с ненасыщ. спиртами при 2—10° в присутствии большого избытка продукта р-ции в качестве разбавителя. 184,4 г (ClOCN)₃ суспендируют в р-ре 160 г

($CH_2=CH$
2—10° и
мешивани
ремешива
чей воды
верхний
чей воды
Нижний
водой, су
чают 380

9Л193.
молниевы
brecht
näher Al
[Ciba A-
ные амми
получают
N-атомов
рификац
с CH_3O
женном
содержа
л > 1, по
фатич.,
содержат
на 18 г
и 13,2 г
2 часа п
повышают
до 205°,
12 мм. 2
3,5 часа
творимос
производ
9Л194.
октатетр
Erich,
Günter
12,5,6-Т
ger). Па
тетразол
3 и 7 ф
содержа
алкокси
становил
а-диазо
эфиров
щисля
 CH_3COO
12,5,6-т
ляют в
могут в
соответ
метилол
100 мл
PdCl₂ до
тель от
стой т
 CH_3OH
эфира
получе
1 час, с
4,8-дик
2,4,6,8
или C_6
пятят
NaOH и
в 20 мл
кисля
охлажд
ла под
супат
фенил-

9Л194.
октатетр
Erich,
Günter
12,5,6-Т
ger). Па
тетразол
3 и 7 ф
содержа
алкокси
становил
а-диазо
эфиров
щисля
 CH_3COO
12,5,6-т
ляют в
могут в
соответ
метилол
100 мл
PdCl₂ до
тель от
стой т
 CH_3OH
эфира
получе
1 час, с
4,8-дик
2,4,6,8
или C_6
пятят
NaOH и
в 20 мл
кисля
охлажд
ла под
супат
фенил-

($\text{CH}_2=\text{CHCH}_2\text{OCN}$)₂ (II) в 261,3 г $\text{CH}_2=\text{CHCH}_2\text{OH}$ при 2–10° и добавляют по калиям при энергичном перемешивании 300 г 40%-ной NaOH в течение 2 час., перемешивают 1 час, затем встряхивают с 500 мл горячей воды. Реакционная смесь разделяется на два слоя, верхний слой отделяют, встряхивают с 1100 мл горячей воды (40–50°) и дают возможность отстояться. Нижний слой II отделяют, промывают многократно водой, сушат CaCl_2 и отфильтровывают при 28°. Получают 380 г I (R — аллил), выход 92,3%, т. пл. 28°.

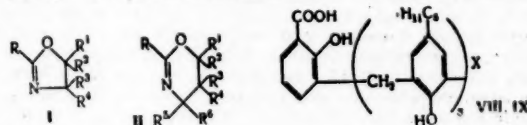
Е. Разводский

9Л193. Метод получения новых четвертичных аммониевых соединений ряда аминотриазина. Albrecht Otto. Verfahren zur Herstellung neuer quater-närer Ammoniumverbindungen der Aminotriazinreihe. [Ciba A.-G.]. Швейц. пат. 342960, 30.01.60. Четвертичные аммониевые соединения ряда аминотриазина (I) получают р-цией эфиров, содержащих ≥ 2 третичных N-атомов и полученных этерификацией или перестерификацией аминоспиртами продукта конденсации I с CH_2O с энихлоргидрином (II) при 100–200° и пониженным давлением в инертном р-ителе. Аминоспирты, содержащие связанную с N группу ($\text{CH}_2\text{CH}_2\text{O}$)_nH, где $n \geq 1$, получают р-цией первичного и вторичного алифатич., ароматич. и гетероциклич. моно- и диаминов, содержащих 8–40 (12–18) атомов C, с окисью этилена, 18 г гексаметилового эфира гексаметилолмеламина и 13,2 г N,N'-ди-(β-оксипропил)-липеразина нагревают 3 часа при 120–125° в атмосфере N_2 , затем т-ру смеси повышают в течение 1 часа до 160° и в течение 2 час. до 205°, перемешивают 30 мин. при 200–205° и давл. 12 мм. 25 г полученного эфира и 5,9 г II нагревают 3,5 часа в токе N_2 при 100°, при этом образуется растворимое в воде и CH_3OH четвертичное аммониевое производное I, обладающее антистатич. действием. Е. Р.

9Л194. Получение 3,7-дифенил-1,2,5,6-тетраациклооктатетраенов-2,4,6,8. Pfleger Robert, Garthe Erich, Reinhardt Friedrich, Hahn Heinz-Günter. Verfahren zur Herstellung von 3,7-Diphenyl-1,2,5,6-Tetraacyclocloctatetraenen-(2,4,6,8). [Robert Pfleger]. Пат. ФРГ 1044093, 14.05.59. Производные 1,2,5,6-тетраациклооктатетраена-2,4,6,8, замещ. в положениях 3 и 7 фенилом или замещ. фенилом, которые могут содержать в положениях 4 и 8 карбоксильные, карбальдоксильные или амидные группы, синтезируют восстановлением алкильных эфиров соответствующих α-диазобензоилуксусных к-т в α-гидразоны алкильных эфиров бензоилгликоксильных к-т. Обработкой образующихся α-гидразонов к-той (соляная к-та или лед. CH_3COOH) получают 3,7-дифенил-4,8-дикарбоксил-1,2,5,6-тетраациклооктатетраены-2,4,6,8, которые омыляют в соответствующие карбоновые к-ты. Эти к-ты могут быть декарбоксилированы или превращены в соответствующие хлорангидриды или амиды. Р-р 10,2 г метилового эфира α-диазобензоилуксусной к-ты в 100 мл лед. CH_3COOH гидрируют в присутствии 100 мг PdCl_2 до поглощения 1500 мл H_2 . Р-р фильтруют, р-ритель отгоняют в вакууме. Остаток отжимают на пористой тарелке и перекристаллизуют из разб. CH_3OH . Получают 4,1 г (41%) α-гидразона метилового эфира бензоилгликоксильной к-ты, т. пл. 102°. Р-р 0,5 г полученного гидразона в 5 мл лед. CH_3COOH кипятят 1 час, охлаждают и выпавшие кристаллы 3,7-дифенил-4,8-дикарбоксил-1,2,5,6-тетраациклооктатетраена-2,4,6,8 (I) перекристаллизуют из лед. CH_3COOH или C_6H_6 . Выход 0,096 г (21%). т. пл. 248°. 0,5 г I кипятят 30–45 мин. с 45 мл CH_3OH , 10 мл 10%-ного р-ра NaOH и 20 мл воды. Выпавшие кристаллы растворяют в 20 мл горячей воды. Горячий р-р фильтруют и подкисляют 20 мл 7%-ной HCl , смесь кипятят 10 мин., охлаждают, отделяют осадок и промывают его сначала подкисленной HCl водой, а затем дистил. водой и сушат 30 мин. при 120°. Получают 422 мг (87%) 3,7-дифенил-4,8-дикарбоксил-1,2,5,6-тетраациклооктатетра-

ена-2,4,6,8 (II), т. пл. 269–270° (разл.). Нагреванием 3,7 г II с 20 мл SOCl_2 и обработкой бензольного р-ра, полученного дихлорангидрида NH_3 -газом, получают 1,7 г (48%) диамида II, т. пл. 311–312° (разл.; из лед. CH_3COOH). 250 мг II и 2,5–3 мл конц. H_2SO_4 нагревают при ~90°, свободный от CO_2 р-р вносят в 40–50 мл воды. Осадок отсасывают, промывают водой и CH_3OH , высушивают 30 мин. при 120° и получают 165 мг (93%) 1,2,5,6-тетраациклооктатетраена-2,4,6,8, т. пл. 264° (из лед. CH_3COOH). Продукт возгорается при давл. 0,1–0,2 мм рт. ст. и т-ре бани 220–230°. Получаемые соединения являются полупродуктами для синтеза лекарственных веществ. Б. Фабричный

9Л195. Оксазолины, пентоксазолины, бис-оксазолины и бис-пентоксазолины и способ их получения. De Groote Melvin. Certain oxazolines, certain pentoxazolines, certain bis-oxazolines, and certain bis-pentoxazolines, and method of making same. [Petrolium Corp.]. Пат. США 2819250, 7.01.58. Описан способ получения оксазолинов ф-лы (I), пентоксазолинов (II), бис-оксазолинов ф-лы А—R—А (III) и бис-пентоксазолинов Б—R—Б (IV), где А — остаток оксазолина I, Б — пентоксазолина II, R — остатки молекул продуктов конденсации (ПК) 3–5 молей C_4 — C_{14} -о- (или п) алкилфенолов и 1–2 молей салициловой к-ты (V) с альдегидами, содержащими ≤ 8 атомов C, в присутствии алкиларилмоносulfокислот, напр. C_{10} — C_{14} -алкилбензолсульфокислот, смеси ди- и трипропилнафталинмоносulfокислот и т. п., или их Na-солей. Строение ПК из 4 молей п-трет-амилфенола (VI), 1 моля V и 4 молей CH_2O (VII) и ПК из 2 молей VI, 3 молей VI и 4 молей VII может быть условно представлено ф-лами (VIII, X — 2-окси-5-амилбензил) и (IX, X — 2-окси-3-



карбоксибензил) соответственно, хотя остатки V могут занимать и другие положения. Смесь 656 г VI, 138 г V, 405 г 37%-ного р-ра VII, 700 г ксилола, 40 мл конц. HCl (к-ты) и 3 г додецилтолуолмоносulfоната Na нагревают при размешивании до 80–85° (начало экзотермич. р-ции), кипятят 5 час. при 100–105° и нагреванием ~ до 150° отгоняют воду (за 1,5–2 часа), получая р-р ПК, содержащий ~45% ксилола; ПК представляет собою красновато-янтарную, непрозрачную, пластичную смолу. Даны примеры получения в тех же условиях других подобных смол конденсацией V и VII с п-трет-нонилфенолом, п-втор-бутилфенолом и п-октилфенолом и конденсацией VI, V и пропаноового альдегида. I–IV получают известными способами р-цией моно-, ди- или поликарбоксилированных ПК с 1,2- или 1,3-аминоалканами, напр. с $\text{HOSCH}_2\text{CH}_2\text{NH}_2$, $\text{H}_2\text{NCH}_2\text{CHONCH}_2\text{CH}_3$, $\text{H}_2\text{NCH}_2\text{CHONCH}_2\text{CH}_2\text{NHC}_2\text{H}_5$ или др. Р-цию ПК с аминоалканами ведут в ксилоле, сначала при т-ре ниже т-ры кипения амина, чем избегаются потери амина. Первая ступень р-ции, образование амида (образующаяся одновременно вода удаляется отгонкой) протекает в большинстве случаев при 165°. Дальнейший процесс циклизации амидов в I, II, III или IV завершается иногда при 170–210°, но обычно требует нагревания в пределах 200–250°. Смесь 127 г ПК, полученного из VI, V и VII (в молярных отношениях 3:2:5), 67 г ксилола и 18,3 г этаноламина нагревали около 9 час. при 150°, отогнав за это время около половины теоретич. кол-ва реакционной воды. После отгонки ксилола т-ра в массе повысилась до 200° и р-ция продолжалась еще ~20 час. при 200–205° до отгонки всего теоретически рассчитанного кол-ва воды. Аналогично проведены р-ции различных ПК с другими аминами (результаты представлены в

таблице). Продукты р-ций, представляющие собою обычно хрупкие, твердые смолы или, в немногих случаях, густые, вязкие жидкости или пластичные полутвердые тела, могут найти применение в различных процессах отделки натуральных и синтетич. текстильных материалов (напр., как наполнители, замасливатели, мерсеризирующие или аппретирующие агенты, связующие в процессах крашения и т. д.), а так же как деэмульгаторы, средства защиты от коррозии или промежуточные продукты для получения (р-цией с окисью этилена или с ее смесями с окисями бутилена и пропилена) производных полиалкилентгликолевых эфиров, которые являются весьма активными средствами для разрушения водн. эмульсий нефти. О. Чернцов

9Л196. Способ получения гетероциклических соединений ряда пиразола, изоксазола и пиримидина. Сколдинов А. П., Протопопова Т. В. Авт. св. СССР 125253, 8.01.60.—Пиразол, пиримидин, изоксазол и их производные получают конденсацией β-алкокси-, β-ацилокси- или β-диалкиламиноакролеинов с NH_2OH , NH_2NH_2 , гуанидином (I) и их солями. К р-ру 4 г β-ацетоксиакролеина (II) в 20 мл спирта добавляют р-р 4 г солянокислого семикарбазида и 5,4 г CH_3COONa , получая 4,1 г семикарбазола II (III) с т. пл. 172–173°. 3 г III и 30 мл 25%-ной HCl кипятят 1 час, смесь охлаждают, подщелачивают 25%-ным NaOH и экстрагируют эфиром. После очистки эфирных вытяжек углем, сушки K_2CO_3 и отгонки эфира получают 1 г пиразола, т. пл. 77°. Смесь 3,5 г β-метоксиакролеина (IV) нагревают на водяной бане с 4,5 г углекислого I. После прекращения выделения CO_2 смесь сушат в вакууме над P_2O_5 и экстрагируют горячим C_6H_6 . Получают 2-аминопиримидин (V), выход 60%, т. пл. 123–124°. V также получают с 85%-ным выходом из β-диметиламиноакролеина при нагревании его в течение 2 час. на кипящей водяной бане с хлоргидратом I в абс. спирте в присутствии этилата Na или из β-бутирилоксиакролеина и хлоргидрата I. К I с IV прибавляют р-р 0,7 г $\text{NH}_2\text{OH} \cdot \text{HCl}$ в 8 мл воды и смесь встряхивают 8 час., после чего прибавляют насыщ. р-р CdCl_2 . Получают двойную соль изоксазола и CdCl_2 .

Ю. П.

9Л197. Реактор для проведения химических процессов в псевдоожигенном слое катализатора. Мори́кава Киёси, Сиран Такаси, Одзаки Суй, Огасавара Садао. [Токё когё дайгаку гё]. Японск. пат. 411, 5.02.59.—Патентуется реактор с решетчатого особого типа, который применяют для проведения р-ций в псевдоожигенном слое катализатора. При взаимодействии C_2H_2 , NH_3 и H_2 при соотношении реагентов 1:2:1, т-ре 550–570° и атмосферном давлении в присутствии катализатора Al_2O_3 получают CH_3CCN , выход 90%.

Т. К.

9Л198. Аппаратура для галогенирования газообразных олефинов. Read William James, Clapp Daniel Brennan, Stephens Douglas Rosoman, Russell John Edward. Apparatus for conducting chemical reactions. [The Associated Ethyl Co. Ltd.]. Англ. пат. 804996, 26.11.58.—Предложен аппарат для проведения хим. р-ции, в котором стекающий вниз жидкий невязкий реагент противоточно контактируется с газообразным реагентом, в частности, для бромирования газообразных олефинов [напр., для бромирования C_2H_4 в $(\text{CH}_2\text{Br})_2$]. Аппарат представляет собой стеклянную колонну, в которой расположены змеевики для удаления тепла р-ции и создания поверхности контакта. Предусмотрен автоматич. контроль хода р-ции. Приведены две схемы установки и два разреза элемента колонны.

Р. Случин

См. также: Получение C_2H_2 методом окислительного пиролиза 9М195. Изомеризация парафиновых углеводородов 9М281. Процесс алкилирования 9М283, 9М284, 9М285. Конденсация винилацетилена с кетонами 9Ж48.

Окисление фурана в малеиновую к-ту 9Ж58. Получение ненасыщ. циклоалифатич. углеводородов 9М282. Сульфирование ароматич. соединений 9Ж11. Синтез диарилкоксолов 9Ж190. Синтез 2-меркаптобензотиазола-5³ 9Ж254. Синтез 2,5-диоксиметилпиридина 9Ж156. Получение дигуанидина 9Ж73. Изомеры триметилмеламина 9Ж178

ПРОМЫШЛЕННЫЙ СИНТЕЗ КРАСИТЕЛЕЙ*

Редактор М. С. Козлова

9Л199. Современные успехи в химии синтетических красителей. Venkataraman K. Recent progress in the chemistry of synthetic dyes. «F. R. I. News», 1959, 9, № 2, 46–50 (англ.).—Обзор. Библ. 11 назв.

В. У.

9Л200. Активные красители. Torrents Camprubi G. Colorantes reactivos. «Ingenieria text.», 1960, 27, № 146, 409, 411, 413–415, 417, 419, 421, 423–425, 427 (исп.).—Обзор. Библ. 13 назв.

В. У.

9Л201. Успехи в химии красителей. Йосида Д. «Юки госэй какайси, J. Soc. Organ. Synth. Chem., Japan», 1960, 18, № 11, 812–821 (японск.).—Обзор. Библ. 103 назв.

С. Петрова

9Л202. Исследование бензидинового желтого. Часть III. Nasizume Kiyosi, Kasioka Akira, «Сикидзай кёкайси, J. Japan Soc. Colour Mater.», 1960, 33, № 1, 10–13 (японск.; рез. англ.).—Синтезированы пигменты типа бензидинового желтого, содержащие Cl , CH_3 , OCH_3 , OC_2H_5 , и изучено влияние заместителей на свойства полученных пигментов. Найдено, что цвет пигментов, содержащих заместители в пара-положении ацетоацетарилида, более глубокий, чем у орто-замещенных; цвет пигментов, содержащих бензидиновое производное с электроположительными заместителями, глубже, чем с электроотрицательными. Прочность к р-рителям и свету уменьшается при наличии электроположительных заместителей и увеличивается при введении электроотрицательных групп. Введение заместителей в основание больше сказывается на прочности к свету, чем замещение в арилиде. Часть II см. РЖХим, 1961, 8Л203.

М. Козлова

9Л203. Органические пигменты на основе производных трифторметиланилина как диазосоставляющей. Хосокава К., Инукаи К. «Сикидзай кёкайси, J. Japan Soc. Colour Mater.», 1960, 33, № 10, 441–446 (японск.; рез. англ.).—Синтезировано 16 азопигментов (АП) с применением производных трифторметиланилина как диазосоставляющих. Наблюдается влияние заместителей на цвет и светопрочность АП. 2- (I) и 3-трифторметиланилины (II) и их алкокси-, хлор-, нитро-, этилсульфонил и алкилсульфамидные производные диазотировались и сочетались с β-нафтолом. Полученные АП обладают окраской от яркой оранжево-жел. до кр. АП из 6-этилсульфонил-, 6-N-(диметилсульфамидо)-II и 4-хлор-I обладают хорошей прочностью к свету; у пигментов с алкоксильными группами светопрочность низкая.

С. Попов

9Л204. О получении и применении люмогена оранжево-красного II 4-(4'-диметиламинобензалиден)-2-фенил-оксазол-5-она. Матвеев В. К. В сб. «Методы люминесцентн. анализа». Минск, АН БССР, 1960, 75–78.—Краткий обзор и характеристика существующих орг. люминофоров и люминесцентных материалов оранжево-кр. и кр. свечения. Предложен усовершенствованный метод получения (в атмосфере инертной

* В этом разделе для характеристики цвета приняты следующие сокращения: голубой—гол., желтый—жел., зеленый—зел., коричневый—кор., красный—кр., оранжевый—ор., розовый—роз., серый—сер., синий—син., фиолетовый—ф., черный—чер.

газа и в присутствии $ZnCl_2$ в качестве конденсирующего агента) диомогена оранжевого красного II 4-(4'-диметиламинобензилден)-2-фенилоксазолон-5 с выходом 82% (вместо 65%). Библ. 18 назв. М. Козлова 9Л205. Оптическиобеливающие вещества. Klu-sek Eugeniusz. Srodki optyczne bielące. «Techn. wiadomości», 1960, 9, № 10, 270—273 (польск.).—Обзор.

9Л206. Строение нафтола AS-KN. Исикава Н., Окадаки М. «Korē kagaku zasshi, Kogyo kagaku zasshi, J. Chem. Soc. Japan. Industr. Chem. Sec.», 1960, 63, № 10, 1849—1850, A 103 (японск.; рез. англ.).—Нафтол AS-KN, являющийся ценной азосоставляющей, дающей кор. и хаки тона на целлюлозных волокнах, подвергли цел. гидролизу и выделили в качестве продуктов гидролиза 1-нафтиламин и 2-карбоксит-3-оксидибензафуран (I). На основании этого строение нафтола AS-KN рассматривают как 1-нафтиламин I, что подтверждено синтезом, УФ-спектром и характером красок. М. Козлова

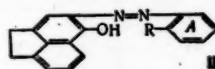
9Л207. Полярометрическое титрование кислотных азокрасителей раствором бензидина. Matrká Miroslav, Ságner Zdeněk. Polarometrická titrace některých kyselých azobarviv odměrným roztokem benzidinu. «Chem. průmysl.», 1960, 10, № 12, 638—639 (чешск.; рез. русск., англ.).—Предлагается метод непосредственного полярометрич. титрования красителей р-ром бензидина, при этом активным компонентом, дающим диффузионный ток, является краситель. Этот метод дает сравнительно точные результаты, прост и быстрее ранее применяемого редуктометрич. метода. Он применим и для других соединений, содержащих сульфидные и другие полярографически активные группы. М. Козлова

9Л208. Полярографический контроль в производстве контактного антрахинона. Фодиман З. И., Левин Э. С. «Заводск. лаборатория», 1960, 26, № 10, 1088—1090.—Предлагается в произ-ве контактного антрахинона применять для контроля чистоты товарного продукта полярографич. метод, который в комбинации с хим. методами позволяет с достаточной точностью определять в антрахиноне кол-во примесей (антрацена, фталевого ангидрида). М. Козлова

9Л209. Способ получения кобальтсодержащих моноазокрасителей. Goebel Hermann, Glietenberg Eugen. Verfahren zur Herstellung kobalthaltiger Monoazofarbstoffe. [Farbenfabriken Bayer A.-G.] Пат. ФРГ 1063728, 4.02.60.—Доп. к пат. ФРГ 1056305 (см. РИХИМ, 1961, 5Л208). Кобальтсодержащие моноазокрасители (КА) получают сочетанием диазотированных нитро-о-аминофенолов с 4-мочевинафтолом-1 (I) и последующей обработкой полученного красителя в в-ве или на волокне Со-отдающими реагентами. КА пригодны для крашения шерстяных, полиамидных и полиуретановых волокон из нейтр. или слабосидовой ванны в кор. цвета с очень хорошими прочностями. 15,4 ч. 4-нитро-2-аминофенола в 15 ч. HCl к-ты (d 1,3) и 150 ч. воды диазотируют 6,9 ч. $NaNO_2$ в 20 ч. воды и прибавляют при 10—15° к 20,2 ч. I в 100 ч. воды, 12 ч. NaOH и 50 ч. пиридина, краситель отфильтровывают и очищают повторным растворением. К 36,7 ч. полученного красителя в 2000 мл подщелоченной воды при 90° и размешивании прибавляют по каплям р-р Со-комплекса (15 ч. кристаллич. $CoSO_4$ в 250 мл воды при быстром размешивании прибавляют к 150 мл 25%-ного аммиака и тотчас прибавляют 5 мл 30%-ной H_2O_2), охлаждают до 30—35°, прибавляют NaCl, КА отфильтровывают и сушат. С. Нусбаумер

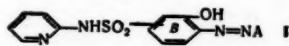
9Л210. Азокрасители и их металлические комплексы. Sureau Robert, Obellianne Pierre. Nouveaux colorants azoïques et leurs complexes métallifères. [Cie Française des Matières Colorantes]. Франц. пат. 1199729, 16.12.59.—Сочетанием соответствующих диазосоставляющих с 5-оксиантрафеноном (I) получают азо-

красители общей ф-лы (II), где R — алкоксил, ONH_2COOH , окси- или карбоксильная группа; ядро А может содержать галоид, алкил, алкоксил, $SO_2NR'R''$, нитро-, ациламино-, алкилсульфонил- или морфолил-сульфамидогруппу; R' и R'' = H, алкил, оксикал или алкоксикал. При последующей обработке II металлсодержащими (Со или Сг) реагентами получают металлч. комплексы. II окрашивают в прочные кр. до чер. цвета. 15,4 ч. 100%-ного 5-нитро-2-аминофенола (III; IV 2-аминофенол) растворяют в 150 ч. воды и



25 объемн. ч. конц. HCl, охлаждают до 5—10°, диазотируют 13,8 ч. $NaNO_2$ в 50 ч. воды, размешивают 20 мин., диазосоединение приливают к 14,8 ч. I в 500 ч. воды и 28 ч. NaOH (400 г/л), размешивают 2 часа и отфильтровывают краситель III→I. 6,7 ч. высушенного красителя растворяют в 300 ч. воды и 40 объемн. ч. 10%-ного NaOH, нагревают до 80°, приливают р-р кобальтотартрата Na [из 14 ч. ацетата Со, содержащего 5,6% Со, 4 ч. винной к-ты и 80 ч. NaOH (40 г/л)] и отфильтровывают Со-комплекс III→I, окрашивающий шерстяные волокна (ШВ) в прочный зеленоватосин. цвет. В 200 ч. $HCONH_2$, при 110° вносят 7,5 ч. формата Сг, содержащего 8,65% Сг, и 6,7 ч. красителя III→I, размешивают 2 часа при 110°, охлаждают, разбавляют 1 л. HCl до полного осаждения Сг-комплекса и отфильтровывают комплекс III→I, окрашивающий ШВ в зелено-сер. цвет. Аналогично из I получают металлч. комплексы II (указаны заместители в IV и цвета окрасок ШВ Со- и Сг-комплексами): 4-хлор-5-метилсульфамидо, фиолетово-син.; 4-нитро, фиолетово-кор., черно-сер.; 4-сульфамидо, красно-ф., темно-син.; 5-сульфамидо, сине-ф., индигово-син.; 4-изопропилсульфамидо, ф., син.; 4-хлор, ф., син.; 4-хлор-5-сульфамидо, фиолетово-син., синий. В. Уфимцев

9Л211. Металлизуемые и металлсодержащие азокрасители и их применение в крашении. Sureau Robert, Mingasson Georges. Nouveaux colorants azoïques métallisables et métallifères; application à la teinture. [Cie Française des Matières Colorantes]. Франц. пат. 1200358, 21.12.59.—Сочетанием диазотированных аминов с азосоставляющими получают металлизуемые и металлсодержащие азокрасители общей ф-лы (I), где А — остаток азосоставляющей, сочетающейся в орто-положении к окси- или аминогруппе; ядро В может содержать Cl, NO_2 или CH_3 . В случае необходимости проводят последующую обработку в в-ве или на носителе (напр., на ткани) металлсодержащими (Сг или Со) реагентами. I и их металлч. комплексы при-



годны для окраски органич. р-рителей, лаков, полиграфич. и малярных красок, целлюлозной массы и крашения животных и синтетич. полиамидных и полиуретановых волокон. В 94 ч. α-аминопиридина и 500 ч. воды в течение 1,5 часа при 10° и размешивании вносят 130 г 4-хлор-3-нитробензолсульфохлорида, повышают т-ру до 20—25°, нагревают до 50°, размешивают 5 час. при этой т-ре, охлаждают, выдерживают 12 час., отфильтровывают и промывают 4-сульфо-N-(пиридил-α)-амидо-2-нитрохлорбензол (II), т. пл. 215° (из $C_6H_4Cl_2$). 50 ч. II размешивают в 125 ч. воды и 50 ч. 10 н. NaOH, кипятят 8 час., охлаждают и подкислением выделяют 4-сульфо-N-(пиридил-α)-амидо-2-нитрофенол (III), т. пл. 232—233°. 48 ч. кристаллич. Na_2S растворяют в 100 ч. воды и 10 ч. 10 н. NaOH, нагревают до кипения, вносят в течение ~30 мин. 31 ч. III,

кипятят 2 часа, охлаждают, прибавляют 10 ч. ацетата Na, выделяют продукт постепенным прибавлением HCl (к-ты), отфильтровывают, промывают, вновь растворяют в 150 ч. воды и 15 объемам. ч. HCl (20° Вё), фильтруют, осаждают ацетатом Na, отфильтровывают и промывают 4-сульфо-N-(пиридил-α)-амидо-2-аминофенол (IV), т. пл. 219—220° (из водн. сп.). 5,3 ч. IV в 100 ч. воды и 5 ч. HCl 20° Вё диазотируют NaNO₂, диасосуспенсию нейтрализуют NaHCO₃ и постепенно приливают к 3,4 ч. 1-фенил-3-метилпиразолона-5 (V) в 50 ч. воды и 4 ч. 10 н. NaOH, осаждают CH₃COOH и отфильтровывают краситель IV→V. 2,25 ч. красителя размешивают в 100 ч. воды и 0,25 ч. 10 н. NaOH, нагревают до кипения, прибавляют 15 объемам. ч. р-ра хроматартрата Na, содержащего 10,4 г/л Cr, после комплексобразования охлаждают, высаливают NaCl и отфильтровывают Cr-комплекс IV→V, окрашивающий шерстяные волокна при pH 6—7 в ор. цвет. При применении 3 объемам. ч. ацетата Co, содержащего 59 г/л Co, получают Co-комплекс IV→V, окрашивающий в оранжево-жел. цвет. Аналогично получают I (указаны диазо- и азосоставляющие и цвета окрасок шерстяных волокон Cr- и Co-комплексами): IV, нафтол-2, ф., бордо; IV, ацетогетанилид, красновато-жел., жел.; IV, 1-(м-хлорфенил)-3-метилпиразолона-5, оранжево-кр., оранжево-жел.; IV, 1-ацетиламинонафтол-7, синевато-сер., красновато-сер.; IV, 3-окситионафен, син., ф.; 5-сульфо-N-(пиридил-α)-амидо-2-аминофенол. (VI), нафтол-2, сине-ф., бордо; VI, V, ор., желтый.

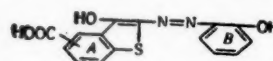
В. Уфимцев

9Л1212. Способ получения металлосодержащих азокрасителей. Zickendraht Christian. Verfahren zur Herstellung von neuen metallhaltigen Azofarbstoffen. [CIBA A.-G.] Швейц. пат. 342678, 15.01.60.—Металлосодержащие (1:2) азокрасители (МА) получают обработкой красителя 5-сульфамидо-2-аминофенол (I 2-аминофенол)→1-фенил-3-метилпиразолона-5 (II) в щел. среде Co- или Cr-отдающими реагентами [CoSO₄, (CH₃COO)₂Co или комплексные соединения Co с алифатич. оксикарбоновыми к-тами (молочной, гликолевой, лимонной и винной), комплексные соединения Cr с теми же к-тами и, кроме того, с салициловой и крезотиновыми к-тами]. МА пригодны для окраски шелка, шерсти и кожи, для крашения и печати полиамидных и полиуретановых волокон из нейтр. или слабосислой ванны в яркий кр. цвет. Окраски отличаются ровнотой, хорошими прочностями к мокрым обработкам и очень хорошей прочностью к свету. 18,8 ч. 5-сульфамидо-I замешивают в 200 ч. воды и 15 объемам. ч. 10 н. HCl и при 5—10° диазотируют 25 объемам. ч. 4 н. NaNO₂, р-р нейтрализуют содой и приливают к охлажд. льдом до 0° 17,4 ч. II в 14 ч. 30%-ного NaOH и 500 ч. воды, краситель высаливают NaCl, отфильтровывают, промывают разб. NaCl, растворяют в 1000 ч. воды и 8 ч. NaOH при 80°, прибавляют 100 ч. р-ра CoSO₄, содержащего 3,25% Co, размешивают при 70—80° 30 мин., фильтруют и высаливают NaCl МА, окрашивающий шерсть в коричнево-ор. цвет. К 37,0 ч. красителя в 1000 ч. воды и 4 ч. NaOH прибавляют 120 ч. р-ра хромсалицилата NaK, содержащего 2,6% Cr [362 ч. р-ра Cr₂(SO₄)₃, содержащего 7,2% Cr, кипятят с 138 ч. салициловой к-ты, добавляют 166 ч. 40%-ного NaOH, подщелачивают 37%-ным КОН по фенолфталеину и разбавляют водой до 1000 ч.], размешивают при кипении ~5 час., нейтрализуют CH₃COOH, высаливают NaCl и сушат МА, окрашивающий шерсть в ярко-кр. цвет (приведено крашение).

С. Нусбаумер

9Л1213. Металлизуемые моноазокрасители и их применение в крашении. Sureau Robert, Mingasson Georges, Fayssie Joël. Nouveaux colorants monoazoïques métallissables et leur application à la teinture. [Cie Française des Matières Colorantes]. Франц. пат. 1194933, 13.11.59.—Сочетанием соответ-

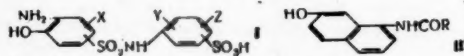
ствующих диазотированных 2-аминофенолов (I) с 3-окситионафтенкарбоновыми к-тами получают моноазокрасители общей ф-лы (II), где ядро А может содержать также галонд, метил, метоксил или этоксил; ядро В может содержать галонд, алкил, алкилсульфонил, морфолисульфони́л, незамещ. или N-замещ. сульфамидную, ациламино- или нитрогруппу). Патен-



туются Cr- и Co-комплексы II, содержащие 1 атом металла на 2 молекулы азокрасителя. Присутствие карбоксильной группы в металлч. комплексах II сообщает хорошую растворимость в красильной ванне без потери сродства к волокну и понижения прочности к мокрым обработкам. II окрашивают в бордо, ф., син., сер., кор., оливковые, зел. и чер. цвета. Диазотируют 15,4 ч. 5-нитро-I, избыток к-ты нейтрализуют NaHCO₃, приливают понемногу к 20 ч. 3-окситионафтенкарбонной-7 к-ты (III) и 8 ч. NaOH в 200 ч. воды, после сочетания нагревают в течение 30 мин. при 40°, оставляют на холоду, прибавляют NaHCO₃ или CH₃COOH для осаждения красителя, фильтруют и сушат. 3,6 ч. красителя растворяют в 0,5 ч. 10 н. NaOH и 200 ч. воды, при кипении прибавляют 30 объемам. ч. хроматартрата Na, содержащего 1 атом Cr в 5 л р-ра, кипятят 2—3 часа до конца комплексобразования, высаливают 20%-ным NaCl, охлаждают и отфильтровывают Cr-комплекс 5-нитро-I→III, окрашивающий шерстяные волокна (ШВ) при pH 5,5—6 в зел. цвет. Аналогично при применении 6 объемам. ч. р-ра ацетата Co, содержащего 1 атом Co в 1 л р-ра, получают Co-комплекс окрашивающий в син. цвет. Аналогично получают металлч. комплексы II (указаны заместители в I, азосоставляющая, цвет окраски ШВ Cr- и Co-комплексами): 4-хлор, 3-окситионафтенкарбонная-6 к-та (IV), син., ф.; 5-нитро, 4-хлор-III, зел., син.; 4-нитро, III темно-оливковый; бордо; 4-хлор, III, син., ф.; 4-хлор-5-нитро, III, зел., син.; 4-хлор-6-нитро, III, син., син.; 4-метил-6-нитро, III, зеленовато-син., фиолетово-син.; 4-сульфамидо, III, сине-сер., ф.; 4-сульфоизопропиламино, III, сер., ф.; 5-сульфамидо, III, сине-сер., сине-ф.; 4-хлор-5-сульфамидо, III, сине-сер., фиолетово-син.; 4-нитро, IV, коричнево-сер., темно-ф.; 5-нитро, IV, зел., син.; 4-хлор-5-нитро, IV, зел., син.; 4-хлор, 4-хлор-III, фиолетово-син., ф.; 4-нитро, 4-хлор-III, нейтр. сер., фиолетово-коричневый.

В. Уфимцев

9Л1214. Способ получения металлизуемых моноазокрасителей. Steinemann Willy, Wehrli Walter. Verfahren zur Herstellung metallisierbarer Monoazofarbstoffe. [Sandoz A.-G.] Швейц. пат. 340284, 30.09.59.—Металлизуемые моноазокрасители (МА) получают сочетанием диазотированного 2-аминофенолсульфониламина общей ф-лы (I) с 1-ациламинонафтолом-7 (II нафтол-7) общей ф-лы (III). В указанных ф-лах X = H, галонд, низший алкил или нитрогруппа; Y = H, галонд, низшие алкил или алкокси;



Z = H, галонд, или низший алкил; R — незамещ. или замещ. алкил, алкоксил, циклоалкил, циклоалкоксил, аралкил, аралкоксил или арил. МА окрашивают шерстяные волокна с последующим хромированием в сер. до сине-сер. цвета; окраски обладают хорошими прочностями к свету, выделке, стирке и карбонизации. К 34,4 ч. 2-аминофенол-4-сульфо-N-(3'-сульфопенил)-амида (IV) в 150 ч. воды прибавляют 25 ч. 30%-ной HCl и при 0—5° диазотируют 6,9 ч. NaNO₂. Диазосоединение при 0° приливают к 20,5 ч. 1-ацетиламино-II

4,4 ч. Na
несколько
вают Na
шерстяны
изводни
щан, зал
на шерс
сер.; IV
IV, 1-бу
IV, 1-бе
N-(4'-су
сер.; V,
иламин
сине-сер
фенил-
не-сер.;
фенил-
сине-сер
фенил-
сине-сер
2-амино
ил)-ам

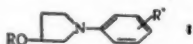
9Л1215
Günter
[Badische
1000523,
(HK) по
содержа
COOH-г
щей ф-

группа;
на, оста
тут нахо
пригоди
из ацет
эфиров;
цвет. Ни
щие хор
газам.
(II; III
N-фенил
дин), 15
бавляют
выводят,
получаю
АЦ и П
заны ди
ПА): 2-
2-нитро
V (VI)
краснов
(IX),
нил)-V
сульфам
эфир IV
рубино
то-ф.;
N-фенил
диметон
N-(3'-а
XIV, ф.
красны
9Л1216
азокрас
Verfahr
stoffe. [1
5.11.59.
лучают

4,4 ч. NaOH и 30 ч. соды в 200 ч. воды, размешивают несколько часов при 0–5°, нагревают до 40°, высыпают NaCl и отфильтровывают МА (описано крашение шерстяных волокон в сер. цвет). Аналогично из производных II получают МА (указаны диазосоставляющим, заместителем в II и цвет хромированных окрасок на шерстяных волокнах): IV, 1-карботоксинамино, сине-сер.; IV, 1-карбо-(β-этоксиксиктокси)-амино, сине-сер.; IV, 1-бутириламино, сер.; IV, 1-оксинацетиламино, сер.; IV, 1-бензоиламино, сине-сер.; 2-аминофенол-4-сульфо-N-(4'-сульфобензил)-амид (V), 1-фенилацетиламино, сер.; V, 1-феноксинацетиламино, сине-сер.; V, 1-пропионамиламино, сер.; V, 1-карбо-(β-этоксиксиктокси)-амино, сине-сер.; 2-аминофенол-4-сульфо-N-(2'-метил-4'-сульфобензил)-амид, 1-карбо-(β-этоксиксиктокси)-амино, сине-сер.; 2-аминофенол-5-сульфо-N-(2'-метил-5'-сульфобензил)-амид, 1-(4'-хлорбензоиламино), зеленоватый сине-сер.; 2-аминофенол-4-сульфо-N-(2'-метокси-5'-сульфобензил)-амид (VI), 1-метилсульфониллацетиламино, сине-сер.; VI, 1-бутилсульфониллацетиламино, сине-сер.; 2-аминофенол-4-сульфо-N-(2',5'-дихлор-4'-сульфобензил)-амид, 1-сульфоацетиламино, сине-серый.

В. Уфимцев

9Л215. Способ получения азокрасителей. I. a n g e Gü n t e r. Verfahren zur Herstellung von Azofarbstoffen. [Badische Anilin- & Soda-Fabrik A.-G.] Пат. ФРГ 1060523, 17.12.59.—Водонерастворимые азокрасители (НК) получают сочетанием диазотированного амина, содержащего различные заместители, кроме SO₃H-, COOH- и OH-групп, с производными пирролидина общей ф-лы I, где R = H, алкил, оксипалкил или ацил-



группа; R' — галоид, алкил, алкоксил, ациламиногруппа, остаток мочевины или тиомочевины, которые могут находиться в орто- и (или) мета-положениях. НК пригодны для крашения волокон и печати по тканям на ацетилцеллюлозе (АЦ), полиамидов (ПА) и полиэфиров; при этом на АЦ и ПА они дают одинаковый цвет. НК окрашивают в яркие чистые тона, обладающие хорошей прочностью к воде и обесцвечивающим газам. Диазотируют 16,8 г 2-метокси-4-нитроанилина (II; III анлилин), фильтруют, приливают к смеси 16,8 г N-фенил-3-оксипирролидина (IV; V 3-оксипирролидин), 150 ч. воды, 100 ч. льда и 11 ч. 35%-ной HCl, добавляя 34 ч. водн. ацетата Na. НК II → IV отфильтровывают, промывают водой, сушат в вакууме при 50° и получают 30 ч. темно-кр. порошка, окрашивающего АЦ и ПА в ярко-кр. цвет. Аналогично получены (указаны диазо- и азосоставляющие и цвет окраски АЦ и ПА): 2-нитро-III, IV, ор.; 2-нитро-4-хлор-III, IV, ор.; 2-нитро-4-сульфамидо-III, IV, ярко-кр.; II, N-(3-толил)-V (VI), синева-то-кр.; 2-хлор-4-нитро-III (VII), VI, красновато-ф.; 2,4-динитро-III (VIII), VI, ф.; 6-бром-VI (IX), VI, синева-то-ф.; II, N-(2'-метокси-5'-метилфенил)-V (X), красно-ф.; VII, X, ф.; 4-нитро-6-оксиптил-сульфамидо-III (XI), X, синева-то-ф.; II, гликолевый эфир IV (XII), кр.; VII, XII, синева-то-кр.; VIII, XII, рубиново-кр.; XI, XII, рубиново-кр.; IX, XII, красновато-ф.; VII, N-(3'-хлорфенил)-V, синева-то-кр.; II, N-фенил-3-ацетоксипирролидин, ярко-кр.; IX, N-(2',5'-диметоксифенил)-V (XIII) сян.; XI, XIII, ф.; VII, N-(3'-ацетиламинофенил)-V (XIV), синева-то-кр.; VIII, XIV, ф.; 2-метилсульфонил-4-нитро-III, IV, рубиново-красный.

П. Шиканов

9Л216. Способ получения медьсодержащих полиазокрасителей. Nickel Horst, Suckfüll Fritz. Verfahren zur Herstellung kupferhaltiger Polyzofarbstoffe. [Farbenfabriken Bayer A.-G.] Пат. ФРГ 1058174, 5.11.59.—Медьсодержащие полиазокрасители (МК) получают сочетанием диазотированного 8-сульфо-(I) или

4,8-дисульфо-2-амино-6-нитронафталина (II) с алифатич., ароматич. или гетероциклич. азосоставляющими в орто-положение к енольной или фенольной группе. Затем полученный моноазокраситель окисляют в присутствии солей Cu с введением оксигруппы в положение 1 остатка I или II и образованием Cu-комплекса. Последний восстанавливают так, чтобы 2 молекулы красителя конденсировались друг с другом с образованием азо- или азоксигруппы. Р-ции можно проводить и в иной последовательности, а именно: а) сначала нитрогруппу нитромоноазосоединения восстановить до азо- или азоксигруппы, а затем подвергнуть окислительной обработке в присутствии солей Cu или б) нитрогруппу I или II восстановить до азо- или азоксигруппы, полученное соединение бисдiazотировать, сочетать и подвергнуть окислительной обработке в присутствии солей Cu. МК пригодны для крашения растительных волокон; окраски обладают хорошей светостойкостью. 30,4 ч. 3,6-дисульфонафта-2 (III; IV нафтол-2) растворяют в 300 ч. воды, прибавляют 180 объемн. ч. 20%-ной соды, сочетают при 0–5° с диазосоединением из 34,8 ч. II, высыпают NaCl и отфильтровывают азокраситель II → III. Последний растворяют в 1000 ч. воды, приливают 140 объемн. ч. 20%-ного ацетата Na, подкисляют CH₃COOH до pH ~3,5, прибавляют 25 г CuSO₄·5H₂O в 140 ч. воды, в течение ~200 мин. при 55–60° приливают по каплям 280 ч. 3%-ной H₂O₂, размешивают 1 час, высыпают NaCl и отфильтровывают Cu-комплекс азокрасителя 4,8-дисульфо-2-амино-6-нитронафтол-1 (V; VI нафтол-1) → III. Полученный комплекс суспендируют в ~1400 ч. воды, приливают 140 объемн. ч. NaOH (40° Bé) и 17,3 ч. глюкозы в 60 ч. воды, размешивают при ~50–70° до окончания конденсации, высыпают NaCl и выделяют МК, окрашивающий хлопковые волокна (XB) в син. цвет, с хорошими прочностями к свету и мокрым обработкам. Аналогично получены МК (здесь и далее указаны азосоставляющая и цвет окраски XB): 3,6-дисульфо-VI (VII) или 4-сульфо-IV, зеленовато-сер.; 3,8-дисульфо-VI, 4-сульфо-VI, 5-, 6- и 7-сульфо-IV, сян.; 8-сульфо-IV, 2-фениламино-7-сульфонафтол-5 (VIII нафтол-5), 1-(4'-сульфобензил)- (IX) или 1-(4'-8'-дисульфонафтил-2')-3-метилпиразолол-5 (X), или 1-фенил-3-карбокспипиразолон-5, сине-сер.; 2-ацетиламино-7-сульфо-VIII или 8-токсик-3,6-дисульфо-VI, зеленовато-син.; 3-ацетиламино-7-сульфо-VIII, 1,8-диоксинафталидисульфокислота-3,6 или 2-амино-1,7-дисульфо-VIII, сине-зел.; ацетоацетанилид, красновато-сер.; n-крезол или Cu-комплекс 2-амино-6-нитро-8-сульфо-VI (XI) → VII (полученный из I и III), сер. Cu-комплекс нитромоноазосоединения V → III (полученный из 15,2 ч. III и 17,4 ч. II) и Cu-комплекс нитромоноазосоединения V → X (из 19,2 ч. X и 17,4 ч. II) размешивают в 1400 ч. воды, прибавляют 100 объемн. ч. NaOH (40° Bé) и 17,3 ч. глюкозы в 60 ч. воды, постепенно нагревают до 55°, размешивают ~20 мин. при 55–60°, после восстановительной конденсации охлаждают до 25°, высыпают NaCl, отфильтровывают, обрабатывают солями Cu и получают несимметричный МК, окрашивающий XB в красновато-син. цвет. Аналогично получают несимметричные МК: VII, зеленовато-син.; 5-сульфо-IV, сян.; ацетоацетанилид или n-крезол, сине-сер.; смесь Cu-комплекс V → IX и Cu-комплекс XI → IX, сер.; смесь Cu-комплекс V → III и Cu-комплекс XI → VII, зеленовато-синий.

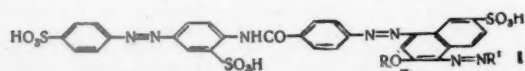
В. Уфимцев

9Л217. Способ получения полиазокрасителей и их медных комплексов. Exner Herbert-Joachim, Pütter Rolf. Verfahren zur Herstellung von Polyzofarbstoffen bzw. deren Kupferkomplexverbindungen. [Farbenfabriken Bayer A.-G.] Пат. ФРГ 1058173, 5.11.59.—Полиазокрасители (ПК) получают бисдiazотированием 1 моля S-двуокиси 2,7-диаминодибензотрифена (I дибензотрифен), содержащей оксигруппы или галоид в положениях 3 и 6, и последующим сочетани-

ем с 2 молями одинаковых или разных азосоставляющих, которые сочетаются в орто-положении к комплексообразующей группе и могут содержать другие азогруппы. Си-комплексы получают обработкой ПК непосредственно или на ткани Си-отдающими реагентами, при этом если имеется галоид в ядре диазосоставляющей, то он замещается на оксигруппу. ПК пригодны для крашения волокон хлопка и регенерированной целлюлозы; окраски обладают хорошими прочностями. 31,5 ч. S-двуокиси 2,7-диамино-3,6-дихлор-I (II) бисдиазотируют 13,8 ч. NaNO_2 , диазораствор при pH 4—5 сочетается с 60,8 ч. нафтол-2-дисульфокислоты-3,6 (III), через некоторое время (для окончания сочетания) подщелачивают содой до pH 8—10 и прибавляют пиридин, диазокраситель отфильтровывают, суспандируют в 800 ч. воды, прибавляют 50 ч. $\text{CuSO}_4 \cdot 5\text{H}_2\text{O}$ и 50 ч. ацетата Na, кипятят 2 часа, устанавливают NaOH на pH 10—12, кипятят 6 час. и выделяют Си-комплекс III ← S-двуокиси 2,7-диамино-3,6-диокси-I → III, окрашивающий в красновато-син. цвет. Аналогично получают Си-комплексы ПК из II (указаны одна или разные азосоставляющие и цвет окраски хлопковых волокон): нафтол-1-дисульфокислота-3,8 (IV), син.; III, нафтол-2-сульфокислота-6, красновато-син.; IV, 1-хлор-2-аминонафтол-5-сульфокислота-7, син.; нафтол-1-дисульфокислота-3,6 (V), 2-(3'-сульфофениламино)-нафтол-5-сульфокислота-7, син.; V, 1-(4',8'-дисульфонафтил-2')-3-метилпиразолон-5, фиолетово-син.; 1-ацетиламинонафтол-8-дисульфокислота-3,6 (VI), VI, син.; V, Си-комплекс азокрасителя 4-хлор-2-аминофенол → 1,5-диоксинафталиндисульфокислота-3,7, син.; IV, Си-комплекс азокрасителя 1-аминонафтол-2-сульфокислота-4 (VII) → 1,5-диоксинафталиндисульфокислота-3, син.; V, Си-комплекс азокрасителя VII → 2,3-диоксинафталиндисульфокислота-6, син.; син. 132 ч. 4,4'-диамино-3,3'-дихлордифенила растворяют в 500 ч. 40%-ного олеума, нагревают 2 часа при 80°, охлаждают, выливают на лед, отфильтровывают, суспандируют в воде, нейтрализуют NaOH, прибавляют 10 ч. соды, кипятят и отфильтровывают II; не плавится < 350°.

9Л218. Улучшенный способ получения диазосоединений. Murtagh Humphrey Desmond, Royer Richard Penn. Improvements in or relating to diazonium compounds. [Oxalid Co. Ltd]. Англ. пат. 817001, 22.07.59.—Нерастворимые в воде диазосоединения предлагают получать адсорбцией растворимых в воде диазосоединений на суспензии тонкоизмельченного нерастворимого в воде в-ва, способного к катионному обмену (синтетические катионообменные смолы, природный и синтетич. алюмосиликат). Диспергируют 3 г природной глины в 50 мл воды, при перемешивании прибавляют 3 г хлористого *n*-диэтиламинофенилдиазония и 3 г лимонной к-ты в 50 мл воды, осадок отфильтровывают и промывают 3×15 мл 5%-ной лимонной к-ты и 10 мл воды от избытка диазосоединения, сушат и получают порошок, содержащий 13% диазосоединения. Аналогично из диазотированного 4-аминодифениламина получен порошок, содержащий 23% сульфата диазония. Г. Коловертнов

9Л219. Медьсодержащие трисазокрасители и способ их получения. Jirou Marcel, Ourne Vassily. Nouveaux colorants trisazoiques cuprifères et leur procédé de préparation. [Cie Française des Matières Colorantes]. Франц. пат. 1193885, 5.11.59.—Медьсодержащие красители (МК) получают обработкой Си-отда-

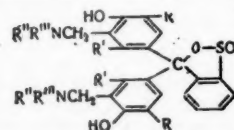


щими реагентами трисазокрасителей общей ф-лы (I, где R — алкил; R' — остаток ациламинонафтолсульфо-

кислоты, который сочетается в орто-положении к оксигруппе). При этой обработке происходит образование Си-комплексов I, содержащих 2 атома Си на 1 молекулу I, с одновременным отщеплением R. МК пригодны для крашения растительных волокон; окраски обладают хорошими прочностями к свету и стирке. 109,4 ч. трисазокрасителя [4-(*n*-аминобензоиламино)-азобензодисульфокислота-3,4' (II) → 1-амино-2-метоксинафталинсульфокислота-6 (I)] → 2-бензоиламинонафтол-8-сульфокислота-6 (I) в форме Na-соли при 90° растворяют в 2400 ч. воды, прибавляют 10 ч. NaHCO_3 и постепенно 30 ч. CuSO_4 в 150 ч. воды и 56,5 ч. 20%-ного NH_3 , нагревают 10 час. при 90—92°, высаливают NaCl и отфильтровывают Си-комплекс, окрашивающий целлюлозные волокна в синевато-зел. цвет. Аналогичные МК получают (указаны I и цвет окраски): II → III → 2-бензоиламинонафтол-5-сульфокислота-7 (IV), зеленовато-син.; II → III → 1-ацетиламинонафтол-8-сульфокислота-4, зел. При обработке азокрасителя II → III → IV конц. р-ром тетранатриевой соли этилендиаминтетрауксусной к-ты, взятой в кол-ве 1% от объема реакционной массы, в течение 30 мин. при 80—85° получают Си-комплекс, содержащий 1 атом Си на 1 молекулу красителя, обладающий более син. оттенком. В. Уфимцев

9Л220. Трифенилметановые красители. Francis Frederick George, Neale David John. Improvements in or relating to triarylmethane colouring materials. [Caribonum Ltd]. Англ. пат. 835809, 25.05.60.—Патентуются трифенилметановые красители, производные ауранина, общей ф-лы $\{(\text{CH}_3)_2\text{NC}_6\text{H}_4\}_3\text{CH}$ (I, где R — фенил или толил). I получают р-цией три-(*n*-аминофенил)-метана (II) с гидролом Михлера (III). Лейкооснования I растворимы в растительных и минер. маслах, эфирах ароматич. к-т (напр., дибутилфталате), пластификаторах и применяются для изготовления копировальной бумаги и лент печатных машин, давая на копиях син. или ф. изображение. 9 ч. III растворяют в 35 ч. денатурированного спирта, в кипящий р-р добавляют 3,4 ч. II, полученного восстановлением *n*-розамина, кипятят 3 часа, маслянистую жидкость отделяют, выделившееся при стоянии лейкосоединение отфильтровывают, промывают спиртом и сушат на воздухе. Аналогично получают I из III и три-(*n*-аминофенил)- или ди-(*n*-аминофенил)-*n*-аминотолуилметана.

9Л221. Способ получения и применения замещенных сульфоталениновых красителей. Svoboda Vlastimil, Terzijská Drahomíra, Kórbli Jiří. Způsob přípravy a použití substituovaných sulfotaleinových barviv. Чехосл. пат. 88088, 15.12.58.—Патентуются сульфоталениновые красители общей ф-лы I, где R и R' = H или алкил $\text{C}_1\text{—C}_4$; R'' и R''' — одинаковые или различные, H, низший алкил, арал, аралкил, циклоалкил или R'' и R''' вместе с атомом N образуют гетероцикл. кольцо; указанные группы со-



держат заместители, способствующие растворению в воде, напр., COOH , SO_3H , SH или OH). I получают конденсацией при $\leq 100^\circ$ CH_2O и аминсоединения общей ф-лы $\text{HNR}''\text{R}'''$ с исходными I, где вместо группы $\text{CH}_2\text{NR}''\text{R}'''$ стоит N. I пригодны в качестве кислотноосновных индикаторов для ацидиметрич. и колориметрич. анализа, 3,56 ч. саркозина, 9,3 ч. тимолового синего (II) в 5,5 ч. кристаллич. ацетата Na растворяют в 50 ч. лед. CH_3COOH , прибавляют 4,4 ч. 37%-ного формалина, нагревают при 50—75°, пока проба р-ра после разведения водой и подкисления не перестанет окраши-

ваться в
ток раз
бавление
выделяю
II и п
DL-α-а
β-аланин

9Л222.

сителей.

Roder

hinfarbs

(049994,

(МК) и

который м

кроме т

N гетер

лином, и

замести

долов с

МК при

таннин

амидны

диакри

лин-о-а

при раз

дола, ч

ют нем

сителя,

(описан

202 ч.

в 50 об

90° по

1 час с

с водян

высали

раствор

38 ч

с водян

гидра-3

метил-

20 об

нают 7

(CH3C

10 об

100°, и

26 ч

желто

9Л223.

ных

Geog

anthra

caine

2.10.59

нона

после,

антра

низш

приго

кон л

парку

проч

3-ам

базов

р-рит

обра

вают

лино

85—

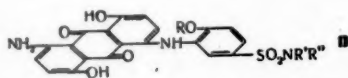
ваться в кр. цвет, отгоняют в вакууме CH_3COOH , остаток размешивают в небольшом кол-ве спирта и прибавлением ацетона, диоксана или тетрагидрофурана выделяют Na-соль замещ. I. Аналогично получают I из II и пролина, DL-серина, хлоргидрата цистеина, DL-α-аминоизомасляной к-ты (III), диэтанолamina или β-аланина, а также из крезолового красного и III.

В. Уфимцев

9Л222. Способ получения основных метиновых красителей. Müller Werner, Knop Heinz, Raue Roderich. Verfahren zur Herstellung basischer Methinfarbstoffe. [Farbenfabriken Bayer A.-G.]. Пат. ФРГ 1049994, 23.07.59.—Основные метиновые красители (МК) получают р-цией 7-алкилидоальдегида-3 (который может содержать неионогенные заместители и, кроме того, алкил или арил в положении 2 и у атома N гетероциклич. ядра) с 1,3,3-триалкил-2-метилениндолином, который также может содержать неионогенные заместители, или р-цией соответствующих 7-алкилидолов с 1,3,3-триалкилидолин-2-метиленальдегидами. МК пригодны для крашения хлопковых волокон по танинновой протраве, кожи, ацетатного шелка, полиамидных и полиуретановых волокон и изделий из полиакрилонитрила. 100 ч. 1,3,3-триметил-2-метилениндолин-6-альдегида (I) растворяют в 860 ч. 30%-ной HCl, при размешивании прибавляют 80 ч. 2-метил-7-этилидола, через 16–18 час. отфильтровывают и промывают немного 30%-ной HCl и 20%-ным NaCl 190 ч. краситель, окрашивающего в яркий оранжево-жел. цвет (описано крашение полиакрилонитрильных волокон). 202 ч. I и 22,1 ч. 7-этил-2-фенилидола растворяют в 60 объемах. ч. $\text{O}-\text{C}_6\text{H}_4\text{Cl}_2$ в течение 15 мин. при 85–90° по каплям приливают 10,2 ч. POCl_3 , размешивают 1 час при 95–100°, выливают в 300 ч. воды, отгоняют с водяным паром $\text{O}-\text{C}_6\text{H}_4\text{Cl}_2$, фильтруют, из фильтрата высаливают 18 ч. NaCl краситель, который для очистки растворяют в воде, вновь высаливают NaCl и получают 38 ч. ор. красителя. 24,9 ч. 7-этил-2-фенилидоальдегида-3 (т. пл. 237–238°) и 20,3 ч. 5-метоксис-1,3,3-триметил-2-метилениндолина в 80 объемах. ч. CH_3COOH и 20 объемах. ч. $(\text{CH}_3\text{CO})_2\text{O}$ нагревают до 100°, размешивают 2 часа при этой т-ре, приливают 30 объемн. ч. $(\text{CH}_3\text{CO})_2\text{O}$, размешивают еще 2 часа, приливают 10 объемах. ч. HCl (к-ты), размешивают еще 1 час при 100°, выливают в 400 ч. воды со льдом, высаливают 26 ч. NaCl, отфильтровывают и аналогично очищают желтовато-кр. краситель.

В. Уфимцев

9Л223. Антрахиноновые красители для полиэфирных волокон. Gangneux René, Weinstein Georges, Woerth Louis. Nouveaux colorants anthraquinoniques pour fibres de polyesters. [Cie Française des Matières Colorantes]. Франц. пат. 1489354, 2.10.59.—Конденсацией 4,8-динитро-1,5-диоксидантрахинона (I) с соответствующими ароматич. аминами и последующим восстановлением NO_2 -группы получают



антрахиноновые красители общей ф-лы (II, где R — низший алкил; R' и R'' = H или низший алкил). II пригодны для крашения и печати полиэфирных волокон и выдерживают обработку при нагревании и запарку под давлением. Окраски обладают хорошими прочностями к свету, стирке и возгонке. 3 ч. I, 6 ч. 3-амино-4-метоксис-N,N-диэтилбензосульфамида и 50 ч. безводн. $\text{C}_6\text{H}_5\text{NO}_2$ нагревают 8 час. при 180°, отгоняют р-ритель водяным паром, остаток отфильтровывают, обрабатывают его 50 ч. 10%-ной HCl и отфильтровывают 1,5-диоксис-4-(2'-метоксис-5'-диэтилсульфамидоанилино)-8-нитроантрахинон, сушат в течение 1 часа при 85–95°, вносят в 20 ч. 10%-ного Na_2S , разбавляют во-

дой, отфильтровывают и промывают до нейтр. р-ции 1,5-диоксис-4-(2'-метоксис-5'-диэтилсульфамидоанилино)-8-аминоантрахинон, который диспергируют растворением в конц. H_2SO_4 и осаждают водой (окрашивает полиэфирные волокна в син. цвет). Аналогичный краситель получают из 3-амино-4-метоксис-N-бутилбензосульфамида.

В. Уфимцев

9Л224. Способ получения красителей антрахинонового ряда. Braun Willy, Stein Hans Walther. Verfahren zur Herstellung von Farbstoffen der Anthrachinonreihe. [Badische Anilin- & Soda-Fabrik A.-G.]. Пат. ФРГ 1057265, 29.10.59.—Красители антрахинонового ряда (AK; I антрахинон) производные α-оксисбром-I, получают термич. разложением диазотированных α-аминобром-I, которые могут содержать еще α-окситрупины. АК пригодны для крашения синтетич. полиэфирных волокон и отличаются хорошей красящей способностью, яркостью оттенка и улучшенной светостойкостью. 37 ч. 1-амино-2-бром-I растворяют при 30–35° в 350 ч. 96%-ной H_2SO_4 , вносят при 5–10° в течение 25 мин. 9,8 ч. тонкорастертого NaNO_2 , нагревают 1,5 часа при 160–165°, размешивают 1 час при этой т-ре, охлаждают до 80–90°, прибавляют 25 ч. воды, выливают в 4000 ч. воды, быстро нагревают до кипения и отфильтровывают 35 ч. 1-оксис-2-бром-I, т. пл. 185–190°, окрашивающего в золотисто-жел. цвет. Аналогично получают АК (указаны исходное в-во, условия р-ции, продукт р-ции, т. пл. в °C и цвет окраски): 1-амино-4-оксис-2-бром-I, 3,5 часа при 140–180°, 1,4-диоксис-2-бром-I, 110–113, ор.; 1,4-диамино-6, 2-дибром-I, 4 часа при 120–180°, 1,4-диоксис-6, 2-дибром-I, 230–238, ор.; 1,5-диамино-2-бром-I, 4,25 часа при 120–185°, 1,5-диоксис-2-бром-I, —, —. Исходные α-аминобром-I получают бромированием соответствующих α-амино-I в плаве AlCl₃.

В. Уфимцев

9Л225. Способ получения сернокислого эфира лейкосоединения 1,1',5,1'-триантримид-2,2',6,2''-карбазола. Eckert Wilhelm, Meininger Fritz. Verfahren zur Herstellung von Leukoschwefelsäureestern des 1,1',5,1'-Trianthrimid-2,2',6,2''-carbazols. [Farbwerke Hoechst A.-G. vormals Meister Lucius & Brüning]. Пат. ФРГ 1056760, 29.10.59.—Сернокислый эфир лейкосоединения 1,1',5,1'-триантримид-2,2',6,2''-карбазола (I; II лейкосоединение; III кубовый краситель) получают восстановлением III металлом в р-ре третичного органич. основания и в присутствии растворимой в органич. основании соли или в присутствии алифатич. или ароматич. к-ты или ароматич. оксисоединения, обладающего кислотными свойствами. Полученное II обрабатывают сульфатирующим реагентом, а затем окислителем, действующим в щел. среде. При такой обработке легко происходит превращение III в I, окрашивающий растительные волокна в яркий жел. цвет. В 150 ч. пиридина вносят 10 ч. III и 0,5 ч. LiCl, размешивают при 0° в атмосфере N_2 , прибавляют 9,5 ч. Zn-пыли, через 10 мин. реакционная смесь окрашивается в кр. цвет и восстановление заканчивается, при 0–10° прибавляют продукт присоединения из 35,5 ч. $\text{ClSO}_2\text{OCH}_3$ и 54 ч. $\text{HCON}(\text{CH}_3)_2$ и размешивают ~3 часа при 30°. Массу выливают в 25,2 ч. соды и 9,9 ч. Na_2CrO_4 в 500 ч. воды, размешивают 15 мин. при pH 7–7,5, подщелачивают 10%-ной содой до pH ≥ 8 , отфильтровывают ZnCO_3 , осадок промывают горячим разб. р-ром соды, из фильтрата в вакууме отгоняют пиридин, высаливают KCl, отфильтровывают и промывают р-ром KCl и соды K-соль I, которую смешивают с 2 г патоки и 2 г соды и сушат в вакууме. Приведены аналогичные примеры получения солей I с применением в качестве р-рителя пиридина, $\text{HCON}(\text{CH}_3)_2$ или смеси диметиланилина и дихлорэтана, в качестве восстановителя Zn-пыли или Fe-порошка, в качестве сульфатирующего реагента продуктов присоединения $\text{ClSO}_2\text{OCH}_3$ к диметиланилину, пиридину или $\text{HCON}(\text{CH}_3)_2$ и в качестве окислителя $\text{K}_2\text{Fe}(\text{CN})_6$, Na_2CrO_4 или KMnO_4 .

В. Уфимцев

метилманино)-1", 3", 5"-триазинил-6"-амино]-2'-метокси-
стильбенсульфокислоты-2. М. Козлова

91230. Стабилизация ариламинов. Goldsmith
William F. Stabilization of arylamines. [Union Car-
bide Corp.]. Пат. США 2913495, 17.11.59.—Ариламины
(напр., анилин, фенилендиамин, 1-нафтиламин, наф-
тилендиамин и их алкил-, алкоксил- и галоидза-
мещенные) стабилизируют добавлением к ним 0,01% (по
весу) дикетена или ацетоацетариламида, полученного
р-цией любого ариламмина с дикетеном. Приведены
данные опытов по определению изменения окраски
ариламинов (в ед. шкалы Гарднера) с течением вре-
мени под влиянием света, воздуха или N_2 при хране-
нии в таре из стали, нержавеющей стали, алюминия
или стекла. Е. Рудакова

91231. Способ удаления ртути из растворов антра-
хинон-1-сульфокислоты. Иванова В. А., Попова
Е. В., Гольдфарб М. И., Иванова Н. Г., Ходак
В. А. Авт. св. СССР 129655, 1.07.60.—Предлагается спо-
соб удаления Hg из р-ров 1-сульфоантрахинона (I
антрахинон) в <20%-ной H_2SO_4 с помощью Fe или Cu,
закрывающийся в том, что до начала выделения Hg
в р-р вводят дополнительно I или сохраняют его в
р-ре в кол-ве, близком к весу содержащейся Hg. К
200 мл р-ра 1-сульфо-I, содержащего 110 г Hg-солей,
прибавляют 100—150 г I, нагревают до 60° и при пере-
мешивании вводят стружку или порошок Fe или Cu
в кол-ве, превышающем теоретически необходимое в
1,5—2 раза, и через 20—30 мин. осадок отфильтровы-
вают. М. Козлова

См. также: Новые производные хинонов 91163; хи-
мины цианиновых красителей 9Ж163

СИНТЕТИЧЕСКИЕ И ПРИРОДНЫЕ ЛЕКАРСТВЕННЫЕ ВЕЩЕСТВА, ГАЛЕНОВЫЕ ПРЕПАРАТЫ И ЛЕКАРСТВЕННЫЕ ФОРМЫ

Редакторы Н. А. Медыжовская, М. Я. Старосельская

91232. Разложение неорганических лекарственных
препаратов и условия их хранения. Лун Тянь-хай.
«Хуасюэ тунбао. Huaxue tongbao», 1960, № 5, 22—25
(кит.).—Обзор. Рассмотрено влияние т-ры, света, вла-
ги, O_2 , CO_2 , NH_3 или H_2S , а также каталитич. дей-
ствие некоторых хим. соединений на разложение лекар-
ственных препаратов. Приведены оптим. условия
хранения указанных препаратов. Библ. 4 назв.

А. Зоннтаг
91233. Установление оптимальных параметров
процесса получения глюконата кальция электролитиче-
ским окислением D-глюкозы, а также окислением
хлоратом калия. Biniński Stanislas, Moll Ma-
rie. Etablissement des paramètres optimaux de la pré-
paration du gluconate de calcium par l'oxydation élec-
trolytique du D-glucose, ainsi que par l'oxydation au
moyen du chlorate de potassium. Ann. pharm. franç.,
1960, 18, № 5, 295—308 (франц.).—Библ. 22 назв.

М. С.
91234. Конденсация ацетилсульфанил-N-(фтали)-
амида в твердой фазе. Хуа Чжэнь-шан. «Яосюэ
тунбао, Yaoshue tongbao», 1960, 8, № 6, 317—319
(кит.).—Описан новый способ получения ацетилсуль-
фанил-N-(фтали)-амида (I), обладающего бактерио-
статич. действием без применения р-рителя. 1 кг аце-
тилсульфаниламида ф-лы $n-H_2NC_6H_4SO_2NHCOSCH_3$ и
700 г фталеевого ангидрида конденсируют в закрытом
сосуде при перемешивании и 125—130°, полученный
продукт обрабатывают водой, фильтруют, сушат и по-
лучают 97,7% I, что превышает выход, получаемый

при применении других известных методов. Библ.
7 назв. А. Зоннтаг

91235. Определение содержания морфина в сырье
и концентрате, полученном при его выделении. Schu-
lek E., Burger K. Beiträge zur polarographischen
Bestimmung des Morphingehalts der Rohstoffe und Kon-
zentrate der Morphingewinnung. «Ann. Univ. scient. bu-
dapest. Sec. chim.», 1960, 2, 531—536 (нем.).—Исследо-
валась возможность применения полярографич. мето-
да определения морфина в коробочках мака и кон-
центрате, полученном при упаривании экстракта. На-
лучшие результаты получены при экстракции морфи-
на 0,1 н. HCl в C_3H_7OH . Исследовались степень очист-
ки пробы, необходимая для полярографич. определе-
ния. М. Старосельская

91236. Новый метод метилирования морфина в ко-
деин. Станев Ст., Камедулски В. Нов метод за
метилиране на морфина до кодеин. «Фармация»
(Бълг.), 1960, 10, № 4, 30—35 (болг.; рез. нем.).—Ис-
следовались способы получения кодеина из морфина.
Установлено, что максим. выход (90—92%) получают
при метилировании хлористым триметилфениламмон-
ием. Разработан способ метилирования морфина в
спиртово-толуольной среде при атмосферном давле-
нии. Резюме авторов

91237. О разделении полупродуктов синтеза вита-
мина А методами вакуумной ректификации и молеку-
лярной дистилляции. Малюсов В. А., Умник Н. Н.,
Жаворонков Н. М. «Мед. пром-сть СССР», 1960,
№ 11, 27—33

91238. Экстракция витамина B_{12} , вырабатываемого
пропионовыми бактериями. Budăi M., Sau-
ciuc A. I., Magazin M. Extracția vitaminei B_{12} pro-
dusă de Propioni bacterium. «Rev. chim.» (RPR), 1960,
11, № 8, 488—489 (рум.)

91239. Новый метод получения изопропилиденас-
корбиновой кислоты. Дамански Александра Ф.,
Марин Милан О. Новая метода добијања изопропи-
лиденаскорбинске киселине. «Гласник Хем. друштва»,
1958—1959, 23—24, № 5-6, 271—273 (серб.-хорв.; рез.
франц.).—Метод заключается в извлечении указанной
к-ты из ацетоновых суспензий Ва-соли аскорбиновой
к-ты и других органич. к-т. Определено значение R_f
для изопропилиденаскорбиновой к-ты в системе р-ри-
телей n -бутанол — лед. CH_3COOH — вода (40:10:50),
равное 0,84. А. Вавилова

91240. Влияние некоторых факторов на содержа-
ние пенициллина в промышленных ферменторах: ста-
тистическое исследование. Gondhalekar R. S.,
Phadke R. S. Influence of some factors on penicillin
titres in industrial fermentors: a statistical study. «Hin-
dust. Antibiot. Bull.», 1960, 3, № 1, 11—20 (англ.).—
Библ. 17 назв. А. В.

91241. Количественное изучение влияния ионов
металлов на стабильность хлортетрациклина в водных
растворах. Unterman Wolf H. Studiul cantitativ al
influenței unor ioni metalici asupra stabilității clortetra-
ciclinei în soluții apoase. «Studii și ceretări științ. Acad.
RPR Fil. Iași Chim.», 1959, 10, № 2, 379—384 (рум.; рез.
русс., франц.).—Исследовалась зависимость инактива-
ции водн. р-ров хлортетрациклина ионами Fe^{3+} , Co^{2+} ,
 Ni^{2+} , Cu^{2+} , Mn^{2+} , Ca^{2+} , Ba^{2+} и Mg^{2+} от т-ры и
конц-ции ионов и антибиотика. Степень инактива-
ции увеличивается с повышением т-ры и конц-ции метал-
лов. Инактивация вызывается даже следами ионов.
З. Коваленкова

91242. Фотоколориметрическое определение ду-
бильных веществ в растительных объектах. Бунаков
В. А. «Уч. зап. Пятигорский фармацевт. ин-т», 1959,
4, 133—137.—Предложены новая методика извлечения
дубильных в-в (ДВ) из растительного сырья, требую-
щая ~1 часа (вместо 3—4 час. по существующим
способам) и по полноте извлечения не уступающая
существующим, а также фотоколориметрич. метод

определения ДВ в растительном сырье с $Ti_2(SO_4)_3$. Содержание ДВ в сырье, независимое от их природы, дано в пересчете на танин. Определяемый минимум 4 г ДВ в 1 мл реакционной смеси. Из выводов автора

9Л243. Новый источник получения галеновых препаратов, содержащих алкалоиды группы тропана. Грицаева Е. С., Прозоровский А. С. «Аптеч. дело», 1960, 9, № 5, 6—9 (рез. англ.).—Учитывая недостаточное кол-во сырья для получения галеновых препаратов алкалоидов группы тропана (в основном красавки) получены галеновые препараты из листьев скополии гималайской (*Anisodus luridus* Link et Otto, сем. Solanaceae), в которых содержится 1% тропановых алкалоидов (т. е. в 3 раза больше, чем в листьях красавки). Наиболее целесообразным р-рителем для экстрагирования алкалоидов является 40° спирт. Результаты фармакологич. исследования позволяют предположить, что настойки листьев указанного растения более активны, чем настойки красавки. Настойки на 40 и 70° спирте устойчивы в течение 1 года. Указано на необходимость организации промышленной заготовки листьев скополии гималайской. А. Вавилова

9Л244. Об оценке лекарственных растений, применяемых в народной медицине. Răcz G. Considerații asupra valorificării plantelor întrebuintate în medicina populară. «Farmacia (RPR)», 1960, 8, № 2, 97—104 (рум.).—Обзор. Библ. 54 назв. А. В.

9Л245. К фармакогностическому изучению травы пустыряника пятилопастного (*Leonurus quinquelobatus* Gilib.). Березовская Т. П. «Аптеч. дело», 1960, 9, № 6, 15—19 (рез. англ.).

9Л246. Зонтичные растения, применяемые для приготовления китайских лекарственных препаратов «духо», «яньху» и «байжун» и их составные части. Kimura Koiti, Nata Klyoshi, Yen Kun-yieng, «Якугаку дзасси, Yakugaku zasshi, J. Pharmac. Soc. Japan», 1959, 79, № 11, 1473—1474 (японск.).—Для приготовления указанных лекарств в качестве исходного сырья применяют растущие на о. Тайвань или в провинции Сычуань зонтичные растения *Angelica formosana* Boiss., *A. decursiva* (Mig.) Franch. et Savat, *A. dahurica* (Fisch.) Benth. et Hook. и *Anthriscus nemorosa* (M. v. Bieb.) Sprengel. Проведено извлечение и разделение содержащихся в них активных составных в-в; при этом выделены ангеликаль, остол, остроул, тиглиновая к-та, подакенин, антрицин, пальмитиновая к-та, байк-ангелицин, байк-ангеликол и другие в-ва, строение которых не было установлено. С. Петрова

9Л247. К вопросу оценки качества жидкого экстракта чабреца. Назаров Б. В. «Уч. зап. Пензенский фармацевт. ин-т», 1959, 4, 181—186.—Экспериментально установлено, что качество указанного галенового препарата должно оцениваться не только по второстепенным признакам (уд. вес, плотный остаток, крепость спирта и качеств. р-ции, но и по соответствующему кол-ву в нем эфирного масла и его фенольной фракции (тимол (I) и карвакрол (II)). Разработана методика выделения I и II, а также проведена сравнительная оценка различных методов колич. определения I и II, в результате чего установлено, что наиболее точным и чувствительным является йодометрич. метод. Разработана упрощенная методика йодометрич. определения I и II. Из выводов автора

9Л248. Определение вязкости густых экстрактов методом тангенциально смещаемой пластинки. Колташев Н. Г., Зубкова М. Ф., Марауцева Г. В. «Аптеч. дело», 1960, 9, № 5, 20—22 (рез. англ.).—Методом тангенциального смещения пластинки на приборе Вейлера—Рейндера определена вязкость густых экстрактов полыни, белены, белладонны и валерьяны. Произведен примерный расчет вязкости по ф-ле Ньютона. Определение вязкости экстрактов по указанному методу на ротационном вискозиметре дало совпадающие результаты. Указано, что определе-

ние вязкости методом тангенциально смещаемой пластинки может применяться для измерения реологич. (структурно-механич.) свойств мазевых основ, мазей, пластмасс, густых экстрактов, т. е. пьютоновских жидкостей, пластично-вязких и упруго-прочных тел.

А. Вавилова
9Л249. Устойчивость лейкоантоцианов в галеновых препаратах. Masquelier J., Roux J. Sur la stabilité des leucoanthocyanes dans les médicaments galéniques, «Bull. Soc. pharmac. Bordeaux», 1960, 99, № 2, 65—72 (франц.).

9Л250. Инсулиновые препараты пролонгированного действия, производимые в Чехословакии. Pádr Z., Sieberová R., Krulišová Z., Foit B. Depotní inzulínové preparáty naší výroby. «Českosl. farmac.», 1960, 9, № 8, 416—418 (чешск.).

9Л251. Основные направления в производстве сложных лекарственных форм. Melichar M., Zathurecký L. Současné vývojové tendence aplikacních forem léků. «Českosl. farmac.», 1960, 9, № 9, 471—475 (чешск.).—Обзор.

9Л252. Новый метод получения дистиллированной воды для инъекционных растворов. Trandafilov T., Kolarov N. Despre un nou procedeu de obtinere a apei distilate pentru soluțiile injectabile. «Farmacia (RPR)», 1960, 8, № 3, 225—234 (рум.).

9Л253. Чистка ампул. Termanen J. B. Rensning af ampuller. «Arch. pharmaci og kemi», 1960, 67, № 24, 1155—1174 (датск.; рез. англ.).—Чистка ампул 0,1 н. HCl (к-та) с одновременной обработкой ультразвуком и последующая мойка струей воды полностью очищают внутреннюю поверхность ампул от частиц стекла и пыли. Описаны аппарат и способ мойки ампул. Из резюме автора

9Л254. Трехкомпонентная система гексетон, вода и салицилат. Hüchel Walter, Dietrich Gerhard. Das ternäre System Hexeton, Wasser und Salicylat. «Arch. Pharmazie», 1960, 293/65, № 1, 9—20 (нем.).

9Л255. Применимость измерения электропроводности к определению растворимости смесей лекарственных веществ. Hüchel W., Zinsser F. Inwieweit sind Messungen elektrischer Leitfähigkeiten zur Ermittlung des Lösungs Zustandes von Arzneimittelkombinationen verwendbar? «Arch. Pharmazie», 1960, 293/65, № 7, 673—678 (нем.).

Библ. 8 назв. М. С.

9Л256. Влияние некоторых металлов на устойчивость водных растворов различных лекарственных препаратов. Spálený J. Vliv některých kovů na stabilitu vodných roztoků různých léčiv. «Českosl. farmac.», 1960, 9, № 8, 419—422 (чешск.).

9Л257. Антисептические средства, применяемые в глазных лекарственных препаратах. Лю Чан-чжи. «Яосюэ тунбао, Yaohue tongbao», 1960, 8, № 6, 313—316 (кит.).—Обзор. Рассмотрены физ.-хим. свойства, антибактериальное действие, дозировка и способы введения в состав лекарственных препаратов, рекомендуемых в качестве антисептич. средств,—эфиров *n*-оксибензойной к-ты, фенилэтилового спирта, трет-трихлорбутилового спирта, ацетата фенилтрети, нитрата фенилтрети и др. А. Зонитер

9Л258. К вопросу изготовления жидких лекарств всеобщим способом. Седова К. Д., Люкшенков А. Г. «Аптеч. дело», 1960, 9, № 5, 45—51 (рез. англ.).—Приведены рекомендации по изготовлению в аптеках жидких лекарственных форм указанным способом. Отмечено, что всеобщий способ имеет ряд преимуществ по сравнению с весовым: повышается производительность труда ассистента (средняя затрата времени на изготовление сложного жидкого лекарственного препарата уменьшается в 1,5—2 раза), улучшается качество препаратов, упрощается и ускоряется произ-во анализов и т. д. Приведены примеры изготовления жидких лекарственных форм для внутрен-

него и н
тов необ
нии.

9Л259.
доирова
го дейст
dosieter
in vitro.

(нем.)
9Л260.

ратов да
«Методы
тов». М.

ды полу
тов Cr и
диотерап
тивных
устойчив

9Л261.

железа
N. Méth
reux (A

1960, 15
ботан б
практич
раствору
лодной

ляют 10
бавляют
переме
(980 м

собы ст
сложны
9Л262

экион
зап. Пя
На осно
деления
и проц

весовы
р-ров
товлен
дуть ст
чение

9Л263

розы п
of the
lisation

191—19
разло
щения
важно
calten.

ция, к
при р
кроме
образу

9Л264

Bolt
rin in

(англ.
на (I)
NaOH

ния з
добав
liegt

ных
лиза.

9Л265

метил
ним-о
dic

ного и наружного применения и таблица для расчета необходимого кол-ва в-ва в несообъемном измерении.

9J1259. Исследование *in vitro* процесса разложения дозированных лекарственных форм пролонгированного действия. Münzel K. Die «Zerfallsprüfung» einzel-dosierter oraler Arzneiformen mit verlängerter Wirkung in vitro. «Arch. Pharmazie», 1960, 293/65, № 8, 766—785 (нем.).

9J1260. Методы приготовления коллоидных препаратов для радиотерапии. Серебряков Н. Г. В сб. «Методы получения и измерения радиоакт. препаратов». М., Атомиздат, 1960, 35—42. — Разработаны методы получения радиоактивных коллоидов Au и фосфатов Cr и циркония, применяемых в медицине для радиотерапии. Показано, что для стабилизации радиоактивных колл. систем следует применять желатину, устойчивую к действию облучения. Библ. 8 назв.

9J1261. Упрощенный способ получения хлористого железа (для фармацевтических целей). Kozureff N. Méthode simplifiée de préparation du chlorure ferreux (A l'usage pharmaceutique). «J. pharm. Belg.», 1960, 15, № 1-2, 20—25 (франц.; рез. флам.). — Разработан быстрый и простой способ получения FeCl_2 , практически не содержащего FeCl_3 . 800 г $\text{FeCl}_3 \cdot 6\text{H}_2\text{O}$ растворяют при 50—55° в 100 мл воды, разбавляют холодной водой до 1 л, охлаждают до 20—23°, прибавляют 105 г восстановленного Fe, перемешивают, прибавляют в 2 приема (через 3—5 мин.) 15 мл HCl (к-ты), перемешивают 20 мин. и фильтруют. Полученный р-р (980 мл) содержит 590—600 мл FeCl_2 . Приведены способы стабилизации р-ра и примеры приготовления сложных лекарственных форм. М. Старосельская

9J1262. О некоторых вопросах приготовления инъекционных растворов глюкозы. Кобрин В. А. «Уч. зап. Пятигорский фармацевт. ин-т», 1959, 4, 157—164. — На основе эксперим. данных выведены ф-лы для определения по уд. весу конц-ии безводн. глюкозы в р-ре и процентного содержания влаги в глюкозе. Уточнены весовые соотношения медикамента и р-рителя для р-ров глюкозы в несообъемном выражении для приготовления их весовым методом. Рекомендуют проводить стерилизацию р-ров глюкозы при t 120° в течение 15—20 мин.

9J1263. Исследование разложения раствора декстрозы при стерилизации. Wing W. T. An examination of the decomposition of dextrose solution during sterilization. «J. Pharmacy and Pharmacol.», 1960, 12, Suppl., 191—196 (англ.). — Описан метод определения степени разложения (CP) указанных р-ров измерением поглощения голубого р-ра, получаемого р-цией стерилизованного р-ра декстрозы (I) с реактивом Folin — Ciocalteu. CP зависит от длительности и т-ры стерилизации, конц-ии I и присутствия добавок. CP минимальна при pH 3. Установлено, что при стерилизации р-ров I, кроме 5-оксиметилфурфурола (II) и глюконовой к-ты, образуется еще один продукт разложения I.

9J1264. Об устойчивости аспирина в растворах. Bolton Sanford. A note on the stability of aspirin in solution. «Drug Standards», 1960, 28, № 5, 117—119 (англ.). — Исследование скорости разложения аспирина (I) в присутствии цитрата, фосфата, ацетата и NaOH показало, что при данном pH скорость разложения зависит главным образом от конц-ии и природы добавок. Хотя pH р-ров I в большей степени определяет скорость гидролиза, повышение конц-ии буферных солей лишь слегка увеличивает скорость гидролиза.

9J1265. Об устойчивости водных растворов дийодметилата β -диэтиламиноэтоксигетиллового эфира α -фенил- α -пиперидиноуксусной кислоты. Najer H., Giudicelli R., Duchemin, Mlle. Sur la stabilité des

solutés aqueux du diiodométhylate de l' α -phényl α -piperidino acétate de β -diéthylaminoéthoxyéthyle (L. D. 2480). «Ann. pharm. franç.», 1960, 18, № 5, 320—328 (франц.).

9J1266. Исследование стерильного раствора аминазина. Гнидець І. Р., Михлик Л. Х. Дослідження стерильного розчину аміназину, «Фармацевтичний ж.», 1960, № 4, 14—17 (укр.). — Изучены условия приготовления стерильного р-ра аминазина (I) и проведено его исследование. Определено pH 2%-ного р-ра I до стерилизации и после добавления различных в-в в качестве стабилизаторов. Показано, что pH 2%-ного р-ра I до стерилизации равно 5,43, а после стерилизации при 100° в течение 30 мин. — 6,5. Исследовали влияние на р-р I новокаина, NaCl и глюкозы. При этом обнаружено, что во всех случаях pH р-ра изменяется, а смеси р-ров I с р-рами глюкозы незначительно окрашиваются при хранении. Указанные три в-ва не стабилизируют р-р I. Отмечено, что 2%-ный стерилизованный р-р I при хранении в темноте также не изменяет pH; этот же р-р при хранении на свету приобретает красный, а затем коричневый цвет, что сопровождается резким снижением pH. Добавление таких в-в, как Na_2SO_3 и уротропин, а также стерильных р-ров глюкозы, новокаина и NaCl, не влияют на стабилизацию р-ра I. Из алкалоидных реактивов наиболее характерными реактивами на I считают реактивы Драгендорфа и Фреде.

9J1267. Состав некоторых соединений барбитуратов и сульфамидов с медью и аммиаком. Romijn H. M. De samenstelling van enige koperammoniakbarbitalen en koperammoniaksulfaverbindingen. «Pharmac. weekbl.», 1960, 95, № 24, 798—805 (гол.; рез. англ.). — Приведены метод макромикр. приготовления указанных соединений, а также их анализ. Указано, что большинство этих соединений представляют собой аммиакаты или гидраты. Различия в цвете соединений одних и тех же барбитуратов или сульфамидов вызвано различным числом NH_3 -групп в их молекуле.

9J1268. О приготовлении инъекционных растворов новокаина с пирамидоном и амиталом натрия. Roșu Elena, Micu Ligia, Ban I. Contribuții la prepararea soluției injectabile de novocaină cu piramidon și de amital sodic. «Farmacia» (RPR), 1960, 8, № 4, 329—332 (рум.).

9J1269. Об изменениях в растворах новокаина для инъекций под действием кислорода в присутствии NaHSO_3 . Picher H., Dibern H.-W. Zur Frage der Veränderung von Novocain Rin Injektionslösungen durch Sauerstoffeinwirkung in Gegenwart von Hydrogensulfid. «Arch. Pharmazie», 1960, 293/65, № 4, 383—393 (нем.). — Для проверки высказываний некоторых авторов о недопустимости применения NaHSO_3 в качестве стабилизатора р-ров новокаина (I), ввиду образования в присутствии NaHSO_3 неизвестных или нежелательных при инъекциях соединений, изучено окрашивание при хранении р-ров I, содержащих в качестве стабилизатора NaHSO_3 и возможность хим. изменений, протекающих в таких р-рах под действием O_2 . Исследования показали, что добавление NaHSO_3 в соответствующих конц-иях к р-рам I предотвращает окрашивание р-ров в коричнево-желтый цвет, появляющееся в отсутствие NaHSO_3 . При добавлении больших кол-в NaHSO_3 и при понижении pH р-ров (вызванного окислением NaHSO_3) образуется желтое окрашивание другого характера, обратимое в зависимости от значения pH и не основанное на изменении I под действием O_2 . Исследование хроматографией на бумаге ряда долго хранившихся (5—7 лет) р-ров I, содержащих NaHSO_3 (исходящий способ, смесь Парtridge в качестве р-рителя, проявление различными реагентами) показало присутствие <1% от веса I N'-сульфокислоты I, образующейся под действием O_2 . Продуктов феольного характера не обнаружено ни в долго хра-

нившихся продажных препаратах I, ни в искусств. смесях I и NaHSO_3 , подвергавшихся окислению. Фармакологич. исследование N'-сульфокислоты I на животных показало, что последняя менее токсична, чем I, анестезирующее действие ее значительно ниже I, а присутствие ее в р-рах I не вызывает раздражений при местном применении. Образование N'-сульфокислоты I в таких незначительных кол-вах при хранении р-ров I практически не снижает их активности. Библи. 5 назв. Ю. Вендельштейн

9Л1270. К вопросу о стойкости эргометрина малеата в таблетках и ампулах. Тропп М. Я., Синилова Н. Г., Безрук П. И., Божко Н. Г., Бойко В. Я. «Аптеч. дело», 1960, 9, № 5, 9—13 (рез. англ.).—Малеат эргометрина (I) представляет собой стойкую лекарственную форму. Для получения стойких ампульных р-ров I препарат необходимо готовить на физиологич. р-ре в асептич. условиях, в атмосфере CO_2 . Для качеств. идентификации эргометрина, определения степени чистоты, кол-ва продукта изомеризации следует применять метод хроматографирования на бумаге по Фостеру. Выводы авторов

9Л1271. Влияние структурных изменений на антиокислительную активность соединений серы. Fenesh Giovanna, Iommasini Alessandro, Valenti Giacomo. Effetto di alcune variazioni strutturali sul potere antiossidante di composti solforati. «Gazz. chim. ital.», 1960, 90, № 4, 635—647 (итал.).—Для стабилизации р-ров витамина С испытаны содержащие группировки $\text{C}=\text{S}$, $-\text{SH}$, $-\text{SS}-$ и $-\text{S}-$ антиоксиданты: N-метилтиомочевина (I), N,N,N',N' -тетраметилтиомочевина, N-толилтиомочевина, N-нафтилтиомочевина, $\text{H}_2\text{NNHCSNHCCH}_3$, $\text{CS}(\text{NHNHC}_6\text{H}_5)_2$, $\text{C}_6\text{H}_5\text{NHNHCSN}=\text{NC}_6\text{H}_5$, $\text{H}_2\text{NCSNHCNHNH}_2$, $\text{H}_2\text{NCSNHCNHNH}_2$, N,N' -диметилденттиомочевина, циклич. тиоуред малоновой к-ты, Δ^4 -тетрагидропириимидин-2-он-6, CH_3COSH , $\text{C}_6\text{H}_5\text{CO-SH}$, $(\text{CH}_3)_2\text{CCH}_2\text{SH}$, $\text{HOOCCH}_2\text{CH}(\text{SH})\text{COOH}$, $\text{C}_6\text{H}_5\text{CH}(\text{SH})\text{COOH}$, $\text{H}_2\text{C}=\text{CHCH}_2\text{SH}$, 3,4-(HS)- $\text{C}_6\text{H}_3\text{CH}_3$, 2-HSC $_6\text{H}_4$ - COOH , α -меркаптофуран, $(\text{HOOCCH}_2\text{S})_2$, $(\text{C}_6\text{H}_5\text{CH}_2\text{S})_2$, $(\text{C}_6\text{H}_5\text{S})_2$, $(\text{HOOCCH}_2\text{S})_2$, $(\text{C}_6\text{H}_5\text{COS})_2$, $(\text{CH}_3=\text{CHCH}_2\text{S})_2$ и $(\text{CH}_3\text{CH}=\text{CHS})_2$. Опыты проведены с 0,4%-ными водн. р-рами витамина С при конц-ии антиоксиданта 0,0008% в темноте при 20—25° и на рассеянном свете при 20—25° и 60°. Наиболее активными оказываются соединения, содержащие группировку $\text{C}=\text{S}$ (среди них самый активный I), менее активны последовательно SH, SS и S. Активность связывается со склонностью к образованию свободных радикалов типа R-S.

В. Беликов
9Л1272. Статистическое исследование фармацевтических суспензий. I. Способность диспергироваться нерастворимых или труднорастворимых порошков лекарственных веществ. Z á č e k H. Statistische Untersuchungen über pharmazeutische Suspensionen. I. «Pharmazie», 1960, 15, № 7, 361—371 (нем.).—Исследована способность диспергироваться (СД) в воде, 1%-ном водн. р-ре твина 80 и в 95%-ном спирте порошков ZnO , талька, основных карбоната, галлата, нитрата и салицилата Bi , основного карбоната Mg , белой глины, осажденного CaCO_3 , осажденной S, амидохлорида Hg , желтой окиси Hg , пшеничного крахмала, сульфата амидина, сульфамидина, сульфатуанидина, сульфаниламида и сульфатаизола. СД определяют нанесением на натянутую гидрофильную марлю с 81 ± 2 квадратных отверстий в 1 см^2 равномерного слоя точно 1 г высушенного до постоянного веса порошка испытуемого в-ва, на который равномерно в течение 10 мин. спускают из бюретки 25 мл диспергирующей жидкости. Марлю с непрошедшим через нее под действием каплюющей жидкости остатком сушат до постоянного веса. Отношением диспергированной части порошка к исходной навеске его, помноженным на 100, характеризуют СД. Подробно описаны методика и статистич. способ оценки СД. Приведенные результаты показы-

вают различную СД указанных выше в-в и неодинаковую СД каждого из этих в-в в различных жидких средах. Предложено теоретич. объяснение этого явления. Библи. 33 назв. Ю. Вендельштейн

9Л1273. Эмульгирующие свойства гуммиарабика. Shotton E., Wibberley K. The emulsifying properties of gum acacia. «J. Pharmacy and Pharmacol.», 1960, 12, Suppl., 105—107 (англ.).—Определено кол-во арабата K, требуемое для стабилизации эмульсий углеводородного масла известного объема, и установлены размеры образующейся межповерхностной пленки. Гуммиарабик, остающийся в промытой эмульсии, крепко удерживается маслом. А. Вавилова

9Л1274. О гидрофильно-липофильном балансе трагаканта. Guess Wallace L. Note on the hydrophilic-lipophile balance of tragacanth. «J. Amer. Pharm. Assoc. Sci. Ed.», 1960, 49, № 11, 736 (англ.).—Установлено, что среднее значение гидрофильно-липофильного баланса трагаканта равно 11,92, что хорошо согласуется с приведенными в литературе данными (13—13,5). А. В.

9Л1275. Экспоненциальная зависимость для процесса разрушения эмульсий. Menczel E., Rabinovitz M., Madjar A. Exponential de-emulsification and stability of pharmaceutical emulsions. «Amer. J. Pharmacy», 1960, 132, № 9, 315—324 (англ.).—Описан колориметрич. метод определения скорости разрушения эмульсий, которая, как установлено, подчиняется экспоненциальной зависимости. Такое выражение устойчивости фармацевтич. эмульсий делает возможным сравнение различных эмульсионных систем. Библи. 19 назв. А. Вавилова

9Л1276. Окисление масел, содержащих животные и растительные жиры, и их стабилизация с помощью антиокислителей. Z a t h u r e c k ý I., S o m o s k e o y G. Oxydačné zmeny masťových základov obsahujúcich živočišne a rastlinné tuky a ich ochrana pred žltnutím antioxidantmi. «Českosl. farm.», 1960, 9, № 10, 526—531 (словац.).—Библи. 36 назв. А. В.

9Л1277. Анализ ртутных масел в безводной среде. Stachel H.-D. Gehaltsbestimmung von Präipitatsalbe in wasserfreiem Medium. «Arch. Pharmazie», 1960, 293/65, № 9, 871—878 (нем.).

9Л1278. Масла, содержащие антибиотики и стероиды. Higuchi Kentarō, Uematsu Kazuo. «J. Antibiotics», 1959, B12, № 4, 310 (японск.).—Краткие указания о применении антибиотиков и стероидов для приготовления масел. С. Петрова

9Л1279. Получение фармакопейной мази Unguentum Hydrocortisoni acetylati с малым размером частиц. Boymond P. Unguentum Hydrocortisoni acetylati (Comment préparer en officine une pommade d'une très grande finesse de grain). «Schweiz. Apoth.-Ztg.», 1960, 98, № 29, 561—563 (франц.).—Для получения однородной мази нерастворимой в мазовых основах ацетат гидрокортизона (I) растворяют в летучем р-рителе, напр., смеси CH_2Cl_2 + абс. спирт (3:1), тщательно растирают и, после удаления р-рителя, смешивают с мазовой основой. Размер частиц I 2—40 мк. Л. Стекольников

9Л1280. Прочность прессованных таблеток. Часть I. Измерение прочности таблеток и ее связь с силой сжатия. Часть II. Связывание гранул при прессовании. Shotton E., Ganderton D. The strength of compressed tablets. Part I. The measurement of tablet strength and its relation to compression forces. Part II. The bonding of granules during compression. «J. Pharmacy and Pharmacol.», 1960, 12, Suppl., 87—96 (англ.).—I. Спроектирован аппарат для измерения сопротивления разрушению прессованных таблеток из NaCl . Исследована связь между силой сжатия и прочностью таблеток. II. На примере прессования таблеток из сахарозы с окрашенной поверхностью гранул исследована дефор-

мация гра. По характ. рующую Библи. 8 назв. 9Л1281. Erling G. jagtighe 1219—1237 методов о казано, что водонепр

9Л1282. mical ster 12, Suppl. 9Л1283.

нагретых F. G., Ro tions heat col., 1966 быстрое о

лизации и лодной во время каиного дейи методу с

с охлажд. ро охлаж. делает б. разрыв б. явет его 9Л1284.

цетическ. piego del ceutico. (итал.) 9Л1285.

нов Ag (Varco toare la godinami (рум.) 9Л1286.

Cook A. Pharmaco рены пр. не актив. а также на класс. мененую 9Л1287.

Точность in der pl 1960, 98, 9Л1288.

тической rol in 1960, 13, 9Л1289.

Roche Säuren. Разрабо. лых бар. дов и р. формам. целочи.

9Л1290. ции нек. gen H. uwe ora 345—350 9Л1291.

следова

мация гранул в зависимости от давления прессования. По характеру излома таблеток определяют структурирующую роль гранул при исследованных давлениях. Библ. 8 назв. А. Вавилова

91281. Точность дозирования таблеток. Sørensen Erling, Jensen Poul Th. *Tabletters doseringsnøjagtighed*. «Arch. pharmaci og chemi», 1960, 67, № 25, 1219—1237 (датск.; рез. англ.).—Сравнены несколько методов определения точности дозирования таблеток. Показано, что применение графич. методов облегчает повседневный производственный контроль. Библ. 14 назв. А. В.

91282. Химическая стерилизация. Davis J. G. *Chemical sterilization*. «J. Pharmacy and Pharmacol.», 1960, 12, Suppl., 29—39. Discuss., 39—40 (англ.)

91283. Сокращение цикла стерилизации растворов, нагретых в автоклаве. Wilkinson G. R., Peacock F. G., Robins E. L. A shorter sterilising cycle for solutions heated in an autoclave. «J. Pharmacy and Pharmacol.», 1960, 12, Suppl., 197—202 (англ.).—Исследовано быстрое охлаждение бутылок с жидкостью после стерилизации паром. Установлено, что крупные брызги холодной воды вызывают растрескивание бутылок, в то время как тонкораспыленная вода не оказывает подобного действия. Времени охлаждения по предложенному методу сравнивают с обычным циклом охлаждения и с охлаждением воздухом в камере. Указано, что быстрое охлаждение бутылок со стерилизуемой жидкостью делает безопасным процесс охлаждения (исключает разрыв бутылок), улучшает качество продукта и снижает его стоимость. А. Вавилова

91284. Применение радиостерилизации в фармацевтической промышленности. Baruffini A. *Sull'impiego della radiosterilizzazione in campo tecnico farmaceutico*. «Farmaco. Ed. prat.», 1960, 15, № 11, 685—689 (итал.)

91285. Исследование стерилизующего действия ионов Ag (олигодинамический эффект). Firsirotu Z., Varcovici H., Rosetti Matilda. Cercetări privitoare la acțiunea sterilizantă a ionilor de Ag. (Efect oligodinamic). «Farmacia (RPR)», 1960, 8, № 2, 133—143 (рум.)

91286. Фенольные дезинфицирующие вещества. Cook A. M. *Phenolic disinfectants*. «J. Pharmacy and Pharmacol.», 1960, 12, Suppl., 19—28 (англ.).—Рассмотрены принцип действия, оценка, факторы, влияющие на активность указанных дезинфицирующих в-в (ДВ), а также активность фенольных ДВ в мылах. Приведена классификация ДВ и даны рекомендации по их применению. Библ. 38 назв. А. Вавилова

91287. Новые направления в анализе фармацевтических препаратов. Schulek F. *Neuere Richtungen in der pharmazeutischen Analyse*. «Schweiz. Apoth.-Ztg.», 1960, 98, № 32, 595—604 (нем.)

91288. Контроль качества препаратов в фармацевтической промышленности. Easton A. J. *Quality control in the pharmaceutical industry*. «Chem. Process», 1960, 13, № 10, 30—31, 33—35 (англ.)

91289. Титрование слабых кислот. Mutschler E., Rochelmeyer H. *Beiträge zur Titration schwacher Säuren*. «Pharmazie», 1960, 15, № 11, 582—585 (нем.).—Разработан метод титриметрич. определения производных барбитуровой к-ты, сульфамидов, солей алкалоидов и р-ров алколоватов. В-во растворяют в диметилформамиде и титруют водн. или водно-спирт. р-ром щелочи. Приведены таблицы и графики. М. Старосельская

91290. Реакции для микрохимической идентификации некоторых пероральных диуретиков. Groenewegen H. *Microchemische identiteitsreacties op enkele nieuwe orale diuretica*. «Pharmac. weekbl.», 1960, 95, № 11, 345—350 (голл.)

91291. К пламенно-фотометрическому методу исследования основных компонентов лекарственных пре-

паратов. Pungor E., Király E. *Beiträge zur flammenphotometrischen Untersuchung von pharmazeutischen Grundstoffen*. «Arch. Pharmazie», 1960, 293/65, № 5, 494—501 (нем.).—Обзор. Библ. 10 назв. М. С.

91292. Анализ неочищенных лекарственных препаратов методом ИК-спектроскопии. I. Анализ лекарственных препаратов, содержащих аниол. Fujita Mititi, Nagasawa Motoo. «Якугаку засси, Yakugaku zasshi, J. Pharmac. Soc. Japan», 1960, 80, № 5, 598—603 (японск.; рез. англ.)

91293. Определение алюминия в лекарственных препаратах. Kovách Anna, Vastagh Gábor. *Bestimmung von Aluminium in Arzneipräparaten*. «Pharmaz. Zentralhalle», 1960, 99, № 10, 595—601 (нем.).—Разработан новый комплексометрич. способ определения Al с применением пиридиназорезорцина в качестве индикатора. Р-р, в котором Al находится в виде $Al_2(SO_4)_3$ или $AlCl_3$, доводят до pH 4,8 ацетатным буферным р-ром, прибавляют избыток 0,05 M этилендиаминтетрауксусной к-ты (I), кипятят 3—4 мин. и избыток I оттитровывают из горячего р-ра р-ром $CuSO_4$ в присутствии указанного индикатора. Для определения Al в таблетках или мазях их предварительно кипятят с H_2SO_4 и р-р титруют. Присутствие винной и борной к-т не мешает определению. М. Старосельская

91294. Количественное определение пептона в медикаментах. Mesnard Pierre, Devaux Guy. *Sur le dosage de la peptone dans les médicaments*. «Bull. Soc. pharmac. Bordeaux», 1960, 99, № 2, 73—76 (франц.).—Определение пептона (II) в различных лекарственных формах (драже, инъекционные р-ры, гранулы) основано на цветной р-ции с фосфосульфомолибденовым реактивом Folin и Ciocalteu, полученным растворением 100 г Na_2WO_4 и 25 г молибдата Na в 700 мл воды, добавлением 50 мл 85%-ной H_3PO_4 и 100 мл конц. HCl . Смесь кипятят 10 час., охлаждают, добавляют 150 г Li_2SO_4 и несколько капель бромной воды, кипятят 15 мин. охлаждают и фильтруют. Для определения берут 1 мл р-ра II, содержащего 1—3 мг/мл, 7,5 мл воды, 0,5 мл $NaOH$ и 1 мл реактива. Р-р определяют фотоколориметрически приблизительно через 30 мин. при 580 мμ. Л. Стекольников

91295. Колориметрический метод определения некоторых сульфаниламидных препаратов. Афанасьев Б. Н., Кружевникова А. И. «Тр. Свердл. с.-х. ин-та», 1960, 7, 357—361.—Навеску препарата растворяют в воде или слабом р-ре KOH , прибавляют 10%-ный водн. р-р хлорамина Т или Б и колориметрируют полученный желтый (до оранжевого) р-р на колориметре Дюбоска. Разработаны методики колориметрич. определения растворимых и нерастворимых норсульфазола и стрептоцида, сульфацила и дисульфамида. Метод прост и достаточно точен. А. Вавилова

91296. Кулонометрическое микроопределение мышьяка и сурьмы в органических соединениях. Применение к анализу медикаментов. Patriarche G. *Microdosage coulométrique de l'arsenic et de l'antimoine dans leurs composés organiques — applications au contrôle des médicaments*. «J. pharmac. Belg.», 1960, 15, № 9—10, 327—343 (франц.; рез. флам.).—Указанное определение проводили после минерализации препаратов HCl (к-той). Библ. 18 назв. А. В.

91297. Новый колориметрический метод количественного определения хлоралгидрата. Archer A. W., Haugas E. A. *A new colorimetric method for the determination of chloral hydrate*. «J. Pharmacy and Pharmacol.», 1960, 12, № 12, 754—760 (англ.).—Метод основан на образовании устойчивого голубого цианинового красителя при взаимодействии хлоралгидрата (I) с йодэтилатом хианальдина. $CHCl_3$, CCl_3COOH и $HCOOH$ в тех же условиях не дают окрашивания. Интенсивность окраски р-ра подчиняется закону Ламберта — Бера до конц-ии I 100 γ/100 мл реакционной смеси. Метод при-

менем для определения I в присутствии продуктов его разложения. Библ. 28 назв.

91298. Определение примесей бензола и толуола в медицинском бензине. Zöllner Gyuláné, Vastagh Gábor. Benzol és toluol meghatározása gyógyászati benzínben. «Acta pharm. hung.», 1960, 30, № 2, 58—67 (венг.; рез. нем.).—В связи с неточностью фармакопейного метода разработан спектрофотометрич. метод, основанный на абсорбции УФ-света. Метод позволяет определить примеси в кол-ве 0,17—8,05%. Для определения необходимо применение монохроматич. луча.

91299. Определение чистоты ундециленовой кислоты хроматографией на бумаге. Klinkhammer F. Zur papierchromatographischen Reinheitsprüfung der Undecylensäure. «Pharmazie», 1960, 15, № 7, 390—393 (нем.).—Для качеств. определения ундециленовой к-ты (I), обладающей фунгицидными и бактерицидными свойствами, использован с некоторыми изменениями способ хроматографии на бумаге по Матясу. Исследование оптимальных условий идентификации I показало, что в качестве р-рителя следует применять смесь *n*-бутанола и аммиака 3:1, а для идентификации энантиола (II) — смесь *n*-бутанола и лед. CH_3COOH 3:1. Исследованы различные способы проявления хроматограмм, из них предложены наиболее совершенные: обрызгивание высушенной при 20° хроматограммы сначала 0,5%-ным водн. р-ром KMnO_4 , затем без высушивания 1%-ным водн. р-ром K_2CrO_4 ; после высушивания образуются устойчивые томно-коричневые полосы I на светло-коричневом фоне (R_f I 0,73). Другой способ — легкое обрызгивание хроматограммы р-ром 0,14 г FeCl_3 в 100 мл дистил. воды и тотчас 1%-ным водн. р-ром $\text{K}_4\text{Fe}(\text{CN})_6$; образуются белые полосы I на интенсивно синем фоне турбулентной сини (R_f I 0,75). Последнюю р-цию дают также себадиновой к-та (R_f 0,18), кронограмм, эрукон, ридиолеиновая и олеиновая к-ты. Предел чувствительности для этих к-т и I ~ 10 μ . Для идентификации II и альдегидов проявляют свежеприготовленным р-ром, который получают растворением 20 мг фуксина в воде, прибавлением NaHSO_3 до полного обесцвечивания, фильтрованием и подкислением фильтрата несколькими каплями разб. HCl . Альдегиды дают синие-красные полосы на светло-розовом фоне (R_f II 0,95). Хроматографирование и высушивание проводят при 20°. Описанным способом исследованы 3 образца техник. I, причем во всех образцах идентифицированы I и примеси II. Кроме того, в одном из образцов обнаружена примесь себадиновой к-ты, а в другом — альдегида с R_f 0,60. Тем же способом исследованы р-р, пудра, мазь и мыло препарата «Бензодерм», содержащего I (в случае пудры, мази и мыла последние экстрагируют теплым петр. эфиром, фильтруют и наносят экстракт на бумагу); во всех лекарственных видах «бензодерма» обнаружена I. Сравнением ширины полос I со стандартными хроматограммами получают полуколич. оценку содержания I в препаратах. Ю. В.

91300. Качественное и количественное определение теофиллина в присутствии глюкозы и салицилата натрия методом хроматографии на бумаге. Pora M., Sterescu M. Identificarea și dozarea teofilinei în prezența glucozei și a salicilatului de sodiu, prin cromatografie pe hirtie. «Rev. chim.» (RPR), 1960, 11, № 7, 420 (рум.).—Определение проводилось методом нисходящей хроматографии в системе бутиловый спирт — вода (30:15) на ватманской бумаге № 1. После разделения теофиллин (R_f 0,16) и салицилат Na (R_f 0,6) могут быть определены в УФ-свете. Колич. определение проводилось измерением поверхности пятен теофиллина испытуемого образца и эталона, которые были пропорциональны конц-ии.

91301. Определение пирамидона в безводной среде. Vasilev R., Scintee V., Chialda I. Dozarea piramidonului în mediu neapros. «Rev. chim. (RPR)», 1960,

11, № 6, 347 (рум.).—К р-ру 0,30—0,40 г пирамидона в 20 мл CHCl_3 добавляют 3—4 капли 0,1%-ного р-ра метилового красного в CHCl_3 и титруют 0,1 н. HClO_4 в диоксане. Результаты приведены в таблице. Точность метода проверялась потенциометрически. Предлагаемый метод может применяться для определения пирамидона в препарате и в смесях, содержащих соли алкалоидов и барбитураты.

91302. Определение аналгина ванадометрическим методом. Носенкова Н. Г. «Тр. Свердл. с.-х. ин-та», 1960, 7, 369—370.—К 5 мл р-ра аналгина (I) доливают 19,5 мл р-ра H_2SO_4 (1:1) и 20 мл 0,02 н. р-ра V^{5+} ; через 10 мин. добавляют 3 капли 0,2%-ного р-ра фенилантравиловой к-ты и титруют 0,02 н. р-ром соли Мора до резкого изменения окраски индикатора. Окислительный эквивалент (число экв V^{5+} на 1 ммоль I) равен 4,4. Расход окислителя не изменяется в течение 20—30 мин. 1 мл 0,02 н. р-ра V^{5+} соответствует 0,0016084 г I. Приведена ф-ла расчета содержания I.

91303. К вопросу об испытании на чистоту лекарственного препарата антифебрина. Беликов В. Г. «Уч. зап. Пятигорский фармацевт. ин-та», 1959, 4, 121—123.—Разработан новый метод открытия аналгина в антифебрине, основанный на цветной р-ции аналгина с облученным УФ-лучами водн. р-ром нитропруссида Na. Предложенным методом определяют 0,01% примеси аналгина в антифебрине.

91304. Определение неостигмина в фармацевтических препаратах. Biffoli Roberto. Determinazione della neostigmina in preparati farmaceutici. «Boll. lab. chim. provinc.», 1959, 10, № 4, 375—379 (итал.; рез. франц., англ., нем.).—Описан способ определения неостигмина (I) непосредственной спектрофотометрией в УФ-части спектра, по величине оптич. плотности при 260 м μ ; приведена кривая поглощения и калибровочная кривая для вычисления содержания I. Метод позволяет проводить определение на малых кол-вах препарата. Библ. 8 назв.

91305. Количественное определение бутадiona. Генгринович А. И., Сердешнев А. В. «Аптеч. дело», 1960, 9, № 5, 13—15 (рез. англ.).—Предложен ацидиметрич. метод колич. определения бутадiona (I) в среде ацетона. Разработан йодхлорометрич. метод колич. определения I прямым титрованием Na-соли I, 0,1 н. солянокислым р-ром JCl в присутствии NaHCO_3 и р-ра крахмала. Не уступаая по точности ацидиметрическому, этот метод более прост по технике выполнения, чем бромометрический.

91306. Новый метод фотометрического определения дифениламина в фентиазине. Pelloni V., Sterescu M. O nouă dozare fotometrică a difenilaminei din fenotiazină. «Rev. chim. (RPR)», 1960, 11, № 6, 346 (рум.).—0,1 г неочищ. фентиазина растворяют в 100 мл водн. CH_3OH (1:4), центрифугируют и фильтруют. Кол-во р-ра, соответствующее 25—100 μ дифениламина, доводят до 2 мл водн. CH_3OH , добавляют 2 мл 10 н. H_2SO_4 и 6 капель H_2O_2 и через 20 мин. фотометрируют в трубке длиной 1 см. Контрольный р-р готовят растворением 0,09 г чистого фентиазина и 0,01 г дифениламина в 100 мл водн. CH_3OH . Точность метода $\pm 5\%$.

91307. Идентификация некоторых применяемых в терапии производных фентиазина при помощи 4,4'-дихлордифенилдисульфидиде натрия. Bogs U., Heim H. Zur Charakterisierung einiger therapeutisch verwendbarer Phenothiazin-Derivate mit Hilfe von 4,4'-Dichlorphenyldisulfimid — Natrium. «Pharmaz. — Zentralhalle», 1960, 99, № 10, 617—619 (нем.).—С целью идентификации некоторых производных фентиазина (I (фентиазин)) получены их дисульфимиды (ДС) и определены их т-ры плавления. Установлено, что т-ры плавления ДС различных производных I значительно больше отличаются друг от друга, чем т-ры плавления соответ-

ствующих. деления левых 91308. ния суль ду dosag sci. et let Метод ос ния до К 2,5 мл пои HCl NaNO_2 , ч (рН 6—7 ки р-ра) няется в 0,01 мг I 1 моль. 91309. пидрата dhi S. B hydroch 140—141 определе говых п мерении 20 μ /мл 0,95 и 0, ных р-р модель р-рителя течение разпа хл I. На ол леток, к ляют, п гревани I экстра бавляют их разв емок. У сущств лина. 91310. ческого ние фи Ана а метrică buții la (RPR), 91311. цина, п ции с «Уч. за 120.—Р делении таблети делении 75 μ , ц ной см 91312. на. Ба цвет. л основ рованн зотирп сочетат азокра симость подчин прост, реакти делени ден для сырье. 25 Хм

ствующих пикратов. Метод рекомендуется для определения производных I в различных, в том числе и галеновых препаратах. Приведены таблицы. М. С.

9Л308. Простой метод количественного определения сульфатазиолола. Wójcik Z. Une simple méthode du dosage quantitatif du sulfathiazol. «Bull. Soc. amis sci. et letters Poznan», 1960, С, № 9, 59—64 (франц.).— Метод основан на нейтрации р-ра после диазотирования до получения оранжевой окраски (рН 6—7). К 2,5 мл р-ра сульфатазиолола (I) добавляют 0,5 мл 3%-ной HCl и 1 мл свежеприготовленного 0,1%-ного р-ра NaNO₂, через 5 мин. добавляют 2 мл 1%-ного NaOH (рН 6—7) и через 1 час (максим. интенсивность окраски р-ра) р-р фотоколориметрируют. Окраска сохраняется в течение 24 час. Метод позволяет определить 0,01 мг I и применим также для определения I в крови и моче. Л. Стекольников

9Л309. Спектрофотометрическое определение хлоргидрата эфедрина. Shah R. C., Raman P. V., Gandhi S. B. Spectrophotometric determination of ephedrine hydrochloride. «Indian J. Pharmacy», 1960, 22, № 6, 140—141 (англ.).—Описан спектрофотометрич. метод определения хлоргидрата эфедрина (I) и анализа торговых препаратов, содержащих I, основанный на измерении экстинкции р-ров, содержащих 5, 10, 15 и 20 γ/мл I при 297 мμ в перенесенной воде и в 0,01, 0,02, 0,05 и 0,1 н. HCl (к-та). Оптич. плотность (ОП) указанных р-ров определяют спектрофотометром Бекмана, модель G 2400. При применении 0,1 н. HCl в качестве р-рителя ОП всех р-ров приблизительно одинакова в течение 2 час. и отвечает закону Бера; ОП чистого образца хлоргидрата псевдоэфедрина одинакова с ОП для I. На определение не влияют такие наполнители таблеток, как крахмал и лактоза; ОП эликсира I определяют, предварительно удалив спирт и хлороформ, нагреванием на водяной бане; при определении ОП мази I экстрагируют 0,1 н. HCl при ~60°, охлаждают, разбавляют и фильтруют. Для анализа капле для носа их разбавляют 0,1 н. HCl. Метод точен и нетрудоем. Указанным методом нельзя определять I в присутствии фенobarбитона, теofilлина или аминифиллина. В. Ингерман

9Л310. Комплексометрическое определение органического фосфора в фитине. Сообщение I. Исследование фитината висмута. Vasiliev R., Scintee V., Anastoesescu Gr., Fruchter J. Dozarea complexometrică a fosforului organic din fitină. Nota I. Contribuții la studiul fitinului de bismut. «Rev. chim.» (RPR), 1960, 11, № 7, 421 (рум.).

9Л311. Фотоколориметрическое определение тропандина, промедола и пахикарпина на основании их реакции с эозином. Бернштейн В. Н., Чуйко И. В. «Уч. зап. Пятигорский фармацевт. ин-т», 1959, 4, 117—120.—Разработаны методики колич. фотометрич. определения указанных препаратов в р-рах, порошках и таблетках на основе их р-ций с эозином. Ошибка определения 3—6%. Открываемый минимум для тропандина 75 γ, промедола и пахикарпина 50 γ в 1 мл реакционной смеси. Из выводов авторов

9Л312. Фотоколориметрическое определение рутина. Бандюкова В. А. «Уч. зап. Пятигорский фармацевт. ин-т», 1959, 4, 124—126.—Указанное определение основано на р-ции азосочетания рутина (I) с диазотированным новокаином (последний легко и быстро диазотируется, давая бесцветное диазосоединение, легко сочетающееся с I в щел. среде). Полученная окраска азокрасителя (оранжево-красная или красная в зависимости от конц-ии I), устойчива в течение 20 мин. и подчиняется закону Ламберта — Бера. Метод очень прост, требует затраты малых кол-в, легко доступных реактивов и ≤ 15—20 мин. для 2 параллельных определений; открываемый минимум 2,4 γ I. Метод пригоден для определения I в таблетках и растительном сырье. А. Вавилова

9Л313. Количественный и качественный колориметрический метод анализа оротовой кислоты. Banchi C., Lomuto E. Analisi colorimetrica qualitativa e quantitativa dell'acido orotico. «Farmaco. Ed. prat.», 1960, 15, № 10, 606—616 (итал.; рез. англ.).—Для качества определения рекомендуют цветные р-ции оротовой к-ты (I) с диацетилдиоксидом и тиосемикарбазидом, с резорцином, мурексидом или аллоксаном; для колич. определения — р-цию Folin — Ciocalteu и с фосфорновольфрамовой к-той, причем последняя, являясь более чувствительной и быстрой, применена для анализа большого числа фармацевтич. препаратов. Все указанные р-ции проводятся после окисления I. С FeCl₃ р-р I приобретает красную окраску, интенсивность которой зависит от конц-ии I. Из резюме авторов

9Л314. Определение показателя преломления растворов как дополнительной константы для характеристики веществ при термомикроскопическом анализе по Кофлеру. Wasicky Richard, Wasicky Robert. Die Bestimmung der Brechungswinkel von Lösungen als weiteren Konstanten der bei der thermomikroskopischen Analyse nach Koffler zu charakterisierenden Substanzen. «Pharmazie», 1960, 15, № 11, 579—581 (нем.).—Для более полной характеристики ряда лекарственных препаратов предложено к результатам исследования по Кофлеру добавлять величину показателя преломления, определенного рефрактометром Аббе. В качестве р-рителя применяют воду и пропиленгликоль. Определение проводится на 5—40%-ных р-рах. Приведены таблицы результатов определения. М. Старосельская

9Л315. Простой микрометод для определения процентного содержания водных растворов. Fischer R., Pinter E., Auer H. Eine einfache Mikromethode zur quantitativen Bestimmung des Prozentgehaltes wässriger Lösungen. «Pharmaz. Zentralhalle», 1960, 99, № 6, 299—312 (нем.).—Предложено колич. определение процентного содержания водн. р-ров и бинарных смесей жидкостей с помощью критич. т-ры смещения (КТС). Испытуемым р-ром вместе с соответствующей жидкостью для определения КТС заполняют без отвешивания капилляр (кол-во в-ва для анализа 1—3 мг), закрывают, нагревают на столике Кофлера до исчезновения мениска между двумя жидкостями и строят градуировочную кривую: ордината — КТС, абсцисса — процентная конц-ия р-ра; градуировочной кривой пользуются при определении конц-ии соответствующего р-ра. Приведен ряд таблиц: список жидкостей для определения КТС с их физ. характеристиками, указания подбора жидкостей для данного р-ра и значений КТС для р-ров 60 в-в в зависимости от их конц-ий с указанием изменения конц-ии р-ра в % при изменении КТС на 1° (чувствительность). Более подробные данные приведены для смесей CH₃OH-вода, спирт-вода, уксусный ангидрид-лед, CH₃COOH, ацетон-вода, изопропанол-вода и лед, CH₃COOH-вода. Продолжительность определения 15 мин. Кроме указанных выше р-ров, определено процентное содержание в-в в водн. р-рах CH₂O, HCOOH, многоатомных фенолов, местноанестезирующих в-в в различных солей, применяемых в фармацевтич. практике и значащихся в фармакопоях. Библ. 10 назв.

Ю. Вендельштейн

9Л316. Определение фенацетина в таблетках. Wirth Carlos Martin P. Détermination de la phénacétine dans les comprimés. «Pharmac. acta helv.», 1960, 35, № 11, 575—577 (франц.; рез. нем., итал., англ.).—Предложен колориметрич. метод определения фенацетина (I) в таблетках I, аспирина и кофеина, позволяющий исключить длительную экстракцию и применение больших кол-в р-рителей. Способ может применяться вместо метода Degner и Johnson, модифицированного Wirth. Результаты точны, воспроизводимы, время определения ~1 часа. Из резюме автора

9Л317. Применение полярографии с переменным током для определения люминала в дозированных ле-

каретвенных формах. Lordi N. G., Cohen E. M., Taylor B. L. The application of alternating current polarography in the determination of phenobarbital in dosage forms. «J. Amer. Pharm. Assoc. Scient. Ed.», 1960, 49, № 6, 371—375 (англ.).—Определение проводят на усовершенствованном полярографе Sargent модель XXI. Метод основан на разбавлении образца с последующим сравнением длины полярографич. волны со стандартом. Анализ проводят в боратном буферном р-ре (рН 8), содержащем 1 моль KNO_3 . Приведены оптимальные условия определения (т-ра, рН, напряжение и т. д.). Метод позволяет определять кол-ва люминала (I), порядка 10^{-4} моля. Описана методика определения I в микстурах, парентеральных р-рах, порошках, таблетках. По предложенному методу I нельзя определять в присутствии кофеина, эуфиллина, диуретина, тиамина, а также поверхностноактивных в-в. Аспирин, фенацетин, салицилат Na, атропин, эфедрин, $\text{C}_2\text{H}_5\text{OH}$ (конц-ция $< 1\%$), полиэтиленгликоль (конц-ция $< 0,5\%$) и различные вспомогательные в-ва не мешают определению. Точность метода $\pm 2\%$. Другие барбитураты также могут быть определены по указанному методу. Библ. 15 назв. М. Фишпик

9Л318. Количественное определение бензацина в таблетках. Перельман Я. М., Евстратов К. И. «Мед. пром-сть СССР», 1960, № 10, 35—37.—Показана возможность колич. определения бензацина потенциометрич. титрованием его HClO_4 в среде лед. CH_3COOH со стеклянным электродом (погрешность $\sim 1\%$), а также визуально с индикатором кристаллич. фиолетовым (погрешность $\sim 0,1\text{--}1,5\%$). Разработана методика потенциометрич. определения бензацина в таблетках, в состав которых входит стеарат Ca, без отделения от наполнителей и приведены результаты анализа таблеток состава (в г): бензацина 0,002, сахарной пудры 0,065, крахмала 0,032, стеарата Ca 0,001; относительная ошибка 5%, что следует считать практически приемлемым. А. Вавилова

9Л319. Химические методы определения антибиотиков. Х. Колориметрическое определение окситетрациклина (II). Определение окситетрациклина в препаратах с аскорбиновой кислотой. Kakemi Kiichiro, Yokota Tsuneko, Nadei Tanekazu. «Якугаку заасси, Yakugaku zasshi, J. Pharm. Soc. Japan», 1960, 80, № 2, 180—183 (японск.; рез. англ.).—5 мл р-ра препарата окситетрациклина (I), содержащего 10—200 $\mu\text{мг}$ аскорбиновой к-ты (II), пропускают через колонку с пермутитом, обработанным к-той. Колонку промывают 5×10 мл дистил. воды для удаления II и затем I вымывают 20 мл 0,2 н. NaOH. Элюат собирают в приемник, содержащий по 4 мл 1 н. HCl (к-ты) и 1 н. CH_3COOH ; общий объем р-ра доводят до 50 мл. К 5 мл р-ра добавляют 1 мл хлористого *n*-нитробензолдиазония, нагревают 25 мин. при 70°, охлаждают и измеряют оптич. плотность р-ра при 440 м μ . Полученные значения активности I совпадают с данными биологич. методов. Установлено, что I быстрее разлагается в смеси с II, чем в чистом препарате. I. Сообщение IX см. РЖХим, 1961, 6Л311. Из резюме авторов

9Л320. Ферментативный метод определения фосфата преднизолона в фармацевтических препаратах. Boon P. F. G. An enzymatic method for the determination of prednisolone phosphate in pharmaceutical preparations. «J. Pharmacy and Pharmacol.», 1960, 12, Suppl., 159—163 (англ.).—Метод основан на ферментативном гидролизе фосфорного эфира преднизолона, экстрагировании получаемого преднизолона эфиром или CHCl_3 , выпаривании р-ра, растворении сухого остатка в спирте и спектрофотометрировании р-ра ($\lambda(\text{макс.})$ 242 м μ ; $E_{1\text{см}}^{1\%}$ 415). Метод применим для анализа препаратов фосфата преднизолона, частично разрушенных вследствие длительного или неправильного хранения. А. Вавилова

9Л321. Об идентификации растительных веществ в лекарственных формах. Муравьева Д. А. «Уч. зап. Пятигорский фармацевт. ин-т», 1959, 4, 187—192.—Проведенными исследованиями установлена возможность микроскопич. идентификации растительных в-в в лекарственных формах: в порошках с листьями наперстянки, травой термопсиса, корнем ипеакакуны, корневищем ревеня; в пилюлях с порошками солодкового, валерианового и алтейного корней, корневища авра, горечавки, одуванчика, а также пшеничной муки и порошка из плодов пшеничника; в свечах с листьями наперстянки. Библ. 14 назв. А. Вавилова

9Л322. Применение жидкой амальгамы цинка для количественного определения арбутина в листьях толокнянки. Тимошенко М. И. «Уч. зап. Пятигорский фармацевт. ин-т», 1959, 4, 138—140.—Разработана методика колич. определения арбутина в листьях толокнянки, а также анализа галеновых препаратов с применением жидкой амальгамы Zn; способ не требует дорогих реактивов и сложного оборудования. Преимущество метода перед методом Цехнера заключается в том, что применяемый Zn в виде амальгамы не содержит примесей As. Из резюме автора

9Л323. Бумажная хроматография антрахинонового сырья. Краус Любомир. «Аптеч. дело», 1960, 9, № 6, 64—70.—Обзор. Библ. 85 назв. А. В.

9Л324. Микроскопический метод анализа смешанных неорганических и органических соединений Австрийской фармакопей. Kuhnert M., Brandstätter-Kuhnert M. Zur mikroskopischen Identitätsprüfung der anorganisch-organischen Verbindungen des Österreichischen Arzneibuches. «Scientia pharm.», 1960, 28, № 2, 150—160 (нем.).—Разработан способ анализа солей органич. к-т с неорганич. основаниями по определению т-ры плавления и идентификации катиона. Метод применим для 70% смешанных солей Австрийской фармакопей 9. Для идентификации катиона применяют простые микрохим. р-ции. Библ. 10 назв. М. Старосельская

9Л325. Установка для производства антибиотиков. Валашек Е. Р., Смиренский С. П., Соيفер Р. Д. «Ветеринария», 1960, № 12, 59—63.—Спроектирована установка для произ-ва антибиотиков (биомидии, тетрациклины, пенициллин и др.), витаминов (B_{12} , B_6), а также комплексов антибиотиков с витаминами, кормовых дрожжей и т. д. методом глубокой ферментации в закрытых ферментаторах. Установка рекомендована для внедрения в животноводческие хозяйства. Приведены описание и принципиальные технологич. схемы получения культуральной жидкости и сухого концентрата, технико-экономич. показатели установки и также эффективность ее применения. А. Вавилова

9Л326. Лекарственные препараты Румынии. Medicamente românești. București, Minister. Sănăt. și Prev. Soc. și Minister. Industr. Petrol. și Chim., 1960, 371 p., il. (рум.).

9Л327. Годичный справочник по продуктам химической и фармацевтической промышленности за 1960 год. Изд. 76-е. Annuaire des produits chimiques et de la droguerie, 1960. 76-е éd. Paris, Ann. internat. Rouset, 1960, LXXIX, 2180 p., ill. (франц.)

9Л328. Производство рибофлавина (Хэуансуди панчань). Жань Хуа. Пекин, Цингунте чубаншя, 1960, 42 тыс. нерогл., 0,30 юаня (кит.).

9Л329. Устройство для распыления жидких лекарственных препаратов. Кобаяси Итио, Сато Масатоси (Кёрипу ноки кабусики кайся). Японск. пат. 966, 20.02.60.—Описание конструкции принудительного действия указанной установки. А. В.

9Л330. Получение производных сульфамочевки. Pantlitschko Martin. Verfahren zur Herstellung von neuen Sulfonylharnstoff. (Anton von Waldehn

Chem.-Ph. Соединенн. лия, цис- С, которые несколько фенил, должен быть про- низкой т- 171 g 4-х тона, при- дляют п- тилизации запаха, р- осторонж- док раст- киляют, разб. сп- выход — (приведе- 4-ClC₆H₄, сил, ClC₆H₄, 144; хлор

9Л331. Korgger Walter Stoffen. H & Brünin соедине- ботич. д- (R-алил радикал, S, n-2—4, 123°, 27 а 30 мин. по- для р-р- ремешива- тор раст- рожно по- лизуют и (R = изо- (приведе- сил, 2, 74; испирити- алил, 2, изо-C₄H₉,

9Л332. Suter Stellung. Швейц. ф-лы HO лажаючи Mg-струж- 50—100 м по капля- сухого эф- алют по- колевой мешиваю- 6 кг толч- ают, к н (~3 л) сушат N эфир отг- охлаждат- бис-(2-ок-

9Л333. ных жир- Edgar

ест
«Уч.
32.—
мож-
ных
ями
аны,
идко-
ища
уни
ями
лова
дан
то-
ский
тето-
ия-
огих
ство
что
при-
тора
ного
0, 9,
А. В.
пан-
авст-
tät-
sprü-
des
1960,
лаза
пре-
тона.
рий-
при-
ская
инок.
фер
тиро-
пин,
B₂),
кор-
нта-
ижев-
ства
огич.
хого
овки
лова
Medi-
eved.
р., il
им-
за
es et
Rous-
суды
пыла,
екар-
Ме-
онск.
цшта
А. В.
ны.
lung
heim

Chem-Pharm. Fabrik). Австр. пат. 204563, 25.07.59.—Соединения ф-лы $\text{RSO}_2\text{NHCONHR}'$ (I), (R и R' — алкил, циклоалкил или алкилциклоалкил с 3—8 атомами C, которые содержат в качестве заместителя один или несколько атомов галоида, CNS-группу или замещ. фенил, причем по меньшей мере одна из заместителей должна содержать галоид или CNS-группу), обладающие пролонгированным антидиабетич. действием при низкой токсичности, получают из соединений, содержащих группу RSO_2 , введением остатка $\text{NHCONHR}'$. 171 г 4-хлор-бутанолсульфида заливают 130 мл ацетона, прибавляют 40 г 10%-ного р-ра NaOH, затем приливают по каплям при перемешивании и 10° 99 г *n*-бутилэтилоксианона (II), перемешивают до исчезновения запаха, разбавляют водой, осадок отделяют, фильтруют осторожно подкисляют, охлаждают и фильтруют. Осадок растворяют в разб. NH_4OH , осветляют углем, подкисляют, осадок отделяют, перекристаллизовывают из разб. спирта и получают I (R = 4- ClC_4H_9 , R' = C_6H_5), выход — 83%, т. пл. 86—88°. Аналогично получают I (приведены R, R' выход в %, и т. пл. в °C): 4- ClC_4H_9 , 4- ClC_4H_8 , 63, 72—73; ClC_4H_9 , C_2H_5 , 87, 82—83; циклогексил, ClC_4H_9 , 86, 118—120; *n*- $\text{ClC}_8\text{H}_{17}$, C_6H_5 , —, 143—144; хлорметилциклогексил, C_6H_5 , 72, 118—119.

А. Гинзбург
9Л331. Получение производных сульфомочевины. Karger Gerhard, Wagner Hans, Aumüller Walter. Verfahren zur Herstellung von Sulfonylharnstoffen. [Farbwerke Hoechst A.-G. vormals Meister Lucius & Brüning]. Пат. FRG 1062734, 27.11.58.—Патентуются соединения, обладающие пролонгированным антидиабетич. действием ф-лы $\text{C}_6\text{H}_5(\text{CH}_2)_n\text{SO}_2\text{NHCONHR}$ (I) (R — алифатич. или циклоалифатич. углеводородный радикал, который может содержать в цепи атом O или S, *n* = 2—4). 16 г 2-фенилэтансульфида, т. пл. 121—123°, 27 г безводн. K_2CO_3 и 150 мл ацетона нагревают 30 мин. при 55° и перемешивании, прибавляют по каплям р-р 10 г изобутилизоната в 20 мл ацетона, перемешивают 12 час, ацетон отгоняют в вакууме, остаток растворяют в 500 мл воды, осветляют углем и осторожно подкисляют 2 н. HCl. Осадок отделяют, кристаллизуют из 250 мл CH_3OH и получают 18,3 г (75%) I (R = *изо*- C_4H_9 , *n* = 2) т. пл. 180—181°. Получены также I (приведены R, *n*, выход в % и т. пл. в °C): циклогексил, 2, 71, 204—205; *n*-гексил, 2, 80,3, 106—108; 3-метоксипропил, 2, 70, 133—135; 2-фенилэтил, 2,80, 130—132; аллил, 2, 67,6, 151—153; циклогексил, 3, 77, 158—159; *изо*- C_4H_9 , 3,68, 129—121; *изо*- C_4H_9 , 4, 60, 115—117.

М. Старосельская
9Л332. Получение диоксисалкильных эфиров. Suter Hans, Zutter Hans. Verfahren zur Herstellung neuer Bis-(oxy-alkyl)-äther. [Eprova A.-G.]. Швейц. пат. 334846, 31.01.59.—Патентуются соединения ф-лы $\text{HOCH}_2\text{CH}_2\text{OCH}_2\text{CH}_2\text{OH}$ (R — низший алкил), обладающие седативным и снотворным действием. 802 г Mg-стружки заливают 2 л сухого эфира, прибавляют 50—100 мл неразбавленного $\text{C}_2\text{H}_5\text{Br}$, затем прибавляют по каплям при охлаждении р-р 3600 г $\text{C}_2\text{H}_5\text{Br}$ в 4500 мл сухого эфира (4—5 час.), перемешивают 1 час, прибавляют по каплям р-р 1240 г диэтилового эфира диглицероловой к-ты в 2700 мл сухого эфира (4 часа), перемешивают 1 час, кипятят 30 мин., выливают на смесь 8 кг толченого льда и 1 кг NH_4Cl , эфирный слой отделяют, к водн. слою прибавляют конц. HCl до pH 7,5—8 (~3 л) и экстрагируют эфиром (4 × 5 л). Экстракты сушат Na_2SO_4 , осветляют активированным углем, эфир отгоняют, остаток сушат в вакууме при 40—60°, охлаждают, фракционируют в вакууме и получают бис-(2-окси-2-бутилгексильный-1)-эфир, т. пл. 79—80°.

М. Старосельская
9Л333. Получение ангидридов высокомолекулярных жирных кислот. Nichols Joseph, Schipper Edgar S. Method for preparing anhydrides of high

molecular weight long-chain fatty acids. [Ethicon, Inc.]. Пат. США 2877247, 10.03.59.—Соединения, обладающие бактерицидным действием, получают р-цией жирных к-т с алкилхлорформатом в присутствии низшего алифатич. третичного амина в инертном р-рителе при низких т-рах. В качестве промежуточных продуктов получают ацилалкилкарбонаты. Получены новые ангидриды ф-лы $[\text{C}_n\text{H}_{2n+1}\text{COX}(\text{CH}_2)_m\text{CO}_2\text{O}]_x$ (X — 1,3-глициди-

лиден, $\text{CH}_2=\text{CHCH}_2$, $\text{CH}_2\text{CH}_2\text{CO}$, $\text{CH}=\text{CHCO}$, OCH_2CHCO , $\text{CH}_2=\text{CH}=\text{CH}_2$). 4,11 г *изо*- $\text{C}_4\text{H}_9\text{OOCCH}_2$ прибавляют по каплям к 9,36 г 12-оксо-10,11-эпоксистеариновой к-ты (I) и 3,06 г $(\text{C}_2\text{H}_5)_3\text{N}$ в 300 мл сухого $\text{C}_6\text{H}_5\text{CH}_3$ при т-ре от —5 до —10°, перемешивают 30 мин, прибавляют 9,36 г I и 3,06 г $(\text{C}_2\text{H}_5)_3\text{N}$ в 300 мл толуола, кипятят 30 мин., фильтруют, фильтрат упаривают, остаток промывают 10%-ным K_2CO_3 и водой, сушат, перекристаллизовывают из эфира и получают 18,1 г ангидрида 12-оксо-10,11-эпоксистеариновой к-ты, т. пл. 71°. Получены также ангидриды: (приведены к-та и т. пл. в °C) 12-оксоолеиновая 51, 12-оксоэлаидиновая, 76; 9,12-диоксо-10,11-эпоксистеариновая, 103; 9,12-диоксо-10,11-октадециловая, 108; олеиновая 22; линолевая —3(—1)°.

И. Берлин
9Л334. Двухчетвертичные аммониевые соли β-аминотиловых эфиров β-амино-α-метилпропионовой кислоты. Mizzoni Renat H. Bis quaternary ammonium compounds of beta amino ethyl β'-amino-α-methylpropionates. [Ciba Pharmaceutical Products, Inc.]. Пат. США 2934538, 26.04.60.—Взаимодействием хлорангидрида метакриловой к-ты (I) с β-аминоспиртами получают эфиры $\text{CH}_2=\text{C}(\text{CH}_3)\text{COOCH}_2\text{CH}_2\text{R}'$, превращенные действием аминов в соединения $\text{RCH}_2\text{CH}(\text{CH}_3)\text{COOCH}_2\text{CH}_2\text{R}'$ (IIа—д, где а R = R' = $\text{C}_4\text{H}_9\text{N}$; б R = $\text{C}_6\text{H}_{10}\text{N}$, R' = $\text{N}(\text{C}_2\text{H}_5)_2$; в R = $\text{C}_6\text{H}_{10}\text{N}$, R' = $\text{N}(\text{CH}_3)_2$; г R = R' = $\text{C}_6\text{H}_{10}\text{N}$; д R = $\text{N}(\text{CH}_3)_2$, R' = $\text{C}_6\text{H}_5\text{N}$), двухчетвертичные соли которых обладают ганглиоблокирующей активностью. К р-ру 20,7 г I в 100 мл C_6H_6 постепенно добавляют 23 г β-пирролидинэтанола, кипятят 225 мин., продукт растворяют в воде, подщелачивают, извлекают эфиром, перегоняют, фракцию (т. кип. 75—88°/0,12 мм) кипятят 4 часа с 5,8 г пирролидина и отгоняют IIа, т. кип. 110—119°/0,15 мм, n_D^{20} 1,4823, дийодметилат т. пл. 174,4—176,4° (из CH_3OH). Аналогично синтезируют [указаны в-во, т. кип. в °C/мм, n_D^{20} (т-ра в °C) и т. пл. в °C дийодметилата и диалогидратата]: IIб, 103—115°/0,35, —, 159, 212—213; в, 91—99°/0,1, 1,4597 (22,2), 168 (безводн.), [т. пл. 103—107° (сескви-гидрат)], 223—224; г, 119—132°/0,15, 1,4759 (26), 187—188, —; д, 70—98°/0,1, 1,4532 (25), 122,5—123, —. Э. Б.

9Л335. Эфиры 3-метил-3,5-диоксипентановой кислоты. Wolf Donald F., Hoffman Carl H. Esters of 3-methyl-3,5-dihydroxy pentanoic acid. [Merck & Co., Inc.]. Пат. США 2915551, 1.12.59.—Патентуются соединения ф-лы $\text{RCOOCH}_2\text{CH}_2\text{C}(\text{CH}_3)(\text{OH})\text{CH}_2\text{COOR}'$ (I, II к-та), получаемые при р-ции 4-ацилосибутанона-2 с эфирами бромуксусной к-ты (III к-та) в присутствии Zn. В частности патентуется этиловый эфир 3-метил-3-окси-5-ацетоксипентановой к-ты. 120 г гранулированного Zn обрабатывают разб. HCl, промывают последовательно водой, ацетоном и C_6H_6 и высушивают путем отгонки остатков воды с C_6H_6 . К приготовленному таким образом Zn прибавляют за 1,25 часа при т-ре кипения смесь 124 г 4-ацетоксибутанона-2, 166 г этилового эфира III и 450 мл абс. эфира, размешивают 1—2 часа, жидкую фазу декантируют в 400—500 г, смеси воды и льда, обрабатывают 85 мл конц. HCl, эфирный слой промывают насыщ. р-рами NaHCO_3 и NaCl, водн. слой извлекают CHCl_3 (100 мл × 2), вытяжку промывают насыщ. р-ром NaHCO_3 , объединяют с эфирным слоем, высушивают и перегоняют; получают I (R = CH_3 , R' = C_2H_5) (Ia), т. кип. 89—91°/0,3 мм, n_D^{20} 1,4420. К р-ру 47,5 г Ia в 100 мл спирта прибавляют 50 мл воды и 1 каплю 1%-ного р-ра фенолфта-

леина в спирте, нагревают до 60°, обрабатывают при размешивании 6,4 н. р-ром NaOH до появления окрашивания (2 эквивалента NaOH), охлаждают, прибавляют 2 эквивалента 6,4 н. HCl, упаривают в вакууме при 60—65° (т-ра бани), остаток высушивают отгонкой с CHCl_3 , выдерживают в вакууме 1 час, извлекают CHCl_3 (200 мл \times 2), вытяжку высушивают MgSO_4 и упаривают в вакууме; получают смесь рацемич. II и β -метил- β -окси- δ -валеролактона (IV), которую растворяют в 100 мл воды, прибавляют р-р 26 г N,N'-добензилэтилендиамина (V) в 100 мл CH_3OH , размешивают ~12 час., прибавляя для осветления р-ра небольшое кол-во CH_3OH , отгоняют в вакууме CH_3OH , извлекают 50 мл CHCl_3 , водн. фазу упаривают в вакууме, остаток растворяют в 125 мл горячего CH_3OH и прибавляют 1 л эфира; получают соль 1 молекулы V с 2 молекулами II (VI), т. пл. 124—125°. К р-ру 15 г VI в 100 мл воды прибавляют 56 мл 1 н. NaOH, промывают эфиром и подвергают лиофильной сушке; получают 15 г Na-соли II. Аналогично получают соли других щел. и щелочноземельных металлов. Р-р 44,4 г VI в 100 мл воды обрабатывают 170 мл 1 н. NaOH, промывают эфиром, пропускают через Амберлит IR 120, элюат подвергают лиофильной сушке, остаток растворяют в CHCl_3 , высушивают MgSO_4 , упаривают в вакууме и перегоняют в высоком вакууме; 0,84 г дистиллята (90°/0,3 мм) растворяют в небольшом кол-ве ацетона, прибавляют эфир до появления мути и охлаждают смесью ацетон-сухой лед; получают чистый IV, т. пл. 27—28°. Р-р 61 г хлоргидрата бензгидриламида в 0,5 л воды подщелачивают 2,5 н. NaOH, извлекают CHCl_3 (100 мл \times 3), вытяжку высушивают MgSO_4 и упаривают. К остатку прибавляют 18 г IV в небольшом кол-ве CHCl_3 , упаривают в вакууме, остаток нагревают 1 час при ~100°, растворяют в CHCl_3 , промывают избытком разб. HCl, р-ром NaHCO_3 и водой, высушивают MgSO_4 , упаривают, остаток растворяют в 0,8 л кипящего эфира, обрабатывают 5 г угля, упаривают до 0,2 л, охлаждают при ~0°, фильтруют, маточный р-р снова упаривают и фильтруют; получают бензгидриламид II (VII), который после повторной кристаллизации из эфира имеет т. пл. 94—96°. Смесью 6,6 г IV и 10 г d- α -фенетиламина нагревают 1 час при 100—110°, растворяют в CHCl_3 , промывают последовательно 1 н. HCl, насыщ. р-ром NaHCO_3 и водой, высушивают и упаривают; получают d- α -фенетиламид II (VIII). Препараты способствуют росту цыплят и стимулируют развитие *Lactobacillus acidophilus* и других молочнокислых бактерий. Приведены ИК-спектры для IV, VII и VIII.

9Л336. Получение динитрила ацетилглутаминовой кислоты. Griot Rudolf. Verfahren zur Herstellung von Acetylglutaminsäuredinitril. [Siegfried A.-G.] Швейц. пат. 335386, 14.02.59.—Патентуется способ получения соединений, применяемых как лекарственные в-ва и промежуточные продукты синтеза лекарственных в-в. 1 моль ацетиламиноциануксусного эфира суспендируют в 300 мл диоксана, прибавляют 5 мл триэтиламина, нагревают до 45—60° и прибавляют по каплям при указанной т-ре 1 моль акрилонитрила. Затем нагревают до 50—60°, нейтрализуют CH_3COOH , р-ритель отгоняют в вакууме, остаток растворяют в 2-кратном объеме 15%-ного спирта, охлаждают, осадок отделяют, перекристаллизуют из 800 мл горячей воды и получают динитрил-N-ацетил- α -карбоксиглутаминовой к-ты (I), т. пл. 101—102°. 1 моль I прибавляют отдельными порциями при 5° к р-ру 1 моля КОН в 500 мл воды и 1 л спирта, через 2 часа нейтрализуют HCl (к-той) до pH 7 и концентрируют в вакууме до 400 мл. Остаток оставляют на длительное время при —5°, подкисляют несколько меньшим рассчитанного кол-вом HCl (к-ты) и декарбоксилируют нагреванием на кипящей водяной бане. Затем выпаривают досуха, остаток растворяют в этилацетате, фильтруют, р-ритель отго-

няют, остаток фракционируют в глубоком вакууме и получают динитрил ацетилглутаминовой к-ты, т. пл. 48,5—49° (из $\text{C}_6\text{H}_5\text{OH}$) n_D^{20} 1,478. М. Старосельская

9Л337. Способ получения аминалкалимаметилемалононитрилов. Surrey Alexander R. Aminalkylaminomethylenemalononitriles and their preparation. [Sterling Drug Inc.] Пат. США 2928831, 15.03.60.—Обладающие анагетич. и ганглиоблокирующим действием соединения общей ф-лы $\text{RR}'\text{N}-\text{A}-\text{N}(\text{R}'')\text{CH}=\text{C}(\text{CN})_2$ (I) (R и R' — низшие алкилы или циклоалкилы (один из них может быть H) или NRR' — гетероцикл, радикал, R'' — арилалкил, диалкиламинаалкил или H, A — алкилен) их соли с нетоксичными к-тами и четвертичные аммониевые соединения, полученные р-цией диаминных ф-лов $\text{RR}'\text{NANHR}''$ (II) с этониметилемалононитрилом (III). К р-ру 7 г III в 140 мл абе. спирта прибавляют за 20 мин. при перемешивании 6,7 г II (R = R' = C_2H_5 , R'' = H, A = C_2H_4), перемешивают 1 час, прибавляют 17,5 мл 3,28 н. р-ра HCl (газа) в спирте, затем сухой эфир, охлаждают на льду, осадок отделяют, кристаллизуют из $\text{изо-C}_3\text{H}_7\text{OH}$, сушат 24 часа при 100° и получают 10,8 г хлоргидрата (XI) I (R = R' = C_2H_5 , R'' = H, A = C_2H_4), т. пл. 149,1—150,1°, основание, т. пл. 60°, бромметилат (BM), т. пл. 177—178,7° (из $\text{изо-C}_3\text{H}_7\text{OH}$). В сходных условиях получены I [приведены R, R' или NRR' , R'', A, т. пл. в °C, т. пл. в °C XH и BM]: $n\text{-C}_4\text{H}_9$, $n\text{-C}_3\text{H}_7$, H, C_2H_5 , —, 114,2—115,2, 168,2—169,2 (из $\text{изо-C}_3\text{H}_7\text{OH}$); $n\text{-C}_4\text{H}_9$, $n\text{-C}_3\text{H}_7$, H, C_2H_5 , —, 96,4—97,4 (из $\text{изо-C}_3\text{H}_7\text{OH}$ -эф.), —; C_2H_5 , C_2H_5 , H, C_2H_5 , —, 152,6—154,7 (из $\text{изо-C}_3\text{H}_7\text{OH}$), 151,5—153,4 (из $\text{изо-C}_3\text{H}_7\text{OH}$); циклопентил, H, H, C_2H_5 , —, 139,6—142,5, —; пиперидил, H, C_2H_4 , 117,9—119,4, 224—225,5, 210,6—211,8; морфолл, H, C_2H_4 , 115—116 (из C_6H_6), 216,6—218,6, 198,6—200,4 (из CH_3OH); OHC_2H_4 , H, H, C_2H_5 , —, 161—163 (из CH_3OH) —; CH_3 , CH_3 , $\text{C}_6\text{H}_5\text{CH}_2$, C_2H_5 , —, 198,4—199,4 (из $\text{изо-C}_3\text{H}_7\text{OH}$), —; C_2H_5 , $\text{CH}_2\text{CH}_2\text{N}(\text{C}_2\text{H}_5)_2$, C_2H_4 , —; дихлоргидрат, т. пл. 167,4—168,8 (из $\text{изо-C}_3\text{H}_7\text{OH}$), дибромметилат, т. пл. 252—252,2° (из CH_3OH).

М. Брауде
9Л338. Способ получения моно-Са-соли гексаметилендиаминитетрауксусной кислоты. Pfanzen Hermann, Wieduwilt Hans. Verfahren zur Herstellung des Monocalciumsalzes der Hexamethylen-diamin-tetraessigsäure. [VEB Fahlberg-List Chemische und Pharmazeutische Fabriken] Пат. ФРГ 1067032, 14.04.60.—Для получения моно-Са-соли гексаметилендиаминитетрауксусной к-ты (I; II к-та) II вводят в р-цию с 1 моль $\text{Ca}(\text{OH})_2$ или CaCO_3 или II обрабатывают 1 мольем ди-Са-соли II. Патентуемая I, в отличие от применяемых в терапии, диссоциирующих на ионы Са, глюконаата Са или тиосульфата Са, не вызывает при инъекции побочных действий (ощущение жара, недомогание), в то же время отличается от легко переносимого организмом смешанной Са-ди-Na-соли II, диссоциацией на ионы Са. Р-ры I устойчивы до pH 6. Понижение т-ры замерзания р-ра I, содержащего 40 мг Са в 1 мл воды 0,64°, то же для сыровотки крови 0,56°; р-р I изотоничен крови без применения добавлений. Примеры.
а) К суспензии 17,418 г II в 100 мл воды прибавляют частями при размешивании 3,705 г $\text{Ca}(\text{OH})_2$, окончательного растворения достигают размешиванием при 50°. Р-р обрабатывают активированным углем, фильтруют, разливают в ампулы и стерилизуют. Для получения твердой I р-р выпаривают в вакууме досуха или к р-ру прибавляют 160 мл CH_3OH , оставляют на несколько часов, фильтруют, промывают 50%-ным CH_3OH , затем чистым CH_3OH , сушат в вакууме при 100° над P_2O_5 и получают I с 1 мольем кристаллизационной воды. Аналогично, но сразу при 50° из 17,418 г II в 125 мл воды и 5,005 г CaCO_3 получают I. б) К суспензии 10,611 г безводной ди-Са-соли II в 125 мл воды прибавляют при размешивании и 20° 8,709 г II и получают р-р I, который перерабатывают по примеру (а).

Ю. Вендельштайн

9Л339. Кислот. Сигаси пат. 9566 единич. диолов творяют лено пр по капля охлажд тываю СО₂ и в т. пл. 3 г д т. пл. 63° спирта 1 пятия 1 ную раз вают во 0,35 г II, лучают к-та, т. пл. 100—101, 91—92, а 128, 93, анделан I-гистид 164, МЭ, N,N-дипл 166—167 9Л340. ling B. [Internat 2896358, мич. а-к-ты D- и L-фу ку из к форм, этих фо не отли деает частиц каждой энантио 54% (по ку из 5, решени вают пр фракци выход 1 9Л341. vens Rudol tion pro США 2 соедине шей ф-з монокар джал, оксбен или 3, 5-нитро приятю ся в же исследо бактери сацию сильно р-ра си мые по ры. а) 5,3 г бе кипятя промы

91339. Получение N-ацильных производных аминокислот. Уэда Такао, Като Тайбу, Тойсима Сигаси. [Дайнихон сэйкю кабусики кайся]. Японск. пат. 9568, 9.11.56.—Патентуется способ получения соединений, обладающих антивирусным действием. 1,89 г диэтилового эфира L-аспарагиновой к-ты (I к-та), растворяют в смеси 1,5 мл пиридина и 5 мл ацетона, медленно при охлаждении и перемешивании прибавляют по каплям 2,4 г лаурилхлорида, нагревают 30 мин., охлаждают, выливают в ледяную воду, осадок обрабатывают эфиром, экстракт промывают разб. р-ром Na_2CO_3 и водой, сушат Na_2SO_4 , эфир отгоняют и получают 3 г диэтилового эфира (ДЭ) N-лаурил-I (II к-та), т. пл. 63–64° (из CH_3OH). К смеси 0,52 г ДЭ II и 5 мл спирта прибавляют р-р 0,55 г BaSO_4 в 5 мл воды, кипятят 1 час, охлаждают, осадок переносят в охлажденную разб. HCl, экстрагируют эфиром, экстракт промывают водой, сушат Na_2SO_4 , выпаривают и получают 0,35 г II, т. пл. 115–116° (из водн. сп.). Аналогично получают N-лаурильные производные к-т (приведены к-та, т. пл. в °C и т. пл. в °C эфира): L-глутаминовая, 100–101,5; ДЭ, 60–61,5; DL-α-аминоизовалериановая 91–92, этиловый эфир (ЭЭ), 55,5–56; L-тирозин, 127–128, ЭЭ, 77–78; DL-метионин, 69–70, ЭЭ, 55–56; DL-фенилаланин, 98–99, метиловый эфир (МЭ), 65–66; L-гистидин, 158–159, МЭ, 83–85; DL-триптофан, 163–164, МЭ, 90–92. Получен также метиловый эфир N,N-дилаурил-L-цистина, т. пл. 91–93°, к-та, т. пл. 166–167°.

И. Берлин
91340. Разделение энантиоморфных смесей. Dowling Basil B. Resolution of enantiomorphous mixtures. [International Minerals & Chemical Corp.]. Пат. США 2896358, 4.08.59.—Патентуется способ разделения рацемич. α-аминокарбоновых к-т, напр. DL-глутаминовой к-ты (DL-I), ее солей и галогенидов на кристаллич. D- и L-формы. В пересыщ. р-р рацемата вносят затравку из кристаллов одной или обеих энантиоморфных форм, вызывающую избирательную кристаллизацию этих форм. Размеры кристаллов D- и L-форм в затравке отличаются друг от друга ≥ 100 меш, что предопределяет размер выпадающих кристаллов. По размеру частиц осадка его можно разделить на 2 фракции, в каждой из которых содержится преимущественно одна энантиоморфная форма. В 203,5 г р-ра, содержащего 54% (по весу) хлоргидрата DL-I при 40° вносят затравку из 5,6 г L-I (+25 меш) и 0,2 г D-I, (–200 меш), перемешивают 1 час при 30°, кристаллы отфильтровывают, промывают, сушат, просеивают и получают 14,3 г фракции (+25 меш), содержащей 13,8 г (96,5%) L-I, выход 14,9%.

Ю. Зеликсон
91341. Продукты конденсации альдегидов. Stevens George, de Neumann Hans, Mayer Rudolph Leopold. Polyhydric-aldehyde condensation products. [Ciba Pharmaceutical Products, Inc.]. Пат. США 2910484, 27.10.59.—Продукты поликонденсации соединений общей ф-лы $\text{RC}_6\text{H}_5(\text{OH})_2$ с альдегидами общей ф-лы $\text{R}'\text{CHO}$ ($\text{R} = \text{COOH}$ или SO_3H ; $\text{R}' =$ ароматич. монокарбоцикл. или гетероцикл. моноклич. радикал, содержащий 1 гетероатом) в частности 2,5-диоксибензойной к-ты (I), 2,3-диоксибензойной к-ты (II) или 3,5-диоксибензойной к-ты (III) с диэтилатом 5-нитрофурфурола (IV), являющихся антикоагулянтами, препятствуют росту бактериофагов и могут применяться в качестве лекарственных в-в при лабораторных исследованиях крови и для устранения паразитич. бактериофагов в произ-ве антибиотиков. Поликонденсацию проводят кипячением смеси в среде водн. р-ра сильного неорганич. основания, напр. NaOH, или водн. р-ра сильной неорганич. к-ты, напр. H_2SO_4 . Получаемые полимеры очищают диализом (вода). Примеры. а) Смесь 7,7 г 3,4-диоксибензойной к-ты (V) и 5,3 г бензальдегида (VI) в 50 мл 50%-ной водн. H_2SO_4 кипятят при размешивании 5 час., осадок фильтруют, промывают водой и растворяют в 100 мл 5%-ного водн.

NaOH. Р-р диализуют (дистил. вода) 3 дня, применяя целлофановую мембрану и подкисляют 10%-ной водн. HCl до pH 2. Темный аморфный осадок центрифугируют, промывают водой, сушат при 100° в вакууме и получают 0,85 г полимера. б) К р-ру 7,7 г I в 100 мл 5%-ного водн. р-ра NaOH прибавляют 4,4 г фурфурола (VII) и кипятят 6 час. при энергичном размешивании. По охлаждению диализуют 2 дня (дистил. вода) с целлофановой мембраной и подкисляют 10%-ной HCl. Черный осадок фильтруют, промывают водой, сушат в вакууме над H_2SO_4 и получают 1,6 г продукта. Вместо подкисления к щел. р-ру можно прибавлять смесь 500 мл спирта и 100 мл ацетона, причем осажается Na-соль полимера. Аналогично примерам (а) и (б) получены (указаны исходные продукты и их кол-во в г, кол-во полученного полимера в г): аналогично (а) I, 7,7 и VI, 5,3, 1,2; III, 7,7 и VI, 5,3, 6,2; I, 7,7 и 4-диметиламино-VI, 7,5, 0,4; I, 7,7 и Na-соль 4-метоксибензальдегид-3-сульфокислоты, 12,0, 2,6; III, 15,4 и тиофен-2-альдегид (VIII), —, 0,3; аналогично примеру (б): I, 7,7 и пиридин-4-альдегид, 5,2, 0,26; 3,4-диоксибензойная к-та, 7,7 и VII, 4,4, 2,15; I, 7,7 и IV, 13,9, 1,8; I, 9,5 и IV, 13,9, 10,0; II, 5,0 и IV, 8,0, 0,78; I, 7,7 и 3,4-дихлор-VI, 8,8, 0,15; II, 7,7 и VIII, 5,6, 0,1; III, 15,4 и IV, 24,4, 6,1; I, 15,4 и VIII, 11,2, 0,12; I, 7,7 и 4-нитро-VI (7,6, 1,92, в). Смесь 9,5 г 2,5-диоксибензоилсульфокислоты (IX) и 5,2 г пиридин-3-альдегида в 100 мл 5%-ного водн. р-ра NaOH, кипятят 8 час. при размешивании. По охлаждении устанавливают pH 7, диализуют (дистил. вода), выпаривают досуха, вязкий остаток промывают эфиром, смесью эфира и диоксана и растирают со спиртом. Коричневый остаток промывают спиртом, сушат над H_2SO_4 и получают 6,12 г полимера. Аналогично из 9,5 г IX и 4,4 г VII получают 5 г полимера; из 7,7 г III и 5,35 г пиридин-4-альдегида получают 1,26 г полимера.

Ю. Вендельштейн
91342. Новые алкоксиацетофеноны и родственные кетоны с основными заместителями. Nouvelles alcoxy acétophéones et cétones basiques qui s'y rattachent [Recherches et Techniques Appliquées]. Франц. пат. 1173137, 20.02.59.—Взаимодействие n-(R-окси)-ацетофенонов (Ia–v; всюду a $\text{R} = \text{n-C}_6\text{H}_{13}$, б $\text{R} = \text{n-C}_7\text{H}_{15}$, в $\text{R} = \text{n-C}_8\text{H}_{17}$) с морфолином, пиперидином и CH_2O по Маниху синтезированы β-морфолиноэтил- и β-пиперидиноэтил-n-(R-окси)-фенилкетоны (IIa–v) и (IIIa–v), соли которых при слабой токсичности обладают анестезирующей активностью, в 10–30 раз превышающей активность кокаина. Токсичность IIIa–v несколько выше токсичности соединений IIa–v. 0,25 моля фенола в р-ре 0,25 г Na в 125 мл спирта и 25 молей n-C₇H₁₅Br кипятят 4 часа и выделяют феноксип-н-тант (IV), выход 80,6%, т. кип. 98–99°/4 мм. 0,4 моля IV, 60 г $(\text{CH}_3\text{CO})_2\text{O}$ и 0,5 г ZnCl_2 кипятят 30 мин., выливают в воду, органич. слой растворяют в эфире и выделяют 16, выход 58%, т. кип. 166–167°/3 мм, т. пл. 45°. Аналогично получают (указаны в-во, выход в %, т. кип. в °C/мм и т. пл. в °C): Ia, 86, 147–148/3, —; Ib 74,5, 166–167/2, 32, 0,05 моля 16 и 0,05 моля хлоргидрата (XГ) морфолина растворяют в 15 мл теплого спирта, добавляют 2,3 г триоксиметилен (V), кипятят 3 часа, добавляют 1,5 г V, кипятят 1 час, отгоняют спирт и получают XГ 116, выход 46,5%, т. пл. 160° (из ацетона). Аналогично синтезируют (указаны в-во и т. пл. в °C) IIa, 160; в, 159; IIIa, 155, 6, 151; в, 140. Тем же путем синтезированы I, (R = C₁₀H₂₁), выход 59%, т. кип. 194–195°/4 мм, т. пл. 37°, и XГ соответствующих II и III, т. пл. 149 и 142°, обладающие значительной токсичностью.

Э. Бамдас
91343. Способ получения первичных диарилзамещенных спиртов, обладающих основными свойствами. Stach Kurt, Kurzen Fritz. Verfahren zur Herstellung von primären basischen Diarylalkoholen. [Ravensberg G. m. b. H. Chemische Fabrik]. Пат. ФРГ 1059003, 26.11.59.—Фармакологически активные соеди-

нения общей ф-лы $RR'C(CH_2OH)-A-NR''R'''$ (I) (R и R' — C_6H_5 или замещ. C_6H_5 , R'' и R''' — низшие алкилы или $NR''R'''$ — гетероцикл, радикал, A-алкилен нормального или изостроения) получены кипячением к-т ф-лы $RR'C(COOH)-A-NR''R'''$ (II) с $LiAlH_4$ в среде высококипящего органич. р-рителя. К р-ру 134 г II (R = R' = C_6H_5 , R'' = R''' = CH_3 , A = $CHCH_3$) в 2 л тетрагидрофурана прибавляют при $\sim 20^\circ$ и перемешивании 22 г $LiAlH_4$, кипятят 15 час., охлаждают до $\sim 20^\circ$, добавляют 7 г $LiAlH_4$, кипятят 8 час., прибавляют насыщ. р-р NaCl, органич. слой отделяют, упаривают до суха, остаток извлекают разб. HCl, р-р промывают эфиром, подщелачивают NaOH, извлекают эфиром, экстракт промывают водой, упаривают, остаток перегоняют и получают 100—108 г I (R = R' = C_6H_5 , R'' = R''' = CH_3 , A = $CHCH_3$), т. кип. 153—162°/0,5 мм, хлоридрат, т. пл. 212—214°.

9Л344. Способ получения производных 1-арил-3-аминопропанола-1. Henecka Hans, Lorenz Rudolf, Gösswald Rudolf. Verfahren zur Herstellung von Derivaten der 1-Aryl-3-aminopropan-1-ole. [Farbenfabriken Bayer A.-G.]. 1051281, 10.09.59. — Обладающие спазмолитич. действием соединения общей ф-лы $RR'C(OH)CHNR^2CH_2NR^3R^4$ (I) (R — арил, R' — алкил, циклоалкил, арил или пиримидил, R² — алкил, аралкил или H, R³ и R⁴ алкил, циклоалкил, аралкил или H) получены р-цией кетонов ф-лы $RCOR'$ с нитрилом ф-лы R^2CH_2CN и восстановлением продукта конденсации ф-лы $RR'C(OH)CHNR^2CN$ (II) с последующим алкилированием образовавшегося I (R³ = R⁴ = H). К суспензии 66 г $NaNH_2$ в 300 мл эфира при перемешивании в 28—30° прибавляют по каплям р-р 77,5 г ацетонитрила и 200 г бензофенона в 500 мл эфира, добавляют 500 мл эфира, перемешивают 12—15 час. при $\sim 20^\circ$, осторожно выливают в ледяную воду, осадок отделяют, промывают водой и небольшим кол-вом эфира, кристаллизуют из CH_3OH и получают 140—160 г II (R = R' = C_6H_5 , R² = H) (IIa), т. пл. 138,5°. 150 г IIa в 20%-ном метанольном р-ре NH_3 гидрируют в присутствии 15 г скелетного Ni (80—100°, 50—80 ат), охлаждают, осадок отделяют, кипятят с CH_3OH , фильтрат концентрируют, охлаждают, осадок отделяют и получают 100—120 г I (R = R' = C_6H_5 , R² = R³ = R⁴ = H), т. пл. 142,5°. Каталитич. метилированием IIa (гидрирование в водно-метанольном р-ре в присутствии 2,2 моля CH_3O и скелетного Ni) получают I (R = R' = C_6H_5 , R² = H, R³ = R⁴ = CH_3) т. пл. 168° (из CH_3OH), ацетат, т. пл. 109° (из петр. эф.), пропионат, т. пл. 67°, хлоридрат (XГ) пропионата, т. пл. 183°, триметилгаллат, т. пл. 125° (из лигр.). В сходных условиях получены II, а из них I (R = C_6H_5) [приведены R', R², т. пл. в °C или т. кип. в °C/мм II, I (R³ = R⁴ = H) и I (R³ = R⁴ = CH_3)]: CH_3 , H, 60, 73—75, 92/1,7; $n-CH_3OC_6H_4$, H, 132—133, 108, 115—116; $o-CH_3OC_6H_4$, H, 118—120, 126—127, 134; $m-CH_3OC_6H_4$, H, 86—88, 105/0,01, 145; $n-ClC_6H_4$, H, 146, 105—107, 127; $m-ClC_6H_4$, H, 93, 85—86, 128; $o-ClC_6H_4$, H, 90—92, 117, 120—121; циклогексил, H, 110—112, 90—91, 152—153, XГ, 212°; пиримидил-4, H, 165, 143, 150; пиримидил-3, H, 176—179 (XГ), 154, 146; пиримидил-2, H, 92, 112, 100; тиенил-2, H, 91—92, 136, —; C_6H_5 , CH_3 , 124, 112, 91—93; C_6H_5 , $C_6H_5CH_2$; 172, 116, 92. Р-р 60 г 2-фенил-4-аминобутанола-2 в 200 мл ацетона гидрируют в присутствии 5 г скелетного Ni (1,5 часа, 80° 60—90 ат.) и получают II (R = C_6H_5 , R' = CH_3 , R² = R³ = H, R⁴ = $iso-C_3H_7$) т. пл. 57—58°, при метилировании которого получен I (R = C_6H_5 , R' = CH_3 , R² = H, R³ = $iso-C_3H_7$, R⁴ = CH_3), т. кип. 115°/2 мм. Аналогично получены I (R = $o-CH_3C_6H_4$, R' = CH_3 , R² = R³ = H, R⁴ = $iso-C_3H_7$) т. пл. 153—155° и I (R = $o-CH_3C_6H_4$, R' = CH_3 , R² = H, R³ = $iso-C_3H_7$, R⁴ = CH_3) т. пл. 71°. К суспензии 33 г $NaNH_2$ в 150 мл эфира при 28—30° прибавляют по каплям р-р 100 г флуоренона и 39 г ацетонитрила в 250 мл эфира, перемешивают при $\sim 20^\circ$ 12—15 час., выливают в ледяную воду, прибавляют эфир до растворения

осадка, эфирный слой отделяют, сушат, упаривают, остаток кристаллизуют из петр. эфира и получают 118 г 9-окси-9-цианметилфлуорена, т. пл. 110—111°, из которого вышеприведенными способами получают 9-окси-9β-аминоэтилфлуорен (Ia), т. пл. 117°, N,N-диметил-Ia, т. пл. 104—106° и N-изопропил-Ia, сульфометилат, т. пл. 196—198°.

9Л345. Получение смешанных алкоколятов-фенолятов алюминия. Arnold Herbert, Rebling Rolf, Erhardt Albert. Verfahren zur Herstellung von gemischten Alkohol-Phenolaten des Aluminiums. [Asta-Werke A.-G. Chemische Fabrik]. Пат. ГДР 19134, 17.06.60. — Смешанные алкоколяты-феноляты Al получают р-цией соответствующего алкоколята с 2,4-динитронафтолом-I (I) или n-нитрофенолом (II) в нейтр. р-рителях. Состав образующихся в-в определяется соотношением компонентов. Новые в-ва не имеют определенной т-ры плавления, нерастворимы в обычных р-рителях и действуют на анкилостомиазис кошек. К р-ру 4 г I в 20 мл теплового тетралина приливают 60—80 мл $iso-C_3H_7OH$, постепенно добавляя горячий р-р 3,49 г iso -пропилата Al в 10 мл тетралина и отделяют динизопропилат-2,4-динитронафтолят Al, выход 74,2%. К кипящему р-ру 13 г II в 130 мл C_6H_6 приливают р-р 5 г $Al(OC_2H_5)_3$ в 50 мл C_6H_6 , кипятят 2 часа и получают этилат-бис-(n-нитрофенолят)-Al, выход 88,5%. Приведен ряд аналогичных примеров с применением $n-C_4H_9OH$, $iso-C_4H_9OH$, $n-C_6H_{13}OH$, $n-C_7H_{15}OH$ и циклогексильного спирта.

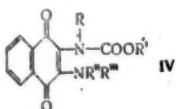
9Л346. Получение 3-(о-алкоксифенил)-пропиламинов и их солей. Морисита Хироси, Накао Санаэ, Сатода Исао, Йосида Дзиро, Иноэ Такэси. [Нихон синяку кабусики кайся]. Японск. пат. 3365, 7.05.59. — Патентуется способ получения соединений ф-лы $o-ROCC_6H_4(CH_2)_3NR''R'''$ (I) (R = H или низший алкил, R' и R'' = H, алкилы или аралкилы), обладающих противоаллергич. и противогистаминным действием. 23 г 3-(о-метоксифенил)-пропалбромид растворяют в 40 г 30%-ного р-ра NH_3 в CH_3OH , прибавляют KJ и нагревают в запаянной трубке 6 час. при 100°, после удаления избытка NH_3 и CH_3OH остаток подкисляют HCl, промывают эфиром, сильно подщелачивают NaOH, выделившееся масло экстрагируют эфиром, перегоняют в вакууме и получают 3-(о-метоксифенил)-пропиламин, т. кип. 105—108°/7 мм; хлоридрат, т. пл. 157—158°; пикрат, т. пл. 145°. Аналогично получают I (приведены R, R', R'', выход в %, т. кип. C/мм и т. пл. в °C хлоридрата и пикрата): CH_3 , H, CH_3 , 70, 100—101/2, 138,5; CH_3 , CH_3 , CH_3 , 65, 102/7, 151—152, 145; CH_3 , C_2H_5 , $C_6H_5CH_2$, 50, 178/7, 138, C_2H_5 , H, CH_3 , 56, 120/10, —, 84—85; CH_3 , H, $iso-C_3H_7$, —, 115—120/6, 106, —; CH_3 , H, C_4H_9 , —, 142/8, 129, —; CH_3 , H, $iso-C_4H_9$, —, 133—140/7, 128, —; CH_3 , H, $n-C_6H_{13}$, —, 158/7, 140, —; CH_3 , CH_3 , $C_6H_5CH_2$, —, 168/5, —, (оксалат, т. пл. 128°), CH_3 , C_2H_5 , C_2H_5 , —, 132—135/9, —, — (цитрат, т. пл. 78—80°); CH_3 , аллил, аллил, —, 146—149/12, —, — (цитрат, т. пл. 112°).

9Л347. Получение циклогексепилбензилкарбинолов, содержащих заместитель основного характера. Kohlstaedt Erwin, Klingler Karl-Heinz. Verfahren zur Herstellung von basisch substituierten Cyclohexenylbenzylcarbinolen. [Chemiewerk Hamburg A.-G.]. Пат. ФРГ 1029371, 16.10.58. — Патентуется способ получения соединений, обладающих спазмолитич. действием и малой токсичностью. К р-ру $C_6H_5CH_2MgCl$ (из 1,95 г Mg) прибавляют при перемешивании в течение 5—10 мин. при 0° суспензию 6,95 г хлоридрата (XГ) Δ¹-циклогексепил-β-пиперидиноэтилкетона в 40 г абс. C_6H_6 , перемешивают при $\sim 20^\circ$, р-тель отгоняют, остаток кипятят 3—4 часа, выливают после охлаждения на 30 г толченого льда, прибавляют 20 г 25%-ного р-ра NH_4Cl , подкисляют при охлаждении CH_3COOH , оставляют на 30 мин., осадок отделяют, промывают эфиром, перекристаллизуют из небольшого кол-ва

спирта бензил-203—204 выют NI получен 9Л348 моноф. Dom a Chinond 2.07.59.— хлор-3,6 2-хлор-3- тичных вычим дикарба зохинон явший алкоксифе ного ил C_6H_5 и ямна и остав т. разл. V и 8 л яют н

NR''R''' (из CH спирта ют IV ного во при — хинаона ют IV т. пл. C_6H_5 , 10 $\sim 20^\circ$ = H, R т. разл. 200 мл 12—16 VI и р = C_6H_5 т. пл. (VII) вают и = H, I т. пл. (R = H 139°. C нафтоз мешивн = COO 10,5 г K р-ру 14 г IX IV (R выход (R = I 130°. R 28 г V оксина облад 9Л348 ning

спирта и получают 6,8 г. ХГ 1-(Δ^1 -циклогексенил)-4-бензил-3-пиперидинопропанола-1 (I основание), т. пл. 203—204°. ХГ I растворяют в водн. CH_3OH , подщелачивают NH_4OH и выделяют I, т. пл. 62—65°. Аналогично получен ХГ 1-бензил-4-(Δ^1 -циклогексенил)-3-диэтиламинопропанола-1, т. пл. 133—135°. М. Старосельская 9Л348. Способ получения соединений из ряда хинонов. Petersen Siegfried, Gauss Walter, Domagk Gerhard. Verfahren zur Herstellung von Chinonderivaten. [Farbenfabriken Bayer A.G.]. 1047204, 2.07.59.—Взаимодействием $\text{N,N}'$ -дикарбтоксид-2,5-ди-хлор-3,6-диамино-1,4-бензохинона (I), N -карбометокси-2-хлор-3-амино-1,4-нафтохинона (II) и других аналогичных галогенных соединений из ряда хинонов с первичными и вторичными аминами синтезированы $\text{N,N}'$ -дикарбтоксид-2,5-бис-этилендиамино-3,6-диамино-1,4-бензохинон (III) и хиноны общей ф-лы (IV), где $\text{R} = \text{H}$, низший алкил, низший ацильный радикал или карб-алкоксигруппа, $\text{R}' = \text{алкил}$, $\text{NR}'\text{R}''$ — остаток первичного или вторичного амина. К смеси 13,3 г I, 100 мл C_6H_6 и 12,5 мл $(\text{C}_2\text{H}_5)_3\text{N}$ (V) прибавляют 5,2 мл этилен-амина (VI) в 10 мл C_6H_6 , размешивают 6 час. при 25° и оставляют на 12—16 час.; получают III, выход 7,4 г, т. разл. 223° (из сп.). Смесь 17 г II, 100 мл C_6H_6 , 12,3 мл V и 8 мл VI размешивают 10 час. при ~20° и оставляют на 12—16 час.; получают IV ($\text{R} = \text{H}$, $\text{R}' = \text{CH}_3$,



$\text{NR}'\text{R}'' = \text{этилендиамин}$), выход 10,5 г, т. разл. 174—175° (из CH_3OH). К смеси 11 г циклогексаламина и 100 мл спирта прибавляют 12,7 г II и кипятят 2 часа; получают IV ($\text{R} = \text{R}' = \text{H}$, $\text{R}'' = \text{CH}_3$, $\text{R}''' = \text{циклогексил}$), выход 11,2 г, т. пл. ~130° (из сп.). К смеси 10 г 53%-ного водн. р-ра $(\text{CH}_3)_2\text{NH}$ и 100 мл спирта прибавляют при ~20° 14 г N -карбометокси-2-хлор-3-амино-1,4-нафтохинона (VII) и оставляют на короткое время; получают IV ($\text{R} = \text{H}$, $\text{R}' = \text{C}_6\text{H}_5$, $\text{R}'' = \text{CH}_3$), выход 11 г, т. пл. 93° (из 50%-ного сп.). Смесь 25,2 г VII, 200 мл C_6H_6 , 16,7 мл V и 11,6 мл VI размешивают 40 час. при ~20° и оставляют на 12—16 час.; получают IV ($\text{R} = \text{H}$, $\text{R}' = \text{C}_6\text{H}_5$, $\text{NR}'\text{R}'' = \text{этилендиамин}$), выход 12,9 г, т. разл. 174—175° (из этилацетата). Смесь 28 г VII, 200 мл C_6H_6 , 16,7 мл V и 6,3 г 2-метил-VI размешивают 12—16 час. при ~20°, прибавляют еще 6,3 г 2-метил-VI и размешивают 24 часа; получают IV ($\text{R} = \text{H}$, $\text{R}' = \text{C}_6\text{H}_5$, $\text{NR}'\text{R}'' = 2\text{-метилэтилендиамин}$), выход 22 г, т. пл. 138,5—140° (из сп.). К р-ру 10 г морфолина (VIII) в 100 мл спирта прибавляют 14 г VII и нагревают короткое время при 40—50°; получают IV ($\text{R} = \text{H}$, $\text{R}' = \text{C}_6\text{H}_5$, $\text{NR}'\text{R}'' = \text{морфолин}$), выход 13,3 г, т. пл. 151—153° (из сп.). Аналогично получают IV ($\text{R} = \text{H}$, $\text{R}' = \text{C}_6\text{H}_5$, $\text{NR}'\text{R}'' = \text{пиперидин}$), т. пл. 138—139°. Смесь 16,3 г $\text{N,N}'$ -дикарбтоксид-2-хлор-3-амино-1,4-нафтохинона (IX), 100 мл C_6H_6 , 7 мл V и 4,7 мл VI размешивают ~12—16 час. при 25°; получают IV ($\text{R} = \text{COOC}_2\text{H}_5$, $\text{R}' = \text{C}_6\text{H}_5$, $\text{NR}'\text{R}'' = \text{этилендиамин}$), выход 10,5 г (неочищ.), т. пл. 157—159° (из этилацетата). К р-ру 9 г VIII в 100 мл спирта прибавляют при 27° 14 г IX и нагревают короткое время при 40°; получают IV ($\text{R} = \text{COOC}_2\text{H}_5$, $\text{R}' = \text{C}_6\text{H}_5$, $\text{NR}'\text{R}'' = \text{морфолин}$), выход 12 г, т. пл. 138—139°. Аналогично получают IV ($\text{R} = \text{R}' = \text{H}$, $\text{R}'' = \text{C}_6\text{H}_5$, $\text{R}''' = \text{CH}_3\text{CO}$), т. пл. 129—130°. К р-ру 20 г анилина в 200 мл спирта прибавляют 28 г VII и кипятят 1 час; получают IV ($\text{R} = \text{R}' = \text{H}$, $\text{R}'' = \text{C}_6\text{H}_5$, $\text{R}''' = \text{C}_6\text{H}_5$), выход 26 г, т. пл. 176° (из β -метоксиацетата). Соединения с этилендиаминорадикалом обладают противоопухолевым действием. А. Травин

9Л349. Ароматические токсичные нитрилы. Hei-ninger Samuel Allen, Birum Gail H. Aromatic

toxic nitriles. [Monsanto Chemical Co.]. Пат. США 2919224, 29.12.59.—Обладающие бактерицидным, фунгицидным и гербицидным действием соединения общих ф-л (R) (CN) (X) $\text{CCH}_2\text{SR}'$ (I) и (R) (CN) (SR') CCH_2X (II) (R — алкил с 1—6 атомами C или H, X — галогид или H, R' — арил) получены р-цией соединений ф-лы R'SX с $\text{CH}_2 = \text{CHRCN}$. К р-ру 168 г Cl_2 в 800 мл CCl_4 прибавляют при 5—10° р-р 110 г $\text{C}_6\text{H}_5\text{SH}$ в 800 мл CCl_4 , удаляют в вакууме избыток Cl_2 , к полученному р-ру $\text{C}_6\text{H}_5\text{SCl}$ при охлаждении прибавляют 106 г акрило-нитрила, кипятят 2,5 часа, прибавляют 200 мл CH_3COOH , кипятят 1 час, оставляют на ~16 час., перегоняют и получают 129 г продукта, т. кип. 132—135°/0,8—1 мм, n_D^{25} 1,5855 (предположительно смесь I и II; $\text{R} = \text{H}$, $\text{R}' = \text{C}_6\text{H}_5$, X = Cl). В сходных условиях получены смеси I и II (X = Cl) (приведены R, R', т. кип. в °C/мм и n_D^{25}): H, $n\text{-CH}_3\text{C}_6\text{H}_4$, 135—138/0,3, 1,5691; H, $o\text{-CH}_3\text{C}_6\text{H}_4$, 127—128/0,25, 1,5747; H, o , m и $p\text{-CH}_3\text{C}_6\text{H}_4$, 131—134/0,2, 1,5737; CH_3 , $n\text{-CH}_3\text{C}_6\text{H}_4$, 122—124/0,2, 1,5581. С. Окунь

9Л350. Получение новых О- или N-2,3,4,6-тетрайодбензойных соединений. Obendorf Werner. Verfahren zur Herstellung von neuen O-bzw. N-2,3,4,6-Tetrajodbenzoylverbindungen. [Österreichische Stickstoffwerke A.G.]. Австр. пат. 209897, 25.06.60.—Р-цией хлор-ангидрида 2,3,4,6-тетрайодбензойной к-ты (I, II к-та) со спиртами и аминами получены их 2,3,4,6-тетрайодбензойные производные (ИБП), являющиеся полупродуктами в синтезах фармацевтически ценных препаратов. 67 г 3-амино-2,4,6-трийодбензойной к-ты превращают диазотометодом в II, выход 73 г, т. пл. 259° и 298—299° (обе формы из CH_3OH), метиловый эфир, т. пл. 149—150°, феноловый эфир, т. пл. 172—175°. 60 г II растворяют при 60° в 200 мл SOCl_2 , перемешивают несколько минут, отгоняют SOCl_2 при 50—60° и получают I, выход 95,75%, т. пл. 109° (из эф.). Нагреванием I с пиперидином и анилином в C_6H_6 получают пиперидид и анилид II, выходы 76,5 и 92,75%, т. пл. 232—234° и 285—289°. Смесь 9,2 г этилового эфира α -амино-масляной к-ты, 22 г I и 6 мл ацетона медленно нагревают до 100°, смешивают с 250 мл воды и отделяют ИБП III, выход 98%, т. пл. 161° (из сп.). В сходных условиях синтезируют ИБП этилового эфира саркозина, выход 96%, который гидролизуют щелочью в Насоль ИБП саркозина, т. пл. 121—126°. Аналогично, но без р-рителя (5 мин. при 135° и 15 мин. при 110°) получают ИБП этилового эфира d -фенилглицина, выход 99,6%, т. пл. 216—224°, и ИБП d -фенилглицина, выход 90,3%, т. пл. 267—280° (разл.), а также (несколько минут при 170°, затем 1 час при 20°) ИБП метилового эфира антралиновой к-ты (III к-та), выход 99%, т. пл. 240°. ИБП III, т. пл. 289—295°, и ИБП этилового эфира n -аминобензойной к-ты, выход 98,3%, т. пл. 228—230°. 6,44 г I, 2,1 г 2-аминотиазола (IV), 16 мл диоксана и 1,2 г $\text{N}(\text{C}_2\text{H}_5)_3$ нагревают 20 мин. при 100°, отгоняют в вакууме р-ритель, остаток нагревают 2 часа при 100°, обрабатывают 4 н. HCl и эфиром и отделяют ИБП IV, выход 95,3%, т. пл. 180° (из $n\text{-C}_3\text{H}_7\text{OH}$). Аналогично (16 час., 130°) получают ИБП 3-оксипиридина, выход 39,4%, т. пл. 226—234°. Р-цией I с $\text{C}_6\text{H}_5\text{NHNH}_2$ в эфире в присутствии K_2CO_3 синтезируют фенилгидразид II, выход 89,5%, т. пл. 231—235°. Э. Бамдас

9Л351. Получение амидов эвгенолгликолевой и изоэвгенолгликолевой кислот. Thuillier Jean Eugene, Litvan Franz, Stoll Willy. Verfahren zur Herstellung von Amiden der Eugenolglykolsäure und Isoeugenolglykolsäure. [J. R. Geigy A.G.]. Швейц. пат.

335398, 14.02.59.—Соединения ф-лы $\text{CH}_3\text{OC}=\text{CHCR} = \text{CHCH}=\text{COCH}_2\text{CONR}'\text{R}''$ (I) (R — аллил или Δ^1 -пропенил, R' — углеводородный радикал, $\text{R}'' = \text{H}$, углеводородный радикал или R' и R'' с атомом N образуют гетероциклич. радикал), обладающие спотвор-

ным, анагетич., спазмолитич. и местноанестезирующим действием, получают р-цией эвгенол- или изовогенодигликолевой к-ты или ее реакционноспособного производного с соответствующим первичным или вторичным амином. К 220 г безводн. эвгенодигликолевой к-ты (I) в 1 л сухого C_6H_6 прибавляют постепенно 180 г свежеперегнанного $SOCl_2$ при 40–50°, кипятят 30–40 мин. до удаления HCl (газа) и C_6H_6 и избыток $SOCl_2$ отгоняют в вакууме. 240 г полученного продукта растворяют в 500 мл эфира, прибавляют медленно при перемешивании и охлаждении 180 г безводн. диэтиламина, нагревают 15 мин. при 40–50°, осадок отделяют и промывают эфиром (2 × 50 мл). Р-р промывают 100 мл 10%-ного Na_2CO_3 и водой до нейтр. р-ции, сушат $CaCl_2$, эфир отгоняют, остаток (~200 г) перегоняют в вакууме и получают 180 г I (R—аллил, R'—R''=C₂H₅), т. кип. 188–195°/2–3 мм. Аналогично получают I (R—аллил) (приведены R, R' или R' + R'', т. кип. в °С/мм или т. пл. в °С): Н, CH₃, 53–54; Н, C₂H₅, 59–60; n-C₃H₇, Н, 44–45; Н, аллил, 44–45; n-C₄H₉, Н, 40; морфолил, 139–141; пирролидил, 129–131/0,01; CH₃, CH₃, 133–135/0,001. М. Старосельская

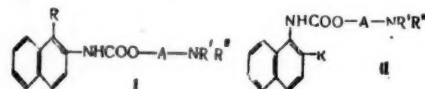
9Л1352. Получение эфиров л-аминосалициловой кислоты, являющихся моноамидами двухосновных кислот. Фудзикава Фукудзиро. Японск. пат. 2667, 20.04.59.—Ацилированием эфиров л-аминосалициловой к-ты (I к-та) ангидридами двухосновных карбоновых к-т получают моноамиды этих к-т общей ф-лы $HOOC-RC(ONHC_2H_5)(OH)COOR'$ (II) более устойчивые чем I и ее эфиры, растворимые в воде и применимые как противотуберкулезные средства. 0,53 г метилового эфира I и 0,2 г янтарного ангидрида растворяют в 8 мл ацетона, взбалтывают и оставляют на ~16 час. Ацетон отгоняют, к остатку добавляют 10%-ный р-р Na_2CO_3 , экстрагируют эфиром непрореагировавший метиловый эфир I, содовый р-р подкисляют разб. H_2SO_4 , полученное кристаллич. в-во высушивают, кристаллизуют из водн. спирта и получают I (R=C₂H₅, R'=CH₃), т. пл. 183–185°. В аналогичных условиях получают I (R=C₂H₅) (приведены R' и т. пл. в °С): C₂H₅ 150–151; n-C₃H₇ 142–143; изо-C₃H₇ 126–128; n-C₄H₉ 95–99; изо-C₄H₉ 104–107; циклогексил 177–178; C₆H₅ 181–183; o-CH₃C₆H₄ 180–181; m-CH₃C₆H₄ 180–181; n-CH₃C₆H₄ 193; o-CH₃OC₆H₄ 165; n-CH₃OC₆H₄ 193. CH₃ 204–205; C₂H₅ 204–206; n-C₃H₇ 176; C₆H₅ 193–194; m-CH₃C₆H₄ 200; o-CH₃OC₆H₄, n-CH₃OC₆H₄ 194. 194–195 (R—o-фенилен); CH₃ 173–174; C₂H₅ 171–172; n-C₃H₇ 151–152; n-C₄H₉ 159–160; C₆H₅ 182; o-CH₃C₆H₄ 171–173; m-CH₃C₆H₄ 197; n-CH₃C₆H₄ 189; o-C₆H₄(CH₃)₂ 178–179; n-CH₃OC₆H₄ 183. В. Каратаев

9Л1353. Алкилен-бис-(N-метил-2,6-диалкиланлины). Shapiro Seymour L., Freedman Louis. Alkylene-bis-(N-methyl-2,6-dialkylanilines). [U. S. Vitamin & Pharmaceutical Corp.]. Пат. США 2921093, 12.01.60.—Являющиеся депрессантами ЦНС соединения общей ф-лы [2-R-6-RC₆H₃N(CH₃)₂]₂A (I) (R—низший алкил, A—алкилен или алкилиден с 2–12 атомами С) получены метилированием соответствующих 2,6-диалкиланлинов (II) с последующим действием на образовавшийся N-метил-II (III) соединения ф-лы X—A—X (X—галлоид или остаток n-толуолсульфокислоты) или р-цией III с X—A—X с последующим действием на образовавшийся алкилен-бис-II смеси $CH_2O + HCOOH$. 140 г II (R=CH₃) (IIa) и 140 г CH₃I нагревают 0,25 часа при ~100°, осадок отделяют, промывают эфиром, сушат, обрабатывают 300 мл воды, подщелачивают 6-н. NaOH, извлекают эфиром (3 × 200 мл), экстракт сушат $MgSO_4$, упаривают, остаток перегоняют и получают 96,7 г III (R=CH₃) (IIIa), т. кип. 206°. Аналогично получают III (R=C₂H₅), выход 81%, т. кип. 229–231°. 27 г IIIa, 9,4 г дибромэтана и 50 г KJ нагревают 1 час при 140°, прибавляют 100 мл воды и 100 мл 6-н. NaOH, извлекают эфиром (3 × 100 мл),

экстракт сушат $MgSO_4$, упаривают, остаток перегоняют и получают 2,25 г I (R=CH₃, A=C₂H₄), т. кип. 148–152°/0,2 мм. К р-ру 12,4 г триметилен-бис-IIa в 25 мл 87%-ной HCOOH прибавляют 14 мл 37%-ного формалина, кипятят 10 час., прибавляют 60 мл н. HCl, упаривают в вакууме, остаток растворяют в 100 мл воды, подщелачивают 40 мл 6 н. NaOH, извлекают эфиром (3 × 100 мл), экстракт сушат $MgSO_4$, упаривают, остаток перегоняют и получают 5,9 г I (R=CH₃, A=C₂H₄), т. кип. 158–163°/0,05 мм. Указанными способами получены I, (приведены R, A, т. кип. в °С/мм): CH₃, C₂H₅, 150–154/0,06; CH₃, C₂H₅, 156–164/0,03; CH₃, C₆H₅, 184/0,04; CH₃, CH₂C≡CCH₂ 158–162/0,06; C₂H₅, C₂H₄, 168–170/0,12; C₂H₅, C₃H₆ 166–176/0,18; C₂H₅, C₅H₁₀, 174–184. М. Брауде

9Л1354. Способ получения новых амидов. Martin Henry, Habicht Ernst. Verfahren zur Herstellung neuer Amide. [Cilag—Chemie A.-G.]. Швейц. пат. 343368, 15.02.60.—Соединения ф-лы $R^1(R^2)CHCH(R^3)N(R^4)CO—A—NR^5R^6$ (I) (R' = Н, ОН, алкокси, алкенокси, алкинокси- или аралкоксигруппа, R² и R³—замещ. фенил, R⁴ = Н, алкил, алкилен или аракил, R⁵ и R⁶—алкилы, группа R' и R''—Н или алкил), обладающие спазмолитич. действием, получают р-цией аминов $R^1CH(R^2)CH(R^3)NHR^4$ с соединениями, содержащими остаток $—CO—A—X$ (X—галлоид, остаток серной или сульфокислоты) с последующим действием на полученное соединение первичного или вторичного амина. 1 моль тонкоизмельченного K_2CO_3 добавляют к р-ру 1 моля 1,2-дифенилэтиламина в 3-кратном кол-ве ацетона, затем добавляют по каплям при перемешивании 1,1 моль $ClCH_2COCl$. Через 3 часа выливают на лед, осадок отфильтровывают, растворяют в 2 молях диэтиламина, нагревают 4 часа в автоклаве при 120° и получают I (R¹ = Н, R² = R³ = C₆H₅, R⁴ = R⁵ = C₂H₅, A = CH₂), т. пл. 94°, хлоридат, т. пл. 145°. N-метилметансульфонат, т. пл. 97°. Аналогично получают I (R¹ = Н, R² = R³ = C₆H₅, A = CH₂) (указаны R⁴, R⁵, R⁶, т. пл. в °С или т. кип. в °С/мм и т. пл. в °С хлоридата и N-метилметансульфоната): Н, CH₃CH₂, 91, 171–172, 146–147; CH₃, CH₃CH₂, 158–160/0,05, 187–188, 135–136; CH₃, C₂H₅, C₂H₅, 170/0,15, 140, 133. Н, C₄H₉, Н, 124–125, 180, 102–103, CH₃, C₃H₇, Н, 175/0,07, 106, 80, Н, CH₃, C₂H₅, 207/0,04, 80, 124–125; Н, CH₃, n-C₃H₇, 66–67, 113–114, 79, Н, CH₃, n-C₄H₉, 61–62, 197–199/0,01, 136–137, 96–97°. Е. Разводовский

9Л1355. Способ получения производных карбаминной кислоты, обладающих анестезирующим действием. Trösken Otto. Verfahren zur Herstellung von anästhetisch wirkenden Carbaminsäurederivaten. [Cassella Farbwerke Mainkur A.-G.]. Пат. ФРГ 1953492, 17.09.59.—Соединения ф-лы (I) и (II) (R—алкил, алкилокси-, ал-



килтиогруппа или галлоид, R' = Н или алкил, R''—алкил или R' и R'' вместе с атомом N образуют гетероциклич. радикал), обладающие малой токсичностью, получают: а) конденсацией соответствующих нафтиламинов с аминоалкильными или галлоидалкильными эфирами муравьиной к-ты (III к-та), в последнем случае полученный продукт обрабатывают вторичным амином; б) р-цией галлоидангидридов или эфиров нафтилкарбаминной к-ты (IV к-та) или нафтилизонаатов с аминоспиртами; или в) каталитич. гидрированием бензилалкиламиноалкильных эфиров IV. В р-р 183 г 2-метилнафтил-4-изонаната, т. кип. 164–165°/14 мм, в 400 мл C₆H₆ приливают по каплям в течение 30 мин. 145 г N-β-оксэтилдигексаметиленмина (т. кип. 109–111°/15 мм), по окончании р-ции кипятят

6 час., охлаждают, осаждают HCl хлоридом этиленмина также HCl в °С и т. CH₃, C₂H₅, n-C₄H₉, n-C₃H₇, CH₃, CH₃, CH₃, пиперидил, морфолил, пиперидил, C₂ перидил, ток гекса (этилацетат) 197 (водн. — 169 — 104–105 9Л1356.

нафтилам К и б и р Японск. п оксипафт 10° и пел усеконк 30 мин. по шой объе 8,7 г 1-(α-170° (из метоксн-10 час. в промыва чают хлн иламинок пикрат, (приведе та): 1-(0 —, —, 1- см-1, бутокси-1-риламинок бромпроп N,N-диот 179, 131, I, 157—4 амно)-4 соедине нов. 9Л1357. ленимин Х и р о н сн). Япо получен

атоме О карбено. хлорфос р-р 2,4 при т-ре кууме и CH₃OH. 9Л1358. родликар хару, У м и о сава яку 30.04.59. CH₃COO ляют во при 20° получают 5 ч пилпир.

6 час., охлаждают, фильтруют, C_6H_6 отгоняют в вакууме, остаток растворяют в 2 л эфира, в р-р пропускают HCl (газ) при $0-5^\circ$ до насыщения и получают хлоргидрат (XГ) II ($R = CH_3, NR'R''$ — остаток гексаметиленмина, $A = C_2H_4$), т. пл. $173-174^\circ$. Получены также II (приведены R, R', R'' или $NR'R'', A$, т. пл. в $^\circ C$ и т. пл. в $^\circ C$ XГ, в скобках указаны р-рителю): $CH_3, C_2H_5, C_2H_5, C_2H_4$, —, $156-157$ (диоксан); $CH_3, n-C_4H_9, n-C_4H_9, C_2H_4$, $63-65$ (бзн.), $156-159$ (диоксан); CH_3, CH_3, CH_3 , изо- C_3H_7 , —, $197-198$ (водн. диоксан); CH_3 , пиперидил, C_2H_4 , —, $179-180$ (диоксан); CH_3 , морфол, C_2H_4 , —, $142-143$ (диоксан); OC_2H_5 , пиперидил, C_2H_4 , $72-73$ (бзн.), 166 (диоксан); OC_4H_9 , пиперидил, C_2H_4 , 79 (бзн.), 160 (диоксан); OC_4H_9 , остаток гексаметиленмина, C_2H_4 , $63-64$ (бзн.), $146-147$ (этилацетат- CH_3OH); Cl , пиперидил, C_2H_4 , 108 (бзн.), 197 (водн. диоксан); Cl , остаток гексаметиленмина, —, $169-170$ (диоксан); и I, CH_3 , пиперидил, C_2H_4 , $104-105$ (бзн.), $187-188$ (диоксан). А. Гинзбург

9Л356. Получение производных 2- и 4-алкокси-пиперидина. Иокояма Матацугу, Ивата Кихиро [Дай-Нихон сэйка кабусики кайся]. Японск. пат. 2427, 14.04.59. — К р-ру $5,5$ г 4-амино-2-метоксинафталина (I нафталин) в $5,5$ г CH_3COOH при $5-10^\circ$ и перемешивании прибавляют насыщ. р-р $8,1$ г уксуснокислого калия и $6,5$ г $CH_3CNBrCOBr$. После 30 мин. перемешивания при 20° смесь выливают в большой объем воды, фильтруют под давлением и получают $8,7$ г 1-(α -бромпропиониламино)-2-метокси-I, т. пл. $169-170^\circ$ (из сп.). Смесь 4 г 1-(α -бромпропиониламино)-2-метокси-I, $3,6$ г $(C_2H_5)_2NH$ и 80 мл C_6H_6 нагревают 10 час. в запаянной трубке (на водяной бане), затем промывают водой, обрабатывают HCl (газом) и получают хлоргидрат (XГ) 1-(α -N,N-диэтиламинопропиониламино)-2-метокси-I, т. пл. $192-194^\circ$ (из сп.-ацетон); пикрат, т. пл. $158,5-159,5^\circ$. Аналогично получают (приведены в-во, т. пл. в $^\circ C$ и т. пл. в $^\circ C$ XГ и пикрата): 1-(α -бромпропиониламино)-2-бутокси-I, $162-163^\circ$, —, —; 1-(α -N,N-диэтиламинопропиониламино)-2-бутокси-I, —, $130-132, 173-174$; 1-(α -бромбутириламино)-2-бутокси-I, $159-160$, —, —; 1-(α -N,N-диэтиламинобутириламино)-2-бутокси-I, —, $176-178, 153-154$; 1-(α -бромпропиламино)-4-этокси-I, $177-178$, —, —; 1-(α -N,N-диэтиламинопропиониламино)-4-этокси-I, —, $177-179, 131,5-132,5$; 1-(α -бромпропиониламино)-4-бутокси-I, $157-158^\circ$, —, —; 1-(α -N,N-диэтиламинопропиониламино)-4-бутокси-I, —, $151-153, 123-124$. Указанные соединения применяют в качестве местных анестетиков.

Я. Данишевский
9Л357. Получение O- α -нафтил-N,N-бис-(2-метилэтиленин)-фосфата. Сунагава Гэнсюн, Сато Хиронобу, Накао Хидэо. [Санкё кабусики кайся]. Японск. пат. 3069, 27.04.59. — Патентуется способ получения производного α -нафтола, содержащего при

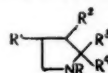
атоме O группу $P(=O)(NCH_2CHCH_3)_2$, обладающего карденолитич. действием. К р-ру $5,2$ г O- α -нафтилдихлорфосфата в C_6H_6 по каплям добавляют бензольный р-р $2,4$ г 2-метилэтиленимина и $4,1$ г триэтиламина при т-ре $5-10^\circ$, фильтруют, отгоняют р-рителю в вакууме и получают I в виде масла, растворимого в CH_3OH . В. Каратаев

9Л358. Получение эфира 2-алкил-4-изопропилпирролидинкарбоновой-3,5-кислоты. Миядзак Митихару, Некаиси Кадзуо, Дзэнно Хисанао, Умио Суминори, Кариёна Кадзуо. [Фудзисава якухин когё кабусики кайся]. Японск. пат. 3231, 30.04.59. — В смесь 18 г $(CH_3)_2CHCOCH_2COOC_2H_5$ и 85 мл CH_3COOH при охлаждении и перемешивании прибавляют водн. р-р $8,04$ г $NaNO_2$. После 20 час. выдержки при 20° прибавляют $14,7$ г $CH_3COCH_2COOC_2H_5$, нагревают 5 час. с 15 г Zn при $70-80^\circ$, выливают в воду и получают $17,5$ г диэтилового эфира 2-метил-4-изопропилпирролидинкарбоновой-3,5-к-ты, т. пл. $117-118^\circ$ (из

сп.). Аналогично получают 2-метил-4-изопропил-3-карбобензилокси-5-карбетокси-пиррол, т. пл. 92° (из лигн.). Указанные соединения применяют в качестве антигельминтных средств или исходных продуктов для их получения.

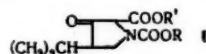
Я. Данишевский

9Л359. Способ получения производных пирролидина. Татнока Суэо, Танака Кунисёси, Уэно Йосио, Камиянаги Цугисабуро, Хондзё Микио, Мино Ясуси, Утихаяси Масао. [Та-кэда якухин когё кабусики кайся]. Японск. пат. № 327, 19.01.60. — Производные α -галлоид- δ -аминовалериановой к-ты общей ф-лы $RHNC_2H_2CH(R^1)CH(R^2)C(R^3)(R^4)X$ при обработке основаниями образуют производные пирролидина общей ф-лы (I) ($R = H$, ацил, карбалксил или углеводородный остаток; $R^1 = H$, незамещ. или замещ. алкил; R^2 и $R^3 = H$, карбоксильная группа или группа, превращающаяся в нее при гидролизе;



R^4 — карбоксильная группа или этерифицированная карбоксильная группа; X — галлоид). I пригодны в качестве промежуточных продуктов для получения аналогов каиновой к-ты, обладающих антигельминтным действием. К 4 г бромгидрата диэтилового эфира α -(3-аминопропил)- α -броммалоновой к-ты прибавляют водн. р-р поташа, основание извлекают эфиром, эфир отгоняют, к оставшемуся маслу прибавляют $CHCl_3$, отгоняют р-рителю вместе с водой, к остатку прибавляют 20 мл пиридина, оставляют 2 дня стоять при 20° , пиридин отгоняют, остаток извлекают эфиром, экстракт промывают насыщ. р-ром $NaCl$, сушат Na_2SO_4 , эфир отгоняют и перегонкой выделяют 2,2-дикарбетокси-пирролдин, т. кип. $134^\circ/17$ мм, пикрат, т. пл. 126° . С. П.

9Л360. Способ получения 1,2-дикарбалкокси-4-изопропилпирролидонов-3. Миядзак Митихару, Мидзуно Тётаро, Дзэнно Хисанао, Умио Суминори. [Фудзисава якухин когё кабусики кайся]. Японск. пат. 2221, 9.04.59. — Конденсацией сложных эфиров 2-(N-карбалкокси-N-карбалкоксиметиламино)-метил-изовалериановой к-ты в щел. среде получают 1,2-дикарбалкокси-4-изопропилпирролидоны-3 общей ф-лы

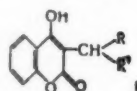


(I) (R и R' — одинаковые или различные алкилы). I пригодны в качестве промежуточных продуктов синтеза антигельминтных препаратов. $2,5$ г этилового эфира 2-(N-карбетокси-N-карбетоксиметиламино)-метил-изовалериановой к-ты растворяют в 20 мл C_6H_6 , прибавляют $0,4$ г K , нагревают 3 часа на водяной бане, подкисляют разб. HCl , промывают водой, разб. р-ром $NaHCO_3$ и водой, сушат безводн. $MgSO_4$ и отгонкой р-рителю в вакууме выделяют $1,6$ г 1,2-дикарбетокси-4-изопропилпирролидонов-3, т. кип. $153^\circ/3$ мм. С. П.

9Л361. Способ получения 3,5-дисульфамидных производных тиофена. Siedel Walter, Sturm Karl. Verfahren zur Herstellung von Thiophen-3,5-disulfonamiden. [Farbwerke Hoechst A.-G. vormals Meister Lucius & Brüning]. Пат. ФРГ 1059921, 24.12.59. — Обладающие диуретич. действием 2-R-3,5-дисульфамидотиофены (I) (R — галлоид или низший алкил) получены действием NH_3 на соответствующие хлорангидриды 2-R-тиофен-3,5-дисульфокислот (II). 100 г II ($R = Cl$) прибавляют за 15 мин. к 500 г жидкого NH_3 , упаривают (к концу в вакууме), остаток обрабатывают 200 мл воды, р-р фильтруют, подкисляют 5 н. HCl до $pH 2$, оставляют на 2 часа при 0° , осадок отделяют, промывают ледяной водой, кристаллизуют из 1 л воды и получают 63 г I ($R = Cl$), т. пл. $219-220^\circ$ (исп.).

В сходных условиях получен I ($R = CH_3$), т. пл. 195—197° и I ($R = C_2H_5$), т. пл. 204—206°. М. Брауде

9Л362. Получение производных 4-оксикумарина. Enders Edgar. Verfahren zur Herstellung von Derivaten des 4-Oxycumarins. [Farbenfabriken Bayer A.-G.]. Пат. ФРГ 1017620, 7.01.60.—Обладающие антикоагулирующим действием соединения общей ф-лы (I) (R — арил, R' — арил или алкил, который может вместе с R образовать алициклич. или гетероциклич. радикал, ароматич. ядро может быть замещенным) получены



конденсацией 4-оксикумарина (II) с эфирами ф-лы $RR'CHX$ (III) (X — алкокси- или ацилоксигруппа). 8 г II и 11 г III ($R = R' = C_6H_5$, $X = OCH_3$) сплавляют с 5 мл CH_3COOH , добавляют 1 мл 78%-ной H_2SO_4 , нагревают 1 час при 120°, выливают в воду и получают I ($R = R' = C_6H_5$), выход 70—80%, т. пл. 181—182° (из CH_3OH). Аналогично получают I (приведены R, R' , заместители в бензольном ядре и т. пл. в °C): C_6H_5 , C_6H_5 , 7- CH_3 , 184—185; C_6H_5 , C_6H_5 , 7- Cl , 175—176; C_6H_5 , C_6H_5 , 6- Cl , 200—202; 4- ClC_6H_4 , 4- ClC_6H_4 , 7- Cl , 213—215; 4- ClC_6H_4 , 4- ClC_6H_4 , 7- CH_3 , 210—211; C_6H_5 , CH_3 , —, 208—209; C_6H_5 , C_2H_5 , —, 178—179; n - $CH_3C_6H_4$, C_2H_5 , —, 131—132; n - ClC_6H_4 , C_2H_5 , —, 192—192.5; C_6H_5 , C_2H_5 , 7- CH_3 , 160—162; C_6H_5 , n - C_3H_7 , —, 200—201; 4- $изо$ - $C_3H_7C_6H_4$, CH_3 , —, 158—160; 4- $C_2H_5C_6H_4$, C_2H_5 , —, 158—160; α -инданил, —, 195; α -тетралил, —, 186—187; α -тетралил, 7- CH_3 , 186—187; α -тетралил, 7- CH_3 , 190—192. В. Спиричев

9Л363. Бис-1,1-дипиридилолефины и их соли, применяемые в терапии. Bence William Laszlo, Allen Milton Joel. Certain bis-1,1-dipyridyl olefines and therapeutically useful salts. [Ciba Pharmaceutical Products, Inc.]. Пат. США 2923710, 2.02.60.—Соединения общей ф-лы $RR'C=CR''R'''$ (I) (R и R' — пиридил-3 или -4, R'' и R''' — низшие алкилы), их соли и четвертичные аммониевые соединения, подавляющие активность гормонов коры надпочечников, получают дегидратацией соединений ф-лы $RCH(OH)CR''R'''$ (II). 8 г II ($R = R' =$ пиридил-3, $R'' = R''' = CH_3$) медленно прибавляют к 40 мл конц. H_2SO_4 , нагретой до 110°, выдерживают 1 час при 150°, охлаждают до ~20°, выливают на лед, нейтрализуют 50%-ным $NaOH$, 4-кратно экстрагируют этилацетатом, экстракты объединяют, промывают насыщ. р-ром $NaCl$, сушат Na_2SO_4 , фильтруют, концентрируют в вакууме; остаток (6,6 г) перегоняют при 120—130°/0,05 мм и получают 6,3 г I ($R = R' =$ пиридил-3, $R'' = R''' = CH_3$), т. пл. 142—143,5° (этилацетат-пентан). Аналогично получены 3,3 бис-(пиридил-3)-бутен-1, т. кип. 120—125°/0,03 мм.

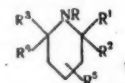
И. Алферова

9Л364. Способ получения тиоамидов пиридинкарбонновых кислот. Liberman David. Nouveaux thioamides pyridiniques et leur procédé de préparation. [Chimie et Atomistique]. Франц. пат. 1215506, 19.04.60.—Обладающие бактерицидным действием и применяемые для лечения туберкулеза и проказы тиоамиды 6- R -изоникотиновой к-ты (I, II к-та) (R — низший алкил) получены следующим рядом р-ций: кетон ф-лы $RCOCH_3$ конденсируют с этилосалатом и образовавшийся эфир ф-лы $RCOCH_2COCOOC_2H_5$ (III) действием цианацетамида (IV) переводят в 6- R -3-пиа-4-карб-этоксипиридон-2 (V), при действии горячей конц. HCl превращающийся в 6- R -пиридон-2-карбонную-4 к-ту (VI). При хлорировании VI с последующим действием спирта образуется этиловый эфир (ЭЭ) 2- Cl -II (VII), который восстанавливают в ЭЭ II (VIII), действием NH_3 переводимый в амид II (IX). При нагревании с P_2O_5 IX превращается в нитрил II (X), который дей-

ствием H_2S переводят в I. Более коротким путем получен I ($R = CH_3$); пировиноградную к-ту (XI) конденсируют с NH_3 , образовавшуюся 6-метилпиридинкарбонную-2,4 к-ту (XII) декарбоксилируют, выделяют II ($R = CH_3$) (XIII) переводят в ЭЭ (VIII, $R = CH_3$) (VIIIa), из которого вышеприведенным способом получают Ia. К 750 мл насыщ. р-ра NH_3 в абс. спирте при 0° прибавляют по каплям 75 г XI, осадок отделяют и получают 16 г XII, т. пл. > 330°. 5 г XII нагревают при 280°, кристаллизуют из воды и получают 1,5 г XIII, т. пл. 292°. 10 г XIII, 50 мл абс. спирта и 10 г конц. H_2SO_4 кипятят 3 часа и получают 7,5 г VIIIa, т. кип. 102—104°/9 мм. 14 г VIIIa перемешивают с 15 мл насыщ. спиртового р-ра NH_3 при 0° и получают 9,5 г IX ($R = CH_3$) (IXa), т. пл. 163°, которые нагревают в вакууме при 160—180° с 15 г P_2O_5 и получают 4,8 г X ($R = CH_3$) (Xa), т. пл. 46°. Р-р 4,8 г Xa в 18 мл абс. спирта, содержащего 1,6 г триэтилоламина обрабатывают H_2S и получают 5,1 г Ia, т. пл. 190° (разл.). 36 г метилэтилкетона и 73 г этилосалата кипятят в спирте в присутствии C_2H_5ONa и получают 28 г III ($R = C_2H_5$) (IIIa), т. кип. 100—105°/6 мм. 22 г IIIa, 14 г IV и 4,5 мл пиридина кипятят с 205 мл 60%-ного спирта и получают 19 г V ($R = C_2H_5$) (Va), т. пл. 214°. 30 г Va кипят 4 часа с конц. HCl и получают 13,5 г VI ($R = C_2H_5$) (VIa), т. пл. 308°. 26 г VIa, 81 г PCl_5 и 45 мл $POCl_3$ упаривают в вакууме, остаток обрабатывают спиртом, перегоняют и получают 24 г VII ($R = C_2H_5$) (VIIa), т. кип. 127—131°/8 мм. Р-р 10 г VIIa в 80 мл абс. спирта, содержащего 5,5 г CH_3COOK , гидролизуют в присутствии 5%-ного Pd/C и получают 8 г VIII ($R = C_2H_5$) (VIIIb), т. кип. 120—124°/14 мм, из которого вышеприведенным способом получены соответствующие IX, т. пл. 131°, X и I ($R = C_2H_5$), т. пл. 166°. В сходных условиях получены (приведены в-во, т. пл. в °C или т. кип. в °C/мм): $R = C_2H_5$; III, 113/6; V, 152; VI, 285; VII, 115—116/2; VIII, 121—125/7; IX, 135; X, 90—95/4; I, 142, R - $изо$ - C_3H_7 ; III, 106—109/4; V, 156; VI, 270; VII, 146—150/8; VIII, 110—114/3; IX, 106; X, 107—117/6; I, 153.

М. Брауде

9Л365. Замещенные пиперидины. Young Edwin Harry Paterson. Substituted piperidines. [Imperial Chemical Industries Ltd]. Англ. пат. 834290, 4.05.60.—Обладающие ганглиоблокирующим и гипотензивным действием соединения общей ф-лы (I) (R — алкил или алкилен с 1—6 атомами C, могущий содержать заместители, $R^1, R^2, R^3, R^4 = CH_3$ или C_2H_5 , R^5 — алкил с 1—6 атомами C, фенил, диалкиламиноалкилами или H) получены 1) восстановлением соответствующих 4-кетопроизводных пиперидина; 2) восстановлением производных $\Delta^3,4$ -тетрагидропиперидина и 3) алкилированием I ($R = H$). 5,5 г 4-кето-1,2,2,6,6-пентаметилпиперидина, 30 г триэтиленгликоля, 6 г гидрата гидразина и 6 г КОН кипятят 2 часа, отгоняя образующуюся воду, остаток разгоняют и получают I ($R = R^1 = R^2 = R^3 = R^4 = CH_3$, $R^5 = H$), т. кип. 182—183°/768 мм. Пикрат, т. пл. 274—276° (разл.). В сходных условиях получен I ($R = H$, $R^1 = R^2 = R^3 = R^4 = CH_3$, $R^5 = 3-CH_3$), т. кип. 108—110°/23 мм, оксалат, т. пл. 190° (разл.). Р-р 2,25 г хлоргидрата (XG) 1,2,2,6,6-пента-



тил- $\Delta^3,4$ -тетрагидропиперидина в 40 г CH_3OH гидролизуют в присутствии 0,5 г Pt (из PtO_2), фильтруют, упаривают до 5 г, прибавляют эфир, осадок отделяют и получают XG¹ I ($R = R^1 = R^2 = R^3 = R^4 = CH_3$, $R^5 = H$), т. пл. 249° (разл.). В сходных условиях получен I ($R = H$, $R^1 = R^2 = R^3 = R^4 = CH_3$, $R^5 = 4-C_4H_9$), т. пл. 225—226°. 4 г I ($R = H$, $R^1 = R^2 = R^3 = R^4 = CH_3$, $R^5 = H$), 12 г 98%-ной $HCOOH$ и 15 г 38%-ного форм-

лина кп...
р-ром Na...
сушат, у...
($R = R^1 =$...
184°/771...
210—215°...
ны R, R^1 ...
крата): R ...
0/5—247...
 CH_3, CH_3 ...
 CH_3, CH_3 ...
 C_2H_5, CH_3 ...
 CH_3, CH_3 ...
 $CH_3COOC_2H_5$...
5-(OH) α -C...
—; C_2H_5 ...
Р-р 10 г...
иопронил...
 H_2 в при...
глощени...
няют в а...
= $R^1 = C$...
9Л366...
Hoffm...
neuen C...
342220, 3...
обладаю...
нимое со...
новленн...
изводно...
т. пл. 15...
нии Ni-н...
глощени...
охлажда...
вают из

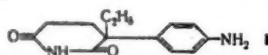
150°. По...
пускают...
223—225...
произво...
лучения...
получаю...
содержа...
щуюся...
этилду...
 HCl час...
вают с...
 NH_4OH ...
в вакуу...
тата и...
9Л366...
H. Ant...
rain an

22.12.59

(CH_2) α ...
нотокс...
мения...
 CH_3COO ...
 C_2H_5OH ...
раствор...
рують...
гируют...
ют, ос...
Ia, т...
раствор...
отфильт...
ОН, ш...
хлорит

лина кипятят 8 час., охлаждают, подщелачивают водн. р-ром NaOH, извлекают эфиром (4×35 г), экстракт сушат, упаривают, остаток перегоняют и получают I ($R = R' = R'' = R^3 = R^4 = CH_3$, $R^5 = H$), т. кип. $183-184/771$ мм, шикрат, т. пл. $274-276^\circ$, йодметилат, т. пл. $240-245^\circ$. В сходных условиях получены I, (приведены $R, R', R'', R^3, R^4, R^5$, т. кип. в $^\circ C/мм$, т. пл. в $^\circ C$ шикрата): C_2H_5 , CH_3 , CH_3 , CH_3 , CH_3 , H , $194-198^\circ/760$, $245-247$ (разл.), йодгидрат, т. пл. $269-270^\circ$; $CH_2=CH$, CH_3 , CH_3 , CH_3 , CH_3 , H , $96-98/20$, $162-163$; $n-C_4H_9$, CH_3 , CH_3 , CH_3 , CH_3 , H , $96-98/12$, $181-182$; $n-C_4H_9$, C_2H_5 , CH_3 , C_2H_5 , $3-CH_3$, $119-121/18$, —; $OH-C_2H_4$, CH_3 , CH_3 , CH_3 , CH_3 , H , $140-142/12$, т. пл. 160° , $215-216$; $CH_3COOC_2H_4$, CH_3 , CH_3 , CH_3 , CH_3 , H , $139-141/12$, —; $3,4,5-(OH)_3C_6H_2OOC_2H_4$, CH_3 , CH_3 , CH_3 , CH_3 , H , т. пл. 157° , —; $C_2H_5OC_2H_4$, CH_3 , CH_3 , CH_3 , CH_3 , H , $132-136/18$, —. Р-р 10 г гидрата триацетонамина и 7,5 г Δ -диэтиламинопропиламина в 80 г CH_3OH встряхивают в атмосфере H_2 в присутствии 0,5 г Pt (из PtO_2) до прекращения поглощения H_2 фильтруют, упаривают, остаток перегоняют в вакууме и получают I ($R = H$, $R' = R'' = R^3 = R^4 = CH_3$, $R^5 = 4-(C_2H_5)_2NCH_2CH_2C_6H_4NH_2$). С. Окунь

91366. Получение производного глутаримида. Hoffmann Karl. Verfahren zur Herstellung eines neuen Glutarimids. [Ciba A.-G.] Швейц. пат. 342219, 342220, 31.12.59.—По пат. 342219 соединение ф-лы (I), обладающее антиконвульсивным действием и применяемое перорально и парентерально, получают восстановлением соответствующего нитро- или нитропро-изводного. 26,2 г α -(n -нитрофенил)- α -этилглутаримида, т. пл. $137-139^\circ$, гидрируют в этилацетате в присутствии Ni-катализатора при $50-70^\circ$ до прекращения поглощения H_2 , катализатор отделяют, р-р упаривают, охлаждают, кристаллы отделяют, перекристаллизовывают из CH_3OH и получают I, выход 97%, т. пл. $149-$



150°. Полученный продукт растворяют в спирте, пропускают HCl (газ) и получают хлоргидрат I, т. пл. $223-225^\circ$. Р-цией I с $(CH_3CO)_2O$ получают ацетимино-производное I, т. пл. $183-185^\circ$. Приведены методы получения исходного нитросоединения. По пат. 342220 I получают гидролизом соответствующих производных, содержащих в пара-положении группу, гидролизующуюся в NH_2 -группу. 8,4 г α -(n -бензоилиминофенил)- α -этилглутаримида кипятят 4 часа с 30 мл 18%-ной HCl, HCl частично отгоняют в вакууме, остаток переменяют со льдом, фильтруют, фильтрат подщелачивают NH_4OH , кристаллы отделяют, промывают водой, сушат в вакууме при 50° , перекристаллизовывают из этилацетата и получают I, т. пл. $149-150^\circ$. И. Филянд

91367. Спазмолитические препараты. Biel John H. Anti-spasmodics specific for upper gas-trointestinal pain and spasm. [Lakeside Labs, Inc.] Пат. США 2918407, 22.12.59.—Патентуются соединения общей ф-лы CH_2NR-

$(CH_2)_3CHNOOCCH(C_6H_5)_2$ (I) (R — низший алкил) и их неокисляющие соли и четвертичные аммониевые соединения. 34 г N -этилпиридиниола-3 (II) и 20 г $(C_6H_5)_2CHNOOC$ (III) в 80 мл $iso-C_3H_7OH$, кипятят 2 часа, $iso-C_3H_7OH$ отгоняют в вакууме (30 мм рт. ст.), остаток растворяют в 150 мл воды, р-р несколько раз экстрагируют эфиром, водн. р-р нейтрализуют K_2CO_3 , экстрагируют эфиром, экстракты сушат K_2CO_3 , эфир отгоняют, остаток перегоняют и получают 14 г I ($R = C_2H_5$) Ia, т. кип. $180-181^\circ/13$ мм. Смесь 4,5 г III и 2,6 г II растворяют в 50 мл $(CH_3)_2CO$, кипятят 3 часа, осадок отфильтровывают, промывают, растворяют в $iso-C_3H_7OH$, перекристаллизовывают и получают 4,2 г (60%) хлоргидрата Ia, т. пл. $173-174^\circ$. 3,23 г Ia растворяют в

абс. эфире, прибавляют 2,84 г CH_3J , оставляют на 24 часа, осадок отфильтровывают и получают 4 г йодметилата Ia, т. пл. 70° (разл.). И. Алферова

91368. Способ получения амида N -метил-1,4,5,6-тетрагидроникотиновой кислоты. Karger Paul. Verfahren zur Herstellung von N -Methyl-1,4,5,6-tetrahydronicotinsäureamid. [F. Hoffmann — La Roche & Co. A.-G.] Швейц. пат. 345005, 29.04.60.—Для получения амида N -метил-1,4,5,6-тетрагидроникотиновой к-ты (I) амид дигидро- N -метилпианоникотиновой к-ты (II), полученный р-цией щел. цианида с галондметилатом амида никотиновой к-ты, частично гидрируют под давлением в присутствии Ni Ренея. I снижает кровяное давление, активизирует рост и является промежуточным продуктом синтеза лекарственных в-в. Пример. При 20° сливают р-ры 50 г йодметилата амида никотиновой к-ты в 400 мл воды и 37 г KCN в 100 мл воды. Через несколько часов заканчивается кристаллизация II, который очищают перекристаллизацией из ацетонитрила или диметилформамида; растворим в CH_3OH , спирте, диоксане и ацетоне и очень трудно в воде, разлагается $> 125^\circ$. К р-ру 10 г II в 50 мл спирта прибавляют 10 г Ni Ренея X 50 и гидрируют 6 час. при 50° и 80 ат. Фильтруют, фильтрат выпаривают, маслянистый остаток растворяют в небольшом кол-ве этилацетата, обезцвечивают углем и выделяют кристаллич. продукт. Дробной кристаллизацией из этилацетата получают более труднорастворимую фракцию чистого I, т. пл. 122° , λ макс. 295 м μ (в сп.) и фракцию смеси (т. пл. 94°) I с амидом гексагидроникотиновой к-ты, которую разделяют различными путями, напр., хроматографией, можно разделить на компоненты. Ю. Вендельштейн

91369. Получение сложных эфиров моно- и бисциклических пентанолов и их сульфоновых солей. Horák Václav. Způsob přípravy esterů jednoduchých a bicyklických penthanolů a jejich sulfonových solí. Чехосл. пат. 91156, 15.07.59.—Патентуются способ получения сульфоновых солей эфиров пентанолов, преимущественно соединения типа дезазатриптопина (I) и дезазаспсевдотриптопина, обладающих спазмолитич. действием. Из смеси 1,4 г I, 20 мл $iso-C_3H_7OH$ и 2 г $(iso-C_3H_7O)_3Al$ в течение 5 час. медленно отгоняют низкокипящие фракции, после разложения и обработки обычным способом получают смесь эфирных спиртов с выходом 90%, т. пл. $200-206^\circ$. Полученную смесь растворяют в 120 мл C_6H_6 , добавляют 6,8 г пиридина, затем по каплям 8,8 г C_6H_5COCl , через 48 час. смесь разлагают разб. HCl, выделенную смесь бензоатов эфирных дезазатриптопинов разделяют хроматографически на 700 г нейтр. Al_2O_3 и получают 5,95 г β -изомера, т. пл. 101° и 3,5 г α -изомера, т. пл. 52° . З. Сметель

91370. Способ получения 3-пиридилэтилоксалидинионов-2,4. Shapiro Seymour L., Feedman Louis, Rose Ira M. 3-pyridylethyl 2,4-oxazolidinediones and process. [U. S. Vitamin Corp.] Пат. США

2866734, 30.12.58.—Соединения общей ф-лы $RR'C-O-$

$-CONR''CO$ (I) (R и R' — H , низший алкил, циклоалкил, арилалкил, фенил или $R' + R''$ — алкил или метилалкилен, R'' — 2-этилпиридил, или алкилазамещенный 2-этилпиридил с 1-2 атомами C в алкиле и 4-этилпиридил) их соли и четвертичные аммониевые соединения, обладающие антиконвульсивными, анагетич., и снотворным действием, получают р-цией 2,4- или 6-винилпиридина с оксазолидинионом. 6 г 1,3-оксазолидиниона-2,4 и 7,91 г 2-винил-5-этилпиридина нагревают 2 часа при 150° , охлаждают, кристаллизующийся продукт растирают с гексаном, растворяют в 100 мл воды, подщелачивают $NaHCO_3$ до pH 7-8, экстрагируют эфиром (3×50 мл), экстракты выпаривают, сушат над P_2O_5 , растворяют в C_6H_6 и получают I [$R = R' = H$, $R'' = 2-(2\text{-пиридил})-5\text{-этил}$], т. пл. 65° . Получены также производные I (приведены R', R'' , или $R' + R'', R'''$,

т. кип. в °C/мм или т. пл. в °C): Н, СН₃, —, 2-(4-пиридил)-, 131—148/0,015; СН₃, СН₃, —, 2-(2-пиридил) 115—132/0,01; Н, 3-С₆H₅, —, 2-[2-пиридил-5-этил], 170—172/0,06; Н, С₆H₅, —, 2-(4-пиридил), —, 107,5—109° (этил-ацетат — гексан); С₆H₅, С₆H₅, 2-(2-пиридил-5-этил), —, хлоргидрат, 146—156 (этилацетат); С₆H₅, С₆H₅, 2-(4-пиридил), —, йодметилат, 166—168°, —, —, тетраметилен, Н, —, 132—133°, —, —, 3'-метилпентаметилен, Н, —, 107—108°. И. Берлин

9Л371. Новые производные нитроимидазола.— Nouveaux dérivés du nitro-imidazole. [Soc. des Usines Chimiques Rhône-Poulenc]. Франц. пат. 1200748, 23.12.59.—Соединения общей ф-лы (I) (R—алкил с ≥ 2 атомами С или арил, в котором арил может быть замещен например алкилом, алкоксилем, нитро-группой или галогеном) и соли I с к-тами получают алкилированием или арилированием 4-(или 5)-нитроимидазола (II) (в II атомы Н в положениях 4 и 5 эквивалентны) или нитрованием 1-алкил- или 1-арил-имидазола обычными способами. I применяют для лечения заболеваний, вызываемых *Endamoeba histolytica* и *Trichomonas vaginalis*. Примеры. а) Смесь 17 г II и 26 г диэтилсульфата (III) размешивают 2 часа при 120°, выливают в 100 мл дистил. воды, фильтруют, фильтрат подщелачивают 20 мл р-ра NaOH уд. веса 1,33 и экстрагируют 3 × 100 мл СНСl₃. Экстракты сушат K₂CO₃, концентрируют, остаток растворяют



в 100 мл пропанола, прибавляют эфирный р-р HCl и получают 11,5 г хлоргидрата 1-этил-5-нитроимидазола, т. пл. 150°. Аналогично из 9,6 г II и 18,5 г n-пропилового эфира n-толуолсульфокислоты нагреванием в течение 4 час. при 120—140° получают 2,7 г хлоргидрата 1-n-пропил-5-нитроимидазола, т. пл. 135°; из 11,3 г II и 21 г ди-n-бутилсульфата при нагревании 1 час при 140° получают 4,8 г 1-n-бутил-5-нитроимидазола, т. пл. 52° (из гексана). б) К р-ру 17 г II в 90 мл 10%-ного р-ра NaOH прибавляют 10 мин. 13 г III, размешивают 30 мин. при 40°, прибавляют 90 мл 10%-ного р-ра NaOH и 13 г III и нагревают 1 час при 45°. Охлаждают, экстрагируют 5 × 100 мл СНСl₃, экстракты сушат, выпаривают в вакууме, остаток растворяют в 400 мл эфира, оставляют в холодильнике, кристаллы фильтруют, маточные р-ры концентрируют и получают всего 5,8 г 1-этил-4-нитроимидазола, т. пл. 40—41°. в) К р-ру 11,3 г II в 150 мл диметилформамида прибавляют 48 мл 18%-ного спир. р-ра этилата К, отгоняют спирт, при атмосферном давлении, охлаждают до 60° и быстро прибавляют смесь 12,3 г n-пропилобромида и 20 мл диметилформамида и кипятят при размешивании 2,5 часа. По охлаждении фильтруют, фильтрат выпаривают в вакууме, остаток растворяют в СНСl₃, фильтруют, фильтрат выпаривают, остаток растворяют в эфире и выделяют масло 1-n-пропил-4-нитроимидазола, застывающее при 21°. Аналогично из 4,5 г II и 8,2 г n-хлорбензилбромида получают 5 г 1-(4'-хлорбензил)-4-нитроимидазола, т. пл. 122° (из дихлорэтана); из 11,3 г II и 12,6 г бензилхлорида получают 1-бензил-4-нитроимидазол, т. пл. 76° (из бал.-циклогексана 1:1). г) К р-ру 28,5 г сульфата 1-бензил имидазола в смеси 15 мл HNO₃ уд. веса 1,33 и 26 мл HNO₃ уд. веса 1,49 постепенно прибавляют 17 мл H₂SO₄ уд. веса 1,83, нагревают 2 часа при 120° до прекращения выделения газов, охлаждают и выливают на лед. Осадок фильтруют, кристаллизуют из 100 мл воды и получают 11,3 г 1-(4'-нитробензил)-4-нитроимидазола (IV), т. пл. 185°. К кислому маточному р-ру после отделения неочищ. IV прибавляют 75 мл р-ра NaOH уд. веса 1,33 и 100 г K₂CO₃ и экстрагируют 4 × 50 мл СНСl₃. Выпариванием экстрактов получают 7,3 г продукта, который прибавлением р-ра 8,5 г пикриновой к-ты в 170 мл спирта

переводят в пикрат (14 г); последний размешивают с р-ром 2,5 г гидрата окиси лития в 200 мл воды, экстрагируют 3 × 50 мл СНСl₃, экстракты выпаривают, остаток растворяют в ацетоне, прибавляют эфир. р-р HCl и получают 6 г хлоргидрата 1-бензил-5-нитроимидазола, т. пл. 144°.

9Л372. Получение производных пиразолидинона-3,5, содержащих в положении 4 бициклический заместитель. Scheffler Heinrich, Teufel Helmut. Verfahren zur Herstellung von in 4-Stellung bicyclisch substituierten 3,5-Dioxo-pyrazolidinen. [J. R. Geigy A.-G.] Швейц. пат. 344065, 15.03.60.—Соединения ф-лы (I) (R и R' = Н или низшие алкилы, R'' и R''' = Н, алкил, циклоалкил, незамещ. или замещ. арил или арилалкил, n = 0—3), обладающие противовоспалительной, жаропонижающей и анагетич. активностью, получают каталитич. гидрированием соединений ф-лы (II), полученных конденсацией диэфиров малоновой



к-ты, замещ. ненасыщ. бициклич. радикалом с гидразном или его производным ф-лы R''HNNHR''' (III) в присутствии основных конденсирующих средств. Суспензию 0,2 г PdO₂/BaSO₄ в 100 мл 96%-ного спирта вальзуют в атмосфере H₂ до полного насыщения, затем прибавляют 1,79 г II (R = R' = Н, R'' = R''' = С₆H₅, n = 1) IIa, воздух отсасывают, продувают H₂ и гидрируют при 20° и атмосферном давлении. Через 40 мин. смесь нагревают, горячий р-р фильтруют, охлаждают и получают 1,52 г (84%) Ia, т. пл. 170,5—171°.

9Л373. Получение замещенных в положении 4 производных 1,2-диарил-3,5-диоксопиразолидина. Denss Rolf, Häfliger Franz. Verfahren zur Herstellung von 4-substituierten 1,2-Diaryl-3,5-dioxo-pyrazolidinen. [J. R. Geigy A.-G.] Швейц. пат. 334844, 31.01.59.—Патентуется способ получения производных 3,5-диоксопиразолидина (I 3,5-диоксопиразолидин), обладающих фармакологич. активностью. 19,8 г хлоргидрата хлорангидрида N-метилгексагидроникотиновой к-ты суспендируют в 200 мл С₆H₆ и 75 мл пиридина прибавляют небольшими порциями при перемешивании 25,2 г мало-нитридазобензола, кипятят 10 мин. и перемешивают ~16 час. при 20°. Осадок отделяют, промывают С₆H₆ и получают 1,2-дифенил-4-(N-метилгексагидроникотиноил)-I, т. пл. 291—293. Аналогично получены (приведены в-во и т. пл. в °C): 1,2-дифенил-4-изоникотиноил-I, 341—342; 1,2-дифенил-4-теноил-I, 197—198; 1,2-дифенил-4-никотиноил-I, 338—341; 1,2-ди-(n-толил)-4-никотиноил-I, 318—322; 1,2-дифенил-4-фуруроил-I, 185—187.

М. Старосельская

9Л374. Получение 5-замещенных производных 1,2-диарилпиразолидинона-3,5. Denss Rolf, Häfliger Franz. Verfahren zur Herstellung von 4-substituierten 1,2-Diaryl-3,5-dioxo pyrazolidinen. [J. R. Geigy A.-G.] Швейц. пат. 334850, 31.01.59.—Патентуется способ получения производных пиразолидинона-3,5 (I дioxo), обладающих терапевт. свойствами и применимых для лечения ревматич. заболеваний. 274 г диэтилового эфира 3,3-этилендиоксибутилмалоновой к-ты растворяют в 100 мл абс. С₆H₆, прибавляют 57 г СН₃ONa и 184 г гидразобензола, кипятят 15 час., охлаждают, выливают в воду, водн. слой промывают С₆H₆, бензольный р-р промывают 2 н. р-ром Na₂CO₃, подкисляют 2 н. HCl, осадок перекристаллизуют из спирта и получают 1,2-дифенил-4-(3',3'-этилендиоксибутил)-I (II) т. пл. 165—167°. 36,6 г II кипятят 18 час. в 750 мл ацетона с 0,35 г n-толуолсульфокислоты, фильтруют, к фильтрату прибавляют 1500 мл воды и оставляют на 24 часа при 5°. Осадок отделяют, промывают 50%-ным ацетоном и получают 1,2-дифенил-4-(3'-

оксобутил) I, т. пл. 130—131°. 24 часа при 2500 м. деляют 1,2

9Л375.

Dodson G. D. Sea-
лессацей
R = C₆H₅,
CH₃CH₂, д
= 2,4-Br₂C
(II) синт
дазо-(1,2-
зованы в
тиазолы (I
ния IIa, в
мочевиней
тил-3-ими
мидины (I
ответству
рованные
фина, в
действие
аналгетич
рачного ал
бавляют
руют, по
CH₃COOH
226—229°
основани
IIa, т. пл.
т. пл. 208
18,4 г I д
живают
пятая 4
рат (III)
во получ
мами си
лодному
86 г С₆H
лоды, пе
Смесь 7,
пятая 2,
II VI,
синтези
ацетата)
HCl нагр
подщел
деляют
232—234
217—218
Гидрол
154—155

9Л376.

зола и
Raph
lung v
zen. [C
ние ф
ропио
но, по

оксобутил)-I (III), т. пл. 115,5—116,5°. 50 г III растворяют в 1300 мл CH_3OH и 171 мл 1 н. NaOH , смешивают с 250 мл 10%-ного р-ра NaBH_4 в CH_3OH , оставляют на 24 часа при $\leq 40^\circ$, фильтруют, к фильтрату прибавляют 2500 мл 2 н. HCl , оставляют на 48 час. при 5° и отделяют 1,2-дифенил-4-(3'-оксобутил)-I, т. пл. 163—164°.

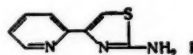
М. Старосельская

9Л375. Бициклические производные тиазолов. Dodson Raymond M. Bicyclic thiazole derivatives. [C. D. Searle & Co.] Пат. США 2933497, 19.04.60.—Конденсацией эфиров $\text{RCH}(\text{CN})\text{OSO}_2\text{C}_6\text{H}_5$ (Ia—з; где а $\text{R} = \text{C}_6\text{H}_5$, б $\text{R} = 2,4\text{-Cl}_2\text{C}_6\text{H}_3$, в $\text{R} = 3,4\text{-Cl}_2\text{C}_6\text{H}_3$, г $\text{R} = 2\text{-ClC}_6\text{H}_4$, д $\text{R} = \text{CH}_2\text{CH}_2\text{C}_6\text{H}_5$, е $\text{R} = \text{OHCH}_2\text{C}_6\text{H}_5$, ж $\text{R} = 2,4\text{-Br}_2\text{C}_6\text{H}_3$, з $\text{R} = 4\text{-ClC}_6\text{H}_4$) с имидазолинионом-2 (II) синтезированы 2-Р-3-имино-2,3,5,6-тетрагидроимидазо-(1,2-в)-тиазолы (IIIa—з); имины IIIa—е гидролизированы в 2-Р-3-кето-2,3,5,6-тетрагидроимидазо-(2,1-в)-тиазолы (IVa—е), причем IVa, г получены без выделения IIIв, г. Тем же методом из Id, е и триметилентимочевины (V) получены 2-циклогексилэтил- и 2-фенил-3-имино-2,3,6,7-тетрагидро-5-тиазоло-(3,2-а)-пиримидины (VI, VII). Соединение VII гидролизано в соответствующее 3-кетопроизводное (VIII). Синтезированные соединения являются антагонистами морфина, в малых дозах оказывают депрессирующее действие на пнс, а в больших дозах действуют как анальгетики. 27,3 г Ia и 10,2 г II растворяют в 80 мл горячего ацетона, выдерживают 16 час. при $\sim 25^\circ$, разбавляют тройным объемом воды, через 30 мин. фильтруют, подщелачивают при $0\text{--}10^\circ$ NH_4OH , подкисляют CH_3COOH и отделяют бензолсульфонат (BS) IIIa, т. пл. 226—229°, из которого действием NH_4OH выделяют основание и превращают его в дихлоргидрат (ДХГ) IIIa, т. пл. 222—225°. Аналогично получают IIIб, BS, т. пл. 202—203°, хлоргидрат (ХГ), т. пл. 161—162°. Р-р 16,4 г Id в 0,1 л ацетона, содержащий 9 г NaJ , выдерживают 24 часа, к фильтрату добавляют 6,1 г II, кипятят 4 часа, р-р концентрируют и отделяют йодгидрат (ИГ) IIIд, т. пл. 200—202°, из которого как обычно получают ДХГ IIIд, т. пл. 158—160°. Теми же приемами синтезируют ИГ IIIе, BS IIIж и ИГ IIIз. К холодильнику р-ру 67 г 3-циклогексилпропиональдегида и 86 г $\text{C}_6\text{H}_5\text{SO}_2\text{Cl}$ постепенно добавляют 94 г NaJ в 0,1 л воды, перемешивают и получают Id, т. пл. 33,5—34°. Смесь 7,7 г Id, 2,9 г V и 3,75 г NaJ в 50 мл ацетона кипятят 30 мин., фильтруют и по охлаждению получают ИГ VI, т. пл. 154—157° (из водн. CH_3OH). Аналогично синтезируют ИГ VII, т. пл. 160—163° (из CH_3OH -этил-ацетата). Смесь 8 г BS IIIa, 100 мл воды и 65 мл конц. HCl нагревают 2 часа при $90\text{--}100^\circ$, холодный фильтрат подщелачивают NH_4OH , нейтрализуют CH_3COOH и отделяют IVa, т. пл. 139,5—140,5° (из воды), ХГ, т. пл. 232—234° (разл., из CH_3OH). IIIб обрабатывают конц. NH_4OH , продукт смешивают с водой, постепенно приливают конц. HCl , быстро фильтруют и через 1 час отделяют ХГ IVб, т. пл. 242—245° (разл.). Р-р 15 г IVв и 4,5 г II в 64 мл ацетона выдерживают 20 час. при 25° , отгоняют ~ 32 мл р-рителя, остаток разбавляют эфиром, фильтрат упаривают досуха, остаток смешивают с NH_4OH , извлекают эфиром, сухой р-р обрабатывают р-ром HCl в $\text{iso-C}_3\text{H}_7\text{OH}$ и отделяют ХГ IVг, т. пл. 246—247° (разл.). Тем же методом получают ХГ IVг, т. пл. 217—219°, из которого выделяют IVг, т. пл. 104—110°. Гидролизом IIIд, е и VII получают IVд, ХГ, т. пл. 154—157°, IVе и VIII, ИГ т. пл. 215—225°.

Э. Бамдас

9Л376. Способ получения 2-амино-4-пиридил-2-тиазола и его солей. Erlengmeyer Hans, Menasse Raphael, Pries Bernhard. Verfahren zur Herstellung von 2-Amino-4-pyridyl-(2')-thiazol und seinem Salzen. [CIBA A.-G.] Пат. ФРГ 1062245, 7.01.60.—Соединение ф-лы (I) и его соли, обладающие анальгетич. и жаропонижающей активностью и применимые перорально, получают р-цией 2-ацетилпиридина, содержащего

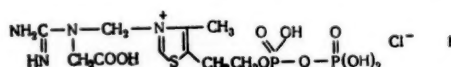
в ацетильной группе реакционноспособный заместитель, с тиомочевинной, с последующим превращением полученного соединения в соли. 3 г неочищ. 2-хлорацетилпиридина в 50 мл абс. спирта кипятят 10 час. с 5 г



тиомочевины, спирт отгоняют, остаток нагревают 90 мин. при 150° , прибавляют 50 мл 4 н. HCl , экстрагируют эфиром (3 \times 50 мл), водн. слой отделяют, подщелачивают насыщ. р-ром NaHCO_3 и экстрагируют эфиром (3 \times 100 мл). Объединенные экстракты обрабатывают горячим лигроном (5 \times 40 мл), охлаждают и получают кристаллич. I, т. пл. 175—176° (из лигр.).

И. Фильанд

9Л377. Способ получения 3-креатинил-4-метил-5-(β-оксизтил)-тиазолилпиррофосфата. Коминато Кийе-си. Японск. пат. 9078, 24.10.57.—3-креатинил-4-метил-5-(β-оксизтил)-тиазолилпиррофосфат ф-лы (I) получают этерификацией креатина (II), галогидрированием сложного эфира II, обработкой тиоформамидом для образования сложного эфира ω-тиоформамидометилгуанидинуксусной к-ты, р-цией с γ-галоид-γ-ацетопропиловым спиртом, обработкой POCl_3 , полученного сложного эфира 3-креатинил-4-метил-5-(β-оксизтил)-тиазола и ам-



лением щелочью сложноэфирной группы до I. I обладает витаминным характером, а также пригоден в качестве промежуточного продукта. 10 г II в 100 мл абс. спирта насыщают сухим HCl , причем происходит растворение II с выделением тепла, охлаждают, оставляют стоять и отфильтровывают этиловый эфир II. Этот эфир растворяют в 200 мл лед. CH_3COOH , приливают по каплям Br_2 до остающегося бромного окрашивания, нагревают до 60° и оставляют стоять 16 час. при 0° , получают 13,5 г этилового эфира ω-бромметилгуанидинуксусной к-ты (III). К 10 г III в 100 мл смеси абс. $\text{C}_2\text{H}_5\text{OH}$ и абс. бутилового спирта (1:1) при $< 30^\circ$ по каплям приливают 10 г тиоформамида и перемешивают 1 час, к образовавшемуся этиловому эфиру ω-тиоформамидометилгуанидинуксусной к-ты приливают в течение $\sim 1,5$ часа при $\sim 60^\circ$ 38 г γ-хлор-γ-ацетопропилового спирта в 500 мл $\text{C}_2\text{H}_5\text{OH}$, оставляют 24 часа стоять и упариванием при $< 45^\circ/10$ мм выделяют этиловый эфир 3-креатинил-4-метил-5-(β-оксизтил)-тиазола (IV), выход 50%. 12 г IV растворяют в 100 мл лед. CH_3COOH , приливают по каплям при $\leq 60^\circ$ в течение ~ 40 мин. ~ 40 мл POCl_3 охлаждают, оставляют стоять 4—5 дней при 0° , кристаллич. продукт отделяют, для гидролиза сложно-эфирной группы обрабатывают 60%-ным спиртом, содержащим небольшое кол-во KOH , охлаждают $< 0^\circ$ и отделяют I, выход 51%, т. пл. 236—240° (разл.).

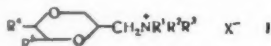
С. Петрова

9Л378. Получение производного 1,3,5-триазина. Hüni Albrecht, Staehelin Alexander. Verfahren zur Herstellung einer 1,3,5-Triazin-Verbindung. [CIBA A.-G.] Швейц. пат. 335401, 14.02.59.—2-гидразино-4,6-бис-диэтиламинотриазин (I) и его соли, применяемые в качестве лекарственных средств при нейролгич. заболеваниях, получают р-цией гидразина с 4,6-бис-диэтиламинотриaziном (II), содержащим в положении 2 реакционноспособный заместитель. 983 г 2-хлор-II растворяют в 5 л 96%-ного спирта, прибавляют 1 л гидразингидрата, оставляют на 3 часа при $\sim 20^\circ$, нагревают 2 часа на водяной бане и выпаривают в вакууме. Остаток растворяют в разб. HCl , подщелачивают NaOH , многократно извлекают с эфиром, эфирные р-ры

промывают разб. HCl, кислый р-р подщелачивают NaOH и экстрагируют эфиром. Экстракт сушат, р-ритель отгоняют и получают I, дихлоргидрат, т. пл. 198—200°, метансульфонат, т. пл. 97—99°, диметансульфонат, т. пл. 175—176°.

М. Старосельская

9Л379. Четвертичные аммониевые соединения. Werner Lincoln Harvey. Quaternary ammonium compounds. [Ciba Pharmaceutical Products, Inc.]. Пат. США 2908464, 8.09.59.—Патентуются четвертичные соли (I), где X — анион терапевтич. приемлемой к-ты, R¹, R² и R³ — низший алкил(или) NR²R³ — гетероциклич. радикал, R⁴ и R⁵ — H, низший алкил или арил. Смесь 4,6 г 2-йодметил-1,4-диоксана (II), 4,76 г пирролидина (III) и 10 мл изопропанола (IV) нагревают 4 часа при 100°, охлаждают, фильтруют, р-р упаривают в вакууме, остаток растворяют в воде, подщелачивают и извлекают эфиром; получают 2-пирролидил-(1'-метил-1,4-диоксан (V); хлоргидрат, т. пл. 133—135°. В близких условиях, при р-ции II с 1,2,3,4-тетрагидрохинолином, (CH₃)₂NH и (C₆H₅CH₂)₂NH получают соответственно: 2-[1',2',3',4'-тетрагидрохинолил-(1')-метил]-1,4-диоксан (VI), т. пл. 63—66°; хлоргидрат, т. пл. 173—175°; 2-метиламинометил-1,4-диоксан (VII), т. кип. 71—76° (т-ра бани)/20 мм; хлоргидрат, т. пл. 154—156° (из IV-этилацетата); 2-дифениламинометил-1,4-диоксан (VIII), т. пл. 62—64,5° (из CH₃OH); хлоргидрат, т. пл. 204—208°. В смеси 120 мл ацетона, 35 мл воды и р-ра 180 г NaOH в 180 мл воды растворяют 45 г бутандиола-2,3, к р-ру прибавляют за 2,5 часа при слабом кипении и размешивании смесь 66,5 г аэлибромиды и 100 мл ацетона, кипятят 1 час, отгоняют ацетон, прибавляют 0,5 кг льда и р-р 196 г конц. H₂SO₄ в 300 мл и извлекают эфиром; получают 2-аллилкси-3-оксипентан (IX), т. кип. 90—93°/50 мм. Смесь 13 г IX, 30,28 г (CH₃COO)₂Hg, 100 мл воды и 0,1 мл CH₃COOH нагревают 45 мин. при ~100°, оставляют на ночь при ~20°, фильтруют, к



р-ру прибавляют 16,6 г KJ в 25 мл воды, маслообразный осадок растворяют в 50 мл CHCl₃, прибавляют 19 г J₂ в 450 мл CHCl₃, нагревают до кипения, оставляют на 18 час. при ~20° и фильтруют; из р-ра получают 2-йодометил-5,6-диметил-1,4-диоксан (X), т. кип. 47—52°/0,05 мм. В близких условиях, из гидробензоина (через его моноалкиловый эфир, т. кип. 180—200°/4 мм), из 1-аллилксипропанола-2 и из 2-аллилкси-2-фенилэтанола получают соответственно: 2-йодометил-5,6-дифенил-1,4-диоксан (XI), т. пл. 157—160° (из сп.-этилацетата); 2-йодометил-6-метил-1,4-диоксан (XII), т. кип. 135—140°/18 мм; 2-йодометил-5-фенил-1,4-диоксан (XIII), т. пл. 105—108° (из CH₃OH-этилацетата). К р-ру 67,2 г II в 160 мл спирта прибавляют 100 г (CH₃)₂NH и нагревают 4 часа при 80—100° в автоклаве; получают I (R¹ = R² = R³ = CH₃, R⁴ = R⁵ = H, X = J) (Ia; 16 основание), выход 69,5 г, т. пл. 206—210° (из сп.). В близких условиях, при р-ции II, X, XI, XII и XIII с соответствующими третич. аминами получают следующие I [указаны R¹, R², R³, (или R¹ и NR²R³), R⁴, R⁵, р-ритель, время и т-ра р-ции, выход в г, т. пл. в °C]: пирридил-1, H, H, J, IV, 4 часа при 140°, 1,21 (из 2,3 г II), 122—123 (из IV); CH₃, пиперидил-1, H, H, J, IV, 4 часа при 140°, 1,09 (из 2,3 г II), 177—179 (из IV); CH₃, пирролидил-1, H, H, J (Ia), IV, 4 часа при 140°, 0,7 (из 2,3 г II), 130—131 (из сп.-эф.); CH₃, CH₃, CH₃, CH₃, CH₃, J, спирт, 4 часа при 80—100°, —, 172,5—174,5 (из IV-этилацетата); CH₃, CH₃, CH₃, C₆H₅, C₆H₅, J, спирт, 4 часа при 100°, —, 193—195° (из сп.-этилацетата); —, хинолид-1, H, H, J, IV, 2 часа при 150°, —, 202—206 (из IV); C₆H₅, C₆H₅, C₆H₅, H, H, J, IV, 6 час. при 115—120°, —, 175—178 (из IV); CH₃, CH₃, CH₃, C₆H₅, H, J, спирт, 4 часа при 90—100°, —, 269—272 (из сп.); CH₃, CH₃, C₆H₅CH₂, H, H, J, IV, 4 часа при 140°, —,

193—195 (из сп.). Водн. р-р Ia взбалтывают с избытком Ag₂O, фильтруют и к р-ру прибавляют небольшой избыток воды. р-ра d-винной к-ты; получают d-тетрагидрат 16. К р-ру 69,6 г Ia в 355 мл воды прибавляют AgCl (из 124 г AgNO₃), взбалтывают 7 час. при ~20°, фильтруют и р-р упаривают досуха; получают хлорид 16 (Ir), выход 29 г, т. пл. 273° (разл.); из IV-этилацетата). Смесь 0,5 г VI, 0,5 г CH₃J и 5 мл спирта кипятят 3 часа, прибавляя во время р-ции два раза по 0,5 мл CH₃J; получают I (R¹ = CH₃, NR²R³ = 1,2,3,4-тетрагидрохинолил-1, R⁴ = R⁵ = H, X = J), т. пл. 176—179° (разл.; из сп.-этилацетата). В близких условиях, при р-ции V, VI и VIII с соответствующими галогенными алкилами получают Ib и следующие I (указаны R¹, R², R³, R⁴, R⁵, X, т. пл. в °C): CH₃, CH₃, C₆H₅ H, H, J, 152—155 (из сп.-этилацетата); CH₃, CH₃, CH₂=CHCH₂, H, H, Br, 91—94; CH₃, CH₃, n-C₃H₇, H, H, J, 110—113; CH₃, C₆H₅CH₂, C₆H₅CH₂, H, H, J, —. I обладают симметрич. свойствами и применяются, как холинэргич. агенты, в лекарственных препаратах, особенно для глазной практики. Описано приготовление изотонич. офтальмологич. р-ра, содержащего в 1000 л 1 кг Ir, 1,56 л 12,8%-ного р-ра хлористого цезиола, 5 кг CH₃COONa, 4 л 10%-ной CH₃COOH и 4,5 кг NaCl.

А. Травин

9Л380. Способ получения производных морфолина, применяемых как лекарственные средства. Thomä Otto. Verfahren zur Herstellung von als Heilmittel geeigneten substituierten Morpholinen. [C. H. Boehringer Sohn]. Пат. ФРГ 973048, 19.11.59.—Обладающие гипертензивным действием 2-(оксифенил)-морфолины (Ia—v) (а n-изомер, б m-изомер, в o-изомер) получают каталитич. гидрированием кетонов ф-лы OHC₆H₄COCH₂NHCH₂OH (IIa—v) с последующей циклизацией в кислой среде образованных аминоспиртов ф-лы OHC₆H₄CH(OH)CH₂NHCH₂OH (IIIa—v). Хлоргидрат (XI) Ia [полученного конденсацией 1-(n-оксифенил)-1-оксо-2-бромэтана с моноэтаноломином] гидрируют в CH₃OH в присутствии Pd при ~20°, слабосильный р-р упаривают и получают XI Ia, т. пл. 220°. Аналогично получают XI Ib, выход 33%, т. пл. 187°. Р-р IIb (полученного каталитич. гидрированием IIb) в 10-кратном количестве 20%-ной HCl нагревают 2 часа при ~100°, обезвреживают животным углем, упаривают в вакууме, остаток подщелачивают NH₄OH, осадок отделяют, промывают водой и получают Iб, выход 35%, т. пл. 177°.

М. Брауде

9Л381. Производные пиридина. Langley Bernard William. New pyrimidines. [Imperial Chemical Industries Ltd.]. Англ. пат. 845378, 24.08.60.—Конденсацией 4-хлор-2,6-диоксипиридина (I) с соответствующим замещ. гидразинами получают обладающие бактерицидным действием гидразинопиридины RHNNR'' (IIa—k; где R = 2,6-диоксипиридил-4; не указанные R = H; а R' = R'' = H; б R' = CH₃, в R' = C₆H₅, г R' = n-FC₆H₄, д R' = n-ClC₆H₄; е R' = R'' = n-ClC₆H₄, ж R' = n-BrC₆H₄; з R' = o-CH₃C₆H₄; и R' = m-CH₃C₆H₄, л R' = n-CH₃C₆H₄); аналогично синтезирован 4-гидразино-2,6-диокси-5-метилпиридин (III). I в смеси 1 г 100%-ного N₂H₄ · H₂O и 10 мл воды кипятят 1 час и по охлаждению отделяют IIa, т. разл. 290°. Смесь II в I, 32 г сульфата метилгидразина, 18 г NaOH или эквивалентное кол-во CH₃COONa и 0,5 л воды, кипятят 4 часа, отгоняют 250 мл воды и получают IIб, т. пл. 284—285° (разл.). 1,46 г I, 2 г C₆H₅NHNH₂ и 0,1 л воды кипятят 2 часа в атмосфере N₂ и выделяют IIв, т. разл. 283—284°; IIв получают аналогично из метансульфоната I и бензосульфоноват I. Сходными приемами синтезируют [указаны в-во и т. пл. в °C (разл.)]: IIг 285—290; д > 340; е > 350; ж > 320; з > 340; и 205—210; к 277—278; III 275—276.

Э. Бамдас

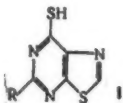
9Л382. Получение производных пиридина. Erlenmeyer Hans. Verfahren zur Herstellung von neuen Pyrimidinen. [Ciba A.-G.]. Швейц. пат. 345897, 15.06.60.—Соединения общей ф-лы (I) (R = H, амина,

или меркап-
атягонист
те опухол
получают
димериза

меркапто-5
95%-ной H
растворяют
ным углем
разб. H₂SO

9Л383.
Jack. Nov
ly and Co
гипотензи
фенетил)-
ниазная а
одна из ни
ридил, зам
токсичным
емкина с о
госа ди-р
ющей ко
фенетил)
R'-пипера
3) р-цией
щим восс
543 г том
бавляют
277 г окси
на ~16
иот и пол
180°/0,1 м
пляют HCl
и 10—15%
док отде
чают хлор
пл. 144—
10%-ным
MgSO₄, у
в 80 мл э
18,6 г а
IIa в 80
800 мл то
дают, вы
органич.
X 300 м
ным NaCl
Cl₂, акст
вают дос
насыщен
нии эфи
и получ
пл. 232—
19,2 г N
охлажда
ют на 2
бавляют
IIa) и по
R'-шири
ными сл
лены R'
H, XI,
o-C₆H₅O
196 (раз
224—225

или меркаптогруппа), являющиеся антимаболизмами антагонистами пуринового обмена, тормозящие развитие опухоли и стимулирующие процессы брожения, получают р-цней соответствующих производных 4,6-димеркапто-5-аминопиримидина с HCOOH . 4 г 4,6-ди-



меркапто-5-аминопиримидина кипятят 2 часа в 150 мл 95%-ной HCOOH , через 40 мин. кристаллы отделяют, растворяют в разб. NH_4OH , обрабатывают активированным углем, фильтруют, фильтрат сильно подкисляют разб. H_2SO_4 и получают 4 г I ($\text{R} = \text{H}$), т. разл. $> 230^\circ$. Г. Белый

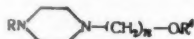
9Л383. Фенэтилпроизводные пиперазина. Mills Jack. Novel phenethyl-substituted piperazines. [Eli Lilly and Co]. Пат. США 2927924, 08.30.60. — Обладающие гипотензивным и седативным действием N-(m-R-l-R' -фенэтил)-N'-R''-пиперазины (I) (R и $\text{R}' = \text{OH}$, NH_2 , низшая алкокси-, ацилокси- или алкиламиногруппа, один из них может быть H , $\text{R}'' = \text{C}_6\text{H}_5$, замещ. C_6H_5 , пиридил, замещ. пиридил или α -нафтил) и их соли с пектичными к-тами получены 1) р-цней R-R'-фенэтиламина с оксисью этилена, хлорированием образовавшегося ди- β -оксэтил-R-R'-фенэтиламина (II) и последующей конденсацией выделенного ди- β -хлорэтил-R-R'-фенэтиламина (III) с амином ф-лы R''NH_2 ; 2) р-цней R'-пиперазина (IV) с 3- R -4-R'-фенэтилгаллоидом; 3) р-цней IV с R-R'-фенилуксусной к-той с последующим восстановлением образовавшегося кетона. К р-ру 543 г гомовалерианамина в 3 л 95%-ного спирта прибавляют за 30 мин. при перемешивании и 5–40° р-р 277 г окиси этилена в 1 л холодного спирта, оставляют на ~16 час. при ~20°, упаривают, остаток перегоняют и получают II ($\text{R} = \text{R}' = \text{CH}_3\text{O}$) (IIa), т. кип. 160–180°/0,1 мм, n_D^{20} 1,5398. Р-р 705 г IIa в 2 л CHCl_3 насыщают HCl (газом), прибавляют при перемешивании и 10–15° 708 г SOCl_2 , кипятят 3 часа, охлаждают, осадок отделяют, промывают холодным ацетоном и получают хлоридат (XГ) III ($\text{R} = \text{R}' = \text{CH}_3\text{O}$) (IIIa), т. пл. 144–146°, водн. р-р которого подщелачивают 10%-ным NaOH , извлекают эфиром, экстракт сушат MgSO_4 , упаривают и получают IIIa. К 0,44 моля NaNO_2 в 80 мл жидкого NH_3 прибавляют при перемешивании 18,6 г анилина, перемешивают, прибавляют 0,2 моля IIIa в 80 мл эфира, перемешивают 1 час, прибавляют 800 мл толуола, испаряют NH_3 , кипятят 12 час., охлаждают, выливают в 500 мл воды, прибавляют 1 л эфира, органич. слой отделяют, извлекают 10%-ной HCl (2×300 мл), кислые р-ры сильно подщелачивают 20%-ным NaOH , извлекают серью 1 л эфира и 100 мл CHCl_3 , экстракт промывают водой, сушат MgSO_4 , упаривают досуха, остаток растворяют в 100 мл спирта, р-р насыщают HCl (газом), прибавляют при перемешивании эфир, осадок отделяют, кристаллизуют из спирта и получают XГ I ($\text{R} = \text{R}' = \text{CH}_3\text{O}$, $\text{R}'' = \text{C}_6\text{H}_5$) (Ia), т. пл. 232–233°. 18,8 г 2-аминопиридина и суспензия 49,2 г NaH в 19,2 г сухого толуола кипятят 3 часа, охлаждают до 60°, прибавляют 0,2 моля IIIa, оставляют на 2 часа при 60°, кипятят ~16 час., далее обрабатывают вышеуказанным способом (см. получение Ia) и получают дихлоридат (ДХГ) I ($\text{R} = \text{R}' = \text{CH}_3\text{O}$, R'' -пиридил-2), т. пл. 225–226° (разл., из сл.). Указанными способами получены I ($\text{R} = \text{R}' = \text{CH}_3\text{O}$) (приведены R'' , т. пл. солей): $\text{o-ClC}_6\text{H}_4$, XГ, 244–245; $\text{m-ClC}_6\text{H}_4$, XГ, 199–200; $\text{o-CH}_3\text{OC}_6\text{H}_4$, ДХГ, 225–226 (разл.); $\text{o-C}_2\text{H}_5\text{OC}_6\text{H}_4$, XГ, H_2O , 194–195; $\text{m-CH}_3\text{OC}_6\text{H}_4$, ДХГ, 195–196 (разл.); $\text{o-CH}_3\text{C}_6\text{H}_4$, XГ, 260–261; $\text{m-CH}_3\text{C}_6\text{H}_4$, XГ, 224–225; $\text{o-C}_2\text{H}_5\text{C}_6\text{H}_4$, ДХГ, 265 (разл.), d-нафтил , XГ,

275 (разл.); 3-метилпиридил-2, ДХГ, 206–207 (разл.); 4-метилпиридил-2, ДХГ, 222–223 (разл.); 6-метилпиридил-2, ДХГ, 125–126 (разл.). 10 г XГ Ia и 70 мл 48%-ной HBr кипятят 3 часа, охлаждают, концентрируют, осадок отделяют, кристаллизуют из 90%-ного спирта и получают бромгидрат (БГ) I ($\text{R} = \text{R}' = \text{OH}$, $\text{R}'' = \text{C}_6\text{H}_5$) (Ib), т. пл. 266° (разл.). 2 г БГ Ib кипятят 2 часа с 20 г $(\text{C}_2\text{H}_5\text{CO})_2\text{O}$, концентрируют, осадок отделяют, кристаллизуют из смеси спирт-этилацетат и получают БГ I ($\text{R} = \text{R}' = \text{C}_2\text{H}_5\text{COO}$, $\text{R}'' = \text{C}_6\text{H}_5$), т. пл. 186–188°. 15 г бромистого 4-метоксифенилэтила и 30 г IV ($\text{R}'' = \text{o-CH}_3\text{OC}_6\text{H}_4$) (IVa) нагревают 48 час. при ~100°, растворяют в 100 мл CHCl_3 , подщелачивают, извлекают эфиром, экстракт сушат MgSO_4 , упаривают, отгоняют при 150°/0,1 мм не вступивший в р-цию IVa, остаток растворяют в 50 мл спирта, р-р насыщают HCl (газом) и получают XГ I ($\text{R} = \text{H}$, $\text{R}' = \text{CH}_3\text{O}$, $\text{R}'' = \text{o-CH}_3\text{OC}_6\text{H}_4$), т. пл. 216–218° (из сл. + эф.). Описанными способами получены I (приведены R , R' , R'' , т. пл. в °C солей): OH , OH , $\text{m-CH}_3\text{C}_6\text{H}_4$, дибромгидрат (ДБГ), 256–257; OH , OH , $\text{o-ClC}_6\text{H}_4$, XГ, 208–210; OH , OH , $\text{o-CH}_3\text{C}_6\text{H}_4$, ДБГ, 229–230; OH , OH , $\text{o-C}_2\text{H}_5\text{C}_6\text{H}_4$, ДБГ, 200–201; OH , OH , пиридил-2, ДБГ, 254–255; 6-метилпиридил-2, ДБГ, 167–169; OH , OH , 4-метилпиридил-2, ДБГ, 268 (разл.); OH , OH , 3-метилпиридил-2, ДБГ, 208–210; OH , OH , $\text{o-CH}_3\text{OC}_6\text{H}_4$, БГ 208–209; CH_3COO , CH_3COO , C_6H_5 , XГ, 228–229; CH_3COO , CH_3COO , $\text{o-CH}_3\text{OC}_6\text{H}_4$, БГ, 180–182; CH_3COO , CH_3COO , $\text{o-ClC}_6\text{H}_4$, БГ, 225–226; $\text{C}_2\text{H}_5\text{COO}$, $\text{C}_2\text{H}_5\text{COO}$, $\text{o-ClC}_6\text{H}_4$, БГ, 182–183; $\text{C}_2\text{H}_5\text{COO}$, $\text{C}_2\text{H}_5\text{COO}$, $\text{o-CH}_3\text{C}_6\text{H}_4$, БГ, 185–186; CH_3COO , CH_3COO , $\text{o-C}_2\text{H}_5\text{C}_6\text{H}_4$, БГ, 196–197; CH_3COO , CH_3COO , пиридил-2, БГ, 200–202; CH_3COO , CH_3COO , 6-метилпиридил-2, ДБГ, 252 (разл.); CH_3COO , CH_3COO , 4-метилпиридил-2, ДБГ, 260–262; CH_3COO , CH_3COO , 3-метилпиридил-2, ДБГ, 234 (разл.); CH_3O , H , C_6H_5 , XГ, 203–205; H , CH_3O , C_6H_5 , XГ, 273–274; H , CH_3O , $\text{o-ClC}_6\text{H}_4$, XГ, 247–249; H , CH_3O , $\text{o-CH}_3\text{C}_6\text{H}_4$, XГ, 272–273; H , CH_3O , $\text{m-ClC}_6\text{H}_4$, XГ, 174–175; H , CH_3O , $\text{m-CH}_3\text{C}_6\text{H}_4$, ДХГ, 210 (разл.); H , CH_3O , пиридил-2, основание, 92–94; H , OH , $\text{o-CH}_3\text{OC}_6\text{H}_4$, ДБГ, 233–234; OH , H , C_6H_5 , ДБГ, > 275 ; H , OH , C_6H_5 , БГ, 259–260; H , OH , $\text{o-ClC}_6\text{H}_4$, БГ, 208–209; H , OH , $\text{o-CH}_3\text{C}_6\text{H}_4$, ДБГ, 256–257; H , OH , $\text{m-CH}_3\text{C}_6\text{H}_4$, ДБГ, 222–223; H , OH , $\text{m-ClC}_6\text{H}_4$, БГ, 204–205; H , OH , пиридил-2, ДБГ, 250–252; H , CH_3COO , $\text{o-CH}_3\text{OC}_6\text{H}_4$, БГ, 226–227; H , CH_3COO , C_6H_5 , ДХГ, 220–222; H , $\text{C}_2\text{H}_5\text{COO}$, $\text{o-CH}_3\text{OC}_6\text{H}_4$, БГ, 215–216; CH_3COO , H , C_6H_5 , ДБГ, 234–235; $\text{C}_2\text{H}_5\text{COO}$, H , C_6H_5 , ДХГ, 198–199; H , $\text{C}_2\text{H}_5\text{COO}$, C_6H_5 , БГ, 197–198; H , CH_3COO , $\text{o-ClC}_6\text{H}_4$, БГ, 233–234; H , $\text{C}_2\text{H}_5\text{COO}$, $\text{o-ClC}_6\text{H}_4$, БГ, 223–224; H , CH_3COO , $\text{o-CH}_3\text{C}_6\text{H}_4$, XГ, 259–260; H , $\text{C}_2\text{H}_5\text{COO}$, $\text{o-CH}_3\text{C}_6\text{H}_4$, БГ, 254–255; H , CH_3COO , $\text{o-CH}_3\text{C}_6\text{H}_4$, БГ, 185–186; H , $\text{C}_2\text{H}_5\text{COO}$, $\text{m-CH}_3\text{C}_6\text{H}_4$, БГ, 225–226; H , CH_3COO , пиридил-2, ДБГ, 228–230; CH_3O , OH , C_6H_4 , XГ, H_2O , 135–136; CH_3O , OH , $\text{o-CH}_3\text{OC}_6\text{H}_4$, XГ, 234–235; CH_3O , OH , $\text{m-CH}_3\text{C}_6\text{H}_4$, XГ, H_2O , 197–198; CH_3O , CH_3COO , C_6H_5 , XГ, 234–235; CH_3O , $\text{C}_2\text{H}_5\text{COO}$, C_6H_5 , XГ, 0,5 H_2O , 209–210; CH_3O , CH_3COO , $\text{o-CH}_3\text{OC}_6\text{H}_4$, ДХГ, 225 (разл.); CH_3O , CH_3COO , $\text{m-CH}_3\text{C}_6\text{H}_4$, XГ, 209–210; CH_3O , $\text{C}_2\text{H}_5\text{COO}$, $\text{m-CH}_3\text{C}_6\text{H}_4$, XГ, 0,5 H_2O , 188–189; H , NH_2 , $\text{o-CH}_3\text{OC}_6\text{H}_4$, XГ, 260–261; H , NHCOCH_3 , $\text{o-CH}_3\text{OC}_6\text{H}_4$, XГ, 276; H , NHCOCH_3 , $\text{o-CH}_3\text{OC}_6\text{H}_4$, XГ, 225 (разл.); H , NHCS_2 , $\text{o-CH}_3\text{OC}_6\text{H}_4$, XГ, 218–219 (разл.); H , $(\text{CH}_3)_2$, $\text{o-CH}_3\text{OC}_6\text{H}_4$, ДХГ, 256–257; H , NH_2 , $\text{m-CH}_3\text{C}_6\text{H}_4$, ДХГ, 266–267; H , NH_2 , C_6H_5 , ДХГ, 272–273; H , NH_2 , $\text{o-ClC}_6\text{H}_4$, ДХГ, 306.

М. Брауде

9Л384. Производные фенилпиперазина и способ их получения. Parcell Robert F. Phenylpiperazine compounds and process for producing the same. [Parke, David and Co.]. Пат. США 2922788, 26.01.60. — Соединения общей ф-лы (I) (R — замещ. фенил, $\text{R}' = \text{H}$ или ацил, $n = 3–6$) и их соли, обладающие гипотензивным действием и применимые перорально, получают р-цней N-фенилпиперазина с ω -галоидалканолом в молярном соотношении 2:1 в среде органич. р-рителя или каталитич. гидрированием карбалкоксипиперазинов дей-

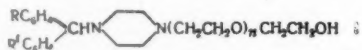
ствием металлич. Na в спирте или LiAlH_4 . Смесь 38,4 г 1-о-метоксифенилпириперазина (II), 16,2 г нитрила Δ-бромвалериановой к-ты и 200 мл толуола кипятят 2 часа, охлаждают, фильтруют, толуол отгоняют в вакууме, остаток растворяют в 350 мл абс. спирта, пропускают при 0,5° сухой HCl (газ), добавляют 1,8 мл воды, кипятят 4 часа при перемешивании, горячий р-р фильтруют, фильтрат выпаривают досуха в вакууме,



остаток растворяют в воде, подщелачивают NaHCO_3 , извлекают эфиром, вытяжку сушат MgSO_4 и полученный р-р этилового эфира 4-о-метоксифенилпириперазин-валериановой к-ты при энергичном перемешивании медленно вводят в р-р 4 г LiAlH_4 в 500 мл эфира. По окончании р-ции добавляют р-р щелочи, эфирный слой отделяют, сушат K_2CO_3 , р-ритель отгоняют в вакууме и получают I ($\text{R} = \text{o-CH}_3\text{OC}_6\text{H}_4$, $\text{R}' = \text{H}$, $n = 5$). К р-ру 10 г I в эфире добавляют спирт. р-р 2,9 г HBr, осадок отделяют, перекристаллизовывают из изопропанола и получают бромгидрат I. 17,9 г хлорангидрида 5-карбометоксивалериановой к-ты вводят в р-р 38,4 г II в 500 мл C_6H_6 , перемешивают 30 мин., фильтруют, фильтрат выпаривают до ~75 мл, добавляют 300 мл сухого эфира и медленно добавляют при перемешивании к р-ру 7 г LiAlH_4 в 500 мл сухого эфира. По окончании р-ции осторожно подщелачивают NaOH, эфирный слой отделяют, сушат K_2CO_3 , р-ритель отгоняют в вакууме и получают I ($\text{R} = \text{o-CH}_3\text{OC}_6\text{H}_4$, $\text{R}' = \text{H}$, $n = 6$), дихлоргидрат, т. пл. 185—187°. Получены также I (приведены R, R', n, т. пл. в °C и т. пл. в °C (хлоргидрата): o-CH₃-OC₆H₄, H, 4, —, 156—158; o-CH₃OC₆H₄, H, 3, —, 188—189; o-C₂H₅OC₆H₄, H, 5, 43—45, —; o-C₂H₅OC₆H₄, CH₃CO, 5, —, —; o-C₂H₅OC₆H₄, CH₃CO, 5, 58—60, —; o-n-C₄H₉OC₆H₄, H, 5, —, —; o-CH₃=CHCH₂OC₆H₄, CH₃CO, 5, —, 125—127; o-C₂H₅OC₆H₄, H, 3, —, —; o-CH₃, H, 3, 90—101, —; CH₃, H, 4, —, 154—156; o-CH₃, H, 5, —, 172—173; o-CH₃C₆H₄, H, 6, —, 141—142; 2,3-Cl₂C₆H₃, H, 5, —, 183—184; 5-Cl, 2-изо-C₃H₇OC₆H₄, H, 5, т. кип. 180—190°/0,3 мм, 149—151°; 2,5-(CH₃)₂C₆H₃, H, 5, —, 208—209; 3-Cl, 2-CH₃C₆H₃, H, 5, 71—73, —; 2,5-(CH₃O)₂C₆H₃, H, 5, —, 140—151; 2,3-Cl₂C₆H₃, H, 5, 137—139, 210—211; 2,3-Cl₂C₆H₃, H, 6, —, —.

Ю. Белый

9Л385. Новые производные N-монобензгидриллиперазина и способ их получения. Dérivés nouveaux de la N-monobenzhydriyl-pipérazine et leur procédé de préparation. [H. Morren]. Бельг. пат. 544751, 25.09.59 и 545523, 9.10.59.—Обладающие антигистаминным и седативным действием соединения общей ф-лы (I) [R я R' = H, галоид, алкил, алкоксигруппа или H, n = 1 (пат. № 544751) или n = 2 (пат. 545523) при n = 1—R ≠ H] и их соли с неорганич. и органич. к-тами, а также четвертичные аммониевые производные получены: 1) взаимодействием N-моно-R,R'-бензгидриллиперазина (II) с $\text{Cl}(\text{CH}_2\text{CH}_2\text{O})_n\text{CH}_2\text{CH}_2\text{OH}$ (IIIa, б; а n = 1,

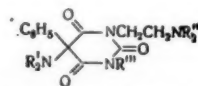


б n = 2) в присутствии связывающего HCl в-ва; 2) конденсацией II с оксидом этилена в закрытом сосуде при 170°; 3) взаимодействием хлорзамещенного R,R'-бензгидрилла (IV) с $\text{HN}(\text{C}_6\text{H}_5)_2\text{NCH}_2\text{CH}_2\text{OH}$ (V) с последующим переводом образовавшегося $(\text{RC}_6\text{H}_4)(\text{R}'\text{C}_6\text{H}_4)\text{CH}=\text{N}(\text{C}_6\text{H}_5)\text{N}=\text{CH}_2\text{CH}_2\text{OH}$ (VI) в соответствующий хлорид (VII) и обработкой последнего $\text{Na}(\text{OCH}_2\text{CH}_2)_n\text{OH}$ (n = 1—VIIIa, n = 2—VIIIб); 4) конденсацией IV с $\text{HN}(\text{C}_6\text{H}_5)_2\text{N}-(\text{CH}_2\text{CH}_2\text{O})_n\text{CH}_2\text{CH}_2\text{OH}$; 5) р-цией VI с $\text{Cl}(\text{CH}_2\text{CH}_2\text{O})_n\text{H}$. Смесь 0,1 моля II ($\text{R} = \text{n-Br}$, $\text{R}' = \text{H}$), 0,2 моля IIIa, 0,1 моля $\text{N}(\text{C}_6\text{H}_5)_2$ и 50 мл ксилола нагревают 6 час. при 130—140°, охлаждают, растворяют в разб. HCl (к-та), р-р промывают C_6H_6 , прибавляют K_2CO_3 до насыщения, извлекают C_6H_6 , экстракт промыва-

ют, упаривают, остаток разгоняют в вакууме и получают с выходом 80% Ia ($\text{R} = \text{n-Br}$, $\text{R}' = \text{H}$, n = 1), т. кип. 224°/0,01 мм. Ia растворяют в абс. спирте, обрабатывают избытком HCl (газ) и получают дихлоргидрат (ДХГ) Ia, т. пл. 190—191°. Смесь 1 моля IVб ($\text{R} = \text{m-Br}$, $\text{R}' = \text{H}$) и 1,5 моля V осторожно нагревают 15 мин. при 150°, реакционную массу растворяют в воде, р-р подщелачивают, извлекают C_6H_6 , экстракт упаривают, остаток разгоняют в вакууме и получают VIб, т. кип. 206°/0,02 мм. К р-ру 73 г VIб в 300 мл сухого C_6H_6 прибавляют на холоду р-р 36 г SOCl_2 в 100 мл C_6H_6 , кипятят до прекращения выделения SO_2 , полученный хлоргидрат VIб промывают безводн. ацетоном, растворяют в воде, прибавляют K_2CO_3 , выделившийся VIIб растворяют в C_6H_6 , р-р сушат K_2CO_3 , прибавляют к нему эквивалентное кол-во р-ра VIIa в этиленгликоле, упаривают, остаток кипятят 3 часа при ~100°, отгоняют в вакууме избыток гликоля, прибавляют воду и C_6H_6 , отделяют от водн. слоя, промывают, упаривают в вакууме, остаток перегоняют в вакууме и получают 1б ($\text{R} = \text{m-Br}$, $\text{R}' = \text{H}$, n = 1), т. кип. 225°/0,02 мм, ДХГ, т. пл. 208—210°, четвертичное соединение с CH_3J , т. пл. 181°. Толуольный р-р IIб ($\text{R} = \text{n-CH}_3$, $\text{R}' = \text{n-CH}_3$) и толуольный р-р 3-х эквивалентов окиси этилена нагревают 1 час в автоклаве при 170°, охлаждают, разгоняют в вакууме и получают: толуол; IIв, т. кип. 180—185°/0,2 мм; VIв, т. кип. 208°/0,02 мм; IVв (n = 1), т. кип. 225—230°/0,01 мм и IVв (n = 2), т. кип. 245—250°/0,01 мм. Указанными выше способами получены I (приведены R, R', т. кип. в °C/мм, т. пл. ДХГ в °C): m-CH₃, H, 1, 210/0,1, 197—199; o-Br, H, 1, 215—220/0,1, —; o-Cl, H, 1, 215/0,015, 165, четвертичная соль с CH_3J , —, т. пл. 168°; m-Cl, H, 1, 215/0,5, 213; n-Cl, n-Cl, 1, 205—207; o-CH₃, H, 1, 194/0,1, —; m-OC₂H₅, H, 1, 225/0,07, 190—191; o-OC₂H₅, H, 1, 252/0,1, —; n-Br, H, 2, 243—250/0,02, —; n-Cl, H, 2, 250/0,01, —; o-Cl, H, 2, 240—245/0,01, —; o-Br, H, 2, 240—246/0,005, —; H, H, 2, 220—225/0,02, —; m-Br, H, 2, 240—245/0,01, —; m-CH₃, H, 2, 230—235/0,01, —; m-C₂H₅, H, 2, 250—255/0,001, —; m-OC₂H₅, H, 2, 245—250/0,01, —. II получены действием соответствующих IV на пириперазин (приведены R, R', т. кип. в °C/мм): o-Cl, H, 154/0,01; m-Cl, H, 162/0,1; o-Br, H, 160/0,02; m-Br, H, 185/1; n-Cl, n-Cl, —, т. пл. 106° (из петр. эфира); o-CH₃, H, 148/0,01; m-CH₃, H, 150/0,05; m-OC₂H₅, H, 160/0,02; o-OC₂H₅, H, 192—195/0,02; n-CH₃, n-OC₂H₅, 180—185/0,2.

С. Окуев

9Л386. Способ получения барбитуровых оснований. Wunderlich Helmut, Stark Andreas. Verfahren zur Herstellung von Barbiturbasen. Пат. ГДР 18231, 20.02.59.—Предложен способ получения производных барбитуровой к-ты общей ф-лы (I) [R' и R'' — низший алкил (или NR₂) и NR₂ — гетероциклич. радикал] и R'' = H или CH₃], заключающийся во взаимодействии галогенных соединений $\text{R}_2'\text{NCH}_2\text{CH}_2\text{NaI}$ или их хлоргидратов с незамещ. у одного из атомов азота производными барбитуровой к-ты указанного строения, в присутствии связывающих к-ты оснований. Патентуются также четвертичные соли I и их соли с к-тами. К р-ру 245 г 5-фенилбарбитуровой к-ты (II) и 408 г пиридина (III) в 1,8 л CH_3OH прибавляют при размешивании и охлаждении льдом 192 г Br_2 , размешивают 18 час., разбавляют 5 л воды, подкисляют CH_3COOH , фильтруют, осадок растворяют в смеси 1,8 л 2 н. HCl и 2,2 л воды, фильтруют, р-р подщелачивают конц. NH_4OH и нейтрализуют CH_3COOH ; получают 5-фенил-5-пиридилбарбитуровую к-ту (IV), выход 97%, т. пл. 255—256°. К суспензии 41 г II в 400 мл CH_3OH прибавляют при охлаждении 32 г Br_2 , упарива-



ют, осадок растворяют в смеси 1,8 л 2 н. HCl и 2,2 л воды, фильтруют, р-р подщелачивают конц. NH_4OH и нейтрализуют CH_3COOH ; получают 5-фенил-5-пиридилбарбитуровую к-ту (IV), выход 97%, т. пл. 255—256°. К суспензии 41 г II в 400 мл CH_3OH прибавляют при охлаждении 32 г Br_2 , упарива-

ют в вакууме, упаривают, остаток разгоняют в вакууме и получают с выходом 80% Ia ($\text{R} = \text{n-Br}$, $\text{R}' = \text{H}$, n = 1), т. кип. 224°/0,01 мм. Ia растворяют в абс. спирте, обрабатывают избытком HCl (газ) и получают дихлоргидрат (ДХГ) Ia, т. пл. 190—191°. Смесь 1 моля IVб ($\text{R} = \text{m-Br}$, $\text{R}' = \text{H}$) и 1,5 моля V осторожно нагревают 15 мин. при 150°, реакционную массу растворяют в воде, р-р подщелачивают, извлекают C_6H_6 , экстракт упаривают, остаток разгоняют в вакууме и получают VIб, т. кип. 206°/0,02 мм. К р-ру 73 г VIб в 300 мл сухого C_6H_6 прибавляют на холоду р-р 36 г SOCl_2 в 100 мл C_6H_6 , кипятят до прекращения выделения SO_2 , полученный хлоргидрат VIб промывают безводн. ацетоном, растворяют в воде, прибавляют K_2CO_3 , выделившийся VIIб растворяют в C_6H_6 , р-р сушат K_2CO_3 , прибавляют к нему эквивалентное кол-во р-ра VIIa в этиленгликоле, упаривают, остаток кипятят 3 часа при ~100°, отгоняют в вакууме избыток гликоля, прибавляют воду и C_6H_6 , отделяют от водн. слоя, промывают, упаривают в вакууме, остаток перегоняют в вакууме и получают 1б ($\text{R} = \text{m-Br}$, $\text{R}' = \text{H}$, n = 1), т. кип. 225°/0,02 мм, ДХГ, т. пл. 208—210°, четвертичное соединение с CH_3J , т. пл. 181°. Толуольный р-р IIб ($\text{R} = \text{n-CH}_3$, $\text{R}' = \text{n-CH}_3$) и толуольный р-р 3-х эквивалентов окиси этилена нагревают 1 час в автоклаве при 170°, охлаждают, разгоняют в вакууме и получают: толуол; IIв, т. кип. 180—185°/0,2 мм; VIв, т. кип. 208°/0,02 мм; IVв (n = 1), т. кип. 225—230°/0,01 мм и IVв (n = 2), т. кип. 245—250°/0,01 мм. Указанными выше способами получены I (приведены R, R', т. кип. в °C/мм, т. пл. ДХГ в °C): m-CH₃, H, 1, 210/0,1, 197—199; o-Br, H, 1, 215—220/0,1, —; o-Cl, H, 1, 215/0,015, 165, четвертичная соль с CH_3J , —, т. пл. 168°; m-Cl, H, 1, 215/0,5, 213; n-Cl, n-Cl, 1, 205—207; o-CH₃, H, 1, 194/0,1, —; m-OC₂H₅, H, 1, 225/0,07, 190—191; o-OC₂H₅, H, 1, 252/0,1, —; n-Br, H, 2, 243—250/0,02, —; n-Cl, H, 2, 250/0,01, —; o-Cl, H, 2, 240—245/0,01, —; o-Br, H, 2, 240—246/0,005, —; H, H, 2, 220—225/0,02, —; m-Br, H, 2, 240—245/0,01, —; m-CH₃, H, 2, 230—235/0,01, —; m-C₂H₅, H, 2, 250—255/0,001, —; m-OC₂H₅, H, 2, 245—250/0,01, —. II получены действием соответствующих IV на пириперазин (приведены R, R', т. кип. в °C/мм): o-Cl, H, 154/0,01; m-Cl, H, 162/0,1; o-Br, H, 160/0,02; m-Br, H, 185/1; n-Cl, n-Cl, —, т. пл. 106° (из петр. эфира); o-CH₃, H, 148/0,01; m-CH₃, H, 150/0,05; m-OC₂H₅, H, 160/0,02; o-OC₂H₅, H, 192—195/0,02; n-CH₃, n-OC₂H₅, 180—185/0,2.

ут в вакууме, к осадку прибавляют 60 мл воды и упаривают, повторяют эту операцию еще раз, остаток сублимируют в воде и фильтруют; получают 5-бром-5-фенилбарбитуровую к-ту (V), выход 52 г, т. пл. 194—196°. К р-ру 71 г V в 600 мл CH_3OH прибавляют при охлаждении 86 г III, размешивают 12—18 час., прибавляют 1,5 л воды, подкисляют CH_3COOH , фильтруют, осадок растворяют в 1,2 л 1 н. HNO_3 , фильтруют, р-р нейтрализуют NH_4OH , фильтруют, осадок растворяют в HCl (к-те) и нейтрализуют NH_4OH ; получают IV, выход 65,5%. Смесь 88 г IV с 0,8 л толуола и р-ром $\text{C}_2\text{H}_5\text{ONa}$ (из 6,9 г Na и 250 мл абс. спирта) кипятят 30 мин., отгоняют на колонке р-ритель до 110° в парах, добавляя намен отогнанного толуола свежую порцию последнего, прибавляют при т-ре кипения смеси 43 г β -пиперидиноэтилхлорида (VI), кипятят 3 часа, охлаждают, выливают в 750 мл охлажд. льдом 2 н. HCl , водн. слой разбавляют в 5 раз водой и обрабатывают NH_4OH ; получают I ($\text{NR}_2' = \text{NR}_2'' = \text{пиперидил-4}$, $\text{R}''' = \text{H}$) (Ia), т. пл. 79—82° (после высушивания; в-во очень гигроскопично и при стоянии на воздухе превращается в гидрат, который плавится при 55—60°). К р-ру 57 г IV в 0,5 л щелочи, содержащей 2 моль-экв NaOH , прибавляют 37 г хлоргидрата VI в 0,5 л воды, нагревают за 30 мин. до кипения, охлаждают, декантируют, осадок промывают водой, измельчают, растворяют в CH_3COOH , фильтруют, р-р разбавляют в 5 раз водой и обрабатывают NH_4OH ; получают Ia, выход 55% (после высушивания). Смесь 28 г IV, 17,5 г VI и 250 мл изопропанола кипятят 3 часа, фильтруют, р-р упаривают, остаток растворяют в CH_3COOH , фильтруют, р-р разбавляют в 5 раз водой и обрабатывают NH_4OH ; получают гидрат Ia, выход 10 г, т. пл. 55—60°. Смесь 394 г IV, 225 г K_2CO_3 , 225 г VI и 3,5 л толуола кипятят 5 час., охлаждают, выливают в 3 л 2 н. HCl и водн. слой обрабатывают NH_4OH . Осадок оставляют на несколько дней в эксикаторе и затем высушивают несколько часов в вакууме при 100°; получают гидрат Ia, выход 70—75%. Аналогично из 222 г IV и 114 г β -дизтиламиноэтилхлорида получают I ($\text{NR}_2' = \text{пиперидил-1}$, $\text{R}'' = \text{C}_2\text{H}_5$, $\text{R}''' = \text{H}$) (Ib), который после высушивания в вакууме растворяют в ацетоне и превращают указанным ниже способом в соли. Р-р 10 г Ib в ацетоне обрабатывают насыщен. р-ром безводн. $(\text{COOH})_2$ (VII) в эфире, фильтруют, осадок растворяют в горячем изопропанол, отгоняют частично р-ритель, фильтруют и осадок дважды кристаллизуют из ацетона; получают оксалат Ib (с 2 молекулами VII и 2 молекулами воды), т. пл. 80—84,5°. К р-ру 10 г Ib в ацетоне прибавляют 25 г аллилбромид (VIII), кипятят 10 час., охлаждают, фильтруют и осадок дважды кристаллизуют из изопропанола; получают бромаллилат Ib, т. пл. 176—179°. Смесь 27 г 5-фенил-5-пиперидино-N-метилбарбитуровой к-ты с 0,5 л толуола и р-ром $\text{C}_2\text{H}_5\text{ONa}$ (из 2,3 г Na в абс. спирте) кипятят до растворения, отгоняют спирт, прибавляют 15 г VI и обрабатывают, как указано в последнем опыте получения Ia; получают 22 г маслообразного I ($\text{NR}_2' = \text{NR}_2'' = \text{пиперидил-1}$, $\text{R}''' = \text{CH}_3$) (Ia). Последний растворяют в эфире, обрабатывают насыщ. эфирным р-ром безводн. VII, декантируют и осадок дважды кристаллизуют из смеси равных объемов CH_3OH и изопропанола; получают оксалат Ib (с 0,5 молекулы VII), выход 17 г, т. пл. 175—178°. Р-р Ia в абс. эфире осаждают эфирным р-ром VII и осадок извлекают кипящим изопропанолом; получают оксалат Ia (с 1 молекулой VII и 2 молекулами воды), т. пл. 204—206° (из смеси CH_3OH и изопропанола). Смесь 25 г Ia, 0,2 л безводн. ацетона и 15 г VIII кипятят 10 час., упаривают и остаток обрабатывают петр. эфиром; получают бромаллилат Ia, т. пл. 175—177° (из изопропанола). Препараты отличаются хорошей растворимостью в воде и низкой токсичностью. А. Травин

91387. α -Галогидэтилфенилборозолы. Hoffmann Arthur K. α -Halogeno-ethylphenyl boroxoles and me-

thod of preparation. [American Cyanamid Co.]. Пат. США 2868840, 13.01.59. — $\text{C}_2\text{H}_5\text{C}_6\text{H}_5$ бромруют Br_2 , 555 г полученного $n\text{-C}_2\text{H}_5\text{C}_6\text{H}_4\text{Br}$ (I), $n^{25D} 1,5245$, обрабатывают Mg в эфире, полученный $n\text{-C}_2\text{H}_5\text{C}_6\text{H}_4\text{MgBr}$ прибавляют к р-ру 913 г $(\text{C}_6\text{H}_5\text{O})_3\text{B}$ в 800 мл абс. эфира при -70° , оставляют при $\sim 20^\circ$ и после соответствующей обработки получают 378 г $n\text{-C}_2\text{H}_5\text{C}_6\text{H}_4\text{B}(\text{OH})_2$ (II), т. пл. 149—150°. 284 г II кипятят с 1 л $\text{C}_6\text{H}_5\text{CH}_3$ с ловушкой Дина — Старка, толуол отгоняют в вакууме и получают три-(n -этилфенил)-борозол (III), т. пл. 194—195°. 147 г III в 3,25 л безводн. CCl_4 обрабатывают 200 г N-бромсукцинимидом, доводят до кипения, прибавляют 1 г перекиси бензоила, кипятят 3 часа, фильтруют, CCl_4 отгоняют, остаток перекристаллизовывают из смеси C_6H_6 -циклогексан (1:1) и получают 212 г три-(n - α -бромэтилфенил)-борозол, т. пл. 183,5—185,5°. Аналогично получают хлорпропильное. И. Берлин

91388. Получение производных усниновой кислоты. Virtanen O. Erik. Menetelmä valmistaa usniiniharpon johdannaisia. [Lääke Oy]. Фин. пат. 30278, 30.11.59. — Обладающие туберкулостатич. действием производные усниновой к-ты (I к-та) получают из I в результате перегруппировки с образованием реакционно-способной OH-группы с последующим взаимодействием с четвертичным аммониевым соединением в органич. р-рителе. Эквимольные кол-ва I и дихлоргидрата 2-диметиламино-6-(β -дизтиламиноэтокс)- бензтиазола в ацетоне кипятят до окончания р-ции и продукт очищают обычными методами. Соотношение компонентов р-ции может быть 1:2. М. Тойкка

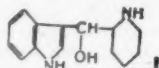
91389. Получение производных тиакумарина. Litvan Franz, Stoll Willy. Verfahren zur Herstellung von Derivaten des Thiacumarins. [J. R. Geigy A.-G.]. Швейц. пат. 331695, 15.09.58. — Патентуется способ получения производных тиакумарина (I тиакумарин), обладающих антикоагулирующим действием. 17,8 г 4-окси-I, 14,6 г бензальацетона и 1 г пиперидина кипятят 4—5 час. в 80 мл диоксана, охлаждают, фильтруют и фильтрат выливают в воду. Выделившееся масло сушат в вакууме, перемешивают с 10 мл толуола, кристаллы отделяют, промывают небольшим кол-вом толуола, перекристаллизовывают из водн. ацетона и получают 3-(α -фенил- β -ацетилэтил)-4-окси-I (II), т. пл. 163—164°. Аналогично получены производные 4-окси-I (приведены заместители в положении 3 и т. пл. в $^\circ\text{C}$): α -(n -метилфенил)- β -ацетилэтил, 160—163; α -(n -метокси-фенил)- β -ацетилэтил, 157—158; α -(n -фторфенил)- β -ацетилэтил, 184—185; α -(n -хлорфенил)- β -ацетилэтил, 161—163; α -(2',4'-дихлорфенил)- β -ацетилэтил, 208—209; α -(n -нитрофенил)- β -ацетилэтил, 211—213; α -(n -нитрофенил)- β -ацетилэтил, 185—186; α -фурил- β -ацетилэтил, 146—147; α -тионил- β -ацетилэтил, —; α -фенил- β -ацетилэтил, 163—165. М. Старосельская

91390. Способ получения нового производного триптамина. Allais André, Enezian Jiarait. Procédé de préparation d'un nouveau dérivé de la tryptamine. [Les Labs Français de Chimiothérapie]. Франц. пат. 1203195, 15.01.60. — Описан способ получения 6-диметиламинотриптамина (I), являющегося промежуточным продуктом синтеза физиологически активных в-в типа резерпина. К р-ру $\text{C}_2\text{H}_5\text{ONa}$ (из 20,8 г K) в 500 мл эфира прибавляют при охлаждении и перемешивании 78 мл этилоксалата, затем медленно добавляют р-р 80 г N,N-диметил-2-нитро- n -толуидина в 300 мл эфира, перемешивают в атмосфере N_2 65 час. при $\sim 20^\circ$, осадок отделяют, тщательно промывают эфиром, сушат в вакууме над P_2O_5 и получают 129 г K-соли этилового эфира 4-диметиламино-2-нитрофенилпропиоградной к-ты (II). Р-р 129 г II в 600 мл спирта и 60 мл CH_3COOH нагревают до 60° и постепенно прибавляют к горячей до 90° смеси 340 г железных опилок, 44 мл конц. HCl и 1 л воды, которую предварительно перемешивают до (рН 6). Реакционную массу кипятят 1 час с обрат-

ным холодильником, отгоняют 600—700 мл р-теля, прибавляют 1 кг льда, осадок отделяют, промывают водой, прибавляют к нему 1,2 л диоксана, нагревают при перемешивании до 95°, фильтруют, осадок промывают 2—3 раза горячим диоксаном, диоксановые р-ры упаривают досуха, остаток кристаллизуют из 3 объемов диоксана и получают 2-этилкарбоксилат 6-диметиламиноиндола (III), выход 60%, т. пл. 145°. К р-ру 19,4 г K_2CO_3 в 400 мл воды прибавляют 40 г III, кипятят 2 часа, охлаждают на льду, прибавляют 20 мл лед. CH_3COOH , извлекают эфиром, экстракт упаривают и получают 28,5 г 6-диметиламиноиндолкарбоновой-2-к-ты (IV), 44 г IV и 220 г безводн. глицирина постепенно нагревают от 135 до 170°, выдерживают 10 мин. и отгоняют глицирин 2 часа при 165—170°. Выпадающие из дистиллята кристаллы отделяют, промывают, сушат над P_2O_5 и получают 30,7 г 6-диметиламиноиндола (V), т. пл. 106—107°. К смеси 30 г V и 112 г спирт. р-ра диметиламина (86 мг/мл) прибавляют 1,1 г NH_4Cl , охлаждают до 0°, прибавляют по каплям за 30 мин. 21,6 г 29,1%-ного формалина, перемешивают 3 часа при ~20°, прибавляют 100 г льда, CH_3COOH до pH 3,4, промывают C_6H_6 (2 × 50 мл), промывной C_6H_6 извлекают 20 мл 10%-ной CH_3COOH и 20 мл воды, объединенные кислые р-ры нагревают в вакууме до 40—50°, обесцвечивают животным углем, подщелачивают на льду конц. р-ром Na_2CO_3 до pH 13, перемешивают, оставляют на льду на ~16 час., осадок отделяют, промывают 100 мл воды, сушат над P_2O_5 и получают 15,1 г 6-диметиламиноамина (VI), т. пл. 125,5—126° (из тол-лула). Р-р 20 г VI в 240 мл тетрагидрофурана (ТГФ) прибавляют по каплям к охлажд. на льду смеси 25 мл $(CH_3)_2SO_4$ и 240 мл ТГФ, перемешивают 3 часа при 0°, осадок отделяют, промывают 40 мл ТГФ, сушат в вакууме, растворяют в 100 мл воды, прибавляют р-р 12 г KCN в 200 мл воды, перемешивают 3 часа при 70°, охлаждают до 0°, осадок отделяют, промывают водой, сушат над P_2O_5 , растворяют в горячем ацетоне, р-р обесцвечивают животным углем, упаривают и получают с выходом 42% 6-диметиламиноиндол-3-ацетонитрил (VII), т. пл. 198,5°. 6,5 г VII в 600 мл насыщ. р-ра NH_3 в CH_3OH гидрируют 2 часа в присутствии 10 г скелетного Ni, осадок отделяют, промывают CH_3OH (2 × 20 мл), фильтрат обесцвечивают животным углем, упаривают в вакууме досуха, осадок, растворяют в 50 мл CH_2Cl_2 , к р-ру по каплям прибавляют на льду 10%-ный р-р CH_3COOH в CH_2Cl_2 до нейтр. р-ции, осадок отделяют, сушат над P_2O_5 и получают 7,45 г ацетата I, т. пл. 154—158°. Ацетат I обрабатывают разб. р-ром Na_2CO_3 , извлекают CH_2Cl_2 , р-р промывают водой, сушат Na_2SO_4 , упаривают, к остатку прибавляют спирт, р-р пириновой к-ты и получают пикрат I, т. пл. 215—216°. Получен также ацетат I, т. пл. 160° (из сп.).

С. Окунь

9Л391. Производное индола и пиперидина и способ его получения.—Nouveau dérivé de l'indole et de la pipéridine et son procédé de préparation. [Soc. des Usines Chimiques Rhône-Poulenc]. Франц. пат. 1216256, 25.04.60.—Соединение ф-лы (I), обладающее диуретич. активностью и применимое в виде основания или солей нетоксичных к-т, напр. хлоргидрата, цитрата, тартрата, метансульфоната или др., получают каталитич. гидрированием 3-пикоилиндолола (II) в присутствии Pt-ката-



лизатора в органич. р-рителе при ~20° и нормальном давлении. 50 г хлоргидрата II растворяют в смеси 1150 мл CH_3OH и 115 мл воды и гидрируют 6 час. при 20° и нормальном давлении в присутствии Pt (из 10 г PtO_2). Катализатор отделяют, р-р упаривают в вакууме досуха; остаток (52 г) растворяют в 300 мл

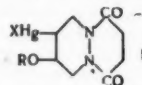
дистил. воды в присутствии 250 мл эфира, подщелачивают 20 мл $NaOH$ (d 1,33), перемешивают, органич. слой отделяют, воду р-р промывают эфиром, экстракты объединяют, сушат K_2CO_3 , р-ритель отгоняют, остаток (40 г) растворяют в 120 мл кипящего этилацетата, охлаждают, фильтруют, осадок промывают этилацетатом (3 × 10 мл), сушат в вакууме и получают 24,5 г I, т. пл. 152—153°. Исходный хлоргидрат II, т. пл. 178—180°, получают действием спирт. р-ра HCl на р-р II в метилэтилкетоне.

И. Филипп

9Л392. Соли циннолиния. Taylor Edwin Percival, Rotter Michael David, Collier Henry Oswald Jackson, Austin William Charles. Improvements in or relating to cinnolinium salts. [Allen & Hanburys Ltd]. Англ. пат. 812994, 06.05.59.—Патентуется способ получения солей полиметилецидицинолиния, применяемых в качестве противомикробных и противопаразитич. средств. 0,51 г 4-ацетамидоцинолина, 0,42 г гексаметилендиоксида и 85 мл этилацетата кипятят 205 час., охлаждают, фильтруют, осадок перекристаллизуют из $CH_3OH + C_2H_5OH$, 0,45 г полученного продукта и 5 мл конц. HCl нагревают 2 мин., оставляют на ~16 час., нагревают, подщелачивают NH_4OH , прибавляют воду, 7 г KJ, охлаждают и получают в осадке 1,6-гексаметилен-бис-(4-аминоцинолиниййодид), т. пл. 281—282° (разл.; из водн. сп.). Аналогично получают (приведены в-во и т. пл. в °C): 1,7-гептаметилен-бис-(4-аминоцинолиниййодид), 222—224 (разл., сп.), 1,8-октаметилен-бис-(4-аминоцинолиниййодид), 252 (разл., CH_3OH -сп.), 1,16-гексадекаметилен-бис-(4-аминоцинолиниййодид), 181—183 (разл., сп.); 1,20-эйкозан-бис-(4-аминоцинолиниййодид) (I), 180 (разл., сп.-эф.); 1,4-тетраметилен-бис-(4-аминоцинолиниййодид) (II), 277—279 (разл., CH_3OH -сп.); 1,18-октадекаметилен-бис-(4-аминоцинолиниййодид) 164—166 (разл., сп.); 1,10-декаметилен-бис-(4-аминоцинолиниййодид), 164—166 (разл., сп.); 1,10-декаметилен (III), 209—210 (разл., сп.-эф.). I превращают в соответствующий хлорид, т. пл. 198—199° (разл., сп.-эф.) прибавлением $AgCl$ к р-ру в CH_3OH с последующим кипячением (4 час.), II — в соответствующий перхлорат, т. пл. 253—254° (разл., сп.-эф.). I превращают в горячем р-ру, III — в нитрат, т. пл. 195—197° (разл., сп.) прибавлением $AgNO_3$ в CH_3OH к спирт. р-ру.

И. Берлин

9Л393. Меркурированные 1,6-дiazобизцикло-[4,4,0]декадионы-7,10. Clarke Robert L., Gubitz Franklin W. Mercurated 1,6-diazabicyclo [4,4,0] decane-7,10-diones. [Sterling Drug Inc]. Пат. США 2921068, 12.01.60.—Соединения общей ф-лы (I), (X = анион, R = H или низший алифатич. радикал), обладающие диуретич. активностью, получают конденсацией 1,2,3,6-



тетрагидропиридазина (II) с янтарным ангидридом (III) с последующей обработкой образующегося 1,6-дiazобизцикло-[4,4,0]-3-декендиона-7,10 (IV) соответствующей солью Hg и спиртом в присутствии следов окислителя (HNO_3). Через смесь 1946 г диэтилового эфира гидразидкарбоновой к-ты с 5 л C_6H_6 и 5 л воды при т-ре 10° пропускают Cl_2 до начала его выделения, бензольный р-р отделяют, промывают водой, разб. $NaHCO_3$ водой, сушат Na_2SO_4 , обрабатывают бутаденом, C_6H_6 отгоняют и получают 1629 г 1,2-дикарбонкис-II (V), т. кип. 111—115°/0,3 мм. 228,3 г V прибавляют по каплям при перемешивании и слабом кипении к р-ру 252,5 г KOH в абс. спирте, кипятят 3 часа, выдерживают 48 час. при 20°, фильтруют, р-ритель отгоняют, к остатку добавляют 500 мл абс. эфира, фильтруют и после отгонки эфира получают 39,5 г II,

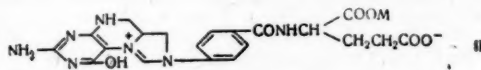
т. кип. 166–169°, n_D^{20} 1,5108. 10 г III добавляют при внешнем охлаждении к 8,4 г II, нагревают при 250–260° до прекращения кипения и получают 6,1 г IV, т. пл. 183,9–200,1° (из сп.). К р-ру 3,84 г IV в 75 мл горячего CH_3OH прибавляют р-р 7,37 г ацетата ртути в 75 мл горячего CH_3OH , содержащего 3 капли конц. HNO_3 , кипятят 3 часа при перемешивании, охлаждают, осадок отфильтровывают и получают 7,3 г 3-ацетата меркур-4-метокси-1,6-диазобензил-4,4,4-трифтора-7,10, т. пл. 192–195° (из сп.). В. Спиричев

9Л394. Получение замещенных 2-оксобензохинолизинов. Brossi Arnold, Schnider Otto, Walter Max. Verfahren zur Herstellung von substituierten 2-Oxo-benzochinolizinen. [F. Hoffmann La Roche & Co. A.-G.] Швейц. пат. 335397, 14.02.59.—Патентуется способ получения соединений, обладающих гипотензивным, седативным, анагетич. и антипиретич. действием. 200 г 1-карботоксиметил-6,7-диметокси-1,2,3,4-тетрагидроксинолина (I), 35 г параформа и 150 г диметилового эфира монометилмалоновой к-ты кипятят 24 часа в 1 л CH_3OH , охлаждают и выделяют 2-(2,2'-дикарботоксик-*n*-пропил)-I (II), т. пл. 89–91° (водн. CH_3OH). 28 г Na растворяют в 500 мл CH_3OH , упаривают досуха, прибавляют 3500 мл толуола и 440 г II и перемешивают при нагревании, непрерывно отгоняя образующийся спирт. После отгонки спирта кипятят 2 часа, упаривают досуха, остаток растворяют в 6 л 3 н. HCl и нагревают 16 час. при 120°. После охлаждения подщелачивают NH_4OH , осадок перекристаллизовывают из воды. GH_3OH и получают 2-оксо-3-метил-9,10-диметокси-1,2,3,4,6,7-гексагидробенза [а] хинолизин, т. пл. 138–140°, хлоридат (XG) т. пл. 204–205°. Аналогично получены производные 2-оксо-9,10-диметокси-1,2,3,4,6,7-гексагидробенза [а]-хинолизина (приведены заместители в положении 3, т. пл. в °C и т. пл. в °C солей): C_6H_5 , 110–112, —; *изо*- C_6H_7 , 129–124, бромидат (BG) 222–223; аллил, 116–117, BG, 204–205; *n*- C_6H_5 , 112–114, XG, 188–189; $\text{C}_6\text{H}_5\text{CH}_2$, 139–141, XG, 165–167; *изо*- C_6H_5 , 126–128, XG, 196–197; *n*- C_6H_{11} , 121–122, XG, 184–185; *n*- C_6H_{13} , 92–94, XG, 173–175; тетрагидрофурил, 194–195, BG, 102–104.

9Л395. Бензизотиазолон. Morley John Selwyn. Benzisothiazolones. [Imperial Chemical Industries Ltd.] Англ. пат. 848130, 14.09.60.—Конденсацией хлорангидрида α -хлортолибензойной к-ты (I) соответствующими аминами, или циклизацией α -галогидтолибензамидов ф-лы α - $\text{XSC}_6\text{H}_4\text{CONHR}$, синтезированы 2-(*R*-фенил)-бензизотиазолон (II) и 2-*R*-бензизотиазолон (III), обладающие бактерицидной и противогрибковой активностью. В энергично перемешиваемую суспензию 100 г 2,2'-дитио-*бис*-бензоилхлорида (IV) в 0,5 л CCl_4 пропускают Cl_2 при 15–20° до растворения IV, перемешивают 15 мин. при 20–25°, вытесняют Cl_2 током N_2 , отгоняют CCl_4 и получают I, т. пл. 67–68°. К р-ру 140 г *n*-хлоранилина в 0,5 л пиридина приливают (30 мин., 25–30°) 207 г I в 0,5 л CCl_4 , перемешивают 15 мин., нагревают 10 мин. при 75–80°, выливают на смесь льда и 3 н. HCl и отделяют II ($R = n\text{-Cl}$), т. пл. 123–124° (из CH_3OH). Аналогично синтезируют II (указаны R и т. пл. в °C): 2-Cl; 135–136, 3-Cl, 133–135; 4-Br, 133–135, 3,4- Cl_2 , 185–186; 2,5- Cl_2 , 163–164; 4- CH_3 , 145–146; 2- CH_3 , 135–136; 3- CH_3 , 116–118; 4- C_2H_5 , 136–137; 4-*n*- C_4H_9 , 90–91; 2,5-(CH_3) $_2$, 173–174; 4-*n*- C_6H_5 , 60–61; 4-*n*- $\text{C}_{12}\text{H}_{25}$, 85–86; 2,4-(CH_3) $_2$, 138–139; 2,5-(CH_3) $_2$, 117–118; 2,6-(CH_3) $_2$, 147–148; 3,4-(CH_3) $_2$, 161–162; 2,6-(C_2H_5) $_2$, 118–119; 4- CH_2CONH , 249–250; 4- NH_2 , 230–231; 4-(CH_3) $_2\text{N}$, 188–189; и III *трет*- C_6H_3 , —, (т. кип. 142°/0,5 мм); $\text{C}_{12}\text{H}_{25}$, —; $\text{C}_{16}\text{H}_{33}$, —; $\text{C}_{18}\text{H}_{39}$, —; $\text{C}_{18}\text{H}_{37}$, 51–52; 4- $\text{ClC}_6\text{H}_4\text{CH}_2$ (IIa), 97–98; 2- $\text{ClC}_6\text{H}_4\text{CH}_2$, 107–108; 2,6- $\text{Cl}_2\text{C}_6\text{H}_3\text{CH}_2$, 163–164; 2,4,5- $\text{Cl}_3\text{C}_6\text{H}_2\text{CH}_2$, 175–176; α - $\text{C}_6\text{H}_4\text{N}$, 195–196; 5-бромпиридил-2, 232–233; γ - $\text{C}_6\text{H}_4\text{N}$, 182–183; пиримидил-2, 236–237; 4,6-диметилпиримидил-2, 252–253. К р-ру 61 г IV в 2 л CHCl_3 приливают (15 мин., 20–25°) 100 г *n*-хлорбензиламина в 150 мл

CHCl_3 , перемешивают 1 час., продукт обрабатывают 1 л кипящей воды и отделяют *N,N'*-*бис*-*n*-хлорбензил-2,2'-дитио-*бис*-бензамид (V), т. пл. 234–235°, который броммируют р-ром Br_2 в CCl_4 при 23–25° в *о*-бромтолуол-*N*-хлорбензилбензамид (VI). 713 г VI растворяют в 1750 мл горячей CH_3COOH , р-р выливают на лед, подщелачивают 32%-ным NaOH при t -ре < 10° и отделяют IIIa, который получают также кипячением V с 5%-ным р-ром NaOH . Для фармацевтич. применения смешивают 1 г IIIa, 66,5 г арахисового масла, 11 г ланолина, 17 г мягкого парафина и 5,5 г твердого парафина или 1 г IIIa и 99 г *изо*- $\text{C}_8\text{H}_{17}\text{OH}$, или 5 г IIIa, 70 г борной к-ты и 25 г крахмала и т. д.

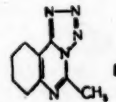
Э. Бамдас
9Л396. Способ получения *l*, *l*-фолиновой кислоты. Морита Кацура. [Такада якухин котэ кабусики кайся]. Японск. пат. 1981, 9.04.59.—Для получения *l*, *l*-фолиновой к-ты (I) каталитически восстанавливают фолиевую к-ту в муравьинокислой среде, нейтрализуют щелочью, выделяют щел. или щел.-зем. соль ангидрофолиновой к-ты ф-лы (II, М — щел. или щел.-зем. металл), которую для превращения в I нагревают со щелочью при pH 9–14. 20 ч. 90%-ной фолиевой к-ты, 300 ч. 95%-ной HCOOH и 2 ч. аскорбиновой к-ты нагревают 1 час при 50°, прибавляют PtO_2 (из 1 ч. PtCl_2), каталитически восстанавливают с поглощением 2 молекул H_2 , катализатор отфильтровывают, фильтрат



оставляют стоять 2 дня в атмосфере N_2 и нейтрализуют 600 ч. NaHCO_3 в 1500 ч. воды. Осадок Na-соли II отфильтровывают, растворяют в 1000 ч. воды при pH 9, отфильтровывают немного примесей, фильтрат подщелачивают до pH 13, нагревают в течение 1 часа на водяной бане, охлаждают, прибавляют 50 ч. Al_2O_3 , фильтруют, фильтрат подкисляют CH_3COOH до pH 4, прибавляют 50 ч. активированного угля, перемешивают 15 мин., фильтруют, осадок промывают водой, извлекают 2 раза по 400 ч. кипящей смеси спирта, воды и конц. NH_4OH (в соотношении 4:3:1), экстракт упаривают в вакууме до ~80 ч., прибавляют 10 ч. BaCl_2 в 10 ч. горячей воды, устанавливают на pH 13, отфильтровывают немного осадка, фильтрат устанавливают на pH 7,5, понемногу прибавляют двойное кол-во спирта и отфильтровывают 14 ч. Ва-соли I.

С. Петрова

9Л397. Способ получения производного тетразолахинолина. Кано Хидэо, Макицунэ Токуо [Синоги сэйяку кабусики кайся]. Японск. пат. 5577, 29.06.59.—Активный при лечении злокачественных опу-

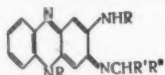


хлей 5-метил-7,8,9,10-тетрагидротетразоло[1,5-с]-хинозалин ф-лы (I) получают обработкой HNO_2 или ее производными 2-метил-4-гидразино-5,6,7,8-тетрагидрохиноа-золина (II). 0,5 г II растворяют в 15 мл 2 н. CH_3COOH , при 0° приливают по каплям 2 г 10%-ного NaNO_2 , оставляют стоять, осадок отделяют, кристаллизуют из 50%-ного спирта и получают 0,4 г I, т. пл. 136–137°.

С. Петрова

9Л398. Способ получения новых производных феназина. Barry Vincent Christopher, Belton James Gabriel, Conalty Michael Laurence, Twomey Dermot, Hodel Ernst. Verfahren zur Herstellung von neuen Phenazinderivaten. [J. R. Geigy Akt.-Ges.] Швейц. пат. 344061, 15.03.60.—Обладающие

туберкулоустатич. действием соединения общей ф-лы (I) (R — фенил или замещ. фенил, R' и R'' — низшие алкилы или CHR'R'' — циклоалкил или замещ. циклоалкил) получены р-цией диамина ф-лы $o\text{-NH}_2\text{C}_6\text{H}_4\text{NHR}$ (II) с *n*-бензохиноном (III) в присутствии кетона ф-лы R'COR'', каталитич. восстановлением образовавшегося 1-R-5-R-2-R' - 2R'' - дигидроимидазол-[4,5b] - феназина



(IV) и последующим окислением продукта р-ции O_2 воздуха. К р-ру 87,2 г II (R = *n*-ClC₆H₄) (IIa) в смеси 440 мл 1 н. HCl, 260 мл воды и 660 г ацетона прибавляют за 10 мин. при 50° и перемешивании р-р 88 г III в 2,8 л кипящей воды, перемешивают 10 мин., прибавляют за 15 мин. при 50° 350 г 20%-ного NaOH, перемешивают 2 часа, осадок отделяют, промывают, сушат, извлекают C₆H₆, р-р обесцвечивают активированным углем, концентрируют, прибавляют петр. эфир, осадок отделяют, сушат, кристаллизуют дважды из лигроина и получают IV (R' = R'' = CH₃) (IVa), т. пл. 243—245°. 28,3 г IVa, 2,8 г спирта и 0,6 г PtO₂ встраивают в атмосфере H₂ при ~20° до поглощения 2,2—2,4 молей H₂, оставляют на 12 час. в атмосфере H₂, отделяют от катализатора, р-р оставляют на 6 час. при 20°, продувая через него в течение короткого времени воздух, охлаждают 12 час. смесью лед.-NaCl, осадок отделяют, сушат и получают I (R = *n*-ClC₆H₄, R' = R'' = CH₃), т. пл. 211—213°. В сходных условиях получены IV и из них I [приведены R, R', R'' (или CHR'R''), т. пл. в °C, IV и I]: C₆H₅, CH₃, CH₃, 230—232, 198—199; C₆H₅, C₆H₅, CH₃, 223—225. —; C₆H₅, циклогексил, 292—294, 160—162; C₆H₅, C₂H₅, C₂H₅, 216—218, 167—168; C₆H₅, CH₃, CH₂CH(CH₃)CH₃, 182—183; 164; *n*-C₃H₇CH₂, CH₃, CH₃, 214—213, 202—204; C₆H₅, CH₃, C₆H₅, 173—176, 174; *n*-ClC₆H₄, циклогексил, 299—301; 248—250; *n*-CH₂CH(CH₃)OC₆H₄, циклогексил, 289—291, 200; *o*-CH₃OC₆H₄, циклогексил, —, 194—196; C₆H₅, *n*-метилциклогексил, —, 175—177; *n*-ClC₆H₄, *n*-метилциклогексил, —, 237—239; C₆H₅, *m*-диметилциклогексил, —, 202—204; *n*-ClC₆H₄, *m*-диметилциклогексил, —, 218—220; C₆H₅, циклогептил, —, 191—192, *n*-ClC₆H₄, циклогептил, —, 234.

М. Брауде

9Л399. Получение производных фентиазина, содержащих в положении 10 четвертичную аммониевую группу. — Nouveaux dérivés de la phénothiazine présentant en position 10 une chaîne à ammonium quaternaire et leur préparation. [Soc. des Usines Chimiques Rhône — Poulenc]. Франц. пат. 1225606, 1.07.60. — Конденсацией *N*-диалкиламиноалкилфентиазинов с ClCH₂CH₂N(C₂H₅)₂ (I) и аналогичными соединениями получены четвертичные основания, обладающие ганглиоблокирующей и спазмолитич. активностью. 90 г 10-(диметиламиноэтил)-фентиазина, 45 г I и 0,3 л абс. спирта кипятят 22 часа, р-р упаривают в вакууме и получают 38,5 г хлористого R-(2-диэтиламиноэтил)-диметиламина [R-(2-фентиазинил-10)-этил], т. пл. 108—113° (разл.). Аналогично синтезируют хлористые [2-(3-хлорфентиазинил-10)-этил]-(2-диэтиламиноэтил)- и R-(2-периодиоэтил)-диметиламиний, т. пл. 117—120° (разл.) и 211—212° (разл.) и хлористый R-(2-диэтиламиноэтил)-диэтиламиний, т. пл. 168—180° (разл.). Кипением 2 часа тозилата 10-(2-оксиптил)-фентиазина и 1,4-диметилпиперазина в CH₃CN получают *n*-толуолсульфат R-1,4-диметилпиперазиния, т. пл. 218° (разл.).

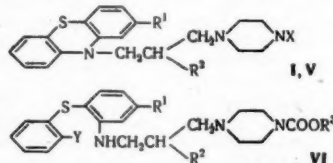
Э. Бамдас

9Л400. Получение кристаллического 3-хлор-10-(3'-диметиламинопропил)-фентиазина. Gelegonya Géza, Cserepreghy György, Láng Tibor, Toldy Lajos. Eljárás kristályos 3-klor-10-(3'-dimetilaminopropil)-fenotiazin előállítására. [Egyesült Gyógyszer- és Tápszergyár, Gyógyszeripari kutató Intézet]. Венг. пат.

145630, 30.11.59. — 140 г *m*-хлордифениламина, 44,7 г тонкоизмельченной S, 0,5 г J₂ и 400 мл C₆H₅Cl кипятят до прекращения выделения H₂S; осадок отделяют, промывают 50%-ным спиртом, содержащим 1% K₂S₂O₈, сушат в вакууме и получают 80—88 г 3-хлорфентиазина (I) с т. пл. 195—196°. 100 г I растворяют в 400 мл ксилола, кипятят с 20 г 80%-ного NaNH₂ и прибавляют по каплям (1—2 часа) р-р 60 г γ-диметиламинопропилхлорида в 60 мл ксилола, кипятят 1 час, осадок отделяют, экстрагируют 1%-ным р-ром NaHSO₃ (3 × 200 мл), фильтрат экстрагируют р-ром винной к-ты (100 г в 400 мл), объединенные экстракты подщелачивают NH₄OH, осадок экстрагируют петр. эфиром (2 × 250 мл), р-ритель отгоняют в вакууме и получают 75—86 г 3-хлор-10-(3'-диметиламинопропил)-фентиазина, т. кип. 215—230°/0,1—0,5 мм, т. пл. 52—60°, хлоргидрат, т. пл. 195—197°.

С. Розенфельд

9Л401. Новые производные фентиазина, содержащие в положении 10 пиперазиновую боковую цепь, и способ их получения. — Nouveaux dérivés de la phénothiazine comportant en position 10 une chaîne pipérazinique et leurs procédés de préparation. [Soc. des Usines Chimiques Rhône — Poulenc]. Франц. пат. 1203542, 19.01.60; 1203590, 20.01.60. — Пат. 1203542. Патентуются производные фентиазина (I) (R' = H, галоген, CN,



CH₃S, CH₃SO₂(CH₃)₂NSO₂, низший алкил, низшая алкоксигруппа или низший ацильный остаток, R² = H или CH₃, X = SO₂NR⁴, R³ и R⁴ — одинаковые или разные H или алкил) их четвертичные аммониевые соединения, соли с к-тами и способ получения I по схемам [символы, R, N(C₂H₅)N и Y означают соответственно одновалентный остаток замещ. в положении 3 фентиазина, двухвалентный остаток пиперазина и галоген или аналогичный подвижный радикал]: а) RH + R³R⁴NSO₂N(C₂H₅)NCH₂CH(R²)CH₂Y; б) RCH₂CH(R²)CH₂Y + HN(C₂H₅)NSO₂NR⁴. Радикал R³R⁴NSO₂ может быть введен также в заключительной стадии синтеза по схеме: I (X = H) + R³R⁴NSO₂Cl. К р-ру 9 г 3-хлор-10-(γ-пиперазинопропил)-фентиазина (II) в 15 мл C₆H₆ прибавляют 2,1 г безводн. пиридина и р-р 3,8 г (CH₃)₂N-SO₂Cl (III) в 10 мл C₆H₆, оставляют на ночь, нагревают 30 мин. на водяной бане, охлаждают, обрабатывают р-ром NaHCO₃, высушивают Na₂SO₄ и упаривают в вакууме; получают I (R' = Cl, R² = H, R³ = R⁴ = CH₃), выход 10 г, из которого при обработке спирт. р-ром HCl (газ) получают хлоргидрат, т. пл. 210—212°. К р-ру 17 г 3-циан-10-(γ-пиперазинопропил)-фентиазина (IV) в 100 мл толуола прибавляют 4,2 г безводн. пиридина и 7,6 г III, нагревают 1,5 часа на водяной бане, извлекают 1 н. HCl, кислый р-р обрабатывают NaHCO₃, извлекают CHCl₃, вытяжку высушивают K₂CO₃ и упаривают в вакууме; получают I (R' = CN, R² = H, R³ = R⁴ = CH₃), выход 22 г, т. пл. 114° (из сп.). Препараты обладают седативным действием.

Пат. 1203590. Патентуются производные фентиазина (V), где R¹, кроме указанных выше значений, представляет собой CF₃ или низшую карбалкоксигруппу, R² = H или CH₃, X = COOR³, R³ — низший алкил, их четвертичные соединения и соли с к-тами. Кроме указанных выше способов, V получают также циклизацией производных дифенилсульфида (VI), где Y — галоген. К р-ру 17,5 г IV и 6,1 г триэтиламина (VII) в 110 мл безводн. толуола прибавляют за 25 мин. при 15—20° р-р 5,7 г ClCOOH₃ в 5 мл безводн. толуола,

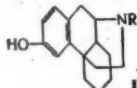
оставляя
воды, ки
щелачив
100 мл и
воды K₂
остаток
графиру
тельного
(4:1); п
ход 12,1
гично и
(в 110 л
и его с
V (R¹ =
83—85°
и в 2,8
VIII, ос
и 35 мл
промыв
упарива
0,2 л ц
примен
сан, ед
C₆H₆; п
7,1 г, т
дадают
ным де
9Л401
Grüss
Schne
tuierter
Pheinit
(Ia—n
фенилд
д, β-ф
нилати
к, *n*-м
м, 2-м
их сол
проти

ют, к
лиров
морфи
ветств
образ
ваны
нием
243 г
1700
тонко
ляют
к-ты,
ют, ф
пере
5%-н
няют
ряют
бавля
на и
р-р с
ток
отто
194°
[α]_D²⁰
вед
154—
209—
(—)

оставляют на 48 час., извлекают 15 мл 4 н. HCl и 50 мл воды, кислый р-р промывают 30 мл этилацетата, подщелачивают 20 мл р-ра NaOH (уд. в. 1,33), извлекают 100 мл и 50 мл этилацетата, вытяжку высушивают безводн. K_2CO_3 , упаривают при 100°/15 мм (т-ра бани), остаток (19,5 г) растворяют в 250 мл C_6H_6 и хроматографируют на 300 г Al_2O_3 , применяя для последовательного вымывания C_6H_6 и его смесь с этилацетатом (4:1); получают V ($R^1 = CN$, $R^2 = H$, $R^3 = CH_3$), выход 12,1 г, т. пл. 107—110° (из этилацетата). Аналогично из 17,5 г IV, 6,1 г VIII и 6,5 г $CH_3COOC_2H_5$ (VIII) (в 110 мл толуола выдержка 2 часа, вымывание C_6H_6 и его смеси с этилацетатом 9:1 и 4:1) получают V ($R^1 = CN$, $R^2 = H$, $R^3 = C_2H_5$), выход 14,8 г, т. пл. 83—85° (из диизопропилового эфира). К смеси 13,3 г II и 2,8 г безводн. пиридина прибавляют при 30° 3,7 г VIII, оставляют на 15 час., обрабатывают 30 мл воды и 35 мл 1 н. NaOH, извлекают 100 мл эфира, вытяжку промывают водой (30 мл \times 4), высушивают Na_2SO_4 , упаривают при 15 мм, остаток (15,7 г) растворяют в 0,2 л циклогексана и хроматографируют на 250 г Al_2O_3 , применяя для последовательного вымывания циклогексана, его смеси с возрастающим кол-вом C_6H_6 и чистый C_6H_6 ; получают V ($R^1 = Cl$, $R^2 = H$, $R^3 = C_2H_5$), выход 7,1 г, т. пл. 100° (из сп., по Кофлеру). Препараты обладают седативным, обезболивающим и противорвотным действием.

А. Травин

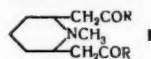
91402. Получение замещенных морфинанов. Grüssner André, Hellerbach Joseph, Schnider Otto. Verfahren zur Herstellung substituiert Morphinane. [F. Hoffmann-La Roche & Co. A.-G.] Швейц. пат. 341167, 14.11.59.—Соединения общей ф-лы (Ia—n) ($R = a$, 3,4-диметоксифенилэтил; б, м-метоксифенилэтил; в, Δ^1 -циклогексенилэтил; г, ω -фенилбутил; д, β -фенилбутил; е, 3,4,5-триметоксифенилэтил; ж, фенилэтил; з, м-метоксифенилэтил; и, циклотексенилэтил; к, п-метилфенилэтил; л, 3,4-метилendioксифенилэтил; м, 2-метил-4-метоксифенилэтил; н, ω -фенилпропил) и их соли, действующие на ц. н. с. и применяемые, напр., против кашля (оптически активные l-изомеры облада-



ют, кроме того, анальгетич. действием), получают ацилированием рацемич. или оптически активного 3-оксиморфина (II) эфирами или хлорангидридами соответствующих к-т с последующим восстановлением образующихся амидов $LiAlH_4$. I могут быть алкилированы или ацилированы по 3-оксигруппе с образованием соответствующих простых или сложных эфиров. 243 г (—) II растворяют при нагревании (100°) в 1700 мл диметилформамида, прибавляют 138 г сухого тонкоизмельченного K_2CO_3 и в течение 30 мин. прибавляют по каплям 215 г хлорангидрида гомомератровой к-ты. После 2 час. нагревания при 100—120° охлаждают, фильтруют, р-ритель отгоняют в вакууме, остаток переносят в смесь C_6H_6 -бутанол (1:1), промывают 5%-ной HCl, 5%-ным $NaHCO_3$ и водой и р-ритель отгоняют, 421 г полученного смолообразного амида растворяют в 1000 мл диоксана и при перемешивании прибавляют по каплям к р-ру 40 г $LiAlH_4$ в 100 мл диоксана и 1500 мл эфира. После 2 час. выдержки охлажд. р-р смешивают с 80 мл воды, отгоняют р-ритель, остаток экстрагируют смесью C_6H_6 -бутанол (1:1). После отгонки р-рителя получают 400 г (—) Ia, т. пл. 192—194° (водн. сп.), хлоридрат (ХГ), т. пл. 238—240°, $[\alpha]_D^{20} - 68,1^\circ$ (с 1; CH_3OH). Аналогично получены (приведены в-во, т. пл. в °C и т. пл. в °C солей): (—) Ib, 154—156, ХГ, 187—190, тартрат (Т), 145—146; (—) Ic, 209—211, ХГ, 263—265; (—) Id, 144—146, Т, 179—180; (—) Id, —, Т, 140—143, (—) Ie, 181—183, ХГ, 240—242;

рацемич. Iж, 218—220, бромгидрат (БГ), 260—262, —; (—) Ia, 189—190, ХГ, 168—170; (—) Li, 195—196, ХГ, 235—236; (—) Ik, 173—174, ХГ, 284—290 (разл.); (—) Il, 176—178, ХГ, 290—292; (—) Im, —, ХГ, 249—251; (—) In, 140—142, БГ, 132; (+) Iж, —, БГ, 284—285; (—) Iж, 243—245, —. Обработкой (—) Iж гидроокисью триметилфениламмония получают (—) 3-метокси-N-фенилэтилморфинан, т. кип. 179°/0,006 мм дигидрат Т, т. пл. 104—105° (водн. изопропанол), $[\alpha]_D^{20} - 37,4^\circ$ (в CH_3OH). Аналогично получают (+)-изомер, Т, т. пл. 119—122°, $[\alpha]_D^{20} + 62,66^\circ$ (в сп.). Обработкой (—) Iж (CH_3CO)₂O получают (—) 3-ацетокси-N-фенилэтилморфинан, т. кип. 174°/0,001 мм полугидрат, ХГ, т. пл. 186—187° (спирт-эф.); $[\alpha]_D^{20} - 55,2^\circ$ (в CH_3OH). В. Спиричев

91403. Получение производных цис-8,10-дифенил-лобелидина (лобеланина). Hebký Jaromír, Kejha Jiří. Způsob přípravy nových odvozenin cis-8,10-difenyllobelidionu. Чехосл. пат. 91116, 15.07.59.—Соединения общей ф-лы (I) (R — фенил, который может содержать алкил или алкоксигруппу с 1—5 атомами С), обладающие сильным физиологич. действием и применяемые в терапии, получают конденсацией соответственно замещенной бензилуксусной к-ты с глутаровым диальдегидом и метиламином при pH 3—7 и 15—35°. 42 г этилового эфира 3,4,5-триметоксibenзилуксус-



ной к-ты (II к-та) в р-ре 12,4 г NaOH в 420 мл воды перемешивают 4 часа и оставляют на ~16 час. (р-р А). 31,75 г лимонной к-ты растворяют в 75 мл воды (р-р Б). 12,1 г NaOH растворяют в 30 мл воды (р-р В). 6,5 г диоксима глутарового диальдегида растворяют в 35 мл 10%-ной HCl, охлажд. до 0° и при охлаждении до —10° и перемешивании добавляют в течение 1 часа р-р 7 г $NaNO_2$ в 8,6 мл воды. Полученный р-р нейтрализуют 1,5 г свежераскисленного $CaCO_3$ и фильтруют (р-р Г). 3,55 г хлоридрата метиламина растворяют в 15 мл воды (р-р Д). Р-р А нейтрализуют 10%-ной HCl. Все р-ры выдерживают в термостате при 25° и смешивают. К смеси добавляют 9 мл конц. HCl, разбавляют до 1 л теплой водой (25°) и оставляют на 1 час (на прямом солнечном свете) при 25°. Через 4 часа подкисляют конц. HCl до pH 4, оставляют на ~16 час., добавляют 5 мл конц. HCl, оставляют на 24 часа, охлаждают до 0°, подщелачивают NH_4OH , вазальтуют с C_6H_6 (2 \times 300 мл). Бензольный р-р экстрагируют 200 мл разб. H_2SO_4 (1:10), кислый р-р подщелачивают NH_4OH и основание экстрагируют эфиром (200 мл). Из эфирного р-ра выделяют I, $[R = 3,4,5-(CH_3O)_3C_6H_2]$, т. пл. 138°. З. Смелый

91404. Способ получения О-деметилдемокколцина. Muller Georges, Bellet Paul. O-déméthyl-démécolcine et son procédé de préparation. [UCLAF]. Франц. пат. 1222404, 9.06.60.—О-деметилдемокколцин (О-деметил-N-деацетил-N-метилкохичин) (I), применяемый в медицине, получают экстракцией из растений вида *Colchicum*. 150 кг измельченных семян безвременника обезжиривают обработкой 500 л петр. эфира, настаивают на холоду в 700 мл 70%-ного спирта, спирт отгоняют в вакууме, остаток экстрагируют $CHCl_3$ (5 \times 35 л), экстракты перемешивают с 30 л 1 н. HCl, кислый р-р нейтрализуют насыщ. р-ром $NaHCO_3$, экстрагируют $CHCl_3$ (4 \times 2 л), экстракт промывают на холоду (250 мл) 0,1 н. NaOH и 500 мл воды, водн. р-ры подкисляют HCl, нейтрализуют $NaHCO_3$, экстрагируют $CHCl_3$ (5 \times 200 мл), экстракт сушат $MgSO_4$, выпаривают в вакууме и получают 5,9 г остатка, который растирают с CH_3OH и получают 2,8 г кристаллич. I, т. пл. 131°, $[\alpha]_D^{20} - 109 \pm 5^\circ$ (с 1; хлф.). 400 мг I обрабатывают 16 час. при 20° 8 мл $(CH_3CO)_2O$ в присутствии 8 мл пиридина, выливают в воду, экстраги-

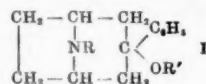
руют CHCl_3 , экстракт промывают 1 н. HCl , 1 н. NaOH и водой, сушат MgSO_4 , выпаривают в вакууме, остаток перекристаллизовывают из этилацетата и получают 400 мг диацетата I, т. пл. 223°, $[\alpha]_D^{25} -229 \pm 5^\circ$ (с 0,5; хлф.). 500 мг I нагревают 2 часа в 52 мл воды, содержащей 6 мл HCl , нейтрализуют насыщ. р-ром NaHCO_3 , экстрагируют смесью $\text{CHCl}_3 + \text{CH}_3\text{OH}$ (2:1), экстракт промывают 20 мл воды, сушат MgSO_4 , выпаривают в вакууме, остаток обрабатывают на холоду 2 мл $\text{C}_6\text{H}_5\text{OCl}$ в присутствии 2 мл пиридина, прибавляют 30 мл воды, экстрагируют CHCl_3 , экстракт промывают 1 н. HCl , 1 н. NaOH и водой, сушат MgSO_4 , выпаривают, остаток перекристаллизовывают из этилацетата и получают 260 мг трибензиль-О-деметил-N-дезацетил-N-метилколхицина, т. пл. 231—232°, $[\alpha]_D^{25} -272 \pm 5^\circ$ (с 0,5; хлф.). 50 мг I растворяют в 5 мл смеси $\text{CH}_3\text{OH} + \text{CHCl}_3$ (1:4), обрабатывают 15 мл толуоляного 5%-ного р-ра CH_2N_2 , оставляют на 16 час. при $\sim 20^\circ$, избыток CH_2N_2 разлагают несколькими каплями CH_3COOH , промывают 5 мл 1 н. NaOH , органич. слой промывают водой, сушат MgSO_4 , выпаривают в вакууме, остаток перекристаллизовывают из этилацетата и получают 30 мг N-дезацетил-N-метилколхицина (II), т. пл. 163—165°. 6 мг II растворяют в 0,5 мл пиридина, прибавляют 0,5 мл $(\text{CH}_3\text{CO})_2\text{O}$, оставляют на ~ 16 час. при 16° , выливают в 5 мл воды, экстрагируют CHCl_3 , экстракт промывают HCl , NaHCO_3 и водой, сушат MgSO_4 , осаждают этилацетатом, осадок промывают этилацетатом и получают 1,5 мг N-метилколхицина, т. пл. 225°.

9Л1405. Получение изомеров рацемических дигидролизергиновых кислот и их гомологов. Stoll Arthur, Rutschmann Jürg. Verfahren zur Darstellung der isomeren racemischen Dihydrolysergsäuren und ihrer Homologen. [Sandoz A.-G.], Швейц. пат. 324192, 31.10.57.—Патентуется способ получения соединений, являющихся полупродуктами синтеза терапевтич. средств, преимущественно обладающих окситонич. действием. 500 мг метилового эфира DL-дигидролизергиновой к-ты в 25 мл абс. CH_3OH , сконденсированном при охлаждении в автоклаве, и CH_2O , полученным нагреванием 5 г параформы при $180-190^\circ$ в атмосфере N_2 , гидрируют 15 час. при 20° и атмосферном давлении в присутствии скелетного Ni. После отделения катализатора р-р упаривают досуха в вакууме, остаток нагревают с CHCl_3 и 10%-ной винной к-той, к водн. слою прибавляют Na_2CO_3 , взбалтывают с CHCl_3 и получают метиловый эфир DL-дигидролизергиновой к-ты, т. пл. 148—150°.

9Л1406. Получение эфиров замещенных нортропинов. Stoll Arthur, Jucker Ernst, Lindemann Adolf J. Verfahren zur Herstellung von substituierten Nortropinäthern. [Sandoz A.-G.], Швейц. пат. 334838, 31.01.59.—Раствор 3,5 г 6-метокситропина в 5 мл C_6H_6 кипятят 24 часа с дифенилдиазометаном, полученным из 7,9 г гидразона бензофенона и 8,8 г желтой окиси Hg, охлаждают, прибавляют 45 мл C_6H_6 , 45 мл 2 н. HCl и 600 мл воды, бензольный слой отделяют, водн. слой промывают 60 мл C_6H_6 и 120 мл эфира, подщелачивают 30%-ным NaOH при сильном охлаждении, экстрагируют 500 мл C_6H_6 , объединенные бензольные экстракты сушат K_2CO_3 , р-ритель отгоняют, остаток растворяют в 200 мл эфира, пропускают сухой HBr (газ) и получают бромидат бензгидрилового эфира 6-метокситропина, т. пл. 230—231°. Получены также бромидаты бензгидриловых эфиров (приведены в-во и т. пл. в $^\circ\text{C}$): 6-метокси-ф-тропин, 178—179; 6-этокситропин, 185—187; N-этилнортропин, 226—228; N-этил-ф-тропин, 222—223; N-пропилнортропин, 186—187; N-пропил-ф-нортропин; 190—191; N-бутилнортропин, 194—195.

9Л1407. Получение эфиров низших кислот и 8-углеводородазамещенных-3-фенилнортропинов. Wettengau William F. Certain 8-hydrocarbon-3-phenylnortro-

pine lower-alkanoate esters and their synthesis. [Sterling Drug Inc.], Пат. США 2921938, 19.01.60.—Соединения общей ф-лы (I) (R — углеводородный радикал с 1—10 атомами C, R' — ацил с 2—4 атомами C),



обладающие анальгетич. действием, получены из соответствующих 8-R-нортропинов (II) последовательным действием $\text{C}_6\text{H}_5\text{Li}$ и ангидрида органич. к-ты. II получают конденсацией диальдегида янтарной к-ты (III) с соответствующим монозамещ. амином и диэфиром ацетондихлоробоновой-1,3 к-ты (IV к-та). К суспензии 492 г 2,5-диэтокситетрагидрофурана в 2 л воды добавляют 1 мл конц. HCl , перемешивают 75 мин. при 20° , прибавляют р-р 400 г 3-фенилпропиламина в 500 мл воды, 250 мл конц. HCl и 508 г диметилового эфира IV. После 7 час. перемешивания оставляют на 12 час. при 20° , подкисляют 3 л конц. HCl и медленно нагревают до кипения (6 час.). По окончании выделения CO_2 р-р охлаждают, фильтруют с углем, подщелачивают KOH , экстрагируют CHCl_3 , экстракт промывают 3 раза водой, сушат Na_2SO_4 , отгоняют р-ритель, остаток растворяют в 1 л $\text{iso-C}_3\text{H}_7\text{OH}$, подкисляют HCl (к-той), отгоняют р-ритель, остаток перекристаллизовывают из ацетона и смеси спирт-эфира и получают 382 г (46%) 8-(фенилпропил)-нортропина (V), хлоридат (XI), т. пл. 177—179° (тавл.). XI V растворяют в воде, подщелачивают 35%-ным NaOH , экстрагируют C_6H_6 и получают 314 г (44%) V, т. кип. 142—143°/0,05 мм. 1,7 г мелконарезанного Li суспендируют в 195 мл сухого эфира и при кипячении в течение 15 мин. прибавляют 13,5 мл $\text{C}_6\text{H}_5\text{Br}$ в 10 мл эфира, затем при 20° в течение 25 мин. прибавляют 28 г V в 180 мл сухого C_6H_6 , кипятят 1 час, охлаждают, добавляют в течение 10 мин. при 20° и перемешивании 30 мл $(\text{CH}_3\text{CO})_2\text{O}$ в 30 мл сухого C_6H_6 , перемешивают 30 мин., охлаждают льдом, добавляют 150 мл воды и 15%-ного NaOH до сильной щел. р-ции, органич. слой отделяют, промывают водой, сушат, отгоняют р-ритель, остаток растворяют в эфире, экстрагируют разб. Na_2CO_3 , выпавшее масло экстрагируют эфиром, экстракт промывают водой, сушат Na_2SO_4 , отгоняют р-ритель, остаток растворяют в 50 мл $\text{iso-C}_3\text{H}_7\text{OH}$, подкисляют 28%-ной HCl в $\text{iso-C}_3\text{H}_7\text{OH}$, охлаждают льдом и получают 1,9 г (4,15%) XI I (R = $\text{C}_6\text{H}_5\text{CH}_2\text{CH}_2$, R' = CH_3CO), т. пл. 180,4—181,2° (из сп-эф.). Описано также получение XI I (R = H, R' = CH_3CO), выход 8,8%, т. пл. 169,8—170,6°.

9Л1408. Четвертичные соли карбамидометилтропина. Shapiro Seymour L., Freedman Louis, Soloway Harold. Carbamidomethyl quaternary salts of tropine. [U. S. Vitamin & Pharmaceutical Corp.], Пат. США 2921075, 12.01.60.—Обладающие гипотензивным действием соли тропина (I) с соединением ф-лы $\text{RR}'\text{-NCOCH}_2\text{X}$ (II, III соль) (R — алкил, циклоалкил, фенил, замещ. фенил или аракил, R' — низший алкил или H, или $\text{NR}'\text{R}'$ — гетероцикл. радикал, X = Cl или Br) получены взаимодействием I и II в среде органич. р-рителя. Р-р 18,2 г (1,4-эндометил)-циклогексил-2-метиламина в 100 мл ацетонитрила охлаждают до -10° , прибавляют при перемешивании и охлаждении р-р 15,1 г BrCH_2COBr в 25 мл ацетонитрила, выдерживают 3 часа при 20° , фильтруют, упаривают в вакууме и получают II (R = 1,4-эндометиленилциклогексилметил-2 (A), R' = H, X = Br), т. кип. 104—130°/0,04 мм. Р-р 4,2 г I и 5,6 г α -хлорацетамида в 60 мл ацетонитрила выдерживают ~ 120 час. при 20° , осадок отделяют, кристаллизуют из спирта и получают 3,9 г III (R = R' = H, X = Cl), т. пл. 258—260°. Указанными способами

получены т. пл. в $^\circ\text{C}$: CH_3 , Br, 9; 241; H-C, 104; C_6H_5 , 175—178; CHCH_3 , 104—130; 9Л1409. (лиг.)-ами- gald, S lung von [F. Hoffm 31.01.58. замещ. обладаю гидрата бавляют $\text{iso-C}_3\text{H}_7$ и 1 час экстраг чают из 20 мм; и 27,5 г лют на $\text{C}_6\text{H}_5\text{CH}$ разбавл кислый прибав в CHCl_3 лизовы N-(у-пи 110—11 $\text{C}_6\text{H}_5\text{NH}$ (V), т. 188°. К CHCl_3 и полу рат, т. при 5- т. кип. К 28,1. CHCl_3 чают (из эт 9Л141 по ак Alfr aktive Швейц бовоза глюко групп II в 3 приба на ки (4× 2 н. чения эфир -86. 9Л14 Jos vürol Аппи полу гося на с меш 15— тель 20%.

получены II, а из них III (приведены R, R' или NRR', т. пл. в °C или т. кип. в °C/мм II, т. пл. в °C III): CH_3 , Br, 94—96/3,5, 242—243; пироллидил, Br, 138—140/5, 241; $n\text{-C}_6\text{H}_{11}$, H, Cl, 100—102/2,7, 183—184; $\text{C}_6\text{H}_5\text{CH}_2$, H, Cl, 93—95, 196—197; $\text{C}_6\text{H}_5\text{CH}_2$, CH_3 , Cl, 104/0,06, 103—104; $\text{C}_6\text{H}_5\text{CH}_2$, *изо*- C_3H_7 , Br, 124—136/0,2, 169—172; $\text{C}_6\text{H}_5\text{CH}_2\text{CH}_2$, H, Br, 82—83, 198—199; C_6H_5 , H, Cl, 133—134, 175—178; $n\text{-ClC}_6\text{H}_4$, H, Cl, 164—166, 247—248; A. H. Br, 104—130/0,04, 246—248.

M. Брауде

9Л409. Способ получения замещенных N-(γ -пиколил)-амидов троповой кислоты. Rey-Bellet Gerald, Spiegelberg Hans. Verfahren zur Herstellung von substituierten Tropasäure-N-(γ -picolyl)-amiden. [F. Hoffmann-La Roche & Co. A.-G.] Швейц. пат. 326362, 31.01.58.—Патентуется способ получения соединений, замещ. в положениях 3 и 4 алкильными радикалами, обладающих спазмолитич. действием. К 82 г хлоргидрата γ -(хлорметил)-пиридина (I) в 80 г воды прибавляют по каплям при перемешивании и 5—10° 180 г *изо*- $\text{C}_3\text{H}_7\text{NH}_2$ и 50 г воды, перемешивают 1 час при 20° и 1 час при 35°, охлаждают, насыщают твердым КОН, экстрагируют эфиром, экстракт перегоняют и получают *изо*-пропил-N-(γ -пиколил)-амин (II), т. кип. 120°/20 мм; хлоргидрат, т. пл. 188—190°. К смеси 41,2 г II и 27,5 г сухого пиридина в 150 г сухого CHCl_3 прибавляют неочищ. $\text{C}_6\text{H}_5\text{CH}(\text{CH}_3\text{OCH}_2\text{CO})\text{COCl}$ (III) (из 46 г $\text{C}_6\text{H}_5\text{CH}(\text{CH}_3\text{OH})\text{COOH}$), перемешивают 1 час при 25°, разбавляют 200 г эфира, перемешивают с 3 н. HCl, кислый р-р нагревают 1 час, фильтруют через уголь, прибавляют избыток конц. NH_4OH , осадок растворяют в CHCl_3 , сушат, CHCl_3 отгоняют, остаток перекристаллизуют из этилацетата и получают N-изопропил-N-(γ -пиколил)-амид троповой к-ты (IV к-та), т. пл. 110—111°. Аналогично из 50 г I в 50 г воды и 134 г $\text{C}_6\text{H}_5\text{NH}_2$ в 30 г воды получают бутил-(γ -пиколил)-амин (V), т. кип. 139—140°/23 мм; дихлоргидрат, т. пл. 186—188°. К 26,8 г V, 17 г сухого пиридина и 120 г сухого CHCl_3 прибавляют неочищ. III (из 28 г троповой к-ты) и получают N-бутил-N-(γ -пиколил)-амид IV, хлоргидрат, т. пл. 127—129°. Из I со 120 г $\text{C}_6\text{H}_7\text{NH}_2$ и 30 г воды при 5—10° получают пропил-(γ -пиколил)-амин (VI), т. кип. 115—116°/10 мм, дихлоргидрат, т. пл. 186—188°. К 26,1 г VI и 19 г сухого пиридина в 120 г сухого CHCl_3 прибавляют неочищ. III (из 32 г IV) и получают N-пропил-N-(γ -пиколил)-амид IV, т. пл. 97—98° (из этилацетата-пепт. эф.).

И. Берлин

9Л410. Получение сердечного гликозида, исходного по активности с гликозидами наперстянки. Katz Alfred. Verfahren zur Herstellung einer neuen herzaktiven Verbindung mit digitalis-ähnlicher Wirksamkeit. Швейц. пат. 324078, 15.10.57.—Устойчивое соединение бовозида А (I) ($\text{C}_{31}\text{H}_{46}\text{O}_9$), обладающее активностью гликозидов наперстянки, получают восстановлением группы СНО бовозида А (II) в CHON . К р-ру 115 мг II в 3,5 мл 75%-ного диоксана медленно, по каплям прибавляют р-р NaBH_4 в диоксане, оставляют на 12 час. при ~20°, обрабатывают 2 н. H_2SO_4 до кислой р-ции на конго, разбавляют 20 мл воды, экстрагируют CHCl_3 (4 × 30 мл), экстракты объединяют, промывают водой, 2 н. NaOH, водой, сушат Na_2SO_4 , выпаривают, полученный продукт перекристаллизуют из CH_3OH -эфира и получают ≥ 70% I, т. пл. 220—238°. ($[\alpha]_D^{20}$ —86,6° ± 2°).

И. Берлин

9Л411. Получение анигенина из апинина. Pitra Josef, Sekan Zdeněk, Štěrbá Jiří. Způsob výroby argeninu z apininu. Чехосл. пат. 91512, 15.08.59.—Анигенин (I), обладающий спазмолитич. действием, получают гидролизом гликозида апинина, содержащегося в *Petroselinum sativum* Hoffm. 1 кг неочищ. апинина суспендируют в 15 л воды, добавляют при перемешивании 25%-ный NaOH до pH 9,0—9,5, подкисляют 15—20%-ной HCl до pH 6,5—7, осадок отделяют, тщательно промывают водой и кипятят 3 часа в 7—8 л 20%-ной H_2SO_4 . Затем разбавляют 5-кратным кол-вом

воды, осадок отделяют, промывают водой, сушат при 110°, растворяют в 7—8 л воды, ацетона, фильтруют, обрабатывают р-ром 50 г (CH_3COO) $_2\text{Pb}$ в 200 мл воды и 20 мл лед. CH_3COOH . Осадок отделяют, промывают 100—200 мл ацетона, фильтрат подкисляют 20 г 50%-ной H_2SO_4 , добавляют 10—15 г активированного угля, фильтруют и отгоняют большую часть р-рителя. Полученную суспензию разбавляют 5-кратным объемом воды, осадок отделяют, промывают водой, высушивают при т-ре 105—110° и получают 180—200 г I.

З. Смелый

9Л412. Получение промежуточных продуктов синтеза α -липовой кислоты. Walton Edward. Production of α -lipoic acid intermediates. [Merck & Co., Inc.] Пат. США 2842574, 8.07.58.—Раствор 11,4 г тиоуксусной к-ты и 20 г 7-карбэтоксигексен-2-карбоновой к-ты выдерживают ~16 час. при ~20°, экстрагируют CHCl_3 , экстракт промывают ледяной водой, сушат, концентрируют и получают 3-апетил-7-карбэтоксигексенкарбоную к-ту (I), n_D^{25} 1,4842. Аналогично из 8 г тиомасляной к-ты и 17 г 7-карбэтоксигексен-2-карбоновой к-ты получают 3-бутирил-7-карбэтоксигексенкарбоную к-ту. 5 г I в 50 мл эфира смешивают с 3 г I-эфедрина (II) в 50 мл эфира, выдерживают при ~20° и получают соль (—) I и II, т. пл. 129—131° (из CH_3OH). 2,25 г соли суспендируют в 50 мл воды и 40 мл эфира, подкисляют разб. HCl, эфирный слой отделяют, водн. слой экстрагируют эфиром, эфирные р-ры объединяют, сушат, концентрируют и получают (—) I, n_D^{25} 1,4840, ($[\alpha]_D^{25}$ —6,8° (с 8,5; CH_3OH)). 153 г I в 1500 мл эфира обрабатывают 91,5 г II в 1500 мл эфира, выдерживают ~16 час. при 5°, осадок соли (—) I и II отфильтровывают, фильтрат обрабатывают 500 мл воды, подкисляют HCl, эфирный слой отделяют, водн. слой экстрагируют эфиром, р-ры объединяют и получают 87 г (+) I; 35 г последнего в 200 мл диизопропилового эфира обрабатывают бензидиолином (III) (из 32 г хлоргидрата) в 200 мл диизопропилового эфира и получают соль (+) I и III, т. пл. 92—96°, ($[\alpha]_D^{25}$ 1,3° (с 8,06; CH_3OH)). 14 г последней в 100 мл CHCl_3 и 100 мл воды подкисляют HCl и получают (+) I, ($[\alpha]_D^{25}$ 6,8° (с 8,65; CH_3OH)). 10 г I и 6,4 г SOCl_2 выдерживают ~16 час. при ~20°, избыток SOCl_2 отгоняют в вакууме, к остатку прибавляют C_6H_6 , концентрируют в вакууме и получают хлорангидрид 3-апетил-7-карбэтоксигексенкарбоновой к-ты (IV). Аналогично из 20,6 г (+) I и 13,3 г SOCl_2 получают 21,5 г (+) IV, ($[\alpha]_D^{25}$ 49° (с 1,42; C_6H_6)). Получен (—) IV, ($[\alpha]_D^{25}$ —35° (с 1,4; C_6H_6)). Из IV с NaBH_4 в диоксане получают этиловый эфир 6-апетил-8-оксигептанкарбоновой к-ты (V) с примесью атилового эфира 6-тиол-8-оксигептанкарбоновой к-ты (VI). n_D^{25} 1,49. Из 23,6 г (—) IV с 19 г NaBH_4 в 250 мл диоксана получают 15,9 г атилового эфира 6-апетил-8-оксигептанкарбоновой к-ты (VII), т. кип. 115—125°/0,1 мм, ($[\alpha]_D^{25}$ 10,3° (с 1,45; CH_3OH)). Аналогично из 21 г (+) IV получают 8,3 г атилового эфира 6-апетил-8-оксигептанкарбоновой к-ты (VIII), ($[\alpha]_D^{25}$ 2° (с 1,93; CH_3OH)). V в спирте с несколькими каплями р-ра фенол-фталина медленно обрабатывают разб. р-ром NaOH, нагревают, охлаждают, подкисляют до pH 3, спирт отгоняют в вакууме, водн. остаток экстрагируют CHCl_3 , экстракт сушат, концентрируют и получают VI, 2,4 г V, 4 мл 30%-ного NaOH, 10 мл CH_3OH и следы Zn-пыли кипятят 1 час. в р-р. содержащий динатриевую соль 6-тиол-8-оксигептанкарбоновой к-ты (IX к-та), подкисляют HCl, экстрагируют CHCl_3 и получают IX. Аналогично из VIII и VII получают оптич. изомеры (IXa) и (IXb). 7,9 г IX, 50 мл 40%-ной водн. HBr и 9,4 г (H_2N) $_2\text{CS}$ кипятят 7 час., смесь, содержащую бромгидрат 6-тиол-8-[2-(2-тиопсевдоуреидо)]-гептанкарбоновой к-ты (X) нейтрализуют NaOH, получают р-р, содержащий X, который подщелачивают NaOH, кипятят и получают тринатриевую соль 6,8-дитиолгептанкарбоновой к-ты

(XI к-та), после подкисления получают XI. При аналогичной обработке IXa и IXb получаются оптич. изомеры (XIa и XIb). XIb в CHCl_3 обрабатывают р-ром J_2 в KI (до получения окраски), хлороформный р-р промывают разб. NaHSO_3 , сушат, упаривают, остаток экстрагируют теплым циклогексаном, охлаждают и получают (—)- α -липовую к-ту. Аналогично из XIa получают (+)- α -липовую кислоту. И. Берлин

9Л143. Получение гексаэновых соединений. Isler Otto, Moncayon Marc, Rüegg Rudolf, Saucy Gabriel. Verfahren zur Herstellung von Hexaenen. [F. Hoffmann — La Roche & Co. A.-G.]. Швейц. пат. 335393, 14.02.59.—К р-ру $\text{C}_2\text{H}_5\text{MgBr}$ (из 11 г Mg) в 100 мл абс. эфира, приготовленному в атмосфере N_2 , прибавляют по каплям в течение 30 мин. при энергичном перемешивании 19,8 г 1-окс-3-метилпентен-2-ина-4 в 50 мл абс. эфира, кипятят 3 часа, к кипящей смеси прибавляют по каплям в течение 30 мин. р-р 36 г 4-[2', 6', 6'-триметилциклогексадиен-1', 3'-ил]-2-метилбутен-2-аля-1 в 100 мл абс. толуола и затем кипятят 10 час. После охлаждения выливают в смесь 40 г NH_4Cl и 250 г льда, оставляют на 3 часа при перемешивании, экстрагируют эфиром, экстракт промывают водой, сушат Na_2SO_4 , перегоняют и получают после хроматографии на Al_2O_3 1,6-диокси-3,7-диметил-9-[2', 6', 6'-триметилциклогексадиен-1', 3'-ил]-нонадиен-2,7-ин-4 (I), n_D^{20} 1,5411. 12 г I в 120 мл петр. эфира (т. кип. 80—120°) гидрируют в присутствии 1,2 г хинолина и 2,4 г отравленного свинцом Pd-катализатора. После поглощения 1 моля H_2 экстрагируют петр. эфиром, экстракт промывают разб. H_2SO_4 , р-ром NaHCO_3 и водой, сушат Na_2SO_4 , р-ритель отгоняют в вакууме и получают 12,1 г Δ^4 -чис-1,6-диокси-3,7-диметил-9-[2', 6', 6'-триметилциклогексадиен-1', 3'-ил]-нонадиена-2,4,7 (II), n_D^{20} 1,5291. 10 г II растворяют в смеси 20 мл CH_2Cl_2 и 9 мл пиридина, прибавляют при —10° в течение 15 мин. смесь 61 мл CH_3COCl и 14 мл CH_2Cl_2 , перемешивают 1 час при 0°, прибавляют 20 мл ледяной воды, перемешивают 10 мин. (10°), органич. слой отделяют, промывают водой, разб. HCl и водой, и получают р-р смеси моно- и диацетата II. Полученный р-р разбавляют CH_2Cl_2 до 180 мл и добавляют при —40° 8 мл лед. CH_3COOH . Затем в течение 20 сек. прибавляют 64 мл 50%-ной HBr , перемешивают 1—2 мин. при т-ре от —40 до —30°, прибавляют 180 мл ледяной воды и перемешивают 3 часа при 0°. Смесь экстрагируют петр. эфиром (т. кип. 30—70°), промывают водой, сушат Na_2SO_4 , р-ритель отгоняют в вакууме ($\leq 50^\circ$) и получают неочищ. ацетат витамина A_2 (III — витамин). Полученный продукт очищают хроматографией на 1 кг Al_2O_3 (в атмосфере N_2 , в темноте) и получают чистый препарат $\lambda(\text{макс.})$ 288 и 352 м μ (е 21200 или 39000). 50 г ацетата III растворяют в 500 мл спирта, прибавляют 0,5 г α -токоферола, перемешивают 10 мин. при 20° с р-ром 25 г КОН в 120 мл воды, в отсутствие света в атмосфере N_2 (20 мин.), экстрагируют петр. эфиром, экстракт промывают водой, сушат Na_2SO_4 , р-ритель отгоняют в вакууме ($\leq 50^\circ$) и получают III-спирт, n_D^{20} 1,5411. М. Старосельская

9Л144. Способ получения витамина А в стабилизированной порошкообразной форме. Симидау Цунэити, Йосида Масанобу. [Кавай сэйкю кабусики кайсэ]. Японск. пат. 349, 19.01.60.—Для получения стабилизированных порошков витамина А (I) к водн. р-ру альбумина прибавляют витамин А-спирт в спирт. р-ре или водн. дисперсию I в слабкокислой среде в присутствии диспергатора, а затем осаждают соединение альбумина с I или желатинизированный р-р сушат и промывают органич. р-рителем. 100 г яичного альбумина растворяют в 1000 мл воды, отфильтровывают примеси, приливают по каплям при перемешивании 1,5 г витамина А-спирта (2500000 м.ед./г I) в 100 мл $\text{C}_2\text{H}_5\text{OH}$, быстро при 0° вливают в при-

мерно равное кол-во 70%-ного $\text{C}_2\text{H}_5\text{OH}$ с образованием 40%-ного спирт. р-ра, отфильтровывают соединение альбумина с I, сушат и промывают C_6H_6 , получают порошок, содержащий 34000 м.ед./г I. Приведено еще 3 аналогичных примера с применением яичного альбумина или казеина. С. Петрова

9Л145. О стабилизации витамина А в растворе (исследование производных пиразолона в качестве защитных средств). Awe Walther, Pohlmann Rolf. Zur Kenntnis der Stabilisierung von Vitamin A in Lösung. [Untersuchung über Pyrazolon-derivate als "Schutz" stoffe]. [Pharmaz. Zentralhalle], 1960, 99, № 6, 275—280 (нем.).—В качестве в-в, предохраняющих витамин А-спирт (I) от разложения (окисления O_2 воздуха) исследованы 1-фенил-3-метилпиразолон-5 (II), антипирин (III), антипирин-4-альдегид (IV), 4-оксантипирин (V), 4-аминоантипирин (VI) и пирамидон (VII). Р-р 1000 ед/г I в 10° с триацетина подтверждает действую воздуха при 20° и при 60° продолжительностью до 14 дней, периодически отбирая пробы 100 м μ (± 1 м μ) и экстрагируя их эфиром. Экстракты выпаривают в среде N_2 , остаток растворяют в 2 мл петр. эфира, хроматографируют на колонке диам. 6 мм и высотой 10 см с Al_2O_3 , вымывают под давл. 10 мл петр. эфира, затем петр. эфиром с возрастающей примесью эфира 2, 5, 10, 15, 20, 25, 30 и 40% со скоростью 2 мл/мин в среде N_2 ; I появляется в 4 фракции. Элюаты выпаривают при 40° в среде N_2 , остаток повторно выпаривают со смесью C_6H_6 и петр. эфира, остаток растворяют в 10 мл изопропанола, прибавляют реагент Кар-Прайса и измеряют $E_{1\text{ см}}^{1\%}$ при 310, 325 и 334 м μ в кварцевой кювете 1 см. Параллельно проводят опыты с добавлением защитных в-в (0,01—0,1%) и контрольные опыты с одними защитными в-вами без I. Приведены результаты измерения поглощения через 0,5, 1, 3, 5, 13 и 53 дня при 20° с чистым I и с добавлением II, IV, V и VI и через 2, 3, 4, 5, 6, 9 и 12 дней при 60° с добавлением II, III, IV, V, VI и VII и кривые зависимости падения (в %) поглощения от продолжительности действия воздуха при 60° для чистого I и с добавлением II, III, VI и VII. Результаты показывают, что прибавление II при 20° и тем более при 60° сильно ускоряет разрушение I. Добавление III также приводит к понижению устойчивости I, но в значительно меньшей степени, чем II; добавление IV, V, VI и VII в равной степени задерживает разложение I. Биол. 8 назв. Ю. Вендельштейн

9Л146. Выделение концентратов витаминов группы В из гниющего шлама. Bernhauer Konrad, Friedrich Wilhelm, Groß Gisela, Spaude Siegfried. Verfahren zur Gewinnung von Konzentraten der Vitamine der B₁₂-Gruppe aus Faulschlamm. [Aschaffenburg Zellstoffwerke A.-G.]. Пат. ФРГ 971433, 29.01.59.—В дополнение к пат. ФРГ 922126 (см. РЖХим, 1957, № 2, 5836) в качестве исходных применяют продукты метанового брожения сточных вод, отходов или полупродуктов пищевой, бродильной, молочной и других отраслей пром-сти. Сточные воды спирт. и дрожжевого а-да, содержащие мелассу и суспендированные дрожжи, подвергают метановому брожению при 28—30° и pH 7—7,5. К 3200 л осевшего шлама, содержащего витамин В₁₂ (I) в кол-ве 1,4 г/мл, прибавляют 0,2% NaHSO_3 , нагревают 30 мин. при 80°, центрифугируют, р-р перемешивают с 1% активированного угля, уголь отделяют, адсорбированный I вымывают и элюат концентрируют до 100 л. Активность полученного концентрата составляет 405 г/мл. Концентрат экстрагируют 25%-ным р-ром n -хлорфенола в o -дихлорбензоле (II), экстракт промывают буферным р-ром (pH 7) и водой, добавляют 7% $\text{iso-C}_3\text{H}_7\text{OH}$, водн. слой отделяют, промывают II и получают 90 л водн. р-ра I, активность 445 г/мл. К полученному р-ру прибавляют 2,2% n -хлорфенола и ~3% кизельгура (pH 3), осадок отделяют,

промыва
ванный
выход 40
9Л147
содé д
Jacques)
3-, 17- и
а-положн
возможн
ройдов.
 C_6H_6 , 5-
 SO_2H ки
тор ней
вливают
вают до
88%, т.
—18°. К
ляют 5°
обеспече
и полу
(из CH_3
4 мл C_6
ляют во
циклог
(CH_3CO
(из CH_3
в ацет
(из CH_3
бром- I ,
ляют C_6
50-андр
 CH_3OH
Хуанг-
(III).
бромид
(a) D —
17, т.
примес
(IV),
158—16
он-3, т.
 Δ^5 -пре
(VI),
сама),
170—1
зуют
(из C_6
лены
9Л14
24б-д
Poos
methy
nes an
19.05.5
3,11.20
синте
(ЭК)
додек
РЖХ
гидро
7-ЭК
додек
151—
 KCO_3
1-кар
гидро
IV в
кого
2-мет
4 (V)
тифи
эфри
дящи
т. п

промывают ацетоном и сушат. Получают адсорбированный на кизельгуре I активностью 13,3 мг/г. Общий выход 40 г.

91417. Способ бромирования кетостероидов.— *Procédé de bromuration des céstéroïdes.* [Jean-Auguste Jacques]. Франц. пат. 1225012, 28.06.60.—Этиленкетали 3-, 17- и 20-кетостероидов избирательно бромруют в α-положении по отношению к СО-группе, что делает возможным простой способ получения α-бромкетостероидов. 5 г 5α-андростанол-3β-она-17 (I), 150–200 мл C_6H_6 , 5–10 мл этиленгликоля и 0,1–0,15 г $n\text{-CH}_3C_6H_4SO_3H$ кипятят, отделяя образующуюся воду, катализатор нейтрализуют добавлением CH_3COONa , смесь выливают в 10%-ный р-р Na_2CO_3 , органич. слой упаривают досуха и получают этиленкеталь I (II), выход 88%, т. пл. 151–154° (из водн. $CH_3OCH_2CH_2OH$), $[α]_D^{20} -18°$. К р-ру 1 г II в 10 мл тетрагидрофурана прибавляют 5%-ный избыток перброма пиридиния, после обесцвечивания смесь выливают в 5%-ный р-р $NaHCO_3$ и получают 16α-бром-II, выход 63%, т. пл. 196,5–197° (из CH_3OH), который (0,1 г) кипятят 15 мин. со смесью 4 мл CH_3COOH , 100 мл воды и 0,1 мл H_2SO_4 , разбавляют водой и отделяют 16α-бром-I, т. пл. 161–163° (из циклогексана), $[α]_D^{20} +49°$. Ацетилированием II (CH_3CO_2O) получают 3-ацетат-II, т. пл. 150,5–151,5° (из CH_3OH), который бромруют, как описано выше, в ацетат 16α-бром-II, выход 44%, т. пл. 169,5–170° (из CH_3OH), $[α]_D^{20} -42°$, и гидролизуют в ацетат 16α-бром-I, т. пл. 172–173° (из сп.), $[α]_D^{20} +37°$. II окисляют CrO_3 в C_6H_5N (12 час., ~20°) в 17-этиленкеталь 5α-андростандиона-3,17, т. пл. 195–196° (из $CH_3OCH_2CH_2OH$), $[α]_D^{20} -3°$; последний восстанавливают по Хуанг-Миньону в этиленкеталь 5α-андростанола-17 (III), т. пл. 145,6° (из этилацетата), $[α]_D^{20} -23°$. III бромруют в 16α-бром-III, т. пл. 146–148° (из сп.), $[α]_D^{20} -48°$, гидролизуют в 16α-бром-5α-андростанола-17, т. пл. 195–198° (из сп.), $[α]_D^{20} +52°$. Описанными приемами получают этиленкеталь 5α-андростанола-3 (IV), т. пл. 146–147°, 2α-бром-IV, выход 42%, т. пл. 158–160° (из сп.), $[α]_D^{20} +8°$, и 2α-бром-5α-андростанола-3, т. пл. 212–214° (из сп.), $[α]_D^{20} +30°$; из ацетата Δ⁵-прегненол-3β-она-20 (V) получают этиленкеталь V (VI), выход 68%, т. пл. 157–159° (из CH_3OH -диоксана), $[α]_D^{20} -42°$, и 21-бром-VI, выход 47%, т. пл. 170–172° (из CH_3OH), $[α]_D^{20} -35°$, который гидролизуют в ацетат 21-бромпрегенола, т. пл. 143–144,5° (из CH_3OH), $[α]_D^{20} +35°$. Все значения $[α]_D^{20}$ определены в диоксане (с 1,2).

Э. Бамдас

91418. Способ получения 1-карбалкоксиметил-2,4б-диметилдодекагидрофенантронов. Arth Glen E., Poos George I., Sarett Lewis H. 1-carboalkoxymethylene-2,4b-dimethyldodecahydrophenanthrene ketones and process. [Merck & Co., Inc.]. Пат. США 2887492, 19.05.59.—Описан способ получения Δ⁴-прегнентриона-3,14,20 (I), являющегося промежуточным продуктом синтеза стероидных гормонов. Р-р 7-этиленкетали (ЭК) 1-этоксиметил-2-металлил-2,4б-диметил-Δ^{8a}(9)-додекагидрофенантрола-1-она-4 (II) (получение см. РИХИМ, 1959, № 24, 87681), т. пл. 133–134° в тетрагидрофуране обрабатывают 10%-ной H_2SO_4 и получают 7-ЭК 1-карбоксиметил-2-металлил-2,4б-диметил-Δ^{8a}-додекагидрофенантрона-4 (III), т. пл. 133–134° и 151–152°. Суспензию III в CH_3OH и водн. р-р смеси K_2CO_3 и КОН кипятят 2,5 часа и выделяют 7-ЭК 1-карбоксиметил-2-металлил-2,4б-диметил-Δ^{8a}-додекагидрофенантрона-4 (IV), т. пл. 223–225°. Суспензию IV в тетрагидрофуране обрабатывают Li в среде жидкого NH_3 (–40°) и получают 3-ЭК 1-карбоксиметил-2-металлил-2,4б-диметил-Δ^{8a}-додекагидрофенантрола-4 (V) (2 изомера—т. пл. 226° и 234–235°). При метилировании V (т. пл. 226–228°) получен метиловый эфир V, т. пл. 138–139°, при окислении CrO_3 переходящий в соответствующие 4-кетопроизводные (VI), т. пл. 125–127°. VI озонируют, выделенный 7-ЭК

1-карбоксиметил-2-ацетонил-2,4б-диметилдодекагидрофенантрона-4 (т. пл. 108–109°) циклизуют в присутствии CH_3ONa и получают 3-ЭК Δ⁵-прегнентриона-11,16,20 (VII), т. пл. 226–229°. При обработке *n*-толуолсульфохлоридом VII переходит в 3-ЭК *n*-толуолсульфоната Δ^{5,16}-прегнадиенол-16-диона-11,20, т. пл. 189–190°, при каталитич. восстановлении которого в присутствии Pd/C получен 3-ЭК Δ⁵-прегнентриона-11,20, т. пл. 142–145°, при отщеплении кетальной группы образующий I, т. пл. 157–158°. Л. Городецкий

91419. Способ получения 1-карбоксиметил-2-(замещенный аллил)-2,4б-диметил-4-оксидодекагидрофенантронов. Arth Glen E., Poos George I., Sarett Lewis H. 1-carboxymethylene-2-(allyl-substituted)-2,4b-dimethyl-4-hydroxydodecahydrophenanthrene and process. [Merck & Co., Inc.]. Пат. США 2887493, 19.05.59.—Описано получение соединений, приведенных в пат. 2887492 (см. реф. 91418).

Л. Городецкий

91420. Способ получения 7-кеталей окисленных в 4-положении 1-карбоксиметил-2-металлил-2,4б-диметилдодекагидрофенантронов. Arth Glen E., Poos George I., Sarett Lewis H. 1-carboxymethyl-2-methyl-2,4b-dimethyl-4-oxygenated dodecahydrophenanthrene 7-ketals and processes. [Merck & Co., Inc.]. Пат. США 2887494, 19.05.59.—Патентуются соединения, описанные в пат. 2887492 (см. реф. 91418).

Л. Городецкий

91421. Получение 11,12-дегидросоединений ряда прегнана. Wettstein Albert, Schmidlin Julius. Verfahren zur Herstellung von 11,12-Dehydro-Verbindungen der Pregnanreihe. [CIBA A.-G.]. Швейц. пат. 326010, 15.01.58.—0,415 г 11α-бромпрегнентриола-3α,12,20 растворяют в 50 мл 95%-ного спирта, прибавляют 2,5 мл Zn-пыли, обработанной холодной 2 н. H_2SO_4 и промытой водой, кипятят 4 часа при энергичном перемешивании, фильтруют, осадок промывают спиртом и C_6H_6 и фильтрат упаривают в вакууме. Остаток растворяют в смеси эфир- C_6H_6 (2:1), р-р промывают последовательно 0,2 н. CH_3COOH , водой, 2%-ным р-ром $NaHCO_3$ и водой, сушат Na_2SO_4 , упаривают и получают Δ¹¹-прегнентриол-3α,20 (I). Окислением I получают Δ¹¹-прегнентрион-3,20, т. пл. 132–134°, $[α]_D^{20} 76°$ (с 1,130; хлф.). Аналогично получают Δ¹¹-прегнадиендион-3,20, т. пл. 178–180°, $[α]_D^{20} +176°$ (с 1,049; хлф.).

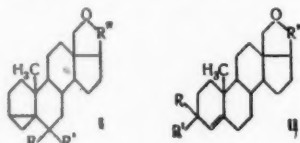
М. Старосельская

91422. 9α-галонд-алло-прегнаны. Sarett Lewis H., Beyler Roger E. 9α-halo allopregnanes. [Merck & Co., Inc.]. Пат. США 2922797, 26.01.60.—Соединения, обладающие кортизоноподобной активностью и применяющиеся наружно в виде мазей, получают восстановлением соответствующих Δ⁴-прегненов в присутствии 5%-ного Pd/C или скелетного Ni в органич. р-рителе при 25–30°. К р-ру 150 мг 9-фтор-Δ⁴-прегнентриол-11β,21-диона-3,20 в 10 мл CH_3OH добавляют 85 мг 5%-ного Pd/C и гидрируют 30 мин. при 25°, затем катализатор отфильтровывают, фильтрат концентрируют в вакууме, очищают хроматографией на Al_2O_3 и получают 9-фтор-алло-прегнандиол-11β,21-дион-3,20,21, ацетат, т. пл. 176–177°. Приведена пропись мази.

Л. Стекольников

91423. Производные 3,5-цикло-18,20-эпиксипрегнана. Pappo Raphael. 3,5-cyclo-18,20-epoxypregnane derivatives. [G. D. Searle & Co.]. Пат. США 2907758, 6.10.59.—Обладающие седативным и местноанестезирующим действием соединения общих ф-л (I), (II) ($R + R' = O$, а $R'' = CH_2CH_2OH$, б $CH_2CH_2OSO_2C_6H_4CH_3$, в $CH_2CH_2N(CH_3)_2$, г $CH_2CH_2N(CH_3)_2$, д $C(OH)CH_3$, е $C = CH_2$, ж $R = H$, $R' = OH$, $R'' = CH_2CH_2N(CH_3)_2$) и обладающие гангиоблокирующим действием, четвертичные соли Iв и Iж с $R'X$ ($R' =$ алкил, алкенил или арил; X — галоген или др. анион) получены из конесина (III), который действием $AlCl_3$ и $NaBH_4$ переводит в комплексное соединение, окисляемое CrO_3 и $HCOOH$ в 3-диметиламино-6-оксоконанин (IV); из ди-

йодметилата IV (V) выделяют основание, образующее при нагревании в отсутствие воды 3,5-цикло-18-диметиламино- Δ^{20} -прегненол-6 (VI); *n*-толуолсульфонат VI (VII) окисляют OsO_4 в *n*-толуолсульфонат 3,5-цикло-18-триметиламинийпрегнадиол-20, 21-она-6 (VIII), при последующем взаимодействии которого с *p*-ром трет-бутилата Na получают Ia. Ia этерифицируют *n*- $\text{CH}_3\text{C}_6\text{H}_4\text{SO}_2\text{Cl}$ (IX), выделенный Ib, реагируя с $\text{NH}(\text{CH}_3)_2$, образует Iв, который действием $\text{C}_6\text{H}_5\text{COOH}$ переводят в Iг, при нагревании переходящий в Iе; при взаимодействии Iе с разб. к-той образуется Iд. Восстанавливая Iв LiAlH_4 , получают Iж, который действием HCOOH , а затем NaOH переводят в 18,20-эпокси-21-диметиламино- Δ^6 -прегненол-3 (X), при окислении образующий Iв. Из Iв получают Iг, Iе и Iд способом, описанным для аналогичных производных I.



При окислении Iд выделены 18,20-эпокси- Δ^4 -прегненол-20-дион-3,18 (XI), Δ^4 -прегненидион-3,20-18 (XII) и $\Delta^{10(21)}$ -18,20-цикло-прегнадиендион-3,20 (XIII). К 60 г NaBH_4 , 85 г AlCl_3 и 1,1 кг безводн. β, β' -диметилосидиэтилового эфира прибавляют при размешивании 80 г измелченного III, нагревают 10 час. в атмосфере N_2 при 60–70°, охлаждают, прибавляют избыток охлажденной HCl (к-та), оставляют на 12 час. при ~20°, фильтруют, осадок промывают C_6H_6 , фильтрат и промытый C_6H_6 подщелачивают избытком водн. *p*-ра NaOH , отделяют от водн. слоя (который промывают C_6H_6), сушат Na_2SO_4 , упаривают в вакууме, полученное бороновое комплексное соединение растворяют в 800 г CH_3COOH , к *p*-ру за 7 час. прибавляют при 17–25° *p*-р 200 г CrO_3 в 200 мл воды, перемешивают 12 час. при 20°, прибавляют 40 г *изо*- $\text{C}_6\text{H}_5\text{OH}$, перемешивают еще 5 час., упаривают в вакууме, остаток растворяют в воде, охлаждают, прибавляют избыток 40%-ного *p*-ра NaOH , извлекают смесь эфира и C_6H_6 , экстракт промывают водой, сушат Na_2SO_4 , упаривают в вакууме досуха, остаток растворяют в C_6H_6 , *p*-р фильтруют, упаривают, остаток растворяют в C_6H_6 , хроматографируют на смеси 85% SiO_2 и 15% MgO_2 , промывают смесью C_6H_6 и эфира (1:1) и получают IV, т. пл. 198–203° (из C_6H_6 -петр. эфира), $d_4^{20} +11,4$ (с 0, 45; хлф.). *p*-р 30 г неочищ. IV в 250 г CH_3OH кипятят 12 час. с 114 г CH_3I в атмосфере N_2 , упаривают до 120 мл, охлаждают, осадок фильтруют, промывают CH_3OH , сушат и получают V, т. пл. >300°. 55 г V кипятят 4,5 часа в атмосфере N_2 с *p*-ром, приготовленным из 14 г K и 240 г трет- $\text{C}_4\text{H}_9\text{OH}$, отгоняют 120 г *p*-рителя, прибавляют сухой толуол (540 г, 240 г и 240 г), каждый раз отгоняя *p*-ритель (все его отгоняют 900 г), остаток охлаждают, перемешивают со льдом и водой, отделяют от водн. слоя (который промывают эфиром), экстракт сушат Na_2SO_4 , упаривают в вакууме досуха, остаток кристаллизуют из ацетонитрила и получают VI, т. пл. 73–75° (повторно 84–85°). *p*-р 3 г VI в 30 г C_6H_6 и 12 г метилового эфира *n*-толуолсульфоникислоты кипятят 72 часа, упаривают в атмосфере N_2 , прибавляют эфир, осадок фильтруют, промывают смесью эфира и C_6H_6 , сушат, кипятят с C_6H_6 , охлаждают и получают VII, т. пл. 205–210°. К *p*-ру 2,7 г VII в 7,8 г безводн. ацетонитрила и 8 г C_6H_6 прибавляют 1,5 г OsO_4 , выдерживают 40 час. при ~20°, прибавляют 8 г ацетонитрила, обрабатывают 35 мин. избытком H_2S , фильтруют от осадка, упаривают досуха и получают VIII. 0,7 г VIII и *p*-р, полученный из 1 г Na и 20 г трет- $\text{C}_4\text{H}_9\text{OH}$, кипятят 2 часа

в атмосфере N_2 , разбавляют водой, упаривают в атмосфере N_2 , водн. остаток экстрагируют эфиром, вытяжку промывают 20%-ным *p*-ром NaOH , холодным 3%-ным *p*-ром HCl , щелочью и водой, сушат, упаривают, остаток растирают с эфиром и получают Id, т. пл. 185–188° (из C_6H_6 , затем из CH_3OH). *p*-р 0,241 г Ia в 1,6 г пиридина перемешивают 10 час. с 0,226 г IX, охлаждают, прибавляют за 30 мин. 0,2 г воды, извлекают эфиром, экстракт промывают водн. H_2SO_4 , водой, водн. *p*-ром NaOH и снова водой, сушат, упаривают в атмосфере N_2 , остаток кристаллизуют из эфира и получают Ib, т. пл. 142–143°. 15,5 г Ib и 350 г 30%-ного *p*-ра $\text{NH}(\text{CH}_3)_2$ в безводн. ацетонитриле оставляют на 1 неделю при ~20°, упаривают в вакууме при ~20°, остаток растворяют в смеси эфира и C_6H_6 , *p*-р извлекают 0,5 н. *p*-ром HCl , кислоту вытяжку подщелачивают и получают Iв, т. пл. 145–147° (из CH_3OH , затем из C_6H_6 -петр. эф.). К *p*-ру 0,16 г Iв и 1 г C_6H_6 прибавляют 2,7 г 0,16 *M* *p*-ра $\text{C}_6\text{H}_5\text{COOH}$ в C_6H_6 , оставляют на 10 мин. при +5°, прибавляют эфир, экстрагируют 2%-ным *p*-ром NaOH , промывают эфиром, экстрагируют CHCl_3 , упаривают в вакууме, остаток кристаллизуют из ацетона и получают Iг, т. пл. 188–190° (разл.; размягч. при 185°). 0,64 г Iг быстро прибавляют при 170° к 21,5 г безводн. *n*-трет-бутилтолуола, доводит до кипения, размешивают и отгоняют в атмосфере N_2 за 25 мин. 9 г, *p*-р охлаждают до ~20°, упаривают в вакууме при *t*-ре <70°, остаток растирают с эфиром и получают Iе, т. пл. 174–185°. К *p*-ру 0,2 г Iе в 5 г диоксана прибавляют 1 г 0,5-н *p*-ра HCl , смесь оставляют на 90 мин. при ~20°, добавляют эфир, *p*-р промывают 0,5-н *p*-ром HCl , 5%-ным *p*-ром NaOH и водой, сушат Na_2SO_4 , упаривают в атмосфере N_2 , остаток кристаллизуют из бутанола и получают Id, т. пл. 162–177°. *p*-р 1,44 г Ib в 10 г тетрагидрофурана прибавляют к *p*-ру 1,5 г LiAlH_4 в 25 г тетрагидрофурана, смесь кипятят 30 мин. в атмосфере N_2 , размешивают 4 часа при ~20°, прибавляют 1,6 г воды, 6 г тетрагидрофурана, 1,2 г 20%-ного *p*-ра NaOH и 5,5 г воды; к образовавшейся суспензии добавляют равный объем эфира, перемешивают при охлаждении 15 мин., фильтруют от осадка (который промывают эфиром), упаривают в атмосфере N_2 до небольшого объема, осадок промывают водой, сушат в вакууме при 60°, растирают с эфиром и получают Iж, т. пл. 133–137°. *p*-р 1,32 г Iж в 35,5 г 98%-ной HCOOH оставляют на 48 час. при ~20°, упаривают в вакууме при ~20°, остаток растворяют в 20 г CH_3OH , *p*-р нейтрализуют 50%-ным *p*-ром KOH , нагревают 3 часа при 60°, упаривают в атмосфере N_2 до небольшого объема, остаток извлекают эфиром, экстракт промывают водой, сушат, упаривают в атмосфере N_2 , остаток кристаллизуют из C_6H_6 и получают X, т. пл. 160–163°. От *p*-ра 0,73 г X в 19 г толуола и 7,1 г циклогексанона отгоняют в атмосфере N_2 4 г дистиллята, прибавляют при размешивании 0,8 г изопропила Al, отгоняют за 35 мин. еще 4 г, охлаждают, прибавляют 20 г 0,5 н. *p*-ра HCl и 15 г эфира, перемешивают 45 мин., добавляют эфир, извлекают 0,5 н. *p*-ром HCl , экстракт промывают эфиром, прибавляют холодный *p*-р KOH до pH 9–10, извлекают эфиром, вытяжку промывают водой, сушат, упаривают в атмосфере N_2 , остаток высушивают в вакууме и получают Iв, т. пл. 121,5–123°. Сходным с Iг, Iе и Id путем получают: Iг, т. пл. 185–187° (из ацетона, разл.), λ (макс.) 240 мк (ε 15,300); Iе, т. пл. <60°; Iд, т. пл. 173–182° (из бутанола), λ (макс.) 241 мк (ε 17,100). *p*-р 0,47 г Iд в 3 г пиридина прибавляют к суспензии 0,5 г CrO_3 в 5 г пиридина, перемешивают 20 час. при ~20°, прибавляют 27 г C_6H_6 , фильтруют от осадка, промывают холодной разбавленной H_2SO_4 и водой, экстрагируют 5%-ным водн. *p*-ром K_2CO_3 , щел. *p*-р подкисляют избытком водн. H_2SO_4 , извлекают смесью C_6H_6 и этилацетата (3:1).

промывают водой, сушат, упаривают в атмосфере N_2 , остаток промывают эфиром, кристаллизуют из $iso-C_6H_5OH$ и получают XI, т. пл. 225—227°. Р-р, полученный после извлечения XI, промывают водой, упаривают в атмосфере N_2 , остаток промывают эфиром, содержащим следы C_6H_6 , и получают IIд. Маточный р-р упаривают досуха, растворяют в небольшом кол-ве эфира и получают XII, т. пл. 140—142°, λ (макс.) 240,4 мк (в 17,000). Р-р XII в C_6H_6 хроматографируют на Al_2O_3 , вымывают 2%-ным р-ром эфира в C_6H_6 и получают XIII, т. пл. 225—229° (из $iso-C_6H_5OH$), λ (макс.) CH_3OH 238,5 мк (в 25,000). С. Окунь

91424. 5,6-дигалонд-16 α , 17 α -эпокси-21-бромпрегна-3-оны-20 и их производные. Loken Bjarte. 3 β -гидроxy-5,6-dihalo-16 α , 17 α -epoxy-21-bromopregnan-20-ones and derivatives thereof. Пат. США 2921065, 12.01.60.—Для получения 21-ацетата Δ^4 -прегнендиол-17 α , 21-диона-3,20 (I) (промежуточный продукт синтеза адренокортикоидных гормонов) к р-ру 45 г 5 α , 6 β , 16 β , 21-тетрабромпрегнандиол-3 β , 17 α -она-20 в 200 г CH_3OH постепенно прибавляют р-р 2,8 г NaOH в водн. CH_3OH , добавляют воду, осадок отделяют, кристаллизуют из спирта и получают 5 α , 6 β , 21-трибром-16 α , 17 α -эпокси-прегнанол-3 β -он-20 (II), т. пл. 124—126°, $[a]_D^{28}$ (хлф.). К р-ру 15 г II в 300 г CH_3COOH и 134 г CH_2Cl_2 постепенно прибавляют при $t < 10^\circ$ р-р 4 г CrO_3 в 10 мл воды и 25 г CH_3COOH , дают охладиться до $\sim 20^\circ$, прибавляют воду, осадок отделяют, кристаллизуют из смеси $CH_2Cl_2 + CH_3OH$ и получают 5 α , 6 β , 21-трибром-16 α , 17 α -эпокси-прегнандиол-3,20 (III), т. пл. 114° (разл.), $[a]_D^{28} -31^\circ$ (хлф.). Р-р 7,5 г III в 120 г ацетона и 12,5 г сухого CH_3COONa кипятят 3 часа, прибавляют воду, извлекают CH_2Cl_2 , экстракт промывают водой, сушат K_2CO_3 , упаривают и получают ацетат 6-бром-16 α , 17 α -эпокси- Δ^4 -прегненол-21-диона-3,20 (IV), масло, $[a]_D^{28} +42^\circ$ (хлф.). 5 г IV перемешивают 5 мин. со смесью $HBr + CH_3COOH$ (1:5), выделяют в воду, осадок отделяют и получают 21-ацетат 6,16-дибром- Δ^4 -прегнендиол-17 α , 21-диона-3,20 (V), $[a]_D^{28} +24^\circ$ (хлф.). Р-р V в CH_3OH перемешивают 24 часа со скелетным Ni, фильтруют, упаривают до начала кристаллизации, осадок кристаллизуют из ацетона и получают I, т. пл. 235—238°, $[a]_D^{28} +133^\circ$ (хлф.). М. Б.

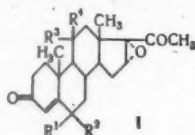
91425. 3,20-дикетали окисленного в положении 11 5,6-эпокси-17 α , 21-прегнандиол-17 α , 21-диона-3,20. S. George B. Organic compounds and process. [The Upjohn Co.]. Пат. США 2881168, 7.04.59.—3,20-бис-этиленкеталь Δ^5 -прегнентриол-11 β , 17 α , 21-диона-3,20 и 331 мг надбензойной к-ты в 23 мл $CHCl_3$ оставляют на 24 часа при 4° и 72 часа при $\sim 20^\circ$, промывают 5% $NaHCO_3$ и водой, концентрируют, остаток перекристаллизуют из ацетона и получают 431 мг 5 α , 6 α -эпокси-производного (I), т. пл. 263—268° (из ацетона- CH_3OH); 21-ацетат [из I и $(CH_3CO)_2O$ в пиридине], т. пл. 252—255° (из ацетона), $[a]_D^{28} -32^\circ$ (из ацетона). Из маточных р-ров выделяют 5 β , 6 β -изомер-I (II), т. пл. 195—197°; 21-ацетат, т. пл. 194—197° (из ацетона- C_6H_6 и ацетона- $iso-(C_6H_7)_2O$), $[a]_D^{28} 127^\circ$ (ацетон). 100 мг $LiAlH_4$ в 10 мл эфира прибавляют к 100 мг I в 4 мл тетрагидрофурана, выдерживают 1 час при $\sim 20^\circ$, прибавляют 5 мл воды, 3 мл 1 н. H_2SO_4 и ацетон, кипятят 15 мин. и получают алло-прегнентетраол-5 α , 11 β , 17 α , 21-дион-3,20 (III), т. пл. 260—265° (этилацетат-ацетон). 0,5 г I, 0,1 мл H_2SO_4 , 4 мл воды и 20 мл ацетона перемешивают 18 час., нейтрализуют NaOH, концентрируют, остаток очищают Al_2O_3 и получают алло-прегнентетраол-5 α , 6 α , 11 β , 17 α , 21-дион-3,20 (IV), т. пл. 225—235° (ацетон-этилацетат). I и II являются промежуточными продуктами синтеза 6-окси- и 6-галондпро-изводных кортизона и гидрокортизона. И. Б.

91426. 3-Окси- Δ^5 -прегненол-17 (и/или 21)-оны-7, их эфиры и способ получения. Marshall Charles W. 3-hydroxy-7-oxopregn-5-en-(17 and/or 21)-ols and es-

ters, and processes for the manufacture thereof. [G. D. Searle & Co.]. Пат. США. 2933512, 19.04.60.—Диакетаты (ДА) Δ^5 -прегнендиол-3 β , 21-она-20 и Δ^5 -прегнендиол-3 β , 17 α -она-20 (I, II; III, IV диолы) и триацетаты (ТА) Δ^5 -прегнентриол-3 β , 17 α , 21-она-20 (V, VI триол) окислены CrO_3 в ДА Δ^5 -прегнендиол-3 β , 21-диона-7,20 (VII, VIII диол), ДА Δ^5 -прегнендиол-3 β , 17 α -диона-7,20 (IX, X диол) и ТА Δ^5 -прегнентриол-3 β , 17 α , 21-диона-7,20 (XI, XII триол) соответственно. Получены эфиры VIII, X, XIII, обладающие противокортизонной и противовоспалительной активностью. К р-ру 25 ч. I в 350 ч. CCl_4 приливают при 55—60° 50 ч. CH_3COOH и 13 ч. $(CH_3CO)_2O$, добавляют (45 мин., 55—60°) смесь 50 ч. CH_3COOH , 13 ч. $(CH_3CO)_2O$ и р-ра трет-бутилхрома в 450 ч. CCl_4 , содержащего 34 ч. CrO_3 , нагревают 20 час. при 55—60°, вливают (30 мин., 18°) в 1000 ч. 10%-ного р-ра $(COOH)_2 \cdot 2H_2O$ в воде, размешивают 1 час., органич. слой перегоняют в токе N_2 и получают VII, т. пл. 189—191°; окисляют 36 ч. II смесью 26 ч. $Na_2Cr_2O_7$, 100 ч. $(CH_3CO)_2O$ и 360 ч. CH_3COOH (35—40°, 46 час.) и выделяют IX, т. пл. 231—234° (испр. из CH_3OH). 21-ацетат VI ацетируют смесью 400 ч. CH_3COOH и 800 ч. $(CH_3CO)_2O$ в присутствии 10 ч. $n-CH_3C_6H_4SO_3 \cdot H_2O$ в атмосфере N_2 , смесь выливают в воду и получают V, т. пл. 215—216° (из CH_3OH), который окисляют $Na_2Cr_2O_7$ (см. выше) в XI, т. пл. 245—248° (из этилацетата). К р-ру 35 ч. 21-ацетата III в 200 ч. C_6H_5N добавляют (50 мин., 25—30°) 50 ч. $ClCOOC_2H_5$, выдерживают 18 час. при $\sim 20^\circ$, выливают в воду и отделяют 21-ацетат 3- β -этоксикарбонилокси- Δ^5 -прегненол-21-она-20, т. пл. 158—160°, который окисляют $Na_2Cr_2O_7$ в соответствующий диол-7,20, т. пл. 208,5—210° (из CH_3OH); последний гидролизуют воднометанольной щелочью в смеси диоксана и CH_3OH в атмосфере N_2 в VIII, т. пл. 199—202°. Аналогично IX гидролизуют в X, т. пл. 267—270° (из CH_3OH). 21-ацетат III ацилируют $(CF_3CO)_2O$ в диоксане в 21-ацетат-3 β -трифторацетат III, т. пл. 146—150° (из CH_3OH), который окисляют в 21-ацетат-3 β -трифторацетат VIII, гидролизуют метанольной щелочью в VIII. Ацетилированием VIII $(CH_3CO)_2O$ в C_6H_5N (15—20 час., $\sim 20^\circ$) получают 21-ацетат VIII, т. пл. 237—240° (из этилацетата). Описанными выше способами из 21-ацетата VI получают 21-ацетат-3 β -этоксикарбонилокси- Δ^5 -прегнендиол-3 β , 17 α -он-20, т. пл. 199—202°, который ацетируют в соответствующий 17 α , 21-ДА, т. пл. 190—192° и последний окисляют в ДА 3 β -этоксикарбонилокси- Δ^5 -прегнендиол-17 α , 21-дион-7,20 (XIII), т. пл. 195—200°. XIII гидролизуют в XII, т. пл. 224—227°. Э. Бамдас

91427. Окисленные в положении 6 16 α , 17 α -эпокси-прегнендионы-3,20 и их производные. Chinn Leland J. 6-oxygenated 16 α , 17 α -oxidopregn-4-en-3,20-diones and derivatives. [G. D. Searle & Co.], 2907759, 6.10.59.—Патентуются соединения общей ф-лы (I) ($R^1 = H$, $R^2 = OH$, ацилоксигруппа или $R^1 + R^2 = O$, $R^3 = R^4 = H$ или $R^3 + R^4 = O$), обладающие гормональным и антигормональным действием, в частности тормозящие эстрогенную и прогестативную активность. I ($R^1 = H$, $R^2 = OH$) получают окислением H_2O_2 16 α , 17 α -эпокси- Δ^4 -прегнендиона-3,20 (IIa) или 16 α , 17 α -эпокси- Δ^4 -прегнентриона-3,11,20 (IIb), после предварительной защиты CO-группы в положении 3; при последующем окислении CrO_3 получают I ($R^1 + R^2 = O$). К охлад. р-ру 2 г IIa в 10 мл диоксана прибавляют 2 мл $CH(OC_2H_5)_3$, 0,6 мл 10%-ного р-ра n -толуолсульфокислоты в диоксане и 0,1 мл спирта, оставляют на 2 часа при 20° , охлаждают, прибавляют р-р 0,2 г NaOH в 0,25 мл воды и 6 мл 30%-ного р-ра H_2O_2 , оставляют на ~ 144 часа при 20° , осадок отделяют, промывают водой, кристаллизуют из смеси ацетон- CH_3OH и получают Ia ($R^1 = R^3 = R^4 = H$, $R^2 = OH$), т. пл. 272—276°, λ (макс.) 235,5 мк (в 14,350). К суспензии 1,1 г Ia в 25 мл CH_3COOH прибавляют р-р 0,3 г CrO_3 в 15 мл CH_3COOH и 1 мл воды, перемешивают 3 часа при

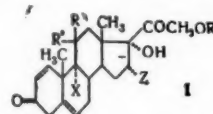
~20°, прибавляют CH_3OH (для разложения избытка CrO_3), упаривают в вакууме досуха, остаток промывают водой, перекристаллизовывают из смеси эфир-петр. эфир и получают **16** ($\text{R}^1 + \text{R}^2 = \text{O}$, $\text{R}^3 = \text{R}^4 = \text{H}$), т. пл. 205–208,5°, $\lambda(\text{макс.})$ 250 мк (ϵ 10,500). К р-ру 5 г **1a** в 50 мл пиридина прибавляют 50 мл $(\text{CH}_3\text{CO})_2\text{O}$, оставляют на 16 час. при ~20°, выливают в ледяную воду, осадок отделяют, промывают водой, кристаллизуют из смеси эфир-петр. эфир и получают **1a** ($\text{R}^1 =$



$= \text{R}^3 = \text{R}^4 = \text{H}$, $\text{R}^2 = \text{CH}_3\text{COO}$), т. пл. 161,5–162,5°, $[\alpha]_D^{20} +73,6^\circ$ (c 1,08; диоксан), $\lambda(\text{макс.})$ 235 мк (ϵ 13,350). К суспензии 5,6 г **16** в 20 мл диоксана прибавляют 6 мл $\text{CH}(\text{OC}_2\text{H}_5)_3$, 1,8 мл 10%-ного р-ра *n*-толуолсульфокислоты в диоксане и 0,3 мл спирта, перемешивают 2 часа 45 мин. при ~20°, прибавляют р-р 0,66 г NaOH в 0,5 мл воды и 18 мл 30%-ной H_2O_2 , оставляют на ~168 час. при ~20°, осадок промывают водой, хроматографируют на силикагеле, вымывают смесью этилацетат- C_6H_6 (30:70) и получают **1g** ($\text{R}^1 = \text{H}$, $\text{R}^2 = \text{OH}$, $\text{R}^3 + \text{R}^4 = \text{O}$), т. пл. 276–281°, $[\alpha]_D +155^\circ$ (c 0,94; хлф.), $\lambda(\text{макс.})$ 231,5 мк (ϵ 13,030). Аналогично **16** получен **1d** ($\text{R}^1 + \text{R}^2 = \text{R}^3 + \text{R}^4 = \text{O}$), т. пл. 206–210°, $\lambda(\text{макс.})$ 245–246 мк (ϵ 11,130). Аналогично **1b** получен **1e** ($\text{R}^1 = \text{H}$, $\text{R}^2 = \text{CH}_3\text{COO}$, $\text{R}^3 + \text{R}^4 = \text{O}$), т. пл. 227–229°, $[\alpha]_D +148,5^\circ$ (c 1; хлф.), $\lambda(\text{макс.})$ 230–231 мк (ϵ 13,430). Р-р 2 г **1a** в 160 мл CH_3OH , содержащем 0,5 г KOH , кипятят 1,5 часа, охлаждают, насыщают NaCl , экстрагируют CHCl_3 , вытяжку промывают насыщ. р-ром NaCl , сушат Na_2SO_4 , упаривают в вакууме досуха, остаток кристаллизуют из смеси ацетон- CH_3OH и получают 16а, 17а-эпокси-5а-прегнандиол-3,6,20, т. пл. 242–248,5°. С. Окунь

9Л428. $\Delta^1,5$ -прегнандиены и способ их получения. Nussbaum Alexander L., Oliveto Eugene P. 1,5-pregnadienes and processes for their manufacture. [Schering Corp.]. Пат. США 2908696, 13.10.59.—Соединения общей ф-лы: (I) (R^1 —ацил или H , $\text{R}^2 = \text{H}$, $\text{R}^3 = \text{OH}$ или $\text{R}^1 + \text{R}^2 = \text{O}$, $\text{X} = \text{H}$, Cl , Br , $\text{Z} = \text{H}$ или алкил, предпочтительно с 1–4 атомами C), обладающие противовоспалительными свойствами и применяемые при лечении ревматич. полиартрита, неподатливой астмы, рассеянной эритематозной волчанки, обширных смещенных дерматитов и некоторых глазных болезней, вызванных воспалительными процессами, получены из соответствующих 21-эфиров 6 R^1 –9 X –11 R^1 –16 Z – $\Delta^1,4$ -прегнандиендиол-17,21-дионов-3,20 (II) ($\text{R}^3 = \text{Cl}$, Br , J , ацетокси-группа, тозил или мезил) действием на них Zn в спирте, среде или Mg в среде эфира или тетрагидрофурана при ~20° (если R^3 —галоксид или тозил) или при 50–100° (если R^3 —ацетоксид или мезильная группа), I , у которых $\text{R} = \text{H}$, получены омылением соответствующих ацильных производных с помощью к-ты или микробиологич. методом. К р-ру 0,5 г II ($\text{R}^3 = \text{Br}$, $\text{R} = \text{CH}_3\text{CO}$, $\text{X} = \text{Z} = \text{H}$, $\text{R}^1 + \text{R}^2 = \text{O}$) **1a** в 150 мл абс. спирта прибавляют 25 мл воды и 5 г Zn пыли, размешивают 8 час. при ~20°, фильтруют от осадка, упаривают в вакууме досуха, остаток кристаллизуют из ацетона и получают 0,312 г **1** ($\text{R} = \text{CH}_3\text{CO}$, $\text{X} = \text{Z} = \text{H}$, $\text{R}^1 + \text{R}^2 = \text{O}$) (**1a**), т. пл. 214–218°, ϵ 13,000, $a_D^{25} +138,4^\circ$ (диоксан). Гидролиз **1a**: готовят культуру *Flavobacterium dehydrogenans* (коллекция университета Rutgers N 130) размножением организма в среде питательного агара при 30° на свету в течение 1–3 суток, отфильтровывают в стерильных условиях, помещают в стерильную среду с pH 6,8 и содержащую на 1 л водопроводной воды:

дрожжевого экстракта (Difco) 10 г, KH_2PO_4 —4,48 г, Na_2HPO_4 —4,68 г (среду предварительно подвергают обработке в автоклаве при 1 ат 20 мин. и охлаждают). Культуру выращивают в аэробных условиях при 33° и постоянном освещении 12–24 час. (аэрацию осуществляют размешиванием или продуванием воздуха), разливают в 10 колб (по 100 мл в каждую), прибавляют по 0,2 г **1a**, растворенного в минимальном количестве спирта и встряхивают при 30° от 12 до 72 час. (проверка на отсутствие **1a** хроматографированием на бумаге), реакционную массу объединяют, экстрагируют CH_2Cl_2 , упаривают, остаток кристаллизуют из смеси ацетон-гексан и получают 0,62 г **1** ($\text{R} = \text{X} = \text{Z} = \text{H}$, $\text{R}^1 + \text{R}^2 = \text{O}$) (**1b**). К р-ру 0,5 г 9а-фтор-**1a** в 10 мл тетрагидрофурана прибавляют 4 г Mg , кипятят 1 час, охлаждают до ~20°, прибавляют 25 мл 5%-ного вод. р-ра $(\text{NH}_4)_2\text{SO}_4$, перемешивают 1 час, извлекают CHCl_3 , экстракт упаривают в вакууме и получают 9а-фтор-**1a**.



К р-ру 5,2 г триацетата $\Delta^1,4$ -прегнандиентриол-11 β ,17а, 21-диона-3,20 в 1,5 л CCl_4 прибавляют 2,53 г *N*-бромсукцинимиды и 0,075 г $\text{C}_6\text{H}_5\text{COOH}$, кипятят 0,5 часа, освещая лампой RFL № 2, слегка охлаждают, прибавляют воды, отделяют от водн. слоя, упаривают и получают триацетат II ($\text{R}^1 = \text{Br}$, $\text{X} = \text{Z} = \text{R} = \text{H}$, $\text{R}^2 = \text{R}^3 = \text{OH}$) (**1b**). К р-ру 0,2 г триацетата **1b** в 70 мл абс. CH_3OH прибавляют 10 мл воды и 2 г Zn -пыли, перемешивают 7 час. при ~20°, фильтруют, упаривают, остаток кристаллизуют из эфира и получают триацетат **1b**, т. пл. 155–160°, при омылении которого вышеуказанными способами получают **1b**. 0,507 г **1b** ($\text{R}^1 = \text{Br}$, $\text{X} = \text{F}$, $\text{R}^2 = \text{H}$, $\text{R}^3 = \text{OH}$, $\text{R} = \text{CH}_3\text{CO}$, $\text{Z} = \text{CH}_3$) растворяют в 25 мл охлажденного льдом спирта, содержащего 2,5 мл воды и 0,065 г NaOH , р-р перемешивают в атмосфере N_2 при 0° 15 мин., нейтрализуют CH_3COOH , упаривают в вакууме почти досуха и получают **1d** ($\text{R}^1 = \text{Br}$, $\text{X} = \text{F}$, $\text{Z} = \beta\text{CH}_3$, $\text{R}^2 = \text{H}$, $\text{R}^3 = \text{OH}$, $\text{R} = \text{H}$), из которого вышеуказанным способом получают **1d**. Аналогично получают: 16а-метил-**1b**, 16 β -метил-**1b**, 16а-метил-**1b**, 16 β -метил-**1b** и их 9а и 9 β хлор, бром и фторзамещенные. С. Окунь

9Л429. Гидролиз 3-енамина 6а-метил- $\Delta^1,17(20)$ -прегнандиендиол-11 β ,21-она-3. Magerlein Barney J., Thompson John L., Spero George B.). Process for the hydrolysis of the 3-enamine of 6a-methyl-11 β ,21-dihydroxy-4,17(20)-pregnadien-3-one. [The Upjohn Co.]. Пат. США 2920085, 05.01.60.—Патентует способ гидролиза 3-пирролидиненамина 6а-метил- $\Delta^1,17(20)$ -прегнандиендиол-11 β ,21-она-3 (**1**, **II** диол) с целью получения **II**—полупродукта синтеза 21-ацетата 6а-метил- Δ^1 -прегнентриол-11 β ,17а,21-диона-3,20, обладающего высокой противовоспалительной активностью. Р-р 3,7 г метилового эфира 6а-метил- $\Delta^1,17(20)$ -цис-прегнандиендиол-3,11-карбоновой-21 к-ты, 70 мг *n*-толуолсульфокислоты и 1,65 мл пирролидина в 75 мл C_6H_6 кипятят 1 час, непрерывно отделяя образующуюся воду, р-ритель отгоняют в вакууме, полученный метиловый эфир 3-пирролидил-6-метил- $\Delta^1,17(20)$ -цис-прегнандиенон-11-карбоновой-21 к-ты растворяют в 50 мл сухого эфира, восстанавливают суспензией 1,2 г LiAlH_4 в 100 мл эфира (кипячение 1 час), охлаждают, осаждают неорганич. соли прибавлением 7,5 мл этилацетата и 18 мл воды, и получают эфирный р-р 3-пирролидил-6-метил- $\Delta^1,17(20)$ -цис-прегнандиендиол-11 β ,21, который отделяют от осадка декантацией, осадок экстрагируют 25 мл эфира, экстракт присоединяют к эфирному р-ру, смешивают с р-ром 3 мл CH_3COOH в 15 мл CH_3OH , прибавляют 37 мл 10%-ного NaOH , перемешивают 15 мин,

прибавляют водн. сл. эфирный NaHCO_3 и эфир и по диол-11 β ,21

9Л430.

Gyögygy. t. diendion. Bent. пат. по 100 мл от суспензий на кошивании; тательной 30 кукурузы 24 часа в р-р 1 г Δ^1 2 часа при (всего 5 г) промывнуостью, эмыляют 2 паривают. $\Delta^1,4$ -андрон

9Л431.

концентра. жидкостью. Gyögygy. ciós közeg. melési sziz. ri Kutató туральной 200 ч/мл, трагируют слой выпл. в 1 м (0,0005 м) полученн. дены кри на от пр

9Л432.

Herz J. thieson C. Ошсан с чения ко перемеш. 5а,22а-сп спирта д. при 0°, н. нич. слой вают в 1 м CHCl_3 -сп. 22а-спиро-70° (ϵ в 5 мл л 18 час. п. ацилизм. ацетат **II** $\lambda(\text{макс.})$ спироста. диол-3 β ,1 в 1 мл 1,1 г **II**, ният в р. вают вод. выпарива. 22а-спиро 95%-ного 5,84, 9,49 2,5%-ного

прибавляют 40 мл воды и отделяют эфирный слой. Водн. слой экстрагируют 40 мл эфира, экстракт и эфирный слой промывают разб. HCl, водой, р-ром NaHCO₃ и насыщ. р-ром NaCl, сушат Na₂SO₄, отгоняют эфир и получают 1,5 г (44%) Δ^{4,17(20)}-цис-прегнадиендиол-11β,21-она-3, т. пл. 172—174°, [α]_D²⁵ 125° (хлф.).

К. Смирнов

9Л1430. Получение Δ^{4,17}-андростадиедиона. Wix György, Albrecht Károly. Eljárás Δ^{4,17}-androstadiendion előállítására. [Gyógyszeripari Kutató Intézet]. Венг. пат. 146307, 15.03.60.—Три колбы, содержащие по 100 мл стерильного субстрата Рихарда, инокулируют суспензией спор *Fusarium caucasicum*, выращенных на косом агаре, и инкубируют при 28° и перемешивании; полученную культуру переносят в 5 л питательной среды (рН 6,5) состава (в г): 0,25 глюкозы, 30 кукурузного экстракта и 75 пептона; выдерживают 24 часа в аэробных условиях, при 28°, прибавляют р-р 1 г Δ⁴-андростециона (I) в 25 мл ацетона, через 2 часа прибавляют по 200 мг I через каждые 10 мин. (всего 5 г I). Мицелий отделяют, промывают водой, промывную воду соединяют с культуральной жидкостью, экстрагируют при 40° C₂H₄Cl₂, экстракт промывают 2%-ным р-ром NaHCO₃, водой, сушат и выпаривают. Остаток охлаждают до 0° и получают 3,3 г Δ^{4,17}-андростадиедиона, т. пл. 141—143°.

С. Розенфельд

9Л1431. Способ определения момента оптимальной концентрации Δ^{4,17}-андростадиедиона в культуральной жидкости. Mizsei Antal, Szabó Antal, Wix György. Eljárás Δ^{4,17}-androstadiendionnak fermentációs közegből történő meghatározására az optimális termelési szint időpontjának megállapítására. [Gyógyszeripari Kutató Intézet]. Венг. пат. 145921, 31.12.59.—Из культуральной жидкости, содержащей прогестерон в кол-ве 200 мкг/мл, каждые 30 мин. отбирают 2 мл, которые экстрагируют 8 мл CCl₄; центрифугируют, 4 мл органич. слоя выпаривают на водяной бане, остаток растворяют в 1 мл спирта, прибавляют 10 мл р-ра J₂ в H₂SO₄ (0,0005 моля J₂ в 1 л 24 н. H₂SO₄), кипятят 10 мин. и полученный р-р фотометрируют при λ 520 мμ. Приведены кривые зависимости кол-ва Δ^{4,17}-андростадиедиона от продолжительности ферментации.

С. Розенфельд

9Л1432. 9α-фтор-5α-22а-спиростаны. Fried Josef, Herz Josef E. 9α-fluoro-5α,22a-spirostanes. [Olin Mathieson Chemical Corp.]. Пат. США 2858308, 28.10.58.—Описан синтез промежуточных продуктов для получения кортизона. HF пропускают 10 мин. при 0° и перемешивании через р-р 2 г ацетата 11β,12β-этоксис-5α,22а-спиростанола-3β (I), 76 мл CHCl₃ и 4 мл абс. спирта до расслаивания смеси, выдерживают 75 мин. при 0°, нейтрализуют водой, суспензией NaHCO₃, органич. слой промывают водой, сушат Na₂SO₄, выпаривают в вакууме; остаток перекристаллизовывают из CHCl₃-спирта и получают очищ. 3-ацетат 9α-фтор-5α,22а-спиростандиол-3β,12β (II), т. пл. 251—252°, [α]_D²⁵ -70° (с 0,96; хлф.), λ(макс.) 2,69 м и 5,76 м, 25 мг II в 5 мл пиридина и 0,5 мл (CH₃CO)₂O выдерживают 18 час. при 25°, р-рители отгоняют, остаток перекристаллизовывают из 95%-ного спирта и получают 12β-ацетат II, т. пл. 257—258°, [α]_D²⁵ -75° (с 0,98; хлф.), λ(макс.) 5,77 м. Аналогично из 11β,12β-эпоксис-5α,22а-спиростанола-3β получают 9α-фтор-5α,22а-спиростандиол-3β,12β (III). Р-р 200 мг CrO₃ и 320 мг конц. H₂SO₄ в 1 мл II, прибавляют при перемешивании к р-ру I, I и II, прибавляют 1 мл спирта и воду, ацетон отгоняют в вакууме, остаток экстрагируют CHCl₃, промывают водой, разб. NaHCO₃, снова водой, сушат Na₂SO₄, выпаривают в вакууме и получают ацетат 9α-фтор-5α,22а-спиростанол-3β-она-12 (IV), т. пл. 256—257° (из 95%-ного спирта), [α]_D²⁵ -24° (с 1,16; хлф.), λ(макс.) 5,79; 5,84, 9,49, 10,23, 10,95 и 11,15 м. Р-р 20 мг IV в 2 мл 2,5%-ного КОН в CH₃OH кипятят 1 час, разбавляют

водой, CH₃OH отгоняют в вакууме, остаток экстрагируют CHCl₃, экстракт промывают водой, сушат Na₂SO₄, выпаривают в вакууме и получают 9(11)-дегидрогексегин (IV), т. пл. 223—225° (95%-ный спирт). Ацетилированием IV пиридином и (CH₃CO)₂O, как указано выше, получают ацетат IV. Гидрированием IV получают ацетат рокогенина, последний окисляют в ацетат гексегенина, который может быть превращен в кортизон.

И. Берлин

9Л1433. Способ получения соли щелочного металла эстронсульфата. Price William H. Process for the production of alkali metal estrone sulfate salts. [Parke, Davis & Co.]. Пат. США 2917522, 15.12.59.—Патентуется способ получения с хорошим выходом соли щел. металла эстронсульфата нагреванием 1—2 часа при 70—105° 1 моля эстрона с ≥1 молем сульфаминовой к-ты в присутствии пиридина с последующей нейтр-цией выделившегося продукта МОН (М — щел. металл) при 20° или ниже (чтобы избежать разложения в-ва), предпочтительно в пиридиновом р-ре. Пример. В 140 мл пиридина, нагретого до 90°, вносят при перемешивании смесь 35 г эстрона и 37,8 г сульфаминовой к-ты, нагревают, продолжая перемешивание, 1,5 часа, охлаждают до 20°, разбавляют 500 мл эфира, осадок отфильтровывают, сушат в вакууме; выход 81,45 г. Полученный продукт вносят в смесь 580 мл 12%-ного КОН с 290 мл пиридина, после тщательного перемешивания органич. фазу отделяют и разбавляют 2 л эфира. Верхний слой сливают, выделившуюся кристаллич. К-соль эстронсульфата промывают 3 × 1 л эфиром, сливают эфир, остаток растворяют при 20° в течение часа с 4 л CH₃OH, фильтруют, осадок растворяют в 4 л CH₃OH, фильтрат отдельно очищают углем и упаривают досуха. Общий выход 36,07 г. Аналогичным образом получают Na-соль эстронсульфата. Приведены еще 2 примера. Вместо диэтилового эфира применяют диизопропиловый, нейтр-цию щелочью проводят в метанольном р-ре. Важным условием описанной р-ции является отсутствие необходимости в исключении влаги.

Л. Клейменова

9Л1434. Производные 1,11-эпоксис-4-метил-Δ^{1,3,5(10),9(11)}-эстратетраена, замещенные в положении 17. Colton Frank B. 17-substituted derivatives of 1,11-epoxy-4-methyl-1,3,5(10),9(11)-estratetraene. [G. D. Searle & Co.]. Пат. США 2923709, 2.02.60.—1,11-эпоксис-4-метил-Δ^{1,3,5(10),9(11)}-эстратетраена (I), замещ. в положении 17 группами OH, OCO— (низший алкил), COCH₃, COCH₂OH, COCH₂OCO— (низший алкил) или O, получают действием галогенводородной к-ты, напр. HCl или HBr, предпочтительно при t-ре 50—70°, на соответствующие Δ^{1,4}-андростадиедионы-3,11. В частности, патентуется I-он-17, I-ол-17β, 17-ацетат I-ола-17β, 17β-ацетил-I и 17β-(β-оксиацетил)-I. Патентуемые соединения обладают прогестативным действием, а также являются анагетиками и местноанестезирующими в-вами. Примеры. а) Смесь 2 ч. Δ^{1,4}-андростадиедиона-3,11,17 и 10 ч. 48%-ной HBr нагревают 48 час. при 70°, образующийся осадок фильтруют, промывают небольшим кол-вом конц. HBr, водой и получают I-он-17, т. пл. 159—160° (из ацетона и воды), λ(макс.) 258, 280 и 291 м, с соответств. 11 000, 2000 и 1600, [α] + 284° (с 0,5%; хлф.). б) К р-ру 2,16 ч. I-она-17 в 120 ч. спирта прибавляют 2 ч. NaBH₄ в 40 ч. спирта и 50 ч. воды, оставляют на 40 мин. при 20°, прибавляют воду, фильтруют, промывают водой, кристаллизуют из водн. CH₃OH и получают I-ол-17β. Неочищ. продукт, т. пл. 83—90°. в) Смесь 2 ч. I-ола-17β, 17 ч. уксусного ангидрида и 10 ч. пиридина оставляют на 7 час. при 20°, выливают на лед, осадок фильтруют, промывают водой, кристаллизуют из водн. CH₃OH и из смеси ацетона и петр. эфира и получают 17-ацетат I-ола-17β, λ(макс.) 258, 281 и 292 м, с соответств. 11 600, 2200 и 1600. Аналогично получают 17-пропионат I-ола-17β. г) Смесь 5 ч. Δ^{1,4}-прегнадиендиона-

3,11,20 и 50 ч. конц. HCl нагревают 2 дня при 60°, осадок фильтруют, промывают конц. HCl, водой, кристаллизуют из CH_3OH и получают 17 β -ацетил-I, т. пл. 181—183°, λ (макс.) 258,5, 280 и 292 м μ , ϵ соответственно 11 200, 2100 и 1600. Нагреванием маточного р-ра еще 1 день при 60° и разбавлением водой получают добавочное кол-во продукта. д) Смесь 1 ч. $\Delta^1,4$ -прегнандиол-21-триона-3,11,20 и 10 ч. конц. HCl нагревают 3 дня при 50°, фильтруют, промывают водой, кристаллизуют из CH_3OH и воды и получают продукт с λ (макс.) 285, 280 и 292 м μ , ϵ соответственно 11 500, 2000 и 1600. е) Смесь 1 ч. 17 β -(β -оксиацетил)-I, 5 ч. уксусного ангидрида и 5 ч. пиридина оставляют на 2 часа при 20° и выливают в ледяную воду. Осадок промывают водой и получают 17 β -(β -ацетоксиацетил)-I, λ (макс.) 258, 281 и 292 м μ , ϵ соответственно 11 300, 2100 и 1500. Аналогично получают 17 β -(β -пропионооксиацетил)-I.

Ю. Вендельштейн

9Л1435. Получение ацеталей и кеталей активного вещества надпочечников. Reichstein Tadeus, Wettstein Albert, Neher Robert. Verfahren zur Herstellung von Acetalen und Ketalen eines neuen Wirkstoffes aus Nebennieren. Швейц. пат. 334136, 31.12.58.—Патентует способ превращения альдостерона (I) в 18,11,21-ацеталь, 18,11-полуацеталь, 3-кеталь и 18-тиоацеталь, применяемые в фармации. 3 мг I растворяют в 1,2 мл 0,5 н. HCl, оставляют на 48 час. при 20°, экстрагируют смесью CHCl_3 -эфир (1:3), экстракт промывают разб. KHSO_4 , сушат Na_2SO_4 , концентрируют в вакууме, хроматографируют на 0,1 г Al_2O_3 , не содержащей щелочи, вымывают петр. эфиром C_6H_6 (1:1), C_6H_6 -эфиром (1:1) и этилацетатом; последний элюат очищают сублимацией, кристаллизацией из эфира и получают 18,11,21-ацеталь I (II), т. пл. 196—206° λ (макс.) 240 м μ . Смесь 9 мг II, 9 мг этиленгликоля, 0,1 мг моногидрата n -толуолсульфокислоты и 20 мл C_6H_6 кипятят 4 часа, охлаждают, промывают KHSO_4 , экстрагируют C_6H_6 , экстракт сушат Na_2SO_4 , концентрируют в вакууме, очищают хроматографией на Al_2O_3 , вымывают C_6H_6 -петр. эф. и получают 3-этиленкеталь II (III). III нагревают с разб. CH_3COOH и получают II. Охлажденную смесь 7,8 г III и 2,72 г ZnCl_2 обрабатывают 0,02 мл CH_3SH и несколькими каплями CCl_4 , оставляют на 4 часа при -10°, разбавляют CCl_4 , промывают разб. Na_2CO_3 и водой, сушат Na_2SO_4 , выпаривают досуха в вакууме и получают неочищ. диметилоацеталь 3,3-этилендиокси-20-оксо- Δ^5 -прегнандиол-11 β , 21-она-18 (IV). IV растворяют в нескольких каплях спирта, обрабатывают 5,44 мг HgCl_2 , оставляют на 1 час, нагревают до 70°, фильтруют, охлаждают, фильтрат насыщают H_2S , фильтруют, осадок промывают спиртом, фильтрат и промывные воды обрабатывают небольшим кол-вом Ag_2CO_3 , концентрируют в вакууме при ~20°, остаток растворяют в CHCl_3 -эфире, промывают водой, сушат Na_2SO_4 , выпаривают в вакууме и получают 18-метилоацеталь (O¹¹, S¹⁸) 3,3-этилендиокси-18,20-диоксо- Δ^5 -прегнандиол-11 β , 21 (V). При нагревании V с разб. CH_3COOH получают 18-тиоацеталь (O¹¹, S¹⁸)-I (VI), λ (макс.) 240 м μ . Р-цией V с HgCl_2 и CaCO_3 в ацетоне получают этиленкеталь I, аналогично из VI получают I. И. Берлин

9Л1436. Питательная среда и способ культивирования микроорганизмов. Sobotka Harry, Nutner Seymour H., Baker Herman. Medium and method for the mass culture of microorganisms. [United States of America as represented by the Secretary of the Navy]. Пат. США 2844515, 22.07.58.—Мезофильный штамм *Bacteria circulans* культивируют в питательной среде, состоящей из (г): KH_2PO_4 0,05, $\text{MgSO}_4 \cdot 7\text{H}_2\text{O}$ 0,02, молибдат аммония 0,001, металлы 1,5, NH_4Cl 0,12, CaCl_2 0,001, транс-аконитовая к-та 0,5, триэтанолламин 1,0, дистил. воды до 100 мл (рН 6,0). К 100 мл питательной среды прибавляют 0,5 г глюкозы или глюконата. 0,2 мг% хлоргидрата тиамина, 0,5 у ботина и 5 у ри-

бофлавина и получают развитие бактерий, определяемое нефелометрически в условных единицах 0,75—0,95. И. Берлин

9Л1437. Повышение выхода антибиотиков, производимых актиномицетами. Bělík Eduard, Doskočil Jiří, Hoffman Josef. Způsob zvyšování produkce přífermentální výroby antibiotik produkovaných aktinomycetami. Чехосл. пат. 30916, 15.07.59.—В культуральную среду вводят наряду с продуктивным штаммом чистую культуру другого штамма микроорганизмов вида *Escherichia coli*, *Bacillus subtilis*, который стимулирует продуктивность производительного штамма. Культуральную среду состава (в %): картофельного крахмала 3, кукурузного экстракта (60% сухих в-в) 0,8, $(\text{NH}_4)_2\text{SO}_4$ 0,6%, CaCO_3 0,5, NaCl 0,5 стерилизуют 10 мин. при 120° (рН 6,6—6,7). 40 л среды инокулируют 1 л 36-часовой культуры вида *Streptomyces aureofaciens*, содержащей 550 мг/мл хлортетрациклина и 80 мг 12-часовой культуры вида *E. coli*, разведенной питательной средой состава (в %): глюкозы 0,8, $(\text{NH}_4)_2\text{SO}_4$ 0,3, NaH_2PO_4 0,05, Na_2HPO_4 0,3. После 70 час. ферментации получают антибиотик в кол-ве 2250 у/мл, выход 1879 мкг/мл. В контрольном опыте с применением культуры *S. aureofaciens* выход антибиотика составлял 1879 у/мл. 3. Смелый

9Л1438. Получение малорастворимых солей пенициллинов. Vondráček Miloslav, Herold Miloš, Toscani Vladimír. Způsob přípravy málo rozpustných solí biosyntetických penicilinu. Чехосл. пат. 92393, 15.10.59.—Соли пенициллинов (II) с органич. аминокислотами (A), отличающиеся повышенной устойчивостью в кислой среде, получают р-цией II, имеющих в боковой цепи радикал $\text{NHOC}(\text{CH}_2)_n\text{—X—R}$ (R — замещ. ароматич. радикал, X = S, O или NH, n = 1,2) с соответствующим амином. Получены соли V-II (приведены амин и т. пл. в °C соли): дибензилэтилендиамин, 103,8; диликоксилэтилендиамин, 155—157; дибензиламин, 85—89. Осаждение проводят из водн. р-ра соли II водн. р-ром соли амина или на свободную к-ту II действием свободным основанием амина в среде органич. р-рителя. Для уменьшения растворимости аминной соли II добавляют смешивающийся с водой органич. р-ритель (формамид, аллилформамид, эфиры гликоля). Т. Зварова

9Л1439. Пенициллиновые соли аминоксантидинов. Taylor Alan. Penicillin salts of aminoguanidines. [Imperial Chemical Industries Ltd]. Англ. пат. 810569, 18.03.59.—Патентуются соли пенициллина (I пенициллин) с аминоксантидинами ф-лы RNHC=NHNNH_2 (II) (R — арил или замещ. арил), применяемые в медицине. Смесь 3,85 г дихлоргидрата II ($\text{R}=2,4\text{-Cl}_2\text{C}_6\text{H}_3$) (IIa), 200 г воды и 27 г 1 н. NaOH экстрагируют 100 г эфира, экстракт сушат Na_2SO_4 , фильтруют, к фильтрату прибавляют р-р I-G к-ты (из 9,5 г N-этилгексаметиленмина I-G) в 50 г CHCl_3 , прибавляют эфир, фильтруют, осадок растворяют в $\text{C}_2\text{H}_5\text{Cl}$ и получают соль I-G и IIa, т. пл. 142—144°, $[\alpha]_D^{20} +105$ (с 1; хлф.). Получены также соли I-V с II (приведены R, т. пл. в °C, т-ра, в скобках указана конц-я и р-ритель): 2,4- $\text{Cl}_2\text{C}_6\text{H}_3$, 80, +95°, 20, (1; хлф.); 2,4-(CH_3) $_2\text{C}_6\text{H}_3$, 152—153, +152°, 20, (1; CH_3OH); 2,5-(CH_3) $_2\text{C}_6\text{H}_3$, 155—156 (разл.), +151°, 20, (1; CH_3OH); 2,6-(CH_3) $_2\text{C}_6\text{H}_3$, 152—154, +139°, 20, (1,5; CH_3OH); 2,3-(CH_3) $_2\text{C}_6\text{H}_3$, 130—132 (разл.), +114°, 22, (1; CH_3OH); 2,4,5-(CH_3) $_3\text{C}_6\text{H}_3$, 158—159 (разл.), +128°, 20 (0,8; хлф.); И. Берлин

9Л1440. Получение растворимых солей антибиотиков с пониженной токсичностью и увеличенным сроком к лимфатической системе. Hoffman Josef, Málek Prokop, Herold Miloš, Šapková Jiřina, Heřmanský Miroslav, Vondráček Miloslav. Způsob přípravy rozpustných solí basických antibiotik se sníženou toxicitou a zvýšenou afinitou k lymfatickému systému. Чехосл. пат. 90938, 15.07.59.—70 г

стерильного
нения стр
смешивают
ного полим
парата в 5

9Л1441.
sach He
streptomyc
P⁺++, code
H₂SO₄ и 10
при перем
в 15 мл в
нейтр. р-п
томическо
моферной
9Л1442.

активных
hard, H
Stoeck
rapetisch
Boehringer
24.09.59.—
n- $\text{O}_2\text{NC}_6\text{H}_4$
таток О-а
ний R' =
1 или 2 м
набровов
го. Новы
остатком
выачино
организм
особенно
ния пред
ным оста
лат II д
кратные
а) Смеси
рида (Э
ленно по
уксусной
при 65°
HCl, 250
ют в ван
10 мл г
Кристалл
теоретич
76° Из
ции 10
фракции
т. пл. 4
250 мл
ЭХ пол
II, т. пл.
б) К су
прибавл
хлорант
ЭХ. Реа
меру (с
которой
50—70°
и полу
т. пл. 6
ного э
(2%; Э
роднос
эфира
VI. Ан
ны ис
прибав
ность
т. пл.
среде
ны до

стерильного тонкоизмельченного комплексного соединения стрептомицина в CaCl_2 активностью 740 ед/мг смешивают с 96 г сухого стерильного тонкоизмельченного полиметакрилата Na. Водн. р-р полученного препарата в 5 раз менее токсичен, чем исходный продукт.

З. Смелый

91441. Получение дигидрострептомицина. Störzach Heinz. Verfahren zur Herstellung von Dihydrostreptomycin. Пат. ГДР 16962, 27.05.59.—1,5 мл р-ра соли Pt^{++} , содержащей 30 мл Pt , перемешивают с 3 мл 1 н. H_2SO_4 и 10 мл воды, медленно прибавляют по каплям при перемешивании к кипящему р-ру 0,75 мл $\text{Ba}(\text{OH})_2$ и 15 мл воды, осадок отделяют, промывают водой до нейтр. р-ции, суспендируют в р-ре 3 г сульфата стрептомицина в 30 мл воды и гидрируют 1 час при 20° и атмосферном давлении.

М. Старосельский

91442. Способ получения новых терапевтически активных эфиров хлорамфеникола. Gansau Gerhard, Haack Erich, Heimberger Werner, Stoeck Georg. Verfahren zur Herstellung neuer therapeutisch wirksamer Ester des Chloramphenicols. [C. F. Boehringer & Soehne G. m. b. H.]. Пат. ФРГ 1036865, 24.09.59.—Патентуемые соединения общей ф-лы $\text{R}-\text{O}-\text{C}_6\text{H}_4-\text{CH}(\text{OR}')-\text{CH}(\text{NHOCCl}_2)\text{CH}_2\text{OR}$ (I) (R—остаток O-ацилированной α -оксикарбоновой к-ты; R' = R или R' = H) получают р-цией хлорамфеникола (II) с 1 или 2 молями ацилированной при OH-группе α -оксикарбоновой к-ты или ее функционального производного. Новые эфиры с высокомолекулярным ацильным остатком (с 10—20 атомами C) не имеют вкуса и чрезвычайно легко и полностью расщепляются ферментами организма, что облегчает их пероральное применение, особенно в педиатрии. Для парентерального применения предпочтительны I с низкомолекулярным ацильным остатком. Так напр., при инъекциях ацетилгликолат II дает такие же концентрации II в плазме, как 2—4 кратные дозы кристаллич. суспензии II. Примеры.

а) Смесь 20,3 г II, 7,5 г пиридина и 31 мл этиленхлорида (ЭХ) нагревают при 65° до растворения II, медленно прибавляют 25 г хлорангидрида стеарилоксуксусной к-ты (III) в 42 мл ЭХ и нагревают 1 час при 65°. Охлаждают до 20°, промывают 2 \times 250 мл 0,1 н. HCl , 250 мл 2%-ного р-ра NaHCO_3 и водой, ЭХ отгоняют в вакууме при 40°, остаток (40,25 г) растворяют в 10 мл гексана и оставляют на 2 дня в холодильнике. Кристаллы фильтруют, сушат и получают 25,5 г (62,8% теоретич.) 3-моностеариогликолата II (IV), т. пл. 74—76°. Из маточного р-ра получают в качестве 1-й фракции 10 г (24,6%) IV с т. пл. 74—76°, в качестве 2-й фракции (при охлаждении до -80°) 4,2 г продукта с т. пл. 40—43°. Аналогично из 95 г II, 35 г пиридина в 250 мл ЭХ и 44,4 г ацетоксиацетилхлорида в 100 мл ЭХ получают 124,3 г (99,8%) 3-моноацетилгликолата II, т. пл. 86—88°, $[\alpha]_D^{20}$ 0° [в этилацетате (ЭА)]. б) К суспензии 323,1 г II в 1 л ЭХ и 118,7 г пиридина прибавляют 10 час. при размешивании и 5—40° 332,9 г хлорангидрида пальмитогликолевой к-ты (V) в 1,8 л ЭХ. Реакционную смесь обрабатывают аналогично примеру (а) и получают 554 г продукта, для удаления из которого диэфира размешивают с 1,9 л бензина, т. кип. 50—70°, и 100 мл ЭХ, фильтруют, промывают бензином и получают 432,5 г 3-монопальмитогликолата II (VI), т. пл. 63—66°, после кристаллизации из диэтилопропилового эфира, выход VI 372 г, т. пл. 66—68°, $[\alpha]_D^{20}$ 0° (2%; ЭА). Хроматография на бумаге показывает однородность VI. При повторном разделении моно- и диэфира из маточного р-ра можно получить еще 10—20% VI. Аналогично примерам (а) и (б) получены (указаны исходные в-ва, их кол-ва в г, продолжительность прибавления хлорангидридов и т-ра, продолжительность р-ции и т-ра, полученный продукт, выход в г, т. пл. в °C, другие константы; все р-ции проведены в среде ЭХ в присутствии пиридина; в скобках приведены дополнительные данные): II, 53,2, хлорангидрид

ацетилгликолевой к-ты, 50,1 час при 30°, —, 1,3-диацетилгликолат II, масло (хроматографически однородно, содержание II 61,8%); II, 323,1, хлорангидрид бутирилгликолевой к-ты (VII), 164,6, 15 час. при 5—40°, —, 3-монобутирилгликолат II, 278, 94—96 (из ЭХ и сторбутанола) (хроматографически однородно); II, 323,1, VII, 329,2, 1 час при 30°, 1 час при 30°, 1,3-дibuтирилгликолат II, 538, 2, масло (после обработки ацетоном и углем и перегонки хроматографически однородно); II, 30, 5, хлорангидрид циннамоилгликолевой к-ты, 25, при 20°, 1 час при 60°, 3-циннамоилгликолат II, 34 140—141 (из ЭА-петр. эф.), $[\alpha]_D^{20}$ +29,9° (с 3,991; сп.), $[\alpha]_D^{20}$ +13,7° (с 4,213; ЭА); II, 18, 75, хлорангидрид стеарилолмоочной к-ты, 21, 7, 30 мин. при 5°, 1 час при 45°, 3-стеарилоллат II, 30, 68—71 (из ЭА-петр. эф.), $[\alpha]_D^{20}$ -3,42 (с 4,002; ЭА). в) К р-ру 14,15 г II в 100 мл абс. ЭА прибавляют при охлаждении и размешивании р-р 19,1 г хлорангидрида стеариолмидной к-ты в 50 мл абс. ЭА. При 20° прибавляют 10 мин. 3,46 г пиридина в 10 мл ЭА, размешивают 30 мин. при 20° и 30 мин. при 50°, обрабатывают по примеру (а) и получают чистый 3-стеариолмидлат II, т. пл. 90—93° (из ЭА-лигроина), $[\alpha]_D^{24}$ +42,4° (с 3,045; сп.), $[\alpha]_D^{20}$ +29,1° (с 3,042; ЭА). Исходный III получают прибавлением к 12,5 г нагретого до 50° тионилхлорида (VIII) 23,2 г стеарилоксуксусной к-ты, т. пл. 88—90°, размешиванием 17,5 час. при 45—50° и отгонкой в вакууме избытка VIII. Остаток дважды растворяют в 150 мл чистого сухого C_6H_6 , выпаривают досуха и получают 25,2 г III. Аналогично из 238 г VIII и 146,1 г бутирилгликолевой к-ты, т. кип. 108°/2 мм (10—15 час. при 45—50°) получают 152 г VII, т. кип. 85°/13 мм; из 238 г VIII и 314,5 г пальмитогликолевой к-ты получают 332,9 г V.

Ю. Вендельштейн

91443. Способ получения новых терапевтически активных эфиров хлорамфеникола. Budka Heinz Günter, Gansau Gerhard, Haack Erich, Stoeck Georg. Verfahren zur Herstellung neuer therapeutisch wirksamer Ester des Chloramphenicols. [C. F. Boehringer & Soehne G. m. b. H.]. Пат. ФРГ 1044108, 15.10.59.—В дополнение к пат. ФРГ 1036865 (см. реф. 91442) для получения эфиров хлорамфеникола (I хлорамфеникол) патентуется замена ацилированных при OH-группе α -оксикарбоновых к-т или их функциональных производных ацилированными при меркаптане α -меркаптокарбоновыми к-тами или их функциональными производными. По своим свойствам новые эфиры I сходны с таковыми пат. 1036865 и обладают особенно высоким протрагирующим действием. Примеры. а) К суспензии 323,1 г I в 1 л этиленхлорида и 118,7 г пиридина прибавляют 20 час. при 5° и размешивании р-р 152,6 г хлорангидрида ацетилтиогликолевой к-ты в 1,5 л этиленхлорида, размешивают 1 час, разбавляют 2 л этиленхлорида, промывают 2 \times 3 л 0,1 н. HCl , 2 л 2%-ного р-ра NaHCO_3 и 2 \times 3 л воды. Фильтруют через Na_2SO_4 и выпаривают досуха в вакууме при 35°. Получают 404 г (92% теоретич.) моно 3-ацетилтиогликолата I (II), который растворяют при 60° в этилацетате, выпаривают до начала кристаллизации и оставляют на 5 час. при 20°; фильтруют, сушат при 50° и получают 310,2 г (70,6%) II, т. пл. 147—148°, $[\alpha]_D^{20}$ +12,5° (с 2%; этилацетат); из маточного р-ра получают еще 10—15% II. Хроматография на бумаге показывает однородность II. б) В 55,7 г SOCl_2 медленно вносят при 65° 82,35 г стеариолтиогликолевой к-ты (III), т. пл. 84—86°, оставляют на 16 час. при 45—50°, избыток SOCl_2 отгоняют в вакууме, остаток дважды обрабатывают C_6H_6 (по 50 мл), выпаривают досуха и получают 86,5 г (99,8%) хлорангидрида III (IV). К суспензии 74,2 г I в 233 мл этиленхлорида и 27,23 г пиридина прибавляют 15 час. при 15° р-р 86,6 г IV в 433 мл этиленхлорида, размешивают 1 час, промывают 2 \times 1 л 0,1 н. HCl , 1 л 2%-ного р-ра NaHCO_3 , 2 \times 1 л воды, сушат Na_2SO_4 , выпаривают до постоянного веса при 40°,

[illegible]

(или их смеси) в 20-кратном объеме 1%-ного р-ра CaCl_2 в CH_3OH прибавляют после фильтрации 5-кратный объем ацетона; получают комплекс I или II (или их смеси) с CaCl_2 . Антибиотики обладают противогрибковым действием по отношению к *Saccharomyces cerevisiae*, *Aspergillus fumigatus*, *A. niger*, *Penicillium notatum*, *Ceratostomella ulmi*, *Candida albicans*, *Trichophyton mentagrophytes*, *Microsporum audouinii*, *M. canis*, *Botrytis tulipae*, *Rhodotorula glutinis*, *Fusarium bulbigenum*. Приведены данные о морфологии и физиологии *S. nodosus*, а также УФ- и ИК-спектры I и II. А. Травин

91448. Способ получения новых антибиотиков. G. G. Ernst, Prelog Vladimir. Verfahren zur Herstellung eines neuen Antibiotikums. [CIBA A.-G.]. Швейц. пат. 334468, 15.01.59.—Патентуется способ получения формацидина (I) ($\text{C}_{21}\text{H}_{37-39}\text{O}_7\text{N}$) т. пл. 126–128°, $[\alpha]_D^{20}$ —56,2 (с 0,51, хлф.), λ (макс.) 231 мμ (сп.), обладающего широким спектром бактериостатич. активности. Питательную среду состава (в г): 10 неочищ. глюкозы, 10 фильтрата спирт. барды, 5 NaCl, 1 NaNO_3 и 10 CaCO_3 в 1 л воды доводят до pH 7,8, стерилизуют 20–30 мин. при 1 ат, инокулируют 10%-ой суспензией спор *Streptomyces* A8703, выдерживают 48 час. при перемешивании, аэрации и 27° и фильтруют. 150 л фильтрата экстрагируют при pH 8,5 90 л этилацетата, экстракт концентрируют до ~2 л, остаток перемешивают с 0,5 н. CH_3COOH (8 × 100 мл), кислый р-р подщелачивают конц. NaOH, экстрагируют этилацетатом (5 × 100 мл), р-ры объединяют, промывают, сушат Na_2SO_4 и концентрируют в вакууме при 40°; 1,18 г остатка фракционируют в противоточном экстракторе CHCl_3 и 0,2 н. цитратного буферного р-ра (pH 5,0). После соответствующей переработки соответствующих фракций получают 164 мг I, который перекристаллизовывают из C_6H_6 -петр. эфира. И. Берлин

91449. Способ получения нового противомикробного антибиотика — плюрамицина. Умэдзава Хамао, Такаэути Томио, Маэда Кэндзи, Оками Иосиро, Нитта Кадаэу. [Бисэйбун кагаку кэнсайдэ]. Японск. пат. 7598, 29.08.59.—Плюрамицин (I) получают культивированием в питательной среде *Streptomyces pluricologrescens*. В 180 л питательной среды, содержащей соевой муки 0,5%, пептона 0,25% и мясного экстракта 0,25%, культивируют *S. pluricologrescens* в течение 70 час. при 28 ± 2° и продувании воздуха со скоростью 200 л/мин при перемешивании 200 об/мин. и pH > 7,8, мицелий центрифугируют, культуральный р-р устанавливают на pH 7,8, извлекают 160 л этилацетата, экстракт упаривают в вакууме при 35–40° до 150 мл, прибавляют 1500 мл петр. эфира, осадок отфильтровывают и сушат, получают 4,5 г I. При дальнейшей очистке I разделяют на плюрамицин А и плюрамицин В, свойства которых приведены. С. Петрова

91450. Способ получения плюрамицина А. Такаэути Томио, Оками Иосиро, Нитта Кадаэу, Маэда Кэндзи. [Умэдзава Хамао]. Японск. пат. 7599, 29.08.59.—Культивированием в питательной среде *Streptomyces pluricologrescens* получают и соответствующей обработкой выделяют плюрамицин А (I). *S. pluricologrescens* культивируют в течение 72 час. при pH 8 в 150 л питательной среды, содержащей глюкозы 2%, соевой муки 1%, мясного экстракта 0,5% и NaNO_3 0,2%, мицелий отфильтровывают, культуральную жидкость при pH 8 извлекают 150 л этилацетата (ЭА), экстракт упаривают в вакууме при < 40° до 150 мл, прибавляют 700 мл петр. эфира и отделяют нижний слой — 29 г сиропообразной жидкости, содержащей I. Эту жидкость растворяют в 120 мл ЭА, пропускают через колонку (диам. 3 см), наполненную 120 г Al_2O_3 , и вымывают ЭА. Первая фракция (130 мл) не содержит активных в-в, вторую фракцию (256 мл) упаривают в вакууме и получают 16 г сиропообразной жидкости. 9,35 г последней растворяют в 30 мл ЭА, нейтра-

лизуют 30 мл 1%-ного фосфатного буферного р-ра pH 6,55, отделяют ЭА слой и упариванием его получают 8,77 г; 2,1 г полученного в-ва (сиропоподобного) растворяют в 20 мл ЭА, прибавляют 20 мл 1%-ного фосфатного буферного р-ра pH 5,3 и отделяют р-р I в фосфатном буфере (плюрамицин В остается в ЭА слое), водн. слой отделяют, устанавливают на pH 7,5, извлекают ЭА и удалением р-рителя выделяют 88 мг I, который кристаллизуют из спирта (оранжевые до темно-красных призмы или иглы, обесцвечивающиеся при 182–184°), размягчается при 214° и не плавится полностью до 250°, λ (макс.) 245 и 265–270 мμ ($E_{1\text{ см}}^{1\%}$ 672 и 430, в сп.), $[\alpha]_D^{20} + 264$ (сп.). Приведены еще 4 аналогичных примера. I растворим в CH_3OH , $\text{C}_2\text{H}_5\text{OH}$, ацетоне, CHCl_3 , ЭА, бутилацетате, C_6H_6 , и этилцеллозольве; плохо растворим в эфире и гексане; нерастворим в петр. эфире. Приведены кривая спектра поглощения в ИК-области, данные о характерных р-циях, активности против рака Эрлиха и действия I на микроорганизмы. С. Петрова

91451. Способ получения плюрамицина В. Такаэути Томио, Маэда Кэндзи, Оками Иосиро, Нитта Кадаэу. [Умэдзава Хамао]. Японск. пат. 7600, 29.08.59.—При культивировании в питательной среде *Streptomyces pluricologrescens* получают и соответствующей обработкой выделяют плюрамицин В (I). Культивирование *S. pluricologrescens* и дальнейшее выделение и разделение плюрамицина А (II) и I ведут, как указано в японск. пат. 7599 (см. реф. 91450). Этилацетатный слой, содержащий I, отделяют от фосфатного буферного р-ра, испаряют этилацетат и в остатке получают I, сиропообразное масло, растворимое аналогично II. Приведены данные об активности I против рака Эрлиха и действия на микроорганизмы. С. П.

91452. Выделение релаксина с применением ледяной уксусной кислоты. Cohen Herman. Process for the isolation of relaxin using glacial acetic acid. [Princeton Labs, Inc.]. Пат. США 2930737, 29.03.60.—Измельченные ткани яичников животных или другой материал, содержащий релаксин (I), высушивают, обезжиривают спиртом или ацетоном, суспендируют в лед. CH_3COOH , перемешивают при 20°, кипятят ~30 мин., добавляют кизельгур и фильтруют. К фильтрату добавляют спирт, ацетон, эфир или петр. эфир до появления осадка, который отделяют, растворяют в слабой неорганич. к-те, в присутствии адсорбента, напр. окисленной целлюлозы, центрифугируют, осадок промывают 0,1 н. CH_3COOH , перемешивают с неорганич. к-той (pH 1), фильтруют, из фильтрата осаждают ацетоном или выделяют лиофилизацией I, активностью 300–500 ед/мг. Г. Белый

91453. Получение стимуляторов роста. Симидзу Сигэмацу, Сибамото Гэндзи. Японск. пат. 2644, 18.04.59.—Патентуется способ получения препарата, стимулирующего рост людей и животных и применяемого в виде инъекционных р-ров. 500 г бедренных костей или костей голени молодых телят измельчают при —15°, смешивают с 5 л холодной воды и оставляют на 24 часа, затем фильтруют, фильтрат нейтрализуют водн. р-ром ацетата Pb, осадок отделяют, в фильтрат пропускают H_2S , PbS отделяют, к фильтрату добавляют р-р AgNO_3 , фильтруют, в фильтрат пропускают H_2S для осаждения избытка Ag, фильтруют, фильтрат насыщают $(\text{NH}_4)_2\text{SO}_4$ и подвергают электродиализу. Остаток, полученный после диализа, растворяют в воде, добавляют ацетон, осадок отделяют и снова осаждают ацетоном. Переосаждение повторяют до получения белого мелкокристаллич. продукта без вкуса и запаха. Выход 0,5% от кол-ва сырья. Продукт назван милоном ($\text{C}_{18}\text{H}_{28}\text{O}_{15}\text{N}_8\text{P}_2$), т. разл. 285°.

91454. Анестетики. Lott William A., Yale Harry L. Anesthetics. [Olin Mathieson Chemical Corp.].

Пат. США 2930732, 29.03.60.—Для ингаляционного наркоза предложена смесь эфира и CF_3CHClBr , имеющая постоянную т-ру кипения при соотношении 40:60 (в мол. %) и не дающая взрывающих смесей паров с воздухом и O_2 . Смесь 75 мл сухого эфира и 75 мл CF_3CHClBr нагревают до 45°, перегоняют со скоростью 10 мл/35 мин и получают постоянно кипящую смесь (т. кип. 52°), которую применяют для наркоза.

Г. Белый

9Л1455. Получение коллоидных препаратов металлических производных декстрана. Фудзиси Гонтиро, Такаба Тосио, Фудзиси Такэси. [Эдзай кабусики кайся]. Японск. пат. 5598, 29.06.59.—507 г декстрана и 316 г FeCl_3 растворяют в 3 л воды, пропускают через 4 кг амблита IR 45 со скоростью 16 л/мин и фильтруют. Фильтрат концентрируют при 40° и 10 мм рт. ст. до содержания Fe 2,5%, обрабатывают глюкозой, стерилизуют при 120° в течение 30 мин. и получают колл. инъекционный препарат Fe. Приведен способ получения колл. инъекционного препарата Cu.

Н. Приткова

9Л1456. Применение циркония при отравлении плющом *Hedera holiz*. Vogel Benzion. Zirconium therapy in ivy poisoning. Пат. США 2930735, 29.03.60.—Патентуются устойчивые водн. р-ры, содержащие 5% солей Zr, способного инактивировать урушиол, 27,2 кг ZrCO_3 , содержащего 16% ZrO_2 , перемешивают в 37,85 л воды, подкисленной HCl, до растворения, добавляют при перемешивании насыщ. р-р NaHCO_3 до щел. р-ции на метиловый оранжевый, осадок отфильтровывают, промывают до удаления Cl-ионов и получают 40,4 кг продукта, содержащего 7,5% ZrO_2 . К осадку добавляют ~500 мл лед. CH_3COOH , перемешивают до прекращения выделения газа, добавляют ~2000 мл пропиленгликоля и воды до 149,397 кг.

Г. Белый

9Л1457. Рентгеноконтрастный препарат. Distelmaier Alfred, Scholtan Werner. Röntgenkontrastmittel. [Farbenfabriken Bayer A.-G.]. Пат. ФРГ 1063759, 4.02.60.—В качестве активного в-ва рентгеноконтрастного препарата для бронхографии применяют эфир 3,5-дигидро-4-пиридон-N-уксусной к-ты (I к-та) и двух- или многоатомного алифатич. спирта, в котором этерифицирована одна OH-группа. Препарат применяют в виде водн. суспензии, к которой добавляют в-во, повышающее вязкость, напр. карбоксилированную целлюлозу, простые эфиры целлюлозы или поливиниловый спирт, и неионогенные эмульгаторы, напр., продукты р-ции алифатич. к-т, спиртов или нейтр. жиров с окисью этилена или в-ва групп «твина». Величина частиц активного в-ва порядка 5—30 м. Особенно пригодны моногликолевый эфир I (II), моно-1,2-пропиленгликолевый эфир I (III), моно-2,2-диметилпропандиоловый-1,3 эфир I (IV) и моно-3,5-дигидро-4-пиридон-N-ацетилглицерин (V). Клинич. применение препаратов показало отсутствие раздражения слизистых оболочек бронхов и вызываемого последним кашля, препятствующего бронхографии; полное поглощение эфиров бронхальной системой без проникновения контрастного в-ва в периферию легких; быстрое и полное рассасывание эфиров организмом (через 36 час. контрольные рентгенограммы не обнаруживают контрастное в-во в легких); после бронхографии у пациентов не наблюдается повышения т-ры. Примеры. а) К смеси 200 г этиленгликоля, 150 мл C_6H_6 и 4 мл конц. H_2SO_4 прибавляют при размешивании 100 г I, кипятят 5 час., охлаждают, оставляют на ночь, фильтруют, осадок промывают ацетоном, сильно разб. р-ром соды, водой, и получают 100 г II, т. пл. 186—189° (из ацетона). Для получения рентгеноконтрастного препарата 11 г II смешивают с 16 г р-ра, состоящего из 0,5 г оксиэтилированного касторового масла, 2,225 г Na_2HPO_4 , 0,29 г NaH_2PO_4 , 1 г карбоксиметилцеллюлозы и воды до 100 мл. б) К смеси 105 г 1,2-пропиленгликоля, 115 мл C_6H_6 и 4 мл конц. H_2SO_4 прибав-

ляют 100 г I, кипятят 5 час., улавливая отгоняющуюся воду, отгоняют C_6H_6 в вакууме, остаток выливают в 400 мл воды. Осадок фильтруют, промывают разб. р-ром соды, водой и получают 90 г III, т. пл. 169—172° (из сп. или ацетона). Аналогично примеру (б) из 20 г I, 46 г глицерина, 50 мл C_6H_6 и 2,5 мл конц. H_2SO_4 (кипячение 3,5 часа) получают V, т. пл. 120—124° (из воды). Аналогично примеру (а) кипятят смесь 40 г I, 84 г 2,2-диметилпропандиола-1,3, 90 мл C_6H_6 и 5 мл конц. H_2SO_4 перерабатывают по примеру (б) и получают 33 г IV, т. пл. 205—208° (из сп.). Суспензии III, IV и V получают по примеру (а).

Ю. Вендельштейн

9Л1458. Получение пероральных препаратов для контроля действия медикаментов. Gaunt William E. Production of orally administrable controlled release medicaments. [Strong, Cobb and Co., Inc.]. Пат. США 2928771, 15.03.60.—Патентуются способ получения фармацевтич. составов в виде таблеток и желатиновых капсул, содержащих > 5% терапевтич. активного в-ва в смеси с металлч. мылами жирных к-т, с 8—18 атомами C. 10 г тонкоизмельченного хлоридата фенметразина (I) (80 меш) смешивают с 15 г тонкоизмельченного тристеарата Al (200 меш), добавляют скользкие средства и прессуют таблетки. Скорость выделения I проверяют в искусств. желудочном и кишечном соках. Приведены примеры с применением в качестве активных в-в различных кол-в гидрохлоридов, мепробамата, аспирина, преднизолона, люминала и др.

Л. Стекольников

9Л1459. Получение новых эфиров ряда дигидропирана. — Nouveaux esters de la série du dihydropyran et procédé de préparation de ces composés. [LIPHA (Lyonnaise Industrielle Pharmaceutique)]. Франц. пат. 1225630, 1.07.60.—Предложен способ получения новых антисептиков ряда дигидропирана. В холодный р-р 0,275 моля KCN в 0,1 л воды вносят 0,25 моля 2-формил-2,3-дигидро-γ-пирана (I), приливают по каплям при ~10° 0,25 моля $\text{C}_6\text{H}_5\text{COCl}$, перемешивают 1 час при ~10° и отделяют бензоат диангидрина I, выход 90—96,6%, т. пл. 68—68,5°. Аналогично получают соответствующий салицилат и ацетилсалицилат.

Э. Бамдас

9Л1460. Бактерицидные составы. Hill William Hergmann. Germicidal Article. [Pernachem Corp.]. Англ. пат. 835927, 25.05.60.—Бактерицидные составы получают пропитыванием или покрытием различных материалов, напр. ваты, шерсти, кожи, бумаги или каучука р-ром AgSCN (I). Добавлением р-ра AgNO_3 к избытку NH_4SCN (II) осаждают I, который растворяют добавлением II и получают 215 мл р-ра, содержащего 29,58 г I и 48,4 г II. 33,1 мл полученного р-ра разбавляют водой до 1 л, добавляют 47,6 г II, погружают в р-р на определенное время 33,8 г ваты и получают бактерицидный материал. Приведены результаты определения бактерицидной активности различных материалов, обработанных р-ром I.

Л. Стекольников

9Л1461. Способ дезинфекции поверхностей. Schmidt-Ruppin Karl-Heinz. Verfahren zur Desinfektion von Oberflächen. [Farbwerke Hoechst A.-G. vormals Meister Lucius & Brüning]. Пат. ФРГ 1001804, 11.09.58.—В качестве дезинфицирующего средства применяют 6-хлор-3-окси-4-изопропилтолуол, который распыляют, напр., в виде аэрозоля, в помещении, в котором находятся поверхности, подлежащие дезинфекции.

М. Старосельская

См. также: Лекарственные в-ва: общие вопр. 9Л1; органич. 9Ж155, 9Ж159, 9Ж171—9Ж175, 9Ж202, 9Ж203, 9Ж205, 9Л118, 9Л140, 9Л163. Алкалоиды 9Ж290, 9С705, 9С710. Природные в-ва растительного происхождения 9С581, 9С582, 9С714, 9С715. Глюкозиды 9Ж285, 9Ж286. Витамины 9Ж293, 9Ж295, 9Л179, 9С322, 9С505, 9С650.

Гормоны
9С534, 9С
9С53, 9С6

Редак

9Л1462.

хозяйств

I. Soc. C

583—591

9Л1463.

(1,2,3,4,5,

графилол

P. R. R

of the

(1:2:3:4:3

cobalt-60

Vol. 28,

исп.).—Д

пускали

чений У

облучен

5%-ного

отгонял

CH_3OH .

112:2—1

проводи

методом

granaric

ниях 3-

ни не

содерж

товий

после о

При на

дут ква

риворо

шался

эфира,

2, CuCl

тлонит

обычно

При у-

скольк

—72°,

сл. Сол

зависе

и прод

60 ми

9Л146

рата и

B. A.,

лекарс

При п

тельно

остры

тельно

2 л/ча

с Муг

по то

9Л146

ние О

имид

лоты

b e k

ditof

imido

пу. «

1959, 3

Для п

О,О-д

Гормоны 9Ж284, 9С494, 9С495. Антибиотики 9Ж297, 9С534, 9С538—9С543, 9С545, 9С580. Анализы 9С49—9С51, 9С53, 9С63, 9С101, 9С107, 9С109, 9С113, 9С118.

ПЕСТИЦИДЫ

Редакторы Ю. А. Баскаков, Н. Н. Мельников

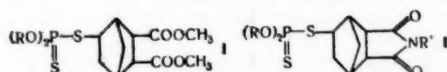
9Л462. Родентициды, их использование в сельском хозяйстве. Кувата Г. «Юки госсэй какаку кёкайси, J. Soc. Organ. Synth. Chem., Japan», 1960, 18, № 8, 583—591 (японск.).—Обзор. Библ. 38 назв. А. Р.

9Л463. Получение инсектицида «гаммексана» (1,2,3,4,5,6-гексахлорциклогексана) под действием ультрафиолетовых лучей и γ -лучей кобальта-60. Hills P. R., Roberts R., Spindler M. W. A comparison of the production of the insecticide «gammexane» (1,2,3,4,5,6-hexachlorocyclohexane) by ultraviolet and cobalt-60 gamma radiation. «Large Radiat. Sources Ind. Vol. 2», Vienna, 1960, 61—79 (англ.; реф. франц., русск., исп.).—Для получения γ -ГХЦГ (I) через бензол пропускали газообразный Cl_2 при одновременном облучении УФ-лампой 125 эв или Co^{60} (700 кюри). После облучения реакционную смесь выливали в избыток 5%-ного р-ра $NaHCO_3$, отделяли органич. слой, бензол отгоняли с паром, а остаток экстрагировали холодным CH_3OH . После отгонки р-рителя получили I, т. пл. 112,2—113°. Выделили также α - и β -изомеры. Анализ I проводили полярографич. методом, а также биол. методом по учету гибели вредителя зерна *Calandra granaria*, причем получены расхождения в определениях 3—5%. Разбавление Cl_2 азотом при хлорировании не улучшило выхода I. Продажные марки бензола содержат перекиси, наличие которых снижает квантовый выход р-ции синтеза I. Выход I повышался после очистки бензола и хранения его в атмосфере N_2 . При насыщении бензола Cl_2 в течение 1 часа достигнут квантовый выход $8,67 \cdot 10^6$. Более длительное хлорирование не повышало выхода I. Выход I не улучшался в присутствии воды, уксусной к-ты, ацетона, эфира, диоксана, Al_2O_3 , активированного угля, $FeCl_3$, I_2 , $CuCl$, P_2O_5 , Na_2SO_3 , персульфата NH_4 , $Na_2S_2O_8$, дитионита Na и $KMnO_4$. Под действием УФ-облучения обычно получался продукт с содержанием I 13,2 \pm 1,3%. При γ -облучении содержание I в смеси изомеров несколько повышалось при снижении т-ры р-ции до -72°, но общий выход продукта значительно снижался. Содержание I обычно составляло 15,3 \pm 1,6% и не зависело от мощности дозы, конц-ии бензола в $CHCl_3$ и продолжительности хлорирования в интервале 15—60 мин. А. Верецагин

9Л464. Метод получения инсектицидного препарата из анабазиса. Ростоцкий Б. К., Шевелев В. А., Баньковский А. И. «Тр. Всес. н.-л. ин-та лекарств. и аромат. раст.», 1959, вып. II, 330—350.—При получении технич. анабазинокалата (I) растительное сырье (*Anabasis aphylla* L.) обрабатывают острым паром и водн. экстракт сушат на распылительной сушилке при 115—125° с производительностью 2 л/час, выход I 92,3%. При токсикол. испытаниях с *Myodes persical* и *Pediculus vestiment* I не уступал по токсичности анабазисульфату. А. Рышка

9Л465. О синергистах пиретрума. III. Присоединение О,О-диалкилдитиофосфорных кислот к эфирам и имидам бицикло-[2,2,1]-гептен-(5)-2,3-дикарбоновой кислоты по месту двойной связи. Furdik M., Drábek J. O synergetikách pyretra. III. Adícia O,O-dialkylditiotoforečnych kyselín na dvojčitú väzbu esterov a imidov bicyklo[2,2,1]-heptén-(5)-2,3-dikarbónovej kyseliny. «Acta Fac. rerum natur. Univ. Comenianae Chim.», 1959, 3, № 2-3, 109—115 (словацк.; реф. русск., нем.).—Для получения соединений общих ф-л [I] и [II] 0,22 моля О,О-диалкилдитиофосфорной к-ты (III) смешивают с

0,2 моля имида или эфира бицикло-[2,2,1]-гептен-5-дикарбоновой-2,3 к-ты (IV), нагревают 7 час. при 60°, охлаждают, разбавляют 70 мл C_6H_6 , промывают 50 мл 10%-ного Na_2CO_3 и отгоняют C_6H_6 , выход I и II 100%. Получены I (перекристаллизованы из петр. эфира) (указаны R и т. пл. в °C): CH_3 , 88; C_2H_5 , 44,5, а также II (указаны R, R', т. пл. в °C): CH_3 , H, 90; CH_3 , C_2H_5 , 74; C_2H_5 , C_2H_5 , 57; CH_3 , $CH(CH_3)_2$, 57; C_2H_5 , $CH(CH_3)_2$, 57. Испытание активности с пиретрумом на *Musca domestica* показало, что присоединение III к месту двой-



ной связи IV вызывает снижение синергистич. действия на 30% по сравнению с IV, и почти полную инактивацию этих производных как инсектицидов. Часть II см. РЖХим, 1961, 4Л367. Ф. Рышка

9Л466. Синтез высокоэффективного аттрактанта для женских особей непарного шелкопряда. Jacobson Martin. Synthesis of a highly potent gypsy moth sex attractant. «J. Organ. Chem.», 1960, 25, № 11, 2074 (англ.).—При синтезе активного в качестве аттрактанта 12-ацетокси-1-окси-цис-октадецена-9 (I) восстанавливают рицинолеву к-ту $LiAlH_4$ количественно до рицинолевого спирта [т. кип. 175°/0,5 мм, n_D^{25} 1,4704, $[\alpha]_D^{20} +5,3$ ($CHCl_3$)], который с CH_3COCl в кипящем бензоле дает соответствующий 1,12-диацетат, выход 62%, т. кип. 180°/1,3 мм, n_D^{25} 1,4519, $[\alpha]_D^{20} +8,7$ ($CHCl_3$). Диацетат гидролизуют при кипячении со спирт. р-ром KOH до I, выход 90%, т. кип. 182°/0,5 мм, n_D^{25} 1,4607, $[\alpha]_D^{20} +7,4$ ($CHCl_3$). I устойчив при нагревании и хранении и привлекает *P. dispar* в конц-ии 0,1 мг/л. К. Швецова-Шияловская

9Л467. Хлорорганические инсектициды. Фукунага К. «Юки госсэй какаку кёкайси, J. Soc. Organ. Synth. Chem., Japan», 1960, 18, № 8, 518—530 (японск.).—Обзор. Библ. 54 назв. А. Р.

9Л468. Химическая борьба с личинками комариков в почве под шампиньонами в теплицах. I. Обработка почвы в компосте. II. Обработка почвы на стеллажах. Insecticidal control of paedogenetic cecid larvae in mushroom beds. I. Hussey N. W., Wyatt I. J., Hughes J. T. Incorporation of insecticides into compost. II. Hussey N. W., Wyatt I. J. Incorporation of insecticides in the casing layer. «Ann. Appl. Biol.», 1960, 48, № 2, 336—346, 347—351 (англ.).—I. γ -ГХЦГ, внесенный в виде дуста из расчета 50 мг/кг в компост при последнем его перемешивании, подавил развитие личинок комариков *Heteropeza pygmaea* Winn., *Muscophila speyeri* Barnes и *M. barnesi* Edwards, препятствовал их развитию в течение всего периода плодоношения шампиньонов, не снизил урожай и не изменил вкусовых качеств грибов. Прочие испытанные инсектициды (технич. ГХЦГ, малатион, ДДТ, диазинон, рогор, дильдрин, альдрин, динтерекс, диметан) были или малотоксичны для личинок, или недостаточно персистентны в почве, или снижали кол-во и качество урожая. В целом инсектициды более эффективны против *Muscophila*, чем против *Heteropeza*. Урожай грибов не снижался даже когда в 20 г почвы насыщалось 1000 личинок; личинки не повреждают мицелий, но, попадая на съедобные части грибов, полностью обесценивают их и, кроме того, личинки могут быть переносчиками возбудителей болезней шампиньонов.

II. Однократное опрыскивание почвы в ящиках на стеллажах в начале культивации грибов 0,001%-ными эмульсиями альдрина или γ -ГХЦГ привело почти к полному предотвращению загрязнения съедобных частей грибов личинками *M. speyeri* и не снизило урожай. Такое же опрыскивание 0,01%-ной эмульсией

малатиона и еженедельные опрыскивания препаратом пиретрума малоэффективны.

П. Попов
9Л469. Предосторожности при применении ДДТ в борьбе с насекомыми, обитающими в водах Африки. Hynes H. B. N. A plea for caution in the use of DDT in the control of aquatic insects in Africa. «Ann. Trop. Med. and Parasitol.», 1960, 54, № 3, 331—332 (англ.).—Высказаны общие соображения о возможных нежелательных последствиях нарушения биоценозов в результате применения инсектицидов для обработки водоемов Африки против насекомых, имеющих медицинское значение (в частности, о последствиях применения ДДТ против мошек из сем. *Simuliidae*).

П. Попов

9Л470. Борьба с переносчиками болезней на дневных грызунах в Сьерра Невада (Калифорния) путем применения кормушек, отравленных инсектицидом. Barnes Allan M., Kartman Leo. Control of plague vectors on diurnal rodents in the Sierra Nevada of California by use of insecticide bait-boxes. «J. Hyg.», 1960, 58, № 3, 347—355 (англ.).—Ежедневное на протяжении 12 дней возобновление корма (100 г дробленого овса) и инсектицида (50 г 10%-ного дуста ДДТ) в выставленных в поле кормушках резко снизило зараженность сусликов блохами, но после прекращения раскладки корма и инсектицида кол-во блох на грызунах быстро восстанавливалось. Если возобновление производили 2 раза в неделю в течение 4 недель, кол-во блох на грызунах было очень низким на протяжении всего этого периода и оставалось достаточно небольшим в последующие 42 дня. Кормушки расставляли на расстоянии 30 м одна от другой, но по видимому такой же эффект уничтожения блох мог быть получен и при увеличении этого расстояния до 60 м.

П. Попов

9Л471. Борьба с коровьим клещом смесью суперфосфата с ДДТ. Muller F. B. Control of cattle ticks with DDT superphosphate. «N. Z. J. Agric.», 1960, 101, № 4, 331, 333—334 (англ.).—На основании полевых опытов борьбу с клещом *Haemaphysalis bispinosa* рекомендуется проводить в условиях Новой Зеландии путем равномерного рассеивания суперфосфата, содержащего 1% п.п. ДДТ. Нормы расхода смеси 125—150 кг/га. Наилучшее время обработки зараженных клещом пастбищ — конец зимы, начало весны, когда молодые личинки в массе находятся на поверхностном горизонте почвы. Стада следует выгонять на обработанные пастбища после того как выпадут дожди (≥ 25 мм), которые обеспечивают более полный контакт личинок с ДДТ.

П. Попов

9Л472. Борьба с мошками-симулидами (*Diptera: Simuliidae*) в лесах восточной части Канады путем опрыскивания с самолета. West A. S., Brown A. W. A., Peterson D. G. Control of black fly larvae (*Diptera: Simuliidae*) in the forests of Eastern Canada by aircraft spraying. «Canad. Entomologist», 1960, 92, № 10, 745—754 (англ.).—Детально описаны тактика и техника проведения двухгодичных опытно-производственных опрыскиваний конц. масляными р-рами ДДТ лесных массивов, богатых ручьями, реками и озерами. Критически проанализированы причины высокой и низкой эффективности борьбы с мошками-симулидами.

П. Попов

9Л473. Новые инсектициды для борьбы с клопами-лигусами на семенниках овощных культур. Carlson Elmer C. New insecticides for lygus bug control on vegetable seed crops. «J. Econ. Entomol.», 1960, 53, № 5, 767—771 (англ.).—Наилучший эффект борьбы с клопом *Lygus hesperus* на семенной столовой свекле и на семенной моркови получен от опрыскивания и от опливания смесью ДДТ (1,4 кг/га) с диалоксом (1,1 кг/га); смесь мало ядовита для полезных насекомых. Семена, собранные с делянок, обработанных этой смесью, име-

ли большую величину и лучшие посевные качества. Удовлетворительные результаты борьбы получены от дисистона и смеси диалокса с токсафеном или тлода-ном, но эти инсектициды токсичнее для полезных насекомых, являющихся хищниками клопов-лигусов.

П. Попов

9Л474. Борьба с окрыленными мошками-симулидами (*Diptera: Simuliidae*) в лесах западной части Канады с помощью самолетов. Peterson D. C., West A. S. Control of adult black flies (*Diptera: Simuliidae*) in the forests of eastern Canada by aircraft spraying. «Canad. Entomologist», 1960, 92, № 9, 714—719 (англ.).—В 1954 г. опрыснуто 11%-ным р-ром ДДТ (0,21 кг ДДТ на 1 га) в дизельном топливе 1735 га леса с помощью самолета, снабженного вращающимися «щеточными» распыливающими приспособлениями. В 1956 г. таким же р-ром, но при расходе ДДТ 0,25 кг/га, обработано 2590 га с помощью бипланов, снабженных распылительными штангами. После однократной обработки, проведенной летом в начале временного снижения кол-ва мошек, достигнуто в обоих случаях значительное снижение кол-ва насекомых на срок 10 дней.

П. Попов

9Л475. Инсектицидные смолы — новая форма применения инсектицидов остаточного действия. Price Miles D. Insecticidal resins, a new concept in residual insect control. «Pest Control», 1960, 28, № 10, 47, 50, 52, 54, 56—58 (англ.).—Кристаллические инсектициды, напр. ДДТ или дильдрин, дают со смесью мочевиноформальдегидных и модифицированных маслом алкидных смол твердые р-ры, которые могут быть пересыщенными. После нанесения на поверхность смола быстро высыхает, образуя твердую, прозрачную пленку. Часть инсектицида мигрирует к поверхности и образует токсичный налет. После стирания или смыывания налет возобновляется за счет новых кол-в инсектицида, находящегося в пленке. Поверхность пленки сохраняет инсектицидные свойства на протяжении ≥ 2 лет.

П. Попов

9Л476. Реакция гусениц изюмной огневки на остатки шести инсектицидов. Simmons Perez. Responses of raisin moth larvae to residues of six insecticidal sprays. «J. Econ. Entomol.», 1960, 53, № 5, 975—976 (англ.).—Бумагу опрыскивали эмульсиями или суспензиями инсектицидов, подсушивали в течение одних суток и на образцах ее экспонировали взрослых гусениц *Ephestia figulilella* Greg. на 15—20 мин. Для определения устойчивости токсичных остатков во времени подсаду гусениц производили на образцы бумаги, хранившиеся различное время (до 11 суток) после обработки инсектицидами. Учет гибели гусениц производили на протяжении 10 дней. Экспонирование гусениц на 2—4-дневных остатках малатиона (0,92—1,08 г/м²) приводило к гибели всех гусениц на 3—5 день, но однодневные остатки были менее токсичны, чем 2—4-дневные; после 11-дневного хранения большая часть токсичности остатков оказалась утраченной. Остатки лямбдана (1,45 г/м²), ДДТ (0,92 г/м²), пиретрина (0,12 г/м²) в смеси с пиперонилбутоксидом (1,2 г/м²), хлордана (0,95 г/м²) и смеси лямбдана с хлорданом были существенно менее эффективны.

П. Попов

9Л477. Фосфорорганические инсектициды. Ямамото Р. «Юки госяй какагу кёкайш, J. Soc. Organ. Synth. Chem., Japan», 1960, 18, № 8, 531—542 (японск.).—Обзор. Библ. 28 назв.

А. Р.

9Л478. Поведение метиллатриона в организме некоторых насекомых. Tomizawa Chojiro, Sato Toshiro, Fukami Jun-ichi, Mitsuhashi Jun. «Ботю какагу, Botyu kagaku, Scient. Insect Control», 1960, 25, № 3, 91—99 (англ.; рез. японск.).

9Л479. Важная роль смачивающих веществ в повышении токсичности некоторых инсектицидов. Hartzell Albert, Wilcoxon Frank. The importance

of wetting insecticide № 7, 42 активност активност пропил) - ного кле ожидать шей от тритона 11, 23 и такие к оно был 9Л480. применя niza w Hiroo, insectici kagaku, (англ.: 9Л481. частно) len La cide field Valley, 170 (ан Aedes примен метилти тилтри: СД4402. вызвал препара лично цид (8 расходо (0,28 + давали 9Л48 Culex rick mosqu № 5, 7 60 раз с неуч к мал дригу 9Л48 грану: ных и Lew betwe tes a № 3, пастб комар рабат преп ратио ралли конц цидо испы в 2 Эфф 24 ч няли траг нок пара 0,11- 9Л сект Isa

of wetting agents as affecting the toxicity of certain insecticides. «Contribs Boyce Thompson Inst.», 1960, 20, № 7, 421—424 (англ.).—Добавление поверхностно-активного в-ва тритона X-155 повышало контактную активность р-ра О,О-диметил-S-(2,3-дихлорометокси-пропил)-дитиофосфата (I) для обыкновенного паутиного клеща значительно сильнее, чем можно было бы ожидать при аддитивном действии. Так, гибель клещей от р-ров I (0,004%), тритона (1%) и смеси I и тритона (0,004 + 0,1%) вызвала гибель соответственно 11, 23 и 88% клещей. Добавление тритона приводило также к повышению акарицидности малатиона, но оно было не так резко выражено. П. Попов

9Л480. Судьба фосфорорганических инсектицидов, применяемых для опрыскивания растений риса. Tomizawa Chojiro, Sato Toshiro, Yamashina Hiroo, Kubo Hiroshi. Fate of organophosphorus insecticides sprayed on rice plant. «Ботю кагаку, Botyu kagaku, Scient. Insect Control», 1960, 25, № 3, 99—105 (англ.; рез. японск.).

9Л481. Опыты борьбы с комарами на заливных пастбищах в Сан-Хоакин штат Калифорния. Lewallen Lawrence L., Gjullin C. M. Mosquito larvicide field tests in irrigated pastures of the San Joaquin Valley, California. «Mosquito News», 1960, 20, № 2, 168—170 (англ.).—В борьбе с IV возрастом личинок комаров *Aedes nigromaculis* Ludlow и *Culex tarsalis* Coquillett применялись препараты: Байер 29493 (О,О-диметил-4-метилтио-м-толилтиофосфат) (I), метилпаратон, метилтритон, бартрин, препарат Гейги 30494 и Шелл СД4402. Наибольшую смертность личинок обоих видов вызвал I в дозах 0,056 и 0,028 кг/га. Бактерицидный препарат турицид недостаточно эффективен. Против личинок, устойчивых к паратону, эффективен метацид (80% метилпаратона + 15% этилпаратона) при расходе 0,11 кг/га. Смесь малатион + Шелл СД4402 (0,28 + 0,056 или 0,11 + 0,056 кг/га соответственно) давали 100%-ную гибель личинок. С. Рославцева

9Л482. Изучение устойчивости к малатиону у *Culex tarsalis*. Darrow Darrell I., Plapp Frederick W. Studies on resistance to malathion in the mosquito, *Culex tarsalis*. «J. Econ. Entomol.», 1960, 53, № 5, 777—781 (англ.).—Колония *Culex tarsalis* Coq., в 80 раз более устойчивая к малатиону по сравнению с неустойчивой расой, оказалась резистентной также к маллаксону, этилмалатиону, ко-ралу, ДДТ и дильдрину. А. Рышка

9Л483. Полевые опыты по сравнению токсичности гранулированных и концентрированных эмульсионных препаратов для личинок комаров. Rai Lallan, Lewallen Lawrence L. Field-study comparisons between insecticidal granules and emulsion concentrates against mosquito larvae. «Mosquito News», 1960, 20, № 3, 267—271 (англ.).—Участки (по 110 м²) поливных пастбищ, зараженных личинками (III и IV возрастов) комаров *A. nigromaculis* Ludlow и *C. tarsalis* Coq., обрабатывали путем ручного рассева гранулированными препаратами дисистона (2,5%), малатиона (10%), паратона (5%), тимета (5%) или тритона (5%). В параллельном опыте такие же участки опрыскивали конц. (20—57%-ными) эмульсиями этих же инсектицидов с помощью ручного опрыскивателя. Препараты испытывали в 3—4 дозах, каждая из которых была в 2 раза ниже или выше ближайшей к ней дозы. Эффективность уничтожения личинок, по учету через 24 часа после обработки, не зависела от того, применялись ли гранулированные препараты или концентраты. Полное или почти полное уничтожение личинок было достигнуто при дозе дисистона, малатиона, паратона, тимета и тритона 0,6, 0,15, 0,015, 0,015 и 0,11—0,22 кг/га соответственно. П. Попов

9Л484. Лабораторная и полевая оценки новых инсектицидов для личинок комаров. Mulla Mir S., Isaak Lewis W., Axelrod Harold. Laboratory

and field evaluation of new insecticides against mosquito larvae. «Mosquito News», 1960, 20, № 3, 256—261 (англ.).—По лабор. опытам, проведенным с личинками IV возраста комаров *Culex quinquefasciatus*, наиболее токсичным инсектицидом из числа новых испытанных найден SD-4402. Остальные 9 лучших инсектицидов, токсичность которых была промежуточной между токсичностью паратона и малатиона, расположились в следующий ряд по убывающей токсичности: байер 29493 (О,О-диметил-О-3-метил-4-метилтиофенилтиофосфат), байер 34042, дикапто, опытный нематоцид 18133 (О,О-диэтил-О-пирозинил-2-тиофосфат), байер 22408 (О,О-диэтил-О-нафталоксимидтиофосфат), этилгуттрон, АС 5727 (м-изопропилфенил-N-метилкарбамат), байер 25141 (О,О-диэтил-О-н-метилсульфинилфенилтиофосфат) и метилтритон (О,О-диметил-S-н-хлорфенилтиометилдитиофосфат). По предварительным испытаниям на заливных пастбищах, выгонах для уток, утиных прудах и реках лучшую эффективность борьбы с личинками IV возраста *C. tarsalis* показали SD 4402, байер 29493, байер 25141, метилтритон, АС 5727 и опытный нематоцид 18133.

П. Попов
9Л485. Испытание нескольких системных инсектицидов для борьбы с вредителями азалии. Johnson Warren T. Studies with several systemic insecticides for the control of azalea lace bugs. «J. Econ. Entomol.», 1960, 53, № 5, 839—841 (англ.).—Для борьбы с *Stephanitis pyrioides* Scott в почву под растения азалии вносили гранулированные инсектициды: 8%-ный диметоат (~45 г/м²), дисистон (~90 г/м²) и фورات (~9 кг/га). Фورات не обладал системным действием. Фитотоксическое действие препаратов не отмечено. А. Рышка

9Л486. Биологическое разложение О,О-диэтил-О-нафталмидтиофосфата (байера 22408). Boyd N. R., Jr., Arthur B. W. Biological degradation of О,О-diethyl О-naphthalimido phosphorothioate (Bayer 22408). «J. Econ. Entomol.», 1960, 53, № 5, 848—853 (англ.).—Метаболизм байера 22408 в крысах, насекомых (четыре вида) и растении хлопчатника протекал одинаковыми путями. Установлено наличие семи продуктов метаболизма — кислородного аналога, О-этилфосфорной, О,О-диэтилфосфорной и О,О-диэтилтиофосфорной к-т, 3 соединения не идентифицированы. В теле крыс байер 22408 быстрее превращался в водорастворимые продукты, чем в насекомых. Острая пероральная доза LD₅₀ байер 22408 для белых крыс равна 335 мг/кг, а субкутанная > 1000 мг/кг; для комнатной мухи контактная LD₅₀ равна 10 г/г. Этот активный контактный инсектицид стабилен на растениях и не обладает в растениях и животных системной инсектицидностью. Из резюме автора

9Л487. Эффективность смесей севи + сезамекс в борьбе с взрослыми мушкетерами хрущачами (*Tribolium* spp.). Speirs Roy D. The effectiveness of Sevin-sesamex combinations against adult flour beetles (*Tribolium* spp.). «J. Econ. Entomol.», 1960, 53, № 5, 974 (англ.).

9Л488. Смесей акарицидов с повышенной активностью. Herne D. C. Combinations of acaricides with complementary activity. «J. Econ. Entomol.», 1960, 53, № 5, 967—968 (англ.).—Опрыскивания смесями тедиона с индополом Л-100, фосдрином или гуттином обыкновенного паутиного клеща на растениях фасоли давали более высокий начальный и защитный эффекты, чем можно было бы ожидать, исходя из правила аддитивности. Наиболее высокий эффект получен от смеси тедиона с индолом. Для опытов использовали популяцию клещей, устойчивую к паратону, этнону и диметоату. П. Попов

9Л489. Биосыпание инсектицидов. Pradhan S., Jotwani M. G., Sarup Prakash. Bio-assay of insecticides. «Indian J. Hortic.», 1959, 16, № 4, 252—254 (англ.).—На основании определения СК₅₀ установлен

следующий порядок сравнительной токсичности для цитрусовой листоблошки *Diaphorina citri* Kuw. инсектицидов (от более к менее токсичному): паратин, эндрин, тиодан, дильдрина, диптерекс, малатин, тимет, диазинон, хлордан, γ -ГХЦГ, p,p' -ДДТ, токсафен, пиретрины, никотинсульфат, гентахлор и изодрин. Паратин в 36 раз более токсичен, чем изодрин.

Е. Гранин
9Л1490. Токсичность некоторых инсектицидов для личинок пятого возраста пустынной саранчи. Mac-Cuaig B. D. The toxicity of some insecticides to fifth-instar nymphs of the desert locust. «Ann. Appl. Biol.», 1960, 48, № 2, 323—335 (англ.).—При испытании методом местного нанесения средние смертельные дозы γ -ГХЦГ, диазинона, дильдрина, ДНК, гентахлора и паратина для личинок V возраста пустынной саранчи *Schistocerca gregaria* (Forsk.) составили соответственно 8,7, 12,7, 1,9, 12,5—43, 5,7 и 1,9 г на 1 г веса тела насекомого. Устойчивость личинок к γ -ГХЦГ и ДНК изменялась в зависимости от времени, прошедшего от момента линьки до опыта.

Е. Гранин
9Л1491. Полевые опыты по борьбе с насекомыми, повреждающими хлопчатник во второй половине вегетационного сезона 1959 г. Cowan C. B., Jr, Davis J. W., Parencia C. R., Jr. Field experiments against several late-season cotton insects in 1959. «J. Econ. Entomol.», 1960, 53, № 5, 747—749 (англ.).—Приведены результаты мелкодозыльного испытания метилпаратина, тритиона, диметона, гуттиона, этиона, севина, стробана, токсафена, ДДТ, шелл SD-3562, 4402, 5539, 25141, тейги-30494 и *Bacillus thuringiensis* в качестве средств борьбы с хлопковым долгоносиком, коробочным и листовым червям, хлопковой тлей и паутинным пустынным клещом.

П. Попов
9Л1492. Использование эндрина и других инсектицидов против салатной корневой тли *Pemphigus bursarius* L. Dunn J. A. The use of endrin and other insecticides against lettuce root aphid, *Pemphigus bursarius* L. «Ann. Appl. Biol.», 1960, 48, № 2, 314—322 (англ.).—Против корневой тли *Pemphigus bursarius* L., повреждающей салат-латук, испытаны эндрин (I), диазинон (II), лямдан, шрадан, алдрин и тимет 44-D. При внесении в почву I и II (по 4,5 кг/га) численность тлей на корнях значительно снизилась. I дал положительные результаты при испытании способом обработки семян перед посевом. II оказался наиболее эффективным при опрыскивании растений после проведения пикировки.

Е. Гранин
9Л1493. Применение почвенных инсектицидов для борьбы с картофельными тлями и вирусными болезнями. Burt P. E., Broadbent L., Heathcote G. D. The use of soil insecticides to control potato aphids and virus diseases. «Ann. Appl. Biol.», 1960, 48, № 3, 580—590 (англ.).—Тимет рассеивали по посадочной борозде в смеси с гранулированным удобрением или же помещали в виде шариков по одному (0,31 г инсектицида) под каждый клубень картофеля. В обоих случаях расход инсектицида составлял 10,6 кг/га. Рогор внесли под каждый клубень только в виде шариков по 0,35 г при дозе 11,8 кг/га. Стойкость доз препаратов тимета или рогора примерно равнялась стоимости препарата ДДТ, потребного для трехкратного опрыскивания в дозе по 2,2 кг/га. На растениях в вариантах с обработкой смесью тимета с гранулированным удобрением или рогором тлей не было, начиная через неделю после появления всходов и до начала августа. Внесение тимета в индивидуальные дозы под клубень очень сильно снизило зараженность тлями, хотя и не в такой степени, как в предыдущих двух случаях. Все обработки сильно снизили зараженность картофеля вирусом X (скручивание листьев), но лишь слабо понизили заболевание вирусом Y. Ни в одном из вариантов растения не пострадали от инсектицидов: урожай во всех случаях был нормальный. Опре-

деление антихолинэстеразной активности хлороформных экстрактов из клубней нового урожая показало содержание в последних тимета 0,2 мг/кг (в варианте с внесением совместно с удобрением), а рогора 50 мг/кг; по хим. анализу содержание рогора было < 0,1 мг/кг. Развитие ростков клубней нового урожая, собранного с делянок, обработанных инсектицидами, шло немного медленнее, а тля развивалась на этих ростках не так быстро, как на контрольных.

П. Попов
9Л1494. Остаточная токсичность некоторых основных инсектицидов для взрослых комаров *Anopheles quadrimaculatus* Say. LaBrecque G. C., Gahan J. B., Wilson H. G. Residual effectiveness of some new insecticides against adults of *Anopheles quadrimaculatus* Say. «Mosquito News», 1960, 20, № 3, 238—241 (англ.).—Определена начальная токсичность и устойчивость остатков 19 новых инсектицидов в опытах с 1—2-дневными комарами *A. quadrimaculatus*. Популяция комаров была чувствительна к ДДТ, но к дильдрину личинки были в 100 раз более устойчивы, чем личинки чувствительной популяции, а гибель взрослых комаров не превышала 16% после 1-часового экспонирования на бумаге, обработанной 0,8%-ным р-ром дильдрина, согласно стандартному методу ВОЗ. Ацетоновыми р-рами опрыскивали пластинки фанеры из расчета расхода соединения 1075 мг/м². Токсичность остатка определяли периодически — первый раз через 1 сутки, последний через 24 недели. Продолжительность экспонирования комаров на пластинках колебалась от 1 до 120 мин.; учет гибели производили через 24 часа после экспонирования. За эталоны принимали ДДТ и малатон. Наиболее эффективным найден AC-5727 (м-изопропилфенилметилкарбамат), давший гибель 97—100% комаров, экспонированных 15 мин. на 24-недельном остатке. При этом возрасте инсектицидного остатка малатон и ДДТ обычно вызывали гибель 100% комаров при экспозициях 30 и 60 мин. соответственно. Соединение байер 29493 [O, O-диметил-O-(4-метилтио-м-толил)-тиофосфат] в течение первых 15 недель, а монсанто CP 11223 [2,2-дихлор-1-(диметилфосфинил)-винилидендиметилфосфат], ам. п-анамид 12008 [O, O-диэтил-S-(изопропилтиометил)-дитиофосфат] и байер 24869 (1-хлорметилэтил-2-дихлорэтилфосфат) в течение первой недели давали лучшие результаты, чем малатон и ДДТ. 24-недельные остатки севина вызывали гибель 100%, а метилтритиона и диметата 97—100% при экспонировании комаров на остатках первых двух инсектицидов в течение 60 мин., а на остатках последнего 120 час.

П. Попов
9Л1495. Факторы, влияющие на устойчивость хлопкового долгоносика к арсенату кальция. Tsao Ching H., Lowry W. L. Factors affecting the tolerance of boll weevils to calcium arsenates. «J. Econ. Entomol.», 1960, 53, № 5, 844—847 (англ.).

9Л1496. Опыты с соединениями, нарушающими обмен у комнатных мух. LaBrecque G. C., Adcock P. H., Smith Carroll N. Tests with compounds affecting house fly metabolism. «J. Econ. Entomol.», 1960, 53, № 5, 802—805 (англ.).—N-[n-(2,4-диамино-6-птеридилметилметиламино) - бензоил] - глутаминовая к-та (аметоптерин, метотрексат), дававшаяся комнатным мухам вместе с кормом (0,0001 г/г), вызывала стерильность самок комнатных мух. Эта же способность, но выраженная не так сильно, найдена у некоторых других из изученных 200 соединений.

П. Попов
9Л1497. Добавки к корму с целью уничтожения личинок комнатных мух в экскрементах домашних животных. Harvey T. L., Brethour J. R. Feed additives for control of house fly larvae in livestock feces. «J. Econ. Entomol.», 1960, 53, № 5, 774—776 (англ.).—Полибор 3 (технич. Na₂B₄O₇·4H₂O), смешанный с экскрементами рогатого скота из расчета 2 г/кг,

полностью комнатных мух, а также их личинок. С 0,125 г этого опыта с б-рами) раз патогенности 9Л1498. гаку кёка 1960, 18, № 9Л1499. бе с рыжи Tests with (Florida E 9Л1500. импрегнир-их эффек- gold. Eff by solvent 1960, 53, № 9Л1501. ным сили- mosquitoe 1960, 53, № 9Л1502. тми кле- ли сорбц of the sn and certa Econ. Ent 9Л1503. ния диот- ская В. 1960, 29, адетовов нападени > 18 час. удлиняет консистен- талька и длительно изомера стойким и менее 9Л1504. некоторые hum con ses of et sed flour mol.», 19 9Л1505. термита Henry wood te 28, № 1 рактири на (фто заражи Ракеми 24 часа 9Л1506. ки спо- гальк animal lents a 53, №

полностью предотвращал развитие личинок из яиц комнатных мух, но при ежедневном скормливание бычкам корма с полибором 3 (до 100 г за 1 день) экскременты были совершенно нетоксичны для личинок мух. По-видимому, очень значительная часть полибора 3 выделяется с мочой и лишь незначительная часть с твердыми экскрементами. Добавление препарата *Bacillus thuringiensis* к экскрементам животных в дозе 200—300 мг или 5—8 млрд. спор на 1 кг полностью или почти полностью предотвратило развитие личинок. Скармливание бычку по 20 г, а курам по 0,125 г этого же препарата в день предотвращало (в опытах с бычком) или сильно снижало (в опыте с курами) развитие личинок. Ауросоминин не снижал патогенность *B. thuringiensis*.

П. Попов
9Л498. Нематоды. Иятоми К. «Юки госэй катану кейсай, J. Soc. Organ. Synth. Chem., Japan», 1960, 18, № 8, 543—549 (японск.).—Обзор.

9Л499. Испытания пяти кварцевых dustов в борьбе с рыжим тараканом. Eastin J. L., Burden G. S. Tests with five silica dusts against German cockroaches. «Florida Entomologist», 1960, 43, № 3, 99—102 (англ.).

9Л500. Влияние растворителей, используемых для импрегнирования гранулированных инсектицидов, на их эффективность. Mulla Mir S., Axelrod Harold. Efficiency of granulated insecticides influenced by solvents used for impregnation. «J. Econ. Entomol.», 1960, 53, № 5, 938—949 (англ.).

9Л501. Чувствительность комаров к инсектицидным силикагелям. Micks Don W. Susceptibility of mosquitoes to silica gel insecticides. «J. Econ. Entomol.», 1960, 53, № 5, 915—918 (англ.).

9Л502. Борьба с клещом *Ophionyssus natricis*, другими клещами и некоторыми насекомыми при помощи сорбиционного dusta. Tarshis I. Barry. Control of the snake mite (*Ophionyssus natricis*), other mites, and certain insects with the sorptive dust, SG 67. «J. Econ. Entomol.», 1960, 53, № 5, 903—908 (англ.).

9Л503. Предварительные данные полевого испытания диэтилтолуамидов. Иванова Л. В., Ставровская В. И. «Мед. паразитол. и паразитар. болезни», 1960, 29, № 5, 564—570 (рез. англ.).—40—50%-ные ацетоновые р-ры диэтилтолуамида (I) защищали от нападения комаров родов *Aedes* и *Mansonia* в течение > 18 час. Репеллентное действие р-ров слабых концентраций удлинняется, если к ним добавляют наполнители до консистенции мази, напр. ~40% вазелина, ~20% талка и вазелинового масла. Из изомеров I наиболее длительное защитное действие оказывают р-ры параизомера I. 10%-ный р-р I в диметилфталате обладает стойким защитным действием в течение 12—14 час. и менее токсичен.

А. Рышка
9Л504. Эффективность низких доз дибромэтана на некоторые стадии развития мучного хрущака *Tribolium confusum*. Loschiavo S. R. Effects of low doses of ethylene dibromide on some stages of the confused flour beetle, *Tribolium confusum*. «J. Econ. Entomol.», 1960, 53, № 5, 762—767 (англ.).

9Л505. Викан — новый фумигант для борьбы с термитами, повреждающими сухую древесину. Gray Henry E. Vikane, a new fumigant for control of drywood termites. [Kaloterms spp.]. «Pest Control.», 1960, 28, № 10, 43—46 (англ.).—Дана производственная характеристика нового эффективного фумиганта — викана (фтористого сульфурила), предлагаемого для обеззараживания помещений от термитов *Kaloterms* spp. Рекомендуемая доза 32 г/м³ при $\geq 12^\circ$; экспозиция 12—24 часа.

П. Попов
9Л506. Применение животной мембраны для оценки способности химических веществ отпугивать жалку обыкновенную. Granett Philip. Use of an animal membrane in the evaluation of chemical repellents against the stable fly. «J. Econ. Entomol.», 1960, 53, № 3, 432—435 (англ.).—Для отборочных испыта-

ний применена пленка, изготовленная из бычьей слепой кишки, продающейся под названием «силверлайт». Мух помещали на пленку, которая с противоположной стороны контактировала с теплой кровью, содержащей испытуемое в-во. Сравнительную способность в-в отпугивать определяли по кол-ву мух-жигалок, которые питались кровью или, наоборот, отказывались от питания через пленку. Подсчет питавшихся мух облегчался, если в кровь вводили флуоресцирующее в УФ-свете в-во. Результаты, полученные при применении этого метода, лучше соответствуют результатам полевых опытов, проводимых непосредственно на животных, чем в случае пользования хлопчатобумажной тканью, пропитываемой испытуемым в-вом.

П. Попов
9Л507. Сравнение стандартных экспозиметров Всемирной организации здравоохранения, предназначенных для биологического метода определения инсектицидных остатков на стенах с использованием взрослых насекомых. Armstrong J. A., Bransby-Williams W. R. Observations on the world health organization adult test kit for bioassay of insecticide deposits on wall surfaces. «Mosquito News», 1960, 20, № 3, 297—305 (англ.).—Для сравнения взяты стандартные концы, и чашечный экспозиметры. В качестве индикаторов использованы взрослые комары нескольких видов. Конеч. экспозиметр удобен для определения остатков на гладких и неровных поверхностях, а чашечный только на гладких. Оба экспозиметра дают одинаковые, хорошо воспроизводимые результаты в опытах с ДДТ и дильдрином.

П. Попов
9Л508. Изучение биологических методов определения остатков пестицидов в пищевых продуктах. Needham P. H. An investigation into the use of bioassay for pesticide residues in foodstuffs. «Analyst», 1960, 85, № 1016, 792—809 (англ.).—Обзор. Биолитч. методы качеств. и колич. определения остатков инсектицидов, фунгицидов и гербицидов в пищевых продуктах. Сводка составлена на основании личного ознакомления с работами соответствующих лабораторий в Англии, Голландии, Германии и Швейцарии, а также изучения литературы. Библ. 98 назв.

П. Попов
9Л509. Токсичность пестицидов. Ferguson H. Note on toxic pesticides. «Assam Rev. and Tea News», 1960, 49, № 7, 409—410 (англ.).

9Л510. Профессиональные заболевания в Калифорнии, вызванные пестицидами и удобрениями. Kleinman Goldy D., West Irma, Augustine Marguerite S. Occupational disease in California attributed to pesticides and agricultural chemicals. «Arch. Environment. Health», 1960, 1, № 2, 118—124 (англ.).—В штате Калифорния, США, число заболеваний, связанных с применением пестицидов и удобрений, возросло с 400 в 1951 г. до 749 в 1957 г. Из 749 заболеваний 229 вызваны фосфорорганич. пестицидами, 77 галогенированными углеводородами, 37 соединениями Pb и As, 5 дианамидом, 67 гербицидами и дефолантами, 39 удобрениями, 5 ртутьорганич. в-вами, 26 фунгицидами, 32 производными фенола, 3 дианамидом и 229 другими пестицидами и фумигантами. В 55% случаев констатирован дерматит, в 34% хронич. отравление, в 8% нарушения органов дыхания. До 60% заболевших падало на работников с. х., 12% на работников пром-сти, 9% на работников торговли. В 87% случаев заболевание повлекло за собой освобождение от работы на срок до 2 недель. Зарегистрирован смертельный случай отравления демотомом.

А. Верещагин
9Л511. Влияние инсектофунгицидных опрыскиваний на прирост саженцев яблони в питомниках. Gambrell F. L., Gilmer R. M. The influence of insecticide-fungicide spray programs on the growth of apple nursery trees. «J. Econ. Entomol.», 1960, 53, № 5, 717—719 (англ.).—Трехлетние опрыскивания питом-

ника фунгицидами и инсектицидами существенно улучшили прирост и качество осадочного материала и были экономически выгодными. Наилучшим фунгицидом была S (0,6%), а наиболее эффективными инсектицидами смесь диметона (0,035%) с ДДТ (0,12%) и смесь ливдана (0,03%) с ДДТ (0,12%). Опрыскивания применяли ежегодно 4 раза в сезон через 2-недельные интервалы.

П. Попов
9J512. Ртутьорганические фунгициды. Исикава Т. «Юки госсэй кагаку кёкайси, J. Soc. Organ. Synth. Chem., Japan», 1960, 18, № 8, 550—564 (японск.).—Обзор. Библ. 12 назв.

9J513. Фенилртутные соединения как фунгициды. Hoffmann E., Georgoussis O. Phenylmercury compounds as fungicides. «J. Oil and Colour Chemists' Assoc.», 1960, 43, № 11, 779—786 (англ.).—Определена упругость паров фенилмеркурацетата (I), фенилмеркурхлорида (II) и фенилмеркурнитрата (III) (основного). Параметры A и B для уравнения $\lg p = -(A:T) + B$ (где p — парц. давление в мм рт. ст., T — t-ра в °C) найдены соответственно равными: для I, II и III соответственно 4627 и 10,178, 4130 и 8,549, 3295 и 5,579. Растворимость I, II и III в воде при 20° найдена равной соответственно 0,47, 0,003 и 0,06%. При такой малой упругости паров и растворимости в воде нельзя ожидать заметного исчезновения фенилртутного фунгицида из пленки пигмента в результате испарения и вымывания водой. Снижение фунгицидной активности в пленках пигмента, с введенным в него фенилртутным соединением, может происходить в результате взаимодействия фунгицида с H_2S , находящимся в воздухе, и образованием малолетучих и поэтому неактивных ртутных соединений: $2C_6H_5HgR + H_2S \rightarrow (C_6H_5Hg)_2S + 2HR$; $(C_6H_5Hg)_2S \rightarrow (C_6H_5)_2Hg + HgS$. Установлено, что фенилртутные соединения реагируют с сульфидными пигментами, давая нефунгицидные в-ва; р-ция точно неизвестна, но, по-видимому, она протекает, напр. с ZnS , по ур-нию: $2C_6H_5HgR + ZnS \rightarrow (C_6H_5Hg)_2S + ZnR_2$. В пигменты, содержащие сульфиды — литопон, сульфид Cd и прочие, не следует вводить фенилртутные фунгициды. Эти фунгициды не реагировали с рутилом, анатазом, двуокисью Ti, оксидами Fe, углекислым Ca и кремнекислотой. П. Попов

9J514. Новый органический фунгицид ТМТД и его применение для обработки хранящейся кукурузы. Ричардс С. TMTD — novi organski fungicid i njegova primjena u svrhu zaprašivanja kukuruza pred uskladištenje. «Kemija u industriji», 1960, 9, № 7, 194 (серб.-хорв.).—50%-ный препарат ТМТД применяется для борьбы с болезнями семенной кукурузы, репы, лука и др. 75%-ный препарат эффективен в борьбе с *Venturia* на яблонях и грушах и с *Pezizospora* на винограде. А. Р.

9J515. Результаты испытаний новых сложнорганоческих препаратов против болезней хвой лиственных. Шафранская В. Н. «Сб. работ по лесн. х-ву. Всес. н.-и. ин-т лесоводства и механиз. лесн. х-ва», 1960, вып. 43, 141—153.—В лаборатор. и полевых опытах по борьбе с грибами *Meria laricis* V. лучшие результаты получены при 3-кратном опрыскивании почвы и хвои 0,5%-ным цинебом (первое опрыскивание проводили в период появления хвои). Также эффективно 3-кратное опрыскивание 0,4%-ным фигоном. Сохранность семян при обработке составляла 97—100%. Обработка благоприятно сказывается также на росте семян и продуктивности посевов. Фигон и цинеб в конц-ях > 0,5 и 0,7% соответственно были фитотоксичны. А. Рыпка

9J516. Борьба с синевой древесины. Часть I. Costa E. W. B. da. Control of blue stain. Part I. «J. Timber Dryers' and Preservers' Assoc. India», 1960, 6, № 3, 4—9 (англ.).—Описаны меры, обычно применяемые в Австралии для предотвращения поражения древесины синевой. Из фунгицидов рекомендуются $CaCl_2ONa$ (I) в смеси с бурой или без буры. Для защиты необработанного лесоматериала используют водн. 2,5%-ные

р-ры I или смесь I (1,9%) с бурой (3,8%); при сильных дождях и подобных благоприятных для поражения синевой условиях лучшие результаты дает р-р I (3,1%) в дизельном топливе. При поражении лесоматериалов коровыми и стволковыми вредителями рекомендуется добавлять к фунгицидному масляному р-ру ГХЦГ из расчета получить в р-ре 0,5% γ-изомера. При отсутствии указанных поражений неокоренные лесоматериалы можно обрабатывать только на местах среза. Для защиты пиломатериалов, которые не могут быть сразу высушены, пользуются водн. р-рами I (2,5%) с бурой (7,5%). На 100 м³ досок толщиной 2,5 см расходуется в среднем 73 л р-ра. П. Попов

9J517. Гербициды, их будущее и задачи. Мунаката К. «Юки госсэй кагаку кёкайси, J. Soc. Organ. Synth. Chem., Japan», 1960, 18, № 8, 575—582 (японск.).—Обзор. Библ. 32 назв.

9J518. Обзор применения гербицидов для борьбы с сорняками сахарного тростника в северной части Квинсленда (Австралия). Rehbein C. A., Bates G. A review of chemical weed control in North Queensland cane fields. «Cane Growers' Quart. Bull.», 1960, 24, № 1, 27—29 (англ.).—2,4-Д применяют для дождевого уничтожения сорняков сахарного тростника. Особенно эффективен гербицид против лука гусиного желтого (*Gagea lutea* Ker.). В вегетацию 2,4-Д можно применять в дозе 0,84 кг/га.

Л. Столов
9J519. Химические стимуляторы роста деревьев. Dean W., Buijtenen J. P. van. Chemical spurs tree growth. «Einsprach Pulp and Paper Internat.», 1960, 2, № 6, 40—42 (англ.).—Обзор. Стимуляция роста деревьев хвойных и лиственных пород путем опрыскивания гибберелловой к-той. Библ. 6 назв. Н. Руданова

9J520. Новые производные кумарина и метод их получения. Nouveaux dérivés de la coumarine et procédés de préparation de ceux-ci. [Darius Molho]. Франц. пат. 1206393, 9.02.60.—Активные в качестве ратицидов антикоагулянты, производные 4-оксикумарина, имеющие в положении 3 боковую цепь $CH_2CHRCOR'$ (где R = H, CH_3 , R' = фенил, содержащий в качестве заместителя алкил, арил, OH, оксалкил, NO_2 -группу, галоген), получают р-цией 4-оксикумарина (I) с основаниями Манниха-флы $R''NCH_2CHRCOR'$ с отщеплением $R''N$. Примеры. 1) Смесь 0,01 моля хлоргидрата β-пинперидинопропиофенона с 0,01 моля I нагревают 15 мин. при 150°, по охлаждению прибавляют 10%-ный р-р NaOH, извлекают эфиром, шел. р-р подкисляют и выделяют 3-(2'-бензоил)-этил-I (II), выход 50%, т. пл. 152° (из CH_3OH); 2) 2,5 г бензоилуксусноэтилового эфира и 1,5 г 3-бромметилацетил-I нагревают 2 часа при 130° в среде 15 мл C_6H_5N , прибавляют 5%-ный р-р NaOH, перемешивают, декантируют, после выдержки водн. р-р подкисляют, выпадают кристаллы, которые после сушки растворяют в кипящем спирте, остается 20% нерастворимого остатка (дикумарин, т. пл. 288°), фильтрат сгущают досуха и перекристаллизируют из 80%-ной CH_3COOH получают с выходом 42% II. Из 2,84 г хлоргидрата β-пинперидино-1-метоксипропиофенона и 1,6 г I при нагревании 15 мин. при 180° получают с выходом 30% 3-[2'-(4'-метоксibenзоил)-этил]-I, т. пл. 173°. При нагревании этой же смеси в 15 мл C_6H_5N при 130° 2 часа выход продукта составляет 85%. Аналогично получают (приведены в-во, т. пл. в °C): 3-[2'-(2'-нитробензоил)-этил]-I, 169; 3-[2'-(2'-нитробензоил)-этил]-I, 187—188; 3-[2'-(2'-нафтоил)-этил]-I, 230; 3-[2'-(4'-фенилбензоил)-этил]-I, 180; 3-[2'-(4'-метокси)-бензоил]-этил-I, 193; 3-[2'-(4'-метокси)-бензоил]-этил-I, 126; 3-[2'-(4'-метил)-бензоил]-этил-I, 175.

О. Магдесон
9J521. Инсектицидный состав. Wallace Wilfred Nigel Willoughby, Lamond Maxwell James. An insecticidal composition. [Imperial Chemical Industries of Australia and New Zealand Ltd]. Ав-

страл. пат. в вид. рыймй х индрия, х (нение) и кой воде к-ту 1) R 68 ч фированй ванной о ления и дисперсии бутилоле сульфиди прибавли смеси. С костью д 9J522. древесни [Ямамин 22.04.60. 3 ч. ГХ 3,5 ч. ают 5 ч. эмульга моноолеи воды, п мин. эи ростью дупрежк активнх му вредите

9J523. фосфор zur He riester 1014988 пдныи О,О-ди HOCH₂ О,О-ди (не С) (R = С этилме раство просея ченной ния и фосфо дают лчаюи 9J524. киело ha d айуге 105943 ф-лы эольи р-цне 57 г

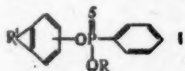
3-хло 40 г нагр волю О-(3- фони

страл. пат. 225841, 16.12.59.—Инсектицидные препараты в виде р-ров и эмульсий содержат водонерастворимый инсектицид (ДДТ, ГХЦГ, дильдрин, алдрин, эндрин, хлордан, токсафен или фосфорорганич. соединения) и добавки, повышающие растворимость в жесткой воде (сульфированные бутилолеаты или олеиновую к-ту, а также соли последних). Примеры: 1) К 68 ч. технич. ДДТ добавляют 26 ч. NH_4 -соли сульфированного бутилолеата и 6 ч. NH_4 -соли сульфированного олеиновой к-ты, смесь нагревают до расплавления и выливают в 10 000 ч. воды, получают тонкую дисперсию в воде с жесткостью до 0,1%; 2) К 100 ч. бутилолеата добавляют 7 ч. олеиновой к-ты, смесь сульфорируют конц. H_2SO_4 , нейтрализуют аммиаком и прибавляют технич. ДДТ из расчета 68 ч. ДДТ на 32 ч. смеси. Смесь диспергируют в 10 000 ч. воды с жесткостью до 0,1%.

В. Лившиц
9Л1522. Инсектицидный препарат для обработки древесины, кожи и других волокнистых материалов. [Японск. пат. 4150, 22.04.60.—К смеси, содержащей 5 ч. пентахлорфенола, 3 ч. ГХЦГ и 3 ч. о-дихлорбензола, 16,6 ч. C_6H_6 и 3,5 ч. ацетона, при хорошем перемешивании добавляют 5 ч. дегидроабетиламина, а затем неионогенный эмульгатор, напр., 6,7 ч. полиэтиленгликоль-сорбитан-моноолеата. Смесь перемешивают, добавляют 57,2 ч. воды, помещают в гомогенизатор и в течение 20—30 мин. эмульгируют при вращении смесителя со скоростью 2000—3000 об/мин. Полученная эмульсия предупреждает гниение древесины, обладает высокой эффективностью против муравьев, особенно против белых муравьев, а также может использоваться против вредителей кожи и как ингибитор коррозии железа.]

В. Зломанов
9Л1523. Получение нейтральных триэфиров тионофосфорной кислоты. Schräder Gerhard. Verfahren zur Herstellung von neutralen Thionophosphorsäureestern. [Farbenfabriken Bayer A.-G.] Пат. ФРГ 1014968, 13.02.58.—Соединения, обладающие инсектицидным действием, получают р-цией хлорангидридов О,О-диалкилтионофосфорных к-т со спиртами ф-лы $\text{HOCH}_2\text{CH}_2\text{SCH}_2\text{R}$ (I) (R—алкил, оксалкил или О,О-диалкилтионофосфаталкильный радикал, связан с CH_2 -группой через атом S или O). 65 г I (R = OC_2H_5), т. кип. $71^\circ/2$ мм, полученного из β-оксипропанол-2 и α-хлорметилэтилового эфира, растворяют в 300 мл толуола, прибавляют 75 г сухого пропанового K_2CO_3 , смешанного с 3 г тонкоизмельченного Si. Прибавляют по каплям при перемешивании и 80—90° 95 г монохлорангидрида О,О-диэтилтионофосфорной к-ты, выдерживают 4 часа при 90°, охлаждают до ~20°, фильтруют, р-ритель отгоняют и получают 40 г эфира, т. кип. $138^\circ/2$ мм.

М. Старосельская
9Л1524. Способ получения эфиров тиофосфоновой кислоты. Schlögl Hanshelmut, Schräder Gerhard. Verfahren zur Herstellung von Thiophosphorsäureestern. [Farbenfabriken Bayer A.-G.] Пат. ФРГ 1059456, 26.11.59.—Эфиры тиофосфоновой к-ты общей ф-лы (I) (R—алкил, R'—конденсированная с бензольным кольцом гетероцич. система) получают р-цией (RO) $\text{C}_6\text{H}_4\text{P}(\text{S})\text{H}$ с соответствующим фенолом. 57 г $(\text{C}_2\text{H}_5\text{O})\text{C}_6\text{H}_4\text{P}(\text{S})\text{Cl}$ (II) прибавляют к смеси 52 г



3-хлор-4-метил-7-оксимурина, 150 мл $\text{CH}_3\text{COC}_2\text{H}_5$, 40 г K_2CO_3 и 1 г медной бронзы. Реакционную массу нагревают 12 час. при 100°, фильтруют и выливают в воду. После обычной обработки выделяют 30 г О-(3-хлор-4-метилкумаринил-7)-О-этилфенилтионофосфоната (III), т. пл. 89° (из сп.). Р-р 22 г 2-метил-3-

карботокси-5-оксиндола в 200 мл C_6H_6 прибавляют к 5,5 г CH_3ONa в 20 мл CH_3OH при 20°, C_6H_6 и CH_3OH отгоняют, остаток растворяют в $\text{CH}_3\text{COC}_2\text{H}_5$ и прибавляют к нему 22 г II при 30—40°. Реакционную смесь кипятят 2 часа, промывают водой и выделяют О-(2-метил-3-карботоксиндолил-5)-О-этилфенилтионофосфонат, выход 45%, т. пл. $126\text{—}127^\circ$ (из смеси п-тр. эф.- C_6H_6). III в конц-ии 0,1% полностью уничтожает гусениц.

А. Грапов
9Л1525. Инсектицидный препарат и метод уничтожения насекомых. Fairchild Homer E. Insecticidal composition and method of destroying insects. [E. I. du Pont de Nemours and Co.] Пат. США 2920993, 12.01.60.—Инсектицидные препараты содержат наполнители и в качестве действующего начала <1% сезоксана (I) и 0,05—95% (лучше 0,1—10%) малатнона (II). Напр., концентрат дисперсии, содержащий (в %): II 27,4, I 5,0, алкил или арилсульфонат Na 0,5, метилцеллюлоза 0,25, каолин 44,55, диатомит 22,30, в виде ~2%-ной водн. дисперсии применяют для уничтожения вшей на крупном рогатом скоте при дозе 3,78 л на 1 животное. Концентрат дисперсии, содержащий (в %): II 53,7, I 5,0, синтетич. кремнезем 2,5, каолин 15,5, диэтилсульфосукцинат Na 0,5, метилцеллюлоза 0,25, применяют в виде водн. дисперсии для борьбы с долгоносиком на хлопчатнике в дозе 1,12 кг/га. Приманку, полученную разбавлением водой гомогената, содержащего (в %): II 1,5, I 0,5, сахар 15, песок 83 (величина частиц 50 м), применяют в дозе 0,306 г/м² для уничтожения комнатных мух в хранилищах сыра и масла.

В. Лившиц
9Л1526. Нематоциды. Birum Gail H. Nematocides control. [Monsanto Chemical Co.] Пат. США 2909457, 20.10.59.—В качестве нематоцидов активны замещ. в ядре дифенилсульфиды общей ф-лы $\text{R}_n\text{C}_6\text{H}_5\text{—nSc}_6\text{H}_5\text{—nR}_n$ (I, где R = Cl или NO_2 -группа, n = 1,2 или 3). Так, напр., 2,2',4,4'-тетранитродифенилсульфид в конц-ии 0,1% уничтожал корневую нематоду (в водн. культуре), а в конц-иях 0,1 и 0,01% полностью защищал томаты от той же нематоды. На почвах со средней зараженностью нематодой I применяют в дозе 56—112 кг/га. Для борьбы с нематодой I можно применять в виде водн. дисперсий или вводить в воду при орошении. I эффективны также в борьбе с эндопаразитич. червями (глисты, ленточные черви и др.) на скотных дворах, птицефермах и других местах.

В. Лившиц
9Л1527. Улучшенные инсектицидные препараты. Phillips Montague Alexander, Chapman Cyril Louis John. Improvements in insecticidal compositions. [Associated Fumigators Ltd.] Англ. пат. 833632, 27.04.60.—Добавление к $\text{FCH}_2\text{CONH}_2$ (I) 5—25-кратного (по весу) кол-ва CH_3CONH_2 (II) значительно снижает токсичность I для теплокровных, не уменьшая его инсектицидной активности. Водн. р-р, содержащий 0,005% I и 0,025% II, через 8,5 часа после обработки вызывал 100%-ную гибель тлей на розах. Смесь, содержащая I и II в весовом соотношении 1:9, имеет LD_{50} для лабор. крыс 25 мг/кг живого веса, в то время как LD_{50} I равна 15 мг/кг. Вместо II могут быть также добавлены $\text{C}_2\text{H}_5\text{OH}$, моноацетат глицерина, хлордаметамид, эфиры уксусной и других к-т и моно- и многоосновных спиртов (CH_3OH , $\text{C}_2\text{H}_5\text{OH}$, $\text{C}_3\text{H}_7\text{OH}$, глицерин, пентаэритрит, сорбитол, инозитол).

В. Лившиц
9Л1528. Способ отпугивания комаров и блох. Кост А. Н., Терентьев П. Б., Федер М. Л. Авт. св. СССР 132007, 20.09.60.—Для репеллентной обработки тканей предложено применять N-арилгексаметилен-имины, получаемые взаимодействием гексаметилен-имина с галоидангидридами ароматич. к-т в присутствии 20%-ного NaOH. Напр., ткань, пропитанная р-ром 1 ч. N-бензоилгексаметиленимила в 6 ч. диметилацетата, в дозе 30 г/м² защищает от укусов комаров 34

дня. Диметилфталат в той же дозе защищает 7 дней. Ткань, пропитанная N-бензилгексаметиленимином (доза при пропитке 80 мл на 1 м² ткани) отпугивает блох 5 месяцев.

9Л529. Порошкообразный медьсодержащий фунгицидный препарат для опрыскивания. Laubschat Carl-Otto. Fungicid wirksames pulverförmiges Kupferspitzmittel. [Schering A.-G.]. Пат. ФРГ 1059709, 3.12.59.—К смеси 61 ч. хлорокиси Cu и 24 ч. сульфитного щелока добавляют 12,5 ч. масла земляных орехов и 2,5 ч. продукта конденсации окиси этилена с лауриловым спиртом и перемешивают некоторое время. Вместо масла земляных орехов можно брать среднюю нефтяную фракцию. Полученный препарат, содержащий 35% Cu, в конц-ии 0,8% снижал поражение картофеля и томатов *Phytophthora* соответственно на 87 и 99%, тогда как обычный препарат хлорокиси Cu с содержанием 46% Cu в той же конц-ии соответственно снижал зараженность на 75 и 89%.

И. Мильштейн

9Л530. Комбинированный препарат фунгицидно-акарицидного действия. Зубов М. Ф., Морозова М. А. Авт. св. СССР 129428, 15.06.60.—Препарат содержит смесь 20% динитроортобензола, 70% колл. S и 10% сульфитного щелока. Введение S снижает токсичность препарата для растений и повышает его эффективность в борьбе с мучнисто-росными грибами и клещами.

А. Рыпка

9Л531. Фунгициды. Produits fongicides. [Poudreries Réunies de Belgique, Soc. An.]. Бельг. пат. 565945, 29.07.60.—В качестве фунгицидов активны производные 1-хлор-2,4-динитронафталина (I), содержащие в качестве заместителей в положениях 3, 5, 6, 7, 8 Cl, CH₃ или NO₂-группы. Напр., в качестве фунгицида активен препарат, содержащий (в %): 1-хлор-2,4,5-тринитронафталин (II) 50, игнепон Т (сульфонат алифатич. аммиа с длинной цепью) 5, лигниясульфонат Na 3, сывороточный альбумин 2, глина 40. Препарат смешивают с водой (0,05—5 кг на 400 л) и полученной суспензией опрыскивают растения. Все испытанные в-ва при конц-ии 0,000075—0,00125% тормозят прорастание спор *Botrytis cinerea*, пикниоспор *Dothichiza*, аскоспор *Nectria galligena*, а в конц-ии 0,00062—0,00125% прорастание конидий *Fusarium* sp. и *Alternaria solani*. При опрыскивании посадок картофеля для борьбы с фитофторой 0,01%-ным р-ром при дозе 100 мл/м² I по фунгицидной активности равен таким фунгицидам как хлорокиси Cu и бисэтилендиэтикарбамат Zn, а активность II и тетрахлор-2,4-динитронафталина превосходит активность обычных фунгицидов в 10—20 раз.

А. Верещагин

9Л532. Дихлорксиленилацетат и фунгицидные препараты, содержащие его. Martin Bernard Keat. Dichloroxylenol acetate and antifungal formulations containing it. [Aspro-Nicholas Ltd.]. Англ. пат. 832430, 13.04.60.—В качестве фунгицида активен 1-ацетокси-2,4-дихлор-3,5-диметилбензол (I), получаемый р-цией 2,4-дихлор-3,5-диметилфенола (II) с (CH₃CO)₂O (метод А) или CH₃COSCl в присутствии C₅H₅N или с водн. смесью NaOH и CH₃COSCl с последующим выделением I на реакционной смеси (метод Б). Смесь 19,11 г II и 20 мл (CH₃CO)₂O кипятят 4 часа, охлажд. смесь выливают в воду при перемешивании, образующую вязкую жидкость отделяют и перекристаллизуют из бензола или перегоняют в вакууме, получают I, т. кип. 156—157°/18 мм, т. пл. 44—46°. Аналогично методом А и Б получают I, который применяют в виде препаратов следующего состава: I 2 г, стеарат магния 8 г, тальк 90 г, а также состава: I 1 г, спирт 50 г, ацетон 1 г.

В. Лившиц

9Л533. Обработка семян хлопчатника препаратом, содержащим гиббереллин и фунгицид. Merritt James M. Cotton seed treatment and composition, using gibberellin and fungicide. [Merck & Co., Inc.]. Пат. США

2921440, 19.01.60.—Для обработки семян хлопчатника применяют фунгицидные препараты, содержащие в качестве действующего начала трихлорфенолат Zn (I) с добавкой гиббереллата K (II). Предпосевная обработка семян хлопчатника смесью 27 г I и 1 г II на 45,4 кг семян через 23 дня после обработки приводила к увеличению числа семян до 1488 по сравнению с 1278 в контрольном опыте, в то время как обработка семян I в дозе 0,59 кг/кг снижала число семян до 845, а обработка семян II (0,022 г/кг) до 506 семян. Смесь, содержащую 27 г I, 1,0 г II, 0,05 г красителя FD и C Green N 1, 130 мл CH₃OH и 90 мл кислоты, готовят растворением II в CH₃OH и смешением полученного р-ра с р-ром I в кислоте. Для обработки 908 г семян требуется 4,6 г указанной смеси.

В. Лившиц

9Л534. Ацилированные пиридазинидоны-3,6. Stefany David, Howard William L., Brown James W., Weintraub Robert L. Acylated 3,6-pyridazinones. [United States of America as represented by the Secretary of the Army]. Пат. США 2916491, 8.12.59.—Гербицидными свойствами обладают 3-ROC(O)-O-1,2-дигидропиридазиноны-6 (I) (R — низший алкил с неразветвленной цепью), получаемые ацилированием 1,2-дигидропиридазинидона-3,6 (II) или его щел. соли низшим алкилхлоркарбонатом в разб. водн. р-ре NaOH. 0,1 моля II растворяют при нагревании в р-ре 0,1 моля КОН в 75 мл воды. К полученной смеси прибавляют при ~20° низший алкилхлоркарбонат, смесь встряхивают 2 часа, выделившийся осадок отфильтровывают, промывают 200 мл лигнана и после перекристаллизации из соответствующего р-рителя выделяют I (указаны R, т. пл. в °C): C₂H₅ (Ia), 106—108; n-C₄H₉ (Ib), 79—81; n-C₆H₁₃ (Iв), 84—85. Водн. р-ры, содержащие 0,00001—0,001% Ia или Ib и 0,5% ацетона, в дозе 1,12 кг/га задерживали рост и корнеобразование бобов, овса, риса, редиса и подсолнечников на 95—99, 53—81, 18—27, 10—70 и 57—66% соответственно.

В. Лившиц

9Л535. Средство для уничтожения растительности и для предотвращения нежелательного роста растений. Scherer Otto, Stähler Gerhard, Gassner Gustav. Mittel zur Vernichtung und Verhinderung unerwünschten Pflanzenwuchses. [Farbwerke Hoechst A.-G.]. Пат. ФРГ, 1061123, 17.12.50.—Оловоорганические соединения общей ф-лы (CH₂=CH)nSnX_{4-n} (X = OH, Cl, остаток органич. к-ты, меркаптана, сульфамиды или имиды к-ты), получаемые методами, описанными ранее (РЖХим, 1957, № 22, 71689 и 71690), обладают гербицидным действием. В случае последовательной обработки получают следующие результаты (перечисляются в-во, доза в г/м², повреждение соответственно кукурузы и полевой горчицы через 30 дней после обработки по 5-балльной шкале): симазин (I), 0,1, 1,3; I, 0,05, 0,3; хлористый триэтилэтан (II), 0,2, 5, 5; II, 0,1, 4, 5; II, 0,05, 3, 5. При предпосевной обработке получены следующие данные (перечисление аналогично вышеприведенному, но повреждения растений оценивались через 36 дней): I, 0,25, 0, 5; II, 0,75, 3, 5; II, 0,5, 2, 5; II, 0,25, 2, 5. При обработке почвы 60%-ной эмульсией хлористого триэтилэтана при дозе 3—5 г/м² наблюдается полное уничтожение всех сорняков в течение 8—14 месяцев.

И. Мильштейн

См. также: Инсектициды: произ-во 9Л112, 9Л159. Бактерициды и фунгициды: сынтез 9Л188; произ-во 9Л181; защита древесины 9М25, 9М35, 9М36; действие на цвет ябл. 9Н56; на дрожжи 9Н94. Регуляторы роста: произ-во 9Л113, 9Л148, 9Л152, 9С767; содержание в растениях 9С755; действие 9С751—9С754, 9С756—9С757

9Л536. чешской эм. излучений фотогр. и Библи. 31. 9Л537. спектраль. эмульсий, температур. «Ж. науч. № 5, 321. сульфида серебра. цения св. 9Л538. характери. te sur un graphique. 31, № 5, 4. mesi жел. серебра. ние ком. Pd и Ir. замедля. точувств. руют и « Ir⁴⁺ — эн. гбаторы. вводимы. по умень. тельност. ветствов. пил. 9Л539. чешских а. kémiat é. 136—139. 9Л540. radier acids n. et inds. Определ. нной фич. же. изготовл. уточнен. жание I. лагена. различн. же сыр. прежни. к-т зави. ления я. ний раз. наковой РЖХим. 9Л541. тах. Н. Schutzso. 1960, 13. верхност. последу. светочу. фотобуз. тобума. спирт к. 9Л542. Schim. merkwi. 279—281.

ФОТОГРАФИЧЕСКИЕ МАТЕРИАЛЫ

Редактор В. С. Чельцов

9Л1536. Механизм чувствительности фотографической эмульсии к действию света и понижующих излучений. Богомолов К. С., «Ж. научн. и прикл. fotogr. и кинематогр.», 1960, 5, № 5, 376—379.—Обзор. Библ. 31 назв.

9Л1537. Влияние примеси сернистого серебра на спектральное поглощение галогенидосеребряных эмульсий, фотохимически окрашенных при низких температурах. Сбра Т. Я., Гуменик А. Г. «Ж. научн. и прикл. fotogr. и кинематогр.», 1960, 5, № 5, 321—326.—Исследовано влияние примеси золя сульфида серебра к мелкозернистым бромо- и хлоросеребряным эмульсиям на образование центров поглощения света при низких температурах. О. Мартыненко

9Л1538. О способе модификации фотографических характеристик желатин. Steigmann Albert. Note sur un moyen de modifier les caractéristiques photographiques des gélatines. «Sci. et inds. fotogr.», 1960, 31, № 5, 177 (франц.).—Фотографически активные примеси желатин и сама желатина образуют с ионами серебра или других благородных металлов стабильные комплексы. Обработка желатины солями Ag, Au, Pd и Ir снижает активность желатины. Ионы Ag⁺ замедляют созревание и способствуют повышению светочувствительности, ионы Au⁺ слабо десенсибилизируют и замедляют образование вуали, а ионы Pd²⁺ и Ir⁴⁺ — энергичные тормозители хим. созревания и ингибиторы вуали. Выбором кол-ва указанных ионов, вводимых в желатину до изготовления эмульсии, можно уменьшить образование вуали без потери чувствительности и даже повысить чувствительность при соответствующем удлинении продолжительности созревания. О. Мартыненко

9Л1539. Химическая сенсibilизация фотографических эмульсий. Polster Alfréd. Foto-emulziók kémiai érzékenyítése. «Kép-és hangtechn.», 1960, 6, № 5, 136—139 (венг.)

9Л1540. О нуклеиновых кислотах желатин. Pou-radier Jacques, Accary Anne-Marie. Sur les acides nucléiques présents dans les gélatines. II. «Sci. et inds. fotogr.», 1960, 31, № 8, 301—303 (франц.).—Определено содержание нуклеиновых к-т — рибонуклеиновой (I) и дезоксирибонуклеиновой (II) в фотографич. желатинах, зависящее от свойств материалов для изготовления желатины и условий их обработки. Для уточнения влияния этих факторов определяли содержание I и II в ходе экстрагирования желатины из коллагена. Приведены результаты для пяти желатин и различного числа экстрагирований из одного и того же сырья (телячья кожа, кости), подтверждающие прежние наблюдения, что содержание нуклеиновых к-т зависит от свойств исходных продуктов и изготовления желатины, причем влияние числа экстрагирований различно в отношении I и II, что связано с неодинаковой стабильностью этих к-т. Сообщение I см. РЖХим, 1960, № 5, 20763. О. Мартыненко

9Л1541. Защитные слои на фотографических бумагах. Holbe Oskar, Schönrock Dieter. Zur Schutzschicht photographischer Papiere. «Bild und Ton», 1960, 13, № 10, 294—296 (нем.).—Для улучшения поверхности фотографич. бумаг, устранения эффекта последующего задубливания, повышения прочности светочувствительного слоя и улучшения гляцевания фотобумаг в состав желатинового защитного слоя фотобумаг вводят альгинат, агар-агар, поливиниловый спирт и натриевую соль карбоксиметилцеллюлозы. В. Крол

9Л1542. Приготовление амидолового проявителя. Schimrich Karl Richard. Das Amidol — ein merkwürdiger Entwickler. «Bild und Ton», 1960, 13, № 9, 279—280 (нем.).—Приведен состав амидолового проя-

вителя для бумаг, в 1 л воды растворяют 25 г Na₂SO₃, наливают в белую кювету нужное кол-во р-ра и несколько капель р-ра фенолфталеина, затем прибавляют 10%-ный р-р K₂S₂O₅ до исчезновения розовой окраски. На 100 мл нейтр. р-ра Na₂SO₃ вводят 0,5 г амидола; для уменьшения вуали можно прибавить несколько капель 10%-ного р-ра KBr. Проявитель рекомендован для обычных и газопечатных бумаг. О. М.

9Л1543. Некоторые производные о-хинодиазиды для фотомеханической репродукции. Bukač Zbyněk. Některé deriváty o-chinodiazidů ve fotomechanické reprodukci. «Chem. průmysl», 1960, 10, № 9, 457—460 (чешск.; рез. русск., англ.).—Этерификация сульфогрупп или введение амидной группы в сульфогруппы производных нафтохинон-1,2-диазид-5-сульфокислоты (I) не оказывают влияния на светочувствительность материалов, применяемых в фотомеханич. репродукционных процессах. При переносе изображения на металлич. пластину светочувствительность слоев, содержащих I, в значительной степени зависит от толщины слоя. При произ-ве сенсibilизированных материалов для получения печатных форм для хорошей воспроизводимости результатов необходимо тщательно выдерживать принятую толщину светочувствительного слоя. В. Крол

9Л1544. Современное состояние теории и практики процесса фиксирования. Mutter E. Der Fixierprozeß in Theorie und Praxis nach dem neuesten Stand der Forschung. «Photo-Techn. und -Wirtsch.», 1960, 11, № 10, 368—371, 374, 376, III (нем.; рез. франц., англ., исп.).—Обзор, суммирующий последние данные о трудно растворимых и легко растворимых комплексных соединениях, продуктах взаимодействия AgHal и тиосульфата натрия. Разобрана зависимость скорости фиксирования от производственных условий. Приведены кривые изменения содержания серебра в фиксажах при различных системах циркуляционной (замкнутой) регенерации серебра. Библ. 42 назв. В. Крол

9Л1545. О соотношении основных сенситометрических показателей свойств фотографических эмульсий при цветном проявлении. Абрамова Т. В., Чельцов В. С. «Тр. Всес. н.-и. кинофотои-та», 1959, вып. 29, 33—42.—Исследовано соотношение величин оптич. плотности, светочувствительности и коэф. контрастности для изображений из серебра и красителя на различных по зернистости фотографич. эмульсиях при цветном проявлении. О. Мартыненко

9Л1546. Исследование количественных характеристик передачи объекта фотографическими слоями переменной толщины. Егорова М. С., Богомолов К. С. «Тр. Всес. н.-и. кинофотои-та», 1959, вып. 32, 63—67.—Исследовано влияние толщины эмульсионного слоя пластинок МР, применяемых в микроавто-радиографии, на соотношение размеров радиоактивных источников-объектов и их изображений на радиоавтографе. О. Мартыненко

9Л1547. Определение чувствительности фотопластинок в условиях микроавтографии. Егорова М. С., Богомолов К. С. «Тр. Всес. н.-и. кинофотои-та», 1959, вып. 32, 53—62.—Исследована чувствительность пластинок для микроавтографии МР и МК с различной толщиной эмульсионного слоя. Г. Д.

9Л1548. Печать узкоплёночных фильмокопий на студиях кинохроники. Гордийчук И. Б. «Техника кино и телевидения», 1960, № 8, 55—60.—Рассмотрены вопросы печати узкоплёночных фильмокопий на студиях кинохроники. Приведены различные технологич. схемы печати изображения и фонограммы с негативов на 35-мм плёнке и требования к качеству исходных негативов. Указаны пути улучшения качества узкоплёночных фильмокопий — применение иммерсионной печати и замена фотографич. фонограмм магнитными. О. Мартыненко

9Л549. О проектировании проявочных машин для обработки черно-белых фильмокопий. Трофименко П. Г., Тихонович С. Е., Заборовский Б. А. «Техника кино и телевидения», 1960, № 9, 41—43.— После критич. замечаний по конструкциям проявочных машин рассмотрены операции обработки. Методом меченых атомов установлено, что для позитивных пленок фиксирование при условии хорошей промывки заканчивается в 30—40 сек. Промывка может быть проведена за 30—60 сек. с применением трех встречных каскадов или струй. Продолжительность сушки обычной позитивной пленки может быть доведена до 30—45 сек. применением направленной струи воздуха с т-рой до 70°.

О. Мартыненко

9Л550. Хранение негативов в условиях тропического климата. Henn R. W., Olivares I. A. Tropical storage of processed negatives. «Photogr. Sci. and Engng», 1960, 4, № 4, 229—233 (англ.).— Исследовали хранение негативов в условиях тропич. климата с применением фунгицидов, препятствующих развитию плесневых грибов. Негативы хранили в бумажных конвертах с применением бумажных прокладок. Конверты и прокладки пропитывали р-ром фунгицида. Контрольные опыты проводили без пропитывания фунгицидом и без конвертов. Опыты проводили в местности с тропич. климатом. Максим. влажность достигала $\approx 100\%$, а миним. во влажное время года от 63 до 75%, в сухое — от 50 до 60%; средняя т-ра была $\sim 28^\circ$. Рекомендовано применение конвертов из плотной непористой бумаги, не содержащей металлич. частиц и прокладок из менее плотной и более пористой бумаги. Наилучшим фунгицидом оказался C_6Cl_5ONa .

О. М.

9Л551. Применение современных фотоматериалов для фотографирования в электронном микроскопе. Фомина И. А., Богомолов К. С., «Заводск. лаборатория», 1960, 26, № 8, 1015—1018.— Приведены характеристики пластинок для электронной микроскопии: спектральные тип I, диапозитивные и электронографич. тип III, микрофотографич. МК (ядерные) и микрофотографич. МР (ядерные) НИКФИ. Приведены: средний диаметр непроявленных кристаллов, весовая конц-ия галогенида серебра, расстояние между микрокристаллами, толщина слоя, разрешающая способность для света и электронов. Приведены кривые зависимости D от энергии электронов при постоянной плотности заряда и от интенсивности электронного пучка. Пластины МК и МР не обнаруживают отступления от закона взаимозаместимости во всем интервале обычных интенсивностей. Эти пластины имеют преимущество перед электронографич. тип III и спектральными тип I и рекомендованы для работы с электронными лучами.

О. Мартыненко

9Л552. Фотополупроводниковая бумага. Горевой Р. Г. «Бум. пром-сть», 1960, № 8, 18.— При изготовлении фотополупроводниковой бумаги на основу наносят фотополупроводниковый слой окиси цинка и поливинилбутирала. Характеристика бумаги: вес $1 м^2$ 110—120 г, толщина слоя $22 м$ ($\pm 8\%$), влажность 4 ($\pm 1\%$), разрешающая способность ≥ 20 линий на 1 мм; потенциал зарядки ≥ 250 в, время темнового полуспада ≥ 2 мин., светочувствительность ≤ 2 сек. Рекомендуются для изготовления скоростных рентгенограмм, размножения чертежей и фотоснимков. Процесс получения изображения состоит из: образования электрич. заряда в фотополупроводниковом слое, экспонирования, проявления электрофотографич. проявителем и закрепления.

О. Мартыненко

9Л553. Основа из пропитанной смолой стекл. ной ткани, покрытая светочувствительным слоем. Eichorn Adrian. Glass fabric resin impregnated base coated with a light sensitive layer. [Screen Engineering Co.], Пат. США 2948327, 19.08.58.— Прозрачная основа фотографич. пленки со стабильными размерами

при изменении т-ры и влажности воздуха представляет собой стекл. ную ткань (СТ), пропитанную полиэфирной смолой (ПЭС). Для гибкости материала к ПЭС добавляют пластификаторы (диэтилглицольфталат, гликоликсукцинат, диэтилглицольоксалат, камафару). ПЭС внедряют в СТ протягиванием последней через бак с ПЭС, а затем между отжимными валиками с последующим нагреванием материала в течение 15—20 мин. при т-ре 95° . При этом ПЭС переходит в нерастворимое и неплавкое состояние, сохраняя свою прозрачность. Линейные полиэфирные для пропитки СТ получают сополимеризацией α -замещ. этиленовых соединений ф-ды $CH_2=CR'R''$ (R' — арил, винил, карбонил, галоген, ацилокси-, карбалкокси-, алкокси, нитрильная группа; R'' — H или алкил) с ненасыщ. алкидной смолой, получаемой взаимодействием ненасыщ. дикарбоновой к-ты с 2-атомным спиртом. ПЭС получают взаимодействием стирола и продукта р-ции этиленгликоля и малеиновой к-ты. Пропитанную СТ покрывают адгезивным слоем органич. пленкообразующего в-ва (нитроцеллюлоза, ацетилцеллюлоза, меламиноформальдегидная смола, винильные смолы) с добавкой абразивного материала, что создает поверхность для нанесения чертежа, рисунка карандашом или тушью. На поверхность пропитанной смолой СТ наносят светочувствительный слой галогенида серебра, соли железа, диазосоединения или бихромата в соответствующих коллоидах.

В. Коростылев

9Л554. Гидролизованные сополимеры винилацетата и ненасыщенных карбаматов. Unruh Cornelius C., Smith Donald A. Hydrolysis copolymers of vinyl acetate and unsaturated carbamates. [Eastman Kodak Co.], Пат. США 2865893, 23.12.58.— Водорастворимый полимер, имеющий свойства поливинилового спирта, по способный задубливаться HCON и пригодный для применения в качестве защитного коллоида в фотографии. Эмульсиях, получают сополимеризацией 80—90% по весу винилацетата с 1—20% металлкарбамата (или аллилкарбамата) и последующим гидролизом сополимера спирт. р-ром гидрата окиси щел. металла до образования водорастворимого полимера, содержащего 0,3—2,9% N. Пример: Смесь винилацетата 43 г, металлкарбамата 0,58 г, перекиси бензоила 0,5 г и метанола 50 г выдерживают 4 суток при 50° , затем разбавляют 500 мл метанола и высасывают большим объемом воды. Осадок снова растворяют в метаноле и вторично высасывают водой. Полученный осадок растворяют в 75 мл метанола и гидролизуют 8 г 10%-ного р-ра NaOH в метаноле. Содержимое N в гидролизованном продукте 0,3%. Из продукта получают прозрачные пленки, которые легко задубливаются водн. р-ром HCON.

В. Коростылев

9Л555. Растворимые в воде соединения металлов и способ их получения. Mendelsohn Meyer. Water-soluble metal compounds and process for making same. [Ions Exchange & Chemical Corp.], Пат. США 2854441, 30.09.58.— При получении светочувствительного поливинилалкоголя Ag (I) в $\sim 3\%$ -ный р-р водорастворимой соли Ag в этиловом спирте (конц-ией $\geq 85\%$) вводят в р-р поливиниловый спирт в виде порошка или пленки. Смесь кипятят, после чего I отделяют, промывают спиртом и сушат. В полученном таким образом продукте взаимодействия поливинилового спирта и Ag содержится 0,5—5% связанного Ag. В качестве катализаторов этого процесса можно применять растворимые в воде ацетаты щел. (в частности, Na и K). Пример: 100 г порошка поливинилового спирта смешивают с 500 мл этилового спирта и добавляют 15 г $AgNO_3$ в 50 мл воды. Смесь нагревают до кипения ($\sim 80^\circ$) и выдерживают в этих условиях 45 мин. I отфильтровывают, промывают спиртом и сушат. Содержание связанного Ag в I равно 0,5%.

А. Петращио

9Л556. Светочувствительный слой и его изготовление. Fuchsman Charles H., Charnas Lawrence

се I, E
tion of m
Пат. СШ
тельные
(ЛП) п
деля — R
воды, сп
меры с
зей, окис
ные при
ные угл
способны
шой нит
ненасыщ
аминогру
му, игра
тельная
введение
резорцин
Это в-во
света пр
диоксибе
препятст
при уд
тими Ус
совместн
от выше
ходящих
напр. O₂
сильно п
бражения
станции Ус
при соот
В приме
источник
указано,
от исто
0,001 сек
9Л557.
ных к р
Moln a
emulziok
Эмульси
среде за
полимер
0,04—0,0
AgNO₃ п
Ag. Чув
пленки
обычных

9Л558.
готовлен
process
Пат. СШ
лярных
гидрофи
мелкозе
преломл
лоиды, л
Этот ма
кулярн
действи
соба ос
зультат
света п
рассмат
при ра
м е р. К
желати
соль Z
4 ч, т
ный р-р
перснот

со I, Elliott Stanley B. Photosensitive composition of matter and method of making same. [Ferro Corp.]. Пат. США 2905554; 2905556, 22.09.59.—Светочувствительные слои состоят из смеси линейных полимеров (ЛП), при нагревании с катализаторами р-ции Фриделя—Крафта (КФК) отщепляющих элементы HCl, воды, спирта, амина и образующих окрашенные полимеры с большим числом сопряженных двойных связей, окислы или негалогенные соли металлов, способные при действии HCl переходить в КФК, хлорированные углеводороды, преимущественно разветвленные, способные отщеплять HCl при облучении светом большой интенсивности, включающим УФ-лучи, и циклич. ненасыщ. кетоны, не содержащие свободных окси- или амидогрупп, напр. нафто- или антрахинон, по-видимому, играющие роль оптич. сенсibilizаторов. Отличительная особенность патента состоит в дополнительном введении в состав слоя монобензойнокислого эфира резорцина (I) в кол-ве от 0,05 до 4 ч. на 100 ч. ЛП. Это в-во прозрачно для УФ-лучей, но при действии света превращается в соединение (предположительно диоксibenзофенон), сильно поглощающее УФ-лучи и препятствующее выцветанию изображения, обычному при длительном освещении источниками света, богатыми УФ-лучами. Особенность пат. 2905556 состоит в совместном применении I, защищающего изображение от выцветания, и солей 3-валентного церия (II), переходящих при нагревании в присутствии окислителей, напр. O₂ воздуха, в соединения высшей валентности, сильно поглощающие УФ-лучи и предохраняющие изображение от потемнения при продолжительном воздействии УФ-лучей. I и II применяют в кол-ве 0,05—4% при соотношении их в смеси от 1:0,01 до 0,01:1. В примерах приведена продолжительность освещения источником (120 мвт на см²) от 15 сек. до 2 мин., но указано, что возможно изготовление слоев, требующих от источника света (2 мвт на см²) экспозиции 0,001 сек.

9Л557. Способ получения эмульсий, чувствительных к рентгеновским лучам. Groh Gyula, Jr., Molnár Margit, Eljárás Röntgen-sugárta érzékeny emulziók előállítására. Венг. пат. 145332, 15.09.59.—Эмульсию получают осаждением галогенида серебра в среде защитного коллоида — желатины или синтетич. полимера. В р-р галогенида щел. металла вводят 0,04—0,08 г церия на 100 г Ag, а к аммиачному р-ру AgNO₃ прибавляют 15—40 г нитрата церия на 100 г Ag. Чувствительность и контрастность рентгеновской пленки с такой эмульсией, значительно выше, чем у обычных пленок с применением усиливающего экрана.

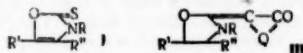
С. Розенфельд

9Л558. Везикулярные отпечатки и способ их изготовления. Schoen Andre. Vesicular prints and process of making same. [General Aniline & Film Corp.]. Пат. США 2908572, 13.10.59.—При изготовлении везикулярных отпечатков на подложку наносят водн. р-р гидрофильного коллоида с диспергированным в нем мелкозернистым твердым в-вом, имеющим показатель преломления, близкий к показателю преломления коллоида, и со светочувствительным диазосоединением. Этот материал предназначен для изготовления везикулярных отпечатков действием света с последующим действием влаги или повышенной т-ры. Принцип способа основан на образовании пузырьков азота в результате разложения диазосоединения. Отражение света пузырьками создает белизну изображения при рассматривании в отраженном свете и непрозрачность при рассматривании в проходящем свете. Пример. К 100 вес. ч. 33%-ного водн. р-ра фотографич. желатины прибавляют 15 г р-ра: вода 100 ч., двойная соль ZnCl₂ и *n*-диэтиламинобензолдиазонийхлорида 4 ч., тиомочевина 5 ч., лимонная к-та 4 ч. В полученный р-р вводят 5 ч. свежеприготовленного мелкодисперсного BaSO₄ и тщательно перемешивают до полу-

чения однородной суспензии, которую затем наносят на черную бумагу и высушивают. Печать с оригинала проводят УФ-лучами, а проявляют паром за 2 сек. Описаны некоторые варианты предлагаемого способа.

Р. Мархлевич

9Л559. Новые красители производные 4,5-диарил-оксазола и их применение в фотографии. Nouveaux composés contenant un noyau 4,5-diaryloxazole et leurs applications, notamment en photographie. [Kodak Soc. An.]. Бельг. пат. 542585, 28.08.59.—3-замещенные 4,5-диарил-оксазолиниитионы-2 ф-лы I (R — алкил или арил; R' и R'' — арилы), получаемые конденсацией α,β-дизамещ. α-окси-β-аминоэтиленов с тиофосгеном (II), применяют при синтезе цианинов и пульметиницианинов ф-лы (III) с остатком 4,5-диарил-оксазола. Примеры. К р-ру 10 г хлоргидрата α-окси-α,β-*n*-бутиламиноэтилена и 5,6 г КОН в 20 мл C₂H₅OH и 4 мл воды прибавляют 3,8 г II и смесь оставляют на 30 мин. при 20°. После разбавления водой выделяющуюся смолу экстрагируют эфиром, сушат Na₂SO₄, р-ритель отгоняют, остаток кристаллизуют из лигирона, получают



I (R = *n*-C₄H₉; R' и R'' = C₆H₅) (IV), выход 2 г, т. пл. 140°. Аналогично получают I (приведены последовательно R, R', R'', выход в %, т. пл. в °C): C₆H₅, C₆H₅, C₆H₅, 53, 163 (V); C₆H₅, C₆H₅, C₆H₅, 48,4, 216 (VI). При конденсации 62 г [α-окси-α-фенил-β-этиламино-β-(*n*-метоксифенил)]-этилена, полученного кипячением *n*-метоксibenзоина с этиламино в течение 4 час., и 20,3 г II в 400 мл CHCl₃ получают смесь I (R = C₂H₅, R' = C₆H₅, R'' = *n*-CH₃OC₆H₅) (VII) и I (R = C₂H₅, R' = CH₃OC₆H₅, R'' = C₆H₅) (VIII). При хроматографиировании на Al₂O₃ смесью лигирона и бензола сначала десорбируется VIII, т. пл. 154°, а затем VII, т. пл. 180°. Синтезированы следующие III [приведены R, R', R'', Q, выход в % (теор.), т. пл. в °C, максимум и граница сенсibilизации (в мμ) для хлоро- и хлоробромсеребряной эмульсий]: *n*-C₄H₉, C₆H₅, C₆H₅, N(CH₃COOC₂H₅)C(S)S, —, 139 (из бал. и петр. эф.), 450, 490, 480, 510 (нагревание 20 мин. на водяной бане 3,09 г IV с 1,52 г диметилсульфата (IX) и конденсацией с 2,19 г 3-карбэтоксиметилпропана (X) в 25 мл C₂H₅OH с 1,4 г триэтиламина в течение 10 мин.; C₂H₅, C₆H₅, C₆H₅, N(C₂H₅)C(S)O, 31, 177, 400, 440, —, — [из V из IX (нагревание 1 час при 100°) и 3-этилоксалидинтиона-2-она-4]; C₂H₅, C₆H₅, C₆H₅, N(C₂H₅)C(S)S, 64, 179, 450, 495, 485, 500; C₂H₅, C₆H₅, C₆H₅, N(CH₃COOH)C(S)S, 30, 257, 480, 510, 460, 500; C₂H₅, C₆H₅, C₆H₅, N(C₂H₅)C(S)N(C₂H₅), 14, 182, 420, 445, —, —; C₆H₅, C₆H₅, C₆H₅, N(CH₃COOC₂H₅)C(S)S [из VI и IX (нагревание 30 мин. при 100°) и X], т. пл. 331°. Смесь 2,65 г 2-метил-4-*n*-метоксифенил-5-фенилоксазола и 2,1 г этилового эфира *n*-толуолсульфокислоты нагревают 2 часа при 140°, прибавляют 4,07 г этилметилсульфата VII, 20 мл C₂H₅OH и 1,4 г триэтиламина, кипятят 15 мин., получают 3,3'-диэтил-4-фенил-4'-*n*-метоксифенил-5,5'-дифенилоксазолианинперхлорат, выход 22%, т. пл. 277° (из смеси C₆H₅N и воды); 3,3'-диэтил-4,4',5,5'-тетрафенилоксазолианинперхлорат, т. пл. 281°.

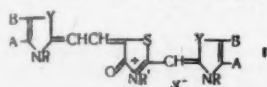
М. Дейчмейстер

9Л560. Сенсibilизирующие красители из 2-метил-4,5-триметилтиазола. Stevens George. Sensitizing dyes from 2-methyl-5,6-dihydro-4-cyclopentathiazoles. [Sperry Rand Corp.]. Пат. США 2882160, 14.04.59.—Описаны красители производные 4,5-триметилтиазола-(4,5-циклопентатиазола), полученные из четвертичных солей 2-метил-4,5-триметилтиазола. Подметилат 2-метил-4,5-метилтиазола (I) получен нагреванием 1 моля основания с 1,1 молем йодистого метила 8 час. в запаянной трубке при 100°. После обработки продуктом эфиром и ацетоном выход 69%, т. пл. 105°. Анало-

гично получен йодатилат 2-метил-4,5-триметилентиазола (II), выход 86%, т. пл. 116°. Ниже приведены краситель, выход после промывки водой и ацетоном и после кристаллизации из метанола в %, вид кристаллов, т. пл. в °C (с разл.), максимум спектрального поглощения в CH_3OH , максимум сенсibilизации и граница сенсibilизации в мк; 1,3-диэтил-4,5-триметилентиазола-2'-йодид (кипятием 2,95 г III, 4,1 г йодатилата 2-йодинолина в 20 мл абс. $\text{C}_2\text{H}_5\text{OH}$ с 2 г триэтиламина (III)); 93,5%; 58%; красновато-оранжевые иголки; 284; 490; 540; 585. 3,3'-диэтил-4,5,4',5'-бис-(триметилентиазолакарбоцианинид) (кипятием 4 часа смеси 5,9 г II, 8,8 г $\text{HC}(\text{OC}_2\text{H}_5)_2$ (IV) и 15 мл пиридина); —; 3,2%; очень темные мелкие кристаллы; 258—260°; 580; —; —. 3,3',3''-триметил-4,5,4',5',4'',5'''-три-(триметилентиазолакарбоцианинид) (кипятием 4 часа смеси 5,6 г I, 8,8 г IV и 15 мл пиридина); —; 3,4%; мелкие зеленые кристаллы; 264; 620, 665, 700. 3,3'-диметил-4,5-триметилентиазолакарбоцианинид (кипятием 20 мин. I и йодметилата 2-β-ацетанилиновинил-бензоксазола в 20 мл абс. $\text{C}_2\text{H}_5\text{OH}$ с 2 г III; 85%, 61,5%, мелкие красные иголки с синим блеском; 272, 516, 560, 615. 3,3'-диэтил-4,5-триметилентиазолакарбоцианинид; —; —; синие кристаллы с металлич. блеском; 249—250°; 516, 560; 615. 3,3'-диметил-5'-хлор-4,5-триметилентиазолакарбоцианинид; —; 47; —; 280°; 516; —; —. 3,3'-диметил-5'-фенил-4,5-триметилентиазолакарбоцианинид; —; 29; —; 259°, 520; —; —. 3,3',5',6'-тетраметил-4,5-триметилентиазолакарбоцианинид; —; 70; —; 283°; 530; —; —. 3,4',3',3''-тетраметил-4,5-триметилентиазолакарбоцианинид (кипятием 15 мин. I и 1,3,3'-триметил-2-формилметилиндиолина в 15 мл $(\text{CH}_3\text{CO})_2\text{O}$; 72; 52; зеленые иголки; 236—238°; 524; —; —. 3,3'-диэтил-7-метил-4,5-триметилентиазолакарбоцианинид (кипятием 15 мин. II и этилп-толуолсульфоната 2-β метилмеркаптопропенилбензотиазола в абс. $\text{C}_2\text{H}_5\text{OH}$ с III); 24; 16; —; 278—280°; 540; —; —. 3-этил-1'-фенил-2',5'-диметил-4,5-триметилентиазолипроло-(3')-диметилтиаанинид (кипятием 15 мин. II и 1-фенил-2,5-диметил-3-формилпролла в абс. $\text{C}_2\text{H}_5\text{OH}$ с пиперидином); —; 2,3; оранжевые кристаллы; 273—274°; 440; —; —. 3,3'-диэтил-4,5-триметилентиазолакарбоцианинид (кипятием II и йодатилата 2-δ-ацетанилинобутилденилбензоксазола в абс. $\text{C}_2\text{H}_5\text{OH}$ с III); 18; 11; зеленые иголки с золотистым блеском; 216°; 610; —; —. Йодметилат 2-п-диметиламино-тиририл-4,5-триметилентиазола (кипятием 1,5 часа I и п-диметиламинобензальдегида в абс. $\text{C}_2\text{H}_5\text{OH}$ с пиперидином); 29,2; —; темно-красные иголки с синим блеском; 267; 470; —; —. 3-этил-5-(3'-этил-4',5'-триметилентиазолинид-2'-этилден)-тиазолидинтион-2-он-4 (кипятием II и 3-этил-5-ацетанилинометилентроанина в абс. $\text{C}_2\text{H}_5\text{OH}$ с III); 77,59 (пересаживая CH_3OH из пиридинового р-ра); 233°, 556, —, —.

Т. Гевышева

9Л561. Способ получения роданининовых красителей. Сытник З. П., Жилина Л. Д., Абдуллаев А. А. Авт. св. СССР 115661, 22.11.58. — Симметричные роданининовые красители производные тиазолинона-4 общей ф-лы (I, где R = CH_3 , C_2H_5 ; R' = OH , C_2H_5 , C_6H_5 ; A = C_6H_5 ; B = C_6H_5 или A и B вместе бензогруппа; Y = S или $\text{C}(\text{CH}_3)_2$; X = анион) получают в одну стадию взаимодействием 1 моля четвертичной соли 5-анилинометилентроанина (II) и 2 молей N-содержащего гетероциклич. основания в смеси пиридина, $(\text{CH}_3\text{CO})_2\text{O}$



и триэтиламина при нагревании или обычной т-ре. II получают взаимодействием 5-анилинометилентроанина с диалкилсульфатом. Пример. К алкилметилсульфа-

ту 2-метилмеркапто-5-анилинометилентиазолинона-4, полученному нагреванием (10 мин., 115—120°) 0,55 г 3-аллил-5-анилинометилентроанина с 0,38 г диметилсульфата, прибавляют 1,8 г этилэтилсульфата 2-метил-4,5-дифенилтиазола, 6 мл безводн. пиридина, 2,2 мл $(\text{CH}_3\text{CO})_2\text{O}$ и 1,4 мл триэтиламина, смесь нагревают до растворения исходных в-в и оставляют на 24 часа. К смеси прибавляют 15 мл эфира, через 3—4 часа эфир сливают, остаток растворяют при нагревании в 40 мл спирта и прибавляют 50 мл 10%-ного р-ра KI, нагревают до 60°. Через 3—4 часа выпавший I (R = C_6H_5 , R' = C_6H_5 , A = B = C_6H_5 , Y = S, X = J) отфильтровывают, промывают водой и спиртом, кипятят с 100 мл C_6H_5 и кристаллизуют из спирта темно-коричневые иголки с золотым блеском, выход 0,98 г, т. пл. 287° (разл.), λ(макс.) 620 мμ (сп.). Описаны I (приведены R, R', A, B, Y, X, цвет и форма кристаллов, выход в %, т. пл. в °C и λ(макс.) в мμ в спирт. р-ре): C_6H_5 , C_6H_5 , C_6H_5 , S, $\text{C}_2\text{H}_5\text{SO}_4$, бронзовые пластинки, 75,3, 273—274 (разл.), 618; C_6H_5 , C_6H_5 , CH_3 , CH_3 , S, $(\text{CH}_3)_2$, ClO_4 , —, 50, 225—226 (разл.), 616. В. Жиряков

9Л562. Трикарбоцианиновые красители, поглощающие в инфракрасной области. Heseltime Donald W., Brooker Leslie G. S. Tricarboyanine infrared absorbing dyes. [Eastman Kodak Co.]. Пат. США 2885655, 21.07.59. — Трикарбоцианины, производные 3,3-диметил-4,5-бензидолина (I), получают взаимодействием четвертичных солей I (в том числе сульфобетанинов) с дианном глутарового альдегида (II) в присутствии ангидридов жирных к-т. Возможно проведение р-ции в две стадии. 20,9 г I и 13,6 г 1,4-бутансульфона нагревают 2 часа до 130°. После размельчения под ацетоном, промывки и сушки получают 1-ω-сульфобетанин I (III), т. пл. 226—227° (из CH_3OH и ацетона), выход 71%. 17,3 г III и 16,6 г хлоргидрата II вводят в кипящий $(\text{CH}_3\text{CO})_2\text{O}$ и перемешивают без нагревания 30 мин. По охлаждению отфильтровывают выпавший 1-ω-сульфобетанин 2-(6'-ацетанилидо-1'-3',5'-гекса-триенил)-3,3-диметил-4,5-бензидолина (IV), т. пл. 168—170° (разл.), выход 90%. 5,42 г IV, 3,45 г III и 1,4 мл триэтиламина в 30 мл $\text{C}_2\text{H}_5\text{OH}$ нагревают 15 мин. с обратным холодильником, охлаждают, высаживают в 100 мл эфира, декантируют, остаток растворяют в CH_3OH и осаждают NaJ диатрибутовую соль 1,1'-ди-(ω-сульфобетанил)-3,3,3',3'-тетраметил-4,5,4',5'-дигексаонидтрикарбоцианина, т. пл. 243—245° (разл.), выход 83%. Взаимодействием дихлоргидрата II с метилп-толуолсульфонатом I в присутствии CH_3COONa в $(\text{CH}_3\text{CO})_2\text{O}$, с последующим переводом красителя в йодид (выход 41%), а из последнего обработкой с AgCl в хлорид, получают 1,1',3,3',3'-гексаметил-4,5,4',5'-дигексаонидтрикарбоцианинхлорид, т. пл. 199—200°, выход 90%. Трикарбоцианины, поглощающие около 800 мμ, не пригодны для оптич. сенсibilизации фотографич. эмульсий, но могут быть применены при изготовлении светочувствительных ИК-лучей, а также при биологич. исследованиях, напр. для инъекций в кол-ве 0,1 мг/кг веса тела при определении скорости тока крови.

Н. Спасокукоцкий
9Л563. Светочувствительные слои. Chalkley Lym a n. Photosensitive system. Пат. США 2829052, 1.04.58. — Для получения твердых слоев (ТС), чувствительных к УФ- и более коротковолновым лучам, содержащих коллагеноподобный белок и цианиды трифенилметановых красителей — 4,4',4''-триаминотрифенилацетонитрил (I) или 4,4',4''-триамино-3-метилтрифенилацетонитрил (II), 1 объем 10%-ного водн. р-ра желатин смешивают при 45° с 1/2 или 1/4 объема 1%-ного р-ра I в CH_3CN , смесь наносят на стеклянную пластинку и сушат в темноте. 1 г I в 9,6 мл 1 н. р-ра HCl разбавляют водой до 100 мл. 10 мл приготовленного р-ра смешивают с 20 мл воды, 30 мл 10%-ного р-ра желатин и 30 мл 91%-ного изо- $\text{C}_2\text{H}_5\text{OH}$ при 50°. Смесь охлаждают до 35° и пропитывают бумагу. 25 г Magneta ABN

(General Dyestuffs Corp.) растворяют в 350 мл горячей воды, охлаждают до 45° и фильтруют. К фильтрату прибавляют 5,3 г 95%-ного NaCN в 25 мл воды. Реакционную смесь оставляют на 12 час. в темноте. Продукт отфильтровывают, промывают 1 л воды и сушат при 50°. 10 г полученного в-ва растворяют при 25° в 75 мл триэтилфосфата и 25 мл воды. К профильтрованному р-ру прибавляют постепенно 100 мл воды (2 мл в час). Бесцветные кристаллы II отфильтровывают, промывают водой и сушат в вакууме. Р-р 0,05 г I в 4 мл горячего CH₃CN охлаждают до 50° и смешивают с 34 мл 10%-ного р-ра желатин. Этим р-ром пропитывают фильтровальную бумагу в течение 20 час. Р-р п-толуолсульфоната II, приготовленный из 0,1 г II и 0,058 г п-толуолсульфокислоты (III) в 10 мл кипящего изо-С₃H₇OH, охлаждают до 50° и смешивают с р-ром 5 г желатин в 80 мл воды. 0,3 г I в 2,85 мл 1 н. HCl размешивают 5 час. в темноте или при желтом свете, разбавляют водой до 200 мл и охлаждают до 0°. К смеси прибавляют 10 г желатин и размешивают при 0° в течение 1,5 час. К смеси прибавляют ледяную воду до 500 мл, через 15 мин. р-р декантируют с желатин, которую промывают 500 мл ледяной воды, суспендируют с 150 мл воды и плавят нагреванием на кипящей водяной бане. 0,6 г I в 5,7 мл 1 н. HCl и разбавляют водой до 180 мл. Р-р смешивают с 480 мл изо-С₃H₇OH и 10 г желатин и размешивают 9 час. при 20°. Р-р декантируют с желатин, последнюю промывают порциями 100 мл изо-С₃H₇OH, суспендируют с 150 мл воды и плавят при 100°. Аналогично получают ТС из 0,3 г II, 0,175 г III в 30 мл изо-С₃H₇OH, 40 мл воды и 5 г желатин.

9Л1564. Арендиазосульфаты арилгуанидинов. Harrick Clifford E., Jr. Arylguanidine arenediazosulfonates. [General Aniline & Film Corp.]. Пат. США 2881065, 18.11.58.—Описано получение светочувствительных арендиазосульфатов арилгуанидинов, применяемых в литографии. Р-р 175 г Na-соли п-этоксibenзодиазосульфата в 1750 мл воды и 70 мл CH₃COOH прибавляют к р-ру 1,3-ди-(о-толил)-гуанидина (I) в 700 мл воды и 620 мл CH₃COOH. Выход продукта 90%, т. пл. 147—149°. Аналогично получают 3,3'-диметокси-4,4'-бифенилтетразолидисульфат 1,3-ди-(о-толил)-гуанидина [т. пл. 153—155° (раал.)] и 4,4'-бифенилтетразолидисульфат 1,3-ди-(о-толил)-гуанидина. Из Na-соли 3-хлор-4,6-диметоксибензодиазосульфата в лед. CH₃COOH и I получают красное масло, закристаллизованное через 4 дня, выход 72%, т. пл. 162—164°. На-соли п-ацетаминобензодиазосульфата и I образуют оранжевые кристаллы, выход 84%, т. пл. 176—180°. Действием (C₂H₅)₂SO₄ и щелочи на 2,2'-метиленис-(4-нитрофенол) получают 2,2'-метиленис-(4-нитрофенол), который при каталитич. восстановлении над Pd/C превращается в 3,3'-метиленис-бис-(фенетидин) (II). Хлоридат II диазотируют и прибавляют к I, при этом получают желтовато-коричневую массу, т. пл. 135° (раал.). Р-р двойной соли ZnCl₂ и N-бензил-N-этил-п-аминобензодиазонийхлорида обрабатывают Na₂SO₃, получают Na-соль N-бензил-N-этил-п-аминобензодиазосульфата, которая при взаимодействии с I образует желтые кристаллы, т. пл. 175—178°. Н. Широкова

9Л1565. Способ проявления фотографических изображений. Rzymkowski Johannes. Verfahren zum Entwickeln photographischer Bilder. Пат. ФРГ 973321, 21.01.60.—В качестве проявляющего в-ва применяют комплекс из поликарбоневой к-ты и соли металла с переменной валентностью, причем в этой соли металл имеет валентность ниже его высшей валентности. Пример. Аммиак d 0,91 разбавляют в 40 раз водой. В 80 мл такого р-ра вводят 9 г диатриевой соли этилендиаминтетрауксусной к-ты и 20 мл 33%-ного р-ра FeSO₄, в результате чего в р-ре образуется желез (Fe²⁺)-аммонийная соль этилендиаминтетрауксусной к-ты. Этот р-р имеет также десенсибилизирующие

свойства. Окислившийся р-р можно регенерировать каталитически полученным водородом или катодным восстановлением. Проявитель состава: 80 мл 10%-ного р-ра тетраатриевой соли этилендиаминтетрауксусной к-ты, 3 мл 10%-ного р-ра триэтилоламина, 3 мл 10%-ного р-ра KBr, 10 мл 33%-ного р-ра FeSO₄ работает относительно быстро без вуали, сохраняет свои свойства при нагревании до 80° и выше и может быть применен для обработки задубленной пленки (соответствующим образом задубленной) при повышенной температуре. В качестве соли металла с переменной валентностью применяют также хлористый титан.

О. Мартыненко

9Л1566. Способ стабилизации проявленных фотографических отпечатков. Wuhmann Horst, Lesueur Jacques. Procédé de stabilisation d'épreuves photographiques développées. [Ets Bauchet & Cie]. Франц. пат. 1212921, 28.03.60.—Проявленные фотографии, отпечатки стабилизируют в-вами, образующими комплексные соединения с галогенидами серебра при десенсибилизации этих галогенидов. Кол-во используемого комплексобразующего в-ва меньше по сравнению с обычными применяемыми. В качестве десенсибилизирующих в-в рекомендованы соли металлов, напр. HgCl₂ и органич. в-ва, напр., рубиновая к-та, пикриновая к-та, хризидин. Примеры р-ров: 1. NH₄CNS 150 г, HgCl₂ 2 г, бура 4 г, изопропиловый спирт 250 мл, вода дистил. до 1 л. 2. NH₄CNS 150 г, пикриновая к-та 2 г, бура 4 г, изопропиловый спирт 250 мл, вода дистил. до 1 л.

О. Мартыненко

9Л1567. Способ получения рельефных изображений. Plambeck Louis, Jr. Process for preparing relief images. [E. I. du Pont de Nemours and Co.]. Пат. США 2892712, 30.06.59.—Для получения рельефных изображений экспонируют активным светом с длиной волны от 180 до 700 мμ через диапозитивное изображение твердый слой, состоящий из высокомолекулярного органич. полимера и содержащий катализатор или инициатор фотополимеризации. В сильно экспонированных участках происходит разложение полимера с образованием в-в с меньшим мол. весом, удаляемых, напр., испарением или растворением. В участках же неэкспонированных разложения не происходит. В результате получают рельефное изображение. Слой может состоять из нескольких полимеров (включая сополимеры) и непосредственно служить подложкой или может быть нанесен на подложку и содержать пигменты и мелкие частицы инертных неорганич. в-в, напр. стекла, кремнезема. Инициатор или катализатор можно вводить в р-р или дисперсию полимера. Р-ритель продуктов разложения и деполимеризации должен находиться в контакте со слоем полимера во время экспонирования, может быть введен в слой или нанесен на него. Пример I. Фотополимеризующий вязкий р-р 80 ч. жидкого, частично полимеризованного метилметакрилата и 1 ч. бензоина в 20 ч. жидких мономерных полиэтиленгликольдиметакрилатов, содержащих в среднем 4 группы ОСН₂CH₂, наносят слоем на лист (толщиной ~4 мм) из сополимера 80 ч. метилметакрилата и 20 ч. полиэтиленгликольдиметакрилата, полученного фотополимеризацией жидких мономеров). Штриховой негатив монтируют на стеклянной пластинке и помещают над жидким вязким слоем эмульсионной стороной, отделенной от него расположенными по углам выступами (толщиной 0,25 мм). Полученный слой экспонируют 10 мин. ртутной лампой с расстояния 17 см. После этого стеклянную пластинку негативом отделяют от слоя вместе с полимером, образовавшимся в фотополимеризующемся жидком слое под прозрачными участками негатива. После полного удаления остатков жидкого слоя смесью из 85 ч. этилацетата и 15 ч. этилового спирта на верхней поверхности листа получают резкое рельефное изображение. Приведен ряд примеров с применением разных полимеров

и различной толщины слоев с изменением условий экспонирования и последующей обработки.

9Л568. Фотополимеризующаяся смесь, ее элементы и процесс получения рельефных изображений. Martin Elmore Louis. Photopolymerizable compositions and elements and process of making reliefs therefrom. [E. I. du Pont de Nemours and Co.]. Пат. США 2902365, 1.09.59.—Слой фотополимеризующейся смеси для получения рельефных матриц глубокой печати, проявляемый водн. р-рами органич. или неорганич. оснований, включает: а) 60—80% производного поливинилового спирта (I), в котором часть гидроксильных групп этерифицирована, ацетилирована или эстерифицирована группировками, содержащими свободные карбоксильные или сульфогруппы или их соли, а другая часть связана с алкильными или алкиленовыми остатками; б) 20—40% мономерного соединения (МС) с этиленовыми группировками, способными к присоединительной полимеризации, предпочтительно имеющими \geq двух двойных связей, не сопряженных между собой; в) от 0,01 до 5,0% фотонициаторов полимеризации (ФП) напр., метилового эфира бензоина; г) 0,01—0,4% стабилизатора, преимущественно гидрохинона для предупреждения самопроизвольной полимеризации, мол. вес I от 10 000 до 100 000 и выше, с нейтрализационным эквивалентом предпочтительно от 200 до 1400. В качестве исходных полимеров для синтеза I применяют частично омыленные (на 20—90%) поливинилацетат или поливинилбутираль, а в качестве реагентов — Na- (или K-) соль о-сульфобензальдегида (II) м-метакриламидобензальдегид (III), ацеталь из III и этиленгликоля, n-карбоксифеноксикальдегид, хлор-ацетальдегид, $(\text{CH}_3\text{CO})_2\text{O}$, бицикло-2,2,4-гепт-5-ен-дихлор-беновую-2,3-итаконую, тримелитовую и фталевую к-ты и их ангидриды, хлорангидрид монохлоруксусной к-ты, фенилизонанат, фенилкарбамат. В качестве МС применяют 1,2-бис-(3'-метакриламидопропокс)-этан, 1,3-бис-(2'-метакриламидэтокс)-бензол, диметакриловые эфиры полиэтилен-, три- и тетраметилентглицолей и триметакриловый эфир 1,2,4-бутантриола. Пример. 7,2 г. дигидрата Na-соли II растворяют при 60° в смеси 25 ч. 95%-ного $\text{C}_2\text{H}_5\text{OH}$ и 140 ч. ацетона, охлаждают до 20°, выделяют свободную к-ту II прибавлением 3 ч. 18 г. H_2SO_4 и отфильтровывают Na_2SO_4 . К фильтрату добавляют 45 ч. частично омыленного (на 86—89%) поливинилацетата, перемешивают суспензией 45 мин. при 50°, охлаждают до 25°, прибавляют около 15 ч. 10%-ного р-ра метилата Na в CH_3OH , затем 60 ч. ацетона. Осадок поливинилацетат-(Na-о-сульфобензаль)-спирта (19/16/65) (IV) отфильтровывают, промывают ацетоном, диспаргируют в ацетоне, снова отфильтровывают, промывают и получают 52 ч. белого твердого в-ва с нейтрализационным эквивалентом 1690. Смесь 3 ч. IV, 2 ч. 1,3-бис-(метакриламидо)-2-пропанола и 0,05 ч. метилового эфира бензоина растворяют в смеси 4 ч. CH_3OH и 5 ч. воды, наносят слой и испаряют р-ритель при неактивном освещении. Полученный слой экспонируют 20 мин. на вращающемся столе (4 об/мин) четырьмя ртутными лампами 275-ватт на расстоянии 30—35 см. Неэкспонированные участки слоя удаляют дромывкой в воде 2—3 мин. при 25—30° и получают прочный и четкий позитивный рельеф.

Н. С. 9Л569. Усовершенствования в изготовлении светочувствительных диазотипных материалов. Murray Humphrey Desmond, Parry Eric. Improvements in or relating to the preparation of light-sensitive diazotype materials. Англ. пат. 832910, 21.04.60.—При изготовлении диазотипного материала на подложку наносят светочувствительный р-р, содержащий диазосоединение и сополимер стирола и малеиновой к-ты или сополимер винилхлорида, винилацетата и малеиновой к-ты, после чего материал сушат. В качестве подложки берут бумагу, ткань, пластич. материалы. Пример.

Смесь 750 г сополимера стирола и малеиновой к-ты (Люстрекс X 820), 3,500 л изопропилового спирта, 1,500 л CCl_4 и 75 мл дибутилфталата фильтруют, наносят на подложку, сушат, после чего наносят сенсibilizующий р-р 4-диазо-1-диэтиламинобензола 900 г, резорцин 600 г, изопропиловый спирт 2 л, окись метила 1 л, лимонная к-та 300 г, тиомочевина 100 г, вода 1,5 л. Материал сушат, экспонируют и проявляют обычным способом.

9Л570. Усовершенствование диазотипных материалов. Murray Humphrey Desmond, Talenbaum Arnold, Royer Richard Penn. Improvements in or relating to diazotype materials. [Ozald Co., Ltd.]. Англ. пат. 818911, 26.08.59.—Светочувствительный р-р для диазотипных материалов содержит диазосоединение, смешанное с мелкодиспергированной синтетич. катионообменной смолой, азокмпоменту и в-во, препятствующее образованию красителя. Пример. К р-ру состава: декстрин 0,5 г, лимонная к-та 0,125 г, тиомочевина 2,5 г, флороглюцин 0,1 г, вода до 25 мл при сильном перемешивании прибавляют 25 мл водн. дисперсии, 3 г катионообменной смолы (Н-форма) (Zeo-Karb 225 фирмы Пермутит) и 1 г двойной соли ZnCl_2 и N,N-диэтиламинобензол-4-диазонийхлорида. Смесь наносят на подложку, сушат и после экспонирования бумаги проявляют парами аммиака позитивное изображение копии оригинала в виде пурпурных линий на белом фоне.

9Л571. Протравные вещества основного характера, производные карбонилсодержащих полимеров и аминогуанидина. Minsk Louis M. Basic mordants derived from the reaction of carbonyl containing polymers and aminoguanidine and their use. [Eastman Kodak Co.]. Пат. США 2882156, 14.04.59.—Протравные в-ва, применяемые в фотографич. слоях для улучшения переноса кислот красителей при печати цветных изображений, получают конденсацией поливинилоксоспропаноидных с аминогуанидином. Метилвинилкетон полимеризуют в 1,4-диоксане (1:1) в присутствии 1% перекиси бензоила в качестве катализатора. Реакционную массу разбавляют диоксаном, продукт экстрагируют эфиром и получают полиметилвинилкетон (I). К 100 г I прибавляют смесь 840 г 1,4-диоксана и 360 мл лед. CH_3COOH , смесь перемешивают при нагревании и медленно прибавляют 240 г бикарбоната аминогуанидина (II), нагревают 15 мин., прибавляют 400 мл воды и затем 140 г Zn-пыли и 160 мл CH_3COOH , нагревают до перехода окраски из темно-коричневой в янтарно-желтую, смесь фильтруют и выливают в 10 л воды, содержащей 640 г 50%-ного р-ра NaOH. Жидкость декантируют и шелковистый осадок размешивают в четырех 3-л порциях воды, содержащих по 10 мл 50%-ного р-ра NaOH. Продукт растворяют прибавлением 400 мл воды и 150 мл CH_3COOH и получают 1390 г р-ра с содержанием 12,86% твердого в-ва. Последнее (390 г) медленно вводят в 12 л ацетона и извлеченный р-рителем полимер сушат в вакууме (38 г). Определение N показывает наличие 31 вес.% непрореагировавшего винилметилкетона (III) и 69 вес.% гуанилигидразона ацетата винилметилкетона (IV) ф-лы $-\text{CH}_2\text{CH}=\text{C}(\text{CH}_3)=\text{N}-$

$-\text{NHC}(\text{NH}_2)=\text{NH}\cdot\text{CH}_2\text{COOH}$. Аналогично конденсацией I и II получают ряд продуктов, содержащих 43,9—46,3% III и 56,1—83,7% IV. Поливинилалкоголь с II образуют продукт, содержащий 76,2% C, 8,8% H и 6,9% N. Поливинилпропилкетон (V) и II образуют продукт, содержащий ~12 вес.% гуанилигидразона ацетата винилпропилкетона и 88 вес.% непрореагировавшего V. Полиметилпропиленкетон (VI) и II образуют продукт, содержащий 12 вес.% гуанилигидразона ацетата изопропиленкетона и 88 вес.% непрореагировавшего VI. Сополимеры (1:1) и (1:3) α -метилакроелина и метилметакрилата (VII) с II образуют продукт, содержащий ~44 вес.% частиц производных

гуанилигидразон полимеризуют в зоне ан 51,5 вес.

9Л572. Краситель Green dye and its use. [Ozald Co., Ltd.]. Англ. пат. 818911, 26.08.59.—Светочувствительный р-р для диазотипных материалов содержит диазосоединение, смешанное с мелкодиспергированной синтетич. катионообменной смолой, азокмпоменту и в-во, препятствующее образованию красителя. Пример. К р-ру состава: декстрин 0,5 г, лимонная к-та 0,125 г, тиомочевина 2,5 г, флороглюцин 0,1 г, вода до 25 мл при сильном перемешивании прибавляют 25 мл водн. дисперсии, 3 г катионообменной смолы (Н-форма) (Zeo-Karb 225 фирмы Пермутит) и 1 г двойной соли ZnCl_2 и N,N-диэтиламинобензол-4-диазонийхлорида. Смесь наносят на подложку, сушат и после экспонирования бумаги проявляют парами аммиака позитивное изображение копии оригинала в виде пурпурных линий на белом фоне.

См. та. серебра 9Л163.

9Л573. Взрывчат. вещества. Bergak. Explosive materials. Пат. США 2882156, 14.04.59.—Протравные в-ва, применяемые в фотографич. слоях для улучшения переноса кислот красителей при печати цветных изображений, получают конденсацией поливинилоксоспропаноидных с аминогуанидином. Метилвинилкетон полимеризуют в 1,4-диоксане (1:1) в присутствии 1% перекиси бензоила в качестве катализатора. Реакционную массу разбавляют диоксаном, продукт экстрагируют эфиром и получают полиметилвинилкетон (I). К 100 г I прибавляют смесь 840 г 1,4-диоксана и 360 мл лед. CH_3COOH , смесь перемешивают при нагревании и медленно прибавляют 240 г бикарбоната аминогуанидина (II), нагревают 15 мин., прибавляют 400 мл воды и затем 140 г Zn-пыли и 160 мл CH_3COOH , нагревают до перехода окраски из темно-коричневой в янтарно-желтую, смесь фильтруют и выливают в 10 л воды, содержащей 640 г 50%-ного р-ра NaOH. Жидкость декантируют и шелковистый осадок размешивают в четырех 3-л порциях воды, содержащих по 10 мл 50%-ного р-ра NaOH. Продукт растворяют прибавлением 400 мл воды и 150 мл CH_3COOH и получают 1390 г р-ра с содержанием 12,86% твердого в-ва. Последнее (390 г) медленно вводят в 12 л ацетона и извлеченный р-рителем полимер сушат в вакууме (38 г). Определение N показывает наличие 31 вес.% непрореагировавшего винилметилкетона (III) и 69 вес.% гуанилигидразона ацетата винилметилкетона (IV) ф-лы $-\text{CH}_2\text{CH}=\text{C}(\text{CH}_3)=\text{N}-$

9Л574. Протравные вещества. Bergak. Explosive materials. Пат. США 2882156, 14.04.59.—Протравные в-ва, применяемые в фотографич. слоях для улучшения переноса кислот красителей при печати цветных изображений, получают конденсацией поливинилоксоспропаноидных с аминогуанидином. Метилвинилкетон полимеризуют в 1,4-диоксане (1:1) в присутствии 1% перекиси бензоила в качестве катализатора. Реакционную массу разбавляют диоксаном, продукт экстрагируют эфиром и получают полиметилвинилкетон (I). К 100 г I прибавляют смесь 840 г 1,4-диоксана и 360 мл лед. CH_3COOH , смесь перемешивают при нагревании и медленно прибавляют 240 г бикарбоната аминогуанидина (II), нагревают 15 мин., прибавляют 400 мл воды и затем 140 г Zn-пыли и 160 мл CH_3COOH , нагревают до перехода окраски из темно-коричневой в янтарно-желтую, смесь фильтруют и выливают в 10 л воды, содержащей 640 г 50%-ного р-ра NaOH. Жидкость декантируют и шелковистый осадок размешивают в четырех 3-л порциях воды, содержащих по 10 мл 50%-ного р-ра NaOH. Продукт растворяют прибавлением 400 мл воды и 150 мл CH_3COOH и получают 1390 г р-ра с содержанием 12,86% твердого в-ва. Последнее (390 г) медленно вводят в 12 л ацетона и извлеченный р-рителем полимер сушат в вакууме (38 г). Определение N показывает наличие 31 вес.% непрореагировавшего винилметилкетона (III) и 69 вес.% гуанилигидразона ацетата винилметилкетона (IV) ф-лы $-\text{CH}_2\text{CH}=\text{C}(\text{CH}_3)=\text{N}-$

гуанилгидразона α -метилакролеина и 50 вес.% VII. Сополимер (1:1) метакролеина и стирола (VIII) и II образуют продукт, содержащий 48,5 вес.% гуанилгидразона ацетата производного α -метилакролеина и 51,5 вес.% непрореагировавшего VIII. И. Соловьева

9Л572. Типографская краска, содержащая красный краситель и лактон кристаллического — фиолетового. Green Barrett K. Printing fluid containing a red dye and crystal violet lactone. [The National Cash Register Co.]. Пат. США 2850395, 2.09.58. — Описано приготовление типографской краски (ТК) из 3 ч. судана III и 3 ч. лактона кристаллич. фиолетового (3,3-бис-(n -диметиламинофенил)-6-диметиламинофталид) в 94 ч. хлорированного бифенила (48% Cl), которую наносят на бумагу, являющуюся адсорбентом. Бумагу получают нагреванием 20%-ной дисперсии крахмала в воде 15 мин. при 93°. 4 ч. 25%-ного аттапульгита водн. дисперсии и 1 ч. ТК наносят на подложку бумаги слоем толщиной 0,0127 мм. Сенсibilизированный материал при печати немедленно образует темно-красное изображение. На несенсибилизированном материале получается красное изображение. Н. Широкова

См. также: Фотографические материалы. Галогениды серебра 9Б5351, 9Б5636. Оптические сенсibilизаторы 9Л1163. Оптически отбеливающие в-ва 9Л227—9Л229

ВЗРЫВЧАТЫЕ ВЕЩЕСТВА. ПИРОТЕХНИЧЕСКИЕ СОСТАВЫ. СРЕДСТВА ХИМИЧЕСКОЙ ЗАЩИТЫ

Редатор А. И. Гольбиндер

9Л573. О скорости окисления окиси азота после взрыва. Koslewa Dimka. Über die Oxydationsgeschwindigkeit des Stickstoffoxydes nach der Sprengung. [Bergakademie], 1960, 12, № 8, 423—425 (нем.). — Исследована кинетика окисления NO (I) кислородом воздуха. Расчет по кинетич. данным и опытами в лаб. условиях и в шахте показано, что при малых конц-ях I окисление происходит очень медленно. В связи с этим в отравлениях рабочих шахт продуктами взрыва существенную роль может играть присутствие I.

В. Горбунов

9Л574. Получение и свойства серебряной соли нитроцианамиды. Okazaki Kazumasa, Yanagizawa Takeru, Shishido Yasuhisa. «Kōgō kagaku kōkai», J. Industr. Explos. Soc., Japan, 1960, 21, № 1, 12—15 (японск.; рез. англ.). — Серебряную соль нитроцианамиды (I) получают в три стадии: 1) Растворяют при 40° 10,4 г нитрогуанидина в 42 г 28,6%-ного водн. р-ра KOH и при перемешивании добавляют 13,5 г солянокислого метиламина. Полученный вязкий р-р нагревают до 60° и при этой т-ре выдерживают 20 мин. Охлаждают р-р до 6°, отфильтровывают высадившийся 1-метил-3-нитрогуанидин (II), промывают его 30 мл холодной воды и последовательно перекристаллизовывают из воды и 95%-ного этилового спирта, выход II 70,3%, т. пл. 159—161°; 2) 10 г II растворяют в 30 мл 70%-ной HNO₃, р-р разбавляют 100 мл воды, охлаждают до 10° и добавляют 5 мин. р-р 12,4 г NaNO₂ в 20 мл воды, через 20 мин. отделяют 1-метил-1-нитрозо-3-нитрогуанидин (III), тщательно промывают его холодной водой и перекристаллизовывают из метанола, выход III 88,1%, т. пл. 118°; 3) при т-ре не выше 0° и непрерывном перемешивании к 60 мл 2,6%-ного р-ра NaOH медленно добавляют р-р 4,4 г III в 150 мл воды, после выдержки при ~20° добавляют 19,8 г 12,7%-ной HNO₃, далее приливают р-р 5,1 г AgNO₃ в 15 мл воды, отфильтровывают осадок I и промывают теплой водой. Общий выход I с учетом продукта, регенерированного из промывной воды, 86,2%. Растворимость I в воде

составляет 0,007% при 10,8° и 0,103% при 83°. Время задержки вспышки составляет 16 сек. при 160° и 1,2 сек. при 210°. По чувствительности к удару I подобен диазодинитрофенолу, а по чувствительности к трению подобен стифнату свинца. Скорость детонации I мало зависит от материала оболочки и составляет при плотности 0,8 г/см³ и диаметре медной оболочки 6,5 мм 3060 м/сек. Скорость горения I при плотности 2,5 г/см³ 4,49 см/сек, при плотности 3,5 г/см³ 4,36 см/сек. Для инициирования взрыва I раскаленной проволокой необходима такая же плотность тока, что и для тетразена и гремучей ртути, и меньшая, чем для азиды свинца. При силе тока 0,99 а время возбуждения составляет 4,5 мсек.

В. Збарский

9Л575. Смеси хлората калия с маслами, как взрывчатые вещества, удельный объем газообразных продуктов, выделение энергии и температура взрыва. Huhtanen I. Über Kaliumchlorat-Öl-Gemische als Sprengstoffe und ihr spezifisches Gasvolumen, den Energieinhalt und ihre Explosionstemperatur. [Explosivstoffe], 1960, 8, № 9, 189—194 (нем.). — Расчет показан на примере парафиновых углеводородов от C₈ до C₂₀, что удельный объем газов, теплота и т-ра взрыва стехиометрич. смесей хлората калия с маслами практически не зависят от числа углеродных атомов и строения углеводорода, применяемого в качестве горючего. Действие взрыва смесей, содержащих различное кол-во масла, оценено экспериментально с помощью бризантометра спец. конструкции. Результаты сопоставимы с расчетной теплотой р-ции для каждой смеси.

В. Горбунов

9Л576. Качественная реакция на мононитротолуолы с пентацианоаминиферратом натрия. Hackett C. B., Clark R. M. A qualitative test for mononitrotoluenes with trisodium pentacyanoamminoferrate, [Analyst], 1960, 85, № 1014, 683—684 (англ.). — Для быстрого качеств. определения мононитротолуолов (МНТ), когда цветная р-ция Яновского не может быть использована, предложено применять пентацианоаминиферрат натрия (I). Определение включает две стадии: восстановление нитросоединения в нитросоединение и обработка последнего р-ром I, приводящая к образованию цветного комплекса по ур-нию: Na₂[Fe(CN)₅NH₂] + RNO → NH₃ + Na₂[Fe(CN)₅RNO]. Р-ция в некоторых случаях идет только на свету. Нитросоединения дают следующее характерное окрашивание: о-нитротолуол — ярко-розовое или красное, м-нитротолуол — красновато-фиолетовое, п-нитротолуол — фиолетово-голубое, нитробензол — красновато-фиолетовое, 2,4-динитротолуол (II) и 2,4,6-тринитротолуол (III) — фиолетово-красное. Для качеств. определения МНТ в смеси с II и III рекомендуется использовать одновременно р-цию Яновского. При этом изомеры МНТ не дают окрашивания. II дает голубое, а III — ярко-красное окрашивание. Методика определения: 1 каплю или 10 мг образца растворяют в 3 мл горячего спирта, добавляют 7 капель 10%-ного водн. р-ра CaCl₂ и ~50 мг цинковой пыли, нагревают содержимое пробирки на водяной бане до кипения, кипятят 1 мин., фильтруют и охлаждают фильтрат до ~20°. 4 капли холодного фильтрата разбавляют 2 мл дистил. воды, прибавляют 1 каплю 1%-ного р-ра I и наблюдают за изменением окраски. Полученные результаты рекомендуется проверять контрольными опытами с чистыми изомерами МНТ.

В. Збарский

9Л577. Способ замедления скорости желатинизации при изготовлении желатинированных или полужелатинированных взрывчатых веществ. Wahrenholz Hans-Georg. Verfahren zur Verzögerung der Gelatinierungsgeschwindigkeit bei der Herstellung von gelatinösen oder halbgelatinösen Sprengstoffen. [Wasag-Chemie Akt.-Ges.]. Пат. ФРГ 1064406, 11.02.60. — Для замедления процесса желатинизации нитроцеллюлозы (НИ) при изготовлении взрывчатых в-в (ВВ) предложено

предварительно пропитывать НЦ солевым р-ром, затем смешивать ее с твердыми компонентами ВВ и лишь после этого добавлять жидкие нитроэфир. При такой последовательности операций резко снижается скорость проникновения пластификатора в мицеллярную структуру НЦ и предотвращается образование клейкой резиноподобной массы. Метод обеспечивает также более равномерное распределение компонентов в желатинированных ВВ. Полученные ВВ отличаются меньшей чувствительностью к удару по сравнению с ВВ, изготовленными обычными способами; процесс патронирования может быть полностью автоматизирован. Примеры: 1) 0,9 кг сухой НЦ обрабатывают в центрифуге 30–50%-ным р-ром NH_4NO_3 , вытесняя таким образом заключенный в ней воздух, и смешивают с предварительно приготовленной смесью твердых компонентов, состоящей из 10 кг NaNO_3 , 11,6 кг нитротолуола, 1 кг древесной муки и 0,2 кг Fe_2O_3 , после чего добавляют 21,3 кг нитроглицерина и продолжают смешение; 2) Влажную НЦ (3,6 кг в пересчете на сухой продукт), содержащую ~35% воды, обрабатывают ~30 л 40–50%-ного р-ра NH_4NO_3 описанным выше способом. Полученную НЦ, содержащую ~30% солевого р-ра, истирают, просеивают через сито с ячейками 3 мм и смешивают с приготовленной смесью твердых компонентов, состоящей из 180 кг NH_4NO_3 , 26 кг нитротолуола, 6 кг древесной муки и 0,6 кг Fe_2O_3 , за-

тем добавляют 87,3 кг смеси нитроглицерина с нитроглицеролом в соотношении 80:20 и продолжают смешение еще 15 мин.

9Л578. Пластичное предохранительное взрывчатое вещество. Plastischer Sicherheitssprengstoff. [Fritz Frutiger]. Швейц. пат. 347469, 15.08.60.—Предложено предохранительное пластичное взрывчатое в-во (ПВВ), не содержащее жидких нитроэфиров, с высокой детонационной способностью и малой чувствительностью к удару. В качестве пластификатора используется эмульсия масла или жидкого углеводорода в водн. р-ре нитратов, хлоратов и перхлоратов щел. или щел.-зем. металлов. Эмульсию стабилизируют введением небольшого кол-ва декстрина, агар-агара и полиглицеролевого эфира. Пример эмульсии (в %): $\text{Ca}(\text{NO}_3)_2$ 40–50, NH_4NO_3 20–30, NaNO_3 2–5, касторовое масло 0,5–1,0, агар-агар 2–4, полиглицерольный эфир 0,5–1,5, вода 20–30. Мощность ПВВ может быть существенно увеличена введением до 15% высокобризантных взрывчатых веществ (тэн, гекоген, тетрил) и порошкообразного алюминия.

В. Горбунов

См. также: Взрывчатые в-ва. Катодно-лучевой фотограф. для анализа взрывчатых в-в 9Д165. Органич. тиосульфенаты 9Л193. Новая перекись циклопарафинового ряда 9Л118

Рефер

9М1.
ном на
делах
Goul
keit vo
keit un
Rob- u
англ.).
ности
древес
влажн
т-ры в
сти Д
циаль
Напр.,
при я
аналог
на 22
прочн

9М2.
и дре
k u S
shi, J.
№ 6,
муку
родны
чами
углев
а-цел
ти со
легко
ле е
ной л
с кон
Л об
контр
нару
чало
у Л
о то
при
зом
угле

РЕФЕРАТИВНЫЙ ЖУРНАЛ ХИМИЯ

VII

Рефераты 9М1—9М366

№ 9

10 мая 1961 г.

М. ХИМИЯ И ПЕРЕРАБОТКА ДРЕВЕСИНЫ, ТВЕРДЫХ ГОРЮЧИХ ИСКОПАЕМЫХ, ПРИРОДНЫХ ГАЗОВ И НЕФТИ

ЛЕСОХИМИЧЕСКИЕ ПРОИЗВОДСТВА. ГИДРОЛИЗНАЯ ПРОМЫШЛЕННОСТЬ

Редакторы А. П. Хованская, Ю. С. Чельцова

9М1. Зависимость прочности на разрыв в поперечном направлении от влажности и температуры (в пределах от 0 до 100°) для древесины дуба, бука и ели. Goulet Marcel. Die Abhängigkeit der Quersugfestigkeit von Eichen-, Buchen- und Fichtenholz von Feuchtigkeit und Temperatur im Bereich von 0° bis 100° C. «Holz Roh- und Werkstoffe», 1960, 18, № 9, 325—331 (нем.; рез. англ.).—На спец. приборе определяли изменение прочности на разрыв в поперечном направлении образцов древесины (Д) дуба, бука и ели в зависимости от влажности при 20°, а также при быстром изменении т-ры в пределах 0—100°. Установлено, что при влажности Д < 10% прочность на разрыв еловой Д в тангенциальном направлении мало изменялась с т-рой. Напр., при 3,5%-ной влажности прочность на разрыв при нагревании от 0 до 100° уменьшалась на 6%; в аналогичных условиях прочность буковой Д снижалась на 22, дубовой — на 24%. Для сырой Д уменьшение прочности соответственно равнялось 61, 70 и 78%.

Н. Рудакова

9М2. Влияние ионизирующей радиации на лигнин и древесину. Nishihama Yoshikazu, Takamuku Setsuo. «Korô kagaku zasshi, Kogyo kagaku zasshi, J. Chem. Soc. Japan. Industr. Chem. Sec.», 1960, 63, № 6, 1043—1046, A57 (японск.; рез. англ.).—Древесную муку красной сосны (*Pinus densiflora* S. et Z.) и природный лигнин (Л) Браунса облучали на воздухе γ -лучами в концентрации 4×10^6 ф.э.р. В результате разложения углеводов уменьшилось содержание холоцеллюлозы и α -целлюлозы, а при концентрации 10^8 ф.э.р. α -целлюлоза почти совсем исчезла. Л из облученной древесной муки легко экстрагировался спиртом или диоксаном, и после ее обработки сульфитом натрия кол-во растворенной лигносульфоновой к-ты увеличилось по сравнению с контрольным образцом в три раза. Экстрагированный Л обладал почти одинаковыми хим. свойствами с контрольным. При облучении Л хим. изменений не обнаруживалось; но в древесине после облучения увеличилось содержание гваяцеткарбинольных радикалов, у Л такого увеличения не наблюдалось. Сделан вывод о том, что изменение свойств Л, наблюдаемое только при облучении древесины, вызывается главным образом разложением углеводов и расщеплением лигнин-углеводной связи.

В. Высотская

9М3. Реакция лигнина с фенолсульфокислотами. Nakajima Kouji, Nishihama Yoshikazu, Brauns Friedrich Emil. «Korô kagaku zasshi, Kogyo kagaku zasshi, J. Chem. Soc. Japan. Industr. Chem. Sec.», 1960, 63, № 6, 1046—1050, A57 (японск.; рез. англ.).—Считается, что при взаимодействии лигнина (Л) с фенолом ОН-группа в α -положении боковой цепи фенилпропанового звена реагирует с водородным атомом фенола в орто- и пара-положениях, причем удаляется вода и образуется С—С связь. Для подтверждения такого взгляда были проведены р-ции взаимодействия Л красной сосны (*Pinus densiflora* S. et Z.) и природного Л ели с орто- и парафенолсульфокислотами. Р-ции идут при 60—80°, с образованием водорастворимых соединений Л с фенолсульфокислотами. Ортокислота более реакционноспособна в отношении Л, чем паракислота. В результате анализа продуктов окисления Л нитробензолом установлено, что часть молекулы Л, образующая ванилин, реагировала главным образом с атомом водорода, в пара-положении к гидроокисной группе фенолсульфокислоты с образованием связи С—С.

В. Высотская

9М4. Исследование химического состава тростника *Phragmites communis*. I. Эфиры глицерина и высших спиртов. Simionescu Cristofor, Diaconescu Eleonora, Feldman Dorel. Contribution à l'étude de la composition chimique du roseau. I. Les esters de la glycérine et des alcools supérieurs. «Rev. chim.» (RPR), 1960, 5, № 1, 57—65 (франц.).—Исследованы экстрактивные в-ва тростника, извлекаемые различными органич. р-рителями (смесь спирт-бензол 1:1, спирт, сероуглерод, ацетон, ксилол, бензол, хлороформ, трихлорэтилен, петр. эфир, серный эфир, CCl_4). Наибольшее кол-во в-в извлекается смесью спирт-бензол. Экстрактивные в-ва состоят из 66,57% жирных к-т; 31,82% неомыляемых и 1,11% глицерина.

А. Х.

9М5. Брикетирование коры и опилок. Millstein Harald, Mørkved Karl. Brikettering av bark og sagflis. «Norsk skogind.», 1960, 14, № 5, 182—185, 187—194 (норв.; рез. англ.).—Исследованы влияние влажности прессуемых древесных отходов и т-ры в прессах на свойства получаемых брикетов (Б) при стандартном давлении прессования (1000 кг/см^2) и зависимость между этими факторами. Для опытов были взяты сосновые и еловые опилки (О); в качестве связующих материалов: 5% молотой еловой коры (К) или 2% концентрата отработанного сульфитного щелока (порошок). Качество Б оценивалось по их прочности. Наи-

лучшей прочностью отличались Б с 8—10%-ной влажностью; их качество постепенно улучшалось с подъемом т-ры прессования от 20 до 100°. При влажностях 42—15% и выше качество Б резко падало. Влияние связующих проявляется только при повышенных влажностях. Б из одной только К характеризуется хорошими свойствами в широких пределах т-ры и влажностей. На основе результатов лабор. исследований приготовлены Б в производственных условиях. Сушку О и К производили отходящими дымовыми газами. Установлено, что К, содержащая 50—60% сухого в-ва, может размалываться в кулачковой мельнице до размеров, сравнимых с размерами О. Сосновая К брикетуется хуже еловой. Расход энергии на брикетирование К меньше, чем О. Брикеты с К набухают в воде меньше, чем не содержащие К. Брикеты из К крошатся меньше, чем Б из О. Результаты производственных опытов подтвердили результаты лабор. испытаний.

М. Нагорский

9М6. Влияние температуры измельченной древесины в момент прессования на свойства древесных пластинок. Минин А. Н. «Изв. высш. учебн. заведений. Лесн. ж.», 1959, № 5, 128—135. — С повышением т-ры прессматериала в момент прессования прочность и объемный вес изделий повышаются, а требуемое уд. давление прессования может быть значительно снижено. Наиболее резкое увеличение прочности и объемного веса изделий наблюдается при нагреве прессуемого материала в пределах 150—225° и особенно в пределах 180—225°. При выдержке в течение 2,5 мин. на 1 мм толщины готового изделия и уд. давления прессования 250 кг/см² оптимальными являются т-ры нагрева в пределах 185—200°. Рекомендуется при производстве древесных пластинок перед снятием давления их охлаждение до 25—30°. Снятие давления должно производиться плавно. Процесс пьезотермич. обработки материала должен протекать в герметически закрытой прессформе.

Из выводов автора

9М7. Использование активированных сосновых опилок для адсорбции фенолов. Kotkowski Stefan, Wojtkiewicz-Mateńko Bożenna. Zastosowanie aktywowanych trocin sosnowych do adsorpcji fenolu. «Przem. chem.», 1960, 39, № 10, 633—636 (польск.; реф. русск., англ.). — Сырые опилки не адсорбируют фенолов из водн. р-ров. При обработке опилок сперва конц. H₂SO₄, а затем 20%-ной NaOH и многократной промывке водой образуется гидроцеллюлоза, обладающая адсорбционными свойствами (1 ч. активированных опилок адсорбирует 3 мг фенола). Опилки, активированные описанным способом, адсорбируют соли, растворенные в питьевой воде, и могут быть использованы для ее приготовления, а также для удаления из воды солей железа.

Из резюме авторов

9М8. Определение плотности древесины путем погружения в ртуть поперечных срезов древесины без коры. Ericson Börje. A mercury immersion method for determining the wood density increment core sections. «Rapp. Statens skogsforskningsinst. Avd. skogsprodukt.», 1959, № 1, 31, pp., ill. (англ.)

9М9. Сушка древесины в горячем масле или едких веществах. Labus H. Die Trocknung von Holz in heißem Öl oder ähnlichen Stoffen. «Holzindustrie», 1960, 13, № 7, 229—233 (нем.). — Древесину (Д) сушат в нагретом до 100—130° масле. Вследствие более интенсивной передачи тепла от жидкой среды в Д, чем в случае газовой среды, процесс сушки ускоряется. Для устранения большой разницы во влажности отдельных участков высушенной Д, ее следует высушивать до влажности ≤ 8%. Процесс сушки можно контролировать только по т-ре Д, руководствуясь диаграммой т-ра Д — % влажности. Такие диаграммы следует составить для каждого вида Д. Выбор соответствующего масла или другого в-ва имеет большое значение для глубины проникновения. Д, высушенная

таким способом, вследствие загрязнения поверхности не пригодна в дальнейшем для протравы, покраски и лакировки; следовательно, способ неприменим в мебельном произ-ве.

В. Высотская

9М10. К вопросу образования основных продуктов пиролиза древесины. Козлов В. Н., Королева Н. И. «Тр. Ин-та химии. Уральский фил. АН СССР», 1959, вып. 5, 37—48. — Приведены соображения о механизме образования уксусной к-ты и ее гомологов, метилового спирта, альдегидов и кетонов, а также смол, реакционной воды и неконденсируемых газов в процессе пиролиза древесины. Рассмотрена их термич. устойчивость в зависимости от тех или иных условий пиролиза.

А. Хованская

9М11. Исследование процесса термического разложения древесины посредством дифференциального термического анализа. Keylwerth Rudolf, Christoph Norbert. Beitrag zur Untersuchung der thermischen Holzzerlegung mittels Differential-Thermo-Analyse. «Materialprüfung», 1960, 2, № 8, 281—288 (нем.; реф. англ., франц.). — При исследовании процесса термич. разложения древесины (Д) взамен классического определения теплотворной способности применен метод дифференциального термич. анализа (ДТА), известный из минералогии. Его преимуществом является возможность регистрировать не только суммарное выделение тепла, но и по отдельным стадиям процесса разложения. Это имеет большое значение при оценке действия различных огнезащитных средств. Приведена методика ДТА применительно к Д. При одинаковых внешних условиях нагревают в печи по определенному режиму два в-ва. Одно из них — проба Д, а другое — инертное в определенных температурных пределах в-во. Измеряют и регистрируют как функцию времени разницу т-р обоих в-в и т-ру одного из них. Приведены термограммы Д разных пород и Д, пропитанной различными огнезащитными средствами.

В. Высотская

9М12. К вопросу о влиянии влажности древесины на выход продуктов ее сухой перегонки. Корякин В. И., Акудовс В. Я. «Сб. тр. Центр. н.и. лесохим. ин-та», 1959, вып. 13, 22—26. — Приведены результаты систематич. контрольных наблюдений за работой вагонной непрерывной периодической действующей реторты на Сявском лесохим. комбинате. Наблюдали за 17 оборотами реторты, фиксировали кол-во загружаемой древесины, ее влажность, время оборота, выходы продуктов разложения. Зависимость выходов к-т, спиртов и альдегидов от кол-ва жижки, полученной на 1 м³ древесины, выражена после усреднения по способу наименьших квадратов рядом линейных ур-ний. Отмечена тенденция при термич. разложении березовой древесины в реторте указанного типа к увеличению выхода к-т, метанола и альдегидов с увеличением влажности древесины. Так как процесс термич. разложения березовой древесины зависит от геометрии, размеров агрегата, уд. поверхности нагрева, способа обогрева и в связи с этим от степени досушки древесины, полученные результаты опытов не могут быть механически перенесены на другие промышленные агрегаты. Приведенные в настоящем сообщении соотношения рекомендуется рассматривать, как первое приближение к решению данного вопроса.

А. Хованская

9М13. Сорбция формальдегида и метанола в пенной колонне. Катунин В. Х., Асеева З. Г. «Хим. пром-сть», 1960, № 6, 513—514. — Приведены результаты испытания опытно-промышленной поглотительной колонны (К) для поглощения паров формальдегида и метанола из паро-газовой смеси. К представляет собой пенный аппарат с восемью тарелками и внутренними змеевиками-холодильниками, расположенными над каждой тарелкой (решеткой) в зоне слоя пены. Па-

раллельно над каждой тарелкой установлен холодильник. К. Сравнивают на единичной тарелке, а также на всей колонне. В зависимости от температуры, влажности, концентрации паров формальдегида и метанола в паро-газовой смеси, а также от скорости движения газа, изменяется эффективность поглощения. В зависимости от температуры, влажности, концентрации паров формальдегида и метанола в паро-газовой смеси, а также от скорости движения газа, изменяется эффективность поглощения.

9М14.

с о з а Н. П. пром-ст. (Ф. ЦТИ) (Г. С. торт с перегонки смолы и 64,0. Д. колбы до 210° на колбе. близки. (т. кип. сферол. (фенол. эфирол. логи). содерж. В посл. уд. вес. хина. К. пирока. много. гомоло. полны. гов. Ф. 760 м. Ф, отг. фракц. 18,5; С. исслед. рактер.

9М15.

К о з л. — хим. 35. — О. весны. испол. хвойн. рактер. приме. смолы. тель, 9М1. И. П. пром-ст. получ. воды. лой в. ния в. остат. следу. фенол. 74,8, 59,7.

параллельно испытывали обычную сорбционную К с тринадцатую колпачковыми барботажными тарелками примерно такой же производительности, как пенная К. Сравнение работы этих К показало, что в пенной К допускается примерно в 3 раза большая нагрузка на единицу объема аппарата по обрабатываемой парогазовой смеси, чем в К, снабженной колпачковыми тарелками. Поверхность теплоотвода пенной К, включая холодильник, была в 2,5—3 раза меньше, чем поверхность К с колпачковыми тарелками. Охлаждение реакционной парогазовой смеси в пенной К было более глубоким, чем в К с колпачковыми тарелками. Приведена схема и описание пенной колонны. А. Х.

9M14. Фенолы из смол термолитиза древесины. Носова Н. И., Тищенко Д. В. «Гидролиз. и лесохим. пром-сть», 1960, № 6, 1—3. — Исследован состав фенолов (Ф) из отстойных смол (ТС) тонки генератора ЦДТИ системы Померанцева, из смол газогенераторов (ГС) типа AVG и из сухоперегонной смолы (СС) реторт с внутренним обогревом Алзиского з-да. При перегонке смол выход безводи, масел (в %) к безводи, смоле из ГС 72,9; из СС 71,2; из ТС-I 54,3, из ТС-II 64,0. Для исследования Ф масла фракционировали из колбы Вюрца при 5 мм рт. ст. на фракции, кипящие до 210° и от 210° и выше, а затем ректификовали их на колонне высотой 80 см с насадкой из стеклянных колец Фenske diam. 4 мм. Установлено, что наиболее близкими по составу являются Ф креозотовых масел (т. кип. до 100° при 5 мм рт. ст. или до 240° при атмосферном давлении). Они состоят из одноатомных Ф (фенол, крезолы, ксилолы) и неполных метиловых эфиров двухатомных фенолов (гваякол и его гомологи). Фракции масел этой же т-ры кипения из ТС содержат несколько больше гваякола и его гомологов. В последующих перегоняющихся фракциях больше уд. веса содержатся значительные кол-ва пирокатехина. Из масел СС и ГС за фракциями, содержащими пирокатехин, перегоняются фракции, содержащие много неполных метиловых эфиров пирогаллола и его гомологов. Эти же фракции ТС содержат меньше неполных метиловых эфиров пирогаллола и его гомологов. Фракции Ф, кипящие при т-ре >290—300° при 760 мм, всех четырех смол кристаллизуются. Выход Ф, отгоняющихся до хвостовых кристаллизующихся фракций (в %), к безводи, смоле составляет для ГС 18,5; СС 21,0; ТС-I 7,5; ТС-II 10,7. Приведены методика исследования и выделения Ф, а также физ.-хим. характеристики выделенных фракций. А. Хованская

9M15. Древесная смола, ее свойства и применение. Козлов В. Н., Смоленский В. Б. «Тр. Ин-та химии. Уральский фил. АН СССР», 1959, вып. 5, 25—35. — Обзор отечественных работ по исследованию древесных смол и ее применению. Приведены схемы использования древесной смолы лиственных пород и хвойных, а также их физ.-хим. характеристики и характеристика масел, получаемых из них. Наибольшее применение из всех продуктов перегонки древесной смолы твердолиственных пород получил антиокислитель, отбираемый при 200—300°. Библ. 16 назв. А. Хованская

9M16. Понижитель вязкости ПФЛХ-1. Уваров И. П., Гусаков В. Н. «Гидролиз. и лесохим. пром-сть», 1960, № 7, 7—9. — Сырьем для понизителя вязкости ПФЛХ-1 является фенольный экстракт (ФЭ), получаемый из кислой упаренной до уд. в. 1,18—1,20 воды от очистки генераторного газа. Экстракцию кислой воды производят серным эфиром и после удаления из экстракта уксусной к-ты и эфира используют остаток для получения ПФЛХ-1. Характеристика ФЭ следующая: уд. в. 1,190—1,208; влажность 9,0—15,8%; фенолов, конденсирующихся с формальдегидом 66—74,8, в % от сухой навески; при разгонке выход масел 59,7—61,8, считая в % на сухую навеску; выход пека

38,4—32,5%, содержание пирокатехина в маслах, полученных от разгонки ФЭ 42—21%. Процесс получения ПФЛХ-1 включает 3 стадии: 1) синтез диметилового производного путем взаимодействия ФЭ с формальдегидом в щел. среде при т-ре до 50° (образование фенолоспиртов); 2) получение новолаков конденсацией фенолоспиртов с исходными фенолами в кислой среде при слабом кипении и 3) синтез продукта обработкой предварительно промытого водой новолака формальбисульфитным р-ром в щел. среде при кипении. Приведены принципиальная технологич. схема произ-ва ПФЛХ-1, схема его произ-ва в аппаратуре непрерывного действия и технич. условия на ПФЛХ-1. Испытание этого продукта на нефтепромыслах в разных районах СССР дали хорошие результаты. Объединение «Туркменнефть» рекомендовало широко использовать ПФЛХ-1 как средство, облегчающее бурение скважин, ускоряющее их проходку и снижающее расход каустич. соды и утяжелителя (барита). А. Хованская

9M17. О производстве скипидара и канифоли. Стоянов В. Върху производството на терпентинов масло и колофон. «Природа» (Бълг.), 1960, 9, № 4, 50—54 (болг.)

9M18. Терпены и смоляные кислоты, продуцируемые елью обыкновенной (*Picea excelsa* Link.). (Тезисы доклада). Черчес Х. А., Бардышев И. И. В сб. «Вопр. химии терпенов и терпеноидов». Вильнюс, 1960, 165. — Эфирное хвойное масло ели обыкновенной состоит (в %) из 0,6 сантена, 1,5 трициклена, 10,0 l-α-пинена; 12,8 l-камфена; 3,5 l-β-пинена; 5,6 Δ²-карена и β-мирцена; 7,2 цинеола; 12 смеси лимонена с дипентеном, 1,2 фелландрена, пара-цимола, 4 камфоры, 15 борнеола, борнилацетата и 2 сесквитерпеновой фракции. Скипидар из живицы ели обыкновенной состоит (в %) из 40 l-α-2-пинена, 35 l-β-пинена, 10 смеси лимонена с дипентеном, Δ²-карена и пара-цимола. В состав смоляных к-т ели обыкновенной входят левопимаровая, декстропимаровая, абиетиновая, неоабиетиновая, палостровая, дегидроабиетиновая и, возможно, другие смоляные к-ты. Отмечена возможность вовлечения ели в подпочку и получения таким образом дополнительных кол-в сырья для отечественной лесохим. промышленности. А. Хованская

9M19. Смоляная часть живиц хвойных пород Сибири. Пентегова В. А., Лисина А. И., Поволоцкая Н. Н. В сб. «Вопр. химии терпенов и терпеноидов». Вильнюс, 1960, 139—146. — Исследована живица (ЖВ) кедр, лиственницы и пихты. Содержание скипидара в ЖВ кедр 19,3—20,0%; уд. в. 1,0196, n_D^{20} 1,5220, $[\alpha]_D$ —17,8°, кислотное число 122; число омыления 126, для ЖВ лиственницы из смолосмесилиц соответственно 16,7—22,6; 1,0001; 1,5232; от +13° до +33,9°; 94—105; 98, 7—124; с открытых карп 19,2—21,0; 1,0330; 1,5248; от +12,3° до +14,4°; 106—111,0; 112—115°; для ЖВ пихты 31—33,0; 0,9884; 1,5157; —14,38; 87,6; 112,0. Более низкие величины кислотных чисел ЖВ лиственницы и пихты объясняются повышенным содержанием неомыляемых в-в и оксикислот. Из кристаллич. части ЖВ кедр выделена смоляная кристаллич. к-та, которая после очистки по внешнему виду сходна с абиетиновой к-той, но по физ. константам ее аминные соли не соответствуют абиетиновой к-те. После отделения кристаллич. смоляной к-ты из филтраты выделена аморфная к-та, имеющая т. пл. 61—62°, $[\alpha]_D$ —0,0, n_D 79,3%, n_D 10,0%, названная кедровой к-той. Примесями кедровой к-ты являются монооксик и диоксисмоляные к-ты. Из кедровой ЖВ помимо канифоли и скипидара получены два вида балезамов для микротехники и иммерсионное масло для микроскопии. В ЖВ лиственницы содержится высокомолекулярная к-та, являющаяся, по-видимому, трикарбоновой. В смоляной части ЖВ пихты содержится неоабиетиновая к-та, монооксисмоляная к-та $C_{20}H_{30}O_3$ и

диоксисмоляная к-та $C_{20}H_{30}O_4$ и, по-видимому, еще более окисленные продукты.

9M20. Новый тритерпен из коры серой ольхи. Рябинин А. А., Матюхина Л. Г., Домарева Т. В. В сб. «Вопр. химии терпенов и терпеноидов». Вильнюс, 1960, 167—169. Из коры серой ольхи выделен новый тритерпен $C_{30}H_{50}-52O_2$, названный альниноканом (I), т. пл. I 172—172,5°, $[\alpha]_D +51,6^\circ$, т-ра плавления моносемикарбазона I 282—283°, т-ра плавления моно-2,4-динитрофенилгидразона I 240,5—241°. Установлено, что I представляет собой предельный тетра- или трициклич. терпен, содержащий одну кетонную группу и, по-видимому, окисное кольцо, устойчивое по отношению к реагентам, обычно применяемым для расщепления оксидов (хлористый водород в кипящем ксилоне, этиловый спирт с конц. H_2SO_4), а также по отношению к восстановителям. При восстановлении I алюмогидридом лития получен альниноканол с выходом ~70%. Альниноканол в обычных условиях легко образует моноацетат $C_{32}H_{54}-56O_3$, т. пл. 263—264°.

9M21. О распределении смолистых веществ в растворе вне и внутри щепы при экстракции органическими растворителями. Коленко И. П., Козлов В. Н. «Тр. Ин-та химии. Уральский фил. АН СССР», 1959, вып. 5, 3—23. Установлено, что характер изменения конц-й смолистых в-в (СВ) в р-ре внутри и вне щепы (Щ) по экстракторам как по опыту, так и по расчету для всех экстрагентов (бутиловый спирт, бензин «Калоша», дихлорэтан) одинаков. С увеличением соотношения фаз $L:a$ (L — кол-во р-рителя, приливаемого в экстрактор за данный период экстракции; a — кол-во р-ра, поглощенного Щ) увеличивается процент извлечения СВ из Щ осмолы, но вместе с тем понижается конц-я СВ в р-ре, находящемся вне и внутри Щ. При экстракции влажных образцов Щ в головных экстракторах в первую очередь удаляется вода, вследствие чего наблюдается уменьшение процентного извлечения СВ в этих экстракторах. Соответственно с увеличением влажности образцов Щ уменьшается коэф. распределения и конц-я СВ в р-ре вне Щ при одном и том же органич. р-рителе и соотношении между фазами. Коэфф. распределения по-прежнему зависит от первоначального содержания СВ, воды, соотношения между фазами, зависит и от порядкового номера экстрактора. Древесина Щ в гидрофильных органич. р-рителях набухает больше, чем в гидрофобных.

9M22. Исследование цимолы — отхода сульфитно-целлюлозного производства. Богомолов В. Д., Горбунова О. Ф. «Изв. высш. учебн. заведений. Лесн. ж.», 1960, № 5, 151—158. Приведены результаты опытов по улавливанию сульфитного масла или сырого парацимолы (I) при варке целлюлозы из еловой древесины влажностью 30—45% и 2 варианта схем, использованных для улавливания I. Выход сырого I составляет 1, 3, 5 кг на 1 т целлюлозы. Очистку сырого I производили двумя способами: 1) нейтр-ция I р-ром кальцийированной соды или $NaHCO_3$ с дальнейшим фракционированием в вакууме и 2) нейтр-ция I водн. р-ром щелочи (44 г щелочи на 1 кг I) без отделения водн. слоя с последующей перегонкой паром. По первому способу отгоняли 84,7% масла, содержащего 73% чистого I. По второму способу отгонялось ~80% I. Полученный I имел следующие характеристики: $n_D^{20} 1,4885$; $d_4^{20} 0,860$, кислотное число 0,15; бромное число 4,2%, пределы кипения 172—176°. Окислением I получена терефталевая к-та с выходом ~80% от теоретического. Из терефталевой к-ты получен с удовлетворительными результатами лавсан или терилен.

9M23. Цимол — ценный продукт сульфитно-целлюлозного производства. Богомолов В. Д., Горбунова О. Ф. «Бум. пром-сть», 1960, № 9, 9—11. Ука-

зано дополнительное применение парацимолы для произ-ва тимола, в лакокрасочной и парфюмерной пром-сти и в качестве высокооктановой добавки, а также другие. См. реф. 9M22.

9M24. Физико-химическое исследование двойных систем, образованных фурфуролом с уксусной кислотой и ее хлорпроизводными. Боховкин И. М., Витман Е. О. «Изв. высш. учебн. заведений. Лесн. ж.», 1960, № 5, 159—164. В результате исследования диаграмм плавокостей систем фурфурол (I) — уксусная к-та (II), I — монохлоруксусная к-та (III) и I — трихлоруксусная к-та (IV) установлено существование в твердой фазе соединений 1:1 между I и III, I и IV. Исследованы вязкость, поверхностное натяжение и уд. электропроводность в системах I—II и I—III. Изотермы уд. электропроводности показали, что соединения 1:1 существуют в обеих системах в расплавленной томго. среде. Изотермы поверхностного натяжения и вязкости указывают на существование соединения в жидкой фазе в системе I—III. Взаимодействие между I и III, и IV усиливается по мере увеличения кол-ва хлора в радикале II. Сделана попытка объяснить характер связи между I и II и ее производными и представить ее как связь водородную. Приведена схема образования соединений между I и карбоновыми к-тами. В ней учтена прямолинейность водородной связи и расположение молекул с таким расчетом, чтобы осуществить образование наибольшего возможного числа водородных связей. Из выводов авторов

9M25. Новое средство защиты бревен от короедов и древоточцев. Mayr F. Ein neues Stammschutzmittel gegen Rinden- und Holzbrüter. «Allgem. Forstwirtschaft», 1960, 15, № 32, 452—453 (нем.). Для защиты штабелей бревен от короедов и древоточцев предложено наносить на поверхность бревен распыленным препаратом «Линия». На 100 плотных м³ для бревен диам. 20—25 см расходуют 20—30 л препарата и 80—120 л дизельного масла; при более толстых бревнах расход антисептика уменьшается, при тонких увеличивается.

9M26. Новый метод определения присутствия бора и глубины его проникания в обработанные пилотоматериалы. Cockcroft R. A new method for detecting the presence and depth of penetration of boron in treated timber. «Holz-Forschung», 1960, 14, № 4, 117—119 (англ.; рез. нем.). Предложенный метод основан на получении голубого или зеленовато-голубого окрашивания при взаимодействии бора с йодом в присутствии поливинилового спирта. На испытуемый образец путем распыления наносят 1%-ный р-р спирта, подкисленного равным объемом 10%-ной HCl, и 0,1 н. р-р I_2 . Р-ция применима и к влажным образцам. Предел чувствительности в расчете на H_2BO_3 для свежеспропитанной древесины 2,40 кг/м³, для сухой древесины 0,64 кг/м³.

9M27. Определение влажности древесины, пропитанной растворами химических реагентов. Uemura Takeshi, Saito Hisayoshi, Nakayama Kimio. «Мокудзай котэ, Mokuzai kogyo, Wood Ind.», 1960, 15, № 7, 337—343 (японск.; рез. англ.). Сравнительные результаты определения влажности древесины (Д), пропитанной соевыми и масляными антисептиками, весовым способом (ВС) и при помощи электрич. влагомеров (ВМ). Для Д, пропитанной морской водой, при влажности <15% результаты ВС на 4% ниже, чем полученные по ВМ, при влажности >15% расхождения увеличивались. Для образцов, обработанных препаратом «Манелит», результаты ВС на 3% ниже, чем по ВМ. Для Д, пропитанной креозотом, ВС применим ввиду частичного испарения антисептика во время сушки при нагревании. Электрич. ВМ дают правильные результаты содержания влаги в Д, пропитанной креозотом.

9M28. Анализ тропических лесов, содержащих в больших количествах арабины. Французский институт лесоводства и лесной промышленности. «Бюл. Фр. ин-та лесоводства и лесной промышленности», 1960, № 5, 159—164. В результате исследования диаграмм плавокостей систем фурфурол (I) — уксусная к-та (II), I — монохлоруксусная к-та (III) и I — трихлоруксусная к-та (IV) установлено существование в твердой фазе соединений 1:1 между I и III, I и IV. Исследованы вязкость, поверхностное натяжение и уд. электропроводность в системах I—II и I—III. Изотермы уд. электропроводности показали, что соединения 1:1 существуют в обеих системах в расплавленной томго. среде. Изотермы поверхностного натяжения и вязкости указывают на существование соединения в жидкой фазе в системе I—III. Взаимодействие между I и III, и IV усиливается по мере увеличения кол-ва хлора в радикале II. Сделана попытка объяснить характер связи между I и II и ее производными и представить ее как связь водородную. Приведена схема образования соединений между I и карбоновыми к-тами. В ней учтена прямолинейность водородной связи и расположение молекул с таким расчетом, чтобы осуществить образование наибольшего возможного числа водородных связей. Из выводов авторов

9M29. Концентрация хлористых соединений в древесине. А. Л. К. «Лесн. ж.», 1960, № 12, 217—219. Проведены исследования по определению содержания хлористых соединений в древесине. Для этого использовались различные методы. В результате исследований установлено, что содержание хлористых соединений в древесине зависит от многих факторов, в частности от породы дерева, возраста, условий произростания и т.д. Наибольшее содержание хлористых соединений наблюдается в древесине хвойных пород, особенно в древесине сосны и ели. В лиственных породах содержание хлористых соединений значительно ниже. Установлено также, что содержание хлористых соединений в древесине увеличивается с возрастом дерева и с увеличением его диаметра.

9M30. Торфяные бревна. Б. В. Л. «Лесн. ж.», 1960, № 12, 217—219. Приведены результаты исследований по определению содержания хлористых соединений в торфяных бревнах. Для этого использовались различные методы. В результате исследований установлено, что содержание хлористых соединений в торфяных бревнах зависит от многих факторов, в частности от породы торфа, возраста, условий произростания и т.д. Наибольшее содержание хлористых соединений наблюдается в торфяных бревнах хвойных пород, особенно в торфяных бревнах сосны и ели. В лиственных породах содержание хлористых соединений значительно ниже. Установлено также, что содержание хлористых соединений в торфяных бревнах увеличивается с возрастом бревна и с увеличением его диаметра.

9M31. Крышки для хранения древесины. Крышки для хранения древесины должны быть изготовлены из прочного материала, который не подвержен гниению и не повреждается насекомыми. Крышки должны быть герметичными, чтобы предотвратить проникновение влаги и воздуха. Крышки должны быть легко открываемыми и закрываемыми.

9M32. Выходы при переработке древесины. Выходы при переработке древесины зависят от многих факторов, в частности от породы дерева, возраста, условий произростания и т.д. Наибольшие выходы наблюдаются при переработке хвойных пород, особенно сосны и ели. В лиственных породах выходы значительно ниже. Установлено также, что выходы при переработке древесины увеличиваются с возрастом дерева и с увеличением его диаметра.

9М28. Исследования по предварительному гидролизу тростника. Часть III. Simionescu Cristofor, Feldman Dorel. Cercetări asupra prehidrolizei stufului. Nota III. Studii și cercetări științ. «Acad. RPR Fil. Iași Chim.», 1959, 10, № 1, 79—88 (рум.; рез. русск., франц.).—В результате хроматографич. исследования р-ров, получаемых при различных методах гидролиза тростника водой, установлено, что гидролизаты (ГЗ) в большинстве случаев содержат ксилитозу и уксусную к-ту. В редких случаях в ГЗ находили также глюкозу и арабинозу. ГЗ ржаной соломы более разнообразны по содержанию сахаров. В них, наряду с ксилитозой, обнаружена также и арабиноза. Колич. определения показали, что ГЗ тростника почти на 50% состоят из ксилитозы. Для разделения и колич. определения сахаров в ГЗ был применен несколько модифицированный метод Емельяновой и Баграковой. Описаны изменения, внесенные в этот метод. Приведены результаты анализа ГЗ, полученных в разных условиях (продолжительности и т-ры). Часть II см. РЖХим, 1959, № 16, 58633.

Д. Бронштейн

9М29. Гидролиз полисахаридов растительной ткани концентрированной соляной кислотой и газообразным хлористым водородом. Чалов Н. В., Лещук А. Е., Александрова О. А. «Ж. прикл. химии», 1960, 33, № 12, 2743—2750.—Показано, что при применении для пропитки растительной ткани охлажденной соляной к-ты (I) с конц-ией >41% можно исключить нежелательный разрыв гидролизуемой массы в процессе ее насыщения газообразным хлористым водородом и осуществить гидролиз полисахаридов при оптимальной т-ре 20—25°. Теплота набухания древесины в I с конц-ией >41% значительно превышает имеющиеся в литературе сведения о теплоте набухания полисахаридов. Экспериментально исследован процесс гидролиза древесины опилок, пропитанных охлажденной конц. I, с последующим насыщением их газообразным хлористым водородом при атмосферном давлении. Показано, что процесс гидролиза полисахаридов можно осуществить в течение 6 час. При этом скорость гидролиза в 6 раз больше, а удельный расход I в 1,5 раза меньше, чем при гидролизе растительной ткани 41%-ной I в диффузионной батарее. Исследованный в лабор. условиях новый способ гидролиза полисахаридов растительной ткани позволяет внести коренные усовершенствования в существующие промышленные методы гидролиза полисахаридов растительной ткани конц. I.

Из выводов авторов

9М30. О составе гемицеллюлозной фракции некоторых видов гидролизного сырья. Матюшенский Б. В., Лазурьевский Г. В. «Тр. по химии природы. соединений. Кишиневск. ун-т», 1959, вып. 2, 93—99.—Приведены результаты исследования группового состава холоцеллюлозных и гемицеллюлозных фракций подсолнечной лузги, хлопковой шелухи и кукурузной кофрыжки. Исследованы скорости их гидролиза. Определена физ.-хим. характеристика гемицеллюлозных фракций трех указанных видов гидролизного сырья и объяснены причины сравнительно трудной гидролиземости подсолнечной лузги. Из выводов авторов

9М31. Опыт эксплуатации механизированных крышек к гидролизанпаратам. Салиро М. М., Сиротников С. З. «Гидролиз. и лесохим. пром-сть», 1960, № 8, 17

9М32. Применение гидролизного лигнина в качестве выгорающей добавки. Козлов А. И., Махновецкий С. И. «Строит. материалы», 1960, № 12, 19.—Гидролизный лигнин (Л) успешно применяется на кирпично-керамич. з-дах в качестве выгорающей добавки к глине. Наиболее эффективное использование Л достигается при сравнительно небольшой влажности карьерной глины. Л следует вводить в формовочную шихту в кол-ве ≤20—22% ее объема. А. Х.

9М33. Непрерывное сбраживание древесных гидролизатов, приготовленных с аммонийным и кальциевым основаниями. Калужный М. Я., Райцева М. К., Волондз Г. В. «Гидролиз. и лесохим. пром-сть», 1960, № 7, 10—12.—Рекомендуется нейтр-цию гидролизата аммиаком заканчивать при pH среды 4,6—5,2. При этом значении активной кислотности дрожжи дают высокий выход спирта, отмирание клеток незначительное, и за цикл сбраживания сахара дрожжи увеличивают свою массу до 1 г на 1,4 среды. Более устойчивыми на гидролизате с аммонийным основанием оказались культуры Л₃₃ из рода сахаромикс и Канская копуляция из рода шизосахаромикс. При малых засевах клетки шизосахаромиксов угнетаются в неразб. гидролизате и развитие их ускоряется в гидролизате, сброженным автолизатом или разбавленным бражкой. Из выводов авторов

9М34. Способ приготовления хвойной муки. Jakobsen Petter, Jakobsen Johannes. Fremgangsmåte for fremstilling av tangmel. Норм. пат., 96058, 16.05.60.—Для изготовления хвойной муки из сырой свежей хвои, содержащей 75% воды, отделенную сырую хвою сначала подвергают помолу до крупки, которую подсушивают. Содержание витаминов и естественный зеленый цвет хвои сохраняются. Предварительный помол отделенной сырой хвои производят в шаровой мельнице, снабженной перфорированным барабаном или в ряде шаровых мельниц, установленных одна за другой и соединенных между собой устройствами для взвешивания и транспорта, отверстия в ситах в каждой следующей мельнице меньше, чем в предыдущей. Хвойная крупка, полученная в результате грубого помола, после прохождения через шаровую мельницу или несколько шаровых мельниц подается в сушилку или ряд сушилок. Н. Ильчук

9М35. Состав на основе полисульфидов для защиты древесины и материалов, содержащих лигнин и целлюлозу. Ledvina Miroslav. Sírny prípravok k ochrane dřeva a látek obsahujících lignin nebo celulózu. Чехосл. пат. 89421, 15.04.59.—Состав на основе полисульфидов представляет собой водн. р-р смеси 0,2—30% одного или нескольких полисульфидов и 0,1—40% одного или нескольких стабилизаторов, как, напр., нормальных или кислых сульфидов, тригидрокарбонатов, сульфитов (использование одноименных катионов не обязательно). Пример. Для защиты древесины или других органич. материалов, осуществляемой известными способами (смазывание, опрыскивание, пропитывание под давлением или комбинированные методы), используют водн. р-р смеси полисульфида и сульфидата Са, с суммарным содержанием S в р-ре 4%; из суммарного содержания S в р-ре стабилизатор (сульфогидрат Са) дает 40%. Материал предварительно обрабатывают водоотталкивающим средством, напр. импрегнационным маслом, затем водн. р-ром стабилизированного полисульфида Са, либо это делают наоборот. Патент дает возможность использовать непригодные полисульфиды, так как устраняет их нестойкость и коррозионную активность на стали, это дает возможность осуществлять процесс в обычной стальной аппаратуре. Подчеркивается дешевизна компонентов. Ф. Нарина

9М36. Защитные средства древесины, содержащие органические активные действующие вещества. Nentwig Joachim, Schmitz-Hillebrecht Ernst, Bauer Dieter. Organische Wirkstoffe enthaltende Holzschutzmittel. [Farbenfabriken Bayer A.-G.]. Пат. ФРГ, 1088883, 28.04.60.—Для устранения кристаллизации средств, применяемых для защитной обработки древесины, предложена добавка к таковым (напр., пентахлорфенолам, нафтолам и др.), растворенным в соответствующем р-рителе (напр., керосин, хлорнафталин, минеральные масла и др.), эфира полипропи-

лентгликоля. Последний получается действием пропиленоксида из расчета 5—25 молей на одну гидроксильную группу диолов. Пример. Защитные пропитки, состоящие из 5% р-ра β -нафтола в изопропанол и гексахлорэпоксиоктагидрометан-нафталине, так же как эфир N-метилбензазимиддиметилдитиофосфорной к-ты в ксилоле, выделяют через 48 час. после нанесения на дерево кристаллы на поверхности. Эти же пропитки с добавкой 5% эфира полипропиленгликоля, полученного из 1 моля бутандиола и 35 молей пропиленоксида, не выделяют кристаллов на поверхности.

И. Козлов

9М37. Способ и устройство для диффузии и осаждения целлюлозных материалов. Procédé et installation pour la diffusion et la saccharification des matières celluloseuses. [Jacques Lessiau]. Франц. пат. 1209032, 26.02.60.—Патентуются способ и устройство для гидролиза целлюлозных материалов в малаксер (М) (мелкодробильная перемешивающая машина) путем орошения холодной конц. соляной к-той (I) (41—42%-ной) с последующим фильтрованием и обработкой твердого в-ва нагретым сухим воздухом (в 60—75°) в таких же М. Сушку влажного воздуха и освобождение его от кислотных паров производят путем орошения инертной к к-те жидкостью (напр., маслом) при т-ре ниже 0° (напр., при -5°). Рекуперированную I используют вновь для гидролиза. Установки для описываемых операций состоят из трех или большего числа М, расположенных один над другим, причем верхний (снабженный винтообразными мешалками) служит для гидролиза, а нижние — для сушки обработанного целлюлозного материала. Между верхним и лежащим под ним вторым М находится наклонный ленточный транспортер, на который загружается обработанный целлюлозный материал из верхнего М. Этот материал по транспортеру поступает в последовательно соединенные сушильные М, а отфильтрованную к-ту перекачивают насосом в верхний М. Горячий насыщенный парами воздух из М направляют в особый конденсатор, в верхнюю часть которого с пылесосом вводят инертную жидкость (масло), охлажденную ниже 0°. Смесь инертной жидкости и сконденсированного р-ра к-ты перекачивается в декантатор, из которого отделенную к-ту направляют в верхний М, а инертную жидкость после охлаждения вновь используют в пылесос конденсатора. Приложен эскиз патентуемого устройства. М. Нагорский

См. также: Компоненты древесины *Melia azadirachta* Linn 9Ж268. Лигнин, образование, свойства 9С730, 9С733, 9С734. Определение: ацетальдегида 9Д169; НСООН 9Д171. Терпены, свойства, получение: дегидратация терпинеола 9Ж256; *n*-цимола его производные 9Ж258—9Ж261; пиролиз 1,8-цинеола 9Ж262; взаимодействие норборнена с йодом и CH_3COOH 2Ж265; синтез сантена 2Ж269; взаимодействие *d*-сабинола с двуокисью селена 2Ж271; сепенин 2Ж273. Определение камфары 9Д190

ПЕРЕРАБОТКА ТВЕРДЫХ ГОРЮЧИХ ИСКОПАЕМЫХ

Редакторы И. Ф. Богданов, М. О. Хайкин

9М38. Включение бурых и каменных углей РНР в международную классификацию. Ionescu N. M., Duinea N. D. Incadrarea cărbunilor din R.P.R. în clasificarea internațională. «Cercetări metalurgice și miniere», 1960, № 2, 163—183 (рум.; рез. русск., нем., франц., англ.)

9М39. Анализ состава минеральной части южноафриканских углей. Kunstmann F. H., Boden-

stein L. B., Gass S. B. Analyses of ashes of South African coals. «J. S. Afric. Inst. Mining and Metallurgy», 1960, 60, № 8, 376—383 (англ.)

9М40. Роль пирита и сульфогрупп в процессе самовозгорания каменных углей. Bylo Zbigniew. Zagadnienie pyritu i ugrupowań sulfonowych w procesie samozapalenia węgla kamiennych. «Arch. górń.», 1960, 5, № 1, 99—115 (польск.; рез. русск., англ.).—Экспериментальное исследование проведено на пробах различных по степени склонности к самовозгоранию каменных углей. Показано, что угли, не склонные к самовозгоранию и не содержащие Fe и S, могут быть преобразованы в легко самовозгорающиеся, если ввести в них сульфатную S путем р-ции сульфирования. Удаление сульфогрупп обработкой разб. HNO_3 делало угли снова несамовозгорающимися. Указывается, что в результате окисления FeS_2 в FeSO_4 и H_2SO_4 и действия на угли H_2SO_4 образуются органич. сульфосоединения, которые под влиянием кислорода и влаги дают хинондные соединения, катализирующие процесс самовозгорания углей. У. Адрес

9М41. Повышение эффективности и безопасности работы труб-сушилок на углеобогатительных фабриках Кузбасса. Коллодий К. К. «Уголь», 1960, № 9, 35—40.—Реконструкция труб-сушилок путем герметизации цокольной части трубы с помощью водяного затвора, замены фланцевых соединений сварными, установки циклонов, дымососов и мешалок и автоматизации контроля и управления процессом сушки позволила повысить их производительность (для труб диам. 1100 мм) с 2—4 до 5—7,5 т/час по испаренной влаге и сократить подсосы воздуха. Д. Цикарев

9М42. Экспериментальное исследование процесса сушки украинского землетного бурого угля в шахтной мельнице. Шеляг В. Р. «Изв. Киевск. политехн. ин-та», 1960, 30, 87—97.—Изучалась сушка угля с влажностью 48—53% в молотковой мельнице с подсосом в нее из печи смеси топочных газов с воздухом. Опыты проведены при т-рах сушильного агента 40, 100, 200, 300, 400 и 500°, расходах сырого угля 60—350 кг/час и скоростях газов в гравитационной шахте 1,7—4,7 м/сек. Продукт размола улавливался в двух пылеуловителях. Установлено, что сушка угля при его размоле в шахтной мельнице протекает с высокой интенсивностью. Напряжение объема мельницы по испаренной влаге достигало до 5000 кг/м³ час. В зависимости от условий остаточная влажность пыли составляла 5—45%. Н. Богданов

9М43. Рациональные схемы дробления обогащенных донецких углей. Зашквар В. Г., Сеиченко С. Е. «Кокс и химия», 1960, № 11, 15—20.—В связи с тем, что использование распространенной схемы дробления шихты приводит к переизмельчению основной ее массы из-за разной дробимости углей, входящих в состав шихты, проведенные исследования по коксованию шихт, подготовленных различными способами дробления. Установлено, что обогащенные газовые угли с пониженной спекаемостью необходимо измельчать до 90% < 3 мм, а с повышенной спекаемостью — до 80% < 3 мм. Степень измельчения газового угля следует определять также с учетом спекаемости остальных компонентов шихты. Для з-дов без углеобогатительных ф-к рекомендуется раздельное дробление углей марки ОС и газовых с последующей присадкой к углям марок Ж и К и совместное дробление до 83—86% < 3 мм. В этом случае можно обойтись и без смесительной машины. Для з-дов с углеобогатительными ф-ками ведется исследование по внедрению раздельного дробления крупного концентрата. На действующих з-дах, где трудно осуществлять выделение класса > 6 мм из мелкого концентрата, последний присаживается в шихту полностью недробленным; в этом случае необходимо иметь смесительную машину. В. Ермолова

ном сло
Забро
В. П. «
англ.)—
ком все
прерыв
300 кг/ч
ния вла
58 кг/ч
доля су

ных уг
Steinko
Brikett.
типа у
при их
дочных
утижел
стоимос

ной ма
углей». Г
т-рой»,
ведены
дуктов
ной от
ностью

машин
Дан и
брикет
91—101
угольных
шинах
менени
крупно
9М48.
менион
ку бег
(чешск
продук

центри
ние и
1960, 8
устан
шлам
Центр
конич
Осадо
ными
наль
осадк
зольн
тверд
освет
быть

обогат
der I
tung.
Опис
барак
прим
стей
при
4 лет

водн
Ду

9M44. Сушка фрезерного торфа в псевдооживленном слое низкотемпературными дымовыми газами. Забродский С. С., Соломонов Д. И., Бегун В. П. «Инж.-физ. ж.», 1960, 3, № 10, 19—26 (рез. англ.).—Изложен опыт сушки фрезерного торфа в тонком псевдооживленном слое на стендовой установке непрерывного действия производительностью 300—500 кг/час. Начальная влажность торфа 32—43%, средняя влажность сушонки 23—32%; сьем влаги 32—58 кг/час; расход газа-теплоносителя 1170—1583 кг/час; доля сушонки, разгруженной из слоя, 55—64%.

9M45. Выделение пирита при обогащении каменных углей. Sunkel Dieter. Pyrit-Gewinnung in Steinkohlen-Waschen. «Aachen. Bl. Aufbereit. Verkok. Brikkett.», 1960, 10, № 1, 17—37 (нем.).—Описаны два типа установок для выделения пирита (П) из углей при их обогащении в тяжелых суспензиях на отсадочных машинах. Получаемый П используется как утяжелитель вместо магнетита, что дает экономии в стоимости утяжелителя на 50%.

9M46. Опыт работы с одноступенчатой отсадочной машиной для получения двух или более продуктов. Гофман Э. В сб. «Обогащение и брикетир. углей». Вып. 15. М., Госгортехиздат, 1960, 75—86.—Приведены описание и характеристики немецкой трехпродуктовой одноступенчатой отсадочной машины с длиной отсадочной постели 3000 мм, уд. производительностью 20 т/м²час.

9M47. Обогащение мелких углей на отсадочной машине с полевоспатовой постелью. Белую П., Даянзль И., Поззетто Л. В сб. «Обогащение и брикетир. углей». Вып. 15. М., Госгортехиздат, 1960, 91—101.—В результате опытных работ по обогащению угольной мелочи на промышленных отсадочных машинах (ОМ) во Франции показана возможность применения современных ОМ для разделения частиц крупностью до 0,3 мм.

9M48. Переработка промпродукта обогащения каменного угля. Rašek O. Hodnocení a úprava proplásků u černého uhlí. «Paliwa», 1960, 40, № 5, 156—159 (чешск.).—Рассматриваются схемы обогащения промпродуктов различной крупности в тяжелых средах.

9M49. Классификация и обезвоживание шламов в центрифугах. Хирано, Ивасаки. В сб. «Обогащение и брикетир. углей». Вып. 14. М., Госгортехиздат, 1960, 89—96.—На 14 углеобогащительных ф-ках Японии установлена новая центрифуга SN для обезвоживания шламов, отличающаяся укороченной зоной оседания. Центрифуга состоит из сплошного ротора цилиндрической формы diam. 800/470 мм, делающего 800 об/мин. Осадок перемещается шнеком с витками, изготовленными из закаленной быстрорежущей стали. Номинальная производительность по осадку 5 т/час. Выход осадка с поверхностной влажностью 18,2—19,9% и зольностью 24,3—26,6% достигает 65,6—80,8%. Концентрация твердого в фугате 1,09—3,07, зольность твердого в осветленной воде 61,2—70,2%. Зольность осадка может быть снижена до 12—9%.

9M50. Сита для обезвоживания угольной мелочи и обогащения шлама. Fischer C. DD-Spaltseibböden in der Feinkohlen-Entwässerung und Schlamm-Aufbereitung. «Hermann-Mitt.», 1958, № 13, 50—52 (нем.).—Описана новая конструкция ситового полотна для барабанных или других типов фильтров, позволяющая применять проволоку, diam. 1,2 мм при размере отверстий 0,05 мм. Продолжительность жизни такого сита при равной производительности увеличивается до 4 лет вместо 2—5 месяцев у обычных фильтров.

9M51. Применение батарейных гидrocиклонов в водношламовой схеме углеобогащительных фабрик. Дунаев М. Н., Мелик-Степанова А. Г., Ор-

данская Б. С. В сб. «Обогащение и брикетир. углей». Вып. 14. М., Госгортехиздат, 1960, 21—35.—Приведены описание различных технологич. схем водношламового хозяйства на обогащительных ф-ках с применением для сгущения шламов гидrocиклонов, результаты проверки их в промышленных условиях и основные параметры батарейных гидrocиклонов, рекомендуемых для использования в промышленности.

9M52. Поведение пирита при флотации угольных шламов. Оглоблин Н. Д. «Изв. высш. учебн. заведений». Горн. ж., 1960, № 6, 132—138.—В шламах Воронилковского коксохим. з-да содержится до 2,3—2,5% S, причем ~60% ее находится в виде пирита. По степени раскрытия и участия в них углестога в-ва содержащие пирит зерна шлама делятся на 3 категории, причем все они попадают в концентрат. Наименее эффективно удаляются зерна крупностью <0,2 мм. Основной причиной перехода содержащих пирит зерен в концентрат является их самостоятельная флотиремость, а также механич. вынос их в пенный слой.

9M53. К вопросу флотиремости шламов углеобогащительных фабрик Углерского района Сахалина. Герман Н. М. «Сообщ. Сахалинск. комплексн. н.и. ин-та» АН СССР, 1959, вып. 8, 23—35.—На основании лаборатор. опытов флотация отсевов шласто-промышленных проб и шламов признана целесообразной лишь при условии коксования последних. В качестве флотореагентов могут быть использованы сырая нефть, окисленный и сырой керосин, газойль, продукты разгонки смол полукоксования угля. Флотиремость шламов улучшается от менее метаморфизованных к более метаморфизованным углям.

9M54. Обогащение каменного угля петрографическими компонентами путем флотации. Kröger Carl, Bade Erich. Die Anreicherung von Gefügebestandteilen der Steinkohle durch Flotation. «Glückauf», 1960, 96, № 12, 741—747 (нем.).—Исследованы условия и реагенты флотационного обогащения мацералами двух видов углей: труднообогащаемого с высоким содержанием экзистита (Э) и матового. В качестве реагентов испытаны α- и β-нафтолы, 1-фенил-2,3-диметил-4-аминопирозолон (I), этилендиамин, α-нафтил-амин, β-нафтохинолин. Максим. обогащение пенного продукта витринитом достигнуто с β-нафтолом и I, при этом в шлаке концентрировался Э. При содержании витринита в исходном угле в 37,5% в пенном продукте его содержание увеличилось до 53,2% и, наоборот, конц-ция Э упала с 28,7 до 12,1%. Кол-во Э в шлаке возросло до 41,5%. Добавка к воде до 30% метанола увеличивает четкость разделения на ~25%. Возможность флотационного разделения петрографич. компонентов угля основана на значительной разнице содержания в них групп ОН.

9M55. Результаты применения полиакриламида на Верхне-Дуванской ЦОФ для коагуляции хвостов флотации. Алексеева В. А., Карасик Е. Э., Коваль Б. А., Благов И. С. «Кокс и химия», 1960, № 10, 20—21.—Промышленные испытания показали возможность применения 0,5% водн. р-ра полиакриламида для осветления хвостов флотации. Содержание твердого в исходных хвостах, поступающих в отстойник, составляло 13—31 г/л, в сливе 0,1—0,98 г/л, а в сгущенном остатке 345—487 г/л.

9M56. Изучение центробежного способа обезвоживания флотационного концентрата в угольных бассейнах Нор и Па-де-Кале. Лусер А., Гамон Р. В сб. «Обогащение и брикетир. углей». Вып. 14. М., Госгортехиздат, 1960, 97—103.—Изложены результаты опытных работ по применению центробежного способа обезвоживания флотоконцентрата во Франции. Указывается на возможность применения этого метода для обезвоживания крупнозернистых продуктов.

9М57. Графический метод подбора коэффициентов засоренности при расчете выходов продуктов обогащения угля. Диомидов А. П., Мелких В. И. «Изн. выпш. учебн. заведений. Горн. ж.», 1960, № 9, 141—144.—Предложен графич. метод подбора коэф. засоренности продуктов обогащения угля, позволяющий по характеристике исходного машинного класса установить допустимые коэф. засоренности и определить ожидаемые выходы продуктов обогащения.

Д. Цикарев
9М58. Применение промышленного телевидения на углеобогатительных фабриках. Юсипов А. А., Головин Ю. М. В сб. «Обогащение и брикетир. углей». Вып. 15. М., Госгортехиздат, 1960, 22—35

9М59. О гидрофилности гуминовых кислот ископаемых топлив. Волков Г. М. Докл. АН БССР, 1960, 4, № 3, 106—107.—Извлеченные из бурого угля Подмоск. бассейна гуматы Al, Fe и Ca и свободные гуминовые к-ты высушивались до воздушно-сухого состояния и брикетировались при давлении прессования 2000 кг/см², после чего брикеты испытывались на набухание в воде. Опыты показали, что из нерастворимых солей гуминовых к-т наибольшей гидрофильностью обладает гумат Ca. Этим автор объясняет повышение водостойкости бурых углей после обработки HCl-кислотой.

Н. Лапидес
9М60. Деятельность комиссии инженеров-коксовиков общества металлургов (Франция). Duvivier Marcel. L'activité de la commission des ingénieurs de cokeries. «Rev. métallurgie (France)», 1960, 57, № 4, 287—296 (франц.; рез. нем., англ., исп.).—Доклад, представленный заседанию об-ва в апреле 1959 г., посвященный состоянию произ-ва кокса во Франции и исследовательским работам в этом направлении. В 1958 г. произ-во кокса во Франции составило 10 850 тыс. т, импорт 4540 тыс. т, потребление кокса доменными печами 12 205 тыс. т. Загрузка в коксовые печи предварительно нагретой шихты проходит испытания в заводском масштабе. Полужавоцские опыты показали увеличение производительности печей на 25%. Проверяется загрузка с трамбованием шихты с добавкой коксовой пыли. Исследования на опытной установке в Марино показали целесообразность получения коксовой пыли в псевдооживленном слое. Разработан проект новых норм для доменного кокса (в %): влажность 3 ± 0,2; выход летучих 1 ± 0,2; зольность 10,5 ± 0,2, S 0,8 ± 0,05. Испытание в микс-барабане: M₁₀ 80 ± 2; M₁₀ 7 ± 1; насыпной вес 0,460 ± 0,010. Признана целесообразная оценка кокса по выходу классов 60—120, 40—60 мм.

А. Агроскин
9М61. К вопросу о пригодности для коксования угля Росицкого месторождения (Чехословакия). Stuchlík V. Příspěvek k otázce vhodnosti rosického uhlí ke koksování. «Paliva», 1960, 40, № 5, 167—169 (чешск.).—Рассматривается возможность частичной замены остравских коксующихся углей росицкими.

Я. Сатуновский
9М62. Спекаемость углей. Саркар Сампр. «Кокс и химия», 1960, № 7, 17—24.—В спец. реторте проведены исследования процесса термич. разрушения ряда донецких углей, обогащенных по уд. в. 1,4. Твердые остатки пиролиза анализировали и экстрагировали СНCl₃. Установлено, что выход экстрактов из исходных спекающихся углей очень мал и не связан со спекаемостью. Наблюдается зависимость между спекаемостью углей и максим. выходом экстракта после предварительного нагревания угля при 415—465°. Термич. устойчивость экстракта наибольшая у углей марки К и наименьшая у хорошо спекающегося угля Западного Донбасса. Легкая гидрогенизация улучшает спекаемость, а окисление ухудшает. Для р-ции термич. разрушения угля марки К и окисленного угля марки КВ энергия активации найдена 50 ккал/моль.

У. Андрос

9М63. Сравнительная оценка методов определения спекаемости каменных углей. Розко А. И., Копылова Л. Н. В сб. «Обогащение и брикетир. углей». Вып. 14. М., Госгортехиздат, 1960, 47—76.—Приведена сравнительная оценка различных методов определения спекаемости каменных углей основных месторождений СССР. Отмечается, что ни один из проверенных методов самостоятельно не дифференцирует всей гаммы исследованных углей. Наиболее точным методом признан видоизмененный метод Рого. Д. Цикарев

9М64. Применение радиоизотона S³⁵ к исследованию процесса обескислеривания углей. Кулишенко А. З., Медведев К. П. «Кокс и химия», 1960, № 7, 5—10.—В процессе лабор. коксования различных донецких углей и шихт исследованы термодинам. превращения содержащейся в углях S. Установлено, что не вся сульфатная S остается в коксе; она частично образует H₂S и летучие органич. S-соединения коксового газа. В мало метаморфизованных углях ~50% сульфатной S переходит в органическую. Добавка к углю NH₄Cl способствует резкому увеличению перехода пиритной S в газ в виде H₂S. Для удаления органич. S из углей в процессе коксования рекомендовано вводить добавки, выделяющие кислород, напр. KClO₄. При t-рах < 550° CS₂ образуется в основном из органич. углей, а при t-рах 550—900° также и из пиритной S.

У. Андрос
9М65. Влияние глубины обогащения и условий коксования на кокусность шихт из тварчельских и ткибульских углей. Гегучадзе Р. А. «Кокс и химия», 1960, № 7, 15—17.—В результате опытов яичного коксования установлено, что для концентратов зольностью 9—10% добавка 2,5% коксовой мелочи позволяет значительно снизить трещиноватость и повысить прочность кокса и уменьшить выход губки. Глубокое обогащение грузинских углей до зольности 6—7% оказывает отрицательное влияние на качество кокса. Для снижения трещиноватости кокса, полученного из концентрата с 6—7% золы, требуется при-скадка 8—10% коксовой мелочи в качестве отощающей добавки, что, однако, приводит к значительному снижению его структурной прочности. Оптимальная шихта, состоящая из 50% ткибульского и 50% тварчельского углей, сильно зависит от степени обогащения и требует дополнительного отощения.

У. Андрос
9М66. Улучшение качества углей для коксовых шихт. Чжан Синь. «Ганте, Gangtie», 1960, № 7, 392—395 (кит.).—Рассмотрены способы подготовки коксовых шихт, а также принятые в КНР составы шихт для получения металлургич. кокса с применением газовых и слабоспекающихся углей.

А. Зонитат
9М67. Особенности коксования шихт из углей восточных районов. Нотыч А. Г. «Кокс и химия», 1960, № 10, 26—30.—Указывается, что при проектировании печей для коксования печорских и кузнецких углей следует учитывать значительную вертикальную усадку восточных шихт при коксовании. Во избежание перегрева верхней части коксового пирога обращается внимание на правильный выбор уровня обжига и рекомендуется применять уплотнение верхней части угольной загрузки.

Д. Цикарев
9М68. Расширение гаммы углей для коксования в Донецком и Кузнецком бассейнах. Пахалок И. Ф., Подутников Ф. А., Юренков Н. И. В сб. «Обогащение и брикетир. углей». Вып. 14. М., Госгортехиздат, 1960, 3—14.—В результате опытно-промышленных коксований показано, что при избирательном дроблении отдельных компонентов шихты доля участия в ней углей марки Г может быть повышена до 40—65%, антрацита до 10—15%, марки Т до 15—25%. Применяемая степень измельчения: для углей марок Ж и К 0—3 мм, для Г 0—2 мм, для Т 0—1,0 мм и А 0—0,5 мм.

Д. Цикарев

9М69. П. сб. «Обог. гортехизд. яичный. 62 углей. дробил. K₂ — <2; ного рок. M₁₀ 6,3— 9М70. ров пен. 1960, № чения э. ных абс. того топ. при при. тельных. пусковой. жет быт. 9М71. следоват. пнал J. jee N. test on. № 7. 3. наложе. получе. дится в. качества.

9М72. Грязн. ников. Предла. и разм. остаток. ность. сие Р. 9М73. ческие. Я. М., нов А. № 11, 2. 18—20. испыту. т-ры 95. чем ко. 0,9 т/м³. сти ко. промы. обычно. насыпн. повыш. жаюте. углей. выпше.

9М74. ского. Ф. А. М., Го. по-про. гащен. гич. к. (в %). 90% з. мелоч. та уг. 9М75. класс. и хим. таты. крупн.

9М69. Расширение ассортимента углей для коксования. Попутников Ф. А., Юренков Н. И. В сб. «Обогащение и брикетир. углей». Вып. 15. М., Госгортехиздат, 1960, 51—57.—Приведены результаты ячичных коксований шихт, содержащих (в %) 34—62 углей марки Г, 10—15 марки Т и 20—40 ОС. Угли дробились до крупности (в мм): марки Ж—<3; Г и К₂—<2; ОС и Т—<1. Механич. прочность полученного кокса по микум-барабану (в %): М₄₀ 64,6—74,4; М₁₀ 6,3—11,0. Пористость кокса 40—45%. Д. Цикарев

9М70. Определение производительности абсорбера пенного типа.—«Шию лянчжи, Shiyou lianzhi», 1960, № 4, 26—28 (кит.).—Приведены результаты изучения эффективности и условий эксплуатации пенных абсорберов на установках сухой перегонки твердого топлива на некоторых з-дах в КНР. Найдено, что при применении для улавливания бензинов поглощательных башен такого типа с diam. 1200 мм и пропускной способностью 7500 м³/час коэф. абсорбции может быть доведен до 75—85%. А. Зонатаг

9М71. Об определении качества кокса методом последовательного разрушения в микум-барабане. Sanyal J. M., Raja K., Chakravarty P., Chatterjee N. N., Das Gupta N. N. On the repeated Micum test on coke. J. Sci. and Industr. Res., 1960, A19, № 7, 323—327 (англ.).—Методом последовательного наложения разрушающих усилий в микум-барабане получен показатель качества кокса К, который находится в корреляционной зависимости с показателями качества кокса, найденными стандартными методами. Д. Цикарев

9М72. Классификация кокса по типам и размерам. Грязнов Н. С., Шемерянки Б. В., Цыновников А. С. «ЖК и химия», 1960, № 10, 22—26.—Предлагается единая классификация кокса по типам и размерам; основные показатели классификации: остаток в колосниковом барабане М₄₀ и М₁₀, зольность, сернистость и для спец. видов кокса содержание Р и пористость. Д. Цикарев

9М73. Влияние насыпного веса шихты на механические свойства кокса. Брук А. С., Обуховский Я. М., Волкова З. А., Белецкий В. Г., Антонов А. Т., Шевченко А. И. «ЖК и химия», 1960, № 11, 20—25.—Приведены результаты опытов в лабор. 18—20 кг печи с шириной камеры 400 мм; загрузка испытуемой шихты производилась при достижении т-ры 950°, период коксования составлял 14,5 час., причем коксовалась шихта с насыпным весом 0,7; 0,8 и 0,9 т/м³. В лабор. печи получаются куски и отдельности кокса почти такого же размера и формы, как и в промышленных условиях. Установлено, что для шихт обычного производственного состава с увеличением насыпного веса шихты структурная прочность кокса повышается, но пористость и крупность кокса понижаются. Для шихты с содержанием 40% газовых углей с увеличением насыпного веса наблюдается повышение структурной прочности и крупности кокса. В. Ермолова

9М74. Кокс из слабоспекающихся углей Ургальского месторождения. Сообщение 2. Попутников Ф. А. В сб. «Обогащение и брикетир. углей». Вып. 15. М., Госгортехиздат, 1960, 45—50.—В результате опытно-промышленного коксования ургальских углей, обогащенных центробежным методом, получен металлургич. кокс с механич. прочностью по микум-барабану (в %) М₄₀—64,3, М₁₀—10,9. Шихта состояла из 85—90% угля крупностью 0—2 мм и 15—10% коксовой мелочи крупностью 0—1 мм. Перед коксованием шихта уплотнялась. Д. Цикарев

9М75. Механические свойства кокса различных классов крупности. Богоявленский К. А. «ЖК и химия», 1960, № 11, 30—32.—Сопоставляются результаты механич. испытаний кокса различных классов крупности, проведенных разными методами. Показа-

но, что оценка прочности кокса по различным индексам ситового состава является условной и зависит от размера отверстий сит, принятых для определения индекса. Механич. прочность кокса возрастает по мере уменьшения крупности кусков. Однако судить о качестве кокса только по его прочности нельзя, необходимо учитывать также крупность и равномерность кокса по величине кусков. Приведена сравнительная характеристика кокса классов крупности >80 мм, 80—60 мм и 60—40 мм. Кокс класса >80 мм, полученный в современных печах с равномерным обогрвом по высоте и длине камеры, в смеси с коксом классов 80—60 и 60—40 мм является полноценным доменным топливом. В. Ермолова

9М76. К использованию высококипящих фракций каменноугольной смолы в производстве сажи. Глузман Л. Д., Гилязетдинов Л. П., Молчанов Б. А. «ЖК и химия», 1960, № 10, 51—54.—Исследована возможность получения активных антраценовой и печной сажи из различных высококипящих фракций каменноугольной смолы (поглощительной и антраценового масла, I и II антраценовых фракций и пекового дистиллята). Выход антраценовой сажи составлял 58,2—67,5%, печной 18,7—23,5%. Выход сажи возрастает с увеличением числа колец в молекуле и содержания С в ароматич. структурах сырья. Д. Цикарев

2М77. Получение высокопроцентных хинолина, изохинолина и акридина из оснований каменноугольной смолы. Русьянова Н. Д., Гофман М. В. «Тр. Уральского политех. ин-та», 1959, сб. 81, 54—69.—Широкая фракция оснований (170—350°) путем однократной ректификации в вакууме 30 мм на колонке с эффективностью 10—25 теоретич. тарелок была разделена на фракции: 94—95%-ный хинолин (I), 50%-ный изохинолин (II), хинальдиновую с содержанием 38—40% хинальдина и кристаллич. акридиновую с содержанием до 35% акридина (III). Азеотропной перегонкой 1-й фракции с диэтиленгликолем (ДЭГ) получен 99,8%-ный I с выходом от ресурсов 73%. Из 2-й фракции после отгонки I с ДЭГ путем конденсации с фталевым ангидридом выделен 98%-ный II с выходом 75%. Из последней фракции путем многократной перекристаллизации из бензина (80—120°) получен 99%-ный III с выходом 45%. См. РЖХим, 1960, № 9, 36188. И. Богданов

9М78. Использование коксового газа для химической переработки. Симулин Н. А., Афанасьев А. Н. «Ж. Всес. хим. о-ва (быш. Хим. наука и пром-сть)», 1960, 5, № 1, 78—81.—Краткий обзор состояния техники переработки коксового газа и сравнительные показатели процессов получения NH₃, ацетилена и других продуктов из коксового и природного газов. Д. Цикарев

9М79. Современное состояние и перспективы комплексного использования коксового газа в Украинской ССР. Вайсберг-О. П., Литвиненко М. С., Нудлер П. А., Райтман Л. Н., Фридман Е. Л. В сб. «Комплексн. использование горючих газов Украины. Природн. и пром. газы». Киев, АН УССР, 1960, 212—222.—Приведены данные о произ-ве коксового газа (КГ) на предприятиях УССР и рассмотрены наиболее эффективные направления использования компонентов КГ, его сероочистки, передачи на дальние расстояния и пр. Обсуждаются возможные варианты использования КГ на металлургич. з-дах, в частности применения КГ и доменного газа в мартеновских печах. И. Богданов

9М80. Сероводород коксового газа и его использование. Дмитриев М. М. «Ж. Всес. хим. о-ва (быш. Хим. наука и пром-сть)», 1960, 5, № 1, 49—51.—Дана краткая характеристика методов сероочистки коксового газа на з-дах СССР. Автор считает наиболее перспективной переработку H₂S коксового газа исключительно в H₂SO₄. Это позволит применить для сероочистки экономичный вакуум-карбонатный способ, а

для переработки конц. сероводородного газа (содержание H_2S до 84%) — окисление по методу мокрого катализа. И. Богданов

9M81. Состав коксового газа. Сообщение 1. Wainai Toru, Ichikawa Ziro, Akita Minoru. «Нанре кёкайси, J. Fuel Soc. Japan», 1959, 38, № 390, 653—659 (японск.; рез. англ.).—Проведено сравнительное исследование изменения состава коксового газа, полученного на лабор. установке и отобранного из промышленной коксовой печи Отто, в ходе процесса коксования. На лабор. установке выход и состав газа определялся при т-рах коксования от 600 до 900°. Показано, что состав коксового газа при промышленном коксовании может быть оценен по результатам лабор. опытов. А. Агроскин

9M82. Обезвоживание торфяных и сланцевых смол воздействием ультразвуковых колебаний. Кузьменков Л. Н., Кунин А. М. «Торф. пром-сть», 1960, № 7, 19—22.—При воздействии ультразвука (частота колебаний 25 и 85 кГц, уд. мощность звука 33,3 и 38,5 Вт/см²) снижается динамич. вязкость обводненных торфяных и сланцевых смол, понижается их влажность с 27—30 до 8%. Д. Цикарев

9M83. Сводка результатов исследований процессов карбонизации и графитизации каменноугольных пеков с присадками окисляющих реагентов. Yamada Shigehiko. «Токай дэнкёку гихо, Tokai Technol. J.», 1959, 20, № 1, 26—30 (японск.).

9M84. Исследования процессов карбонизации и графитизации каменноугольных пеков с присадками окисляющих реагентов. I—XIX. Yamada Shigehiko. Studies on the processes of carbonization and graphitization of coal-tar-pitches containing the oxidizing agents. I—XIX. «Токай дэнкёку гихо, Tokai Technol. J.», 1959, 20, № 1, 30—34 (англ.).—Приводятся краткая сводка результатов исследований по термич. переработке каменноугольного пекса с добавками динитро-нафталина, м-динитробензола и других нитросоединений. Изучены процессы низкотемпературной конденсации пеков, их коксования и графитизации. Отмечено, что окислители оказывают промотирующее действие на процессы конденсации и коксования пексов, а также способствуют образованию более плотных графитов. См. реф. 9M83. Д. Цикарев

9M85. Увеличение пластичности пеков для производства смол вязкостью 500 сек. и выше. Bartoszek Jan. Prace nad zwiększeniem plastyczności paków do produkcji smół o lepkości 500 sek i ponad 500 sek według BTA. «Drogownictwo, 1960, 15, № 8, Biul. Centr. ośrodk. badań i rozw. techn. drog.», 6, № 4, 11—14 (польск.).—Исследовались способы улучшения смол, применяемых для дорожных покрытий, в частности воздействие серы. Течение процесса обработки серой и свойства полученного продукта зависят от кол-ва добавляемой серы, т-ры и продолжительности р-ции. Свойства смол, полученных с применением пекса, обработанного серой, соответствуют действующим нормам ПНР и аналогичны свойствам смол, полученных с применением обычного пекса. Д. Филиппенко

9M86. Замена валковых грохотов вибрационными на коксосортировках. Смирнов С. С., Эйсмонт И. И., Гончаренко Н. Н., Шиманский Н. И., Добров В. П. «Кокс и химия», 1960, № 10, 31—34.—Показано, что среди вибрационных грохотов инерционные грохоты с резонансными колосниками имеют наиболее высокую эффективность грохочения кокса, простую конструкцию и меньший вес. Приведена методика динамич. расчета грохота. Д. Цикарев

9M87. Автоматизация работы кантовочных лебедок в коксовом цехе. Карцев Е. С., Хилай А. Н. «Кокс и химия», 1960, № 10, 35—36.—Приведено описание схемы устройства для автоматизации работы кантовочных лебедок при аварийном падении давления отопи-

тельного газа в коллекторах или разрежения в борах по сторонам коксовых батарей. Д. Цикарев

9M88. Регулирование печей ПВР с отделенными регенераторами при обогреве коксовым газом. Вольфовский Г. М., Крупаткина Р. К., Иванов А. И. «Кокс и химия», 1960, № 11, 25—29.—Отличительной особенностью печей ПВР с отделенными регенераторами являются широкие регенераторы и наличие сквозных надрегенераторных каналов, а также увеличенная средняя ширина камеры (до 450 мм с конусностью 10 мм). Кокс, полученный в этих печах, характеризуется достаточно хорошими показателями по барабанной пробе. Обеспечивается равномерный прогрев коксового пирога по длине и высоте. Гидравлич. и температурный режимы устойчивы, а малая конусность камер не создает затруднений при выдаче кокса из печей. Уменьшенное вдвое кол-во газо-воздушных клапанов и регенераторов значительно сокращает труд и затраты при строительстве и при обслуживании во время эксплуатации. Опыт эксплуатации этих печей при обогреве коксовым газом показал, что они заслуживают положительной оценки и имеют ряд преимуществ по сравнению с обычными печами ПВР. Для получения окончательных данных по таким печам необходима их проверка при обогреве доменным газом. В. Ермолова

9M89. Новая конструкция оросительного устройства башен тушения кокса. Васильченко В. С. «Кокс и химия», 1960, № 11, 33—34.—На Ждановском коксохим. з-де предложена новая конструкция оросительного устройства, представляющего собой 4 ряда шестидюймовых труб, соединенных с одной стороны коленами для подвода воды. Отверстия для выхода орошающей воды находятся в нижней части труб и расположены по всей длине в 3 ряда в шахматном порядке. Применение новой конструкции оросительной системы улучшило распределение орошающей воды по всей длине и ширине тушильного вагона и сократило время ее обслуживания. Оросительное устройство просто в изготовлении и удобно при замене как всей трубной системы, так и отдельных труб во время приключных остановок выдачи кокса. В. Ермолова

9M90. Комплексная механизация и автоматизация в коксовом цехе. Габай Л. И. «Кокс и химия», 1960, № 11, 34—39.—На Ждановском коксохим. з-де проведена механизация и автоматизация многих производственных процессов. Оборудованы самоуплотняющимися крышками стояки по принципу уплотнения «железо по железу». Усовершенствована схема автоматич. загрузки печей угольной шихтой; по новой схеме имеется 4 программы автоматич. загрузки, которые учитывают условия работы в связи с имеющимися место на практике изменениями сыпучих свойств шихты. Введена комплексная автоматизация управления и сигнализации в работе тушильных вагонов, тушильных башен, коксовых рам и коксосортировок, а также дистанционное управление тельферной установкой для очистки отстойников башен тушения. Приведены соответствующие схемы по различным узлам коксового цеха. В. Ермолова

9M91. Отношение к растворителям продуктов карбонизации углей. Ladam A., Payen P. Die Einwirkung von Lösungsmitteln auf die Verkokungsprodukte von Kohlen. «Brennstoff-Chemie», 1960, 41, № 4, 106—109 (нем.).—Навески 5 г двух образцов углей с содержанием С 85 и 89%, измельченные до размера < 0,16 мм, нагревали в кварцевой трубке до 350—1000° со скоростью 2° в 1 мин., после чего быстро охлаждали. Исследовали способность карбонизованных углей к абсорбции паров пиридина и растворимость в нем, а также набухание в различных р-рителях. Отмечено резкое падение растворимости при т-рах, выше пластич. области. Аналогия между исходным углем и полукоксом сохраняется только до т-ры 450°. А. Агроскин

9M92.

менных
ского ан
gen zur
Hilfe der
nie», 196
ференци
блюдает
мый экз
вания ш
ных и
аффекта
объясня
ности пр
стич. со

9M93.

угля УС
сувания
користа
Київ, А
сырого
угля УС
ложено
этан и
ния. П
784-53
и науч
определ
жанье
кол-ва
9M94.
лот. В
торфа.
гумино
далось
т-рах 2

9M95

компо
lina ро
ин-та»,
раздел
в пери
лоне
3 м и 2
ций см
сти ра
холоди
подве
компо
9M96
ной ди
пошки
щем к
сик К
горюч
9. Л.
раств
тарел
Эти о
ние К
4,94%
Отлож
преим
нейш
зом п
кокс
дат в
и хло
зано,
аппа
печи
ны н
держ

9M92. Замечания по поводу изучения пиролиза каменных углей методом дифференциального термического анализа. Boyer A. F., Paugen P. *Bemerkungen zur Untersuchung der Pyrolyse von Steinkohlen mit Hilfe der Differentialthermoanalyse. «Brennstoff — Chemie», 1960, 41, № 4, 104—106 (нем.)*.—На кривых дифференциального термич. анализа жирных углей наблюдается в диапазоне т-р 420—450° пик, приписываемый экзотермич. эффекту пиролиза. Авторы на основании проведенных опытов термич. анализа окисленных и других углей отрицают наличие экзотермич. эффекта и считают, что появление пика на кривой объясняется значительным увеличением теплопроводности при переходе угля в этот интервал т-р в пластич. состоянии. А. Агроскин

9M93. Парафин из смолы полукokesования бурого угля СССР. Кігель Т. Б. Парафин из смолы напівкоксовування бурого вугілля УРСР. В сб. «Комплексне використання паливноенерг. ресурсів України». Вып. 1. Київ, АН УРСР, 1959, 203—208 (укр.).—При очистке сырого парафина (П) смолы полукokesования бурого угля СССР твердым теплоносителем-полукokesом предложено использовать селективный р-ритель-дихлорэтан и отбеливающую глину Пыжовского месторождения. Полученный буроугольный П отвечает ГОСТ 784-53 на нефтяной П марки Б. Вакуумная разгонка и изучение физ.-хим. констант фракций позволили определить наличие соединений от C_{22} до C_{31} . Содержание изо-парафинов составило 5—6,3% от общего кол-ва парафинов. Библ. 6 назв. Е. Зимакова

9M94. О термическом разложении гуминовых кислот. Белькевич П. И., Гайдук К. А. «Тр. Ин-та торфа. АН БССР», 1960, 9, 267—273.—При нагревании гуминовых к-т торфа в вакууме при 100—400° наблюдалось повышение содержания в газе CO_2 и CO . При т-рах 350—400° в газе появились H_2 и углеводороды. Д. Цикарев

9M95. Термодиффузионное разделение групповых компонентов сланцевой смолы. Нурксе Х. Х. «Tallina polüteh. inst. toimetised, Tr. Tallinsk. politehn. in-ta», 1959, A, № 165, 267—281.—Изучена возможность разделения групповых компонентов сланцевого масла в периодически действующей термодиффузионной колонне без резервуаров. Опыты на колоннах высотой 3 м и 2 м с шириной щели 0,2 мм по разделению фракций смолы 180—210° и 240—270° при продолжительности разделения 144 и 72 часа и разности т-р между холодной и горячей стенами соответственно 80 и 100° подтвердили возможность получения конц. групповых компонентов в различных участках колонны. П. Б.

9M96. Отложения на тарелках колонны атмосферной дистилляции и в трубчатых печах опытной установки переработки смолы на сланцеперерабатывающем комбинате в г. Кохтла-Ярве. Хюссе с И. Ю., Метсик Р. Э., Метсик Л. Ю. В сб. «Химия и технол. горючих сланцев и продуктов их переработки». Вып. 9. Л., Гостоптехиздат, 1960, 132—138.—Содержание нерастворимых в бензоле соединений в отложениях на тарелках колонны колеблется в пределах 48,1—84,5%. Эти отложения содержат 68,6—92,7% золы; содержание Fe в золе достигает 7,62—13,53%, общей S до 4,94%, Cl в виде хлоридов в пределах 15,67—19,66%. Отложения в трубах трубчатой печи также состоят преимущественно из нерастворимых в бензоле соединений, но по характеру они являются главным образом продуктами коксования смолы. Кроме продуктов коксования в состав отложений в трубчатых печах входят в меньшем кол-ве продукты коррозии в виде FeS и хлориды, содержащиеся в перегоняемой смоле. Указано, что для предотвращения чрезмерной коррозии аппаратуры и возникновения отложения в трубчатой печи и особенно на тарелках дистилляционной колонны необходимо обессоливание исходной смолы до содержания хлоридов <50 мг/л. И. Р.

9M97. Усовершенствование установки для улавливания газ-бензина из газа. Луань Дэ-кай, Ван Цзинь-тао. «Шию лянъчи, Shiyou lianzhi», 1959, № 18, 49—50 (кит.).—Мероприятия по улучшению улавливания газ-бензина из газа сухой перегонки сланцев на китайском з-де «Шию и чан» путем абсорбции маслом заключаются в улучшении системы охлаждения для понижения т-ры масла дебензин при входе его в абсорбер, улучшении системы подогрева масла бензин и др. А. Зонитар

9M98. Расчет процесса обесфеноливания подемольной воды термического разложения горючих сланцев в аппарате, снабженном мешалкой. Духакодер Э. Т., Сийрде Э. К. «Tallina polüteh. inst. toimetised, Tr. Tallinsk. politehn. in-ta», 1959, A, № 165, 176—187.—Приводятся основы расчета процесса экстракции и экстракторов подемольной воды (ПВ) с применением в качестве сольвента «бутонов» — высших гомологов ацетона, выделенных из ПВ. Приведены критериальные у-ния зависимости коэф. извлечения и массопередачи при различных гидродинамич. режимах и показана пригодность предложенных у-ний для расчета процесса обесфеноливания ПВ экстракцией в аппаратах с мешалкой. И. Богданов

9M99. Зависимость состава подемольной воды от системы полукokesования горючего сланца. Rajavee E. Põlevkivi uttevee koosseisu olemus utmiseks kasutatavast süsteemist. «Tallina polüteh. inst. toimetised, Tr. Tallinsk. politehn. in-ta», 1959, A, № 165, 162—175 (эст.; рез. русск.).—Проведено определение содержания фенолов, ацетона, NH_3 , H_2S , летучих к-т, смол, твердого остатка в подемольных водах (ПВ) полукokesования горючих сланцев в газогенераторах и в камерных и туннельных печах. ПВ полукokesования в печах отличаются от газогенераторных ПВ повышенным содержанием суммарных фенолов (14—16 вместо 2—6 г/л) и твердого остатка (14,8—21,5 вместо 1,3—6,8 г/л). Д. Цикарев

9M100. Газификация угля под давлением в Марвелле (Австралия). Andrews R. S. Pressure gasification at Morwell. «Brit. Chem. Engng», 1960, 5, № 6, 404—408, 2 (англ.; рез. русск., франц., нем.).—Описание введенного в 1956 г. в эксплуатацию з-да по получению городского газа газификацией бурого угля по способу Лурги на паро-кислородном дутье под давлением. Свежедобытый уголь содержит 60,95% влаги и 18,0% связанного C. Уголь подвергают брикетированию без связующего под давл. 700 кг/см². Характеристика брикетов (в %): влажность 13,0; зольность 1,95; выход летучих 44,68; связанный C 40,37. Газификация брикетов проводится в 6 газогенераторах, вырабатывающих по 170 тыс. м³ сырого газа в сутки. Показатели процесса газификации: выход газа 1000 м³/т брикетов, расход O_2 (95%) 177,8 м³ на 1000 м³ газа, расход пара 1280 кг на 1000 м³ газа, т-ра пара 412°, теплопроводность очищ. газа 3950 ккал/м³, к.п.д. процесса 81,25%. Состав очищ. газа (%): CO_2 2,0; O_2 0,2; C_2H_6 0,3; CO 21,8; CH_4 19,1; C_2H_4 0,4; H_2 53,9; N_2 2,3. В связи с высоким содержанием щелочей в золе угля наблюдались цементация и шлакование золы на решетке генератора, которая была реконструирована. Вторая трудность, которая была при освоении з-да, связана с коррозией теплообменников, вызванной малым содержанием NH_3 в конденсатах. С. Гордон

9M101. Уголь как углеродистый минерал. «Карбонургия». Gillet Alfred. La houille minéral de carbone; la «carbonurgie». «Rev. univers. mines», 1960, 16, № 5, 213—226 (франц.).—Автор считает, что основным видом использования каменного угля должна быть хим. переработка, и предлагает для новой отрасли пром-сти название «карбонургия». Дана сводка работ автора по изучению состава углеродистых соединений и углей методом трехтольных диаграмм и высказаны рекомендации о направлениях рациональной

переработки углей. В частности, для жирных бельгийских углей рекомендуются три направления переработки: окисление с целью получения антракисилоновой к-ты и использования ее в качестве удобрения, термич. растворение в гудроне при кратковременном нагреве (350—400°), др. виды хим. переработки. Н. Г.

9M102. Опытная установка для жидкофазной гидрогенизации угля. Sakabe Tsutomu, Ogo Yoshi-ki, Kanbayashi Yoshio, Sassa Rokuro, Suzuki Morio, Horie Michio, Ohisa Tomisaburo, Hunaki Mitsugu. «Korō karaku daasici: Kogyo kagaku zasshi, J. Chem. Soc. Japan. Industr. Chem. Sec.», 1960, 63, № 4, 545—555, A29 (японск.; рез. англ.).—Описывается опытная непрерывнодействующая установка для обработки процесса жидкофазной гидрогенизации угля шахты Миике. Производительность установки 50 кг/сутки, т-ра 450—480°, давл. 700 ат, катализатор Sn-оксалат. На установке проверялись технологич. режимы различных операций и проводилось обучение персонала работе с аппаратурой высокого давления. Приведены схема установки и чертежи основной аппаратуры. У. Андреас

9M103. Вязкость угольно-масляной пасты. Sakabe Tsutomu, Kanbayashi Yoshio. «Korō karaku daasici: Kogyo kagaku zasshi, J. Chem. Soc. Japan. Industr. Chem. Sec.», 1960, 63, № 5, 894—895, A47 (японск.; рез. англ.).—При изучении процесса непрерывного гидрирования угля была определена вязкость угольно-масляных паст, содержащих 30—50% угля. Найдено, что зависимость между уд. вязкостью пасты и конц-ей в ней угля выражается ф-лой Робинзон.

9M104. Прочность на разрыв пиролизного графита при температурах до 2750°. Martens H. E., Jaffe L. D. Tensile strength of pyrolytic graphite up to 2750°C. «J. Appl. Phys.», 1960, 31, № 6, 1122 (англ.).—Проведено измерение прочности на разрыв графитовых стержней длиной 5,1 см и толщиной 0,25 см, приготовленных разложением метано-водородных смесей при 2100°. Измерения проводились в атмосфере He. Установлено, что при т-ре > 1600° наблюдалась пластич. деформация, имевшая максим. значение при 2500—2750°, притом значительно большее, чем для графитов, приготовленных из нефтяных и угольных пеков. Прочность исследованного графита была на порядок выше, чем у пековых. А. Шахов

9M105. Термический крекинг углей. Сообщ. IV. Оранский Н. И. «Ж. прикл. химии», 1960, 33, № 4, 935—940.—Опыты по термич. крекингу проводили во вращающемся автоклаве емк. 1 л при т-ре 390—410° и рабочем давл. 65—200 ат с рабдописитом Приморского месторождения с зольностью 25,3 и выходом летучих 56%. Измельченный уголь предварительно смешивали с р-рителем в весовом отношении 1:1; в качестве р-рителей испытывали: первичную и газогенераторную смолы, фенолы, антраценовое масло. Экстракты углей подвергали адсорбционно-хроматографич. анализу. Достигнута глубина крекинга 84—95% от органич. массы угля. Крекинг протекал в направлении образования ароматич. и полициклич. углеводородов. В золе рабдописита обнаружено высокое содержание Ti и Al. Сообщение III см. РИХим, 1957, № 15, 52192. В. Кельцев

9M106. Изменение коэффициента Нернста — Эттингаузен в процессе графитации кокса. Пашин М. И. «Уч. зап. Челяб. гос. пед. ин-та», 1958, 5, № 1, 165—169.—Коэффициент термоманитного эффекта Нернста-Эттингаузена (Q) для графитовых электродов и порошков, изготовленных из пиролизного кокса, имеет отрицательный знак. При т-рах > 1500° он непрерывно возрастает с повышением т-ры обработки углеродистого материала, причем для графитовых электродов он в 40 раз больше, чем для порошков. Д. Цикарев

9M107. Влияние температуры графитирования и механического размола на термосилу порошков из коксов. Шулепов С. В. «Уч. зап. Челяб. гос. пед. ин-та», 1958, 5, № 1, 171—179.—Показано, что термоэлектродвижущая сила графитируемых углеродистых материалов зависит от т-ры их обработки и степени измельчения. Время выдержки материалов при конечных т-рах на термосилу существенно не влияет. Д. Цикарев

9M108. Изменение коэффициента Холла в процессе графитации коксов. Пашин М. И. «Уч. зап. Челяб. гос. пед. ин-та», 1958, 5, № 1, 159—164.—Коэффициент Холла (R) измерялся в магнитном поле напряженностью 8000—14000 э на пластинках нефтяного и пекового коксов и на порошках этих коксов. При т-рах 1000—1400° R уменьшался, а при т-рах 1400—2100° быстро возрастал и затем при т-рах 2100—2600° снова уменьшался и проходил через нуль. У порошков R был в 2—3 больше, чем у сплошных электродов. Д. Цикарев

9M109. О механизме процесса графитирования углеродистых веществ. Шулепов С. В. «Уч. зап. Челяб. гос. пед. ин-та», 1958, 5, № 1, 181—186.—Графитация углеродистых материалов протекает в три стадии: разрушение остатков органич. соединений до 1400°, а также карбонизация и ароматизация их, сопровождающиеся ростом графитоподобных сеток; переход углеродистого в-ва в турбоэстранное состояние при 1400—2100° и возникновение структуры графита при т-рах > 2100°. Д. Цикарев

9M110. Холодное литье графоластов. Неугодов П. П. «Тр. Моск. ин-та хим. машиностр.», 1960, 22, 169—178.—При литьевом способе изготовления изделий из пластич. массы с графитовым наполнением (графоластов) связующее затвердевает вследствие р-ции конденсации под действием отвердителя. Из графоласта, в состав которого входят (в вес.%) графит электродный 45, графит серебристый 5, парабензолсульфокислота 5 и смола ВИАМ-Б 45, получены изделия, имеющие уд. в. 1,6, предел прочности сжатию 600—700 кг/см² и изгибу 270—350 кг/см². Изделия обладают значительной хим. стойкостью. Приведена технология приготовления графоластов. Д. Цикарев

9M111. Обзор исследований по химии гумусовых веществ. Wojciechowski Jan. Stan badań nad chemizmem próchnicy. «Acta agrobot.», 1960, 9, № 1, 11—28 (польск.; рез. нем.).—Библи. 30 назв.

9M112. О разделении гумусовых веществ с помощью хроматографических методов. Trojanowski Jerzy. Zagadnienie frakcjonowania związków próchnicznych ze szczególnym uwzględnieniem chromatografii. «Acta agrobot.», 1960, 9, № 1, 85—96 (польск.; рез. нем.).—Дано подробное описание методики хроматографич. разделения гумусовых в-в торфов на фульво-, гематомелановые и гуминовые к-ты. Выделенные фракции испытаны на биологич. активность, причем отмечены случаи как ускорения, так и замедления роста растений. Н. Гаврилов

9M113. Гуминовые вещества. Isakovski Slobodan. Huminske materije. «Kemija u industriji», 1960, 9, № 5, 133—136 (серб.-хорв.).—Дается определение гуминовых в-в и описывается их образование природным путем из бурых углей и лигнина, а также получение искусств. путем из белковых в-в, сахаров, лигнина и фенолов. Предполагается, что наличие гуминовых в-в влияет на процессы брикетирования и коксования углей. З. Лебедева

9M114. Физико-химическая характеристика окисных масс, применяемых для обессеривания синтез-газов. Sokalski Zdzisław, Kramarz Wanda. Fizykochemiczna charakterystyka mas wiążących do odsiarczania gazów syntezowych. «Roczn. chem.», 1960, 34,

№ 2, 529—532. —См. также 9M115, 9M116, 9M117, 9M118, 9M119, 9M120, 9M121, 9M122, 9M123, 9M124, 9M125, 9M126, 9M127, 9M128, 9M129, 9M130, 9M131, 9M132, 9M133, 9M134, 9M135, 9M136, 9M137, 9M138, 9M139, 9M140, 9M141, 9M142, 9M143, 9M144, 9M145, 9M146, 9M147, 9M148, 9M149, 9M150, 9M151, 9M152, 9M153, 9M154, 9M155, 9M156, 9M157, 9M158, 9M159, 9M160, 9M161, 9M162, 9M163, 9M164, 9M165, 9M166, 9M167, 9M168, 9M169, 9M170, 9M171, 9M172, 9M173, 9M174, 9M175, 9M176, 9M177, 9M178, 9M179, 9M180, 9M181, 9M182, 9M183, 9M184, 9M185, 9M186, 9M187, 9M188, 9M189, 9M190, 9M191, 9M192, 9M193, 9M194, 9M195, 9M196, 9M197, 9M198, 9M199, 9M200, 9M201, 9M202, 9M203, 9M204, 9M205, 9M206, 9M207, 9M208, 9M209, 9M210, 9M211, 9M212, 9M213, 9M214, 9M215, 9M216, 9M217, 9M218, 9M219, 9M220, 9M221, 9M222, 9M223, 9M224, 9M225, 9M226, 9M227, 9M228, 9M229, 9M230, 9M231, 9M232, 9M233, 9M234, 9M235, 9M236, 9M237, 9M238, 9M239, 9M240, 9M241, 9M242, 9M243, 9M244, 9M245, 9M246, 9M247, 9M248, 9M249, 9M250, 9M251, 9M252, 9M253, 9M254, 9M255, 9M256, 9M257, 9M258, 9M259, 9M260, 9M261, 9M262, 9M263, 9M264, 9M265, 9M266, 9M267, 9M268, 9M269, 9M270, 9M271, 9M272, 9M273, 9M274, 9M275, 9M276, 9M277, 9M278, 9M279, 9M280, 9M281, 9M282, 9M283, 9M284, 9M285, 9M286, 9M287, 9M288, 9M289, 9M290, 9M291, 9M292, 9M293, 9M294, 9M295, 9M296, 9M297, 9M298, 9M299, 9M300, 9M301, 9M302, 9M303, 9M304, 9M305, 9M306, 9M307, 9M308, 9M309, 9M310, 9M311, 9M312, 9M313, 9M314, 9M315, 9M316, 9M317, 9M318, 9M319, 9M320, 9M321, 9M322, 9M323, 9M324, 9M325, 9M326, 9M327, 9M328, 9M329, 9M330, 9M331, 9M332, 9M333, 9M334, 9M335, 9M336, 9M337, 9M338, 9M339, 9M340, 9M341, 9M342, 9M343, 9M344, 9M345, 9M346, 9M347, 9M348, 9M349, 9M350, 9M351, 9M352, 9M353, 9M354, 9M355, 9M356, 9M357, 9M358, 9M359, 9M360, 9M361, 9M362, 9M363, 9M364, 9M365, 9M366, 9M367, 9M368, 9M369, 9M370, 9M371, 9M372, 9M373, 9M374, 9M375, 9M376, 9M377, 9M378, 9M379, 9M380, 9M381, 9M382, 9M383, 9M384, 9M385, 9M386, 9M387, 9M388, 9M389, 9M390, 9M391, 9M392, 9M393, 9M394, 9M395, 9M396, 9M397, 9M398, 9M399, 9M400, 9M401, 9M402, 9M403, 9M404, 9M405, 9M406, 9M407, 9M408, 9M409, 9M410, 9M411, 9M412, 9M413, 9M414, 9M415, 9M416, 9M417, 9M418, 9M419, 9M420, 9M421, 9M422, 9M423, 9M424, 9M425, 9M426, 9M427, 9M428, 9M429, 9M430, 9M431, 9M432, 9M433, 9M434, 9M435, 9M436, 9M437, 9M438, 9M439, 9M440, 9M441, 9M442, 9M443, 9M444, 9M445, 9M446, 9M447, 9M448, 9M449, 9M450, 9M451, 9M452, 9M453, 9M454, 9M455, 9M456, 9M457, 9M458, 9M459, 9M460, 9M461, 9M462, 9M463, 9M464, 9M465, 9M466, 9M467, 9M468, 9M469, 9M470, 9M471, 9M472, 9M473, 9M474, 9M475, 9M476, 9M477, 9M478, 9M479, 9M480, 9M481, 9M482, 9M483, 9M484, 9M485, 9M486, 9M487, 9M488, 9M489, 9M490, 9M491, 9M492, 9M493, 9M494, 9M495, 9M496, 9M497, 9M498, 9M499, 9M500, 9M501, 9M502, 9M503, 9M504, 9M505, 9M506, 9M507, 9M508, 9M509, 9M510, 9M511, 9M512, 9M513, 9M514, 9M515, 9M516, 9M517, 9M518, 9M519, 9M520, 9M521, 9M522, 9M523, 9M524, 9M525, 9M526, 9M527, 9M528, 9M529, 9M530, 9M531, 9M532, 9M533, 9M534, 9M535, 9M536, 9M537, 9M538, 9M539, 9M540, 9M541, 9M542, 9M543, 9M544, 9M545, 9M546, 9M547, 9M548, 9M549, 9M550, 9M551, 9M552, 9M553, 9M554, 9M555, 9M556, 9M557, 9M558, 9M559, 9M560, 9M561, 9M562, 9M563, 9M564, 9M565, 9M566, 9M567, 9M568, 9M569, 9M570, 9M571, 9M572, 9M573, 9M574, 9M575, 9M576, 9M577, 9M578, 9M579, 9M580, 9M581, 9M582, 9M583, 9M584, 9M585, 9M586, 9M587, 9M588, 9M589, 9M590, 9M591, 9M592, 9M593, 9M594, 9M595, 9M596, 9M597, 9M598, 9M599, 9M600, 9M601, 9M602, 9M603, 9M604, 9M605, 9M606, 9M607, 9M608, 9M609, 9M610, 9M611, 9M612, 9M613, 9M614, 9M615, 9M616, 9M617, 9M618, 9M619, 9M620, 9M621, 9M622, 9M623, 9M624, 9M625, 9M626, 9M627, 9M628, 9M629, 9M630, 9M631, 9M632, 9M633, 9M634, 9M635, 9M636, 9M637, 9M638, 9M639, 9M640, 9M641, 9M642, 9M643, 9M644, 9M645, 9M646, 9M647, 9M648, 9M649, 9M650, 9M651, 9M652, 9M653, 9M654, 9M655, 9M656, 9M657, 9M658, 9M659, 9M660, 9M661, 9M662, 9M663, 9M664, 9M665, 9M666, 9M667, 9M668, 9M669, 9M670, 9M671, 9M672, 9M673, 9M674, 9M675, 9M676, 9M677, 9M678, 9M679, 9M680, 9M681, 9M682, 9M683, 9M684, 9M685, 9M686, 9M687, 9M688, 9M689, 9M690, 9M691, 9M692, 9M693, 9M694, 9M695, 9M696, 9M697, 9M698, 9M699, 9M700, 9M701, 9M702, 9M703, 9M704, 9M705, 9M706, 9M707, 9M708, 9M709, 9M710, 9M711, 9M712, 9M713, 9M714, 9M715, 9M716, 9M717, 9M718, 9M719, 9M720, 9M721, 9M722, 9M723, 9M724, 9M725, 9M726, 9M727, 9M728, 9M729, 9M730, 9M731, 9M732, 9M733, 9M734, 9M735, 9M736, 9M737, 9M738, 9M739, 9M740, 9M741, 9M742, 9M743, 9M744, 9M745, 9M746, 9M747, 9M748, 9M749, 9M750, 9M751, 9M752, 9M753, 9M754, 9M755, 9M756, 9M757, 9M758, 9M759, 9M760, 9M761, 9M762, 9M763, 9M764, 9M765, 9M766, 9M767, 9M768, 9M769, 9M770, 9M771, 9M772, 9M773, 9M774, 9M775, 9M776, 9M777, 9M778, 9M779, 9M780, 9M781, 9M782, 9M783, 9M784, 9M785, 9M786, 9M787, 9M788, 9M789, 9M790, 9M791, 9M792, 9M793, 9M794, 9M795, 9M796, 9M797, 9M798, 9M799, 9M800, 9M801, 9M802, 9M803, 9M804, 9M805, 9M806, 9M807, 9M808, 9M809, 9M810, 9M811, 9M812, 9M813, 9M814, 9M815, 9M816, 9M817, 9M818, 9M819, 9M820, 9M821, 9M822, 9M823, 9M824, 9M825, 9M826, 9M827, 9M828, 9M829, 9M830, 9M831, 9M832, 9M833, 9M834, 9M835, 9M836, 9M837, 9M838, 9M839, 9M840, 9M841, 9M842, 9M843, 9M844, 9M845, 9M846, 9M847, 9M848, 9M849, 9M850, 9M851, 9M852, 9M853, 9M854, 9M855, 9M856, 9M857, 9M858, 9M859, 9M860, 9M861, 9M862, 9M863, 9M864, 9M865, 9M866, 9M867, 9M868, 9M869, 9M870, 9M871, 9M872, 9M873, 9M874, 9M875, 9M876, 9M877, 9M878, 9M879, 9M880, 9M881, 9M882, 9M883, 9M884, 9M885, 9M886, 9M887, 9M888, 9M889, 9M890, 9M891, 9M892, 9M893, 9M894, 9M895, 9M896, 9M897, 9M898, 9M899, 9M900, 9M901, 9M902, 9M903, 9M904, 9M905, 9M906, 9M907, 9M908, 9M909, 9M910, 9M911, 9M912, 9M913, 9M914, 9M915, 9M916, 9M917, 9M918, 9M919, 9M920, 9M921, 9M922, 9M923, 9M924, 9M925, 9M926, 9M927, 9M928, 9M929, 9M930, 9M931, 9M932, 9M933, 9M934, 9M935, 9M936, 9M937, 9M938, 9M939, 9M940, 9M941, 9M942, 9M943, 9M944, 9M945, 9M946, 9M947, 9M948, 9M949, 9M950, 9M951, 9M952, 9M953, 9M954, 9M955, 9M956, 9M957, 9M958, 9M959, 9M960, 9M961, 9M962, 9M963, 9M964, 9M965, 9M966, 9M967, 9M968, 9M969, 9M970, 9M971, 9M972, 9M973, 9M974, 9M975, 9M976, 9M977, 9M978, 9M979, 9M980, 9M981, 9M982, 9M983, 9M984, 9M985, 9M986, 9M987, 9M988, 9M989, 9M990, 9M991, 9M992, 9M993, 9M994, 9M995, 9M996, 9M997, 9M998, 9M999, 9M1000.

№ 2, 529—552 (польск.; рез. русск., англ.).—Сообщают результаты эксперим. изучения физ.-хим. свойств нескольких сортов очистных масс (ОМ), полученных при активации польских руд путем видоизмененного термощелочного метода в паровом автоклаве. Найдены графич. зависимости между общим содержанием серы в ОМ и временем контакта ОМ с очищаемым газом, а также между константой равновесия и т-рой р-ции, протекающей на поверхности контакта.

Я. Сатуновский

9M115. Экономически рациональное использование промпродуктов обогащения углей Остравско-Карвинского бассейна (Чехословакия). Kos Vladimír. Ekonomické využití meziproduktů ostravsko-karvinského revíru. «Paliva», 1960, 40, № 5, 148—151 (чешск.).—Рекомендуется промпродукт с зольностью до 45—50% сжигать в горизонтальной циклонной тонке без подогрева воздуха или с подогревом до 400° и давл. > 1200 мм вод. ст. Смешивание разных видов промпродукта позволяет обеспечить необходимый интервал между т-рами размягчения и текучести золь.

Я. Сатуновский

9M116. Процесс сушки, озоления и выхода летучих из слоя подмосковного бурого угля при верхнем закипании. Париков В. А. «Теплоэнергетика», 1960, № 7, 39—44 (рез. англ.).—На эксперим. тонке исследована кинетика изменения влажности, зольности и выхода летучих по высоте слоя при горении подмосковного бурого угля. Общая высота слоя достигала 98 мм, крупность угля 4—5 мм. Результаты опытов представлены в виде обширного графич. материала. У. Андрус

9M117. Расчет и измерение времени сгорания угольной пыли. Бухман С. В. «Тр. Ин-та энерг. АН КазССР», 1960, 2, 244—251.—Приведены методы расчета и описание аппаратуры для определения т-ры горящих угольных частиц и полного времени сгорания их. Установлена зависимость времени сгорания от размеров частиц, конц-ии O_2 и т-ры камеры горения. Расчетные данные выполнены на основе тепловой теории горения и хорошо совпадают с экспериментальными.

Д. Цикарев

9M118. Новый метод разграничения бурых и каменных углей (ГОСТ 9276—59). Тыжнов А. В. «Разведка и охрана недр», 1960, № 4, 24—27.—Согласно ГОСТ 9276—59 в качестве показателей для разграничения бурых и каменных углей приняты теплота сгорания влажной беззольной массы 5700 ккал/кг и выход щел. экстракта после окисления пробы H_2O_2 . Нанеска угля предварительно обрабатывается H_2O_2 , затем экстрагируется 1%-ным р-ром NaOH. В полученном экстракте определяют процент С. При выходе щел. экстракта > 3% угли относят к бурым. А. Агроскин

9M119. Метод прямого определения коксуемости углей и шихт. Николаев И. Н., Степанчиков А. А., Давыдова К. И., Козлова Н. И., Каликина В. А., Смирнова М. И. «Кокс и химия», 1960, № 11, 9—15.—Разработан лабор. метод непосредственного определения коксуемости углей и их смесей. В основу метода приняты условия коксования угольных шихт, близкие к условиям в промышленной коксовой печи с шириной камеры 407 мм, загрузкой шихты 16,5 т, насыщенным весом 752 кг/м³, периодом коксования 14 час. 15 мин. при средней скорости коксования 14,4 мм/час; определение коксуемости осуществляется в электропечи. Полученный кокс поступает на физ.-мех. испытания. По своим свойствам полученный кокс близок к коксу, получаемому в промышленных печах. Метод проверен при коксовании промышленных шихт и индивидуальных углей. Метод позволяет получать сходимые показатели прочности при параллельных испытаниях. В. Ермолова

9M120. Разработка статистической схемы контроля зольности польских углей на основе лабораторных анализов. Piątkowski Janusz. Ustalenie schematu

statystycznej kontroli zawartości popiołu w węglach polskich na drodze teoretyczno—laboratoryjnej. «Arch. górń.», 1960, 5, № 1, 117—144 (польск.; рез. русск., англ.).—Рассматриваются вопросы отбора проб углей для анализа. Указано на необходимость увеличения кол-ва анализируемого материала по сравнению с польским стандартом.

Я. Сатуновский

9M121. Рациональная методика опробования углей Подмосквонного бассейна. Огарков В. С. «Научн. тр. Тульск. горн. ин-та», 1958, сб. I, 25—39.—Опробование на полный технич. анализ рекомендуется проводить лишь на отдельных участках, где выявлены гумусово-сапропелитовые и окисленные угли скважинами предварительной разведки. Остальные скважины анализируют только на влажность и зольность. Д. Цикарев

9M122. Быстрый и точный метод определения теплоты сгорания углей. Moreau. Méthode rapide, et néanmoins précise, pour la détermination du pouvoir calorifique des charbons. «Chaleur et ind.», 1960, 41, № 417, 105—112 (франц.).—Дано подробное описание техники определения теплоты сгорания углей в калориметрич. бомбе, методики расчета результатов и определения постоянных прибора. Н. Богданов

9M123. Спектрографический метод определения следов бора в углях, коксах, пеках и смолах. Konięczyński Jan. Spektrograficzna metoda oznaczania śladowych ilości boru w węglach, koksach, pakach i smolach. «Prace Główn. inst. górń.», 1960, B, № 254, 8 s., il. (польск.; рез. русск., англ., франц.).—Для определения следов В в углях, коксах и т. д. использован кварцевый спектрограф. Изложены методика приготовления проб анализируемого материала и техника определения.

Я. Сатуновский

9M124. Новый способ определения содержания горючей массы в венгерских углях. Mosóczy Ferenc. Újabb nézőpont a magyar szenek éghetőségének értékelésére. «Energia és atomtechn.», 1959, 12, № 10—11, 644—646 (венг.).—Рассматриваются разные методы расчетного определения содержания горючей массы в углях. Автором изготовлен обеззоленный кокс из разных венгерских углей и на основе анализов предлагается принимать при теплотехнич. расчетах для Q_{H} углерода горючей массы 7900 кал/г. Предложены ф-лы для вычисления содержания горючей массы углей в зависимости от возраста угля. С. Розенфельд

9M125. Методика группового анализа торфов. Драгунов С. С., Кортацци Н. А. «Тр. Центр. торфоболотн. опыты. ст.», 1960, 1, 140—149.—В связи с увеличением химико-технологич. использования торфа рекомендуется проводить более углубленный анализ группового состава его. Дано описание методики определения в торфах влаги, зольн, спирторастворимых в-в, битумов, выхода воды, экстракта, гуминовых к-т, фульвокислот, гемицеллюлоз, целлюлозы и лигнинового остатка. Н. Богданов

9M126. О точном количественном определении антрацена. II. Метод отгонки с ксилолом. III, 1. Ошибки при определении методом извлечения хлорбензолом. Beiträge zur quantitativen Exaktbestimmung von Anthracen. II. Funakubo Eiichi, Matsumoto Yutaro, Kawanishi Isao. Das Xylol-Abdestillationsverfahren. III, 1. Funakubo Eiichi. Diskussion der Fehler in den Bestimmungswerten nach der Chlorbenzol-Verteilungsmethode. «Brennstoff-Chemie», 1960, 41, № 2, 46—51; № 8, 243—246 (нем.).—II. Описан усовершенствованный метод колич. определения антрацена (I) с помощью р-ции Дильса-Альдера. К нейтрализованной испытуемой пробе с содержанием 0,1—0,5 г I добавляют 0,5 г малеинового ангидрида (II) и 10 мл безводн. ксилола; смесь кипятят 25 мин. с обратным холодильником, добавляют 80 мл воды и отгоняют ксилол с перегретым паром. В отгоне не вступивший в р-цию II определяют титрованием. Ошибка определения до 0,3%. И. Богданов

III. При колоч. определении I по предложенной методике точность анализа зависит от ошибок при взвешивании и титровании. Погрешностями за счет чистоты II можно пренебречь. Сообщение I см. РЖ-Хим, 1960, № 24, 98087. Д. Цикарев

9M127. Сборник статей по коксохимии. (Мэйцзяо хуасюэ ваньцзи). Сб. 6. Пекин, Ецзинь гуньэ чубаньшэ, 1960, 110 тыс. нерогл., 0.60 юаня (кит.)

9M128. Производство угольных брикетов. Утида Сёдзи. [Тоё коэки кабусики кайся]. Японск. пат. 2628, 18.04.59.—Для получения прочных, не разрушающихся от действия влаги брикетов, угольный порошок смешивают с р-ром аммонийной соли органич. к-ты типа R—COONH₄. Смесь формуют в брикеты под давлением, сушат и нагревают, в результате чего соль переходит в нерастворимый амид. Пример. (вес. ч.) 0,5 аммонийной соли растворяют в 15 воды, смешивают со 100 порошка антрацита, формуют в брикеты под давл. 400 кг/см², сушат, а затем нагревают 3 часа при 90—100°. Ю. Ермаков

9M129. Способ приготовления связующего для производства угольных брикетов. Сиро Хироси, Ида Сиро. [Явата сайтоцу кабусики кайся]. Японск. пат. 3332, 4.05.59.—Уголь смешивают со смолой и нагревают до т-ры, при которой происходит его набухание, затем выдерживают при такой т-ре, при которой смола не выделяется из угля; далее к полученному продукту примешивают смолу или масло с более высокой т-рой кипения. Пример. Смесь угля и смолы в отношении 1:4 нагревают при 310°, затем выдерживают при 180°; при добавлении к полученному продукту, т-ра плавления которого ~100°, 45% смолы или 35% креозотового масла получается связующий состав с т. пл. 40—45°. Ю. Ермаков

9M130. Способ повышения спекаемости слабоспекающихся углей. Сонода Сабуро. [Нихон кокан кабусики кайся]. Японск. пат. 3075, 27.04.59.—Предложено слабоспекающие угли со сравнительно высокой т-рой начала вспучивания (> 420°) для улучшения их коксуемых свойств нагревать в токе инертного газа при т-ре < 300°. В приведенном примере уголь нагревали в токе N₂ при 200° 8 час. Ю. Ермаков

9M131. Метод производства лигнейного кокса. Курита Кио. [Токио гасу кабусики кайся]. Японск. пат. 2627, 18.04.59.—Прочный лигнейный кокс с низким выходом летучих получают коксованием при 980—1200° (время коксования около суток) шихты, составленной из слабоспекающегося и хорошо спекающегося углей, антрацита и специально подготовленного нефтяного кокса (в кол-ве 1 ~ 20% от веса всей шихты). Нефтяной кокс предварительно нагревается в печи с внешним обогревом до 1000° до остаточного содержания летучих ~1%. Ю. Ермаков

9M132. Способ производства фенола. Holdsworth Ernest Clifford, Milner David William. Manufacture of phenol. [Yorkshire Tar Distillers Ltd]. Англ. пат. 835569, 25.05.60.—При получении фенола (I) сульфированием бензола и слиянием C₆H₅SO₃Na (II) с избытком NaOH (III) предложено плав, разложивший водой или р-рами Na₂SO₃ (IV) и NaHSO₃ (V), до отделения IV нейтрализовать р-ром V или SO₂ в условиях, способствующих осаждению твердого IV. Пример. Плав, содержащий (вес. ч.) 4300 фенолята Na, 685 III, 4670 IV и 200 II разложен добавлением 4500 воды и затем р-ром IV, содержащим 1335 IV, 85 I и 37 II. К полученной массе добавлен 32,7%-ный р-р V, содержащий 5640 V, 60 IV и 170 I. Смеси дано время для расслоения, после чего верхний слой, содержащий 3490 I, 200 II и 50 IV слит декантацией. Остаток подвергают центрифугированию и получают кек, содержащий 8100 IV и 5 I. И. Богданов

9M133. Обессеривание фенола. Такасуна Масадзо, Оиси Кидэи, Кувада Цутому, Такуми Сидзую. [Кувада Цутому, Такуми Сидзую]. Японск. пат. 2969, 24.04.59.—Для обессеривания фенола, предназначенного для гидрогенизации, предложен катализатор (КТ), получаемый нанесением Si на Al₂O₃ или кизельгур, или смесь этих носителей. Помимо Si в КТ вводится Cr или Mn. КТ восстанавливают H₂ при 150° в течение 5 час. При пропускании в токе H₂ через слой КТ фенола с содержанием тиофенола 400 ч. на 1 млн. содержание последнего было снижено до 8—10 ч. на 1 млн. КТ регенерируют продуванием водяного пара при 200°, а затем воздуха 10 час. Ю. Ермаков

9M134. Способ бездымной загрузки коксовых печей и устройство для его осуществления. Варшавский Т. П. Авт. св. СССР 127234, 25.03.60.—Для улучшения условий труда и снижения уноса пыли в газо-сборники (Г) на коксовых печах с двумя Г предложено последние соединить перекидным газопроводом, а Г коксовой стороны подключать только в период загрузки печей. Загрузка проводится последовательно через один загрузочный люк сначала с машинной, а затем с коксовой стороны без планирования, а через 15—20 мин. производится догрузка печи на среднем участке и планирование загрузки. Д. Цикарев

9M135. Способ сухой перегонки твердых горючих в ретортных печах и установки для этого. Dalin D., Gejrot C. J., Johansson A. W., Hedbäck T. J. Förfarande för torrdestillation i retortugnar samt anordningar för förärandets utförande. [Svenska Skifferolje AB, Närke Kvarntorp samt D. Dalin, Bönninge, C. J. Gejrot, Örebro och T. J. Hedbäck]. Шведск. пат. 167120, 12.05.59.—Патентуется способ сухой перегонки каменного угля или сланца в ретортах, нагреваемых в шахтных печах за счет сжигания остатка от сухой перегонки в топке, расположенной вне реторт. Способ характеризуется тем, что воздух подводится в топку в таком незначительном избытке, который обеспечивает экономичное сжигание; плавление золы и крекинг продуктов дистилляции устраняются путем регулируемого подвода циркулирующей воды в систему охлаждения. Регулировка подачи воздуха в топку достигается путем поддержания давления под слоем топлива или разрежения над ним на таком уровне, который обеспечивает содержание CO₂ в продуктах горения, близкое к максим. пределу. Н. Богданов

9M136. Способ полукоксования мелкозернистого топлива. Галынскер И. С., Ворона Д. А., Григорьева Е. А. Авт. св. СССР 131741, 20.09.60.—Мелкозернистое топливо после подсушки и нагрева до 200—250° дымовыми газами в фонтанирующей сушилке подвергается полукоксованию путем контакта топлива с твердым теплоносителем. Д. Цикарев

9M137. Каталитическая гидроочистка жидких углеводородов, полученных при полукоксовании или газификации бурых углей и горючих сланцев и при перегонке нефти. Verfahren zum Raffinieren von bei normaler Temperatur flüssigen Kohlenwasserstoffen aus der Schwelung oder Vergasung von Braunkohlen oder Ölschiefern oder von Erdöldestillaten durch katalytische Behandlung mit Wasserstoff oder Wasserstoff enthaltenden Gasen. [Metallgesellschaft A.-G.]. Пат. ФРГ 972924, 19.11.59.—Очистка упомянутых продуктов H₂ (или H₂-содержащими газами) на гидрирующих катализаторах отличается тем, что часть H₂ проходит через реактор (РА) в параллельном с очищаемым продуктом направлении, часть — противоточном. При очистке средних дистиллятов они подводятся к РА при такой т-ре, что часть их в виде пара направляется кверху, жидкая часть к низу РА, а H₂, поступающий в низ РА, контактируется в противоточном с жидкой и в прямом направлении с паробразной фазами. В многоступенчатом процессе снежий H₂ встречает

очищаемой следней ного газа циркулируе В приме нагретая ным катализатора тока; жи (200 м³ и держани пара ухо содержа

9M138. или креп Процédé craquaage leur. [Gie По пате толива ных угл щих угл кой — об керамиц ся вокр тангенц направл ными. У налами нентов констру

9M139. Мута Тору. пат. 655 эфиром к-те и нагрева ний Ti высотой 10—3 м титанов ют ~1 нормал гидропл фит в т 500°. Д была р ставляе и давл бутило гидрол может лового пропи

9M140. bustibl Boedl. твердо ных от них ф шего, дов и зующе нагрет 9M141. науго: рева. černou týni 89467, пропи шод дя высок

очищаемый парообразный или жидкий продукт в последней ступени очистки; основная часть отработанного газа после очистки от H_2S направляется на рециркуляцию или используется для других целей. В примере нефтяная фракция (100–250° с 0,9% S), нагретая до 350°, при проходе через ПА с многослойным катализатором со скоростью 400 кг на 1 м³ катализатора в 1 час при давл. 50 ат разделялась на 2 потока; жидкость (90%) стекала вниз навстречу H_2 (200 м³ на 1 т жидкости) и отводилась из низа ПА (содержание S 0,05%); остаток продукта (10%) в виде пара уходил с верха ПА в параллельном потоке с H_2 ; содержание S в этом рафинате 0,1%. С. Розенфельд

9M138. Процесс газификации пылевидного угля или крекинга углеводородов с прямой теплопередачей. Procédé de gazéification de charbon pulvérisé ou de craquage d'hydrocarbures par échange direct de chaleur. [Giovanni Hilgers]. Франц. пат. 1495865, 19.11.59.—По патентуемому процессу газификации пылевидного топлива или термич. крекинга жидких или газообразных углеводородов в аппарате создают два вращающихся потока, один из которых подает сырье, а другой — обогревающий газ. Потоки вращаются вокруг керамич. цилиндра, который в свою очередь вращается вокруг своей оси; потоки вращаются с равными тангенциальными и осевыми скоростями, причем их направления могут совпадать или быть противоположными. Указанный цилиндр может быть снабжен каналами для полной или частичной эвакуации компонентов любого из потоков. Даны схемы вариантов конструкции аппарата. С. Гордон

9M139. Получение газонепроницаемого графита. Мута Мэйтоту, Сайто Нобуо, Такатаки Тору. [Кабусики кайся хитати сэйсакудзё]. Японск. пат. 6538, 6.06.60.—Графит пропитывают алкиловым эфиром титановой к-ты и подвергают гидролизу в воде, к-те или в водн. р-ре оснований, после этого графит нагревают, в результате получают графит, пропитанный TiO_2 . Пример. Графитовый диск диам. 3 см и высотой 5 мм помещают в резервуар, создают вакуум 10^{-3} мм рт. ст., подают в резервуар бутыйловый эфир титановой к-ты, пропитывают им графит, выдерживают ~1 час в вакууме, затем повышают давление до нормального; далее в течение 24 час. проводят в воде гидролиз. Когда гидролиз полностью закончится, графит в течение 24 час. сушат при 100° и нагревают при 500°. До обработки воздухопроницаемость графита была равна $4 \cdot 10^{-3}$ дарси; после его обработки она составляет $2 \cdot 10^{-5}$ дарси. Графит выдерживает т-ру 500° и давл. 5 атм. Если такой графит вторично пропитать бутыйловым эфиром титановой к-ты с последующим гидролизом, то воздухопроницаемость такого графита может быть понижена до $2 \cdot 10^{-6}$ дарси. Вместо бутыйлового эфира могут быть использованы этиловый, изопропиловый эфиры титановой к-ты. В. Зломанов

9M140. Твердое горючее и его производство. Combustible solide et son procédé de préparation. [A. F. Boedtl]. Бельг. пат. 555524, 12.02.60.—Способ произ-ва твердого горючего включает измельчение растительных отходов до нужных размеров и приготовление из них формованных изделий за счет органич. связующего, которое может представлять смесь углеводородов и их производных. Растительные остатки и связующее могут быть подвергнуты предварительному нагреванию. А. Агроскин

9M141. Способ предупреждения выделения каменноугольного и других масел из пропитанного ими дерева. Novák Josef. Způsob odstranění rolní oleje z černouhelného dehtu nebo jeho směsí s jinými olejovitými látkami z impregnovaného dřeva. Чехосл. пат. 89467, 15.04.59.—Древесные столбы или другие изделия пропитывают консервирующими маслами как обычно под давлением. Затем в том же котле, но при более высоком давлении обрабатывают пропитанный мате-

риал горячим р-ром щелочи NaOH или KOH с выдержкой, напр., при 80° и 8 ат в течение ≥ 1 часа.

Я. Сатуновский

9M142. Способ очистки коксового газа от сероводорода, аммиака и двуокиси углерода. Klempt Walter. Verfahren zur Entfernung von Schwefelwasserstoff, Ammoniak und Kohlendioxyd aus Koksofengasen. [Bergwerksverband G. m. b. H.]. Пат. ФРГ 973067, 26.11.59.—Предложенный способ удаления H_2S , NH_3 и CO_2 из коксового газа под повышенным давлением путем отмывания H_2S циркулирующей аммиачной водой и затем NH_3 чистой водой или слабой аммиачной водой характеризуется тем, что улавливание H_2S производится обычным путем под давл. 7–11 ат, а вслед за этим улавливание основного кол-ва NH_3 и остаточного CO_2 производится при более высоком давлении (предпочтительно 20 ат). Водн. р-ры из сероводородного и аммиачного скрубберов могут перерабатываться раздельно.

А. Агроскин

9M143. Способ непрерывного саморегулируемого беспламенного окисления горючих материалов. Zimmermann Frederick J. Method for the continuous self-sustaining flameless oxidation of combustible materials. [Sterling Drug Inc.]. Пат. США 2824058, 18.02.58.—Предложен способ непрерывного окисления горючего материала кислородсодержащим газом в водн. дисперсии под давлением в таких условиях, что процесс окисления саморегулируется и дает тепловую энергию в кол-ве, необходимом для беспламенного горения и последующего использования тепла р-ции и образующихся газов для произ-ва работы. Пример. Обогреваемый маслом реактор заполняют на $\frac{2}{3}$ сульфитным щелоком, нейтрализованным известью, нагревают до 270° и затем, уменьшив нагрев до 85°, непрерывно подают в реактор под давл. 100 ат воздух и щелок в кол-ве соответственно 130 кг и 300 л в 1 час. Продукты р-ции, содержащие CO_2 , N_2 и водяной пар, поступают в испаритель и далее в газопаровую турбину и теплообменники. В качестве сырья пригодны отходы органич. произ-в, уголь из лигнина и другие материалы. С. Розенор

См. также: переработка твердых горючих ископаемых. Происхождение твердых горючих ископаемых 9I92. Коррозия 9II181, 9II189, 9II221, 9II232. Сточные воды коксохимич. установок 9I315. Техника безопасности 9I347

ПЕРЕРАБОТКА ПРИРОДНЫХ ГАЗОВ И НЕФТИ. МОТОРНОЕ И РАКЕТНОЕ ТОПЛИВО. СМАЗКИ

Редактор М. О. Хайкин

9M144. Превращения углеводорода при низких температурах как причина разнообразия типов нефти. Добрянский А. Ф. «Сб. тр. Межвуз. совещания по химии нефти, 1956». М., Моск. ун-т, 1960, 61–64.—Работы по изучению низкотемпературного превращения углеводородов (У) разных классов проводили с применением в качестве катализаторов искусственно приготовленных алюмосиликатов, активированных природными бентонитовыми глинами, неактивированными глинами и даже не высушенных глин, а также глин некоторых нефтяных месторождений. Опыты проводили при 200–300° в статич. условиях при нормальном и повышенном давлении, а течение значительных промежутков времени (до 50 час.). Многие У настолько легко поддаются превращениям, что в присутствии даже небольших кол-в глины их нельзя довести до свойственной им т-ры кипения вследствие образования легких фракций. Исследовано много ароматич. У, меньшее кол-во полиметиленовых и мало изучены метановые У, а также некоторые керосиновые и масляные фрак-

ции нефтей. Основные изменения Σ состоят в диспропорционировании радикалов, в изомеризации. Превращения ароматич. Σ с радикалами C_5 не сопровождаются отщеплением этих радикалов в заметной степени. Основное направление — перемещение радикалов с преимущественным образованием менее замещенных форм. Моноциклич. Σ ряда циклогексана прежде всего изомеризуются в гомологи циклопентана. Диспропорционирование радикалов в этом случае практически не имеет места. Метановые Σ отличаются высокой устойчивостью. Парафин и церезин превращаются с трудом в низшие фракции, для которых характерно отсутствие непредельных и значительное содержание ароматич. Σ . Изучение продуктов превращения Σ различных классов показало, что ни при каких условиях нафтеновые Σ не образуются. Исключение составляют те виды сырья, которые уже содержат нафтеновые или вообще полиметиленовые циклы.

И. Руденская

9M145. Инжекция растворителя в нефтяные коллекторы. Хиракава С. «Сэкино гадзюу кёкайси, J. Japan. Assoc. Petrol. Technologists», 1959, 24, № 4, 130—136 (японск.; рез. англ.)

9M146. Нефти объединенной Арабской Республики. Borham M. A., Mustafa A. Crude oils of the United Arab Republic. «Petroleum», 1960, 23, № 9, 346—350 (англ.).—Нефти, добываемые в разных месторождениях ОАР, относятся к относительно тяжелым нефтям смешанного типа (уд. в. 0,905—0,933), с большим содержанием S (1,9—4,67%), высоким показателем кокса по Коврадону (8,5—14) и содержат также парафин. Нефти всех месторождений характеризуются очень низким выходом светлых продуктов; при предельной вязкости мазута, равной 5,5 ст при 37,8°; его выход достигает 79—97%; выход бензина (с 3-рой конца кипения 150—160°) колеблется в пределах 1,8—10%, а содержание керосина, т-ра конца кипения которого, в зависимости от содержания S в нефти, колеблется между 225—260°, составляет 4,6—13%; газойль практически отсутствует (0,7—2%). Мазут используется в основном в качестве топлива, и только незначительная часть перерабатывается на битум хорошего качества. Приведены данные о потреблении в ОАР в 1960 г. разных нефтепродуктов. С. Розенфельд

9M147. Определение содержания ванадия и никеля в румынских нефтях и попытка определения зависимости между их содержанием и генезисом нефтей. Șerbănescu Ana. Determinarea conținutului de vanadiu și nichel în țițeiurile românești și încercări de a stabili o relație între acesta și geneza țițeiurilor. In: *Progresul tehnologic. «Petrol și gaze»*, 1960, 11, № 9, 408—416 (рум.; рез. русск., нем., франц., англ.).—Отмечена роль V и Ni в нефтепереработке и их коррозионное действие на аппаратуру промышленных установок, работающих на мазуте и других жидких топливах. Подчеркивается значение соотношения V/Ni, как геохим. показателя для румынской нефти. Из резюме автора

9M148. Возможность корреляции нефтяных коллекторов по содержанию ксилола в сырой нефти. Hirano Shizo, Tanaka Shigeyuki, Tezuka Machiko, Hashimoto Shigeru. «Coro sikenjō pōmo, Annual Rept Engng Res. Inst. Fac. Engng, Univ. Tokyo», 1960, 18, № 2, 55—60 (японск.; рез. англ.).—Проведены анализы состава нефти разных коллекторов и горизонтов месторождения Ябазе при помощи фракционирования и ИК-спектрометрии. Показано, что содержание m - и p -ксилолов в сырой нефти может быть принято как одна из характеристик для корреляции отдельных коллекторов месторождения и что нефти из менее глубоких горизонтов содержат больше ксилолов, чем из более глубоких. Метод пригоден для корреляции вновь разрабатываемой продуктовой толщ с ранее известными коллекторами. А. Шахов

9M149. Содержание металлов в нефтях. Ball John S., Wenger W. J., Hyden Harold J., Horst C. A., Myers A. T. Metal content of twenty-four petroleum. «J. Chem. and Engng Data», 1960, 5, № 4, 553—557 (англ.).—Результаты анализа миним. кол-в металлов (М) в 24 образцах нефтей (Н) различного геологич. возраста показали, что между содержанием М и природой компонентов органич. части Н наблюдаются соотношения, которые могут иметь значение для решения определенных вопросов генетич. характера. Для нефтей более древних формаций полученные результаты имеют более последовательный характер. При деасфальтизации большая часть М концентрируется в асфальтенах, но значительные кол-ва остаются в деасфальтированной части. Н. При адсорбции на флорисиле элюат характеризуется очень малым содержанием М, а десорбат содержит большую часть М. В основном М связаны с азотистыми соединениями Н. А. Некрасов

9M150. Порфирины, никель, ванадий и азот в нефти. Dunning H. N., Moore J. W., Bieber Herman, Williams R. B. Porphyrin, nickel, vanadium, and nitrogen in petroleum. «J. Chem. and Engng Data», 1960, 5, № 4, 546—549.—Исследовалось содержание V, Ni и порфиринов в различных сырых нефтях (главным образом в нефти Батакваро). В наиболее богатых нефтях 3—10% V содержится в виде порфириновых комплексов. Имеются косвенные указания на то, что во многих нефтях значительная часть V находится в виде азотистых комплексов. От $\frac{1}{3}$ до $\frac{1}{2}$ летучих соединений V обнаруживается в газойле как в виде соединений ванадила, так и в виде металлопорфириновых комплексов. Описана эксперим. методика определения. Библ. 16 назв. А. Некрасов

9M151. Детализированное исследование циклогексановых углеводородов бензиновых фракций некоторых нефтей Сахалина. Подклетнов Н. Е., Брянская Э. К. «Сообщ. Сахалинск. комплекс. н.-и. ин-та АН СССР», 1959, вып. 8, 36—52.—В результате применения адсорбционного разделения углеводородов на силикагеле, точного фракционирования путем ректификации, дегидрогенизационного катализа с Fe-Pt-катализатором и спектров комб. расс. света установлены качеств. и колич. состав циклогексановых углеводородов (ЦУ) бензиновых фракций, выкипающих до 173°, нефтей промышленных месторождений северо-восточного Сахалина: Восточного Эхаби, Эхаби и Паромая. Полученные результаты сведены в таблицу. Индивидуальный состав ЦУ расшифрован на 79,4, 88,9 и 91,5% (считая на сумму дегидрируемых ЦУ) для бензинов Восточного Эхаби, Эхаби и Паромая, соответственно. Идентифицированные ЦУ представлены в основном однокольчатыми соединениями с короткими неразветвленными боковыми цепями. ЦУ исследованных нефтей состоят в подавляющем большинстве из одно- и двухалкильных замещ. циклогексана и в значительно меньшей мере из трехзамещенных и незамещенного циклогексана. Среди ЦУ с двумя метильными группами преобладают 1,3-замещенные. При сравнении состава индивидуальных углеводородов исследованных бензинов видно, что бензин Паромайской нефти отличается более высоким содержанием метилциклогексана (33,4%), чем бензин восточно-эхабинской и эхабинской нефтей (25,1 и 21,5%). Бензин Паромая содержит меньше углеводородов C_8 (31,8% от суммы ЦУ), чем бензины восточно-эхабинской и эхабинской нефтей (36,4 и 36,7%); при исследовании ароматич. углеводородов этих бензинов замечено обратное явление — содержание ароматич. углеводородов C_8 в них соответственно 39,7, 28,6 и 27,7% от суммы ароматических. При сравнении конц-ий индивидуальных ЦУ, содержащихся в бензинах прямойгонки сахалинских нефтей и в некоторых бензинах нефтей СССР и США, видно, что исследуемые бензины по

выделяя
произво
9M152
ции 140
нижнего
заде
Маме
1960, №
природ
для исс
175° см
Карагу
моноци
ноцикл
Среди
гексан
а из би
ГУ соде
ных 4,0
дорогов
содерж
9M153
Парх
Описан
схема
вступит
9M154
British
finery
№ 8, 3
1959 г.
новые
На з-д
кумине
~4000
Мо-кат
минта
на ~1

9M155
промы
cess, п
«Bull.
Привоз
для не
в Япо
ляются
Univer
Udex,
рудов
9M156
тяной
ры di
ments
№ 9, 3
90019.
9M157
дован
to J
Refine
ропри
обору
ность
не до
произ
место
ного
цию
ленни
обору
при
ставл
часто

выделяются высоким содержанием циклогексановых производных. Библ. 22 назв. А. Нагаткина

9M152. Гидроароматические углеводороды фракции 140—175°С нефти Карачухурского месторождения нижнего отдела. Пашнамазаде Б. Ф., Исмаиладзе И. Г., Кошелева Л. М., Эйбатова Ш. Э., Мамедов Ф. А. «Азерб. хим. ж., Азерб. хим. ж.», 1960, № 3, 65—75 (рез. азерб.).—В результате изучения природы гидроароматич. углеводородов (ГУ), взятой для исследования деароматизированной фракции 140—175° смеси нефтей нижнего отдела месторождений Карачухур и Ясамаль, найдено 22 ГУ, из которых 20 моноциклических, 2 бициклических. Содержание моноциклических в 17,6 раза больше, чем бициклических. Среди моноциклич. ГУ преобладают *n*-пропилциклогексан (2,39%) и 1-метил-2-этилциклогексан (2,18%), а из бициклических гидридов 0,97%. Исследованные ГУ содержат (> 4 атомов С, не найдено. А. Нагаткина

9M153. Первенец нефтепереработки Башкирии. Пархоменко В. «Нефтяник», 1960, № 11, 30—31.—Описана история строительства и дана технологич. схема нефтеперерабатывающего з-да в Ишимбаеве, вступившего в строй в декабре 1956 г. И. Руденская

9M154. Нефтеперерабатывающий завод фирмы British Petroleum Co. в Монреале (Канада).—BP refinery Montreal. «Canad. Oil and Gas Inds», 1960, 13, № 8, 35—50 (англ.).—Описание з-да, построенного в 1959 г. и выпускающего главным образом высокооктановые бензины, дизельное, котельное топливо, пропан. На з-де имеются установки для атмосферной и вакуумной перегонки производительностью ($m^3/сутки$) ~4000, для гидрообессеривания дистиллятов над Со-Мо-катализатором на ~2000, для каталитич. реформинга (платформинга) на ~1000, каталитич. крекинга на ~1500, каталитич. полимеризации на 130°.

Г. Марголина
9M155. Процессы и оборудования для нефтяной промышленности Японии. Tamaki Akiyoshi. Process, machinery and apparatus for petroleum industry. «Bull. Japan Petrol. Inst.», 1960, 2, 122—125 (англ.).—Приводится перечень процессов, машин и аппаратов, для нефтяной и нефтехим. пром-сти, импортированных в Японию в 1952—1960 гг. Основным поставщиком являются США. В 1960 г. Японией закуплены у фирмы Universal Oil Products Co. процессы Unifining, Mercox, Udex, Unisol и др. Сообщаются также данные об оборудовании, изготовляемом в Японии. С. Розенер

9M156. Контрольно-измерительные приборы в нефтяной промышленности. Часть 3. Самопишущие приборы для контрольных щитов. Postle R. Instrumentation in the petroleum industry. Part 3. Miniature instruments for graphic display panels. «Petroleum», 1959, 22, № 9, 300—312 (англ.).—Часть 2 см. РЖХим, 1960, № 22, 90019.

9M157. Профилактический осмотр и ремонт оборудования на нефтеперерабатывающих заводах. Thornton J. F. PM-key to equipment failure control. «Petrol. Refiner», 1960, 39, № 3, 177—182 (англ.).—Комплекс мероприятий по профилактич. осмотру и ремонту (ПОР) оборудования обеспечивает высокую производительность и длительный срок его работы. Затраты на ПОР не должны превышать стоимости ремонтных работ и производственных потерь вследствие аварий, имеющих место в отсутствие ПОР. Программа работ по ПОР одного из нефтезаводов предусматривает: инвентаризацию и маркировку одностопного оборудования, составление перечня мероприятий по ПОР для данного вида оборудования, осуществляемых в процессе его работы, при остановке и в случае капитального ремонта, составление графика работ ПОР, предусматривающего частоту и чередование различных мероприятий. Е. С.

9M158. Плановое обеспечение работы подсобных цехов нефтеперерабатывающего завода. Alban F. P. The systematic prediction of refinery utilities. «J. Inst. Petrol.», 1960, 46, № 441, 273—284. Discuss., 284—288 (англ.).—Рассмотрены вопросы планирования работы подсобных цехов (пар, электрич. энергия, вода, топливо, сжатый воздух) нефтезаводов. А. Шахов

9M159. Переработка сырой нефти. Ruf H. Die Aufarbeitung (Raffination) der Roherdöls. «Schweiz. techn. Z.», 1960, 57, № 38—39, 776—787 (нем.; рез. франц.).—Общая характеристика нефти и популярное изложение методов ее переработки. Б. Энглин

9M160. Снижение потерь от испарения в емкостях для хранения. Basore C. A. Cut evaporation losses from storage tanks. «Oil and Gas J.», 1960, 58, № 32, 99—100 (англ.).—Описано устройство, снижающее потери от испарения, в резервуарах с конич. крышами, представляющее собою наружный теплообменник, куда поступают образующиеся пары. Охлаждение паров в теплообменнике производится поступающей водой. Приведены результаты испытаний устройства на опытной установке. С. Гордон

9M161. Графики для расчета продолжительности опорожнения резервуаров. Rostafinski W. A. Graphs find vessel drain time. «Petrol. Refiner», 1960, 39, № 3, 213—216 (англ.).—Приводятся 3 графика для определения времени истечения жидкости из цилиндрич. резервуаров (Р), зависящего от следующих факторов: а) свойств жидкости, б) формы и объема Р, в) уровня жидкости в Р, г) типа выходного устройства (трубы, сопла, насадки и др.). График I предназначен для определения приведенного диаметра трубы круглого сечения, эквивалентной данному выходному устройству при заданной длине, график II — для определения времени истечения из вертикального цилиндрич. Р, в зависимости от уровня жидкости в Р и соотношения диаметров Р и приведенной трубы, график III — то же для горизонтального цилиндрич. Р с плоскими днищами. Приведен пример с числовым расчетом. Е. Соколова

9M162. Электроподогрев вязких нефтей и нефтепродуктов. Тонкошкоров Б. А., Асатурян А. Ш., Свиридов В. П. «Нефт. х-во», 1960, № 11, 46—49.—Приведены методы расчета коэф. теплопередачи и технич. характеристик электроподогревателей. По приведенной методике можно производить расчет электроподогревателей для разогрева нефтей, нефтепродуктов и других вязких жидкостей в ж.-д. цистернах, теплообменниках, резервуарах и других хранилищах. Расчет подогревателя при вынужденном движении разогреваемой среды принципиально не отличается от метода, рассмотренного в примере. И. Руденская

9M163. К вопросу подготовки нефтей к переработке. Физико-химические основы обезвоживания и обессоливания нефтей. Петров А. А. «Тр. Гос. Всес. исслед. и проект. ин-т Гипровостокнефть», 1959, вып. 2, 391—402.—Изложены факторы, определяющие устойчивость нефтяных эмульсий, структурно-механич. свойства поверхностных слоев на границе раздела нефти и воды, условия слияния капель в эмульсии, дисперсность нефтяных эмульсий, вязкость и плотность нефти и эмульгированной воды. Развиваемые в работе положения о процессе разрушения нефтяных эмульсий положены в основу классификации способов обезвоживания и обессоливания нефтей. Способы обезвоживания и обессоливания расположены по трем основным признакам: способы, основанные исключительно на снижении прочности защитных слоев, способы, в которых применено также увеличение силы давления, действующей между каплями при их столкновениях, способы, в которых применены контактирующие поверхности. И. Руденская

9M164. Программирование расчетов процесса дистилляции. Maddox R. N., Erbar J. H. Programming plate to plate distillation calculations. «Petrol. Engr»,

1950, 31, № 10, C35—C36, C38—C39 (англ.).—Изложена программа исследований ун-та шт. Оклахома по разработке задания на счетную машину для выполнения расчетов дистилляции многокомпонентных систем углеводородов. Приведен схематич. порядок расчетов, производимых машиной. И. Руденская

9M165. О моделировании реакционных устройств в некоторых процессах гетерогенной конверсии углеводородов. Артюхов И. М. «Ж. прикл. химии», 1960, 33, № 11, 2512—2520.—Обработаны эксперим. данные для ряда процессов гетерог. конверсии углеводородов в предположении, что во всех рассматриваемых случаях конверсия углеводородов происходит главным образом на внешней поверхности катализатора (имеется в виду превращение, происходящее в диффузионной области). Установлено, что критерий конверсии или степень превращения определяется в зависимости от критериев Re или Nu реакционного пространства. Предложены 2 ур-ния, которые могут быть использованы для обработки опытных данных и обобщения кинетич. закономерностей в различных процессах с целью моделирования реакционных устройств. А. Некрасов

9M166. Влияние пористости силикатных катализаторов на крекинг и реформинг нефтепродуктов. Оберин В. И., Остриков М. С., Ростовцева И. В., Арутюнова О. Л. «Об. тр. Межвуз. совещания по химии нефти», 1956, М., Моск. ун-т, 1960, 177—193.—Получены магнийсиликатные (МК) и алюмосиликатные (АК) катализаторы различной пористости путем сушки их в присутствии поверхностноактивных в-в (изоамиловый, циклогексилловый, октиловый спирты, а также масляная, олеиновая и нафтеновые к-ты). Исследование пористости и распределения пор по радиусам, а также активности МК показало, что для крекинга газойля из прозенской парафинистой нефти необходимо наличие переходных пор с радиусом 25—40 Å. В их отсутствие активность МК снижается в ~1,5 раза. Развитие более крупных пор с радиусом до 70 Å уменьшает уд. поверхность МК, в результате чего активность его возрастает не столь сильно. Процесс реформинга стабильного крекин-дистиллята в присутствии пропан-пропиленовой фракции под давлением проходит лучше на широкопористом АК, чем на тонкопористом. Это объясняется большей доступностью активной поверхности катализатора для реагирующих молекул. А. Н.

9M167. Новые трубчатые печи конверсии углеводородных газов. Жунко В. И., Клименко В. Л. «Тр. Всес. н.-и. п-та переработки и использования топлива», 1959, вып. 8, 113—132.—Рассмотрены существующие конструкции трубчатых печей для конверсии углеводородных газов, в частности природного газа, в смеси с водяным паром и в присутствии катализатора, с целью получения топливного газа и H_2 . Описана конструкция новой печи: имеет камеру прямоугольного сечения, в центральной части которой расположены в шахматном порядке 2 ряда вертикальных труб с катализатором, обогрев осуществляется горелками, расположенными на противоположных стенках печи, по их высоте и ширине. Показатели существующих и новой печи, соответственно: объем печи по наружному габариту 350 и 500 м³, диаметр труб 168 × 7 и 273 × 12 мм, поверхность нагрева труб 208 и 330 м², теплонапряженность поверхности труб 25 000—30 000 и 38 000—42 000 ккал/м²·час, производительность по природному газу 1500—2000 и 5000—7000 м³/час, полезный расход тепла (на эндотермику процесса) 24,8 и 39,8%. Дана также конструкция новой печи для конверсии газа под высоким давлением (10—15 атг): печь имеет цилиндрич. вертикальную камеру со сферич. днищем и потолком, рассчитанную на горение под давлением, трубы располагаются по цилиндрич. периферии камеры. А. Равикович

9M168. Платиновые катализаторы для реформинга бензина. Dumitrescu C. Catalizatori de platină pentru reformarea benzinei. «Petrol și gaze», 1960, 11, № 9, 416—424 (рум.; рез. русск., нем., франц., англ.).—Для получения высокооктановых бензинов каталитич. реформинга (октановое число 93, исследовательский метод) в нефтеперерабатывающей пром-сти применяют Pt-катализаторы, содержащие ~0,6% Pt, нанесенной на Al_2O_3 или алюмосиликаты. А. Некрасов

9M169. Превращения некоторых углеводородов при гидрогенизации в присутствии окисного алюмо-молибденового катализатора. Лозовой А. В., Цирлина Р. Н. «Ж. прикл. химии», 1960, 33, № 1, 216—222

9M170. Пиролиз широкой фракции нефти из нефтеносных песков. Элиев Ч. Э. Нефтели гумлардан термикси усулла алынмыш кениш нефть фраксиясынын пиролиз. «Азәрб. нефть тәсәруфаты. Азәрб. нефть х-во», 1960, № 8, 35—37 (азерб.; рез. русск.).—Рассматриваются результаты опытов по пиролизу широкой фракции нефти из нефтеносных песков Кирмаку, проводившихся при различных температурных режимах. Изучены газы пиролиза и пиролизаты. Последние исследовались на содержание ароматич. углеводородов. А. Н.

9M171. Газификация нефтяного сырья на заводе фирмы British Petroleum Co. в Англии. Stott C. Gasification at the Isle of grain. «Gas. J.», 1960, 302, № 5050, 487, 489, 491. Discuss., 491, 493, 495—496; «Gas Times.», 1960, 94, № 946, 40—41 (англ.).—Приведены общие сведения о новом з-де комбинированного типа, 1-я очередь которого (пущена в 1958 г.) включает установки по произ-ву газа из жидких нефтепродуктов по методу Cetez, 2-я очередь (пускается в 1960 г.) включает установки (газогенераторы) по непрерывной газификации жидких нефтепродуктов на паро-кислородном дутье под давлением и 3-я очередь дублирует установки 2-й очереди. Общая суточная производительность з-да по газу ~2 млн. м³. Отмечается возможность эксплуатации з-да на различных видах исходного сырья, с получением городского газа стандартного качества. К. З.

9M172. Получение низкомолекулярных углеводородов для опытов по адсорбции. Fejes Pál, Kallé Dénés, Engelhardt József. Kis szénatomszámú szénhidrogének előállítás adsortorciós célokra. «Magyar kém. folyóirat», 1959, 65, № 4, 432—438 (венг.; рез. нем.).—Разработан метод лабор. получения достаточно чистых для каталитич. превращений и газовой хроматографии парафинов и олефинов. Бутанол или изобутанол разной степени чистоты дегитратировался в подробно описанном аппарате на катализаторе (КТ) Al_2O_3 с уд. поверхностью 290 м²/г, при объемной скорости 500 в час. В этих условиях из этанола при 350°, из $i-C_4H_{10}$ при 320°, из $n-C_4H_{10}OH$, $iso-C_4H_{10}OH$ при 350° и из трет-бутанола при 360, 350 и 310° соответственно получены олефины с 100% выходом, без заметного крекинга или изомеризации. Приведены результаты гидрирования iso -бутилена на Ni (носитель 61,5% SiO_2 , или 9,8% Al_2O_3), показывающие, что Ni, в результате неизбежных побочных р-ций, не пригоден для получения чистых газов. При гидрировании бутиленов на КТ (%) Cu 96,8, Cr_2O_3 3,2, Ni 0,005 крекинг или изомеризация не наблюдаются. КТ недостаточно активен, и с увеличением т-ры, конверсия понижается значительно раньше, чем это можно было ожидать по термодинамич. расчетам. Гидрирование олефинов проводили также на Pt, нанесенной на Al_2O_3 с 0,5 и с 2% Pt, при 65°, отношения H_2 : олефин=2:1 и объемной скорости 140—450; выход 100%. В некоторых случаях активности КТ довольно быстро падает, и бутилен необходимо предварительно пропустить через пропитанный Hg-аппаратом силикагель и активированный уголь. Активность КТ снижается даже при длительной эксплуатации относительно мало, а после часовой обработки H_2 при 300° она полностью восстанавливается. С. Розенфельд

9M173. крекинга I. Fuel Sci. рез. англ. Слова и У. кинта лит и ~20 ат

9M174. пин угле. Kong d wglowod sanit., 14 тановка сырья си. вания). 0,97, кокс 4%. Полу. 4200 ккал/CO 20,5, H₂ 5, о. произ-во

9M175. ского не. И. Г. «X. 42—46.— новая с. даже пр. держани. товарны. прямой. ток с к. для пол. ства, а. татка в. ность к. увеличи. установ. до реко. чился п. траницы

9M176. оценки чотой п. A theore. bution Engrs», Кохена. рация. излучен. таяной т. и теоре. Привед. теплоот. предел. грамма

9M177. нефтез. wer fou. 202—203

9M178. пентри. cation № 1, 3. очислен

9M179. ки сме. О. Л., Азерб. усовер. и диз. насос. череа

9M173. Производство этилена путем термического крекинга лигрина. Накадзима Т. Нияри кёкайс, J. Fuel Soc. Japan, 1960, 39, № 369, 502—507 (японск.; рез. англ.).—Изложены основные положения метода Стона и Уэбстера произ-ва этилена путем термич. крекинга лигрина, который осуществляется при 700—800° и ~20 атм давления. А. Некрасов

9M174. Установка для каталитической газификации углеводородов системы ONIA-GEGL. Bąkowski Konrad. Urządzenia do katalitycznego krakowania węglowodorów systemu ONIA-GEGL. «Gaz, woda i techn. zapit.», 1960, 34, № 5, 192—194 (польск.).—Описана установка каталитич. газификации углеводородного сырья системы ONIA-GEGL на 3-де в г. Брно (Чехословакия). Свойства сырья: т. кип. 240—380°, d_{15}^{15} 0,95—0,97, коксуемость по Конрадону 10,5%, содержание S 4%. Получаемый газ имеет теплотворную способность 4200 ккал/м³ и содержит: (об.%) CO₂ 8, C₂H_{2n} 4, O₂ 0,2, CO 20,5, H₂ 47, C_nH_{2n+2} 14,5, N₂ 5,8, (г/м³) смолы 25, H₂S 5, органич. S 0,5, нафталина 4; бензола ~50. На произ-во 100 м³ газа расходуется 66,1 кг сырья. Я. Сатуновский

9M175. Реконструкция вакуумной установки одесского нефтеперерабатывающего завода. Луговской И. Г. «Химия и технол. топлив и масел», 1960, № 11, 42—46.—После реконструкции вакуумной установки новая схема позволила увеличить производительность даже при переработке легких нефтей с большим содержанием бензиновых фракций, вырабатывать новые товарные продукты (автобензин и дизельное топливо прямойгонки), вовлечь в переработку крекинг-остаток с крекинг-установки без смешения его с нефтью для получения дизельного топлива улучшенного качества, а также вовлечь больше горячего крекинг-остатка в произ-во нефтебитумена. Общая производительность крекинг-установки, считая на исходное сырье, увеличилась на 9,3%. Производительность вакуумной установки составила 108,9% по отношению к периоду до реконструкции, а отбор светлых продуктов увеличился почти в 10 раз (12,8% против 1,3% до реконструкции). И. Руденская

9M176. Теоретический метод предварительной оценки распределения теплопередачи в нефтяной трубчатой печи. Thorneycroft W. T., Thring M. W. A theoretical method for predicting heat transfer distribution in a petroleum heater. «Trans. Instn Chem. Engrs», 1960, 38, № 2, 63—70 (англ.).—Метод Хотелла—Кохена по определению факторов взаимной конфигурации при излучении распространен на теплообмен излучением между «не черными» поверхностями в нефтяной трубчатой печи. Определены экспериментально и теоретически к.л.д., давшие приемлемое совпадение. Приведено сравнение теоретич. и эксперим. данных по теплоотдаче отдельным группам труб и показано распределение ее по стенам камеры на четырех гистограммах. Библ. 12 назв. Б. Мокршанский

9M177. Сокращенный метод расчета фундаментов нефтезаводских колонн. Kuong J. F. Short cuts to tower foundation design. «Petrol. Refiner», 1960, 39, № 3, 202—204 (англ.).

9M178. Очистка смазочных масел при помощи центрифуг. Ambler Charles M. Centrifugal purification of lubricating oil. «Lubricat. Engrs», 1961, 17, № 1, 34—39 (англ.).—Рассмотрены различные системы очистки работающего смазочных масел. А. Р.

9M179. Усовершенствование сернокислотной очистки смазочных масел на старых установках. Грушко О. Л., Спектор Ш. Ш. «Азерб. нефть тасарруфаты, Азерб. нефть. х-во», 1960, № 10, 36—38.—В описываемом усовершенствовании сернокислотной очистки автолов и дизельных масел, очищаемый дистиллят забирают насосом (НС) из сырьевого резервуара и прокачивают через теплообменник-холодильник на прием центро-

бежного НС. Из емкости подают H₂SO₄, дозирующим НС на прием центробежного НС, где дистиллят масла контактируют с H₂SO₄ и выбрасывают в конич. часть мешалки. После обработки для осаждения гудрона жидким стеклом и спуска гудрона кислое масло передается на установку для контактирования с глиной. Опытными данными подтверждается, что при такой схеме очистки расход H₂SO₄ снижается на 15—20%. Приведена схема. А. Некрасов

9M180. Нефтяные парафины. Наки Кадаэо. «Kagaku, Chemistry (Japan)», 1960, 15, № 5, 370—377 (японск.).—Обзор. Разновидности парафинов. Методы получения. Форма кристаллов, связь между количеством углеродных цепей и физ.-хим. свойствами. Применение парафинов. Библ. 32 назв. Ю. Жмакин

9M181. Определение группового состава вазелинов. Nyul Gyula, Juhos Albert. Vazelin csoportelemzési vizsgálata. «Magyaras ványolaj-és földgáz kísér. int. közl.», 1948—1959 (1960), 1, 168—177 (венг.; рез. русск., англ.).—Описан метод группового анализа вазелина, при котором из вазелина выделяют фракцию и-парафинов посредством образования комплексов с мочевиной. Остаток затем разделяют на фракцию изо-парафинов и масел. Определение процентного содержания указанных групп и некоторых физ. параметров дает возможность охарактеризовать вазелины. Описанный способ распространен на отдельные виды сырья, представляющие интерес для произ-ва вазелина, в первую очередь на фракции венгерской нефти. Объединением отдельных составляющих получены образцы «искусственных» вазелинов, изучение свойств которых дает возможность сделать выводы о влиянии отдельных составляющих групп на свойства вазелинов. Результаты опытов показали, что характерные свойства вазелинов обуславливаются в первую очередь содержанием изо-парафиновых составляющих. И. Руденская

9M182. Тенденции в развитии технических условий на дорожные битумы. Smith Vaughn. Watch these trends in asphalt specs. «Petrol. Refiner», 1960, 39, № 6, 211—215 (англ.).—Кратко описаны существующие методы оценки консистенции, реологич. свойств, хим. активности, летучести и загрязненности дорожных битумов и рассмотрены возможные новые методы их оценки. Отмечено, что для применения дорожных битумов большое значение имеет характеристика полярности, однако метода определения этой характеристики до сих пор не разработано. И. Руденская

9M183. Влияние условий окисления на качество битума. Nyul Gyula, Zakar Pál, Mózes Gyula, Füredi Livia. A fűvátás körülményeinek hatása a bitumen minőségére. «Magyar ásványolaj-és földgáz kísér. int. közl.», 1948—1959 (1960), 1, 144—158 (венг.; рез. русск., англ.).—В окислительных кубках емк. 500 и 6200 см³ проводили опыты окисления сырья с целью выяснения влияния условий окисления на качество битумов. Опыты проводились с битумами из венгерских нефтей (месторождений Недьлендэль и Липше), а также из матенской и туймазинской нефтей. Окисление проводили при 250, 300, 350°. Для сырья, окисляемого при более высоких т-рах, содержание асфальтенов, а также т-ра размягчения повышаются быстрее, чем при окислении при более низких т-рах. Исследования также кол-во отгоняемых масел и газа, образующихся в процессе окисления. Результаты исследований битумов, полученных на различных опытных установках, хорошо совпадают с таковыми для промышленно-установок. И. Руденская

9M184. Исследование битумов и дорожные битумы в ВНР. Freund Michael, Zakar Paul. Die ungarische Bitumenforschung und das ungarische Straßenbaubitumen. «Strassen- und Tiefbau», 1960, 14, № 9, 725—726, 728—729 (нем.).—Дан обзор развития исследовательских работ в ВНР с момента начала использования сернистой, тяжелой асфальтовой нефти месторож-

дения Надьлендье. Указано, что в результате работ венгерская нефтяная пром-сть в настоящее время выпускает дорожный битум всех марок, не уступающий по качеству лучшим мексиканским сортам. Приведены анализы, данные по выпускаемым маркам остаточных битумов, а также характеристики надьлендьельской нефти как сырья, особо пригодного для произ-ва жидких битумов. С. Розенфельд

9M185. Роль наполнителя в смесях для асфальтовых покрытий. Esih V. Uloga puniva u mješavinama asfaltnih pokrova. «Ceste i most», 1960, 8, № 1—2, 29—32 (сербо-хорв.).—Отмечается, что при изготовлении асфальтового покрытия необходимо учитывать тонину помола и природу наполнителя. При применении наполнителя неподходящего характера или неподходящего его кол-ве может получиться нестабильное, коробящееся или даже разрушающееся покрытие. М. Павловский

9M186. PVT-диаграммы метана в газообразном и жидком состоянии. Matschke Donald E., Thodos George. The PVT behavior of methane in the gaseous and liquid states. «J. Petrol. Technol.», 1960, 12, № 10, 67—71 (англ.).—Обобщены материалы исследований различных авторов. Библ. 24 назв. К. 3.

9M187. Образование кристаллогидратов углеводородов при транспорте природного газа и способы борьбы с ним. Seebaum Hermann. Über Kohlenwasserstoff-Hydrate beim Rohrtransport von Erdgas und Maßnahmen zur Vermeidung ihrer Bildung. «Gas- und Wasserfach», 1960, 101, № 30, 981—985 (нем.).—Обзорная статья. Библ. 20 назв. К. 3.

9M188. Определение летучести компонентов естественного нефтяного газа. Тривус Н. А. «Мәрузаләр. Азәрбәйҹан Елмәләр Акад. Докл. АН Азәрбәйҹан», 1960, 16, № 8, 749—754 (рез. азерб.).—Для установления возможной точности, с которой возможно применять ур-ния ван-дер-Ваальса, Битти-Бриджмена, Уэбба и Рубина и др. при выводе фазовых соотношений в газо-нефтяных системах, были проведены расчеты. Наилучшие результаты получаются при использовании метода комбинирования констант в ур-ниях Бенедикта, Уэбба и Рубина. Применение ур-ния Бартлетта к естественным нефтяным газам с мольными объемами 0,065—0,150 л/моль исключено, так как приводит к очень большим ошибкам. Приведены таблицы давления, вычисленные по различным ур-ниям состояния газовых смесей. Приведена оценка погрешностей при определении летучести этана и пропана в их бинарных смесях и дано сравнение опытных значений f^L/y с их значениями, определенными графически. Библ. 6 назв. А. Некрасов

9M189. О стабильности йода в рассолах, насыщенных природным газом. Kojima Kaoru. «Korō kagaku zasshi, Kogyo kagaku zasshi, J. Chem. Soc. Japan, Industr. Chem. Sec.», 1960, 63, № 1, 96—99, A4 (японск.; рез. англ.).—Определена скорость исчезновения свободного J из рассолов, насыщенных природным газом при различных конц-ях J и значениях pH. Через 20 час. 50 мин. в рассолах с pH 1,5; 2,13 и 3,60 остается, соответственно 0,905; 0,690 и 0,0 от первоначально содержавшегося J. При конц-ях J = 1×10^{-4} моль/л и значениях pH 1,3; 2,25 и 2,77 скорость исчезновения J равна, соответственно $2,3 \times 10^{-8}$; $6,8 \times 10^{-8}$ и $19,0 \times 10^{-8}$ моль/л/мин. При т-рах 10—27° энергия активации процесса 21,1 ккал/моль. Скорость исчезновения J в естественных рассолах значительно выше, чем в искусств., что связывается с наличием в них коллоидных частиц. А. Шахов

9M190. Жидкофазная очистка газа от сероводорода. Myhill A. R. Removing hydrogen sulphide by liquid purification. «Gas. J.», 1960, 301, № 528, 68—70, 72 (англ.).—Описаны преимущества недостатка и области применения жидкофазных систем очистки газа с использованием карбонатов, соединений Zn и метано-

ла. Описан также метод применения метиленового синего в р-ре анилина, красителя, дающего при восстановлении лейкосоединения. В процессе образования лейкосоединения происходит осаждение элементарной S, которая переходит в р-р анилина, откуда после кристаллизации и очистки выделяется в виде 99%-ного продукта. Процесс рекомендуется для низкого и высокого давлений. С. Гордон

9M191. Окислительный крекинг пропана. Michel J. Le craquage autothermique du propane en exploitation. «Rev. Inst. franç. pétrole», 1959, 14, № 6, 848—855 (франц.; рез. англ., исп.).—Изложены результаты заводских опытов по автотермич. крекингу C_3H_8 в газогенераторах, сконструированных для произ-ва газа из нефтяного сырья, после их переоборудования и усовершенствования (предварительный подогрев воздуха, инжектирование в реакционную камеру водяного пара, заполнение зоны р-ции Ni-катализатором на носителе и т. д.). Среднемесячный состав газа (в %) при соотношении воздух : C_3H_8 , равном 6, пар : C_3H_8 , равном 1—2, и т-ре в реакторе 750—800°: 5,3 CO_2 ; 0,1 O_2 ; 16,1 CO ; 35,7 H_2 ; 2,3 CH_4 ; 40,5% N_2 . Такие генераторы мощностью 500 м³/час просты в эксплуатации, закоксовывания катализатора почти не наблюдалось, поэтому не было необходимости в его регенерации. С. Розенфельд

9M192. Предупредительный ремонт на газо-бензиновом заводе. Shannon John E. A preventive maintenance plan for gas-products plant and related operations. «Oil Canada», 1960, 12, № 48, 32—34, 36—38 (англ.).—Описание программы планово-предупредительного ремонта, проводимого в течение последних лет на з-де, перерабатывающем нефтяной газ. З-д работает непрерывно в течение года. С. Розенер

9M193. Природный газ в городском газоснабжении. I. Общие соображения об основах взаимозаменяемости при добавках посторонних газов. Schuster F. Erdgas in der öffentlichen Gasversorgung. I. Allgemeines zur Verbundwirtschaft-Austauschbarkeitsgrundlagen nach Weaver bei Fremdgas-Zugabe. «Gaswärme», 1960, 9, № 7, 215—225 (нем.).—Рассматриваются возможные пути применения природного газа в городском газоснабжении с учетом сохранения постоянства значения теплотворности, стабильности пламени и состава продуктов сгорания. Обсуждаются также значение величин уд. веса, скорости распространения пламени и т-ры пламени. Для определения возможности взаимозаменяемости с городским газом избран метод Уивера, оперирующий показателями теплотворности, расхода первичного воздуха, стабильности пламени, а также образования CO и сажи. С. Гордон

9M194. К вопросу взаимозаменяемости горючих газов. Nupr I., Příhoda S. K otázce záměnnosti plynů. «Paliva», 1960, 40, № 10, 299—302 (чешск.; рез. русск., нем.).—Сообщаются результаты опытов по сжиганию в бытовых приборах чехословацкого произ-ва горючих газов 180 составов под давл. 35, 60 и 90 мм вод. ст. По материалам опытов построена обобщающая диаграмма, позволяющая определить границы взаимозаменяемости примененных газовых смесей; по оси ординат этой диаграммы отложены числа Воббе, по оси абсцисс — параметры Дельбурга. Показана также возможность приближенной оценки скорости горения газовой смеси по ее плотности. К. 3.

9M195. Производство ацетилена методом окислительного пиролиза. Howard Walter B. Acetylene production in flames. «Preprints. Div. Petrol. Chem. Amer. Chem. Soc.», 1959, 4, № 4, C5—C15 (англ.).—Рассматриваются термодинамика и кинетика важнейших методов произ-ва ацетилена окислением углеводородов и технология. основы: 1) метода неполного окисления и 2) двухступенчатого высокотемпературного окислительного пиролиза. Приведены принципиальные схемы процесса и отдельных агрегатов. Все действующие по

1-му мет.
этом кон.
~8%. Д.
углеводо.
сырье вы.
ние апет.
до 7:3 в

9M196.

тилена п.
мет А.
чений ат.
лым при.
метана л.
пылемо.
ставлять
рые спел.
сом. В л.
с кислор.
днейной
рость сч.
ли в кан.
обратной
хих газо.
 C_2H_4 0,5
0,2—0,4.
кислоро.
гается с.
Приведе.
с дополн.
произ-ва

9M197.

цента
хранени
Буа и н
1960, №
висимос
сти дви
увеличе
Практич

газа, ув
ста при
сверху
правлен

9M198.

техничес
се-ур л
№ 5060,
ваного
сжигане
констру

9M199.

печак
И. С.,
Г. М., А
нефт. х

беспл
трубчат
показ
77,9% л

читель
тепла п
ного сж
ших за

трубчат

9M200.

лин Е
Нем и
шев с
сланце
топтех

стабил
лабор.

1-му методу 3-ды используют как сырье метан; при этом конц-ия ацетилена в получаемом газе составляет ~8%. Для 2-го метода сырьем могут служить любые углеводороды (метан, бутан, легкие лигроины). При сырье выше метана конц-ия ацетилена 13,6%, отношение ацетилен: этилен в газе крекинга, варьирует от 1 до 7:3 и 3:7.

А. Некрасов

9M196. Технологические проблемы получения ацетилена при неполном горении метана. Ласло А. Немет А. «Газ. пром-сть», 1960, № 11, 39—43.—При получении ацетилена из метана важнейшим вспомогательным приемом для осуществления неполного сгорания метана является охлаждение пламени впрыском распыляемой воды. Эффективное время р-ции должно составлять 0,01 сек. В лаб. условиях изучались некоторые спец. вопросы, связанные с упомянутым процессом. В лаб. реакторе метан после полного сгорания с кислородом проходит через систему труб (сопел) с линейной скоростью, в 40—50 раз превышающей скорость сгорания, что обеспечивает стабильность пламени в камере сгорания и препятствует возникновению обратного воспламенения смеси. Средний состав сухих газов неполного сгорания (в %): C_2H_2 6,8; CH_4 3,5; C_2H_4 0,3; H_2 54—56; CO_2 3,8; CO 25—27; кислород 0,2—0,4. Постоянное соотношение между метаном и кислородом и сохранение его максим. значения достигается с помощью автоматич. регулятора «Аскания». Приведены схемы включения регулятора и его работы с дополнительным анализатором кислорода. Вся схема произ-ва автоматизирована.

А. Некрасов

9M197. Экспериментальные исследования коэффициента вытеснения воды газом в связи с подземным хранением газа в водоносных структурах. Хейн А. Л., Бузинов С. Н., Алтухов П. Я. «Газ пром-сть», 1960, № 11, 27—32.—Экспериментально установлена зависимость коэф. вытеснения воды газом $c_{ср}$ от скорости движения границы зоны газо-водяной смеси. С увеличением этих параметров $c_{ср}$ резко уменьшается. Практически $c_{ср}$ мало зависит от коэф. расширения газа, увеличивается с увеличением угла падения пласта при движении границ зоны газо-водяной смеси сверху вниз и уменьшается при противоположном направлении движения.

А. Некрасов

9M198. Танкер «Methane Pioneer» для трансатлантической перевозки сжиженного газа. Clark L. J. Co-up of the Methane Pioneer. «Gas. J.», 1960, 303, № 5060, 262—263 (англ.).—Приведено описание опробованного в Атлантике танкера для транспортировки сжиженного природного газа, созданного на основе реконструированного стандартного грузового судна.

Л. Свирида

9M199. Беспламенное сжигание газа в трубчатых печах нефтеперерабатывающих заводов. Шевцов И. С., Сафаралиев Д. К., Штейншайдер Г. М., Алиева М. А. Азерб. нефть. тесэрруфаты, Азерб. нефть. х-во», 1960, № 9, 35—38.—Исследование метода беспламенного сжигания газа, проведенное на опытной трубчатой печи, тепловой мощности 1,2 млн. ккал/час, показало возможность повышения к.п.д. печи до 76,1—77,9% в результате полноты сгорания газа при незначительном избытке воздуха и высокой прямой отдаче тепла поверхности радиантных труб. Метод беспламенного сжигания осуществим при сравнительно небольших затратах и дает возможность быстрого перевода трубчатых печей на жидкое топливо.

А. Некрасов

9M200. Получение автомобильного бензина. Зеленин Н. И., Татаркина Г. В., Широкова Н. Е., Немировский А. Н., Феофилов Е. Е., Ольшешевская К. Я. В сб. «Химия и технол. горючих сланцев и продуктов их переработки». Вып. 8. Л., Госполтехиздат, 1960, 75—83.—Итоги работ по каталитич. стабилизации сланцевых автобензинов на укрупненной лаб. установке с производительностью 10 л/час сы-

рья. В качестве катализаторов применяли: асканит, гумбрин, промышленные алюмосиликатные катализаторы и др. Опыты проводили при 150, 200 и 250° при объемной скорости 1 с продолжительностью цикла 2 часа. Сырьем служила смесь генераторной и туннельной сланцевой смолы фракций, выкипающих до 225° и газозового бензина. Показано, что каталитич. стабилизация дает возможность получить качества бензин с выходом 80% на сырье при сравнительно невысоком образовании полимеров. Содержание S превышает нормы, поэтому необходим 2-й цикл очистки. Метод проверен в опытно-промышленном масштабе.

А. Некрасов

9M201. Дизельные топлива из фракций каменноугольной смолы полукokesования.—Diesel oils from lowtemperature tar oil fractions. «Res. and Ind.», 1960, 5, № 8, 229—236 (англ.).—Описаны лаб. опыты по гидрированию фракций низкотемпературной смолы, полученной из угля Рангитани (Индия) с высокой влажностью. При периодич. гидрировании в автоклаве получены дизельные топлива удовлетворительного качества в следующих случаях: 1) при гидрировании фракции 250—300° [d_{16}^{16} 0,934, анилиновая точка (AT) 26,8°, содержание углеводородов насыщ. (I) 12%, ненасыщ. (II) 3%, ароматич. (III) 84%] на 10% $Ni-Al_2O_3$ -катализатора, при 400°, давлении H_2 253 ат и продолжительности 5 час., получено 57% гидрированной фракции 200—350° со свойствами: d_{16}^{16} 0,845, AT 56,6°, I 72%, II 2%, III 26%; 2) при гидрировании фракции 200—250° (d_{16}^{16} 0,875, AT 25,6°, I 14%, II 17,5%, III 74,5%) и фракции 250—300° (обе фракции были промыты 20%-ным р-ром NaOH и 10%-ным р-ром H_2SO_4), на 4% катализатора 112 (сульфид металла VI группы), при 400°, давлении H_2 100 ат и продолжительности 3 часа, получены гидрированные фракции соответственно с выходом 48 и 73% и свойствами: d_{16}^{16} 0,84 и 0,87, AT 54 и 54,6°, I 82 и 74%, II 2 и 2%, III 16 и 24%. Непрерывное гидрирование фракции 200—350° (промытой р-рами NaOH и H_2SO_4) на катализаторе 112 и Co-Mo-Cr-катализаторе при давл. 50 ат и оптимальных т-рах, соответственно 400 и 500° дало гидрированные фракции 200—350° более высокого качества, чем в периодич. опытах при более высоком давлении, на которые предлагаются улучшать путем селективной экстракции.

А. Равикович

9M202. О стоимости добавок к бензинам. Nelson W. L. Cost of gasoline additives is significant. «Oil and Gas J.», 1960, 58, № 41, 248 (англ.).—Библ. 5 назв.

9M203. Полимеризация твердых ракетных топлив. Grootzinger W. H., III. Polymerization of solid propellants. «ARS Journals», 1960, 30, № 5, 498—499 (англ.).—В результате изучения степени полимеризации при нагреве в течение от 2 до 20 час. твердого ракетного топлива (ТРТ), имеющего цилиндрич. форму с внутренним диам. 17,5 см и внешним 45 см, показано, что распределение полимеризующихся мономеров внутри ТРТ происходит в зависимости от времени нагрева и распределения т-р внутри ТРТ. При нагреве ТРТ с поверхности большей полимеризации подвергаются мономеры поверхностных слоев, при охлаждении поверхности — полимеризация более интенсивно развивается во внутренних слоях. В последнем случае максим. полимеризация происходит на расстоянии 2,5—5,0 см и более от поверхности ТРТ. Величина полимеризации мономеров ТРТ возрастает при повышении чувствительности ТРТ к нагреву и при увеличении отношения теплоты полимеризации к уд. теплоемкости ТРТ. Неравномерность полимеризации мономеров внутри ТРТ оказывает отрицательное влияние на его свойства и должна учитываться в процессе произ-ва ТРТ.

В. Зрелов

9M204. Цезий — топливо для ионных ракет. Greenwood Robert. Availability of cesium for ion rockets. «Mining Engng», 1960, 12, № 5, 482—483

(англ.).—Наиболее перспективным топливом для ионных ракет является цезий (Cs), обладающий среди щел. металлов наибольшим ат. в. 132,9, наименьшей т. кип. 670°, низким потенциалом ионизации 3893b и позволяющий получить наивысший теоретич. уд. импульс 20 000 сек. При современном произ-ве стоимость Cs велика, он используется в пром-сти США в небольших кол-вах. На основании обзора геологич. данных показано, что Cs в виде Cs_2O в наибольшем кол-ве до 23,5—32% содержится в минерале полусите $Cs_2Na_2Al_7O_{18} \cdot 3H_2O$, который сопутствует пермтитам, а также в отложениях океана в кол-ве 0,0005—0,0007% также в виде Cs_2O . В промышленных условиях Cs в кол-ве 5—50 г в год получается осаждением при обработке минер. сырья $K_4Fe(CN)_6$ до кислой р-ции с последующей нейтр. до pH 9,5 и добавкой $NiSO_4$. Наиболее перспективным минер. сырьем для получения Cs в качестве топлива для ионных ракет в США является слюда в районах залежей пермтита. В. Зрелов

9M205. Ракетные топлива. Часть II. Твердые топлива. Parker W. G. Rocket propellants. Part II. Solid propellants. «Research», 1960, 13, № 2, 60—65 (англ.).—На основании обзора свойств твердых ракетных топлив (ТРТ) показано, что в Англии в настоящее время получили распространение ТРТ колл. типа, состоящие из 41% нитроглицерина, 50% нитроцеллюлозы и 9% карбамида (диэтилдифенилмочевина), и ТРТ, состоящие из смеси неорганич. окислителя типа перхлората или нитрата аммония и горючего компонента типа полисульфидов, полифенилхлоридов, полистиролов, синтетич. каучуков, асфальтов или полиизобутиленов. Для улучшения эксплуатационных свойств ТРТ колл. типа к ним добавляют присадки: уголь, неорганич. соли, триацетин и различные эфирфталаты. Выбор для этой группы ТРТ в качестве окислителя перхлората и нитрата аммония в связи с тем, что они при сгорании не образуют твердых продуктов, как это имеет место при использовании окислителей на основе Zi , Na и Ca . Сравнение перхлората и нитрата аммония показало, что перхлорат содержит больше кислорода, обеспечивает большую скорость сгорания, однако при разложении образует нежелательную HCl . Для стабилизации сгорания ТРТ на основе перхлората аммония и полиизобутилена в них добавляют в качестве присадки аммоний пикрат. ТРТ используется для американских управляемых снарядов «Сарконт», и «Поларис», для английской ракеты «Скайлаир». Измерение тяги этой ракеты показало, что в первые 30 сек. тяга составляет 4530—5440 кг, а затем резко падает. Уд. импульс современных ТРТ достигает до 240 сек. Для повышения энергетич. характеристик ТРТ предполагается использование легких металлов и их гидридов, однако в этом случае приходится сталкиваться с низкой термостабильностью и повышенной взрывоопасностью. Часть I см. РЖХим, 1961, 2M240. В. Зрелов

9M206. Термостабильность твердых ракетных топлив. Часть I. Visnov M. The useful life of solid propellants at very high temperatures. Part I. «ARS Journal», 1959, 29, № 7, 500—505 (англ.).—См. РЖХим, 1959, № 8, 28965.

9M207. Оценка коэффициентов объемного тепловыделения при сгорании ракетных топлив. Bittker David A., Brokaw Richard S. Estimate or chemical space heating rates in gas-phase combustion with application to rocket propellants. «ARS Journal», 1960, 30, № 2, 179—185 (англ.).—На основании сравнения полученных с помощью термодинамич. расчетов максим. коэф. объемного тепловыделения ($q_{\text{манс.}}$) для горения ракетных топлив (РТ) $C_8H_{18} + O_2$, $NH_3 + O_2$, $H_2 + O_2$, $H_2 + F_2$, а также $C_8H_{18} + \text{воздух}$ установлено, что наибольшим $q_{\text{манс.}}$ при давл. 1 и 15 ат обладает РТ $H_2 + F_2$, затем следуют: $H_2 + O_2$, $C_8H_{18} + O_2$, $NH_3 + O_2$ и $C_8H_{18} + \text{воздух}$. $H_2 + O_2$ и $C_8H_{18} + O_2$ при

обоих давлениях имеют практически одинаковый $q_{\text{манс.}}$. При давл. 1 ат $q_{\text{манс.}}$ для $C_8H_{18} + O_2$ составляет $4 \cdot 10^{10}$ ккал/м³·час, что значительно больше $q_{\text{манс.}}$ для $C_8H_{18} + \text{воздух}$ $9 \cdot 10^7$ ккал/м³·час. При давл. 15 ат эта разница становится еще больше. Сравнение расчетных величин $q_{\text{манс.}}$ с данными, полученными на эксперим. ракетном двигателе НАСА, при сжигании n -гептан + жидкий O_2 , жидкий NH_3 + жидкий O_2 , газообразный H_2 + жидкий O_2 и газообразный H_2 + жидкий F_2 при давлении в камере сгорания 10, 9—25,2 ат показало, что $q_{\text{манс.}}$ на двигателе составляет $3,5 - 8,1 \cdot 10^7$ ккал/м³·час, что значительно ниже расчетных величин, которые достигают до $1,5 \cdot 10^{11}$ — $6,5 \cdot 10^{16}$ ккал/м³·час. См. также РЖХим, 1960, № 9, 36355. В. Зрелов

9M208. Проблемы, связанные с загрязнением топлива для реактивных двигателей водой. Schab Henry W. Problems associated with water contaminated jet fuels. «J. Amer. Soc. Naval Engrs», 1960, 72, № 1, 41—50 (англ.).—Рассматриваются методы предупреждения закупорки фильтров при замерзании воды, присутствующей в топливе; 1) введение в топливо различных добавок (спирты), препятствующих образованию кристаллов льда; 2) установка теплообменников на системах питания, а также методы удаления воды из топлива: 1) вымораживанием; 2) откачкой в вакууме, 3) поглотителями ($CaCl_2$ и т. п.); 4) продувкой сухого воздуха. Указаны способы определения и измерения кол-ва воды, находящейся в топливе. Г. Морощкин

9M209. Проверка счетчиков во время смешения. Ranney R. P., Hervey G. H. Prove meters any time during blending. «Petrol. Refiner», 1959, 38, № 6, 245—248 (англ.).—Описание разработанного способа проверки объемных счетчиков с принудительным наполнением в системе смешения топлива для реактивных двигателей. Оператор производит проверку без приостановки смешения и без удаления из системы скребков, с последовательным отключением счетчиков отдельных компонентов и использованием для проверки, жидкостей, проходящих через систему. Важная особенность принятой системы — защита счетчиков высококачественными фильтрами: в линии легких компонентов — двойными, корзиночными, сетчатыми (200 меш); в линии тяжелых компонентов — фильтром из пористой бронзы и параллельным корзиночным, сетчатым (100 меш). А. Шахов

9M210. Получение сланцевого дизельного топлива. Гуревич Б. Е., Немировский А. Н., Ефимов В. А., Шмагин Я. Г. В об. «Химия и технол. горючих сланцев и продуктов их переработки». Вып. 8. Л., Гостехиздат, 1960, 84—101.—Проведена работа по сольвентному разделению дизельной фракции смолы полукokesования прибалтийских сланцев при помощи метанола. В одном из опытов очистке подвергалась дизельная фракция с d_{20} 0,912, началом кипения 170° и концом кипения 334°, содержанием фенолов 17,8% и т. всп. 51°. Выделенное из рафината дизельное топливо имело d_{20} 0,8564, т. всп. 73°, начало кипения 170° и конец кипения 321°, содержало непредельных вес. 48%, ароматич. (в сумме S-соединениями) 19,2 об.%, парафинов (в сумме с нафтенами) 20,4 об.% и S 1,06%. Моторные испытания показали возможность использования полученных рафинированных метанолом топлив на транспортных дизелях. А. Некрасов

9M211. Получение синтетического жидкого топлива из угля на опытной установке. Mitra K. P., Davies G. S., Ghosh C., Sarkar S. N., Mukherjee S. G., Roy A. N. Pilot plant development. Production of synthetic liquid fuel from coal. «Res. and Ind.», 1960, 5, № 6, 160—168 (англ.).—Отмечая, что потребление нефтепродуктов в Индии возросло с 2 млн. т в 1947 г. до 6 млн. т в 1959 г., причем к 1967 г. потребуется ~14 млн. т сырой нефти, авторы обращают внимание

на возмо-
сортных
вая опы-
процесс,
цию угля
(CO + H₂)
синтеза
синтеза
ванном K
6 MgO, 4

9M212.
боткой в
Hydrogen
14, № 4,
синтеза-ге
синтезах
чение бл
теперере
но выра
зультаты
Удовлет
развити
р-ции см
(природ
тяжелых
23—35 а

9M213.
булентн
Отд. хи
бензино-
оценкой
при пом
ния по
скорост
т-ре бен
турбуле
го фото
т-ре, V,
лентнос
при пос
хорошо
ляется
И. т. Пр

набеган
ные дан
зависим
ном, от
чение
потоке
мени о
относи

9M214.
ских ус
ценом
formati
bon de
«Comb
(англ.)
дов и
ном и
ное ди
ниях,
почво
жидки
лив. М
нее не
ния. Г
тах с
видим
Описа
ки дл

на возможность получения синтетич. топлив из низко-
сортных углей, запасы которых имеются в стране. Пер-
вая опытная установка, на которой осуществлен этот
процесс, мощностью 380 л в сутки включает газифика-
цию угля или кокса с целью получения водяного газа
(CO + H₂), очистку сырого водяного газа, проведение
синтеза в трубчатом реакторе, выделение продуктов
синтеза и их очистку. Процесс ведется на гранулиро-
ванном Fe-катализаторе состава (вес. ч.): 100 Fe, 10 Cu,
6 MgO, 4 CaO, 3 K₂O, 50 кизельгура. Приводятся ре-
зультаты работы установок. И. Ройсков

9M212. Увеличение выхода нефтепродуктов обра-
боткой водородом. Olson H. N., Schneider P. E. Hydrogen hikes yield values. «Internat. Oilman», 1960,
14, № 4, 122 (англ.).—Суммарное потребление в США
синтез-газа и H₂ для целей восстановления и в хим.
синтезах непрерывно растет и будет увеличено в те-
чение ближайших 5 лет до 28—35 млрд. м³/год. В неф-
теперерабатывающей пром-сти потребление H₂ долж-
но вырасти к 1965 г. до 9,8 млрд. м³. Часть H₂ посту-
пает с установок реформинга, однако необходимо до-
полнительно производить 2,8—4,2 млрд. м³ в год H₂.
Удовлетворить потребность в H₂ и синтез-газе может
развитие процессов Техасо — некаталитич. пламенной
p-ции смесей жидких или газообразных углеводородов
(природный газ, бутановые дистилляты, сырая нефть,
тяжелые нефтяные остатки) и кислорода под дав-
лением 28—35 атм. А. Шахов

9M213. Горение бензино-воздушных смесей в тур-
булентном потоке. Козаченко Л. С. «Изв. АН СССР.
Отд. хим. н.», 1960, № 1, 45—52.—Изучалось горение
бензино-воздушных смесей в турбулентном потоке, с
оценкой турбулентности, генерированной пламенем
при помощи оптич. горелки, фотографируя зону го-
рения по методу Теплера. Опыты проводили при $\alpha = 0,8$,
скорости потока на выходе из горелки $V = 22—76$ м/сек,
t-ре бензино-воздушной смеси 440 + 470° K и степени
турбулентности потока $\epsilon = 1,7 + 15,0\%$. Снимки прямо-
го фотографирования производились при постоянной
t-ре, V, равной 33 м/сек, и переменной степени турбу-
лентности (СТ). Результаты серии опытов, проведенных
при постоянной СТ и примерно постоянных t-ре и α ,
хорошо описываются зависимостью $U_T = KV^{0,6}$. К яв-
ляется функцией СТ. С увеличением СТ повышается и
И_т. При учете суммарной турбулентности изотермич.
набегавшего потока, генерированной пламенем, опы-
тные данные довольно близки к теоретическим. Прямая
зависимость турбулентности, генерированной пламе-
нем, от нормальной скорости горения увеличивает зна-
чение последней в переносе пламени в турбулентном
потоке. Турбулентная скорость распространения пла-
мени определяется максим. скоростью очагов пламени
относительно горючей смеси. Библ. 13 назв. Б. Энглин

9M214. Образование полициклических ароматиче-
ских углеводородов при горении в нормальном и обра-
щенном диффузионном пламени. Lindsey A. J. The
formation of polycyclic aromatic hydrocarbons and car-
bon deposits from normal and reversed diffusion flames.
«Combustion and Flame», 1960, 4, № 3, 261—264
(англ.).—Проводился анализ полициклич. углеводоро-
дов и углистых отложений, образующихся в нормаль-
ном и обратном диффузионном пламени (нормаль-
ное диффузионное пламя, горящее при низких давле-
ниях, обратное пламя — пламя смеси воздуха и то-
почного газа) при сжигании чистых газообразных и
жидких углеводородов, используемых в качестве топ-
лива. Многие из идентифицированных соединений ран-
нее не обнаруживались в продуктах частичного сгора-
ния. Показано, что они всегда присутствуют в продук-
тах сгорания независимо от характера топлива и, по-
видимому, возникают из простейших радикалов СН.
Описана методика эксперимента и конструкция горел-
ки для создания обратного пламени. В углистых

отложениях идентифицированы: ацеафтилен, флуо-
рен, флуорантен, 1,2-бензантрацен, 1,2-бензпирен, 3,4-
бензпирен, антрацен, коронен. Кол-во их колеблется
в зависимости от природы сжигаемого углеводорода.
Библ. 18 назв. А. Некрасов

9M215. Каталитическое окисление углеводородов.
Stein K. C., Feenan J. J., Thompson G. P.,
Shultz J. F., Hofer L. J. E., Anderson R. B. Catalytic
oxidation of hydrocarbons. «Industr. and Engng
Chem.», 1960, 52, № 8, 671—674 (англ.).—Описаны опы-
ты по подбору катализатора для глушителя автомоби-
лей с целью окисления углеводородов, выделяющихся
с выхлопными газами. В опытах применяли цилиндрич.
реактор диам. 1,1 см из плавящего кварца, содержа-
щий слой из 5 мл катализатора, сверху и снизу которо-
го находилось по слою измельченного кварца объемом
3 мл, реактор нагревали электр. обмоткой (в преде-
лах 400—600°). Через реактор сверху вниз пропускали
ток O₂ со скоростью 40 мл/мин, и в струю на входе в
реактор периодически впрыскивали образцы углеводо-
рода (по 0,005 мл). Состав газов, выходящих из реак-
тора, определялся газовым хроматографич. анализом.
Была исследована окисляемость n-C₅H₁₂, 2-метилбутана,
2-пентена, 1-пентена, n-C₆H₁₄, циклогексана, 2,3-диме-
тилбутана и бензола на катализаторах: Cr₂O₃, α -Fe₂O₃,
NiO, CuO, Co₃O₄, Mn₂O₃ + Mn₂O₄, ZnO, Pb₂O₄, MgO, ThO₂,
CeO₂, Ag₂O, V₂O₅, TiO₂, ZrO₂, WO₃, γ -Al₂O₃ и SiO₂. На-
иболее активным катализатором окисления для всех ис-
следованных углеводородов оказался Co₃O₄, на котором
окисление углеводородов происходило при ~200°, хоро-
шей, но несколько меньшей активностью обладали
NiO, Mn₂O₃ + Mn₂O₄, Cr₂O₃ и α -Fe₂O₃ (окисление при
~300°), остальные катализаторы были менее активны.
А. Равикович

9M216. О важности октановых чисел сжиженных
нефтяных газов при применении их на двигателях.
Armor W. G., Ingerson H. D. Importance of LPG
octane numbers. U. S. work with LPG bus and lorry
engines. «Petroleum», 1959, 22, № 12, 434—435 (англ.).—
Приводятся значения октановых чисел (ОЧ) компо-
нентов сжиженных газов (от этана до изопентана) по
исследовательскому и моторному методам, а также ОЧ
смесей этих компонентов. ОЧ смеси = (% A × OЧ_A +
+ % B × OЧ_B)/100, где A и B содержание компонентов
в сжиженном газе в об. %, OЧ_A и OЧ_B — октановые
числа компонентов A и B. Показано, что если не под-
держивать t-ру топливно-воздушной смеси в карбюраторе
в необходимых пределах, то бездетонационная работа
двигателей, эксплуатируемых в тяжелых условиях,
не может быть достигнута даже на чистом пропане
(ОЧ по исследовательскому методу 97,1). Для работы
на сжиженном газе требуются спец. сконструирован-
ные двигатели, имеющие механ. ОЧ, подобранное для
этого топлива. И. Ройсков

9M217. Влияние состава генераторного газа на
процесс горения в поршневой камере. Черномор-
дик Б. М., Добриков К. Ф. «Тр. Всес. н.-и. ин-та
ж.-д. трансп.», 1960, вып. 187, 139—153.—На конверти-
рованной одноцилиндровой установке ИТ9-2 исследова-
но влияние: 1) водородной составляющей генераторно-
го газа (ГГ) на параметры предельных режимов рабо-
ты двигателя, соответствующих началу детонационно-
го сгорания; 2) состава газа на основные параметры
рабочего процесса; 3) степени сжатия (ϵ) на форсир-
овку газового двигателя. Получены характеристики
рабочего процесса двигателя в зависимости от коэф.
избытка воздуха (α), угла опережения зажигания (ϕ_0)
и ϵ для различных составов ГГ. Показано, что предель-
ное содержание H₂ в ГГ, обеспечивающее нормальную
работу двигателя, зависит от параметров рабочего про-
цесса. H₂, входящий в состав ГГ, интенсифицирует ра-
бочий процесс во всех фазах, уменьшая индукционный
период, увеличивая скорость распространения пламени
и повышая соответственно скорость тепловыделения,

скорость нарастания давления и другие динамич. факторы. Значительно расширяя концентрационные пределы H_2 , делает сгорание в двигателе более стабильным. При $\alpha = 1,6-2,4$ возможна нормальная работа двигателя с высокой ϵ на водородо-воздушных смесях. Максимум зависимости индикаторного к.п.д. от α располагается в области более бедных смесей, чем это имеет место для карбюраторных двигателей. Сопоставление основных показателей двигателя, полученных в широком диапазоне α , ϵ и других параметров, показывает, что форсировка газовых двигателей может быть значительно повышена. Динамич. показатели остаются в пределах норм, принятых в современном моторостроении.

9М218. Стабильность жидких топлив. Tourbier Peter. Eldningsoljors stabilitet. «Svensk kem. tidskr.», 1960, 72, № 8, 516—526 (шведск.; рез. англ.).—Рассматривается стабильность котельных топлив с точки зрения плазмообразования, обусловленного недостаточной пептизацией асфальтенов. Обсуждается значение некоторых физ. факторов, влияющих на указанный процесс. Описан лабор. метод определения стабильности топлив.

9М219. Испытательная станция для счетчиков нефтяных жидкостей в физико-техническом институте ФРТ. Bluschke Heinz. Der Prüfstand für Mineralölzähler der Physikalisch-Technischen Bundesanstalt. «Erdöl und Kohle», 1960, 13, № 10, 761—763 (нем.).—Описание установки (со схемой), построенной для градуировки и контроля счетчиков, применяемых при промышленных и торговых операциях с маловязкими нефтяными продуктами (на точечных устройствах, безыгольных колонок и т. д.). Приведена схема основных узлов, емкостей, насосов, коммуникаций и стенов для счетчиков. На стенде для бензиновых колонок предусмотрена возможность проверки 3 различными по вязкости жидкостями. Имеется также холодильная камера, где небольшие счетчики могут быть проградированы для t -р до -30° .

9М220. Разработка масла с присадками для двухтактных двигателей. Teubel Johannes, Drescher Kurt. Über die Entwicklung eines legierten Zweitaktöls. «Freiberger Forschungsh.», 1960, A, № 164, 209—212 (нем.).—Для двухтактных двигателей типа П-50 малолитражных автомобилей «Трабант» на гидрогенизированном α -де «Цайтц» (ГДР) разработано моторное масло (ММ) с присадками под торговым названием «Нузет». В качестве присадок применяют смесь метилового эфира насыщ. жирных $C_{10}-C_{16}$ -кислот и триэтилоламина. Для получения ММ смесь минер. масла с вязкостью 15°Е при 50° и 3% (на смесь с минер. маслом) обеих присадок разбавляют бензиновой фракцией до вязкости 3°Е при 50° (ММ содержит ~25% бензиновой фракции). Благодаря хорошей смазочной способности ММ можно добавлять к топливу в соотношении 1:50 против 1:25 для масла без присадок. На стендовых испытаниях двигателя, работавшие на ММ, после 100 час. работы были в чистом состоянии и имели очень низкий износ, тогда как на масле без присадок через 20—30 час. работы происходил задиор поршней вследствие их коксования. В эксплуатации двигателя, работавшие на ММ, после 100 000 км пробега находились в чистом состоянии и имели значительно более низкий износ, чем при применении масла без присадок.

9М221. Методика оценки противозносных свойств дизельных масел при помощи радиоактивных изотопов. Шадикия В. С., Торопчинов А. Н. «Вестн. Всес. н.-и. ин-та ж.-д. трансп.», 1960, № 6, 13—17.—Разработан метод оценки противозносных свойств масел на машине трения типа МИ, основной узел которой представляет собой вращающуюся стальную цапфу и неподвижный подшипник из баббита, радиоактивированный Sn^{113} или Sn^{123} . При помощи электроннагре-

вательных элементов т-ру подшипника поддерживают 100° и т-ру масла 50° . Обычная нагрузка на подшипник 140 кг/см^2 . Масло с продуктами износа подшипника непрерывно циркулирует в замкнутой системе маслопровода, расположенного вокруг сцинтилляционного счетчика. Износ (в виде кривых износ—время при общей продолжительности испытания 72 часа) оценивался по кол-ву износного металла в масле плюс кол-во металла, перенесенного с подшипника на цапфу. Были испытаны масла разной вязкости и разного состава. При испытании смесей масел МК-22 и СУ разной вязкости масло с вязкостью 10,3 сст (при 100°) вызывало в 3—4 раза больший износ, чем масла с вязкостями 12 и 14 сст, давших близкие значения износа. Масло из сернистых (восточных) нефтей Д-11 (без присадки) давало в 3 раза больший износ, чем масло ДСп11, содержащее присадку Циатим-339п. Показано, что снижения износа при применении регенерированных масел можно достигнуть добавлением к ним присадки Циатим-339п. Смесь 20% топлива и 80% масла Д-11 по сравнению с маслом Д-11 дала износ на 10—12% больший. Добавка 0,05% пыли к маслу значительно повысила износ. С увеличением нагрузки на подшипник с 120 до 200 кг/см^2 износ увеличился на 70—80%, а с повышением т-ры от 60 до 90° — примерно вдвое.

9М222. О лакообразующей способности масел в паровой фазе. Беренсон С. П. «Химия и технол. топлив и масел», 1960, № 10, 38—41.—Для определения лакообразующей способности масла в паровой фазе плоскостную стеклянную кювету, содержащую слой масла до 2 мм толщиной, устанавливают в вертикальную электропечь, нагретую до заданной т-ры. Спец. приспособлением испаряющиеся пары масла задерживаются в кювете, но при этом кювета не герметизируется. После нагревания 20 мин. определяют вес лаковой пленки на стенках кюветы. Найдено, что лакообразующая способность зависит от т-ры определения, хим. и фракционного состава масла и присутствия присадок и углеводородных в-в (сажа). Для следующих масел были определены % лака при 200 и 250° , соответственно: МК-22, 0,74 и 3,53; МС-20, следы и 2,67; МВП, 2,25 и 2,48; вазелиновое, 2,95 и 3,7; МК-22 + 3% присадки МДС-1, следы и 1,7; МК-22 + 3% присадки ЗИТ-2, следы и 3,32; МК-22 + 3% присадки Азния-Циатим-1, 0,48, и 2,35; МК-22 + 0,002% метилполисилоксана (мол. в. 20 000), 0 и 1,1. Для тех же масел приведены также % лака при 300° . Отмечается, что добавление 0,002% метилполисилоксана к маслу также уменьшило пригорание поршневых колец в 3 раза при испытании масла на авиационном двигателе.

9М223. Фильтруемость как показатель моторных свойств масел. Резников В. Д., Беляничков Г. П. «Химия и технол. топлив и масел», 1960, № 10, 41—44.—При стендовых испытаниях моторного масла, содержащего различные проценты присадки Циатим-339, на дизеле Д-35 с фильтрами тонкой очистки АСФО-1 и при применении топлива, содержащего ~1% S , определяют степень фильтруемости (СФ) масла как отношение $100F : (F + G)$, где F — кол-во маслонерастворимого осадка на фильтре АСФО-1 за время испытания, G — кол-во маслонерастворимого осадка в отработанном масле. Приведены графики, показывающие, что с повышением конц-ты присадки от 0 до 10% СФ постепенно уменьшается от ~75 до 20, одновременно постепенно уменьшается кол-во отложений на поршневых кольцах и в канавках поршней (с ~8 до ~2 г) и постепенно повышается прирост коксуемости отработанного масла и содержание в нем присадки. Из результатов ряда испытаний установлено, что (в примененных условиях испытаний) масла с присадками для тяжелых условий работы дают СФ ≤ 30 , масла повышенного качества — СФ 30—50 и масла с

неудовлет.
≥ 70. Сд
ет диспе
бильност
9М224.
ности см
Hugo,
die Scha
schungsh
тан мет
смазочн
производ
ренним
аккумуля
60 мм, 1
дипне с
анном и
скорост
после у
определ
Показан
одинако
шение с
ние к д
сильно
мешини
а 1% о
торному
«Антаф
ВП для
поверх
ные кол
9М225
противо
маслам
же к
39.—Из
действи
гетич. л
ствия
(I-I) т
масло,
начала
ление
окисле
добавл
стадин
ни не
ное де
гируют
(R+),
со сво
энерги
с R+,
все на
нальн
тельно
нзма
аминь
гой с
груп
ные а
жения
л-ами
едине
наход
к I-3
о-ами
фенол
стите
и л-о
На о
ывов
долж

неудовлетворительными моторными свойствами — СФ > 70 . Сделан вывод, что СФ комплексно характеризует диспергирующую способность присадки и ее стабильность в масле.

А. Равикович

9M224. Исследования по пенообразующей способности смазочных масел. Keil Gerhard, Eckardt Hugo, Willertt Gottfried. Untersuchungen über die Schaumneigung von Schmierölen, «Freiberger Forschungsh.», 1960, А, № 164, 120—136 (нем.). — Разработан метод определения пенообразующей способности смазочных масел в динамич. условиях. Определение производят в стеклянном цилиндрич. сосуде с внутренним диам. 28 мм, окруженным рубашкой для циркуляции воды. В сосуд наливает слой масла высотой 60 мм, и через капилляр диам. 0,42 мм, вставленный в дышке сосуда, пропускают сухой газ (N_2) при постоянном избыточном давлении на входе 17 мм рт. ст., со скоростью ~ 1 л/час. Замеряют высоту слоя пены (ВП) после установления равновесия. Для каждого масла определения производили при 20, 25, 30, 40, 50 и 70°. Показано, что разные минер. масла без присадок при одинаковой вязкости имеют разные ВП, при этом повышение степени очистки масла понижает ВП. Добавление к дистилляту машинного масла 0,1 и 1,3% олеина сильно понижало ВП, тогда как добавление к очин. машинному маслу 0,1% олеина почти не изменяло ВП, а 1% олеина немного повышал ВП. Добавление к моторному маслу антипенной силиконовой присадки «Антафрон» (I) в конц-ии 0,0001% и выше понижало ВП для нуля. Найдено, что зависимость между ВП и поверхностным натяжением масел, содержащих разные конц-ии олеина и I, отсутствует.

А. Равикович

9M225. Новое в теории и практике применения противокислительных присадок к энергетическим маслам. Иванов К. И., Вильянская Е. Д., Лужецкий А. А. «Теплоэнергетика», 1960, № 11, 34—39. — Изложены результаты исследования механизма действия 29 антиокислительных присадок (I) к энергетич. маслам. Исследованные I по механизму их действия авторы разделяют на 3 группы: I 1-й группы (I-1) тормозят окисление при добавлении в свежее масло, но не действуют при добавлении в масло после начала окисления; I 2-й группы (I-2) тормозят окисление при добавлении в масло на любой стадии его окисления; I 3-й группы (I-3) тормозят окисление при добавлении в масло на автокаталитич. (начальной) стадии его окисления, но не действуют при добавлении на последующей стадии окисления масла. Различное действие групп I объясняется следующим: I-1 реагируют со свободными углеродородными радикалами (R^+), но не реагируют с гидроперекисями ($ROOH$) и со свободными перекисными радикалами (RO_2^+); I-2 энергично реагируют с $ROOH$ и RO_2^+ и не реагируют с R^+ ; I-3 реагируют с R^+ и RO_2^+ и умеренно или вовсе не реагируют с $ROOH$. Хим. природа функциональной группы молекулы, придающей I антиокислительное действие, не определяет того или иного механизма действия I, так в каждой из групп I имеются амины и фенолы. Механизм действия I в значительной степени зависит от положения функциональной группы в молекуле; так, напр., I-2 содержат первичные аминотрунпы или ОН-группы в α - или пара-положениях (α -нафтиламин, α -нафтол, m -фенилендиамин, n -аминофенол, гидрохинон), тогда как изомерные соединения, в которых эти же функциональные группы находятся в β -, орто- или мета-положениях, относятся к I-3 (β -нафтиламин, β -нафтол, m -фенилендиамин, o -аминофенол, резорцин). Когда же в I-2 — n -аминофеноле аминотрунпу делают вторичной вводом заместителя, то полученные при этом фенил- n -аминофенол и n -оксифенил- β -нафтиламин действуют уже как I-1. На основании механизма действия разных I сделан вывод, что совместное присутствие I разных групп должно взаимно усиливать их действие, тогда как при-

сутствие двух I одной группы не дает повышения антиокислительного эффекта. Приведены результаты лабор. окисления (по ГОСТ 981—55) турбинного и трансформаторных масел, содержащих разные I, подтверждающие этот вывод. В подтверждение эффективности действия присадок разных групп приведены изменения кислотного числа (КЧ) в мг КОН баксинского турбинного масла, содержащего 0,01% присадки ВТИ-8 (I-2) и 0,005% n -оксидифениламина (I-1), работающего в турбине мощностью 6000 кет с 1953 г.; через 7 лет работы КЧ $< 0,1$ и масло продолжает работать, тогда как масло без присадок через год работы в той же турбине имело КЧ $> 0,8$.

А. Равикович

9M226. Об эффектах подавления функционального действия при смешении компонентов присадок к маслам. Заславский Ю. С., Шор Г. И., Монастырский В. Н., Резников В. Д. «Химия и технол. топлив и масел», 1960, № 9, 51—57. — Щелочные присадки — Ва-алкилфенолат (ВНИИ НП-350) (I), осерненные I с разным содержанием серы, смеси I с осерненным минер. маслом и смеси I с диалкилдитиофосфатными компонентами — испытывали в масле АС-9,5 НКЗ на лабор. установке РУМ-1, где определялась продолжительность защитного действия (ПД) масла в отношении коррозии радиоактивной стальной детали в присутствии паров уксусной к-ты. Установлено, что наибольшим ПД обладает I, и введение в присадку серы уменьшает ПД, придаваемое одним I; при этом уменьшение ПД зависит от содержания серы и от типа присутствующего хим. соединения серы. Это уменьшение ПД авторы объясняют частичным образованием сульфида Ва. Моторные 100-часовые испытания некоторых указанных присадок на дизелях Д-35 и Д-38 показали соответствие между износом двигателя и ПД: большему ПД отвечал меньший износ двигателя. При испытаниях на двигателях масла, содержащие I с диалкилдитиофосфатными компонентами, по сравнению с маслом, содержащим только I, дали больший износ, но меньшее нагарообразование на поршне, благодаря улучшению моющих свойств I в присутствии диалкилдитиофосфатного компонента.

А. Равикович

9M227. Оценка пленкообразования масляных присадок на трущихся поверхностях с помощью радиоактивного изотопа. Мелик-Заде М. М., Ханларова А. Г., Субханвердиханова В. В., Фарраджев Х. Ф. «Азерб. хим. ж.», Азерб. хим. ж., 1960, № 2, 127—134 (рез. азерб.). — Описан прибор для изучения образования пленок на металлах, поверхностях трения под действием присадок в р-рах масел. В приборе горизонтально установлены 2 металла, пластины, прижимаемые друг к другу (6 кг/см²) и находящиеся в испытуемом масле с радиоактивированной присадкой, верхнюю пластину вращают (1300—1320 об/мин) относительно неподвижной нижней. После испытания измеряют радиоактивность поверхностей трения пластин, вызванную присутствием пленки, содержащей радиоактивные элементы присадки, также определяют коррозионный износ пластин. На приборе исследовано действие радиоактивированных присадок — осерненный автол-10 (S^{35}), Азния-7 (S^{35} и C^{14} в ядре фенола) и Циатим-339 (S^{35} и C^{14} в ядре фенола) в р-рах (обычно 1%-ных) минер. масел разного состава и ароматич. и нафто-парафиновых фракциях масел, при этом условия испытаний: т-ра масел от 140 до 200°, металл одной пластины — свинцовистая бронза, второй — сталь, время испытания от 90 до 600 мин. Найдено, что хим. природа масляной среды существенно влияет на образование (величину) антикоррозионной пленки и коррозионный износ свинцовистой бронзы и что пленка, образованная присадкой Азния-7, содержит как S, так и фенольные ядра и металл присадки.

А. Равикович

9M228. Элмозол — присадка к смазочным материалам. Neely R. J., Walden Everette O. Almasol-

key to new vistas of lubrication. «Power Engng», 1960, 64, № 3, 76 (англ.).—Присадка Элмазол, представляющая собой алюмомагнийеосиликатный комплекс при добавлении к смазочному материалу, позволяет получить на смазываемых поверхностях пленку, отличающуюся противозадирными свойствами, низким коэф. трения, хим. инертностью и влагостойкостью, сродством к металлу, продолжительной работоспособностью, неизменяемостью этих свойств до $t-p > 1000^\circ$, а также предотвращающую ржавление. Разработаны 3 серии смазочных материалов с использованием присадки — в зависимости от различных условий, предъявляемых эксплуатацией к каждому типу смазки. Отмечено успешное применение некоторых из полученных продуктов при обработке металла давлением и др., где применение других смазочных материалов оказалось неэффективным. Р. Ошер

9M229. Фосфорсодержащие органические соединения с длинной цепочкой в качестве присадок, улучшающих смазочные свойства. Peale Louise F., Messina Joseph, Ackerman Bernard, Sasin Richard, Swern Daniel. Evaluation of long-chain phosphorus compounds as lubricity additives. «ASLE Trans.», 1960, 3, № 1, 48—54 (англ.).—Исследованы 2 и 5%-ные смеси ряда новых фосфатов и фосфонатов, содержащих высшие алкилы, с целью изучения их применимости в качестве присадок к бис-(2-этилгексил)-себацинату и минер. маслу (картерному, для типичных передач и др.). Наиболее эффективными противозадирными присадками оказались диэтилстеароксидил-, дибутыллауроксидил- и ди-(2-этилгексил)-лауроксидилфосфонаты и дибутыллауроксипропилфосфат; противозадирными — ди-(2-этилгексил)-лауроксидилфосфат, диэтилолеоксидил-, диэтилолеоксидил- и дибутыллауроксипропилфосфаты. Коэф. трения (сталь по стали) изменялись от коэф., характерных для исходного масла, до коэф. 0,04, полученного с указанными противозадирными присадками. Эти присадки повышают окислительную стабильность диэфирного масла, но не улучшают коррозионных свойств смазочных материалов. И. Берлин

9M230. Синтетические смазочные масла с присадками. Ray Rolf. Über legierte Synthesöle. «Freiburger Forschungsh.», 1960, A, № 164, 226—237 (нем.).—Разработаны трансмиссионное и моторное масла с присадками, базовыми маслами которых являются смеси полиэтиленового масла (80—86% алифатич. и 20—14% нафтеновых углеводородов) и фракции гидрированной буроугольной смолы (15% ароматич., 49% алифатич. и 36% нафтеновых углеводородов). Присадкой для высоких давлений в трансмиссионном масле являлся продукт р-ции ксантогената и хлорированного углеводорода. Приведены результаты испытаний базовых масел различной вязкости (от 2 до 25° Е при 50°) без присадки и с 2 и 4% указанной присадки на машинах трения 4-шариковой и Олмена-Виланда. Добавление присадки повышало нагрузку сваривания на 4-шариковой машине с 140—150 кг до 220—300 (2% присадки) и 290—330 (4% присадки), при этом повышение вязкости масла $> 6^\circ$ Е при 50° мало влияло на нагрузку сваривания. Трансмиссионное масло с вязкостью 8° Е при 50°, содержащее 2% присадки, испытывали в передачах автомобилей «Шкода», «Вартбург» и «Победа», после 5000 км пробега заметного износа шестерен не наблюдалось. В моторное масло (вязкость 18,4° Е при 50°) было введено 5% присадки для тяжелых условий работы (состав не указан). Приведены результаты предварительных стендовых испытаний моторного масла на дизеле «Гранит 32». А. Равикович

9M231. О составе современных синтетических смазочных материалов. Мягкова Итиро. «Кикай — но кинка, Sci. Mach.», 1960, 12, № 2, 275—278 (японск.).—Краткий обзор. Библ. 9 назв. Ю. Ермаков

9M232. Получение смазочных масел из гидрированной буроугольной смолы. Teubel Johannes, Reuber Hedwig. Arbeiten über TTH — Schmieröle. «Freiburger Forschungsh.», 1960, A, № 164, 172—179 (нем.).—Остаточную фракцию (Ф) депарафинированной гидрированной буроугольной смолы очищали разными способами с целью получения моторных масел. Ф имела вязкость 7,64° Е при 50°, т. восп. 225°, т. заст. —8°, 18,8% атомов С в ароматич. кольцах (C_A) и давала при окислении 466 мг (на 10 г) осадка (окисление вели 7 час. при 150°, по методу Kley и Gotschalk: Öl und Kohle, 1938, 220). Ф очищали следующими способами: гидрированием, 5% H₂SO₄, 3% AlCl₃, селективной очисткой на лабор. противоточной колонне фурфуролом в кол-ве 1,16 ч. на 1 ч. Ф и крезолом в кол-ве 1,42 ч. на 1 ч. Ф с последующей доочисткой рафинаром 3% отбеливающей земли. Наилучшие результаты дала очистка фурфуролом, в результате которой был получен рафинат, имевший вязкость 5,78° Е при 50°, 11% C_A, хорошие индекс вязкости и цвет и давший при окислении 159 мг осадка. При добавлении к этому рафинату присадок для тяжелых условий работы и улучшающей индекс вязкости получено удовлетворительное моторное масло (вязкость 6,57° Е при 50°, индекс вязкости 110°, осадок при окислении 0). А. Р.

9M233. Полисилоксаны. LI. Самопроизвольное перемещение капель силиконовых масел по поверхности некоторых металлов и неметаллов. Reuther H., Reichel G. Über Silikone. LI. Das Verhalten von Silikonölen auf den Oberflächen einiger Metalle und Nichtmetalle. «Plaste und Kautschuk», 1960, 7, № 4, 171—172 (нем.; рез. англ., русск., франц.).—Исследовано самопроизвольное перемещение (миграция) капель силиконовых масел по поверхности пластинок из стали, органич. стекла и политетрафторэтилена при 20 и 40°. На поверхность пластинки наносилась капля испытуемого масла. Ее перемещение фиксировалось во времени. Показано, что метилфенилполисилоксаны с высоким содержанием фенильных групп не имеют склонности к миграциям (за исключением политетрафторэтиленовых поверхностей) и могут быть использованы для смазки часовых и других точных механизмов. Высокая стабильность также делает их пригодными для применения в различных периодич. действующих механизмах, напр. в сигнальных устройствах. Предыдущее сообщение см. РЖХим, 1961, 1Ж251. С. Гордон

9M234. Коррозия меди в бензольном растворе бензойной кислоты в присутствии перекиси бензоила. Bartoniček Robert. Korozie mědi v benzenovém roztoku kyseliny benzoové za přítomnosti benzojperoxydu. «Ropa a uhlí», 1960, 2, № 2, 55—60 (чешск.; рез. русск., англ.).—Рассмотрены явления коррозии подпленников в смазываемых системах. Исследовано влияние на коррозию меди конц-ии бензойной к-ты (I) и перекиси бензоила (II) в бензоле, влияние присутствия II в бензольном р-ре I. Найдено, что появившиеся на поверхности меди слои нерастворимых продуктов коррозии в условиях опыта оказывают влияние на скорость коррозии. Доказано увеличение коррозии меди под влиянием кислотода перекисей I. Обсуждены факторы, определяющие скорость коррозии меди в заданных условиях опыта. Результаты коррозионных испытаний подтверждают теорию Денисона о коррозии металлов в углеводородной среде. Р. Ошер

9M235. Немыльные консистентные смазки. Систематика состояний твердых частиц, диспергированных в органических средах. Chessik J. J. Non-soap grease. A systemization of the states of solids dispersed in organic media. «NLGI Spokesman», 1959, 23, № 8, 815—823 (англ.).—Теоретически рассмотрены основные возможные случаи агрегирования твердых частиц в органич. жидкостях. Как частицы, так и жидкость могут иметь различную природу. Учитывается присут-

ствие при главном атракцион ми от при Процесс с факторо ности час тийного о лице раз действия свойства смазок. Т смотрен неоргани 9M236. rung mit 418—426 менению лков, по рауемы

9M237. применения C. D. В soluble с 414—419 на порту применяя тие как так и ц порца Э вызывае риями S неоргани H₂S и р собствен ствие от кое соде разложе жанием менение аробных вом Э д инем д сульфат 9M238. sell W. Gas J.», вая ко, щего а- центра: дионир 9M239. менени диолеф Alts h method jugated 1843—4 ный ко (I), бу сых с в зовыва теле 2- ния (м рич. а Продук адсорб ~405 по оти Д типс малые делени содерн

стие присадок и примесей. Агрегация определяется главным образом силами ван-дер-Ваальса, а также吸引力的 силами 2-го и 3-го порядка, зависящими от присутствия структурообразующих присадок. Процесс структурообразования зависит также от таких факторов как стерич. затруднения, наличие на поверхности частиц адсорбционных слоев (тиосферы), энтропийного отталкивания и наличия двойного слоя на границе раздела твердое тело — жидкость. Силы взаимодействия между частицами загустителя определяют свойства и поведение в эксплуатации консистентных смазок. Теоретич. вопросы, освещаемые в работе, рассмотрены применительно к консистентным смазкам на неорганич. загустителях. В. Синицын

9M236. Твердые смазки. Gänshemer J. Schmierung mit Feststoffen. «Konstruktion», 1960, 12, № 10, 418—426 (нем.).—Обзор по механизму действия и применению твердых смазок в виде порошков, дисперсий, лаков, поверхностных покрытий и твердых пленок, образуемых масляными р-рами присадок. Библ. 50 назв. А. Равикович

9M237. Предотвращение порчи водных эмульсий, применяемых при резании металлов. Flemming C. D., Baker R. J. Controlling the spoilage of water soluble cutting fluids. «Lubricat. Engng», 1960, 16, № 9, 414—419 (англ.).—Исследовано влияние ряда факторов на порчу водн. смазочно-охлаждающих эмульсий (Э), применяемых при резании металлов. Опыты проводились как при применении Э на шлифовальном станке, так и при хранении Э в бутылках. Установлено, что порча Э (появление запаха, синия окраска) в основном вызывается бактериями, особенно анаэробными бактериями *Sporovibrio desulfuricans*, восстанавливающими неорганич. сульфаты, тиосульфаты и бисульфиты в H_2S и разлагающимися при т-ре 27—38°. Порче Э способствует pH Э ниже 9, анаэробные условия, присутствие опилок, высокое содержание S в металле, высокое содержание S в эмульсионном масле и электрохим. разложение Э. Порчу Э можно предотвращать поддержанием pH Э выше 9,6, удалением опилок из Э, применением бактерицидных добавок, устранением анаэробных условий, периодич. аэрацией, периодич. нагревом Э до 70—80°, охлаждением Э до $\leq 13^\circ$ и применением для изготовления Э воды с низким содержанием сульфатов. А. Равикович

9M238. Новое в контрольных лабораториях. Russell W. L. A new look in control laboratories. «Oil and Gas J.», 1960, 58, № 34, 82—84, 87 (англ.).—Описана новая контрольная лаборатория нефтеперерабатывающего з-да фирмы Skelly Oil Co. (США), оборудованная центральным машинным залом, установкой для кондиционирования воздуха и т. д. С. Гордон

9M239. Спектрометрические методы анализа в применении к олефинам. Колориметрическое определение диолефинов с конъюгированной двойной связью. Altshuller A. P., Cohen I. R. Spectrophotometric methods for olefins. Colorimetric determination of conjugated diolefins. «Anal. Chem.», 1960, 32, № 13, 1843—1848 (англ.).—Разработан удобный чувствительный колориметрич. метод для определения изопрена (I), бутадиена (II) и подобных диолефинов (Д) в смесях с воздухом. Метод основан на способности Д образовывать с фторборатом *n*-нитробензидиона в р-рителе 2-метоксиэтанолфосфорной к-те продукты сочетания (моноазопроизводные), которые при спектрометрич. анализе обнаруживают различную адсорбцию. Продукт сочетания Д типа I характеризуется сильной адсорбцией ~ 490 м μ , а для II имеется максимум при ~ 405 м μ . Интенсивности этих максимумов линейны по отношению к концентрации минимум при 0,3 и 30 μ г для Д типа I и 20—200 μ г для II. Для получения оптимальной интенсивности требуется 2—4 часа. При определении I в воздухе нужно лишь 2,5 л образца. I при содержании 1—10 об. % определяется легко. Вслед-

ствие меньшей чувствительности II его можно определять при наличии (напр. в выхлопных газах 1—400 об. %). Изучались: 2-метил-3-бутадиен, 2,3-диметилбутадиен, 1,3-пентадиен, 1,5-гексадиен и др. Библ. 21 назв. А. Некрасов

9M240. Спектрографическое определение ванадия и никеля в нефтепродуктах. Вайсберг К. М., Зин В. Г. «Заводск. лаборатория», 1960, 26, № 10, 1123—1124.—При разработке методики определения в качестве источника возбуждения спектров применялась конденсированная искра. Проба вводилась в зону разряда в виде р-ра золи нефтепродукта из фульгуратора спец. конструкции (фульгуратор дает возможность использовать для анализа р-р в объеме нескольких мл). Спектры фотографировались на кварцевом спектрографе ИСП-28 со щелью 0,02 мм, с применением трехступенчатого ослабителя. Анализ проводился по методу «трех эталонов». В качестве элемента сравнения применялся Ti. Для определения V в области конц-ий в конечном р-ре до 0,1 мг/мл применялись аналитич. пары линий: V 3093,14 Å — Ti 3068,02 Å; V 3102,30 Å — Ti 3068,02 Å; V 3140,71 Å — Ti 3068,02 Å. При содержании V > 0,1 мг/мл использовалась менее интенсивная пара линий V 2528,84 Å — Ti 2535,87 Å. Для определения Ni в области конц-ий 0,01—0,1 мг/мл использовалась пара линий Ni — 2510,87 Å — Ti 2535,87 Å. Результаты спектрального анализа различных нефтепродуктов на содержание V и Ni сравнивались с результатами хим. и колориметрич. определений; сравнение показало хорошую сходимость. К. Вейсберг

9M241. Определение элементного состава нефтепродуктов по поглощению радиоактивных излучений. Bálint Tibor. Kőolajtermékek elemi analizise radioaktív sugárnyelés mérés alapján. «Magyar ásványolaj és földgáz kísér. int. közl.», 1948—1959 (1960), 1, 5—18 (венг.; рез. русск., англ.).—Описаны методы определения содержания водорода и серы в нефтепродуктах с использованием источников радиоактивного излучения. Применение описанных методов позволяет определить за 20—30 мин. полный элементарный состав нефтепродуктов для образца в несколько мл с удовлетворительной точностью. И. Руденская

9M242. Анализ растворов сульфонафтенов кальция в нефтепродуктах. Palovčíková Magdaléna. Rozbor olejorozpustného roztoku zásaditého sulfonafénátu vápenatého. «Ropa a uhlie», 1960, 2, № 11, 328—331 (словацк.; рез. русск., англ.).—Описан сокращенный метод определения сульфонафтенов кальция посредством комплексометрич. определения содержания Ca с последующим определением содержания неорганич. солей титрованием. Метод точен и особенно пригоден для массовых анализов. И. Руденская

9M243. Методы прямого определения связанного и свободного кислорода. Ratkovics Ferenc, Szepesvary Pál. Közvetlen módszerek kötött és szabad oxigén meghatározására. «Magyar ásványolaj és földgáz kísér. int. közl.», 1948—1959 (1960), 1, 19—34 (венг.; рез. русск., англ.).—Кратко указаны кислородсодержащие соединения, содержащиеся в нефтепродуктах, и перечислены технологич. процессы, при которых образуются эти соединения. Изложен метод непосредственного определения кислорода, разработанный Шюце и Унтерцаухер, описана аппаратура, приведены результаты определений и оценка метода. Рассмотрена возможность определения кислорода в газах и подробно изложен метод электрометрич. анализа газа, который, по мнению авторов, является более целесообразным по сравнению с методами, применяемыми до сих пор. И. Руденская

9M244. Газовая хроматография как вспомогательное средство для исследования обратимости продуктов присоединения металлических солей и газов. Schwenk U., Hachenberg H. Gaschromatographie

als Hilfsmittel zum Kennzeichnen der Reversibilität von Additionsverbindungen zwischen Metallsalzen und Gasen. «Brennstoff-Chemie», 1960, 41, № 6, 183—184 (нем.).—Дано описание известных р-ций между олефинами с солями Ag, обратимых при повышенных т-рах или пониженных давлении; приведены результаты применения газовой хроматографии при определении NO путем взаимодействия с конц. водн. р-рами FeSO₄.

9M243. Групповой состав генераторного газового бензина. Каменская И. Н., Феофилов Е. Е. В сб. «Химия и технол. горючих сланцев и продуктов их переработки». Вып. 8. Л., Гостехиздат, 1960, 237—250.—Изложены результаты исследования образцов генераторного газового бензина, полученных вымораживанием и последующим доулавливанием адсорбцией на активированном древесном угле. Бензин характеризуется следующим групповым составом (%): парафины 14, олефины 28, нефтены 9, конъюгированные диены 2, циклоолефины 26, ароматич. углеводороды 9, стирол 1, тиофены 2, прочие S-соединения 2, кислородсодержащие и непредельные соединения 4, предельные 2. По хим. составу бензиновая фракция может быть использована также для получения хим. продуктов: спиртов, смазочных масел, поверхностно-активных в-в и других продуктов.

9M246. Комплексометрическое определение тетраэтилсвинца в этилированных бензинах. Уварова Э. И., Ваяркина Н. М. «Заводск. лаборатории», 1960, 26, № 10, 1097—1098.—Разработан ускоренный метод определения ТЭС в этилированных бензинах без отделения галогенного соединения Pb. Все определение проводится в конич. колбе емк. 500 мл с припаянным дефлегматором. Органич. соединения Pb разрушают р-ром Вг в CCl₄. Выпавшие в осадок соли Pb растворяют в CH₃OH. После непродолжительного кипячения жидкости со спирт. р-ром КОН в колбу вводят избыток 0,03 н. р-ра трилона Б, подкисляют H₂SO₄, нейтрализуют по метилкрасному, добавляют ~10 мл аммиачного буферного р-ра с pH 10, индикатора эриохромчерного Т и титруют 0,03 н. р-ром ZnSO₄ до перехода зеленовато-синей окраски р-ра в фиолетовую. Продолжительность определения 10—15 мин.

9M247. Масс-спектрометрическое определение тетраэтилсвинца и тетраэтилсвинца в бензинах. Howard H. E., Ferguson W. C., Snyder L. R. Determination of tetramethyllead and tetraethyllead in gasoline by mass spectrometry. «Anal. Chem.», 1960, 32, № 13, 1814—1815 (англ.).—Для определения конц-ии (суммарной или по отдельности) (CH₃)₄Pb и (C₂H₅)₄Pb, применяемых в качестве добавок к бензинам, предложен быстрый и точный масс-спектрометрич. метод. Приведено краткое описание аппаратуры и методики определения. Библ. 7 назв.

9M248. Структурно-групповой анализ лигроинок-росиновых фракций по спектрам поглощения в ультрафиолетовой области. Кусаков М. М., Нифонтова С. С., Покровская Е. С., Розенберг Л. М., Топчиев А. В., Шишкина М. В. «Сб. тр. Межвуз. совещания по химии нефти, 1956». М., Моск. ун-т, 1960, 99—113.—Показано, что по спектрам поглощения в ближней УФ-области можно установить присутствие как индивидуальных углеводородов ряда бензола, нафталина, циклогексана, тетралина и декалина, так и их гомологов с определенным числом и положением замещающих групп в узких ароматич. фракциях с т-рой кипения до 300°, полученных в результате тщательной дистилляции и многократного хроматографич. разделения. УФ-спектры поглощения позволяют легко обнаруживать нафталин и его гомологи в моноциклич. ароматич. фракциях в кол-вах, не доступных определению другими методами. Исследование ароматич. фракций ромашкинской и туймеязиной нефтей при помощи

спектров поглощения в ближней УФ-области дает возможность надежно идентифицировать конденсированные би- и полициклич. углеводороды, не только выделенные в кристаллич. виде, но и содержащиеся в высших керосиновых фракциях.

9M249. Об определении бензина в смазочных маслах. Kočí Mojmir. Příspěvek ke stanovení benzínu v mazacích olejích. «Ropa a uhlí», 1960, 2, № 2, 60—61 (чешск.; рез. русск., англ.).—Приведены результаты определения бензина в минер. маслах по ГОСТ 2478-47. Выявлена применимость конструкции используемого для этой цели прибора для отработанных моторных масел; точность метода зависит от кол-ва легких фракций бензина, содержащихся в масле. Предложен реконструированный прибор, на котором получены хорошие результаты и который пригоден как для отработанных, так и для свежих масел, некондиционных вследствие попадания в них бензина при хранении и перевозке.

9M250. Вязкостно-температурные характеристики масел. Cameron A. Viscosity temperature characteristics of oils. «J. Inst. Petrol.», 1960, 46, № 434, 56—58 (англ.).—Дан критич. анализ ур-ний, широко используемых для определения вязкостно-температурной зависимости смазочных масел. Предложен новый метод, обсуждаются полученные значения. Библ. 9 назв.

9M251. Структурно-групповой анализ полимеризационных сланцевых масел. Половой Ю. Н. В сб. «Химия и технол. горючих сланцев и продуктов их переработки». Вып. 8. Л., Гостехиздат, 1960, 231—236.—В результате проверки ряда методов структурно-группового анализа гидрированием можно убедиться, что многие методы дают удовлетворительную характеристику состава масел. Отклонения от прямого метода лежат в пределах, полученных для нефтяных масел. Отклонения наблюдаются в случае высших фракций масел из полимеров, причем это касается всех методов анализа. Для анализа сланцевых масел предпочтительнее пользоваться методами Хазельвуда и n-d-M, а также комбинированием этих методов. Для получения представления о распределении углерода удобно пользоваться методом плотности и интерцепта рефракции.

9M252. Подготовка нефти к озонлению и получение из нее золы для исследования спектральным методом. Березина М. Д. «Тр. Гос. Всес. исслед. и проекти. ин-та Гипровостокнефть», 1959, вып. 2, 175—177.—Для отгонки легких фракций и окончательного обезвоживания нефти 500—1000 г ее загружают в колбу Вюрца, которую закрывают пробкой с укрепленным термометром и нагревают на колбонагревателе до 125°. Когда т-ра нефти поднимается > 125°, нагрев прекращают. Нефть, оставшаяся в колбе после удаления легких фракций и воды, переливают в фарфоровый стакан, колбу Вюрца тщательно смывают свежеперегретым бензином с т. кип. > 125°, который присоединяют к нефти. В стакан с нефтью приливают бензин в объеме, равном первоначально взятой нефти, и ставят на плитку с закрытым обогревом или на песчаную баню. Для удаления механич. примесей нефть, нагретую до 70—80°, пропускают через фильтр, предварительно промытый горячим бензином и помещенный в воронку с обогревом. По окончании фильтрования нефти фильтр промывают горячим бензином. Профильтрованную нефть наливают во взвешенную чашку, ниже уровня краев чашки на 1 см, и помещают чашку на плитку с закрытым обогревом. По мере сгущения нефти в чашку следует подливать оставшуюся нефть после предварительного охлаждения чашки. При озонлении 500 г нефти ее следует наливать в две чашки емкостью по 200—250 мл. После того как нефть приобретет густую консистенцию, ее нагрев можно вести на плитке с открытым обогревом до получения коаг-

и начала озонения. Когда вся нефть превратится в коке, чашку следует поставить в муфель при 600—650°. Озонение ведут 6—7 час.

9M253. Автокомпенсационная телеизмерительная система для измерения давлений. Мелик-Шахназаров А. М., Савин В. В. «Изв. высш. учебн. заведений. Приборостроение», 1960, 3, № 5, 10—19.—Предложена телеизмерительная система (ТС) для измерения давлений: автокомпенсационное устройство, в котором величина измеряемого давления преобразуется в напряжение с помощью индукционного преобразователя со смещенным магнитным полем. ТС имеет малые габариты, обеспечивает достаточно высокую точность преобразования измеряемой величины в пропорциональном токе. Изменения напряжения питания на $\pm 20\%$, окружающей т-ры до 55° и параметров полупроводниковых элементов не сказываются на работе ТС. Потребляемая ТС мощность ~ 1 вт. ТС рекомендуется, как балансовая система измерения для нефтяных, газовых промыслов и нефтеперерабатывающих з-дов.

А. Некрасов

9M254. Нефти Татарской АССР. 2-е переработ. и доп. изд. Робинзон Е. А. М., АН СССР, 1960, 275 стр., илл., 12 р.

9M255. Автомобильные топлива и смазочные материалы. Ильенко О. Г. Новочеркасск, Редиздат. Новочерк. политехн. ин-та, 1960, 115 стр., илл., 5 р.

9M256. Технология смазочных и защитных материалов. [Учебник для техникумов ж.-д. трансп.]. Изд. 2-е, переработ. и доп. Колотухин И. Н., Кузнецов В. Г., Казарновский С. Н., Цереградский В. А. М., Трансжелдориздат, 1960, 147 стр., илл., 4 р. 30 к.

9M257. Себестоимость продукции в нефтепереработке и пути ее снижения. Андрианов В. М., Бугров В. А. Уфа, Башкирхозиздат, 1960, 160 стр., илл., 1 р. 90 к.

9M258. Авиационные и ракетные топлива и смазочные материалы. Резников М. Е., М., Воениздат, 1960, 207 стр., илл., 4 р. 75 к.

9M259. Электронные приборы контроля и автоматизации нефтехимического производства. 2-е переработ. и доп. изд. Денисов С. С., М., Гостоптехиздат, 1960, 475 стр., илл., 17 р. 40 к.

9M260. Ремонт и эксплуатация трубчатых печей нефтезаводов. Ентус Н. Р., Осина О. Г. М., Гостоптехиздат, 1960, 61 стр., илл., 1 р. 70 к.

9M261. Регенерация отработанных нефтяных масел. Шакин П. И., М., Гостоптехиздат, 1960, 304 стр., илл., 11 р. 80 к.

9M262. Газификация городов сжиженными газами. Букшпун И. Д. Киев, Госстройиздат, УССР, 1960, 218 стр., илл., 7 р. 55 к.

9M263. Способ разрушения эмульсий. Courtel Salomon. Procédé de désémulsification. [Institut Français du Pétrole, des Carburants et Lubrifiants]. Франц. пат. 1216229, 22.04.60.—Эмульсии воды в нефти и в нефтепродуктах, а также в других органич. жидкостях разрушают путем смешения эмульсии с деэмульгатором (I), добавляемым в виде стабильной эмульсии в дистил. воде или в чистом виде при наличии достаточного кол-ва воды в разрушаемой эмульсии. I является простым или сложным эфиром полиалкиленгликоля, полипропиленгликоля, моно- или поликарболовой к-ты, не содержащей или содержащей ОН-группы, простым эфиром алифатич., ароматич. или смешанным. I должен быть высокой чистоты — содержать $\leq 0,0001\%$ загрязнений, нерастворим в воде и в деэмульгируемом продукте и должен эмульгироваться водой, пригодным I является диэтиленгликолем полиэтиленгликолем (II), полученный из полиэтиленгликоля с мол. в. 400. Вместо эмульсии I в воде можно добавлять эмульсию I в сме-

си воды и водорастворимого органич. р-рителя как спирт, альдегид, кетон, к-та или сложный эфир. Указывается, что способ применим для разрушения наиболее стойких эмульсий, в том числе содержащих твердые частицы. Так, эмульсию тяжелой сернистой нефти нефтяного основания, содержащую твердые частицы, разрушают смешением с 6,6 об. % 10%-ной воды, эмульсии II, воду и твердые частицы отделяют путем центрифугирования смеси при ~ 3000 об/мин, при этом общее время разрушения эмульсии 5—10 мин.

А. Равикович

9M264. Обработка жидкостей в вакууме. Miller Norman G. Vacuum treatment of liquids. [Phillips Petroleum Co.]. Пат. США 2920039, 5.01.60.—Предлагается метод удаления небольших кол-в жидких примесей из жидких продуктов, напр., воды из нефтей и смесей углеводородов, обработкой их в вакууме. Жидкость, содержащая примеси другой жидкости, перед поступлением в зону пониженного давления (ЗПД) против атмосферного проходит через зону с повышенным, где происходит отделение того кол-ва примеси, которое может выделиться в этих условиях давления и т-ры. Полное удаление оставшейся примеси происходит в ЗПД, где применяется активатор, представляющий собой пары отделяемой жидкости. Образующиеся пары активатора в смеси с жидкими продуктами разделяются в ЗПД, что предотвращает потери основной жидкости. В процессе обезвоживания нефти в ЗПД в качестве активирующего агента подается водяной пар. Приложена схема процесса.

С. Гордон

9M265. Подавление пенообразования и деэмульгирование. Hyatt Robert C., Martinelli Anthony J. Defoaming and demulsification. [General Aniline & Film Corp.]. Пат. США 2920047, 5.01.60.—Для разделения водно-масляных или нефтяных эмульсий (типа вода в масле) их подвергают действию смеси агентов общей ф-лы $R_1-C(=O)O(R_2-O-C(=O)R_3-C(=O)O)_n-R_3$, где R_1 — углеводородный радикал лауриновой к-ты, R_2 — углеводородный радикал адилиновой к-ты, $R_3 = H$, $-R_4-OH$ или $-R_4-O-C(=O)R_1$, $n = 2-15$, а R_4 — углеводородный радикал смеси двухатомных алифатич. спиртов, состоящей из 1,4-бутандиола (I) и 1,2-пропиленгликоля (II), взятых, напр., в эквимолярных кол-вах. Пример получения указанного агента. Смесь адилиновой к-ты, I и II, взятых в мол. отношениях 3:2:2, нагревают 6 час. в атмосфере N_2 при т-ре 150—210°, затем $\frac{1}{4}$ час. при 200—250° и 5 мм рт. ст. для отгонки I и II. Добавляют 0,75 моля NeO-Fat 11 (торговая марка смеси к-т главным образом лауриновой) и нагревают $\frac{4}{4}$ час. при т-ре 140—210°, затем 1 час при 200—250° и 5 мм рт. ст. Получают вязкий продукт с мол. в. 1400.

Е. Покровская

9M266. Прибор для непрерывного извлечения солей из эмульсионных нефтей. Зизин В. Г., Попов Т. И., Чечушков Г. Н. Авт. св. СССР 129034, 1.06.60.—Для обеспечения полного и практически безынерционного вымывания солей и контроля солеосодержания прибор выполнен из кварцевой или стеклянной трубки с системой электродов, разделяющих трубку на три самостоятельных подобных по конструкции секции, в которых одним из электродов служит латунная трубка, другим — латунные кольца и центральный проводник — натянутая строго по оси трубки медная проволока. Каждая секция прибора соединена с отдельной обмоткой трансформатора мощностью 40—50 вт для питания током напряжением до 3000 в. Прибор позволяет обессоливать нефть с содержанием солей до 20 000 мг/л и ниже, полнота отмывки солей достигает 97,5%.

И. Руденская

9M267. Контактное разрушение твердых частиц и газов. Arden David B. Contacting solids and gases. [Houdry Process Corp.]. Пат. США 2897138, 28.07.59.—Описано устройство для ввода газа снизу движущегося вниз слоя гранулированного материала (ГМ). Устройство

применимо для регенераторов катализатора крекинга (в этом случае вводимый газ содержит O_2) и аналогичных процессов. В нижней части вертикального реактора (регенератора) установлена перегородка, ниже которой находится газораспределительная камера. Через перегородку и газораспределительную камеру проходят равномерно размещенные по сечению реактора трубки для вывода ГМ из реактора вниз, в общий коллектор. В газораспределительную камеру вводят газ, который затем поступает в слой ГМ через ряд других вертикальных трубок, равномерно распределенных на перегородке и снабженных в верхней части колпачками, препятствующими попаданию ГМ в трубки. Конструкция устройства обеспечивает равномерное распределение газа по сечению слоя ГМ и при этом скорость вводимого газа не препятствует выводу ГМ вниз. Приведена схема устройства. В. Кельцев

9М268. Получение газообразных углеводородов путем термического крекинга жидких углеводородов. Schmidt Alfred, Schmidt Herbert, Jahnenst Walter. Verfahren zur thermischen Spaltung flüssiger Kohlenwasserstoffe. [Chemische Werke Hüls A.-G.]. Пат. ФРГ 1052978, 10.09.59.—Крекинг жидкого углеводородного сырья, с целью получения H_2 и газообразных углеводородов, в том числе этиленовых и ацетиленовых, осуществляют путем подвода тепла к сырью за счет сжигания части сырья на поверхности слоя сырья при помощи O_2 или O_2 -содержащего газа, предварительно нагретого, подаваемого на эту поверхность. К O_2 можно добавлять некоторое кол-во горючего или инертного газа (H_2 , N_2); процесс можно вести под давлением выше или ниже атмосферного. Пример. В реакционный сосуд емк. 33 л, залитый до определенного уровня дизельным топливом с η кин. 200—325°, при помощи сопла, находящегося в 4 см от уровня дизельного топлива и направленного на его поверхность, подают O_2 в кол-ве 1,53 $nm^3/час$, закипание дизельного топлива производят с помощью маленькой метан-кислородной горелки, удаляемой затем из сосуда. Т-ра дизельного топлива в сосуде достигает 105°, уровень дизельного топлива поддерживают добавлением извне. Образующийся крекинг-газ с т-рой 126° выводит из сосуда на газоочистку, где конденсируют жидкие углеводороды и водяной пар, а также отделяют сажу; сконденсировавшиеся углеводороды возвращают в реакционный сосуд. Из образовавшейся при крекинге сажи 70% выводится с газом и 30% остается в слое дизельного топлива; для поддержания концентрации сажи в дизельном топливе 50 г/л из сосуда выводят дизельное топливо в кол-ве 0,14 $kg/час$. Получают 3,99 $nm^3/час$ крекинг-газа, содержащего (в %): CO_2 5,5; C_2H_2 5,8; высшие ацетилены 0,5; C_2H_4 6,6; высшие олефины 1,9; CO 40,1; H_2 32,8; CH_4 и C_nH_{2n+2} 5,9; N_2 0,9. На 1 kg $C_2H_2 + C_2H_4$ расходуется 3,76 kg дизельного топлива. Приведена схема установки. Г. Марголина

9М269. Способ и реактор для конверсии углеводородов. Mitchell John G. Hydrocarbon conversion process and apparatus. [Socony Mobil Oil Co., Inc.]. Пат. США 2925378, 16.02.60.—Описан реактор для крекинга и других процессов конверсии углеводородов в движущейся массе гранулированного катализатора (ГК). ГК поступает по напорной трубе в приемную камеру (ПК), находящуюся в верхней части реактора. Ниже ПК в реакторе расположены через промежутки 2 реакционных слоя ГК, в каждый из которых ГК поступает из ПК по отдельным трубам, с низа каждого слоя выводит отработанный ГК. Подогретое сырье подают в ПК, где оно в значительной степени испаряется. Пары из ПК (можно с добавлением паров дополнительного сырья) направляют в пространство между обоими реакционными слоями, откуда часть паров идет вверх через верхний слой ГК и другая часть вниз через нижний слой ГК. Применение двух реакционных слоев ГК вместо обычного одного позволяет значительно снизить

длину напорной трубы, так как в случае двух слоев снижается сопротивление паров опускающемуся ГК. Приложена схема реактора. А. Равинов

9М270. Конверсия углеводородов. Vaell Raoul P. Hydrocarbon conversion apparatus and process. [Union Oil Co. of California]. Пат. США 2891908, 23.06.59.—Усовершенствование контактно-каталитического процесса, при котором углеводородное сырье контактирует с гранулированным катализатором, в результате чего при эндотермич. р-ции т-ра снижается, и для компенсации теплоты р-ции в промежуточной точке по высоте реакционной зоны вводится газ, т-ра которого выше т-ры этой зоны. 170 000 л/день нефтяного дистиллята (с содержанием 42% нафтенных, 15% ароматич. углеводородов), т. кип. 115—215° уд. в. $d_{15,6}^{15,6} 0,78$, октановое число (ОЧ) 61,8, содержит 0,578% S, подвергают реформингу и получают продукт с т. кип. 34—224°, уд. в. $d_{15,6}^{15,6} 0,75$, ОЧ 95, содержащий 14% нафтенных, 40% ароматич. углеводородов и 0,004% S. Часть дистиллята обрабатывают в плотном слое гранулированных частиц в зоне контактирования, остальные инжектируют в указанную зону в промежуточных точках для исключения местного перегрева и переохлаждения твердых частиц. С. Розенбер

9М271. Каталитическая конверсия углеводородов. Hirschler Alfred E. Catalyst and hydrocarbon conversion therewith. [Sun Oil Co.]. Пат. США 2928785, 15.03.60.—В процессе получения высокооктанового бензина углеводородную фракцию, кипящую в пределах 190—260°, контактируют при 450—540°, давл. 1—7 атм и объемной скорости 0,5—3 с катализатором, полученным взаимодействием природной глины с 1—20 вес.% HF с последующим выщелачиванием продукта взаимодействием небольшим кол-вом воды. р-ра соли Al_2O_3 достаточным для снижения содержания F в катализаторе < 1%. Полученный катализатор прокаливают в контакте с O_2 -содержащим газом. Пример (в г): 600 природной силикатной глины с содержанием Al_2O_3 ~40 вес.% смешивают с 670 спирта и 125 воды. р-ра HF, содержащего 60 HF, смесь оставляют на 20 час. при ~20°, сушат и делят на 2 части. Одну часть прокаливают в воздухе 3 часа при 540°, полученный катализатор содержит 6,6 вес.% F_2 (K_1). Вторую часть выщелачивают р-ром 150 $Al(NO_3)_3 \cdot 9H_2O$ в 2000 воды, сушат и прокаливают 3 часа при ~540° в воздухе, полученный катализатор содержит 0,49 вес.% F_2 (K_2). Оба катализатора применяют для дегидрокрекинга высококипящей нефтяной фракции, кипящей в пределах 190—240°, содержащей 13 об.% ароматики и ~50 об.% нафтенных, при т-ре катализатора 540°, объемной скорости 1,01—1,02 и давл. 1 ат. Результаты показывают, что при применении K_2 степень превращения и выход бензина увеличиваются. И. Берлин

9М272. Каталитическая конверсия углеводородов. Plank Charles J. Catalytic conversion of hydrocarbons. [Socony Mobil Oil Co., Inc.]. Пат. США 2935465, 3.05.60.—Для каталитич. крекинга-реформинга нефтяного сырья с целью получения бензина смесь газовой и лигроиновой в объемном соотношении 10:1—1:1 (5:1—1,5:1) контактируют в паровой фазе в течение < 1 (0,3) сек. при 540—640° и давл. 1—7 ат с катализатором, состоящим из геля $MgO-SiO_2$ (15—45 вес.% MgO , остальное — SiO_2) с индексом активности по методу CAT-A 30—50 и активированного древесного угля в весовом отношении 1:2—2:1. И. Берлин

9М273. Каталитический реформинг бензина. Hansen Vladimir. Hydrocarbon conversion process. [Universal Oil Products Co.]. Пат. США 2905620, 22.09.59.—Фракцию бензина (прямойгонки) подвергают 1-му реформингу в 1-ом реакторе на катализаторе, содержащем 0,01—1% Pt на Al_2O_3 при 455—540°, 28—70 ат, объемно-весовой скорости 1—20 час⁻¹ и мол. отношения H_2 :сырье от 0,5:1 до 20:1. Продукт 1-го

реформинга, содержащего углеводороды в пределах 107—2-ю фракцию, торе при этом, чем ниже, чем от 0,5:1; 1-ю фракцию с пределами 107—2-ю фракцию реформингу 465—550°, чем во 2-м, чем во 2-м отношении реактора реформинга

9М274.

Kyle R. of hydrocarbon conversion therewith. [Sun Oil Co.]. Пат. США 2928785, 15.03.60.—В процессе получения высокооктанового бензина углеводородную фракцию, кипящую в пределах 190—260°, контактируют при 450—540°, давл. 1—7 атм и объемной скорости 0,5—3 с катализатором, полученным взаимодействием природной глины с 1—20 вес.% HF с последующим выщелачиванием продукта взаимодействием небольшим кол-вом воды. р-ра соли Al_2O_3 достаточным для снижения содержания F в катализаторе < 1%. Полученный катализатор прокаливают в контакте с O_2 -содержащим газом. Пример (в г): 600 природной силикатной глины с содержанием Al_2O_3 ~40 вес.% смешивают с 670 спирта и 125 воды. р-ра HF, содержащего 60 HF, смесь оставляют на 20 час. при ~20°, сушат и делят на 2 части. Одну часть прокаливают в воздухе 3 часа при 540°, полученный катализатор содержит 6,6 вес.% F_2 (K_1). Вторую часть выщелачивают р-ром 150 $Al(NO_3)_3 \cdot 9H_2O$ в 2000 воды, сушат и прокаливают 3 часа при ~540° в воздухе, полученный катализатор содержит 0,49 вес.% F_2 (K_2). Оба катализатора применяют для дегидрокрекинга высококипящей нефтяной фракции, кипящей в пределах 190—240°, содержащей 13 об.% ароматики и ~50 об.% нафтенных, при т-ре катализатора 540°, объемной скорости 1,01—1,02 и давл. 1 ат. Результаты показывают, что при применении K_2 степень превращения и выход бензина увеличиваются. И. Берлин

9М275.

родов бензина. [Socony Mobil Oil Co., Inc.]. Пат. США 2925378, 16.02.60.—Описан реактор для крекинга и других процессов конверсии углеводородов в движущейся массе гранулированного катализатора (ГК). ГК поступает по напорной трубе в приемную камеру (ПК), находящуюся в верхней части реактора. Ниже ПК в реакторе расположены через промежутки 2 реакционных слоя ГК, в каждый из которых ГК поступает из ПК по отдельным трубам, с низа каждого слоя выводит отработанный ГК. Подогретое сырье подают в ПК, где оно в значительной степени испаряется. Пары из ПК (можно с добавлением паров дополнительного сырья) направляют в пространство между обоими реакционными слоями, откуда часть паров идет вверх через верхний слой ГК и другая часть вниз через нижний слой ГК. Применение двух реакционных слоев ГК вместо обычного одного позволяет значительно снизить

9М

До

30

реформинга фракционируют с получением 1-й фракции, содержащей изопентан и более низкокипящие углеводороды, 2-й фракции с концом кипения в пределах 107—163° и 3-й более высококипящей фракции. 2-ю фракцию подвергают 2-му реформингу во 2-м реакторе при 460—545°, давлении по крайней мере на 5 ат ниже, чем в 1-м реакторе, и мол. отношении H_2 : сырье от 0,5:1 до 20:1. Продукт 2-го реформинга фракционируют с получением 1-й, 2-й и 3-й фракций в тех же пределах т-р, что и в случае продукта 1-го реформинга. 2-ю фракцию 2-го реформинга подвергают 3-му реформингу в 3-м реакторе на том же катализаторе при 465—550°, давлении по крайней мере на 7 ат ниже, чем во 2-м реакторе, объемно-весовой скорости ниже, чем во 2-м реакторе, и в пределах 0,5—15 час⁻¹ и мол. отношении H_2 : сырье от 0,5:1 до 20:1. Продукт 3-го реактора присоединяют к 3-м фракциям 2-го и 1-го реформинга, получая высокооктановый бензин.

С. Розенфельд

9M274. Каталитический реформинг углеводородов. Kyle Robert T., Nilsen Arve. Catalytic reforming of hydrocarbons. [The Gas Machinery Co.]. Пат. США 2921845, 19.01.60.—Реформинг-процесс жидких и газообразных углеводородов (газелей) с целью получения газа с высоким уд. весом и высокой теплотворной способностью производят на установке, имеющей две вертикальные камеры, соединенные сверху каналом. Каждая камера содержит в верхней части слой катализатора (предпочтительно содержащего Ni_2O_3) и под ним слой огнеупорной насадки. Установка работает циклами, каждый из которых имеет периоды нагрева, продувки и газификации. Сырье в смеси с водяным паром (или другим носителем) пропускают через одну из камер (при т-ре катализатора 425—480°), предварительно нагретую горячими дымовыми газами, через 2-ю камеру с более низкой т-рой вводят водяной пар, идущий затем в 1-ю камеру, при этом в поток водяного пара, после прохода из слоя насадки и слоя катализатора 2-й камеры, инжектируют сырье. После охлаждения 1-й камеры ввод сырья прекращают, систему продувают водяным паром, разогревают 2-ю камеру, одновременно регенерируя в ней катализатор выкипанием, систему вновь продувают и пропускают сырье через 2-ю камеру, а водяной пар вводят в 1-ю камеру. Приведена схема установки.

А. Равикович

9M275. Способ и реактор для конверсии углеводородов в псевдоожигенном слое катализатора. Degnen William J. Process and apparatus for conducting catalytic reactions and stripping. [The M. W. Kellogg Co.]. Пат. США 2926133, 23.02.60.—Конверсию углеводородов (напр., гидроформинг бензина) или другую хим. р-цию в псевдоожигенном слое катализатора (КТ) проводят в вертикальноцилиндрич. реакторе, верхняя суженная часть которого отделена поперечной перегородкой и является зоной отпарки отработанного КТ. Зона отпарки разделяется вертикальной перегородкой, не доходящей до верха, на сепараторную и отпарную секции. КТ по подъемной, газ-лифтной трубе поднимают из псевдоожигенного слоя реактора в сепараторную секцию, где отделяется подъемный газ, а КТ через отверстия в вертикальной перегородке поступает в отпарную секцию, где КТ отпаривают в псевдоожигенном слое при помощи водяного пара или отпаривающего газа, подаваемого снизу секции противотоком опускающемуся КТ. Отпаренный КТ выводят снизу секции и направляют в регенератор. Газы отпарки и подъемный газ идут по стояку, проходящему через сепараторную секцию в пространство реактора над псевдоожигенным слоем, откуда выводятся вместе с парами продуктов.

А. Равикович

9M276. Двухступенчатый гидроформинг. Dunlop Donald Dunwoody, Hemminger Charles E.

Two-pass hydroforming. [Esso Research and Engineering Co.]. Пат. США 2934490, 26.04.60.—Бензин-сырье с т-рой кипения в пределах 75—170° подвергают 1-му гидроформингу в мягких условиях, при 455—480° и времени пребывания 15—50 сек. Из продукта 1-го гидроформинга выделяют фракцию с т-рой кипения в пределах 80—145°, которую подвергают 2-му гидроформингу в более жестких условиях, при 495—540°, 7—21 ат и времени пребывания 100—200 сек. Остаточные фракции, кипящие > 145°, выделенные из продуктов 1-го и 2-го гидроформингов и содержащие значительные кол-ва алкилированных ароматич. углеводородов, подвергают термич. реформингу при < 595° и в присутствии H_2 , с целью повышения испаряемости и деалкилирования углеводородов, получая высокооктановый и высокоароматич. компонент для смешения с бензиновыми фракциями 1-го и 2-го гидроформингов. Катализаторами для обоих гидроформингов могут быть Pt/Al_2O_3 или MoO_3/Al_2O_3 .

А. Равикович

9M277. Каталитический реформинг. Jouy Marcel, Balaceanu Jean-Claude. Procédé de reformage catalytique. [Institut Français du Pétrole, des Carburants et Lubrifiants]. Франц. пат. 1230477, 16.09.60.—Каталитич. реформинг проводят в присутствии 10—200% стехиометрич. кол-ва O_2 , необходимого для превращения водорода, содержащегося в углеводородном сырье, в воду, и металл. Pd в качестве катализатора. Пример. В печь, содержащую 1,8 л катализатора (0,3 вес.% Pd/ Al_2O_3), подают пары циклогексана в кол-ве, соответствующем 1,7 л/час жидкости, и 1440 л/час N_2 при 335°. Получают смесь воды и углеводородов, содержащих 58 мл C_6H_6 (4,1% по отношению к исходному циклогексану).

И. Берлин

9M278. Аппарат для каталитического реформинга и обессеривания нефтяных дистиллятов. Vaell Raoul P., Duir John H. Hydrocarbon upgrading apparatus. [Union Oil Co. of California]. Пат. США 2891847, 23.06.59.—Патентуемый конвертер предназначен для циклизации парафинов и дегидрогенизации нафтен над $CoO-MoO_3$ или молибдатом Co , содержащим 3—8% SiO_2 , при т-ре 370—590° и давл. 14—52 ат в присутствии рециркулирующего H_2 . Для осуществления процесса обессеривания т-ру снижают до 315—450°, давление повышают до 350 ат и вводят холодный H_2 для регулирования т-ры.

С. Розенер

9M279. Реформинг в псевдоожигенном слое катализатора, с улучшенным транспортом его. Jewell Joseph W. Fluid system with improved solids transfer. [The M. W. Kellogg Co.]. Пат. США 2891907, 23.06.59.—Процесс конверсии углеводородов, при котором сырье контактирует в реакционной зоне с тонкоизмельченным контактным материалом в псевдоожигенном слое. 300 000 л/день нефтяного дистиллята подвергают реформингу при ~500° на MoO_3/Al_2O_3 в качестве катализатора, давл. ~18 ат, объемно-весовой скорости 0,45 с ~1200 м³/м³ рециркулирующего газа, содержащего 60% H_2 . Сырье и газ поступают в нижнюю часть реактора. Продукты р-ции проходят ряд циклонов и удаляются из системы через клапан низкого давления. Отработанный катализатор выводит из системы с помощью конич. вентили, отводят вверх с инертным газом через вертикальную цилиндрич. емкость и отпаривают в отпарной колонне с дроссельными клапанами. Отпаренный катализатор выводит в виде плотной жидкой массы через спец. клапан, а инертный газ подают в опускающийся поток катализатора для уменьшения плотности массы.

С. Розенер

9M280. Метод крекинга и реформинга углеводородов. Ямагучи Горо, Комацу Сусуму, Иосидзакэ Итихиро. [Кюсю тайка гасу кабусики кайся]. Японск. пат. 1130, 25.02.60.—Предложен Ni-катализатор для реформинга и крекинга углеводородов, не теряющий активности при работе в условиях высоких т-р. В качестве носителя применяются алюминаты Sa

($3\text{CaO} \cdot \text{Al}_2\text{O}_3$, $5\text{CaO} \cdot 3\text{Al}_2\text{O}_3$, $\text{CaO} \cdot \text{Al}_2\text{O}_3$, $3\text{CaO} \cdot 5\text{Al}_2\text{O}_3$ и др.), получаемые либо спеканием CaO и Al_2O_3 , либо прокаливанием смеси доломита с Al_2O_3 , либо прокаливанием цемента на основе Al или смесей, содержащих боксит. К этому носителю могут добавляться также щел. огнеупорные материалы. Для приготовления катализатора носитель спекается с Ni или его соединениями, напр. окисью или гидроокисью, солями органич. или неорганич. к-т. Примеры. 1. Смесь доломита и $\text{Al}(\text{OH})_3$ (соотношение 1:1) прокаливается при 1350° ; из полученного алюмината Ca и MgO составляется шихта для носителя, к 1 вес. ч. шихты добавляется 0,05 вес. ч. NiO , после дробления и перемешивания прокаливается при 1300° . На полученном катализаторе проводится реформинг тяжелого нефтяного остатка (уд. в. 0,914, т. вып. 170°); т-ра в слое катализатора $840-870^\circ$; отношение пар: сырье = 1:1, объемная скорость 1,14. Из 1 м³ сырья получилось 1132 м³ газа с теплотворностью 5714 ккал/м³, состав газа (%): CO_2 15,5; пропилен 2,6; этилен 11,4; O_2 0,7; CO 7,8; H_2 41,6; CH_4 18,0; N_2 2,4. Рентгеноструктурным анализом установлено, что в катализаторе содержится $5\text{CaO} \cdot 3\text{Al}_2\text{O}_3$, $3\text{CaO} \cdot 5\text{Al}_2\text{O}_3$, MgO и NiO . 2. Катализатор приготовлен спеканием при 1250° шихты из (вес. ч.) 1 цемента на основе Al_2O_3 ; 0,6 MgO -глиннера; 0,15 NiCO_3 . Использован для реформинга тяжелого остатка при т-ре $830-940^\circ$.

9M281. Изомеризация парафиновых углеводородов и катализатор для этого процесса. Miller Elmer L., Folkins Hillis O. Process and catalyst for the isomerization of n-paraffins. [The Pure Oil Co.] Пат. США 2935544, 3.05.60.—В процессе гидроизомеризации смесь n-парафиновых углеводородов с 5—7 атомами C в молекуле контактируют в присутствии H_2 при $315-400^\circ$ и давл. 13—70 атг с катализатором, состоящим из (вес. %) 50—87 SiO_2 и 50—13 Al_2O_3 (огнеупорная смесь оксидов, с кислотными свойствами), 3—5 Ni и 2—5 фосфата Al или Ca , напр., 5Ni и $2\text{Ca}_3(\text{PO}_4)_2$ или 3Ni и 2AlPO_4 . Пример. 43 г $\text{Al}(\text{NO}_3)_3 \cdot 9\text{H}_2\text{O}$ растворяют в 425 мл дистил. воды, прибавляют при перемешивании 250 г микроферрич. алюмосиликатного (25% Al_2O_3) катализатора крекинга, перемешивают 30 мин., медленно прибавляют воду, р-р 15 г $(\text{NH}_4)_2\text{HPO}_4$ в 250 мл дистил. воды для осаждения AlPO_4 на алюмосиликате. Полученную смесь перемешивают 30 мин., оставляют на 1 час, фильтруют, осадок сушат ~16 час. при 120° , прокаливают 6 час. при 620° . 190 г полученного носителя суспензируют в р-ре 30 г $\text{Ni}(\text{NO}_3)_2 \cdot 6\text{H}_2\text{O}$ в 250 мл дистил. воды, прибавляют при перемешивании р-р 27 г $(\text{NH}_4)_2\text{CO}_3 \cdot \text{H}_2\text{O}$ в 250 мл воды, перемешивают 15 мин., фильтруют, осадок сушат 16 час. при 110° , полученный катализатор таблеттируют, активируют и применяют для изомеризации n-C₅H₁₂.

И. Берлин
9M282. Получение ненасыщенных циклоалифатических углеводородов. Jones Jennings H., Fenske Merrell R. Production of unsaturated cycloaliphatic compounds. [Esso Research and Engineering Co.] Пат. США 2916528, 8.12.59.—Ненасыщенные циклоалифатич. углеводороды (I) получают путем контактирования алифатич. эпокисоединения C_3-C_{16} (II) в жидкой или газообразной фазе с кислотным катализатором (H_3PO_4 , H_2PO_4 на кизельгуре, n-толуолсульфокислота, H_2SO_4) при 0—200°, при этом получают I, содержащий в молекуле больше атомов C , чем II. II получают окислением углеводородов по пат. США 2725344 (РЖХим, 1958, № 3, 9355). Способ применим для получения дизельного и ракетного топлив из бензина и для получения хим. сырья. Пример. 2000 г 90%-ной H_2PO_4 перемешивают при 150° с 800 г 2,5-эпокси-n-гексана в течение 11 час., отгоняя при этом воду, после отстоя реакционной смеси отделиют 580 г углеводородного слоя, состоящего в основном из углеводородов $\text{C}_{12}-\text{C}_{18}$, содержащих циклогексеновые кольца. Фракция C_{12} продукта (28,4 вес. % на весь продукт) содержит 14%

олефинов и 86% диолефинов, фракция C_{18} (38,7% на весь продукт) — 78% олефинов и 22% диолефинов.

Г. Мартолина
9M283. Процесс алкилирования. Wald Milton H., Raley John H. Alkylation process. [Shell Development Co.] Пат. США 2883437, 21.04.59.—Алкилирование олефинами, содержащими 2 и больше атомов C в молекуле, нормальных и изо, незаещ. и арилзамещ. предельных углеводородов с 3 и больше атомами C в молекуле, при мол. соотношении предельных к олефинам > 1:1, а желательнее от 2:1 до 10:1. В качестве промоторов алкилирования используют твердые, жидкие и газообразные дисульфиды и сульфогидрилы, вводимые в кол-ве 0,1—5,0 мол. % от углеводородов и дополнительно O_2 в кол-ве от 0,05 до 5,0 молей на 1 моль сернистых соединений. Из предельных углеводородов могут быть использованы: изобутан, пропан, n-бутан, пентаны, n-гексан, метилпентан, а также циклопентан и циклогексан и их арильные производные, декалин, тетралин и пр. В качестве алкилирующих агентов наиболее пригодны этилен и пропилен, но могут быть использованы: бутен-1, бутен-2, изобутен, нормальные и разветвленные пентены, гексены, гептены, октены. Из сульфогидрилов можно применять соединения с общей ф-лой RSH . Пригодны тиофенол, H_2S , метилмеркаптан. Из органич. дисульфидов с общей ф-лой RSSR' пригодны диметилдисульфид, дифенилдисульфид и другие диалкил- и диарилдисульфиды. Сернистые промоторы не обязательно должны быть чистыми n-вами. Можно использовать смеси меркаптанов и тиофенолов, получаемые при обессеривании и щел. очистке различных нефтепродуктов. В качестве источника O_2 пригоден воздух. Для получения бензина наиболее пригодно алкилирование изобутана этиленом или пропиленом. Для получения смазочных масел применяют предельные углеводороды, содержащие 15—30 атомов C в молекуле и этилен. Процесс ведут при т-рах 200—550°, а предпочтительно 300—450°, но не допуская крекинга сырья. При алкилировании в паровой фазе давл. 45,5—1050 атг, но предпочтительно 52,5—175 атг. Более высоким т-рам должно соответствовать более высокое давление. Для алкилирования в жидкой фазе давл. 10,5 атг и выше. Процесс алкилирования может быть осуществлен как в периодич., так и в непрерывном вариантах. Присутствующие в продуктах алкилирования сернистые промоторы или выделяются с отходящими газами процесса (H_2S , метилмеркаптан), или могут быть удалены процессами обессеривания, причем в случае применения экстракции регенерированные промоторы могут быть возвращены в цикл. В 11 примерах приведены результаты опытов, проведенных при т-ре 400° , но с изменяющимся давлением, различным сырьем, меняющимися соотношениями предельных и непредельных углеводородов и разными промоторами. Показано, что в результате изменения условий процесса полнота превращения олефинов изменяется от 43,1 до 79,0%. Выходы продуктов алкилирования в мол. % от прореагировавших олефинов изменяются: для 2,2-диметилбутана от 6,5 до 79,0; для 2,2-диметилгексана от 1,6 до 7,5; этана — от 1,6 до 5,9. В случае применения в качестве сырья толуола, при соотношении его с этиленом 2,5:1, основной продукт алкилирования — n-пропилбензол.

А. Шахов
9M284. Процесс алкилирования. Raley John H. Alkylation process. [Shell Development Co.] Пат. США 2883440, 21.04.59.—Аналогичен пат. США 2883437 (см. реф. 9M283). В качестве сернистых промоторов используют только органич. дисульфиды, предпочтительно наиболее простые и в частности диметил- и дифенилдисульфиды. Кроме того пригодны диалкилдисульфиды, содержащие радикалы: метил, этил, пропил, изопропил, n-бутил, вторичный и третичный бутилы, амил, гексил и пр., а также диарилдисульфиды с радикалами: фенил, толил, ксилл и, кроме того, дициклоалкил-

дисульфиды, содержащие радикалы циклопентил и циклогексил. Могут быть также использованы смешанные алкил-арил, алкил-циклоалкил, циклоалкил-арил дисульфиды. Введение O_2 в зону р-ции не предусмотрено.

А. Шахов
9M285. Процесс алкилирования. Wald Milton M. Alkylation process. [Shell Development Co.]. Пат. США 2883439, 21.04.59.—Аналогичен пат. США 2883437 (см. реф. 9M283). В качестве сернистых промоторов используют только H_2S , алкил- и арилиолы. Наиболее пригодны тиофенол, H_2S , метилмеркаптан и другие меркаптаны, содержащие радикалы: этил, пропил, изопропил, *n*-бутил, вторичный и третичный бутилы, амил, гексил, октил, децил, додецил, толил, ксилыл, циклопентил, циклогексил. Введение O_2 в зону р-ции не предусмотрено.

А. Шахов
9M286. Гидрокрекинг в опускающемся слое катализатора. Wilson Reagan T. Gravitating bed catalytic hydrocracking process. [Phillips Petroleum Co.]. Пат. США 2931767, 5.04.60.—Гидрокрекинг ведут в вертикальноцилиндрич. реакторе, в верх которого вводят нагретые частицы катализатора (ЧК), ЧК опускаются вниз, образуя слой. Нагретое углеводородное сырье, имеющее начальную *t*-ру кипения в пределах 315–455, подают вместе с H_2 в среднюю часть слоя ЧК, при этом пары сырья поднимаются вверх, а неспарившаяся часть сырья проходит вниз вместе с ЧК. Поток H_2 , нагретый до *t*-ры выше, чем в реакторе, вводят в низ слоя ЧК. Пары продуктов и H_2 выводят сверху реактора. *T*-ру слоя ЧК регулируют так, чтобы она была 345–510° в части слоя, находящейся выше ввода сырья, и 455–595° в части слоя, находящейся ниже ввода сырья, при этом *t*-ра верхней части слоя ЧК должна быть не менее чем на 55° ниже *t*-ры нижней части слоя ЧК. Давление в реакторе 14–70 атм. Отработанные ЧК выводят снизу реактора и направляют в регенератор.

А. Равикович
9M287. Деструктивная гидрогенизация тяжелого нефтяного сырья. Hemminger Charles E., Morosck Robert C. Hydrogenation of heavy oils. [Esso Research and Engineering Co.]. Пат. США 2934492, 26.04.60.—Высококипящее нефтяное сырье (остаток перегонки нефти) подвергают деструктивной гидрогенизации путем пропускания жидкого сырья в смеси с H_2 , при 245–510° и 7–140 атм, снизу вверх через неподвижный слой катализатора ($CoMoO_4$ или Pt на Al_2O_3) в условиях, способствующих образованию продуктов с *t*. кип. 205–425° (топливные масла). В верхней части реактора над слоем катализатора разделяют жидкость и газ, выводимые раздельно во фракционирующую и отпарную колонну, в которой газ служит для отпарки жидкости. Остаточную фракцию колонны рециркулируют на гидрогенизацию в смеси с сырьем. Пример. Вакуумный остаток (d_{40}^{16} 1,09, начало кипения 460°, коксуемость по Конрадсону 18,3%, S 3,9%) западно-теасской нефти гидрировали описанным способом на катализаторе, содержащем 3,4% CoO , 8,7% MoO_3 и 82,9% Al_2O_3 (остальное — потери при сгорании), в условиях: средняя *t*-ра 400°, давл. 42 атм, скорость подачи сырья 0,5 час⁻¹, скорость газа 15(10–24) см/сек, подача H_2 180 м³/м³ сырья, объемное отношение рециркулируемого остатка к сырию 1. Получено жидких продуктов 101 об. % (на сырье) при обессыривании 50% и расходе H_2 125 м³/м³ сырья. Жидкие продукты содержали (об. %) 10 фракции C_5 —221°, 12 фракции 221–345°, 55 фракции 345–538° и 23 фракции 538°+.

А. Равикович
9M288. Способ полимеризации в присутствии жидкого фосфорнокислого катализатора. Zanglois Gordon E., Kemp Jacob D. Polymerization process employing a liquid phosphoric and catalyst. [California Research Corp.]. Пат. США 2935716, 20.05.58.—При полимеризации пропилена (I) в присутствии катализатора — 95%-ной (и выше) H_3PO_4 (*t*-ра 65–175°, давл. 14–

127 атм) образуются пропиловые эфиры H_3PO_4 , сильно снижающие каталитич. активность H_3PO_4 . Для поддержания высокой каталитич. активности H_3PO_4 при полимеризации I, фазу H_3PO_4 после контактирования (≤ 30 , ≤ 20 мин) с I направляют на полимеризацию бутилена (*t*-ра 65–175°, давл. 14–127 атм), при контактировании (≥ 5 , ≥ 10 мин.) с бутиленом разлагаются эфиры H_3PO_4 и восстанавливается активность H_3PO_4 , после чего фазу H_3PO_4 направляют обратно на полимеризацию I. Пример. При полимеризации сырья, содержащего 60 мол. % I, в присутствии конц. H_3PO_4 (*t*-ра 121°, давл. 56 атм, время контактирования 48 мин., соотношение сырье: H_3PO_4 1:1) конверсия I составляла 30%. При полимеризации того же сырья в тех же условиях, но с циркуляцией H_3PO_4 после 10 мин. контактирования на полимеризацию бутилена конверсия I была 85%, при этом конверсия бутилена (90%) была той же, что и при свежей H_3PO_4 . Г. Б.

9M289. Способ каталитической полимеризации. Esmay Donald L., Fotis Peter, Jr Wilson William A. Catalytic process. [Standard Oil Co.]. Пат. США 2881234, 7.04.59.—Процесс полимеризации олефиновых газообразных и жидких углеводородов этилена, пропилена, бутилена, изобутилена и их смесей с целью получения высокооктановых компонентов моторных топлив в присутствии р-рителя (высококипящие насыщ. или ароматич. углеводороды) и без него. Полимеризация осуществляется при 50–200° и 25–100 атм на катализаторах — металлах I группы, нанесенных на активированный уголь в проточной циркуляционной установке. Напр., полимеризацию пропилена проводят при 140° на катализаторе из 2 г металлич. Na на 10 г активированного угля в 100 мл циклогексана. Конверсия проходит на 90%, продукт полимеризации представляет собой в основном непредельные углеводороды C_6 с большим содержанием соединений разветвленной структуры.

Г. Коловертнов
9M290. Алкилирование насыщенных углеводородов. Appell Herbert R. Alkylation of saturated hydrocarbons. [Universal Oil Products Co.]. Пат. США 2925447, 16.02.60.—Процесс алкилирования парафиновых, изопарафиновых и циклопарафиновых углеводородов, в частности изобутана, олефинами в присутствии смешанного катализатора, состоящего из галогидометаллич. соединения (по Фриделю — Крафтсу) и Al, покрытого Fe, Co, Ni или Sn. В частности, патентуется способ алкилирования изобутана этиленом, пропиленом, бутиленом и проч. в присутствии смешанного катализатора: $AlCl_3$ и Al, покрытого Ni.

Н. Богданов
9M291. Способ производства олефинов. Mekler Valentine, Schutte August H., Korpi Karl J. Olefin production process. [The Lummus Co.]. Пат. США 2906625, 13.10.59.—Для произ-ва из нефтепродуктов непредельных углеводородов (C_2 — C_4) и кокса сырье, подогретое до 370–425°, направляют в испарительную колонну (ИК), в которой под давл. 1–2 атм отбирают легкокипящие компоненты; остаток (тяжелый мазут) подвергают при 482–510° и давл. 1,5–2,5 атм крекингу и коксованию. Образующиеся парообразные продукты (крекинга и коксования) поступают в ИК, на уровне ниже ввода сырья, и, в результате контакта с последним, из ИК отводят: снизу мазут, идущий на коксование, а сверху газы и широкую бензиновую фракцию; последние направляют в печь регенеративного типа, где они крекируются при 815–982° (для получения C_2H_4) или 982–1200° (для получения C_2H_2) в течение соответственно $>$ или $<$ 1 сек. Продукты крекинга, после резкого охлаждения, проходят через абсорбер для удаления ароматики и направляются на фракционную разгонку.

С. Р.
9M292. Коксование в псевдооживленном слое с нагревом теплоносителя в транспортном линии. Martin Homer Z., Jahnig Charles E., Herrmann John W. Fluid coking process using tarsferline bur-

ner. [Esso Research and Engineering Co.]. Пат. США 2868719, 13.01.59.—В процессе коксования углеводородного сырья часть псевдоожигенного материала отводится из слоя для циркуляции во внешней дисперсной фазе или в транспортной линии и возвращается в реакционный слой с целью обеспечения подачи необходимого тепла. В транспортной линии отобранный твердый материал смешивается с воздухом для сжигания на выходе или вблизи него, а не на входе. Производительность и эффективность процесса возрастают при увеличении начальной скорости горения. И. Богданов

9M293. Получение газов, богатых водородом. Offutt William C. Production of gases rich in hydrogen. [Gulf Research & Development Co.]. Пат. США 2910411, 27.10.59.—Процесс произ-ва газов, содержащих > 70% H_2 , состоит из стадий: получение сырого нефтяного кокса, содержащего 3—15% летучих в-в, в условиях замедленного коксования исходного сырья в псевдоожигенном слое при t -ре < 510°; передача сырого кокса в обжигательную печь, содержащую псевдоожигенный слой частиц кокса; введение O_2 -содержащего газа в верхнюю часть подогревателя для сжигания части кокса и поднятия его t -ры до 760—1315°; перенос потока частиц кокса из подогревателя в обжигательную печь для смешения с частицами сырого кокса и нагрева их до t -ры прокалывания (650—1095°) с одновременным отводом потока прокаленных частиц кокса из этой печи; отвод газов, выделившихся в процессе прокалывания и содержащих > 70% H_2 , отдельно от газов, выделившихся в процессе получения сырого кокса; рециркуляция части газов, выделившихся в обжигательной печи, через обжигательную печь для поддержания в ней твердых частиц кокса в виде псевдоожигенного слоя. Пример. Нефтяные остатки с уд. в. 1,0021 нагревали до 460° и подвергали коксованию при 457° и давл. 0,77 ат для получения сырого кокса. Газы, выделившиеся при коксовании, имели состав (в %): C_2H_4 49,6, H_2 4,8, CH_4 36,6, H_2S 9,0. Полученный сырой кокс нагревали затем очень быстро до 1000°; выделившиеся при прокалывании газы содержали (в %): H_2 80,0, CH_4 16,5, H_2S 0,7; на 1 т прокаленного кокса собирали 240 м³ H_2 . Дана схема процесса. Г. Марголина

9M294. Совмещенный реактор-коксонагреватель. Вахрушев И. А., Ерохин Г. С., Лившиц К. М. Авт. св. СССР 125547, 15.01.60.—Совмещенный реактор-коксонагреватель для непрерывного коксования нефтяных остатков в слое псевдоожигенного коксового теплоносителя, состоящий из цилиндрич. корпуса с распределительными решетками и циклонами, отличающийся тем, что для исключения пневмотранспорта и уменьшения высоты установки коксования аппарат разделен в верхней части вертикальной плоской или цилиндрич. стенкой на 3 зоны: зону р-ции (ЗР) с отпарной (десорбционной) секцией; зону нагрева (ЗН) коксового теплоносителя с отпарной (десорбционной) секцией и зону обмена частиц коксового теплоносителя между ЗР и ЗН. С целью предотвращения попадания газа из ЗН в ЗР и обратно отпарные секции расположены в суженной части каждой зоны и разделены на соты продольными перегородками. Для регулирования и обеспечения необходимой скорости циркуляции коксового теплоносителя между ЗР и ЗН зона обмена расположена в нижней суженной части аппарата. Приведена схема аппарата. А. Н.

9M295. Усовершенствования в производстве электродного кокса. Hutchison John Malcolm. Improvements in or relating to production of carbon. [United Kingdom Atomic Energy Authority]. Англ. пат. 830379, 16.03.60.—Кокс получают в результате ламинарного течения углеводородного сырья по твердой поверхности,

нагретой выше t -ры его коксования. Процесс коксования протекает на поверхности раздела между твердой и жидкой фазами в тонком слое, выделяющиеся летучие в-ва проходят короткий путь в массе конструируемого материала и поэтому кокс получается плотным, с мелкими закрытыми порами. При t -ре отложения кокса ~750° он содержит мало летучих в-в и последующую его графитизацию можно производить при быстром нагреве. Коксование производят в цилиндрич. реакторе, по оси которого проходит графитовый стержень, нагреваемый электрич. током. В начале процесса t -ру стержня поддерживают на уровне 500°, но по мере отложения кокса, во избежание неравномерной его усадки и растрескивания, t -ру можно поднимать до 1000°. Пример. Остаточный продукт реформинга с пределами выкипания 210—380° и вязкостью 25 сст при 20° пропущенный через реактор при нагреве стержня сначала до 500°, а затем, в течение 90 мин., до 900° при давл. ~7 кг/см². Линейная скорость циркулирующего сырья 175 кг/мин; t -ра его у входа в реактор 50°, на выходе 150—200°. За пределами реактора масло проходило через фильтр. За 90 мин. на стержне образовался слой кокса толщиной 1,5—2,0 мм. Для коксования можно использовать пек при давлении в реакторе ~40 кг/см². А. Шахов

9M296. Способ непрерывной адсорбции и десорбции горючих веществ. Gregor Milkuláš, Kachánák Stefan. Spôsob kontinuárnej adsorpcie a desorpcie horľavých látok. Чехосл. пат. 90824, 15.07.59.—По предложенному способу, применимому, напр. для очистки от CS_2 отходящих газов на з-дах по произ-ву вискозного волокна, циркулирующий в установке адсорбент (А) (активированный уголь, алюмогель или силикагель) проходит сверху вниз через цилиндрич. адсорбер, снабженный чередующимися выпуклыми и вогнутыми перфорированными полками; по выходе из адсорбера А поступает на размещенный в туннеле конвейер; туннель разделен на зоны, в которых транспортируемый А подвергается последовательно десорбции, сушке и охлаждению, после чего вертикальным транспортером подается к загрузочному бункеру адсорбера. В разгрузочный бункер адсорбера может подаваться инертный газ; отсюда же А может выводиться с помощью шнека из системы. Предусмотрены коммуникации для ввода в отдельные зоны туннеля водяного пара и инертных газов, а также для их вывода из системы. Дана схема. Я. Сатуновский

9M297. Распределитель жидкого сырья, вводимого в движущийся слой твердых частиц. Frellick Jacob P. Feed distributor for fluid reactants and particulate solids. [Phillips Petroleum Co.]. Пат. США 2917455, 15.12.59.—Описано устройство, применяемое в процессах нефтепереработки, для равномерного распределения жидкого сырья по сечению слоя твердых частиц, движущихся вниз в вертикальноцилиндрич. реакторе. Приведена схема устройства. С. Розенвер

9M298. Отделение нормальных алифатических углеводородов при помощи цеолитового адсорбента. Gilmore Forrest E. Process for separating normal aliphatic hydrocarbons using zeolitic molecular sieves. [Phillips Petroleum Co.]. Пат. США 2921970, 19.01.60.—Измельченный цеолитовый адсорбент (ЦА) типа «мол. сита», адсорбирующий нормальные алифатич. углеводороды, пропускают в виде непрерывного слоя через аппарат колонного типа. В низ аппарата через распределитель вводят фракцию бензина (напр., фракция C_4 или C_6) в виде паров (с t -рой 150—260°), пары фракции после контактирования с ЦА выводят через сборник паров в верху нижней половины аппарата. При контактировании фракции с ЦА происходит удаление из фракции нормальных алифатич. углеводородов (I), адсорбируемых ЦА, и одновременно фракция смешивается с нормальным алифатич. углеводородом (II) (напр., n -бутан или n -пропан), который имел более низ-

кую t -ру ЦА в виде от фракции меняют аппарат десорбции, предел: водит ч: этот см: вариант: ней пол: ней пол:

9M299. Ловя с refining США 28 поддег: коррози: теплов: го масл: но чер: ством д: ми пер: благода: действ: > 5 м: корроз: в масл: в неко: рый уд: чего м: зию мо:

9M300. приме: риллов: Erdölri: stoffe. тных ч: той см: тивны: няют: или го: состоя: ~30 а: при на: после: няется: и про: где на: Поде: цесс: ири: осна: котор: адсор: спосо: на ме: в реа: 9M301. отбел: Hol: at hi: 29317: остат: 90°, с: конт: 1 час: ящ: в ко: рова: пара:

кую т-ру кипения, чем фракция, и был адсорбирован ЦА в верхней половине аппарата. II отделяют затем от фракции, из которой удалили I, перегонкой. II применяют для подъема потока ЦА, выходящего из низа аппарата, по газлифтной трубе на верх аппарата и для десорбции I из ЦА, для чего пары II вводят через распределитель в низу верхней половины аппарата и выводят через сборник вверху аппарата, получая при этом смесь I и II, которую разделяют перегонкой. По варианту адсорбцию I из фракции производят в верхней половине аппарата, десорбцию I из ЦА — в нижней половине. Приведены схемы аппарата и процесса.

А. Равикович

9M299. Гидроочистка масел и их последующая тепловая стабилизация. Fear James Van Dyck. Hydrofining followed by heat stabilizing. [Sun Oil Co.]. Пат. США 2928787, 15.03.60.—Минеральное смазочное масло подвергают гидроочистке, после чего, с целью удаления коррозионных сернистых соединений, масло подвергают тепловой обработке путем пропускания потока жидкого масла при 230—345° через емкость (преимущественно через колонну сверху вниз), снабженную устройством для деления потока на части, напр. несколькими перфорированными перегородками или насадкой, благодаря чему предотвращаются токи в жидкости под действием тепла. Время пребывания масла в емкости > 5 мин. В результате тепловой обработки нелетучие коррозионные сернистые соединения, присутствующие в масле после гидроочистки, превращаются частично в некоррозионные соединения и частично в H_2S , который удаляют из обработанного масла продувкой, после чего масло выдерживает испытание ASTM на коррозию медной пластинки в течение 3 час. при 100°.

А. Равикович

9M300. Способ переработки нефтяных остатков с применением каталитически активных твердых материалов. Glinka Carl. Verfahren zur Aufbereitung von Erdölrückständen mittels katalytisch wirkender Feststoffe. Пат. ФРГ 1052081, 20.08.59.—При обработке нефтяных остатков или бедных моторным топливом нефтей сырье контактируют с нагретым каталитически активным материалом (КАМ). В качестве КАМ применяют влажные содержащие битумы твердые топлива или горячие сланцы, вводимые во влажном или сухом состоянии в поток сырья, нагретого до ~400° под давл. ~30 ат. Масляные составляющие, находящиеся в КАМ, при нагревании переходят в жидкое состояние, а КАМ, после того как объем пор, занимаемый влагой заполняется подаваемым на переработку сырьем, отделяют и пропускают в камеру; находящуюся под давл. 0,5 ат, где нагревают до > 500°, причем сырье, заключающееся в порах КАМ, превращается в ценные углеводороды. Подвергаемое переработке сырье можно вводить в процесс потоком, а измелченный КАМ можно подавать при помощи сырья (с рециркуляцией его). Установка оснащена гидроциклоном для отделения КАМ, после которого КАМ поступает через шлюзовый затвор в реактор. Реактор, в который вводят КАМ, снабжен приспособлениями, которые разделяют поступающий КАМ на мелкие порции и регулируют время пребывания его в реакторе. Приведена схема установки. Н. Гаврилов

9M301. Контактная очистка минеральных масел отбеливающей глиной при высоких температурах. Holm Le Roy W. Contact filtration of lubricating oils at high temperatures. [The Pure Oil Co.]. Пат. США 2931771, 5.04.60.—Брайсток или деасфальтированное остаточное масло, имеющие вязкости 28—30 сст при 99°, очищают до кислотного числа (КЧ) < 0,03 путем контактной очистки при 310—345° в течение 0,25—1 часа с измелченным монтмориллонитом (И), содержащим 75% SiO_2 , 17,5% Al_2O_3 , 4,5% MgO и 1,4% Fe_2O_3 , в кол-ве 3,3—13 кг на 1 м³ масла, при этом контактирование производят в отсутствие воздуха и водяного пара и во время контактирования из I удаляют свя-

занную воду продуванием смеси I и масла инертным газом (N_2) или при помощи вакуума. Так, 400 мл монтмориллонитского деасфальтированного масла (КЧ 1,64, цвет NPA 8+, вязкость 39 сст при 99°, S 1,23%) смешивают с 8% I (торговая марка «Filtrol X-466»), смесь, при перемешивании и пропускании через нее 1 л N_2 в 1 мин., нагревают до 345° и затем фильтруют при ~250°, получают очищ. масло с КЧ 0,03 и цветом NPA +5. При очистке того же масла в тех же условиях составом 90% Al_2O_3 + 1% SiO_2 + 9% MoO_3 , бокситом, составом 6,7% Ag + 11% MoO_3 на Al_2O_3 , аттапульгитом или составом 5% SiO_2 + 95% Al_2O_3 очищ. масла имели КЧ соответственно: 0,03; 0,40; 0,36; 0,72; 0,12.

А. Равикович

9M302. Очистка нефтепродуктов. Annable Weldon G., Jacobs William L. Refining process. [The Pure Oil Co.]. Пат. США 2936281, 10.05.60.—Для обесцвечивания очищ. смазочных масел и парафинов без существенного изменения других физ. характеристик эти материалы контактируют с ~450 м³/м³ H_2 при 230—340° (260°), давл. 7 ат и объемной скорости 1,3 в присутствии катализатора, состоящего из Al_2O_3 , аттапульгита ~9 вес.% MoO_3 (на всю массу катализатора). Катализатор получают осаждением $Al(OH)_3$ из $Al_2(SO_4)_3$ диспергированием $Al(OH)_3$ в р-ре молибдата аммония с последующим нагреванием последнего до 450—510°, в результате чего он разлагается с выделением MoO_3 .

И. Берлин

9M303. Повышение индекса вязкости и окислительной стабильности смазочного масла. Jezl James L. Viscosity index and oxidation stability of lubricating oil. [Sun Oil Co.]. Пат. США 2928788, 15.03.60.—Минеральное масло подвергают 1-й экстракции селективным р-рителем (СР), экстрагирующим моноциклич. (I) и полициклич. (II) углеводороды, и рафинат подвергают 2-й экстракции при применении СР, содержащего I и II, извлеченные при 1-й экстракции, но имеющего соотношение II:I более высокое, чем оно имелось в экстракционной фазе 1-й экстракции, благодаря чему в рафинате 2-й экстракции увеличивается соотношение II:I, что улучшает его окислительную стабильность, СР для 2-й экстракции, содержащий повышенное соотношение II:I, можно получить охлаждением экстракционной фазы 1-й экстракции и удалением отделенного при этом масляного слоя с повышенным содержанием I. Так, масло с вязкостью ~4 сст при 99° экстрагировали фурфуролом при 98°, получили экстракционную фазу с соотношением II:I, равным ~2:1, экстракционную фазу охладили до 38° и удалили нижний, масляный слой оставшейся экстракционной фазой, имевшей соотношение II:I ~3:1, экстрагировали рафинат при 38°.

А. Равикович

9M304. Способ отделения твердых веществ, диспергированных в органической жидкости. Courtel, Salomon. Procédé de séparation des solides dispersés dans une phase liquide organique pouvant éventuellement contenir des traces d'eau. [Institut Français du Pétrole, des Carburants et Lubrifiants]. Франц. пат. 1216228, 22.04.60.—Предлагаемый способ особенно пригоден при депарафинизации масел, для очистки от твердых частиц отработанных смазочных и электроизоляционных масел (при этом содержащиеся в маслах присадки не удаляются) и для вывода частиц катализатора из продуктов катализа, крекинга. Способ заключается в смешении органич. жидкости (ОЖ), в которой содержатся твердые частицы и могут присутствовать следы воды, со стабильной эмульсией (СЭ) типа масло в воде (1—5 об. % СЭ на ОЖ). СЭ получают эмульгированием в дистил. воде водонерастворимого сложного эфира полиалкиленгликоля, полиэтиленгликоля, жирной к-ты или поликарбонатов к-ты, при этом эфир должен быть высокой чистоты, содержать < 0,0001% загрязнений (содержание эфира в ЭМ 8—10%). Пригодным эфиром является диэтиленгликолевый полиэтиленгликоля (I), приго-

товленный из полиэтиленгликоля с мол. в. 400. Твердые частицы легко удаляют из смеси ОЖ с СЭ фильтрацией, центрифугированием или отстаем, что объясняется адсорбцией эфира на поверхности частиц с вытеснением других адсорбированных в-в и увеличением объема мелких частиц благодаря их набуханию в присутствии воды. Пример. 100 объемн. ч. отработанного дизельного масла, содержащего детергентную присадку и имевшего зольность 1,28%, хорошо перемешали при $\sim 20^\circ$ с 1 объемн. ч. СЭ, содержащей 10% 1, и смесь центрифугировали 10 мин. при 3000 об/мин, получили 98% очист. масла, не содержащего твердых частиц и имевшего зольность 1,19% (характеризует содержание детергентной присадки) против 1,23% свежего масла. А. Равикович

9М305. Способ селективного извлечения стирола из сырой бензольной фракции. Procházká Jiří. Způsob selektivní isolace styrenu z nerafinovaných benzenových frakcí. Чехосл. пат. 89975, 15.05.59.—По предложенному способу стирол осаждают ацетатом Hg и полученное соединение разлагают водяным паром. В примере к 100 мл сырой ксилольной фракции с т. кип. $135-172^\circ$ добавили при нагревании 40,2 г ацетата Hg, растворенного в 200 мл CH_3OH , и 200 мл воды (при взбалтывании). После нейтрации смеси р-ром КОН прибавили 70 мл насыщ. р-ра NaCl и смесь подвергли перегонке с водяным паром. Я. Сатуновский

9М306. Способ регенерации отработанных масел. Procédé de récupération des huiles usées. [Soc. Lorraine de Laminage Continu Sollac.] Франц. пат. 1215255, 15.04.60.—Для регенерации пальмового масла, содержащего после длительной смазки прокатных станов 10–20% Fe, применяют обработку к-той (HCl или H_2SO_4) с добавлением 0,2–2% поверхностноактивного в-ва, напр. соли первичных аминов с длинной алифатич. цепью или полиоксиэтиленового эфира алкилфенолов (товарные препараты), что улучшает дисперсию масла в к-те, увеличивая поверхность контакта. Пример. 5 г отработанного пальмового масла с 35–45% воды и 10–20% Fe обрабатывали в течение 12 час. при перемешивании и т-ре $\sim 90^\circ$ 3 г 15%-ной HCl с 1% поверхностноактивного агента. После отделения водн. слоя обработка повторена р-ром HCl с 0,5% того же агента. После отделения к-ты и промывки водой масло содержало 0,05–0,2% Fe. Без добавления указанного агента требовалось ~ 10 дней для достижения аналогичного результата. Е. Покровская

9М307. Пластичная композиция для дорожного строительства. Cobb Charles E. Plastic paving composition. [John A. Rush, George H. Hodges, Alexander Brest.] Пат. США 909440, 20.10.59.—Указанная композиция состоит из продукта р-ции смеси следующих ингредиентов (вес.%): 72–87 (77) минер. наполнителя (гранита и песка); 4–8,5 (5,5) битума с пенетрацией 85–100; 7–15 водн. р-ра MgCl_2 18–38° (22°) В; 2–15 (7) прокаленного MgCO_3 . И. Берлин

9М308. Масляные покрытия, содержащие волокнистый материал. Schulz Joseph F. Fibrated mastic coatings. [The Patent and Licensing Co.] Пат. США 2927038, 1.03.60.—Смешивают ~ 25 вес.% асбестового волокна с битумом, формируют материал в виде тонкого полотна, на которое затем наносят дополнительно асбестовое волокно в кол-ве до 68 вес.% от веса всего материала и прокатывают, поддерживая т-ру полотна выше т-ры размягчения битума. Затем на полотно наносят зернистый посыпочный материал. В варианте патента указана возможность нанесения такого покровного материала на кровельный картон, после формирования покровного слоя наносят слой эмульсии битума с глиной и впрессовывают зернистую посыпку. Если изготавливают бесосновный материал, то часть асбеста, накладываемого на полотно, должно быть длиноволокнистой. Таким способом получают огнестойкий кровельный материал. И. Руденская

9М309. Ингибитор полимеризации ацетилена. Sabatia Oscar A. Polymerization inhibitor. [Monsanto Chemical Co.] Пат. США 2915138, 2915140, 2915141, 2915142, 1.12.59.—При выделении ацетилена (I) путем сорбции р-рителями из газовых смесей, получааемых в произ-ве I из других углеводородов различными методами (дутовыми, термич. деструкции, частичного окисления)—на стадии выделения I из насыщ. р-рителей путем повышения т-ры и снижения давления происходит полимеризация (II) некоторых соединений (диацетилен и др.) и накопление в р-рителе и аппаратуре твердых продуктов II, что усложняет технологию процесса, вызывая необходимость удаления продуктов II. В целях предупреждения накопления продуктов II в р-рителе и аппаратуре используют для сорбции I—N-метилпирролидон (II) и вводят в него хинол, смесь метиленовой сини и гидразина (1:1) (пат. 2915140), нитрофенолы: о-, п-мононитрофенолы, ди- и тринитрофенолы (пат. 2915141), смеси метиленовой сини и уротропина (1:1) (пат. 2915142) в кол-ве 0,01–5,0 предпочтительно 0,1–1,0 вес.% от р-рителя. Кроме II могут быть использованы и др. р-рители I, не реагирующие с ингибитором, напр. бутиролактоны. Ингибитор можно вводить в р-ритель непосредственно или в виде р-ров. Действие ингибитора мало снижается при многократном использовании р-рителя. Пример. В лабор. опытах с производственным газом, полученным из реактора для окисления метана, введение в II 0,5 вес.% хинона снизило II на 46%. При введении в II хинона в кол-ве 0,5% в производственной установке прекратилось обычно наблюдавшееся накопление полимеров в р-рителе и аппаратуре. А. Шахов

9М310. Присадка к этилированным бензинам. Bartleson John D., Faris Robert B., Jr. Boric acid-diols-alcohol additive and liquid leaded motor fuel containing same. [The Standard Oil Co.] Пат. США 2929695, 22.03.60.—Для повышения стабильности при хранении в присутствии влаги воздуха к этилированному бензину, содержащему от 0,01 до 0,045 вес.% H_2BO_3 , добавляемой для уменьшения нагарообразования, рекомендуется прибавить 0,1–0,5% неароматич. диола с 4–8 атомами С и от 0,5 до 5% одноатомного спирта, содержащего не менее 5 атомов С. Пример. В бензине, содержащий 0,04% H_2BO_3 , было добавлено 0,1% 2-метил-2,4-пентадиола и 1,25% изопропанола. После выдержки в течение 90 час. в атмосфере, насыщеней водяными парами в бензине, сохранилось 89% всей ранее введенной борной к-ты. Когда к бензину, содержащему 0,014% H_2BO_3 , было добавлено только 2% изопропанола, то уже после 18 час. в тех же условиях сохранилось только 32% исходной к-ты. Приведены данные, иллюстрирующие влияние указанных присадок на нагарообразование и антидетонационные свойства бензина. С. Розенфельд

9М311. Топливо для двигателей внутреннего сгорания.—Kohlenwasserstoff—Treibstoff für Explosions- und Dieselmotoren. [Torrismetall Trust Reg.] Австр. пат. 210544, 10.08.60.—Предложены топливные композиции для двигателей с искровым зажиганием и дизелей, содержащих в растворенном состоянии (напр., в виде нафтенатов) соединения Cu, Zn или Pb в кол-ве (м/л) 0,5–15 Zn, 0,5–25 Cu и двойное кол-во Pb против суммарного содержания Cu и Zn, причем общее кол-во Cu, Zn и Pb составляет 3–200, а также бромированные и (или) хлорированные углеводороды в кол-ве, соответствующее на 10–100 и 20–200% превышающее необходимое для образования соответствующих галогенидов металлов. В примерах применялись р-ры нафтенатов в бензине с содержанием (г/л) Pb 58,8, Cu 13,6, Zn 28,8. Смешивали р-ры (м/л) 50 Pb, 25 Cu, 25 Zn и 3 $\text{C}_8\text{H}_{17}\text{Br}$ и добавляли к 100 л моторного неэтилированного бензина. При испытании на двигателе ФИАТ-1100 после 20 час. работы при 2500–3000 об/мин. наблюдалось по-

вышение
двигателе
расхода т
хлопных
содержан
мощност
тонации.

9М312.
Lewis
286695,
(C_2H_5)₂PH
В-алкил
ния, и т
сернисты
кол-ве, ч
1,6:3. В
заны мет
2-этилге
логесил
цилинд
вызывает
0,1% те
фора на

9М313.
ления о
и бор.
brandsto
verbran
organis
gen. [N.
пат. 932
улучше
рактери

замещ.
где X =
держат
аэола ч
 ≤ 40 а
торая л
 ≤ 40 а
в одной
т. кип.
пильбор

9М314.
sen P
Пат. С
внутре
турбин
щего и
леди
 CaCO_3
(0,5 м
различ
в 100
заны
филь
9М315.
крист
их на
cell
fuel
12.01.
больш
теле
услов
вспер
тверд
ние
олеи
топл
лина

вышенке мощности от 30 до 31 л.с. (по сравнению с двигателем, работавшим без добавки) и сокращение расхода топлива с 246 г/л.с./час до 231 г/л.с./час. В выхлопных газах снизилось содержание СО и повысилось содержание CO_2 . Улучшилось сгорание и повысилась мощность, увеличилась компрессия без появления детонации. А. Некрасов

9M312. Антидетонационные композиции. Gilbert Lewis F. Casoline fuel. [Ethyl Corp.]. Пат. США 286695, 30.12.58.—В патентуемый состав входит: $(\text{C}_2\text{H}_5)_2\text{Pb}$ (0,14–1,66 г/л), половина теоретич. кол-ва В-алкилсоединения, теоретич. кол-во Cl-алкилсоединения, и три-алкил-, или арил-, или циклоалкиламещ. сернистый Р, с 3 до 30 атомов С в молекуле, и в таком кол-ве, чтобы соотношение Р: Pb соответствовало 0,1–1,6:3. В качестве $\text{R}_1\text{R}_2\text{R}_3$ в ф-ле $\text{S}=\text{P}(\text{R}_1)(\text{R}_2)(\text{R}_3)$ указаны метил-, этил-, пропил-, изопропил-, бутил-, фенил-, 2-этилгексил-, диметилфенил-, циклогексил-, диэтилциклогексил- и другие радикалы. При испытании на одноцилиндровом моторе число преждевременных вспышек, вызываемых самовоспыхкой, снизилось в присутствии 0,1% теоретич. кол-ва трифенилзамещ. сернистого фосфора на 63%. С. Розенфельд

9M313. Улучшение моторного бензина путем добавления органического соединения, содержащего азот и бор. Werkwijze voor het bereiden van een vloeibare brandstof met verbeterde eigenschappen voor inwendige verbrandingsmotoren door aan een motorbrandstof een organische, stikstofen boriumhoudende stof toe te voegen. [N. V. de Bataafsche Petroleum Maatschappij]. Гол. пат. 93214, 15.01.60.—К моторному бензину с целью улучшения его горения в двигателе (октановой характеристики) добавляют 0,05–0,11 г/л, считая на В,

замещ. боразола ф-лы $\text{YNB(X)N(Y)B(X)N(Y)BX}$ (I), где X = Н или 1-валентная группа, которая может содержать только Н, С и N и соединена с атомом В боразола через атом С или атом N, группа содержит ≤ 40 атомов С; Y обозначает 1-валентную группу, которая может содержать только Н, С и N и соединена с атомом N боразола через атом С, группа содержит ≤ 10 атомов С. Общий мол. вес всех групп X и Y в одной молекуле I ≤ 500 (125–300). I должен иметь т. кип. $\leq 500^\circ$. Как I применяют, напр., N-три-2-пропилборазол. Н. Богданов

9M314. Углеводородные композиции. Wilhelm Paul C. Hydrocarbon compositions. [Shell Oil Co.]. Пат. США 2934415, 26.04.60.—Топливо для двигателей внутреннего сгорания, в частности для авиационных турбин, состоит из углеводородного дистиллята, кипящего в пределах $30-315^\circ$, и $1 \cdot 10^{-7}$ –0,001 вес. % плавидной неорганич. кристаллич. соли, напр. AgJ , CaSO_3 или PbJ_2 со средним размером частиц $\leq 1 \mu$ (0,5 μ). Из примера видно, что введение в авиабензин различных кол-в PbJ_2 (приготавливаемого из 0,25 г J_2 в 100 мл C_6H_{14} и 1 мл ТЭС в 500 мл изо- C_8H_{18}) в указанных пределах предотвращает забивку топливного фильтра двигателя кристаллами льда. И. Берлин

9M315. Композиции моторных топлив, не дающие кристаллообразования при работе двигателя в условиях низких температур и высокой влажности. Cantrell Troy L., Peters John G. Non-stalling gasoline fuel compositions. [Gulf Oil Corp.]. Пат. США 2920944, 12.01.60.—При использовании бензина, содержащего большое кол-во легколетучих компонентов, в двигателе внутреннего сгорания в холодных и влажных условиях наблюдается глушение двигателя, часто вследствие выделения кристаллов льда и образования твердых гидратов углеводородов. Патентуется введение в топливо 0,005–0,01 вес. % соли морфолина и олеиновой к-ты, значительно снижающей тенденцию топлива вызывать глушение двигателя. Олеат морфолина может добавляться в топливо как таковой, в виде

р-ра в этаноле, метаноле, бутаноле, бензоле, толуоле, керосине, минер. масле и т. д., а также в смеси с антиокислительными, антикоррозийными присадками, ингибиторами и красителями. Хорошие результаты дает добавление к топливу одновременно с олеатом морфолина 0,25–0,75 об. % легкого смазочного масла с вязкостью 10–110 сст при 38° . Л. Свирида

9M316. Углеводородные топлива с улучшенными антидетонационными свойствами. Sandy Charles A., Werntz James H. Hydrocarbon fuels having improved antiknock properties. [E. I. du Pont de Nemours and Co.]. Пат. США 2935973, 10.05.60.—Топливо для двигателей внутреннего сгорания, содержащее 0,01–12 (0,01–5) г/л Li-соли третичной карбоновой к-ты (кроме карбоксила радикал к-ты состоит только из С и Н), напр. 1,2,2,3-тетраметилциклопентанкарбоновой к-ты, 2,2-диметилпропионовой к-ты и до 1,5 мл ТЭС/л. Топливо подают в камеры сгорания цилиндров при давл. $< 1 \text{ ат} - > 1 \text{ ат}$, а указанную соль вводят в момент зажигания топлива. Пример. К 2-м образцам бензина, содержащего 0,75 мл/л ТЭС и 38 мл/л целлозоля в качестве солюбилизующего агента и имеющего сортность 98 при испытаниях в мягких условиях и 80 — в жестких условиях, прибавляют соответственно 0,85 и 1,7 г/л Li-соли 1,3-диметилциклобутанкарбоновой к-ты, в результате чего сортность повышается до 104–112 при испытаниях в мягких условиях и до 88–97 — в жестких. И. Берлин

9M317. Углеводородные топлива с улучшенной детонационной стойкостью. Sandy Charles A., Werntz James H. Hydrocarbon fuels having improved antiknock properties. [E. I. du Pont de Nemours and Co.]. Пат. США 2935975, 10.05.60.—Углеводородное топливо типа бензина для двигателей внутреннего сгорания, содержащее Li-соль ациклич. разветвленной карбоновой к-ты, карбоксигруппа которой присоединена к метиленовой группе в алифатич. радикале, в кол-ве 0,001–0,5 (0,01–0,25) Li на 1 л топлива и $\leq 1,5$ мл ТЭС/л. Указанную соль вводят в камеру сгорания в момент зажигания топлива. Пример. К образцу бензина, содержащему (об. %) 34 насыщ. углеводородов, 30 олефинов и 36 ароматич. углеводородов, прибавляют 0,75 мл/л ТЭС и 4 об. % спирта, получают топливную смесь с сортностью 110 при испытаниях в мягких условиях. После прибавления 3-метилбутирата Li (0,06 г/л) сортность топлива повышается до 118, а при прибавлении Li-соли 3,5,5-триметилгексановой к-ты (0,06 г/л) сортность топлива 117. И. Берлин

9M318. Ингибиторы ржавления для нефтепродуктов. Cantrell Troy L., Peters John G. Anti-corrosion compositions and mineral oil compositions containing the same. [Gulf Oil Corp.]. Пат. США 2934500, 26.04.60.—Ингибитор ржавления для нефтяных топлив и масел состоит из смеси следующих 2 компонентов: 1) маслорастворимый алифатич. амин $\text{C}_8 - \text{C}_{18}$, преимущественно нормального строения; 2) нейтр. продукт присоединения окиси алкилена $\text{C}_2 - \text{C}_4$ к диалкилортофосфорной к-те, в которой алкилы содержат по 5–8 атомов С. Весовое отношение 1-го компонента ко 2-му от 1:50 до 1:1. Для лучшего действия рекомендуется иметь рН ингибитора 7–7,5. Пригодным 2-м компонентом является, напр., продукт присоединения окиси пропилена к ди-(3-метилбутил)-ди-(октил)- (из октавола оксо-синтеза) или 3-метилбутил-2-этилгексилортофосфорной к-те. Ингибитор можно добавлять к нефтепродуктам в кол-ве 0,01–0,5 вес. %. Пример. 1 моль P_2O_5 постепенно добавляют к 4 молям 3-метилбутанола при т-ре смеси $\leq 49^\circ$, затем смесь нагревают до 127° , пока не растворится весь P_2O_5 . К полученной ди-(3-метилбутил)-ортофосфорной к-те при $\sim 20^\circ$ добавляют частями 6 молей окиси пропилена через обратный холодильник, происходит немедленная экзотермич. р-ция, получают продукт присоединения, состоящий главным образом из (2-окси-4,7-диокса-5,8-ди-

метил)-ди-(3-метилбутил)-ортофосфата. Для получения ингибитора 20 вес. ч. продукта присоединения смешивают с 1 вес. ч. амина, полученного из коксового масла, получают прозрачную жидкость с вязкостью 24 сст при 38°. Добавление 0,036% ингибитора защищает от ржавления стальной стержень, находящийся в перемешиваемой смеси бензина и 10% дистил. воды 4 часа при 27°. При таких же испытаниях бензина без ингибитора и бензина, содержащего 0,04% указанного амина, стержень ржавел соответственно на 1—5% и 6—25%.

А. Равикович

9М319. Ингибитор ржавления для моторных топлив. Barusch Maurice R., Fontana Verpino J. Rust inhibited fuels. [California Research Corp.]. Пат. США 2929696, 22.03.60.—Как ингибитор ржавления к бензину, дизельному топливу или другому моторному топливу добавляют 0,0005—0,025% смеси из 5—25 ч. олеиновой к-ты и 1 ч. полигликоля ф-лы $RO(CH_2CH_2O)_x$ $[CH_2CH(CH_2)_2O]_n$ (I), где R — алифатич. радикал C_1 — C_{18} , напр. октадецил, бутил или лаурил; сумма x и y равна 14—25. Так, при испытании на ржавление по методу ASTM D-665, в течение 20 час. при 38°, керосин в присутствии синтетич. морской воды, образец стали полностью покрывался ржавчиной, тогда как при добавлении в керосин 0,01% олеиновой к-ты и 0,0001% I, в котором $R = C_4H_9$, образец после испытания был чистым, добавление одной олеиновой к-ты не устранило ржавление.

А. Равикович

9М320. Добавки к дизельным топливам. Barusch Maurice R. Fuels for compression-ignition engines. [California Research Corp.]. Пат. США 2930681, 29.03.60.—Предложена добавка к дизельным топливам, предотвращающая ржавление, возникающее при высоких рабочих т-рах в двигателе, в присутствии воды в топливе. К базовому углеводородному топливу с пределами выкипания 173—400° добавляют смесь 2,5—10 вес.% NH_4 -соли алкиларилсульфоновой к-ты и алкилнафталинсульфоновой к-т, с мол. в. 400—600 и 200—400 вес.%-растворимого в топливе полиалкиленового эфира, напр. моноалкилфенола, имеющего 9—18 атомов C в алкиле и 4—7 окислительных групп с 2—4 атомами S в полиокислительной части молекулы.

А. Некрасов

9М321. Способ и устройство для гидрирования окиси углерода в присутствии спекающихся железных катализаторов, содержащих медь. Rottig Walter, Schaller Paul. Verfahren und Vorrichtung zur Kohlenoxydhidrierung unter Verwendung kupferhaltiger Eisen-Sinterkatalysatoren. [Ruhrchemie A.-G.]. Пат. ФРГ 1061306, 24.12.59.—Предлагается способ гидрирования CO при т-ре 150—350° и давл. 1—200 ат в присутствии спеченных Fe-катализаторов (КТ), содержащих ≥ 5 , предпочтительно $> 15\%$ Cu, считая на Fe. Для приготовления КТ применяется по возможности тонкий порошок окислов Fe и Cu с величиной зерна $< 100 \mu$ или $< 10 \mu$, которые при т-ре $< 350^\circ$ или $< 300^\circ$ при скорости газа > 50 см/сек восстанавливают в печи синтеза и формируют. При приготовлении КТ часть компонентов добавляют в виде солей, напр. нитритов, нитратов или перборатов. Устройство для осуществления предложенного способа представляет собой трубки синтеза со стационарным КТ длиной минимум 5 м (10—15 м) и диаметром предпочтительно > 15 мм. Порошок Fe_2O_3 с зернением от 1 до 5 μ , а также порошок CuO с зернением $\sim 10 \mu$ перемешивают с небольшим кол-вом воды и K_2CO_3 до образования пасты. Кол-во щелочи, считая на K_2O , составляет 1% от Fe. Соотношение Fe:Cu = 10:1. Пасту формируют во вращающемся барабане в зерна величиной от 1 до 2 мм, просушивают и при т-ре $\sim 1250^\circ$ в течение 1 часа подвергают спеканию в токе воздуха. Спеченные зерна восстанавливают при 320° в течение 7 час. смесью H_2 и N_2 (3:1), при линейной скорости 1,4 м/сек. При гидрировании CO с этим КТ при 20 ат, 218° и нагрузке 200 л водяного газа на

1 л катализатора/час без циркуляции, степень превращения $CO + H_2$ составляет 61,5%. Выход продуктов (%), выкипающих $> 320^\circ$, составляет 13 от суммы жидких продуктов. Фракции C_5 — C_{10} и C_{11} — C_{18} содержат 14 олефинов. Кроме того, в бензиновой фракции содержится ~ 21 спиртов и 2 эфиров, а во фракции C_{11} — C_{18} соответственно 12 и 4.

Б. Энглия

9М322. Алкилирование. Smith Randlow Alkylation process. [Texaco Inc.]. Пат. США 2935543, 3.05.60.— n - C_4H_{10} подвергают изомеризации, полученную смесь n - C_4H_{10} с iso - C_4H_{10} контактируют с селективным адсорбентом, адсорбирующим неизомерные углеводороды (n - C_4H_{10}), iso - C_4H_{10} в смеси с непредельными углеводородами, напр. C_3H_6 , направляют в зону алкилирования и получают алкилат, непрореагировавший iso - C_4H_{10} и n - C_4H_{10} . Часть iso - C_4H_{10} возвращают в зону алкилирования, n - C_4H_{10} отделяют и используют для десорбции адсорбированного on - C_4H_{10} из адсорбента, полученный n - C_4H_{10} возвращают в ступень изомеризации. Полученный алкилат применяют в качестве высокооктанового моторного топлива или топливного компонента. Приведена схема.

И. Берлин

9М323. Способ иницирования горения самовоспламеняющимися смесями. Webb William P. Auto-ignition method. [California Research Corp.]. Пат. США 2823515, 18.02.58.—Изобретение относится к топливной смеси, органич. часть которой характеризуется самовоспламенением при смешении с окисляющими агентами и к способу иницирования и поддержания горения путем применения этих смесей. Органич. компонентом смеси являются продукты конденсации (ПК) низкомолекулярных аминов с альдегидами и меркаптанами общей ф-лы $R_n(RRCSR)_2$, где R — органич. радикал и n — число от 0 до 2. ПК эффективны по отношению к окислителям: конц. азотной к-те (от 95 до 100%), которая может содержать добавки как ускоряющие самовоспламенение, так и снижающие т-ру замерзания, а также (некоторые низкомолекулярные ПК) с 90% H_2O_2 и (все низкомолекулярные ПК) жидкой N_2O_4 . При применении в двигателе смесь должна содержать от 85 до 95% от стехиометрич. кол-ва окислителя, требуемого для полного сгорания органич. компонента в CO_2 и SO_2 . При применении в качестве инициатора воспламенения соотношения компонентов составляют от 1:5 до 5:1. Наиболее короткими периодами задержки воспламенения (< 50 мсек) при т-рах от -40° до -70° обладают: диметиламинодиметилсульфид, диметиламиноэтилсульфид, ди-(этилнитрометил)-этил- и три-(этилнитрометил)-амин. Добавление к ПК низкомолекулярных меркаптанов (2-пропилмеркаптанбутилмеркаптан) в кол-ве от 20 до 40% дает смеси с хорошими свойствами, иногда лучшими, чем у исходных компонентов. Приведены данные по физ. свойствам и характеристикам самовоспламенения 30 соединений типа ПК.

З. Саблина

9М324. Новые улучшенные газообразующие композиции. Harper Aubrey Edward, Grigor James, Cooke Edward Graham. New and improved gas-producing compositions. [Imperial Chemical Industries Ltd.]. Англ. пат. 824112, 25.11.59.—Предложены композиции, содержащие в основном нитрат NH_4 , способные к саморазвивающейся без детонации р-ции газообразования, в которые входят небольшие кол-ва (1—10%) соединений Fe, Co, Ni, Cr и др. Спрессованные заряды композиции, содержащей (ч.) 6 нефтяного парафина, 92 смеси нитрата NH_4 и нитрата K в отношении 9:1, 2 бихромата NH_4 и α оксалата Fe, были помещены в условия саморазвивающейся р-ции газообразования под разными постоянными давлениями в сосуде, оборудованном дыхательными клапанами. Измерялась скорость горения при разных давлениях. Величины логарифмов для каждого рабочего давления откладывали по величине логарифма соответствующей скорости горения. По наклону каждого прямого отрезка составленного гра-

фика получают значения n -показателя экспоненты давления для каждого прямого отрезка графика. Эффект увеличения конц-ии оксалата Fe в составах показан в таблице, в которой сопоставлена конц-ия оксалата Fe и соответствующая величина n при условном рабочем давл. 28 ат.

9M325. Способ введения водорастворимых солей в гранулированное ракетное топливо. Mulqueen y Thomas J., Clark John D. Incorporation of water soluble salts in propellant powder. [Olin Mathieson Chemical Corp.]. Пат. США 2889216, 2.06.59.—Водорастворимые соли вводятся в гранулированное ракетное топливо суспендированием их в нитроцеллюлозном лаке (I) с последующим прибавлением полученной смеси к водн. р-ру Na_2SO_4 . Пример. 300 г Na_2SO_4 растворяли в 3 кг воды при перемешивании и нагревании при 55°, после чего к р-ру добавляли суспензию, содержащую (в г) 25 I, 540 $\text{C}_2\text{H}_5\text{OOCCH}_3$ и 150 KNO_3 ; дополнительно прибавляли 95 I и т-ру поднимали до 70°. Смесь перемешивали (капельки лака находились в суспензии во взвешенном состоянии), т-ру повышали для отгонки р-рителя, в результате чего получали 176 г мелкозернистого гранулированного топлива с содержанием KNO_3 34,1%.

9M326. Эмульсионное моторное топливо. Weeks Lloyd E. Emulsified motor fuel. [Monsanto Chemical Co.]. Пат. США 2920948, 12.01.60.—Предметом изобретения является эмульсионное водно-углеводородное моторное топливо, приготовляемое с использованием воды любого качества, без предварительной очистки ее от солей жесткости, посредством добавления эмульгаторов. Углеводородной основой топлива могут служить парафиновые или наftenовые фракции, кипящие в температурных пределах, характерных для моторного топлива; для реактивных двигателей — это смесь бензина и керосина, для поршневых двигателей — авиационный бензин обычного типа; кол-во топлива в смеси 8—50 вес.%. Эмульгатор добавляется в кол-ве 0,5—5,0 (предпочтительнее 1,0—2,5) вес.%. В качестве эмульгаторов используются полиэтокси-пропановые алкил-фенолы с 6—9 этенокси-группами ($-\text{C}_2\text{H}_4\text{O}-$) на один алкилфенольный радикал и содержанием 8—15 атомов S в алкиле, напр., этенокси-децилфенольный и этенокси-нонилфенольный продукты, содержащие в среднем соответственно 7,2 и 6,82 этенокси-групп на алкилфенольный радикал.

9M327. Зажигательные топлива. Bauer Eldon E., Broughton Geoffrey. Incendiary fuels. [United States of America as represented by the Secretary of War]. Пат. США 2922703, 26.01.60.—Для использования в бомбах, ручных гранатах, артиллерийских снарядах и огнеметах предлагаются легкообразные зажигательные топлива, состоящие из бензина или керосина, загущенных металлич. мылами. Для защиты этих топлив от разрушающего влияния хим. реагентов предлагается вводить в них 1—2 вес.% силикагеля с крупностью зерен < 28 меш при содержании в нем влаги < 6%.

9M328. Снижение количества углеродистых отложений в двигателе. Stuart Archibald P. Carbon deposit reduction. [Sun Oil Co.]. Пат. США 2935476, 3.05.60.—Для уменьшения кол-ва углеродистых отложений в камере сгорания предлагается композиция, состоящая из углеводородной фракции нефти, напр. бензина, дизельного топлива или смазочного материала и 0,05—5 (0,1—2) вес.% BaO_2 , SrO_2 либо их смеси.

9M329. Дистиллятные нефтетоплива с присадкой, препятствующей помутнению. Craig Wilmut W., Fisher Earl E. Distillate fuel oils inhibited against haze formation. [Gulf Oil Corp.]. Пат. США 2852353, 16.09.58.—Для предупреждения помутнения нефтетоплив при наличии в них влаги к топливу добавляют > 0,025 об.% смеси из (вес.%) 1,25—15 триэтанолами-

на, 3,75—45 олеиновой к-ты (соотношение этих интродуциентов должно быть > 1:1), 0,1—3 вес.% соли аминных кислот кокосового масла с 3-метилбутил-2-этилгексил-орто-фосфорной к-той. Применимы также соли других алкилфосфорных к-т с алкилами C_3-C_8 с другими аминами $\text{C}_8, \text{C}_{12}, \text{C}_{18}$ (вес.%) 0,9—22 соли растворимых в масле нефтяных сульфокислот и 15—94 бутанола или монобутилового эфира этилен или диэтилглицоля.

9M330. Обезвоживание углеводородных жидкостей. Davis Harold. Process and apparatus for dehydrating hydrocarbon oils. [Gulf Oil Corp.]. Пат. США 2930749, 29.03.60.—Углеводородную жидкость (I), имеющую давление пара ниже 0,014—0,035 ат при 52—80° (напр., топливо), обезвоживают путем пропуска струи I, нагретой до 52—80°, с большой скоростью через эжектор, благодаря чему в эжектор засасывается атмосферный воздух и смешивается с I. Смесь I с воздухом затем разделяют отстоем в емкости с перегородками, при этом воздух осушает I. Приведена схема аппарата.

9M331. Смазочные композиции, содержащие альдоксимы. Morway Arnold J., Bartlett Jeffrey H. Lubricating compositions containing oxime derivatives. [Esso Research and Engineering Co.]. Пат. США 2929784, 22.03.60.—Композиция консистентной смазки или смазочного масла, пригодная для работы при высоких т-рах и сверхвысоких давлениях, состоит из смазочного масла и 5—40 вес.% комплекса, содержащего 30—75% металлич. соли CH_3COOH , 10—20% металлич. соли альдоксима ф-лы $\text{RCH}=\text{NOH}$ (R — алифатич. радикал C_6-C_9) и (остальная часть комплекса) металлич. соли карбоновой C_7-C_{10} -кислоты или $\text{C}_{12}-\text{C}_{30}$ -кислоты; металл соли щел. или щел.-зем. Для получения комплекса к смеси масла и гидроксида металла добавляют CH_3COOH , карбоновую к-ту и затем альдоксим. Пример. Для получения альдоксима к смеси (г) 695 $\text{NH}_2\text{OH}\cdot\text{HCl}$ и 1200 H_2O добавляют 1024 альдегида C_8 (полученного оксо-синтезом) в течение 5 мин. при 15° и затем 530 Na_2CO_3 в 1000 H_2O в течение 15 мин. при 15—25°, смесь перемешивают 2 часа при 18—22°, отфильтровывают выделившийся сырой альдоксим, промывают его H_2O и затем перегоняют под вакуумом с фракционирующей колонкой. Получают 973 альдоксима с т. кип. 62—64° при 5 мм рт. ст. Для получения смазки к перемешиваемой смеси (вес. ч.) 71,5 минер. масла (вязкость 9 сгт при 90°) и 10 $\text{Ca}(\text{OH})_2$ добавляют смесь 12 CH_3COOH и 3 технич. каприновой к-ты (состоит из к-т: 24,5% каприловой к-ты, 57,8% каприновой и 17,6% лауриновой), после чего добавляют 3 полученного альдоксима, смесь нагревают до ~230°, охлаждают до ~120° и при этой т-ре добавляют 0,5 фенил- α -нафтиламина и гомогенизируют при ~65°. Получают смазку с однородной гладкой структурой, полужидкую при 25° и плотную при т-ре > 177°, имеющую т. капл. > 260° и пенетрацию 295 при 177°. Смазка не изменяется при испытании в кипящей воде, при испытании на стабильность к окислению по методу Нормы-Гофман выдерживает 325 час. до падения давления O_2 на 0,35 кг/см^2 и показывает хорошие противозадирные и противозносные свойства при испытаниях на машинах трения Олмена, Тимкена и 4-шариковой.

9M332. Моторные масла с присадками для сверхвысоких давлений. Goldschmidt Alfred. Lubricating oils containing extreme pressure agents. [California Research Corp.]. Пат. США 2934499, 26.04.60.—Композиция моторного масла, защищающая от повышенного износа кулачки и толкатели клапанов двигателя, состоит из смазочного масла и 4 следующих присадок: 1) детергентная присадка — сульфонат металла или (и) алкилфенолят металла; 2) 0,2—2% амида, полученного из наftenовой к-ты мол. в. 200—500 и алканол-амина C_2-C_{10} ; 3) 0,25—5% диалкил- или ди-(алкил-

арил)-дитиофосфата Zn, в котором оба алкила или алкиларила содержат 6—25 атомов С. 2-я и 3-я присадки совместно синергетически снижают износ. Пример. 100 г нафтеновой к-ты мол. в. 330 и 100 г этаноламина нагревают при 165° и перемешивании в течение 4 час., при удалении воды, затем из смеси отгоняют избыток этаноламина при 170° и 5 мм рт. ст., получая в остатке амид. При испытании на двигателе Шевроле по методу LS-5 селективноочищ. масла SAE-40, содержавшего в 1 кг 6 ммоль додецилбензол-сульфоната Ca, 14 ммоль додецилфенолата Ca, 5 ммоль ди-(додецилфенил)-дитиофосфата Zn и 0,2% динирафинсульфида, получено 12 гидравлич. толкателей клапанов с питтинговым износом. При таком же испытании того же масла с присадками, содержавшего дополнительно 0,5% полученного амида, только 7 толкателей имели питтинговый износ.

9M333. Смазочные композиции, содержащие соли монокарбоновых кислот, со свободной щелочностью. Morway Arnold J., Lipinski Henry F., Shearer Hugh T., Jr. Lubricating compositions containing salts of monocarboxylic acids and free alkalinity. [Esso Research and Engineering Co.] Пат. США 2930757, 29.03.60.—Концентрат-присадка со щел. резервом и загущающая, добавляемая в моторные масла, состоит из (вес.%) 50—75 смазочного масла с вязкостью 10—550 сст при 38° и 50—25 смеси щел.-зем. металл. солей монокарбоновых C_7 — C_{12} -кислот и щел.-зем. металл. солей монокарбоновых C_7 — C_{12} -кислот, при мол. соотношении C_7 — C_{12} -кислоты: C_7 — C_{12} -кислоты от 2:1 до 40:1 (от 5:1 до 15:1) и при содержании в концентрате свободной щелочности (СП) 1—1,8 вес.%, считая на NaOH. Концентрат получают нагреванием смеси масла, к-т и донования щел.-зем. металла при 120—175°. Наличие СП снижает вязкость концентрата что позволяет получать концентраты с более высоким содержанием солей. Концентрат добавляют к маслу из расчета получения смеси, содержащей 1—15 (3—12)% солей монокарбоновых к-т. Пример. К перемешиваемой смеси (вес. ч.) 1825 Ca(OH)₂ и 7600 минер. масла с вязкостью 260 сст при 38° добавляют смесь 2555 CH₃COOH и 595 к-т коксового масла (смесь к-т: 26% наприловой, 57% каприновой и 17% лауриновой) в течение 1 часа, перемешивают 30 мин. при подъеме т-ры смеси до 82—83° за счет тепла р-ции и 4 часа при 160°, затем добавляют 5000 минер. масла, охлаждают до 45° и пропускают через колл. мельницу. Полученный концентрат, имеющий СП 1,64, смешивают с 44 480 минер. масла при 45° и смесь пропускают через гомогенизатор. Получают масла с вязкостью 401 сст при 38° и зольность 6%. Масло, полученное таким же способом из того же минер. масла и концентрата со СП 0,48%, имело вязкость 465 сст при 38° и зольность 5,56%.

9M334. Смазочные масла для сверхвысоких давлений, содержащие некоррозионные серу- и фосфорсодержащие присадки. Manteuffel Allan A., Ayers George W., Gilson William. Corrosion resistant sulfurized — phosphorized extreme pressure lubricant. [The Pure Oil Co.] Пат. США 2929778, 22.03.60.—Композиция, пригодная для шестеренчатых передач при их обкатке и последующей эксплуатации и не причиняющая повышенного износа вследствие присутствия S, состоит из минер. масла и следующих 4 присадок: 1) 5—20% (вес.) жира (напр., лядрового масла), обработанного 5—40% S и затем 0,4—5% P₂S₅ до получения некоррозионного продукта при испытании на медную пластинку; 2) 0,1—5% S; 3) 0,5—2% дибензидисульфида; 4) 0,5—4% маслорастворимого алкил-, арил- или ариланкилфосфита или -трифосфита, напр., (C₂H₅)₃P, (C₂H₅O)₂POH или (CH₃C₂H₄O)₂P. Композицию нагревают при ~93° до получения чистой медной пластинки после нагревания пластинки в масле, 3 мин. при 99°. 4-я присадка является катализатором, уско-

ряющим р-цию S и остальных компонентов с образованием продукта, некоррозионного по указанному испытанию. С целью ускорения удаления коррозионной S нагреванием и усиления противосварочного действия масла в композицию рекомендуется также добавить 0,1—5% Pb-нафтена. Для улучшения растворимости присадок в минер. масле в последнее добавляю экстракт (3) селективной очистки масел. Пример Состав композиции (вязкость 15 сст при 99°, индекс вязкости 94) в вес. ч.: нейтр. масло 46,7; брайтстон 22, Э 18; S 0,3; лядровое масло, обработанное 7,5% S и 0,8% P₂S₅ (содержит 7,85% S и 0,45% P) 9; дибензидисульфид 0,8; Pb-нафтенат 4; (C₂H₅)₃P 2. При приготовлении композиции S растворили в части смеси минер. масел и Э при 132—143° и затем добавили остальные компоненты. При нагревании композиции при 93° через 2 часа нагревания проба выдерживала 3-минутное испытание на медь, тогда как композиция, не содержащая (C₂H₅)₃P и содержащая остальные компоненты в тех же кол-вах, через неделю нагревания при 93° придавала медной пластинке при 3-минутном испытании светло-коричневую окраску.

9M335. Смазочные масла для сверхвысоких давлений. Jordan Terence B., Kirsch Howard A. Extreme pressure lubricant. [Texaco Inc.] Пат. США 2932615, 12.04.60.—Смазочное масло для сверхвысоких давлений состоит из минер. масла и следующих 4 присадок: 1) 3—15% маслорастворимого Pb-мыла из группы Pb-нафтена, Pb-олеата, Pb-мыла из к-т масла американской селди и Pb-резината; 2) 2—20% маслорастворимого хлорированного углеводорода, напр., хлорированный парафин; 3) 8—12% сульфохлорированного жирного масла, напр., сульфохлорированный капталовый жир; 4) 0,5—5% 2-трет-тиофена. 4-я присадка значительно усиливает противоизносные свойства масла, содержащего первые три присадки. Так, добавление 2,5% 4-й присадки к маслу, содержавшему первые три присадки, повысило, при испытании на машине трения Тимкена, максим. нагрузку до задира с 41 до 48 кг/см² и уд. давление при этой нагрузке с 2440 до 3660 кг/см².

9M336. Смазочные масла для высоких давлений. Hurbesch Adolf, Franke Walter. Hochbelastbare Schmieröle. [Badische Anilin- & Soda-Fabrik A.-G.] Пат. FRG 973565, 31.03.60.—Масла для высоких давлений получают добавлением к маслу маслорастворимого галлада металла (напр., SnCl₂, SnCl₄, TiCl₄, VCl₃, VCl₄, NbCl₅, TaCl₅, MnCl₂, FeCl₂, FeCl₃ и соответствующие бромиды), за исключением галлидов Mo, совместно с одним или несколькими органич. соединениями S, содержащими тиоэфирную (простую или сложную), тиоамидную, тиоимидную или дисульфидную связь. Пример. Растворяют 7 ч. (вес.) SnCl₂ в 15 ч. спирта из коксового масла, полученный р-р и 2,5 ч. N-метилтиосукцинимид смешивают с 240 ч. минер. масла SAE-30. При испытании на 4-шариковой машине трения исходное масло и масло с присадками дали нагрузку задира соответственно 150 и 600 кг.

9M337. Способ диспергирования карбоната кальция в минеральном масле. Thompson Charles E. Wright Oscar L. Method of dispersing calcium carbonate in lubricating oil. [Continental Oil Co.] Пат. США 2931773, 5.04.60.—Для получения стабильной дисперсии CaCO₃ в минер. масле, в которой частицы CaCO₃ ≤ 1 м, применимой в качестве детергентной присадки с высоким резервом щелочности для моторных масел, через смесь 0,5—25 ч. минер. смазочного масла, 1 ч. маслорастворимого диспергирующего в-ва, 0,25—2,5 (0,5—1) ч. измельченного CaCN₂, частицы которого проходят через сито 100 меш, 1—5%, считая на CaCN₂, водорастворимой основной соли (I) щел. металла и 0,0006—0,1 ч. противопенной присадки (преимущественно по-

диметил-
лар при
в CaCO₃.
Как дис-
активное
котором
или не
маркой
лаурино
яют ка
фид или
смесь 17
36 ст п
ленного
365, 50 ч
противо
180° и 1
10,5 атм
спускаю
р-ции п
филтра
отгонки
маслу S
лиолефи

9M338.
Cecil,
Duckham
туются
частност
щие ма
металло
или али
динения
100—240
в карте
держат
экции
5,0 фен
rol NX)
хиноли

9M339.
ba He
[Univers
23.02.60.
смазочн
происх
ингибит
эфир, н
2-амино
вил-2'-а
изопроп
ной см
чени о
~230°
привав
вого эф
медлен
тора. Н
добавл
вают 5
няют, и
лучают
75,5%;
сущстви
108 ат
няют и
130°/0,2
9M340.
Ю до з
устрой

диметилсилоксановая жидкость) пропускают водяной пар при 100—200° и 0—11 атм до превращения CaCN_2 в CaCO_3 , после чего удаляют механич. примеси и воду. Как диспергирующее в-во применяют поверхностно-активное в-во ионное (преимущественно сульфат, в котором углеводородная часть имеет мол. в. 350—1000) или неионное (напр., полиэтиленгликольэат под маркой «Antagox B-100» или полиоксипропиленовая лауриновая к-та под маркой «Brij-30»). Как I применяют карбонат, бикарбонат, тетраборат, ацетат, сульфид или фосфат. Пример. В автоклав, содержащий смесь 175 ч. палевого дистиллятного масла с вязкостью 36 сст при 38°, 100 ч. Na-алкиларисульфоната, приготовленного из синтетич. углеводородов среднего мол. в. 365, 50 ч. технич. CaCN_2 (69%-ный), 1 ч. Na_2CO_3 и 0,1 ч. противпенной полиметилсилоксановой присадки, при 180° и перемешивании вводят водяной пар под давл. 10,5 атм. Через 5-минутные интервалы из автоклава спускают водяной пар, содержащий NH_3 . Через 4 часа р-ции продукт растворяют в 200 ч. бензола, после фильтрации в присутствии фильтровальной земли и отгонки бензола получают 300 ч. продукта со щелочностью 125 мг КОН/г. Добавление 5% присадки к маслу SAE-30, содержащему продукт р-ции P_2S_5 с полиолефином, снизило износ двигателя при испытании.

А. Равикович

9M338. Масляные композиции. Pepper Albert Cecil, Bourne Geoffrey John. [Alexander Duckham & Co. Ltd]. Англ. пат. 829494, 02.03.60.—Патентуют смазочные антикоррозийные композиции, в частности картерные масла или смазочно-охлаждающие масла, применяющиеся при механич. обработке металлов, которые содержат 0,02—5 вес.% хинолина или алкилхинолина с боковой цепью у атома С, —соединения, обладающего достаточной летучестью (т. кип. 100—240°) для создания защитной атмосферы, напр., в камере над поверхностью масла. Масла могут содержать также другие присадки. Пример такой композиции (вес. ч.): 5,0 олеата полиоксипропиленгликоля; 5,0 фенилового эфира полиоксипропиленгликоля (Lissapox NX); 89,0 легкого минер. масла ($V_{20} < 50$); 1,0 хинолина.

Е. Покровская

9M339. Стабилизация смазочных материалов. Cuyba Henryk A. Stabilization of organic substances. [Universal Oil Products Co.]. Пат. США 2926093, 23.02.60.—Для стабилизации против окисления и пр. смазочных масел и консистентных смазок нефтяного происхождения, а также синтетич. в них вводят ингибитор окисления — аминофенилалкоксифениловый эфир, напр. 4-аминофенил-4'-алкоксифениловый эфир, 2-аминофенил-4'-алкоксифениловый эфир, 4-аминофенил-2'-алкоксифениловый эфир, 4-метоксифенил-4'-N-изопропиламинофенил. Пример. К смазке, полученной смешением 91% смазочного масла высокой степени очистки с 8% стеарата Li, нагреванием смеси до ~230° при перемешивании и охлаждением до 160°, прибавляют 0,5 вес.% 4-метоксифенил-2'-аминофенилового эфира, смесь охлаждают до ~120°, после чего медленно охлаждают до ~20°. Приготовление ингибитора. К N-метоксифенолу прибавляют КОН в спирте, добавляют o-нитрохлорбензола, перемешивают, нагревают 5 час. до 205°, избыток o-нитрохлорбензола отгоняют, продукт перекристаллизуют из C_6H_6 и получают 4-метоксифенил-2'-нитрофенил (I), т. пл. 74,5—75,5°; I растворяют в C_6H_6 и восстанавливают в присутствии Pt-катализатора при т-ре 140° и давлении H_2 106 ат, катализатор отфильтровывают, р-ритель отгоняют и получают эффективный ингибитор с т. кип. 130°/0,2 мм.

И. Берлин

9M340. Устройство для предотвращения окисления масла в защитных затворах трансформаторов. Сато Юдзо. Японск. пат. 4913, 11.05.60.—Предлагаемое устройство для предохранения от окисления масла в

защитных затворах представляет собой герметич. емкость, куда залит хлористый дифенил, поверхность которого покрыта слоем силиконового масла. Перегородкой, проходящей почти до самого дна, емкость разделена на 2 сообщающиеся части. Газовое пространство одной из них (А) соединяется с воздухом через колонку, заполненную силикагелем. Пространство другой части (Б) наполнено N_2 и через буферную емкость соединяется с верхней частью трансформатора. При повышении т-ры в трансформаторе хлористый дифенил передвигается из части Б в часть А. Воздух, попадающий при понижении т-ры в часть А, освобождается от влаги, проходя через колонку с силикагелем, что предохраняет силиконовое масло от окисления.

Ю. Ермаков

9M341. Присадки к смазочным маслам. Hughes John, Soesan Joseph Maurice. Lubricating oils. [Shell Research Ltd]. Англ. пат. 845255, 17.08.60.—В качестве присадки, одновременно загущающей и для сверхвысоких давлений, к смазочным маслам добавляют 0,1—20% (на смесь) соли маслорастворимого сополимера мол. в. 75 000—1 000 000, содержащего амин, и органодифосфорной к-ты. Соплимер получают преимущественно сополимеризацией винилпиридина или замещ. винилпиридина и акриловой или α -замещ. акриловой к-ты, либо эфира, нитрила или амида такой к-ты; рекомендуется сополимер стearилметакрилата, лаурилметакрилата и 2-метил-5-винил-пиридина (и метилметакрилата). Как органодифосфорную к-ту применяют преимущественно частичный эфир ($\leq \text{C}_{30}$) кислотной к-ты фосфора или тиокислоты фосфора, либо фосфиновую или фосфоновую к-ту, напр., динонилфосфат или бензоилфосфоновую к-ту. Соль может иметь часть основных атомов N, не нейтрализованных к-той. Пример. Для получения соли 3 ч. сополимера 12% метилметакрилата, 23% стearилметакрилата, 60% лаурилметакрилата и 5% 2-метил-5-винилпиридина растворяют в 10 ч. бензола, добавляют HCl (к-та) с небольшим избытком по отношению к N, смесь нагревают с обратным холодильником и ловушкой до удаления воды, добавляют эквивалентное кол-во динонилфосфата, отфильтровывают от осадка NaCl и отгоняют бензол.

А. Равикович

9M342. Способ сульфохлорирования смесей диалкилполисульфидов и олефиновых углеводородов. Lindert Albert W. Method of sulfochlorinating dialkyl polysulfide-olefin mixtures. [Standard Oil Co.]. Пат. США 2853480, 23.09.58.—Для повышения т-ры вспышки смесей алкилполисульфидов (C_6 — C_{40}) (I), применяемых в качестве присадок для сверхвысоких давлений к смазочным маслам, сырую смесь I, содержащую 30% низкокипящих олефиновых углеводородов (сырье для синтеза меркаптанов и дисульфидов, из которых получают I), обрабатывают 10—25 об.% S_2Cl_2 или (и) SCl_2 в присутствии 1—50 об.% H_2O при т-ре 27—65°. Для улучшения стабильности продукта, в отношении потери S и выделения HCl, при обработке также добавляют 1—15 вес.% сульфида P. Образованный продукт нейтрализуют осеванием щел. или щел.-зем. металла. Описанный способ по сравнению с обычным способом отпарки дает значительно меньшие потери сырой смеси I и улучшает качества смеси I как присадки. Пример. Смесь сырых диоктилполисульфидов, имеющую т. всп. 68°, вязкость 18—19 сст при 38°, 37,7% S и 0% Cl, обрабатывают 16 об.% S_2Cl_2 в присутствии 5 вес.% P_2S_5 и 5 об.% H_2O , несколько часов при 25—40°, после чего воду удаляют при более высокой т-ре и продукт нейтрализуют Na_2CO_3 , растворяют в гексане для облегчения отделения соли и испаряют гексан, получают 96,8% готового продукта, имеющего т. всп. 168°, вязкость 105 сст при 38°, 43% S и 0,95% Cl. При отпарке исходной смеси I получают 82 вес.% продукта, имеющего т. всп. 154°, вязкость 68 сст при 38° и 42,8% S. При обработке смеси I S_2Cl_2

в отсутствие H_2O получают продукт значительно более темного цвета.

9M343. Способ получения антиокислительной и антикоррозийной присадки к смазочным маслам. Равикович А. М., Ладыженская И. В. Авт. св. СССР 129775, 1.07.60.—Антиокислительную и антикоррозийную присадку к смазочным маслам получают р-цией P_2S_5 с терпенами в присутствии катализатора $AlCl_3$ и при последующей нейтрализации продукта р-цией $Ca(OH)_2$. Присутствие $AlCl_3$ при р-ции обеспечивает получение присадки, содержащей до 6% Р и до 14% S, хорошо растворимой в минер. и силиконовых маслах и стабильной в условиях хранения и нагревания. Пример. К 500 г терпентинного масла по ГОСТ 1571-42 (т. кип. 153—170°), содержащего 54% терпенов (2 моля), добавляют при 50° и перемешивания 15 г $AlCl_3$ в течение 2 час. и затем при 90° 0,33 моля P_2S_5 в течение 2—3 час., после чего смесь нагревают 3 часа при 140°, фильтрат смешивают с 50 г 25%-ной водн. суспензии $Ca(OH)_2$, отгоняют воду, разбавляют бензином «галосша», фильтруют и отгоняют р-ритель и низкокипящие фракции до т-ры жидкости 135° при 3 мм рт. ст., получают 292 г присадки в виде вязкой жидкости.

9M344. Присадка для сверхвысоких давлений и композиции смазочных масел ее содержащие. Thornley George Herbert. Improvements in or relating to lubricating compositions. [C. C. Wakefield & Co. Ltd.]. Англ. пат. 837712, 15.06.60.—В качестве присадки для сверхвысоких давлений к смазочным маслам (минер. или синтетич.) и консистентным смазкам добавляют ≤ 10 (0,1—5) вес. % γ -изомера 1,2,3,4,5,6-гексахлорциклопексана (I), который обладает более высокими противозносными свойствами, чем другие изомеры (α -, β - и δ -), присутствующие совместно с γ -изомером в технич. I. При испытании на 4-шариковой машине трения (скорость вращения 1500 об/мин) минер. масла с 0,4% α -, β -, γ -, δ -изомера I или технич. I получили нагрузки начала задира соответственно 95—100, 90—95, 105, 90—95, 85—90 кг и для масла без присадки 60—65 кг. В композиции масел совместно с γ -изомером I могут входить и другие присадки. Патентуется композиция турбинного масла, состоящая из смазочного масла, ингибитора коррозии, антиокислительной присадки, 0,1—2% γ -изомера I и 0,1—2% маслорастворимого соединения ф-лы $R^1N(R^2)C(S)SR^3COOR^4$, где R^1 и R^2 — алкилы, арилы, циклоалкилы или вместе образуют часть кольца; R обозначает $=CH_2$, $R^4CH=$ или $R^4C(R^5)=$ (R^4 и R^5 — углеводородные радикалы); R^3 — алкил, арил или циклоалкил; R^1 , R^2 и R^3 могут содержать в качестве заместителей галоиды. Патентуется композиция масла для гипоидных передач, состоящая из смазочного масла, ингибитора коррозии, антиокислительной присадки, 1—5% γ -изомера I и 1—5% дибензилсульфида или монохлордибензилдисульфида, или дихлордибензилдисульфида. Как примеры указаны: 1) композиция турбинного масла, состоящая из минер. масла, 0,2% γ -изомера I, 0,4% *n*-бутил-(диметилдигиокарбамил)-ацетата, 0,015% смеси алкенил-антарных к-т (ингибитор коррозии) и 0,001% нефтяного Са-сульфоната; 2) композиция масла для гипоидных передач, состоящая из минер. масла SAE-90, 2% γ -изомера I, 2% дибензилсульфида и 4% Zn-диалкилдифосфата (85%-ный масляный р-р смешанной Zn-соли, полученной из 30 ч. диэнопропил- и 70 ч. дигексилдифосфорной к-ты); 3) композиция синтетич. турбинного масла, состоящая из ди-(2-этилгексил)-себацата, 0,5% феноатазина и 1% γ -изомера I; 4) консистентная смазка, состоящая из 88,5% минер. масла 10,5% Li-стеарата и 1% γ -изомера I.

9M345. Способ приготовления высокотемпературных консистентных смазок для подшипников качения. Morway Arnold J. Process for the preparation of high temperature anti-friction bearing lubricants.

[Esso Research and Engineering Co.]. Пат. США 2825084, 4.03.58.—Для улучшения высокотемпературных свойств и коллоидной стабильности смазки, приготовленную обычными методами (диспергированием мыла в масле при высокой т-ре с последующим охлаждением), подвергают дополнительной гомогенизации при больших скоростях деформации и напряжениях сдвига. Для гомогенизации могут применяться любые установки типа колл. мельниц, конусных гомогенизаторов и т. п. При этом достигается более полное и однородное диспергирование мыла. Консистенция готовой смазки возрастает при повышении градиента скорости сдвига при обработке от 10 000 до 500 000 сек.⁻¹. Гомогенизация снижает кол-во мыла, потребное для получения смазки с заданной консистенцией, что улучшает низкотемпературные свойства смазки и снижает ее стоимость. Предложенный способ предназначен для смазок, загущенных комплексными мылами. Таким образом можно получать высококачественные смазки для шариковых подшипников, имеющие нужную консистенцию при небольшом содержании мыла и поэтому не твердеющие в условиях применения и хранения. Пример. Смесь 20,9% Na-мыла сурепного масла и 38% минер. масла ($v_{100} = 8$ сст) нагревают в котле с огнем обогревом до 260°. При этой т-ре в котел вводят остаток (38,6%) масла, расплавленную массу перекачивают в холодильную мешалку и охлаждают при перемешивании. При 110° в смазку вводят 0,5% деактиватора металла, 1% антиокислительной присадки и 1% стабилизатора, после чего ее сливают для охлаждения в противни. Готовую смазку пропускают через гомогенизатор мантон-гаудли при давл. 210 атм. При этом ее пенетрация снижается с 286 до 178. П. Каждва

9M346. Композиция пластичной смазки, содержащая металлическую соль низкомолекулярной карбоновой кислоты и полиэтилен. Morway Arnold J. Lubricating grease composition containing a metal salt of a low molecular weight carboxylic acid and polyethylene. [Esso Research and Engineering Co.]. Пат. США 2935477, 3.05.60.—Смазка состоит из минер. смазочного масла, 5—40 (4—30) вес. % металлич. соли низкомолекулярной карбоновой к-ты, с 1—3 атомами С, напр. $(CH_3COO)_2Ca$ и 0,5—10 полиэтиленовой смолы с мол. в. 6000—200 000. Пример. 3,3 вес. % полиэтиленовой смолы с мол. в. 18 000 диспергируют в 63,3 вес. % минер. смазочного масла с вязкостью 15 сст при 99° при нагревании в течение 2 час при $\sim 150^\circ$ с перемешиванием, охлаждают до $\sim 20^\circ$, прибавляют 13,4 вес. % гашеной извести при непрерывном перемешивании до получения смеси однородной консистенции, 20 вес. % лед. CH_3COOH и получают смазку с высокой т-рой каплепадения, стабильную в широком интервале т-ры и с хорошими противозадирными качествами.

9M347. Пластичные смазки, загущенные ализариновыми лаками. Lyons Joseph F., Odell Norman R. Lubricating greases thickened with alizarin lakes. [Texaco Inc.]. Пат. США 2936285, 10.05.60.—Смазка состоит из смазочного масла, загущенного ализариновым лаком в тонкодисперсном виде, полученным кипячением водн. р-ра, содержащего ализарин (I) и $Al(OH)_3$ (II) в мол. соотношении 1:2—1:2 (2—8 молей II на 1 моль I) и $\geq 0,5$ моля растворимой в воде Са-соли на 1 моль I. В качестве масляной основы может быть взят диэфир с высоким мол. весом. Пример. Смесь 47 ч. Na_2PO_4 в 940 ч. воды, 66 ч. I в 660 ч. воды, 18 ч. Na_2O в 180 ч. воды и 9,5 ч. ализаринового масла в 150 ч. воды перемешивают, медленно прибавляют 56 ч. Al_2O_3 в 560 ч. воды, затем 9 ч. $CaCl_2$ в 90 ч. воды, доводят до кипения 3 часа, кипятят 3 часа, осадок отфильтровывают, промывают, сушат и измельчают. 300 г ализаринового лака смешивают при $\sim 20^\circ$ с 700 г очищ. дистиллятным маслом нафтенного основания с вязкостью ~ 65 сст при 38° и получают воде

стойкую с вязкостью 9M348. послыаны S., Wall tuted мол. Пат. СШ. масел, об. и хороше. сыланы ф. чае 1-ва. жащий а. $x = 1-3$. додекаф. 1Н, 7Н-д. 1Н, 7Н-д. (1Н, 1Н, 1Н). I можно. полирова. щие додекаф. 130 толус. и 0,5 Са-теоретич. вают вод. теор. II, остаеся. в присут. II не кор. нагрыва. 9M349. сел. Ре. Mauric synthetic пат. 8447 (вязкост. т-рах и. состоит (I) дика. I имеет. означает. новая гр. этилгекс. цинат, (III) и в. R^3COO л. алкил С. или смес. CR^3COOR которых ($R^2 = CH$ с 1,3-бу. 130—200. диолов в. тентуют. диметил. санола г. тов, соот. 1) 1:0. (541 ст. ации, с. тор окис. ственно, (вес. %) 65,54 III. III + 19. 9M350. содержа. Thoma Watch C. деталей. приборо. щеея н.

стойкую смазку с т. капл. +260° и повышенной устойчивостью к окислению при высоких т-рах.

9M348. Фторсодержащие четырехзамещенные моносиланы в качестве смазочных масел. **Holt Harold S., Walker Isaac Fletcher.** Selected tetrasubstituted monosilanes. [E. I. du Pont de Nemours and Co.]. Пат. США 2928857, 15.03.60.—В качестве смазочных масел, обладающих стабильностью при высоких т-рах и хорошей смазочной способностью, применяют замещенные силаны $R_4-xSi[OCH_2(CF_2)_nH]_x$ (I), где R обозначает 1-валентный углеводородный радикал, не содержащий алифатич. ненасыщ. связей; $n = 4, 6$ или 8; $x = 1-3$. Особо указаны следующие I: бис-(1H, 1H, 7H-додекафторгептилокси)-диметилсилан (II), трис-(1H, 1H, 7H-додекафторгептилокси)-фенилсилан, бис-(1H, 1H, 7H-додекафторгептилокси)-диэтилсилан и бис-(1H, 1H, 9H-гексадекафторнонилокси)-диметилсилан. I можно также применять в составе жидкостей для полирования как теплоносители и жидкости, поглощающие удары. Пример (вес. ч.): 350 1H, 1H, 7H-додекафторгептанола, 79 диметил-диэтоксисилана, 130 толуола, 0,5 *n*-толуолсульфокислоты (катализатор) и 0,5 Са-ацетата (катализатор) кипятят до отгона 74% теоретич. кол-ва C_2H_5OH . Реакционную смесь промывают водой и фракционируют, получают 196 (69% теорет.) II, имеющего т. кип. 270° и т. заст. -50°. II остается неизменным при нагревании 6 час. при 100° в присутствии воды и при кипячении на воздухе 1 час. II не корродирует Cu, Al, латунь и мягкую сталь при нагревании с ними 24 часа при 250°.

9M349. Композиции синтетических смазочных масел. **Pethrick Samuel Richard, Sparke Maurice Barrington.** Improvements relating to synthetic lubricants. [British Petroleum Co., Ltd.]. Англ. пат. 844778, 17.08.60.—Композиция смазочного масла (вязкость 4—10 сст при 99°), подвижная при низких т-рах и пригодная для авиационных газовых турбин, состоит из 40—95 вес.% насыщ. алифатич. диэфира (I) дикарбоновой к-ты и 60—5 вес.% полиэфира (II). I имеет ф-лу $ROOCCR'COOR$, в которой каждый R обозначает разветвленный алкил C_4-C_{18} и R' — алкил-эфирная группа C_4-C_{14} . Пригодными I являются ди-(2-этилгексил)-себацат, ди-(3,5,5-триметилгексил)-себацат, 2-этилгексил-3,5,5-триметилгексилсебацат (III) и их смеси. II имеет ф-лу R^2OOCR^3COO ($-R^4OOCR^5COO$) $_n$, где $n = 1-6$; каждый из R² обозначает алкил C_4-C_{18} ; R³ — алкильный радикал C_4-C_{14} или смесь таких радикалов из дикарбоновых к-т $HOOC-CR^6COOH$; R⁴ — смесь радикалов 2 диолов HOR^6OH , из которых один имеет ф-лу $HOCH_2C(R^5)(R^6)CH_2OH$ ($R^5 = CH_3$ или C_2H_5 , R^6 — алкил C_1-C_4) и 2-й является 1,3-бутандиолом. II приготавливают нагреванием при 130—200° в одну или несколько ступеней смеси спирта, диолов и дикарбоновой к-ты при 130—200°. Особо патентуются II, полученные из себаценовой к-ты, 2,2-диметил-1,3-пропандиола, 1,3-бутандиола и 2-этилгексанола при следующих мол. соотношениях компонентов, соответственно (в скобках вязкости при 25°): 1) 1:0,65:0,3:0,3 (4208 сст); 2) 1:0,5:0,45:0,3 (541 спуз); 3) 1:0,25:0,75:0,3 (1654 спуз). Композиции, состоящие из III, II и 1% фентиазина (ингибитор окисления), имели вязкости при 99 и 38°, соответственно, и обладали подвижностью при указанной т-ре (вес.%) 82,76 III + 16,24 1-го II, 7,80 и 36,61 сст, -45°; 65,54 III + 23,46 2-го II, 7,80 и 40,27 сст, -50°; 79,82 III + 19,18 3-го II, 7,71 и 36,41 сст, -50°. А. Равикович

9M350. Смазочные масла для часовых механизмов, содержащие эфиры рицинолевого спирта. **Boswell Thomas L.** Ricinoleyl lubricants. [Elgin National Watch Co.]. Пат. США 2922764, 26.01.60.—Для смазки деталей часов, особенно маятниковых подшипников, и приборов рекомендуется масло, хорошо удерживающееся на поверхностях трения, стабильное во влажной

атмосфере и работоспособное при низких т-рах (до -54°). Масло состоит из эфира рицинолевого спирта ф-лы $CH_3(CH_2)_5CH(XR)CH_2CH=CH(CH_2)_7CH_2X'R'$ (I), преимущественно из смеси I и рицинолевого спирта (II), содержащей $\geq 5\%$ I, или из смеси 20—50% I и 80—50% дифенилгенэикозанола. В ф-ле каждый из R и R' обозначает алкил C_1-C_{18} , фенил, группу $CH_3(CH_2)_5CH(XR)CH_2CH=CH(CH_2)_7CH_2-$, группу $-CH[(CH_2)_5CH_3]CH_2CH=CH(CH_2)_7CH_2XH$ или аралкил C_7-C_{18} , при этом один из R и R' может быть H; каждый из X и X' обозначает O или S. К маслу целесообразно добавить 0,1—1,5% антиокислительной присадки, напр., смесь 2,6-ди-трет-бутил-*n*-крезола (1%) и трифенилфосфата (0,2%) или гидрохинона (1%). Особо рекомендуется применение в качестве I ди-*n*-амилового тиоэфира III (III) и дифениламилового тиоэфира II, в частности масла, состоящего из III и дифенилгенэикозанола. В I должно присутствовать значительное кол-во транс-изомера радикала II, обладающего в сравнении с цис-изомером лучшими антифрикционными свойствами; транс-изомер образуется при вакуумной перегонке I или II в присутствии водяного пара. II получают восстановлением рицинолевой к-ты при помощи $LiAlH_4$. Напр., к перемешиваемой взвеси 115 г $LiAlH_4$ в 3500 мл $(C_4H_9)_2O$ при т-ре $\leq 90^\circ$ медленно добавляют р-р 425 г сухой рицинолевой к-ты в 3000 мл $(C_4H_9)_2O$, затем нагревают 2—3 часа при 70—80°, охлаждают в ледяной ванне, медленно добавляют по каплям 250 мл холодной воды, гидролизуют добавлением 2—3 л 20%-ной H_2SO_4 , промывают водой, высушивают над $CaSO_4 + Na_2SO_4$ и отгоняют р-ритель, в остатке получают II: d_4^{20} 0,908, вязкость 167 сст при 38° и 548 сст при 20°. I, в котором $X = X' = O$, можно получить р-цией Na-алкоголята II, диспергированного в толуоле, с RHx (Hx — галоид). III получают р-цией 1,12-дидодектадецена-9 с $n-C_8H_{17}SNa$. К 23 г красного R добавляют при взбалтывании р-р 375 г I в 300 г II при охлаждении в ледяной ванне, затем смесь нагревают 3 часа при 130—140°, оставляют на 16 час. при $\sim 20^\circ$, разбавляют $(C_2H_5)_2O$, промывают водн. 5%-ным NaOH и водой, высушивают над Na_2SO_4 и отгоняют р-ритель, полученный в остатке 1,12-дидодектадецен-9 перегоняют в вакууме в присутствии водяного пара. 80 г NaOH растворяют в возможно меньшем кол-ве воды, добавляют CH_3OH , приливают по каплям и при перемешивании р-р 208 г $n-C_8H_{17}SH$ и затем р-р 176 г 1,12-дидодектадецена-9 в CH_3OH (или в смеси CH_3OH и толуола), нагревают с обратным холодильником 6 час., оставляют на 16 час. при $\sim 20^\circ$, отделяют масляный слой, который разбавляют $(C_4H_9)_2O$, промывают водн. 5%-ным NaOH и водой, высушивают над $CaCl_2$ или Na_2SO_4 и отгоняют р-ритель. Полученный в остатке III очищают перегонкой при 10 мм рт. ст. в присутствии водяного пара. III имеет d_4^{20} 0,860, вязкость 8,7 сст при 38° и 14,7 сст при 20°. Результаты испытаний на маятниках часов показывают значительно более высокие качества рекомендуемых масел в сравнении с коммерческими синтетич. маслами.

9M351. Диэфирные смазочные масла. **Critchley Stuart Walter.** Improvements in dicarboxylic acid esters and in lubricant compositions. [The Geigy Co. Ltd.]. Англ. пат. 844288, 10.08.60.—Композиция смазочного масла состоит из диэфира ф-лы $X(COOR)_2$ и продукта полимеризации диэфира ф-лы $ROOXCOR'$. В ф-лах: X обозначает 2-валентную группу алкилена, циклоалкилена или арилена; R — алкил, преимущественно C_4-C_{16} с разветвленной цепью; R' — радикал ненасыщ. алифатич. спирта R'OH, напр. аллилового. Композицию получают этерификацией дикарбоновой к-ты $X(COOH)_2$ смесью спиртов RON и R'OH, содержащей преимущественно ≤ 25 мол.% R'OH, и последующей полимеризацией $ROOXCOR'$ путем нагревания полученной смеси диэфиров с органич. перекисью. Пригод-

ными дикарбоновыми к-тами являются адипиновая, себадиновая, азелаиновая и фталевая, пригодными $\text{RON} = 3,5,5$ -триметилгексанол и 2-этилгексанол. Рекомендуется, чтобы композиция имела йодное число $(\text{ИЧ}) \leq 2$. Композицию, имеющую значительное ИЧ, можно обработать S, галоидом или R, в результате обработки ИЧ снижается. Пример. 3 моля + 5% избытка 3,5,5-триметилгексанола, 1 моль + 5% избытка адипилового спирта, 2 моля себадиновой к-ты, 400 мл бензола и 4,8 мл конц. H_2SO_4 нагревают 12 час. с обратным холодильником и ловушкой для воды до отгона 78 мл H_2O , продукт р-ции промывают H_2O , нейтрализуют р-ром Na_2CO_3 , промывают теплой H_2O , отгоняют с водяным паром бензол и избыток спиртов, промывают H_2O , нейтрализуют р-ром Na_2CO_3 , высушивают под вакуумом, перколируют через активированную Al_2O_3 , получают 90% продукта с ИЧ 26,8 и вязкостью 3,87 сст при 99°. Полученный продукт нагревают 7 час. при 200° в присутствии 1% перекиси бензонла, получают композицию с вязкостью 8,06 сст при 99° и 40,2 сст при 38°, ИЧ 7,2 и нагрузкой задира 180 кг (при испытании на 4-шариковой машине трения при 1425 об/мин на шарах из стали S. K. F.). Композицию нагревают с 0,5% S в течение 4 час. при 200°, затем отфильтровывают через активированную Al_2O_3 , получая продукт, содержащий 0,15% S и имеющий вязкость 8,48 сст при 99° и 44,7 сст при 38°, т. заст. —48° и нагрузку задира 300 кг.

9M352. Синтетические смазочные масла. Pethrick Samuel Richard, Sparke Maurice Barrington. Improvements relating to synthetic lubricants. [The British Petroleum Co. Ltd]. Англ. пат. 637978, 22.06.60.—Масло (вязкость 2—30 сст при 99°) для авиационных газотурбинных двигателей, имеющее высокий индекс вязкости и низкую т-ру застывания, состоит из: 1) жидкого диэфира ф-лы $\text{ROOCR}^1\text{COOR}$, где R^1 — алкиленовая группа C_4 — C_{14} и R — алкил C_4 — C_{18} , напр. ди-(2-этилгексил)-, ди-(3,5,5-триметилгексил)- или (2-этилгексил)-(3,5,5-триметилгексил)-себадионат; 2) 5—50 (10—30)% загустителя (вязкость 4000—20000 сст при 25°), являющегося полиэфиром ф-лы $\text{R}^2\text{OOCR}^3\text{COO}(\text{R}^4\text{OOCR}^3\text{COO})_n\text{R}^2$, где $n > 1$, R^2 — углеводородный радикал спирта R^2OH (напр., 2-этилгексил или алкил C_4 — C_{14}); R^3 — углеводородный радикал (C_2 — C_{14}) алифатич. или ароматич. к-ты $\text{HOOCR}^3\text{COOH}$ (напр., $-(\text{CH}_2)_2-$, или $\text{C}_6\text{H}_4=$); R^4 — радикал $-\text{CH}_2\text{CH}_2\text{CH}(\text{CH}_3)-$. Пример. Для получения загустителя смесь (моли) 2,2 себадиновой к-ты, 0,8 фталевого ангидрида, 2,85 бутилена-1,3-гликоля и 0,92-этилгексанола быстро нагревают в N_2 -атмосфере до 130°, затем 8 час. при 130—200° и при 200° до получения кислотного числа продукта < 5 , после чего давление понижают до 1 мм рт. ст. и нагревают при 200° до получения кислотного числа < 1 . При смешении 17,58 вес.% полученного загустителя (вязкость 4906 сгуз при 25°), 81,42 вес.% октил-нонилсебадината и 1 вес.% фентвазина получено масло с вязкостью 7,78 сст при 99° и 9187 сст при —40°. С. Розенфельд

9M353. Способ получения высоковязких масел с низким содержанием хлора из хлорированного парафина. Kühnhanß Gerhard, Saager Johannes, Wagner Manfred. Verfahren zur Herstellung weitgehend halogenfreier Brightstocköle aus chlorierten Paraffinkohlenwasserstoffen. Пат. ГДР 19019, 23.05.60.—Высоковязкие смазочные масла, получаемые путем дехлорирования хлорированных парафинов в присутствии катализаторов (хлоридов или оксидов Al, Zn, Sn, Fe и P, BF_3 и др.) с добавкой или нет поверхностно-активных в-в, содержат 0,1—0,8% Cl, который выделяется при применении масла в качестве компонента моторного масла или в присутствии влаги. Для удаления остаточного Cl масло обрабатывают 0,1—2% Na, лучше в колл. виде, при 200—300°. Пример. Хлорированный буроугольный парафин (28% Cl) нагревают

с 3% Bi_2O_3 4—6 час. при 300°, сливают с осадка, добавляют 3% смеси CaO и отбеливающей земли, затем петр. эфир, кипятят 2 часа, фильтруют, отгоняют р-ритель и под вакуумом водоструйного насоса кипящие компоненты до 300°. Масло имеет d_{40}^{20} 0,8873, вязкость 1059 сст при 50° и 131 сст при 100° и содержание Cl (мг/100 г) 310. Масло нагревают с 5% 10%-ного колл. р-ра Na в гексадекане при 260° в течение 2 час., промывают водой и высушивают, после чего содержание Cl 20,1. А. Равикович

9M354. Диэфиры смешанных ароматических двусоединений кислот — смазочные масла. Benoit George J., Jr. Diesters of mixed aromatic dibasic acids. [California Research Corp.]. Пат. США 2936320, 10.05.60.—Применяемые в качестве смазочных материалов диалкильные диэфиры смеси 50—99 (85) вес.% изофталевой (I) и 1—50 (15) вес.% терефталевой (II) к-т, в которых алкильные этерифицирующие группы получены из смеси 2—5 алифатич. спиртов C_3 (10—90 вес.% каждого спирта). В частности, в 2-этилгексил-изооктиловом эфире смеси 85 вес.% I и 15 вес.% II группы 2-этилгексил и изооктил получены из смеси, состоящей из 25 вес.% 2-этилгексильного и 75 вес.% изооктилового спиртов. Пример. Смешивают 322 г смеси I и II (85:15), 546 г изооктилового спирта (75%), 82 г 2-этилгексанола (10%) и 100 г n -октанола (15%), прибавляют 5,3 г NaHSO_4 , кипятят ~16 час. до ~215° в токе N_2 , полученные продукты дважды промывают разб. Na_2CO_3 и водой до нейтр. р-ции, затем обрабатывают 30 г обезвреживающего углерода, непрореагировавшие в-ва отгоняют при 0,1 мм и т-ре до 200° и получают 1,428 г (1,068 г после очистки глянью) смешанного изооктил n -октил, 2-этилгексильного эфира I и II, т. заст. —50°. И. Берлин

9M355. Способ получения катинообменных агентов на основе тяжелых нефтяных остатков и применение этих агентов. Tirtiaux Robert, Tourret Roger. Procédé de fabrication d'échangeurs de cations à partir de produits lourds du pétrole et leurs applications. [Esso Standard (Soc. An. française)]. Франц. пат. 1209780, 3.03.60.—Для получения катинообменных агентов, которые можно применять для смягчения воды, обработки молока, вина и для других целей, подвергают обработке к-тами H_2SO_4 (или олеумом), HSO_3Cl , либо ангидридами минер. к-т остатки от перегонки или деасфальтизации нефти, имеющие пенетрацию (по ASTM) 0—350 при 25° и т. размягч. (по методу кольца и шара) 20—250°. К-та берется в кол-ве 50—400 вес.% от обрабатываемых нефтяных остатков. Пример. 20%-ный р-р в CCl_4 битума из парафинистой нефти (Кувейт) с пенетрацией 180—220 обработан в течение 1 часа при 30° 150% (по отношению к битуму) 20%-ного олеума. Продукт разбавлен водой, CCl_4 и отогнан. Получены хорошие результаты в опытах смягчения воды. Е. Покровская

9M356. Способ приготовления стабильных эмульсий. Courtel-Salomon. Emulsions autostables et leur procédé de fabrication. [Institut Français du Pétrole, des Carburants et Lubrifiants]. Франц. пат. 1217018, 4.05.60.—Стабильные эмульсии получают смешением жидкого водонерастворимого органич. соединения (I) высокой чистоты, содержащего ~0,0001 загрязнений, с дистил. водой. Как I применяют сложный эфир полиэтиленгликоля, полипропиленгликоля, жирной к-ты или поликарбоновой к-ты, при этом I должен эмульсифицироваться водой, пригодным I является дирицинолеат полиэтиленгликоля (II), полученный из полиэтиленгликоля с мол. в. 400. В зависимости от содержания I в эмульсии получают эмульсию типа масло в воде ($< 25\%$ I) или типа вода в масле (> 25 —30% I). В качестве дисперсионной среды вместо воды можно применять смесь воды с водорастворимым спиртом, глицером или кетоном, либо воду, насыщ. частично растворимой в ней органич. жидкостью, как этилацетат. Под

черкивается, что стабильные эмульсии получают только с I и водой указанной высокой чистоты. Пример. В 960 г дистил. воды, перемешиваемой мешалкой со скоростью 400 об/мин., добавляють в течение 5 мин. 20 г II, после чего перемешивание продолжают еще 10 мин. Полученная эмульсия имеет поверхностное натяжение 37,3 дин/см против 73,7 дин/см для чистой воды, при хранении не расслаивается в течение года при ~20° и в течение 5 дней при 80° и устойчива в кислой среде (HCl), но быстро разрушается в щел. среде и в присутствии солей. А. Равикович

9M357. Водные эмульсии минеральных масел и тяжелых нефтяных растворителей. Emulsions aqueuses d'huiles minérales et de solvants lourds du pétrole. [Soc. Union Chimique Belge Soc. An.] Бельг. пат. 554927, 28.02.57.—Эмульсионное масло, применяемое в виде водн. эмульсий при обработке металлов и для промывания прижи, получают смешением минер. масла (или тяжелого нефтяного р-рителя) с 2 эмульгаторами: 1) сульфатом ф-лы $[R'Ag(R'')(R''')(R''')SO_3]_nM$, где Ag—арил; R = H или CH_3 ; R' = H или OH; R''—алкил $C_8—C_{12}$; R''' = H или алкил $C_8—C_{12}$; сумма атомов S в R'' + R''' в пределах 8—24; n = 1—2; M = Na, K, NH₄, Ca, Ba, Mg или радикал органич. основания, напр. моно-, ди- или триэтаноламина; 2) продукт конденсации окиси алкилена с органич. соединением, содержащим гидроксильную, карбоксильную, аминную или сульфгидрильную группу. Смесь присадок (5—50% 1-й присадки и 95—50% 2-й) до смешения с маслом рекомендуется промыть водн. р-ром нейтр. электролитов, напр. NaCl. К маслу добавляють 2—10% общего кол-ва обоих присадок. Пример. К смеси, состоящей из (г) 30 динонилфенолсульфоната, моноэтаноламина и 70 продукта конденсации 1 моля олеиновой к-ты и 6 молей окиси этилена, добавляють при 50° р-р 12,5 NaCl в 100 воды, нагревают до 80°, охлаждают, отделяют верхний слой эмульгаторов и 5 последнего смешивают с 95 масла (вязкость 3,6° E при 20°), получая прозрачное эмульсионное масло, которое дает стабильную 10%-ную водн. эмульсию. Н. Богданов

9M358. Маслорастворимые сульфонаты металлов и способ их изготовления. Le Seur William M. Oil-soluble metal sulfonates and process for the preparation thereof. [The Lubrizol Corp.] Пат. США 2915517, 1.12.59.—Для изготовления маслорастворимых щел-зем. металлич. сульфонатов с повышенным содержанием металла, применяемых в качестве detergentных присадок к смазочным маслам, сульфатируют (напр., хлорсульфоновой к-той) маслорастворимый нейтр. сульфат щел. или щел-зем. металла, либо маслорастворимую нейтр. щел. или щел-зем. металлич. соль продукта р-ции алифатич. полиолефина с сульфидом R или с S + PCl₃, образовавшуюся кислоту металлич. соль обрабатывают основанием щел-зем. металла, взятого в избытке против стехиометрич. кол-ва, в присутствии промотора из фенольных или спиртовых соединений, напр., продукт конденсации алкилфенола и CH_2O . Пример. К (г) 14 940 полиизобутилена (средний мол. в 750) прибавляють при 260° порциями в течение 6 час. 2199 P₂S₅, нагревают еще 2 часа при 260°, обрабатывают при 162° 1080 водяного пара и фильтруют; к смеси 685 филтраты, 500 минер. масла и 30 воды прибавляють при 70° порциями 56 Ca(OH)₂, нагревают в течение 1 часа с обратным холодильником, сушат подогревом до 180° и фильтруют; к р-ру 300 филтраты в 300 г минер. масла прибавляють при 70° в течение 30 мин. 20 HSO₃Cl, избыток к-ты разлагають водой, добавляють 68 Ca(OH)₂ и 445 фенола, через смесь при 170° пропускають CO₂ до кислотности продукта, добавляють 159 минер. масла и 63 изоктиллового спирта, фильтруют, получают светлую жидкость: S 0,7%, Ca 2,9%, щелочность 2; отношение эквивалентов металла к эквивалентам органич. к-ты 3,9. Приведены результаты испытаний на дизелях, иллюстрирую-

щие высокие detergentные качества масел, содержащих указанные сульфонаты в кол-ве 0,6—1%, считая на сульфатную золу. С. Розенфельд

9M359. Рабочая жидкость для анодно-механических металлообрабатывающих станков. Sz tankó Lajos. Munkafolyadék anódmechanikus forgácsoló gépekhez. Венг. пат. 146156, 15.02.60.—Предлагается в качестве рабочей жидкости для шлифовальных, сверлильных и т. д. станков, работающих по анодно-механич. принципу, водн. суспензия, содержащая 5% бентонита, предпочтительно активированного, с вязкостью 2—2,1 (2,06) $\frac{3}{20}$ и с d_{15} 1,01—1,05 (1,03). Щелочность суспензии: расход 0,1 н. HCl для нейтрации суспензии 1 г бентонита $\geq 2,5$ мл; перед употреблением суспензию рекомендуется выдерживать ≥ 24 час. Предлагаемая жидкость не только полностью заменяет жидкое стекло, но по сравнению с последним способствует повышению производительности станков на 40—60%. С. Розенфельд

9M360. Смазочный материал для компрессора, обеспечивающего циркуляцию газа на установках гидроформинга. Hilliker William P., Wheeler Harry K. Lubricant for recycle gas compressor employed in hydroforming systems. [The American Oil Co.] Пат. США 2833721, 6.05.58.—При циркуляции H₂ на установке гидроформинга лигроиновое масло, которым смазывается компрессор, частично увлекается H₂, что приводит к образованию углеродистых отложений на Рт-катализаторе. Предлагается смазочный материал, при применении которого таких отложений не наблюдается. Он представляет собой смесь полимеров бутылена с вязкостью от 20 сст при 38° до 220 сст при 99°, причем смесь характеризуется вязкостью от 8 до 18 сст при 99°. К этой смеси добавляется $\leq 1\%$ жирового агента, обеспечивающего маслянистость, напр., спермацетового масла. Н. Богданов

9M361. Извлечение насыщенных пергалонированных фторсодержащих углеводородов. Baranuckas Charles F., Campbell Donald H. Recovery of saturated perhalogenated fluorine-containing hydrocarbons. [Hooker Chemical Corp.] Пат. США 2916526, 8.12.59.—Предложен метод извлечения водонерастворимых насыщ. пергалонированных фторсодержащих углеводородов, жидких при t-ре ~150° и устойчивых в условиях сильного окисления, из смеси их с углеводородными примесями, содержащимися в кол-ве до 25%. Загрязненный пергалонированный фторсодержащий углеводород обрабатывают 50—110 вес. % сильно-го сульфатирующего агента (хлорсульфоновая к-та, фторсульфоновая к-та, SO₃ и др.) при t-ре от 20 до 145°, в течение 0,5—14 час. Реакционную смесь охлаждают и постепенно вводят ее в лед. Полученную смесь промывают водой, отделяют образовавшийся водонерастворимый пергалонированный фторсодержащий углеводородный слой и очищают его для получения продукта, практически свободного от примесей. Пример. В трехгорлую склянку, снабженную воронкой, электрометрической, термометром, рубашкой для электрообогрева, было загружено (г) 542 полимера хлортрифторэтилена (прозрачная бесцветная жидкость с вязкостью 16,72 сст при 40°), 25 керосина и 593 технич. хлорсульфоновой к-ты. Смесь нагревали до 136—150° при непрерывном перемешивании в течение 13,5 час. После охлаждения реакционную смесь постепенно вводили в сосуд со льдом и хорошо промывали затем потоком воды при помощи инжектора, так что вода вытекала через перемешиваемый хлортрифторэтиленый слой. Выделенный промытый полимер затем нагревался в трехгорлой склянке, снабженной электрометрической и термометром, с (вес. %) 2 Na₂CO₃ и 1 отбеливающей глины при 100—110° в течение 1 часа и фильтровался. Было получено 520 г полимера в виде прозрачной бесцветной жидкости с вязкостью 16,4 сст,

при 40°, содержание керосина было менее 50%. Библ. 6 назв.

9М362. Композиция звукоизоляционного материала. Watson William B. Sound-deadening composition of matter. [Sinclair Refining Co.]. Пат. США 2858231, 28.10.58.—Композиция звукоизоляционного материала, состоящая главным образом из наполнителя — волокна, пробки, войлока, асбеста и связующего — фракции нефтяной ароматич. смолы с $d_{15.6}^{15.6}$ 1,01, трой размягчения (метод кольца и шара) 38—66°, пенетрацией при 25° 10—200, вязкостью при 99° 4,4—133 сст и индексом вязкости <—100. Соотношение наполнитель: смола = 0,7—1,5:1 в зависимости от характера наполнителя. Вяжущая смола получается как остаток при экстрагировании пропаном фенольного экстракта смазочного масла. Описывается получение смолы и приводятся примеры различных звукоизоляционных составов.

В. Щекин
9М363. Прибор для определения температуры затвердевания нефтепродуктов. Прокопчук С. Г. Авт. св. СССР 127518, 25.03.60.—Отличие предлагаемого прибора от существующих состоит в том, что для автоматизации и ускорения, а также повышения точности определения внутри цилиндра, помещенного в охлаждающую баню, смонтированы крыльчатка и термомпара, взаимосвязанные между собой потенциометром, сильфоном и контактным замыкателем. Дана схема прибора.

А. Нагаткина
9М364. Устройство для непрерывного определения содержания воды в нефти. Ремнев В. Ф., Ганцевич И. Б. Авт. св. СССР 131523, 10.09.60.—Предложено устройство для непрерывного определения содержания воды в нефти сравнением диэлектрич. постоянной испытуемого образца до и после обезвоживания. С целью упрощения измерительной системы устройство снабжено компенсационным переменным конденсатором, вибропрерывателем с частотой, напр., 50 гц. Приведена принципиальная схема устройства с описанием.

А. Некрасов
9М365. Способ оценки коррозионных свойств моторных масел. Папок К. К., Зарубин А. П., Захаров Г. В. Авт. св. СССР 129872, 1.07.60.—Для оценки коррозионных свойств масел в условиях, близких к эксплуатационным, испытуемое масло нагревают до установленной т-ры и подвергают циркуляции, напр.

в течение 2 час., при перемешивании с воздухом, с непрерывной смывкой осадка с поверхности специально установленных пластин (свинцовых и медных) и с последующим определением осадкообразования по разности веса пластин. Коррозионные свойства оцениваются по изменению веса свинцовых пластин за время испытания; величина коррозии выражается в г/м² час. Предлагается установка, позволяющая проводить суммарную оценку свойств масел: коррозионные свойства, склонность к осадкообразованию и испаряемость масел в чистом виде и с различными присадками (схема установки приводится). Испытание масел на установке ведется при следующих условиях: кол-во масла 250 мл, т-ра масла 150°, скорость циркуляции 150 л/час, кол-во поступающего воздуха 50 л/час, продолжительность испытания 2 часа.

А. Нагаткина
9М366. Способ определения склонности масел к образованию воздушных эмульсий. Grosze-Oetringhaus Helmut, Seemann Walter. Verfahren zur Bestimmung der Tendenz von Ölen zur Bildung von Aero-Emulsionen. [Deutsche Shell A.-G.]. Пат. ФРГ 1070408, 19.05.60.—Предлагается способ определения склонности масел к образованию воздушных эмульсий (ВЭ), состоящий в том, что в пробе масла (250 мл) распыляется сжатый воздух (до 1,2 атм) и содержание воздуха в получаемой ВЭ, а также изменение содержания воздуха в ней во времени устанавливается на основании определения уд. веса (d) ВЭ через определенные промежутки времени с помощью весов Морша. Для распыливания воздуха применяется водоструйный насос. Содержание воздуха (об.%) в ВЭ по измеренному d подсчитывается по ф-ле $Y = 100(d_1 - d)/(d_1 - 0,0012)$, где d — уд. вес масла, а 0,0012 — уд. вес воздуха. Приводятся схема прибора для насыщения масла и его описание, а также график зависимости Y от d ВЭ для масел с d_1 при 20° от 0,880 до 0,910.

Б. Энгеля
См. также: Переработка природных газов и нефти. Происхождение нефти и природных газов 9Г37, 9Г84—9Г86, 9Г88—9Г90, 9Г138. Крекинг каталитический 9И29. Оборудование на нефтеперерабат. з-дах 9И55, 9И70, 9И86. КИП 9И132. Коррозия 9И187, 9И188, 9И194, 9И231, 9И233, 9И239. Техника безопасности 9И347, 9И351. Анализы и испытание нефтепродуктов 9Л5

Рефер

Редак

9Н1.
ценности
alimentai
100—102,
законы,
лучения.
являющ
получаю
рефлекто
ны волн
излучени
примене
тор, рег
УФ-излу
9Н2.
продукто
и органи
chim. Ас
(рез. не
9Н3.
Sáinz
pida de
113 (исп
сит от с
дуктов а
духа 2—
качество
свежести
и услови
ные про
ной вла
баниях.
9Н4.
гов]. Т
chim. А
примене
9Н5.
аромат
Dries
ration d
chim. А
(франц.
чины у
консерв
тивное

31 хим

РЕФЕРАТИВНЫЙ ЖУРНАЛ ХИМИЯ

VIII

Рефераты 9Н1—9Н504

№ 9

10 мая 1961 г.

Н. ХИМИЯ И ТЕХНОЛОГИЯ ПИЩЕВЫХ ПРОИЗВОДСТВ, ЖИРОВ, МОЮЩИХ СРЕДСТВ, ФЛОТОРЕАГЕНТОВ И ДУШИСТЫХ ВЕЩЕСТВ

ПИЩЕВАЯ ПРОМЫШЛЕННОСТЬ

Редакторы Б. А. Николаев, Г. А. Новоселова,
А. Л. Прогорович, Ю. С. Чельцова

9Н1. Применение излучений в пищевой промышленности. Berard A. Les radiations dans l'industrie alimentaire. «Rev. techn. ind. aliment.», 1960, 7, № 80, 100—102, 105—107, 176 (франц.).—Приведены общие законы, которым подчиняются электромагнитные излучения. Рассмотрены принципы воздействия ионизирующих излучений на облучаемый объект. УФ-лучи получают от спец. генераторов или от ртутных ламп с рефлектором. Для получения лучей определенной длины волны применяют фильтры. Для измерения УФ-излучений служат фотометры, но при промышленном применении УФ-лучей достаточно иметь прибор-детектор, регистрирующий не кол-во, а только наличие УФ-излучения. В. Корякова

9Н2. Применение холода для сохранения пищевых продуктов, влияние его на их питательную ценность и органолептические качества. Рюттов Д. Г. «Acta chim. Acad. scient. hung.», 1960, 23, № 1—4, 327—338 (рез. нем., англ.).—Обзорная статья. Библ. 12 назв.

9Н3. Быстрое замораживание пищевых продуктов. Sáinz Ubarrechena Rogelio. Congelación rápida de alimentos. «Téc. industr.», 1960, 9, № 46, 109—113 (исп.).—Качество замороженных продуктов зависит от скорости их замораживания. Большинство продуктов замораживают при -30 , -40° и скорости воздуха $2-6$ м/сек. Помимо скорости замораживания, на качество замороженных продуктов влияет степень их свежести при замораживании, их подготовка, упаковка и условия хранения. Рекомендуют хранить замороженные продукты при низкой т-ре и высокой относительной влажности воздуха при незначительных их колебаниях. Г. Логинова

9Н4. Обезвоживание и сушка [пищевых продуктов]. Török G. Dehydration und Trocknung. «Acta chim. Acad. scient. hung.», 1960, 23, № 1—4, 279—290 (нем.; рез. англ., русск.)

9Н5. Теплота, как фактор, изменяющий вкус и аромат пищевых продуктов. Deschreider A. R. Driessche S. van den. La chaleur, facteur d'altération de la saveur et de l'arôme des aliments. «Acta chim. Acad. scient. hung.», 1960, 23, № 1—4, 313—326 (франц.; рез. нем., русск., англ.).—Рассмотрены причины ухудшения вкусовых свойств продуктов при консервировании тепловой обработкой: неферментативное потемнение, разложение (катализируемое ме-

таллами) отдельных компонентов продуктов с образованием в-в, ухудшающих вкус и аромат продуктов, воздействие остатков фунгицидов. Необходимы: разработка способов асептич. переработки продуктов, устранение загрязнения металлами, регулирование условий тепловой обработки. Г. Н.

9Н6. Исследование применения сухих дрожжей для пищевых продуктов. I. Рецептуры кулинарных изделий с добавлением сухих дрожжей и пищевых смесей с умеренным содержанием дрожжей. Ishii Ryuichiroh, Ohta Iso, Tanaka Aya, Kanbara Kumiko. «Эйё то сёкурё, J. Japan. Soc. Food and Nutr.», 1960, 13, № 2, 100—102 (японск.; рез. англ.).—Исследовано 34 рецептуры кулинарных изделий с применением сухих дрожжей *Mycotorula japonica*, выращенных на отработанных сульфитных целоках. Из резюме авторов

9Н7. Возможности применения радиоактивно-абсорбционных методов для контроля и регулирования в пищевой промышленности. Kaffka Károly, Orient Ottó. Radioaktív abszorpciós módszerek alkalmazása élelmiszeripari mérési és szabályozási feladatoknál. «Élelm. ipar.», 1960, 14, № 10, 289—293 (венг.; рез. русск., нем., англ.).—Рассмотрены источники бета- и гамма-радиации, подходящие для применения в пищевой пром-сти, физ. характеристики абсорбции бета-, гамма- и рентгеновских лучей, и аппаратура, применяемая для этих излучений. Описаны две модели, сконструированные авторами, из которых одна является оборудованием для непрерывного контроля и измерения плотности (или концентрации), основанном на абсорбции бета-лучей и применении изотопов Sr^{90} — Y^{90} . Другая модель состоит из измерителя плотности в непрерывном потоке по абсорбции гамма-лучей Cs^{137} . Из резюме авторов

9Н8. Исследование роста *Aspergillus oryzae* на облученных пищевых продуктах. Fields M. L., Ammerman G. R., Desrosier N. W. A study of the growth of *Aspergillus oryzae* in irradiated components of foods. «Food Technol.», 1960, 14, № 8, 407—409 (англ.).—В литературе имеются указания на ускорение загнивания некоторых плодов и овощей после воздействия на них ионизирующего облучения (ИО). Авторами исследовано влияние предварительного ИО крахмала, желатин, глюкозы и аспарагина на скорость роста на них *Aspergillus oryzae* (А. о.). Питательные среды облучали линейным ускорителем электронов мощностью $5,6$ Мэв. Приведены рецептуры питательных сред и режимы облучения. О развитии культуры судили по весу высушенного мицелия. Установ-

лено, что скорость роста *A. o.* на глюкозной и глюкозо-аспарагиновой средах повышается после предварительного ИО. На желатиновой среде изменения скорости роста не обнаружено. На крахмальной среде при дозах облучения 392×10^4 рад обнаружено замедление роста *A. o.* Авторы полагают, что ИО, по-видимому, может быть использовано как фактор улучшения питательных сред для микроорганизмов.

А. Семенова

9Н9. Применение катодно-лучевого полярографа для анализов пищевых продуктов. Hetman J. S. The application of the cathode ray polarograph in food analysis. «Lab. Pract.», 1960, 9, № 8, 563—567 (англ.).—Полярографическим методом в р-ре, содержащем виннокислотную к-ту и HNO_3 , могут быть определены одновременно Cu , Pb и Zn . Приведены методики определения металлов в какао, пиве, мясном экстракте, вине и безалкогольных напитках, а также аскорбиновой к-ты, сахараина, SO_2 и бензойной к-ты в последних.

Г. Н.

9Н10. Применение фотометрии пламени в анализе продуктов консервного производства. Сагакова В. П., Любимая А. И., «Тр. Укр. н.-и. ин-та консерв. пром-сти, 1959, вып. 2, ч. 1, 92—96.—Разработан пламеннофотометрич. метод определения Na в золе консервов по резонансным линиям при 589,0 и 589,6 мк на фильтровом фотометре с оранжевым светофильтром ОС-12 и дополнительным жидкостным фильтром (7,5%-ный р-р CuSO_4 в 2-см кювете из плексигласа) с использованием пламени светильного газа (давление в распылителе 0,7 атм). Чувствительность определения Na 0,3 мкг/мл. Калибровочный график прямолинейен при конц-ии $\text{Na} < 10$ мкг/мл, а далее несколько загибается к оси абсцисс, что не мешает определению Na до конц-ии 150 мкг/мл. Определению не мешают Fe , Al , Mg , K , P , Cu , Sn , но мешает Ca . 10 г средней пробы озоляют, выпаривают с 2 н. HCl (2 раза по 5 мл), растворяют в 10 мл 2 н. HCl , фильтруют и разбавляют фильтрат водой до 100 мл. В 10 мл полученного р-ра осаждают Ca 2,5 мл 10%-ного р-ра $(\text{NH}_4)_2\text{C}_2\text{O}_4$ и NH_4OH . CaC_2O_4 отфильтровывают, фильтрат разбавляют до 100 мл и фотометрируют. Продолжительность определения 10—15 мин., относительная ошибка $< 4,5\%$.

Н. Сабуров

9Н11. Ускоренный метод определения калия и натрия в консервах с помощью фотометрии пламени. Сагакова В. П., Любимая А. И. «Консервы. и овощесуш. пром-сть», 1960, № 10, 24—26.—По методике, описанной ранее, проведены пламеннофотометрич. определения Na и K в консервах. К определяли при 766,5 и 769,9 мк с применением сульфидно-серебряного фотоэлемента и комбинированного светофильтра (желатиновая пленка, окрашенная бриллиантовым зеленым + светло-красный светофильтр + 20%-ный р-р $\text{Co(NO}_3)_3$). Методика определения Na была описана ранее. Для определения точности данного метода в ряд консервов вносили K (или Na) в кол-вах 100—495 мкг на 1 кг. Отклонения в кол-вах внесенного K (определенных по разности кол-в K , найденного в консервах с внесением и без внесения K) лежали между $-2,1$ и $+2,2\%$. При определении Na эти отклонения находились в пределах от $-4,0$ до $+2,0$. Определение, не считая длительности озоления, занимает 5—10 мин. для K и 20—30 мин. для Na . См. также реф. 9Н10.

Ю. Ч.

9Н12. Ускоренный метод определения содержания олова в консервах. Сагакова В. П., Любимая А. И. «Консервы. и овощесуш. пром-сть», 1960, № 9, 37—40.—Разработан метод, основанный на применении реактива пирокатехинового фиолетового, дающего с оловом окрашенное комплексное соединение. Оптич. плотность р-ров измеряют на фотометре ФМС-56 при красном светофильтре (619 мк). Метод пригоден для определения 0,5—40 мкг олова в 1 мл р-ра при pH 3,5.

Г. Н.

9Н13. Новый способ извлечения, концентрирования и очистки водорастворимых кислотных красителей, содержащихся в пищевых продуктах и напитках. Stelzer Dellinger Harald. Nuevo metodo para extraer, concentrar y purificar colorantes sinteticos acidos hidrosolubles en alimentos y bebidas. «An. bromatol.», 1960, 12, № 1, 113—115 (исп.).—Образец растворяют в 20 мл воды, р-р пропускают через колонку с 15—20 г катионита I Merck, подкисляют фильтрат каплей лед. CH_3COOH , вносят 5 г Al_2O_3 , декантируют, повторяют подкисление и адсорбцию новой порцией Al_2O_3 , промывают Al_2O_3 этанолом, десорбируют краситель 20 мл воды с каплей NH_3 и окрашенный фильтрат хроматографируют на бумаге.

К. Герцфельд

9Н14. Применение хроматографии для исследования красителей в пищевых продуктах и фармацевтических материалах. Stelzer Dellinger Harald. Aplicación de la cromatografía a la investigación de colorantes en alimentos, bebidas y productos farmacéuticos. «An. bromatol.», 1960, 12, № 1, 9—18 (исп.; нем.).—Описаны методики хроматографич. разделения и идентификации красителей, содержащихся в пищевых продуктах и фармацевтич. препаратах. Разработан метод отделения кислотных красителей, растворимых в воде, от основных и природных красителей на окиси алюминия. Метод не требует применения сильных щелочей, к-т или нагревания. Основные красители разделяют на предварительно обработанной окиси алюминия.

Н. Сабуров

9Н15. Микробиологическое определение консервантов и других бактерицидных веществ в пищевых продуктах. Часть I. Sándi Emil, Szántha János. Konzerválószerek és egyéb antimikrobás anyagok mikrobiológiai kimutatása élelmiszerekben. I. rész. «Élelmiszervizsg. közl.», 1960, 6, № 6, 141—151 (венг.; рез. русск., нем., англ., франц.).—Модифицирован метод Kluyver's и Mossel's (с применением в качестве тесторганизмов *Saccharomyces cerevisiae*), основанный на измерении объема образующегося CO_2 . Метод позволяет определять (в г/мл): салициловой к-ты 0,142, бензойной и сорбиновой по 0,06, п-хлорбензойной 0,08.

Г. Н.

9Н16. Заражение воды и пищевых продуктов отравляющими газами и их обеззараживание. Sánchez Caruchino A. La impregnación y desimpregnación de agua y alimentos contaminados por gases de guerra. «An. bromatol.», 1960, 12, № 3, 253—264 (исп.; рез. англ.).—Описаны способы обеззараживания воды и пищевых продуктов, отравленных хим. газами, приготование реактивов. Приведены списки необходимых хим. реагентов для организации спец. аналитич. лабораторий.

Из резюме автора

9Н17. Санитарно-гигиенические указания для пищевых производств. Holstein Ernst. Arbeitshygieneische Hinweise zur Nahrungs- und Genuß-mittelherstellung. «Z. ges. Hyg.», 1960, 6, № 7, 396—401 (нем.).

9Н18. Гомогенизатор для пищевых продуктов. Pannasch K., Mehnert D. Homogenisiermaschine für Lebensmittel. «Lebensmittel-Ind.», 1960, 7, № 8, 393—396 (нем.).—Изложена теория эмульгирования и перечислены способы получения эмульсий. Разработана конструкция гомогенизатора для произ-ва соусов для рыбных блюд, содержащего (в %): томат-пюре 30, масла 10, кукурузной муки 5, воды 54,6, пряностей 0,4.

В. Гурин

9Н19. Взгляды руководства на контроль качества — проблема связи. Pratt D. B. Jr. Management looks at quality control — a communications problem. «Cereal Sci. Today», 1960, 5, № 4, 90—92, 99 (англ.).—Обсуждаются примеры слабой связи между работниками по контролю качества зерновых товаров, их поставщиками, торговцами, потребителями и необходимым порядком организации ее усиления.

В. Базарнов

9Н20. Приспособления к прибору для определения удельной растяжимости клейковины. Доманская

Ю. «Мукон...»
30.—Описан...
рика сыро...
тяжести...
держивани...
жательнос...
применени...
10 сек., в...
Зная объе...
по шкале...
тру воды...
ния и наг...
9Н21. У...
ския заме...
пшеницы...
W. T., Gu...
sock Ke...
dough-mix...
selections...
(англ.).—К...
числом с...
Пинкнея)...
ста (ХМС)...
не Миксо...
«силу»)...
требуют м...
20 г на се...
лованы де...
дцы (хоро...
Испытани...
гибридов...
ние белки...
стики зам...
мешивани...
Высокие...
ие В. Ни...
щества м...
пользова...
одно опр...
9Н22. У...
и питате...
b. Morf...
post kuku...
(серб-хо...
составу и...
лич. факт...
туре зер...
зой было...
га). В ср...
славии 2...
Желтый...
вом почв...
соответс...
ти 112, ...
сортам и...
белки 8, ...
целлюло...
В, 148—...
9Н23. У...
доказате...
ратацион...
S. Deo...
rice, eff...
ibility, ...
rice. «J...
(англ.).—...
ния про...
лений п...
разма...
при объ...
хим ль...
48 час...
пов до...
24 часа...

Ю. «Мукомольно-элеват. пром-сть», 1960, № 11, 29—30.—Описание приспособления для прокалывания шарики сырой клейковины при определении ее уд. раст. тинности на приборе УРК и нагревателя для под- держивания в сосуде прибора т-ры воды 30°. Продол- жительность прокалывания образца клейковины с применением приспособления сокращается до 8—10 сек., вместо затрачиваемых обычно 140—160 сек. Зная объем воды в сосуде и т-ру окружающей среды, по шкале нагревателя можно установить заданную т-ру воды в сосуде. Приведены схемы приспособле- ния и нагревателя.

Г. Джиладдарова

9Н21. Число седиментации как индексе характери- стик замешивания теста на ранних стадиях селекции пшеницы. Zeleny Lawrence, Greenaway W. T., Gurney Georgia M., Fifield C. C., Leb- sock Kenneth. Sedimentation value as an index of dough-mixing characteristics in early-generation wheat selections. «Cereal Chem.», 1960, 37, № 5, 673—678 (англ.).—Исследование, посвященное связи между числом седиментации по Зелени (в модификации Пинкнея) и характеристиками механич. свойств теста (ХМС), полученными на регистрирующей месиль- ной миксограф. Оба показателя определяют содержание и «силу» гидратированных белков клейковины. Они требуют миним. кол-ва зерна (50 г на миксограмму и 20 г на седиментацию). В качестве материала исполь- зованы два сорта яровой красной стекловидной пшени- цы (хорошего и низкого хлебопекарного качества). Испытанию подвергали оба сорта и 159 скрещенных гибридов в стадии F₃. В таблицах приведены содержа- ние белка (Б), числа седиментации (ЧС), характери- стики замешивания (продолжительность, стойкость за- мешивания и угол разжижения), коэф. корреляции. Высокие коэф. установлены между ЧС и ХМС, а также Б. Низкие — между ХМС и Б. Приводятся преимущ- ества метода ЧС и отмечается возможность его ис- пользования в селекции (снижение кол-ва зерна на одно определение до 2 г).

Б. Н.

9Н22. Морфологические и химические особенности и питательная ценность кукурузы. Milatović Lj. b. Morfološke, kemijske osobine i hranidbena vrijed- nost kukuruza, «Poljopr. pregl.», 1960, 9, № 5, 185—194 (сербо-хорв.).—Статья посвящена урожайности, хим. составу и влиянию на них климатич., а также агротех- нич. факторов. Даются элементарные сведения о струк- туре зерна. По данным 1957 г. во всем мире кукуруз- ной было засеяно 89,8 млн. га (в Югославии 2,59 млн. га). В среднем с 1 га получают 18,3 ц зерна (в Юго- славии 21,9 ц). Лучшие югославские сорта кукурузы: Желтый зубан, дающий в среднем 174,2 г зерен на од- ном початке, вес 1000 зерен 24,2 г; Хрватица 146,6 г, соответственно 23,2 г; Осмак 129,2 г и 31,8 г; Чинкван- тик 112,0 г и 19,7 г. Хим. состав зерен упомянутых сортов колебался в пределах (%): влага 10,6—12,6; белки 8,34—9,80; жиры 4,14—5,40; крахмал 66,76—69,29; целлюлозы 1,36—2,03; витамина (γ%): В₁ 471—688; В₂ 148—169; РР 13,95—16,89.

З. Лебедева

9Н23. Влияние процесса замораживания на ами- лоластическую устойчивость, кристаллизацию и гид- ратационную способность риса. Roseman Arnold D., Deobald Harold J. Freeze-processing effects on rice, effect of freeze-processing on amyloclastic suscep- tibility, crystallinity, and hydration characteristics of rice. «J. Agric. and Food Chem.», 1959, 7, № 11, 774—778 (англ.).—Исследование, проведенное с целью выясне- ния процессов ретроградации крахмала и других яв- лений при замораживании вареного риса. Рис Рехого размалывали, варили, промывали и сушили на воздухе при обычной т-ре, а также путем замораживания су- шим льдом в ацетоне с последующей сушкой 36—48 час. под вакуумом (давл. 50 м.рт.ст.). Часть образ- цов до сушки замораживали в контейнерах при —22° 24 часа, после чего хранили 48 час. при 4° и сушили.

Образцы испытывали методом гидратации, гидролизом водн. суспензий препаратами α- (бактериальной) и β- (ячменной) амилаз, вязкости на амилографе и ди- фракции лучей рентгена. Гидратационная способность оценивалась путем деления веса образца после варки (с учетом потерь) при т-рах 65—100° на вес сухого риса. Различия гидратации размолотого вареного и замороженного риса оказались незначительными. За- мораживание понижало кол-во мальтозы, образуемой амилазами. Сушка сублимацией повышала этот пока- затель, сравнительно с сушкой на воздухе. Амилогра- фич. метод не дал результатов. Замороженный крах- мал имел рентгенограмму, характерную для процесса ретроградации и кристаллич. состояния. Сделано за- ключение, что замораживание и воздушная сушка приводит к явлению, подобному ретроградации крах- мала, которое контролируется испытанными метода- ми, особенно гидролизом β-амилазой.

Б. Н.

9Н24. Мельницы по производству манной крупы в Нормандии. Gomon d H. La semoulerie de Normandie. «Techn. meunière», 1960, № 78, 9—11 (франц.).—Опи- сание мельницы в г. Руане производительностью 600 4 манной крупы в сутки.

Г. Д.

9Н25. Витаминизация муки. Абрам А. «Муко- мольно-элеват. пром-сть», 1960, № 11, 12.—Описаны способы витаминизации муки в потоке на мельницах: а) непосредственным микродозированием витаминов в муку, идущую по шнеку после взвешивания на ве- сах ДМ-100, дозирования на тарельчатом дозаторе или ДП-1, б) равномерным смешением муки и предвари- тельно приготовленных смесей витаминов с мукой. Приведена схема витаминизации муки на мельнице № 4 в г. Рыге.

Г. Джиладдарова

9Н26. Аэросепарирование муки из стекловидной яровой пшеницы на фракции с размером, не достигае- мым ситовым анализом. Graszka Rezső. The sub- sieve-size fractions of a hard red spring wheat flour produced by air classification. «Cereal Chem.», 1960, 37, № 5, 579—593 (англ.).—Исследование, посвященное разделению муки аэродинамич. методом, по размеру, плотности и форме частиц, на фракции с различным содержанием белка (Б), проведено на муке (М) па- тент, выходом 86%, имевшей 13,8% Б, путем 7-крат- ного пропуска через воздушный сепаратор, по приве- денной схеме. Исходная М и ее фракции (Ф) контро- лировались по выходу, размерам частиц, содержанию Б, плотности и насыпному весу, диастич. активности, влагоемкости по цел. пробе, механич. характери- стикам теста на фаринографе, экстенсографе и другим показателям. Приведены микрофотографии частиц Ф, гистограмма содержания в них Б, дифференциальные и интегральные кривые распределения частиц по раз- меру, таблицы данных анализа, кривые фаринграмм и экстенсограмм. Установлено, что стекловидная пше- ница менее пригодна для фракционирования белка муки, чем мунистая (перемещение белка внутри Ф 5,4 и 27,7% соответственно). С уменьшением размера частиц содержание влаги снижалось; кол-во Б, диастич- еская активность, содержание золь, свободных жирных к-т, щелочное водопоглощение, насыпной вес, увеличивались. Плотность снижалась с увеличением Б. Значительно изменялись также кривые фарино- грамм и площади экстенсограмм. Однако это измене- ние было менее заметным, чем у Ф мягкой мунистой пшеницы и имело иной спектр распределения отдель- ных Ф. Содержание тиамина было заметно выше в Ф с значительным кол-вом Б и особенно с малыми раз- мерами. В отличие от М мунистой пшеницы, дающей, кроме высокобелковых Ф малого размера, лишь крах- малоподобный продукт, пригодный для изготовления пирожных, стекловидное зерно дает в грубых Ф и М, пригодную для хлебных изделий. Библ. 17 назв. Б. Н.

9Н27. Определение соотношения количеств бета- каротина и общих каротиноидов как метод выявления

добавки бетакаротина в пищевые продукты. De Giulio Gerolamo, Muntoni Francesco. Sul rapporto betacarotene: carotinoidi totali in funzione dell'acceleramento dell'aggiunta di betacarotene nelle paste alimentari. «Boll. lab. chim. provinc.», 1960, 11, № 2, 141—146 (итал.; реф. франц., англ., нем.).—На основании лабораторных опытов предложен быстрый метод определения соотношения кол-ва вымываемых каротиноидов и их общего кол-ва в экстрактах макарон без применения инертного газа; лучшие результаты получены при экстрагировании на холоду. Подтверждено, что указанное соотношение часто превышает величину 10 в чистых продуктах, напр. в яичной лапше. Максимальное вымываемых каротиноидов в чистых продуктах достигает ~15%. Из резюме авторов

9Н28. Влияние примесей картофеля на физико-механические и биохимические свойства теста и качество хлеба. Влияние на картофена примеска върху физико-механичните и биохимичните свойства на тестото и качеството на хляба. Радове А., Младенов Ас. «Научни тр. Висш. ин-т хранит. и вкус. пром.-ст-Пловдив», 1960, 7, 245—250 (болг.; рез. русск., франц.).—При замесе теста из пшеничной муки (выход 76%) добавляли 5—20% (к кол-ву муки) картофельного пюре. В полученном тесте отмечено увеличение поглощения влаги и газообразования, ускорение брожения, значительное уменьшение текучести. Хлеб, полученный с добавлением картофельного пюре, отличался меньшей эластичностью и большей мягкостью. Черствение хлеба замедлялось в первые 1—2 дня, на 3-й день степень черствения опытного и контрольного образцов хлеба уравнивалась, но опытный образец отличался меньшей эластичностью.

9Н29. Пробная выпечка с «перемешиванием» теста. Irvine G. N., McCullam Marion E. The «mix» baking test. «Cereal Chem.», 1960, 37, № 5. 603—613 (англ.).—Предлагается новый метод пробной выпечки для выявления «силы» муки, поскольку стандартный безопарный метод дает не совсем удовлетворительные результаты: пшеницы (П) средней «силы» и высокого содержания белка (Б) дают часто лучшие результаты, чем «сильные» сорта. Рецептура метода: муки 100 г воды по потребности, дрожжей 3, сахара 2,5, соли 1, мальтозной патоки 0,3, дигидрофосфата аммония 0,1, бромата калия 0,0015. Процедура: замешивание 3,5 мин. (при 130 об/мин), брожение 165 мин. при 30°, перемешивание 2,5 мин., брожение 25 мин. (восстановление структуры), раскатка и формовка, расстойка 55 мин. при 30°, выпечка 25 мин. при 220°. Проведены испытания метода на 14 сортах очень сильных, сильных, средней силы и слабых П в сравнении с обычным безопарным методом и измерением: содержания Б, объема хлеба, пробы Зелени, развития и расслабления теста по фаринографу, площади экстенсограммы, водопоглощения муки по фаринографу и по обоим методам выпечки. Установлено, что объемы хлеба по новому методу имели прямую зависимость от «силы» муки, тогда как обычным методом очень сильные П имели меньший объем, чем сильные. Испытаны также канадские яровые П с средним и высоким содержанием Б, импортные озимые П и товарная мука различного сорта и содержания Б. Установлено, что новый метод выпечки позволяет установить большие отличия объема хлеба, зависящие от содержания Б. Сравниваются результаты, полученные новым методом, с другими методами и показателями, где намечается тесная корреляционная связь. Отмечается, что метод дает полезные сведения при введении новых современных методов технологии хлебопечения. Библ. 11 назв. В. Н.

9Н30. Пятнадцать лет кондитерской промышленности. Donth Arnošt. Patnáct let cukrovinkářského průmyslu. «Litstý cukrovarn.», 1960, 76, № 5, 99—100

(чешск.).—Описаны проведенные после 1948 г. мероприятия, обеспечившие развитие кондитерской промышленности Чехословакии.

9Н31. Способы приготовления слоеного теста. Райчеве Москo. Начини за производство на многo-листни маслени теста. «Хранит. пром-ст», 1960, 9, № 10—11, 31—33 (болг.).—Описаны 6 наиболее употребительных способов приготовления слоеного теста для кондитерских изделий.

9Н32. Получение мягких нечерствеющих бисквитных изделий с применением сорбита. Bourgeau M. L'obtention et le maintien du «Moel leux» des articles de biscuiterie par l'emploi du sorbitol. «Bull. Centre format. techn. et perfect. Union fabric. biscuits, biscuits, aliments diétét. et divers», 1959, № 2, 1—8 (франц.).—Проведены опыты по получению мягких нечерствеющих бисквитных изделий путем добавления в рецептуру инвертного сахара (ИС), сорбита (С), смеси С с нейтр. ИС, глицерина. Образцы хранили при относительной влажности 45—75% в течение 107 суток. Установлено, что особый эффект сохранения мягкости изделий С проявлял, если был предварительно смешан с нейтр. ИС и тщательно диспергирован в смеси компонентов теста. Рекомендуемое соотношение $\frac{1}{3}$ С (70%-ного) и $\frac{2}{3}$ нейтр. ИС. Дозировка полученного сиропа в тесто 10—15% от веса основных ингредиентов при условии, что кол-во С не превышает 5% от веса сухих в-в готового продукта. В. Колыгина

подается в меевики варочной колонки карамельного вакуум-аппарата, омываемые греющим паром под давл. 5—6 ат. В меевиках масса уваривается до влажности 12—13%, кристаллы сахара полностью растворяются. Время уваривания сиропа 2—3 мин. Производительность станции 25—30 т карамельного сиропа в смену.

Г. Новоселова
9Н37. Производство твердой карамели. Packman W. Production of high boiled sugar goods. «Confect. Product.», 1960, 26, № 11, 1046 (англ.).—Описание произ-во карамели на крупных кондитерских фабриках.

В. Корлякова
9Н38. Карамель и тоффи. Packman W. Now for softer eating lines. «Confect. Product.», 1960, 26, № 2, 129, 153 (англ.).—Рецептура и краткие сведения о способах изготовления незавернутой молочной карамели типа тоффи и тоффи для машинной резки и заправки.

В. Реутов
9Н39. Изучение точки плавления масла какао. Nakanishi Yoshitsugu, Shiomi Shigeko. «Абура какаку, J. Japan Oil Chemists Soc.», 1960, 9, № 7, 370—376 (японск.; рез. англ.).—Точку плавления (ТП) масла какао (МК) определяли после хранения его в течение длительных периодов. Только при хранении в течение суток при 25° ТП оказалась равной 32—33°. Застывшее МК, повторно нагреваемое, имело ТП более высокую. МК, охлаждаемое 1 час при —50°, а затем нагреваемое при 29° 5 час., имело более высокую ТП. Температурный тангенс кривой застывания натурального шоколада, равный единице или меньше ее, показывает, что шоколад был неправильно темперирован.

Б. Кафка
9Н40. Реология масла какао. II. Влияние температуры хранения на видимую вязкость. Sterling Clarence, Shimazu Fuminaga, Wuhrmann J. J. Rheology of cocoa butter. II. Effect of storage temperature on apparent viscosity. «Food Res.», 1960, 25, № 5, 630—633 (англ.).—Свежий образец масла какао растворяли, осветляли активированным углем, фильтровали и отгоняли р-ритель. Расплавленный жир после центрифугирования помещали в вакуум-эксикатор при 0°. Подготовленный образец масла помещали (по 5 мл) в вискозиметры и выдерживали 270 суток при 0, 17,5, 30, 45 и 60°, определяя вязкость при 31° через определенные интервалы. Увеличение вязкости было наименьшим для пробы при 0°, наибольшим при 60°. Приведены данные изменения вязкости. Часть I см. РЖХим, 1961, 6Н83.

Б. Кафка
9Н41. Определение посторонних жиров в какао-изделиях. Woidich H., Gnauer H., Riedl O. Über den Nachweis von Fremdfett in Kakaoerzeugnissen. «Z. Lebensmittel-Untersuch. und -Forsch.», 1960, 112, № 3, 184—190 (нем.).—Рекомендуемые разными авторами методы определения посторонних жиров в какао-изделиях не пригодны при существующих возможностях фальсификации. Наиболее эффективен газохроматографич. анализ, но и им можно определять только главные компоненты жирных к-т. В качестве более совершенного способа предлагают применять газохроматографич. метод с последующим сжиганием выходящих из газо-колонки метилового эфира жирных к-т в CuO -печи (950°) и определения кол-ва продуктов горения (CO_2 и H_2O) обычными способами. Приведены детальные указания для проведения описанного метода и кривые газохроматографич. анализа масла какао чистого и с примесями.

В. Реутов
9Н42. Производство высококачественного шоколада на современной шоколадной фабрике. Koch J. Quality chocolate processing in the modern chocolate factory. «Confect. Product.», 1960, 26, № 11, 1021, 1023—1024 (англ.).—Основа произ-ва высококачественного шоколада — организация поточных линий. Аромат и вкус шоколада создаются главным образом при хим. обработке (ХО) бобов какао (БК), обжарке и конши-

ровании. Эти стадии должны быть рационализированы. ХО щелочами и органич. к-тами необходимо применять к БК только после отделения их оболочки или даже по удалении части жира. Обжарку следует разделить на 2 стадии: точно рассчитанный процесс удаления влаги до требуемой нормы и последующее тепловое облучение волнами определенной длины, плотности в течение определенного времени для развития аромата. Конширование следовало бы вести в 2 приема: обработка в коншмашине до достижения требуемой текучести и гомогенности и дальнейшее размешивание в более простых устройствах для развития аромата.

В. Корлякова
9Н43. Непрерывно действующая месилка для шоколадной массы. Maier Paul. Kontinuierlich arbeitende Knetmaschinen zur Herstellung von Schokolademassen. «Rev. internat. chocolat.», 1960, 15, № 8, 383—386 (нем.); 387—389 (франц.), 389—391 (англ.).—См. РЖХим, 1960, № 14, 59205.

9Н44. Применение орехов и ядер в кондитерском производстве. Packman W. Making use of nuts and kernels in confectionery. «Confect. Product.», 1960, 26, № 5, 450—451 (англ.).—Краткое описание известных способов использования орехов и других ядер в кондитерском произ-ве. Приведена рецептура и способ изготовления заварного марципана и кокосовых кубиков с применением кокосовой муки и желатины.

В. Реутов
9Н45. Определение влажности арахиса. Greenblau N. The determination of moisture in groundnuts. «S. Afric. Industr. Chemist», 1960, 14, № 8, 158—162 (англ.).—Влажность определяли в аппарате Brown Duvel высушиванием в лучах ИК-лампы и в вакуум-сушилке (ВС). Соответствующие навески измельченного арахиса: 100 г, 20—30 г, 2—5 г. В аппарате Brown Duvel после покрытия навески в колбе 150 мл растительного обезвоженного масла вода отгоняется при 175° и, конденсируясь в холодильнике, собирается в мерном цилиндре; колба снабжена контактным термометром, регулирующим т-ру нагревателя. ИК-лампа нагревает навеску, помещенную на весы. Высушивали в ВС при 95—100° и при давл. 100 мм рт. ст. Приведены результаты определения влажности в различных условиях. Сушка ИК-лампой дает лучшие результаты, близкие к результатам, получаемым в ВС, и требует меньшего времени, чем аппарат Brown Duvel.

Б. Кафка
9Н46. Влияние добавок в помаду на скорость кристаллизации сахарозы. Зубченко А. В., Соколовский А. Л. «Изв. высш. учебн. заведений. Пищ. техн.», 1960, № 4, 56—60.—Исследовали влияние патоки, инвертного сахара, сорбита, белка молочного и яичного на скорость кристаллизации сахарозы (СКС) в пересыщенных р-рах. СКС определяли по изменению линейного размера кристалла, измеряемого при помощи универсального микроскопа МБИ-6. Установили: в чистом сахарном р-ре и в сахарных р-рах с инвертным сахаром СКС увеличивается с ростом коэф. пересыщения (КП), при добавлении же патоки она уменьшается. Небольшие кол-ва патоки (5%) при КП 1,1; 1,2 и 1,3 повышают СКС по сравнению со СКС в чистых сахарных р-рах. При добавлении сорбита СКС уменьшается с повышением КП. Яичный белок в кол-вах 0,2; 0,3% значительно понижает СКС. Молочный белок в тех же соотношениях меньше влияет на СКС.

Е. Журавлева
9Н47. Основы производства нуги. Lees R. The principles of producing nougat. «Confect. Product.», 1960, 26, № 11, 1032—1033 (англ.).—Существует 2 типа нуги (Н): рассыпчатая (НР) и вязкая (НВ). НР содержит высокий процент сахара и быстро кристаллизуется. НВ отличается высоким содержанием патоки, способствующей сохранению аморфности, несмотря на малую влажность изделий и наличие в них орехов и

фруктов. Патоку можно заменить медом. Процесс приготовления патоки заключается в постепенном смещении уваренного сахаро-паточного сиропа, охлажденного до 93°, с взбитыми в пену яичными белками или желатиной. Наилучшее пенообразование происходит при pH 4,0. К Н добавляют рубленый жареный и бланшированный миндаль и другие орехи, глазированный вишню и пр. (10—15%). Орехи должны быть ≥ 1 дня выдержаны в теплой сухой комнате. НВ режут в теплом состоянии, НР — после ее вызревания в теплой комнате. Производительность автоматич. резальной машины 100—300 разрезов в 1 мин. Указаны возможные дефекты Н, их причины и меры предупреждения.

В. Корякова

9Н48. Исследование факторов, влияющих на выход и качество пектина из плодов гуавы. Pruthi J. S., Mookerji K. K., Lal Girdhari. A study of factors affecting the recovery and quality of pectin from guava. «Indian Food Packers», 1960, 14, № 7, 7—13, 19 (англ.). В отдельных сериях опытов было изучено влияние на выход и качество пектина (П) в процессе его экстрагирования из плодов гуавы следующих факторов: рода применяемой к-ты и ее конц-ии, соотношения между сырьем и экстрагирующей смесью, кратности экстрагирования, продолжительности экстрагирования, применения в качестве экстрагирующего в-ва гексаметафосфата Na, состояния зрелости плодов. Результаты опытов контролировались по содержанию растворимых сухих в-в (Брик) в вытяжке, ее pH, вязкости истечения, по выходу П в процентах, его эквивалентному весу, кол-ву метоксильных групп в П, содержанию ангидрида галактуроновой к-ты. Установлено: при сопоставлении соляной и лимонной к-т лучшие результаты получены с последней при конц-ии 0,75%; наилучшим соотношением между сырьем и водой является 1:2; наиболее выгодным является 2-кратное экстрагирование, обеспечивающее 92,2—92,6% выхода П, получаемого при 3-кратном экстрагировании; оптимальная продолжительность экстрагирования 60 мин. при t-ре 80°; добавление гексаметафосфата Na в кол-ве 2,5% по весу сырья увеличивает выход П с 0,8 до 1,2% по весу сырья без ухудшения качества П. Наиболее пригодными для использования в произ-ве П являются зеленые плоды в состоянии технич. зрелости. Проведено сравнительное испытание выхода и качества П из кожицы, мякоти и сердцевин, причем найдено содержание в них П: 1,68, 0,60 и 0,51% соответственно. П из сердцевины плодов обладает сравнительно более низкой способностью к студнеобразованию.

Л. Сосновский

9Н49. Получение пектина, пектинового экстракта и сахарного сиропа из корочки джек-фруктов. Bhatia B. S., Siddappa G. S., Lal Girdhari. Preparation of pectin, pectin extract and syrup from jack fruit rind. «Indian J. Agric. Sci.», 1959, 29, № 1, 75—77 (англ.). Среднее содержание пектина (П) в кожице и сердцевине спелых джек-фруктов (ДФ) 1,22%, а в плодах — в целом 0,47%. Сухой порошок П из ДФ обладает студнеобразующей способностью в 200° по Тарр-Бейкеру. Наиболее целесообразно использование ДФ для получения пектинового экстракта (Э) с содержанием 20—25% растворимых в-в, пригодного к применению в произ-ве желе. Предлагается проводить экстрагирование П из ДФ в 0,3%-ном р-ре лимонной к-ты с розливом полученного Э в горячем состоянии в предварительно простерилизованную тару. 5 г Э достаточно для получения желе (с вязкостью ~30%) из 65 г сахара при регулировании pH среды в пределах 3,1—3,5 добавлением лимонной к-ты. Э может быть использован для усиления студнеобразующей способности фруктово-ягодных полуфабрикатов, применяемых в произ-ве желе. Разработана технология получения из ДФ после извлечения из него П сиропа, содержащего ~34% сахара (в пересчете на инверт-

ный сахар). Сироп содержит повышенное кол-во воды и не пригоден для пищевого использования; его рекомендуют применять при обработке табака.

Л. Сосновский

9Н50. Определение аскорбиновой кислоты в апельсиновом мармеладе. Сайто С., Сака К., Посимото Я. «Эйбэку дзасси, Japan. J. Nutr.», 1960, 18, № 4, 163—166 (японск.; рез. англ.). Исследовали причины потери аскорбиновой к-ты (I) при произ-ве и хранении апельсинового мармелада. Установлено, что большая часть I содержится в исходном материале — плодах. Потери I происходят при ее растворении в воде в процессе промывки. При хранении витаминизированного мармелада при 25—30° в течение недели потери I составляли 48%.

Т. Чагнова

9Н51. Промышленное и хозяйственное значение сои. Зайц Борис. Промышленно и стопанско значение на соята. «Хранит. пром-ст», 1960, 9, № 9, 33—34 (болг.). Приведен состав соевых бобов. Рассмотрены способы и перспективы переработки сои.

Г. Д.

9Н52. Химико-технологическая оценка новых белорусских сортов земляники. Шапиро Д. К., Големшток М. М., Орловская К. И., «Консерв. и овощесуш. пром-ст», 1960, № 7, 28—30. Проведено хим.-технологич. испытание 6 новых белорусских сортов земляники. Лучшими для приготовления варенья и замораживания оказались Чайка и Минская. В качестве десертных — Искра и Лявониха.

Н. Сабуров

9Н53. Красный пигмент в корнеплодах свеклы (*Beta vulgaris*) — соединение пиррола. Peterson R. G., Joslyn M. A. The red pigment of the root of the beet (*Beta vulgaris*) as a pyrrole compounds. «Food Res.», 1960, 25, № 3, 429—441 (англ.). Подробно изучалась химия пигментов. (П) свеклы (*Beta vulgaris*). П из свеклы подвергался титрованию; продукты восстановления бетанина также исследовались; CO₂ и CH₃NH₂ были выделены при щел. обработке. Изучался желтый П, переходящий в соединение красного цвета. Желтый П не содержал N и переходил в кислом р-ре в красный, также не содержащий N. Предполагается, что это фуран, аналог пироловых П. Приводятся описание аппарата для щел. обработки, спектры поглощения и оптич. плотность бетанина при различных условиях.

Б. Каффи

9Н54. Каротиноиды каки. Curl A. Laurence. The carotenoids of Japanese persimmons. «Food Res.», 1960, 25, № 5, 670—674 (англ.). Установлено, что 84% каротиноидов каки (*Diospyros kaki*) составляют ксантофиллы. Плоды каки богаты криптоксантином, зеаксантином и антераксантином. Эти ксантофиллы составляют соответственно 38, 18 и 10% общего кол-ва каротиноидов.

Г. Н.

9Н55. Локализация редуцирующих веществ в яблоках в связи с их стойкостью при хранении. Богдански Казимир-Антуан. Localisation du pouvoir réducteur dans la pomme en relation avec sa tenue au cours de l'entreposage frigorifique. «Rev. gén. froid.», 1960, 37, № 5, 455—463 (франц.; рез. англ., исп.). Определено содержание аскорбиновой к-ты в различных частях яблок. Исследована зависимость между поражаемостью различных частей яблок заболеваниями и содержанием аскорбиновой кислоты.

Г. Н.

9Н56. О влиянии фунгицидов на цвет яблок урожая 1958 года. Monin A. Sur un aspect particulier de la coloration des fruits en 1958. «Rev. agric. (Belg.)», 1960, 13, № 2, 211—216 (франц.). Яблони опрыскивали различными фунгицидами и определяли интенсивность цвета зрелых яблок, пользуясь шкалой, составленной для каждого помологич. сорта (от 0 до 100 баллов). Установлено, что окраска французского ренета урожая 1958 г. оценена в среднем в кол-ве 6,3% баллов 100, 14,3% баллов 75, окраска яблок оранжевый пики 17% баллов 100, 36,6% баллов 75. Отмечено, что для ренета кол-во ярко окрашенных плодов (оценка 100)

75 и 50 слабопокрытых, оценочных типов.

9Н57.

различий Eigenscheitlichkeit, 19 Ind., 19 став пло и морав зины (S терно в 800 мг/л. Сок буз (2,25%)

9Н58.

beeren) № 7, 27 боярыш (2 диф) яблочн (2,25%) 3,84; гл тивных яблочн 1,6, рас сорбита рных бильны 1,88; ф К 0,060 1,0—1,5 ды боя твоям 17,6% изготон лимона

9Н59.

вения. сервн. Испыт ности вания таты тие из вание кроме вения, он бу: ного с

9Н60.

его из «Гр. И зано, отлич и О. меньш почти с вои строй жани длите уменн ваема вызы

75 и 50 баллов) было постоянным, кол-во плодов со слабовыраженной окраской варьировало в пределах оценочной шкалы, для пипина наблюдали прямо противоположную картину.

В. Гурни

9Н57. Свойства, состав и способы использования различных дикорастущих плодов. (I). Benk Erich. Eigenschaften, Zusammensetzung und Verwendungsmöglichkeiten verschiedener Wildfrüchte. I. «Fruchtsaft-Ind.», 1960, 5, № 5, 176—181 (нем.).—Приведен хим. состав плодов и соков рябины лесной (*Sorbus aucuparia*) и моравской (*var. moravica*), шиповника и черной бузины (*Sambucus nigra*). Для рябиновых соков характерно высокое содержание аскорбиновой к-ты (520—800 мг/л). Рябина используется для изготовления сиропов против кашля, различных напитков, ликеров и водок. Из шиповника вырабатывают пюре для производства мармелада, напитки, десертные вина, ликеры и растворимые в воде порошкообразные концентраты, содержащие 96,3% экстрактивных в-в. Ягоды бузины идут для изготовления муссов, компотов (часто в смеси с более сладкими ягодами), соков, напитков и вин. Сок бузины отличается высоким содержанием белков (2,25%) и минер. в-в (0,28—1,0%).

В. Корлякова

9Н58. О плодах боярышника. Benk E. Über «Mehlbeeren» (Weißdornfrüchte). «Flüssiges Obst», 1960, 27, № 7, 27—28 (нем.).—Установлен состав (в %) плодов боярышника без семян (1 цифра) и воды. Вытяжки (2 цифры), полученной при обработке плодов боярышника холодной водой (1 ч. на 1 ч. плодов боярышника): инвертного сахара 4,3—2,56; 5,12; фруктозы 1,92; 3,84; глюкозы 0,64; 1,28; сахарозы 0—0,15; 0; экстрактивных в-в несодержащих сахаров 10,7—9,09; 12,48; яблочной к-ты 0,57; 0,59; аскорбиновой к-ты 0,56—0,44; 1,6; растворимого пектина (пектат Са) 0,66—0,80; 0,69; сорбита 2,4; 1,61; белковых в-в 1,32—1,71; 0,28 (растворимых белковых в-в в плодах боярышника 0,35); дубильных в-в 0,022—0,026; 0,030; минер. в-в 1,69—1,91; 1,88; фосфатов (P_2O_5) 0,12—0,14; 0,107; водорастворимых фосфатов в плодах боярышника 0,099—0,12; К 0,0601—0,610; 0,509; Са 0,179, 0,2; формальное число 1,0—1,5; 0,95; хлораминное число 11,6—14,3; 15,6. Плоды боярышника содержат 73,76—74,42% воды; нерастворимых в-в 11,24—13,78%. Водн. вытяжка содержит 17,6% экстрактивных в-в. Водн. вытяжка пригодна для изготовления сладких прохладительных напитков и лимонадов.

Н. Сабуров

9Н59. Химико-технологическое сортоиспытание ревеня. Шорникова Н. М., Грушко М. Ф. «Консерв. и овощесуп. пром-сть», 1960, № 10, 16—19.—Испытаны 13 сортов ревеня (средние данные урожайности черешков ревеня за 3 года, результаты исследования хим. состава свежих черешков, средние результаты трехлетних испытаний по изготовлению компотов из 5 отобранных сортов). Рекомендовано выращивание и переработка на компот, джем и повидло, кроме районированного сорта Виктория, 6 сортов ревеня, а также сорта Раннее Чудо в тех районах, где он будет давать урожай, близкий к урожаю стандартного сорта Виктория.

Г. Джилавдарова

9Н60. Внутритканевый газовый состав плодов и его изменение в процессе хранения. Ципруш Р. Я. «Тр. Кишиневск. с.-х. ин-та», 1960, 19, 183—193.—Показано, что внутритканевый газовый состав плодов резко отличается от состава атмосферы по содержанию CO_2 и O_2 . Периферийные ткани содержат больше O_2 и меньше CO_2 , центральные — почти один CO_2 . Состояние почти полной анаэробности внутренних тканей является нормальным (нет признаков функциональных расстройств). В процессе хранения плодов общее содержание газа в них увеличивается в зависимости от длительности и способа хранения, содержание CO_2 уменьшается, а O_2 увеличивается. Конц-ция CO_2 , создаваемая в траншеях в результате дыхания плодов, не вызывает избыточного накопления CO_2 в их тканях,

но благоприятствует длительному хранению, лучшему сохранению их консистенции и хим. состава.

Из резюме автора

9Н61. Механизм цветной реакции между бифенилом и формальдегидсерной кислотой. Brieskorn Carl Heinz, Geuting Maria. Mechanismus der Farb-reaktion zwischen Biphenyl und Formaldehyd-Schwefelsäure. «Arch. Pharmazie», 1960, 293/65, № 7, 669—672 (нем.).—Применяемый при консервировании цитрусовых плодов бифенил (I) может быть обнаружен в кол-ве 2,5 у при помощи формальдегидсерной к-ты. С конц. H_2SO_4 I не дает цветной р-ции. В присутствии же HCOH уже при комнатной т-ре образуется голубое окрашивание. При недостатке HCOH развивается красно-фиолетовая окраска, а при избытке — голубовато-зеленая. На основании этого разработана методика колич. определения I по спектру поглощения при 600 мμ.

Б. Кафка

9Н62. Вопросы холодильного хранения яблок. Ginsburg L. Some aspects with regard to apple cold-storage. «Deciduous Fruit Grower», 1960, 10, № 2, 37—44 (англ.).—Для повышения возможного срока хранения яблок необходима тщательная сортировка яблок и закладка на хранение только здоровых плодов. В процессе хранения нужен тщательный периодич. контроль состояния плодов. Рассмотрены различные способы повышения стойкости яблок при хранении.

Г. Н.

9Н63. Холодильное хранение яблок и груш. Paulin A. La réfrigération des pommes et des poires. «Arboricult. fruit.», 1960, 7, № 75, 6—11, 13 (франц.).—Практика хранения яблок и груш при т-ре от 0 до +2° показала, что холод замедляет протекание физиологич. процессов в плодах; холод положительно влияет на дозревание некоторых помологич. сортов груш, если после охлаждения (0°) их помещают в нормальные условия (15—18°). Установлено влияние ряда факторов на пригодность и поведение яблок и груш при холодильном хранении.

В. Гурни

9Н64. Образование мицеллы на поверхности плодов. Moreau Claude, Moreau Hircille. Les efflorescences mycéliennes sur fruits. «Fruits», 1960, 15, № 5, 239—241 (франц.; рез. англ., нем., исп., русск.).—На поверхности хранящихся яблок (Голден делишес, Ренет дю Манс и Ренет Клошар) обнаружены мицеллии *Penicillium expansum* и *Fusarium moniliforme*. Для предотвращения их развития рекомендуется: понижение т-ры хранения, снижение влажности, улучшение вентиляции и циркуляции воздуха в ящиках. Необходимо также помещать на хранение только здоровые плоды, избегать конденсации влаги, снижать зараженность воздуха распылением фунгицида.

Из резюме авторов

9Н65. Подготовка, замораживание и хранение на холоде спаржи, артишоков, зеленого горошка и стручковых бобов. Muñoz-Delgado Ortiz Luis, Valdecantos Jimenez Antonio, Muñoz-Delgado Ortiz José Antonio, Pozo Fernandez Rafael, Estada Girauta Manuel. Preparación, tratamiento y conservación frigorífica, a largo plazo, de espárrago, alcachofa, guisante y judía verde. «Rev. frío», 1959, 4, № 3, 111—116 (исп.; рез. англ.).—Бланширование 4—6 мин. водой, подкисленной лимонной к-той до pH ~3,5 для торможения ферментативных процессов при хранении, не дало заметных результатов для спаржи, улучшило внешний вид артишоков и предупредило почернение листьев; хорошие результаты такое бланширование дало и для зеленого горошка и стручковых бобов; благоприятно для хранения замороженных горошка и бобов предварительное погружение в 0,1%-ный р-р аскорбиновой к-ты. Замораживание до —40° и хранение при —18, —20° производили в пакетах из полиэтилена, замороженные овощи сохранялись 12 месяцев.

К. Гердфельд

9Н75. Тофу из японских и американских соевых бобов. Smith Allan K., Watanabe Tokuji, Nash Arlo M. *Tofu from Japanese and United States soybeans*. «Food Technol.», 1960, 14, № 7, 332—336 (англ.).—Тофу изготавливают в Японии путем осаждения сгустка Са-солю из горячего водн. экстракта цельных соевых бобов. Тофу содержит (%): белка 6, жира 3,5, углеводов 1,9, зола 0,6, воды 88. Нарезанное кусочками тофу добавляют в суп или поджаривают в жире. Установлено, что из различных сортов сои США и Японии получается тофу более или менее различного цвета и консистенции. Выход тофу также зависит от сорта. Исходное содержание белка и масла в сое влияет на их содержание в готовом тофу и его выход. Г. Н.

9Н76. Опыты по производству деликатесных огурцов из полуфабрикатов. Deák Tibor. *Kísérletek csésze uborka készítésére előtároltított nyersanyagból*, «Köszerv-és parikaipar», 1960, máj.-jun., 99—104 (венг.; реу. русск., нем.).—Подвергнутые тепловой обработке огурцы сохранялись в течение многих месяцев без брожения в заливке, содержащей (в %): сорбиновой к-ты 0,1, уксусной к-ты 1,5, соли 2,5. Готовый продукт из этого полуфабриката не был отнесен к 1 сорту по цвету и вкусу, но имел удовлетворительную консистенцию. Для достижения должного вкуса требовалось увеличение кол-ва сахара. Опыты продолжаются.

9Н77. Линия переработки огурцов на венгерских консервных заводах. Дьенеш К. «Консерви. и овощесуш. пром-сть», 1960, № 9, 40—41.—Линия включает: инспекционный ленточный транспортер, тросовую калибровочную машину, непрерывно действующую ленточную моечную машину, барабанную моечную машину (для обработки огурцов водой при 60°), щеточную машину (для удаления размягченного воскового слоя), циркуляционный конвейерный моечный стол (ручная укладка в банки), стол для заливки расолом (при 90—95°), закаточную машину (для укупорки под вакуумом) и открытый стерилизатор непрерывного действия (банки емк. 5 л стерилизуют по ф-ле (20—25—30)/100°, а банки емк. 1,25 л — по ф-ле (15—20—25)/100°), непрерывно действующий охладитель (до 35—40°). Г. Н.

9Н78. Производство хрустящего картофеля в Англии. Рогачев В. И. «Консерви. и овощесуш. пром-сть», 1960, № 9, 41—44.—Очищенный, нарезанный ломтиками картофель промывают (для удаления с поверхности крахмала и растворяемых в-в), обжаривают в арахисовом масле (зимой 2—2,5 мин. при ~170°, летом 1,25—1,75 мин. при ~180°), после стекания масла охлаждают на транспортере длиной ~15 м и упаковывают, вкладывая в пакеты с картофелем пакетики с солью, а иногда посыпая сухим соусом. Г. Н.

9Н79. Исследование применения инфракрасных лучей для производства жареного картофеля. Mohr W. P., Asselbergs E. A., Ferguson W. E. *Studies in the application of infra-red for the production of French fries*. «Amer. Potato J.», 1960, 37, № 8, 268—273 (англ.).—Бланширование картофеля в масле с применением кварцевой ИК-лампы повышает выход продукции после первой стадии процесса на 8—12%, а после второй на 4—8% в сравнении с обычным способом обжарки в масле. Содержание масла в готовом продукте понижается на 2—4%. Г. Новоселова

9Н80. Об улучшении качества черносилва, предназначенного для экспорта. Димитров Коста. За подобряване качеството на сушените сливи за износ. «Хранит. пром-сть», 1960, 9, № 9, 16—17 (болг.).

9Н81. Компоненты кристаллических отложений на поверхности сушеных плодов. Miller M. W., Chester C. O. *The constituents of the crystalline deposits on dried fruit*. «Food Res.», 1960, 25, № 3, 424—428 (англ.).—При помощи хроматографии на бумаге установлено, что налет, образующийся на сушеных инжире

и сливах, содержит глюкозу и фруктозу, следы лимонной и яблочной к-т, а также лизин, аспарагин и аспарагиновую к-ту. Налет на абрикосах и персиках содержит, кроме того, сахарозу и большие кол-ва аспарагина и аспарагиновой к-ты. Налет на изюме подобен налету на инжире, но содержит еще большие кол-ва виннокислотной к-ты. Не установлено присутствия дрожжей. Г. Новоселова

9Н82. Некоторые технологические проблемы в развитии плодовоовощеконсервной промышленности Индии. Jain N. L., Randhawa G. S. *Some technological problems in the development of fruit and vegetable preservation industry in India*. «Indian Food Packer», 1960, 14, № 6, 9—13 (англ.).—В консервировании плодов и овощей в Индии за последние 30 лет имеются известные успехи, но, в частности, в вопросах оснащения произ-ва и качества продукции она отстает от передовых стран. Пока что неудовлетворительно поставлено обеспечение высококачественным сортов сырьем. Этому мешает несогласованность производителей плодовоовощного сырья, стремящихся реализовать ранние и лучшие плоды на рынке по дорогим ценам. В переработку поступают зачастую мандарины с глубоко расположенными семенами, что не дает возможности готовить из них компоты, или ананасы с беговатыми матовыми пятнами в мякоти и т. д. Недавно при Индийском с.-х. исследовательском ин-те открыто отделение консервирования плодов и овощей. Отделение проводит сортоиспытание горошка и томатов, используя опыт разных стран. Консервные предприятия размещены главным образом в крупных городах. Это ухудшает условия доставки сырья и снижает его качество. Общий объем произ-ва консервов в Индии составляет пока еще всего лишь ~60 г на душу населения в год. Необходимо значительное усовершенствование техники и технологии — механизация очистки корнеплодов, применение яблокоочисток с производительностью 200—300 плодов в 1 мин. и т. д. Применение непрерывнодействующих стерилизаторов под давлением пока еще невозможно, но открытые стерилизаторы-охладители уже могут использоваться. Изготовление многих типов механизированного консервного оборудования можно легко наладить внутри страны. Должен быть разрешен вопрос организации качества контроля произ-ва и продукции: оптимальной зрелости сырья, конечности сиропов, герметичности укупорки банок, качества соли и хим. консервантов и т. д. А. Наместников

9Н83. Развитие программы исследования горошка для консервирования. Gianpaolo, Andreotti Rodolfo, Casoli Umberto, Pelizzari Anita, Rinaldini Vittorio de. *Sviluppo del programma di ricerca sui piselli per conserve*. Silvestri. «Ind. conserve», 1960, 35, № 2, 113—122 (итал.; реу. франц., англ., нем.).—Дана окончательная оценка 15 промышленным сортам горошка, прошедшим 3-летний цикл исследования. Приведены результаты, полученные для сортов горошка, исследованных в 1959 году. Резюме авторов

9Н84. Превращение красящих веществ зеленого горошка при стерилизации теплом и γ-лучами. Рогачев В. И., Фрумкин М. Л., Ковальская Л. П., Егорова К. В. «Консерви. и овощесуш. пром-сть», 1960, № 9, 19—24.—Установлено, что превращение красящих в-в бланшированного и небыланшированного зеленого горошка (ЗГ) при стерилизации нагреванием и γ-лучами качественно различны. При тепловой стерилизации хлорофиллы исчезают, образуется большое кол-во феопигментов, придающих бурый цвет. При облучении свежего ЗГ с неактивированной ферментной системой (напр., при дозе 1,5 млн. рад) хлорофиллы частично превращаются в хлорофиллиды, по цвету близкие к ним. ЗГ имеет приятный зеленый цвет, при хранении несколько бледнеющий (при образовании феопигментов). Изменение цвета ЗГ можно предотвратить бланшированием (перед облучением) для преду-

преждевения превращения хлорофиллов в хлорофиллиды и далее в феофорбиды.

Из резюме авторов 9Н85. Использование высоковитаминного перца Молдавии для изготовления консервов. Барер Т. Л., Кручинина М. М. «Консервы и овощесуш. пром-сть», 1960, № 9, 25—26. — Плоды перца технич. зрелости содержат аскорбиновой к-ты 95—178 мг%, сухих в-в 5,8—7,4%, а плоды биологич. зрелости соответственно 143—178 мг% и 9,4%. Консервы из зрелых плодов перца Молдавии отличаются хорошими вкусовыми качествами и высоким содержанием витаминов. Используя плоды биологич. зрелости, можно удлинить сезон изготовления консервов.

Г. Н. 9Н86. Консервированные томаты с высокими вкусовыми и диетическими свойствами. Mrożewski S. Podniesienie wartości produkcyjnej konserw pomidorowych. «Przem. spożywczy», 1960, 14, № 8, 34—36 (польск., рез. англ.). — Томатный сок, обычно применяемый в качестве заливки при консервировании томатов, заменили протертыми сельдереем, петрушкой, луком с добавлением сахара, соли и специй. Вкусовые и питательные свойства консервированных томатов значительно повышаются. Содержание аскорбиновой к-ты близко к содержанию ее в свежих томатах. Из резюме автора

9Н87. Измерение консистенции овощных продуктов. Jongh E. de, Haken J. W. Consistentiemeting aan tuinbouwprodukten. «Conserva», 1960, 9, № 1, 1—13 (гол.). — Описаны вискозиметры и консистометры, особенно подробно приборы для определения зрелости зеленого горошка и сопоставлены коэф. корреляции измерений при помощи тензиометров и матуromетров разных конструкций; найдено, что все описанные приборы пригодны для объективного определения степени зрелости горошка, так как она связана с кол-вом нерастворимого в спирте сухого в-ва. К. Герцфельд

9Н88. Паромасляная печь с автоматическим регулированием процесса обжаривания овощей. Рабинер Н. Я., Кунацкий Н. А., Зейгерман И. Ю., Клевикский З. С. «Консервы и овощесуш. пром-сть», 1960, № 9, 5—8. — Описана механизированная печь с автоматич. регулированием уровня водяной подушки и длительностью обжаривания, созданная Украинским и.и. ин-том консервной пром-сти и СКБ «Продмаш» Одесского совнархоза. Печь установлена на Измаильском консервном комбинате. Производительность печи 2000 кг кабачков кружками в час. Поверхность нагрева 45,45 м², вес масла в печи 900 кг, коэф. сменяемости масла 1,5. Г. Новоселова

9Н89. Некоторые вопросы производства соков. Нечаев Л. Н. «Виноделие и виноградарство СССР», 1960, № 8, 20—22. — Рекомендуют применение бескислородного способа консервирования сока сниженными дозами пищевых консервантов. Такой сок может быть доставлен на э-д, оборудованный дегазаторами, вакуум-насосами, холодильниками, пастеризаторами, стерильной бескислородной линией розлива, где после освобождения от летучих консервантов будет стерильно и бескислородно разлит в бутылки. Для приготовления соков пригоден только здоровый, вызревший и не мятый виноград. Целесообразно промывание винограда (с дезинфекцией) совместить с продуванием. Общепринятые способы отделения сока не допускают бескислородного консервирования, поэтому следует пересмотреть оборудование и технологию. Гребнеотделяющая машина, обогащающая раздавленные ягоды кислородом, должна быть исключена. Непригодны открытые стекатели. Следует применять для отделения сока дробилку с насосом и закрытый стекатель, а для дожима — непрерывно действующий пресс. Ягоды подавать через дозирующий дезинфицирующий бункер. Для сока отбирать только самотек или самотек и сусло первого давления. Г. Новоселова

9Н90. Овощные соки. Dupaigne P. Les jus de légumes. «Bull. techn. inform. ingr. serv. agric.», 1960,

№ 148, 181—206 (франц.). — Освещены: история развития произ-ва соков, хим. состав плодов и овощей, используемых для приготовления соков, ботанич. названия овощей, способы произ-ва овощных соков; внешний вид, цвет, запах и стойкость соков при хранении; способы улучшения вкусовых и ароматич. качеств путем подкисления (добавление пищевых к-т или смешивание с кислыми соками); защита от окисления (деаэрация под вакуумом, добавление антиоксидантов, подкисление); стабилизация теплом (пастеризация, стерилизация), комбинированная обработка деаэрацией, мгновенным нагреванием под давлением (125°, 1 сек.) и быстрым охлаждением; консервирование (сернистой, бензойной, салициловой и сорбиновой к-тами); консервирование; микробиологич. порча соков при хранении и ее предотвращение (пастеризация, стерилизация, подкисление). Библ. 466 назв. В. Гурин

9Н91. Производство виноградного сока на Измаильском консервном комбинате. Талин А. А., Слосаренко Н. А. «Консервы и овощесуш. пром-сть», 1960, № 10, 6—8. — Описана усовершенствованная технологич. схема произ-ва сока, включающая: вентиляционную моечную машину, инспекционный транспортер, дробилку с гребнеотделителем (эграпомпа), пресс-колен, пакпресс, центробежный насос, сепаратор фирмы «Бертуцци», сепаратор системы де Лавала, подогреватель, деаэратор, пластинчатый пастеризатор, выдерживатель сока, водяной охладитель, трубчатый рассольный охладитель. Г. Д.

9Н92. О составе соков цитрусовых плодов. Benk E. Über die Zusammensetzung der Säfte von Zitrusfrüchten. «Flüssiges Obst», 1960, 27, № 8, 12—13 (нем.). — В ФРГ производят главным образом соки (С) апельсина, грейпфрутов и смеси их с соком танджерина. С мандаринов, померанцев и лимонов в ФРГ применяют только как исходный продукт для безалкогольных и алкогольных напитков. Апельсиновый С по нормам ФРГ может быть мутным; добавление эссенций, ароматич. в-в (АВ) и красок не допускается. В лимонный С, идущий для переработки, разрешена добавка АВ кожуры. Добавление к цитрусовым С воды, инвертного сахара, лимонной к-ты, искусств. замутняющих в-в, соков из незрелых или испорченных плодов является фальсификацией. Продукт, представляющий собой «сок», извлеченный из цельного апельсина вместе с кожурой, не является истинным соком и может быть использован только как основа для освежающих напитков. Приведен хим. состав С цитрусовых плодов. В. Корякова

9Н93. Об изменении пищевой ценности консервированных виноградных соков. Марх А. Т., Щербакова Е. В. «Тр. Одесск. технол. ин-та пищ. и холодильн. пром-сти», 1959, 9, № 2, 27—38. — Опыты показали, что основные физ.-хим. и хим. показатели сока при произ-ве и хранении изменяются мало. Значительно изменяется содержание в-в, находящихся в соке в малых кол-вах (аминокислоты, дубильные и минер. в-ва, в том числе микроэлементы), которые в большей степени обуславливают диетич., лечебные и вкусовые свойства сока. При хранении в течение 15—16 месяцев содержание аминокислот уменьшается на 27,3—68,7% от исходного, дубильных в-в на 9,75—89,2%, минер. в-в на 18—40,7%. Уменьшение содержания отдельных микроэлементов достигает 85,4%. Это можно объяснить тем, что они большей частью входят в состав белков и органических комплексов, которые легче всего переходят из золя в гель и удаляются при декантации и фильтрации. Дальнейшее совершенствование технологии произ-ва сока должно иметь целью не только ослабление меланоидиновых р-ций и окислительных процессов, но и стабилизацию микрофакторов, повышающих вкусовые качества и пищевую ценность. По резюме авторов

9Н94. Бактерицидное действие масла кожцы апельсина и D-лимонена в воде и апельсиновом соке. I. Фунгицидное действие против дрожжей. Murdock D. I., Allen W. E. Germicidal effect of orange peel oil and D-limonene in water and orange juice. I. Fungicidal properties against yeast. «Food Technol.», 1960, 14, № 9, 441—445 (англ.).—Исследовали эффективность фунгицидного действия апельсинового масла и D-лимонена в отношении дрожжей *Zygosaccharomyces major* в воде и апельсиновом соке при 25°. Эти масла обладали активностью в конц-ии 0,02% в воде (pH 7,0) и в апельсиновом соке в конц-ии 0,1%. D-лимонен оказался более эффективным, чем апельсиновое масло, как в воде, так и в апельсиновом соке. Эти масла в апельсиновом соке более эффективны при pH 6,0 и 7,0, чем при pH 3,0 и 4,0. D-лимонен в конц-ии 0,1% в апельсиновом соке при pH 7,0 (с подщелачиванием NaOH) подавлял полностью развитие дрожжевых клеток через 3 часа, при начальном содержании их 1 000 000 на 1 мл. Эта же конц-ия масла необходима для подавления 100 000 дрожжевых клеток в 1 мл при pH 3,0 (с подкислением лимонной к-той). Консервирующее действие Na-бензоата может быть значительно усилено добавлением этих эфирных масел, являющихся его синергистами.

По резюме авторов

9Н95. Процессы меланоидинообразования в томатном и виноградно-меланоидинообразовании. Марх А. Т., Цвиллинг А. Я. «Тр. Одесск. технол. ин-та пищ. и холодильн. пром-сти», 1959, 9, № 2, 21—25.—Показано, что меланоидинообразование в томатном соке происходит в основном в жидкой фазе. Длительная тепловая обработка фильтрованного томатного сока приводит к выпадению темно-коричневого аморфного осадка, значительно снижается показатель цветности, уменьшается кол-во коллоидов (на этом этапе установлено присутствие в соке CO_2 и пиррола). Установлен элементарный состав осадков томатного и виноградно-меланоидинообразовании. Он близок к составу модельных р-ров меланоидинов и гуминовых веществ.

ИЗ РЕЗЮМЕ АВТОРОВ

9Н96. Потемнение аскорбиновой кислоты. Jackson Scott F., Chichester C. O., Joslyn M. A. The browning of ascorbic acid, «Food Res.», 1960, 25, № 4, 484—490 (англ.).—Для выяснения механизма потемнения цитрусовых соков изучали влияния света и тяжелых металлов (ТМ) на разб. буферные р-ры аскорбиновой к-ты (I). Применяли перекристаллизованные I и лимонную к-ту и перенатанную уксусную к-ту. В спец. аппарате при различных условиях через абсорбционный р-р I (pH 7,0) пропускали чистый O_2 . Выделяющуюся CO_2 определяли титрованным NaOH. Изменение цветности р-ров I контролировали по оптической плотности. Установлено, что р-ция потемнения I при pH 7, вызываемая действием кислорода, дает ряд промежуточных продуктов, чувствительных к свету и ТМ. Свет и ТМ замедляют скорость потемнения I, максимум поглощения света р-ром I достигается при повышении т-ры. В системе, лишенной ТМ, дегидроаскорбиновая к-та или дикетоглуконовая к-та, образующиеся из I, слегка увеличивают скорость потемнения. CO_2 при pH 7,0 образуется в основном из I и меньше 4% CO_2 получается из буфера.

Б. Капка

9Н97. Флавоноиды — естественные стабилизаторы l-аскорбиновой кислоты. Daviděk Jiří. Flavonoidy — přirozené stabilizátory kyseliny L — askorbové. «Průmysl. potravin.», 1960, 11, № 5, 267—270 (чешск.).—Исследовали возможность стабилизации l-аскорбиновой к-ты (I) в натуральных плодовых соках и концентратах флавоноидами апельсинов (концентрата) и соком черной смородины. Содержание I определяли полярграфически. Разрушение I изучали в присутствии ионов Ag и Cu, которые являются наиболее активными его катализаторами. Выяснено, что при pH 3,6—5,3 конц-ия 0,13% флавоноидов апельсинов достаточна для полного подавления влияния металлов (конц-ия Ag и Cu

10^{-6} M). Смесь флавоноидов стабилизирует I при t-ре до 40°, при этом к-та разлагается так же, как и в отсутствие металлов. Сок черной смородины обеспечивает тот же результат при конц-ии $\geq 6,7\%$. Предложено флавоноиды использовать для консервирования продуктов переработки плодов. Библ. 8 назв. Д. Яшев

9Н98. О необходимости установления максимально допустимого содержания плесеней в продуктах переработки плодов. Cultrera Rolando, Delindati Gemma, Trifirò Emerico. Sulla necessità di stabilire in contenuto massimo di muffe nei derivati industriali della frutta. «Ind. conserve», 1960, 35, № 3, 212—219 (итал.; рез. франц., англ., нем.).—Приведены данные, характеризующие содержание сухих в-в, аскорбиновой к-ты и плесеней в плодовых соках, вырабатываемых в различных зонах Италии, а также некоторых соков из США, Испании, Австралии, Южной Африки. Отмечена необходимость определения (методом Говарда) содержания плесеней в сырье для произ-ва соков, нектаров, сиропов, желе, мармеладов и джемов. Рекомендуют контролировать качество сырья путем определения содержания плесеней в готовых продуктах. Высказаны соображения о максимально допустимых кол-вах плесеней в различных продуктах.

Г. Новоселова

9Н99. Электросепарирование виноградно-меланоидинообразовании. Гасюк Г. Н., Матов Б. М. «Консервн. и овощесуш. пром-сть», 1960, № 7, 3—6.—Разработан метод, облегчающий удаление взвешенных частиц пропусканием через сок постоянного электрич. тока. При этом происходит электролиз воды с выделением O_2 и H_2 . Поднимаемая, пузырьки газа адсорбируются на взвешенных частицах и увлекают их на поверхность жидкости, где они скапливаются в виде «шапки», которую легко удалить. Анод изготовляют из угля или графита, а катод — в виде сетки из металла, инертного к обрабатываемой жидкости. Сетку располагают по всему дуу аппарата. Высота аппарата ≥ 70 —100 см, расстояние между электродами 5—50 мм.

Т. Сабурова

9Н100. Расчет давления в стеклянной бутылке при пастеризации сока, насыщенного углекислым газом. Коган Ф. И. «Консервн. и овощесуш. пром-сть», 1960, № 8, 9—10.—В предложеной Жаданом ф-ле для определения давления в стеклянных банках (Консервн. и овощесуш. пром-сть, 1938, № 1) не учтено влияние CO_2 , выделяющегося из газированного сока во время пастеризации. Для точного расчета давления в бутылках необходимо знать парц. давление CO_2 в паро-газовой смеси. На основе замера давления в бутылках при пастеризации виноградно-меланоидинообразовании, насыщенного CO_2 , а также полностью дегазированного, построены кривые зависимости начального содержания CO_2 в соке от парц. (равновесного) давления его в газовой фазе при 70° (т-ре пастеризации) и различном давлении паро-воздушной смеси и расчетным путем найдены значения величины m — постоянного коэф., зависящего от давления паро-воздушной смеси над соком. Парц. давление CO_2 (x) в паро-газовой смеси находят по ф-ле $x = y/m$, где y — начальное содержание CO_2 в об.%. Общее давление в бутылках при пастеризации сока равно сумме давления паро-воздушной смеси и парц. давления CO_2 .

В. Гурин

9Н101. Некоторые вопросы концентрирования фруктовых соков. Сенеш М., Надабан П. «Консервн. и овощесуш. пром-сть», 1960, № 10, 30—33.—Обзор способов: концентрирования замораживанием; концентрирования при низких т-рах с применением выпарных аппаратов Себава, Кестнер, Лагляр (приведены схемы работы холодного выпарного аппарата и выпарного аппарата Лагляр); концентрирования при средних т-рах на выпарных аппаратах австрийской фирмы Фогелбуш и английской фирмы АПВ (приведены схемы), концентрирования при атмосферном давлении по методу Шпац (приведена схема). Отмечено

влияние условий хранения на качество концентратов.

9Н102. Вопросы технологии производства концентрированных соков из апельсинов Kurr. Pruthi J. S., Rao N. S. S., Lal Girdhari. Some technological aspects of manufacture of mandarin orange concentrate, «Food Sci.», 1960, 9, № 5, 169—174 (англ.).—Опытами в производственных условиях установлено, что для полного инактивирования пектинметилэстеразы в соке оптимально является тепловая обработка в течение 8—10 сек. при 95—96°. Содержание этого фермента максимально в кожуре и минимально в соке. В процессе сгущения сока разрушается 4,6% каротина и 9,3% аскорбиновой к-ты. Питательная ценность сока при сгущении снижается мало, сохраняется привлекательный вид, но несколько уменьшается интенсивность естественных вкусовых свойств, которые могут быть восстановлены добавлением свежизвлеченного холодным прессованием масла кожуры апельсинов в кол-ве 0,02% к соку, приготовленному разбавлением концентрата или 0,08% к самому концентрату.

Г. Новоселова

9Н103. Желирование концентрированных апельсиновых соков. Влияние различных видов пектина на концентраты сока апельсинов — королек, Верна и Валенсия. Koen Mosse J., Royo Irazzo J. La gelificación en los zumos concentrados de naranja. Influencia de las distintas clases de pectina en concentrados de naranjas sanguinas, vernas y valencias. «Rev. cienc. apl.», 1960, 14, № 1, 30—33 (исп.).—Апельсиновый сок кислотностью 1,8 (на лимонную к-ту) с добавлением сахарозы до 13° Бр. сгущали при 35° до 40—41° Бр. и после введения 4,5 г/л SO_2 в виде NaHSO_3 сохраняли в оптимальной стадии зрелости, по 25 кг прессовали на легком прессе, сок разливали в бутылки по 10 л, консервировали сульфитацией и отстаивали при охлаждении до 1° (12 час.). После декантации сок расфасовывали в бутылки, нагревали на водяной бане при 76—78° и закупоривали кронен-пробками. Определяли плотность, общую кислотность, содержание спирта, общей и свободной H_2SO_4 , сахара, сухих в-в и золь, щелочность и pH. Широко проводили дегустационное исследование соков (25 не профессиональных дегустаторов), результаты выражали в баллах (от 1 до 10) шкалы, заранее составленной на основе дегустации специалистами. Три сорта черного винограда (Kuhlman 191-1, Landot 244, Seibel 4643) и 2 сорта белого (Seyve—Villard 5276 и Rudelin 3) дают соки вполне удовлетворительного и выше среднего качества и пригодны для произ-ва соков.

К. Герцфельд

9Н104. Опыт получения и дегустации виноградных соков из гибридов прямых производителей. Huglin P., Schwartz I. Essai d'obtention et de dégustation de jus de raisin à partir d'hybrides — producteurs. «Ann. Inst. nat. rech. agron.», 1960, 49, № 1, 53—65 (франц.).—Получали и определяли качество сока 15 сортов винограда урожая 1957—59 гг. Виноград собирали в оптимальной стадии зрелости, по 25 кг прессовали на легком прессе, сок разливали в бутылки по 10 л, консервировали сульфитацией и отстаивали при охлаждении до 1° (12 час.). После декантации сок расфасовывали в бутылки, нагревали на водяной бане при 76—78° и закупоривали кронен-пробками. Определяли плотность, общую кислотность, содержание спирта, общей и свободной H_2SO_4 , сахара, сухих в-в и золь, щелочность и pH. Широко проводили дегустационное исследование соков (25 не профессиональных дегустаторов), результаты выражали в баллах (от 1 до 10) шкалы, заранее составленной на основе дегустации специалистами. Три сорта черного винограда (Kuhlman 191-1, Landot 244, Seibel 4643) и 2 сорта белого (Seyve—Villard 5276 и Rudelin 3) дают соки вполне удовлетворительного и выше среднего качества и пригодны для произ-ва соков.

В. Гурьян

9Н105. Устойчивость аскорбиновой кислоты в замороженном и разлитом в бутылки соке acerolly и в смеси с другими плодовыми соками. Fitting Katherin O., Miller Carey D. The stability of ascorbic acid in frozen and bottled acerola juice alone and combined with other fruit juices. «Food Res.», 1960, 25,

№ 2, 203—210 (англ.).—Исследовали устойчивость аскорбиновой к-ты (I) при хранении сока acerolly (CA) (*Malpighia punicifolia*) в замороженном состоянии, а также разлитого в бутылки. Содержание I в плодах 2000 мг%. Приготовленный в лабор. условиях (путем прессования при нагревании и без нагревания) CA из зрелых и полужелтых плодов содержал 1200 мг% I. Одновременно проверяли устойчивость I в смесях CA с соками тропич. плодов (ананаса и др.), тоже замороженных или разлитых в бутылки. Установлено, что при хранении в течение 8 месяцев в замороженных смесях сохраняется 82—92% I, а в разлитых в бутылки содержание I понижается до 60—70%. CA почти не оказывает влияния на окраску и аромат обогащенных им соков тропич. плодов. Сахар несколько стабилизирует окраску и аромат CA.

Н. Сабуров

9Н106. Хроматографический метод анализа аминокислот виноградного сока. Щербатова Е. В. «Тр. Одесск. технол. ин-та пищ. и холодильн. пром-сти», 1959, 9, № 2, 65—76.—Для отделения аминокислот сока от сахаров применен сульфифеноловый катионит КУ-1. Аминокислоты идентифицировали при помощи одномерной распределительной хроматографии в подходящем потоке р-рителя. В качестве р-рителей использованы смеси: n -бутанол- CH_3COOH -вода (4:1:5) (верхний слой) и фенол с рН 1 и 12. В качестве проявителя применяли нингидрин. В виноградных соках найдены: цистин, глицин, гистидин, аргинин, лизин, аспарагиновая, глутаминовая к-ты, аланин, пролин, α -аминомасляная к-та, тирозин, валин, метионин, лейцин-изолейцин, фенилаланин, треонин, серин.

Г. Новоселова

9Н107. Количественный спектрофотометрический метод определения бензойной кислоты и метил- n -оксibenzoата в безалкогольных напитках и джемах. Intonti Roberto, Cotta Ramusino Fabio, Stacchini Angelo. Riconoscimento e determinazione quantitativa per via spettrofotometrica dell'acido benzoico e del paraossibenzoato di metile nelle bibite analcoliche e nelle marmellate. «Boll. lab. chim. provinc.», 1960, 11, № 2, 147—155 (итал.; рез. франц., англ. нем.).—Разработан метод определения в джемах и соках бензойной к-ты и метил- n -оксibenzoата спектрофотометрированием при 226 и 255 мμ.

Г. Н.

9Н108. Определение хрома в концентрированных соках. Porretta Antonino, Bellucci Giancarlo. La determinazione del cromo nei succhi concentrati. «Ind. conserve», 1960, 35, № 2, 110—112 (итал.; рез. франц., англ., нем.).—Анализируемую пробу озолят при 500° в муфельной печи, остаток растворяют в разб. H_2SO_4 , р-р подщелачивают NaOH , вводят гипобромит (для окисления Cr^{3+} до Cr^{6+}), устанавливают рН 1,3—1,7, прибавляют фенол (для связывания Br_2), вводят дифенилсемикарбазид и спектрофотометрируют при 544 мμ.

Н. Сабуров

9Н109. Определение цвета и степени снижения качества виноградных и ягодных соков и концентратов. Ponting J. D., Sanshuck D. W., Brekke J. E. Color measurement and deterioration in grape and berry juices and concentrates. «Food Res.», 1960, 25, № 4, 471—478 (англ.).—Красный цвет является важным показателем качества соков и концентратов, содержащих красные красящие в-ва. Разбавленные водой продукты спектрофотометрировали в видимой области спектра. Снижение интенсивности цвета сока из винограда, земляники и бойзеновой ягоды при тепловой обработке выражали в величине времени, потребного для снижения интенсивности окраски на 10%. Установлено, что это время является логарифмич. функцией т-ры, воздействию которой подвергался сок. Величина Q_{10} для земляничного сока составляет 2, для сока бойзеновой ягоды 2,1, для виноградного сока 2,7. Эти данные показывают, что при ~20° виноградный сок должен сохранять свой цвет несколько

лучше, чем сок земляники и боязеновой ягоды. Для последних более необходимо холодильное хранение.

Г. Новоселова
9Н110. Об определении цвета продуктов переработки томатов. Porretta Antonino, Cattabiani Enzo. Sulla determinazione del colore nei derivati del pomodoro. «Ind. conserve», 1960, 35, № 3, 220—222 (итал.; рез. франц., англ., нем.).—Разработан спектрофотометрич. метод определения цвета. Продукт растворяют в смеси воды и этанола (35 + 15), вытяжку обрабатывают петр. эфиром. Светопоглощение жирорастворимых в-в определяют при 472 мμ, а водорастворимых — при 380 мμ. Приведены результаты определения цвета томатного сока и пасты.

Из резюме авторов
9Н111. Линии для поточного производства быстрозамороженного овощного пюре. Beke György. Folyamatos gyorstagyasztott zöldségkrém gyártó vonal. «Hűtőipar», 1960, № 1, 15—18 (венг.; рез. русск., нем., англ.).—Описана линия для произ-ва быстрозамороженного пюре из шината и щавеля. Основные узлы линии: ванна для замачивания сырья, непрерывнодействующая моечная машина с вентилятором, непрерывнодействующий бланширователь, молотковая дробилка, гидrocиклон для удаления остатков песка, бак для пюре, разливочные машины. Производительность линии 1,5 т/час.

Из резюме автора
9Н112. Молочная промышленность Франции. Розен Г. «Молоч. пром-сть», 1960, № 12, 39—40

9Н113. Молоко и молочные продукты в США. Lega Giuseppe. Il latte e i prodotti lattieri alimenti di base per tutti gli americani. «Mondo latte», 1960, 14, № 11, 845—846 (итал.)

9Н114. Психрофильные бактерии в сыром охлажденном молоке. Thomas S. B. Psychrophilic bacteria in refrigerated raw milk. «Dairy Engng», 1960, 77, № 1, 5—9, 24 (англ.).—Обзорная статья. Источники попадания психрофильных бактерий в молоко, описание наиболее часто встречающихся видов данной группы бактерий, их влияние на качество молока; методика определения психрофильных бактерий. Библи. 16 назв.

В. Богданов
9Н115. Об увеличении количества микроорганизмов в молоке, как о факторе, влияющем на его качество. Konjačev Aleksandar. O umnažanju mikroorganizama kao faktoru, koji utječe na kvalitet mlijeka. «Mjekarstvo», 1959, 9, № 12, 272—274 (серб.-хорв.).—Исследованы изменения кол-ва микроорганизмов в молоке от коров, содержащихся в разных санитарных условиях, при хранении в течение 24 час. после удоя при 12, 17 и 22°. В молоке с исходным содержанием микроорганизмов 1081 на 1 мл число микроорганизмов через 24 часа возросло соответственно до 1982, 192 000 и 14 200 000; в молоке с начальным содержанием микроорганизмов 27 290 в 1 мл — до 248 000, 13 190 000 и 315 500 000, а в молоке с начальным кол-вом микроорганизмов 489 000 в 1 мл оно возросло до 6 252 000, 57 950 000 и 887 200 000. З. Лебедева

9Н116. Предупреждение обсеменения пастеризованного молока через проскок сырого молока в пластинчатых пастеризаторах. Hoare P. A. Preventing contamination of pasteurized milk through internal leaks in plate-type pasteurizing plants. «15th Internat. Dairy Congr. Vol. 4.» Sec. 4—6. London, 1959, 2025—2031 (англ.; рез. франц., нем.).—В обычном пастеризаторе давление распределяется так, что проскок сырого молока в пластине пастеризатора может оказаться источником вторичной инфекции пастеризованного молока. Путем перестановки молочного насоса с его нормального положения у входа в регенератор в точку между выходным отверстием сырого молока из регенератора и нагревательной секцией удается снизить давление в регенераторе до <1 атм и предупре-

дить возможность проскока сырого молока в регенераторе. Установка дополнительного насоса, подающего молоко второму насосу при атмосферном давлении, на входе в регенератор одновременно с ограничением выходного отверстия из секции охлаждения гарантирует проскок молока в секциях нагревания и охлаждения. Бактериологич. испытание такой системы подтвердило, что она предупреждает проскок сырого молока через отверстие диам. 3,2 мм, просверленное в пластине регенератора пастеризационной установки.

Е. Праведная
9Н117. Сравнение эффективности нескольких способов охлаждения молока на фермах. Scott I. K. The comparative effectiveness of some farm milk-cooling methods. «15th Internat. Dairy Congr.», Vol. 4. Sec. 4—6. London, 1959, 1958—1964 (англ.; рез. франц., нем.).—Лабораторные опыты, проводившиеся применительно к длительности хранения молока на фермах (16,6 час.) и летней ночной т-ре воздуха в Новой Зеландии (10—26,5°), показали, что длительность обезпечивания метиленового синего при редуктазной пробе, в среднем для проб молока 12 ферм, оказалась: для свежесвыдоенного молока, охлажденного до ~2°, 10,9 час.; после хранения проб 16,6 час. при 4,3° это время не изменилось; при хранении при 10° обезпечивание ускорилось на 1,1 часа, при 15,5° на 3,2 часа и при 21° на 6,7 час. На этом основании в зонах, где т-ра воздуха ночью <18,5°, считается возможным охлаждать молоко после вечерней дойки до 4,5° и хранить его во флягах до утра на воздухе без дополнительного охлаждения, в зонах с т-рой >26,5° молоко следует охлаждать до 4,5° и поддерживать эту т-ру с помощью холодильных установок.

Г. Титов
9Н118. Режим работы оросительных охладителей молока. В е р е щ а г и н Ю. Д. «Тр. Н.-и. ин-та животноводства. Узб. акад. с.-х. наук», 1960, вып. 5, 229—235.—Изложены результаты эксперим. исследования режима работы оросительных охладителей молока одинарного действия, работающих противотоком на холодной воде, «Зиг-заг»-500 и воде, охлажденной льдом во фригаторном ящике, ОХМ-500 и ОЛН-500, проведенных с целью определения коэф. теплопередачи указанных охладителей и повышения их, а также определения оптимальных режимов работы охладителей. Установлено, что для более интенсивного охлаждения молока на охладителе необходимо увеличить кратность расхода хладоносителя (воды). Глубокое охлаждение может быть достигнуто путем неоднократного ввода и вывода хладоносителя в охладителе. Наиболее эффективны охладители, изготовленные из материала с большим коэф. теплопроводности. А. Прогорович

9Н119. Пластинчатые охладители высокой производительности. Барановский Н. «Молоч. пром-сть», 1960, № 10, 18—21.—Краткое описание и основные технич. характеристики модернизированных пластинчатых охладителей (ПО) производительностью 3000 л/час (марка ООТ-М) и 5000 л/час (марка ООУ-М), рассчитанных для охлаждения молока от 35 до 4° водой и рассолом (или ледяной водой) в приемных цехах городских и первичных молочных э-дов; нового ПО производительностью 10 000 л/час (марка ООУ-10), предназначенного для охлаждения молока в приемных цехах молочных э-дов с расчетом понижения т-ры от 20 до 4°, рекомендованного к серийному выпуску и внедрению; ПО марки ООУ-25 производительностью 25 000 л/час, предназначенного для охлаждения молока в приемных цехах крупных молочных э-дов, находящегося в стадии освоения. Все ПО спроектированы на основе использования пластин из листов нержавеющей стали с горизонтальными рифлями, обеспечивающими высокую степень турбулентности потока молока и рабочих жидкостей, что обуславливает хорошую теплопередачу. Приведены рекомендации по эксплуатации ПО. Н. Барановский

9Н120. Витаминизированное и обогащенное минеральными веществами молоко. Carlson Walter A. Multi-vitamin mineral milk. «Amer. Milk Rev.», 1960, 22, № 1, 60, 62, 78—80 (англ.).—Обосновывается необходимость добавления в молоко витаминов и минер. в-в до следующих пределов (в мг на 0,92 л): витамин В₁ 1,0, витамин В₂ 2,0, ниацин 10,0, железо 10,0 и содержание йода 0,1, кроме того, витамин А 4000 м. е. и витамин Д 400 м. е. Указаны источники и способы обогащения молока. Сообщается, что такое молоко имеет большой спрос в США.

Г. Титов

9Н121. Уперизация. Wartenweiler M. Uperization. «Techn. Rundschau Sulzer», 1960, 42, № 2, 35—38 (нем.).—Изложена принципиальная схема уперизационной установки для высокотемпературной обработки молока, обеспечивающей его стерилизацию без изменения состава и свойств сырого молока. Подобные установки могут быть применены также для уперизации смесей мороженого, фруктовых соков, сахарных р-ров, желатин, меда, а также твердых в-в в виде суспензий. Указано, что в различных странах работает свыше 25 таких установок. Приведены схема и фотоснимки установки.

А. Титов

9Н122. Исследования содержания в молоке аскорбиновой кислоты и пороков вкуса, возникающих под действием света (применение молочных бутылок из цветного стекла). Petersen E. Einige Untersuchungen über Ascorbinsäure—Inhalt und licateinwirkende Geschmacksfehler in der Verkaufsmilch [Anwendung von farbigen Milchflaschen] «Molk.-Ztg.», 1960, 14, № 3, 65—67 (нем.).—Энергия дневного света вызывает в молоке постепенное окисление аскорбиновой к-ты (I) и пороки вкуса: салостый, «солнечный» и др. Не установлено, существует ли связь между р-циями, вызывающими пороки вкуса молока при действии света и окисление I, или они протекают параллельно. Посуда из цветного стекла (интенсивно желтого в смеси с розовым или коричневым) задерживает световые лучи с длиной волны < 500 мμ, которые могут поглощаться рибофлавином, содержащимся в молоке, и тем самым окислять I, и одновременно защищает молоко от пороков вкуса, возникающих под действием света. Молоко в цветной бутылке с добавлением 100 мг/л I, содержащее к началу опыта 121,2 мг/л I, после 4 час. воздействия света и 24 час. хранения в темноте не изменило вкуса, содержание I было 114,5 мг/л. Молоко в бутылке из белого стекла при тех же условиях приобрело салостый вкус и снизилось содержание I до 84,2 мг/л.

А. Титов

9Н123. Статистические исследования по определению расхода жира и сухого обезжиренного остатка. Ouwerkerk J. P. van, Meuknecht E. A. M., Dam B. van. Recherches statistiques sur la détermination des revenus de la matière grasse et des constituants non gras du lait. «15th Internat. Dairy Congr. Vol. 4». Sec. 4—6. London, 1959, 2186—2192 (франц.; рез. англ., нем.).—Приведен метод статистич. учета расхода молока, жира и сухого обезжиренного остатка молока, применяемый в Голландии в течение 1957—1958 гг., посредством ур-ния регрессии, в котором расход молока в целом является функцией кол-ва используемых жира и сухого обезжиренного остатка, а найденные отдельные коэф. регрессии представляют расход компонентов на единицу молока.

Н. Брю

9Н124. Прибор для определения предельной кислотности молока. Лейбман А., Клейнзингер И. «Молочн. пром-сть», 1960, № 10, 21—22.—Подробное описание конструкции и принципа действия сконструированного авторами прибора для определения предельной кислотности молока путем смешивания (в отношении 1:2) испытуемого молока с 0,1 н. р-ром щелочи, окрашенной фенолфталеином. Применение нового прибора более чем в 3 раза сокращает расход

молока и щелочи и значительно ускоряет анализа на кислотность.

И. Клейнзингер

9Н125. Аналитический метод определения α-активности, обусловливаемой присутствием в молоке урана.—Analytical method for the determination of alpha-activity due to uranium in milk. «Product. Group. U. K. Atomic Energy Author.», 1959, № 43 (CA), 7 pp., ill. (англ.).—100 мл молока в 500-мл колбе Кельдаль окисляют смесью 5 мл 16 М HNO₃ и 5 мл 18 М H₂SO₄, выпаривают досуха. Добавляют несколько раз по 2 мл 16 М HNO₃ и выпаривают до получения белого осадка. К осадку приливают 40 мл реактива (720 г NH₄NO₃, 36 г Fe(NO₃)₃·9H₂O, 62,5 мл 16 М HNO₃ и вода до 1 л) и нагревают до растворения осадка. Переносят р-р в экстрактор и экстрагируют уран диэтиловым эфиром в течение 1 часа на водяной бане. После отгонки эфира уран остается в водн. фазе. Воду выпаривают приблизительно до 2 мл, остаток переносят в платиновую чашку стандартного размера, выпаривают, прокалывают и для определения урана помещают в α-сцинтилляционный счетчик (тип 1093 В или 1339 А) на 20 мин. Приведены ф-ла для расчета α-активности, рисунок экстрактора.

Н. Брю

9Н126. Влияние липолитической активности на определение жира в молоке и молочных продуктах методом Шмид — Бондзинского — Рацлава. Willart S., Nilsson R., Rasmussen Y. The influence of lipolytic activity on the determination of the fat content in milk and dairy products with the Schmid — Bondzynski — Ratzlaff method. «Rept Milk and Dairy Res.», 1959, № 57, 10 pp., ill. (англ.; рез. шведск.).—Установлено, что неточности, присущие методу Шмид — Бондзинского — Рацлава (ШБР), зависят от липолитич. активности продукта, что вызывает появление свободных жирных к-т (СЖК). Нагревание с HCl (к-та) в условиях определения по ШБР свежего молока и свежего сырного казея не вызывает гидролиза жира. Нагревание липазаактивированного молока и зрелых сыров, содержащих различное кол-во СЖК, усиливает гидролиз и повышает содержание СЖК. СЖК экстрагируются серным и петр. эфирами вместе с жиром и в процессе высушивания, после отгонки р-рителей, частью улетучиваются, вследствие чего при определении жира получают заниженные результаты. В твердом сычужном сыре найдено содержание высокомолекулярных к-т (в Мэка в 5 г сыра) 0,050, масляной к-ты 0,003; в эфирном экстракте после нагревания с HCl в течение 10 мин. (соответственно) 0,056 и 0,010, в сухом экстракте 0,043 и 0,004; содержание жира найдено 29,80%, должно быть 29,87%. В зрелом голубом сыре определено высокомолекулярных к-т (в мэка/г сыра) 0,242 и масляной к-ты 0,026; в экстракте соответственно 0,299 и 0,034, в сухом экстракте 0,252 и 0,009; содержание жира найдено 34,78%, должно быть 35,94%. В продуктах с относительно малым кол-вом СЖК (в твердых сырах) ошибка при определении жира не превышала 0,1%, что практически не имеет значения. В голубом сыре содержание СЖК высокое и ошибка при определении жира может превышать 1%.

Н. Брю

9Н127. Новый флуоресцентный метод определения белка в молоке. Конев С. В., Козунин И. И. В сб. «Методы люминесцентн. анализа». Минск, АН БССР, 1960, 137—139.—Предложен люминесцентный метод определения кол-ва белка в молоке, основанный на сравнении интенсивности ароматич. люминесценции белков молока (разведение молока водой 1:2) с люминесценцией эталона (люминофор эритемных ламп ЭУВ-15, заключенный между светофильтрами УФС-1 и УФС-3). Относительная ошибка определения ±2%.

А. П.

9Н128. Новая лаборатория (в Голландии), контролирующая содержание белка в молоке. Mann E. J. A new milk protein control laboratory in the Nether-

lands. «
Для пр
амидо-ч
соли фо
денониз
H₂SO₄ д
выпадае
избыток
кolorиз
сорбиро
в М. Р
белка
описана
12 лабор
белка в
9Н125
нищил
baum
tecting
№ 1, D
мера по
на пов
органи
бируют
пеници
зуются
низма.
послед
зитель
лю) ко
исследо
ка буд
танном
нищил
9Н13
лизаци
ment i
329—3
ботник
рилиз
тивнос
клавах
лизуем
9Н13
чества
Pitzu
sul con
microsc
№ 9-10
ранто)
лока м
сопост
данны
лено с
мн.
9Н13
бактер
tels e
och ba
tidn.»,
резул
продук
чества
произ
вания
9Н13
Obig
funder
107—1
9Н13
ном. I
servat

lands. «Dairy Inds», 1959, 24, № 12, 990—993 (англ.).— Для проведения анализа в молоке (М) вводят р-р амидо-черного (I), содержащий (в г): двузамещ. Натри фосфорной к-ты 834, лимонной к-ты 6320, I 336 и демонизированной воды 400 л. Добавлением 600 мл H_2SO_4 доводят pH до 2,35. Белок с абсорбированным I выпадает при центрифугировании в осадок. Конц-ию избытка красителя, остающегося в р-ре, определяют колориметрически; по разности вычисляют кол-во абсорбированного I и по этому кол-ву содержание белка в М. Расхождения указанного метода определения белка с методом Кьельдаля 0,04—0,05%. Подробно описана организация работы в лаборатории, в которой 12 лаборантов выполняют в день 5000 определений белка в М; оснащение лабораторий может обеспечить проведение 15 000 анализов. М. Либенсон

9Н129. Быстрый дисковый метод определения пенициллина в молоке. Arret Bernard, Kirshbaum Amiel. The rapid disc assay method for detecting penicillin in milk. «Amer. Milk Rev.», 1960, 22, № 1, D34 (англ.).—Бумажный диск определенного размера погружают в молоко и помещают в чашку Петри на поверхность агара, обсемененного спорами тест-организма (*Bacillus subtilis* ATCC 6633). Чашки инкубируют при 37° ~2,5 час.; при содержании в молоке пенициллина $\geq 0,05$ м. е. в 1 мл около диска образуются отчетливые зоны подавления роста тест-организма. Для подтверждения роста подавление роста последнего вызвано наличием пенициллина, приблизительно к 5 мл молока добавляют 0,05 мл (одну каплю) концентрата фермента пенициллиназы. Если при исследовании необработанного пенициллиназой молока будут обнаружены зоны подавления, а в обработанном молоке зоны будут отсутствовать, наличие пенициллина считается доказанным. В. Богданов

9Н130. Температурная и продолжительность стерилизации в автоклаве. Scott R. Time-temperature treatment in autoclaves. «Dairy Engng», 1960, 77, № 10, 329—333 (англ.).—Инструктивные указания для работников молочных лабораторий по проведению стерилизации в автоклаве; приведены данные по эффективности стерилизации различными способами в автоклавах разных систем и при изменении объема стерилизуемой среды. В. Богданов

9Н131. Дальнейшие наблюдения над учетом количества бактерий в молоке методом микрокультуры. Pitzurra M., Salamandra R. Ulteriori indagini sul conteggio culturale dei microbi nel latte mediante microcultura per striscio. «Igiene mod.», 1959, 52, № 9-10, 639—646 (итал.; реф. франц., англ., нем., испанто).—Определено кол-во бактерий в 29 пробах молока методом микрокультуры; полученные результаты сопоставлены с показаниями пробы на редуктазу и данными, полученными чашечным методом. Установлено соответствие между указанными тремя методами. В. Богданов

9Н132. Контроль качества питьевого молока и бактериологический контроль его производства. Bertelsen E. Konsumtionsmjølken kvalitetskontroll och bakteriologisk drigfiskontroll 1959. «Svenska mejeritidn.», 1960, 52, № 9, 111—114 (шведск.).—Рассмотрены результаты контроля качества молока и молочных продуктов за 1958—1959 гг., отмечено улучшение качества молока. В результате бактериологич. контроля произ-ва разработан способ мойки бутылок и оборудования с надежным антисептич. эффектом. К. Герцифельд

9Н133. Оценка наличия стафилококков в молоке. Obiger Günter. Bewertung von Staphylokokkenbefunden in Milch. «Milchwissenschaft», 1960, 15, № 3, 107—113 (нем., реф. англ.).—Обзор. Библ. 30 назв. В. Б.

9Н134. Консервирование молока хлортетрациклином. Dickison Walter L., Poe Charles F. Preservation of milk with chlortetracycline. «Univ. Colorado

Studies. Ser. Chem. and Pharmacy, 1959, № 2, 50—80 (англ.).—Дан краткий обзор эффективности действия применяемых в настоящее время в-в для продления срока хранения свежего молока. Исследовано влияние хлортетрациклина (I) на сохраняемость молока. Установлено, что добавление I в кол-ве 3—10 мг/л молока значительно увеличивает срок хранения молока. Охлаждение является дополнительным фактором, замедляющим порчу молока. Наиболее эффективен метод, предусматривающий пастеризацию молока сразу же после добавления I. Приведены данные влияния на бактериальную загрязненность молока различных конц-ий I, пастеризации, различных режимов обработки и сроков хранения молока. Б. Файнгар

9Н135. Об ограничении добавления химических веществ в молоко и молочные продукты. Jørgensen H. Kemikalierestriktionernes betydning for mælk og mejeriprodukter. «Nord. mejeritidsskr.», 1960, 26, № 9, 170—173 (датск.).—Обзор. Библ. 15 назв. К. Г.

9Н136. Влияние сорбиновой кислоты на молочнокислые бактерии. Winkelmann Fritz. Über die Wirkung von Sorbinsäure auf Kulturmilchsäurebakterien. «Milchwissenschaft», 1960, 15, № 11, 565—571 (нем., реф. англ.).—Изучено влияние сорбиновой к-ты (I) на рост чистых культур молочнокислых бактерий. При добавлении I в кол-ве 0,1% к среде из гидролизованного панкреатинного молока, пептона Витте, дрожжевого экстракта, глюкозы и твина 80 наблюдался хороший рост молочнокислых бактерий; одновременно подавлялся рост плесеней и дрожжей. Фунгицидное действие 10%-ного спиртового р-ра I понижалось при хранении р-ра, в то время как бактерицидное действие р-ра I на молочнокислые бактерии повышалось. В. Богданов

9Н137. Биохимические свойства кефира в зависимости от способа его выработки. Паткуль Г. «Молоч. пром-сть», 1960, № 5, 17—18.—Проверка биохим. свойств кефира (К), выработанного молочными з-дами Ленинграда, показала полное отсутствие в К спирта; в редких случаях его содержание составляло 0,01 объемн. %. Обнаружено небольшое кол-во углекислого газа (0,05—0,07%). Дистилляционное число, характеризующее наличие летучих к-т (в основном уксусной), в К выше, чем в простокваше. При выдержке в течение 1—3 суток при 8° спирт в кефире не накапливается, происходит лишь незначительное увеличение титруемой кислотности и дистилляционного числа. Исследование К, приготовленного непосредственно на грибах, а также на грибковой (ГЗ) и пересадочной закваске (ПЗ), показало, что продукт, полученный при прямом контакте молока с грибами, содержит спирта (в объемн. %) 0,18—0,4; К на ГЗ 0,03—0,05; в К на ПЗ спирт не обнаружен. Предложено К, вырабатываемый на з-дах, делить на 3 вида: 1) К, приготовляемый на ПЗ; при его произ-ве можно дополнительно использовать молочнокислый стрептококк и в малых дозах (0,1%) антидифильную палочку; продукт только однодневный; 2) К на ГЗ, имеющий специфич. вкус и содержащий 0,03—0,05% спирта; 3) К на грибах; этот вид кефира рекомендуется готовить различной крепости и возраста. А. Прогорович

9Н138. Культивирование кефирных грибов и борьба с их пороками. Шереметьева Ф. «Молоч. пром-сть», 1960, № 6, 17—18.—Кратко изложен способ культивирования кефирных грибов и приготовления производственных заквасок на Кисловодском молочном з-де. Рассмотрены пороки кефирной закваски (наличие кишечной палочки, слизистость или тягучесть закваски, плесневение грибов, запахи H_2S) и кефира (вспученность кефира, обильное газообразование) и меры предупреждения этих пороков. А. Прогорович

9Н139. Приготовление кефира на чистых культурах. Мокшенко Н. «Молоч. пром-сть», 1960, № 7, 21—22.—Рассмотрена возможность произ-ва кефира на закваске, приготовленной на чистых культурах, выделенных из кефирных грибов. Состав такой закваски регулируется условиями культивирования — температурным режимом и временем выдержки; оптимальной т-рой является 17—22°. Кефирная закваска на чистых культурах может сохраняться длительное время без потери специфич. свойств. А. Прогорович

9Н140. Изменение пищевой ценности сгущенного молока при хранении в течение нескольких лет. Böhm M., Ramaswamy S. S. Veränderungen des Nährstoffgehaltes von Kondensmilch bei jahrelanger Lagerung. «Z. Lebensmittel-Untersuch. und -Forsch.», 1960, 111, № 3, 219—223 (нем.).—Перед закладкой на хранение образцы сгущенного молока имели следующие показатели: содержание витамина А 265—229 м. е., каротина 35—74 мг и витамина Е 0,13—0,18 м. е.; витамина С 1,94 мг, В₁ 46—43 мкг и витамина В₂ 301—334 мкг, число омыления молочного жира 228,5—228,9 и йодное число 37,7—42,8. Соответственно после хранения при 10—15° (в среднем) через 1 год 253, 79, 0,30, 1,19, 34, 326, 227,1 и 43,7; через 2 года 263, 91, 0,22, 0,87, 38, 293, 222,5 и 43,7; через 3 года 290, 90, 0,22, 0,89, 26, 299, 227,1 и 42,7 и через 4 года 279, 81, 0,28, 1,00, 29, 232, 226,9 и 41,8. Г. Титов

9Н141. Влияние различных доз пропиленгалакта на стойкость и вкусовые качества сухого молока при хранении. Ахмедова М. У. «Тр. Н.-и. н-та животноводства. Узб. акад. с.-х. наук», 1960, вып. 5, 215—227.—При произ-ве сухого молока пропиленгалакт (I) в кол-ве 0,005, 0,01, 0,02 и лимонную к-ту в кол-ве 0,005% вносили в подсушенное молоко после выгрузки из вакуум-аппарата. Установлено, что для сохранения сухого молока более эффективна доза 0,01% I, она не только предотвращает порчу, но и улучшает вкусовые качества. При внесении I в кол-ве 0,02% в свежее восстановленное молоко ощущался его привкус, после хранения в течение 1 и 2 лет привкус значительно уменьшался. А. Прогорович

9Н142. Исследование сухого молока. IV. Состав пенной фракции и нерастворимого осадка после восстановления сухого цельного молока. Samuels E. R., Coffin A., Julien J. P., Baker B. E. Studies on milk powders. IV. The foam and sediment fractions of reconstituted whole milk. «J. Dairy Sci.», 1960, 43, № 5, 624—629 (англ.).—Сухое цельное молоко восстанавливали, процеживали через сито с отверстиями 200 меш и центрифугировали. Нерастворимые осадки, собранные с сита — пенную фракцию (ПФ) и после центрифугирования — осадочную фракцию (ОФ), промывали, сушили методом сублимации и исследовали. Содержание жира (в %): в ПФ 4,2, в ОФ 5,0, белка соответственно 62,4 и 74,5, углеводов 14,2 и 3,4, Са в золе 27,5 и 34,2, К в золе 7,29 и 1,25. Т-ра плавления жира, экстрагированного эфиром из ПФ, в пределах 29—35° и ОФ 15—30°; йодное число соответственно 40,6 и 46,4, следовательно жир ОФ содержит большее кол-во ненасыщ. жирных к-т, чем жир ПФ. Электрофоретич. исследование обеих фракций после экстрагирования их эфиром показывает, что основным белком ПФ является казеин, а ОФ — β -лактоглобулин. Библи. 13 назв. Часть III см. РЖХим, 1961, 4Н109. Г. Титов

9Н143. Обработка плодов, применяемых для мороженого. Levy Lazare, Jr. Proper preparation of fruits for use in ice cream. «South. Dairy Prod. J.», 1960, 68, № 2, 66—68, 70, 75, 77—79 (англ.).—Описаны подготовка и обработка применяемых для мороженого ананасов, садовой земляники, вишни, персиков, бананов и грецкого ореха. Указаны требования, которым должны отвечать указанные продукты. В. Гурни

9Н144. Микробиологическое исследование смеси для мороженого при вакреации. John M. G., Dyett

E. J., Franklin J. G. Bacteriological studies on the vacreation of ice cream mix. «Dairy Inds», 1960, 22, № 3, 192—195 (англ.).—Сравнительные наблюдения над микрофлорой смеси мороженого, подвергнутой низкой длительной пастеризации и вакреации (в первой секции 90°, во второй и третьей — сублетальной т-ра), показали, что метод вакреации является более эффективным. При применении данного метода существует большая гарантия полного уничтожения патогенных бактерий. В. Богданов

9Н145. Скваживание сливок с содержанием 80% жира. Schulz Max Erich, Voss Eberhard, Gütter Helmut. Die Säuerung von 80% igem Rahm. «Milchwissenschaft», 1960, 15, № 2, 65—71 (нем.; рез. англ.).—Разработан режим выработки кисломолочного масла с хорошим ароматом из сливок жирностью 80% на аппарате Альфа. Сливки сквашивают 0,1—0,5% закваски в течение 20—22 час. при т-ре 17—22°. Определение pH производят в плазме после расплавления сливок или масла. При излишней кислотности сливок (pH ниже 4,7) или при плохой закваске могут появляться привкусы: металлический или олеостеи. Вследствие плотной консистенции высокожирных сливок трудно избежать излишнего сквашивания путем быстрого прекращения действия закваски охлаждением до 10—15°, как это делается при нормальной жирности сливок. Для предупреждения переиспания рекомендуется применение термофильных культур и сквашивание сливок при 35—45°, при возможности — охлаждение сливок до 20° и прекращение действия закваски на желаемом значении pH, быстрый перевод сливок в масло. Повышение кислотности в масле является показателем неполного перехода воды эмульсии в жировую вследствие неполного завершения процесса обработки масла. Исследовались условия перевода сливок в масло путем одного охлаждения без механич. обработки, но это оказалось недостаточным для устранения дальнейшего скисания при хранении масла. При каплях влаги в масле размером < 10 мкм повышения кислотности плазмы не происходит. А. Годель

9Н146. Улучшение качества продуктов применением одноштаммовых заквасок. Andersen V. B. Single-strain cultures can give improved products. «Amer. Milk Rev.», 1960, 22, № 9, 62, 64, 66, 128 (англ.).—Проведенные исследования показали, что отдельные штаммы *Str. lactis* или *Str. cremoris* в комбинации *Str. diacetylactis* при сквашивании сливок или пахты могут образовывать типичный аромат. Интенсивность аромата может меняться в зависимости от содержания *Str. diacetylactis*. В. Богданов

9Н147. О переработке замороженных сливок. Lagorai H., Peters K.-H. Einige Betrachtungen zur Verarbeitung von Gefrierrahm. «Molk.- und Käser.-Ztg.», 1960, 11, № 2, 36—38 (нем.).—Изменение структуры сливок при замораживании с целью использования для выработки сливочного масла вызывает необходимость их реэмульгирования. Для улучшения качества масла дефростированные сливки смешивают со свежими. Библи. 15 назв. А. Титов

9Н148. Происхождение рыбного привкуса и его развитие в промывных сливках и в масле. II. Роль pH в процессе окисления фосфатидов оболочек жировых шариков. Koops J., Tarassuk N. P., Pette J. W. The origin and development of fishy (fishy) flavor in washed cream and butter. II. The role of pH in the oxidation of fat globule membrane phosphatides. «Nederl. melk-en zuiveltijdschr.», 1959, 13, № 4, 279—290 (англ.; рез. гол.).—Для выяснения природы катализа в процессе окисления фосфатидов оболочек жировых шариков и роли pH опыты проводились с промывными сливками (ПС), менее чувствительными к развитию рыбного привкуса (РП), чем нормальные сливки. В масле из ПС, подкисленных 0,1 н. р-ром H₂SO₄,

максим. 1. Максим. рич. точн. рового чи с итенси. является оболочек является щих (и окисленн держивал обезжире сгущенно 9Н123.

9Н149. сквашени рыбног lich M tanu па k ravins, 19 англ.).— в в уда 0,2% (от сливок с из полу хим. и с шему соа го масла.

9Н150. косливоч I. Влия wall F Studies ter. I. E Res., 19 складс чаеся « выдержк статисто достотн pH, не с и облада сквашив 2 смеси (Camb я лах 3— закваски обивани 1% по ность е молочн ном ма лено, ч кваской при 11 аромато ходимо вкисмос вок.

9Н151. xen» vo feiner 189—19 дополн твердос ность н ности фасовк 9Н152. микроф ле. St Versuch 92. Хим

максим. развитие РП наблюдалось при pH 3,8—3,2. Максим. поглощение кислорода было при изoelectpич. точке ПС (pH 3,8—3,9). Повышение тiorбарбитурового числа масла из подкисленных ПС согласуется с интенсивностью РП и указывает, что причиной РП является окисление ненасыщ. жирных к-т фосфатидов оболочек. Главным фактором окислительной системы является медь. При удалении соединений, связывающих Си путем блокирования их антиокислителями, окисления не происходит. Появление РП заметно задерживалось при добавлении к подкисленным ПС обезжиренного молока (нагретого 10 мин. при 90°) или ступенчатой сыворотки. Сообщение 1 см. РЯХХИм, 1961, 9N123. А. Годель

9N149. Сбивание масла из сквашенных и полусквашенных сливок на маслоизготовителе 4MV непрерывного действия. Kratochvil Lubomir, Vedlich Miloslav, Stloukani biologicky kysané smetany na kontinuálním zmláslňovači 4 MV. «Průmysl potravin», 1960, 11, № 2, 63—67 (чешск.; рез. русск., нем., англ.).—При сбивании масла из полусквашенных сливок содержание жира повысилось до 0,48%. Масло из полусквашенных сливок по органолептич., физик. и бактериологич. показателям отнесено к высшему сорту. После 10 дней хранения при 8° вкус этого масла оценивался в 45 баллов. По резюме авторов

9N150. Исследование способа производства сладкосливочного масла с применением чистых культур. I. Влияние температуры созревания сливок. McDowell F. H., Singleton J. A., Le Heron B. S. Studies on the manufacture of sweet cream starter butter. I. Effect of cream-holding temperature. «J. Dairy Res.», 1960, 27, № 1, 81—89 (англ.).—Производство сладкосливочного масла на чистых культурах отличается от произ-ва кислосливочного масла тем, что выдержка заквашенных сливок производится при достаточно низкой т-ре во избежание повышения кислотности. Получаемое из таких сливок масло имеет pH, не отличающийся от pH сладкосливочного масла, и обладает хорошим ароматом. Образцы сливок заквашивали культурой *Str. diacetylactis* или одной из 2 смесей культур, применяемых в Новой Зеландии (Camb и F. D.). Т-ру выдержки варьировали в пределах 3—14°. Кислотность сливок после добавления закваски составляла 0,07—0,09% молочной к-ты, перед сбиванием 0,07—0,10%. Закваску добавляли в кол-ве 1% по отношению к объему сливок, кислотность ее в разных сериях опытов была 0,55—0,88% молочной к-ты. Содержание диацетилла в выработанном масле колебалось от 0,04 до 0,24 мг/кг. Установлено, что продуцирование диацетилла культурной закваской повышается с увеличением т-ры особенно при 11—14°. Для произ-ва сладкосливочного масла с ароматом диацетилла постоянной интенсивности необходимо регулировать кол-во вносимой закваски в зависимости от т-ры выдержки и т-ры сбивания сливок. А. Годель

9N151. Об обработке масла. Petersen E. «Mischen» von Butter macht sie streichfähiger und bewirkt feinere Wasserverteilung. «Molk-Ztg.», 1960, 14, № 7, 189—190 (нем.).—С помощью миксера (машины для дополнительной обработки готового масла) снижают твердость зрелого масла, что улучшает его способность к намазыванию, и повышают степень дисперсности влаги в масле. Использование миксера перед фасовкой масла увеличивает стойкость масла. А. Т.

9N152. Обработка масла и применение аппарата микрофикс для тонкого распределения влаги в масле. Stüssi D. Über die Butterknetung und einige Versuche mit dem «Mikrofix» zur Feinbearbeitung von

Butter. «Schweiz. Milchzeitung», 1960, 86, № 9, 57—58 (нем.).—Рассмотрены значения распределения влаги в масле для его качества и аппараты, применяемые для обработки масла. Указано, что в аппарате микрофикс (фирма Benz Hilgers, Дюссельдорф, ФРГ) сливочное масло шнеками подается под давлением к быстро вращающемуся ротору с расположенными на нем радиально ножами, где путем разрезания и размалывания достигается тонкое распределение влаги и плазмы в масле. Возможна регулировка интенсивности механич. обработки масла путем смены роторов (24, 30 и 36 ножей) и изменения на ходу скорости вращения шнеков от 8 до 16 об/мин. Размеры аппарата (в мм): длина 1850, ширина 720, высота 1400. Мощность моторов, приводящих в движение шнеки и ротор, соответственно, 20 и 3,3 л. с. Из микрофикса масло можно непосредственно подавать на расфасовочно-упаковочные автоматы. Приведены фотоснимок аппарата и схема устройства. А. Титов

9N153. Выработка вологодского масла поточным способом на Домнинском заводе. Кириков В. «Молоч. пром-сть», 1960, № 12, 34.—Изложен опыт работы. А. П.

9N154. Влияние увеличенных доз дрожжей на стойкость масла. Блок Г. И. «Тр. Красноярского с.-х. ин-та», 1959, 3, № 1, 174—187.—Проведены опытные сбивки масла с добавлением увеличенной дозы дрожжей № 304 (Д) в виде суспензии, приготовленной из свежей культуры на сусловом агаре, из расчета обогащения свежего масла 100—150 тыс. клеток Д на 1 г масла. Установлено, что Д в увеличенной в ~4 раза дозе дают более сильный эффект защиты масла против плесневения и более заметно подавляют в нем бактерии. Подтверждено, что Д задерживают накопление перекисей в масле. Д способствуют понижению окислительно-восстановительного потенциала в масле и этим препятствуют развитию в кислосливочном масле олеистого и рыбного вкуса. Добавление в масло глюкозы вместе с суспензией Д из расчета 60 г на 1 г масла способствует более быстрому накоплению клеток Д в первые дни хранения масла и предупреждает затравливание Д жира. Добавление Д в масло в повышенной дозе не вызывает никаких привкусов в нем. А. Прогорович

9N155. Применение хроматографии на бумаге для отличия молочного жира от других жиров. Часть I. Поведение неомыляемых веществ на хроматограммах. Ramachandra B. V., Dastur Noshir N. Application of paper chromatography to differentiate ghee from other fats. Part I. Behaviour of unsaponifiable matter on chromatograms. «Indian J. Dairy Sci.», 1959, 12, № 3—4, 139—148 (англ.).—Для обнаружения фальсификации топленого масла (ги) другими жирами применен метод круговой хроматографии неомыляемых в-в (НВ). К ги добавляли 5—25% других жиров, омыляли, экстрагировали эфиром и остаток после удаления эфира растворяли в спирте. Круг ватманской бумаги № 1 диам. 18 см делили на 6 равных секторов, наносили пятна спирт. р-ра НВ исследуемых смесей жиров, в центр круга вставляли фитилек. Р-ритель — метиловый спирт: петр. эфир: вода (80:10:10), проявление производилось в парах йода. Пятна окрашивали в коричневый цвет. Идентификация жиров производилась по пройденному пятнами пути и по флуоресценции их в УФ-свете. Этот метод позволяет обнаружить примесь к ги > 10% гидрированного жира или 5% животных жиров. Фальсификацию ги растительными маслами обнаружить нельзя. А. Годель

9N156. Уточнение методики исследования газовой фазы сливочного масла. Панфилова Н. Е. «Материалы научн. конференций. Ижевский с.-х. ин-т», 1960, вып. 7, 131—135.—Описаны изменения, введенные автором в конструкцию аппарата Орса и Оппе-ра и в технику проведения анализа газовой фазы

сливочного масла с целью сокращения продолжительности анализа. Ю. Ч.

9Н157. Определение качества получаемого сгустка из обезжиренного сухого молока. Stone W. K., Large P. M., Graf G. C. Determination of curd making quality of nonfat dry milk. *J. Dairy Sci.*, 1960, 43, № 1, 48—53 (англ.).—Опыты проводились на исследуемом и контрольном обезжиренном сухом молоке. Сопоставлялись выходы, содержание сывороточного белкового азота, плотность сгустка, содержание влаги, консистенция и внешний вид сгустка (для производства сыра коттедж). В. Файнгар

9Н158. Гидролиз молочного жира и вкусы сыров. III. Микрофлора на поверхности сыра, вызывающая гидролиз молочного жира в сырах. Stadholders J., Mulder H. Fat hydrolysis and cheese flavour. III. Surface organisme associated with fat hydrolysis in cheese. *(Nederl. melk-en zuivelijdschr.)*, 1959, 13, № 4, 291—299 (англ., рез. гол.).—Изучалось изменение микрофлоры на поверхности сыра гауда при созревании и ее влияние на гидролиз жира. Анализы поверхностной слизи в возрасте сыра 11, 18, 25, 39, 54 и 140 дней дали следующие результаты (кол-во микроорганизмов в тыс. на 0,1 см²): плесени 8, 57, 66, 90, 68, 27; дрожжи 9100, 31900, 7600, 2210, 1230 и 1180; бактерии 61 000, 290 000, 288 000, 52 000, 14 900, 1850. Прививка выделенных штаммов на среду (стерильные сливки с мелом + закваска на культуре *Str. lactis* и *Str. cremoris* до pH 5,0 + насыщ. р-р соли до 5%-ной конц-ии NaCl) и анализа выделенного из смеси после инкубации жира показала, что плесени и дрожжи рода *Debaryomyces* могут принимать участие в расщеплении жира сыров; роль коринебактерий и стафилококков (микрококков) в данном случае не существенна. Приведены данные повышения кислотности молочного жира при прививке различных штаммов плесеней, дрожжей и бактерий. Часть II см. РЖХим, 1960, № 1, 2847.

Г. Титов
9Н159. Скорость диффузии соли в сыре трапист. Vujičić Ivica. Intenzitet difuzije soli u sir trapist. *«Tehnika»*, 1960, 15, № 5, *«Prehran. ind.»*, 14, № 5, 75—78 (сербо-хорв., рез. англ.).—Исследовано влияние относительной влажности сыра, его влажности и конц-ии рассола на диффузию соли при посолке сыра трапист. С увеличением относительной поверхности сыра на 0,01 кол-во адсорбированной соли возрастает на ~0,0895%. Повышение влажности сыра на 1% увеличивает кол-во соли в сыре на ~0,1578%. С повышением конц-ии рассола на 1% кол-во соли в сыре возрастает на ~0,1041. При посолке в течение 24 час. сыр трапист адсорбирует 1,64—2,67% соли в зависимости от размера сыра, его влажности и конц-ии рассола; при этом влажность сыра снижается на 3—4%, вес — на 2—3,5%. Коэф. диффузии соли в сыре, рассчитанный по ур-нию Климковского (см. РЖХим, 1957, № 9, 33048), колеблется от 2,42 до 6,04 · 10⁻³ см²/час в зависимости от изменения конц-ии рассола и влажности сыра. Коэф. диффузии соли в сыре трапист больше, чем в ярославском и московском сырах, несколько меньше, чем в волжском сыре, и значительно меньше, чем в сыре злато. Г. Роганова

9Н160. Сыр риддар из Тёребоды. G. V. Riddarosten från Töreboda. *«Svenska mejeritidn.»*, 1960, 52, № 40, 515—519 (шведск.).—Изложена технология производства и упаковки нарезанного ломтиками сыра. К. Г.

9Н161. Производство ярославского сыра ускоренного созревания. Павлов Н. «Молочн. пром-сть», 1960, № 12, 29—30.—Кратко изложена технология произ-ва ярославского сыра ускоренного созревания с применением активизированной закваски и стрептококкового гидролизата. Приведен способ приготовления гидролизата. А. П.

9Н162. О производстве эментальского сыра. Borbándy József. Eszrevételek és problémák az emen-

táli sajt gyártásával kapcsolatban. *«Tejipar»*, 1959, janár., 23—30 (венг.).—Рассмотрены следующие вопросы: требования к качеству молока для произ-ва эментальского сыра; санитарные условия его сбора; хранение; необходимость использования только сырого молока для произ-ва данного сыра; исключение молока от коров, получающих силос; необходимость созревания пастеризованного молока; технология пастеризации молока для эментальского сыра; регулирование кислотности сырной массы при прессовании; температурный режим посолки и др. С. Розенфельд

9Н163. Результаты лабораторных исследований сыра колби, вызвавшего стафилококковое пищевое отравление. Allen Virginia D., Stovall W. D. Laboratory aspects of staphylococcal food poisoning from Colby cheese. *«J. Milk and Food Technol.»*, 1960, 23, № 9, 271—274 (англ.).—Пищевое отравление, наблюдавшееся в трех штатах, вызвано сыром колби, выработанным из непастеризованного молока на одной ферме. При исследовании 87 образцов сыра, молока и смывов с оборудования фермы выделено 78 культур *Staphylococcus aureus*. Из выделенных культур 72 были коагулятоположительными; из последних 45 обладали характерными свойствами по отношению к фату. Фаготипирование показало, что культуры попадали в молоко от животного; некоторые штаммы образовывали энтеротоксин. В. Богданов

9Н164. Быстрый метод определения железа в твердых сырах. Barska Celina, Bednarczyk Władysław, Luczak Maria. Szybka metoda oznaczania żelaza w serach twarogowych. *«Prace Inst. przem. mleczarsk.»*, 1960, 7, № 1, 1—8 (польск.; рез. русск., англ.).—Сравнительная оценка быстрого колориметрич. метода определения железа в твердых сырах путем экстракции и технич. колориметрич. метода показала, что метод экстракции является более точным, средняя ошибка по сравнению с методом сухой минерализации составляет 1%. Технич. метод определения железа в твердых сырах дает несколько большую ошибку — в среднем 10% по сравнению с методом сухой минерализации, но он более простой и быстрый и может широко применяться для технич. контроля в молочной промышленности.

По резюме авторов
9Н165. О выходах овечьего кускового сыра. Dušek Bohumil, Kažimír Ladislav. Príspevok k otázke výťažnosti ovčieho hrudkového syra. *«Polnohospodárstvo»*, 1960, 7, № 4, 285—296 (словацк.; рез. русск., англ.).—Сравнительное определение выходов овечьего кускового сыра при различных способах произ-ва показало, что при произ-ве сыра кустарным способом абс. выход (вес молока в кг/вес сыра в кг), рассчитанный на сыр с содержанием сухих в-в 52%, составлял в среднем 4,204 кг; использование сухих в-в молока 60,63%; жира молока 72,44%; кол-во отделенной сыворотки в среднем 60,36%, содержание жира в сыворотке 2,75% и сухих в-в 10,17%. При произ-ве сыра по официальной технологии, схеме получен средн. абс. выход сыра 3,699 кг; использование сухих в-в молока составляло 69,24%; жира молока 88,82%; кол-во отделенной сыворотки 61,68% с содержанием жира 1,30% и сухих в-в 8,89%. Более рентабельным способом произ-ва является молельный способ.

По резюме авторов
9Н166. Красное окрашивание белой рассольной брынзы. Чомаков Христо. Червеноото оцветяване при бялото саламурено сирене. *«Хранит. пром-сть»*, 1960, 9, № 10—11, 29, 55, 56 (болг.; рез. русск., франц., англ., нем.).—При исследовании проб белой рассольной брынзы с красным окрашиванием выделен побудитель красного окрашивания — грамположительная, неподвижная, аспорогенная палочка размером 1—4 м. Возбудитель хорошо развивается в среде pH 4—7,5 и наиболее интенсивно продуцирует пиг-

мент в среде с pH 4,5—5,5. Продуцируемый пигмент не растворяется в воде, спирте, эфире, хлороформе, но растворяется в 10%-ном р-ре HCl (к-та). Возбудитель не устойчив к высоким т-рам (погибают при нагревании 30 мин. при 70—72°). Для предупреждения появления красного окрашивания в белой рассольной брызге рекомендуется пастеризация молока при 70—72° в течение 30 мин., а также тщательная дезинфекция оборудования. Г. Джиладдарова

9Н167. Количественное определение сульфата каррагинина в молочных продуктах. Hansen P. M. T., Whitney R. M. L. A quantitative test for carrageenan ester sulphate in milk products. *J. Dairy Sci.*, 1960, 43, № 2, 175—186 (англ.).—Разработан метод колич. определения каррагинина (I) (в-во колл. характера, экстрагируемое из *Chondrus crispus*), применяемого для стабилизации сыроваренных продуктов. Метод основан на весовом определении сульфата, входящего в состав I. Молоко предварительно диализируют в течение 48 час. при т-ре 5—6°, затем гидролизуют HCl 4 часа. В р-р добавляют активированный уголь и в-во для облегчения фильтрования. Выпавший осадок несколько раз промывают декантацией и отфильтровывают. Фильтры соединяют, нагревают и выпадают к ним BaCl₂ — выпадает BaSO₄, который определяют весовым путем после прокалки в тигле Гуча. Результаты вычисляют по ф-ле: % сульфата эфира = (вес BaSO₄ в образце — вес BaSO₄ в слепом опыте) × 41,15. М. Либенсон

9Н168. Новое в зарубежных исследованиях мяса. Wismer-Pedersen J. Nyheder inden for den udenlandske kødforskning. «Konserves», 1960, 18, № 10, 109—111 (датск.).—Обзорная статья. К. Г.

9Н169. Переработка свинины. Чорбов Я. Р. М. Устройство на кланчича зала за обработку на свине. «Хранит. пром-ста», 1960, 9, № 10—11, 26—28, 55, 56 (болг.; рез. русск., франц., англ., нем.).—Описан комплекс мероприятий по переустройству убойного цеха (планируемая мощность 600 опашенных и 1000 обесккурных туш в смену). Изложены технологич. процессы шпарики и снятия шкуры и технологич. схема цеха.

9Н170. Сообщение комитета по способам уоя, назначенного Датской Академией технических наук.—Report of the Committee on slaughtering methods appointed by the Danish Academy of Technical Sciences at the request of the Ministry of Justice. Acta polytechn. scand. Chem. incl. Metallurgy Ser., 1959, № 4, 35 pp., ill. (англ.).—Изложены результаты исследований по влиянию огушения электрич. током на качество свинины, в частности на появление крововизляний в та-уберенной и брюшной частях туши и на порчу мяса. Установлено, что геморрагия. пятна в мышцах образуются в том случае, если интервал между огушением и забоем < 5 сек. Органолептич. и хим. исследование не показало различий в стойкости при хранении мяса, полученного от свиней, забитых с предварительным огушением и без огушения. pH вытяжки из *m. gracilis* окороков от свиней, забитых с огушением и без огушения, одинаков. А. Прогорович

9Н171. Связь pH мяса и содержания влаги в мясе индюшки во время раннего послеубойного периода. Dodge J. W., Stadelman W. L. Relationships between pH, tenderness, and moisture levels during early post-mortem aging of turkey meat. «Food Technol.», 1960, 14, № 1, 43—46 (англ.).—Проведены опыты с мясом индюшек в возрасте 18 недель — 15 месяцев с целью изучения зависимости изменения консистенции мяса после уоя от содержания общей и свободной воды в мясе, скорости охлаждения, поглощения воды, значения pH. Поглощение воды и скорость охлаждения не влияют на нежность консистенции мяса. Ускорение процесса созревания в воде, по-видимому, можно

объяснить предупреждением обезвоживания горячепарных тушек. Послеубойное созревание и нежность консистенции мяса зависят от величины pH. Содержание общей и свободной воды не оказывает влияния на нежность мяса. Н. Покидова

9Н172. Действие ионизирующих излучений на мясо. III. Лучевая пастеризация целых потрошенных тушек битой птицы. Coleby B., Ingram M., Shepherd H. J. Treatment of meats with ionising radiations. III.—Radiation pasteurisation of whole eviscerated chicken carcasses. «J. Sci. Food and Agric.», 1960, 11, № 2, 61—71 (англ.).—Целые потрошенные тушки кур подвергали облучению γ-лучами Co⁶⁰ дозами до 1 Мрад. Изучали изменения органолептич. показателей качества мяса при хранении в охлажд. состоянии. Найдено, что при облучении дозой 0,8 Мрад продолжительность хранения при 1° до появления гнилого запаха увеличивается по сравнению с необлученным мясом в 5 раз, заметных изменений вкуса при такой дозе облучения не происходит. Качество облученных тушек при хранении постепенно ухудшается, но ощутимая разница в качестве мяса наступает после хранения, в ~1,5 раза более длительного по сравнению с периодом хранения необлученных образцов при 1°. Причиной порчи не является окислительное прогоркание жира. Библ. 19 назв. Часть II см. РНХим, 1960, № 17, 71438. С. Светов

9Н173. Применение антибиотиков при холодильной обработке птицы. Pozo Fernandez Rafael, Valdecantos Jimenez Antonio, Estada Girauta Manuel, Sanz Sanchez Félix. Los antibióticos como complemento del tratamiento frigorífico de aves. I. «Rev. frio», 1960, 5, № 2, 87—96 (исп.; рез. франц., англ.).—Изложены результаты исследований по применению хлортетрациклина и щел. солей полифосфорной к-ты при холодильном хранении цыплят, а также их упаковки в пленки из крайовака и полиэтилена. Исследовано изменение органолептич. свойств, потери веса, бактериологич. изменения. Отмечена эффективность применения хлортетрациклина при холодильной обработке птицы. Установлено, что применение щел. солей полифосфорной к-ты уменьшает потери веса независимо от вида упаковочной пленки (крайовак или полиэтилен).

По резюме авторов

9Н174. Применение антибиотиков при хранении охлажденной птицы. Афанасьева Л., Дуброва Г. «Холодильн. техника», 1960, № 4, 38—39 (рез. англ.).—Погружение полупотрошенных тушек птицы, предварительно охлажденных в холодильной камере при т-ре 0—4° в течение 3—4 час., в холодный р-р биомицина (хлортетрациклина) конц-ией 25 мг/кг в течение 4—5 мин. в 2 раза удлиняло срок хранения птицы в охлажд. состоянии при 0° (до 23—25 дней). При варке птицы до полной готовности биомицин во многих случаях полностью не разрушается; его остаточное кол-во составляет 5—10% от первоначального. А. Прогорович

9Н175. Влияние созревания на качество говядины, полученной от животных, откормленных зерном и травой. Meyer Bernadine, Thomas Juanita, Buckley Ruth, Cole J. W. The quality of grain-finished and grass-finished beef as affected by ripening. «Food Technol.», 1960, 14, № 1, 4—7 (англ.).—Изучалось влияние различных сроков созревания (2, 7, 21 и 42 дня) при т-ре 0,5° и относительной влажности ~85% на нежность, вкус и сочность говядины, полученной от 16 животных в возрасте 2 лет, откормленных зерном и травой, и сваренной путем воздушной и паровой варки. Нежность, вкус мяса и жира и сочность были значительно лучше у говядины от животных, откормленных зерном. После 21 дня созревания вкус мяса и жира ухудшался в обоих случаях. В обоих видах говядины наблюдалось значительное улучшение

ние консистенции (нежности) при созревании, но относительно большее улучшение консистенции отмечалось у говядины от животных, выкормленных травой. Утечка мясного сока и общие потери при варке увеличивались в процессе созревания; потери, связанные с испарением, не изменялись значительно при созревании.

Н. Покидова

9Н176. Вещества, обуславливающие вкус говяжьего мяса. Hornstein Irwin, Crowe Patrick F., Sulzbacher William L. *Constituents of meat flavor: beef*. «J. Agric. and Food Chem.», 1960, 8, № 1, 65—67 (англ.).—Свежее говяжье мясо после созревания, удаления жира и соединительной ткани измельчали и подвергали экстракции водой. При высушивании экстракта методом сублимации получали рыхлый порошок, растворимый в воде. При нагревании вод. р-ра порошка появлялся запах вареного мяса. При нагревании сухого порошка отмечался запах, напоминающий запах жареного мяса. В летучей фракции обнаружены небольшие кол-ва карбонильных соединений, NH_3 и H_2S . Выделена также маслянистая, вязкая жидкая смесь с сильно выраженным запахом.

Н. Покидова

9Н177. Сравнение методов определения начальной стадии порчи мяса. Jenev Endre, Jókay Márta, Lelkes Györgyné, Péter Ferencné. A hús romlásának korai kimutatására szolgáló módszerek összehasonlítása. «Élelmiszervizsg. közl.», 1960, 6, № 7, 185—191 (венг.; рез. русск., нем., франц.).—Проведена сравнительная оценка 8 хим. методов определения порчи мяса и органолептич. метода на 36 образцах говяжьего мяса и 27 образцах свинины. Из хим. методов лучшим является колич. определение азота аммиака. Метод прост по выполнению и дает возможность определить начальную стадию порчи мяса (11,00 мг%) до появления изменений, определяемых органолептич. методом.

По резюме авторов

9Н178. Установка для трихинеллоскопии свинины. Орлов И., Федоров Н., Рогов И. «Мясн. индустрия СССР», 1960, № 5, 18—19.—Описание установки, состоящей из машины для нарезания мелких проб мышц — тахимиотома и динамич. ленточного компрессора, который автоматич. раздавливает между двумя стеклышками пластинками пробы мышц, нарезанных тахимиотомом (не разрушая мышечных волокон), и подает их в поле зрения микроскопа или трихинеллоскопа (экспозиция каждого среза в поле зрения 5—10 сек.), а затем смывает срезы водой (т-ра 35—40°) со стекол и высушивает стекла горячим воздухом.

А. Прогорович

9Н179. Значение обнаружения *Str. faecalis* в мясе и мясных изделиях. Kelch F., Stehle E. Die Bedeutung des Nachweises von *Str. faecalis* in Fleisch und Fleischwaren. «Fleischwirtschaft», 1960, 12, № 2, 92—96 (нем.; рез. англ., франц., исп., итал.).—Приведен обзор литературы по обнаружению *Str. faecalis* в кишечнике человека и свиней и методы его дифференциации от *Str. faecium*, часто встречаемого в свином мясе и кишечнике свиней. Описана методика отбора проб и проведения посевов с кожи свиней и содержимого их кишечника. Дана рецептура питательных сред, использованных при проведении бактериол. исследований. Установлено, что *Str. faecalis* относится к нормальной микрофлоре кишечника свиней, его обнаружение в ветчинных консервах не может считаться фекальным загрязнением от человека. Библ. 26 назв.

В. Дыклов

9Н180. Повышение качества низкосортного мяса. Penny I. F. Up-grading of low-grade meat. «Chemistry and Industry», 1960, № 11, 288—289 (англ.).—Для придания нежной консистенции жесткому мясу рекомендуется обрабатывать его препаратами, содержащими протеолитич. ферменты. Для лучшего проникнове-

ния и равномерного распределения ферментов в толще мяса предлагается предварительно его обезвоживать методом сублимации, придавая ему пористую структуру. Наиболее эффективными являются р-ры фифина (в конц-ии 0,0025%) или папанна (0,005%), к которым для улучшения вкуса и сочности мяса могут быть добавлены поваренная соль (~0,2%) и мононатрийглутамат (0,01%). При такой обработке органолептич. оценки первоначально жесткого мяса улучшались на ~3,5 балла, значительно снижались время его тепловой обработки. Библ. 6 назв. С. Светов

9Н181. Холодильная обработка свинины, предназначенной для длительного хранения, и ее изменение в процессе хранения. Valdecantos Jimenez Antonio, Pozo Fernandez Rafael, Estada Girauta Manuel, Sanz Sanchez Félix. Tratamiento frigorífico de la carne de cerdo a largo plazo y sus modificaciones en el curso de la conservación. «Rev. frío», 1960, 5, № 2, 77—86 (исп.; рез. франц., англ.).—Обзор способов холодильного хранения пищевых продуктов. Отмечена диетич. ценность свинины и приведены данные о произ-ве свинины в Испании. Кратко рассмотрен процесс окисления и способы, предупреждающие окисление пищевых продуктов, применение антиоксидантов и различных видов упаковки.

По резюме авторов

9Н182. Контактное замораживание измельченного мяса и приготовление из него бляшек. Чиков В. М. «Сб. науч. работ. Ленингр. ин-т сов. торговли», 1960, вып. 15, 108—130.—Для приготовления используемых в колбасном произ-ве мясных блоков из кусочков мяса наиболее рационально производить замораживание измельченного мяса в р-ре, содержащем 22,4% NaCl и 1% NaNO_2 , с предварительной обработкой 10%-ным р-ром NH_4NO_3 в течение 1 мин. и с последующей промылкой замороженного мяса холодной водой с т-рой 8° в течение 30 сек. Мясо следует измельчать на толчке с диаметром сетки 25 мм (вес кусочков мяса ≥ 15 —20 г). Т-ра рассола должна поддерживаться в пределах от -16 до -20° при продолжительности замораживания кусочков 7—8 мин. Блоки прессуют под давл. 15 атм; при этом коэф. плотности получаемого блока близок к коэф. плотности блоков, получаемых замораживанием мяса в формах на воздухе. Потери сока в процессе прессования при указанном давлении составляют $\leq 1\%$. Содержание соли и нитрита в мясе, замороженном указанным способом, не превышает допустимых пределов. Мясо, замороженное в рассоле с нитритом, уже в первый месяц хранения теряет свой первоначальный цвет и бурее, но при тепловой обработке восстанавливает свой цвет без дополнительной обработки нитритом. Усушка блоков в процессе хранения не превышает усушки мяса в виде туш и полу-туш.

По резюме автора

9Н183. Линия с мембранными аппаратами для замораживания мяса в блоках. Кончаков Г., Молотков Д., Яковлев А. «Мясн. индустрия СССР», 1960, № 5, 5—7.—Описание устройства и принципа действия механизированной линии производительно- 20 т блоков в сутки. Линия скомплектована из 10 мембранных скороморозильных аппаратов, производительностью 2 т блоков в сутки каждый, устройства для механич. загрузки сырья в бумажные мешки и скороморозильных аппаратов и напольного ленточного транспортера. При формовке и замораживании мясо-продуктов в мембранном аппарате применяется влагонепроницаемая упаковка, исключающая потери продуктов при замораживании (естественные потери не превышают 0,1%). Приведена схема (план и разрез) цеха выработки мяса в блоках производительностью 20 т в сутки.

Г. Дикладарова

9Н184. Предохранение мяса от осаливания при медленном воздушном размораживании. Данилов М. М., Кондратенко А. А. «Сб. науч. работ.

Заочн. и
размороз
(дражж
типа БУ
ниги >
ишем т-
тельной
считало
толще д
лось по
кулящие
ным при
та на 1
лентич.,
мяса, а
казали,
анатиче
ности (2
83 926 б
вания и
туши),
затели
осалива
9Н185
тов в м
серже
составл
(итал.;
делении
сервы),
KNO₃ в
N. 2357
с после
сульфо-
риметр
нитрит
Вибл. 3
9Н184
качеств
Mäsuri
fierte p
10—13
ветчин
отдель
готовов
но-тиг
водств
9Н18
колбас
жимьт
сушил
Преду
сушил
духа 7
гич. о
валка,
тельн
визит
чего с
лено,
при с
опера
и уме
9Н1
коко
мясн
obniz
nuch
inst.
53—6
5,4 д
вызы
мороз
При

Заочн. ин-т сов. торговли», 1950, вып. 4, 22—28.—При размораживании мяса применено УФ-облучение (дважды в сутки по 6 час.) бактерицидными лампами типа БУВ-15 и БУВ-30, установленными на расстоянии ≥ 50 см от полутуш, с одновременным повышением т-ры в помещениях от 0 до 6, 10° при относительной влажности воздуха 95—98%. Оттаивание мяса считалось законченным при повышении его т-ры в толще до 0°. Затем в течение 1—2 суток производилось подсушивание поверхности мяса усиленной циркуляцией воздуха (5—6 объемов в час) с одновременным применением интенсивного облучения (из расчета на 1 м² помещения 3—5 Вт). Исследование органолептич., хим.-бактериологич. показателей качества мяса, а также данные люминесцентного анализа показали, что предложенный метод размораживания значительно уменьшает кол-во микробов на поверхности (286 бактерий на 1 см² поверхности туши вместо 83 926 бактерий на контрольных тушах в конце оттаивания и соответственно 0 и 125 бактерий в 1 г внутри туши), улучшает товарный вид и органолептич. показатели мяса, почти полностью исключает процессы осаливания.

А. Прогорович
9Н185. Определение количества нитратов и нитритов в мясных изделиях. Giolitti Giovanni. Ricerche sul dosaggio dei nitrati e dei nitriti nelle carni conservate. «Arch. veterin. ital.», 1960, 11, № 1—2, 87—80 (итал.; рез. франц., англ., нем.).—Изложен метод определения нитратов в мясных изделиях (копчености, консервы), основанный на микробиологич. восстановлении KNO₃ в KNO₂ культурами актиномицетов (*Streptomyces* N. 2357 из группы *S. ruber* или *S. coelicolor* NRRL 4257) с последующим добавлением N-1-нафтилэтилдиаминсульфонилсоединения. Интенсивность р-ции определяют колориметрич. или фотометрич. способом. В присутствии нитритов кол-во нитратов рассчитывают по разнице. Библ. 34 назв. Г. Роганова

9Н186. Практические мероприятия по улучшению качества вареной прессованной ветчины. Roth Ioan. Măsurii practice pentru îmbunătățirea calității șuncii fierte presate. «Ind. aliment. Prod. anim.», 1960, 8, № 1, 10—13 (рум.).—Изложен технологич. процесс произ-ва ветчины с указанием значения качества сырья и роли отдельных производственных процессов на качество готового продукта. Отмечено особое значение санитарно-гигиенич. мероприятий в различных фазах произ-водства.

А. Марин
9Н187. Режим сушки стоек в хранении сухих колбас в климатических сушильках. Пловчев Ж. Режимът за сушене на трайни колбаси в климатичните сушилки. «Хранит. пром.-ст.», 1960, 9, № 4, 20 (болг.).—Предусмотренный технологич. руководством режим сушки колбас (т-ра созревания 10—12°, влажность воздуха 75—85%) не является оптимальным для технологич. операций, предшествующих сушке (разделка, обвалка, жиловка и т. д.). Т-ра 10—12° при подготовительных операциях благоприятствует усилению развития биологич. и хим. процессов в мясе, в результате чего снижается качество готового продукта. Установлено, что продукция хорошего качества получается при снижении т-ры созревания и подготовительных операций до 5—7° в условиях 75—85%-ной влажности и умеренного движения воздуха. Г. Джиладарова

9Н188. Влияние понижения pH на теплостойкость кокков, изолированных из остаточной микрофлоры мясных консервов. Stankiewicz Hanna. Wpływ obniżenia pH na ciepłoporność ziarniaków wyizolowanych z mikroflory resztkowej konserw mięsnych. «Prace inst. i lab. badawcz. przem. spożywcz.», 1959, 9, № 3, 53—61 (польск.; рез. русск., англ.).—Понижение pH до 5,4 добавлением молочной, лимонной или яблочной к-т вызывает значительное снижение теплостойкости терморезистентных кокков, выделенных из консервов. При культивировании этих бактерий на средах с пони-

женным pH наблюдается уменьшение кол-ва колоний по сравнению с контрольной пробой. Понижение pH мяса до 5,4—5,35 добавлением указанных к-т не вызывает заметных изменений вкуса мяса.

По резюме автора

9Н189. Сравнительное качество яиц, снесенных курами в условиях клеточного содержания и при свободном выгуле. Cornford S. J., Blount W. P., Eggitt P. W., Russell, Coppock J. B. M. Study of the quality of free-range and laying battery hen eggs with particular reference to baking. «J. Sci. Food and Agric.», 1960, 11, № 2, 115—121 (англ.).—На протяжении 5 месяцев (апрель—август 1958 г.) испытывали качество свежих яиц (в особенности в отношении удовлетворения требований, предъявляемых к ним кондитерской пром-стью), снесенных курами одной и той же породы при приблизительно одинаковом кормлении, но различных условиях содержания. Результаты испытания показали, что яйца той и другой группы кур практически почти по всем показателям не отличаются один от других, за исключением весьма большой разницы в цвете желтков; желтки яиц, снесенных курами при клеточном содержании, значительно бледнее.

С. Светов

9Н190. Усвояемый лиазин белков рыб и водорослей. Baba Haruo. «Нихон суйсан гаккайси, Bull. Japan. Soc. Scient. Fish.», 1960, 26, № 3, 330—333 (японск.; рез. англ.).—Основным источником лиазина (I) в питании японцев являются белки рыб. При определении содержания I в белках рыб, рыбных продуктов и водорослей, содержание усвояемого I определяли по методу Карпентера (РЖХимБх, 1957, № 2, 2141). Установлено, что в треске при содержании 12,90% N присутствует I 9,50 г/16 г N и усвояемого I 7,90 г/16 г N; усвояемость составляет 83,2%; для рыбной муки соответственные данные: 11,92; 8,65; 7,60; 87,5; для муки из печени тунца 12,70; 7,25; 5,49; 75,6; для экстракта из этой печени 8,40; 5,39; 5,46; 101,0; для молоди двухстворчатых моллюсков 13,60; 8,20; 6,45; 78,5; для устриц 12,19; 7,10; 6,17; 87,0; для хлореллы 9,25; 4,71; 2,96; 63,5; для *Scenedesmus* 11,05; 6,90; 3,20; 54,5. При тепловой обработке рыб и моллюсков теряется ~10% усвояемого I. При р-ции с глюкозой и ацетальдегидом эти потери составляют более половины. А. Юдицкая

9Н191. Весовой и химический состав морского окуня. Печатина В. И., Леонова А. П. «Рыбн. х-во», 1960, № 9, 66—68.—Исследован весовой и хим. состав морского окуня, крупного — с головой весом > 0,8 кг и мелкого — с головой весом < 0,8 кг, выловленного в р-не Ньюфаундлендских банок. Приведены результаты определения соотношения веса различных частей тела рыбы, выловленной в разное время года, а также хим. состава мяса крупного и мелкого окуня и хим. состава голов, внутренностей и икры.

Г. Джиладарова

9Н192. Новый метод определения летучего восстанавливающего вещества и его применение. Suzuki Taneko. «Токай-ку суйсан канкёсю канкё хококу, Bull. Tokai Reg. Fish. Res. Lab.», 1959, № 26, 89—98 (японск.; рез. англ.).—Описан метод определения свежести сырой рыбы, из которой были приготовлены консервы, по определению в последних летучих восстанавливающих в-в. 1 мл 0,02 н. щел. р-ра KMnO₄ помещают во внутреннее отделение микродиффузного аппарата, а испытуемый р-р — во внешнее. Закрывают аппарат и термостатируют при 50° 1,5 часа. Затем после добавления 0,2 мл 12 н. H₂SO₄ и 0,3 мл 20%-ного KI во внутреннее отделение аппарата титруют 0,02 н. Na₂S₂O₃. Результаты рассчитывают исходя из пробы 1 мл соуса консервированной рыбы или 1 г свежей рыбы. Показано, что степень свежести сырой рыбы может быть установлена определением летучих восстанавливающих в-в в консервированной рыбе. По кол-ву

летучих оснований в консервах нельзя судить о степени свежести исходной сырой рыбы.

9Н193. Оценка свежести донной рыбы. Sato Yoshihiro. «Нихон суйсан гаккайси, Bull. Japan. Soc. Scient. Fish.», 1960, 26, № 3, 312—316 (японск., рез. англ.).—Установлено, что неприменимость метода оценки свежести рыбы, предложенного Аmano, к донной рыбе (*Limanda angustirostris*, *Microstoma Kitaharai*, *Xystrias grigorjewii* и др.), а также к *Squid omastrephes* обусловлена высоким рН (> 6,2) их мышечной ткани. Последнее является результатом низкого содержания молочной к-ты и высокого содержания окиси триметилamina.

9Н194. Консервирование облучением рыб северо-западной части Тихого океана. Жареные рыбные палочки. Miyauchi David T. Irradiation preservation of pacific northwest fish: precooked fish sticks, «Food Technol.», 1960, 14, № 8, 411 (англ.).—Получены отрицательные результаты хранения (при 20 и при 2°) обжаренных панированных рыбных палочек, облучавшихся дозами < 2,0 Мрад в герметич. банках или в майлар-полиэтиленовых пакетах. Проведенные опыты позволяют судить о нижнем уровне доз облучения рыбных палочек.

9Н195. Проникновение тетрациклиновых антибиотиков в мясо тунца, камбалы и морского ерша и их устойчивость при обработке паром и стерилизации. Lerke Peter A., Farber Lionel. Penetration of tetracycline antibiotics into tuna, sole, and rockfish flesh and their stability during steaming and retorting. «Food Technol.», 1960, 14, № 5, 217—221 (англ.).—Изучали динамику проникновения антибиотиков (А), хлортетрациклина (I) и окситетрациклина (II), в тунца, филе камбалы и морского ерша. Установлено, что NaCl не влияет на поглощение А мясом тунца. Кожа и подкожный слой мяса (~0,5 см) препятствуют проникновению А в лежащие ниже слои. Для целого тунца, вымачивавшегося 7 суток в р-рах I (18,4 г/мл) и II (17,6 г/мл), на глубине 1,5 см от поверхности кожи А отсутствовали. Накопление А только на поверхности кожи делает возможной практически полную инактивацию их при обработке паром — технологич. операции процесса произ-ва консервов из тунца: в течение 45 мин. разрушается 75% исходного кол-ва I в коже и 100% в мясе на глубине 1 см. Дополнительная инактивация А при стерилизации консервов обеспечивает полное их отсутствие в готовых консервах. При обработке филе камбалы и морского ерша р-рами А наибольшее проникновение отмечено в первые 5 мин., и далее скорость поглощения А падает в течение часа. При хранении филе при 5° в течение 7 и 9 суток потери I составляли 16,8 и 16,5% соответственно. Кулинарная обработка в домашних условиях значительно инактивирует содержащиеся в сырье А, и остающееся незначительное кол-во А не превышает допустимого правительственным постановлением от 16 апреля 1959 г.

9Н196. Исследование процессов копчения продуктов с применением инфракрасных лучей и копильной жидкости. Шушпанов П. И. «Инж.-физ. ж.», 1960, 3, № 10, 75—79 (рез. англ.).—Исследован новый метод копчения рыбы и других продуктов на спец. установке полупроизводственного типа, представляющей собой две параллельные металлич. плоскости длиной 2 м и высотой 0,8 м, на которых в шахматном порядке расположены термоизлучатели (зеркальные лампы или электроспираль). Наилучший технологич. эффект получен при «инфракрасном копчении» рыбы при мягких режимах облучения, создаваемых 3-рядными и 2-рядными расположениями ламп, включенных через 1 или 2 лампы в каждом ряду. Этим режимам облучения соответствует мощность установки 15—30 кВт, т-ра средних частей рыбы 75—80°. Продолжительность «инфракрасного копчения» при этих условиях различных по-

род рыб, имеющих одинаковый вес и начальную т-ру, 15—45 мин.; потери веса при копчении 15—20%. Дана приближенная теоретич. оценка температурных полей в облучаемых телах.

9Н197. Состав фенолов копченой рыбы. Юдишкая А. И., Лебедева Т. М. «Рыбн. х-во», 1960, № 9, 69—73.—Фенолы (Ф) извлекали из рыбы (Р) двумя способами. По первому способу экстрагировали Ф эфиром, очищали проведением через Na-соли, из которых после подкисления повторно извлекали эфиром. По второму способу выделяли летучие Ф отгонкой с паром и очищали аналогично первому способу. Состав Ф исследовали методом хроматографии на бумаге (р-тель метилэтилкетон) после превращения Р-ней с диазосульфокислотой в присутствии NaOH в смесь На-солей фенилазокрасителей. Установлено, что в Р любого способа копчения всегда присутствуют: гваякол, фенол, м-крезол и о-крезол. В зависимости от способа копчения в Р могут находиться п-крезол, метиловые эфиры пирогаллола и два неидентифицированных Ф, названные условно фенол-Х и фенол-У. В летучей и нелетучей фракциях могут присутствовать одни и те же фенолы.

9Н198. Лекции по консервированию пищевых продуктов. Рыба и рыбные продукты. Рыбные консервы. Houwing H. Leergang in het verduurzamen van voedingsmiddelen. Vis en visserijprodukten. Conserven van vis door verhitting. «Conserva», 1960, 9, № 4, 107—111 (гол.).—Предыдущее сообщение см. РЖХим, 1961, 8Н180.

9Н199. Новые виды консервов из тунца. Артюхова С. А., Бабченко Н. Н. «Рыбн. х-во», 1960, № 9, 59—65.—Разработана технология произ-ва 4 видов консервов из тунца. Подробно рассмотрены процессы дефростации, предварительной разделки сырой рыбы, охлаждения и выдержки бланшированного мяса тунца, разделки и очистки вареного тунца, порционирования, укладки, заливки, закатки и стерилизации консервов. Особое внимание уделено процессу термич. обработки мяса тунца. Для установления оптимального режима термич. обработки испытаны способы: бланшировки острым паром в автоклаве при 100° в течение 0,5, 1, 2, 3 и 4 час.; варки в 1,5%-ном р-ре NaCl в течение 0,5, 1 и 2 час.; бланшировки в кардиосушильном аппарате ИСС-6 с предварительной укладкой в банки сырой рыбы; бланшировки в аппарате ИСС-6 с укладкой в качалки сырых половинок балыка и тещи; обезвоживания тунца двойной бланшировкой. Наилучшие результаты получены при обезвоживания тунца двойной бланшировкой: первая 1,5 часа острым паром при 100°, вторая в аппарате ИСС-6 (после выдержки, разделки, порционирования и укладки в банки) в банках острым паром при 100° и горячим воздухом при 120°. Этот способ включен в технологию. Иллюстрации. Приведены данные о потерях и отходах при разделке (в % к весу сырья) и нормы расхода сырья и вспомогательных материалов для произ-ва консервов из пятнистого тунца (в кг на 1 тыс. физ. банок № 3 весом нетто 250 г).

9Н200. Бактериологическое исследование порчи рыбных сосисок. 1. Количество бактерий в рыбных сосисках, поступающих в продажу. Akamatsu Mikio. «Нихон суйсан гаккайси, Bull. Japan. Soc. Scient. Fish.», 1959, 25, № 7—9, 545—548 (японск.; рез. англ.).—Проведено бактериологич. исследование 35 образцов рыбных сосисок и 14 образцов рыбной ветчины. Во всех исследованных образцах продуктов (ОП) обнаружены бактерии (Б), и большинство ОП (~80%) содержало 10^2 — 10^3 аэробов и 10^1 — 10^2 анаэробов на 1 г мяса. При хранении ОП в течение ~2 недель при 30° увеличение числа Б происходило без особой закономерности, и в ряде ОП кол-во как аэробов, так и анаэробов превышало 10^6 на 1 г мяса. Порча ОП во время хранения

при 30° в последующие продукты ных и ан

9Н201. Чистота мяса микозина Yuko, Bull. Jap. 646—648 твердиль си и соде знойной твержден жирности

9Н202. черного разделен чולה в ГрузССР элемент физ. сво мента не

9Н203. в процес В. Г. «Т № 2, 128 жит дов При выд возраста (+1, — цессе пе личивае процессо третьего ся до 0, ванном почти г полуфа ний чел при 70° собству хранени духа.

9Н204. ды на ладзе 1958, № оказыва вастоя. недопус металл ие туп вкус. Н предел натная опреде при вь потреб мет на вызыва ных в- аромат привку ривани ду име (в мг/л NaCl 80 9Н205. «Plant Описан

при 30° не коррелировала с исходным числом Б и их последующим ростом. Условия произ-ва указанных продуктов не обеспечивают торможения роста аэробных и анаэробных Б.

А. Юдичкая
9Н201. О качестве кацуо-буси. IV. Зависимость качества кацуо-буси от содержания веществ, подобных инозинату гистидина. Oishi Keiichi, Tamura Yuko, Murata Kiichi. «Нихон суйсан гаккайси», Bull. Japan. Soc. Scient. Fish., 1959, 25, № 10—12, 646—648 (японск.; рез. англ.).—Повторные опыты подтвердили отсутствие связи между качеством кацуо-буси и содержанием 17 видов аминокислот, а также инозиновой к-ты и родственных ей в-в. Так же не подтверждена зависимость качества кацуо-буси от его жирности. Сообщение III см. РЖХим, 1961, 8Н194.

А. Юдичкая
9Н202. К вопросу новой технологии производства черного байхового чая, при условии предварительного разделения чайных флешей на листья и стебли. Хо-чолана И. А. «Тр. н.-и. ин-т чайн. пром-сти. ГрузССР», 1958, № 2, 34—43.—Показано, что каждый элемент флеша отличается от остальных не только физ. свойствами, но и хим. составом. Для каждого элемента необходим оптимальный режим переработки.

Г. Н.
9Н203. Количественные изменения микрофлоры в процессах производства и хранения чая. Прундзе В. Г. «Тр. н.-и. ин-т чайн. пром-сти. ГрузССР», 1958, № 2, 128—139.—Установлено, что чайный лист содержит довольно большое кол-во микроорганизмов (М). При выдерживании в производственных условиях оно возрастает за сутки в 5 раз, а при пониженной т-ре (+1, —1°) размножение почти прекращается. В процессе переработки кол-во М сильно колеблется — увеличивается в процессе заваривания, уменьшается в процессе скручивания, при ферментации, начиная с третьего часа, возрастает, в процессе сушки снижается до 0,95% от кол-ва, содержащегося в ферментированном листе. При произ-ве зеленого байхового чая М почти полностью уничтожаются. При сортировании полуфабриката чая кол-во М возрастает. При хранении чая в герметичной таре М погибают. Хранение при 70%-ной относительной влажности воздуха способствует размножению М и порче чая. Необходимо хранение при низкой относительной влажности воздуха.

Из резюме автора
9Н204. Влияние химического состава питьевой воды на качество настоя черного байхового чая. Микеладзе Г. Г. «Тр. н.-и. ин-т чайн. пром-сти. ГрузССР», 1958, № 2, 44—53.—Установлено, что хим. состав воды оказывает сложное воздействие на качество чайного настоя. Заваривание чая в воде, содержащей железо, недопустимо (настой приобретает бурую окраску и металлический привкус). Настой в дистил. воде имеет более тупой аромат, бледный цвет и горьковатый привкус. Карбонатная жесткость воды в определенных пределах оказывает положительное влияние. Некарбонатная жесткость влияет отрицательно. NaHCO_3 до определенной концентрации улучшает качество настоя, а при высокой конц-ии делает его не пригодным для потребления. Хлорид и сульфат натрия улучшают аромат настоя, почти не влияя на вкус. Ионы кальция вызывают снижение общего содержания экстрактивных в-в и помутнение настоя. Ионы магния улучшают аромат при высокой конц-ии, придавая настою горький привкус. Необходимо стандартизировать метод заваривания чая для дегустации, употребляя искусств. воду вместо природной. Рекомендуют в воде растворять (в мг/л): $\text{Ca}(\text{HCO}_3)_2$ 40,2, $\text{Mg}(\text{HCO}_3)_2$ 14,5, NaHCO_3 25,6, NaCl 82,2.

Из резюме автора
9Н205. Преимущества поточной организации производства. Joy A. R. Straight-line design saves labor. «Plant Admin.», 1960, 20, № 6, 92—93, 136 (англ.).—Описана организация переработки кофе на ф-ке фир-

мы Kelly, Douglas and Co. в Барнеби (Британская Колумбия, Канада).

З. Б.
9Н206. Исследование экстрактивности заменителей кофе. I. Экстрактивность жареного цикория. Nédelkovits János, Hajnár Henriette. Kávészerek extrakttartalmának vizsgálata. I. A pörkölt cikória extrakciója. «Elelmiszervizsg. közl.», 1960, 6, № 4—5, 115—120 (венг.; рез. русск., нем., англ., франц.).—Исследовали влияние кол-ва воды, длительности экстрагирования, степени обжарки и измельчения на кол-во экстрактивных в-в жареного цикория. Установлено, что все перечисленные факторы влияют на кол-во экстрактивных в-в, получаемых из цикория.

В. Гурин
9Н207. Исследования по химии табака. Ильин Г. С. «Табак», 1960, № 4, 30—32.—Обзор. Библ. 19 назв. Г. Н.

9Н208. К вопросу об увлажнении табачных листьев. Асмаев П. Г., Трубников В. Ф. «Табак», 1960, № 4, 27—29.—Установлено, что при увлажнении табака кондиционированным воздухом распределение влаги по различным участкам пластинки табачного листа (ПТЛ) неравномерно. Неравномерность влажности ПТЛ увеличивается с увеличением относительной влажности воздуха. Резкое увеличение неравномерности влажности ПТЛ при увеличении относительной влажности воздуха сверх 50% объясняется, по-видимому, начинающимся активным поглощением влаги кристаллоидным комплексом табака. Из резюме авторов

9Н209. Самоувлажнение болгарских табаков при естественной ферментации. Фетваджиев Владимир. Самонавлажняване на ориенталския тютюн при естествената ферментация. «Научни тр. Н.-и. ин-т тютюна — Пловдив», 1960, 3, 181—188 (болг.; рез. русск., нем.).—Установлено, что видимое переувлажнение табаков, которое проявляется при их созревании с потением, является результатом переувлажнения, не замечаемого зимой вследствие уменьшения эластичности табака и медленности процессов в нем.

Из резюме автора
9Н210. Экстрагирование табака органическими растворителями и выводы о химическом составе дыма. Mouron J.-C., Bonnet J., Neukomm S. Extraction of tobacco by some organic solvents and consequences on chemical composition of the smoke. «Oncologia», 1960, 13, № 2, 271—278 (англ.).—Экстрагирование табака сигарет производили при 15—20° петр. эфиром, 95%-ным этанолом, бензолом (I), CCl_4 , CHCl_3 , CH_2Cl_2 . Общее кол-во экстрактивных в-в (ЭВ) увеличивалось с возрастанием влажности волокон табака от 10 до 25%, а затем уменьшалось. Не отмечено зависимости кол-ва ЭВ от влажности при значениях последней < 10 и > 35%. Различные р-рителы (I, CCl_4) давали одинаковое кол-во ЭВ, но различного состава (равным было только кол-во парафинов). Установлено, что различные р-рителы растворяют разные в-ва и даже при извлечении одинаковых кол-в экстрактивных в-в в разной степени снижают содержание в табаке канцерогенных в-в, поэтому кол-во извлеченных экстрактивных в-в не является показателем возможного снижения содержания канцерогенных в-в. Показано, что алифатич. углеводороды не участвуют в пирсинтезе ароматич. углеводородов, в частности бензипрена, наибольшее снижение содержания которого в табаке достигнуто экстрагированием р-рителем, не растворяющим парафинов.

М. Лапин
9Н211. Об использовании методов дегустации табака. Веселинов М., Гюзелев Л., Георгиев Св. Върху приложението на дегустационния метод при тютюна. «Бълг. тютюн», 1960, № 9-10, 429—439 (болг.; рез. англ.).—Дегустация табака — основной метод определения качества дыма табака (Т) и единственный, когда сопоставляют Т с небольшими различиями по курительным свойствам. Для получения правильных показателей дегустации необходимо четко дифферен-

цировать отдельные виды ощущений, вызываемых дымом Т, и точно оценивать их интенсивность. Вся группа ощущений дегустатора может быть разделена на следующие: физиологич. (наркотич. действие на организм), обонятельные, вкусовые и осязательные. В соответствии с этим показатели качества дыма Т при дегустации — вкус, аромат, физиологич. крепость, сумма вкуса и аромата и гармоничность (полнота); первые три показателя определяются непосредственно при дегустации и оцениваются в баллах, последние два — вычисляются на основе оценок аромата и вкуса. Приведена характеристика указанных 4 видов ощущений, в частности внешних признаков физиологич. крепости дыма. Для каждого признака рекомендуется оценка по 6-балльной системе с постепенным уменьшением балла по мере снижения качества. Балл по гармоничности является суммой баллов аромата, вкуса и физиологич. крепости. При проведении дегустации рекомендуют метод треугольника, т. е. сравнения образца с двумя другими, близкими ему по качеству, или прокурку отдельного, случайно выбранного образца из испытуемой группы. Расхождение между баллами разных дегустаторов по отдельным признакам не должно превышать $\pm 0,3$ балла. Описаны подготовка образцов к дегустации с доведением их влажности до 12—13%, техника и условия дегустации.

Г. Дикер
9Н212. Исследование степени обжарки пшеницы в процессе производства светлоокрашенного соуса. Мориуги С., Нисияма Т. «Хакко когаку дзасси, J. Ferment. Technol.», 1960, 38, № 6, 274—278, 27 (японск.; рез. англ.).—Исследовали влияние обжарки пшеницы на общее содержание азота и степень окраски соуса. Исследовано превращение крахмала в клейстеризованный крахмал при обжарке. Найдено, что приготовленный соус из слабо обжаренной пшеницы содержит сравнительно большое кол-во общего азота и слабо окрашен. Степень обжарки пшеницы может быть определена по кол-ву клейстеризованного крахмала.

Т. Чегнова
9Н213. Изучение неорганических компонентов соевого соуса. Сообщение III. Содержание фосфора и калия. Tanaka Shigetaka, Ueda Ryuzo. «Хакко когаку дзасси, J. Ferment. Technol.», 1959, 37, № 5, 203—207, 20 (японск.; рез. англ.).—Определяли содержание Р в соевом соусе фотометрич. методом при помощи молибденовой сини, а К — при помощи Натрафенилбора. В 25 изученных сортах соуса содержание Р составляло 0,04—0,31%, а К 0,19—0,96%. Не установлено связи между содержанием Р и К и качеством соуса. Сообщение II см. РЖХим, 1959, № 14, 51627.

Резюме авторов
9Н214. Поляризационно-микроскопическое обнаружение плодов *Conium maculatum* в порошкообразном анисе и других смесях. Czaja A. Th. Polarisation-mikroskopischer Nachweis der Früchte von *Conium maculatum* L. in Anispulver und anderen Mischungen. «Z. Lebensmittel-Untersuch. und -Forsch.», 1960, 113, № 1, 52—57 (нем.).—Наличие частиц плодов болиголова (ПБ) крапчатого (*Conium maculatum*) в порошкообразном анисе, особенно ввозимом из Италии, требует точного метода обнаружения этой примеси. Хим. и микроскопич. методы не дают удовлетворительных результатов. Только при помощи поляризационного микроскопа можно обнаружить частицы ПБ, так как некоторые клетки БП (напр., слизистые клетки эпидермиса, клетки экзкарпы) имеют двойное лучепреломление и светятся при помещении между 2 скрещенными поляризаторами. Приведены микрофотографии клеток ПБ.

В. Корлякова
9Н215. Влияние упаковочного материала на потерю КJ и L-аскорбиновой кислоты при хранении соли. Celeryán Jan, Likač Otakar, Reisenauer Roman. Vliv obalů na skladovací ztráty KJ a kyseliny L-askorbové v soli. «Obaly», 1960, 6, № 5, 144—145

(чешск.; рез. русск., нем., англ.).—Опытами по хранению соли, обогащенной КJ и витамином С, установлено, что лучшим видом упаковки является бумага с покрытием на основе поливинилиденхлорида.

По резюме авторов
9Н216. Современное состояние вопроса о веществах, вводимых в пищевые продукты. Weinberg Bernd. Food additives: the current picture. «Canad. Chem. Process.», 1960, 44, № 9, 73—74, 110, 112, 114 (англ.).—Быстрое развитие способов произ-ва пищевых продуктов (ПП) вызвало появление новых законов, регулирующих введение добавок (Д) в ПП (эмульгаторы, антиоксиданты, стабилизаторы, красители и пр.). Рассмотрена эволюция этой части законодательства в США и Канаде. В Канаде издали список допускаемых Д с указанием их назначения и дозирования. Д не должны быть вредными для здоровья и не должны маскировать плохое качество продукта. Определение токсичности некоторых в-в, главным образом их канцерогенности, проводится на животных. Приведен перечень в-в, вызывающих эксперим. опухоль у крыс, с указанием дозы и длительности кормления животных. Этот перечень включает дулудин, диэтилпиктокол, карбоксиметаллцеллюлозу, тиомочевину, л-дигидрамидиноазобензол, о-аминоазотолуол, полиоксиптилен-8-стеарат, поливинилпирролидон, полиоксиптилен-20-сорбитанмоностеарат и некоторые (зеленые, синий, фиолетовый, оранжевый, желтый) синтетич. красители.

В. Корлякова
9Н217. Химические вещества, добавляемые к пищевым продуктам. Cerutti Giuseppe. Le industrie agrarie e gli additivi chimici negli alimenti. «L'Espresso», 1960, 34, № 6, 441—444 (итал.).—Перечислены в-ва, добавляемые к пищевым продуктам для улучшения внешнего вида, цвета, запаха, вкуса, консистенции или сохранности: буферные и нейтрализующие, консервирующие, сладкие (не имеющие пищевой ценности), имеющие питательную ценность, стабилизаторы, эмульгаторы. Указаны допустимые нормы каждого из них, предварительные условия применения и методы токсикологич. анализа.

А. Верещагин
9Н218. Эффективность консервантов. Souci S. W., Raible K. Zur Wirkungsanalyse der Konservierungsstoffe. Diskussionsvorschlag. «Z. Lebensmittel-Untersuch. und -Forsch.», 1960, 112, № 5, 376—382 (нем.).—Законодательство ФРГ предписывает, чтобы кол-во консервантов (К) не превышало дозы, необходимой для сохранения продукта. Однако научно-обоснованной базы для установления этой величины нет и максим. установленными дозами К считаются практически эффективные. Необходимо провести опыты консервирования пищевых продуктов, предварительно определив их начальную зараженность или специально заразив определенным видом и кол-вом микробов и затем установить: какая конц-ия К прекращает их развитие. Опыты должны быть поставлены при различных вариантах факторов, влияющих на развитие микрофлоры (т-ра хранения, характер упаковки и др.).

В. Корлякова
9Н219. Исследования по действию смесей консервирующих веществ. Сообщение III. Действие простых смесей консервантов на *Aspergillus niger* и *Saccharomyces cerevisiae*. Rehm Hans-Jürgen, Stahl Ursula. Untersuchungen zur Wirkung von Konservierungsmittelkombinationen. III. Mitt. Die Wirkung einfacher Konservierungsmittelkombinationen auf *Aspergillus niger* und *Saccharomyces cerevisiae*. «Z. Lebensmittel-Untersuch. und -Forsch.», 1960, 113, № 1, 34—47 (нем.).—Консерванты (К) по силе их совместного действия в смесях на *Aspergillus niger* делят на три группы: в-ва, оказывающие дополнительное действие на *A. niger* в смеси с другими К; в-ва, оказывающие дополнительное или слегка антагонистич. действие; синергисты. К первой группе относится Na-формат, ко второй — бен-

войная к-та, этиловый и пропиловый эфир *n*-оксибензойной к-ты, к третьей — борная к-та и Na-сульфит. Действия смесей К на *Saccharomyces cerevisiae* оказались в некоторых случаях сопадающим с воздействием на *A. niger*, а в других — совершенно противоположным. Приведены диаграммы действия смесей консервантов на *A. niger* и на *S. cerevisiae*. Часть II см. РЖХим, 1960, № 12, 49739.

9Н220. Химическое значение летучих веществ пряностей при консервировании пищевых продуктов. IV. Структура и бактерицидная активность терпенов. Katsuyama Teruhisa, Nagai Isamu. Chemical significance of the volatile components of spices in the food preservative viewpoint. IV. Structure and antibacterial activity of terpenes. «Нихон суйсан гаккайси, Bull. Japan. Soc. Scient. Fish.», 1960, 26, № 1, 29—32 (англ.). — Изучено бактерицидное действие 32 соединений, в том числе: чистых препаратов эвгенола (I), карвакрола (II), тимола (III), изоборнеола (IV), ванилина (V), салицилового альдегида и летучих спиртов и альдегидов. Установлено, что I, II, III, IV и V подавляют рост бактерий (при разведении ≥ 2000) *Bac. subtilis*, *Esch. coli*, *Salm. enteritidis*, *Staph. aureus*, *Prot. morganii*, *Pseud. aeruginosa*, причем их бактерицидная активность не зависит от числа двойных связей в циклогексановом кольце и от введения в него кетонной группы. Введение OH-группы, непосредственно связанной с циклогексановым кольцом, еще более усиливает активность. Предполагается, что введение ванилиной и эвгеноловой эссенции в рыбные изделия будет способствовать их сохранению.

9Н221. Антиоксиданты в пищевых продуктах. Stokes B. N. Antioxidants in food products. «Canad. Food. Indst.», 1960, 31, № 10, 40—42 (англ.). — Наиболее употребительны следующие синтетич. антиоксиданты (А): пропилгаллат (I), бутилгидрокситолуол (II), бутилгидроксифенол (III). В США применяют смеси А с добавлением к ним лимонной к-ты, увеличивающей стойкость А против разрушающего действия на продукт металлов (железа и меди), особенно проявляющегося при нагревании. Способ введения А зависит от природы пищевого продукта (III), его дальнейшей обработки и назначения. Можно вводить А: непосредственно в III при размешивании, гарантирующем полное смешивание (для масел и жиров); в виде обработанной А соли (для соленых орехов, жареного картофеля); опрыскиванием р-ром А в масле поверхности III, идущих по транспортеру (для III жареных в масле, риса и пр.); путем нанесения А на внутреннюю поверхность упаковки (для крекеров, пирожных, кондитерских изделий); путем добавления к картофельным хлопьям перед сушкой. Выбор и кол-во А зависят от качества жира, его назначения, наличия в нем следов металлов и воды, технологич. процесса обработки, метода и длительности вымешивания, растворимости А в стабилизируемом III. Для масел и жиров берут $\sim 0,02\%$ А. А увеличивают стойкость как начального продукта (жир), так и изготовленных из него изделий (печенье). Приведены данные повышения сохранности различных III при введении в них А. Даны рецепты нескольких смесей А, применяемых в США. Напр., смесь TENOX2 содержит (%): II 20, I 6, лимонной к-ты, 4, пропиленгликоля 70.

9Н222. Перспективы в области развития способов упаковки. Riddell G. L. The experiments of today — the packages of tomorrow. «Brit. Packag.», 1960, 22, № 5, 311—314 (англ.). — Рассмотрены особенности и трудности испытаний упаковочных материалов для пищевых продуктов. Подчеркивается необходимость строгого согласования условий испытания с условиями эксплуатации упаковочного материала. В противном случае возможны серьезные ошибки. Обсуждена методика определения паропроницаемости упаковочных мате-

риалов. Отмечена перспективность применения упаковочных материалов на основе усиленного целлюлозного волокна (бумага, картон), особенно в сочетании с пластиками в виде слоистых упаковочных материалов. Такие материалы обладают высокой паро-, водо- и газонепроницаемостью и обеспечивают высокую герметичность упаковки.

9Н223. Новый вид упаковочных материалов для пищевой промышленности. Belšan Ladislav, Novák Milan, Votava Václav. Nový druh obalového materiálu s použitím v potravinářském průmyslu. «Obaly», 1960, 6, № 3, 68—72 (чешск.; русск., нем., англ.). — Применение микрокристаллич. воска для пропитки бумажных материалов позволяет получить новый упаковочный материал для пищевых продуктов. Новый материал по сравнению с обычно применяемым для упаковки пищевых продуктов (парафинированная бумага и др.) имеет заметное преимущество по внешнему виду, меньшей паропроницаемости, технологич. свойствам. Пропитка микрокристаллич. воском может быть осуществлена на имеющемся производственном оборудовании для парафинирования бумаги.

9Н224. Новый упаковочный материал для пищевой промышленности. Генель С. В., Коновалова Д. В., Муравин Я. Г. «Консерв. и овоцедущ. пром-сть», 1960, № 7, 23—26. — Разработан способ производства упаковочного материала — бумаги, покрытой тонким слоем полиэтилена (25—50 м) в расплавленном виде. Этот материал обладает высокой паро-, водо- и воздухопроницаемостью. За 48 час. водопроницаемость $0,4 \text{ г/см}^2$, а паропроницаемость $0,3 \text{ г/см}^2$ и воздухопроницаемость $0,5 \cdot 10^6 \text{ мл/см}^2$. Материал позволяет герметично упаковывать продукты с применением термич. сварки. Такая упаковка применима для пищевых концентратов, сушеных овощей и плодов, молочных и других продуктов.

9Н225. Свойства упаковок для пищевых продуктов, подвергаемых в них ионизирующему облучению. Feazel Charles E., Jr, Burks Robert E., Jr, Moses B. C., Tripp George E. Testing packages for irradiated foods. «Package Engng», 1960, 5, № 4, 43—45, 121, 124 (англ.). — Модельные продукты — 5%-ные р-ры уксусной к-ты, сахара и NaCl (легкоупаковываемые), растительное масло (хлопковое) и 5%-ный р-р молочной к-ты (трудноупаковываемые) — подвергали действию ионизирующего облучения дозой $\leq 6 \text{ М ф. э. р.}$ в упаковках из различных синтетич. пленок. Установлено, что большинство пленок удовлетворительно переносят указанную дозу облучения. Продукты во всех упаковках приобретают посторонний запах. Лучшими упаковочными материалами для облучения в них продуктов следует считать слоистые материалы.

9Н226. Защитные покрытия для консервной тары. Stevens H. P., Ellis R. F. Can coatings now tailor-made for top product protection. «Canad. Packag.», 1960, 13, № 8, 46—48 (англ.). — Первыми защитными покрытиями для внутренней поверхности консервной тары (КТ) были лаки и эмали на основе природных смол и высыхающих масел. Им на смену пришли покрытия из синтетич. смол, обладающие лучшими защитными свойствами (лучшая хим. стойкость, большая твердость). Защитные покрытия для КТ подбирают по комплексу свойств (стойкость к к-там пищевых продуктов, нетоксичность и отсутствие передачи постороннего запаха и привкуса продукту, стойкость к механич. операциям при изготовлении тары, стойкость к т-ре пайки, сохранение твердости и адгезии при нагреве). Испытание покрытий заканчивается опытной закладкой консервов и наблюдением за их хранением. Наружную защиту консервной тары осуществляют лагированием. Подбор грунта, красок и лака бесцветного лака производят в зависимости от назва-

чения тары: для плодов и соков, быстро стерилизуемых при низких t -рах, — одни пребования, а для мясных, рыбных и овощных консервов, стерилизуемых при более высоких t -рах и экспозициях, — требования более жесткие, чтобы в процессе стерилизации лакокрасочное покрытие не изменило цвета, блеска и твердости.

Я. Муравин

9Н227. Поведение электролитической белой жести в качестве материала тары для консервов с кислотами и сахарами (соки и варенье). Barbieri Giulio, Milanese Giovanni, Rosso Silvio. Comportamento della banda stagnata elettrolitica come contenitore per conserve alimentari acido-zuccherine (succhi e marmellate di frutta). «Ind. conserve», 1960, 35, № 3, 196—199 (итал.; реф. франц., англ., нем.). — Опытами с электролитич. белой жестью марок Ferrostan № 75 и Ferrostan № 100, вырабатываемой в Италии, установлено, что жесть со слоем олова в $22,5 \text{ г/м}^2$ пригодна для изготовления тары для соков и нектаров с низким содержанием K -т и без антицианов; лакировки тары не требуется. Высокая кислотность продукта, присутствие антицианов и сульфитирование вызывают необходимость лакировки тары; в этом случае пригодна жесть со слоем олова в 17 г/м^2 .

Г. Новоселова

9Н228. Методы этикетирования упаковок пищевых продуктов. Day Frederick T. Practical and eye appealing methods of sealing and labelling food products. «Food Inds S. Africa», 1960, 12, № 11, 25, 27, 29, 31 (англ.). — Упаковка должна не только защищать пищевой продукт от влияния влаги, O_2 , микроорганизмов, но и придавать ему привлекательный вид. Дан обзор различных типов бумажных этикеток (Э) для пищевой тары: Э с нанесенным слоем клея, термоприклеивающиеся, самоприклеивающиеся. Выбор метода этикетирования, формы и красочного рисунка Э зависит от материала тары (жесть, стекло, пластик, ткань, картон, вощеная бумага, кость и др.) и вида пищевого продукта. Этикетировка может проводиться вручную или при помощи автоматич. и полуавтоматич. устройств. Для Э с клеевым слоем при активации водой (напр. Э с декстриновым клеем) важен правильный подбор кол-ва смачивающей влаги. Весьма перспективны термоприклеивающиеся Э (со слоем синтетич. смолы или каучука) двух типов: 1) мгновенного действия, активируемые теплом при непосредственном контакте Э с поверхностью тары; последующий сдвиг Э при этом невозможен; 2) замедленного действия, активируемые теплом за несколько секунд до контакта с поверхностью тары. Второй тип удобнее для механизации, так как процесс этикетирования может быть отделен от предварительного нагрева Э; такой метод особенно хорош для легко повреждаемых пищевых продуктов: бисквиты, кексы, шоколад и др. Для термоприклеивающихся этикеток важен правильный выбор тары, времени тепловой активации и давления, под которым ведется процесс этикетирования.

Я. Муравин

9Н229. Способ и установка для облучения пищевых продуктов. Stoddard Edgar S. Method and means for irradiating foods. [General Electric Co.] Пат. США 2920969, 12.01.60. — Аппарат для облучения включает камеру со стенками, не пропускающими γ -лучей, устройство для помещения на него продукта (на некотором расстоянии от стенок) и устройство, перемещающее в-во (Co^{60}), испускающее γ -лучи, по спирали вокруг облучаемого продукта. Применение аппарата повышает возможный срок хранения пищевых продуктов, напр. мясного фарша и свежих плодов и овощей.

Г. Новоселова

9Н230. Способ получения автолизатов из белковых веществ. — Verfahren zur Herstellung eines Autolysates aus Eiweißstoffen. [Andreas Lendvai]. Австр. пат. 204696, 10.08.59. — Патентуется способ получения автолизата (А) из белковых в-в (ВВ) растительного, животного

или микробиологич. происхождения. Распад ВВ проводят в присутствии какого-либо сахара или полимера, при расщеплении которого образуется сахар, при t -ре $40\text{--}60^\circ$ — оптимальной для ферментов процесса распада, который в таких условиях заканчивается очень быстро (2 суток). Для предотвращения последующего ферментативного изменения продукт распада быстро нагревают до $80\text{--}90^\circ$. А отличаются приятным, сладким вкусом; прибавлением кофе, шоколада или карамели им можно придать различный аромат. А находят широкое и разнообразное применение (самостоятельно или в качестве добавок) в пищевой и фармацевтич. промышленности.

А. Гинзбург

9Н231. Ребристый фильтр. Goodman H. F. Kanfilter. [The APV Co. Ltd]. Шведск. пат. 167706, 14.07.59. — Ребристый фильтр (РФ) для молока, пива и растительных масел представляет набор круглых колец двух размеров из тонкого металлич. листа, собранных концентрически и стянутых по оси в виде длинного цилиндрич. пакета в цилиндрич. кожухе. Внутреннее кольцо имеет центральное отверстие, которое в собранном РФ образует осевой канал для притока или оттока жидкости; внешний канал образован зазором между кожухом и набором внешних колец. Внутреннее и внешнее кольцо соединены рядом радиальных стержней, толщина которых меньше толщины листа колец. В собранном РФ стержни смежных колец наложены друг на друга и жидкость фильтруется, проходя в зазоре между стержнями. Радиальные пространства между стержнями образуют камеры РФ, сообщающиеся попеременно с осевым и внешним каналом РФ через прорезы в соответствующих кольцах. В такой конструкции РФ течение жидкости радиальное между двумя смежными камерами. В другой конструкции РФ кольца сплошные, прорезы отсутствуют и течение жидкости, фильтрующейся через зазоры между стержнями, — осевое. Общая фильтрующая длина РФ равна длине ребра двух стержней, умноженной на их число n 0,5.

К. Герцфельд

9Н232. Способ получения пищевых продуктов, содержащих ферменты, витамины и растворимые углеводы, путем экстракции водой из пшеницы. Ludwig Heinz. Verfahren zur Herstellung eines Enzyme, Vitamine und lösliche Kohlenhydrate enthaltenden Nahrungsmittels durch Extraktion mit Wasser aus Weizen. Пат. ГДР 16851, 18.06.59. — Извлекают муку грубого помола 3—8-кратным кол-вом воды при $6\text{--}8^\circ$ 30 мин, отделяют воду. Фазу, содержащую ферменты, витамины и растворимые углеводы, и высушивают распылением в вакууме; шрот высушивают в вакууме и используют для получения крахмала; или же смешивают указанный экстракт с крахмалом и пускают на вакуум-распылительную сушилку. К водн. фазе могут быть добавлены витамины, напр. B_1 и амид никотиновой кислоты.

О. Магидсон

9Н233. Способ производства быстро разваривающихся зерновых продуктов. Miller Frederick J. Process for producing quick cooking cereal product. [General Foods Corp.]. Пат. США 2930697, 29.03.60. — Зерна пшеницы, сорго, шелушенного овса или риса погружают в воду на время и при t -ре, достаточных для увеличения их влажности, при которой они размягчаются и набухают (напр., до $30\text{--}45\%$), затем их распыляют для нарушения целостности их оболочек и обжигания эндосперма (напр., путем пропуска между вращающимися валами diam. 30 см при зазоре между ними $0,25\text{--}0,5 \text{ мм}$). Распыленные, изменившие форму, но не распавшиеся зерна дополнительно замачивают в воде для дальнейшего их набухания и повышения влажности (напр., до $50\text{--}75\%$), затем их варят в небольшом кол-ве воды или обрабатывают паром для клейстеризации крахмала, после чего зерна высушивают в потоке горячего воздуха в условиях, при которых скорость удаления влаги с поверхности зерен превы-

шает скорость диффузии ее из внутренних слоев зерна (напр., в течение 10—20 мин. при t -ре воздуха 135—140° и скорости 122—244 м/мин). Перед сушкой зерна могут быть промыты для удаления крахмала. В результате такой обработки получают зерна большего, против первоначального, объема, пористой структуры с плотно прилегающими остатками оболочек к эндосперму. С. Светов

9Н234. Консервирование зерен пшеницы. Copley Michael J., Mecham Dale K., Weinstein Nathan Eli, Ferrel Robert E. Process of canning wheat. [United States of America as represented by Secretary of Agriculture]. Пат. США 2929725, 22.03.60.—Освобожденную частично от плодовых оболочек (путем сухой или мокрой обработки поверхности зерен) пшеницу в виде цельных зерен замачивают в воде до повышения ее влажности до 40—60%, затем выгружают в банки, которые герметизируют и подвергают термообработке для стерилизации. Пример. Образцы по 300 г пшеницы вместе с 600 г воды обрабатывали 2—3 мин. в мешалке с лопастями, не оказывающими режущего действия на зерно. После удаления воды и промывания получили неповрежденные зерна, очищенные от внешних оболочек. Затем образцы погружали в подсоленную воду (2% NaCl) на 31—47 мин. до достижения влажности зерен 50%. Далее образцы помещали в металл. банки, которые закатывали под вакуумом и стерилизовали (60 мин. при 115°). Органолептика. Испытания после добавления воды и нагревания в течение 10 мин. (до полного поглощения воды) показали, что образцы обладали прекрасными качествами в отношении вкуса, запаха, цвета и структуры. С. Светов

9Н235. Составы, содержащие ароматические вещества и лецитин, на сахарной основе и способ их изготовления. Schultz Thomas H., Talburt William F. Compositions containing flavoring agent and lecithin in a sugar base and process of making the same. [United States of America as represented by the Secretary of Agriculture]. Пат. США 2929723, 22.03.60.—Патентуется способ приготовления твердых ароматич. составов (ТАС), в которых ароматич. в-ва (АВ) окружены твердым, непроницаемым слоем пищевого в-ва, что обеспечивает длительное хранение ТАС без потери ими аромата или ухудшения качества. АВ (напр., апельсиновое масло) и лецитин эмульгируют в расплавленной смеси сахаров и формируют. Лецитин окружает каждую частицу АВ защитной пленкой и этим обеспечивает сохранение аромата как во время изготовления, так и при хранении ТАС. Расплавленный сахар приготавливают путем уваривания смеси сахаров до 150°. Сахара берут в таком соотношении, чтобы гарантировать получение аморфной сухой карамельной массы, напр. (в вес. ч.): сахарозы 50, лактозы 20, глюкозы 22, патоки 60, воды 23. Кол-во вводимого лецитина зависит от его чистоты, природы АВ и сахаров и обычно колеблется от 0,1 до 5% от кол-ва сухих в-в сахаров. В случае использования АВ в виде водно-спиртовых эссенций рекомендуется предварительно удалить воду и спирт. ТАС применяют при произве- различных пищевых продуктов и напитков, напр. вводят в сухие соки для сообщения им свойств, утраченных при сушке. В. Корякова

9Н236. Устройство для выделения камней из шелушеного арахиса. Андренко Г. П., Ткаченко В. Д. Авт. св. СССР 127574, 25.03.60.—Устройство состоит из приводимого в возвратно-колебательное движение решета и расположенной под ним камеры, в которую поступает от вентилятора струя воздуха. Для удержания осаждаемых камней от продольного перемещения вдоль решета на его поверхности перпендикулярно к направлению движения установлено несколько пластинчатых перегородок, вплотную примыкающих к поверхности решета. Е. Журавлева

9Н237. Способ обработки кокосовых орехов и получаемый продукт. Kelley Daniel J., Lanham Samuel E. Coconut treating process and product. [General Foods Corp.]. Пат. США 2917745, 15.12.59.—Для получения сухого продукта из свежей мякоти кокосовых орехов очищ. мякоть режут мелкими кубиками и сначала охлаждают до -1, -2°, затем медленно (в течение 2—4,5 час.) замораживают до достижения продуктом t -ры -8, -7°; замораживание может быть продолжено и далее до t -ры продукта -23, -42° (предпочтительно -18°) или до еще более низких t -р порядка -34, -40°. После замораживания продукт высушивают (тонким слоем на противнях) до влажности 5%. Сушка может быть проведена, напр., в воздушной сушилке при атмосферном давлении, при скорости движения воздуха 30—45 м/мин и t -ре его на входе 60—77° (t -ра продукта при этом не поднимается выше 40—66°). Продукт может быть высушен также и в вакуумной сушилке при остаточном давл. 20—200 мм рт. ст. (предпочтительно 40—100 мм рт. ст.) и t -ре циркулирующей воды 55—82° (обычно 71—82°), сушка продолжается в течение 9—25 час. (обычно 12—17 час.); максим. t -ра продукта < 60—66°, влажность его при этом обычно снижают до ~1%. В результате такой обработки получают хрупкий продукт с об. в. 240 кг/м³, отличающийся хорошим внешним видом и структурой и выдерживающий длительное хранение. С. Светов

9Н238. Способ консервирования плодовых и овощных порошков.—Traitement des poudres de fruits et légumes atomisées pour assurer leur conservation. [Victor Perrin]. Франц. пат. 1205090, 29.01.60.—Приготавливают плодовые или овощные пюре возможно более высокой конц-ции и высушивают его на распылительных сушилках обычным способом (давл. 10 атм, t -ра сушилки 250°, t -ра отходящего воздуха 80°). Полученный порошок затружают в бункер, откуда постепенно направляют в вакуум-камеру, соединенную с бункером, посредством редукционного вентиля. Порошок поступает в упаковку, находящуюся в вакуум-камере, из которой выкачивают О₂. По окончании вакуумирования давление доводят до атмосферного, вводя в камеру инертный газ. Сушка концентратов обычно сопровождается разрушением ликопинов и каротинов (до 30% из первоначального кол-ва), что ухудшает вкус и внешний вид. Для предупреждения этого явления плодово-овощные пюре (напр., томат-пюре) смешивают с небольшим кол-вом (0,4%) растительного масла с низкой t -рой плавления (напр., арахисового) и сушат смесь. В. Гурьян

9Н239. Модифицированное молоко. Block Richard J., Zweig Gunter. Modified milk. [The Borden Co.]. Пат. США 2903358, 8.09.59.—Патентуется состав и способ приготовления модифицированного коровьего молока, освобожденного от лактоальбумина (Л), в том числе и β -лактоглобулина, для уменьшения привкуса кипяченого молока при высокотемпературном нагреве в процессах пастеризации, стерилизации и сушки. Обезжиренное молоко свертывают (кислотным или сычужным способом) и отделяют казеин от сыворотки. В сыворотку для осаждения Л вводят нетоксичную водорастворимую соль 3-валентного железа в кол-ве, обеспечивающем осаждение $\geq 90\%$ Л, и затем при перемешивании добавляют щелочь в кол-ве, обеспечивающем осаждение избытка соли железа, после чего фильтрованием удаляют осадок Л и соли железа. Обработанную сыворотку смешивают с казеином для получения восстановленного обезжиренного молока, не содержащего Л. Молоко при указанной обработке не нагревается до t -ры выше 50—55°. Пример. 1 л обезжиренного молока подкисляли до pH 4,55 р-ром 6 н. HCl (к-та). Казеин отфильтровывали через марлю и промыли несколько раз водой. К сыворотке добавили 20 мл 1 М р-ра хлористого железа, pH сыворотки

после этого 3,7. Осадок удалили фильтрованием. При добавлении трихлоруксусной к-ты белки из сыворотки не осаждались. В освобожденную от белков сыворотку внесли разб. р-р NaOH или Na-карбоната для удаления избытка соли железа и установления pH 8. Безбелковую сыворотку можно также нейтрализовать обработкой основной анионообменной смолой, напр. амберлит IR-410 в основной форме (ОН- или CO_3^{2-}). Казеин, выделенный ранее из молока, 2 мл сливок и безбелковую сыворотку тщательно смешали в мешалке типа Waring Blender, смесь гомогенизировали и добавили р-ра NaOH до pH 6,8. Пастеризация восстановленного молока при 71,2° в течение 15 сек. не вызвала заметного привкуса. К модифицированному молоку можно добавлять различные компоненты для получения спец. диетич. продукта. М. Бенсон

9Н240. Устройство для обработки ультрафиолетовыми или другими лучами сильно абсорбирующих жидкостей. Sauter Eugen. Einrichtung zur Behandlung von Strahlen stark absorbierenden Flüssigkeiten durch ultraviolette oder andere Strahlen. [Siemens-Schuckertwerke Akt.-Ges.]. Пат. ФРГ 1039999, 19.03.59.—Патентуемое устройство характеризуется тем, что шпорохвостые излучатели, расположенные горизонтально и один под другим, служат поверхностью для стекания обрабатываемой жидкости (напр., молока), причем последняя капает на них из одной или нескольких разделительных канавок. Добавочные излучатели облучают одновременно жидкость снаружи. Этим достигается эффективность облучения. Дана схема устройства. А. Титов

9Н241. Способ производства молочного продукта.—Procédé de fabrication d'un produit lacté. [Lactissa Soc. An.] Швейц. пат. 346754, 15.07.60.—Свежее питьевое молоко с небольшим кол-вом сахара сгущают до консистенции сиропа, затем наливают в форму для получения сплошного и одинакового по толщине слоя и окончательно высушивают в вакууме при 50–60°. Получают твердый губчатый или пористый слой, который разделяют на части в виде галет.

Г. Джилавдарова
9Н242. Способ инъекции пара в сливки.—Procédé et dispositif d'injection de vapeur dans la crème. [Soc. Alfa Laval]. Франц. пат. 1189009, 28.09.59.—Для пастеризации сливок при 85–95° или стерилизации при 130° применяют инъекцию пара. Предложена аппаратура для инъекции пара, позволяющая избежать механич. ударов и местных перегревов, которые гомогенизируют сливки и вызывают потери масла в пахту. Пар вводится с постоянной скоростью и в виде множества мелких струй. Скорость подачи сливок регулируется автоматически при помощи поплавкового устройства. Инжектор представляет собой Т-образную трубу, одна из сторон которой вставлена в трубу, через которую проходят сливки. В этой части инжектора находятся шайбы, часть которых имеет желобки, пропускающие пар тонкими струйками в трубу со сливками. Аппарат позволяет регулировать скорость подачи пара, кол-во и размер струй. Приведены схема аппарата и его отдельных узлов. В. Красева

9Н243. Метод получения напитка из соевого молока. Судзуки Ясухито. Японск. пат. 1790, 5.03.60.—К порошкообразной смеси измельченного сырого чайного листа, сахара и глюкозы добавляют небольшое кол-во воды и выдерживают 2–3 часа. Полученный полуфабрикат добавляют к соевому молоку в кол-ве 2–5% от веса последнего, в результате чего уничтожается неприятный запах и улучшается усвояемость получаемого продукта. Пример. Смешивают и измельчают (в э.): сахар 10, глюкоза 5, порошок чайного листа 0,5, хлорофиллин 5 мг, смесь выдерживают 2 часа. Полученную зеленую клейкую массу добавляют к 180 г соевого молока, перемешивают и через 10 мин. получают готовый хорошо усвояемый напиток без за-

пахом. Напиток обладает высоким содержанием белковых в-в и может быть рекомендован при заболеваниях пищеварительного тракта. Ю. Жмакин

9Н244. Способ улучшения консистенции мяса. Beuk Jack F., Savich Alfred L., Goesser Paul A., Hogan John M. Method of tendering meat. [Swift & Co.]. Пат. США 2903362, 8.09.59.—Патентуется ферментативный способ улучшения консистенции мяса, состоящий в том, что в сосудистую систему животного перед его убоем впрыскивают растворенный в жидкой среде препарат протеолитич. ферментов (напр., папаин, бромелин, фичин и др.) из расчета 0,5–60 мг фермента на 1 кг живого веса животного; убой производят в течение ≤24 час. после инъекции (предпочтительно через 30 мин.). Пример. 5 г папаина в порошке диспергируют в глицерине, затем прибавляют физиологич. р-р (0,9%-ный р-р NaCl), размешивают в течение 30 мин., устанавливают pH 7,2, центрифугируют, фильтруют и разбавляют физиологич. р-ром до 100 мл. Р-р вводили в яремную вену 5 овец в возрасте 2–3 года при живом весе животных 45–54 кг в дозах 15–60 мг папаина на 1 кг живого веса животного. Для целей сравнения качества мяса доступ р-ра в одну из задних ног каждого животного был прегражден путем соответствующей хирургич. операции. Время инъекции 1–5 мин. Животные были убиты по истечении 3 мин. после инъекции р-ра; туши разделаны и охлаждены в течение 24 час. Органолептич. оценки нежности консистенции мяса обработанных ферментами образцов были на 3–5 баллов выше оценок контрольных образцов. С. Светов

9Н245. Способ консервирования пищевых продуктов совместным действием антибиотиков и ионизирующего облучения.—Procédé de conservation des aliments par action conjuguée d'antibiotiques et de radiations ionisantes. [Pierre Vidal]. Франц. пат. 1217830, 5.05.60.—Патентуется способ консервирования пищевых продуктов, в частности мяса, погружением или обрызгиванием р-ром антибиотика, напр. р-ром хлоргидрата хлортетрациклина (I) конц-ией 10 мг/кг, в последующем облучением ионизирующими лучами в дозах 1–1,5 Мрад. Пример. Куски свинины, вырезанные после 24 час. остывания туш при 2–7° после убоя, погружали на 1 час в р-р I конц-ией 10 мг/кг, обсушивали в течение ≥1,5 час. при вентилировании при 2–4°, упаковывали в газо- и водонепроницаемую упаковку (предпочтительно двухслойную) и облучали γ-лучами, напр. Со⁶⁰, дозой ~1 Мрад. Обработанное таким образом мясо сохранялось в течение нескольких недель, контрольные образцы (необработанные) портились в течение нескольких дней. Качество обработанного мяса изменялось несколько медленнее при раздельной обработке антибиотиком или ионизирующими лучами. Аналогичные результаты получены при применении данного способа для консервирования мяса птицы. При дозах облучения 0,5–2 Мрад бактериостатич. действие антибиотиков, в частности I, увеличилось на 2–3%. Г. Джилавдарова

9Н246. Способ копчения и копченые пищевые продукты.—Procédé de fumage de denrées alimentaires et produits ainsi obtenus. [André Inizan]. Франц. пат. 1174625, 13.03.59.—Патентуется способ копчения пищевых продуктов, в частности мяса, рыбы, сырых и вареных солений, вареных колбас, дымом, получаемым при сгорании сухих морских водорослей или их смеси с другим видом топлива. Процесс копчения может быть осуществлен в два этапа дымом от различного топлива. Перед копчением продукты должны быть хорошо высушены. Копченые продукты, приготовленные по патентуемому методу, обладают приятным вкусом и ароматом и хорошо сохраняются. А. Манербергер

9Н247. Способ изготовления искусственных колбасных оболочек. Braun Emil. Verfahren zur Her-

stellung k...
G. auf Ak...
ую колб...
вотного п...
нов шкур...
производ...
серью ве...
ствие дуби...
на кольц...
сжатого в...
в сушильн...
кишку св...
тельной...
продолж...
~30 мин...
не 2 не...
полност...
употребл...
9Н248.
R. Egg p...
Патенту...
сти, бел...
получаем...
или трик...
ной к-ты...
0,3%) от...
ные про...
чать при...
диализир...
(пат. 290...
9Н249.
Benja...
1.09.59.—
емости,
ков) пре...
них мон...
0,01–0,0...
жет при...
ной к-ты...
9Н250.
подст...
Dried eg...
Foods, I...
способ с...
ков или...
при при...
ления о...
продукт...
патокой...
20–35%...
чительно...
тов. Пос...
госодер...
вят суб...
таре тр...
ния тор...
обработ...
делений...
казали...
дуктов...
необраб...
ленных...
однако...
женных...
9Н251.
ских ма...
ния.—...
tives et...
Франц...
охлажд...
(миним...
движн...
гермет...
или дат...

stellung künstlicher Wursthüllen. [Carl Freudenberg K. G. auf Aktien]. Пат. ФРГ 972854, 8.10.59.—Искусственную колбасную оболочку изготовляют из сырья животного происхождения (преимущественно из обрезков шкур животных). Измельчение и набухание сырья производят обычными способами. К набухшему сырью перед формовкой добавляют гликоколь в качестве дубильного в-ва. После формовки под давлением на кольцевой фильере кишку надувают при помощи сжатого воздуха и в таком виде предварительно сушат в сушильном канале. После сушки и удаления воздуха кишку свертывают в шарушку и подвергают дополнительной термич. обработке. При t -ре 65° обработку продолжают 6—10 час., при 80° ~ 2 часа, при 100° ~ 30 мин., при 120° ~ 10 мин. После хранения в течение 2 недель из сухой дубленой оболочки гликоколь полностью улетучивается и оболочка пригодна к употреблению. И. Шахунян

9Н248. Яичные продукты. Harris Benjamin R. Egg products. Пат. США 2902373, 2902375, 1.09.59. Патевуются улучшенные яичные продукты (в частности, белки), обладающие повышенной взбиваемостью, получаемые добавлением, в натуральные продукты диал триизопренопилового эфира (или их смеси) лимонной к-ты в кол-ве 0,1—0,5% (предпочтительно 0,2—0,3%) от сухого веса белков (по пат. 2902373). Яичные продукты с такими же свойствами можно получить при добавлении к ним в тех же кол-вах моно- или диизопренопилового эфира (или их смеси) винной к-ты (пат. 2902375). С. Светов

9Н249. Мороженые яичные продукты. Harris Benjamin R. Frozen egg products. Пат. США 2902372, 1.08.59.—Для улучшения свойств, в частности вызв-емости, мороженых яичных продуктов (обычно бел-ков) предлагается перед замораживанием добавлять в них моноизопропиловый эфир лимонной к-ты в кол-ве 0,01—0,06% от веса жидкого продукта. Моноэфир мо-жет применяться в смеси с ди- и триэфирами лимон-ной к-ты с преобладанием в ней моноэфира. С. Светло-

9Н250. Сухой яичный продукт и способ его производства. Gorman James M., Keith Arthur C. Dried egg product and method of preparation. [Seymour Foods, Inc.]. Пат. США 2901360, 25.08.59.—Патентуется способ обработки подвергаемых сушке яичных желтков или целых жидких яиц для улучшения их свойств при применении в кондитерской промышленности и для удлинения сроков их хранения без порчи. Жидкие яичные продукты обрабатывают кукурузной или мальтозной патокой с содержанием редуцирующих в-в в пределах 20—35%. Гидролизаты берут в кол-ве 5—20% (предпочтительно 10—15%) от веса жидких яичных продуктов. После обработки яичные продукты сушат до влагосодержания $\geq 8\%$ (предпочтительно $\geq 3,5\%$). Хранят сухие продукты обычно во влагонепроницаемой таре при t -ре $7 \pm 3^\circ$. Приведены примеры изготовления тортов с применением сухих яичных продуктов, обработанных указанным способом; результаты определений уд. веса теста и объема готовых изделий показали преимущества применения обработанных продуктов как до, так и после 6 месяцев хранения перед необработанными; качество готовых изделий, изготовленных на патентуемых продуктах, приблизительно одинаково с изделиями, изготовленными на замороженных яичных продуктах. С. Светозарский

9Н231. Способ сохранения вкусовых и ароматических качеств жареного кофе посредством охлаждения.— Conservation par congélation des qualités gustatives et aromatiques du café grillé. [Pierre Lhoumeau]. Франц. пат. 1214804, 12.04.60.— Обжаренные зерна кофе охлаждают в аппарате Frézeur при постоянной т-ре (миним. т-ра 5°), применяя фиксированный или подвижный нейтр. пищевой консервант. Холодильник герметизируется при помощи каучуковой прокладки или давления. Способ обеспечивает нейтрально нежелательный продукт. С. Светов

тельных соединений, парализует действие окислителей, подавляет р-цин, ведущие к искажению вкуса.

В. Гурни

9Н252. Способ производства концентрированного кофейного экстракта. Kraut Theodore. Process for producing a concentrated coffee extract. [General Foods Corp.]. Пат. США 2931727, 5.04.60.—Для облегчения экстрагирования от жареного молотого кофе отделяют наиболее мелкую фракцию, смешивают ее с связующим в-вом (сорбитом, маннитом, моно-, ди- или полисахаридом), увлажняют, формуют в виде таблеток более крупных, чем наиболее грубые частицы молотого кофе, смешивают таблетки с этими частицами и осуществляют экстракцию. Г. Новоселова

Г. Новоселова

9Н253. Волокнистый фильтр для табачного дыма. Toney George P. Fibrous tobacco smoke filter. [Eastman Kodak Co.]. Пат. США 2928399, 15.03.60. — Патентуется усовершенствование фильтров, изготовляемых из синтетич. продольно расположенных наизвивающихся волокон, которые на своем протяжении взаимодействуют друг с другом или расходятся. Для повышения поглощательной способности таких волокнистых фильтров (без увеличения их сопротивления просасыванию) напоят на волокна твердые тонкоизмельченные белковые частицы в кол-ве от 1 до 60% от веса фильтра. Внесение в массу волокон белковых частиц может осуществляться вздуванием или осаждением из суспензий в воде или летучих органич. жидкостях, или электростатич. и другими методами. Пример. Бесконечная ровница из 10 000 волокон ацетицеллюлозы (8 денье) проходит через ванну, в которой при сильном взбалтывании пропитывается р-ром из 42 вес. ч. воды, 42 вес. ч. этанола и 15 вес. ч. тонкоразмолотой желатины (Ж). По выходе из ванны ровница отжимается и высушивается. После обработки волокна содержат приблизительно 6 вес.% прочно присоединенных к ним частиц Ж, придающих волокнам неровную поверхность. Изготовление фильтрующих мундштуков из обработанных волокон осуществляется обычными способами. Содержание никотина в главной струе дыма 10 шт. сигарет при фильтрующих мундштуках из волокон с Ж снижается с 20 до 13 мг, а смол с 150 до 114 мг при незначительном повышении сопротивления этих мундштуков просасыванию по сравнению с мундштуками, изготовленными из волокон без добавления Ж. Вместо Ж могут быть использованы при соответствующих составах р-ров казеин, клейковина пшеницы и другие белки. Г. Дикко

Г. Диккер

См. также раздел *Техническая биохимия* (выпуск Биологическая химия) и рефераты: Добавки к пищевым продуктам 9С520. Стойкость фосфористого цинка в пищевых продуктах 9С1407. Определение остатков пестицидов в пищевых продуктах 9Л508. Определение белка в пшенице 9С98. Электрофорез белков пшеницы 9С674. Хим. состав и питательная ценность джовара (кафская кукуруза) 9С1435. Аскорбиновая к-та и каротин в спаржевой капусте 9С1404. Питательная ценность молока 9С1383. Витамины группы В в молоке коров 9С1396. Хим. состав молока местной карпатской козы 9С1438. Пенициллин в молоке 9С1396. Противотуберкулезное действие молочнокислых продуктов 9С521. Влияние добавок в упаковочные материалы на качество пищевых продуктов 9П470. СВ молочных з-дов 9И300. 9И301.

БРОДИЛЬНАЯ ПРОМЫШЛЕННОСТЬ

Редактор Ю. С. Чельцова

9Н254. Применение статистических методов при исследовании процессов брожения. Schultz Jerome S., Reiherd Donald, Lind Elmer. Statistical methods in fermentation development. «Industr. and

Engng Chem., 1960, 52, № 10, 827—830 (англ.).—Изложены соображения о необходимости применения статистич. анализа результатов при ползаводских исследованиях процессов брожения. Приведены примеры планирования постановки опытов и обработки результатов методами вариационной статистики. С. С.

9N255. Эффективность применения ферментных препаратов в народном хозяйстве. Сиволов И. К. «Спирт. пром-сть», 1960, № 7, 27—31

9N256. Определение аминокислот в ферментном препарате «Bistrin». Jankov S. I. Aminosäuren im Enzympräparat «Bistrin». «Fruchtsaft-Ind.», 1960, 5, № 5, 174—176 (нем., рез. англ.).—Экстрагировали 2 г пектолитич. ферментного препарата «Bistrin», полученного в Болгарии и применяемого для осветления фруктовых соков, 50 мл 70%-ного спирта 24 час. при 20°; экстракт фильтровали, выпаривали досуха, извлекали ацетоном свободные аминокислоты, после выпаривания ацетона остаток растворяли в подкисленной бидистил. воде и центрифугировали. В осадке разделяли компоненты посредством хроматографии на бумаге (р-ритель — *n*-бутанол + уксусная к-та + вода, 4:1:1; проявитель — нингидрин) и идентифицировали по значению R_F и специфич. цветным р-циям. Для колич. определения свободных и связанных аминокислот 2 г препарата обрабатывали 6 н. HCl при 102—105° 28 час.; после охлаждения гидролизата, отфильтровывания, высушивания в вакууме, растворения остатка в подкисленной HCl воде и центрифугирования определяли отдельные к-ты фотометром Пульфриха. Найдены (в *мг/г* сухого в-ва): глутаминовая к-та + треонин 19,04; серин + глицин 14,62; аланин 6,62; лизин + гистидин 8,41; аргинин 8,81; аспарагиновая к-та 3,21; лейцин + изолейцин 8,14; метионин + цистин 5,74; фенилаланин 5,69; тирозин 4,41; пролин и валин обнаружены только качественно. Т. Лунина

9N257. Исследование кислотоустойчивости дрожжей. I. Отмирание дрожжевых клеток в зависимости от длительности воздействия растворов серной кислоты различных концентраций. Gánti Tibor, Detrekóy Emil. Az élesztők savtűrésének vizsgálata. I. Az élesztősejtek pusztulása a savfok és idő függvényében. «Szeszipar», 1960, márc.-ápr., 31—33, 43, 44 (венг.; рез. нем., франц.).—Для биологии, очистки засевных дрожжей (Д) четвертой генерации подвергали воздействию 10, 20, 30, 40, 80%-ных р-ров H_2SO_4 в течение 8 час. Ежечасно отбирали пробы Д и обрабатывали их метиленовой голубой, приготовленной на фосфатном буфере; кол-во живых и мертвых клеток Д подсчитывали на микрофотоснимках. Найдено, что скорость отмирания клеток снижается по мере длительности обработки Д; в заводских условиях при обработке засевных Д в течение часа 16—28%-ным р-ром H_2SO_4 отмирает 25—35% от общего кол-ва дрожжевых клеток. С. Розенфельд

9N258. Производство кормовых дрожжей. Görgényi Frigyes. A takarmányélesztő gyártás eddigi tapasztalatai. «Szeszipar», 1960, aug.-okt., 101—102, 130, 131. Hozzászólások, 106—107 (венг.; рез. нем., франц.).—Приведена сводка литературных данных о производстве кормовых дрожжей на венгерских спиртовых заводах. Ю. Ч.

9N259. Выпарные установки для отработанных вод при производстве дрожжей Торлу. Sázarvský Václav. Odparka na odpadní vody z toruly. «Kvasný průmysl», 1960, 6, № 8, 180—185 (чешск.; рез. русск., нем., англ.).—На з-де в Уничове выпарки страдают от коррозии и образования инкрустаций. Рекомендуется предварительная обработка вод известью при нагревании и отделение осадков. Приведена ф-ла зависимости между конц-ией р-ров и коэф. теплопередачи. Рассмотрены 3 системы выпарок и их возможные варианты. Из резюме автора

9N260. Применение солода из плесневых грибов на спиртовых заводах. Drews B., Sprech H., Hoffmann W. Brennerer-Pilzmalze. «Branntweinwirtschaft», 1960, 100, № 9, 210—211 (нем.).—Кратко изложены общие сведения о применении в спиртовой пром-сти грибного солода, получаемого выращиванием *Aspergillus oryzae* в поверхностной культуре. Приведены эксперим. данные авторов по исследованию посторонних микроорганизмов, выделенных из инфицированного грибного солода. Т. Лунина

9N261. Роль селекционированных дрожжей в ведении спиртового брожения. Ringheanu Daniel, Septilici Georgeta. Rolul drojdiilor selectate în conducerea fermentației alcoolice. «Rev. gospod. agric. stat.», 1960, № 9, 6—9 (рум.).—Рассмотрены ошибки применения селекционированных дрожжей (Д) в винодельческой практике, когда Д, селекционированные для одних вин, применяют при приготовлении других, напр. Токайские Д для Плавая и т. п. Рекомендуется применять Д, строго селекционированные для каждой технологии вина и каждого сорта винограда. Д должны быть предварительно адаптированы к SO_2 . Для сусел с высокой сахаристостью нужны Д, специально адаптированные к высоким конц-иям сахара. Для ведения брожения при высоких т-рах (напр., в крупных резервуарах) необходимо применять термофильные расы. При переработке заплесневевшего винограда дрожжевую разводку вносят в повышенном кол-ве (до 6%). Г. Валушко

9N262. Влияние перемешивания сбраживаемых сред углекислотой на процесс спиртового брожения. Гуляев С. П. «Спирт. пром-сть», 1960, № 8, 12—17.—На двух опытных установках проводили сбраживание крахмалистого сырья при перемешивании бражки CO_2 , отходящей из бродильных чанов. Установлено, что при перемешивании CO_2 в бражке уменьшается накопление биомассы дрожжей на 15—30%, сокращается длительность брожения на 6—8 час., на 30—40% уменьшаются отброды и кол-ва несброженных сахаров, смешается рН на 0,2—0,3. Ю. Чельцова

9N263. Исследование возможности использования материалов, содержащих полисахариды. I. Влияние электролитической обработки на сбраживание осаженных заторов из крахмала батата. Kobayashi Takeshi, Miyai Yoshitaka. «Bull. Osaka Industr. Res. Inst.», 1960, 11, № 1, 59—63 (японск.; рез. англ.).—Крахмал батата гидролизовали с H_2SO_4 при атм. давлении. Электролитич. обработкой удаляли 5-оксиметила-2-фуранфурол, после чего р-ры сбраживались культурой *Saccharomyces zaké* более быстро и полно. А. Жупман

9N264. Контроль при производстве спирта из батата. Часть 2. Накамура Т., Ниснока С. Таканосита Н. «Хакко кёкайси, J. Ferment. Assoc.», 1960, 18, № 6, 291—297 (японск.).—Часть 1 см. РЖХим, 1961, 8N262

9N265. Исследование изменений физических и химических свойств крахмала в клубнях батата в процессе разваривания. H. Kawai Koichi, Arima Tetsuo, Ueyama Keiko. «Хакко когаку данси. J. Ferment. Technol.», 1960, 38, № 4, 153—157, 15 (японск.; рез. англ.).—Исследованы мол. вес, степень полимеризации (СП), содержание амилоры, вязкость и уд. вращение крахмала (К) и разваренного крахмала (РК), приготовленных в чистом виде из 6 разновидностей батата (*Ipomoea batatas* LAM var.). Мол. вес К и РК составлял 65 800—230 600 и 42 700—76 100; СП 403—1423 и 263—470 соответственно. Амилора и амилоректи, разделенные по методу Schoch, имели мол. в. 131 800—161 300 и 170 300—407 300 и СП соответственно 813—996 и 1051—2514. Содержание амилоры в К составляло 12,4—25,6%, в РК 18,0—28,4%. Содержание амилоры вообще при разваривании повышалось. Уд. вязкость, измеренная по Оствальду, была в К 2,89—5,05 и 2,42—2,88 в РК. Уд. вращение состав-

лайо для
Сообщен

9N266.
табельно
№ 7, 32—

9N267.
Планиро
и календ
фора. М.
кайск, J.
351 (япо
9N268.

ков на с
liquor ch
57, № 6
нения с
охлажде
т. п., в
в биох
образуе
Даны р
ния, не
ведено
варител
нения
обработ
расходи

9N269.
при сн
fenolat
«Kvasn
рез. п
действи
нии ме
кислоро
произв
дозе I
цело. I
ное по
дозе I
Добав
оказы
нения
1 мг/л
рий н
жен в
зато
бавле
конеч
вало р
ния (

9N270.
ки. Т.
9—12.
тивно
спирт
9N271.

време
Tib
blém
1960,
При
отдел
мовы
спир
кисл
дрож
знач
спир
9N
romi
хон

для K [α]_D²⁰ 198—202° и для PK [α]_D²⁰ 194—201°.
Сообщение 1 см. РЖХим, 1959, № 4, 13425.

Из резюме авторов
9Н266. Комплексная переработка патоки и рентабельность. Ризберг И. И. «Спирт. пром-сть», 1960, № 7, 32—33

9Н267. Аналитическое исследование меласс. Часть 8. Пламенно-фотометрическое определение калия, натрия и кальция в мелассах. Часть 9. О соединениях фосфора. Мацубара И., Киносита С. «Хакко кёкайси, J. Ferment. Assoc.», 1960, 18, № 7, 345—348; 349—351 (японск.).—Часть 7 см. РЖХим, 1961, 8Н264

9Н268. Применение охлаждения спиртных напитков на спиртовых заводах. Cave C. S. Distilleries use liquor chilling. «Air Condit., Heat. and Ventil.», 1960, 57, № 6, 87—89 (англ.).—Для предотвращения помутнения спиртных напитков (Н), происходящего при их охлаждении во время хранения, транспортировки и т. п., на спиртовых заводах рекомендуется охлаждение Н ниже —1° с последующим отфильтровыванием образующейся суспензии перед розливом Н в бутылки. Даны рекомендации по выбору комплекта оборудования, необходимого для охлаждающей установки. Приведено описание режима ее работы и операции предварительного лассивирования аппаратуры для устранения вредного воздействия на вкусовые качества обрабатываемых спиртных Н. Дан примерный расчет расхода энергии при работе установки.

В. Синьковский
9Н269. Пентахлорфенолят натрия как антисептик при спиртовом брожении. Rosa Milan. Pentachlorophenolat sodný jako antiseptikum při lihovém kvašení. «Kvasný průmysl», 1960, 6, № 10, 226—229 (чешск.; рез. русск., нем., англ.).—Исследовано антисептическое действие пентахлорфенолята Na (I) (при обрабатывании мелассы в спирт) на смесь 4 культур молочнокислых бактерий, изолированных из инфицированных производственных заторов. Установлено, что лишь при дозе I 5 мг/100 мл развитие инфекции подавлялось надолго. При концентрации I в 5 мг/100 мл наблюдалось заметное подавление процесса спиртового брожения, при дозе I 10 мг/100 мл брожение совсем не наступало. Добавление I 1 мг/100 мл к стерильному затору не оказывало никакого влияния на ход спиртового брожения; при инфицированных заторах добавление I 1 мг/100 мл снижало развитие молочнокислых бактерий на 69%. С применением хроматографии прослежено и показано влияние I на инверсию сахарозы в заторе. В отсутствие молочнокислых бактерий добавление малых доз I до 1 мг/100 мл не влияло на конечный результат брожения, но заметно задерживало развитие дрожжей в начальные периоды брожения (до 12 ч.).

Н. Баканов
9Н270. Абсорбционная способность спиртоволушки. Тарарыков Г. М. «Спирт. пром-сть», 1960, № 7, 9—12.—Приведены результаты исследования эффективности работы спиртоволушки на Корыстовском спиртовом заводе.

Ю. Ч.
9Н271. О качестве спирта-ректификата при одновременной выработке кормовых дрожжей. Hegmann Tiborné, Rapp Ilona. Finomszerű minőségi problémák a takarmányélesztő gyártása mellett. «Szeszipar», 1960, júl., 86—87, 98, 99 (венг.; рез. нем., франц.).—При перегонке спиртовой бражки, из которой дрожжи отсепарованы (с целью их использования в качестве кормовых дрожжей), наблюдается ухудшение качества спирта-ректификата. Установлено, что повышение кислотности затора связано с извлечением из бражки дрожжей и что снижением этой кислотности можно значительно улучшить качество ректифицированного спирта.

С. Розенфельд
9Н272. Распределение и рост дрожжей в сусле тоготи при производстве сака. Носиро Кикю. «Нихон дзёдо кёкай дзасси, J. Soc. Brew., Japan», 1959,

54, № 9, 661—658 (японск.).—При брожении сусле тоготи большое кол-во дрожжей (Д) (~50%) находится в шапке образующейся пены, остальные Д суспендированы в бражке. Рост Д прекращается на 10—12-й день брожения при содержании спирта в бражке 10—12%. Максим. содержание Д к этому моменту $2,5 \times 10^8$ в 1 г, затем начинает понижаться (автолиз клеток).

Из резюме автора
9Н273. Изучение влияния неорганических солей при производстве очищенного сака. 9. О влиянии неорганических компонентов при разведении дрожжей при производстве сака. 10. Поведение неорганических компонентов «тоготи». Ито Кёгоро, Кояно Асаки. «Нихон дзёдо кёкай дзасси, J. Soc. Brew., Japan», 1959, 54, № 12, 907—903; 1960, 55, № 1, 64—60 (японск.).—Сообщение 8 см. РЖХим, 1961, 7Н258

9Н274. Исследование азированных заторов. 3. Экспериментальное приготовление очищенного сака. Кавамура Минору, Ямасита Кацу, Уэмура Тайити, Токумура Харухико. «Нихон дзёдо кёкай дзасси, J. Soc. Brew., Japan», 1959, 54, № 11, 810—807 (японск.).—Сообщение 2 см. РЖХим, 1961, 8Н202

9Н275. Исследование азированных заторов. 4. Последующая обработка приготовленного мисо и опыты с азированным затором. Йосии Хисао, Иноуэ Тосиюки, Исихара Акиёси, Йосида Масацугу. «Нихон дзёдо кёкай дзасси, J. Soc. Brew., Japan», 1959, 54, № 12, 892—888 (японск.).—Сообщение 3 см. реф. 9Н274

9Н276. Исследование порчи сула сака. 6. Морфология бактерий, появляющихся в дрожжевой культуре на сусле тоготи. Ямада Масакадзу. «Нихон дзёдо кёкай дзасси, J. Soc. Brew., Japan», 1959, 54, № 9, 662—661 (японск.).—Предыдущее сообщение см. РЖХим, 1960, № 7, 28530.

9Н277. Исследование органических кислот при производстве сака. I. Органические кислоты в рисе, коззи, мото, мороми, саке и отходах производства. Уэда Р., Хаясида М., Китагава Э. «Хакко когаку дзасси, J. Ferment. Technol.», 1960, 38, № 7, 337—342, 33—34 (японск.; рез. англ.).—С применением разделительной хроматографии на силикагеле в рисе найдено 15 органич. к-т, главными компонентами которых являются уксусная, фумаровая, янтарная (I), лимонная (II), яблочная (III) и гликолевая к-ты. В коззи содержалась, кроме названных к-т, молочная к-та (IV) при общем содержании органич. к-т 160 мг/100 г сухих в-в и относительном увеличении кол-ва I, II, III и IV во время брожения. В дрожжевой разводке (moto) в период наибольшей т-ры кол-во IV достигало 70% (750 мг/100 г) от общего кол-ва к-т, второе место занимали уксусная к-та и какая-то неизвестная к-та. Состав к-т в главном заторе (тоготи) сака (в момент фильтрации) и в отходах был одинаков; главным компонентом являлась янтарная к-та, кол-во III несколько превышало количество IV.

Из резюме авторов
9Н278. Применение эталонов при исследовании очищенного сака и синтетического сака. Сообщение I. Применение систем Со—Сг. Сато Син, Нисикава Хисао. «Нихон дзёдо кёкай дзасси, J. Soc. Brew., Japan», 1959, 54, № 9, 688—684 (японск.).—В качестве цветных эталонов для определения качества очищ. сака и синтетич. сака предложены р-ры CoCl_2 и $\text{K}_2\text{Cr}_2\text{O}_7$, смешиваемые в определенных соотношениях. Р-ры пригодны для определения степени старения сака по его окраске и могут сохраняться в течение >6 месяцев. Преимуществом применения р-ров является отсутствие флуоресценции в отличие от применявшихся ранее реагентов органич. характера.

Ю. Жмакин
9Н279. Об азотистой кислоте, образующейся в процессе перегонки при производстве сака. Като Ити-

р.о. «Нихон дайдэо кёкай даасси, J. Soc. Brew., Japan», 1950, 54, № 9, 874—870 (японск.).—Исследовано возникновение HNO_2 (I) в процессе дистилляции при получении очищ. сакэ. Интенсивность восстановления HNO_2 (II) до I зависит от состава сброженной массы и хим. состава воды. При определении баланса N в процессе высокотемпературной обработки сакэ необходимо учитывать, кроме II, и образующуюся I.

Ю. Жмакин
9Н280. Увеличение производства уксуса применением установок для глубинного брожения. Часть II. Thom Heftman. Pŕesborné zvýšení výroby octa pomoci submersní osetnicí. Čast II. «Kvasný průmysl», 1960, 6, № 7, 153—157 (чешск.; рез. русск., нем., англ.).—Описан процесс получения уксуса глубинным брожением, протекания глубинного брожения во времени и его особенности сравнительно с обычным методом. Показано значение изменчивости уксусных бактерий на отдельных стадиях в зависимости от факторов среды (ее состава, содержания питательных в-в, степени аэрации, броидильной среды и т. п.). Результаты показаны в свободной таблице. Установлено, что глубинный метод характерен высокими скоростью брожения и выходом уксуса, возможностью применения чанов малой емкости, отсутствием стружечной их засадки и, следовательно, исключением периодич. ее замены. Способ может с успехом применяться при сезонном повышении потребления уксуса. Часть I см. РЖХим, 1960, № 24, 98451.

Н. Баканов
9Н281. Производство лимонной кислоты сбраживанием в погруженной культуре кислотных гидролизатов крахмала батата. Усами С., Такаэтом и Н. «Kogei kagaku daasii, Kogyo kakagu zasshi, J. Chem. Soc. Japan. Industr. Chem. Sec.», 1960, 63, № 9, 1602—1605, A 88 (японск.; рез. англ.).—Продукты расщепления глюкозы, образующиеся при нагревании при повышенном давлении, тормозят накопление лимонной к-ты (I) при последующем сбраживании среды погруженной культурой *Asp. niger*. Предварительное ферментативное разжижение крахмала обеспечивает возможность проведения последующего кислотного гидролиза в более мягких условиях, при котором почти не наблюдается образования тормозящих лимоннокислосое брожение продуктов. При кислотном гидролизе крахмала до глюкозы на 90% выход I при брожении составляет 50—60% от использованного сахара без образования глюконовой и павеловой к-т. В гидролизате, декантированном монообменной смолой, образуется максим. кол-во I. Добавление метанола к среде заметно усиливает накопление I. При этом, если метанол добавляют к засевной культуре, то не требуется его внесения в главный затор. Из резюме авторов

9Н282. Улучшенный колориметрический метод для определения соли железистосинеродистой кислоты в мелассе. Marier J. R., Olark D. S. An improved colorimetric method for determining ferrocyanide ion, and its application to molasses. «Analyst», 1960, 85, № 1013, 574—579 (англ.).—При получении из свекольной мелассы лимонной к-ты брожением применяют в качестве осаждающего агента соль железистосинеродистой к-ты; для контроля за остаточным содержанием которой в мелассе разработан точный, с хорошей воспроизводимостью колориметрич. метод, дающий возможность определять ион $[\text{Fe}(\text{CN})_6]^{4-}$ в кол-ве 5 до 80 μg с точностью $\pm 0,6$ —5,0%.

Г. Бенин
9Н283. Очистка технической молочной кислоты монообменными смолами. Rabek T. I., Trochimczuk W. Über die Reinigung technischer Milchsäure mit Ionenaustauschharzen. «Nahrung», 1950, 3, № 7-8, 658—669 (нем.; рез. англ., франц., русск.).—Для очистки молочной к-ты (I) применяли последовательно включенные колонки: сильнокислый катионообменник (KO) Wofatit F и слабощел. анионообменник (AO) Wofatit FD. Общая весовая емкость в 0,001 экв/г KO

2,9; AO 5,7. В KO связывались ионы Ca^{2+} и др., а также адсорбировались красящие в-ва: в AO связывались анионы SO_4^{2-} , Cl^- и др. и задерживались колл. загрязнения. Выход 100%-ной I в час при скорости протекания 1,33 см/мин и 1 м² поперечного сечения колонки 61 кг, при высоте колонки для KO 0,82 м и для AO 0,58 м. Опыты, проведенные по очистке I в смеси с HCl электролитным методом, показали принципиальную возможность разделения этих к-т, но метод требует доработки. Описаны способы регенерации KO и AO.

А. Титов
9Н284. Подготовка воды, применяемой для варки пива. Janikowski Stefan. O korekcje wody produkcyjnej w warzelni. «Przem. fermentacyjny», 1960, 4, № 1, 11—12 (польск.).—Приведены результаты работы на Тышских пивоваренных з-дах по улучшению качества пива. Приведен хим. состав применяемой воды. Указано, что лучшие результаты получали при добавлении 4 кг 100%-ной молочной к-ты на 140 гл воды для 5400 кг солода.

Т. Будкевич
9Н285. Влияние взаимодействия солей жесткости воды с фосфатами солода на процесс. Waller H., Krauß G. Die brautechnische Bedeutung der Reaktionen der Wassersalze mit den Phosphaten des Malzes. «Brauwissenschaft», 1960, 12, № 6, 171—177 (нем.; рез. англ.).—К обессоленной монитам воде прибавляли исследуемые соли в чистом виде (хлориды, сульфаты и карбонаты Ca и Mg). Бикарбонаты добавляли в виде карбонатов солей с введением в р-р CO_2 . Проведено 30 опытных варок в производственных условиях в объеме 5,5 гл идущего на брожение сусла. Установлено: кол-во выпавших карбонатов в зависимости от конц-й фосфатов (Ф) может достигать 70%, Ca и Mg ведут себя одинаково. Некарбонаты Ca при жесткости 10—60° нем. осаждаются в виде Ф на 28%, некарбонаты Mg — на 14% при 20° нем. При pH 5,67—7,07 буферность сусла пропорциональна конц-и неорганич. Ф. При pH 4,27—5,67 буферность повышается сильно при добавлении больших конц-й CaCl_2 , так как при этом снижается pH затора и повышается образование буферных в-в (напр., белка). При указанном pH малые конц-и CaCl_2 не влияют на буферность затора. С увеличением остаточной щелочности повышается pH; влияние карбонатов проявляется больше, чем некарбонатов. Соотношение влияния нейтр. солей Ca и Mg было 1:2. Карбонатная жесткость воды увеличивает претность пива. Содержание общего N повышается с падением остаточной щелочности. На процентное содержание азотистых фракций по Лундину соли воды не оказывают влияния. Содержание горьких в-в в готовом сусле увеличивается с остаточной щелочностью; увеличиваются и потери их при брожении. Поэтому пиво из карбонатной воды содержит меньше горьких в-в, чем из некарбонатной. На пеностойкость соли воды влияния не оказывают. Колл. стойкость пива при жесткости до 20° нем. в присутствии некарбонатов улучшается. Пиво из менее жесткой воды оказалось мало стойким.

Р. Залманзон
9Н286. Современные способы замочки ячменя. Massey Alan. Recent advances in malting with special reference to steeping. «Brewers Digest», 1960, 35, № 10, 49—53, 70 (англ.).—Приведен обзор и критич. оценка современных способов замочки ячменя перед соложением — различные системы аэрации зерна, метод повторного замачивания, применяемые различные хим. добавки к воде (известь, H_2O_2 , KBr, кумарин, формальдегид и др.). Рассмотрено влияние добавок в воду (при замачивании) гибберелловой к-ты (I) отдельно или в сочетании с KBr. Наиболее обещающими автор считает способы повторного замачивания и применение I (лучше в смеси с KBr); 2-й из этих способов потребует лишь незначительных изменений в существующем оборудовании солодовен; необходимо испытание в широком масштабе обоих методов с про-

ведением назв.

9Н287. солодовая

Slowiński

planu ro

kobialko

17 (по

с высок

ностью

дли пр

в начал

Мочку т

KMnO₄

соким с

KMnO₄

с контр

статич.

9Н288.

bow C.

35, № 9.

Библ. 3

9Н289.

пригото

дов каф

von, B

studies.

during i

467—47

в кафф

Содерж

10,1 г н

ия, что

ным ро

сахароз

также к

I, как п

жения

и I до

харидо

кол-во

риода

вело к

нескол

увелич

уровне.

9Н290.

примен

F. Die

von Ho

105—11

экстра

(150 м

при 3°

измени

держат

Опыты

эконом

лась 16

дых с

ношен

в пиве

Клопп

ром —

нию с

хмелья.

90 мин

При эт

Кольба

Клопп

9Н291.

вкус к

33 Хим

ведением полного цикла пивоварения. Библ. 15 назв. С. Светов

9Н287. Влияние перманганата калия на процесс солодования ячменя с высоким содержанием белка. Słowiński Z., Władzińska R. Wpływ nadmanganianu potasu na przebieg słodowania jęczmienia wysokobiałkowego. «Przem. fermentacyjny», 1960, 4, № 1, 15—17 (польск.).—Для исследования брали по 5 кг ячменя с высоким содержанием белка и низкими способностью и энергией прорастания. Прорастание проводили при добавлении KMnO_4 (12 мг/л): в 1-ю пробу — в начале замачивания, во 2-ю — в конце замачивания. Мочку проводили в водопроводной воде. Добавление KMnO_4 повышало энергию прорастания ячменя с высоким содержанием белка; ячмень (в присутствии KMnO_4) прорастал более равномерно по сравнению с контрольной пробой. Получаемый при этом солод был хорошо разрыхлен и обладал повышенной диастатич. силой. Т. Будкевич

9Н288. Протеолиз при соложении ячменя. Rainbow C. Proteolysis in malting. «Brewers Digest», 1960, 35, № 9, 60—62, 65 (англ.).—Краткая обзорная статья. Библ. 34 назв. А. Нечаева

9Н289. Изучение соложения каффрского сорго и приготовления пива из него. VII. Изменения углеводов каффрского сорго при соложении. Holdt M. M. von, Brand J. C. Kaffircorn malting and brewing studies. VII. Changes in the carbohydrates of kaffircorn during malting. «J. Sci. Food and Agric.», 1960, 11, № 8, 467—471 (англ.).—Исследованы сахара и крахмал в каффрском сорго и их изменения при соложении. Содержание крахмала уменьшалось на 43% с 17,7 до 10,1 г на 1000 зерен против 20% при соложении ячменя, что объясняется повышенной 3-ой и интенсивным ростом. В непроросшем зерне идентифицированы сахара: (I), глюкоза (II), фруктоза (III), в солоде также мальтоза (IV) и низшие мальтоолигосахариды; I, как и в ячмене, являлась преобладающей. При соложении каффрского сорго повышалось содержание III и I до 5-го дня ращения, после чего оставалось без изменений; IV, изомальтоза и следы мальтоолигосахаридов обнаруживались с первого дня ращения, и их кол-во увеличивалось в течение всего 7-дневного периода так же, как и II. Всушивание солода при 50° вело к снижению IV и мальтоолигосахаридов на 50%, несколько меньшему снижению III, значительному увеличению I, а II оставалась, примерно, на прежнем уровне. Часть VI см. РЖХим, 1961, 8Н287. В. П.

9Н290. Использование горьких веществ хмеля при применении его экстрактов. Kolbach P., Thomas F. Die Ausnutzung der Bitterstoffe bei der Verwendung von Hopfeneextrakt. «Monatsschr. Brauerei», 1960, 13, № 8, 105—112 (нем.).—В лабор. масштабе хмель (15 г) экстрагировали этиловым спиртом или эфиром (150 мл). При хранении алкогольных экстрактов (Э) при 3° содержание α - и β -кислот (по Клопперу) не изменилось в течение 30 дней; при комнатной т-ре содержание горьких в-в в Э уменьшилось почти вдвое. Опыты охмеления сусла Э показали значительную экономию: при применении свежего хмеля она равнялась 13%; при старом хмеле с содержанием 27% твердых смол наблюдалось уменьшение ее до 9%. Соотношение между общим содержанием горьких в-в в пиве и содержанием горьких в-в, определяемых по Клопперу в первом случае, составляло 1,6, во втором — 2,2. Это указывает на возможность по изменению состава горьких в-в судить о степени свежести хмеля. При длительности охмеления 5, 15, 45 или 90 мин. экономия уменьшалась с 46 до 31, 17 и 13%. При этом соотношение общего кол-ва горьких в-в по Кольбаху и Шильфарту к кол-ву горьких в-в по Клопперу уменьшалось с 2,2 до 1,6. Р. Залманзон

9Н291. Влияние компонентов хмелевых масел на вкус и аромат пива. Harold F. V., Hildebrand

R. P., Morieson A. S., Murray P. J. Influence of hop oil constituents on the flavour and aroma of beer. «J. Inst. Brew.», 1960, 66, № 5, 395—398 (англ.).—Хмелевые масла (ХМ) и продукты их превращения после их экстрагирования и фракционирования дистилляцией при разных условиях исследованы газовой хроматографией (Х) с аргонном в качестве несущего газа; с учетом потерь сесквитерпенов (СТ) при дистилляции общее кол-во их в пиве найдено в пределах 0,75—1,0 ч/млн., а мирцена ~0,5 ч/млн. При исследовании «зеленого» и готового пива (по 200 л) получены кривые, показывающие присутствие СТ: кариофаллена, гумилена, изокариофиллена и «фарнесина» и связанных с ними — мирцена, метилонил-кетона и других неидентифицированных компонентов ХМ. Проведено опытное охмеление пива при максим. конц-ии СТ; выявлено явление самоокисления, снижающее содержание СТ на 50% и указывающее на превращении ХМ в процессе пивоварения; подтверждено влияние ХМ на вкус пива. А. Нечаева

9Н292. Влияние белковых фракций пива на его стабильность. Scallet B. L., Stansbrey J. J., Small F. W., Jr., Gibbs P. F. Some effects of beer protein fractions on beer stability. «Wallerstein Labs Commun.», 1960, 23, № 80, 26—37 (англ.; рез. франц., исп., нем.).—Из пива одной партии заводского производства были выделены белковые в-ва (БВ) и после фракционирования отдельные фракции БВ вносили в пиво другой партии. Затем наблюдали влияние внесенных БВ на образование в пиве муты при различных условиях — при выдержке, нагревании, воздействии воздуха и света, взбалтывании, присутствии следов металлов. При указанных условиях большая часть фракций увеличивала помутнение, некоторые фракции уменьшали, и некоторые не оказывали влияния. Одна спирторастворимая фракция БВ оказывала наиболее сильное влияние и при всех указанных выше факторах вызывала образование муты; эта фракция, по-видимому, одна ответственная за чувствительность пива к Св. Другая, водорастворимая фракция, при большей части указанных факторов, уменьшала образование помутнения. Остальные водорастворимые фракции и одна спирторастворимая фракция по своему действию занимали промежуточное положение. Ю. Ч.

9Н293. Горячий розлив пива. Sonntag Max. Le soutirage à chaud des bières. «Inds aliment. et agric.», 1960, 77, № 3, 181—190 (франц.).—Доклад на конференции по пиву при Ассоциации пивоваров с. х. и пищевой пром-сти 22 апреля 1959 г. в Лилле (Франция). Дан краткий обзор усовершенствований процесса розлива пива и разливных аппаратов за последние 50 лет. В. Платонова

9Н294. Горячий розлив пива. Prud'homme M. Heissabfüllung des Bieres. «Schweiz. Brauer-Rundschau», 1960, 71, № 8, 131 (нем.).—При горячем розливе пива (П) рекомендуется поддерживать в системе постоянное давление, слегка превышающее давление насыщения П CO_2 , напр. для П при т-ре 65° 7,5—8 атм. Т-ра поступающих под налив бутылок не должна быть ниже т-ры П более чем на 15°. При обследовании работы 12 крупных пивзаводов отмечены хорошие результаты по улучшению биологич. стойкости и вкусовых качеств П. Бой бутылок емк. 0,33 л не превышал 0,54% против 0,63% при обычной пастеризации; для бутылок 0,5 л процент боя бутылок был соответственно 1,2% вместо 1,6%. П. Буковский

9Н295. Розлив пива в металлические банки в Англии. Felmingham J. D. Development of beer canning in Britain. «J. Inst. Brew.», 1960, 66, № 3, 218—225 (англ.).—Рассмотрены вопросы, связанные с конструкцией и производством банок, применяемых для розлива пива. Конструктивные усовершенствования банок обеспечивают их прочность и герметичность при давл.

2,1—2,4 кг/см² при кратковременной пастеризации при 60°. Особое внимание обращают на непрерывность лакового покрытия; корпус банки до формирования покрывают лаками из растительных масел и смол; после формирования швы покрывают двойным слоем лака из виниловых смол. Пиво, реализуемое в банках, пастеризуют в укупоренном виде и охлаждают до ~29°.

С. Светов

9Н296. Быстрый метод определения содержания ячменных оболочек ячменя и овса. Whitmore E. T. Rapid method for determination of the husk content of barley and oats. «J. Inst. Brew.», 1960, 66, № 5, 407—408 (англ.).—Взвешенные образцы зерен с известной влажностью в течение ~3 мин. кипятят в щел. р-ре гипохлорита Na (~10% активного хлора). Всплывшие оболочки отделяют от зерна. Зерно промывают, рассыпают на фильтровальной бумаге, высушивают при 20°, взвешивают и определяют влажность зерна; содержание оболочек определяют по разности. В сравнении с другими рекомендуемым метод для ячменя дает, по-видимому, более точные результаты.

С. Светов

9Н297. Определение постоянной стекловидности пивоваренного ячменя. Derkowski A., Papowicz J., Samplawska M. O oznaczaniu szklistości stałej jęczmienia browarnego. «Przem. fermentacyjny», 1960, 4, № 4, 140 (польск.).—Кюветы емк. 300 мл наполняют замоченным зерном до 1/3 объема кюветы и ставят в термостат при 37—39° на 18—22 час. Затем определение ведут по методике PN-53/R-74008.

Т. Будкевич

9Н298. Химический и физический контроль дезагрегации. Barthel Ch. Contrôle physique et contrôle chimique de la désaggrégation. «Brasserie», 1960, 15, № 167, 225—229 (франц.).—Обзорная статья. Дана оценка наиболее распространенных способов определения степени дезагрегации (Д) солода: результатов определения твердости зерен солода на склерометре; определения разности в экстракте грубого и тонкого помола; соотношения растворимого и общего азота (индекс Кольбача); определения индекса Гартонга и некоторых других определений (вязкости, азотистых фракций по Лундину и др.).

В. П.

9Н299. Исследование процессов варки хмеля при помощи радиоактивного индикатора. Schiller Pavel. Studium chmel'ovarských procesov pomocou rádioaktivného indikátora. «Chem. zvesti», 1960, 14, № 7, 517—520 (словац.; рез. русск., нем.).—Описана методика и результаты исследований вопроса об образовании Са-соли α- и β-горьких к-т при варке с хмелем с применением радиоактивного изотопа Са⁴⁵. Параллельно колич. содержание горьких к-т определялось стандартным и методами экстракции и диализа, модификация которых описана. Выявлено, что при варке с хмелем не происходит образования Са-солей горьких к-т хмеля и их производных. Автор считает более правильной гипотезу о том, что растворимость горьких в-в хмеля при варке прежде всего зависит от величины pH среды.

Н. Баканов

9Н300. Об обнаружении протеолитической обработки пива. Diederling P. Beitrag zum Nachweis einer proteolytischen Behandlung von Bier. «Monatsschr. Brauerei», 1960, 13, № 9, 127—129 (нем.).—Рассмотрены методы контроля пива для доказательства того, подвергалось ли оно (с целью повышения стойкости) запрещенной протеолитической обработке папаном (или ферментами того же типа). При незапрещенной обработке пива солодовой вытяжкой во время пастеризации ферменты солода инактивируются. В противоположность этому папан устойчив к высокой т-ре. При пастеризации пива он не теряет протеолитич. свойств и может быть обнаружен.

Р. Залманзон

9Н301. Применение метода De Clerck при исследовании количества воздуха, попадающего в пиво при его розливе. Brudzyński A. Eine neue Anwendung der De Clerckschen Luftbestimmungsmethode im Fla-

schambier zur Dosenbieruntersuchung und einige Ergebnisse von Luftmessungen im Laufe der Bierherstellung. «Brauwelt», 1960, 100, № 78, 1593—1599 (нем.).—Газовую смесь, состоящую из СО₂ и воздуха (В), вводят в калиброванную бюретку с 20%-ным р-ром КОН; после поглощения СО₂ щелочью кол-во В отсчитывают по шкале бюретки. Метод был применен для исследования кол-ва В в газовом пространстве бутылки или банки, а также в газовом пространстве разливочной машины лагерного танка, бочек и т. д. Одновременно исследовали и В, растворенный в пиве. Установлено, что при недостаточном вспенивании пива в бутылке во время розлива в ней остается В во много (~10 раз) больше, чем при хорошем вспенивании. При горячем розливе в газовом пространстве остается В вдвое меньше, чем при теплом розливе. При хранении пива алюминиевые крышки пропускают В, тогда как крошен-пробки не пропускают. Кол-во В в банках не превышает такового в бутылках, несмотря на то, что способ розлива и закупорки дает большую возможность его попадания.

Р. Залманзон

9Н302. Исследование присутствия бактерий из группы Coli в пиве. Januszewicz I., Górzynska J. Przyczynę do badań nad przeżywalnością bakterii z grupy pałeczki okrężnicy w piwie. «Przem. spożywczy», 1960, 14, № 5, 57—61 (польск.).—В пиве нижнего брожения при pH ~4,4 бактерии (Б) почти не размножаются, но могут оставаться в течение продолжительного времени живыми. На торможение развития в этом случае влияет кол-во спирта в пиве и концация водородных ионов. В пиве верхнего брожения с малой конц-ей спирта эти Б могут развиваться и придавать пиву неприятный вкус. При снижении pH с 5,6 до 4,5 и увеличении содержания спирта в пиве до 2,3 об.% Б погибают более быстро. Указано на необходимость использования чистой культуры дрожжей, обеспечивающей глубокое выбраживание и получение пива хорошего качества и с хорошим выходом.

Т. Будкевич

9Н303. Изменение свойств Acetomonas capsulata. Shimwell J. L. Changes in the properties of Acetomonas capsulata. «J. Inst. Brew.», 1960, 66, № 3, 241—242 (англ.).—При исследовании пятидесяти штаммов Acetomonas, в том числе и штамма Acetomonas capsulata, выделенного в 1936 г. из ослиженного пива, установлено, что культуральные признаки вида A. capsulata изменяются в зависимости от состава среды: ослижения крахмала не происходит при внесении в среду дрожжевого экстракта; добавление этанола к той же среде способствует образованию слизи. A. capsulata, так же как и другие виды бактерий этого рода, образуют красно-коричневый пигмент на средах, содержащих дрожжевой экстракт, углеводный калыш и глюкозу или фруктозу; в присутствии мальтозы или сахарозы пигмента не образуется. По современной классификации все бактерии этого рода именуются Acetomonas oxydans Henneberg и представлены видами A. capsulata, A. melanogena, A. suboxydans.

Е. Плевако

9Н304. Сравнение антоциановых пигментов красных сортов винограда. Vinifera. Albach Roger F., Kerner Richard E., Webb A. Dinsmoor. Comparison of anthocyan pigments of red vinifera grapes. II. «Amer. J. Enol. and Viticult.», 1959, 10, № 4, 164—172 (англ.).—Для исследования состава пигментов сортов винограда V. vinifera кожуру ягод после высушивания в атмосфере N₂ в вакууме и растирации с песком обрабатывали 2%-ным р-ром HCl в метаноле и центрифугировали. Полученный экстракт наносили на бумагу для хроматографирования (р-тель — органич. слой смеси n-бутиловый спирт:лед. СН₃COOH:вода 4:1:5). Исследовано 125 сортов винограда, в которых обнаружено 1—7 пятен пигментов. Относительное содержание пигментов определялось фотометрически. Показано, что состав красящих в-

сильно за-
Ам. J. Enol.

9Н305.

при созре-

Цаков

дублини-

гьмаза и э-

27—31 (6)

красящих

параллель-

воляет ут-

града. Кол-

риных), п-

затем над-

при созре-

логич. зре-

ставлены

в период

и энидин

Гьмаза и

производи-

дермации

гой для с-

содержани-

чем в сор-

9Н306.

стабилиз-

derne pri-

depozitate

1960, 11, J.

англ.).—С-

мьх за р-

9Н307.

Michod

nos vins

vitic. et a

обеспече-

жения р-

кислотос-

спиртоско-

нола в п-

за после-

добавлен-

нейтрали-

9Н308.

тленгит

Franz.

Butylengl-

burg, 19

влияние

вина. По-

тракта, в-

нается о-

образоват-

Исследов-

колеблет-

среднего

сусли, те-

содержан-

зрелости

явления I

спиртоско-

ходит д-

данные

ф-лой, в

вине I

9Н309.

отвраще-

лев Ст

на за пр-

вь вино

7—52 (

сильно зависит от сорта винограда. Сообщение I см. Ам. J. Enol., 1958, 9, № 3, 105.

9Н305. Динамика красящих и дубильных веществ при созревании винограда сортов Гымза и Зарчин. Цаков Димитър. Динамика на багрилните и дубилни вещества при зреење на гроздето от сортовете гымза и зарчин. «Лозарство и винарство», 1960, 9, № 3, 27—31 (болг.).—Исследование динамики накопления красящих и дубильных в-в при созревании винограда параллельно с изменением сахара и кислотности позволяет уточнить время сбора красных сортов винограда. Кол-во дубильных в-в (водо- и щелоче-растворимых), наибольшее в период физиологич. зрелости, затем падает. Красящие в-ва образуются в кожиде при созревании и их кол-ва увеличиваются до технологич. зрелости для произ-ва столовых вин; они представлены только энидином. Глюкозид энин образуется в период спиртового брожения и в вине присутствуют и энин и энин. Практич. вывод из данной работы заключается в том, чтобы сбор винограда сортов Гымза и Зарчин для произ-ва столовых красных вин производить при 20—22% сахара и наибольшем содержании красящих в-в. Время контакта вина с мезгой для сорта Гымза должно быть больше, так как содержание дубильных и красящих в-в в нем меньше, чем в сорте Зарчин.

9Н306. Современные методы получения, обработки, стабилизации и хранения вин. Slave T. Metode moderne privind obținerea, condiționarea, stabilizarea și depozitarea vinurilor. I. «Ind. aliment. Prod. veget.», 1960, 11, № 7, 221—224 (рум.; рез. русск., нем., франц., англ.).—Обзор. Описан ряд новых методов, применяемых за рубежом, в произ-ве и обработке вин.

9Н307. Об обработке вин углекислым кальцием. Michod J., Fell G. Quand et comment faut-il traiter nos vins au carbonate de chaux? «Rev. romane agric., vitic. et arboric.», 1960, 16, № 9, 77—78 (франц.).—Для обеспечения успешного хода яблочно-молочного брожения рекомендуется производить частичное хим. кислотопоnižение введением CaCO_3 (I) в сусло до спиртового брожения. Для определения необходимого кол-ва подсчитывают титруемую кислотность сусла за последние 10 лет. Избыток кислотности снимают добавлением I из расчета, что 100 г I на 1 л сусла нейтрализуют 1,5% кислотности.

9Н308. Об образовании экстракта, глицерина и бутилглицерола при изготовлении вин. Prillinger Franz. Über die Bildung von Extrakt, Glycerin und Butylenglykol bei der Weinbereitung. «Mitt. Klosterneuburg», 1959, A9, № 2, 114—120 (нем.).—Исследовано влияние подсахаривания сусел сахаром на состав вина. Подсахаривание сказывается на величине экстракта, на каждый об.% алкоголя экстракт увеличивается от 0,16 до 1,2 г/л, что связано с повышенным образованием глицерина (I) и 2,3-бутилглицерола (II). Исследования показали, что содержание в винах II колеблется в пределах 300%, содержание I до 50% (от среднего их кол-ва) и что чем выше сахаристость сусла, тем выше содержание глицерина в вине. Однако содержание I в сильной степени зависит от степени зрелости винограда и условий брожения. Для содержания II решающими являются не только условия спиртового брожения, но и условия, в которых происходит дальнейшее формирование вина. Полученные данные не согласуются с предложенной Ребелейтом ф-лой, предполагающей константность содержания в вине I и II.

9Н309. Применение метавинной кислоты для предотвращения осаждения винного камня в винах. Мантев Оттават. Използуване на метавинната киселина за предотвратяване утаяването на винения камък във виното. «Лозарство и винарство», 1960, 9, № 4, 47—52 (болг.).—Обработанные метавинной к-той (I)

в дозах 75 и 150 г/л вина и контрольные выдерживались при 0, —4 и 25°. При 0° в контроле кристаллы винного камня начали появляться на 10-й день, а в обработанных I винах они не наблюдались и через 65 дней. При всех испытанных т-рах I оказывала хорошее стабилизирующее действие. Разницы в стабилизирующем действии доз 75 и 150 г/л не отмечено.

9Н310. Стабилизация вин против белковых помутнений нагреванием. Müller Adolf. Die Eiweißstabilisierung der Weine durch Anwendung von Wärme. «Dtsch. Wein-Ztg.», 1960, 96, № 28, 611—612 (нем.).—Испытан способ нагрева вин в пластинчатом пастеризаторе с 20 пластинами. Аппарат нагревал 1200 л вина за 35 сек. до 40—45°. Нагревателем служил котел низкого давления, нагрев водой при т-ре 60—70°. Для обработки взято вино 1959 г. с содержанием остаточного сахара 20 г/л. Из испытанных вариантов нагревание вин без последующего немедленного охлаждения оказалось наилучшим. Вино, обработанное таким способом, было стабильным и не приобрело неприятных тонов ни во вкусе, ни в букете. Е. Датунашвили

9Н311. Исследование влияния тепловой обработки на марочные вина. Каи Сэнкити, Мута Хиро-си. «Нихон дзёдо кёкай дзасси, J. Soc. Brew., Japan», 1959, 54, № 9, 663—665 (японск.).—Исследовано увеличение стабильности марочных вин с содержанием спирта 13—15% под действием тепловой обработки при т-ре 40—58°. Стабильность вин увеличивается при добавлении салициловой к-ты и сорбиновой К. Ю. Ж.

9Н312. Стабилизация сладких вин физическими, химическими и биологическими методами. Национальные доклады. Stabilisation des vins doux par tous procédés physiques, chimiques et biologiques. Rapports nationaux. «Bull. O.I.V.», 1960, 33, № 356, 41—55 (франц.).—Национальные доклады на IX Конгрессе вина и винограда в Алжире в 1959 г. по вопросу стабилизации сладких вин различными способами. Во Франции методами стабилизации являются: фильтрация и стерильный розлив; применение антибиотика микостатина в лабор. условиях для стабилизации, внесение 200 мг/л сорбиновой к-ты при 30—40 мг/л SO_2 . В Алжире — остановка брожения охлаждением, после первой переливки обработка холодом при —4° 8 дней, затем оклейка и фильтрация; применение аскорбиновой и сорбиновой к-т вместо SO_2 ; применяется также пастеризация в бутылках при 43—45°.

9Н313. Установка для непрерывного спиртования бродящего сусла. Чхетнани А. И. «Виноделие и виноградарство СССР», 1960, № 8, 43—44

9Н314. Ведение процесса ремюаж при производстве игристых вин. Şeptilici G., Jurubiş J. Conducerea procesului de remuaj în tehnologia producerii vinurilor spumoaase. «Grădina, via şi livada», 1960, 9, № 9, 31—35 (рум.).—При ремюаже (Р) в первые 15—20 дней бутылку с шампанским поворачивают на 1/4 часть окружности каждый день, затем на 1/4, а в конце Р на 1/8. Можно ускорить Р, если в каждый из первых 3 дней поворачивать бутылку на 1/8, а в последующие дни — 2 раза в день по 1/8 диаметра бутылки. Исследована зависимость скорости Р от ритма вращения и от применяемых рас дрожжей. Установлено, что процесс Р проходит нормально за 3 недели при поворачивании в ускоренном темпе и за 4 недели — в обычном темпе; прозрачность шампанского становится кристалльной, маски исчезают, осадок полностью переходит на пробку, и делается плотным, с ровной поверхностью.

9Н315. Пентозы как показатели при диагностике фальсификации вин. Gentilini Luigi. Sui pentosi come oggetto di diagnosi in certe frodi enologiche di volume. «Riv. viticolt. e enol.», 1960, 13, № 8, 274—280 (итал.).—В белых венецианских винах содержание

живают широкого распространения и снабжения ими рабочих горячих цехов, с-х. рабочих и что эти напитки могут играть специфич. роль в борьбе с алкоголизмом.

Т. Лунина

9Н327. Производство освежающих фруктовых напитков. Спиров Николай. Производство на холодильники плодово напитки. «Лозарство и винарство», 1960, 9, № 3, 42—44 (болг.).—Описана технология приготовления фруктовых напитков (Н) в Болгарии. Материалами для изготовления Н служат цитрусовые настойки спиртуозностью 45 об. % и плодовые соки (вишня, малина, яблоки и др.), спиртованные до 18—20 об. %. Состав купажного сиропа: 5 л настойки или 120 л спиртованного сока на 1000 л купажа, куда добавляют фильтрованный охлажд. сахарный сироп и лимонную к-ту. Газированную воду, насыщенную CO_2 при 4°, разливают в бутылки, куда дозируют определенные кол-ва купажного сиропа. Хранят Н при 12°, гарантийный срок стабильности 6 суток. Г. Валушко

9Н328. Промышленная переработка винограда. II. Производство красных вин. Prehoda József. Üzemi szőlőfeldolgozás. II. Vörösborkészítés. Budapest, Mezőgazd. kiadó, 1960, 264 л, ill., 21 Ft. (венг.).—Часть I см. РЖХим, 1959, № 7, 25360. Г. Д.

9Н329. Способ сбраживания крахмалистых и сахаристых продуктов на спирт. Гуляев С. П. Авт. св. СССР 128828, 1.06.60.—В отличие от способа по авт. св. 112341 (РЖХим, 1959, № 12, 43960), по которому для уменьшения образования глицерина в бражку вводят ацетальдегид в виде составной части эфиральдегидной фракции (ЭАФ), по данному способу предварительно обогащают ЭАФ искусным альдегидом, после чего вводят ЭАФ на всем протяжении процесса брожения в соответствии с кол-вами сбраживаемого сахара. Ю. Чельцова

9Н330. Производство искусственного сахара. Тада Ясуцугу. Японск. пат. 8399, 17.09.59.—В среде, содержащей (в %): глюкозы 5; NH_4Cl 0.1; KH_2PO_4 0.05; Na_2HPO_4 0.05; MgSO_4 0.05 и CaCO_3 1, выращивают культуру *Pseudomonas* spp. (3 суток). Прибавляют спирт до конц-ии 14%, молочную к-ту, CH_3COOH , янтарную к-ту, сахара и декстрины. Р-р выдерживают 5 дней при 35° с 2% осадочных винных дрожжей, 1% рисового солода и 1% мочевины и затем 15 дней при 10°, после чего фильтруют. Ю. Ч.

9Н331. Способ получения бутылочного спирта сбраживанием углеводов бактериями *Cl. buturicum*. Нахманович Б. М., Френкель Г. М., Яровенко В. Л., Щерблякин Н. П., Липшиц В. В., Малинин С. Г., Тарчоков М. М., Сенкевич В. В., Щерблякина Н. А., Карпенко М. К., Колчинская И. Д. Авт. св. СССР 129603, 1.07.60.—Для повышения выхода бутылочного спирта предложено применение разнородности бактерий *Cl. buturicum* Prazmowsky. К пентозам и гекозным гидролизаатам растительных отходов прибавляют мелассу, вводят $(\text{NH}_4)_2\text{SO}_4$ и суперфосфат. Инвертируют сахарозу при 95° 30 мин., нейтрализуют среду известковым молоком до pH 6—6.5. Стерилизуют при 110—112° 15—20 мин., охлаждают и сбраживают при 35—36° и pH 6.5 культурой *Cl. buturicum* Prazmowsky. Ю. Чельцова

9Н332. Получение метил-2-кетоглюконата. Natta H. H. Robert J. Method of preparing methyl 2-ketoglucuronate. [Miles Labs, Inc.]. Пат. США 2918492, 22.12.59.—На сырой 2-кетоглюконат Са (I), полученный брожением, действуют сильной к-той, образующей с Са нерастворимый осадок. Р-р свободной 2-кетоглюконовой к-ты отделяют от осадка, концентрируют, этерифицируют CH_3OH (II) в присутствии к-ты как катализатора и отделяют получающийся метил-2-кето-

глюконат Са (III). Процесс ведут периодически с повторным использованием маточного р-ра (MP) из предыдущей закладки для смешения с ингредиентами последующей операции. В качестве сильных к-т могут применяться к-ты: серная, щавелевая, трихлоруксусная, толуолсульфокислота или сильные катионообменные смолы. Примеры. 1. Растворяют 400 г тригидрата I эквивалентным (по весу) кол-вом воды и обрабатывают (30 мин.) теоретич. кол-вом конц. H_2SO_4 при помешивании, перемешивают еще 1 час при 30—35°, фильтруют, осадок CaSO_4 промывают горячей водой. Фильтрат вместе с промывной водой концентрируют в вакууме при 40—50° и давл. ~15 мм рт. ст. до консистенции вязкого сиропа, содержащего ~15% воды. К сиропу добавляют 600 мл II и 4 мл конц. H_2SO_4 , р-р нагревают при взбалтывании с обратным холодильником 4.5 часа. Смесь охлаждают до 15°, осадок III отфильтровывают, промывают 200 мл II и сушат воздухом при 60—70°. Выход III 94% или 297 г, т. пл. 173—177°. Концентрированием MP и повторным осаждением I можно получить дополнительно некоторое кол-во III. 2. Конц. MP от предыдущей операции добавляют к новым кол-вам II и H_2SO_4 аналогично 1 примеру и повторно ведут процесс. Получают выход III ~99% от теоретического; т. пл. 173—176°. Метод применим для получения III из неочищ. сброженной жидкости от сбраживания р-ра моногидрата глюкозы бактериями *Pseudomonas* в течение 3 дней при аэрировании и при добавлении CaCO_3 для нейтр-ции образующейся кислоты. Т. Лунина

9Н333. Способ повторного использования кислого маточного раствора при производстве подкисленного солода. Duxon Thomas Robert. Způsob opětovného využití kyselého matky při výrobě okyseleného sladu. Чехосл. пат. 90672, 15.06.59.—Зеленый солод (ЗС), проороченный по спец. методу, замачивают в р-ре молочной к-ты (I), получаемой брожением, после чего солод передается на сушение. Отделяемый от ЗС избыток р-ра I дополняют до его первоначального объема (на ~20%) и применяют повторно для замачивания последующей партии ЗС. Кислый р-р I готовят сбраживанием хлебного затора чистыми культурами термофильных, грамположительных бактерий, продуцирующих I. Р-р I должен быть применен для замачивания солода не позже 16 дней с момента его отделения от хлебного затора. При приготовлении последующего хлебного затора его засевают, отбирая некоторый объем из предыдущего затора, в котором уже хорошо размножились молочнокислые бактерии. Пример. В заторный чан загружают 600 кг молотого ячменя, 3000 л горячей воды; смесь выдерживают при 95—97° 8 час., добавляют 3000 л воды и охлаждают до 70°, добавляя 600 кг измельченного солода. При 65° затор выдерживают 20 час. Засевают чистой культурой молочнокислых бактерий при 55°. Спустя 24 часа затор передают в бродильный чан, где и выдерживают при 55° 6—7 дней. Отфильтровывают из затора ~4000 л кислого р-ра, осадок промывают троекратно водой с т-рой 55°. Основной кислый р-р применяют для выработки подкисленного солода. Приготовление солода на току ведут обычным способом, но на 4—5 день проращивания грядки орошают разб. молочнокислым р-ром (на 1 ч. основного р-ра I 2 ч. воды) из расчета на 12,5 кг ячменя 9—18 л. Рашение солода заканчивается на 8—12 день. Готовый ЗС замачивают в кислом р-ре I 10—47 час. За это время ЗС поглощает до 20% от объема кислого р-ра; остальные 80% р-ра I отделяют и используют для замочки следующей партии ЗС, с добавлением до первоначального объема р-ра свежей кислой жидкости. Замоченный в р-ре I солод высушивают обычным способом. Повторное использование кислого р-ра возможно до 58 раз без влияния на запах и вкус пивного сусла, полученного из подкисленного солода. Н. Баханов

9Н334. Предотвращение выпадения осадков в солодовых напитках. Gray Philip P., Stone Irwin. Inhibiting precipitation in malt beverages. [Baxter Labs, Inc.]. Пат. США 2906623, 29.09.59.—Для предотвращения образования муты и выпадения осадков пиваво-кислого Са в солодовых напитках (пиво, эль и др.) предлагается применять амидополифосфат (АПФ). В пивоварении добавление АПФ в виде конц. р-ра рекомендуется производить после брожения и первой фильтрации при передаче на окончательную фильтрацию в кол-вах 5—10 ч. на 1 млн. Эта обработка, предотвращающая осаждение пиваво-кислого Са, не исключает применения ферментов для предупреждения белковой («холодной») муты. АПФ — комплексное соединение, по-видимому, циклич. структуры может быть получено р-цией безводного NH_3 и P_2H_5 при т-ре выше 150°. Торговый препарат АПФ производится фирмой Victor Chemical Co. (в Чикаго) под названием «Victamide» (аммонийная соль амидополифосфата).

А. Нечаева
9Н335. Стабилизация «недистиллированных» спиртных напитков и получающийся продукт. Chenicek Joseph A., Gleim William K. T. Stabilization of non-distilled alcoholic beverages and the resulting product. [Universal Oil Products Co.]. Пат. США 2926086, 23.02.60.—Для стабилизации и предотвращения помутнения вин, шампанского, солодовых напитков, главным образом пива, предложено введение в напитки алкиленполиаминов жирных к-т (АПЖК). Из приведенного широкого перечня этих соединений наиболее подходящим для предупреждения муты в пиве является добавление этилендиаминтетрауксусной к-ты. АПЖК вводят в напиток в кол-ве от 0,00001% до 0,1% по весу. Применение АПЖК возможно с добавлением других в-в — противокислителей, дезактиваторов металла и других в смеси с АПЖК или отдельно. В 2 примерах показано сравнение цифровой оценки мутности пива, содержащего ионы металлов (меди и железа) при добавлении АПЖК и без него; образование муты предотвращается без влияния на вкус готового продукта.

А. Нечаева
9Н336. Устройство для охлаждения пива под давлением. — Dispositif de réfrigération de la bière sous pression. [Maxime Ploquin]. Франц. пат. 1216542, 26.04.60.—Для устранения неудобств, связанных с применением эмеевиков (трудности их очистки внутри), предложено устройство для охлаждения пива под давлением на месте его потребления. Устройство представляет собой помещенный в холодильник ящик, внутри которого на двух противоположных стенках неподвижно укреплены многочисленные параллельные, не доходящие до противоположной стенки перегородки, пространства между которыми образуют длинный, извитый канал, по которому пиво протекает при подаче его из бочки. Устройство обеспечивает достаточное охлаждение отпущаемого на месте пива. В отличие от эмеевика устройство легко может быть разобрано и промыто. Дана схема установки.

В. Платонова
9Н337. Усовершенствование приготовления игристых вин и специальный резервуар для этого процесса. — Perfectionnements apportés aux procédés de fabrication des vins mousseux, et cuve spéciale permettant de réaliser ces perfectionnements. [Ets C. Berger & Cie]. Франц. пат. 1220738, 27.05.60.—Для создания оптимальных условий транспортировки игристых вин от места их приготовления к месту розлива предложен спец. резервуар (диам. 1,5, длина от 1 до 2,8 м), установленный на тележке. Резервуар имеет теплоизоляцию и снабжен эмеевиком, по которому проходит рассол для поддержания т-ры от -1 до -3°, что обеспечивается наличием холодильного компрессора мощностью 5—7 тыс. ккал/час. Резервуар рассчитан на давл. 10 атм и снабжен устройством для поддержания

постоянного давления при розливе из этого резервуара.

Г. Валушка
9Н338. Производство «кока-кола», содержащего фруктовый сок. Кобаяси Макото, Маэда Цугуму. [Мэйджин сэкухин кодэ]. Японск. пат. 384, 18.04.60.—В попеременно нагреваемый и охлаждаемый р-р сахара в воде добавляют сок винограда Конкорд, затем смесь лимонной к-ты (I) и хлорофилла (II), после чего вводят основу колы, выдерживают при постоянной т-ре до полного смешения и производят обезвоздушивание. Пример. Для изготовления напитка кока-кола, содержащего фруктовый сок, принимают: основу колы 200 г (содержащую в вес. ч.: экстракта ореха колы 10,0; натурального масла *Alacardium occidentale* 3,0; коричного масла 1,8; имбирного масла 0,8; масла *Citrus medica* L. var. *acida* Brandis 1,0; кориандрового масла 0,5; бигарадного масла 1,2; масла *Eriodendron anfractuosum* 1,0; апельсинового масла 3,2; масла *Caryophyllus* 5,5; лимонного масла 1,5; экстракта ванили 0,5; карамельного сахара 70,0; конц. сока винограда Конкорд 450 г; сахара 4800 г; 50%-ной I 60 мл. II 0,2 г. Смесь доводят водой до 7200 мл. Изготовление проходит следующий технологич. цикл: приготавливают 58%-ный р-р сахара в воде, затем в нагревательном цилиндре быстро доводят т-ру до 85—90°, производят полное растворение и одновременную пастеризацию; отфильтровывают, быстро охлаждают до 20° и добавляют смесь виноградного сока, I, II и одновременно из другой емкости — основу колы. Перемешивают, удаляют из жидкости воздух в вакууме при 720—740 мм вод. ст., готовый продукт разливают в бутылки. Изобретение позволяет получить напиток кока-кола, не содержащий CO_2 . Сочетание сока винограда Конкорд, ореха колы и II обеспечивает красивую окраску напитка, стабильную к действию солнечного света.

Ю. Ямакин
См. также: Поглощение фосфатов и солей пекарскими дрожжами 9С483. Определение белков, фосфатов и редуцирующих сахаров в дрожжах и мелассе 9С122. Белковые и витаминные побочные продукты спиртового произ-ва 9С1434. Полупроизводственное получение L-глутаминовой к-ты 9С454. Окисление и превращение глутаминовой к-ты *Act. violaceus* 9С455. *Cryptococcidae* виноградного сусли 9С438. Глюкооксидаза в технологии сухого белого вина 9С1455. Слабеобразующий вид *Lactobacillus*, выделенный из сидра 9С479. Сточные воды винных заводов 9И302.

УГЛЕВОДЫ И ИХ ПЕРЕРАБОТКА

Редактор И. Н. Коганов

9Н339. К вопросу о растворимости сахарозы. I. Таблица Герцфельда или таблица Грута. Vavrinec Gabor. A nádcukor oldatoságának kérdéséhez. I. Herfeld avagy Grut táblázata? «Cukoripar», 1960, 13, № 6, 182—183, 192 (венг.; рез. русск., нем.).—Таблица Герцфельда построена на интерполяционном ур-нии 2-й степени, полученном из опытных данных автора. Исходя из данных Грута получено интерполяционное ур-ние: $P = 63,753 + 0,13542t + 0,0008869t^2 - 0,00000222t^3$ (1), где P — растворимость сахара в весовых %, t — т-ра, °С. Исходя из опытных данных Герцфельда можно вычислить аналогичное интерполяционное ур-ние 3-й степени: $P = 64,763 + 0,06174t + 0,0023866t^2 - 0,00001195t^3$ (2). Разность между значениями P , полученными по ур-ниям (1) и (2), не превышает 0,14%, а то время как разность между значениями P по таблицам Герцфельда и Грута достигает 0,8%. Таким образом расхождение между эксперим. результатами авторов весьма невелико, а расхождение между табличными значениями P вызвано несовершенством интер-

поляции
обоих а
с испол
настоящ
9Н340
от темп
песч G
a hőmé
№ 3, 75
литерат
шие кол
рой.

9Н341
Sugar a
30, № 9
зор по
в рацио
напитко
кими в-
мальные
влажнос
ние на
бумажи
пленки;
тировки
виде (и

9Н342
мышлен
Zsig
mészaki
par», 19
Увелич
рения
(84 дня
лены н
непрер
кацию
от песч
намечен
в строй
из них

9Н343
мальная
Erwin
Außenh
№ 6, 1
данные

9Н344
ства ди
ро н р
пром-ст
щенной
Джанте
воздел
кие ее
свение
сокий
одного
держан
село от
весом
(620 г)
ные (1
выход
в ней
свекла
жаниел
свеклы
свеклы
тоний
9Н34
Хеле

полиции. Поэтому имеет смысл, на основе данных обоих авторов, построить новую таблицу, желательнее с использованием эксперим. данных, проводимых в настоящее время опытов.

Г. Юдкович
9Н340. Зависимость скорости разложения сахара от температуры при температурах выше 100°. Vavri-
pész Gábor. Hogyan függ a cukor bomlási sebessége a hőmérséklettől 100°C felett? «Cukoripar», 1960, 13, № 3, 75—77 (венг.; рез. русск., нем.).—На основании литературных данных предложены ф-лы, связывающие кол-во разложившегося сахара с абс. температу-
рой.

Г. Юдкович
9Н341. Сахар и его применение. Waring G. E. Sugar and its application. «Canad. Bever. Rev.», 1960, 30, № 9, 18—19, 22, 24 (англ.).—Приведен краткий обзор по истории получения сахара, значению сахара в рационе питания и для пром-сти безалкогольных напитков, возможности замены сахара синтетич. сладкими в-вами, описаны условия, обеспечивающие нормальное хранение рафинированного сахара (тра и влажность воздуха) и, в частности, обращено внимание на целесообразность применения многослойных бумажных мешков с включением полиэтиленовой пленки; рассмотрены различные варианты транспортировки сахара — в мешках, насыпью или жидком виде (жидкий сахар).

Г. Бенин
9Н342. Положение и план развития сахарной промышленности Польской Народной Республики. Tóth Zsiga István. A lengyel cukoripar helyzete és műszaki fejlesztési terve a következő években. «Cukoripar», 1960, 13, № 3, 71—74 (венг.; рез. русск., нем.).—Увеличение произ-ва сахара достигнуто за счет внедрения непрерывных процессов и удлинения произ-ва (84 дня). К 1965 г. в 45 з-дах (из 77) будут установлены непрерывные диффузоры, все з-ды перейдут на непрерывную прогрессивную предварительную дефекацию сока. Для освобождения известкового молока от песка будут применены гидродиклоны. В 33 з-дах намечено ввести обработку соков ионитами. Вводятся в строй 31 новый котел с давлением пара до 40 атм из них 20 полностью автоматизированных.

Г. Юдкович
9Н343. Карамелизованный сахар, глюкоза и крахмальная патока во внешней торговле ФРГ. Stein Erwin. Karamelzucker, Dextrose und Stärkesirup im Außenhandel der Bundesrepublik. «Stärke», 1960, 12, № 6, 185—187 (нем.; рез. англ., франц.).—Приведены данные по экспорту и импорту в 1957 и 1958 гг.

А. Жущман
9Н344. Химический состав и технологические свойства джанги-джерской свеклы. Еникеев С. Г., Добронравов Ф. Н., Герасимов А. М. «Сахарн. пром-сть», 1960, № 10, 43—44.—Анализ свеклы, выращенной в Киргизской ССР (совхозы Джанги-Джер, Джанги-Пахта и др.) на площадях, на которых ранее возделывали лубяные культуры, показал более низкие ее качества по сравнению со свеклой, где свекло-сеяние существует уже ряд лет, хотя урожай был высокий (431 ц/га); из-за изреженности посевов вес одного корня колебался от 300 до 3000 г, причем содержание сахара оказалось низким и к тому же зависело от размера корня — мелкие корни со средним весом 304 г имели дигестию 13,2%, средние корни (620 г) 14,5%, крупные (1302 г), 12,0% и очень крупные (1755 г) 10,5%. При переработке такой свеклы выход мелассы оказался 5,54% и содержание сахара в ней 2,7% к весу свеклы, в то время как обычная свекла характеризовалась выходом мелассы и содержанием сахара соответственно 4,76% и 2,51% к весу свеклы. Для улучшения качества джанги-джерской свеклы рекомендуется равномерное насаждение растений и нормальное минер. питание.

Г. Бенин
9Н345. О хранении сахарной свеклы за рубежом. Хелемский М. З. «Сахарн. пром-сть», 1960, № 10

65—69.—Приведен обзор научно-исследовательских работ и данные практики по хранению сахарной свеклы в ГДР, Чехословакии, Польше, Китае, ФРГ и США. Особо подчеркнута значимость активного вентилирования при укладке свеклы в кагаты высотой 6—8 м.

Г. Бенин
9Н346. Некоторые вопросы хранения сахарной свеклы. Чередики И. Д. «Сахарн. пром-сть», 1960, № 10, 46—47.—На основе опыта хранения большого кол-ва свеклы на Долгоруковской базе Липецкой обл. рекомендуется исключить укрывку кагатов землей и пользоваться для этой цели только матами или плитами из камыша, причем для свеклы, хранимой до декабря, предлагается укрывку производить в один слой, а кагаты со свеклой, предназначенной к переработке в январе-феврале, в два слоя (как боковые стороны, так и верхние площадки). Наблюдения показали, что в кагатах, укрытых матами при прочих равных условиях потери веса и сахара в свекле были меньшими, чем в кагатах, укрытых землей. Сообщается, что камышитовые з-ды Астраханского совнархоза изготовляют камышитовые плиты механ. вязки толщиной 30, 50 и 100 мм; плита толщиной 30 мм и площадью 3,6 м² весит ~20 кг, такая плита является наиболее удобной для укрывки кагатов.

Г. Бенин
9Н347. Отчет о работе диффузионной установки DdS на сахарном заводе «Гославие». Tyczewski M. Bericht über die Arbeit einer DdS-Diffusion auf Grund der Ergebnisse in der Zuckerfabrik Goslawice. «Zuckererzeugung», 1960, 4, № 8, 250—254 (нем.).—Приведены рисунки и схема работы диффузионной установки DdS производительностью 1400 т свеклы в сутки. Стружку из свеклорезок в аппарат подают по ленточному транспортеру, оснащенному автоматич. весами. Жом из аппарата попадает непосредственно в прессы, где его отжимают до содержания сухих в-в 10%. Установка работает с рециркуляцией жомпрес-совой воды, которую так же, как и барометрич., направляют в аппарат после обработки CO₂ до pH 6,2—6,3. Вводимую в установку воду предварительно нагревают до 95° для уничтожения содержащихся в ней микроорганизмов. Для подогрева сокоотраженной смеси аппарат оснащен 13 тепловыми камерами, разделенными на 5 групп. Общая поверхность нагрева камер 75,12 м², каждой камеры 5,4—5,9 м². Для привода в движение шнеков аппарата служат электродвигатели, соединенные по схеме Леонарда. Электромотор переменного тока имеет мощность 55 кВт, 2 электромотора постоянного тока — по 22 кВт. Работа аппарата полностью автоматизирована.

Д. Бронштейн
9Н348. Результаты проведения прогрессивной предварительной дефекации. Nowakowski Broni-
slaw. Praca progresywnych defekacji wstępnych. «Gaz. cukrown.», 1960, 62, № 9, 272—277 (польск.).—Показана роль преддефекации в улучшении фильтрационной способности соков. Описаны применяемые на некоторых польских сахарных з-дах аппаратура и методы работы для осуществления прогрессивной преддефекации. Сравнены результаты (в основном коэф. фильтрации), полученные как при применении однократного быстрого добавления известкового молока к соку, так и при прогрессивном, постепенном добавлении его. Опыты проводили также и при проведении преддефекации не известковым молоком, а возвращаемым сатурационным соком. Анализ и фильтрации при исследованиях подвергали сок из каждой ступени прогрессивно работающего преддефекатора. Положительные результаты прогрессивная преддефекация дала даже в трудных условиях работы одного из польских сахарных з-дов, где преддефекацию осуществляли в аппарате, в который возвращали клеровки различного состава. На сахарном заводе Гостин при работе без преддефекации получали сок с коэф. фильтрации 10—

12,5. При прогрессивной преддефекции этот коэф. составлял 1,5—4,5. Д. Бронштейн

9Н349. Сатурация гидрата окиси кальция углекислым газом в растворе сахарозы. Kohn Rudolf, Vašátko Josef. Saturačia hydroxydu vápenatého v roztoku sacharózy kyslíčnikom uhličitým. «Listy cukrovarn.», 1960, 76, № 7, 156—162 (словацк.; реж. русск., нем., англ.).—Исследован процесс сатурации CO_2 следующих систем: 1. Сахаронизованных р-ров при 20° (быстрая и умеренная сатурация). 2. $\text{Ca}(\text{OH})_2$ в р-ре сахарозы при 80°: а) энергичная дефекация при 20° и сатурация при 80°; б) умеренная дефекация и сатурация при 80°. Определяли: связанную известь в осадке, образование комплекса углекисловых сахаратов в зависимости от степени нейтр-ции $\text{Ca}(\text{OH})_2$, а также влияние добавления частиц CaCO_3 на процесс сатурации. Описана методика проведения опытов. Установлено: а) при периодич. сатурации на холоду (20°) практически вся известь в конце сатурации оказалась связанной в осадке и в комплексе углекисловых сахаратов; б) во всех случаях добавление к сатурируемому р-ру CaCO_3 положительно сказалось на процессе сатурации. В этом случае связанной извести в осадке и в комплексе углекисловых сахаратов оказалось меньше; при этом скорость р-ции CO_2 с добавлением CaCO_3 и без него была одинаковой. В процессе сатурации переход CaO из осадка и комплекса углекисловых сахаратов в р-р в виде Ca^{2+} и OH^- протекал медленнее, чем растворение $\text{Ca}(\text{OH})_2$ из суспензии известкового молока. Е. Шнайдер

9Н350. Результаты очистки диффузионного сока недогазованным соком I сатурации на свеклосахарных заводах. Bosioagă Viorica, Botvinic Valentina, Petrovici Cornelia, Tenea Georgeta. Rezultate ale purificării zemei de difuzie cu zeamă de saturația I-a incomplet saturată la fabricarea zahărului din sfeclă. «Lucrările inst. cercetări aliment.», 1959, 3, 47—57 (рум.; реж. русск., франц.).—Перечислены три метода очистки диффузионного сока: добавление нормально отсатурированного сока, нефилтрованного пересатурированного и нефилтрованного недогазованного сока. Описаны схема очистки сока на румыском сахарном з-де «Джурджу» и методика проведенных на этом з-де лабор. и ползаводских испытаний. В первом году испытаний наибольшие трудности вызвала возможность возврата на преддефекацию сатурационного сока с равномерной щелочностью, которая практически колебалась в пределах 0,15—0,5% CaO . Наибольший эффект очистки и экономия производственных материалов (фильтрующего холста, известнякового камня и кокса) были получены при применении недогазованного сока. Для возможности отбора и возврата сатурационного сока с равномерной щелочностью (~0,5% CaO) был дополнительно установлен третий сатурационный котел. Преддефекацию недогазованным сатурационным соком успешно применяли на з-де «Джурджу» с 1955 года. Д. Бронштейн

9Н351. Умягчение сока последней сатурации катионитом. Часть II. Основы расчета ионитных установок. Buriánek Josef, Durdík František. Změkčovací lehké sfavy pomocí katekú. Část II. Zásady pro dimenzování změkčovacích stanic. «Listy cukrovarn.», 1960, 76, № 2, 38—41 (чешск.; реж. русск., нем.).—Экономика умягчения сока обусловлена качеством катионита, числом катионитовых фильтров и величиной наполнения их. Кол-во катионита, необходимого для умягчения сока, зависит от емкости поглощения катионита и уд. нагрузки его, выражающейся числом объемов сока, очищаемого одним объемом ионита в единицу времени. Выведены соотношения, необходимые для расчета ионитных установок для умягчения сока. Приведены примеры определения кол-ва необходимого ионита, числа фильтров и степени наполнения их для умягчения сока на з-де производительно

~1000 т свеклы в сутки в зависимости от емкости поглощения катионита. Часть I см. РЖХим, 1960, № 24, 98411. Е. Шнайдер

9Н352. Обессоливание сахарных растворов методом электродиализа. Leszko Maciej. Demineralizacja roztworów sacharozu metodą elektrodializy. «Gaz cukrown.», 1960, 62, № 8, 246—248 (польск.).—Описан метод электродиализа на тростниковосахарных з-дах на Явайских островах, где одноступенчатый электродиализом обессоливают жидкий сок и сироп разных плотностей. На этих з-дах установлено, что эффективность электродиализа теряется при удалении из р-ров >85% солей. Приведены характеристики ионитных мембран, применяемых при электродиализе. Показаны их селективность при разных т-рах. Приведены методика и результаты обессоливания смесей сахарных р-ров и соли. Испытания показали, что для предотвращения изменений электрич. сопротивления толщина мембран не должна превышать определенных размеров. Степень обессоливания не должна превышать 80%. Приведены расчет и кривые оптимальных условий электродиализа и расход электроэнергии. Д. Бронштейн

9Н353. Промышленная эксплуатация ступенчатой дефеко-сатурации (по Шнайдер-ВМА). Slavík Ladislav. A fokozatos defeko-szaturáció (Schneider-BMA eljárás) ipari alkalmazása. «Cukoripar», 1960, 13, № 6, 161—167; № 7, 193—197 (венг.; реж. русск., нем.).—В очищаемом соке за счет возврата приблизительно 1/4 осадка рН поднимался с 6 до 8. Сок нагревался с ~50° до 75—80° и подавался на дефеко-сатурацию при рН 8,6—9,0 (корпус IA) и рН 10 (корпус IB) (повышение рН в корпусе IA происходит за счет возврата сока из корпуса IB). После отстаивания в течение 3—4 мин. сок подавался или непосредственно в корпус IC на дефеко-сатурацию, или с предварительной добавкой 0,6% извести, причем рН поднимался с 10,4 до 12,2 в течение 6 мин. при 85°, в этом случае известь в корпус IC уже не вводилась. При повышенном содержании редуцирующих в-в сок непосредственно подавался в корпус IC. Указанная установка смонтирована на сахарном з-де в Чрвенках (Югославия). За первую кампанию (не учитывая первую декаду работы) получены в среднем коэфф. фильтрации $F_k = 1,0$; скорость оседания осадка $S_k = 13,1$ см/мин; объем осадка $S_v = 13,5\%$. За два года, непосредственно предшествующих установке дефеко-сатурации Шнайдер-ВМА, работа характеризовалась в среднем следующими результатами: $F_k = 12—15$, $S_k = 1,5$ см/мин, $S_v > 25\%$. Оптимальное распределение подачи извести между корпусами IA, IB и IC было найдено 45, 22,5, 32,5% от общего кол-ва подачи извести. В отстойнике при декантации сока с осадка получено в среднем 80% чистого сока. Осадок хорошо отфильтровался и легко отмывался от сахарозы. Остаток сахара в осадке за кампанию был в среднем 1%. При работе без предварительной сокоочистки перед корпусом IC получен сильноокрашенный сок (37,3° Шт./100° Бр.), а при сокоочистке до поступления на корпус IC 17,3° Шт./100° Бр.). В текущую кампанию получен сок с доброкачественностью 92,18 ед. и сироп с доброкачественностью 92,33 ед., т. е. очистка сока закончилась при обработке сока, в то время как на остальных югославских з-дах сок получается менее чистый, и процесс очистки продолжается и при сгущении. Г. Юдкович

9Н354. Водоструйный очиститель сатурационного газа на сахарных заводах. Böhm Otomar, Lisý Oldřich. Proudový čistič uhelky v cukrovaru. «Listy cukrovarn.», 1960, 76, № 5, 105—111 (чешск.; реж. русск., нем., англ.).—Описаны проведенные в 1959 г. на з-де Берион опыты. Сатурационный газ из печи поступал в Соппо Вентури, в самом узком месте которого разбрызгивалась вода с т-рой 20°. Увлажненные и агломерированные в диффузоре частицы пыли вместе с га-

зом с большой скоростью поступали в центробежный очиститель, где осаждались на его стенках. Очищ. газ отсасывался вентилятором, а вода из очистителя улавлилась в канализацию. Схема очистки предусматривала также возможность очистки газа лавером или одновременно лавером и очистителем. Опыты показали, что водоструйным очистителем при меньших потерях давления и меньшем расходе воды достигается по сравнению с лавером значительно лучший эффект очистки газа. При производительности очистителя в 835 м³/час и 700 м³/час соответственно получены: потеря давления 333 и 174 мм вод. ст., расход воды 0,8—0,9 л/м³ и 0,6 л/м³, эффект очистки 90—95% и 90%. При очистке газа лавером расход воды составил 6 л/м³, потеря давления 410 мм и эффект очистки 80%. Приведены технико-экономич. расчеты эффективности применения очистителя для очистки газа. Учитывая преимущества водоструйных очистителей газа по сравнению с лавером, можно считать, что они будут установлены на новостроящихся и реконструируемых з-дах. Е. Шнайдер

9Н355. Результаты опытных работ по сгущению, хранению и переработке диффузионного сока. Иванов П. Я. «Сахарн. пром-сть», 1960, № 10, 26—27. Группой работников Гипросахара предложен способ консервирования диффузионного сока путем предварительного его сгущения, хранения сгущенного сока в резервуарах и последующего получения из него сахара на обычном оборудовании свеклосахарного з-да. По этому способу, проверка которого была осуществлена на Львовском сахарном з-де в сезон 1959/60 г., диффузионный сок после доведения его щелочности до 0,05—0,10% СаО за счет добавления Са(ОН)₂ сгущали сперва на трехкорпусной выпарке с выносной поверхностью нагрева, а затем в вакууме-аппарате до конечной содержания в нем 65—68% сухих в-в; сгущенный сок в кол-ве 28029 ч хранили в трех наземных металлических резервуарах в среднем 90 суток, после чего этот сок подогревали в резервуаре до 15—25° и подавали насосом в з-д на преддефекацию и дальше, как и при обычной схеме переработки свеклы. Результаты опытов оказались следующие (в скобках приведены показатели, которые были получены при переработке свеклы непосредственно на сахар в период отбора диффузионного сока на сгущение): расход извести 4,6 (2,6)% к весу свеклы, доброкачественность сока II сатурации 87,8 (90,3) ед., цветность белого сахара 2,04 (0,98) ед. Штамера, содержание сахара в мелассе 2,50 (2,20)% и потери сахара до мелассы 3,83 (1,13)% к весу свеклы. Комиссией ГНТК РСФСР был сделан вывод, что применение описанного способа консервирования диффузионного сока связано со значительным повышением потерь и снижением выхода сахара, получением сахара повышенной цветности, увеличением расхода извести и топлива, что делает этот способ экономически нецелесообразным. Г. Бенин

9Н356. Автоматизированная центрифуга для белого сахара. Kowalezyk Tadeusz. Automatyczna wirówka do cukru białego polskiej konstrukcji. «Gaz. cukrowni», 1960, 62-R, № 7, 209—211 (польск.).—Сконструирована автоматизированная центрифуга (диаметр барабана 1250 мм, 960 об/мин.). Автоматич. управление центрифуги пневматич. и электромагнитное. Вся аппаратура, автоматизирующая работу центрифуги, размещена в шкафу, расположенном вблизи центрифуги. Центрифуга приводится в движение от электродвигателя с переменным числом оборотов. Загрузку и выгрузку производят при малом числе оборотов. Максим. потребная мощность центрифуги 37 кат. Для пневматич. управления используют сжатый воздух под давл. 6—8 атм. Программная настройка режима работы центрифуги состоит в предварительной установке продолжительности отдельных элементов цикла. Приведены рисунки центрифуги и результаты

производственных испытаний. На центрифуге возможно пробивание водой или паром. Д. Бронштейн

9Н357. Осаждение сахарозы в виде трисахарата кальция из паточных растворов. Головин П. В., Герасименко А. А., Третьякова Г. С. «Сахарн. пром-сть», 1960, № 10, 29—30.—Лабораторные опыты показали, что оптимальное кол-во порошкообразной извести, необходимой для осаждения сахарозы в виде трисахарата кальция из чистых р-ров, составляет 115% к весу сахарозы. При последовании осаждения сахарозы из мелассы р-р последней в одних опытах подкисляли HCl до pH 6, а в других осаждение вели без подкисления. Выяснилось, что в обычно разбавленной мелассе без подкисления кол-во сахара, перешедшего в осадок трисахарата кальция, составило ~85%, а в подкисленном р-ре 87%, на основе чего делается вывод, что сахароза в мелассе существует в свободном состоянии, а не в виде солеобразных соединений, как предполагает Дедек. Основными факторами, определяющими выход осажденной сахарозы, является качество извести (свежеобожженная, тонкоразмолотая) и условия проведения осаждения (т-ра и размешивание). Г. Бенин

9Н358. Опыты получения технического поташа из мелассовой барды при применении польского катионита KS 12 в аммониевом цикле. Zagrodzki Stanisław, Zaorska Helena. Próby otrzymywania potażu technicznego z wywaru melasowego przy użyciu polskiego kationitu ks 12 w cyklu amonowym. «Roczn. technol. i chem. żywn.». Tom 5. Warszawa, Państw. wydawn. roln. i leśne, 1960, 111—119 (польск.; рез. русск., нем.).—Описаны опыты получения поташа непосредственно из мелассовой барды с применением ионообменников вместо сжигания барды. Для обессоливания был применен польский катионит KS 12 в колонне, работающей в аммониевом цикле. После регенерации катионита (NH₄)₂CO₃ (I) был получен фильтрат, содержащий K₂CO₃, некоторые кол-во Na₂CO₃ и избыток I. I выделяется при сгущении фильтрата и может быть повторно использован. При подщелачивании обессоленной барды Са(ОН)₂ все кол-во I возвращают в процесс. Единственным реактивом, расходуемым в больших кол-вах, является известковое молоко. В результате ионообмена большую часть (80%) поташа получают с чистотой 95%. Остальная часть (20%) имеет чистоту 80%. Применяя пламенный фотометр, ионообменный процесс можно полностью автоматизировать. Д. Бронштейн

9Н359. Автоматический контроль непрерывности производственных процессов. Zagrodzki Stanisław, Dobrzycki Jan. Samoczynna kontrola ciągłości pracy. «Gaz. cukrowni», 1960, 62, № 8, 242—245 (польск., рез. нем.).—Рассмотрено значение автоматич. контроля непрерывности производственных процессов в сахарном з-де. Предложено обеспечивать полную автоматизацию только свеклоперерабатывающего отделения и выпарной станции. Поток свеклы в гидротранспорте следует регулировать в зависимости от кол-ва свеклы в бункере над свеклорезками. Размер откачки диффузионного сока автоматизировать не рекомендуется, так как это зависит от т-ры, уд. загрузки диффузионной установки и др. Полностью автоматизирован должен быть отбор сиропа из выпарной станции. Рекомендованы автоматы: для регулирования кол-ва перерабатываемой стружки, диффузионного и жидкого соков. Д. Бронштейн

9Н360. Анализ результатов работы гидроциклонов. Bednarski Stanisław, Grotthuz Franciszek. Analiza pracy hydrocyklonów. «Gaz. cukrowni», 1960, 62, № 8, 236—242 (польск.).—Описаны гидроциклоны, испытанные на польских сахарных з-дах (приведены рисунки их). В производственный период 1959 г. на нескольких з-дах гидроциклоны были использованы для отделения песка из известкового молока.

Для этой цели были применены гидроциклоны diam. 150—200 мм. Эффект очистки достигал 98%. Приведены кривые, показывающие зависимость между эффектом очистки и давлением в гидроциклоне. Описаны также результаты испытаний применения гидроциклонов для очистки сока II сатурации. Для этой цели были применены одинарные и мультигидроциклоны. Эффект очистки колебался в пределах 70,0—97,3%. Даны таблицы, показывающие зависимость результатов работы гидроциклонов на очистке сатурационного сока от диаметра и давления. Проводились также испытания отделения при помощи гидроциклонов механич. примесей от транспортерно-моющих вод. Эффект отделения колебался от 74 до 89%. Описаны двух- и многоступенчатые схемы установки гидроциклонов.

Д. Бронштейн

9Н361. Расход тепла при сушке жома и сахара. Baupack F. Über den Wärmeverbrauch bei der Trocknung. «Zucker», 1960, 13, № 16, 400—405 (нем.; рез. англ., франц.).—Рассмотрены по элементарно расходы тепла при сушке жома и сахара. При обоих видах сушки тепло расходуют: на подогрев и выпаривание воды, содержащейся в высушиваемом материале, перегрев образующегося пара, подогрев самого материала, подогрев воздуха, потери от лучеиспускания сушильной установки, потери в отходящих газах и в топке. Даны ф-лы расчета перечисленных элементов расхода тепла и кривые их изменений в зависимости от влажности высушиваемого материала, от т-ры теплоносителя, его относительной влажности и т. д. Приведен общий расход тепла при сушке жома, колеблющийся в пределах 735—790 ккал/кг. При сушке сахара расход тепла зависит от метода работы на центрифугах (пробелка водой или водой и паром), а также от техники последующего охлаждения высушенного сахара. Общий расход тепла на сушку сахара указан в пределах 1100—1200 ккал/кг.

Д. Бронштейн

9Н362. Микробиологический контроль на сахарных заводах. Węzeł Aleksander. Mikrobiologiczna kontrola w cukrowniach. «Gaz. cukrowni.», 1960, 62, № 9, 277—280 (польск.).—Описаны результаты исследований, проведенных на польских сахарных з-дах, с целью изучения значения микробиол. контроля и методов борьбы с инфекцией. Показано, что инфекция диффузионного сока микроорганизмами при содержании их в соке в кол-ве от одного до нескольких миллионов штук может привести к дополнительным потерям сахара в размере 0,2—0,3% по весу свеклы. Подтверждена опасность микробной инфекции при возврате в произ-во транспортерно-моющих и барометрич. вод, а также при использовании в диффузионных установках возвращаемой жомо-прессовой воды. Приведена таблица результатов подсчета числа микроорганизмов, содержащихся в возвращаемых водах и в диффузионном соке на ряде сахарных з-дов. Наибольшим источником микроорганизмов оказалась земля, приставшая к корням свеклы. В числе методов борьбы с инфекцией указаны хлорирование и подкисление возвращаемых вод при постоянном контроле pH. Приведена схема рационального метода использования формалина в качестве дезинфицирующего средства. Большое значение придается микробиол. контролю и наблюдениям за pH сока.

Д. Бронштейн

9Н363. Микробиологический контроль работы сахарных заводов в 1959—1960 г. Tóth Zsiga István. Mikrobiológiai ellenőrzés a cukorgyárak 1959—1960 évi üzemében. «Cukoripar», 1960, 13, № 6, 186—192 (венг.; рез. русск., нем.).—Измерение зараженности массы (по изменениям значений pH) проводилось в первую очередь в диффузоре, где имеются подходящие для жизнедеятельности микроорганизмов условия. При периодич. дезинфекции диффузора (вводят по 60 л формалина через каждые 10 час.) в течение примерно 2 час. после дезинфекции зараженность массы будет

малой. В то же время введение формалина малыми порциями (по 1 кг в каждый цикл диффузии) не дает ощутимого эффекта дезинфекции. Хорошие результаты дает непрерывная дезинфекция гипохлоритом (NaOCl); pH массы устойчиво держится ~6. Хорошая дезинфекция массы обеспечивает сокращение потерь сахара на 0,2%. Источником заражения авторы считают не столько свеклу (10^5 — 10^7 спор на 1 г массы), сколько воду (10^5 — 10^6 спор на 1 мл). Сокращения потерь сахара можно добиться применением малозараженной воды, непрерывной перхлоратной и периодич. формалиновой дезинфекции.

Г. Юдкович

9Н364. Массовый метод для быстрого определения мякоти в свекле. Holly Imre. Tömegvizsgáló módszer a répa rosttartalmának gyors meghatározására. «Cukoripar», 1960, 13, № 3, 69—71 (венг.; рез. русск., нем.).—Навеска кварцевого песка, высушенная в течение 30 мин. при 105°, после охлаждения основательно смешивается с навеской размолотой свекловичной кашицы (~10 г), смесь сушится при 105° до постоянного веса (суммарные сухие в-ва). Растворимые сухие в-ва определяются при помощи прецизионного рефрактометра Аббе при т-ре 20° (ультратермостатирование циркуляционной воды). Содержание мякоти равно разности между суммарным содержанием сухого в-ва и содержанием растворимых сухих в-в. Результаты хорошо согласуются с результатами определения мякоти по Классену (расхождение 0,2—0,3%). Даются результаты измерений для произрастающих в Венгрии сортов свеклы. Оптимальны с точки зрения легкости обработки сорта свеклы с содержанием мякоти 4,5—5,5%.

Г. Юдкович

9Н365. Использование содержащего мед реактива Люффа — Шорля для фотокolorиметрического определения редуцирующих веществ в сырье растительного происхождения. Bachman Stefania, Kenner Magdalena. Wykorzystanie odczynnika miedziowego wg Luffa-Schoorla do fotokolorymetrycznego oznaczania cukrów redukujących w surowcach roślinnych. «Zesz. nauk. Politechn. łódz.», 1960, № 31, 3—13 (польск., рез. нем.).—Описаны методика и результаты определения содержания редуцирующих в-в колориметрич. методом, состоящим в определении изменения цвета непрореагировавшей части содержащего медь реактива, оставшейся в р-ре с редуцирующими в-вами. Интенсивность окраски такого р-ра обратно пропорциональна содержанию углеводов в исследуемой пробе сырья. Углеводы, находящиеся в пробе и не оказавшие редуцирующего действия на соли меди, были подвергнуты гидролизу. Колориметрич. метод значительно точнее контрольного метода Люффа — Шорля. Его точность достигает 0,05—0,08 мг редуцирующих в-в. При сравнении результатов метода колориметрич. метода титрования находили разницу в пределах $\pm 0,3\%$. Продолжительность колориметрич. метода и расход реактивов значительно меньше, чем при методе титрования, что имеет большое значение при серийных анализах.

Д. Бронштейн

9Н366. Методы определения коэффициента насыщения. Садовый И. Е. «Сахар. пром-сть», 1960, № 10, 19—20.—Предлагается ускоренный метод определения коэф. насыщения (α') меласс: в зависимости от т-ры фуговки утфеля II продукта мелассу доводят до максим. содержания сухих в-в, при котором могут нормально работать центрифуги на данном з-де; затем насыщают в термостате при т-ре, которую имела насыщ. меласса, добавляя на 100 г мелассы 10 г мелкокристаллич. сахара; через 8—9 час. наступает равновесие; насыщ. р-р отсасывают под вакуумом и определяют в нем сухие в-ва рефрактометром без разбавления и сахар — поляриметрически. Отношение растворимости сахара в мелассе к растворимости его в чистой воде и дает α' , зная который, можно определить доброкачественность нормальной мелассы.

Г. Бенин

9Н367. Определение эффекта кристаллизации утфеля последнего продукта. Wagnerowski Kazimierz, Dąbrowska Danuta, Dąbrowski Czesław. Określenie efektu krystalizacji cukrzycy ostatniego rzutu. «Gaz. cukrowni.», 1960, 62, № 9, 265—272 (польск.).—Описаны методика и результаты испытаний, проведенных на польском сахарном заводе «Янников» с целью определения зависимости эффекта кристаллизации утфеля III продукта от коэф. пересыщения и содержания песахаров. Показана роль конечной (перед фуговкой) т-ры утфеля. На каждый градус недоохлаждения утфеля до оптимальной для фуговки т-ры содержание сахара в мелассе увеличивалось на 0,5% по весу мелассы. Приведены результаты изучения влияния на содержание сахара в мелассе степени раскочки водой утфеля III продукта. Приведены кривые и таблицы взаимосвязи между эффектом кристаллизации утфеля, степенью раскочки и конечной т-рой. Проведенные испытания подтвердили зависимость между эффектом кристаллизации и плотностью утфеля в момент спуска вакуум-аппарата.

9Н368. Определение цветности кристаллического сахара-песка. Jánosfy Károly. A kristálycukor színmeghatározása szilárd állapotban. «Cukoripar», 1960, 13, № 5, 133—141 (венг.; рез. русск., нем.).—В настоящее время для определения цветности в венгерской промышленности пользуются сравнением с пятью эталонами. Точное измерение проводили фотометром Пульфриха с использованием пара Ульбриха (паровой рефлектометр) с использованием трех фильтров Лейса L_1 , L_2 , L_3 . По яркости образца, рассмотренного через эти фильтры высчитывались цветные координаты x , y , z . В качестве белого тела сравнения пользовались баритовой дощечкой. Белизна определялась, как наименьшая из координат, умноженная на 3. Белизна венгерских эталонов оказалась равной: № 0—0,9831, 1—0,9453, 2—0,9683, 3—0,9450, 4—0,9441. Более последовательно составлена 8-балльная система эталонов ГДР. Исходя из исследования цветности сахаров венгерских заводов предлагается новая система эталонов с белизной: № 0—0,98, 1—0,971, 2—0,963, 3—0,954, 4—0,945.

9Н369. Устранение потемнения сахара на заводах Португальской Восточной Африки. Dos Santos Iha J. Eliminating discolorization in portuguese East Africa. «Sugar u Azucar», 1960, 55, № 10, 49 (англ.), 58 (исп.).—Обнаружилось, что белый сахар, вырабатываемый на тростниково-сахарных заводах Португальской Восточной Африки, применяющих для очистки сока сульфитацию, при хранении желтеет. Исследования показали, что в процессе произ-ва 3-валентное железо (Fe^{3+}), содержащееся в тростниковом соке, переходит в спрощ в виде Fe^{2+} , которое при варке утфеля попадает в кристаллы сахара, при соприкосновении сахара с воздухом происходит окисление Fe^{2+} в Fe^{3+} , в результате чего сахар желтеет. Разработан способ очистки тростникового сока, с помощью которого представляется возможным удалять ионы Fe^{2+} в виде осадка $FeHPO_4$; для этой цели сок обрабатывают сперва суперфосфатом ($CaHPO_4$, $CaSO_4$), а затем $Ca(OH)_2$ до получения pH 8,0; после фильтрации, при которой удаляется осадок $FeHPO_4$, сок подвергается сульфитации до pH 6,4—6,8. Положительный эффект дало также применение гидросульфита при варке утфеля I продукта.

9Н370. Состояние складского хозяйства в сахарной промышленности. Endrődi János, Gado Kalmán. A cukoripar raktározási helyzete. «Cukoripar», 1960, 13, № 6, 174—181 (венг.; рез. русск., нем.).—С 1945 г. произ-во сахара в Венгрии увеличилось более чем в 2 раза без существенного увеличения площади складов. По статистич. данным определена потребность промышленности в складских помещениях и приводятся предложения

по расширению площади складов в течение ближайших лет.

9Н371. О переработке тростникового сахара-сырца. Рострипенко И. А., Гулый И. С. «Сахар. пром-сть», 1960, № 10, 20—24.—В результате испытаний нескольких технологич. схем переработки сахара-сырца на 2-м им. Петровского сахарном заводе (Кировоградская обл.) лучшей оказалась следующая: сахар-сырец (поляризация 96,3%, содержание инвертного сахара 0,95%, цветность 34 ед. Шт., доброкачественность 96,9 ед.) аффинируют вторым оттеком (т-ра 85°), получаемым при фуговке аффинационного утфеля, имеющим плотность 89,5—90,0% сухих в-в; аффинированный сахар клеруют промеем из фильтпрессов и клеровку с содержанием 55% сухих в-в при т-ре 87° обрабатывают в течение 3 мин. 2,8—3,0% CaO к весу сахара-сырца, а затем CO_2 до щелочности 0,015% CaO . После сатурации массу подогревают до 90°, фильтруют, фильтрат сульфитируют и упаривают в вакуум-аппарате I продукта. В продуктовом отделении применяют четырехпродуктовую схему, причем клеровку 2-го сахара направляют на варку утфеля I продукта, клеровку из 3-го и 4-го сахара направляют на дефекацию. При применении описанной схемы выход сахара составил 90,2—90,8% к весу сахара-сырца, а цветность сахара колебалась в пределах 0,8—1,1 ед. Шт. Приведены также результаты ползаводских опытов по изучению кристаллизации утфеля I и II продуктов в ротационной мешалке с искусст. охлаждением.

9Н372. Первый сахаро-рафинадный завод в Центральной Америке. Winter G. O. Die erste selbständige Zucker-Raffinerie in Mittelamerika. «Z. Zuckerind.», 1960, 10, № 8, 414—417 (нем.; рез. англ., франц.).—Описан построенный в 1959 г. сахаро-рафинадный завод в Сан-Сальвадоре, рафинирующий тростниковый сахар-сырец. Суточная производительность завода 140 т рафинада. Источники воды — три артезианских колодца глубиной ~65 м. Сахар-сырец хранят без тары в складах спец. конструкции. Для транспортировки и распределения сырца в складах служат ленточные транспортеры и метатели. Завод работает по схеме с двумя рафинадными и тремя продуктовыми утфелями, с аффинацией последних и очисткой клеровки с помощью фосфорной к-ты и извести. Для роспуска сахара-сырца предусмотрены автоматизированные клеровочные котлы. Для фуговки утфелей установлены автоматизированные и полуавтоматизированные центрифуги с ручной выгрузкой сахара. На заводе применены автоматизированные фильтры, работающие с предварительным нанесением кизельгура и активированного угля. Эти фильтры работают без остановки для очистки в течение четырех—шести месяцев. Утфель варят в вакуум-аппаратах емкостью по 10—20 т каждый. Разрежение создают струйные индивидуальные конденсаторы. В котельной установлены паровые котлы Буккау — Вольф производительностью 20 т в 1 час. Энергию вырабатывает паровая турбина мощностью 1000 кет.

9Н373. Технология кукурузокрахмального производства на новом английском заводе в Манчестере. Chemical engineering in maize processing. «Brit. Chem. Engng.», 1960, 5, № 8, 556—558 (англ.).—Очищенное зерно замачивают при 51° 40 час. в разб. сернистой к-те в замочных чанах, изготовленных из железобетона и футерованных внутри плиткой. После грубого дробления зерна и выделения зародыша в бетонных зародышеотделителях эндосперм окончательно измельчают на истирающих машинах. Для обезвоживания полупродуктов применяют центрифуги с конусным перфорированным барабаном (3000 об/мин), оснащенные шнековой выгрузкой осадка. Окончательное выделение мезги из суспензии крахмала (К) производят на буртах с нейлоновой сеткой. Разделение К и белка осуществляют на установке, состоящей из одной ступени

сепараторов и девяти ступеней гидроциклонов. После обезвоживания на центрифугах К высушивают в пневматич. сушилке с вертикальной трубой высотой 18,3 м. Зародыш используют для приготовления пищевого масла. После концентрирования глютен на сепараторах его обезвоживают на вакуум-фильтрах с шпуровым сьемом. Глютен и мезгу сушат раздельно в барабанных сушилках, затем путем их смешения получают корм с разным содержанием белка. Уваренный экстракт используют для произ-ва антибиотиков и приготовления корма. Часть К служит сырьем для выработки патоки и глюкозы. Маточные р-ры и высокоосахаренные сиропы являются сырьем для произ-ва технич. глюкозы. Нейтрализованные сиропы отфильтровывают на вакуум-фильтрах с предварительно нанесенным фильтрующим слоем. На 3-де приготавливают различные виды модифицированных К и декстринов.

А. Жумшан
9Н374. Процесс клейстеризации крахмала. Holló János, László Elemér, Szejtli József. A keményítő elcsírizesedésének folyamata. «Szeszipar», 1960, márc.-ápr., 21—24, 43, 44 (венг.; рез. нем., франц.).—Изучался процесс клейстеризации измерением зависимости поглощения света р-ром от т-ры (на фотометре Пульфриха). Началу необратимого набухания зерен при этом соответствует начало понижения прозрачности взвеси (проверено измерением «величины зерен»). Моменту необратимого диспергирования (начало резкого нарастания вязкости и кол-ва перешедшей в р-р амилозы) — минимум прозрачности. В дальнейшем прозрачность р-ра достигает исходной величины (момент клейстеризации) и при дальнейшем повышении т-ры повышается дальше. Повышение щелочности взвеси от 0 до 0,05 н. приводит к понижению т-ры начала необратимого набухания с 54,3 до 29,5° и т-ры начала пептизации с 72 до 49°. Предварительная термообработка крахмала при 180° в течение от 0 до 5 час. приводит к понижению т-ры начала необратимого набухания с 65 до 45° и т-ры начала пептизации — с 71 до ~47°. Обработка солодовым экстрактом приводит к понижению т-ры начала пептизации, не изменяя т-ру начала необратимого набухания зерен. Мелкие зерна крахмала, хотя имеют большую уд. поверхность, растворяются медленнее крупных. Авторы делят процесс клейстеризации крахмала на следующие фазы: обратное поглощение воды, необратимое набухание, окончание растворения первой фракции амилозы, окончательная пептизация.

Г. Юдкович
9Н375. Математическое изучение непрерывного процесса осахаривания крахмала. Voicu Iuliu, Bădescu Radu. Studiul matematic al zaharificării continue a amidonului. (Bul. Inst. politehn. Iași, 1959, 5, № 3—4, 143—148 (рум.; рез. русск., франц.).—Перечислены некоторые методы осахаривания крахмала. Показано значение непрерывности этого процесса при осуществлении его солодовым диастазом. Приведены предварительные результаты математич. исследования такого процесса и в первую очередь теории движения частиц сырья в соответствующей аппаратуре. Приведены ф-лы и кривые, позволяющие судить о колич. и качеств. результатах отдельных этапов процесса осахаривания крахмала.

Д. Бронштейн
9Н376. Влияние некоторых факторов на студнеобразование пектина из корзинок подсолнечника. Стойков С. А., Крачанов Хр. Г., Людканов Н. Влияние на някои фактори за желеобразуването на слънчогледов пектин. «Научни тр. Висш. ин-т хранит. и вкус. пром-ст-Пловдив», 1960, 7, 349—354 (болг.; рез. русск., нем.).—Исследовано влияние спирто- и водо-растворимых составляющих пектина (П) из корзинок подсолнечника на его способность к студнеобразованию. Установлено, что при удалении указанных составных частей способность к студнеобразованию П подсолнечника увеличивается в среднем на 10%. Изучено также

влияние добавления к-т и изменения рН на процесс студнеобразования этого П. Для образца П со степенью этерификации 42,9% были найдены оптимальные пределы значения рН среды в процессе студнеобразования 1,4—1,8. Существует прямая зависимость между оптимальным значением рН для студнеобразования П подсолнечника и степени его этерификации.

По резюме авторов
9Н377. Производство пудинговой муки (пудингового крахмала) из картофельного крахмала. Штыркова Е. А. «Сахарн. пром-сть», 1960, № 9, 59—61.—Описана технологич. схема приготовления пудинговой муки из картофельного крахмала (Кр). Суспензию Кр 40° Бр. при 50° обрабатывают HCl (1,25% к весу Кр). По окончании р-ции к-ту нейтрализуют 10%-ным р-ром Na₂CO₃ до рН 6—6,5. Суспензию центрифугируют, осадок размешивают в воде и обезвоживают вторично, а затем высушивают в сушилке до влажности 16—18%. Сухую муку просеивают сначала через сито, а затем через шелковое сито и расфасовывают. Пудинговая мука должна давать клейстер с вязкостью 15—18 сантиуаз.

А. Жумшан
9Н378. Фракционирование пектина из корзинок подсолнечника по степени его этерификации. Людканов Н. Върху фракциониравето на слънчогледов пектин. «Научни тр. Висш. ин-т хранит. и вкус. пром-ст-Пловдив», 1960, 7, 361—364 (болг.; рез. русск., нем.).—Выполнены опыты фракционирования пектина из корзинок подсолнечника по методу Стойкова (РЖХим, 1959, № 3, 9944), основанному на разделении фракций, различающихся по степени этерификации. При этом получены две фракции со степенью этерификации 32,3 и 44,6%.

По резюме автора
9Н379. Осаждение альгината натрия поливалентными комплексными соединениями кобальта. Katsura Kakuji, Suzuki Kae. «Kōgō Kagaku daasshi, Kogyo Kagaku zasshi, J. Chem. Soc. Japan. Industr. Chem. Sec.», 1960, 63, № 2, 329—331, A18 (японск., рез. англ.).—Изучалась осаждаемость альгината натрия комплексными поливалентными солями кобальта в сравнении с другими осадителями: хлористым кальцием, диаминным и гексанолом. Осаждаемость определялась фотокolorиметром и измерением вязкости р-ров, при их постепенном разбавлении. Результаты приведены в виде таблиц и кривых.

Н. Гильдебрандт
9Н380. Способ сушки свеколовичной стружки. Клейнман М. С., Лыков М. В. Авт. св. СССР, 125514, 8.01.50.—Предлагается способ сушки свеколовичной стружки в две ступени, отличающийся тем, что с целью ускорения процесса сушки совокупно применена вначале сушка во взвешенном состоянии при т-ре 400—600° со снижением влажности до 55%, затем последующая досушка в полувзвешенном состоянии на сетчатых полках сушилки при т-ре —150—300° со снижением влажности до 10% и последующее охлаждение током холодного воздуха до 16—18°. В качестве первой ступени применяется аэрофонтанная сушилка, где длительность процесса не превышает нескольких секунд, а для осуществления досушки рекомендуется сушилка с сетчатой поверхностью в кипящем слое с двумя температурными зонами; последующее охлаждение проводится в этой же сушилке также в кипящем слое. Потери сахара при сушке свеклы составляют, по указанию изобретателей, ≤ 0,1—0,2% к весу свеклы.

Г. Бенин
9Н381. Способ и устройство для очистки сахарного сока или растворов, содержащих сахар. Větvicka Jaroslav. Způsob a zařízení na čištění cukerných šťav nebo kalových rotoků obsahujících cukr. Чехосл. пат. 89422, 15.04.59.—При очистке сахарных соков используется в качестве фильтрующего слой глян (взмученной в спец. аппарате). Последний состоит из открытого сверху конич. сосуда, верхняя часть которого окру-

жена вторым сосудом цилиндрич. формы. Освобожденный от воздуха сырой сок самотеком через сопло тангенциально вступает в нижнюю узкую часть I сосуда, туда же подается известковое молоко. При интенсивном перемешивании сок насыщается известью до состояния, соответствующего т-ре и содержанию сахара в нем; при этом образуется осадок из осажденных и адсорбированных нес сахаров сока. Подъемной силой жидкости этот осадок образует во II сосуде взвешенный слой дисперсной грязи, служащий фильтром для проходящего снизу вверх сока. Слой грязи нарастает до толщины, соответствующей подъемной силе жидкости, после чего часть грязи падает на дно I сосуда. Процеженный через слой грязи сок поступает с верхней части II сосуда в сатуратор, где в противотоке отгазовывается CO_2 . Отсатурированный сок поступает во II аппарат для выделения слоя дисперсной грязи, а затем на фильтр. Отфильтрованный сок подается на выпарку. Осевавшая грязь из I и II аппаратов поступает в сборник, где перемешивается с теплой водой и поступает для отделения отмытой грязи в III аппарат. Промойку поступает на приготовление известкового молока. Дана схема процесса.

Е. Шнайдер
9Н382. Способ выделения сахарозы из кормовой патоки. Белова О. И., Блещинский С. В. Авт. св. СССР 129137, 1.06.60.—Предлагается способ выделения сахарозы из мелассы с применением этилового спирта и неорганич. к-ты, оличающийся тем, что с целью выделения сахарозы в кристаллич. виде и одновременно выделения кристаллов солей неорганич. к-т в р-р мелассы при т-ре 20° добавляют этиловый спирт в кол-ве ~12% по отношению к 50%-ной выкристаллизуемой сахарозе, а также неорганич. к-ту в кол-ве, зависящем от качества перерабатываемой свежлы и условий ее переработки. После добавления спирта и к-ты массу перекачивают в кристаллизатор, где происходит кристаллизация с применением сахарной пудры в качестве затравки; отделение кристаллов сахарозы производят на центрифуге с ситами, имеющими 4536 отв/см²; маточник, полученный при центрифугировании сахара, для отделения солей неорганич. к-т фильтруют через фильтр-пресс. Регенерацию спирта из фильтрата производят путем отгонки в дистилляторе, а оставшийся р-р, содержащий сахар, используют для сбраживания. Приведена схема предлагаемого способа.

Г. Бенин

См. также: Применение материалов, содержащих полисахариды, в бродильной пром-сти 9Н263. Комплексная переработка патоки 9Н266

ЖИРЫ И МАСЛА. ВОСКИ.

МЫЛА. МОЮЩИЕ СРЕДСТВА. ФЛОТОРЕАГЕНТЫ

Редакторы А. А. Зиновьев, А. П. Хованская

9Н383. Обзор результатов исследований в области масел и жиров в Японии в 1959 г. Комори С. «Абура гакаку, Yuka gaku, J. Japan Oil Chemists Soc.», 1960, 9, № 8, 428—440 (японск.).—Обзор. Библ. 186 назв.

9Н384. Просеивание в жировой промышленности с помощью звуковых колебаний. Korda Pierre, Bulot Jacques. Tamisage par ondes sonores dans le domaine des corps gras. «Rev. franc. corps gras», 1960, 7, № 6, 319—329 (франц.).—Общетеоретические вопросы процесса просеивания сыпучих материалов. Классификация и характеристика существующих типов просеивающих машин (ПМ), работающих под действием звуковых колебаний, и основные особенности их конструкции. Зависимость степени очистки материала от длины просеивающей поверхности и влияния ширины ее на производительность ПМ. Преимущества ПМ, работающих под действием звуковых колебаний, перед

обычными ПМ (в отношении забивки сит, размеров просеивающей поверхности, величины потребляемой энергии и степени очистки просеиваемого материала). Опыты применения ПМ для отсеивания мунистой мелочи арахиса перед пуском его в произ-во. Исследование процесса отсеивания этой мелочи в зависимости от величины ее частиц, их масляности и кислотности масла в них. Сравнительная эффективность этого процесса по выходу арахисового масла (сырого и рафинированного) при прессовом и экстракционном способах его извлечения. Целесообразность применения упомянутых ПМ для очистки масляных семян перед их складированием.

Г. Фрид
9Н385. Регулирование содержания свободных жирных кислот в масле рисовых отрубей. П. Увеличение кислотного числа при хранении рисовых отрубей. Kimura Goro. «Абура гакаку, Yuka gaku, J. Japan Oil Chemists Soc.», 1959, 8, № 9, 383—386 (японск.).—Для выяснения влияния условий хранения рисовых отрубей и влияния этих условий на разложение липазы (Л), изучали зависимость устойчивости Л от т-ры, действия газов, влажности, освещенности, плотности упаковки и др. Установлено, что скорость инаktivации Л в зависимости от различных условий уменьшается в следующей последовательности: окисл углерода на свету, окисл углерода в темноте, водород на свету, водород в темноте, а также все подобные газы оказывают разрушающее влияние на Л. Влияние кислорода, азота, углекислого газа не отмечено. Хлор полностью разрушает Л. В обычных атмосферных условиях влияния на активность Л различной степени освещенности почти не обнаружено. Найдено, что при содержании воды 15—20% инаktivация Л происходит в максим. степени. Указано, что активность Л начинает проявляться с начала очистки риса. Часть I см. РЖХим, 1960, № 18, 74983.

Ю. Жмакин
9Н386. Экстракция оливкового масла ацетоном из влажных маслин. Foresti B., Giuffrida A. Estrazione dell'olio dalle sanse umide con acetone. «Olii miner. grassi e saponi, colori e vernici», 1960, 37, № 4, 141—144 (итал.).—При экстракции влажных маслин ацетоном получили масло с низкой кислотностью и высокой степенью чистоты. Для экстракции необходим больший объем р-рителя, чем при экстракции бензином. Потери ацетона значительно уменьшаются при переработке больших кол-в материала.

А. Верецагин
9Н387. Экстракция соевого и хлопкового масел. Arnold Lionel K., Choudhury R. Basu Roy. Extraction of soybean and cottonseed oil by four solvents. «J. Amer. Oil Chemists' Soc.», 1960, 37, № 9, 458—459 (англ.).—Содержание n-гексана (I) в промышленном I, применяемом для экстракции растительных масел, бывает в пределах 60—80%. К примесям промышленного I относятся метилциклопентан, метилпентан и бензол. Исследовалась скорость экстракции и качество получаемого масла из сои и хлопчатника с применением чистого I, чистого бензола (II), высокой чистоты I и технич. I. Экстракции подвергали сырой лепесток при т-ре 57—60° в камере диам. 50,8 мм и высотой 304,8 мм при подаче такого кол-ва р-рителя, чтобы в 1 мин. получалось 10 мл мисцеллы. Экстракция соевого лепестка чистым I протекает медленнее, чем высокой чистоты I и чем технич. I, а чистым II много интенсивнее, чем другими р-рителями. Экстрагируемость хлопкового лепестка такая же. Лучшее по цветности и другим показателям соевое масло получено при применении чистого I. Масло, извлеченное II, имеет наибольшую цветность и наименьшее содержание нейтр. жира. Полученные данные верны только для условий экстракции, описанных выше. В. Белобородов

9Н388. Применение сепараторов на масло-заводах. Veto Szilárd. Szeparátor használat a növényolajparban. «Olaj, szappan, kozmetika», 1960, № 2, 77—81 (венг.; рез. нем., русск.).—Изложены результаты про-

изовещенных опытов и ряд предложений автора по применению суперцентрифуги марки «Зенит» (6700 об/мин) в качестве сепаратора в разных производственных процессах. Опыты по полировочной фильтрации, по обезвоживанию масла (до $< 0,2-0,6\%$), как и по отделению остатков мыла после нейтр-ции масел не дали положительных результатов. Сообщается о хороших результатах при отделении фузов прессового соевого масла, со снижением содержания лецитина в нем от $0,84-1,25\%$ до $0,17-0,36\%$. Однако выделение фузов из соевого масла, полученное экстракцией, не удалось. Приведены схема и описание проекта непрерывно действующей установки для отделения фузов.

С. Розенфельд
9Н389. Заводская установка для производства касторового масла в Мельбурне. — Melbourne plant to process castor oil. «Chem. Process.», 1960, 13, № 8, 29, 31, 33 (англ.). — Приводятся несколько фотографий установки и отдельных ее узлов, а также весьма краткое описание установки, предназначенной для переработки (дегидратации) касторового масла.

Б. Хавкина
9Н390. Растительные масла Саскачевана. Craig B. M. Saskatchewan vegetable oils. «Chem. Canada», 1960, 12, № 8, 37 (англ.). — Производство и анализ льняного, рапсового и сафлорового масла в Саскачеване. Газо-жидкостная хроматография для анализа рапсового масла.

Г. Молдованская
9Н391. Изыскание новых масел, имеющих промышленное значение. II. Масла с высоким йодным числом. Earle F. R., McGuire T. A., Mallan Jean, Bagby M. O., Wolff I. A., Jones Quentin. Search for new industrial oils. II. Oils with high iodine values. «J. Amer. Oil Chemists' Soc.», 1960, 37, № 1, 48—50 (англ.). — Исследовались масла семян 15 растений в сравнении с льняным маслом (далее последовательно указаны: название растения, содержание масла в %, йодное число, число омыления, n_D^{20} , содержание линоленовой, линолевой и олеиновой, насыщ. к-т в %, время высыхания в час.): *Cruciferae*, *Hesperis matronalis*, 32; 186; 186; 1,4737; 46; 21; 26; 3; 3; *Matthiola bicornis*, 29; 196; 192; 1,4748; 59; 9; 20; 8; 25; *Euphorbiaceae* *Euphorbia marginata*, 32; 198; 185; 1,4761; 57; 14; 17; 8; 2,5; *Euphorbia heterophylla*, 37; 200; 188; 1,4754; 55; 22; 10; 8; 2,5; *Labiatae* *Majorana hortensis*, 40; 199; 188; 1,4753; 55; 20; 16; 5; 2,2; *Monarda fistulosa*, 32; 210; 192; 1,4756; 58; 18; 19; 0; 2,1; *Nepeta mussinii*, 25; 200; 184; 1,4749; 55; 18; 17; 6; 1,8; *Ocimum basilicum*, 24; 191; 188; 1,4742; 50; 22; 15; 8; 2,1; *Perilla frutescens*, 42; 189; 185; 1,4734; 55; 11; 21; 9; 2,8; *Salvia columbariae*, 34; 198; 188; 1,4748; 56; 16; 18; 5; 2,8; *Satureja hortensis*, 42; 214; 184; 1,4765; 62; 18; 12; 4; 2,2; *Thymus vulgaris*, 37; 208; 189; 1,4772; 62; 13; 18; 3; 2,2; *Linaceae* *Linum usitatissimum*, 40; 184; —; —; 49; 14; 22; 11; 3,0. Все исследуемые образцы по своим свойствам или равны, или лучше льняного масла и могут быть рекомендованы для применения, если их получение более экономично. Часть I см. РЖХим, 1960, № 22, 90192.

Г. Молдованская
9Н392. Величина показателей и физико-химических констант итальянских и импортных оливковых масел в 1959—1960 гг. Сообщение I. Garoglio P. G., Stefanelli S. Raccolta degli indici e delle costanti chimico-fisiche di olii di oliva italiani ed esteri prodotti nella campagna 1959—1960. (Primo contributo). «Olearia», 1960, 14, № 3, 91—96 (итал.; рез. франц., англ., нем.). — Приведены значения кислотного числа, показателя преломления, йодного числа, цветных р-ций на посторонние примеси, спектрофотометрич. констант в УФ-свете для натуральных и рафинированных оливковых масел из Италии (90 образцов), а также из Греции, Ливии, Испании, Туниса и Аргентины.

А. Верецагин
9Н393. Изомеризация жиров и масел. I. Изомеризация соевого масла в присутствии пентакарбонилла железа в качестве катализатора. Hashimoto Tetsutaro, Shiina Hisako. «Абура кагаку, Yukagaku,

J. Japan Oil Chemists Soc.», 1960, 9, № 2, 79—83 (японск.). — Изучалась при различных условиях р-ция изомеризации соевого масла с применением пентакарбонилла железа в качестве катализатора. По мере повышения т-ры р-ции и увеличения кол-ва катализатора, наблюдалось увеличение выхода изомеризованных к-т, при максимуме выхода их 30% . При продолжении нагревания наблюдалось уменьшение кол-ва возникавших к-т. Отмечается повышение кислотного числа масла при повышении т-ры и при увеличении содержания катализатора. ИК-спектры продуктов р-ции показали наличие сопряженных двойных связей типа *cis-trans* и *trans-trans* и несопряженных двойных связей типа *trans*. Выход изомеризованных к-т в этом случае был выше, чем при щел. изомеризации. Р-ция изомеризации свободных жирных к-т протекает менее активно, чем нейтр. жиров.

Ю. Жмакин
9Н394. Определение остатков диазинона в оливковом масле. Doretta Mirella. Determinazione di residui di diazotone nell'olio di oliva. «Rend. Ist. super. sanità», 1960, 23, № 3—4, 294—300 (итал.; рез. англ.). — Для определения остатков диазинона (I) в оливковом масле I экстрагируют из р-ра масла в гексане с помощью бромистоводородной к-ты и гидролизуют I при слабом нагреве. Образующийся H_2S поглощают ацетатом Zn в р-ре и определяют с HCl — *n*-аминодиметиланилином. Конц-ию образующегося метиленового синего определяют спектрофотометрически при 670 мμ. С помощью данного метода в 20 г масла можно определить содержание $0,5$ мг/кг I, а в 50 г масла — $0,2$ мг/кг I.

А. Верецагин
9Н395. Глицеридная структура жиров. Youngs C. G. Glyceride structure of fats. «J. Amer. Oil Chemists Soc.», 1959, 36, № 12, 664—667 (англ.). — Обсуждение, посвященное структуре глицеридов растительных и животных жиров. Принято, что распределение кислотных радикалов в молекулах глицеридов осуществлено статистически и в ряде случаев ограничено влиянием некоторых условий и процессов, в частности последующей внутримолекулярной перестерификацией с преимущественным образованием 1—2 глицеридов. Эти положения подтверждены ссылками на 17 литературных источников. Изложенные выводы основаны на анализе продуктов, образующихся при расщеплении жиров липазой и на сравнении этих эксперим. данных с данными, получаемыми теоретич. расчетом.

В. Мазюкевич
9Н396. Структура некоторых опок Поволжья и применение их для очистки растительных масел. Слисаренко Ф. А., Тимофеева Е. М. В сб. «Природ. минеральн. сорбенты». Киев, АН УССР, 1960, 252—261. — Для промышленной рафинации касторового масла предложено применять опки Поволжья: воскревскую 52, каменнаярскую 121, березняковскую 54, привольскую 11, хватовскую 10 и саратовскую 108, не уступающие по своей активности применяемым производным отбеливающим землям. Найдено, что наибольшей адсорбционной способностью при очистке проявляют опки, имеющие больший объем пор с переходным размером. Между фактором обесцвечивания, объемом переходных пор и эффективным объемом существует линейная зависимость.

Г. Молдованская
9Н397. Рафинация масел путем отгонки свободных жирных кислот и происходящей одновременно дезодорацией. Bloemen I. F. Raffinage des huiles par distillation neutralisante et désodorisation combinées. «Rev. franc. corps gras», 1960, 7, № 5, 255—261. Discuss., 261—262 (франц.). — Метод заключается в отгонке перегретым паром свободных жирных к-т и обуславливающих запах примесей, вместо удаления к-т посредством обработки масел (М) р-рами щелочей. Отмечено, что одновременно с понижением свободной кислотности достигается и дезодорация М. Указано на более высокие выходы рафинированных М и лучшее качество реге-

нерирован
М). Недос
применять
земель по
щелочам
мян или с
лизующей
качества
на колонн

9Н398.
ставные
I costitui
e saponi,
(итал.). —
ляемых
173—765
скалени
стигает 1
стеринов
плавлени
масел и
характер
нового м
ляет 0—
идов 58—
Масло о
разом м
с сопря
оливков
к-ты 4,1—
сбора ур
и токоф
к-ты, на
каротин
9Н399.
годом. Р
«Мясн.
янии я
ском мя
сырья с
повысил
сырья и
решетки
с проме
соды. П
т-ры 95
После
течение
примен
подогре

9Н400.
Lowe,
moto
Chemis
Изучал
мяса р
тоне 5
произв
жиры
держат
ацетон
(мири
к-ты 6
и нен
8,90%,
См 4,2
9Н401
lysis I
Tats
дзасси
Chem.
англ.)

нерированных жирных к-т (они содержат до 5–10% М). Недостаток метода: необходимость при отбелке М применять более значительные кол-ва отбеливающих земель по сравнению с отбелкой нейтрализованных щелочами М. Из М, полученного из испорченных семян или семян более позднего сбора, методом нейтрализующей перегонки не удается получить М высокого качества. Нейтрализующая перегонка осуществлена на колонном аппарате, конструкция которого описана.

Е. Смольянинова

9N398. Содержащиеся в малых количествах составные части оливкового масла. Vitagliano M. I costituenti minori dell'olio di oliva. «Olii miner. grassi e saponi, colori e vernici», 1960, 37, № 4, 136–140 (итал.).—Содержание углеводов в составе неомыляемых оливкового масла достигает 65%, а в масле 173–765 мг% углеводов, в том числе 125–705 мг% сквалена. Содержание стерина в оливковом масле достигает 104–254 мг%. Т-ра плавления смеси ацетатов стерина 117,6–119,7° значительно отличается от т-ры плавления ацетатов стерина других растительных масел и холестерина, что позволяет с помощью этой характеристики обнаруживать фальсификацию оливкового масла. Содержание фосфатидов в масле составляет 0–13,5 мг%, хлорофилла 0,0–9,7 мг/кг, каротиноидов 58–956 мкг/100 г, каротина 33–369 мкг/100 г масла. Масло содержит также жирные спирты (главным образом миристилловый спирт) и смолы. Содержание к-т с сопряженными двойными связями в натуральном оливковом масле может достигать 0,2%, линолевой к-ты 4,1–10,4% и линоленовой к-ты 0,5%. При задержке сбора урожая содержание линолевой к-ты, фосфатидов и токоферолов возрастает, а содержание линоленовой к-ты, насыщ., ненасыщ. углеводов, хлорофилла и каротиноидов уменьшается.

А. Верецагин

9N399. Получение пищевого жира гидролизным методом. Волков К., Гомонов В., Парасунько Е. «Мясн. индустрия СССР», 1960, № 3, 48.—При вытапливании жира из мездры обычным способом на Пермском мясокомбинате выход готовой продукции от веса сырья составлял 43–45%, при гидролизном способе он повысился до 52–60%. 100 кг говяжьего или свиного сырья измельчают на волчке с диаметром отверстий решетки 3–5 мм и загружают порциями по 30–35 кг с промежутками в 5 мин. в котел с 50 л 1,5%-ного р-ра соды. При перемешивании доводят массу в котле до т-ры 95–100° и выдерживают 50 мин. при т-ре 85°. После прекращения подачи пара масса отстаивается в течение 10–15 мин., затем сливают водн. слой, а жир промывают, добавляя 30–40% воды. Промытый жир подогревают до 95° и пропускают через сепаратор.

В. Мазюкевич

9N400. Изучение жира рыбы *Beryx splendens* Lowe. Tsuyuki Hideo, Naruse Uhei, Matsu-moto Taro. «Абура какаку, Yukagaku, J. Japan Oil Chemists' Soc.», 1960, 9, № 4, 197–200 (японск.).—Изучали состав жира, выделенного из рыбы. В 1 г мяса рыбы найдено (в мг) жиров, растворимых в ацетоне 55,1, лецитина 2,3, кефалина 0,3, фосфолипидов, производных сфингозина 0,4. Растворимые в ацетоне жиры содержат 0,94% неомыляемых в-в, которые содержат 19,67% стерина. В составе растворимого в ацетоне жира найдено к-т в процентах насыщ. 22,52 (миристиновой 1,27, пальмитиновой 10,55, стеариновой к-ты 6,29, арахидиновой к-ты 2,86 и бегеновой к-ты 0,56) и ненасыщ. к-т 77,48. В их составе: C₁₄ 0,08%; C₁₆ 8,90%; C₁₈ 26,57%; C₂₀ 24,54%; C₂₂ 13,12%; C₂₄ 4,27%.

Ю. Жмакин

9N401. Жир из яичной массы морского зайца *Arctia Kuroda* и его неомыляемые вещества. Tanaka Tatsuo, Toyama Yoshiyuki. «Нихон какаку дааси, Nippon kagaku zasshi, J. Chem. Soc. Japan. Pure Chem. Sec.», 1960, 81, № 5, 831–832, A59 (японск., рез. англ.).—Определены характеристики жира, экстраги-

рованного из яичной массы морского зайца. Выделенные стерины содержат главным образом холестерин. Содержание $\Delta^5,7$ -стерина < 1%.

Б. Хавкина

9N402. Изменения УФ-спектров при самоокислении жиров убойных животных. Mirna A. Über Veränderungen der UV-Spektren bei Schlachtfetten während der Autoxydation. «Fette, Seifen, Anstrichmittel», 1960, 62, № 7, 577–579 (нем.; рез. англ., франц., русск.).—Исследованы изменения УФ-спектров говяжьего (ГЖ) и свиного жира (СЖ) в процессе их самоокисления (в отсутствие света при 50°) и при обработке отбелными землями (3%, 90°, 15 мин.). Показано, что: 1) УФ-спектры самоокисленных ГЖ и СЖ имеют характерные отличия; у ГЖ сначала наблюдается некоторое снижение E_{268} в результате воздействия кислорода воздуха на конъюгированные жирные к-ты, а в дальнейшем, по достижении перекисного числа (ПЧ) в пределах 30–60, происходит увеличение E_{268} , по-видимому, вследствие абсорбции вторичных продуктов окисления. У СЖ, наоборот, E_{268} непрерывно повышается с увеличением ПЧ и между этими величинами наблюдается почти линейная зависимость; 2) величина T , равная $100 [E_{268} - \frac{1}{2}(E_{264} + E_{272})]$, изменяется следующим образом: у нерафинированного ГЖ при увеличении ПЧ от 0,6 до 71,2 она снижается от 14,4 до 0,8, а у нерафинированного СЖ при увеличении ПЧ от 0 до 220 она повышается от 0,5 до 1,3. При указанных изменениях ПЧ величина T у ГЖ, подвергнутого обработке отбелной землей, снижается от 12,1 до 6,5, а у отбеленного СЖ она повышается от 1,7 до 6,2; 3) у сильно окисленного ГЖ обработка отбелной землей не вызывает увеличения поглощения в триеновой и тетраеновой областях.

Г. Фрид

9N403. Полярографическое изучение веществ, образующихся при самоокислении ялдра. Kuta E. J., Quackenbush F. W. The formation of polarographically reducible substances in autoxidizing lard. «J. Amer. Oil Chemists' Soc.», 1960, 37, № 3, 148–151 (англ.).—Полярографическое изучение ялдра, подвергавшегося самоокислению в течение различных промежутков времени и при различных т-рах, показало наличие в окисленном ялдре трех типов первичных перекисей. Наличие антиоксидантов (широкотехн. токоферол) и синергистов (аскорбиновая, лимонная и фосфорная к-ты) не изменяет характера перекисей.

А. Зеленецкая

9N404. Карбонильные соединения в процессе порчи масел. Kumazawa Hisashi. «Абура какаку, Yukagaku, J. Japan Oil Chemists' Soc.», 1960, 9, № 3, 147–151 (японск.).—Исследовано, в каких кол-вах возникают при окислении хлопкового (ХМ) и соевого масла (СМ) летучие карбонильные соединения (КС), изменение соотношения между содержанием насыщ. и ненасыщ. КС, а также влияние конденсации летучих КС на процесс окисления указанных масел. Установлено, что в начальный период порчи СМ образуются почти исключительно насыщ. КС, а у ХМ при этом образуются насыщ. и ненасыщ. КС, примерно в одинаковых кол-вах. В ходе дальнейшего окисления у обоих видов масел насыщ. и ненасыщ. КС образовались в отношении 70:30. При разложении СМ кол-во летучих КС увеличивалось с течением времени, а у ХМ — почти не изменялось. Отмечено, что даже в небольших кол-вах летучие КС оказывают довольно большое влияние на процесс окисления масел; летучие КС, образующиеся в первоначальный период окисления масла, оказывают такое же большое влияние на ход процесса, как и образующиеся при значительной степени завершенности процесса.

Ю. Жмакин

9N405. Влияние воды на разложение перекисей, образующихся при порче жиров. Bitō Tadaaki. «Абура какаку, Yukagaku, J. Japan Oil Chemists' Soc.», 1959, 8, № 11, 545–546 (японск.).—Результаты опытов для выяснения влияния воды (~2%) на устойчивость жиров и масел при хранении. Опыты проводили при

применении одинаковых катализаторов и антиоксидантов. Исследуемый жир выдерживали при 70° в пробирках диам. 0,3 см, слоем в 2,5 см и исследование на содержание перекисей проводили через 15 и 30 мин. по методу Вилера. Результаты показали, что при добавлении сернокислого железа и без него уменьшение перекисного числа происходит быстрее в присутствии воды, затем наблюдается некоторая стабилизация. Опыты проводились с льняным, кукурузным, хлопковым, рапсовым, кукурузным маслами и рыбьим жиром. Приведены графики.

Ю. Жмакин
9Н406. Использование противокислителей типа окситолуобутилата при хранении оливкового масла прессования. Petruccioli Giovanni, Amicucci Ugo. L'uso degli antiossidanti del tipo BHT nella conservazione degli olii di oliva di pressione. «Olii miner., grassi e saponi, colori e vernici», 1960, 37, № 9, 369—380 (итал.).—К оливковому маслу (М) прессования прибавляли в качестве противокислителя 2,6-дигрет-бутил-4-метилфенол (I) в кол-ве 15; 22,5 и 30 мг%. После прибавления I М сохраняли в темноте или на рассеянном свете в открытом или закрытом сосуде в течение 210 дней и через каждые 15 дней определяли кислотное число, показатель преломления, йодное число, число омыления и перекисное число, снимали УФ-спектры, осуществляли р-цию Крейса, а также проводили органолептическую оценку М. Перечисленные показатели в контрольных образцах М, не содержащих I, повышались быстрее, чем в присутствии I. При отсутствии I к концу периода хранения в М наблюдалась порча. Оптимальным содержанием I для предотвращения порчи М была доза 22,5 мг%. Порча М усиливалась при повышении т-ры воздуха, доступа кислорода и интенсивности света. В присутствии I тормозилось образование летучих жирных к-т, а величина перекисного числа была неизменно ниже 20, то есть ниже допустимого порога. Библ. 70 назв.

А. Верещагин
9Н407. О консервировании свиного жира. Melichar M., Malý J. Příspevek ke konzervaci vepřového sádla. «Farmácia (GSR)», 1959, 28, № 12, 364—367 (чешск.).—Результаты изучения антиокислительного действия бензойной смолы, тополевыя почки и прогалина. Приведены данные сравнительной устойчивости образцов натурального свиного и консервированного жиров указанными выше антиоксидантами (А) и совместимости с ними некоторых лекарств. Приведен график зависимости перекисных чисел от времени хранения исходного и содержащих А свиных жиров при обычной т-ре. Из графика видно, что А можно расположить в следующем порядке: бензойная смола, тополевыя почки, прогалин. Указано, что консервирующие в-ва необходимо выбирать в соответствии с составом подлежащей изготовлению мази, а также учитывать совместимость А с обычно употребляемыми лекарствами. Поэтому часто приходится отказываться от некоторых хороших А, как, напр., от прогалина. Тополевыя почки в некоторых случаях являются хорошей заменой для менее интенсивно действующей бензойной смолы.

Н. Куприянова
9Н408. Упрощенный аппарат для определения стабильности масла. Kumazawa Hisashi. «Абура какаку, Yukagaku, J. Japan Oil Chemists Soc.», 1959, 8, № 9, 405—407 (японск.).—Вместо ранее применявшегося дорогостоящего аппарата, автор предложил простой прибор для аэрации при определении стабильности масла. Приведены схема и описание прибора.

Ю. Жмакин
9Н409. Исследование порчи масел, нагревавшихся при обжарке. I. Ускоренная порча жареных продуктов, вызванная прогорклостью масла. Kumazawa Hisashi. «Абура какаку, J. Japan Oil Chemists Soc.», 1960, 9, № 7, 380—383 (японск.; рез. англ.).—Результаты изучения ускоренной порчи жареного картофе-

ля в хлопковом масле, различной степени прогорклости. По своей стабильности масло делилось на непрогорклое (НГ), слабо прогорклое (СГ) и весьма прогорклое (ВГ). Жареные кусочки картофеля хранили при 15 и 40° в течение 30 дней, измеряя периодические изменения перекисных и карбонильных чисел, а также изменения содержания конъюгированной диевой к-ты. Найдено, что с НГ маслом кусочки картофеля стабильны и показали лишь незначительную разницу при 15 и 40°. С СГ и ВГ маслом кусочки картофеля показали заметную зависимость от т-ры хранения (15 и 40°). Сделан вывод, что порча жареных продуктов сильно ускоряется испорченными маслами, независимо от степени их порчи.

Э. Симановская
9Н410. К вопросу о количественной характеристике радикальной селективности при гидрировании жиров. Тютюникова Б. Н., Высоцкий С. «Маслоб.-жир. пром-сть», 1960, № 4, 25—29.—Обсуждение вопроса о характеристике двух видов радикальной селективности при гидрировании жиров: суммарной селективности и частной селективности. Установлено, что при гидрогенизации подсолнечного масла, при нормальном давлении радикалы линолевой к-ты насыщаются водородом по нулевому порядку, а не по первому; степени указанных селективностей являются переменными на протяжении всего процесса. Н. Близняк

9Н411. Глицеридная селективность гидрогенизации жиров и ее количественная оценка. Якубов М. К. «Маслоб.-жир. пром-сть», 1960, № 9, 22—25.—Сформулировано понятие о глицеридной селективности гидрогенизации жиров. Для расчета глицеридной селективности, лучше отображающей ход процесса гидрогенизации глицеридов, чем радикальная селективность, предложены ф-лы.

К. Склобовский
9Н412. Очистка масел и селективная гидрогенизация. Пищевая ценность жиров. Kellens E. Considérations sur le raffinage, l'hydrogénation sélective et la valeur alimentaire des corps gras. «Rev. ferment. et ind. aliment.», 1960, 15, № 2, 43—52 (франц.).—Кратко изложены методы очистки масел (удаление слизистых в-в, нейтр-ция, отбелка и дезодорация). Более подробно описаны условия селективной гидрогенизации жиров. Показано влияние конц-ии Н₂, растворенного в жире, на селективность гидрогенизации. Указано, что при небольшой конц-ии Н₂ гидрируются преимущественно наиболее реакционноспособные высокомолекулярные к-ты, при еще более низкой конц-ии Н₂ проходят главным образом процессы изомеризации (миграция двойных связей). В присутствии достаточного кол-ва Ni давление Н₂ способствует улучшению селективности процесса. Наоборот, при небольшом содержании Ni давление Н₂ ухудшает селективность. Высокая т-ра способствует транс-изомеризации непредельных к-т. Уменьшение диаметра реакционного сосуда способствует повышению селективности процесса.

Е. Смольянинова
9Н413. Изучение реакций гидрирования природных жиров и их простейших синтетических аналогов — эфиров высокомолекулярных жирных кислот. Голдцова Л. С., Сокольский Д. В. «Тр. Ин-та хим. наук. АН КазССР», 1959, 5, 36—43.—Изучено влияние конц-ии гидрируемых в-в, т-ры и кол-ва катализатора на скорость р-ции и потенциальный катализатор (ПК) при гидрировании природных жиров, масел и эфиров высокомолекулярных ненасыщ. к-т. Исследованы метиловые эфиры олеиновой и линолевой к-т и масел различного жирнокислотного состава (касторовое, персиковое, хлопковое и льняное масло). Гидрирование проводили при 60°, в р-ре этилового спирта, в присутствии Ni-катализатора, полученного выщелачиванием из 33% Ni-Al-сплава. Показано, что изменение кинетич. или потенциальных кривых отражают последовательность насыщения масел или эфиров с различным жирнокислотным составом. Более неопредельные ком-

поненты
низком
очередь
(700 мг).
о составе
ценовал
ную стел
значитель
компонен

9Н414.
кислот и
chia T
rap Oil C
I. Иссле
обычном
вой к-ты
линолен
линолен
свободн
эфиров,
циях жи
аружовой
у аржон
волевой
быстрее
к-ты сел
исходит
пением
ных к-т
насыщ.
4. При
процесс
к-ты, пр
в 1-й, 2
пунктах
и метил
дид быс
гидроген
чительн
к-ты и
быстрее

9Н415.
лих. С
methyl
1960, 37
ние р-р
ра, ук
транс-и
ния при
та 0,13
сферно
водила
новлен
растает
меняет
чением
тивност
транс-о
ле и Р
тивност
цию де
изомер
скольк

9Н41
изации
Hash
го. «A
Soc.»,
розино
вого э
метом

попенты гидрируются в первую очередь и при более низком значении ПК, менее непредельные во вторую очередь, при значении ПК близком к обратному (700 мв). По изменению величины ПК можно судить о составе исследуемого жира. Скорость р-ции пропорциональна кол-ву катализатора. Смещение ПК в анодную сторону от обратного водородного значения тем значительнее, чем выше содержание непредельного компонента.

Н. Близник

9N414. Гидрогенизация смесей свободных жирных кислот и эфиров. Hashimoto Tetsutaro, Tsuchiya Tomotaro. «Абура какаку, Yukagaku, J. Japan Oil Chemists Soc.», 1960, 9, № 2, 83—87 (японск.).—1. Исследована скорость гидрогенизации при 180° и обычном давлении смесей: метилового эфира олеиновой к-ты (I) и эруковой к-ты, I и линолевой к-ты, I и линоленовой к-ты, линолевой к-ты и метилового эфира линолевой к-ты, линоленовой к-ты и метилового эфира линоленовой к-ты. Обнаружено, что гидрогенизация свободных жирных к-т происходит более активно, чем эфиров, однако отличается при различных комбинациях жирных к-т. 2. При гидрогенизации смеси I и эруковой к-ты процесс протекает значительно быстрее у эруковой к-ты. 3. При гидрогенизации смеси I и линолевой к-ты обнаружено, что хотя процесс протекает быстрее у линолевой к-ты, но в отличие от олеиновой к-ты селективная гидрогенизация линолевой к-ты происходит только на начальной стадии р-ции. С уменьшением содержания линолевой к-ты в фракции жирных к-т селективность переставала проявляться и кол-во насыщ. жирных к-т в эфирной фракции возрастало. 4. При гидрогенизации смеси I и линоленовой к-ты процесс проходил более активно во фракции жирной к-ты, причем эта разница более ярко выражена, чем в 1-й, 2-й и 3-й р-циях, описанных в 1-м, 2-м и 3-м пунктах. 5. При гидрогенизации смеси линолевой к-ты и метилового эфира линолевой к-ты процесс происходит быстрее у свободной жирной к-ты, но разница в гидрогенизации к-ты и ее смеси с эфиром была незначительной. 6. При гидрогенизации смеси линоленовой к-ты и ее метилового эфира процесс проходил у эфира быстрее, чем у жирной к-ты.

Ю. Жмакин

9N415. Гидрогенизация метилолеата в растворителях. Cousins E. R., Feuge R. O. Hydrogenation of methyl oleate in solvents. «J. Amer. Oil Chemists' Soc.», 1960, 37, № 9, 435—438 (англ.).—Исследовалось влияние р-рителя этанола, гексана, *n*-дибутилового эфира, уксусной к-ты на скорость гидрогенизации (Г), транс-изомеризацию и на образование изомеров полимера при Г метилолеата [ИЧ 83,0, содержание линолеата 0,13%, транс-изомеров 0,1%]. Условия Г—атмосферное давление, 30°, 425 мл/мин. Г водородом проводилась в присутствии скелетного Ni и Pd/C. Установлено, что при применении р-рителя скорость возрастает в 3—11 раз, причем нулевой порядок р-ции не меняется. Кол-во транс-изомеров растет как с увеличением полярности р-рителя, так и с увеличением активности Ni. Характерное для повышенных т-р *цис-транс*-отношение 1:2 достигнуто только с Pd в этаноле и Pd и Ni без р-рителя. Применение Ni высокой активности и р-рителя существенно увеличивает миграцию двойных связей, т. е. приводит к возникновению изомеризованных к-т. Влияние Pd на этот процесс несколько ослабляется в присутствии р-рителя.

К. Склобовский

9N416. Получение докозеновой кислоты гидрогенизацией метилового эфира клупанодоновой кислоты. Hashimoto Tetsutaro, Tsuchiya Tomotaro. «Абура какаку, Yukagaku, J. Japan Oil Chemists' Soc.», 1959, 8, № 11, 536—539 (японск.).—Твердую докозеновую к-ту, полученную гидрогенизацией метилового эфира клупанодоновой к-ты, окисляли перманганатом калия и изучали образовавшиеся соединения.

Установлено, что в продуктах окисления находятся одноосновные к-ты, в том числе и незначительное кол-во к-т ниже C₂₀, но главным образом к-ты C₂₃—C₂₅. Обнаружено присутствие пропионовой, энантовой и стеариновой к-т. Двухосновные к-ты представлены главным образом к-тами с радикалами C₁₄—C₁₉ и содержали некоторое кол-во к-т выше C₁₉. Обнаружены янтарная, субериновая, гептадекамтилендикарбоновая к-ты. Полученные результаты показывают, что в составе метиловых эфиров докозеновых к-т, полученных гидрогенизацией клупанодоновой к-ты, находятся следующие к-ты: CH₃CH₂CH=CH(CH₂)₁₇COOH, CH₃(CH₂)₅CH=CH(CH₂)₁₃COOH, CH₃(CH₂)₁₂CH=CH(CH₂)₆COOH, CH₃(CH₂)₁₆CH=CH(CH₂)₂COOH. Указано на возможность перемещения двойных связей в процессе гидрогенизации, а также на неодинаковую активность различных двойных связей в метилклупанодате.

К. Жмакин

9N417. Превращение липоидов в метиловые эфиры жирных кислот. Luddy Francis E., Barford R. A., Riemenschneider R. W. Direct conversion of lipid components to their fatty acid methyl esters. «J. Amer. Oil Chemists' Soc.», 1960, 37, № 9, 447—451 (англ.).—Метиловые эфиры холестерина, фосфолипидов и глицерина получают с хорошим выходом при 5-минутном кипячении в присутствии CH₃ONa или CH₃OK и абс. CH₃OH, применяя петр. эфир (т. кип. 40—55°) в качестве р-рителя. Метилирование жирных к-т с помощью абс. CH₃OH, содержащего 4% конц. HCl или H₂SO₄, и CH₃N проходит с колич. выходом. Очищают эфиры от неомыляемых продуктов абсорбционной хроматографией на кремневой к-те (I). Для получения I нужной активности нагревают ее 2 часа при 100° и оставляют на 12 час. в эксикаторе, на дно которого помещают 4 вес.% воды. Хроматографируют 10—50 мл неочищ. эфиров в р-ре 10 мл петр. эфира на 10 г I, вымывая посредством 300 мл петр. эфира, содержащего 1% эфира.

Г. Молдованская

9N418. Очистка глицериновой воды при помощи ионообменных смол. Nozaki Masashi, Ishiwata Takashi. «Абура какаку, Yukagaku, J. Japan Oil Chemists Soc.», 1960, 9, № 1, 44—48 (японск.).—Указано, что при рафинации глицерина с применением ионообменных смол был получен продукт со значительно более высокой степенью чистоты, чем при применявшемся ранее методе дистилляции. Новый способ является также более экономичным.

Ю. Жмакин

9N419. Комплексы мочевины. Получение олеиновой кислоты из жирных кислот арахисового масла. Khan N. A. Complexes of the urée. Préparation d'acide oléique a partir des acides gras de l'arachide. «Oléagineux», 1960, 15, № 3, 155—158 (франц.).—Описаны две разновидности метода выделения олеиновой к-ты через комплексы с мочевиной из жирных к-т арахисового масла с йодным числом 92,4, числами Рейхерта—Мейссля 0,35, Поленске 0,24, кислотным 0,82, омыления 189,9, d_{20}^{20} 0,9241; неомыляемых 0,41%. Выделена *цис*-олеиновая к-та в кол-ве 10,5%. Е. Смольянинова

9N420. Инструментальные методы анализа масел и жиров. De Francesco F. Le ricerche strumentali nelle analisi degli oli e dei grassi. «Olearia», 1960, 14, № 4, 142—145 (итал.; рез. франц., англ., нем.).—Обзор: применение спектрофотометрии в анализе жиров и масел. Устройство применяемых приборов, светофильтры, фотоэлементы и фотоумножители, прямое измерение поглощения, регистрация спектров поглощения на бумажной ленте.

А. Верещагин

9N421. Хроматография в области жиров. Naga Ichirō. «Абура какаку, Yukagaku, J. Japan Oil Chemists' Soc.», 1958, 8, № 12, 616—620 (японск.).—Обзор методов хроматографии с применением колонок для изучения жирных в-в, выделенных из бычьей печени и яичного желтка в целях идентификации кардиолипина, фосфатидилэтаноламина, гликолецитина, ино-

зифосфолинида, ацетилфосфолинида (плазмалогена) и др.

9H422. Газо-жидкостная хроматография жирных кислот, содержащих сопряженные двойные связи. Daniels N. W. R., Richmond J. Wendy. Gas liquid chromatography of conjugated fatty acids. «Nature (Engl.)», 1960, 187, № 4731, 55—56 (англ.).—Смесь метиловых эфиров жирных к-т, полученных омылением пшеничного масла, подвергали газо-жидкостной хроматографии на колонке с инфузорной землей, пропитанной полиэтиленгликолядиципинатом. Аналогичной процедуре подвергали смесь метиловых эфиров тех же к-т, подвергнутых цел. изомеризации. Положение пиков насыщ. к-т в обоих случаях было одинаковым, в то время как пики, соответствующие диеновой и триеновой к-там, после изомеризации были сдвинуты в сторону больших объемов, что давало возможность полностью разделить насыщ. и ненасыщ. к-ты. Подчеркивается, что в целях устранения возможности смещения пиков ненасыщ. к-т, вследствие изомеризации следует использовать мягкие условия при омылении жиров, содержащих такие к-ты.

9H423. Применение газо-жидкостной распределительной хроматографии для количественного определения моноглицеридов. McInnes A. G., Tattrie N. H., Kates M. Application of gas-liquid partition chromatography to the quantitative estimation of monoglycerides. «J. Amer. Oil Chemists' Soc.», 1960, 37, № 1, 7—11 (англ.).—Описаны результаты колич. определения аллиловых эфиров (АЭ) различных жирных к-т C_6 — C_{18} методом распределительной газо-жидкостной хроматографии на хроматографе системы «Подбильник» [240°, колонка 122 мм, d 4 мм, набивка 12 г «целита» 545, пропитанного «Arieson M» (4:1 по весу), детектор — по теплопроводности]. Газ-носитель — гелий; образец вводят пипеткой в кол-ве 2—20 мкл. В качестве внутреннего стандарта применяют известное кол-во метилмиристината или метиллаурината, так как трудно ввести точное кол-во АЭ. Кол-во АЭ C_6 — C_{12} жирных к-т рассчитывают по высоте пиков, а АЭ C_{14} — C_{18} жирных к-т по площади пика. Для получения АЭ смесь α - и β -моноглицеридов C_6 — C_{18} жирных к-т обрабатывают CH_3SO_2Cl в присутствии пиридина, превращая их в диметилсульфо- α - и β -моноглицериды. Последние превращают в АЭ соответствующих жирных к-т обработкой NaI в р-ре ацетона при 100°. Установлено, что оба α - и β -моноглицериды превращаются в их АЭ количественно. В смеси α - и β -изомеров β -моноглицерид можно определить после удаления α -изомера окислением периодной к-той. Метод анализа применим к моноглицеридам в присутствии свободных жирных к-т, ди- и триглицеридов.

9H424. Производство маргарина, сходного по структуре и вкусовым свойствам со сливочным маслом. Козин Н. И., Варибрус В. И., Герасимов П. К., Баранников М. А. «Маслоб.-жир. пром-сть», 1960, № 9, 16—19.—Предложены две схемы получения маргарина (М), имеющего сходные вкусовые свойства со сливочным маслом и одинаковую с ним микроструктуру. М состоит из двух непрерывных сред жировой и водной в отличие от получаемого в настоящее время в пром-ве М, представляющего собой эмульсию типа вода в масле. По 1-й схеме получают 40%-ные сливки состава: 40% жира, 1,5% сухого обезжиренного молока (ОМ), 0,2% диатрийфосфата (I), 0,1% тринатрийцитрата (II), 0,6%, NaCl и 57,6% воды, смешиванием жира и молочной плазмы (МП) в кирн-машине с последующим эмульгированием в эмульгаторе и гомогенизаторе с пастеризацией сливок. Сепарированием сливок получают эмульсию, содержащую 82—83% жира, ее сквашивают и образующиеся высокожирные сливки подвергают механич. обработке в вытеснительном охладителе. В более простой 2-й схеме (отсутствует стадия сепарирования) исходным сырьем служат

60—70%-ные сливки, содержащие 60—65% жира, 2—1,75% ОМ, 0,15—0,14% I, 0,05—0,03% II, 1—0,7% NaCl, 1,0—0,7% сахара и 35,8—31,68% воды, имеющие оптимальную степень дисперсности и представляющие собой прочную эмульсию. Для получения их готовят при 75—77° из всех компонентов кроме жира искусств. МП, ее фильтруют, пастеризуют при 85—87° и охлаждают до 40°. МП и жировую основу подвергают грубому диспергированию при 40° в кирн-машине и эмульгаторе, затем тонкому эмульгированию в гомогенизаторе при 20—25 атм и 40°. Полученные сливки перемешивают в аппарате (150—200 об/мин.) с 1—2 вес. молочнокислых культур и жира (недостающим до 82%). Для получения М образующиеся 82%-ые сливки обрабатывают в вытеснительном охладителе при t -ре хладагента $\geq -8^\circ$ и $\leq -1^\circ$, т-ра выходящего из охладителя продукта 9—13°. Весь процесс образования М проходит в охладителе. Для полного затвердевания М его помещают в ящики и хранят при 0—6°.

9H425. О способности столового маргарина к намазыванию тонким слоем. IV. Органолептические методы определения способности к намазыванию и твердости. Uzzan A., Sambuc E. V. Соответствие между физическими и субъективными методами определения. Naudet M., Sambuc E. Sur les propriétés d'étalement des margarines de table. IV: Appréciation subjective de l'aptitude à l'étalement et de la dureté. V. Relations entre mesures physiques et appréciations subjectives. «Rev. franç. corps gras», 1959, 6, № 10, 531—543 (франц.).—Органолептическими методами характеризовали 12 образцов маргарина (М) и сравнивали данные с оценкой физ. методами. М в кубиках по 1,5 см³ темперировали 48 час. при 12,5, 17,5, 22,5° Спек. хлебцы для гренков нарезали на ломтики толщиной в 1 см за 48 час. Образцы М предъявлялись на дегустацию с многократной повторностью. Лучший результат дал метод сравнения двух образцов; оценка по балльной шкале имела большие расхождения. Все указанные образцы М исследовались объективными методами: пнеумометрами с конусом (ПК) и иглой (ПИ), прибором, основанным на выдавливании (В) и сектилометром (С). Способом математич. статистики вычислены коэф. корреляции между полученными органолептическ. и физ. методами оценки консистенции. Они оказались: при определении способности к намазыванию для ПК 0,854, ПИ 0,78, В 0,903, С 0,867; при определении твердости ПК 0,844, ПИ 0,775, В 0,907, С 0,853. Сообщение III см. РЖХим, 1959, № 22, 79978.

9H426. Испытание жиров и жировых продуктов.—«Абура какаку, Yukagaku, J. Japan Oil Chemist Soc.», 1959, 8, № 10, 489—507 (японск.).—Результаты изучения отбеливающего действия каолина. При изменении условий опыта (продолжительность обработки, т-ра, продолжительность нагревания) существенной разницы в результатах не обнаружено. Опытами по отбелке нейтрализованного соевого масла, говяжьего и др. жиров установлено, что наиболее подходящими условиями являются т-ра 110 ± 2° и продолжительность обработки 10 мин. и добавление каолина в кол-ве 2% (в весе сухого в-ва).

9H427. О японском воске. Сообщение II. Проверка предположения о существовании пальмитоаннина. Adachi Akemi. «Абура какаку, Yukagaku, J. Japan Oil Chemist Soc.», 1959, 8, № 10, 442—444 (японск.).—Сообщено о выделении глицерида, у которого число омыления, мол. вес и данные элементарного анализа совпадают с расчетными величинами для пальмитоаннина триглицерида, содержащего одну молекулу $HO_2C(CH_2)_2CO_2H$, являющейся японской к-той, и одну молекулу пальмитиновой к-ты. Исходный японский воск обладает свойствами: т. пл. 51,5—52,5°, d_4^{20} 0,8684, кислотное число 18,5, число омыления 216,5.

водное ч
ляли пос
ние: вос
MnO₂ с
цвета о
раствор
10%-ной
миачны
из 2 кг
го в эф
эфира (с
под ва
98 г сов
числе
бавлял
кипении
фильтр
выше, 3
плавле
ства. В
с кисло
эти посл
ния 25
665,3 и

9H428
making
(англ.)
на бол
туалет
ров.

9H429
ния. R
gress c
25, №
9H430
мыла
поверх
а soap
gent p
fum. a
Кратк
готовил
(РЖХ
2363
лиров
1960,
актив

9H431
в мы
«Абу
1959,
21 на
9H432
Nak
kagah
1959,
шест
нист
и ре
нали
и ви
ном,
зупл

9H433
мил
луче
А. С
vity
from
1959,
лени

9H434
мил
луче
А. С
vity
from
1959,
лени

йодное число (по Вийсу) 10, 1.50 г этого образца окислял перманганатом калия в р-ре ацетона. Соотношение: воск-ацетон- KMnO_4 1:10:1. После растворения MnO_2 сернистой к-той полученный порошок белого цвета обрабатывали эфиром и отфильтровывали нерастворившуюся часть. Эфирный р-р обрабатывали 10%-ной аммиачной водой, извлекая к-ты в виде аммиачных солей. При обработке указанным способом из 2 кг воска получали 682 г к-т. 932 г нерастворимого в эфире остатка обработано 5-кратным кол-вом петр. эфира (т. кип. $< 60^\circ$). После удаления из фильтрата под вакуумом петр. эфира при $\sim 40-50^\circ$ получали 98 г совершенно нейтр. в-ва с кислотным числом 0,0 и числом омыления 228,0. К полученному порошку добавляли 20-кратное кол-во ацетона, смесь нагревали до кипения при перемешивании. В-во, выделенное из фильтрата, обрабатывали петр. эфиром, как указано выше. Эту операцию повторяли до тех пор, пока точка плавления и число омыления не достигали постоянства. В результате получали 21 г бесцветного порошка с кислотным числом 0,0, т. пл. 57° (т. пл. не изменяется после расщепления и охлаждения), числом омыления 253,4; молекулярным весом (по методу Раств) 665,3 и 668,2, что отвечает ф-ле $(\text{C}_{22}\text{H}_{40}\text{O}_4 \cdot \text{C}_{16}\text{H}_{32}\text{O}_2) \cdot \text{C}_3\text{H}_5$.

Ю. Жмакин
9Н428. Современное производство мыла.— Soap making today. «Chem. Prod.», 1960, 23, № 10, 445—450 (англ.).—Популярная статья. Указано, что несмотря на большой рост произ-ва синтетич. моющих средств, туалетные мыла готовят почти исключительно из жиров.

Ф. Неволлин
9Н429. Роль исследований в развитии мыловарения. Rao T. V., Subba. Role of research in the progress of soap industry. «Indian Oil and Soap J.», 1960, 25, № 12, 411—418 (англ.).

9Н430. Современные установки для приготовления мыла и синтетических моющих средств и некоторые поверхностноактивные вещества. Cardew C. V. From a soap chemist's notebook: modern soap and syndet-detergent plant and some surface-active agents. «Soap, Perfum. and Cosmet.», 1960, 33, № 6, 601—604 (англ.).—Кратко изложены схемы непрерывного процесса приготовления мыла по методам Шарплеса, де-Лавалья (РЖХим, 1959, № 3, 9883; 1960, № 16, 67089; 1961, 2Н363), Монсафона (РЖХим, 1959, № 13, 47390) и пилированных мыл из синтетич. жирных к-т (РЖХим, 1960, № 24, 98372). Указаны основные поверхностно-активные в-ва, выпускаемые фирмой Хьюлс.

Ф. Неволлин
9Н431. Определение содержания водной фракции в мыле и моющих средствах. Tanimori Shūhei. «Абура какаку, Yukagaku, J. Japan Oil Chemists' Soc.», 1959, 8, № 11, 551—557 (японск.).—Обзор методов. Библ. 21 назв.

Ю. Жмакин
9Н432. Ориентация мицелл в торговых мылах. Nakaido Yasuaki. «Kogō kakaku dzasshi, Kogyo kakaku zasshi, J. Chem. Soc. Japan. Industr. Chem. Sec.», 1959, 62, № 12, 1835—1837 (японск.).—Указано на существенное различие между рентгенограммами волокнистого мыла, полученными Тиссеном и Мак-Бейном, и рентгенограммами торговых мыл. Установлено, что наличие в мыле различных по характеру внутренних и внешних слоев, как указано Тиссеном и Мак-Бейном, зависит от различия в ориентации мицелл. Результаты опытов представлены графически.

Ю. Жмакин
9Н433. Бактерицидная активность туалетных мыл — интерпретация бактериологических данных, полученных при мытье рук. Travers J. J., Rohloff A. C., Ambye E. L., Vinson L. J. Degerming activity of toilet bars: interpretation of bacteriological data from hand washing tests. «J. Soc. Cosmetic Chemists», 1959, 10, № 6, 410—421 (англ.).—Описан метод определения бактерицидной эффективности туалетных, дезо-

дорирующих и гермицидных мыл, основанный на подсчете смываемых с рук и оставшихся на них бактерий. Исследования проводились при постоянных определенных условиях. Отмечается, что при первом смывании удаляются случайно попавшие на руки бактерии, при последующих постоянно живущие, причем после 4—5 смываний кол-во последних в смывной воде больше не увеличивается. Поэтому подсчет бактерий проводят в 4-й или 5-й воде после мытья рук. Точно установлен порядок мытья рук (15 сек. нанесением мыла, 1 мин. намыливания, 15 сек. смывания) и необходимость перед проведением опытов 2-недельного употребления для мытья рук только испытываемого мыла. Подробно приведен метод подсчета бактерий.

Е. Смольянинова
9Н434. Функция мыла в процессе стирки. Vader F. van Voorst. De functie van zeep in het wasproces. «Chem. weekbl.», 1960, 56, № 36, 512—514 (гол.).—Обзор. Библ. 8 назв.

9Н435. Годичный обзор литературы по жирам, маслам и детергентам. Часть II. Rusoff I. I. Annual review of the literature on fats, oils, and detergents. Part II. «J. Amer. Oil Chemists' Soc.», 1960, 37, № 7, 329—358 (англ.).—Часть I см. РЖХим, 1960, № 23, 94099.

9Н436. Производство синтетических моющих средств в непрерывном потоке. Ямасита Митио. «Сангō кикай», 1959, 6, № 105, 38—41 (японск.).—Предложен метод получения синтетич. моющих средств, напр. сульфатов высокомолекулярных спиртов, отличающийся автоматич. контролем процесса на всех его стадиях (сульфирование, нейтрализация и др.). Приведены схемы расположения аппаратуры, впервые примененной в этом процессе.

Ю. Жмакин
9Н437. Настоящее и будущее детергентов. Использование жиров. François Roger. Déjeuner-débat le présent et l'avenir des détergents. Contribution des corps gras. «Chimie et industrie», 1960, 84, № 2, 164—168. Discuss., 175—176 (франц.).—Обзор применения жиров и растительных масел в произ-ве мыл и различных синтетич. детергентов. Указаны положительные и отрицательные качества мыла. Отмечается неуклонный рост выпуска туалетных мыл и уменьшение выпуска хозяйственных мыл, часто заменяемых различными детергентами. Приведен перечень детергентов, вырабатываемых из жирового сырья, с указанием их важнейших свойств. В США выпускают 86% анионных детергентов, 5,5% катионных и 8,5% неионных, причем 40% указанных детергентов получают из жирового сырья. Ожидается увеличение выпуска детергентов на основе жирового сырья, в частности сульфированных соединений (исходное сырье: касторовое масло, жирные оксикислоты). В качестве стабилизаторов пены указаны диэтанализопропаноламиды. В шампунях будут применяться только детергенты, синтезированные из жирового сырья, так как только они придают мягкость волосам. Отмечено увеличение выпуска моющих средств на основе смеси мыла с детергентами.

Е. Смольянинова
9Н438. Прибавки к детергентам, природа и использование их. Milling Bryan. Additivi per detersivi, loro natura e loro uso. «Olii miner., grassi e saponi, colori e vernici», 1960, 37, № 7, 307—308, 310—311 (итал.).—Для увеличения устойчивости пены детергента додецилбензолсульфоната Na (16% активного начала) прибавляли 3—4 г/л моно- и диэтаноломидов жирных к-т кокосового масла, а также производных моноалкилоламов и окиси этилена. Эти прибавки могут применяться для анионогенных и неионогенных детергентов.

А. Верещагин
9Н439. Тетрапропиленбензол. Rücker Winfried. Tetrapropilenbenzol. «Chem. Ind.», 1960, 12, № 8, 401—405, A636 (нем.; рез. англ.).—Сообщение на III

Международном конгрессе поверхностноактивных веществ.

Г. Молдованская
9Н440. Получение катионных поверхностноактивных агентов из высших глицидных эфиров. Kuwamura Tsunehiko. «Kōrō kagaku dōzasshi, Kogyo kagaku zasshi, J. Chem. Soc. Japan. Industr. Chem. Sec.», 1960, 63, № 6, 973—979, А 53 (японск.; реэ. англ.).—Аминированием глицидных эфиров вторичными аминами с последующей нейтрацией или образованием четвертичных солей с различными органич. галогенидами соединениями получают с хорошими выходами 2-оксис-3-алкокси-(или алкилфенокси)-пропиламмониевые соли ф-лы $\text{ROCH}_2\text{CH}(\text{OH})\text{CH}_2\text{N}^+(\text{R}_2)(\text{R}')\text{X}^-$ (I), где R — от октила до октадецила; трет-октил- или нолилфенил. Пиридиновые соединения получают взаимодействием α-монохлоридрина α'-алкилового эфира глицерина с пиридином в присутствии небольшого кол-ва воды. Поверхностная активность I подобна активности стандартных катионитов, а у некоторых соединений выше даже при меньшей конц-ии.

Резюме автора
9Н441. Влияние противоиона на свойства амфотерных поверхностноактивных веществ. Kondo Tamotsu, Meguro Kenjiro, Sukigara Susumu. «Абура какаку, Yukagaku, J. Japan Oil Chemists Soc.», 1960, 9, № 2, 63—65 (японск.).—Результаты исследования влияния противоиона на эффективность уменьшения поверхностного натяжения, образование пены и диспергирующее действие амфотерных поверхностноактивных в-в.

Ю. Жмакин
9Н442. Взаимодействие между поверхностноактивными веществами и красителями. Goto Renpei. «Абура какаку, Yukagaku, J. Japan Oil Chemists Soc.», 1960, 9, № 5, 271—275 (японск.).—Обзор. Влияние амфотерных поверхностноактивных в-в на спектры поглощения, диспергирование и другие физ.хим. свойства красителей. Библ. 26 назв.

Ю. Жмакин
9Н443. Проникновение сульфатов жирных спиртов и натриевых мыл с 8—18 атомами С в неповрежденную кожу человека и появление в связи с этим раздражения. Szakall A., Schulz K. H. Die Permeation von Fettalkohol-Sulfaten und Natriumseifen definierter Kettenlänge (C_8 — C_{18}) in die intakte menschliche Haut, ihr Zusammenhang mit den Reizwirkungen. «Fette, Seifen, Anstrichmittel», 1960, 62, № 3, 170—175 (нем.; реэ. франц., англ., русск.).—Рассмотрена проникаемость (Π) в кожу водн. р-ров алкилсульфатов и На-солей насыщ. жирных к-т с 8—18 атомами С. Указано, что проникновение р-ров в кожу осуществляется в 2 фазы: сначала происходит насыщение поверхностных клеток кожи и затем проникновение в нижние ее слои. Наибольшей Π обладают в ряду алкилсульфатов и в ряду На-солей жирных к-т соединения, имеющие 12 атомов С. Π соединений, имеющих 8 и 18 атомов С, близка к Π воды. Отмечается, что влияние ряда алкилсульфатов на Π зависит от конц-ии. Указывается на связь между Π и раздражающим действием. Наибольшее раздражение показали соединения с 12 атомами С.

С. Гуленко
9Н444. Влияние добавок эмульгаторов к жирным кислотам на их диффузирующие свойства. Козин Н. И., Ситникова Е. Н. «Сб. научн. работ. Моск. ин-т нар. х-ва», 1959, вып. 16, 192—201.—Изучалось влияние добавления эмульгаторов, фосфатидов (Ф) и эфиров стеариновой к-ты и полимеризованного глицерина (Т-2) на способность жирных к-т диффундировать через полупроницаемую мембрану — целлофановый мешочек. 0,5% Ф повышают диффузию олеиновой к-ты с 3,47% (в контроле) до 4,33%, а Т-2 до 4,4%. Диффузия капроновой к-ты доходила до 35,2%. На диффузию жирных к-т, выделенных из свиного жира, незначительное влияние оказывали лишь Ф, на диффузию стеариновой и пальмитиновой к-т эмульгаторы влияния почти не оказывали.

В. Мазюкевич

9Н445. Высокомолекулярные соединения как моющие средства. Влияние мыла как на смачивание высокомолекулярными соединениями тканей, так и на моющее действие. Matsukawa Tetsuya, «Kōrō kagaku dōzasshi, Kogyo kagaku zasshi, J. Chem. Soc. Japan. Industr. Chem. Sec.», 1959, 62, № 12, 1892—1897 (японск.).—Установлено, что при смачивании загрязненной ткани (Т) растворимыми в воде высокомолекулярными в-вами (ВВ), последующей сушке и промывке Т водой достигается значительно более высокая степень очистки, чем при стирке мылом (М). Исследованы основные условия, при которых происходит стирка Т с помощью ВВ, эффект сочетания стирки с применением ВВ и стирки с применением М, а также применение для стирки смеси ВВ и М. Найдено, что обработка загрязненной Т посредством ВВ и последующая стирка с применением М усиливает эффект очистки, но это усиление является незначительным по сравнению с применением простой воды для промывки после обработки ВВ. При применении ВВ, имеющего свойства электролита, напр. карбоксиметилцеллолозы, степень очистки увеличивается по мере увеличения степени полимеризации и вязкости водн. р-ра. В то же время у ВВ, не обладающих электролитическими свойствами, напр. у поливинилового спирта, обнаружена противоположная тенденция. При применении для стирки смеси ВВ и М, отмечалось усиление моющей способности. Это усиление особенно ярко выражено у таких ВВ, как метилцеллолоза, отдельное применение которых не дает значительного моющего эффекта. Промывание р-ром М после обработки смеси ВВ и М, напротив, ведет к ослаблению эффекта очистки. При обработке полиэфирных Т, у которых способность нанесенного ВВ переходить в р-р значительно более сильно выражена, чем у хлопчатобумажных Т, моющий эффект при применении одних только ВВ незначителен, однако он резко увеличивается при добавлении М. Следовательно, одна только способность нанесенного на ткань ВВ переходить в р-р не способствует усилению моющего эффекта.

Ю. Жмакин
9Н446. Эмульсии и растворимость. Sata Naoyasu. «Абура какаку, Yukagaku, J. Japan Oil Chemists Soc.», 1960, 9, № 5, 244—246 (японск.).—Обзор. Методы физ.-хим. анализа, эмульгирование, стабилизация и разрушение эмульсий, применение их. Библ. 36 назв.

Ю. Жмакин
9Н447. Суспензии и поверхностноактивные вещества. Meguro Kenjiro, Kondo Tamotsu. «Абура какаку, Yukagaku, J. Japan Oil Chemists Soc.», 1960, 9, № 5, 264—267 (японск.).—Обзор методов определения электропотенциала неорганич. и органич. суспензий, влияние применения поверхностноактивных в-в и влияние применения активаторов на рост кристаллов. Библ. 17 назв.

Ю. Жмакин
9Н448. О дисперсиях. Нэки Кэндаи. «Сэнрō то якухин, Dyestuffs and Chemicals», 1959, 4, № 9, 539—542 (японск.).—Применение дисперсных препаратов в качестве поверхностноактивных в-в, физ.-хим. свойства дисперсных препаратов (растворимость, эмульгирование), измерение степени дисперсности (красителей, цемента, эмульгаторов, катионных, поверхностноактивных в-в). Библ. 19 назв.

Ю. Жмакин
9Н449. Получение флотореагентов для руд цветных и редких металлов. Рудковский Д. М. В сб. «Развитие производств. сил Вост. Сибири. Хим. пром-сть». М., АН СССР, 1960, 78—84.—Обсуждаются возможности произ-ва в Вост. Сибири флотореагентов и разнообразных поверхностноактивных в-в путем оксисинтеза альдегидов и спиртов из доступных продуктов переработки топлива.

В. Шнер
9Н450. Синтетические моющие и очищающие средства. Штютпель Г. Перев. с нем. М., Госхимиздат, 1960, 672 стр., илл., 27 р.

Татак Японск. для нештатигер погой (за слоя. В лем, котый маэтим колс этого ния. отствляете дена схи 9Н452. сси. М Запатен личающ цилиндр является оно при клонный гирован тельным влажной процесс р-рител 9Н453. жирнов. dering 3.11.59.— ца, вкл ~6 мм и т-ре без коачение с куде одного жи в испар жирнен масса п тично сырья, продукц щая по направл идет не белок х с указат тлей 9Н454. рыбьего [Тайе] 21.12.57. го эмес прямолю щую р. лечени бак, где помощи где и

9Н455. ноо И е а с н, юся ка К смес отноше глицер церидо церидо глицер фикаци

9Н451. Непрерывная экстракция жиров. Хаяс и Татэки. [Тяёда како кэнсэцу кабусики кайсэ]. Японск. пат. 8927, 19.10.57.—Запатентована установка для непрерывной экстракции жиров, в которой экстрагируемый материал загружается в приемный бункер по конвейеру, откуда материал поступает на другой (закрытый) конвейер с регулируемой высотой слоя. В этом отделении материал орошается р-рителем, который профильтровывается через экстрагируемый материал и стекает в серию находящихся под этим конвейером приемников, обезжиренный продукт с этого конвейера поступает на непрерывный механизм. Отжим мисцеллы от прота. Экстракция осуществляется под вакуумом без потери р-рителя. Приведена схема экстракционной установки. Ю. Жмакин

9Н452. Экстрактор непрерывного действия для масла. Маки Макото. Японск. пат. 6729, 26.08.57.—Запатентован экстрактор непрерывного действия, отличающийся наличием вертикально смонтированного цилиндрич. формы приемника, в котором осуществляется замачивание экстрагируемого сырья, откуда оно при помощи ротора с отверстиями поступает в наклонный главный вращающийся цилиндр для экстрагирования. Здесь экстракция совмещается с дополнительным измельчением материала, который в виде влажного прота выводится в приемник. Технологич. процесс начинается после заполнения всей системы р-рителем. Приведена схема экстрактора. Ю. Жмакин

9Н453. Измельчение жиров сырья и вытапливание жиров. Greenfield Charles. Grinding and rendering of fat containing tissue. Пат. США 2911421, 3.11.59.—Запатентован способ переработки жира-сырца, включающий измельчение до размера частиц ~6 мм, нагревание при остаточном давл. 12—25 мм и т-ре 32—54°, чем достигается вытапливание жира без коагуляции белков и выпаривание воды. Измельчение сырца осуществляется в молотковой дробилке, куда одновременно возвращается и часть вытопленного жира. Поток пастообразной массы направляется в испаритель, где встречается с потоком частично обезжиренной массы, содержащей до 90% сухих в-в. Затем масса поступает на сепарирование, чистый жир частично идет для нагрева вновь поступающих порций сырья, а в основном направляется на линию готовой продукции. Обогащенная белками часть, соответствующая по кол-ву сухих в-в поступающему материалу, направляется на гидравлич. пресс. Выделенный жир идет на общую линию к сепаратору. Отпрессованный белок поступает в спец. емкость. Дан чертеж схемы с указанием 39 точек (аппаратов, трубопроводов, вентилей и т. п.). В. Мазюкевич

9Н454. Установка для непрерывного производства рыбьего жира. Кикуги Дзиро, Канэко Айдзи. [Тайб гёгё кабусики кайсэ]. Японск. пат. 10678, 21.12.57.—Запатентована установка в виде плоскостного змеевика длиной 35 м из труб сечением 25,4 мм, прямолинейные участки которого имеют обогревающую рубашку диам. 101,6 мм. Сырье, получаемое из печени рыб, загружают в приемный смесительный бак, где его смешивают с 1,5%-ным р-ром NaOH и при помощи насоса проводят через обогреваемый змеевик, где и происходит выделение жира из сырья. Ю. Жмакин

9Н455. Получение заменителя масла какао. Сэноо Иосинори, Асан Масааки, Окада Маэсаки, Хаяно Ваити, Ямаока Тэдуро. [Нихон юся кабусики кайсэ]. Японск. пат. 6873, 10.06.60.—К смеси лауриновой и миристиновой к-т, взятых в соотношении ~3:1, добавляют эквивалентное кол-во глицерина и нагревают смесь для получения триглицеридов этих к-т. Затем добавляют 20—30% моноглицеридов высших жирных к-т преимущественно моноглицеридов миристиновой и стеариновой к-т. Этерификацию проводят, добавляя в исходную смесь 0,1%

Na₂CO₃ при т-ре ~250°. Полученную смесь триглицеридов подвергают нейтр-ции и затем дезодорации, прибавляют моноглицериды насыщ. к-т. Ю. Жмакин

9Н456. Улучшения в производстве маргарина. Devlin John Joseph, Walker Arthur Pol-den. Improvements in the manufacture of margarine. [Thomas Hedley & Co. Ltd]. Англ. пат. 832377, 6.04.60.—Запатентован способ произ-ва жировой основы маргарина, получаемой перестерификацией 30—50% пальмового масла (М) и 70—50% кокосового М, или 40—50% пальмового М и 60—50% пальмоодрового М. Возможно применение других растительных М, а также животных жиров при условии, что после перестерификации они будут давать dilatометрич. показатели твердой фракции, соответствующие данным, установленным экспериментально при исследованиях жировой фазы сливочного М. Применялась методика dilatометрии (РЖХим, 1956, № 12, 37930), модифицированная тем, что выдержка жира при дилатации проводилась в течение 30 мин. Перестерификацию смеси жира и М ведут под вакуумом при остаточном давл. 10 мм, при т-ре 171—182° и перемешивании током азота. После высушивания, которое проводится нагреванием жира до 171°, добавляют катализатор 0,22% глицерина + 0,7% едкого натра в виде 49% водн. р-ра. Приведены dilatометрич. кривые для пальмового, пальмоодрового и кокосового М и их смесей, которые даны в сравнении с аналогичными показателями молочного жира. В. Мазюкевич

9Н457. Составы для свечей. Кимура Сбхэй. Японск. пат. 4889, 11.06.59.—Запатентованы составы для изготовления свечей. К парафину, стеарину, воску, взятым отдельно или в их смеси, добавляют в кол-ве 1—3% от веса их бариевые, натриевые, или калиевые соли хлорноватой, соляной или хлорной к-т и в кол-ве 7—20% препарат, вызывающий окраску пламени, напр. окислы или соли лития, натрия, меди, калия, кобальта, стронция, бария. Ю. Жмакин

9Н458. Усовершенствование производства мыла. Finsberg Arne. Improvements in or relating to the manufacture of soap. [Unilever Ltd]. Англ. пат. 837611, 15.06.60.—Запатентован способ извлечения глицерина (I) из мыла (М) путем непрерывной обработки высолённого М р-ром едкой щелочи (Щ) при противотоочном поступлении М и Щ в систему камер аппарата. Отделенный р-р Щ возвращают в процессе с добавлением свежей порции Щ. Пример. В 4-камерный чан при 95° со скоростью 5 т/час непрерывно вводят крупно высолённое М, содержащее ~58% жирных к-т и ~4% I. Противотоком вводят при 90° 3 т рассола, содержащего 11,5 вес.% NaCl. С помощью центробежного насоса рассол заставляют циркулировать через М со скоростью 18 т/час, отделяя рассол после выхода из каждого отделения 4-камерного чана и корректируя содержание Щ в рассоле. Содержание I в М после экстракции понижается до ~0,6%. Приведена схема аппаратуры. Г. Молдованская

9Н459. Держатель, питатель и распределитель для растворимых продуктов. Pompa Carlos. Holder, feeder and dispenser for soluble products. [Pablo Daumas Ladouce]. Англ. пат. 823272, 11.11.59.—Предложено приспособление для получения из растворимых в жидкостях материалов, в частности из мыла, кусков или брусков. Приспособление состоит из корпуса прямоугольного или круглого сечения, внутрь которого помещается материал. Материал под действием веса расположенного сверху поршня или под действием собственного веса движется вниз корпуса, где горизонтально закреплена пластина, имеющая форму, которую необходимо придать материалу. Брус образуется в результате выдавливания пластиной из материала части его пужной формы. В. Белобородов

9Н460. Хроматографический метод очистки высших спиртов жирного ряда. Cahill Joseph James, Jr.

Chromatographic purification of higher fatty alcohols. [Colgate-Palmolive Co.]. Пат. США 2913501, 17.11.59.— Для очистки высших спиртов (ВС) жирного ряда, применяемых в произ-ве различных синтетич. детергентов, предложен метод адсорбционной хроматографии. Спирты с 10—18 атомами С, содержащие 2—50% примесей {состоят из RH, ROR', R'COOR, RSOOR' и RCHO, где R и R' — алкил с 10—18 атомами С, а R'' — алкил с 9—17 атомами С}, хроматографируют на активном Al_2O_3 (80—200 меш) при т-ре 16—38°. Применяют бензол, CCl_4 и петр. эфир (35—60°) для вымывания примесей, а низшие спирты с 1—3 атомами С для вымывания ВС; получают ВС, содержащие <0,5% примесей. Al_2O_3 активируют прокаливанием при ~200°. 274,4 ч. технич. спиртов, выделенных из жира и содержащих углеводороды и простые и сложные эфиры жирного ряда, растворяют в 1900 ч. петр. эфира и пропускают через колонну с 4000 ч. Al_2O_3 (№ А-540). Для элюирования углеводородов и простых эфиров применяют петр. эфир; сложных эфиров — бензол; ВС — этанол. Выделяют 2,6% RH, 0,6% ROR', 6,8% R'COOR и 90% RON. 4,862 ч. технич. спиртов, выделенных из жира, растворяют в 160 ч. бензола и смешивают с 200 ч. Al_2O_3 . Смесь перемешивают 5 мин., оставляют стоять 1 час, бензольный р-р отфильтровывают от адсорбента, последний снова смешивают с 40 ч. бензола и после отделения бензольного р-ра промывают 160 ч. этанола. Из этанольного р-ра выделяют 87,5% ВС, а из бензольного р-ра — 6,2% примесей. С. Корэ

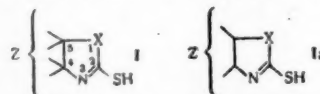
9Н461. Способ очистки смесей фтор- и хлорсодержащих полигалоидкарбоновых кислот. Fischer Edgar. Verfahren zur Reinigung von fluor- und chlorhaltigen Polyhalogen-carbonsäuregemischen. [Farbwerke Hoechst A.-G. vormals Meister Lucius & Brüning]. Пат. ФРГ 1047764, 25.06.59.— Сырую смесь фтор- и хлорсодержащих полигалоидкарбоновых к-т с 4—14 атомами С очищают перегонкой с перегретым водяным паром при одновременном введении паробразного или растворенного в воде галогидводорода, напр. HCl. Очищ. смесь применяют, напр., в качестве эмульгаторов. 1000 вес. ч. сырой смеси, полученной путем разложения солей щел. металлов этих к-т с помощью конц. HCl и отделения нижней жидкой фазы, вводят по каплям в перегонный куб одновременно с водяным паром (т-ра 180°) из перегревателя. Скорость подачи устанавливают такой, чтобы в любой момент в кубе находилось ~100 вес. ч. Переходящую с паром к-ту конденсируют в холодильнике, а затем вводят такое кол-во HCl-газа, чтобы конц-ия образовавшейся HCl-к-ты составляла 5—10%; в отделителе перегнанная смесь отстаивается в виде более тяжелой фазы и сливается. Перегонку ведут до получения 932 вес. ч. чистого продукта. М. Альбам

9Н462. Способ получения оксиамидов жирных кислот. Schurman Jack Vair. Process for the production of fatty acid hydroxy amides. [Colgate-Palmolive Co.]. Пат. США 2863888, 9.12.58.—Оксиамиды жирных к-т (I) с малым содержанием эфир-амидов получают нагреванием эфира жирной C_{10} — C_{22} -к-ты с оксикалциламином в молярном отношении 1:1,05:1,3 со щел. металлом в качестве катализатора. 440,7 вес. ч. диэтанолamina (содержащего ~0,3% воды), 876,5 вес. ч. метилаурата и 42,5 вес. ч. 25%-ного CH_3ONa смешивают при ~33° и пропускают через реактор-смеситель, снабженный вверной мешалкой, со скоростью 10 вес. ч./мин. Т-ра в реакторе 125° и давл. 100 мм рт. ст. Время прохождения смеси через реактор 1 мин. Пары CH_3OH удаляют из камеры и конденсируют. Охлажд. до 55° продукт N-бис-(2-октиэтил)-лаурамид содержит 0,2% свободного катализатора (на Na) и 7,5% эфира-амида (побочный продукт). Приведены другие примеры. Даны технологич. схема и схема реактора. I используют в качестве поверхностноактивных веществ. В. Простякова

9Н463. Оксикалцилированные ω -метиллозамещенные алкилацетофеноны. Pollitzer Ernest L. Oxyalkylated omega-methylol-substituted alkylacetophenones. [Universal Oil Products Co.]. Пат. США 2923739, 2.02.60.—Поверхностноактивные оксикалцилированные ω -метиллозамещенные алкилацетофеноны содержат 6—18 атомов С в алкильной группе, 1—3 оксикалцилированных метилольных групп при ω -замещенном атоме С ацетофенона и 6—30 оксикалцилированных связей, образованных окисью этилена (I), глицидным спиртом, окисью пропилена или их смесью. Напр., алкилированием C_6H_5 олефиновой фракцией, содержащей 12 атомов С, получают додецилбензол (II), который ацетилируют с помощью CH_3COCl в присутствии безводн. $AlCl_3$. Взаимодействием II с 6 молями 30%-ного водн. р-ра HCHO и 30%-ным водн. р-ром NaOH (10 вес.%) при ~30° получают ω -триметиллолацетофенон (III), водн. р-р которого при встряхивании легко образует пену. Более активный детергент получают гидрированием 0,3 молей III в 10 объемах 95%-ного спирта в присутствии 10 вес.% Ni-катализатора (8%-ного) при 50°, 10 атм, в течение 3 час. или конденсацией III с ~30 молями I. Г. Молдованская

9Н464. Моющие композиции. Brunt Kenneth Arthur, Williams David. Detergent compositions. [British Nylon Spinners Ltd]. Англ. пат. 839407, 29.06.60.—Запатентованы моющие композиции для тканей из нейлона, получаемые смешением катионного поверхностноактивного в-ва (ПАВ) с нейтр. или щел. неорг. солью, а затем с анионным ПАВ. Композиции снижают электростатич. заряд, возникающий на нейлоновых изделиях при трении. Пример. 9,85 ч. 75% р-ра диоктадецилдиметиламмоний хлорида в изопропанол-е разбавляют 6 ч. метанола и тщательно смешивают с 12 ч. безводн. Na_2CO_3 , а затем с 50 ч. мыльного порошка. В. Шварц

9Н465. Полифосфатная композиция, содержащая ингибитор потускнения металлов. Ruff Edgar E., Dukeshire Robert E. Polyphosphate composition containing tarnish inhibitor. [Lever Brothers Co.]. Пат. США 2861044, 18.11.58.—Запатентовано введение в моющие средства, содержащие триполифосфат натрия и вызывающие потускнение меди, никеля и сплавов на



их основе, ингибитора потускнения, представляющего собой пятичленное гетероциклич. соединение общей ф-лы (I) или (Ia), где X — O, S; Z — радикал или радикалы для насыщения валентностей 4- и 5-го атомов С. Активность этих соединений следует относить за счет групп —N=C(SH)X или —NHCSX. В качестве ингибиторов могут быть использованы: тиазол, тиазолин, оксазол, оксазолин, 2-меркапто-4,5-диметилтиазол, 2-меркаптотиазолин, 2-меркаптобензоксазол, 2-меркаптооксазолин. Ингибиторы вводят в кол-ве 0,03—1% от веса триполифосфата, и моющие композиции содержат обычные синтетич. моющие вещества. Ф. Неволли

9Н466. Полировочные составы, не подвергающиеся гашению. Riegler Werner L., Dybalski Jack N. Anti-slaking buffing compositions. [Armour and Co.]. Пат. США 2850369, 2.09.58.—В качестве добавок, препятствующих гашению извести, содержащейся в составах для полировки Ni, сплавов Ni, Cu, латуни, Zn, Al и др., можно использовать диамины общей ф-лы: $RN(CH_2CH_2OH)CH_2CH_2CH_2N(CH_2CH_2OH)_2$, где R — алкил, содержащий 8—22 атомов С, кроме того можно использовать смеси таких диаминов, в которых R — остатки соединений, содержащихся в природных маслах и жирах (напр., в талловом, кокосовом, соевом маслах). Пример (в вес.%): 65—80 извести (напр.,

венской разнородное числ. глицид. пиятств. кроме изл. пел. сме. извести, постепен. шивают формы

9Н467. мощи в. Кадау. 7491 27. сухих по. тилцели. ка отли. для загр. сосом по. тель, где. 1,5 мм —. ние чере. ся давле. держащи. высокоти. лов, где. щий воз. частиц 0. 9Н468. сел, жи. ва ка м. сел. Япо. жирной. или в. 0,8 вес. ч. при пер. парафин. этанолам. 49,5 водн. бавляют. 9Н469. тучеро р. system 1. [Forse Co. бы изаб. ке грязе. одежд. ложен. фильтра. дистилли. чистики. замкнуто.

См. та. меризов. оливков. тодом х. 9Н112

ДУП. Р.

9Н470. Фел. Те. olio esse. ital. esse. 1960, 42. Фел. ваа.

венской извести: 50% СаО и 50% MgO) в качестве абразивного элемента, 12—18 насыщ. жирных к-т (йодное число > 7), 12—18 животного или растительного глицерида и 1,5—5 (предпочтительно 3) добавки, препятствующей гашению извести; абразивный элемент кроме извести может содержать наждак, карбид Si, трепел. Смешивают добавку, препятствующую гашению извести, насыщ. жирную к-ту и глицерид при $\sim 87^\circ$, постепенно прибавляют абразивный материал, перемешивают до получения однородной смеси, выливают в формы и отверждают при охлаждении.

Г. Швехгеймер

9Н467. Метод получения сухих порошков при помощи многоступенчатого распыления. Ямамото Кадазуо. [Нихон юси кабусики кайся]. Японск. пат. 7491 27.08.59.—Предложена установка для получения сухих порошков из гелеобразных систем: карбоксиметилцеллюлоза — синтетич. моющие средства. Установка отличается наличием емкости, предназначенной для загрузки обрабатываемой колл. массы, откуда насосом под давл. 10 кг/см^2 она подается в подогреватель, где доводится до 170° и далее через отверстие $1,5 \text{ мм}$ — в расширитель сопла и затем на распыление через 2-мм отверстие в башне, где поддерживается давление в 30 мм рт. ст. Из башни выпавший и содержащий $\sim 15\%$ воды порошок отбирается, а более высокодиспергированная часть его поступает в циклон, где и заканчивается технологич. процесс, дающий возможность получать порошки с диаметром частиц $0,03\text{—}0,07 \text{ мкм}$.

Ю. Жмакин

9Н468. Эмульгирование в воде минеральных масел, животных и растительных жиров и восков. Каваками Ясото. [Кабусики кайся Каваками кэнкюсё]. Японск. пат. 7413, 11.09.57.—Эфир одноосновной жирной к-ты и триэтаноламина растворяют в жире или в воске, добавляют воду, содержащую $0,5\text{—}0,8 \text{ вес. ч.}$ неорганич. или органич. к-ты и эмульгируют при перемешивании. Пример (в г). К 47 жидкого парафина добавляют $3,5$ эфира олеиновой к-ты и триэтаноламина, нагревают до 40° , затем добавляют $49,5$ воды и $2,5 \text{ HCl}$ -к-ту, эмульгируют, после чего добавляют ароматич. в-ва в кол-ве $0,5\%$.

Ю. Жмакин

9Н469. Система и аппаратура для регенерации летучего растворителя. De Furia Harry. Reclamation system for volatile solvents and apparatus therefor. [Forse Corp.]. Пат. США 2924557, 9.02.60.—Для того чтобы избежать потерь перхлорэтилена (I) при разгрузке грязевых фильтров в процессе сухой чистки верхней одежды и уменьшить затраты труда и энергии, предложен следующий метод. Осадок вымывается с фильтра струей I, взвесь отстаивается в отстойнике-дистилляторе, осветленный I возвращается в процесс чистки и из плотного шлама отгоняют I. Система замкнута.

К. Скобовский

См. также: Пищевое значение окисленных и полимеризованных жиров и масел 9С1388. СВ от произ-ва оливкового масла 9И303. Разделение жирных к-т методом хроматографии 9Д173. Получение фосфонатов 9Л112

ДУШИСТЫЕ ВЕЩЕСТВА. ЭФИРНЫЕ МАСЛА. ПАРФЮМЕРИЯ И КОСМЕТИКА

Редакторы В. Н. Белов, Н. Ю. Любошиц,
А. П. Хованская

9Н470. Изучение эфирного масла мускатного шалфея. Teisseire P. Per una maggiore conoscenza dell'olio essenziale di salvia sclarea (*Salvia sclarea* L.). «Riv. ital. essenze, profumi, piante offic., oli veget., saponi», 1960, 42, № 5, 216—226 (итал.).—Эфирное масло шалфея разделяли на колонке, наполненной смесью поли-

этиленгликоля 400 и 30% целита С 22, при 125° методом газовой хроматографии (газ-носитель — водород, скоростью 8 мл/час). Для preparativного разделения высота колонки составляла $4\text{—}6 \text{ м}$, диам. 10 см . Для разделения альдегидов масло обрабатывали р-ром NaHSO_3 , альдегиды превращали в 2,4-динитрофенилгидразоны, которые разделяли распределительной хроматографией на бумаге. В масле обнаружены β - и α -пинен, камфен, мирцен, лимонен, β -оцимен, α -цимол и аллооцимен. В процессе хроматографии происходила изомеризация октен-1-ола-3 в этиламилкетон.

А. Верещагин

9Н471. Получение рацемического ментола восстановлением d-пулегона, содержащегося в масле *Mentha pulegium* L. Kohlmünzer Stanislaw. Otrzymywanie racemicznego mentolu przez redukcję d-pulegonu, zawartego w olejku *Mentha pulegium* L. «Dissert. pharm. PAN», 1959, 11, № 3, 257—268 (польск.; реф. русск., англ.).—Из масла *Mentha pulegium* L., произрастающей около Кракова, выделен d-пулегон с выходом 95%. При восстановлении d-пулегона в присутствии скелетного Ni при $120\text{—}180^\circ$ и $35\text{—}50 \text{ атм}$ получают ментон с выходом $\sim 100\%$. При восстановлении ментона Na в метаноле образуется с выходом 85% смесь стереоизомеров ментола (I), из которой после 3-кратного вымораживания при -5° получают кристаллич. dl-I с выходом $45\text{—}50\%$, т. пл. $31\text{—}33^\circ$. Жидкая смесь изомеров I при 8 час. нагревании с SiO_2 при $180\text{—}190^\circ$ в атмосфере переходит в dl-I с выходом $25\text{—}30\%$. Оставшуюся жидкую смесь изомеров окисляют $\text{K}_2\text{Cr}_2\text{O}_7$ в среде H_2SO_4 до ментона.

Н. Кологривова

9Н472. Получение l-ментола из масла польской перечной мяты. Kulesza Janusz, Góka Józef. Wyodrębnianie L-mentolu z krajowego olejku mięty pieprzowej. «Zesz. nauk. Politechn. łódz.», 1960, № 31, 15—23 (польск.; реф. нем.).—Приведены свойства и состав масла польской перечной мяты. l-ментол выделяют из масла переводением его в эфир борной к-ты, последующей перекристаллизацией полученного эфира из смеси ксилон-ацетон и омылением. Предварительно гидролизуют имеющиеся в масле эфиры, связывают ментон в виде n-фенилтидразона сульфоновой к-ты и очищают масло от примесей терпенов окислением KMnO_4 . Полученный неочищ. l-ментол с т. пл. $38\text{—}40^\circ$ очищают обработкой $0,01\%$ -ным водн. KMnO_4 и водой. Т-ра плавления очищ. l-ментола $42\text{—}43^\circ$.

Н. Кологривова

9Н473. Газовая хроматография кислородсодержащих терпенов. Cartoni Gian Paolo, Liberti Arnaldo. Gas chromatography of oxygen-containing terpenes. «J. Chromatogr.», 1960, 3, № 2, 121—124 (англ.).—Методом газо-жидкостной хроматографии проведено исследование кислородсодержащих терпенов, находящихся в цитрусовых маслах. Хроматографич. колонки с внутренним диам. $0,4\text{—}0,5 \text{ см}$ соединяли тефлоновыми трубками; общая длина колонок $3\text{—}5 \text{ м}$; детектор газовый по плотности. Наилучшим наполнителем является целит и Embacel. Стационарная фаза в кол-ве 20% к весу наполнителя — силикон 550 (слабо полярная фаза) и Nuprose S. P. (I) (сильно полярная фаза). Последняя является наиболее подходящей для разделения полярных соединений — терпеновых спиртов (применялась при 160°). Силикон наносили в р-ре петр. эфира, I — в р-ре метанола, после чего р-ритель удаляли при слабом нагревании. Наилучшие результаты получены при потоке газов $80\text{—}100 \text{ мл/мин}$ (что соответствует линейной скорости 15 см/сек) и т-ре $132\text{—}156^\circ$. Изучаемые компоненты имели т. кип. $180\text{—}240^\circ$. На I полностью разделены лимонен, терпинен, цитронеллол, нерол и гераниол (при 132° , давл. 2 атм , поток газа 110 мл/мин). В качестве эталона взят тетралин. Абсолютный ретенционный объем найден на силиконе 404 мл/г и 238 мл/г на I. Установлено различное поведение большинства терпе-

нов на двух стационарных фазах. На силиконе терпены элюируются по их т-рам кипения, на I согласно природе функциональных групп. Спирты адсорбируются сильнее альдегидов и сложных эфиров, в то время как углеводороды, имеющие низкое сродство к I элюируются в самом начале. Приведена таблица ретенционных объемов на силиконе и I выделенных спиртов, карбонильных соединений и сложных эфиров.

Т. Рудольфи
9N474. Применение газо-жидкостной хроматографии для анализа эфирных масел. Сообщение об определении цитронеллола в смеси с гераниолом.— Application of gas-liquid chromatography to essential-oil analysis. Interim report on the determination of citronellol in admixture with geraniol. «Analyst», 1959, 84, № 1005, 690—691 (англ.).—Метод газо-жидкостной хроматографии (ГХ) применен для исследования продуктов р-ции, получающихся при горячем формилировании смесей цитронеллола (I) и гераниола (продукты спектральной чистоты), содержащих 79, 13, 37 и 57% I. Каждый образец смеси формилировался по четырем различным методикам: 1) 10 мл масла, 20 мл 90%-ной HCOOH; нагревание 1 час на песчаной бане; 2) 10 мл масла, 10 мл, 100%-ной HCOOH; нагревание 1 час на песчаной бане; 3) 10 мл масла, 20 мл 100%-ной HCOOH; нагревание 1 час на водяной бане; 4) 10 мл масла, 20 мл 90%-ной HCOOH; 1 час нагревание на водяной бане при встряхивании в течение первых 5 мин. Полученные форматы омыляют, и нейтр. часть, растворимую в эфире, содержащую спирты и терпеновые углеводороды, подвергают ГХ. На хроматограмме получены три главных пика, самый большой соответствовал формату I, два остальных принадлежали моно- и диформату 3,7-диметилхлоридола-1,7. Во всех образцах присутствовали маленькие пики, соответствующие терпенам. Найдено, что 1-й метод формилирования дает результаты наиболее близкие к теоретич. Полученные результаты (для смесей содержащих 79,13, 37 и 57% I) по 1-му методу формилирования и методу ГХ соответственно 84,9; 20,5; 42,5; 63,2 и 80—84, 11—12, 36 и 58—60% I. Ни один из методов горячего формилирования не признан удовлетворительным для определения I в эфирных маслах.

Т. Рудольфи
9N475. Применение газовой хроматографии для анализа эфирного масла тимьяна. Runti Carlo, Brunì Giampa. Applicazione della cromatografia gassosa all'analisi di olii di timo. «Boll. chim. farmacia», 1960, 99, № 7, 435—447 (итал.).—Библи. 45 назв. А. В.

9N476. Влияние растворителей на спектральную характеристику препаратов для защиты от солнца. Riegelman Sidney, Penna Richard P. Effect of vehicle components on the absorption characteristics of sun screen compounds. «J. Soc. Cosmetic Chemists», 1960, 11, № 5, 280—291 (англ.).—На эффективность указанных препаратов (П) влияет добавление различных р-рителей. Это влияние нельзя предсказать и необходимо его оценивать спектрофотометрич. методами. В качестве стандартного р-рителя предложен изопропиловый эфир пальмитиновой к-ты. Приведены УФ-спектры этилового эфира аминобензойной к-ты (I, к-та), I, фенилсалицилата, 2-гидроксизил-1-метоксидинамата, эфира глицерина и I (Эскалола 106). 2,4-дигидроксиацетон и производных алкилфенилбензотриазола в различных р-рителях и обсуждаются изменения, вызванные этими р-рителями. В качестве р-рителей взяты: жидкий вазелин (нуйол), изопропиловый спирт, полиэтиленгликоль 400, 95%-ный спирт, вода, 5%-ные водн. р-ры полиоксиэтиленмонолаурата лаурилсульфата Na. Отмечено, что спектр поглощения в большой степени зависит от pH р-ра.

Н. Куприянова
9N477. Реакции окисления в парфюмерной промышленности. Indo M., Matsukura T. «Kagaku kōgō, Chem. Ind. (Japan)», 1960, 11, № 6, 562—566

(японск.).—Рассмотрены методы озонирования и окисления, применяемые в парфюмерной пром-сти.

Ю. Жмакин
9N478. Количественное определение цитраля. Генгриянович А. И., Ибадов А. Ю. «Тр. Ташкентск. фармацевт. ин-та», 1960, 2, 233—236.—Разработан быстрый метод колич. определения цитраля прямым титрованием его 0,1 н. р-ром JCl. Рассмотрен механизм р-ции.

А. В.
9N479. Успехи в парфюмерных материалах. Bedoukian Paul. Progress in perfumery materials. «Amer. Perfumer and Arom.», 1960, 75, № 3, 51—56 (англ.).—Обзор.

9N480. Отдушки для туалетных мыл. Köhler Arthur. Die Parfümierung von Toiletteseifen. «Riechstoffe und Aromen», 1960, 10, № 9 319—320 (нем.).—Приведены рецепты 13 отдушек для туалетных мыл.

Н. Д.
9N481. Ольфактометрическое определение порога обоняния пахучих веществ при помощи ольфактометра проточного типа. Janiček Gustav, Pliška Vladimír, Kubátová Jana. Olfaktometrické určování meze vnímání vonných látek průtokovým olfaktometrem. «Českosl. hyg.», 1960, 5, № 7, 441—447 (чешск.; русск., англ.).—Приведены схема и описание небольшого ольфактометра, позволяющего сравнительно точно измерять порог обоняния в широком интервале кон-ий. Описана методика измерения и способ расчета. Приведены полученные эксперим. данные для спиртов, сложных эфиров, хлорированных углеводородов и других жидкостей. Точность определения 10—20%.

По резюме авторов
9N482. Глицерин в косметических препаратах. Schweisheimer W. Glycerin in kosmetischen Präparaten. Ein unentbehrliches Mittel rationeller Hautpflege. «Kosmet. Monatsschr.», 1960, 9, № 11, 10—12 (нем.).—Описаны свойства и применение глицерина в косметич. препаратах.

Н. Любошич
9N483. Устойчивость ацетилированных производных ланолина к гидролизу. Conrad L. I., Motiuk K., Maso H. F. The resistance of acetylated lanolin derivatives to hydrolysis. «J. Soc. Cosmetic Chemists», 1960, 11, № 7, 415—422 (англ.).—Изучена устойчивость ацетилированных ланолина, ланолиновых спиртов и их эфиров в ридиоловой к-те как таковых, так и в анионных эмульсиях. Устойчивость ацетилированных продуктов определялась по содержанию продуктов гидролиза: водорастворимых жирных к-т (ЖК), получающихся при гидролизе ацетатов, и свободных ЖК, образующихся при гидролизе или при окислении эфиров. Показано, что в указанных ацетилированных продуктах гидролиз в нормальных условиях идет незначительно. Увеличение кол-ва свободных ЖК значительно больше для ацетилированного ланолина, чем для его производных. Чистый ланолин больше подвергается гидролизу. Устойчивость ацетилированных продуктов в эмульсиях (на основе триэтаноламиновых мыл) определялась по изменению pH эмульсий, хранившихся в нормальных условиях и при 42°. Значение pH эмульсий, хранившихся 8 месяцев в нормальных условиях изменялось незначительно — на 10,3, при 42° — в два раза больше. Наиболее сильное изменение pH наблюдалось в эмульсиях, содержащих ацетилированный моноглицерид.

И. Вольфензон
9N484. Натуральные или синтетические производные фосфорной кислоты для приготовления косметической продукции. Nüsslein J. Composés naturels ou synthétiques de l'acide phosphorique pour la préparation de produits cosmétiques. «Parfum, cosmét., savons», 1959, 2, № 12, 554—563 (франц.; рус. англ., нем. исп.).—Указано, что в основном все производные фосфора в организме встречаются в виде эфиров фосфорных к-т. Отмечено вредное действие сульфосифов при длительном воздействии на кожу и сравнивается мо-

шая способность сульфосафиров и эфиров фосфорной к-ты. Несмотря на низкую моющую способность, некоторые фосфаты хорошо проникают в кожу. Эфиры фосфорной к-ты и высокомолекулярных спиртов сильно удерживают воду в р-рах. Фосфолипиды (лецитин) обладают всеми свойствами, необходимыми для введения их в косметич. продукцию; препятствием для применения лецитина является его крайняя нестойкость в отношении света, воздуха и бактерий. В верхних слоях кожи лецитин находится в видоизмененном или разложившем виде. Указано, что синтетич. производные фосфорной к-ты могут найти широкое применение в косметике.

Е. Шевлягина

9Н485. Эспритин и его значение для косметики. Heintgen Kurt. Espritin und seine Bedeutung für die Kosmetik. «Kosmet.-Parfum-Drogen Rundschau», 1960, 7, № 1-2, 9-11 (нем.; рез. франц., англ.).—Эспритин (Э) (α 1°, $[\alpha]$ 2,8°) содержит 65% L(+) молочной к-ты (I) и 35% рацемич. молочной к-ты. Указано, что I содержится в коже человека. Нормальное значение pH кожи человека (3-5), препятствующее развитию болезнетворных бактерий, меняется при применении щел. моющих средств. Применение I в дерматологии дало положительные результаты при лечении микозов и акн, при потливости кожи. Установлено, что I убивает пневмококк и другие бактерии. Указано на возможность применения I в косметич. препаратах в кол-ве 0,5-1%. Такие косметич. препараты усиливают защитные свойства кожи, создавая кислотный покров. Отмечено, что Э необходимо применять в виде водн. р-ра в соотношении 1:20. Препараты с Э должны иметь pH 3-5 и не должны содержать щелочей и соединений цинка. Хорошие результаты дает применение Э с бетанами. Приведены рецепты косметич. средств с применением Э.

С. Гуленко

9Н486. Диоксинацетон — вещество, окрашивающее кератин. Blaauw Saul, Kanof Norman B., Simpson Louis. Dihydroxyacetone (DHA). A keratin coloring agent. «Arch. Dermatol.», 1960, 82, № 4, 501-503 (англ.).—Рекомендуется применять в препаратах для загара диоксинацетон (I), представляющий собой продукт распада глюкозы. Р-ры I при нанесении на кожу придают кератину окраску от светло-желтого до коричневого цвета. Проведенные испытания на живых объектах показывают, что I не раздражает кожу и не вызывает аллергии при применении в течение 30 дней. Гистологич. испытания указывают, что никаких побочных нежелательных р-ций также не наблюдается. I не защищает кожу от действия УФ-лучей. Цвет кожи, приобретенный при применении средств, содержащих I, не меняется при действии воды.

И. Вольфензон

9Н487. Основы для перманентной окраски волос. Cook Marvin K. Bases for permanent hair dyes. «Drug and Cosm. Ind.», 1960, 87, № 3, 316-317, 407-411 (англ.).—При составлении средств для окраски волос очень важным является правильный подбор основы для введения красителя. В большинстве случаев красители вводят в шампуни, кремы или спец. р-ры. Современные основы для красителей представляют собой тщательно сбалансированный комплекс в-в, каждый из которых имеет свое назначение. Эти в-ва предохраняют волосы от избыточного набухания и разрушения под влиянием щелочей. Примерная рецептура основы (в %): пропиленгликоль 10, олеиновая к-та 35, полиоксидиленсорбитанмоноолеат 10, изопропиловый спирт 5, вода 29, аммиак (20° Bé) 11. Введение в основы цетилового спирта в виде р-ра в изопропиловом спирте дает хорошие результаты. Для получения средств для окраски волос в виде кремов применяют воскообразный продукт, получающийся при добавлении к 284 г расплавленной стеариновой к-ты 667 г амида, полученного взаимодействием стеариновой к-ты и диоксидиэтилентриамин. 3 г массы раство-

ряют в 33 г изопропилового спирта, добавляют 67 г красящего р-ра. Смесь 1 объема этого р-ра с 2 объемами 4,5%-ной H_2O_2 имеет кремообразную консистенцию. Применяется также продукт р-ции эквимолекулярных кол-в олеиновой к-ты и амида, полученного взаимодействием олеиновой к-ты и диэтилендиамин в виде 60%-ного р-ра в изопропиловом спирте. Этиловый и изопропиловый спирты, окисспирты, глицерин, пропиленгликоль служат в различных комбинациях для солиubilизации красящих в-в. Для предотвращения процессов окисления, потемнения красок в основы вводятся сульфит Na, тиогликолевая к-та, меркаптаны и другие в-ва. К новым в-вам, применяющимся в основах, относятся детергенты (амиды, полученные взаимодействием жирных к-т и продуктов гидролиза белков, которые хорошо адсорбируются на волосах) и силиконы, предотвращающие разрушительное действие щелочей.

И. Вольфензон

9Н488. Влияние мыльных растворов на набухание и размягчение волос. II. Размягчение волос. Habicht L. Der Einfluß von Seifen — Lösungen auf die Quellung und die Erweichung des Haares II: Die Erweichung des Haares. «Fette, Seifen, Anstrichmittel», 1960, 62, № 2, 101-105 (нем.; рез. франц., англ., русск.).—Описаны два метода определения сопротивления волос срезу в водных и мыльных р-рах: весовой (ВМ) и маятниковый (ММ). ВМ измеряется в основном только сила сопротивления кутикулы. Более точную величину работы, необходимую для разреза волоса, дает ММ. Показано, что размягчение волос, измеренное ММ в мыльных р-рах сильнее, чем в водных. С повышением т-ры (20-50°) волосы размягчаются сильнее (определение ВМ), причем степень размягчения не зависит от применения водных или мыльных р-ров. Максим. величина размягчения волос (определение ММ) зависит от концентрации мыльного р-ра и от состава мыла. Мыла, содержащие смешанные жирные к-ты, вызывают более сильное размягчение чем мыла, содержащие чистые жирные к-ты. Сообщение I см. РЖХим, 1960, № 16, 66698.

А. Войцеховская

9Н489. Применение газовой хроматографии в производстве косметических препаратов и мыла. Ruys A. H., Heide R. ter. Anwendung der Gaschromatographie der kosmetischen- und Seifen-Industrie. «Seifen-Öle-Fette-Wachse», 1960, 86, № 2, 35-38 (нем.; рез. англ., франц., исп.).—Описано применение газовой хроматографии в косметике, мыловарении. При определении состава р-рителя лака для ногтей получена хроматограмма, идентичная с хроматограммой смеси этилацетата, н-бутанола, н-бутилацетата и толуола (разделение проведено на колонке с 20% апиезона L на Embacel, диам. 4 мм, высота 2,5 м, т-ра 87°, детектор пламенно-ионизационный; газ-носитель — водород, скорость 40 мл/мин; проба 0,3 мл). При разделении метиловых эфиров кокосового масла на аналогичной колонке при 215° (скорость подачи водорода 55 мл/мин, проба 1,5 мл) идентифицированы метиловые эфиры к-т: масляной, капроновой, каприловой, каприновой, лауриновой, миристиновой, олеиновой и стеариновой. При разделении метиловых эфиров говяжьего сала выделены метиловые эфиры к-т: каприловой, каприновой, лауриновой, миристиновой, олеиновой и стеариновой. Показана возможность определения примесей, фальсификации и наличия стабилизаторов в эфирных маслах на примере апельсинового и цитронеллового масел.

Т. Рудольфи

9Н490. Введение в парфюмерию, натуральные и синтетические душистые вещества. Bassiri Taghi. Introduction à l'étude des parfums, matières premières aromatiques d'origine naturelle et de synthèse. Paris, Masson et Cie, 1960, 279 p., ill., 38 NFr. (франц.)

9Н491. Способ консервирования соцветий, например, лаванды. Сокол В. А. Авт. св. СССР 128963, 1.06.60.—Патентуется способ консервирования соцветий, напр. лаванды, который заключается в том, что с целью обеспечения стабильности выхода и качества эфирного масла, получаемого из консервированных растений, соцветия сохраняют в 5—10%-ных водн. р-рах сернистой меди. Это позволяет сохранить первоначальное содержание эфирного масла в соцветиях без изменения его качества в течение трех (и более) месяцев. Способ создает возможность изучения семенного поколения и отбора высокопродуктивных растений лаванды.

Н. Любошиц

9Н492. Способ получения изоваленола. Полякова С. Г., Хольмер О. М., Лебедев И. М., Даев Н. А., Новикова Е. С., Ечина А. А. Авт. св. СССР 126879, 10.03.60.—Патентуется способ получения изоваленола (I) путем дегидратации 1-(4-окси-3-метоксибензил)-пропанола-1 (II), который заключается в том, что с целью повышения выхода, процесс проводят в паровой фазе над активной окисью алюминия при 200—215° и остаточном давл. 1 мм. Пример. Дегидратацию II осуществляют в каталитич. печи, которую нагревают до 215—225° и создают в системе остаточное давл. 1 мм. В испаритель из капельной воронки загружают 125—150 г расплавленного II, нагревая испаритель, пропускают пары II через каталитич. печь со скоростью 220—260 г/л катализатора в час. По мере испарения в испаритель добавляют расплавленный II. Образующийся в результате р-ции I конденсируют в холодильнике и собирают в приемник. На 900 г II получают 720 г технич. I с n_D^{20} 1,5750. После перегонки в вакууме получают 636 г I, т. кип. 102—104°/3 мм, n_D^{20} 1,5760, d_4^{20} 1,0870, содержание I 99,5%, т. пл. ацетата 79,8—80,4°. Одновременно получают 28 г обратного II, из которого дополнительно получают 14 г очищ. I. Общий выход I 80,2% от теоретич., считая на взятый II.

Н. Любошиц

9Н493. Способ получения кумарина. Воронин В. Г., Братус И. Н. Авт. св. СССР 130518, 5.08.60.—Патентуется способ получения кумарина при конденсации малонового эфира с салициловым альдегидом, который заключается в том, что, с целью сокращения числа стадий, увеличения выхода продукта и смягчения условий р-ции, декарбоксилирование 3-карбоксикумарина осуществляют путем обработки его бисульфитом Na или K с последующим разложением серной к-той. Пример. К 89,5 г 3-карбоксикумарина добавляют 73 г $K_2S_2O_5$ в 140 мл воды и смесь нагревают при перемешивании в течение 2 час., при этом отгоняется 80 мл воды, а т-ра поднимается до 105°. После охлаждения до 50° добавляют 100 мл H_2SO_4 (d 1,82) и ведут нагревание до 125°, причем отгоняется еще 40 мл воды. Затем после 15-минутной выдержки при 125° добавляют 125 мл воды, охлаждают до 20, промывают водой до нейтр. р-ции на конго и перегоняют в вакууме. Получают 48,4 г продукта с т. пл. 64°.

Н. Любошиц

9Н494. Способ получения гидратированного спирта. Голованенко Б. И., Меньяло А. Т., Иванов Л. Л. Авт. св. СССР 129651, 1.07.60.—Патентуется способ получения гидратированного спирта (I) из метилстирола, заключающийся в том, что, в целях упрощения процесса, триэнобутилаталюминий подвергают переалкилированию α -метилстиролом и полученный три-(2-фенилпропил)-алюминий окисляют воздухом в алколюлят с последующим гидролизом последнего водн. р-ром щелочи. Для увеличения выхода I переалкилирование осуществляют с добавкой ацетонилацетоната Ni. Пример. 40 г 30%-ного р-ра триэнобутилаталюминия, 70 г α -метилстирола и 90 мг ацетонилацетоната Ni, предварительно растворенного в безводн. октане, нагревают 3 часа (130—140°). При этом выделяется 4,6 л изобутилена. Затем при энергичном перемешивании

пропускают воздух со скоростью 10—15 л/час, охлаждая колбу снаружи водой. Воздух, выходящий из зоны р-ции, содержит по анализу в начале опыта 2—3%, а в конце 20—21% кислорода. После этого колбу нагревают до 70° и пропускают воздух еще 1 час. Гидролиз производят добавлением 10%-ного р-ра NaOH при 60—80°. Отделяют масляный слой и разгоняют на ректификационной колонке, получая 45 г непрореагировавшего α -метилстирола, 20,1 г I с выходом по триэнобутилаталюминию 81% и по α -метилстиролу 71% теоретич. I применяется для парфюмерных композиций с запахами сирени.

Н. Любошиц

9Н495. Метод получения циклических кетонов. Isler Otto, Montavon Marc, Rüegg Rudolf, Saucy Gabriel, Zeller Paul. Verfahren zur Herstellung von Ringketonen. [F. Hoffmann-La Roche & Co. A.-G.] Швейц. пат. 335517, 28.02.59.—Патентуется получение кетона 2,6,6-триметилциклогексен-2-диона-1,4 (I) и его монокетала 2,6,6-триметил-4-этилендиоксидциклогексен-2-она-4 (II), которые могут быть использованы как душистые в-ва, в промежуточное сырье для синтеза некоторых природных красителей (зеаксантина, криптоксантина, родоксантина и т. д.). Исходным сырьем для получения служит 2,6,6-триметилциклогексен-1-он (III), получаемый из изофорона; окислением II надуксусной к-той (через невыделяемый промежуточный оксид) и гидролизом получают 2,6,6-триметилциклогексен-2-он-1-он-4 (IV). Дальнейшее окисление IV хромовой к-той, трет-бутилхроматом или алколюлятами Al в инертном р-рителе (C_6H_6 , CH_2Cl_2) приводит к I. Нагреванием I с этиленгликолем в присутствии кислотного катализатора получают II. Восстановлением I Zn в лед. CH_3COOH можно перейти к 2,6,6-триметилциклогександиону-1,4 (V), который образует аналогично I, 2,6,6-триметил-4-этилендиоксидциклогексанон-1 (VI). Пример. К 138 г III в 50 мл лед. CH_3COOH при перемешивании за 2 часа добавляют 160 мл CH_3COOH (530 мл CH_3COOH на 1 мл р-ра) при 0°—10° и оставляют на сутки при 20°. Добавлением щелочи со льдом достигают слабощел. р-ции (рН 8,3) и смесь встряхивают в течение часа. Экстрагируют эфиром и после удаления р-рителя при перегонке получают IV, т. кип. 110—112°/0,1 мм, n_D^{20} 1,501, λ (макс.) 226 мк (в петр. эфире), т-ра плавления фенилсесмикарбазона (ФС) 189—190°. 154 г III растворяют в 200 мл CH_3COOH и 500 мл воды и при перемешивании и охлаждении (с 30°) добавляют 70 г хромового ангидрида в 200 мл воды. После окончания окисления получают I с т. кип. 92—94°/11 мм, n_D^{20} 1,490, λ (макс.) 238 мк, в петр. эфире, ФС, т. пл. 190°, при вторичном расплавлении т. пл. 230°. К 65 г в 250 мл CH_3COOH прибавляют Zn-пыль при т-ре $\leq 50^\circ$. После часового перемешивания добавляют 1000 мл воды. Экстрагируют петр. эфиром, из которого выпадают кристаллы V, т. пл. 63—65°, λ (макс.) между 220—280 мк, ФС, т. пл. 218—220°. 34,6 г I, растворенного в 100 мл C_6H_6 , нагревают с 19 г этиленгликоля и 0,2 г толуолсульфокислоты. Получают II с т. кип. 65°/0,03 мм, n_D^{20} 1,490, λ (макс.) 225 мк; VI имеет т. кип. 70—71°/0,02 мм, n_D^{20} 1,469.

Н. Соловьева

9Н496. Метод получения циклических кетонов. Isler Otto, Montavon Marc, Rüegg Rudolf, Saucy Gabriel, Zeller Paul. Verfahren zur Herstellung eines Ringketons. [F. Hoffman-La Roche & Co. A.-G.] Швейц. пат. 338189, 30.06.59.—Патентуемый метод получения циклич. кетона 2,6,6-триметилциклогександиона-1,4 (I) заключается в том, что оксикетон 2,3,3-триметилциклогексен-2-он-1-он-4 (II), получаемый при окислении 2,6,6-триметилциклогексен-1-она-4 (III) (см. реф. 9Н495) изомеризуют непосредственно в I при действии на II минер. к-ты, $ZnCl_2$, бисульфита K, толуолсульфокислоты и т. д. Пример. 100 г II, 2 ч. толуолсульфокислоты в 200 об. ч. C_6H_6 кипятят с обратным холодильником в течение 12 час. После охлаждения добавляют 2 ч. $NaHCO_3$ и перемешивают с 200 ч.

нейтр. Al_2O_3 . Фильтруют, осадок промывают 800 об. ч. C_2H_6 , последний удаляют в вакууме, остаток встраивают с петр. эфиром (80—110°). Из р-ра петр. эфира выпадают кристаллы I, т. пл. 63—65°. Приведены другие примеры. Н. Соловьева

9Н497. Метод получения циклических лактонов. Hundsdiacker Heinz, Erlbach Heinrich. Verfahren zur Herstellung von cyclischen Lactonen. [Vort & Co., Chemische Fabrik]. Пат. ФРГ 972160, 27.05.59.—Макроциклич. лактоны (I) с 11—17 атомами С в цикле с выходом 85—77% получают при нагревании гетерог. смеси ω -галоидокислоты с карбонатами щел. металлов в индифферентном р-рителе [метилэтилкетон (II), полифункциональные кетоны]. Примеры. К 100 г тонкораздробленного K_2CO_3 , взмученного в 2 кг II, добавляют в течение 30 час. 5%-ный р-р 15-йодпентадекановой к-ты при кипении р-рителя. Главная часть флегмы возвращается обратно в аппарат, а небольшая часть отбирается для выделения I. После прибавления всей к-ты смесь нагревают еще 1 час. Получают 27—28 г пентадеканоида с т. кип. 112—114°/0,2 мм. Из 9,4 г 11-йодудекановой к-ты при добавлении к 20 г K_2CO_3 в 600 мл II за 120 час. получают ундеканоида с выходом 77,5%. Н. Соловьева

9Н498. Получение ментена-3 диспропорционированием. Bain Joseph P., Gary Wilbur Y. Disproportionation method for producing menthene-3. [The Glidden Co.]. Пат. США 2933542, 19.04.60.—Ментен-3 (I) получают частичным диспропорционированием водородо в моноциклич. ментадиепах: α - и γ -терпиненов, терпинолена, $\Delta^{2,4(9)}$, $\Delta^{3,8(9)}$ и $\Delta^{2,4(6)}$ - α -ментадиенов, образующихся при кислотной изомеризации пиненов, дивентена (II) или их смеси. Ментадиены обрабатывают 0,5—5% катализатора гидрирования (5%-ного Pd/C, скелетного Ni, форматного Ni, медноникелевого и др.) при осторожном кипячении во врачающемся автоклаве до образования наибольшего кол-ва I, характеризующегося понижением содержания двойных связей на 25—75% определяемого спектрометрически или бромированием. Р-цию приостанавливают охлаждением реакционной массы. В этих условиях не подвергаются диспропорционированию, содержащиеся в исходной смеси α -ментадиены-1,8. Выделенный I очищают перегонкой на колонке. Полное диспропорционирование приводит к образованию цимона (III) и ментана (IV). Пример. Смесь ментадиенов, содержащую 20% II и 5% камфена (V) кипятят с 5% форматного Ni. Через 12 час. спектрографич. анализ показывает наличие в реакционной смеси 35% I, небольшого кол-ва α -ментена-2, α -ментена-4(8), α -ментена-1, III, небольшое кол-во ментанов и неизмененные II и V. Массу охлаждают, фильтруют и фракционируют на колонке. Фракции, не содержащие I, снова подвергают р-цию до образования III и IV. Г. Молдованская

9Н499. Очистка псевдоиона. Wilkinson Peter Alfred, Tebb John Caesar. Purification of pseudoionone. [Glaxo Laboratories Ltd.]. Англ. пат. 848287, 14.09.60.—Предложен метод очистки псевдоиона (I), образующегося в синтезе иона, обработкой I бисульфитом щел. металла или аммония (при мол. отношении бисульфита к I равному ~1:1,9) с образованием производного моносульфоновой к-ты и удалением примесей с использованием различной растворимости последних и бисульфитного комплекса в водн. среде. Выделяют I с выходом 64% (по методам очистки 49—55%). Пример. Кипятят 1 час при перемешивании 2 кг лимонграсового масла, содержащего 74% цитраля, 4 л $(\text{CH}_3)_2\text{SO}$ и 100 г тонко-измельченного $\text{Ba}(\text{OH})_2$. К охлажд. до 50° р-ру добавляют 25%-ный р-р NH_4Cl , отделяют органич. слой и удаляют р-ритель. Остаток кипятят 16 час. при перемешивании с 1 кг $\text{Na}_2\text{S}_2\text{O}_5$ в 4 л воды и 600 мл спирта, денатурированного метиловым спиртом, затем отгоняют спирт и 4 раза экстрагируют примеси изопропиловым эфиром (II). Для раз-

ложения водн. бисульфитного комплекса перемешивают его 2 часа при 20° с 2 л 20%-ного р-ра NaOH и 2 л II. Отделяют водн. слой и снова кипятят 1 час при перемешивании с 0,5 л 20%-ного р-ра NaOH и 2 л II, затем экстрагируют 2 л II. Экстракты объединяют, промывают водой и сушат. После удаления II получают I, выход 64%, содержание I 94%. Вместо водн. денатурированного спирта можно применять водн. диоксан или $\text{iso-C}_3\text{H}_7\text{OH}$, а вместо II — серный эфир. Г. Молдованская

9Н500. Способ приготовления концентрата краски для волос. Седлер А. И. Авт. св. СССР 130628, 5.08.60.—Патентуется способ приготовления концентрата краски для волос, который заключается в том, что с целью увеличения стабильности препарата в состав композиции вводят экстракт (Э) крупинной коры. Для изготовления концентрата в горячую воду вносят Э и кипятят 5—8 мин. В полученный р-р добавляют α -фенилендиамин (I) и резорцин (II) и кипятят еще 5 мин., после чего в кипящую массу доливают при помешивании глицерин (III). Готовый концентрат охлаждают и фильтруют. При окраске волос концентрат разбавляют горячей водой, добавляют жидкое туалетное мыло и р-р хорошо перемешивают. Краску наносят ватным тампоном и через 8—10 мин. волосы промывают теплой водой с мылом. Рецептуры (в %): 1) I 4,35, II 2,17, Э 2,17, III 4,35, вода 86,96, цвет черный, темнокаштановый; 2) I 4,3, II 7,7, Э 2,2, III 5,0, вода 80,8, цвет от темно- до светло-каштанового; 3) I 4,2, II 5,0, Э 2,2, III 5,0, вода 83,6, цвет от темно-русого до белого. Н. Любоянц

9Н501. Способ производства препарата для холодной завивки волос. Hronský Karel. Způsob výroby přípravku pro kadeření vlasů za studena. Чехосл. пат. 92690, 15.11.59.—Патентуется препарат для холодной завивки волос, приготовленный на основе тиюгликолятов и содержащий питательные в-ва (холестерин и лецитин), эмульгатор (сульфированные высшие жирные спирты) и буферный р-р, поддерживающий pH 7,5—8. Этот препарат дает хорошие результаты на крашенных, часто обесцвечиваемых и седых волосах, которые, при применении современных препаратов, желтеют. Волосы не портятся, достаточно красивы и блестящи. Примеры. Готовят составные части препарата (в г): а) тетраборат Na 5, Na_2CO_3 5, триэтаноламин 5, дистил. вода 85; б) 50%-ный р-р тиюгликолята аммония 5, сернистокислого триэтаноламина (который получают насыщением р-ра 50 вес. ч. триэтаноламина в 50 вес. ч. воды сернистым газом) 5; в) парафиновое масло 3, моностеарат глицерина 30, глицерин 10, продукт конденсации окиси этилена и лаурилового спирта 5, ланолин 3, сульфированные высшие жирные спирты 10 (цетиловый спирт поливинилпирролидон 1, холестерин 1,3, лецитин 1,2, дистил. вода 40, отдушка 0,5). Для приготовления препарата смешивают (в вес. ч.): (а) 50, (б) 15, (в) 10 и дистил. воду до 100. Способ употребления: на деревянные или пластмассовые бигуди накручивают смоченные препаратом отдельные пряди волос толщиной 1 см, шириной 6 см, после чего на голову надевают игелитовую шапочку и обертывают махровым полотенцем. Оставляют на 30—45 мин. Время действия зависит от качества волос и его необходимо контролировать. Затем волосы фиксируют и окисляют р-ром, состоящим из (в вес. ч.): лимонной к-ты 1,5, гексаметилентетрамина 0,7, бромистого калия или натрия 3,5, сульфированных высших жирных спиртов 0,5, дистил. воды до 100. Н. Куприянова

9Н502. Способ химической завивки волос. Быков А. А. Авт. св. СССР 128586, 15.05.60.—Патентуется способ хим. завивки волос, заключающийся в том, что с целью повышения стойкости завивки и устранения вредного воздействия химикатов на руки парикмахера, предварительно навитый вокруг цилиндрич. стержня и изолированный резиновой оболочкой локон последо-

вательно обрабатывают сначала водн. р-ром, содержащим 4—6% кислого сульфида аммония и 10% формальдегида, а затем р-ром, содержащим окислитель и соли хрома для задубливания волос. Р-ры вводят внутрь резиновой оболочки зажимного патрона путем прокалывания оболочки полой иглой. Приведены схема и описание зажимного патрона. После обработки патрон снимают, волосы промывают, укладывают и сушат.

Н. Любошии
9Н503. Твердые препараты против пота. Teller W. Kedzie, Tysdal Elmer B. Stable anti-perspirant stick. [Pharma-Craft Co., a division of Joseph E. Seagram & Sons, Inc.]. Пат. США 2933433, 19.04.60.—Патентуется гелеобразный состав против пота, в основе которого содержится (в %) 4—12 стеарата натрия (I), 4—45 воды, 56—87 спирта и 1,5—6 изопропилмиристата (II) или изопропилстеарата (III), стабилизирующих состав [соотношение I и II (или III) равно 1,75:1], диспергирован гель $Al(OH)_3$ (2—14%), являющийся активным агентом. Состав обладает приятным охлаждающим действием и не оставляет неприятных воскообразных остатков. Пример. При перемешивании осторожно добавляют (в %) 6,34 воды к 9,05 10%-ного Al_2O_3 и образующийся гель присоединяют к приготовленной нагреванием до 70° (до полного растворения I) смеси

0,23 гексахлорофена, 67,7 спирта, 6,77 I, 1,35 карбита, 1,81 II (или III), 6,34 воды и 0,41 отдушки. Перемешивают смесь 15 мин. при ~62—65° и выливают в формы.

Г. Молдованская
9Н504. Дезодорирующие составы. Scanlan James J. Deodorant composition. [American Chicle Co.]. Пат. США 2922747, 26.01.60.—Патентуются дезодорирующие составы для рта в виде жевательной резинки или таблеток весом $\geq 1,54$ мг, содержащие нетоксичные эфиры жирных к-т и глицерина, эфиры высших спиртов, фосфатиды, сульфолипиды и пр., с частицами размером 0,1—2,0 м. Водн. р-р липидов, содержащий поверхностноактивный эмульгатор (спаны, тритон и др.), смешивают с носителем и добавляют лаурилсульфат Na. Примерный состав таблетки (в мг): сахар 1,577, мансовая патока 0,031, ароматич. в-ва 0,006, стеарат Mg 0,004, водорастворимая медная соль хлорофиллина 0,004, липиды 0,002. К смешанному с сахаром хлорофиллу добавляют смесь 20%-ной эмульсии липидов с глюкозой, воду и остальные ингредиенты.

Г. Молдованская

См. также: Об эфирном масле растения *Mentha Rosalina* 9С738. Изменчивость хим. признаков у мяты сахалинской 9С739. О дегидратации терпинеона 9Ж256

Рефер

СИНТ

Р

9Н1.
Kunststoff-
schrift»,
Обзор. I
странам
рассмот
свойств
полисти
олефино
ных смо
таднена

9Н2.
Сак и с
герро»,
лиз пот
ни за
ны осно
ении, в
ных по
проведе
сы, по
ность в

9Н3.
Frisc
reich. (н
(нем.).-
непрер
пластм
ПМ, чт
ведены
за 1954
импорт
щие да
работке

9Н4.
Die
Schmid
261—26
масс (I
крупно
мента
Указап
делий,

РЕФЕРАТИВНЫЙ ЖУРНАЛ ХИМИЯ

IX

Рефераты 9П1—9Р108

№ 9

10 мая 1961 г.

II. ТЕХНОЛОГИЯ ВЫСОКОМОЛЕКУЛЯРНЫХ СОЕДИНЕНИЙ

СИНТЕТИЧЕСКИЕ ПОЛИМЕРЫ. ПЛАСТМАССЫ

Редакторы А. А. Жданов, Н. С. Леекина,
В. И. Пахомов, П. Я. Френкель

9П1. Пластические массы. Schneider Paul. Kunststoff-Rohstoffe. Jahresübersicht. «VDI-Zeitschrift», 1960, 102, № 10, 402—405 (нем.; рез. англ.).— Обзор. Приведены данные по потреблению пластмасс странами Западной Европы и США в 1956—58 гг. и рассмотрены методы получения и модификации, свойства и применения полиэтилена, полиолефинов, полистирола, полиакрилатов, фторсодержащих полиолефинов, поливинилхлорида, полиамидов, полиэфирных смол, оксидных смол, жидких сополимеров бутадиена и стирола и полиуретанов. Библ. 61 назв.

И. Беркович

9П2. Анализ потребления синтетических смол. Сакисака Масада. «Никкай гэнпо, Nikkaku gerpo», 1960, 13, № 2, 81—90 (японск.).—Приведен анализ потребления синтетич. смол и пластмасс в Японии за период 1953—1958 гг., в частности, рассмотрены основные направления применения в машиностроении, в качестве клеев, для изготовления лакокрасочных покрытий, в строительстве и др. На основании проведенного анализа сделана попытка вывести индекс, по которым можно было бы определить потребность в синтетич. смолах и пластмассах. В. Иоффе

9П3. Промышленность пластмасс во Франции. Frisch Alfred. Die Kunststoffindustrie in Frankreich. «Wirtschaftsdienst», 1960, 40, № 7, 406—407 (нем.).—За последние 10 лет во Франции отмечается непрерывный рост пром-сти по произ-ву и переработке пластмасс (ПМ). В 1958 г. было произведено 210 тыс. т ПМ, что составляло ~4,3 кг на душу населения. Приведены данные роста произ-ва некоторых видов ПМ за 1954—1959 гг. Отмечена тенденция к уменьшению импорта и увеличению экспорта ПМ. Приведены общие данные о структуре пром-сти по произ-ву и переработке ПМ во Франции. И. Беркович

9П4. Австрийские заводы пластмасс. Gabriel O. Die Österreichischen Kunststoffwerke Heinrich Schmidberger A. G. «Österr. Chem.-Ztg.», 1960, 61, № 9, 261—265 (нем.).—Краткий обзор развития з-дов пластмасс (ПМ) фирмы Heinrich Schmidberger A. G.—самой крупной фирмы по произ-ву ПМ в Австрии—с момента организации (1922 г.) до настоящего времени. Указан разнообразный ассортимент материалов и изделий, выпускаемых фирмой в настоящее время, и

приведены данные, характеризующие непрерывный рост кол-ва экспортируемых фирмой в разные страны ПМ и изделий из них.

И. Беркович

9П5. Современные достижения в области высокополимеров. Mark H. F. Recent developments in the field of high polymers. «Chemistry and Industry», 1960, № 21, 568—571 (англ.).—Приведены краткие характеристики новых видов высокополимеров: волокон и волокнообразующих веществ, пластмасс и эластомеров.

С. Иофе

9П6. Воздухопроницаемые пластмассы. Ljungquist Ingvar. Plast som «andas». «Plastvärlden», 1960, 10, № 5, 275—276 (шведск.).—Краткий обзор методов придания воздухопроницаемости пластмассам (ПМ) путем введения в них пористых систем, перфорирования водонепроницаемых ПМ, добавки к ним волокон, способных к набуханию, понижения водоупорности ПМ гидрофобизирующими составами, напр. кремнийорганич. маслами и др. Библ. 5 назв.

Л. Песин

9П7. Сырье для поливинилхлорида. Dey S. K., Bhatnagar R. K., Kuloor N. R. Carbide or alcohol for PVC resins. «Chem. Age India», 1960, 11, № 1, 58—68 (англ.).—Приведен экономич. анализ двух методов получения поливинилхлорида (ПВХ)—исхода из CaC_2 и $\text{C}_2\text{H}_5\text{OH}$ —применительно к условиям Индии. Сделан вывод о необходимости постройки з-дов по произ-ву ПВХ с использованием $\text{C}_2\text{H}_5\text{OH}$ и о расширении в будущем сырьевой базы за счет применения CaC_2 . Приведены данные по произ-ву и потреблению ПВХ в США и странах Западной Европы, а также стоимость тонны ПВХ в разных странах. Е. Замбровская

9П8. Анализ полиэфирных смол методом хроматографии на бумаге. Kuninori Takesi, Takubo Mikio. «Сикидай кёкайси, J. Japan Soc. Colour Mater.», 1960, 33, № 4, 167—171 (японск., рез. англ.).—Методом хроматографии на бумаге определяли двухосновные к-ты и многоатомные спирты, являющиеся исходными компонентами для синтеза полиэфирных смол (фумаровая к-та, малеиновый и фталевый ангидриды, глицерин, пентаэритрит, этиленгликоль, триметилпропан и т. д.). Анализируемую полиэфирную смолу омыляли, спирты отделяли от солей двухосновных к-т, а затем из солей с помощью ионообменных смол получали свободные к-ты. Значения показателей R_f , которые были получены для к-т и спиртов, выделенных из продуктов омыления, сравнивали со значениями R_f , найденными в контрольном опыте.

З. Михайлова

9П9. Определение коэффициента теплопроводности термопластов в области температур от 20 до 200°. Frielingsdorf Hans. Messung der Temperaturleitfähigkeit thermoplastischer Kunststoffe im Bereich von 20 bis 200°C. «Chem.-Ingr.-Techn.», 1960, 32, № 4, 291—297 (нем.; рез. англ., франц.).—Описан способ определения коэф. теплопроводности (КТП) термопластов в области т-р от 20° до т-ры размягчения, а также дана схема разработанного для этого прибора. Приведена формула для расчета КТП на основании данных замеров изменения т-р внутренней стенки цилиндра из испытуемого материала во времени и изменения линейных размеров цилиндра в зависимости от т-ры. На кривых представлены зависимости КТП полиэтилена различных уд. весов (0,92, 0,94 и 0,96), непластифицированного поливинилхлорида и полиамида от т-ры. Обсуждены пределы применимости и точность указанного способа. И. Беркович

9П10. Способ измерения и устранения статических зарядов на материалах из пластмасс. McLaughlin T. F., Jr. How to measure and control static charges on plastic webs. «Mod. Plast.», 1960, 37, № 6, 120—121, 124, 192 (англ.).—Описаны метод измерения статического электричества (СЭ) и способы его устранения. Дана схема прибора для измерения СЭ и изложены его устройство, принцип действия и приемы работы на нем. Рассмотрены механич. методы снятия СЭ, напр. способ проводимости и нейтрализации, и хим. методы. Приведен перечень хим. соединений, пригодных для введения в пластмассы в качестве антистатического средства. М. Гурарий

9П11. Измерение электрических сопротивлений пластмасс электрометрическим методом. Антонов С. Н. «Пласт. массы», 1960, № 8, 59—60.—Разработана новая более чувствительная установка, позволяющая измерять уд. поверхностное сопротивление (Q_s) до $1 \cdot 10^{10}$ ом и уд. объемное сопротивление (Q_v) до $1 \cdot 10^{18}$ ом·см при толщине образца 2 мм. Описан принцип действия примененного струнного электрометра. Приведены принципиальная и полная схемы электрометрич. установки, принципиальная схема определения Q_v и Q_s при помощи электрометра и обработки результатов испытаний. Указано, что применение электрометра (вместо гальванометра) повышает чувствительность установки, а также отмечены простота метода, удобство эксплуатации установки и надежность получаемых результатов. С. Шипкин

9П12. Изучение микроструктуры труб, изготовленных методом намотки СВМ. Иванов К. М., Газизова О. Н. «Пласт. массы», 1960, № 8, 29—31.—В результате исследования микроструктуры труб из стеклопластика (СП), используемых для шахтной крепи, выдерживающей в эксплуатационных условиях большую и длительную нагрузку, выяснено, что прочность труб, изготовленных из СВМ методом намотки на связующем № 64, во многом зависит от микроструктуры СП: диаметра стекловолокна (СВ), равномерности распределения СВ в массе материала, плотности прилегания СВ друг к другу и поперечных слоев СВ к продольным, равномерности распределения связующего в массе СП и равномерности смачивания поверхности СВ связующим. Найдено, что прочность труб значительно снижается при наличии каверн, трещин и расслоения между слоями стеклошпона. Приведены методы изготовления образцов, шлифов и фотографирования шлифов. И. Блохина

9П13. Перспективы получения полиэтилена методом радиационной полимеризации. Bray B. G., Carstens R. A., Martin J. J., Thomas L. D. Look at radiation ethylene processing. «Petrol. Refiner», 1959, 38, № 9, 255—260 (англ.).—Рассмотрены технич. и экономич. аспекты использования радиации (РД) для промышленного произ-ва полиэтилена. Предложена

конструкция и дан метод расчета реактора для полимеризации. Реактор представляет собой стальной аппарат типа «труба в трубе» диам. 1,37 м и высотой 9,14 м. Диаметр центрального канала 0,305 м. Толщина наружной стенки 44,5 мм, внутренней 5 мм. Источник РД на спец. подъемном приспособлении помещают в центральный канал реактора. Удаление полимера осуществляют током инертной жидкости (вода или циклогексан) под давлением. Константа скорости р-ции для данного реактора $k = 0,0525 K(I_{sr})^{0,7}$, где K — константа радиационной полимеризации, I_{sr} — интенсивность и r_s — расстояние от источника. При давл. 210 кг/см² для р-ции первого порядка экспериментально найдено $k = 2 \cdot 10^{-4}$ (час) (крейтген/час)^{0,7} и вычислено $k = 0,0107$ час⁻¹. Производительность этого реактора 1,87 кг-молей/час. При годовой производительности 27 200 т необходимо 72 реактора. Вычисленная мощность источника РД $S = 4 \cdot 10^6$ кюри. Интенсивность РД на наружной стороне реактора 4,12 крейтген/час. Для снижения излучения до 0,05 мректген/час реакторы в блоке из 10 штук заключают в бетонную оболочку толщиной 1,376 м. Стоимость полиэтилена, полученного этим методом, зависит в основном, от стоимости источника РД и составляет при использовании отходов ядерного горючего, продуктов распада и Cs¹³⁷ соответственно 0,61, 0,88 и 1,06 доллара за 1 кг. Стоимость полиэтилена, получаемого по методу Филиппа, 66 центов за 1 кг. Использование радиационной полимеризации экономически выгодно, если з-д расположен вблизи атомного реактора.

В. Гельперина
9П14. Регулируемые реакторы для производства полиэтилена. Weyermuller Gordon, Emge Leonard E. Monitor polyethylene reactors. «Chem. Process. (USA)», 1960, 23, № 2, 79—80 (англ.).—На з-де фирмы Celanese Plastics Co. (США, Техас), производящем ~18 100 т в год полиэтилена низкого давления по методу Филиппа, установлена электронная и пневматич. аппаратура, которая обеспечивает точное регулирование и измерение т-ры и других показателей работы реакторов. Приведено краткое описание щитов управления для регулирования текучести, давления и т-ры в реакторах — многопозиционный электронный прибор для измерения т-ры в различных точках каждого реактора и приборов, регулирующих процесс рекуперации растворителя с точностью $\pm 0,5^\circ$ в пределах 60—85°. Процессы экстракции и охлаждения пластмасс также контролируются посредством электронных приборов. Отмечено, что постановка контроля произ-ва позволяет получать полиэтилен, удовлетворяющий чрезвычайно жестким требованиям. С. Иофе

9П15. Кристаллы полиэтилена в ксилюльном растворе. Mitsuhashi Shigenobu. «Сэнъи когосикэнсэ канкю кококу, Bull. Text. Res. Inst.», 1960, № 51, 1—7 (японск., рез. англ.).—По методу Келлера получены кристаллы полиэтилена в ксилюльном р-ре при температурном градиенте от т-ры кипения до ~20°. Форму, молекулярное строение и рост кристаллов исследовали методами электронной микроскопии и электронной дифракции. Полученные результаты показывают, что форма кристаллов определяется главным образом условиями кристаллизации, т. е. т-рой и конц-ней р-ра. Пирамидальные ромбические кристаллы являются, по-видимому, наиболее типичной формой кристаллов полиэтилена, получающихся из разбавленного ксилюльного р-ра. Электронограмма показывает, что ромб состоит из четырех квадрантов, делящих друг друга по диагонали, и что цепи молекул являются наклонными. В кристаллах, состоящих из нескольких слоев, каждый последующий слой отклоняется от предыдущего на некоторый угол и, кроме того, на концах кристаллов появляется муаровый рисунок. По-видимому, слои могут находиться в любом положении по

отношен-
должны
гаста в
следуюш
скопа
устройст

9П16.

Sven. P.
73—74 (1)
вых и по
ко раз т
кого дав
меньшей
путье. О
полиэтил
полиэтил
ве 65 кл
правлен

9П17.

аппарат
mischen
759 (нем
полиэтил
что неко
дость, г
мости от
растворо
отличает
большим
области
жения т
ПЭ. Бла
широко
фитинги

9П18.

термало
М. Про
«Mod. P
(англ.).
газопро
упаково
испытан
этилена
лентере
фторид
Образц
давл. в
и 50%-
паропро
которые
100 × 75
атарм.
термич.
определ
эксикат
дически
влажно
сферы
са в эк
атарм
дом. В
теплова
на газо
для поз
эфирны
измене

С. Иофе

100 × 75
атарм.
термич.
определ
эксикат
дически
влажно
сферы
са в эк
атарм
дом. В
теплова
на газо
для поз
эфирны
измене

9П19.

ла. Ш
К. С.,
черен
367.—И
мериза

отношению друг к другу при росте, и кристаллы должны быть скручены. В дальнейшем предполагается выяснить соотношение между основным и последующим ромбами с помощью электронного микроскопа IEM-5G, снабженного охлаждающим устройством.

9П16. Прочность полиолефинов. Maegaard Sven. Polyolefiners styrke. «Plastics», 1960, 10, № 3, 73—74 (датск.).—Многоосное растяжение полиэтиленовых и полипропиленовых пленок повышает в несколько раз прочность на разрыв (для полиолефинов низкого давления до 10 раз). Растянутые пленки обладают меньшей воздухо- и паропроницаемостью, чем нерастянутые. Отмечено, что нагруженные трубы из жесткого полиэтилена через 50 лет (данные получены экстраполяцией) будут иметь предел прочности при разрыве 65 кг/см², а трубы, растянутые в продольном направлении, 130 кг/см².

9П17. Применение полиолефинов в химическом аппаростроении. Mehnert K. Polyolefine im chemischen Apparatebau. «Ind.-Anz.», 1960, 82, № 48, 758—759 (нем.).—Приведены общие данные о свойствах полиэтилена (ПЭ) и полипропилена (ПП). Отмечено, что некоторые свойства ПЭ (модуль упругости, твердость, газопроницаемость и др.) находятся в зависимости от его уд. веса, а другие (вязкость расплава и растворов, удароустойчивость и др.) — от мол. веса. ПП отличается от ПЭ более высокой т-рой размягчения, большими твердостью и теплоустойчивостью; однако в области низких т-р ударная вязкость ПП по мере снижения т-ры уменьшается значительно больше, чем у ПЭ. Благодаря высокой хим. стойкости полиолефины широко применяют в хим. аппаростроении (трубы, фитинги, емкости, гальванич. ванны и др.).

9П18. Влияние тепловой обработки пленочных материалов на их проницаемость. Davis E. G., Karel M., Proctor B. E. Heat processing vs. permeability. «Mod. Packaging», 1960, 33, № 7, 208—211, 283—284 (англ.).—Исследовано влияние тепловой обработки на газопроницаемость пленочных материалов (ПМ) и упаковочной тары, изготовленной из них. ПМ для испытаний были изготовлены из полипропилена, полиэтилена низкого давления, поликарбоната, полиэтилентерефталата, политрифторхлорэтилена, поливинилфторида; испытываемыми газами являлись O₂ и CO₂. Образцы ПМ обрабатывали в автоклаве при 120° и давл. в 1,05 атм и хранили до испытания при 21—23° и 50%-ной относительной влажности. Для определения паропроницаемости из ПМ изготавливали мешочки, в которые помещали бумажные мешочки размером 100 × 75 мм, заполненные хлористым кальцием или агаром. Запечатанные пленочные мешочки подвергали термич. обработке в течение 30 мин. при 100°. После определения привеса мешочков их хранили при 38° в эксикаторе с относительной влажностью 91% и периодически взвешивали, пока не достигалась постоянная влажность; затем мешочки удаляли из влажной атмосферы и хранили перед каждым взвешиванием 4 часа в эксикаторе с хлористым кальцием. Испытания с агаром проводили несколько видоизмененным методом. В результате исследований установлено, что тепловая обработка имеет незначительное действие на газопроницаемость; паропроницаемость понижается для полиэтиленовых пленок, но возрастает для полиэфирных пленок, другие ПМ показали незначительные изменения.

9П19. Стереоспецифическая полимеризация стирола. Шевляков А. С., Этлис В. С., Минскер К. С., Дегтярева Л. М., Федосеева Г. Т., Кучеренко М. М. «Хим. пром-сть», 1960, № 5, 362—367.—Исследована зависимость стереоспецифич. полимеризации стирола на катализаторе Al(C₂H₅)₃ с α-фор-

мой TiCl₃ от разбавления реакционной смеси, соотношения кол-в Al(C₂H₅)₃ и TiCl₃, соотношения кол-в стирола и TiCl₃ и т-ры р-ции. Полимеризацию стирола проводили в среде насыщенных углеводородов (н-гептан, гептановая фракция бензина) при 30—150° в атмосфере сухого N₂, сначала в стеклянных лабораторных реакторах, затем в 4- и 40-литровых автоклавах. Установлены оптимальные условия полимеризации: конц-ия Al(C₂H₅)₃ в р-ре 5—7%, мол. соотношение кол-в Al(C₂H₅)₃ и TiCl₃ 1:1, вес. соотношение кол-в стирола и TiCl₃ 12—20:1, т-ра р-ции 90—150°, время р-ции 3—5 час. Отмечено, что при стереоспецифич. синтезе полистирола можно применять мономер, ингибированный гидрохиноном или другими ингибиторами радикальной полимеризации. Определены свойства полученных полимеров. Особенно следует отметить высокую т-ру плавления (220°) полученного кристаллич. полистирола и почти полную его нерастворимость при обычных т-рах во всех известных растворителях.

9П20. «Диалюкс» — эфирно-виниловые прозрачные полимеры. Condorelli E., Spano L. Resine dialux. Nuovi polimeri estero-vinilici trasparenti. «Poliplast», 1960, 8, № 38, 13—17 (итал.).—В Италии на полувальцовочной установке начат выпуск сополимеров диметилитаконата со стиролом [«Диалюкс А» (ДА)] и диметилитаконата и стирола с акрилонитрилом [«Диалюкс В» (ДВ)]. ДА, ДВ, полистирол (ПС) и полиметилметакрилат (ПММА) имеют соответственно следующие физ.-мех. показатели: уд. в. 1,14, 1,14, 1,05, 1,19; коэф. луче-преломления 1,56, 1,54, 1,59, 1,49; прозрачность (%) 85, 84, 80, 86—89; водопоглощение (%) 0,12, 0,18, 0,05, 0,33; т-ру размягчения (°C) 113, 107, 90—100, 95—105; твердость по Роквеллу (шкала М) 88, 84, 60—80, 88—98; предел прочности при разрыве (кг/см²) 585, 655, 350—550, 600—700; удлинение при разрыве (%) 1,66, 2,06, 0,8—1,5, 2—3; модуль упругости при растяжении (кг/см²) 31 000, 36 000, 30 000—35 000, 27 000—33 000; предел прочности при изгибе (кг/см²) 950, 1010, 900—1000, 900—1200; предел прочности при сжатии (кг/см²) 935, 980, 800—1000, 900—1100. ДА и ДВ по сравнению с ПС и ПММА имеют большую теплоустойчивость, а кроме того по сравнению с ПС большую прозрачность и по сравнению с ПММА значительно лучшие формовочные свойства. Из ДА и ДВ изготавливают чашки, не деформирующиеся при соприкосновении с кипящей водой, корпуса домашних холодильников и др.

9П21. «Диалюкс» — эфирно-виниловые прозрачные полимеры. Condorelli Emanuele, Spano Levia. Resina Dialux. Nuevos polimeros estero-vinilicos transparentes. «Quimica», 1960, № 84, 11—15 (исп.).—См. РЖХим, 1961, 9П20.

9П22. Изготовление и применение труб и фитингов из политетрафторэтилена марки «Флуорофлекс». Thierry T. R. Fabrication and applications of «Fluoroflex» PTFE pipes and fittings. «Rubber and Plast. Ages», 1960, 41, № 5, 499, 501, 427, 429, 431, 432 (англ.; рез. франц., нем., русск.).—Кратко описаны свойства политетрафторэтилена марок тефлон и «Флуорофлекс-Т 1001», а также способ футеровки последним металлич. труб.

9П23. Состояние производства и будущее фторосодержащих полимеров. Номагуги Канэйси. «Сб. лекций. S. I. Никкан когё симбуса», s. a., 1/1—1/16 (японск.).—Кратко изложена история развития произ-ва политетрафторэтилена и политрифторхлорэтилена и даны их физ.-мех., хим. и электр. свойства. Перечислены фторосодержащие полимеры, вырабатываемые в различных странах, напр., сополимер винилиденфторида и перфторпропилена (эластомер вайтон-А, вырабатываемый компанией Дюпон), перфторбутилкакрилатный каучук «Флуорел» и др. В. Иоффе

9П24. Физические свойства фторсодержащих полимеров. Нисиока Токуфу. «Сб. лекций. S. I., Никкан когэ симбунся», с. а. 2/1—2/12 (японск.).—Подробно рассмотрены физ.-мех. свойства политетрафторэтилена и политрифторхлорэтилена, в частности, вязко-эластич. свойства и ползучесть при различных температурах.

В. Иоффе
9П25. Диэлектрические свойства и применение фторсодержащих полимеров. Ямаути Ацуси. «Сб. лекций. S. I., Никкан когэ симбунся», с. а. 3/1—3/12 (японск.).—Приведены диэлектрич. свойства политетрафторэтилена (ПТФЭ) и политрифторхлорэтилена (ПФХЭ), в частности изменения этих свойств в интервале t -р от -100 до $+350^\circ$ для ПТФЭ и от -60 до $+200^\circ$ для ПФХЭ, при различных частотах и др. Показано, что уд. объемное сопротивление ПТФЭ уменьшается с $5 \cdot 10^{16}$ омсм при 120° до $8 \cdot 10^{14}$ омсм при 200° , в то время как у ПФХЭ в указанном интервале t -р изменение сопротивления составляет от 10^{16} до 10^{13} омсм. Приведены фторсодержащие полимеры, применяемые в электропромышленности.

В. Иоффе
9П26. Механические свойства и применение фторсодержащих полимеров. Ясуда Тосиро. «Сб. лекций. S. I., Никкан когэ симбунся», с. а. 4/1—4/10 (японск.).—Подробно рассмотрены физ.-мех. свойства (прочность при разрыве, удлинение, текучесть и др.) политетрафторэтилена и политрифторхлорэтилена при t -рах до $+200^\circ$. Кратко описано применение фторсодержащих полимеров в хим. пром-сти, машиностроении и др.

В. Иоффе
9П27. Химические свойства и применение фторсодержащих полимеров. Кояма Тосити. «Сб. лекций. S. I., Никкан когэ симбунся», с. а. 5/1—5/10 (японск.).—Приведены данные по хим. стойкости политетрафторэтилена и политрифторхлорэтилена к действию различных агрессивных сред и хим. продуктов, а также по применению фторсодержащих полимеров.

В. Иоффе
9П28. Переработка фторопластов. Танака Тосио. «Сб. лекций. S. I., Никкан когэ симбунся», с. а. 6/1—6/11 (японск.).—Для переработки фторопластов наиболее широкое применение получил метод прессования. Однако в последние годы успешно применяют экструзию, пресслитье и напыление. Описаны методы переработки фторопластов.

В. Иоффе
9П29. Резание фторопластов. Кобаяси Акира. «Сб. лекций. S. I., Никкан когэ симбунся», с. а. 7/1—7/8 (японск.).—Кратко рассмотрены вопросы резания фторопластов, в частности влияние формы фрезы и угла, под которым она расположена, при резании листового политетрафторэтилена со скоростью от 19 до 762 мм/мин.

В. Иоффе
9П30. Исследование возможности применения фторопластовой основы для создания высокопрочной магнитной ленты. Баркова М. В., Калантарова М. С. «Тр. Всес. н.-и. ин-та звукозаписи», 1959, вып. 6, 105—118.—Дан краткий обзор высокопрочных основ, применяемых за рубежом для изготовления магнитных лент (МЛ). Проведены испытания пригодности пленки из фторопласта марки фторофоль в качестве основы МЛ. Разработаны две рецептуры магнитного лака, в состав которого входят магнитный порошок с игольчатой формой частиц (гамма-окисел железа) марки МПЗ-3 и средневязкий фторопласт С-42 с применением в одной из них смолы фенольного типа марки ВДУ, в другой — эпоксиной смолы марки ЭД-6. Указанные рецептуры обеспечивают стабильность лака, хорошее качество поверхности магнитного слоя и хорошую адгезию его к высокопрочной фторопластовой основе. Дана краткая характеристика физ.-мех. и электроакустич. свойств полученных МЛ на фторопластовой основе.

Э. Тукачинская
9П31. Получение и свойства поливинилхлорида. Janotta. Herstellung und Eigenschaften des Polyvi-

nylchlorid. «Plastverarbeiter», 1960, 11, № 5, 225—228 (нем.).—Приведены общие сведения об эмульсионном и суспензионном поливинилхлориде (ПВХ) и данные о некоторых свойствах пластифицированного и непластифицированного ПВХ. Показана зависимость удлинения и морозостойкости ПВХ от типа пластификатора и содержания его в материале, а также летучести пластификатора. Начало статьи см. РЖХим, 1960, № 20, 82992.

И. Беркович
9П32. Полимеризация винилхлорида. Sabie S. A. La polymerisation du chlorure de vinyle. «Kunststoffe-Plast.», 1960, 7, № 1, 41—42 (франц.).—Приведены преимущества блочной полимеризации винилхлорида по сравнению с эмульсионной и суспензионной полимеризацией. Новым этапом в процессе блочной полимеризации является использование горизонтального автоклава, вращающегося вокруг своей оси, в котором обеспечивается текучесть всей массы во время полимеризации. Такая технология позволяет точно регулировать отвод тепла, выделяемого при р-ции. Емкость автоклавов 12 м³. Приведены данные по теплоустойчивости, прозрачности, влагопоглощению, диэлектрич. свойствам, растворимости, легкости переработки поливинилхлорида, полученного блочной полимеризацией.

С. Иоффе
9П33. Хосталит. Хаттори Дзюндзи. «Когэ дайрё, Engng Mater.», 1960, 8, № 1, 23—29 (японск.).—Хосталит получен совмещением поливинилхлорида (ПВХ) с хлорированным полиэтиленом (ХП) комп. Хёхст (ФРГ). Хосталит (содержание ХП 56%) выпускают трех марок: Z 720/70 (латексный ПВХ), Z 840/70 и Z 870/70 (суспензионный ПВХ). Все марки Хосталита можно пластифицировать; кол-во вводимого пластификатора составляет 1—20%, при этом пластификатор не мигрирует. В качестве стабилизатора наиболее широко применяют малеиат дибутилолова, а в качестве пластифицирующих и стабилизирующих добавок — эпоксидные смолы и эпоксидированные фенольные соединения. Хосталиты марок Z 720/70, Z 840/70 и Z 870/70 имеют соответственно прочность при растяжении (испытания проведены на образцах размером $50,8 \times 12,7 \times 1,0$ мм) 448, 350 и 231 кг/см²; уд. ударную вязкость (с надрезом) при 20° 40, 50 и 50 кг/см², при 0° 8, 10 и 20 кг/см² (DIN 53453); прочность на изгиб (DIN 53452) 750, 545 и 196 кг/см²; прочность на сжатие (DIN 53454) 1092, 868, 567 кг/см²; твердость по Shore (шкала D) 80, 76 и 68. Приведены данные по хим. стойкости Хосталита и основные методы его переработки (литье под давлением, экструзия, канальдование и др.), а также области применения (листы, пленки, шланги, трубы, профилированные изделия, электроизоляционные покрытия).

В. Иоффе
9П34. Усиление термопластов каучуками. — Toughening thermoplastic resins with rubbers. «Australas. Manufacturer», 1960, 45, № 2297, 44—51, 57—59 (англ.).—Обзор. Рассмотрены пути усиления термопластов, в частности модификация каучуками. Описаны способы получения бутадиен-стирольных, бутадиен-акрилонитрильных каучуков и модификация ими поливинилхлорида. Приведены рецептуры смесей и их свойства при различных соотношениях компонентов. Рассмотрен механизм усиливающего действия каучука. Библ. 25 назв.

Е. Замбровская
9П35. Поведение непластифицированного поливинилхлорида при динамических нагрузках. Wintergerst Siegmund. Dynamisches Verhalten von Hart-PVC. «Kunststoffe», 1960, 50, № 5, 277—280, 1, 2 (нем.; рез. англ., франц., исп.).—Приведены результаты исследования прочности трех марок (значения K_{50} : 60, 65 и 70, соответственно мол. в.: 33 000, 38 000 и 46 000) непластифицированного поливинилхлорида при циклически меняющихся изгибающих нагрузках. Приведены зависимость предела прочности, а также изменений нагрузок (циклов) до момента разрушения образцов

для всех т-делов от связанных колебаний

9П36. Ботка м-ти Willi. S. Glasklare durch Va. № 4, 177—

and Plast свойства (ПП) ров, прим покрытия области поливинил возможно сти без л нать для ще паст повышает значе сформули кратко о приведен движения

9П38. тикостро лоного с «Докл. А. оработк лового сп апараты 0,1 до 2 При этом зование обладаю Путем эмульсии при при в присут метилат дивинил тывали J или бром смесей п т. пл. 46 вводит в

9П39. ниемехк вый сп J. W. Pl plant, « (англ.)

9П40. та. La d Mater. а Растяже или несч ному ул стойкост ствин р

35 Хими

для всех трех типов поливинилхлорида от т-ры в пределах от -30 до $+50^\circ$. Подробно рассмотрены вопросы, связанные с повышением т-ры образцов и затуханием колебаний в них в процессе испытаний. И. Беркович

9П36. Специальные пленки, их свойства и переработка методом вакуумного формования. Neitzert Willi. Spezialfolien für bessere Formungsqualität. Glasklare PVC-Folien — Eigenschaften und Verarbeitung durch Vakuum-Formung. «Plastverarbeiter», 1960, 11, № 4, 177—180 (нем.). В последние годы разработаны и выпускаются прозрачные пленки на основе непластифицированного суспензионного поливинилхлорида. Приведены общие данные о свойствах пленок из сополимера винилхлорида с винилацетатом и прозрачных пленок из непластифицированного поливинилхлорида, а также данные о вакуумном формовании упаковочных изделий из пленок и качестве получаемых изделий (прочность, теплоустойчивость и др.). И. Беркович

9П37. Поливинилхлоридные пасты для покрытия тканей. Clew J. R. PVC pastes for coated fabrics. Fibres and Plast., 1960, 21, № 6, 165—168, 171. Приведены свойства пластифицированных поливинилхлоридных паст (ПП), наполнителей, пигментов и пластификаторов, применяемых для ПП, а также различные методы покрытия. Отмечено, что значительным прогрессом в области ПП является разработка тонкодисперсного поливинилхлорида (размер частиц $1-2 \mu$), что дает возможность простым перетиранием изготовлять пасты без летучих ингредиентов. Рекомендуется применять для паст в качестве добавок смолы, не образующие паст, что улучшает вязкость и свойства старения, повышает твердость и снижает стоимость. Рассмотрены значение и роль стабилизаторов и наполнителей и сформулированы требования к текучести ПП. Перечислены виды тканей, применяемых для покрытия, кратко описаны (со схемами) способы покрытия и приведены типовые режимы (т-ра нагрева, скорости движения лент и тиснения). М. Гурарий

9П38. О получении пленок, нитей, поролов и тиснотропных гелей из йодных комплексов поливинилового спирта и его сополимеров. Ушаков С. Н. «Докл. АН СССР», 1960, 134, № 3, 643—646. Проведена обработка пленок, нитей и поролов из поливинилового спирта с содержанием ≤ 2 мол. % остаточных ацетатных групп водными р-рами, содержащими от 0,1 до 2% солей KJ , NH_4J и др. или от 0,1 до 1% J_2 . При этом происходит избирательная сорбция и образование комплекса йода с поливиниловым спиртом, обладающего широким антимикробным действием. Путем добавки тетраактивного сшивателя при эмульсионной сополимеризации винилацетата, а затем при применении метода каталитического метанолиза в присутствии щелочного катализатора (KOH , $NaOH$, метилат Na) получены тонкодисперсные порошки поливинилового спирта, которые в водном р-ре обрабатывали J_2 , KJ и р-рами красителей типа конго красный или борных соединений (борная к-та, бура) или их смесей при т-ре до 60° . При этом образуются гели с т. пл. $40-43^\circ$, которые в расплавленном состоянии вводят в организм животного. Л. Носова

9П39. Надежность конических вентилей, применяемых на предприятиях, производящих поливиниловый спирт. Weyermüller Gordon, Fevert J. W. Plug valves prove leakproof in polyvinyl alcohol plant. «Chem. Process. (USA)», 1960, 23, № 6, 37—38 (англ.)

9П40. Растянутые листы из полиметилметакрилата. Ladbury J. W. Stretched acrylic sheet. «Engng Mater. and Design», 1960, 3, № 6, 340—342 (англ.). Растяжение листов из полиметилметакрилата в двух или нескольких направлениях приводит к значительному улучшению их свойств. Они обладают лучшей стойкостью к растрескиванию при напряжении и действии р-рителей, имеют повышенную прочность на

удар и при растяжении, но несколько худшую прочность на сдвиг и сопротивление истиранию. Вытяжку листов производят при $130-160^\circ$. При конструировании приспособлений для вытяжки листов из полиметилметакрилата главной проблемой является конструкция зажимов листа, так как зажимы должны охлаждаться для увеличения прочности листа в области зажима. В. Лаппин

9П41. Материалы для осветительной арматуры. Ямада Тоси. «Kogē dazipō, Engng Mater.», 1959, 7, № 10, 68—72 (японск.). Полиметакрилаты применяются в осветительной арматуре в виде бесцветных или окрашенных прозрачных, полупрозрачных или матовых флуоресцирующих листов. Полиметакрилаты отличаются высокими оптич. свойствами (прозрачные — вероятно, самой высокой среди пластмасс светопропускаемостью, матовые — хорошей рассеивающей способностью), хорошо обрабатываются, обладают высокими механич. свойствами и погодостойкостью, что обеспечивает им определенные преимущества по сравнению с поливинилхлоридом и обычным полистиролом. Г. Мельников

9П42. Автоматический контроль на заводе синтетических полимеров. Berg Dana B., Keller Paul J. Safe synthetic-polymer plant has built-in quality control. «Chem. Process. (USA)», 1960, 23, № 2, 56—58 (англ.). Фирма Rinsched-Mason (Детроит), выпускающая акриловые, алкидные, эпоксидные и другие синтетич. полимеры для нужд автомобильной, мебельной и других отраслей промышленности, организовала автоматич. регулирование и контроль произ-ва полимеров. Каждая установка представляет собой замкнутую систему с непрерывной циркуляцией растворителя, состоящую из реакционного котла, конденсора, емкости для р-ра и других узлов. Все компоненты, как жидкие, так и твердые, загружают после отщепления в систему, причем загрузка автоматически регистрируется и прекращается после подачи требуемых кол-в материала. Каждая система имеет отдельный щит управления, на котором производят регулирование всего процесса. Емкость реакционных котлов колеблется в пределах $\sim 13250-3785$ л. Кроме производственных имеется также опытная установка с реакционным котлом на 378 л. Отмечено, что автоматизация всего процесса произ-ва полимеров обеспечивает также безопасность работы установок. С. Иофе

9П43. Новый отвердитель для эпоксидных смол. Tremain A. A novel curing agent for epoxide resins. «Adhesives and Resins», 1960, 8, № 3—4, 35—38 (англ.). Отвердитель аминного типа «Сайнолайд 960» (I) применяют в кол-ве 55—65 вес. ч. на 100 вес. ч. смолы с эпоксидным эквивалентом ~ 200 . Композиции с I обладают низкой вязкостью, малой токсичностью, низкой усадкой и экзотермой, высокими диэлектрич. и механич. свойствами. Время отверждения $12-240$ час. при т-ре $\sim 20^\circ$ или $4-18$ час. при 50° . Смола «аралдит F», отвержденная I, после 15 час. при 50° имеет прочность на растяжение (для 65 и 45 вес. ч. I соответственно) 490 и 560 кг/см². Смола «Эпикот 828» с 65 вес. ч. I после 4 час. при 50° имеет диэлектрич. прочность $18-20$ кВ/мм, $\tan \delta$ при 50 гц $0,008$, при 1000 гц $0,011$ (20°) и $0,278$ (100°), при 10^4 гц $0,033$ (20°) и $0,154$ (100°), диэлектрич. проницаемость $3,02$ (50 гц), $2,94$ (1000 гц), $2,82$ (10^4 гц), уд. объемное сопротивление $1,5 \cdot 10^{14}$ (20°), $2,4 \cdot 10^9$ (100°). Для ускорения отверждения добавляют 5—10 вес. ч. моногидрата *n*-толуолсульфокислоты, салициловой к-ты, триэтаноламин. Композиции применяются для изготовления заливочных компанудов, слоистых пластиков, клеев, настелов для полов и т. д. В. Гельперина

9П44. Литьевые композиции на основе эпоксидных смол. Hilrich Max, Wallis Benedict L. Systems for casting. «Mod. Plast.», 1960, 37, № 7, 102—104 (англ.). Литьевые композиции на основе эпоксидных

смола применяются с различными наполнителями и усилителями, которые в значительных пределах изменяют свойства получаемых отливок. Низковязкие смолы применяются для приготовления литьевых композиций с большим кол-вом наполнителей. Полученные композиции легко обрабатываются и применяются в тех случаях, где не требуется высокой теплостойкости и хороших физ. свойств. Там, где требуются высокие теплостойкость и прочность, применяют высоковязкие смолы. Отмечено, что из-за большой адгезии эпоксидных смол к различным материалам форм при литье необходимо применять разделяющие агенты, напр., воска, силиконы, полиэтилен и другие.

В. Лашин
9П45. Углеводородные смолы. Brouwer C. J. M. *Koolwaterstofharzen. «Plastica»*, 1960, 13, № 4, 266—270 (гол.).—Кратко описаны методы получения кумарониденовых смол и их применения для произ-ва плиток для покрытия пола, в качестве мягчителя и диспергатора каучука при изготовлении резиновой подошвы, матов и резинотехнич. изделий, пленкообразующего в-ва в лаках и красках (в частности полиграфических), компонента в резиновых клеях.

Л. Песин
9П46. Полиэфирные смолы, полученные на основе изофталевой кислоты. Park Robert E. *Isophthalic polyester resins. «SPE Journal»*, 1960, 16, № 6, 641—643 (англ.).—На ряде примеров показано, что ненасыщ. полиэфирные смолы (ПС), полученные с использованием изофталевой к-ты, отличаются по своим свойствам от соответствующих ПС, изготовленных на основе фталевой к-ты. Они имеют большие теплостойкость, механич. прочность и водостойкость и обладают повышенной адгезией к металлам, что особенно важно для шпаклевоочных композиций, применяемых в автомобильной пром-сти. Приведены сравнительные характеристики ПС обоих типов.

З. Михайлова
9П47. Роль перекисей в процессе отверждения полиэфирных смол и их влияние на физические свойства армированных пластмасс. Часть 2. Методы отверждения полиэфирных смол. Cywinski J. W. *The role of peroxides in curing polyester resins and their influence on the physical properties of reinforced plastics. Part 2. Curing methods of polyester resins. «Reinforced Plast.»*, 1960, 4, № 9, 8—14 (англ.).—Рассмотрено ингибирующее действие стабилизаторов и замедлителей (трет-бутилкатахина, гидрохинона, ароматич. аминов, танниновой и аскорбиновой к-т, трет-бутил-*n*-крезола, соединений серы, кислорода и др.) на процесс отверждения ненасыщ. полиэфирных смол при различных т-рах. Исследована также зависимость максим. т-ры, развивающейся при экзотермич. р-ции отверждения, от содержания мономера в смоле, типа и кол-ва смолы и инициатора и т-ры среды. Найдено, что максимум экзотермы увеличивается при повышении т-ры и увеличении содержания стирола в полиэфирных смолах. Гидроперекись кумола, 2,2-бис-(трет-бутилпероксид)-бутан и гидроперекись трет-бутила дают при 80°—90° значительно меньший экзотермич. эффект отверждения смол, чем перекиси бензоила, *n*-хлорбензоила, лауроила и метилэтилкетона. Исследование отверждения полиэфирных смол при умеренных (35°—90°) и высоких (>90°) т-рах показало, что при 60° ускорители не оказывают влияния на гидроперекись кумола, умеренно влияют на перекись бензоила и оказывают сильное влияние на перекиси метилэтилкетона, циклогексанона и метилэтилкетона. При 90° не требуется добавок ускорителей к перекисям метилэтилкетона и метилэтилкетона; в то же время перекиси бензоила и циклогексанона подвержены значительному активирующему действию ускорителей. При отверждении полиэфирных смол при 100—110° наиболее эффективным инициатором является перекись бензоила; при 130° — пербензоаты и перацетаты. Приведены данные о жизнеспособности при ~20° полиэфирных смол, содержащих различные пере-

кисные инициаторы. Начало части 2 см. РЖХим, 1961, 8П.

З. Михайлова
9П48. Применение полиэфирных смол для изготовления муляжей. Aleksandrowicz Ryszard, Łozinski Janusz. *Krajowe żywic poliestrowe w zastosowaniu do preparatów korozyjnych. «Tworzywa-gumolakiery»*, 1959, 4, № 10, 285—287 (польск.; рец. русск., англ.).—Описан метод изготовления анатомических муляжей путем наполнения кровеносных сосудов или каналов органов полиэфирной смолой и последующего разрушения ткани после отверждения смолы.

М. Вавьян
9П49. Применение и свойства упаковочных пленок из полиэфирных смол. Stephan Paul. *Properties and applications: heat-shrinkable and polymer-coated polyester films. «SPE Journal»*, 1960, 16, № 5, 545—547 (англ.).—Фирма Дюпон выпускает несколько типов полиэфирных пленок (ПП) майлар, в том числе ПП с покрытием (односторонним или двухсторонним) из других полимеров. Такие ПП сохраняют гибкость при низких т-рах. Один из типов ПП имеет значительную (25—30%) термич. усадку во всех направлениях при 100°. ПП лишены хрупкости даже при т-ре жидкого азота и сохраняют прочность в широком интервале т-р. Приведены механич. свойства ПП до и после усадки и ПП сопоставлены по прочности с другими упаковочными материалами. Проницаемость водяных паров при обычных т-рах значительна, однако резко сокращается при низких т-рах. ПП могут быть использованы при т-рах до 121° для хранения и обработки различных пищевых продуктов, однако наиболее широко ПП применяют для хранения замороженных продуктов.

З. Михайлова
9П50. Свойства монтивеля как упаковочного материала. Lucchetti L., Protospataro F. *Le proprietà del Montivel nell'imballaggio. «Materie plast.»*, 1960, 26, № 5, 430—437 (итал.).—Полиэтиленотетрафталатная пленка марки монтивель (М) выпускается толщиной: 8, 10, 12,5, 20, 25, 30, 40 и 50 μ и применяется для упаковки пищевых жидких и твердых продуктов, фармацевтических препаратов и др. М не токсична из-за отсутствия стабилизаторов и пластификаторов, обладает высокой плесне- и бактериостойкостью; водопоглощение М за 24 часа 0,3%, прозрачность >90%, т-ра эксплуатации от -60 до +150°, при 20° предела прочности при разрыве 1600—1800 кг/см^2 , удлинение при разрыве от 60 (для пленки толщиной 12,5 μ) до 75% (для пленки толщиной 25 μ); после выдержки в кипящей воде в течение 30 мин. М сохраняет 98% исходной прочности при разрыве, 95% прочности на удар и 100—110% газопроницаемости. Сварку М проводят аналогично сварке поливинилхлоридных пленок. Пленки из М (толщиной 12,5 μ) комбинируют с полипропиленовой пленкой (25 μ) для получения пленок с качествами обоих пластиков.

Л. Песин
9П51. Хлорированные простые полиэфирные, их получение и свойства. Beduneau H. *Les résines de polyéthers chlorés, préparation et propriétés. «Rev. prod. chim.»*, 1960, 63, № 1272, 163—167 (франц.).—Рассмотрены методы получения пентона и ряда его аналогов. Отмечена хим. стойкость пентона и преимущества его применения в качестве материала для электролитических ванн по сравнению с нержавеющими сталями и специальными сплавами. Приведены свойства пентона. Большим преимуществом пентона являются высокие деформационная теплостойкость под нагрузкой (150°) и т-ра плавления (180°) и чрезвычайно низкое водопоглощение, близкое к нулю.

Л. Песин
9П52. Новый термoplastичный материал. Peilstocker G. *Ein neuer thermoplastischer Werkstoff. «Ind.-Anz.»*, 1960, 82, № 48, 749—751 (нем.).—Подробно описаны свойства поликарбоната, выпускаемого под маркой макролон (МЛ). Отмечено, что МЛ имеет т-р стеклования 140°, что обеспечивает формуустойчивость

изделий на него при t -рах до 135° , ударную вязкость, сохраняющуюся при t -рах до -100° , низкую водопоглощаемость, стойкость в условиях влажного тропического климата и ряд других свойств. Не рекомендуется применять МЛ при длительном воздействии кипящей воды вследствие склонности его в этих условиях к омылению. МЛ перерабатывается в изделия всеми применяемыми для переработки термопластов методами: литьем под давлением, экструзией, вакуумным формованием и др. Даны некоторые общие указания о режиме литья под давлением изделий из МЛ. Усадка изделий при соблюдении условий литья составляет 0,7–0,8%. Приведены примеры применения МЛ для изготовления ряда изделий электротехнич. пром-сти, аппарато- и автомобилестроения и в других отраслях промышленности.

И. Беркович

9П53. Лексан. Судзуки Сэнтаро. «Когэ дайрэ, Engng Mater.», 1960, 8, № 1, 34–38 (японск.).—Лексан, полученный фосгенированием дифенилолпропана, отличается исключительно высоким показателем ударной вязкости по Изоду (с надрезом). По этому показателю лексан превосходит полиамиды почти в 15 раз, полистирол более чем в 30 раз, полиметилметакрилат в 28 раз, полиформальдегид (делрин) в 7,8 раз, хлорированный полиэфир (пентон) в 35 раз, полипропилен в 14 раз. Наряду с этим лексан характеризуется высокой теплоустойчивостью (140° , а делрин $\sim 100^\circ$), низким влагопоглощением: 0,3% после 24-часовых испытаний в воде (для полиамидов 1,5%, делрина 0,4%, пентона 0,01%, фенотластов 0,55%). Очень ценным свойством лексана является стабильность его размеров, напр., после 30-дневных испытаний при 70° не было отмечено изменений в размерах изделий, после испытаний в течение 90 дней при 125° изменения размеров составляли 0,1%. Благодаря высоким диэлектрическим свойствам (объемное сопротивление $2,1 \cdot 10^{16}$ ом см, тангенс угла диэлектрич. потерь 0,0009 в интервале t -р от 20 до 100°) лексан представляет собой исключительно ценный материал для изготовления различных изделий электротехнического назначения. Описаны характерные свойства лексана (мех., хим. и др.).

В. Иоффе

9П54. Об опыте изготовления мелкомодульных точных шестерен из поликарбоната. Панин Г. И. «Сб. научн. тр. Ленингр. ин-т точной механ. и оптики», 1960, вып. 41, 145–151.—Описан процесс произ-ва шестерен плунжера насоса форсунки АР20А2 из поликарбоната методом литья под давлением в трехгнездную пресс-форму, изготовленную из цинкового сплава ЦАМ4-1. Описана конструкция пресс-формы. Для получения точных размеров посадочных отверстий использовалась металлич. арматура, изготовленная штамповкой из стальной ленты толщиной 0,50 мм с последующей калибровкой посадочного отверстия. Показано, что с применением арматуры стабилизируются и диаметральные размеры.

З. Иванова

9П55. Огнестойкие полимеры. Полифосфаты и полифосфонаты из диоксинароматических соединений. Coover H. W., Jr., McConnell Richard L., McCall Marvin A. Flame-resistant polymers. Polyphosphates and polyphosphonates from dihydroxy aromatic compounds. «Industr. and Engng Chem.», 1960, 52, № 5, 409–411 (англ.).—Конденсация хлорангидрида фенилфосфиновой к-ты (I) с гидрохиноном (II) в присутствии безводн. $MgCl_2$ дает полимер (ПМ) ф-лы $(C_6H_5P(O)OC_6H_4O)_n$. При 5%-ном избытке I ПМ имеет t . размягч. 118° и характеристич. вязкость 0,21. Он прозрачен, хрупок, огнестоек и образует волокна. При большом избытке I образуется клейкая смола, а при избытке II — низкомолекулярный ПМ. В присутствии р-рителей (толуол, пиридин) получают более высокомолекулярные продукты. Концевые группы ПМ исследовали методом ИК-спектроскопии. При замене II

4,4'- и 2,4'-диоксидифенилсульфоном (III и IV) получаются ПМ с t . размягч. 170 – 183° . Резорцин, 4-хлоррезорцин и 2,5-ди-*трет*-бутилгидрохинон дают ПМ с такой же t -рой размягчения, что и II. При взаимодействии I с пирокатехином получается только о-оксифенилфенилфосфонат. При взаимодействии II с хлорангидридами метил- и этилфосфиновых к-т получают ПМ с t . размягч. 170° и характеристич. вязкостью 0,29. При 150° эти ПМ частично отверждаются. ПМ из хлорангидрида хлорметилфосфиновой к-ты (V) имеет аналогичные свойства. Замена II на III и IV повышает t -ру размягчения до 175 – 180° . Каучукоподобные ПМ получены взаимодействием смесей $C_6H_5OP(O)_2$ и $(C_6H_5O)_2POCl$ с II. Р-ция идет с выделением фенола при 160 – 330° и давл. 1–5 мм рт. ст. Твердые хрупкие ПМ с t . размягч. 95 – 113° получены из смеси I, II и $POCl_3$. Полимеры из I или V и II не обладают кристаллическостью.

В. Гельперина

9П56. Огнестойкие полимеры. Полифосфонамиды из диамидов фосфиновых кислот. Coover H. W., McConnell Richard L., Shearer Newton H., Jr. Flame-resistant polymers. Polyphosphonamides from phosphonic diamides. «Industr. and Engng Chem.», 1960, 52, № 5, 412–414 (англ.).—Изучали кинетику поликонденсации диамида фенилфосфиновой к-ты (I) при 200 – 400° . При нагревании I выделяет NH_3 и превращается в полимер ф-лы $(C_6H_5P(O)NH)_n$. Р-ция конденсации является бимолекулярной с энергией активации 14 ккал/моль. Теоретич. кол-во NH_3 выделяется при t -рах $> 225^\circ$. До 280° образуются низкомолекулярные продукты (мол. в. 300 – 400), по-видимому, циклические димер и тример, растворимые в ацетоне и диметилформамиде. При 300 – 350° получаются частично растворимые в диметилформамиде волокнообразующие продукты, а при 400° — стеклообразный неплавающий и нерастворимый трудно горючий полимер. Масс-спектрометрич. анализом газообразных продуктов р-ции показано, что до 245° выделяются NH_3 и вода, при 250 – 395° образуются также бензол и H_2 . Аналогичным путем получены полимеры N,N' -диметил-Р-фенилфосфондиамида, хлорметилфосфондиамида, а также продукты их конденсации с мочевиной и тиомочевинной.

В. Гельперина

9П57. Превращения ацетилена в воднощелочной среде при повышенных температурах в условиях его реакции с литнином. Антоновский С. Д. «Научн. тр. Ленингр. лесотехн. акад.», 1960, вып. 91, ч. 2, 247–259.—Установлено, что при р-ции C_2H_2 с литнином в водно-щелочной среде при 120 – 170° одновременно происходит процесс уплотнения C_2H_2 , при этом C_2H_2 превращается в термопластичные искусств. смолы, растворимые в органич. р-рителях. Для выяснения превращения C_2H_2 в водно-щелочной среде при повышенных t -рах его нагревали при 100 – 170° в течение 23–50 час. в присутствии NaOH с конц-ией 4,8–65,6%. Установлено, что общий выход конечных продуктов уплотнения ацетилена (ПУА) растет с повышением t -ры (1,1 г при 100° и 43,1 г при 170°) и с увеличением продолжительности нагревания; конц-ия исходного р-ра NaOH значительно снижалась к концу р-ции (с 7,5 до 0,8% при 170°); при повышении конц-ии исходного р-ра NaOH до 7,5% растет общий выход ПУА, однако при высокой конц-ии NaOH выход ПУА резко снижается, что указывает на прямое участие воды и NaOH в р-циях превращения C_2H_2 ; элементарный состав ПУА изменяется в зависимости от t -ры, продолжительности нагревания и конц-ии NaOH. ПУА очищали перекристаллизацией и фракционированием, а затем определяли мол. вес (от 2450 до 340) и кислотные и бромные числа. Предложен возможный механизм превращения C_2H_2 в рассмотренных условиях и доказана возможность образования ненасыщ. ПУА с разветвленной или циклич. структурой.

Е. Замбровская

9П58. Химическая стойкость армированных пластиков. — Chemical resistance of reinforced plastics. «Industr. and Engng Chem.», 1960, 52, № 5, A59—A60 (англ.). — Рассмотрены хим. стойкость армированных пластиков, получаемых на основе полиэфирной смолы. Испытания показали, что понижение прочности образцов после выдерживания их в холодной и кипящей воде вскоре восстанавливается. Наибольшая потеря прочности при 20° происходит в течение первых нескольких месяцев. Слоистый пластик в сухом состоянии может терять от 25 до 75% своей первоначальной прочности в течение 5-летнего пребывания в воде. В условиях высокой т-ры наибольшая потеря прочности достигается в течение нескольких недель, максимум потери — в течение одного-двух месяцев. Отмечено, что окислительные к-ты оказывают более коррозирующее действие, чем органич. к-ты, вода или соли. Указано, что компаний «Atlas Powder» получена полиэфирная смола марки «Атлас 382», которая более стойка к горячим водн. р-рам, чем полиэфирная смола общего назначения. И. Блохина

9П59. Зависимость свойств пластмасс от наполнителя. Огава Тэцуро, Або Масахиро. «Kogei дайри, Engng Mater.», 1960, 8, № 2, 33—39 (японск.). — Исследована зависимость между свойствами пластик. материала, изготовленного на основе полиэфирной смолы марки Polyset-15 (вязкость при 25° 5,60 пуаз, d_{40}^{25} 1,164, кислотное число 11) и наполнителя CaCO_3 со средним размером частиц от 0,03 до 1,0 м, а также на основе полиэфирных смол марок Polyset-11 и Polyset-51. Установлено, что предел прочности на разрыв и твердость по Роквеллу возрастают по мере уменьшения размера частиц наполнителя; дугостойкость и диэлектрич. прочность в основном зависят от содержания наполнителя, причем дугостойкость повышается по мере увеличения содержания наполнителя, а диэлектрич. прочность понижается. В. Иоффе

9П60. Композиция из эпоксидной смолы и алюминия в качестве теплопроводного материала для дешевых форм. O'Connor R. T., White H. J. A heat conductive epoxy-aluminum formulation for low cost molds. «SPE Journal», 1960, 16, № 4, 385—386 (англ.). — Для улучшения теплопроводности материала марки «Devcon C.», состоящего из 80% алюминия и 20% эпоксидной смолы и пригодного для произ-ва дешевых форм для пластмасс, резины и для вакуумного формования, в форму были включены обогретающие или охлаждающие медные змеевики; залиты проволоочные сетки и заполнен литейный материал алюминиевыми волокнами. Из испытанных медных трубок с наружным диаметром 6,3 и 3,2 мм лучшие результаты дали последние с толщиной стенок 0,76 мм. Включение проволоочных сеток не дало особого эффекта ввиду трудоемкости этой операции. Заполнение материала алюминиевыми волокнами дало хорошие результаты. М. Гуларий

9П61. Сравнительная характеристика стружечных плит, изготовленных на различных синтетических смолах. Козельцев Л. И. «Строит. материалы», 1960, № 11, 36—37. — Исследованы свойства древесно-стружечных плит, изготовленных с применением фенолформальдегидных смол Б, СП-2 и С-1, ксиленолформальдегидной смолы КФС-10, смол на основе суммарных фенолов КФ-16, ГФ-2, КФ-20, мочевиноформальдегидных смол М-48 и МФ-17, мочевиноформальдегидо-фурфурольной смолы МФФ и мочевиномеламиноформальдегидной смолы ММФ. Приведена технология изготовления образцов. Испытания плит на стойкость к действию переменной т-ры и влажности проводили по ускоренной методике: вымачивание образцов при 20° в течение 24 час., замораживание при -10° 8 час., оттаивание при 20° 6 час. и высушивание при 100° 6 час. В качестве основных характеристик при испытании образцов были приняты прочность при статич.

изгибе, водопоглощение и набухание. Наиболее стойкими к переменным условиям т-ры и влажности оказались плиты, изготовленные на фенолформальдегидных смолах Б, СП-2 и С-1. Э. Тукачинский

9П62. Слоистые материалы на основе бумаги, металлического листа, целлофана и ткани. Мацумото Мицунугу. «Пурасутиккусу, Japan Plast.», 1959, 10, № 11, 63—69 (японск.). — Кратко описаны принципиальные схемы устройства валцов, применяемых для нанесения покрытий из синтетич. смол и пластмасс (в первую очередь из полиэтилена) на бумагу, целлофан, ткани, а также металлич. листовые материалы. Отмечено, что для целлофана с полиэтиленовым покрытием прочность на разрыв возрастает в продольном направлении почти в 2 раза, в поперечном в полтора раза; удлинение в продольном направлении возрастает с 4,7 до 13,4%, в поперечном с 9,0 до 23,1%. Равным образом улучшаются и другие физ.-мех. показатели. В. Иоффе

9П63. Теплоустойчивые армированные пластики. Migliarese John. Heat resistant reinforced laminates. «SPE Journal», 1960, 16, № 5, 518—521, 523 (англ.). — Исследованы свойства армированных пластиков на основе теплоустойчивого фенольного связующего и различных наполнителей (стеклоткани, ткани из кварцевого волокна и из стекловолокна, специально обработанного с целью полного удаления щелочей). Образцы изготовляли прессованием в течение 30 мин. при 163° и 1 часа при 182° под давл. 17,5 кг/см², а затем подвергали длительной термообработке по ступенчатому режиму, причем образцы защищали от воздействия воздуха алюминиевой фольгой. Приведены данные о механич. свойствах и потере в весе образцов с различными наполнителями. Результаты испытаний стеклопластиков (СП) на основе фенольного связующего сравнивали с показателями для СП на основе полиэфирной, меламиновой и силиконовой смол. Показано, что наименьшие потери в весе при т-рах 280, 316 и 426° имеют образцы с силиконовым связующим. Установлено, что СП на основе фенольных смол, подвергнутые длительной термообработке без доступа воздуха, характеризуются исключительно высокими механич. и диэлектрич. свойствами, а по стойкости к термич. и окислительной деструкции приближаются к силиконовым смолам. З. Михайлова

9П64. Длительное сопротивление стеклопластиков механическим воздействиям. Панферов К. В., Часский К. А. «Пласт. массы», 1960, № 7, 72—74. — На основании анализа литературных данных по вопросу о влиянии фактора времени на прочность стеклопластиков (СП) сделаны следующие выводы. Наиболее высокие коэф. длительного сопротивления ($K_{дл}$) механич. воздействиям обладают СП на основе непрерывного волокна типа СВМ, причем максимум $K_{дл}$ при растяжении наблюдается у материалов с волокном, направленным вдоль усилия. Для СП на основе ткани характерны более низкие величины $K_{дл}$. Наиболее низкие значения $K_{дл}$ наблюдаются у СП на основе стекломатов. По-видимому, это вызвано хаотич. расположением коротких стекловолокон, вследствие чего значительная часть усилий передается через смолу, а не воспринимается волокном. Э. Т.

9П65. Сталь, покрытая пластмассой. Klement F. Platal — ein neuer Werkstoff. Stahl mit Kunststoff beschichtet. «Chem. Rundschau», 1960, 13, № 11, 288 (нем.). — В США, Англии, Бельгии выпускают материал, представляющий собой стальной лист с нанесенной на его поверхность (с одной или с обеих сторон) тонкой (от 100 до 300 м) пленкой из пластмасс. В ФРГ выпускается аналогичный материал под маркой «Platal», который можно соединять в фальц, склепыванием, склеиванием и даже, при соблюдении

некоторых мер, сваркой. Приведены общие краткие данные о свойствах и применении «Platal», главным образом в произ-ве бочек, барабанов и другой тары. Подчеркнута перспективность применения такого материала во многих отраслях промышленности.

И. Беркович

9П66. Покрытие металлических листовых материалов поливинилхлоридом. Хори Такоо. «Кобунси», 1960, 9, № 5, 334—335 (японск.).—Металлические листы, облицованные поливинилхлоридом, получают путем предварительной обработки металлич. листа (обожириванием, промывкой, сушкой), нанесением на лист адгезионного слоя и поливинилхлоридного покрытия толщиной от 0,1 до 0,3 мм, а затем отверждением поливинилхлорида. Полученные листовые материалы перерабатывают в изделия обычными методами штамповки металлич. листа.

В. Иоффе

9П67. Применение пенополистирола при низких температурах. Buchanan C. H. Expanded polystyrene for low temperatures. «Refrig. J.», 1960, 13, № 9, 31, 33 (англ.).—Кратко описаны произ-во, свойства и применение пенополистирола, выпускаемого в Австралии под маркой «Isolite», причем отмечено, что исходный материал в виде гранул, содержащих пенообразователь, ввозится из Германии. Сопоставлены свойства пенополистирола со свойствами прессованных пробковых пластин и вспененного эбонита.

М. Гурарий

9П68. Поверхностная обработка термопластов. Ashmore Joseph. Tumbling thermoplastics. «Engng. Mod. Plats.», 1960, 37, № 7, 109—112, 193 (англ.).—Поверхностную обработку термопластов производят в горизонтальных (или расположенных под углом 40° к горизонту) стальных барабанах, загружая в них деревянные или железные предметы различной величины и формы. При этом сглаживаются углы и ребра пластмассовых изделий, полируется их поверхность. Приведен режим обработки поверхности для различных видов пластмасс.

Е. Замбровская

9П69. Упрощенный способ вычисления выдержки изделия в пресс-форме при литье под давлением. Ballman R. L., Shusman Tevis. Easy way to calculate injection molding set-up time. «Mod. Plast.», 1959, 37, № 3, 126, 130—131, 194 (англ.).—Приведен метод расчета времени выдержки изделия в пресс-форме при литье под давлением, пока т-ра не снизится настолько, что его можно вынимать без коробления. Сделан ряд допущений, необходимых для формулирования зависимости, и дано уравнение, в котором переменными являются глубина оформляющей полости, термическая диффузия и теплостойкость полимера, т-ра цилиндра и пресс-формы. С целью проверки соответствия теоретически вычисляемых величин выдержки со значениями, получаемыми на практике, были проведены испытания на литьевой машине с дозой впрыска около 100 г и с применением специально сконструированной пресс-формы. Полученные результаты показали полное совпадение теоретич. расчетов с практическими данными.

М. Гурарий

9П70. Формовочные свойства полипропилена. Neumann W. E. Moldability of polypropylene. «SPE Journal», 1960, 16, № 5, 513—515 (англ.).—Исследовано литье под давлением на форме со спиралью полипропилена с целью сравнения его текучести с текучестью различных видов полиэтилена и выяснения влияния т-ры цилиндра, давления литья, размеров выпускного литника и т-ры формы на результаты формования. Спираль формы длиной до 1,27 м заполняли непосредственно из центрального литника через выпускные литники диаметром 3,2 или 2 мм. Литье производили на вертикальной машине с дозой впрыска 110 г при постоянном режиме: длительность цикла 40 сек., скорость хода поршня 7,6 см/сек, дозировка и уплотнение гранул — постоянные, остальные параметры — переменные. Приведены зависимости длины спирали от

переменных параметров. Установлено, что текучесть полипропилена увеличивается с повышением индекса текучести материала, т-ры цилиндра, давления литья, т-ры формы и диаметра выпускного литника. Полученные результаты дают возможность выбирать наиболее оптимальные условия для конкретного случая литья изделий.

М. Гурарий

9П71. Термическая и механическая деградация при экструзии полиэтилена. Schott Hans, Kaghhan W. S. Thermal and shear degradation in polyethylene extrusion. «Mod. Plast.», 1960, 37, № 7, 116, 118, 120, 122—123, 197 (англ.).—Для исследования термич. и механич. деградации полиэтилена применяли экструдер с диаметром шнека 50 мм и отношением длины шнека к его диаметру 22:1. За счет угловой головки канал для расплава был уменьшен до 25 мм; затем он переходил в муфштук длиной 114,4 мм и диам. 3,5 мм. Выдавливаемый прутком материала охлаждали в водяной ванне, высушивали и гранулировали. Для исследования брали четыре типа полиэтилена: 1) полиэтилен высокого давления (ПЭВД) с плотностью 0,92 и индексом расплава (ИР) 2,0 с добавкой стабилизатора и смазки, 2) ПЭВД с плотностью 0,914 и ИР 1,9 без добавок, 3) ПЭВД с плотностью 0,923 и ИР 2,2 с добавкой стабилизатора и смазки, 4) полиэтилен низкого давления (ПЭНД) с плотностью 0,960 и ИР 5,0 с добавкой ионола. При опытах измеряли давление и т-ру в экструдере, а также производительность. Для ПЭВД типов 1, 2 и 3 определяли до и после экструзии характеристическую вязкость при 80° в толуоле, для ПЭНД при 125° в α-хлорнафталине. ПЭВД типа 1 пропускали через машину 4 раза при 204°, ПЭВД типа 2—4 раза при 262°, ПЭВД типа 3—10 раз при 341° и ПЭНД типа 4—5 раз при 163° и 10 раз при 273°. Установлено, что для ПЭВД типов 1 и 2 повторная экструзия не привела к изменению вязкости расплава и характеристической вязкости. Многократное выдавливание ПЭВД типа 3 при 341° привело к снижению вязкости на 46%. Для ПЭВД типа 4 при 163° не замечено изменений при 5-кратном продавливании. Однако при 273° для ПЭНД типа 4 вязкость расплава увеличивается при каждом продавливании.

В. Лапшин

9П72. Причина разрушения расплава при экструзии. Schulken R. M., Jr, Boy R. E., Jr. Cause of melt fracture. «SPE Journal», 1960, 16, № 4, 423—428 (англ.).—При экструзии полимеров для покрытия проволоки, изготовления листов, пленок или нитей очень часто при повышении критич. скорости сдвига возникает грубая или волнистая поверхность. Это явление связано с разрушением расплава полимера в головке экструдера. Для объяснения причин разрушения расплава приведена качественная модификация теории вязкоэластич. течения, объясняющая разрушение расплава и другие явления при течении, напр., концевые явления капилляра и восстановление расплава или «вспучивание», и предусматривающая разработку новой механич. модели для вязкоэластич. течения. В основе этой модификации лежит предположение о том, что когда скорость сдвига полимера увеличивается быстро, напр., при входе в капилляр, то требуется нормально высокое начальное напряжение из-за энергии, которая должна быть затрачена для уменьшения вязкости, и определенное время для того, чтобы начальная высокая вязкость уменьшалась до своего равновесного значения, которое является низким при высокой скорости сдвига. Разрушение расплава происходит в том случае, если напряжение сдвига превышает прочность расплава к сдвигу и это обычно случается при резком увеличении скорости сдвига. Разрушение расплава зависит от прочности расплава, скорости увеличения скорости сдвига и факторов уменьшения вязкости (энергии и времени). Проведены эксперим. измерения энергии и времени уменьшения вязкости и критич. скоростей сдвига при различных скоростях

увеличения скорости сдвига для подтверждения теории. Полученные данные применены для вычисления геометрии входа в головки для максим. скоростей гладкого течения.

9П173. Экструзия шлангов и профилированных изделий из полиэтилена высокой плотности. Schmidt D. J. The extrusion of high density polyethylene tubing and profiles. «SPE Journal», 1960, 16, № 5, 505—506, 508—509 (англ.).—При экструзии шлангов и профилей из полиэтилена (ПЭ) высокой плотности с целью лучшего сохранения формы выдавливаемого изделия рекомендуют применять: ПЭ с индексом расплава 0,2—0,4; экструдер с отношением длины червяка к его диаметру 20:1 и температурным режимом экструзии: 1-я зона цилиндра 148,9°, 2-я зона 160°, 3-я зона 165,6°, 4-я зона 171,1°, головка 171,1° и муфштук 171,1°; выдавливаемый расплав с т-рой в пределах 165,6—176,7° для уменьшения его провисания в воздушном зазоре между головкой и калибрующей плитой; кроме того, высокая вязкость расплава обеспечивает более равномерную отжку изделия. Для улучшения качества изделий и уничтожения линий спаев и течения от решетки в головке создается обратное давление в пределах 35—70 кг/см². Степень вытяжки изделия при экструзии ПЭ линейной структуры находится в пределах 1,2—1,5. Очень важным при экструзии профилей из ПЭ является конструкция калибрующих плит. Последние должны быть изготовлены из металла с высокой теплопроводностью, напр. из алюминия или меди. Рекомендуется, чтобы размер отверстия в первой калибрующей плите был на 10% меньше, чем степень вытяжки в головке. Общее кол-во калибрующих плит должно быть ≤5. Первые три плиты являются фактически калибрующими, остальные две предназначаются для предотвращения искажения профиля в копечной стадии охлаждения.

9П174. Реологические свойства композиций из поливинилхлорида, применяемых для каландрования. Wolstenholme W. E., Roggi P. E. Rheological study of vinyl calendaring compounds. «Mod. Plast.», 1960, 37, № 7, 131—134, 198, 200 (англ.).—Поведение композиций, изготовленных на основе поливинилхлорида (ПВХ), зависит от условий переработки (т-ра, скорость, зазор между вальками, поверхность вальков и т. д.) и свойств материала (мол. вес, пластификатор, температурная зависимость вязкости, скорость сдвига). Для оценки перерабатываемости композиции ПВХ проведены измерения при 149, 160 и 171° в вискозиметре Муни с диаметром ротора 38 мм при 2 об/мин. Установлено, что значения вязкости по Муни повышаются с увеличением мол. веса ПВХ и уменьшаются при увеличении конц-ии пластификатора и т-ры. Лучший каландрующий эффект достигается в узком интервале абсолютной вязкости массы, что подтверждается опытами на лабораторном каландре. Различие т-ры в 5° эквивалентно отклонению характеристической вязкости смолы на 0,04 единицы или изменению содержания пластификатора на 4 части.

9П175. О сварке тонких пленок из непластифицированного поливинилхлорида. Bauer Günther. Über das Heißeigeln und Schweißen dünner Hart-PVC-Folien. «Plastverarbeiter», 1960, 11, № 5, 217—224 (нем.).—Рассмотрено влияние условий сварки пленок из непластифицированного поливинилхлорида на прочностные свойства шва при контактном, импульсном, высокочастотном методах сварки. Приведены кривые температурной характеристики сварного шва в зависимости от продолжительности нагрева (одно- и двухстороннего) для пленок толщиной от 100 до 400 м, кривые зависимости прочности сварного шва на расслаивание от давления и т-ры при продолжительности сварки 3 и 5 сек. и др. Показано, что термич. воздействие на участки пленок, расположенные у сварного

шва, приводит к снижению их прочностных свойств в этих местах.

9П176. Изготовление конуса из пластмассы по приближенным формулам. Gut H. Das Kegeldrehen von Kunststoffen mit Näherungsformeln. «Kunststoff — Rundschau», 1960, 7, № 6, 269—271 (нем.).—Приведены формулы и примеры расчетов при работах, связанных с изготовлением конусов из пластических материалов.

9П177. Конструкционные расчеты пластмасс. Baer E., Knox J. R., Linton T. J., Maier R. E. Structural design of plastics. «SPE Journal», 1960, 16, № 4, 396—406 (англ.).—В первой части «Механические свойства» описаны свойства пластич. материалов, наиболее часто используемые при конструировании деталей из пластмасс. Приведены различные типы кривых напряжение — деформация для иллюстрации поведения полимеров в различных условиях. Рассмотрена область малых деформаций, важная в тех случаях, когда миним. деформация детали под нагрузкой считается важнейшим условием ее применения, а также область после критич. напряжения, важная в тех случаях, когда предотвращают разрушение, обусловленное большими деформациями. Описано влияние времени нагружения на прочность и рассмотрены полустепи при постоянной нагрузке и релаксация напряжения при постоянной деформации. Во второй части «Методы конструирования» представлены рекомендуемые методы расчетов с использованием данных первой части. Подчеркнуто, что главным различием при расчетах конструкций из металла и из пластмасс является необходимость учета временной зависимости механич. свойств полимерных материалов от т-р и условий работы детали.

9П178. Конфигурация изделий из пластмасс. Часть III. Kozłowski Wiesław B. Architektura wyrobów z tworzyw sztucznych. Cz. III. «Tworzywa. Gum. Lakiery», 1960, 5, № 5, 141—145 (польск.; рез. англ., русск.).—Рассмотрена зависимость формы изделий и их ассортимента от спроса и индивидуальных вкусов потребителей. На примере пневматич. конструкций показаны возможности новых синтетич. смол. Часть II см. РЖХим, 1961, 8П169.

9П179. Применение пластмасс. Pungs Wolfgang. Die Anwendung von Kunststoffen. Jahresübersicht. «VDI-Zeitschrift», 1960, 102, № 10, 405—407 (нем.; рез. англ.).—Обзор. По данным ярмарки пластмасс 1959 г. в Дюссельдорфе (ФРГ) рассмотрено применение некоторых типов пластмасс для изготовления ряда изделий: деталей для машиностроения из полиформальдегида, поликарбоната, полипропилена, хлорированного полиэтилена и жесткого поливинилхлорида; емкостей (до 2000 л) из полиэтилена; судовых трюсов из полипропилена; антикоррозийных защитных покрытий на основе полиэфирных смол; штампов и материалов на основе эпоксидных смол и др. Ббл. 26 назв.

9П180. Основные положения о материалах, применяемых для заливки и герметизации. Часть I. Lundberg C. V. A guide to potting and encapsulation materials. Part 1. «Mater. Design Engng», 1960, 51, № 5, 123—127 (англ.).—Рассмотрены факторы, влияющие на выбор заливочных и герметизирующих составов для деталей и узлов электрооборудования и электрич. схем. Описаны физ.-мех. и электрич. свойства этих составов, в том числе восков и битумов, стирольно-полиэфирных, эпоксидных и модифицированных эпоксидных компаундов, кремнийорганич. смол, эластомеров (кремнийорганич., полисульфидов, полиуретанов) и пенопластов.

9П181. Нагревостойкие герметизирующие смолы Lee Max M., Hodges R. D. Heat-resistant encapsulating resins. «Plast. Technol.», 1960, 6, № 4, 43—48, 53 (англ.).—Для характеристики нагревостойкости гер-

метизированных деталей, устойчивых к воздействию температуры в диапазоне 200—225°С, в зависимости от типа полимера, применяемого для заливки, и условий эксплуатации. Приведены формулы и примеры расчетов при работах, связанных с изготовлением конусов из пластических материалов. В первой части «Механические свойства» описаны свойства пластич. материалов, наиболее часто используемые при конструировании деталей из пластмасс. Приведены различные типы кривых напряжение — деформация для иллюстрации поведения полимеров в различных условиях. Рассмотрена область малых деформаций, важная в тех случаях, когда миним. деформация детали под нагрузкой считается важнейшим условием ее применения, а также область после критич. напряжения, важная в тех случаях, когда предотвращают разрушение, обусловленное большими деформациями. Описано влияние времени нагружения на прочность и рассмотрены полустепи при постоянной нагрузке и релаксация напряжения при постоянной деформации. Во второй части «Методы конструирования» представлены рекомендуемые методы расчетов с использованием данных первой части. Подчеркнуто, что главным различием при расчетах конструкций из металла и из пластмасс является необходимость учета временной зависимости механич. свойств полимерных материалов от т-р и условий работы детали.

метизирующих смол определяли деформационную теплостойкость (ДТ), потери в весе (ПВ) при t -рах 175, 200, 225 и 250° в течение ≤ 1000 час. и электрич. свойства в зависимости от t -ры, а также от времени старения при 200°. Приведены результаты испытаний эпоксидных, полиэфирных, полибутиаденовых и кремнийорганич. смол. Установлено, что многие важные свойства смол ухудшаются при действии повышенных t -р. Для эпоксидных смол степень ухудшения в большей степени зависит от применяемого отвердителя. Отмечено, что имеется непосредственная зависимость между ДТ смолы и ее свойствами при повышенной t -ре. Смолы с более высокой ДТ обладают и большей нагревостойкостью. Они не только лучше сохраняют при повышенных t -рах свои механич. и электрич. свойства, но и показывают в этих условиях меньшие ПВ. Для смол электроизоляционного назначения за длительно допустимую рабочую t -ру принята такая t -ра, при которой ПВ за 1000 час. составляют 0,1%. В этом случае при общей максим. допустимой потере в весе 16% общий непрерывный срок службы изоляции составит 18,3 года.

9П82. Герметизация электронного оборудования алкидными смолами. Moylan J. J., Long J. T. How to encapsulate with alkyls. «Med. Plast.», 1960, 37, № 7, 124, 126, 128 (англ.).—Для герметизации деталей электронного оборудования (сопротивлений, конденсаторов, катушек и т. д.) применяют алкидные смолы (АС), характеризующиеся высокими электроизоляционными свойствами, нагревостойкостью, быстротой отверждения и требующие низкого давления при прессовании. АС применяют в виде пасты или гранул, причем пасты используют для более крупных изделий или там, где давление $\leq 50-55$ кг/см², а гранулы — для изделий диаметром < 5 мм при давлении 105—140 кг/см². Способы применения паст и гранул очень близки между собой. Пасты до применения пропускают через шприц-машину для превращения материала в полосу. Для прессовки применяют пневматич. прессы мощностью 4—10 т и пресс-формы с 8—15 гнездами с электрообогревом (t -ра пресс-форм 145—160°) и хромированной поверхностью. Приведено подробное описание технологич. процесса герметизации. Отмечено, что при герметизации крупных деталей в АС во избежание растрескивания вводят наполнитель — стекловолокно.

9П83. О стойкости изоляционных материалов к действию тлеющего разряда. Suhr H. Über die Glimmfestigkeit von Isolierstoffen. «Kunststoff-Rundschau», 1960, 7, № 5, 216—221 (нем.).—Рассмотрены результаты испытаний стойкости пленок из полиэтилена, полистирола, полиэфиров терефталевой к-ты, поликарбонатов, эфиров целлюлозы к действию тлеющего разряда (ТР). Приведены принципиальная схема и результаты определения напряжения возникновения ТР в пленках в зависимости от толщины пленки, частоты и других факторов. Показано, что пробивное напряжение изоляционных материалов сопряжено с их стойкостью к действию ТР. Приведены принципиальная схема и результаты определения продолжительности приложения напряжения к пленкам некоторых материалов до их пробоя в зависимости от напряженности электрич. поля. Дан краткий обзор существующих способов определения стойкости изоляционных материалов к действию ТР.

9П84. К вопросу стабильности свойств некоторых пластмасс. Майорова Э. А. «Ж. прикл. химия», 1960, 33, № 8, 1862—1867.—В результате исследования стабильности линейных размеров некоторых пластмасс (полиамиды марок П-68, АК-7, П-54, поликапролактама, капрон корд и текстолит марки ПТ), находясь в различных средах (дистил. воде при 20 и 50°, минер. масле при 20 и 70°, охлаждающей жидкости

с содой и триэтаноламином, сульфогрезоле и керосине) найдено, что изделия из полиамида П-68 обладают более стабильными свойствами, чем изготовленные из других полиамидов и текстолита марки ПТ. Предельное изменение линейных размеров полиамида П-68 составляет 0,7%. Образцы из капрона корд при наиболее неблагоприятных условиях испытания в воде и охлаждающих жидкостях могут увеличивать линейные размеры до 2,5%, при этом толщина образцов из текстолита ПТ увеличивается на 3% (диаметр на 0,7%). Наибольшие изменения свойств в воде показали образцы из полиамида 54 (в масле при $\sim 20^\circ$ размеры образцов из полиамидов практически не изменяются). Для изготовления деталей станков, в частности накладных направляющих, рекомендуются полиамид П-68 и капрон корд.

9П85. Штампны и формы из пластических материалов. Сога Дзюндзиро. «Дзидоса гидаюцу», 1959, 13, № 10, 376—380 (японск.).—Описано изготовление и применение штампов и форм из эпоксидных компаундов, отвержденных аминами, напр. диэтилентриамином. Приведены характеристики штампов и указаны области их применения, в частности, в автомобильостроении на прессах мощностью 150—400 т. В. Иоффе

9П86. Использование эпоксидных смол для восстановления цилиндрических блоков и втулок. Грибовский В. «Морск. флот», 1960, № 11, 33—34.—Кратко описан метод восстановительного ремонта деталей судоремонтных двигателей с применением эпоксидных смол.

9П87. Трубы из пластмасс. Jonsson Olle. Plasttröb i miljontals meter. «Plastvärlden», 1960, 10, № 5, 278—280, 282—283, 286, 288—290 (шведск.).—В Швеции трубы из полиэтилена (ПЭ) выпускают 2 фирмы, общее потребление которых в 1959 г. составило 5 млн. м весом 2500 т (25% потребления ПЭ). Трубы из поливинилхлорида также выпускают 2 фирмы, но потребление их составило 200 т; потребление труб из акрилонитрилбутиаденистирола, полиамидов, ацетобутиратцеллюлозы и др. составляет только 5%. Ассортимент шведской продукции труб включает рассчитанные на давления 2, 5, 6 и 10 атм трубы из ПЭ, преимущественно низкой плотности, diam. 225 мм (по спец. заказу до 400 мм) и из поливинилхлорида диаметром до 150 мм (импортируются диаметром до 500 мм). Наибольшая протяженность водопровода из ПЭ в Швеции 11000 м. Отмечено, что все большее применение приобретают трубы из полиэфирных, эпоксидных и фурановых смол, армированных стекловолокном. Показаны соединения труб и их укладка.

9П88. Итальянский летний дом, изготовленный частично из пластмасс. Schwabe A. Italienische Ferienhaus mit Kunststoffen. «Kunststoffe», 1960, 50, № 6, 353—354 (нем.; рез. англ., франц., исп.).—Описан демонстрировавшийся в сентябре 1959 г. в Турине летний дом с жилой площадью 48 м², изготовленный из стали, легкого металла, фанеры и пластмасс (собирали шесть рабочими за 2 дня). Наружные стены дома собираются из панелей (1200 × 2400 × 50 мм), представляющих собой трехслойную конструкцию из фанерных обшивок и бумажных сот, пропитанных синтетич. смолой и заполненных пенопластом. Наружная сторона панелей обшита стеклопластиком на основе полиэфирной смолы, а внутренняя — листовым пластиком на основе меламиновой смолы (МС). Внутренние перегородки с обеих сторон покрыты листовым пластиком на основе МС. Элементы потолка изготовлены из комбинированного материала: фанеры и листового пластика на основе МС.

9П89. Дом (типа бунгало) из пластмасс. Frenz Reinhold. Ein Kunststoff-Haus im Bungalow-Stil. «Kunststoffe», 1960, 50, № 6, 360—365, 3—4 (нем.; рез. англ., франц., исп.).—Описана разработанная в ФРГ

конструкция легкой жилой постройки общей площадью 60 м², весом 3,5 т (без фундамента), изготовленная на 65% по весу и на 94% по объему из пластмасс (ПМ). Несущие конструкции дома сделаны из полых стальных профилей, облицованных ПМ, а панели (стен и перекрытий), пол и крыша целиком изготовлены из ПМ. Стеновые панели состоят из трехслойного материала, представляющего собой листовой пенопласт (ПП) на основе фенольной смолы с приклеенным к нему с обеих сторон (клеем на основе неопрена) слоистым пластиком (Ultrapas). Перекрытие изготовлено из листового поливинилхлорида (ПВХ) (обшивка) и ПП на основе фенольной смолы (заполнение). Пол сделан из лигнофола толщиной 16 мм, на который уложен листовой ПП на основе пластифицированного ПВХ с покрытием из предварительно сваренных ковриков из ПВХ. Крыша дома изготовлена из гофрированного листового стеклопластика на основе полиэфирных смол.

И. Беркович
9П90. Применение полиэтиленовой пленки для парников и теплиц. Brandenburg W., Challenger S. Plastics for greenhouses and frames. «N. Z. Y. Agric.», 1960, 100, № 5, 465, 467, 469, 471—472 (англ.).

9П91. Применение пластмасс в качестве упаковочных и антикоррозионных материалов. Dubois P. Les plastiques dans l'emballage et l'anticorrosion. (Note sur quelques données fondamentales). «Chim. et industr.», 1960, 83, № 4, 564—576 (франц.; рез. англ., нем., исп.).—Приведены сравнительные данные о плотности, газопропускности, теплоемкости, светопропускности и теплопроводности различных пластмасс (ПМ), стекла, металлов, резины, цемента и эбонита и показаны преимущества ПМ по сравнению с другими материалами. Указана токсичность ПМ и их отдельных компонентов. Приведены примеры применения отдельных видов ПМ в качестве тары для хранения различных веществ. Рассмотрены способы соединения ПМ (сваркой, склеиванием, клеевой, образованием герметич. швов). Особое внимание уделено вопросам антикоррозионной защиты металлов и других материалов путем нанесения различных покрытий из ПМ.

С. Иоффе
9П92. Пленки из полимерных продуктов в качестве упаковочных материалов. Такахаши Гиско. «Кобунши», 1960, 9, № 6, 363—369, 378 (японск.).—Описаны физ.-мех. свойства, характеристики и основные направления применения пленочных упаковочных материалов из полиэтилена, полипропилена, поливинилхлоридного пластика, полистирола, ацетиленцелюлозы, поливинилиденхлорида, целлофана. Приведены данные по стоимости различных пленочных материалов, которые показывают, что при расчете на вес (кг) и на 1 м² наиболее дешевыми являются пленки из полиэтилена низкого давления, полистирола, целлофана, а наиболее дорогими — полиэфирные пленки типа полиэтилентерфталатных.

В. Иоффе
9П93. Получение катионита с внутрикомплексным строением и применение его для отделения тяжелых металлов. Costian D. Sinteza unui cationit chelatic, selectiv pentru metale grele. «Rev. chim.» (RPR), 1960, 11, № 7, 408—409 (рум.).—К 34 г антралиновой к-ты добавляют р-р 7,5 г NaOH в 10 мл воды и при охлаждении приливают 20 мл 35%-го формальдегида и 27 г резорцина; затем к смеси добавляют еще 30 мл 35%-ного формальдегида и выдерживают 4 часа при 110°. Получен катионит, который хорошо отделяет Cu от Zn в серноокисных р-рах.

Л. Песин
9П94. Свойства эпоксидных клеевых композиций. Bodnar M. J., Wegman R. F. Tensile and impact strengths of ten epoxy adhesive formulations at —65 to 160 F. «Mater. Design Engng.», 1960, 51, № 5, 136—138 (англ.).—Определены пределы прочности на растяжение и ударная вязкость для 10 различных эпоксидных клеевых композиций в интервале т-р от —54 до +74°. Показано влияние модифицирующих добавок типа от-

вердителя и наполнителя, а также вязкости клея.

Е. Замбровский
9П95. Материалы на основе алюминия, латуни и синтетических смол. Reinsch H. H. Aluminium- und Messing-Kunstharzkomposition als neuer Werkstoff. «Metall», 1960, 14, № 6, 588—589 (нем.).—Описаны свойства клея, состоящего из металлич. порошка и эпоксидной смолы, взятых в соотношении 1:1. Клей для склейки алюминия содержит (в %) в виде порошка Cu 2,5, Si 3,5, Fe 1,5, Zn 1,5, Mn и Mg по 0,2 и отверждается при ~20°; с повышением т-ры отверждение ускоряется. Смешение компонентов производит непосредственно перед применением. Отмечено, что из клеев, имеющих консистенцию пасты, можно формировать изделия.

Е. Зарецкий
9П96. Клей для металлов. III, IV. Meunier J. J. Le collage de l'aluminium. III, IV. Les colles pour métaux. «Rev. aluminium», 1959, № 271, 1349—1358; 1960, № 272, 107—114 (франц.; рез. англ., исп.).—III. Описаны свойства и применение клеев горячего отверждения.

Н. Л.
IV. Описаны клеи холодного отверждения, в основном клея типа арамидат на основе эпоксидных смол и клеи на основе полиуретанов. Приведены краткие сведения о способах и областях применения клеев, их алгебра. водостойкости и т. п. Часть II см. РЖХим, 1961, 6К152.

Ю. Аронсон
9П97. Клей в металлообрабатывающей промышленности. Foulon A. Klebstoffe in der metallverarbeitenden Industrie. «Maschinenwelt und Elektrotechnik», 1960, 15, № 7, 267—268 (нем.); «Wochenbl. Papierfabr.», 1960, 88, № 18, 800—801 (нем.).—Описан высококачественный двухкомпонентный клей, изготовленный на основе эпоксидной смолы арамидат и выпускаемый в спец. тюбиках (отдельно связующее и отвердитель) под торговым названием «UNU-plus», который с успехом применяется для склеивания металлов и других материалов. Выдавленные из тюбиков приблизительно одинаковой длины полоски связующего и отвердителя смешиваются и тут же наносятся на подлежащие склеиванию поверхности изделий. Длительность отверждения клея при ~20° составляет ≥ 10 час., а при нагреве — от 10 до 20 мин. Для получения качества клевого шва поверхности склеиваемых изделий должны быть тщательно зачищены, хорошо обезжирены и высушены.

И. Беркович
9П98. Мочевинно-формальдегидные (карбамидные) клеи для склеивания древесины. Дерковская И. Л. «Пласт. массы», 1960, № 8, 19—22.—Описаны свойства и способы произ-ва мочевинноформальдегидных смол марок СМК-2, МФ-17 (модифицированной диэтиленгликолем), мочевиномеламино-формальдегидной смолы ММФ и мочевинноформальдегидно-фурфурольной смолы марки МФФ. Смола МФ-17 отличается низкой т-рой замерзания (—50°), длительной жизнеспособностью (≥ 6 мес.) и применяется для произ-ва клеев холодного и горячего отверждения (К-17). Приведены данные по свойствам клея марки К-17 и клея на основе смолы ММФ, а также по прочности и водостойкости клеевых швов, полученных при склеивании древесины. Описано применение смолы МФФ в качестве связующего для древесностружечных плит, обладающего большой скоростью отверждения (0,5—1 мин.). Описано применение в качестве связующих и клеев мочевинноформальдегидных смол, модифицированных концентратом сульфитноспиртовой барды. Приведены данные по свойствам материалов и их применению, влиянию вида катализатора и pH композиции. Указано, что применение наполнителей удешевляет клей и препятствует растрескиванию клевого шва.

З. Иванова
9П99. Применение косточковой муки из салы в качестве наполнителя для синтетического клея. Rataczyk H. elga. Steinschalenmehl von Pflaumen als Füll-

mittel für Kunstharzleime. «Holzindustrie», 1960, 13, № 2, 54—55 (нем.).—Для удешевления произ-ва синтетич. клеев, особенно клея на основе фенолформальдегидных смол, применяют наполнители из косточковой муки, полученной из отходов консервной пром-сти. Такой наполнитель предотвращает растекание клея, особенно жидкого, при склейке древесины стык, улучшает его отверждение и уменьшает степень прогнивания клея в древесину. Приведены результаты испытания клеевых швов на прочность склейки различными клеями с различным процентным содержанием косточковой муки и воды.

Д. Беляй
9П100. Красители для пластических масс. Frayley Robert J. Trends in colorants for plastics. «Plast. Ind.», 1960, 18, № 3, 29—32 (англ.).—В связи с промышленным произ-вом теплоустойчивых пластмасс (ПМ) и тенденцией к выработке прессизделий при все более высоких т-рах возникла необходимость в расширении применения неорганич. красителей (КР) типа оксидов металлов, так как они имеют большие погодостойкость и теплоустойчивость, более высокий уд. вес, более стойкую текстуру и поглощают меньше масла, чем органич. КР, а также хорошо диспергируются и не выцветают. Большая группа металлич. КР используется для получения особых эффектов при отделке ПМ (в виде перламутра, флуоресцирующих и фосфоресцирующих КР, чешуек или цветных вкрашений). Практически большинство цветов получают путем сочетания различных КР. Для окрашивания ПМ используют более 15 000 индивидуальных КР, получаемых главным образом на основе исходных КР. Для большей части ПМ можно вводить КР непосредственно в смолу, в процессе переработки или при отделке ПМ.

С. Иоффе
9П101. Оборудование для переработки пластмасс пресслитием. Кобаяси Сэдзи. «Пурасуттикуссу, Japan Plast.», 1960, 11, № 2, 26—32 (японск.).—Приведена характеристика оборудования, изготавливаемого компанией Мацуда, для переработки пластмасс пресслитием, в частности, прессы Т-37. Приведена принципиальная схема устройства прессы.

В. Иоффе
9П102. Технич.-экономическая эффективность применения прессов с индивидуальным приводом в производстве изделий из пластмасс. Рахлин И. В., Завгородний В. К. «Вестн. техн. и экон. информ. Н-я, ин-т техн.-экон. исслед. Гос. ком-та Сов. Мин. СССР по химии», 1959, № 6 (18), 13—19

9П103. Оборудование для переработки пластмасс. Синода Йонэсабуро. «Пурасуттикуссу, Japan Plast.», 1960, 11, № 2, 1—7 (японск.).—Приведены характеристики машин для литья под давлением, плечных машин и др. оборудования, изготавливаемого японской компанией Мейки.

В. Иоффе
9П104. Серийное производство машин для литья под давлением с предварительной шнековой пластикацией. Johns Roy W. Full scale production of screw preplasticizing injection machines in Australia. «Austral. Plast.», 1960, 16, № 176, 20—21 (англ.).—В Австралии фирма Johns Hydraulics Ltd (Мельбурн) организовала серийное произ-во машин для литья под давлением с предварительной шнековой пластикацией на основе трех машин, изготавливаемых фирмой Н. Р. М (США). Отмечено, что по наблюдениям, проведенным на международной выставке по пластмассам в Дюссельдорфе в октябре 1959 г., выявились весьма интересные результаты работы шнековых пластикаторов, в особенности способность таких машин перерабатывать поливинилхлорид, а также слабые их стороны, заключающиеся в том, что необходимо строго контролировать дозу впрыска.

М. Гурарий
9П105. Вертикальные машины для литья под давлением. Кобаяси Сэдзи. «Пурасуттикуссу, Japan Plast.», 1960, 11, № 2, 43—56 (японск.).—Приведено описание, принципиальные схемы устройства и характеристики вертикально располуженных машин, из-

готавливаемых компанией Мацуда, для переработки пластмасс в изделия литьем под давлением. В. Иоффе
9П106. Тепловые вопросы при конструировании. Stokes W. J. B. Thermal consideration in mold design. «SPE Journal», 1960, 16, № 4, 417—419 (англ.).—При конструировании форм или машин необходимо учитывать тепловые вопросы. В прессформах, изготовленных из материалов с большой теплопроводностью, нагрев или охлаждение пластич. материалов осуществляется более быстро. При литье под давлением часто применяют сопло из меди для улучшения нагревания, особенно в тех случаях, если сопло имеет значительную длину. Применение торпед из твердой меди в нагревательном цилиндре литейной машины позволяет ускорить передачу тепла на термопластич. материал. Напротив, нержавеющая сталь, обладающая малой теплопроводностью, находит применение в качестве изолирующих и крепящих деталей нагревательного цилиндра литейной машины. Для литейных форм с горячими литниками наибольшее применение находят сопла, состоящие из двух частей: наружная часть сделана из нержавеющей стали и внутренняя — из твердой меди.

В. Лапшин
9П107. Усовершенствование червячных экструдеров за счет распределения давления по цилиндру. Maddock B. H. Pressure development in extruder screws. «SPE Journal», 1960, 16, № 4, 373—374, 376—378 (англ.).—Рассмотрены результаты эксперим. работы по определению распределения давления по цилиндру экструзионной машины при испытании ударопрочного полистирола, полиэтилена высокого и низкого давления, поливинилхлорида. Исследовано влияние т-ры цилиндра и длины червяка. Установлено, что улучшение качества изделий при высоких скоростях выдавливания может быть достигнуто за счет удлинения зоны нагнетания червяка. Для полиэтилена высокого давления и некристаллич. полимеров при отношении длины червяка к его диаметру 20:1 половина всей длины червяка может составлять зону нагнетания.

В. Лапшин
9П108. Машины для изготовления изделий методом выдувания. Кобаяси Сэдзи. «Пурасуттикуссу, Japan Plast.», 1960, 11, № 2, 62—69 (японск.).—Приведены описание и характеристики машин, изготавливаемых компанией Мацуда, для переработки пластмасс в бутылки, флаконы и др. методом выдувания.

В. И.
9П109. Оборудование для высокочастотного подогрева пластических материалов. Исоба Косаку. «Кобунси», 1960, 9, № 6, 374—378 (японск.).—Наиболее широкое применение получила аппаратура для ВЧ-сварки поливинилхлорида. В 1959 г. в Японии эксплуатировалось 1385 аппаратов для ВЧ-сварки общей мощностью 1842,5 кВт и 115 аппаратов для предварительного подогрева мощностью 239 кВт. Приведены примеры применения ВЧ-аппаратуры в пром-сти пластмасс.

В. Иоффе
9П110. Формы для вакуумного формования. Wergell H. Vacuum forming moulds. «Plastics», 1960, 25, № 273, 271—272, 286, 288 (англ.; рез. нем., франц.).—Проведен технико-экономич. анализ применения различных материалов для изготовления форм для вакуумного формования. Рассмотрены следующие материалы: алюминий, гипс, древесина, фенопласты, эпоксины и др. Приведена схема процесса изготовления форм из эпоксидных смол.

М. Гурарий
9П111. Устройство для автоматической подачи пленки. Forgy D. R. A new development for automatic film feeding. «Austral. Plast.», 1960, 16, № 178, 32—34 (англ.).—Предложено устройство для автоматического регулирования подачи пленок из сарана, полиэфирных и других пластиков в упаковочную машину при высокой скорости питания. Описана схема предлагаемого устройства.

Е. Замбровская

9П112. Справочник по международной промышленности пластмасс. Handbuch der Internationalen Kunststoffindustrie. Zürich, Verl. internat. Wirtschaftslit. G. m. b. H., 1958, 1056 S., ill. (нем., англ. и франц.)

9П113. Ежегодник журнала British Plastics за 1960 г. Классифицированный указатель по промышленности пластмасс. British Plastics Year Book 1960. A classified guide to the plastics industry. 13th ed. London, Hiffe and Sons, Ltd, 1960, 692 pp., ill., 42 sh. (англ.)

9П114. Значение полимерных материалов в народном хозяйстве СССР. Берков Е. А. М., Госпланиздат, 1960, 158 стр., илл., 2 р. 40 к.

9П115. Полиэтилен. Технология и области применения полимеров этилена. Изд. 2-е. Polythene. The technology and uses of ethylene polymers. 2nd ed. Eds Renfrew A., Morgan Phillip. London, Hiffe and Sons Ltd; New York, Interscience, 1960, xxii, 781 pp., ill., 165 sh. (англ.)

9П116. Полиакрилаты. Horn Milton B. Acrylic resins. New York, Reinhold Publ. Corp., 1960, vii, 164 pp., ill., 4.50 doll. (англ.)

9П117. Исследование и применение фенольных смол. Пекин, Цзяньчжу гунчан чубаньшэ, 1960, 50 тыс. иерогл., 0.37 юаня (кит.)

9П118. Полиэфирные смолы. Lawrence John R. Polyester resins. New York, Reinhold; London, Chapman and Hall, Ltd, 1960, ix, 251 pp., ill., 46 sh. (англ.)

9П119. Стеклопластики. Glass fibre reinforced plastics. Ed. De Dani A. London, Newnes, 1960, 296 pp., ill., 50 sh. (англ.)

9П120. Основы техники экструдирования. Jacobson Hans Rudolf. Grundlagen der Extrudertechnik. München, Carl Hanser, 1960, 137 S., ill. (нем.)

9П121. Безлитниковое формование. Moslo Ernest P. Runnerless molding. New York, Reinhold Publ. Corp., 1960, xi, 162 pp., ill., 4.95 doll. (англ.)

9П122. Проектирование судов из пластмасс. Аврух М. Г., Л., Судпромгиз, 1960, 340 стр., илл., 12 р. 65 к.

9П123. Склеивание древесины в поле токов высокой частоты. Ковальчук Л. М. М.—Л., Гослесбумиздат, 1960, 160 стр., илл., 5 р. 5 к.

9П124. Способ контроля скорости полимеризации. Ross Maurice, Saxty Lionel John. Improvements in and relating to polymerisation. [Peterlite Products Ltd]. Англ. пат. 818472, 19.08.59.—Патентуется способ контроля скорости термич. полимеризации ненасыщ. соединений винильного и аллильного типов, основанный на измерении изменяющихся в ходе процесса электрич. характеристик полимеризующегося материала (диэлектрич. постоянной, коэф. мощности, тангенса угла потерь или электрич. сопротивления), что позволяет выбирать оптимальные режимы процесса. Напр., материал полимеризуют при некоторой т-ре до начала гелеобразования, затем т-ру снижают и ведут процесс до начала отверждения материала, после чего т-ру снова несколько поднимают и при этой т-ре заканчивают процесс. Для измерения электрич. характеристик используют формы с заделанными в их стенки электродами. Напр., нагревают при 80° смесь 20 ч. триаллилцианурата, 15 ч. аллилметакрилата, 65 ч. метилметакрилата и 0,1% перекиси бензоила до получения сиропоподобной массы, после чего к смеси добавляют 0,5% перекиси ди-трет-бутила и выливают ее между пластинами размером 450 × 450 мм при расстоянии между ними 8 мм. Форму помещают в печь при 50°. В ходе процесса коэф. мощности возрастает и проходит через максимум. Когда его значение уменьшится в 2,5 раза по сравнению с максимальным, т-ру снижают до 40° и ведут процесс до достижения второго (более низкого) максимума коэф. мощности, после чего т-ру снова поднимают до 50°; смесь выдер-

живают при этой т-ре 5 час. и извлекают из формы томол., жесткий, прозрачный, размягчающийся при 100° лист (общее время полимеризации 20 час.). При полимеризации в течение 20 час. при 50° аналогичные смеси вызывают сильное повреждение стеклянных форм, тогда как при 40° за 20 час. полимеризующаяся смесь не достигает твердого состояния.

9П125. Способ получения полимеров. Dow Robert. Method of making polymers. [George S. Nalla, Jr]. Пат. США 2893937, 7.07.59.—Патентуется способ фотополимеризации ненасыщ. органич. соединений (напр., стирола I), метилстирола, метилметакрилата, а также смесей I с бутадиеном или акрилонитрилом или со смесями указанных мономеров или их полимеров) при облучении полимеризуемого мономера или смеси светом с длиной волны 1800—7200 Å в присутствии 0,01 вес. % перекиси этилметилкетона (II). Используют солнечный или искусственный свет (напр., облучение с помощью УФ-лампы) при непрерывном или периодическом освещении. Напр., смесь 1000 ч. стирола и 1 ч. II запаивают в кварцевом сосуде в атмосфере N₂, сосуд помещают в термостат при 41° и облучают солнечным светом в течение 2 дней. Получают твердый, прозрачный полимер с высоким мол. весом (выход 93%). В отсутствие II полимеризация в аналогичных условиях приводит к образованию сиропообразного продукта.

9П126. Способ хранения гидрозолей в сухом состоянии. Gates John W., Jr., Dann John R., I. lingsworth Bernard D. Method for storing hydrosols in a dry reusable state. [Eastman Kodak Co.]. Пат. США 2856371, 14.10.58.—Предлагается способ приготовления сухих, долгосохраняющихся полимерных гидрозолей, легко диспергируемых в воде, смешением 1 вес. ч. полимерного гидрозоля (ПГ) с 1—9 вес. ч. воды. П-ра желатин (в расчете на сух. в-во). ПГ получают путем эмульсионной сополимеризации алкилакрилатов, алкилметакрилатов, бутадиена, изопрена или хлоропрена (1-й компонент) со стиролом, акрилонитрилом или метакриламидом (2-ой компонент), а также сополимеризацией двух мономеров из указанных групп с желатиной (I) или производными I и ненасыщ. к-т (напр., малеатом I) (3-й компонент). После охлаждения застывшую смесь размельчают до дискретных частиц и высушивают досуха. Напр. (в вес. ч.), получают гидрозоли, содержащий 20% твердых в-в, путем эмульсионной сополимеризации 59 н-бутилакрилата, 25 акрилонитрила и 16 малеата I. Гидрозоль смешивают с водой и получающую дисперсию смешивают с водн. дисперсией I. После застывания и высушивания получают сухие хлопья, легко диспергируемые в воде при подогреве до 50°. С. Басс

9П127. Способ полимеризации моновинилидененового соединения в водной суспензии. Wiley Ralph M. Method of polymerising a monoethylenically unsaturated vinylidene compound in aqueous suspension. [The Dow Chemical Co.]. Пат. США 2875185, 24.02.59.—Для полимеризации получают водн. суспензию при перемешивании по крайней мере одного несовместимого с водой моноэтиленненасыщенного моновинилидененового соединения (можно винилиденхлорида или стирола) в среде, содержащей гидрофильный коллоидальный гранулирующий агент и 35—50 об. % воды, в таких условиях, чтобы образовались капельки мономера желаемого размера; затем дисперсию сгущают путем растворения в ее водн. фазе углевода в качестве загустителя (напр., камеди белой акации, картофельного крахмала) в кол-ве, достаточном для предотвращения гравитационного отделения дисперсной фазы от водн. фазы, после чего прекращают содействующее диспергированию перемешивание и при действии тепла и катализатора осуществляют полимеризацию мономера (при этом желательно в сгущенной дисперсии

избежать турбулентности). Получают однородные полимерные шаровидные гранулы. Напр., 80 ч. винилхлорида, содержащего 0,4 ч. перекиси бензоила, энергично перемешивают со 160 ч. воды, содержащей 0,1% метилцеллюлозы, и получают суспензию. После осаждения суспензию декантируют 100 ч. воды. Затем полученную дисперсию сгущают путем введения в нее 20 ч. воды. р-ра, содержащего 1,6 ч. камеда, и композицию выдерживают при 50° в течение 48 час. в не-турбулентном состоянии. Получают продукт, представляющий собой однородную гранулированную свободно текущую массу полимера, пригодную после сушки для экструзии. При приготовлении полимера без камеда получают твердые куски, которые перед экструзией необходимо подвергнуть дроблению и измельчению.

9П128. Комплексные катализаторы полимеризации. Truett William Lawrence. Coordination polymerization catalysts. [E. I. du Pont de Nemours and Co.]. Пат. США 2899415, 11.08.59.—Патентуется способ полимеризации этилена с образованием твердых неразветвленных полимеров, содержащих небольшое число винильных групп, при т-рах до 300° и давлении 10–500 ат в присутствии инертного органич. р-рителя и каталитич. системы, получаемой смешением 1 моля $AlCl_3$ или $Al(OC_2H_5)_3$ с ≥ 1 молем этил-магнийбромида. Катализатор используют в кол-ве 0,1–10 вес.% Al от веса мономера. Напр., к нагретому до 50–55° р-ру 0,03 моля $AlCl_3$ в 200 мл циклогексана быстро добавляют 0,03 моля эфирного р-ра этил-магнийбромида (в атмосфере N_2), смесь встряхивают несколько мин. и вводят в реактор емк. 325 мл. После пропускания N_2 и эвакуирования реактор заполняют этиленом (175 ат) и встряхивают содержимое сосуда 90 мин. при 200°. Продукт промывают ацетоном, метанолом, смесью HCl и метанола, снова ацетоном и сушат при 70°. Получают 1,4 г полимера с плотностью 0,945, из которого формуют жесткие пленки. С. Басс

9П129. Способ полимеризации олефинов. Procédé de polymérisation d'oléfines. [L'Air Liquide (Soc. An. pour l'étude et l'exploitation des procédés Georges Claude)]. Франц. пат. 1184303, 20.07.59.—Олефины (напр., этилен) полимеризуют при относительно низком давл. (<100 ат) и в инертн. р-рителе в присутствии катализатора, содержащего галогенид металла III группы (напр., $AlCl_3$), галогенид одного из тяжелых металлов IV–VI групп (напр., $TiCl_4$) и, кроме того, металл I или VIII групп. В качестве инертн. р-рителя применяют алифатич., циклич. или ароматич. углеводороды или их смеси. Из металлов I группы применяют Na, K или Li. Катализатор готовят, нагревая в инертном р-рителе галогенид металла III группы и металл I или VIII групп сначала до 100–200°, а затем под давлением H_2 и полимеризуемого олефина и добавляют тяжелый металл IV–VII групп. Приготовление катализатора и полимеризацию осуществляют в одном сосуде. Пример. В автоклав емк. 1 л вводят 250 мл сухого ксилола, 13,4 г (0,1 моля) $AlCl_3$ и 6,9 г (0,3 моля) Na в виде тонкого порошка; смесь нагревают до 120° и автоклав охлаждают. Автоклав продувают H_2 и затем заполняют H_2 под давл. 20 $кг/см^2$ и этиленом при том же давлении. Общее давление смеси 40 $кг/см^2$. Смесь нагревают 2 часа при 120°; после охлаждения наблюдают падение давл. смеси на 8 $кг/см^2$, затем снова нагревают 4 часа до 120°, вызывая падение давл. на 15 $кг/см^2$. После этого смесь охлаждают и вводят в автоклав в атмосфере аргона 2 г (0,0105 моля) $TiCl_4$ в 20 мл ксилола и затем 200 г этилена под давл. 55 $кг/см^2$; смесь нагревают 1,5 часа при 120° и выдерживают остывающую массу 16 час., затем нагревают 9 час. при 150° и оставляют массу на 48 час. Давление падает на 25 ат. Общий расход этилена ~100 г. Из автоклава извлекают темно-серую губчатую массу (140,7 г) и в течение 1 часа обрабатывают ее 420 мл

метанола, содержащего 42 г HCl , после чего промывают водой и отжимают. Получают 99 г белого порошкообразного полимера с т. размягч. 125–128°.

В. Толстогузов
9П130. Полимеризация этилена. Anderson Arthur William, Bro Manville Isager. Polymerization process. [E. I. du Pont de Nemours and Co.]. Пат. США 2879263, 24.03.59.—Твердый полиэтилен с линейной структурой, большими мол. весом и вязкостью получают в присутствии инициатора, представляющего собой продукт р-ции соединения Ti или Zr (бромида или хлорида) и щелочного металла, и активатора — углеводорода с двойной или тройной связью между атомами С. Щел. металл применяют в кол-ве, достаточном для восстановления Ti до трехвалентного состояния. Полимеризацию проводят в р-рителе (ароматич. или насыщ. углеводороде, бензоле, толуоле, циклогексане). Активаторы должны хорошо смешиваться с реакционной средой. Пример. В реактор объемом 330 мл вводят 100 мл циклогексана и 2,3 г Na (0,1 моля). Реактор охлаждают и эвакуируют, добавляют в качестве активатора по каплям 4,2 г (0,1 моля) пропилена, нагревают при 150° в течение 15 мин., затем охлаждают до ~20° и вводят 3,46 г (0,02 моля) $TiCl_3$, растворенного в 40 мл C_6H_{12} . Реакционную массу вторично нагревают до 100° и вводят этилен под давл. 35–49 ат. Реактор охлаждают, избыток мономера выливают, а полученный полимер отделяют фильтрованием от реакционной смеси, промывают и сушат. Получают 56,3 г твердого белого полимера, из которого отливают пленки при 200° и давл. 1400 ат в течение 2 мин. В качестве активаторов используют также изобутилен, ацетилен, α -метилстирол, циклогексан, этилбензол, бутadiен, *цис*- и *транс*-бутен-2. В качестве катализатора применяют также литий и $TiBr_3$.

Л. Шуб
9П131. Способ получения полиэтилена. Franke Walter, Holz Alfons. Verfahren zur Herstellung von Polyäthylen. [Chemische Werke Hüls A.-G.]. Пат. ФРГ 1063804, 25.02.60.—Этилен полимеризуют в присутствии инертного р-рителя при т-ре 20–150° и давл. <50 ат и с применением в качестве катализатора смеси галоидалкила и продукта р-ции галогенида Co^{2+} с легким металлом (с добавлением гидрида металла или без него). Получают высокомолекулярный полиэтилен с хорошим выходом по времени и стему из аппаратуры. Напр., в автоклаве (в атмосфере N_2) в 1000 мл лигроида суспендируют 22 г безводн. $CoBr_2$, 10 г Al (крупн.) и 110 г C_2H_5Br , смесь нагревают 2 часа при 150° и перемешивании, охлаждают до 100°, после чего нагревают этилен под давл. 50 ат до тех пор, пока давление не перестанет снижаться. Затем охлаждают автоклав и получают серую суспензию полиэтилена в лигроине, которую фильтруют, промывают смесью CH_3OH и HCl , а затем ацетоном, сушат и получают 80 г белого полиэтилена с мол. весом > 25 000.

М. Альбам
9П132. Смещение кислорода с этиленом при производстве полиэтилена. Кодама Нобудзиро, Такигута Исодзи, Юаса Юкио, Футода Тада-нао, Тарада Ютака. [Сумитомо кагаку когё кабусики кайся]. Японск. пат. 5948, 6.08.57.—Для уменьшения колебаний в содержании O_2 в C_2H_4 последний вводят непосредственно в анодное отделение водн. электролитич. ячейки (ЭЯ). Пример. C_2H_4 , содержащий 0,001% O_2 , вводят в ЭЯ со скоростью 28,8–30,7 л/час. Сила тока в ЭЯ 1,16–1,38 а. Получают C_2H_4 , содержащее O_2 в котором колеблется в пределах $\pm 0,0001\%$.

Э. Тукачинская
9П133. Способ полимеризации алкенов при атмосферном давлении. Oláh György, Kuhn István. Eljárás alkének légköri nyomáson történő polimerizációjára. Венг. пат. 145215, 15.09.59.—Патентуется способ полимеризации алкенов при атмосферном давлении в

присутствии комплекса алкилфтористого бора или другого стабильного катионфтористого бора. Пример. К смеси 2-метилпентана и жидкого этилена (2:1, т-ра -110°) прибавляют 5% этилфтористого бора и 0,1% титантенонтрифторацетоната. После 3-часового нагрева до т-ры $\sim 20^\circ$ смесь фракционируют. Получают 20% углеводородов C_8-C_{16} . М. Коловертнова

9П134. Получение полипропиленов. Procédé de préparation de polypropylènes [Union Chimique Belge, Soc. An.]. Бельг. пат. 548468, 20.11.59.—Жидкий или газообразный пропилен контактируют с абсорбированным инертной основой катализатором, полученным р-цией $TiCl_4$ и одного или нескольких соединений общей ф-лы RM_e , где R — углеводородный радикал, имеющий 2—5 атомов C, и M_e — щел. металл, напр. амилнатрий, амиллитий, аллилнатрий. Р-ция протекает при т-ре выше -50° ($15-85^\circ$) под давлением < 200 ат (1—100 ат) в присутствии одного или нескольких углеводородных р-рителей. Пропилен может содержать примесь одного или нескольких инертных газов. Патентуемым способом полимеризуют также смесь пропилена и меньшего кол-ва этилена, вводимого в зону р-ции во вторую очередь. Полученные полимеры разделяют фракционированным растворением на аморфные и кристаллич. фракции. Продукт применением для формования прессованием, литьем под давлением, для произ-ва листов, оболочек и волокон из расплава или р-ра. Напр., р-р 2 г $TiCl_4$ в 10 мл пентана абсорбируют 100 мл кристаллич. алумосиликатов или цеолитов и вводят в суспензию амилнатрия, содержащую 1 г Na в 100 мл пентана, помещенную в железную трубу. Затем под давл. 10 ат вводят пропилен и смесь оставляют на 16 час. при 20° . Образовавшийся полимер отделяют от катализатора и промывают подкисленным спиртом и водой. Получают 6 г полимера, имеющего мол. в. 350 000, т. пл. 165° и содержащего 53% кристаллич. фазы. Ю. Васильев

9П135. Способ получения продуктов полимеризации. Weitz Hans-Martin. Verfahren zur Herstellung von Polymerisationsprodukten. [Badische Anilin- & Soda-Fabrik A. G.]. Пат. ФРГ 10582557, 5.11.59.—При полимеризации олефинов в качестве катализаторов применяют продукты присоединения металлов или смесей металлов и их галогенидов к кетонам. Применяют добавки $ZnCl_2$, $AlCl_3$, $FeCl_3$, $SiCl_4$, $TiCl_4$ или C_2H_5Cl , $CHCl_3$, CCl_4 , $C_2H_4Cl_2$, C_2H_5Cl , CCl_3Br , CF_3I , трет-бутилхлорид, $(C_6H_5)_3CCl$, трихлороацетонитрил или $C_6H_5OCCl_2$ или их смеси. Напр. (в ч.), 100 свеженеперегнанного стирола, 200 циклогексана, 5 фенилдибензилкетона и 2 К перемешивают 0,5 часа при 65° под N_2 , затем вводят 0,5 CCl_4 , через 1 час реакционную смесь охлаждают и добавляют 1000 CH_3OH ; выпавший полимер отфильтровывают, промывают р-ром HCl в CH_3OH и затем CH_3OH , сушат и получают 70 ч. желтоватого полистирола. М. Альбам

9П136. Способ получения полимеров. Ohlinger Helmut, Bronstert Klaus, Mosthaf Helmut. Verfahren zur Herstellung von Polymerisationsprodukten. [Badische Anilin- & Soda-Fabrik A.-G.]. Пат. ФРГ 1066744, 31.03.60.—Стирол и (или) его замещенные в ядре производные полимеризуют также и в смеси с другими мономерами, напр., с $\leq 30\%$ α -метилстирола, при $160-240^\circ$ в присутствии по крайней мере такого же кол-ва низкомолекулярного полистирола и в отсутствие регуляторов и катализаторов и получают низкомолекулярные полимеры с $K_w \leq 40$. Напр., 1 ч. полистирола с K_w 28 растворяют в 1 ч. стирола, р-ром записывают автоклав с мешалкой, быстро нагревают под давлением N_2 5 ат до 200° , полимеризуют 2 часа, после чего давление снимают; горячий полимер сливают в жидком виде, дают ему остыть и получают прозрачную смолу с K_w 25. М. Альбам

9П137. Удаление щелочных металлов из вязких углеводородных жидкостей. Cull Neville Lever-

ne, Mertzweiller Joseph Kern, Segura Mar-nell Albin. Removal of alkali metals from viscous hydrocarbon liquids. [Esso Research and Engineering Co.]. Пат. США 2862982, 2.12.58.—Для удаления остатков катализаторов (щел. металлов) из полимеров или сополимеров диолефинов с сопряженными двойными связями применяют обработку их отбеленной глиной, содержащей 1,25 вес. % влаги. Пример (в вес. ч.). Из 80 бутадиена, 20 стирола, 200 варсола (нефтяного р-тителя с т. кип. $150-200^\circ$), 40 диоксана, 0,2 изопропанола и 1,5 Na ($10-15 \mu$) при 50° получают маслянистый полимер. Фильтрованием последнего через глину Anapulgus получают бесцветный продукт, имеющий нейтр. реакцию. Э. Тукачинская

9П138. Синтетические органические катионные полиэлектролиты и способ их получения. Juda Walter, Hamerschlag Allan H. [Ionics, Inc.]. Пат. США 2860097, 11.11.58.—Сополимеризацией моноэтиленового соединения (напр., стирола) с винилпиридином получают линейную матрицу, которую хлорметилируют, а затем превращают в четвертное основание, представляющее собой растворимый полиэлектролит. При взаимодействии же содержащего > 1 этиленовой группы соединения (напр., диизопропенилбензола) образуется разветвленная матрица, которая после аналогичной обработки дает неастворимый неплавкий полиэлектролит. Пример. Смесь 100 г *n*-метоксистирола, 100 г 1-винил-2-пирролидона и 0,4 г азо-бис-изобутиронитрила нагревают 20 час. при 80° при атмосферном давлении и 5 час. при 130° в вакууме. Полученный полимер охлаждают, измельчают, растворяют в $(Cl-CH_2)_2O$, через 24 часа выливают в воду, осаждаемый полимер собирают, промывают и растворяют в воде $(CH_3)_3N$. Полученный р-р выливают в ацетон, выпавший в осадок водорастворимый продукт сушат при 60° . Указанные продукты применяются в качестве клеев, бактерицидных, коагулирующих и флокулирующих агентов, добавок, улучшающих структуру почв, а также секвестрантов. Э. Тукачинская

9П139. Матирование поверхности изделий из полистирола и других прозрачных пластических материалов. Procédé pour dépolir le polystyrène ou autre matière plastique transparente et produit industriel nouveau en résultant. [Marcel-Léon Devost]. Франц. пат. 1177917, 30.04.59.—Изделия из полистирола или другого прозрачного материала с нанесенными на них линиями (линейки, угольники, транспортиры и т. д.) для улучшения видимости шкалы покрывают с лицевой стороны в-вом, образующим полупрозрачный слой, одновременно защищающий шкалу от истирания. Для покрытия изделий из полистирола, напр., применяют «виниловые чернила». Приложены рисунки изделий. Ю. Васильев

9П140. Полимеризация в гранулах винильных соединений. Procédé pour la polymérisation en perles de composés vinyliques. [Solvic Soc. An.]. Бельг. пат. 557662, 11.03.60.—Винильные мономеры и их смеси полимеризуют в присутствии воды, защитных коллоидов, катализаторов и H_2 , используемого в кол-ве $5-50$ мг/кг исходного мономера. Полученные полимеры и сополимеры состоят из агломерата весьма малых частиц, легко абсорбирующего пластификаторы. Напр., в автоклаве помещают 200 ч. воды, 0,5 ч. поливинилового спирта в качестве диспергатора и защитного коллоида и 0,25 ч. перекиси лаурилы. Для пеногашения добавляют следы силиконового масла. Автоклав вакуумируют до 160 мм рт. ст. и продувают N_2 , повторяя обе операции трижды, и вновь вакуумируют. Затем вводят 100 ч. винилхлорида и 0,003 ч. H_2 и нагревают до 52° . Полимеризацию прекращают при падении давления до $3,5$ кг/см². Удаляют мономер и отжимают полученный поливинилхлорид, имеющий мол. в. ~ 60 000. Приведены микрофотографии полимеров, полученных в различных условиях. Ю. Васильев

зидий из R. Chlorinated meth. Corp.]. Пат. на основ. ров с ви. ная кол. нанем 0,01—0,0 шей (в л. винилац. тор), 1/1 крас. нием по (мин), в держащ. к-ты (~

полвинил. PVC lem. gipari K. сан упр. из и л. из поро. их подв. конвейер. пластин. ПВХ, 2. тела (и. тифта. рошк. рез сит. против. выдер. ние с

Хи дэ. кабуси. димети. вают в. ствни (н. ненно. терефт. N_2 при $250^\circ/20$ т-ру ме. до 0,1. вязкос. $Co_2(BO_3)$ Ca, Co. При по. ход 1

щей л. сики в. FeO. F. му, с р. стично. хлорид. рез по. матыв. движе. равнов. ленте, ханич. FeO. 1. в 5%. кают. ты по. ты.

9П141. Способ обработки хлорсодержащих композиций из смол. Rocky Joseph F., Nissel Frank R. Chlorine-containing resinous compositions and improved method for processing the same. [Union Carbide Corp.]. Пат. США 2897176, 28.07.59.—Композиция (KM) на основе полимеров винилхлорида или его сополимеров с винилиденхлоридом или винилацетатом, способная каландроваться с высокими скоростями с образованием тонких пленок, содержит пластификатор и 0,01—0,03 вес. % полиэтилена. Напр. из KM, содержащей (в вес. ч.) 60,3 сополимера винилхлорида (95%) и винилацетата (5%), 27,6 диоктилфталата (пластификатор), 1,1 дибутылдифталаата олова (стабилизатор), 11 красителя и 0,02 вес. % полиэтилена, каландрованием получают тонкие пленки со скоростью (~ 36 м/мин), в 2 раза большей, чем из аналогичной KM, содержащей вместо полиэтилена 0,3 вес. % стеариновой к-ты (~ 18 м/мин). С. Бассе

9П142. Способ приготовления твердых пластин из поливинилхлорида. Páronyi Tamás. Eljárás kemény PVC lemezek előállítására. [Szerkes Vegyipari és Műanyagipari Kutató Intézet]. Венг. пат. 145145, 15.08.59.—Описан упрощенный способ приготовления твердых пластин из поливинилхлорида (ПВХ). При т-ре агломерации из порошкообразного ПВХ изготовляют плиты, затем их подвергают прессованию. Агломерацию проводят на конвейере. Преимущество метода состоит в получении пластин без напряжения. Пример. 100 кг порошка ПВХ, 2 кг стабилизатора (фталата Pb), 20 кг наполнителя (испанских белил) и 8 кг пластификатора (дибутилфталата) перемалывают в шаровой мельнице. Порошок высушивают до влажности 0,2%, просеивают через сито с 250 отверстиями на 1 см^2 и наполняют им противни глубиной 0,5—8 мм. Противни с порошком выдерживают 5 мин. при 200—260°. Полученные плиты после охлаждения подвергают прессованию.

М. Коловертнова

9П143. Получение линейных полиэфиров. Нагао Хидэо, Мифунэ Акира. [Тэйкоку дзиндзё кэнсин кабусики кайся]. Японск. пат. 6392, 17.08.57.—194 вес. ч. диметилтерефталата и 136 вес. ч. этиленгликоля нагревают в атмосфере азота при перемешивании в присутствии 0,1% катализатора. Т-ру в течение 6 час. постепенно повышают от 180 до 210°; получают дигликольтерефталат (I), выход 92%. I расщепляют в атмосфере N_2 при 230°, перемешивая и отгоняя этиленгликоль при 250°/20 мм. Через 30 мин. перемешивание замедляют, т-ру медленно повышают до 275°, давление поднимают до 0,1 мм. Через 2 часа получают полимер, имеющий вязкость 0,72. В качестве катализатора применяют $\text{Co}_2(\text{BO}_3)_2$ или смесь его с ацетатом или окисью Al, Bi, Ca, Co, Cu, Fe, Hg, K, Li, Mg, Mn, Ni, Pb, Sb, Sn или Zr. При проведении р-ции в отсутствие катализатора выход I составляет 6%, вязкость полимера 0,28.

Э. Тукачинская

9П144. Изготовление магнитной звукозаписывающей ленты. Тавабара Сёити. [Нитто дзёин котё кабусики кайся]. Японск. пат. 3427, 7.06.57.—К порошку $\text{FeO} \cdot \text{Fe}_2\text{O}_3$, кристаллы которого имеют игольчатую форму, с размером частиц 0,01—10 μ , добавляют термопластичную синтетич. смолу, напр. полиэтилен или винилхлорид. Смесь хорошо перемешивают, пропускают через подогретые валки, и полученные в результате прокатывания ленты смолы вытягивают в направлении движения ленты. Эта обработка ленты способствует равномерному распределению порошка $\text{FeO} \cdot \text{Fe}_2\text{O}_3$ в ленте, повышает звукочувствительность ленты и ее механич. прочность. Пример. Смесь 50% порошка $\text{FeO} \cdot \text{Fe}_2\text{O}_3$ с размером частиц в 1 μ 45% винилхлорида и 5% диоктилфталата хорошо перемешивают и пропускают через валки, подогретые до 180°. Полученные ленты подгревают до 50—170° и вытягивают в виде ленты. М. Кириша

9П145. Способ кристаллизации зернистого полиэтилентерефталата. Merkes Rudolf, Slavík Vlastimil. Způsob krystalisace zrnitého polyethylentereftalátu. Чехосл. пат. 89715, 15.04.59.—Кристаллизацию частиц аморфного полиэтилентерефталата (I) проводят в смеси с 3-кратным и более избытком кристаллич. I, что позволяет вести кристаллизацию при т-ре выше точки перехода 2-го порядка (лучше всего при 120—140°). По предлагаемому способу кристаллизацию I производят одновременно с его гомогенизацией. Пример. В гомогенизатор, из которого периодически отбирают кристаллич. зернистый I, добавляют аморфный I с таким расчетом, чтобы соотношение кристаллич. и аморфного материалов было $>5:1$. В паровую рубашку гомогенизатора подводят пар с давл. 5 атм, поддерживающий т-ру на уровне $120 \pm 5^\circ$. При использовании I с влажностью $<0,1$ вес. % характеристич. вязкость ПЭТ понижается (измеряют в смеси фенола с трихлорэтаном, 1:3, при 30°). Теплоту зернистого I используют в стационарных сушилках, в которых происходит сушка при т-ре $\geq 120^\circ$. З. Смелый

9П146. Способ получения поперечносшитого поливинилового спирта. Miller Alexander A. Method of producing cross-linked polyvinyl alcohol. [General Electric Co.]. Пат. США 2887127, 28.07.59.—Патентуется способ получения сшитого поливинилового спирта путем облучения эфиров поливинилового спирта (напр., поливинилацетата и других эфиров алифатич. к-т) электронами с энергией $5 \cdot 10^4 - 2 \cdot 10^7$ эв при общей дозе $1 \cdot 10^6 - 5 \cdot 10^7$ рентгенов с последующим деацелированием эфира с помощью спирт. р-ра основания. Эфир облучают в виде пленки или гранул. Напр., гранулированный поливинилацетат, облученный дозой $2 \cdot 10^7$ рентгенов, кипятят 1 час в 1%-ном метанольном р-ре NaOH, продукт промывают водой и сушат. Выход 94%. Патентуемые продукты обладают большей эластичностью, более высокой устойчивостью к влаге и менее чувствительны к тепловому старению по сравнению с поливиниловым спиртом. С. Бассе

9П147. Очистка поливинилацеталей. Dahle Joseph. Process of purification of polyvinyl acetals. [Celanese Corp. of America]. Пат. США 2859207, 4.11.58.—Поливинилацетальную смолу растворяют в р-рителе, смешивающемся с водой (напр., CH_3OH), полученный р-р встряхивают с водой при 30—60°. При этом смола переходит в гелеобразное состояние; большая часть примесей и значительное кол-во CH_3OH переходит в водн. фазу. Обе фазы легко разделяются центрифугированием. Э. Тукачинская

9П148. Способ производства оптически гомогенного полиметакрилата. Marek Oldřich. Způsob výroby opticky homogenního polymetakrylátu. Чехосл. пат. 89662, 15.04.59.—Патентуется способ изготовления блоков или пластин из полиметилметакрилата, характеризующихся полной оптической гомогенностью и отсутствием заметных внутренних напряжений. Способ отличается тем, что по истечении 20% от общего времени процесса полимеризацию осуществляют в водн. среде. Это позволяет лучше отводить теплоту р-ции, что повышает качество изделий и сокращает время полимеризации на 30—50%. Пример. Мономер или форполимер метилового эфира метакриловой к-ты полимеризуют между пластинками из силикатного стекла, обклеенными картоном, на воздухе при 60° в течение 8 час. Затем удаляют картон и продолжают полимеризацию 24 часа при 40° в водн. среде и завершают процесс в течение 8 час. при 97°, также в воде. После окончания полимеризации извлекают из ванны готовые полиметилметакрилатные пластины или блоки и отделяют от них пластинки силикатного стекла. З. Смелый

9П149. Получение полимеризируемого бензилметакрилата. Dvořák Jan, Majer Josef. Způsob výroby polymerovatelného benzylmethakrylátu. Чехосл. пат. 88707, 15.02.59.—Предлагается метод получения бензил-

метакрилата, отличающийся тем, что метилметакрилат или другой алифатич. эфир метакриловой к-ты переэтерифицируют бензиловым спиртом в присутствии щел. или кислых катализаторов. Чистый бензилметакрилат имеет т. кип. 84° при 2 мм рт. ст. Пример (в ч.). Смесь 140 метилметакрилата, 108 бензинового спирта, часть которого добавлением К (0,5) превращена в алколюлат К, и 2 пирокатахина кипятят до тех пор, пока перегоняется азеотропная смесь метилметакрилата с метанолом (4—5 час.) при флегмовом числе 1:5. За это время т-ра смеси повышается до 150°. Затем нагрев прекращают, смесь охлаждают и фильтруют для отделения выпавших солей. Перегонкой при обычном давлении из смеси удаляют избыток метилметакрилата, затем при пониженном давлении — не прореагировавший бензиловый спирт и, наконец, бензилметакрилат, который перегоняют при 15 мм рт. ст. в пределах 117—120°. Выход 82%. З. Смелый

9П150. Получение растворов поднакрилонитрилов. Нагао Хидэо, Утида Мория, Ямагучи Таруо. [Тайкоку дайндзо канси кабусики кайся]. Японск. пат. 7792, 18.09.57.—Полиакрилонитрил, содержащий в молекуле <95 вес. % акрилонитрила, растворяют в смешанном р-рителе, содержащем в качестве основного компонента ацетонитрил, хлорацетонитрил или α-оксипропионитрил и в качестве второго компонента — диметилформамид, диметилацетамид, тетраметилсульфон, формилморфолин, пивацетамид, фуларонитрил, малонитрил, нитрофенол, оксацетонитрил или этиленкарбонат. Пример. К 300 вес. ч. р-рителя, состоящего из ацетонитрила (97,5%) и диметилформамида (2,5%), добавляют 100 вес. ч. порошка сополимера акрилонитрила (86%) и винилацетата (14%) со средним числом полимеризации 60 000. К смеси добавляют H₂SO₄ (2% от кол-ва р-рителя) и постепенно подогревают до 80°. Через ~2 часа суспензия превращается в прозрачный вязкий р-р. В патенте приведено 4 примера получения р-ров различных полимеров акрилонитрила в различных указанных выше р-рителях.

М. Кирпша
9П151. Получение полимеров на основе продуктов взаимодействия 1,2,4-триметиленциклогексана с α,β-ненасыщенными соединениями. Benson Richard E. Reaction products of 1,2,4-trimethylenecyclohexane with alpha, beta-ethylenically unsaturated compounds, their preparation and homopolymers thereof. [E. I. du Pont de Nemours and Co.]. Пат. США 2894936, 14.07.59.—Патентуется способ получения полимеров 6-метилен-1,2,3,4,5,6,7,8-октагидронафталина, имеющего при одном из атомов С в положении 2 или 3 один заместитель, являющийся группой CN, NO₂, CHO, COR, COOH, COOR, CONH₂, COCl, SO₂R, C₆H₅, CH=CH₂, причем R в заместителях представляет собой углеводород, свободный от алифатич. ненасыщенности и содержащий от 1 до 6 атомов С. Полимер получают взаимодействием 1,2,4-триметиленциклогексана с α,β-ненасыщенными соединениями общей ф-лы (X)₂C=C(X)₂, где по крайней мере одна из групп Х — ненасыщенная. Р-ция протекает при т-рах 10—175°, преимущественно 50—150°, в присутствии катализатора типа никелькарбонилфосфинов общей ф-лы (R₃P)₂Ni(CO)₂ или никелькарбонилфосфитов общей ф-лы [(R₃OP)₂Ni(CO)]₂—n, где n изменяется от 1 до 3, m = 0 или 1, а R — углеводородный радикал, свободный от алифатич. ненасыщенности и содержащий ≤7 атомов С. Продукт полимеризуется на воздухе с образованием химич. устойчивых пленок. Напр., в стальной сосуд загружают 165 мл стабилизированного метилметакрилата, 5 г бис-(трифенилфосфит)дикарбонила никеля ф-лы [(C₆H₅O)₃P]₂Ni(CO)₂, 0,5 г фенолтиазина в качестве стабилизатора и 40 г аллена. Сосуд нагревают при 100—105° в течение 6 час. После дистилляции реакционной смеси получено 121 г непрореагировавшего метилметакрилата, 43 г бесцветного масла, кипящего в интервале 100—130° при

0,5 мм рт. ст., и 23 г вязкого остатка. Перегонкой бесцветного масла с помощью разделительной колонки получено 33 г продукта, кипящего при 90°/1 мм рт. ст., n_D²⁰ 1,5012—1,5018, и представляющего собой 2(3)-метил-2(3)-карбометокси-6-метилен-1,2,3,4,5,6,7,8-октагидронафталин (I), в котором метильная и карбометоксильные группы стоят у одного из атомов С в положении 2 или 3. Выход продукта 45%, считая на прореагировавший аллен. Структура соединения подтверждена ИК-спектром. Если тонким слоем I покрыть на воздухе стеклянную пластину при т-ре ~20°, жидкость твердеет и через несколько дней образуется мягкая, свободно изгибающаяся пленка, которая частично устойчива к органическим р-рителям (напр., толуолу и петр. эф.) и другим химич. агентам. В. Волное

9П152. Стабилизация полиоксиметиленов мочевиной и тиомочевиной и их производными. Kubicek Michael Andrew, MacDonald Robert Neal. Stabilization of polyoxymethylene with ureas and thioureas. [E. I. du Pont de Nemours and Co.]. Пат. США 2899972, 7.07.59.—Для стабилизации высокомолекулярных полиоксиметиленов, характеризующихся стеной жесткости, равной по крайней мере 1 (определяется числом перегибов при ~20° вдоль одной линии без разрушения пленок полимера толщиной 0,075—0,178 мм после прогрева их на воздухе при 105° в течение 7 дней), или константой скорости р-ции термич. деструкции при 222° < 1% в 1 мин. (измеряемой в открытом сосуде), используют 0,001—10 вес. % мочевины, тиомочевины, а также их углеводородных, алкоксилуглеводородных, циануглеводородных, галогидуглеводородных или гетероциклич. оксауглеводородных производных. Напр., смешивают 9 г полиформальдегида с р-ром 0,18 г N,N'-бис-(метоксиметил)мочевины в 25 мл метанола. Смесь выдерживают 15 час., р-ритель удаляют при ~20°, полимер сушат под вакуумом при 60° и прогревают 1 час при 135°. При нагреве в течение 0,5 часа при 130° образец теряет 7,9% своего веса, тогда как потеря нестабилизированного полимера составляет 16,5%. Стабилизированные полимеры используют для получения пленок и волокон.

С. Басс
9П153. Отверждение эпоксидных смол. Cyba Henry A. Curing of epoxy resins. [Universal Oil Products Co.]. Пат. США 2899407, 11.08.59.—Патентуется способ отверждения эпоксидных смол, полученных из эпихлоргидрина и 2,2-бис-(4-оксифенил)-пропана, нагреванием смолы при 100—300° в присутствии 5—200 вес. % диаминодифениловых эфиров, диаминодифенилсульфидов или их алкилированных производных. Используют 4,4'- и 2,4'-диаминодифениловые, 2,4'-диалкиламинодифениловые, 2,4'-ди-втор-бутиламинодифениловые эфиры или 4,4'-2,4'-диаминодифенилсульфиды. Напр., нагревают 9 вес. ч. жидкой эпоксидной смолы (вязкость 50—150 спуз при 25°, эпоксидное число 175—210) с 1 вес. ч. 2,4'-диаминодифенилового эфира в течение 1,5 часа при 170°; получают твердый продукт.

С. Басс
9П154. Получение продуктов конденсации, отверждаемых при комнатной температуре. Кибмидзу Такаитиро. Японск. пат. 1543, 7.03.57.—Водо-, кислото-, щелоче- и теплостойкие продукты, отверждаемые при ~20°, получают полимеризацией фенолов, содержащих ненасыщ. алкильные группы — остатки линоленовой, линолевой или олеиновой к-т, присоединенные через эфирные или кетонные связи, — в присутствии S, перекисей или галогенидов металлов, после чего смешивают с параформом. Пример (в вес. ч.). 100 продукта конденсации резорцина и линолевой к-ты смешивают с 10 S и нагревают 2 часа при 140°. Смесь 100 полученного продукта и 10 параформа затвердевает при ~20° по истечении трех суток. Э. Тукачинская

9П155. Способ получения конденсированных искусственных смол в виде гранул. Mikés János. Eljárás gyöngyalakú kondenzációs műanyagok előállítására. Венг.

пат. 144814, 15.03.59.—Жидкие смолы конденсируют в подогретой водной среде с гранулированным стабилизатором и подвергают диспергированию механич. встряхиванием или действием ультразвука. Для конденсации применяют продукты конденсации фенолов или фурана, аминокласты и полупродукты конденсации и полимеризации. В качестве стабилизатора применяют органич. и неорганич. порошкообразные в-ва в кол-ве 1—25% (наолит, BaSO_4 , окись хрома, тальк, бакалит, CaPO_4 , MgSiO_4 , Si(OH)_4). Пример. Продукт конденсации 1 кг-моля мочевины и 2 кг-моля формальдегида с pH 8,3 испаряют до сиропообразного состояния. Упаривание продолжают в 1 м³ 5%-ной HCl, содержащей 15 кг талька. Получают искусств. смолу в виде гранул.

М. Коловертнова

9П156. Способ приготовления плавящихся анилиноформальдегидных смол. Věranová Dana, Hudeček Slavko. Způsob přípravy tavitelných anilinfomaldehydových pryskyřic. Чехосл. пат. 88722, 15.02.59.—Указанный способ отличается тем, что поликонденсацию проводят при молярном соотношении формальдегида и анилина >1,0 (лучше 1,05—1,20) при t-ре 40—50° в сильноокислой среде (pH 1—4) в течение 15—45 мин., после чего р-цию прекращают путем подщелачивания по известному методу. Полученные смолы более термостойки, чем известные типы термопластич. анилиноформальдегидных смол, обладают резко выраженной точкой плавления, хорошими диэлектрич. и электроизоляционными свойствами, малой усадкой и устойчивы к действию органич. р-рителей. Пример. Для получения смолы с т. пл. 150° 1 моль анилина добавляют к 400 мл воды и pH доводят с помощью 110 г 30%-ной HCl до 3,7. После охлаждения к р-ру добавляют 1,15 моля формальдегида в виде 37%-ного водн. р-ра. Т-ру поддерживают за счет теплоты р-ции и подогрева на уровне 40°. После 30 мин. поликонденсации р-р охлаждают холодной водой до 20° и осаждают смолу добавлением 540 г 8,3%-ного NaOH. Осадок выдерживают при 70° в течение 2 час., отфильтровывают и промывают до прекращения р-ции на кон Cl. Далее смолу высушивают при 80° в течение 20 час. Получают 103 г порошкообразного продукта с т. размягч. 148°.

З. Смелый

9П157. Производство водостойкого шпифовального полотна. Камичукури Тосио, Эндо Юкио. [Кой камэдзакури кабуоки кайся]. Японск. пат. 10749, 24.12.57.—Полотно или бумагу обрабатывают каким-либо гидрофобным составом, полученным на основе синтетич. смол, затем покрывают слоем натурального или синтетич. связующего и наносят порошок абразива. Полученное таким образом шпифовальное полотно (бумага) обладает высокой водо- и маслонепроницаемостью и высокой механич. прочностью. Пример. К 300 ч. воды, тщательно перемешивая, добавляют небольшими порциями 100 ч. поливинилового спирта. Когда спирт достаточно пропитается водой, смесь подогревают до 80—90° и полностью растворяют спирт в воде. Затем добавляют водн. р-р диметилмочевины (5—10 ч. на 80 ч. воды); все это смешивают и, тщательно перемешивая смесь, добавляют небольшими порциями водн. р-р NH_4Cl (1—5 ч. на 20 ч. воды). Полученным р-ром пропитывают какую-либо ткань из натурального или синтетич. волокна, обладающего гидрофобностью. Ткань пропускают через валки и удаляют излишки р-ра, затем пропускают ее через подогретые каландры и просушивают. Обработанную таким образом ткань покрывают соответствующим связующим и наносят на ее поверхность одним из известных способов порошок какого-либо абразива, после чего просушивают.

М. Кирпша

9П158. Получение винилсульфидов замещенных мочевины и тиомочевины и полимеры на их основе. Melamed Sidney. Vinyl sulfide of substituted ureas and thioureas, polymers thereof, and methods for making

them. [Rohm & Haas Co.] Пат. США 2858297, 28.10.58.—Патентуются уреидо- и тиюреидовинилсульфиды, имеющие ф-лы $\text{CH}_2=\text{CHZ}(\text{NHCX})_n\text{NR}^1\text{R}^2$ (I) $\text{CH}_2=\text{CHS}(\text{NHCX})_n\text{NR}^1\text{R}^2$ (II) $(\text{CH}_2=\text{CHS}(\text{NHCX})_n\text{NR}^1\text{R}^2)_m$ (III) $(\text{CH}_2=\text{CHS}(\text{NHCX})_n\text{NR}^1\text{R}^2)_m$ (IV), где Z—o- или n-фенилен, а также фениленовые группы, замещенные 1—2 алкильными группами с 1—4 атомами C; X=O или S; n=1 или 2 (в случае, когда X—атом O и R¹=R²=H); R¹ и R²—радикалы, связанные друг с другом и образующие с соседним атомом N гетероциклич. кольца (морфолиновое, пиперидиновое или пирролидиновое), или радикалы, связанные только с атомом N (в последнем случае R'=H, фенил или алкил с 1—18 атомами C и R²=H, метил или этил); A—алкиленовая группа с 2—6 атомами C, причем в цепочке между соседними атомами S и N содержится не менее двух атомов C; R³=H или алкил с 1—4 атомами C; R⁴—фенил, метилен-бис-фенил, метилден-трис-фенил или алкиленовая группа с 4—10 атомами C; m=2—3 [напр., 2-винилтиофенилбисурет, 2-уреидовинилсульфид, N-метил-N-2-(винилтио)-этилмочевина, N-этил-N'-метил-N'-2-(винилтио)-этилмочевина]. Соединения ф-лы I (в котором R¹=R²=H и n=2) [напр., 2-(винилтио)-фенилбисурет, 3-метил-2-(винилтио)-фенилбисурет] получают путем р-ции эквимольных колич. соединения $\text{CH}_2=\text{CHS}(\text{NHCX})_n$ (V), цаната щелочного металла и минеральной к-ты (соляной, серной или фосфорной) в водн. среде или в низших спиртах при 0—50° в течение 2—24 час. Соединения ф-лы II (R¹=R²=H) получают аналогичной р-цией с использованием соединения ф-лы $\text{CH}_2=\text{CHS}(\text{NHCX})_n$ (VI), или сплавляют VI с эквимольными кол-вами мочевины или тиомочевины при 90—180°. Соединения I или II (R³=H и n=1) получают путем р-ции соединений V или VI с алкил- или фенилизотионатами или изотионатами ф-лы R⁴NHCX (напр., фенил-, бутил- или гексадецилизотионатами, бутил- или децилизотионатами и т. д.). Р-цию ведут в инертном р-рителе (бэл., толуоле, петр. эфире, диоксане и т. д.) при 0—40° в течение 0,5—6 час. В аналогичных условиях получают соединения III и IV путем р-ции V или VI с соединениями ф-лы R⁴(NHCX)_m (напр., тетраметилендиизотионатом, тетраметилендиизотионатом, толлоулидиизотионатом, толлоулидиизотионатом и т. д.). Соединения ф-лы I или II (где R¹ и R² не являются атомами H) получают при 0—80° р-цией V или VI с соединениями ф-лы R¹R²NHCXY, где Y—галоген (напр., с диметилкарбамилхлоридом, метилтилкарбамилхлоридом, а также хлоркарбаматами, хлортиокарбаматами, карбамилхлоридами или тиокарбамилхлоридами морфолина, пиперидина или пирролидина). Из патентуемого уреидо- и тиюреидовинилсульфидов полимеризацией в массе, в р-ре или в эмульсии в присутствии радикальных инициаторов (перекисей и азосоединений) получают гомополимеры с мол. в. ≥ 20 000 или сополимеры (СП) с другими мономерами (акриловой и метакриловой к-тами или их эфирами, эфирами итаконовой, малеиновой и фумаровой к-т, акрилонитрилом, акриламидом, винилхлоридом, стиролом и т. п.). Полимеризацию проводят также в присутствии кислых катализаторов (SO_2 , BF_3 , SnCl_4 и AlCl_3). Кроме того, из соединений ф-лы I—IV (мономеров и соответствующих полимеров и сополимеров), содержащих не менее двух атомов N при двух атомах N уреидных или тиюреидных групп, при действии CH_2O образуются метилольные производные, из которых дальнейшей конденсацией в присутствии к-т получают нерастворимые и неплавкие продукты. Получаемые полимеры и СП могут быть использованы в качестве ионообменных материалов, для получения литых изделий, труб, пленок, покрытий, эмалей для металлов, стекла, керамики, в произ-ве бумаги и т. д. Пример. (а) Р-р 24 г N-метиламиновинилсульфида в 50 мл бензола обрабатывают 16,8 г гексаметилендиизотионата в 50 мл бензола. Продукт, осаждающийся в

нением в качестве единственного сомономеров 30 вес. ч. I светопрозрачность до облучения составляет 84,2% и после облучения 54%. Д. Брондз

9П162. Водные растворы полиэфирных смол, приготовленных путем взаимодействия многоатомного спирта, частичного простого аллилового эфира пентаэритрита и ненасыщенной дикарбоновой кислоты. Silver Raymond P. Aqueous solutions of polyester resins prepared by reaction of a polyhydric alcohol, a partial allyl ether of pentaerythritol, and an unsaturated dicarboxylic acid. [Hercules Powder Co.]. Пат. США 2884394, 28.04.59.—Композицию, пригодную в качестве связующего для стеклопластиков и для покрытий, получают из водн. р-ра термореактивного продукта этерификации ингредиентов, взятых в таких пропорциях, чтобы в продукте р-ции (ПР) на каждый кислотный Н приходилось 1—5 спиртовых ОН-групп. ПР имеет кислотное число < 150 и растворяется в воде до получения концентрированных в-в $\geq 50\%$. В качестве ингредиентов применяют: а) многоатомный спирт [(напр., пентаэритрит (I) и этиленгликоль (II)] с 2—6 ОН-группами в молекуле или смеси таких спиртов, не содержащих функциональных групп (кроме ОН-групп), а также кислорода (кроме кислорода в ОН-группе), при соотношении ОН:С в спирте 0,6—1; б) частичный простой аллиловый эфир I, полученный из ~1—20% от общего числа спиртовых ОН-групп и содержащий в среднем 2 аллиловые группы в молекуле; в) непредельное органич. соединение (напр., маленовую к-ту и ее ангидрид или фумаровую к-ту). Напр. (в ч.), в реакционный сосуд, снабженный термометром, разбрызгивающей трубкой для CO_2 , мешалкой и конденсатором пара, загружают 4,415 II, 21,56 простого диаллилового эфира I, 44,7 технич. I, 22,344 маленового ангидрида, 2,348 борной к-ты и 18,6 воды. Соотношение ОН:Н в смеси составляет 2,65. Реакционный сосуд продувают CO_2 , смесь нагревают при перемешивании до т-ры 170—190°. По истечении 3 часовой р-ции кислотное число ПР составляет 17,4. На этой стадии ПР разбавляют водой до содержания сухих в-в 75%, затем к 100 ч. 75%-ного р-ра добавляют 50 ч. 1,5%-ного водн. р-ра персульфата калия (III) (катализатор) и получают 50%-ный р-р ПР, содержащий 1% III. Время отверждения конечного р-ра, катализированного III, < 1 сек. (по сравнению с 15 сек. для композиции без катализатора). При приготовлении такого же 50%-ного р-ра, но с заменой диаллилового эфира I эквивалентным кол-вом II время отверждения в присутствии III составляет 21 сек. (по сравнению с 25 сек. в отсутствие III).

Д. Брондз 9П163. Твердый полимер растворимого полиэфира и гликольдиакрилата. Parker John A. Curable water-miscible copolymer consisting of water-soluble polyester and glycol diacrylate. [Armstrong Cork Co.]. Пат. США 2884404, 28.04.59.—Предлагается способ получения в водн. среде прочного, прозрачного и устойчивого к различным р-рителям и воде сополимера 5—23 вес. % водорастворимого гликольдиакрилата (напр. диакрилата или диметакрилата, диэтилен- или диглициленгликоля и т. п.) и 95—75 вес. % полиэфира при 93—177° в присутствии перекисного катализатора (0,5—3,0% от веса сополимера). Полиэфир получают при 130—200° в токе инертного газа из дикарбоновой к-ты (маленовая, фумаровая, ятаконовая, цитраконовая, хлоромаленовая к-ты и их ангидриды), полигликоля, содержащего по крайней мере 3 эфирных связей, в кол-ве 0,5—0,7 экв. на 1 экв. к-ты и многоатомного спирта (пентаэритрит, глицерин, сорбит) в кол-ве 0,5—0,7 экв. на 1 экв. к-ты. Кислотное число эфира 50—75. Напр. (в вес. ч.), при перемешивании нагревают до 150° 420 полиэтиленгликоля с мол. в. ~400 в токе CO_2 , прибавляют 191,5 фумаровой к-ты и 68,1 пентаэритрита. Смесь выдерживают 5 час. при 180—170° и отделяют 50 дистиллата. Затем т-ру повы-

шают до 180°, усиливают ток CO_2 и смесь нагревают при указанной т-ре до кислотного числа 70. Полиэфир охлаждают и разбавляют 30% дистил. воды. К 80 полиэфира (в расчете на сухое в-во) прибавляют 20 тетраметилентглицольдиметакрилата и 1 перекиси бензола. Из продукта отдиляют пленки и выдерживают их при 127° в течение 2 час. Г. Коловертов

9П164. Способ дополнительного отверждения поверхности изделий из пластмасс на основе ненасыщенных полиэфирных смол. Grüll Heinrich, Schicht Waldemar. Verfahren zum oberflächlichen Nachhärten von Gebilden auf Grundlame ungesättigter Polyesterharzmassen. [Phoenix Gummiwerke A.-G.]. Пат. ФРГ 1062928, 10.03.60.—Изделия с клейкой поверхностью из пластмасс на основе ненасыщ. полиэфирных смол, полимеризованных на воздухе, подвергают дополнительной обработке водой с т-рой ~70°, а при необходимости содержащей смачиватель, в результате чего поверхность теряет клейкость. Напр., полученный путем центробежного литья цилиндр из смеси ненасыщ. полиэфирной смолы и стирола разрезают в продольном направлении, расправляют в пластину, охлаждают и помещают на 20 мин. в водн. ванну с т-рой 70°, содержащую 0,2% сульфата жирного спирта, и высушивают на воздухе, после чего пластина пригодна к дальнейшей обработке. М. Альбам

9П165. Тиксотропная композиция, содержащая ненасыщенную алкидную смолу, стирол и SiO_2 в виде аэрогеля. Hort Eugene A. Thixotropic resin composition comprising an unsaturated alkyd resin, styrene and silica aerogel. [Celanese Corp. of America]. Пат. США 2887461, 19.05.59.—Для изготовления литых изделий, слоистых пластинок, пленок, покрытий и т. п. предлагается композиция, образующая перестекающийся гель и содержащая ненасыщ. полиэфирную смолу, получаемую р-цией пропиленгликоля (I), маленового (II) и фталевого ангидридов (III), 20—75 вес. % стирола (IV) (в качестве р-рителя полиэфира), катализатор полимеризации и 1,5—16,5% (от общего веса) SiO_2 в виде аэрогеля, придающего композиции тиксотропный характер. Напр., смесь 50 мол. % II и 50 мол. % III с I, взятым в избытке 25%, подвергают р-ции до получения кислотного числа ~50; избыток I отгоняют и получают полиэфирную смолу. Затем смешивают (в вес. ч.) 10 SiO_2 (аэрогеля), 5 Al(OH)₃, 60 полученной полиэфирной смолы, 40 IV, 1 перекиси бензола, 1 $(\text{CH}_3)_2\text{NC}_6\text{H}_5$ (10%-ный р-р в IV) и получают тиксотропный гель, отверждающийся за 2 часа при 220°.

Ф. Псалты 9П166. Получение связующего в виде эмульсии. Liants émulsionnables et leur procédé de fabrication. [Soc. An. des Manufactures des Glaces et Produits Chimiques de Saint-Gobain, Chauny & Cirey]. Франц. пат. 1181441, 11.06.59.—Готовят водн. эмульсию р-ров полиэфиров (ПЭ) в ненасыщ. мономере (содержащих 15—30% ненасыщ. мономера, чаще аллилфталата). ПЭ получают в две стадии. В первой стадии α - β -ненасыщ. дикарбоновые к-ты или их смеси с насыщ. дикарбоновыми к-тами обрабатывают стехиометрич. кол-вом гликоля низкого мол. веса; р-цию проводят до получения ПЭ при кислотном числе (КЧ) 70—100. Во второй стадии полученный ПЭ для придания ему гидрофильности обрабатывают полиалкиленгликолем, обычно полиэтиленгликолем (ПЭГ) с мол. в. 800—4000 (преимущественно 1000—1500). ПЭГ с мол. в. 1000 вводят в кол-ве 25% ст. веса ПЭ. ПЭГ с мол. в. 1500 вводят в кол-ве 20%. Р-цию заканчивают при КЧ 20—40 (чаще 30—35). Обе стадии проводят при т-ре 182—195°. Полученный ПЭ нагревают до 90°, вводят в ненасыщ. мономер и затем готовят водн. эмульсию полученного р-ра. Пример (в вес. ч.). В сосуд с обогревом, снабженный мешалкой и устройством для удаления воды, вводят 445 диэтиленгликоля, 406 маленовой к-ты, 104 $\text{C}_6\text{H}_4(\text{CO}_2)_2\text{O}$ и после вытеснения воздуха сухим N_2 нагревают смесь

2 часа при 150°, а затем т-ру поднимают до 190°. При КЧ, равном ~85, добавляют 160 полиэтиленгликоля с мол. в. 1500, что составляет 20% от веса получаемого ПЭ. Проводят этерификацию при т-ре 490° до КЧ 35. Смесь охлаждают до 150° и добавляют 0,205 гидрохинона, растворенного в 4,8 бутилфталата. При т-ре 80° к ПЭ приливают 321 аллилфталата. После охлаждения смеси получают вязкую жидкость, легко эмульгируемую в воде при перемешивании (на 10 смолы используют 190 воды). Полученная эмульсия может быть применена в качестве связующего для приготовления стеклопластиков (с использованием перекиси бензоила в качестве катализатора) в кол-ве 300 ч. эмульсии на 300 ч. стекловолокна. В. Толстогузов

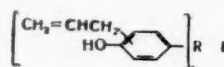
9П167. Способ полимеризации и сополимеризации полиэфирных смол. Nussberger Jifi. Způsob polymerizace a kopolymerizace polyesterových pryskyvic. Чехосл. пат. 88238, 15.01.59.—Предложенный способ полимеризации и сополимеризации полиэфирных смол отличается тем, что в качестве катализатора используют перекисное соединение с экзотермич. точкой < 50°, в частности перекись метилстирилкетона. Описано также приготовление катализатора. Способ позволяет избежать перегрева изделий при полимеризации и сокращает длительность процесса. В изделиях наблюдается уменьшение остаточных напряжений и небольшая усадка. Пример. В охлаждаемый реактор с мешалкой помещают 220 г ацетона, 150 г бензальдегида и 120 г воды. При перемешивании смесь охлаждают до 10—15° и добавляют по частям 90 г 10%-ного р-ра КОН. Смесь перемешивают в течение 12 час. при т-ре < 20°, после чего выдерживают 48 час. Непрореагировавший ацетон отгоняют и в колбу добавляют 600 г 15%-ной HCl. Выделившийся в виде желто-бурого масла метилстирилкетон промывают раствором соды, затем водой и сушат безводн. Na₂SO₄. 100 г полученного метилстирилкетона смешивают при охлаждении (т-ра < 30°) с 150 г 30%-ной H₂O₂ и перемешивают в течение 6 час. Затем добавляют 50 г 50%-ной H₂SO₄ и снова перемешивают в течение 6 час., после чего отделяют масляный слой, промывают его 3 раза дистил. водой и обезвоживают. Полученный таким образом светложелтый продукт — перекись метилстирилкетона — используют в качестве катализатора полимеризации полиэфирных смол. З. Смелый

9П168. Способ получения N-алкоксиметилполиамидов. Záhorovský Svatoslav. Způsob přípravy N-alkoxymethylpolyamidů. Чехосл. пат. 88253, 15.01.59.—N-алкоксиметилполиамиды получают действием формальдегида и алифатич. спирта на полиамид в присутствии фталевого ангидрида в качестве кислородсодержащего катализатора в кол-ве 0,5—8% от используемого полиамида. Предлагаемый метод более экономичен и дает менее деструктированные продукты с лучшими физ. и механич. свойствами, чем известный способ с использованием фосфорной к-ты. Пример (в вес. ч.). В лабораторный автоклав, снабженный лопастью мешалкой, помещают 1 полиакролантама, 0,79 параформальдегида, 1,27 метилового спирта и 0,04 фталевого ангидрида и смесь нагревают 15 мин. при 130 ± 1°. В полученном продукте ~44% амидного водорода замещено на метоксиметильные группы и соотношение η_{sp}/c , характеризующие деструкцию, равно 1,207. Контрольный продукт, приготовленный в тех же условиях, но в присутствии 0,02 фосфорной к-ты, содержащий 40% замещенного на метоксиметильные группы водорода, и для него η_{sp}/c равно 1,03.

З. Смелый
9П169. Производство смол. Procédé de fabrication de résines. [Union Chimique Belge Soc. An.] Бельг. пат. 544218, 25.09.59.—Синтетич. смолы получают р-цией по крайней мере одного диизоцианата общей ф-лы OCN-RNCO, где R — 2-валентный алифатич. или ароматич.

радикал, в кол-ве 1 моля с 0,1—5 молями фурфурилового спирта. Продукт применяют для получения клеев и лаков, изготовления стойких порошковых с высокой т-рой плавления, а также тепло-, звуко- и электроизолярующих материалов. Напр., в колбу с мешалкой и обратным холодильником помещают 0,4 моля метиленис-(4-фенилдиизолианата) и 1 моль фурфурилового спирта. После нескольких минут т-ра поднимается до 85°. При понижении т-ры смесь подогревают и доводят т-ру за 2 часа до 200°. Затем под вакуумом (остаточное давл. 60 мм рт. ст.) смесь продолжают нагревать и за 10—15 мин. отгоняют 12 г летучих продуктов. Образуется 180 г желто-коричневой смолы с т. пл. 80—86°. Растворением 50 г смолы в 50 г ацетона получают лак, прилипающий к полированным металлам, поверхностям. При испытании на коррозию при 48-часовом контакте и 20° не обнаружено заметных разрушений в р-рах, содержащих до 40% NaOH, до 25% H₂SO₄, до 20% HCl и до 15% HNO₃. Ю. Васильев

9П170. Сополимер эпоксидной, полиамидной и полисульфидной смол. Hart Donald P. Interpolymer of epoxy resin, polyamide resin and polysulfide resin. [Pittsburgh Plate Glass Co.] Пат. США 2918255, 29.12.59.—Патентуется тройная термореактивная композиция, содержащая а) эпоксидную смолу — продукт р-ции эпихлоргидрина с соединением общей ф-лы (I), где R — алкилдиеновый радикал с 2—4 атомами С, б) жидкую полиамидную смолу (мол. в. 3000—10000) — продукт р-ции этиленполиамина и дикарбоновых к-т, имеющих ~36 атомов С (получают димеризацией к-т высыхающих масел) и в) жидкий органич. полисульфид — продукт р-ции бис-(2-хлорэтил)-формали с полисульфидами щел. металлов. Указанные компоненты



входят в композицию в соотношениях (в вес. ч.): (а) 5, (б) 1—10, (в) 0,2—6. Композиция отверждается при нагревании и в отвержденном состоянии характеризуется высокими эластичностью, прочностью, теплоустойчивостью, инертностью к большинству хим. агентов, высокой адгезией к металлам, дереву и т. д., при этом композиция не имеет запаха и вкуса, благодаря чему может применяться в качестве связующего при изготовлении контейнеров для пищевых продуктов и р-рителей, в авиационной пром-сти, судостроении и пр. Пример. 1,995 кг NaOH растворяют в 12,6 кг воды, к р-ру добавляют 5,75 кг 2,2-бис-(4-оксифенил)диметилметана (II), 25 г Na₂S₂O₄ и аллилхлорид в кол-ве ~2 молей на моль II. Смесь, нагреваемую в результате экзотермич. р-ции, охлаждают до ~38°, подысляют фосфорной к-той и води. слой декантируют. Продукт р-ции [2,2-бис-(аллилоксифенил)диметилметан] в кол-ве 49 кг смешивают с 9,52 кг ксилола и сушат, отгоняя азеотропную смесь, затем нейтрализуют содой и нагревают 7 час. при 180°; образуется 2,2-бис-(4-оксифенил)диметилметан. 6,6 кг последнего смешивают с 13,45 кг эпихлоргидрина, добавляют 638 г воды и 296 г NaOH; смесь нагревают до 75°, а затем т-ру повышается за счет тепла р-ции до ~95—99°. Воду и целоч. добавлять трижды, смесь нагревают при т-ре кипения 1 час, продукт р-ции очищают обычным путем. Полученная смола имеет эпоксидный эквивалент ~300, 5 вес. ч. смолы смешивают с 3 вес. ч. полиамида (продукт р-ции димера линолевой к-ты и этилендиамина с мол. в. 3000—4000) и 1 вес. ч. полисульфида [продукт р-ции бис-(2-хлорэтил)формали и полисульфида натрия с мол. в. ~4000 и вязкостью ~1000 спуаз]. Композиция перед отверждением имеет вязкость 25 000 спуаз (для снижения вязкости можно

добавить ~20° 2

9П171. Seite 562(22) 88219, 15.01.59. пропитки, используемые для сохранения изделий с ковскими (книжечными) слоями, полученными из дерева. Для из-я в содержании окончатую смолу в 9П172. материал, fabricati Франц. готовлен одного и с больш. вой или наружн. ступнями одинако. больши. слой, н. слой смолы; пресса; металл. поверхно. тываем. подверг. для от. матери. рисунк. 9П173. бумага, ратной von Ko Polyäth 13.08.59. пияству. аую ст. водн. д. циклич. сырую. полиат. рез гор. ИР-луч. чего м. правле. ности. ситель.

добавить ~10% окиси стирола), срок жизни при t -ре ~20° 2 часа, при 60° 20 мин., при 180° 1—12 сек.

Е. Бляхман

9П171. Способ изготовления слоистых пластмасс. Seiter Fritz, Rosenkranz Hans-Georg. Zpr. sob výroby vrstvených lisovaných hmot. Чехосл. пат. 88219, 15.01.59.—При произ-ве слоистых пластмасс для пропитки слоев, являющихся носителями в пластиках, используют продукты конденсации альдегидов с не содержащими или содержащими малые кол-ва крезола фракциями сырых фенолов, кипящими выше 203°, или с повторно перегнанной фракцией буроугольной смолы (кипящей в пределах 225—250°). Использование этих смол позволяет получать высококачественные слоистые пластики без применения дефицитных крезолных фракций. Пример (в вес. ч.). 65 продукта, полученного из фракций среднемолекулового буроугольного дегтя, кипящих в пределах 205—225° (и содержащих малые кол-ва крезолов, ксенололы, а также одно- или многоатомные алкилзамещенные фенолы, частично превращенные в кислые эфиры), 52 формальдегида (36%-ного) и 2,6 NH₄OH (25%-ного) перемешивают в сосуде с обратным холодильником в течение 30 мин. при t -ре 60° и кипятят 45 мин. Затем производят вакуумную перегонку, пока t -ра не достигнет 125—135° и образец смолы, охлажденный в воде, не станет ломким. Для уточнения конца r -ции используют определения точки плавления и коэф. преломления. Готовую смолу быстро выливают на охлаждаемые противни. Для изготовления слоистых пластиков смолу растворяют в CH₃OH или C₂H₅OH в кол-ве, соответствующем содержанию 60% сухих в-в в r -ре. Можно также после окончания отгонки сразу растворять расплавленную смолу в скирте.

З. Смелый

9П172. Изготовление многослойного пластического материала. Matériau plastique stratifié et procédé de fabrication d'un tel matériau. [Tanins Rey (Soc. An.).] Франц. пат. 1174541, 12.03.59.—Патентуется способ изготовления многослойного пластик. материала из одного или нескольких несущих слоев синтетич. смолы с большей или меньшей твердостью, напр. меламиновой или фенольной, а также из другого материала и наружного слоя, представляющего собой сетку с выступами, имеющими округлые или острые вершины, одинаковую или различную высоту и соответственно больший или меньший коэф. трения. Соединяемые слои, напр. нижний бумажный слой и последующие слои синтетич. материала, помещают между плитами пресса; между верхним слоем и плитой вкладывают металлич. пластину или полотно, отформованные с поверхности в виде сетки, отвечающей выступам обрабатываемой поверхности. Процесс нагревают и материал подвергают давлению в течение времени, требуемого для отверждения смолы, препятствуя выдавливанию материала по краям плит. Приведены пояснительные рисунки и разрезы изделия.

Ю. Васильев

9П173. Способ получения угольной копировальной бумаги с выравнивающим слоем из полиэтилена на обратной стороне. Rex Otto. Verfahren zur Herstellung von Kohlenpapier mit rückseitiger Ausgleichsschicht aus Polyäthylene. [Fa. Günther Wagner.] Пат. ФРГ 1010369, 13.08.59.—Для получения выравнивающего слоя, препятствующего скатыванию угольной бумаги, на обратную сторону бумаги наносят полиэтилен в виде неводн. дисперсии, напр. в виде дисперсий в алифатич. циклич. или хлорированных углеводородах. Напр., на сырую угольную бумагу наносят 30%-ную дисперсию полиэтилена в трихлорэтилене, бумагу пропускают через горячие валки для испарения r -рителя, облучают ИК-лучами для сглаживания слоя полиэтилена, после чего медленно охлаждают. Средняя усадка во всех направлениях составляет ~8%; для устранения склонности бумаги к скатыванию достаточно нанести относительно тонкий слой полиэтилена.

М. Альбам

9П174. Композиции на основе фенольных смол, содержащие внутрикомплексное соединение металла, и изделия из пропитанного ими стекловолокна. Naps Marguerite. Phenolic resin compositions containing a metal chelate and glass fibers impregnated therewith. [Shell Development Co.]. Пат. США 2876208, 3.03.59.—Продукты конденсации фенола и альдегида в результате длительного действия высоких t -р (205—315°) теряют присущую им высокую прочность. Введение небольшого кол-ва (0,1—20 вес.%, лучше 0,1—5 вес.%) внутрикомплексного соединения металла (BCM) и последующее отверждение позволяют получить материал с повышенной стойкостью к термич. деструкции. BCM рекомендуется вводить в указанные продукты конденсации на стадии А. Металл в ВМ должен иметь конную валентность 2—6 и координационное число 4—6 (напр., Cu, Cr, трехвалентное F, двухвалентные Co, Ni или Mn). Неметаллич. часть BCM обычно органическая и содержит ≥ 2 функциональных групп, в состав которых входят электронодонорные атомы (N, O и/или S). В состав композиции могут входить также и другие ингредиенты, напр., наполнители и другие смолы (глицидные полиэфир). Указанные композиции применяют для пропитки изделий из стекловолокна или стеклоткани. Пример. Смесь 67 ч. продуктов конденсации фенола с альдегидом в стадии А и 33 ч. глицидного полиэфира [полученного взаимодействием 1 моля 2,2-бис-(4-оксифенил)-пропана и 1,57 моля эпихлоргидрина с 1,88 моля NaOH] вводят при 80—88° и перемешивании в BCM, постепенно повышая t -ру до 99°, затем прибавляют при перемешивании 100 ч. порошка Al, 6 ч. порошка дициандиамида и 0,25—2 ч. BCM, напр., Cu-ацетилацетона. Смесь нагревают ~10 мин. и наносят на очищенные нагретые пластины из Al. Соединяют 2 пластины и сушат 30 мин. при 166°, после чего испытывают клеевой шов на разрыв. У образца, содержащего 0,25% BCM, сопротивление разрыву составляло 96,6 кг/см² до старения и 46,9 кг/см² после старения (200 час. при 260°). У аналогичных композиций, не содержащих BCM, сопротивление разрыву после старения в тех же условиях снижалось до нуля.

З. Тучагинская

9П175. Получение слоистых пластиков на основе стекловолокна. Bashford Victor Gwynne, Kemp Stanley Gordon. Improvements relating to the production of glass fibre laminates. [Hardman & Holden Ltd.]. Англ. пат. 823092, 4.11.59.—Для получения слоистых пластиков стеклонеполнитель (мат или ткань) для лучшего связывания с полиэфирной смолой предлагается предварительно обрабатывать r -ром соединения Al типа AlX₂Y или AX₂Y, где X—Cl, Br или алкоксигруппа, Y—радикал с одной или более двойными связями. Стеклопластик с обработанным таким образом наполнителем негорюч, нетоксичен, просвечивает и обладает повышенной прочностью в мокром состоянии (в некоторых случаях и в сухом). Пример. Готовят r -ры 19,6 г малеинового ангидрида в 250 мл толуола и 18,05 г монохлордиизопропокси-Al, образующегося при добавлении 2 молей r -ра изопропокси-Al к 1 молю r -ра AlCl₃ с удалением r -рителя и перегонкой остатка под вакуумом. R -р ангидрида нагревают до 80° и при перемешивании быстро приливают к нему второй r -р; при этом выделяется твердый осадок. Смесь нагревают в колбе с обратным холодильником в течение 1 часа, после чего r -ритель отгоняют. Для облегчения удаления следов r -рителя конец перегонки проводят под вакуумом. Полученный Al-монохлорид-(моно-изопропил)малеат (I) представляет собой рыхлый осадок оранжевого цвета. Для обработки стеклонеполнителя применяют 1%-ный r -р I в (CH₃)₂CHOH.

9П176. Термопластичные слоистые материалы из металла и полимерной пленки. Lundsager Christian Bent. Thermoplastic film-metal-laminated structure and process. [E. I. du Pont de Nemours and Co.].

Пат. США 2864022, 18.11.58.—Слоистый материал получают креплением кристаллич. ориентированной пленки из термопластичного полимера к металлич. фольге. Напр., пленку полиэтилентерефталата толщиной 0,18 мм вытягивают при 80—90° до увеличения ее длины в 3 раза, а затем при 95—110° в перпендикулярном направлении до увеличения ее ширины также в 3 раза; после чего пленку подвергают термообработке при 200°. Обработанную пленку контактируют с Al-фольгой, нагретой выше $t_{\text{пл}}$ плавления пленки (напр., до 300°); при этом поверхность пленки оплавляется и пленка крепится к фольге. Затем дублируемый лист подается в зазор между двумя холодными валками, где происходит быстрое охлаждение и предупреждается плавление полимерной пленки по всей ее толщине. В готовом изделии пленка полимера сохраняет свою ориентированную кристаллич. структуру, и лишь слой, прилегающий к металлу, имеет аморфное строение и играет роль клеевого шва. Прочность адгезии полимера к металлу в готовом изделии > 2000 г.

Э. Тукачинская

9П177. Изготовление трехслойного материала из пластической композиции. Composition plastique nouvelle et son procédé de fabrication. [Dante Vendramini]. Франц. пат. 1183437, 7.07.59.—Для изготовления различных изделий, в частности литейных моделей, прочных и устойчивых против влаги, наносят на формирующую поверхность первый слой из однородной смеси полиэфирной термореактивной смолы с добавлением катализатора и древесной муки в отношении 2:1 и по его отверждению второй слой из той же смолы и древесной муки в отношении 1:1 с добавлением 10% от общего веса металлич. или минер. волокон. После отверждения второй слой покрывают смесью полиэфирной смолы и древесных, металлич. или пластмассовых стружек (в отношении 1:10). Третий слой после отверждения смолы приобретает ячеистую структуру. Приведены разрезы покрытий. Ю. Васильев

9П178. Способ непрерывного производства двух- и многоцветных пластмасс, в частности искусственной кожи, покрытий для столов и полов и пленок. Kratochvíl Antonín, Šimšalíková Marie. Zprůsob kontinuílní dvou- nebo vícebarevných plastických hmot, zvláště plastických kuzí, stolních s podlahových krytín a folii. Чехосл. пат. 89226, 15.03.59.—Для получения многоцветных пластмасс используют пасты, представляющие собой суспензию пластика, напр., поливинилхлорида (ПВХ), в мягчителе с добавкой соответствующего пигмента или без него. Пасты наносят (без использования р-рителей) на поверхность изделия один раз или многократно. Для каждого последующего слоя применяют суспензию полимера со все более низким мол. весом, благодаря чему последующие слои желатинируются при все более низкой $t_{\text{ре}}$. Способ позволяет расширить ассортимент изделий и улучшить их внешний вид и механич. свойства. Пример. Пленку из пластика, нанесенную на бумажную или тканевую основу с тисненым рисунком на правой стороне, покрывают на машине суспензией ПВХ в мягчителе или в смеси мягчителей с вязкостью до < 60 спуз. В суспензии пигменты содержатся в кол-ве 10—15% от веса смолы. Мягчитель используется в кол-ве 65% от веса ПВХ. Нанесенный слой, окраска которого отличается от окраски пленки из пластика, отверждают при 160—170°, после чего поверхность изделия обрабатывают гладким валком или валком с рельефным узором на поверхности. З. Смелый

9П179. Многослойные покрытия. Dioly René. Revêtement composé. [Pneumatiques & Caoutchouc Manufacture Kleber-Colombes]. Франц. пат. 1186190, 17.08.59.—Патентуется материал для покрытия полов и стен, который содержит несущий слой из ткани, из стеклянных или растительных волокон, промежуточный слой, имеющий ячеистую структуру (напр., поли-

винилхлорид с добавкой-вспенивающего агента), и наружный слой из термопластичного материала. Напр., плотную льняную ткань, разматываемую с рулона, покрывают непрерывным путем слоем пастообразной композиции (в вес. ч.) 55 поливинилхлорида, 44 пластификатора, 1 стабилизатора, 2 TiO_2 , 0,1 сажи и 5 вспенивающего агента. Ткань пропускают под разравнивающим скребком и далее в нагретую камеру, где вспенивающий агент разлагается, и полученный пористый материал отверждают при 185°. По выходе из камеры и охлаждении материал проходит между двумя каландрующими цилиндрами и сматывается в рулон. Для нанесения 3-го наружного слоя материал пропускают под наносщим приспособлением вторично. 3-ий слой изготавливают из композиции (в вес. ч.) 66 поливинилхлорида, 33 пластификаторов и 1 стабилизатора. Приведены поясняющие схемы. Ю. Васильев

9П180. Упаковочный материал. Gruhn Kurt. Verpackungsmaterial. [Jacques Schindler & Co.] Швейц. пат. 339118, 31.07.59.—Патентуемый упаковочный материал отличается тем, что бумажная основа хотя бы с одной стороны покрыта паро- и жиронепроницаемым слоем (весом 25—30 г/м²) из содержащего пигменты (металлич. порошки и TiO_2) термопластичного материала (поливинилхлорида или поливинилиденхлорида), который в свою очередь покрыт слоем (весом 15—30 г/м²) из гидроклорида каучука и синтетическ. смолы, поверх которого находится лицевой (покрытый) слой (весом 8—15 г/м²) из термопластика с большой твердостью, чем нижние слои (напр. из поливинилхлорида или поливинилиденхлорида). Материал применяют для упаковки светочувствительных товаров, напр., пищевых продуктов. Для получения материала бумагу гидрофилизуют путем пропитки водн. р-ром Na-соли алкилнафталинсульфокислоты и NH_4 -соли полиакриловой к-ты, сушат, после чего подлежащей покрытию стороны пропускают по верхней части периметра наносного валика (вращающегося против направления движения бумаги), нижняя часть которого погружена в ванну, заполненную содержащей пигменты водн. дисперсией пластика, напр., смесью (в вес. ч.) 55%-ной водн. дисперсии поливинилхлорида 50, TiO_2 20, тонкошlifованной Al-бронзы 25, сажи в форме пасты 3 и указанного выше пропиточного р-ра 2. Покрытая дисперсией бумага, обогнув направляющий валик, проходит под наклоном < 30° над отсасывающим устройством, а затем подвергается термообработке, обеспечивающей пленкообразование. Наносимую водн. дисперсию непрерывно и в избытке подают на питающего сборника, снабженного вибратором (для предотвращения оседания пигмента) в указанную выше ванну, а избыток дисперсии обратно стекает в сборник. Нанесение других слоев осуществляют, последовательно пропуская материал через аналогичные устройства. М. Альбин

9П181. Способ получения пеноматериалов. Müller Erwin, Bayer Otto, Braun Günther. Verfahren zur Herstellung von Schaumstoffen. [Farbenfabriken Bayer A.-G.] Пат. ФРГ 1052680, 3.09.59.—Ароматич. полиоксисоединения, содержащие по крайней мере одну группу $-\text{CHR}'\text{ArN}[(\text{CH}_2\text{CHRO})_n\text{H}]_2$ (где Ar—ароматич., также и замещен. радикал, R—атом H или CH_3 , R'—арил или алкил, $n=1-10$), обрабатывают полиизоцианатами и водой и получают твердые пеноматериалы с высокими термостойкостью и удельной вязкостью, равномерной пористостью и устойчивостью к гидролизу. Напр., к смеси 50 г продукта конденсации 538 г N-(тетраоксэтил)-анилина, 72 г параформальдегида и 8 г γ -толуолсульфокислоты с OH-числом 370 и 50 г полиаэфира, полученного из 1 моля адипиновой к-ты, 2 молей фталевого ангидрида, 1 моля олеиновой к-ты и 5 молей триметилпропана, с OH-числом 380 и кислотным числом 0,75, добавляют 1 г ди-(N,N-диэтиламиноэтил)-адипината и 5 г 54%-ного

водн. р-ста, затолупленны. Полупоматериал 39 кг/м³ пористостью 19П182. Tod W., des. [E. 2853473, при обрафосфорили с полиспшитые прианата. ют в 85 3-фосфор 100% б 193—194 изопанаци пие по 12 ч. 2,4 44 ч. суз зующий 110°. Попами обл лмерных тризоици более из комолек дн прим издлий леглики изопанаци 90°; полум в 1 смесь водн и получ 9П183. прих пла нилхлор вои wei saten u namit-A. 1065169, сычают ный газ смеси с сле снят руют пж жание лучать деркант 9П184. порола artes à Франц. стых ма частичи зование щего 5- на или фурфур ную см Са, Ва, активн и др.) 1 целлюло до 10% или от формы мочеви гуаниди

води. р-ра Na-соли сульфированного касторового масла, затем смесь тщательно перемешивают с 110 г толуолдиизоцианата, после чего ею заполняют формы. Получают мелкопористый, не дающий усадки пеноматериал, характеризующийся объемным весом 39 кг/м³, прочностью на сжатие 1,93 кг/см², термостойкостью 140° и водопоглощением 2 об.%. М. Альбам

9П182. Получение карбодимидов. Campbell Tod W., Verhane John J. Production of carbodimides. [E. I. du Pont de Nemours and Co.]. Пат. США 2853473, 23.09.58.—Органич. карбодимиды получают при обработке органич. изоцианата каталитич. кол-вом фосфолина или фосфолидина. Могут также применяться полиизоцианаты, причем получают линейные или сшитые полимеры, что зависит от природы полиизоцианата. 100 ч. л-метоксифенилизотиоцианата растворяют в 85 ч. кислоты, прибавляют 0,06 ч. 1-этил-3-метил-3-фосфорил-3-оксид (I), кипятят 4 часа и получают 100% бис-(л-метоксифенил)-карбодимид, т. кип. 193—194°, т. пл. 52—53°. При применении органич. диизоцианатов получают линейные полимеры, содержащие повторяющиеся карбодимидные связи. Напр., 12 ч. 2,4-толуолдиизоцианата и следы I прибавляют к 44 ч. сухого ксилола, при этом выделяется CO₂; образовавшийся полимер промывают ацетоном и сушат при 110°. Полуретаны с концевыми изоцианатными группами обрабатывают так же и получают линейные полимерные карбодимиды. При конденсации органич. триизоцианатов или полимеров, содержащих 3 или более изоцианатных групп в 1 моле, получают высокомолекулярные сшитые полимеры. Поликарбодимиды применяют, в частности, для получения фасонных изделий из пенопластов. 275 ч. нитрофенла тетраметилгликоля с мол. в. 2730 смешивают с 57 ч. 2,4,6-триизоцианаттолуола и нагревают в течение 1 часа при 90°; полученный полимер с 4 изоцианатными группами в 1 моле охлаждают до 50°, прибавляют 3,0 ч. I, смесь выливают в форму, нагревают 2 часа при 100° и получают пенопласт.

И. Берлин
9П183. Способ получения пенопластов, содержащих пластификаторы, из полимеров и сополимеров винилхлорида. Fuchs Otto. Verfahren zur Herstellung von weichmacherhaltigen Schaumstoffen aus Polymerisaten und Mischpolymerisaten des Vinylchlorids. [Dynamit-A.G. vormals Alfred Nobel & Co.]. Пат. ФРГ 1065169, 3.03.60.—Пластификаторы (ПЛ) сначала насыщают газом под давлением, после чего насыщенным газом ПЛ под давлением газа обрабатывают в смеси с полимером с образованием пасты, которую после снятия давления известными способами желатинируют при нагревании. Получают пенопласты, содержащие ПЛ. Напр., патентуемым способом можно получать пенопласты из поливинилхлорида с малым содержанием ПЛ.

М. Альбам
9П184. Получение композиций для изготовления поропластов. Procédée et préparation de compositions aptes à produire des corps cellulaires. [Robert Meyer]. Франц. пат. 1166572, 27.08.59.—Для получения пористых материалов готовят жидкий аминопласт (продукт частичной конденсации), растворимый в воде с образованием р-ра с вязкостью 1000—6000 спуаз, содержащего 5—90% смолы, из мочевины, меламина, гуанидина или одного из его производных и формальдегида, фурфурола, ацетальдегида, уротропина и т. п. Полученную смесь смешивают в кол-ве 70—95% с перекисью Ca, Ba, Mn, Zn, Na, Pb или Mg 3—20%, поверхность активными в-вами (стеарат, олеинат, пальминат Na и др.) 1—5%, пластификатором (винилные полимеры, целлюлоза, трикрезилфосфат, многоатомные спирты) до 10% и добавляют катализатор (минеральные к-ты) или отвердитель (напр., NH₄Cl). Смолу отливают в формы при т-рах 30—300°. Пример. К смеси 0,5 моля мочевины, 0,25 моля меламин и 0,25 моля карбоната гуанидина добавляют 2 моля CH₂O (30%), затем смесь

нейтрализуют фосфорной к-той и слегка нагревают. Добавляют к смоле 2% продукта конденсации полиэтиленгликоля и олеиновой к-ты, 8% перекиси магния и смесь заливают в форму, нагревая выше 100°. Получают поропласты большей или меньшей плотности в зависимости от т-ры сушки. Добавление казеина к начальной смеси уменьшает хрупкость продукта.

В. Толстогузов

9П185. Улучшение смачиваемости пористых изделий из органических материалов. Landler Yvan, Lebel Pierre. Procédé pour rendre hydrophile des objets cellulaires en matières organiques. [Polyplastic]. Франц. пат. 1176772, 15.04.59.—Губки и другие пористые изделия из органич. материалов для улучшения смачиваемости покрывают: 1) слоем гидрофильного в-ва, нерастворимого в воде и наносимого с помощью р-рителя, 2) в-вом, растворимым в воде, которое наносят на губку в водн. р-ре и последующей обработкой переводят в нерастворимое состояние, или 3) негидрофильным в-вом, которое превращают в гидрофильное обработкой после его нанесения. Для нанесения применяют полимеры или мономеры, прививаемые к материалу изделия. Процесс проводят: а) пропитывая изделие р-ром полимеризуемого мономера и катализатора, б) пропитывая изделие р-ром катализатора и, по испарении р-рителя, паром или жидкостью, содержащими полимеризуемый мономер, в) озонируют материал в контакте с прививаемым мономером (по методу, описанному в франц. пат. 731050, 2.02.57). Напр., губку из пластифицированного поливинилхлорида с сообщающимися порами погружают в 5%-ую эмульсию поливинилацетата, по испарении воды помещают в водн. р-р Na₂CO₃ и нагревают 10 мин. до 80°. После промывки и высушивания смачиваемость губки увеличивается.

Ю. Васильев

9П186. Установка для формования из пластмасс полых предметов. Ха сэгэва Яэ са ку. Японск. пат. 10189, 6.12.57.—Для формования из пластмасс полых предметов, имеющих шаровидную форму, применена установка, состоящая из двух вращающихся разъемных пустотелых полушарий, куда по оси вращения через воронку заливают пластик. материал, который при вращении покрывает внутреннюю поверхность формы равномерным слоем; после выдержки, необходимой для отверждения пластик. материала, получают готовые изделия.

Ю. Жмакин

9П187. Способ непрерывной сварки термопластической пленки. Ulrych Václav, Boček Otakar. Způsob plynulého svařování termoplastických fólií. Чехосл. пат. 91946, 15.09.59.—Указанный способ сварки с применением сварочного ролика, который прижимается к упругой ленте, проходящей через блок, отличается тем, что сварочный ролик изнутри обогревается жидкостью, нагнетаемой в него насосом из спец. бака, где ее т-ра поддерживается термостатически. Приведены схемы сечения ролика и разрез питающего устройства и бака.

Ф. Нарина

9П188. Способ запайки упаковки из полиэтилена после ее заполнения. Procédé pour souder un emballage en polyéthylène après remplissage. [Lucien-Yves Kerhoas]. Франц. пат. 1190508, 13.10.59.—Трубка из полиэтилена, наполненная каким-либо продуктом, делится на мешочки поперечным запайванием, производимым на равных или неравных участках. Запайвание производится при механич. распахивании трубки под действием ИК-лучей. Стенки мешочка, спаянные одна с другой, подвергаются еще некоторое время сдавливанию, так что охлажденные зоны спайки производятся под давлением. Машина для произ-ва этих мешочков имеет минимально два муфштук, расположенных один над другим, из которых по крайней мере один подвижен. Эти муфштуки располагаются на сжимающей поверхности металлич. ленты, термич. стойкой и имеющей высокое тепловое сопротивление.

Управление подвижным мундштуком является автоматич. и синхронным с движением наполненной трубки.

В. Тостогузюв

9П189. Самозакрывающаяся упаковка из пластического материала. *Emballage auto-fermant en matière plastique et son mode d'emploi.* [Soc. Sacic Pirelli Soc. An.]. Бельг. пат. 553435, 15.01.60.—Патентуется конструкция упаковки из тонкого листового пластика, материала для сыпучих, жидких и газообразных в-в, позволяющая производить частичный отбор продукта без повреждения упаковки. Заклеенный или заваренный со всех сторон пакет, напр., прямоугольной формы, имеет в одном углу отрезок, вывернутый внутрь пакета. Стенки отрезка сжимаются давлением заключенного в пакете в-ва и обеспечивают плотность упаковки. Для наполнения и опораживания пакета в отрезок вводят трубку надлежащего диаметра, порывающая во втором случае пакет отрезком вниз и, при необходимости, надавливая на его стенки. Гранулированные продукты извлекают через трубку щипцами или другим подобным инструментом. Для дополнительного уплотнения в наружное отверстие отрезка можно вставлять пробку. Приведены схематич. рисунки.

Ю. Васильев

9П190. Способ изготовления армированных проволочной труб с закрытым концом из пластика. *Flodin R. G. Sätt att framställa trådarmerade plaströr med ändskav och/eller ändförslutning.* [Försvarets Forskningsanstalt]. Швед. пат. 166012, 23.02.60.—Металлический стержень соответствующего диаметра обматывают несколькими рядами стальной проволоки, укладываемой в отношении оси стержня под заданным углом. Плетение проволоки пропитывают пластиком. После обмотки стержня, последний удаляют, а освободившуюся от стержня заготовку подвергают воздействию тепла и прессованию. Затем заготовку шлифуют и полируют. Один конец трубы, в зависимости от ее назначения, выполняют в разных формах. Армирование указанным способом дает возможность создавать трубы с более тонкими стенками, обладающими большей прочностью по сравнению с такими же изделиями без армирования их проволокой. Армированные трубы более экономичны.

Л. Антонов

9П191. Производство трубчатых изделий с волокнистым профилем. *Procédé pour la fabrication d'éléments tubulaires à parois ondulées.* [Bodin, Girin & Cie (Tissus industriels)]. Франц. пат. 1199110, 11.12.59.—Описан принцип изготовления эластичных трубок из термореактивного синтетич. материала, используемых в качестве протеза кровеносных сосудов (аорты) и имеющих волокнистую или спиралеобразную поверхность. По одному варианту внутри гладкой трубки из термореактивного материала помещают одно- или многоходовую спиральную пружину в растянтом состоянии с несоприкасающимися витками. С наружной стороны трубку спирально обматывают нитью из волокна, дающего при нагревании усадку ~30% (напр., из ровниля), помещают в камеру, нагретую до 65°, и постепенно повышают т-ру до 160°. Через 0,5 часа пружину освобождают и оставляют трубку в камере еще на 20 мин., после чего ее охлаждают и удаляют пружину. Трубка, имеющая волнистую спиральную поверхность, приобретает высокое сопротивление раздавливанию и хорошую гибкость. Наружная нить может быть заменена другой пружинной, подобной внутренней, а обрабатываемая трубка должна обладать термич. усадкой. По другому варианту гладкостенную трубку из синтетич. материала нагревают внутри другой, металлич. трубки, имеющей волнистую или спиральную поверхность, передающую свою форму изделию.

Ю. Васильев

9П192. Производство прядильных кружек. Та же ситиро (Мацумото дэнко кабусики кайса). Японск. пат. 4133, 24.06.57.—Из кусочков ткани или бумаги

пропитанной фенольной смолой, формируют внутреннюю оболочку кружки и прессуют ее (под давл. 500 кг/см² без нагревания в форме, имеющей винтообразные пазы (форма сжимается кольцом). В образованные пазы прокладывают стальную проволоку, кружку снова обматывают бумагой или тканью, пропитанной фенольной смолой, и помещают в форму, где прессуют при нагревании.

Г. Мельников

9П193. Фильтровальные свечи из пластмассы, устойчивые к вибрациям. *Stempel Günter, Boge Herbert. Erschütterbare Filterkerze aus Kunststoff.* [Deutsche Edelstahlwerke A.-G.]. Пат. ФРГ 1052362, 3.09.59.—Пористую, при необходимости усиленную бажджом, фильтровальную свечу, полученную спланированием порошкообразной пластмассы, у закрепляемого конца покрывают эластичной пластмассой, что повышает прочность свечи при поперечных вибрациях.

М. Альбам

9П194. Металлизация политетрафторэтилена. *Dean Stanley Thomas. Improvements relating to the coating of polytetrafluoroethylene.* [The Edison Swan Electric Co. Ltd.]. Австрал. пат. 214349, 3.01.57.—Способ получения металлики, покрытый на изделиях из политетрафторэтилена (I), обеспечивающий хорошую прочность сцепления слоя металла с I, состоит из следующих операций: 1) получение заготовок в виде листов, блоков и др. холодным прессованием порошка I, 2) металлизация заготовки, 3) опрессовка металлизированной заготовки, обеспечивающая получение изделия с конфигурацией и размерами, близкими по форме и размерам конечному изделию, 4) спекание изделия из I.

М. Барыков

9П195. Металлизация пластических и целлюлозных природных и синтетических материалов с применением промежуточного слоя из сульфида металла. *Procédé de métallisation des matières plastiques et des celluloses naturelles ou synthétiques par le dépôt préalable d'une couche adhérente d'un sulfure métallique, et objets métallisés par ce procédé.* [Armand Heitz]. Франц. пат. 1200222, 18.12.59.—Пластические и целлюлозные материалы, синтетич. и природные, напр., нейлоновые волокно, целлофан, цветы, листья деревьев и др., металлизуют, предварительно покрывая предмет в два или несколько приемов проводящим слоем сульфида металла. На обрабатываемую поверхность наносит р-р в органич. р-рителе соли Sn и действуют на нее H₂S с последующей обработкой H₂S, причем получают прочный проводящий слой. Напр., для никелирования ложку из ацетицеллюлозы погружают на 5 мин. в ванну, содержащую 30 г SnCl₂, 100 мл абс. спирта и 50 мл ацетона. Ложку вынимают из ванны, нагревают 5 мин. в сушильной камере до 50° для испарения р-рителей и погружают на 1 мин. при легком перемешивании в р-р 10 г HgCl₂, 100 мл абс. спирта и 50 мл ацетона. При этом HgCl₂ восстанавливается до нерастворимой Hg₂Cl₂, образующей прочно соединенное с поверхностью покрытие. По высущивания ложку помещают на 5 мин. в колокол, наполненный H₂S, где образуется ровный, тонкий черный слой сульфида. Никелируют обычным образом при силе тока 0,5 а/дм².

Ю. Васильев

9П196. Резинка для стирания из винильной смолы. Нота Цугисэки. Японск. пат. 85.17.01.59.—К винильной смоле добавляют 80—160 вес. % пластификатора (ПЛ), смесь хорошо перемешивают и подогревают при 45—65° в течение определенного времени, достаточного для того, чтобы по возможности полнее удалить из нее воздух. Смесь загружают в форму, прессуют при помощи горячего воздуха и получают гелеобразную резинку. При м е р. На 100 вес. ч. пастообразной винилхлоридной смолы добавляют 120 вес. ч. ПЛ, напр. диоктилфталата или трикрезилфосфата, смесь хорошо перемешивают и при помощи вакуумного насоса как можно полнее удаляют из нее воздух. За

тем смесь помещают в горячую водяную баню и в течение ~30 мин. нагревают при 60° (при добавлении в качестве ПЛ диоктилфталата) и в течение ~20 мин. при 50° (при добавлении в качестве ПЛ трикрезилфосфата). Обработанную таким образом смесь загружают в форму и прессуют с помощью горячего воздуха. Приведена схема процесса.

М. Киршпа

9П197. Способ получения ионообменных мембран. Naagen Karl. Verfahren zur Herstellung von Ionenaustauschermembranen. [Farbenfabriken Bayer A.-G.]. Пат. ФРГ 1049360, 23.07.59.—Для получения ионообменных мембран (М) поверхность носителя или основы М из винильного полимера обрабатывают соединениями (напр., аминами), которые могут реагировать с реакционноспособными атомами или группами атомов полимера, но после р-ции содержит еще способные к конденсации атомы Н, после сушки предварительно обработанный носитель конденсируют обычным образом с таким же или другим способным к конденсации соединением (напр., с тем же или другим амином) с добавлением CH_2O или другого альдегида. Пример. Ткань из поливинилхлоридного волокна выдерживают в течение 18 час. при 97° в р-ре, содержащем в 100 г воды 40 г полиэтиленмина (50%-ного). Р-р, содержащий Cl, сливают и ткань сушат при 110°. Из обработанной ткани получают ионообменные мембраны следующим образом: 650 г $\text{C}_6\text{H}_5\text{OCH}_2\text{N}(\text{CH}_3)_3\text{Cl}$, полученного действием феноксиэтилхлорида на триметиламин, смешивают с 255 г дифенилового эфира, 350 г параформальдегида и 730 г 70%-ной серной к-ты и нагревают до 60–70° при перемешивании; т-ра поднимается без дальнейшей подачи тепла до 108° и ее поддерживают на этом уровне в течение ~15 мин.; р-цию проводят с обратным холодильником; полученный вязкий продукт конденсации выливают на стеклянные плитки, сверху накладывают ткань и вдавливают ее в р-р. После нагревания в течение 16 час. получают анионообменную мембрану, содержащую четвертичные атомы N в связанном состоянии. Вместо р-ра полиэтиленмина можно применять воды. р-р анилина или продукт р-ции феноксиэтилхлорида с полиэтиленполиамином.

Ф. Нарина

9П198. Мембраны из анионообменных смол. Сакино Масанити, Хирага Хисао [Асахи гарасу кабусики кайся]. Японск. пат. 645, 12.02.59.—Мембраны, изготовленные из сополимеров стирола и бутадиена (1:1) и из полиэтилена, выдерживают при 35° и 20 мм рт. ст., затем прибавляют 18 г хлорметилового эфира и 6 г BF_3 , оставляют на 20 час. и воздух вытесняют азотом. Мембраны промывают CH_3OH , обрабатывают метанольным р-ром триметиламина в течение 24 час. и промывают водой. Получают мембраны из анионообменных смол с числом переноса 0,93 и с уд. сопротивлением 190 ом.см.

Э. Тукачинская

9П199. Анионообменные смолы, содержащие сульфоновые группы. Hwa Jesse C. H. Anion-exchange resin containing sulfonium groups. [Rohm & Haas Co.]. Пат. США 2895925, 21.07.59.—Патентуется способ получения сильноосновной анионообменной смолы, представляющей собой сшитый сополимер смеси 50–90,5 мол.% ароматич. моновинилового углеводорода (напр., стирола) и 0,5–50 мол.% сшивающего агента — акриловых или метакриловых эфиров многоатомных спиртов, диаллиловых эфиров дикарбоновых к-т или поливинилароматич. углеводородов (напр., дивинилбензола). Сополимеры содержат связанные с ароматич. ядрами группы $-\text{C}_6\text{H}_4\text{S}^+(\text{R}')(\text{R}'')\text{Y}$, где $n=1-4$; R' и R'' — монооксизамещенные алкилы, содержащие 1–4 атомов С; Y — анион (Cl или Br). Патентуемые сополимеры получают путем р-ции органич. сульфидов ф-лы $\text{R}'\text{SR}''$ с теломалкилпроизводными указанных выше сшитых сополимеров (напр., с хлорметилированным сополимером стирола и дивинилбензола). Напр., вводят в реактор (снабженный обратным холо-

дильником, мешалкой и термометром) 441 ч. хлорметилированного сополимера (полученного обработкой сополимера стирола и дивинилбензола хлорметилметилловым эфиром и этилендиолхлоридом в присутствии AlCl_3), 87 ч. метилэтилсульфида, 500 ч. воды и 0,5 ч. NaJ. Смесь перемешивают и нагревают 18 час. при 65–74°, затем фильтруют и влажные гранулы обрабатывают водяным паром для удаления органич. примесей. Продукт имеет обменную емк. 1,91 мэкв на 1 г сухого полимера и после обработки р-ром NaOH переходит в гидроксильную форму, способную расщеплять нейтр. соли и обменивать гидроксил на анионы из р-ров нейтр. солей (напр., на ионы Cl из р-ра NaCl).

С. Бассе

9П200. Продукты присоединения простых полиацидидных эфиров, полученных из фенольных смол и полиолов. Bender Howard L., Farnham Alford G., Guyer John W. Addition products of polyglycidyl ethers of phenolic resins and polythiols. [Union Carbide Corp.]. Пат. США 2849416, 26.08.58.—Композиции, применяемые в качестве клеев, заливочных или герметизирующих материалов и др., получают р-цией органич. полиэпоксидов с политиолами, причем мол. отношение эпоксидных и тиольных групп должно быть >1 (предпочтительно 1,01–1,50). Пример. Обработкой CH_2O избытком фенола в присутствии HCl получают продукт, содержащий ~65% бис-(оксифенил)-метана и ~35% полифенолметанов, имеющих по 3–8 фенольных групп. Полученную смолу (1 моль) обрабатывают 6 молями эпихлоргидрина (Cl удаляют с помощью NaOH) и получают соответствующий простой поли- или диглицидный эфир (I). 9,94 вес. ч. полимерного дитиола ф-лы $\text{HS}(\text{CH}_2\text{CH}_2\text{OCH}_2\text{CH}_2\text{CH}_2\text{SS})_n\text{CH}_2\text{CH}_2\text{OCH}_2\text{CH}_2\text{CH}_2\text{SH}$ (средний мол. в. 1000) смешивают с 3,8 вес. ч. I (отношение кол-ва эпокс- и SH-групп 1,1:1) и 0,06 вес. ч. бензилдиметиламина (катализатор). Полученная смесь представляет собой вязкую жидкость, в которой постепенно протекает экзотермич. р-ция; по истечении 4 час. образуется каучукоподобный гель. При введении 0,02 ч. монобутилглицидного эфира (разбавитель) образуется более мягкий гель. Без катализатора смесь отверждается при длительном стоянии или в результате нагревания. При применении в качестве катализатора KOH (в виде метанольного р-ра) или холина (49%-ный водн. р-р) желатинизация смеси происходит очень быстро. При замене I диоксисью бутадиена получены полимеры, образующие мягкие гели; при замене I винилциклооксеном полимеры получают в виде вязких жидкостей. Из смеси 16,8 г бис-(2-меркаптоэтоксид)-метана, 38,7 г I и 0,4 г триэтиламина в результате экзотермич. р-ции при 90° образуется твердый каучукоподобный полимер. I получают также из 10 молей $\text{C}_6\text{H}_5\text{OH}$ и 1 моля акролеина в присутствии 0,02 вес. % HCl-газа при 100° в течение 1 часа. Очищ. смолу обрабатывают указаным выше способом и получают триглицидный эфир трифенола.

Э. Тукачинская

9П201. Клей для укрепления изоляционных материалов на стенах или других поверхностях, в особенности на кораблях. Rieck Gustav, Schlorke Arno, Jordan Walter, Rosin Otto. Mittel zum Kleben von Isolierstoffen auf Wände oder andere Flächen, insbesondere in Schiffen. Пат. ГДР 16823, 10.05.60.—Для приклеивания изоляционных материалов к стенам или другим поверхностям, особенно на кораблях, применяют однородную смесь продукта формальдегид-дициандиамидной конденсации, NH_4Cl и ангидрида (CaSO_4), активированного K_2SO_4 и ZnSO_4 . Клей быстро отверждается на больших поверхностях, обеспечивает хорошую прочность соединения, негорюч и лишен запаха. Напр., (в вес. ч.), 27 продукта конденсации CH_2O и дициандиамида, содержащего 65% сухих в-в и 35% воды, смешивают с 72 активированного ангидрида, добавляют 0,9 NH_4Cl , лучше в виде водн. р-ра,

и перемешивают ~25 мин.; полученный клей пригоден для работы в течение 4 час. М. Альбам

9П202. Клей, отверждающийся при комнатной температуре. Lappala Risto P. Room temperature setting adhesive. [Bjorksten Research Labs, Inc.]. Пат. США 2859200, 4.11.58.—Предложен акрильный клей для металлов, отверждающийся при ~20°. Напр., смесь 10:90:30 не содержащей ингибитора метакриловой к-ты, не содержащего ингибитора метилметакрилата и гранулированного полиметилметакрилата нагревают ИК-лучами до 49–60° для завершения растворения. К 24 г полученной смеси последовательно прибавляют 5, 10 и 3 капли соответственно $C_6H_5N(C_2H_5)_2$, Луперсола DDM и р-ра нафтената Со (6% Со). Получают клей для склеивания Al, применимый в самолетостроении. Прочность клеевого шва на сдвиг составляет 308 кГ/см² при ~20° и соответственно 273 и 252 кГ/см² при 36 и 82°. В других примерах описано получение аналогичных клеев с применением акриловых к-т, алкил- или алициклических метакрилатов и поли(алкил- или алициклических акрилатов), полиметакрилатов или поликритонатов с добавлением (или без добавления) 0,006–0,3% гидрохинона (ингибитор полимеризации). Э. Тукачинская

9П203. Клеящая композиция. Polmanteer Keith E. Adhesive composition. [Dow Corning Corp.]. Пат. США 2898224, 4.08.59.—Для склеивания силиконовых каучуков со стеклом используют композицию на основе этилполисилоксаната, содержащую 0,1–5% (от веса силиката) солей алифатич. карбоновых к-т алкилового ф-лы $R_nSn(OOCR')_4-n$, где R и R'—алифатич. углеводородные радикалы и n = 1–3 (напр., ди-2-этилгексоатдибутилового или три-2-этилгексоат дибутилового). Напр., на стеклянную пластинку накладывают тонкую пленку клея, состоящего из 100 вес. ч. этилполисилоксаната (т. кип. >250°/760 мм рт. ст.) и 0,3 вес. ч. ди-2-этилгексоата дибутилового. На пленку клея накладывают полоску силиконового каучука и нагревают 30 мин. при 150°. Измеренная сразу после охлаждения сила адгезии составляла 1,35 кГ/см². С. Басс

9П204. Способ склеивания изделий из полимеров. Sweet Sterling S., Van Horn Maurice H. Cements for bonding high polymer sheets to each other and method of using same. [Eastman Kodak Co.]. Пат. США 2899348, 11.08.59.—В качестве р-рителя для ацетата и триацетата целлюлозы, ацетобутирата целлюлозы, ацетопропионата целлюлозы, нитрата целлюлозы, метилметакрилата, желатин, полиэтилентерефалата и др. используют трифторуксусную или дихлоруксусную к-ты или их смеси. Р-ры, содержащие ~20 г полимера в 100 г р-рителя, используют для получения пленок и волокон. Указанные к-ты или их смеси используют также в качестве клея для приклеивания друг к другу изделий из указанных полимеров (одинаковых или различных) путем смачивания склеиваемых поверхностей к-той с последующей подпрессовкой. Напр., при растворении 20 г водорастворимого ацетата целлюлозы в 100 г трифторуксусной к-ты (2–3 часа при 25°) получают прозрачный, бесцветный, вязкий р-р, из которого отливают прозрачные гибкие пленки (после отверждения в течение 16 час. при 70°). С. Басс

9П205. Клейкий листовый материал. Wolff Ernst A. Adhesive sheet material. [The Kendall Co.]. Пат. США 2887403, 19.05.59.—Клейкая лента (приклеиваемая в холодном виде), состоит из тканевой основы (ТО) и нанесенного только на одну ее сторону смачиваемого водой покрытия из расплавленной синтетич. смолы, проникающей в ТО на 30–70% ее толщины (смолой пропитаны также отдельные нити ТО). Покрытие закрепляют на одной стороне ТО, а нити ТО на другой стороне связывают резиновым клеем. Покрытие состоит в основном из латекса винильной синтетич. смолы (напр., полимеров и сополимеров винил-

хлорида, полученных водно-эмульсионной полимеризацией), по крайней 20% полимерного пластификатора (ПЛ) с добавлением ≤ 8 вес. % мономерного пластификатора (из расчета на вес твердых частей смолы в синтетич. латексе) и стигустителя. Напр., композицию из поливинилхлоридного латекса [продукта полимеризации винилхлорида в присутствии сополимера акрилонитрила и бутадиена (Geon Polyblend 552)] 45,359 кг, ПЛ (Glyptal 2557) 4,082 кг, неионообменного эмульгатора (Triton NE) (33,3%-ный водн. р-р продукта конденсации алкилфенола с окисью этилена) 0,25 кг, NH_4CN (28%-ный водн. р-р) 20 мл, стигустителя (12,5%-ный водн. р-р щелочного полиакрилата Acrysol GS) 2,720–3,175 кг приготавливают следующим образом: в высокоскоростной мешалке к ПЛ добавляют эмульгатор и NH_4OH ; полученную эмульсию добавляют к латексу при медленном перемешивании, после чего вводят стигуститель при таком же перемешивании в течение 30–40 мин. для равномерного распределения всех в-в. Получают смесь с вязкостью 6000 спуаз и выдерживают ее в течение 30 час. до равновесного состояния между ПЛ и смолой, что сообщает покрытию пленкообразующие свойства. Полученную композицию наносят на отбеленную промытую хлопчатобумажную ткань; ткань с покрытием высушивают при 93–104° в первой половине сушилки, после чего ее перемещают во вторую половину сушилки, где при 190° покрытие расплавляется. По выходе из сушилки ТО с нанесенным покрытием пропускают через охлаждающий барабан, после чего на другую сторону обычным способом наносят клейкую массу. Д. Брондэ

9П206. Клейкие листы с применением металлического листового материала из пластика, клея и связующего. Lickman David Austin. Improvements in and relating to metallised plastic sheet material bearing pressure sensitive adhesive. [T. J. Smith & Nephew Ltd.]. Англ. пат. 824438, 2.12.59.—При изготовлении клейких листов для улучшения адгезии клея (на основе натурального каучука) к металлизированной (напр., алюминием) поверхности тонкой пленки или листа из пластик. материала (напр., из полиэтилентерефалата) используют в качестве связующего покрытия композицию, содержащую казеин, буру и натуральный или синтетич. латекс. Композиция может содержать также и бактерицидные в-ва. Напр., к 20 г казеина добавляют 100 мл воды, выдерживают 30 мин., нагревают до 60°, добавляют р-р 4 г буры в 100 мл воды и нагревают при 60° до растворения казеина. К р-ру добавляют 0,1 ч. метил-п-оксибензоата (бактерицид), 80 мл натурального латекса (60% твердых в-в) и 115 мл синтетич. латекса (40% твердых в-в). Полученную смесь в кол-ве 8 г/м² наносят на металлизированную поверхность пленки из пластика, которую затем высушивают и покрывают слоем клея, содержащего креп, канифоль, полибутилен низкого моля. веса и антиокислитель. Патентуемые композиции в 2 раза повышают прочность соединения указанного клея с металлизированной поверхностью. С. Басс

9П207. Композиция, содержащая двухлористый титан, применяемая в качестве катализатора полимеризации олефинов. Schreyer Ralph Courtenay. Catalyst compositions comprising a titanium dihalide. [E. I. du Pont de Nemours and Co.]. Пат. США 2899416, 11.08.59.—В качестве катализатора полимеризации олефинов и диенов, содержащих концевые метиленовые группы (этилена, бутадиена и др.), используют р-р в жидком инертном углеводороде (напр., ксилоле, циклогексане и т. д.) двухлористого титана в сочетании с металл. титаном (в кол-ве не более двойного избытка, считая на $TiCl_2$) или с трехлористым алюминием (кол-во $AlCl_3$ не более чем в 2,65 раза превышает кол-во $TiCl_2$). Металлич. титан или $AlCl_3$ в сочетании с $TiCl_2$ обладают синергетич. действием. Напр., в реакторе емк. 330 мл нагревают этилен при

198–200°
держащ
ванного
ростью
9П208.

меняе
хлорид
sized w
Chemica
фикаци
рагнати
(COOY)
алкил с
С, напр
нат, ди
этилбен
взаимо
хлор-и
фатич.
атомов
щего а
примен
олсуды
ЭАК с
наталин
ного р-
т-ре ~
ра, о ч
рода в
условия
пения)

ми слу
дороды
хлорид
лининг
перату
ют в н
ПЛ пл
70 вес
полиме
лидене
гивову
d,-асп
ствии
ют на
дильн
зонла
ла, 17
Получ
водны
орган
бес-(2
теор.)
Устой
винил

9П2
эфире
Ba d
acid e
tion.
21.07
лозы
и не
к-ты
путем
ателе
рова
уделе
ретич
~60-
туме
ваши
ла, м

9П208.
меняе
хлорид
sized w
Chemica
фикаци
рагнати
(COOY)
алкил с
С, напр
нат, ди
этилбен
взаимо
хлор-и
фатич.
атомов
щего а
примен
олсуды
ЭАК с
наталин
ного р-
т-ре ~
ра, о ч
рода в
условия
пения)

ми слу
дороды
хлорид
лининг
перату
ют в н
ПЛ пл
70 вес
полиме
лидене
гивову
d,-асп
ствии
ют на
дильн
зонла
ла, 17
Получ
водны
орган
бес-(2
теор.)
Устой
винил

9П209.
эфире
Ba d
acid e
tion.
21.07
лозы
и не
к-ты
путем
ателе
рова
уделе
ретич
~60-
туме
ваши
ла, м

9П210.
эфире
Ba d
acid e
tion.
21.07
лозы
и не
к-ты
путем
ателе
рова
уделе
ретич
~60-
туме
ваши
ла, м

9П211.
эфире
Ba d
acid e
tion.
21.07
лозы
и не
к-ты
путем
ателе
рова
уделе
ретич
~60-
туме
ваши
ла, м

9П212.
эфире
Ba d
acid e
tion.
21.07
лозы
и не
к-ты
путем
ателе
рова
уделе
ретич
~60-
туме
ваши
ла, м

9П213.
эфире
Ba d
acid e
tion.
21.07
лозы
и не
к-ты
путем
ателе
рова
уделе
ретич
~60-
туме
ваши
ла, м

9П214.
эфире
Ba d
acid e
tion.
21.07
лозы
и не
к-ты
путем
ателе
рова
уделе
ретич
~60-
туме
ваши
ла, м

198—200° и 70 атм в присутствии 2 г катализатора (содержащего 33% TiCl_3 и 67% металлич. Ti), суспендированного в 100 мл ксилола. Получают полимер со скоростью 5 г/час. С. Басс

9П208. Эфиры *N*-ариласпарагиновых кислот, применяемые в качестве пластификаторов для поливинилхлорида. Dazzi Joachim. Polyvinyl chloride plasticized with esters of *N*-aroylaspartic acids. [Monsanto Chemical Co.]. Пат. США 2889301, 2.06.59.—Для пластификации поливинилхлорида предлагаются новые аспарагинаты, имеющие общую ф-лу $\text{C}_6\text{H}_4(\text{R})\text{CONHCH}(\text{COOY})\text{CH}_2(\text{COOY})$, где R — группа, содержащая H и алкил с 1—4 атомами C , Y — алкил с 4—12 атомами C , напр., дибутил- или динизобутил-*N*-бензиласпарагинат, диамил-*N*-4-толуоласпарагинат, ди-*n*-гексил-*N*-(3-этилбензил)-аспарагинат и др. Эфиры изготовляют взаимодействием *N*-ариласпарагиновой к-ты или ее хлор- и бромпроизводного (ЭАК) с незамещенным алифатич. насыщенным спиртом, содержащим от 4 до 12 атомов C , желателно в присутствии этерифицирующего агента. В качестве катализаторов этерификации применяют к-ты или щелочные агенты, напр., 4-толуолсульфоновую к-ту, H_2SO_4 , $\text{H}_4\text{P}_2\text{O}_7$, метилат Na и др. ЭАК смешивают с указанным спиртом, прибавляют катализатор в присутствии или в отсутствие инертного р-рителя или разбавителя и оставляют стоять при t -ре ~20° или выше до завершения образования эфира, о чем судят по появлению воды или галогенов водорода в реакторе. Т-ра зависит от природы реагентов и условий р-ции (смесь нагревают от 50° до начала кипения). Инертными р-рителями или разбавителями служат жидкие алифатич. или ароматич. углеводороды или их хлор- и нитропроизводные. Получаемые пластификаторы (ПЛ) обеспечивают гибкость поливинилхлоридов при малой летучести и хорошей температурной устойчивости композиций. ПЛ применяют в кол-ве 5—50% от веса композиции. Патентуемые ПЛ пластифицируют поливинилхлорид и сополимеры 70 вес.% винилхлорида и до 30 вес.% ненасыщ. сополимеризующегося мономера (винилацетата, винилдендихлорида и т. п.). Пример. *N*-бензиласпарагиновую к-ту с т. пл. 158° получают взаимодействием *d,l*-аспарагиновой к-ты с бензилхлоридом в присутствии NaOH . бис-(2-этилгексил)-аспарагинат получают нагреванием в течение 9 час. с вертикальным холодильником смеси, содержащей 47,4 г (0,2 моля) *N*-бензиласпарагиновой к-ты, 78 г (0,6 моля) 2-этилгексанола, 170 мл бензола и 0,1 г 4-толуолсульфоновой к-ты. Полученную смесь разбавляют эфиром, промывают водным р-ром NaHCO_3 и отгоняют на масляной бане органич. в-ва при 200—210° и 2—3 мм рт. ст. Выход бис-(2-этилгексил)-бензиласпарагината 84 г (91,8% от теор.), n_D^{25} 1,4910, содержание N 3,17% (вычисл. 3,04%). Устойчивую композицию получают из 60 вес.% поливинилхлорида и 40 вес.% указанного аспарагината.

И. Орестов
9П209. Использование в качестве пластификатора эфира ацетоуксусной кислоты и касторового масла. Bader Alfred R., Vogel Henry A. Acetoacetic acid esters of castor oil and the use thereof in plasticization. [Pittsburgh Plate Glass Co.]. Пат. США 2895844, 21.07.59.—В качестве пластификатора для нитроцеллюлозы (НЦ), не испаряющегося при повышенных т-рах и не выпотеваящего, используют эфир ацетоуксусной к-ты и касторового масла, который получают, напр., путем р-ции касторового масла (800 г) и метилацетата (200 г) в течение 6 час. при 120° при барботировании через реакционную смесь инертного газа для удаления выделяющегося метанола. Выход почти теоретический. Пластификатор применяют в кол-вах ~80—160 ч. на 100 ч. НЦ. Пластифицированная патентуемым эфиром НЦ пригодна для получения формованных изделий, пленок и лаков для покрытия дерева, металлов и других материалов, характеризующихся

высокой прочностью. Для получения пленок используют р-р НЦ и пластификатора в кетонах, эфирах и других р-рителях НЦ. С. Басс

9П210. Применение соли тидигликолевой кислоты в качестве стабилизатора. Guinot Henri, Le Henaff Philippe. Sel de l'acide thiodiglycolique et ses applications. [Uclaf]. Франц. пат. 1184545, 22.07.59.—В качестве стабилизатора поливинилхлорида против действия света и повышенных т-р предлагается новый тидигликолят кадмия ф-лы $\text{S}(\text{CH}_2\text{COO})_2\text{Cd}$. На растворимую в воде Na -соль тидигликолевой к-ты действуют растворимой в воде солью Cd (напр., хлоридом) при t -ре ~20° или при нагреве, фильтруют, промывают и сушат продукт. Напр., растворяют 118 г (0,78 моля) тидигликолевой к-ты в 100 мл воды и нейтрализуют конц. р-ром соды, затем смешивают с р-ром 143 г CdCl_2 (0,78 моля) в 130 мл воды при 35—40°. Смесь оставляют стоять несколько часов, фильтруют, промывают, отжимают и сушат. Получают 168 г сухого белого кристаллич. продукта, содержащего 39,3% Cd и 9,25% воды; выход 82%. В. Толстогусов

9П211. Покртия для полов из стабилизированных против термических воздействий композиций, содержащих сополимеры винилхлорида. Pflaumer Arthur E. Heat stabilized vinyl plastic compositions, floor tiles made therefrom, and methods for preparing the same. Пат. США 2899398, 11.08.59.—В качестве стабилизаторов теплового старения, предотвращающих возникновение окрашивания при механич. обработке в условиях повышенных т-р сополимеров винилхлорида (70—95%) и других мономеров, напр., винилацетата (5—30%), используют 0,05—10 вес.% производных мочевины ф-лы $\text{RNHCONHR}'$, где R и $\text{R}' = \text{H}$ или алкилы с 1—5 атомами C . Напр., для изготовления настольных для полов применяют композицию (в вес.%): из сополимера винилхлорида с другим мономером 20—40, асбеста 30—50, порошкообразного неорганич. наполнителя 10—50, пластификатора 5—20, стабилизатора 0,5—4. Предложенные композиции можно подвергать длительному смешению и каландрованию до получения гладкой поверхности смеси без заметного окрашивания и деструкции полимера. С. Басс

9П212. Антистатическая обработка с применением соединений четвертичного аммония, содержащих полиэтокси-группы. Gruber Arnold H. Antistatic treatment with a quaternary ammonium compound containing a polyethenoxy grouping and products thereof. [American Cyanamid Co.]. Пат. США 2897170, 28.07.59.—Для уменьшения накопления статич. электр. зарядов на поверхности изделий из водонерастворимых винильных смол (напр., на тканях из полиакрилонитрильного и других синтетич. волокон или других изделиях из винильных пластиков) используют в качестве антистатич. агента 0,2—15% (от веса сухого изделия) четвертичных аммониевых соединений ф-лы $\text{R}(\text{R}')(\text{R}'')(\text{R}''')\text{NY}$, где R — алифатич. или алициклич. углеводородный радикал, содержащий ≥ 7 атомов C (напр., гептил, нонил, тетрадецил и т. д.), R' — радикал ф-лы $-(\text{C}_n\text{H}_{2n}\text{O})_m\text{H}$, где $n = 2-4$, $m \geq 3$ (напр., триэтоксис-, пентаизопропенокси-, эйкозанизопропенокси-, триаконтаэтоксис и т. д.); $\text{R}'' = \text{R}'$ или представляет собой алкильный или оксипалкильный радикал с 1—5 атомами C (напр., метил, пропил, *tert*-алкил, оксамил, диоксибутил и т. д.), $\text{R}''' = \text{R}''$ или H ; Y — анион (галоген, сульфат, фосфат и др.). Напр., используют октадецилдиметилдифосфатэтоксисаммонийхлорид, октадецилдиметилдифосфатэтоксисаммонийхлорид, смесь октадецилди-(тетраэтоксис-) и октадецилтри-(тетраэтоксис)аммонийхлоридов, октадецилдиметилдотриаконтаэтоксисаммонийфосфат и т. д. Патентуемые агенты вводят в смолу до формирования или покрывают изделия снаружи р-ром этих агентов в воде, изопропанол или их смеси с последующим удалением р-рителя. Напр., смачивают гранулированный поли-

стирол 10%-ным водн. р-ром октадецилди-(гексаэтенокси)-аммонийсульфата в течение нескольких минут и гранулы сушат (содержание антистатич. агента после сушки 2 вес.%). Отформованные изделия из такого полимера не накапливают статич. зарядов при стандартных испытаниях. С. Басс

9П213. Способ антистатической обработки изделий из пластмасс. Novák Jaroslav, Mrázek Jaroslav. Způsob antistatické úpravy výrobků z plastických hmot. Чехосл. пат. 88261, 15.01.59.—По предлагаемому способу используют электропроводящие покрытия для изделий из пластмасс или текстиля, у которых нежелательно наличие электростатич. заряда при их обработке или применении. В качестве деэстатизатора используют р-ры сополимеров (СП) полимеризирующих солей калия (напр., солей акриловой, метакриловой, декстрасацинковой, декстро- и левопинимаровой к-т) с в-вами, обладающими способностью к полимеризации, напр. эфирами акриловой и метакриловой к-т или винилацетата. В зависимости от состава композиции можно добиться хорошей адгезии к любым типам пластмасс. Получаемое покрытие прозрачно и не растворяется в воде. Пример. 60 г метилметакрилата, 50 г метакрилата калия и 3 г перекиси бензоила растворяют в 525 г CH_3OH и смесь кипятят в сосуде с обратным холодильником при 66° в течение 8 час. После добавки 112 г метилметакрилата кипячение продолжают еще 16 час. Получают вязкий р-р СП, из которого приготавливают лак следующего состава: 40 г р-ра СП, 1400 г CH_3OH , 130 г этилацетата, 400 г CHCl_3 . Лак указанного состава применяют в качестве деэстатизатора для поверхностной обработки органич. стекла. З. Смелый

9П214. Устройство для нанесения слоя очень тонкого порошка. Rabl Richard. Einrichtung zum Auftragen einer Schichte sehr feinen Pulvers. [Akkumulatorenfabrik Dr. Leopold Jungfer]. Австр. пат. 206637, 10.12.59.—Устройство для нанесения слоя очень тонкого порошка на подвижную подложку (ПЛ), особенно для получения пористых пластин спеканием пористого слоя порошкообразной пластмассы, отличается тем, что за питающим устройством, поддерживающим приблизительно постоянный уровень наносимого порошка, над ПЛ на расстоянии, равном требуемой толщине слоя, расположен вал с гладкой поверхностью; вал вращается в направлении, совпадающем с направлением движения ПЛ (со стороны, обращенной к валу), но с окружной скоростью, несколько меньшей скорости движения ПЛ. Разность между скоростью движения ПЛ и окружной скоростью вала, а также положение вала по высоте могут регулироваться. Для поддержания постоянного зазора между валом и ПЛ под ПЛ может быть расположен поддерживающий контрвал. Устройство позволяет получать из тонких порошков слой с совершенно гладкой поверхностью и обеспечивает легкое прессование порошка, предотвращающее образование трещин в результате усадки при спекании. М. Альбам

9П215. Устройство для накатки внутренней резьбы в хлорвиниловых трубах в процессе их производства. Куваго Садакадзу. Японск. пат. 6892, 29.08.57.—Полихлорвинил загружают в воронку, откуда с помощью червяка его поддают к формовочному отверстию, в выходном сечении которого синхронно с подачей материала вращается метчик, создающий внутреннюю резьбу. Трубка из полихлорвинила после нарезки резьбы поступает в коагуляционную ванну Ю. Жмакин

См. также раздел Химия высокомолекулярных соединений и рефераты: сырье 9Л12, 9Л127, 9Л138, 9Л139, 9Л143, 9Л146, 9Л187, 9Л192, 9Л102—9Л108, 9Л113, 9Л124, 9Л125, 9Л133, 9Л135, 9Л136, 9Л138, 9Л139, 9Л143, 9Л146, 9Л168, 9Л161, 9Л191, 9М14, 9М305. Пластификаторы

9Л110, 9Л112, 9Л128, 9Л159. Стабилизаторы 9Л114. Катализаторы 9Л100, 9Л118, 9Л161. Выращивание и наблюдение сферолитов в полиэтилене (описание школьного опыта) 9А36. Анализ полимеров: спектральный анализ продуктов на основе поливинилхлорида 9Д194. Анализ пластификаторов методом микроадсорбционной хроматографии 9Д185. Применение ультразвуковых вискозиметров для исследования полимеров 9Е16. Прибор для измерения толщины пластмасс 9И139. Исследование процесса хлорирования поливинилхлорида методом меченых атомов 9П352. Применение синтетич. смол: для защиты от коррозии 9И218, 9И220; в неметаллических композициях 9Л475; в фотографии 9Л541, 9Л553—9Л557, 9Л567—9Л571. Применение полисилоксанов в качестве смазок в периодич. действующих механизмах 9М233. Применение полиэтилена в композициях для смазок 9М346. Применение синтетич. смол для упаковки пищевых продуктов 9Н222, 9Н224, 9Н225, 9Н228; для лаков 9П219—9П225, 9П265—9П271; в качестве ингредиента резиновых смол 9П316; Хайналон 9П310; в бумажной пром-сти 9П464, 9П465, 9П469, 9П473, 9П477, 9П502, 9П503; в текстильной пром-сти 9П552, 9П559, 9П571, 9П573, 9П574, 9П577, 9П584, 9П586, 9П590; в кожаной пром-сти 9П645; для изготовления искусств. кожи 9П644—9П644, 9П640. Применение пластиков: применение тефлона в авиатех. устройствах для хроматографии аминокислот 9Е39; пористые фильтры из полиэтилена 9Е57. Трубы из пластмасс 9И212. Футеровка стальных труб пластмассами 9И213. Применение пластиков: для защиты оборудования от коррозии (упаковки в чехол из пластмасс) 9И214, 9И215; для обкладок хим. аппаратуры поливинилхлоридом—защита трубопроводов от коррозии 9И217; для внутренней футеровки электролизеров из стали с жидким ртутным катодом (для получения каустич. соды) 9К210. Исследование свойств и применение новообменных смол 9Б627, 9Б631—9Б636, 9В22, 9Д17—9Д19, 9Д43, 9Д44, 9Д141, 9Д152, 9Е39, 9К29, 9К74, 9К203, 9Л130, 9Л570, 9М355, 9Н288, 9Н351, 9Н352, 9Н358, 9Н418.

ЛАКИ. КРАСКИ. ЛАКОКРАСОЧНЫЕ ПОКРЫТИЯ

Редакторы М. В. Баркова, М. Ф. Сорокин

9П216. Лакокрасочная промышленность Италии. Краткий обзор. Reschia E. Bref panorama de l'industrie italienne des peintures et vernis. «Chim. peintures», 1959, 22, № 12, 353—364 (франц.).—Краткий технико-экономич. обзор итальянской лакокрасочной пром-сти и некоторых наиболее важных ее промышленных предприятий. Б. Шемякин

9П217. О пленкообразовании высыхающих связующих. Telen H. W. Over de filmvorming van physisch drogende bindmiddelen. «Verfkroniek», 1960, 33, № 2, 56—66 (гол.; рез. англ., нем., франц.).—Обзор процессов пленкообразования в-в, используемых лакокрасочной пром-стью. Детально рассмотрены образование пленок из р-ров полимеров, свойства пленкообразующих р-ров, параметры растворимости и механизмы пленкообразования и пластифицирования. Указано влияние природы р-рителей на свойства высыхающих пленок. Б. Шемякин

9П218. Содержание влаги и молекулярный вес шеллака. Murhopadhyay B. Moisture content Vs molecular weight of shellac. «Sci. and Cult.», 1959, 25, № 6, 375 (англ.).—Краткое сообщение о взаимосвязи между содержанием влаги в шеллаке (Ш) и его мол. весом, а также о влиянии влаги Ш на качество лака. Максимально допустимое содержание влаги в Ш должно колебаться в пределах 2%. При меньшем содержании ухудшается стабильность лака. Выказано предположение, что каждая молекула Ш химически

связана с определенным числом молекул воды и что, зная мол. вес Ш, можно определить содержание воды в нем.

Б. Дуброва

9П219. Влияние молекулярного веса полиамидных смол на свойства их растворов и пленок. Касьянова А. А., Польгейм Л. В., Скорнякова Т. А., Павлов С. А. Изв. высш. учебн. заведений. Технол. легк. пром-сти, 1959, № 6, 28—33. Изучалось влияние свойств (т-ры плавления, мол. веса, содержания низкомолекулярных фракций и гигроскопичности) 4 производственных партий полиамидов (ПА), полученных конденсацией соли АГ и ε-капролактама, на свойства (уд. вязкость и ее зависимость от т-ры) спирт. р-ров ПА (4%, 20% и 95%-ных) и механич. свойства (прочность на разрыв) пленок. Установлено, что основной характеристикой ПА, оказывающей влияние на свойства как р-ров, так и пленок, является мол. вес.

Т. Ренард

9П220. Алкидные смолы в промышленных покрытиях. Roberts George T., Kraft William M. Alkyds in industrial finishes. «Baint Ind. Mag.», 1959, 74, № 12, 9—40 (англ.).—Обзор алкидных смол (АС) для покрытий. Рассмотрены связующие для покрытий воздушной сушки, АС, модифицированные маслами, грунтовки, связующие для декоративной отделки металла, покрытия горячей сушки, покрытия и грунтовки горячей сушки для автомобилей, покрытия по дереву и пластифицирующие составы для лаков. Приведены примеры и условия получения составов для покрытий на основе АС. Библ. 6 назв. Б. Шемякин

9П221. Отверждение эпоксидных смол полиамидами. Lissner Oskar. Über die Härtung von Epoxiharzen mit Polyaminen. «Farbe und Lack», 1960, 66, № 1, 14—21 (нем.).—Обсужден механизм р-ции отверждения эпоксидных смол (ЭС) первичными и вторичными полиамидами (ПА). Отмечено значение точной выдержки стехиометрич. соотношения эпоксигрупп и активного Н в этих двухкомпонентных лаках и дана ф-ла для расчета необходимого для отверждения кол-ва ПА. Приведены спектрограммы в ИК-области различных лаков на основе ЭС и ПА в процессе их отверждения и обсуждено влияние строения ПА на ход отверждения. Приведены данные о физ.-хим. и технологич. свойствах лаков этого типа и пленок на их основе.

Н. Гарденин

9П222. Мовилит — материал с широкими возможностями применения. Arzens R. Mowilith. Une seule matière. Mille possibilités. «Chim. peintures», 1960, 23, № 1, 5—23 (франц.).—Дан историч. обзор работ по мовилиту (поливинилацетату). Приведены схема его получения и примеры применения в пром-сти пластмасс, строительных конструкциях и др. В лакокрасочной пром-сти мовилит (в виде водн. дисперсий) применяется для получения водн. красок для наружных и внутренних покрытий (напр., для окраски товарных ж-д вагонов).

Б. Шемякин

9П223. Мовилит как лакокрасочный материал. Schaefer August. MOWILITH als Anstrichmittel. «Kunststoff-Rundschau», 1960, 7, № 1, 46—48 (нем.).—Кратко описаны области применения лакокрасочных материалов на основе водн. дисперсий мовилита (поливинилацетата) (ДМ). Отмечено широкое использование ДМ в строительных красках, красках для молотковых покрытий, в покрытиях товарных вагонов и т. д. Рассмотрено также использование р-ров мовилита в сочетании с нитроцеллюлозой для лаков по дереву, в сочетании с хлоркаучуком для покрытий с высоким блеском и прекрасной адгезией, и в антикоррозийных грунтовках, содержащих цинковую пыль.

Б. Дуброва

9П224. Полиэфирные смолы и облицовочные покрытия на их основе. Hiraki Yoshiyuki. «Mokuzai kōgō, Mokuzai kogyō, Wood Ind.», 1959, 14, № 9, 421—422, 467 (японск.).—Приведена краткая характе-

ристика ненасыщ. полиэфирных смол (ПС), полученных на основе дикарбоновых к-т и гликолей. Для образования трехмерных структур к ПС этого типа добавляют стирол. В качестве инициаторов отверждения применяют двухкомпонентные системы перекиси метилэтилкетона — нафтенат кобальта (содержание металла. Со 6%) или перекись бензоила — диметиланилин. ПС применяют в лаках, предназначенных для получения покрытий по бумаге, металлу, ткани, стеклоткани и др.

В. Иоффе

9П225. Конденсационные полимеры. Fisk P. M. Condensation polymers. «Paint Manufact.», 1959, 29, № 12, 393—396 (англ.).—Кратко обсуждена кинетика р-ций (в особенности конденсации) и рассмотрены основы химии целлюлозных полимеров. Приведены схемы образования полимеров различной степени сложности и длины цепей, структурные ф-лы глюкозы и целлюлозы, суммированная схема р-ций последней, приводящих к получению продуктов, применяемых в лакокрасочной пром-сти, схема основных р-ций, приводящих к получению аминосмол, и некоторые схемы процессов смолообразования.

Б. Шемякин

9П226. Масляные лаки на основе производных канифоли. Rao S. Neelakant, Aggarwal J. S. Rosin derivatives for oleoresinous varnishes. «Paintindia», 1959, 9, № 8, 20—22 (англ.).—Описан процесс приготовления масляных лаков (МЛ) на основе различных производных канифоли. Перечислены смолы и высыхающие масла, применяемые в качестве сырья для произ-ва МЛ, и указаны их характеристики. Сравняются свойства лаков на основе эфира канифоли, модифицированных фенольных и малеиновых смол, полученных с применением в качестве высыхающих масел сырого дегидратированного касторового масла (ДКМ) и полимеризованных ДКМ и льняного масла. Указывается, что наилучшими свойствами обладают МЛ, приготовленные из малеиновых смол и сырого ДКМ. Недостатки этих МЛ — продолжительность приготовления лака и тенденция пленки лака к отслаиванию — могут быть уменьшены использованием смесей сырого и полимеризованного ДКМ (или льняного масла). Приведены составы и характеристики тощих, средних и жирных МЛ.

Н. Умриева

9П227. Теоретические сведения об эмульсиях. Sumner C. G. Theoretical aspects of emulsions. «Paint Technol.», 1960, 24, № 266, 14—22, 34 (англ.).—Обзор работ в области эмульсий двух типов: масло в воде и вода в масле. Библ. 16 назв.

К. Белиева

9П228. Технологическое значение процессов, протекающих на поверхности твердых веществ. Traitéur Heinz. Grenzflächenchemie von Feststoffen, technologisch gesehen. «Brauwissenschaften», 1960, 13, № 2, 59—63 (нем.; рез. англ.).—Рассматривается возможность использования методов, применяемых для изучения хим. процессов, протекающих на поверхности твердых тел, для характеристики пигментов, наполнителей и взаимодействия между пигментом и связующим (электронная микроскопия, газовая адсорбция, изотермич. десорбция, динольная адсорбция, хемосорбция, энергетика процессов между пигментом и связующим) и расширения технич. возможности произ-ва пигментов с одинаковым размером частиц.

Б. Дуброва

9П229. Распределение пигмента в связующем и укрывистость. Goeb A. Pigmentverteilung und Deckvermögen. «Fette, Seifen, Anstrichmittel», 1959, 61, № 12, 1239—1244 (нем.; рез. исп., франц., англ., русск.).—Измерениями укрывистости (У) свинцовых белил (СВ) различного происхождения и с различным коэф. преломления определяли максим. достижимую величину У для этого вида пигментов. У определяли по степени прозрачности образцов сырых пленок толщиной 30 м. Описаны условия проведения измерений У и технология приготовления образцов. Приведены

данные зависимости U от конц-ии СБ, продолжительности их перетирания в мельнице, агломерации СБ во времени, наличия и конц-ии лессирующего наполнителя или сажки. Установлено, что наличие 0,09% сажки вдвое повышает U ; применение вязкого связующего (напр., касторового масла), препятствуя агломерации СБ, стабилизирует U во времени; в процессе перетирания паст их U вначале возрастает до максим. значения, специфичного для каждого пигмента, и в дальнейшем начинает убывать, что позволяет по характеру кривых этой зависимости судить о способности СБ диспергироваться в связующем. Принятая в работе методика вполне пригодна для сравнительной оценки U пигментов одного и того же вида, а также для сравнительной оценки U различных по природе белых пигментов (напр., ZnO , TiO_2 , литопона и др.), но при одновременном учете их объемной концентрации.

Н. Гарденин

9П230. Гигиенические краски. Falconer Robert. Hygienic paints. «Paint J.», 1960, 11, № 81, 40–42, 64 (англ.).—Описание красок (без указания состава), дающих гигиенические покрытия: самостерилизующиеся, не обрастающие плесенью (не содержащие фунгицидов, вредных для человеческого организма) и с инсектицидными свойствами.

К. Беляева

9П231. Богатые цинком краски. Хирази Синтаро. «Киндзюку хэмэн гидзюцу, J. Metal Finish. Soc. Japan», 1959, 10, № 7, 275–277 (японск.).—Основу богатых цинком (Ц) красок (КР) составляет порошок Ц. В отличие от других КР на основе порошка Ц, эти КР содержат большое кол-во (85–87%) нерастворимых в р-рителе в-в, из них >94,5% приходится на Ц, в том числе >90,0% — на металл. Ц. Подобные КР обладают высокими качествами, однако покрытия по стали, полученные из этих КР, не стойки к действию морской воды.

Г. Мельников

9П232. Исследование возможности использования масла из семян каучуконосов в составах для покрытий. Aslam Mohammad, Imam Hassan. Examination of rubberseed oil for use in coating compositions. «Pakistan J. Scient. and Industr. Res.», 1958, 1, № 3, 224–227 (англ.).—Изучением составов для покрытий, содержащих масла семян каучуконосов (напр., бразильской гевеи), установлено, что масло экстрагированное р-рителями из некоторых разновидностей светлых семян, обладающих хорошей стабильностью, может быть использовано для получения не дающих отслаивания покрытий; последние по своим свойствам аналогичны покрытиям на основе льняного масла.

Б. Шемякин

9П233. Исследования в области изомеризации и селективной экстракции дегидратированного касторового масла. Saraf V. A., Dole K. K. Studies in the isomerisation and solvent fractionation of dehydrated castor oil. «Indian J. Appl. Chem.», 1959, 22, № 4, 146–150 (англ.).—Исследована дегидратация касторового масла (КМ) на 4 различных катализаторах (бензолсульфокислота, о-фенолсульфокислота, бисульфат натрия, фосфорная к-та) и изомеризация дегидратированного КМ (ДКМ) с применением в качестве катализатора антрахинона. Установлена зависимость пленкообразующих свойств (ПОС) изомеризованного ДКМ от характера катализатора дегидратации. Лучшими ПОС обладают ДКМ, полученные с бензолсульфокислотой, худшими — с фосфорной к-той. Дальнейшее улучшение ПОС достигается селективной экстракцией ДКМ изо-пропиловым спиртом. Приведены условия дегидратации КМ, изомеризации ДКМ и селективной экстракции изомеризованного ДКМ, характеристики полученных продуктов, а также свойства пленок, отлитых из каждой фракции, полученной при экстрагировании изомеризованного ДКМ изо-пропиловым спиртом.

Н. Умцьева

9П234. Новый сорт технического толуола чехословацкого производства — «толуол для лаков». Zeman Miroslav. Nový druh technického toluenu československé výroby — «toluen lakafský». «Chem. průmysl», 1960, 10, № 2, 87 (чешск.).—Для нового продукта «толуола для лаков» (ТЛ) установлено максим. содержание бензола 6 вес. %. Решение о выпуске ТЛ вызвано трудностями соблюдения допустимой конц-ии бензола в атмосфере цехов, где применялся выпускаемый до сих пор «толуол технич. очищенный», содержащий 15–20% бензола. См. также РЖХим, 1960, № 5, 18890.

Т. Зварова

9П235. Влияние растворителей на высыхание полиэфирных лаков. Zvonaf Vladimír, Pokorný Stanislav. Vliv rozpouštědel na zasychání polyesterových laku. «Chem. průmysl», 1959, 9, № 12, 664–668 (чешск.).—Изучалось влияние добавок (5–20 вес. %) различных р-рителей (РЛ) на ход отверждения невящущ. полиэфирных смол и лаков на их основе. Установлены зависимости между конц-ией РЛ, временем желатинирования (t_i) и временем отверждения (t_p). По ингибирующему действию (ИД) РЛ располагаются в ряд спирты > кетоны > сложные эфиры > углеводороды (соотношение ИД соответственно 40:2:1:0). С увеличением мол. веса в каждой группе РЛ влияние их на t_i и t_p уменьшается, что объясняется уменьшением конц-ии функциональных групп. Отмечается, что ИД является временным и проявляется только в блочной сополимеризации и в лаках в случае применения малолетучих РЛ. Для продления жизнеспособности особенно эффективно метанол (I), который, увеличивая жизнеспособность в 5 раз (при 15 вес. %), увеличивает t_i только на половину. Делается вывод о нежелательности большого содержания концевых -ОН-групп в смоле для лаков, так как это неблагоприятно влияет на отверждение. Ароматич. углеводороды и сложные эфиры оказывают положительное влияние только на смачиваемость и поверхностное натяжение. Метилэтилкетон, не влияя на t_i и t_p , благоприятно влияет на образование пленки и, как единственный РЛ, не снижает ее поверхностную твердость. Его применение рекомендуется, особенно в сочетании с I.

Т. Зварова

9П236. Фурановые растворители для производства лакокрасочных материалов. Rožan Josef, Jarusek Jaroslav, Polák Vladislav, Grimmer Jiří. Furanová rozpouštědla pro nátěrové hmoty. «Sb. vědec. prací Vysoké školy chem. technol. Pardubice. Praha», 1959, 231–236 (чешск.; рез. русск., нем.).—Исследовали возможность применения некоторых фурановых р-рителей — 2-метилфурана (I), 2-метилтетрагидрофурана (II) и тетрагидрофурилового спирта (III) для произ-ва лакокрасочных материалов. Установлено, что II и III могут быть использованы в лакокрасочной пром-сти после распределения их физиологич. действия. I, вследствие его большой летучести, горючести, резкого эфирного запаха и недостаточной растворяющей способности, для замены ацетона не пригоден.

Б. Шемякин

9П237. К исследованию смесей растворителей. Scheer R. J. Beitrag zur Untersuchung von Lösungsmittelgemischen. «Farbe und Lack», 1959, 65, № 12, 713–714 (нем.).—Изучено окрашивание, которое получается при смешении H_2SO_4 (I) с различными р-рителями (уайт-спирит, бензин, сольвент-нафта, бзл., толуол, ксилол, различные спирты, кетоны, этилацетат и др.), с точки зрения возможности использования его для идентификации органич. р-рителей. Удобней всего смесь равных объемов (напр., 1,5 мл) конц. I и р-рителя, однако можно варьировать сернокислоту пробу, меняя соотношение I и р-рителя и конц-ию I.

Г. Цейтлин

9П238. Нео-Крил А 234 У дисперсия акриловых сополимеров для ионогенных восковых политул, приме-

яемых без шлифования. Kselik Georg. NeoCryl A234U. Eine copolymeren Acryl-Dispersion mit Sondereinstellung für ionogene Selbstglanzwachs — Polituren. «Seifen-Öle-Fette-Wachse», 1960, 86, № 1, 19—20 (нем.). — Рассмотрено применение нового продукта Neo-Cryl A234U (НА) для восковых политур, не требующих шлифования. Применение НА облегчает совместимость отдельных составных частей и обеспечивает высокое качество пленок (сопротивление трению, водостойкость, равномерность покрытия), легкая удаление старых пленок. Приведены составы, содержащие НА и щелочерастворимые смолы, их свойства, рецептуры политур и способы их получения.

Г. Шураев

9П239. Образование морщин в тонких пленках масляно-шеллачного лака. Gupta Ved Swarup. Wrinkling effects in thin films of shellac-oil varnish. «J. Scient. and Industr. Res.», 1959, BC18, № 11, B488—B490 (англ.). — Некоторые составы масляных лаков на дугловом или камаловом (kamala seed oil) масле в смеси с другими быстро высыхающими маслами (напр., с льняным маслом) образуют различные декоративные покрытия — морщинистые, под шелк или с морозным узором. На образование морщинистости (М) в значительной степени влияют толщина покрытия, содержание сиккатива и т-ра сушки; однако без предварительного испытания различных составов представляется затруднительным предопределить условия получения желаемого морщинистого эффекта. Результаты исследований, предпринятых с целью определения оптимальных условий образования М у пленок шеллачно-масляного (льняного) лака, показали, что пленки толщиной ~0,05 мм из лака, содержащего кобальтовый сиккатив в кол-ве до 0,01% Со (в добавление к 3% Pb), на воздухе не высыхают, при содержании 0,02% Со высыхают с образованием мягких глянцевых покрытий с признаками М, при содержании 0,08—0,16% Со и т-ре сушки 25—40° — высыхали с образованием покрытий с тонкой М; а при содержании 0,2% Со — со средней М. Таким образом следует считать, что для образования М благоприятными факторами являются содержание в лаке сиккатива в кол-ве 0,16—0,20% Со, т-ра сушки 40° и миним. толщина пленки ~0,05 мм. При т-рах сушки >40° твердость пленок увеличивается, а образование М замедляется и совсем не наблюдается при т-ре >60°. Увеличение толщины пленок увеличивает степень М. Приведены свойства покрытий (твердость, цвет и др.), полученных при различных условиях.

Б. Шемякин

9П240. Нанесение покрытий в псевдооживленном слое. Gaynor Joseph. Some fundamental aspects of fluidized bed coating. «SPE Journal», 1959, 15, № 12, 1059—1063 (англ.). — Обзор. Рассмотрены теоретич. и практич. вопросы нанесения покрытий (П) в псевдооживленном слое полимера, а также указаны меры предосторожности при обращении и применении воспламеняющихся порошков. Новый способ нанесения П имеет ряд преимуществ, к числу которых относятся отсутствие р-рителей, возможность автоматизации процесса, высокая производительность процесса нанесения П на изделия сложных геометр. форм, нанесение за один процесс (проход) ровных и непрерывных П любой толщины при применении простого и недорогого оборудования и эффективном, теоретически 100%-ном использовании полимерного материала. Библ. 20 назв.

Б. Шемякин

9П241. Новый метод нанесения покрытий, не требующих последующей отделки. Pascoe Walter R. Fluidized bed coating. Solution to difficult finishing operation. «Metal Finish.», 1959, 57, № 10, 74—75, 80 (англ.). — Разработан новый метод нанесения покрытий в псевдооживленном слое на изделия из металла, обеспечивающий получение изделий с улучшенным внешним видом при меньших затратах времени и

средств и не требующий никакой последующей отделки изделия. В качестве материала, образующего покрытия, используют сухой тонкоизмельченный порошок пластик. материала (ПМ) спец. приготовления. Метод заключается в погружении изделия, предварительно нагретого выше т-ры плавления ПМ, в порошок ПМ и возвратно-поступательным движением нагретого изделия внутри порошка ПМ. В результате контакта между нагретой поверхностью и псевдооживленным слоем порошка последний плавится, образуя дорожку из расплавленного ПМ, по которой движется изделие, в результате чего на поверхности изделия образуется равномерное покрытие. Толщина покрытия регулируется т-рой изделия, подлежащего отделке, и временем его пребывания в порошке ПМ. После удаления из порошка изделие подвергают термообработке при т-ре выше т-ры плавления ПМ для получения равномерного однородного покрытия, не содержащего точечных отверстий. Метод обеспечивает получение однородных покрытий, даже на изделиях чрезвычайно сложной конфигурации.

М. Баркова

9П242. Цистерны, футерованные поливинилхлоридом и стойкие к фосфорной кислоте. Weyermuller Gordon. Tankcars lined with PVC withstanding phosphoric acid. «Chem. Process. (USA)», 1960, 23, № 1, 55—57 (англ.). — Описано в общем виде решение проблемы нанесения покрытия поливинилхлоридного пластика на внутреннюю поверхность трех цистерн вместимостью каждая 3,6 м³ и предназначенных для транспортировки в них фосфорной к-ты и ее кислых солей.

М. Гурарий

9П243. Применение текстурных покрытий на нагревателях. Chamberlain Albert. A textured finish used on space heaters. «Industr. Finish.», 1959, 36, № 2, 22—24, 26 (англ.). — Описан процесс подготовки поверхностей и нагревателей и его деталей и нанесение на них текстурных эмалевых покрытий (П) на основе модифицированных алкидных смол (I). Эти П бывают двух стандартных цветов — медного и светлого-зеленого и представляют собой не морщинистые узорчатые П, а скорее П молоткового, чеканенного типа. Применение слабых р-рителей приводит к получению более крупных узоров, средних — к получению узоров среднего размера и сильных р-рителей — к получению тонких узоров. Эти текстурные покрытия являются однородными покрытиями, не зависящими от изменения технологии и условий их нанесения. Текстурные эмали на основе I с вязкостью 32 сек. применяют при 25°, распыляющем давл. 3,5 кг/см² и давлении на краску 1,4 кг/см². После 5-минутного испарения р-рителей покрытия высушивают в течение 19 мин. при 171° в конвекционной газовой сушилке с косвенным обогревом; покрытия теплостойки до 232°. Топочные камеры нагревателей окрашивают отдельно, при помощи черной силиконовой эмали, теплостойкой при 482°.

Б. Шемякин

9П244. Придание декоративного вида изделиям из пластмасс. Rohr W. H. Applying decorative effects to molded plastics. «Industr. Finish.», 1959, 36, № 1, 22—26, 28, 30, 32, 34—35, 38, 40—42 (англ.). — Описаны процессы декоративной отделки готовых изделий из пластмасс, включающие произ-во печатных оттисков на изделиях, нанесение на них маркировки, эмблем и т. п. Эти процессы выполняются как вручную, так и при помощи оборудования для автоматич. окраски распылением, вакуум-металлизации и др. Декоративная отделка может быть одно- или многоцветной.

Б. Шемякин

9П245. Крупная лакокрасочная установка для нанесения покрытий обливанием, оборудованная аппаратурой для кондиционирования воздуха. Kinn John A. For finishing air conditioners giant flow coating system. «Paint Ind. Mag.», 1959, 74, № 12, 14 (англ.). —

Описана лакокрасочная установка для нанесения покрытий обливанием, оборудованная аппаратурой для кондиционирования подогреваемого (в зимнее время) и фильтруемого воздуха, производительностью 6048 м²/мин. Б. Шемякин

9П246. Изготовление покрытий на металле из поливинилхлоридной пасты. Фуруя Масаяки. «Киндзюку хэмэн гидзюку, J. Metal Finish. Soc. Japan», 1959, 10, № 9, 340—349 (японск.). Листовой металл с покрытием из поливинилхлорида (ПВХ) является весьма перспективным конструкционным материалом. Для нанесения покрытия из ПВХ приготавливают пластизоль или пластитель, содержащий (в вес. ч.) 100 ПВХ, 40 триоктилфосфата, 35 эфира гликоля и алифатич. к-ты, 10 наполнителя и 3 стабилизатора. Для получения жесткого покрытия применяют следующий состав (в вес. ч.): 60 ПВХ (Джеон 121), 40 ПВХ (Джеон 106), 28 диоктилсебадината, 14 диоктиладипината, 14 тетраэтилглицеролькоксата, 1—2 наполнителя и 3 стабилизатора. Описана технология нанесения покрытий из ПВХ на листовой металл и указаны возможные области применения этих материалов.

В. Иоффе
9П247. Автоматическая линия поточной окраски. Части 1, 2. Fishlock D. J. Automatic transfer streamlines painting. Parts 1, 2. «Metalwork. Product», 1959, 103, № 49, 1951—1956; № 50, 1995—2000 (англ.). Описана новая линия окраски автомобильных кузовов с автоматич., электроуправляемой подвесной конвейерной системой. Производительность линии 72 кузова в час, одновременно может обрабатываться >850 кузовов. Приведены схемы и дано описание отдельных стадий процесса автоматич. поточной окраски.

Б. Шемякин
9П248. Лакировка барабанов. Sharpe E. E. V. Drum lacquer linings. «Packag. News», 1959, 6, № 10, 31—34 (англ.). Для лакировки внутренней поверхности стальных барабанов применяются преимущественно лаки горячей сушки на основе фенольных и эпоксидных смол, а также поливинилхлоридные дисперсии. Рассмотрены требования, предъявляемые к лаковым покрытиям указанного типа, условия и способы (преимущественно распыление) их получения.

Б. Шемякин
9П249. Применение технических вспомогательных средств и контрольно-измерительных приборов в процессе окраски. Merz Otto. Die Verwendung technischer Hilfsmittel und Geräte für eine gute Lackierung. «Industrie — Lackier-Betrieb», 1960, 28, № 1, 6—11 (нем.). Кратко изложены методы подготовки поверхности изделий из стали, древесины и пластмасс под окраску, а также методы контроля ее качества. Приведены примеры дефектов покрытий, вызванные несоблюдением надлежащей технологии этой подготовки.

Н. Гарденин
9П250. Изменение цвета промышленных покрытий. Schreiber Karl F. Color variation in industrial finishes. «Industr. Finish», 1959, 36, № 2, 48, 50, 52, 54, 56, 58 (англ.). Выбор краски или эмали по цвету образца или другим технич. условиям не гарантирует от возможных случайных изменений цвета окраски в процессе применения лакокрасочных материалов или получения цвета окраски, не соответствующего требовавшемуся. Обсуждены причины изменения цвета покрытий (разбавление и перемешивание краски или лака, способ их нанесения, условия сушки, влияние металлич. подложки, толщины пленок т. д.) и меры для достижения и сохранения правильного, однородного цвета окраски материалов, а также вопросы и условия стандартного сравнения цвета окраски.

Б. Шемякин
9П251. О стабильности оттенков некоторых лакокрасочных покрытий. Geret H. Nuancenbeständigkeit

bestimmter Pigment-Bindemittel-Gemische. «Schweiz. Arch. angew. Wiss. und Techn.», 1959, 25, № 12, 450—451 (нем.; рез. франц.). Выдержкой образцов красок в различных условиях (темноте, на рассеянном свете и у окон, обращенных к югу) изучали стабильность оттенков покрытий из красок на основе некоторых синтетич. смол, алкидов и нитроцеллюлозы, пигментированных TiO₂ (рутил) с добавками органич. светостойкого пигмента или зеленой Cr₂O₃. Лучшую цветопрочность показали покрытия на основе метакриловой смолы, а также мочевиной смолы и нитроцеллюлозы, пластифицированных алкидной смолой, модифицированной кокосовым маслом. Последний вид покрытий имел также высокую цветопрочность при длительном испытании в естественных условиях. Н. Гарденин

9П252. Влагопроницаемость органических покрытий. Kronstein Max, Rivera Julio, Abramski Herman, Weber Fred. Moisture permeability of organic coatings. «Paint and Varnish Product», 1959, 49, № 13, 33—38, 96 (англ.). Изучали влияние формы и размеров частиц неореакционноспособных пигментов (в частности, рутильного TiO₂) и наполнителей на свойства (в частности, влагопроницаемость) органич. покрытий. Описаны методика, условия и результаты испытаний. Установлено, что размер и форма пигментных частиц значительно влияют на плотность органич. пленок и, соответственно, на их влагопроницаемость. Так как испытания проводили в основном с неореакционноспособными пигментами, различная влагопроницаемость не могла явиться результатом хим. взаимодействия между связующим и пигментами, за исключением случая применения силиконокислого пигмента. Б. Шемякин

9П253. Действие УФ-лучей на синтетические смолы и краски и поглощение УФ-лучей УФ-абсорберами. Giesen M. Die Wirkung der UV-Strahlen und ihre Absorption durch UV-Absorber bei Kunstharzen und Farbstoffen. «Fette, Seifen, Anstrichmittel», 1959, 61, № 12, 1245—1251 (нем.; рез. исп., англ., франц., русск.). Кратко рассмотрены влияние УФ-лучей на разрушение лакокрасочного покрытия и защитное действие УФ-абсорберов (АБ), вводимых в состав этих покрытий. Обсуждены требования, предъявляемые к АБ, условия их применения и даны характеристики наиболее употребительных АБ, в основном производимых бензофенона, салициловой и коричной к-т. Результаты спектрофотометрич. измерений активности р-ров различных АБ, а также данные о светостойкости покрытий, содержащих различные АБ, показали, что активность АБ зависит не только от его природы, но и от среды, в которой он распределен.

Н. Гарденин
9П254. Изменение цвета белого покрытия под действием дыма. Sjollem F. Verkleuring van witte verven door rook. «Verfkroniek», 1959, 32, № 11, 452—456 (голл.; рез. англ., нем., франц.). Быстрым способом имитирования условий экспозиции лакокрасочных покрытий в задымленной атмосфере является погружение испытываемой панели с нанесенным на нее покрытием на 5 мин. в 5%-ный спирт. р-р древесного (соснового) дегтя. Скорость изменения окраски в данном р-ре значительно выше скорости ее изменения при нахождении в атмосфере дыма. Установлено значительное изменение цвета окраски, наблюдавшееся при применении как хозяйственно-бытовых красок, так и красок для промышленных покрытий. Считают, что большинство лакокрасочных связующих (лаковые смолы и др.) даже после воздушной или горячей сушки можно рассматривать как хорошие р-рители смолистых продуктов, содержащихся в дыму тлеющих опилок или табака. Только немногие покрытия (напр., алкидомочевинные, нитроцеллюлозноалкидные, эпоксидные, отвержденные аминами, и полиметакрилатные) не изменяют цвета под действием такого дыма.

Установ
дыма не

9П255
материал

S. E.
chen.

(нем.).
тоды и

риалов
ских и

сти сдв
высокой

малых
ром с с

стеклян
тит. ме

ного ш
помощи

ля; пне
ки; спе

покрыт
сти сво

ультраз
Привед

фигуры.
9П256

УФ-све
J. A. I.

tometric
Spectro

следств
широко

чество
жащего

сорбции
Получе

ми кол
описан

9П257
Louis

miques
(франц

мин и
ляют о

мы зап
ствия

кратки
аппарат

против

9П258
пигмент

Eigensc
1959, 6

практи
ции (к

покрыт
рениях

щей об
ной те

тодов
слоя ш

особен
12 наз

9П259
затели

physica
«Becka

Обсуж
ствами

лудисп
сорбци

Установлена необыкновенная стойкость к действию дыма некоторых красок на основе эпоксидных смол.

Б. Шемякин

9П255. Новые методы испытания лакокрасочных материалов и покрытий. Smith N. D. P., Orchard S. E. *Linig neue Methoden der Prüfung von Anstrichen*. «Dtsch. Farben-Z.», 1959, 13, № 12, 470—478 (нем.).—Кратко описаны некоторые современные методы и приборы для испытания лакокрасочных материалов и покрытий; определение вязкости ньютоновских и тиксотропных жидкостей при высокой скорости сдвига поршневым, кашаллярным вискозиметром высокого давления и тиксотропных жидкостей при малых напряжениях сдвига ротационным вискозиметром с спец. бесподшипниковым и компенсированным ротором; определение розлива краски, нанесенной на стеклянную подложку, в процессе ее высыхания оптич. методом и методом отражения падающего стального шарика; приготовление образцов красок при помощи спец. центрифуги или автоматич. распылителя; пневматич. измеритель толщины свободной пленки; спектрофотометр для определения цветового тона покрытия; спец. прибор для исследования эластичности свободной пленки; исследование адгезии покрытий ультразвуковым и ультрацентрибежным методами. Приведены схемы и фотоснимки приборов и указаны фирмы, их изготавливающие. Библ. 17 назв.

Н. Г.

9П256. Определение 1,10-фенантролина методом УФ-спектрофотометрии. Secret P. J., Pawley J. A., Lucchesi Claude A. *Ultraviolet spectrophotometric determination of 1,10-phenanthroline*. «Appl. Spectroscopy», 1959, 13, № 6, 141—143 (англ.).—За последние годы 1,10-фенантролин (I) находит все более широкое применение в лакокрасочной промышленности в качестве сиккатива. Описан метод определения I, содержащегося в технич. I, основанный на измерении абсорбции спирт. р-ра технич. I при 323,5 мμ и 820 мμ. Полученные результаты хорошо согласуются с данными колориметрич. измерений. Точность определения описанным методом ~0,2%.

Б. Шемякин

9П257. Химстойкость красок. Rabaté Jean-Louis. *La résistance des peintures aux agents chimiques*. «Techn. entretien», 1960, 11, № 1, 47—21 (франц.).—Отмечается, что прогресс современной химии и появление новых пленкообразующих в-в позволяют с успехом разрешать многочисленные проблемы защиты материалов против разрушительного действия различных коррозионных агентов. Приведен краткий обзор некоторых лакокрасочных материалов, пигментов, наполнителей и пленкообразующих в-в, противостоящих действию к-т и щелочей.

Б. Шемякин

9П258. Об измерении оптических свойств белых пигментов. Lund E., Vial F. *Zur Messung optischer Eigenschaften von Weißpigmenten*. «Farbe und Lack», 1959, 65, № 12, 695—703 (нем.).—Обсуждены методы практич. определения коэф. рассеивания (s) и абсорбции (k) света белыми пигментами и содержащими их покрытиями. Методы основаны на фотометрич. измерениях оптич. свойств образцов красок с последующей обработкой результатов по ф-лам двухконстантной теории Kubelka и Switzer. Одн из описанных методов (контрастный) включает измерение толщины слоя покрытия, а второй не требует этого измерения и особенно применим при серийных анализах. Библ. 12 назв.

Н. Гарденин

9П259. Физические свойства и технические показатели пигментов. Neßmann Erwin. *Pigmente — physikalische und anwendungstechnische Grundlagen*. «Beckste-Nachr.», 1959, 18, № 4, 102—115 (нем.).—Обсуждена зависимость между основными физ. свойствами органич. и неорганич. пигментов (размер и полидисперсность частиц, показатель преломления, абсорбция света, растворимость, электрич. заряд) и их

эксплуатационно-технич. показателями (цвет, красящая сила, укрывистость, прозрачность, отражение ИК-лучей, смачиваемость, сублимация, миграция, оседание и всплываемость). Подробно рассмотрены вопросы реологии, светостойкости и погодостойкости, а также методы определения этих свойств. Библ. 23 назв.

Н. Гарденин

9П260. Изучение токсичности силиконо-политетрафторэтиленового покрытия. Gangberg A. *Etude de toxicité d'un revêtement mixte. Silicones-Polytétrafluoréthylène*. «Ind. chim. belge», 1959, 24, № 12, 1486—1490 (франц.; рез. флам., англ., нем.).—Изучалась токсичность силиконо-политетрафторэтиленового покрытия, обладающего повышенной по сравнению с политетрафторэтиленовой прочностью сцепления с металлич. поверхностью. Приведены данные о токсичности, хим. и физиологич. свойствах кремнийорганич. смолы (КС), политетрафторэтилена (ПТФ), а также их смеси (СМ). Подробно рассмотрено поведение КС, ПТФ и СМ при повышенных т-рах. Установлено, что при обычных т-рах покрытия из СМ не являются токсичными, при повышенных т-рах возможно выделение токсичных продуктов. Для установления максимально допустимых для СМ т-р необходимо знать начальную т-ру термич. разложения СМ, а также входящих в ее состав КС и ПТФ.

Т. Ренард

9П261. Факторы, влияющие на водонепроницаемость битумных и силиконовых покрытий. Dolch W. L. *Factors affecting the penetration by water of bituminous and silicone coatings*. «Bull. Amer. Railway Engng Assoc.», 1959, 61, № 552, 195—208 (англ.).—С целью оценки водостойкости различных покрытий (П) по бетону определяли краевой угол смачивания (КУ) этих П водой и его изменения в процессе ускоренных климатич. испытаний (в везерометре). Установлено, что у силиконовых и каменноугольно-пексовых П наблюдается в процессе испытаний падение КУ <90°, что свидетельствует о непригодности этих П для эксплуатации в атмосферных условиях. Лучшие результаты были получены для асфальтовых эмульсионных П, у которых КУ оставался >90° в течение 200—300 час. испытаний.

К. Беллева

9П262. Контроль качества литографских красок. Stoessel Otto C. *Quality control of litho inks*. «Nat. Lithographers», 1959, 66, № 12, 36—38, 68 (англ.).—Перечислены показатели, определяющие качество литографских красок (цвет, степень дисперсности, липкость, консистенция, уд. вес, светостойкость, стабильность при хранении, скорость высыхания, непрозрачность и глянец). Обсуждены условия и методы определения этих показателей. Описаны применяемые для измерений приборы и инструменты и приведена карта для записи результатов испытаний.

Б. Шемякин

9П263. О способности к высыханию печатных красок. Fühler Wolfgang. *Die Trocknungseigenschaften der Druckfarben*. «Polygraph», 1959, 12, № 24, 1190—1192 (нем.).—Общие сведения о влиянии свойств компонентов краски, качества поверхности и влажности бумаги и т-ры сушки на процесс и скорость высыхания оттиска.

Н. Гарденин

9П264. Приготовление смоляных кислот с высокой точкой плавления и их производных. Procédé de préparation d'acides résiniques à haut point de fusion, et de dérivés de ceux-ci. [Marcel Berthier]. Франц. пат. 1177531, 27.04.59.—Для получения полимеризованной канифоли (КФ) с высокой т-рой плавления обрабатывают при 150—250° (предпочтительно 200—220°) КФ, растворенную в легкой фракции петр. эфира, 0,5—3% (от веса КФ) перекиси или персоль (напр., персульфата К или пербората Na). Из готового продукта соли выделяют декантацией или горячим фильтрованием. Пр и мер. В реакторе из нержавеющей стали расплавляют при умеренном нагреве 1000 кг канифоли, после

чего поднимают т-ру до 200° и вводят постепенно (в течение 4 час.) 10 кг персульфата К (в виде порошка), непрерывно перемешивая и поддерживая т-ру 200°. Прекращают перемешивание и нагревают еще час. Персульфат оседает на дно, смолу осторожно сливают. Т-ра плавления продукта повышается до 88°, при т-ре плавления исходного материала, равной 77°.

Ю. Васильев
9П265. Непрерывный процесс получения алкилированных алкиломочевинных смол. Weldin Thomas D. Continuous process for preparing alkylated alkylol urea resins. [E. I. du Pont de Nemours and Co.] Пат. США 2849421, 26.08.58.—Непрерывный способ получения алкилированных алкиломочевинных смол (АМС), лишенный недостатков, присущих общезвестному пофазному способу получения таких смол, состоит в получении р-ра бутилированной мочевиноформальдегидной смолы в бутиловом спирте или других р-рителях. Процесс проводят при непрерывном введении в реакционный аппарат с одинаковой скоростью мочевины, алифатич. альдегида и одноатомного алифатич. спирта и непрерывном удалении воды и жидких АМС. Приведена и описана схема процесса, состоящего из четырех стадий (А, Б, В и Г), для каждой из которых применяется отдельная аппаратура. На стадии А бутанол, 50%-ный р-р формальдегида и мочевины загружают в котел и после полного растворения ингредиентов в р-р вводят 5%-ный р-р NaOH для доведения pH р-ра до 7—8 (предпочтительно до 7—7,2) и направляют смесь в верхнюю часть реакционного котла, снабженного конденсатором, в котором поддерживают т-ру ~90—95°; р-ция протекает в среднем за ~40 мин. В щел. среде образуется диметилмочевина (ДММ) и ее бутиловый эфир (БЭ). В ходе процесса отгоняют воду и спирт, причем последний снова возвращается. Одновременно, образующийся продукт р-ции поступает непрерывно, с постоянной скоростью из нижней части реактора в верхнюю часть второго реакционного котла, снабженного теплообменником и конденсатором, причем к продукту р-ции до входа в этот котел добавляют р-р катализатора (37,5%-ный р-р монобутилфталата в бутиловом спирте). На стадии Б, состоящей в непрерывном циркулировании смеси через упомянутую аппаратуру в течение ~90 мин. при 93—96° и отгонке воды и спирта, снова возвращаемого в систему, ДММ и БЭ частично конденсируются и превращаются в смолу, а неполностью прореагировавший продукт непрерывно, с постоянной скоростью поступает из нижней части котла в верхнюю часть третьего реактора. На стадии В повторяется протекавший на стадии Б процесс, но проводится он уже при 100—105° в течение 90 мин., в результате чего наблюдается увеличение содержания смолы в реакционной смеси. На стадии Г повторяется процесс стадии В в течение ~30 мин. при 113—118° и по существу полностью заканчивается р-ция, в результате которой получается безводн. спирт. р-р, содержащий ~60% смолы. Процесс проводят при атмосферном давлении; его можно проводить не только в щел., но и в кислотной среде. Соотношение реагентов составляет 1,5—4 моля (предпочтительно 1,9—2,5) альдегида и 1,8—4 моля (предпочтительно 2,4—3,2) спирта на каждый моль мочевины. Число стадий процесса и, соответственно, число реакторов с вспомогательными аппаратами может изменяться. АМС пригодны для лаков, эмалей, пластмасс, пропиток, клеев и т. п.

Б. Шемякин
9П266. Метод этерификации эпоксидных смол ненасыщенными кислотами. Stoesser Wesley C., Sommerfield Edmund H., Surine William R. Method of esterifying epoxy resins with unsaturated acids. [The Dow Chemical Co.] Пат. США 2875165, 24.02.50.—Для предупреждения гелеобразования и потемнения этерифицируют эпоксидные смолы (ЭС) не-

насыщ. монокарбоновыми к-тами высыхающих и полу-высыхающих масел в присутствии очень небольших кол-в (следов) органич. внутримолекулярного соединения (ВС). В качестве ВС могут быть взяты Na-соль N,N-ди-(оксиэтил)-глицина, Na₂- или Na-соли этилендиаминтетрауксусной к-ты, Na-соли N-оксиэтилэтилендиаминтри-, N,N'-дибензилэтилендиаминди-, N-октадецилэтилендиаминтри- или этилендиаминдиуксусной к-ты, смеси указанных солей с триэтаноламином, соответствующие Li-, K-, NH₄-соли указанных к-т или их смеси. ВС вводят в кол-ве 0,002—1 вес.% (лучше 0,005—0,10%) от веса этерифицируемой ЭС. Пример: к смеси 150 г ЭС (продукт р-ции бисфенола А с эпихлоргидрином, эпиксидэквивалент 848), 100 г к-т дегидрированного касторового масла и 50 г кислоты прибавляют 0,3 мл 32%-ного р-ра (по весу) 2 ч. Na-соли этилендиаминтетрауксусной к-ты и 1 ч. Na-соли N,N-ди-(оксиэтил)-глицина, нагревают до 255—260° и вводят р-цию в токе N₂. Выделяющуюся конденсационную воду собирают, когда ее кол-во приближается к теоретическому (~3,0 г); кислотное число (КЧ) достигает 2,36. При дальнейшем нагревании в течение 20 мин. снижают КЧ до 1,10, а в течение 1 часа до 0,72. Даже после дальнейшего нагревания (еще 1 час) лак не темнеет, гелеобразования не наблюдается. При проведении этой р-ции без ВС к моменту выделения 3 г воды продукт р-ции имеет КЧ 7,8, причем в течение последующих 2 час. нагревания КЧ понижается лишь до 1,6; при этом образуется темно-зеленый гель, нерастворимый в ксилоле и непригодный для лакокрасочных покрытий.

В. Мискинян
9П267. Получение высококачественных фенольных смол. Симидзуя Итиро. Японск. пат. 447, 25.01.57.—1 моль 3-пентадецилфенола (I) конденсируют с 0,7 моля формальдегида при ~100° в присутствии небольшого кол-ва HCl. После удаления воды продукт конденсации нагревают до 130° в течение 30 мин. для получения фенолформальдегидной смолы с высокой механич. прочностью, растворимой в углеводородных р-рителях и высыхающих маслах. Вместо I могут быть применены фенол или крезол, содержащие I.

Р. Остоват
9П268. Производство фенольных смол. Каминска Миодзи, Наокава Хитоси [Сумитомо бакурайто кабусики кайся]. Японск. пат. 1344, 23.2.1957.—Фенол и формальдегид или подобные им в-ва конденсируют в спирте (т. кип. 80—170°) при pH 2—9. Пример (в г): в р-цию вводят 300 фенола, 108 параформальдегида, 1 гексаметилентетрамина и 100 C₂H₅OH, образующуюся воду непрерывно удаляют. Когда вязкость р-ра возрастает настолько, что перемешивание становится невозможным, добавляют 75 C₂H₅OH и получают лак, который высыхает с образованием прочной пленки, обладающей хорошими электроизоляционными свойствами.

Р. Остоват
9П269. Способ получения конденсационных продуктов. Förster, Wolfgang. Process for the preparation of condensation products. [Reichhold Chemicals, Inc.] Пат. США 2868768, 13.01.50.—Способ получения конденсационных продуктов эпоксидного типа, отверждающихся карбоновыми к-тами, отличается тем, что фенольные смолы новолачного типа (ФС), в которых 34—50% фенольных гидроокислов этерифицированы галондиуксусной к-той (при нагревании в щел. среде), реагируют в щел. р-ре с эпигалондигидрином, взятым в кол-ве, эквивалентном содержанию свободных OH-групп. ФС получают нагреванием фенола или крезолов с формальдегидом и кислотным катализатором в течение нескольких часов при т-ре кипения. Пример (в г): 100 фенола, 222 36%-ного р-ра формальдегида и 10 пшавелевой к-ты нагревают до кипения 2—3 часа, избыток фенола отгоняют в вакууме и получают ~450 новолача. Последний растворяют в р-ре 28% NaOH в 3 л воды, нагревают р-р до 90° и постепенно

добавля-
же кол-
ляют щ-
75° и ш-
промыс-
шивающ-
горячие
ки.

9П270
и двух-
man I
produce
[Esso R
11/11/58
циклоп-
послед-
ной ди-
сыщ. д-
или ее
деполи-
новая л-
сущств-
(2,2,1)-
р-ции к-
этилен-
лом) и
жирной
Вместо
двухци-
110 (0,5
р-цию в
ния см-
ний и
15 мин
(остат-
почти
вают с
льняно-
лола и
реакци-
дят до
т-ру, д-
кидну-
до вяз-
203—24
и иссу-
в отсу-
9П271
ции из
Cad w-
tion, a
[Americ
Алкиди
тепло-
загряз-
к-ты и
HOCH₂
R' — а-
и R' >
тов с
получ-
вают г-
аминн-
спирт-
альдег-
смол-
: 70—5
148,0
2-этил-
достич-
алкиди-
кость
алкиди-
бензог-
37 км

добавляют 144 хлоруксусной к-ты, растворенной в том же кол-ве воды. После 1 часа протекания р-ции добавляют при перемешивании 265 эпихлоргидрина при 60—75° и после добавления соляной к-ты отделяют смолу, промывают от щелочи и солей горячей водой и высушивают на водяной бане в вакууме. Р-р смолы после горячей сушки образует твердые, эластичные пленки.

9П270. Алкидные смолы из трикарбонных кислот и двухатомных спиртов. Leary Robert F., Bowman Lewis W., Hawley Roger S. Alkyd resins produced from tricarboxylic acids and dibasic alcohols. [Esso Research and Engineering Co.] Пат. США 2860112, 14.11.58.—Трикарбонную к-ту получают обработкой циклопентадиена вначале металлич. Na, затем CO_2 и последующим взаимодействием при 150—350° полученной дициклопентадиедикарбонной к-ты (I) с ненасыщ. дикарбонной к-той, напр., с маленовой к-той или ее ангидридом. При нагревании I происходит ее деполимеризация и образуется циклопентадиедикарбонная к-та. Если деполимеризацию проводить в присутствии маленовой к-ты, то образуется бицикло-(2,2,1)-гептен-5,2,3,5-(или 6)-трикарбонная к-та. При р-ции последней с гликолем (напр., пропилен, триэтилен- или диэтиленгликолем, а также 2,3-бутандиолом) и небольшим кол-вом одноосновной ненасыщ. жирной к-ты образуется алкидная смола для лаков. Вместо I может быть взята монометил- или диметил-дициклопентадиедикарбонная к-та. Пример (в г): 110 (0,5 моля) I и 98 (1 моль) маленовой к-ты растворяют в 400 мл безводн. ксилола, кипятят до разделения смеси на два слоя — светлый прозрачный верхний и коричневый нижний, после чего нагревают еще 15 мин., отделяют нижний слой и сушат в вакууме (остаточное давл. 10 мм рт. ст.) при t -ре <100° (предпочтительно 50°). 52,1 полученного продукта смешивают с 49,6 2,3-бутандиола (II) и 70,1 г жирной к-ты льняного масла, добавляют 30 мл бензола и 15 мл ксилола и нагревают при 108—150°. По мере удаления из реакционной смеси II (в виде азеотропа с водой) вводят дополнительную кол-во II и постепенно повышают t -ру, доводя ее в конце р-ции до 202°. Полученную алкидную смолу разбавляют углеводородным р-рителем до вязкости ~0,50 пуаз, р-р нагревают 10 час. при 208—212° (вязкость 0,85 пуаз и кислотное число 4,41) и используют для получения покрытий, высыхающих в отсутствие сиккатива.

9П271. Алкидные смолы, их получение и композиции их с аминосолами. Petropoulos John C., Cadwell Leonard E. Alkyd resins, their preparation, and compositions thereof with amino-plast resins. [American Cyanamid Co.] Пат. США 2860149, 14.11.58.—Алкидные смолы с улучшенными цветом, блеском, тепло- и хим. стойкостью, а также устойчивостью к загрязнению получают взаимодействием фталевой к-ты или ее ангидрида с многоатомным спиртом ф-лы $\text{HOCH}_2\text{C}(\text{R})(\text{R}')\text{CH}_2\text{OH}$, где R — CH_2OH , алкил или арил; R' — алкил или арил. Суммарное кол-во атомов C в R и R' > 6. Могут быть взяты смеси многоатомных спиртов с результирующей функциональностью > 2. Для получения композиций с ценными свойствами смешивают полученную алкидную смолу с термореактивной аминной смолой, предпочтительно модифицированной спиртом (меламино-, мочевино-, бензогуанидинформальдегидной). Отношение аминная смола: алкидная смола 70:30—50:50 (для слоистых пластинок) и 30:70—50:50 (для покрытий). Пример (в вес. ч.): 148,0 фталевого ангидрида, 34,0 пентаэритрита и 120,0 2-этил-2-бутил-1,3-пропандиола кипятят при ~235° до достижения кислотного числа ~40. Р-р полученной алкидной смолы в ксилоле (60% сухих в-в) имеет вязкость 34—36,2 пуаз и цвет <1 по Гарднеру. Смесь 70 алкидной смолы и 30 модифицированной бутанолом бензогуанидинформальдегидной смолы наносят на под-

ложку, подвергают горячей сушке и получают твердую, немаркую эмаль, отличающуюся хорошим блеском и теплостойкостью, а также высокой стойкостью к действию хим. реагентов и органич. р-рителей.

9П272. Получение реакционноспособных органосилолов. Kress Bernard H. Production of reactive organosilanol. [Allied Chemical & Dye Corp.] Пат. США 2827474, 18.03.58.—Обладающие низким (<5000) мол. весом и высоким содержанием гидроксильных групп реакционноспособные органосилолы (ОС) получают гидролизом р-ров замещ. органосилолов общей ф-лы $\text{R}_n\text{SiX}_{4-n}$ (I) (R — алкил, арил или алкенил не выше C_{12} , X — галогид, алкокси-, арилокси-, ацилокси- или NH_2 -группа, а $n = 1$ или 2) или их смесей в органич. р-рителе (ОР) (не смешивающемся с водой алифатич. кетоне или сложном эфире одноосновной алифатич. к-ты, содержащем ≥ 5 , но преимущественно ≤ 10 атомов C и имеющем т. кип. <200°) водой в присутствии минер. к-ты (в случае, если X — галогид присутствие к-ты необязательно). I должен иметь среднее отношение R:Si 0,9—1,1 и X:Si $\geq 2,75$. Лучшие результаты получаются при $n = 1$. Присутствие I с $n = 3$, а также с X = H нежелательно. Расход ОР 400—300 мл/моль I. Гидролиз проводят периодически или непрерывным способом, при t -ре $\leq 25^\circ$ (преимущественно от 0° до 20°), при весовом соотношении органич. и водн. фаз 1:(5—50), чаще всего 1:(25—30); время гидролиза 15—30 мин. По окончании р-ции органич. слой отделяют, ОР отгоняют. Полученные ОС хорошо растворимы в обычных ОР, устойчивы при хранении в отсутствие щелочей, хорошо совмещаются с различными алкидными, меламиновыми и другими смолами, р-рами эфиров целлюлозы и т. д., образуя массы, отверждающиеся ниже 200° (обычно при 65—190°) в течение 10—90 мин.; применимы также для получения эмалей. Пример (в г): смесь 250 $\text{C}_6\text{H}_5\text{SiCl}_3$, 250 $\text{C}_2\text{H}_5\text{SiCl}_3$ и 500 мл бутилацетата гидролизуют перемешиванием с ~50 000 воды в течение 30 мин. при t -ре 4—10° и давл. 0,7 ат. Органич. слой отделяют и промывают водой. Аналогично ведут гидролиз других I в присутствии иных ОР. Р-р ОС смешивают с 630 алкидной смолы, взятой в виде 60%-ного р-ра в ксилоле, приготовленной нагреванием смеси 880 кокосового масла, 1100 фталевого ангидрида, 28 маленового ангидрида и 684 глицерина в присутствии нафтената Са. Отгоняют бутилацетат и кипятят массу 2 часа. Полученная смола образует прозрачную пленку на стеклянной пластинке при нагревании до 350° в течение 5 мин. Приведен ряд аналогичных примеров. Даны схемы установок для гидролиза I.

9П273. Полимеризующиеся составы. Abbotson William, Coffey David Hay, Hurd Reginald, Phillipson John Maddison, Vickers Edward Jervis. [Imperial Chemical Industries Ltd.] Австрал. пат. 221267, 9.01.58.—Полимеризующиеся составы для покрытий по легким металлам, стали, дереву и т. д., наносимые распылением или кистью и высыхающие без катализаторов (КТ) при 60—120°, а в присутствии КТ в зависимости от их активности при 20° и выше, содержат (в вес. ч.) 100 сопольмера (СП) винилацетата с небольшим кол-вом ненасыщ. карбонной к-ты (напр., метакриловой), 5—100 полиэпоксидного соединения, р-ритель, высокомолекулярный пластификатор (ВП) в кол-ве 100 на 100 СП и КТ. В качестве ВП используют жидкий смешанный полиэфир, получаемый конденсацией гликоля, алифатич. дикарбонной и ароматич. (можно и алифатич.) монокарбонной к-т или их смесей. Пример (в вес. ч.): в шаровой мельнице перетирают 10 полипропиленадипната, модифицированного бензойной к-той, 100 рутильной двуокиси титана, 30 ксилола и 30 бутанола. Для получения лака к 8,5 полученной пасты добавляют 13,3 р-ра СП, 2,3 диглицидного эфира и 0,6 ди-

этилентриамин. Р-р СП получают при введении смеси, содержащей 5 азобисизобутиронитрила (I), 166,25 винилацетата и 8,75 кротоновой к-ты, 70 кипящего толуола в течение 5 час. Через 4 часа после начала добавления мономера вводят 30 толуола, а к концу процесса добавляют 1 г. Р-р перемешивают 12 час. при 110° и получают прозрачную бесцветную вязкую жидкость. После распыления лака на металл и сушки его в течение 45 мин. при 120° образуется покрытие, обладающее хорошими гляцем, адгезией, прочностью и хим. стойкостью. Составы могут быть пигментированы, напр. двуокисью титана, окисями железа и другими пигментами.

9П274. Жидкие диеновые полимеры без запаха. Guth Eugene D., Fox Homer M. Odor-free liquid conjugated diene polymers. [Phillips Petroleum Co.] Пат. США 2863786, 9.12.58.—Жидкие полимеры (II) диеновых углеводородов (ДУ) с сопряженными двойными связями (напр. бутадиена, изопрена, пиперилена и т. д. до C_{20} включительно) или сополимеры ДУ с олефинами (напр., 1,3-бутадиена и стирола) смешивают с гидразином (I) или его производными (этил- или метилгидразином). Эта композиция не имеет запаха ни II, ни гидразина и пригодна для произ-ва лаков и красок. Лак готовят смешением (в вес. ч.) 100 II (средний мол. в. 500—5000, вязкость 100—6000 сек. по Сейболту при 37,8°), 0,02—2 (предпочтительно 0,02—0,2) I, 25—400 разбавителя (напр., углеводородов каменноугольного дегтя, нефтяных дистиллятов, терпентиновых фракций и т. п.) и 0,2—3 вес. ч. сиккатива и нагреванием смеси при 93—120° до получения гомог. массы. Лак наносят на металл, дерево и другие субстраты кистью, распылением и т. д. и сушат при 93—260° (предпочтительно 150—260°) в течение 5—90 мин. (обычно <60 мин.). Пример (в вес. ч.): 100 жидкого II 1,3-бутадиена (РХХим, 1955, № 18, 41616) (без р-рителя вязкость 1500 сек. по Сейболту при 37,8°) смешивают со 100 уайт-спирта и сиккативом (0,8 нафтената кобальта, 0,8 нафтената марганца и 0,4 нафтената свинца) и перемешивают до получения гомогенного р-ра, после чего смесь делят на 4 части. К трем частям добавляют гидразин в кол-ве (соответственно) 0,1, 0,2 и 2 на 100 жидкого полибутадиена. К 4-й части гидразина не добавляют. Кусочки дерева красят каждым из полученных лаков. Образцы помещают в отдельные закрытые сосуды на 24 часа для просушки в воздухе и затем в закрытые трубки, чтобы дать запаху сконцентрироваться. Эту операцию повторяют несколько раз, пока все образцы полностью не просохнут. Через каждые 24 часа три отдельных испытателя определяют интенсивность запаха каждого образца. Образец, не содержащий гидразина, имеет неприятный запах, в то время как остальные запаха не имеют.

9П275. Процесс получения высыхающего углеводородного масла сополимеризацией бутадиена и стирола. Jajos Stanley E., Nelson Joseph F. Process for preparing hydrocarbon drying oil product by co-polymerizing a butadiene and styrene. [Esso Research and Engineering Co.] Пат. США 2849510, 26.08.58.—Непрерывный процесс получения высыхающего масла сополимеризацией (СП) (в вес. ч.) 50—100 (предпочтительно 75—85) бутадиена и 50—0 (предпочтительно 25—15) стирола в присутствии 0,6—8 (предпочтительно 1—5) тонкоизмельченного шел. металла (Li, Na, K, Cs, Rb) (катализатор) и 1—100 (предпочтительно 5—50) эфира (модификатор), содержащего 2—8 атомов С (алкилафира или циклич. эфира, в котором атомы О разделены не менее чем двумя атомами С), в среде 5—300 (предпочтительно 200—300) инертного углеводородного разбавителя с т. кип. 150—200°, обеспечивающий 100%-ную конверсию мономеров, отличается проведением СП в 2—5 (предпочтительно 3) стадий, следующих непрерывно одна за другой. Для проведе-

ния непрерывного многостадийного процесса СП, каждая последующая стадия которого является непосредственным продолжением предыдущей, используют либо один реактор, разделенный на несколько зон, число которых соответствует числу стадий процесса, либо отдельный реактор для каждой стадии. Условия проведения р-ции в каждой последующей стадии отличны от предыдущих, напр., если 1-ю стадию процесса проводят при 45—85° (предпочтительно 45—75°), то 2-ю и последующие — при 55—105°. Кроме того, по 2-ю и последующие стадии могут быть введены дополнительные кол-ва катализатора или изопропилового спирта для активации катализатора, не использованного в предыдущей зоне р-ции. Процесс начинается с загрузки порции реакционной смеси указанного выше состава в первую зону р-ции (или в первый реактор) и полимеризации ее. По достижении степени конверсии 40—80% (предпочтительно 40—60%) начинается непрерывная подача исходной реакционной смеси в 1-ю зону и передвигание форполимера из 1-й зоны во 2-ю и затем в 3-ю. В 3-й зоне получается продукт, содержащий 100% полимера. Приведены схемы процесса и реакторов (на одну и три стадии).

9П276. 2,5-эндометилен-Δ³-тетрагидробензилакрилат и его полимеры. Bilech Harry. 2,5-endomethylene-Δ³-tetrahydrobenzyl acrylate and polymers thereof. [Interchemical Corp.]. Пат. США 2838479, 10.06.58.—Взаимодействием этилакрилата (I) с 2,5-эндометилен-Δ³-тетрагидробензилловым спиртом (II) получают 2,5-эндометилен-Δ³-тетрагидробензилакрилат (III), который в дальнейшем полимеризуют или сополимеризуют с другими мономерами, напр. с бутилакрилатом. Пример (в г): 200 I, 124 II, 3,4 тетра-*n*-бутилтитаната и 2,2 гидрохинона нагревают с обратным холодильником до тех пор, пока т-ра паров в верхней части холодильника не понизится до 77,5° (т-ра кипения азетропной смеси I и этанола). Продолжая нагревание, отгоняют азетропную смесь I и этанола до тех пор, пока т-ра в верхней части холодильника не начнет повышаться. Избыток I отгоняют при 100°, продукт очищают и получают III, т. кип. 78°/2—5 мм, выход 92%, $d_{25}^{20} 1,026$, $n_D^{25} 1,4826$. К смеси 17,8 III, 0,205 азобисизобутиронитрила, 38,5 CCl₄ прибавляют C₆H₆ до объема 125 мл, нагревают 2 часа с обратным холодильником (при 80—82°) в атмосфере CO₂ и получают полимер (выход 90%), растворимый в смеси C₆H₆-CCl₄, но нерастворимый в CH₃OH. Нанося р-р полимера на сталь и подвергая покрытие горячей сушке (177°, 30 мин.), получают пленку, характеризующуюся хорошей стойкостью к действию ряда р-рителей, напр. кислоты и этилацетата.

9П277. Способ получения сополимеров винилового эфира, углеводорода с сопряженными двойными связями и ненасыщенного мономера с двойными связями. Christenson Roger M. Method of preparing interpolymers of a vinyl ester, a conjugated diene hydrocarbon, and an ethylenically unsaturated monomer, and product thereof. [Pittsburgh Plate Glass Co.] Пат. США 2861050, 18.11.58.—Термоотверждающиеся, растворимые в скиндоле некаучукоподобные продукты получают сополимеризацией 20—50% винилового эфира жирной к-ты (ВЭ), 10—40% углеводорода с сопряженными двойными связями и 20—50% мономера, содержащего двойные связи. Пример (в ч.): 20 винилового эфира жирных к-т соевого масла, 60 винилхлорида и 20 бутадиена нагревают в бомбе 15 час. при 75° в присутствии 4 перекиси бензоила. Вязкость р-ра полученного сополимера в скиндоле при содержании сухих в-в 49,8% 0,50 пуаз; нерастворимость пленки, полученных из этого р-ра, достигается в результате действия света или нагревания. Продукт сополимеризации равных по весу кол-в ВЭ, стирола и бутадиена, полученный в присутствии 1,66% гидроперекиси купола (16 час. при 135°), имеет вязкость 3,40 пуаз при

содержании сухих в-в в р-ре 49,6%. При нанесении указанных р-ров (в них могут быть введены сиккаты и пигменты) на стекло и сушке их в течение 1 часа при 150° образуются пленки, стойкие к действию щелочей и имеющие твердость 26 (по маятнику Сварда). Вместо стирола могут быть взяты винилтолуол или α-метилстирол. Описан также сополимер ВЭ, винилтолуола и изопрена.

В. Мискиняц
9П278. Виниловые смолы, применяемые в виде растворов. Rowland George P., Jr, Piloni Robert A. Vinyl resins for application as solvent solutions. [The Firestone Tire & Rubber Co.]. Пат. США 2849422, 26.08.58.—Винилхлоридные смолы, растворимые в ароматич. углеводородах и совместимые с алкидными смолами, получают сополимеризацией смеси, содержащей 55–75% винилхлорида (I), 14–35% диэфира и 5–10% моноэфира малеиновой, хлормалеиновой или фумаровой к-ты и насыщ. спирта или смеси эфиров указанного типа (диэфир содержит 6–24 атома С, моноэфир 5–14 атомов С) и 1–6,5% винилгаллона, трудно сополимеризующегося с I. Полученные смолы характеризуются хорошей адгезией к металлам. Пример (в ч.): 120 воды, 42 I, 13 технич. дибутилмалеата (содержащего 4–50% дибутилфумарата), 5 монобутилмалеата, 0,5 желатин, 4 аллилхлорида и 1 перекиси бензоила нагревают при перемешивании 24 часа при 65°. Из полученной суспензии отфильтровывают смолу, которую затем промывают и сушат. 35%-ный р-р смолы в метилэтилкетоне прозрачен. Получаемые указанным методом смолы применяют для произ-ва лаков, красок, клеев и других материалов, характеризующихся высокой адгезией к металлам.

В. Мискиняц
9П279. Соплимеры винилгаллонов, ненасыщенных сложных эфиров и полиглицидных эфиров. Christenson Roger M. Interpolymers of vinyl halides ethylenically unsaturated esters and glycidyl polyethers. [Pittsburgh Plate Glass Co.]. Пат. США 2882251, 14.04.59.—Растворимая в ксилоле смола (СМ) является сополимером 5–80 вес.% винилхлорида (ВХ), 34–76 вес.% сложного винилового эфира (ВЭ) (напр., винилацетата, этил-, метил-, бутил- и изобутилакрилата, метил-, этил- и пропилметакрилата, винилпропионата, винилбутирата, винилизобутирата, аллилацетата и др.) и 10–46 вес.% полиглицидного эфира (ПЭ), полученного из эпоксицидных смолы и жирной к-ты быстросохнущего масла (соевого или льняного), содержащий в молекуле 18 атомов С и большее кол-во двойных связей. СМ получают нагреванием вышеуказанной смеси в присутствии органич. перекисей. Пленки из СМ отличаются высокой хим. стойкостью и применяются как декоративные или защитные покрытия. Пример (в г) 500 смолы Эпон (60) (эпоксиэквивалент 450–525, т. пл. 64–76°), 500 жирных к-т соевого масла и ксилола нагревают 6 час. при 100° и после разбавления до содержания 49,9 вес.% сухого в-ва получают ПЭ с вязкостью 0,50–0,65 пуаз, цветом (по Гарднеру) 10–11 и кислотным числом 4. Смесь, содержащую 20 полученного ПЭ, 30 винилацетата, 10 винилхлорида и 0,75 перекиси бензоила, нагревают 15 час. при 75°, после чего избыток мономеров отгоняют, а продукт разбавляют ксилолом до содержания 45,4% сухих в-в (вязкостью 3,70–4,00 пуаз, цвет 10–11) и используют для получения пленок, имеющих твердость на стекле 20, на стали 16; эластичность 20; щелочестойкость 48 час.

Д. Бранда
9П280. Соплимеры аллилоксиланолов, низших алкеновых кислот и алкилалкеноатов и способ их изготовления. Gaylord Norman G. Addition copolymers of allyloxyalkanols, lower alkenoic acids, and alkyl lower alkenoates, and method of making. [Interchemical Corp.]. Пат. США 2853462, 23.09.58.—Смолы получают сополимеризацией (в вес. ч.) 5–30 аллилоксиланолов ф-лы $\text{CH}_2=\text{CHCH}_2\text{O}(\text{CH}_2)_n\text{OH}$ ($n=2-20$),

5–15 акриловой (I) или метакриловой к-ты (II) и 100 эфира ф-лы $\text{CH}_2=\text{C}(\text{R})\text{C}(\text{=O})\text{OR}'$ ($\text{R}-\text{H}$ или CH_3 и R' —алкил с 1–8 атомами С); в качестве последнего компонента можно применять смесь эфиров I и II в соотношении 75:25—25:75. Соплимеризацию проводят в присутствии катализаторов радикального типа. Описываемые смолы применяют в композиции с мочевино- и меламиноформальдегидными смолами (соответственно соотношения 5–60:95–40). Такие композиции в виде р-ров в бензоле, толуоле, бутилацетате, простых эфирах гликолей и других р-рителях применяют в качестве покровных лаков. Пример (в г): в реактор помещают 38 аллилоксиэтанола в 124 ксилола и из капельной воронки в течение 4 час. вводят р-р 70 метилметакрилата, 130 бутилакрилата, 10 метакриловой к-ты и 4,96 перекиси бензоила в 124 ксилола. Т-ру реакционной смеси при этом поддерживают на уровне 80°. После полного совмещения компонентов р-р перемешивают при этой т-ре дополнительно 8 час., после чего нагрев продолжают при 150° 30 мин. при атмосферном давлении и 30 мин. в вакууме с остаточным давл. 2 мм рт. ст. Конверсия мономеров в этих условиях составляет 98%. Полученный р-р совмещают с термореактивной меламиноформальдегидной смолкой (из расчета получения соотношения указанных смол соответственно 6:4). Пленка, нанесенная из такого р-ра на стальную пластинку, после отверждения в течение 30 мин. при 177° обладает твердостью и эластичностью.

А. Петрашко
9П281. Связующее на основе ненасыщенного полиэфира, модифицированного диизоцианатом, и поливинилхлорида. Parker John A. Binder of diisocyanate modified unsaturated polyester and vinyl chloride polymer and method of preparing same. [Armstrong Cork Co.]. Пат. США 2888433, 26.05.59.—Связующее для покрытий по дереву представляет собой смесь 30–75% (лучше 50%) ненасыщ. полиэфира, модифицированного диизоцианатом, и 70–25% (лучше 50%) поливинилхлорида. Полиэфир получают конденсацией насыщ. гликоля с 4 атомами С (напр., 1,4-бутандиола) со смесью насыщ. дикарбоновой к-ты с 6–10 атомами С (напр., адипиновой) и ненасыщ. дикарбоновой к-ты с числом атомов С > 8 (напр., тетрагидрофталевой); указанные к-ты применяются в мол. соотношении ~2:1. Кислотное число (КЧ) полиэфира 2–15 (обычно 4–6) и гидроксильное число 20–55 (обычно 30–40). Для модифицирования полиэфира применяют 2,4-толуилдигиоцианат, а также 4,4'-дифенилдигиоцианат, 4,4'-дифенилметандигиоцианат и др. Для р-ции с полиэфиром диизоцианат применяют в кол-ве 0,6–0,9 экв на 1 экв полиэфира. Их смешивание производят при 100–150°. Композицию для покрытий получают, смешивая 85–25% вышеуказанного связующего с 15–75% наполнителя (древесные опилки, асбестовое волокно, мел, глина, SiO_2 и др.). Композиция может содержать также пластификаторы (трикрезилфосфат, дибутилфталат, м-алкилтолуолсульфонамид и др.), а также стабилизаторы и антиоксиданты (гидрохинон, *n*-фенил-α-нафтиламин и др.). Отверждение композиции проводят при 99–135° с использованием в качестве ускорителей отверждения соединений, содержащих диалкилдитиокарбамат, дифенилгуанидин, тетраэтилтиурамдисульфид и др.). Пример (в вес. ч.): в колбу помещают 643 (7,14 моля, избыток 19%) 1,4-бутандиола и, пропуская через него сухой CO_2 со скоростью 0,3 дм³/мин, нагревают до 80°. К нагретому гликолю добавляют 304,3 (2 моля) тетрагидрофталевого ангидрида (добавление производят медленно, с таким расчетом, чтобы не произошло значительного падения т-ры реакционной смеси). Перемешивание смеси продолжают до получения однородного р-ра, в который затем медленно вводят 584,8 (4 моля) адипиновой к-ты. После полного введения к-ты т-ру смеси поднимают за 30 мин. до 145°

и, не прекращая подачи CO_2 , выдерживают при этой т-ре 1 час (при этом наблюдается выделение воды). Т-ру смеси поднимают до 200° (90 мин.) и выдерживают в этих условиях до тех пор, пока КЧ не достигнет 30 ± 2 (~400 мин.). Затем скорость подачи CO_2 увеличивают до 2,5 $\text{дм}^3/\text{мин}$ и т-ру поднимают до 230° (60 мин.), выдерживают на этом уровне 200 мин. и повышают до 245° (60 мин.) при одновременном увеличении скорости подачи CO_2 до 3,5 $\text{дм}^3/\text{мин}$. При 245° продукт р-ции выдерживают, пока КЧ не снизится до 3—6. Гидроксильное число конечного продукта 27. Полученный полиэфир охлаждают. К 2500 полиэфира при перемешивании добавляют 110,2 вес. ч. 2,4-толуилдизизоцианата, поддерживая т-ру 127°. После полного введения диизоцианата смесь перемешивают 30 мин. и полученную вязкую жидкость нагревают в печи при 105° в течение 12 час. до начала гелеобразования. Покровную композицию получают, смешивая 265 модифицированного полиэфира, 265 поливинилхлорида, 47 трикрезилфосфата, 353 измелченного известняка, 180 минер. наполнителя, 132 древесных опилок, 4 стеариновой к-ты, 8 церезина, 6 кислого сульфата Na на глин, 8 меркаптобензотиазола, 0,4 диметилдитиокарбамата Cu, 6 серы, 8 алкилфенолсульфида, 16 ZnO и 100 TiO_2 .

9П282. Модифицированные алкидные смолы. Chapin Earl C. Modified alkyd resins. [Monsanto Chemical Co.]. Пат. США 2862896, 2.12.58.—Модифицированную высыхающим маслом алкидную смолу, кислотные компоненты которой не имеют алифатич. ненасыщенности, модифицируют смесью мономеров, содержащих двойные связи при 180—250° в инертном органич. р-рителе. Весовое отношение мономеров и модифицированной смолы варьируют в пределах от 2:1 до 1:5. В качестве мономеров применяют стирол и его производные, их смеси и нитрилы, напр. нитрил акриловой или метакриловой к-ты. Весовое отношение стиролов к нитрилам 49:1—1:49. Продолжительность р-ции 15—60 мин., давл. 10—50 ат. Пример (в вес. ч.): 288 соевого масла, 76 дегидратированного касторового масла, 80 пентаэритрита и 0,08 $\text{Ca}(\text{OH})_2$ смешивают и нагревают 45 мин. при 260°, удаляя конденсационную воду. Прибавляют 118 фталевого ангидрида и нагревают смесь 2 часа при 260°; продукт разбавляют ксилолом до 60%-ного содержания сухих в-в. Полученный р-р алкидной смолы, модифицированной соевым и дегидратированным касторовым маслами, имеет кислотное число 9—11 и вязкость 0,50—0,65 пуаз, 1,67 полученного р-ра, 0,7 стирола, 0,3 нитрила акриловой к-ты и 0,67 ксилола нагревают при 180° и давл. 15 ат. ~30 мин. Продукт содержит ~58% сухих в-в, имеет вязкость 46,3—62,0 пуаз и высыхает до отлипа через 10 мин. Полученная пленка после полного высыхания при 20° имеет хороший глянец и обладает стойкостью к действию органич. р-рителей и погоды.

9П283. Электроизоляционные материалы (поливинилацетатные смолы). Такэмура Хатао, Окияма Кэйити [Токё Сибатура дэнки кабусики кайся]. Японск. пат. 9582, 9.11.56.—Смесь, состоящую (в вес. ч.) из 10 поливинилацетатной смолы, 82,5 м-крезола, 32,5 сольвент-нафты и 1,5 динилметандиизоцианата (I), наносят на хорошо промытую медную проволоку при 250° и после сушки получают покрытие с высокими теплоустойчивостью и электрич. прочностью. Вместо I могут быть использованы тетраметил- или толуилдизизоцианаты.

9П284. Улучшение составов для покрытий, содержащих перфторалкильные соединения. Geen Henry C. Improvements in or relating to Surface coating compositions containing perfluoroalkyl compounds. [Simoniz Co.]. Австрал. пат. 214868, 29.11.56.—Состав для покрытий, способный высыхать с образованием непрерывной глянцевой пленки и имеющий улучшен-

ный розлив, содержит 50—75% водн. дисперсии пластифицированного полистирола (ПС) с размером частиц диам. <0,03 μ и мол. в. 150 000—200 000, 10—20% водн. дисперсии окисленного полиэтилена (ПЭ) со средним мол. в. ~2000, т. пл. 96—98°, чистом омылении и кислотным числом 14—17, 15—30% шел. р-ра дисперсии шеллака (Ш) и небольшое кол-во (обычно ~0,0025%, но может быть и больше) фторалкильного соединения (ФС), содержащего атомы F непосредственно у атомов C, напр. соединения типа $(\text{CaX}'_{a+1})_2$, где $a > 6$ (преимущественно 7—12), X' — N или F, группа CaX'_{a+1} содержит >55% (по весу) F, имеет значение 1—8, и представляет собой группу, обеспечивающую растворимость в воде. Приведены примеры различных ФС. Пример (в ч.): к смеси, содержащей 8000 36%-ной водн. дисперсии ПС, 192 трибутоксипентилфосфата и 240 дибутилфталата, добавляют 2,7 ч. ФС. Состав ~39% конц-ии разбавляют двумя объемами мягкой воды, с доведением конц-ии до ~13%. Второй состав готовят смешением 110 ПЭ, 22 олеиновой к-ты и 22 морфолина; состав расплавляют и вливают в 846 воды при 49° и перемешивают до полного эмульгирования. Третий состав получают диспергированием 450 Ш в р-ре, состоящем из 54 пентагидрата тетрабората натрия (5 молей буре) в 3696 воды с т-рой 49°. Эти три состава смешивают в соотношении (по объему) 60 ч. первого, 10 ч. второго и 30 ч. третьего. ФС добавляют в начале процесса к дисперсии пластифицированного ПС в кол-ве ~0,01% от веса готового состава.

9П285. Получение берлинской лазури из цианистого кальция. Тэранесх Мунэхару. Японск. пат. 436, 5.02.59.—100 г $\text{Ca}(\text{CN})_2$ растворяют в 500 г воды. Р-р фильтруют и добавляют в него сначала р-р 40 г FeSO_4 и 10 г Na_2SO_4 в 200 г воды, а затем р-р 30 г Na_2CO_3 в 30 г воды. Осадок отделяют и нагревают до 80° с р-ром 60 г FeSO_4 , 30 г KCl и 20 г $(\text{NH}_4)_2\text{SO}_4$ в 400 г воды. Выпавшую массу окисляют р-ром 20 г H_2SO_4 и 5 г NaClO_3 в 50 г воды. Получают 42 г берлинской лазури.

9П286. Предварительная обработка диспергируемых пигментов и подготовка их поверхности в соответствии с их дальнейшим использованием (для краски, живописи, чернил, пластмасс, каучука). Préparation de pigments prédisposés, et modification de leur état de surface, en vue de leur utilisation dans les enduits, peintures, encres, matières plastiques, caoutchouc [Louis Marion]. Франц. пат. 1157560, 30.05.58.—Способ обработки пигментов (II) в процессе их изготовления, обеспечивающий при сохранении размеров частиц II возможность их легкого диспергирования в вязких, пластич. неводн. средах, состоит во введении в водн. суспензии или пасты II небольшого кол-ва р-ра мыла жирных или нафтеновых к-т или, в случае нейтр. или кислого пигмента, р-ра металл. соли, и последующей пропитке II стабильным органич. продуктом, нелетучим или слаболетучим при комнатной т-ре, не реагирующим с II, выбранным из группы в-в, входящих в состав композиции, в которой II в дальнейшем будет использован, напр. соевым или касторовым маслами, эмульсиями воска, неомыляемыми смолами и др. Обе операции могут быть объединены применением для эмульгирования указанного органич. продукта аммиачного мыла. Для II, получаемых обжигом (напр., TiO_2), рекомендуется применять покрытие частиц его другим II, устраняющим агломерацию обожженного II в процессе обжига и облегчающим его смачивание при употреблении. Напр., в водн. суспензии или пасту сажи добавляют 3% нафтеновой к-ты, предварительно омыленной аммиачным р-ром. Вводя смесь при перемешивании водн. р-р ацетата Pb, получают осадок нафтеной Pb. Р-ция проводится на холоду или при нагревании до 30—50°. Сажа адсорби-

рует нафтенат Pb и становится гидрофобной. В сущности при сильном перемешивании добавляют 25%-ную эмульсию латекса. Пигмент адсорбирует твердый компонент эмульсии и отделяется от дисперсии. Ю. Васильев

9П287. Окрашивание прозрачных материалов. Perfectionnements apportés à la coloration des corps transparents [Louis Ulmer]. Франц. пат. 1159288, 25.06.58.—Стойкое к нагреванию цветное покрытие для прозрачных материалов (напр., стекла) получают, распыляя с помощью пистолета смесь из углеводорода, смолы, р-рителя, красителя и сиккатива. Для получения красного покрытия, напр., берут (в вес. ч.) 30 толуола, 500 тестобразной смолы, смесь р-рителей, содержащую 130 спирта, 130 толуола и 160 уайт-спирта, 5 Красного красителя «Органолю» и 45 сиккатива. Ю. Васильев

9П288. Защитное антикоррозийное покрытие из поливинилхлорида. Zajištěk Ladislav, Stěpánek Emil, Krompolt Karel, Nnilica Zdeněk, Kunc Leopold, Rác Zofej, Jerguš Zofej, Bicek Dušan, Klempa Stefan. Ochranný antikorozní nátěr z polyvinylchloridu. Чехосл. пат. 87803, 15.11.58.—Покрытие, состоящее из 3 слоев, получают нанесением на очищ. и обезжиренный металл сначала основного грунтовочного состава, содержащего хлоркаучук, хлорированный дифенил, титановые белила, толуол и метилэтилкетон, затем состава для среднего связывающего слоя, содержащего перхлорвиниловую смолу, бутадиенакрилонитрильный каучук, титановые белила, толуол и метилэтилкетон и, наконец, третьего состава для защитного покрытия, содержащего перхлорвиниловую смолу, толуол и метилэтилкетон. Покрытие отличается хим. стойкостью и может работать при т-рах до 70°. Для временной защиты материалов от хим. воздействия и коррозии могут применяться два последних слоя. В. Деулин

9П289. Композиции на основе эфиров жирных кислот. Mc Nabb John W. Vinylate fatty acid esters. [American Can Co., Kienle and Co.]. Пат. США 2877195, 10.03.59.—Покровные композиции получают совместной полимеризацией ненасыщ. полиэфиров (ПЭ) с эфирами (метиловым, *n*-бутиловым и др.) акриловой и метакриловой к-т в присутствии перекисных катализаторов. ПЭ получают взаимодействием эпоксидных смол с мол. в. 850—2500 (напр., продуктов конденсации диоксидифенилпропана (I) и др. фенолов или многоатомных спиртов с эпихлоргидрином (II) или др. эпокси-содержащими мономерами) с одноосновными ненасыщ. жирными к-тами ойтискивого, туногового, дегидратированного касторового масел (III) (число атомов С в к-тах 12—22); к-ты применяют из расчета 1 карбоксильная группа на 1 ОН-группу эпоксидной смолы. Пример (в ч.) 696 эпоксидного полиэфира, полученного конденсацией I со II, с мол. в. 1400—1600, т. пл. 97—103° (по методу Дюрана) и эпоксиэквивалентом 905—985 нагревают с 1120 к-т III при 245° в атмосфере инертного газа, пока кислотное число (КЧ) продукта р-ции не достигнет постоянной величины (~4 часа). Выделяющуюся в процессе р-ции воду удаляют. Охлажд. полиэфир имеет КЧ 30, вязкость 46,3—62 пуаз, коэф. рефракции 1,5250. 750 полученного полиэфира растворяют в 1500 инертного р-рителя и р-р нагревают до 100°. В р-р в течение 2,5 час. по каплям вводят смесь 375 метилметакрилата, 37,5 α -пинена и 11,25 перекиси ди-трет-бутила, поддерживая т-ру 97—100°. После полного совмещения компонентов реакционную смесь нагревают при этой т-ре 11 час. Не вошедший в р-цию метилметакрилат удаляют дистилляцией и р-р охлаждают до комнатной т-ры. Конц-ия р-ра 44%, вязкость 10,7 пуаз и КЧ 16,8. Описываемые композиции применяют для нанесения покрытий на металлич. поверхности. Пленки обладают хорошей эластичностью, адгезией, устойчивостью к действию воды, ее паров и щелочей. А. Петрашко

9П290. Комплексные соединения порфиразинов с металлами, обладающие сиккативным действием по отношению к маслам и олифам. Kaufmann Hans P. Metall-Komplexsalze von Porphyrzinen mit sikkativierender Wirkung auf Öle, Firnisse u. dgl. Пат. ФРГ 1034794, 31.12.58.—Применяя при получении комплексных соединений (КС) порфиразина с металлами металлосодержащие отходы, в частности шлам (ШЛ), образующийся в произв. литопона и содержащий 30% Mn, 15% Fe, 3,7% Co, 1% Pb и в небольших кол-вах Zn, Mg, Ca, получают КС, обладающие способностью ускорять процесс высыхания масел, олиф, алкидных смол, типографских красок, лаков и т. п. Так, добавка 0,02 ч. КС к 5 ч. древесного масла обеспечивает образование пленки, высыхающей от пыли в течение 15 мин. Примеры (в вес. ч.): 1) Сырой ШЛ обрабатывают конц. HCl, р-р фильтруют и выпаривают. 5 высушенного остатка, 25 фталевого ангидрида и 100 мочевины нагревают при 180° ~6 час. (желательна добавка 0,2 молибденовокислого аммония). Продукт р-ции кипятят с разб. HCl, промывают слабой щелочью и водой и высушивают. 2) 10 дифенилмалеинодинитрила сплавляют при ~180° с 2 обезвоженного хлорида металла, полученного из ШЛ экстракцией HCl. Плав кипятят с HCl, отсасывают нерастворившееся КС октафенилпорфиразина, промывают водой и сушат. 3) 71,2-нафтодинитрила и 2 хлорида металла, полученного так, как описано в примере (2), превращают указанным выше способом в КС тетрафенилпорфиразина. 4) 2 диамиды хинолиновой к-ты и 2 сухого хлорида металла, полученного экстракцией HCl, справляют обычным способом. После подкисления, фильтрования, промывки водой и сушки получают КС тетрапирдинпорфиразина. Н. Ф.

9П291. Метод изготовления электрических проводов с изоляционным покрытием. Хираока Сати-ро [Дайнити дэнсэн кабусики кайся]. Японск. пат. 9480, 6.11.58.—Смесь, состоящую (в вес. ч.) из 1 насыщ. полиэфирной смолы (полученной нагреванием до 200 ± 40° 1 фталевого ангидрида, 5 адипиновой к-ты и 8,24 триметилпропана в атмосфере CO₂) и 2,45 изопропанолдиоксида соединения (полученного взаимодействием 5 толуиленидиэтилоксианата, 1 триметилпропана и 11,4-тександиола) в поливинилформальевой смоле (ПС) (остаточный спирт, радикал 12,2 мол.%, средняя степень полимеризации 1000) наносят на проволоку. Полученный провод отличается высокой стойкостью к воде и к-там. Свойства проводов (теплостойкость, стойкость к H₂SO₄ и NaOH в течение 24 час. при 20°, номинальное напряжение и уд. сопротивление в ом·см в высушенном состоянии и через 24 часа после обработки водой), полученных данным методом, 2) обработанных только ПС и 3) обработанных ПС и насыщ. полиэфиром, соответственно следующие: 1) не размягчается даже при 170°, не изменяется, 10 000 в, 1,1·10¹⁴, 5·10¹⁸; 2) размягчается при 150°, растрескивается при изгибании, не изменяется, 7000 в, 2·10¹³, 4·10¹⁹; 3) размягчается при 120°, растрескивается при изгибании, размягчается, 5000 в, 1,3·10¹², 5·10⁹.

Р. Основат
9П292. Маркировка изделий из галогеносодержащих полимеров. West Fred William Process for marking halogenated polymers, and resulting article. [Minnesota Mining and Manufacturing Co.]. Пат. США 2866723, 30.12.58.—В состав краски, предназначенной для печатания на полимерах трифторхлорэтилена (I) и тетрафторэтилена, входят пигмент и р-р сополимера I (69—80 мол.%) и винилиденфторида (II) в органич. р-рителе (тетрагидрофуране, тетрагидро-2-метилфуране, 3-хлортетрагидрофуране, диоксане и др.). Пример (в ч.): для получения сополимера растворяют отдельно 2 (NH₄)₂S₂O₈, 0,8 Na₂S₂O₅ и 0,8 FeSO₄·7H₂O в 20 ч. воды для каждого компонента. В стальную бомбу, покрытую изнутри серебром, загружают 140 воды, а

затем, последовательно, все вышеуказанные р-ры, замораживая содержимое бомбы после введения каждой порции. Бомбу закрывают, эвакуируют, после чего в нее впрыскивают 92,2 I и 7,8 II. Через 18 час. непрореагировавшие мономеры выдувают из бомбы и выгружают воду и взвешенные в ней частицы. Соли удаляют промыванием, затем смолу сушат в вакууме при $\sim 20^\circ$. Содержание связанного I в полученном сополимере 75 мол.%. Типовая рецептура краски для маркировки пластмасс на основе сополимеров I (в вес. ч.): связующее 8, тетрагидрофуран 39, диизобутилкетон 50 и вулкан прочный красный G 3.

В. Мискиянц

См. также: раздел Химия высокомолекулярных соединений и рефераты: синтетич. смолы для лаков и покрытий: 9П2; поливинилхлоридные пасты 9П37; углеводородные смолы 9П45; полиэфирные смолы 9П46; виниловые смолы 9П139; аэрогель стироллизированной алкидной смолы и SiO_2 9П165; полиуретаны 9П169. Защита от коррозии лакокрасочными покрытиями 9И206, 9И211, 9И218, 9И220, 9И221, 9И222, 9И223. Лак для магнитных лент 9П30. Покрытия, стойкие к действию углеводородных р-рителей 9П329. Проектирование устройств для сжигания горючих смесей, отводных от варочных котлов для приготовления лаков 9И366. Некоторые способы контроля поверхностных защитных пленок 9И243. Ультразвуковые вискозиметры 9Е16.

КАУЧУК НАТУРАЛЬНЫЙ И СИНТЕТИЧЕСКИЙ. РЕЗИНА

Редактор Д. М. Сандомирский

9П293. 50 лет науки о каучуке. Whitby G. Stamford. Looking back over fifty years of rubber science. «Trans. and Proc. Instn Rubber Ind.», 1960, 36/7, № 5, Proceedings, 155—175 (англ.).—Обзор. Библ. 108 назв.

М. Лурье

9П294. Эластомеры. Garvey B. S., Jr. Elastomers. «Industr. and Engng Chem.», 1960, 52, № 10, 889—891 (англ.).—Обзор литературы, главным образом за 1959 г. и первую половину 1960 г.: НК, диеновые и прочие каучуки, переработка, резиновые изделия. Библ. 113 назв.

М. Лурье

9П295. Каучук в мире. Echarde Jean. Les caoutchoucs dans le monde. «Rev. gén. caoutchoucs», 1960, 37, № 10, 1289, 1291, 1293, 1295, 1297, 1299, 1301, 1231, 1233, 1235, 1237 (франц.; рез. англ., нем., исп., итал.).—Обзор современного технич. и экономич. состояния. Типы каучуков, объем произ-ва и потребления, цены, в частности во Франции.

М. Лурье

9П296. Резиновая промышленность Англии. Covert Stuart. Die englische Gummi-Industrie. «Techn. Rundschau», 1960, 52, № 44, 25 (нем.).—Характеристика развития резиновой пром-сти Англии с 1820 г. до последних лет.

М. Лурье

9П297. Производство натурального каучука в зоне умеренного климата. Ramos José L. Production de caoutchouc naturel dans les zones tempérées. «Rev. gén. caoutchoucs», 1960, 37, № 7-8, 962—965, 919, 920, 921, 923 (франц.; рез. нем., исп., англ., итал.).—Для обеспечения Испании своим каучуком 16 лет вели работы по акклиматизации каучуконосов — гваюлы (*Parthenium argentatum*), кок-сагыз (Taraxacum Kok saghyz) и Taraxacum Megalorhizum. Лучшие результаты были получены с гваялой. Был организован питомник первоначально на 1600 га при ежегодном расширении на 2500—3000 га с выходом до 2500 т сырья. Состав очищенного от смол каучука гваюлы (КГ) (%): каучуковый углеводород 88,07, влажность 0,13, белковые в-ва 2,4, нерастворимые 4, ацетоновый экстракт 5,4;

средний мол. в. 150 000, уд. в. 0,91. Ненаполненные вулканизаты состава (вес. ч.): стеариновая к-та 4, ZnO 5, S 3, дифенилгуанидин 0,5, меркаптобензотриазол 0,5 имели сопротивление разрыву 250 кг/см^2 , относительное удлинение 687%. Такая же смесь из очищенного от смол КГ имела сопротивление разрыву 143 кг/см^2 , относительное удлинение 768%. Себестоимость 1 кг очищенного КГ соответствует мировой цене на НК.

Г. Щербачев

9П298. Получение и товароведная характеристика клеенки на синтетических латексах. Писаренко А. П., Наринская А. Р. «Сб. научн. работ. Заочн. ин-т сов. торговли», 1959, вып. 4, 3—13.—Описана технология изготовления клеенки на основе латекса КС-30 с мелом в качестве наполнителя и с лаковым покрытием на основе совмещенных полиамидных смол. Клеенка характеризуется хорошими органолепич. свойствами, высокими сопротивлением многократному изгибу и стойкостью к мытью, а также хорошим внешним видом.

9П299. Клеи на основе натурального и синтетического латексов. Blackley D. C. Natural and synthetic latex adhesives. «Adhesives and Resins», 1960, 8, № 1-2, 2—7 (англ.).—Принципы составления клеевых композиций на основе натурального и синтетич. латексов и условия рационального подбора ингредиентов. Достоинства и недостатки латексных клеев и их преимущества перед клеями на основе р-ров эластомеров. Приведены примеры типовых рецептур клеев для склеивания бумаги, кожи, текстиля, линолеума, керамики, стекла, металлов и других материалов.

Ю. Маркин

9П300. Латексные клеи. Fisher Frank. Latex-based adhesives. «Adhesives Age», 1960, 3, № 8, 22—27 (англ.).—Обзор свойств латексных клеев и методов их определения. Библ. 6 назв.

М. Монастырская

9П301. Механохимическое модифицирование КС-30. Барамбойм Н. К., Саутин Б. В. «Высокомолекул. соединения», 1960, 2, № 8, 1196—1200 (рез. англ.).—Исследовали механокрекинг КС-30 и полиизобутилена в присутствии малеинового ангидрида (I). 100 г полимеров вальцевали в воздушной среде с 1, 3 и 5% I на охлаждаемых водой туго поджатых вальцах 2, 10 и 30 мин. С увеличением содержания I в смеси и времени вальцевания пластичность КС-30 значительно повышается (при механохимич. модифицировании НК I жесткость смеси резко возрастала). Связывание I осуществляется свободными макроэлементами полимеров, образующимися при механокрекинге. Прочность вулканизатов продуктов механостеза значительно увеличивалась по мере механохимич. связывания I каучуком. Вероятно, в этом случае образуется дополнительная сетка за счет I и ZnO , содержащейся в смеси.

С. Школьников

9П302. Меркурированные каучуки. II. Реакция меркурированных бутадиеновых каучуков с хлористым *n*-нитробензолом. Смирнов Р. Н. «Высокомолекул. соединения», 1960, 2, № 5, 679—684 (рез. англ.).—Иучалим р-цию с хлористым *n*-нитробензолом меркурированных каучуков: полибутадиенового (СКБМ, СКБ), бутадиенитирольного (КС-30А) и НК. Взаимодействие проводили по типу р-ции Шоттен-Баумана. Выделены растворимые и нерастворимые в органич. р-рителях продукты р-ции и установлены их эмпирич. ф-лы. При меркурировании замещение идет как у атомов С при двойной связи, так и у α -метиленовых атомов С. На подвижность атома Н в α -метиленовой группе решающее влияние оказывает искажение валентных углов различными заместителями при раскрытии двойной связи. Активность заместителей увеличивается в ряду: $\text{OSn}_2 < \text{OSOSn}_2 < \text{OH} < \text{OC}_2\text{H}_5 < \text{OC}_4\text{H}_9$, что соответствует одному α -метиленовому присоединению соответственно на каждые 33, 9, 5, 3 и 2 звена цепи. Гетерогенность р-ции мерку-

рирования приводит к получению неоднородных продуктов, наблюдается также частичное уменьшение мол. весов. Меркурирование сопровождается переходом в-ва из аморфного в кристаллич. при незначительном окислении продукта. При бензоилировании окисление идет с образованием групп $>\text{COSH}_2\text{CH}_2\text{CO}-$ и $\equiv\text{C}-\text{O}-\text{C}\equiv$ и восьмичленных колец, содержащих О, наблюдаются также процессы замещения Нg, этерификация ОН-групп, окисление-восстановление макромолекулы и галоидирование. Эти процессы указывают на отличие в строении и возможно в природе химич. связи атомов Нg с полибутадиенами по сравнению с меркурированными олефинами. Введение электроотрицательного заместителя в молекулу каучука, способствуя меркурированию, снижает степень бензоилирования, хотя прямой зависимости между зарядом и степенью замещения не наблюдается. Сообщение I ом. РИХХим, 1960, № 24, 99003.

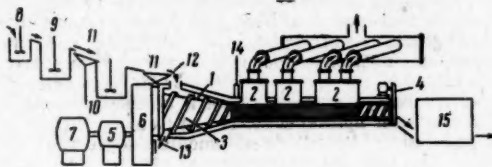
9П303. Строительство нового завода Бунаверке Хюльс в Марле. Trittler Guido. Neubauten der Bunawerke Hüls G. m. b. H. in Marl. «Zbl. Industrie-bau», 1960, 6, № 10, 483—497 (нем.).—Площадка завода и размещение новых корпусов, цехов и установок в связи с новой техникой, современными методами строительства, автоматикой и др. Приведены фотографии завода в целом и его частей, планы, разрезы и др.

9П304. Применение газовой хроматографии в производстве синтетического каучука. Kubínová Milada, Mikl Oldrich. Zastosowanie chromatografii gazowej w badaniach kauczuku syntetycznego. «Przem. chem.», 1960, 39, № 9, 552—555 (польск.).—Описаны методы хроматографич. анализа смесей, содержащих мономеры, применяющиеся в Исследовательском институте СК (Готвальдов, Чехословакия). Смесей, содержащих бутадиев, разделяют на алюмосиликатах, активированном угле, кремнеземе, пропитанном 25% этилового эфира циклопентанокрбонной к-ты (I), 20% диоктилфталата или парафиновым маслом с добавкой триэтанолamina или другой полярной жидкости с высокой т-рой кипения. Для смесей с напроленом применяют кремнезем, пропитанный I и β , β -оксидипропионитрилом (II), для смесей, содержащих хлоропрен,— фталат диметилгликоля и II на кремнеземе. Для улучшения разделения используют 2 последовательно расположенные колонки с подходящими адсорбентами. Детекторы основаны на измерении объема и теплопроводности. Приведены схемы хроматографич. установки, устройств для дозирования жидкостей и газов, а также ряд хроматограмм.

9П305. Влияние примесей в хлоропрене на стабильность наирита. Клебанский А. Л., Карцев В. Н., Фомина Л. П., Тренке Ю. В. «Каучук и резина», 1960, № 7, 1—3.—Примеси в хлоропрене дивинилацетилена или O_2 отрицательно влияют на качество наирита (Н) эмульсионной полимеризации. Примесь дивинилацетилена (0,05—0,2%) понижает пластичность Н и уменьшает его стабильность при тепловом старении. Н, полученный полимеризацией в воздушной среде, имеет большую склонность к скорингу, чем Н, полученный полимеризацией в N_2 . Примеси солей Fe (0,02—0,2%) и моновинилацетилена (0,1—0,2%) не влияют на свойства наирита.

9П306. Новая шнековая сушилка для бутадиенстирольного каучука с малым содержанием золы, установленная в г. Инститют (Западная Виргиния, США). Matthews D. L., Phelps H. E. New extrusion dryer for low-ash SBR in operation at Institute, W. Va., plant. «Rubber World», 1960, 142, № 4, 76—78 (англ.).—Шнековая сушилка общей длиной 9,1 м с производительностью 4 т/час состоит из конич. секции с длиной 1,2 м, в которой из каучуковой крошки уда-

ляют 80% влаги, и трех вакуумных камер 2, где испаряется остаток влаги. Перемещение крошки внутри 1 и 2 производится многоходовым пневком 3 длиной 6,7 м и diam. 30,5 см, имеющим в 1 форму усеченного конуса с диаметром оснований 91,5 и 30,5 см. После 2 расположена насадка 4, откуда каучук выходит в виде тяжелой круглого сечения, которые разрезают вра-



щающимся ножом, на цилиндрич. гранулы. 3 через муфту 5 и понижающий редуктор 6 вращает мотор 7 мощностью 800 л. с. После коагуляции в 8, превращения мыл в жирную к-ту в 9, отмывки в 10 и обезвоживания на вибрационном сите 11 влажная крошка через питающий люк 12 попадает в 1, где отжимается вода с растворенными солями, стекающая через отверстие 13 в нижней части 1. Время пребывания крошки в 1 две минуты. Регулируемый скользящий клапан 14 позволяет получить слой каучука толщиной 0,37—3,18 мм в зависимости от типа каучука, что облегчает сушку в первой камере. В 2 поддерживают вакуум в 27 мм рт. ст. После 2 влажность каучука составляет 0,5%. Затем его охлаждают в 15 и упаковывают в кипы. Сушка в шнековой сушилке продолжается 5—40 мин. вместо 2 час. при сушке горячим воздухом в 3-секционной сушилке. Для регулирования т-ры в стенках 1 имеются полости, отдельные участки машины снабжены рубашками. Т-ра близ 12 60°, в 1 66—93°, во 2 121° и в конце сушилки —27—38°. Т-ры каучука в 2, перед и после 4 и 14, контролируют термометрами. Давление измеряют в 1 и возле 4. Управление приводом, контроль т-ры, давления и пр. выведены на центральную панель. Сушилка изготовлена из некорродируемых сплавов. С ее помощью получают бутадиенстирольные каучуки высокотемпературной полимеризации с мылами жирных к-т в качестве эмульгатора, а также каучуки с вязкостью по Муни, на 4—6 ед. меньше, чем при сушке горячим воздухом. Получаемый каучук высушен равномерно, имеет однородную окраску и легко смешивается с ингредиентами.

9П307. Получение мягких бутадиен-нитрильных каучуков. Пасхалис Т. К., Сивов В. А., Родионов С. Е., Костина С. И., Касаткина Е. И. «Каучук и резина», 1960, № 9, 1—4.—В лаборатории и на произ-ве изучены условия изготовления мягких каучуков (К) по стандартным рецептам для получения СКН-18, СКН-26, СКН-40 и получены вулканизаты, равноценные таковым на серийных К. Однородный К, растворимый в ацетоне при глубине полимеризации 5—80%, получают при равномерной подаче дипроксида через каждый час; для произ-ва принята подача в три приема: до начала р-ции, при 25 и 45% конверсии. Регулированием дозировки дипроксида можно получить К любой твердости. Увеличение его кол-ва с 0,3—0,4 до 0,5—0,6 вес. ч. снижает твердость по Дефо с 2500—3000 до 700—1000. Так как скорость полимеризации при этом снижается примерно на 10%, то кол-во триэтанолamina надо увеличивать в среднем на 0,05 вес. ч., сравнительно с исходным 0,1 вес. ч. Степень промывки К влияет на свойства вулканизатов, так как удаляются некаль и NaCl, ускоряющие вулканизацию. Продолжительность промывки для СКН-40 и СКН-26 должна быть 10—15 мин., а для СКН-18 должна быть 15—20 мин. Ее удлинение приводит к ухудшению свойств К. Крошка (дефо 675—900) получается более

мелкой и липкой и быстро забивает сетки лентоотливочной машины. Лента мягкого К тоньше и слабее стандартной. Проводимость сушильного агрегата снижается на 40—30% при дефо 900—1200 и ниже; стержни сушилки следует покрывать бельтингом для уменьшения прилипания ленты К. Их нельзя упаковывать в рулоны из-за слипания и деформирования даже при непродолжительном хранении. Применение мягких К позволит исключить операцию пластикации на резиновых а-дах, проводить смешение в резино-смесителях, повысит производительность смесительных вальцев.

9П308. Нитрильные каучуки и латексы. Современное развитие и применение. Mottram S. Nitrile rubbers and latices. Recent developments and current uses. «Rubber J. and Internat. Plast.», 1960, 139, № 16, 575—577, 559, 561, 563 (англ.; рез. франц., нем., итал.).—Поливинилхлорид значительно повышает озоностойкость нитрильных резин (НР). Благодаря высокой масло-бензостойкости и хорошим механич. свойствам НР применяют для произ-ва больших мягких самолетных и плавучих бензобаков (напр., длиной 122 м и diam. 4,6 м). Из-за малой истираемости НР их применяют для набоек высоких каблучков, особенно в сочетании с фенольной смолой и силикатом Al. Новые нитрильные латексы, содержащие в полимере группы COOH (НЛК) (хайкар 1571), отличаются повышенными физ.-мех. свойствами, их можно вулканизовать как S, так и ZnO. Сопротивление разрыву пленок достигает 150—220 кг/см². При помощи НЛК получают эластичную бумагу с повышенными влаго- и теплоустойчивостью, сопротивлением разрыву, надрезу и пр. НЛК вводят в бумажную массу (10—40%) с последующим осаждением Al-квасцами или пропитывают готовую бумагу; получается хороший материал для прокладок. На эту бумагу можно также наносить поливинилхлоридные покрытия. НЛК являются хорошими связующими для пигментов, обладают большой адгезией к коже. При получении защитных перчаток текстильные заготовки вначале макают в р-р Al-квасцов, а затем в смесь НЛК, содержащую 9 ч. ZnO (на 100 ч. полимера) в виде 50%-ной дисперсии, и 1 ч. загустителя — метилцеллюлозы (5%-ный р-р); сушат при 60—80°, вулканизуют при 140°. НЛК применяют для изготовления клеев, для изготовления нетканых материалов, для придания тканям несминаемости (в композиции со смолами).

9П309. Синтез полимеров из нефтяных отходов. Романова П. М., Мирзоева С. М., Елмп эсерлар. Азерб. ун-в. Физ.-матем. и хим. сер., Уч. зап. Азерб. ун-т. Физ.-матем. и хим. сер., 1959, № 4, 81—85 (рез. азерб.).—Полимеризовали пента-амиленовую фракцию (20—40°) бензольной головки в присутствии AlCl₃ при т-рах от 0 до —4° и от —30 до —32° как в чистом виде, так и совместно с 1% НК или 3% полиизобутилена. Полученные полимеры использовали в качестве добавок к смесям из НК и нарита в дозировках 10 и 25% от веса каучука. В смесях с напиртом снижается прочность и образуются пористые вулканизаты; в смесях с НК получаются лучшие результаты, причем повышается и прочность. С обими каучуками повышается относительное и остаточное удлинение вулканизатов. Физ.-мех. свойства резин лучше при введении 10% полимера, чем 25%.

9П310. Хайпалон — новый электроизоляционный материал. Werbliński Wiesław. Nupalon — nowe tworzywo elektroizolacyjne. «Przegl. elektrotechn.», 1960, 36, № 5, 182—184 (польск.).—Обзор.

9П311. Спектр ядерного магнитного резонанса вулканизованного каучука. Такеда Масатами. «Нихон гому гёкайси, J. Soc. Rubber Ind., Japan», 1959, 32, № 11, 865—870 (японск.).—Обсуждение опублико-

ванных результатов (РИХим, 1959, № 4, 14084) измерений на 18 образцах резин состава (вес. ч.): НК 100, ускоритель 0,5, ZnO 6, S 3,5, 10,5 и 20, стареющая к-та 0,5 различной степени вулканизации. Рассматривается методика опытов, спектр при ~20°, температурные колебания ширины линии δH, определены T₁ и T₂.

9П312. Крепление силиконового каучука. Beridge C. A., Spalding D. P. How to bond silicone rubber. «Adhesives Age», 1960, 3, № 6, 30—33 (англ.).—Для улучшения адгезии применяют покрытия — р-ры силиконовых мономеров или полимеров с низким мол. весом, способных затем полимеризоваться при нагреве или под влиянием других факторов. Крепление вулканизатов друг к другу производят при помощи промежуточной прослойки из смеси того же состава, как одна или обе склеиваемые поверхности. В случае плохой текучести или плохих адгезионных свойств этой прослойки применяют спец. силиконовые пасты. При креплении сырого каучука к вулканизованному сырому полимер является адгезивом и связь между ними образуется одновременно с вулканизацией. При креплении вулканизованного каучука к металлу (Al, Cu, сталь) очищают обе поверхности. Затем на металл наносят силиконовое покрытие, после чего накладывают силиконовую пасту типа SE-100 или SE-701. Для лучшего крепления рекомендуется закреплять покрытие, а затем слой пасты на поверхности металла предварительной вулканизацией. Из перекисей, обычно применяемых для вулканизации силиконового каучука, в этом случае не рекомендуется применять перекись бис-2,4-дихлорбензола. Сырой каучук к металлу крепят аналогично, но без адгезива. Для крепления силиконовых вулканизатов к пластмассе применяют адгезивы, вулканизирующиеся при ~20°. При креплении очень высокопрочных силиконовых каучуков типа SE-555 и SE-565 вместо обычных адгезивов (типа SE-100) применяют спец. высокопрочные адгезивы (SE-319, SE-1010). Для крепления вулканизатов высокопрочных силиконовых каучуков друг к другу также применяют адгезивы, действующие при ~20° (RTV-90 и RTV-60), которые после вулканизации прекрасно противостоят действию высоких т-р, смазочных и топливных масел. Адгезивы типа RTV используют для крепления силиконовых резин друг к другу, к металлу и пластмассам. Так, при применении адгезива RTV-90 прочность связи вулканизованных резин из SE-555 между собой достигает 40 кг/см, прочность крепления к Al как до старения, так и после старения 24 час. при 149° составляет ~1,4 кг/см, после старения 200 час. при 315° составляет 0,45 кг/см.

9П313. Систематический контроль адгезии резины к металлу в кабельной промышленности. Stout Richard P. Systematic control of rubber-to-metal adhesion in the wire and cable industry. «Rubber Age», 1960, 86, № 6, 1025—1027 (англ.).—Обзор факторов, влияющих на адгезию (А) резины к металлу: природа каучука и состав резиновой смеси, природа, чистота и шероховатость поверхности металла, стойкость клея и способ его применения, смачивание поверхности раздела клеев — резина, толщина, равномерность слоя адгезива и продолжительность его сушки, подвод тепла, обеспечивающий одновременную вулканизацию резины и отверждение клея. Добавка 20% сажи, в особенности канальной, повышает А. Пластификаторы и другие ингредиенты резиновой смеси, способные выповзывать на поверхность контакта, отрицательно влияют на А. При всех прочих постоянных факторах величина А для данного адгезива зависит только от кол-ва хим. активных групп адгезива на поверхности металла. Варьируя это кол-во рабавлением адгезива, можно получать желаемую величину адгезии.

Ю. Маркин

9П314. Klebstoffe Karpenst Benscher 572—576 на комби-процессе дают хоро-ном выпле-термопла-Расплавл-ветствующ-современ-вать так-нирован-недостат-

9П315. Сообщен-рядка в-различн-mandi Heilmise-Темпера- von Miso- von ihre-13, № 9. Для вы-вулкани-сульфен-рядка т-физ.-мех- S и уск-си 145° (смесь) дили на-меслещ-с S вво-ное ус-ния ис-В и С-незнач-ного ос-бензоти-азислу-Муни, обрабат-рителя. сме-180°

следст-при вв-чения-тическ-гов. Д-влияю-свойст-дисуль-от 120-ние т-вальца-личия-канизав-Для с-ди-о-то-дамик-влияю-каниза-тиурам-Фенкл-фид) в-дения-ZnO в

9P314. Клей для клеевой затыжки обуви. K r e m e r. Klebstoffe für das Klebezwickverfahren. Klebstoff- und Kappenstoff-Probleme beim Spitzenzwicken im Heiß-Benschler-Verfahren. «Schuh-Techn.», 1960, 54, № 6, 572—576 (нем.).—Полихлоропропеновые клеи при работе на комбинированных машинах, выполняющих в одном процессе 2 операции — обтяжку и затыжку носков, дают хорошие результаты лишь при очень тщательном выполнении работы. Клей на основе латексов или термопластич. смол значительно облегчают работу. Расплавленную смолу можно было бы наносить соответствующими приспособлениями на стельку. Однако современный уровень техники не позволяет реализовать такое приспособление, так как стелька на комбинированных машинах всегда расположена книзу и недостаточно места для его установки.

М. Люксембург

9P315. К проблеме горячего смешения каучука. Сообщение 2. Влияние температуры смешения и порядка введения ингредиентов на свойства смесей с различными ускорителями и их вулканизаторов. Fromandi G., Reissinger S. Zur Problematik des Heißmischens von Kautschuk. Mitt. 2. Einfluß von Misch-Temperatur und Misch-Folge auf das Eigenschaftsbild von Mischungen mit verschiedenen Beschleunigern und von ihren Vulkanisatoren. «Kautschuk und Gummi», 1960, 13, № 9, WT 255—WT 261 (нем.; рез. англ., франц.).—Для выяснения причин понижения физ.-мех. свойств вулканизатов после длительного хранения смесей с сульфенамидными ускорителями изучали влияние порядка введения ингредиентов и т-ры смешения на физ.-мех. свойства вулканизатов. Смесей из НК (без S и ускорителей) получали в смесителе при т-ре смеси 145°; N-циклогексилбензотиазилсульфенамид (I) вводили или в смеситель (смесь A) или на вальцах (смесь B) при т-ре вальцов 50°; смесь C — без I. S вводили на вальцах после 24 час. выдержки или после 6 месяцев хранения смеси при ~20°, в смесь C вместе с S вводили I. Хранение смеси A вызывает значительное уменьшение прочности, модулей и сопротивления истиранию вулканизатов; при хранении смесей B и C физ.-мех. свойства вулканизатов изменяются незначительно. Увеличение т-ры отщепления аминного остатка в ряду ускорителей (I, N-оксидэтилен-2-бензотиазилсульфенамид, N-дициклогексил-2-бензотиазилсульфенамид) ведет к снижению скорчинга по Муни. Во избежание последнего смеси необходимо обрабатывать при т-рах ниже т-ры разложения ускорителя. При введении 2-меркаптобензотиазола (II) в смесителе повышение т-ры обработки смеси от 120 до 180° несколько увеличивает время скорчинга вследствие пептизирующего действия II на каучук; при введении II на вальцах повышение т-ры получения смеси и время ее хранения до 16 месяцев практически не влияют на физ.-мех. свойства вулканизатов. Для смесей с Zn-солью II условия смешения не влияют на время скорчинга смесей и физ.-мех. свойства вулканизатов. При введении дибензотиазилдисульфида (III) в смесителе повышение т-ры смеси от 120 до 150° увеличивает время скорчинга, увеличение т-ры до 180° его уменьшает; при введении III на вальцах повышение т-ры получения смеси ведет к увеличению времени скорчинга. Физ.-мех. свойства вулканизатов с III мало зависят от условий смешения. Для смесей с ускорителями основного характера — ди-о-толилгуанидина и продукта конденсации альдегидамина (вулкапит 576) — условия смешения не влияют на время скорчинга и физ.-мех. свойства вулканизатов. Поведение смесей с ускорителями класса тирамов [тетраметил-(IV), тетраэтил-, диметилдифенилтиурамдисульфид, тетраметилтиурамдисульфид] в значительной степени зависит от способа введения ускорителя и ZnO в смесь. Так, при введении ZnO в смесителе добавление IV в смеситель при 120°

в начале смешения приводит к более быстрой вулканизации, чем при добавлении IV в конце смешения; введение IV при 150—180° в конце смешения ведет к скорчингу, добавление IV в начале смешения не вызывает заметных изменений смеси; смеси с IV, введенным на вальцах, имеют нормальные свойства. При введении ZnO на вальцах смеси, полученные при 150—180°, имеют более продолжительное время скорчинга при добавлении IV в начале смешения, чем смеси, в которые IV ввели в смеситель в конце смешения. Физ.-мех. свойства смесей, полученных при 120°, мало зависят от условий смешения; вулканизаты смесей, полученных при 150°, имеют более высокие значения прочности и модулей при введении IV на вальцах; физ.-мех. свойства вулканизатов смесей, полученных при 180°, при введении IV в смеситель имеют заниженные значения, при введении IV на вальцах вулканизаты обладают нормальными свойствами. Сообщение 1 см. РЖХим, 1959, № 8, 29709.

О. Беляцкая

9P316. Модификация свойств синтетических каучуков с активными функциональными группами резорцин-формальдегидной смолой на стадии латекса. Богуславский Д. Б., Эпштейн В. Г., Огневская Т. Е., Ляпина Л. А., Любезников В. К. «Каучук и резина», 1960, № 8, 13—18.—Изучали усиление резорцинформальдегидной смолой (С) карбоксилированного бутадиенстирольного каучука (К), содержащего 1,2% метакриловой к-ты (СКС-30-1) и бутадиен-2-метил-5-винилипиридинового К (СКМВП-15). С, приготовленную по способу Ле Бра (Ind. Engng. Chem., 1951, 43, 381), выдерживали 5—10 мин. при 30—35° и вводили в латекс. После конденсации 22—24 часа при ~20° смесь коагулировали в несколько ступеней смесью соли и к-ты. Лучшее сопротивление разрыву и раздиру достигается при молярн. соотношении резорцин: HCON = 1:1,5—1,8 в случае СКС-30А и СКС-30-1 и 1:0,8 в случае СКМВП-15, что объясняется при активации конденсации С из поволачной формы в резольную основными пиридиновыми группами. При усилении С полярных К межмолекулярное взаимодействие «К—С» выше, чем в случае неполярных. Оптимальное сопротивление разрыву у полярных К достигается при меньшей дозировке С, сопротивление раздиру при возрастании дозировки С, в отличие от неполярных, не проходит через максимум, а монотонно возрастает. При введении сажи в каучуково-смоляные смеси возрастает содержание геля «К—наполнитель», превышающее таковое при наполнении сажей и С в отдельности, а также на 12—20% повышается износостойкость. Оптимальное сопротивление разрыву и раздиру резин из СКС-30-1 и СКМВП-15 достигается при меньших дозировках С и сажи, чем резин из СКС-30А, что позволяет получить высокопрочные вулканизаты с повышенной эластичностью и меньшим теплообразованием. Введение сажи позволяет понизить дозировку С, что улучшает обрабатываемость смесей. По совокупности всех свойств лучшим мягчителем для всех испытанных К является сосновая смола. При сочетании в смоляных смесях СКС-30-1 и СКМВП-15 возрастают модули, сопротивление раздиру и износостойкость, что связано, по-видимому, с возникновением дополнительных связей между пиридиновыми и карбоксильными группами.

И. Шмурак

9P317. Новые связующие материалы для защитных и декоративных покрытий по резине. Bota Ion. Lianți noi pentru acoperiri de protecție și decorative pe cauciuc. «Ind. ușoară», 1960, 7, № 2, 53—56 (рум.; рез. русск., нем., франц., англ.).—Обзор. Библ. 24 назв.

Ю. Маркин

9P318. Исследование динитрозопентаметилентетрамина как порообразователя. Ямада Масаюки, Касимура Тосиюки, Оуми Масуми. NОС,

1959, 5, № 4, 3—9 (японск.).—Динитрозопентаметилентетрамин (I) (порообразователь ДРТ) применяют в качестве порообразователя для НК, виниловых смол, полиэтилена. Сравнивали порообразующее действие I, порообразователя ВК (II) и стеариновой к-ты. Наибольшей эффективностью обладает II. Хорошие результаты дает применение смесей II и стеариновой к-ты. В оптимальном соотношении порообразователя для полиэтилена зависят от вида последнего. Определяли кол-во N_2 , выделяющегося при разложении I и II. В случае I оно соответствовало расчетному, в случае II оно несколько меньше при $t_{\text{ре}} < 130^\circ$ и соответствует при $t_{\text{ре}} > 130^\circ$.

Ю. Жмакин

9П319. Статическое электричество в резиновом производстве. Пржебыльский М. И., Чугай А. Д., Чечик Л. Е. «Каучук и резина», 1960, № 8, 50—54.—Разработан переносный прибор для измерения напряженности поля и определения знака статич. зарядов в производственных условиях. С помощью этого прибора определены заряды некоторых каучуков и индентров до их поступления в произ-во и напряженность поля вблизи поверхности резины при технологич. обработке. Наибольшая опасность взрывов создается при изготовлении клеев и прорезинке тканей (напряженность поля ≤ 15000 в/см); для устранения этой опасности разрабатываются автоматич. клеешапки для приготовления резиновых клеев в атмосфере инертного газа.

Ю. Дубинкер

9П320. Механизация и автоматизация процессов подготовки и смешения материалов в резиновом производстве на Калининском комбинате искусственной кожи. Второв Г. Н., «Каучук и резина», 1960, № 10, 55—57.—Веретенное масло из ж.-д. цистерн паровыми насосами перекачивается в складские емкости, откуда шестеренчатым насосом подается в мерник для загрузки резиносмесителей (РС). Клапан отрегулирован на 3 атм, при повышении давления избыток масла переливается в полость всасывания насоса, и давление не изменяется. Мерник соединен с загрузочной воронкой РС электромагнитным вентилем. Верхняя полость мерника находится под давлением сжатого воздуха, осуществляющего подачу масла в РС. Необходимый по рецепту объем устанавливается вручную. Каолин сушится горячими газами (продукт сгорания антрацита в спец. топке) в барабанной сушилке, сыпается в промежуточный бункер, откуда ковшевым элеватором через барабанный дозатор поступает в аэробильную мельницу с воздушным сепаратором. Дробленый материал пневматич. подается в циклон и через дозатор поступает в распределительный шнек и далее в бункеры, из которых шнек-питатель передает каолин на весы, установленные над воронкой РС. Полуавтоматические весы МА-100 (мучной дозатор) несколько реконструированы. Сырые заготовки каблук выпускаются на поточной линии: РС, куда S вводится за 1 мин. до выгрузки, листовальные вальцы, питательные, червячный пресс с диаметром червяка 150 мм (с машины на машину резиновая смесь передается ленточными транспортерами, из пресса в виде шнура без опоры), охлаждаемая ванна, машина для резки заготовок. Внедрение поточной линии сократило трудовые затраты на 50% и дало экономич. эффект 50 000 руб. в год.

М. Монастырская

9П321. Кордный шелк, корд и шнур. Schmauder Karl. Jedwab kordowy, kord i opony. «Przegl. włokien», 1960, 14, № 4, 254—261 (польск.).—Обзор.

В. Л.

9П322. Адгезия к каркасной резине вискозного корда, модифицированного метил- или изопропилкарбамилхлоридом. Antczak Tadeusz. Adhezja gumy karkasowej do oponowego kordu wiskozowego zmodyfikowanego chlorkiem metylolub izopropylkarbamylol-

wym. «Zesz. nauk. Politechn. łódzka», 1960, № 28, 85—87 (польск., рез. франц.).—Химическая модификация вискозного корда с помощью метил- или изопропилкарбамилхлоридов вследствие удупления и слезоточивого действия этих в-в. Была предпринята попытка применить гидрохлоридные производные этих карбаматов, представляющих в нормальных условиях кристаллич. продукты, разлагающиеся при повышенной $t_{\text{ре}}$ с выделением HCl. Однако обработка корда продуктами термич. разложения метил- или изопропилкарбамилхлоридов привела к уменьшению адгезии.

В. Лепетов

9П323. Вопросы прочности связи в резино-тканевых системах. Doyle G. M. Aspects of rubber-textile adhesion. «Trans. and Proc. Instn Rubber Ind.», 1960, 36/7, № 4, Transactions 177—194 (англ.).—Изучали составы для пропитки корда (K) на основе резорцин-формальдегидной смолы и натурального (I), бутадиев-стирольного (II) и бутадиевстиролвинилпиридинового (III) латексов. Определяли прочность связи (ПС) (метод выдергивания нити) вискозного и найлонового K, пропитанного этими составами, с резиной из НК. Активность смолы оценивали по среднему кол-ву активных атомов H на 1 молекулу резорцина. По мере созревания смолы при 23° в латексе и вне его активность ее, уменьшаясь вначале, после 10 час. менялась мало; ПС для III проходит максимум при 10—12 час, а для II сначала возрастает, затем (20—40 час.) уменьшается. При введении смолы в I ее конденсация не прекращается вследствие каталитич. действия NaOH, дополнительно введенного в I для стабилизации. Поэтому смола, созревшая в I, по активности не отличается от таковой, созревшей в II. Для достижения максим. ПС в случае III требуется меньше времени конденсации, чем в случае II. Более быстрое изменение ПС по мере созревания смолы в III связано с более быстрым изменением ее активности в этом составе. В случае I лучшая ПС достигается через 46 час. конденсации, чему соответствует активность смолы $\leq 0,69$, близкая к оптимальному значению активности для II. Введение III в составы на основе II снижает оптимальное время созревания смолы и повышает ПС до 40%. III. При нагревании пропитанного K идет дальнейшая конденсация смолы. Продолжительная сушка при 100° K, пропитанного составом на основе III, приводит к падению, а на основе II — к некоторому повышению ПС. Более интенсивное нагревание при сушке позволяет получить высокую ПС при меньшем времени созревания смолы. В зависимости от состава адгезива повышение $t_{\text{ры}}$ сушки от 100 до 150° может привести к повышению или падению ПС. ПС не зависит от условий вулканизации. При повышении $t_{\text{ры}}$ созревания (T) время (t), необходимое для достижения одинаковой ПС, уменьшается по уравнению $\lg t = A - 0,03176 T$, где $A = \text{const}$. Для найлонового K требуется смола большей активности. Поэтому лучшая ПС этого K с резиной достигается при применении III. t для III уменьшается с ростом конц-ии катализатора — NaOH(N) и суммарной конц-ии резорцина, HCON и NaOH(c) по уравнению $\lg t = k - 1,59 \lg N$ и $\lg t = k_1 - 1,65 \lg c$, где k и $k_1 = \text{const}$. При меньшей конц-ии пропиточного состава и 24-часовой конденсации достигается меньшая ПС. Повышение времени конденсации до 48—72 час. и содержания NaOH сглаживают это различие в предельной конц-ии состава 15—20%. Для конденсации смолы на K при вулканизации K пропитывали III, содержащий резорцин, в каркасную резину вводили 1,2 и 3% гомосаметоксиметилмеламина, разлагающегося при $t_{\text{ре}}$ вулканизации с выделением HCON. С ростом дозирования донора HCON привес состава «III — резорцин» в корде, необходимый для достижения наибольшей ПС, также растет. Оптимальное соотношение донор HCON : привес = 1 : 4,8—5,3.

И. Шмур

9П324. деталей нически nologich rosserie Asbest ия дета буетс и шие рез газовой рость ш стичност вие саж паром в высокя к дефор лых нап 5—20 ве добавля F 10 или щая бын ия (и фид — о лом; кол водит к ку влия НК, хра усадку дуются: ледниам раствори 9П325. Foulou «Maschi резерву иттевое из очен несеннь прочны чается действ и др.

9П326. лент. Б ра ш о 1960, в нология СКС-30. ной и устойч новой, полиам основан и гидр цивани 9П327. Инстит chnique «Materi Кратко дартны пласти ба для термос довани истира лах на истира каретк для от ру; пр для бы

85-87
икация
илизо-
стено-
попыч-
нао-
товиях
ышек-
корда
зопро-
тезии.
епетоз
татив-
textile
, 1960,
ли со-
орпи-
аднен-
нового
с) (ме-
ого К.
К. Ал-
актив-
ере со-
актив-
ияется
2 час.,
с.) ме-
денса-
иствия
ипла-
ности
для до-
ынные
ыстрое
вязано
том со-
46 час.
смоли
ности
нижает
ает ПС
К идет
ельны
осном
которо-
еваемо
и мей-
сти от
100 до
ию ПС
повы-
одимое
сое по
наило-
ги. По
ся при
росте
марной
р-ники
и К-
соста-
ая ПС
с. и со-
редели
олы ш
жачки
% рез
и т-р
озирю-
дин) ш
лей ПС
НСОН
Шмура

9П324. Технологические требования к рецептуре деталей автомобильного кузова и других резино-технологических изделий. Rüttger Kurt. Kautschuk-technologische Betrachtung zur Rezepturgestaltung von Kautschukserien- und anderen technischen Profilen. «Gummi und Asbest», 1960, 13, № 5, 366, 368 (нем.).—Для получения деталей сложного профиля от сырых смесей требуется гладкая поверхность при шприцевании (лучшие результаты на НК получаются с ацетиленовой газовой сажкой Р 1250, повышающей одновременно скорость шприцевания; при 20 об.% на 100 каучука пластичность по Марпетти снижается с 220 до 75; газовые сажки ЕРС, МРС, СК 3 при вулканизации острым паром ведут к пористости), малое набухание ($\leq 6\%$), высокая стойкость в горячем и холодном состояниях к деформациям при конфекции (кроме саж и светлых наполнителей, следует вводить буна S и буна SS, 5—20 вес. ч. на НК до его пластикации; рекомендуется добавлять столярный клей, а также темные фактисы F 10 или DK 10); вулканизирующая группа, обеспечивающая быструю вулканизацию с миним. временем течения (идеальный ускоритель дибензотиазилдисульфид—один или в комбинации с меркаптобензотиазолом; кол-во последнего $> 0,5$ ч. на 100 ч. каучука приводит к выцветанию на поверхности изделия). На усадку влияют время и т-ра пластикации, стандартные НК, хранение смеси ≥ 24 час., кол-во S (2—3% S дает усадку 1,5%). В качестве антиоксидантов рекомендуются: комбинация N-фенол-N-циклогексил-л-фенилендиамина с изопропоксидифениламино и воски, растворимые в каучуке. М. Монастырская

9П325. Резервуары из синтетических материалов. Foulon A. Kunststofftanks für Transportzwecke. «Maschinenmarkt», 1960, 66, № 32, 11 (нем.).—Легкие резервуары, пригодные для перевозки и хранения питьевой воды, бензина и других жидкостей, состоят из очень прочной ткани (из синтетич. волокон) с нанесенным на нее с обеих сторон эластичным и ударопрочным резиновым слоем из СК. Материал отличается воздухо-непроницаемостью и стойкостью к действию разб. к-т и щелочей, бензина, бензола, CCl_4 и др. И. Беркович

9П326. Липкие ленты для соединения магнитных лент. Баркова М. В., Калантарова М. С., Мурашова Н. В. «Тр. Вес. и-и. ин-та звукозаписи», 1960, вып. 7, 68—79.—Разработаны рецептура и технология липких масс (ЛМ) на основе НК, СК-30 или СК-30А с применением в качестве мягчителя обычной и гидрированной канифоли. Полученные ЛМ устойчивы и обладают хорошей адгезией к целлофановой, гидратцеллюлозной, ацетатной, триацетатной, поливинилхлоридной, полиэфирной (лавсан) и другим основам. Разработана технология изготовления из ЛМ и гидратцеллюлозной пленки липких лент для сращивания магнитных лент. Э. Тукачинская

9П327. Технические нововведения французского Института каучука. Lembe Jean. Réalisations techniques de l'Institut Français du Caoutchouc, Paris. «Materialprüfung», 1960, 2, № 9, 357—360 (франц.).—Краткое описание аппаратуры и приборов для стандартных испытаний (консистометр для определения пластичности смесей и скоринга, кислородная бомба для одновременного испытания нескольких смесей, термостат для теплового старения) и для спец. исследований: машина для испытания шинных резин на истирание, позволяющая менять в широких пределах нагрузку на образец, угол вращения и скорость истирающего круга и шкива, скорость перемещения каретки с держателем образца; релаксометр—прибор для определения сопротивления продольному раздиру; прибор для исследования окисляемости; машина для быстрого вырубания образцов. Г. Щербачев

9П328. Техническое нормирование труда в резиновой промышленности. Зайцев И., Мышкис А. М., Профиздат, 1960, 207 стр., 4 р.

9П329. Композиция из смолы и минерала, частицы которого покрыты каучуком. Endres Herbert A., Winters Walter F. Rubberized mineral tar composition and process of making same. [The Goodyear Tire & Rubber Co.]. Пат. США 2921919, 19.01.60.—Латекс невулканизованного диенового сополимера, напр. 50—85% бутадиена и 50—15% акрилонитрила, тщательно смешивают с минер. наполнителем (напр., баритом), частицы которого проходят через сито в 200 меш из расчета 10—40% каучука и 90—60% наполнителя. Смесь коагулируют (при этом частицы минерала обволакиваются каучуком), сушат и распылением получают из нее практически безводный, устойчивый при хранении, нетекущий порошок, проходящий через сито в 60 меш. Порошок смешивают со смолой, дающей после перегонки при 300° остаток с т. размягч. 25—75° (смесь содержит 1—5 вес.% каучука), и продолжают перемешивание до получения однородной смеси. Композицию применяют для покрытий, стойких к действию углеводородных р-рителей. И. Шмурак

9П330. Способ и аппаратура для непрерывного производства листовой пенистой резины. Talalay Joseph Anton, Talalay Anselm, Talalay Leon. Method and apparatus for the manufacture of sheet foam rubber. Австрал. пат. 212380, 19.04.56.—Латексную смесь (Л) вспенивают воздухом или иным не коагулирующими газами и через гомотенизирующую головку, в виде слоя требуемой толщины, подают на транспортер, проходящий через зону замораживания, с подачей холодного воздуха (от -29 до -35°) при скорости 300—600 м/мин; отвердевшая и частично коагулировавшая пена передвигается в зону коагуляции, происходящей при умеренном подогреве под действием CO_2 , SO_2 или газообразного HCl конц-ией 10—50 об.%; скоагулировавшийся твердый или частично оттаявший слой Л проходит через вулканизационную камеру (перегретый пар при атм. давлении или смесь инертного газа с паром), затем промывается и сушится. Можно применять аппарат с одним транспортером, проходящим через все зоны процесса, либо разместить узлы в два ряда по вертикали, используя два транспортера, причем гель при подаче на второй транспортер переворачивается. Применяют гладкие ведущие ленты или с выпуклым рисунком. На гель можно также накладывать ткань. М. Монастырская

9П331. Способ полимеризации и сополимеризации синтетических каучуков. Юрженко Т. И., Пучина В. А., Башкатов Т. В., Синайский Г. М., Попова Е. Н., Петренко А. В. Авт. св. СССР 128607, 15.05.60.—Для ускорения полимеризации и сополимеризации при получении СК с помощью инициаторов в окислительно-восстановительных системах в присутствии органич. восстановителей и с использованием в качестве эмульгаторов некаля, гидрированного канифольного мыла и других поверхностно-активных в-в, в качестве инициатора полимеризации применяют гидроперекиси несимметричных диарилных углеводородов, в частности гидроперекись 1,1-дифенилэтана. Э. Т.

9П332. Эластичные полиуретановые губки. Simon Eli, Thomas Frank W. Flexible resilient cellular polyurethane resin products. [Lockheed Aircraft Corp.]. Пат. США 2894919, 14.07.59.—Для получения мягких эластичных губок проводят р-цию при $\sim 20^\circ$ и атмосферном давлении между 82—99, предпочтительно 20—40 вес.% полимерного полупродукта (ПП) с аминным числом 150—1000, 0,4—15 вес.% воды (порообразующий агент) и 0,4—15 вес.% щел. катализатора. ПП получают, предварительно смешивая 64—84 мол.% ди-

изоцианата, напр. 2,4-толуолдиизоцианата (I), 2,6-толуолдиизоцианата, диангизидиндиизоцианата, *m,m'*-дифенилметандиизоцианата или 2,5-нафталиндиизоцианата, с 2,5—23,5 мол. % двухатомного спирта, напр. 1,4-бутандиола, 2-метилбутандиола, 1,4-гександиола, 1,3-пропентгликоля, бутандиола или полипропиленгликоля (II) с мол. в. 400—10 000. К полученному продукту добавляют 2,5—23,5 мол. % двухосновной к-ты, напр. малоновой, янтарной, себацновой, адипиновой, пимелитовой, азеланиновой, рициноленовой (III), гликолевой, оксипропионовой (IV) или 1-оксидекаановой, и непосредственно следом за которой 0,5—8,7 мол. % воды. В полученную смолу вводят в качестве структурирующего агента 1—16 мол. % (во всех случаях на моль III) многоатомного спирта, содержащего > 2 ОН-групп (напр. глицерин, полиглицерин, маннит, сорбит, пентаэритрит, 1,2,6-гексантриол (V), 1,2,4-бутантриол или триметилпропан). Вместо двухосновных к-т применяют также оксикислоты с мол. в. 75—800. В качестве катализаторов используют рицинолеат К (VI), олеат К, тетрадеканат Na, стеарат Li, лаураты Cs и K, линолеат Na, каприлат Li, хинолин, меламина, морфоллин, метилморфоллин, 2,4,6-триметил-5,6-дигидро-1,3,5-дитиазин (тиалдин) (VII), N-оксидил-, N-оксидбутилморфоллин, гидрат окиси тетраэтиламина, триэтанолламин или гидралин. Рекомендуют получать губку по следующему рецептам (вес. ч.): 1) вода I, VI 1, III (74% I, 9% II, 9% III, 2% воды и 2—8% V на моль III) 20—40; 2) вода I—3, VII 2—6, III (2—15% II, 74,4% I, 2,3% воды, 4,6% V, 9,3% IV на моль III, аминокислелент 400—700) 20—35. Для получения губки III быстро смешивают с остальными ингредиентами, полученную смесь выливают в соответствующую форму и оставляют на некоторое время при ~20° и атмосферном давлении. После окончания вспенивания продукт выкачивают при 52—121°. Готовая губка мягкая и эластична, имеет высокое сопротивление истиранию и раздиру. Подбирая состав ингредиентов в смесях, можно получать губки с различной скоростью восстановления после сжатия.

9П333. Обработка пигментов. Newton Edwin B., Sears Daniel S. Treatment of pigments. [The B. F. Goodrich Co.] Пат. США 2882177, 14.04.59.—Монокисл или двуокись Si (I) обрабатывают при 150—300° алифатич. или арилатифатич. полиоксисоединениями с 2—23 атомами C и 2—8 ОН-группами, последние расположены на одном конце молекулы вблизи друг друга. Эти соединения содержат C, H и O. Обработанную I применяют для усиления каучуков. Для обработки применяют соединения: 1,1,1-триметил-2,4,4-триметилпентан, глицерилмоноорицинолеат, пентаэритрилмоноолеат, глицерилмонолаурат или 1,1,1-триметилгоксаан, которые вводят в кол-ве от 2,5 до <30 вес. % на I. Частицы I имеют длину 50—600 мк; уд. поверхность 60—200 м²/г, отношение ширины к длине 1:10—50. Пример: монокисл Si с размером частиц 300 мк, уд. поверхность 95 м²/г и 7% связанного N обрабатывали 5 и 10% монолаурата (II) в спирт. p-ре. Резины из НК, наполненные 65% монокисл Si (необработанной и обработанной 5 и 10% II), имеют соответственно сопротивление разрыву 260, 291, 265 кг/см²; модуль (300%) 117, 134, 112 кг/см²; относительное удлинение 515, 575, 540%; сопротивление истиранию 314, 200, 152 см³/л.с.час.

9П334. Эластомер, содержащий органокалий. Hardy Edgar E. Elastomer having dispersed therein an organo cal. [Monsanto Chemical Co.] Пат. США 2883357, 21.04.59.—Поверхности твердых гидрофильных соединений (I) с большой уд. поверхностью, обладающих ионообменными свойствами, напр. каолина, силикатов 2- и 3-валентных металлов, модифицируют при повышенной t-ре ≥ 1 вес. % соединений класса моно-N-замещенных карбамилгалогенидов, моно-N-замещенных тиокарбамилгалогенидов, бис-(моно-N-замещенных)

мочевин или тиомочевин, напр. моно-N-алкил-(арил)-карбамилхлорида, N-октадецилкарбамилхлорида, N,N'-диокадецилмочевин. Модифицированные соединения I вводят в эластомеры. Пример: 100 г каолина с влажностью 17% и 500 мл толуола нагревают с обратным холодильником при перемешивании, добавляют 0,17 моля N-октадецилкарбамилхлорида, растворенного в 100 мл толуола. p-цию ведут 8 час. при 80° при перемешивании; в процессе p-ции образуется газообразный HCl. Взвесь охлаждают, фильтруют, осадок дважды промывают толуолом и сушат в вакууме 20 час. при 68°. Анализ каолина до и после обработки, соответственно (%): C 0,12, 19,5; H 1,22, 4,63; зола 95,9, 71,22; N 0,2, 1,28; Cl 0, 2,49. Результаты анализа показывают, что N-октадецилкарбамилхлорид прочно присоединяется к каолину.

9П335. Наполнители для резины. Roberts Hugh Leithhead. Fillers for rubber. [Imperial Chemical Industries Ltd.] Англ. пат. 838903, 22.06.60.—Включение в кристаллич. решетку CaCO₃ (I) небольшого кол-ва Са-соед некоторых неорганич. оксикислот элементов 3, 4, 5, и 6 А групп периодической системы (за исключением N), напр. силикатов, алюминатов, боратов, фосфатов, арсенатов, молибдатов, вольфраматов и фторсульфатов, заметно повышает активность I как наполнителя каучука. Это осуществляют прибавлением 4—10 вес. % (на Са(ОН)₂ p-мимой соли, напр. силиката или алюмината Na или их комбинации к реакционной смеси до, во время или после карбонизации извести пропусанием СО₂. Кол-во растворимой соли должно быть таким, чтобы в осажженном I содержалось 1—10 (предпочтительно 3—7) вес. % соответствующей Са-соли. Модифицированный I повышает модуль и сопротивление раздиру резины из НК, но несколько снижает сопротивление разрыву.

9П336. Вулканизация каучука. Укан Нобуо, Акияма Йоситака. [Ника гому кабусики кайса]. Японск. пат. 2333, 11.04.59.—В качестве дополнительного ускорителя применяют 0,5 ч. (на 100 ч. каучука) соли жирной к-ты, содержащей > 8 атомов C, и алифатич. или алициклич. амина. Основной ускоритель — 1 ч. меркаптобензотиазола. Ускоритель устраняет скорнинг, облегчает последующую обработку смеси. В качестве аминов применяют циклогексаламин, циклооктиламин, изобутиламин, амламин, диэтиламин, триэтиламин, гексаметилендиамин и др.

9П337. Полуэбониты. Taylor Keith Reeve. Semi-ebonites. [Monsanto Chemicals Ltd.] Англ. пат. 836201, 1.06.60.—Для получения наполненных светящихся полуэбонитов применяют 5—25 вес. % (на каучук) S-содержащих вулканизующих агентов, выделяющих S при t-ре вулканизации, напр. органич. полисульфиды с целью из ≥ 2 атомов S типа тиурамполисульфидов, а также полисульфидные производные гетероциклич. соединений, такие, как N: N'-дигиоморфоллин. Чтобы не вызывать изменения цвета полуэбонита, кол-во свободной S должно быть ≤ 5 вес. % (от веса каучука).

9П338. Способ крепления корда к резине. Waller Richard C. Method of bonding cord to rubber. [The Goodyear Tire & Rubber Co.] Пат. США, 2917422, 15.12.50.—Корд (K) сначала пропитывают под небольшим натяжением (напр., 0,005 г/денге) разбавленным до концы ~ 7 вес. % водн. пропиточным составом, сохраняя такое натяжение некоторое время, чтобы состав смочил K и частично проник в промежутки между элементарными волокнами, чем устраняется их трение друг о друга после сушки K. Затем повышают натяжение K (напр., до 0,015 г/денге), чтобы вытянуть и сблизить элементарные волокна в плотный слой, уменьшив промежутки между ними, и вторично пропитывают мокрый K водн. пропиточным составом

большой
чить си
тяжени
ный K
ленным
детско
нение
пает ус
связи е
9П339

стей. R
[The Ru
30.06.59.

бой пло
паралле
на про
щего е
где нит
ролика
пластик
ИК-луч
описани
щающий
дый по
щего с
скольк
собрани
чения т
литного
ни неос
9П340

заванни
Hube
lufes. [C
3.03.60.
окраше
шенну
делне,
Способ

9П341

Robe
title ar
2912355

тич. я
олеино
лов —
0,1—10
резино
ности
весьма
и их с
или в
зипии
таллок

9П342

изводст
ward
горе

and ar
neering
стичны
котемп
йодпы
учуко
ности
для бу

стирол
слоями
ного п
ч. изоб
фатич.
напр.

большой конц-ии (напр., 15—25 вес.%), чтобы обеспечить сцепление К с резиной. Далее К сушат под натяжением и обкладывают резиной. Пример. Вискозный К предварительно пропитывают латексом, разбавленным водой до конц-ии 0,2—10%, а затем 20%-ным латексно-резорцинформальдегидным составом. Применение предварительной пропитки значительно повышает усталостную прочность К и улучшает прочность связи его с резиной.

И. Шмурак
9П339. Бесконечный ремень для высоких скоростей. Runtun Leslie A. High speed endless belt. [The Russell Manufacturing Co.] Пат. США 2892748, 30.06.59.—Бесконечный ремень (Р) представляет собой плоскую ленту (Л), состоящую из большого кол-ва параллельных слоев предварительно вытянутого корда из прочного ацетилцеллюлозного волокна, сохраняющего свои размеры. Л готовят с помощью устройства, где нити корда (напр., три) проходят в направляющих роликах через ванну с жидким составом, содержащим пластичный материал; затем сырая Л проходит сушку ИК-лучами и поступает на закатку. Даны чертежи и описание станка для сборки Р. Л укладывают на вращающихся дорнах сборочного станка так, чтобы каждый последующий слой перекрывал стыки предыдущего слоя. Поверх последнего слоя Л накатывают несколько слоев ткани. Над станком с вращающимися собранным Р включают ИК-обогреватель для размягчения термопластичного материала и получения монолитного Р. Собранный Р вулканизуют и режут на ремни необходимой ширины.

В. Глаголев
9П340. Способ изготовления окрашенных вулканизационных изделий. Veyrie Charles, Louedec Hubert. Procédé de fabrication d'objets vulcanisés colorés. [Cie Générale d'Electricité]. Франц. пат. 1209722, 3.03.60.—При серийном произ-ве резиновых изделий, окрашенных в несколько цветов, в основную неокрашенную смесь на машине, где изготавливают данное изделие, вводят ту или другую цветную маточную смесь. Способ можно применять, напр., в произ-ве цветной изоляции для электрич. кабелей.

Г. Щербачев
9П341. Крепление резины к металлу. Formanek Robert J., Wilson Matthew W. Composition, article and method. [The B. F. Goodrich Co.] Пат. США 2912355, 10.11.59.—Частично окисленные мыла алифатич. жирных к-т — уксусной, бензойной, масляной, олеиновой, пропаноиновой и т. п. — и тяжелых металлов — Co, Cu, Fe, Pb, Hg, Ni, Ag, — введенные в кол-ве 0,1—10% (предпочтительно 1—4%) от веса каучука в резиновую смесь, в клей или отложенные на поверхности металла, обеспечивают после вулканизации весьма высокую адгезию резины к Cu, Fe, Pb, Sn, Zn и их сплавам. Мыла окисляют 24—72 час. на воздухе или в атмосфере O₂ при 150—170°. Указанные композиции применяют при изготовлении покрышек с металлокордом и в кабельной промышленности.

Ю. Маркин
9П342. Применение тройных сополимеров для производства многослойных материалов. Wilson Howard L., Robinson Samuel B., Smith Winthorpe T. Method of laminating using tripolymer cements and articles made therefrom. [Esso Research and Engineering Co.] Пат. США, 2825675, 4.03.58.—Гибкий, эластичный, многослойный материал получают: 1) из низкотемпературного вулканизирующегося бутылкаучука с йодным числом 0,5—40 и мол. весом > 20 000; 2) из каучукообразного в-ва с высокой степенью ненасыщенности с йодным числом, лежащим между значением для бутадиенстирольного каучука и 451, напр. диенстирольный сополимер, НК или их смесь. Между двумя слоями из 1 и 2 помещают слой сополимера, полученного полимеризацией по Фриделю — Крафту 100 вес. ч. изобутилена, 400—500 ч. бутадиена и 5—50 ч. алифатич. сопряженного диолефина с 5—8 атомами С, напр. изопрена, имеющего йодное число по Винису ≥ 40

и вязкость по Муни 28—75 (8 мин.) при 100°. Все три слоя содержат вулканизующие агенты и вулканизуются. Склеивающая сила тройного сополимера составляет 2,7 кг/см при скорости отрыва 50 мм/мин.

Ю. Васильев

9П343. Улучшение процесса изготовления листовых резиновых материалов. Saul Walter, Percival John Joseph, Greenaway Robert Walter. Improvements relating to the production of rubber composition sheet material. [Santex Ltd]. Англ. пат. 843763, 10.08.60.—Процесс изготовления резиновых пластин с мраморным рисунком для покрытий полов и облицовки стен состоит из трех стадий. На первой стадии дублируют 3 листа резиновой смеси из НК или СК, из которых два имеют одинаковую окраску, а третий, находящийся между ними, — другую; возможно применение большего кол-ва неодинаково окрашенных листов, располагающихся в различном порядке. Один из двух одинаково окрашенных листов в 5—15 раз толще остальных (напр., 5—20 мм и 0,38—2,5 мм) и является основой. Резиновые смеси содержат 2—200 вес.% (от каучука) волокнистого наполнителя, напр. асбеста, и 1—40 вес.% полностью или частично совмещающейся с каучуком термопластичной смолы, напр. кумароновой или стиролбутадиеновой. Дублированные листы пропускают через 2 зазора каландра и вулканизуют полученную пластину, имеющую мраморный рисунок.

Ю. Дубинкер

9П344. Ленты, приклеивающиеся при надавливании. Butler Geoffrey Langford. Pressure-sensitive adhesive webs. [Adhesive Tapes Ltd]. Англ. пат. 845052, 17.08.60.—Для обеспечения прочной связи липкого слоя с основой, напр. пленкой из регенерированной целлюлозы, поливинилхлорида и т. п., применяя промежуточные слои, представляющие собой композицию на основе привитых сополимеров НК или СК с алкидными смолами, каучуками и мягчителями. Кол-во привитого сополимера в этих композициях должно быть равно 15—50 вес.%. Пример. Композицию состава (вес. ч.): привитый сополимер НК (50%) и метилметакрилата 100, нитрильный каучук 40, жидкий сополимер бутадиена и акрилонитрила 40, хлорированный дифенил 40, растворяют в смеси толуола и метилэтилкетона (3:1) до получения 7—15%-ной пасты и наносят на пленку из поливинилхлорида в кол-ве 1—3 г/м², после чего покрывают липким слоем.

Ю. Дубинкер

9П345. Состав против прилипания. McCord Harold A. Coating composition and process. [MLK Corp.]. Пат. США 2885295, 5.05.59.—Для предотвращения прилипания каучуков или резиновых смесей и прилипания их к таре при транспортировке и хранении применяют водн. композицию состава (об.%): водорастворимое мыло (I) 1—90 (предпочтительно 5—10), водонерастворимое мыло (II) 1—90 (предпочтительно 15—25), S ≤ 10 (предпочтительно 1—10), инертный наполнитель ≤ 80. Применяют композицию с соотношениями I:II = 1:1,5—5.

В. Глаголев

9П346. Способ идентификации каучуков. Miller Alfred L., McNall Lester R., Rehner John, Jr. Method for identifying rubber. [Esso Research and Engineering Co.] Пат. США 2904693, 15.09.59.—Для определения каучука с малой ненасыщенностью, в частности, в смеси с каучуком с большей ненасыщенностью, в него вводят 0,1—10 вес.% металлч. соли жирной к-ты с 2—18 атомами С, напр., стеарат Zn. Часть соли содержит радиоактивный Zn⁶⁵, причем активность мыла равна 6·10⁻⁵—6·10⁻¹ мкюри/г. По активности образца определяют содержание каучука. В. Шерпшев

См. также: действие радиации на электрич. свойства
9П41. Гидрохлорид каучука 9П180. Полибутадиен 9П71. Полихлоропрен, вязкость р-ров 9П17. Силиконовый каучук, крепление к стеклу 9П203. Полиизобу-

тилен 9Р53. Действие радиации 9Р86. Фтор-каучуки 9П23. Новые эластомеры 9П15. Релаксация напряжения 9Р33, 9Р34. Неопреповый клей 9П89. Пластификаторы, анализ 9Д195. Усиление полистиролом 9Р34. Каптакс, меченный S^{35} 9ЖК254. Органич. тиосульфенаты, применение в резиновых смесях 9Л93. Антиоксоданты 9П140. Корд 9П360, 9П361, 9П366. Подошва резиновая 9П641. Обладка збонитом 9П216. Гуммирование насосов 9П249. Герметики 9П80, 9П81. Нейлоновое волокно в рукавах и ремнях 9П348. Каучуки в ракетном топливе 9М205. Композиции с пластмассами 9П34, 9П45. Клейкая лента 9П206. Резина в произ-ве ковров 9П583.

ИСКУССТВЕННЫЕ И СИНТЕТИЧЕСКИЕ ВОЛОКНА

Редактор *А. А. Конкин*

9П347. Зефран — акриловое волокно. Overby J. R., Woessner H. N. Zefran — dow chemical's acrylic fibre. «Canad. Text. J.», 1960, 77, № 21, 35—42 (англ.).—Свойства и особенности переработки штапельного волокна зефран по хлопчатобумажной, камвольной и аппаратной системам прядения, в качестве и процессе вязания. X. Виллемсон

9П348. Найлоновое волокно — хороший перспективный материал. Vanstone D. T. Nylon yarn makes good design material. «Design Engineer», 1960, 6, № 10, 60—62, 64 (англ.).—Физ.-мех. и физ.-хим. свойства найлонового волокна и промышленное использование этого волокна (в качестве фильтровальных материалов, транспортных лент, шлангов, канатов, войлока для бумагоделательных машин и т. д.). Х. Видлемсон

9П349. Перспективы производства волокна в Японии. Осима Такао. «Касэн гэппо, Japan Chem. Fibres Monthly». 1960. 13. № 4. 1—10 (японск.)

9П350. Рост спроса и потребления химических волокон за 1953—1959 годы в Японии. Накамура Кимихидэ. «Касэн гэппо, Japan Chem. Fibres Monthly», 1960, 13, № 6, 2—24 (японск.)

9П351. Использование различных материалов в производстве искусственного шелка с точки зрения их стоимости. Наканиси Хадзимэ. «Когё дзайрё, Engng Mater.», 1960, 8, № 3, 107—110 (японск.)

9П352. Исследование процесса хлорирования поливинилхлорида методом меченых атомов. Разуваев Г. А., Смолян З. С., Петухов Г. Г., Лазарев А. Я., Гладышев Е. Н. «Тр. по химии и хим. технол. [Горький]», 1960, вып. 2, 197—202.—Изучался процесс хлорирования поливинилхлорида в среде хлорбензола, в присутствии инициаторов азобизобутиронитрила и перекиси бензоила, меченых C^{14} . Выяснено, что при этом не происходит отщепления диалкилпропиловых, фенильных и бензоатных концевых групп. Образующиеся в процессе распада инициатора радикалы не входят в макромолекулу хлорированной смолы.

Л. Носова
9П353. Изучение полиазиновых волокон — новых полиамидных волокон с пиридиновыми циклами в главных цепях макромолекул. VII. Свойства полимеров и волокон. Okada Akira, Ishizuka Osamu, Kato Jo, Ueda Shigei-yuki, Muroi Tadashi, Ikoma Ichiro. «Сэнгэн когэ сикэносэ канкю хококу», Bull. Text. Res. Inst., 1960, № 53, 4—8 (японск.; рез. англ.). —Найдено, что полиамидные волокна на основе гомо- или сополиамидов с пиридиновыми циклами в главных цепях макромолекул по своим физ.-мех. и физ.-хим. свойствам близки к обычным синтетич. волокнам. Сополнамидные волокна могут найти практич. применение: они имеют высокий модуль Юнга и хорошо окрашиваются. Для определения T_g и t -р-плавления полиазинов использован dilatометрич. метод. Сообщение VI см. РЖХим. 1961. 5П379.

Из резюме авторов

9П354. Действие полиакриловых и полиметакриловых кислот на синтетические волокна. Grazioli Dario, Ronzoni Isidoro. Azione dei polimeri di acidi acrilico e metacrilico sulle fibre sintetiche. «Tintoria», 1960, 57, № 2, 45–51 (итал.). — Изучены условия образования продуктов р-ции полиакриловых (I) и полиметакриловых (II) к-т с полиамидными волокнами из полиамидов 6, 66 и 11. I и II, применяющиеся для шпикования и отделки, образуют с волокном преимущественно имидополИАКРИЛОВЫЕ к-ты, в то время как образование амидополИАКРИЛОВЫХ к-т является мало вероятным. Пропитка волокон велась ~3%-ным р-ром полимера с различным мол. весом при т-ре 40° с последующим отжимом до влагосодержания 66% и содержания в волокне 2% полимера. Сутка образцов проводилась при т-рах 50, 75, 100, 125, 150 и 175° в течение 1 часа для различных образцов. Установлено, что кол-во связанного с полиамидом полимера больше в случае I, чем в случае применения II, и в значительной степени зависит от т-ры. Напр., при т-ре 100° кол-во прореагировавшего с полиамидом 6. I составляет 1,20%, при 175° 9,42%, а для II 0 и 11,8% соответственно. Степень полимеризации полиамидом при этом не имеет существенного значения. Наибольшей способностью к реакции с I и II обладает полиамид 6, а наименьшей — полиамид 11. X. Виллемсе

9П355. О процессах и механизме старения синтетических волокон. II. Исследования в области стабилизации полиамидных волокон. Токарева Л. Г., Михайлов Н. В., Потемкина З. И., Ковалева М. В. «Высокомолекул. соединения», 1960, 2, № 11, 1728—1738 (рез. англ.).— В результате исследования большого кол-ва антиоксидантов и люминофоров на изменение свойств полиамидных волокон (В) показано, что эффективным стабилизирующим действием обладают ароматич. диамины и их производные. Наиболее эффективным стабилизатором свойств полиамидных В является N,N'-ди- β -нафтил- γ -фенилендиамин (I) и N,N'-фенилциклогексил- γ -фенилендиамин. Установлено, что при длительном воздействии на В высоких т-р, напр. при 150° в течение 100—150 час., прочность В, стабилизированных I, сохраняется на 80—85%, в то время как прочность нестабилизированного В снижается только на 20—25%. Изучали изменение физ.-мех. свойств В, стабилизированных I, в широком интервале т-р. При кратковременном воздействии на обычное В высоких т-р в среде N₂, а на стабилизированное I и на воздухе происходит обратимое изменение прочности В, тогда как при воздействии этих т-р на обычное В на воздухе происходит необратимое изменение свойств В, связанное с изменением хим. состава полимера. Установлено, что в В, стабилизированном I, при длительном нагреве не происходит необратимых хим. процессов, т. е. применение I полностью защищает полиамидные В от окислительного воздействия. Некоторые люминофоры, напр. оксифенилбензозисол (II), могут обладать одновременно свойствами, характерными для термостойких. Введение в полиамиды I и II повышает не только термостойкость, но и светостойкость полиамидных волокон. Сообщение I см. РЖХим. 1960, № 22, 90784. Из резюме авторов

9П356. Зависимость прочности вискозного волокна от свойств целлюлозы. Такахаси С., Фудзисака Я. «Сиппа гикёси, pulp. J. Japan. Techn. Assoc. Pulp and Paper Ind.», 1959, 13, № 12, 860—867 (японск.; реангл.).—Исследовано прядение волокон из вискозных ровов, полученных из различных целлюлоз (Ц) (сульфитной, предгидролизной сульфатной, из мягких и твердых пород древесины, высоко- и низковязкой, с различным содержанием α -целлюлозы). Найдено, что увеличение отношения прочности в мокром состоянии к прочности в сухом состоянии и устойчивость к разрыву вискозного волокна в случае Ц с повышенным содержанием низкомолекулярных фракций достигаются с

дом. Показано, что прямотоже играет важную роль для получения качественного волокна.

9П357. О сложных эфирах целлюлозы с жирными кислотами. Bouvard Albert. A propos des esters que forme la molécule de cellulose avec les acides gras. «Ind. text.» (France), 1960, № 876, 49—52 (франц.).— Обзор патентов на способы получения сложных эфиров целлюлозы с насыщ. и ненасыщ. низшими и высшими жирными к-тами или их производными, содержащими в некоторых случаях азот, фосфор или хлор, а также на способы получения смешанных эфиров целлюлозы, исходя из неполностью этерифицированной ацетицеллюлозы или этилцеллюлозы. Начало см. РЖХим, 1960, № 21, 87008.

9П358. Процесс получения полипропиленового волокна. Zukor L. J. Exploring fabrication techniques. «Plast. Technol.», 1960, 6, № 6, 54—55 (англ.).— Исследования показали, что прочные волокна из полипропилена могут быть получены из полимера высокого мол. веса (низкий показатель индекса расплава) и высокой степени кристалличности (высокая плотность). Макс. прочность волокон достигается при относительно низкой т-ре расплава и высоких т-рах ориентации. Для формирования применялся экструдер с диаметром шнека 38 мм и отношением длины шнека к его диаметру 24:1. Экструдер также имел на цилиндре приспособление для промежуточного отсоса летучих. Из экструдера выдавливались через отверстие diam. 1,32 мм 18 нитей, которые без натяжения поступали в воду, ванну, а затем происходила вытяжка нитей при повышенных т-рах. Оптимальные результаты получены при следующих условиях: индекс расплава полипропилена 1,27; т-ра экструзии 218,3°, т-ра водяной ванны 48,9°, т-ра вытяжки 176,7°. При этих условиях прочность волокон 8,01 г/дене.

9П359. Оригинальный метод производства полихлорвинилового волокна, разработанный в Японии. Симба Дэйро. «Кагаку кодзэ, Chem. Factory», 1960, 4, № 9, 65—72 (японск.).

9П360. Влияние аминов на процесс формирования вискозного волокна. Шевченко А. С., Конкин А. А., Серков А. Т. «Хим. волокна», 1960, № 4, 27—30.— Исследовано влияние ряда аминов на изменение свойств вискозы при созревании и на процесс формирования волокна. Показано, что циклогексиламин, триэтиламин, триэтиленотетрамин несколько ускоряют процесс созревания вискозы по показателю зрелости, замедляют скорость разложения скатогената целлюлозы в процессе формирования, снижают набухание свежесформованного несущеного волокна и повышают структурную однородность последнего. При получении вискозного кордного волокна с прочностью 34—35 ркм в качестве модификатора может быть рекомендован циклогексиламин.

9П361. Корд из синтетических волокон. Мерсх F. Les cordes en textile synthétique. «РАСТ», 1959, 13, № 6, 502—514 (франц.).— Предыдущее сообщение см. РЖХим, 1961, 5П385.

9П362. Изучение термообработки поливинилспиртовых волокон. IV. Малый угол рассеивания и большой угол отражения. Mochizuki Takani. «Нихон кагаку дзасси, Nippon kagaku zasshi, J. Chem. Soc. Japan. Pure Chem. Sec.», 1960, 81, № 2, 200—205, A14 (японск.; рез. англ.).— На большом кол-ве поливинилспиртовых волокон были измерены с помощью дифрактометра углы рассеивания и отражения рентгеновских лучей. Установлена зависимость этих углов от т-ры тепловой обработки волокна. Найдено, что интенсивность интерференции угла рассеивания в меридиальном направлении и угла отражения в экваториальном изменяется от условий термообработки. С увеличением т-ры термообработки увеличивается также периодичность, определенная по максим. углу рассеивания.

Установлена тесная зависимость между периодичностью и величиной кристаллов вдоль оси волокна. Предыдущее сообщение см. РЖХим, 1961, 6П373.

9П363. Поведение текстильных волокон при сжатии. Backer Stanley. Compressional behavior of textile fibers. «Text. Res. J.», 1960, 30, № 5, 405—407 (англ.).— Изучалось продольное сжатие моноволокон полиэтилена (diam. 1,27 мм), найлона (diam. 0,23 мм) и сарана (diam. 0,25 мм). Отношение высоты образцов к их диаметру изменялось в пределах от 0,4 до 2,0. На основе полученных кривых нагрузка—деформация сжатия найлона и полиэтилена построена кривая изменения их начального модуля сжатия в зависимости от отношения высоты образца к его диаметру. Для найлона точка текучести образца зависит от размера образца, для полиэтилена геометрия образца не отражается на положении точки текучести. В обоих случаях предел текучести при сжатии наступает при значительно меньших напряжениях, чем при растяжении. Начальный модуль сжатия уменьшается с уменьшением длины образца. Экстраполяция эксперим. данных показывает, что начальный модуль сжатия бесконечно длинных образцов найлона и полиэтилена равен модулю растяжения этих волокон.

9П364. Поведение текстильных волокон при сжатии. Miles John B. Compressional behavior of textile fibers. «Text. Res. J.», 1960, 30, № 5, 408—409 (англ.).— Изучалось одноосное сжатие на образцах щетины найлона 66 (со степенью вытяжки, равной 4—5), diam. 1,5 мм и высотой, изменявшейся от 2,2 до 2,7 мм. Для распрямления щетины она предварительно выдерживалась 30 мин. в кипящей воде под нагрузкой 1 кг (~0,5 г/дене). При деформациях до 1% кривые растяжения и сжатия совпадают, при больших деформациях резко расходятся. При деформации в 2% напряжение сжатия на 15% меньше напряжения растяжения. Кривые растяжения наклонены к оси нагрузок, кривые сжатия — к оси деформаций. Максим. напряжение сжатия составляет 0,45 г/дене. Степень эластичности при деформациях, больших 10%, при сжатии и растяжении одинакова; при деформациях, меньших 10%, эластичность волокна при сжатии меньше, чем при растяжении. Характер кривых сжатия при 25 и 100° одинаков, но при 100° действующее усилие составляет всего лишь 0,45 от соответствующего усилия при 25°. Деформации сжатия > 5% при 100° необратимы. Разница в поведении ориентированного найлона при сжатии и растяжении показывает, что поведение ориентированного волокна при изгибе не может быть предсказано только на основе изучения его поведения при растяжении.

9П365. О прочности природных и синтетических волокон. Такаги Такэо. «Кобунси», 1960, 9, № 7, 496—502 (японск.).

9П366. Сравнение методов испытания нитей на многократное растяжение. Носов М. П., Гойхман А. Ш. «Хим. волокна», 1960, № 4, 42—48.— Три метода испытания на многократное растяжение тождественно воспроизводят один и те же режимы утомления во времени, поэтому усталостные характеристики нитей, полученные по этим методам, являются полностью сравнимыми. Колич. трансформация результатов любого из этих методов по другому методу может внести много нового в изучение механизма утомления нитей и корда. Для одних и тех же материалов эквидистантные кривые выносливости должны получаться для любых методов многократного растяжения, независимо от свойств материала. Необходимым требованием этого условия является сохранение при испытании постоянства какого-либо параметра деформирования.

9П367. Температурная зависимость двойного лучепреломления волокон. II. Температурная зависимость

двойного лучепреломления акриловых волокон. III. Сравнительное изучение зависимости двойного лучепреломления от температуры для различных акриловых волокон. Okuaki S., Hasegawa S., Onooka R., Agatsuma N. «Санъи котэ сикэнсэ кэнкю хококу, Bull. Text. Res. Inst.», 1959, № 51, 27—32; 33—35 (японск., рез. англ.).—Приведены результаты изучения зависимости двулучепреломления акриловых волокон от т-ры. Данные измерений отвечают уравнению $\Delta n =$

$$= C_1 - C_2 \ln \left(1 - \frac{T}{T_{\infty}} \right), \text{ где } C_1, C_2 - \text{константы, } T_{\infty} -$$

верхний предел т-ры (соответствует т-ре плавления полимера), T — т-ра в °С. Характер изменения Δn по мере повышения т-ры рассматривается с точки зрения протекания процесса плавления. Исходя из этого, приводится зависимость между Δn и изменением свободной энергии в процессе плавления (отнесенной к единице объема Δv) $l^{\alpha} \Delta n = \Delta Fv$, где α — константа.

Наблюдается два типа кривых $\Delta n = f(T)$ для различных акриловых волокон. Рассмотрена зависимость между характером кривой $\Delta n = f(T)$ и механич. свойствами волокон. Сняты кривые, выражающие зависимость Δn от T для следующих акриловых волокон: экран, зефран, кашмилон, орлон, канекалон, динель X-54. В работе показано, что каждому виду волокна отвечает своя определенная зависимость Δn от T . Поэтому особенности в характере кривых, выражающих эту зависимость, могут быть использованы для целей идентификации акриловых волокон. Сообщение I см. РЖХим, 1960, № 17, 71820.

9П368. Метод количественного определения искусственного целлюлозного волокна в смесях с хлопком. Graliński Mirosław. Metoda oznaczania ilościowego sztucznego włókna celulozowego w mieszkach z bawełną. «Prace Inst. włókienn.», 1960, 10, № 2, 1—21 (польск.; рез. англ., франц., нем., русск.).—Критически рассмотрены методы колич. анализа смесей. В результате были выбраны для исследований 3 метода, при этом один из них после предварительных экспериментов оказался непригодным. Исследованы разные сорта хлопка и определены средние коэф. поправки для этих методов анализа хлопка, основанных на растворении искусств. волокна в р-ре Маршалла в разных условиях. После проведения нескольких серий контрольных анализов смесей обоих компонентов был выбран оптимальный метод. Показана зависимость точности результатов от состава смеси и сорта хлопка. Приведена инструкция для определения состава смесей. По резюме автора

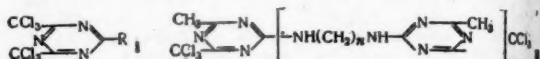
9П369. Кислотостойкие ткани из синтетических волокон. Witkowski Ireneusz. Tkaniny kwasoodporne z włókien syntetycznych. «Prace Inst. włókienn.», 1960, 10, № 1, 69—94 (польск.; рез. англ., франц., нем., русск.).—Приведены условия анализа тканей для одежды из кислотостойких волокон шерсти. Исследованы их пригодность для эксплуатации на предприятиях хим. пром-сти. Результаты исследования отечественных тканей сравнены с результатами исследования тканей других стран. Проведен отбор и даны характеристики синтетич. волокон наиболее пригодных для применения в кислотостойких тканях. Указана экономич. целесообразность использования синтетич. волокон для изготовления кислотостойких тканей, пригодных для спецодежды рабочим хим. пром-сти. См. также РЖХим, 1960, № 13, 55293.

9П370. Искусственные волокна. Вып. I. Найдон и тетрон. Мидзутани Кюити. Токко, Сангэ тосё кабусики кайся, 1958, 457 стр., илл., 900 иеп (японск.)

9П371. Синтетические волокна. Fibre sintetiche. (Minister. Industr. Petrol. și Chim.), București, Ed. tehn., 1960, 449 p., илл., 31,20 lei. (рум.)

9П372. Очистка терефталевой кислоты. Robertson John Skinner, Macnab, Davidson George Cameron. Purification of terephthalic acid. [Imperial Chemical Industries Ltd.]. Англ. пат. 835626, 25.05.60.—Процесс очистки терефталевой к-ты (ТК), полученной, напр., при окислении кислородом воздуха диалкилбензола, от окрашенных примесей, по которому ТК растворяется в фенилуксусной к-те, напр., в о-м изомере или в их смеси, при нагревании, а затем охлаждением р-ра до т-ры, превышающей на 10° т-ру плавления р-рителя, ТК выкристаллизовывается. Пример. 24°С. ТК, полученной при окислении кислородом воздуха параксилола в присутствии бромидов Mn и Co в среде пропеновой к-ты, смешивают с 800 ч. о-фенилуксусной к-ты и нагревают в атмосфере азота до т-ры плавления о-фенилуксусной к-ты, после чего смесь перемешивают и нагревают до т-ры 259°, в результате чего образуется желтый р-р. После фильтрования этот р-р охлаждают до т-ры 120°. При этом выкристаллизовывается 22 ч. ТК, которая отделяется фильтром. Остаток о-фенилуксусной к-ты удаляют продувкой паром, после чего очищенная ТК белого цвета высушивается.

9П373. Полимеры 4,6-бис-трихлорметил-1,3,5-триазина. Grundmann Christoph J., Kreutzberger Alfred. Polymers of 4,6-bis-trichloromethyl 1,3,5-triazine. [Olin Mathieson Chemical Corp.]. Пат. США 2884383, 28.04.59.—Линейные полимеры — продукты поликонденсации приблизительно эквимолярных коалкиленполиаминов, молекулы которых содержат 2—10 атомов С и 2—4 NH₂-группы, с 4,6-бис-трихлорметил-1,3,5-триазином общей ф-лы (I), где R = H, алкил с 1—4 атомами С, циклогексил, фенил, толил и хлорфенил, и способ получения этих полимеров. Пример 1. 10 вес. ч. (0,029 моля) 2-метил-4,6-бис-трихлор-



метил-1,3,5-триазина и 2,5 вес. ч. (0,042 моля) этилендиамина растворяют в 25 вес. ч. м-крезола; р-р нагревают в течение 4 час. при 205—210°, в результате чего выделяется хлороформ. После удаления м-крезола в вакууме остаток представляет собой красновато-коричневый реакционный продукт, плавящийся при 85—88°. Этот продукт с целью очистки экстрагируется кипящим спиртом и ацетоном, после чего он становится слегка желтоватым порошком, который не плавится, разлагаясь при т-ре 350°, и не растворяется в обычных органич. р-рителях. По содержанию хлора состав полимера соответствует ф-ле (II), где $n = 2$, $m = 37$. Пример 2. 10 вес. ч. (0,029 моля) 2-метил-4,6-бис-трихлорметил-1,3,5-триазина и 3,5 вес. ч. (0,03 моля) гексаметилендиамина нагревают в 10 вес. ч. диметилформамида в течение 3 час. при 160—170°. После удаления хлороформа продукт р-ции охлаждают и разбавляют 50 вес. ч. ацетона, нагревают некоторое время при кипячении, отфильтровывается и очищается экстракцией кипящими ацетоном, спиртом и четыреххлористым углеродом. В результате получается желтый порошок с т. пл. 194—195°, из расплава которого вытягиваются эластичные волокна. Продукт растворим в нитробензоле и разб. минер. к-тах. Содержание хлора в полимере 10,42% соответствует ф-ле II, где $n = 6$, $m = 8$.

А. Волохин
9П374. Полиамиды из кеплидендиамина и алифатической дикарбоновой кислоты, модифицированной 1,4-циклогексан-бис-метиламином. Caldwell John R., Gilkey Russell. Polyamides of xylenediamine and an aliphatic dibasic acid up-graded with 1,4-cyclohexanedi-bis-(methylamine). [Eastman Kodak Co.]. Пат. США 2916476, 8.12.59.—Способ получения волокнообразующих сополиамидов с повышенной т-рой плавления

(250—275°), сополиамидов, состоящих из молярной доли 1,4-алифатического полиамидола (в 2/100) и смеси 0,6 ч. соли 1,4-бис-амидола в дальнейшем в результате конденсации при 1 ч. и при 25° в результате бесцветных лученных мех. пока

9П375. Тисически транс-1,4-а-амины. Polyamid acid up- acid or 2916475, 8.12.59. Полимеры амидола-а, с <50% n-содержащей к-ты, новой и транс-1,4-из этих

ним (пр-ва ставляю наклон ко), что пинного м-кисли. 2 мол. % 1,4-дика-содержа-клавне с давлении ется с. После с молекула в реакт-ляционно в прод-ни до образов-нагрева 0,2 мм. кий бес-280—29-сополиа-казател 70—72.

9П376. Звенья, near rip Пат. СШ кой на-мендуе-кол-не ченки

bert.
еог.
Ипре-
35626,
(3), по-
духа
орому
з о-и
затем
е-тру
Пря-
родом
и Со-
бенни-
о-тры
смесь
ляте
ия этог
талли-
ультра-
родува-
та вы-
емоско-
5-три-
з бет-
1,3,5-
СПА
кты по-
коз-
2-10
метил-
кил с
хлор-
Пр-
хлор-
ССУ,
этилен-
нагре-
те чего
эзола
корич-
35-95%
спайши
слегка
разл-
х орпа-
лиме-
Пр-
рихлор-
ексаме-
лфорла-
ленин
авляни
при на-
рацией
рствы
ороши
аваются
треб-
полиме-
= 8.
оложи
аллиф-
ванни
John
aine and
hexane-
г. США
бразур
авлени

(250—275°) путем сополиконденсации смеси диаминов, состоящей из 90—50 мол.% *n*- и *m*-ксилилен- α,α' -диаминов (I) (>45—25 мол.% *m*-изомера) и 10—50 мол.% 1,4-циклогексан-бис-метиламина (II), и насыщ. алифатич. дикарбоновой к-ты, молекула которой состоит из 6—12 атомов С. Волокна из патентуемых сополиамидов отличаются от обычных полиамидных волокон высоким начальным модулем эластичности (в $\epsilon/100$ денье при удлинении 1%) равным 70 (против 30—40 для волокон нейлон 66). Пример. Берут смесь 0,6 мол. ч. соли *m*-I и адипиновой к-ты и 0,4 мол. ч. соли II и адипиновой к-ты. К 150 г этой смеси добавляют 50 мл воды, содержащей 0,015 г уксусной к-ты, и далее смесь нагревают в стальном автоклаве, который предварительно продувается азотом, до 120°, а затем при 255° в течение 20 мин. при 250°. Полученный форполиконденсат затем нагревают при этой т-ре в токе азота при перемешивании для выделения избытка воды и при 255° в течение 30 мин. в вакууме 0,2 мм. В результате сополиконденсации получают высоковязкий бесцветный полиамид с т. пл. 255—270°. Волокна, полученные из этого полиамида, имеют высокие физ.-мех. показатели, начальный модуль 65—70 г/100 денье.

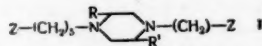
Х. Виллемсон

9П375. Полиамиды из ксиллендиамина и алифатических дикарбоновых кислот, модифицированные транс-1,4-циклогександикарбоновой или щавелевой кислотами. Caldwell John R., Gilkey Russell. Polyamides of xylenediamine and an aliphatic dibasic acid up-graded with trans-1,4-cyclohexanedicarboxylic acid or oxalic acid. [Eastman Kodak Co.]. Пат. США 2916475, 8.12.59.—Линейные волокнообразующие сополимеры с повышенной т-рой плавления на основе ксиллен- α,α' -диамина, содержащие > 50% *m*-изомера и < 50% *n*-изомера, и смеси алифатич. дикарбоновых к-т, содержащей > 25 мол.% насыщ. алифатич. дикарбоновой к-ты с 6—12 атомами С в молекуле, напр. адипиновой или себадиновой к-ты, и > 10% щавелевой или транс-1,4-циклогександикарбоновой к-т. Волокна из этих сополиамидов отличаются высоким начальным (при удлинении 1%) модулем эластичности, составляющим 70 г/100 денье (против 40 для волокон нейлон 66 и 55—65 для хлопкового и вискозного волокон), что благоприятствует использованию их для швейного корда. Пример. Смешивают 3 мол. % соли *m*-ксилилен- α,α' -диамина и адипиновой к-ты и 2 мол. % соли этого же диамина и транс-циклогексан-1,4-дикарбоновой к-ты. 150 г этой смеси и 51 мл воды, содержащей 0,015 г уксусной к-ты, нагревают в автоклаве после продувания азотом до т-ры 120°, затем давление спускается и далее нагревание продолжается с перемешиванием в течение 20 мин. при 250°. После охлаждения автоклава образовавшийся низкомолекулярный сополиамид выгружается и помещается в реактор, снабженный мешалкой, короткой дистилляционной колонкой и вводом очич. азота; в реакторе продукт нагревается при т-ре 250° и перемешивании до удаления воды. Затем т-ра повышается до образования прозрачного расплава и, наконец, расплав нагревается в течение 30 мин. при т-ре 300° в вакууме 0,2 мм. В результате процесса получается высоковязкий бесцветный сополиамид, т-ра плавления которого 280—294°. Волокно, сформованное из расплава этого полиамида, имеет хорошие физ.-мех. и физ.-хим. показатели. Начальный модуль этого волокна составляет 70—72.

Х. Виллемсон

9П376. Полиамид, содержащий пиперазиновые звенья. Reith John E. Polyamide containing interlinear piperazine units. [E. I. du Pont de Nemours and Co.]. Пат. США 2904536, 15.09.59.—В целях придания высокой накрашиваемости кислотными красителями рекомендуется вводить в макромолекулы полиамидов (в кол-ве 0,2—5 мол.%) пиперазиновые звенья. Для получения таких полимеров следует исходить из тех же

соединений, какие берутся для получения полиамидов (например, гексаметилендиамин и адипиновая к-та или капролактан), но добавлять к ним пиперазиновое соединение ф-лы (I), где Z — карбоксил, амина-



группа или замещ. аминогруппа, R и R' — водород или низший алкил. Лучше всего сначала образовать соль из I и одного из компонентов полимеризуемой смеси, добавить эту соль к основной массе реагентов и только после этого обычными способами производить полимеризацию. Один из возможных I синтезируется, напр., из пиперазингидрата и дельта-хлорвалеронитрила нагреванием в присутствии KJ как катализатора, а затем гидрированием полученного динитрила под давлением в присутствии кобальтового катализатора.

В. Штупер

9П377. Способ стабилизации триацетилцеллюлозы. Frommelt Horst. Verfahren zum Stabilisieren von Cellulosetriacetat. Пат. ГДР 18339, 11.03.60.—При переработке триацетилцеллюлозы в пленку или другие виды изделий добавляют в качестве стабилизатора в кол-ве 0,5—2% оловоорганич. соединения общей ф-лы $R_1R_2SnR_3R_4$, где R_1 и R_2 одинаковые или различные арилы, в частности бензил, бензил, дифенил, дибензил, алкилфенил или какой-либо другой равноценный радикал; R_3 и R_4 могут быть равны R_1 и R_2 , одинаковыми или различными остатками одноосновных к-т, или совместно остатком двухосновной к-ты, R_3 может также равняться R_1 и/или R_2 , а R_4 — радикалу $Sn(R_1R_2R_3)$. Наиболее важными стабилизаторами являются: дифенилдиацетатолово, дифенилтиодипропионатолово и тетрафенилолово.

А. Попов

9П378. Способ производства волокон на основе полиакрилонитрила. Sundén O., Tunefors S. E. A. L., Sönnerskog S. H. Sätt att framställa fibrer av akrylnitrilpolymerer. [Stockholms Superfosfat Fabriks AB]. Швед. пат. 171513, 31.05.60.—В доп. к пат. 166913 (см. РЖХим, 1960, № 14, 59746) предложен способ произ-ва волокон на основе полиакрилонитрила, отличающийся тем, что придильный *p-p* сополимера, содержащего ≥ 85 мол.% акрилонитрила (АН) и 1—15 мол.% винильного или другого мономера (напр., винилацетата, винилхлорида, винилиденхлорида, акриловой к-ты, акриламида, производных акриловой или метакриловой к-т) и полифункционального соединения (0,001—0,3 мол.%), способного образовывать соли или сложные эфиры с одним из мономеров, придают в осадительную ванну, состоящую из жидких углеводородов с т. кип. 150—300°, напр. из керосина. Пример. 97 кг АН, 3 кг акриловой к-ты и 120 г метиленисакриламида или 95 кг АН, 5 кг метилакрилата и 60 г триакрилдигтриамина, сополимеризуются при медленном добавлении смеси мономеров в 400 л воды, содержащей 1 г персульфата аммония, 1,5 г пиросульфата калия и 1 г Na-соли лаурильацетатсульфата с т-рой 50—60° в течение 3 час. Р-ция продолжается 4 часа, после чего выпадает 93 кг сополимера с мол. в. ~ 60000 по Штаудингеру. 18%-ный придильный *p-p* полученного сополимера формуется через фильеру на 500 отверстий с диаметром отверстия 0,15 мм в вертикальную трубку длиной 3,5 м при скорости выхода струи придильного *p-p* из отверстия фильеры 12 м/мин и скорости отвода нити из трубки 30 м/мин. В придильной трубке противоточно циркулирует осадительная ванна — керосин, не содержащий ароматич. углеводородов с т-рой 130°. После трубки нити поступают в керосин с т-рой 130° и вытягиваются в 5 раз. Затем нити подвергаются усадке на воздухе при т-ре 130° и резке. Полученное штапельное волокно 3 денье имеет прочность 3,0 г/денье

при удлинении > 40%, оно хорошо окрашивается основными красителями.

Х. Виллемсон

9П379. Способ получения высокоориентированных, хорошо извитых полиакрилонитриловых волокон. Steinert Rolf, Seidel Hans. Verfahren zur Herstellung hochorientierter, gut gekräuselter Polyacrylnitrilfäden. Пат. ГДР 18429, 1.04.60.—Для получения волокон (В) с высокой степенью ориентации и хорошим извитком, полиакрилонитрил (П) или его сополимеры прядут в осадительную ванну из алифатич. углеводородов. После удаления р-рителя В вытягивают в соответствующем теплоносителе при 100–200° в 16–40 раз и проводят в свободном состоянии через воду. ванну. Напр., 15% р-р П прядут при ~20° со скоростью 9,4 м/мин в метилхлорид, который удаляют из В током теплого воздуха. Жгут вытягивают в гликолевой ванне (глицерин или гексантириол) при 150° в 2–20 раз, режут и промывают. Получается сильно извитое В с прочностью 36 ркм и удлинением 33%. В. Дюрбаум

9П380. Гидрофобная смола с антистатическими свойствами, формованные изделия из нее и способ их выработки. Walter Andrew T. Static-resistant hydrophobic resin composition, shaped article thereof and method for making latter. [Union Carbide Corp.]. Пат. США 2874023, 17.02.59.—Для получения гидрофобных волокон, пленок и т. п., обладающих антистатич. свойствами, необходимо антистатич. в-во (АВ) вводить в состав исходной смолы. Поэтому рекомендуется перед прядением различных карбоцепных полимеров добавлять к ним в качестве АВ продукт конденсации окисей этилена (I) или пропилена (II) с поливиниловым спиртом (III) среднего и большого мол. веса. Смола должна содержать > 5% этого АВ, лучше всего 7–15% АВ. Для получения АВ конденсируют 1,5–20 ч. I или II с I ч. III. В случае сополимеров акрилонитрила (IV) и поливинилхлорида (V), содержащих < 55% IV, лучше всего иметь отношение I:III равным 7–14, а в случае сополимеров, содержащих > 55% IV, оно может быть снижено до 1–3. Р-цию I или II с III проводят в отсутствие катализатора при 80–150°. Наилучшими р-рителями для смол, содержащих рекомендуемое АВ, являются: для полиакрилонитриловых смол — диметилформамид, для сополимеров IV и V — ацетон или ацетонитрил, для полистирола — бензол.

В. Штупер

9П381. Комбинации на основе этиленоксалата и полимеров акрилонитрила. Craig Alfred B., Ringwald Eugene L. Compositions of acrylonitrile polymers and ethylene oxalate and process for preparing same. [The Chemstrand Corp.]. Пат. США 2841568, 1.07.58 — Тонкоизмельченный полиакрилонитрил или сополимер 95% акрилонитрила с 5% винилацетата растворяют при перемешивании в этиленоксалате (I) при 180 и 140°, соответственно. Получают прозрачные, гомог. р-ры, содержащие 40% полимера. Применение I в качестве р-рителя обеспечивает получение более стабильных и экономичных р-ров для изготовления волокон и других изделий, чем применение других р-рителей. Вместо винилацетата в качестве сополимеров могут быть взяты винилпиридин или 2-метил-5-винилпиридин.

Э. Тукачинская

9П382. Усовершенствование, относящееся к формированию волокон из виниловых полимеров по сухому способу. Perfectionnement à la fabrication de produits extrudés en polymères vinyliques par filature à sec. [Rhovyl]. Франц. пат. 1216549, 26.04.60.—Патентуется сухой способ формирования волокна из поливинилхлоридов. Метод характеризуется тем, что подвергают экструзии р-р полимера в нагретой камере. Внутри прядильной установки расположена приемная камера, в которой оставляют полученные волокна достаточно долго при повышенной т-ре, чтобы полностью удалить растворитель.

Д. Кантер

9П383. Улучшение качества поливинилхлоридного волокна путем вытяжки. Amélioration à l'étirage des fils de chlorure de polyvinyle. [Rhovyl]. Франц. пат. 1217250, 2.05.60.—Способ вытягивания нитей из поливинилхлорида, отличающийся тем, что нити, выходящие с прядильной машины, после максим. вытяжки, подвергают возможно полной усадке посредством термич. обработки, затем вытягивают на определенную заданную величину при нагревании. Вновь подвергают усадке порядка от 15 до 30%. Полученное волокно обладает улучшенной текстильной переработкой.

Д. Кантер

9П384. Процесс прядения из расплава и ориентации полистирольных нитей. Shaw Gilbert. Process for melt spinning and orienting polystyrene filaments. Пат. США 2900220, 18.08.59.—Описан процесс ориентации моноволокна из полистирола или подобных ему полимеров. Метод включает прядение из расплава неориентированного моноволокна, нагревание волокна до 210–330° F при соприкосновении с многочисленными движущимися роликами, нагретыми до этой т-ры. Время соприкосновения волокна с роликами должно обеспечить полное прогревание неориентированного волокна до т-ры ориентации, т. е. т-ры в пределах 210–330° F. Затем волокно на роликах передвигается в изолированную зону, где оно частично охлаждается до определенной контролируемой т-ры. Т-ра в этой зоне тщательно контролируется с тем, чтобы предотвратить охлаждение волокна ниже т-ры ориентации и сохранить волокно в неориентированном состоянии. Неориентированное волокно движется со скоростью движения нагреваемых или охлаждаемых роликов, причем процесс включает также ступень контроля траектории движения, предотвращающую скольжение волокна при соприкосновении с движущимися роликами. Это обеспечивает возможность ориентации волокна под натяжением после его охлаждения до т-ры ориентации. Приведена схема аппаратного оформления этих процессов.

Т. Шейн

9П385. Устройство для прядения полиамидов из расплава через вакуумную камеру. Wildegger Johann. Vorrichtung zum Verspinnen von geschmolzenen Polyamiden aus Vakuumkammern. [Farbwerke Hoechst A.-G. vormals Meister Lucius & Brüning]. Пат. ФРГ 1059611, 3.12.59.—Устройство для прядения полиамидов, в частности на основе ε-капролактама, из расплава через вакуумную камеру, в котором удаляются летучие компоненты, в частности мономер, отличающееся тем, что для обеспечения подачи расплава, не содержащего пузырьков, ниже вакуумной камеры расположено вертикальное конич. шнековое устройство, сужающееся книзу, вал которого соединен с валом горизонтального зубчатого насоса, передающего расплав через канал к фильере. Между конич. шнеком и фильерой могут быть установлены последовательно несколько зубчатых насосиков.

Х. Виллемсон

9П386. Процесс прядения синтетических волокон из расплава. Risley Eric Ivan. Process for melt spinning synthetic filaments. [Imperial Chemical Industries Ltd.]. Англ. пат. 833032, 21.04.60.—Способ прядения из расплава синтетич. волокон высоких номеров с повышенной равномерностью отличается тем, что волокна, выходя из фильеры с большим числом отверстий в токе инертного газа образуют нить, которая в момент отвердевания выравнивается с помощью направляющего ролика и следующего ролика, расположенного выше намочного приспособления. При этом угол между направлением нити от фильеры до первого ролика и дальнейшим направлением от первого до второго ролика составляет 5–90°. Для снижения коэффициента трения применяются керамич. ролики или ролики с хромированной поверхностью, отполированной песком. Ролики могут быть трубчатыми с внутренним охлаждением. Двойное лучепреломление сформованного с

применен
20% выпл
Волокно
фильеры
ростью 9
нить обр
60 см,
в 50°. Ко
меру на
пни 0,8%
ликов ат
9П387.
Ucci P
ning of
США 292
кон проп
тетич. п
конденс
менее о
л = 2—4
из смеси
вой к-ты
гликоля
мощью
метокс
перечис
аритрит
в осад
сид или
кипени
прядиль
этилен
полиэти
содерж
вается
раствор
этого п
поступ
жающую
т-ре 50
вытягив
нотью
9П388
fe Ro
ments.
2887453
пелен
досле
ростью
непре
воздей
0,1—0
Т-ра п
т-ры п
действи
рость
веден
ления
9П389
Согг
ments
Англ.
пше
локов
по су
цессе
лич.
проду
этиле
до 10
1% г
рН р
(вац
ложи

применением описанного приспособления волокна на 20% выше, чем при прядении без роликов. Пример. Волокно из полиэтилентерфталата формируется из фильеры, имеющей 24 отверстия, при t -ре 285° со скоростью 915 м/мин. Среднее денежье нити 190. Каждая нить образует дугу, охватывающую на ролике диам. 60 см, расположенном на 76 см ниже фильеры, угол в 50°. Коэф. вытяжки нити 3,65, равномерность по номеру на коротких участках соответствует коэф. вариации 0,8%. При прядении в тех же условиях, но без роликов этот коэф. составляет 1,7%. А. Волохина

9П387. Мокрое прядение полиэфирных волокон. Ucci Pompelio A., Stroud Arthur H. Wet-spinning of polyester fibers. [The Chemstrand Corp.]. Пат. США 2924502, 9.02.60.—Формование полиэфирных волокон производится из 20—40%-ных r -ров линейного синтетич. полимера, являющегося продуктом r -ции поликонденсации не менее одной дикарбоновой k -ты и не менее одного гликоля общей ф-лы $\text{HO}(\text{CH}_2)_n\text{OH}$, где $n = 2-10$, напр., полиэтилентерфталата или полимера из смеси диметиловых эфиров этикан-1,20-дикарбоновой k -ты и 8-этилоктадекан-1,18-дикарбоновой k -ты и гликоля, а также полиэфира, модифицированного с помощью v -ва, обрывающего цепь макромолекулы, напр., метоксиполиэтилентерфталата или v -ва, образующего поперечные связи, напр., триметилтримезата или пентаэритрита в водн. ф-оле, содержащем 1—15% воды в осадительную ванну, содержащую диметилсульфоксид или его 50%-ный водн. r -р, при t -ре от 20° до t -ры кипения коагуляционной среды. Пример. 30%-ный прядильный r -р получают при смешивании 15 г полиэтилентерфталата, модифицированного 10% метоксиполиэтилентерфталата с мол. в. ~ 2000 , и 45 г r -рителя, содержащего 90 ч. фенола и 10 ч. воды. Смесь нагревается до t -ры 130° при перемешивании до полного растворения, фильтруется и охлаждается до 60°. После этого прядильный r -р с t -рой 60° под давлением азота поступает на прядение в осадительную ванну, содержащую 70% диметилсульфоксида и 30% воды, при t -ре 50°. После промывания кильной водой нити легко вытягиваются на холоду и обладают хорошей прочностью. Х. Виллемсон

9П388. Процесс резки полиамидных волокон. Keefe Robert L., Jr. Process of cutting polyamide filaments. [E. I. du Pont de Nemours and Co.]. Пат. США 2887155, 19.05.59.—Способ резки полиамидного штапельного волокна, заключающийся в том, что волокон после непрерывного прядения и вытягивания со скоростью подачи нити 3200 ярдов/мин. направляется на непрерывную резку. Предварительно нити подвергают воздействию горячего, влажного воздуха, содержащего 0,1—0,01 фунта водяных паров на фунт сухого воздуха. T -ра воздуха на 10° выше t -ры кипения воды, ниже t -ры плавления полимера и равна 110—200°. Время воздействия воздуха на нить не превышает 0,05 сек.; скорость резания составляет ~ 6000 резков в 1 мин. Приведено схематическое описание, аппаратного оформления процесса. Т. Шейн

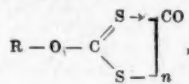
9П389. Обработка синтетических волокон. McCormack Kenneth Earnshaw. Treating filaments and fibres. [Imperial Chemical Industries Ltd.]. Англ. пат. 833450, 27.04.60.—Патентуются препараты, составы, пригодные для обработки синтетич. волокон (напр., из полиэтилентерфталата), полученных по сухому методу формирования и находящихся в процессе вытяжки в контакте с нагретой (до 140°) металлической поверхностью. Эти составы содержат до 20 вес.% продуктов конденсации окиси этилена (напр., полиэтилентерфталата со средним мол. весом от 200 до 600), до 10 вес.% водорастворимого антистатич. v -ва и до 1% поверхностноактивного v -ва (напр., стеарата Na). pH r -ра повышается до 8—9 путем введения щелочи (напр., NaOH). Кол-во препарата, остающейся на волокне, $\geq 0,2\%$ от веса волокна. Состав имеет преимуще-

ство перед обычными препаратами, представляющими собой эмульсии минер. масла в воде с соответствующими добавками. Последние можно применять лишь при $\sim 20^\circ$, так как при контакте с горячей металлич. поверхностью выделяют твердый осадок, вследствие чего требуется частая очистка этих поверхностей. Пример состава: 10 ч. полиэтилентерфталата со средним мол. в. 300, 0,05 ч. стеарата Na, 1 ч. антистатич. v -ва «Любробль W», 0,0025 ч. NaOH и дистил. воды до 100 ч.; pH 8—9. О. Славина

9П390. Способ улучшения текстильных изделий, полученных на основе полиамидов и новых продуктов. Procédé pour l'amélioration d'articles textiles à base de polyamides et nouveaux produits obtenus. [Soc. Rhodiate]. Франц. пат. 1211032, 11.03.60.—Патентуется способ повышения термостойкости текстильных изделий из полиамидов. Изделия обрабатывают в водн. ванне, содержащей от 1 до 20% водорастворимых производных йода, напр. KI, после чего их сушат при t -ре 130—150° в течение нескольких секунд. Повышенную термостойкость наблюдают при поглощении йода в пределах от 0,02% до 5% (от веса изделия). Способ особенно рекомендуется для фильтровальных тканей, предназначенных для фильтрации газов в горячем состоянии. Пример. Берут крученую нить 840 денеж, проводят непрерывно на холоду в течение 1—2 сек. через r -р KI в дистил. воде, затем сушат в тоннельной сушилке при 140° несколько секунд. Д. Кантер

9П391. Способ получения дисперсии двуокиси титана для матирования при прядении полиамидных нитей. Fritzsche Ehrhard, Odor Geza. Verfahren zur Herstellung einer Titandioxyddispersion zum Spinnmattieren von Polyamidfäden. Пат. ГДР 18473, 4.04.60.—Для получения устойчивой дисперсии двуокиси титана, пригодной для матирования смолы в процессе непрерывной полимеризации, в качестве дисперсионного средства применяют водн. r -р ϵ -аминокапроновой k -ты. Пример. 40 г ϵ -аминокапроновой k -ты растворяют в 60 мл воды, в r -р добавляют двуокись титана, хорошо перемешивают и оставляют на 24 часа; образующийся отстой дисперсии двуокиси титана отделяют и используют в процессе полимеризации капролактана. Т. Шейн

9П392. Катализаторы процесса предозревания целлюлозы. Leopold Bengt, Mutton Donald B., Saxton William R. Catalysis of the ageing of alkali cellulose. [Canadian International Paper Co.]. Пат. США 2928825, 15.03.60.—В качестве катализатора процесса предозревания цел. целлюлозы (ЩЦ) применяют растворимое в щелочи координационное соединение кобальта и алкил-, циклоалкил- или арилксантогенаты общей ф-лы



где $n = 2-3$, R — алкил, циклоалкил или арил, напр., координационное соединение кобальта и этил-, фенил-, бутил-, метил- или циклогексилксантогената. Пример. Сульфитная кордная целлюлоза (Ц) обрабатывается разб. водн. суспензией комплексного соединения Co и этилксантогената (ЭК) из расчета содержания 0,3% Co в Ц. После воздушной сушки Ц при 65% относительной влажности, последняя подвергается мерсеризации в течение 45 мин. при t -ре 22° в водн. r -ре NaOH, содержащем 216,5 г/л NaOH и 5 г/л гемипеллюлозы. После отжима ЩЦ до содержания в ней 32% Ц и измельчения ЩЦ имеет место предозревание ЩЦ в течение 24 час. при t -ре 22°. Из этой ЩЦ после ксантогенирования с 39% от веса Ц CS_2 в течение 2 час. 15 мин. при t -ре 26° в отсутствие воздуха получают вискозный r -р, содержащий $\sim 7\%$ Ц и $\sim 6\%$ NaOH с вязкостью 26,1 сек. по падению шарика. При

ведении процесса предсозревания в отсутствие катализатора для достижения аналогичной вязкости получаемого вискозного р-ра потребуются на 65% больше времени предсозревания. Физ.-мех. показатели волокон, полученных из обоих вискозных р-ров, одинаковы. При мерсеризации катализатор удерживается полностью Ц и не переходит в воду. р-р NaOH. Приготовление комплексного соединения Co и ЭК. Р-р 1,37 г этилксантогената калия в 100 мл воды смешивают с р-ром, содержащим 1 г Na-соли карбоксиметилцеллюлозы в 100 мл воды. К полученному р-ру при интенсивном перемешивании добавляют 0,41 г хлористого кобальта (в виде кристаллогидрата с 6 мол. воды) в 50 мл воды. Образуется тонкая суспензия комплексного соединения Co и ЭК, содержащая 13,6% Co.

Х. Виллемсон

9П393. Усовершенствования в области прядения волокон из вискозы. Nicholson Eric Samuel, Robinson Robert Morris, Wood Leonard. Improvements in or relating to the spinning of rayon from viscose. [Imperial Chemical Industries Ltd]. Англ. пат. 835566, 25.05.60.—Патентуется способ, по которому в прядильные-вискозные р-ры или в осадительную ванну, с целью избежания выпадения серы в процессе формирования волокон, вводят эмульгатор: 1) производное насыщ. окислированного, N-ацилированного полиалкиленполиамины, при получении которого реагентом метилирования является диметилсульфат или 2) продукт конденсации лауриновой к-ты с тетраэтиленпентамином в мол. соотношении 2:1, 1:1 и с последующей конденсацией полученного продукта с окисью этилена (от 4 до 16 молей).

Д. Кантер

9П394. Метод производства вискозного шелка. Lytton Marion R., Mueller George F. Method of producing viscose rayon. [American Viscose Corp.]. Пат. США 2845327, 29.07.58.—Вискозные волокна, состоящие исключительно из оболочек (без сердцевин), получают, добавляя к р-ру ксантогената целлюлозы в

NaOH производные имидазолина общей ф-лы $RC=$

$=NCH_2CH_2N(OH)(CH_2CH_2OX)CH_2CH_2COOX$ (I), где X — щел. металл, R — насыщ. или ненасыщ. алифатич. ацильный радикал. Получают волокна, обладающие повышенной стойкостью к истиранию и многократному изгибу, гладкой поверхностью и незначительным набуханием в воде. Пример. К вискозе, содержащей 7% целлюлозы, прибавляют необходимое кол-во I, напр. 1% миранола CM (X = Na, R — остаток жирных к-т кокосового масла), перемешивают 30 мин. и оставляют для созревания на 30 час. при 18°. Получают гладкое структурно однородное волокно, состоящее целиком из оболочек. Волокно, полученное без I, имеет менее гладкую поверхность и состоит из ядра и оболочек. Приведены аналогичные рецептуры с 2% I, а также с I, где R — радикал каприновой, лауриновой и стеариновой кислот.

Э. Тукачская

9П395. Усовершенствования, связанные с производством нитей, волокон и других подобных материалов из вискозы. Mandleberg Charles John. Improvements relating to the production of filaments, threads, fibres and the like from viscose. [Harbans Ltd]. Англ. пат. 829499, 2.03.60.—Искусственные волокна с улучшенными свойствами получают из вискозы, в которой на 100 г целлюлозы содержится $\geq 0,01$ ммоль органич. сульфосоединения (I), имеющего общую ф-лу: $[R^s(R'')R''']^+X^-$, где R', R'' и R''' — алифатич. или ароматич. радикалы, содержащие ≤ 8 атомов углерода; X — анион. Применяют вискозу, в которой содержится на 100 г целлюлозы от 0,01 до 10 ммоль I. Однако предпочитают применять вискозу, в которой на 100 г целлюлозы содержится 1 ммоль I. Пример. К 100 г вискозы, содержащей 7,5% целлюлозы и 7,0% NaOH, добавляют 120 г диметилфенилсульфохлорида и пе-

ремешивают 2 часа. Затем вискозу обезвоздушивают и с солевым индексом 10,2 поддают на прядение. Вискоза продавливается через фильеру на 720 отверстий (диаметр отверстий фильеры 0,025 мм) в осадительную ванну, содержащую 100 г/л H_2SO_4 , 100 г/л $ZnSO_4$ и соответствующее кол-во Na_2SO_4 , с тем чтобы уд. вес ванны при 20° составлял 1,300. Прядение с вертикальным погружением на 14 дюймов (35 см) в осадительную ванну, имеющую т-ру 69°. В следующей ванне с т-рой 95° нити вытягиваются на 80% и затем на соответствующих роликах промываются, отделяются, сушатся и принимаются на бобины. Поперечный срез полученных элементарных волокон имеет бобообразную форму и не содержит ядра. Указанные нити могут применяться для получения высокопрочного корда и обладают еще одним интересным свойством: при смачивании готовых нитей в воде и последующем высушивании образуется устойчивая известная элементарных волокон.

Н. Николаева

9П396. Отделка искусственного волокна. Номура Набуо. [Асахи касэй когэ к. к.]. Японск. пат. 2517, 25.04.57.—Искусственное волокно сразу же после формирования промывают водой, затем обрабатывают сравнительно слабым р-ром щелочи, к-ты и (или) сравнительно слабым отбеливающим р-ром при невысокой т-ре. После этого волокно вторично обрабатывают тем же р-ром, но повышенной конц-ии при сравнительно высокой т-ре и, наконец, обрабатывают третий раз тем же р-ром с такой же конц-ией и при такой же т-ре, что и в первый раз. Пример. Шелк хорошо промывают водой и обрабатывают р-ром Na_2S с конц-ией 3 г/л при 30—40°, затем вторично обрабатывают тем же р-ром с конц-ией 6 г/л при 60° и, наконец, обрабатывают третий раз при той же т-ре и р-ром той же конц-ии, что и первый раз. Если шелк необходимо подвергнуть отбелке, то после удаления серы его обрабатывают отбеливающим р-ром. Конц-ия отбеливающего р-ра при первичной обработке 0,3 г/л, при вторичной — 0,6 г/л и при третьей обработке — 0,3 г/л. Данный метод отделки искусств. волокна дает экономию тепла и р-ра, так как первичная и окончательная обработка проводится в одном и том же р-ре, который непрерывно циркулирует из барок для первой обработки в барки для второй обработки и обратно. Приведена схема устройства для промывки волокна.

М. Кириша

9П397. Получение изделий, содержащих регенерированную целлюлозу. Novak Leo J., Hogue Walter S. Shaped articles comprising regenerated cellulose. [The Commonwealth Engineering Co. of Ohio]. Пат. США 2914414, 24.11.59.—Для снижения гигроскопичности изделий из регенерированной целлюлозы (Ц) (волокон, пряжи и пленок) вводят нерастворимые в воде, но растворимые в щелочи декстраны (Д), получаемые при воздействии на декстрины культур *Leuconostoc mesenteroides* и др. Наряду с Д можно применять производные их, нерастворимые в воде, но растворимые в щелочи, напр. ксантогенаты. При изготовлении волокон или пленок растворимые в щелочи Д и ксантогенаты смешивают с вискозой до, во время или после созревания; формирование и дальнейшая обработка изделий производится обычным способом. Д могут быть также нанесены на изделия в виде покрытия, обладающих хорошей адгезией благодаря присутствию в них нерастворимых в воде Д. Для получения такого покрытия 57% нитродекстрана или бензиддекстрана, 13% даммаровой смолы, 23% дибутилфталата, 4% парафинового воска и 1% стеарата цинка растворяют в подходящем р-рителе, напр. в смеси 55,1% этилацетата, 3,5% этанола и 41,4% толуола. Пример. 160 вес. ч. хлопкового пуха подвергаются мерсеризации в 200 ч. 18%-ного р-ра NaOH при 25°. Щел. целлюлоза подвергается предсозреванию при 25° в течение 30 час., затем ее обрабатывают CS_2 при т-ре 25° в те-

ние 4 ча
NaOH для
выявляют
ют 10%,
осущест
Na₂SO₄ и
обычной
вискозы с
содержащ
элементар
9П398.

люлозы.
rated cell
СПА 292
рала из
медно-ам
ванию и
в ускор
функциона
лода и
альдегид
в порист
газа. В н
этиленхл
оксипроп
значитель
рации це
уменьша
можным
Способ н
созреван
(9,5% ц
р-ра NaO
алкилари
ла. Смеси
35 г эти
образова
оставляе
чиваются
удаления
б) Из см
целлюло
ку толщ
рабате.
чтобы к
бана. Уд
чей водо
NaOH) р
тот 20 г
BL 353)
но пере
ляют на
лучивае
Губку о

9П399.
искусств
Ваунд
louring
Англ. п
шенных
регенери
ных нати
ые вол
цессе пр
в-ва вво
льна, да
ку, соде
цвета, 2
сульфид
щей 26
Окрасе
буется,
щей на

ные 4 час. Ксантогенат Ц растворяют в 6%-ном р-ре NaOH для получения 7%-ного р-ра вискозы, отфильтровывают и дают созреть. В конце созревания добавляют 10% негидролизованного Д. Формование волокна осуществляют в ванне, содержащей 9,5% H_2SO_4 , 11,5% Na_2SO_4 и 1% $ZnSO_4$. Образовавшиеся нити подвергают обычной обработке. В других примерах созревшую вискозу смешивают с 10–15% ксантогенированного Д, содержащего, в среднем, 2,0 ксантогенатных групп на элементарное звено.

9П398. Получение губки из регенерированной целлюлозы. Chih Chen-ming. Manufacture of regenerated cellulose sponge material. [General Mills, Inc.]. Пат. США 2927034, 1.03.60.—Для получения губчатого материала из регенерированной целлюлозы вискозу или медно-аммиачный р-р целлюлозы подвергают вспениванию и регенерируют в присутствии избытка щелочи и ускорителя регенерации, содержащего в качестве функциональных групп по меньшей мере 1 атом галогена и 1 OH-группу, а также кислотные, эфирные, альдегидные или кетонные группы. Превращение р-ра в пористую массу проводят при помощи инертного газа. В качестве ускорителя применяют, в частности, этиленхлоргидрин, этиленбромгидрин; 1-хлор-2,3-диоксипропан и 3-хлороксипропан. По этому способу значительно сокращается продолжительность регенерации целлюлозы, повышается устойчивость пены, уменьшается деструкция целлюлозы и делается возможным промывание губки от примесей горячей водой. Способ пригоден для вискозы с различной степенью созревания. Примеры: а) К смеси 200 г вискозы (9,5% целлюлозы и 5,5% NaOH) и 300 г 2–5%-ного р-ра NaOH прибавляют 15 г пенообразователя (напр., алкиларилсульфоната) и диспергируют 2–6 г волокон. Смесь вспенивают до объема 2000 мл, прибавляют 35 г этиленхлоргидрина, продолжают смешивание до образования дисперсии, помещают пену в формы и оставляют на 15 мин. В течение этого времени заканчиваются коагуляция и регенерация целлюлозы. Для удаления солей губку промывают горячей водой. б) Из смеси 300 г 5–10%-ного медно-аммиачного р-ра целлюлозы и 20–40 г этиленхлоргидрина отливают пленку толщиной 0,1–5 мм на нагретом вращающемся барабане. Скорость вращения и т-ру устанавливают так, чтобы коагуляция заканчивалась за 1/4 оборота барабана. Удаленную с барабана пленку промывают горячей водой. в) 200 г вискозы (8% целлюлозы и 5% NaOH) разбавляют 200 г 4%-ного р-ра КОН, прибавляют 20 г хим. вспенивающего агента (напр., Дюлон ВЛ 353) и 20–40 г 30%-ного 2-бромэтанола и тщательно перемешивают. Смесь помещают в форму, оставляют на 15 мин., в течение которых объем смеси увеличивается до ~1500 мл и целлюлоза регенерируется. Губку отмывают от примесей кипящей водой.

9П399. Усовершенствование процесса крашения искусственных ячеистых изделий. Cross Frank Baunham. Improvements in or relating to the colouring of artificial cellular products. [Sponcel Ltd]. Англ. пат. 833212, 21.04.60.—Способ получения окрашенных искусств. ячеистых изделий (напр., губок) из регенерированной целлюлозы с примесью окрашенных натуральных волокон состоит в том, что окрашенные волокна вводят в ксантогенат целлюлозы в процессе произ-ва изделия. В качестве порообразующего в-ва вводят Na_2SO_4 . Пример. 113,4 г волокна (хлопка, льна, джута или их смеси) вводят в красильную ванну, содержащую 25 г кубового красителя желаемого цвета, 250 г воды, 20 г NaOH, уд. в. 1,35; 7,5 г гидросульфита, растворенного в 7,15 л воды, уже содержащей 260 г NaOH, уд. в. 1,35 и 7,5 г гидросульфита. Окрашенное волокно промывают, сушат и, если требуется, режут и затем прибавляют к смеси, состоящей из 2,7 кг ксантогената целлюлозы и 12,2 кг глаубе-

ровой соли или другого порообразующего в-ва. Из смеси затем изготовляют губку обычным способом.

О. Славина

9П400. Способ выделения гемицеллюлоз из растворов канализационной щелочи. Lenorák Ferdinand, Stetina Pavol. Spôsob izolovania hemiceľulózy z alkalických roztokov. Чехосл. пат. 93267, 15.12.59.—Способ выделения гемицеллюлоз из щел. р-ров отличается тем, что выделение гемицеллюлоз проводят жесткой водой. При этом жесткая вода значительно умягчается и становится пригодной для промышленных целей. Пример. При произ-ве 5 т вискозного волокна в сутки получают после диализа 15 тыс. л канализационной щелочи, содержащей 2 г/л NaOH, 14 г/л гемицеллюлоз. Щел. р-р гемицеллюлоз в железной емкости смешивают с жесткой водой, в отношении 8 ч. воды на 1 ч. р-ра. Вода умягчается и выпадают гемицеллюлозы. При указанной производительности в сутки получается 214 кг гемицеллюлоз, содержащих 10% золы, и 135 тыс. л умягченной воды.

Ф. Нарина

9П401. Двухкорпусная выпарная установка для выпаривания осадительной ванны при производстве искусственного волокна. Аояма Йосико. Японск. пат. 3058, 27.04.59.—Описана двухкорпусная выпарная установка для выпаривания осадительной ванны при произ-ве искусств. волокна. Ванна после ее частичного упаривания в первом выпарном аппарате при сравнительно высокой т-ре (~90°) подается во второй выпарной аппарат, где происходит его окончательное упаривание. Нагревание р-ра во втором выпарном аппарате происходит частично за счет использования тепла первого аппарата, что повышает к. п. д. установок и дает экономии тепла, необходимого для упаривания р-ра. Приведена подробная схема установок.

М. Кирша

9П402. Камера для сушки волокон в жгуте. Кави ваги Дзюндзо. Японск. пат. 3336, 4.06.57.—Внутри тоннельной сушильной камеры по направляющим роликам движется бесконечная цепь. На цепи смонтированы спец. ролики, на которых подвешены жгуты. В камеру через отверстия в ее нижней части непрерывно подается теплый воздух, который выводится из камеры через отверстия в верхней части. Поддача теплого воздуха снизу камеры не дает нити сплываться и благодаря потоку воздуха нить все время находится в строго вертикальном положении. По мере движения бесконечной цепи нить просушивается и автоматически непрерывно удаляется из камеры. Приведена схема устройства для сушки волокна.

М. Кирша

9П403. Аппарат для вытяжки синтетических волокон. Фудзиси Сидзуо. Японск. пат. 4159, 25.06.57.—Описана установка для вытяжки синтетич. волокна имеющая систему вращающихся валов, между которыми проходит предварительно подогретая током высокой частоты до ~180° нить из синтетич. волокна. Для регулирования тонны нити имеется спец. регулирующее устройство, при помощи которого можно регулировать расстояние между валами. Приведена подробная схема установок.

М. Кирша

9П404. Способ изготовления извитых термопластичных нитей. Procédé et dispositif pour la fabrication de fils thermoplastiques frisés. [Soc. Rhodiaceta]. Франц. пат. 1211303, 15.03.60.—Патентуется способ и приспособление для придания извитости термопластичным нитям, отличающийся тем, что нити размягчаются с бобины, нагреваются при помощи нагревательного элемента до т-ры размягчения, направляются в канал для кручения при высокой скорости вращения и затем наматываются на шпули.

Д. Кантер

9П405. Усовершенствования в области произ-водства объемного волокна из поливинилхлорида. Perfectionnements aux fils continus en chlorure de polyvinyle.

[Soc. Rhovyl]. Франц. пат. 1217859, 6.05.60 — Способ получения объемного поливинилхлоридного волокна, отличающийся тем, что названное волокно подвергают нагреву, в известных случаях под натяжением в жидкой среде, при т-ре, близкой к точке размягчения поливинилхлорида, затем придают извитость без термич. обработки.

9П406. Улучшение пряжи из синтетических волокон. Perfectionnement aux filés de fibres synthétiques. [Soc. Rhovyl]. Франц. пат. 1216530, 26.04.60. — Способ удаления ворса с поверхности пряжи из синтетич. волокон, в частности волокон на основе поливинилхлорида (ПВХ), включает прохождение пряжи через нагретую среду (воздух, пар или жидкость) при т-ре, обуславливающей усадку ворсинок на $> 50\%$, причем эта т-ра выше т-ры размягчения ПВХ. Пример. Пряжа из волокон на основе ориентированного кристаллич. ПВХ с метрич. номером 21,1, разрывной прочностью 590 г и удлинением 17% проходит со скоростью 150 м/мин через воду, ванну с т-рой 98° и длиной пути нити в ванне 2 м. После обработки метрич. номер пряжи составляет 22,5, разрывная прочность 645 г и удлинение 15,9%. Большая часть ворса становится незаметной, а длина ворсинок уменьшается на $> 50\%$.

Х. Виллемсон

См. также разделы: Синтетич. полимеры, пластмассы, химия высокомолекулярных соединений и рефераты: применение хим. волокон в текстильной про-сти 9П511, 9П512, 9П513, 9П519, 9П523, 9П528, 9П529; прокиновение муравьиной к-ты в кетгут из нейлона 9П518; цианотипирование целлюлозы 9П606; исследование взрывоопасности горючих смесей, образующихся при синтезе ксантогенатов 9П362.

ЦЕЛЛЮЛОЗА И ЕЕ ПРОИЗВОДНЫЕ. БУМАГА

Редактор А. Д. Хованская

9П407. Шаг к реализации целлюлозного завода будущего. Nolan W. J. A step toward realization of the pulp mill of tomorrow. «Tappi», 1960, 43, № 6, A446—A448 (англ.). — См. РЖХим, 1960, № 23, 94856.

9П408. Современное состояние и перспективы развития целлюлозно-бумажной промышленности Японии. Харада Нигидацу. «Никкакё гэнпо, Nikkakyo gero», 1960, 13, № 8, 493—498 (японск.).

9П409. Вода как важнейший реагент в целлюлозно-бумажной промышленности. Barrett J. J. Importance of the water in the industries of the pulp and paper. «Papeterie», 1960, 82, № 12, 865, 867, 869 (франц.)

9П410. О техническом обучении персонала целлюлозно-бумажных предприятий. Marshall Earl L. The training of present and future personnel. «Tappi», 1960, 43, № 9, 179A—180A (англ.).

9П411. О протрке целлюлозы соединениями ртути. Gadd G. O., Williamson H. On the impregnation of pulp with mercurial compounds. «Paperi ja puu», 1960, 42, № 9, 459—460, 462—463, 465—466 (англ.; рез. шведск., финск.). — При обработке образцов небеленой сульфитной целлюлозы и небеленой древесной массы водн. р-ром фенолмеркурацетата (I), в целях предохранения от поражения грибами, отмечено значительное снижение активности антисептика в р-ре достигающее 90% от первоначальной величины и вызываемое, по-видимому, абсорбцией I волокнами целлюлозы. При увеличении продолжительности хранения массы и повышении т-ры степень дезактивации антисептика возрастает. Напр., при 4°, при пропитке I в кол-ве 100 г на 1 т сухого в-ва, через сутки биологич. активность 9,1, при 20° равна 7,3, при 37° равна 5,0 мг/кг. Уменьшение рН массы, добавлением Al-квасцов, увеличивает активность I. Напр., в воде, отжатой из массы, обрабо-

танной I в кол-ве 100 г на 1 т сухого в-ва, в отсутствие квасцов содержалось I 2,9 мкг, при добавке 0,5 г квасцов на 1 т сухого в-ва содержалось I ~4,0 мкг, при добавке 1 кг — содержалось I 5,0 мкг, при добавке 2 кг — содержалось I 8,0 мкг. При хранении массы, обработанной 50 г I на 1 т сухого в-ва, в отсутствие квасцов плесень появлялась через 2 недели, при добавке 4 кг алюминийевых квасцов на 1 т в-ва не наблюдалось никаких следов плесени через 5 недель.

9П412. Сравнительное исследование веществ, применяемых для борьбы со слизевобразованием в целлюлозно-бумажном производстве. Hamburger Brigitte. Vergleichende Untersuchungen mit verschiedenen Schleimbekämpfungsmitteln. «Papier» (BRD), 1960, 14, № 10a, 532—534 (нем.; рез. англ., франц.). — Приведены результаты исследования эффективности различных хим., биологич. и других в-в, а именно: 1) соединений, содержащих ртуть (purapid, metasol); 2) хлорированного фенола (пентахлорфенол натрия; panacide, vancide BN); 3) органич. соединения серы (35 D, calgon BF); 4) производных хинолина (oxin, mergal K98); 5) оловоорганич. соединений (oscotine, mildoline), а также методика исследования.

9П413. Об ежедневной выработке двух человек на восьми дефибрерах 280 т древесной массы. — Two men, eight grinders produce 280 tons of groundwood daily. «Paper Trade J.», 1960, 144, № 37, 54—55 (англ.). — Автоматически управляемая линия из 8 дефибреров, с производительностью 280 т воздушно-сухой древесной массы в сутки, обслуживается двумя рабочими; кроме того, один человек ведет наблюдение за работой 8 дефибреров. Этот штат мог бы обслуживать 16 дефибреров. Приведена схема установки. Установка построена фирмой AB Nordstroms Linbador.

9П414. Электрооптическое исследование мелкого волокна древесной массы. Часть I. Ruck Marietta, Ruck Heinz. Elektronenoptische Untersuchungen an Holzschliff-Feinstoffen. I. Teil. «Papier» (BRD), 1960, 14, № 9, 399—408 (нем.; рез. англ., франц.). — Исследование в электронном микроскопе мелкой фракции древесной массы (ДМ) из древесины североамериканских хвойных пород, после отделения ее вымораживанием (с предварительной заменой воды в суспензии ДМ этаноном и ацетона бензолом), показали, что в соответствии с ранее полученными данными эта фракция состоит из так называемой мелочи — неволоконистых форм частиц (Mehlstoff) и слизи (Schleimstoff). Они по-разному влияют на качество бумаги. Неволоконистые частицы препятствуют образованию межволоконных связей, ввиду неровности их поверхности и хим. инертности. Величина их < 100 А. Слизь образуются из целлюлозных фибрилл и присутствием их определяются колл. свойства массы. Они имеют вид пучков фибрилл, концы которых при получении древесной массы раздвигаются и распадаются все на более мелкие волокнообразные элементы. В ДМ обнаружены также наличие большого кол-ва занимающих большие площади пластинок (так называемый Lamellenstoff). Они образуются из концентрич. слоев, существующих в волокнах древесины, подобно так называемым кольцам роста в хлопковом волокне; отличаются прозрачностью, бесструктурностью, толщиной < 400 А. Они и слизь образуют слизистую часть ДМ. Размол в дефибраторе по влиянию на структуру волокна, по мнению автора, принципиально не отличается от размола в роллах. Библ. 44 назв.

9П415. Зависимость между качеством древесины, целлюлозы, бумаги и условиями работы оборудования древесно-массового отдела. Collins M. C., Barrett J. L. Relation of wood, pulp and paper quality to present performance. «Pulp and Paper Mag. Canada», 1960, 61, № 4, T251—T258 (англ.). — Работа произв-ва и повышение качества древесной массы (ДМ), сульфитной целлюлозы и бумаги могут быть улучшены при по-

мощи: у-
своевремен
ланса; лу
нием бал
вой це
ный це
бумаги (ч
чества Д
дефибрат
ностью л
ли по на
вания Б
влажност
сопротив
существо
те как к
казатели
разрыву
древесно

9П416.

для пово
основани
ping proc
Paper», 4

лоном

сооруже
ка стоим
для хими

ния и р

чальная

85%; по

процент

сульфит

установи

500 т це

рода сто

отличает

предстат

сервиста

настоящ

сначала

а затем

ной сод

ный ОЩ

установи

ааторе,

атмосфе

датель д

частиц

гании б

образом

Этот п

экстрак

и И де

регенер

ционной

9П417.

сульфит

Harl

of sulph

№ 9, 27

ления и

которых

рублетел

способо

и непо

вуар из

в одном

казател

Ц из во

Ц из п

остальн

Щ, раз

на-за т

мощи: улучшения работы цеха подготовки древесины, своевременной проверки и отбраковки дефектного баласа; лучшего использования древесины с направлением баласа пихты для переработки на 3-д сульфитной целлюлозы, а елового баласа — в древесно-массовый цех; согласованного контроля механич. прочности бумаги (Б) и ДМ; поддержания более однородного качества ДМ при более постоянной производительности дефибреров, с использованием контроля за стабильностью подачи в дефибреры древесины вместо контроля по нагрузке, а также улучшения условия формирования Б, с поддержанием в ней более равномерной влажности на бумагоделательной машине. Между сопротивлением Б и ДМ продавливанию и разрыву существует зависимость, определяемая в данной работе как коэф. механич. прочности, позволяющий по показателям сопротивления бумаги продавливанию и разрыву регулировать работу дефибреров и качество древесной массы. М. Белецкая

9П416. Установка на сульфит-целлюлозном заводе для нового процесса варки целлюлозы с натриевым основанием. Davis Leon G. New sodium — base pulping process installation at sulfite mill. «Indian Pulp and Paper», 1960, 14, № 9, 457 (англ.). — На сульфит-целлюлозном 3-д Грейс Харбор в Хокнаме (Вашингтон) сооружена и с 1961 г. будет функционировать установка стоимостью 7 500 000 долларов для варки целлюлозы для хим. пром-сти с применением натриевого основания и регенерации хим. реагентов и тепла. Первоначальная регенерация хим. реагентов намечается в 35%; после освоения установки ожидается повышение процента регенерации. Только 45% отработанного сульфитного щелока (ОЩ) будет поступать в сток. На установке будет перерабатываться ОЩ от произ-ва 500 т целлюлозы в сутки. Биохим. потребление кислорода сточными водами значительно снизится. Процесс отличается большой гибкостью. Варочная жидкость представляет собой смесь р-ров бисульфита натрия и сернистой к-ты. ОЩ будет собираться в имеющейся в настоящее время снежной и промывной системе. ОЩ сначала будет продвигаться паром для регенерации SO_2 , а затем нейтрализоваться каустиком или кальцинированной содой. После отфильтровывания нейтрализованный ОЩ будет упариваться в многокорпусной выпарной установке, а затем сжигаться в паровом котле-утилизаторе. Отходящие из котла газы перед выпуском в атмосферу будут проходить через электростатич. осадитель для удаления большей части увлекаемых газом частиц пыли. Неорганич. твердые в-ва ОЩ при сжигании будут переходить в плав, содержащий главным образом сульфид натрия (I) и карбонат натрия (II). Этот плав после охлаждения намечено направлять в экстракционную колонну. Различие в растворимости I и II делает возможным выщелачивание из плавана I и регенерацию в кристаллич. форме II внизу регенерационной колонны. М. Цыпкина

9П417. Влияние повреждения щепы на качество сульфитной целлюлозы для бумаги. Bausch Hanno, Hartler Nils. Effect of chip damage on the quality of sulphite paper pulps. «Svensk papperstidn.», 1960, 63, № 9, 279—285 (англ.; рез. шведск., нем.). — Для проведения исследований бревно делили на 2 части, одну из которых превращали в щепу (Щ) на промышленной рубильной машине, а из другой готовили Щ лабор. способом. Щ делили на 2 половинки — поврежденную и неповрежденную. Все пробы Щ помещали в резервуар из кислотоупорной проволоки и варили вместе в одном котле. После размола определяли механич. показатели полученных целлюлоз (Ц). Выход жесткой Ц из всех проб Щ был одинаковым. Степень провара Ц из поврежденной технич. Щ была выше, чем в остальных пробах. Ц, полученные из поврежденной Щ, размалывались легко. Очевидно, это происходит из-за того, что волокна из поврежденного конца Щ

механически слабее, так как они поломаны и дают при размоле более короткое волокно и обрывки волокон. Наивысшее сопротивление продавливанию (СП) имели Ц из лабор. Щ и неповрежденной технич. Щ. Ц из поврежденной технич. Щ обладали значительно меньшим СП, а Ц из неразрезанной технич. Щ показывала промежуточное значение СП. В некоторых случаях показатели Ц из лабор. Щ были ниже, чем из технич. Щ, что свидетельствует о частичном повреждении Щ и при лабор. приготовлении. Повреждение Щ снижает и другие механич. показатели Ц. Наибольшее влияние повреждение оказывает на способность к размолу, затем на СП, сопротивление раздиранию и разрывную длину. Менее всего оно сказывается на числе двойных перегибов. Относительная степень повреждения может быть выражена как разность СП для Ц из неповрежденной технич. Щ и поврежденной целлюлозы до 35° ШР, выраженная в процентах от значений СП для первой из них. Изменение степени провара в пределах чисел РОЭ 5—7 мало влияет на изменение СП целлюлозы из неповрежденной и поврежденной технич. Щ. Из поврежденной древесины Щ делили на верхнюю часть, соприкасающуюся с ножом, и нижнюю. Верхняя имела больше повреждений. При увеличении длины Щ относительное кол-во поврежденной уменьшается и прочность Ц повышается. М. Цыпкина

9П418. Основные преимущества способа получения сульфитной целлюлозы с применением магниевого основания. Robinson M. D., Harris D. W. Major savings for magnesite. «Pulp and Paper», 1959, 33, № 9, 87—89 (англ.). — Видоизмененный метод (так называемый магнезит-процесс) (МП) основан на применении варочной к-ты, почти не содержащей свободной SO_2 (рН 4,5). Этот метод позволяет расширить ассортимент древесных пород, применяемых для сульфитных варок. Отмечены положительные результаты этого способа (уменьшение времени варки и увеличение производительности варочного отдела, увеличение выхода Ц, улучшение ее механич. свойств, уменьшение сорности, уменьшение гипсация подогревателей и трубопроводов, снижение загрязнения воздуха SO_2 , уменьшение потребности в охлажд. воде для приготовления варочной к-ты, улучшение условий хранения варочной к-ты, вследствие снижения парц. давления SO_2 над варочными к-тами). Возможность использования обычного оборудования для регенерации отработанных щелоков МП была успешно проверена 60-часовым производственным опытом, в течение которого регенерационное отделение работало полностью на отработанных щелоках МП. Приведен экономич. расчет, показывающий преимущества МП как в отношении капитальных затрат на оборудование 3-д, так и в эксплуатации. А. Закопчиков

9П419. Модифицированный метод сульфитной варки. Łapińska Irena. Nowa modyfikacja siarczynowej metody rozwarzania drewna. «Przegl. papiern.», 1960, 16, № 3, 79, 82—84 (польск.). — Перечислены недостатки сульфитной варки с кальциевым основанием и достоинства варок с магниевым, натриевым и аммониевым основанием. Способ варки с натриевым основанием запатентован как метод «Arbizo», с магниевым основанием — «Magnesite». Последний дает целлюлозу высокого выхода, хорошего качества, длительность варки ниже обычной, никакой дополнительной размольной аппаратуры не требуется. Целлюлоза, полученная по этому методу, после 3-ступенчатой отбелки полностью соответствует беленой сульфитной целлюлозе 5-ступенчатой отбелки. Сравнительный экономич. расчет подтверждает целесообразность внедрения способа «Magnesite». Е. Гурвич

9П420. Сорбция, ее влияние на быстрое принудительное проникновение разбавленной щелочи в древесину. Dostal E. J., Marzaccini L. M., Kleinert

T. N. Sorption phenomena: their influence in the rapid forced penetration of dilute alkali into wood. «Pulp and Paper Mag. Canada», 1960, 61, И С, Т167—Т173 (англ.). — Однородность распределения хим. реагентов в древесине (Д) является основным условием быстрой варки целлюлозы (Ц). Исследовано влияние сорбции на быстрое принудительное проникновение щелочи внутрь Д при т-ре $\sim 20^\circ$. При исследовании влияния времени сорбции мелкой древесной мукой щелочи из разб. водн. р-ров едкого натра и сульфида натрия и из сульфатного щелока (Щ), начиная от низкой щелочности его и кончая щелочностью промышленных щелоков, применяющихся для варки Ц, показано, что сорбция щелочи, рассчитанная по изменению ее конц-ии, происходила в течение нескольких минут без предшествующей деаэрации, особенно если суспензия древесной муки в Щ подвергалась интенсивному перемешиванию во время р-ции. При низкой конц-ии щелочи преобладала хемосорбция. При увеличении времени р-ции плато сорбции соответствует конечной конц-ии едкого натра между 2 и 5%. Из промышленных сульфатных варочных Щ сера не сорбируется, из разб. р-ров сульфида натрия сорбируется определенное кол-во серы. Это свидетельствует о том, что сорбция серы обусловлена ионами гидросульфида, образующимися вследствие гидролиза. В дополнение к изучению сорбции для определения удержания щелочи и воды образцами Д использована модифицированная техника центрифугирования. Найдено, что начальная влажность Д не оказывает существенного влияния на процесс. На основании данных по изучению сорбции исследовано быстрое проникновение под высоким давлением разб. р-ров едкого натра в кубики, вырезанные из разных зон бревна в трех структурных направлениях. Установлено, что основной причиной неоднородности распределения щелочи является сорбция ее наружными слоями Д, которые уменьшают конц-ию р-ра, попадающего в Д. В соответствии с этим, конц-ия щелочи в центре древесных кубиков много ниже, чем в наружных слоях. В некоторых случаях в центре кубиков была найдена только вода. Установлено, что наиболее благоприятной для быстрой и полной пропитки Д щел. варочным р-ром является толщина щепы $\sim 2,5$ мм и длина ~ 25 мм. М. Цыпкина

9П421. Роль сульфида в сульфатно-целлюлозной варке. Stone J. E., Clayton D. W. The role of sulphide in the kraft process. «Pulp and Paper Mag. Canada», 1960, 61, № 6, Т307—Т313 (англ.). — Сравнительное изучение хим. состава и физ.-мех. свойств целлюлоз (Ц), полученных в одинаковых условиях натронным и сульфатным способами, показало, что при одинаковом содержании активной щелочи натронные щелока не вызывают большей деградации углеводов древесины, чем сульфатные, т. е. наличие в последних сульфидов не оказывает какого-либо защитного действия по отношению к углеводам. При натронной варке более медленно растворяется лигнин и задерживается удаление гемицеллюлоз, чем при сульфатной. Более быстрое удаление лигнина в последнем случае увеличивает доступность р-ра к гемицеллюлозам и Ц. Более медленное удаление лигнина при натронных варках способствует удержанию гемицеллюлоз, которое приводит к незначительному улучшению разрывной длины Ц. После удаления лигнина из полученных небеленых Ц обработкой уксуснокислым р-ром хлорита повышенное содержание гемицеллюлоз в Ц обуславливает незначительное улучшение механич. свойств натронных целлюлоз. А. Закощников

9П422. О расширении производства kraft-целлюлозы. Castagne Maurice R. Kraft paves way for expansion. «Pulp and Paper», 1960, 34, № 10, 83—85 (англ.). — Фирма S. D. Warren Co. с марта 1960 г. перевела свой з-д, производивший натронную целлюлозу (Ц) в течение 75 лет, на произ-во сульфатной Ц.

В результате этого выход Ц увеличился на 10%; улучшились механич. свойства Ц (для Ц из лиственных пород прочность увеличилась на 33—38%; для Ц из хвойных пород на 58—94%). Белизна Ц увеличилась на 3,0 пункта по G. E., расход древесины снизился. Все дурно пахнущие газы окисляются в спец. скруббере промывкой хлорной водой, и загрязнение воздуха на з-де и его окрестностях устраняется. А. Закощников

9П423. Механизация при выгрузке и хранении сульфата натрия. Sumavsky Jan. Mechanizace při vykládce a manipulaci se síranem sodným. «Papír a celul.», 1960, 15, № 5, 106—109 (чешск.; рез. нем., англ.). — Описан проект механизации выгрузки и пневматич. перемещения регенерированных хим. реагентов на сульфат-целлюлозном з-де. Для их хранения применены спец. бункеры, из которых хим. реагенты пневматич. направляются к местам потребления. Д. Горин

9П424. Современное состояние и перспективы развития непрерывных варок. Schried Josef. Dnešní stav a perspektivy kontinuální várky. «Papír a celul.», 1960, 15, № 10, 218—222 (чешск.; рез. русск., нем., англ.). — Обзор (процессы и приспособления для непрерывной варки, их преимущества и недостатки, качество полученной целлюлозы, сырье). Библ. 51 назв. Д. Г.

9П425. Холодно-щелочной способ варки целлюлозы с низким расходом энергии. Gremier E. R., McGovern J. N. Lowpower cold soda pulping. «Tappi», 1960, 43, № 8, A200—A205 (англ.). — Холодно-щел. способом целлюлозу (Ц) выработывают более чем 15 предприятий в США и странах Западной Европы. Ее применяют для газетных, писчих и печатных бумаг и различных видов картона. Из модификаций этого метода наиболее эффективным является непрерывный, при котором кратковременная пропитка древесной щепы щел. р-ром производится в шнековых питателях, разделение сваренной щепы на волокно — в спец. дисковом рафинере «Chemifiner», с последующим рафинированием волокна в обычном дисковом рафинере. По этому способу максимально сокращается уд. расход энергии 9—13 л. с в сутки на 1 т выработываемой Ц. Новый способ применяют в основном для переработки древесины (Д) лиственных пород, но он пригоден для Д хвойных пород и для однолетних растений. Приведены результаты опытной выработки Ц из Д шести лиственных пород на ползаводской установке, с производительностью 2 т/сутки. Щепу пропитывали холодным р-ром щелочи в шнековом прессе питателя (диам. 0,19 м) в течение 10 мин., затем направляли в пропиточную камеру, в которой обрабатывали р-ром щелочи в течение 20 мин. при модуле 8:1—10:1, а затем направляли во второй отжимной шнек, который подавал щепу для размола в дисковый аппарат «Chemifiner», при т-ре до 70—75°, из него масса поступала в обычный дисковый рафинер; по выходе из последнего ее промывали и сортировали. Качество получаемой Ц является средним между качеством обычной древесной массы из Д лиственных пород и качеством хим. Ц той же Д (за исключением сопротивления излому, имеющему пониженные значения). Полученная по этому способу Ц из бамбука отличается высокой прочностью к надрыву. Приведены подробные данные о качестве получаемых Ц из разных пород Д и собирания об их отбелке. А. Закощников

9П426. Опыт производства полуцеллюлозы холодным щелочным способом. Jančí Jan, Fellegi Jan, Komarová K. Pokusy s výrobou studené nátrónové polobuničiny. «Papír a celul.», 1960, 15, № 10, 225—227, 230—231 (словацк.; рез. русск., нем., англ.). — Определены оптимальные условия улучшенной и ускоренной принудительной пропитки щепы при произ-ве полуцеллюлозы холодно-щелочным способом. Оптимальная конц-ия р-ра NaOH 35—50 г/л. Полуцеллюлоза из лиственных пород древесины, полученная указанным

способом, улучшает по сравнению с древесной массой из хвойных пород древесины начальную прочность бумаги, в частности газетной бумаги. При отбеливании полуцеллюлозы 1—2%-ными р-рами Na_2O_2 получают бумагу с белизной до 70% MgO . Из резюме авторов

9П431. Указания относительно отбелки сульфитцеллюлоз. Mann Alfred A. Practical pulp strength evaluation techniques. «Tappi», 1960, 43, № 4, A210—A216 (англ.).—Определены оптимальные условия размола сульфатных, белих и натронных целлюлоз (Ц) из лиственных пород древесины в лабор. ролле. Планка ролла Валлея должна иметь вес 2500 г. Прочность Ц наиболее точно выражается сопротивлением к раздиранию (СР) и сопротивлением продавливанию (СП) пробных отливок из данной Ц. Оптимальная прочность Ц отвечает величине отношения СР:СП, равному 2,5 для Ц из длинноволокнистой древесины и 2,2 для Ц из лиственных пород. Относительная прочность Ц выражается значениями СР или СП, отвечающими их соотношению равному 2,5, или же величиной хорны квадратного из произведения СР на СП. Между прочностью Ц и значениями вязкости р-ров Ц в купри-этилендиаминовых р-рах существует вполне определенная зависимость; при достаточной большой вязкости р-ров Ц—увеличение вязкости Ц не увеличивает прочность Ц. Соотношение между вязкостью и прочностью Ц сохраняет значение для различных белих и белих Ц и поэтому определение вязкости может иметь самостоятельное значение для контроля процессов варки и отбелки Ц. Для смесей Ц значения СР и СП являются аддитивными величинами и могут вычисляться, как средневзвешенные из значений СР и СП смешиваемых Ц. Сопротивление излому для смесей определяется главным образом сопротивлением излому компоненты с большей длиной волокна.

А. Закощиков

9П428. Влияние различных факторов на результаты размола бисульфитной целлюлозы. Вакамацу Сёдэн. «Сипа гикёси, J. Japan. Techn. Assoc. Pulp and Paper Ind.», 1959, 13, № 12, 871—878 (японск.).

9П429. Влияние свойств древесной целлюлозы на механическую обработку. Thode Edward F. The response of chemically pulped wood fiber to mechanical treatment. «Tappi», 1960, 43, № 9, 98A—201A (англ.).—Показано, что свойства бумаги (Б) зависят не только от условий размола при изготовлении массы, но и от качества целлюлозы (Ц) (длина и диаметр волокна, размеры канала, прочность волокна к разрыву, фибриллярное строение, содержание лигнина и других компонентов, распределение гемицеллюлоз в клеточной стенке). Изменяя условия варки и отбелки, можно в широких пределах влиять на качество готовой Б. Добавление при сульфатной варке к варочному р-ру боргидрида натрия позволяет сохранить в Ц до 80% имеющегося в древесине глюкоманнана (вместо обычных 30%), выход Ц увеличивается с 46,7 до 51,2%. При этом белизна Ц была выше обычной сульфатной. Рассмотрены методы, применяемые для определения величины внутренней поверхности массы для отлива бумаги, а также величины уд. объема. Качество Б в значительной мере определяется и условиями отлива и обволакивания полотна Б на бумагоделательной машине.

А. Закощиков

9П430. Очистка небеленой жесткой сульфитной целлюлозы. С.м.д.я.к. И. И. «Бум. пром-сть», 1960, № 10, 18—19.—Новая очистительная аппаратура для трехступенчатого сортирования состоит из двух батарей центрифуг, в каждой из которой имеется по 198 трубок № 601. Очистители работают по следующему режиму: концы поступающей в них массы 0,45—0,52%; концы массы после центрифуг 0,32—0,40%; давление массы на I, II и III ступенях соответственно 2,6—2,7; 2,0—2,2 и 0,8—1,2 ат. Кол-во отходов при таком режиме 3—4,5 г/сутки, т. е. 1,5—2,0% от су-

точной производительности очистного отдела. Для устранения забивания центрифуг диаметр отверстия насадок увеличен до 5 мм. Намечена установка двух вакуум-фильтров.

А. Хованская

9П431. Указания относительно отбелки сульфитной целлюлозы. Virkola N. E., Hentola Y., Mäkinen M., Soila R. New hints in prebleaching sulfite. «Pulp and Paper Internat.», 1960, 2, № 1, 32—33, 5 (англ.; рез. франц., нем.).—При хлорировании сульфитной целлюлозы (Ц) с числом РОЭ 5,0 установлено, что повышение т-ры хлорирования сопровождается увеличением расхода хлора. Скорость р-ции при повышении т-ры с 2 до 50° увеличивается в 12 раз. При потреблении равных кол-в хлора т-ра хлорирования не влияет на свойства белихой Ц. Применение дополнительно второй ступени хлорирования повышает белизну конечного продукта. Еще больше белизна повышается в случае применения щел. нейтрации между двумя ступенями хлорирования. Однако выход Ц при хлорировании в 2 ступени на 2% ниже, чем при одноступенчатом. Условия щел. экстракции, следующей за хлорированием, сказываются только на некоторых свойствах Ц. Интенсификация щел. обработки уменьшает тенденцию Ц к пожелтению и повышает прочность на раздирание, но одновременно понижает сопротивление разрыву и продавливанию.

М. Цыпкина

9П432. Применение хлорита натрия для варки тростника и для отбелки массы, полученной из него. Ianu A., Bejan C., Lupu A. M., Iliescu G. H., Constantinescu O. Utilizarea cloritului de sodiu ca agent de dezincrustare a stufului și de înălbire a semifabricatelor fibroase din stuf. «Celul. și hirtie», 1960, 9, № 8, 254—260 (рум.; рез. русск., нем., франц., англ.).—Приведены результаты лабор. опытов по отбелке хлоритом натрия сульфатной, моносульфитной целлюлозы, а также по получению целлюлозы бисульфитным способом с аммониевым основанием и о варках тростника с хлоритом натрия. Отмечены преимущества этого способа отбелки и приведены физ.-хим. показатели отбеленной целлюлозы.

Из резюме авторов

9П433. Применение двуокиси хлора в первой ступени отбелки буковой целлюлозы, полученной сульфатным способом с предгидролизом. Oltus Eugen, Mucha Jozef. Použitie kyslíčnika chloričitého v prvom stupni bielenia bukovej sulfátového buničiny s predhydrolyzou. «Papír a celul.», 1960, 15, № 9, 193—194 (словацк.; рез. русск., нем., англ.).—Исследовали возможность применения ClO_2 при отбелке целлюлозы (Ц), полученной сульфатным способом после гидролиза водой. Показано, что оптимальным при отбелке является 0,1% ClO_2 от веса Ц; применением такого кол-ва ClO_2 можно увеличить белизну Ц на 3—4% (MgO). Подтверждено, что главную роль при деполимеризации Ц (при отбелке ClO_2) играют окислительные процессы. Учтено влияние окислительной р-ции на кол-во в-в, удаляемых при щел. обработке.

Из резюме авторов

9П434. О некоторых свойствах целлюлозы и факторах, определяющих эти свойства. Жарковский Д. В. «Сб. научн. тр. Белорусск. ин-т механ. с. х.», 1959 (1960), вып. 2, 241—252.—В макромолекулах целлюлозы (Ц), наряду с химически активными (полярными) ОН-группами, очевидно, имеются химически активные (неполярные) углеводородные группы, за счет которых возможно образование неполярных связей между цепями. Допускается, что межмолекулярные связи в Ц дифильны по своей природе. При мерсеризации в Ц значительно повышается кол-во легко доступных для воды ОН-групп, но не наблюдаются повышения хим. активности углеводородных (неполярных) структурных групп Ц. Отмечается необходимость при изучении свойств Ц учитывать дифильный характер ее связей. Механич. диспергированием Ц достигается практически одинаковая степень повышения ее активности к взаимодействию как с водой, так и с бензолом;

мерсеризация обеспечивает только повышение активности Ц к гидратации. Отожествление механически диспергированной Ц с гидратцеллюлозой неправильно. Библ. 19 назв.

9П435. О применении люминесцентного метода изучения сорбции воды целлюлозами к характеристике их структуры. Ермоленко И. Н., Гаврилов М. З., Гладченко Л. Ф. «Научн.-тр. Ленингр. лесотехн. акад.», 1960, вып. 91, т. I, 83—87.—Исследовано влияние сорбции воды на интенсивность люминесценции некоторых основных красителей, адсорбированных природной и регенерированной целлюлозами (Ц), с целью получения данных об их строении. Напр., окрашивание смесью прямого и основного красителей позволило оценить характер распределения карбоксилатов по объему волокон сульфитной и сульфатной Ц. В настоящей работе показано, что интенсивность люминесценции резко падает при сорбции первых порций воды, связываемых Ц. Для различных Ц падение интенсивности люминесценции прекращается при одной и той же равновесной упругости водяного пара, но при различной величине равновесной сорбции воды. Эта величина сорбции может быть мерой сорбционной способности Ц, которая, в свою очередь, является косвенной характеристикой структуры целлюлозы.

Из выводов авторов
9П436. Новый метод выделения и фракционирования щелочного экстракта целлюлозы. Wilson J. W., Elsermann E. A new method for isolation and fractionation of caustic cellulose extracts. «Svensk papperstidn.», 1960, 63, № 19, 665—667 (англ.; рез. шведск., нем.).—Щелочной экстракт (ЩЭ) из целлюлозы, содержащий 8,9 г/л гемипеллоулозы (ГЦ) и 92,2 г/л NaOH, осаждался от щелочи при помощи смолы Амберлит IR120 в H⁺ форме. Последний в виде 40—45% водн. взвеси приводил в соприкосновение с ЦЭ через целлофановую мембрану. После семикратной смены Амберлита щелочь была удалена из ЦЭ на 99%. При этом часть ГЦ выпала в осадок, который был отделен и исследовался в виде первой фракции I. Фракция II была выделена добавлением к ЦЭ ацетона и фракция III выпариванием досуха всего экстракта. В виде I, II, III фракций выделено 93 % от ГЦ, содержащихся в ЦЭ. ГЦ в исходном ЦЭ состояли (в %) из 78,0 ксилана, 13 маннана и 9,0 глюкана. Фракции I, II и III получены примерно с одинаковым выходом, но отличались по степени полимеризации (70, 30 и 4 соответственно). Фракция I обладала свойствами β-целлюлозы, фракция II γ-целлюлозы. Фракция I содержала (в %) 93 ксилана, 1,0 маннана и 6 глюкана, не содержала золи; II — 76,0 ксилана, 16,0 маннана и 8,0 глюкана; III — 57,0 ксилана, 19,0 маннана и 24,0 глюкана.

9П437. Зависимость между строением целлюлозы, подвергнутой пиролизу при 250—600°, и реакционной способностью по отношению к окислителям. Otani Sugio, Ogura Akira, Hurudatsu Toshiko. «Koré kagaku zasshi, Kogyo kagaku zasshi, J. Chem. Soc. Japan, Industr. Chem. Sec.», 1960, 63, № 8, 1448—1452, A80 (японск.; рез. англ.).—Исследована зависимость между строением целлюлозы, нагретой при 250—600° в атмосфере азота, и реакционной способностью на воздухе, а также по отношению к KNO₃ (I). При нагревании образцов на воздухе начальная т-ра, при которой начинается убывание веса, сначала понижается, а затем повышается по мере повышения т-ры образца. Малым. начальная т-ра наблюдалась у образца, полученного при 400°. Понижение т-ры происходит из-за возникновения местной полимеризации, вызываемой, главным образом, радикалами С=О или слабыми связями С—С. Повышение т-ры может быть вызвано уменьшением такой полимеризации и слабых связей. С другой стороны, р-ция деполимеризации, сопровождаемая разложением на воздухе, по-видимому, ослабевает с рос-

том конъюгированных систем в структуре скелета. Такая конъюгированная система образуется при 300° и растет по мере повышения т-ры образца. Отмечается, что соотношение между образованием С=О, так же как и слабых связей С—С и реакционная способность скелета могут определять характер температурных кривых убыли веса на воздухе. На реакционную способность по отношению к I целлюлозы, подвергнутой пиролизу, влияет, главным образом, ее строение.

9П438. Замораживание и растворение целлюлозы и ее эфиров в щелочах и перспективы их применения. Никитин Н. И. В сб. «Пробл. развития целлюлозно-бум., гидролиз. и лесохим. пром-сти (НТО бум. и деревообрабат. пром-сти, № 8)», М.—Л., 1959, 27—39.—Обзорная статья по вопросу кол-ва незамерзающей воды в природных и искусств. целлюлозных волокнах; применение замораживания в щелочи для растворения низкозамещенных карбоксиметилцеллюлозы и метилцеллюлозы, применение замораживания для растворения в щелочи низкомолекулярных ксантогенатов целлюлозы.

9П439. Влияние содержания гамма-целлюлозы на устойчивость белазны сильноокисленных целлюлоз. Kaustinen O. A., Jarpe N. A. Influence of gamma-cellulose on brightness reversion at high levels of oxidation. «Papperi ja puu», 1960, 42, № 9, 485—490 (англ.; рез. финск.).—Изучена зависимость между содержанием γ-целлюлозы и пожелтением целлюлозы (Ц) при высокой степени ее окисления путем нагревания Ц в абсолютно сухом состоянии. Из исходной сульфитной Ц (по Митчерлику) были получены серии образцов с различным содержанием Ц и в различной степени окисленных Ц, содержащие 10—8,1—5,4 и 0% (следы) γ-Ц, были получены из Ц, обработанной хлоритом натрия и затем экстрагированных 1,0—5,0—10,0 и 17,5% р-рами NaOH. Окислением йодной к-той полученных Ц с определенным содержанием γ-Ц были приготовлены серии в различной степени окисленных Ц, величины медных чисел у которых изменялась от 1,6 до 45. Степень пожелтения образцов характеризовалась разницей коэф. оптич. плотности ΔK до и после нагревания образцов, измеренной при помощи спектрофотометра. В ряде случаев измерение оптич. плотности производилось с р-рами КЭД, образующего бесцветные р-ры из нежелтевших Ц и окрашивающегося при растворении в нем пожелтевших Ц. При низких степенях окисления (медные числа 1—5) пожелтение Ц увеличивается с повышением содержания γ-Ц, при этом степень пожелтения увеличивается с увеличением медных чисел. При высокой степени окисления (медные числа 10—40) значения ΔK не зависят от величины медных чисел, в этой области пожелтение мало зависит от начального содержания γ-Ц и определяется изменениями в высокомолекулярной части молекулы Ц. Опытами дополнительного окисления при помощи хлорита натрия карбонильных групп Ц в карбоксильные показало, что свободные карбоксильные группы и они же в виде натриевых солей одинаково влияют на пожелтение Ц. На пожелтение Ц влияет наличие влаги. А. Закощиков

9П440. Изучение химии древесных осины. V. Исследование различных отработанных щелоков от варки осинового Древесины, как источника л-оксисбензойной кислоты и других соединений. Pearl Irwin A., Veuer Donald T. Studies on the chemistry of aspenwood. V. An investigation of various aspen spent liquors as sources of p-hydroxybenzoic acid and other compounds. «Tappi», 1960, 43, № 6, 568—572 (англ.).—Осиновую древесину (Д) и отработанные щелока, полученные при варке осинового Д различными способами (кислый сульфитный, нейтр. сульфитный, сульфатный и натронный), подвергали кислотному и щел. гидролизу. В гидролизатах при помощи хроматографии на бумаге, УФ-спектрофотометрии были найдены: ванилин, сире-

новый альдегид, *п*-оксисбензойный альдегид, ванилиновая *к*-та, сиреневая *к*-та, *п*-оксисбензойная *к*-та (I) и *п*-кумаровая *к*-та. Кроме того, имеются еще неидентифицированные *в*-та. Результаты материальных балансов показали, что целлюлоза от бисульфитного, натронного и сульфатного способов варки являются удовлетворительными источниками для получения I. Небеленые целлюлозы могут содержать значительные кол-ва I. В целлюлозе от нейтр. сульфитной варки (получение полуцеллюлозы) I найдена в небольшом кол-ве. Часть IV см. РЖХИМ, 1960, № 24, 99046.

В. Высотская
9П441. Использование отработанных щелоков целлюлозно-бумажной промышленности Индии. Mahood S. Utilization of waste liquor from Indian pulp and paper industry. «Res. and Ind.», 1960, 5, № 6, 155—159 (англ.).—Обзор по вопросу использования отработанных щелоков (ОЩ), получаемых при варке сырья, применяемого в целлюлозно-бумажной пром-сти Индии (бамбук, трава *sabai*; рисовая и пшеничная солома и другие), и о строении лигнина (больше сирингильных звеньев в молекуле) этих ОЩ по сравнению с лигнином ОЩ от варки хвойных пород древесины. В 1961 г. в Индии намечается из ОЩ получить 200 000 т лигнина. Библи. 24 назв. А. Хованская

9П442. Фракционирование упаренных сульфитных щелоков, содержащих кальциевое основание. Enkvist Terje, Turunen Kerttu. Some simple fractionations of concentrated calcium base sulfite spent liquors. «Papperi ja puu», 1960, 42, № 4a, 157—163 (англ.; реф. финск.).—Установлено, что промышленный отработанный сульфитный щелок (Щ) с кальциевым основанием, упаренный под вакуумом до 50%-ного содержания сухих *в*-в, может быть расфракционирован на лигносульфонаты (ЛС) и углеводные компоненты путем применения горячего спирта. При этом углеводы большей частью переходят в спиртовый экстракт, а ЛС остаются в водн. фазе. На основании полученных результатов был разработан простой метод фракционирования. 1 объем упаренного сульфитного Щ экстрагируется при 80° сначала 2 объемами 95%-ного спирта (сульфитный спирт), затем еще дважды 1 объемом спирта. Экстракцию производят с обратным холодильником при перемешивании. При указанной обработке из Щ, упаренного до 50%-ного содержания сухих *в*-в и содержащего на 1 т целлюлозы 260 кг сахаров, 550 кг ЛС и 185 кг альдоловых (АК) и углеводсульфоновых *к*-т (УСК), получают спирт. р-р, из которого после отгонки спирта остается сырой сахарный экстракт (СЭ), содержащий 220 кг сахаров с 50%-ной конц-ией. В водн. фазе остаются ЛС, АК и УСК. СЭ дважды экстрагируется 3 объемами смеси этилового и изопропилового спирта (1:1). После отгонки спиртов остается конц. (84,4%) СЭ, содержащий 140 кг сахаров. Содержание золь в экстракте составляет 0,4%. К водн. слою добавляют 3,9 кг H_2SO_4 . Удаляют центрифугированием выпавший гипс и экстрагируют пробу 1 объемом 90%-ного этанола при 80°. АК и УСК переходят в спирт. экстракт. Водн. слой содержит лигносульфоновые *к*-ты с конц-ией 80%. Кол-во лигносульфоновых *к*-т в этом слое составляет 500 кг/т целлюлозы. Используемые для фракционирования этиловый и изопропиловый спирты могут быть регенерированы перегонкой.

М. Цыпкина
9П443. Новые мощности для производства продуктов из отработанных сульфитных щелоков фирмы Lignosol chemicals Ltd.—New capacity for spent sulphite liquor products at Lignosol chemicals. «Paper Trade J.», 1960, 144, № 37, 46—48 (англ.).—Завод указанной фирмы вырабатывает жидких (50%-ных) лигносульфонатов (ЛЖ) до 200 т/сутки и твердых в виде порошка (ЛТ) 80 т/сутки. Установлена мощная выпарка с турбокомпрессором и сушилка на 50 т/сутки готового ЛТ. Указаны основные области применения ЛЖ и ЛТ (в качестве связующего, диспергирующего средства и осадителя белковых *в*-в, в произ-ве цемента, при бурении, в дорожном строительстве, в произ-ве гипсовых плит, кирпича, черепицы, клея для линолеума, в литейном произ-ве и др.). Часть щелоков освобождается от солей кальция при помощи ионообмена и переводится в аммонийные или натриевые соли, применяемые для спец. целей. Напр., ЛЖ и ЛТ на аммониевом основании применяют для дубления кож, на натриевом основании — в произ-ве красителей, инсектицидов, моющих средств, для стабилизации эмульсий, для осаждения белков в виде комплексных соединений с лигносульфоновой *к*-той, для получения ряда нерастворимых комплексных соединений тяжелых металлов и т. д.

А. Закощиков
9П444. Новый метод количественного определения целлюлозы. Соболев М. А., Красивская А. А., Щербина В. И. «Изв. высш. учебн. заведений. Технол. текстильн. пром-сти», 1960, № 5, 106—109.—Для колич. определения целлюлозы (Ц) в течение 1 часа предложен метод, основанный на применении хлората натрия (I). Материал, содержащий Ц, обрабатывают предварительно в экстракционном аппарате органич. р-рителями, напр., смесью спирт-бензол 1:1 в течение 6—8 час. Экстрагированный материал последовательно (дважды) обрабатывают при нагревании с обратным холодильником смесью из I с содержанием 5—10 г/л активного хлора, азотной *к*-ты 3—6 г/л и ОП-10 1 г/л и после промывки — щел. р-ром, состоящим из $NaOH$ (10 г/л), Na_2SO_3 (7 г/л); ОП-10 (1 г/л). Полученную Ц осторожно переносят на фильтр, промывают слабым р-ром CH_3COOH , затем водой до исчезновения кислой р-ции и сушат при 105° до постоянного веса. Метод дает хорошую сходимост. параллельных определений. Результаты, получаемые по этому методу, близки к результатам, получаемым по методу Кюршера в модификации Ермакова.

А. Хованская
9П445. Модернизация предприятий фирмы Billeruds AB. Wilson Albert W. Modernizing at Billeruds. «Pulp and Paper», 1960, 34, № 12, 90—92 (англ.).—В новом цехе установлена бумагоделательная машина № 5 рабочей шириной 4,57 м для выработки крафт-оберточных бумаг, новый продольно-резальный станок. На целлюлозном з-де, на котором работает 8 стационарных котлов и один непрерывнодействующий типа Камир, установлена 12-ножевая рубильная машина, построен новый отбельный цех, работающий по непрерывной 6-ступенчатой схеме отбели с применением в двух ступенях отбели ClO_2 . Производительность нового цеха отбели 70 000 т вместо 20 000 т. Установлен новый мощный регенерационный котел производительностью 400 т системы Бабкок и Вилькокс, наиболее крупный в Скандинавии. Общее произ-во бумаги 86000 т/г.

С. Иванов
9П446. Современное состояние производства бумажной массы. Ота Такэо. «Сэйси корё, J. Pulp and Paper Ind.», 1959, 8, № 12, 19—22 (японск.).
9П447. Работа установки для подготовки растворов на фабрике. Perdue L. W. Operation of pine bluff chemical furnish system. «Tappi», 1960, 43, № 9, 182A—183A (англ.).—Описана работа отделения приготовления р-ров и суспензий и подачи их на бумагоделательную машину и каландры. Дозируются все производственные р-ры путем непрерывного измерения плотности по Боме.

А. З.
9П448. Отрыв бумажного полотна от гауча с открытой тягой. I. Теория. Campbell J. G. Sheet take-off at an open-draw couch. I. Theory. «Appita», 1960, 14, № 1, 32—37. Discuss., 44—47 (англ.).—Силы, действующие на бумажное полотно (ПБ) при сходе его с сетки гауча, были теоретически рассчитаны Мардоном. Но он не учел действия всасывания. Гендрий и Баглей предполагают, что слой воды, находящийся между ПБ и сеткой, после выхода ПБ с гауча снова впитывается в бумагу. Это положение представлено в графич. фор-

ме. Показано, что линия схода ПБ с сетки может изменять свое положение, перемещаясь вверх или вниз от рабочей области. Резкое перемещение линии схода бумаги с сетки вниз может вызвать обрыв БП. Начавшийся надрыв полотна может вызвать разрыв всего БП под влиянием натяжения. С. Иванов

9П449. Отрыв бумажного полотна с открытой тягой. II. Практические испытания. Tardif J. W. Sheet takeoff at an open-draw couch. II. Practical testers. «Appita», 1960, 14, № 1, 36—44. Discuss., 44—47 (англ.).—Проанализированы факторы, влияющие на эффективность и легкость передачи бумажного полотна (ПБ) с сетки на сукно первого пресса и на максим. скорость, с которой может работать бумагоделательная машина с открытой тягой на гауче. Наиболее важным фактором является прочность ПБ и способность машины вырывать равномерный лист бумаги и поддерживать постоянное натяжение ПБ. Влияние колебания тяги и колебания качества бумаги может быть частично снижено установкой передаточного валика или отсасывающего ящика. Однако установка их вызывает увеличение натяжения ПБ и, следовательно, снижает максим. скорость машины. Факторы, влияющие на максим. скорость бумагоделательной машины, представлены графически. Обсуждены причины обрывов ПБ на гауче и случаи, имеющиеся место при обрывах. Сообщение I см. реф. 9П448. С. Иванов

9П450. Тальк для улучшения проклейки и уменьшения смоляных затруднений. Senger F. Talkum zur Verbesserung der Leimung und Verminderung der Harzschwierigkeiten. «Österr. Papier-Ztg», 1960, 66, № 40, 11 (нем.).—Приведены данные из литературных источников о влиянии различных наполнителей на смоляную проклейку бумаги. Гипс и тальк не ухудшают степени проклейки бумаги, тогда как остальные минер. наполнители и, в особенности, каолин и бланфикс сильно ее снижают. Рассмотрены различные принципы борьбы со смоляными затруднениями в бумажном прозаве. Тальк адсорбирует частицы смолы и тем самым предотвращает их коагуляцию, уменьшая смоляные затруднения. С. Иванов

9П451. Нанесение на поверхность бумаги модифицированного крахмала с добавкой синтетических веществ и без них. Millar R. J. B. Surface application of modified starch with and without synthetic additives. «Paper-Maker (Engl.)», 1960, 139, № 1, 44, 46—47, 56 (англ.).—Доклад на конференции в Париже (октябрь 1959). Рассмотрены способы поверхностного нанесения крахмала, казеина, латексов СК (стиролбутадиен, метилметакрилатбутадиен) и синтетич. смол, применяемых для отделки и улучшения качества полиграфии. бумаги разных сортов. Н. Рудакова

9П452. Удержание различных видов крахмала, карбоксиметилцеллюлозы и альгинатов на сетке бумагоделательной машины. Jaime Georg, Demmig Werner. Die Retention verschiedener Stärke, CMC und Alginattypen auf dem Papiermaschinen Sieb. «Papier» (BRD), 1960, 14, № 40a, 625—630 (нем.; рез. англ., франц.).—Удержание клеев в-в на сетке и в ловушке изучали на спец. разработанной модельной аппаратуре с целью получения сопоставимых данных с производственными условиями. Найдено, что удержание альгинатов (А) на сетке в выбранных условиях составляло 90% и что длина цепей А и введение вспомогательных в-в не оказывает влияния на удержание. Удержание в этих условиях карбоксиметилцеллюлозы (КМЦ) составило 75%, а крахмала (К) лишь в лучшем случае достигало 48%, при этом оно сильно зависело от типа применяемого К. Наполнители и смоляной клей снижают удержания К. В опытах было установлено, что К и TiO_2 отрицательно влияют на удержание смоляных к-т. К понижает, а А и КМЦ повышают удержание наполнителей. Наряду с удержанием на сетке имеет большое значение для использования макулату-

ры улавливание «клеющих» в-в в ловушках. Удержание на сетке и в ловушках неодинаково. При использовании макулатового К потери на ловушке ниже, чем при использовании картофельного К, несмотря на более низкое удержание на сетке. В этом случае более низкое удержание на сетке компенсируется более высоким удержанием в ловушке. С. Иванов

9П453. Производство бумаги и картона сухим способом. Puryrew S. A., Dimitriev M. Fabrication du papier et du carton par le procédé sec. «Papeterie», 1960, 82, № 10, 733, 735, 737, 739 (франц.).—Приведено описание технологии и схем произ-ва сухим способом равнопрочной и неравнопрочной бумаги и картона, составленных по материалам Всесоюзного н.-и. ин-та бум. пром-сти СССР. М. Нагорский

9П454. Факторы, влияющие на качество отделки. Perrin A. R., Jr. Finishing: success or failure. «Tappi», 1960, 43, № 9, 202A—203A (англ.).—Перечислены факторы, оказывающие влияние на качество бумаги или картона в процессе отделки: состояние отделочных валов, спец. оборудования, обрезка кромки листа и упаковка готовой продукции. А. Соколова

9П455. Гладкость поверхности бумаги. Andersson Albin. Pappers ytjämnhet — litteratursammanställning. «Svensk papperstidn.», 1960, 63, № 11, 356—368 (шведск.; рез. англ., нем.).—Обзор (методы определения и применяемые приборы; факторы, влияющие на гладкость поверхности: целлюлоза, прессовая и сульфидная часть бумагоделательной машины, каландрирование; теория каландрирования и факторы, влияющие на каландрирование; машины для каландрирования; суперкаландры, статич. лабор. каландры; хранение бумаги перед и после каландрирования, влияние гладкости поверхности на печатание). Библ. 60 назв. А. Х.

9П456. Улучшение качества бумаг химическим путем и бумаги из синтетических материалов. Falter Karl-Adolf. Chemische Papierveredlung und synthetische Papiere. «Polygraph», 1960, 13, № 16, 803—804 (нем.).—Уменьшение пыльности печатных бумаг (Б), уменьшение деформируемости при увлажнении, улучшение ровноты поверхности достигают наряду с применением при проклейке в массе парафинов, смоляного клея и сульфата алюминия, применением конденсационных смол, напр. мочевиноформальдегидных. Опсетные Б при этом получают высокую прочность к выщипыванию. Таким же образом применяют оптически отбеливающие в-ва для Б. Для поверхностной проклейки, наряду с ранее применяемыми крахмалами и казеинами, с успехом применяют латексы СК и их сополимеры. Такого рода покрытия в отличие от полученных с применением НК не стареют при хранении Б. Дан обзор новых видов Б для упаковки, получаемых сочетанием Б и пленок из синтетич. материалов (поливинилацетат, производные поливинила, полиамиды и сополимеры). Опытным порядком доказана возможность изготовления Б из льна и древесной целлюлозы, с добавлением в массу синтетич. волокон (наилон, дакрон и орлон) (до 50% по весу Б). Добавление синтетич. волокон резко увеличивает прочность к изгибу (до 40 000 двойных перегибов), но стабильность размеров Б при увлажнении при этом не улучшается. Изготовление Б только из синтетич. волокон не имеет пока перспектив на практич. применение по экономич. соображениям. А. Закопчиков

9П457. Улучшение печатных свойств бумаг введением в их композицию соломенной целлюлозы. Wultsch Ferdinand, Schubert Karl. Verbesserung der Bedruckbarkeit von Papieren durch Zusatz von Strohzellstoff. «Papier» (BRD), 1960, 14, № 10, 458—461 (нем.; рез. англ., франц.).—Добавление соломенной целлюлозы (СИ), полученной нейтрально-сульфитным способом, к обычной сульфитной (еловой) целлюлозе (ЕЦ) в кол-ве до 28% по весу улучшает печатные

свойства
ли полу
СП разн
(или не
ным пу
при пом
воляющ
личной
вающую
кую кра
СП в ко
расхода
ности у
поверхн
си: уме
ность к
и др.),
ние удл
9П458.
ланной
М. То
de ziag
208 (пу
азменен
газетной
ных по
ны стат
но под
стандар
9П459
окрашен
ger Star
chenbl.
9П460
ти улуч
работ В
23—82
9П461
специал
«Вопр.
лесбуми
ГОСТ в
спец. ко
уд. объ
проекти
9П462
наделен
for lam
№ 5—6
Electr.
(англ.).
новото
вленной
хлопком
кол-вом
или меж
зы оп
у = асв
а-целлю
(в %).
кристи:
полиме
ка 5 ча
духе в
возводи
ствами.
Б и Б
щих со
нами в
молибд
провод
ложа.
высоко
на раз

свойства бумаг (Б). Особенно хорошие результаты были получены при раздельном размоле СЦ и ЕЦ и когда СЦ размалывали до меньшей степени измельчения (или не размалывали вовсе), а ЕЦ размалывали обычным путем. Оценку печатных свойств Б производили при помощи прибора для пробной печати FOGRA, позволяющего одновременно количественно оценивать величинной констант — гладкость и эластичность, впитывающую способность и способность Б усваивать печатную краску. Отмечено положительное влияние добавок СЦ в композицию Б (облегчение размола, снижение расхода энергии, улучшение непрозрачности Б, способности удерживать наполнители, проклейки, гладкости поверхности Б). Отрицательными моментами являлись: уменьшение динамич. прочности Б (напр., прочность к продавливанию, число двойных перегибов и др.), абс. величины прочности к разрыву, возрастание удлинения во влажном состоянии. А. Закопчиков

9П458. Об определении веса газетной бумаги, сделанной на двух бумагоделательных машинах. Ogaru M., Toth R. Aspecte din realizările gramajului hîr tiei de ziare. «Standardizarea», 1960, 12, № 4, 173—180, 207—208 (рум.; рез. русск., франц., нем., англ.).—Показано изменение в течение одного года однородности веса газетной бумаги, вырабатываемой на двух аналогичных по конструкции машинах. Результаты исследования статистич. методом. Сделано заключение, что можно поддерживать вес в пределах предусмотренных стандартов.

Из резюме авторов
9П459. Современное состояние и производство окрашенной бумаги. Wulfsch F., Ortner H. Neutiger Stand der Herstellung gestrichener Papiere. «Wochenbl. Papierfabr.», 1960, 88, № 21, 945—955 (нем.).

9П460. Изучение свойств пигментной бумаги и пути улучшения ее качества. Сопцова О. И., «Сб. научн. работ Всес. н.-и. ин-т полигр. пром-сти», 1958, вып. 9, 23—32

9П461. Конденсаторная бумага для конденсаторов специального назначения. Полтева Н. Д., В сб. «Вопр. произ-ва конденсатор. бумаги», М.—Л., Гослесбумиздат, 1959, 297—298.—Рекомендуется ввести в ГОСТ на конденсаторную бумагу, применяемую для спец. конденсаторов, показатели, характеризующие ее уд. объемное сопротивление или соответствующую ее проводимость. А. Х.

9П462. Усовершенствование бумаги для слоистых изделий. Katagiri Masaaki. Development of paper for laminates. «Rev. Electr. Commun. Lab.», 1960, 8, № 5—6, 199—203. Transl.—«Какую дзигуэка хококу, Electr. Commun. Techn. J.», 1960, 9, № 5, 125—138 (англ.).—Описано усовершенствование метода произ-ва нового вида бумаги (Б) для слоистых изделий, изготовленной из хлопкового волокна и льна. При варке хлопковых хлопьев с р-ром NaOH отношение между кол-вом щелочи и медно-аммиачной вязкостью волокна или между кол-вом щелочи и содержанием α -целлюлозы определяется следующей приближенной ф-лой: $y = aeb^x$, где y — относительная вязкость или кол-во α -целлюлозы, a и b — константы, x — кол-во NaOH (в %). Для получения целлюлозы с большим кол-вом кристаллич. фракции в молекуле и высокой степенью полимеризации оптимальное кол-во NaOH 8—12%, варка 5 час. при 150°. Установлено, что созревание на воздухе в течение 10 суток вареного хлопкового волокна позволяет получить Б с лучшими впитывающими свойствами. Таким образом, были получены окрашенные Б и Б с содержанием минер. наполнителей, повышающих сопротивление износу от трения с использованием в качестве наполнителей графита и дисульфида молибдена. Разработана методика снижения электропроводности водн. вытяжки Б путем промывки волокна. Полученная для слоистых изделий Б отличается высокой степенью полимеризации, высокой прочностью на разрыв, низкой электропроводностью водноэкстракт-

тивных в-в. Б отличается малой деформацией, высокими диэлектрич. свойствами, хорошими пробивными свойствами и хорошим сопротивлением износу.

С. Иванов

9П463. Модификация поверхностных окрасок с помощью аминов. Claxton A. W. Modification of coating colors with amines. «Tappi», 1960, 43, № 3, 235—241 (англ.).—Добавление малых кол-в полиаминов или их солей к составам для поверхностной проклейки бумаг (Б) улучшает реологич. свойства составов и качества бумаг. Улучшаются печатные свойства Б, улучшаются блеск, белизна Б и непрозрачность, впитывание краски, печать получается более равномерной, лучше воспроизводятся полутона. Может быть снижен расход проклеивающих материалов при обработке поверхности Б. Эффективно действуют этилендиамин, диэтилен-триамин, триэтилен-тетраамин, тетраэтилен-пентадиамин и др. и их полуацетаты. Эффективность применения диаминов зависит от pH среды. Действие амина (А) основывается на образовании соединений из молекул А и частиц крахмала или каолина и др. в массе, применяемой для покрытия по Б. При образовании таких соединений образуются новые связи между частицами и изменяется форма частиц. Увеличивается вязкость суспензий (напр., от 1,55 до 2,13), делаются более ярко выраженными явления тиксотропии. Влияние добавок А отмечается при рентгеноскопии. Исследования. А. Закопчиков

9П464. Полиэтилен низкого молекулярного веса в покрытии для картона. Rozenbaum Robert. Low molecular weight polyethylenes in paperboard coatings. «Appl. Plast.», 1960, 3, № 6, 34—37; «Paper and Print», 1960, 33, № 3, 323, 325—326, 329 (англ.).—Полиэтилен (П) низкого мол. веса, добавляемый к парафинам, улучшает лоск, хим. стойкость, прочность и ряд других свойств картона (К). Добавление П к парафину в покрытиях для К увеличивает т-ру размягчения парафина. Смеси из П и парафина широко используют для покрытия К, применяемого для упаковки молока, масла, мороженого и другой замороженной пищи, а также для гофрированного К. Применение П позволяет сэкономить большие кол-ва парафина. В. Замбровская

9П465. Покрытие картона полиэтиленом низкого молекулярного веса. Rosenbaum Robert. Coating paperboard with low molecular weight polys. «Amer. Boxmaker», 1960, 49, № 10, 13—15 (англ.).—Приведены характеристики полиэтиленов разных типов и их сравнение с парафинами. Добавка полиэтилена низкого мол. веса в покрытия картонов улучшает их прочность, лоск и сопротивление истиранию. А. Х.

9П466. Крахмальные клеи для производства гофрированного картона. Webb R. J., Reese M. C. Starch adhesive for corrugated board. «Adhesives and Resins», 1960, 8, № 7—8, 69—72 (англ.).—Разработан метод проклейки картона путем клейстеризации «in situ» крахмальной суспензии, содержащей 3 ч. воды и 1 ч. крахмала (К). При применении такой суспензии К можно работать на картоноделательной машине с большими скоростями. Приведены схема приготовления суспензии и метод контроля ее качества. Особенностью предлагаемого способа является применение предварительно клейстеризованного К, который смешивают с К и некоторыми необходимыми добавками, к смеси при перемешивании добавляют холодную воду. Клейстеризованный К является как бы носителем, который поддерживает сырой К в суспензии. Такую суспензию насосами непрерывно подают на картоноделательную машину, работающую со скоростью 214 м/мин. Крахмальная паста (клеястеризованный К) для неводостойкого гофрированного картона состоит из 265 кг кукурузного К; 7,7 кг NaOH, 7,7 кг буры, 1,14 л формалина и 1040 л воды. Для произ-ва влагоустойчивого картона в суспензию добавляют мочевиноформальдегидные или фенолформальдегидные смолы. А. Жушман

9П467. Мелованные бумаги в упаковочной технике. Souček Milan. Zúšlechťované papíry v obalové technice. «Papír a celul.», 1960, 15, № 7, 162—164 (чешск.; реф. русск., нем., англ.).—О применении парафиновых и синтетич. смол (полиэтилена), полиакрилатов, полиамидных смол, поливинилацетата и их сополимеров для произ-ва бумаг с покрытием. Указаны способы их нанесения и свойства, которые они придают бумагам.

Д. Г.

9П468. Вклад химической промышленности в дело улучшения использования древесины. Redfern Donald V. The chemical industries' contribution to improved utilization of wood. «Tappi», 1960, 43, № 7, A216—A217 (англ.).—Вырабатываемые на предприятиях хим. пром-сти клеи и смолы используются при получении из бумажных отходов высококачественных бумажного литя и гофрированной тары для продуктов. Применение хим. добавок повышает выход массы и улучшает качество бумаги; добавка 1% смолы повышает прочность листа на разрыв и сопротивление продавливанию на 15—20%. Введение некоторых полимеров увеличивает число двойных перегибов, прочность на разрыв и эластичность. Введение хим. добавок, улучшая физ.-мех. показатели бумаги, в то же время позволяет сохранить вес 1 м² бумаги. Отработанные щелока целлюлозного произ-ва являются сырьем для получения клеев, поверхностноактивных в-в и ряда хим. реагентов.

В. Высотская

9П469. Взаимодействие переменных величин процесса, материала-основы и смолы при нанесении на него полиэтиленового покрытия методом шприцевания. Goslin J. P., Sweeney H. F. The interaction of processing variables, base materials, and resins in polyethylene extrusion coating. «Tappi», 1960, 43, № 5, 434—447 (англ.).—В качестве подложки испытаны: крафт-бумага, милар «K» 202+, целлофан MSAD-80 и алюминиевая фольга. Для покрытий применяли полиэтилен марок «U», «Z», «W», «X», «V» и «Y». Плотность первых трех варьировала в пределах 0,915—0,918, индекс размягчения изменялся от низкого до высокого 3,4; 10 и 23. Плотность «X»—0,930; «V» и «Y» имели плотность 0,923 и индекс размягчения 3,1 и 8,0. Покрытия наносили при разных скоростях и т-ре на каждом из указанных материалов. Наибольшая прочность склеивания наносимого полиэтилена с подложкой наблюдалась на миларе, алюминиевой фольге и крафт-бумаге, меньшая на целлофане. Индекс размягчения полиэтилена оказывал сильное влияние на адгезию.

А. Соколова

9П470. Влияние добавок, применяемых в производстве упаковочных материалов, на качество пищевых продуктов. Calkins C. H. Food additives amendment problems of a packaging material manufacturer. «Tappi», 1960, 43, № 9, 14A, 16A (англ.).

9П471. Техника химической очистки в картонном производстве. Kipp Robert. Chemical cleaning procedures in the paperboard industry. «Tappi», 1960, 43, № 9, 220A—222A (англ.).—Описана техника очистки систем подготовки массы, промывки и содержания ванн сеточных цилиндров картоноделательных машин, промывки мокрых сушек, очистки рубашек отсасывающих валов и поверхности сушильных цилиндров. В зависимости от вида загрязнения и типа оборудования или одежды машины применяют для очищающих р-ров следующие хим. реагенты: щелочи, органич. р-рители, к-ты и комбинированные. Наиболее эффективным является способ циркуляции моющего агента и обработка при помощи спрысков. Обработку моющими средствами производят погружением (включая обработку перемешиванием, электролитич. и ультразвуковую), циркуляцией с применением водяных и воздушных спрысков, паром и во вращающемся цилиндре.

С. Иванов

9П472. Техника производства бумаги и картона. Частн 31, 32. Williamson Frank. Technique of

paper and board making. Parts 31, 32. «World's Paper Trade Rev.», 1960, 153, № 20, 1811—1812, 1814, 1816, 1818; № 22, 2001—2002, 2004, 2006 (англ.).—31. Обсуждаются вопросы модернизации котельных на картонных ф-ках, определение расхода воздуха, пароперегреватели, питатели воды, экономайзеры, водяные трубы котла, насосы, топливо. Размеры котлов. Приведены некоторые практич. расчеты.

32. Рассматривается снабжение энергией картонных ф-к: двигатели, роль паровых машин и паровых турбин. Приведено несколько схем для модернизации котельных, выбора котельной и силовой станции. Описана силовая станция «Генриетта» и ее оборудование. Часть 30 см. РЖХим, 1961, № 4, 4П498.

С. Иванов

9П473. Применение синтетических смол как стимул развития производства гофрированного картона. Sherwood Peter W. Synthetic resins accelerate market growth of corrugated board. «Paper Ind.», 1960, 42, № 7, 490—491 (англ.).—Синтетич. смолы применяют в произ-ве гофрированного картона (К) в качестве спец. проклеивающих, пропитывающих в-в, для поверхностных покрытий, промежуточного слоя в спец. водостойких К. Перечислены основные виды применяемых смол и их свойств. Введение новых синтетич. смол улучшило качество К и позволило получать К различных свойств, что обеспечило ему расширение применения и в связи с этим рост произ-ва. В США произ-во К с 1955 до 1960 г. (включительно) увеличилось на 18%.

А. Соколова

9П474. Борьба с короблением картона в гофрировальной машине. Phillips D. B. Less warp, less gluing, more speed. «Tappi», 1960, 43, № 3, A228—A230 (англ.).—Для устранения коробления полотна картона (ПК) в машине для гофрирования на предприятии фирмы Longview Fibre Co. введены в действие два устройства: система дополнительной сушки ПК и система заправки ПК перед клеильным прессом. Система сушки состоит из воздуходувки мощностью 155,7—198 м³/мин воздуха, воздуховода дном. 914 мм, парового меевика дном. 1067 мм и системы воздуховодов, подающих горячий воздух при 57—68° со скоростью 156—170 м/мин в передвигаемые сопла, смонтированные поперец ПК. Система обеспечивает равномерную сушку ПК и позволяет увеличивать скорость гофрировальной машины на 15,2 м/мин. Реконструкция клеильного пресса заключалась в утяжелении и смещении оси прижимного вала на 12,5—19 мм от центральной оси; в закреплении разгонного вала на 127 мм выше горизонтальной оси прижимного вала и в пропускании ПК перед клеильным прессом над прижимным валиком, а не под ним, что устраняет излишнее увлажнение ПК при проклейке, и тем самым уменьшает коробление.

А. Соколова

9П475. Опилки как сырье для плит (строительных). Koleják Milan. Piliny ako surovina na veľkoplošné materiály. «Dfevo», 1960, 15, № 10, 295—298 (словац.; реф. русск., нем.).—Опилки в строительных стружечных плитах применяют в основном для их средней части. Наиболее целесообразно применение гидролизованных опилок. Главной проблемой при произ-ве плит является разработка оборудования, обеспечивающего экономичность этого производства.

Из резюме автора

9П476. Одностороннее поглощение воды и масел твердыми волокнистыми плитами. Osterberg Lars Brauns Otto, Back Ernst. Enkelsidig vatten- och oljeabsorption hos hårda fiberskivor. «Svensk papperstidn.», 1960, 63, № 19, 658—664 (шведск.; реф. англ., нем.).—Описан видоизмененный аппарат для измерения поглощения жидкости волокнистыми плитами (П) по методу Кобба. После обработки жидкостью поверхность испытуемой П, избыток жидкости, оставшейся на поверхности П, можно очень быстро удалить. Поглощение жидкости П выражается в г на 1 м² П при

размере испытываемой площади, равной $1,000 \text{ dm}^2$ и определяется по привесу P в $г$ на 1 м^2 . Время контакта с жидкостью при стандартных испытаниях устанавливается в 2 часа для воды и 3 мин. для масел при 20° . вязкость которых 3 стуаз . При смачивании P водой угол контакта в условиях «вода-воздух-П» изменяется во времени. Проникновение жидкости в пористый материал подчиняется общей зависимости между объемом проникшей жидкости (V) и временем поглощения (T) и выражается: $V = A + B \sqrt{\gamma \cos \theta T / \eta}$, где η — вязкость жидкости; γ — ее поверхностное натяжение; θ — угол контакта с твердым телом; A — положительная, или отрицательная константа (в зависимости от течения процесса проникновения жидкости); коэф. B определяется характером пористости материала. Приведена серия графиков зависимостей: 1) поглощения жидкости от времени, 2) поглощения масла от его вязкости, 3) глубины проникновения масла от времени, 4) поглощения масла от давления и другие зависимости. Установлено, что кол-во поглощенной жидкости возрастает пропорционально квадратному корню из времени ее контакта с П. Кол-во поглощенного масла обратно пропорционально квадратному корню из его вязкости. Проникновение минер. масла в глубину, отнесенное к корню из единицы времени, идет много глубже в направлении, параллельном к поверхности П, чем нормально к поверхности. М. Нагорский

9П477. Сухой способ производства плит фирмы Bowater's board Co. D y c k A. W. J. Bowaters moves into more diversified production. «Paper Ind.», 1960, 42, № 7, 480—484, 493 (англ.).—Древесина хвойных и лиственных пород поступает в лесовосстановительный отдел по водн. лоткам, окариивается в двух барабанных корообдирках и рубится в щепу в двух десятидюймовых рубильных машинах. Подача щепы в бункера осуществляется автоматически. Поступая через шнековый питатель в варочный аппарат, щепы пропаривается в течение 5 мин. под давл. $10,2 \text{ ат}$ и через систему шнековых питателей передается в четыре дисковых рафинера, в которые одновременно через отверстия полого вала поступает синтетич. смола в жидком виде, чаще всего фенольная. Сушка размолотого волокна осуществляется в течение 6 сек. в двух сушильных камерах при $t \sim 538^\circ$ в потоке горячего воздуха. Всушенное волокно выгружается через циклонный сепаратор, оборудованный скребками. Сухое волокно в воздушном сепараторе разделяется на фракции и хранится в отдельных бункерах, оборудованных объемными питателями с электроуправлением. Из бункеров воздушными потоками со скоростью $41,5 \text{ м/сек}$ последовательно волокно подается через вибрирующие сопла на сетку аппарата для свойлачивания; воздух удаляется через сетку сосунами, а на сетке откладывается многослойное полотно, толщина и плотность которого регулируется боковыми отсасывающими установками. Верхний слой полотна состоит из тонкого волокна, позволяя получить плиты (П) с облагороженной поверхностью. Полотно уплотняется между двумя бесконечными лентами предварительного компрессора, двумя валами с узким зазором и рядом небодящих валов, и поступает на конвейер, где продольные и поперечные пилы образуют крошку полотна и разрезают его на П нужного формата. Подача П в пресс производится цепной системой. В прессе, вмещающем до 20 П, они выдерживаются в течение 2,5 мин. при $t \sim 230^\circ$ под давл. 68 ат . Затем охлаждаются и увлажняются. Шлифуются П на трехленточном высокоскоростном шлифовальном станке. А. Соколова

9П478. Контроль приборов для определения физико-механических характеристик бумаги и картона. Zamfirescu M. Controlul aparatelor pentru determinarea caracteristicilor fizice și mecanice ale hirtiiilor și cartoanelor. «Metrol. apl.», 1960, 7, № 3, 105—109, 143,

144 (рум.; рез. русск., франц., англ., нем.).—Изложены принципы, положенные в основу контроля приборов для определения физ.-мех. характеристик бумаги и картона: метод соответствия приборов, заключающийся в проверке характеристик прибора; метод сравнения, заключающийся в определении на проверяемом приборе и на эталонном приборе, а также смешанный метод, основанный на проверке характеристик прибора и на сравнительных испытаниях испытуемого и эталонного приборов. Приведены результаты определений характеристик бумаги и картона и дан анализ неполадок приборов для них.

Из резюме автора 9П479. Технология и автоматический контроль бумажного производства. Фурудзава Макото. «Сэйси когэ, J. Pulp and Paper Ind.», 1959, 8, № 6, 16—19 (японск.)

9П480. Оснащение контрольно-измерительными приборами процесса непрерывного размола массы. Farber R. F. Process instrumentation for continuous refining. «Paper Trade J.», 1960, 144, № 44, 24—26 (англ.).—Размольно-подготовительные цехи бумажных предприятий оснащаются контрольно-измерительными и регулируемыми приборами: для измерения кол-ва протекаемой по трубопроводу бумажной массы при помощи магнитного потокомера и для регулирования работы рафинеров и мельниц Жордана по разности t -ры до и после размола. Описаны различные системы подготовки бумажной массы, состоящей из нескольких компонентов, по непрерывному и циклич. методу размола. Приведена схема непрерывного размола.

С. Иванов 9П481. Автоматизация процессов бумажного производства, некоторые последние применения. Gardner R. C. Towards a more automatic papermaking process—some recent applications. «Pulp and Paper Mag. Canada», 1960, 61, № 10, T485—T489 (англ.).—Описан контроль процессов произ-ва бумажной массы, бумагоделательной машины (БМ) и вспомогательного оборудования потока БМ № 13 ф-ки Айлефорд, предназначенной для выработки типографской и газетной бумаги при скорости 600 м/мин . Все контрольно-измерительные и регулирующие аппараты автоматич. действия сосредоточены в спец. звуконепроницаемом помещении, оборудованном установкой для кондиционирования воздуха. Описана полуавтоматич. система отпуска целлюлозы на гидрапальерах, регуляторы конц-й массы и система смещения волокнистых компонентов и каолина. Автоматич. бракомольная установка для переработки сухого бумажного брака работает согласованно с аппаратурой переработки мокрого брака и управляется с помощью фотоэлектрич. системы. Приведены примеры контроля процессов, применяемых на других з-дах и машинах: для приготовления суспензии каолина, варки крахмального клея непрерывным способом и регулирования влажности на самостоятельных бумагоделательных машинах, а также схемы установок и приборов для этого.

С. Иванов 9П482. Приборы и методы для оценки работы напорного ящика. Gavelin G. Instruments and methods for the evaluation of head box performance. «Paper Technol.», 1960, 1, № 5, 497—504. Discuss., 505—506 (англ.).—Дано описание применяемых приборов и методов исследования работы напорного ящика (НЯ). Установлено, что если бетаметр для измерения профиля бумажного полотна питается через счетно-вычислительную машину, полученная информация позволяет рассчитать отклонения от стандартного веса 1 м^2 как в продольном, так и поперечном направлении бумажного полотна. Это используется для контроля однородности бумаги по весу и выявления мест возникновения отклонений от нормы. Отмечена полезность измерения профиля толщины бумаги на накате. Были зарегистрированы колебания давления массы в НЯ и при подаче массы насосом с целью определения колебаний в пото-

ке массы, вытекающем на сетку машины из щели НЯ, а также изучены при помощи вибратора помехи, вызываемые вибрацией оборудования. Примененная в исследованиях высокоскоростная фотография. Съемка показала большую пользу в выявлении состояния (положения) струи массы, вытекающей из щели НЯ и способа соприкосновения ее с сеткой бумагоделательной машины. Воздух в бумажной массе в НЯ определялся чувствительным анализатором; содержание воздуха в бумажной массе влияет на условия течения потока.

С. Иванов

9П483. О производственном использовании весомера и влагомера. Berglund William K. Production use of the accuray and hygrometer. «South. Pulp and Paper Manufacturers», 1960, 23, № 4, 102—104; «Tappi», 1960, 43, № 4, A169—A170 (англ.).—Данные о практич. использовании (на одном из предприятий в шт. Флорида) для контроля веса кв. метра и влажности бумаги весомера и влагомера. Весомером определяют вес 1 м² бумаги. Он имеет источник радиоактивного излучения с сигнальной детекторной головкой (ДГ), которая автоматически включается через каждые 30 мин. и в течение 3 мин. проходит по ширине полотна бумаги (БП) от лицевой к приводной стороне машины и обратно. При обрыве ПБ автоматически ДГ отводится и не затрудняет процесса заправки. Сигналы от ДГ, расположенной в сушильной части, передаются к записывающим аппаратам, находящимся в конце сушильной и в мокрой частях машины. ДГ, расположенная в конце мокрой части машины, имеет обратную связь (регулирующую) с выпускной щелью напорного ящика. Влагомер смонтирован в месте передачи ПБ от 2-го машинного каландра к накату. Сигналы от скользящего датчика или башмака влагомера передаются к самопишущему прибору, вычерчивающему кривую изменения влажности по ширине ПБ и среднюю влажность ПБ, которая записывается один раз через каждые 20 сек. (время движения башмака от лицевой стороны машины к приводной или обратно). Точность работы этих приборов обеспечивает целесообразность их использования при проведении исследовательских работ. Заводы-готовители первого «Industrial Nucleonics, Inc.», и второго — «Paul Lippke Co.» — Германия.

М. Беленская

9П484. Очистка целлюлозы в гидроциклонах. Mititelu C. Ecurarea celulozei in hidrocicloane. «Celul. și hirtie», 1960, 9, № 9, 288—294 (рум.; рез. русск., нем., франц., англ.).—Рассмотрен вопрос очистки целлюлозы в гидроциклонах (ГЦ) с теоретич. и в особенности с практич. точек зрения. Даны характеристика некоторых типов ГЦ шведского и финляндского произ-ва, испытанных в различных промышленных установках большого объема, а также ряд технологий, схем по монтажу ГЦ. Приведены таблицы, содержащие практич. результаты и показатели работы установок.

Из резюме автора

9П485. Концентрирование сульфитных отработанных щелоков путем выпаривания. Plechatý Ladislav, Velínský Vladimír. Zahušťování sulfítoových výluhů odpařováním. «Papír a celul.», 1960, 15, № 8, 171—176 (чешск.; рез. русск., нем., англ.).—Приведены схема и описание выпарных (Эшер-Висс, Пурги, Рамен, Розенбаум, Кестнер и др.) аппаратов, а также описание устройств «Сері» для предотвращения инкрустации.

Из резюме авторов

9П486. Основные величины для оценки и выбора выпарных аппаратов. Plechatý Ladislav, Velínský Vladimír. Hlavní hodnoty pro posuzování a volbu odpařovacích stanic. «Papír a celul.», 1960, 15, № 9, 195—198 (чешск.; рез. русск., нем., англ.).—Рассмотрены расход пара и коэф. теплоотдачи многокорпусных аппаратов, определены оптимальные кол-ва спиртовых конденсатов из вторичного пара, которые целесообразно собирать и перегонять, а также оптимальное кол-во

корпусов выпарных аппаратов в зависимости от объема упариваемых щелоков. См. реф. 9П485.

Из резюме авторов

9П487. Аппарат для выпарки черных сульфатных щелоков с сетчатым сепаратором. Jurgensen H. D., Jacoby H. E., Lankenau H. G. Sulfate black liquor evaporator operation with mesh pad type separators. «Tappi», 1960, 43, № 6, A193—A196 (англ.).—Установки сетчатых сепараторов на аппаратах многокорпусной выпарки снижает потери хим. реагентов, не требуя значительных капитальных затрат и не влияя на технологич. процесс.

А. Соколова

9П488. К вопросу об улучшении сеток бумагоделательных машин. Глухова З. Ф., В сб. «Вопр. произ-ва конденсатора. бумаги». М.—Л., Гослесбумиздат, 1959, 308—309

9П489. Новое в области клейных прессов в Европе. Barker Ernest F. What's new with size presses in Europe. «Paper Trade J.», 1960, 144, № 38, 36—39 (англ.).—На Деттингенской бумажной ф-ке (Зап. Германия) установлен уникальный горизонтальный клейный пресс (КП) отдельно от бумагоделательной машины (БМ), предназначенный для различных операций поверхностной обработки и облагораживания бумаги: для поверхностной проклейки, мелования, окраски, пропитки и кондиционирования по влажности. Это — первая в мире установка подобного рода. Она состоит из раската особой конструкции («flying splice»), КП, сушильной части и наката. Фирмой Брудерхауз, изготовившей установку, отмечены следующие ее преимущества перед установкой КП: 1) Скорость ее не зависит от рабочей скорости БМ и процесс ее работы не связан с работой машины. КП не всегда используется на машине и его включение и выключение из работы связаны с останом машины. 2) Отдельная установка КП позволяет производить опытные работы, не влияющие на производственную работу БМ. 3) Такая установка позволяет производить 2-кратную обработку бумаги. Описываемая установка имеет в длину 18 м, ширину 2,8 м и высоту 5,7 м. Рабочая скорость установки может изменяться от 50 до 300 м/мин, заправочная скорость 10 м/мин. Дано подробное описание устройства КП. Фирма Брудерхауз строит еще две аналогичные установки для Австрии и Голландии. Первая из них будет обладать двумя КП в одном агрегате и позволит сразу выполнять две различные операции покрытия.

С. Иванов

9П490. Показатели для оценки качества мокрых суконов бумагоделательной машины. Hanatschek E. Kriterien der Papiermaschinen-Nassfilze. «Papiertechnik», 1960, 42, № 11, 607—614, 616 (нем.; рез. англ.).—Основные показатели мокрых суконов: пропускная способность по отношению к воде, отсутствие маркировки на бумаге и прочность сопоставлены с общим весом поперечных нитей, приходящихся на 1 м² сукана, и их числом на 10 см; установленная зависимость выражена графически. Приведенная сводная диаграмма для всех 3 показателей наглядно иллюстрирует, что улучшение какого-либо одного показателя может идти только за счет снижения двух остальных.

А. Попов

9П491. Исследование работы сушильной части бумагоделательной машины. Гаевский В. А. Изв. Киевск. политехн. ин-та», 1959, 28, 73—77

9П492. Прессовые сукана для выработки конденсаторной бумаги. Фляте Д. М., Рысова А. П. «Бум. пром-сть», 1960, № 6, 28—29.—Сукана (С) марки М-70ГЛ, применяемые при произ-ве конденсаторной бумаги (Б), отличаются следующими преимуществами по сравнению с С марки М-70: срок их службы больше на 13—26%, удлинение меньше в 1,5 раза, а толщина шерсти, выпадающей на Б, меньше в 1,5—2 раза. Показатели начальной водопропускной способности и поперечной усадки обоих видов С примерно одинаковые. Вес 1 м² ткани С марки М-70ГЛ (470—520 г/м²) обеспечивает

более б. чественн. провект вать кот. 9П493. картон hair vas (англ.).—Установки Швеция менения эта сист работе с испол. всем тр. лых бум. гибкость напуток разных Наиболь. нием то. ляндин 7,3 м. Е. дмгате. воздухо. новки. 9П494. ций на. измере. The cha. use of 1960, 6. Рассмот. р в на. следие. ждены. токе ма. чена це. мерени.

9П495. образо. ного м. Jetto for estim. «Tappi» бумаги. веса 1. Вес 1. кует та. для оп. са 1 м. направ. малая на. Обо. цов для. клонен. разед. шая ча. ния. ус. 9П496. моши Detle. ung des. Isotope. № 8, 30. жности. предло. чения в зави. ден для. Древес.

более благоприятные условия для получения доброкачественной конденсаторной Б по показателю воздухопроницаемости. Эти С позволяют устойчиво вырабатывать конденсаторную Б толщиной 5—6 м. А. Хованская

9П493. Турбовоздуходувка для бумагоделательных, картонных и целлюлозных машин. Yersin A. F. Turbair vacuum system for paper, board and pulp machines. «Pulp and Paper Mag. Canada», 1960, 61, № 9, 112—114 (англ.).—Вакуум-система с использованием турбовоздуходувки была разработана фирмой Sulzer Bross Ltd в Швейцарии во время войны. Система основана на применении радиальных воздуходувок. В настоящее время эта система получила широкое распространение, и в работе находятся ~300 установок. Вакуум-установки с использованием турбовоздуходувки удовлетворяют всем требованиям произ-ва как для больших, так и малых бумагоделательных машин. Она обладает большой гибкостью и хорошо приспособляется к переменной нагрузке бумагоделательной машины при выработке разных сортов бумаги и достаточно надежна в работе. Наиболее крупная установка такого рода с использованием только одной турбовоздуходувки работает в Финляндии на быстроходной газетной машине шириной 7,3 м. Ее производительность 1860 м²/мин и мощность двигателя 1530 кет. Приведены описания устройства воздуходувки и принципиальная схема вакуум-установки. С. Иванов

9П494. Характеристика некоторых новых конструкций напорных ящиков с применением гидравлических измерений. Mardon James, Wahlström Börje. The characterization of some modern headboxes by the use of hydraulic measurements. «Svensk papperstidn.», 1960, 63, № 20, 716—728 (англ.; рез. шведск., нем.).—Рассмотрены результаты проведенных измерений внутри в напорном ящике (НЯ) и в выпускной щели последнего; сделаны сравнения для различных НЯ. Обсуждены допустимые пределы колебаний давления в потоке массы, выходящей из выпускной щели НЯ. Отмечена ценность использованной техники гидравлич. измерений для анализа работы НЯ. Библ. 11 назв. С. Иванов

9П495. Статистически обоснованный способ отбора образцов для определения соответствия веса квадратного метра бумаги техническим условиям. Moyer Jerrold H. A statistically based sampling procedure for estimating conformance to basis weight specifications. «Tappi», 1960, 43, № 9, 761—769 (англ.).—Прием рулона бумаги (Б) или картона производят по соответствию веса 1 м² отобранного образца Б технич. требованиям. Вес 1 м² Б отобранного образца не всегда соответствует таковому во всем рулоне Б. Предложены метод для определения величины возможного отклонения веса 1 м² Б внутри рулона в продольном и поперечном направлении полотна и схема отбора образцов, основанная на знаниях колебаний свойств Б внутри рулона. Обоснован статистич. метод отбора и кол-во образцов для испытания, а также допустимые пределы отклонений, которым должен соответствовать средний образец для устранения приема рулонов, в которых большая часть Б может находиться за пределами норм технич. условий на Б. С. Иванов

9П496. Определение влажности древесины при помощи радиоактивных изотопов (β-лучей). Noack Detlef, Kleuters Wilhelm. Über die Bestimmung des Holzfeuchtigkeitsgehaltes mit Hilfe radioaktiver Isotope (β-Strahlen). «Holz Rohund Werkstoffe», 1960, 18, № 3, 304—308 (нем.; рез. англ.).—Для определения влажности тонких листов древесины (толщиной ~2 мм) предложено пользоваться прибором с источником излучения Sr⁹⁰ и определять изменение абсорбции β-лучей в зависимости от плотности древесины. Метод пригоден для непрерывного контроля за процессом сушки древесно-стружечных плит, шпона и т. д. Н. Рудакова

9П497. Целлюлоза и бумага: химия и химическая технология. Том I. Варка и отбелка. 2-е издание, дополненное и исправленное. Casey James P. Pulp and papers: chemistry and chemical technology. Vol. 1. Pulping and bleaching. 2nd ed. rev. and enlarg. New York—London, Interscience, 1960, XIX, 875 pp., ill., 7£ 7sh. (англ.)

9П498. Производство массы и бумаги из бамбука. Schuh Charles Herman. Production of bamboo pulp and paper. [Government of Burma]. Пат. США 2929756, 22.03.60.—Предлагается способ и аппарат для получения бамбуковой массы. Стебель бамбука, содержащий >40% влаги дезинтегрируют ударным действием зубьев, закрепленных на поверхности вращающегося барабана. Высота зубьев 12,5—25 мм, диам. 3—6 мм, 8—12 тыс. ударов на 1 погонный дюйм (25 мм ширины ствола бамбука и на 1 дюйм подачи ствола), длина волокон получаемой массы 10—25 мм. Кол-во мелочи, проходящей через сито, 100 меш. <40%. Полученный волокнистый материал диспергируют в воде механич. перемешиванием при pH 12 и используют для получения бумажной продукции путем отлива, прессования и сушки. Предусмотрена возможность сортирования волокнистой массы после измельчения; использование 1/2—2% щелочи для диспергирования волокнистой массы с последующей отмывкой волокон от щелочи или без отмывки щелочи; отбелка волокнистой массы гидросульфитом цинка, а также дополнительный размог волокнистой массы в роллах и введение в бумажную массу проклеющих в-в и минер. наполнителей. Приведены описание устройства аппарата и его схематич. чертёж. С. Иванов

9П499. Производство ацетата целлюлозы. Торигата Хиротоси, Хара Косаку. [Мицубиси раён кабусики кайся]. Японск. пат. 7736, 18.09.57.—Сырую целлюлозу активируют лед. CH₃COOH, деполимеризуют и ацетилируют при перемешивании, охлаждают и добавляют предварительно охлад. основную ацетилирующую смесь, т-ра при этом повышается вследствие р-ции, в результате которой получают ацетат целлюлозы. Пример. К хлопковому пуху или к древесной целлюлозе (100 ч.) добавляют 300 ч. лед. CH₃COOH и нагревают в течение 15 мин. при 50°, затем постепенно добавляют р-р из 2 ч. 98%-ной H₂SO₄ и 100 ч. лед. CH₃COOH. Нагревают в течение 20 мин. при 40°; целлюлоза в этих условиях деполимеризуется до степени ~350. К полученному продукту прибавляют ацетилирующую смесь из 60 ч. уксусного ангидрида и 100 ч. лед. CH₃COOH и реакционную смесь выдерживают в течение 20 мин. при 20°, а затем сильно перемешивают до эмульсионного состояния продуктов р-ции. Эмульгированный продукт охлаждают до 15° и добавляют к нему смесь из уксусного ангидрида, предварительно охлад. до —5°, и 2 ч. серной к-ты, перемешивают и оставляют для отстаивания. Примерно через 10 мин. т-ра повышается до 45°. После сильного перемешивания получают совершенно прозрачный р-р ацетата целлюлозы, который высаживают водой, подвергают как обычно созреванию, растворяют в ацетоне, отстаивают, переосаждают водой и сушат. Сравнивается время ацетилирования и качество полученного продукта с этими же показателями для ацетата целлюлозы, полученного по принятым методам. Ю. Жмакин

9П500. Влагостойкая бумага и способ ее получения. Keim Gerald I. Wet-strength paper and method of making same. [Hercules Powder Co.]. Пат. США 2926116, 23.02.60.—В бумажную массу вводят не отвержденную термореактивную катионную смолу (ТС), являющуюся полимерным водорастворимым продуктом р-ции эпихлоргидрина (I) и полиамида (IIА), получаемого из полиаминов полиэтиленовых углеводородов (ЭУ) и содержащей 3—40 (оптимально 4—8) атомов С предельной двусосновой карбоновой к-ты (ДК) в ус-

ловиях, обеспечивающих образование водорастворимого ПА, содержащего повторяющуюся группу $-\text{NH}(\text{C}_n\text{H}_{2n})_x\text{CONCO}-$, где n и x равно 2 или >2 и R — двухвалентный остаток ДК. В качестве ДК можно применять янтарную, адипиновую, азелаиновую или другую к-ту, а также смесь двух или нескольких ДК; в качестве ЭУ используют диэтиленгликоль, триэтиленгликоль, тетраэтиленгликоль и дипропиленгликоль, а также их смеси и неочищ. ЭУ. Р-цию между ДК и ЭУ ведут при $110-250^\circ$ (обычно при $160-210^\circ$) при атмосферном давлении в течение 0,5—2 час. Мол. отношение ЭУ к ДК должно быть 0,9:1—1,2:1. ТС получают р-цией ПА с I в водн. среде при $45-100^\circ$ (оптимально $45-70^\circ$), причем продолжительность р-ции выбирают так, чтобы вязкость 20%-ного р-ра при 25° соответствовала величине С или выше по шкале Гарднер-Холдт. По достижении заданной вязкости добавляют воду для получения 10%-ного р-ра ТС, который охлаждают до 25° и добавляют к-ты (HCl, H_2SO_4 , HNO_3 , HCOOH , H_3PO_4 или CH_3COOH) доводят pH до 5. При р-ции на каждую NH-группу ПА должно приходиться 0,5—1,8 (оптимально 1,0—1,5) моля I, ТС добавляют в кол-ве 0,1—5% от сухого веса бумаги (Б); она может быть нанесена на готовую Б распылением водн. р-ра или погружением в него с последующей сушкой в течение 0,5—30 мин. при $90-100^\circ$; водн. р-р ТС можно также добавлять к бумажной массе в ролл, массный чан, жордан, смесительный насос или напорный ящик; при сушке ТС отверждается, делается нерастворимой в воде, сообщая бумаге влагопрочность; отверждение может идти в кислой, нейтр. или щел. среде (pH 4,0—10); для предупреждения коррозии оборудования отверждение проводят при pH 6,0—9,0. Пример. К 225 г (2,18 моля) диэтиленгликоля и 400 г воды в трехгорлой колбе с мешалкой, термометром и холодильником добавляют 290 г (2,0 моля) адипиновой к-ты. После растворения к-ты реакционную смесь нагревают 1,5 часа при $185-200^\circ$, охлаждают под вакуумом до 140° , после чего добавляют 430 г воды; р-р ПА содержит 52,3% сухого в-ва и имеет кислотное число 2,1. К 60 г р-ра ПА в круглодонной колбе добавляют 225 г воды, р-р нагревают до 50° и вводят по каплям в течение 11 мин. 12,5 г I. Содержимое колбы нагревают до $60-70^\circ$ для получения вязкости Е по Гарднеру; добавляют 150 г воды и р-р охлаждают до 25° . Добавляют 11 мл 3,7%-ной HCl для получения pH 5,0. Полученный р-р содержит 9,0% сухого в-ва и имеет вязкость С — D по Гарднеру. В массу из белой крафт-целлюлозы, pH которой доведен до 9,0 добавлением 10%-ного р-ра NaOH, вводят ТС в кол-ве 1% от веса сухого волокна. Испытание изготовленной бумаги ($\sim 65 \text{ г/м}^2$) показало $\sim 30\%$ -ное повышение прочности на разрыв во влажном состоянии.

А. Попов
9П501. Бумага и способ ее производства. Craig William L. Paper and method of making same. [R. T. Vanderbilt Co., Inc.]. Пат. США 2935438, 3.05.60.—Предложен способ произ-ва бумаги (Б) из целлюлозных волокон с применением специально приготовленных наполнителей, сообщающих Б улучшенные физ. и оптические свойства, повышающих ее пухлость, непрозрачность, белизну, гладкость. Такой наполнитель мало понижает прочность Б. Для получения наполнителя р-р CaCl_2 интенсивно перемешивают с растворимым силикатом, при этом образуются тонкодисперсный осадок силиката Са (I), отношение $\text{SiO}_2:\text{CaO}$ в I 3,5:1. I реагирует с $\text{Al}_2(\text{SO}_4)_3$, который вводят в кол-ве 4—20% от веса I, считая на Al_2O_3 . Частицы I и $\text{Al}_2\text{O}_3 < 2000 \text{ \AA}$. Полученный минер. пигмент подают в виде (1—25% на волокно) суспензии в бумажную массу. Пример. 20 г свежеприготовленного гидратированного I с мол. соотношением $\text{SiO}_2:\text{CaO}$ как 4:1 разбавляют дистил. водой до конц. 10%-ной, затем перемешивают 5 мин., после чего добавляют при перемешивании такой же объем 20%-ного р-ра $\text{Al}_2(\text{SO}_4)_3$ (17,25% Al_2O_3),

перемешивают 10 мин., доводя водой объем до 400 мл для получения 5%-ной суспензии I. После 30-секундного перемешивания определяют pH и отфильтровывают осадок на бумажный фильтр при помощи бюхеровской воронки, затем сушат осадок при 105° и определяют выход. Приведены данные о влиянии кол-ва добавленного Al_2O_3 и pH (pH поддерживают $\sim 8,4$) на выход, а также другие примеры.

С. Иванов
9П502. Бумага, проклеенная с одной стороны комплексным соединением, содержащим фторуглеродород, а с другой — термопластическим веществом. Hessburg Lawrence J., Rengel Gayle L. Paper sized with fluorocarbon agents on one side and coated on the opposite side with thermoplastic materials. [Minnesota Mining & Manufacturing Co.]. Пат. США 2920979, 12.01.60.—Одну сторону пористой неклееной бумаги (Б) обрабатывают олеофобным, содержащим фторуглеродород, проклеивающим составом (ПС), а другую покрывают нерастворимым в воде термопластич. в-вом (ТС). ПС представляет собой координационное комплексное соединение Cr и монокарбонной к-ты, содержащей в молекуле 5—10 фторированных атомов С; оно может быть, напр., получено р-цией 1 моля предельно фторированной каприловой к-ты, $\text{C}_{17}\text{H}_{33}\text{FO}_2$ с 3 молями CrO_2Cl_2 в р-ре 2-пропанола, являющегося одновременно восстановителем; в качестве ПС можно также использовать полимеры эфиров акриловой и метакриловой к-т и фторированных спиртов. ПС наносят на Б любым из известных способов в виде разб. водн. р-ра или р-ра в летучем органич. р-рителе в таком кол-ве, чтобы пористость Б заметно не снижалась; Cr-комплекс берут в кол-ве 0,05—0,5% от веса Б. В качестве ТС применяют парафин, битум или состав, применяемый для произ-ва копировальной Б, причем наносят их в расплавленном виде. Получаемая Б обладает не только олеофобными, но и гидрофобными свойствами; поэтому она может быть использована в качестве оборточной или для наружного слоя картона. Для произ-ва копировальной Б применяют Б из крафт-целлюлозы с адгезио 300—500 мл по канадскому стандартному методу при весе $\sim 16 \text{ г/м}^2$.

А. Попов
9П503. Листы клейкой бумаги. Agulnik Arnold. Flat gummed paper. [Dennison Manufacturing Co.]. Пат. США, 2917396, 15.12.59.—Для произ-ва бумаги с односторонним покрытием набухающим в воде клеем (для изготовления этикеток, почтовых марок и т. д.), сохраняющей форму плоского листа при хранении в условиях различной влажности воздуха и не коробящейся при этом, применяют состав, представляющий собой эмульсию водн. р-ра набухающего в воде клея (К) в р-ре связующего (СВ) в каком-либо органич. р-рителе. Полученный состав наносят на листы бумаги и сушат последние обычным образом с применением натяжения. Органич. р-ритель для СВ должен растворять СВ лучше, чем вода, только частично смешиваться с водой, для обеспечения образования эмульсии К в р-ре СВ. Вес К в составе превышает вес СВ. В качестве р-рителя для СВ могут применяться толуол, бензол, н-бутиловый спирт, циклогексанон, этилацетат, нитроэтан, нитропропан и их смеси. В качестве К применяют различные виды крахмалов, простые эфиры крахмала, декстрины, полисахариды и смеси их с животным клеем. В качестве СВ применяют в-ва, образующие пористые, с высокоразвитой поверхностью пленки — метиловый эфир поливинилового спирта, полиакриламида, сополимеры метилвинилового эфира и малеинового ангидрида, окси-пропил-метил целлюлоза, соли с аминами сополимера поливинилацетата и малеинового ангидрида, поливинилпирролидон, сополимеры поливинилпирролидона с винилацетатом. Образование эмульсий облегчается применением различных диспергирующих в-в. Пример. Состав (в ч.): поливинилметилового эфира 7,5, толуола 32,5, 50% водн. р-ра животного клея 75. Связующее растворяют в толуоле, низко-

вязкий животный клей в воде; полученный растворением клея нагревают до 65°, выдерживают при этой температуре и смешивают с р-ром СВ при энергичном размешивании (для образования эмульсии). А. Закопников 9П504. Состав для мелования бумаги и способ его получения. Meyer Edwin W., Circle Sidney J. Paper coating compositions and process. [The Glidden Co.]. Пат. США 2932589, 42.04.60. — В меловальный состав (МС) входит в качестве проклеивающего в-ва модифицированный белок (МБ), являющийся продуктом ацилирования изолированного соевого белка (а-протеина); МБ диспергируется щел. соединениями значительно легче и обладает в эмульгированном виде более высокой вязкостью, чем необработанный белок; кроме того, МБ может быть введен в МС в большем кол-ве без снижения его текучести, благодаря чему он успешно используется на меловальных станках; в МС вводят тонкоизмельченные минер. в-ва (каолин), а также пигменты (TiO₂ литопон, бланфикс); возможна добавка реагентов для снижения или предупреждения пенообразования, парафина для улучшения печати, красящих и смачивающих в-в и т. д. Для ацилирования соевого белка применяют ангидриды или хлорангидриды двусоевых карбоновых к-т (фталевой, малеиновой или янтарной). Пример. 100 вес. ч. остатка в виде хлопьев (Х) после экстрагирования соевых бобов органич. растворителем размешивают 1,5 часа с взвесью 2,5 вес. ч. известия в 1400 вес. ч. воды при ~27°. Полученную суспензию отфильтровывают, отделяя 1200 вес. ч. известкового р-ра. Оставшиеся Х повторно обрабатывают р-ром 2 вес. ч. NaOH в 1150 вес. ч. воды 10 мин. при ~49°. Х отфильтровывают, отделяя 950 вес. ч. р-ра NaOH, промывают, взбалтывая с 1200 вес. ч. воды при ~63°, и вновь фильтрованием отделяют от Х промывную жидкость; из Х дополнительно отжимают 100 вес. ч. жидкости. Всю промывную жидкость (1300 вес. ч.) соединяют с известковым р-ром и при помощи SO₂ доводят pH до 4,6. Выпавшему осадку дают осесть и декантацией отделяют 1950 вес. ч. жидкости от 550 вес. ч. коагулята. Влажный коагулят размешивают в 950 вес. ч. р-ра NaOH (см. выше) и к взвеси добавляют 3,4 вес. ч. известия и 4,8 вес. ч. кальцинированной соды. Смесь, содержащую ~33 вес. ч. белка, нагревают 6 час. при перемешивании при ~49° и осветляют центрифугированием. К горячему р-ру белка добавляют по каплям в течение 25 мин. р-р 4,125 вес. ч. фталевого ангидрида в 200 ч. по объему ацетона, поддерживая pH смеси в пределах 9,5 давлением по каплям 10%-ного водн. р-ра NaOH. Реакционную смесь перемешивают еще 35 мин. для завершения 7-часового гидролиза, подкисляют SO₂ до 4,2—4,4. После 16-часового отстаивания коагулят отделяют декантацией, отжимают, измельчают до 57—60° и выдерживают при этой т-ре 45 мин. замачивают 5 мин. в 200 г воды при ~24°, затем добавляют р-р, содержащий 1 г 28%-ного NH₄OH и 6 г Na₂CO₃. К дисперсии МБ добавляют 50 г воды и смесь нагревают до 57—60° и выдерживают при этой т-ре 45 мин. К 150 г осветленного р-ра добавляют суспензию 200 г каолина марки НТ в 212 г воды; размешивание продолжают до получения однородного МС. Испытание на выщипываемость бумаги, покрытой указанным МС, и контрольных образцов бумаги, покрытой МС, содержащим а-протеин или казеин, показало, что МБ превосходит а-протеин и не уступает казеину. А. Попов 9П505. Покрытие для бумаги из пигмента и крахмала, содержащее полиметилкарбамилполиазаалкановые смолы и получаемые изделия. Ritson Daniel D., Jen Y. n. Pigment starch paper coating composition containing polymethylol carbamyl polyazaalkane resins and article coated therewith. [American Cyanamid Co.]. Пат. США 2918438, 22.12.59. — В покрытие, прочном к истиранию во влажном состоянии, в качестве главной составной части применяют минер. пигмент, напр. CaCO₃, в меньшем кол-ве, в качестве связующего, крах-

мал и, в качестве дополнительного связующего, небольшое кол-во катионной, термоотверждающейся полиметилкарбамилполиазаалкановой смолы; pH жидкого водн. препарата для покрытия 7—9,5. Примеры. (в ч.): смешивают 31,7 этилендиоксида, 53,1 3,3-имино-бис-пропиламина и 20,2 воды, т-ру медленно доводят до кипения; по окончании р-ции охлаждают до 35°, постепенно прибавляют 81,2 воды и 65,4 32%-ной HCl, регулируя охлаждением экзотермич. р-цию, т-ру доводят до 35°, прибавляют 104 KClO и нагревают 30 мин. при 70°, прибавляют 112 воды и 197 37%-ного CH₂O и нагревают 90 мин. при 75°. Р-цию останавливают прибавлением 335 воды и охлаждением до 30°; получают водн. р-р смолы с щел. pH. В качестве пигмента применяют суспензию 503 ч. каолинита в 230 ч. воды, содержащей 1 ч. тетра-Na-пирофосфата и 0,5 ч. соды. Связующий р-р получают варкой хлорированного крахмала (89,9%-ного) 20 мин. при 88° при pH 8,5, смолу прибавляют в начале варки. Готовят 4 образца кроющего состава — контрольный, не содержащий смолы, и образцы (А), (Б) и (В), содержащие различные кол-ва смолы (указаны кол-во суспензии наполнителя в г, кол-во крахмала в г, кол-во воды в мл, кол-во 15%-ного р-ра смолы в г, общее содержание твердых в-в в %, кол-во крахмала по отношению к каолиниту в %, кол-во смолы по отношению к крахмалу в %, pH и вязкость): контрольный образец 734,5; 100,5; 240, —, 55,18; —, 7,6; 1440; образец А 734,5; 100,5; 218,6; 30; 55; 18; 5; 8,0; 5000; образец В 734,5; 100,5; 207,3; 45; 55; 18; 7,5; 8,1; 5700; образец В 734,5; 100,5; 196; 60; 55; 18; 10; 8,1; 6040. Указанными образцами связующего покрывают листы бумаги, высушивают, пропускают через каландр и определяют качество покрытия. Для испытания на прочность к истиранию под покрытый лист подкладывают черную бумагу, по краю листа трижды проводят мокрым большим пальцем, сильно и равномерно надавливая и стремясь перенести слой покрытия на черную бумагу. Значение 0 показывает отсутствие прочности слоя, значение 10 — полную устойчивость к истиранию. Приведены результаты испытания [указаны лоск (по Ингерсону), выпцип (по Денисону), прочность на истирание после высушивания 1 мин. при 93°; после высушивания на воздухе первоначальная, через 3 дня, через 7 дней и через 14 дней]; контрольный образец 30; 6,5; 0,0,0,0,0; образец А 38; 8; 8; 4; 6; 6; 7; образец Б 38; 8; 40; 4; 9; 10; 10; образец В 40; 5; 8,5; 10; 4; 10; 10. Аналогич. результаты в отношении прочности к истиранию дает покрытие патентуемыми составами бумажного картона. Ю. Вендельштейн

9П506. Усовершенствование в производстве карбоновой и ротаторной бумаг для спиртовых множительных аппаратов. Francis Frederick George, Phillpotts George Corderly. Improvements in or relating to duplicating systems. [Caribonum Ltd.]. Англ. пат. 835930, 25.05.60. — В состав покрытия для бесцветной карбоновой бумаги (Б) вводят, кроме обычных восков, жиров и масел, производное лейкаурмина (I), напр. фенил-1, n-килил-1, α-нафтил-1, анилидо-1 или их смеси; такой состав наносят на трипичную Б весом 25—50 г/м² из расчета 25—30 г/м². При письме или печатании на машинке при использовании такой карбоновой Б на оригинале (мелованная Б с высоким глянецом) получается едва заметное зеркальное изображение текста. В состав покрытия для ротаторной Б наряду с декстрином, пектином, бланфиксом, стеариновой, олеиновой или другой жирной к-той вводят закрепитель, напр. фосфорновольфрамную, фосфорномolibденовую, фосфорнокремневую к-ту, их щел. соли или их смеси; этот состав наносят на слабо каландрованную Б банковскую Б. Для получения копии ротаторную Б без какого-либо ее увлажнения приводит в контакт с оригиналом, причем на ротаторной Б получается слабое позитивное изображение, усиливающееся через некоторое время или при нагревании лю-

мости от их применения. Подробно рассмотрены процессы промывки, белины (в том числе оптического), крашения, фиксации, прессования тканей, крашения пряжи и тканей при $t\text{-ре} \geq 100^\circ$ и печатание тканей из ПВ и смесей, содержащих эти волокна.

Ф. Нарина

9П513. Применение смесей полиамидных и вискозных волокон в трикотажном производстве. *Natka i Karol. Zastosowanie mieszanek włókien poliamidowych i wiskozowych w dziewiarstwie. «Przegl. włókienn.», 1960, 14, № 4, Biul. Inst. włókienn., 12, № 2, 40 (польск.).*

9П514. Характер разрушения целлюлозы джута и джутовых волокон при хранении. *Chatterjee H., Mazumdar A. K. Degradation of jute cellulose and fibre in storage. «Jute Bull.», 1960, 23, № 4, 87—89 (англ.).—См. РЖХим, 1961, 5П527.*

9П515. Прямое нитрование льна и джута. *Lewin Menachem, Epstein Joseph A. The direct nitration of flax and jute. «Text. Res. J.», 1960, 30, № 7, 320—323 (англ.).—Три образца израильского льна-моченца и льна-слабца (4-летнего хранения) и один образец пакистанского джута нитровались при 3° смесью 64% HNO_3 , 26% H_2PO_4 и 10% P_2O_5 в течение различных отрезков времени, от 0,5 до 72 час. Полученные нитраты промывали последовательно 50%-ной Na_2CO_3 (при -16°), холодной водой, разб. CH_3OH , большим кол-вом дистил. воды, экстрагировали метанолом, сушили в вакууме и взвешивали (фракция А). Экстракцией ацетоном получены фракции А-1, А-2 (нерастворимая в ацетоне) и А-3 (растворимая в ацетоне и в воде). У образцов льна содержание азота составляло 13,4—18,5%, степень полимеризации (СП) 3350—3450, содержание α -целлюлозы 68—75%; длительность нитрования мало отразилась на результатах. Результаты для джута существенно отличны: содержание N 12,2—13,5, СП резко снижается между 24 и 72 час. (от 4200 до 1800); содержание α -целлюлозы от 23,8 до 60%. А и А-2 уменьшаются с увеличением длительности нитрации. Авторы считают, что опыты подтверждают наличие межутоводных связей в джуте и их отсутствие в льне.*

9П516. Исследование волокон кроличьей шерсти. XXXI. Коэффициент трения между волокнами. *Okajima Saburo, Ikeda Sakio, Dote Tokutaro, Inoue Kimio. «Сэты гаккайши, Sen-i gakkaiishi, J. Soc. Text. and Cellulose Inds. Japan», 1960, 16, № 6, 451—457 (японск.; рез. англ.).—Сравнение трения волокон кролика ангорского кролика в сухом состоянии и в воде показало, что трение между волокнами подобно трению между волокном и металлом, причем разброс данных больше, чем в случае трения волокна с металлом; исследовано влияние различных условий, напр. изменения нагрузки на трение волокон, свойства волокон. Сообщение XXX см. РЖХим, 1961, 3П496.*

9П517. Исследование условий фиксации шерстяных тканей. Сообщение 2. *Lejeune J. Recherche des conditions de fixation des tissus de laine. «Rev. textiles», 1960, 16, № 7—8, 25—26, 29, 31—32, 77 (франц.).—Продолжение описания исследования оптимальных условий фиксации животных волокон; приведены результаты фиксации волокон, подвергавшихся вытягиванию, влияния значений pH на степень фиксации вытянутых волокон и на уменьшение работы растяжения волокна. Сообщение 1 см. РЖХим, 1961, 6П586.*

9П518. Проникновение муравьиной кислоты в кетгут из нейлона. *Хаяма С. «Koté nagaku dzassi, Kogyo Kagaku zasshi, J. Chem. Soc. Japan. Industr. Chem. Sec.», 1960, 63, № 10, 1775—1778, A98 (японск.; рез. англ.).—Проведены микроскопич. исследования набухания нейлонового кетгута (К) после погружения в р-р HCOOH . Обработка К конц. водн. р-ром HCOOH (р-р А; 79,8%-*

ный р-р HCOOH) привела к поверхностному кольцеобразному набуханию. Поверхностный набухший слой не полностью удалялся при промывке метанолом и на поверхности К оставалась тонкая ненабухшая пленка. Р-р В, содержащий 71,8% HCOOH , 9,9% $\text{C}_2\text{H}_5\text{OH}$ и 18,3% воды, более медленно проникал в К и вызывал неравномерное набухание, поэтому поверхностный слой удалялся неравномерно. Смесанный р-р, содержащий р-р А, метанол и воды. р-р HCOOH , вызывал заметное набухание К, но уменьшение веса при промывке метанолом было незначительным. К легко разделялся на фибриллы при давлении. Было принято, что межафиллярное проникание р-ра предшествует внутривибриллярному набуханию.

Из резюме
9П519. Закатываемость ворса на ткани из синтетических волокон. *Simionescu T. Consideratii asupra fenomenului pilling. «Ind. text.» (RPR), 1960, 11, № 8—9, 315—318 (рум.; рез. русск., нем., франц., англ.).—Рассмотрены причины закатываемости ворса на тканях и указаны меры для уменьшения этого явления.*

Из резюме автора
9П520. Причины снижения качества растительного волокна. *Хетагурова Ф. В. «Сб. науч. работ Ленингр. ин-т сов. торговли», 1959, вып. 15, 9—16.—Процесс повреждения растительного волокна (РВ) осуществляется различными микроорганизмами, разрушающими его составные элементы — протоплазму канала, пектиновые прослойки и целлюлозные стенки волокна. Качество изделий из РВ в большой степени зависит от степени нарушения микроорганизмами целостности структуры РВ в сырье. Существующую методику определения качества РВ необходимо дополнить определением степени повреждения его микроорганизмами. Особенно важно это при определении качества сырья, поступающего в переработку. Поставщики сырья обязаны принимать все меры к сохранению РВ от повреждения микроорганизмами и считать основным показателем качества РВ целостность его естественной структуры.*

Из резюме автора
9П521. К изучению альфа-целлюлозы хлопка. *Meybeck J., Thomas M., Mille. Contribution à l'étude de l' α -cellulose de coton. «Bull. Soc. industr. Mulhouse», 1959, № 3, 128—135. Discuss., 135—136 (франц.).—Изучена термич. деструкция α -целлюлозы (Ц) хлопка и вискозного волокна в процессе нагревания образцов (в присутствии воздуха и в пустоте) в запаянных трубках при $t\text{-ре}$ 120° и содержания влаги в кол-ве от 0 до 50% к весу безводн. Ц. Контролировалось изменение медного числа, степени полимеризации (СП) и содержания COOH -групп. Для оценки кол-ва образующихся продуктов гидролиза (Г): глюкозы и пентозы, использовался метод хроматографии. Кинетика Г образцов Ц в запаянных вакуумированных трубках при 120° в присутствии 0,002 н. HCl сопоставлялась с кинетикой Г таких же образцов в 0,38 н. HCl при 62°. В обоих случаях отмечен очень быстрый Г α -Ц хлопка в начале процесса и замедленный Г после падения СП до 230—240. На основании эксперим. результатов авторы полагают, что в первой фазе процесса, затрагивающей аморфную часть Ц, происходит быстрое воздействие к-ты на небольшое кол-во более слабых пентоза-глюкозных связей, после чего процесс Г идет более медленно, распространяясь на бетактоноидные связи. Библ. 16 назв.*

9П522. Влияние относительной влажности и температуры воздуха на число микропера. *Lünenschloss J., Iyer B. V. Der Einfluss der relativen Luftfeuchtigkeit und Lufttemperatur auf den Micronairewert. «Text.-Prax.», 1960, 15, № 6, 565—568, (6) (нем.; рез. англ., исп., франц.).—Изучена необходимость применения кондиционированного воздуха при испытании хлопка на микропера. Кондиционирование воздуха в помещении, в котором осуществляются выдержка и взвешивание образцов, имеет существенное влияние*

на достигаемые результаты и поэтому является необходимым. В то же время установлено, что т-ра и влажность воздуха, непосредственно используемого в аппарате для определения «числа микропера», не оказывают заметного влияния на результаты испытаний. Поэтому не имеет значения, подается ли сжатый воздух от компрессора, установленного в кондиционируемом помещении, или поступает из общей пневматич. линии, питаемой имеющейся на предприятии компрессорной установкой.

9П523. Исследование и определение примеси искусственных целлюлозных волокон к хлопку в гигроскопической вате. Brunello Giovanni. La ricerca e il dosaggio delle fibre cellulosiche artificiali nel cotone idrofilo. «Boll. chim. farmac.», 1960, 99, № 7, 460—463 (итал.; реф. англ.).—Примеси вискозного, медно-аммиачного и ацетатного волокна в вате обнаруживаются микроскопически. При обработке ваты ацетоном и выливанием экстракта в воду образование белого осадка свидетельствует о наличии ацетатного волокна. При обработке пробы ваты реактивом ИГ (2 г прямого голубого FF, 1 г роданина В, 0,2 г бисмарк коричневого и 3 мл едкого натра 38 Бэ в 1 л дистил. воды) хлопок окрашивается в светло-серый цвет, медноаммиачное волокно — в зеленовато-синий, вискозное — в фиолетовый, ацетатное — в желтовато-оранжевый. Для коллим. определения хлопка предложен простой и достаточно быстрый колич. способ, основанный на обработке ваты 20%-ным р-ром безводн. хлористого цинка в 85%-ной муравьиной к-те. Точную навеску ваты, около 0,2 г, погружают в 50 мл реактива, нагретого до 55° в колбе емк. 100 мл с притертой пробкой и выдерживают на водяной бане в течение 2 час., время от времени помешивая. Затем фильтруют, осадок промывают дистил. водой, спирт и эфиром, сушат. Потеря в весе соответствует содержанию искусств. волокон, разрушаемых при указанной обработке. Библ. 10 назв.

Л. Голомб

9П524. Использование метода определения растворимости шерсти в мочевино-пиросульфитных растворах и в щелочах для определения повреждения шерсти. Beníšek Ladislav. Použití rozpustnosti vlny v močovině pyrosulfiditanu a louhu k sledování poškození vlny. «Textil» (CSR), 1960, 15, № 8, 304—306 (чешск.).—Шерсть искусственно повреждалась различными способами, затем исследовалась степень этого повреждения по изменению ее растворимости. Изучены условия, влияющие на растворимость шерсти в мочевино-пиросульфитных р-рах: рН, применяемые концентрации пиросульфита, бисульфита натрия и мочевины, т-ра р-ра, способ сушки шерсти, физ. свойства шерсти. Дана характеристика повреждения шерсти щелочами и длительным кипячением в воде.

Ф. Н.

9П525. Добавление к статье: «Изучение влияния замасливающих веществ на молекулы шерсти». Kehlen M., Otten H. Nachtrag zum Artikel: Studien über die Einwirkung von Schmalzmitteln auf das Wollmolekül. «Z. ges. Textilind.», 1960, 62, № 12, 477—480 (нем.).—Рассмотрены методы определения растворимости шерсти в щелочах, к-тах, мочевино-бисульфитном р-ре и анализа шерсти на содержание цистина и триптофана. Библ. 9 назв. См. РЖХим, 1960, № 24, 99105.

Ф. Нарина

9П526. Последние достижения в области химии шерсти. Miro Plans Pedro. Ultimos adelantos de la química de la lana. «Ingeniería text.», 1960, 27, № 145, 307, 309, 311—312, 314—315, 317—319, 321, 323 (исп.).—Освещены последние достижения в области изучения морфологии и хим. строения шерсти, влияния хим. реагентов на свойства шерстяного волокна (ШВ), контроля его качества и в области технологич. процессов промывки, крашения, карбонизации и фиксации изделий из шерсти. Открытие хроматографич. способа анализа белков на бумаге расширило познания в об-

ласти строения ШВ. Микроскопич. исследования поперечных срезов ШВ позволили обнаружить наличие двух ранее не замеченных элементов коркового слоя — орто- и пара-кортекса. Пара-кортекс более богат цистином и двухосновными к-тами, что определяет его ацидофильный характер. Некоторые авторы считают аминокислотный состав орто- и пара-кортекса одинаковым, приписывая различие их физич. и хим. свойств неодинаковому расположению дисульфидных групп. Обсуждены вопросы расположения поперечных цистиновых связей, теории Паулинга и Астбери о спиральном строении полипептидных цепей, приведены модели. Возможности контроля качества ШВ значительно расширились: теперь используют хроматографию на бумаге и в колонках, заполненных порошком найлона, электрофорез, ионно-обменную хроматографию. В производственных условиях определяют растворимость шерсти в к-тах, рН воды, вытяжки, содержание цистина и цистина, растворимость в мочевино-бисульфитном р-ре, содержание лантанина, триптофана и цистинной к-ты. При мойке шерсти на спец. оборудовании уайт-спиритом по непрерывному способу (схема приводится) потери веса составляют только 5,5%, т. е. на 2,5% меньше, чем по обычному способу. При этом ШВ не свойствуется и меньше повреждается при карбонизации. В крашении стали применяться непрерывные методы, методы крашения при низкой т-ре, активные красители. При карбонизации стали применяться поверхностноактивные в-ва неионогенного типа, способствующие сохранению прочности волокна. Для малоусадочной отделки и получения устойчивых складок (плиссе) применяют способ SI—RO—SET. Части одежды, подлежащие плиссированию, отсыривают р-ром тигликолата аммония и смачивателя и подвергают действию пара в течение 30 сек.; такая обработка не влияет на прочность ткани и окраску. Библ. 31 назв.

Л. Голомб

9П527. Извитость пряжи и свойства ткани. Sripagabhushana. Yarn crimp and fabric properties. «Aitech», 1959—1960, 9, 49—58 (англ.).—Извитость пряжи характеризуется отношением разности длины растянутой и извитой нити к длине образца ткани, из которого она извлечена. Обсуждается влияние извитости нитей на прочность ткани и разрыву при продавливании, раздирании, растяжении, истирании, теплопроводности и усадку при набухании. Библ. 7 назв.

В. Штунер

9П528. Ткань, содержащая полиэфирные волокна. Pohl František. Tkaní látek s obsahem PE vláken. «Inform. přehl. VUV», 1959, břez.-červen, 49—52 (чешск.).—Приведены практич. данные по обработке тканей, содержащих полиэфирные волокна, и их технич. характеристика. Внедрение этих тканей в пром-сть не представляет особых затруднений и не требует существенных изменений принятых технологич. процессов. Производительность труда по сравнению с переработкой тканей из чистой шерсти увеличивается. Ф. Н.

9П529. Характеристика текстильной промышленности Японии, данная в предварительном сообщении Оперативного Управления по анализу структуры производства. Конкуренция японских вискозных и шелковых тканей на мировых рынках. «Kasei goshi Japan Chem. Fibres Monthly», 1960, 13, № 8, 9—11 (японск.).

9П530. Удаление графита из тюли и кружев на основе полиамидов. Hove H. v. m. Entfernen von Graphit aus Tüll und Spitzen aus Polyamiden. «Melliand Textilber.», 1960, 41, № 10, 1266 (нем.).—Описан новый метод удаления графитового порошка при производстве кружев из полиамидных волокон. Метод основан на применении в-в, обладающих большим электролитич. свойством к графиту, чем полиамиды. К таким соединениям относятся вода, щел. р-ры протеинов, казеина. Подробно изложен способ приготовления вы-

ны для казеина. Технол. Купави, эксклю. действии ней в ф. выборот. жемны. дом в пригид. ся срав. Ш по т. Опыт к. работке. щается. шеннос. ден рас.

9П531.

трикот. Б. (Те. триваю. отделки. могут с. надели. ведены. прежд.

9П532.

ты в к. меням. Olga. textiln.

№ 3, 5. лях за. го в те. перед. ватель. сти пре. мените. шпенн. lis, от. рами б. на дал. нарная. канчив. ние 48. ности. Резуль. качест. цах. По. стущал. вышпак. провер. целико. аналог. тексти. препар. венног.

9П533.

го вол. polyam. (чешск. пример. волокон. зуют д. прочн. них вы.

ны для отмычки кружев от графита, содержащей 4,5 кг казенина, 0,2 кг гидросульфата натрия, 0,2 кг кальцинированной соды и 0,1 кг фосфата натрия на 60 л воды, содержащей 0,5 кг конц. NH_4OH . Т. Шейн

9П531. Непрерывный процесс промывки суконных и камвольных тканей и его экономическая эффективность. Салихов С. Б. «Изв. высш. учебн. заведений. Технол. текстильн. пром-сти», 1960, № 5, 11—19.—На Кунавинской тонкосуконной ф-ке освоено и успешно эксплуатируется проходной аппарат непрерывного действия для промывки суконных и камвольных тканей в расправку. Аппарат состоит из заправочного и выборочного устройств и 8 последовательно расположенных ванн. Промытая ткань укладывается самокладом в тележку или наматывается на ролик. Аппарат пригоден также для нейтр-ции суконных тканей. Дается сравнение аппарата с промывочной машиной ПЖ-220-Ш по производительности и экономич. эффективности. Опыт работы на проходном аппарате показал, что обработка не вызывает повреждения волока, сокращается производственный цикл, уменьшается незавершенное произ-во и облегчаются условия труда. Приведен расчет экономич. эффективности аппарата.

Д. Горин
9П532. Предупреждение образования заломов в трикотаже и тканях из полиамидного шелка. Пиллер Б. «Текстильн. пром-сть», 1960, № 10, 80—81.—Рассматриваются причины образования заломов в процессах отделки тканей и трикотажа. Образованием заломов могут способствовать переплетение ткани, хранение изделий во влажном состоянии, транспортировка. Приведены практич. мероприятия по устранению и предупреждению образования заломов.

Д. Горин
9П533. Бактериальные амилотические препараты в качестве заменителей солодовых экстрактов, применяемых в текстильной промышленности. Bendová Olga. Bakteriální amylolytické preparáty jako náhrada tělních sladových výtažků. «Kvasny průmysl», 1960, 6, № 3, 53—55 (чешск.; рез. русск., нем., англ.).—В целях замены высококачественного солода, применяемого в текстильной пром-сти для расклихивки суровья перед его дальнейшей обработкой, Пражский исследовательский институт шивоваренной и солодовой пром-сти провел работы по изысканию соответствующих заменителей. Для этого был изолирован на субстрате пшеничных отрубей бактериальный штамм *Bac. subtilis*, отличающийся сравнительно с плесневыми культурами более высокой продуктивностью амилазы. Методика дальнейшей культивации штамма описана. Стабилизированная амилотическая культура препарата закаливалась на пивной дробине при pH 5,1—7,5 в течение 48 час. при 30°. Наилучшие результаты по активности получались при высоте слоя дробины в 5—6 см. Результаты опытов при различных условиях работы и качество получаемых препаратов приведены в таблицах. По окончании процесса ферментативная жидкость стужалась под вакуумом, в нее прибавлялось в-во, повышающее температурную стойкость, после чего смесь высушивалась и тонко размалывалась. Полузаводская проверка препарата показала, что он при расклихивке целиком заменяет солод, а по активности превышает аналогичные заграничные препараты. Внедрение в текстильной пром-сти этого нового амилотического препарата экономит в год свыше 300 т высококачественного солода.

Н. Баканов
9П534. Подцветочные красители для полиамидного волокна. Bayer Zdenek. Signovace farby na polyamidy. «Textil» (CSR), 1960, 15, № 7, 266—267 (чешск.).—В качестве легко смываемых красителей, применяемых для подкраски нитей из полиамидных волокон в крутильном и ткацком производстве, используют дисперсии пигментных красителей, а также непрочные виды кислотных красителей. В р-ры последних вводят текстильные вспомогательные в-ва, пони-

жающие средство кислотных красителей к волокну. В качестве таких вспомогательных в-в пригодны продукты оксигенирования жирных спиртов, аминов и амидов карбоновых к-т, а также производные поливинилпирролидона. Напр., состав подцветочной ванны: 0,5 г/л красителя (напр., этоцидового желтого G), 7 г/л содагены SMK, 0,5 г/л кальцинированной соды; т-ра обработки $\leq 30^\circ$. Для промывки ткани применяют р-р 1 г/л мыла или дуопола 30, 0,5 г/л кальцинированной соды; обрабатывают при 80° в течение 30 мин.

Ф. Нарина
9П535. Влияние добавок жиров на реологические свойства плихтовальных ванн. Lambrou Ingeborg. Einfluß von Fettzusätzen auf das rheologische Verhalten von Schlichteflotten. «Forschungsber. Landes Nordrhein — Westfalen», 1960, № 885, 57 S., ill. (нем.).

9П536. Белиение текстильных изделий, содержащих 100% полиамидных волокон, а также их смесей с хлопком. Roman V. Albirea produselor textile poliamidice 100% și în amestec cu bumbac. «Ind. text.» (RPR), 1960, 11, № 8—9, 351—355 (рум.; рез. русск., нем., франц., англ.).—Описаны технологич. процессы промывки и белиения полиамидных тканей и трикотажных изделий и приведены некоторые практич. рецепты. Даны технологич. условия белиения изделий из смеси полиамидных волокон с хлопком и указаны мероприятия для предохранения от ожога и повреждения тканей.

Из резюме автора
9П537. Новый способ гипохлоритно-перекисного белиения льняных тканей. Болобонов А. М., Барашкова Е. А., Слиткова А. А. «Текстильн. пром-сть», 1960, № 10, 58—59.—На Яковлевском льнокомбинате внедрено белиение тканей без промежуточных промывок. Ткань, предварительно расклихиванная и отваренная, обрабатывается NaOCl и без промывки направляется на перекисную обработку. После обработки NaOCl ткань отжимается. При этом содержание активного хлора не должно превышать 0,1% от веса сухой ткани. Белиение ткани, начавшееся при гипохлоритной обработке, продолжается при взаимодействии гипохлорита натрия и перекиси водорода. При этом способе обработки продолжительность процесса сокращается на 4 часа, уменьшается расход хим. материалов, воды и электроэнергии. Ткань приобретает высокую и устойчивую белизну. Увеличивается удельная вязкость 0,1%-ного медно-аммиачного р-ра целлюлозы.

Д. Горин
9П538. Стабилизатор в отбелке перекисью водорода. Cates David M., Cranor Winnifred H. The stabilizer in hydrogen peroxide bleaching. «Text. Res. J.», 1960, 30, № 11, 848—855 (англ.).—Изучали кинетику разложения H_2O_2 при pH 10,5 в присутствии смеси Na_2HPO_4 и CaCl_2 как стабилизатора с тканью и без нее. Скорость разложения H_2O_2 варьировали изменением т-ры. Определяли процент отражения (ПО) и вязкость образцов отбеленной ткани. Кол-во разложившейся H_2O_2 является функцией ПО и падения вязкости. Скорость р-ции разложения следует уравнению первого порядка $\lg (\% \text{ разложившейся } \text{H}_2\text{O}_2) = (-kt/2,303) + a$, где k — константа скорости, t — время, a — постоянная. Определяли k при двух т-рах, рассчитывали фактор частоты (A) и энергию активации по уравнению Аррениуса. k отваренной ткани $> k$ отбеленной ткани $> k$ без ткани. Скорость разложения (CP) H_2O_2 в стабилизированной ванне составляла $1/4$ — $1/2$ от CP в нестабилизированной ванне. CP оказывает незначительное влияние на ПО и прочность ткани. CP стабилизированного р-ра H_2O_2 уменьшалась, если отваренная ткань была предварительно деминерализована. Деминерализованная ткань отбеливалась лучше, чем только отваренная, но разрушалась в большей степени.

А. Болденко
9П539. Подготовка и белиение. 8. Важнейшие беляющие материалы и методы белиения. 9. Непрерывные ме-

тоды. 10. Новые способы. Campbell Kenneth S. Preparation and bleaching. 8. The principal bleaching materials and methods. 9. The continuous systems. 10. The newer formulations. «Text. Worlds», 1960, 110, № 1, 95—97; № 2, 89; № 3, 85, 87 (англ.).—Разработан ряд усовершенствованных ускоренных способов белия, основанных на последовательном применении р-ров NaClO и H_2O_2 , которые обеспечивают значительное сокращение расхода дорогостоящей H_2O_2 . Достигнута также возможность сокращения длительности обработки и при применении только H_2O_2 . Наблюдается тенденция к расширению использования для белия NaClO , как реагента, в наименьшей степени повреждающего целлюлозу, а также смесей NaClO и NaClO_2 (в соотношениях 1,5—3:1, при значениях pH 8,8—9,1). Применявшийся в течение 20 лет двухступенчатый процесс непрерывного перекисного белия (обработка в 3—4%-ном р-ре NaOH с последующим белием) в результате улучшения рецептуры теперь удалось свести к одноступенчатому (обработка в р-ре, содержащем H_2O_2 , Na_2SiO_3 , NaOH , $\text{Na}_2\text{B}_4\text{O}_7$, с последующим запариванием в шахтном компенсаторе). Этот метод требует повышенного расхода химикатов, но дает экономию на зарплате и капиталовложениях. Беленая ткань отличается большей гигроскопичностью и мягкостью, сравнительно с получаемой по прежним методам, но имеет несколько более низкие (хотя и удовлетворительные) показатели вязкости р-ра целлюлозы. Отмечается появление новых способов белия, в частности перекисного с применением тетранатрийфосфата или фосфата Са в качестве стабилизаторов, комбинационных гипохлоритно-перекисного и гипохлоритно-хлоритного способов. Указаны методы контроля качества отбелки. Сообщение 7 см. РЖХим, 5П539.

В. Штупер
9П540. Экономичность непрерывного способа белия. Patekh K. B. Economy of continuous bleach. «Indian Text. J.», 1960, 70, № 836, 434—436 (англ.).—Сопоставление себестоимости классич. (котлового целочно-гипохлоритного) способа белия (СБ) ткани и непрерывного перекисно-запарного СБ показывает, что первый обходится на 35% дешевле второго. В состав себестоимости включены следующие показатели: процентные отчисления на капитал, вложенный в оборудование, стоимость воды, пара, электроэнергии, химикатов и рабочей силы, амортизационные отчисления. Преимущества непрерывного СБ заключаются в повышенной скорости процесса, его универсальности, меньшем повреждении ткани и лучших условиях труда.

Ц. Росинская
9П541. Из практики замасливания шерсти оленями. Rosenbaum Ernst A. Aus der Praxis des Schmälzens mit Olein. «Z. ges. Textilind.», 1960, 62, № 14, 556—559 (нем.).—Общие указания по применению олеиновых замасливателей в шерстяной промышленности и предъявляемым к ним технич. требованиям. Удаление замасливателей с волокна рекомендуется вести горячим содовым р-ром, а не при помощи синтетич. моющих веществ.

Ц. Росинская
9П542. Цилиндрическая сушилка для тканей шириной до 6 м. Hielle Peter. Trommeltrockner für Arbeitsbreiten von 6 Meter. «Österr. Text.-Z.», 1960, 14, № 7, 136 (нем.).—Фирма Fleissner предложила 2 варианта цилиндрич. сушилок для широких (напр., ковровых) тканей: 1) Сушилка с соловым отсосом. Перфорированные цилиндры диам. 1890 мм устанавливаются в один ряд, а с торцевых их сторон размещаются вентиляторы, работающие по одностороннему принципу. Кол-во циркулирующего воздуха при этом возрастает в 2 раза. 2) Установка с прямой обдувкой цилиндров воздухом при коротком пути его циркуляции. Вентиляторы устанавливаются по два над и под сушильным барабаном. При таком устройстве воздух распределяется очень равномерно по всей ширине машины.

Эта установка может быть использована и для термообработки тканей из синтетич. волокон. Ц. Росинская

9П543. Стабилизация паром и горячим воздухом найлона 6. VI. Влияние стабилизации горячим воздухом и паром на адсорбционные свойства найлона 6. Koshimo Akio, Tagawa Takashi, Tsuruta Motohiro. «Kobunshi Kagaku, Chem. High Polym.», 1960, 17, № 483, 417—422 (японск.; рез. англ.).—Изменяя поглощение воды найлоном 6 (I), стабилизированным горячим воздухом в пределах относительной влажности 0—80%, путем применения кварцевых весов, кол-во воды, поглощенное первым слоем (v_m), рассчитывалось по ур-нию BET. Величина v_m была наибольшей у необработанного волокна, средняя у волокна, стабилизированного паром, и наименьшая — при стабилизации сухим воздухом. Внутренняя поверхность I, рассчитанная исходя из v_m , была $5 \times 10^6 \text{ см}^2/\text{г}$. Предполагают, что величина, полученная делением v_m на аморфную фракцию стабилизированного горячим воздухом волокна, представляет собой уд. объем аморфной части и определяет кол-во межмолекулярных связей. Тот факт, что полученные величины малы по значению, показывает, что аморфная часть волокна, обработанная горячим воздухом, содержит больше межмолекулярных связей и имеет более тонкую структуру, чем не обработанный и обработанный паром I. Предыдущее сообщение см. РЖХим, 1961, 5П543.

Из резюме авторов
9П544. Активные красители и целлюлозные волокна. Sumner H. H. Reactive dyes and cellulose fibres. «J. Roy. Inst. Chem.», 1960, 84, Nov., 389—390 (англ.).—В процессе крашения целлюлозных волокон активными красителями важную роль играют не только средство и диффузия, но и реакционная способность красителя. Установлено, что с повышением щелочности среды скорость р-ции проционов (П) с водой повышается в большей степени, чем скорость р-ции с маннитом, выбранным в качестве модели целлюлозы. Было принято, что целлюлоза и маннит реагируют с П в ионной форме. Принимая во внимание концы ионизированных а-в, найдено, что соотношение реактивностей (Р) красителя к иону маннита и к иону воды остается постоянным при всех значениях pH равным, напр., 14:1. Были измерены скорости фиксации, средство и скорость диффузии П на целлюлозных пленках в широком интервале pH, и результаты выражены ур-нием: $Q = c\sqrt{Dk(t + 1/2k)}$, где Q — кол-во красителя, диффундирующего через единицу поверхности, равное в этом случае кол-ву фиксированного красителя, c — равновесная конц-ция на поверхности, подчитываемая из значений средства, D — коэф. диффузии, k — постоянная р-ции взаимодействия красителя с целлюлозой, t — продолжительность эксперимента. При использовании эксперим. данных были подсчитаны значения k р-ции П с целлюлозой и с водой. Результаты показали, что при повышении pH красителя с водой возрастает быстрее, чем с целлюлозой. Однако, когда степень ионизации целлюлозы и воды поддается, соотношение Р снова становится постоянным при всех значениях pH. Для исследуемых красителей $k(\text{целлюлозы})/k(\text{воды})$ стремится к единице. П реагируют с ионами целлюлозы, образовавшимися при нейтр-ции целлюлозы щелочью. Р ионов целлюлозы подобна Р ионов воды. П предпочтительно реагируют с целлюлозой, чем с водой, вследствие того, что ионы OH^- целлюлозы присутствуют в ванне в большем кол-ве, чем ионы воды.

А. Болденко
9П545. Крашение суровых хлопчатобумажных тканей. Weillhelm Ernst. La teinture des tissus de coton brut. «Teint. et apprêts», 1960, № 58, 87—91 (франц.).—Предложены способы крашения суровых неотваренных хлопчатобумажных тканей кубовыми красителями по двухфазному пигментному и лей-

кислотными
телыми
живущими
применен
горький
прокрас
дает ле
вани, а
ривания
ности.
неотвар

9П546
шерсти
ben und
le. «Z. g
Общие
примыв
шанья
Привед
двухфаз

9П547
замест
антрахи
Bridg
tuents
vat dy
and Co
цветан
ваемое
прими
лей к
физ.
(больш
личнем
ров кр
возник
ные р
способ
жение
замест
активн
этим
полни
алект
ды) об
ману
торов
ных э
тов п
влиян
магн
быть
ных т
класс
нение
дих с
плетн

9П548
la A.
230—
ми в
польз
Прив
рилан
ными
хром

9П549
лонис
ния
моно
ти
J. S

9П550
лонис
ния
моно
ти
J. S

кислотному способам, а также гелизариновыми красителями с одновременным приданием ткани водоотталкивающих свойств. Описанные способы основаны на применении вспомогательного в-ва примазола РР, который улучшает смачивание, способствует глубокому прокрасу, препятствует миграции красителя, не создает пены и является стабилизатором плюсовых ванн, а также на применении предварительного запаривания суровья с целью повышения его гидрофильности. Указаны также методы удаления «пелочек» с неотваренных тканей.

9П546. Крашение и отделка смешанных тканей из шерсти и полиэфирного волокна. Riedel E. Das Färben und Ausrüsten von Mischgeweben aus Polyester/Wolle. «Z. ges. Textilind.», 1960, 62, № 14, 560—562 (нем.).— Общие практич. указания по проведению процессов промывки, отделки, термофиксации и крашения смешанных тканей из шерсти и полиэфирных волокон. Приведены примерные режимы крашения по одно- и двухванному способам пряжи (на шпуглах) и тканей.

Ц. Росинская
9П547. Влияние окружающей среды и характера заместителей на фотохимическую активность кубовых антрахиноновых красителей и роль $n\text{-}\pi^*$ переходов. Bridge N. K. The effect of environment and substituents on the photochemical activity of anthraquinonoid vat dyes and the rôle of $n\text{-}\pi^*$ transitions. «J. Soc. Dyers and Colourists», 1960, 76, № 8, 484—489 (англ.).—Выцветание и фотохим. повреждение субстрата, вызываемое кубовыми красителями, определяются следующими факторами: средством лейкоосветления красителей к субстратам, ведущим к повышенной активности; физ. состоянием кристаллич. агрегатов красителя (большая кристалличность снижает выцветание); разл. областей эмиссионных и абсорбционных спектров красителей; природой и стабильностью радикалов, возникающих в процессе иррадиации (более стабильные радикалы вызывают более высокую реакционно-способность); основностью заместителей и их положением в молекулах красителей (электронодонорные заместители снижают фотохим. активность); наличием активирующих и дезактивирующих групп. Наряду с этим (по автору) фотохим. активность зависит от дополнительных обстоятельств: захвата несвязанных электронов π^* -молекулярными орбиталями ($n\text{-}\pi^*$ переходы) образования водородных связей, включающих упомянутые n -электроны атомов кислорода; наличия факторов, влияющих на $n\text{-}\pi^*$ переходы, напр., электромерных эффектов; положения и соотношения S и T захватов при $n\text{-}\pi^*$ и $\pi\text{-}\pi^*$ переходах и наличия факторов, влияющих на эти захваты, напр., присутствия парамагнитных ионов. Высказанные соображения могут быть проверены методами спектроскопии при различных t -рах и в разных p -рителях, исследованием других классов красителей, содержащих гетероатомы, применением методов импульсной спектроскопии твердых тел и теоретич. изучением синглетных и триплетных энергетич. уровней.

Л. Беленький
9П548. Крашение акрила. Hartman E., Mikula A., Prilg Bejenju akrlana. «Tekst. ind.», 1960, 8, № 5, 230—233 (серб.-хорв.).—Акрилан окрашивается многими видами красителей, но на практике в основном используются только дисперсные и кислотные красители. Приведены рецепты и практич. режимы крашения акрила, а также его смеси с шерстью или целлюлозными волокнами, кислотными, металлосодержащими, хромовыми и артизиловыми красителями.

Т. Будкевич
9П549. Введение внутрикомплексной связи в волокно (IX). Образование внутрикомплексного соединения в полиэфирном волокне при взаимодействии с ионом Cr под давлением. Hojo Nobumasa, Minemura Norihiro, «Сэнъя гаккайси, Sen-i gakkaiishi, J. Soc. Text. and Cellulose Inds, Japan», 1960, 16, № 2,

120—123 (японск.; рез. англ.).—Предполагается, что красители не могут химически связываться с полиэфирным волокном (ПВ) и что крашение — это механич. процесс проникания красителя в глубь ПВ. Придание сродства ПВ к красителю достигается введением ионов металлов. ПВ тетрон обрабатывали водн. p -ром $K_2Cr_2O_7$ при t -ре 110—130° под давлением. Кол-во поглощенного Cr возрастает с увеличением t -ры и продолжительности обработки. Равновесное поглощение Cr тетроном лучше подчиняется ур-нию Фрейндлиха, чем ур-нию Лангмюра. Поглощение Cr тетроном возрастает пропорционально конц-ии H_2SO_4 . Кипячение в воде обработанного Cr тетрона в течение 30 час. удаляет 9% адсорбированного Cr. Сообщение VIII см. РЖХим, 1961, 4П526.

А. Болденко
9П550. Теоретические и практические соображения о крашении полиэфирных волокон с применением переносчиков. Rochas Paul. Considérations théoriques et pratiques sur la teinture des fibres de polyester à l'aide de véhicules. «Teint. et apprêts», 1960, № 58, 76—85. Discuss., 85—86 (франц.).—Скорость диффузии дисперсных красителей в полиэфирное волокно (ПВ) тергал примерно в 500 раз ниже, чем в ацетатный шелк. Ускорение процесса крашения ПВ может быть достигнуто применением: а) красителей с малым размером молекул, б) повышенной t -ры крашения и в) переносчиков (П), содействующих раскрытию мол. структуры волокна. Установлено, что П взаимодействуют с цепями полимера, но не с молекулами красителя, играя роль пластификаторов, увеличивающих поры волокна и этим облегчающих проникновение в него красителей. Усадка волокна при этом может достигать до 10%. Изучалось поведение П типа дифенила, o -оксидифенила и метилсалицилата. Требуемая конц-ия П зависит от их растворимости в воде и модуля ванны. Показано, что максим. сорбция красителя ПВ достигается при поглощении волокном 70 mg/g П. Для обеспечения максим. сорбции красителя рекомендуется крашение производить по двухфазному способу, сперва обрабатывая ПВ в p -ре П и затем удаляя последний с волокна перед процессом крашения.

Д. Кантер
9П551. Изучение свойств кислотных азокрасителей. Iijima Toshiro, Sekido Minoru. «Сэнъя гаккайси, Sen-i gakkaiishi, J. Soc. Text. and Cellulose Inds, Japan», 1960, 16, № 5, 406—411 (японск.; рез. англ.).—Изучали свойства азокрасителей (АК), являющихся производными бензола и нафталина. К-ты АК получали пропусканием очищ. натриевых солей АК через колонку с монообменной смолы. Содержание к-т определяли потенциометрич. титрованием p -ром NaOH. Кривые титрования свободных к-т АК не отличаются от кривых титрования HCl. Если K_1 и K_2 соответственно константы диссоциации SO_3H и OH -групп, то $K_1 \sim 10^{-3}$; для o -азокрасителей $pK_2 \sim 11$, для n -оксиазокрасителей $pK_2 \sim 8$. Так как o -оксиазокрасители, содержащие остаток к-ты Невилля и Винтера, дают аномальные кривые титрования (pK_2 8,1), то, вероятно, их OH -группы не образуют координационные связи, хотя они расположены в орта-положении к азосвязи. Предполагается, что в крашении белковых и полиамидных волокон все n -оксиазокрасители и некоторые o -оксиазокрасители, у которых OH -группы не связаны водородными связями, взаимодействуют с волокном не только электростатически, но и путем образования водородных связей. Сродство некоторых кислотных АК к найлону 66 уменьшается с увеличением K_1 свободных к-т этих АК. Предыдущее сообщение см. РЖХим, 1961, 5П548.

Из резюме
9П552. Свойства полиоксиэтиленалкилтиоэфиров. Nagata Akira, Nemoto Yoshio, Imai Tatsuro, Morikawa Takashi. «Абачу катяку, Yūkagaku, J. Japan Oil Chemists Soc.», 1960, 9, № 1, 30—33 (японск.).—Приведены эксперим. данные, характеризующие свойства синтезированных при 200° с исполь-

зоянием в качестве исходных продуктов додецилмеркаптана (т-ра кип. 95—96°/1 мм рт. ст.) и гексадецилмеркаптана (т-ра кип. 123—128°/0,5 мм рт. ст.), полиоксипентадесилтиоэфира и полиоксипентадесилтиоэфира, которые получали в различном молярном соотношении производного тиоэфира к окиси этилена (10:1, 20:1 и 30:1), а также данные, характеризующие действие указанных тиоэфиров при применении в качестве добавки в ванну при крашении кислотно-хромировочными красителями. Найдено, что добавление полиоксипентадесилтиоэфира (молярное соотношение 10:1) при применении металлосодержащих красителей типа 2:1 (напр., цибалана и иргалана) повышает скорость крашения и миграцию красителя, для хромосодержащих красителей типа 1:1 (напр., неолан синий, неолан бордо) указанная добавка неэффективна.

9П553. К крашению синтетических волокон. Сообщение 9. Крашение капрона кислотными металлосодержащими красителями. Хархаров А. А., Старикович Е. Е. «Изв. вып. учеб. заведений. Технол. текстиль. пром-сти», 1960, № 3, 106—112. — Разработан в лабор. условиях режим крашения капроновой ткани металлосодержащими красителями с комплексом 1:2. Изученные 2 красителя дают окраски высокой прочности, но склонны поддерживать неравномерность волокон (хотя и в меньшей мере, чем кислотные красители). Ровные окраски удается получить только при применении увеличенных конц-й красителя (~2% от веса волокна). Выявлено, что металлосодержащие красители оказывают светозащитное действие на капроновое волокно. Они могут быть рекомендованы для производственного крашения полиамидных волокон. Предыдущее сообщение см. РЖХим, 1960, № 3, 8908.

9П554. Хромолановые красители. Крашение шерсти металлосодержащими красителями с комплексом 1:1 с применением органических кислот. Robinson T. J. «Chromolánové farbivá: farbenie vlny s 1:1 ko-vokomplexnými farbivami a organickými kyselinami», «Textil» (ČSR), 1960, 15, № 8, 307—311 (словацк.). — Рассмотрены принципы и теория крашения шерсти. Крашение возможно при пониженном содержании серной к-ты с применением словазоля 0-100, а также в присутствии органич. к-т (муравьиной к-ты) с применением синтетич. KSO-100. На основе изучения этих методов крашения отмечены основные преимущества последнего способа: крашение идет гораздо быстрее, окраски получаются более яркими и прочными. Улучшается туше и сопротивление ткани на истирание.

Ф. Нарина
9П555. Изучение процесса крашения трудноокрашиваемых волокон (XI). Продукты конденсации дифенилметана. Yamada Kimiho. «Сэнги гаккайси, Sen-i gakkaiishi, J. Soc. Text. and Cellulose Inds, Japan», 1960, 16, № 5, 412—417 (японск.; рез. англ.). — В присутствии л-нитрозодиметиланилина, хлоранилина или другого окислителя 4,4'-бис-диметиламинодифенилметан (M₁) реагирует с ароматич. аминами и фенолами с образованием трифенилметановых красителей. Рекомендуется применять M₁ для получения окрасок разного цвета на вишнине. M₁ раствором в CH₃COOH при pH 2. В качестве диспергатора применяют неионогенные поверхностно-активные в-ва; полезно вводить в ванну соли 2-валентных металлов. Хромирование рекомендуется проводить по обнованному методу. Предыдущее сообщение см. РЖХим, 1961, 7П610.

9П556. Практика крашения процинилами. Blackburn Stanley. Practical aspects of dyeing with proci-nyls. «Man-Made Text.», 1960, 37, № 436, 77, 79—80 (англ.). — Разработан режим крашения нерастворимыми в воде дисперсными красителями (K) процинилами, вступающими в хим. р-цию с амино- и амидными груп-

пами волокна (найлона, шерсти, шелка). Прощинили дают равномерные окраски найлона, обладающие высокой прочностью. Крашение проводят по двухстадийному обнованному методу: 1) выбирание и выравнивание K в кислой среде, 2) фиксация в щел. р-ре. K в порошке диспергируют в 10—20-кратном кол-ве воды при t-ре ≤ 50° и выдерживают дисперсию 10 мин. при помешивании. Иногда в ванну вводят 2 г/л 30%-ной CH₃COOH и 1 г/л дисперсола ВЛ или лиссаполя Ц (или Д) и добавляют соответствующее кол-во дисперсии K. Т-ру повышают за 30 мин. от 40° до 85—100° при сохранении pH 3,5—4,0 добавлением CH₃COOH и выдерживают 30 мин. Затем добавляют р-р Na₂CO₃ до pH 10—10,5 (2,5—3 г/л Na₂CO₃), продолжают крашение при постоянной т-ре (85—100°) 45—60 мин., промывают, мылут при 65° в р-ре, содержащем 2 г/л лиссаполя и 2 г/л Na₂CO₃. Способ крашения применим для всех видов оборудования, в том числе для машин, окрашивающих под давлением. Крашение по плюсовочно-роликовому способу дает высокий выход K на волокна. Ткань плюсуот дисперсий K, содержащей NaHCO₃, смачиватель и загуститель, накатывают на ролик и проявляют окраску 2—4 часа при 95°, затем мылут и промывают.

А. Болденю
9П557. Применение активных красителей для крашения и набивки хлопчатобумажных тканей. Mindrea N. Folosirea coloranților reactivi la vopsirea și imprimarea tesăturilor de bumbac. «Ind. text.» (RPR), 1960, 11, № 7, 270—273 (рум.). — При крашении ткани на джигтере растворяют краситель (K) в умягченной воде при 40°, добавляют 2—4 г/л сульфированного расторожного масла, либо пенетратора, постепенно повышают т-ру до 70—80° за 40—50 мин., одновременно добавляют 40—60 г/л NaCl в 2—4 приема в зависимости от интенсивности окраски, затем добавляют 10—20 г/л нейтр. Na₂PO₄ и красят в течение 30—45 мин. при 70—80°. При этом K сразу фиксируется на волокне. Вместо Na₂PO₄ применяют эквивалентное кол-во Na₂CO₃. Для удаления нефаксифицированного K проводят 30-минутную мыловку при 95—98° в ванне, содержащей 2—3 г/л мыла, и промывают теплой и холодной водой. Модуль ванны при крашении 1:25. Для набивки готовят печатную краску следующего состава: 30—200 г мочевины растворяют в 215—400 мл воды при 70°, добавляют 10—70 г процинового K, после растворения добавляют 500 г глицина-альгината натрия, охлаждают и добавляют 10—15 г NaHCO₃. Обработку ведут обычным способом. Напечатанную ткань сушат, запаривают в зрельнике в течение 5 мин. влажным паром, интенсивно промывают, мылут при 98° в р-ре, содержащем 3—5 г/л мыла, и промывают теплой и холодной водой.

Ф. Нарина
9П558. Использование пигментных красителей в крашении и печатании текстильных изделий. Bella Josef. Použití pigmentových barviv při barvení a potiskování textilií. «Nová technol. zůslecht. a příslušné stroje a přístroje. № 6». Dvůr Králové nad Labem, s. a., 43—56 (чешск.). — В связи с увеличением применения пигментов (П) приведены некоторые общие положения об их использовании. Описаны П, связующие, способы крашения и печатания тканей П, печатание с применением смесей П с другими красителями. Описаны некоторые виды печатания: грунтовая и вытравная печать, способы получения бронзовых и матовых оттенков и другие виды печати. Указаны устойчивость окрасок к воде, к стирке, морской воде, поту, трению. Преимущества крашения и печатания тканей с помощью П — прочность и яркость окрасок, простота применения.

Ф. Нарина
9П559. Набивка тканей с применением поливинилбутиральных смол. «Ямамото Такэо. Дзюси како, Resin Finish. and Applic.», 1959, 8, № 10, 539—542 (японск.). — Рассмотрена обработка тканей (напр., найлона) поливинилбутиральными смолами для придания им водо-

отталкивающих свойств. Получены следующие результаты: обработка одной только бутиральной смолой придает ткани водоотталкивающие свойства, сохраняющиеся после стирки. Добавление 5% парафина, 5 вес. ч. катализатора АС усиливает водоотталкивающие свойства. Добавление катализатора АС в кол-ве 10% или алкилцианата приводит к некоторому огрублению ткани. Применение изоцианата также рекомендуется для придания тканям водоотталкивающих свойств. Недостатком применения этого препарата является его неустойчивость в жидкой фазе. Приведены р-ции целлюлозы с меламинами, изоцианатами, алкилтитанатами и таблица эффективности различных препаратов.

Ю. Жмакин
9П560. Как работает красковарочное отделение. Ferguson L. H. How the color shop works. «Text. World», 1960, 110, № 9, 74—78, 78 (англ.).—Обзор. А. Б.

9П561. Хитиновое волокно и печатание с помощью хитозана. Bao Si-Min. Chitinové vlákno a tisk pomocí chitosanu. «Textil» (CSR), 1960, 15, № 9, 350—352 (чешск.).—Описано получение хитозана, результаты анализа хитина различных фирм, технология получения хитинового волокна, ионообменная способность частично гидролизованного хитинового волокна и описано определение скорости ионного обмена.

Ф. Нарина
9П562. Ультрафиолетовые поглотители для текстильных материалов. Delano D. J. Incorporation of ultraviolet absorbers in textiles. «Amer. Dyestuff Reporter», 1960, 49, № 15, 30—31 (англ.).—Показано, что светостойкость красителей и пигментов может быть повышена путем инкорпорации поглотителей УФ-излучения. При печатании пигментами добавка 0,1—1% диоксиметоксибензфенона (ДМБ) к пастам, содержащим окись титана, пигмент желтый (C. I. Pigment Yellow 12) и прямой красный (C. I. Direct Red 80), увеличила светостойкость на 25—250% (при экспозиции на фотометре). Последующая обработка окрашенных хлопчатобумажных тканей [прямой красный (C. I. Direct Red 26); суперсветостойкий синий 8 GLN (C. I. Superlightfast Blue 8GLN) растворимыми и нерастворимыми препаратами ДМБ также увеличила светостойкость, причем нерастворимые препараты оказались более эффективными.

Л. Бельский
9П563. Печатание тканей из целлюлозных волокон индиголевыми красителями. Ludovici Renato. La stampa dei tessuti cellulosici con i coloranti. Solindolo dell'ACNA e le marche corrispondenti delle altre «case». «Fibre e colori», 1960, 10, № 9, 485—498 (итал.).—Ассортимент солиндоловых красителей (СК) фирмы ACNA, представляющих собою сернокислые эфиры лейкосоединений кубовых красителей, состоит из 9 марок. Приведены данные по строению СК и показатели прочности. Для повышения растворимости красителей в состав печатной краски вводят: тиодигликоль, гликоль, мочевины, смесь мочевины с тиодигликолем, фенолом и др. По способности к окислению СК делятся на три группы. Приведена рецептура печатных красок и режимы обработки для фиксации СК по запарному (хлоратному), нитратному и хроматному способам. Указаны способы применения СК в вытравной и резервной расцветке тканей.

Л. Голомб
9П564. Печатание тканей из полиакрилонитриловых волокон. Gassner Herbert. Stampa dei tessuti di fibre poliacrilonitriliche. «Fibre e colori», 1960, 10, № 5, 253—256 (итал.).—Для печати применяют «стразовые» красители. В состав печатной краски вводят глицин и целлюлозан, а при насыщ. оттенках — резорцин, вызывающий набухание волокна. Т-ра сушки должна быть < 90°. Краситель фиксируют запариванием ткани при 0,25—0,5 атм. Ткани из смесок, содержащих хлопок или вискозное волокно, печатают кубовыми красителями, содержащими шерсть — основными.

К. Герцфельд

9П565. Универсальный наносно-пропиточный агрегат лабораторного типа. Плевако Н. А., Ильинский Д. Я., «Научн. тр. Моск. технол. ин-т легкой пром-сти», 1960, сб. 16, 250—252.—Описан агрегат для покрытия тканей р-рами каучуков, латексами и пластмассами.

Д. Г.
9П566. Аппретирование костюмной фланели. Vonberg Heinrich. Die Appretur eines Anzug-Flannels. «Z. ges. Textilind.», 1960, 62, № 12, 487—488 (англ.).—Практические указания по проведению технологич. процесса отделки.

Ф. Н.
9П567. Улучшение качества льняных тканей посредством новых видов отделки. Dokládai František. Zlepšení kvality lněných tkanin novými úpravami. «Textil» (CSR), 1960, 15, № 7, 265—266 (чешск.).—Обзор различных современных способов аппретирования льняных тканей и краткая характеристика этих способов. Для отделки постельного белья и скатертей применяют аппреты, наполняющие ткань и увеличивающие ее прочность, а иногда и повышающие ее сопротивляемость загрязнению. Применяются и спец. виды отделки, повышающие матовость тканей, придающие им пониженную сминаемость и невоспламеняемость.

Ф. Н.
9П568. Автоматизация процесса отделки под фетр. Terkel H. Y. Flock coating diversified flat work automatically. «Industr. Finish.», 1959, 36, № 1, 46—48, 50 (англ.).—Описана автоматич. установка для отделки плоских деталей под фетр, состоящая из машин для нанесения клеящего слоя накаткой вальцами сплошь по всей поверхности и для нанесения текстильных волокон (кнопа). Одна из машин снабжена устройством для электризации кнопа и для удаления его избытка, который возвращается снова в произ-во. Для отделки определенных участков клей наносят на спец. прессе.

К. Беляева
9П569. Изменение размеров бельевых тканей и напряжений в волокне, применяемом для их изготовления при сушке различными способами. Viertel Oswald. Maßänderung und Faserbeanspruchung von Wäschestoffen bei verschiedenen Trocknungs-Verfahren. «Forschungsber. Landes Nordrhein — Westfalen», 1960, № 850, 34 S., ill. (нем.).

9П570. Термическая обработка орлона для придания огнестойкости. Vosburgh W. G. The heat treatment of orlon acrylic fiber to render it fireproof. «Text. Res. J.», 1960, 30, № 11, 882—896 (англ.).—Описано получение и свойства нового устойчивого к кратковременному нагреванию до высокой т-ры огнеупорного волокна черного цвета АФ, получаемого из орлона 42 путем нагревания его в виде пряжи или ткани в среде газа (O, N, воздуха), масла или расплавленного металла или при прохождении его между нагретыми металлич. роликами. Орлон транспортируется без натяжения металлич. лентой, двигающейся с регулируемой скоростью через термокамеру с принудительной циркуляцией горячего газа, имеющего т-ру в первой зоне 250 ± 5°, во второй 260 ± 5°. В масляной ванне т-ру поддерживали 181° при нагревании до т-ры ванны, затем повышали до 221°, после чего т-ра волокна внезапно самопроизвольно повышалась за 3 мин. до 367° вследствие экзотермич. р-ции и падала до т-ры ванны. Скорость р-ции прямо пропорциональна кол-ву ткани и т-ре обработки. Логарифм продолжительности обработки обратно пропорционален т-ре среды в пределах 150—300°. При обработке в среде N получают хрупкий воспламеняющийся продукт оранжевого цвета. Проведена обработка в присутствии ряда катализаторов: O, Cl, смеси Cl и воздуха, 3-метиламина, NaNO₃·NaNO₂, свободных радикалов, дегидрогенизирующих агентов, инертных электролитов. Оптимальное содержание O 10—20%. В присутствии Cl процесс протекал при 275° с полным обугливанием, при 175° получено слабое хрупкое волокно. Лучшие результаты получены при

использовании пентасульфида фосфора и $ZnCl_2$ и дитиоламмоната. Полученное волокно сохраняет 40% прочности орлона, имеет более низкую устойчивость к истиранию и хим. стойкость. Волокно АФ нерастворимо в обычных органич. р-рителях, но растворяется в щелочах и к-тах, при обработках в кипящей воде имеет меньшую усадку, чем орлон, отличается меньшей степенью кристалличности структуры, чем полиакрилонитрил. Попытки придать белизну волокну АФ обработкой эмульсий TiO_2 в смоле оказались безуспешными, волокно АФ может найти технич. применение для изготовления огнестойких швейных ниток, слоистых материалов в произв. термостойких пластмасс, конвейерных ремней, фильтровальных тканей, электроизоляционных материалов. А. Болденко

9П571. Новая активная смола для малосминаемой отделки хлопчатобумажных тканей, не требующих глажения. Williams C. R. A new reactant resin for «wash-and-wear» finishing of cotton fabrics, «Amer. Dyestuff Reporter», 1960, 49, № 12, 49—56 (англ.).—Обзор эффективности современных препаратов для малосминаемой отделки и их влияния на отдельные свойства тканей. Наиболее эффективным по совокупности своих свойств является новый препарат «Resloom E-63» фирмы Monsanto (США), представляющий собой метилольное производное гетероциклич. N-содержащего соединения. По эффективности он несколько превосходит диметилолэтиленмочевину, а в отношении предотвращения повреждения обработанной ткани поглощаемым хлором приближается к триазонам. Термообработка рекомендуется при т-ре 260° в течение 90 сек. или при 290° в течение 50 сек. В качестве катализатора применяют катализатор АС. Ц. Росинская

9П572. Саморасправляющиеся ткани — восстановление формы тканей и волокон. Marsh J. T. Self-smoothing fabrics — fibre and fabric recovery. «Text. Manufacturer», 1960, 86, № 1025, 202—204, 207 (англ.).—Обзор. Способность тканей и волокон расправляться после смятия связано со строением волокон, соотношением в них аморфной и кристаллич. частей, кол-вом поперечных связей. Ткани, обладающие упругими свойствами, характеризуются углом раскрытия складки 120—130°, а шерстяные даже 135—145°. Изделия из вискозного шелка и хлопка приобретают пониженную сминаемость в результате обработки их спец. смолами. Показано, что между упругой деформацией ткани при 3%-ном растяжении и углом раскрытия складок существует линейная зависимость. Ц. Росинская

9П573. Исследование обработок целлюлозных волокон смолами. 1—2. Yajima Mikiharu, Arakawa Kiyoshi. «Сэнъи гаккайси, Sen-i gakkaiishi, J. Soc. Text. and Cellulose Inds, Japan», 1960, 16, № 6, 500—506 (японск.; рез. англ.).—Изучены свойства целлюлозных волокон (В), обработанных меламиноформальдегидной (I), мочевиноформальдегидной и этиленмочевинной смолами, и установлено, что при обработке вискозного В лучшие результаты дает первая и худшие — последняя. С увеличением содержания смолы на В прочность его во влажном состоянии увеличивается, а удлинение, прочность в петле и гигроскопичность уменьшаются. Наибольшее увеличение сопротивления изгибу имеет место в случае I. С увеличением весового номера вискозного В увеличивается кол-во поглощаемой им I. Удельная прочность и гигроскопичность как обработанного, так и не обработанного смолы вискозного В при этом убывают, но для обработанного В они убывают быстрее. В. Штутцер

9П574. Несминаемая отделка хлопчатобумажных тканей, особенно реактивного типа. Lange C. Knitterfestausrüstung von Baumwollgeweben unter besonderer Berücksichtigung der Reactant-Typen. «Spinner und Weber», 1960, 78, № 10, 683—684 (нем.; рез. англ., франц.).—Рассмотрены препараты, применяемые для

получения несминаемых тканей. В частности, указано на целесообразность применения для отделки промывочных этиленмочевин. Отделка этими смолами устойчива к стирке при кипячении; ткань не удерживает хлор. Рекомендована следующая обработка ткани реактивными смолами: хорошо очищ. и мерсеризованную ткань пропитывают при 20° смолой (до 100—150 г/л), отжимают до 80%, сушат при т-ре до 100° до остаточного влагосодержания 8—10%, маладрируют при 20°, подвергают термич. обработке при 140—160° в течение 4—5 мин., затем слегка промывают при 40—50° в р-ре соды и мыла. И. Розлов

9П575. Основные факторы, влияющие на процесс придания тканям несминаемости в стирке. Dorset B. C. M. Important factors in wash-and-wear finishing techniques. «Text. Manufacturer», 1960, 86, № 1032, 495—499, 503 (англ.).—Обработка хлопчатобумажной ткани (Т) CH_2O при 80° придает ей несминаемость во влажном состоянии. При этом превышения т-ры > 100° не требуется. Обработка Т в 19,5%-ном водн. р-ре HCl, содержащем 7,4% CH_2O , дает повышение несминаемости без потери прочности. Плюсование р-ром CH_2O и HCl при обычной т-ре с последующей легкой 1—2 час. и промывкой дает несминаемость, но прочность несколько снижается. Пропитка Т р-ром CH_2O и HCl с последующим накатыванием на ролики и выдержкой 20 мин. с дальнейшей нейтр-цией Na_2CO_3 и промывкой горячей и холодной водой дает несминаемость в сухом и во влажном состоянии, но понижает прочность и устойчивость к истиранию, причем Т не желтеет и не удерживает Cl. Хорошие результаты получены при последовательной обработке в р-рах 1) 1,3% H_2PO_4 и 5% $CO(NH_2)_2$ при 77° в течение 5 мин. 2) 0,1 н. HCl при 80° в течение 25 мин. Из эпоксидных смол пригодна двукисл. винилциклогексена, не удерживающая Cl и устойчивая к к-там. Применяют продукты р-ции CH_2O с дигидразидами типа $R(CONHNH_2)_2$, где R — алкилен ($-CH_2-$)_n, n = 0—5. 1,62 моля CH_2O смешивают с 0,27 молями гидразида адипиновой к-ты и 1170 мл воды, доводят 10%-ным NaOH pH до 9,5, перемешивают 30 мин., добавляют 4 г $MgCl_2 \cdot 6H_2O$, pH падает до 8,7. Т пропитывают этим составом, сушат на барабанах 4 мин. при 90°, проводят термич. обработку 4 мин. при 163°. Обработка дает низкую потерю прочности и хорошую несминаемость. Определения CH_2O , освобождающегося при хранении обработанных Т, показали, что кол-во CH_2O повышается с повышением т-ры, продолжительности хранения и в присутствии катализатора обработки. А. Болденко

9П576. Роль поперечных связей в хлопчатобумажных тканях, обработанных для придания несминаемости. Frick J. G., Jr., Andrews B. A. Kottes, Reid J. David. Effects of cross-linkage in wrinkle-resistant cotton fabrics. «Text. Res. J.», 1960, 30, № 7, 495—504 (англ.).—Исследована роль поперечных связей в создании эффекта несминаемости при обработке отбеленной хлопчатобумажной ткани (маткаль) диметилолэтиленмочевинной (ДМЭМ), диметилолмочевинной (ДММ) и формалином (Ф). Катализаторами служили CH_3COOH и $Zn(NO_3)_2 \cdot 6H_2O$. Рабочие р-ры содержали от 1 до 10% ДМЭМ, от 1 до 15% ДММ и от 1 до 20% Ф. Определялось содержание на ткани N, CH_2O , несминаемость (методом Monsanto) в сухом и мокром состоянии, разрывное напряжение и удлинение при разрыве. Число поперечных связей на единицу ангидроглюкозы (ПС) определялось из выражения $ПС = \text{моль Ф на 1 ангидроглюкозы (АГ)} - \frac{1}{2} (\text{моль N на 1 АГ})$. Для каждого из трех использованных реактивов макс. несминаемость получена при замещении 0,04—0,05 ПС на 1 АГ. Обработки ДМЭМ и ДММ дали почти одинаковое соотношение между углами несминаемости и числом ПС. Максимум углов несминаемости для Ф оказался более низким. Максимум отклонения других факт. показателей (от значений для необработанной ткани)

наблюдались также при 0,04—0,05 ПС на 1 АГ. Снижение прочности на разрыв у обработанных тканей определяется двумя факторами: уменьшением растяжимости и соответствующим ограничением распределения напряжения благодаря наличию поперечных связей и частичной деградации (кислотного гидролиза) целлюлозы в результате воздействия кислых катализаторов. Преобладает влияние первого фактора. При наличии одинакового эффекта несминаемости истираемость и прочность на разрыв различны для разных реактивов, что обусловлено различной деградацией целлюлозы, но не структурой поперечных связей.

9П577. Силиконы для текстильных изделий. I. Производство. Smith Charles. *Silicones for textiles. I. Manufacture.* «Man-Made Text.», 1960, 37, № 437, 62, 64—65 (англ.).—Силиконы получают двумя методами: по р-ции Приньяра и прямым взаимодействием SiCl_4 с Si при нагревании в присутствии катализатора. Хлорсилан, являющийся промежуточным продуктом р-ции, после гидролиза и удаления воды превращается в силиоксан. Силиконовые смолы часто получают из дихлор- и трихлорсиланов в присутствии монохлорсилана. Как и углеводородные соединения, придающие водоупорность (напр., парафиновый воск), силиконы имеют высокий контактный угол с водой, высокое поверхностное натяжение, благодаря присутствию большого кол-ва CH_3 -групп, и придают тканям водоупорность, мягкость, лучшую драпируемость, повышают устойчивость ткани к истиранию, прочность, несминаемость, сохраняют ткань от разрушения иглами при высокоскоростном шитье. Высыхающие смолы требуют удаления р-рителя и выжаривания, но не требуют термич. обработки. Добавление к силикону органич. эфиров титана и циркония, полимеризующихся в присутствии влаги воздуха, улучшает водоупорность. Последними работами в СССР и в Англии показано, что возможно получение сополимеров $-\text{Ti}-\text{O}-\text{Si}-$, пригодных для придания тканям водоупорности. Приведены схемы р-ций получения силиконов. А. Болденко

9П578. Применение церана CS для водоотталкивающей обработки (отделки) хлопчатобумажных тканей. Laš Luděk, Rada Zdeněk. *Příspěvek k poznání Ceraru CS pro vodoodpudivou úpravu bavlněných tkanin.* «Textil» (CSR), 1960, 15, № 8, 311—313 (чешск.).—Церан CS представляет собой комплексное соединение стеариновой к-ты и хрома. Его выпускают в виде 30—35%-ного спирт. р-ра. Исследовано влияние концентрации церана CS в пределах 1—80 г/л на результаты обработки тканей. Во всех случаях в ванну вводили 10% гексаметиленetetрамина. Ткань после обработки сушили до остаточной влажности в 10% и подвергали последовательным многократным операциям хим. чистки в трихлорэтилене и промывке в ванне, содержащей 3 г/л смачивающего в-ва и 2 г/л соды. Результаты испытания гидрофобных свойств ткани представлены в графиках. Они показывают, что при применении 30%-ного р-ра продукта оптимальная его концентрация в ванне составляет 10—20 г/л. Ф. Нарина

9П579. Устойчивость олеофобного эффекта, придаваемого хлопчатобумажным тканям фтористыми соединениями. Berni Ralph J., Benerito Ruth R., Philips Frederick J. *Durability of oleophobicity of cotton fabrics imparted by fluorochemicals.* «Text. Res. J.», 1960, 30, № 8, 576—586 (англ.).—Исследованы возможности улучшения олеофобной пропитки хлопчатобумажных тканей (Т) и повышения устойчивости достигнутого эффекта к стирке и химчистке. Исходный метод состоял в пропитке Т 0,5 М $\text{Al}(\text{CH}_3\text{COO})_3$, и, после сушки на воздухе, в пропитке ее 5% спирт. р-ром перфторкаприловой к-ты (I). Попытки улучшить способ обработки применением готовых хромо-вых комплексов I, введением ализаринового масла и т. п. не дали заметных результатов. В связи с этим изучена возможность использования трех фторглицидных эфиров целлюлозы. Наиболее высокую олеофобность и гидрофобность, вполне стойкую к щелочной стирке при 100°, придает Т 1,1-дигидропентадекафтороктооксигидроксипропиловый эфир целлюлозы, получаемый из $\text{CF}_3(\text{CF}_2)_8\text{CH}_2\text{OCH}_2\text{CH}_2\text{OCH}_2$ (II). II, в свою очередь, получается из эписхлоргидрина и 1,1-дигидропентадекафтороктанола в присутствии NaOH. Возможны два рода обработок Т: А) Т погружают на 15 мин. в 15% р-р NaOH, отжимают до 100% и погружают при 95° на 16 час. во II. Б) Т пропитывают 30%-ным р-ром II в метаноле, содержащем 4% (к весу II) $\text{Zn}(\text{BF}_4)_2$ (в качестве катализатора), отжимают до 70% привеса и прогревают при 125° в течение 6 мин. Обработанную Т промывают ацетоном и гладят утюгом, нагретым до 180°. Для получения хороших результатов достаточна степень замещения целлюлозы, равная 0,01. В. Штутцер

9П580. Олеофобная отделка текстильных изделий. Erieser Erich P. *Die ölabweisende Ausrüstung von Textilien.* «Spinner und Weber», 1960, 78, № 8, 543—544 (нем.; рез. англ., франц.).—Для олеофобной отделки хлопчатобумажных тканей (Т) применяют продукт Scotchgard FC 804 (хромо-ый комплекс перфтороктаановой к-ты) в виде 30%-ного р-ра в 95%-ном изопропиловом спирте. Т пропитывают в р-ре 20 сек., сушат 1 час при 110°, промывают теплой водой с применением моющего средства и затем холодной водой. Греть и воздухопроницаемость Т после обработки не ухудшаются, но прочность на разрыв несколько снижается. Обработку шерстяных Т фторсодержащими соединениями ведут при pH 3. Сушку производят при 120° в течение 10 мин. Сушку рекомендуется вести на вешалках. Применение декатировки, прессования и каландрирования улучшает эффект отделки. Указаны фторсодержащие продукты фирмы Minnesota Mining and Manufacturing Co., рекомендуемые для обработки шерстяных тканей. Т. Будкевич

9П581. Устойчивая к стирке антистатическая отделка. Hünlich R. *Washbeständige antistatische Ausrüstung.* «Spinner und Weber», 1960, 78, № 10, 704, 706 (нем.; рез. англ., франц.).—Фирма Fettechemie Böhm (Дюссельдорф) выпустила устойчивый антистатич. препарат Nonax 975, представляющий собой вязкую водорастворимую жидкость. Для фиксации его необходима добавка соды, NaOH или NaHCO_3 . Рассмотрена обработка различных синтетич. волокон антистатич. в-вами. В частности, для тканей из дракона рекомендовано: плюсование при 20° р-ром, содержащим 30 г/л Nonax 975 и 3 г/л соды, отжим (80—100%), сушка на раме с шпиральным полем в 25 м при скорости 35 м/мин при 140°. В красильную ванну (300 л) добавляют 200 г Nonax 975, 200 г Unital 302, 300 мл CH_3COOH (60%), 600 г соды, 1300 г Beliacin 615. Nonax 975, Unital 302 и CH_3COOH вводят в ванну при 90—95° и обрабатывают пряжу 10 мин. при pH 4—5 и t-ре 80—90°. Затем антистатич. в-во фиксируется добавкой в ту же ванну р-ра Na_2CO_3 в течение 20 мин. при 80—90° при pH 9—10, ванну охлаждают в течение 10—15 мин. до 50°; проводят оживку препаратом Belfacin 615. И. К.

9П582. Фиксация изделий из полиамидных волокон насыщенным паром и горячим воздухом. Vinea E. *Unele considerente despre fixarea poliamidelor cu abur saturat și cu aer cald.* «Ind. text.» (RPR), 1960, 11, № 8-9, 331—335 (рум.; рез. русск., нем., франц., англ.).—Рассмотрены хим., физ.-хим. и физ.-мех. явления, происходящие при фиксации изделий из полиамидного волокна. Указаны элементы, определяющие качество и степень фиксации; приводятся практич. советы проведения процесса. Библи. 11 назв. Д. Горня

9П583. Отделка новых видов ковров. Bobe Joachim. *Die Appretur der neuartigen Nadelflorpetliche.* «Text.-Prax.», 1960, 15, № 11, 1157—1161 (нем.).—Обзор аппаратуры, методов и аппретирующих в-в для покрытия

тия изнанки ковров резиновым слоем, содержащим наполнители.

9П584. Заключительное облагораживание в процессе химической чистки. Rordorf K. G. Die Nachveredelung in der Chemischen Reinigung. «Rev. chem. Reinig. Farb.», 1960, № 7, 420—422, 424, 426 (нем.).—Поставлен ряд общих проблемных вопросов заключительной стойкой отделки, и особое внимание уделено процессу гидрофобизации. Изделия с гидрофобными свойствами меньше загрязняются, легче очищаются и гладятся. На данном этапе наилучшей по сравнению с классической (Al—мыла с парафином) следует признать обработку изделий силиконовыми смолами, которая технологически осуществляется легко. В США предложен новый препарат «Scotchgard» (в ФРГ выпускается под наименованием «Oleophobol»), который придает тканям водо- и маслоотталкивающие свойства. Он представляет собой эмульсию фторсодержащих смол. Этот препарат, как и ряд иных новых препаратов на основе искусств. смол, находится в стадии производственной проверки.

9П585. Изучение влияния статического электричества на загрязнение изделий во время носки. Lord Joan, Rees W. Howard. A study of 'static' in relation to the soiling of garments in wear. «Shirley Inst. Mem.», 1960, 33, № 3, pp. 15—24, ill. (англ.).—Наблюдения над изделиями (дамские сорочки) из трайседа, терилена и нейлона, обработанными LiCl как в-вом, сообщающим антистатич. свойства, показали, что обработанные части загрязняются меньше, чем необработанные. Испытания такого же характера, проведенные с мужскими рубашками из хлопка, терилена и орлона, не проявили положительного влияния антистатич. обработки на предотвращение их загрязняемости. В процессе работы измерялись отражательная способность изделий до и после носки, величина и знак заряда поверхности при трении, изменение цвета изделий.

9П586. Акриловые смолы, растворимые в воде. M. G. Knecht H. Resinas acrílicas solubles en agua. «Quimias», 1960, № 86, 41—42 (исп.).—Рассмотрены области применения в текстильной пром-сти растворимых акриловых смол (АС), выпускаемых фирмой Ром и Хаас (ФРГ) в виде водн. р-ров полиакриловых и полиметакриловых к-т (или их солей), а также в виде полимеризованных смесей акриловых, метакриловых к-т и их эфиров. АС рекомендуются для шпиктования целлюлозных, искусств. и синтетич. волокон (как таковые или в смеси с крахмалом, декстрином и животным клеем), для аппретирования тканей, для придания водоупорности (в сочетании с мылом и формиатом алюминия), в качестве загустителей и антистатич. агентов (для синтетич. волокон). Отмечены их преимущества перед иными продуктами.

9П587. Гидрофобность и несминаемость. Сообщение 2. Лабораторные испытания. Сопоставление методов. Danguillaume M.-C., Mme. Hydrofugation. Indroissabilité. Tests de laboratoires. Essais de comparaison entre les méthodes. 2-e part. «Rev. text.», 1960, 59, № 1, 46—51 (франц.).—Критический обзор методов оценки сминаемости тканей; рассмотрены механич. деформации нитей при смятии, влияние структуры нитей и тканей, условия смятия образцов. Библ. 51 назв. Часть 1 см. РЖХим, 1961, 2П492.

9П588. Применение микроскопии в текстильной промышленности. I. Tybor I. W. Mikroskopia włókien. I. «Przegl. włókienn.», 1960, 14, № 8, 439—447 (польск.).—Исторический обзор. Библ. 3 назв. Д. Г.

9П589. Отражение света окрашенным текстильным материалом и его измерение на фотометре Пульфриха с шаром Ульбрихта. Jágrová Milena, Rais Jifi. Remise světla barevným textilním materiálem a použití Pulfrichova fotometru v Ulbrichtovou kouli. «Textil» (CSR), 1960, 15, № 7, 267—272 (чешск.).—Приведена

характеристика фотометра Пульфриха с шаром Ульбрихта и рассмотрена возможность его использования для измерения отраженного света образцами и расчете содержания красителя на ткани. На примере крашения силововой ткани целлюлозным розовым прочным В подтверждена применимость ур-ний Кубельна и Мунка, а также Престона и Тсайна для расчета концентрации красителя на волокне по данным отражения света окрасками и по калибровочным кривым.

9П590. Вопросы испытания отделанных смолами тканей. Vogel P. Zur Problematik der Prüfung hochveredelter Gewebe. «Melliand-Textilber.», 1960, 41, № 41, 1416—1418 (нем.; рез. англ., франц., исп.).—Обзор описанных в германских стандартах методов испытания свойств отделанных смолами тканей—угла сминания, устойчивости отделки, разрывной прочности, устойчивости к истиранию, способности к набуханию, усадке, поглощения хлора.

9П591. Контроль процесса кубового крашения в лаборатории. Захарьевский М. С., Мусорок Е. Г., Якубов Х. М. «Текстиль. пром-сть», 1960, № 10, 43—45.—Предложен метод анализа красильного р-ра для определения в условиях заводской лаборатории окислительно-восстановительного потенциала и конц-ии красителя в окисленной и восстановленной форме. Рекомендуемая методика предусматривает потенциометрич. и фотометрич. измерения на универсальном фотометре ФМ. Приведены методики определения окислительно-восстановительного потенциала и pH, определения конц-ии окисленной и восстановленной форм красителя. Методика проверена при анализе р-ров красителей: кубового ярко-зеленого Ж и кубового синего О. Результаты проверки показали, что погрешность измерения суммарной конц-ии красителя < 1%, а конц-ии окисленной или восстановленной форм < 5%. При этом точность измерения тем выше, чем меньше конц-ия окисленной и чем больше конц-ия восстановленной форм.

9П592. Органолептическое определение цвета шерстяных тканей. 3. Такасаэ И., Андзай К. «Сонъ гаккайси, Sen-i gakkaiishi. J. Soc. Text. and Cellulose Inds, Japan», 1960, 16, № 9, 763—772 (японск.).—Сообщение 2 см. РЖХим, 1960, № 10, 41272.

9П593. Энциклопедия химических волокон. Mac-made textile encyclopedia. Ed. Press J. J. New York—London, Interscience, 1959, XXX, 913 pp., ill. (англ.).

9П594. Экстракты для крашения и танины в текстильной промышленности. Les extraits tinctoriaux et les tanins dans l'industrie textile. Paris, Cie franç. extraits, 1960, 157 p., ill.

9П595. Исследования химически модифицированного шерстяного волокна. Kindlimann Heinz. Untersuchungen an chemisch modifizierten Wollfasern. Diss., Dokt. Naturwiss., Techn. Hochschule Stuttgart, 1960, 107 S., ill. (нем.).

9П596. Вытягивание пряжи из натуральных и синтетических волокон под влиянием химических и термических воздействий. Lünenschloß Joachim. Die Verstreckung von textilen Fäden natürlichen oder synthetischen Ursprungs unter chemischer oder termischer Einwirkung. Diss., Dokt. Ingr, Techn. Hochschule Stuttgart, 1960, 194 S., ill. (нем.).

9П597. Применение редуктонов и редуктонов в качестве восстановителей в печати. Meyer Günter. Reduktone und Reduktonate als Reduktionsmittel für Farbstoffe im Textildruck. Diss., Dokt. Naturwiss., Techn. Hochschule Stuttgart, 1960, 93 S., ill. (нем.).

9П598. Смачиватели. Комори Сабуро, Сигэно Йосихиро, Ятани Тайдзо. Японск. пат. 331, 23.01.57.—Смесь 100 ч. метилового эфира жирных к-

спермат
нагрева
реактор
/0,02 мм
в NaOH
CH₂CO
цикло
лина то
ляло 10
леново
(CO₂CH₃)
9П599
H₂O z e
vláken.
ния вол
ния по
амидов
Шлихт
фигаро
зируетс
леново
ангидри
буют ра
ряд цен
близил
ричеств
термост
увелич
ляется.
9П600
Fried
Textilfa
Fabrik).
для ум
менени
статич
ния, са
в М пр
ладают
стояно
водност
тричест
жи (0,5
пряжи
амульс
Во втор
был зн
9П601
издели
Авт. св
жают т
дают ва
остаточ
куум-а
на пред
го р-ра
в ванн
(101—4
ускорен
шения
ют. Во
а ваку
9П602
Som m
bers.
19.01.60
основе
том кл
красит
атмосф
привод
N,N-ди

спермацетового масла и 420 ч. меленивого ангидрида нагревали 4 часа при 200—202°, затем удаляли непрореагировавшие исходные в-ва с т. кип. 215—240°/0,02 мм. Полученное в-во обрабатывали р-ром CH_3ON в NaOH и получали $\text{CH}_3(\text{CH}_2)_7\text{CH}=\text{CHCN}[\text{CH}(\text{CO}_2\text{CH}_3)_2\text{CH}_2\text{CO}_2\text{Na}](\text{CH}_2)_6\text{CO}_2\text{CH}_3$ (I). Время, требуемое для проникновения воды в неаппретированную ткань в р-ре I, составляло 10,6 сек. Таким же образом из амилеата и меленивого ангидрида получают: $\text{CH}_3(\text{CH}_2)_7\text{CH}=\text{CHCN}[\text{CH}(\text{CO}_2\text{CH}_3)_2\text{CH}_2\text{CO}_2\text{Na}](\text{CH}_2)_6\text{CO}_2\text{CH}_2(\text{CH}_2)_3\text{CH}_3$. А. В. 9П599.

Способ шлихтования полиамидных волокон. Hrozek Miloš. Způsob šlihtování polyamidových vláken. Чехосл. пат. 91320, 15.08.59.—Для шлихтования волокон предложено применение модифицированных полиамидов, получаемых взаимодействием полиамидов с формальдегидом в присутствии метанола. Шлихтование ведут при 40° 15—20%-ным р-ром модифицированного полиамида в этаноле. Шлихта стабилизируется в кислой ванне, содержащей, напр., 1,4% меленивого ангидрида. Ткани, содержащие такую шлихту, не требуют расшлихтовки, так как шлихта придает изделиям ряд ценных свойств: лучше фиксирует краситель, стабилизирует волокно, уменьшает влияние статич. электричества, улучшает поглощение тканями пота. После термостабилизации прочность волокна на истирание увеличивается. Шлихта при стирке изделий не удаляется. Ф. Нарина

9П600. Масла для текстильных волокон. Austen Friedrich, Schulzen Herbert. Schmelze für Textilasern. [Joh. A. Benckiser G. m. b. H. Chemische Fabrik]. Пат. ФРГ 1053138, 24.03.60.—Во избежание и для уменьшения недостатков, возникающих при применении для замасливания пряжи масел (М) (недостаточное антистатич. действие, коррозия оборудования, самоокисление М и др.), предлагается добавлять в М продукты конденсации мочевины и P_2O_5 (I). I обладают антикоррозийными свойствами, сохраняют постоянное содержание влаги в М, обладают электропроводностью, что препятствует накоплению статич. электричества. Кол-во добавляемого I зависит от сорта пряжи (0,5—3,0%). Пример: одна партия аппаратной пряжи была получена при замасливании олеиновой эмульсией, другая — эмульсией с добавлением 2% I. Во второй, более равномерной партии, обрыв нитей был значительно меньше, чем в первой. Н. Приткова

9П601. Способ вакуумного крашения трикотажных изделий, текстильных волокон и т. п. Ильичук Н. Д. Авт. св. СССР 130032, 15.07.60.—Вакуум-аппарат загружают трикотажными изделиями, текстильными волокнами и т. п., затем его герметизируют, закрывают и производят вакуумирование изделий в течение 3—10 мин., до остаточного давл. 0,1—0,3 мм рт. ст. После этого вакуум-аппарат соединяют со сборником, где произведена предварительная подготовка и подогрев красильного р-ра до 40—100°. После перекачки красильного р-ра в ванну включают пар и поднимают т-ру выше 100° (101—108°). При этой т-ре процесс крашения происходит ускоренно, в пределах 15 мин. После окончания крашения р-р спускают, изделия промывают и выгружают. Во время процесса вакуумируются лишь изделия, а вакуумирование р-ра не требуется. Д. Горин

9П602. Способ обработки синтетических волокон. Sommar Helen G. Method of treating synthetic fibers. [The B. F. Goodrich Co.]. Пат. США 2921831, 19.01.60.—Способ крашения текстильных изделий на основе сополимеров винилиденцианида с винилацетатом или изобутиленом основными красителями или красителями для ацетатного волокна при 93—100° и атмосферном давлении отличается тем, что крашение производят в присутствии N,N-дифенилацетамида или N,N-дифенилформамида (5—20% от веса изделия), до-

бавляемых в виде эмульсии. Пример. Трикотажную ткань из филаментарного волокна на основе сополимера винилиденцианида и винилацетата промывают перед крашением в течение 15 мин. при т-ре 82° воды, р-ром, содержащим 2% N-метилолеоилтаурата Na и 2% $\text{Na}_4\text{P}_2\text{O}_7$. Очищ. ткань высушивают и разрезают на образцы весом 4 г, для каждого из которых готовят отдельную красильную ванну. В 160 г воды вводят в-во, вызывающее набухание волокна, в виде 6%-ного р-ра в метаноле. В качестве диспергатора к р-ру добавляют 0,04 г диоктилового эфира натриевой соли сульфоянтарной к-ты, для эмульгирования добавляют воду (54%), полученную эмульсию добавляют при 74° к красильной ванне из расчета 10% агента набухания от веса ткани. В ванну добавляют 2% от веса ткани основного красителя сервана бриллиантового красного 4G или азотного красителя целлюлоза прочного синего 3B, крашение проводят при т-ре 93—100° в течение 1 часа. Окрашенные образцы промывают холодной водой в течение 15 мин. при 82° в воде, содержащей 2% (от веса образца) N-метилолеоилтаурата натрия и 2% $\text{Na}_4\text{P}_2\text{O}_7$, и высушивают. При использовании N,N-дифенилформамида и N,N-дифенилацетамида, так же как в присутствии метилового эфира салцилового к-ты, ткань окрашивается очень хорошо, а при использовании метанола плохо. А. Волохина

9П603. Получение способствующих крашению составов на основе фенолфенола. Freyermuth Harlan B., Lawsberg Charles L. Preparation of phenylphenol dyeing assistant compositions. [General Aniline and Film Corp.]. Пат. США 2926987, 1.03.60.—Состав, способствующий окрашиванию гидрофобных тканей, напр. из полиэфиров терефталевой к-ты и этиленгликоля, полимеров акрилонитрила, сополимеров акрилонитрила и винилхлорида, виниловых смол, ацетатов целлюлозы и найлона, представляет собой дисперсный порошок, приготовленный путем размола смеси о- или п-фенилфенола, анионного диспергатора и воды с последующим пропуском пара через эту смесь во время размола, с целью удаления части воды и дальнейшим размалыванием до получения сухого порошка. Последний подвергают термич. обработке и затем размалывают до тонкого порошка. Применявшиеся ранее подобные составы предварительно растворяли в щел. р-рах, а затем выделяли фенолфенол добавлением уксусной к-ты в присутствии диспергатора. Пример. 10 ч. п-фенилфенола и 10 ч. тамола NNO затружают в колл. мельницу типа Вернера-Пфейдере-ра. Прибавляют 10 ч. воды и полученную вязкую массу размалывают в течение 2,5 час. В течение первых 15—20 мин. через паровую рубашку пропускают пар для удаления части воды с целью увеличения вязкости смеси, после чего пар отключают. К концу процесса тепло от трения при размоле удаляет большую часть воды. Полученный порошок тщательно высушивают при 55° в течение ночи, а затем размалывают в жерновой мельнице. Ю. Славина

9П604. Способ обесцвечивания окраски текстильных волокон, особенно синтетических. Hájek Květoslav. Způsob odbarvování barvených textilních vláken, zvláště syntetických vláken. Чехосл. пат. 92168, 15.10.59.—Для обесцвечивания изделий применяют хлороформ или его водн. эмульсии при 20—80°. Окрашенные изделия из полиэфирных волокон медленно обесцвечиваются хлороформом на холоду, но быстро при нагревании до т-ры, близкой к кипению этого р-р-теля. Обесцвечивание рекомендуется проводить по способу экстракции. Использованный р-р может быть регенерирован дистилляцией. Ф. Нарина

9П605. Метод проявления диазотипной печати. Herrick Clifford E., Jr. Method of producing diazo-type prints. [General Aniline & Film Corp.]. Пат. США 2923625, 2.02.60.—Для проявления диазотипных материалов с нанесенным на них светочувствительным

диазосоединением и азосоставляющей их помещают в нагреваемой проявительной камере с баком для аммиачной проявляющей жидкости; последнюю готовят, помещая в бак чистую воду и достаточное кол-во твердого $(\text{NH}_4)_2\text{CO}_3$ (I) для образования 40%-ного р-ра и нагревая этот р-р до образования в камере влажных паров аммиака. Обычно газ NH_3 получают слабым нагреванием водн. р-ров NH_4OH ; недостатком этого способа является необходимость наличия больших кол-в водн. р-ра NH_4OH ; бывают случаи взрыва контейнеров с этими р-рами вследствие давления, образующего при хранении, когда т-ра значительно выше комнатной. Транспортировка аммиака, особенно на самолетах, также опасна. Из I же NH_3 выделяется при сравнительно низких т-рах, причем кроме H_2O и CO_2 других продуктов не выделяется. О. Славина

9П606. Цианэтилирование целлюлозы. Bikales Norbert M., Gruber Arnold H., Rapoport Lo-rence. Cyanoethylation of cellulose. [American Cyanamid Co.]. Пат. США 2907625, 6.10.59.—Для цианэтилирования текстильных волокон из α -целлюлозы, в частности из хлопка, волокно обрабатывают при 20–45°, предпочтительно < 40°, 75–150% от веса волокна водн. 7–12%-ным р-ром едкого щелочи и 5–10 ч. акрилонитрила (I) на 1 ч. волокна. Обработку проводят до содержания N в волокне 2,5–3,5%, причем отношение веса I, парасодованного на побочные р-ции к весу I, прореагировавшего с целлюлозой, не должно превышать 1,2:1,0. Патентуемый способ позволяет значительно уменьшить расход I на побочные р-ции сравнительно с известными способами цианэтилирования, причем прочность и микробиологич. устойчивость хлопка сохраняются. Примеры. а) Мотки хлопчатобумажной пряжи весом 453 г загружают в красильную ванну и прокачивают равное по весу кол-во 9,2%-ного водн. р-ра NaOH и 8-кратное по весу кол-во техн. I. Т-ра повышается с 25 до 40°. Через 45 мин. р-р нейтрализуют H_3PO_4 , отфильтровывают, мотки промывают водой. Отношение I ~ 0,8, т. е. больше I реагирует с Ц, чем расходуется на побочные р-ции. Устойчивость к нагреванию и истиранию, высокая прочность на разрыв (ПР) выше, чем у необработанного волокна. Содержание N 3,5%. Приведены начальная ПР, ПР (в г) через 2, 6 и 12 недель после закаливания образца в почву. Аналогичные результаты получают при обработке 22,7 кг пряжи 23,6 кг 8%-ного р-ра NaOH и 156,7 кг техн. I. Содержание N 3,2%; б) Повторяют условия примера (а), но применяют 7,6%-ный р-р NaOH. Получают продукт, содержащий 2,8% N, микробиологич. устойчивость его несколько ниже.

Ю. Вендельштейн

9П607. Водоотталкивающий аппрет, способ его приготовления и обработанные им текстильные изделия. Rust John B., Canfield William B. Water repellent, method of preparing same and textile coated therewith. Пат. США 2923698, 2.02.60.—Рекомендуются легко диспергируемые в воде водоотталкивающие аппреты, которые после пропитки ими ткани, сушки при 60–120° и тепловой обработки при 120–200° (напр., 2–5 мин. при 160–165°) оказываются устойчивыми к стирке и хим. чистке. Для их получения нагревают до 60–90° амид (I) высшей жирной к-ты, содержащий ≥ 9 атомов C (напр., стеарамид, лаурамид, дистеарамид и др.) с CH_3O (II) или в-вом, выделяющим II (параформальдегид, метилаль, гексаметиленотетрамин и др.), и нагревают полученный продукт с вторичным амином (диэтиламин, морфолин, пиперидин, дибутиламин, диэтанолламин и др.). Получаемый третичный амин переводят в легко диспергируемую в воде нечетвертичную соль амина действием к-т, хлорангидридов или гидролизующих солей (HCl , H_2SO_4 , CH_3COOH , PCl_5 , хлориды Si, Al, Zn и др.). Особенно удобно из продукта приготовить пасту с водой, спиртом, диоксаном и т. п. Более сложные продукты получают

при использовании соединений, содержащих несколько атомов N, реагирующих с II (мочевина, тиомочевина, дициандиамин, меламина, алкилмеламины и др.). Напр., получив гексаметиломеламин, можно ввести его в р-цию с I, а потом нагреть с вторичным амином. Пример. 50,4 ч. меламина, 192 ч. II (37%-ного), 226,4 ч. стеарамина, 113,4 ч. канделильского воска, 35,4 ч. изопропанола (97%) в течение часа нагревают с обратным холодильником до 80° и при этой т-ре выдерживают 1 час. Охладив до 70°, добавляют 69,7 ч. морфолина. В. Штупер

9П608. Составы, содержащие алкилсилантролы и аминопласты и изделия, обработанные ими. Eastes John W., Vartanian Richard D. Composition containing alkyl silane triol and aminoplast resin and article coated therewith. [American Cyanamid Co.]. Пат. США 2937155, 17.05.60.—Для придания текстильным изделиям водоупорных свойств предлагается пропитывать их стабильными эмульсиями типа «масло в воде», содержащими (в качестве дисперсной фазы) водонерастворимый алкилсилантрол (I), в котором все алкилы имеют 10–20 (предпочтительно 12–18) атомов C и аминопласт (II), вводимый преимущественно в виде эфиров метилольных производных меламина, спирт. компонентом которых является низший спирт (с 1–4 атомами C); кол-во II берут в пределах 25–1000% (обычно 50–500%) от веса I. Кроме I и II в эмульсию входят: 1–60% от веса II отверждающего катализатора и 10–50% от кол-ва I анионактивного или неионогенного эмульгатора. Обработываемый материал пропитывают указанной композицией (обычно на плюсовке) и затем одновременно или последовательно высушивают и проводят термич. обработку при т-ре > 80°. Пример. Для получения I 25 вес. ч. октадецилтрихлорсилана гидролизуют при энергичном перемешивании в р-ре 6,2 ч. NaOH в 370 ч. ледяной водн. осадок отфильтровывают, промывают водой и осушают на вакуум-фильтре. 12 ч. полученного продукта, 40 ч. 80%-ного р-ра мономера триметокситриметилмеламина и 4 ч. 25%-ного эмульгатора «аэрозоль ОТ» (диоктилсульфосукцинат Na) тщательно перемешивают, после чего 28 ч. такой смеси разбавляют 170 ч. водн. к которой добавляют 2 ч. катализатора $(\text{NH}_4)_2\text{SO}_4$. Такой смесью обрабатывают хлопчатобумажную ткань с расчетом осадить на ней 3% силантрола и 8% меламиновой смолы. В результате получают пропитку, прочную к стирке и хим. чистке. С. Светов

9П609. Повышение жесткости изделий из волокон на основе полиэтилентерефталата. Cox Richard. Improvements in and relating to the stiffening of polyethylene terephthalate fabrics. [Courtaulds Ltd.]. Англ. пат. 834312, 4.05.60.—Процесс придания жесткости изделиям из волокон на основе полиэтилентерефталата включает обработку изделий водн. р-ром NaOH, КОН, гидроокисей щел.-зем. металлов, NH_4OH или водорастворимых основных солей щел. металлов, или этаноламина, промывку водой, обработку метилированным меламином, формальдегидным или мочевиноформальдегидным формконденсатом, сушку и термообработку при т-ре 200–220° в течение > 20 сек. Пример. Промытую ткань из волокон на основе полиэтилентерефталата обрабатывают 30 сек. кипящим водн. 3%-ным р-ром NaOH, затем поругают на короткое время в воду, промывают разб. р-ром CH_3COOH , затем водой и сушат. Обработанную ткань погружают в 22%-ный р-р формконденсата метилированной меламиноформальдегидной смолы, содержащей 0,2% NH_4Cl . Высушенную ткань подвергают термич. обработке при 200° в течение 3 мин. Обработанная ткань имеет устойчивую к стирке жесткость. X. Виллемс

См. также: Теплота взаимодействия хлопка с водой 9Р9; анализ смесей волокон 9П368. Действие света на аминокислоты 9С136. Испытание нитей на растяжении

9П366. Кок с лотка в ботке в термине 9П355, аме мет Полкан осветли

9П610.

Ягот 1960, 10, лось ш, обувн, к, выгоды, лось вин, чество, щали в, этому п, кожи и, это вре, циналь, свинной, тельная, работко, наготов, лянвоно, 9П611, изводст, сгомоо, 299 (че, кашлив, На эти, плесени, возмож, рмолог, плесени, выращи, обору: Это по, таты п, но пред, в неде, феоля, и други, 9П611, жм. М, gice in, (рум.), в расп, эффек, для ко, лейке, качест, ления, что си, преду, ният (, полне, вога в, ность, самым, тоды а, полос, берут, метод, чение, намаз, 40 хм

9П366. Кислотостойкие ткани 9П369. Удаление ворсинок с пряжи из волокон ПВХ 9П406; Термич. обработка волокон из поливинилового ш. 9П362. Повышение термо- и светостойкости полиамидных волокон 9П355, 9П390. Новые красители 9П199, 9П200. Красящие металлосодержащими красителями 9П211, 9П213. Полиакриловые к-ты в отделке тканей 9П354. Оптика осветлители 9П205, 9П227—9П229

КОЖА. МЕХ. ЖЕЛАТИНА. ДУБИТЕЛИ. ТЕХНИЧЕСКИЕ БЕЛКИ

Редактор О. В. Матеева

9П610. Значение кожи из свиного сырья. Kaplan J. *Podpora verřovnicových usnı. «Kožafství»*, 1960, 10, № 10, 2 (обл.), 291 (чешск.).—С 1950 г. началось широкое применение свиных кож для произ-ва обуви, кожаных перчаток, что оказалось очень выгодным экономически. За этот период много уделялось внимания технологии произ-ва этой кожи, но качество кожи все время ухудшалось, так как не обращали внимания на условия выращивания свиней. Поэтому постепенно перешли на произ-во подкладочной кожи из свиного сырья. Из опыта, накопленного за это время, можно сделать несколько обобщений: нерационально заменять внешний вид, характерный для свиной кожи (мерею лицевого слоя), необходима тщательная сортировка шкур по назначению перед их обработкой, хорошие шкуры можно использовать для изготовления галантерейных кож с применением анилинового крашения.

Ф. Нарина 9П611. Появление красных пятен на голые в производстве хромовых кож. *Orlita Alois. Cervenání chromociněné holiny. «Kožafství»*, 1960, 10, № 10, 298—299 (чешск.).—В кожевенной пром-сти происходит накопление сырья, требующего длительного хранения. На этих шкурах, особенно в летнее время, появляется плесень, которая образует пигменты. Эти пигменты невозможно затем удалить со шкуры. Проведено бактериологич. исследование для выяснения типа микробов плесени. Из шкуры были выделены микробы, которые выращивали в искусств. условиях. В результате было обнаружено, что этот микроб — *Penicillium aculeatum*. Это подтвердили исследования других авторов. Результаты проверки показали, что кожевенное сырье можно предохранить от действия плесени, если его 2 раза в неделю обрабатывать 0,2—0,4%-ным р-ром пентахлорофенолата натрия. Для этого можно также применять и другие вещества.

Ф. Нарина 9П612. Новые методы обработки в производстве кож. *Minulescu Aristotel. Noi procedee tehnologice în tăbăcărie. «Ind. ușoară»*, 1960, 7, № 8, 328—331 (рум.).—Сушка кож для верха обуви при натяжении в расправленном состоянии дает большой экономич. эффект (увеличивается выход кожи на площади), но для кож ойка из-за его структуры сушка при натяжении на стекло оказывает отрицательное влияние на качество кожи. Проведены исследования процесса золени. При золении происходит потери кожного в-ва, что сильно проявляется и при сушке на стекле. Для предупреждения этого явления при дублении применяют более основные соли хрома, что увеличивает наполнение кожи и частично возмещает потери кожного в-ва. Рекомендуется сокращать продолжительность золени и кол-во извести в золышках и тем самым сокращать потерю белков дермы. Указаны методы золени ойка, уменьшающие кол-во молочных пелос и ворстистость в готовой коже. Для золени берут р-ры, содержащие 6—10 г/л Na_2S . Приводится методика обработки: отмочка мокросоленого сырья в течение 4—5 час. при 30°, после отмочки следуют отжим, намаз смесь Na_2S , NaHS , извести и каолина, сонка

шерсти на машинах, затем золени 16—18 час. в чанах с Na_2S , NaHS и небольшим кол-вом извести, что дает гладкую поверхность кожи и не требует при дублении применения хромовых солей высокой основности. Улучшается качество продукции и увеличивается выход готовой кожи по площади. Хорошие результаты получены при исследовании дубления синтетич. хром-танидными комплексами, которые проверяли в лабор. условиях и испытывали на кожевенных а-дах РНР. Голье (весом до 35 кг в сырье) дубят в чанах этими хром-танидными комплексами и затем додубливают в барабанах танидами. Органолептически полученные кожи ничем не отличаются от кож чисто растительного дубления. В связи с внедрением микропористой подошвы и увеличением выпуска обуви сырья для получения верхних обувных кож пока еще не хватает; поэтому сырье развесом > 25 кг используют для получения кожи для верха обуви. Приведена методика обработки. Свиные кожи идут в основном для кожевенно-галантерейной пром-сти и для получения кожи типа кона (двоенные кожи с облагороженным лицевым слоем), а также на выработку свиного велюра. При никелевании применяют новое в-во, которое было синтезировано в научно-исследовательском ин-те кожевенной и резиновой пром-сти РНР. Это в-во дает возможность проводить никелевание и дубление солями хрома без применения поваренной соли; при этом уменьшается напор при дублении, соли хрома равномерно распределяются в толще кожи, дубление всегда можно вести при повышенном значении pH, происходит меньший кислотный гидролиз коллагена. Фиксация напора кожи идет в процессе дубления, что в результате дает полную кожу. Найден способ применения силка при произ-ве кож из сырья развесом > 25 кг. Из силка изготавливают шпакую кожу; крокодиловую кожу получают при спец. дублении силка, делающим силку нетяглым. Затем кожу шлифуют и отделывают. Она очень хорошо прессуется. Внедрены лаковые покрытия на основе диизоцианатов. Разработан метод получения многоцветной кожи. Изготавливают силлок с античным эффектом. Это — способ получения совершенно нового вида кожи из силка. Силлок перерабатывают также на подкладку и кожу для домашней обуви хром-синтанным способом дубления.

Ф. Нарина 9П613. Обезволаживание шкур ферментами из проросшего «Ragi» (*Eleusine coracana*) в производстве кож. *Bose S. M., Madhavakrishna W., Das B. M. A process of unhairing skins and hides by enzymes from germinated «Ragi» (Eleusine coracana) for the manufacture of leather. «Bull. Centr. Leather Res. Inst.»*, 1960, 6, № 12, 590—592 (англ.).—Рассмотрен метод ферментативного обезволаживания шкур в произ-ве легких и тяжелых кож с помощью ферментов, извлеченных из проросших зерен проса («Ragi»), культивируемого в Индии. Одновременно происходит смягчение шкур. Шерсть при этом получается чистой и неповрежденной. Описан метод получения из предварительно разбухших в воде и затем проросших в определенных условиях зерен ферментативного экстракта. Процесс ферментативного обезволаживания рекомендуется производить при периодических переборках шкур в жидкости при 26—32° pH жидкости доводят уксусной к-той до 4—5. Кол-во экстракта, изготовленного из 0,45 кг сухих зерен «Ragi», достаточно для обезволаживания 2,25 кг шкуры (считая на вес после отмок). В экстракте перед применением растворяют 5% (от веса шкур после отмок) поваренной соли. Длительность процесса обезволаживания и смягчения 3—4 дня. Ускорение процесса достигается повышением т-ры. Голье после обезволаживания мездрят, чистят, а в случае необходимости пикелируют и в дальнейшем обрабатывают так, как обычно. Этим способом были выработаны лайковая и перчаточная кожи, шевро, а также различные верхние обувные кожи хромового и

растительного дубления из шкур буйвола, ошойка, козлины. В произ-ве овчины возможно основную массу шерсти удалить предварительно ферментативным способом, а подшерсток — обычным зеленем. В этом случае ферментативный препарат, изготовленный из 0,45 кг сухих зерен «Ragi» достаточен для обезволивания ~11,25 кг овечьих шкур.

ЭП614. Применение протеолитических ферментов для мягчения голы. Sato Y., Inagaki K., Kubo H., Fuzita S., Uchitomi M., Matsushita T. «Нихон хикаку гидзюку кёкайси, Bull. Japan. Assoc. Leather Technol.», 1959, 5, № 4, 48—52 (японск.). — Изучали процесс мягчения голы при изменении кол-ва ферментативного препарата (*streptomyces*) во вращающейся аппаратуре. Для ускорения процесса голы подвергали предварительной обработке поваренной солью, а также к-той. Установлено, что применение указанного препарата не изменяет продолжительности процесса мягчения по сравнению с ранее использовавшимися препаратами. Применение этого препарата для мягчения коллагена не вполне рационально вследствие его слишком большого разрушающего действия, которое в ~2 раза превосходит разрушающее действие конц. препарата панкреатина. Следовательно, изучаемый препарат может применяться лишь в незначительных кол-вах. При использовании этого препарата с эффективностью 2,2 получили блестящую поверхность голы, которую нельзя получить при уменьшении эффективности до 0,07. Результаты опытов показывают, что ферментативные препараты дают возможность получить несколько большую степень удлинения и меньшее сопротивление разрыву, чем ранее применявшиеся препараты без использования фермента. Установлено, что смешивая в различных соотношениях фермент и обезволивающую соль, можно получить препарат, пригодный для различных целей.

ЭП615. Термодинамические параметры реакций дубления. Микаэля И. И., Михайлов А. Н. «Изв. высш. учебн. заведений. Технол. легк. пром-сти», 1960, № 2, 42—54. — Для определения термодинамич. параметров, характеризующих процесс дубления использовали метод расчета равновесия гетерог. систем. Интенсивность взаимодействия дубителя с белком характеризуется разностью хим. потенциалов дубителя в стандартном состоянии в р-ре ($\mu_{ф.р.}^0$) и в фазе белка ($\mu_{ф.б.}^0$). Расчет производили по ф-ле $-(\mu_{ф.б.}^0 - \mu_{ф.р.}^0) = -\Delta\mu^0 = RT \ln \gamma_1 [D]_{ф.б.} / \gamma_2 [D]_{ф.р.}$, где в квадратных скобках представлены конц-ии дубителя в фазе белка и в р-ре, а γ_1 и γ_2 — соответствующие коэф. активности. Так как γ_1 и γ_2 неизвестны, то для дубления при больших жидкостных коэф. условно приняли γ_1 и γ_2 равными единице. Величина $\Delta\mu^0$ количественно характеризует процесс перехода дубителя из стандартного состояния в р-ре в такое же состояние на белке и является мерой сродства дубителя к белку. Эта величина была применена для сопоставления свойств различных дубителей. Знак $\Delta\mu^0$ для всех дубителей отрицательный, что указывает на то, что р-ция дубления должна протекать самопроизвольно. Наибольшим сродством к белкам кожи обладает сульфат хрома, причем сродство тем выше, чем больше основность соли хрома. Наименьшее сродство характерно для анионного хромооксального комплекса. Сродство растительных таниндов к белку имеет промежуточное значение. Величина сродства исследованных дубителей находится в пределах 1,3—4,8 ккал/моль и растет с повышением т-ры. По полученным данным были построены графики зависимости $\lg [D]_{ф.б.} / [D]_{ф.р.}$ от обратного значения абс. т-ры ($1/T$). Во всех случаях получена линейная зависимость, что позволило применить к р-ции дубления зависимость константы равновесия от т-ры и рассчитать изменение энтальпии этой р-ции

(ΔH^0). Значения ΔH^0 для р-ции дубления коллагена различными дубителями в интервалах т-р 6—25° и 25—40° находятся в пределах 3,0—20 ккал/моль и зависят от вида дубителя и т-ры. Знак ΔH положительный, следовательно р-ция дубления эндотермична и повышение т-ры должно увеличивать скорость р-ции, что согласуется с практикой растительного дубления. По величинам сродства и изменения энтальпии определяли третий термодинамич. параметр дубления — изменение энтропии ΔS^0 по ф-ле $\Delta\mu^0 = \Delta H^0 - \Delta S^0 \cdot T$. Полученные значения ΔS^0 имеют положительный знак. Эти значения тем больше, чем выше дубящий эффект. Рост энтропии системы указывает на уменьшение упорядоченности ее компонентов, что согласуется с рентгеноструктурными данными.

ЭП616. Кислотность системы дубитель — коллаген. Микаэля И. И., Михайлов А. Н. «Изв. высш. учебн. заведений. Технол. легк. пром-сти», 1960, № 3, 83—88. — Определяли рН гольевого порошка и рН дубящего р-ра в равновесных системах дубитель — коллаген. Определение рН гольевого порошка производили сурьмяным электродом. Гольевые порошки дубили при различных т-рах (6, 25 и 40°) формальдегидом, сульфатом хрома, анионным хромооксальным комплексом и фракциями экстракта квебрахо. По полученным данным рассчитывали разность значений рН (ΔpH) белка и дубящего р-ра при дублении до состояния, близкого к равновесному. Знак ΔpH зависит от характера взаимодействия дубителя с реакционноспособными группами белка и от кол-ва к-ты в системе белок — дубитель — к-та. Величина ΔpH для формальдегидного и анионного хромого дубления отрицательна, а для катионного хромого и растительного дубления положительна. По значениям ΔpH производили расчеты мембранного потенциала, возникающего между белком и дубителем. Величины мембранного потенциала изменяются от 0 до 50 мВ, имеют различные знаки и зависят от типа дубления.

ЭП617. Исследование механизма дубления. I. Влияние различных дубящих веществ на суми-пленки. Kakiyama Hitoo, Kamei Hiroshi. «Tokai koré sikoné хококу, Repts Govt Chem. Industr. Res. Inst. Tokyo», 1960, 55, № 5, 141—146, 17 (японск.; реангл.). — Опыты с пленками суми были проведены для выяснения механизма взаимодействия дубителей с желатиной. Р-р красителя суми, содержащий животный клей, наливали на поверхность р-ров дубящих в-в: танина, таниндов акации, квебрахо, солей железа, алюминия, циркония и хрома. При этом на поверхности р-ра дубителя образовывалась пленка. Растительные танинды даже при небольших конц-иях, придают этим пленкам значительную твердость. Но при рН < 3 твердость пленок на поверхности р-ров танина и таниндов акации мало изменяется. Соли железа, алюминия и циркония значительно повышают твердость пленок. Во всех случаях твердость пленок повышается с увеличением рН р-ров солей и достигает максимума при рН, при котором в р-рах начинают появляться осадки. На р-рах хромоовых солей твердость пленок не повышается при рН ниже изоэлектрич. точки желатин; выше этой точки твердость пленок повышается, достигая максимума при рН 5,4—5,8. Отсюда следует, что в хромоовом дублении большое значение имеет ионизация карбоксильных групп белковых молекул.

ЭП618. Изучение растворов хромоовых солей. Влияние прибавления солей органических кислот к растворам хромоовых солей, восстановленных SO_2 . Thampuran K. R. V., Pal B. N. Studies on chrome liquors. Effect of addition of organic salts to SO_2 reduced liquor. «Tanner», 1960, 15, № 2, 50—52 (англ.). — Для получения стандартных р-ров дубящих солей хрома применяют в качестве восстановителя SO_2 и к полученным р-рам прибавляют определенное кол-во органич. к-т или солей. Изучен вопрос о подборе органич. к-т, условий

627(87)
их приоб-
кол-в от
трат, ф
кол-вах
соли при
становле
пятили
вали ~
вой пор-
лизиров
миата и
солей х
лучаетс
О. М.
1 моль
к-ты к
ацетата
хрома
ние со-
кол-ва
щения,
ния ма
р-р. Дл
добавл
1 моль
же р-р
в кол-в
ляти в
двое с
соли д
бавлял
ные и
ленные
были с
лением
слои.
и с пл
ные с
лучше
ных х
ные о
трат.
ленны
маски
ление
кедем
соли,
добав
ные о
лущи
ются:
выше
приме
чества
ЭП6
экстре
gu e t
l'extra
chimie
Подро
швени
а-дах
но би
ным
ду; д
кули
и гол
мости
в под
Обез
Посл
золен
Обез
в бар
голья

их прибавления при дублении и оптимально выгодных кол-в этих к-т. Из маскирующих в-в испытывали тартрат, формат, фталат, цитрат и ацетат натрия в кол-вах $\frac{1}{4}$, $\frac{1}{2}$, $\frac{1}{3}$ и $\frac{1}{2}$ моля на 1 моль Cr_2O_3 . Эти соли прибавляли в р-ры солей хрома, полученные восстановлением SO_2 до 33%-ной основности, р-ры кипятили с обратным холодильником 30 мин. и выдерживали ~12 час. Затем ими дубили обводненный гольевый порошок. Выдубленные образцы промывали и анализировали. При прибавлении небольших кол-в формата и фталата несколько увеличивается поглощение солей хрома. Наибольшее поглощение солей хрома получается при добавлении $\frac{1}{4}$ моля органич. к-т на 1 моль Cr_2O_3 . При увеличении отношения соли органич. к-ты к хрому степень поглощения падает. Прибавление ацетата или тартрата не влияет на поглощение солей хрома гольевым порошком. Цитрат снижает поглощение солей хрома, при этом увеличение отношения кол-ва цитрата к хрому ведет к уменьшению поглощения. Дубление голья проводили путем прибавления маскирующей соли 1) в пикель и 2) в дубящий р-р. Для первой серии опытов в пикельную жидкость добавляли маскирующую соль в кол-ве 0,25 моля на 1 моль Cr_2O_3 . Обработанное голье выдерживали в этом же р-ре ~12 час. и затем дубили р-ром солей хрома в кол-ве 3,5% Cr_2O_3 от веса голья. Дубящий р-р добавляли в три приема. В дубящем р-ре голье находилось двое суток. Для второй серии опытов маскирующие соли добавляли в р-ры хромовых солей. Эти р-ры прибавляли к пикелеванному голью порциями. Выдубленные и отделанные кожи анализировали. Кожи, выдубленные с прибавлением фталата, формата и тартрата, были очень хорошими. Кожи, выдубленные с прибавлением цитрата, имели несколько грубый лицевой слой. При добавлении ацетата кожи были жесткими и с плохим лицевым слоем. В общем, кожи, выдубленные с добавлением маскирующих солей в пикель, были лучше, чем кожи, выдубленные р-рами маскированных хромовых солей. Были проведены производственные опыты с применением фталата, формата и тартрата. В качестве контрольных служили кожи, выдубленные р-ром солей хрома, восстановленных SO_2 , без маскирующих солей. Кроме того, было проведено дубление в половинках. Левые половинки дубили с пикелем, к которому были прибавлены маскирующие соли, а для правых половинок маскирующие соли были добавлены в р-ры хромовых солей. Эти производственные опыты подтвердили лаб. выводы. Главными преимуществами применения маскирующих солей являются: быстрота дубления, мягкость лицевого слоя, повышенная полнота кожи. Маскирующие соли полезно применять при хромовом дублении шкур низкого качества.

9П619. Ускоренное дубление подошвенной кожи экстрактом квебрахо, растворимым на холоду. Marguet Claude. Tannage rapide du cuir a semelle a l'extract de quebracho soluble a froid. «Bull. Assoc. franc. chimistes inds cuir», 1960, 22, № 8, 149—163 (франц.). — Подробно описан метод ускоренного дубления подошвенных кож, применяемый на крупных кожевенных з-дах Аргентины. Дубление производится исключительно бисульфитированным экстрактом квебрахо, дробленым или порошкообразным, растворяющимся на холоду; дубление проводится в одну фазу в р-рах, рециркулирующих в батарее чанов. Цикл обработки сырья и голья в мокрых цехах равен 12—20 дням, в зависимости от т-ры дубильных р-ров. Отмотка производится в подвесном барабане при 6—7 об/мин в течение 24 час. Обезволаживание в барабане продолжается 20 час. После стонки волоса следуют промывка, мездрение и зольение в известковых зольниках в течение 24—28 час. Обеззоление должно быть полным. Оно проводится в барабане на двух ваннах: первая 0,7—0,9% (от веса голья) сульфата аммония, 2 часа вращения, полный

слив р-ра; вторая ванна 0,5—1,0% бисульфита натрия, вращение 2 часа. Иногда после обеззоливания проводят слабое мягчение на холоду поджелудочной железой в течение ~12 час. Вследствие применения бисульфита голье после обеззоливания имеет pH ~5,5; его без промывки пускают на заличку. Заличка производится в двух чанах: в р-ре с плотностью 1,5° Bé, 8—12 час.; в р-ре плотностью 3° Bé, 24 часа. Дубление происходит в батарее сообщающихся чанов при конц-ции р-ров 7—9° Bé и естественном pH (4,8—5,6). Р-ры рециркулируют при помощи насоса. Подкрепление соков производят ежедневно, подшивая мешок с экстрактом в один из чанов. Кожи остаются в чанах без движения до полного продубливания, что достигается за 5 суток при 22° и за 15 суток при 8°, если нет подогрева соков зимой. Чаны чистят один раз в 2—3 года, сливая соки и используя их снова. Объем чана 15 м³. В один чан загружают 75 кож (~2 т парного веса). Контроль дубления очень прост, проверяется только плотность соков и прокрас. После дубления в чанах следуют додубливание в барабане 16—20 час. р-рами плотностью 14—15° Bé при жидкостном коэф. 2,5. Вращение барабана периодическое со скоростью 6—8 об/мин. Выдубленные кожи лежат в штабеле 48 час. для фиксации танидов и отечки. Механич. отжим кож не применяется. Далее следует наполнение (сульфатом магния, хлористым барием, глюкозой) с одновременным отбеливанием и легким жированием. Требуется, чтобы кожа была светлого тона. Чепракование, если и производится, то в сухом виде после сушки. Выхода готовой продукции 70—76% от веса голья. Расход экстракта: 55% порошкообразного или 58—60% твердого дробленого. Данный метод всегда дает стандартную кожу, требует малой затраты труда, сокращает потери танидов до минимума (осадки и плесени не образуются) и является экономически рентабельным.

З. Лебедева

9П620. Исследования дубления растительными и синтетическими дубителями. Сообщение III. Влияние солей органических кислот на дубление кожи экстрактом мимозы. Herfeld H., Schmidt K. Über den Einfluß von Salzen organischer Säuren auf die Gerbung mit Mimosarindenextrakt. Untersuchungen zur Gerbung mit pflanzlichen und synthetischen Gerbstoffen. III. «Leder», 1960, 11, № 5, 105—110 (нем.; рез. англ., франц., исп.). — Давление солей органич. к-т к экстракту мимозы влияет на величину pH р-ра, на набухание волокон кожи, а также на протекание процесса дубления и свойства кожи. Действие этих солей аналогично действию солей сильных к-т. Исключение составляет только незначительное добавление таких солей при одновременном установлении pH р-ра 3,5, при котором у всех солей одинаково повышается сродство к белку. При повышении кол-ва солей даже в кислой среде сродство к белку снижается. Результаты исследования показали, что добавление солей органич. к-т в продолжение всего процесса дубления не рекомендуется. Такие добавки можно делать перед дублением или в первой стадии процесса дубления для получения мягкой кожи или для повышения диффузии дубителя в кожу. Сообщ. II см. РЖХим, 1960, № 21, 87241. Ф. Нарина

9П621. Новый способ производства жестких кож. Kremr Milan, Hrabovský Václav. Nový způsob výroby spodkových usní. «Kožářství», 1960, 10, № 10, 296—297 (чешск.). — Указаны недостатки произ-ва жестких кож с применением органич. р-рителей: легкая воспламеняемость р-рителей, неудобство хранения, необходимость регенерации р-рителей. После такой обработки кожа все-таки требует дополнительной обработки естественными дубителями. Приведен новый способ обработки кожи, предложенный в Чехословакии. Голье после зольения и стонки шерсти промывают и подвергают обычному хромированию. Хромированную кожу отжимают и обрабатывают смесью сульфитцеллюлоз-

ного экстракта с моно- или диметилмочевинной. Смесь готовят плотностью 30° Вé и хромированная кожа вбирает в себя 70% этого дубителя из водн. р-ра. Кожи обрабатывают в течение 24 час., после чего выгружают, отжимают, жируют обычными жирами (по единой методике) с добавлением дубителя в кол-ве ~4% от веса кожи. Расход жира обычный для подошвенной кожи. Дальнейшую обработку ведут по единой методике. Приведены характеристики процессов и свойства обработанных кож, а также показатели готовой кожи. Преимуществами нового способа дубления является то, что отпадает необходимость ввоза растительных дубителей и возможность использования отходов сульфитцеллюлозных щелоков. Подробные результаты будут опубликованы после проведения ползаводского испытания нового способа дубления. Ф. Нарина

9П622. Влияние различных кислот и солей на процесс дубления кожи телями дубильными растворами. Herfeld H., Schmidt K. Über den Einfluss verschiedener Säure-Salz-Systeme auf die Hotpit-Ausgerbung. «Leder», 1960, 11, № 9, 222—226 (нем.; рез. англ., франц., исп.).—Предварительно дубленые кожи были подвергнуты дополнительной обработке при повышенных т-ре и конц-ии дубителя в чанах дубильными экстрактами мимозы, клебрахо, дуба и каштана с добавлением солей (сульфата аммония, формата натрия) и к-т (соляной, муравьиной, молочной и уксусной). Установлено, что добавление солей и к-т (исключая уксусную к-ту или ее соли, повреждающие волокна кожи) не представляет опасности для кожи как в смысле интенсивности связывания таннидов, так и влияния на ее стойкость или отношение к воде. Однако высокое содержание солей в случае дальнейшего использования этих соков для начального дубления является нежелательным, поскольку это ведет к замедлению скорости дубления и оказывают неблагоприятное влияние на выход и намокаемость кожи.

А. Шапиро

9П623. Современные представления о явлениях, происходящих при крашении кожи. Otto G. Now conceptiones actuelles sur les phénomènes intervenant dans la teinture du cuir. «Rev. techn. inds cuir», 1960, 52, № 8, 164—174 (франц.).—Некоторые красители содержат в одной и той же молекуле как основные, так и кислотные группы, но преобладающий характер красителя обуславливается диссоциацией этих групп и pH среды. При преобладании диссоциации кислотных групп изoeлектрич. точка (ИТ) амфотерных красителей колеблется в пределах pH 1—3. Поскольку амфотерные красители для кожи большей частью применяются при pH > 3, то они действуют как анионные красители. Рассмотрены сорбция красителей как функция pH, силы, обуславливающие средство красителей к волокнам коллагена, взаимодействие анионных красителей с хромовыми комплексами кожи хромового дубления и т. д. Приведена схема, позволяющая установить условия крашения в таких случаях, как крашение кожи нового способа дубления. Поведение ионных красителей в крашении зависит в значительной степени от pH красильной ванны. Если этот pH очень далек от ИТ, то происходит слишком быстрая сорбция красителя, что часто связано с неровностью окраски. Улучшения окраски можно достигнуть приближением pH ванны к ИТ коллагена. Если краситель слишком быстро проникает внутрь кожи, а поверхность последней окрашивается лишь слабо, то надо установить pH ванны, отличающийся от ИТ коллагена. Очень ровное крашение достигается также смещением ИТ окрашиваемой кожи в направлении pH красильной ванны, что может быть достигнуто прибавлением активных неокрашенных ионов, имеющих такой же заряд, как краситель. Фиксация этих ионов кожей уменьшает ее средство к красителю. Указанные средства для выравнивания крашения имеются в продаже и могут быть

использованы также для увеличения средства к коже красителей, имеющих противоположный заряд. Подобные же меры принимаются для повышения пригодности красителей к окрашиванию хромовой кожи, дубленной анионными таннидами (растительными или синтетическими). Для этого кожу до крашения обрабатывают вспомогательными катионными продуктами.

М. Люксембург

9П624. Возможность применения зубчатого генератора в кожевенной промышленности. Tora Mieszyslaw. Possibilité d'emploi du générateur denté dans l'industrie du tannage. «Rev. techn. inds cuir», 1960, 52, № 7, 143—148 (франц.).—Обсуждаются условия применения ультразвуковой энергии в некоторых вспомогательных процессах кожевенного произ-ва, напр., в частичной регенерации использованных дубильных р-ров, в эмульгировании жиров и импрегнирующих составов, а также в увеличении дисперсности пигментов, входящих в состав покрывных красок. Трудности внедрения ультразвуковой энергии при проведении этих операций заключаются в отсутствии генераторов простой конструкции и соответствующей производительности. Рассмотрены разные типы генераторов, их преимущества и недостатки; обращено внимание на зубчатый генератор марки Tabin. Этот генератор отличается хорошей производительностью при малом расходе электроэнергии и небольших затратах рабочей силы. Вибрации в этом генераторе неопустимы, так как они амортизируются, и о наличии их можно судить только по получению стойкой эмульсии. Важное преимущество генератора Tabin заключается также в том, что с его помощью можно получать в течение короткого времени эмульсии при т-рах 110 и 160°, напр. эмульсии из расплавленных синтетич. смол и металлич. натрия. О высокой производительности генератора Tabin можно судить по тому, что лабор. тип его позволяет получить за 1 час 240 л водн. эмульсии, содержащей 9 кг масла. Диаметр частиц масла в этой эмульсии колеблется в пределах 0,15—1,0 м. Водн. эмульсия олеиновой к-ты, полученная на генераторе Tabin, содержала через 16 час. после приготовления частицы диам. от 1,5 до 1,0 м при конц-ии 2,3%. Получение очень стабильных эмульсий с помощью ультразвука в лабор. масштабе для нужд кожевенной, фармацевтич. и пищевой пром-стей не представляет затруднений ввиду возможности использования стабилизаторов.

М. Люксембург

9П625. Распределение жира в юфти хроматического дубления. Roll Bernard A. Fatliquor distribution in chrome-vegetable combination-tanned side leather. «J. Amer. Leather Chemists Assoc.», 1960, 55, № 8, 441—451 (англ.).—Кожи для опытов дубили на з-де. Сырье тщательно подбирали; каждая группа состояла из 12 половинок. Все процессы до хромирования кожи проводили совместно. Затем кожи делили на группы и в дальнейшей обработке меняли кол-во растительного дубителя для додубления от 0 до 40% и тип эмульгатора для жировой эмульсии. В качестве анионного эмульгатора применяли сульфированное копытное масло. Оно содержало 3,1% связанного SO₂, считая на масло с 25% влаги. В качестве катионного и неионного эмульгаторов применяли диметилдидецилдиметиламмонийхлорид и эфир алкилфенилполиэтиленгликоля. Первый применяли в кол-ве 0,4%, второй — 0,5%. Кожи жировали 4% копытного масла. Додубленные и жированные образцы исследовали до распиловки и распиливали на 6 слоев и в каждом слое определяли содержание жира. В результате этой работы выяснилось, что отдушность и органолептич. свойства исследуемой кожи тесно связаны с распределением жира и, особенно, с содержанием жира в третьем слое (при шестислойном анализе). Анионные и неионные эмульсии дают лучшее проникновение и увеличением кол-ва экстракта для додубления. Скорость уве-

лечения проникновения является показательной функцией. Жировая эмульсия с катионным эмульгатором дает наименьшие колебания в проникновении независимо от кол-ва экстракта, примененного для додубливания. Можно предположить, что поверхность влажной хромовой кожи заряжена отрицательно и что заряд меняется при додубливании растительным экстрактом. С. Розенфельд

9P626. Сушка хромовых кож в динамическом состоянии. Сообщ. 2. Хрипин А. Г., Брагинский М. А., Фастовец О. С., Карлухин Г. Г., Терещенко Ф. П., Ливый Г. В. «Изв. высш. учебн. заведений. Технол. легк. пром.-ств», 1960, № 2, 62—70. — Спроектирован и изготовлен испытательный стенд, представляющий собой одну уменьшенную секцию проходного агрегата для сушки хромовых кож в динамич. состоянии. Приведены результаты механич. испытаний стенда. Изложена методика подготовки кож перед сушкой (додубливание ситаном СЛ, обработка эмульсией, прокатка, отжим и поджигровка огузков, разводка и укрепление пол и воротков акриловой эмульсией), а также приведена схема технологич. и механич. режимов комплексной сушки, рекомендуемая УкрНИИКИ. При работе на агрегате для динамической сушки свиных хромовых кож. Дано технико-экономич. обоснование применения агрегатов для комплексной сушки хромовых кож. Сообщение 1 см. РЖХим, 1960, № 18, 75936. Д. Горин

9P627. О производстве свиных кож со сморщенным лицевым слоем. Fekete Kálmán, Hegedűs Lóránt. A zsugorított barkájú sertésbőrök gyártásáról. «Bőr-és cipőtechn.», 1960, 10, № 5, 145—147 (венг.; рез. русск., нем., англ.). — На основании литературных данных и опытов автора рассмотрены основные свойства указанной кожи, значение и оптимальные условия отдельных процессов ее произ-ва. При зольении хорошие с точки зрения более глубокого разрыхления результаты получаются при добавлении CaCl_2 (33 г/л). Процесс обезжиривания предпочтительно проводить слабо гидротропными хлоридами (NH_4Cl , HCl), а мягчение — с увеличенным кол-вом мягчителя. Одним из важнейших моментов является процесс хим. обезжиривания после мягчения; эффект мягчения значительно улучшается по сравнению с необезжиренным голем. В опытах авторов лучшие результаты получены при обезжиривании керосиновой эмульсией с алифатич. спиртом в качестве эмульгатора; додубливание с предварительным никелеванием (или без него) рекомендуется проводить катионактивными ситанами (напр., «сатиланом-К»); они активируют только поверхность голы, в результате чего улучшается эффект сморщивания. Приведены условия (30—40°, pH 2—3,5) и результаты сморщивания сухим способом и в ванне, условия хромирования, сушки и аппретирования. С. Розенфельд

9P628. Получение, применение и испытание нигрозина венгерского производства. Lőrinc Andor, Vermeš Lászlóné. Hazai nigrozin előállítása, felhasználása és vizsgálata. «Bőr-és cipőtechn.», 1960, 10, № 4, 104—107 (венг.; рез. русск., нем., англ.). — Приведены результаты лабор. и полужавовских опытов по грунтовке и покрывному крашению кож нигрозином советского, чехословацкого, швейцарского и венгерского произ-ва. Установлено, что в отношении глубины окраски, устояса расцветки, глубины проникновения краски, устойчивости окраски к свету, действию к-т и щелочей, а также по аналитич. показателям (влажность, содержание золы, содержание Fe и водонерастворимого остатка) венгерский нигрозин не уступает остальным исследованным продуктам. С. Розенфельд

9P629. Крашение обуви. Brugger Frigyes. Cipők javítófestése. «Bőr-és cipőtechn.», 1960, 10, № 5, 153—154 (венг.; рез. русск., нем., англ.). — Приведены составы применяемых для перекрашивания обуви кра-

сок на основе казеина («тройзепна») (без добавления или с добавлением суспензии искусств. смол) и нитроцеллюлозы в органич. р-рителях; описан простой метод определения характера отделки кожи, подлежащей перекрашиванию. Для этого кожу протирают белой тканью, смоченной р-ром NH_4OH , а затем ацетоном. В зависимости от результатов определения выбирают способ подготовки кожи к крашению и подходящую краску. С. Розенфельд

9P630. Комплексометрическое титрование солей хрома с применением этилендиаминотетрауксусной кислоты. Anantanarayanan S. Complexometric titrations with special reference to chrome-EDTA system. «Bull. Centr. Leather Res. Inst.», 1960, 6, № 12, 595—596 (англ.). — Краткое изложение доклада на технич. семинаре по вопросам комплексометрического титрования. Была принята методика определения хрома с применением редоксона или гидроксиламина в качестве заместителей аскорбиновой к-ты, предусмотренной в оригинальном методе. Было найдено возможным применять этот метод в присутствии соединенных шестивалентного хрома. Сравнение существующих методов определения хрома, основанных на окислении 3-валентного хрома в 6-валентный, показало, что стандартный метод с применением этилендиаминотетрауксусной к-ты (I) является лучшим, поскольку конечная точка при титровании более отчетлива. Определению не мешает наличие таких солей, как оксалаты, формиаты, цитраты, тартраты. Можно производить спектрофотометрическое определение при длине волны 395 мμ. Изучено влияние добавления двунатриевой соли I к основным солям хрома. Добавление соли I в молярном соотношении 1:1 вызывает образование растворимого флюоресцентного комплекса и нерастворимого комплекса (в осадке), имеющего зеленоватый оттенок и содержащего азот. Была предложена молекулярная структурная ф-ла осаждаемого комплекса. Было изучено влияние основности соли хрома (при старении и без него) на образование осадка. Найдено, что pH жидкости не влияет на образование осадка. Изучалось также влияние спирта, этиленгликоля и ацетона на образование осадка. А. Шапиро

9P631. Результаты химического анализа и физических испытаний современных подошвенных кож. Сугано Эйджиро, Нисияма Изао, Тай Митикаки. «Нихон хикаку гидзюцу кёкайси, Bull. Japan. Assoc. Leather Technol.», 1959, 5, № 1, 42—47 (японск.). — Проводили исследования подошвенных кож, выпускаемых 13 японскими компаниями. Результаты проведенных опытов показывают, что за последнее время имеются тенденции к произ-ву мягких эластичных подошвенных кож, у которых наблюдается уменьшение предела прочности при растяжении, уменьшение т-ры сваривания, увеличение содержания жиров и растворимых компонентов. Влажность и водосталкивающие свойства этих кож найдены хорошими. По показателям хим. анализа 40% кож и по показателям физ. испытаний 50% исследованных кож не соответствуют японским промышленным стандартам. Ю. Жмакин

9P632. Влияние топографического участка и направления вырезки образцов на результаты механических испытаний кож для верха обуви. Maeser M. The effect of hide location and cutting direction on the tensile properties of upper leathers. «J. Amer. Leather Chemists Assoc.», 1960, 55, № 9, 501—530 (англ.). — Исследовали предел прочности при растяжении, удлинение при разрыве, сопротивление растяжению при низких и высоких нагрузках образцов, вырезанных из различных мест, расположенных параллельно и перпендикулярно хребту кожи, одной и той же кожи, а также различных кож. Полученные результаты показали, что механич. свойства меняются в зависимости от положения образца в коже по определенной закономерности, общей для всех шкур рогатого

скота, независимо от возраста, пола или размера животного, с которого была снята шкура, а также от метода дубления. Закономерности механич. свойств образцов, вырезанных перпендикулярно и параллельно хребту различаются между собой. Результаты исследований показали, что предел прочности при растяжении и сопротивление растяжению при высоких нагрузках подчиняются одной определенной закономерности, а сопротивление растяжению при низких нагрузках и растяжение при разрыве подчиняются другой более сложной зависимости. При этих исследованиях был использован метод отбора образцов, указывающий направление, по которому следует вырезать образцы, чтобы значения предела прочности при растяжении или других исследованных механич. свойств оказались макс. или минимальными. С. Бреслер

9П633. К вопросу об изучении состава сумаха. Durio E., Catino A., Oddone A. Contributo alla conoscenza dei componenti il sommacco. Nota 3. «Cúcio, pelli, mater. conc.», 1960, 36, № 4, 296—308 (итал.).—Оптические свойства сырья и выделанной кожи изучались рядом авторов с целью установления возможной связи между ними и физ.-хим. характеристиками кожи, представляющими интерес с практич. точки зрения. После обзора работ по этому вопросу рассматривается физ. строение кожи. Детально описана теория двойного лучепреломления Вигнера. Испытание образцов кожи, дубленной экстрактом сумаха, проводили с помощью поляризационного микроскопа при 200-кратном увеличении; приводится ф-ла расчета величины двойного лучепреломления. Приведены эксперим. данные по изучению образцов кожи, дубленной экстрактом сумаха и ϵ - и η -фракциями этого дубителя, и недубленных образцов. Максим. дубящей способностью обладает η -фракция. Недубленное голое показывает слабое двойное лучепреломление. Кожа, дубленная экстрактом сумаха, имеет низкое отрицательное двойное лучепреломление; кожа, дубленная фракциями ϵ и η , не показывает явления обращения двойного лучепреломления. Л. Голомб

9П634. Наличие ионов магния и алюминия в технических экстрактах сумаха. Heidemann E., Kröll H. Das Vorkommen von Magnesium und Aluminiumion in technischen Sumachextrakten. «Leder», 1960, 11, № 8, 201—205 (нем.; рез. франц., исп., англ.).—Ионы магния и алюминия содержатся в листьях сумаха и при экстрагировании дубителей частично переходят в р-р. Поэтому технич. сумаховые экстракты содержат ионы магния и в незначительном кол-ве ионы алюминия. В зависимости от происхождения сумаха кол-во Mg^{2+} колеблется в пределах 4,87—11,68% (в золе), а кол-во Al^{3+} в пределах 0,61—0,85% (в золе). Катионы Mg^{2+} и Al^{3+} вызывают выпадение хлопьевидного осадка при нейтр-ции сумахового экстракта при pH 6,5—8,0, что свойственно только этому виду дубителя. При этом осадок содержит также и некоторое кол-во танинов, увлеченных гидроксидами при их выпадении. Ионы алюминия служат причиной частичного повторного растворения осадка при pH > 8. При сильном разбавлении натурального сумахового экстракта (20—25° Вё) также выпадают осадки, содержащие преимущественно органич. в-ва, которые частично адсорбировали те же катионы Mg^{2+} и Al^{3+} , но в другом соотношении. В данном случае причиной выпадения осадка в первую очередь являются органич. компоненты экстракта. Фракционированием экстракта спиртом или ацетоном можно удалить металл. загрязнения. Нерастворимый осадок содержит помимо соединений Mg и Al главным образом недубящие в-ва полисахаридного типа (растительные слизи и пр.). Обсуждены с точки зрения физиологии растений причины наличия в листьях сумаха Mg и Al . В частности установлено, что содержание Mg в растении во многом зависит от типа почвы и что особенно высоко оно в листь-

ях. По этой причине Mg отсутствует в экстрактах из древесины, коры и плодов.

9П635. Выделение глюкозидов из миробалана. Rao J. B., Sastry K. N. S. Isolation of a glucoside from myrobalans. «Bull. Centr. Leather Res. Inst.», 1960, 6, № 12, 593 (англ.).—Исследовали этилацетатный экстракт из свежего миробалана (*Terminalia chebula*), содержащий 97,76% танинов и 2,32% нетанинов. Из экстракта, разбавленного водой (1:6), при длительном хранении при $\sim 20^\circ$ выделялся кристаллич. (иглообразный) осадок, разлагающийся при 230° . Результаты элементарного анализа этих кристаллов: C 44,20%, H 6,20%, O 49,60%. Предложена молекулярная ф-ла $C_{18}H_{20}O_{11}$. Спектральные исследования в ИК- и УФ-областях и другие методы подтвердили глюкозидный характер осадка. А. Шапиро

9П636. Выделение сахарозы из коры растения babul. Rao J. B., Sastry K. N. S. Isolation of sucrose from babul bark. «Bull. Centr. Leather Res. Inst.», 1960, 6, № 11, 528—529 (англ.).—Из внутренних и наружных частей коры акации (*Acacia arabica* Willd) были получены водн. экстракты. Сухие экстракты были очищены метиловым и этиловым спиртами. Из р-ра экстракта внутренней части коры в метоловом спирте был получен белый кристаллич. осадок. Элементарный анализ, рентгеноскопич. исследование и т-ра плавления кристаллов, показали, что они представляют собой сахарозу, $C_{12}H_{22}O_{11}$. Нахождение сахарозы во внутренней части коры акации представляет значительный интерес, поскольку в литературе имеются сведения, что сахара играют роль в образовании танинов. А. Шапиро

9П637. Качество дубильных экстрактов. Мога Henriette. Calitatea extractelor tanante. «Ind. uzara», 1960, 7, № 2, 48—52 (рум.; рез. русск., нем. франц., англ.).—Отмечено, что методы качеств. оценки дубильных экстрактов, применяемые в настоящее время, не удовлетворяют требованиям кожевенной про-сти. Предложено проводить качеств. изучение полуфабрикатов, вырабатываемых из таких дубильных экстрактов, с применением показателей, предложенных советскими исследователями (показатель формирования, объемного рандемава и др.). И. Этнгоф

9П638. Хроматографические методы определения фенолов. Сообщение II. Strachota Jaroslav, Kolár Joroslav. Kromatografiske metode odredivanja fenola. II. «Koža i obuća», 1960, 9, № 3, 67—71 (сербохорв.; рез. англ., франц., нем.).—Кратко описаны приемы хроматографии на колонках и приведена классификация хроматографич. методов анализа. Описаны свойства различных сорбентов, полярных и неполярных, способы их подготовки для анализа и возможности применения. Рассмотрен вопрос о правильном выборе сорбентов и р-рителей соотносно их активности и задачам анализа. Указана возможность проявления бесцветных составных частей анализируемых в-в. Описаны способы приготовления хроматографич. колонок и их формы. Сообщение I см. РЖХим, 1961, 3П575. Из резюме автора

9П639. Структура ароматических сульфонов. Тамасовics Géza. Aromás szulfonok szerkezeti kérdése. «Bör-és cipőtechn.», 1960, 10, № 4, 407—409 (венг.; рез. русск., нем., англ.).—Рассмотрены свойства и преимущества синтанов на основе сульфонов, а также применение этих синтанов. На примере двух соединений — 4,4'-диоксифенилсульфона и 4,4'-диоксифенилметана — обсуждается зависимость между электронной структурой (присутствие в первом соединении двух полярных групп SO_2 и OH , во втором только одной) и дубящими свойствами синтанов. С. Розенфельд

9П640. Применение отходов кожевенного производства для получения желатин и клея. — Utilization

of tannery waste for gelatine and glue production. «Res. and Ind.», 1960, 5, № 8, 239—241 (англ.).—Кратко описан процесс получения желатины. Указано, что доломитическим источником сырья для получения желатины в Индии могут служить кости. В связи с этим рассмотрены два метода получения желатины из костей: щелочной (с применением золы) и кислый. Рассмотрено также получение желатины и клея из мездры. Приведены показатели физ. свойств разных видов желатины, в частности данные о вязкости и прочности галлерта.

9П641. Новые виды искусственной подошвы. Негсегх Имге. Uj mbanuagtalpajtak. «Bör-és cipechn.», 1960, 10, № 5, 147—149 (венг.).—Приведены физ.-мех. характеристики искусств. подошвенной кожи, выпускаемой пром-стью ФРГ, и предварительные результаты опытов, проведенных на ряде венгерских предприятий по изготовлению аналогичного (по виду и качеству) материала на основе бутадиен-стирольного сополимера. Первые опытные образцы такой подошвы еще во многом уступают продукции ФРГ (напр., прочность на разрыв только $0,85 \text{ кг/мм}^2$, меньшая износостойчивость и т. д.), главным образом в отношении отделки. Обнадеживающие результаты в области отделки получены с применением для крашения искусств. подошвы препарата «Неофлекс» (сополимер казеина и капролактама) и глфталевой смолы для лакировки.

9П642. Влияние состава растворяющей смеси на механизм образования полиамидных пленок. Касьянов А. А., Павлов С. А. «Изв. высш. учебн. заведений. Технол. легк. пром-сти», 1960, № 4, 25—30.—Рассмотрен процесс образования пленок из р-ров полиамидов. Для исследования применяли полиамид АК 60/40. В качестве р-рителей взяты муравьиная к-та (85%-ная), этиловый спирт (95%-ный) и смесь диоксана с водой (60:40 вес. ч.). Конц-ия р-ров составляла 20 вес.%. Пленки формовали при 20 и 90° и подвергали испытанию на динамометре Поляны через 5—6 дней после их получения. Результаты показали влияние условий формирования пленок полиамида на их механич. свойства. Наилучшие результаты были получены для пленок, отлитых из р-ров в муравьиной к-те. Эти р-ры не мутнеют даже при очень длительном хранении при $\sim 20^\circ$. Пленки, полученные из этих р-ров при 20 и 90°, имеют одинаковые механич. свойства. Смесь диоксана с водой растворяет полиамид только при 95—98° и дает рыхлую пленку с микропористой структурой. В произ-ве искусств. кожи играют большую роль устойчивость и конц-ия р-ров полимера, условия пленкообразования, толщина наносимой пленки полимера, число штрихов.

9П643. Модифицирование полиамида соединениями хрома. Сообщ. 3. Механические свойства полиамида, совмещенного с янтарнокислыми комплексами хрома. Павлов Н. Н., Арбузов Г. Г. «Изв. высш. учебн. заведений. Технол. легк. пром-сти», 1960, № 3, 31—39.—Получены полиамидные пленки, совмещенные с янтарнокислыми комплексами хрома, содержащими различные кол-ва сукцинат-иона на 1 г-атом хрома. Полученные пленки подвергали механич. испытаниям в воздушно-сухом состоянии, после набухания в воде (1 сутки) и после обработки водой (7 суток, из них 20 час. на болталке). Механич. испытания пленок, содержащих 3,8% сукцината калия, показали, что в отсутствие хрома сукцинат не оказывает влияния на свойства полиамида. Установлена возможность значительного изменения механич. свойств полиамида с помощью добавок янтарнокислых комплексов хрома. Показано, что процесс увеличения степени кристалличности во времени для полиамидных пленок может быть подавлен присутствием соединений трехвалентного хрома. Соединения трехвалентного хрома при введении их в полиамиды АК 60/40, 548 и ультрамид

1 С вызывают резкое изменение механич. свойств полимеров, выражающееся в повышении мягкости и эластичности их пленок. При этом наряду со снижением модуля упругости таких пленок растет их удельный объем, что приводит к незначительному уменьшению абсолютных разрывных усилий для пленок модифицированного полиамида по сравнению с разрывными усилиями для пленок исходного полиамида. Высказано предположение, что модифицирующий эффект зависит как от величины, так и от кол-ва комплексов хрома, введенных в единицу объема полиамида, причем эта зависимость определяется характером упаковки пачек цепей макромолекул полиамида. Сообщение 2 см. РЖХим. 1961, 3П578.

9П644. Применение полиэтлена в производстве искусственной кожи. Зайончковский А. Д., Алексеев В. И., Берштейн М. Х., Яблоко Я. М., Кириенко Н. В. «Кожевенно-обув. пром-сть», 1960, № 7, 14—18.—Для изготовления искусственной кожи (ИК) на волокнистой основе в виде прочесов волокон, а также тканей целесообразно применять несовместимые полимеры, обладающие различными адгезионными и иными свойствами. При этом отдельные волокнистые элементы структуры ИК, по-видимому, прочно скрепляются лишь в отдельных, равномерно распределенных точках, что обеспечивает известную подвижность системы. Проведенные исследования показали, что применяя в качестве проклейки пленки из регенерата (или резиновую смесь) с добавкой 20—25% (от веса смеси) полиэтлена можно изготовить ИК на волокнистой основе с хорошими физ.-мех. свойствами. Добавление полиэтлена увеличивает пропывающую способность смеси и придает ИК необходимое сочетание упруго-пластич. свойств. При этом, изменяя дозировку полиэтлена, можно регулировать соотношение упругих и пластич. свойств. Применение полиэтлена при изготовлении резины подошвенных типов по сравнению с ИК, полученной при добавлении других смол (СКС-85, полистирол и др.), способствует значительному повышению твердости, прочности, сопротивления истиранию, придает ИК кожеподобный вид.

9П645. Обработка шкур дисперсиями смол. Cole Graham Henry Thomas, Guest Dorothy Joyce. Treatment of hides and skins with resin dispersions. [Imperial Chemical Industries Ltd]. Австрал. пат. 224342, 13.10.59.—Для наполнения и дубления кожи предложены некоторые дисперсии смол. В результате такой обработки кожа получается полной, окрашиваемой в светлый цвет и обладающей хорошими свойствами. Это достигается обработкой голяя воды дисперсией твердого водонерастворимого сополимера эфира метакриловой к-ты и способного к полимеризации альдегида или его производного. В качестве эфиров метакриловой к-ты предложены этиловый, пропиловый или метиловый эфиры. Из полимеризуемых альдегидов можно применять кротовый альдегид, акролеин, метакролеин и их производные, напр., ацеталь акролеина и др. Соплимеры могут также содержать небольшие кол-ва других полимеризуемых в-в, напр., акриловую к-ту, амиды или нитрилы. Содержание полимеризуемого альдегида или его производных может составлять 20% (предпочтительно 2—40%) от веса сополимера. Водн. дисперсии сополимеров готовят обычным способом. Можно также добавлять к дисперсии сополимера стабилизаторы, диспергаторы и другие вспомогательные в-ва. Установлено, что для максимального поглощения сополимеров голяе до наполнения должно иметь pH 7,5—8,5. После полного проникновения сополимеров в голяе производят гидролиз сополимера с освобождением альдегидных групп при pH < 4,0 или > 9,0. Обработку дисперсиями сополимера можно проводить в барабане, чане или баркасе. Наполнение и дуб-

ление производят в одну операцию. Получается кожа полностью продубленная, достаточно наполненная, светлая и поддающаяся крашению. Примеры. Смесь 0,18 ч. углекислого натрия, 1,2 ч. воды, пасты, содержащей 30% олеилсульфата натрия, 0,7 ч. водн. р-ра, содержащего 50% ализаринового масла, и 88 ч. воды нагревают до 86°. К этой смеси одновременно прибавляют при перемешивании в течение 75 мин. а) р-р 0,15 ч. персульфата аммония в 13 ч. воды и б) смесь 45 ч. метилметакрилата и 5 ч. ацетата акролеина. Т-ру смесь поддерживают в течение этого периода на уровне 86—88°. После последней добавки т-ру 90° поддерживают еще 30 мин. Дисперсию охлаждают и разбавляют водой до содержания 20% сухого остатка. Все подготовительные к дублению операции до магчения производят как обычно. Мягченное голье промывают и приводят к pH 7,5—8,5 осторожным прибавлением к-ты. В таком состоянии голье обрабатывают в барабане 400% холодной воды и 250% водн. 20%-ной дисперсии сополимеров метилметакрилата и ацетата акролеина, притовленного так, как указано выше. После полного прокраса голье полимером освобождают формальдегид прибавлением уксусной или молочной к-ты до получения pH голье и жидкости < 4,0; дубление в барабане продолжают еще 2 часа. Опоек, изготовленный по этой методике, полностью выдублен, является полным и равномерным по плотности и хорошо подготовлен к крашению и отделке обычным способом.

М. Люксембург

9П646. Способ обработки кожи и применение полученной кожи. Procédé de traitement des cuirs et peaux et applications des cuirs et peaux ainsi traités. [Daniel-Max Jacquin] Франц. пат. 1217888, 6.05.60.—Предлагается методика обработки овчины для защитной одежды противопожарной служб и других огнеопасных профессий. Голье обезоливают смесью органич. к-т, обладающих буферным действием, мягчат и хромируют, оставляют для пролежки 4—5 дней, додубливают синтанами, жируют сульфированным жиром, не вызывающим потемнения кожи, и отбеливают щавелевой к-той в присутствии окиси титана. Затем кожу пропитывают р-ром нейлона в соответствующем р-рителе и гидрофобным силиконовым маслом. Обработанная таким образом кожа имеет белый цвет, не пропускает воду (но ее можно мыть водой) и не воспламеняется. В качестве наилучших материалов для произ-ва кожи по данной методике рекомендуются для каждого процесса спец. фирменные препараты.

З. Лебедева

9П647. Способ производства дубителя. Kotásek Zdeněk, Strachota Jaroslav. Způsob výroby tříslnin. Чехосл. пат. 92324, 15.10.59.—Способ произ-ва дубителя состоит в том, что осадки дубителя, нерастворимые в воде, обрабатывают сульфитными щелочами, очищенными от катионов (напр., с помощью монобромных смол), при 80—120° и давлении до 10 атм. Для произ-ва дубителей используют осадки, образующиеся при экстракции дубильных материалов, а также осадки, образующиеся из растительных дубителей при дублении кожи. Пример. 2 ч. осадка, полученного на отстойнике или центрифугированием из р-ра дубового экстракта, содержащего 30% сухого остатка, и 1 ч. сульфитного щелока, содержащего также 30% сухого остатка, смешивают в смесителе и помещают в автоклав, где нагревают при перемешивании до 115° и выдерживают при этой т-ре в течение 6 час. Полученный дубитель образует прозрачные р-ры в воде и этаноле; эти темнокоричневые р-ры, интенсивно окрашивающие желатину, имеют низкую вязкость. 1 ч. осадка, осевшего в чане после дубления кожи смесью экстрактов елового, явбрахо, мимозы, каштана и дуба, содержащей 25% сухого остатка, смешивают с 1 ч. сульфитного щелока, содержащего 30% сухого остатка, и смесь загружают в автоклав, где медленно нагревают до 120° и выдерживают при перемешивании в течение 5 час

Получают дубитель, аналогичный по качеству предыдущему.

Ф. Нарина

9П648. Способ стерилизации сухого клея. Kučera Eduard, Šácha František, Štělba František. Způsob sterilizace suchého kliehu. Чехосл. пат. 93078, 15.12.59.—Предложен способ стерилизации клея с содержанием влаги до 17% или желатины с содержанием влаги до 15% ионизирующим облучением дозой, не приводящей к непосредственному уничтожению микробов. Желатину облучают дозой < 2 М рентгенов лучше всего 0,08—0,1 М рентгенов, после чего оставляют на 3 месяца, в течение которых погибают все микробы. Пример. Костный клей, содержащий более 30 тыс. микробов в 1 г, после 48 час. культивации становится совершенно жидким. Этот клей облучали в рубашке атомного реактора дозой 0,08—0,1 М рентгенов. После облучения в 1 г клея найдено 1900 микробов; полное превращение клея в жидкость наступает после 4 дней культивации. После 3 месяцев хранения в 1 г клея имелось 90 микробов и после 5 дней культивации жидкой становилась только 1/10 часть поверхности. После 6 месяцев хранения в 1 г клея находилось 70 микробов и после 5 дней культивации насчитано 47 малых жидких точек в 1 г. После 9 месяцев — 60 микробов и 24 точки в 1 г. После 12 месяцев хранения характерные микробы не появлялись вообще и было найдено 22 жидкие точки в 1 г. После годового хранения в нормальных условиях качество клея значительно улучшилось.

Ф. Нарина

9П649. Нетканый материал, импрегнированный пенопластом. Gailord Norman Grant. Non-woven fabric impregnated with a foamed plastic. [E. I. du Pont de Nemours and Co.] Пат. США 2917405, 15.12.59.—Заменили кожи, отличающиеся прочностью, износостойкостью, легкой окрашиваемостью и гибкостью при низкой т-ре, имеют ряд недостатков, напр. непроницаемость для паров воды (не «дышат») и «опухли», нехарактерную для натуральных волокнистых материалов. Настоящее изобретение позволяет сочетать положительные свойства полимерных материалов с требованиями «комфорта». Предложен материал, представляющий собой нетканый волокнистый мат, импрегнированный пластифицированным поливинилхлоридом (ПВХ), имеющим ячеистую структуру. Ячеистая структура ПВХ составляет примерно 50—90% от общего веса материала и содержит большое кол-во мелких пустот, образовавшихся при разрушении порообразователей, включенных в смолу. Метод изготовления этого материала состоит в импрегнировании волокнистого мата ПВХ, содержащим порообразователи, нагреванием мата для образования пустот в смоле и уплотнении пластины, пока она еще частично сохранила пластичность. Кол-во ПВХ в ~1—9 раз больше веса нетканого волокнистого мата. Поливинилхлорид применяют в виде порошка, диспергированного в жидком пластификаторе. На 100 вес. ч. поливинилхлорида берут 20—200 (лучше 60—150) ч. пластификатора и 3—25 ч. порообразователя. К ПВХ можно добавлять небольшие кол-ва стабилизатора и пигмента. В качестве стабилизатора применяют бариевые и кадмиевые соли жирных к-т с длинной углеводородной цепочкой, напр. лауриновой, капроновой и др. Для повышения прочности нетканый волокнистый мат до импрегнирования уплотняют пропусканием между двумя нагреваемыми валами или прессуют на нагреваемых плитах. Для получения мата можно применять различные волокна, как натуральные, так и синтетические, напр. хлопковые, регенерированные целлюлозные, хлопок и шерсть. Предпочтительны волокна ≤ 5 денье длиной 13—100 мм. Для импрегнирования мат кладут на пленку из ПВХ и прессуют, вдавливая ее в мат. Можно также прессовать мат между двумя слоями ПВХ. Импрегнирование мата должно быть сквозным. Могут быть

применены
образован
ванной
для раз
ливни
буется
должен
обычно
но мож
между
пает то
сле наг
он сохр
тельно
матери
прониц
щад
При ок
риал р
мий ма
зносоу
При м
золь см
не сле
нихло
нее со
фталат
фиров
динитр
весно-п

9Р1.
ter V
Phys.
влиян
литно
лекс-5
цы по
в кси
120—1
лизи
просто
линия
узкой
общей
прогр
135°.
мич.
до бо
появл
мину
ваест
ных
крий
ЯМР:
2%-н
т-ра
что у
ласт
при
этил
пихе
ра в
узко
снят
зато

применены и другие методы импрегнирования, напр., обрызгивание или окунание мата в р-р пластифицированной смолы. После импрегнирования мат нагревают для разрушения порообразователя и растворения поливинилхлорида в пластификаторе. Для этого требуется $150-230^\circ$, предпочтительно $155-210^\circ$, в продолжении 5—60 мин. Мат, импрегнированный ППВХ, обычно нагревают под прессом при давл. $\geq 21 \text{ кг/см}^2$, но можно нагревать и без прессования. Прессование между горячими плитами облегчает прогрев, но уменьшает толщину и уплотняет структуру материала. После нагрева пласт охлаждают и вновь прессуют, пока он сохраняет пластичность. В этом процессе окончательно регулируют плотность, толщину и пористость материала. Пористость материала, измеряемая паропропускаемостью, должна быть $\geq 850 \text{ г в 1 час с площади } 100 \text{ м}^2$ (предпочтительно $1000-15000 \text{ г в 1 час}$). При окончательной отделке можно нанести на материал рисунок, пользуясь мерной плитой. Получаемый материал не ломается при низких т-рах, плотен, вязоустойчив, гибок, приятен на ощупь и «дышит». Пример. Изготавливают поливинилхлоридный пластизол с смещением на трехвалковой краскотерной машине следующих составных частей (в вес. ч.): поливинилхлорид «Геон» 121 100, пластификаторы — окисленное соевое масло «Параплекс» 50, ди-(2-этилгексил)-фталат 50, порообразователи — маслорастворимые сульфированные нефтяные продукты 3, N,N'-диметил-N,N'-динитрозотерефаламид 10, пигмент 10, молотый древесно-целлюлозный наполнитель 10. Пленку из этого

пластизола толщиной 0,56 мм накладывают на слой стеклоткани с покрытием из политетрафторэтилена, уложенный на стальную плиту. Отдельно приготавливают уплотненный мат весом 135 г/м^2 . Для этого уплотняют рыхлый войлок из полиэтилентерефталатного волокна 3 денье длиной 38 мм. Этот мат, слой стеклоткани, покрытой политетрафторэтиленом, и вторую стальную плиту помещают последовательно на приготовленный ранее слой пластизола. Все эти слои вместе подвергают холодному прессованию в течение 2 мин. ($\sim 15 \text{ кг/см}^2$), а затем прессуют на горячем прессе ($\sim 8 \text{ кг/см}^2$, 175°) в течение 10 мин. Нагревание прекращают и пористый материал тотчас же прессуют 3—4 мин. при том же давлении. Получаемый продукт характеризуется следующими свойствами: толщина 1,2 мм, прочность на разрыв $58,6 \text{ кг/см}^2$, предельное удлинение 66%, содержание волокна 36%, содержание ППВХ 64%, т-ра растрескивания пластины — 33° , паропропускаемость $2040 \text{ г/час} \cdot \text{м}^2$. Испытание на растрескивание производят сгибанием пластины до растрескивания места сгиба. Паропропускаемость определяют по методике, установленной для кожи. М. Люксембург

См. также: Строение и свойства белков: коллаген 9С149—9С151; желатина 9В645; альбумин 9С153, 9С154; растительные белки 9С685 9С674, 9С676. Строение растительных дубителей 9С731, 9С735, 9С1453. Сырье для получения синтанов 9М14. Искусств. кожа 9П178, 9П298, 9П320

Р. ХИМИЯ ВЫСОКОМОЛЕКУЛЯРНЫХ СОЕДИНЕНИЙ

Редакторы Х. С. Багдасарьян, М. М. Котон, Ю. С. Липатов

9Р1. Дефекты в кристаллах полиэтилена. Slichter W. P. Defects in polyethylene crystals. «J. Appl. Phys.», 1960, 31, № 11, 1865—1868 (англ.).—Изучено влияние термич. обработки на спектры ядерного магнитного резонанса (ЯМР) линейного полиэтилена марке-50 и высокомолекулярного полиэтилена. Образцы полимеров, полученные кристаллизацией из р-ров в ксилоле или тетрахлорэтано, выдерживали при $120-140^\circ$ и их спектры ЯМР снимали при $\sim 20^\circ$. Полиэтилен, не подвергнутый термич. обработке, дает простую линию ЯМР. После прогрева и охлаждения линия ЯМР состоит из двух компонент — широкой и узкой. Отношение интенсивности узкой компоненты к общей интенсивности сигнала (F_n) возрастает с т-рой прогрева и достигает 0,15 для образцов, прогретых при 135° . Изменения, возникающие в полиэтилене при термич. обработке, необратимы: последующий прогрев до более низких т-р не влияет на величину F_n . Для появления узкой компоненты достаточно нескольких минут прогрева; равновесное значение F_n устанавливается за 30 мин. Для образцов полиэтилена, полученных кристаллизацией из 0,01—0,5%-ных р-ров, т-ра кристаллизации и конц-ия р-ра не влияют на спектр ЯМР; у препаратов, кристаллизованных из 0,5—2%-ных р-ров величина F_n тем больше, чем выше т-ра кристаллизации и конц-ия р-ра. Автор считает, что узкая компонента спектра ЯМР соответствует областям с дефектной кристаллич. структурой. Прогрев при т-ре, немного меньшей, чем т-ра плавления полиэтилена, приводит к образованию дефектов, сохраняющихся и после охлаждения. Движение цепей полимера в дефектных областях обуславливает появление узкой компоненты сложной линии. В спектре ЯМР, снятом при т-ре жидкого N_2 , молекулярное движение заторможено и получается лишь широкая линия.

И. Слоним

9Р2. О протонном резонансе в растворах полистирола. McCall David W., Bovey F. A. Note on proton resonance in polystyrene solutions. «J. Polymer Sci.», 1960, 45, № 146, 530—531 (англ.).—Методом спин-ного эхо изучен ядерный магнитный резонанс (ЯМР) протонов в р-рах полистирола (I) в тетрагидроэтано и сероуглероде. Обнаружено спин-спиновое взаимодействие между орто- и мета-протонами фенильной группы. Это взаимодействие обуславливает большую ширину линий в спектре ЯМР высокого разрешения р-ров I (РЖХим, 1960, № 12, 50928). Показано, что при повышении т-ры до 93° ширина линий уменьшается незначительно: для фенильной группы на 26% и для алифатич. протонов на 37%, что подтверждает большой вклад спин-спинового взаимодействия в наблюдаемую ширину линий. Для р-ра образца I с мол. в. 63 000 в сероуглероде при 25° время спин-решеточной релаксации T_1 алифатич. протонов, орто-, мета-, пара-протонов равно соответственно 0,033, 0,076, 0,200 сек. Температурный коэф. T_1 для всех протонов соответствует энергии 3 ккал/моль. Разные величины T_1 объясняются различием в межатомных расстояниях.

И. Слоним

9Р3. Инфракрасные спектры кристаллических полимеров дейтерированных пропиленов. Liang C. Y., Lytton M. R., Boone C. J. Infrared spectra of crystalline polymers from deuterated propylenes. «J. Polymer Sci.», 1960, 44, № 144, 549—551 (англ.).—Интерпретация поляризационных ИК-спектров полипропилена затруднительна. Для облегчения этой задачи изучались ИК-спектры полимеров некоторых дейтерированных мономеров: поли(пропилен- $1,1\text{D}_2$), поли(пропилен- 2D), поли(пропилен- $3,3,3\text{D}_3$). Полимеризация проводилась в *n*-гептане при $\sim 20^\circ$ с помощью четыреххлористого титана и триэтилалюминия. Степень стереорегулярности полученных полимеров была до-

статочно высокой. В области 3μ получен хорошо разрешенный спектр. Полосы 2840 и 2920 см^{-1} отнесены к вал. кол. CH_2 , полосы 2960 (дублет) и 2870 см^{-1} — к вал. кол. CH . Вал. кол. CN совпадают с областью частот 2920 см^{-1} . Произведено отождествление некоторых полос также и в области деформационных колебаний углерод-водородных связей.

9Р4. Рентгеновские лучи при изучении целлюлозы. Feldman D., Asandei N., Rozmarin G. *Razele X în studiul celulozei. «Celul. și hirtie»*, 1960, 9, № 4, 105—110 (рум.; рез. русск., нем., франц., англ.). Обзор работ по кристаллич. структуре целлюлозы. Библ. 24 назв.

9Р5. Некоторые замечания к кристаллической структуре полиакрилонитрила. Менчик З. «Высокомолекул. соединения», 1960, 2, № 11, 1635—1638 (рез. англ.).—Проведено рентгенографич. исследование ориентированных пленок полиакрилонитрила, полученных отливкой из р-ров в диметилформамиде. Из-за неясной дифракционной картины (все экваториальные рефлексы, кроме двух, очень слабы, на других слоевых линиях находятся размытые дифракционные пятна) нельзя описать элементарную дифракционную ячейку вполне определенно. Однако обнаружена частично упорядоченная структура, которая, по мнению автора, связана с беспорядочным расположением групп CN по отношению к полимерной цепи. Предложена орторомбич. элементарная ячейка, соответствующая наблюдаемым дифракционным пятнам и плотности полимера, и показано, что по ряду причин гексагональная элементарная ячейка не может быть принята правильной.

9Р6. Образование складок цепи и плотность свободной энергии в полимерных кристаллах. Peterlin Anton. *Chain Folding and free energy density in polymer crystals. «J. Appl. Phys.»*, 1960, 31, № 11, 1934—1938 (англ.).—В случае свободно растущих кристаллов макромолекулярные цепи изгибаются через регулярные интервалы, чтобы уменьшить плотность свободной энергии кристалла. При таком построении поверхностная энергия способствует бесконечному увеличению толщины кристалла, тогда как эффект размазывания межцепного потенциального поля, происходящий из некогерентной части флуктуаций соседних цепей и увеличивающийся с периодом складок, способствует образованию тонких кристаллов. Для возможности простого качества анализа получаемых результатов при рассмотрении явления принимают во внимание не вращательные, а продольные колебания цепи.

9Р7. К вопросу о влиянии полидисперсности на светорассеяние растворами полимеров. III. Колбровский Ю. Я. «Высокомолекул. соединения», 1960, 2, № 8, 1154—1156 (рез. англ.).—Рассмотрено угловое распределение $P(\theta)$ света, рассеянного р-рами полидисперсных макромолекул, имеющих форму палочек. При малых углах рассеяния $P^{-1}(\theta) = 1 + u^2 \bar{N}_z \cdot \bar{N}_2 / 9$, где $u = (2\pi/\lambda') b \sin(\theta/2)$, λ' — длина световой волны в р-ре, b — длина мономерного звена, \bar{N}_n — n -ый момент функции распределения молекул по числу звеньев. При больших θ $P^{-1}(\theta) = (2/\pi^2) \bar{N}_1/\bar{N}_0 + 2\bar{N}_1$ и/л. Таким образом, из начального наклона $P^{-1}(\theta)$ можно определить $\bar{N}_z \cdot \bar{N}_2$, из наклона $P^{-1}(\theta)$ при больших θ — \bar{N}_1 и из отрезка, отсекаемого продолжением этой кривой на оси ординат, — \bar{N}_0 . Получена функция $P(\theta)$ для палочек с распределением Брессера — Френкеля (РЖХим, 1956, №13, 39780) и первые несколько членов рядов для $P(\theta)$ для распределений Шульца и Лансинга — Крамера. Предыдущие сообщения см. РЖХим, 1960, №15, 64016; 1961, 2Р22.

9Р8. Второй виральный коэффициент для поликапролактама в растворах разбавленной муравьиной

кислоты. Chiang Robert. Second virial coefficient for polycaprolactam in dilute formic acid solutions. «J. Polymer Sci.», 1960, 45, № 146, 524—525 (англ.).—Измерена интенсивность рассеянного света под углами 45° , 90° и 135° к падающему пучку в р-рах поликапролактама (I) в водн. муравьиной к-те (II) при разных конц-ях I и II. Наклон прямых в координатах $H(c/\tau)$ — c увеличивается с ростом конц-и II (c — конц-ия I, τ — мутность р-ра, H — константа). Особенно резкое возрастание второго вирального коэф. при конц-и II $> 75\%$ затрудняет экстраполяцию измеренных значений к $c = 0$ для расчета среднего молекулярного веса M_w . Экстраполяция измерений τ в 65, 70 и 75%-ных р-рах II к $c = 0$ дает одинаковые значения M_w . Полученные данные согласуются с результатами измерений второго вирального коэф. осмотич. методом.

9Р9. Термодинамика взаимодействия целлюлозы с водой и водными растворами электролитов. Сообщение I. Влияние температуры на теплоту взаимодействия целлюлозы с водой. Дымарчук Н. П., Мищенко К. П. «Тр. Ленингр. технол. ин-та, 1959, вып. 7, 115—118.—Проведены калориметрич. измерения теплот взаимодействия хлопковой целлюлозы с водой и с р-рами KCl при 25 и 50° . Измерения проводили в калориметре с изотермич. оболочкой. Оценивали температурный коэф. энтальпии, равный для системы «целлюлоза — вода» $+ 0,06 \text{ кал/г град}$. Интегральная теплота взаимодействия целлюлозы с водой, в противоположность интегральным теплотам растворения электролитов, при повышении t -ры становится менее отрицательной. Величина теплового эффекта в существенной мере зависит от степени разрушения первоначальной структуры р-рителя.

9Р10. Взаимодействие между двумя полимерами, содержащими реакционноспособные группы. Schulz Rolf C., Löflund Irmela. *Umsetzungen zwischen zwei Polymeren mit reaktionsfähigen Gruppen. «Angew. Chem.»*, 1960, 72, № 21, 771—775, I, III, II (нем.; рез. англ., франц., итал., исп.).—При смешении р-ров полимеров в результате физ.-хим. взаимодействия может наблюдаться разделение системы на фазы. Расслоение растворенной смеси полимеров может произойти в результате соебообразования при взаимодействии поликатионов с полианионами, а также взаимодействия реакционноспособных функциональных групп различных макромолекул с образованием ковалентной связи между ними. Изучено взаимодействие полиакролена (I) с гидразидом полиакриловой к-ты, полиэтиленгликолем, поливиниловым спиртом, солянокислым поливиниламином, поликремневой к-той, целлюлозой, коллагеном, кетгуттом, желатиной, казеином, сывальбумином, каталазой, инсулином, агар-агаром, Na-альгинатом. Авторы наблюдают образование новых соединений между I и полимерами, содержащими амидные связи. Существование такого интермолекулярного соединения доказывается существенным различием гистерезисных петель кривых зависимости усадки от t -ры при нагревании и охлаждении пленок из смесей полимеров. При взаимодействии I с природными и синтетич. полимерами образуются нерастворимые осадки, если р-ция проводится в р-ре, и приливает к поверхности сополимеры при р-ции в гетерог. среде. Наличие свободных альдегидных групп в таких смешанных комбинированных полимерах может быть доказано цветными р-циями.

9Р11. Теплота смачивания полимеров водой. Jelinek H. N. G., Lynn E. N. Heat of aqueous immersion of polymers. «J. Polymer Sci.», 1960, 45, № 145, 270—271 (англ.).—Калориметрически при t -ре около 5° определены теплоты смачивания водой для образцов технич. и чистого поливинилхлорида (I), а также чистых полистирола, полиакрилонитрила (II) и сополимера II с I (1:1 по весу), причем соответствующие

щие те +0,4, — может примес- ричате: с I об- дородн-

9Р12.

ратура- capacity

lymer 8

терату- 35878)

чения с теор- 9Р13.

тич. ур-

35878)

ход C_p

и для

75° К.

ны мак-

соответ-

ИК-спек-

зависим

близко

9Р13.

распре-

Extensi-

strubuti-

230—23

состоян-

лекул

общее

(βM),

вая до-

ред ин-

на — Z

и β , ч

Под β

коэф. β

дят по

произв-

весам,

невязк-

9Р14.

рых п-

Willi-

weight

«J. Che-

пленств

55479)

улучш-

такрл-

из дву-

нагрев-

го тип

осущес-

тяжеле-

сокой

смешет

нола —

молеку-

разов-

ных п-

радика-

мич. β

ной к-

ром —

низкой

поли-

различ-

дние теплоты имеют значения порядка: +1,0, +0,2, +0,4, -3,4, -2,0 Дж/г. Поглощение тепла в случае I может быть обусловлено растворением остающихся примесей наряду с вероятной р-цией гидролиза. Отрицательные значения теплот для II и сополимера II с I объясняются образованием этими полимерами водородных связей с водой.

9P12. Теплоемкость полимеров при низких температурах. Starkweather Howard W., Jr. Heat capacity of chain polymers at low temperatures. «J. Polymer Sci.», 1960, 45, № 146, 525—527 (англ.).—По литературным данным автор сравнивает эксперим. значения теплоемкости C_p полимеров при низких температурах с теоретически рассчитанными. Показано, что теоретич. ур-ние Стокмайера и Хейта (РЖХим, 1955, № 16, 35878) удовлетворительно передает температурный ход C_p для полиэтилена (I) в интервале t -р 20—160° K и для политетрафторэтилена (II) в интервале 15—75° K. Рассчитанные по упрощенной модели величины максим. частоты колебаний ν_m для I и II равны соответственно 500 и 278 см^{-1} в согласии с данными ИК-спектроскопии; определенный по температурной зависимости C_p вес повторяющегося звена 17,5 и 53,0 близок к мол. весу CH_2 и CF_2 -групп. И. Слоним

9P13. Обобщение функции молекулярно-вещного распределения Шульца—Зимма. Miyake Akira. Extension of the Schulz—Zimm molecular weight distribution function. «J. Polymer Sci.», 1960, 45, № 145, 230—232 (англ.).—В связи с тем, что экспоненциальная функция распределения Шульца—Зимма не в состоянии описать все встречающиеся на опыте молекулярно-вещные распределения, предложено ее обобщение вида $f(M) = M^{z+1} \exp(-\beta M) \sum_{n=0}^{\infty} C_n L_n^{(z)}$. $f(M)$ — весовая функция, т. е. $f(M)dM$ — весовая доля молекул с мол. весами от M до $M + dM$; перед знаком суммы стоит исходная функция Шульца—Зимма, характеризующаяся двумя параметрами z и β , через которые выражаются средние мол. веса. Под знаком суммы — полиномы Лагерра от βM и коэф. при них (C_n). Эти коэф. простым образом находят по средним весам M_n, M_w, M_z, M_{z+1} и т. д. и их произведениям. Соответствием $f(M)$ может быть воспроизведена по измеренным на опыте средним мол. весам, включая и веса дробных порядков (типа средневязкостного). С. Френкель

9P14. Молекулярно-вещное распределение некоторых полиметилметакрилатов. Weakley T. J. R., Williams R. J. P., Wilson J. D. The molecular weight distribution in some poly(methyl methacrylates). «J. Chem. Soc.», 1960, Oct., 3963—3973 (англ.).—Усовершенствован разработанный ранее (РЖХим, 1960, № 13, 55478) метод хроматографич. фракционирования. Для улучшения эффективности разделения полиметилметакрилатов с большим мол. весом применена система из двух последовательных колонн. Первая колонна нагревается сверху и охлаждается снизу и служит для дегазирования. Во второй колонне «перевернутого типа», нагреваемой снизу и охлаждаемой сверху, осуществляется разделение полимера; гель полимера тяжелее, чем р-р и опускается в области с более высокой t -рой. В колоннах создается градиент состава смещением плохого р-рителя — циклогексана или этанола — с хорошим — метилэтилкетона. Определено молекулярно-вещное распределение (МВР) ряда образцов полиметилметакрилата разных типов: полученных полимеризацией с иницированием свободными радикалами, образующимися при фотоллизе или термич. распаде инициатора — динитрила азонисмасляной к-ты; полимеризованных с анионным инициатором — флуоренитием и бутилитием — при $\sim 20^\circ$ и вязкой t -ре; промышленных образцов эмульсионной полимеризации. Показано, что характер МВР образцов различен и зависит как от типа инициатора, так и от

условий полимеризации. Экспериментально найденные МВР хорошо описываются ур-нием Танга (РЖХим, 1958, № 2, 6767).

И. Слоним

9P15. Влияние молекулярно-вещного распределения на вязкость пластизолов. Sanceri Luna J. Influencia de la distribución molecular en la viscosidad de los plastisoles. «Rev. plast.», 1960, 11, № 62, 79—86 (исп.).—Экспериментальные данные по трем видам поливинилхлоридных смол с разными кривыми распределения мол. весов.

Л. Песин

9P16. Проблема мембраны при осмотических измерениях на высокополимерах. IV. О влиянии молекулярно-вещного распределения и добавок на осмотическое давление на проницаемых мембранах. Elias Hans-Georg, Männer Erich. Das Problem der Membran bei osmotischen Messungen an Hochpolymeren. IV. Über den Einfluß der Molekulargewichtsverteilung und von Zusätzen auf den osmotischen Druck an permeablen Membranen. «Makromolek. Chem.», 1960, 40, № 3, 207—215 (нем.; рез. англ.).—С помощью осмометров с мембранами из целлофана и пористыми стеклянными мембранами, частично проницаемыми для растворенного в-ва, измерено осмотич. давление π трех образцов полиэтиленгликоля (I), а также смесей I с низкомолекулярным в-вом — N-фенил- β -нафтиламином (II) — в диметилформамиде. Измеренные величины π экстраполировали на начало опыта. Показано, что препараты I с одинаковым среднечисленным мол. весом $M_n \approx 4000$, но с разной шириной молекулярно-вещного распределения, дают разные величины π . Рассчитанный по π мол. вес $M_{осм}$ тем больше, чем шире молекулярно-вещное распределение; отношение средневесового мол. веса к осмотическому $M_w/M_{осм}$ в первом приближении одинаково для всех образцов I. Прибавление 0,3—1% II к р-ру I при больших конц-ях заметно не сказывается на величине π . В области малых конц-й I прибавление II вызывает существенное отклонение измеренного осмотич. давления от рассчитанного. Отношение теоретически рассчитанной и экспериментально определенной величины π изменяется с конц-ей I по кривой с максимумом, что указывает на неадекватность эффекта Ставермана. Повышение t -ры с 25 до 120° приводит к некоторому уменьшению $M_{осм}$. Обсуждается значение найденных закономерностей для практич. определения мол. весов осмотич. методом. Сообщение III см. РЖХим, 1960, № 3, 11918.

И. Слоним

9P17. К определению предельного числа вязкости на основании единственного измерения. Krejsa J. Beitrag zur Bestimmung von Grenzviskositätszahlen aus einer einzigen Messung. «Collect. Czechosl. chem. Commun.», 1960, 25, № 5, 1507—1510 (нем.; рез. русск.).—В ур-нии $\eta_{sp}/c = a\eta^2_{sp}/c + [\eta]$ a для данного полимера постоянна и независима от значения $[\eta]$. Для фракционированного полихлоропрена (I) a постоянна в интервале мол. весов 0,5—4 $\cdot 10^5$, a определяют измерением $[\eta]$ для одной фракции, и при известной a возможно вычислить $[\eta]$ из единственного значения η_{sp}/c . Для каждого полимера существует верхняя граница конц-й (c_k), причем следует проводить измерение ниже этой границы, чтобы оно не сопровождалось большой ошибкой. Приведены значения a и c_k в г/100 мл (в скобках), для некоторых полимеров: I 0,3016 (0,35), нитрат целлюлозы 0,3326 (0,45), полибутилметакрилат 0,4325 (0,30).

И. Ф.

9P18. Оценка распределения молекулярных весов поликарбонатов методом турбидиметрического титрования. Крозер С., Вайнрыб М., Силина Л. «Высокомолекул. соединения», 1960, 2, № 12, 1876—1881 (рез. англ.).—Разработана методика турбидиметрич. титрования для оценки распределения мол. весов поликарбонатов при помощи нефелометра Пульфриха, дающая результаты, согласующиеся с измере-

ниями при непосредственном фракционировании. Хорошая воспроизводимость результатов, несмотря на простоту оборудования, делает этот способ доступным для промышленных исследований. Величина выпадающих агрегатов при титровании р-ра осадителем не зависит от мол. веса. Резюме авторов

9P19. Поверхностное натяжение растворов г-меров. Комбинационный поверхностный эффект. Belleman A. La tension superficielle des solutions de r-Mères. Effet combinatoire superficiel. «Bull. cl. sci. Acad. roy. Belg.», 1960, 46, № 3, 157—168 (франц.).—Теоретическая статья. Под комбинационным поверхностным эффектом (КПЭ) понимается энтропийная добавка к поверхностному натяжению σ р-ра г-меров в мономере или чистых г-меров, обусловленная тем обстоятельством, что молекулы, соседние с поверхностью не могут ориентироваться произвольным образом и вынуждены принять более или менее параллельную с поверхностью ориентацию. Расчет σ производится на основе модели Пригожина и Саролеа, в которой жесткие линейные г-меры располагаются вместе с мономером (р-рителем) в квазикристаллич. решетке. Показано, что с чистой г-мерной жидкости, по крайней мере при не слишком больших g , очень мало зависит от КПЭ. В равной мере КПЭ практич. не влияет на избыточное σ смесей мономеров и коротких ($g \leq 3$) г-меров. Последнее обстоятельство указывает на то, что модель высокомолекулярного поверхностного слоя, часто применяемая для расчета σ смесей мономеров, остается в первом приближении верной и для р-ров коротких г-меров. С. Френкель

9P20. Изучение коллоидных свойств высокомолекулярных соединений с точки зрения структурной химии. VII. О действии м-бензоэпуридина на коллоидную природу метилцеллюлозы. Ito Kawa Saburo. «Нихон катяку дзасси, Nippon kagaku zasshi, J. Chem. Soc. Japan. Pure Chem. Sec.», 1960, 81, № 8, 1310—1312, A90 (японск.; рез. англ.).—При сравнении влияния м-бензоэпуридина на вязкость воды. р-ров метилцеллюлозы с влиянием конго красного оказывается, что при 30° сродство мицелл и кол-во адсорбированных на метилцеллюлозе молекул одинаково как в случае м-бензоэпуридина, так и в случае конго красного. Однако при 60° кол-во адсорбированного м-бензоэпуридина гораздо меньше, чем кол-во конго красного. Сообщение VI см. РЖХим., 1957, № 14, 47620.

По резюме автора
9P21. Свойства растворов изотактической полиметакриловой кислоты. Foehl E. M., O'Neill J. J. Solution properties of isotactic polymethacrylic acid. «J. Polymer Sci.», 1960, 45, № 146, 538—540 (англ.).—Изотактическая полиметакриловая к-та получена путем гидролиза изотактич. полиметилметакрилата конц. серной к-той. Для полученного образца определены величины рН 0,02 н. р-ров при различных степенях нейтр-ции, концы нейтр. соли и т-рах, а также степень связывания ионов меди. Свойства р-ров сопоставлены со свойствами р-ров атактич. полиметакриловой к-ты. Установлены значительные различия в их поведении — в кривой потенциометрич. титрования, константах диссоциации, энтальпии диссоциации, степени связывания ионов меди и растворимости. Эти различия приписаны изменению характера ближних взаимодействий с изменением структуры цепи.

Ю. Липатов
9P22. Измерение кристалличности в вытянутых волокнах полиэтилентерфталата методом рентгеновской дифракции. Farrow G., Preston D. Measurement of crystallinity in drawn polyethylene terephthalate fibres by X-ray diffraction. «Brit. J. Appl. Phys.», 1960, 11, № 8, 353—358 (англ.).—Измерение кристалличности вытянутых волокон полиэтилентерфталата проводилась с помощью острофокусной рентгеновской трубки. Использовали хорошо монохроматизированное

рентгеновское излучение и вакуумную камеру для фоторегистрации рассеяния. Это позволяло исключить «белое» излучение и паразитное «воздушное рассеяние». Расчет кристалличности проводили по отношению интегральной площади почернения, даваемой кристаллич. фракцией, к общей интегральной площади рентгеновского рассеяния. Разделение рассеяния от аморфной и кристаллич. фракций проводили графически. Для получения истинной кристалличности введена поправка, учитывающая несовпадение центров тяжести аморфных и кристаллич. рефлексов. Результаты показывают, что кристалличность вытянутых волокон полиэтилентерфталата значительно ниже теоретически ожидаемой и полученной другими методами, в частности методом измерения плотностей.

А. Коробко
9P23. Полиморфизм в найлоне 8. Vogelsong D. C., Pearce Eli M. Polymorphism in nylon 8. «J. Polymer Sci.», 1960, 45, № 146, 546—547 (англ.).—При вытягивании волокон найлон 8 (поликаприллактама) при низкой т-ре наблюдается гексагональная структура, а при вытягивании при повышенной т-ре появляется новая структура, подобная наблюдаемой у найлона 6. Ю. Павлов

9P24. Необычная картина поглощения полимерными сферолитами. Keith H. D., Padden F. J. Jr. Some unusual extinction patterns in polymer spherulites. «J. Polymer Sci.», 1960, 45, № 146, 531—534 (англ.).—Келлер описал (РЖХим, 1956, № 8, 21849) картину поглощения «колычатыми» сферолитами, которая представляет собой кресты поглощения, ориентированные под углом 45° по отношению к скрещенным николям на фоне однородного поля поглощения. Теоретически рассмотрены случаи, когда может наблюдаться такая картина поглощения. Ю. Павлов

9P25. Спектроскопические исследования живых полимеров бутадиена и стирола и их производных. Кувата К. «Санъи катяку кэнгюсэ нэмпо, Annual Repts Inst. Fibre Res.», 1960, № 13, 9—16 (японск.).

9P26. Влияние условий плавления на кристаллизацию полипропилена. Majer Josef. Einfluß der Schmelzbedingungen auf die Kristallisation von Polypropylen. «Kunststoffe», 1960, 50, № 10, 565—567, 3—4 (нем.; рез. англ., франц., исп.).—Дилатометрическим методом изучена кристаллизация полипропилена (I) при 140°. Рассчитаны постоянные ур-ния кинетики кристаллизации Моргана (РЖХим, 1956, № 22, 71862) $a = a_{\infty} [1 - \exp(-k_0 t^n)]$, где a и a_{∞} — степень кристалличности в момент времени t и при $t \rightarrow \infty$; k_0 — константа скорости, n — константа Аврами. Показано, что величины k_0 и n зависят от т-ры t_s , при которой расплавлялся полимер. Для $t_s = 190—220^\circ$, $n = 3,53 \cdot 10^{-2}$, $t_s = 4,35$; $\lg k_0 = -8,93 \cdot 10^{-2} t_s + 11,45$. Уд. объясн аморфной фазы V_a возрастает с т-рой исходного расплава по эмпирич. ур-нию $V_a = 2,57 \cdot 10^{-4} t_s + 1,212$. Автор объясняет обнаруженные закономерности тем, что при повышении т-ры расплава уменьшается число остающихся в полимере зародышей. Экстраполируя на $n = 4$ показывает, что если бы расплавить I при т-ре 235—240°, то в нем не осталось бы зародышей кристаллизации; в опытах такая т-ра расплава не была достигнута вследствие большой чувствительности нестабилизированного I к термич. деструкции.

И. Слонов
9P27. Свойства Марлекс-полиэтилена, закристаллизованного при высоком давлении. Matsuoka S. The properties of marlex crystallized at high pressure. «Appl. Polymer Sci.», 1960, 4, № 10, 115—116 (англ.).—Получены образцы Марлекс-полиэтилена, закристаллизованные при давл. > 1000 атм и т-ре, на 14° меньше т-ры плавления. Образцы кристаллизовались в течение 2 час., тем не менее была получена высокая плотность до 0,981 г/см³ при 25°. Отжиг образцов при

т-ре 130° еще больше повышал плотность. Сравнение данных рентгеноструктурного анализа и динамики модуля для образцов, закристаллизованных при низком и при высоком давлении, указывает на различие в их структурах.

Ю. Панов

9Р28. О кристаллизации поли-6-капролактама. Seifelin P., Schmelz M., Wichterle O. Über die Kristallisation von poly-6-caprolactam. «Collect. Czechoslov. Chem. Commun», 1960, 25, № 5, 1267—1274 (нем.; рез. русск.).—Кристаллизацию полимерного 6-капролактама (I) изучали дилатометрически измерением уд. объема (V_0) кристаллизующегося расплава в зависимости от времени. Обработка данных по кристаллизации проводилась согласно Ф-ле Аврами: $X = X_0 \cdot [1 - \exp(-K \cdot t^n)]$, где X — доля кристаллич. части в момент t , X_0 — доля кристаллич. части в равновесном состоянии, K — константа. При перенесении дилатометра с расплавом на термостат при 220° в ванны, нагретые до постоянной т-ры 160, 170, 180, 186,8 и 202°, установлено из зависимости т-ры от времени, что наиболее низкая т-ра, до которой процесс кристаллизации идет изотермически, составляет 190°. Из зависимости V_0 от t установлена температура точки перехода второго рода полимерного I, равная 30—32°. Значение X в Ф-ле Аврами определено методом Прайса (J. Chem. Phys., 1954, 19, 973). Определены значения n и K у-рия Аврами для полимеров; полученных при 220 и 260°. А. З.

9Р29. Ориентация и кристаллизация в полиэфирах. I. П. Коремацу М., Масуда Х., Курияма С. «Кобунши Kagaku, Chem. High Polym.», 1960, 17, № 184, 497—500; 501—503 (японск.; рез. англ.).—I. Изучено изменение свойств полимера л-оксизтоксибензойной к-ты при горячей вытяжке (В). Невытянутое аморфное волокно вытягивали со скоростью 15 м/мин при 80—120° на вытяжном аппарате, снабженном целевидным нагревателем. Минимальная нагрузка, необходимая для В волокна в заданное число раз, увеличивается с уменьшением т-ры. Определены вязкоэластич. св-ва волокон, разрывное удлинение, модуль Юнга и двойное лучепреломление. Авторы считают, что при В волокна под натяжением, большим 0,1—0,2 г/денье, происходит быстрая кристаллизация полимера.

II. Методом рентгеноструктурного анализа исследован процесс молекулярной ориентации и кристаллизации линейного полиэфира, полученного поликонденсацией л-оксизтоксибензойной кислоты. Образцы волокна вытягивали в 3,0 (образец I), 3,6 (II) и 4,0 (III) раза. Для осуществления большей В требуется приложение больших напряжений. При В, осуществляемой при 100°, минимальное напряжение возрастает с 0,07 г/денье в образце I до 0,56 г/денье в III. Разрывная прочность увеличивается соответственно с 1,84 до 4,07 г/денье. Общее удлинение уменьшается с 87% в образце I до 34% в III. Двойное лучепреломление возрастает соответственно с 0,047 до 0,121. Рентгенограмма образца I характеризуется типичным аморфным гало. В образце II отчетливы точечные интерференции. В образце III появляются новые рефлексы. Авторы считают необходимым условием кристаллизации при В приложение напряжения, большего, чем 0,1—0,2 г/денье. Б. Геллер

9Р30. Химическое строение и кристаллизующесть высокополимеров. Часть II. Конодзэ С., Татани Я., Такидава Т. Сополимеры акрилонитрила и винилловых эфиров. Часть III. Конодзэ С., Татани Я., Такидава Т. Полимеры диазоэтана, получаемые в процессе реакции каталитического разложения. Часть IV. Татани Я., Тагута И., Сано Т., Такидава Т. Рентгенографические исследования поливинилтрифтороацетата, полученного путем радиационной полимеризации при низкой температуре. «Сэнти какаку конкюсэ нэмю, Annual Repts Inst. Fibre, Res.», 1960, № 13, 25—30; 31—36; 37—41 (японск.)

9Р31. О люминесцентном методе исследования стеклования полимеров. Ануфриева Е. В., Волькенштейн М. В. В сб. «Стеклообраз. состояние». М.-Л., АН СССР, 1960, 138—142. Дискус., 153—154.—Исследовали влияние стеклования полимеров на интенсивность флуоресценции введенных в полимер молекул с жесткой структурой (аурамина, кристаллич. фиолетового, кетона Михлера) в поливинилацетате, поливинилово-м спирте (ПВС) и других средах в интервале 20—100°. Все полученные кривые имеют излом при $T = T_g$. Следовательно, при $T > T_g$ локальная вязкость среды изменяется настолько, что становится возможным вращение частей люминесцирующей молекулы друг относительно друга и тушение люминесценции. Кривые I (T) аурамина в ПВС имеют дополнительный излом при 55°, обусловленный водородными связями. При исследовании системы полимер — люминесцирующая молекула с жесткой структурой излом наблюдается лишь при определенном выборе системы. При исследовании поляризации и «замедленной» флуоресценции родулина оранжеа в ПВС излом обнаруживается лишь во втором случае. Проведение подобных исследований дает новую и существенную информацию о подвижности макромолекул, с которыми связаны люминесцирующие молекулы. Ю. Панов

9Р32. Влияние разветвленности цепи и молекулярного веса полиэтилена на его температуру стеклования. Tanaka Koji. The effect of chain branching and molecular weight of polyethylene on its glass transition temperature. «Bull. Chem. Soc. Japan», 1960, 33, № 8, 1133—1137 (англ.).—Исследовано влияние разветвленности цепи (главным образом коротких ветвлений) на т-ру стеклования T_g и коэф. объемного расширения выше и ниже T_g . Влияние разветвленности должно приводить к уменьшению упорядоченности в расположении молекул и повышению мол. подвижности в аморфных областях, что должно снизить T_g . Проведенное с помощью дилатометра (Bekkedahl N., J. Res. Natl. Bur. Stand., 1949, 42, 145) исследование на образцах полиэтилена различной разветвленности (Марлекс-50-9, полиэтилен Циглера и 8 образцов высокого давления) показало, что короткие ветвления оказывают заметное влияние на T_g независимо от степени кристалличности. Так как число длинных ветвлений в образцах было мало, то их влияние не установлено. Найдена линейная зависимость между T_g и N_C — числом CH_3 -групп в боковых ветвях на каждые 100 CH_2 -групп основной цепи: $T_g^2 = -4,6N_C - 18,7$. Коэф. объемного расширения выше и ниже T_g возрастает с ростом N_C . Специальными опытами с закаленными и хорошо закристаллизованными образцами показано, что T_g не зависит от степени кристалличности. С изменением N_C от 0,25 до 3,2 T_g меняется от —16 до —34°. Хотя T_g несколько зависит от мол. веса, этот эффект перекрывается влиянием разветвленности и истинное повышение T_g меньше 2° при возрастании мол. веса от 10 000 до 50 000. Ю. Липатов

9Р33. Релаксация напряжений при двусонной деформации наполненных высокополимеров. Bergen J. T., Messersmith D. C., Rivlin R. S. Stress relaxation for biaxial deformation of filled high polymers. «J. Appl. Polymer Sci.», 1960, 3, № 8, 153—167 (англ.; рез. франц., нем.).—Рассматриваются деформации, которые развиваются в результате одновременного приложения к испытываемому образцу растягивающего и крутящего напряжений. Экспериментально исследованы деформации труб из вулканизированного наполненного СК и 4 композиций поливинилхлорида с содержанием неорганич. наполнителя до 50 об.%. Релаксацию напряжений изучали в условиях малых деформаций. Обработка результатов эксперимента основана на выведенных авторами ур-ниях для релаксации

напряжений в изотропных несжимаемых вязкоупругих телах при малых деформациях. Вычисленные величины растягивающей и крутящей сил, необходимых для поддержания заданной величины деформации, хорошо согласуются с экспериментально найденными.

9Р34. Релаксация напряжений при малых временах и жесткость полистирола, модифицированного каучуком. Schmitt J. A., Keskkula Henno. Short-time stress relaxation and toughness of rubber-modified polystyrene. «J. Appl. Polymer Sci.», 1960, 3, № 8, 132—142 (англ.; реф. Франц., нем.).—Сконструирована аппаратура для изучения скорости релаксации напряжений при очень больших скоростях деформации, аналогичная описанной в работе, указанной в РЖХим, 1956, № 12, 36072. Аппаратура позволила производить деформирование со скоростью от 0 до 10 м/сек. Основные измерения выполнены при скорости 760 см/мин. С помощью этой аппаратуры исследованы материалы с различной ударопрочностью — полистирол (I), сополимер стирола с акрилонитрилом (II) и I, модифицированный каучуком (III). Сняты кривые релаксации напряжений в интервале от 0,1 до 10 сек. через 30 сек. после деформирования при $\sim 20^\circ$. Наивысшие значения напряжений при одинаковой величине деформации (0,8 и 0,53%) дает II, наименьшие — III. При деформации до 1,2—2% для I и II кривые зависимости напряжений от логарифма времени имеют тот же наклон, что и при меньших деформациях, а для III с ростом деформации уже с момента времени 0,01 сек. наблюдается резкое падение напряжения со временем, сопровождающееся помутнением образцов. При этом наблюдается возникновение трещин, перпендикулярных направлению действия силы. Аналогичная картина наблюдается и для I, но при больших (2%) деформациях. Возникновение трещин отвечает моменту времени, в который скорость падения напряжения возрастает, и скорость релаксации после появления трещин является также функцией скорости развития трещин. Критич. удлинения, соответствующие этому времени, могут быть определены как из подобного рода данных, так и из зависимостей остаточных напряжений от деформации в любой момент времени. Было установлено, что критич. удлинение тем меньше, чем больше отрезок времени, в течение которого проводилось измерение. Аналогичным образом было проведено исследование влияния условий формирования образцов и содержания каучука в III на скорости релаксации напряжений при различных деформациях. На основе полученных данных определены кривые зависимости напряжения от деформации. Установлено, что наблюдается сложная зависимость критич. удлинения от содержания каучука в смеси. Не обнаружено отчетливой связи между данными по кратковременной релаксации и жесткостью, характеризующей способность к разрушению при ударе. Однако модификация аппаратуры с целью исследования деформаций при изгибе позволяет дать более коррелирующие данные. На основе полученных данных рассмотрен механизм усиления каучука полистиролом.

9Р35. Оценка степени поверхностной обработки стеклянного волокна в стеклопластиках. Ito Katsuhiko. Evaluation of surface treatment of glass fiber in fabricreinforced plastics. «J. Polymer Sci.», 1960, 45, № 145, 155—160 (англ.; реф. Франц., нем.).—Для прямой оценки влияния поверхностной обработки стекловолокна различными аппретурирующими в-вами, применяющимися в производстве стеклопластиков, предлагается два метода — метод электронной дифракции и метод определения адгезии двух пластинок стекла того же состава, что и стекловолокно. Первый метод основан на предположении, что молекулы аппарата, связываемые поверхность стекла, определенным образом ориентируются на ней. Действительно, при об-

работке стеклянных пластин волаком и силаном была обнаружена некоторая степень ориентации молекул на поверхности, большая для случая обработки волаком. Поскольку обработка волаком дает худшие результаты по сравнению с обработкой силаном, о чем свидетельствуют данные о механич. свойствах стеклопластиков на основе стеклянных тканей, подвергнутых аппретированию указанными в-вами, сделан вывод о том, что метод электронной дифракции не может дать прямой оценки влияния обработки поверхности. Гораздо лучше коррелируют с данными по механич. свойствам стеклопластиков результаты определения прочности склеивания двух пластинок стекла (внахлестку) после предварительной обработки их поверхности. Прочность таких склеенных образцов на разрыв указывает на значительное влияние обработки поверхности на прочность связи.

9Р36. Рассеяние света образцами полиэтилена, содержащего «кольчатые» сферолиты. II. Stein R. S., Plaza A. The scattering of light from polyethylene samples having «ringed» spherulites. II. «J. Polymer Sci.», 1960, 45, № 146, 519—520 (англ.).—Фотографическим методом получены картины рассеяния от пленки полиэтилена Марлекс, отражающие кольчатую структуру. Максимум рассеяния наблюдается при угле рассеяния около 40° . Сняты картины рассеяния как для случая параллельности анализатора и поляризатора, так и для случая их перпендикулярности. Полученные результаты наиболее просто могут быть объяснены с помощью модели Келлера — Приаса. Сообщение I см. РЖХим, 1960, № 23, 95082. Ю. Павлов

9Р37. Течение газов через пленки высокополимеров, находящиеся в равновесии с сорбированными парами. Pilar Frank L. The flow of gases through high polymer films in equilibrium with sorbed vapors. «J. Polymer Sci.», 1960, 45, № 145, 205—215 (англ.; реф. Франц., нем.).—Сконструирован прибор для определения скорости протекания газов через пленки полимеров, находящиеся в равновесии с сорбированными парами, и выведено ур-ние для расчета константы проницаемости (Q) по экспериментальным данным. Для пленок из полиэтилена низкой плотности (I) при 25° величина $Q \cdot 10^{16}$ для O_2 , N_2 и He равна соответственно 166, 60 и 394 моль-см-см- 2сек^{-1} (см. рт. ст.) $^{-1}$, энергия активации для O_2 и N_2 равна 9,6 и 11,1 ккал/моль, что согласуется с литературными данными. Сорбция паров гексана или CCl_4 резко увеличивает проницаемость пленок I для O_2 и N_2 . Величина Q линейно растет с весовой конц-ией сорбированного гексана в пленке I, а энергия активации проницаемости остается постоянной. По-видимому, изменение Q обусловлено возрастанием коэф. диффузии газов через пленку, а коэф. растворимости газов при сорбции пленкой I паров органич. р-рителей не меняется. В системе целлюлоза — вода величина Q для O_2 , N_2 и, особенно, CO_2 резко возрастает с увеличением относительного давления паров H_2O . График зависимости Q для CO_2 от весовой конц-ии воды в целлюлозе состоит из двух отрезков прямых, пересекающихся в точке, соответствующей относительной влажности 74%. На проницаемость пленок I для He , O_2 и N_2 атмосфера паров H_2O не влияет. Обнаруженные закономерности могут быть объяснены, если допустить, что сорбция паров не влияет на кристалличность и вызывает набухание аморфных областей полимера.

9Р38. Смазываемость сополимеров тетрафторэтилена и гексафторпропиленом. Bernett Marianne K., Zisman W. A. Wetting properties of tetrafluoroethylene and hexafluoropropylene copolymers. «J. Phys. Chem.», 1960, 64, № 9, 1292—1294 (англ.).—Исследованы краевые углы смачивания различными n -алканами и некоторыми неорганич. жидкостями образцов сополимеров тетрафторэтилена и гексафторпропиленом с содержанием последнего 6, 8, 11, 14, 16 и 23 мол. %

Установл. сопозим. теристик. чем для $\alpha = 18,5$ б. ную лиг. поверхн. куса, ра. уменьша. ных бок. даются л. щим фа. ностой и фторпро. 15 дн/см

9Р39. Состояние д. та. На и and reac. ted poly. № 11, 18. ориентир. при обл. акторе з. ния по. измене. Модуль снижает. г-ра. Ме. модуля. рованно. Характе. упртос

9Р40. ченного Wood irradiat. 364 (ан. этилен. ка Co^{60} т-р от. ным м. облуче. дуля о. т-ры пл. чение с. ния в. личие. фектив. этилен. леном. вях л. обрабо. типов источн. /см 2 пе. лается. личен. до 400. личнос. ными. сокой. выше. незави. наков. **9Р41.** кторой. Steif. certain. 3, №. влиян. ницае.

Установлено, что критич. поверхностное натяжение сополимеров при смачивании, γ_c , являющееся характеристикой поверхности, имеет значения, меньшие, чем для политетрафторэтилена, для которого $\gamma_c = 18,5 \text{ дн/см}^2$. Величина γ_c определена по пересечению линий зависимости косинуса краевого угла от поверхностного натяжения жидкости с линией косинуса, равного 1. При этом значение γ_c прогрессивно уменьшается с увеличением концентрации перфторметилных боковых групп. Полученные результаты обсуждаются на основе представлений о том, что определяющим фактором при смачивании в-в с низкой поверхностной энергией является природа атомов на поверхности и их упаковка. Значение γ_c чистого полигексафторполиэтилена, найденное экстраполяцией, составляет 15 дн/см^2 . Ю. Липатов

9P39. Влияние температуры и радиации на прочность двуслоно ориентированного полиэтилентерефталата. Haynes A., Hsiao C. C. Effect of temperature and reactor irradiation on the strength of biaxially oriented polyethylene terephthalate. *J. Appl. Phys.*, 1960, 31, № 11, 1871—1873 (англ.).—Изучена прочность двуслоно ориентированных пленок полиэтилентерефталата (I) при облучении тепловыми нейтронами в ядерном реакторе при t -ре от -75 до 150° . В результате облучения поверхность пленок претерпевает существенные изменения, особенно при достаточно больших дозах. Модуль эластичности при дозах $> 10^8 \text{ нейтрон} \cdot \text{см}^2/\text{сек}$ снижается. Это снижение тем интенсивней, чем ниже t -ра. Меньшие дозы облучения вызывают увеличение модуля эластичности ориентированного и неориентированного I в том большей степени, чем ниже t -ра. Характерно, что наиболее значительный рост модуля упругости наблюдается при t -ре $< 100^\circ$. Б. Геллер

9P40. Динамические механические свойства облученного полиэтилена. Merrill L. J., Sauer J. A., Woodward A. E. Dynamic mechanical studies of irradiated polyethylene. *Polymer*, 1960, 1, № 3, 351—364 (англ.).—Динамические механич. свойства полиэтилена высокой плотности, облученного от источника Co^{60} дозами 10^8 — 10^9 ф. э. р. , исследованы в области t -р от 80 до 450°K на звуковых частотах резонансным методом. Установлено, что с увеличением дозы облучения наклон кривой зависимости величины модуля от t -ры в области t -р выше 450°K , т. е. выше t -ры плавления, возрастает, что указывает на увеличение степени сшивки полимера. Максимум затухания в области 390°K также уменьшается по своей величине. При дозах γ -облучения $6 \cdot 10^8$ — 10^9 ф. э. р. эффективность сшивания несколько больше для полиэтилена высокой плотности по сравнению с полиэтиленом низкой плотности, облученным при тех же условиях при t -ре 20° . Влияние последующей тепловой обработки отжига было исследовано как для обоих типов полиэтилена, так и для случаев облучения от источника Co^{60} и от реактора. Для доз до $10^{18} \text{ нейтрон/см}^2$ первичным эффектом при тепловой обработке является уменьшение величины динамич. модуля и увеличение механич. потерь во всей области t -р от 100 до 400°K . Это приписано снижению степени кристалличности, что подтверждается соответствующими данными. Показано также, что образцы полиэтилена высокой плотности, особенно после тепловой обработки выше t -ры плавления, сшиваются в равной степени независимо от источника облучения и проявляют одинаковые динамич. механич. свойства. Резюме авторов

9P41. Влияние ионизирующих излучений на некоторые характеристики полимеров. Pietermaat F., Stefens P. Influence des radiations ionisantes sur certaines caractéristiques de polymères. *Revue E*, 1960, 3, № 3, 133—136 (франц.; рез. флам.).—Исследовали влияние облучения γ -лучами Co^{60} на диэлектрич. проницаемость ϵ и угол потерь δ ряда торговых полиме-

ров и эластомеров. Установлено, что дозы от 10^6 до 10^8 рад не оказывают никакого влияния на большую часть исследованных объектов. Исключение составили СК, хайпалон и бутил-каучук. У первого облучение вызывает возрастание ϵ при неизменном δ , а у второго — заметное понижение как ϵ , так и δ . Однако повышение диэлектрич. характеристик бутил-каучука сопровождается ухудшением его механич. свойств.

С. Френкель

9P42. Изотопные методы в химии полимеров. Bevington J. C. Isotopic methods in polymer chemistry. *Fortschr. Hochpolymeren — Forsch.*, 1960, 2, № 1, 1—17 (англ.).—Обзор. Библ. 48 назв. Х. Багдасарян

9P43. Теплоты полимеризации некоторых циклических и этиленовых соединений. Dainton F. S., Ivin K. J., Walmsley D. A. G. The heats of polymerization of some cyclic and ethylenic compounds. *Trans. Faraday Soc.*, 1960, 56, № 12, 1784—1792 (англ.).—Определены теплоты полимеризации (ТП) 19 мономеров (тетраметилendisульфид, пентаметилendisульфид, гексаметилendisульфид, окись стирола, окись m -нитростирола, 3,3'-бис-(хлорметил)оксапиклобутан, 3,3'-бис-(феноксиметил)оксапиклобутан, метилметакрилат, этилметакрилат, n -бутилметакрилат, трет-бутилметакрилат, β -этоксипилметакрилат, m -гексилметакрилат, циклогексилметакрилат, диметилитаконат, акриламид, стирол, винилметилден, ацетилден) прямыми измерениями в изотермич. калориметре при $26,9^\circ$ (дифениловый эфир) с применением интегрального, дифференциального и экстраполяционного методов. Полимеризацию проводили в массе и в некоторых случаях в р-рителях. Данные по ТП циклич. дисульфидов в зависимости от числа атомов в цикле сравнены в литературными данными по циклич. простым эфирам, лактамам и циклопарафинам; за исключением случая незамещ. лактамов минимум ТП соответствует 6-членному циклу. Обсуждено влияние различных заместителей на ТП 1,1-алифатич. диаметов и винилароматич. мономеров. Необычайно высокая ТП ацетилдена (24 ккал/моль) объясняется стерич. напряжениями в мономере — явлением, ранее не известным для мономеров этиленового ряда. Т. Гриценко

9P44. Исследование иницирующей способности тетраацетата свинца, N -бромимида янтарной кислоты, n -толуолсульфонилзида, фторбората фенилдиазония и системы сахарин — диметиланилин. Dannley Ralph L., Esayan Manuel. An investigation of lead tetraacetate, N -bromosuccinimide, p -toluenesulfonyl azide, benzenediazonium fluoroborate, and saccharin-dimethylaniline as chain initiators. *J. Polymer Sci.*, 1960, 45, № 145, 105—110 (англ.; рез. франц., нем.).—Иницирующую способность перечисленных в заглавии в-в при 60 — 120° исследовали на примере сополимеризации (СП) стирола (I) с метилметакрилатом (II), взятых в эквимолярном соотношении. Тетраацетат свинца является весьма малоэффективным инициатором свободнорадикальной СП I и II. Еще более слабыми инициаторами оказались n -толуолсульфонилазид и система сахарин — диметиланилин. N -бромимид янтарной к-ты иницирует как СП I и II, так и гомополимеризацию I, но иницирует гомополимеризацию II. Предполагается, что взаимодействием N -бромимида янтарной к-ты или его фрагментов со стирольными радикалами приводит к обрыву цепи. Фторборат фенилдиазония эффективно иницирует катонную СП I и II; строение иницирующего иона не установлено. А. Литманович

9P45. Сополимеризация 2-метил-5-винилпиридина. Tamikado Takashi. The copolymerization of 2-methyl-5-vinylpyridine. *Makromolek. Chem.*, 1960, 38, 85—95 (англ.; рез. нем.).—Сополимеризацию 2-метил-5-винилпиридина (I) со стиролом (II), метилметакрилатом (III), метилакрилатом (IV) и акрилонитрилом (V) изучали в присутствии динитрида азозно-

масляной к-ты при 60° электрометрич. титрованием в смеси ледяной уксусной к-ты и ацетонитрила. Получены следующие величины для констант сополимеризации r_1 и r_2 , а также Q и e : для сополимеризации II с I 0,812, 0,91, 0,76, -0,2; III с I 0,46, 0,61, 1,04, -0,7; IV с I 0,172, 0,88, 1,05, -0,8; V с I 0,146, 0,27, 0,38, -0,7.

А. Ревзин

9Р46. Сополимеризуемость винилпиридинов. Tamikado Takashi. Copolymerizability of vinylpyrid. «J. Polymer Sci.», 1960, 43, № 142, 489—500 (англ.; рез. франц., нем.).—См. РЖХим, 1960, № 8, 35503.

9Р47. Скорость полимеризации и относительные скорости сополимеризации некоторых эпоксидов при образовании линейных полиэфиров. Bailey F. E., Jr, France H. O., Rates of polymerization and relative copolymerization rates of some epoxides in the formation of linear polyethers. «J. Polymer Sci.», 1960, 45, № 145, 243—246 (англ.).—Описана сополимеризация окиси этилена (I) с окисью пропилена (II), аллилглицидиловым эфиром, окисью стирола, двуокисью 4-винилциклоксана, моноокисью бутадиена, окисью дипентена и моноокисью винилциклоксана, а также II с окисью стирола и аллилглицидиловым эфиром. В качестве катализаторов использовались $ZnCO_3$, кальциевая соль этиленгликоля, амид кальция и дибутилцинк. I в среднем в 1,3 раза более активна при сополимеризации, чем остальные окиси, активность которых примерно одинакова. Общая скорость полимеризации сильно зависит от строения мономера. Скорость полимеризации I наибольшая, с увеличением степени замещения атомов H она уменьшается. Предложен механизм р-ции полимеризации. Отмечено, что все перечисленные катализаторы при гомополимеризации II и глицидиловых эфиров дают фракцию стереорегулярного полимера, причем наибольшей стереоспецифичностью обладает дибутилцинк.

В. Якубович

9Р48. Сополимеризация высших алкилвиниловых эфиров. VI. Сополимеризация винилиденхлорида и свойства сополимеров. Акадзэма Г., Сакаи С., Тоси Я., Мураи К. «Кобунshi Kagaku, Chem. High Polym.», 1960, 17, № 185, 558—561 (японск.; рез. англ.).—Сополимеризация винилиденхлорида (I) с высшими алкил(н-октил — н-октадецил)виниловыми эфирами (Э) проведена при 50° в присутствии перекиси бензоила. Значения r_1 и r_2 для систем I—винилоктыловый Э, I—винилдодециловый Э и I—винилоктадециловый Э соответственно составляют $1,35 \pm 0,15$ и $0,0 \pm 0,2$; $1,30 \pm 0,15$ и $0,0 \pm 0,2$; $1,50 \pm 0,15$ и $0,0 \pm 0,3$. С увеличением конц-ии винилового Э в смеси мономеров значения приведенной вязкости сополимеров и скорости сополимеризации уменьшаются. На основании данных, полученных при измерении разрывной прочности, удлинения, уд. веса и растворимости в органич. р-рителях сополимеров, проведена оценка пластифицирующего действия высших алкилвиниловых Э. Исследовано также влияние длины алкильной цепи виниловых Э на пластифицирующие свойства Э.

По резюме авторов

9Р49. Кинетика ингибирования полимеризации стирола. I. Влияние стабильных свободных радикалов. Тюдеш Ф., Бережных Т. Ф., Азори М. «Acta chim. Acad. scient. hung.», 1960, 24, № 1, 91—106 (рез. нем., англ.).—Описан синтез 1,1-дифенил-2-(2,6-динитрофенил)-гидразила (I). I растворим в органич. р-рителях (с фиолетовым окрашиванием); при 80° в бензоле в присутствии воздуха I практически не расходуется; I имеет хорошо разрешенный спектр ЭПР со сверхтонкой структурой. Дилатометрически изучена кинетика ингибированной полимеризации стирола при 50° в присутствии ингибиторов (II) — I или радикала Банфилда (II). Конц-ию II в индукционном периоде (τ) измеряли спектрофотометрически. Путем теоретич. обсчета кинетич. кривых, проведенного с учетом элементарных р-ций $I + R \rightarrow$ полимер и $I +$

$+ M \rightarrow R$ (1) (где M — мономер, R — радикал-переносчик цепи), а также с учетом замедляющего действия продукта (A) образующегося из II по окончании τ, определена скорость иницирования, совпадающая с указанной в литературе, а также показано, что в случае II A не оказывает существенного влияния на дальнейший ход полимеризации; в случае I относительные констант (k_2/k_1) скоростей для р-ций $R + M \rightarrow R$ (2) и $R + A$ (3) k_2/k_1 равно 15,8. В случае II = II период полупревращения II по р-ции (1) равен 17 час.

Г. Королев

9Р50. О механизме полимеризации этилена на гетерогенных катализаторах Циглера — Натта. Cossee P. On the reaction mechanism of the ethylene polymerization with heterogeneous Ziegler — Natta catalysts. «Tetrahedron Letters», 1960, № 17, 12—16 (англ.).—Рассмотрен механизм полимеризации C_2H_4 на катализаторе $\alpha-TiCl_3 - AlR_3$. Предполагается, что активным центром является расположенный на поверхности кристалла ион Ti, у которого удален один из ионов Cl, а другой замещен на алкильную группу. Полимеризация протекает через образование π-комплекса между олефином и Ti, сопровождающееся разрывлением связи Ti—R; вхождение мономерной единицы в цепь осуществляется путем миграции алкильного остатка R. Таким образом, AlR_3 производит алкилирование и восстановление Ti участвует в обрыве и переносе цепи, но не участвует в актах роста.

А. Арест-Якубович

9Р51. Виниловая полимеризация, катализируемая системой аммиак — триэтилбор. Nogo Ken, Kawazura Hiroshi. Vinyl polymerization with ammoniatriethylboron. «J. Polymer Sci.», 1960, 45, № 145, 264—265 (англ.).—Изучена каталитич. активность $[H_3N-B(C_2H_5)_3]$ (I) в полимеризации (ПМ) винильных соединений (винилацетата, винилбензоата, метил- и бутилакрилата, метилметакрилата, акрилонитрила, винилтолуола, стирола, винил-н-бутилового эфира). Установлено, что I является таким же активным катализатором, как и $B(C_2H_5)_3$, но, в отличие от последнего, не воспламеняется на воздухе при 20°. Показано, что I инициирует ПМ винилацетата как на свету, так и в темноте, а также при очень низких т-рах и в присутствии избытка NH_3 . ПМ винилацетата протекает как в массе, так и в р-ре, суспензии или эмульсии. При -78° скорость ПМ очень низка, что связывается со слабой диссоциацией I при низких т-рах.

Л. Золотаревская

9Р52. Соли щелочных металлов с соединениями триарилбора в качестве инициаторов полимеризации некоторых винильных и диеновых соединений. Nakayama Yukio, Furukawa Junji, Tsuruta Teiji, Yamauchi Junnosuke. «Kogyo Kagaku, Zasshi, Kogyo Kagaku zasshi, J. Chem. Soc. Japan, Industr. Chem. Sec.», 1960, 63, № 8, 1477—1479, A8 (японск.; рез. англ.).—Исследована полимеризация (ПМ) некоторых винильных и диеновых соединений, инициируемая солями щел. металлов с три-α-нафтилбором (I) или с трифенилбором (II). В случае соединений типа MI и MII полимеризация акрилонитрила (III) протекает с большой скоростью, а метилметакрилат (IV) полимеризуется очень медленно. Винилацетат, стирол (V), изопрен и бутадиен не полимеризуются в присутствии указанных катализаторов (за исключением калиевой соли I, инициирующей ПМ V). Соединения типа M₂I катализируют ПМ некоторых винильных и диеновых соединений (III, IV, V, изопрена и бутадиена, причем два последних мономера полимеризуются с колич. выходом). На основании результатов, полученных при сополимеризации IV и V или III и V в присутствии M₂I, установлен анионный механизм ПМ. Li₂I и Na₂I (судя по строению синтезированных с их помощью полибутадиена и полиизопрена) по инициирующим свойствам ближе к K и Na, чем к радикальным инициаторам. По резюме авторов

9Р53.

ких тем

Polymer

«J. Poly

на поли

водилор

лизатор

хлорид

баню с

мую жг

текает

да. Обр

2,17 · 10

степен

9Р54.

лов. IV

давлен

G. S. m

Role of

Chem.

добавле

Sn(C₂H₅)

тализи

атм. да

вождеа

фенила

ные по

ветстве

кании

Восста

мошью

всех э

тем си

этилен

основе

ровании

лоорга

шем в

выделе

литич.

с восс

роста

торов

валент

тельно

C—M,

динам

ую по

1960, N

9Р55.

поли(β

Devil

on str

«J. Pol

и стр

франц

вания

такрил

ного т

сущес

главна

лимер,

други

нилок

о том,

ского

ция I

риал,

ными

9Р56.

стирол

Fr an

metal

4281—

41 Хи

9Р53. Полимеризация изобутилена при ультранизких температурах. Kennedy J. P., Thomas R. M. Polymerization of isobutene at ultra low temperatures. *J. Polymer Sci.*, 1960, 45, № 145, 229 (англ.).—Описание полимеризации изобутилена при -180° . Р-цию проводили в пропане (пропан:изобутилен = 9:1), катализатор ($AlCl_3$) растворяли в смеси этилхлорид-винилхлорид; реактор из нержавеющей стали погружали в баню со смесью изопентан-пропан (9:1), охлаждаемую жидким азотом. Найдено, что полимеризация протекает с высокой скоростью без индукционного периода. Образуется полимер со степенью полимеризации $2,17 \cdot 10^5$, тогда как в аналогичных условиях при -78° степень полимеризации $1,6 \cdot 10^4$. А. Арест-Якубович

9Р54. Катализаторы на основе переходных металлов. IV. Роль валентности в катализаторах низкого давления. Carrick Wayne L., Chasar Andrew G., Smith Joseph J. Transition metal catalysts. IV. Role of valence in low pressure catalysts. *J. Amer. Chem. Soc.*, 1960, 82, № 20, 5319—5324 (англ.).—При добавлении р-ра $AlBr_3$ и VCl_4 в циклогексане к р-ру $Sn(C_6H_5)_4$ в циклогексане образуется комплекс, катализирующий полимеризацию этилена при 65° и атм. давлении. Образование каталитич. системы сопровождается переходом $V^{4+} \rightarrow V^{2+}$ и образованием дифенила, причем кол-ва V^{2+} и дифенила (определенные полярографич. анализом и по ИК-спектрам соответственно) согласуются с предположением о протекании р-ции типа $(C_6H_5)_2VCl_2 \rightarrow C_6H_5-C_6H_5 + VCl_2$. Восстановление V^{4+} в V^{2+} осуществлено также с помощью $Zn(C_6H_5)_2$, $(изо-C_4H_9)_3Al$ и $изо-C_4H_9AlBr_2$. Во всех случаях, чем легче происходит образование V^{2+} , тем система активнее катализирует полимеризацию этилена. Аналогично ведет себя и катализатор на основе Ti. Предполагается, что в процессе формирования катализатора образуется неустойчивое металлоорганич. соединение переходного металла в его высшем валентном состоянии, при разложении которого выделяется соединение $V^{2+}(Ti^{2+})$, обладающее каталитич. активностью само по себе или в виде комплекса с восстанавливающим агентом. Обсужден механизм роста цепи в присутствии рассматриваемых катализаторов. Восстановление переходного металла в низшем валентном состоянии уменьшает его электроотрицательность, тем самым усиливая полярность связи C—M, что способствует внедрению мономера (координационно связанного с активным центром) в растущую полимерную цепь. Сообщение III см. РЖХим., 1960, № 24, 99296. А. Литманович

9Р55. Влияние типа катализатора на структуру поли(β -винилоксиэтилметакрилата). Lal Joginder, Devlin E. F., Trick G. S. Effect of type of catalyst on structure of poly(β -vinyl-oxyethyl methacrylate). *J. Polymer Sci.*, 1960, 44, № 144, 523—529 (англ., рез. франц., нем.).—ИК-анализ и измерение т-ры стеклования полимеров, полученных из β -винилоксиэтилметакрилата (I) на циглеровском катализаторе катионного типа, показывают, что эти полимеры имеют по существу одинаковую структуру: поливинилэфирная главная цепь с метакрилатными привесками. Полимер, полученный на анионном катализаторе, имеет другую структуру: метакрилатная главная цепь с винилоксиэтильными привесками. Эти данные говорят о том, что полимеризация I на катализаторе циглеровского типа носит катионный характер. Полимеризация I с помощью триэтилбора дает сшитый материал, сходный по структуре с полимерами, полученными с помощью перекисных катализаторов.

9Р56. Получение монодисперсного поли- α -метилстирола под действием щелочного металла. Wenger Franz. Monodisperse poly-(α -methylstyrene) by alkali metal initiation. *J. Amer. Chem. Soc.*, 1960, 82, № 16, 4281—4284 (англ.).—Короткие цепи дианионов, полу-

ченные в гетерогенной р-ции между Na и α -метилстиролом в тетрагидрофуране при 25° , используются для очистки α -метилстирола от загрязнений и иницирования полимеризации при -78° . Два полимера, полученные из α -метилстирола с различным содержанием загрязнений и очищенные указанным способом, фракционировали, причем отношения $вес/M$ чисел для них оказались равными 1,05 и 1,06, что указывает на эффективность очистки и неактивность продуктов взаимодействия загрязнений с дианионами в процессе полимеризации. Предложен механизм образования дианионов с короткими цепями. А. Непомнящий

9Р57. Сополимеры диметилкетена с кетонами. Natta Giulio, Mazzanti Giorgio, Pregaglia Gianfranco, Binaghi Marco. Alternating copolymers of dimethylketene with ketones. *J. Amer. Chem. Soc.*, 1960, 82, № 20, 5511—5512 (англ.).—При добавлении бутиллития к р-ру диметилкетена (I) и ацетона (II) в толуоле при -60° происходит быстрая полимеризация. После осаждения метанолом выделен белый твердый полимер (ПМ), $[\eta]$ которого в хлороформе при 30° составляет $\sim 0,4$. ПМ растворим в кипящем бензоле и диоксане и высоко кристаллический. Анализ ПМ показал, что I и II содержится в нем в мол. соотношении 1:1 и что он представляет собой чередующийся сополимер, имеющий строение $-C(CH_3)_2O-[COC(CH_3)_2C(CH_3)_2O]_n-COC(CH_3)_2-$. Полимеризация смеси I и II в мол. соотношениях I:II < 1 всегда приводит к образованию такого сополимера. При I:II > 1 образуется также гомополимер I. При полимеризации смеси I и ацетофенона образуется чередующийся сополимер, рентгенограмма которого показывает аморфную структуру. В. Якубович

9Р58. Полимеризация винилхлорида под действием н-бутиллития и эфирата трехфтористого бора. Каван В., Цудзуми К. Кобунши какаку, Chem. High Polym., 1960, 17, № 184, 475—477 (японск.; рез. англ.).—Сообщено, что смесь $n-C_4H_9Li - BF_3 \cdot O(C_2H_5)_2$ является активным катализатором полимеризации винилхлорида, причем образующийся полимер, по данным ИК-спектроскопии рентгенографии, обнаруживает кристалличность. По резюме авторов

9Р59. Анионная полимеризация акриламида. Ямасаита Ю., Ито Т. Kōrō kagaku dzasshi, Kogyo kagaku zasshi, J. Chem. Soc. Japan. Industr. Chem. Sec., 1960, 63, № 10, 1746—1751, A 97 (японск.; рез. англ.).—Исследована анионная полимеризация акриламида (I) в бензоле в присутствии различных соединений с длинными алкильными цепями. Установлено, что в присутствии $C_{11}H_{23}CO_2H$, $C_{11}H_{23}CONH_2$ и $C_{11}H_{23}CO_2CH_3$ I не полимеризуется, а в присутствии $C_{12}H_{25}OH$ или $C_{12}H_{25}SH$ наблюдается образование продукта присоединения. Из резюме авторов

9Р60. Полимеризация аллилбензола с помощью гетерогенных катализаторов. D'Allelio G. F., Finestone A. B., Taft L., Miranda T. J. The polymerization of allylbenzene with heterogeneous catalysts. *J. Polymer Sci.*, 1960, 45, № 145, 83—89 (англ.; рез. франц., нем.).—Аллилбензол (I) не полимеризуется в присутствии таких анионных катализаторов, как Na, Cs и $Al(C_2H_5)_3$ (II), при 0 и 20° , а также в присутствии H, $TiCl_3$, $TiCl_2$ и $TiCl_4$ (III) при 50° . С помощью гетерогенно-каталитич. систем II— $TiCl_2$ и II— $TiCl_3$ удалось получить из I вязкие масла, при применении системы II—III наряду с вязкими маслами образуются твердые полимеры I, выход которых максимален при II:III = 1:1. При II:III = 5:1 протекает изомеризация I в β -метилстирол. При низких отношениях II:III образуются вязкие масла, в состав которых входят циклич. димер и тример β -метилстирола (по данным ИК-спектров). Нерастворимая в горячем толуоле фракция твердого полимера I обнаруживает кристаллич. структуру. А. Литманович

9Р61. Изотактические полимеры. Fernández M. Andreu. *Polimeros isotáticos*. «Rev. plást.», 1960, 11, № 65, 290—295, 309 (исп.).—Обзор. Библ. 21 назв.

9Р62. Изучение пространственной структуры высокополимеров. Sakaguchi Yasuyoshi. «Кобун-си какаку, Chem. High Polym.», 1960, 17, № 182, 333—336 (японск.; рез. англ.).—В предположении, что скорость присоединения мономера к полимерному радикалу зависит от стереоструктуры концевой реакционноспособного звена последнего, теоретически получены выражения для функций распределения сегментов с определенным типом пространственной структуры (изотактич. или синдиотактич.) в полимерных цепях.

По резюме автора
9Р63. Новая каталитическая система для стереоспецифической полимеризации ацетилена. Green M. L. H., Nehme M., Wilkinson G. A. new catalytic system for the stereospecific polymerisation of acetylene. «Chemistry and Industry», 1960, № 36, 1136 (англ.).—Показано, что комплексы Ni и Co, напр. $[(n-C_4H_9)_2P_2NiCl_2]$, $[(n-C_3H_7)_2P_2NiBr_2]$, $[(C_6H_5)_3P_2Ni(CNS)_2]$, восстановленные $NaBH_4$ в тетрагидрофуране, иницируют полимеризацию C_2H_2 . Полученный черный полимер легко поглощает H_2O , O_2 и Cl_2 . Предполагают, что в иницировании полимеризации принимают участие комплексы, содержащие связь металл—водород. См. также РЖХим, 1961, 4Р43. А. Арест-Якубович

9Р64. Стереоблокполимеры ацетальдегида. Fujii Hiroyasu, Furukawa Junji, Saegusa Takeo, Kawasaki Akihiro. Stereoblock polymer of acetaldehyde. «Makromolek. Chem.», 1960, 40, № 3, 226—228 (англ.).—Путем полимеризации ацетальдегида в присутствии катализатора Al_2O_3 , обработанного $Zn(C_2H_5)_2$, приготовлены стереоблочные полимеры (ПМ), содержащие аморфные и кристаллич. области. Полученные ПМ менее эластичны, чем аморфные, а по растворимости занимают промежуточное положение между аморфными и кристаллич. Напр., стереоблочные ПМ полностью растворимы в $CHCl_3$ и частично в CH_3OH (аморфные ПМ полностью растворимы в CH_3OH , а кристаллич. только частично в $CHCl_3$). Изучены ИК-спектры ПМ и показано, что растворимая в CH_3OH фракция состоит из довольно больших кристаллич. участков, химически связанных с аморфными областями. Нерастворимая в CH_3OH фракция включает небольшое кол-во аморфных областей, связанных с кристаллич. участками. Л. З.

9Р65. Изотактические сополимеры стирола и 4-метил-1-пентена. Anderson I. H., Burnett G. M., Tait P. J. T. Isotactic copolymers of styrene and 4-methylpent-1-ene. «Proc. Chem. Soc.», 1960, June, 225—226 (англ.).—При сополимеризации стирола и 4-метил-1-пентена с помощью катализатора $\alpha-TiCl_3-Al(C_2H_5)_3$ образуется сополимер, полиолефиновая цепь которого включает >30% стирольных единиц. Сополимер обладает достаточно высокой степенью кристалличности.

А. Коробко
9Р66. Реакции низкомолекулярных органических соединений под воздействием γ -излучения Co^{60} . II. Полимеризация стирола. Hamashima Motome. «Токио котэ сикэнсё хококу, Repts Govt Chem. Industr. Res. Inst., Tokyo», 1960, 55, № 7, 223—229, 25 «Нихон какаку дзасси, J. Chem. Soc. Japan. Pure Chem. Sci.», 1960, 81, № 7, 1150—1154, A80—A81 (японск.; рез. англ.).—Исследовано ускоряющее действие добавок на радиационную полимеризацию (ПМ) стирола при $\sim 20^\circ$ в вакууме. Коэф. ускорения $R_E = R_P \cdot R_M$, где R_P —отношение скоростей ПМ, а R_M —отношение мол. весов полимера в присутствии и в отсутствие добавок. С изменением конц-ии монофункциональных добавок (кроме нитробензола) в интервале 0,02—0,2 моль/л меняются значения R_P и R_M , но R_E почти не изменяется. В случае бифункциональных добавок (при конц-ии

$\sim 0,1$ моль/л) изменяется значение R_E . Сообщение I см. РЖХим, 1961, 2Р98.

9Р67. Полимеризация ацетилена, фотоиндуцированная диметилдисульфидом. Takezaki Yoshimasa, Kawakita Akihiko. Polymerization of acetylene photoinduced by dimethyl disulfide. «Bull. Inst. Chem. Res. Kyoto Univ.», 1960, 38, № 4, 290—298 (англ.).—Изучали явление уменьшения давления при фотолизе (λ 2537 Å) паров диметилдисульфида (I) в присутствии C_2H_2 . Продукты фотолиза анализировали главным образом методом газовой хроматографии. В газовой фазе обнаружен лишь CH_4 ($\Phi = 0,036$); в жидкой фазе установлено присутствие $CH_3SCH_3 = CHSCH_3$, а также двух неидентифицированных соединений. Скорость падения давления пропорциональна интенсивности облучения, давлению C_2H_2 и не зависит от давления I. Следы NO уже при содержании 1/1500 от кол-ва C_2H_2 существенно снижают скорость падения давления I. Авторы предлагают механизм р-ции, по которому падение давления обусловлено р-цией полимеризации C_2H_2 , иницируемой радикалом CH_3S , образующимся при фотолизе I. Полимеризация обрывается при добавлении NO за счет р-ции $CH_3S + NO = CH_3SNO$. Энергия активации развития цепи равна 3,2 ккал/моль. В. Дуженков

9Р68. Полимеризация перфторбутуна-2. Brown Henry C., Gewanter Herman L. Polymerization of perfluorobutylene-2. «J. Organ. Chem.», 1960, 25, № 11, 2071—2072 (англ.).—При γ -облучении (Co^{60} , мощность дозы $3,6 \cdot 10^6$ рентгенов в 1 час) перфторбутуна-2 образуется белый полимер — полиперфторбутин (I), нерастворимый в органич. р-рителях. Проведено сравнение свойств I и политетрафторэтилена и показано, что в отличие от последнего I при нагревании до 550° не выделяет газообразных продуктов, а после 4-часового нагревания при 630° только ~ 40 вес.% образца превращается в газообразные продукты. Путем элементарного анализа показано, что полученный продукт является полимером перфторбутуна с эмпирич. ф-лой C_4F_6 . Изучены ИК-спектры I. Предполагают, что I имеет сильно разветвленную структуру с большим числом поперечных сшивок. Л. Золотаревская

9Р69. Механизм образования полиацетальдегида при плавлении кристалла мономерного ацетальдегида. Letort Maurice, Richard André-Jean. Mécanisme de formation du polyacétaldéhyde par fusion du cristal d'acétaldéhyde monomère. «J. chim. phys. et phys.-chim.», 1960, 57, № 9, 752—761 (франц.).—Полиацетальдегид (ПА) получается в результате плавления кристаллов мономера при $-123,3^\circ$. Рентгенографич. анализом этих кристаллов при -140° обнаружено существование в них весьма сжатых нитевидных последовательностей молекул CH_3CHO . Взаимные ориентации отдельных молекул в этих «нитех» как бы определяют строение будущей полимерной цепочки ПА. Сам по себе процесс полимеризации, протекающий по ионному механизму, облегчается тем обстоятельством, что молекулы CH_3CHO заключены в кристаллич. решетку. Подробно проанализированы кинетич. и геометрич. аспекты протекания полимерных цепочек при плавлении кристалла. Этот анализ позволяет объяснить, почему вопреки ожиданиям в результате не получается стереорегулярный синдиотактич. эластомер ПА: такая конформация, вынуждаемая кристаллич. решеткой, энергетически не является наиболее выгодной из-за чрезмерного сближения метильных групп. Кристаллич. решетка обеспечивает лишь наиболее выгодные условия для протекания полимеризации, но растущая (в расплаве) цепочка приобретает менее напряженную и менее упорядоченную конформацию. Получающийся эластомер характеризуется рентгенографич. периодами, 7,2 и 39 Å, которые могут быть интерпретированы в терминах «возмущенной синдиотактич. цепи». С. Френкель

9Р70. Сеге soropoly. Ряд винил-навивне бухати р-тите винил-набух во вре ных г мера источ ризаци набух 9Р71. в при На к 34, N полим либути киси Устан меров меров в при полим прили 9Р72. ле с 1960, 9Р73. граль ских «Выс 1691 дул-ли бутин: котор от еи диме мости чены влияя с ди ства 180° поли расти выво вает и ам прии поли веса шенн афри амид 9Р дейс во го н о в един Метс (ПК) ние коид Уста харак нию веня в пе

9P70. Физико-химический синтез блок-сополимеров. Cereza R. J. The physico-chemical synthesis of block copolymers. «Polymer», 1960, 1, № 3, 397—399 (англ.).—Ряд винильных мономеров (стирол, метилметакрилат, винилацетат) полимеризовали в присутствии кислорода и небольших кол-в спшивающего агента. Образовавшемуся умеренно спшитому полимеру давали набухать в парах «чужого» мономера, являющегося р-рителем данного полимера (стирол, акрилонитрил, винилиденхлорид, винилацетат, метилметакрилат). Набухший полимер нагревали; распад образовавшихся во время гомополимеризации внутрицепных перекисных групп инициировал полимеризацию второго мономера с образованием блок-полимера. Дополнительным источником свободных радикалов для блок-сополимеризации были «механич.» разрывы С—С-связей при набухании. С. Френкель

9P71. Полимеризация акрилонитрила и стирола в присутствии полибутадиена. Уэмура К., Ида Ф., Наканиси Т. «Kagaku to kōgō, Sci. and Ind.», 1960, 34, № 9, 389—393 (японск.; рез. англ.).—Привитая полимеризация (ПМ) акрилонитрила и стирола на полибутадиене проведена при 50° в присутствии перекиси бензоила и динитрила азодиметиласляной к-ты. Установлено, что полибутадиен замедляет ПМ мономеров; скорость ПМ пропорциональна конц-ии мономеров в степени 1,2. В отличие от перекиси бензоила в присутствии динитрила азодиметиласляной к-ты стирол полимеризуется в 2 раза быстрее, но эффективность прививки уменьшается. Из резюме авторов

9P72. Полимеризация несопряженных диенов. Колесников Г. С., Давыдова С. Л. «Успехи химии», 1960, 29, № 12, 1474—1486.—Обзор. Библ. 54 назв.

9P73. К вопросу получения полиамидов из нейтральных эфиров дикарбоновых кислот и ароматических диаминов. Федотова О. Я., Курочкин А. С. «Высокомолекул. соединения», 1960, 2, № 11, 1688—1691 (рез. англ.).—Изучена поликонденсация м-толулендиамин с диметилловыми, диэтиловыми и дибутилловыми эфирами адипиновой и себаценовой к-т, которые по сравнительной активности в зависимости от спирт. радикала могут быть расположены в ряд: диметилловый > диэтиловый > дибутилловый, а зависимости от к-ты — в ряд: адипинат > себаценоат. Полученные полиамиды с мол. весом 500—4000. При изучении влияния т-ры на скорость р-ции м-толулендиамин с диметилловым эфиром дикарбоновой к-ты и на свойства образующихся полиамидов установлено, что при 180° получают сиропообразные низкомолекулярные полимеры с уд. вязкостью 0,5%-ных р-ров 0,024, легко растворяющиеся в обычных органич. р-рителях. С повышением т-ры до 260° мол. вес полимеров увеличивается и соответственно снижаются коэф. омывания и аминные числа. Выше 260° происходит деструкция, приводящая к снижению мол. веса и потемнению полимера. Применение ортофосфорной к-ты (2,5% от веса исходных в-в) приводит к значительному повышению мол. веса полиамида. Показано, что, используя эфиры различного строения, можно получить полиамиды с разнообразными мол. весами. Л. Золотаревская

9P74. Синтез и исследование продуктов взаимодействия 4,4'-диоксидифенил-2,2-пропана и дифенильного эфира угольной кислоты. Лосев И. П., Смирнова О. В., Смурова Е. В. «Высокомолекул. соединения», 1960, 2, № 11, 1665—1670 (рез. англ.).—Методом переэтерификации получены поликарбонаты (ПКР) с мол. весом 20 000—30 000. Исследовано влияние различных факторов на кинетику процесса поликонденсации (ПК) дифенилкарбоната (I) и диана (II). Установлено, что указанная р-ция имеет ступенчатый характер. Избыток I и II ведет к заметному повышению мол. веса, однако избыток I имеет преимущественное значение. Небольшой вакуум (50—60 мм) в первой стадии ПК и достаточно глубокий (1—2 мм)

во второй способствует резкому увеличению мол. веса полимера. Применение инертного газа во второй стадии ПК снижает мол. вес полимера. Оптимальные условия ПК в первой стадии: т-ра 200—210°, продолжительность 45 мин., во второй: 220—280°, 5—6 час. Наилучшими катализаторами процесса ПК являются соединения четырехвалентного титана и, особенно, окись цинка. Путем фракционирования образцов ПКР с различными средними мол. весами методом дробного осаждения исследована полидисперсность ПКР (р-ритель — метилхлорид, осадитель — метанол). Показано, что дифференциальная кривая для ПКР, полученного методом переэтерификации, имеет один максимум, соответствующий среднему мол. весу полимера. Для получения ПКР, имеющего практич. значение, необходимо соблюдение мол. соотношения I : II = 1,5 : 1 или 1,2 : 1. Л. Золотаревская

9P75. К вопросу о механизме полимеризации ε-капролактама. IV. Полимеризация в присутствии воды и либо амина, либо карбоновой кислоты. Heikens D., Hermans P. H., Want G. M. van der. On the mechanism of the polymerization of ε-caprolactam. IV. Polymerization in the presence of water and either an amine or a carboxylic acid. «J. Polymer Sci.», 1960, 44, № 144, 437—448 (англ.; рез. франц., нем.).—С целью выяснения специфич. роли карбоксильных и аминных концевых групп на механизм полимеризации капролактама (I) в присутствии воды исследовали влияние на р-цию добавок (~1 мол.%) гексаметилендиамина и адипиновой или себаценовой к-т, конц-ию которых в ходе полимеризации определяли методом хроматографии на бумаге после удаления I возгонкой. Из полученных кинетич. данных сделан вывод, что рост цепи протекает в основном за счет присоединения I к NH₂-группе, причем р-ция катализируется COOH-группой. Аминогруппа не оказывает каталитич. влияния ни на образование концевых групп, ни на их исчезновение вследствие поликонденсации. Напротив, исследованные к-ты заметно ускоряют образование концевых групп. Показано также, что константа равновесия р-ции поликонденсации не зависит от избытка концевых NH₂- или COOH-групп. Сообщение III см. РЖХим, 1961, 5P58.

Н. Мотовилова

9P76. Поликонденсация алкилендихлоридов с алкиленполиаминами. Suen T. J., Senior A., Swanson D. L., Jen Y. Polycondensation of alkylene dichlorides with alkylene polyamines. «J. Polymer Sci.», 1960, 45, № 146, 289—303 (англ.; рез. франц., нем.).—Описана р-ция поликонденсации этилендихлорида и 3,3'-имино-бис-пропиламина, приводящая к образованию либо высокомолекулярного растворимого полимера, либо нерастворимого геля в зависимости от условий р-ции. Проведена оценка эффективной функциональности 3,3'-имино-бис-пропиламина, оказавшейся равной 2,9 по данным о гелеобразовании и 3,5 по данным об относительных скоростях р-ций с участием первичных и вторичных аминогрупп. С учетом найденных величин функциональности рассмотрена кинетика р-ции этерификации. Ю. Липатов

9P77. Исследование реакции полиэтерификации на границе раздела фаз. Лосев И. П., Смирнова О. В., Фортунатов О. Г., Неклюдов А. Д. «Высокомолекул. соединения», 1960, 2, № 11, 1659—1664 (рез. англ.).—Синтезированы полиэфиры на основе хлорангидридов адипиновой, себаценовой, терефталевой к-т и этиленгликоля, бутандиола-1,4, резорцина, 4,4'-диоксидифенил-2,2-пропана (диана), 4,4'-диоксидифенил-1,1-циклогексана и 4,4'-диоксидифенилметил-этилметана методом гетерофазной поликонденсации. Закономерности протекания р-ции исследованы на примере р-ции между 4,4'-диоксидифенил-2,2-пропаном (дианом) и хлорангидридом терефталевой к-ты. Описаны свойства полученных полимеров, в частности их

способность к пленкообразованию. Выяснено влияние соотношения концентрированных реагирующих в-в, т-ры р-ции, ее продолжительности и кол-ва щелочного агента на мол. вес получаемых полиэфиров из дианов и хлорангидрида терефталевой к-ты. Ю. Литатов

9Р78. Кинетика и химизм поликонденсации эфиров α-аминокислот и пептидов. Сообщение 11. Совместная поликонденсация эфиров и N-карбоновых ангидридов D,L-аланина и глицина. Порошин К. Т., Хургин Ю. И., Прохорова Н. И. «Изв. АН СССР. Отд. хим. н.», 1960, № 9, 1687—1692. — Изучали взаимодействие ангидрида N-карбокси-D,L-аланина (I) с этиловым эфиром глицина (II) и этилового эфира D,L-аланина (III) с ангидридом N-карбоксиглицина (IV). При исходном соотношении I:II = 0,5 выход твердой фазы за 120 час. достигает 25%, продукты р-ции в основном образуются за счет I. При I:II = 0,08 скорость р-ции значительно снижается (выход твердой фазы за 120 час. ~3,5%). Взаимодействие III и IV в аналогич. условиях протекает медленнее, чем наблюдалось для I и II. Так, при IV:III = 0,08 за 150 час. содержание III в реакционной смеси почти не изменилось. На основании опытных данных авторы заключают, что N-конечные аминокислоты включаются в состав пептидов путем присоединения N-карбоновых ангидридов, а эфиры аминокислот являются инициаторами поликонденсации ангидридов. Сообщение 10 см. РЖХим, 1960, № 13, 55749. А. Литманович

9Р79. Полимеризация ацетона. Каргин В. А., Рабанов В. А., Зубов В. П., Паписов И. М. «Докл. АН СССР», 1960, 134, № 5, 1098—1099. — Тепловой эффект полимеризации (ПМ) ацетона (I) по расчету отрицателен (—6 ккал/моль); поэтому I может полимеризоваться лишь в условиях предварительного упорядочения молекул мономера, что уменьшает абс. величину изменения энтропии при ПМ. ПМ I осуществляется методом совместной конденсации молек. пучков (РЖХим, 1960, № 2, 7576) мономера и инициатора (Mg). ПМ I протекает, по-видимому, мгновенно в момент осуществления фазового перехода типа беспорядок — порядок в застеклованном I. Полиацетон растворим в I и весьма неустойчив. Уд. вязкость р-ра полученного полимера в I при конц-ии 0,5 г/100 мл равна 0,6. А. Литманович

9Р80. Некоторые новые представления в области окисления. Mayo Frank R. Some new ideas on oxidation. «Industr. and Engng Chem.», 1960, 52, № 7, 614—618 (англ.). — Обзор. Библиография 56 назв. Х. Багдасарьян

9Р81. Окисление полиолефинов. Сообщение 1. Поведение полиэтилена низкого давления при термическом окислении. Сообщение 2. Химическое и ИК-спектроскопическое исследование окисленного полиэтилена низкого давления. Grafmüller F., Husemann E. Über die Oxydation von Polyolefinen. 1. Mitt. Verhalten von Niederdruckpolyäthylen bei der thermischen Oxydation. 2. Mitt. Chemische und IR-spektroskopische Untersuchung von oxydiertem Niederdruckpolyäthylen. «Makromolek. Chem.», 1960, 40, № 3, 161—171; 172—188 (нем.; рез. англ.). — 1. Термическое окисление (ОК) полиэтилена (I) низкого давления в присутствии O₂ исследовано в р-ре и твердом состоянии при 120°. Установлено, что вязкость р-ра I уменьшается по мере протекания ОК, причем в р-рах хлорбензола и о-дихлорбензола вязкость падает сильнее, чем в р-ре n-ксилола. Вязкость твердого I в начале ОК падает, затем вследствие поперечного сшивания в I наблюдается образование нерастворимой фракции. Осмометрич. определение мол. веса показало, что уменьшение вязкости происходит не вследствие циклизации, а в результате деградации макромолекул. При ОК расплава I при 180° вскоре после начала р-ции образуются нерастворимые продукты.

2. Исследованы соединения, полученные при термич. ОК I низкого давления. При ОК I в р-ре обра-

зуются ОН-, СО- и СООН-группы, идентифицированные соответственно в виде производных 3,5-динитробензобензоила, 2,4-динитрофенилгидразонов и посредством титрования. Поперечные связи сшитого при ОК I идентифицированы как эфирные связи путем кислотного или щел. гидролиза и восстановительного расщепления с помощью LiAlH₄, а также по данным ИК-спектроскопии. Установлено, что при ОК р-ция поперечного сшивания ускоряется к-тами, а деградация — щелочами. При ОК твердого I (120°) в качестве побочных продуктов образуются СО, СО₂ и вода. В о-дихлорбензолевых и n-ксилольных р-рах I установлено наличие воды и воды и СО₂ соответственно. Наличие свободных радикалов, образовавшихся при разложении динитрила азобензольной к-ты и перекиси бензоила, не оказывало влияния на ход ОК. Уксусный ангидрид, уксусная и изомасляная к-ты при ОК I в n-ксилоле ускоряют его деградацию, а муравьиная, пропионовая и плавелевая к-ты, а также фталевый ангидрид и гидрохинон в аналогич. условиях оказывают замедляющее действие. При ОК I в о-дихлорбензоле добавка уксусного ангидрида замедляет деградацию. Серная, n-толуолсульфоновая и монохлоруксусная к-ты при ОК I в n-ксилоле не оказывают значительного влияния на вязкость р-ра. Р. А.

9Р82. Термическая деполимеризация поли-α-метилстирола в растворе. Grant D. H., Vance E., Bywater S. Thermal depolymerization of poly-α-methylstyrene in solution. «Trans. Faraday Soc.», 1960, 56, № 11, 1697—1703 (англ.). — Изучена термич. деполимеризация (ТД) поли-α-метилстирола (I) в р-рах декалина и дифенилового эфира. Для исследования брали I, полученный путем катионной и анионной полимеризации. ТД проводили с 5%-ными р-рами полимера (ПМ) в атмосфере N₂ при 210—240°. Глубина ТД не превышала 10%. За процессом ТД наблюдали с помощью измерения оптич. плотности р-ров при 2900 Å и газовой хроматографич. анализа. Обнаружено, что скорость ТД не зависит от способа приготовления ПМ и выбора р-рителя. Скорость ТД прямо пропорциональна мол. весу ПМ и имеет первый порядок по конц-ии ПМ. Процесс ТД описывается теорией цепной деполимеризации для случая, когда длина кинетич. цепи больше длины цепи молекулы ПМ (Simha and Wall, J. Phys. Chem., 1952, 56, 707). Начальная скорость образования мономера выражается ур-нием $W = 2k_1[P_N]/N$, где P_N — конц-ия ПМ. Энергия активации ТД составляет 62 ± 2 ккал. В. Дудоров

9Р83. Тепловая обработка облученного полипропилена. Sobue Hiroshi, Tazima Yashio. Heat treatment of irradiated polypropylene. «Nature» (Engl.), 1960, 188, № 4747, 315—316 (англ.). — Изучено влияние тепловой обработки на облученный полипропилен (I) посредством наблюдения за р-цией сшивания (РС) по увеличению содержания нерастворимой фракции I. Для исследования брали изотактич. I с мол. весом 270 000 и степенью кристалличности 75%. Облучение γ-лучами Co⁶⁰ с интенсивностью 3,0 · 10⁶ рад/час проводили на воздухе при 25° и в вакууме при 25 и 180°. Радикалы I, полученные при облучении в вакууме при 25°, относительно стабильны при 20°, как показано измерением электронного спинового резонанса, поэтому РС наблюдается лишь при больших дозах облучения. Прогревание I, облученного при 25°, в течение 1 часа при 180° приводит к быстрому протеканию РС. Облучение I в вакууме при 180° и на воздухе при 25° независимо от ДО не приводит к РС. Прогревание облученного при 25° на воздухе I в течение 1 часа при 150° приводит к РС, скоростью которой максимальна при 29 Мрад, а затем падает вследствие понижения мол. веса I. Обработка результатов по ур-нию Чарльби и Пиннера (см. РЖХим, 1959, № 18, 66863) позволила вычислить отношения p_0/q_0 (p_0 и q_0 — соотно-

ственно вероятности r -ции деструкции) и РС и ионизационные выходы РС для облученного при 25° I, подвергнутого и не подвергнутого тепловой обработке; значения p_0/q_0 и ионизационные выходы РС равны соответственно 0,7 и 0,16 и 0,8 и 0,1. В. Дудоров

9P84. Методы электронного парамагнитного резонанса в радиационной химии высокополимеров. Ohnishi Shun-ichi, Kashiwagi Michie, Iceda Yuichi, Mitta Isamu. Electron spin resonance studies in the radiation chemistry of high polymers. «Large Radiat. Sources Ind. Vol. I. Vienna», 1960, 291—320. Discuss., 320 (англ.; рез. франц., русск., исп.).—Проведено исследование спектров электронного парамагнитного резонанса (ЭПР) 15 различных полимеров, подвергнутых действию γ -лучей, и рассмотрены различия их спектров. Спектры ЭПР радикалов полимеров, находящихся в различном агрегатном состоянии, отличны один от другого. При нагревании аморфных полимеров выше T_g сигналы ЭПР исчезают. Установлено, что с увеличением дозы облучения до определенного предела концы свободных радикалов возрастают. Различие зависимостей спектров ЭПР радикалов различных полимеров от величины дозы объясняется изменениями структуры полимеров при их облучении. Проведено также исследование кинетики образования и исчезновения свободных радикалов и влияния T_g на последнюю; рассчитаны энергии активации этого процесса и величины половины продолжительности жизни радикалов. Исследованы r -ции взаимодействия кислорода с застрявшими радикалами; скорость этих r -ций определяет скорость диффузии кислорода в полимер. В свете полученных автором результатов проведено также подробное рассмотрение литературных данных. Ю. Липатов

9P85. Исследование γ -облученных винильных полимеров методом электронного парамагнитного резонанса. Ин Шэн-Кан, Праведников А. Н., Колмансон А. Э. «Хуасюэ сюэбао, Acta chim. sinica», 1960, 26, № 3, 164—168 (кит.; рез. русск.).—При радиолизе поливинилхлорида (I) и полинтриакриловой к-ты концы свободных радикалов, определяемая методом ЭПР, уменьшается с повышением T_g (облучение проводилось при T_g ниже T_g стеклования). Выход свободных радикалов при радиолизе I выше, чем при радиолизе полистилена, а выход поперечных связей меньше. Авторы считают, что свободные электроны, образующиеся при радиолизе I, могут захватываться полимерными молекулами. По резюме авторов

9P86. О механизме радиолиза полиизобутилена. Ин Шэн-Кан, Телешов Э. Н., Праведников А. Н., Медведев С. С. «Хуасюэ сюэбао, Acta chim. sinica», 1960, 26, № 3, 157—163 (кит.; рез. русск.).—При радиолизе полиизобутилена зависимости скорости деструкции и сшивания от T_g имеют один и тот же характер. Это объясняется авторами тем, что при деструкции полимера существенную роль играют вторичные радикальные r -ции. Скорость деструкции полимера в набухшем состоянии уменьшается. Если набухание происходит в толуоле, меченном C^{14} , то после облучения в полимере появляется активность, а характеристич. вязкость не изменяется. Авторы считают, что это связано с замедлением r -ции бимолекулярного диспропорционирования. Радиолиз смеси низкомолекулярной и высокомолекулярной фракции полиизобутилена (первая фракция мечена C^{14}) приводит к появлению активности в высокомолекулярной фракции. На основании этого авторы заключают, что деструкция может идти по бимолекулярному механизму.

По резюме авторов 9P87. Действие коронных разрядов на полиэтилен. Houghen L. R. Effect of corona discharges on polyethylene. «Natures» (Engl.), 1960, 188, № 4750, 577—578 (англ.).—Изучено действие коронных разрядов (КР) на полиэтилен (I) и n -октадекан (II) как модельное

в-во для I. I и II выдерживали в КР электрич. поля напряженностью 30 кВ/см в течение 25—50 час. в атмосфере воздуха, O_2 и CO_2 . За действием КР на I и II следили с помощью хроматографич. анализа продуктов их деструкции (Д); при этом частично окисленные I и II обрабатывали алюмогидридом лития в тетрагидрофуране с целью получения спиртов. Спирты из II разделяли хроматографически, а спирты из I переводили в триметилсилановые эфиры и хроматографически разделяли. В случае II обнаружены спирты только нормального строения, причем преобладает n -гептадеканол. Это свидетельствует о преимущественной Д II по крайним связям —C—C—. В случае I обнаружены этиленгликоль, триметилгликоль, вода и CO_2 . При Д II происходит случайный разрыв связи —C—C—. Д I и II обуславливают быстрые электроны КР. Это подтверждается тем, что степень Д пропорциональна кол-ву электронов, сталкивающихся с I и II. В. Дудоров

9P88. Соотношение между структурой и термостабильностью эпоксидных смол. Ehlers Gerhard F. L. Correlation between structure and thermal stability of epoxy resins. «Polymer», 1960, 1, № 3, 304—314 (англ.).—Исследован ряд поликарбонатов к-т, ангидридов, фенолов, аминов и катализаторов в качестве отверждающих агентов для эпоксидных смол (ЭС), полученной путем конденсации 4,4'-диоксидифенилметана (I) с эпихлоргидрином. Термостабильность и прочность на изгиб полученных ЭС и их изменение в процессе старения при 230° контролировали измерением потери веса образцом ЭС и T_g деформации при изгибе (ТДИ). Измерение потери веса образцом позволило оценить интенсивность r -ций разложения в ЭС при старении, а измерение ТДИ — получить данные о прочности первичных и вторичных связей в ЭС, а также степени сшивания ЭС при отверждении. Обнаружено, что комплекс BF_3 с амином эффективен в качестве катализатора отверждения ЭС, особенно ЭС, имеющих более чем две эпоксидные группы. Ангидридысодержащие ЭС, несмотря на некоторую нестабильность эфирной связи, обладают наивысшей ТДИ и наилучшей термостабильностью. Фенолы и амины малоэффективны в качестве отверждающих агентов и дают низкие значения ТДИ. Замена I в ЭС на 1,5-нафталидиол, 4,4'-диоксифенил, 4,4'-диоксидифенилсульфон, 3,4-эпокси-6-метилциклогексанкарбоксилат или 1,1,2,2-тетра-(n -глицидилоксифенил)-этан повышает ТДИ, причем наиболее эффективно последнее соединение. Добавки окиси α -пинена, окиси дипентена и аллилглицидилового эфира в качестве пластификаторов к системе ЭС (на основе I) — малеиновый ангидрид (II) повышают ТДИ. Показано, что для приготовления термически стабильных ЭС с высокой прочностью на изгиб в качестве основных структурных единиц смолы следует использовать поливалентные мономеры жесткой структуры, а в качестве отвердителей — диангидриды жесткой структуры с подходящими кол-вами полимеризующихся термостабильных добавок, что приводит к получению ЭС с жесткой трехмерной структурой. В. Дудоров

9P89. Механизм стабилизации поливинилхлорида бариевыми, кадмиевыми и цинковыми солями карбоновых кислот. II. Изучение с помощью радиоактивных индикаторов. Frye Alfred H., Horst Raymond W. The mechanism of polyvinyl chloride stabilization by barium, cadmium, and zinc carboxylates. II. Radioactive tracer studies. «J. Polymer Sci.», 1960, 45, № 145, 1—12 (англ.; рез. франц., нем.).—Образцы поливинилхлорида (I) смешивали на вальцах при T_g 160° со стабилизаторами — бариевой, кадмиевой или цинковой солью 2-этилгексановой к-ты (II), меченой радиоактивным изотопом C^{14} . Полученные пленки выдерживали при 140—180° в течение различного времени, затем растворяли в тетрагидрофуране, осаждали I

метанолом и определяли радиоактивность полимера. Показано, что кол-во II, связываемое образцами I, изменяется в зависимости от т-ры и длительности термообработки параллельно изменению интенсивности ИК-полосы поглощения при 5,75 м. При повторных растворениях и пересадках остаточная радиоактивность образцов не меняется, что доказывает образование хим. связи между I и II при термич. обработке стабилизированного полимера. Результаты, полученные методом радиоактивного индикатора, подтверждают предложенный в сообщении I (РЖХим, 1960, № 17, 72092) механизм стабилизирующего действия бариевых, кадмиевых и цинковых солей карбоновых к-т, основанных на их р-циях с подвижными атомами хлора в I. Образующийся при р-циях хлорид металла, как показали прямые опыты по введению BaCl_2 , CdCl_2 и ZnCl_2 в I, ухудшают качество полимера — вызывают увеличение хрупкости и изменение окраски. Органич. фосфиты, например трифенилфосфит, вводимые в состав промышленных стабилизаторов I, снимают вредное действие хлоридов металлов.

И. Слоним

9Р90. Реакционная способность полиэтилтерепфалата; гетерогенный гидролиз соляной кислоты. Ravens D. A. S. The chemical reactivity of poly (ethylene terephthalate): heterogeneous hydrolysis by hydrochloric acid. «Polymer», 1960, 1, № 3, 375—383 (англ.). — Для оценки доли аморфных областей в полиэтилтерепфалате (I) определены начальные скорости его гетерогенного гидролиза при 70° 4—7 н. р-ром HCl. Одновременно проведена оценка кристалличности I методом рентгеноструктурного анализа. Изучена кинетика гетерогенного гидролиза трех образцов I: аморфного изотропного (AI), ориентированного частично-кристаллического (ОЧ), неориентированного частично-кристаллического (НЧ). Мол. вес образцов, равный ~20 тыс., определяли по ф-ле $[\eta] = 1,7 \cdot 10^{-4} M^{0,83}$. Общее кол-во концевых групп на 10^6 г полимера вычисляли по ф-ле $N = 2 \cdot 10^6 / M_n$, где $N = 57,4 [\eta]^{-1,205}$. Скорость гидролиза определяли по изменению кол-ва концевых групп во времени. Энергия активации гидролиза образцов AI и НЧ равна 22 ккал/моль, а ОЧ 18 ккал/моль. Скорости гидролиза неориентированных образцов I (кристаллических и аморфных) практически совпадают. Скорость гидролиза ориентированного I значительно меньше.

Б. Геллер

9Р91. К изучению некоторых азопродовных поливинилового спирта и крахмала. Merle Yves. Contribution à l'étude de certains dérivés azotés de l'alcool polyvinylique et de l'amidon. «J. rech. Centre nat. rech. scient.», 1960, № 51, 91—115 (франц.). — Описано получение ряда аминированных производных поливинилового спирта (ПВС) и крахмала (КР). Эти производные являются волокнообразующими полимерами, которые хорошо окрашиваются (благодаря наличию свободных аминогрупп) кислотными красителями. Используя N-замещенные эпокси-1,2-амино-3-пропаны, можно получить модифицированные (N-замещенные, аминоксипропилированные) ПВС и КР с алифатич. (диэтиламино-) или ароматич. (фенилметиламино-) заместителями. Наилучшим реагентом является эпокси-1,2-диэтиламино-3-пропан, позволяющий получать ПВС со степенью замещения n до 0,48 и присоединяющийся даже в отсутствие соды, используемой с другими реагентами в качестве катализатора. Модифицированные таким образом ПВС и КР хорошо связывают кислые красители шерсти с сохранением окраски при многократном промывании. Другой класс аминопроводных с $n = 0,6$ получен при ацетилизации ПВС в кислой среде ω -диэтиламинопропионовым альдегидом. Все эти аминопроводные представляют также большой интерес как ионнообменные смолы средней основности, но с повышенной скоростью обмена. В обмене участвуют

почти все аминогруппы. Р-цией с окисью стирола были получены фенилоксиэтилированные ПВС и КР с $n = 0,8$, далее легко подвергаемые нитрованию. В случае ПВС при этом получается нитрат n -нитрофенилоксиэтилполивинила. Получить это соединение прямым действием на ПВС соответствующего азопродовного окиси стирола не удается. Модифицированные последним способом полимеры растворимы во множестве органич. р-рителей и, в частности, в N,N'-диметилформамиде, но утрачивают растворимость в воде. Аминопроводные полимеры вообще нерастворимы. ИК-спектроскопией установлено, что в процессе фиксации эпокси-1,2-диэтиламино-3-пропана на ПВС или КР происходит его изомеризация в аминоальдегид или кетон (появляется полоса, соответствующая карбонильной группе). Поэтому утрату растворимости можно объяснить образованием межцепных ацетальных мостиков в местах сближения альдегидных групп.

С. Френкель

9Р92. Изучение формальдегидных смол. LI. Взаимодействие поли-2,4-диметилстирола с формальдегидом. Iguchi Teizo, Huang Chingyun, Imoto Minoru. Resins from formaldehyde. LI. Reaction of poly-2,4-dimethylstyrene with formaldehyde. «Makromolekul. Chem.», 1960, 40, № 3, 200—206 (англ.; рез. нем.). — Исследовано взаимодействие поли-2,4-диметилстирола (I), поливинилтолуола (II), полистирола (III) и 2,4-диметилэтилбензола (IV) — модельного соединения I — с формальдегидом (V). Энергия активации и константа скорости р-ции IV с V (в уксусной к-те при 60, 70 и 80° в присутствии HClO_4) близки к таковым для м-ксилола. Взаимодействие I, II и III с V проведено в присутствии 60%-ного водн. р-ра HClO_4 (р-ритель — бензолуксусная к-та) при интенсивном перемешивании. Установлено, что реакционность I по отношению к V выше, чем у II, и что III не взаимодействует с V. Сообщение L см. РЖХим, 1960, № 10, 41433.

Л. Золотаревская

9Р93. Поли(4'-винил-цис-бензальацетофенон). Uguh C. C. Poly (4'-vinyl-cis-benzalacetophenone). «J. Polymer Sci.», 1960, 45, № 146, 325—340 (англ.; рез. франц., нем.). — Изучали действие солнечного света на поли(4'-винил-цис-бензальацетофенон) (I) и на модельное соединение — 4'-этилбензальацетофенон (II). Р-ры I и II в 1,2-диметоксиметане и приготовленные из I шократы облучали в отсутствие O_2 . При непродолжительном облучении разб. р-ров ($\sim 10^{-4}$ M) I и II (от нескольких минут до нескольких часов) цис-формы легко изомеризуются в транс-формы. Длительное облучение (в течение нескольких суток) приводит к димеризации и полимеризации II и сшиванию I. При добавлении следов HCl транс-форма II полностью изомеризуется в цис-форму. Добавка HCl к облученному I вызывает лишь частичную транс-цис-изомеризацию. Это объясняется протекающим даже в разб. р-рах внутримолекулярным сшиванием полимерных клубков, что создает стерич. препятствия для транс-цис-перехода.

А. Литманович

9Р94. Сшивание макромолекул целлюлозы под действием облучения высокой энергии. Leavitt Frederick C. Crosslinking of celluloses by high energy radiation. «J. Polymer Sci.», 1960, 45, № 146, 536—538 (англ.). — Однопроцентные водн. р-ры оксизилцеллюлозы подвергали облучению β -радиацией (0,25 Мрад). Наблюдали образование нерастворимого геля этого производного целлюлозы (II). Наблюдавшийся факт противоречит литературным данным по радиационному распаду II. При облучении II γ -лучами (Co^{60}) сшивки макромолекул II не наблюдается, а происходит лишь деструкция их. Указано также на возможность протекания при этом сопряженных р-ций окисления и деполимеризации.

Б. Геллер

9Р95. Исследование процесса отверждения метилол-полиамидных смол. Райбурд С. М., Родивилова

Д. А. Власова К. Н., Шабадаш А. Н., Игонин А. А. «Пласт. массы», 1960, № 7, 20—22.—Методом ИК-спектроскопии исследован процесс отверждения метилополиамидов марок МПЛ-20 и АМП, полученных путем обработки полиамидной смолы 54/10 параформальдегидом в среде этилового или бензилового спирта. Выяснено, что характер связей, образующихся в процессе отверждения метилополиамидов, не зависит от природы бокового спиртового радикала. Введенные в полиамид метилольные и эфирные группы видоизменяются при отверждении без образования новых, по сравнению с исходным полиамидом, структурных групп.

Л. Носова
9P96. Термодинамика реакций полигидроксильных соединений с медноаммиачным основанием. П. Взаимодействие целлюлозы с медноаммиачным основанием. Архипов М. И. «Изв. высш. учебн. заведений. Химия и хим. технол.», 1960, 3, № 4, 725—730.—Изучена термодинамика р-ции целлюлозы с медноаммиачным основанием полириметрич. и кондуктометрич. методами, а также по максим. равновесной растворимости. Определены основные термодинамич. характеристики: константа равновесия при 25°, тепловой эффект р-ции, изменение термодинамич. потенциала и энтропии. Разработан новый метод определения константы равновесия р-ции целлюлозы с медноаммиачным основанием, основанный на увеличении растворимости гидроксида меди в р-ре аммиака и показаны условия применимости этого метода. Сообщение 1 см. РЖХим, 1961, 5Б489

Б. Геллер
9P97. Спектроскопическое исследование эфиров целлюлозы. I. О применимости спектральных методов для характеристики фотохимических превращений в этилцеллюлозе. Катоников А. А., Ермоленко Н. Н., Сомова А. И., Ефремова О. Г., Гликман С. А. «Высокомолекул. соединения», 1960, 2, № 12, 1805—1810 (рез. англ.).—Исследованы спектры поглощения в УФ- и ИК-областях и спектры люминесценции препаратов этилцеллюлозы (I), содержащих различные кол-ва карбоксильных групп. Установлено, что спектры люминесценции и интенсивность люминесценции изменяются по мере облучения препаратов ультрафиолетовым светом. Изменения эти особенно заметны в начале облучения, что дает возможность судить о ранних стадиях деградации цепеобразных молекул I. Показано, что в препаратах I светочувствительность растет с содержанием карбоксильных групп. Нейтр-ция этих групп катионами Pb и Na приводит к стабилизации препаратов в отношении действия света. Высказано предположение, что наличие карбоксильных групп в препаратах I ускоряет фотохим. р-цию под действием УФ-облучения. Это согласуется с высказанным ранее заключением о роли карбоксильных групп в термоокислительном распаде этилцеллюлозы (см. РЖХим, 1956, № 7, 20951; 1959, № 13, 47938).

Резюме авторов
9P98. Изучение поверхностноактивных полимеров. IV. Свойства омыленных продуктов полимеризации винилацетата в растворе в хлористом аликте. Konishi H. Ikaru, Ishizuka Tetsuo. «Кобунс какаку, Chem. High Polym.», 1960, 17, № 180, 249—256 (японск.; рез. англ.).—Для определения поверхностноактивных свойств указанных продуктов применяли методы, упомянутые в сообщении II. Найдено, что активность полимера возрастает с уменьшением мол. веса. Полученные продукты превосходят полимеры, рассмотренные в сообщении II. Сообщение II, III см. РЖХим, 1961, 5P43.

Из резюме авторов
9P99. Природа галактоглоукоманнана ассоциированного с древесной целлюлозой южной сосны. Hamilton J. K., Partlow E. V., Thompson N. S. The nature of a galactoglucomannan associated with wood cellulose from southern pine. «J. Amer. Chem. Soc.», 1960, 82, № 2, 451—457 (англ.).—Изучено строе-

ние галактоглоукоманнана (ГГМ) — основной части гемицеллюлозы, выделенной из смеси равных частей отбеленных целлюлоз белой американской сосны (*Pinus palustris* Mill) и болотной сосны (*Pinus elliotii*). Смесь целлюлоз экстрагировали 10 раз 5%-ным NaOH (20°, 20 мин.). Экстракт фильтровали, подкисляли укс. к-той, концентрировали в вакууме (40°), осаждали метанолом. Полученную гемицеллюлозу (ГЦ) отбеливали ClO_2 и промывали CH_3OH , ацетоном и эфиром; выход в расчете на сухую древесину равен 1,1%. ГЦ растворяли в 72%-ной H_2SO_4 , разбавляли р-р до 1 н. конц-ии и гидролизовали 8 час. при 100°; в гидролизате хроматографией на бумаге показано наличие D-галактозы (I), D-глюкозы (II), D-маннозы (III), арабинозы (IV), D-ксилозы (V) в соотношении 1,2:1,8:5,2:1:12. Из ГЦ, состоящей, как показано выше, из ГГМ и арабосилана, экстрагировали водой и осаждали равным объемом р-ра Фелинга ГГМ с молярным соотношением I:II:III:IV:V = 1,2:1,0:3,0:0,1. Показано, что ГГМ независимо от способов получения и фракционирования является гомогенным полимером с мол. соотношением I:II:III:IV:V = 1:1,6:4:0,2. Ацетат последовательно метилировали диметилсульфатом — порошковатым NaOH, CH_3I — Ag_2O , диметилсульфатом — 30% NaOH. Метилированный продукт содержит 44,3% метоксигрупп, $[\alpha]_D^{25} + 9,5^\circ$ (с 3; хлф.). После гидролиза ацетата серной к-той в водн. ацетоне выделены 2,3-диметил-D-манноза (10%), 2,3-диметил-D-глюкоза (3,2%), 2,3,6-триметил-D-манноза (55,0%), 2,3,6-триметил-D-глюкоза (13,2%), 2,3,4,6-тетраметил-D-манноза (3,2%) и 2,3,4,6-тетраметил-D-галактоза (15,3%). Исходя из относительных кол-в метилированных I, II и III предложена структура ГГМ, в которой основная полимерная цепь построена из пиранозных форм II и III, соединенных в положении 1,4, с разветвлениями от C₆. Концевыми остатками являются I и III. Низкая оптич. активность ГГМ объясняется преобладанием β-связей.

Г. Зарубинский
9P100. Исследование возможности получения непредельных соединений целлюлозы по реакции Чугаева. Поляков А. И., Деревицкая В. А., Роговин З. А. «Высокомолекул. соединения», 1960, 2, № 3, 386—389 (рез. англ.).—Показана возможность синтеза непредельных соединений целлюлозы термич. разложением в тетралине в токе азота при 160—180° в течение 3—6 час. диксантогенита и метилксантогената целлюлозы. Диксантогенит целлюлозы со степенью замещения (C3) 130 подвергался термич. разложению; методом йодных чисел найдено, что дегидратация проходит на 38,5%. Разложение метилксантогената целлюлозы со C3-30 приводило в тех же условиях к количественному выходу дегидратированной целлюлозы.

М. Зарубинский
9P101. Химический синтез полисахаридов. Michael F., Böckmann A. Chemische Synthese von Polysacchariden. «Angew. Chem.», 1960, 72, № 6, 209 (нем.).—Описанным ранее методом (РЖХим, 1959, № 5, 18067) из D-глюкозы, D-маннозы, D-галактозы, D-ксилозы, целлобиозы и мальтозы синтезированы полисахариды с выходом 43—82%, мол. в. 11900—24400 (вычислен по седиментации и диффузии). Выходы значительно увеличиваются, если выделяющиеся при конденсации воду отгоняют в вакууме с бензолом. Полисахариды полностью ацетируются, но не метилируются, вероятно, вследствие сильно разветвленной структуры. Измерение уд. вращения показывают преобладание α-гликозидной связи.

Г. Зарубинский
9P102. Полимеризация днальдгидов. Митин Ю. В., Сазанов Ю. Н., Власов Г. П., Котон М. М. «Высокомолекул. соединения», 1960, 2, № 5, 716—718 (рез. англ.).—На примере терефталевого (I),

изофталевого (II), 2,5-диметилфталевого (III) диальдегидов и 4,4'-диформилдифенила (IV) показана возможность получения полимеров в безводн. среде в присутствии этилата алюминия (3,0—3,6 вес. %). Р-ция проводилась в блоке (в запаянных ампулах, в атм. N_2) при t -ре на 10—15° выше t -ры плавления соответствующего диальдегида. Время полимеризации I—6 час., II—2 часа, III—8 час. и IV—0,5 часа. За исключением IV, полиальдегиды растворимы в $CHCl_3$, диметилформамиде и крезоле. Приведены выход полимеров (в %) и t . пл. (в °C): I 99,7, 120, II 91,4, 80, III 41,0, 140, IV 90,0, 250. Мол. вес. I, определенный методом светорассеяния, достигает 100—120 тысяч.

О. Ив
9P103. Выделение смол из ванили экстракцией смесью хлороформ—амин. Burchfield H. P., Prill Edward A. Isolation of resins from vanilla by chloroform-amine extraction. «Contribs Boyce Thompson Inst.», 1959, 20, № 2, 135—139 (англ.).—Для извлечения смол из водноспирт. экстракта сырых плодов *Vanilla planifolia* применяют экстрагирование смесью хлороформа (I) и 1,3-ди-*o*-толилгуанидина (II). Слабые к-ты, содержащиеся в смоле, образуют с II соль, хорошо растворимую в I. 100 мл экстракта из 10 г плодов обрабатывают сначала 20 мл р-ра I, содержащего в 1 л р-ра 30 г II, затем дважды 25 мл р-ра I, содержащего в 1250 мл р-ра 10 г II, и 250 мл абс. спирта. Хлороформные слои соединяют, отгоняют от них I и остаток соли разлагают приливанием CH_3COOH (1 мл), 0,4 н. HCl (40 мл) и воды (40 мл). Выделившуюся смолу промывают (два раза порциями по 5 мл) 0,05 н. HCl, дихлорэтаном и опять 0,05 н. HCl и высушивают.

О. Охрименко
9P104. Структура флоридского крахмала. Часть I. Анализ связей частичным кислотным гидролизом. Часть II. Ферментативный гидролиз и другие исследования. Peat Stanley, Turvey J. R., Evans J. M. The structure of Floridean starch. Part I. Linkage analysis by partial acid hydrolysis. Part II. Enzymic hydrolysis and other studies. «J. Chem. Soc.», 1959, Nov., 3323—3327; 3341—3344 (англ.).—I. Флоридский крахмал (ФК), выделенный из *Dilsea edulis* и очищенный от галактансульфата обработкой йодом и бромистым пентилтриметиламмонием, содержал 92,6% полиглюкозы и имел $[\alpha]_D^{20} + 173^\circ$ (с 0,1; вода). Частичным гидролизом 12,5 г ФК (0,33 н. H_2SO_4 , 100°, 130 мин.) получены следующие данные (в г): 4,97 глюкозы (I), 1,69 мальтозы (II), 0,289 изомальтозы (III), 0,035 нигерозы (IV), 0,087 панозы (V), 0,079 6- α -мальтозил-I и следы 4,6-диглюкозил-I. Выделенные кол-ва III и IV значительно превышают рассчитанные для кислотной реверсии I. Предполагают, что в структуре ФК наряду с основной α -1 \rightarrow 4- и α -1 \rightarrow 6-связями при разветвлениях имеется некоторое число α -1 \rightarrow 3-связей и что строение ФК аналогично гликогену и амилопектину.

II. Ферментативным гидролизом ФК β -амилазой (β -А) (2 часа) получили 42,1% II и следы IV. Дальнейшим гидролизом образца в присутствии R-фермента (R-Ф) (6 час.) и β -А (21 час) увеличили выход II до 53,8%. Выделенный после гидролиза ФК в присутствии β -А остаточный β -декстрин подвергли гидролизу последовательно R-Ф (6 час.) и β -А (40 час.) и получили (в порядке убывания выхода) II, I, мальтотриозу (VI) и IV. Гидролиза ФК в присутствии последовательно α -А (30 мин.), R-Ф (6 час.) и α -А (1 час) дал I, V, VI, II, III и IV. Утверждают, что ФК содержит некоторое кол-во α -1 \rightarrow 3-связей. Окислением KIO_4 установили, что цепь ФК состоит из 15 ангидаглюкозных звеньев. По структуре ФК ближе к амилопектину, чем к гликогену.

Ю. Скорик
9P105. Новые данные в химии крахмала. V. Расщепление крахмала в щелочной среде. Holló János, Szejtli József, László Elemér. Újabb adatok a keményítőfrakciók kémijához. V. A keményi-

tő bomlása lúgos közegben. «Magyar tud. akad. Kém. tud. oszt. közl.», 1960, 13, № 1, 1—10 (венг.).—Для выяснения механизма расщепления крахмала в щел. среде, особенно в присутствии O_2 , определяли кинетику процесса методами адсорбции йода, вискозиметрии и определения остаточных глюкозидных связей. Последний метод наиболее точен. Установлено, что в присутствии O_2 скорость и, вероятно, механизм деградации другие, чем в отсутствие O_2 . Щел. деградация крахмала является р-цией первого порядка. Теплота активации, определенная из частных процессов, $\Delta H = +26,480$ ккал/моль. В присутствии O_2 суммарная теплота окисления и деградации $\Delta H = +58,800$ ккал/моль. Установлено, что в щел. среде амилопектин расщепляется быстрее, чем амилоза. Сообщение в РЖХим, 1960, № 16, 68218.

В. Фюрст
9P106. О взаимодействии полифосфонитрихлорида и алифатических спиртов. Yamada Fumiaki, Yokoyama Masaaki. «Кобунсё кагаку, Chem. High Polym.», 1960, 17, № 182, 377—380 (японск.; рез. англ.).—Изучено взаимодействие полифосфонитрихлорида и алифатич. спиртов и описаны свойства конденсированных алкильных эфиров полифосфонитрильных к-т. Трифосфонитрихлорид ($PNCl_2$)₃ приготавлен из PCl_5 и хлорида аммония (20 час., 120—130°) с использованием в качестве р-рителя сим-тетрахлорэтана. При полимеризации ($PNCl_2$)₃ (3 часа, 300°) получен эластич. каучукоподобный полимер полифосфонитрихлорида ($PNCl_2$)_n. При кипячении с обратным холодильником смеси ($PNCl_2$)_n и алифатич. спирта (напр., этилового, бутилового, амилового, октилового или лаурилового) получен алкиловый эфир полифосфонитрильной к-ты с высоким выходом.

По резюме авторов
9P107. Является ли борный ангидрид полимером? Бартевев Г. М., Еремеева А. С. «Высокомолекуляр. соединения», 1960, 2, № 12, 1845—1849 (рез. англ.).—В размягченном состоянии стеклообразный B_2O_3 ниже предела текучести находится в высокоэластич. состоянии такого же рода, как и органич. полимеры. Выше предела текучести наблюдается ньютоновское вязкое течение. Эти данные указывают на то, что стеклообразный борный ангидрид является линейным неорганич. полимером с относительно короткими цепями.

Из резюме авторов

9P108. Вязкоупругость. Феноменологические аспекты. Viscoelasticity. Phenomenological Aspects. Sympos. Lancaster, Pa, Apr. 28th-29th, 1958. Ed. Bergen J. T. New York—London, Acad. Press, 1960, x, 150 pp., ill. (англ.).—Материалы симпозиума в Ланкастере 28—29 апр. 1958 г. Помещены обзоры: Ли, Анализ напряжений в вязкоупругих телах; Марвин, Линейное вязкоупругое поведение каучукоподобных полимеров и его молекулярная интерпретация; Ферри и Ниномия, Сравнение вязкоупругого поведения семи типичных полимерных систем; Эрикссон, Поведение некоторых вязкоупругих материалов в ламинарном потоке при сдвиге; Ривлин, Основные ур-ния для классов деформации; Берген, Релаксация напряжений в полимерных материалах при комбинированной деформации растяжения и кручения. Маркович, Эффект нормальных напряжений в р-рах полимеров.

См. также: Физика полимеров. Спектры поглощения 9B94, 9B114. Смачивание 9B604. Адсорбция 9B622. Разделение 9B25. Фторосодержащие полимеры 9P24—9P27. Физ.-мех. свойства 9P355. Химия полимеров. Экстракция высокомолекулярными аминами 9D43, 9D44, 9D46. Образование 9L50. Новые полимеры 9P5. Синтез 9P13, 9P51, 9P307. Деструкция 9P71. Хим. свойства 9P136, 9P353. Хлорирование 9P352. Прибор 9E16. Белки 9C140, 9C145, 9C166

СИСТЕМА НУМЕРАЦИИ РЕФЕРАТОВ

С 1961 г. изменена система нумерации рефератов. Каждый раздел в каждом номере журнала имеет самостоятельную нумерацию. Перед порядковым номером реферата указывается номер журнала и буквенный индекс данного раздела (значения буквенных индексов см. Содержание на 2-й странице обложки).

Отдельному выпуску Биологическая химия присвоен индекс С.

Примеры:

Номер 1A12 означает, что реферат находится в 1-м номере журнала, в разделе А (Общий отдел) и имеет порядковый номер 12.

Номер 12Б125 означает, что реферат находится в 12-м номере журнала в разделе Б (Физическая химия) и имеет порядковый номер 125.

Номер 4С1276 означает, что реферат находится в 4-м номере выпуска Биологическая химия (индекс С) и имеет порядковый номер 1276.

АВТОРСКИЙ УКАЗАТЕЛЬ

А	Андо Д. 9К120	Баладин А. А. 9Б482,	Берштейн В. Н. 9Л1311	Букшун П. Д. 9М262
Абаренков И. В. 9Б170	Андреев Н. С. 9Ж75	9Б490, 9Б493, 9Б499	Берштейн М. Х. 9П644	Бунаков В. А. 9Л242
Абдуллаев А. А. 9Л1561	Андреева В. 9Б471	Балесан С. А. 9И233	Берштейн С. А. 9К408	Бунин К. П. 9Б375
Абдуллаев Х. М. 9Г142	Андреева В. Н. 9Б341,	Бандюкова В. А. 9Л1312	Берштейн С. А. 9И318	Бург А. Б. 9А30
Аблов А. В. 9В55	9Б342	Банкина В. Ф. 9Б366	Витарова В. А. 9Д71	Бурмистров Е. Ф. 9Л144
Або М. 9П159	Андренчев А. Н. 9К72	Банкс-Грийо М. 9Б204	Благов И. С. 9М55	Бурлак Т. А. 9Б644
Абрам А. 9Н25	Андренко Г. П. 9Н236	Баньковский А. Н.	Блешинский С. В. 9Н382	Бурлаков В. С. 9И219
Абрамова Т. В. 9Л545	Андрянов В. М. 9М257	9Л1464	Ближний Н. К. 9Л1111	Бурсиан Н. Р. 9Б492
Абрамян А. А. 9Б380	9Ж224	Барамбойм Н. К. 9П301	Близов К. А. 9И145	Бурсков И. И. 9И99
Абрамян А. В. 9Б380	Антонов А. Т. 9М73	Бараниников М. А. 9Н424	Блок Г. И. 9Н154	Бусев А. И. 9Д4
Абрикосов Н. Х. 9Б366	Антонов С. Н. 9П11	Баранов С. Н. 9Л74	Блуштейн М. Н. 9К255	Бухалова Г. А. 9Б363
Аварбе Р. Г. 9К89	Антоновский С. Д. 9П57	Барановский Н. 9Н119	Богданов С. В. 9Ж128	Бухарин А. Ф. 9Д143
Аврух М. Г. 9П122	Антропова В. И. 9П206	Баранская В. В. 9Г120	Богданова А. В. 9Ж74,	Бухаров И. Н. 9Д176
Автоман Л. О. 9Б158	Ануфриева Е. В. 9Р31	Барашкова Е. А. 9Б537	9Ж75	Бухман С. В. 9М117
Агаларов С. С. 9Г145	Аояма И. 9И169	Бардышев И. Н. 9М18	Богомолов Б. Д. 9М23	Бухтер Е. З. 9И89
Аганин И. Х. 9И130	Аояма И. 9П401	Барер Т. Л. 9Н85	Богомолов Д. Д. 9М22	Бучаченко А. Л. 9Б328
Адаума Н. 9К65	Аран Д. 9К65	Баринов И. П. 9Е49	Богомолов К. С. 9Г536,	Бучковский З. Ф. 9Ж1
Азарова Е. И. 9Г79	Аран С. 9К133	Баркова М. В. 9П30,	9Л546, 9Л547, 9Л551	Быков А. А. 9Н502
Азиев А. Ф. 9Л11	Арбузов Б. А. 9Ж234	9П326	Богомолова Л. К. 9Г51	Быков В. Н. 9Б182
Азиев М. А. 9Б159	Арбузов Г. Г. 9П643	Баргенов Г. М. 9Р107	Богомысленский К. А.	
Азизия Т. А. 9Ж88	Аронова Н. Н. 9Б122	Барулина М. В. 9Л126	9М75	В
Азори М. 9Р49	Артамонов В. С. 9И150	Басьян Н. П. 9К267,	Богомысленский П. С.	Вайрыб М. 9Р18
Айазаова А. А. 9Б408	Артамонов Г. П. 9Д25	9К274	9Б395	Вайштейн Э. Е. 9Г27
Айдаров Т. К. 9Д24	Артемко А. Р. 9Д71	Батуев М. И. 9Б122	Богуславский Д. Б.	Вайполин А. А. 9Б282
Айнштейн В. Г. 9И30	Артёмов А. Н. 9Ж213	Баданова Л. Р. 9К70	9П316	Вайсберг К. М. 9М240
Анадомо Г. 9Р48	Артохов И. М. 9М165	Башкатов Т. В. 9П331	Боико Н. Г. 9Л270	Вайсберг О. П. 9М79
Анжимо Т. 9И81	Артюхова С. А. 9Н199	Безидюга Л. Л. 9Е18,	Боико В. Я. 9Л270	Ванамуа С. 9П428
Анжияма И. 9П336	Арутюнова О. Л. 9М166	9Е27	Боник Г. Б. 9Б31	Вакуюла Л. А. 9Ж295
Анокув В. Я. 9М12	Архипов М. И. 9Р96	Бегун В. П. 9М44	Болдырева Т. П. 9А38	Валашек Е. Р. 9Л325
Анопов Е. К. 9Б390	Асам М. 9Н455	Безбородов М. А. 9К305,	Болобонов А. М. 9П537	Валетдинов Р. Р. 9К100
Анопин А. Е. 9Л57	Асатурян А. Ш. 9М162	9К266, 9К358	Болодаз Г. В. 9М33	Ван Ли-шан 9Б384
Алабышев А. Ф. 9Б568	Асесва З. Г. 9М13	Безрун П. И. 9Л270	Бондарев К. Т. 9К333	Ван Цань-тао 9М97
Аленин О. А. 9Г114	Асмаев П. Г. 9Н208	Белецкий В. Г. 9М73	Бондарь Д. Д. 9К89	Ванярына Н. М. 9М246
Алениндрова И. Т.	Аульхорн В. О. 9Е27	Беликов В. Г. 9Л303	Борисевич В. А. 9И25	Варгин В. В. 9К338
9Г27	Афанасьев А. Н. 9М78	Белова О. И. 9Н382	Борисов А. А. 9Б460	Варшавский В. И. 9Н424
Александрова О. А.	Афанасьев Б. Н. 9Л295	Бель А. П. 9Л106	Боровский И. Б. 9Б181	Вартаван С. А. 9Ж48
9М29	Афанасьев Г. Д. 9Г8	Белькевич П. Н. 9М94	Бородай Ф. Я. 9К333	Вартбуров О. Р. 9Б391.
Алексеева В. А. 9М55	Афанасьева Л. И. 9Н174	Бельский И. Ф. 9Ж54	Бородин В. И. 9К95	9Б392
Алексеева Е. А. 9Б471	Афанасьева Л. И. 9Д40	Бедюгу П. 9М47	Ботова А. С. 9А38	Варфоломеева Е. К.
Алексеева И. А. 9Б453	Ахмедова М. У. 9Н141	Белявский А. Б. 9Л173	Боховкин И. М. 9М24	9А38
Алексеевко В. И. 9Л644	Ахрем А. А. 9Ж282	Беляев А. И. 9А6	Бояджог Н. 9И248	Варшавский Т. П. 9М134
Алентьев А. А. 9К321		Беляев А. Ф. 9Б463	Брагинский М. А. 9П626	Василеко С. С. 9Б12
Алиев В. С. 9Л11	Б	Беляева Л. С. 9Г88	Брадинская Е. М. 9Г11	Васильченко В. С. 9М89
Алиева М. А. 9М199	Бабинова Ю. Ф. 9Б184	Белянская Е. А. 9К49	Братус И. Н. 9Н493	Васно С. 9К139
Аливадзе З. А. 9Л14	Бабинов Е. П. 9Б453	Беляничков Г. П. 9М223	Брыль М. Н. 9Б215	Вахидов Р. С. 9К188
Алиухов П. Я. 9М197	Бабин И. Н. 9Н347	Бергер	Бродский А. И. 9Б433	Вахрушев Г. В. 9Г76
Альбицкий Н. М. 9И109	Бабин Е. Н. 9Н347	Бергман А. Г. 9Б363,	Броунштейн Б. И. 9Н75	Вахрушев И. А. 9М294
Альтовский Р. М. 9И154	Бабоченко Н. Н. 9Н199	9Б390, 9Б391, 9Б392	Бруевич С. В. 9Г132	Вдовиченко В. Т. 9Л153
Альбов Г. А. 9Г121	Бабоцкая И. А. 9Б587,	Беренкой А. Н. 9Б267	Бруевич С. В. 9Г132	Веденев В. И. 9Б328
Алявдин Н. А. 9И11	9Б588	Беренкой А. С. 9А4	Бруйле Е. С. 9И192	Ведерников Н. Н. 9Г55
Амагасу М. 9К135	Баденкова Л. П. 9Ж16	Беренных Т. Ф. 9Р49	Брук А. С. 9М73	Вейнберг Б. С. 9И89
Амано Р. 9К180	Бадальнес И. С. 9И89	Березина М. Д. 9М252	Брянская Э. К. 9М151	Веневцев Ю. Н. 9Б227
Амацу Х. 9К137	Байбуз В. Ф. 9Б263	Березовская Т. П. 9Л245	Бугров В. А. 9М257	Верещагин Л. Ф. 9Б148,
Аммиля К. 9К347	Бананов Д. Г. 9Д30	Беренсон С. П. 9М222	Буднищия И. С. 9К372	9Е28
Андрей К. 9П592	Бакумская Е. Л. 9Б363	Берков Е. А. 9П114	Бувинов С. Н. 9М197	Верещагин Ю. Д. 9Н118
		Берман Е. Л. 9Д142	Буйно М. А. 9Н318	Вергельсон Л. Д. 9Ж168

Вермель Е. Е. 9Б500
Верховод Б. Н. 9Д140
Веселинов М. 9Н211
Викторов А. М. 9К394
Викторова Е. А. 9Ж85
Вилинская Е. Д. 9М225
Вилинский М. П. 9К162
Виноградова В. С. 9Ж234
Виноградова О. М.
9Б495
Витальская Н. М. 9Б617
Витман Е. О. 9М24
Витол И. К. 9Б210
Виттик М. В. 9Д54
Витуховская М. С.
9К49
Вихман М. Е. 9Н118
Вихтерле О. 9Ж304
Владимирова В. И.
9Б495
Владимирова В. М. 9Д92,
9Д96
Владимирова М. В.
9Б523
Власов В. Г. 9Б468
Власов В. С. 9Б373
Власов Г. П. 9Р102
Власова К. Н. 9Р95
Вовченко Г. Д. 9Б497
Войтех О. 9В40
Воднин В. Ю. 9Г141
Волковская Н. С. 9Б489
Волков Г. И. 9К172,
9К205
Волков Г. М. 9М59
Волков И. И. 9Г100
Волков К. 9Н399
Волкова З. А. 9М173
Волкова Л. М. 9Ж224
Волькенштейн М. В.
9Р31
Вольский А. Н. 9Б439
Вольфовский Г. М. 9М88
Воробьев В. А. 9К412
Воробьев Г. Г. 9Г1
Воробьев Ю. Л. 9К384
Ворожцов Н. Н. 9Л168
Ворова Д. А. 9М136
Воронин В. Г. 9Н493
Воронков М. Г. 9Ж219,
9Ж231, 9Л176
Воскресенская Н. Т.
9Г41
Второв Г. Н. 9П320
Вустер В. А. 9Е8
Высоцкий С. 9Н410

Г

Габай Л. И. 9М90
Гаврилов Г. А. 9Б127
Гаврилов М. З. 9П435
Гаевский Б. А. 9П491
Гализова О. Н. 9П112
Гайдук К. А. 9М94
Галинскер И. С. 9М136
Галышева Т. А. 9Ж51
Гамон Р. 9М56
Ганеев Н. Г. 9Г25
Гандевич И. В. 9М364
Гапон Т. В. 9П12
Гарба Л. С. 9К95
Гасюк Г. Н. 9Н99
Гафанович М. Д. 9Н120

Гашимзаде Ф. М. 9Б172
Гегучадзе Р. А. 9М65
Гейченко В. В. 9Б137
Гельперин Н. И. 9И30
Генринович А. И.
9Л305, 9Н478
Генель С. В. 9Н224
Георгиев Св. 9Н211
Герасименко А. А. 9Н357
Герасимов А. М. 9Н344
Герасимов П. К. 9Н424
Герасимовский В. И.
9Г35, 9Г36
Германек С. 9Ж282
Герман Н. А. 9М53
Гвайта Т. И. 9Г6
Гзовский М. В. 9Б639
Гзовский С. Я. 9Н41
Гиллер С. 9Б502
Гилзетдинов Л. П.
9М76
Гиндина Р. И. 9Б208
Гинзбург И. И. 9Г17
Гиннберг С. А. 9И230
Гладков А. В. 9Б283
Гладковский А. К. 9Г70
Гладченко В. А. 9Б363
Гладченко Л. Ф. 9П435
Гладышев Е. Н. 9П352
Глазуская М. А. 9Г5
Глазунова Н. Б. 9Л130
Глиман С. А. 9Р97
Глузман Л. Д. 9М76
Глухова З. Ф. 9П488
Глухоманов А. М. 9Л53
Глушников Р. Г. 9Ж175
Гидель И. Р. 9Л266
Гбусин Н. П. 9Б573
Гобов А. П. 9К95
Годин Ю. Г. 9Б368
Гохман А. Ш. 9П366
Голованенко Б. И.
9Л101, 9Н494
Голованов К. Н. 9И233
Головин П. В. 9Н357
Головин Ю. М. 9М58
Головкин Р. В. 9И193
Головина В. А. 9Б53,
9Б63
Головинская Е. С.
9Ж171
Голодь Г. И. 9Б489
Голодова Л. С. 9Н413
Голомштон М. М. 9Н52
Голубцов С. А. 9Л106
Гольдфарб М. И. 9Л231
Гольдштейн Р. Б. 9И122
Гомонов В. 9Н399
Гончаренко И. Н. 9И181,
9М86
Горбатов И. А. 9Б408
Горбунов Н. И. 9Г93
Горбунова О. Ф. 9М22,
9М23
Гордадзе Г. С. 9Б60
Гордеева М. Н. 9Д52
Гордеева Н. Н. 9Б553
Гордийчук И. Б. 9Л548
Гордон С. Н. 9К357
Горевой Р. Г. 9Л552
Горезик М. В. 9Ж128
Горин Ю. А. 9Б498
Горн И. К. 9Б498
Городенчик Б. Я. 9И120

Горфункель В. В. Е.
9К59
Горшков А. А. 9К231
Гофман В. В. 9К393
Гофман Э. 9М46
Гофман Ф. 9М77
Грановский Э. И. 9Д25
Гребенников О. Т. 9Г63
Гресса Ю. 9Б555
Грибовский В. 9П86
Григорова Л. П. 9И333
Григорьев А. Т. 9Б367
Григорьев З. Э. 9И347
Григорьева Е. А. 9М136
Гририк А. А. 9В9
Грийо Э. 9Б204
Гринштейн С. А. 9К96
Грицаева Е. С. 9Л243
Гришина Н. П. 9К358
Гришина Т. М. 9Б497
Гришук А. П. 9Л74
Гросс Е. Ф. 9Б194,
9Б204
Грудев А. П. 9Г66
Грузин П. Л. 9Б184
Грушко М. Ф. 9Н59
Грушко О. Л. 9М179
Грязнов Н. С. 9М72
Гузь С. Ю. 9К95
Гуляй И. С. 9Н371
Гуляев С. П. 9Н262,
9Н329
Гуляева Г. М. 9К96
Гуменок А. Г. 9Л537
Гурвич А. М. 9Д12
Гуревич Б. Е. 9М210
Гуревич В. М. 9Б229
Гуревич М. И. 9Н62
Гуричева З. Г. 9И296
Гурман В. С. 9Б514
Гурская Л. И. 9Н11
Гусаков В. Н. 9М16
Гуткин А. М. 9Б638
Гуторова Л. Л. 9К338
Гюзелев Л. 9Н211

Д

Давидович Н. К. 9Д96
Давыдова С. Л. 9Р72
Давыдова К. И. 9М119
Давыдова Л. П. 9Ж294
Даев Н. А. 9Н492
Далин М. А. 9Л116,
9Л144
Дамански А. 9Л239
Данилов А. Д. 9Г106
Данилов Б. П. 9К360,
9К362
Данилов М. М. 9Н184
Даниэль Н. 9М47
Двадцатилетний А. И.
9Ж131
Дворкинд М. М. 9К267
Деттарева Л. М. 9П119
Дедешко М. П. 9Д140
Дедушенко Л. С. 9Л113
Дейч А. Я. 9Б396
Делимарский Ю. К.
9Б341, 9Б342
Денисов Е. Т. 9Б427
Денисов С. С. 9М259
Денисов Ю. Н. 9Д30
Дениер И. П. 9И206
Дергилева В. Е. 9К393

Деревницкая В. А. 9Р100
Дерковская И. Л. 9П98
Дернова М. А. 9К396
Дерягин Б. В. 9Б647
Дерягина О. Г. 9Б584
Джоглев Д. 9Б386
Джорбенадзе Н. П. 9И21
Дзэнто Х. 9Л358, 9Л360
Дианов Е. М. 9Б106
Диесперова М. И. 9К229
Димитров К. 9Н80
Диомидов А. П. 9М57
Дмитриев А. К. 9Б436
Дмитриев М. М. 9М80
Дмитриева Н. Д. 9К136
Добрянский Г. Ф.
9Б230
Добриков К. Ф. 9М217
Добров В. П. 9М86
Добровольский А. И.
9И278
Добровольский В. В.
9Г78, 9Г81
Добропаров Ф. Н.
9Н344
Добрянский А. Ф. 9М144
Добычина А. М. 9Б577
Долгих А. Н. 9Ж74
Доманская Ю. 9Н20
Домарева Т. В. 9М20
Домбровская Н. С.
9И192
Дорофеев Г. Н. 9Ж64
Дорохова М. И. 9Л145
Дорощ В. М. 9Д76,
9Д99
Драбкин А. Е. 9И347
Драгунов С. С. 9М125
Дракин С. Н. 9Б537
Дробашева Т. И. 9Г31
Дрозд В. Н. 9Ж247
Дроздов Н. П. 9Л20
Друченко В. А. 9К356
Дубенко Р. Г. 9Ж122
Дубинков Л. М. 9Д159
Дуброва Г. 9И174
Дубченко В. Н. 9А35
Дуйсеебаева Ж. А. 9Д87
Дукова Е. Д. 9Б409
Думанский Н. А. 9Б545
Дунаев М. Н. 9М51
Дуров С. А. 9Г31
Дымарчук Н. П. 9Р9
Дынеш К. 9Н77
Дьячкова З. С. 9К229
Дьячкова Р. А. 9Б303

Е

Евдокимов В. И. 9Б151
Евстафьев А. Г. 9И70
Евстигнеев Р. П. 9Ж150
Евстратова К. И. 9Л318
Евстюкин А. И. 9Б368,
9Е49
Егорова К. В. 9Н84
Егорова М. С. 9Л546,
9Л547
Егорова О. П. 9Г80
Елисеев А. А. 9Б394
Ельчинов Д. П. 9Ж86
Емельянов В. С. 9Б368
Емельянов Н. П. 9Ж83
Ешиеев С. Г. 9Н344
Ентус Н. Р. 9М260

Еремеева А. С. 9Р107
Еременко В. Н. 9Б379,
9Б559, 9Б603
Ермолаева Е. В. 9К265
Ермоленко И. Н. 9П435,
9Р97
Ермоленко Н. Н. 9К305
Ерохин Г. С. 9М294
Ершова З. В. 9Б523
Есенов Ш. Е. 9Г55
Есин О. А. 9Б565
Ефименко Л. С. 9Г79
Ефимов В. А. 9М210
Ефимов Ф. Н. 9Г47
Ефремова О. Г. 9Р97
Ечина А. А. 9Н492

Э

Элиев Ч. Э. 9М170

Ж

Жаброва Г. М. 9Б495
Жаворонков Н. М. 9Л237
Жань Хуа 9Л328
Жарковский Д. В. 9П434
Жданов Г. С. 9Б227
Желудев И. С. 9Б230
Жеребенко А. В. 9Д87
Жилина Л. Д. 9Г561
Жунко В. И. 9М167
Журавлев Н. Н. 9Б138
Журавлева Л. Е. 9Ж81

З

Заблюцкая В. Л. 9К149
Заборский Б. А. 9Д549
Забродский С. С. 9М44
Заварицкий А. Н. 9Г139
Завгородний В. К. 9П102
Завгородний С. В. 9Ж86
Завельская И. Г. 9Ж282
Завлин П. М. 9К100,
9Л109
Завьялов С. П. 9Ж92
Заева В. И. 9Л8
Зазубович С. Г. 9Б207
Заика Н. П. 9Б2
Зайиц Б. 9Н51
Зайковский А. В. 9И30
Зайончковский А. Д.
9П644
Зайцев Б. А. 9Ж86
Зайцев Н. 9П328
Зайцева В. П. 9Ж79, 9Л49
Зайцева С. Д. 9Ж206
Залесская Т. Е. 9Ж81,
9Ж94
Зарицкий П. В. 9Г67
Зарский П. А. 9К356
Зарубин А. П. 9М365
Зарубицкая А. Н. 9К171
Заставский Ю. С. 9М226
Заутавилли Б. З. 9Г137
Захаваева Н. Н. 9Б647
Захарин Н. Ф. 9Д32
Захарин Л. П. 9Л99
Захаров Г. В. 9М365
Захарьевский М. С.
9П591
Защипин Л. П. 9Б533
Зашквара В. Г. 9М43
Здорго А. Г. 9К367
Зейгерман И. Ю. 9Н88
Зеленин Н. Н. 9М200

- Зинин В. Г. 9М240, 9М266
Зильберман Е. Н. 9Л189
Зинков А. А. 9В16
Зиновьева Л. Д. 9Д172
Знобинский А. Г. 9К62
Значко-Яворский И. Л. 9К395
Золотухин В. К. 9Б557
Зонис С. А. 9К38
Зонов Ю. А. 9Б309
Зубанов С. М. 9К289
Зубарева М. Н. 9К271
Зубова М. Ф. 9Л1248
Зубов В. П. 9Р79
Зубов М. Ф. 9Л330
Зубович Н. А. 9Б617
Зубченко А. В. 9Н46
Зудин А. А. 9Б63
Зуйнов Г. Г. 9К362
Зульфугарова А. Г. 9Ж56, 9Ж143
Зухс Н. Д. 9Г84
Зю Зе Ха 9К270
- И**
Ибадов А. Ю. 9Н478
Иванов А. А. 9И90
Иванов А. Н. 9М88
Иванов В. В. 9Г141
Иванов Г. 9Г118
Иванов К. Н. 9М225
Иванов К. М. 9П12
Иванов Л. Л. 9Н494
Иванов П. Я. 9Н355
Иванова В. А. 9Л131
Иванова В. В. 9Б227
Иванова Л. Г. 9Л503
Иванова Н. В. 9Л231
Иванов-Эмин Б. Н. 9Б555
Ивасани 9М49
Ивасани Д. 9К170
Ивата К. 9Л1356
Иватаре К. 9Л446
Игараси Т. 9П113
Игнатова Т. С. 9К268
Иголин А. А. 9Р95
Ида С. 9М129
Ида Ф. 9Р71
Идельчик З. Б. 9Ж209
Изоенский Р. И. 9К172
Измоский С. И. 9Е7
Индимма Т. 9К204
Инокэма Х. 9К127
Иноэ Р. 9К139
Ильенко О. Г. 9М255
Ильин Г. С. 9Н207
Ильин Н. И. 9Б181
Ильинский Д. Я. 9П1565
Ильяшук Н. Д. 9П1601
Инамота Н. 9Ж26
Инон Т. 9Л346
Иноуэ Р. 9К135
Иноуэ Т. 9Н275
Инукава К. 9Л203
Ич Шон-Кан 9Р85, 9Р86
Иовчев Ж. 9Н187
Ион Ф. 9Л51
Ионин Б. И. 9Л109
Ирисова Н. А. 9Б106
Ириэ К. 9К174
Исра К. 9К401
Исагулянц В. И. 9Ж88
- Исайнов В. К. 9Е28
Исида Т. 9К218
Исидаки Д. 9Д116
Исикава И. 9И221
Исикава И. 9Л206
Исихара А. 9Н275
Исияма Т. 9Л512
Исмаиладзе И. Г. 9М152
Исобо К. 9П109
Итая Т. 9Н114
Ито К. 9Н273
Ито Р. 9К180
Ито Т. 9Н183
Ито Т. 9Р59
Ихвирашвили Д. Г. 9Б549
Иятюми К. 9Л498
- Й**
Йокота Н. 9К206
Йокотанэ Т. 9Д1
Йокояма М. 9Л1356
Йомитанияма А. 9К57
Йонэдзани С. 9И254
Йозмоти С. 9К50
Йосида Д. 9Л201, 9Л346
Йосида М. 9Н275
Йосида М. 9Л144
Йосида С. 9К209
Йосидава С. 9И330
Йосидзава С. 9К212
Йосидзани Н. 9М280
Йосин Х. 9Н275
Йосимото Я. 9Н50
Йосимура О. 9К180
Йосино Т. 9Л142
Йосино С. 9К218
- К**
Кабалинина С. С. 9Б148
Кабанов В. А. 9Р79
Каван В. 9Р58
Каваками М. 9К208
Каваками Я. 9Н468
Кавакуну К. 9И128
Кавамура М. 9Н274
Кавамура С. 9Д189
Кавасима Т. 9К337
Кавати С. 9Л445
Кавахата М. 9Д130
Каганович Ю. Я. 9К62
Каганский М. Г. 9Б12
Кадагитани К. 9К4
Казакова Е. А. 9К59
Казацкий Б. А. 9Б494
Казарновский С. Н. 9Л47, 9М256
Казыцына Л. А. 9Ж1
Кан С. 9Н311
Канабадаэ В. М. 9К110
Канхихана Х. 9Д18
Кантаровская М. С. 9П30.
9П326
Калечин Н. В. 9Л39
Калинина Л. С. 9Л126
Калинина В. А. 9М119
Калижний М. Я. 9М33
Камедулски В. 9Л236
Каменская И. Н. 9М245
Каминана М. 9Л142, 9П268
Каминский Д. Л. 9Б12
Камицукури Т. 9П157
Каминяги Ц. 9Л359
- Каман С. 9К292
Кан Вон До 9К270
Каневский Е. А. 9Б410, 9Б435
Кано Х. 9Л397
Канэно А. 9Н454
Каплан Б. Я. 9Д153
Карамушко Р. И. 9К373
Караетян К. И. 9Г44
Карасин Е. Э. 9М55
Карашарли К. А. 9Б326
Каргин В. А. 9Р79
Кардашев А. В. 9Н267
Кариёна К. 9Л358
Карлин А. В. 9Л107
Карианухов А. П. 9Б622
Карпейская Е. И. 9Б490
Карпенко М. К. 9Н331
Карпов Б. И. 9И53
Карпухин Г. Г. 9П626
Карпухина Т. В. 9А38
Карташов Н. А. 9К413
Карцев В. Н. 9Л305
Карцев Е. С. 9М87
Касаткина Е. И. 9П307
Касибаги Д. 9П402
Касимура Т. 9П318
Касимова А. А. 9К119
Касьянова А. А. 9П219
Касэ Х. 9К197
Катагири М. 9Н126
Катибинов М. А. 9Р97
Като Н. 9Н279
Като Т. 9Л339
Катунин В. Х. 9М13
Катченков С. М. 9Г82
Каухова Л. А. 9К207
Кац М. Л. 9Б259
Кацумата С. 9К28
Кацтанов С. Г. 9Г144
Кейер Н. П. 9Б478
Косэмэнли Ф. 9Б272
Киёмидзу Т. 9П154
Кикунти Д. 9Н454
Кикури С. 9К457
Киносита С. 9Н267
Киносита Т. 9П133
Киносита Х. 9К140
Кипнис Ю. Б. 9Н11
Кипрач Л. И. 9Д170, 9Ж58
Киракосян А. К. 9Б393, 9Б394
Киреев М. Н. 9Б339, 9Б340
Кириенко Н. В. 9П644
Кириков В. 9Н153
Кириков П. А. 9Б570
Кириш И. В. 9Б532
Кирьяков Г. З. 9К188
Киряева Э. Е. 9К367
Кисарев В. М. 9Н340
Кисарова Л. И. 9Л20
Киселев А. В. 9Б614, 9Б622
Киселев Б. П. 9Б306
Кисин Ц. 9Н124
Киссин Б. И. 9Л144
Кита Т. 9П255
Китагава Э. 9Н277
Кигель Т. Б. 9М93
Клебанский А. Л. 9П305
Клейшиц З. С. 9Н88
Клейнзингер И. 9Н124
- Клейнман М. С. 9Н380
Клименко В. Л. 9М167
Климушев А. В. 9Б364
Клида Э. Л. 9К205
Клюгин С. А. 9П349
Ключинин В. Р. 9Б397
Клягина И. П. 9Б253
Клюри М. Г. 9Е27
Клуниц Н. Л. 9Л175
Кобаяси А. 9П29
Кобаяси И. 9Л329
Кобаяси П. 9И330
Кобаяси М. 9Н338
Кобаяси С. 9К219
Кобаяси С. 9П101, 9П105, 9П108
Кобзенко Г. Ф. 9Б406
Кобрин В. А. 9Л262
Ковалев И. Ф. 9Б82
Ковалева М. В. 9Л355
Коваль Б. А. 9М55
Ковальская Л. П. 9Н84
Ковальчук Л. М. 9П123
Коварик Я. 9Ж271
Ковельман Г. А. 9К303
Ковба Л. Д. 9Б587, 9Б588
Коган Е. А. 9Б353, 9Б354
Коган Ф. И. 9Н100
Коган Э. В. 9Л107
Когарко С. М. 9Б460
Кодама Н. 9П132
Коен В. 9Б598
Кожбанова М. О. 9Д140
Кожевников Ю. В. 9Ж111
Кожевникова Л. А. 9Д31
Кожюкина Г. Я. 9Б400
Козаченко Л. С. 9М213
Козельцев Л. И. 9П61
Козин Н. И. 9Н424, 9Н444
Козно А. И. 9М63
Козлов А. Г. 9Б49
Козлов А. И. 9М32
Козлов В. Н. 9М10, 9М15, 9М21
Козлова Н. П. 9М119
Козлова Т. Ф. 9Ж136
Козунин И. И. 9Н127
Кона П. А. 9Д25, 9Д86
Коншарова С. Ф. 9Б12
Колбовский Ю. Я. 9Р7
Колденко И. П. 9М21
Колесник А. 9Н67
Колесников Г. С. 9Р72
Коллодий К. К. 9М41
Колмансон А. Э. 9Р85
Кодоколыньков В. С. 9К412
Коломпец Б. Т. 9Б216
Колотухин Н. Н. 9М256
Колташев Н. Г. 9Е17, 9Л248
Колушева А. 9Б598
Колчинская И. Д. 9Н331
Комаров Н. В. 9Ж214
Комарова Т. А. 9Б407
Комацу С. 9Д116
Комацу С. 9М280
Комацу Ф. 9Б501
Коминато К. 9Л377
- Комиссарова Л. И. 9Б21
Комков А. И. 9Г26
Комори С. 9Н383
Комори С. 9П598
Комори Х. 9Б501
Кондратенко А. А. 9Н184
Кондратьева Г. В. 9Ж92
Кондратьева Ю. В. 9К305
Конев В. 9Н67
Конев С. В. 9Н127
Кониси С. 9К196, 9К198
Конкин А. А. 9П360
Коновалова Д. В. 9Н224
Коновалова Л. Н. 9М63
Конюнон В. П. 9К322
Конючук Т. И. 9И246
Коноров П. П. 9Б224
Конюнуэ С. 9Р30
Кончаков Г. 9Н183
Конюшенко А. Т. 9И193
Коптев Г. П. 9К56
Коптюч В. А. 9Д155
Кощик В. А. 9Б404
Копылев Б. А. 9Б384
Кордазия Н. М. 9К110
Корес К. 9И250
Коржинский Д. С. 9Г45
Корилов И. И. 9Б373, 9Б374
Корнийчук Г. П. 9Б489
Коробкин А. А. 9Б634
Королева Н. И. 9М10
Короновский Н. В. 9Г41
Кортацци Н. А. 9М125
Кормацу М. 9Р29
Корьякин В. А. 9Б116
Корьякин В. И. 9М12
Косов Н. Д. 9Б226
Кост А. И. 9Л528
Кост В. Н. 9Ж31
Коста Г. 9П137
Костин Н. Е. 9Г60
Костина С. И. 9П307
Костянова А. А. 9П642
Котляр Б. И. 9Б216
Котон М. М. 9Р102
Кофман Л. С. 9Л19
Кочержинский Ю. А. 9Б406
Кочелева Л. М. 9М152
Коя К. 9И111
Кояма Т. 9П27
Кояно А. 9Н273
Крайник Н. И. 9Б228
Крамаров О. П. 9Б241
Крамник В. Ю. 9К95
Красивская А. А. 9П444
Красильникова Л. Н. 9Д98, 9Д101
Красникова Л. Я. 9Б497
Краснов А. А. 9Г141
Краснов К. С. 9Б50
Крауская М. П. 9Л175
Краус Л. 9Л323
Крачанов Х. Г. 9Н376
Крепкогорский Л. Н. 9Г116
Кретов А. Е. 9Ж120
Кристофель Н. Н. 9Б170
Кричевский П. Р. 9Б268, 9Б358

- Криштал М. А. 9Б176
Крозер С. 9Р18
Кройчук Л. А. 9К365
Кропачев А. М. 9Г77
Крот Н. Н. 9В49
Круглякова В. Ф. 9Н36
Кружевникова А. И. 9Л295
Крупаткина Р. К. 9М88
Крупшведа Т. А. 9Б498
Кручинина М. М. 9Н85
Крыжановская И. А. 9К367
Крыжановский А. В. 9Б370
Крыжановский Б. П. 9К187
Крыхтия Г. С. 9К380
Крюкова О. Н. 9Б372
Кубо Т. 9К53
Кубота К. 9И61
Кувада Ц. 9М133
Кувано С. 9П215
Кувата Г. 9Л7462
Кувата К. 9Р25
Кудо Т. 9К218
Кузнецов А. Я. 9К187
Кузнецов А. Р. 9И11
Кузнецов В. Г. 9М256
Кузнецов Е. В. 9К100
Кузнецов Ф. А. 9Б402
Кузнецова Е. М. 9Б305
Кузьменков Л. Н. 9М82
Куковский В. Г. 9Г83
Кулиев А. М. 9Ж56,
9Ж143
Куликова А. Е. 9Л89
Кулишенко А. З. 9М64
Кумото И. 9Н58
Куниа А. М. 9М82
Кунианский Н. А. 9Н88
Курита К. 9М131
Курихара К. 9К299
Курияма С. 9Р29
Курочкин А. С. 9Р73
Куртенов М. М. 9Н149
Кусаков М. М. 9Б606,
9М248
Кусодина В. А. 9Б436
Кучеренко М. М. 9П19
Кучеров Р. Я. 9Б415
Кучерный В. И. 9Б273
Кучумов В. А. 9К89
- Л
- Лаврищев В. А. 9Ж120
Лагидзе Р. М. 9Ж131
Ладженская И. В. 9М348
Лазарев А. Н. 9Б96
Лазарев В. В. 9Б600
Лазарев В. И. 9Б494
Лазарис А. Я. 9П352
Лазурьевский Г. В. 9М30
Лайнер Д. И. 9Л106
Ланге Ф. К. 9Е18
Лантратов М. Ф. 9Б568
Ланкова Л. Б. 9Ж58
Лашин Ф. В. 9Г133
Лашпина З. Я. 9Ж181
Ларионова А. С. 9Л171
Ласло А. 9М196
- Ляхтер К. Х. 9Д50
Латш В. В. 9Б382
Лебедев А. Г. 9Б468
Лебедев В. Г. 9В42
Лебедев В. И. 9Г36
Лебедев И. М. 9Н492
Лебедева Т. М. 9Н197
Левин С. М. 9Б615
Левин Э. С. 9Л208
Левина Р. Я. 9Ж124,
9Ж136
Левитман Х. Я. 9А24,
9А27
Левков Я. Л. 9Ж84
Левченко Ф. Ф. 9Л171
Левчук Н. А. 9К369
Левшина А. М. 9Ж56
Лейбан А. 9Н124
Лейдман Ц. А. 9Д32
Леммлейн Г. Г. 9Б409
Леонова А. П. 9Н191
Леонтьев Е. А. 9Б624
Леонтьев Н. И. 9Е24
Лепеса А. М. 9К274
Лещинский М. Ю. 9К383
Лещук А. Е. 9М29
Ли А. Ф. 9Г11
Лившиц К. М. 9М294
Ливый Г. В. 9П626
Ли Гуан-лиан 9Ж222
Лизунов Н. В. 9Г141
Лийдья Г. Г. 9Б213
Лилеева А. К. 9Б402
Лин Вэен-лянь 9Ж124
Линиц Л. Р. 9Б268
Линь Цу-сян 9Б423
Липатов Н. Н. 9И27
Липина Т. Г. 9И346
Липиц В. Г. 9Н331
Лисина А. И. 9М19
Листович В. Е. 9Б379
Литвиненко М. С. 9М79
Литвинцев Ю. А. 9И172
Лифанов И. И. 9Б36
Лифшиц Л. М. 9Д153
Лихтенштейн Г. И. 9Б328
Лидарев М. А. 9Г56
Лобанова В. В. 9Г16
Лобашов А. А. 9Б273
Лобусевич Н. П. 9Л106
Лозовой А. В. 9М169
Лопатина А. М. 9Б647
Лосев И. П. 9Ж62, 9Р74,
9Р77
Лосева Е. Л. 9Б181
Лощкарев А. Г. 9Б554
Луань Да-хай 9М97
Луговской И. Г. 9М175
Луначкий А. А. 9М225
Лукина М. Н. 9К370
Лукьяновский В. М. 9Б624
Лун Тянь-хай 9Л232
Луханоодер Э. Т. 9М98
Луценко Л. М. 9Ж62
Лушер А. 9М56
Лушчик Н. Е. 9Б207
Лушчик Ч. Б. 9Б200
Лыгин В. И. 9Б614
Лыков М. В. 9Н380
Лысенко В. И. 9Д188,
9Д141
Лыова Н. М. 9Н68
Лыбеников В. К. 9П316
- Любавая А. И. 9Н10—
9Н12
Люкшинов А. Г. 9Л258
Люпанов Н. 9Н376,
9Н378
Лю Чан-чун 9Л257
Лялин Е. В. 9И186
Ляпина Л. А. 9П316
Ляшенко В. С. 9Б182
- М
- Магидсон О. Ю. 9Ж175,
9Л121
Мазан Л. К. 9Д82
Майер Н. А. 9К208
Майорова Э. А. 9П84
Макаров И. А. 9Л115
Мани М. 9Н452
Манисима С. 9Б481
Маницуну Т. 9Л397
Макляев Ф. Л. 9Л111
Маковецкая К. Н. 9Л107
Максимов М. З. 9Е24
Максимов Г. В. 9Б209
Максимова М. В. 9Б367
Малахов В. Ф. 9Б305
Малинин С. Г. 9Н331
Малинина Р. Г. 9Н190
Малышева А. Ф. 9Б202
Малышева Л. А. 9Л106
Малышева Г. Н. 9Л177
Мальцев В. Ф. 9Д82
Мамиснер К. С. 9П19
Малосов А. В. 9Л237
Мамедов Ф. А. 9М152
Мамынин П. С. 9К228
Манафов Б. М. 9К205
Манвелян М. Г. 9Б380
Мантуров Н. 9И363
Мачес С. 9Н309
Марауццева Г. В. 9Л248
Марий М. О. 9Л239
Марков В. П. 9Б50,
9Б51
Марков С. С. 9К122
Мартинсон Е. Н. 9Е22
Марх А. Т. 9Н93, 9Н95
Мархасев Б. И. 9К231
Марченко А. Г. 9И247
Маслянский Г. Н. 9Б492
Масула Х. 9Р29
Масуко Э. 9Б85
Матвеев В. К. 9Л204
Матвеева А. Д. 9Б122
Матвеева Т. Н. 9Л9
Матвиенко А. Д. 9К383
Матов Б. М. 9Н99
Матюхина Л. Г. 9М20
Матюженский Б. В. 9М30
Мауо Ф. Р. 9Р80
Махлин А. Н. 9К356
Махновецкий С. И. 9М32
Мацубара И. 9Н267
Мапуда Т. 9К12
Мацумото М. 9П62
Мацухара Т. 9К124
Маэда К. 9Л149—9Л151
Маэда Ц. 9Н338
Маэнама М. 9И196
Медведев К. П. 9М64
Медведев Н. М. 9Б187
Медведев С. С. 9Р86
Медведева В. С. 9И362
Медведя Г. А. 9К201
Медер В. А. 9К406
Мелик-Заде М. М. 9М227
Мелик-Степанова А. Г. 9М51
Мелик-Шахназаров А. М. 9М253
Мельник В. И. 9М57
Мельнич З. 9Р5
Меняло А. Т. 9Л101,
9Л494
Меркулов В. С. 9Б364
Метсик Л. Ю. 9М96
Метсик Р. Э. 9М96
Мидзун Г. 9Л23
Мидзуно К. 9К218
Мидзуно Т. 9Л360
Мидзузима Т. 9К170
Мидзузина А. 9И38
Мидзугитани К. 9П370
Мизрах Л. И. 9Л184
Микаэлян И. И. 9П615,
9П616
Микеладзе Г. Г. 9Н204
Микич Т. 9К127
Милаев С. М. 9Д185
Миллер А. Х. 9К328
Минаев Н. Г. 9Б382
Минян А. Н. 9М6
Минкин В. И. 9Ж64
Мино Я. 9Л359
Миснер К. С. 9П19
Минзиги Т. 9И202
Мирзоева С. М. 9П309
Миролюбов Е. Н. 9И149
Миронов В. Ф. 9Л104
Мирошников П. И. 9К95
Мисани Т. 9Д130
Митин Ю. В. 9Р102
Митрофанова Е. В. 9Ж213
Миура К. 9К404
Мифунэ А. 9П143
Михайлов А. Н. 9П615,
9П616
Михайлов В. А. 9Б537
Михайлов Г. И. 9Л184
Михайлов Н. В. 9П355
Михалев В. А. 9Л145
Михеев Е. П. 9Л177
Михеев М. А. 9И49
Михеева В. И. 9Б372
Михеева Н. Н. 9Ж155
Михилин Л. Х. 9Л266
Мищенко К. П. 9Р19
Миягава И. 9М231
Миядзани М. 9Л358,
9Л360
Миядзани С. 9И106
Мияти Х. 9К269
Мияути Т. 9И24
Младенов Ас. 9Н28
Млянджян А. Л. 9Ж289
Мовсумзаде М. М. 9Л113
Моисеев П. А. 9Л267
Моисеева К. А. 9Д30
Моисенко Н. 9Н139
Молотков Д. 9Н183
Молочникова Ф. Э. 9К162
Молчанов Б. А. 9М76
Монастырский В. И. 9М226
Морачевский А. Г.
- М

- 142, 9П268
Нарасани Т. 9Д189
Нарисная А. Р. 9П298
Народный Я. Е. 9И122
Наугольников Б. И. 9Б80
Нахманович Б. М. 9Н331
Небиеридзе Д. П. 9Б549
Негреев В. Ф. 9И237, 9И238
Неклядов А. Д. 9Р77
Некрасов Д. И. 9Б606
Некрасов Ю. Д. 9К122
Немерюк Г. Е. 9Д127
Немет А. 9И196
Немец О. Ф. 9Б2
Немировский А. И. 9М200, 9М210
Несмеянова Г. М. 9Б410
Несмеянова Л. И. 9Г35
Несмеянов А. Н. 9Ж34, 9Ж246, 9Ж247
Неугодов П. П. 9М110
Нефедов О. М. 9Ж84
Нечаев Л. Н. 9Н89
Низ Л. П. 9К147
Ники Х. 9К300
Никитенков В. Е. 9Ж218
Никитин Н. И. 9П438
Никитина К. В. 9Н68
Николаев Н. Н. 9М119
Николаев Н. И. 9А38
Николаев П. И. 9И86
Никонова Л. А. 9Ж247
Нильс Н. 9Б598
Нисельсон Л. А. 9Б555
Ниси Т. 9К23
Нисинава Х. 9Н278
Нисюна С. 9Н264
Нисюна Т. 9П24
Нисияма И. 9П631
Нисияма Т. 9Н212
Нитта К. 9Л449—9Л451
Нифонтова С. С. 9М248
Ни Цзя-цзянь 9В63
Ничипоренко С. П. 9К288
Ни Шя-шэн 9Б395
Новиков А. И. 9Д42
Новиков П. Ф. 9К406
Новиков С. С. 9Ж181
Новикова Е. С. 9Н492
Новоселова А. В. 9К70
Номагути К. 9П23
Нокура Н. 9П396
Носенкова Н. Г. 9Л302
Носиро К. 9Н272
Носов М. П. 9П366
Носова Н. И. 9М14
Носонович А. А. 9Б603
Нота Г. 9П196
Нотыч А. Г. 9М67
Нудельман А. Б. 9Ж72
Нудельман С. Л. 9Е10
Нуллер П. А. 9М79
Нурев М. 9И237, 9И238
Нурисе Х. Х. 9М95
Ньюмен М. С. 9Ж40
Няки К. 9М180
Няки К. 9Н448
- Оборин В. И. 9М166
- Обуховский Я. М. 9М73
Обо М. 9И254
Огава Т. 9П59
Оганджиян Н. М. 9Ж289
Огарков В. С. 9М121
Огасавара С. 9П197
Огата Ю. 9К135
Оглоблин Н. Д. 9М52
Огнева О. 9Н67
Огневская Т. Е. 9П316
Огура П. 9Г40
Огурцов С. В. 9Б469
Одзани С. 9П197
Одзоно Я. 9Б501
Ожимкова О. В. 9Б374
Ои Н. 9Д48
Оиси К. 9М133
Окада М. 9Н455
Окада Т. 9К212
Окадзани М. 9Л206
Окама Н. 9Л449, 9Л450, 9Л451
Окач А. 9Д89
Окияма К. 9П283
Окура И. 9Д112
Олексин П. Е. 9Г87
Ольдекоп Ю. А. 9Ж208, 9Ж209
Ольховский И. А. 9К267
Ольшеская К. Я. 9М200
Онищенко А. С. 9Б122
Оранский Н. И. 9М105
Оранская Б. С. 9М51
Ордян М. Б. 9Л57
Орлов Н. 9Н178
Орлов Н. Ф. 9Ж231
Орловская К. И. 9Н52
Осака И. 9И38
Осино В. В. 9Б209
Осима Т. 9П349
Осинина О. Г. 9М260
Осинов А. А. 9А39
Осокина Д. Н. 9Б639
Осокина Т. А. 9К371
Остриков М. С. 9М166
Островская А. Б. 9Г83
Ота Д. 9К269
Оуми М. 9П318
Оцубо Х. 9К343
Оше А. И. 9Б587
Ояма И. 9И83
- Павленко Н. П. 9Л53
Павлюков Л. В. 9М182
Павлов Б. В. 9Б286
Павлов Н. 9Н161
Павлов Н. И. 9П643
Павлов С. А. 9П219, 9П642
Пазников А. И. 9А26
Палатенков П. Н. 9Д87
Палеолог Е. Н. 9Б584
Панин Г. И. 9П54
Пансевич-Колыда В. И. 9Ж46, 9Ж51
Пантелеев А. С. 9К361
Панферов К. В. 9П64
Панфилова Н. Е. 9Н156
Панченков Г. М. 9Б305, 9Б494
Папаян Г. Л. 9Ж289
Паписов И. М. 9Р79
- Паписова В. И. 9Б514
Папок К. К. 9М365
Парасуно Е. 9Н399
Парилов В. А. 9М116
Паршев А. 9Г87
Парусников В. Н. 9К105
Пархоменко В. 9М153
Парыгина Г. К. 9Д62
Пасечник М. В. 9Б27
Пасхалис Т. К. 9П307
Пасхин Н. П. 9К162
Паткуль Г. 9И137
Пахалов И. Ф. 9М68
Пашинин М. И. 9М106, 9М108
Пегушин А. В. 9И47
Пелихов Г. В. 9К409
Пелькис П. С. 9Ж122
Пентегова В. А. 9М19
Первеев Ф. Я. 9Ж237
Перевалова Э. Г. 9Ж246
Перельман Т. Л. 9И52
Перельман Я. М. 9Л318
Перов Е. В. 9Б553
Перятинский Г. Ф. 9К396
Песин В. Г. 9Ж207
Петерилье И. А. 9Г37
Петков В. 9К385
Петрашень М. И. 9Б170
Петренко А. В. 9П331
Петров А. А. 9М163
Петров А. Д. 9Ж84, 9Ж222
Петров В. Н. 9И29
Петров К. А. 9Л111
Петров К. Д. 9Л45
Петрова Е. А. 9Г60
Петросян П. А. 9А34
Петру Ф. 9Ж271
Петрунь В. Ф. 9Г61
Петухов Г. Г. 9Ж213, 9П352
Петунион П. А. 9Ж111
Печатина В. И. 9Н191
Пивняцкий К. К. 9Ж276
Пиллер Б. 9П532
Пинскер З. Г. 9Б136
Пинчун А. М. 9Ж233
Писаренко А. П. 9П298
Пискарев К. А. 9К301
Пичнамазде Б. Ф. 9М152
Плакидин В. Л. 9Ж120
Плановский А. Н. 9И86
Плахов В. А. 9Д155
Плевако Н. А. 9П565
Плетюшкина А. И. 9Б497
Плотникова Г. И. 9Ж74, 9Ж75
Плунгинская М. Н. 9К387
Плюсин В. Г. 9Б453
Плюшкин М. З. 9К162
Плющев В. Е. 9В9, 9В21, 9Д65, 9К83
Плят Ш. Н. 9К279
Поволоцкая Н. Н. 9М19
Погорельский А. Д. 9Б344
Подклетнов Н. Е. 9М151
Поззетто Л. 9М47
Позин М. Е. 9Б384
Понровская Е. С. 9Ж125, 9М248
- Подежаева Н. А. 9Ж234
Половой Ю. Н. 9М251
Подтева Н. Д. 9П461
Польгейм Л. В. 9П219
Поляков А. И. 9Р100
Полякова Г. В. 9К201
Полякова С. Г. 9Н492
Полянская А. Л. 9Ж67
Пономарев И. Ф. 9К238
Попко В. Н. 9К374
Попова Е. В. 9Л231
Попова Е. Н. 9П331
Попова Л. Ф. 9А37
Попова Т. И. 9М266
Попутников Ф. А. 9М68, 9М69, 9М74
Порай-Кошиц Е. А. 9Б281, 9Б282
Порай-Кошиц М. А. 9Б158
Порошин К. Т. 9Р78
Портной К. И. 9Б371
Портнягина В. А. 9Ж67
Поташников М. М. 9Л43
Потемкина З. И. 9П355
Починков В. Я. 9Ж67, 9Ж206
Праведников А. Н. 9Р85, 9Р86
Преображенская Е. А. 9Л56
Преображенский Н. А. 9Ж150
Прибыльский М. И. 9П319
Привалов В. Е. 9Л43
Причю В. Я. 9Н319
Прозоровский А. С. 9Л243
Проймшас В. 9Л51
Прокопук С. Г. 9М363
Просвириков В. Д. 9Д52
Проскуракова Г. Ф. 9Б646, 9Д125
Простанов Н. С. 9Ж155
Протопопова Н. П. 9Д80
Протопопова Т. В. 9Л196
Прохоров В. А. 9В16
Прохорова Н. Н. 9Р78
Прудзе В. Г. 9Н203
Прахина Л. И. 9Б374
Пугачевич П. П. 9Б600, 9Б601
Пучеров Н. Н. 9Б27
Пучина В. А. 9П331
Пушкина З. В. 9Г69
Пятигорская Л. И. 9Б367
Пятицкий М. П. 9Ж58, 9Д170
- Райтман Л. Н. 9М79
Райцева М. К. 9М33
Райчев М. 9Н31
Райченко Т. Ф. 9К261
Разбирин Б. С. 9Б194
Разуваев Г. А. 9П352
Ратникова Г. И. 9Г66
Ратобильская В. А. 9Б284
Рафф Е. Л. 9Д26
Рахлин И. В. 9П102
Рахмилевич Р. З. 9Н55
Рачинский В. В. 9Б627
Рез Н. С. 9Б229
Резников В. Д. 9М223, 9М226
Резников М. Е. 9М258
Резниченко В. А. 9Б469
Рекенглас Л. Э. 9Б415
Рекшинская Л. Г. 9Г75
Ремаев В. В. 9Б6
Ремнев В. Ф. 9М364
Реутов О. А. 9Ж1
Ризверг И. И. 9Н266
Рихтер К. 9Ж237
Робинзон Е. А. 9М254
Рогачев В. И. 9Н78, 9Н84
Рогов И. 9Н178
Роговин З. А. 9Р100
Родивилова Л. А. 9Р95
Родина М. В. 9А29
Родионов А. Н. 9Ж128
Родионов С. Е. 9П307
Родионов Ф. В. 9Б258
Родникова В. В. 9К316
Рождественская И. Д. 9Б482
Розанова Ю. М. 9Л145
Розен Г. 9Н112
Розенберг Л. М. 9М248
Розловский А. И. 9П362
Розовский А. Д. 9К396
Ройзен И. С. 9П362
Ройтер В. А. 9Б489
Романова П. М. 9П309
Романов Ю. И. 9Б407
Росоловский В. Я. 9В16
Ростовцева И. В. 9М166
Ростопкин В. К. 9Л464
Рострипенко И. А. 9Н371
Рояк С. М. 9К371
Рубина Т. Д. 9Л168
Рублев С. Г. 9К97
Руденко А. П. 9Б499
Руденко В. А. 9Ж181
Рудковский Д. М. 9Н449
Рузничкова Т. Н. 9Г115
Русакос А. А. 9Б368
Русанов А. И. 9Б359
Русьянова Н. Д. 9М77
Рууге Э. К. 9Б20
Рыбаков Л. 9И238
Рыбакова Г. И. 9Б80
Рыжковский В. З. 9Л107
Рыжков Е. М. 9Б562
Рысова А. П. 9П492
Рычков А. И. 9И159
Рытов Д. Г. 9Н2
Рябинин А. А. 9М20
Рябинин Ю. Н. 9Е28
Рябов А. Н. 9Б329
Рябова Г. Г. 9Б184

У

Уваров И. П. 9М16
Уварова Э. И. 9М246
Удовиченко Ю. К. 9Е24
Удбо Л. Я. 9Б200
Уман М. 9К210
Уман Н. 9П336
Укше Е. А. 9К201
Умпо С. 9Л358, 9Л360
Умнин Н. Н. 9Л237
Умодова Х. 9Л445, 9Л449
Уммура Т. 9Н274
Уммура Х. 9К135
Урмасаев В. А. 9Г143
Усамин С. 9Н281
Усманов А. Г. 9Б267
Устынгов Ю. А. 9Ж246
Утида М. 9П150
Утида С. 9Л522
Утида С. 9М128
Утихаси М. 9Л359
Ухалин С. А. 9Б59
Ушаков С. Н. 9П38
Ушенин И. К. 9Ж163
Уда Р. 9Н277
Уда Т. 9Л339
Умура К. 9Р71
Ууно П. 9Л359
Уусуи С. 9К133

Ф

Фараджев Х. Ф. 9М227
Фастовцев О. С. 9П626
Федер М. Л. 9Л528
Феднева Е. М. 9К91
Федоров Н. 9Н178
Федорова Е. М. 9Д142
Федорова Л. А. 9Б435
Федорчук В. П. 9Г62
Федосеева Г. Т. 9П19
Федотова О. Я. 9Р73
Фельдман Ю. Г. 9Н341
Фельфилов Е. Е. 9М200, 9М245
Фетгараджев В. 9Н209
Фигуровский Н. А. 9Б407
Филиппов М. П. 9Б55
Филиппова Р. С. 9Б305
Филиппович Е. Н. 9К150
Филько А. И. 9И229
Финкель Э. Э. 9Б308
Финкельштейн А. Н. 9Б100
Флис И. Е. 9Б335
Фляте Д. М. 9П402
Фодиман З. И. 9Л208
Фонин А. В. 9Л111
Фомина И. А. 9Л551
Фомина Л. П. 9П305
Фортунатов О. Г. 9Р77
Фрейдлина Р. Х. 9Ж31, 9Л73
Френкель Г. М. 9Н331
Фридман Е. Л. 9М79
Фролов Б. А. 9Б35
Фролова Р. И. 9Г31
Фрумкин М. Л. 9Н84
Фудзавара И. 9К23
Фудзавара Ф. 9Д14
Фудзани Г. 9Л455
Фудзани С. 9П1403

Фудзани Х. 9К275
Фудзани Я. 9К23
Фудзанивава Ф. 9Л352
Фудзавара Ф. 9Д14
Фудзанока С. 9К209
Фудзанока Я. 9П356
Фудзита Т. 9Л455
Фунава Х. 9Л23
Фукао Я. 9Л2
Фукуда П. 9Б619
Фукуи Г. 9Н6
Фукунага К. 9Л467
Фукусима С. 9К88
Фукусима Х. 9Д151
Фукутани Х. 9Н241
Фурудава М. 9П1479
Фуруя М. 9П246
Футота Т. 9П132

Х

Хавин Л. П. 9Е21
Хага Х. 9И221
Хазанова Н. Е. 9Б268
Хант Ю. Л. 9Б519
Хайленко Л. В. 9Б545
Халецкий А. М. 9Ж207
Халуновский М. Д. 9Б205
Хаммадан К. 9Н80, 9Н81
Хамасима М. 9И8
Хандарова А. Г. 9М227
Ханасана Д. 9Н79
Хара К. 9П1499
Харада Н. 9П408
Харахашьян Э. Г. 9Е11
Харин С. Е. 9Б644
Харитонович К. Ф. 9Б366
Хархаров А. А. 9П553
Хасимото П. 9М220
Хасагава Х. 9Д17
Хасагава Я. 9П186
Хата Ю. 9К210
Хаттори Д. 9П33
Хаяма С. 9П1518
Хаяно В. 9Н455
Хаяси Т. 9Ж39
Хаяси Т. 9Н451
Хаяси Ю. 9Н4
Хаяси Ю. 9К335
Хаясида М. 9Н277
Хвостенков С. И. 9К377
Хейн А. Л. 9М197
Хелемский М. З. 9Н345
Хетагурова Ф. В. 9П1520
Хилай А. Н. 9М87
Хина Ф. 9К212
Хирага Х. 9П198
Хиракава С. 9М145
Хираки С. 9П231
Хирано 9М49
Хираока С. 9П291
Хироэ Я. 9К299
Хо И. 9Б619
Ходак В. А. 9Л231
Ходоров Е. И. 9К379
Хольмер О. М. 9Н492
Хомченко Г. П. 9Б497
Хонда Х. 9К210
Хондаэ М. 9Л359
Хори Т. 9П66
Хосино И. 9Д47
Хосои Т. 9К132

Хосонава К. 9Л203
Хохлов В. К. 9К365
Хомякова Т. Л. 9Б159
Хочолава Н. А. 9Н202
Храпай В. П. 9Д146
Хрипин А. Г. 9П626
Христофоров Б. С. 9Д71
— 9Д73
Хуа Чань-шан 9Л234
Худон К. Л. 9Л57
Хургии Ю. Н. 9Р78
Хюссе И. Ю. 9М96

Ц

Цаков Д. 9Н305
Цан М. Л. 9Д38
Царовский И. Д. 9Г53, 9Г54
Цветков В. И. 9К95
Цвильинг А. Я. 9Н95
Цейтлин Х. А. 9Н193
Цереградский В. А. 9М256
Цериньо М. А. 9Б2
Цинцевич В. М. 9Б497
Ципруш Р. Я. 9Н60
Цирлина Р. Н. 9М169
Цой Чан Зюн 9К270
Цубота Х. 9Д18, 9Д51
Цуго Я. 9Д48
Цугэ Т. 9К132
Цукино М. 9К269
Цуцуми С. 9Ж35, 9Р58
Цхай В. А. 9Б612
Цыб П. П. 9Д50
Цыновников А. С. 9М72
Цытович Н. Э. 9Ж125

Ч

Чагунава В. Т. 9К110
Чалов Н. В. 9М29
Чаман Е. С. 9Ж171
Чанышева И. С. 9Б127
Чапский К. А. 9П64
Чеботарев О. В. 9Д159
Чебуруков Ю. А. 9Л75
Чельцов В. С. 9Л545
Чен Н. Г. 9Н228, 9Н232
Чередник И. Д. 9Н346
Черкасас П. Х. 9Л43
Черкасова А. А. 9Ж171
Черкасова Л. М. 9Л43
Чернава Н. М. 9Б516
Чернавский Д. С. 9Б516
Чернихов Ю. А. 9Д92
Чернов А. А. 9Б409
Черномордин Б. М. 9М217
Чернышев Е. А. 9Ж222
Чернышев Ю. П. 9К383
Чернявская М. К. 9К59
Черняев И. И. 9Б53
Черторжский А. В. 9Л130
Черчес Х. А. 9М18
Чесноков О. Ф. 9Д27
Чехов А. П. 9И151
Чешин Л. Е. 9П319
Чечушнов Г. Н. 9М266
Чжан Синь 9М66
Чиникова Д. М. 9В3
Чинкадзе В. Б. 9Г57
Чиков В. М. 9Н182
Чиркина З. А. 9Д86

Чирко В. И. 9Б27
Чматов К. В. 9Д12
Човник Л. И. 9Ж163
Чоманов Х. 9Н166
Чорбов Я. 9Н169
Чугай А. Д. 9П319
Чуйко Н. В. 9Л311
Чуковская Е. Ц. 9Л73
Чуфарова И. Г. 9Д54
Чухаджян Г. А. 9Ж48
Чхетинани А. Н. 9Н313

Ш

Шабаташ А. Н. 9Р95
Шабарова З. И. 9Ж219, 9Л176
Шаврин А. М. 9Д31
Шаврыгин П. И. 9Г94
Шадикян В. С. 9М221
Шапиро Д. К. 9Н52
Шарова А. К. 9Г70, 9Д54
Шарф Х. 9Л151
Шаталин А. А. 9Д150
Шаталов А. Я. 9Б397
Шафранская В. Н. 9Л515
Шахназаров М. И. 9Б531
Шаховской Г. И. 9Е29
Шахназаров М. И. 9Б533
Шашкин П. И. 9М261
Шваб В. А. 9И31
Шведова З. Н. 9Л47
Шебанова М. П. 9Ж47
Шевелев В. А. 9Л464
Шевляков А. С. 9П19
Шевцов И. С. 9М199
Шевченко А. И. 9М73
Шевченко А. С. 9П360
Шевченко В. И. 9Ж232, 9Ж233
Шевченко О. П. 9Б20
Шеляг В. Р. 9М42
Шемерянкин Б. В. 9М72
Шендерова Р. И. 9Л16
Шереметьева Ф. 9Н138
Шенянова Ф. Р. 9Л400
Шефилдс С. Б. 9Г138
Шиканова И. А. 9П510
Шиманская М. 9Б502
Шиманский Н. И. 9М86
Шипилов В. Ф. 9К95
Шипулин Ф. К. 9Г46
Широкова Н. Е. 9М200
Шипкина М. В. 9М248
Шипков В. П. 9Ж249
Шипков Д. А. 9Д56
Шмагин Я. Г. 9М210
Шольд Н. Н. 9К301
Шор Г. И. 9М226
Шорникова Н. М. 9Н59
Шостак Ф. Т. 9Д54
Шостаковский В. М. 9Ж54
Шостаковский М. Ф. 9Ж74, 9Ж75, 9Ж214
Шрейдер А. В. 9П230
Шрубович В. А. 9Ж67
Штейншайдер Г. М. 9М199
Штыркова Е. А. 9Н377
Штюпель Г. 9Н450
Шуйкин Н. И. 9Ж54, 9Ж85, 9Л40

Шулепов С. В. 9М107, 9М109
Шуляковская Н. С. 9Г41
Шутый Г. В. 9К303
Шушерина Н. П. 9Ж136
Шушпанов П. И. 9Н196

Щ

Щеблыкин Н. П. 9Н331
Щербанова Е. В. 9Н93, 9Н106
Щербина В. И. 9П444
Щукарев С. А. 9Б329

Э

Эйбатова Ш. Э. 9М152
Эйсмонт И. И. 9М86
Экмежджан С. П. 9Л57
Экспер О. 9Ж304
Элиасберг И. И. 9К71
Элиашберг М. В. 9Б191
Элдерт Г. В. 9Б53
Эльдаров Ф. Г. 9Б534, 9Б535
Эльстинг О. Г. 9Е3
Эндо Ю. 9П157
Энтелс Ф. С. 9К303
Эпштейн В. Г. 9П316
Эриванская Л. А. 9Л40
Эршлер А. Е. 9Л184
Этис В. С. 9П19

Ю

Юаса Ю. 9П132
Юдин Н. И. 9Г72
Юдицкая А. И. 9Н197
Юкава Я. 9Д154
Юранова Л. И. 9В21
Юренков Н. И. 9М68, 9М69
Юрикено Т. И. 9П331
Юрченко В. И. 9К405
Юрю Т. 9К69
Юсипов А. А. 9М58

Я

Яблоко Я. М. 9П644
Яворский И. А. 9Б625
Якобсон Г. Г. 9Л168
Яковенко Е. И. 9Б514
Яковлев А. 9Н183
Якубов М. К. 9Н411
Якубов Х. М. 9П591
Якубович Н. А. 9К162
Якушин М. И. 9Л31
Ямагути Г. 9М280
Ямагути Т. 9П150
Ямада М. 9Н276
Ямада М. 9П318
Ямада Т. 9К339
Ямада Т. 9П41
Ямадани Д. 9Н60
Ямато Г. 9К273
Ямато К. 9Н467
Ямато Р. 9Л477
Яманот Р. 9П559
Ямаока Г. 9Н455
Ямасита К. 9Н274
Ямасита М. 9Н436
Ямасита Ю. 9Р59
Ямаути Я. 9П25
Ямпольский М. З. 9Д5
Ямпольский П. А. 9Б6

- Яровенко В. Л. 9H331
Яровой Н. А. 9J188
- Ярым-Агаев Н. Л. 9B353—9B355
- Ястребов В. В. 9E31
Ясуда Т. 9П26
- Ясуи Э. 9K124
Ятани Т. 9П598
- Яценко К. Ф. 9П99
Яэк Н. В. 9E213
- A
Ababi V. 9Г95, 9K148
Abbotson W. 9П273
Abdel Kader M. 9K182
Abe M. 9Г85
Abernethy J. L. 9K110
Abidi S. T. H. 9E37
Abraham E. P. 9J144
Abramski H. 9П252
Accary A. M. 9J1540
Acheson R. M. 9K33
Ackerman B. 9M229
Adachi A. 9H427
Adámek M. 9K180
Adams E. P. 9K148
Adcock P. H. 9J1496
Adda Y. 9E472
Adermann G. 9K303
Adlassnig K. 9K354
Adolfsson G. 9B11
Adrian R. C. 9H366
Agatsuma N. 9П367
Aggarwal J. S. 9П226
Aggarwal R. C. 9B52
Agrawal P. P. 9B52
Agulnik A. 9П503
Ahmed Mustafa 9K182, 9K204
Ajiki T. 9E411
Akaiwa H. 9E311
Akamatsu M. 9H200
Akanuma K. 9K100
Akar P. 9K17
Akita M. 9M81
Albach R. F. 9H304
Alban F. P. 9M158
Albera D. 9K119
Alberola A. 9B43
Albon N. 9E252
Albrecht H. 9K258
Albrecht O. 9J193
Alderweireldt F. 9K312
Aldous D. L. 9K190
Alexandre V. 9K142
Aleksandrowicz R. 9П48
Alexander E. R. 9K41
Alexandre B. 9K6
Algranati I. D. 9E33
Almarin I. P. 9П78
Alix J. E. 9B76
Allais A. 9J390
Allamagny P. 9B29
Allen E. J. 9H270
Allen M. J. 9J363
Allen V. D. 9H163
Allen W. E. 9H94
Altenpohl D. 9E476
Altshuller A. P. 9H336 9M239
Alumkal A. 9E15
Amamiya H. 9K100
Ambler C. M. 9M178
Ambrosius H. 9K102
Ambye E. L. 9H433
Amedoro G. R. 9H355
Amicucci U. 9H406
Ammerman G. R. 9H8
Anantanarayanan S. 9П630
Anastasescu G. 9J1310
Andersen V. B. 9H146
Anderson A. G. 9K80
Anderson A. W. 9П130
Anderson I. H. 9P65
Anderson K. F. 9H225
Anderson R. B. 9M215
Anderson R. L. 9K13
Andersson A. 9П455
Ando T. 9J13
Andreotti R. 9H83
Andrews B. A. K. 9П576
Andrews D. R. 9H204
Andrews E. R. 9K212
Andrews L. J. 9E446
Andrews R. S. 9M100
Anger V. 9J182
Anghel P. 9K202
Annable W. G. 9M302
Antczak T. 9П322
Antonaccio L. D. 9K292
Aoki 9K220
Apel F. N. 9J139
Aplitzsch W. 9K382
Appell H. R. 9M290
Appelt K. 9E579
Arakawa K. 9П573
Archambault Y. 9E33
Archer A. W. 9J1297
Archer S. 9K134
Arcoleo A. 9K129
Ardern D. B. 9M267
Arleent J. 9J181
Aries R. S. 9J190
Arima T. 9H265
Armor W. G. 9M216
Armstrong J. A. 9J1507
Armstrong R. L. 9E84
Armstrong W. D. 9H121
Arndt C. 9K310
Arnold H. 9J345
Arnold L. R. 9H387
Aronsson B. 9E146, 9E147
Arret B. 9H129
Arth G. E. 9J1418—9J1420
Arthur B. W. 9J1486
Arzens R. 9П222
Asami R. 9K300
Asami T. 9J111
Asandei N. 9P4
Aščik K. 9H337
Ashmore J. 9П68
Aslam M. 9П232
Asplund I. 9E19
Asselbergs E. A. 9H79
Atkinson G. H. 9K168
Atta R. E. 9J169
Auer H. 9J315
Auerhan J. 9K134
Augustine M. S. 9J1510
Aumüller W. 9J1331
Auntický Z. 9J162
Austen F. 9П600
Austin J. H. 9J167
Austin T. E. 9B26
Austin W. C. 9J1392
Awad W. I. 9K140
Awe W. 9J1415
Axelrod H. 9J1484, 9J1500
Axt G. 9H307
Ayers G. W. 9M334
Aylett B. J. 9B19
Aylward G. H. 9Д67
Azou P. 9E365
B
Baba H. 9H190
Babos B. 9J137
Bach H. 9K164
Bach R. 9Г97
Bache H. J. 9K189
Bachelet M. P. 9K27
Bachman S. 9H365
Back E. 9П476
Backer S. 9П363
Bacon G. E. 9E135
Bacsai R. 9E131
Bade E. 9M54
Badea F. G. 9K42
Bader A. R. 9П209
Bader R. G. 9H265
Bădescu R. 9H375
Baer E. 9П77
Baffagni S. 9B37
Bagby M. O. 9H391
Baglio J. A. 9Д84
Bailbut L. 9K310
Bailar J. C. 9B59, 9B69
Bailey F. E. 9P47
Bailey P. S. 9J161
Bajfi J. P. 9H498
Baker B. E. 9H142
Baker E. G. 9Г89
Baker H. 9J1436
Baker R. H. 9K90
Baker R. J. 9M237
Bąkowski K. 9M174
Balaceanu J. C. 9M277
Balajka B. 9H100
Balcerzak K. 9J131
Baldwin H. W. 9E539
Balint T. 9M241
Ball J. S. 9M149
Ballman R. L. 9П69
Ban I. 9J1268
Ban M. 9E90
Ban Y. 9K290
Banchi G. 9J1313
Banerjee S. B. 9E129
Bankoff S. G. 9H18
Bao C1-Min 9П561
Baque P. 9H329
Baranauskas C. F. 9M361
Barber R. F. 9H480
Barbier G. 9H293
Barbieri G. 9H227
Barbieri R. 9B25
Barcza L. 9Д133
Barford R. A. 9H417
Barkan H. E. 9H148
Barker E. F. 9П489
Barkley R. A. 9П119
Barkow A. G. 9E15
Barner R. 9K13
Barnes A. M. 9J1470
Barnes G. H. 9K230
Barnes W. J. 9Д120
Barnett B. F. 9K108
Barquist R. F. 9Г111
Barret A. 9H322
Barret J. J. 9П1409
Barret J. P. 9E580
Barron J. L. 9П415
Barry V. C. 9J1398
Barska C. 9H164
Bartel E. T. 9E591
Bartel T. 9E590
Barthel C. 9H298
Barthel W. 9Д180
Bartleson J. D. 9M310
Bartlett J. H. 9M331
Bartoniček R. 9M234
Bartoszek J. 9M85
Barua A. K. 9E269
Baruffini A. 9J1284
Barusch M. R. 9M319, 9M320
Bashford V. G. 9П175
Basifiski A. 9E556
Basore C. A. 9M160
Bassiri T. 9H490
Bastien P. 9E365
Bates G. 9J1518
Battistella R. F. 9K26
Bauer D. 9M36
Bauer E. E. 9M327
Bauer F. H. 9B59
Bauer G. 9П75
Bauer H. 9H343
Baughman G. 9E530
Baum E. H. 9H259
Baumgärtel E. 9Д186
Baumgärtel H. 9K259, 9K260
Baunack F. 9H361
Baur K. 9H105
Bausch H. 9П417
Baxter P. 9K247
Bayer O. 9П181
Bayer Z. 9П534
Bayless R. T. 9E420
Beach J. G. 9K214
Beach L. K. 9J112
Beaman A. G. 9K172
Bean N. E. 9B23
Beauchamp E. K. 9K258
Beaumont J. H. 9K29
Becanne 9J164
Bechtel H. 9K260
Bechyně S. 9K422
Beck M. 9B329
Beck W. H. 9E567
Beckwith A. L. J. 9K27
Bednarczyk W. 9H164
Bednarski S. 9H360
Bedoukian P. 9H479
Beduneau H. 9П51
Beer R. 9E36
Behr A. 9Д138
Bejan C. 9П432
Beke G. 9H111
Bélik E. 9J1437
Bell B. H. J. 9K55
Bell E. R. 9J186
Bell G. M. 9E641
Bella J. 9П558
Bellemans A. 9P19
Bellet P. 9J1404
Bellinger K. P. 9H205
Bellinzona G. 9E496
Bellucci G. 9H108
Bělohávek O. 9Д102
Bělorovský I. 9H98
Belšan L. 9H223
Belton J. G. 9J1398
Benade A. H. 9E18
Ben-Bassat A. H. I. 9B32
Benco A. 9E317
Bencze W. L. 9J1363
Bender H. L. 9J139, 9П200
Bendova O. 9П533
Béne G. 9E236
Benecke P. 9E451
Benerito R. R. 9П579
Benesovsky F. 9E369
Benišek L. 9П524
Benk E. 9H57, 9H58, 9H92
Benkeser R. A. 9E444
Bennett W. J. 9Д104
Benneville P. L. 9J108
Benoit G. J. 9M354
Benolton L. 9K241
Benson R. E. 9П151
Bentov M. 9K254
Benzing E. 9K72
Berak J. M. 9B72
Beranová D. 9П156
Beranová H. 9K35
Berard A. 9H11
Berčík J. 9Д21
Bereczky A. 9K221
Berg C. 9H15
Berg D. B. 9П42
Berg W. T. 9E324
Bergner J. T. 9P33, 9П108
Berger A. 9H71
Berger H. F. 9H297
Bergin J. J. 9J115
Berglund W. K. 9П483
Bergmann E. D. 9K165, 9K240
Bergström G. 9E114
Bernard M. L. J. 9E462, 9H184
Bernatek E. 9K2
Berndorfer A. 9H326
Berndt W. 9J13
Berridge C. A. 9P38
Bernhauer K. 9J1416
Berni R. J. 9П1579
Berridge C. A. 9П132
Berry G. C. 9E604
Berry R. 9E44
Bertelsen E. 9H132
Berti G. 9E544
Bertossa G. 9J162
Berty J. 9J165
Best P. 9K43
Bethge P. O. 9Д184
Bethon H. E. 9H3
Betteridge W. 9H161
Bettinetti
Beuk J.
Beuken
Beveringto
Bew D.
Beyer
Beyer D.
Beyler M.
Bhant A.
Bhatia J.
Bhatia E.
Bhatnaga
Bhattach
9E630
Bhattach
9H270
Bhawnaga
Bhida B.
Bleck D.
Bleber I.
Blederma
Biel J.
Blen S.
Bleneste
Bleß G.
Biffoli I.
Bikales
Bijetch J.
Billet R.
Billingham
Billington
Billmeyer
Binaghi
Biniecki
Birch
Birkhofer
Birks J.
Birks L.
Birrell E.
Birtley
9E125
Btrum
9J126
Bischof
Bito T.
Bittker
Bixler E.
Blackburn
Blackley
Blackwood
Blaha E.
Blānariu
Blanc A.
Blanchet
Blanchet
Blank M.
Blastnaki
Blau N.
Blau S.
Bleaker
Blizzard
Block R.
Blount V.
Block S.
Bloem I.
Bloemen
Blue E.
Bluschke
Boadway
Bohe J.
Boček J.
Bociog
Bock A.
Bockman

199
3
19
205
496
08
102
198
998
918
H. I.
363
91339
33
9558
9544
91194
91108
354
241
1151
4
72
56
35
221
2
24
9, 9P108
1297
115
91483
91465
114
95462
2
938
1416
79
91312
904
132
2
184
13
161

Bettinetti G. F. 9E496
Beuk J. F. 9H244
Beukenkamp J. 9B22
Beverington J. C. 9P42
Bew D. G. 9H143
Beyer A. 9B75
Beyer D. T. 9P440
Beyler R. E. 9J1422
Bhant A. N. 9J110
Bhatia B. B. 9K230
Bhatia B. S. 9H49
Bhatnagar R. K. 9P17
Bhattacharya A. K. 9E630
Bhattacharyya S. C. 9K270
Bhavangary H. M. 9G113
Bhide B. V. 9K49
Bicek D. 9P288
Bieber H. 9M150
Biedermann E. 9E149
Biel J. H. 9J1367
Bien S. 9K79
Bienenstock A. 9K304
Bieff G. 9H74
Biffoli R. 9J304
Bikales N. M. 9P606
Bijetch H. 9P276
Billet R. 9H71
Billingham E. J. 9E333
Billington C. 9E214
Bilmeier F. W. 9A36
Binaghi M. 9P57
Biniecki S. 9J1233
Birch A. J. 9K255
Birkhofer L. 9K197
Birks J. B. 9E65
Birks L. S. 9J136
Birrell R. N. 9K29
Birtley W. B. 9E124, 9E125
Birum G. H. 9J1349, 9J1526
Bischof W. 9G103
Bito T. 9H405
Bittker D. A. 9M207
Bixler H. J. 9E19
Blackburn S. 9P1556
Blackley D. C. 9P1299
Blackwood J. D. 9E474
Blaha K. 9K299
Blannaru D. 9G109
Blanc A. 9K25
Blanchet M. L. 9D138
Blanchet R. 9E618
Blank M. 9E611
Blasinski H. 9H42
Blau N. F. 9K277
Blau S. 9H486
Blesker E. J. 9E16
Blizzard J. R. 9K331
Block R. J. 9H239
Blount W. P. 9H189
Block S. 9K304
Bloem D. L. 9K392
Bloemen I. F. 9H397
Blue E. M. 9K144
Blusckie H. 9M219
Boadway J. D. 9P1508
Bobe J. 9P1583
Bocek O. 9P187
Bocloga V. 9H380
Bock A. 9K355
Bockmann A. 9P101
Bodenstein L. B. 9M39
Bodnar M. J. 9P194
Boedt A. F. 9M140
Boef G. D. 9D100
Boelen O. 9J160
Boer J. H. 9E620
Boer T. J. 9K17
Bogdan E. 9D113
Bogdanskil C. 9H55
Boge H. 9P193
Boga U. 9J1307
Bohlmann F. 9K309—9K311
Böhm M. 9H140
Böhm O. 9H354
Bokadia M. M. 9K139
Bolton S. 9J1264
Bomberger H. B. 9H178
Bomblod J. P. 9K366
Bonincontri M. 9K119
Bonnet J. 9H210
Bonnington S. T. 9H32
Boon P. F. G. 9J1320
Boone C. J. 9P3
Boos W. 9K130
Borbándy J. 9H162
Borham M. A. 9M146
Born H. J. 9E434
Bornkessel K. 9E325
Bornowski H. 9K309, 9K310
Bose S. M. 9P1613
Boswell T. L. 9M350
Bota I. 9P1317
Bothner-By A. A. 9E452
Bottio L. F. 9H240
Botvinic V. 9H350
Bouillant M. L. 9K138
Bourgois P. 9H216
Bourne G. J. 9M338
Bourns A. N. 9E450
Bourreau M. 9H32
Bouvard A. 9P1357
Bovey F. A. 9P2
Bovey L. 9E36
Bowers V. A. 9E171
Bowles J. S. 9E254
Bowman L. W. 9P1270
Boy R. E. 9P172
Boyd N. R. 9J1486
Boyer A. F. 9M92
Boyer J. H. 9K192
Boyes G. W. 9D164
Boymond P. 9J1279
Božić B. I. 9E376
Brackmann R. T. 9E38
Bradbury F. R. 9J181
Bradsher C. K. 9K160
Bragdon R. W. 9K76
Brand J. C. 9H289
Brandenburg W. 9P190
Brandenstein M. 9D122
Brandmüller J. 9E75
Brandstätter-Kuhnert M. 9J1324
Bransby-Williams W. R. 9J1507
Braun E. 9H247
Braun G. 9P181
Braun W. 9J1224
Bräuniger H. 9K194
Brauns F. E. 9M3
Brauns O. 9P1476
Bratzler K. 9J132

Bray B. G. 9P113
Brčić B. S. 9E27
Brdička R. 9A14
Brazeale M. A. 9E58
Bredereck H. 9K70, 9K112, 9K167, 9K168
Breed L. W. 9K215
Bregier I. A. 9G90
Brekke J. E. 9H109
Breslin A. J. 9H321
Brethour J. R. 9J1497
Bridge N. K. 9E512
Bridge N. K. 9P1547
Brieskorn C. H. 9H61
Brinker K. C. 9K101
Brissaud L. 9P509
Brixner L. H. 9E222
Bro M. I. 9P130
Broadbent L. 9J1493
Broadhurst V. A. 9H334
Brookus C. G. 9K251
Brode W. R. 9A16
Broderick E. J. 9K342
Broeg C. B. 9H35
Brokaw R. S. 9M207
Brolley J. E. 9E24
Bronstern K. 9P136
Brooker L. G. S. 9J1562
Brossi A. 9J1394
Broughton G. 9M327
Brouwer C. J. M. 9P145
Brower K. R. 9E442
Brown A. W. A. 9J1472
Brown B. R. 9K139
Brown C. A. 9E246
Brown C. W. 9K189
Brown D. H. 9B47
Brown G. B. 9K174
Brown H. C. 9K211
Brown H. C. 9P68
Brown J. W. 9J1534
Brown R. D. 9E46
Brown R. K. 9K126
Brüche B. 9E250
Brückner R. 9E607, 9E608
Brudzynski A. 9H301
Brugger F. 9P1629
Brunello G. 9J1523
Bruni G. 9H475
Brunisholz G. 9D81
Bruno M. 9E25
Brunt K. A. 9H464
Bruss D. B. 9E32
Brusaz A. E. 9E459
Bryntse R. 9B11
Bublitz D. E. 9K248
Buchanan C. H. 9P167
Büchner K. 9J160
Buckle E. R. 9E414
Buckles R. E. 9K3 9K157
Buckley R. 9H175
Bucksteeg W. 9H262
Budai M. 9J1238
Budka H. G. 9J1443
Budnikow P. P. 9K220
Budziarek R. 9J180
Buffagni S. 9B37
Bulstenen J. P. 9J1519
Bukač Z. 9J1543
Bukala M. 9J118
Bulot J. 9H384
Bunting E. N. 9K249
Burchfield H. P. 9P103
Burezyk B. 9J118

Burden G. S. 9J1499
Bürger A. 9K107
Burger K. 9J1235
Burgers W. G. 9E212
Burgess J. S. 9E293
Buriánek J. 9H351
Burks R. E. 9H225
Burnett G. M. 9P65
Burns G. 9E508
Burns J. H. 9E322
Burns R. H. 9H291
Burns R. P. 9E347
Burri C. 9G43
Burrus H. O. 9J187
Burstall M. L. 9K297
Burt P. E. 9J1493
Burton W. M. 9E313
Burton W. P. 9K155, 9K156
Buser K. 9J146
Butler G. L. 9P344
Buu-Hoi N. P. 9K98
Bylo Z. 9M40
Bywater S. 9P82
C
Cabbell T. R. 9D55
Cabib E. 9E33
Cable J. W. 9E240
Cadwell L. E. 9J1271
Cahill J. A. 9E271
Cahill J. J. 9H460
Cahnmann H. J. 9K302
Cain C. 9H189
Calderazzo P. 9B43
Caldwell A. M. U. 9J166
Caldwell J. R. 9P1374, 9P1375
Califano S. 9E74, 9E77
Calkins C. R. 9P147
Callahan J. L. 9E246
Callear A. B. 9E509
Callen H. B. 9E416
Cálugaru A. 9K202
Cameron A. 9M250
Cameron A. E. 9K359
Campbell D. H. 9M361
Campbell J. G. 9P1448
Campbell K. S. 9P1539
Campbell T. W. 9P1182
Campbell W. M. 9A21
Campobasso J. J. 9H276
Canfield W. B. 9P1607
Cannon P. 9E615
Cano R. 9E121
Cantarel R. 9K113
Cantrell T. L. 9M315, 9M318
Capková J. 9J1440
Carberry J. J. 9H22, 9H6, 9J122
Cardew C. V. 9H430
Carlson E. C. 9J1473
Carlson G. J. 9J163
Carlson W. A. 9H120
Carpino L. A. 9K61, 9J1160
Carrá S. 9E44
Carrick W. L. 9P54
Carson A. W. 9E337
Carstens R. A. 9P13
Cartledge J. 9K34
Casadevall A. 9K293
Casadevall E. 9K203
Casdorff N. D. 9H223
Casey J. P. 9P1497
Casoli U. 9H83
Cassady D. R. 9K107
Casselman T. N. 9E238
Cassimatis D. 9E102
Castagne M. R. 9P1422
Castells J. 9K278, 9K279
Castle R. N. 9K190
Cates D. M. 9P1538
Catino A. 9P1633
Catlette W. H. 9K191
Cattabiani E. 9H110
Cauquil G. 9K203
Cave C. S. 9H268
Cazacu C. 9H28
Cefelt P. 9P28
Ceglédi B. 9K52
Čekan Z. 9J1411
Celeryn J. 9H215
Celler W. 9J131
Cernác J. 9J103
Cerná V. 9J196
Ceresa R. J. 9P70
Cerfontain H. 9K11
Cerutti G. 9H217
Červinka O. 9K151
Česca S. 9K228
Chadenson M. 9K138
Chalken R. F. 9E466
Chalkin S. W. 9E37, 9E53
Chakkal B. S. 9E538
Chakravarty P. 9M71
Chalkley L. 9J1563
Challenger S. 9P190
Chamberlain A. 9P243
Chandress E. A. 9K264
Chandy S. 9B39
Chang Chen-Ping 9E594
Chang Pei-huan 9D121
Chao K. C. 9E351
Chapin E. C. 9P282
Chapman C. L. J. 9J1527
Char T. L. R. 9H234
Charnas L. I. 9J1556
Chasar A. G. 9P54
Chatt 9B46, 9B64
Chatterjee J. N. 9K161
Chatterjee A. 9K288
Chatterjee H. 9P1514
Chatterjee N. N. 9M71
Chatterji A. K. 9K411
Chazal L. E. M. 9K9
Cheng K. L. 9D95
Chenicek J. A. 9H335
Cherubin L. J. 9H320
Chessick J. J. 9M235
Chevalier E. C. 9D175
Cheylan E. 9K27
Chialda I. 9J301
Chiampo P. 9H188
Chiang R. 9P8
Chichester C. O. 9H81, 9H96
Chih Chen-ming 9P1398
Chilling G. V. 9G73
Chinn L. J. 9J1427
Chmelik M. 9P28
Chodkiewicz W. 9K130
Chopin J. 9K138
Choudhuri S. N. 9K265

- Choudhury R. B. R. 9H387
 Chrien R. E. 9B18
 Christenson R. M. 9H277, 9H279
 Christian S. D. 9B352
 Christoph N. 9M11
 Chrzęszcz J. 9H281
 Chundela B. 9E56
 Churchill S. W. 9H50
 Chu Shin-Hai 9H170
 Ciborowski J. 9K46
 Cifka J. 9B290
 Cioni F. P. C. 9K53
 Circle S. J. 9H504
 Clappett H. A. 9H178
 Clapp D. B. 9H198
 Clar E. 9K5
 Clark D. S. 9H282
 Clark F. S. 9B444
 Clark H. C. 9H225
 Clark J. D. 9M325
 Clark L. J. 9M198
 Clark L. W. 9H20
 Clark R. M. 9H576
 Clarke R. L. 9H393
 Claudy H. N. 9E43
 Claxton A. W. 9H463
 Clayton D. W. 9H421
 Cleaver D. 9B523
 Clevenger K. D. 9K128
 Clew J. R. 9H37
 Close R. A. 9H69
 Clousson R. D. 9H149
 Clusius K. 9B346
 Cobb C. E. 9M307
 Cobb C. M. 9K94
 Cocco G. 9H74
 Cochran E. L. 9B171
 Cockcroft R. 9M26
 Coffey D. H. 9H273
 Coffey S. 9H180
 Coffield T. H. 9H116
 Coffin A. 9H142
 Coffman D. D. 9H244
 Cohen A. J. 9H2
 Cohen B. L. 9B10
 Cohen E. M. 9H317
 Cohen H. 9H452
 Cohen I. R. 9M239, 9H336
 Cojoreanu D. 9H65
 Coia M. 9B115
 Cole G. H. T. 9H645
 Cole J. W. 9H175
 Cole P. J. 9B160
 Cole W. H. 9H352
 Coleby B. 9H172
 Coley J. B. 9K158
 Collier H. O. J. 9H392
 Collins B. M. 9H110
 Collins C. H. 9H238
 Collins M. C. 9H145
 Collinson E. 9B525
 Colton F. B. 9H434
 Comeforo J. E. 9K295
 Compton R. R. 9H59
 Conalty M. L. 9H398
 Condorelli E. 9H20, 9H21
 Connolly J. W. 9B128
 Connor H. 9B503
 Conrad L. I. 9H483
 Conrad J. J. 9H95
 Conradin F. 9H62
 Constaninescu O. 9H432
 Conte L. B. 9H139
 Cook A. M. 9H286
 Cook M. K. 9H487
 Cooke E. G. 9M324
 Coons J. D. 9H350
 Cooper L. H. N. 9H112
 Cooper W. J. 9B331
 Coover H. W. 9H86, 9H55, 9H56
 Copeland L. E. 9B338
 Copenhagen W. J. 9H157
 Copius-Peereboom J. W. 9H195
 Copley M. J. 9H234
 Coppock J. B. M. 9H189
 Cornford S. J. 9H189
 Cornubert R. 9H6
 Cornwall J. B. 9E38
 Corradi B. 9H284
 Corradini G. 9K364
 Corwin N. 9H124
 Cosani A. 9H282
 Cossee P. 9P50
 Costa E. W. B. 9H516
 Costian D. 9H93
 Cotta Ramusino F. 9H107
 Cotton F. A. 9B61, 9B71, 9B119
 Courtel 9M263, 9M304, 9M356
 Cousins E. R. 9H445
 Covell S. 9H296
 Coverdale A. K. 9B418
 Cowan C. B. 9H491
 Cowan J. C. 9H29, 9H120
 Cox J. R. 9H121
 Cox R. 9H609
 Craig A. B. 9H381
 Craig B. M. 9H390
 Craig R. G. 9H604
 Craig W. L. 9H501
 Craig W. W. 9M329
 Craiu V. 9K202
 Cramer R. H. 9K154
 Crane F. E. 9H129
 Cranor W. H. 9H538
 Crauford B. 9E77
 Crean L. E. 9K8
 Crigor J. 9M324
 Critchley S. W. 9M351
 Crook K. A. W. 9H19
 Cross F. B. 9H399
 Crouse W. R. 9H350
 Crowe B. F. 9H60
 Crowe P. F. 9H176
 Crowe R. W. 9B52
 Crudell M. 9B581
 Cruise A. J. 9H368
 Cruz N. 9H73
 Csaki A. 9B236
 Csepregy G. 9H400
 Csizsar B. 9B54
 Csoska L. 9K290
 Cubicciotti D. 9B349
 Cull N. L. 9H137
 Culp R. 9H286
 Cultrera R. 9H98
 Cummings W. G. 9H369
 Cunningham R. E. 9H22
 Curievici I. 9H13
 Curl A. 9H54
 Cuta F. 9B62
 Cuttitta F. 9H15
 Cyba H. A. 9M339, 9H153
 Cyranowicz K. 9K241
 Cyvin S. J. 9B78
 Cywinski J. W. 9H47
 Czaja A. T. 9H214
 Czapski G. 9B520
 Czarnecki K. 9H188
- D**
- Dabrowska D. 9H367
 Dabrowski C. 9H367
 Dahle J. 9H147
 Dahlgren S. E. 9H37
 Dainton F. S. 9B525, 9P43
 Dale A. 9A42
 Dale A. J. 9K236
 D'Alello G. F. 9H133, 9P60
 Dalgarno A. 9B30
 Dalin D. 9M135
 Dam B. 9H123
 Danguillaume M. C. 9H587
 Daniels N. W. R. 9H422
 Dann J. R. 9H126
 Dannelley R. L. 9P44
 Danzig M. J. 9H120
 Darras R. 9H329
 Darrow D. I. 9H482
 Das B. 9H288
 Das B. M. 9H613
 Dasent W. E. 9B91
 Da Settimo A. 9B544
 Das Gupta N. N. 9M71
 Dastur N. N. 9H155
 Datta S. K. 9H91
 Daum G. 9H197
 Daves G. D. 9H172
 David M. P. 9H230
 David S. 9K52
 Davidek J. 9H97
 Davidson G. C. 9H372
 Davidson N. R. 9H39
 Davies G. S. 9M211
 Davies R. E. 9H161
 Davis D. S. 9H10
 Davis E. G. 9H18
 Davis H. 9M330
 Davis J. G. 9H282
 Davis J. W. 9H491
 Davis L. G. 9H416
 Davis S. P. 9B34
 Davison A. D. 9H321
 Davison R. M. 9E38
 Dawes J. W. 9B33
 Day F. T. 9H228
 Dazzi J. 9H208
 Deadmore D. L. 9B387
 Deak T. 9H76
 Deakin S. T. 9H194
 Dean J. A. 9H45
 Debray L. 9H73
 De Dani A. 9H119
 Devey E. S. 9H130
 DeFeo R. J. 9H45
 DeFord D. D. 9B8
 De Francesco F. 9H420
 De Furla H. 9H469
 Dega R. L. 9H93
 De Giuli G. 9H27
 Degnen W. J. 9M275
 De Groote M. 9H195
 Delaloye J. A. 9K125
 De La Mare H. E. 9H330
 Delano D. J. 9H562
 Delarue G. 9B389
 Delindati G. 9H98
 Demmig W. 9H452
 Dempsey J. F. 9H154
 Denis A. 9H187
 Densa R. 9H373, 9H374
 Deobald H. J. 9H23
 Deodhar G. B. 9E37
 DePuy C. H. 9H21
 Derkowski A. 9H297
 DeRuiter H. 9H289
 Derwish G. A. W. 9B88
 De Santis P. 9B163
 Desbrandes R. 9H209
 Deschreider A. R. 9H5
 Descoubes J. P. 9B33
 Deshmukh G. S. 9H97
 Desrozier N. W. 9H8
 De Stevens G. 9H560
 Detrekóy E. 9H257
 Deuel H. 9H97
 Devaux G. 9H294
 Devins J. C. 9B52
 Devlin E. F. 9P55
 Devlin J. J. 9H456
 Devlin J. P. 9B74
 Dévoré G. 9A43
 Dewiung W. L. E. 9H192
 Dey A. K. 9B67
 Dey S. K. 9H17
 Dhar M. L. 9H296
 Dhariyal K. D. 9H411
 Dhout J. H. 9E2
 Diaconescu E. 9M4
 Dibern H. W. 9H269
 Dich C. 9H65
 Dickison W. L. 9H134
 Didchenko R. 9B76
 Diederling P. 9H300
 Dieni I. 9H39
 Dietrich G. 9H254
 Dietz F. 9H262
 Dietzsch K. 9H44
 Dimitriev M. 9H453
 Dimroth K. 9H135
 Dinescu G. 9H32
 Dioly R. 9H179
 Distelmaier A. 9H457
 Dmochowski A. 9H131
 Dobás J. 9B64
 Dobiasová M. 9H173
 Dobrowolski J. 9K5
 Dobrzycki J. 9H359
 Dobson J. V. 9B567
 Dodge J. W. 9H171
 Dodson M. H. 9B473
 Dodson R. M. 9H375
 Doering W. von E. 9B332
 Dokladal F. 9H567
 Dolch W. L. 9H261
 Dole K. K. 9H233
 Dolejšek Z. 9H7
 Domag G. 9H348
 Domanský R. 9B445
 Donth A. 9H30
 Doretta M. 9H394
 Dorfman E. 9E51
 Dorrestein R. 9H264
 Dorset B. C. M. 9H1575
 Dosch H. G. 9B25
 Doskočil J. 9H137
 Dos Santos Ilha J. 9H369
 Dostal E. J. 9H420
 Dote T. 9H516
 Dow R. 9H125
 Dowling B. B. 9H340
 Doyle F. P. 9H143
 Doyle G. M. 9H323
 Drago R. S. 9B92
 Dráčil V. 9E34
 Drásky J. 9K51
 Drautz E. G. 9H380
 Dravnieks A. 9H242
 Drawert F. 9B629
 Drescher K. 9M220
 Dresdner R. D. 9H242
 Drews B. 9H260
 Drexler S. 9H314
 Dreyer H. 9B467
 Driessche S. 9H5
 Drinkard W. C. 9B50
 Drury J. S. 9B304
 Drysdale J. J. 9H105
 Dubach P. 9H97
 Dubois P. 9H91
 Dubský H. E. 9H44
 Duchemin 9H265
 Duc-Maugé C. 9B383
 Duinea N. D. 9M38
 Duij J. H. 9M278
 Dukes J. A. 9K3
 Dukeshire R. E. 9H483
 Dulinski W. 9H344
 Dumazert C. 9H28
 Dumitrescu C. 9M168
 Dunlop D. A. 9M276
 Dunn J. D. 9H492
 Dunning H. N. 9H154
 Dunning W. J. 9B523
 Dunstan G. H. 9H239
 Dupaigne P. 9H90
 Durden J. A. 9H191
 Durdik F. 9H351
 Durie R. A. 9B405
 Durio E. 9H633
 Durović S. 9B155
 Dušek B. 9H165
 Dutcher J. D. 9H477
 Duvivier M. 9M60
 Duxon T. R. 9H333
 Dvořák J. 9H314
 Dvořák J. 9H181, 9H110
 Dvořák M. 9H103
 Dybalski J. N. 9H48
 Dyck A. W. J. 9H177
 Dyett E. J. 9H144
- E**
- Earle F. R. 9H391
 Earp F. K. 9H225
 Eastes J. W. 9H608
 Eastin J. L. 9H499
 Eastman D. P. 9B53
 Eastman R. H. 9H383
 Easton A. J. 9H288
 Ebersson L. 9B130
 Echar J. 9H295
 Eckert O. 9K298
 Eckert W. 9H225
 Eckhardt H. 9M224
 Eckhoff P. 9K264
 Edmister W. C. 9B53
 Edward J. T. 9H280
 Edwards G. E. 9K2
 Edwards R. L. 9H11
 Edwards W. F. 9B9
 Effenberger 9H16
 Eggers
 Eggitt
 Egru I.
 Ehlert
 Ehmman
 Ehrhardt
 Elchorn
 Elmers
 Elmspal
 Elrich
 Elrich
 Elsenh
 Ekert
 Elbanov
 Elbe G.
 Elder
 Eley D.
 ElGarby
 Elias I.
 Ellis A.
 Ellis I.
 Ellis N.
 Ellis N.
 Elizey
 El-New
 Elorant
 Elschne
 Elserm
 Emge I.
 Emmett
 Emr A.
 Enders
 Endres
 Endröd
 Endtting
 Ennezian
 Engel
 Engelde
 Engeln
 Engelm
 Enk E.
 Enkvist
 Entreß
 Enyedy
 Epelhof
 Epstein
 Erbar J.
 Ercoli
 Erdman
 Ergun
 Erhardt
 Erickson
 Erickson
 Ericson
 Eriker
 Eriksson
 Erilbach
 Erlenne
 9H382
 Ertel I.
 Esaylan
 Eschnau
 Escue I.
 Esht V.
 Esmay I.
 Espagno

- Effenberger F. 9K70, 9K168
 Eggers J. H. 9J184
 Eggitt P. W. R. 9H180
 Egru L. 9J165
 Ehlers G. F. L. 9P88
 Ehmman W. D. 9I4
 Ehrhardt H. 9E53
 Eichorn A. 9J1553
 Elmers E. 9J1175
 Einspahr D. W. 9J1510
 Elrich G. 9K414
 Elrich W. 9K414
 Elsenhail R. 9K245
 Elktier F. 9I68
 Elbanowski M. 9E579
 Elbe G. 9K349
 Elderfield R. C. 9K200
 Eley D. D. 9E504
 ElGarby M. 9J106
 Elias H. G. 9P16
 Elias L. 9E429
 El-Inany G. A. 9E626
 Elliott S. B. 9J1556
 Ellis A. J. 9I28
 Ellis I. A. 9B19
 Ellis N. K. 9H170
 Ellis R. F. 9H226
 Elzey S. E. 9K192
 El-Newelhy M. F. 9K140
 Eloranta J. 9E440
 Elschner B. 9K4
 Elsermann E. 9J1436
 Emge L. E. 9J14
 Emmett P. H. 9E505
 Enr A. 9J185
 Enders E. 9J362
 Endres H. A. 9J1329
 Endrödi J. 9H370
 Endtlinger P. 9E346
 Enezian J. 9J1390
 Engel F. C. 9H34
 Engelder T. C. 9K159
 Engelhardt J. 9M172
 Engleke C. E. 9E314
 Engelman R. 9E198
 Enk E. 9K165
 Enkvist T. 9J142
 Entreß K. 9K245
 Enyedy R. E. 9K176
 Epelboin I. 9E580
 Epstein J. 9J164
 Epstein J. A. 9J1515
 Erbar J. H. 9M164
 Ercoli R. 9B43
 Erdmann-Jesnitz F. 9H168
 Ergun S. 9E143
 Erhardt A. 9J1345
 Erickson H. 9K157
 Erickson R. E. 9K3
 Ericson B. 9M8
 Eriester E. P. 9J1580
 Eriksson B. J. 9K15
 Erlbach H. 9H497
 Erlenneyer H. 9J1376, 9J382
 Ertel D. 9E542
 Esayan M. 9P44
 Eschnauer H. 9H316
 Escue R. B. 9E275
 Esih V. 9M185
 Esnay D. L. 9J199, 9M289
 Espagno L. 9E365
 Essenhigh R. H. 9H364
 Estada Girouta M. 9H65, 9H173, 9H181
 Estulin I. V. 9E3
 Ettlinger O. 9H239
 Ettre L. S. 9E43
 Euranto E. 9E432
 Evans B. A. 9E4
 Evans J. M. 9P104
 Evans V. 9H211
 Everson H. E. 9K73
 Exner H. J. 9J1217
 Exner O. 9E117
 Fagnoni Y. 9K6
 Fahim R. B. 9E626
 Fairbrother F. 9B38
 Fairchild H. E. 9J1525
 Fairhall A. W. 9B13
 Falconer R. 9J1230
 Falk F. 9J161
 Falter K. A. 9H1456
 Fan H. Y. 9E197
 Farady L. 9J37
 Faraggi M. 9E526
 Farber L. 9H195
 Faris R. B. 9M310
 Farkas L. 9K317
 Farnham A. G. 9H200
 Farrow G. 9P22
 Fatuzzo E. 9E221
 Faust C. L. 9H199
 Favini G. 9E44
 Favre J. 9K19
 Fayse J. 9J1213
 Fear J. V. D. 9M299
 Feazel C. E. 9H225
 Feenan J. J. 9M215
 Fehér M. 9J166
 Feichtinger H. 9J194, 9J128
 Fejes P. 9M172
 Fekete K. 9J1627
 Felde U. 9J6
 Feldman D. 9M4, 9M28, 9P4
 Felgenhauer R. 9E629
 Fell G. 9H307
 Fellegi J. 9J1426
 Felmingham J. D. 9H295
 Feltham R. D. 9B60
 Fenech G. 9J1271
 Fenske M. R. 9M282
 Fényes T. 9E14
 Ferguson E. E. 9E93
 Ferguson H. 9J1509
 Ferguson L. H. 9J1560
 Ferguson W. C. 9M247
 Ferguson W. E. 9H79
 Fernández M. A. 9P61
 Fernandez T. 9K142
 Fernelius W. C. 9B66
 Ferrari A. 9J157
 Ferrel R. E. 9H234
 Ferris A. P. 9K69
 Feuge R. O. 9H415
 Fidelis I. 9J53
 Field L. 9K121
 Fields E. K. 9K235
 Fields M. L. 9H8
 Fifield C. C. 9H21
 Filčáková E. 9K422
 Filler R. 9J142
 Fine B. 9E457
 Fingetone A. B. 9P60
 Finsberg A. 9H458
 Firsirotu Z. 9J1285
 Fischer A. 9E543
 Fischer A. K. 9B44
 Fischer C. 9M50
 Fischer E. 9H461
 Fischer G. 9H323
 Fischer J. J. 9H40
 Fischer K. 9E156
 Fischer R. 9J1315
 Fisher E. E. 9M329
 Fisher F. 9P300
 Fisher P. 9E197
 Fishlock D. J. 9K183, 9J1247
 Fisk P. M. 9J1225
 Fite W. L. 9E38
 Fitting K. O. 9H105
 Flammersfeld A. 9E5
 Flanagan T. B. 9E337
 Flaschka H. A. 9J33
 Flaunt N. J. 9K210
 Flavian T. 9H184
 Flek J. 9J179
 Flemming C. D. 9M237
 Flesch W. 9K167
 Fletcher G. A. 9K278, 9K279
 Fletcher M. H. 9J16, 9J7
 Fletcher W. H. 9E86
 Flint O. 9K30
 Flinter B. H. 9I18
 Flitcroft N. 9B38
 Flodin R. G. 9H190
 Flodmark S. 9E168
 Florescu N. 9H65
 Flotow H. E. 9E321
 Flynn J. P. 9K31
 Flynn K. P. 9E288
 Foit B. 9J1250
 Fokins H. O. 9M281
 Follenius M. 9E242
 Foner S. N. 9E171
 Fontara B. J. 9M319
 Ford H. 9E510
 Ford R. A. 9E199
 Ford T. F. 9E640
 Foresti B. 9H386
 Forestier H. 9B30
 Forkman B. 9E17
 Forman H. B. 9K41
 Formanek R. J. 9J1341
 Forrester J. S. 9J168
 Forry D. R. 9H111
 Forsblad I. 9K12
 Forsén S. 9E130
 Förster W. 9J1269
 Fotis P. 9M289
 Foulon A. 9H173, 9H197, 9J1325
 Fournon C. 9E43
 Fox H. M. 9J1274
 Fox J. W. 9E264
 Foye W. O. 9B65
 Franc J. 9J181, 9J155
 France H. G. 9P47
 Francis F. G. 9J1220, 9H606
 Francis H. J. 9E1
 Francis R. 9B71
 Francois R. 9H437
 Frank H. 9J16
 Franke W. 9M336, 9H131
 Franklin J. G. 9H144
 Franz H. 9K225
 Fraser R. T. M. 9E51
 Frawley R. J. 9H100
 Fray G. I. 9K57
 Frazza E. J. 9J113
 Freedman A. J. 9H242
 Freedman L. 9J1370, 9J1408
 Freeman H. 9H1508
 Frei E. H. 9B17
 Frellick J. P. 9M297
 Frenz R. 9H89
 Freund M. 9J165, 9M184
 Frevert J. W. 9P39
 Frey J. M. 9J167
 Freyermuth H. B. 9H603
 Frick J. G. 9H576
 Fried J. 9J1432
 Friederich H. 9J177
 Friedman H. A. 9K222
 Friedman H. L. 9K224
 Friedman I. 9I3
 Friedmann C. 9J106
 Friedrich G. 9I64, 9I65
 Friedrich K. 9K137
 Friedrich W. 9J1416
 Frielingsdorf H. 9H9
 Frisch A. 9H3
 Fritzsche E. 9P391
 Fromandl G. 9J1315
 Frommelt H. 9H377
 Fruchter J. 9J1310
 Frye A. H. 9P89
 Fuchs O. 9H183
 Fuchs W. 9J170
 Fuchsman C. H. 9K136, 9J1556
 Fühler W. 9H263
 Fujii H. 9P64
 Fujinaga T. 9E302
 Fujita M. 9J1292
 Fukami J. 9J1478
 Fukudome M. 9E487
 Fukui K. 9E424
 Funakubo E. 9M126
 Funasaka W. 9J13
 Funk J. E. 9E628
 Fuoss R. M. 9E563
 Furby E. 9E385
 Furdik M. 9J1465
 Füredi L. 9M183
 Furita S. 9J1614
 Furukawa J. 9P52, 9P64
 Furukawa K. 9E343
 Futera P. 9H314
 Futrell J. H. 9E524
 Gabe I. 9I109
 Gabriel O. 9H4
 Gadd G. O. 9H141
 Gado K. 9H370
 Gadre G. T. 9I113
 Gaeke G. C. 9J18
 Gaglione P. 9E317
 Gahan J. B. 9J1494
 Gajac 9J164
 Galinos A. G. 9B28
 Gallagher C. J. 9E9
 Gambrell F. L. 9J1511
 Ganderton D. 9J1280
 Gandhi S. B. 9J1309
 Gandino C. 9I125
 Gangberg A. 9H260
 Gangneux R. 9J1223
 Gansau G. 9J1442, 9J1443
 Gansheimer J. 9M236
 Ganti T. 9H257
 Gardner R. C. 9H1481
 Garnett J. L. 9J167
 Garofano T. 9K129
 Garoglio P. G. 9H392
 Garrae da Silva Pinto A. J. 9E426
 Garrigue H. 9I108
 Garthe E. 9J194
 Garton G. P. 9H473
 Garvey B. S. 9H294
 Garvin H. L. 9E41
 Gary W. Y. 9H498
 Garzón R. L. 9J137
 Gaspar y Arnal T. 9J139
 Gass S. B. 9M39
 Gassner G. 9J1535
 Gassner H. 9H564
 Gates J. W. 9H126
 Gault Y. 9K15
 Gümman E. 9J448
 Gaunt W. E. 9J458
 Gauss W. 9J348
 Gauvin W. H. 9H63
 Gavelin G. 9H482
 Gaylord N. G. 9H280
 Gaynor J. 9H240
 Gazzetti G. 9K66
 Geen H. C. 9H284
 Geiger B. 9K167
 Gell P. H. 9A36
 Gelrot C. J. 9M135
 Gelegonya G. 9J1400
 Gell P. A. M. 9K340
 Geller S. 9E107
 General Foods Corp. 9E252
 Genge J. A. R. 9B19
 Gentilini L. 9H315
 Geoffrey P. 9J1444
 Georgousias O. 9J1513
 Geret H. 9H251
 Gerlach K. 9B48
 Gerson R. 9E226
 Gerstner P. 9J170
 Getoff N. 9E522
 Geuting M. 9I161
 Gewanter H. L. 9P68
 Ghosh C. 9M211
 Ghosh S. K. 9E277
 Giannini U. 9K228
 Giardini-Guidoni A. 9E518
 Glauque W. P. 9E327
 Gibbins S. G. 9B7
 Gibbs P. 9K257
 Gibbs P. F. 9H292
 Gibber J. 9H32
 Giddings J. C. 9E265, 9J15
 Giesen J. 9J162
 Giesen M. 9J1253
 Giglio E. 9B163
 Gil-Av E. 9J141
 Gilbert L. P. 9M312
 Gilkey R. 9H374, 9H375
 Gill J. M. 9H295
 Gillet A. 9M101

- Katsura K. 9H379
Katz A. 9J1410
Katz J. J. 9K39
Katz J. L. 9B162
Katz S. 9H140
Katz W. E. 9K74
Katzschmann E. 9J156, 9J157
Kaufman H. S. 9K155
Kaufman S. 9B292
Kaufmann H. P. 9P290
Kaufmann R. 9K345
Kaustinen O. A. 9P1439
Kawai K. 9B79
Kawai K. 9H265
Kawai S. 9P22
Kawakita A. 9P67
Kawanishi I. 9M126
Kawasaki A. 9P64
Kawata M. 9E13
Kawazura H. 9P51
Kay R. L. 9B564
Kazda A. 9H101
Kazimir L. 9H165
Keck H. 9K70
Keefe R. L. 9P388
Keefe R. M. 9B446
Keffe F. 9B238
Kehren M. 9E125
Keil G. 9M224
Keim G. I. 9P500
Keith A. C. 9H250
Keith H. D. 9P24
Keith R. 9H68
Kejha J. 9J1403
Kékedy E. 9B57
Kékedy L. 9B57
Kelch F. 9H179
Kelkar G. R. 9K270
Kellens E. 9H412
Keller J. B. 9B318
Keller P. J. 9P142
Kelley D. J. 9H237
Kelley J. A. 9K141
Kemball C. 9B477
Kemeny G. 9H131
Kemp J. D. 9M288
Kemp S. G. 9P175
Kemula W. 9B591
Keneshea F. J. 9B349
Kennedy J. P. 9P53
Kenner M. 9H365
Kenney A. W. 9H292
Kennon N. F. 9B254
Kenyon L. C. 9J117
Kepner R. E. 9H304
Kern W. 9P110
Kerr V. N. 9K196
Kertes A. S. 9B401
Kervran L. 9H280
Keskula H. 9P34
Kessler M. F. 9B141
Ketchum B. H. 9P124
Keywerth R. 9M11
Khan N. A. 9H419
Khastgir H. N. 9K268
Kido H. 9B66
Kiefer C. 9K226
Kienitz H. 9B454
Kihara T. 9B260
Kikuchi K. 9B310
Killmann E. 9B484
Kimbell G. H. 9B507
Kimura G. 9H385
Kimura K. 9J1246
Kindlimann H. 9P595
Kinell P. O. 9B114
King J. D. 9B23
King L. D. P. 9K34
King R. W. 9K21
Kinn J. A. 9P245
Kipp R. 9P1471
Kippenhan B. W. 9B247
Király E. 9J1291
Kiriya R. 9P22
Kirsanov I. 9H67
Kirsch H. A. 9M335
Kirschbaum A. 9H129
Kirschenbaum A. D. 9B271
Kiser R. W. 9B315
Kishi T. 9J133
Kishii T. 9K314
Kishinsky S. 9E41
Kissinger L. W. 9K68
Kissling L. F. 9H315
Kita K. 9H19
Kitano M. 9B360
Kitawaki R. 9K178
Klaus H. 9K130
Kleinberg J. 9K248
Kleinert T. N. 9H420
Kleinman G. D. 9J1510
Klema F. 9P65
Klempa Š. 9P288
Klemp W. 9K58, 9M142
Kleuters W. 9P496
Klick C. C. 9B203
Klimassenko N. L. 9B575
Kling O. 9B45
Klingler K. H. 9J1347
Klinkenberg A. 9J15
Klinkhammer F. 9J1299
Kloubeck J. 9K299
Kluiber R. W. 9B35
Klusek E. 9J1205
Knapp O. 9K313
Kneer H. O. 9B58
Kneips R. 9K158
Knížek M. 9E57
Knop H. 9J1222
Knöpp H. 9P131
Knotek Z. 9P58
Knoth W. H. 9K244
Knox J. R. 9P177
Knuth E. L. 9H26
Kobayashi A. 9K318
Kobayashi T. 9B186
Kobayashi T. 9H263
Köbrl J. 9J185
Koch J. 9H42
Koch M. 9P68
Koch W. J. 9K244
Kočí M. 9M249
Kocks U. F. 9B257
Kodad J. 9H314
Koefoed J. 9B528
Koen Mosse J. 9H103
Koestler R. C. 9K245
Köhler A. 9H480
Kohlmunzer S. 9H471
Kohlstaedt E. 9J1347
Kohn R. 9H349
Kohn W. 9H328
Kohnstam G. 9B448
Köhlsing Z. 9H344
Kojima K. 9M189
Kolar J. 9P638
Kolařík Z. 9B297
Kolarov N. 9J1252
Kolbach P. 9H290
Kölbel H. 9B488
Koleják M. 9P1475
Kolka A. J. 9J149
Koloff R. H. 9D132
Köln-Flittard E. Z. 9K107
Komarnicki E. 9K398
Komline T. R. 9H316
Komorová K. 9P426
Kondo T. 9H441, 9H447
Kondrachoff W. 9K6
Konieczynski J. 9M123
König H. B. 9J189
Konishi H. 9P98
Konjajev A. 9H115
Koops J. 9H1
Koppel H. C. 9K172
Körbl J. 9D68, 9J1221
Korda P. 9H384
Korger G. 9J1331
Korkisch J. 9J19
Korpi K. J. 9M291
Korringa P. 9H263
Kos V. 9M115
Koshimo A. 9P543
Koski W. S. 9B291
Koslewa D. 9J1573
Kössler I. 9J17
Köster R. 9K82
Kostyra J. 9J139
Kotásek Z. 9P647
Kotkowski S. 9M7
Kouřim V. 9B297
Koutecký J. 9B47
Kováč A. 9J1293
Kováč J. 9K299
Kowalczyk T. 9H356
Koyama M. 9B302
Kozáková M. 9J174
Kozawa A. 9D107
Kozłowski J. 9J123
Kozłowski W. B. 9P178
Kozyreff N. 9J1261
Kraemer L. M. 9B185
Kraft W. M. 9P1220
Krajča J. 9J195
Krajewski T. 9J131
Kraljić I. 9P38
Kramář W. 9M114
Kramer H. 9B118
Kranz G. 9K233
Kratochvíl A. 9P178
Kratochvíl L. 9H149
Kraus K. A. 9B633
Krause A. 9B480
Krause I. Y. 9B5
Krauß G. 9H285
Krausz I. 9D78
Kraut T. 9H252
Krejsa J. 9P17
Kremer 9P314
Kremr M. 9P621
Kresák D. 9B441
Kresáková-Halušková M. 9B441
Kress B. H. 9P272
Kreuschner H. 9K137
Kreutzberger A. 9B95, 9J184, 9P373
Krieger H. 9K265
Kriegsmann H. 9B94
Krijn G. C. 9J1400
Krishna V. D. 9B66
Kristen T. 9K404
Kriváň V. 9B552
Krivcová M. 9H345
Kröbl P. 9B57
Kröger C. 9K318, 9M54
Kröll H. 9P634
Krompolt K. 9H288
Kronberg M. L. 9K266
Kronstein M. 9P252
Krulišová Z. 9J1250
Krynicky J. 9B5
Kselik G. 9P238
Kubátova J. 9H481
Kubicek M. A. 9P1152
Kubicz A. 9P20
Kubinová M. 9P304
Kubo H. 9J1480
Kubo H. 9P614
Kubokawa Y. 9B486, 9B613
Kuboyama A. 9B68
Kučera E. 9P648
Kuchela K. N. 9B65
Kuczyński J. 9K386
Kuge T. 9B70
Kuhn J. 9P133
Kühnhanß G. 9M353
Kulesza J. 9H472
Kuloor N. R. 9P17
Kumada K. 9D111
Kumagai H. 9K156
Kumagai M. 9K166
Kumamoto J. 9K30
Kumazawa H. 9H404, 9H408, 9H409
Kun K. A. 9J1191
Kunc L. 9P288
Kundiger D. G. 9K65, 9J148
Kuninori T. 9P8
Kunstmann F. H. 9M39
Kuonig J. F. 9M177
Kupfer G. 9B629
Küpper H. 9H174
Kurabayashi M. 9J130
Kurase K. 9E13
Kurzen F. 9J1343
Kurzer F. 9K176
Kusano K. 9B487
Kuta E. J. 9H403
Kuwamura T. 9H440
Kwan B. C. H. 9D95
Kyle W. T. 9M274
L
LaBrecque G. C. 9J1494
L496
Labus H. 9M9
Lach A. 9H2
Lacher J. R. 9K243
Lacroix R. 9E25
Ladam A. 9M91
Ladbury J. W. 9P40
Ladik J. 9K315
La France N. H. 9K306
Lagarias J. S. 9H359
Lagoni H. 9H147
Laidlaw W. G. 9B425
Laikhtan D. M. 9B582
Lal G. 9H48, 9H49, 9H102
Lal J. 9P55
Lalande M. 9K78
La Manna A. 9K103
Lamb J. F. 9B275
Lamb S. A. 9J58
Lamb W. E. 9B31
Lambert M. 9B178
Lambrinou I. 9P535
Lamond M. J. 9J521
Landau L. 9B86
Landau R. 9J134
Landbeck M. 9K4
Landler Y. 9P185
Lane T. J. 9B67, 9B70
Lang T. 9J1400
Lange C. 9P574
Lange G. 9J1215
Langemann A. 9K313
Langer M. 9K185
Langley B. W. 9J1381
Langlois G. E. 9M288
Langmyhr F. J. 9J136
Langsjoen A. 9K157
Lanham S. E. 9H237
Lankenau H. G. 9P487
Lansart A. 9K25
Lapifška I. 9J149
Lappala R. P. 9P202
Large P. M. 9H157
Laš L. 9P578
László E. 9H374, 9P105
Laubschat C. O. 9J529
Laurance N. 9B566
Laurent B. 9J133
Laurent S. 9D33
Lautenberg A. 9J173
Lautenschlager H. 9P77
Law E. M. 9J194
Law S. W. 9P67
Lawrence J. R. 9P118
Lawsberg C. L. 9P603
Lažanský J. 9P102
Leaf A. C. 9B299
Leary R. P. 9P270
Leavitt F. C. 9P94
Lebel P. 9P185
Lebetkin G. 9H285
Le Bot J. 9K368
Lebsack K. 9H21
Leclercq D. 9H329
Ledvina M. 9M35
Lee J. M. 9J168
Lee M. M. 9P181
Lee Lieng-Huang 9K11
Lees R. 9H47
Leffler A. J. 9K229
Lefrançois P. A. 9K155, 9K156
Lega G. 9H113
Legrand de Moura M. 9P91
Le Henaff P. 9P210
Le Heron B. S. 9H150
Leibfried G. 9B167
Lejeune J. 9P157
Leikes G. 9H177
Lembke A. 9P301
Lemée J. 9P1327
Le Montagner S. 9B225
Lenarcik B. 9B540
Lengyel S. 9B536
Lenorák F. 9P400
Leoni M. 9H165
Leopold B. 9P392
Lerke P.
Le Roy
Lešić D.
Lesser R.
Lester
Le Suer
Lesueur
Leszko I.
Letizia I.
Letort M.
Lettinger
Levin E.
Levine S.
Levy L.
Lewallen
Lewallen
9J1483
Lewin M.
Lewis B.
Lewis D.
Lewis F.
Lewis G.
Lewis G.
Lewis J.
Liang C.
Liberman
Liberti A.
Lickman
Lide D.
Liebau I.
Lieblich
Liesegang
Lieser
9B36
Lietzke
Liggett V.
Lightn
Likař O.
Lili G.
Lind E.
Lindenbe
Lindenm
Linderstr
9E50
Lindert
Lindorf
Lindqvist
Lindqvist
Lindsey
Lipnanti
Linnett
Linton
Liodoc
Lipinski
Lipovec
Lipworth
Liquori
Lissner
Lister A.
Lisý O.
Liszka
Litvan I.
Liu Chi
Liu Lie
Livingston
Ljungqu
Lloyd J.
Lockett
Lodge A.
Loeb I.
Löflund
Logan
Loehr H.

- Lerke P. A. 9H195
 Le Roy D. J. 9B507
 Lešić D. 9J32
 Lesser R. 9J16
 Lessing E. 9A40
 Lester W. R. 9K309
 Le Suer W. M. 9M358
 Lesueur J. 9J166
 Lesko M. 9H352
 Letitia I. 9B578
 Letort M. 9P69
 Letsinger R. L. 9J174
 Levin B. 9T15
 Levine S. 9B641
 Levy L. 9H143
 Lewallen L. L. 9J1481, 9J483
 Lewin M. 9P1515
 Lewis B. 9K349
 Lewis D. G. M. 9K117
 Lewis F. A. 9B337
 Lewis G. E. 9K116
 Lewis G. M. 9B8
 Lewis J. B. 9K77
 Liang C. Y. 9P3
 Liberman D. 9J364
 Liberti A. 9H473
 Lickman D. A. 9P206
 Lide D. R. 9B107
 Liebau F. 9B153
 Lieblich H. W. 9K253
 Liesegang W. 9H110
 Lieser K. H. 9B551, 9B36
 Lietzke M. H. 9B550
 Ligett W. B. 9J149
 Lightin N. N. 9B541
 Likar O. 9H215
 Lill G. D. 9K286
 Lind E. 9H251
 Lindenberger K. H. 9B25
 Lindenmann A. 9J1406
 Linderström-Lang C. U. 9B50
 Lindert A. W. 9M342
 Lindorf H. 9H123
 Lindqvist B. 9B39
 Lindqvist I. 9B11
 Lindsey A. J. 9M214
 Linnantie R. 9K8
 Linnett J. W. 9B48
 Linton T. J. 9P177
 Llovec N. 9J144
 Liptinski H. F. 9M333
 Lipovec J. 9H66
 Lipworth E. 9B11
 Liquori A. M. 9B163
 Lissner O. 9P221
 Lister A. R. 9K9
 Lisý O. 9H354
 Liszka R. 9K63, 9K64
 Little W. F. 9K245
 Litvan F. 9J1351, 9J1389
 Liu Chien 9J153
 Liu Lien-sen 9B594
 Livingston R. L. 9B57
 Ljungquist J. 9P16
 Lloyd J. E. 9K6
 Lockett A. P. 9B74
 Lodge A. S. 9E23
 Loeb E. M. 9P21
 Loflund I. 9P10
 Logan T. J. 9K210
 Lohr H. R. 9B321
 Loken B. 9J1424
 Lomuto E. 9J1313
 Long J. T. 9P182
 Longuet P. 9K262
 Lora-Tamayo M. 9A5
 Lord J. 9H585
 Lordi N. G. 9J1317
 Lorenz J. H. 9J1102
 Lorenz R. 9J1344
 Lorenz W. 9B571
 Lörinc A. 9P628
 Lorquet J. C. 9B45
 Loschiavo S. R. 9J1504
 Lossing F. P. 9B54
 Lott K. A. K. 9B437
 Lott P. F. 9J195
 Lott W. A. 9J1454
 Lotz F. 9H143
 Louedec H. 9P1340
 Louthan R. P. 9J193
 Love D. 9B312
 Love H. M. 9B180
 Lovelock J. E. 9E45
 Lovreček B. 9B217
 Low W. 9B195, 9B232
 Lowry W. L. 9J1495
 Loziński J. 9P148
 Lucas J. 9B15
 Lucchesi C. A. 9B8, 9P256
 Lucchetti L. 9P150
 Luce W. A. 9H175
 Luck W. 9B1
 Luczak M. 9H164
 Luddy F. E. 9H417
 Ludera L. 9H51
 Ludewig H. 2H232
 Ludovici R. 9P1563
 Ludwig W. 9B167
 Lukeš R. 9K154, 9K299
 Lumbroso R. 9B632
 Lund E. 9P1258
 Lund L. H. 9B270
 Lundberg C. V. 9P180
 Lundsager C. B. 9P1176
 Lünenschloss J. 9P1522, 9P1596
 Lupa A. M. 9P1432
 Lux H. 9K104
 Lužný Z. 9B547
 Lyman J. 9P111
 Lynch B. M. 9B105
 Lynn E. N. 9P11
 Lyons J. F. 9M347
 Lyons S. C. 9K293
 Lytton M. R. 9P1394, 9P3
- M**
- McAweeney T. B. 9E16
 McCall D. W. 9P2
 McCall M. A. 9P155
 McCarley R. E. 9B12
 McCaulay D. A. 9J1133
 McClenachan E. C. 9K200
 McConnell R. L. 9P155, 9P156
 McConnell S. P. 9B398
 McCord H. A. 9P1345
 McCormack K. E. 9P1389
 McCracken G. M. 9B180
 McCracken P. G. 9B356
 MacCuaig R. D. 9J1490
 McCubbin T. K. 9B35
 McCullough J. P. 9B324
 McDaniel R. E. 9B15
 Mac Donald D. 9B312
 Mac Donald R. N. 9P1152
 McDonald W. J. 9B23
 McDowall F. H. 9H150
 McDowall I. C. 9B637
 McEwen W. E. 9K248
 Macey A. 9H286
 McGovern J. N. 9P1425
 McGuire T. A. 9H391
 Mach O. 9E5, 9K325
 Machin J. S. 9B387
 Machioux R. 9E42
 McInnes A. G. 9H423
 MacIntosh R. M. 9H176
 McIntyre H. C. 9P125
 McKenna T. A. 9J162
 Mackin J. 9B312
 McKelney R. E. 9H288
 McLaren G. A. 9K95
 McLaughlin T. F. 9P110
 McLean L. W. 9J117
 McMullan M. E. 9H29
 McNabb J. W. 9P1289
 McNall L. R. 9P1346
 McNicholas J. 9H287
 MacQueen J. T. 9B413
 McWilliam I. G. 9J141
 Madaus J. H. 9J190
 Maddock B. H. 9P107
 Maddox R. N. 9M164
 Madhavakrishna W. 9P1613
 Madjar A. 9J1275
 Maekawa E. 9K99
 Maeda K. 9B110
 Maegaard S. 9P116
 Maeser M. 9P1632
 Maeshima T. 9J124—9J126
 Magazin M. 9A238
 Magee R. J. 9J108
 Mager A. 9B243
 Magerlein B. J. 9J1429
 Mageru V. 9P109
 Mahboob S. 9P1441
 Mahendroo P. P. 9B113
 Mahler L. 9B45
 Mahlmeister J. E. 9K33
 Maier P. 9H43
 Maier R. E. 9P177
 Majchrzak K. 9J103
 Majer J. 9P1149, 9P26
 Majumdar K. K. 9K2
 Makinen M. 9P1431
 Makrides A. C. 9H226
 Malaprade L. 9J138
 Málek P. 9J1440
 Malinovsky M. 9B388
 Malkus Z. 9E40
 Mallan J. 9H391
 Mallon H. D. 9H146
 Malvickni A. 9B317, 9P125
 Malý J. 9K35, 9H407
 Mandel G. N. 9K177
 Mandleberg C. J. 9P1395
 Mangini A. 9B73
 Mann A. A. 9P1427
 Mann E. J. 9H128
 Mannchen W. 9B325
 Manner E. 9P16
 Manning G. 9B9
 Manning W. P. 9H63
 Mansford K. R. L. 9K148
 Manson N. 9B455
 Manteuffel A. A. 9M334
 Maradudin A. A. 9B174
 Marciniak-Fabianowa A. 9B42
 Marcus L. 9K252
 Marcus R. J. 9E26
 Mardon J. 9P1494
 Mare P. B. D. 9B447
 Marek O. 9P148
 Marguet C. 9P1619
 Mariani E. 9K364
 Mariani P. 9H217
 Maričić S. 9B217
 Marier J. R. 9H282
 Marinace J. C. 9B245
 Marino D. A. 9K199
 Mark H. F. 9P15
 Markó L. 9J165
 Marple L. W. 9B596
 Marquez F. 9K168
 Marr G. V. 9B109
 Marraccini L. M. 9H1420
 Marron A. J. 9H177
 Marrs O. L. 9K216
 Marsden K. 9K189
 Marsh J. T. 9P157
 Marshall C. W. 9J1426
 Marshall E. L. 9P140
 Marshall H. P. 9P161
 Martens H. E. 9M104
 Martin B. K. 9J1532
 Martin E. L. 9J1568
 Martin H. 9J1354
 Martin H. Z. 9M292
 Martin J. J. 9K8
 Martin J. J. 9P113
 Martin R. 9B383
 Martin R. W. E. 9H117
 Martin W. B. 9K90
 Martinelli A. J. 9M265
 Marval E. 9J1179
 Marxer A. 9J1164
 Marzullo S. 9K249
 Maschlanka W. 9B485
 Masi J. F. 9B331
 Maso H. F. 9H483
 Mason E. A. 9K94
 Mason S. G. 9B307
 Masquellier J. 9J1249
 Mastin T. G. 9K22
 Matejec R. 9B249
 Mateos J. L. 9B98, 9B99
 Matha R. 9K285
 Matheson M. S. 9B512
 Mathieu J. P. 9B193
 Mathur P. B. 9K195
 Matiašovský K. 9B388
 Matoušek M. 9K423
 Matoush W. R. 9K91
 Matrká M. 9J1207
 Matschke D. E. 9M186
 Matsen F. A. 9B93
 Matsubara S. 9H325
 Matsubara Y. 9P190
 Matsuda A. 9B569
 Matsui K. 9K147
 Matsui M. 9K318
 Matsukawa T. 9H445
 Matsukura T. 9H477
 Matsumoto T. 9H400
 Matsumoto Y. 9M126
 Matsumura K. 9K159
 Matsuo S. 9P27
 Matsuura I. 9B486
 Matsuura T. 9K302
 Matthews D. L. 9P1306
 Matthias G. 9B48
 Mattis D. C. 9B173
 Matushita T. 9P1614
 Matuura R. 9B605
 Matyska B. 9J17
 Mautner H. G. 9K170
 Mauzerall D. 9K319
 Maxime 9H336
 May A. D. 9B32
 May E. D. 9H132
 May J. E. 9K266
 Mayer A. 9B597
 Mayer G. 9B421
 Mayer M. 9K51
 Mayer R. L. 9J1341
 Mayer W. J. 9K113
 Mayr F. 9M25
 Mazo R. M. 9B425
 Mazumdar A. K. 9P1514
 Mazzanti G. 9P57
 Mead J. B. 9B10
 Meakins G. D. 9K278, 9K279
 Mecham D. K. 9H234
 Mechin J. L. 9H357
 Meckelburg E. 9K68
 Medhi K. C. 9B129
 Meguro K. 9H441, 9H447
 Mehnert D. 9H18
 Mehnert K. 9P117
 Mehta C. M. 9K162
 Mehta N. C. 9P97
 Meier F. 9K276
 Meier J. 9B333
 Meijer P. H. E. 9B345
 Meininger F. 9J1225
 Meis J. 9J160
 Meister H. 9J122
 Mekler V. 9M291
 Melamed N. 9P192
 Melamed S. 9P158
 Melichar M. 9J1251, 9H407
 Melloransky A. S. 9B3
 Mellor D. P. 9B244
 Melton C. E. 9B56
 Menassé R. 9J1376
 Menczel E. 9J1275
 Mendelsohn M. 9J1555
 Mengering S. 9K194
 Menoux A. 9H324
 Ments M. 9M279
 Menzer W. 9K78, 9K85
 Merck F. 9P1361
 Mercy E. L. P. 9P38
 Merken L. 9K296
 Merkes R. 9P1145
 Merle Y. 9P91
 Merrill L. P. 9P40
 Merritt J. M. 9J1533
 Merz O. 9P1249
 Mertzweiler J. K. 9P1137
 Mesnard P. 9J1294
 Messersmith D. C. 9P33
 Messina J. 9M229
 Mészáros L. 9J146
 Métails B. 9H48
 Metcalfe L. D. 9P172

- Metlesics W. 9K226
Metzler D. F. 9H286
Meybeck J. 9H521
Meyer B. 9B13
Meyer B. 9H175
Meyer E. W. 9H504
Meyer G. 9H597
Meyer K. 9K420
Meyer W. 9J16
Meyknecht B. A. M.
9H123
Meynis de Paulin J. J.
9H196
Meyrowitz R. 9H15
Michaels A. S. 9E19,
9K121
Michalička L. 9K51
Michalski E. 9D188
Michael F. 9H101
Michel J. 9H191
Michl V. 9H169
Michod J. 9H307
Micks D. W. 9H501
Micu L. 9H268
Middleton R. 9B4
Mields M. 9A2
Migliarese J. 9H63
Mifida S. 9B605
Mikailoff H. 9B422
Mikes J. 9H155
Mikhail R. S. 9B616,
9B626
Miki O. 9H304
Mikula A. 9H548
Milanese G. 9H227
Milatović L. 9H22
Milenković S. M. 9B295,
9B296
Miles J. B. 9H364
Miller R. J. B. 9H451
Miller A. A. 9H146
Miller A. L. 9H346
Miller C. D. 9H105
Miller F. C. 9H117
Miller F. J. 9H233
Miller E. L. 9H281
Miller H. R. 9H199
Miller M. W. 9H81
Miller N. G. 9H264
Miller W. E. 9H159
Milling B. 9H438
Mills J. 9H383
Mills J. L. 9H366
Millstein H. 9H5
Milner D. W. 9H132
Mims L. S. 9K8
Minami Y. 9K272
Minculescu A. 9H612
Mindović E. 9H227
Mindrea N. 9H557
Minemura N. 9H549
Mingasson G. 9H211,
9H213
Minak L. M. 9H571
Miranda T. J. 9P60
Mirna A. 9H402
Miro P. P. 9H526
Mirone D. 9H355
Misek T. 9H102
Misumi S. 9H52
Mitchell G. S. 9K402
Mitchell M. J. 9E54
Mittelu C. 9H484
Mitoff S. P. 9B226
- Mitra K. P. 9M211
Mitsuhashi J. 9H478
Mitsuhashi S. 9H15
Mitsui T. 9K257
Mitta I. 9P84
Miyai 9H263
Miyake A. 9P13
Miyake Y. 9H126
Miyama J. 9H19
Miyano M. 9H318
Miyachi D. T. 9H194
Mizera S. 9H70
Mizsei A. 9H431
Mizushima S. 9B123
Mizushima Y. Y. 9B464
Mizsoni R. H. 9H334
Mladenović S. 9K184,
9K190
Młodziński B. 9K46
Mochizuki T. 9H362
Möckel F. 9B571
Modena G. 9K146, 9K217
Mohamed Abdel-Fattah
Elkaschaf 9K25
Mohamed Ezz El-din
Sobhy 9K204
Mohler J. B. 9K194
Mohr W. P. 9H79
Moltron J. 9K283
Moll M. 9H233
Mondon R. 9K179
Monin A. 9H56
Monroe A. G. 9K116
Montanari F. 9K119
Montavon M. 9H403,
9H495, 9H496
Montefinale A. 9H104
Montilla J. 9E6
Montgomery D. J. 9B192
Mookerji K. K. 9H48
Mooney R. W. 9B152
Moore F. L. 9H49
Moore J. W. 9H150
Moore K. L. 9H231
Moore R. H. 9K37
Moosath S. S. 9B39
Mora H. 9H637
Morand P. F. 9K280
Morandi L. 9H3
Morbeck R. C. 9M287
Mordike B. L. 9K277
Moreau 9M122
Moreau C. 9H64
Moreau M. 9H64
Morgan E. D. 9K57
Morgan P. 9H115
Morgan W. W. 9H117
Mori L. 9H165
Mori N. 9K7
Morison A. S. 9H291
Moriguchi H. 9B42
Morikawa T. 9H552
Morita M. 9H190
Morita N. 9H315, 9H316
Morita S. 9K127
Mørkved K. 9M5
Morley J. S. 9H395
Moroff H. 9H586
Morokuma K. 9B424
Morrissey W. J. 9K342
Morway A. J. 9M331,
9M333, 9M345, 9M346
Moses B. C. 9H225
Moslo E. P. 9H121
- Mosóczy F. 9M124
Mosqueira A. 9H73
Moss R. Y. 9H115
Mosthaf H. 9H136
Motas M. 9H113
Motluk K. 9H483
Mottet T. J. 9K351
Mottram S. 9H308
Motyka I. 9H281
Mouron J. C. 9H210
Movsovic D. J. 9H100
Moyer J. H. 9H495
Moylan J. J. 9H182
Mözes G. 9M183
Mrázek J. 9H213
Mrazović M. 9B517
Mrozewski S. 9H86
Mucha J. 9B556
Mucha J. 9H433
Mueller C. R. 9B336
Mueller G. F. 9H394
Mueller L. 9H157
Mukawa F. 9H281,
9H283
Mukherjee S. G. 9M211
Mukherji A. K. 9B67
Mukhopadhyay B. 9H218
Mulder H. 9H158
Mulla M. S. 9H484,
9H500
Müller A. 9H310
Müller E. 9H181
Müller F. B. 9H471
Müller G. 9H404
Müller L. 9H180
Müller R. 9H178
Müller W. 9B571
Müller W. 9H222
Mulqueeny T. J. 9M325
Muñoz-Delgado Ortíz
J. A. 9H65
Muñoz-Delgado Ortíz L.
9H65
Muntoni F. 9H27
Hünzel K. 9H259
Muraoka H. 9B177
Murata H. 9B79
Murata K. 9H201
Murdoch D. I. 9H94
Murgulescu I. G. 9B56
Muroi T. 9H353
Murphy N. F. 9B398
Murray H. D. 9H218
9H569, 9H570
Murray P. J. 9H291
Murthy A. R. V. 9H178
Musha S. 9H61
Mushack P. 9H507
Mussa H. 9B132
Mustafa A. 9M146
Mutschler E. 9H289
Mutter E. 9H544
Mutton D. B. 9H392
Mydill J. 9H182
Myers A. T. 9M149
Myhill A. R. 9M190
- N
Nadai K. 9H319
Nagai I. 9H220
Nagai T. 8H98
Nagai Y. 9K102
Nagasawa M. 9H292
- Nagata A. 9H552
Nagata C. 9B424
Najer H. 9H205
Najer H. 9H265
Nakada K. 9B110
Nakagawa G. 9H43
Nakaido Y. 9H432
Nakajima K. 9H104,
9H105
Nakajima K. 9M3
Nakamura R. 9E41
Nakamura S. 9B310
Nakanishi Y. 9H39
Nakao Y. 9H317
Nakayama H. 9H84
Nakayama K. 9M27
Nakayama Y. 9P52
Nancy R. 9H509
Naps M. 9H174
Narayanan P. I. A.
9K235
Náray-Szabó I. 9K315
Naruse U. 9H400
Nash A. M. 9H75
Nash C. P. 9B334
Natkański K. 9H513
Natta G. 9P57
Naud J. 9H509
Naudet M. 9H425
Nauman R. V. 9H8
Nayler J. H. C. 9H148
Neace J. C. 9H118
Neale D. J. 9H220
Nedelkovits J. 9H206
Neeb R. 9H316
Needham P. H. 9H508
Neely R. J. 9M228
Neher R. 9H435
Nehme M. 9P63
Nehring D. 9B467
Neilands J. B. 9H71
Neitzert W. 9H36
Nelson J. F. 9H275
Nelson W. 9H189
Nelson W. L. 9M202
Nemoto Y. 9H552
Nenitzescu C. D. 9H42
Nentwig J. 9M36
Nesbitt P. 9H154
Neuberger A. 9H71
Neukomm S. 9H210
Neumann J. 9H162
Neuworth M. B. 9H118
Nevett B. A. 9B10
Newnham R. 9B239
Newton E. B. 9H333
Newton G. 9H444
Nichols J. 9H333
Nicholson E. S. 9H393
Nickel H. 9H216
Nickl J. 9K165
Nicolaisen B. H. 9H61
Nicolau C. 9B479
Niedermeyer O. 9K185
Nielsen H. H. 9B76
Nies N. P. 9B2
Nilsen A. 9M274
Nilsson R. 9H126
Nishikawa T. 9H43
Nishimura M. 9B311
Nishimura S. 9H106
Nishino K. 9H147
Nissel F. R. 9H141
Niwa I. 9H61
- Niwa S. 9H325
Noack D. 9H496
Noda T. 9K173
Noddings C. R. 9K139
Noell C. W. 9H172,
9H173
Nolan W. J. 9H407
Noland W. E. 9H132,
9H153
Noll W. 9H30
Nolle A. W. 9B113
Nonnenmacher G. 9B73
Norcross G. 9H58
Noro K. 9P51
Norris R. G. W. 9B598
North A. A. 9K29
Northrop D. A. 9E9
Norton T. 9H139
Nose Y. 9H75
Novak J. 9M141
Novák J. 9H213
Novák J. V. A. 9H142
Novak L. J. 9H397
Novák M. 9H223
Novar H. 9H42
Nowak L. 9K322
Nowakowski B. 9H348
Nowotny H. 9B369
Noyes W. A. 9A17
Nozaki K. 9H48
Nozaki M. 9H418
Nübel G. 9H329
Nukina S. 9H132
Nurse R. W. 9K239
Nussbaum A. L. 9H128
Nussberger J. 9H160,
9H167
Nusslein J. 9H484
Nyholm R. S. 9B48
Nylund A. 9H146,
9B147
Nyul G. 9M181, 9M183
Nývlt J. 9B361, 9B362,
9B527
- O
Oana S. 9H130
Obellianne P. 9H210
Obendorf W. 9H350
Oberender F. G. 9B35
Obiger G. 9H133
Oborn E. T. 9H123
O'Brien R. N. 9B574
Ockewitz K. 9H168
O'Connor R. T. 9H360
Oddone A. 9H633
Odell N. R. 9M347
Odor G. 9H391
Oel H. J. 9H312
Oeteren K. A. 9H224
Offe H. A. 9H189
Offutt W. C. 9M293
O'Friel Z. 9B15
Ogaru M. 9H458
Ogo Y. 9H102
Ogura A. 9H437
Ogura I. 9H266
Ohisa T. 9H102
Ohlinger H. 9H136
Ohlson R. 9H168
Ohnishi S. 9P84
Ohta G. 9H275
Ohta I. 9H6
Oishi K. 9H201

- Okada A. 9H353
Okada M. 9H83
Okada M. 9H285
Okajima S. 9H1616
Okamoto H. 9B411
Okasaki K. 9H1574
Oksengorn B. 9B126
Okuaki S. 9H1367
Okubo M. 9H121
Okubo T. 9H84
Oláh G. 9H133
Olariu M. 9B597
Olczakowski W. 9H281
Olivares I. A. 9H1550
Oliveto E. P. 9H1428
Olmitoad W. J. 9H117
Olson R. T. 9H342
Olson D. G. 9H135
Olson H. N. 9H212
Oltay E. 9H165
Oltay E. 9H1433
Oma T. 9H1446
Omang S. H. 9H136
O'Meara J. W. 9H277
Omout A. 9B33
Oncescu T. 9B56
Ondraček M. 9H325
O'Neill J. J. 9P21
Ono S. 9B70
Onooks R. 9H1367
Oosthuizen J. C. 9E15
Oppenhoff P. 9H58
Opitz H. P. 9B45
Oprescu M. 9H65
Orchard S. E. 9H255
Orient O. 9H7
Orlita A. 9H611
Orr A. A. 9H55
Orth C. J. 9B300
Ortner H. 9H1459
Orville P. M. 9H50
Osbergbaas O. 9E53
Osborne D. W. 9E322
Österberg L. 9H1476
Ostrosky B. 9H242
Otani S. 9H1437
Otomasu H. 9H169
Ott D. G. 9H196
Ottén H. G. 9H1525
Otto G. 9H623
Otto W. H. 9H350
Ourne V. 9H1219
Ouwerkkerk J. P. 9H123
Overby J. R. 9H1347
Ovst E. B. W. 9H65
Oyama M. 9H19
Oyama Y. 9H286
Ozaki S. 9B378
Ozawa K. 9H266
- P**
Packman W. 9H37,
9H38, 9H44
Padden P. J. 9P24
Pádr Z. 9H250
Paetzold R. 9B59
Pagano J. P. 9H1447
Page H. 9H3
Page W. L. 9B57
Pai B. R. 9H267
Pal B. N. 9H1618
Paladino A. E. 9B381
Palko A. A. 9E304
Palmer C. M. 9H261
- Palouš R. 9H70
Palovčíková M. 9H152,
9M242
Panalaka T. 9H72
Pánek K. 9B290
Pangráč M. 9H126
Pannasch K. 9H18
Pannetier G. 9B461
Panzeri C. 9H165
Pantlitschko M. 9H330
Pantonin J. A. 9B44
Papadakis M. 9H366
Papée H. M. 9H104
Papiu V. C. 9H136
Pawowicz J. 9H297
Papp I. 9H271
Pappo R. 9H1423
Pappu R. S. 9H1
Parameshwara Rao B. V.
9H2
Parcell R. F. 9H384
Parekh K. B. 9H1540
Parencia C. R. 9H1491
Pares J. 9H185
Parham W. E. 9H142
Parikh K. H. 9H230
Park J. D. 9H243
Park R. E. 9H146
Parker C. A. 9H120
Parker J. A. 9H163,
9H1281
Parker R. B. 9E19
Parker W. G. 9M205
Parrmigliani A. 9H115
Parnall C. E. 9H34
Parry E. 9H1569
Parry W. E. 9B279
Parlington E. J. 9B293
Partlow E. V. 9P99
Pascalide G. 9H132
Pascos W. R. 9H241
Pasternak R. A. 9E20
Pataki L. 9H79
Pátek V. 9H160
Patel G. H. 9H162
Patriarche G. 9H1296
Patterson M. E. 9H70
Patzek T. 9B4
Patziel J. 9H422
Paudert R. 9H221
Paulig G. 9H69
Paulin A. 9H63
Paulsen F. R. 9H16
Pauson P. L. 9B68
Pawley J. A. 9H256
Payen P. 9M91, 9M92
Payne G. B. 9H186
Pazonyi T. 9H142
Pazos L. R. 9H73
Peacock F. G. 9H1283
Peacock J. H. 9H175
Peale L. P. 9M229
Pearce E. M. 9P23
Pearl I. A. 9H140
Pearson D. E. 9H121
Pearson E. A. 9H295
Pearson F. J. 9B412
Pent S. 9P104
Pébay-Peyroula J. C.
9B33
Pecel J. 9B65
Peck W. S. 9H33
Peistöcker G. 9H52
Peizker Z. 9H191
- Pelizzari A. 9H83
Pelletier O. 9H72
Pelloni V. 9H306
Pelzer H. 9E61
Pendergrast J. 9B333
Penn W. 9H143
Penna R. P. 9H1476
Penndorf F. 9H85
Penny J. F. 9H180
Pepper A. C. 9M338
Percival J. J. 9H1343
Perdue L. W. 9H1447
Peri J. B. 9H146
Perkins G. 9B275
Perkins M. 9B301
Perotti A. 9B115
Perrin A. R. 9H1454
Person W. B. 9H3
Pester A. 9H301
Péter F. 9H177
Peterlin A. 9P6
Peters J. G. 9M315,
9M318
Peters K. H. 9H147
Petersen E. 9H122,
9H151
Petersen S. 9H1348
Peterson D. C. 9H1474
Peterson D. G. 9H1472
Peterson J. G. 9H65
Peterson M. L. 9H122
Peterson R. G. 9H53
Pethrick S. R. 9M349,
9M352
Pettit J. C. 9B30
Peto F. 9H182
Petrooulos J. C. 9H271
Petrovic C. 9H350
Petrucelli R. H. 9E246
Petrucicli G. 9H1408
Pette J. W. 9H148
Pettersson R. C. 9B101
Peuchmaur A. 9H367
Peyronel G. 9B37
Peyton F. A. 9E604
Pflanz H. 9H338
Pflaumer A. E. 9H211
Pfleger R. 9H194
Pfleiderer W. 9H320
Pfohl W. 9H1214, 9H125
Phadke R. S. 9H240
Phelps H. E. 9H306
Phelps R. T. 9H64
Phillips F. J. 9H1579
Phillips D. B. 9H1474
Phillips L. V. 9H45
Phillips M. A. 9H1527
Phillipson J. M. 9H1273
Phillipotts G. C. 9H1506
Piątkowski J. 9M120
Picard K. H. 9H243
Pichat L. 9H251
Picher H. 9H1269
Pickart S. J. 9B239
Picko V. 9H331
Pleper A. H. 9H158
Pierre Lhoumeau 9H251
Pietermaat F. 9H41
Pietri C. E. 9H184
Pietrokowski P. 9B144
Pihlajavaara S. E. 9H390
Pihrt J. 9H322
Pilar F. L. 9P27
Piloni R. A. 9H278
- Pimentel E. S. 9H302
Pino P. 9H53
Pinter E. 9H1315
Piontelli R. 9B572
Pirkil J. 9B64
Pislaru V. 9H339
Pistorius C. W. F. T.
9H23
Pitra J. 9H1411
Pittwell L. R. 9H163
Pitzurra M. 9H131
Placek C. 9H7
Plambeck L. 9H1567
Plank C. J. 9M272
Plapp F. W. 9H1482
Plaza A. 9P36
Plechaty L. 9H1485,
9H1486
Plešek J. 9H119
Plesner I. W. 9B179
Plimmer J. R. 9H59
Pliaka V. 9H1481
Ploss G. 9H260
Plowman J. M. 9H389
Pociej J. 9H354
Poe C. F. 9H134
Pohl F. 9H1528
Pohl F. A. 9H93
Pohlmann R. 9H1415
Pokorný A. G. 9H423
Pokorný M. 9H178
Pokorný S. 9H235
Polak H. L. 9H171
Polák V. 9H1236
Pollitzer E. L. 9H463
Pollmann S. 9H12
Polmanteer K. E. 9H203
Polster A. 9H1539
Pomianowski A. 9H63,
9H64
Pommer H. 9H263
Pompa C. 9H1459
Ponting J. D. 9H109
Poos G. I. 9H1418—
9H1420
Popowicz M. 9A131
Poppa M. 9H300
Poppe H. 9H100
Porretta A. 9H108,
9H110
Posner A. S. 9H304
Pospišil J. 9B541
Pospišil J. 9H69
Post B. 9B162
Postacioglu B. 9H376
Postle R. 9H156
Poth I. 9H186
Potter M. D. 9H392
Poulet H. 9B193
Pouradier J. 9H1540
Pourbaix M. 9H271
Powell J. L. 9H26
Pozo Fernandez R. 9H65,
9H173, 9H181
Pradhan S. 9H1489
Prager-Janczewski J.
9H96
Prasad K. 9H161
Prasad S. N. 9H320
Pratesi P. 9H103
Pratt D. B. 9H19
Prawnitz J. M. 9B351,
9H23
Pregaglia G. 9P57
- Prehoda J. 9H328
Prelog V. 9H1448
Pressman W. 9B318
Preston D. 9P22
Preston R. W. G. 9H166
Preugschat F. 9B76
Previo E. P. 9H118
Přibitl R. 9H114, 9H185
Prinzbach H. 9B392
Price M. D. 9H1476
Price W. H. 9H1483
Prichard W. W. 9H76
Prigent J. 9B15
Prija B. 9H1376
Přihoda S. 9M194
Prill E. A. 9H193
Prillinger P. 9H398
Priou M. 9B33
Pritchard J. G. 9B452
Pritzkow W. 9H45,
9H44, 9H52
Prochaska J. 9M905
Proctor B. E. 9H18
Prophet H. 9B38
Protospataro P. 9H160
Prud'homme M. 9H294
Pruthi J. S. 9H148,
9H102
Pryde E. H. 9H75
Pryor W. A. 9B438
Puçar S. 9H1514
Pump K. 9H245
Pungor E. 9B592,
9H9, 9H291
Pungs W. 9H79
Purdy W. C. 9H175
Pursell W. L. 9M238
Purushothaman K. K.
9H267
Purushottam D. 9H167
Puschhof S. 9H194, 9H128
Pustal M. 9H281
Puszyrew S. A. 9H1453
Putney D. H. 9H313
Pütter R. 9H1217
Pyszniak J. 9H386

Q

- Quackenbush F. W. 9H1403
Quattrone C. 9H207
Queen A. 9H148
Quin L. D. 9H236
Quinche J. P. 9H181
Quinlan K. P. 9B67,
9B70
Quinn R. A. 9H263

R

- Rabaté J. L. 9H267
Rabek T. I. 9H283
Rabin H. 9H211
Rabinovitz M. 9H165,
9H1275
Rabjohn N. 9H46
Rabl R. 9H214
Rác G. 9H244
Rác Z. 9H268
Raczynski W. 9B589
Rada Z. 9H1576
Radek O. 9M48
Radell J. 9H124
Radelt H. 9B256
Radonič V. 9H75
Rae K. M. 9H266

- 9H131 Saxena L. K. 9B443
 3616 Saxena S. C. 9B261
 9H137 Saxton W. R. 9H392
 9B10 Sarty L. J. 9H124
 9K252 Sáznvský V. 9H259
 3 Scanlet B. L. 9H292
 9M304 Scanlan J. J. 9H504
 N. Scarano E. 9B578
 9H138 Schab H. W. 9M208
 9H139 Schade H. 9H169
 9H140 Schaefer A. 9H223
 9H141 Schaefer H. 9H52
 9H142 Schaeffer W. D. 9K60
 9H143 Schaer C. R. 9K214
 9H144 Schäfer H. 9B330, 9B338
 9H145 Schäfer O. 9H107
 9H146 Schäfer W. 9H119
 9H147 Schaller P. 9M321
 9H148 Scharmann H. 9H18
 9H149 Schay G. 9H32
 9H150 Scheer R. J. 9H237
 9H151 Scheffer F. 9B451
 9H152 Scheffler H. 9H372
 9H153 Schenck H. 9B485
 9H154 Schepers B. 9B150
 9H155 Scherer O. 9H535
 9H156 Scherr G. W. H. 9H126
 9H157 Scheuplein R. 9K257
 9H158 Schicht W. 9H164
 9H159 Schickner W. C. 9K217
 9H160 Schieber M. 9B17
 9H161 Schiff H. I. 9B429
 9H162 Schikorr G. 9H147,
 9H163 9H152
 9H164 Schiller P. 9H299
 9H165 Schimrich K. R. 9H542
 9H166 Schipper E. S. 9H333
 9H167 Schläfer H. L. 9B45
 9H168 Schleich K. 9B346
 9H169 Schleicher E. 9H135
 9H170 Schleicher H. W. 9H167
 9H171 Schlesinger H. 9H183
 9H172 Schlitt F. W. 9H243
 9H173 Schloeder H. 9H191
 9H174 Schlöhr H. 9H524
 9H175 Schlorke A. 9H201
 9H176 Schmalzried H. 9B219
 9H177 Schmauder K. 9H321
 9H178 Schmid E. W. 9B75
 9H179 Schmid H. 9H13
 9H180 Schmidlein J. A. 9H191
 9H181 Schmidlin J. 9H421
 9H182 Schmidt A. 9M268
 9H183 Schmidt A. O. 9K280
 9H184 Schmidt C. T. 9B316
 9H185 Schmidt D. J. 9H173
 9H186 Schmidt G. 9H301
 9H187 Schmidt H. 9K102
 9H188 Schmidt H. 9M268
 9H189 Schmidt J. 9K281
 9H190 Schmidt K. 9H620, 9H622
 9H191 Schmidt-Ott W. D. 9B5
 9H192 Schmidt-Ruppin K. H.
 9H193 9H461
 9H194 Schmid H. 9B291
 9H195 Schmid J. 9H424
 9H196 Schmitt J. A. 9P34
 9H197 Schmitz E. 9H144
 9H198 Schmitt-Hillebrecht E.
 9H199 9M36
 9H200 Schmulbach C. D. 9B92
 9H201 Schneider P. 9H11
 9H202 Schneider P. E. 9M212
 9H203 Schnider O. 9H394, 9H402
 9H204 Schnitzer A. M. 9H188
 9H205 Schob O. 9B369
 9H206 Schober R. 9K152
 9H207 Schoen A. 9H558
 9H208 Scholes G. 9B522
 9H209 Scholfeld C. R. 9H29
 9H210 Scholtan W. 9H457
 9H211 Scholze H. 9K225
 9H212 Schönfeld T. 9H106
 9H213 Schönfelliger H. W.
 9H214 9H5
 9H215 Schönrock D. 9H541
 9H216 Schott H. 9H71
 9H217 Schowalter W. R. 9H20
 9H218 Schrader G. 9H523,
 9H219 9H524
 9H220 Schrader O. 9H146
 9H221 Schreiber K. F. 9H250
 9H222 Schreyer R. C. 9H207
 9H223 Schröder H. 9K344,
 9H224 9K345
 9H225 Schroll E. 9H122
 9H226 Schubert K. 9H457
 9H227 Schubert A. 9H43
 9H228 Schuh C. H. 9H498
 9H229 Schulek E. 9H9, 9H79,
 9H230 9H123, 9H133, 9H166,
 9H231 9H287, 9H235
 9H232 Schulten J. W. 9H134
 9H233 Schulken R. M. 9H72
 9H234 Schuller F. 9B126
 9H235 Schulman J. H. 9B211
 9H236 Schulte K. E. 9H149
 9H237 Schultz J. S. 9H254
 9H238 Schultz T. H. 9H235
 9H239 Schulz H. 9H188
 9H240 Schulz J. F. 9M308
 9H241 Schulz K. H. 9H443
 9H242 Schulz M. E. 9H145
 9H243 Schulz R. C. 9P10
 9H244 Schulze H. 9H19
 9H245 Schulze H. 9H192
 9H246 Schulzen H. 9H600
 9H247 Schumacher E. 9B13
 9H248 Schumacher H. J. 9B430
 9H249 Schumacher R. 9H54
 9H250 Schupp L. J. 9B475
 9H251 Schurman J. V. 9H462
 9H252 Schuster F. 9M193
 9H253 Schutte A. H. 9M291
 9H254 Schütte H. R. 9H253
 9H255 Schwab G. M. 9B484
 9H256 Schwabe A. 9H188
 9H257 Schwabe K. 9H257
 9H258 Schwartz E. T. 9H305
 9H259 Schwartz J. 9H104
 9H260 Schwarzenbach G. 9B543
 9H261 Schweisheimer W. 9H482
 9H262 Schweizer E. E. 9H142
 9H263 Schwenk U. 9M244
 9H264 Schweter W. 9H105
 9H265 Schwiete H. E. 9K264
 9H266 Scintee V. 9H301, 9H310
 9H267 Scott A. F. 9A25
 9H268 Scott B. E. 9K192
 9H269 Scott B. G. W. 9B15
 9H270 Scott D. W. 9B324
 9H271 Scott J. J. 9H71
 9H272 Scott J. K. 9H117
 9H273 Scott R. 9H130
 9H274 Scott W. M. 9H185
 9H275 Scribner R. M. 9H76
 9H276 Seaborg G. T. 9A19
 9H277 Sreager S. L. 9B265
 9H278 Searles S. 9H132
 9H279 Sears D. S. 9H333
 9H280 Sears G. W. 9B255
 9H281 Sebba F. 9B610
 9H282 Secrest P. J. 9H256
 9H283 Sedivec V. 9H179
 9H284 Seebaum H. 9M187
 9H285 Seelig H. S. 9K146
 9H286 Seemann W. 9M366
 9H287 Segel K. H. 9H145
 9H288 Segnini D. E. 9B544
 9H289 Segura M. A. 9H137
 9H290 Seidel H. 9H379
 9H291 Seidl K. 9K35
 9H292 Selter F. 9H171
 9H293 Sekerka I. 9H153
 9H294 Sekido M. 9H551
 9H295 Selim S. F. 9H140
 9H296 Sellers D. E. 9H169
 9H297 Selwood P. W. 9B504
 9H298 Sen A. B. 9H195
 9H299 Sandler W. 9B451
 9H300 Senequier R. 9H28
 9H301 Senfite F. E. 9G3
 9H302 Senger F. 9H450
 9H303 Sengupta P. 9H268
 9H304 Senior A. 9P76
 9H305 Sepall O. 9B307
 9H306 Septilici G. 9H261, 9H314
 9H307 Şerbănescu A. 9M147
 9H308 Seshadri N. R. 9K54
 9H309 Seshadri T. R. 9H314
 9H310 Seth S. N. 9K230
 9H311 Sethna S. 9H141
 9H312 Seydel R. 9H141
 9H313 Shabtai J. 9H141
 9H314 Shah M. V. 9H141
 9H315 Shah R. C. 9H309
 9H316 Shahak I. 9H240
 9H317 Shamma M. 9H273
 9H318 Shannon J. E. 9M192
 9H319 Shapiro I. 9B7
 9H320 Shapiro S. 9K225
 9H321 Shapiro S. L. 9H353,
 9H322 9H370, 9H408
 9H323 Sharada K. 9B14
 9H324 Sharbaugh A. H. 9B278
 9H325 Sharma B. L. 9B21
 9H326 Sharpe C. B. 9K251
 9H327 Sharpe E. E. 9H248
 9H328 Shaw G. 9H384
 9H329 Shaw B. L. 9B64
 9H330 Shaw R. A. 9B23
 9H331 Sheard J. L. 9H187
 9H332 Shearer H. T. 9M333
 9H333 Shearer N. H. 9H186
 9H334 Shearer N. H. 9H156
 9H335 Shell H. R. 9K295
 9H336 Shelton J. R. 9H14
 9H337 Shepherd H. J. 9H172
 9H338 Sherwood J. N. 9B183
 9H339 Sherwood P. W. 9H97,
 9H340 9H473
 9H341 Shibuya T. 9K173
 9H342 Shida S. 9B110
 9H343 Shimada K. 9B378,
 9H344 9B470
 9H345 Shimada T. 9B140
 9H346 Shimanouchi T. 9B104,
 9H347 9B123
 9H348 Shimazu F. 9H40
 9H349 Shimizu M. 9K275
 9H350 Shimo K. 9H300
 9H351 Shimoza T. 9K102
 9H352 Shimwell J. L. 9H303
 9H353 Shina H. 9H393
 9H354 Shindo H. 9B103
 9H355 Shintani R. 9B161
 9H356 Shiomi S. 9H39
 9H357 Shirai H. 9H22
 9H358 Shirai K. 9H73
 9H359 Shirane G. 9B239
 9H360 Shirley D. A. 9B323
 9H361 Shishido Y. 9H574
 9H362 Shoolery J. N. 9H312
 9H363 Shoop S. 9K424
 9H364 Shooter A. 9A42
 9H365 Shortis L. P. 9K3, 9K6
 9H366 Shotton E. 9H273,
 9H367 9H280
 9H368 Shreir L. L. 9B582
 9H369 Shtrikman S. 9B17
 9H370 Shuler K. E. 9B319
 9H371 Shulman R. G. 9B237
 9H372 Shultz J. F. 9M215
 9H373 Shusman T. 9H69
 9H374 Siddappa G. S. 9H49
 9H375 Steberová R. 9H250
 9H376 Seidel W. 9H361
 9H377 Steklerski S. 9H53
 9H378 Steakind M. 9B189
 9H379 Sill A. D. 9H212
 9H380 Silver R. P. 9H162
 9H381 Silvestri G. 9H83
 9H382 Silvian S. 9K148
 9H383 Simionescu C. 9H46, 9M28
 9H384 Simionescu T. 9H519
 9H385 Simmons P. 9H476
 9H386 Simon A. 9B89
 9H387 Simon E. 9H332
 9H388 Simon G. 9A33
 9H389 Simonetta M. 9B44
 9H390 Simonson L. 9H486
 9H391 Šimšalíková M. 9H178
 9H392 Singh B. K. 9B120
 9H393 Singhal C. P. 9B443
 9H394 Singleton-Green J. 9K391
 9H395 Singleton J. A. 9H150
 9H396 Sinha A. 9B34
 9H397 Sinha S. K. 9B277
 9H398 Sinhaseni P. 9H101
 9H399 Širhal H. 9K285
 9H400 Sisti A. J. 9H93
 9H401 Studyka S. 9K322
 9H402 Sixma F. L. J. 9H11
 9H403 Sjenitzer F. 9H15
 9H404 Sjollemma F. 9H254
 9H405 Škerjanc J. 9B27
 9H406 Skinner G. S. 9H101
 9H407 Skinner J. R. 9H163
 9H408 Skoog I. H. 9H174
 9H409 Skorinko G. 9B35
 9H410 Skougstad M. W. 9H122
 9H411 Skowrońska-Serafin B.
 9H412 9K114
 9H413 Skowronski R. 9H130
 9H414 Škrumovský 9H105
 9H415 Slater J. C. 9B39
 9H416 Slaughter J. I. 9H133
 9H417 Slave T. 9H306
 9H418 Slavić L. 9H353
 9H419 Slavik V. 9H145
 9H420 Slichler W. P. 9P1
 9H421 Slouka J. 9H179
 9H422 Slowinski Z. 9H287
 9H423 Small F. W. 9H292
 9H424 Smeltzer W. W. 9H158
 9H425 Smiałowski M. 9B589
 9H426 Smidt J. 9B112
 9H427 Smith A. C. H. 9B264
 9H428 Smith A. K. 9H75
 9H429 Smith B. 9H163
 9H430 Smith B. V. 9H10
 9H431 Smith C. 9H577
 9H432 Smith C. N. 9H496
 9H433 Smith D. A. 9H554
 9H434 Smith D. S. 9H13
 9H435 Smith E. A. 9H129
 9H436 Smith E. M. 9H134
 9H437 Smith H. G. 9K286
 9H438 Smith H. O. 9H158
 9H439 Smith H. W. 9H174
 9H440 Smith J. J. 9P54
 9H441 Smith J. M. 9B356
 9H442 Smith L. L. 9H299
 9H443 Smith M. K. 9H80
 9H444 Smith N. D. P. 9H255
 9H445 Smith R. 9M322
 9H446 Smith R. K. 9B300
 9H447 Smith V. 9M182
 9H448 Smith W. C. 9H342
 9H449 Smithies D. 9B521
 9H450 Smitenberg J. 9H73
 9H451 Smrček K. 9H153
 9H452 Smrč R. 9K134
 9H453 Snyder J. D. 9H3
 9H454 Snyder J. P. 9H71
 9H455 Snyder L. R. 9M247
 9H456 Sobotka H. 9H436
 9H457 Sobue H. 9P83
 9H458 Soesan J. M. 9M341
 9H459 Soha I. 9K290
 9H460 Soila R. 9H431
 9H461 Sokalski Z. 9M114
 9H462 Šolc K. 9B527
 9H463 Soldat J. K. 9H325
 9H464 Solomons T. W. G. 9H160
 9H465 Soloway H. 9H408
 9H466 Sommar H. G. 9H602
 9H467 Sommerfield E. H. 9H266
 9H468 Somnay J. Y. 9K234
 9H469 Somoskeőy G. 9H276
 9H470 Sönnerskog S. H. 9H378
 9H471 Sonntag M. 9H293
 9H472 Sonoda T. 9H12
 9H473 Sørensen E. 9H281
 9H474 Souček M. 9H467
 9H475 Souci S. W. 9H218
 9H476 Soudek D. 9B34
 9H477 Sövegjártó J. 9K263
 9H478 Spain J. D. 9H11
 9H479 Spalding D. P. 9H312
 9H480 Spálený J. 9H256
 9H481 Spandau H. 9B75
 9H482 Spänig H. 9H187
 9H483 Spano L. 9H120, 9H121
 9H484 Sparke M. B. 9M349,
 9H485 9M352
 9H486 Spaude S. 9H146
 9H487 Specht H. 9H260
 9H488 Spector D. 9H235
 9H489 Speirs R. D. 9H487
 9H490 Spencer J. L. 9H193
 9H491 Spero G. B. 9H425,
 9H492 9H429
 9H493 Speros D. M. 9B475
 9H494 Sperry Rand Corp 9H560
 9H495 Spialter L. 9B524
 9H496 Spiegelberg H. 9H409
 9H497 Spindler M. W. 9H463
 9H498 Spinedi P. 9B581
 9H499 Spormann W. 9H320

- Springer Z. 9K375
 Spurlock B. 9K144
 Sprinagabbushana 9H527
 Srinivasan N. R. 9K254
 Srinivasan R. 9B511
 Srivastava T. N. 9B52
 Stabryn J. 9D90
 Stacchini A. 9H107
 Stach K. 9J1343
 Stachel H. D. 9J1277
 Stadelman W. L. 9H171
 Stadhouders J. 9H158
 Staehelin A. 9J1378
 Stafford J. D. 9K125
 Stahl U. 9H219
 Ståhlberg S. 9T10
 Stahler G. 9J1535
 Stahmer J. 9K203
 Stankiewicz H. 9H188
 Stansbery J. J. 9H292
 Stansbury H. A. 9K191
 Stark A. 9J1386
 Starweather H. W. 9P12
 Stebbings R. F. 9B38
 Steckel F. 9J141
 Steel E. W. 9H305
 Stefanelli S. 9H392
 Stefanye D. 9J1534
 Stefens P. 9P41
 Stehle E. 9H179
 Steigman J. 9J124
 Steigmann A. 9J1538
 Stein E. 9H343
 Stein H. W. 9J1224
 Stein K. C. 9M215
 Stein R. S. 9P36
 Steinemann W. 9J1214
 Steinhart R. 9J1379
 Steiner Dellinger H. 9H13, 9H14
 Stempel G. 9H193
 Stépánek E. 9H288
 Stépánek J. 9J196
 Stephan P. 9P149
 Stephens D. R. 9J1198
 Stérba J. 9J1411
 Sterescu M. 9J1300, 9J1306
 Sterling C. 9H40
 Stern M. 9H226
 Sternhell S. 9B105
 Stetina P. 9H400
 Stevens G. 9J1341
 Stevens H. P. 9H226
 Stevens M. A. 9K174
 Stevenson F. J. 9D128
 Stevenson R. 9K272
 Stewart A. L. 9B30
 Stewart L. 9B24
 Stewart M. G. 9B7
 Stewart N. G. 9B313
 Stiles M. 9K93
 Stirton A. J. 9J119
 Stittler C. H. 9J165
 Stoddard E. S. 9H229
 Stoeck G. 9J1442, 9J1443
 Stoessel O. C. 9H262
 Stoesser W. C. 9H266
 Stolanova-Ivanova B. 9K123
 Stokes C. S. 9B271
 Stokes W. J. B. 9H106
 Stoll A. 9J1405, 9J1406
 Stoll W. 9J1351, 9J1389
- Stone I. 9H334
 Stone J. E. 9H421
 Stone W. K. 9H157
 Stonhill L. G. 9T29
 Stookey S. D. 9K348
 Stopsach H. 9J1441
 Storrs C. D. 9B315
 Storvick T. S. 9B356
 Stothers J. B. 9B450
 Stott C. 9M171
 Stoughton R. W. 9B550
 Stouls L. 9K18
 Stout J. W. 9B237
 Stout R. P. 9H313
 Stovall W. D. 9H163
 Strachota J. 9H638, 9H647
 Straley J. W. 9B83
 Strandell P. O. 9H365
 Strauch A. 9K182
 Strauss S. W. 9K216
 Strehlow R. A. 9B561
 Střelba F. 9P648
 Stroh R. 9J141
 Strohmeier W. 9B48
 Strömberg L. G. 9B19
 Stross F. H. 9E32
 Stroud A. H. 9H387
 Strubell W. 9K258, 9K259, 9K260, 9K261
 Strunz H. 9B154, 9B157
 Stuart A. P. 9M328
 Stuart E. B. 9H76
 Stubbs H. W. D. 9J1166
 Stuchlik V. 9M61
 Stuckey B. N. 9H221
 Stuckwisch C. G. 9K277
 Sturm K. 9J1361
 Stüssi D. 9H152
 Subbarao E. C. 9K250
 Sucharda J. 9K203
 Suckfull F. 9J1216
 Suen T. J. 9P76
 Sugimori A. 9K106
 Sugino K. 9K73, 9K178
 Suhr H. 9H83
 Sukigara S. 9H441
 Sullins J. K. 9H298
 Sulzbacher W. L. 9H176
 Sumavský J. 9H1423
 Sumimoto Y. 9K99
 Sumner C. G. 9H227
 Sumner H. H. 9H544
 Sundararajan J. 9H234
 Sundén O. 9H378
 Sunkel D. 9M45
 Sureau R. 9J1210, 9J1211, 9J1213
 Surine W. R. 9H266
 Surowiec A. J. 9H72
 Surrey A. R. 9J1337
 Susano C. D. 9D12
 Suss B. P. 9B102
 Suter H. 9J1332
 Sutor D. J. 9B163
 Suzuki I. 9B71
 Suzuki H. 9B104, 9B123
 Suzuki K. 9H379
 Suzuki M. 9M120
 Suzuki T. 9H84
 Suzuki T. 9H192
 Svamberk P. 9B56
 Svendsen I. 9K157
 Svensson S. 9K108
- Svoboda K. 9B290
 Svoboda V. 9D68, 9J1221
 Swanson D. L. 9P76
 Swarup P. 9B109
 Sweeney H. F. 9H469
 Sweeney S. A. 9T86
 Sweet S. S. 9H204
 Sweitzer R. J. 9H212
 Swern D. 9M229
 Swindells R. 9K278, 9K279
 Swoboda R. 9K103
 Sy M. 9K98
 Symons M. C. R. 9B437
 Syrjälä H. 9K390
 Szabó A. 9J1431
 Szabó D. 9K24
 Szabó E. 9J128
 Szabó P. 9B142
 Szabó Z. 9J165
 Szabó Z. L. 9D148
 Szádeczky-Kardoss E. 9T48
 Szakács O. 9D148, 9D149
 Szakall A. 9H443
 Szántha J. 9H15
 Szánto P. 9K290
 Szejtli J. 9P105, 9H374
 Szepesvary P. 9M243
 Szigetli B. 9B190
 Szilas E. 9H326
 Szöke K. 9H74
 Szretkovits G. 9J159
 Sztanko L. 9M359
 Szurkos A. 9B57
 Szychliński J. 9B540
- T
- Tabata K. 9H266
 Taborek J. J. 9H14
 Taft L. 9P60
 Taga N. 9H266
 Tagaki W. 9K257
 Tagawa T. 9H543
 Tait P. J. T. 9P65
 Tajima Y. 9H327
 Takahashi T. 9T71
 Takamuku S. 9M2
 Takata H. 9T96
 Takayanagi S. 9B621
 Takeuchi S. 9B343
 Takezakl Y. 9P67
 Takiguchi T. 9J33
 Takubo M. 9H8
 Talalay A. 9H330
 Talalay J. A. 9H330
 Talalay L. 9H330
 Talbert W. L. 9B7
 Talbot E. A. 9K10
 Talburt W. 9H235
 Talen H. W. 9H217
 Tamaki A. 9M155
 Tamásoucs G. 9H639
 Tamikado T. 9P45, 9P46
 Tamura Y. 9H201
 Tanaka A. 9H6
 Tanaka H. 9H325
 Tanaka K. 9P32
 Tanaka M. 9K82
 Tanaka S. 9M148
 Tanaka S. 9H213
- Tanaka T. 9H401
 Tanaka Y. 9B635
 Tanenbaum A. 9J1570
 Tangen T. A. 9K200
 Taniewski M. 9J138
 Tanimori S. 9H431
 Tans A. M. P. 9K111
 Taras J. 9J1226
 Tarassuk N. P. 9H148
 Tardif J. W. 9H449
 Tarshis I. B. 9J1502
 Tattlie N. H. 9H423
 Tatwawadi S. V. 9D97
 Taube H. 9B539
 Tausch F. W. 9K121
 Taylor A. 9J1439
 Taylor B. L. 9J1317
 Taylor C. H. 9K278
 Taylor E. P. 9J1392
 Taylor F. H. 9B609
 Taylor K. R. 9H337
 Taylor M. H. 9B560
 Taylor T. E. 9K242
 Tazima Y. 9P83
 Teach E. G. 9K229
 Tebben A. 9B348
 Tebby J. C. 9H499
 Teeter H. M. 9J1210
 Teisseire P. 9H470
 Teller W. K. 9H503
 Tench H. B. 9H287
 Tenea G. 9H350
 Tera P. 9D19
 Terashima M. 9K290
 Terkel Hy 9H568
 Termansen J. B. 9J1253
 Terres E. 9J16
 Terzyská D. 9J1221
 Teubel J. 9M220, 9M232
 Teufel H. 9J1372
 Tezuka M. 9M148
 Thaker K. A. 9K560
 Thaller V. 9K296
 Thampuran K. R. V. 9H618
 Thierry T. R. 9H22
 Thilo E. 9K150
 Thode E. F. 9H429
 Thodos G. 9M186
 Thom H. 9H280
 Thom R. 9H300
 Thomä O. 9J1380
 Thoma R. E. 9K222, 9K224
 Thomas A. C. 9E47
 Thomas C. A. 9A18
 Thomas E. 9E58
 Thomas F. 9H290
 Thomas F. W. 9H332
 Thomas J. 9H175
 Thomas L. D. 9H13
 Thomas M. 9H521
 Thomas R. M. 9P53
 Thomas S. B. 9H114
 Thompson C. E. 9H337
 Thompson G. P. 9M215
 Thompson J. L. 9J1429
 Thompson N. S. 9P99
 Thompson T. G. 9T119
 Thompson W. H. 9H282
 Thomson S. J. 9B183
 Thomson W. P. 9K161
 Thornley H. C. 9K344
 Thorneycroft W. T. 9M176
- Thornton J. F. 9M157
 Thorpe A. 9T3
 Thorpe T. 9K43
 Thring M. W. 9M176
 Throckmorton P. E. 9K132
 Thuillier J. E. 9J1351
 Thun O. 9H136
 Thurzó G. 9J127
 Tichý V. 9K134
 Tietjens O. 9H87
 Tikkanen M. H. 9H240
 Tipper C. F. H. 9H334
 Tirtiaux R. 9M355
 Tisler M. 9K201
 Tobe M. L. 9B58
 Todesco P. E. 9K146, 9K217
 Toeniskoetter R. H. 9B76
 Toivonen N. J. 9K269
 Toland W. G. 9J1137
 Toldy L. 9J1400
 Tollenaar D. 9H14
 Tomimatsu T. 9K291
 Tomiška J. 9J151
 Tomizawa C. 9A748, 9J1480
 Tommasini A. 9J1271
 Toms B. A. 9D135
 Topa M. 9H624
 Topurama X. 9H499
 Török G. 9H4
 Török T. 9D28, 9D29, 9J148
 Torrents Camprubi G. 9J1200
 Toscani V. 9J1438
 Toth R. 9H1458
 Tóth Zsiga I. 9H342, 9H363
 Touey G. P. 9H253
 Tourbier P. 9M218
 Tourret R. 9M355
 Townsend E. G. 9D119
 Toy A. D. P. 9J110
 Toyama O. 9B486
 Toyama Y. 9H401
 Trägårdh U. 9K178
 Traitteur H. 9H228
 Tramer A. 9B193
 Trandafilov T. 9J1252
 Travers J. J. 9H433
 Trawinski H. F. 9H333
 Tremain A. 9H43
 Treszczanowicz E. 9J131
 Trevalion P. A. 9B437
 Trick G. S. 9P55
 Tridot G. 9B24
 Triet W. 9K327
 Trifan D. S. 9B131
 Trifiré E. 9H98
 Tripp G. E. 9H225
 Trittler G. 9H303
 Trojanowski J. 9M112
 Trompler J. 9D123
 Tron F. 9D8
 Tröken O. 9J1355
 Trotman-Dickenson A. F. 9K29
 Troyan J. E. 9K61
 Truett W. L. 9H128
 Tsai Tsu-yun 9K284
 Tsao C. H. 9J1495
 Tschesche R. 9K274

- Tsupei M. 9B104, 9B123
 Tsuchiya T. 9H414, 9H416
 Tsujikawa I. 9B188
 Tsukagoshi S. 9K252
 Tsukagoshi Y. 9K272
 Tsukino K. 9B310
 Tsunoda K. 9K112
 Tsuruta M. 9H543
 Tsuruta T. 9P52
 Tsuyauki H. 9H400
 Tudo J. 9B24
 Tundo A. 9B73
 Tuncfors S. E. A. L. 9H378
 Turkevich J. 9B483
 Turnbull J. G. M. 9H319
 Turnbull J. S. 9K291
 Turner R. B. 9B332
 Turunen K. 9H442
 Turvey C. R. 9K160
 Turvey J. R. 9P104
 Tuszyński W. 9K307
 Tuttle O. F. 9H14
 Twomey D. 9H398
 Tybor I. W. 9H588
 Tycewski M. 9H347
 Tylor C. M. B. 9H189
 Tyree S. Y. 9B26
 Tyroler J. 9P92
 Tyssdal E. B. 9H503
 Tzschach M. 9B20
- U**
- Ucci P. A. 9H387
 Uchitomi M. 9H614
 Ueberreiter K. 9B515
 Ueda R. 9H213
 Ueda S. 9H353
 Uematsu K. 9H278
 Uemura T. 9M27
 Ueyama K. 9H265
 Ujhidy A. 9H37
 Ukibashi H. 9K308
 Ulrich B. 9B451
 Ulrich V. 9H187
 Ungnade H. E. 9K68
 Unruh C. C. 9H554, 9P93
 Untermaan W. H. 9H241
 Unwin J. T. 9K86
 Unz M. 9H210
 Uras I. 9H74
 Urbach H. B. 9H190
 Urbanek H. 9H131
 Urbanški T. 9H114
 Urech E. 9H366
 Ussatchow D. N. 9B575
 Usuba T. 9H19
 Utley H. F. 9K319
 Uzumasa Y. 9B311
 Uzzan A. 9H425
- V**
- Vaccaro R. F. 9H124
 Vacek O. 9H179
 Vader F. 9H434
 Vaell R. P. 9M270, 9M278
 Vagramjan A. T. 9B575
 Valdecantos Jtemenez A. 9H65, 9H173, 9H181
 Valenta Z. 9K287
 Valenti G. 9H271
 Valentino R. 9H144
 Vance E. 9P82
 Vandenbergh A. 9K186
 Vandeputte J. 9H147
 Vanderhaeghe H. 9K184
 Vandervelden P. 9H271
 Van der Wee 9B636
 Van Horn M. H. 9H204
 Van Loenen W. F. 9K163
 Van Rooyen D. 9H166
 Van Rysselberge M. 9H218
 Vanstone D. T. 9H348
 Van Vliet J. L. 9K213
 Varady J. 9K317
 Varcovici H. 9H285
 Varimbi J. 9B563
 Várkonyi B. 9K290
 Vartanian R. D. 9H608
 Vašátko J. 9H349
 Vasi I. G. 9K50
 Vasiliev R. 9H301, 9H310
 Vastagh G. 9H293, 9H298
 Vasu K. I. 9K193
 Vasudeva M. A. R. 9B14
 Vatterodt K. 9K341
 Vaughan F. R. 9K160
 Vaughan W. R. 9K193
 Vavrincez G. 9H339, 9H340
 Večeřa M. 9H174
 Večeřek B. 9E56
 Večeřiková V. 9B141
 Vedlich M. 9H149
 Veksal Z. 9B217
 Velimský 9H485, 9H486
 Veljković S. R. 9B295, 9B296
 Velzen J. C. V. 9K17
 Venkataraman K. 9H199
 Verbane J. J. 9H182
 Vereš 9H173
 Verghese J. 9K256
 Vermes L. 9H628
 Verzele M. 9K312
 Veselsky J. 9H106
 Veselý V. 9B441, 9K35
 Veto S. 9H388
 Větrovická J. 9H381
 Veyrie C. 9H340
 Vezzosi I. M. 9B37
 Vezou P. 9H258
 Vickers E. J. 9H273
 Victor Perrin 9H238
 Vido L. 9B317, 9H125
 Viertel O. 9H569
 Vilim O. 9B274
 Vilnat J. 9H144
 Vine E. 9H582
 Vines S. N. 9H187
 Vinson L. J. 9H433
 Virkola N. E. 9H431
 Virtanen A. I. 9K188
 Virtanen O. E. 9H388
 Visnov M. 9M206
 Vitagliano M. 9H398
 Vitali G. 9K103
 Vlachovský O. 9K242
 Vodehnal J. 9H7
 Vogel B. 9H1456
 Vogel H. A. 9H209
 Vogel P. 9H590
 Vogelsong D. C. 9P23
 Vogg H. 9B434
 Voicu I. 9H375
 Voiculescu-Dioști S. 9H306
 Voionovitch I. A. 9H59, 9H144
 Volja G. 9B262
 Voláková B. 9H174
 Volger J. 9B231
 Volk H. 9H335
 Volkart K. 9K410
 Vollrath S. 9H257
 Volpi G. G. 9B518
 Vonberg H. 9H566
 Vondráček M. 9H438, 9H440
 Vondráček V. 9H105
 Vondráková Z. 9H92
 Voos W. 9K92
 Vorlíček J. 9H153
 Vosburgh W. G. 9H570
 Voss E. 9H145
 Votava V. 9H223
 Vrehen Q. H. F. 9B231
 Vries C. 9B16
 Vries H. 9B112
 Vučković S. 9H208
 Vujčić I. 9H159
 Vydra F. 9B62, 9H114
- W**
- Wadler T. 9K202
 Wadachi Y. 9H327
 Waddington T. C. 9B91, 9B18
 Wadsworth F. T. 9H135
 Wafia Asker 9K204
 Wager R. 9H294
 Wagner G. 9B55
 Wagner H. 9H331
 Wagner M. 9M353
 Wagnerowski K. 9H367
 Wahl E. 9H198
 Wahlström B. 9H494
 Wahlström I. 9B17
 Wahrenholz H. G. 9H577
 Walnal T. 9M81
 Wajda E. S. 9B247
 Wakabayashi S. 9H190
 Waki T. 9K262
 Wald M. M. 9M283, 9M285
 Walden E. O. 9M288
 Walker A. P. 9H456
 Walker G. H. F. 9H181
 Walker I. F. 9M348
 Walker S. 9K392
 Wall G. P. 9K10
 Wallace W. N. W. 9H521
 Waller H. 9H285
 Waller R. C. 9H338
 Wallis R. F. 9B174
 Walmsley D. 9K10
 Walsh J. F. 9B218
 Waltenberger-Razniewska M. 9B41
 Walter A. T. 9M380
 Walter M. 9H394
 Walter W. 9K18
 Walther H. 9H37
 Walton E. 9H142
 Walz K. 9K403
 Wälzholz G. 9H301
 Wang Chin-chin 9K284
 Wanlor G. 9K237
 Want C. M. 9P75
 Ward H. K. 9H132
 Ward W. T. 9B561
 Waring G. E. 9H341
 Warris B. 9K400
 Warshaw I. 9B377
 Wartenweiler M. 9H121
 Wasicky R. 9H314
 Wasicky R. 9H314
 Wassermann G. 9H163
 Watanabe K. 9K100
 Watanabe T. 9H75
 Waters R. F. 9K146
 Waters R. M. 9H68
 Watrous R. M. 9H342
 Watson G. 9H152
 Watson G. M. 9B561
 Watson H. R. 9B46
 Watson R. K. 9B278
 Watson W. B. 9M362
 Watt G. W. 9B33
 Watt P. R. 9E55
 Watts R. E. 9B298
 Way J. W. 9H22
 Weakley T. J. R. 9P14
 Weaver C. P. 9K222, 9K224
 Weaver L. J. 9H129
 Weaver O. 9K55
 Webb A. 9H304
 Webb H. W. 9H119
 Webb R. J. 9H146
 Webb W. P. 9M323
 Weber C. W. 9H140
 Weber F. 9H252
 Weber K. 9B517
 Weeks L. E. 9K131, 9M326
 Weg K. R. 9A36
 Wegman R. F. 9H94
 Wehrli W. 9H124
 Weickmann A. 9H187
 Well J. L. 9B22
 Weilhalm E. 9H545
 Weinberg B. 9H216
 Weinberg E. L. 9H114
 Weingarten H. 9K28
 Weinstein G. 9H223
 Weinstein N. E. 9H234
 Weinstein M. S. 9H321
 Weintraub R. L. 9H534
 Weisman J. 9H34
 Weiss J. 9B513, 9B522
 Weiss K. 9K78
 Weiss R. 9K173
 Weissman S. 9B357
 Weissman S. I. 9B108
 Weisz P. B. 9B504
 Weitz H. M. 9H135
 Weiborn J. Y. 9K407
 Weldin T. D. 9H265
 Wells R. A. 9K29
 Welsh H. L. 9B84
 Wender I. 9B143
 Wenger F. 9P56
 Wenger P. E. 9H220
 Wenger W. J. 9M149
 Wenk E. 9H24
 Wenkert E. 9K108
 Werber G. 9K129
 Werbliński W. 9H310
 Werner G. 9H65
 Werner L. H. 9H379
 Wernitz J. H. 9M316, 9M317
 Werrell H. 9H110
 West A. S. 9H472, 9H474
 West F. W. 9H292
 West I. 9H510
 West P. W. 9H8
 West T. S. 9H69
 Westfried F. 9H28
 Westrum E. F. 9B322
 Wetterau W. F. 9H407
 Wettren E. F. 9K402
 Wettstein A. 9H421, 9H435
 Weyermuller G. 9H195, 9H114, 9H139, 9H242
 Weygand F. 9K303
 Whaley P. R. 9H102
 Wheeler D. D. 9H159
 Wheeler H. K. 9M360
 Wheeler O. H. 9B98, 9B99
 Wherry T. C. 9H127
 Whitby G. S. 9H293
 White J. A. 9B18
 White J. G. 9B145
 White H. J. 9H352, 9H60
 White W. H. 9B247
 Whitehurst H. B. 9K350
 Whiting M. C. 9K296
 Whitmore E. T. 9H296
 Whitney R. M. L. 9H167
 Whittaker E. J. W. 9B139
 Whittfield G. H. 9H143
 Wiacek K. 9K67
 Wibberley K. 9H273
 Wichterle O. 9P28
 Wiczorkowski Z. 9K334
 Wiedling T. 9B19
 Wieduwilt H. 9H338
 Wiegmann J. 9K233
 Wiemann J. 9H67
 Wiesendanger H. U. D. 9E20
 Wiesner K. 9K287
 Wigert H. 9K187
 Wiggins T. A. 9B35, 9B124, 9B125
 Wilbur A. C. 9E37
 Wilcoxon C. H. 9H63
 Wilcoxon F. 9H479
 Wildegger J. 9H385
 Wilenitz I. 9H180
 Wiley P. F. 9K55
 Wiley R. H. 9K63
 Wiley R. M. 9H127
 Wilhelmson P. C. 9M314
 Wilke G. 9H124, 9H125
 Wilkinson G. 9H127, 9P63
 Wilkinson G. R. 9H283
 Wilkinson M. L. 9B385
 Wilkinson M. K. 9B240
 Wilkinson P. A. 9H499
 Will G. 9B164
 Willart S. 9H126
 Willems J. 9K186
 Willert G. 9M224
 Willett J. E. 9H241
 Williams A. C. 9K33
 Williams C. J. 9K133
 Williams C. R. 9H157
 Williams D. 9H464
 Williams Z. G. 9H147
 Williams R. 9B586
 Williams R. B. 9M150
 Williams R. J. P. 9P14
 Williamson F. 9H472

Williamson H. 9P411	Wix G. 9J1431	Wright O. L. 9M337	Yokoyama M. 9P106	Zawadzki A. 9K334
Willis B. L. 9P44	Wladzińska R. 9H287	Wright R. 9K189	Yokoyama Y. 9D145	Zeegers-Huyskens T. 9B133
Willis C. J. 9K225	Wnekowa Z. 9H322	Wrigley A. N. 9J119	Yoneda K. 9B465	Zeiss H. 9K226
Wilson A. D. 9E48	Wodtke F. 9K150	Wroński M. 9B449, 9D177	Yonemitsu O. 9K290	Zeleny L. 9H21
Wilson A. W. 9P445	Woerth L. 9J1223	Wu J. 9E41	Yonezawa T. 9B424	Zeller P. 9H495, 9H496
Wilson C. L. 9D108, 9K133	Woessner D. F. 9E276	Wuhrmann H. 9J1566	Yoshida K. 9K169	Zellnik H. E. 9H50
Wilson H. G. 9J1494	Woessner H. N. 9P1347	Wuhrmann J. J. 9H40	Yoshida M. 9K156	Zeman M. 9H338, 9P234
Wilson H. L. 9P342	Woblers H. C. 9E26	Wultsch F. 9P457, 9P459	Yoshimura H. 9K287	Zickendraht C. 9J212
Wilson J. D. 9P14	Woidich H. 9H41	Wunderlich H. 9J1386	Yoshimura T. 9B49	Ziegler M. 9K106
Wilson J. W. 9P1436	Wójciak W. 9B642	Wuolijoki E. 9K269	Young D. C. 9J159	Zieliński A. Z. 9K23
Wilson M. W. 9P341	Wójciak Z. 9J308	Wyatt I. J. 9J1468	Young E. H. P. 9J1365	Ziemba J. V. 9H317
Wilson R. T. 9M286	Wojciechowski J. 9M111	Wyatt J. E. 9B72	Young J. A. 9K242	Ziemba V. F. 9D132
Wilson W. 9B349	Wójcik J. 9B72	Wyllie P. J. 9G14, 9G34	Young L. 9B583	Zigman P. 9E312
Wilson W. A. 9M289	Wojtkiewicz-Matenko B. 9M7	Wymore C. E. 9B69	Young R. K. 9H7	Zimmer H. 9K212
Wimberley J. W. 9B275	Wolf A. V. 9G111	Wynne-Jones W. F. K. 9E567	Youngkin F. G. 9B144	Zimmer K. 9D128, 9D129
Wimmer J. 9J170	Wolf D. E. 9J1335	Wysocka J. 9K67	Youngs C. G. 9H395	Zimmerman W. B. 9B192
Wincel H. 9B431	Wolf K. H. 9K135		Yurov H. W. 9D164	Zimmermann P. J. 9M143
Windgassen R. J. 9K118	Wolf R. 9B87			Zimmerschied W. J. 9K153
Wing W. T. 9J1263	Wolfe R. A. 9H360	Yajima H. 9K305		Zinman W. G. 9B28
Wingfield H. N. 9K301	Wolff E. A. 9P205	Yajima M. 9P573	Žáček H. 9J1272	Zinner H. 9K187
Winkelmann F. 9H136	Wolff R. E. 9K254	Yakimac A. A. 9E62	Zachau H. G. 9K307	Zinsser F. 9J255
Winkler H. 9B576	Wolfhard H. G. 9B459	Yale H. L. 9J1454	Zádor G. 9K52	Zisman W. A. 9P38
Winter G. O. 9H372	Wolff I. A. 9H391	Yamabe T. 9E635	Zagrodski S. 9H358, 9H359	Živanović M. D. 9B248
Winterfeld K. 9K158	Wollan E. O. 9E240	Yamada A. 9K285	Zahn H. 9K306	Zižka J. 9J103
Wintergerst S. 9P35	Wolstein F. 9K87	Yamada F. 9P106	Záhorovský S. 9P168	Zlámal Z. 9H101
Winters W. F. 9P329	Wolstenholme W. E. 9P74	Yamada K. 9P555	Zahradník L. 9P92	Zlotowski I. 9B431
Wintringham A. B. 9J115	Wood C. 9E218	Yamada S. 9M83, 9M84	Zahradník R. 9B47	Zöllner G. 9J1298
Wirtanen M. 9K329	Wood L. 9P393	Yamashina H. 9J1480	Zajček L. 9P288	Zulderweg F. J. 9H66
Wirth C. M. P. 9J1316	Wood P. R. 9D156	Yamauchi J. 9P52	Zakar P. 9M183, 9M184	Zukor L. J. 9P358
Wise C. T. 9K274	Wood S. E. 9E357	Yanagita K. 9J130	Zalesky Z. 9D59	Zurini M. 9J173
Wisnberger E. 9D66	Woodford F. W. 9K84	Yanagizawa T. 9J1574	Zalwert S. 9B72	Zutter H. 9J332
Wisner-Pedersen J. 9H168	Woodward A. E. 9P40	Yates P. 9K264	Zamfirescu M. 9P478	Zvonaf V. 9J1235
Witek S. 9J118	Wood C. 9J169	Yen Kun-ying 9J1246	Zaorska H. 9H358	Zwanzig R. W. 9B175
Witkowski I. 9P369	Workman M. 9H70	Yersin A. W. 9E16	Zastera A. 9H203	Zweifel G. 9K211
Witmer F. J. 9D167	Wotring A. W. 9E16	Yocom J. E. 9H350	Zathurecký L. 9J251, 9J276	Zweig G. 9H239
Wittig F. E. 9H131	Wowk A. 9J1226	Yocom K. H. 9H94		Zwicker U. 9H155
Wittmann G. 9K47	Wrezel A. 9H362	Yokota T. 9J1319		
	Wright F. J. 9B350			

УКАЗАТЕЛЬ АВТОРСКИХ СВИДЕТЕЛЬСТВ СССР

№	номер	№	номер	№	номер	№	номер	№	номер
свидет.	реф.	свидет.	реф.	свидет.	реф.	свидет.	реф.	свидет.	реф.
115961	— 9J1561	125565	— 9J1176	127655	— 9J174	128963	— 8H491	129770	— 9J1184
122749	— 9J1106	126484	— 9J1168	128007	— 9K96	129034	— 9M266	129775	— 9M343
123526	— 9J1111	126490	— 9J151	128016	— 9J149	129038	— 9D38	129872	— 9M365
123529	— 9J1107	126494	— 9J173	128456	— 9J1145	129137	— 9H382	130032	— 9P1601
124432	— 9J1171	126496	— 9J1177	128536	— 9K301	129193	— 9K59	130041	— 9J1130
124863	— 9K417	126879	— 9H492	128458	— 9K356	129428	— 9J1530	130331	— 9K357
125237	— 9J199	126980	— 9K79	128586	— 9H502	129603	— 9H331	130492	— 9H145
125253	— 9J1196	127234	— 9M134	128607	— 9P1331	129649	— 9K162	130496	— 9K95
125547	— 9M294	127246	— 9H90	128721	— 9K358	129651	— 9H494	130497	— 9K89
125548	— 9J198	127249	— 9J156	128781	— 9K303	129653	— 9J175	130500	— 9K97
125551	— 9K100	127518	— 9M363	128828	— 9H329	129654	— 9J1144	130517	— 9J1121
125553	— 9J189	127647	— 9J157	128853	— 9K205	129655	— 9J1231	130518	— 9H493

УКАЗАТЕЛЬ ДЕРЖАТЕЛЕЙ ПАТЕНТОВ

Adhesive Tapes Ltd 9P344	Allied Chemical & Dye Corp. 9P272	Appareils et Evaporateurs Kestner 9K126	Asta-Werke A. G. 9J1345
Aeroprojects, Inc. 9H94	American Can Co 9J1289	APV Co Ltd 9H231	Bach H. 9K164
oAl Liquide Soc. Anon pour l'Etude et l'Exploitation des Procédés G. Claude 9K113, 9K117, 9J118, 9P129	American Chiclo Co. 9H504	Arient J. 9J181	Badische Anilin- & Soda-Fabrik A. G. 9H105, 9K167, 9J177, 9J191, 9J187, 9J1215, 9J1224, 9M336, 9P135, 9P136
Akkumulatorenfabrik Dr. L. Jungfer 9P1214	American Cyanamid Co. 9J1113, 9J1191, 9J1387, 9P1212, 9P1271, 9P1505, 9P1606, 9P1608	Aries R. S. 9J190	Baker Castor Oil Co 9J180
Allen and Hanburys Ltd. 9J1392	American Messenger Corp. 9K112	Armstrong Cork Co. 9P163, 9P1281	Balajka B. 9H100
Allied Chemical Corp. 9J169, 9J192, 9J1138	American Oil Co. 9J1135, 9J1136, 9M360	Aschaffenburg Zella-Stoffwerke Akt. Ges 9J1416	Bataafsche Petroleum Maatschappij, N. V. de 9H313
	American Viscose Corp. 9H394	Aspro-Nicholas Ltd. 9J1532	Baxter Labs, Inc. 9H334
		Associated Ethyl Co. 9J198	

K334
T.9H496
9M50
9J1234
9J121206
9H23
9H317
9J13212
8, 9J128
9B192
P. J.

W. J.

9B428
37
P38431
98
9M66
358
3
2
59B173
11
55ep
0
5
6
7
8
9a-Fab-
9K167,
9J1215,
9J1136
J180Maat-
9M313
334

Bólik E. 9J1437
 Bělorovský I. 9H198
 Belverge P. H. C. 9K415
 Benckiser Joh. A. Benckiser
 G. m. b. H. Chemische Fabrik
 9H1600
 Bernová D. 9H156
 Bergwerksverband G. m. b. H.
 9K58, 9M142
 Berthier M. 9H1264
 Berthier R. M. 9K416
 Bjorksten Research Labs, Inc.
 9H202
 Bodin, Girin & Cie 9H191
 Boehringer C. F. & Soehne G.
 m. b. H. 9J1442, 9J1443
 Boehringer C. H. Sohn 9J1380
 Borden Co. 9H239
 Boutin M., Davivier C. 9K45
 Braunschweigische Maschinen-
 bauanstalt Akt. - Ges. 9H1507
 British Nylon Spinners Ltd
 9H464
 British Oxygen Research and
 Development Ltd 9K116
 British Petroleum Co. Ltd
 9M352
 Budapesti Kénsvagyár 9K52
 Buser K. 9J1146
 California Research Corp.
 9J1137, 9M288, 9M319, 9M320,
 9M323, 9M332, 9M354
 Callery Chemical Co. 9J1174
 Cameron A. E. 9K359
 Canadian International Paper
 Co. 9H392
 Caribonum Ltd. 9J1220, 9H506
 Cassella Farbwerke Mainkur
 Akt. Ges. 9J1355
 Celanese Corp. of America
 9H147, 9H161, 9H165
 Central Electricity Generating
 Board 9H369
 Centre National de la Recher-
 che Scientifique 9J167
 Chabal C. & Cie 9H310
 Chalkley L. 9J1563
 Chemiewerk Homburg Akt.
 Ges. 9J1347
 Chemische Industrie G. m. b.
 H. 9K103
 Chemische Werke Albert 9K102
 Chemische Werke Hülls Akt.
 Ges. 9J1222, 9M268, 9H1131
 Chemische Werke Witten G.
 m. b. H. 9J1156
 Chemstrand Corp. 9H381,
 9H387
 Crimé et Atomistique 9J1364
 Chlorator G. m. b. H. 9H307
 Ciba Akt. Ges. 9H104, 9J1212,
 9J1164, 9J1165, 9J1193,
 9J1366, 9J1376, 9J1378, 9J1382,
 9J1421, 9J1448
 Ciba Pharmaceutical Products,
 Inc. 9J1334, 9J1341, 9J1363,
 9J1379
 Cie Française des Matières
 Colorantes 9J1167, 9J1210,
 9J1211, 9J1213, 9J1219, 9J1223
 Cie Générale d'Electricité
 9H340
 Culag-Chemie Akt. Ges. 9J1354

Climments de la Porte de Fran-
 ce, Soc. 9K418
 Coal Industry Ltd 9H144
 Cocker Chemical Co. 9J152
 Colgate-Palmolive Co.
 9H460, 9H462
 Columbia-Southera Chemical
 Corp. 9H315, 9K42, 9K136,
 9K168
 Combustion and Explosives
 Research, Inc., 9K349
 Commissariat à l'Energie
 Atomique 9K38, 9K44
 Commonwealth Engineering Co
 of Ohio 9H397
 Continental Oil Co. 9M337
 Corning Glass Works 9K348
 Courtaulds Ltd. 9H609
 Dennison Manufacturing Co.
 9H503
 Devost M. L. 9H139
 Deutsche Akademie der Wis-
 senschaften zu Berlin 9K150
 Deutsche Edelstahlwerke Akt.
 Ges. 9H193
 Deutsche Gold und Silber-
 Scheideanstalt 9J188
 Deutsche Shell Akt. Ges. 9J1170,
 9M366
 Diamond Alkali Co. 9K73
 Distillers Co. Ltd. 9J155
 Dow Chemical Co. 9K31,
 9K159, 9J168, 9J1147, 9J1148,
 9J1159, 9H127, 9H266
 Dow Corning Corp. 9H203
 Drexler S. 9H314
 Duck ham A. and Co. Ltd
 9M338
 Du Pont de Nemours E. I.
 and Co. 9K75, 9K101,
 9J187, 9J1105, 9J1158, 9J1183,
 9J1525, 9J1567, 9J1568,
 9M316, 9M348, 9H128, 9H130
 9H151, 9H152, 9H176, 9H182
 9H207, 9H265, 9H376, 9H388
 9H649
 Duxon T. R. 9H333
 Dvořák J. 9H149
 Dynamit Akt. Ges. 9H183
 Eagle-Picher Co. 9K84
 Eastman Kodak Co. 9J186,
 9J197, 9J1554, 9J1562,
 9J1571, 9H253, 9H126,
 9H204, 9H374, 9H375
 Eau et Assainissement 9H309
 Edison Swan Electric Co.
 Ltd. 9H194
 Egyesült Gyógyszer és Tapszer-
 gyár, Gyógyszeripari Kutá-
 tó Intézet 9J1400
 Eisenwerke Kaiserslautern
 9K354
 Elemelt Ltd 9K340
 Elgin National Watch Co.
 9M350
 Emr A. 9J185
 Eprova Akt. Ges. 9J1332
 Esso Research and Engine-
 ering Co. 9J1112, 9J1117,
 9J1161, 9M276, 9M282,
 9M287, 9M292, 9M331,
 9M333, 9M345, 9M346,
 9H137, 9H270, 9H275,
 9H342, 9H346

Esso Standard soc anon fran-
 çaise 9M355
 Esteban Gomez I. 9H312
 Etat Français, Ministre de
 la Défense Nationale, 9K27
 Etat Français, Secrétaire d'Etat
 à la Défense nationale
 9J164, 9H509
 Ethicon, Inc. 9J1333
 Ethyl Corp. 9J1115, 9J1116,
 9J123, 9J149, 9M312
 Ets. Bauchet & Cie 9J1566
 Ets C. Berger & Cie 9H337
 Fabrication des Produits Asp-
 haltoid Soc Anon 9K425
 Fahlberg-List Chemische und
 Pharmazeutische Fabriken
 9J1338
 Farbenfabriken Bayer Akt.
 Ges. 9K107, 9K355, 9J1141,
 9J1172, 9J1175, 9J1189,
 9J1216, 9J1217, 9J1222, 9J1344,
 9J1348, 9J1362, 9J1467, 9J1523
 9J1524, 9M36, 9H181, 9H197
 Farbwerke Hoechst Akt. Ges.
 9J1225, 9J1331, 9J1361,
 9J1461, 9J1535, 9H461, 9H385
 Ferro Corp. 9J1556
 Firestone Tire & Rubber Co.
 9H278
 Forse Corp. 9H469
 Forsvarets Forskningsanstalt
 9H190
 Franc J. 9J1155
 Freudenberg C. K. 9H247
 Fritzsche E. 9H391
 Frommelt H. 9H377
 Frutiger F. 9J1578
 Garrett Corp. 9K114, 9K115
 Gas Machinery Co. 9M274
 Geigy Co Ltd 9M351
 Geigy L. R. Akt. Ges. 9J1228,
 9J1229, 9J1351, 9J1372—
 9J1374, 9J1389, 9J1398
 General Aniline & Film Corp.
 9J1226, 9H558, 9J1564, 9M285,
 9H603, 9H605
 General Electric Co. 9K342,
 9H229, 9H146
 General Foods Corp. 9H233
 General Mills, Inc. 9H398
 General Motors Corp. 9H93
 Gewerkschaft Baden 9K80
 Giladi J., Rajzman F., Cohen I.
 9H95
 Giovanni H. 9M138
 Glaxo Labs Ltd 9H499
 Glidden Co. 9H504
 Glinka C. 9M300
 Goodrich B. F. Co. 9H333,
 9H341, 9H602
 Goodyear Tire & Rubber Co.
 9H329, 9H338
 Government of Burma 9H1498
 Gulf Oil Corp. 9M315, 9M318,
 9M329, 9M330
 Gulf Research and Develop-
 ment Co. 9M293
 Guyot S., dit Saint-Maur 9K421
 Gyógyszeripari Kutató Inté-
 zet 9J1430, 9J1431
 Haase J. 9J1178
 Hagberg C. S. O. 9E63
 Hajek K. 9H604

Hamon M. 9H97
 Harbens Ltd. 9H395
 Hardman & Holden Ltd 9H175
 Harris B. R. 9H248, 9H249
 Harshaw Chemical Co. 9K81
 Hartman & Braun Akt. Ges.
 9H143
 Harvel Research Corp. 9J152
 Hastrop W. T. 9K302
 Heitz A. 9H195
 Hercules Powder Co. 9H162,
 9H500
 Hoffmann-La Roche F. & Co.
 Akt. Ges. 9J179, 9J1368,
 9J1394, 9J1402, 9J1409,
 9J1413, 9H495, 9H496
 Hooker Chemical Corp. 9M361
 Horák V. 9J1369
 Houdry Process Corp. 9M267
 Hronský K. 9H501
 Hrorek M. 9H599
 Imhausen Werke G. m. b. H.
 9J1156, 9J1157
 Imperial Chemical Industries
 of Australia and New Zea-
 land Ltd 9H141, 9J1521
 Imperial Chemical Industries
 Ltd. 9J158, 9J166, 9J143,
 9J154, 9J1166, 9J1180,
 9J1181, 9J1365, 9J1381,
 9J1395, 9J1439, 9M324,
 9H273, 9H335, 9H372, 9H386,
 9H389, 9H393, 9H645
 Inizan A. 9H246
 Institut Français du Pétrole
 des Carburants et Lubri-
 fiants 9M277, 9M304, 9M356
 Instytut Chemii Ogólnej 9J131
 Interchemical Corp. 9H276,
 9H280
 International Minerals & Che-
 mical Corp. 9K91, 9K128,
 9J1340
 Inventa Akt. Ges. für Forschung
 un Patentverwertung 9J162
 Ionics, Inc. 9K74, 9H138
 Ions Exchange & Chemical
 Corp. 9J1555
 Jacques J.-A. 9J1417
 Jacquin D. M. 9H646
 Jenaer Glaswerk Schott & Gen.
 9K344, 9K345
 Johnson S. C. Inc. 9H159
 Kaiser Aluminum & Chemical
 Corp. 9K163
 Kali-Chemie Akt. Ges.
 9K77, 9K78, 9K85, 9K87,
 9K99, 9K152
 Kaolin G. Co. 9K293
 Katz A. 9J1410
 Kaufmann H. P. 9H290
 Kellogg M. W. 9K155, 9K156,
 9M275, 9M279
 Kendall Co. 9H205
 Kerhoas L. Y. 9H188
 Kienle and Co. 9H289
 Kodak Soc. Anon. 9J1559
 Komline-Sanderson Engine-
 ering Corp. 9H316
 Kotásek Z. 9H647
 Krajča J. 9J195
 Kratochvíl A. 9H178
 Kučera E. 9H648
 Kühnhauf G. 9M353

- Läkare Oy 9J1388
 Labs Français de Chimio-
 thérape 9J1390
 Lactasa Soc. Anon. 9H241
 Ladouce P. D. 9H459
 Laing J. & Son Ltd 9K424
 Lakeside Labs., Inc. 9J1367
 Laporte Chemicals Ltd 9K86
 Latour P. 9J183
 Lendvai A. 9H230
 Lenorák P. 9J1400
 Lessiau J. 9M37
 Lever Brothers Co. 9H466
 Licentia Patent-Verwaltungs
 G. m. b. H. 9K93
 Lilly B. and Co. 9J1383
 LIPHA 9J1459
 Lockheed Aircraft Corp. 9H332
 L. O. F. Glass Fibers Co. 9K351
 Loken B. 9J1424
 Lonics, Inc. 9K94
 Lonza Elektrizitätswerke und
 Chemische Fabriken 9K92
 LubriZol Corp. 9M358
 Ludwig H. 9H232
 Lummas Co. 9M291
 Lux H. 9K104
 Magyar Ásványolaj és Föld-
 gáz Kísérleti Intézet 9J165
 Manning J. A. Paper Co.,
 Inc. 9K215
 Manufactures des Glaces et
 Produits Chimiques de
 Saint-Gobain, Chaunye
 Cirey, 9K32, 9H166
 Marek O. 9H148
 Marion L. 9H286
 Marval E. 9J1179
 Matoušek M. 9K423
 Merck & Co. Inc. 9J1335, 9J1412,
 9J1418—9J1420, 9J1422,
 9J1533
 Merkes R. 9H145
 Metal Hydrides Inc. 9K76
 Metallges. Akt. Ges. 9K420,
 9J132, 9M137
 Metal & Thermit Corp. 9K41,
 9J114
 Meyer R. 9H184
 Mid-Century Corp. 9J1134
 Mikes J. 9H155
 Miles Labs, Inc. 9H332
 Minnesota Mining and Manu-
 facturing Co. 9H292, 9H502
 Mišek T. 9H102
 MLLK Corp. 9H345
 Molho, D. arius 9J1520
 Monsanto Chemical Co. 9K131,
 9J129, 9J349, 9J1526,
 9M309, 9M326, 9H208,
 9H282, 9H334, 9H337
 Morren H. 9J1385
 Murray H. D. 9H569
 Mydlil J. 9J1182
 Nalle G. S., Jr. 9H125
 National Cash Registe Co.
 9J1572
 National Lead Co. 9K296
 National Research Develop-
 ment Corp. 9J1163, 9J1444
 Neumann J. 9J1162
 Nichols Engineering and
 Research Corp. 9H508
 Nobel-Bozel 9J182
 Novák J. 9H213
 Novák J. V. A. 9H142
 Nussberger J. 9H160, 9H167
 Oláh G. 9H133
 Olin Mathieson Chemical
 Corp. 9K61, 9J161, 9J184,
 9J190, 9J432, 9J447, 9J454,
 9M325, 9H373
 Österreichische Stickstoffwerke
 Akt. Ges. 9J1350
 Owens-Corning Fiberglass Corp.
 9K350
 Oxy-Catalyst, Inc. 9K151
 Ozalid Co. Ltd. 9J1218, 9J1570
 Parke, David and Co. 9J1384
 Parke, Davis & Co. 9J1433
 Patent and Licensing Co. 9M308
 Patent-Freihand-Ges. 9K341
 Pelzer H. 9E61
 Permachem Corp. 9J1460
 Peterlite Products Ltd 9H124
 Petrick S. R. 9M349
 Petrochemicals Ltd. 9J1100
 Petrolite Corp. 9J1195
 Pierre Vidal 9H245
 Pitra J. 9J1411
 Pittsburgh Plate Glass Co.
 9H170
 Pflaumer A. E. 9H211
 Pfleger R. 9J1194
 Pharma-Craft Co., 9H503
 Phillips M. A. 9J1527
 Phillips Petroleum Co. 9K125,
 9K160, 9J150, 9J193, 9J1188,
 9M264, 9M286, 9M297,
 9M298, 9H274
 Phoenix Gummiwerke 9H164
 Pittsburgh Plate Glass Co.
 9K352, 9H209, 9H277, 9H279
 Plešek J. 9J1119
 Pneumatiques & Caoutchouc
 Manufacture Kleber-Colom-
 bes 9H179
 Polyplastic 9H185
 Potasse et Engrais Chim-
 iques 9K129
 Poudreries Réunies de Bel-
 gique Soc. An 9J1531
 Princeton Labs, Inc. 9J1452
 Prochazka J. 9M305
 Pure Oil Co. 9M301, 9M302,
 9M334
 Ravensberg Gmb H 9J1343
 Recherches & Documentation
 Chimiques 9J178
 Recherches et Techniques
 Appliquées 9J1342
 Reichhold Chemicals, 9H269
 Reichstein T. 9J1435
 Research Corp. 9J1160
 Rhovyl 9H382, 9H383
 Rice F. O. 9E60
 Richfield Oil Corp. 9J1153
 Rieck G. 9H204
 Roe and Co. Ltd A. V. 9H139
 Rohm & Haas Co 9J1108, 9H158,
 9H199
 Ruhrchemie Akt. Ges. 9J160
 9J194, 9J1128
 Rusche H. 9K419
 Rush J. A., Hodges G. H.,
 Brest A. 9M307
 Russell Manufacturing Co.
 9H339
 Russell W. S. 9K213
 Rust J. B. 9H607
 Rzymkowski J. 9J1566
 Sandoz Akt. Ges. 9H191, 9J1405
 Schade H. 9J1169
 Schering Corp. 9J1428, 9J1529
 Schindler J. & Co. 9H180
 Schulze H. 9J1192
 Screen Engineering Co. 9J1553
 Searle G. D. & Co. 9J1375, 9J1423,
 9J1426, 9J1427, 9J1434
 Seiter F. 9H1171
 Selectochimica Lautenberg
 Soc. Anon. 9J1173
 Semtex Ltd. 9H343
 Seymour Foods, Inc. 9H250
 Shell Development Co. 9J148,
 9J163, 9J186, 9M283—
 9M285, 9H174
 Shell Oil Co. 9M314
 Shell Research Ltd. 9M341
 Siegfried Akt. Ges. 9J1336
 Siemens & Halske A. G.
 9K297
 Siemens-Schuckertwerke Akt.
 Ges. 9H103, 9H240
 Simoniz Co. 9H284
 Sinclair Refining Co. 9K157,
 9M362
 Smith T. J. Ltd 9H206
 Smrž R. 9K134
 Snyder J. P. 9J171
 Soc. Alfa Laval 9H242
 Soc. Civile Laffort Frères 9J172
 Soc. Indatom 9H367
 Soc. Lorraine de Laminage
 Continue Sollac 9M306
 Socony Mobil oil Co. Inc.
 9K154, 9M269, 9M272
 Soc. des Produits Chimiques
 de Berzons 9J1227
 Soc. Rhodiaceta 9H390, 9H404
 Soc. Sacie Pirelli 9H189
 Soc. Union Chim. Belge,
 9M357, 9H134, 9H169
 Soc. des Usines Chimiques
 Rhône-Poulenc 9J1150, 9J1371,
 9J1391, 9J1399, 9J1401
 Soc. Verrière de la Brie &
 du Bugey 9K346
 Solvic Soc. Anon. 9H140
 Sponcel Ltd. 9H399
 Sporlan Valve Co., Inc. 9K166
 Standard Oil Co. 9K153,
 9K158, 9K161, 9J199, 9J1133,
 9M289, 9M310, 9M342
 Steatit-Magnesia A. G. 9K298
 Steinert R. 9H379
 Stepanek J. 9J196
 Sterling Drug, Inc. 9J1337,
 9J1393, 9J1407, 9M143
 Stockholms Superfosfat Fab-
 riks AB. 9H378
 Stratford Engineering Corp.
 9H313
 Strauss S. W. 9K216
 Strong, Cobb, Inc. 9J1458
 Studiengesellschaft Kgl. m.
 b. H. 9K82, 9J1124, 9J1425
 Sun Oil Co. 9J154, 9M271,
 9M299, 9M303, 9M328
 Svenska Skifferolje AB, 9M135
 Svoboda V. 9J1221
 Swift & Co. 9H244
 Szerves Vegyipari és Műany-
 gipari Kutató Intézet 9H1162
 Szrekovits G. 9J159
 Szanko L. 9M359
 Talalay J. A. 9H330
 Tanins Rey Soc. Anon. 9H172
 Texaco Inc. 9M322, 9M339,
 9M347
 Thiokol Chemical Corp. 9H300
 Tilburg J. van 9H308
 Tomiška J. 9J1151
 Torrimetal Trust Reg. 9M311
 Uclaf 9J1404, 9H210
 Ulmer L. 9H287
 Ulrych V. 9H187
 Unilever Ltd 9H458
 Union Carbide Corp. 9H102,
 9J139, 9J1230, 9H141, 9H260,
 9H380
 Union Oil Co of California
 9K60, 9M270, 9M279
 United Gas Industries 9H368
 U. K. Atomic
 Energy Authority 9K20,
 9K30, 9K36, 9K40, 9K45,
 9M295
 Universal Oil Products Co.
 9J1140, 9M273, 9M290, 9M339,
 9H335, 9H463, 9H1182
 Upjohn Co. 9J1423, 9J1429
 USA, Secretary of Agriculture
 9J1120, 9H234, 9H235
 USA, Secretary of the Army
 9J1534
 USA, Secretary of the Interior
 9K295
 USA, Secretary of the Navy
 9H311, 9K214, 9J1436
 USA, Secretary of War 9M337
 USA, Atomic Energy
 Commission 9H140, 9K33,
 9K34, 9K37, 9K39, 9K417
 US Rubber Co. 9J185
 U. S. Vitamin Corp. 9J1370
 U. S. Vitamin and Pharmaceu-
 tical Corp. 9J1353, 9J1408
 Vanderbilt R. Co., 9H160
 Vendramini D. 9H177
 Vereinigte Aluminium-Werke
 Akt. Ges. 9K353
 Větrvička J. 9H361
 Victor Chemical Works 9J1110
 Vogel B. 9J1456
 Vogt & Co., 9H497
 Wacker-Chemie 9K165, 9J170
 Wagner G. Fa 9H173
 Wakefield C. C. Ltd 9M346
 Waldheim A. 9J1330
 Wasag-Chemie 9J1577
 Wellens E. 9H96
 Wilkinson G. 9J127
 Wunderlich H. 9J1386
 Yakimac A. A. 9E62
 Yorkshire Tar Distillers Ltd.
 9M132
 Záhorovský S. 9H168
 Zajiček L. 9H288
 Ziegler M. 9K106
 Zizka J. 9J1103
 Zlámal Z. 9H101
 Zonolite Co. 9K141

2(24)

any-
II42

9II172
9II395

9II300

9II321

9II102,
9II200,

Forma

9II343

9II420,
9II443,

Co.
9II330.

9II3

9II429
culture

Army

interior

Navy

9II327

9II33,
9II347

9II379

9II408
9II601

Werke

9II110

9II70

9II344

ere Ltd.

672(20)

Mundya-
et 9H112

. 9H112
9M335,

p. 9H112

9M311

9J1102,
9H200,

ifornia
8
9H369

K29,
9K43,

s Co.
9M320.
53
9J1429
culture
5,
Army

interior

Navy
9M307

9K20,
9K217

9J1370
nace-
9J1408
9H1501

Verke

9J1110

9J170

9M344

L.L.

AU

M

M

CHE

РЕФЕРАТИВНЫЙ ЖУРНАЛ
ИНСТИТУТ НАУЧНОЙ ИНФОРМАЦИИ АКАДЕМИИ НАУК СССР

ДИРЕКТОР ИНСТИТУТА — профессор А. И. Михайлов

Реферативный журнал издается в следующих сериях:

- АВТОМАТИКА И РАДИОЭЛЕКТРОНИКА — Главный редактор канд. техн. наук А. С. Бучинский
АСТРОНОМИЯ И ГЕОДЕЗИЯ — Главный редактор профессор К. Ф. Огородников
БИОЛОГИЯ — Главный редактор канд. биол. наук В. И. Доброхвалов
ГЕОГРАФИЯ — Главный редактор доктор геогр. наук А. А. Насимович
ГЕОЛОГИЯ — Главный редактор профессор Е. Е. Захаров
ГЕОФИЗИКА — Главный редактор профессор И. А. Хвостиков
ГОРНОЕ ДЕЛО — Главный редактор доктор техн. наук Е. М. Фаерман
МАТЕМАТИКА — Главный редактор канд. физ.-мат. наук Р. В. Гамкрелидзе
МАШИНОСТРОЕНИЕ — Главный редактор канд. техн. наук В. З. Фрейдберг
МЕТАЛЛУРГИЯ — Главный редактор чл.-корр. АН СССР Н. В. Агеев
МЕХАНИКА — Главный редактор академик Л. И. Седов
ТРАНСПОРТ — Главный редактор канд. техн. наук В. Т. Осипов
ФИЗИКА — Главный редактор профессор Э. В. Шпольский
ХИМИЯ (с Биохимией) — Зав. отделом профессор В. В. Кафаров, гл. редактор В. В. Серпинский
ЭКОНОМИКА ПРОМЫШЛЕННОСТИ — Главный редактор профессор С. М. Лисичкин
ЭЛЕКТРОТЕХНИКА И ЭНЕРГЕТИКА — Главный редактор профессор Б. М. Тареев

REFERATIVNYI ZHURNAL

INSTITUTE OF SCIENTIFIC INFORMATION, ACADEMY OF SCIENCES OF THE USSR

DIRECTOR OF THE INSTITUTE Professor A. I. Mikhailov

The Referativnyi Zhurnal is published in the following series:

- AUTOMATION AND RADIOELECTRONICS — Chief editor Candidate of Technical Sciences A. S. Buchinsky
ASTRONOMY AND GEODESY — Chief editor Professor K. F. Ogorodnikov
BIOLOGY — Chief editor Candidate of Biological Sciences V. P. Dobrokhvalov
GEOGRAPHY — Chief editor Doctor of Geographical Sciences A. A. Nasimovich
GEOLOGY — Chief editor Professor E. E. Zakharov
GEOPHYSICS — Chief editor Professor I. A. Khvostikov
MINING — Chief editor Doctor of Technical Sciences E. M. Feerman
MATHEMATICS — Chief editor Candidate of Physical and Mathematical Science R. V. Gamkrelidze
MECHANICAL ENGINEERING — Chief editor Candidate of Technical Sciences V. Z. Freidberg
METALLURGY — Chief editor Corresponding member of the USSR Academy of Sciences N. V. Ageev
MECHANICS — Chief editor Academician L. I. Sedov
TRANSPORT — Chief editor Candidate of Technical Sciences V. T. Osipov
PHYSICS — Chief editor Professor E. V. Shpolsky
CHEMISTRY (with Biochemistry) — Chief of Department Professor V. V. Kafarov, Chief editor V. V. Serpinsky
ECONOMICS OF INDUSTRY — Chief editor Professor S. M. Lisichkin
ELECTRICAL ENGINEERING AND ENERGETICS — Chief editor Professor B. M. Tarcev

Editorial Office: Moscow D-219, Baltijskaja ulitsa, 14

Технический редактор Р. М. Денисова

Подписано к печати 25/IV-1961 г.

Тираж 2860

Формат бумаги 84×108¹/₁₆

Зак. 1691

Печ. л. 68,88

Бум. л. 21

Уч.-изд. л. 129,4

2-я тип. Издательства Академии наук СССР. Москва, Шубинский пер., д. 10

Цена 4 р. 05 к.

